

Informe de clasificación de solicitudes de conexión

de la subárea CQR-B3-2025-P2

Unidad de Planeación
Minero Energética

Tabla de contenido

Reporte por subestación en la subárea CQR ***17***

Subestación Aguablanca 115: **17**

Subestación Aguadas 33: **20**

Subestación Alferez 220: **21**

Subestación Alferez 500: **24**

Subestación Alferez I 115: **27**

Subestación Alferez II 115: **30**

Subestación Alta suiza 33: **32**

Subestación Altagracia 33: **33**

Subestación Altamar 33: **34**

Subestación Altamira 115: **36**

Subestación Altamira 220: **39**

Subestación Alto Anchya 220: **42**

Subestación Amaga 110: **44**

Subestación Amalfi 110: **47**

Subestación Ambalema_34.5: **49**

Subestación Amoya 115: **50**

Subestación Ancon EPM 110: **53**

Subestación Ancon EPM 220: **55**

Subestación Ancon ISA 220: **58**

Subestación Anserma 33: **61**

Subestación Antioquia 500: **62**

Subestación Apartado 110: **65**

Subestación Aranjuez 115: **67**

Subestación Aranzazu 33: **70**

Subestación Armenia 115: **72**

Subestación Armenia 220: **79**

Subestación Armenia 33: **86**

Subestación Arrieros 34.5: **87**
Subestación Autopista 115: **88**
Subestación Avenida Primera 115: **91**
Subestación Ayura 110: **95**
Subestación BMalaga 115: **97**
Subestación Bacata 115: **100**
Subestación Bacata 220: **103**
Subestación Bacata 500: **106**
Subestación Bajo Anchya 115: **110**
Subestación Balboa 33: **113**
Subestación Balsillas 1 Sec1 115: **114**
Subestación Balsillas 220: **117**
Subestación Barbosa 110: **120**
Subestación Barbosa 220: **123**
Subestación Barroso 110: **125**
Subestación Barzalosa 115: **128**
Subestación Belalcazar 33: **131**
Subestación Belen (Antioquia) 110: **132**
Subestación Belen de umbria 33: **135**
Subestación Bello 110: **136**
Subestación Bello 220: **139**
Subestación Bello Horizonte 33: **141**
Subestación Betania 115: **143**
Subestación Betania 220: **146**
Subestación Bochica (Aurora) 115: **149**
Subestación Bolivia 115: **152**
Subestación Bolivia 33: **155**
Subestación Bolombolo 110: **156**
Subestación Boqueron_34.5: **158**

Subestación Bosa 115: **160**
Subestación Bosques acuarela 33: **163**
Subestación Brisas 115: **164**
Subestación Buga 115: **167**
Subestación Cabañas 110: **169**
Subestación Calarca 33: **172**
Subestación Caldas 110: **173**
Subestación Calderas 110: **176**
Subestación Calera 115: **178**
Subestación Calima 115: **181**
Subestación Calizas 110: **184**
Subestación Calle 51 115: **186**
Subestación Calle 67 115: **189**
Subestación Campestre 33: **192**
Subestación Candelaria 115: **193**
Subestación Canoas 115: **196**
Subestación Caqueza 115: **199**
Subestación Carrera 5 115: **202**
Subestación Carrieles 110: **205**
Subestación Carrieles 220: **207**
Subestación Cartago 115: **210**
Subestación Cartago 220: **215**
Subestación Castellana 115: **219**
Subestación Castilla 110: **222**
Subestación Catambuco 115: **224**
Subestación Caucheras 110: **228**
Subestación Cemex 115: **230**
Subestación Central 110: **233**
Subestación Cerrito 115: **236**

Subestación Cerromatoso 220: **238**
Subestación Cerromatoso 500: **240**
Subestación Certegui 115: **243**
Subestación Chia 115: **247**
Subestación Chicala 115: **250**
Subestación Chinchina 33: **253**
Subestación Chinu 220: **254**
Subestación Chinu 500: **257**
Subestación Chipichape 115: **259**
Subestación Chipre 33: **262**
Subestación Chivor 115: **263**
Subestación Chivor 220: **266**
Subestación Chivor II 220: **269**
Subestación Chorodo 110: **272**
Subestación Circo 115: **274**
Subestación Circo 220: **277**
Subestación Cocorna 110: **280**
Subestación Codazzi 115: **283**
Subestación Colegio 115: **285**
Subestación Colombia 110: **288**
Subestación Compartir 115: **291**
Subestación Comuneros 220: **294**
Subestación Concordia 115: **296**
Subestación Cordova (Antioquia) 110: **300**
Subestación Cruzada 110: **302**
Subestación Cuba 115: **305**
Subestación Cuba 13.2: **311**
Subestación Cuba 33: **312**
Subestación Cucuana 115: **314**

Subestación Diaco COD 115: **317**
Subestación Diesel II 115: **321**
Subestación Doncello 115: **324**
Subestación Dorada 115: **326**
Subestación Dorada 33: **335**
Subestación Dorada Norte 115: **336**
Subestación Dorada Norte 33: **340**
Subestación Dosquebradas 115: **341**
Subestación Dosquebradas 13.8: **351**
Subestación Dosquebradas 34.7: **352**
Subestación El Bote 115: **354**
Subestación El Caimo 33: **357**
Subestación El Carmelo 115: **358**
Subestación El Dorado 33: **361**
Subestación El Rio (Bogota) 115: **362**
Subestación El Salto (EPM) 110: **365**
Subestación El Salto 220: **367**
Subestación El Siete 115: **370**
Subestación El Sol 115: **372**
Subestación El Zaque 115: **376**
Subestación Enea 115: **379**
Subestación Enea 220: **387**
Subestación Enea 33: **395**
Subestación Envigado 110: **396**
Subestación Envigado 220: **399**
Subestación Esmeralda 220: **401**
Subestación Esmeralda 33: **409**
Subestación Esmeralda CQR 115: **410**
Subestación Estambul 230: **423**

Subestación Facatativa 115: **425**
Subestación Felisa 33: **428**
Subestación Filadelfia 33: **430**
Subestación Flandes 115: **431**
Subestación Florencia 115: **434**
Subestación Florida (Cauca) 115: **437**
Subestación Florida COD 115: **441**
Subestación Fontibon 115: **445**
Subestación Girardota 110: **448**
Subestación Gran Sabana 115: **450**
Subestación Guaca 115: **454**
Subestación Guaca 220: **457**
Subestación Guachal 115: **460**
Subestación Guadalupe 220: **463**
Subestación Gualanday 115: **465**
Subestación Guapi 115: **468**
Subestación Guarato 33: **471**
Subestación Guatape 110: **472**
Subestación Guatape 220: **475**
Subestación Guateque 115: **477**
Subestación Guatiguara 220: **480**
Subestación Guavio 115: **482**
Subestación Guavio 220: **485**
Subestación Guayabal 110: **488**
Subestación Guayabal 220: **491**
Subestación Guayabal_34.5: **493**
Subestación Guárcama 110: **495**
Subestación Heliconia 220: **498**
Subestación Heliconia 500: **500**

Subestación Hermosa 115: **503**
Subestación Hermosa 220: **510**
Subestación Hermosa 33: **517**
Subestación Hispania 110: **518**
Subestación Hobo 115: **521**
Subestación HondaGuali_13.2: **524**
Subestación HondaGuali_34.5: **525**
Subestación Horizonte 110: **526**
Subestación Huila 115: **529**
Subestación Huila 230: **531**
Subestación Incauca 115: **534**
Subestación Industriales 110: **537**
Subestación Insula 115: **539**
Subestación Insula 33: **543**
Subestación Insula CQR 115: **544**
Subestación Irra 115: **554**
Subestación Irra 33: **561**
Subestación Istmina 115: **562**
Subestación Itagui 110: **566**
Subestación Jaguas 220: **568**
Subestación Jamondino 115: **571**
Subestación Jamondino 220: **574**
Subestación Jamundi 115: **577**
Subestación Jardinera 115: **580**
Subestación Juanchito 115: **583**
Subestación Juanchito 220: **586**
Subestación Juanchito 220 (115): **588**
Subestación Junin 115: **591**
Subestación La Ceja 110: **594**

Subestación La Manuela 33: **596**
Subestación La Merced 33: **598**
Subestación La Miel 220: **599**
Subestación La Patria 33: **606**
Subestación La Paz 115: **607**
Subestación La Rosa 115: **610**
Subestación La Sierra 110: **618**
Subestación La Sierra 220: **620**
Subestación La Tasajera 220: **623**
Subestación La Union 115: **625**
Subestación La cabaña 33: **628**
Subestación La rosa 33: **629**
Subestación Ladera 115: **631**
Subestación Laguneta 115: **633**
Subestación Lanceros 115: **636**
Subestación Las Coles 33: **639**
Subestación Las Margaritas 33: **640**
Subestación Lerida_13.2: **641**
Subestación Lerida_34.5: **643**
Subestación Malena 220: **645**
Subestación Mambita 115: **647**
Subestación Manizales 115: **650**
Subestación Manizales 33: **657**
Subestación Manzanares 110: **658**
Subestación Manzanares 115: **661**
Subestación Manzanares 13.8: **674**
Subestación Manzanares 33: **675**
Subestación Mariquita 115: **676**
Subestación Mariquita_13.2: **684**

Subestación Mariquita_13.2B: **686**
Subestación Mariquita_34.5 A: **687**
Subestación Mariquita_34.5 B: **689**
Subestación Marmato 33: **690**
Subestación Marquetalia 33: **691**
Subestación Marsella 33: **693**
Subestación Melendez 115: **694**
Subestación Mesa 220: **696**
Subestación Miraflores 110: **702**
Subestación Miraflores 220: **704**
Subestación Mirolindo 115: **707**
Subestación Mirolindo 220: **710**
Subestación Mistrato 33: **713**
Subestación Molinos 115: **714**
Subestación Montenegro 33: **720**
Subestación Morato 115: **722**
Subestación Mosquera 115: **725**
Subestación Muzu 115: **728**
Subestación Muña 1 115: **731**
Subestación Muña 3 115: **733**
Subestación Naranjito 33: **736**
Subestación Natagaima 115: **737**
Subestación Neira 33: **740**
Subestación Noroeste 115: **741**
Subestación Noroeste 220: **744**
Subestación Norte 500: **748**
Subestación Nva Cajamarca 115: **750**
Subestación Nva Colonia 110: **758**
Subestación Nva Esperanza 115: **760**

Subestación Nva Esperanza 220: **764**
Subestación Nva Esperanza 500: **768**
Subestación Nva Espinal 115: **773**
Subestación Nva SRosa 110: **777**
Subestación Occidente 110: **779**
Subestación Occidente 220: **782**
Subestación Olaya 115: **784**
Subestación Oriente 110: **787**
Subestación Oriente 115: **790**
Subestación Oriente 220: **793**
Subestación P Blancas 110: **795**
Subestación Pacora 33: **798**
Subestación Paez (Cabaña) 115: **799**
Subestación Paez 220: **803**
Subestación Pailon 115: **806**
Subestación Paipa 115: **808**
Subestación Palmaseca 115: **811**
Subestación Panamericana 115: **813**
Subestación Pance 115: **817**
Subestación Pance 220: **820**
Subestación Papayo 115: **822**
Subestación Papel Cauca 115: **825**
Subestación Paraguacito 33: **828**
Subestación Paraiso 220: **829**
Subestación Parque cafe 33: **832**
Subestación Pasto 115: **834**
Subestación Pavas 115: **837**
Subestación Pavas 13.8: **843**
Subestación Pavas 33: **844**

Subestación Pavco 115: **846**
Subestación Peldar 115: **848**
Subestación Pensilvania 33: **851**
Subestación Peralonso 115: **852**
Subestación Peralonso 33: **860**
Subestación Picaleña 115: **861**
Subestación Pilamo 33: **864**
Subestación Pitalito 115: **865**
Subestación Playas 110: **868**
Subestación Playas 220: **871**
Subestación Poblado 110: **873**
Subestación Popayan 115: **875**
Subestación Porce 220: **878**
Subestación Porce III 500: **881**
Subestación Porcecito 110: **884**
Subestación Portugal 115: **886**
Subestación Porvenir 115: **889**
Subestación Prado 115: **892**
Subestación Primavera 220: **895**
Subestación Primavera 500: **897**
Subestación Pto Boyaca 110: **900**
Subestación Pto Nare 110: **902**
Subestación Pueblo rico 33: **905**
Subestación Puerto Espejo 33: **906**
Subestación Purnio 115: **907**
Subestación Purnio 220: **916**
Subestación Quibdo 115: **923**
Subestación Quinchia 33: **927**
Subestación Regivit 115: **928**

Subestación Regivit 33: **935**
Subestación Renacer 115: **936**
Subestación Renacer 220: **939**
Subestación Rio Claro 110: **942**
Subestación Rio Mayo 115: **945**
Subestación Rio Sucio 115: **948**
Subestación Riogrande 110: **954**
Subestación Rionegro 110: **957**
Subestación Riosucio 33: **959**
Subestación Risaralda 33: **961**
Subestación Rodeo 110: **962**
Subestación S Bernardino 220: **964**
Subestación SE Lagunas 110: **968**
Subestación Salado 115: **970**
Subestación Salamina 115: **973**
Subestación Salamina 220: **980**
Subestación Salamina 33: **987**
Subestación Salitre 115: **988**
Subestación Salto I (Bogota) 115: **991**
Subestación Salto II 115: **995**
Subestación Salvajina 220: **998**
Subestación San Antonio (Valle) 115: **1001**
Subestación San Antonio del Chami 33: **1003**
Subestación San Bernardino 115: **1004**
Subestación San Carlos 220: **1008**
Subestación San Carlos 500: **1012**
Subestación San Diego 110: **1016**
Subestación San Felipe 115: **1018**
Subestación San Felipe 13.2: **1027**

Subestación San Felipe 220: **1028**
Subestación San Felipe_34.5 A: **1037**
Subestación San Felipe_34.5 B: **1038**
Subestación San Francisco 115: **1040**
Subestación San Jeronimo 110: **1047**
Subestación San Jose 115: **1049**
Subestación San Lorenzo 110: **1052**
Subestación San Lorenzo 220: **1055**
Subestación San Lorenzo II 110: **1063**
Subestación San Luis 115: **1066**
Subestación San Marcos 115: **1069**
Subestación San Marcos 220: **1071**
Subestación San Marcos 500: **1075**
Subestación San Martin 115: **1079**
Subestación San Mateo (Bogota) 220: **1083**
Subestación San Mateo 220: **1087**
Subestación Santa Barbara 115: **1090**
Subestación Santa Cecilia 33: **1092**
Subestación Santa Fe de Antioquia 110 kV: **1093**
Subestación Santa Maria 115: **1096**
Subestación Santander 115: **1100**
Subestación Santuario 33: **1103**
Subestación Sauces 115: **1104**
Subestación Seboruco 115: **1107**
Subestación Segovianas 115: **1110**
Subestación Sesquile 115: **1113**
Subestación Simijaca 115: **1116**
Subestación Sn Carlos EEB 115: **1119**
Subestación Sonson 110: **1123**

Subestación Suba 115: **1126**
Subestación Sucromiles 115: **1129**
Subestación Supia 33: **1131**
Subestación Sur (Cali) 115: **1132**
Subestación Sur 115: **1135**
Subestación Sur 33: **1138**
Subestación Tabor (Bventura) 115: **1139**
Subestación Tebaida 13.2: **1142**
Subestación Tebaida 33: **1143**
Subestación Techo 115: **1145**
Subestación Tenay 115: **1148**
Subestación Tenjo 115: **1151**
Subestación Terminal 115: **1154**
Subestación Termo Zipa 115: **1157**
Subestación Termovalle 115: **1161**
Subestación Termoyumbo 115: **1164**
Subestación Tesalia 220: **1167**
Subestación Tibabuyes 115: **1170**
Subestación Tigre 110: **1172**
Subestación Torca 115: **1174**
Subestación Torca 220: **1177**
Subestación Tren Occ 115: **1180**
Subestación Troneras 110: **1183**
Subestación Tulua 115: **1185**
Subestación Tuluni 115: **1188**
Subestación Tuluni 220: **1191**
Subestación Tumaco 115: **1194**
Subestación Tunal 115: **1197**
Subestación Tunal 220: **1200**

Subestación Tunjita 115: **1203**
Subestación Ubala 115: **1206**
Subestación Ubate 115: **1209**
Subestación Uraba 110: **1212**
Subestación Uraba 220: **1214**
Subestación Urra 110: **1217**
Subestación Urra 220: **1219**
Subestación Usaquen 115: **1222**
Subestación Usme 115: **1225**
Subestación Ventorrillo 33: **1228**
Subestación Veraguas 115: **1229**
Subestación Victoria 33: **1232**
Subestación Victoria CQR 115: **1233**
Subestación Victoria EEB 115: **1247**
Subestación Vijes 115: **1251**
Subestación Villamaria 33: **1253**
Subestación Villeta 115: **1255**
Subestación Virginia 115: **1259**
Subestación Virginia 220: **1265**
Subestación Virginia 33: **1273**
Subestación Virginia 500: **1274**
Subestación Viterbo 115: **1281**
Subestación Viterbo 33: **1288**
Subestación Vlla Hermosa 110: **1290**
Subestación Yarumal 110: **1292**
Subestación Yarumal II 110: **1295**
Subestación Yumbo 220: **1297**
Subestación Zamora 110: **1300**
Subestación Zarzal 115: **1302**

Subestación Zipaquira 115: 1305

Reporte por subestación en la subárea CQR

Esta sección tiene como objetivo realizar el análisis de las variables y el estado de cada una de las subestaciones del SIN, las cuales son impactadas por la conexión de proyectos en la subárea CQR. A continuación, se realizará un análisis del estado de la variable de capacidad de barra y capacidad excedente de interrupción de corriente de cortocircuito, teniendo en cuenta las solicitudes de conexión y las respectivas alternativas priorizadas como resultado de la ejecución del MACC.

Subestación Aguablanca 115:

Capacidad por barra:

Para la subestación Aguablanca 115 se presentaron 0 alternativas de conexión las cuales se muestran en la siguiente tabla:

Tabla 2-1. Alternativas de conexión presentadas a la subestación Aguablanca 115

Solicitud	Capacidad	Tipo	Barra	FPO solicitada	Restricción

No se priorizó ninguna de las alternativas de conexión presentadas en la subestación Aguablanca 115

El estado de la capacidad por barra en la subestación Aguablanca 115, teniendo en cuenta la priorización se puede observar en la siguiente figura.

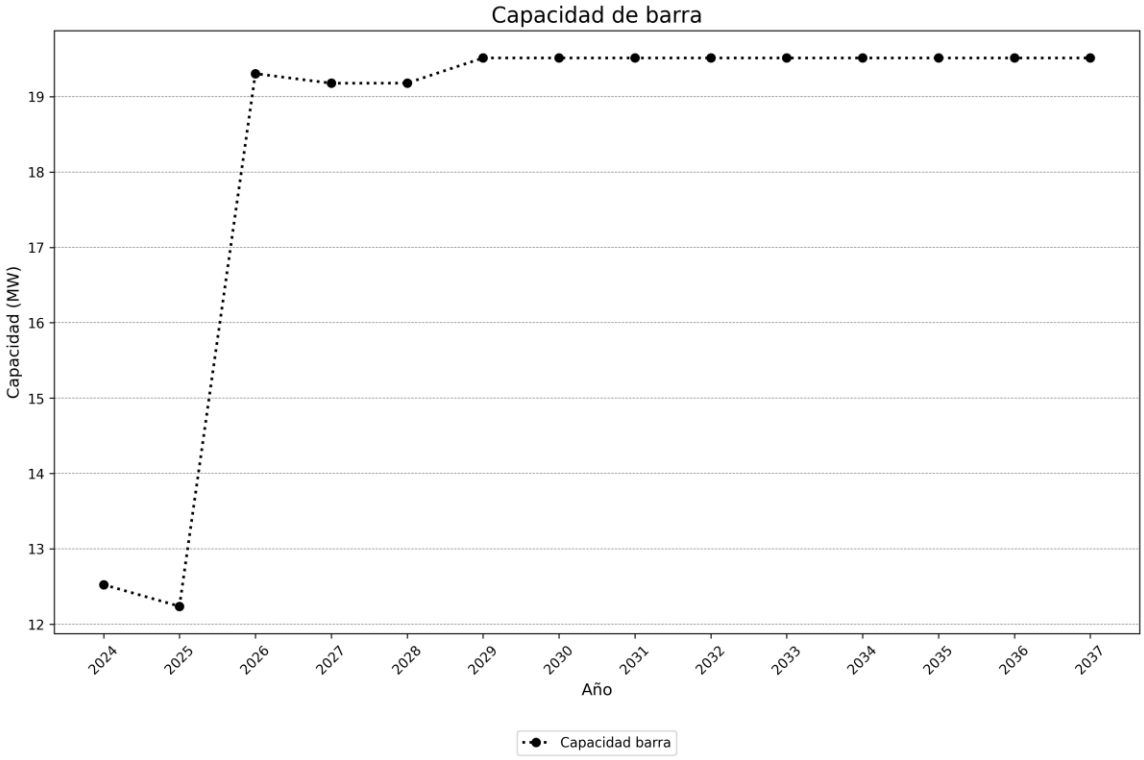


Figura 2-1. Balance de capacidad por barra después de la priorización para la subestación Aguablanca 115

Capacidad excedente de interrupción de corriente de cortocircuito:

Para la subestación Aguablanca 115 se presentaron 4 alternativas de conexión las cuales tienen aportes de corriente de cortocircuito. Estas alternativas se muestran en la siguiente tabla:

Tabla 2-2. Alternativas de conexión que aportan corriente de cortocircuito en la subestación Aguablanca 115

Solicitud	tipo	FPO	Barra a la que aporta CC	Aporte de cortocircuito (kA)	Restricción
SC_2023_5557_A1	Solar FV	2028	Aguablanca 115	0.096	SATISFACE

SC_2936_A1	Solar FV	2026	Aguablanca 115	0.000	SATISFACE
SC_2936_A2	Solar FV	2026	Aguablanca 115	0.000	SATISFACE
SC_3882_A1	Solar FV	2026	Aguablanca 115	0.094	SATISFACE

No se priorizó ninguna de las alternativas de conexión que tengan aportes de corriente de cortocircuito en la subestación Aguablanca 115

El estado de la capacidad de cortocircuito en la subestación Aguablanca 115, teniendo en cuenta la priorización se puede observar en la siguiente figura.

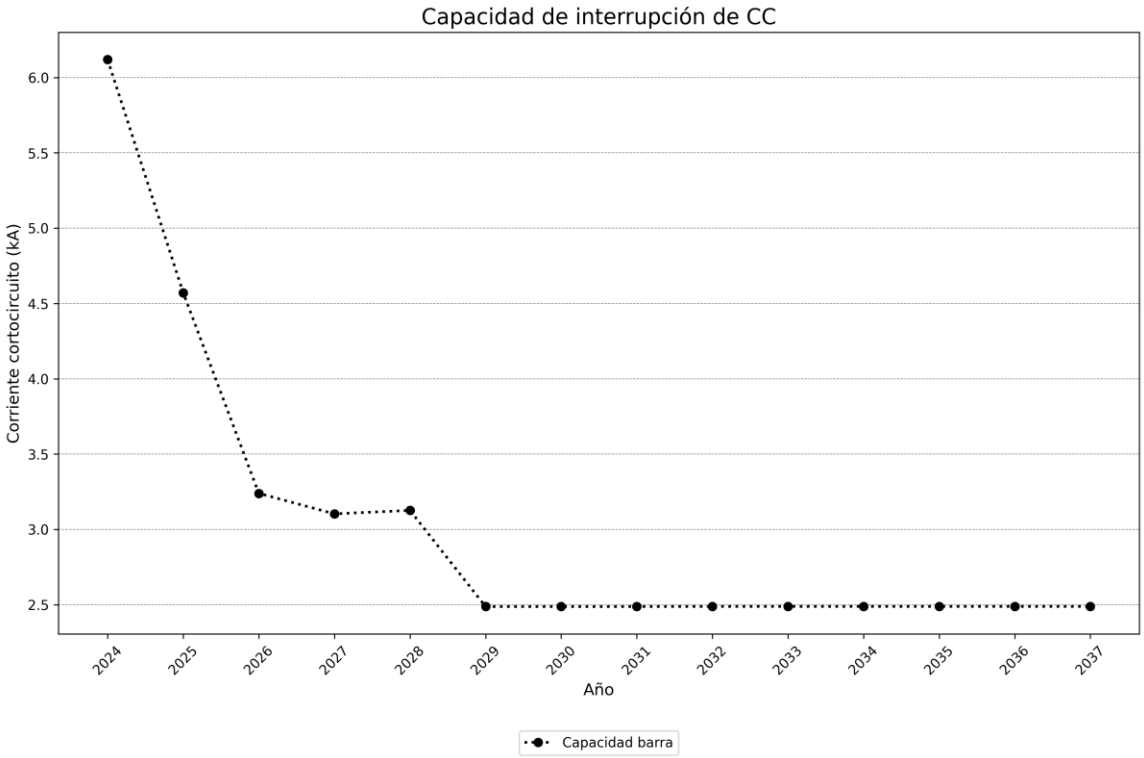


Figura 2-2. Balance de capacidad de cortocircuito después de la priorización para la subestación Aguablanca 115

Subestación Aguadas 33:

Capacidad por barra:

Para la subestación Aguadas 33 se presentaron 1 alternativas de conexión las cuales se muestran en la siguiente tabla:

Tabla 2-3. Alternativas de conexión presentadas a la subestación Aguadas 33

Solicitud	Capacidad	Tipo	Barra	FPO solicitada	Restricción
SC_2023_5339_A1	5.6	PCH	Aguadas 33	2026	SATISFACE

No se priorizó ninguna de las alternativas de conexión presentadas en la subestación Aguadas 33

El estado de la capacidad por barra en la subestación Aguadas 33, teniendo en cuenta la priorización se puede observar en la siguiente figura.

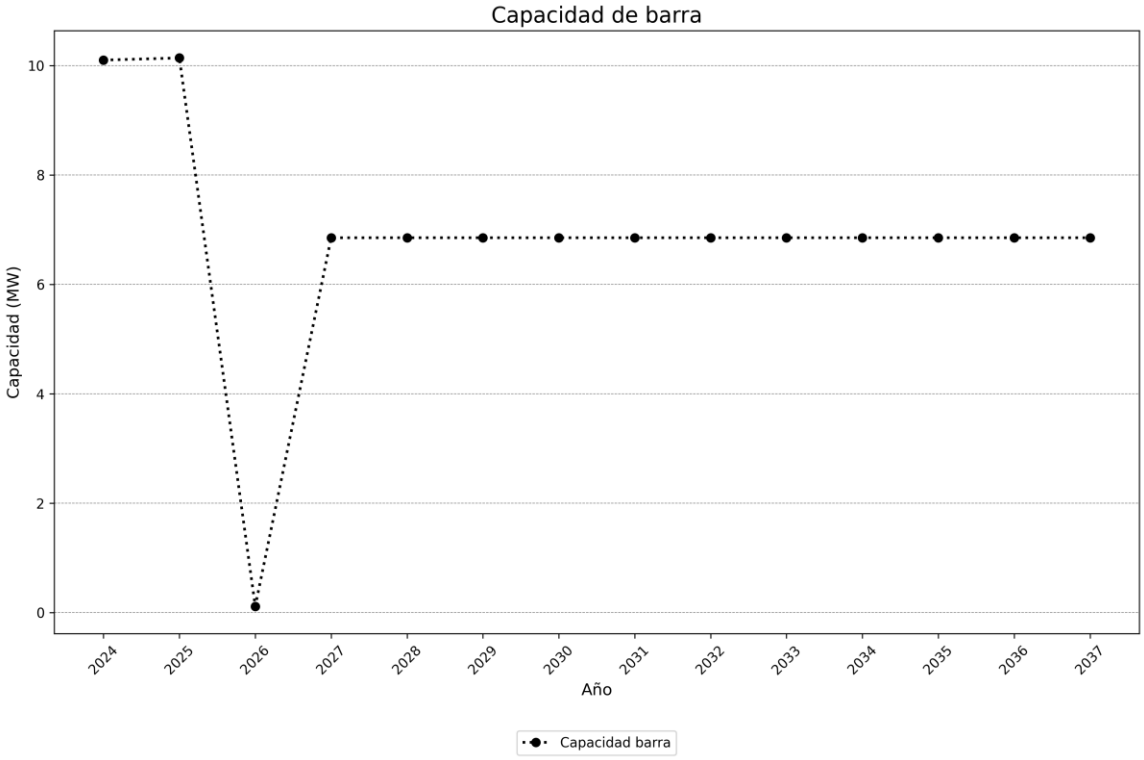


Figura 2-3. Balance de capacidad por barra después de la priorización para la subestación Aguadas 33

Subestación Alferez 220:

Capacidad por barra:

Para la subestación Alferez 220 se presentaron 0 alternativas de conexión las cuales se muestran en la siguiente tabla:

Tabla 2-4. Alternativas de conexión presentadas a la subestación Alferez 220

Solicitud	Capacidad	Tipo	Barra	FPO solicitada	Restricción

No se priorizó ninguna de las alternativas de conexión presentadas en la subestación Alferez 220

El estado de la capacidad por barra en la subestación Alferez 220, teniendo en cuenta la priorización se puede observar en la siguiente figura.

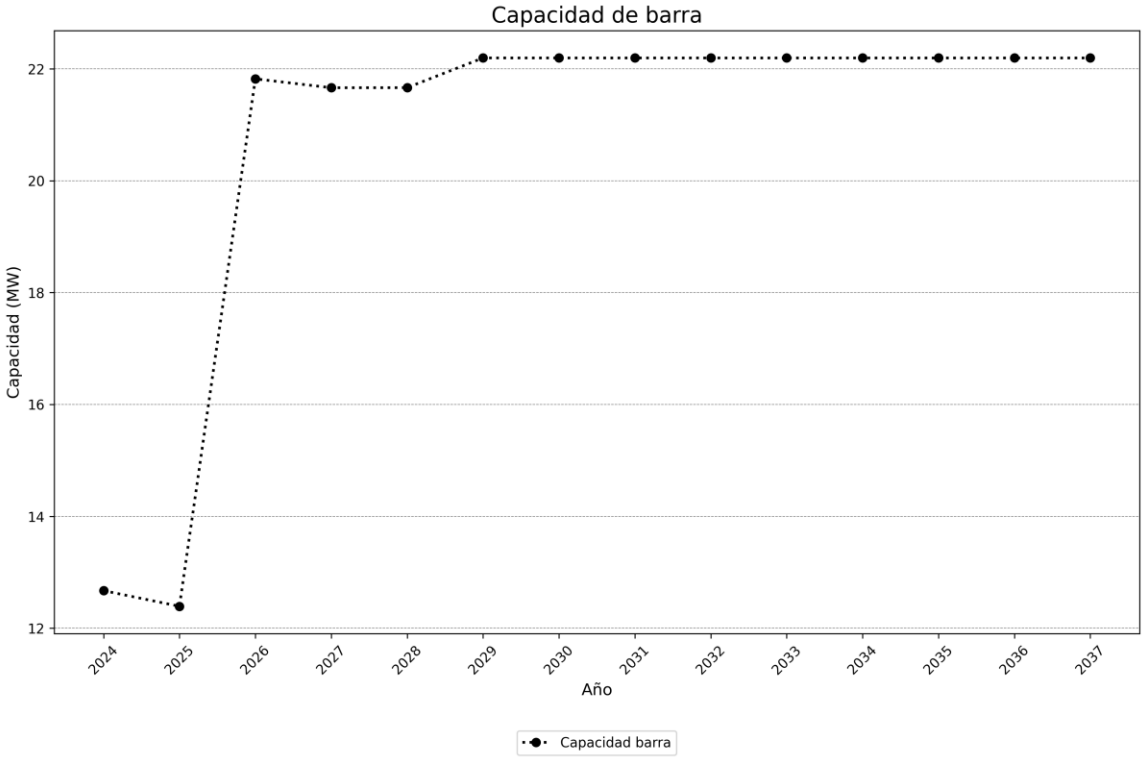


Figura 2-4. Balance de capacidad por barra después de la priorización para la subestación Alferez 220

Capacidad excedente de interrupción de corriente de cortocircuito:

Para la subestación Alferez 220 se presentaron 12 alternativas de conexión las cuales tienen aportes de corriente de cortocircuito. Estas alternativas se muestran en la siguiente tabla:

Tabla 2-5. Alternativas de conexión que aportan corriente de cortocircuito en la subestación Alferez 220

Solicitud	tipo	FPO	Barra a la que aporta CC	Aporte de cortocircuito (kA)	Restricción
SC_2023_5557_A1	Solar FV	2028	Alferez 220	0.102	SATISFACE
SC_2670_A1	Solar FV	2028	Alferez 220	0.070	SATISFACE
SC_2670_A2	Solar FV	2028	Alferez 220	0.080	SATISFACE
SC_2936_A1	Solar FV	2026	Alferez 220	0.000	SATISFACE
SC_2936_A2	Solar FV	2026	Alferez 220	0.000	SATISFACE
SC_3133_A1	Solar FV	2028	Alferez 220	0.283	SATISFACE
SC_3133_A2	Solar FV	2028	Alferez 220	0.289	SATISFACE
SC_3882_A1	Solar FV	2026	Alferez 220	0.100	SATISFACE
SC_4974_A1	Solar FV	2026	Alferez 220	0.011	SATISFACE
SC_4974_A2	Solar FV	2026	Alferez 220	0.011	SATISFACE
SC_4978_A1	Solar FV	2026	Alferez 220	0.001	SATISFACE
SC_4978_A2	Solar FV	2026	Alferez 220	0.005	SATISFACE

No se priorizó ninguna de las alternativas de conexión que tengan aportes de corriente de cortocircuito en la subestación Alferez 220

El estado de la capacidad de cortocircuito en la subestación Alferez 220, teniendo en cuenta la priorización se puede observar en la siguiente figura.

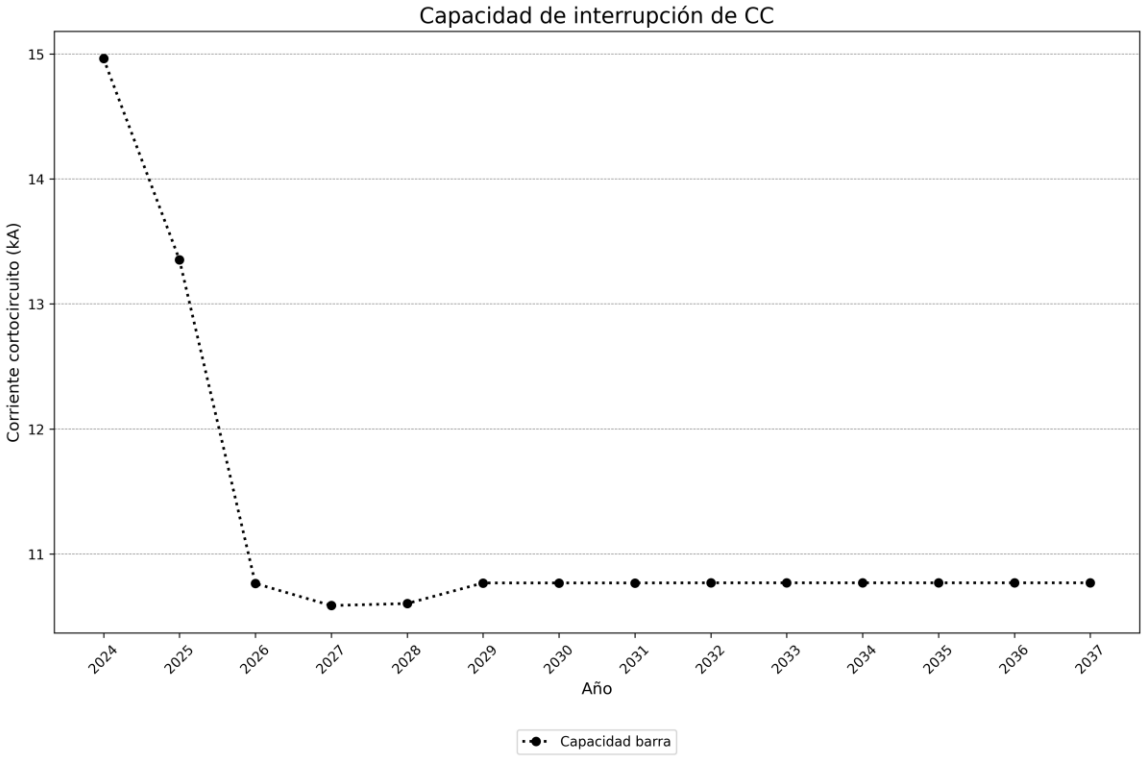


Figura 2-5. Balance de capacidad de cortocircuito después de la priorización para la subestación Alferez 220

Subestación Alferez 500:

Capacidad por barra:

Para la subestación Alferez 500 se presentaron 0 alternativas de conexión las cuales se muestran en la siguiente tabla:

Tabla 2-6. Alternativas de conexión presentadas a la subestación Alferez 500

Solicitud	Capacidad	Tipo	Barra	FPO solicitada	Restricción

No se priorizó ninguna de las alternativas de conexión presentadas en la subestación Alferez 500

El estado de la capacidad por barra en la subestación Alferez 500, teniendo en cuenta la priorización se puede observar en la siguiente figura.

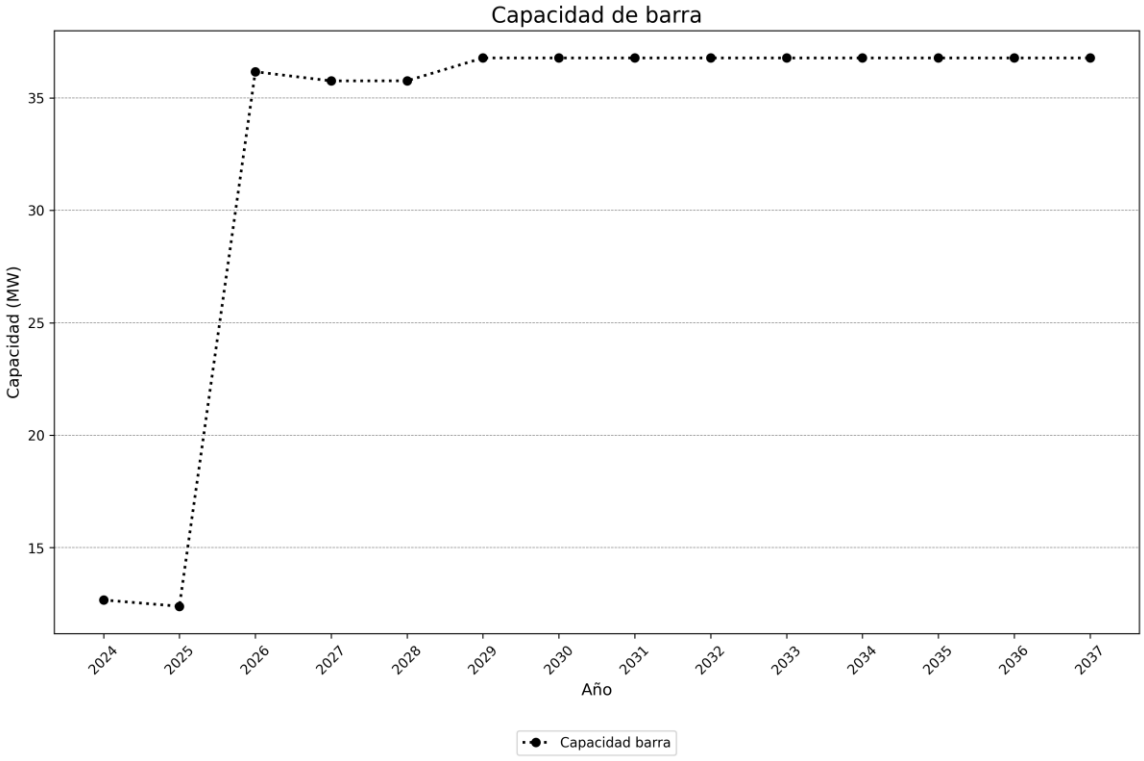


Figura 2-6. Balance de capacidad por barra después de la priorización para la subestación Alferez 500

Capacidad excedente de interrupción de corriente de cortocircuito:

Para la subestación Alferez 500 se presentaron 28 alternativas de conexión las cuales tienen aportes de corriente de cortocircuito. Estas alternativas se muestran en la siguiente tabla:

Tabla 2-7. Alternativas de conexión que aportan corriente de cortocircuito en la subestación Alferez 500

Solicitud	tipo	FPO	Barra a la que aporta CC	Aporte de cortocircuito (kA)	Restricción
SC_2023_5144_A1	Solar FV	2028	Alferez 500	0.094	SATISFACE
SC_2023_5144_A2	Solar FV	2028	Alferez 500	0.099	SATISFACE
SC_2023_5150_A1	Solar FV	2028	Alferez 500	0.051	SATISFACE
SC_2023_5293_A1	Solar FV	2028	Alferez 500	0.018	SATISFACE
SC_2023_5293_A2	Solar FV	2028	Alferez 500	0.023	SATISFACE
SC_2670_A1	Solar FV	2028	Alferez 500	0.050	SATISFACE
SC_2670_A2	Solar FV	2028	Alferez 500	0.030	SATISFACE
SC_3012_A1	Solar FV	2027	Alferez 500	0.000	SATISFACE
SC_3012_A2	Solar FV	2027	Alferez 500	0.000	SATISFACE
SC_3133_A1	Solar FV	2028	Alferez 500	0.126	SATISFACE
SC_3133_A2	Solar FV	2028	Alferez 500	0.157	SATISFACE
SC_3238_A1	Solar FV	2027	Alferez 500	0.187	SATISFACE
SC_3238_A2	Solar FV	2027	Alferez 500	0.192	SATISFACE
SC_3247_A1	Solar FV	2027	Alferez 500	0.051	SATISFACE
SC_3247_A2	Solar FV	2027	Alferez 500	0.037	SATISFACE
SC_3248_A1	Solar FV	2027	Alferez 500	0.187	SATISFACE
SC_3248_A2	Solar FV	2027	Alferez 500	0.192	SATISFACE
SC_3441_A1	Solar FV	2027	Alferez 500	0.051	SATISFACE
SC_3441_A2	Solar FV	2027	Alferez 500	0.037	SATISFACE
SC_4296_A1	Solar FV	2028	Alferez 500	0.096	SATISFACE
SC_4296_A2	Solar FV	2028	Alferez 500	0.075	SATISFACE
SC_4809_A1	Solar FV	2027	Alferez 500	0.015	SATISFACE
SC_4809_A2	Solar FV	2027	Alferez 500	0.082	SATISFACE
SC_4842_A1	Solar FV	2028	Alferez 500	0.051	SATISFACE
SC_5009_A1	Solar FV	2026	Alferez 500	0.025	SATISFACE
SC_5009_A2	Solar FV	2026	Alferez 500	0.045	SATISFACE
SC_5011_A1	Solar FV	2027	Alferez 500	0.025	SATISFACE
SC_5011_A2	Solar FV	2027	Alferez 500	0.045	SATISFACE

No se priorizó ninguna de las alternativas de conexión que tengan aportes de corriente de cortocircuito en la subestación Alferez 500

El estado de la capacidad de cortocircuito en la subestación Alferez 500, teniendo en cuenta la priorización se puede observar en la siguiente figura.

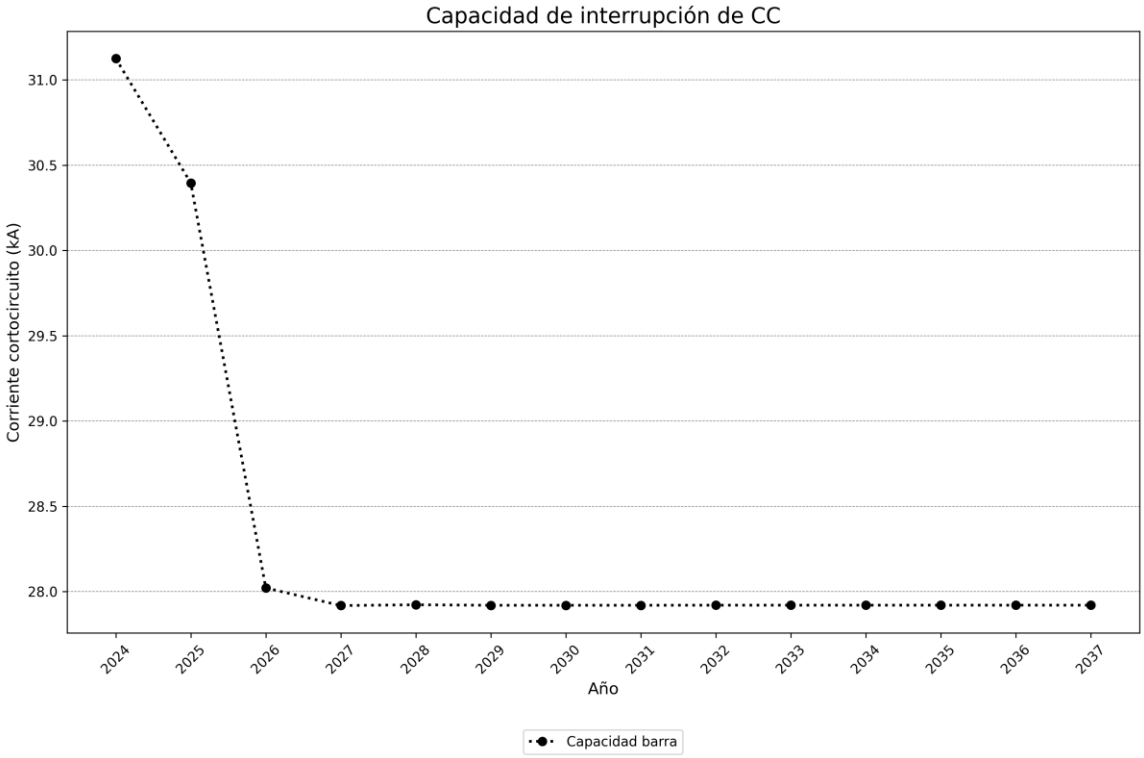


Figura 2-7. Balance de capacidad de cortocircuito después de la priorización para la subestación Alferez 500

Subestación Alferez I 115:

Capacidad por barra:

Para la subestación Alferez I 115 se presentaron 0 alternativas de conexión las cuales se muestran en la siguiente tabla:

Tabla 2-8. Alternativas de conexión presentadas a la subestación Alferez I 115

Solicitud	Capacidad	Tipo	Barra	FPO solicitada	Restricción

No se priorizó ninguna de las alternativas de conexión presentadas en la subestación Alferez I 115

El estado de la capacidad por barra en la subestación Alferez I 115, teniendo en cuenta la priorización se puede observar en la siguiente figura.

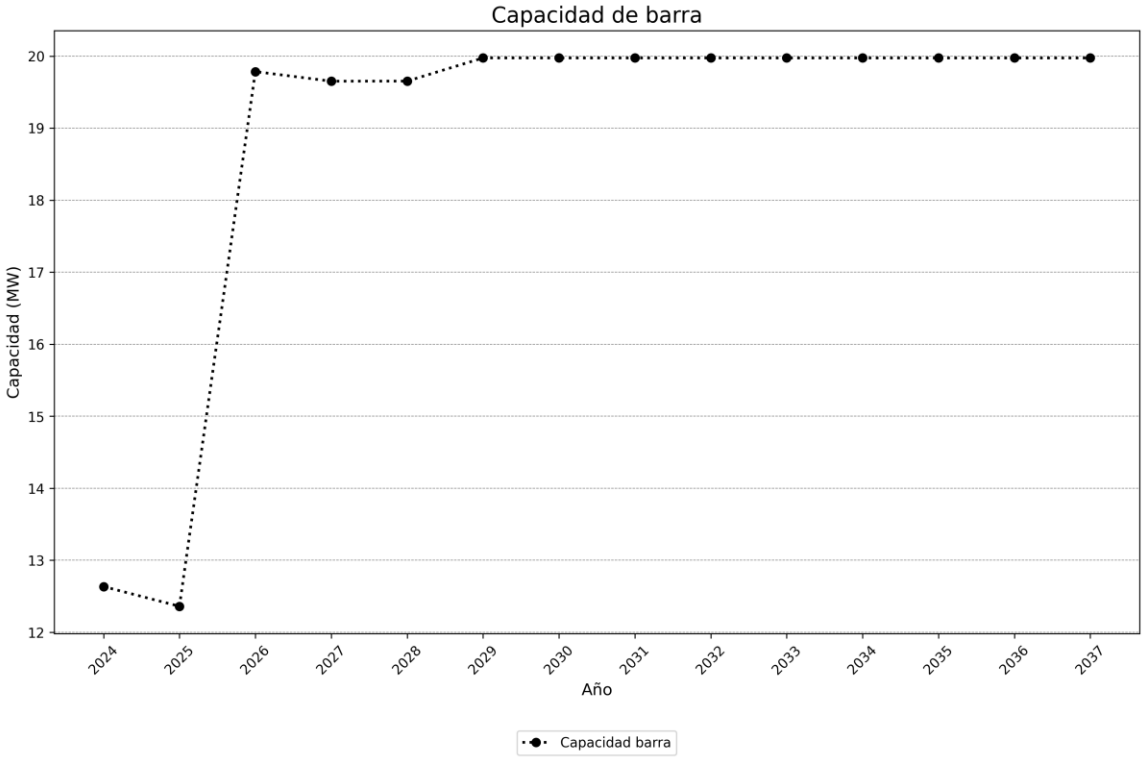


Figura 2-8. Balance de capacidad por barra después de la priorización para la subestación Alferez I 115

Capacidad excedente de interrupción de corriente de cortocircuito:

Para la subestación Alferez I 115 se presentaron 4 alternativas de conexión las cuales tienen aportes de corriente de cortocircuito. Estas alternativas se muestran en la siguiente tabla:

Tabla 2-9. Alternativas de conexión que aportan corriente de cortocircuito en la subestación Alferez I 115

Solicitud	tipo	FPO	Barra a la que aporta CC	Aporte de cortocircuito (kA)	Restricción
SC_2023_5557_A1	Solar FV	2028	Alferez I 115	0.064	SATISFACE
SC_2936_A1	Solar FV	2026	Alferez I 115	0.000	SATISFACE
SC_2936_A2	Solar FV	2026	Alferez I 115	0.000	SATISFACE
SC_3882_A1	Solar FV	2026	Alferez I 115	0.063	SATISFACE

No se priorizó ninguna de las alternativas de conexión que tengan aportes de corriente de cortocircuito en la subestación Alferez I 115

El estado de la capacidad de cortocircuito en la subestación Alferez I 115, teniendo en cuenta la priorización se puede observar en la siguiente figura.

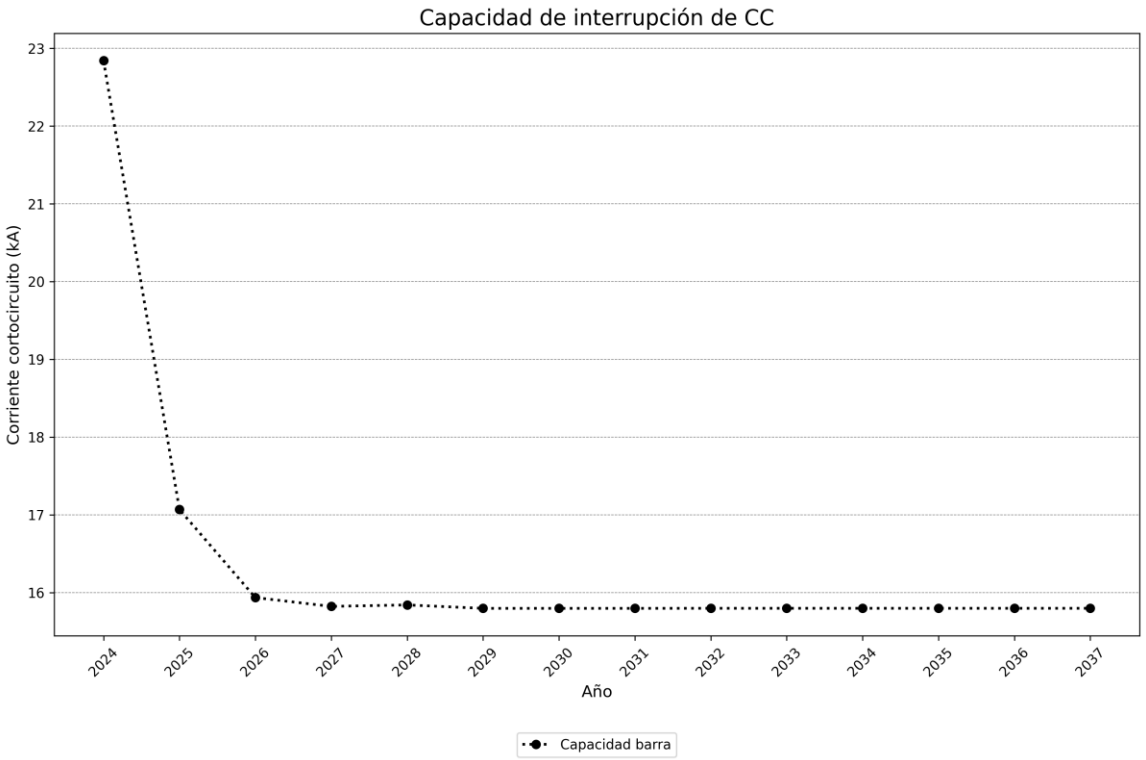


Figura 2-9. Balance de capacidad de cortocircuito después de la priorización para la subestación Alferez I 115

Subestación Alferez II 115:

Capacidad por barra:

Para la subestación Alferez II 115 se presentaron 0 alternativas de conexión las cuales se muestran en la siguiente tabla:

Tabla 2-10. Alternativas de conexión presentadas a la subestación Alferez II 115

Solicitud	Capacidad	Tipo	Barra	FPO solicitada	Restricción

No se priorizó ninguna de las alternativas de conexión presentadas en la subestación Alferez II 115

El estado de la capacidad por barra en la subestación Alferez II 115, teniendo en cuenta la priorización se puede observar en la siguiente figura.

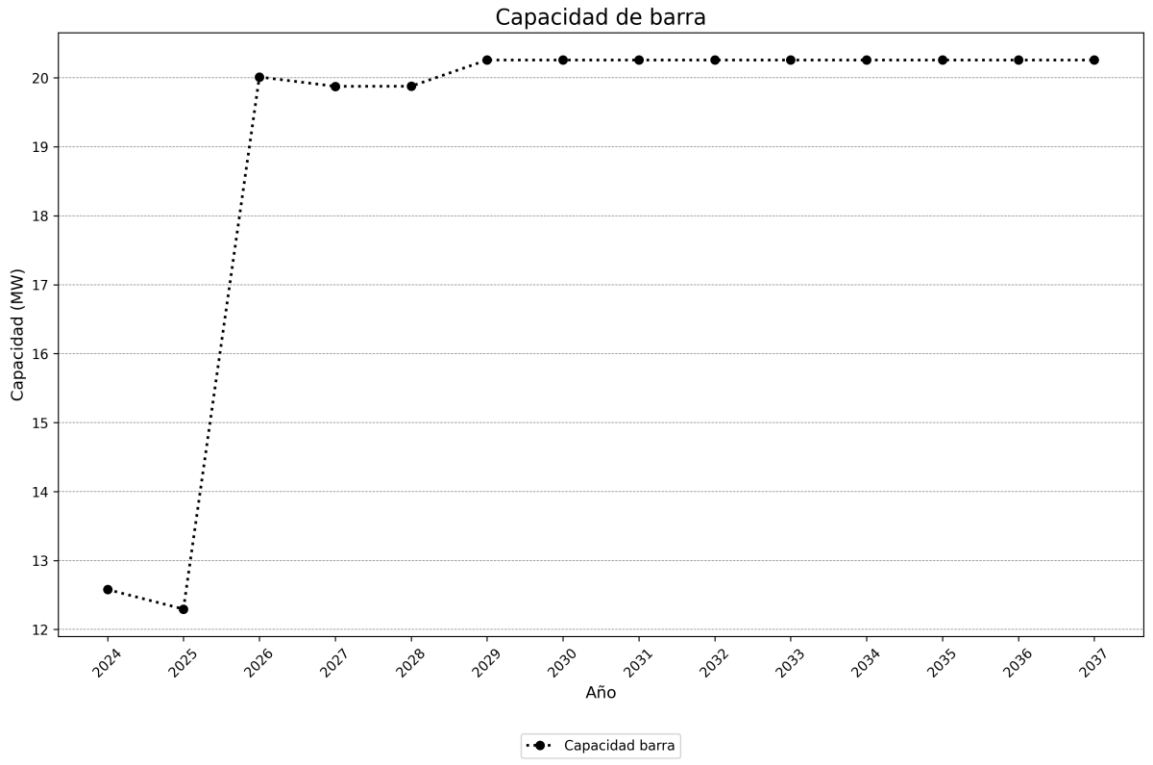


Figura 2-10. Balance de capacidad por barra después de la priorización para la subestación Alferez II 115

Capacidad excedente de interrupción de corriente de cortocircuito:

Para la subestación Alferez II 115 se presentaron 4 alternativas de conexión las cuales tienen aportes de corriente de cortocircuito. Estas alternativas se muestran en la siguiente tabla:

Tabla 2-11. Alternativas de conexión que aportan corriente de cortocircuito en la subestación Alferez II 115

Solicitud	tipo	FPO	Barra a la que aporta CC	Aporte de cortocircuito (kA)	Restricción
SC_2023_5557_A1	Solar FV	2028	Alferez II 115	0.104	SATISFACE
SC_2936_A1	Solar FV	2026	Alferez II 115	0.000	SATISFACE
SC_2936_A2	Solar FV	2026	Alferez II 115	0.000	SATISFACE
SC_3882_A1	Solar FV	2026	Alferez II 115	0.101	SATISFACE

No se priorizó ninguna de las alternativas de conexión que tengan aportes de corriente de cortocircuito en la subestación Alferez II 115

El estado de la capacidad de cortocircuito en la subestación Alferez II 115, teniendo en cuenta la priorización se puede observar en la siguiente figura.

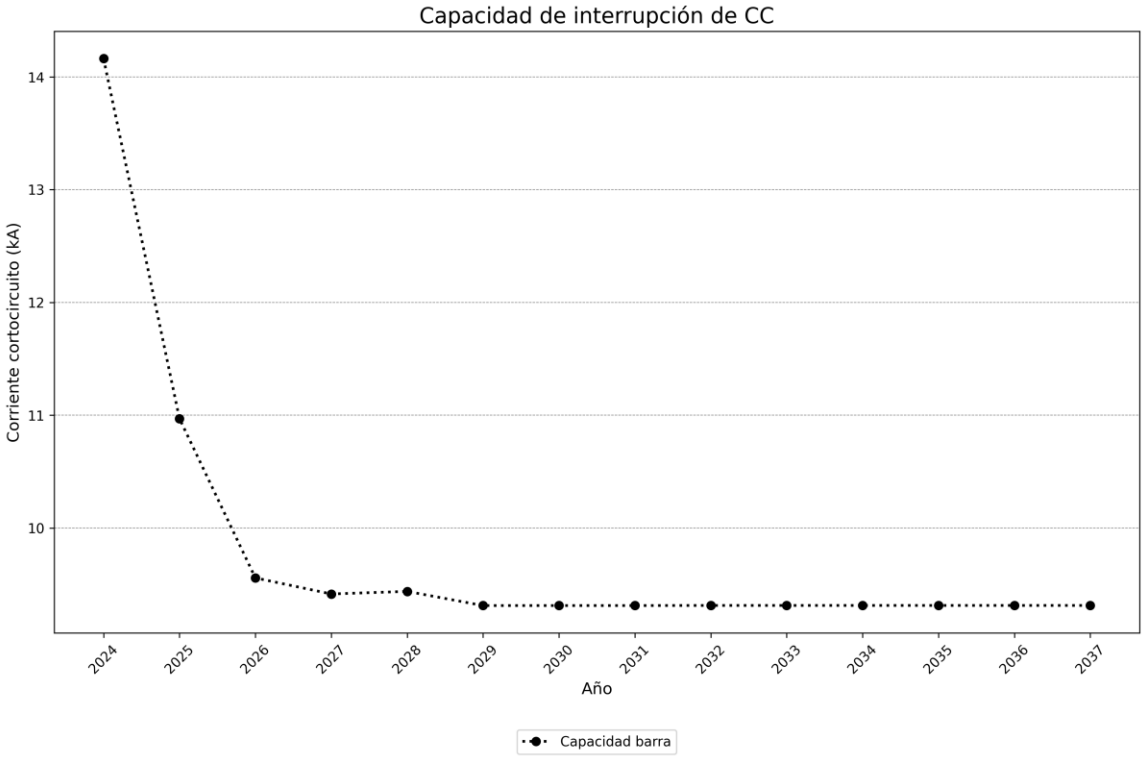


Figura 2-11. Balance de capacidad de cortocircuito después de la priorización para la subestación Alferez II 115

Subestación Alta suiza 33:

Capacidad por barra:

Para la subestación Alta suiza 33 se presentaron 0 alternativas de conexión las cuales se muestran en la siguiente tabla:

Tabla 2-12. Alternativas de conexión presentadas a la subestación Alta suiza 33

Solicitud	Capacidad	Tipo	Barra	FPO solicitada	Restricción

No se priorizó ninguna de las alternativas de conexión presentadas en la subestación Alta suiza 33

El estado de la capacidad por barra en la subestación Alta suiza 33, teniendo en cuenta la priorización se puede observar en la siguiente figura.

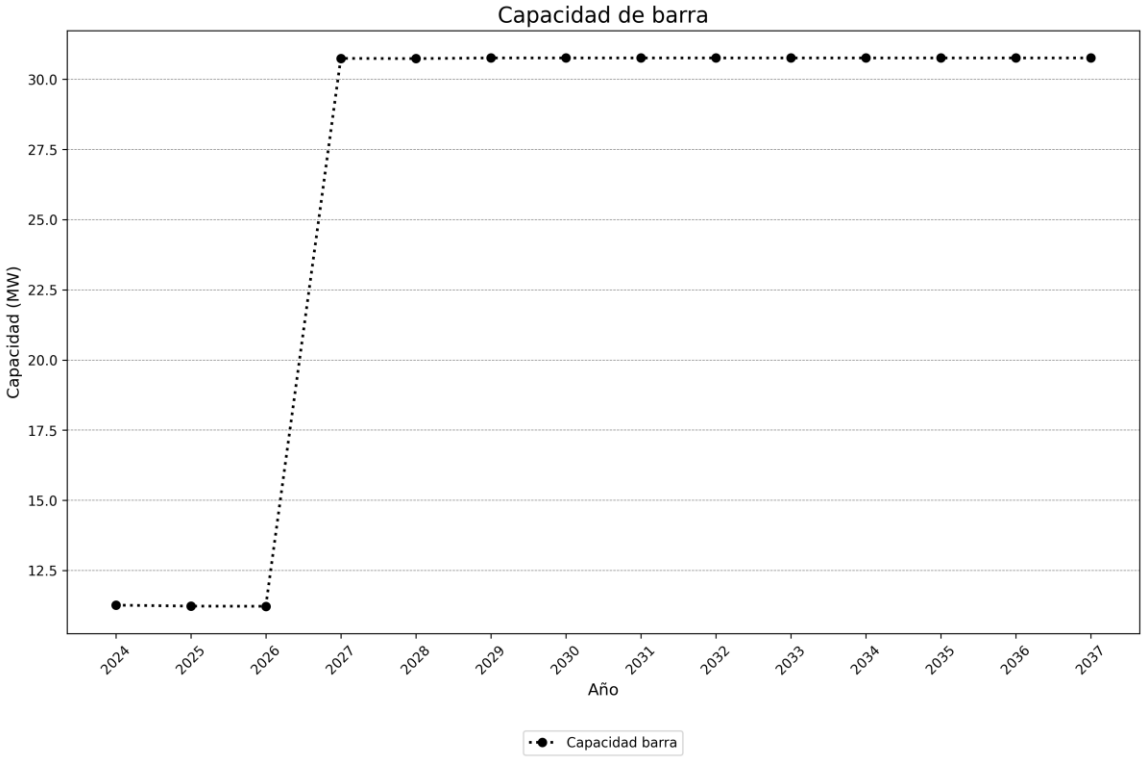


Figura 2-12. Balance de capacidad por barra después de la priorización para la subestación Alta suiza 33

Subestación Altagracia 33:

Capacidad por barra:

Para la subestación Altagracia 33 se presentaron 2 alternativas de conexión las cuales se muestran en la siguiente tabla:

Tabla 2-13. Alternativas de conexión presentadas a la subestación Altagracia 33

Solicitud	Capacidad	Tipo	Barra	FPO solicitada	Restricción
SC_2023_5248_A1	9.9	Solar FV	Altagracia 33	2025	SATISFACE
SC_2023_5564_A1	9.9	Solar FV	Altagracia 33	2026	SATISFACE

No se priorizó ninguna de las alternativas de conexión presentadas en la subestación Altagracia 33

El estado de la capacidad por barra en la subestación Altagracia 33, teniendo en cuenta la priorización se puede observar en la siguiente figura.

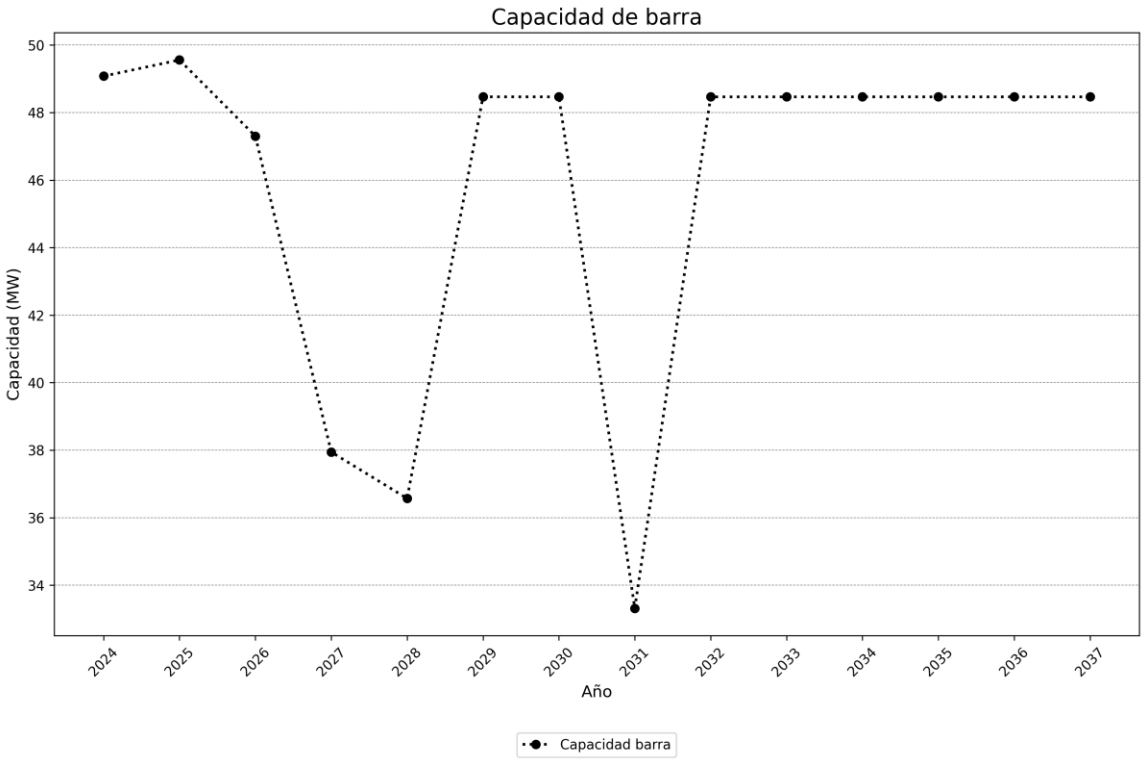


Figura 2-13. Balance de capacidad por barra después de la priorización para la subestación Altagracia 33

Subestación Altamar 33:

Capacidad por barra:

Para la subestación Altamar 33 se presentaron 0 alternativas de conexión las cuales se muestran en la siguiente tabla:

Tabla 2-14. Alternativas de conexión presentadas a la subestación Altamar 33

Solicitud	Capacidad	Tipo	Barra	FPO solicitada	Restricción

No se priorizó ninguna de las alternativas de conexión presentadas en la subestación Altamar 33

El estado de la capacidad por barra en la subestación Altamar 33, teniendo en cuenta la priorización se puede observar en la siguiente figura.

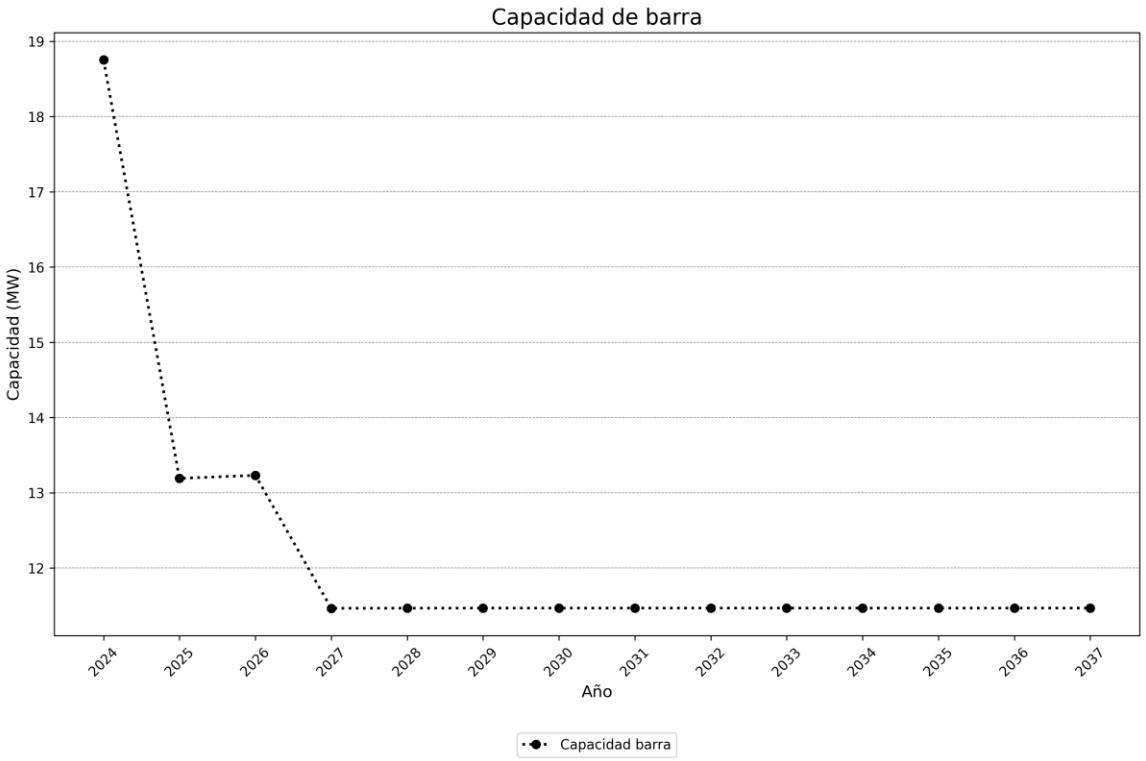


Figura 2-14. Balance de capacidad por barra después de la priorización para la subestación Altamar 33

Subestación Altamira 115:

Capacidad por barra:

Para la subestación Altamira 115 se presentaron 0 alternativas de conexión las cuales se muestran en la siguiente tabla:

Tabla 2-15. Alternativas de conexión presentadas a la subestación Altamira 115

Solicitud	Capacidad	Tipo	Barra	FPO solicitada	Restricción

No se priorizó ninguna de las alternativas de conexión presentadas en la subestación Altamira 115

El estado de la capacidad por barra en la subestación Altamira 115, teniendo en cuenta la priorización se puede observar en la siguiente figura.

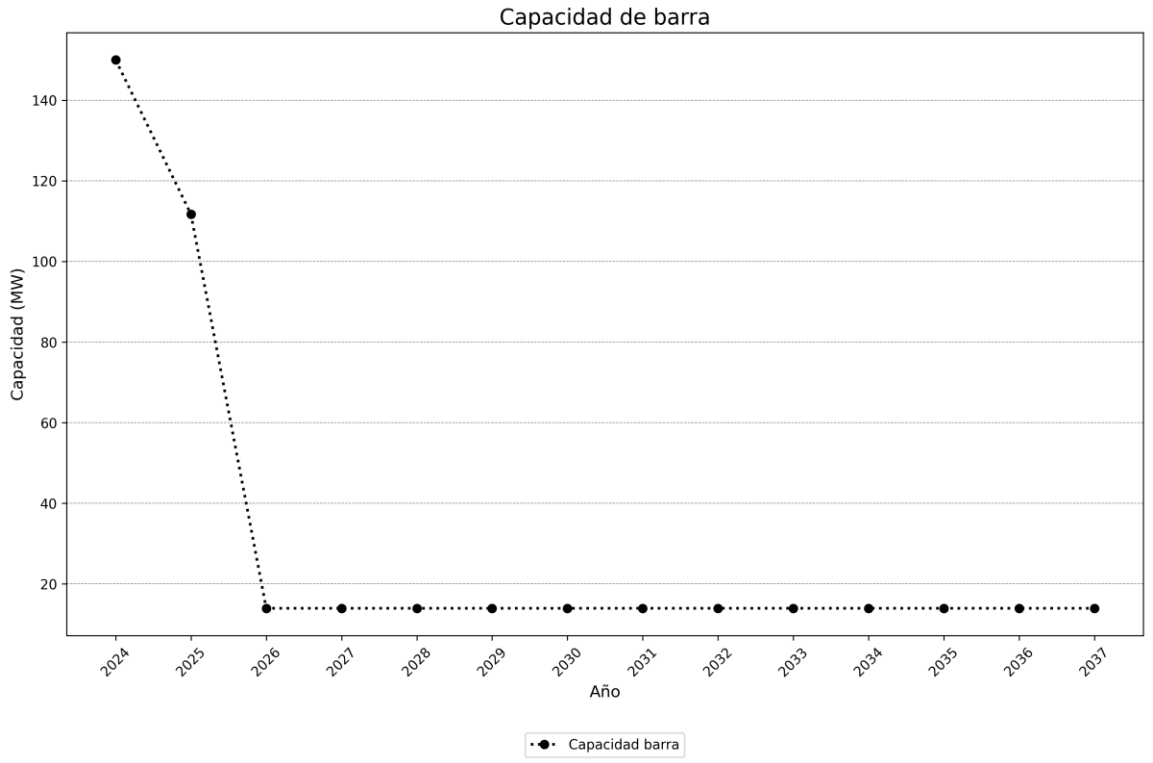


Figura 2-15. Balance de capacidad por barra después de la priorización para la subestación Altamira 115

Capacidad excedente de interrupción de corriente de cortocircuito:

Para la subestación Altamira 115 se presentaron 29 alternativas de conexión las cuales tienen aportes de corriente de cortocircuito. Estas alternativas se muestran en la siguiente tabla:

Tabla 2-16. Alternativas de conexión que aportan corriente de cortocircuito en la subestación Altamira 115

Solicitud	tipo	FPO	Barra a la que aporta CC	Aporte de cortocircuito (kA)	Restricción
SC_2023_5280_A1	Solar FV	2028	Altamira 115	0.014	SATISFACE
SC_2023_5280_A2	Solar FV	2028	Altamira 115	0.013	SATISFACE
SC_2023_5287_A1	Solar FV	2026	Altamira 115	0.007	SATISFACE
SC_2023_5287_A2	Solar FV	2026	Altamira 115	0.007	SATISFACE
SC_2023_5288_A1	Solar FV	2026	Altamira 115	0.004	SATISFACE
SC_2023_5288_A2	Solar FV	2026	Altamira 115	0.010	SATISFACE
SC_2023_5375_A1	Solar FV	2026	Altamira 115	0.006	SATISFACE
SC_2023_5399_A1	Solar FV	2026	Altamira 115	0.004	SATISFACE
SC_2023_5399_A2	Solar FV	2026	Altamira 115	0.010	SATISFACE
SC_2023_5480_A1	Solar FV	2026	Altamira 115	0.007	SATISFACE
SC_2023_5480_A2	Solar FV	2026	Altamira 115	0.007	SATISFACE
SC_2023_5557_A1	Solar FV	2028	Altamira 115	0.022	SATISFACE
SC_2936_A1	Solar FV	2026	Altamira 115	0.000	SATISFACE
SC_2936_A2	Solar FV	2026	Altamira 115	0.000	SATISFACE
SC_3121_A1	Solar FV	2026	Altamira 115	0.001	SATISFACE
SC_3121_A2	Solar FV	2026	Altamira 115	0.001	SATISFACE
SC_3132_A1	Solar FV	2026	Altamira 115	0.016	SATISFACE
SC_3132_A2	Solar FV	2026	Altamira 115	0.014	SATISFACE
SC_3882_A1	Solar FV	2026	Altamira 115	0.022	SATISFACE
SC_4083_A1	Solar FV	2027	Altamira 115	0.000	SATISFACE
SC_4083_A2	Solar FV	2027	Altamira 115	0.000	SATISFACE
SC_4765_A1	Solar FV	2029	Altamira 115	0.000	SATISFACE
SC_4765_A2	Solar FV	2029	Altamira 115	0.000	SATISFACE
SC_4819_A1	Solar FV	2029	Altamira 115	0.025	SATISFACE

SC_4819_A2	Solar FV	2029	Altamira 115	0.023	SATISFACE
SC_4974_A1	Solar FV	2026	Altamira 115	0.001	SATISFACE
SC_4974_A2	Solar FV	2026	Altamira 115	0.001	SATISFACE
SC_4978_A1	Solar FV	2026	Altamira 115	0.000	SATISFACE
SC_4978_A2	Solar FV	2026	Altamira 115	0.001	SATISFACE

No se priorizó ninguna de las alternativas de conexión que tengan aportes de corriente de cortocircuito en la subestación Altamira 115

El estado de la capacidad de cortocircuito en la subestación Altamira 115, teniendo en cuenta la priorización se puede observar en la siguiente figura.

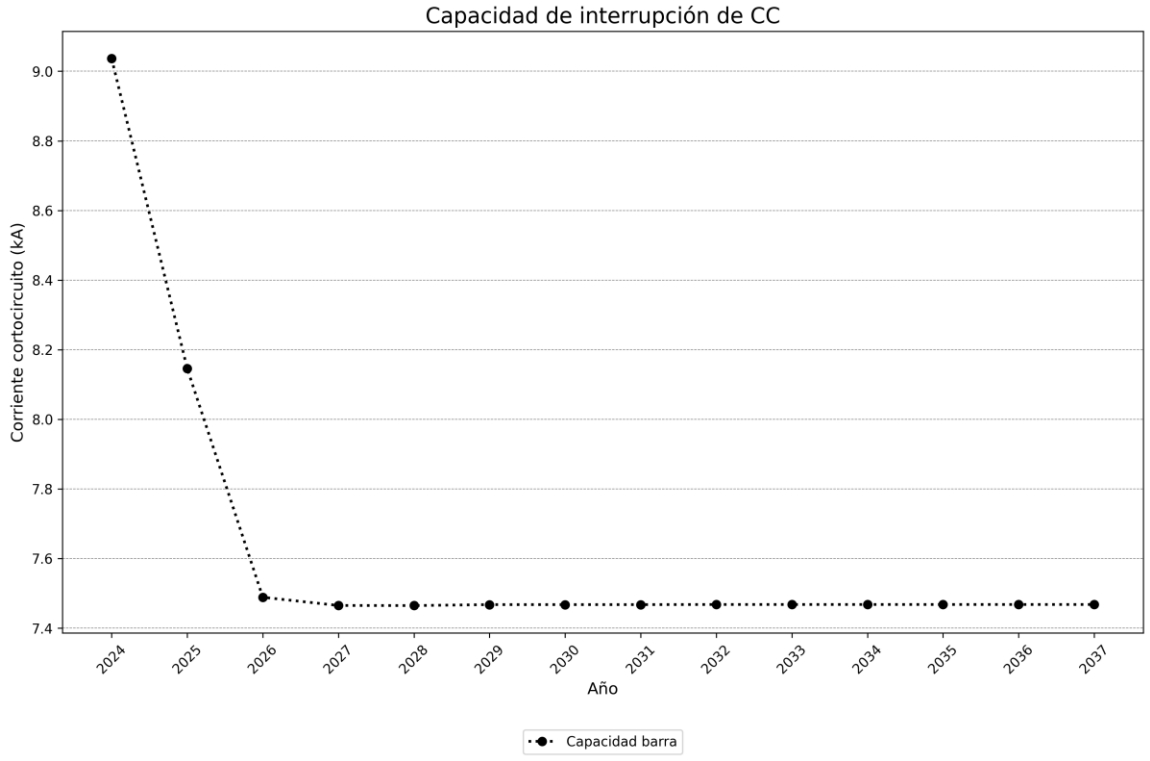


Figura 2-16. Balance de capacidad de cortocircuito después de la priorización para la subestación Altamira 115

Subestación Altamira 220:

Capacidad por barra:

Para la subestación Altamira 220 se presentaron 0 alternativas de conexión las cuales se muestran en la siguiente tabla:

Tabla 2-17. Alternativas de conexión presentadas a la subestación Altamira 220

Solicitud	Capacidad	Tipo	Barra	FPO solicitada	Restricción

No se priorizó ninguna de las alternativas de conexión presentadas en la subestación Altamira 220

El estado de la capacidad por barra en la subestación Altamira 220, teniendo en cuenta la priorización se puede observar en la siguiente figura.

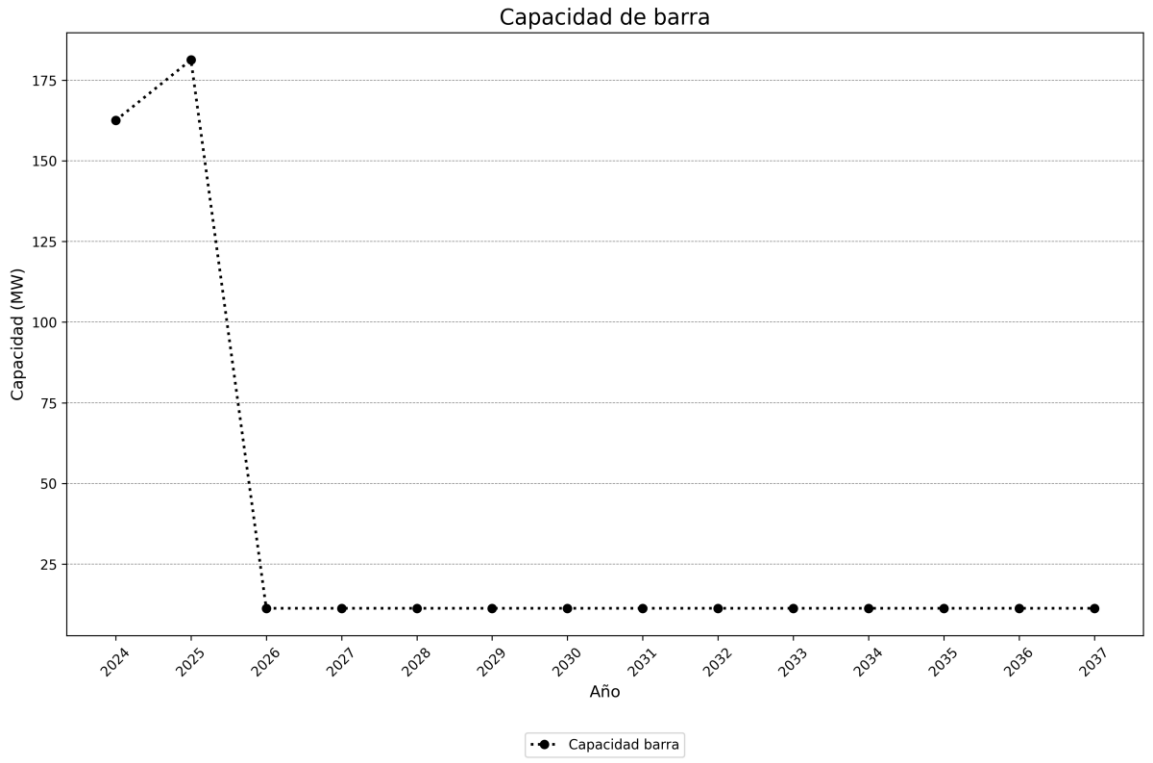


Figura 2-17. Balance de capacidad por barra después de la priorización para la subestación Altamira 220

Capacidad excedente de interrupción de corriente de cortocircuito:

Para la subestación Altamira 220 se presentaron 29 alternativas de conexión las cuales tienen aportes de corriente de cortocircuito. Estas alternativas se muestran en la siguiente tabla:

Tabla 2-18. Alternativas de conexión que aportan corriente de cortocircuito en la subestación Altamira 220

Solicitud	tipo	FPO	Barra a la que aporta CC	Aporte de cortocircuito (kA)	Restricción
SC_2023_5280_A1	Solar FV	2028	Altamira 220	0.011	SATISFACE
SC_2023_5280_A2	Solar FV	2028	Altamira 220	0.010	SATISFACE
SC_2023_5287_A1	Solar FV	2026	Altamira 220	0.005	SATISFACE
SC_2023_5287_A2	Solar FV	2026	Altamira 220	0.005	SATISFACE
SC_2023_5288_A1	Solar FV	2026	Altamira 220	0.003	SATISFACE
SC_2023_5288_A2	Solar FV	2026	Altamira 220	0.008	SATISFACE
SC_2023_5375_A1	Solar FV	2026	Altamira 220	0.005	SATISFACE
SC_2023_5399_A1	Solar FV	2026	Altamira 220	0.003	SATISFACE
SC_2023_5399_A2	Solar FV	2026	Altamira 220	0.008	SATISFACE
SC_2023_5480_A1	Solar FV	2026	Altamira 220	0.005	SATISFACE
SC_2023_5480_A2	Solar FV	2026	Altamira 220	0.005	SATISFACE
SC_2023_5557_A1	Solar FV	2028	Altamira 220	0.018	SATISFACE
SC_2936_A1	Solar FV	2026	Altamira 220	0.000	SATISFACE
SC_2936_A2	Solar FV	2026	Altamira 220	0.000	SATISFACE
SC_3121_A1	Solar FV	2026	Altamira 220	0.001	SATISFACE
SC_3121_A2	Solar FV	2026	Altamira 220	0.001	SATISFACE
SC_3132_A1	Solar FV	2026	Altamira 220	0.012	SATISFACE
SC_3132_A2	Solar FV	2026	Altamira 220	0.011	SATISFACE
SC_3882_A1	Solar FV	2026	Altamira 220	0.017	SATISFACE
SC_4083_A1	Solar FV	2027	Altamira 220	0.000	SATISFACE
SC_4083_A2	Solar FV	2027	Altamira 220	0.000	SATISFACE
SC_4765_A1	Solar FV	2029	Altamira 220	0.000	SATISFACE
SC_4765_A2	Solar FV	2029	Altamira 220	0.000	SATISFACE
SC_4819_A1	Solar FV	2029	Altamira 220	0.020	SATISFACE

SC_4819_A2	Solar FV	2029	Altamira 220	0.018	SATISFACE
SC_4974_A1	Solar FV	2026	Altamira 220	0.007	SATISFACE
SC_4974_A2	Solar FV	2026	Altamira 220	0.007	SATISFACE
SC_4978_A1	Solar FV	2026	Altamira 220	0.000	SATISFACE
SC_4978_A2	Solar FV	2026	Altamira 220	0.001	SATISFACE

No se priorizó ninguna de las alternativas de conexión que tengan aportes de corriente de cortocircuito en la subestación Altamira 220

El estado de la capacidad de cortocircuito en la subestación Altamira 220, teniendo en cuenta la priorización se puede observar en la siguiente figura.

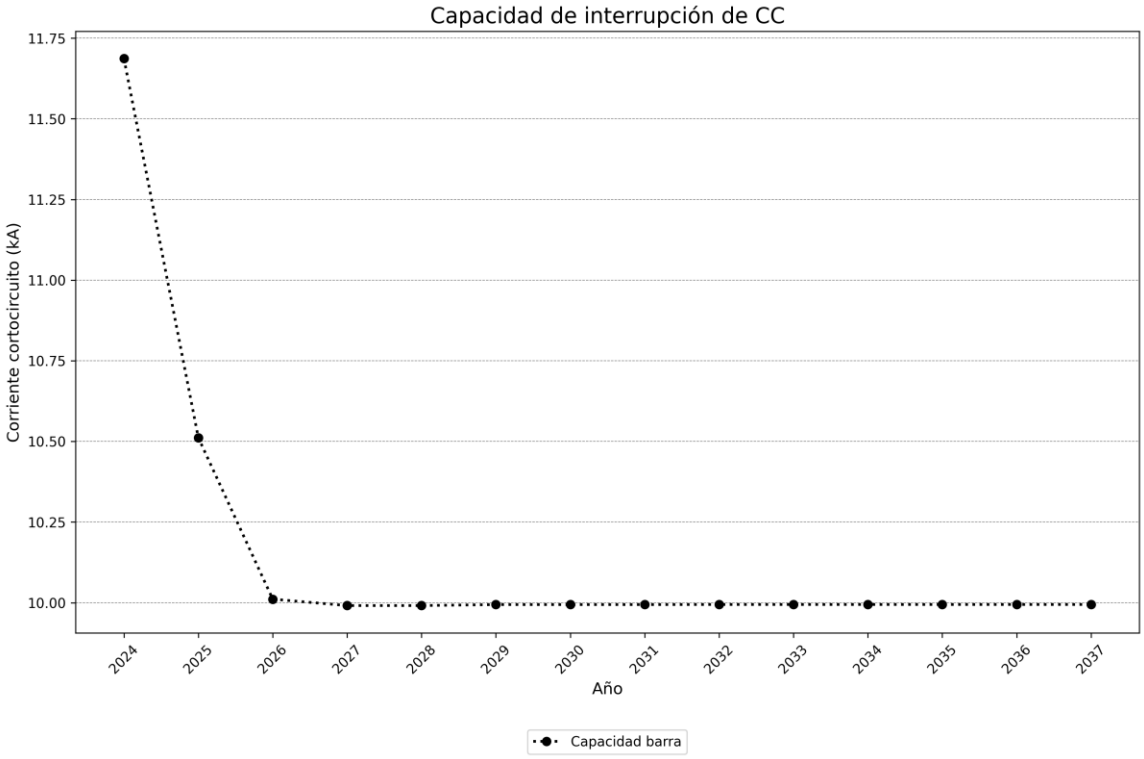


Figura 2-18. Balance de capacidad de cortocircuito después de la priorización para la subestación Altamira 220

Subestación Alto Anchya 220:

Capacidad por barra:

Para la subestación Alto Anchya 220 se presentaron 0 alternativas de conexión las cuales se muestran en la siguiente tabla:

Tabla 2-19. Alternativas de conexión presentadas a la subestación Alto Anchya 220

Solicitud	Capacidad	Tipo	Barra	FPO solicitada	Restricción

No se priorizó ninguna de las alternativas de conexión presentadas en la subestación Alto Anchya 220

El estado de la capacidad por barra en la subestación Alto Anchya 220, teniendo en cuenta la priorización se puede observar en la siguiente figura.

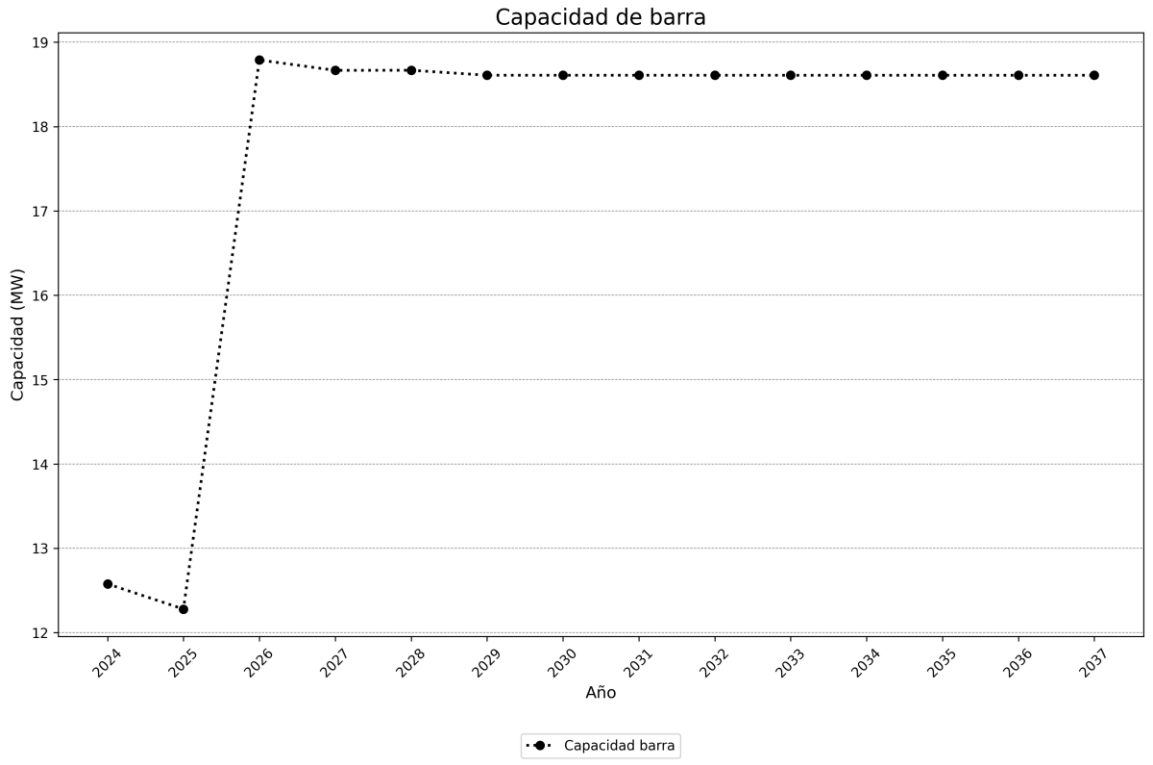


Figura 2-19. Balance de capacidad por barra después de la priorización para la subestación Alto Anchya 220

Capacidad excedente de interrupción de corriente de cortocircuito:

Para la subestación Alto Anchya 220 se presentaron 4 alternativas de conexión las cuales tienen aportes de corriente de cortocircuito. Estas alternativas se muestran en la siguiente tabla:

Tabla 2-20. Alternativas de conexión que aportan corriente de cortocircuito en la subestación Alto Anchya 220

Solicitud	tipo	FPO	Barra a la que aporta CC	Aporte de cortocircuito (kA)	Restricción
SC_2023_5557_A1	Solar FV	2028	Alto Anchya 220	0.034	SATISFACE
SC_2936_A1	Solar FV	2026	Alto Anchya 220	0.000	SATISFACE
SC_2936_A2	Solar FV	2026	Alto Anchya 220	0.000	SATISFACE
SC_3882_A1	Solar FV	2026	Alto Anchya 220	0.033	SATISFACE

No se priorizó ninguna de las alternativas de conexión que tengan aportes de corriente de cortocircuito en la subestación Alto Anchya 220

El estado de la capacidad de cortocircuito en la subestación Alto Anchya 220, teniendo en cuenta la priorización se puede observar en la siguiente figura.

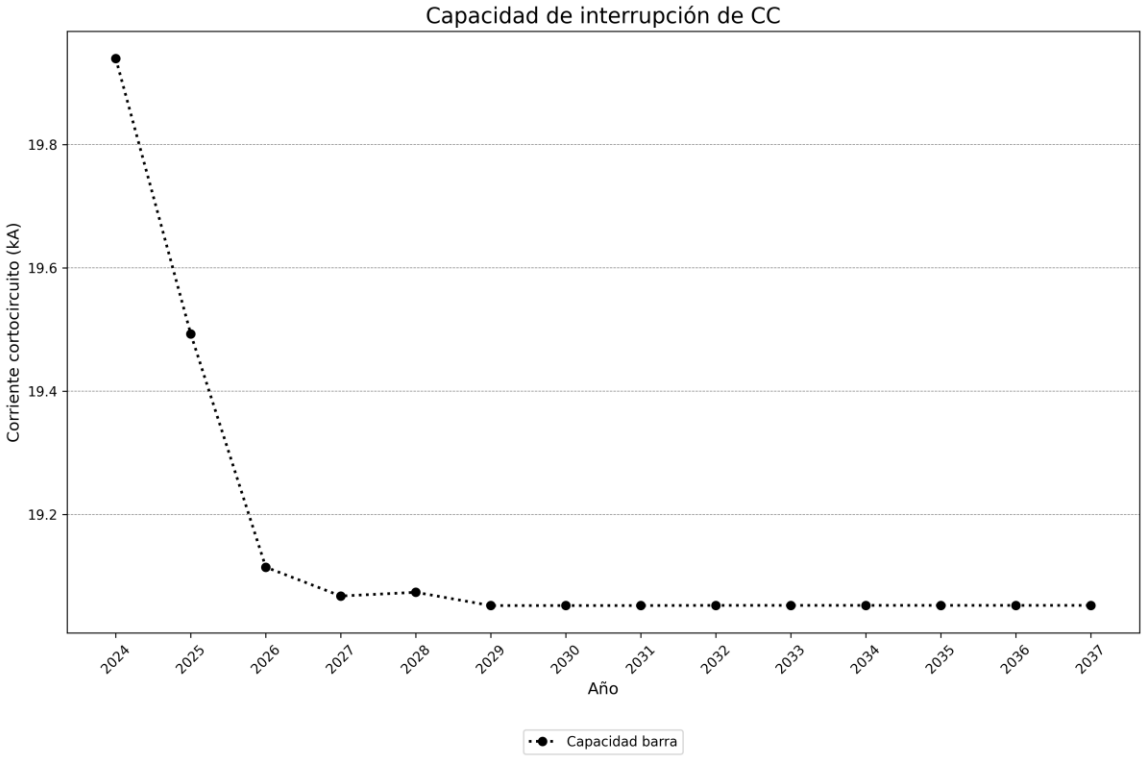


Figura 2-20. Balance de capacidad de cortocircuito después de la priorización para la subestación Alto Anchya 220

Subestación Amaga 110:

Capacidad por barra:

Para la subestación Amaga 110 se presentaron 0 alternativas de conexión las cuales se muestran en la siguiente tabla:

Tabla 2-21. Alternativas de conexión presentadas a la subestación Amaga 110

Solicitud	Capacidad	Tipo	Barra	FPO solicitada	Restricción

No se priorizó ninguna de las alternativas de conexión presentadas en la subestación Amaga 110

El estado de la capacidad por barra en la subestación Amaga 110, teniendo en cuenta la priorización se puede observar en la siguiente figura.

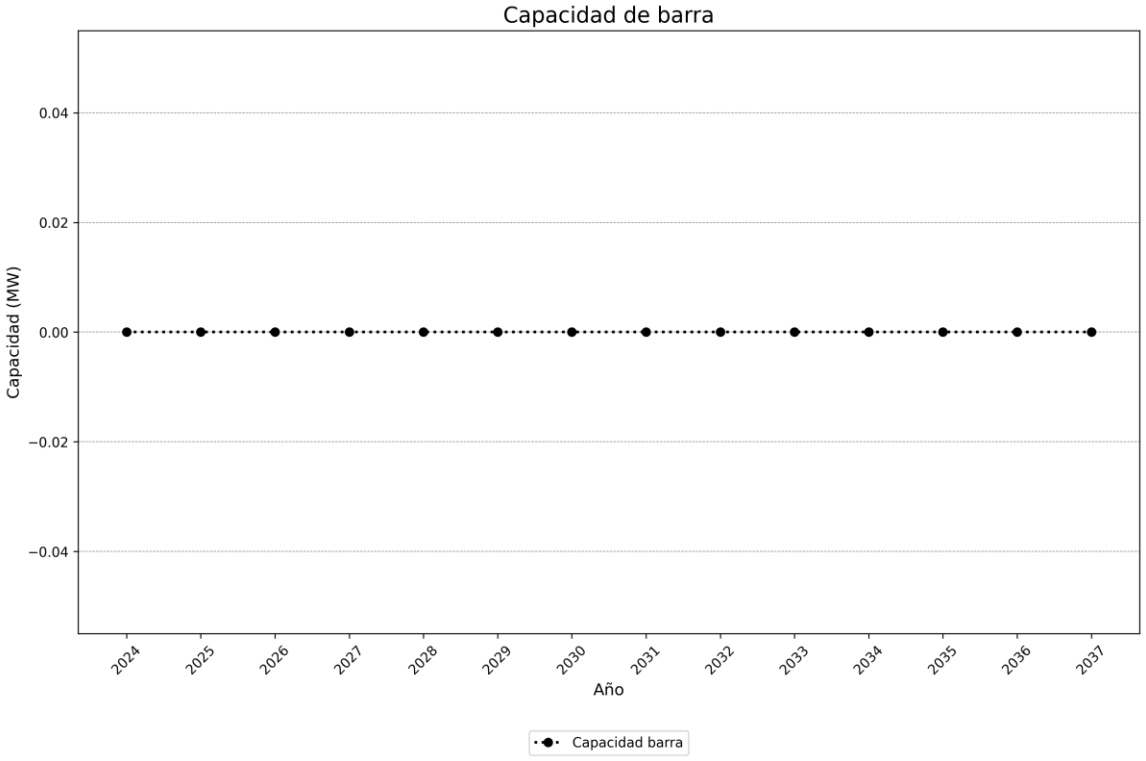


Figura 2-21. Balance de capacidad por barra después de la priorización para la subestación Amaga 110

En el caso anterior se observa que la capacidad por barra es igual a 0 dado que, desde los comentarios presentados por transportador, se identificó que la subestación Amaga 110 no cuenta con disponibilidad de espacio físico para la conexión de nuevos proyectos.

Capacidad excedente de interrupción de corriente de cortocircuito:

Para la subestación Amaga 110 se presentaron 1 alternativas de conexión las cuales tienen aportes de corriente de cortocircuito. Estas alternativas se muestran en la siguiente tabla:

Tabla 2-22. Alternativas de conexión que aportan corriente de cortocircuito en la subestación Amaga 110

Solicitud	tipo	FPO	Barra a la que aporta CC	Aporte de cortocircuito (kA)	Restricción
SC_3331_A1	Solar FV	2026	Amaga 110	0.055	SATISFACE

No se priorizó ninguna de las alternativas de conexión que tengan aportes de corriente de cortocircuito en la subestación Amaga 110

El estado de la capacidad de cortocircuito en la subestación Amaga 110, teniendo en cuenta la priorización se puede observar en la siguiente figura.

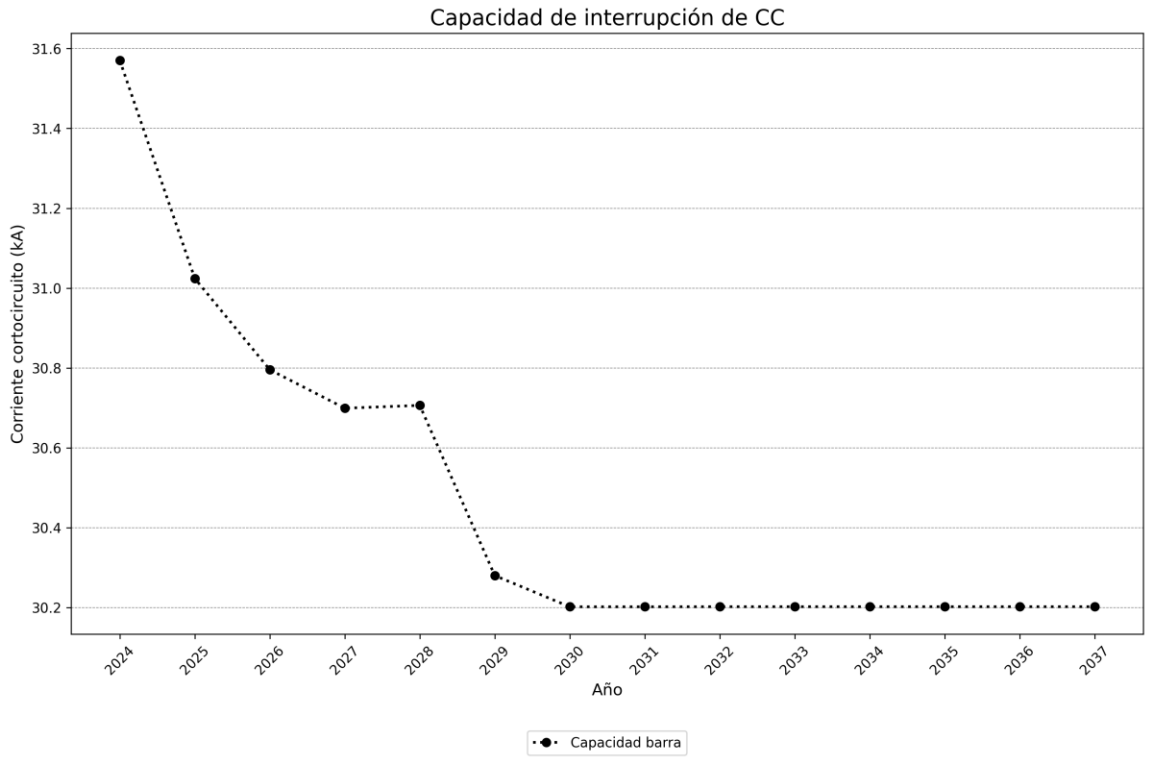


Figura 2-22. Balance de capacidad de cortocircuito después de la priorización para la subestación Amaga 110

Subestación Amalfi 110:

Capacidad por barra:

Para la subestación Amalfi 110 se presentaron 0 alternativas de conexión las cuales se muestran en la siguiente tabla:

Tabla 2-23. Alternativas de conexión presentadas a la subestación Amalfi 110

Solicitud	Capacidad	Tipo	Barra	FPO solicitada	Restricción

No se priorizó ninguna de las alternativas de conexión presentadas en la subestación Amalfi 110

El estado de la capacidad por barra en la subestación Amalfi 110, teniendo en cuenta la priorización se puede observar en la siguiente figura.

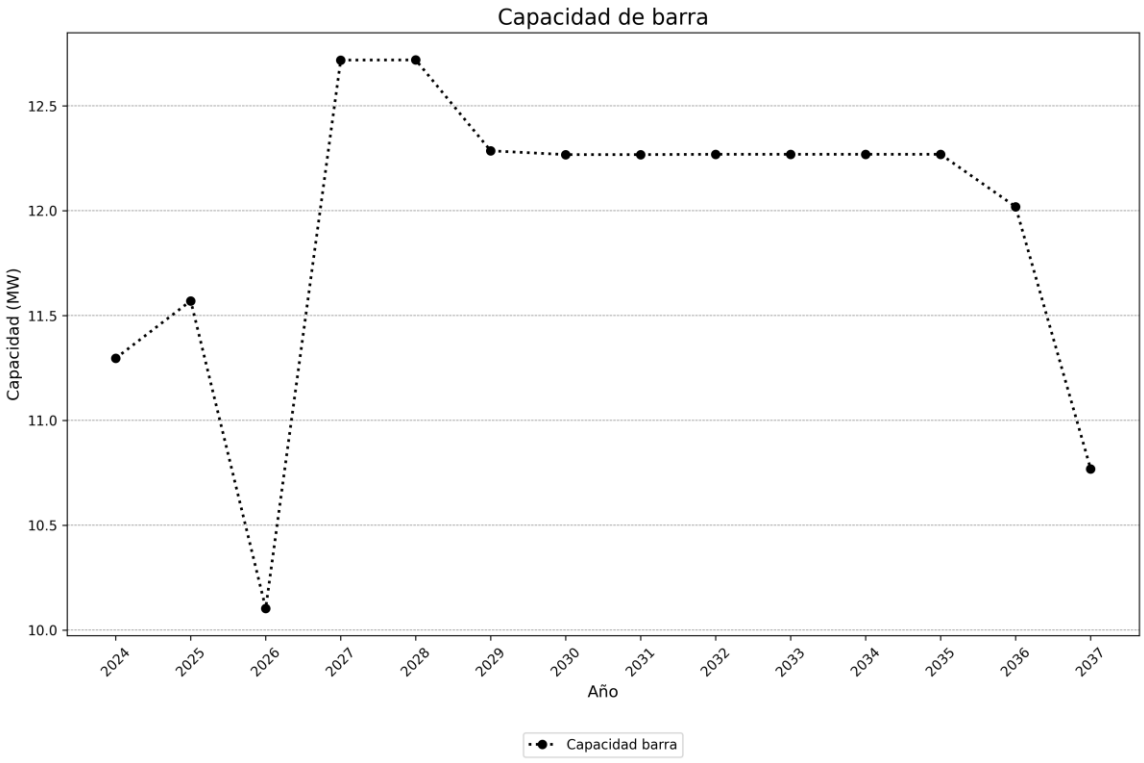


Figura 2-23. Balance de capacidad por barra después de la priorización para la subestación Amalfi 110

Capacidad excedente de interrupción de corriente de cortocircuito:

Para la subestación Amalfi 110 se presentaron 1 alternativas de conexión las cuales tienen aportes de corriente de cortocircuito. Estas alternativas se muestran en la siguiente tabla:

Tabla 2-24. Alternativas de conexión que aportan corriente de cortocircuito en la subestación Amalfi 110

Solicitud	tipo	FPO	Barra a la que aporta CC	Aporte de cortocircuito (kA)	Restricción
SC_3331_A1	Solar FV	2026	Amalfi 110	0.014	SATISFACE

No se priorizó ninguna de las alternativas de conexión que tengan aportes de corriente de cortocircuito en la subestación Amalfi 110

El estado de la capacidad de cortocircuito en la subestación Amalfi 110, teniendo en cuenta la priorización se puede observar en la siguiente figura.

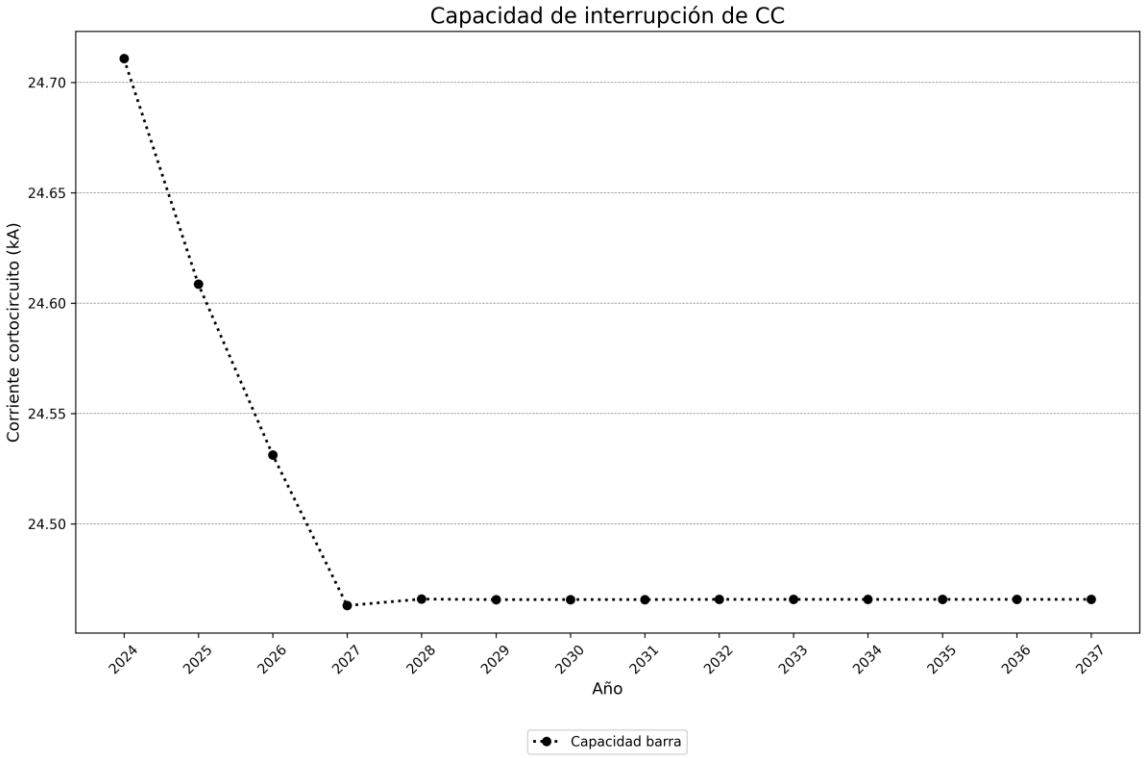


Figura 2-24. Balance de capacidad de cortocircuito después de la priorización para la subestación Amalfi 110

Subestación Ambalema_34.5:

Capacidad por barra:

Para la subestación Ambalema_34.5 se presentaron 1 alternativas de conexión las cuales se muestran en la siguiente tabla:

Tabla 2-25. Alternativas de conexión presentadas a la subestación Ambalema_34.5

Solicitud	Capacidad	Tipo	Barra	FPO solicitada	Restricción
SC_4826_A1	9.9	Solar FV	Ambalema_34.5	2027	NO SATISFACE

No se priorizó ninguna de las alternativas de conexión presentadas en la subestación Ambalema_34.5

El estado de la capacidad por barra en la subestación Ambalema_34.5, teniendo en cuenta la priorización se puede observar en la siguiente figura.

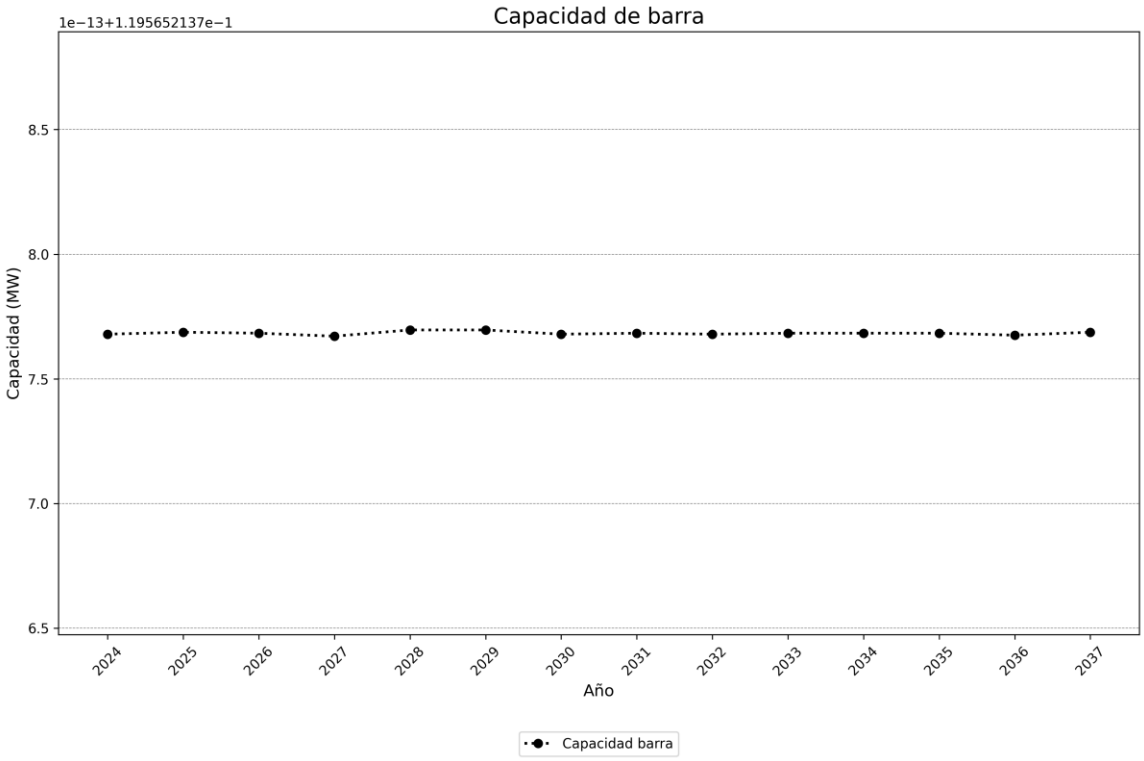


Figura 2-25. Balance de capacidad por barra después de la priorización para la subestación Ambalema_34.5

Subestación Amoya 115:

Capacidad por barra:

Para la subestación Amoya 115 se presentaron 0 alternativas de conexión las cuales se muestran en la siguiente tabla:

Tabla 2-26. Alternativas de conexión presentadas a la subestación Amoya 115

Solicitud	Capacidad	Tipo	Barra	FPO solicitada	Restricción

No se priorizó ninguna de las alternativas de conexión presentadas en la subestación Amoya 115

El estado de la capacidad por barra en la subestación Amoya 115, teniendo en cuenta la priorización se puede observar en la siguiente figura.

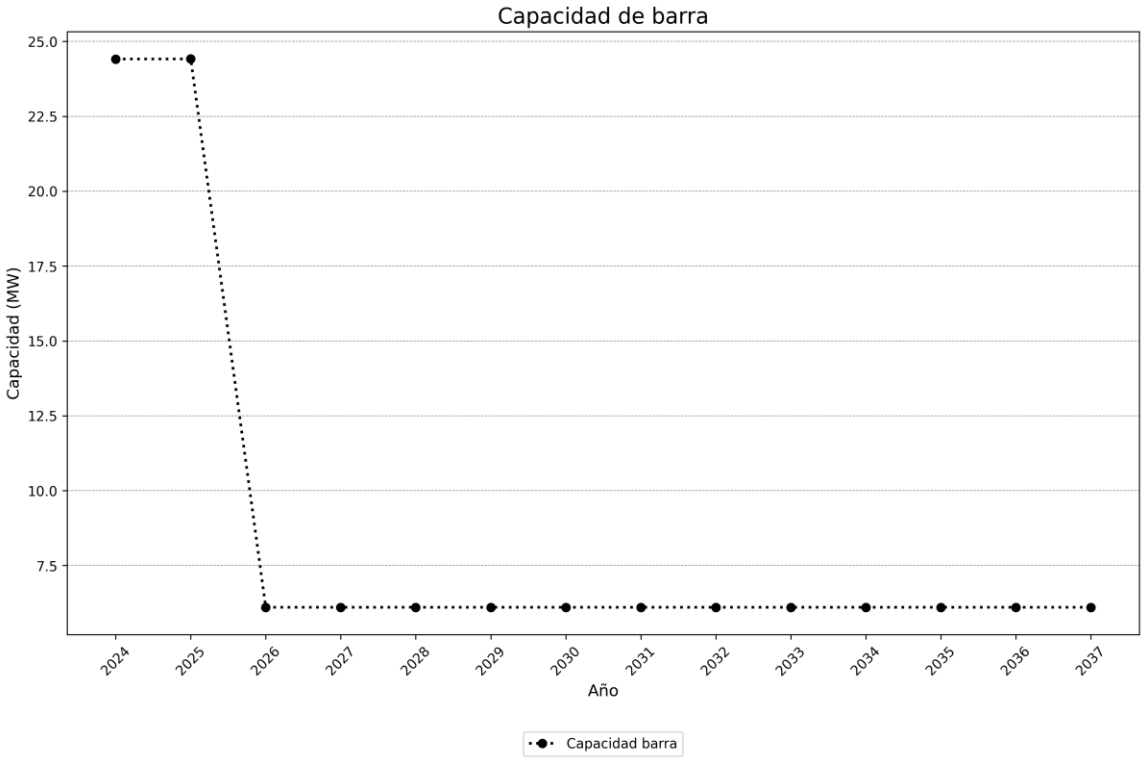


Figura 2-26. Balance de capacidad por barra después de la priorización para la subestación Amoya 115

Capacidad excedente de interrupción de corriente de cortocircuito:

Para la subestación Amoya 115 se presentaron 25 alternativas de conexión las cuales tienen aportes de corriente de cortocircuito. Estas alternativas se muestran en la siguiente tabla:

Tabla 2-27. Alternativas de conexión que aportan corriente de cortocircuito en la subestación Amoya 115

Solicitud	tipo	FPO	Barra a la que aporta CC	Aporte de cortocircuito (kA)	Restricción
SC_2023_5280_A1	Solar FV	2028	Amoya 115	0.010	SATISFACE
SC_2023_5280_A2	Solar FV	2028	Amoya 115	0.009	SATISFACE
SC_2023_5287_A1	Solar FV	2026	Amoya 115	0.009	SATISFACE
SC_2023_5287_A2	Solar FV	2026	Amoya 115	0.009	SATISFACE
SC_2023_5288_A1	Solar FV	2026	Amoya 115	0.005	SATISFACE
SC_2023_5288_A2	Solar FV	2026	Amoya 115	0.014	SATISFACE
SC_2023_5375_A1	Solar FV	2026	Amoya 115	0.008	SATISFACE
SC_2023_5399_A1	Solar FV	2026	Amoya 115	0.005	SATISFACE
SC_2023_5399_A2	Solar FV	2026	Amoya 115	0.014	SATISFACE
SC_2023_5480_A1	Solar FV	2026	Amoya 115	0.009	SATISFACE
SC_2023_5480_A2	Solar FV	2026	Amoya 115	0.009	SATISFACE
SC_2023_5557_A1	Solar FV	2028	Amoya 115	0.019	SATISFACE
SC_2936_A1	Solar FV	2026	Amoya 115	0.000	SATISFACE
SC_2936_A2	Solar FV	2026	Amoya 115	0.000	SATISFACE
SC_3121_A1	Solar FV	2026	Amoya 115	0.001	SATISFACE
SC_3121_A2	Solar FV	2026	Amoya 115	0.001	SATISFACE
SC_3132_A1	Solar FV	2026	Amoya 115	0.011	SATISFACE
SC_3132_A2	Solar FV	2026	Amoya 115	0.009	SATISFACE
SC_3882_A1	Solar FV	2026	Amoya 115	0.018	SATISFACE
SC_4083_A1	Solar FV	2027	Amoya 115	0.000	SATISFACE
SC_4083_A2	Solar FV	2027	Amoya 115	0.000	SATISFACE
SC_4765_A1	Solar FV	2029	Amoya 115	0.000	SATISFACE
SC_4765_A2	Solar FV	2029	Amoya 115	0.000	SATISFACE
SC_4819_A1	Solar FV	2029	Amoya 115	0.022	SATISFACE
SC_4819_A2	Solar FV	2029	Amoya 115	0.019	SATISFACE

No se priorizó ninguna de las alternativas de conexión que tengan aportes de corriente de cortocircuito en la subestación Amoya 115

El estado de la capacidad de cortocircuito en la subestación Amoya 115, teniendo en cuenta la priorización se puede observar en la siguiente figura.

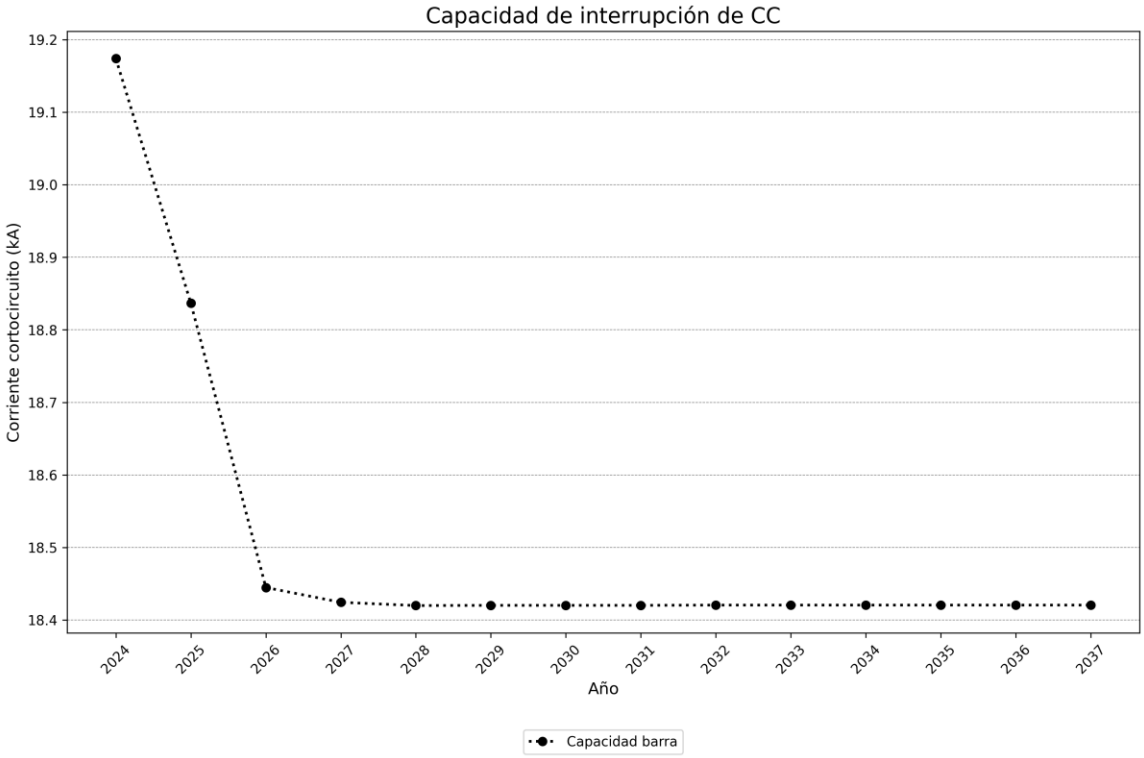


Figura 2-27. Balance de capacidad de cortocircuito después de la priorización para la subestación Amoya 115

Subestación Ancon EPM 110:

Capacidad por barra:

Para la subestación Ancon EPM 110 se presentaron 0 alternativas de conexión las cuales se muestran en la siguiente tabla:

Tabla 2-28. Alternativas de conexión presentadas a la subestación Ancon EPM 110

Solicitud	Capacidad	Tipo	Barra	FPO solicitada	Restricción

No se priorizó ninguna de las alternativas de conexión presentadas en la subestación Ancon EPM 110

El estado de la capacidad por barra en la subestación Ancon EPM 110, teniendo en cuenta la priorización se puede observar en la siguiente figura.

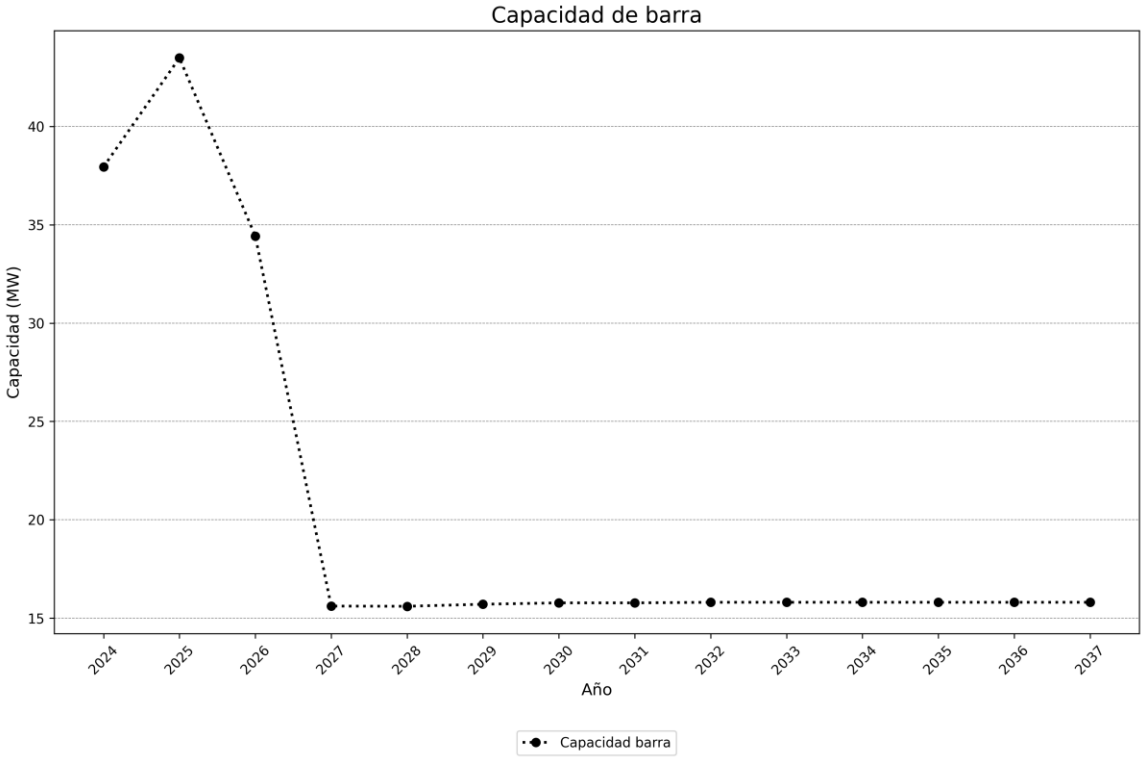


Figura 2-28. Balance de capacidad por barra después de la priorización para la subestación Ancon EPM 110

Capacidad excedente de interrupción de corriente de cortocircuito:

Para la subestación Ancon EPM 110 se presentaron 1 alternativas de conexión las cuales tienen aportes de corriente de cortocircuito. Estas alternativas se muestran en la siguiente tabla:

Tabla 2-29. Alternativas de conexión que aportan corriente de cortocircuito en la subestación Ancon EPM 110

Solicitud	tipo	FPO	Barra a la que aporta CC	Aporte de cortocircuito (kA)	Restricción
SC_3331_A1	Solar FV	2026	Ancon EPM 110	0.146	NO SATISFACE

No se priorizó ninguna de las alternativas de conexión que tengan aportes de corriente de cortocircuito en la subestación Ancon EPM 110

El estado de la capacidad de cortocircuito en la subestación Ancon EPM 110, teniendo en cuenta la priorización se puede observar en la siguiente figura.

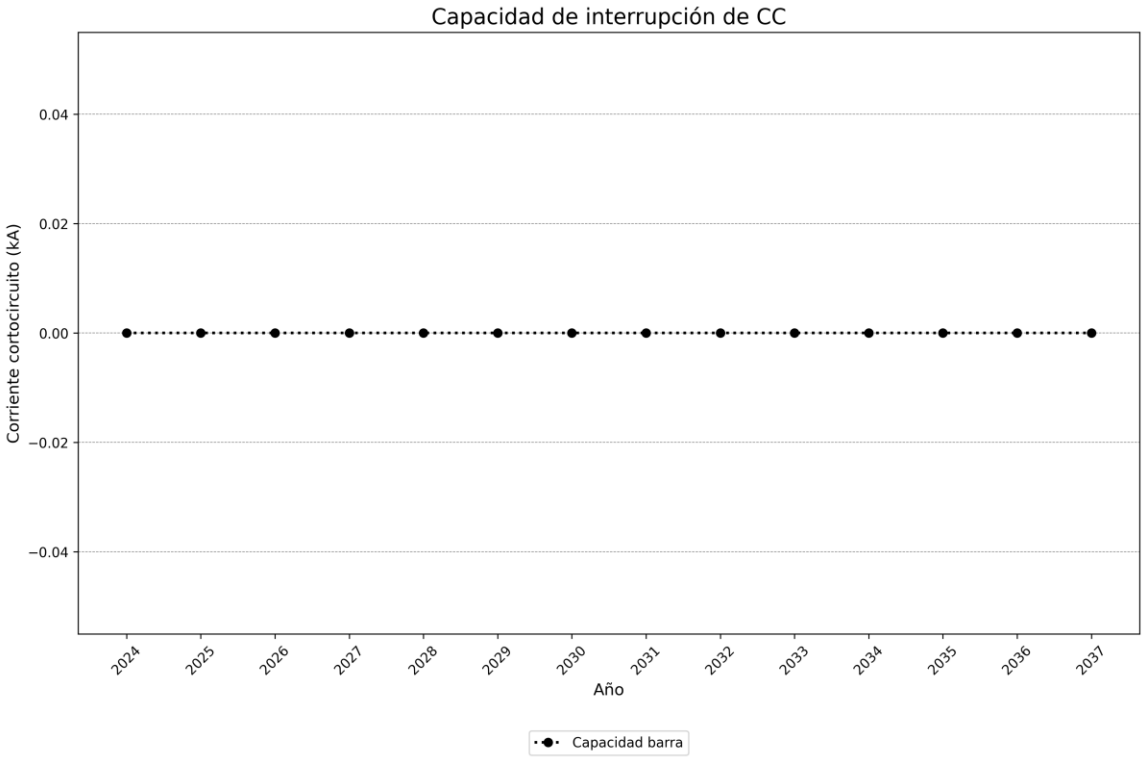


Figura 2-29. Balance de capacidad de cortocircuito después de la priorización para la subestación Ancon EPM 110

Subestación Ancon EPM 220:

Capacidad por barra:

Para la subestación Ancon EPM 220 se presentaron 0 alternativas de conexión las cuales se muestran en la siguiente tabla:

Tabla 2-30. Alternativas de conexión presentadas a la subestación Ancon EPM 220

Solicitud	Capacidad	Tipo	Barra	FPO solicitada	Restricción

No se priorizó ninguna de las alternativas de conexión presentadas en la subestación Ancon EPM 220

El estado de la capacidad por barra en la subestación Ancon EPM 220, teniendo en cuenta la priorización se puede observar en la siguiente figura.

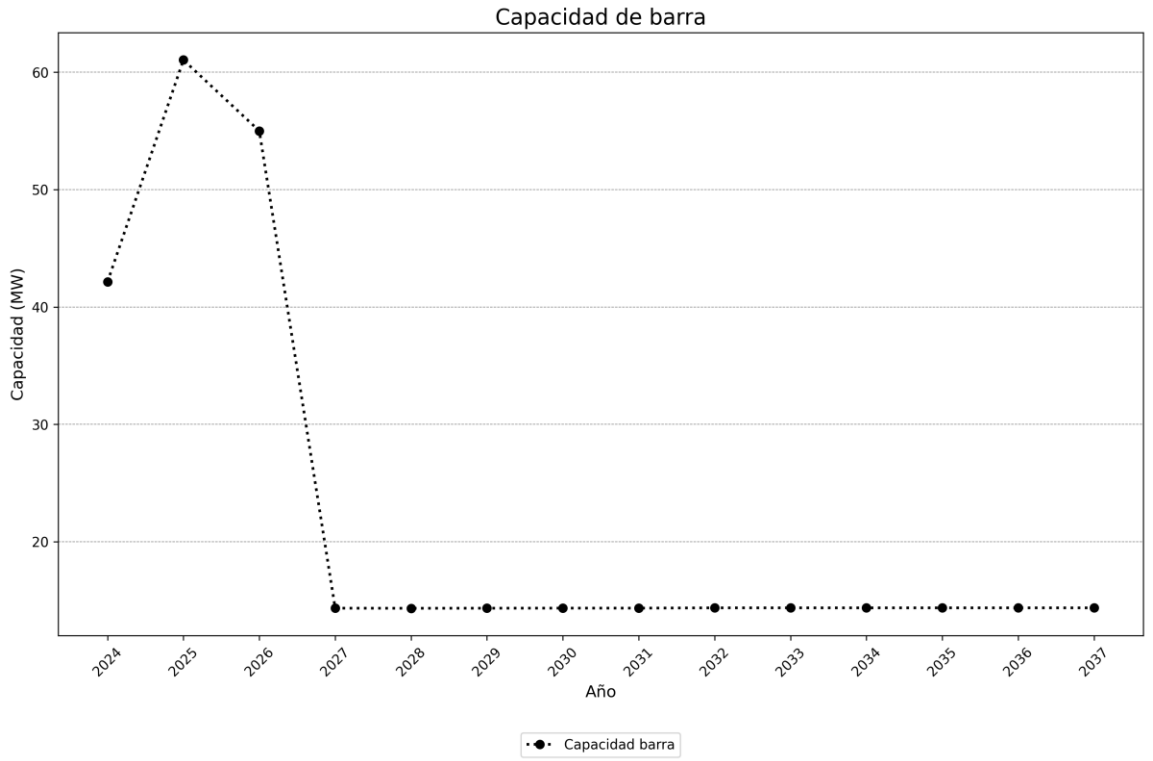


Figura 2-30. Balance de capacidad por barra después de la priorización para la subestación Ancon EPM 220

Capacidad excedente de interrupción de corriente de cortocircuito:

Para la subestación Ancon EPM 220 se presentaron 1 alternativas de conexión las cuales tienen aportes de corriente de cortocircuito. Estas alternativas se muestran en la siguiente tabla:

Tabla 2-31. Alternativas de conexión que aportan corriente de cortocircuito en la subestación Ancon EPM 220

Solicitud	tipo	FPO	Barra a la que aporta CC	Aporte de cortocircuito (kA)	Restricción
SC_3331_A1	Solar FV	2026	Ancon EPM 220	0.145	SATISFACE

No se priorizó ninguna de las alternativas de conexión que tengan aportes de corriente de cortocircuito en la subestación Ancon EPM 220

El estado de la capacidad de cortocircuito en la subestación Ancon EPM 220, teniendo en cuenta la priorización se puede observar en la siguiente figura.

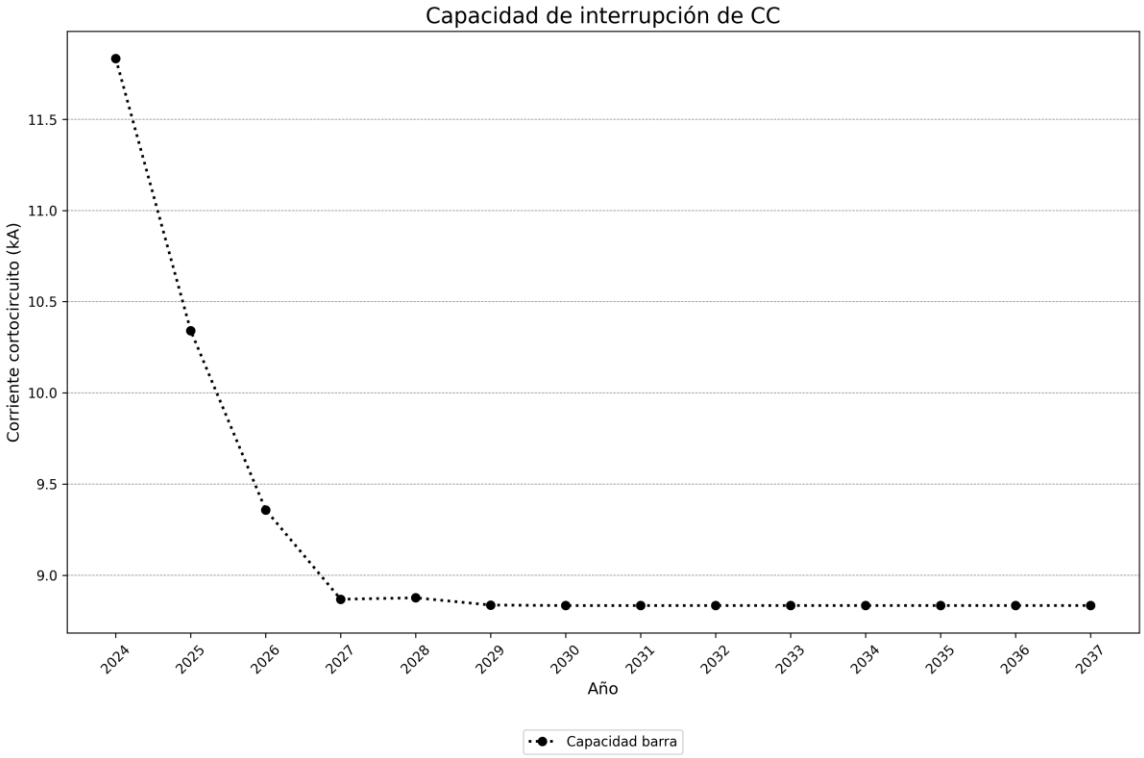


Figura 2-31. Balance de capacidad de cortocircuito después de la priorización para la subestación Ancon EPM 220

Subestación Ancon ISA 220:

Capacidad por barra:

Para la subestación Ancon ISA 220 se presentaron 0 alternativas de conexión las cuales se muestran en la siguiente tabla:

Tabla 2-32. Alternativas de conexión presentadas a la subestación Ancon ISA 220

Solicitud	Capacidad	Tipo	Barra	FPO solicitada	Restricción

No se priorizó ninguna de las alternativas de conexión presentadas en la subestación Ancon ISA 220

El estado de la capacidad por barra en la subestación Ancon ISA 220, teniendo en cuenta la priorización se puede observar en la siguiente figura.

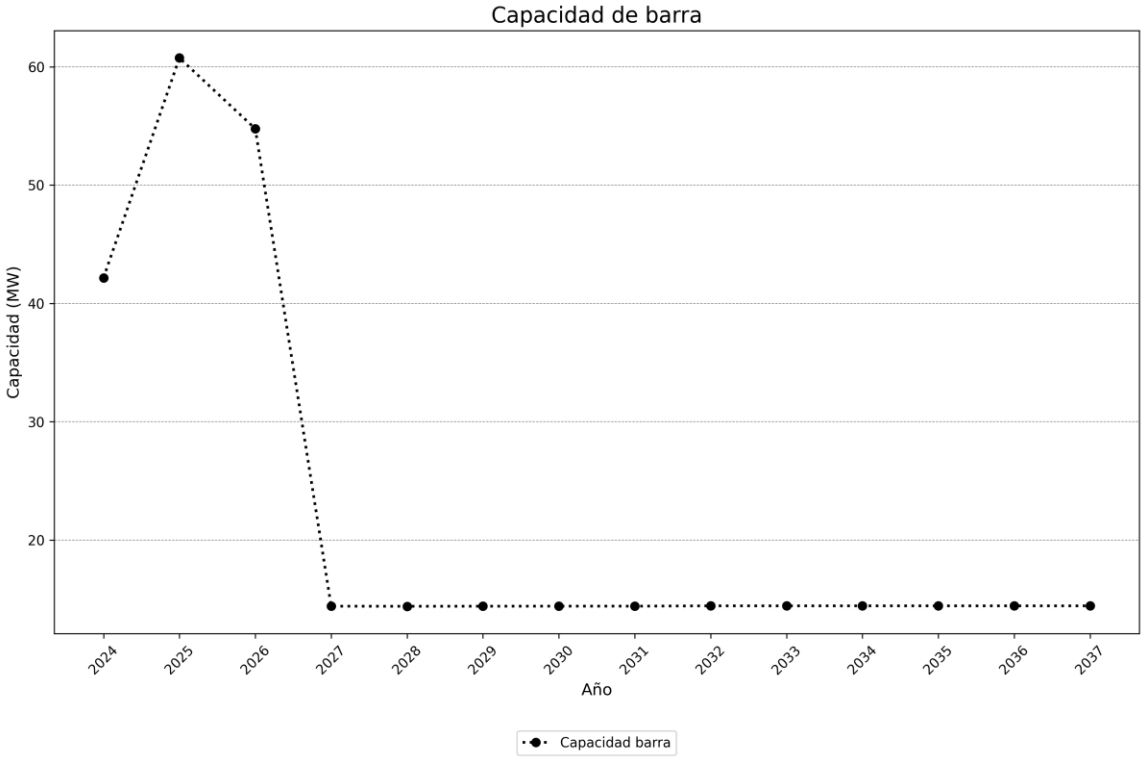


Figura 2-32. Balance de capacidad por barra después de la priorización para la subestación Ancon ISA 220

Capacidad excedente de interrupción de corriente de cortocircuito:

Para la subestación Ancon ISA 220 se presentaron 9 alternativas de conexión las cuales tienen aportes de corriente de cortocircuito. Estas alternativas se muestran en la siguiente tabla:

Tabla 2-33. Alternativas de conexión que aportan corriente de cortocircuito en la subestación Ancon ISA 220

Solicitud	tipo	FPO	Barra a la que aporta CC	Aporte de cortocircuito (kA)	Restricción
SC_2023_5339_A1	PCH	2026	Ancon ISA 220	0.002	SATISFACE
SC_2023_5339_A2	PCH	2026	Ancon ISA 220	0.002	SATISFACE
SC_2023_5557_A1	Solar FV	2028	Ancon ISA 220	0.095	SATISFACE
SC_2936_A1	Solar FV	2026	Ancon ISA 220	0.000	SATISFACE
SC_2936_A2	Solar FV	2026	Ancon ISA 220	0.000	SATISFACE
SC_3133_A1	Solar FV	2028	Ancon ISA 220	0.186	SATISFACE
SC_3133_A2	Solar FV	2028	Ancon ISA 220	0.171	SATISFACE
SC_3331_A1	Solar FV	2026	Ancon ISA 220	0.144	SATISFACE
SC_3882_A1	Solar FV	2026	Ancon ISA 220	0.093	SATISFACE

No se priorizó ninguna de las alternativas de conexión que tengan aportes de corriente de cortocircuito en la subestación Ancon ISA 220

El estado de la capacidad de cortocircuito en la subestación Ancon ISA 220, teniendo en cuenta la priorización se puede observar en la siguiente figura.

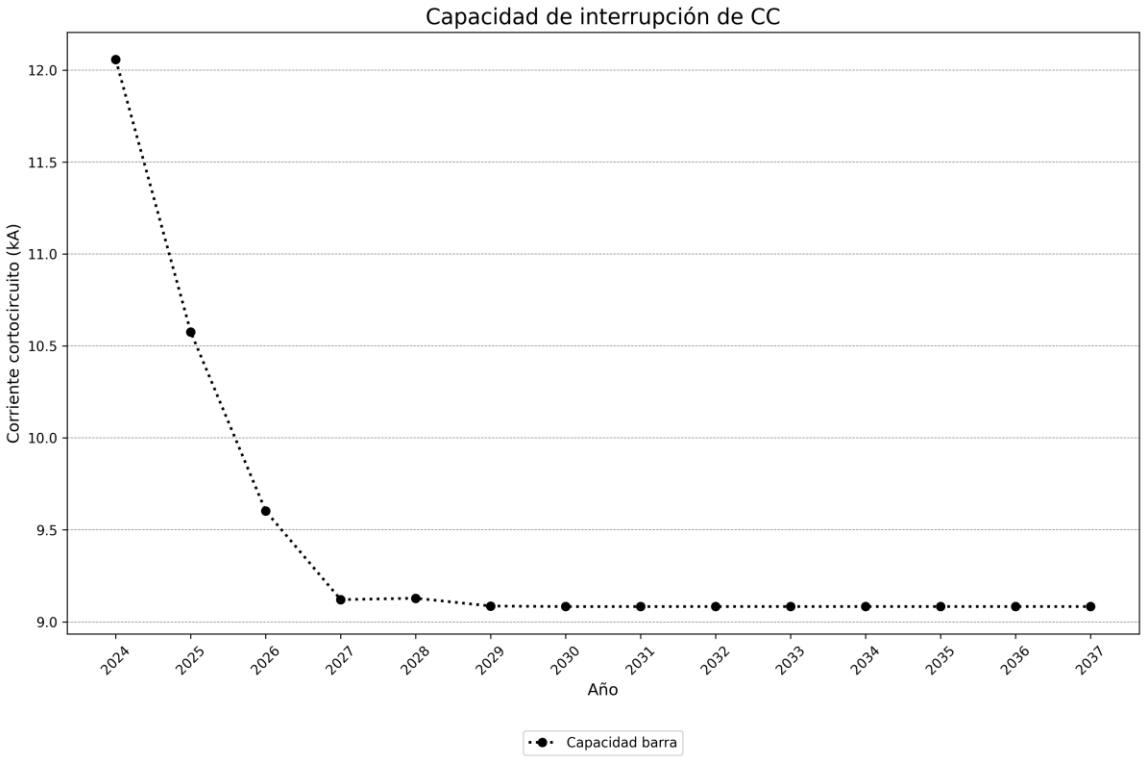


Figura 2-33. Balance de capacidad de cortocircuito después de la priorización para la subestación Ancon ISA 220

Subestación Anserma 33:

Capacidad por barra:

Para la subestación Anserma 33 se presentaron 0 alternativas de conexión las cuales se muestran en la siguiente tabla:

Tabla 2-34. Alternativas de conexión presentadas a la subestación Anserma 33

Solicitud	Capacidad	Tipo	Barra	FPO solicitada	Restricción

No se priorizó ninguna de las alternativas de conexión presentadas en la subestación Anserma 33

El estado de la capacidad por barra en la subestación Anserma 33, teniendo en cuenta la priorización se puede observar en la siguiente figura.

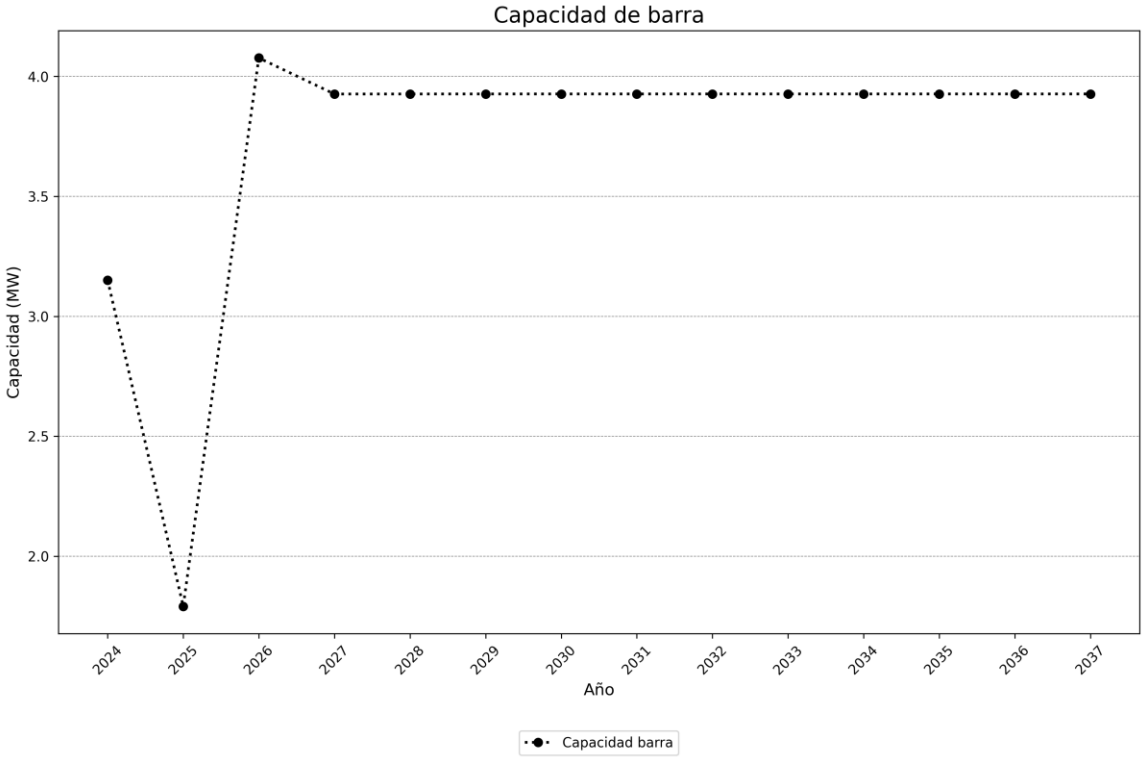


Figura 2-34. Balance de capacidad por barra después de la priorización para la subestación Anserma 33

Subestación Antioquia 500:

Capacidad por barra:

Para la subestación Antioquia 500 se presentaron 0 alternativas de conexión las cuales se muestran en la siguiente tabla:

Tabla 2-35. Alternativas de conexión presentadas a la subestación Antioquia 500

Solicitud	Capacidad	Tipo	Barra	FPO solicitada	Restricción

No se priorizó ninguna de las alternativas de conexión presentadas en la subestación Antioquia 500

El estado de la capacidad por barra en la subestación Antioquia 500, teniendo en cuenta la priorización se puede observar en la siguiente figura.

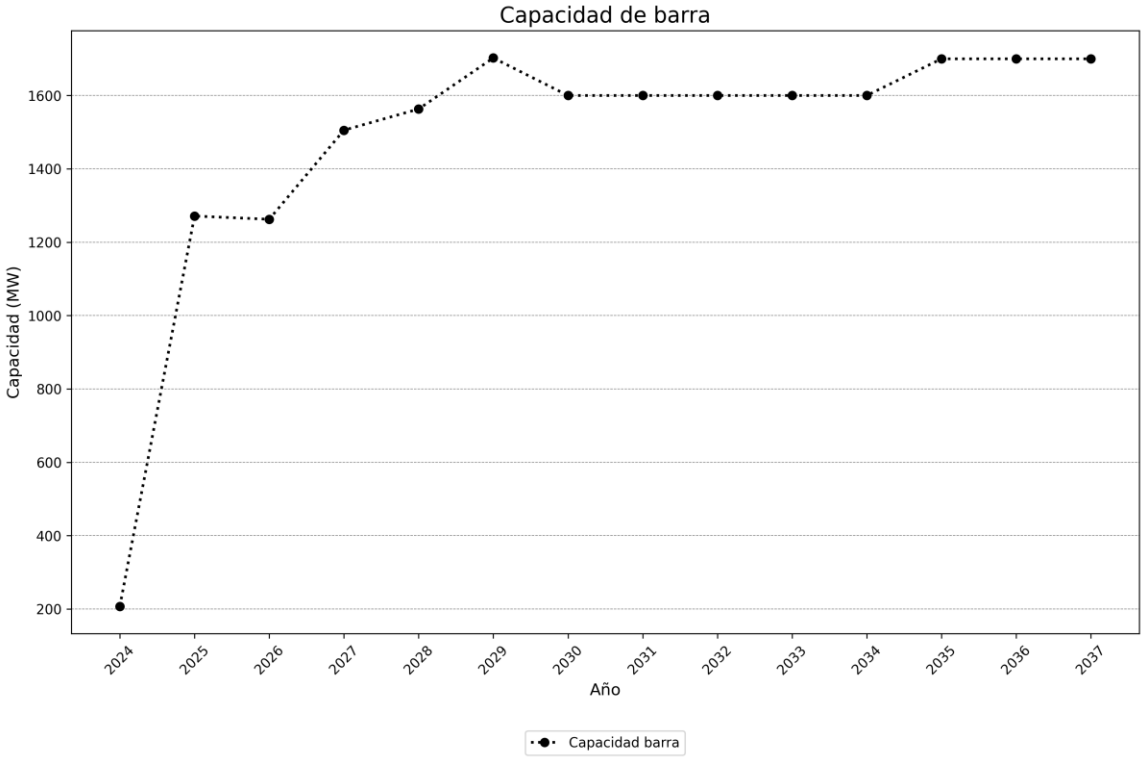


Figura 2-35. Balance de capacidad por barra después de la priorización para la subestación Antioquia 500

Capacidad excedente de interrupción de corriente de cortocircuito:

Para la subestación Antioquia 500 se presentaron 21 alternativas de conexión las cuales tienen aportes de corriente de cortocircuito. Estas alternativas se muestran en la siguiente tabla:

Tabla 2-36. Alternativas de conexión que aportan corriente de cortocircuito en la subestación Antioquia 500

Solicitud	tipo	FPO	Barra a la que aporta CC	Aporte de cortocircuito (kA)	Restricción
SC_2023_5144_A1	Solar FV	2028	Antioquia 500	0.065	SATISFACE
SC_2023_5144_A2	Solar FV	2028	Antioquia 500	0.083	SATISFACE
SC_2023_5150_A1	Solar FV	2028	Antioquia 500	0.058	SATISFACE
SC_2670_A1	Solar FV	2028	Antioquia 500	0.020	SATISFACE
SC_2670_A2	Solar FV	2028	Antioquia 500	0.010	SATISFACE
SC_3133_A1	Solar FV	2028	Antioquia 500	0.093	SATISFACE
SC_3133_A2	Solar FV	2028	Antioquia 500	0.108	SATISFACE
SC_3238_A1	Solar FV	2027	Antioquia 500	0.189	SATISFACE
SC_3238_A2	Solar FV	2027	Antioquia 500	0.205	SATISFACE
SC_3247_A1	Solar FV	2027	Antioquia 500	0.059	SATISFACE
SC_3247_A2	Solar FV	2027	Antioquia 500	0.044	SATISFACE
SC_3248_A1	Solar FV	2027	Antioquia 500	0.189	SATISFACE
SC_3248_A2	Solar FV	2027	Antioquia 500	0.205	SATISFACE
SC_3331_A1	Solar FV	2026	Antioquia 500	0.055	SATISFACE
SC_3441_A1	Solar FV	2027	Antioquia 500	0.059	SATISFACE
SC_3441_A2	Solar FV	2027	Antioquia 500	0.044	SATISFACE
SC_4296_A1	Solar FV	2028	Antioquia 500	0.065	SATISFACE
SC_4296_A2	Solar FV	2028	Antioquia 500	0.059	SATISFACE
SC_4809_A1	Solar FV	2027	Antioquia 500	0.030	SATISFACE
SC_4809_A2	Solar FV	2027	Antioquia 500	0.115	SATISFACE
SC_4842_A1	Solar FV	2028	Antioquia 500	0.058	SATISFACE

No se priorizó ninguna de las alternativas de conexión que tengan aportes de corriente de cortocircuito en la subestación Antioquia 500

El estado de la capacidad de cortocircuito en la subestación Antioquia 500, teniendo en cuenta la priorización se puede observar en la siguiente figura.

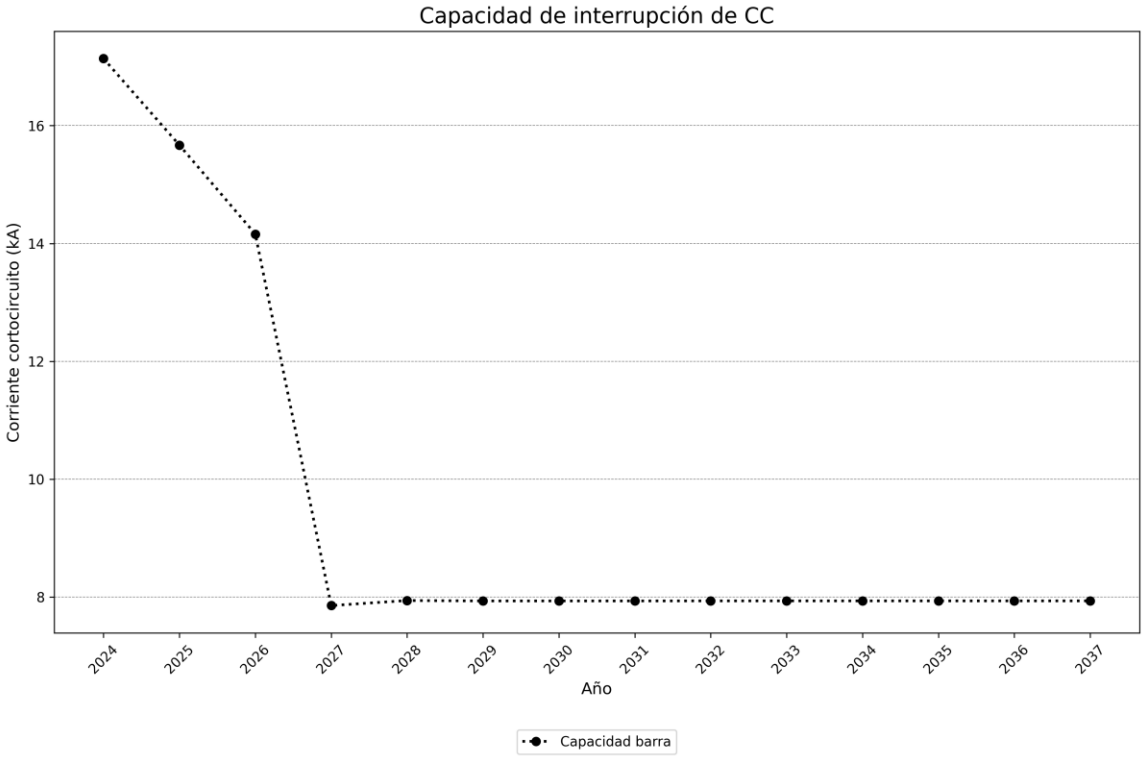


Figura 2-36. Balance de capacidad de cortocircuito después de la priorización para la subestación Antioquia 500

Subestación Apartado 110:

Capacidad por barra:

Para la subestación Apartado 110 se presentaron 0 alternativas de conexión las cuales se muestran en la siguiente tabla:

Tabla 2-37. Alternativas de conexión presentadas a la subestación Apartado 110

Solicitud	Capacidad	Tipo	Barra	FPO solicitada	Restricción

No se priorizó ninguna de las alternativas de conexión presentadas en la subestación Apartado 110

El estado de la capacidad por barra en la subestación Apartado 110, teniendo en cuenta la priorización se puede observar en la siguiente figura.

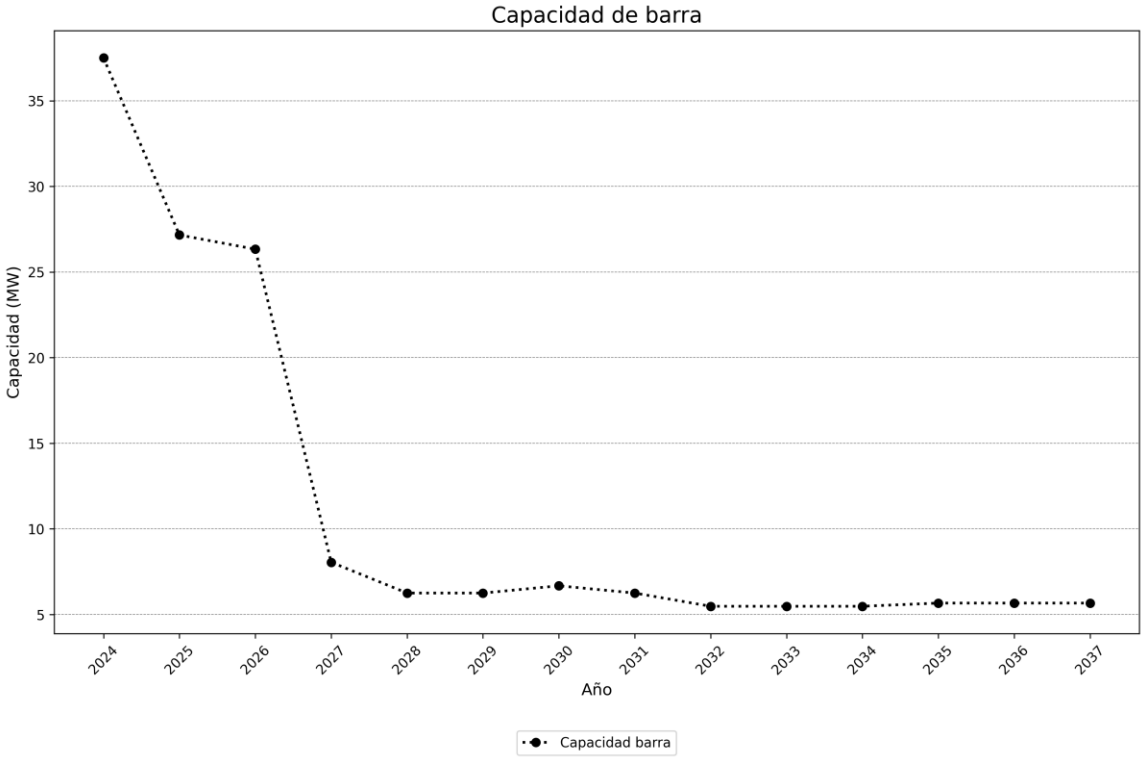


Figura 2-37. Balance de capacidad por barra después de la priorización para la subestación Apartado 110

Capacidad excedente de interrupción de corriente de cortocircuito:

Para la subestación Apartado 110 se presentaron 1 alternativas de conexión las cuales tienen aportes de corriente de cortocircuito. Estas alternativas se muestran en la siguiente tabla:

Tabla 2-38. Alternativas de conexión que aportan corriente de cortocircuito en la subestación Apartado 110

Solicitud	tipo	FPO	Barra a la que aporta CC	Aporte de cortocircuito (kA)	Restricción
SC_3331_A1	Solar FV	2026	Apartado 110	0.007	SATISFACE

No se priorizó ninguna de las alternativas de conexión que tengan aportes de corriente de cortocircuito en la subestación Apartado 110

El estado de la capacidad de cortocircuito en la subestación Apartado 110, teniendo en cuenta la priorización se puede observar en la siguiente figura.

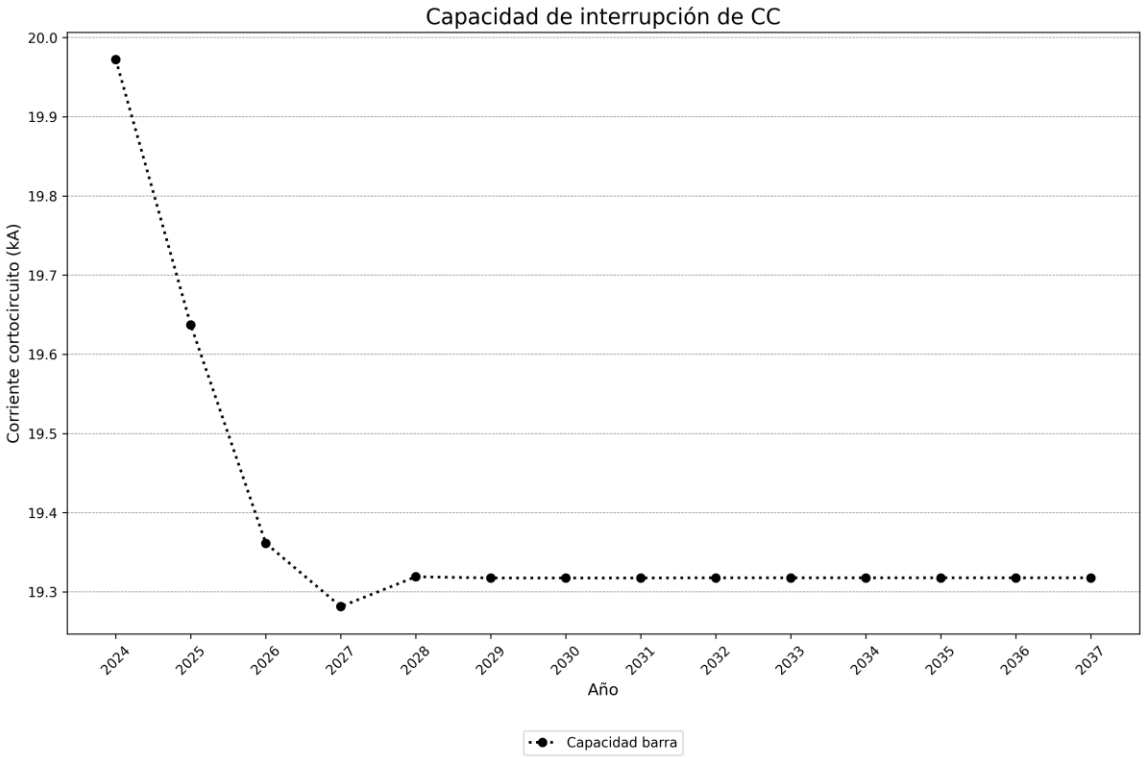


Figura 2-38. Balance de capacidad de cortocircuito después de la priorización para la subestación Apartado 110

Subestación Aranjuez 115:

Capacidad por barra:

Para la subestación Aranjuez 115 se presentaron 0 alternativas de conexión las cuales se muestran en la siguiente tabla:

Tabla 2-39. Alternativas de conexión presentadas a la subestación Aranjuez 115

Solicitud	Capacidad	Tipo	Barra	FPO solicitada	Restricción

No se priorizó ninguna de las alternativas de conexión presentadas en la subestación Aranjuez 115

El estado de la capacidad por barra en la subestación Aranjuez 115, teniendo en cuenta la priorización se puede observar en la siguiente figura.

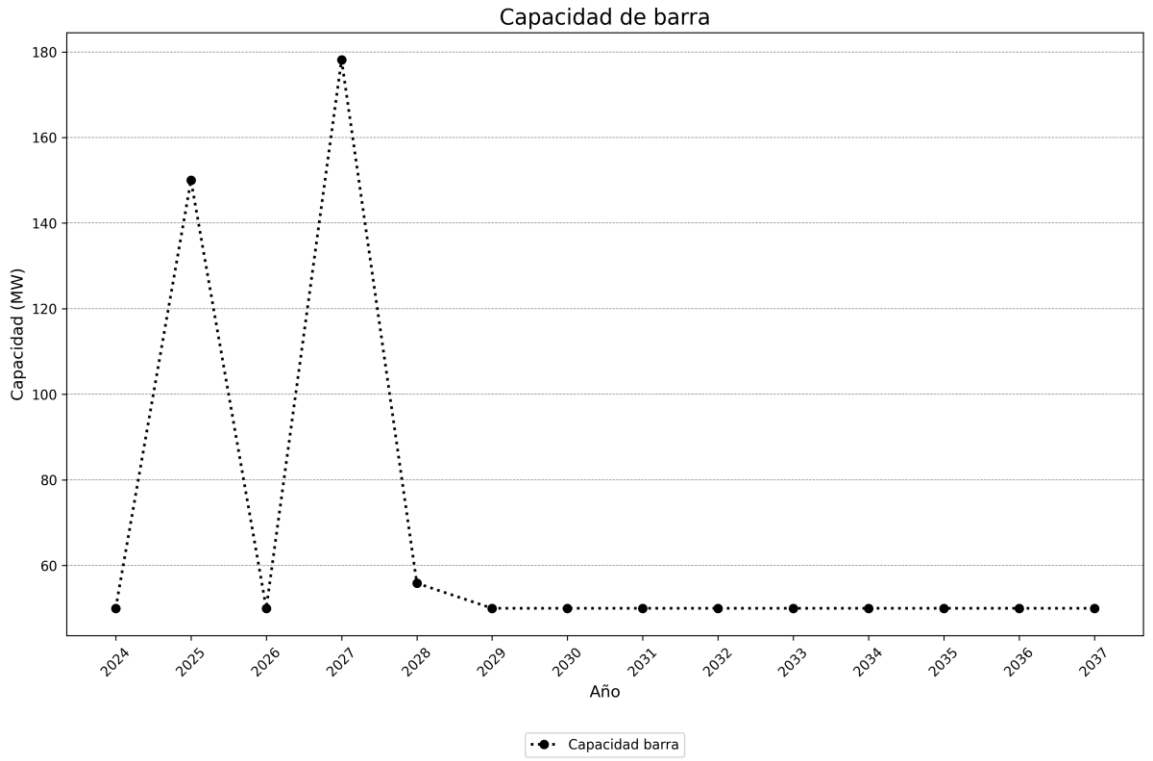


Figura 2-39. Balance de capacidad por barra después de la priorización para la subestación Aranjuez 115

Capacidad excedente de interrupción de corriente de cortocircuito:

Para la subestación Aranjuez 115 se presentaron 29 alternativas de conexión las cuales tienen aportes de corriente de cortocircuito. Estas alternativas se muestran en la siguiente tabla:

Tabla 2-40. Alternativas de conexión que aportan corriente de cortocircuito en la subestación Aranjuez 115

Solicitud	tipo	FPO	Barra a la que aporta CC	Aporte de cortocircuito (kA)	Restricción
SC_2023_5280_A1	Solar FV	2028	Aranjuez 115	0.058	SATISFACE
SC_2023_5280_A2	Solar FV	2028	Aranjuez 115	0.053	SATISFACE
SC_2023_5287_A1	Solar FV	2026	Aranjuez 115	0.031	SATISFACE
SC_2023_5287_A2	Solar FV	2026	Aranjuez 115	0.031	SATISFACE
SC_2023_5288_A1	Solar FV	2026	Aranjuez 115	0.018	SATISFACE
SC_2023_5288_A2	Solar FV	2026	Aranjuez 115	0.047	SATISFACE
SC_2023_5375_A1	Solar FV	2026	Aranjuez 115	0.031	SATISFACE
SC_2023_5399_A1	Solar FV	2026	Aranjuez 115	0.018	SATISFACE
SC_2023_5399_A2	Solar FV	2026	Aranjuez 115	0.047	SATISFACE
SC_2023_5480_A1	Solar FV	2026	Aranjuez 115	0.031	SATISFACE
SC_2023_5480_A2	Solar FV	2026	Aranjuez 115	0.031	SATISFACE
SC_2023_5557_A1	Solar FV	2028	Aranjuez 115	0.123	SATISFACE
SC_2936_A1	Solar FV	2026	Aranjuez 115	0.000	SATISFACE
SC_2936_A2	Solar FV	2026	Aranjuez 115	0.000	SATISFACE
SC_3121_A1	Solar FV	2026	Aranjuez 115	0.004	SATISFACE
SC_3121_A2	Solar FV	2026	Aranjuez 115	0.004	SATISFACE
SC_3132_A1	Solar FV	2026	Aranjuez 115	0.066	SATISFACE
SC_3132_A2	Solar FV	2026	Aranjuez 115	0.057	SATISFACE
SC_3882_A1	Solar FV	2026	Aranjuez 115	0.117	SATISFACE
SC_4083_A1	Solar FV	2027	Aranjuez 115	0.001	SATISFACE
SC_4083_A2	Solar FV	2027	Aranjuez 115	0.001	SATISFACE
SC_4765_A1	Solar FV	2029	Aranjuez 115	0.003	SATISFACE
SC_4765_A2	Solar FV	2029	Aranjuez 115	0.002	SATISFACE
SC_4819_A1	Solar FV	2029	Aranjuez 115	0.106	SATISFACE
SC_4819_A2	Solar FV	2029	Aranjuez 115	0.096	SATISFACE
SC_4974_A1	Solar FV	2026	Aranjuez 115	0.008	SATISFACE
SC_4974_A2	Solar FV	2026	Aranjuez 115	0.008	SATISFACE

SC_4978_A1	Solar FV	2026	Aranjuez 115	0.000	SATISFACE
SC_4978_A2	Solar FV	2026	Aranjuez 115	0.005	SATISFACE

No se priorizó ninguna de las alternativas de conexión que tengan aportes de corriente de cortocircuito en la subestación Aranjuez 115

El estado de la capacidad de cortocircuito en la subestación Aranjuez 115, teniendo en cuenta la priorización se puede observar en la siguiente figura.

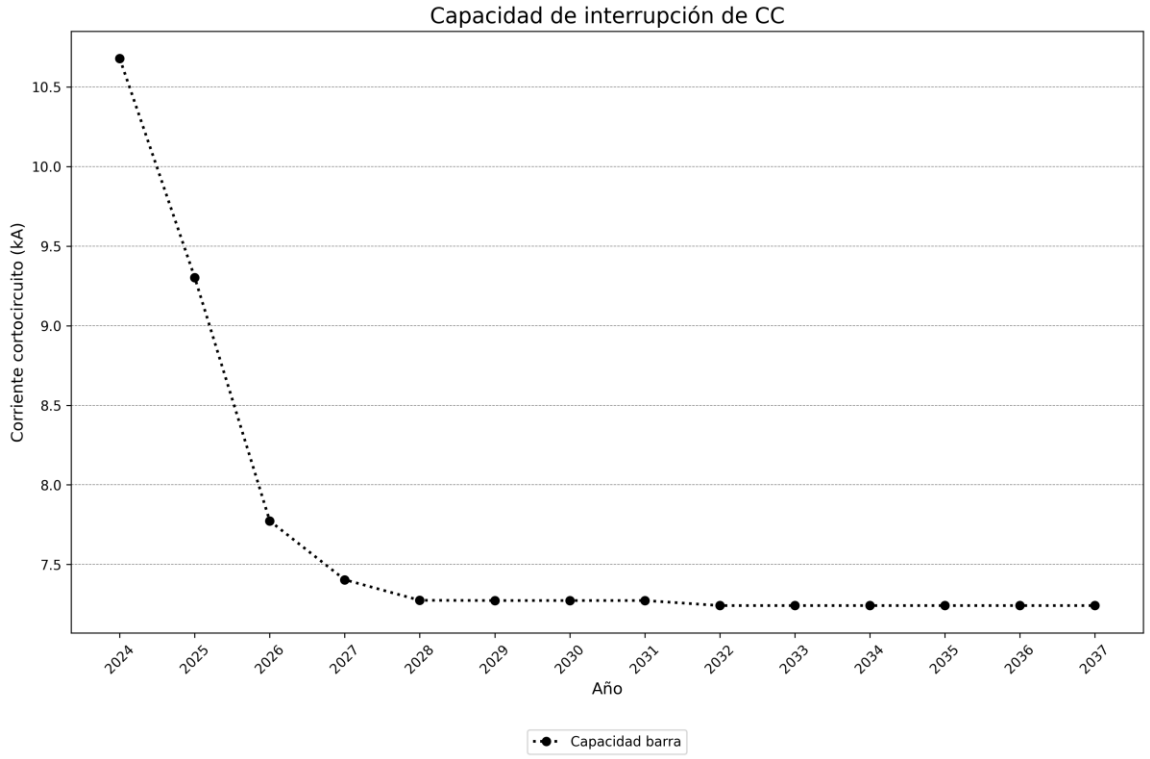


Figura 2-40. Balance de capacidad de cortocircuito después de la priorización para la subestación Aranjuez 115

Subestación Aranzazu 33:

Capacidad por barra:

Para la subestación Aranzazu 33 se presentaron 1 alternativas de conexión las cuales se muestran en la siguiente tabla:

Tabla 2-41. Alternativas de conexión presentadas a la subestación Aranzazu 33

Solicitud	Capacidad	Tipo	Barra	FPO solicitada	Restricción
SC_2023_5216_A1	9.9	Solar FV	Aranzazu 33	2026	NO SATISFACE

No se priorizó ninguna de las alternativas de conexión presentadas en la subestación Aranzazu 33

El estado de la capacidad por barra en la subestación Aranzazu 33, teniendo en cuenta la priorización se puede observar en la siguiente figura.

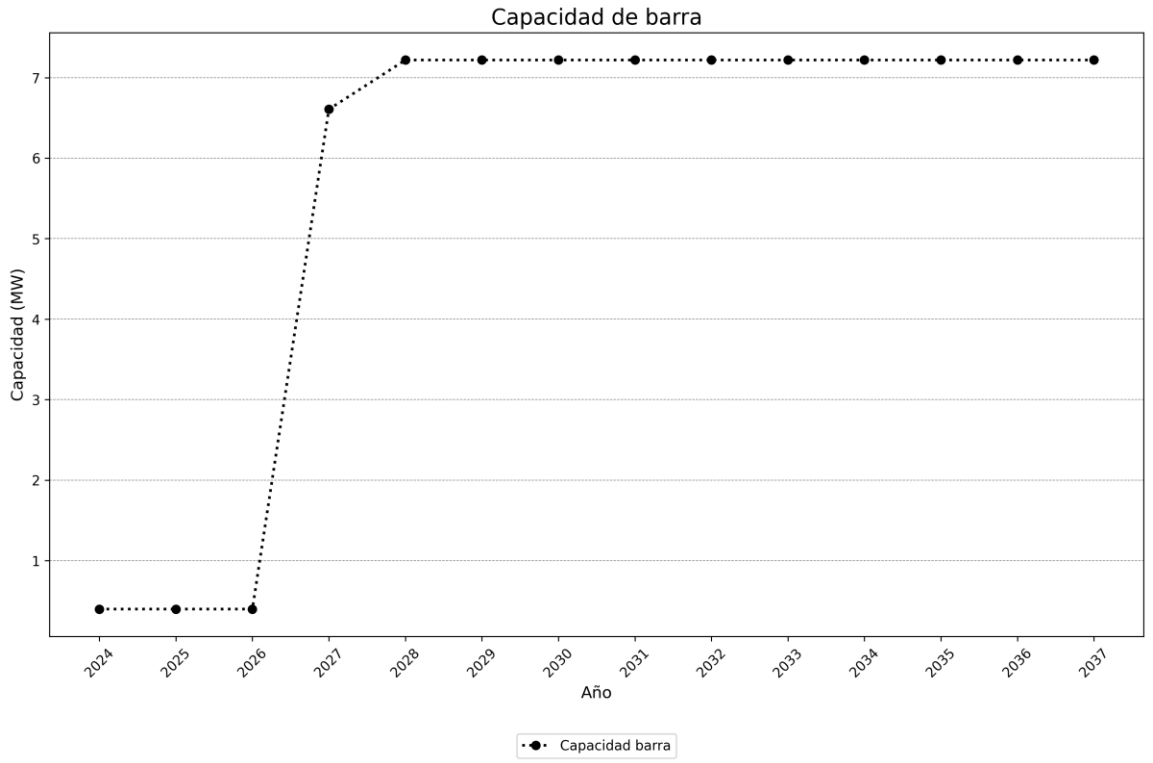


Figura 2-41. Balance de capacidad por barra después de la priorización para la subestación Aranzazu 33

Subestación Armenia 115:

Capacidad por barra:

Para la subestación Armenia 115 se presentaron 1 alternativas de conexión las cuales se muestran en la siguiente tabla:

Tabla 2-42. Alternativas de conexión presentadas a la subestación Armenia 115

Solicitud	Capacidad	Tipo	Barra	FPO solicitada	Restricción
SC_3353_A1	160.0	Solar FV	Armenia 115	2027	NO SATISFACE

No se priorizó ninguna de las alternativas de conexión presentadas en la subestación Armenia 115

El estado de la capacidad por barra en la subestación Armenia 115, teniendo en cuenta la priorización se puede observar en la siguiente figura.

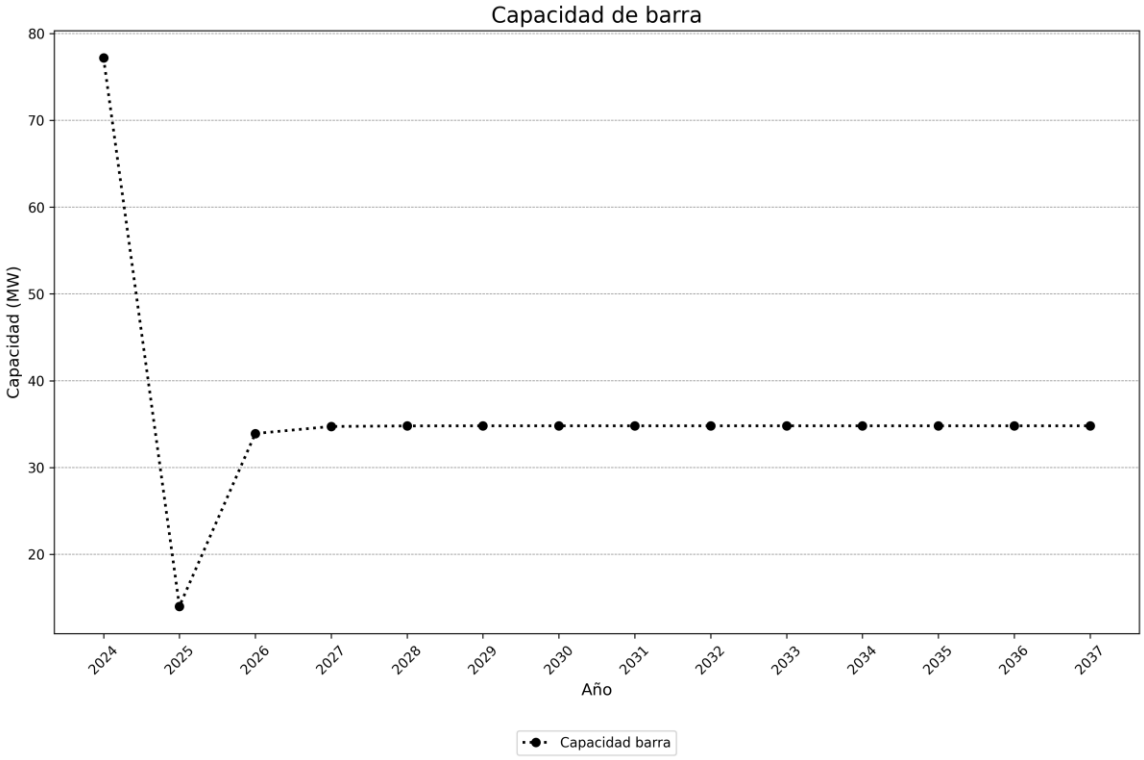


Figura 2-42. Balance de capacidad por barra después de la priorización para la subestación Armenia 115

Capacidad excedente de interrupción de corriente de cortocircuito:

Para la subestación Armenia 115 se presentaron 175 alternativas de conexión las cuales tienen aportes de corriente de cortocircuito. Estas alternativas se muestran en la siguiente tabla:

Tabla 2-43. Alternativas de conexión que aportan corriente de cortocircuito en la subestación Armenia 115

Solicitud	tipo	FPO	Barra a la que aporta CC	Aporte de cortocircuito (kA)	Restricción
SC_2023_5136_A1	Solar FV	2026	Armenia 115	0.013	SATISFACE
SC_2023_5136_A2	Solar FV	2026	Armenia 115	0.013	SATISFACE
SC_2023_5144_A1	Solar FV	2028	Armenia 115	0.175	SATISFACE

SC_2023_5144_A2	Solar FV	2028	Armenia 115	0.076	SATISFACE
SC_2023_5150_A1	Solar FV	2028	Armenia 115	0.107	SATISFACE
SC_2023_5152_A1	Solar FV	2025	Armenia 115	0.007	SATISFACE
SC_2023_5152_A2	Solar FV	2025	Armenia 115	0.006	SATISFACE
SC_2023_5158_A1	Solar FV	2028	Armenia 115	0.107	SATISFACE
SC_2023_5171_A1	Solar FV	2025	Armenia 115	0.005	SATISFACE
SC_2023_5171_A2	Solar FV	2025	Armenia 115	0.007	SATISFACE
SC_2023_5185_A1	Solar FV	2026	Armenia 115	0.295	SATISFACE
SC_2023_5185_A2	Solar FV	2026	Armenia 115	0.282	SATISFACE
SC_2023_5188_A1	Solar FV	2026	Armenia 115	0.027	SATISFACE
SC_2023_5188_A2	Solar FV	2026	Armenia 115	0.095	SATISFACE
SC_2023_5200_A1	Solar FV	2028	Armenia 115	0.343	SATISFACE
SC_2023_5200_A2	Solar FV	2028	Armenia 115	0.159	SATISFACE
SC_2023_5248_A1	Solar FV	2025	Armenia 115	0.010	SATISFACE
SC_2023_5248_A2	Solar FV	2025	Armenia 115	0.010	SATISFACE
SC_2023_5249_A1	Solar FV	2025	Armenia 115	0.010	SATISFACE
SC_2023_5249_A2	Solar FV	2025	Armenia 115	0.010	SATISFACE
SC_2023_5251_A1	Solar FV	2025	Armenia 115	0.064	SATISFACE
SC_2023_5251_A2	Solar FV	2025	Armenia 115	0.064	SATISFACE
SC_2023_5252_A1	Solar FV	2028	Armenia 115	0.075	SATISFACE
SC_2023_5252_A2	Solar FV	2028	Armenia 115	0.034	SATISFACE
SC_2023_5253_A1	Solar FV	2025	Armenia 115	0.064	SATISFACE
SC_2023_5253_A2	Solar FV	2025	Armenia 115	0.064	SATISFACE
SC_2023_5256_A2	Solar FV	2028	Armenia 115	0.027	SATISFACE
SC_2023_5257_A1	Solar FV	2025	Armenia 115	0.010	SATISFACE
SC_2023_5257_A2	Solar FV	2025	Armenia 115	0.010	SATISFACE
SC_2023_5280_A1	Solar FV	2028	Armenia 115	0.053	SATISFACE
SC_2023_5280_A2	Solar FV	2028	Armenia 115	0.050	SATISFACE
SC_2023_5287_A1	Solar FV	2026	Armenia 115	0.027	SATISFACE
SC_2023_5287_A2	Solar FV	2026	Armenia 115	0.027	SATISFACE
SC_2023_5288_A1	Solar FV	2026	Armenia 115	0.017	SATISFACE
SC_2023_5288_A2	Solar FV	2026	Armenia 115	0.043	SATISFACE
SC_2023_5293_A1	Solar FV	2028	Armenia 115	0.059	SATISFACE
SC_2023_5293_A2	Solar FV	2028	Armenia 115	0.057	SATISFACE
SC_2023_5294_A1	Solar FV	2029	Armenia 115	0.013	SATISFACE
SC_2023_5294_A2	Solar FV	2029	Armenia 115	0.013	SATISFACE
SC_2023_5304_A1	Solar FV	2026	Armenia 115	0.003	SATISFACE
SC_2023_5309_A1	Solar FV	2026	Armenia 115	0.003	SATISFACE
SC_2023_5337_A2	Solar FV	2025	Armenia 115	0.065	SATISFACE
SC_2023_5339_A1	PCH	2026	Armenia 115	0.002	SATISFACE

SC_2023_5339_A2	PCH	2026	Armenia 115	0.002	SATISFACE
SC_2023_5345_A1	Solar FV	2027	Armenia 115	0.010	SATISFACE
SC_2023_5345_A2	Solar FV	2027	Armenia 115	0.013	SATISFACE
SC_2023_5346_A1	Solar FV	2027	Armenia 115	0.010	SATISFACE
SC_2023_5346_A2	Solar FV	2027	Armenia 115	0.013	SATISFACE
SC_2023_5375_A1	Solar FV	2026	Armenia 115	0.026	SATISFACE
SC_2023_5383_A1	Solar FV	2027	Armenia 115	0.060	SATISFACE
SC_2023_5383_A2	Solar FV	2027	Armenia 115	0.072	SATISFACE
SC_2023_5399_A1	Solar FV	2026	Armenia 115	0.017	SATISFACE
SC_2023_5399_A2	Solar FV	2026	Armenia 115	0.043	SATISFACE
SC_2023_5431_A1	Solar FV	2028	Armenia 115	0.000	SATISFACE
SC_2023_5431_A2	Solar FV	2028	Armenia 115	0.000	SATISFACE
SC_2023_5480_A1	Solar FV	2026	Armenia 115	0.027	SATISFACE
SC_2023_5480_A2	Solar FV	2026	Armenia 115	0.027	SATISFACE
SC_2023_5551_A1	Solar FV	2027	Armenia 115	0.322	SATISFACE
SC_2023_5551_A2	Solar FV	2027	Armenia 115	0.142	SATISFACE
SC_2023_5557_A1	Solar FV	2028	Armenia 115	0.098	SATISFACE
SC_2023_5564_A1	Solar FV	2026	Armenia 115	0.027	SATISFACE
SC_2023_5564_A2	Solar FV	2026	Armenia 115	0.027	SATISFACE
SC_2023_5565_A1	Solar FV	2027	Armenia 115	0.026	SATISFACE
SC_2023_5566_A1	Solar FV	2028	Armenia 115	0.028	SATISFACE
SC_2023_5566_A2	Solar FV	2028	Armenia 115	0.029	SATISFACE
SC_2023_5598_A1	Solar FV	2025	Armenia 115	0.007	SATISFACE
SC_2023_5598_A2	Solar FV	2025	Armenia 115	0.006	SATISFACE
SC_2024_5939_A1	Solar FV	2028	Armenia 115	0.001	SATISFACE
SC_2024_5939_A2	Solar FV	2028	Armenia 115	0.001	SATISFACE
SC_2344_A1	Eólico Onshore	2027	Armenia 115	0.030	SATISFACE
SC_2344_A2	Eólico Onshore	2027	Armenia 115	0.010	SATISFACE
SC_2438_A1	Solar FV	2028	Armenia 115	0.000	SATISFACE
SC_2438_A2	Solar FV	2028	Armenia 115	0.000	SATISFACE
SC_2545_A1	Solar FV	2026	Armenia 115	0.080	SATISFACE
SC_2545_A2	Solar FV	2026	Armenia 115	0.080	SATISFACE
SC_2562_A1	Solar FV	2026	Armenia 115	0.010	SATISFACE
SC_2634_A1	Solar FV	2026	Armenia 115	0.001	SATISFACE
SC_2634_A2	Solar FV	2026	Armenia 115	0.001	SATISFACE
SC_2643_A1	Solar FV	2026	Armenia 115	0.060	SATISFACE
SC_2643_A2	Solar FV	2026	Armenia 115	0.080	SATISFACE
SC_2670_A1	Solar FV	2028	Armenia 115	0.000	SATISFACE
SC_2670_A2	Solar FV	2028	Armenia 115	0.020	SATISFACE
SC_2802_A1	Solar FV	2027	Armenia 115	0.002	SATISFACE

SC_2802_A2	Solar FV	2027	Armenia 115	0.002	SATISFACE
SC_2816_A1	Solar FV	2027	Armenia 115	0.010	SATISFACE
SC_2870_A1	Solar FV	2027	Armenia 115	0.010	SATISFACE
SC_2870_A2	Solar FV	2027	Armenia 115	0.000	SATISFACE
SC_2902_A1	Solar FV	2028	Armenia 115	0.470	SATISFACE
SC_2902_A2	Solar FV	2028	Armenia 115	0.030	SATISFACE
SC_2905_A2	Solar FV	2028	Armenia 115	0.000	SATISFACE
SC_2924_A1	Solar FV	2026	Armenia 115	0.236	SATISFACE
SC_2924_A2	Solar FV	2026	Armenia 115	0.226	SATISFACE
SC_2936_A1	Solar FV	2026	Armenia 115	0.000	SATISFACE
SC_2936_A2	Solar FV	2026	Armenia 115	0.000	SATISFACE
SC_2962_A1	Solar FV	2028	Armenia 115	0.043	SATISFACE
SC_2962_A2	Solar FV	2028	Armenia 115	0.045	SATISFACE
SC_3054_A2	Solar FV	2027	Armenia 115	0.021	SATISFACE
SC_3101_A1	Solar FV	2027	Armenia 115	0.000	SATISFACE
SC_3101_A2	Solar FV	2027	Armenia 115	0.000	SATISFACE
SC_3121_A1	Solar FV	2026	Armenia 115	0.005	SATISFACE
SC_3121_A2	Solar FV	2026	Armenia 115	0.005	SATISFACE
SC_3132_A1	Solar FV	2026	Armenia 115	0.059	SATISFACE
SC_3132_A2	Solar FV	2026	Armenia 115	0.056	SATISFACE
SC_3238_A1	Solar FV	2027	Armenia 115	0.353	SATISFACE
SC_3238_A2	Solar FV	2027	Armenia 115	0.245	SATISFACE
SC_3247_A1	Solar FV	2027	Armenia 115	0.108	SATISFACE
SC_3247_A2	Solar FV	2027	Armenia 115	0.079	SATISFACE
SC_3248_A1	Solar FV	2027	Armenia 115	0.353	SATISFACE
SC_3248_A2	Solar FV	2027	Armenia 115	0.245	SATISFACE
SC_3251_A1	Hidráulica	2026	Armenia 115	0.010	SATISFACE
SC_3251_A2	Hidráulica	2026	Armenia 115	0.010	SATISFACE
SC_3353_A1	Solar FV	2027	Armenia 115	0.817	SATISFACE
SC_3353_A2	Solar FV	2027	Armenia 115	0.309	SATISFACE
SC_3382_A1	Solar FV	2027	Armenia 115	0.006	SATISFACE
SC_3382_A2	Solar FV	2027	Armenia 115	0.008	SATISFACE
SC_3392_A1	Solar FV	2027	Armenia 115	0.063	SATISFACE
SC_3392_A2	Solar FV	2027	Armenia 115	0.024	SATISFACE
SC_3441_A1	Solar FV	2027	Armenia 115	0.108	SATISFACE
SC_3441_A2	Solar FV	2027	Armenia 115	0.079	SATISFACE
SC_3453_A1	Solar FV	2027	Armenia 115	0.007	SATISFACE
SC_3453_A2	Solar FV	2027	Armenia 115	0.007	SATISFACE
SC_3514_A1	Solar FV	2027	Armenia 115	0.007	SATISFACE
SC_3514_A2	Solar FV	2027	Armenia 115	0.007	SATISFACE

SC_3578_A1	Solar FV	2028	Armenia 115	0.001	SATISFACE
SC_3578_A2	Solar FV	2028	Armenia 115	0.001	SATISFACE
SC_3667_A1	Solar FV	2029	Armenia 115	0.011	SATISFACE
SC_3667_A2	Solar FV	2029	Armenia 115	0.007	SATISFACE
SC_3846_A1	Solar FV	2028	Armenia 115	0.009	SATISFACE
SC_3846_A2	Solar FV	2028	Armenia 115	0.009	SATISFACE
SC_3882_A1	Solar FV	2026	Armenia 115	0.096	SATISFACE
SC_4083_A1	Solar FV	2027	Armenia 115	0.000	SATISFACE
SC_4083_A2	Solar FV	2027	Armenia 115	0.000	SATISFACE
SC_4175_A1	Solar FV	2026	Armenia 115	0.055	SATISFACE
SC_4175_A2	Solar FV	2026	Armenia 115	0.052	SATISFACE
SC_4296_A1	Solar FV	2028	Armenia 115	0.176	SATISFACE
SC_4296_A2	Solar FV	2028	Armenia 115	0.184	SATISFACE
SC_4751_A1	Solar FV	2027	Armenia 115	0.002	SATISFACE
SC_4760_A1	Solar FV	2026	Armenia 115	0.075	SATISFACE
SC_4765_A1	Solar FV	2029	Armenia 115	0.003	SATISFACE
SC_4765_A2	Solar FV	2029	Armenia 115	0.002	SATISFACE
SC_4789_A1	Solar FV	2027	Armenia 115	0.051	SATISFACE
SC_4789_A2	Solar FV	2027	Armenia 115	0.051	SATISFACE
SC_4809_A1	Solar FV	2027	Armenia 115	0.008	SATISFACE
SC_4809_A2	Solar FV	2027	Armenia 115	0.139	SATISFACE
SC_4819_A1	Solar FV	2029	Armenia 115	0.100	SATISFACE
SC_4819_A2	Solar FV	2029	Armenia 115	0.095	SATISFACE
SC_4821_A1	Solar FV	2027	Armenia 115	0.063	SATISFACE
SC_4821_A2	Solar FV	2027	Armenia 115	0.024	SATISFACE
SC_4824_A1	Solar FV	2025	Armenia 115	0.000	SATISFACE
SC_4824_A2	Solar FV	2025	Armenia 115	0.000	SATISFACE
SC_4826_A1	Solar FV	2027	Armenia 115	0.007	SATISFACE
SC_4826_A2	Solar FV	2027	Armenia 115	0.007	SATISFACE
SC_4827_A1	Solar FV	2027	Armenia 115	0.007	SATISFACE
SC_4827_A2	Solar FV	2027	Armenia 115	0.007	SATISFACE
SC_4842_A1	Solar FV	2028	Armenia 115	0.107	SATISFACE
SC_4910_A1	Solar FV	2026	Armenia 115	0.013	SATISFACE
SC_4910_A2	Solar FV	2026	Armenia 115	0.013	SATISFACE
SC_4926_A1	Solar FV	2027	Armenia 115	0.002	SATISFACE
SC_4947_A1	Solar FV	2027	Armenia 115	0.062	SATISFACE
SC_4960_A2	Solar FV	2029	Armenia 115	0.044	SATISFACE
SC_4974_A1	Solar FV	2026	Armenia 115	0.010	SATISFACE
SC_4974_A2	Solar FV	2026	Armenia 115	0.009	SATISFACE
SC_4978_A1	Solar FV	2026	Armenia 115	0.000	SATISFACE

SC_4978_A2	Solar FV	2026	Armenia 115	0.005	SATISFACE
SC_5009_A1	Solar FV	2026	Armenia 115	0.064	SATISFACE
SC_5009_A2	Solar FV	2026	Armenia 115	0.025	SATISFACE
SC_5011_A1	Solar FV	2027	Armenia 115	0.064	SATISFACE
SC_5011_A2	Solar FV	2027	Armenia 115	0.025	SATISFACE
SC_5060_A1	Solar FV	2026	Armenia 115	0.013	SATISFACE
SC_5060_A2	Solar FV	2026	Armenia 115	0.013	SATISFACE
SC_5076_A1	Solar FV	2027	Armenia 115	0.000	SATISFACE
SC_5076_A2	Solar FV	2027	Armenia 115	0.000	SATISFACE
SC_5077_A1	Solar FV	2027	Armenia 115	0.000	SATISFACE
SC_5077_A2	Solar FV	2027	Armenia 115	0.000	SATISFACE
SC_5087_A2	Solar FV	2027	Armenia 115	0.023	SATISFACE

Posterior a la ejecución del MACC se priorizaron las siguientes alternativas de conexión que tienen aportes de cortocircuito de la subestación en análisis:

Tabla 2-44. Alternativas de conexión priorizadas que aportan corriente de cortocircuito en la subestación Armenia 115

index	tipo	periodoIni	Barra a la que aporta CC	Aporte de cortocircuito (kA)	Restricción
SC_2545_A1	Solar FV	2026	Armenia 115	0.080	SATISFACE
SC_2643_A1	Solar FV	2026	Armenia 115	0.060	SATISFACE
SC_5076_A2	Solar FV	2027	Armenia 115	0.000	SATISFACE
SC_5077_A2	Solar FV	2027	Armenia 115	0.000	SATISFACE

El estado de la capacidad de cortocircuito en la subestación Armenia 115, teniendo en cuenta la priorización se puede observar en la siguiente figura.

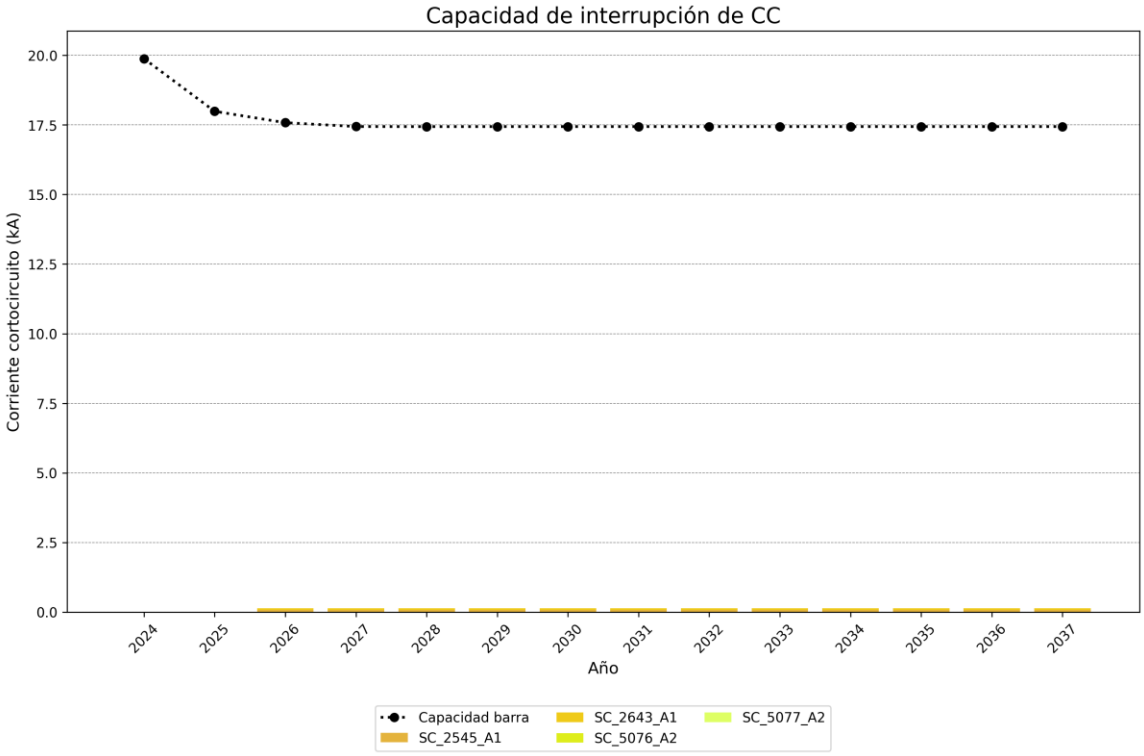


Figura 2-43. Balance de capacidad de cortocircuito después de la priorización para la subestación Armenia 115

Subestación Armenia 220:

Capacidad por barra:

Para la subestación Armenia 220 se presentaron 1 alternativas de conexión las cuales se muestran en la siguiente tabla:

Tabla 2-45. Alternativas de conexión presentadas a la subestación Armenia 220

Solicitud	Capacidad	Tipo	Barra	FPO solicitada	Restricción
SC_3353_A2	160.0	Solar FV	Armenia 220	2027	NO SATISFACE

No se priorizó ninguna de las alternativas de conexión presentadas en la subestación Armenia 220

El estado de la capacidad por barra en la subestación Armenia 220, teniendo en cuenta la priorización se puede observar en la siguiente figura.

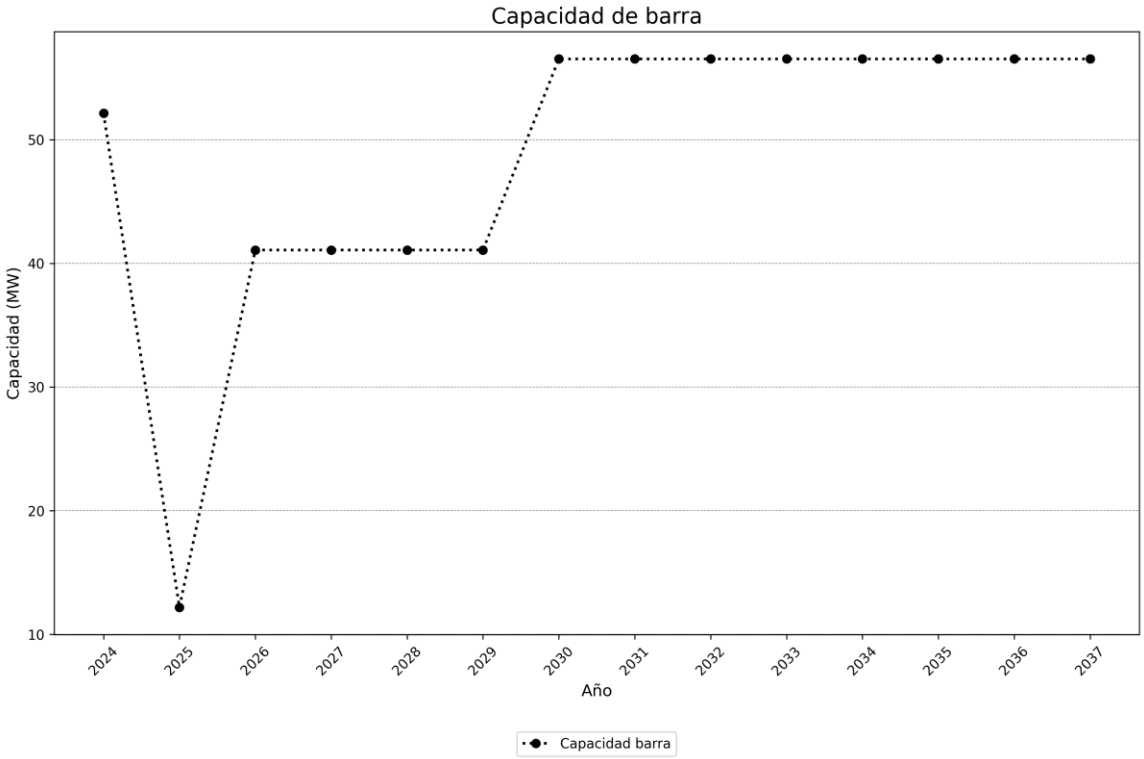


Figura 2-44. Balance de capacidad por barra después de la priorización para la subestación Armenia 220

Capacidad excedente de interrupción de corriente de cortocircuito:

Para la subestación Armenia 220 se presentaron 177 alternativas de conexión las cuales tienen aportes de corriente de cortocircuito. Estas alternativas se muestran en la siguiente tabla:

Tabla 2-46. Alternativas de conexión que aportan corriente de cortocircuito en la subestación Armenia 220

Solicitud	tipo	FPO	Barra a la que aporta CC	Aporte de cortocircuito (kA)	Restricción
SC_2023_5136_A1	Solar FV	2026	Armenia 220	0.011	SATISFACE
SC_2023_5136_A2	Solar FV	2026	Armenia 220	0.011	SATISFACE
SC_2023_5144_A1	Solar FV	2028	Armenia 220	0.171	SATISFACE
SC_2023_5144_A2	Solar FV	2028	Armenia 220	0.073	SATISFACE
SC_2023_5150_A1	Solar FV	2028	Armenia 220	0.093	SATISFACE
SC_2023_5152_A1	Solar FV	2025	Armenia 220	0.005	SATISFACE
SC_2023_5152_A2	Solar FV	2025	Armenia 220	0.004	SATISFACE
SC_2023_5158_A1	Solar FV	2028	Armenia 220	0.106	SATISFACE
SC_2023_5171_A1	Solar FV	2025	Armenia 220	0.004	SATISFACE
SC_2023_5171_A2	Solar FV	2025	Armenia 220	0.005	SATISFACE
SC_2023_5185_A1	Solar FV	2026	Armenia 220	0.227	SATISFACE
SC_2023_5185_A2	Solar FV	2026	Armenia 220	0.240	SATISFACE
SC_2023_5188_A1	Solar FV	2026	Armenia 220	0.022	SATISFACE
SC_2023_5188_A2	Solar FV	2026	Armenia 220	0.071	SATISFACE
SC_2023_5200_A1	Solar FV	2028	Armenia 220	0.338	SATISFACE
SC_2023_5200_A2	Solar FV	2028	Armenia 220	0.142	SATISFACE
SC_2023_5248_A1	Solar FV	2025	Armenia 220	0.005	SATISFACE
SC_2023_5248_A2	Solar FV	2025	Armenia 220	0.006	SATISFACE
SC_2023_5249_A1	Solar FV	2025	Armenia 220	0.005	SATISFACE
SC_2023_5249_A2	Solar FV	2025	Armenia 220	0.005	SATISFACE
SC_2023_5251_A1	Solar FV	2025	Armenia 220	0.017	SATISFACE
SC_2023_5251_A2	Solar FV	2025	Armenia 220	0.017	SATISFACE
SC_2023_5252_A1	Solar FV	2028	Armenia 220	0.184	SATISFACE
SC_2023_5252_A2	Solar FV	2028	Armenia 220	0.040	SATISFACE
SC_2023_5253_A1	Solar FV	2025	Armenia 220	0.017	SATISFACE
SC_2023_5253_A2	Solar FV	2025	Armenia 220	0.017	SATISFACE
SC_2023_5256_A2	Solar FV	2028	Armenia 220	0.023	SATISFACE
SC_2023_5257_A1	Solar FV	2025	Armenia 220	0.006	SATISFACE
SC_2023_5257_A2	Solar FV	2025	Armenia 220	0.006	SATISFACE
SC_2023_5280_A1	Solar FV	2028	Armenia 220	0.045	SATISFACE
SC_2023_5280_A2	Solar FV	2028	Armenia 220	0.042	SATISFACE
SC_2023_5287_A1	Solar FV	2026	Armenia 220	0.023	SATISFACE
SC_2023_5287_A2	Solar FV	2026	Armenia 220	0.024	SATISFACE
SC_2023_5288_A1	Solar FV	2026	Armenia 220	0.014	SATISFACE
SC_2023_5288_A2	Solar FV	2026	Armenia 220	0.037	SATISFACE
SC_2023_5293_A1	Solar FV	2028	Armenia 220	0.046	SATISFACE
SC_2023_5293_A2	Solar FV	2028	Armenia 220	0.047	SATISFACE

SC_2023_5294_A1	Solar FV	2029	Armenia 220	0.011	SATISFACE
SC_2023_5294_A2	Solar FV	2029	Armenia 220	0.011	SATISFACE
SC_2023_5304_A1	Solar FV	2026	Armenia 220	0.002	SATISFACE
SC_2023_5309_A1	Solar FV	2026	Armenia 220	0.002	SATISFACE
SC_2023_5337_A2	Solar FV	2025	Armenia 220	0.062	SATISFACE
SC_2023_5339_A1	PCH	2026	Armenia 220	0.003	SATISFACE
SC_2023_5339_A2	PCH	2026	Armenia 220	0.003	SATISFACE
SC_2023_5345_A1	Solar FV	2027	Armenia 220	0.007	SATISFACE
SC_2023_5345_A2	Solar FV	2027	Armenia 220	0.009	SATISFACE
SC_2023_5346_A1	Solar FV	2027	Armenia 220	0.007	SATISFACE
SC_2023_5346_A2	Solar FV	2027	Armenia 220	0.009	SATISFACE
SC_2023_5375_A1	Solar FV	2026	Armenia 220	0.023	SATISFACE
SC_2023_5383_A1	Solar FV	2027	Armenia 220	0.052	SATISFACE
SC_2023_5383_A2	Solar FV	2027	Armenia 220	0.064	SATISFACE
SC_2023_5399_A1	Solar FV	2026	Armenia 220	0.014	SATISFACE
SC_2023_5399_A2	Solar FV	2026	Armenia 220	0.037	SATISFACE
SC_2023_5431_A1	Solar FV	2028	Armenia 220	0.000	SATISFACE
SC_2023_5431_A2	Solar FV	2028	Armenia 220	0.000	SATISFACE
SC_2023_5480_A1	Solar FV	2026	Armenia 220	0.023	SATISFACE
SC_2023_5480_A2	Solar FV	2026	Armenia 220	0.024	SATISFACE
SC_2023_5551_A1	Solar FV	2027	Armenia 220	0.302	SATISFACE
SC_2023_5551_A2	Solar FV	2027	Armenia 220	0.127	SATISFACE
SC_2023_5557_A1	Solar FV	2028	Armenia 220	0.086	SATISFACE
SC_2023_5598_A1	Solar FV	2025	Armenia 220	0.005	SATISFACE
SC_2023_5598_A2	Solar FV	2025	Armenia 220	0.004	SATISFACE
SC_2024_5939_A1	Solar FV	2028	Armenia 220	0.001	SATISFACE
SC_2024_5939_A2	Solar FV	2028	Armenia 220	0.001	SATISFACE
SC_2344_A1	Eólico Onshore	2027	Armenia 220	0.030	SATISFACE
SC_2344_A2	Eólico Onshore	2027	Armenia 220	10.230	SATISFACE
SC_2436_A1	Solar FV	2028	Armenia 220	0.030	SATISFACE
SC_2436_A2	Solar FV	2028	Armenia 220	0.030	SATISFACE
SC_2438_A1	Solar FV	2028	Armenia 220	0.000	SATISFACE
SC_2438_A2	Solar FV	2028	Armenia 220	0.000	SATISFACE
SC_2527_A1	Solar FV	2028	Armenia 220	0.090	SATISFACE
SC_2527_A2	Solar FV	2028	Armenia 220	0.080	SATISFACE
SC_2545_A1	Solar FV	2026	Armenia 220	0.010	SATISFACE
SC_2545_A2	Solar FV	2026	Armenia 220	0.010	SATISFACE
SC_2562_A1	Solar FV	2026	Armenia 220	0.010	SATISFACE
SC_2634_A1	Solar FV	2026	Armenia 220	0.007	SATISFACE
SC_2634_A2	Solar FV	2026	Armenia 220	0.006	SATISFACE

SC_2643_A1	Solar FV	2026	Armenia 220	0.010	SATISFACE
SC_2643_A2	Solar FV	2026	Armenia 220	0.010	SATISFACE
SC_2802_A1	Solar FV	2027	Armenia 220	0.003	SATISFACE
SC_2802_A2	Solar FV	2027	Armenia 220	0.003	SATISFACE
SC_2816_A1	Solar FV	2027	Armenia 220	0.010	SATISFACE
SC_2870_A1	Solar FV	2027	Armenia 220	0.030	SATISFACE
SC_2870_A2	Solar FV	2027	Armenia 220	0.010	SATISFACE
SC_2902_A1	Solar FV	2028	Armenia 220	0.060	SATISFACE
SC_2902_A2	Solar FV	2028	Armenia 220	2.140	SATISFACE
SC_2905_A2	Solar FV	2028	Armenia 220	0.000	SATISFACE
SC_2924_A1	Solar FV	2026	Armenia 220	0.182	SATISFACE
SC_2924_A2	Solar FV	2026	Armenia 220	0.192	SATISFACE
SC_2936_A1	Solar FV	2026	Armenia 220	0.000	SATISFACE
SC_2936_A2	Solar FV	2026	Armenia 220	0.000	SATISFACE
SC_2962_A1	Solar FV	2028	Armenia 220	0.037	SATISFACE
SC_2962_A2	Solar FV	2028	Armenia 220	0.038	SATISFACE
SC_3012_A1	Solar FV	2027	Armenia 220	0.000	SATISFACE
SC_3012_A2	Solar FV	2027	Armenia 220	0.000	SATISFACE
SC_3054_A2	Solar FV	2027	Armenia 220	0.023	SATISFACE
SC_3101_A1	Solar FV	2027	Armenia 220	0.003	SATISFACE
SC_3101_A2	Solar FV	2027	Armenia 220	0.000	SATISFACE
SC_3121_A1	Solar FV	2026	Armenia 220	0.003	SATISFACE
SC_3121_A2	Solar FV	2026	Armenia 220	0.003	SATISFACE
SC_3132_A1	Solar FV	2026	Armenia 220	0.050	SATISFACE
SC_3132_A2	Solar FV	2026	Armenia 220	0.046	SATISFACE
SC_3133_A1	Solar FV	2028	Armenia 220	0.214	SATISFACE
SC_3133_A2	Solar FV	2028	Armenia 220	0.122	SATISFACE
SC_3238_A1	Solar FV	2027	Armenia 220	0.280	SATISFACE
SC_3238_A2	Solar FV	2027	Armenia 220	0.186	SATISFACE
SC_3247_A1	Solar FV	2027	Armenia 220	0.094	SATISFACE
SC_3247_A2	Solar FV	2027	Armenia 220	0.069	SATISFACE
SC_3248_A1	Solar FV	2027	Armenia 220	0.280	SATISFACE
SC_3248_A2	Solar FV	2027	Armenia 220	0.186	SATISFACE
SC_3251_A1	Hidráulica	2026	Armenia 220	0.010	SATISFACE
SC_3251_A2	Hidráulica	2026	Armenia 220	0.010	SATISFACE
SC_3353_A1	Solar FV	2027	Armenia 220	0.113	SATISFACE
SC_3353_A2	Solar FV	2027	Armenia 220	1.672	SATISFACE
SC_3382_A1	Solar FV	2027	Armenia 220	0.008	SATISFACE
SC_3382_A2	Solar FV	2027	Armenia 220	0.011	SATISFACE
SC_3392_A1	Solar FV	2027	Armenia 220	0.054	SATISFACE

SC_3392_A2	Solar FV	2027	Armenia 220	0.020	SATISFACE
SC_3433_A2	Solar FV	2027	Armenia 220	0.000	SATISFACE
SC_3441_A1	Solar FV	2027	Armenia 220	0.094	SATISFACE
SC_3441_A2	Solar FV	2027	Armenia 220	0.069	SATISFACE
SC_3453_A1	Solar FV	2027	Armenia 220	0.006	SATISFACE
SC_3453_A2	Solar FV	2027	Armenia 220	0.006	SATISFACE
SC_3514_A1	Solar FV	2027	Armenia 220	0.006	SATISFACE
SC_3514_A2	Solar FV	2027	Armenia 220	0.006	SATISFACE
SC_3578_A1	Solar FV	2028	Armenia 220	0.001	SATISFACE
SC_3578_A2	Solar FV	2028	Armenia 220	0.001	SATISFACE
SC_3667_A1	Solar FV	2029	Armenia 220	0.008	SATISFACE
SC_3667_A2	Solar FV	2029	Armenia 220	0.005	SATISFACE
SC_3846_A1	Solar FV	2028	Armenia 220	0.007	SATISFACE
SC_3846_A2	Solar FV	2028	Armenia 220	0.007	SATISFACE
SC_3882_A1	Solar FV	2026	Armenia 220	0.085	SATISFACE
SC_4083_A1	Solar FV	2027	Armenia 220	0.000	SATISFACE
SC_4083_A2	Solar FV	2027	Armenia 220	0.000	SATISFACE
SC_4175_A1	Solar FV	2026	Armenia 220	0.014	SATISFACE
SC_4175_A2	Solar FV	2026	Armenia 220	0.014	SATISFACE
SC_4296_A1	Solar FV	2028	Armenia 220	0.171	SATISFACE
SC_4296_A2	Solar FV	2028	Armenia 220	0.166	SATISFACE
SC_4751_A1	Solar FV	2027	Armenia 220	0.004	SATISFACE
SC_4760_A1	Solar FV	2026	Armenia 220	0.048	SATISFACE
SC_4765_A1	Solar FV	2029	Armenia 220	0.005	SATISFACE
SC_4765_A2	Solar FV	2029	Armenia 220	0.003	SATISFACE
SC_4789_A1	Solar FV	2027	Armenia 220	0.013	SATISFACE
SC_4789_A2	Solar FV	2027	Armenia 220	0.013	SATISFACE
SC_4809_A1	Solar FV	2027	Armenia 220	0.009	SATISFACE
SC_4809_A2	Solar FV	2027	Armenia 220	0.101	SATISFACE
SC_4819_A1	Solar FV	2029	Armenia 220	0.087	SATISFACE
SC_4819_A2	Solar FV	2029	Armenia 220	0.081	SATISFACE
SC_4821_A1	Solar FV	2027	Armenia 220	0.054	SATISFACE
SC_4821_A2	Solar FV	2027	Armenia 220	0.020	SATISFACE
SC_4824_A1	Solar FV	2025	Armenia 220	0.000	SATISFACE
SC_4824_A2	Solar FV	2025	Armenia 220	0.000	SATISFACE
SC_4826_A1	Solar FV	2027	Armenia 220	0.007	SATISFACE
SC_4826_A2	Solar FV	2027	Armenia 220	0.007	SATISFACE
SC_4827_A1	Solar FV	2027	Armenia 220	0.007	SATISFACE
SC_4827_A2	Solar FV	2027	Armenia 220	0.007	SATISFACE
SC_4842_A1	Solar FV	2028	Armenia 220	0.093	SATISFACE

SC_4910_A1	Solar FV	2026	Armenia 220	0.011	SATISFACE
SC_4910_A2	Solar FV	2026	Armenia 220	0.011	SATISFACE
SC_4926_A1	Solar FV	2027	Armenia 220	0.004	SATISFACE
SC_4947_A1	Solar FV	2027	Armenia 220	0.064	SATISFACE
SC_4960_A2	Solar FV	2029	Armenia 220	0.038	SATISFACE
SC_4974_A1	Solar FV	2026	Armenia 220	0.009	SATISFACE
SC_4974_A2	Solar FV	2026	Armenia 220	0.009	SATISFACE
SC_4978_A1	Solar FV	2026	Armenia 220	0.002	SATISFACE
SC_4978_A2	Solar FV	2026	Armenia 220	0.004	SATISFACE
SC_5009_A1	Solar FV	2026	Armenia 220	0.054	SATISFACE
SC_5009_A2	Solar FV	2026	Armenia 220	0.020	SATISFACE
SC_5011_A1	Solar FV	2027	Armenia 220	0.054	SATISFACE
SC_5011_A2	Solar FV	2027	Armenia 220	0.020	SATISFACE
SC_5060_A1	Solar FV	2026	Armenia 220	0.011	SATISFACE
SC_5060_A2	Solar FV	2026	Armenia 220	0.011	SATISFACE
SC_5076_A1	Solar FV	2027	Armenia 220	0.000	SATISFACE
SC_5076_A2	Solar FV	2027	Armenia 220	0.000	SATISFACE
SC_5077_A1	Solar FV	2027	Armenia 220	0.000	SATISFACE
SC_5077_A2	Solar FV	2027	Armenia 220	0.000	SATISFACE
SC_5087_A2	Solar FV	2027	Armenia 220	0.020	SATISFACE

Posterior a la ejecución del MACC se priorizaron las siguientes alternativas de conexión que tienen aportes de cortocircuito de la subestación en análisis:

Tabla 2-47. Alternativas de conexión priorizadas que aportan corriente de cortocircuito en la subestación Armenia 220

index	tipo	periodoIni	Barra a la que aporta CC	Aporte de cortocircuito (kA)	Restricción
SC_2545_A1	Solar FV	2026	Armenia 220	0.010	SATISFACE
SC_2643_A1	Solar FV	2026	Armenia 220	0.010	SATISFACE
SC_5076_A2	Solar FV	2027	Armenia 220	0.000	SATISFACE
SC_5077_A2	Solar FV	2027	Armenia 220	0.000	SATISFACE

El estado de la capacidad de cortocircuito en la subestación Armenia 220, teniendo en cuenta la priorización se puede observar en la siguiente figura.

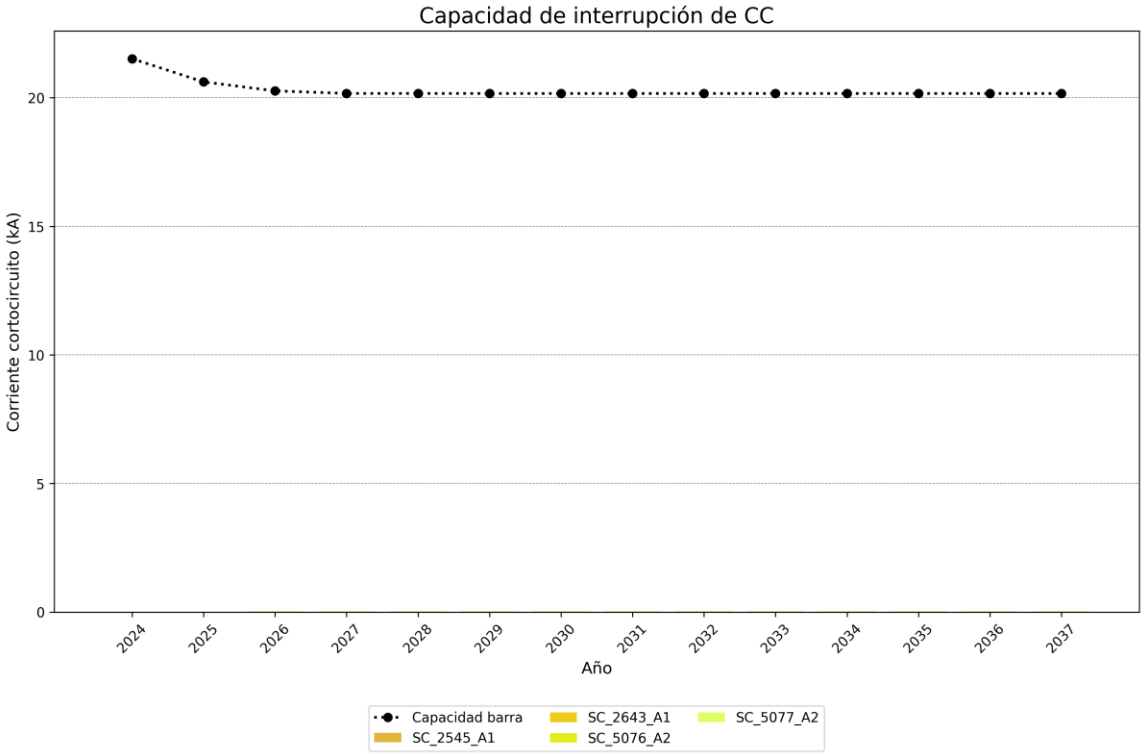


Figura 2-45. Balance de capacidad de cortocircuito después de la priorización para la subestación Armenia 220

Subestación Armenia 33:

Capacidad por barra:

Para la subestación Armenia 33 se presentaron 0 alternativas de conexión las cuales se muestran en la siguiente tabla:

Tabla 2-48. Alternativas de conexión presentadas a la subestación Armenia 33

Solicitud	Capacidad	Tipo	Barra	FPO solicitada	Restricción

No se priorizó ninguna de las alternativas de conexión presentadas en la subestación Armenia 33

El estado de la capacidad por barra en la subestación Armenia 33, teniendo en cuenta la priorización se puede observar en la siguiente figura.

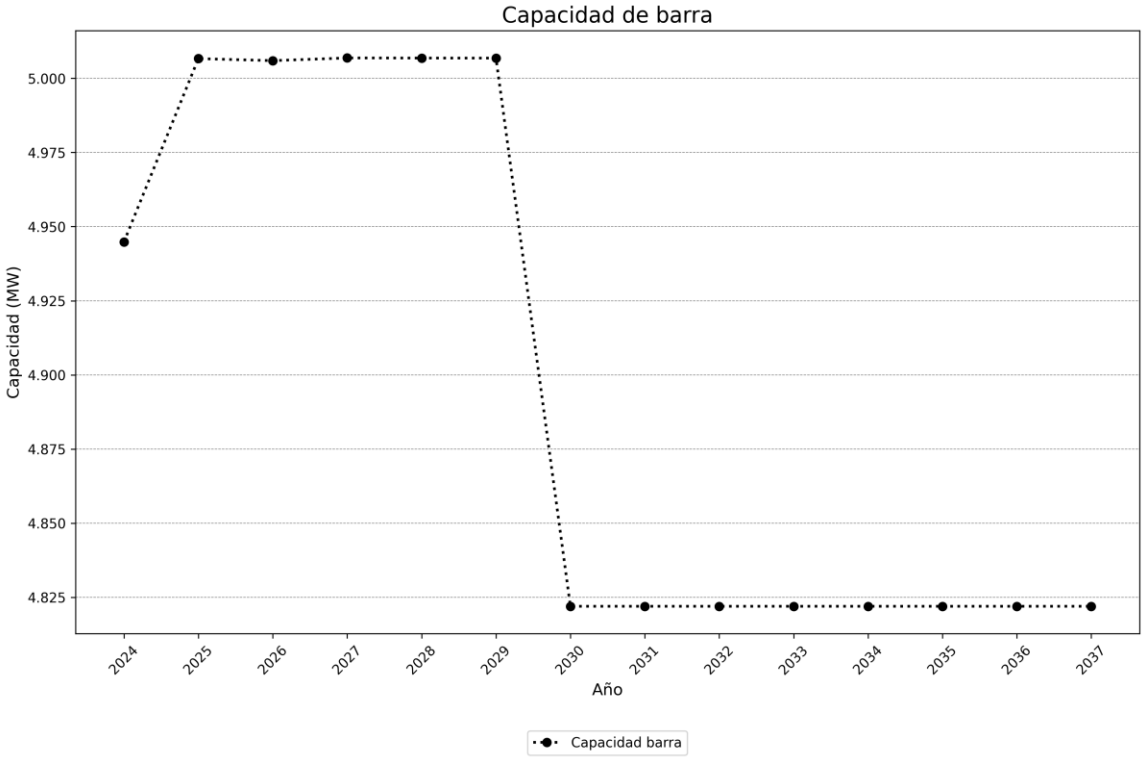


Figura 2-46. Balance de capacidad por barra después de la priorización para la subestación Armenia 33

Subestación Arrieros 34.5:

Capacidad por barra:

Para la subestación Arrieros 34.5 se presentaron 1 alternativas de conexión las cuales se muestran en la siguiente tabla:

Tabla 2-49. Alternativas de conexión presentadas a la subestación Arrieros 34.5

Solicitud	Capacidad	Tipo	Barra	FPO solicitada	Restricción
SC_3126_A1	23.6	PCH	Arrieros 34.5	2026	NO SATISFACE

No se priorizó ninguna de las alternativas de conexión presentadas en la subestación Arrieros 34.5

El estado de la capacidad por barra en la subestación Arrieros 34.5, teniendo en cuenta la priorización se puede observar en la siguiente figura.

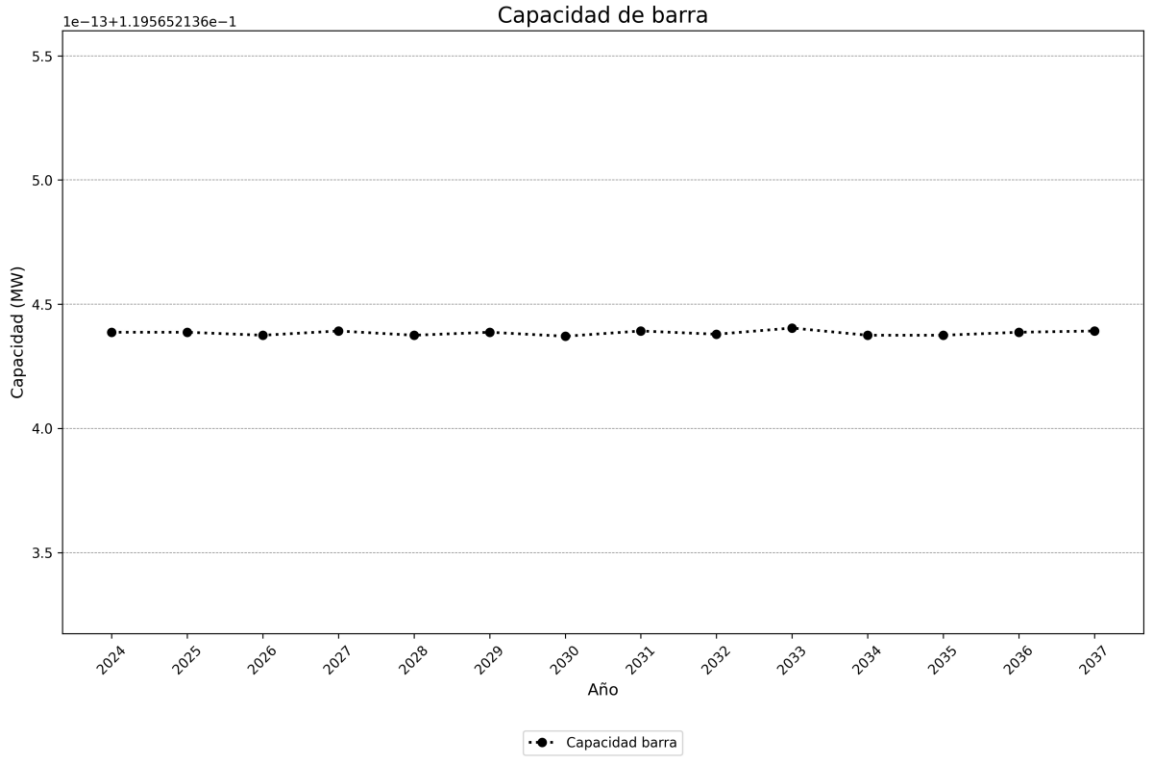


Figura 2-47. Balance de capacidad por barra después de la priorización para la subestación Arrieros 34.5

Subestación Autopista 115:

Capacidad por barra:

Para la subestación Autopista 115 se presentaron 0 alternativas de conexión las cuales se muestran en la siguiente tabla:

Tabla 2-50. Alternativas de conexión presentadas a la subestación Autopista 115

Solicitud	Capacidad	Tipo	Barra	FPO solicitada	Restricción

No se priorizó ninguna de las alternativas de conexión presentadas en la subestación Autopista 115

El estado de la capacidad por barra en la subestación Autopista 115, teniendo en cuenta la priorización se puede observar en la siguiente figura.

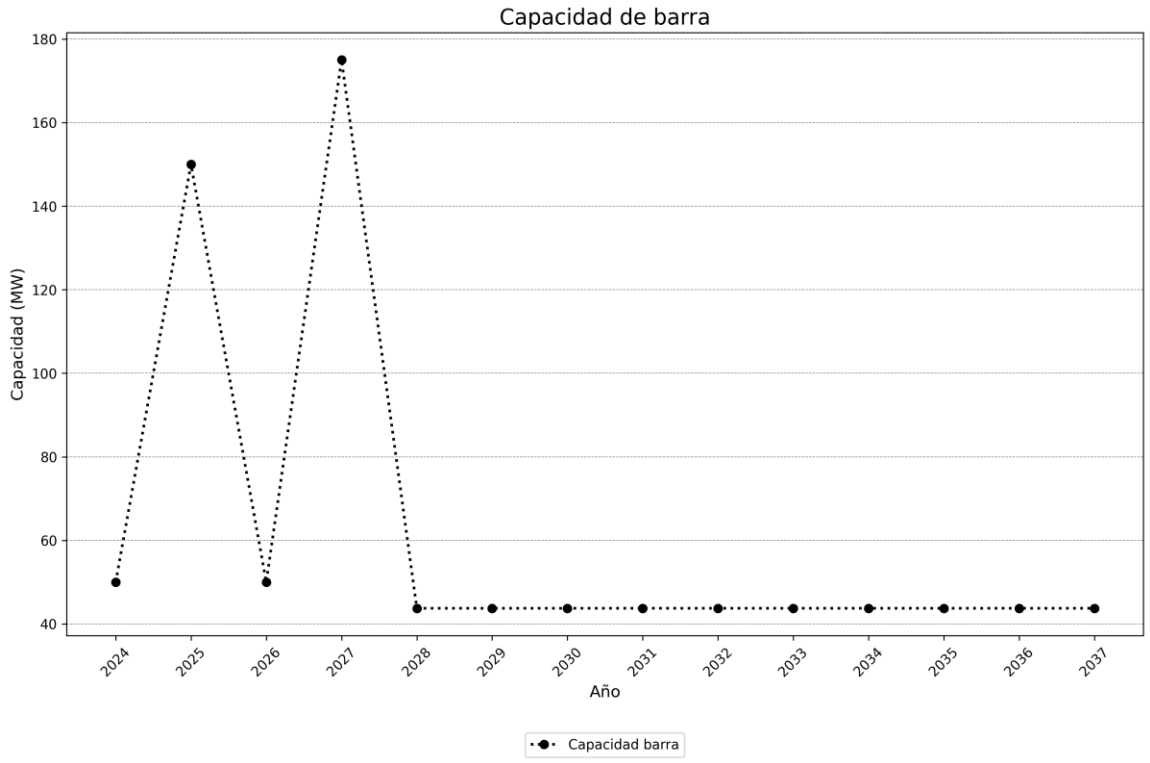


Figura 2-48. Balance de capacidad por barra después de la priorización para la subestación Autopista 115

Capacidad excedente de interrupción de corriente de cortocircuito:

Para la subestación Autopista 115 se presentaron 29 alternativas de conexión las cuales tienen aportes de corriente de cortocircuito. Estas alternativas se muestran en la siguiente tabla:

Tabla 2-51. Alternativas de conexión que aportan corriente de cortocircuito en la subestación Autopista 115

Solicitud	tipo	FPO	Barra a la que aporta CC	Aporte de cortocircuito (kA)	Restricción
SC_2023_5280_A1	Solar FV	2028	Autopista 115	0.076	SATISFACE
SC_2023_5280_A2	Solar FV	2028	Autopista 115	0.069	SATISFACE
SC_2023_5287_A1	Solar FV	2026	Autopista 115	0.039	SATISFACE
SC_2023_5287_A2	Solar FV	2026	Autopista 115	0.040	SATISFACE
SC_2023_5288_A1	Solar FV	2026	Autopista 115	0.023	SATISFACE
SC_2023_5288_A2	Solar FV	2026	Autopista 115	0.061	SATISFACE
SC_2023_5375_A1	Solar FV	2026	Autopista 115	0.039	SATISFACE
SC_2023_5399_A1	Solar FV	2026	Autopista 115	0.023	SATISFACE
SC_2023_5399_A2	Solar FV	2026	Autopista 115	0.061	SATISFACE
SC_2023_5480_A1	Solar FV	2026	Autopista 115	0.039	SATISFACE
SC_2023_5480_A2	Solar FV	2026	Autopista 115	0.040	SATISFACE
SC_2023_5557_A1	Solar FV	2028	Autopista 115	0.159	SATISFACE
SC_2936_A1	Solar FV	2026	Autopista 115	0.000	SATISFACE
SC_2936_A2	Solar FV	2026	Autopista 115	0.000	SATISFACE
SC_3121_A1	Solar FV	2026	Autopista 115	0.005	SATISFACE
SC_3121_A2	Solar FV	2026	Autopista 115	0.005	SATISFACE
SC_3132_A1	Solar FV	2026	Autopista 115	0.086	SATISFACE
SC_3132_A2	Solar FV	2026	Autopista 115	0.075	SATISFACE
SC_3882_A1	Solar FV	2026	Autopista 115	0.152	SATISFACE
SC_4083_A1	Solar FV	2027	Autopista 115	0.001	SATISFACE
SC_4083_A2	Solar FV	2027	Autopista 115	0.001	SATISFACE
SC_4765_A1	Solar FV	2029	Autopista 115	0.006	SATISFACE
SC_4765_A2	Solar FV	2029	Autopista 115	0.003	SATISFACE
SC_4819_A1	Solar FV	2029	Autopista 115	0.139	SATISFACE
SC_4819_A2	Solar FV	2029	Autopista 115	0.126	SATISFACE
SC_4974_A1	Solar FV	2026	Autopista 115	0.008	SATISFACE
SC_4974_A2	Solar FV	2026	Autopista 115	0.008	SATISFACE
SC_4978_A1	Solar FV	2026	Autopista 115	0.000	SATISFACE
SC_4978_A2	Solar FV	2026	Autopista 115	0.006	SATISFACE

No se priorizó ninguna de las alternativas de conexión que tengan aportes de corriente de cortocircuito en la subestación Autopista 115

El estado de la capacidad de cortocircuito en la subestación Autopista 115, teniendo en cuenta la priorización se puede observar en la siguiente figura.

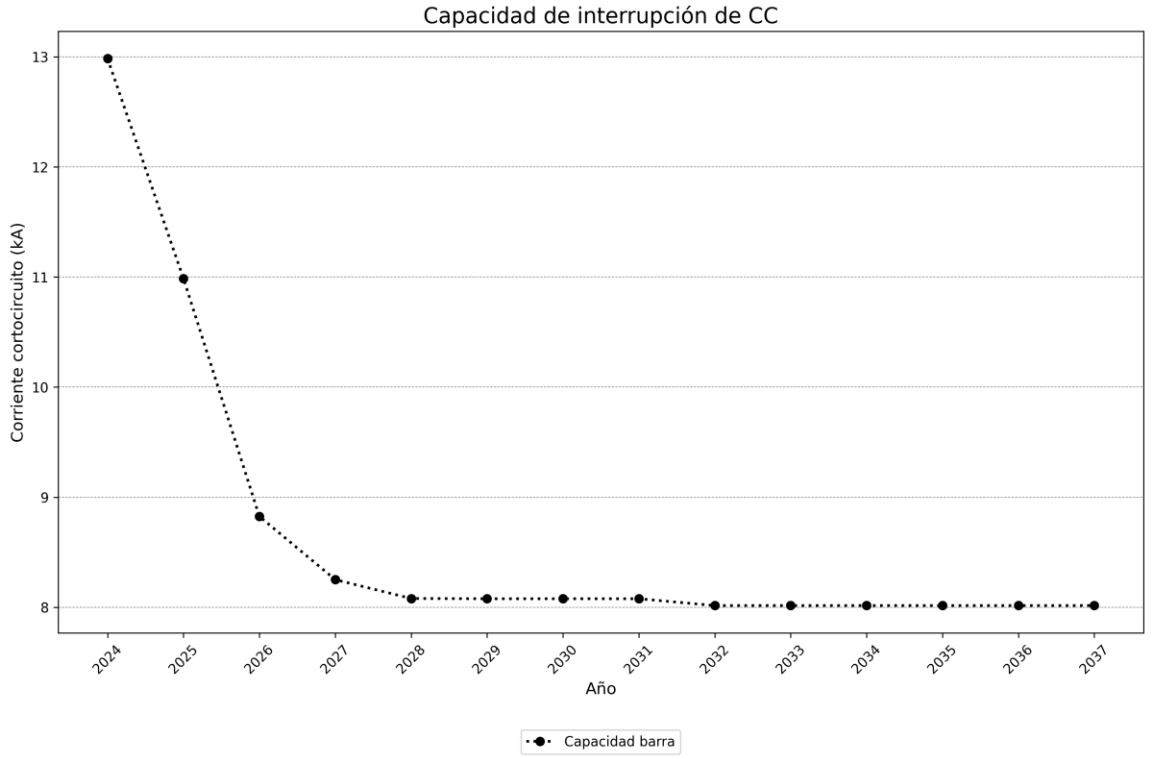


Figura 2-49. Balance de capacidad de cortocircuito después de la priorización para la subestación Autopista 115

Subestación Avenida Primera 115:

Capacidad por barra:

Para la subestación Avenida Primera 115 se presentaron 0 alternativas de conexión las cuales se muestran en la siguiente tabla:

Tabla 2-52. Alternativas de conexión presentadas a la subestación Avenida Primera 115

Solicitud	Capacidad	Tipo	Barra	FPO solicitada	Restricción

No se priorizó ninguna de las alternativas de conexión presentadas en la subestación Avenida Primera 115

El estado de la capacidad por barra en la subestación Avenida Primera 115, teniendo en cuenta la priorización se puede observar en la siguiente figura.

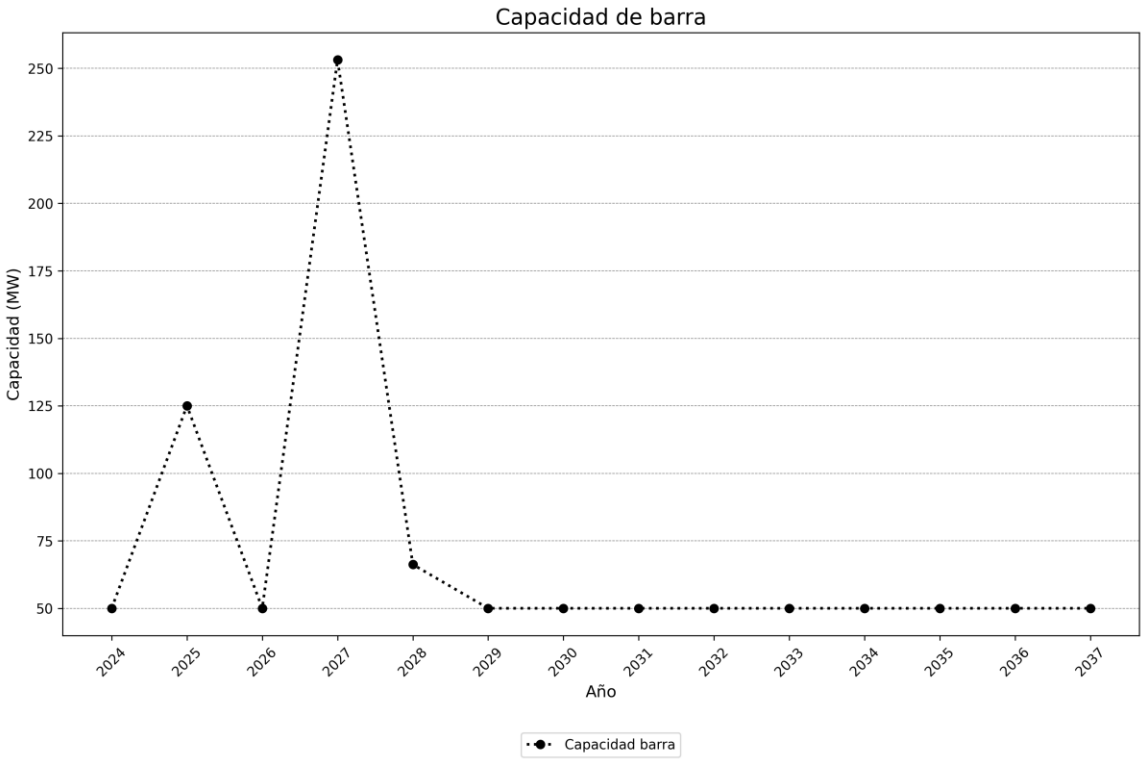


Figura 2-50. Balance de capacidad por barra después de la priorización para la subestación Avenida Primera 115

Capacidad excedente de interrupción de corriente de cortocircuito:

Para la subestación Avenida Primera 115 se presentaron 23 alternativas de conexión las cuales tienen aportes de corriente de cortocircuito. Estas alternativas se muestran en la siguiente tabla:

Tabla 2-53. Alternativas de conexión que aportan corriente de cortocircuito en la subestación Avenida Primera 115

Solicitud	tipo	FPO	Barra a la que aporta CC	Aporte de cortocircuito (kA)	Restricción
SC_2023_5280_A1	Solar FV	2028	Avenida Primera 115	0.067	SATISFACE
SC_2023_5280_A2	Solar FV	2028	Avenida Primera 115	0.060	SATISFACE
SC_2023_5287_A1	Solar FV	2026	Avenida Primera 115	0.034	SATISFACE
SC_2023_5287_A2	Solar FV	2026	Avenida Primera 115	0.034	SATISFACE
SC_2023_5288_A1	Solar FV	2026	Avenida Primera 115	0.020	SATISFACE
SC_2023_5288_A2	Solar FV	2026	Avenida Primera 115	0.052	SATISFACE
SC_2023_5375_A1	Solar FV	2026	Avenida Primera 115	0.034	SATISFACE
SC_2023_5399_A1	Solar FV	2026	Avenida Primera 115	0.020	SATISFACE
SC_2023_5399_A2	Solar FV	2026	Avenida Primera 115	0.052	SATISFACE
SC_2023_5480_A1	Solar FV	2026	Avenida Primera 115	0.034	SATISFACE
SC_2023_5480_A2	Solar FV	2026	Avenida Primera 115	0.034	SATISFACE
SC_2023_5557_A1	Solar FV	2028	Avenida Primera 115	0.143	SATISFACE
SC_2936_A1	Solar FV	2026	Avenida Primera 115	0.000	SATISFACE
SC_2936_A2	Solar FV	2026	Avenida Primera 115	0.000	SATISFACE
SC_3132_A1	Solar FV	2026	Avenida Primera 115	0.076	SATISFACE

SC_3132_A2	Solar FV	2026	Avenida Primera 115	0.065	SATISFACE
SC_3882_A1	Solar FV	2026	Avenida Primera 115	0.135	SATISFACE
SC_4083_A1	Solar FV	2027	Avenida Primera 115	0.001	SATISFACE
SC_4083_A2	Solar FV	2027	Avenida Primera 115	0.001	SATISFACE
SC_4765_A1	Solar FV	2029	Avenida Primera 115	0.005	SATISFACE
SC_4765_A2	Solar FV	2029	Avenida Primera 115	0.003	SATISFACE
SC_4819_A1	Solar FV	2029	Avenida Primera 115	0.123	SATISFACE
SC_4819_A2	Solar FV	2029	Avenida Primera 115	0.110	SATISFACE

No se priorizó ninguna de las alternativas de conexión que tengan aportes de corriente de cortocircuito en la subestación Avenida Primera 115

El estado de la capacidad de cortocircuito en la subestación Avenida Primera 115, teniendo en cuenta la priorización se puede observar en la siguiente figura.

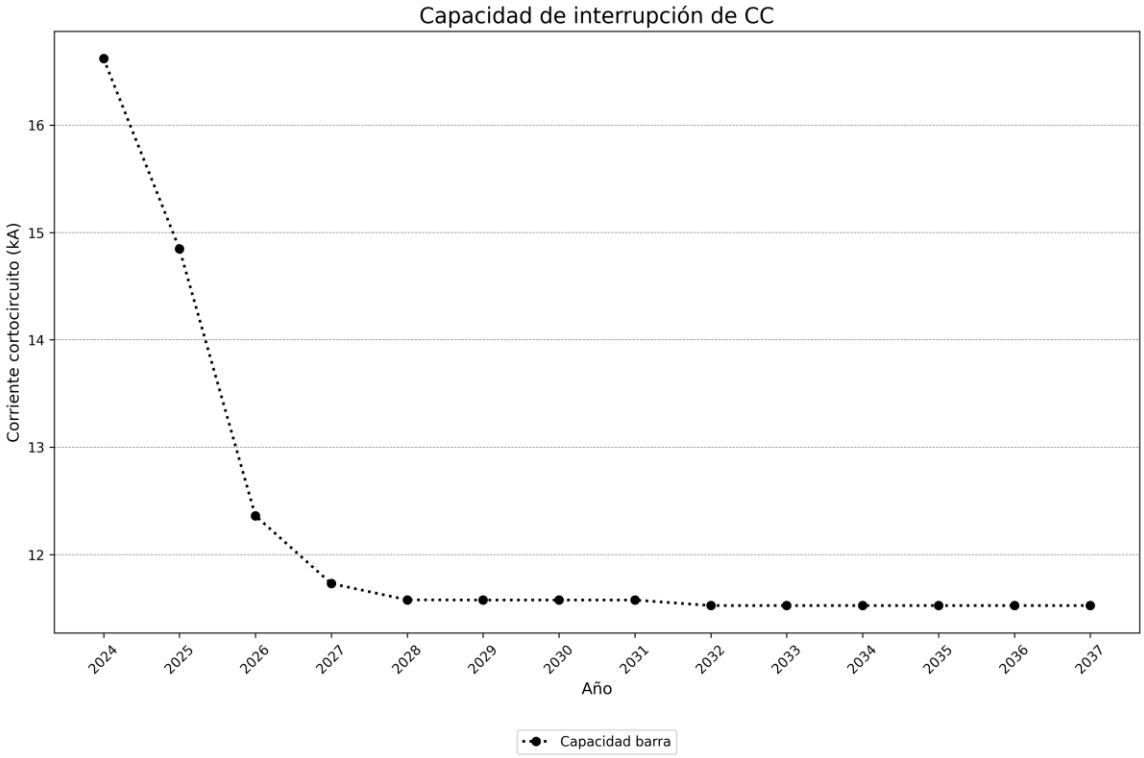


Figura 2-51. Balance de capacidad de cortocircuito después de la priorización para la subestación Avenida Primera 115

Subestación Ayura 110:

Capacidad por barra:

Para la subestación Ayura 110 se presentaron 0 alternativas de conexión las cuales se muestran en la siguiente tabla:

Tabla 2-54. Alternativas de conexión presentadas a la subestación Ayura 110

Solicitud	Capacidad	Tipo	Barra	FPO solicitada	Restricción

No se priorizó ninguna de las alternativas de conexión presentadas en la subestación Ayura 110

El estado de la capacidad por barra en la subestación Ayura 110, teniendo en cuenta la priorización se puede observar en la siguiente figura.

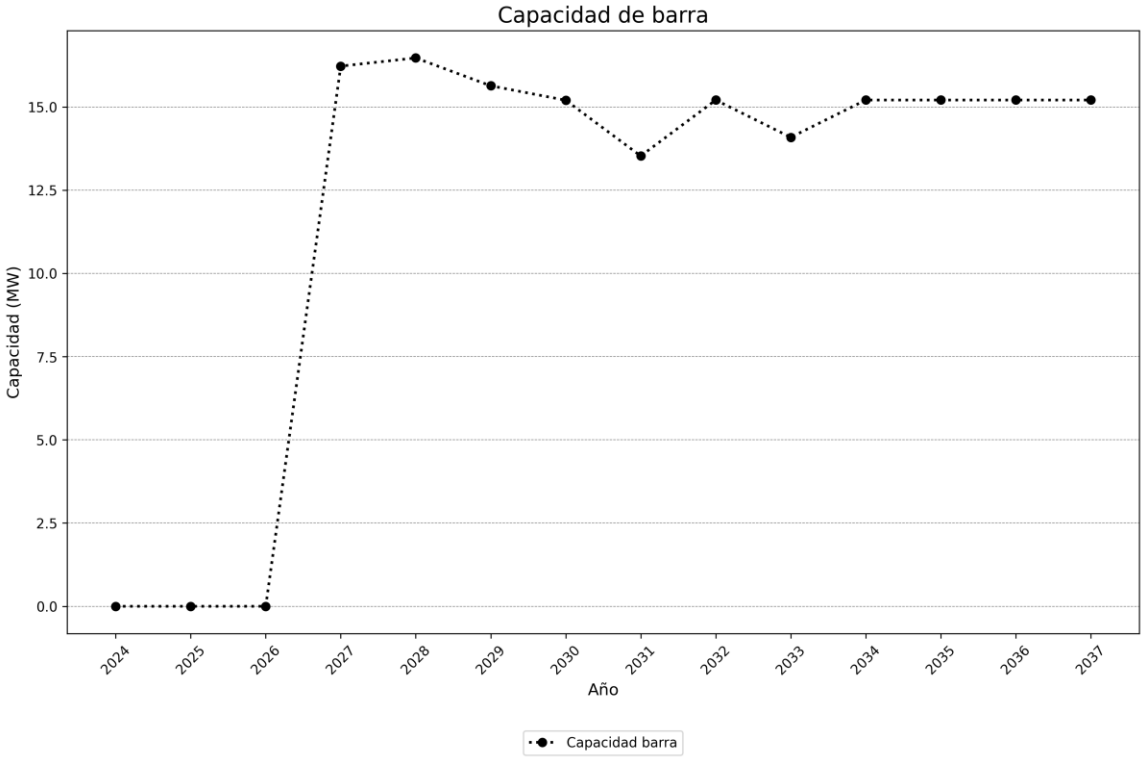


Figura 2-52. Balance de capacidad por barra después de la priorización para la subestación Ayura 110

Capacidad excedente de interrupción de corriente de cortocircuito:

Para la subestación Ayura 110 se presentaron 1 alternativas de conexión las cuales tienen aportes de corriente de cortocircuito. Estas alternativas se muestran en la siguiente tabla:

Tabla 2-55. Alternativas de conexión que aportan corriente de cortocircuito en la subestación Ayura 110

Solicitud	tipo	FPO	Barra a la que aporta CC	Aporte de cortocircuito (kA)	Restricción
SC_3331_A1	Solar FV	2026	Ayura 110	0.093	SATISFACE

No se priorizó ninguna de las alternativas de conexión que tengan aportes de corriente de cortocircuito en la subestación Ayura 110

El estado de la capacidad de cortocircuito en la subestación Ayura 110, teniendo en cuenta la priorización se puede observar en la siguiente figura.

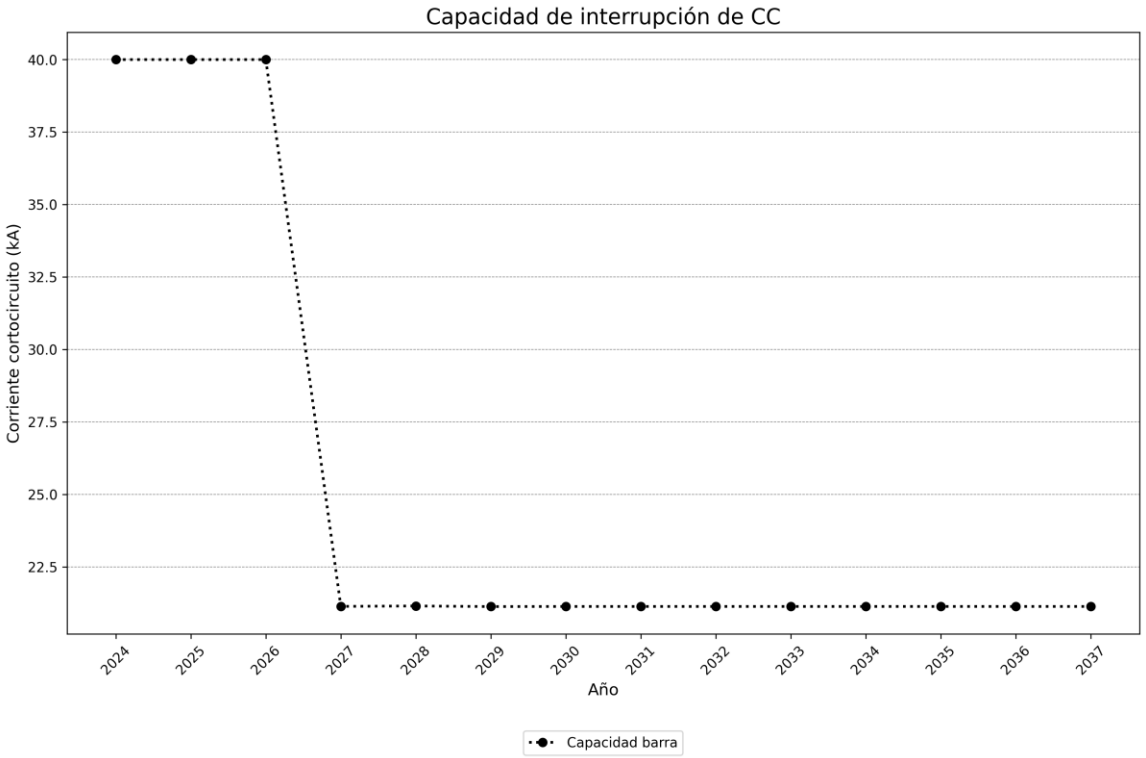


Figura 2-53. Balance de capacidad de cortocircuito después de la priorización para la subestación Ayura 110

Subestación BMalaga 115:

Capacidad por barra:

Para la subestación BMalaga 115 se presentaron 0 alternativas de conexión las cuales se muestran en la siguiente tabla:

Tabla 2-56. Alternativas de conexión presentadas a la subestación BMalaga 115

Solicitud	Capacidad	Tipo	Barra	FPO solicitada	Restricción

No se priorizó ninguna de las alternativas de conexión presentadas en la subestación BMalaga 115

El estado de la capacidad por barra en la subestación BMalaga 115, teniendo en cuenta la priorización se puede observar en la siguiente figura.

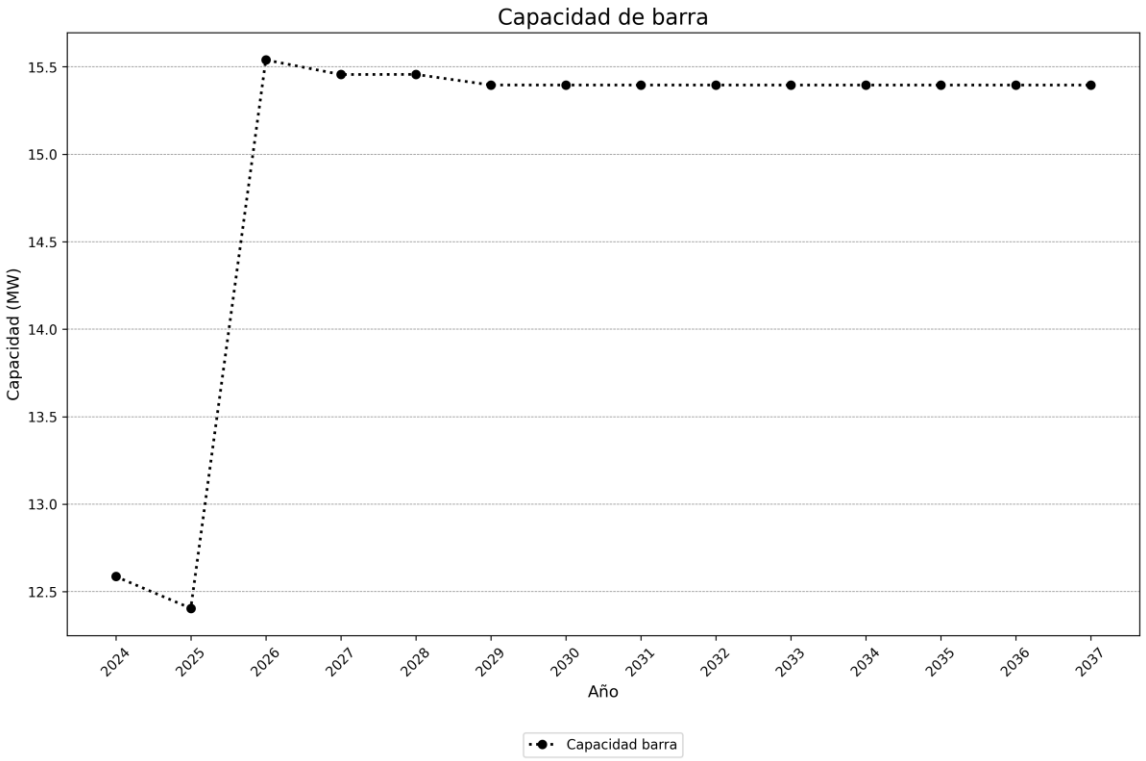


Figura 2-54. Balance de capacidad por barra después de la priorización para la subestación BMalaga 115

Capacidad excedente de interrupción de corriente de cortocircuito:

Para la subestación BMalaga 115 se presentaron 4 alternativas de conexión las cuales tienen aportes de corriente de cortocircuito. Estas alternativas se muestran en la siguiente tabla:

Tabla 2-57. Alternativas de conexión que aportan corriente de cortocircuito en la subestación BMalaga 115

Solicitud	tipo	FPO	Barra a la que aporta CC	Aporte de cortocircuito (kA)	Restricción
SC_2023_5557_A1	Solar FV	2028	BMalaga 115	0.006	SATISFACE
SC_2936_A1	Solar FV	2026	BMalaga 115	0.000	SATISFACE
SC_2936_A2	Solar FV	2026	BMalaga 115	0.000	SATISFACE
SC_3882_A1	Solar FV	2026	BMalaga 115	0.006	SATISFACE

No se priorizó ninguna de las alternativas de conexión que tengan aportes de corriente de cortocircuito en la subestación BMalaga 115

El estado de la capacidad de cortocircuito en la subestación BMalaga 115, teniendo en cuenta la priorización se puede observar en la siguiente figura.

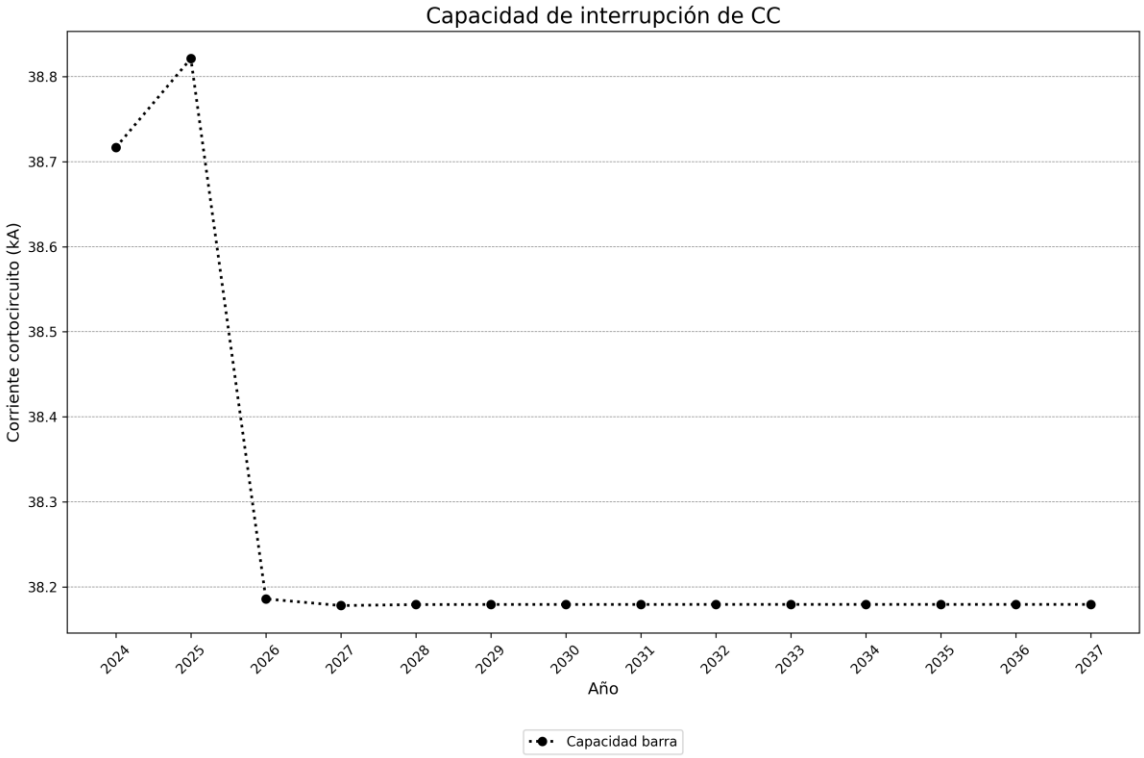


Figura 2-55. Balance de capacidad de cortocircuito después de la priorización para la subestación BMalaga 115

Subestación Bacata 115:

Capacidad por barra:

Para la subestación Bacata 115 se presentaron 0 alternativas de conexión las cuales se muestran en la siguiente tabla:

Tabla 2-58. Alternativas de conexión presentadas a la subestación Bacata 115

Solicitud	Capacidad	Tipo	Barra	FPO solicitada	Restricción

No se priorizó ninguna de las alternativas de conexión presentadas en la subestación Bacata 115

El estado de la capacidad por barra en la subestación Bacata 115, teniendo en cuenta la priorización se puede observar en la siguiente figura.

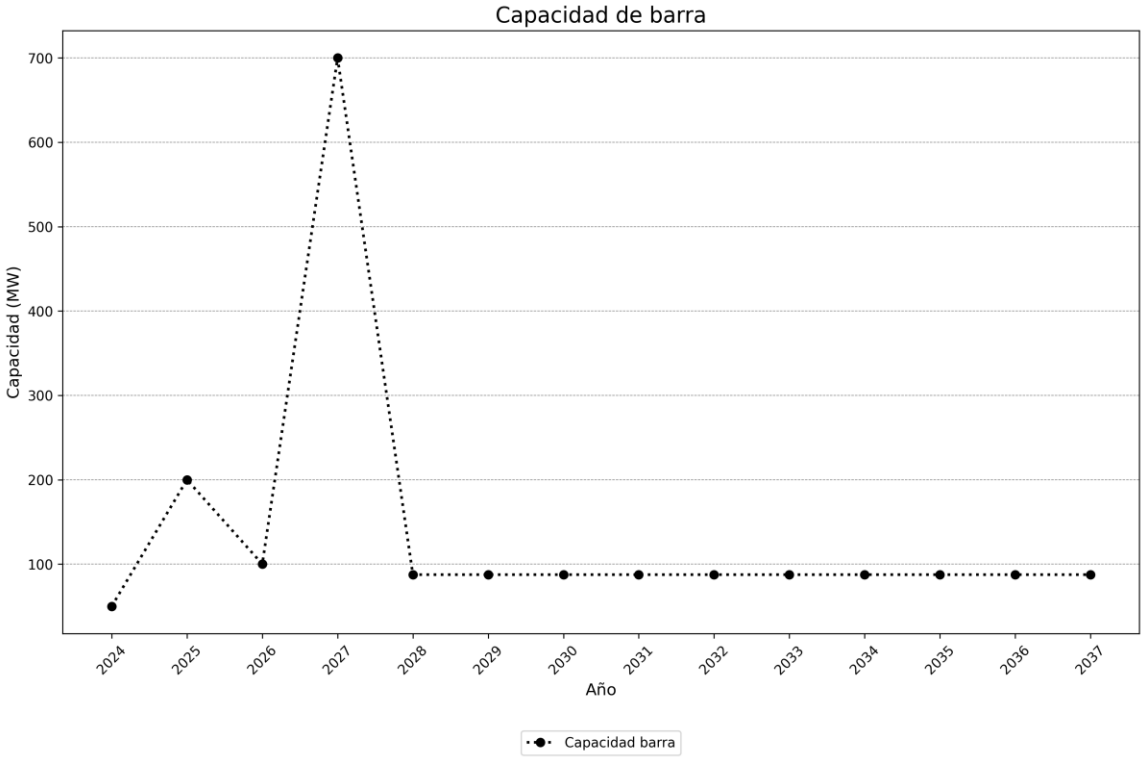


Figura 2-56. Balance de capacidad por barra después de la priorización para la subestación Bacata 115

Capacidad excedente de interrupción de corriente de cortocircuito:

Para la subestación Bacata 115 se presentaron 27 alternativas de conexión las cuales tienen aportes de corriente de cortocircuito. Estas alternativas se muestran en la siguiente tabla:

Tabla 2-59. Alternativas de conexión que aportan corriente de cortocircuito en la subestación Bacata 115

Solicitud	tipo	FPO	Barra a la que aporta CC	Aporte de cortocircuito (kA)	Restricción
SC_2023_5280_A1	Solar FV	2028	Bacata 115	0.095	SATISFACE
SC_2023_5280_A2	Solar FV	2028	Bacata 115	0.087	SATISFACE
SC_2023_5287_A1	Solar FV	2026	Bacata 115	0.050	SATISFACE
SC_2023_5287_A2	Solar FV	2026	Bacata 115	0.051	SATISFACE
SC_2023_5288_A1	Solar FV	2026	Bacata 115	0.030	SATISFACE
SC_2023_5288_A2	Solar FV	2026	Bacata 115	0.078	SATISFACE
SC_2023_5375_A1	Solar FV	2026	Bacata 115	0.049	SATISFACE
SC_2023_5399_A1	Solar FV	2026	Bacata 115	0.030	SATISFACE
SC_2023_5399_A2	Solar FV	2026	Bacata 115	0.078	SATISFACE
SC_2023_5480_A1	Solar FV	2026	Bacata 115	0.050	SATISFACE
SC_2023_5480_A2	Solar FV	2026	Bacata 115	0.051	SATISFACE
SC_2023_5557_A1	Solar FV	2028	Bacata 115	0.205	SATISFACE
SC_2936_A1	Solar FV	2026	Bacata 115	0.000	SATISFACE
SC_2936_A2	Solar FV	2026	Bacata 115	0.000	SATISFACE
SC_3121_A1	Solar FV	2026	Bacata 115	0.010	SATISFACE
SC_3121_A2	Solar FV	2026	Bacata 115	0.010	SATISFACE
SC_3132_A1	Solar FV	2026	Bacata 115	0.107	SATISFACE
SC_3132_A2	Solar FV	2026	Bacata 115	0.094	SATISFACE
SC_3882_A1	Solar FV	2026	Bacata 115	0.197	SATISFACE
SC_4083_A1	Solar FV	2027	Bacata 115	0.001	SATISFACE
SC_4083_A2	Solar FV	2027	Bacata 115	0.001	SATISFACE
SC_4765_A1	Solar FV	2029	Bacata 115	0.009	SATISFACE
SC_4765_A2	Solar FV	2029	Bacata 115	0.005	SATISFACE
SC_4819_A1	Solar FV	2029	Bacata 115	0.171	SATISFACE
SC_4819_A2	Solar FV	2029	Bacata 115	0.156	SATISFACE
SC_4978_A1	Solar FV	2026	Bacata 115	0.000	SATISFACE
SC_4978_A2	Solar FV	2026	Bacata 115	0.008	SATISFACE

No se priorizó ninguna de las alternativas de conexión que tengan aportes de corriente de cortocircuito en la subestación Bacata 115

El estado de la capacidad de cortocircuito en la subestación Bacata 115, teniendo en cuenta la priorización se puede observar en la siguiente figura.

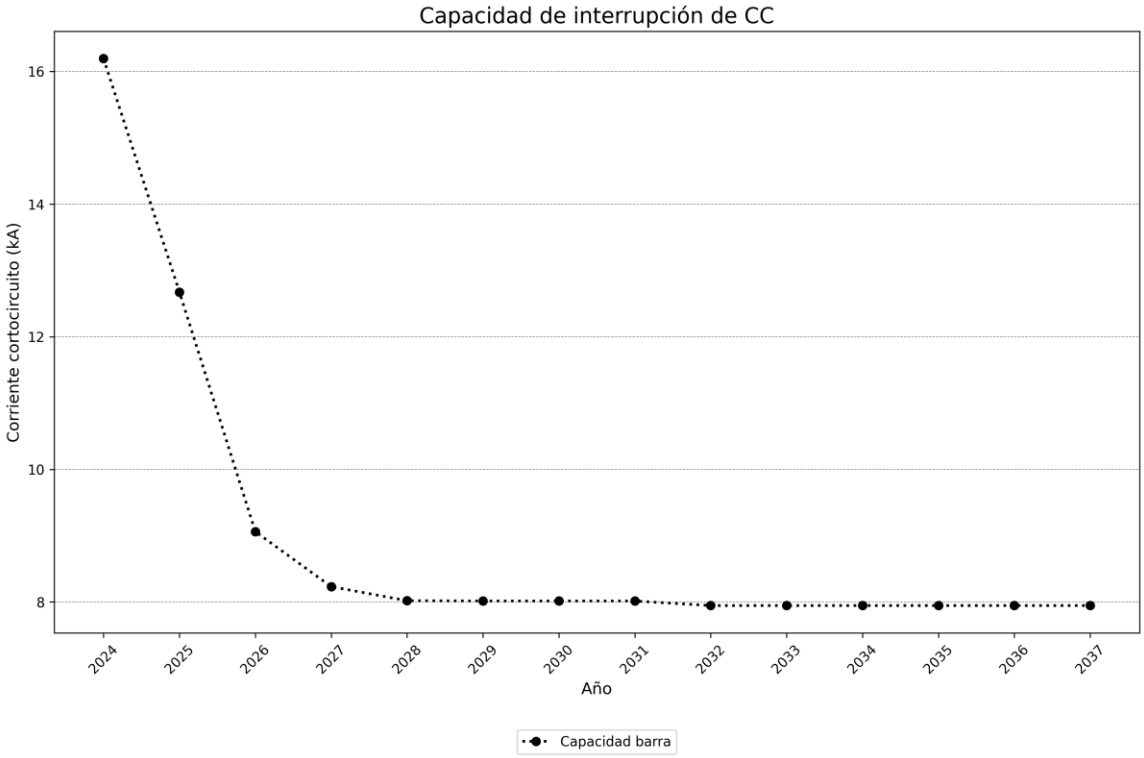


Figura 2-57. Balance de capacidad de cortocircuito después de la priorización para la subestación Bacata 115

Subestación Bacata 220:

Capacidad por barra:

Para la subestación Bacata 220 se presentaron 0 alternativas de conexión las cuales se muestran en la siguiente tabla:

Tabla 2-60. Alternativas de conexión presentadas a la subestación Bacata 220

Solicitud	Capacidad	Tipo	Barra	FPO solicitada	Restricción

No se priorizó ninguna de las alternativas de conexión presentadas en la subestación Bacata 220

El estado de la capacidad por barra en la subestación Bacata 220, teniendo en cuenta la priorización se puede observar en la siguiente figura.

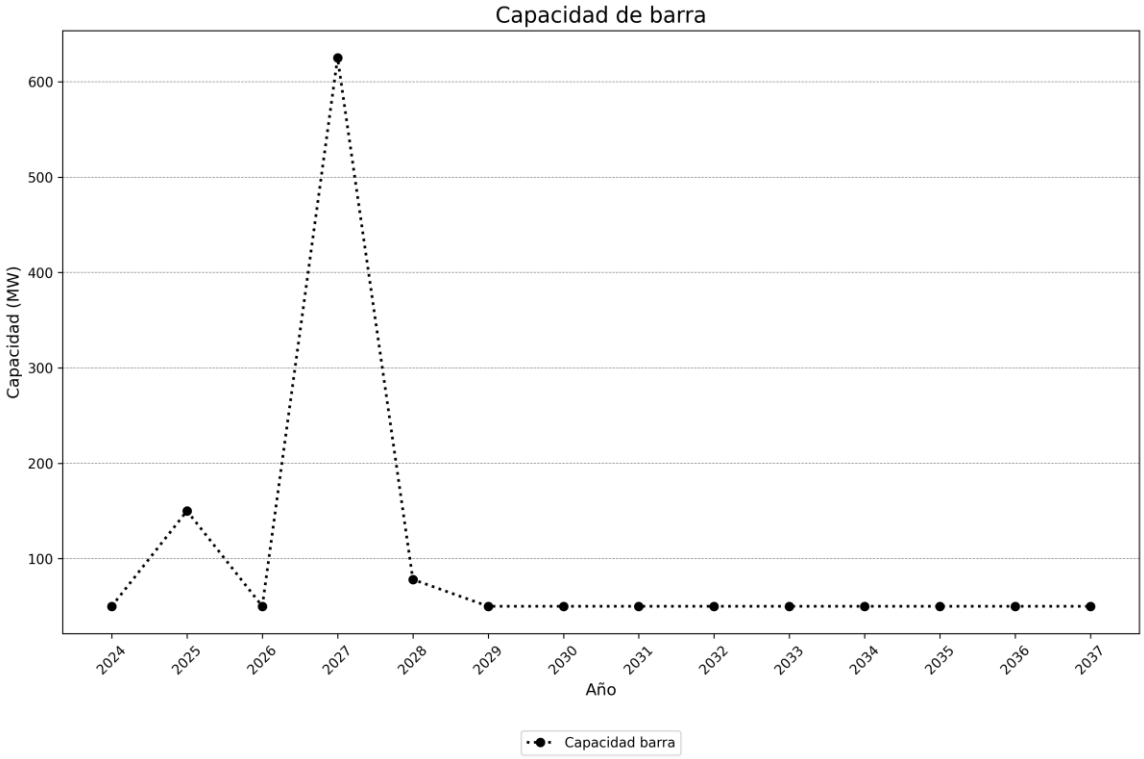


Figura 2-58. Balance de capacidad por barra después de la priorización para la subestación Bacata 220

Capacidad excedente de interrupción de corriente de cortocircuito:

Para la subestación Bacata 220 se presentaron 30 alternativas de conexión las cuales tienen aportes de corriente de cortocircuito. Estas alternativas se muestran en la siguiente tabla:

Tabla 2-61. Alternativas de conexión que aportan corriente de cortocircuito en la subestación Bacata 220

Solicitud	tipo	FPO	Barra a la que aporta CC	Aporte de cortocircuito (kA)	Restricción
SC_2023_5280_A1	Solar FV	2028	Bacata 220	0.102	SATISFACE
SC_2023_5280_A2	Solar FV	2028	Bacata 220	0.094	SATISFACE
SC_2023_5287_A1	Solar FV	2026	Bacata 220	0.052	SATISFACE
SC_2023_5287_A2	Solar FV	2026	Bacata 220	0.053	SATISFACE
SC_2023_5288_A1	Solar FV	2026	Bacata 220	0.031	SATISFACE
SC_2023_5288_A2	Solar FV	2026	Bacata 220	0.081	SATISFACE
SC_2023_5375_A1	Solar FV	2026	Bacata 220	0.050	SATISFACE
SC_2023_5399_A1	Solar FV	2026	Bacata 220	0.031	SATISFACE
SC_2023_5399_A2	Solar FV	2026	Bacata 220	0.081	SATISFACE
SC_2023_5480_A1	Solar FV	2026	Bacata 220	0.052	SATISFACE
SC_2023_5480_A2	Solar FV	2026	Bacata 220	0.053	SATISFACE
SC_2023_5557_A1	Solar FV	2028	Bacata 220	0.209	SATISFACE
SC_2936_A1	Solar FV	2026	Bacata 220	0.000	SATISFACE
SC_2936_A2	Solar FV	2026	Bacata 220	0.000	SATISFACE
SC_3121_A1	Solar FV	2026	Bacata 220	0.007	SATISFACE
SC_3121_A2	Solar FV	2026	Bacata 220	0.007	SATISFACE
SC_3132_A1	Solar FV	2026	Bacata 220	0.114	SATISFACE
SC_3132_A2	Solar FV	2026	Bacata 220	0.100	SATISFACE
SC_3433_A2	Solar FV	2027	Bacata 220	0.000	SATISFACE
SC_3882_A1	Solar FV	2026	Bacata 220	0.202	SATISFACE
SC_4083_A1	Solar FV	2027	Bacata 220	0.001	SATISFACE
SC_4083_A2	Solar FV	2027	Bacata 220	0.001	SATISFACE
SC_4765_A1	Solar FV	2029	Bacata 220	0.021	SATISFACE
SC_4765_A2	Solar FV	2029	Bacata 220	0.013	SATISFACE
SC_4819_A1	Solar FV	2029	Bacata 220	0.190	SATISFACE
SC_4819_A2	Solar FV	2029	Bacata 220	0.173	SATISFACE
SC_4974_A1	Solar FV	2026	Bacata 220	0.015	SATISFACE
SC_4974_A2	Solar FV	2026	Bacata 220	0.040	SATISFACE
SC_4978_A1	Solar FV	2026	Bacata 220	0.001	SATISFACE
SC_4978_A2	Solar FV	2026	Bacata 220	0.009	SATISFACE

No se priorizó ninguna de las alternativas de conexión que tengan aportes de corriente de cortocircuito en la subestación Bacata 220

El estado de la capacidad de cortocircuito en la subestación Bacata 220, teniendo en cuenta la priorización se puede observar en la siguiente figura.

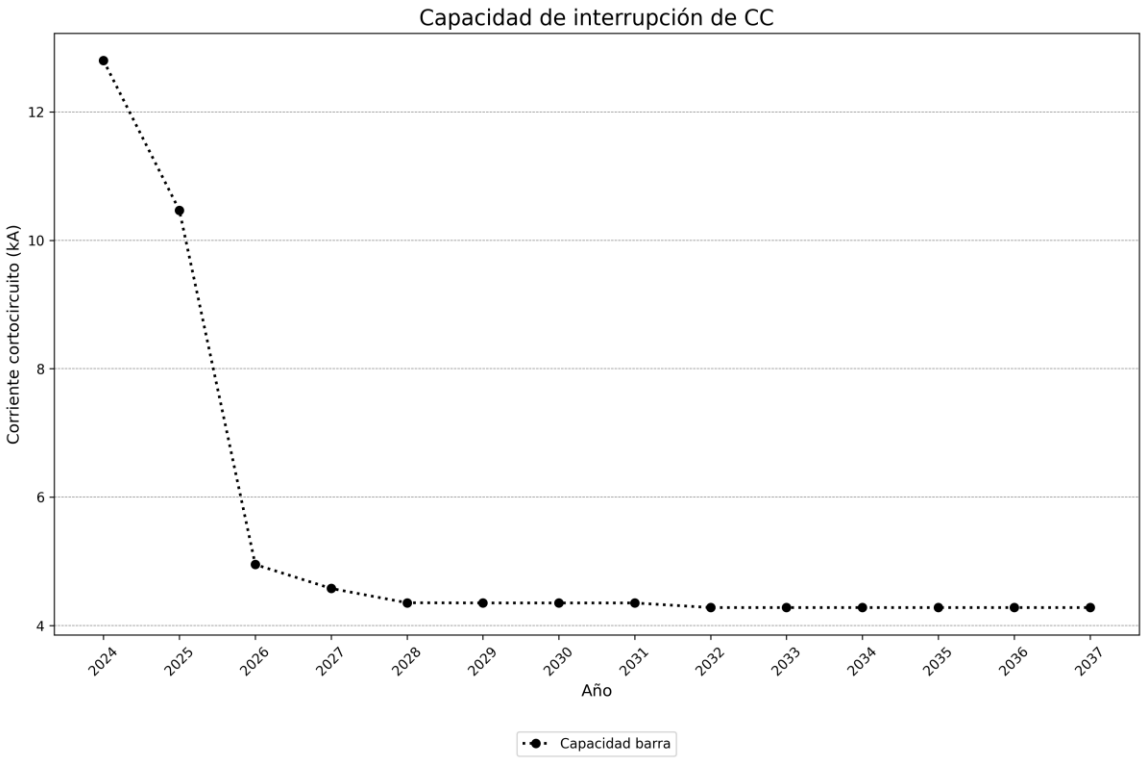


Figura 2-59. Balance de capacidad de cortocircuito después de la priorización para la subestación Bacata 220

Subestación Bacata 500:

Capacidad por barra:

Para la subestación Bacata 500 se presentaron 0 alternativas de conexión las cuales se muestran en la siguiente tabla:

Tabla 2-62. Alternativas de conexión presentadas a la subestación Bacata 500

Solicitud	Capacidad	Tipo	Barra	FPO solicitada	Restricción

No se priorizó ninguna de las alternativas de conexión presentadas en la subestación Bacata 500

El estado de la capacidad por barra en la subestación Bacata 500, teniendo en cuenta la priorización se puede observar en la siguiente figura.

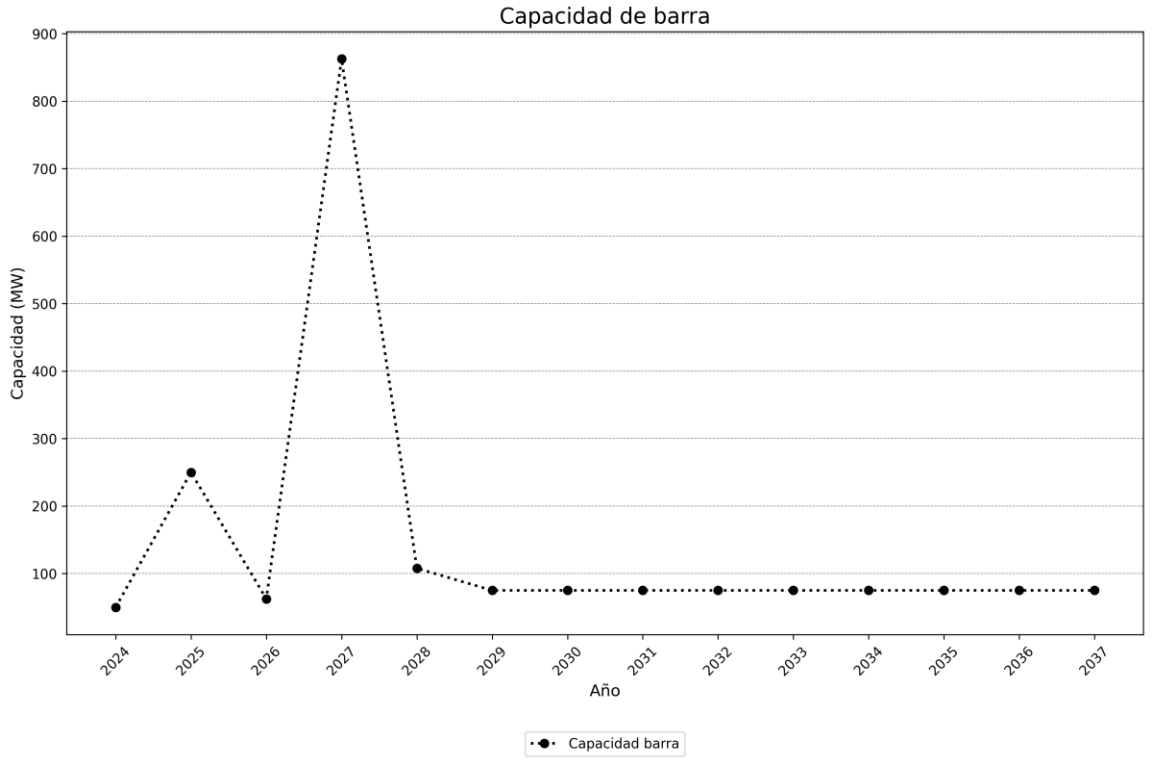


Figura 2-60. Balance de capacidad por barra después de la priorización para la subestación Bacata 500

Capacidad excedente de interrupción de corriente de cortocircuito:

Para la subestación Bacata 500 se presentaron 48 alternativas de conexión las cuales tienen aportes de corriente de cortocircuito. Estas alternativas se muestran en la siguiente tabla:

Tabla 2-63. Alternativas de conexión que aportan corriente de cortocircuito en la subestación Bacata 500

Solicitud	tipo	FPO	Barra a la que aporta CC	Aporte de cortocircuito (kA)	Restricción
SC_2023_5144_A1	Solar FV	2028	Bacata 500	0.050	SATISFACE
SC_2023_5144_A2	Solar FV	2028	Bacata 500	0.062	SATISFACE
SC_2023_5150_A1	Solar FV	2028	Bacata 500	0.078	SATISFACE
SC_2023_5280_A1	Solar FV	2028	Bacata 500	0.036	SATISFACE
SC_2023_5280_A2	Solar FV	2028	Bacata 500	0.033	SATISFACE
SC_2023_5287_A1	Solar FV	2026	Bacata 500	0.018	SATISFACE
SC_2023_5287_A2	Solar FV	2026	Bacata 500	0.019	SATISFACE
SC_2023_5288_A1	Solar FV	2026	Bacata 500	0.011	SATISFACE
SC_2023_5288_A2	Solar FV	2026	Bacata 500	0.029	SATISFACE
SC_2023_5375_A1	Solar FV	2026	Bacata 500	0.018	SATISFACE
SC_2023_5399_A1	Solar FV	2026	Bacata 500	0.011	SATISFACE
SC_2023_5399_A2	Solar FV	2026	Bacata 500	0.029	SATISFACE
SC_2023_5480_A1	Solar FV	2026	Bacata 500	0.018	SATISFACE
SC_2023_5480_A2	Solar FV	2026	Bacata 500	0.019	SATISFACE
SC_2023_5557_A1	Solar FV	2028	Bacata 500	0.073	SATISFACE
SC_2936_A1	Solar FV	2026	Bacata 500	0.000	SATISFACE
SC_2936_A2	Solar FV	2026	Bacata 500	0.000	SATISFACE
SC_3121_A1	Solar FV	2026	Bacata 500	0.002	SATISFACE
SC_3121_A2	Solar FV	2026	Bacata 500	0.003	SATISFACE
SC_3132_A1	Solar FV	2026	Bacata 500	0.040	SATISFACE
SC_3132_A2	Solar FV	2026	Bacata 500	0.035	SATISFACE
SC_3133_A1	Solar FV	2028	Bacata 500	0.075	SATISFACE
SC_3133_A2	Solar FV	2028	Bacata 500	0.085	SATISFACE
SC_3238_A1	Solar FV	2027	Bacata 500	0.163	SATISFACE
SC_3238_A2	Solar FV	2027	Bacata 500	0.174	SATISFACE
SC_3247_A1	Solar FV	2027	Bacata 500	0.078	SATISFACE
SC_3247_A2	Solar FV	2027	Bacata 500	0.056	SATISFACE
SC_3248_A1	Solar FV	2027	Bacata 500	0.163	SATISFACE
SC_3248_A2	Solar FV	2027	Bacata 500	0.174	SATISFACE
SC_3433_A2	Solar FV	2027	Bacata 500	0.000	SATISFACE
SC_3441_A1	Solar FV	2027	Bacata 500	0.078	SATISFACE
SC_3441_A2	Solar FV	2027	Bacata 500	0.056	SATISFACE
SC_3882_A1	Solar FV	2026	Bacata 500	0.070	SATISFACE
SC_4083_A1	Solar FV	2027	Bacata 500	0.000	SATISFACE
SC_4083_A2	Solar FV	2027	Bacata 500	0.000	SATISFACE
SC_4296_A1	Solar FV	2028	Bacata 500	0.050	SATISFACE
SC_4296_A2	Solar FV	2028	Bacata 500	0.047	SATISFACE

SC_4765_A1	Solar FV	2029	Bacata 500	0.006	SATISFACE
SC_4765_A2	Solar FV	2029	Bacata 500	0.003	SATISFACE
SC_4809_A1	Solar FV	2027	Bacata 500	0.032	SATISFACE
SC_4809_A2	Solar FV	2027	Bacata 500	0.116	SATISFACE
SC_4819_A1	Solar FV	2029	Bacata 500	0.066	SATISFACE
SC_4819_A2	Solar FV	2029	Bacata 500	0.060	SATISFACE
SC_4842_A1	Solar FV	2028	Bacata 500	0.078	SATISFACE
SC_4974_A1	Solar FV	2026	Bacata 500	0.004	SATISFACE
SC_4974_A2	Solar FV	2026	Bacata 500	0.004	SATISFACE
SC_4978_A1	Solar FV	2026	Bacata 500	0.000	SATISFACE
SC_4978_A2	Solar FV	2026	Bacata 500	0.003	SATISFACE

No se priorizó ninguna de las alternativas de conexión que tengan aportes de corriente de cortocircuito en la subestación Bacata 500

El estado de la capacidad de cortocircuito en la subestación Bacata 500, teniendo en cuenta la priorización se puede observar en la siguiente figura.

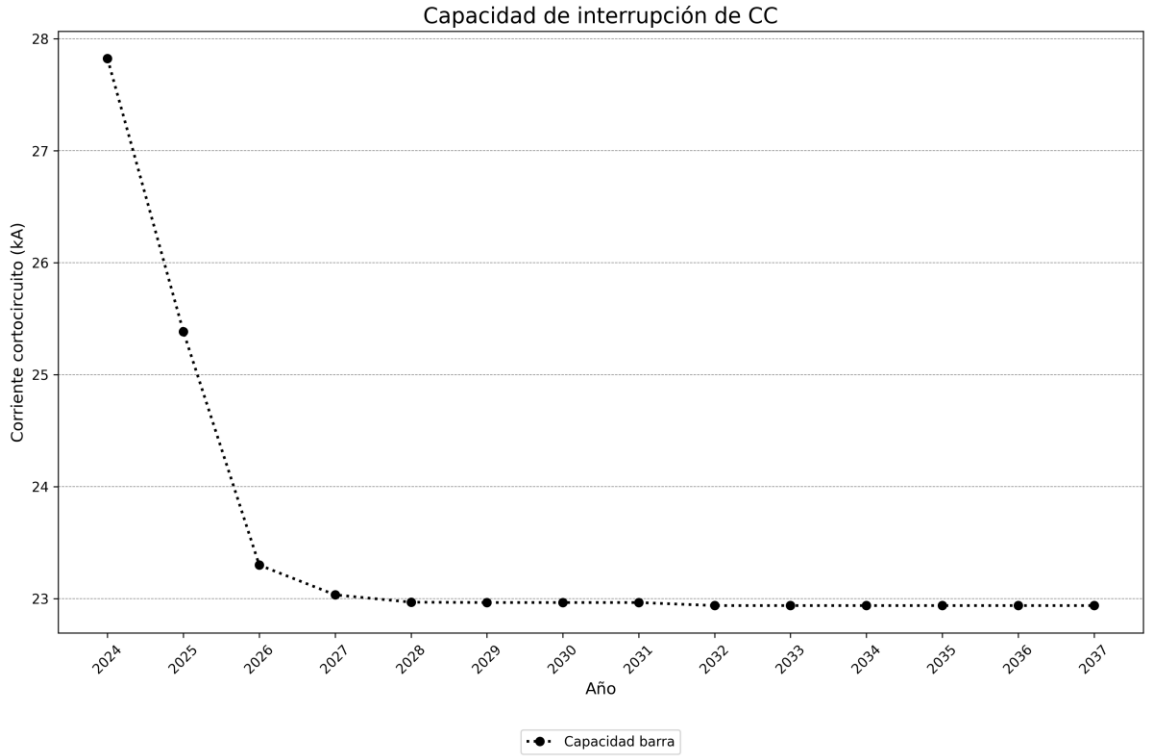


Figura 2-61. Balance de capacidad de cortocircuito después de la priorización para la subestación Bacata 500

Subestación Bajo Anchya 115:

Capacidad por barra:

Para la subestación Bajo Anchya 115 se presentaron 0 alternativas de conexión las cuales se muestran en la siguiente tabla:

Tabla 2-64. Alternativas de conexión presentadas a la subestación Bajo Anchya 115

Solicitud	Capacidad	Tipo	Barra	FPO solicitada	Restricción

No se priorizó ninguna de las alternativas de conexión presentadas en la subestación Bajo Anchya 115

El estado de la capacidad por barra en la subestación Bajo Anchya 115, teniendo en cuenta la priorización se puede observar en la siguiente figura.

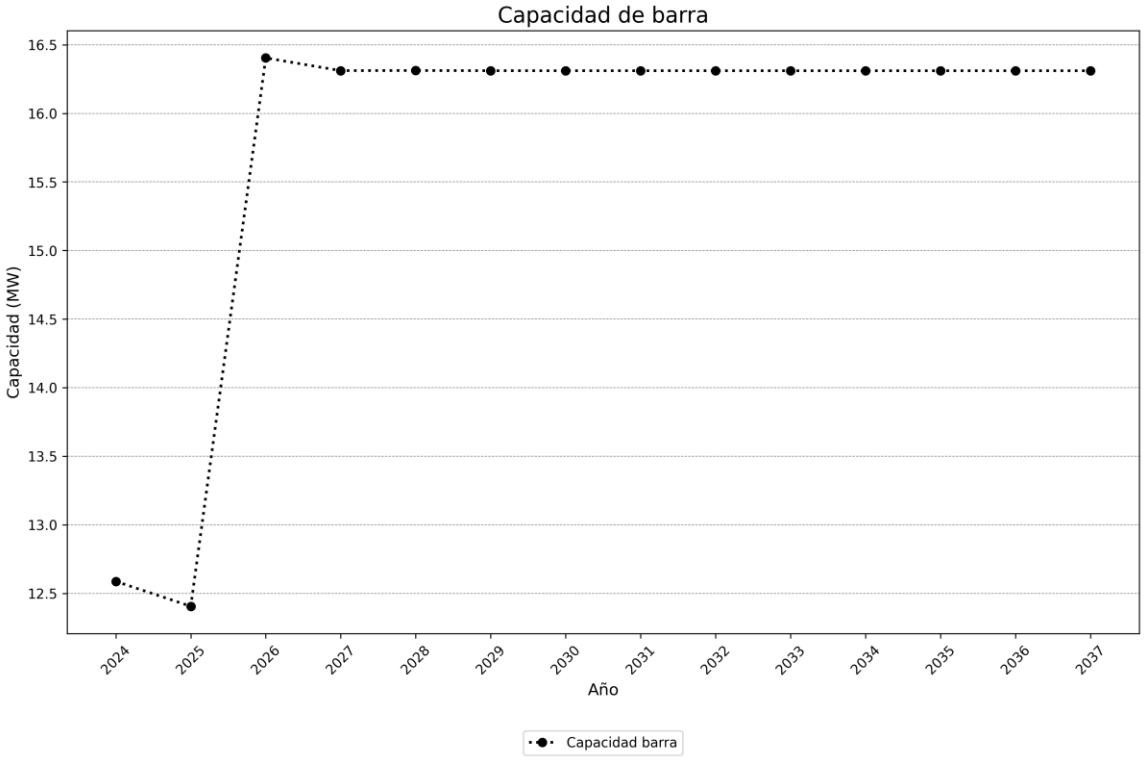


Figura 2-62. Balance de capacidad por barra después de la priorización para la subestación Bajo Anchya 115

Capacidad excedente de interrupción de corriente de cortocircuito:

Para la subestación Bajo Anchya 115 se presentaron 4 alternativas de conexión las cuales tienen aportes de corriente de cortocircuito. Estas alternativas se muestran en la siguiente tabla:

Tabla 2-65. Alternativas de conexión que aportan corriente de cortocircuito en la subestación Bajo Anchya 115

Solicitud	tipo	FPO	Barra a la que aporta CC	Aporte de cortocircuito (kA)	Restricción
SC_2023_5557_A1	Solar FV	2028	Bajo Anchya 115	0.030	SATISFACE

SC_2936_A1	Solar FV	2026	Bajo Anchya 115	0.000	SATISFACE
SC_2936_A2	Solar FV	2026	Bajo Anchya 115	0.000	SATISFACE
SC_3882_A1	Solar FV	2026	Bajo Anchya 115	0.030	SATISFACE

No se priorizó ninguna de las alternativas de conexión que tengan aportes de corriente de cortocircuito en la subestación Bajo Anchya 115

El estado de la capacidad de cortocircuito en la subestación Bajo Anchya 115, teniendo en cuenta la priorización se puede observar en la siguiente figura.

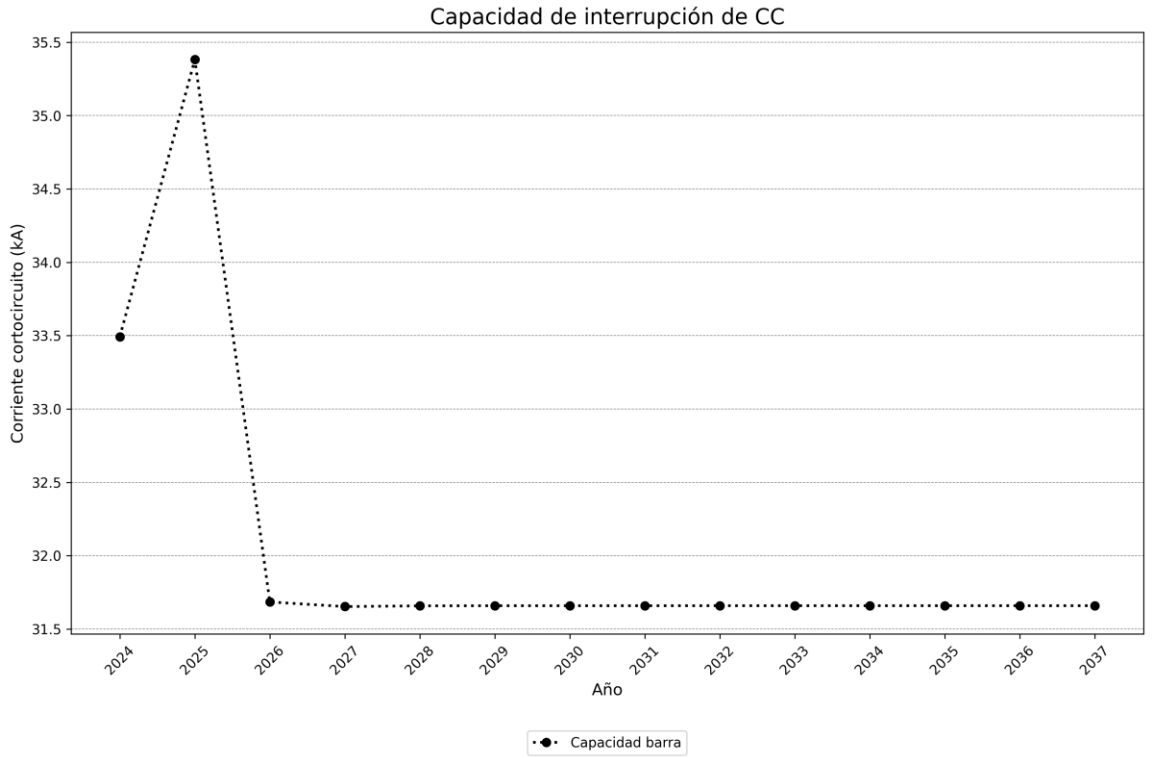


Figura 2-63. Balance de capacidad de cortocircuito después de la priorización para la subestación Bajo Anchya 115

Subestación Balboa 33:

Capacidad por barra:

Para la subestación Balboa 33 se presentaron 0 alternativas de conexión las cuales se muestran en la siguiente tabla:

Tabla 2-66. Alternativas de conexión presentadas a la subestación Balboa 33

Solicitud	Capacidad	Tipo	Barra	FPO solicitada	Restricción

No se priorizó ninguna de las alternativas de conexión presentadas en la subestación Balboa 33

El estado de la capacidad por barra en la subestación Balboa 33, teniendo en cuenta la priorización se puede observar en la siguiente figura.

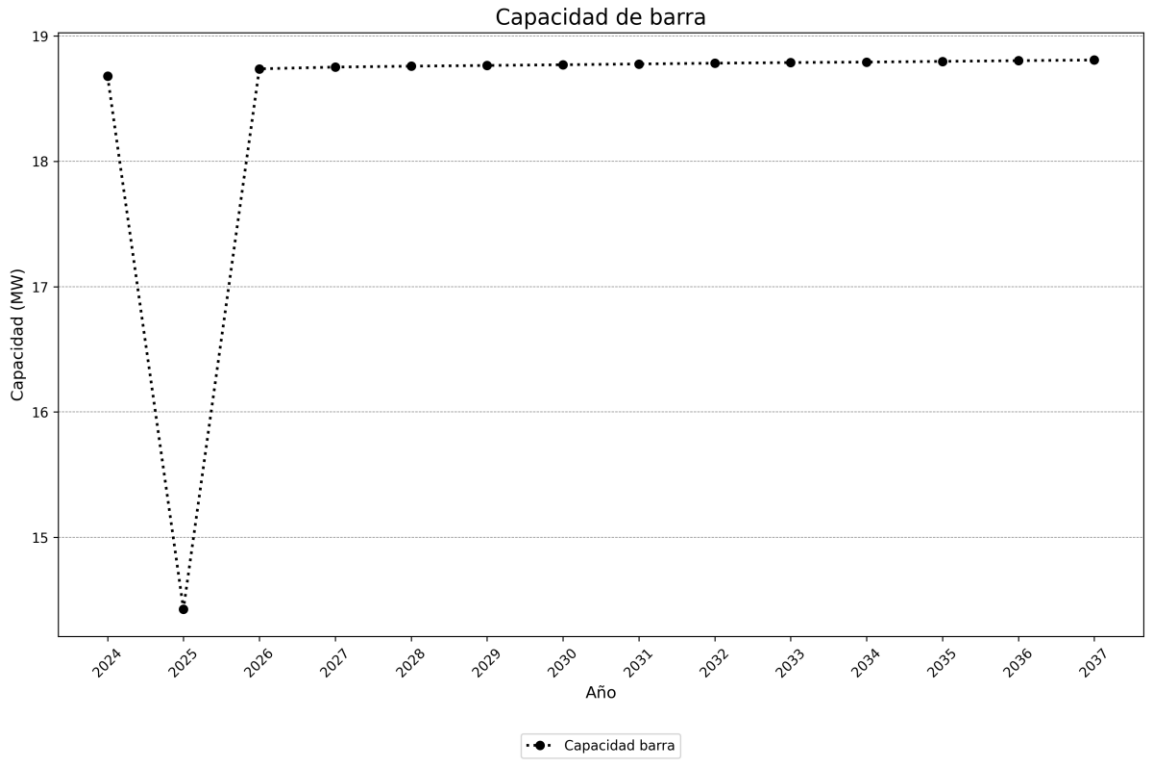


Figura 2-64. Balance de capacidad por barra después de la priorización para la subestación Balboa 33

Subestación Balsillas 1 Sec1 115:

Capacidad por barra:

Para la subestación Balsillas 1 Sec1 115 se presentaron 0 alternativas de conexión las cuales se muestran en la siguiente tabla:

Tabla 2-67. Alternativas de conexión presentadas a la subestación Balsillas 1 Sec1 115

Solicitud	Capacidad	Tipo	Barra	FPO solicitada	Restricción

No se priorizó ninguna de las alternativas de conexión presentadas en la subestación Balsillas 1 Sec1 115

El estado de la capacidad por barra en la subestación Balsillas 1 Sec1 115, teniendo en cuenta la priorización se puede observar en la siguiente figura.

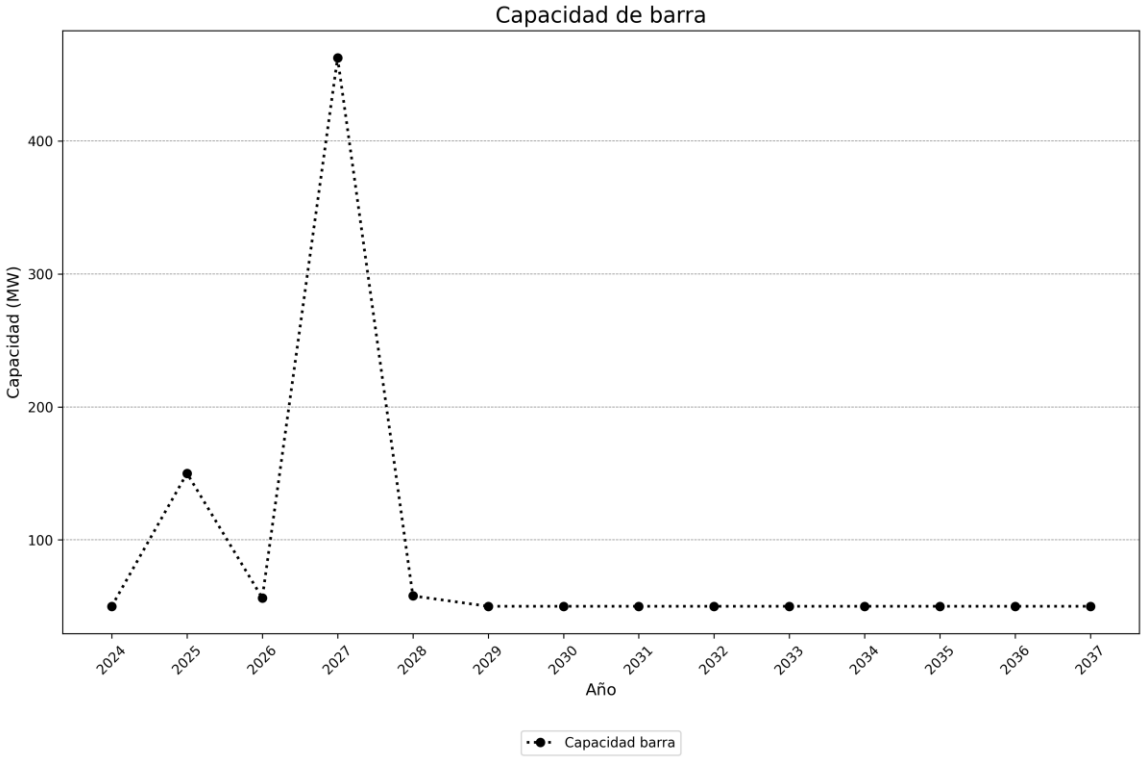


Figura 2-65. Balance de capacidad por barra después de la priorización para la subestación Balsillas 1 Sec1 115

Capacidad excedente de interrupción de corriente de cortocircuito:

Para la subestación Balsillas 1 Sec1 115 se presentaron 23 alternativas de conexión las cuales tienen aportes de corriente de cortocircuito. Estas alternativas se muestran en la siguiente tabla:

Tabla 2-68. Alternativas de conexión que aportan corriente de cortocircuito en la subestación Balsillas 1 Sec1 115

Solicitud	tipo	FPO	Barra a la que aporta CC	Aporte de cortocircuito (kA)	Restricción
SC_2023_5280_A1	Solar FV	2028	Balsillas 1 Sec1 115	0.090	SATISFACE

SC_2023_5280_A2	Solar FV	2028	Balsillas 1 Sec1 115	0.081	SATISFACE
SC_2023_5287_A1	Solar FV	2026	Balsillas 1 Sec1 115	0.046	SATISFACE
SC_2023_5287_A2	Solar FV	2026	Balsillas 1 Sec1 115	0.047	SATISFACE
SC_2023_5288_A1	Solar FV	2026	Balsillas 1 Sec1 115	0.027	SATISFACE
SC_2023_5288_A2	Solar FV	2026	Balsillas 1 Sec1 115	0.070	SATISFACE
SC_2023_5375_A1	Solar FV	2026	Balsillas 1 Sec1 115	0.044	SATISFACE
SC_2023_5399_A1	Solar FV	2026	Balsillas 1 Sec1 115	0.027	SATISFACE
SC_2023_5399_A2	Solar FV	2026	Balsillas 1 Sec1 115	0.070	SATISFACE
SC_2023_5480_A1	Solar FV	2026	Balsillas 1 Sec1 115	0.046	SATISFACE
SC_2023_5480_A2	Solar FV	2026	Balsillas 1 Sec1 115	0.047	SATISFACE
SC_3121_A1	Solar FV	2026	Balsillas 1 Sec1 115	0.008	SATISFACE
SC_3121_A2	Solar FV	2026	Balsillas 1 Sec1 115	0.008	SATISFACE
SC_3132_A1	Solar FV	2026	Balsillas 1 Sec1 115	0.101	SATISFACE
SC_3132_A2	Solar FV	2026	Balsillas 1 Sec1 115	0.086	SATISFACE
SC_4083_A1	Solar FV	2027	Balsillas 1 Sec1 115	0.001	SATISFACE
SC_4083_A2	Solar FV	2027	Balsillas 1 Sec1 115	0.001	SATISFACE
SC_4765_A1	Solar FV	2029	Balsillas 1 Sec1 115	0.008	SATISFACE
SC_4765_A2	Solar FV	2029	Balsillas 1 Sec1 115	0.004	SATISFACE
SC_4819_A1	Solar FV	2029	Balsillas 1 Sec1 115	0.166	SATISFACE
SC_4819_A2	Solar FV	2029	Balsillas 1 Sec1 115	0.148	SATISFACE

SC_4978_A1	Solar FV	2026	Balsillas 1 Sec1 115	0.000	SATISFACE
SC_4978_A2	Solar FV	2026	Balsillas 1 Sec1 115	0.007	SATISFACE

No se priorizó ninguna de las alternativas de conexión que tengan aportes de corriente de cortocircuito en la subestación Balsillas 1 Sec1 115

El estado de la capacidad de cortocircuito en la subestación Balsillas 1 Sec1 115, teniendo en cuenta la priorización se puede observar en la siguiente figura.

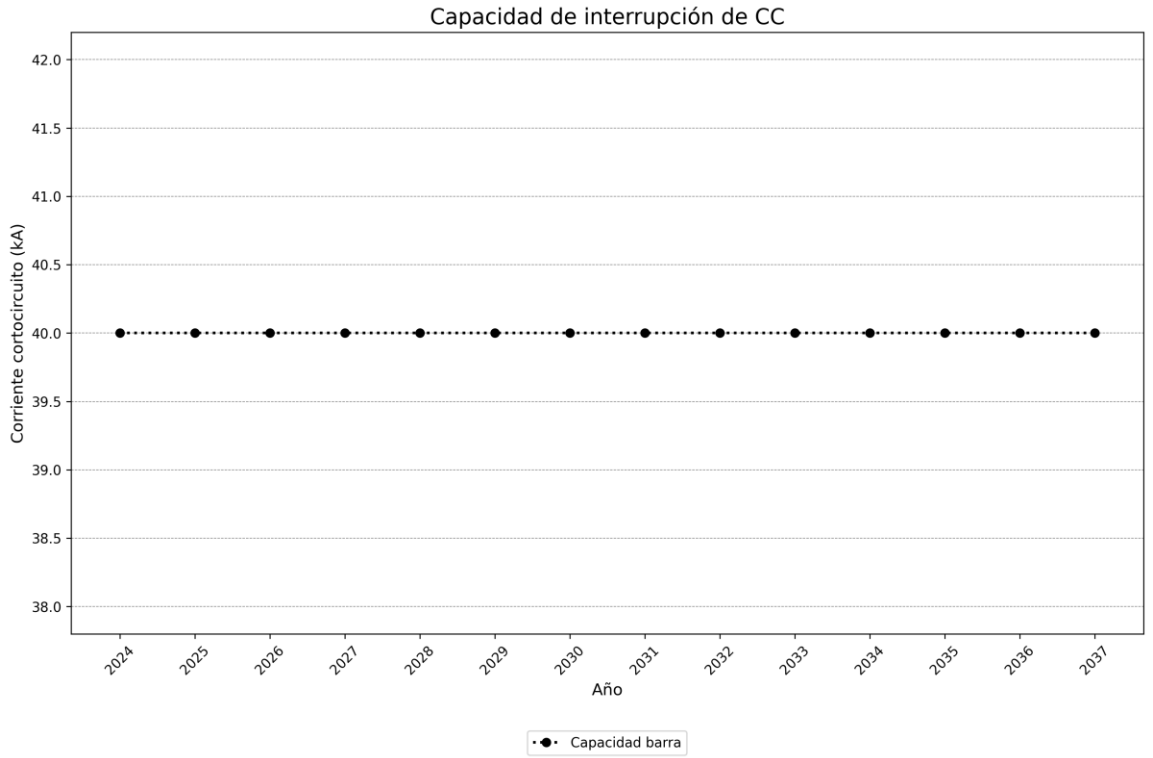


Figura 2-66. Balance de capacidad de cortocircuito después de la priorización para la subestación Balsillas 1 Sec1 115

Subestación Balsillas 220:

Capacidad por barra:

Para la subestación Balsillas 220 se presentaron 0 alternativas de conexión las cuales se muestran en la siguiente tabla:

Tabla 2-69. Alternativas de conexión presentadas a la subestación Balsillas 220

Solicitud	Capacidad	Tipo	Barra	FPO solicitada	Restricción

No se priorizó ninguna de las alternativas de conexión presentadas en la subestación Balsillas 220

El estado de la capacidad por barra en la subestación Balsillas 220, teniendo en cuenta la priorización se puede observar en la siguiente figura.

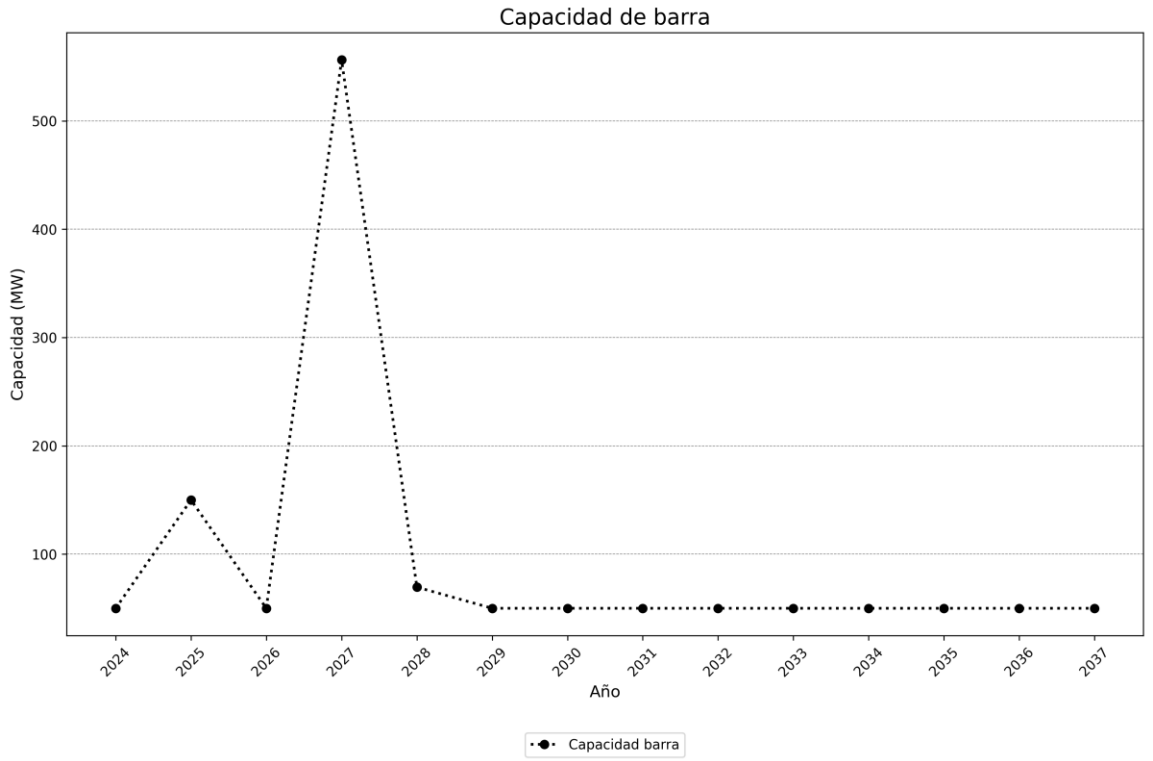


Figura 2-67. Balance de capacidad por barra después de la priorización para la subestación Balsillas 220

Capacidad excedente de interrupción de corriente de cortocircuito:

Para la subestación Balsillas 220 se presentaron 30 alternativas de conexión las cuales tienen aportes de corriente de cortocircuito. Estas alternativas se muestran en la siguiente tabla:

Tabla 2-70. Alternativas de conexión que aportan corriente de cortocircuito en la subestación Balsillas 220

Solicitud	tipo	FPO	Barra a la que aporta CC	Aporte de cortocircuito (kA)	Restricción
SC_2023_5280_A1	Solar FV	2028	Balsillas 220	0.074	SATISFACE
SC_2023_5280_A2	Solar FV	2028	Balsillas 220	0.066	SATISFACE
SC_2023_5287_A1	Solar FV	2026	Balsillas 220	0.037	SATISFACE
SC_2023_5287_A2	Solar FV	2026	Balsillas 220	0.037	SATISFACE
SC_2023_5288_A1	Solar FV	2026	Balsillas 220	0.021	SATISFACE
SC_2023_5288_A2	Solar FV	2026	Balsillas 220	0.056	SATISFACE
SC_2023_5375_A1	Solar FV	2026	Balsillas 220	0.037	SATISFACE
SC_2023_5399_A1	Solar FV	2026	Balsillas 220	0.021	SATISFACE
SC_2023_5399_A2	Solar FV	2026	Balsillas 220	0.056	SATISFACE
SC_2023_5480_A1	Solar FV	2026	Balsillas 220	0.037	SATISFACE
SC_2023_5480_A2	Solar FV	2026	Balsillas 220	0.037	SATISFACE
SC_2023_5557_A1	Solar FV	2028	Balsillas 220	0.152	SATISFACE
SC_2936_A1	Solar FV	2026	Balsillas 220	0.000	SATISFACE
SC_2936_A2	Solar FV	2026	Balsillas 220	0.000	SATISFACE
SC_3121_A1	Solar FV	2026	Balsillas 220	0.005	SATISFACE
SC_3121_A2	Solar FV	2026	Balsillas 220	0.005	SATISFACE
SC_3132_A1	Solar FV	2026	Balsillas 220	0.082	SATISFACE
SC_3132_A2	Solar FV	2026	Balsillas 220	0.070	SATISFACE
SC_3433_A2	Solar FV	2027	Balsillas 220	0.000	SATISFACE
SC_3882_A1	Solar FV	2026	Balsillas 220	0.148	SATISFACE
SC_4083_A1	Solar FV	2027	Balsillas 220	0.001	SATISFACE
SC_4083_A2	Solar FV	2027	Balsillas 220	0.001	SATISFACE
SC_4765_A1	Solar FV	2029	Balsillas 220	0.013	SATISFACE
SC_4765_A2	Solar FV	2029	Balsillas 220	0.007	SATISFACE
SC_4819_A1	Solar FV	2029	Balsillas 220	0.140	SATISFACE
SC_4819_A2	Solar FV	2029	Balsillas 220	0.124	SATISFACE
SC_4974_A1	Solar FV	2026	Balsillas 220	0.009	SATISFACE

SC_4974_A2	Solar FV	2026	Balsillas 220	0.009	SATISFACE
SC_4978_A1	Solar FV	2026	Balsillas 220	0.000	SATISFACE
SC_4978_A2	Solar FV	2026	Balsillas 220	0.006	SATISFACE

No se priorizó ninguna de las alternativas de conexión que tengan aportes de corriente de cortocircuito en la subestación Balsillas 220

El estado de la capacidad de cortocircuito en la subestación Balsillas 220, teniendo en cuenta la priorización se puede observar en la siguiente figura.

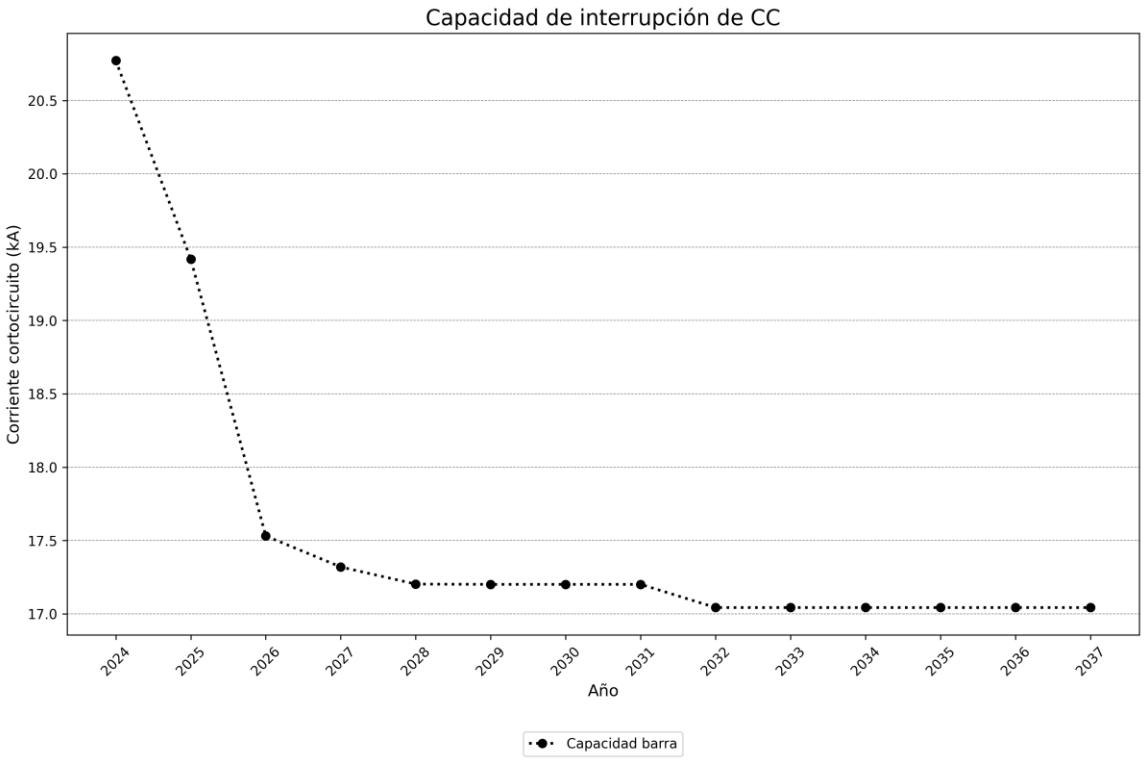


Figura 2-68. Balance de capacidad de cortocircuito después de la priorización para la subestación Balsillas 220

Subestación Barbosa 110:

Capacidad por barra:

Para la subestación Barbosa 110 se presentaron 0 alternativas de conexión las cuales se muestran en la siguiente tabla:

Tabla 2-71. Alternativas de conexión presentadas a la subestación Barbosa 110

Solicitud	Capacidad	Tipo	Barra	FPO solicitada	Restricción

No se priorizó ninguna de las alternativas de conexión presentadas en la subestación Barbosa 110

El estado de la capacidad por barra en la subestación Barbosa 110, teniendo en cuenta la priorización se puede observar en la siguiente figura.

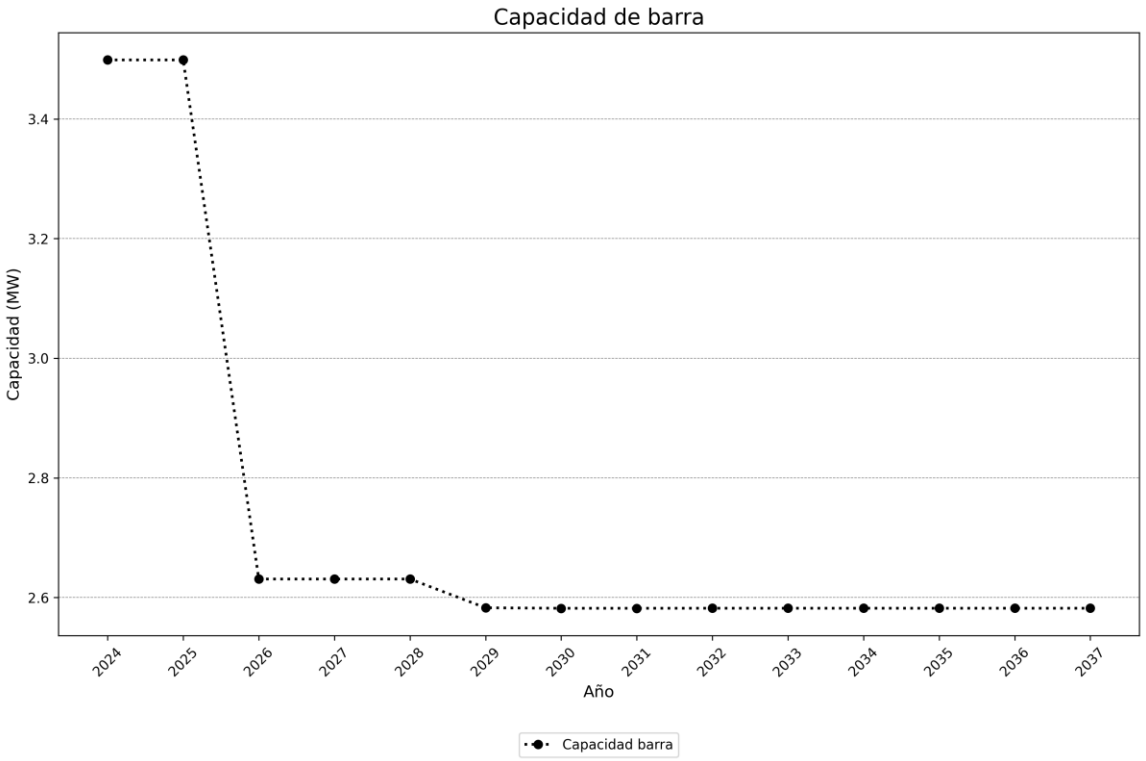


Figura 2-69. Balance de capacidad por barra después de la priorización para la subestación Barbosa 110

Capacidad excedente de interrupción de corriente de cortocircuito:

Para la subestación Barbosa 110 se presentaron 1 alternativas de conexión las cuales tienen aportes de corriente de cortocircuito. Estas alternativas se muestran en la siguiente tabla:

Tabla 2-72. Alternativas de conexión que aportan corriente de cortocircuito en la subestación Barbosa 110

Solicitud	tipo	FPO	Barra a la que aporta CC	Aporte de cortocircuito (kA)	Restricción
SC_3331_A1	Solar FV	2026	Barbosa 110	0.063	SATISFACE

No se priorizó ninguna de las alternativas de conexión que tengan aportes de corriente de cortocircuito en la subestación Barbosa 110

El estado de la capacidad de cortocircuito en la subestación Barbosa 110, teniendo en cuenta la priorización se puede observar en la siguiente figura.

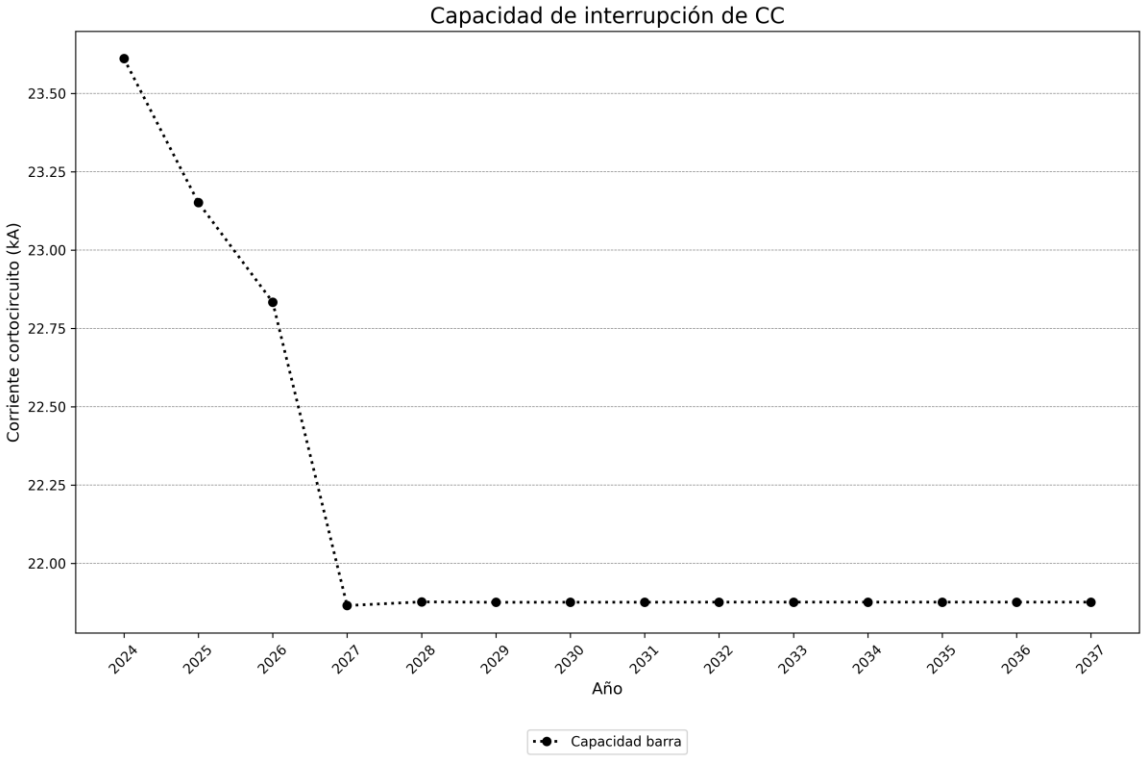


Figura 2-70. Balance de capacidad de cortocircuito después de la priorización para la subestación Barbosa 110

Subestación Barbosa 220:

Capacidad por barra:

Para la subestación Barbosa 220 se presentaron 0 alternativas de conexión las cuales se muestran en la siguiente tabla:

Tabla 2-73. Alternativas de conexión presentadas a la subestación Barbosa 220

Solicitud	Capacidad	Tipo	Barra	FPO solicitada	Restricción

No se priorizó ninguna de las alternativas de conexión presentadas en la subestación Barbosa 220

El estado de la capacidad por barra en la subestación Barbosa 220, teniendo en cuenta la priorización se puede observar en la siguiente figura.

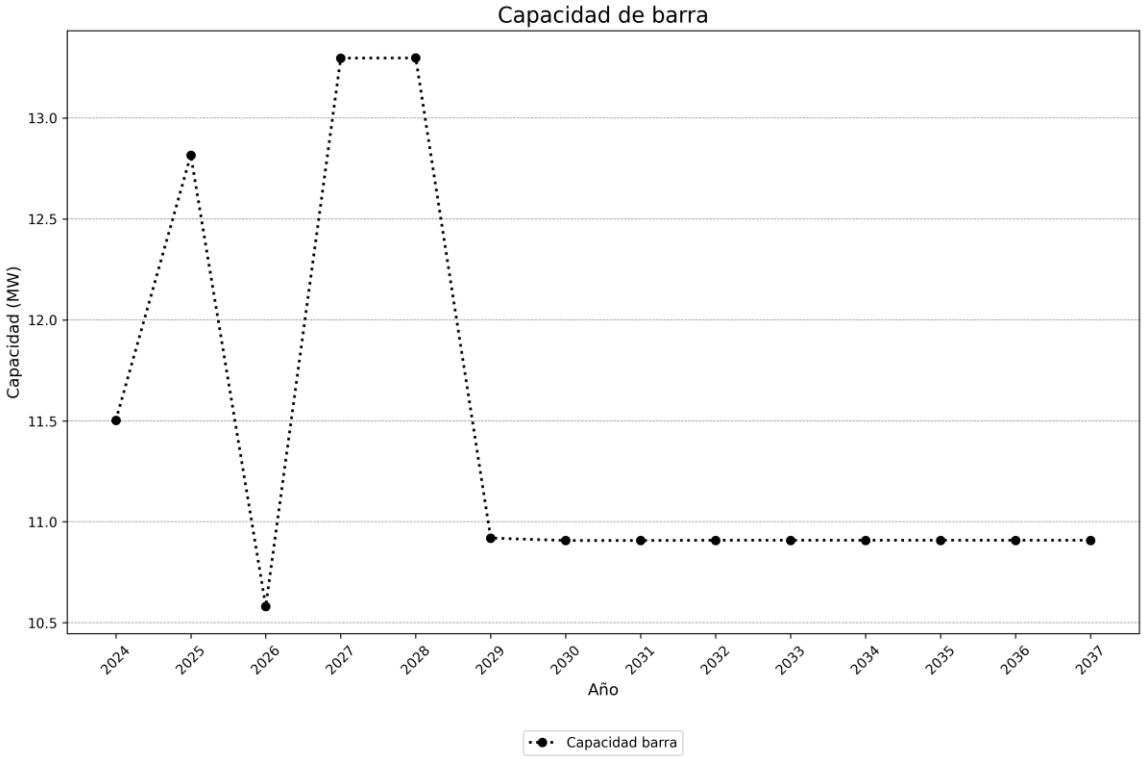


Figura 2-71. Balance de capacidad por barra después de la priorización para la subestación Barbosa 220

Capacidad excedente de interrupción de corriente de cortocircuito:

Para la subestación Barbosa 220 se presentaron 1 alternativas de conexión las cuales tienen aportes de corriente de cortocircuito. Estas alternativas se muestran en la siguiente tabla:

Tabla 2-74. Alternativas de conexión que aportan corriente de cortocircuito en la subestación Barbosa 220

Solicitud	tipo	FPO	Barra a la que aporta CC	Aporte de cortocircuito (kA)	Restricción
SC_3331_A1	Solar FV	2026	Barbosa 220	0.099	SATISFACE

No se priorizó ninguna de las alternativas de conexión que tengan aportes de corriente de cortocircuito en la subestación Barbosa 220

El estado de la capacidad de cortocircuito en la subestación Barbosa 220, teniendo en cuenta la priorización se puede observar en la siguiente figura.

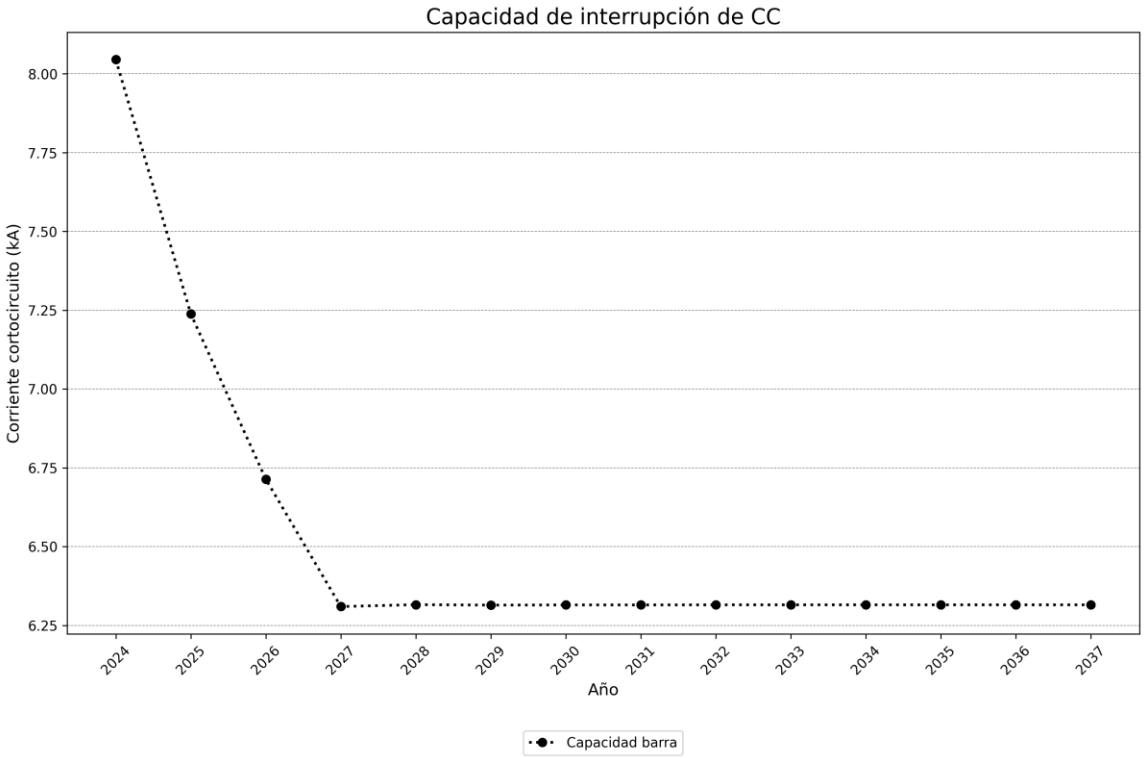


Figura 2-72. Balance de capacidad de cortocircuito después de la priorización para la subestación Barbosa 220

Subestación Barroso 110:

Capacidad por barra:

Para la subestación Barroso 110 se presentaron 0 alternativas de conexión las cuales se muestran en la siguiente tabla:

Tabla 2-75. Alternativas de conexión presentadas a la subestación Barroso 110

Solicitud	Capacidad	Tipo	Barra	FPO solicitada	Restricción

No se priorizó ninguna de las alternativas de conexión presentadas en la subestación Barroso 110

El estado de la capacidad por barra en la subestación Barroso 110, teniendo en cuenta la priorización se puede observar en la siguiente figura.

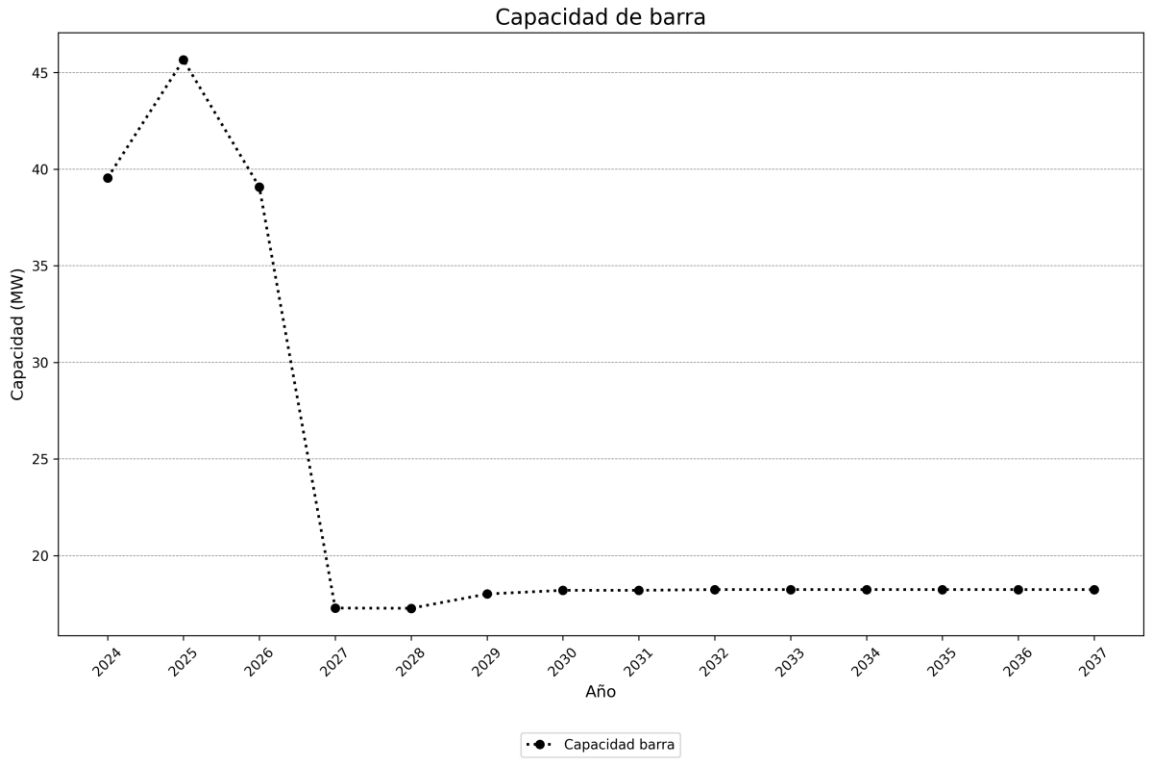


Figura 2-73. Balance de capacidad por barra después de la priorización para la subestación Barroso 110

Capacidad excedente de interrupción de corriente de cortocircuito:

Para la subestación Barroso 110 se presentaron 1 alternativas de conexión las cuales tienen aportes de corriente de cortocircuito. Estas alternativas se muestran en la siguiente tabla:

Tabla 2-76. Alternativas de conexión que aportan corriente de cortocircuito en la subestación Barroso 110

Solicitud	tipo	FPO	Barra a la que aporta CC	Aporte de cortocircuito (kA)	Restricción
SC_3331_A1	Solar FV	2026	Barroso 110	0.027	SATISFACE

No se priorizó ninguna de las alternativas de conexión que tengan aportes de corriente de cortocircuito en la subestación Barroso 110

El estado de la capacidad de cortocircuito en la subestación Barroso 110, teniendo en cuenta la priorización se puede observar en la siguiente figura.

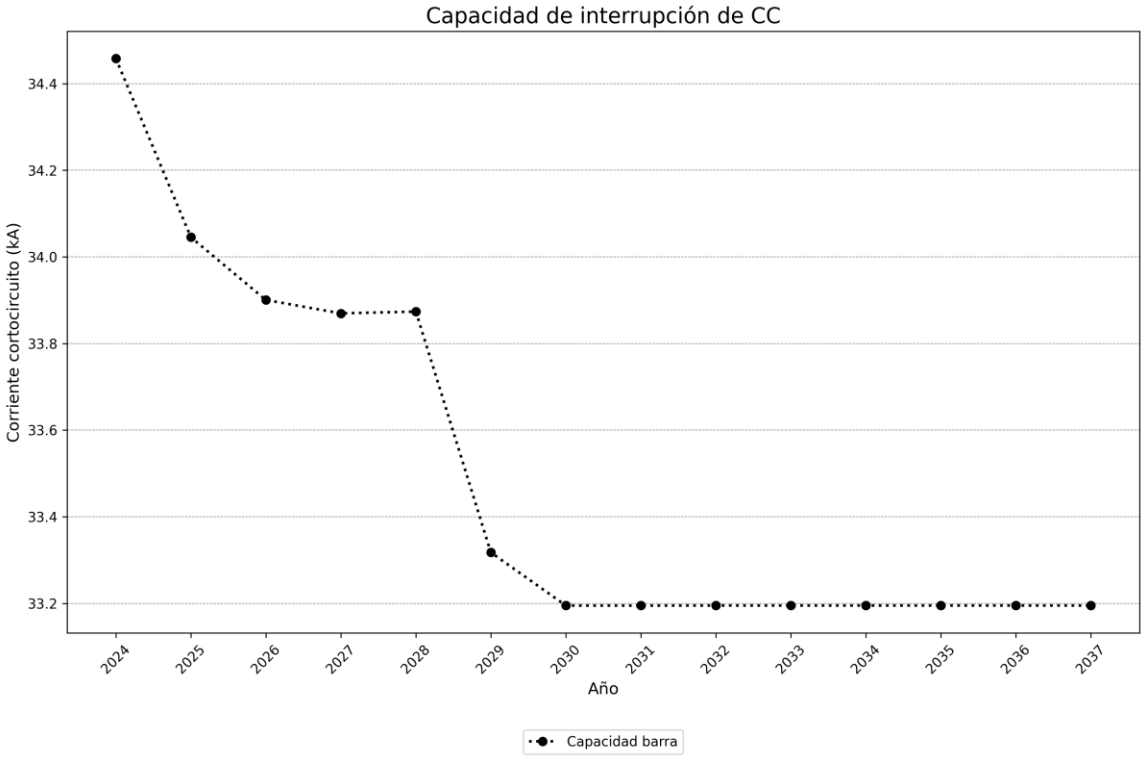


Figura 2-74. Balance de capacidad de cortocircuito después de la priorización para la subestación Barroso 110

Subestación Barzalosa 115:

Capacidad por barra:

Para la subestación Barzalosa 115 se presentaron 0 alternativas de conexión las cuales se muestran en la siguiente tabla:

Tabla 2-77. Alternativas de conexión presentadas a la subestación Barzalosa 115

Solicitud	Capacidad	Tipo	Barra	FPO solicitada	Restricción

No se priorizó ninguna de las alternativas de conexión presentadas en la subestación Barzalosa 115

El estado de la capacidad por barra en la subestación Barzalosa 115, teniendo en cuenta la priorización se puede observar en la siguiente figura.

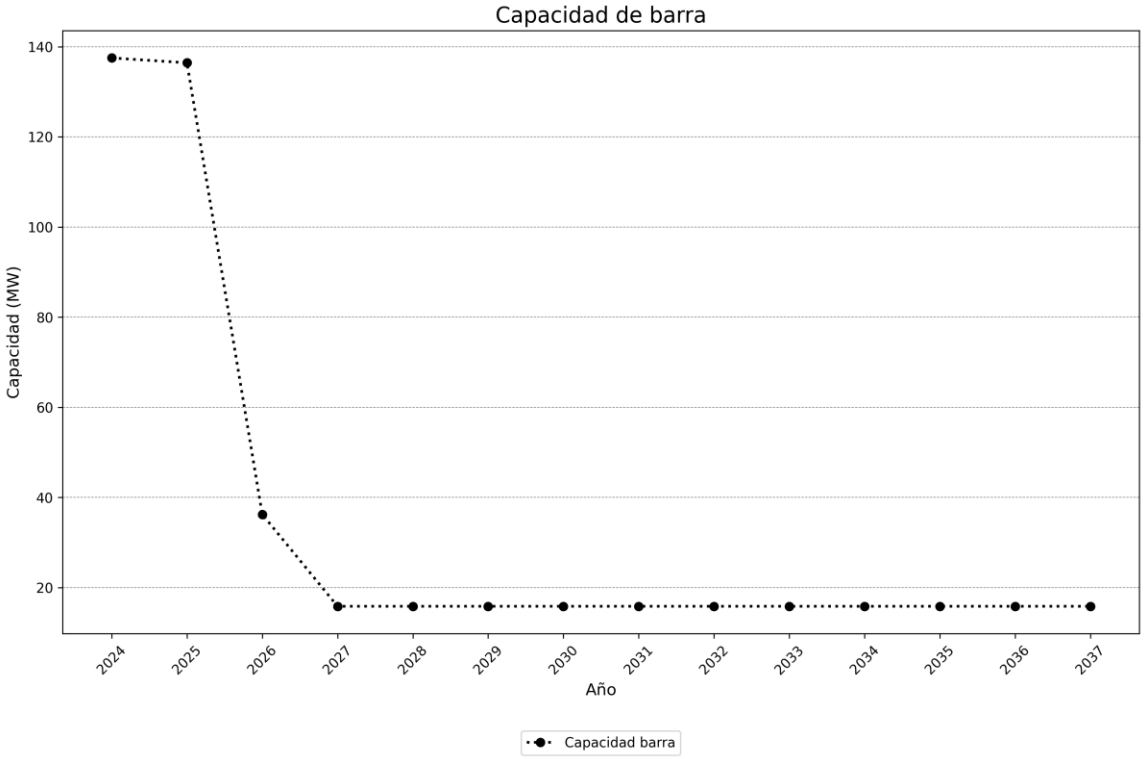


Figura 2-75. Balance de capacidad por barra después de la priorización para la subestación Barzalosa 115

Capacidad excedente de interrupción de corriente de cortocircuito:

Para la subestación Barzalosa 115 se presentaron 29 alternativas de conexión las cuales tienen aportes de corriente de cortocircuito. Estas alternativas se muestran en la siguiente tabla:

Tabla 2-78. Alternativas de conexión que aportan corriente de cortocircuito en la subestación Barzalosa 115

Solicitud	tipo	FPO	Barra a la que aporta CC	Aporte de cortocircuito (kA)	Restricción
SC_2023_5280_A1	Solar FV	2028	Barzalosa 115	0.025	SATISFACE
SC_2023_5280_A2	Solar FV	2028	Barzalosa 115	0.022	SATISFACE
SC_2023_5287_A1	Solar FV	2026	Barzalosa 115	0.013	SATISFACE
SC_2023_5287_A2	Solar FV	2026	Barzalosa 115	0.013	SATISFACE
SC_2023_5288_A1	Solar FV	2026	Barzalosa 115	0.007	SATISFACE
SC_2023_5288_A2	Solar FV	2026	Barzalosa 115	0.019	SATISFACE
SC_2023_5375_A1	Solar FV	2026	Barzalosa 115	0.012	SATISFACE
SC_2023_5399_A1	Solar FV	2026	Barzalosa 115	0.007	SATISFACE
SC_2023_5399_A2	Solar FV	2026	Barzalosa 115	0.019	SATISFACE
SC_2023_5480_A1	Solar FV	2026	Barzalosa 115	0.013	SATISFACE
SC_2023_5480_A2	Solar FV	2026	Barzalosa 115	0.013	SATISFACE
SC_2023_5557_A1	Solar FV	2028	Barzalosa 115	0.050	SATISFACE
SC_2936_A1	Solar FV	2026	Barzalosa 115	0.000	SATISFACE
SC_2936_A2	Solar FV	2026	Barzalosa 115	0.000	SATISFACE
SC_3121_A1	Solar FV	2026	Barzalosa 115	0.001	SATISFACE
SC_3121_A2	Solar FV	2026	Barzalosa 115	0.001	SATISFACE
SC_3132_A1	Solar FV	2026	Barzalosa 115	0.027	SATISFACE
SC_3132_A2	Solar FV	2026	Barzalosa 115	0.023	SATISFACE
SC_3882_A1	Solar FV	2026	Barzalosa 115	0.048	SATISFACE
SC_4083_A1	Solar FV	2027	Barzalosa 115	0.001	SATISFACE
SC_4083_A2	Solar FV	2027	Barzalosa 115	0.001	SATISFACE
SC_4765_A1	Solar FV	2029	Barzalosa 115	0.000	SATISFACE
SC_4765_A2	Solar FV	2029	Barzalosa 115	0.000	SATISFACE
SC_4819_A1	Solar FV	2029	Barzalosa 115	0.049	SATISFACE
SC_4819_A2	Solar FV	2029	Barzalosa 115	0.043	SATISFACE
SC_4974_A1	Solar FV	2026	Barzalosa 115	0.002	SATISFACE
SC_4974_A2	Solar FV	2026	Barzalosa 115	0.002	SATISFACE
SC_4978_A1	Solar FV	2026	Barzalosa 115	0.000	SATISFACE
SC_4978_A2	Solar FV	2026	Barzalosa 115	0.002	SATISFACE

No se priorizó ninguna de las alternativas de conexión que tengan aportes de corriente de cortocircuito en la subestación Barzalosa 115

El estado de la capacidad de cortocircuito en la subestación Barzalosa 115, teniendo en cuenta la priorización se puede observar en la siguiente figura.

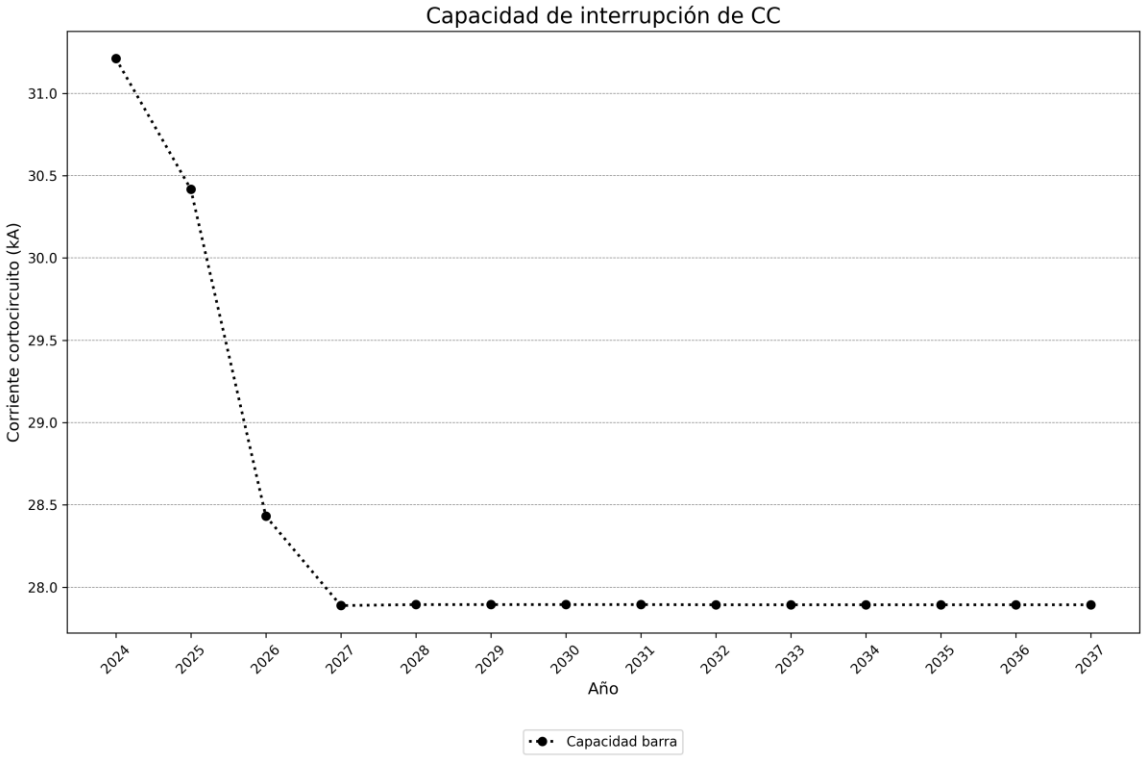


Figura 2-76. Balance de capacidad de cortocircuito después de la priorización para la subestación Barzalosa 115

Subestación Belalcazar 33:

Capacidad por barra:

Para la subestación Belalcazar 33 se presentaron 2 alternativas de conexión las cuales se muestran en la siguiente tabla:

Tabla 2-79. Alternativas de conexión presentadas a la subestación Belalcazar 33

Solicitud	Capacidad	Tipo	Barra	FPO solicitada	Restricción
SC_2023_5174_A2	19.9	Solar FV	Belalcazar 33	2027	NO SATISFACE
SC_2023_5383_A2	9.9	Solar FV	Belalcazar 33	2027	NO SATISFACE

No se priorizó ninguna de las alternativas de conexión presentadas en la subestación Belalcazar 33

El estado de la capacidad por barra en la subestación Belalcazar 33, teniendo en cuenta la priorización se puede observar en la siguiente figura.

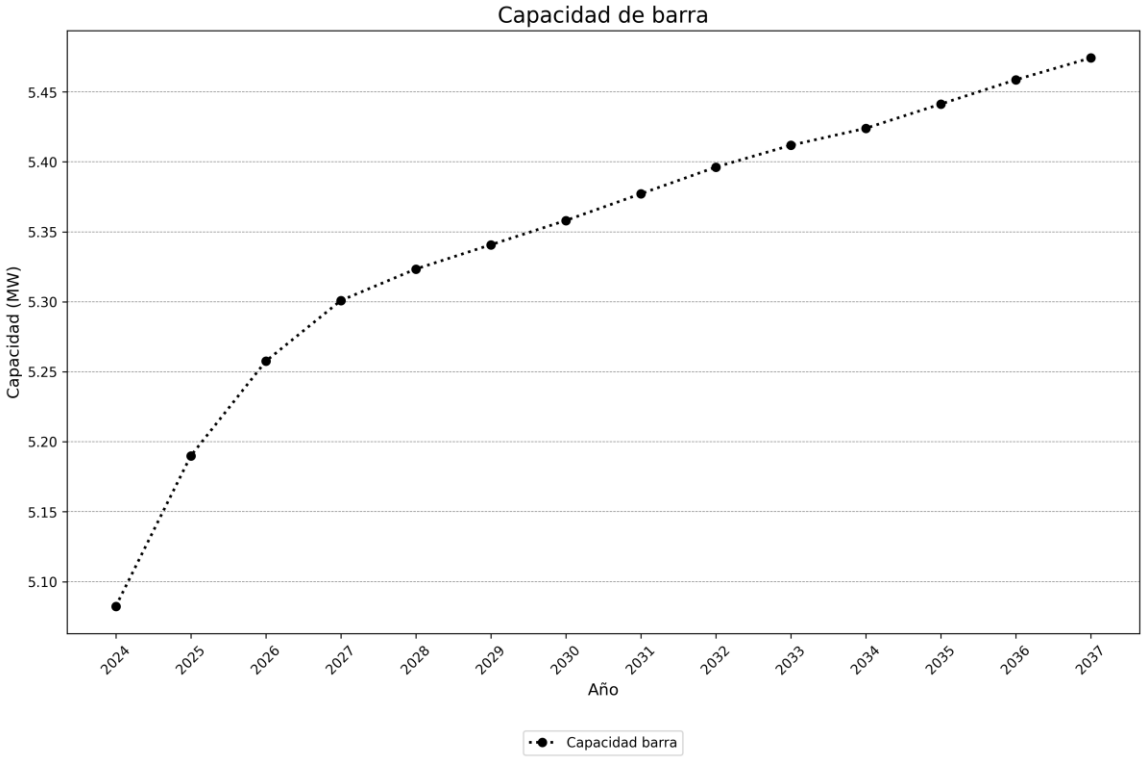


Figura 2-77. Balance de capacidad por barra después de la priorización para la subestación Belalcazar 33

Subestación Belen (Antioquia) 110:

Capacidad por barra:

Para la subestación Belen (Antioquia) 110 se presentaron 0 alternativas de conexión las cuales se muestran en la siguiente tabla:

Tabla 2-80. Alternativas de conexión presentadas a la subestación Belen (Antioquia) 110

Solicitud	Capacidad	Tipo	Barra	FPO solicitada	Restricción

No se priorizó ninguna de las alternativas de conexión presentadas en la subestación Belen (Antioquia) 110

El estado de la capacidad por barra en la subestación Belen (Antioquia) 110, teniendo en cuenta la priorización se puede observar en la siguiente figura.

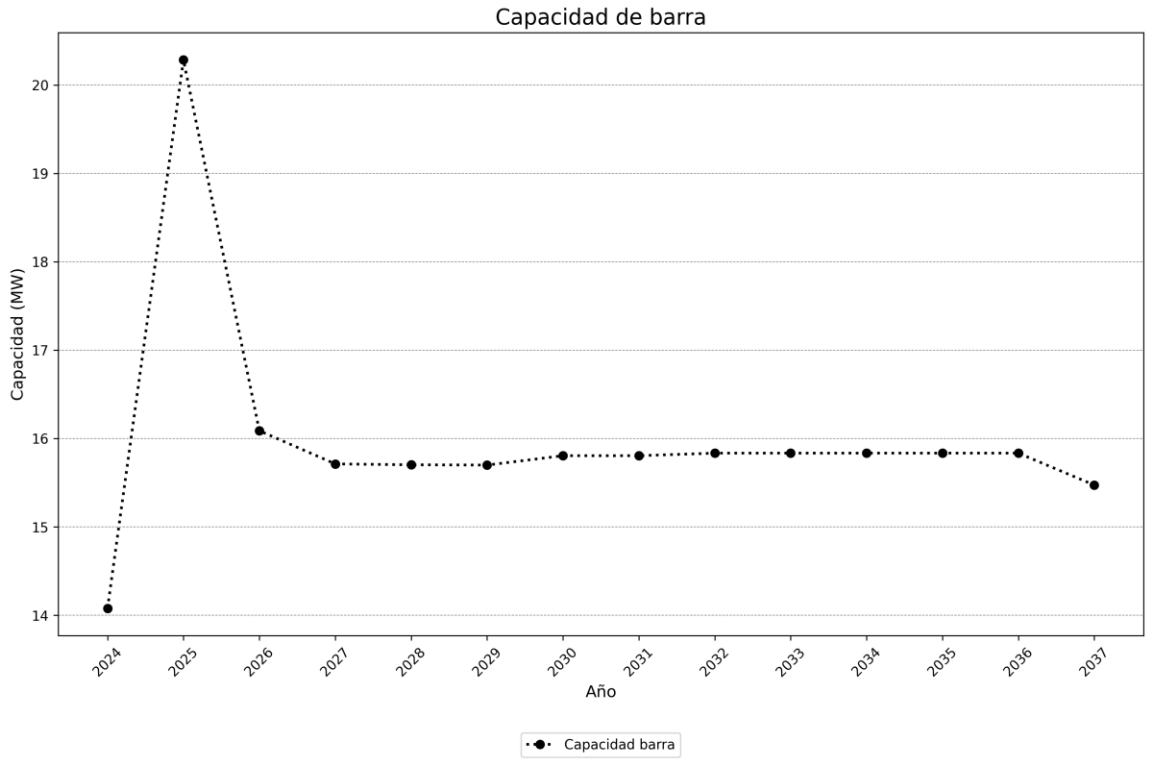


Figura 2-78. Balance de capacidad por barra después de la priorización para la subestación Belen (Antioquia) 110

Capacidad excedente de interrupción de corriente de cortocircuito:

Para la subestación Belen (Antioquia) 110 se presentaron 1 alternativas de conexión las cuales tienen aportes de corriente de cortocircuito. Estas alternativas se muestran en la siguiente tabla:

Tabla 2-81. Alternativas de conexión que aportan corriente de cortocircuito en la subestación Belen (Antioquia) 110

Solicitud	tipo	FPO	Barra a la que aporta CC	Aporte de cortocircuito (kA)	Restricción
SC_3331_A1	Solar FV	2026	Belen (Antioquia) 110	0.092	NO SATISFACE

No se priorizó ninguna de las alternativas de conexión que tengan aportes de corriente de cortocircuito en la subestación Belen (Antioquia) 110

El estado de la capacidad de cortocircuito en la subestación Belen (Antioquia) 110, teniendo en cuenta la priorización se puede observar en la siguiente figura.

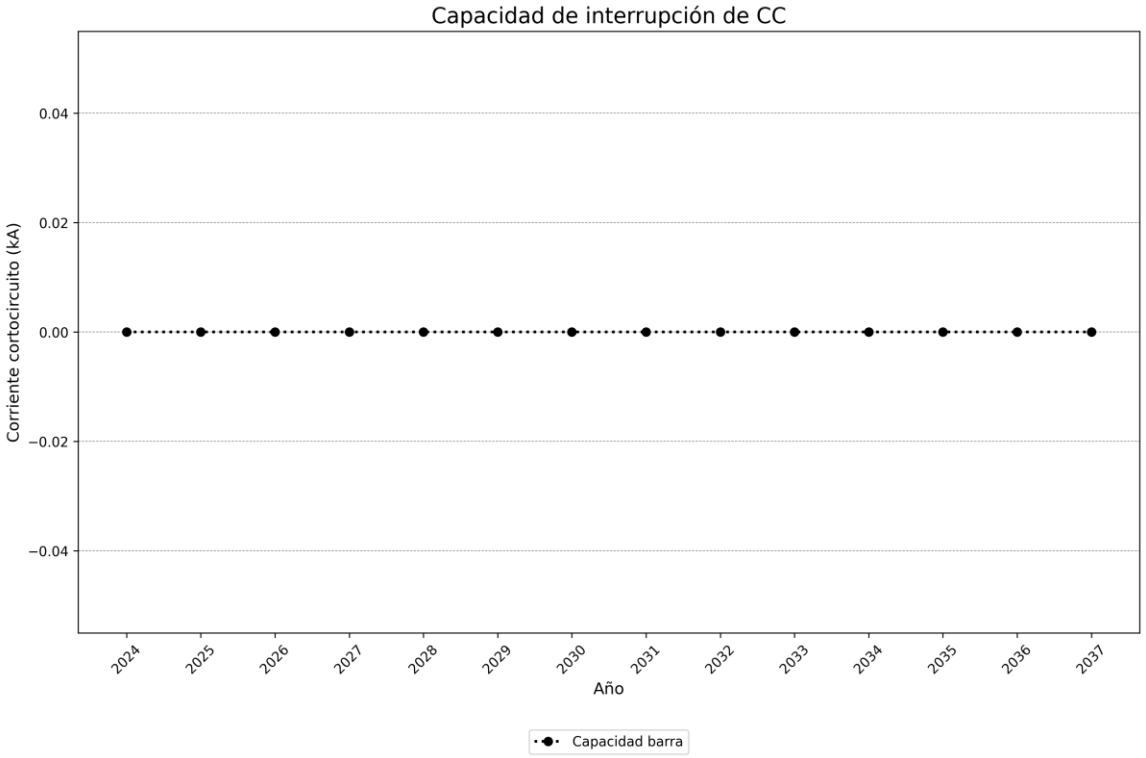


Figura 2-79. Balance de capacidad de cortocircuito después de la priorización para la subestación Belen (Antioquia) 110

Subestación Belen de umbria 33:

Capacidad por barra:

Para la subestación Belen de umbria 33 se presentaron 1 alternativas de conexión las cuales se muestran en la siguiente tabla:

Tabla 2-82. Alternativas de conexión presentadas a la subestación Belen de umbria 33

Solicitud	Capacidad	Tipo	Barra	FPO solicitada	Restricción
SC_4824_A2	9.9	Solar FV	Belen de umbria 33	2025	NO SATISFACE

No se priorizó ninguna de las alternativas de conexión presentadas en la subestación Belen de umbria 33

El estado de la capacidad por barra en la subestación Belen de umbria 33, teniendo en cuenta la priorización se puede observar en la siguiente figura.

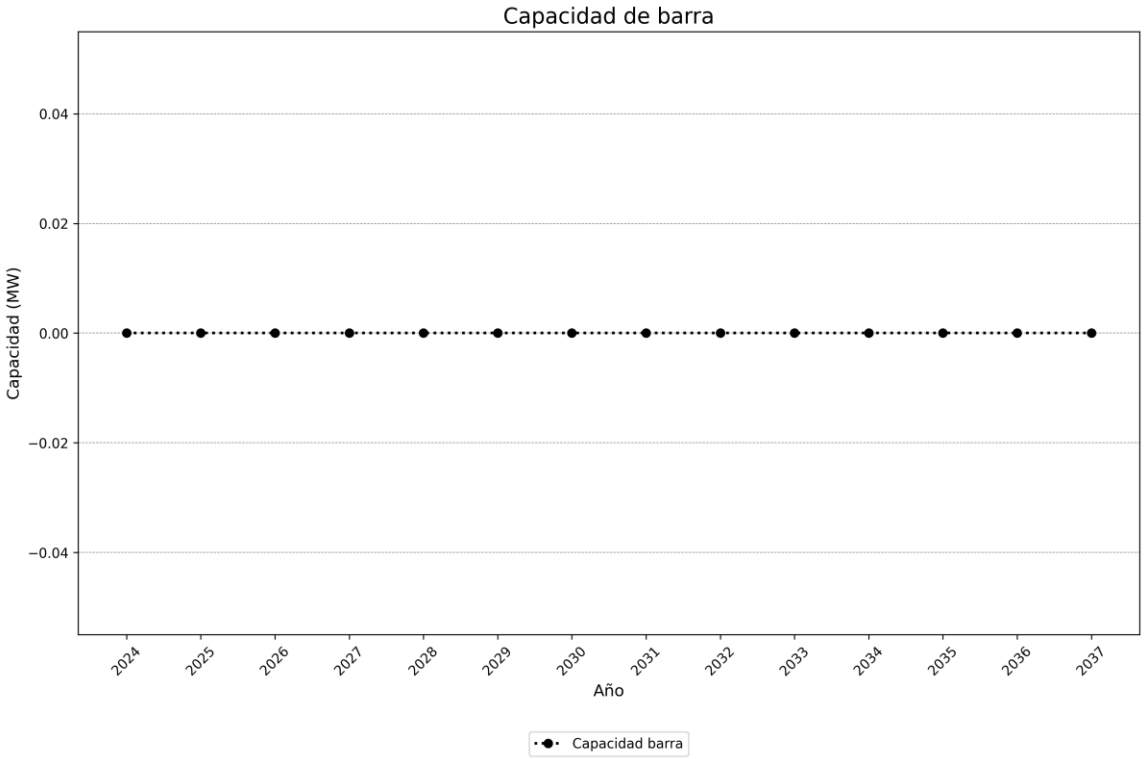


Figura 2-80. Balance de capacidad por barra después de la priorización para la subestación Belen de umbria 33

En el caso anterior se observa que la capacidad por barra es igual a 0 dado que, desde los comentarios presentados por transportador, se identificó que la subestación Belen de umbria 33 no cuenta con disponibilidad de espacio físico para la conexión de nuevos proyectos.

Subestación Bello 110:

Capacidad por barra:

Para la subestación Bello 110 se presentaron 0 alternativas de conexión las cuales se muestran en la siguiente tabla:

Tabla 2-83. Alternativas de conexión presentadas a la subestación Bello 110

Solicitud	Capacidad	Tipo	Barra	FPO solicitada	Restricción

No se priorizó ninguna de las alternativas de conexión presentadas en la subestación Bello 110

El estado de la capacidad por barra en la subestación Bello 110, teniendo en cuenta la priorización se puede observar en la siguiente figura.

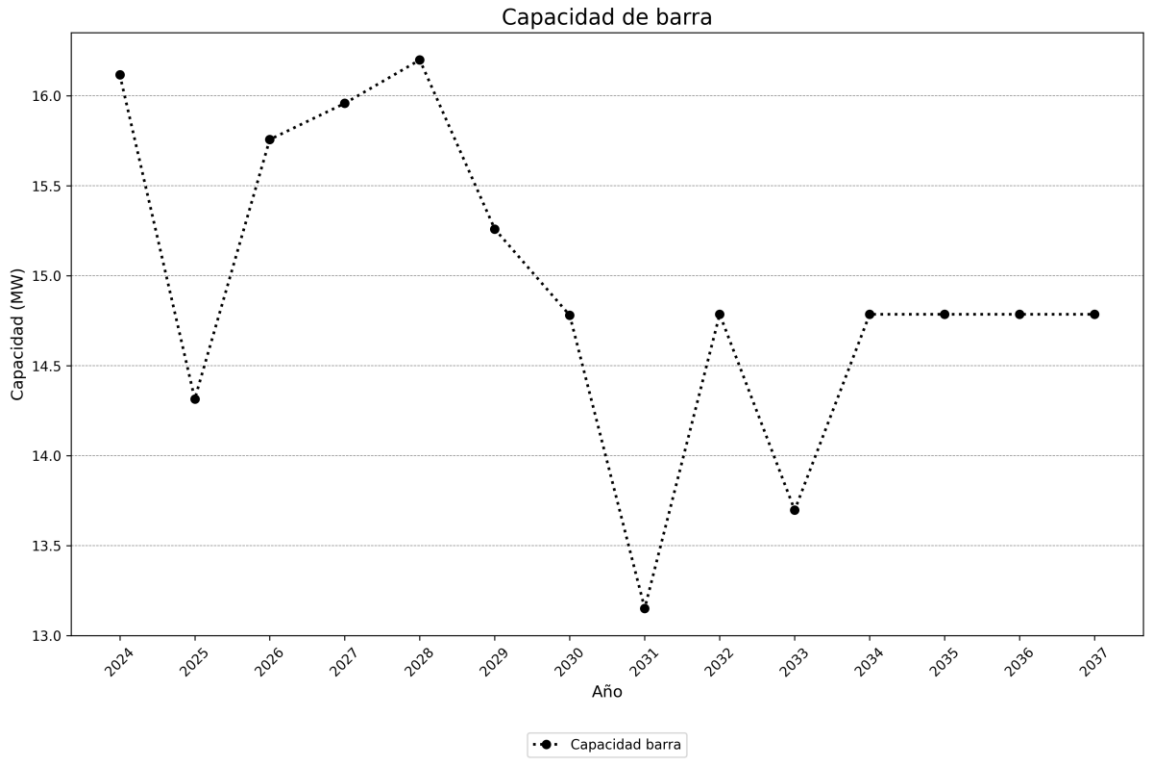


Figura 2-81. Balance de capacidad por barra después de la priorización para la subestación Bello 110

Capacidad excedente de interrupción de corriente de cortocircuito:

Para la subestación Bello 110 se presentaron 1 alternativas de conexión las cuales tienen aportes de corriente de cortocircuito. Estas alternativas se muestran en la siguiente tabla:

Tabla 2-84. Alternativas de conexión que aportan corriente de cortocircuito en la subestación Bello 110

Solicitud	tipo	FPO	Barra a la que aporta CC	Aporte de cortocircuito (kA)	Restricción
SC_3331_A1	Solar FV	2026	Bello 110	0.126	SATISFACE

No se priorizó ninguna de las alternativas de conexión que tengan aportes de corriente de cortocircuito en la subestación Bello 110

El estado de la capacidad de cortocircuito en la subestación Bello 110, teniendo en cuenta la priorización se puede observar en la siguiente figura.

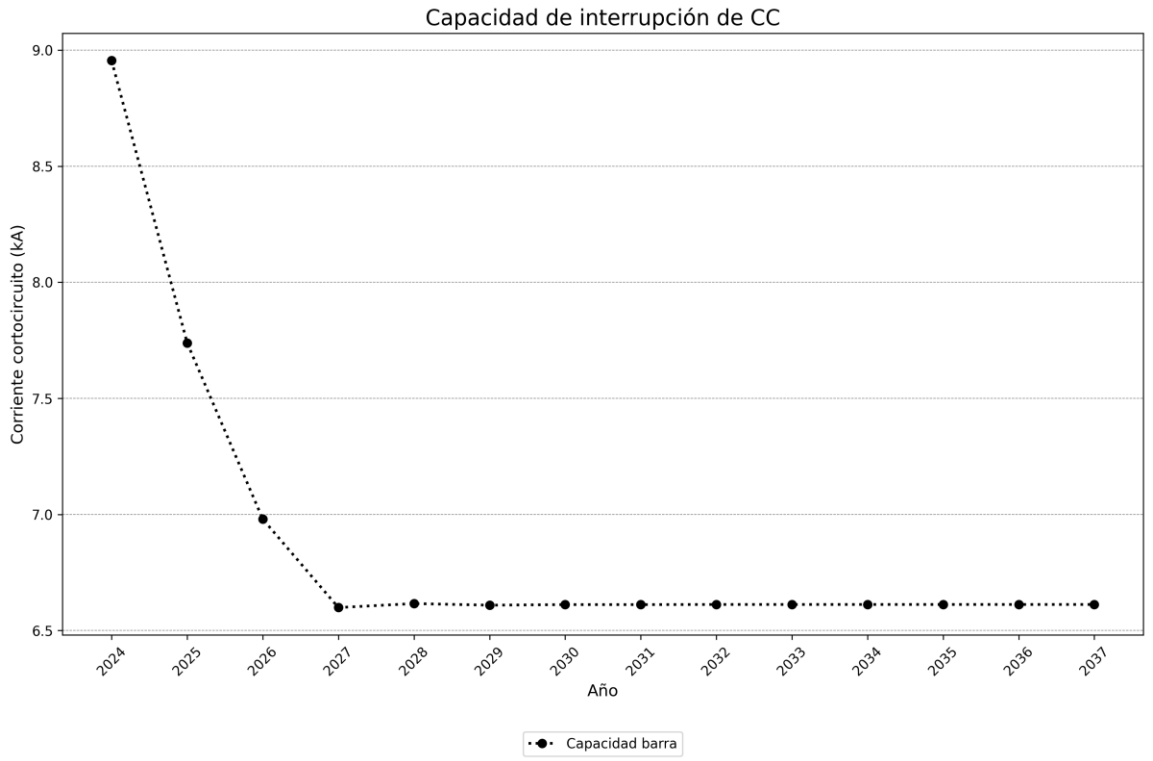


Figura 2-82. Balance de capacidad de cortocircuito después de la priorización para la subestación Bello 110

Subestación Bello 220:

Capacidad por barra:

Para la subestación Bello 220 se presentaron 0 alternativas de conexión las cuales se muestran en la siguiente tabla:

Tabla 2-85. Alternativas de conexión presentadas a la subestación Bello 220

Solicitud	Capacidad	Tipo	Barra	FPO solicitada	Restricción

No se priorizó ninguna de las alternativas de conexión presentadas en la subestación Bello 220

El estado de la capacidad por barra en la subestación Bello 220, teniendo en cuenta la priorización se puede observar en la siguiente figura.

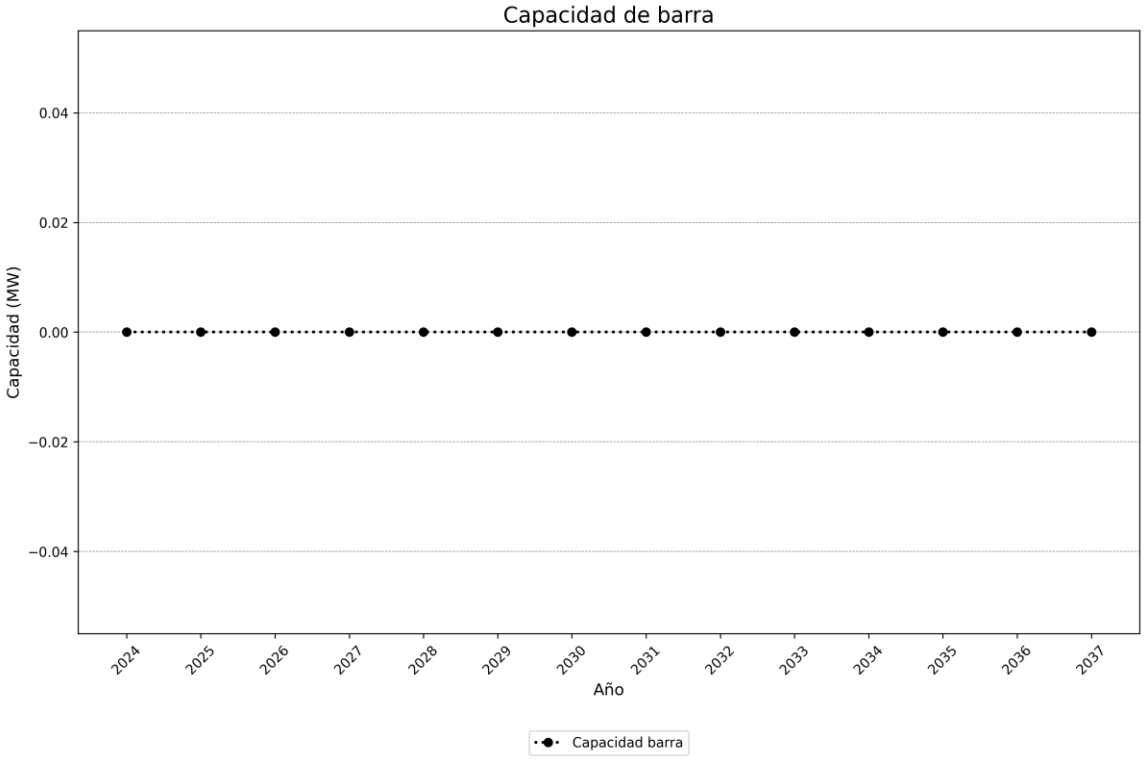


Figura 2-83. Balance de capacidad por barra después de la priorización para la subestación Bello 220

En el caso anterior se observa que la capacidad por barra es igual a 0 dado que, desde los comentarios presentados por transportador, se identificó que la subestación Bello 220 no cuenta con disponibilidad de espacio físico para la conexión de nuevos proyectos.

Capacidad excedente de interrupción de corriente de cortocircuito:

Para la subestación Bello 220 se presentaron 1 alternativas de conexión las cuales tienen aportes de corriente de cortocircuito. Estas alternativas se muestran en la siguiente tabla:

Tabla 2-86. Alternativas de conexión que aportan corriente de cortocircuito en la subestación Bello 220

Solicitud	tipo	FPO	Barra a la que aporta CC	Aporte de cortocircuito (kA)	Restricción
SC_3331_A1	Solar FV	2026	Bello 220	0.077	SATISFACE

No se priorizó ninguna de las alternativas de conexión que tengan aportes de corriente de cortocircuito en la subestación Bello 220

El estado de la capacidad de cortocircuito en la subestación Bello 220, teniendo en cuenta la priorización se puede observar en la siguiente figura.

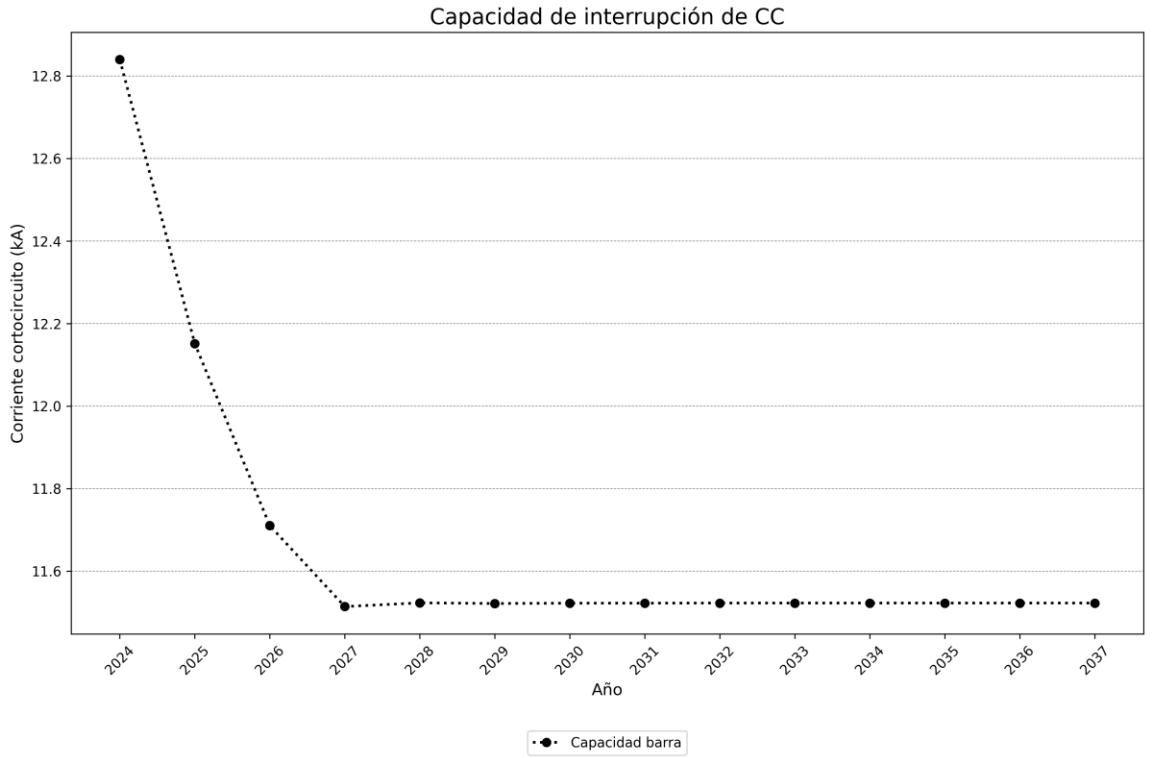


Figura 2-84. Balance de capacidad de cortocircuito después de la priorización para la subestación Bello 220

Subestación Bello Horizonte 33:

Capacidad por barra:

Para la subestación Bello Horizonte 33 se presentaron 1 alternativas de conexión las cuales se muestran en la siguiente tabla:

Tabla 2-87. Alternativas de conexión presentadas a la subestación Bello Horizonte 33

Solicitud	Capacidad	Tipo	Barra	FPO solicitada	Restricción
SC_3514_A2	9.9	Solar FV	Bello Horizonte 33	2027	NO SATISFACE

No se priorizó ninguna de las alternativas de conexión presentadas en la subestación Bello Horizonte 33

El estado de la capacidad por barra en la subestación Bello Horizonte 33, teniendo en cuenta la priorización se puede observar en la siguiente figura.

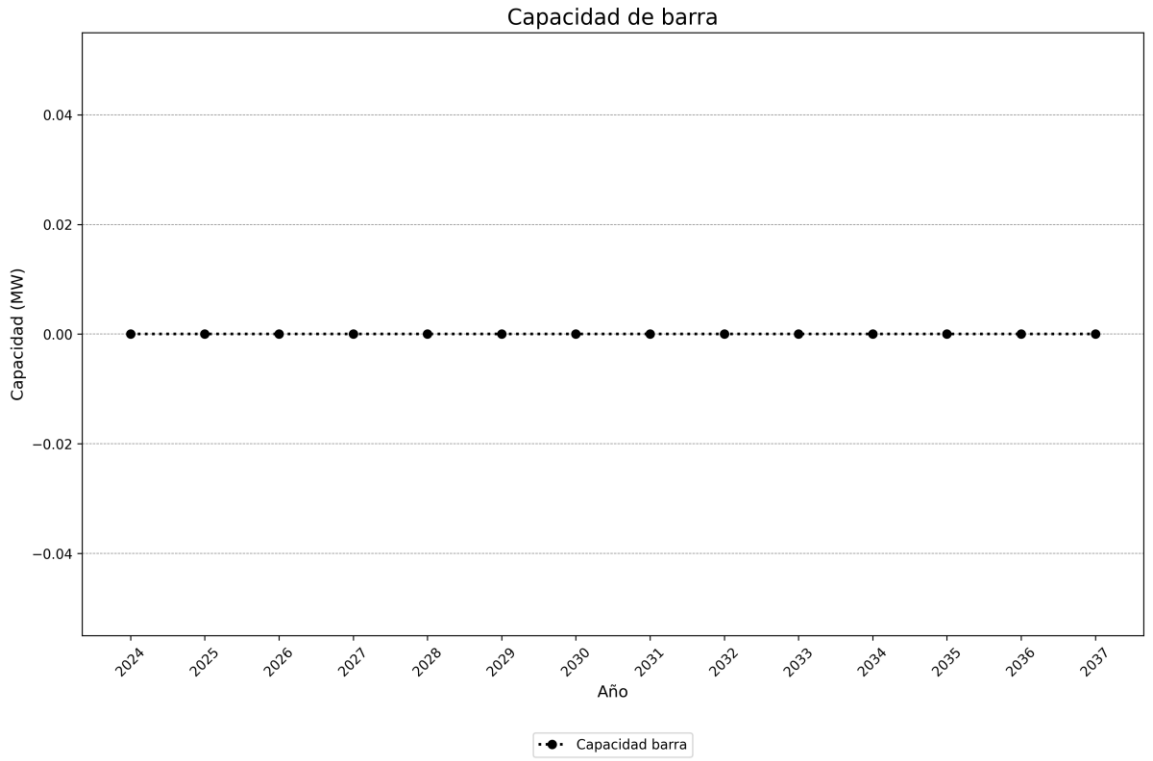


Figura 2-85. Balance de capacidad por barra después de la priorización para la subestación Bello Horizonte 33

En el caso anterior se observa que la capacidad por barra es igual a 0 dado que, desde los comentarios presentados por transportador, se identificó que la subestación Bello Horizonte 33 no cuenta con disponibilidad de espacio físico para la conexión de nuevos proyectos.

Subestación Betania 115:

Capacidad por barra:

Para la subestación Betania 115 se presentaron 0 alternativas de conexión las cuales se muestran en la siguiente tabla:

Tabla 2-88. Alternativas de conexión presentadas a la subestación Betania 115

Solicitud	Capacidad	Tipo	Barra	FPO solicitada	Restricción

No se priorizó ninguna de las alternativas de conexión presentadas en la subestación Betania 115

El estado de la capacidad por barra en la subestación Betania 115, teniendo en cuenta la priorización se puede observar en la siguiente figura.

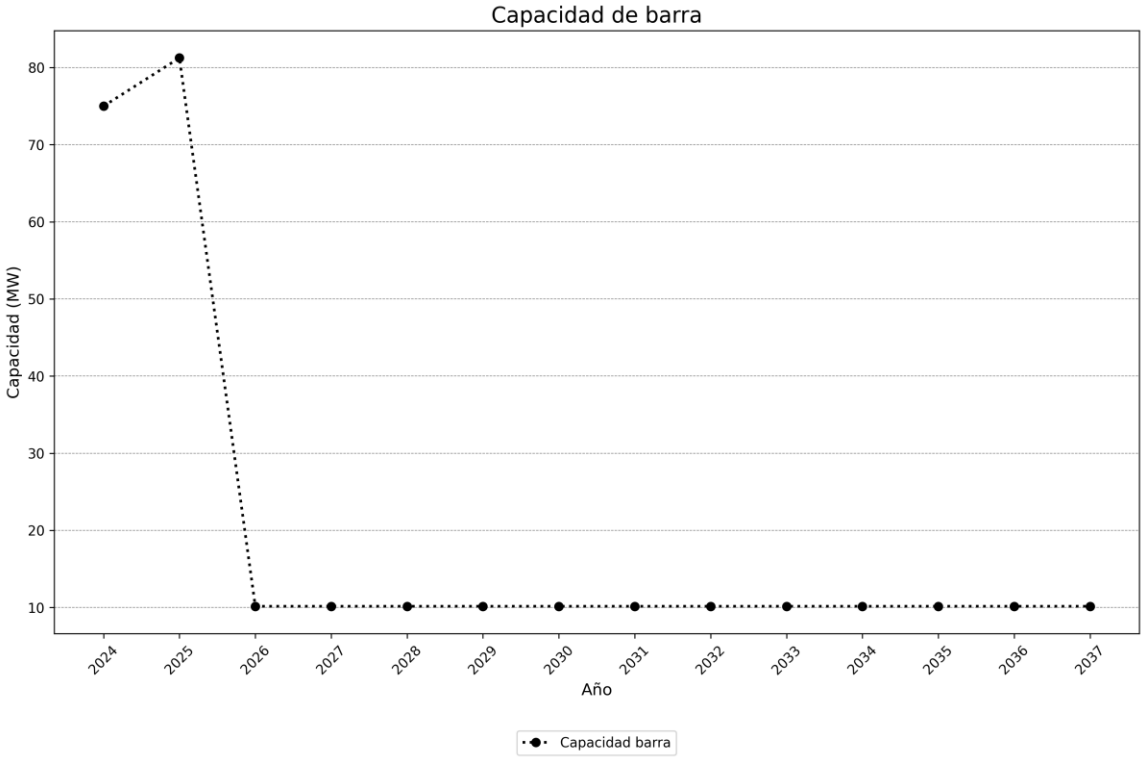


Figura 2-86. Balance de capacidad por barra después de la priorización para la subestación Betania 115

Capacidad excedente de interrupción de corriente de cortocircuito:

Para la subestación Betania 115 se presentaron 29 alternativas de conexión las cuales tienen aportes de corriente de cortocircuito. Estas alternativas se muestran en la siguiente tabla:

Tabla 2-89. Alternativas de conexión que aportan corriente de cortocircuito en la subestación Betania 115

Solicitud	tipo	FPO	Barra a la que aporta CC	Aporte de cortocircuito (kA)	Restricción
SC_2023_5280_A1	Solar FV	2028	Betania 115	0.023	SATISFACE
SC_2023_5280_A2	Solar FV	2028	Betania 115	0.021	SATISFACE
SC_2023_5287_A1	Solar FV	2026	Betania 115	0.011	SATISFACE

SC_2023_5287_A2	Solar FV	2026	Betania 115	0.011	SATISFACE
SC_2023_5288_A1	Solar FV	2026	Betania 115	0.007	SATISFACE
SC_2023_5288_A2	Solar FV	2026	Betania 115	0.017	SATISFACE
SC_2023_5375_A1	Solar FV	2026	Betania 115	0.011	SATISFACE
SC_2023_5399_A1	Solar FV	2026	Betania 115	0.007	SATISFACE
SC_2023_5399_A2	Solar FV	2026	Betania 115	0.017	SATISFACE
SC_2023_5480_A1	Solar FV	2026	Betania 115	0.011	SATISFACE
SC_2023_5480_A2	Solar FV	2026	Betania 115	0.011	SATISFACE
SC_2023_5557_A1	Solar FV	2028	Betania 115	0.042	SATISFACE
SC_2936_A1	Solar FV	2026	Betania 115	0.000	SATISFACE
SC_2936_A2	Solar FV	2026	Betania 115	0.000	SATISFACE
SC_3121_A1	Solar FV	2026	Betania 115	0.001	SATISFACE
SC_3121_A2	Solar FV	2026	Betania 115	0.001	SATISFACE
SC_3132_A1	Solar FV	2026	Betania 115	0.026	SATISFACE
SC_3132_A2	Solar FV	2026	Betania 115	0.022	SATISFACE
SC_3882_A1	Solar FV	2026	Betania 115	0.040	SATISFACE
SC_4083_A1	Solar FV	2027	Betania 115	0.000	SATISFACE
SC_4083_A2	Solar FV	2027	Betania 115	0.000	SATISFACE
SC_4765_A1	Solar FV	2029	Betania 115	0.000	SATISFACE
SC_4765_A2	Solar FV	2029	Betania 115	0.000	SATISFACE
SC_4819_A1	Solar FV	2029	Betania 115	0.046	SATISFACE
SC_4819_A2	Solar FV	2029	Betania 115	0.041	SATISFACE
SC_4974_A1	Solar FV	2026	Betania 115	0.026	SATISFACE
SC_4974_A2	Solar FV	2026	Betania 115	0.026	SATISFACE
SC_4978_A1	Solar FV	2026	Betania 115	0.000	SATISFACE
SC_4978_A2	Solar FV	2026	Betania 115	0.002	SATISFACE

No se priorizó ninguna de las alternativas de conexión que tengan aportes de corriente de cortocircuito en la subestación Betania 115

El estado de la capacidad de cortocircuito en la subestación Betania 115, teniendo en cuenta la priorización se puede observar en la siguiente figura.

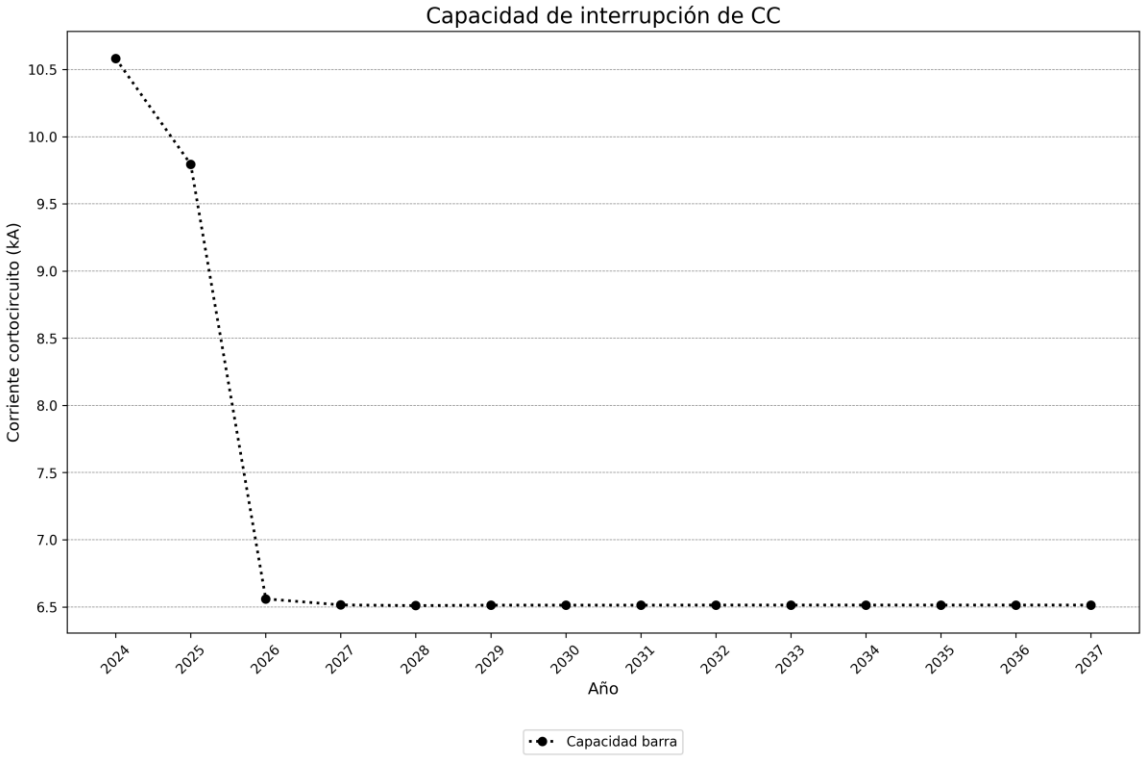


Figura 2-87. Balance de capacidad de cortocircuito después de la priorización para la subestación Betania 115

Subestación Betania 220:

Capacidad por barra:

Para la subestación Betania 220 se presentaron 0 alternativas de conexión las cuales se muestran en la siguiente tabla:

Tabla 2-90. Alternativas de conexión presentadas a la subestación Betania 220

Solicitud	Capacidad	Tipo	Barra	FPO solicitada	Restricción

No se priorizó ninguna de las alternativas de conexión presentadas en la subestación Betania 220

El estado de la capacidad por barra en la subestación Betania 220, teniendo en cuenta la priorización se puede observar en la siguiente figura.

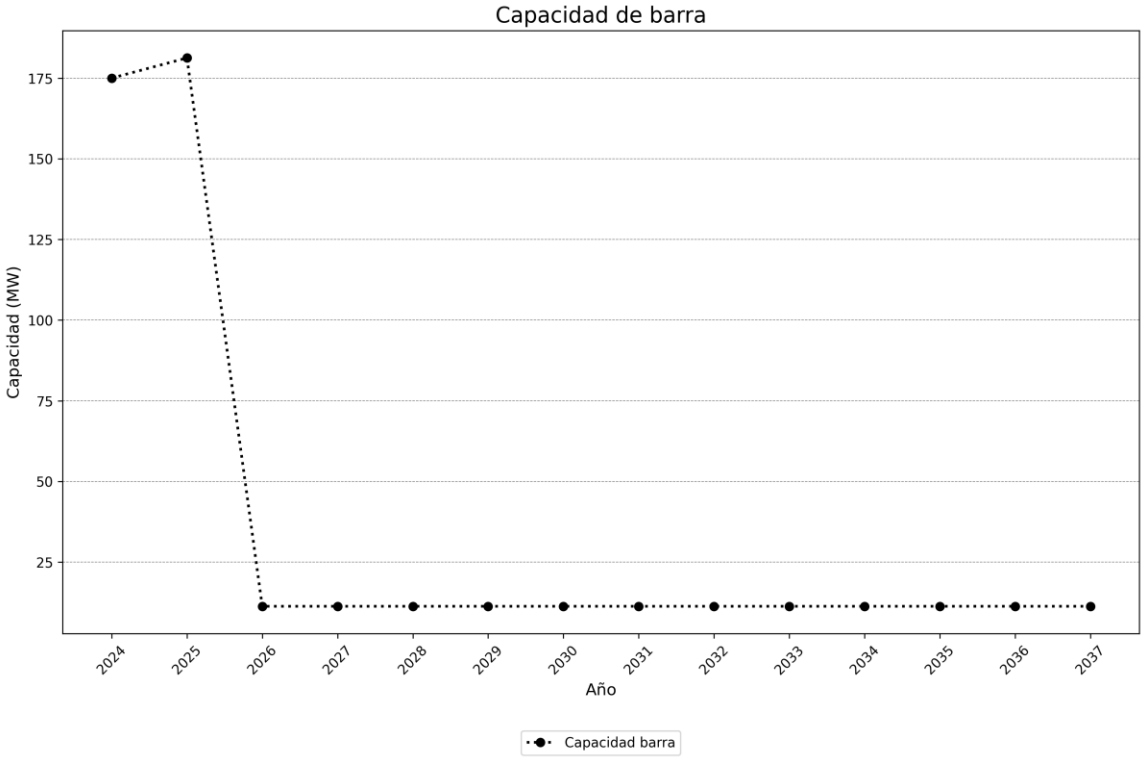


Figura 2-88. Balance de capacidad por barra después de la priorización para la subestación Betania 220

Capacidad excedente de interrupción de corriente de cortocircuito:

Para la subestación Betania 220 se presentaron 29 alternativas de conexión las cuales tienen aportes de corriente de cortocircuito. Estas alternativas se muestran en la siguiente tabla:

Tabla 2-91. Alternativas de conexión que aportan corriente de cortocircuito en la subestación Betania 220

Solicitud	tipo	FPO	Barra a la que aporta CC	Aporte de cortocircuito (kA)	Restricción
SC_2023_5280_A1	Solar FV	2028	Betania 220	0.023	SATISFACE
SC_2023_5280_A2	Solar FV	2028	Betania 220	0.021	SATISFACE
SC_2023_5287_A1	Solar FV	2026	Betania 220	0.012	SATISFACE
SC_2023_5287_A2	Solar FV	2026	Betania 220	0.012	SATISFACE
SC_2023_5288_A1	Solar FV	2026	Betania 220	0.007	SATISFACE
SC_2023_5288_A2	Solar FV	2026	Betania 220	0.018	SATISFACE
SC_2023_5375_A1	Solar FV	2026	Betania 220	0.011	SATISFACE
SC_2023_5399_A1	Solar FV	2026	Betania 220	0.007	SATISFACE
SC_2023_5399_A2	Solar FV	2026	Betania 220	0.018	SATISFACE
SC_2023_5480_A1	Solar FV	2026	Betania 220	0.012	SATISFACE
SC_2023_5480_A2	Solar FV	2026	Betania 220	0.012	SATISFACE
SC_2023_5557_A1	Solar FV	2028	Betania 220	0.041	SATISFACE
SC_2936_A1	Solar FV	2026	Betania 220	0.000	SATISFACE
SC_2936_A2	Solar FV	2026	Betania 220	0.000	SATISFACE
SC_3121_A1	Solar FV	2026	Betania 220	0.001	SATISFACE
SC_3121_A2	Solar FV	2026	Betania 220	0.001	SATISFACE
SC_3132_A1	Solar FV	2026	Betania 220	0.026	SATISFACE
SC_3132_A2	Solar FV	2026	Betania 220	0.023	SATISFACE
SC_3882_A1	Solar FV	2026	Betania 220	0.040	SATISFACE
SC_4083_A1	Solar FV	2027	Betania 220	0.000	SATISFACE
SC_4083_A2	Solar FV	2027	Betania 220	0.000	SATISFACE
SC_4765_A1	Solar FV	2029	Betania 220	0.001	SATISFACE
SC_4765_A2	Solar FV	2029	Betania 220	0.000	SATISFACE
SC_4819_A1	Solar FV	2029	Betania 220	0.045	SATISFACE
SC_4819_A2	Solar FV	2029	Betania 220	0.040	SATISFACE
SC_4974_A1	Solar FV	2026	Betania 220	0.009	SATISFACE
SC_4974_A2	Solar FV	2026	Betania 220	0.009	SATISFACE
SC_4978_A1	Solar FV	2026	Betania 220	0.000	SATISFACE
SC_4978_A2	Solar FV	2026	Betania 220	0.002	SATISFACE

No se priorizó ninguna de las alternativas de conexión que tengan aportes de corriente de cortocircuito en la subestación Betania 220

El estado de la capacidad de cortocircuito en la subestación Betania 220, teniendo en cuenta la priorización se puede observar en la siguiente figura.

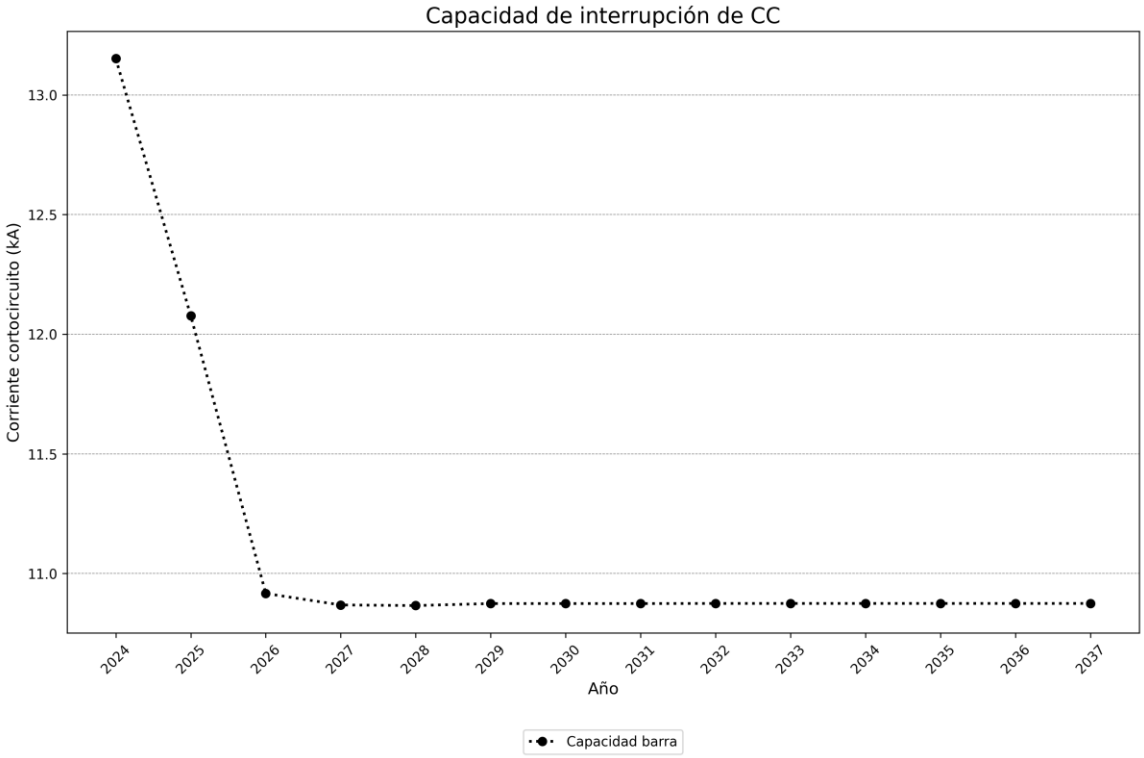


Figura 2-89. Balance de capacidad de cortocircuito después de la priorización para la subestación Betania 220

Subestación Bochica (Aurora) 115:

Capacidad por barra:

Para la subestación Bochica (Aurora) 115 se presentaron 0 alternativas de conexión las cuales se muestran en la siguiente tabla:

Tabla 2-92. Alternativas de conexión presentadas a la subestación Bochica (Aurora) 115

Solicitud	Capacidad	Tipo	Barra	FPO solicitada	Restricción

No se priorizó ninguna de las alternativas de conexión presentadas en la subestación Bochica (Aurora) 115

El estado de la capacidad por barra en la subestación Bochica (Aurora) 115, teniendo en cuenta la priorización se puede observar en la siguiente figura.

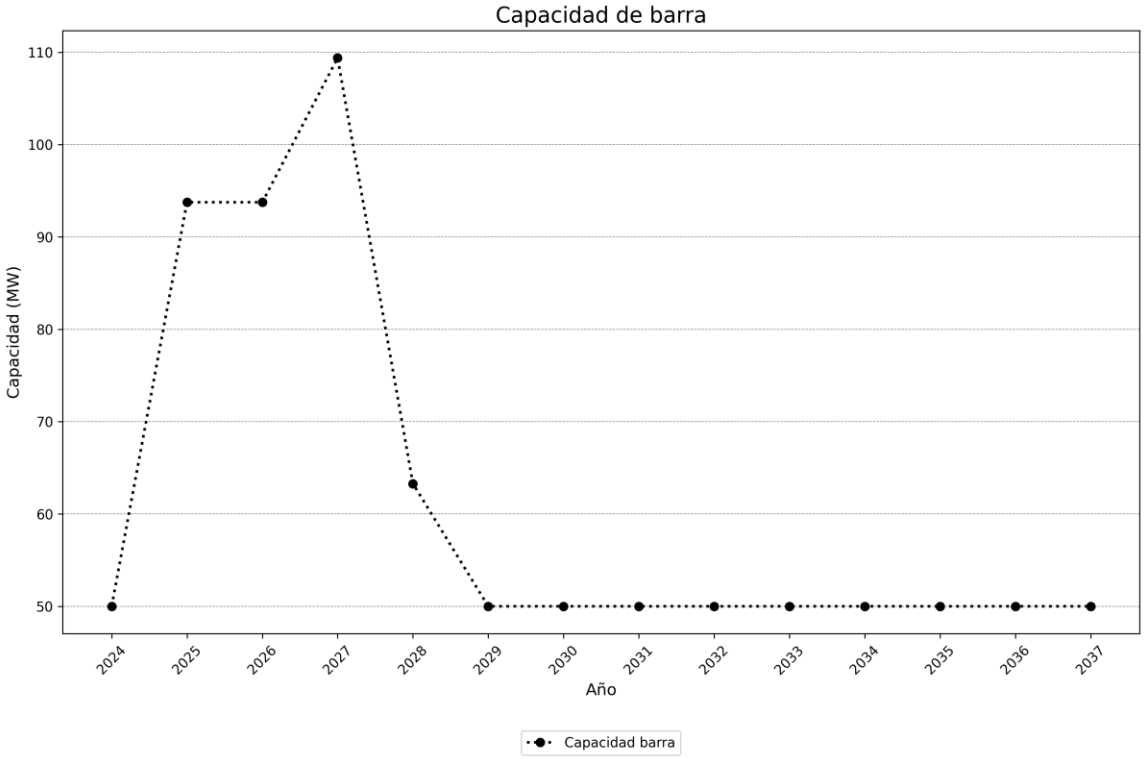


Figura 2-90. Balance de capacidad por barra después de la priorización para la subestación Bochica (Aurora) 115

Capacidad excedente de interrupción de corriente de cortocircuito:

Para la subestación Bochica (Aurora) 115 se presentaron 2 alternativas de conexión las cuales tienen aportes de corriente de cortocircuito. Estas alternativas se muestran en la siguiente tabla:

Tabla 2-93. Alternativas de conexión que aportan corriente de cortocircuito en la subestación Bochica (Aurora) 115

Solicitud	tipo	FPO	Barra a la que aporta CC	Aporte de cortocircuito (kA)	Restricción
SC_2024_5939_A1	Solar FV	2028	Bochica (Aurora) 115	0.000	SATISFACE
SC_2024_5939_A2	Solar FV	2028	Bochica (Aurora) 115	0.000	SATISFACE

No se priorizó ninguna de las alternativas de conexión que tengan aportes de corriente de cortocircuito en la subestación Bochica (Aurora) 115

El estado de la capacidad de cortocircuito en la subestación Bochica (Aurora) 115, teniendo en cuenta la priorización se puede observar en la siguiente figura.

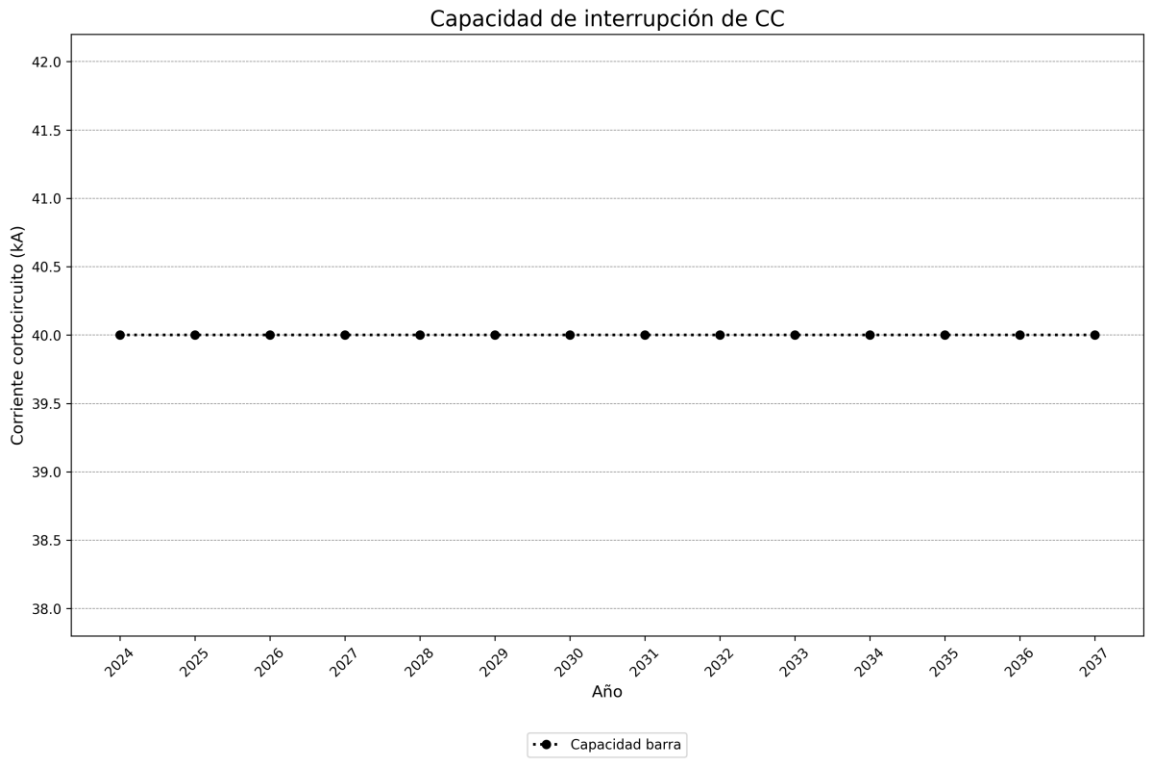


Figura 2-91. Balance de capacidad de cortocircuito después de la priorización para la subestación Bochica (Aurora) 115

Subestación Bolivia 115:

Capacidad por barra:

Para la subestación Bolivia 115 se presentaron 0 alternativas de conexión las cuales se muestran en la siguiente tabla:

Tabla 2-94. Alternativas de conexión presentadas a la subestación Bolivia 115

Solicitud	Capacidad	Tipo	Barra	FPO solicitada	Restricción

No se priorizó ninguna de las alternativas de conexión presentadas en la subestación Bolivia 115

El estado de la capacidad por barra en la subestación Bolivia 115, teniendo en cuenta la priorización se puede observar en la siguiente figura.

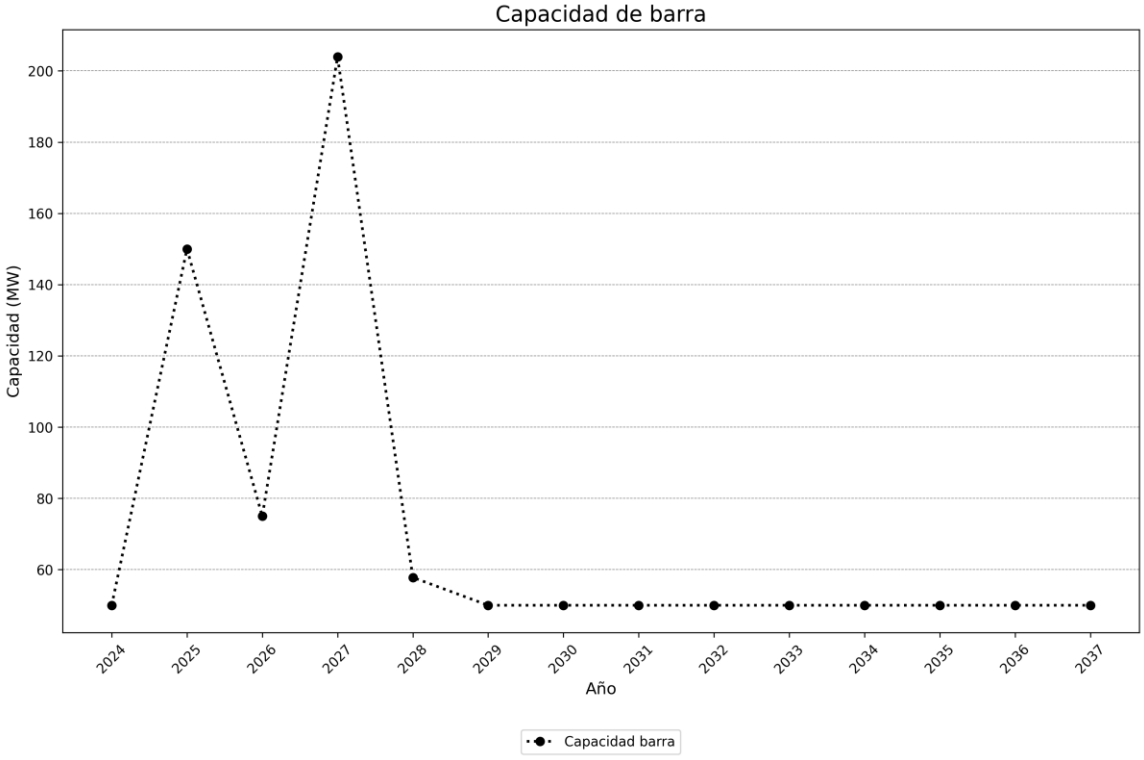


Figura 2-92. Balance de capacidad por barra después de la priorización para la subestación Bolivia 115

Capacidad excedente de interrupción de corriente de cortocircuito:

Para la subestación Bolivia 115 se presentaron 29 alternativas de conexión las cuales tienen aportes de corriente de cortocircuito. Estas alternativas se muestran en la siguiente tabla:

Tabla 2-95. Alternativas de conexión que aportan corriente de cortocircuito en la subestación Bolivia 115

Solicitud	tipo	FPO	Barra a la que aporta CC	Aporte de cortocircuito (kA)	Restricción
SC_2023_5280_A1	Solar FV	2028	Bolivia 115	0.046	SATISFACE
SC_2023_5280_A2	Solar FV	2028	Bolivia 115	0.042	SATISFACE
SC_2023_5287_A1	Solar FV	2026	Bolivia 115	0.024	SATISFACE
SC_2023_5287_A2	Solar FV	2026	Bolivia 115	0.024	SATISFACE
SC_2023_5288_A1	Solar FV	2026	Bolivia 115	0.014	SATISFACE
SC_2023_5288_A2	Solar FV	2026	Bolivia 115	0.037	SATISFACE
SC_2023_5375_A1	Solar FV	2026	Bolivia 115	0.024	SATISFACE
SC_2023_5399_A1	Solar FV	2026	Bolivia 115	0.014	SATISFACE
SC_2023_5399_A2	Solar FV	2026	Bolivia 115	0.037	SATISFACE
SC_2023_5480_A1	Solar FV	2026	Bolivia 115	0.024	SATISFACE
SC_2023_5480_A2	Solar FV	2026	Bolivia 115	0.024	SATISFACE
SC_2023_5557_A1	Solar FV	2028	Bolivia 115	0.095	SATISFACE
SC_2936_A1	Solar FV	2026	Bolivia 115	0.000	SATISFACE
SC_2936_A2	Solar FV	2026	Bolivia 115	0.000	SATISFACE
SC_3121_A1	Solar FV	2026	Bolivia 115	0.004	SATISFACE
SC_3121_A2	Solar FV	2026	Bolivia 115	0.004	SATISFACE
SC_3132_A1	Solar FV	2026	Bolivia 115	0.052	SATISFACE
SC_3132_A2	Solar FV	2026	Bolivia 115	0.045	SATISFACE
SC_3882_A1	Solar FV	2026	Bolivia 115	0.091	SATISFACE
SC_4083_A1	Solar FV	2027	Bolivia 115	0.000	SATISFACE
SC_4083_A2	Solar FV	2027	Bolivia 115	0.000	SATISFACE
SC_4765_A1	Solar FV	2029	Bolivia 115	0.002	SATISFACE
SC_4765_A2	Solar FV	2029	Bolivia 115	0.001	SATISFACE
SC_4819_A1	Solar FV	2029	Bolivia 115	0.082	SATISFACE

SC_4819_A2	Solar FV	2029	Bolivia 115	0.075	SATISFACE
SC_4974_A1	Solar FV	2026	Bolivia 115	0.008	SATISFACE
SC_4974_A2	Solar FV	2026	Bolivia 115	0.008	SATISFACE
SC_4978_A1	Solar FV	2026	Bolivia 115	0.000	SATISFACE
SC_4978_A2	Solar FV	2026	Bolivia 115	0.004	SATISFACE

No se priorizó ninguna de las alternativas de conexión que tengan aportes de corriente de cortocircuito en la subestación Bolivia 115

El estado de la capacidad de cortocircuito en la subestación Bolivia 115, teniendo en cuenta la priorización se puede observar en la siguiente figura.

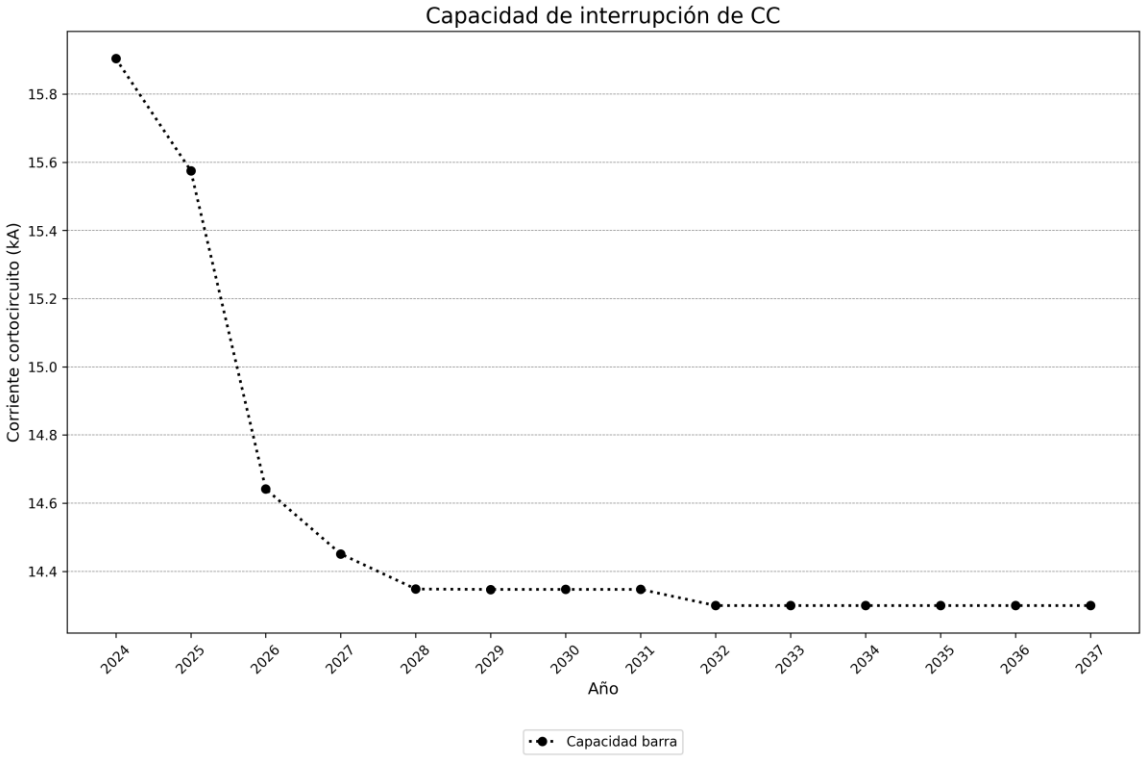


Figura 2-93. Balance de capacidad de cortocircuito después de la priorización para la subestación Bolivia 115

Subestación Bolivia 33:

Capacidad por barra:

Para la subestación Bolivia 33 se presentaron 0 alternativas de conexión las cuales se muestran en la siguiente tabla:

Tabla 2-96. Alternativas de conexión presentadas a la subestación Bolivia 33

Solicitud	Capacidad	Tipo	Barra	FPO solicitada	Restricción

No se priorizó ninguna de las alternativas de conexión presentadas en la subestación Bolivia 33

El estado de la capacidad por barra en la subestación Bolivia 33, teniendo en cuenta la priorización se puede observar en la siguiente figura.

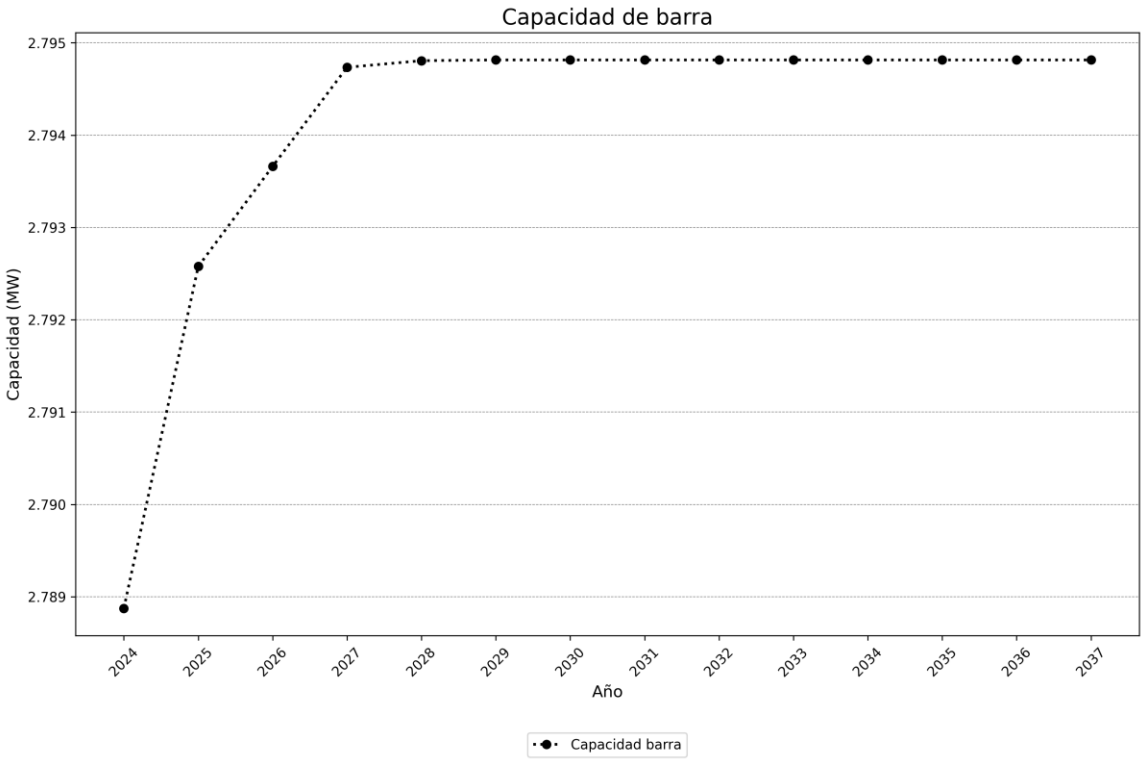


Figura 2-94. Balance de capacidad por barra después de la priorización para la subestación Bolivia 33

Subestación Bolombolo 110:

Capacidad por barra:

Para la subestación Bolombolo 110 se presentaron 0 alternativas de conexión las cuales se muestran en la siguiente tabla:

Tabla 2-97. Alternativas de conexión presentadas a la subestación Bolombolo 110

Solicitud	Capacidad	Tipo	Barra	FPO solicitada	Restricción

No se priorizó ninguna de las alternativas de conexión presentadas en la subestación Bolombolo 110

El estado de la capacidad por barra en la subestación Bolombolo 110, teniendo en cuenta la priorización se puede observar en la siguiente figura.

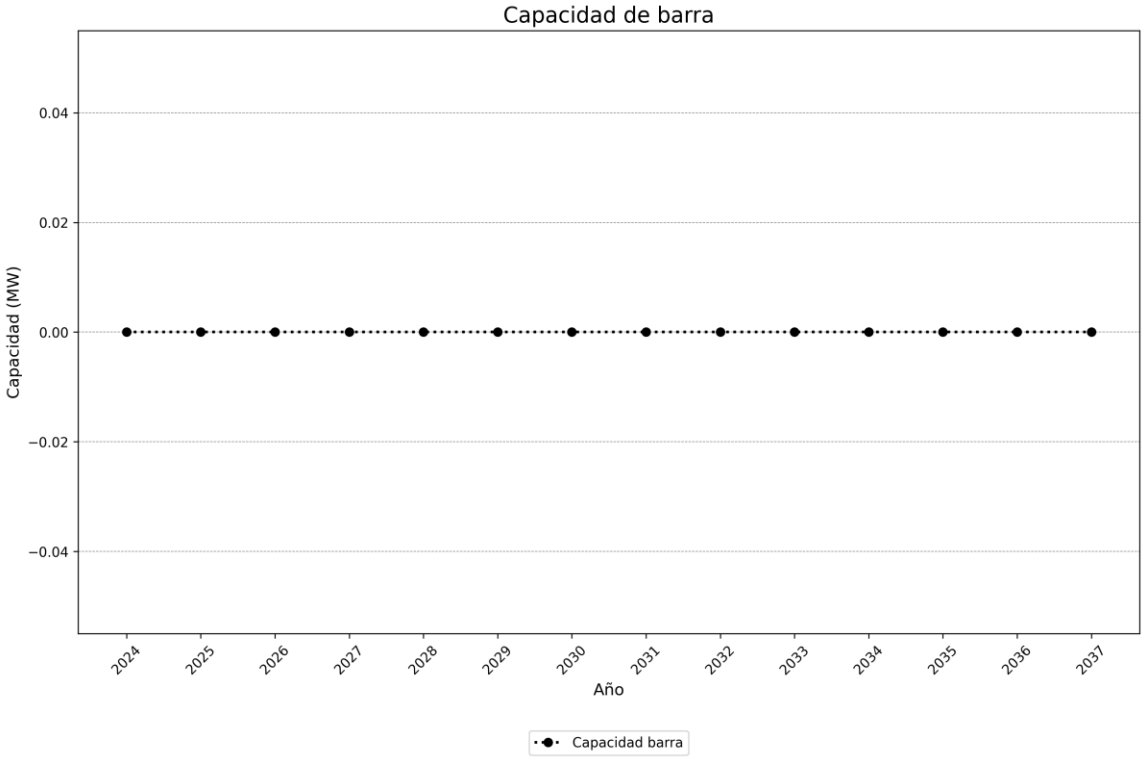


Figura 2-95. Balance de capacidad por barra después de la priorización para la subestación Bolombolo 110

En el caso anterior se observa que la capacidad por barra es igual a 0 dado que, desde los comentarios presentados por transportador, se identificó que la subestación Bolombolo 110 no cuenta con disponibilidad de espacio físico para la conexión de nuevos proyectos.

Capacidad excedente de interrupción de corriente de cortocircuito:

Para la subestación Bolombolo 110 se presentaron 1 alternativas de conexión las cuales tienen aportes de corriente de cortocircuito. Estas alternativas se muestran en la siguiente tabla:

Tabla 2-98. Alternativas de conexión que aportan corriente de cortocircuito en la subestación Bolombolo 110

Solicitud	tipo	FPO	Barra a la que aporta CC	Aporte de cortocircuito (kA)	Restricción
SC_3331_A1	Solar FV	2026	Bolombolo 110	0.043	SATISFACE

No se priorizó ninguna de las alternativas de conexión que tengan aportes de corriente de cortocircuito en la subestación Bolombolo 110

El estado de la capacidad de cortocircuito en la subestación Bolombolo 110, teniendo en cuenta la priorización se puede observar en la siguiente figura.

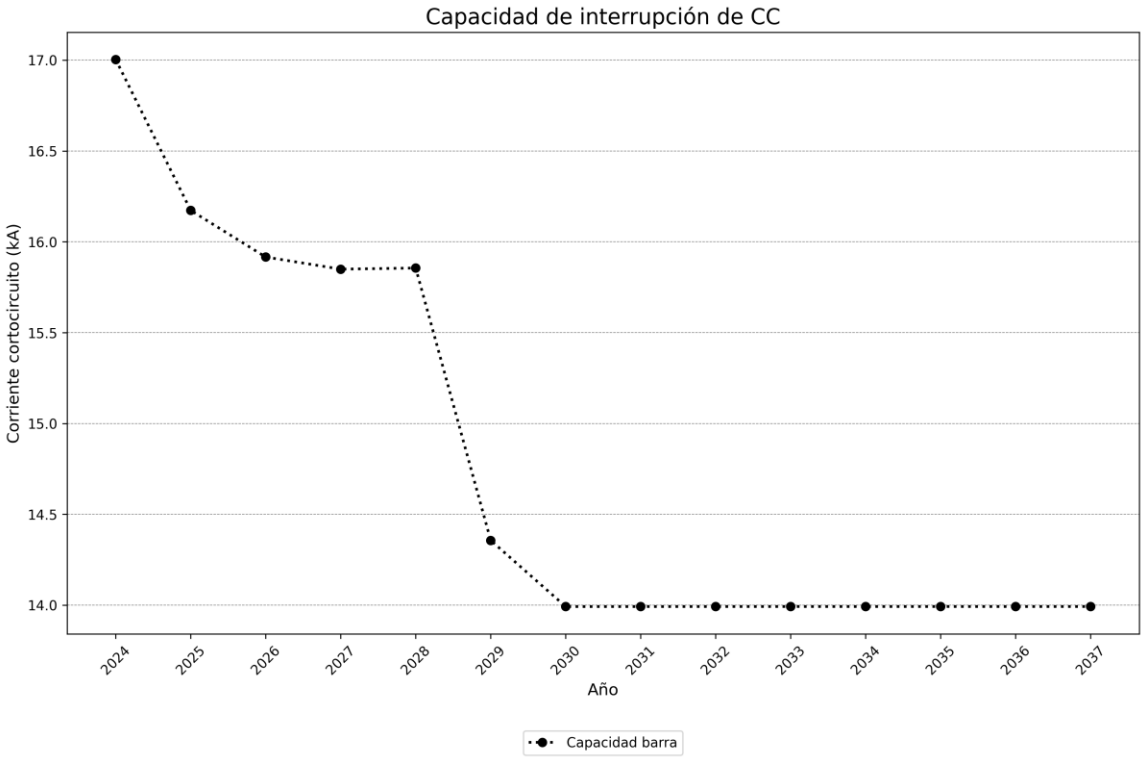


Figura 2-96. Balance de capacidad de cortocircuito después de la priorización para la subestación Bolombolo 110

Subestación Boqueron_34.5:

Capacidad por barra:

Para la subestación Boqueron_34.5 se presentaron 1 alternativas de conexión las cuales se muestran en la siguiente tabla:

Tabla 2-99. Alternativas de conexión presentadas a la subestación Boqueron_34.5

Solicitud	Capacidad	Tipo	Barra	FPO solicitada	Restricción
SC_4826_A2	9.9	Solar FV	Boqueron_34.5	2027	NO SATISFACE

No se priorizó ninguna de las alternativas de conexión presentadas en la subestación Boqueron_34.5

El estado de la capacidad por barra en la subestación Boqueron_34.5, teniendo en cuenta la priorización se puede observar en la siguiente figura.

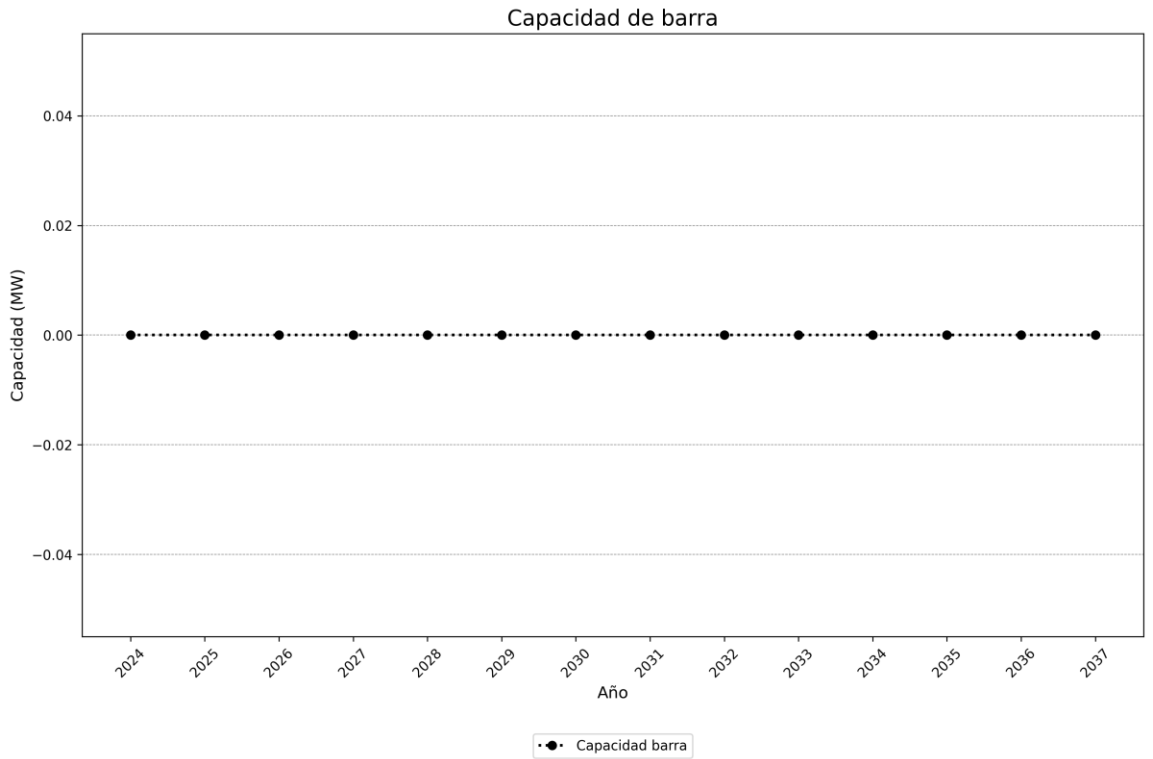


Figura 2-97. Balance de capacidad por barra después de la priorización para la subestación Boqueron_34.5

En el caso anterior se observa que la capacidad por barra es igual a 0 dado que, desde los comentarios presentados por transportador, se identificó que la subestación Boqueron_34.5 no cuenta con disponibilidad de espacio físico para la conexión de nuevos proyectos.

Subestación Bosa 115:

Capacidad por barra:

Para la subestación Bosa 115 se presentaron 0 alternativas de conexión las cuales se muestran en la siguiente tabla:

Tabla 2-100. Alternativas de conexión presentadas a la subestación Bosa 115

Solicitud	Capacidad	Tipo	Barra	FPO solicitada	Restricción

No se priorizó ninguna de las alternativas de conexión presentadas en la subestación Bosa 115

El estado de la capacidad por barra en la subestación Bosa 115, teniendo en cuenta la priorización se puede observar en la siguiente figura.

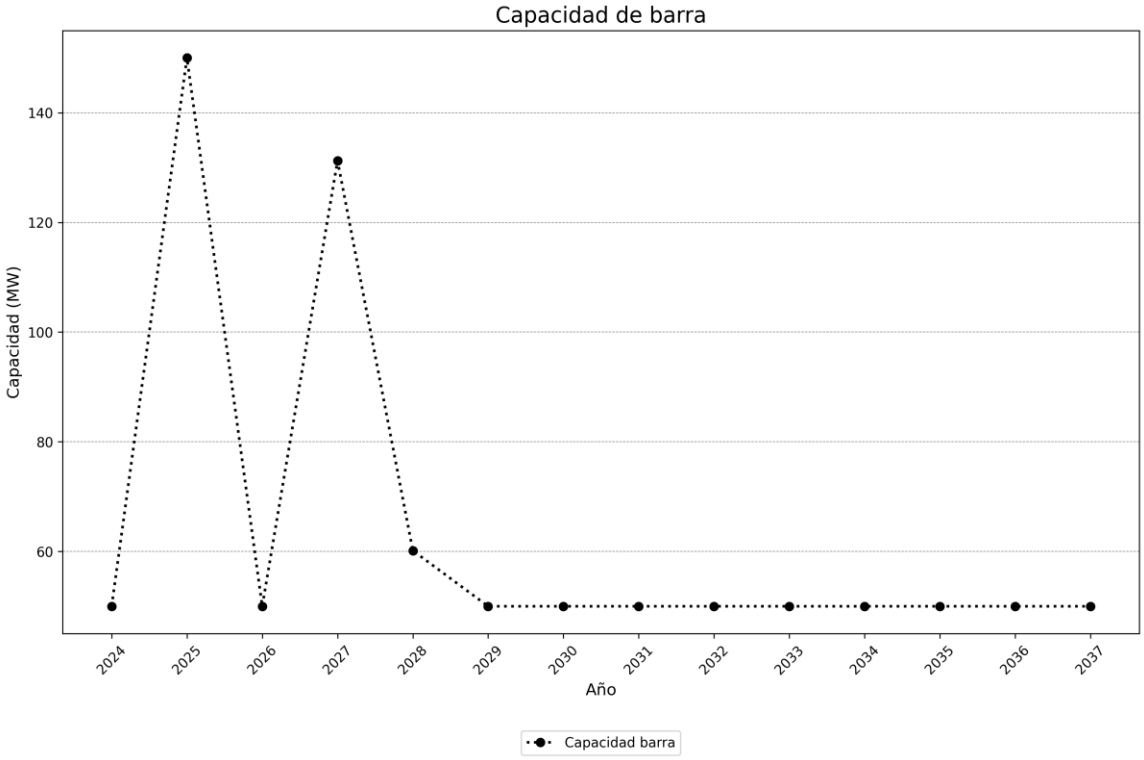


Figura 2-98. Balance de capacidad por barra después de la priorización para la subestación Bosa 115

Capacidad excedente de interrupción de corriente de cortocircuito:

Para la subestación Bosa 115 se presentaron 29 alternativas de conexión las cuales tienen aportes de corriente de cortocircuito. Estas alternativas se muestran en la siguiente tabla:

Tabla 2-101. Alternativas de conexión que aportan corriente de cortocircuito en la subestación Bosa 115

Solicitud	tipo	FPO	Barra a la que aporta CC	Aporte de cortocircuito (kA)	Restricción
SC_2023_5280_A1	Solar FV	2028	Bosa 115	0.061	SATISFACE
SC_2023_5280_A2	Solar FV	2028	Bosa 115	0.056	SATISFACE
SC_2023_5287_A1	Solar FV	2026	Bosa 115	0.032	SATISFACE

SC_2023_5287_A2	Solar FV	2026	Bosa 115	0.033	SATISFACE
SC_2023_5288_A1	Solar FV	2026	Bosa 115	0.019	SATISFACE
SC_2023_5288_A2	Solar FV	2026	Bosa 115	0.049	SATISFACE
SC_2023_5375_A1	Solar FV	2026	Bosa 115	0.032	SATISFACE
SC_2023_5399_A1	Solar FV	2026	Bosa 115	0.019	SATISFACE
SC_2023_5399_A2	Solar FV	2026	Bosa 115	0.049	SATISFACE
SC_2023_5480_A1	Solar FV	2026	Bosa 115	0.032	SATISFACE
SC_2023_5480_A2	Solar FV	2026	Bosa 115	0.033	SATISFACE
SC_2023_5557_A1	Solar FV	2028	Bosa 115	0.130	SATISFACE
SC_2936_A1	Solar FV	2026	Bosa 115	0.000	SATISFACE
SC_2936_A2	Solar FV	2026	Bosa 115	0.000	SATISFACE
SC_3121_A1	Solar FV	2026	Bosa 115	0.004	SATISFACE
SC_3121_A2	Solar FV	2026	Bosa 115	0.004	SATISFACE
SC_3132_A1	Solar FV	2026	Bosa 115	0.070	SATISFACE
SC_3132_A2	Solar FV	2026	Bosa 115	0.060	SATISFACE
SC_3882_A1	Solar FV	2026	Bosa 115	0.123	SATISFACE
SC_4083_A1	Solar FV	2027	Bosa 115	0.000	SATISFACE
SC_4083_A2	Solar FV	2027	Bosa 115	0.000	SATISFACE
SC_4765_A1	Solar FV	2029	Bosa 115	0.004	SATISFACE
SC_4765_A2	Solar FV	2029	Bosa 115	0.002	SATISFACE
SC_4819_A1	Solar FV	2029	Bosa 115	0.113	SATISFACE
SC_4819_A2	Solar FV	2029	Bosa 115	0.101	SATISFACE
SC_4974_A1	Solar FV	2026	Bosa 115	0.008	SATISFACE
SC_4974_A2	Solar FV	2026	Bosa 115	0.008	SATISFACE
SC_4978_A1	Solar FV	2026	Bosa 115	0.000	SATISFACE
SC_4978_A2	Solar FV	2026	Bosa 115	0.005	SATISFACE

No se priorizó ninguna de las alternativas de conexión que tengan aportes de corriente de cortocircuito en la subestación Bosa 115

El estado de la capacidad de cortocircuito en la subestación Bosa 115, teniendo en cuenta la priorización se puede observar en la siguiente figura.

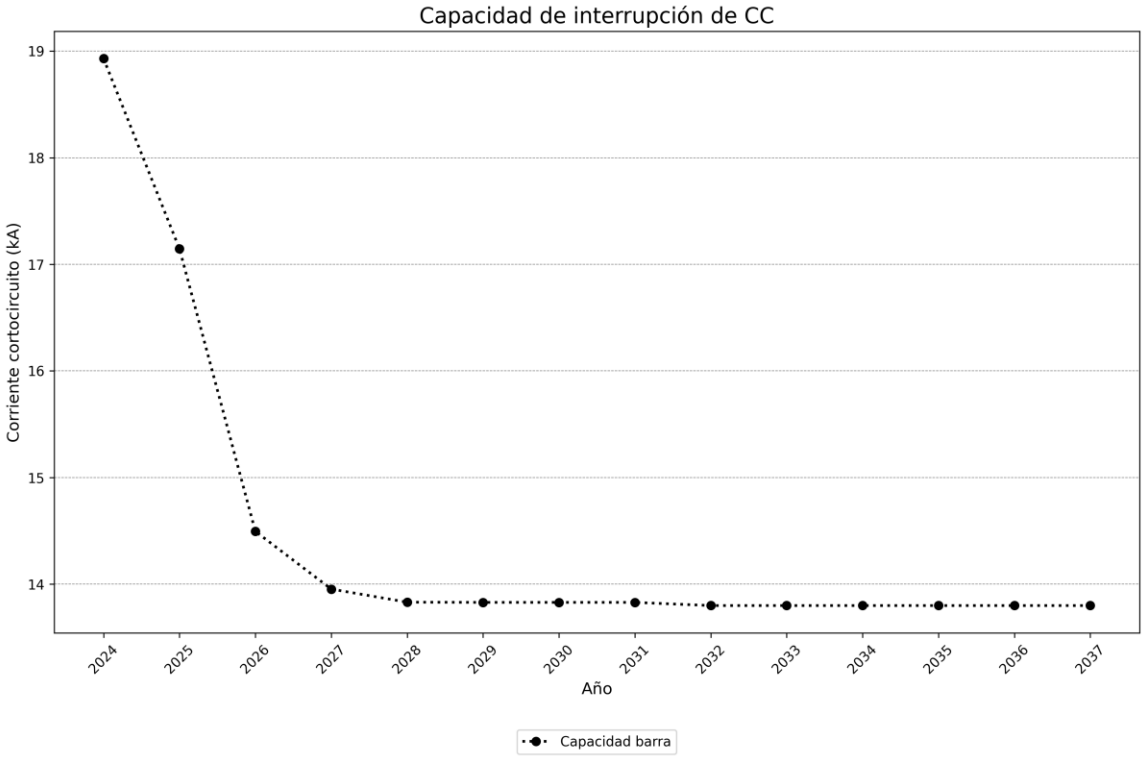


Figura 2-99. Balance de capacidad de cortocircuito después de la priorización para la subestación Bosa 115

Subestación Bosques acuarela 33:

Capacidad por barra:

Para la subestación Bosques acuarela 33 se presentaron 0 alternativas de conexión las cuales se muestran en la siguiente tabla:

Tabla 2-102. Alternativas de conexión presentadas a la subestación Bosques acuarela 33

Solicitud	Capacidad	Tipo	Barra	FPO solicitada	Restricción

No se priorizó ninguna de las alternativas de conexión presentadas en la subestación Bosques acuarela 33

El estado de la capacidad por barra en la subestación Bosques acuarela 33, teniendo en cuenta la priorización se puede observar en la siguiente figura.

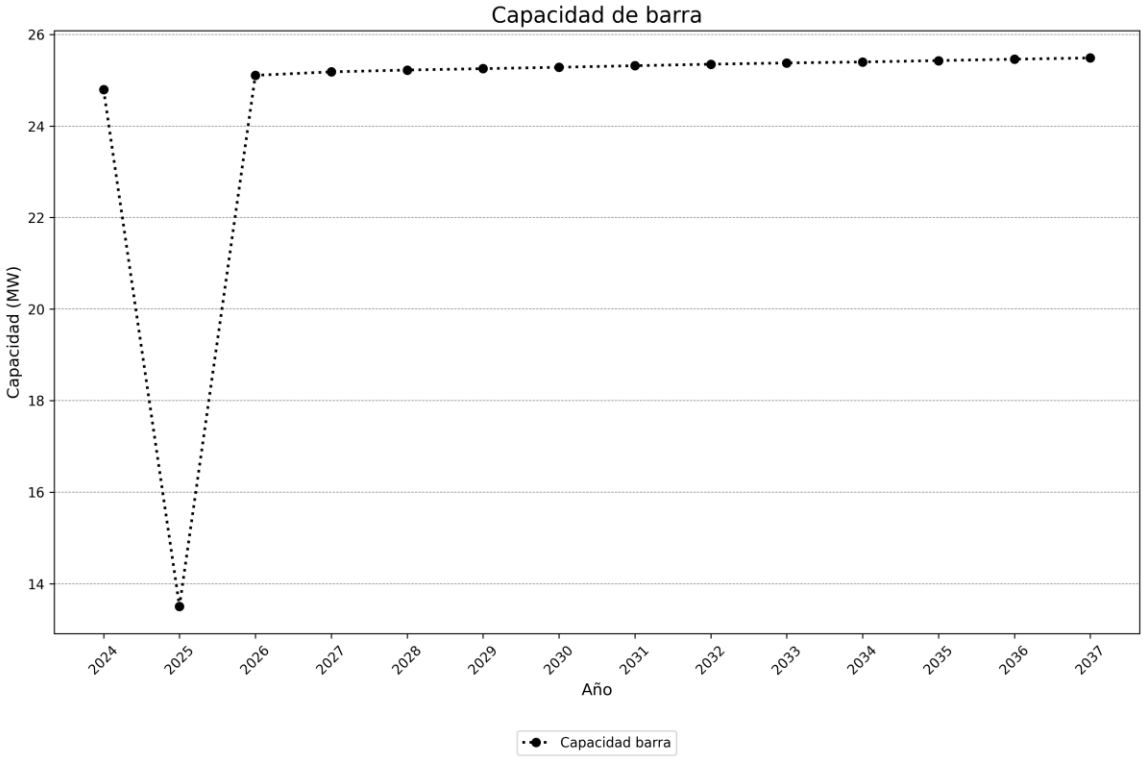


Figura 2-100. Balance de capacidad por barra después de la priorización para la subestación Bosques acuarela 33

Subestación Brisas 115:

Capacidad por barra:

Para la subestación Brisas 115 se presentaron 0 alternativas de conexión las cuales se muestran en la siguiente tabla:

Tabla 2-103. Alternativas de conexión presentadas a la subestación Brisas 115

Solicitud	Capacidad	Tipo	Barra	FPO solicitada	Restricción

No se priorizó ninguna de las alternativas de conexión presentadas en la subestación Brisas 115

El estado de la capacidad por barra en la subestación Brisas 115, teniendo en cuenta la priorización se puede observar en la siguiente figura.

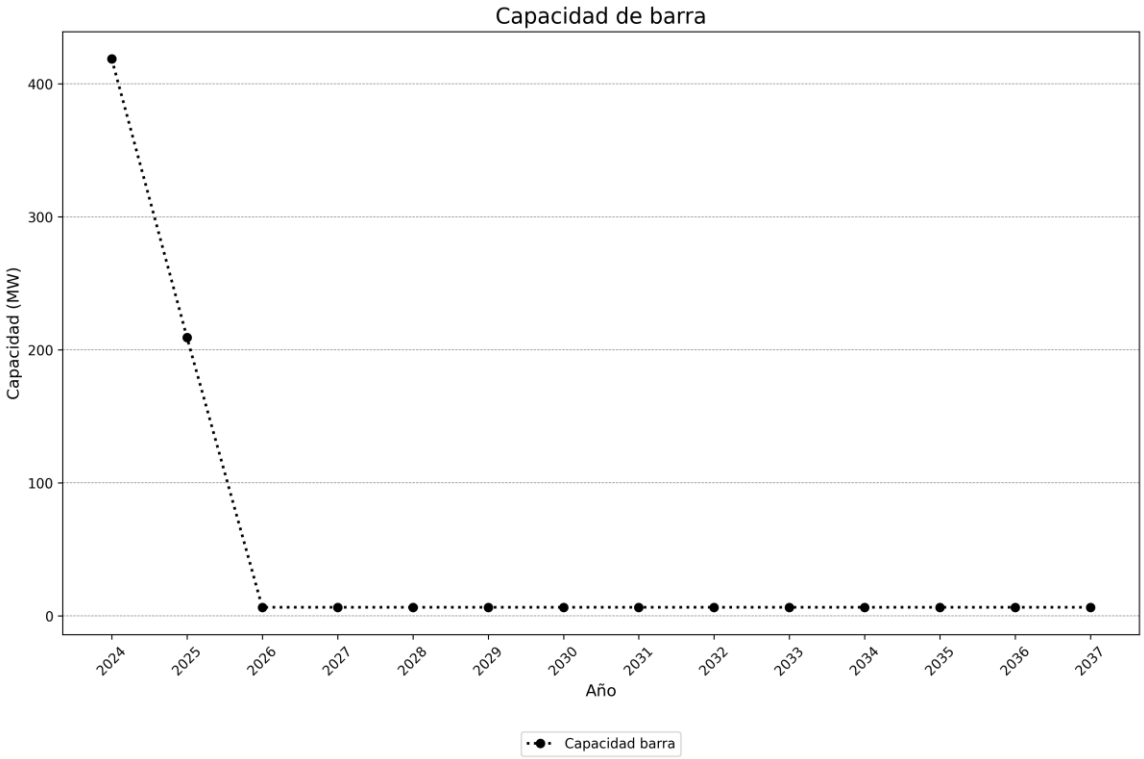


Figura 2-101. Balance de capacidad por barra después de la priorización para la subestación Brisas 115

Capacidad excedente de interrupción de corriente de cortocircuito:

Para la subestación Brisas 115 se presentaron 25 alternativas de conexión las cuales tienen aportes de corriente de cortocircuito. Estas alternativas se muestran en la siguiente tabla:

Tabla 2-104. Alternativas de conexión que aportan corriente de cortocircuito en la subestación Brisas 115

Solicitud	tipo	FPO	Barra a la que aporta CC	Aporte de cortocircuito (kA)	Restricción
SC_2023_5287_A1	Solar FV	2026	Brisas 115	0.019	SATISFACE
SC_2023_5287_A2	Solar FV	2026	Brisas 115	0.019	SATISFACE
SC_2023_5288_A1	Solar FV	2026	Brisas 115	0.011	SATISFACE
SC_2023_5288_A2	Solar FV	2026	Brisas 115	0.029	SATISFACE
SC_2023_5375_A1	Solar FV	2026	Brisas 115	0.018	SATISFACE
SC_2023_5399_A1	Solar FV	2026	Brisas 115	0.011	SATISFACE
SC_2023_5399_A2	Solar FV	2026	Brisas 115	0.029	SATISFACE
SC_2023_5480_A1	Solar FV	2026	Brisas 115	0.019	SATISFACE
SC_2023_5480_A2	Solar FV	2026	Brisas 115	0.019	SATISFACE
SC_2023_5557_A1	Solar FV	2028	Brisas 115	0.078	SATISFACE
SC_2936_A1	Solar FV	2026	Brisas 115	0.000	SATISFACE
SC_2936_A2	Solar FV	2026	Brisas 115	0.000	SATISFACE
SC_3121_A1	Solar FV	2026	Brisas 115	0.003	SATISFACE
SC_3121_A2	Solar FV	2026	Brisas 115	0.003	SATISFACE
SC_3882_A1	Solar FV	2026	Brisas 115	0.075	SATISFACE
SC_4083_A1	Solar FV	2027	Brisas 115	0.000	SATISFACE
SC_4083_A2	Solar FV	2027	Brisas 115	0.000	SATISFACE
SC_4765_A1	Solar FV	2029	Brisas 115	0.001	SATISFACE
SC_4765_A2	Solar FV	2029	Brisas 115	0.001	SATISFACE
SC_4819_A1	Solar FV	2029	Brisas 115	0.078	SATISFACE
SC_4819_A2	Solar FV	2029	Brisas 115	0.069	SATISFACE
SC_4974_A1	Solar FV	2026	Brisas 115	0.004	SATISFACE
SC_4974_A2	Solar FV	2026	Brisas 115	0.004	SATISFACE
SC_4978_A1	Solar FV	2026	Brisas 115	0.000	SATISFACE
SC_4978_A2	Solar FV	2026	Brisas 115	0.003	SATISFACE

No se priorizó ninguna de las alternativas de conexión que tengan aportes de corriente de cortocircuito en la subestación Brisas 115

El estado de la capacidad de cortocircuito en la subestación Brisas 115, teniendo en cuenta la priorización se puede observar en la siguiente figura.

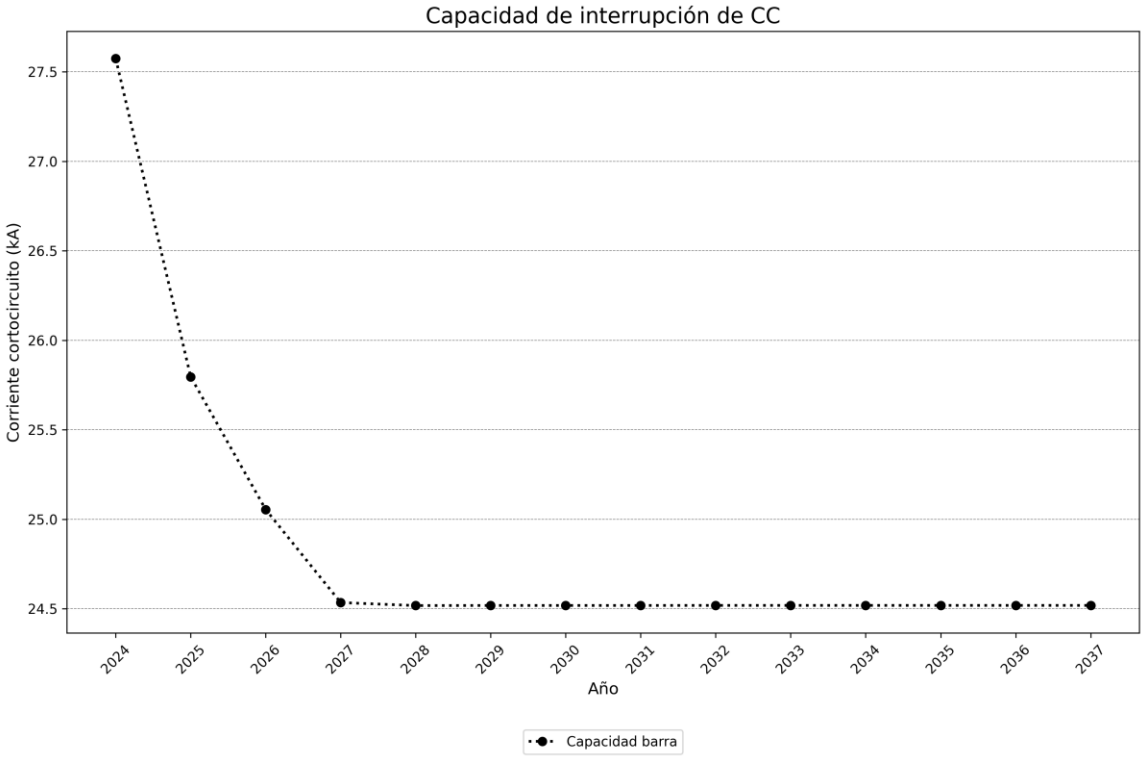


Figura 2-102. Balance de capacidad de cortocircuito después de la priorización para la subestación Brisas 115

Subestación Buga 115:

Capacidad por barra:

Para la subestación Buga 115 se presentaron 0 alternativas de conexión las cuales se muestran en la siguiente tabla:

Tabla 2-105. Alternativas de conexión presentadas a la subestación Buga 115

Solicitud	Capacidad	Tipo	Barra	FPO solicitada	Restricción

No se priorizó ninguna de las alternativas de conexión presentadas en la subestación Buga 115

El estado de la capacidad por barra en la subestación Buga 115, teniendo en cuenta la priorización se puede observar en la siguiente figura.

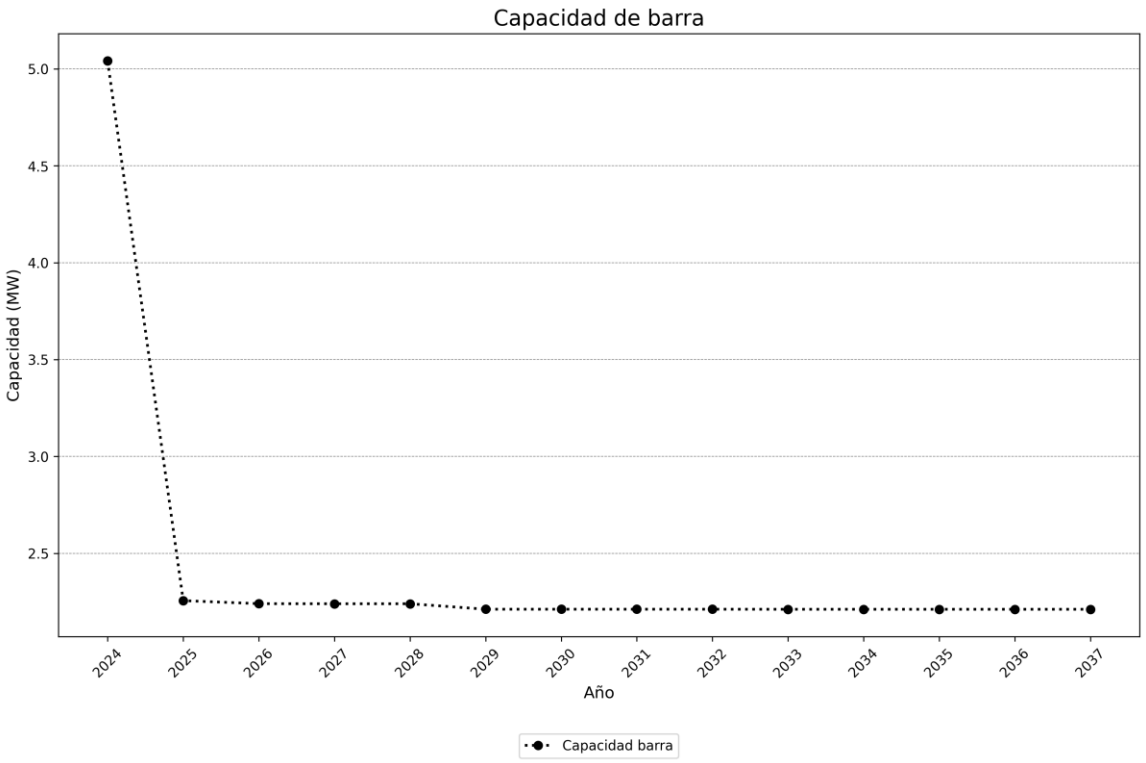


Figura 2-103. Balance de capacidad por barra después de la priorización para la subestación Buga 115

Capacidad excedente de interrupción de corriente de cortocircuito:

Para la subestación Buga 115 se presentaron 4 alternativas de conexión las cuales tienen aportes de corriente de cortocircuito. Estas alternativas se muestran en la siguiente tabla:

Tabla 2-106. Alternativas de conexión que aportan corriente de cortocircuito en la subestación Buga 115

Solicitud	tipo	FPO	Barra a la que aporta CC	Aporte de cortocircuito (kA)	Restricción

SC_2023_5557_A1	Solar FV	2028	Buga 115	0.035	SATISFACE
SC_2936_A1	Solar FV	2026	Buga 115	0.000	SATISFACE
SC_2936_A2	Solar FV	2026	Buga 115	0.000	SATISFACE
SC_3882_A1	Solar FV	2026	Buga 115	0.034	SATISFACE

No se priorizó ninguna de las alternativas de conexión que tengan aportes de corriente de cortocircuito en la subestación Buga 115

El estado de la capacidad de cortocircuito en la subestación Buga 115, teniendo en cuenta la priorización se puede observar en la siguiente figura.

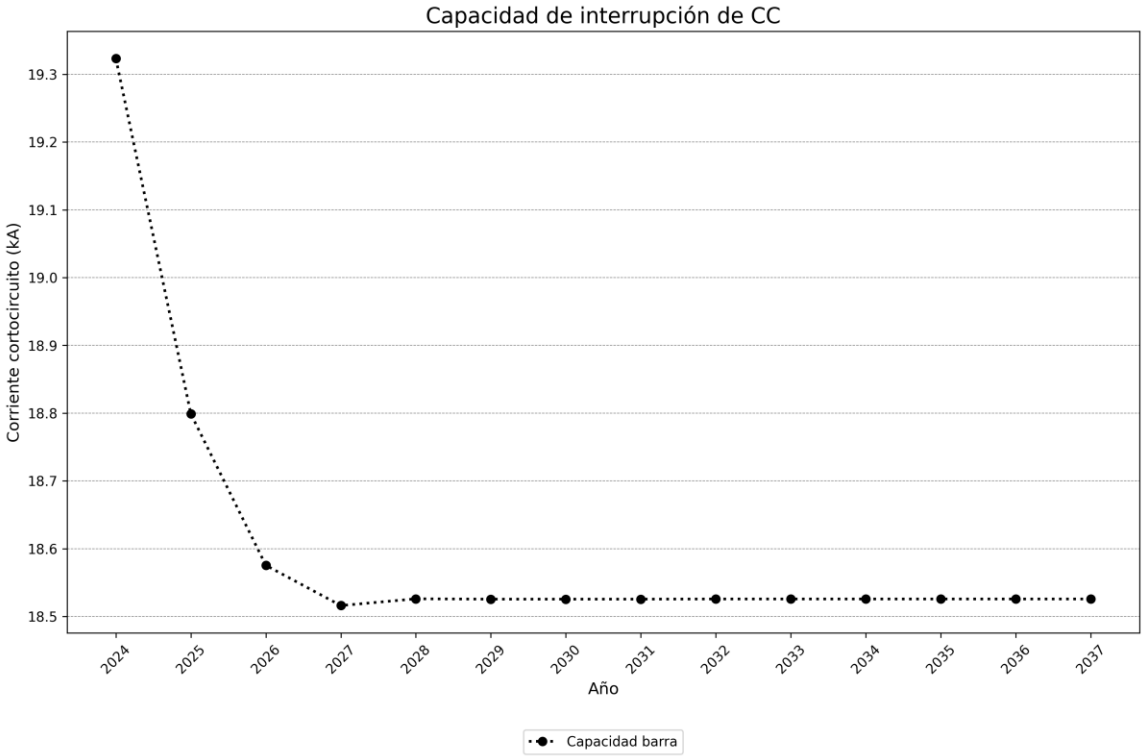


Figura 2-104. Balance de capacidad de cortocircuito después de la priorización para la subestación Buga 115

Subestación Cabañas 110:

Capacidad por barra:

Para la subestación Cabañas 110 se presentaron 0 alternativas de conexión las cuales se muestran en la siguiente tabla:

Tabla 2-107. Alternativas de conexión presentadas a la subestación Cabañas 110

Solicitud	Capacidad	Tipo	Barra	FPO solicitada	Restricción

No se priorizó ninguna de las alternativas de conexión presentadas en la subestación Cabañas 110

El estado de la capacidad por barra en la subestación Cabañas 110, teniendo en cuenta la priorización se puede observar en la siguiente figura.

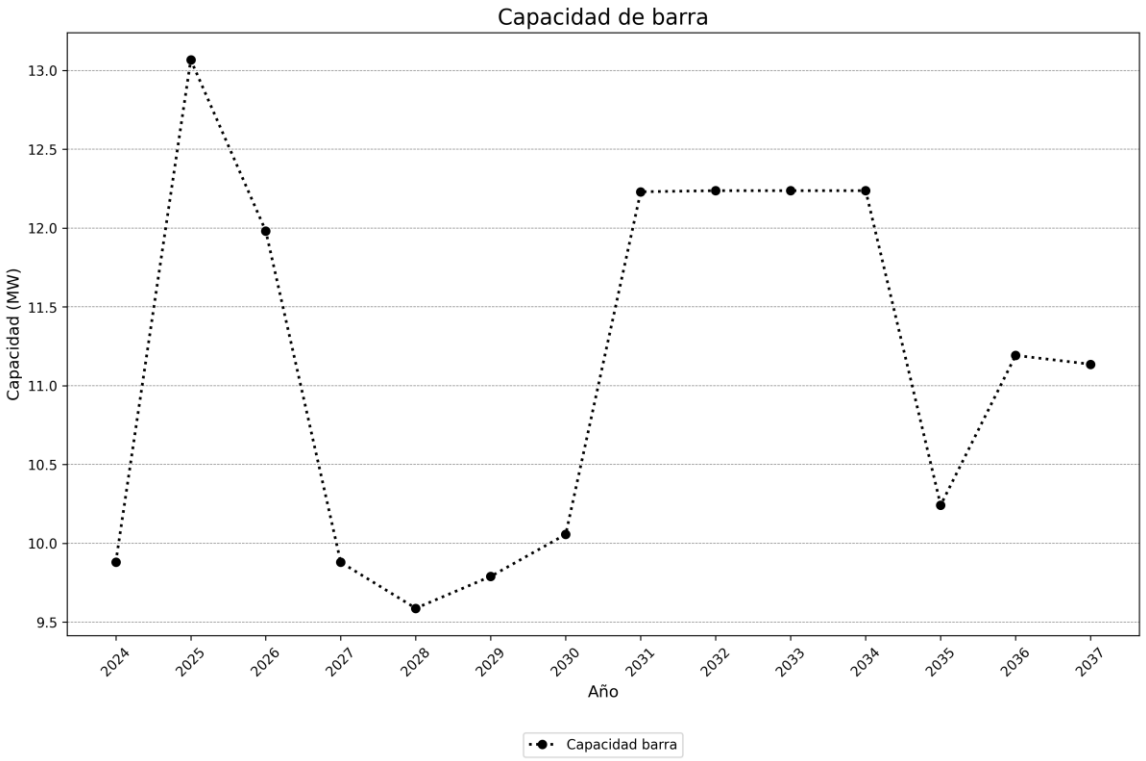


Figura 2-105. Balance de capacidad por barra después de la priorización para la subestación Cabañas 110

Capacidad excedente de interrupción de corriente de cortocircuito:

Para la subestación Cabañas 110 se presentaron 1 alternativas de conexión las cuales tienen aportes de corriente de cortocircuito. Estas alternativas se muestran en la siguiente tabla:

Tabla 2-108. Alternativas de conexión que aportan corriente de cortocircuito en la subestación Cabañas 110

Solicitud	tipo	FPO	Barra a la que aporta CC	Aporte de cortocircuito (kA)	Restricción
SC_3331_A1	Solar FV	2026	Cabañas 110	0.068	SATISFACE

No se priorizó ninguna de las alternativas de conexión que tengan aportes de corriente de cortocircuito en la subestación Cabañas 110

El estado de la capacidad de cortocircuito en la subestación Cabañas 110, teniendo en cuenta la priorización se puede observar en la siguiente figura.

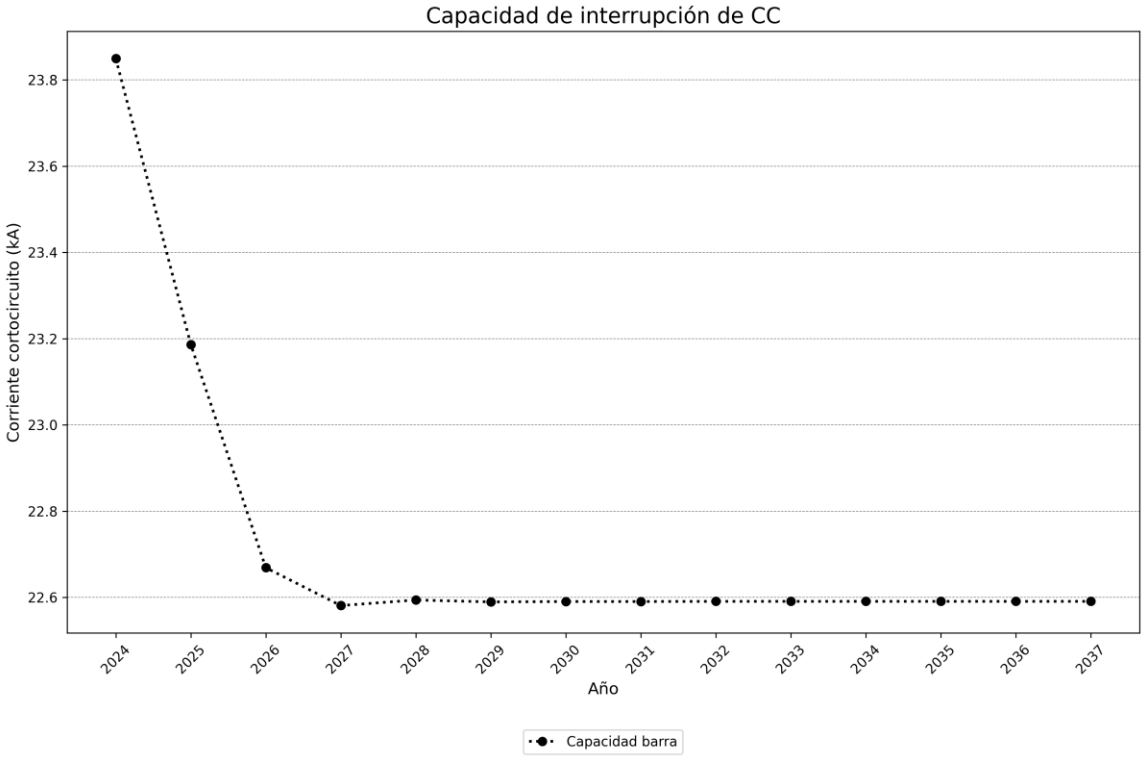


Figura 2-106. Balance de capacidad de cortocircuito después de la priorización para la subestación Cabañas 110

Subestación Calarca 33:

Capacidad por barra:

Para la subestación Calarca 33 se presentaron 0 alternativas de conexión las cuales se muestran en la siguiente tabla:

Tabla 2-109. Alternativas de conexión presentadas a la subestación Calarca 33

Solicitud	Capacidad	Tipo	Barra	FPO solicitada	Restricción

No se priorizó ninguna de las alternativas de conexión presentadas en la subestación Calarca 33

El estado de la capacidad por barra en la subestación Calarca 33, teniendo en cuenta la priorización se puede observar en la siguiente figura.

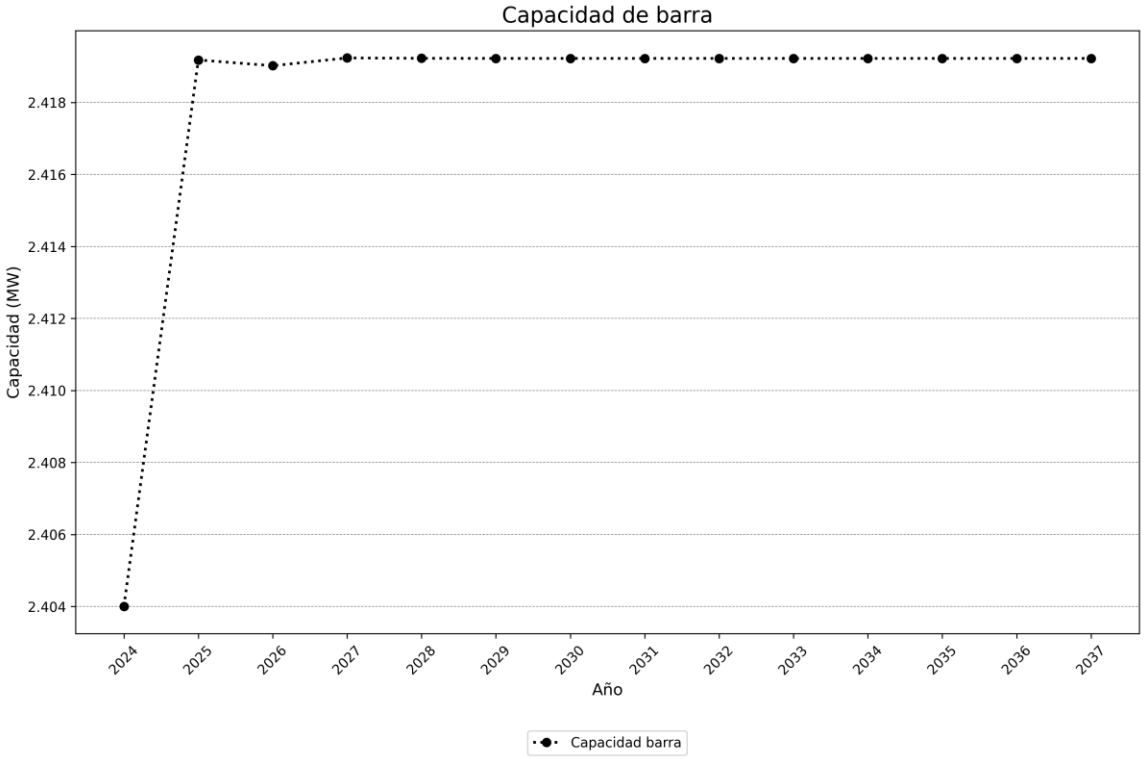


Figura 2-107. Balance de capacidad por barra después de la priorización para la subestación Calarca 33

Subestación Caldas 110:

Capacidad por barra:

Para la subestación Caldas 110 se presentaron 0 alternativas de conexión las cuales se muestran en la siguiente tabla:

Tabla 2-110. Alternativas de conexión presentadas a la subestación Caldas 110

Solicitud	Capacidad	Tipo	Barra	FPO solicitada	Restricción

No se priorizó ninguna de las alternativas de conexión presentadas en la subestación Caldas 110

El estado de la capacidad por barra en la subestación Caldas 110, teniendo en cuenta la priorización se puede observar en la siguiente figura.

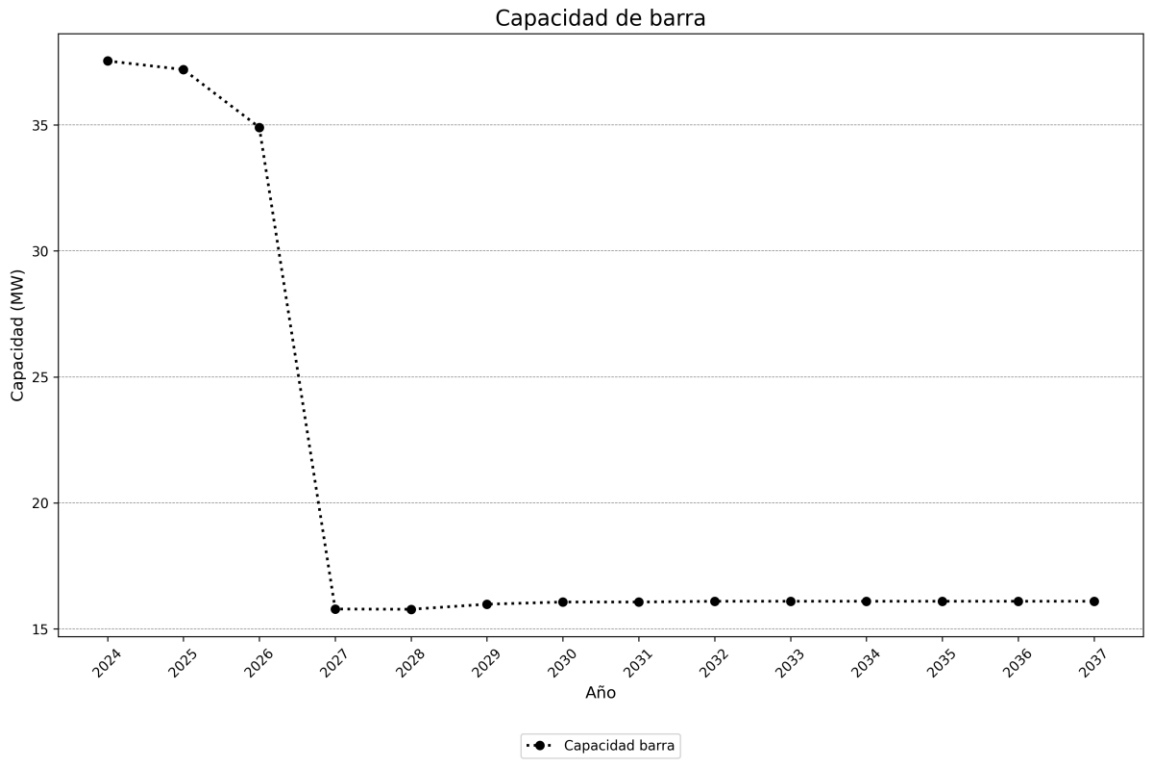


Figura 2-108. Balance de capacidad por barra después de la priorización para la subestación Caldas 110

Capacidad excedente de interrupción de corriente de cortocircuito:

Para la subestación Caldas 110 se presentaron 1 alternativas de conexión las cuales tienen aportes de corriente de cortocircuito. Estas alternativas se muestran en la siguiente tabla:

Tabla 2-111. Alternativas de conexión que aportan corriente de cortocircuito en la subestación Caldas 110

Solicitud	tipo	FPO	Barra a la que aporta CC	Aporte de cortocircuito (kA)	Restricción
SC_3331_A1	Solar FV	2026	Caldas 110	0.074	SATISFACE

No se priorizó ninguna de las alternativas de conexión que tengan aportes de corriente de cortocircuito en la subestación Caldas 110

El estado de la capacidad de cortocircuito en la subestación Caldas 110, teniendo en cuenta la priorización se puede observar en la siguiente figura.

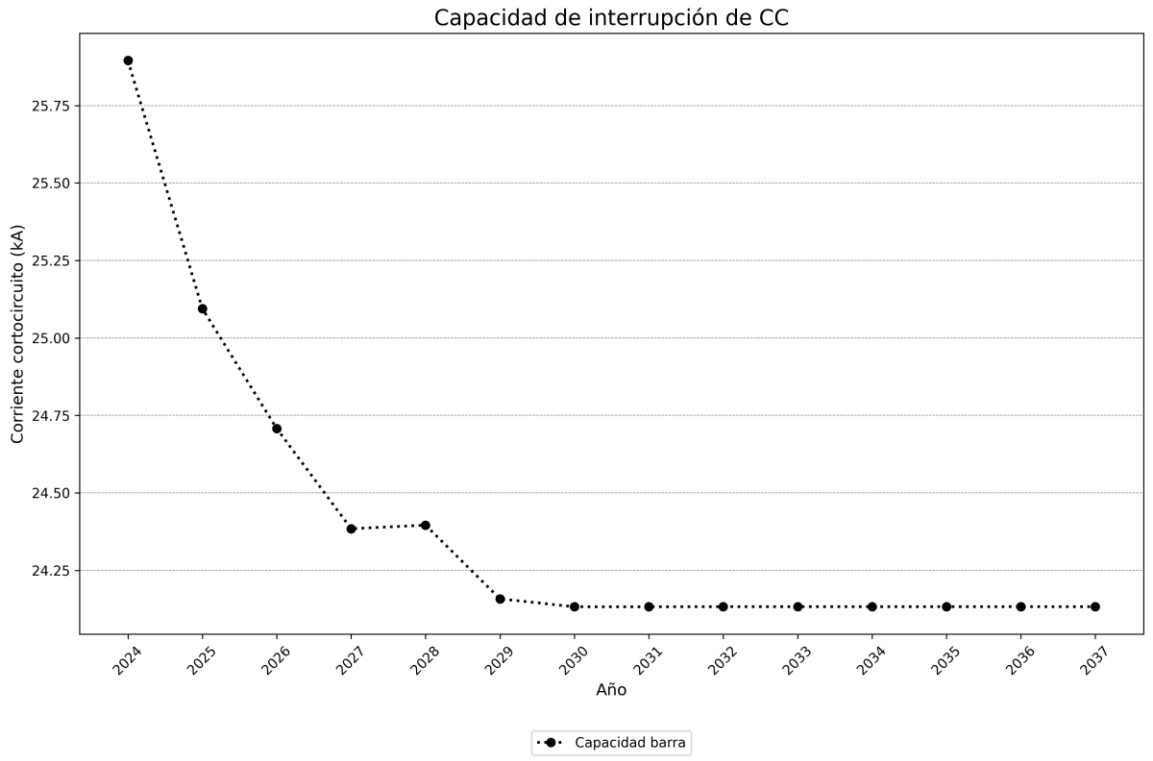


Figura 2-109. Balance de capacidad de cortocircuito después de la priorización para la subestación Caldas 110

Subestación Calderas 110:

Capacidad por barra:

Para la subestación Calderas 110 se presentaron 0 alternativas de conexión las cuales se muestran en la siguiente tabla:

Tabla 2-112. Alternativas de conexión presentadas a la subestación Calderas 110

Solicitud	Capacidad	Tipo	Barra	FPO solicitada	Restricción

No se priorizó ninguna de las alternativas de conexión presentadas en la subestación Calderas 110

El estado de la capacidad por barra en la subestación Calderas 110, teniendo en cuenta la priorización se puede observar en la siguiente figura.

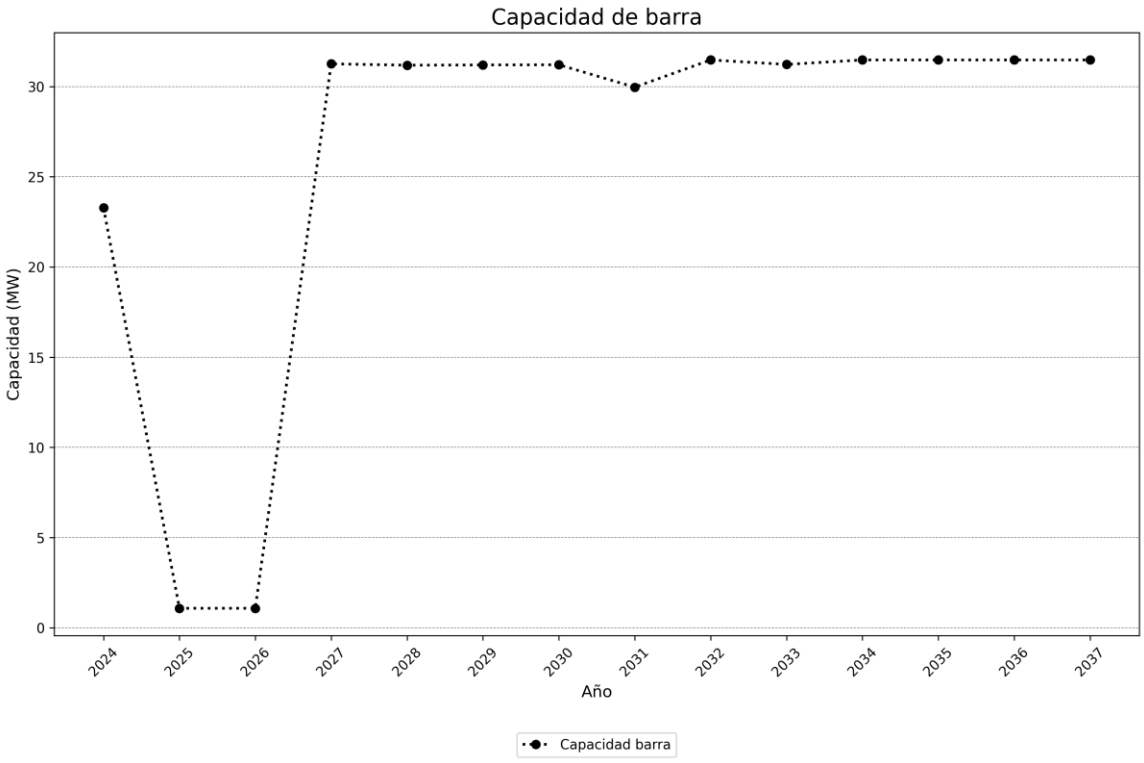


Figura 2-110. Balance de capacidad por barra después de la priorización para la subestación Calderas 110

Capacidad excedente de interrupción de corriente de cortocircuito:

Para la subestación Calderas 110 se presentaron 1 alternativas de conexión las cuales tienen aportes de corriente de cortocircuito. Estas alternativas se muestran en la siguiente tabla:

Tabla 2-113. Alternativas de conexión que aportan corriente de cortocircuito en la subestación Calderas 110

Solicitud	tipo	FPO	Barra a la que aporta CC	Aporte de cortocircuito (kA)	Restricción
SC_3331_A1	Solar FV	2026	Calderas 110	0.229	SATISFACE

No se priorizó ninguna de las alternativas de conexión que tengan aportes de corriente de cortocircuito en la subestación Calderas 110

El estado de la capacidad de cortocircuito en la subestación Calderas 110, teniendo en cuenta la priorización se puede observar en la siguiente figura.

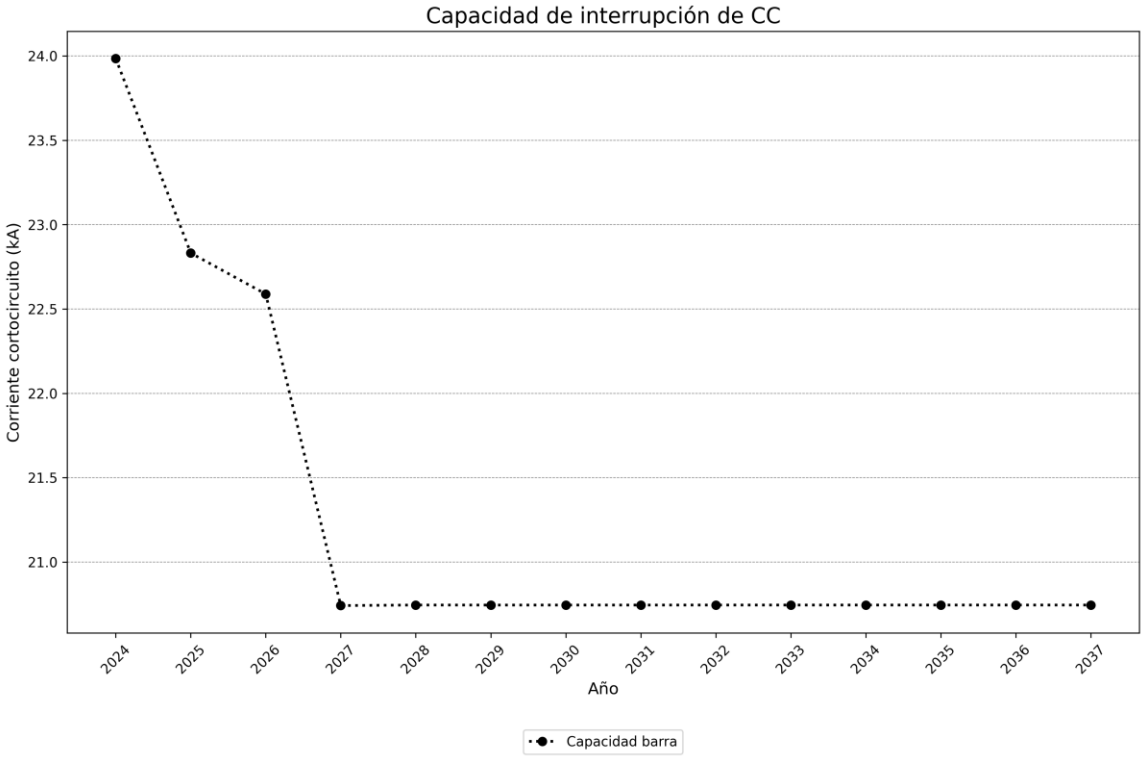


Figura 2-111. Balance de capacidad de cortocircuito después de la priorización para la subestación Calderas 110

Subestación Calera 115:

Capacidad por barra:

Para la subestación Calera 115 se presentaron 0 alternativas de conexión las cuales se muestran en la siguiente tabla:

Tabla 2-114. Alternativas de conexión presentadas a la subestación Calera 115

Solicitud	Capacidad	Tipo	Barra	FPO solicitada	Restricción

No se priorizó ninguna de las alternativas de conexión presentadas en la subestación Calera 115

El estado de la capacidad por barra en la subestación Calera 115, teniendo en cuenta la priorización se puede observar en la siguiente figura.

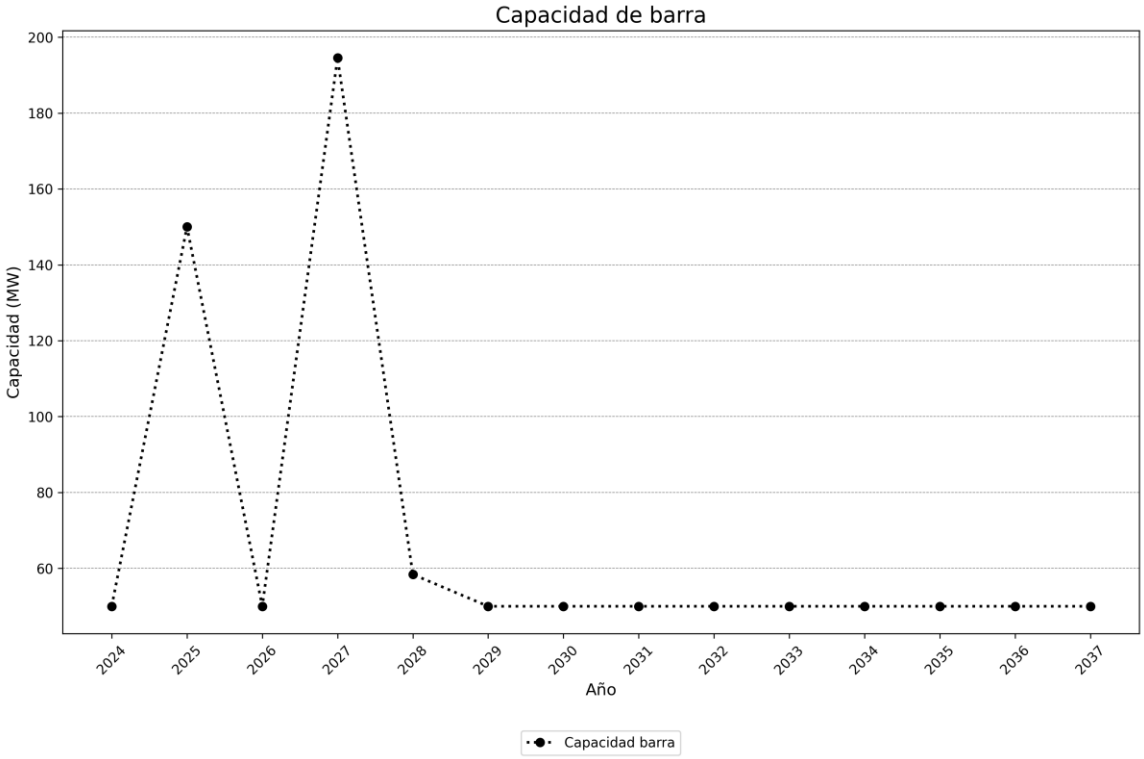


Figura 2-112. Balance de capacidad por barra después de la priorización para la subestación Calera 115

Capacidad excedente de interrupción de corriente de cortocircuito:

Para la subestación Calera 115 se presentaron 29 alternativas de conexión las cuales tienen aportes de corriente de cortocircuito. Estas alternativas se muestran en la siguiente tabla:

Tabla 2-115. Alternativas de conexión que aportan corriente de cortocircuito en la subestación Calera 115

Solicitud	tipo	FPO	Barra a la que aporta CC	Aporte de cortocircuito (kA)	Restricción
SC_2023_5280_A1	Solar FV	2028	Calera 115	0.037	SATISFACE
SC_2023_5280_A2	Solar FV	2028	Calera 115	0.033	SATISFACE
SC_2023_5287_A1	Solar FV	2026	Calera 115	0.020	SATISFACE
SC_2023_5287_A2	Solar FV	2026	Calera 115	0.020	SATISFACE
SC_2023_5288_A1	Solar FV	2026	Calera 115	0.012	SATISFACE
SC_2023_5288_A2	Solar FV	2026	Calera 115	0.030	SATISFACE
SC_2023_5375_A1	Solar FV	2026	Calera 115	0.020	SATISFACE
SC_2023_5399_A1	Solar FV	2026	Calera 115	0.012	SATISFACE
SC_2023_5399_A2	Solar FV	2026	Calera 115	0.030	SATISFACE
SC_2023_5480_A1	Solar FV	2026	Calera 115	0.020	SATISFACE
SC_2023_5480_A2	Solar FV	2026	Calera 115	0.020	SATISFACE
SC_2023_5557_A1	Solar FV	2028	Calera 115	0.078	SATISFACE
SC_2936_A1	Solar FV	2026	Calera 115	0.000	SATISFACE
SC_2936_A2	Solar FV	2026	Calera 115	0.000	SATISFACE
SC_3121_A1	Solar FV	2026	Calera 115	0.002	SATISFACE
SC_3121_A2	Solar FV	2026	Calera 115	0.002	SATISFACE
SC_3132_A1	Solar FV	2026	Calera 115	0.042	SATISFACE
SC_3132_A2	Solar FV	2026	Calera 115	0.036	SATISFACE
SC_3882_A1	Solar FV	2026	Calera 115	0.074	SATISFACE
SC_4083_A1	Solar FV	2027	Calera 115	0.000	SATISFACE
SC_4083_A2	Solar FV	2027	Calera 115	0.000	SATISFACE
SC_4765_A1	Solar FV	2029	Calera 115	0.001	SATISFACE
SC_4765_A2	Solar FV	2029	Calera 115	0.001	SATISFACE
SC_4819_A1	Solar FV	2029	Calera 115	0.066	SATISFACE
SC_4819_A2	Solar FV	2029	Calera 115	0.060	SATISFACE
SC_4974_A1	Solar FV	2026	Calera 115	0.026	SATISFACE
SC_4974_A2	Solar FV	2026	Calera 115	0.025	SATISFACE
SC_4978_A1	Solar FV	2026	Calera 115	0.000	SATISFACE
SC_4978_A2	Solar FV	2026	Calera 115	0.003	SATISFACE

No se priorizó ninguna de las alternativas de conexión que tengan aportes de corriente de cortocircuito en la subestación Calera 115

El estado de la capacidad de cortocircuito en la subestación Calera 115, teniendo en cuenta la priorización se puede observar en la siguiente figura.

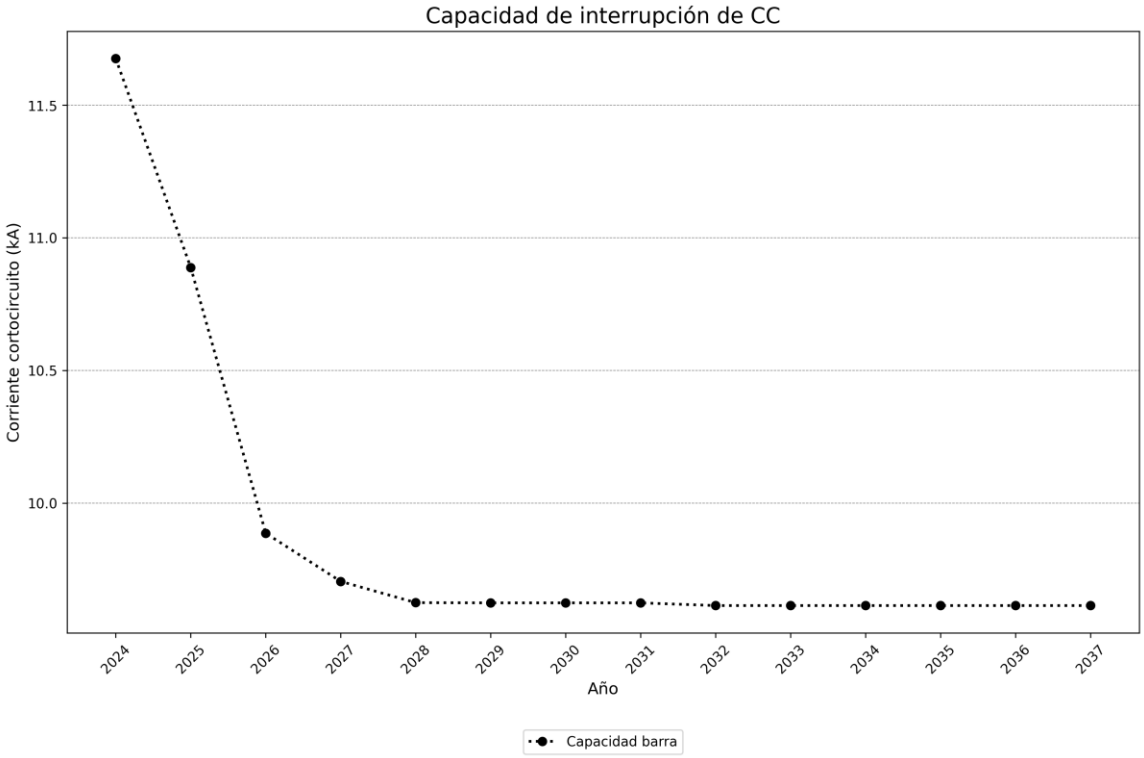


Figura 2-113. Balance de capacidad de cortocircuito después de la priorización para la subestación Calera 115

Subestación Calima 115:

Capacidad por barra:

Para la subestación Calima 115 se presentaron 0 alternativas de conexión las cuales se muestran en la siguiente tabla:

Tabla 2-116. Alternativas de conexión presentadas a la subestación Calima 115

Solicitud	Capacidad	Tipo	Barra	FPO solicitada	Restricción

No se priorizó ninguna de las alternativas de conexión presentadas en la subestación Calima 115

El estado de la capacidad por barra en la subestación Calima 115, teniendo en cuenta la priorización se puede observar en la siguiente figura.

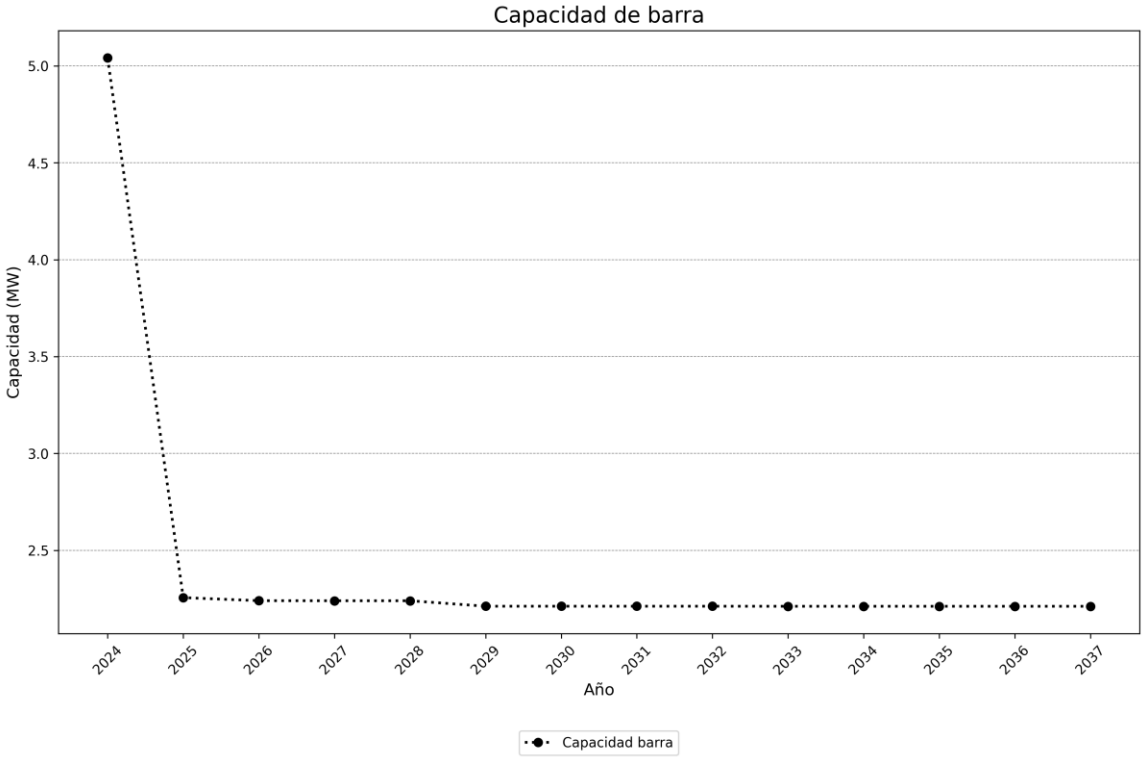


Figura 2-114. Balance de capacidad por barra después de la priorización para la subestación Calima 115

Capacidad excedente de interrupción de corriente de cortocircuito:

Para la subestación Calima 115 se presentaron 4 alternativas de conexión las cuales tienen aportes de corriente de cortocircuito. Estas alternativas se muestran en la siguiente tabla:

Tabla 2-117. Alternativas de conexión que aportan corriente de cortocircuito en la subestación Calima 115

Solicitud	tipo	FPO	Barra a la que aporta CC	Aporte de cortocircuito (kA)	Restricción
SC_2023_5557_A1	Solar FV	2028	Calima 115	0.020	SATISFACE
SC_2936_A1	Solar FV	2026	Calima 115	0.000	SATISFACE
SC_2936_A2	Solar FV	2026	Calima 115	0.000	SATISFACE
SC_3882_A1	Solar FV	2026	Calima 115	0.020	SATISFACE

No se priorizó ninguna de las alternativas de conexión que tengan aportes de corriente de cortocircuito en la subestación Calima 115

El estado de la capacidad de cortocircuito en la subestación Calima 115, teniendo en cuenta la priorización se puede observar en la siguiente figura.

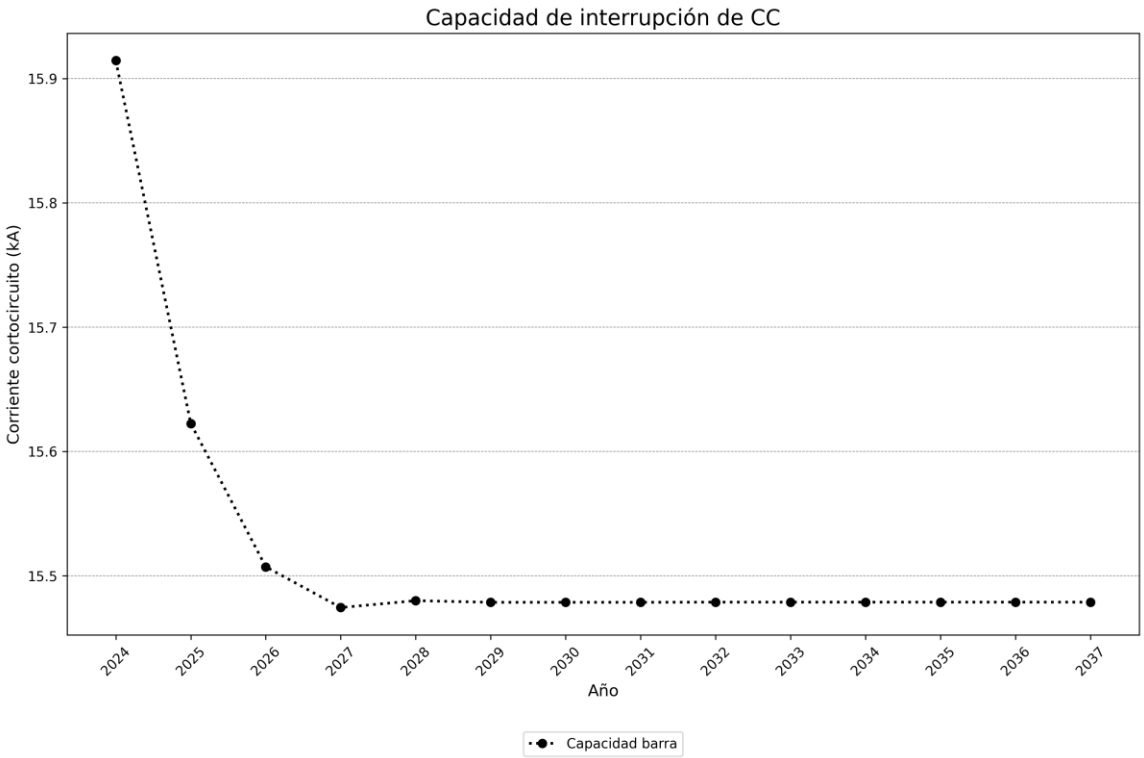


Figura 2-115. Balance de capacidad de cortocircuito después de la priorización para la subestación Calima 115

Subestación Calizas 110:

Capacidad por barra:

Para la subestación Calizas 110 se presentaron 0 alternativas de conexión las cuales se muestran en la siguiente tabla:

Tabla 2-118. Alternativas de conexión presentadas a la subestación Calizas 110

Solicitud	Capacidad	Tipo	Barra	FPO solicitada	Restricción

No se priorizó ninguna de las alternativas de conexión presentadas en la subestación Calizas 110

El estado de la capacidad por barra en la subestación Calizas 110, teniendo en cuenta la priorización se puede observar en la siguiente figura.

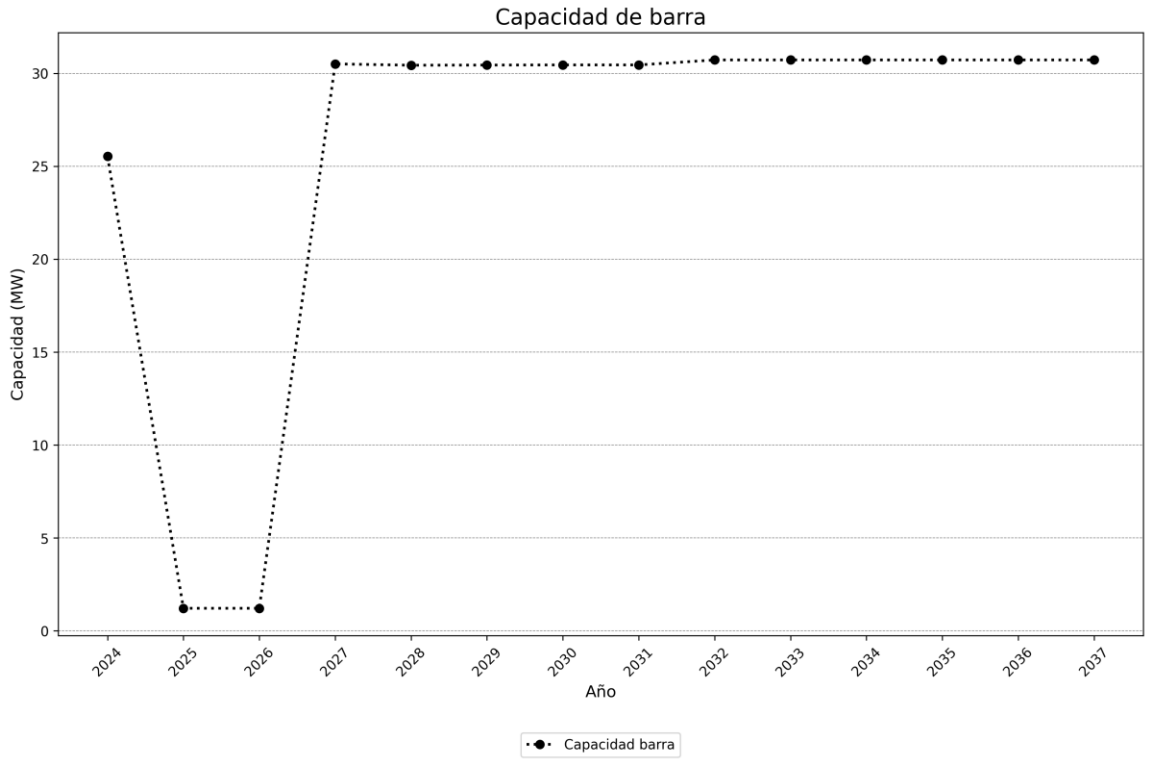


Figura 2-116. Balance de capacidad por barra después de la priorización para la subestación Calizas 110

Capacidad excedente de interrupción de corriente de cortocircuito:

Para la subestación Calizas 110 se presentaron 6 alternativas de conexión las cuales tienen aportes de corriente de cortocircuito. Estas alternativas se muestran en la siguiente tabla:

Tabla 2-119. Alternativas de conexión que aportan corriente de cortocircuito en la subestación Calizas 110

Solicitud	tipo	FPO	Barra a la que aporta CC	Aporte de cortocircuito (kA)	Restricción
SC_2023_5294_A1	Solar FV	2029	Calizas 110	0.006	SATISFACE
SC_2023_5294_A2	Solar FV	2029	Calizas 110	0.005	SATISFACE
SC_3331_A1	Solar FV	2026	Calizas 110	0.238	SATISFACE
SC_3667_A1	Solar FV	2029	Calizas 110	0.001	SATISFACE
SC_3667_A2	Solar FV	2029	Calizas 110	0.001	SATISFACE
SC_4960_A2	Solar FV	2029	Calizas 110	0.010	SATISFACE

No se priorizó ninguna de las alternativas de conexión que tengan aportes de corriente de cortocircuito en la subestación Calizas 110

El estado de la capacidad de cortocircuito en la subestación Calizas 110, teniendo en cuenta la priorización se puede observar en la siguiente figura.

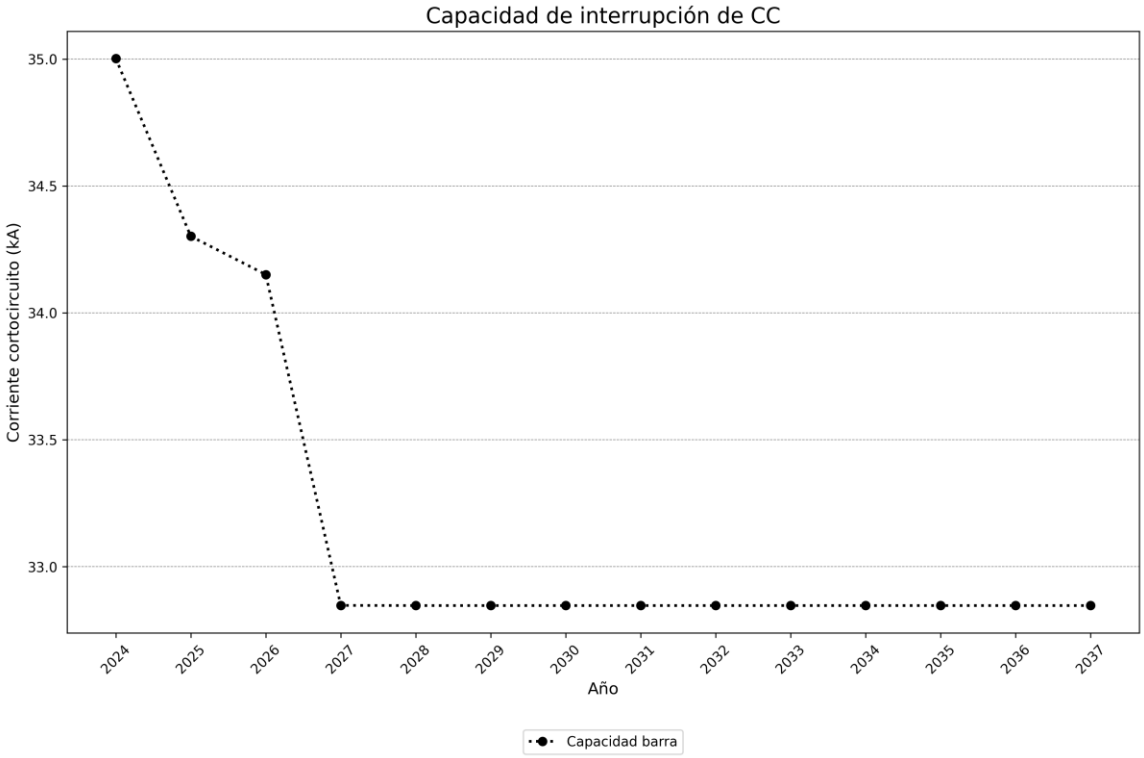


Figura 2-117. Balance de capacidad de cortocircuito después de la priorización para la subestación Calizas 110

Subestación Calle 51 115:

Capacidad por barra:

Para la subestación Calle 51 115 se presentaron 0 alternativas de conexión las cuales se muestran en la siguiente tabla:

Tabla 2-120. Alternativas de conexión presentadas a la subestación Calle 51 115

Solicitud	Capacidad	Tipo	Barra	FPO solicitada	Restricción

No se priorizó ninguna de las alternativas de conexión presentadas en la subestación Calle 51 115

El estado de la capacidad por barra en la subestación Calle 51 115, teniendo en cuenta la priorización se puede observar en la siguiente figura.

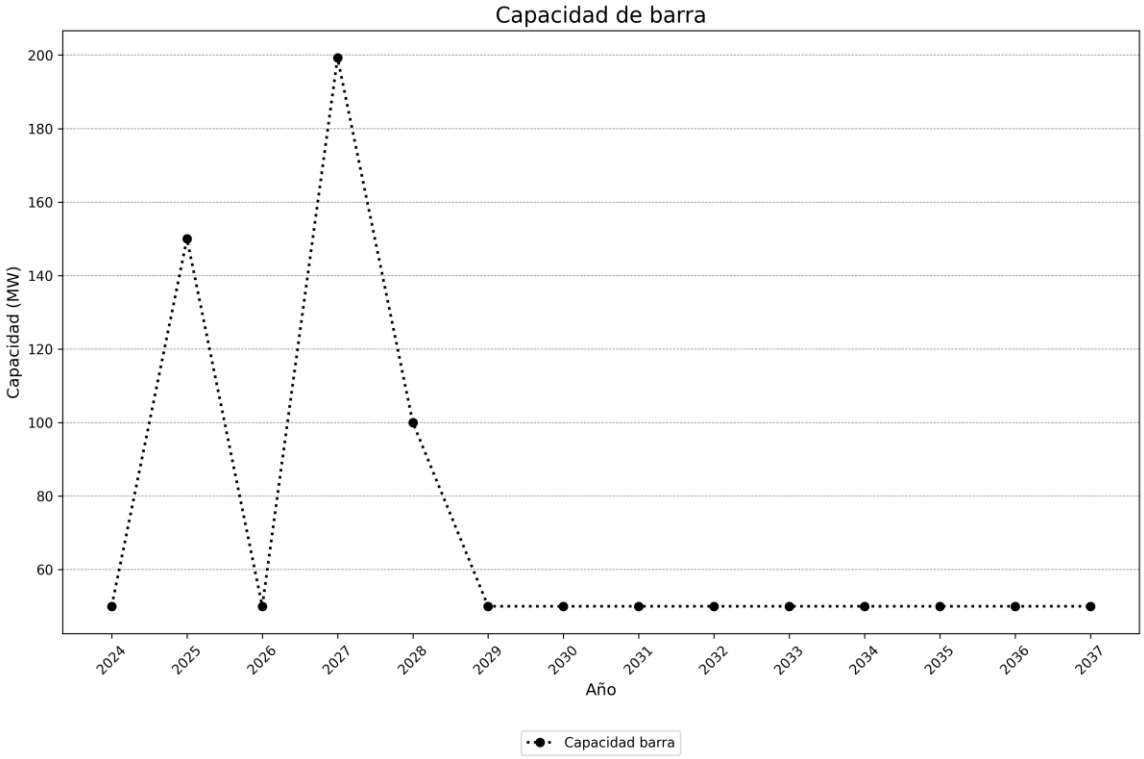


Figura 2-118. Balance de capacidad por barra después de la priorización para la subestación Calle 51 115

Capacidad excedente de interrupción de corriente de cortocircuito:

Para la subestación Calle 51 115 se presentaron 25 alternativas de conexión las cuales tienen aportes de corriente de cortocircuito. Estas alternativas se muestran en la siguiente tabla:

Tabla 2-121. Alternativas de conexión que aportan corriente de cortocircuito en la subestación Calle 51 115

Solicitud	tipo	FPO	Barra a la que aporta CC	Aporte de cortocircuito (kA)	Restricción
SC_2023_5280_A1	Solar FV	2028	Calle 51 115	0.057	SATISFACE
SC_2023_5280_A2	Solar FV	2028	Calle 51 115	0.052	SATISFACE
SC_2023_5287_A1	Solar FV	2026	Calle 51 115	0.041	SATISFACE
SC_2023_5287_A2	Solar FV	2026	Calle 51 115	0.042	SATISFACE
SC_2023_5288_A1	Solar FV	2026	Calle 51 115	0.024	SATISFACE
SC_2023_5288_A2	Solar FV	2026	Calle 51 115	0.064	SATISFACE
SC_2023_5375_A1	Solar FV	2026	Calle 51 115	0.041	SATISFACE
SC_2023_5399_A1	Solar FV	2026	Calle 51 115	0.024	SATISFACE
SC_2023_5399_A2	Solar FV	2026	Calle 51 115	0.064	SATISFACE
SC_2023_5480_A1	Solar FV	2026	Calle 51 115	0.041	SATISFACE
SC_2023_5480_A2	Solar FV	2026	Calle 51 115	0.042	SATISFACE
SC_2023_5557_A1	Solar FV	2028	Calle 51 115	0.122	SATISFACE
SC_2936_A1	Solar FV	2026	Calle 51 115	0.000	SATISFACE
SC_2936_A2	Solar FV	2026	Calle 51 115	0.000	SATISFACE
SC_3121_A1	Solar FV	2026	Calle 51 115	0.004	SATISFACE
SC_3121_A2	Solar FV	2026	Calle 51 115	0.004	SATISFACE
SC_3132_A1	Solar FV	2026	Calle 51 115	0.065	SATISFACE
SC_3132_A2	Solar FV	2026	Calle 51 115	0.056	SATISFACE
SC_3882_A1	Solar FV	2026	Calle 51 115	0.116	SATISFACE
SC_4083_A1	Solar FV	2027	Calle 51 115	0.001	SATISFACE
SC_4083_A2	Solar FV	2027	Calle 51 115	0.000	SATISFACE
SC_4765_A1	Solar FV	2029	Calle 51 115	0.003	SATISFACE
SC_4765_A2	Solar FV	2029	Calle 51 115	0.002	SATISFACE
SC_4819_A1	Solar FV	2029	Calle 51 115	0.105	SATISFACE
SC_4819_A2	Solar FV	2029	Calle 51 115	0.094	SATISFACE

No se priorizó ninguna de las alternativas de conexión que tengan aportes de corriente de cortocircuito en la subestación Calle 51 115

El estado de la capacidad de cortocircuito en la subestación Calle 51 115, teniendo en cuenta la priorización se puede observar en la siguiente figura.

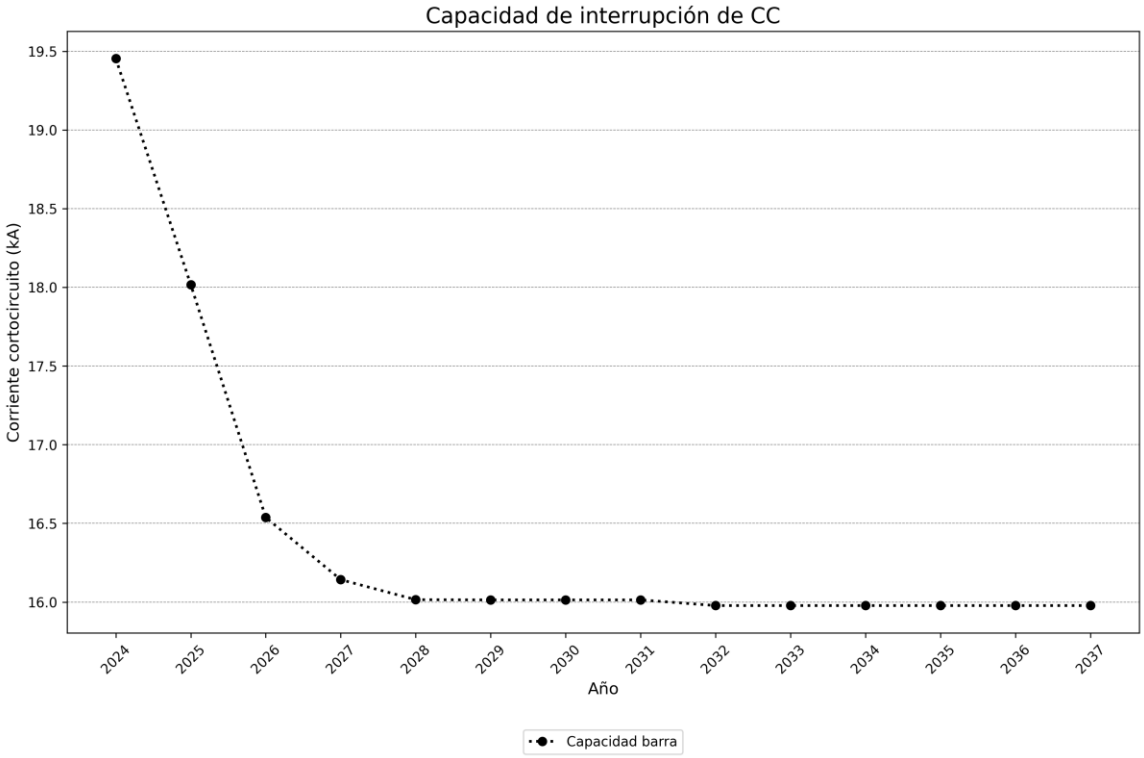


Figura 2-119. Balance de capacidad de cortocircuito después de la priorización para la subestación Calle 51 115

Subestación Calle 67 115:

Capacidad por barra:

Para la subestación Calle 67 115 se presentaron 0 alternativas de conexión las cuales se muestran en la siguiente tabla:

Tabla 2-122. Alternativas de conexión presentadas a la subestación Calle 67 115

Solicitud	Capacidad	Tipo	Barra	FPO solicitada	Restricción

No se priorizó ninguna de las alternativas de conexión presentadas en la subestación Calle 67 115

El estado de la capacidad por barra en la subestación Calle 67 115, teniendo en cuenta la priorización se puede observar en la siguiente figura.

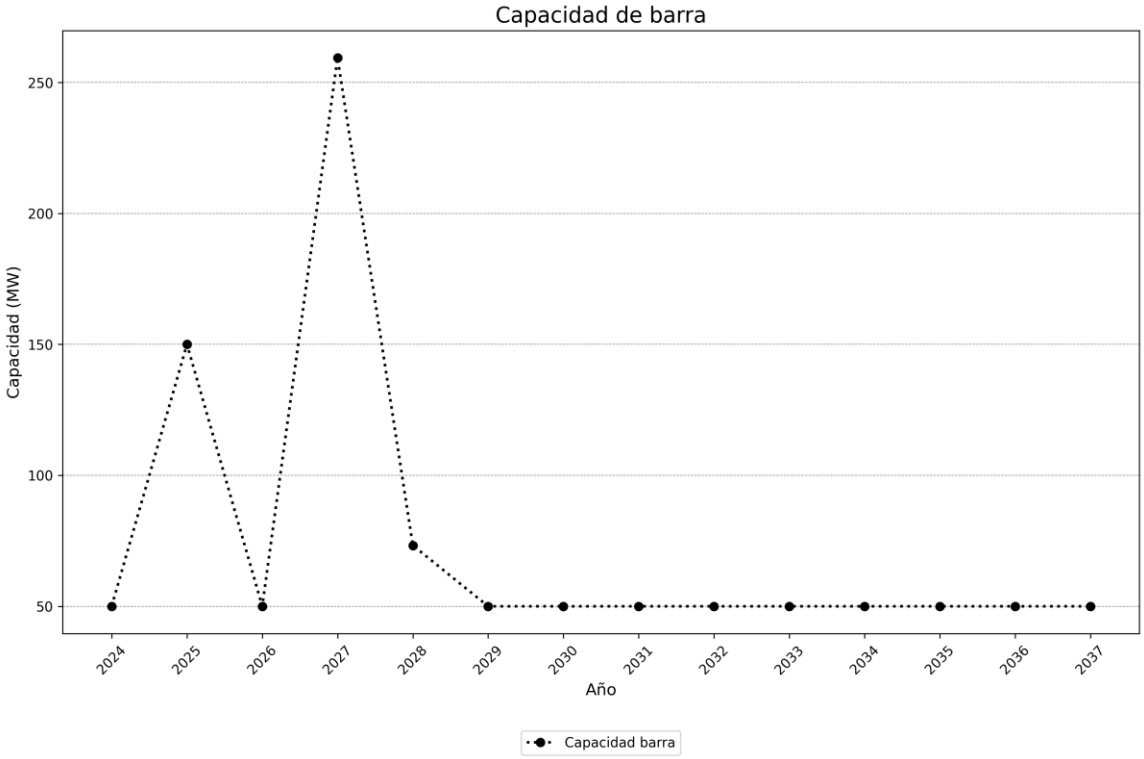


Figura 2-120. Balance de capacidad por barra después de la priorización para la subestación Calle 67 115

Capacidad excedente de interrupción de corriente de cortocircuito:

Para la subestación Calle 67 115 se presentaron 29 alternativas de conexión las cuales tienen aportes de corriente de cortocircuito. Estas alternativas se muestran en la siguiente tabla:

Tabla 2-123. Alternativas de conexión que aportan corriente de cortocircuito en la subestación Calle 67 115

Solicitud	tipo	FPO	Barra a la que aporta CC	Aporte de cortocircuito (kA)	Restricción
SC_2023_5280_A1	Solar FV	2028	Calle 67 115	0.050	SATISFACE
SC_2023_5280_A2	Solar FV	2028	Calle 67 115	0.045	SATISFACE
SC_2023_5287_A1	Solar FV	2026	Calle 67 115	0.042	SATISFACE
SC_2023_5287_A2	Solar FV	2026	Calle 67 115	0.042	SATISFACE
SC_2023_5288_A1	Solar FV	2026	Calle 67 115	0.024	SATISFACE
SC_2023_5288_A2	Solar FV	2026	Calle 67 115	0.064	SATISFACE
SC_2023_5375_A1	Solar FV	2026	Calle 67 115	0.042	SATISFACE
SC_2023_5399_A1	Solar FV	2026	Calle 67 115	0.024	SATISFACE
SC_2023_5399_A2	Solar FV	2026	Calle 67 115	0.064	SATISFACE
SC_2023_5480_A1	Solar FV	2026	Calle 67 115	0.042	SATISFACE
SC_2023_5480_A2	Solar FV	2026	Calle 67 115	0.042	SATISFACE
SC_2023_5557_A1	Solar FV	2028	Calle 67 115	0.106	SATISFACE
SC_2936_A1	Solar FV	2026	Calle 67 115	0.000	SATISFACE
SC_2936_A2	Solar FV	2026	Calle 67 115	0.000	SATISFACE
SC_3121_A1	Solar FV	2026	Calle 67 115	0.003	SATISFACE
SC_3121_A2	Solar FV	2026	Calle 67 115	0.003	SATISFACE
SC_3132_A1	Solar FV	2026	Calle 67 115	0.056	SATISFACE
SC_3132_A2	Solar FV	2026	Calle 67 115	0.048	SATISFACE
SC_3882_A1	Solar FV	2026	Calle 67 115	0.101	SATISFACE
SC_4083_A1	Solar FV	2027	Calle 67 115	0.001	SATISFACE
SC_4083_A2	Solar FV	2027	Calle 67 115	0.001	SATISFACE
SC_4765_A1	Solar FV	2029	Calle 67 115	0.002	SATISFACE
SC_4765_A2	Solar FV	2029	Calle 67 115	0.001	SATISFACE
SC_4819_A1	Solar FV	2029	Calle 67 115	0.091	SATISFACE
SC_4819_A2	Solar FV	2029	Calle 67 115	0.081	SATISFACE
SC_4974_A1	Solar FV	2026	Calle 67 115	0.005	SATISFACE
SC_4974_A2	Solar FV	2026	Calle 67 115	0.005	SATISFACE
SC_4978_A1	Solar FV	2026	Calle 67 115	0.000	SATISFACE
SC_4978_A2	Solar FV	2026	Calle 67 115	0.004	SATISFACE

No se priorizó ninguna de las alternativas de conexión que tengan aportes de corriente de cortocircuito en la subestación Calle 67 115

El estado de la capacidad de cortocircuito en la subestación Calle 67 115, teniendo en cuenta la priorización se puede observar en la siguiente figura.

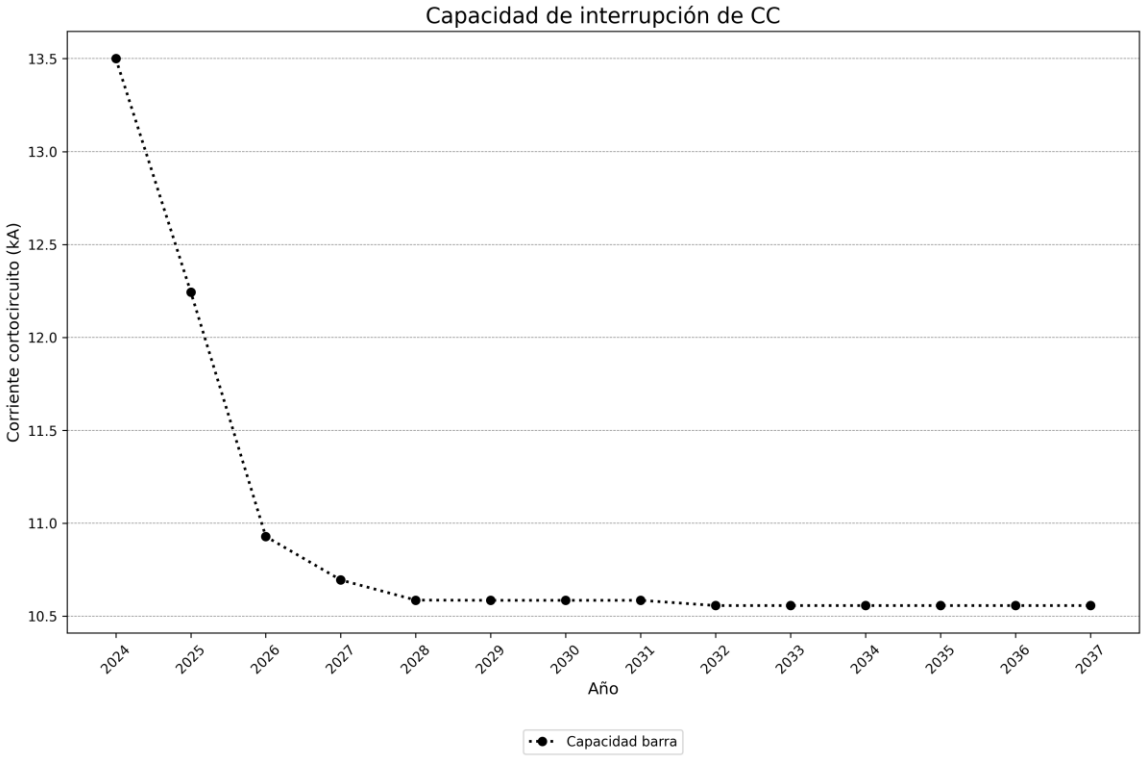


Figura 2-121. Balance de capacidad de cortocircuito después de la priorización para la subestación Calle 67 115

Subestación Campestre 33:

Capacidad por barra:

Para la subestación Campestre 33 se presentaron 0 alternativas de conexión las cuales se muestran en la siguiente tabla:

Tabla 2-124. Alternativas de conexión presentadas a la subestación Campestre 33

Solicitud	Capacidad	Tipo	Barra	FPO solicitada	Restricción

No se priorizó ninguna de las alternativas de conexión presentadas en la subestación Campestre 33

El estado de la capacidad por barra en la subestación Campestre 33, teniendo en cuenta la priorización se puede observar en la siguiente figura.

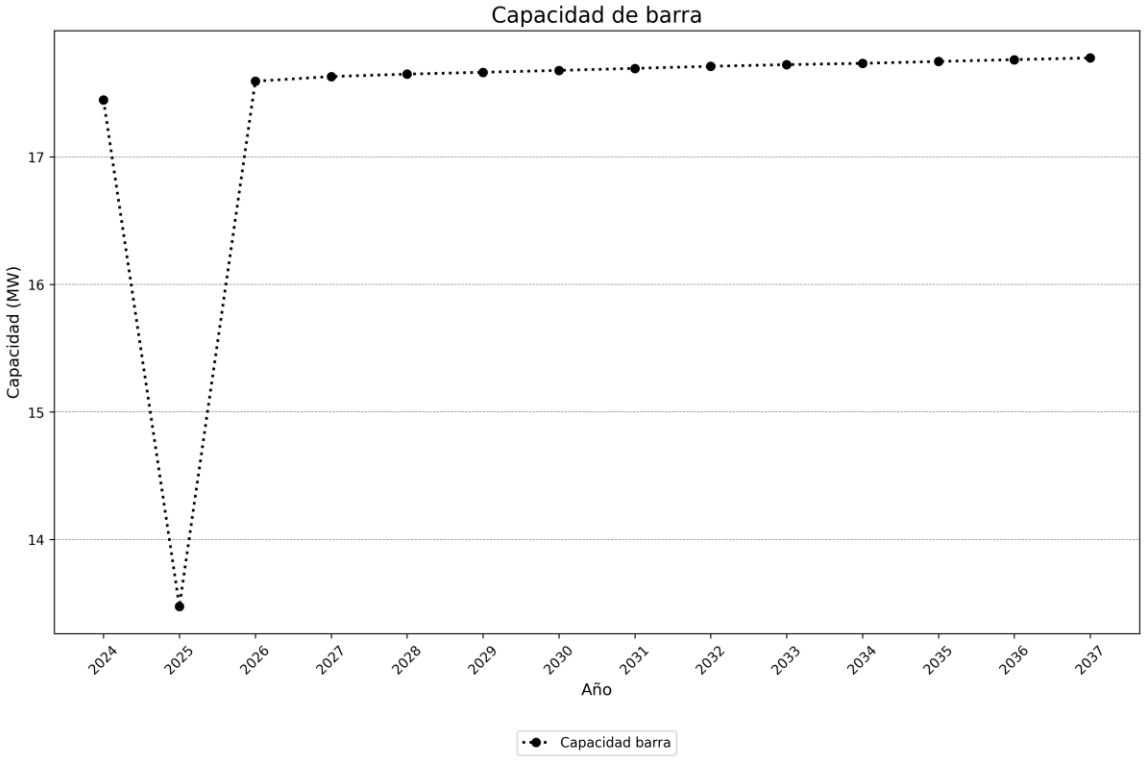


Figura 2-122. Balance de capacidad por barra después de la priorización para la subestación Campestre 33

Subestación Candelaria 115:

Capacidad por barra:

Para la subestación Candelaria 115 se presentaron 0 alternativas de conexión las cuales se muestran en la siguiente tabla:

Tabla 2-125. Alternativas de conexión presentadas a la subestación Candelaria 115

Solicitud	Capacidad	Tipo	Barra	FPO solicitada	Restricción

No se priorizó ninguna de las alternativas de conexión presentadas en la subestación Candelaria 115

El estado de la capacidad por barra en la subestación Candelaria 115, teniendo en cuenta la priorización se puede observar en la siguiente figura.

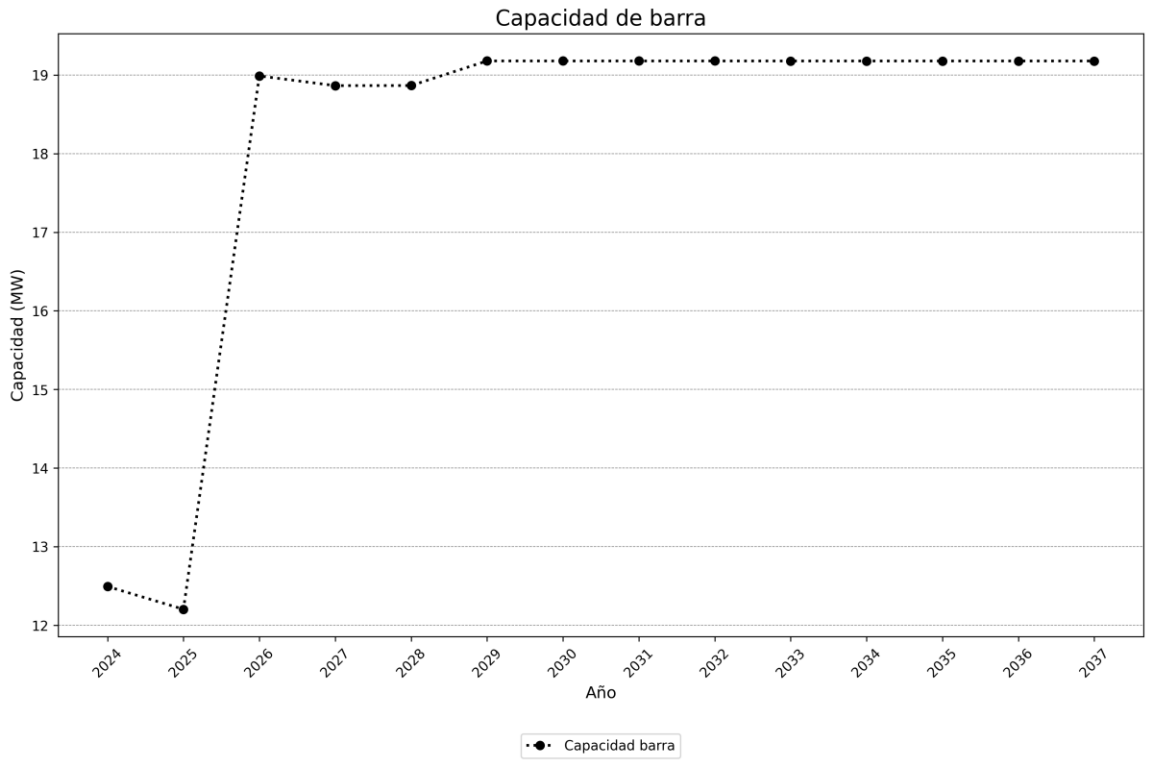


Figura 2-123. Balance de capacidad por barra después de la priorización para la subestación Candelaria 115

Capacidad excedente de interrupción de corriente de cortocircuito:

Para la subestación Candelaria 115 se presentaron 4 alternativas de conexión las cuales tienen aportes de corriente de cortocircuito. Estas alternativas se muestran en la siguiente tabla:

Tabla 2-126. Alternativas de conexión que aportan corriente de cortocircuito en la subestación Candelaria 115

Solicitud	tipo	FPO	Barra a la que aporta CC	Aporte de cortocircuito (kA)	Restricción
SC_2023_5557_A1	Solar FV	2028	Candelaria 115	0.042	SATISFACE
SC_2936_A1	Solar FV	2026	Candelaria 115	0.000	SATISFACE
SC_2936_A2	Solar FV	2026	Candelaria 115	0.000	SATISFACE
SC_3882_A1	Solar FV	2026	Candelaria 115	0.041	SATISFACE

No se priorizó ninguna de las alternativas de conexión que tengan aportes de corriente de cortocircuito en la subestación Candelaria 115

El estado de la capacidad de cortocircuito en la subestación Candelaria 115, teniendo en cuenta la priorización se puede observar en la siguiente figura.

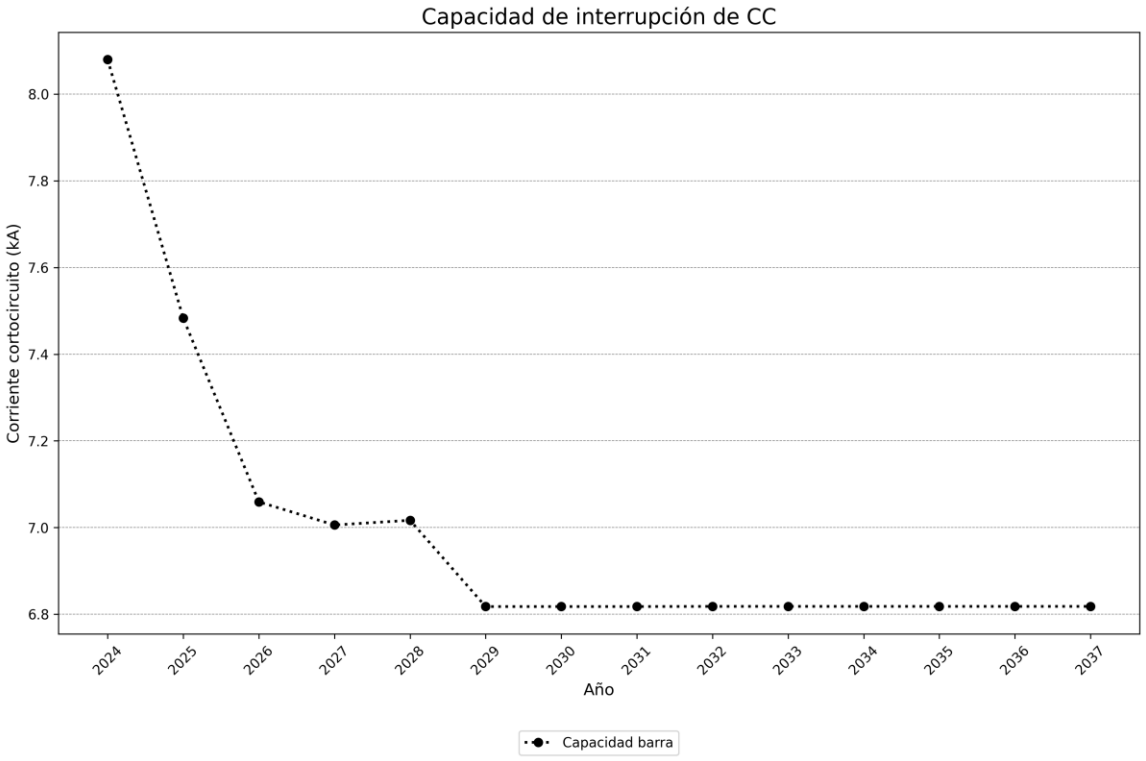


Figura 2-124. Balance de capacidad de cortocircuito después de la priorización para la subestación Candelaria 115

Subestación Canoas 115:

Capacidad por barra:

Para la subestación Canoas 115 se presentaron 0 alternativas de conexión las cuales se muestran en la siguiente tabla:

Tabla 2-127. Alternativas de conexión presentadas a la subestación Canoas 115

Solicitud	Capacidad	Tipo	Barra	FPO solicitada	Restricción

No se priorizó ninguna de las alternativas de conexión presentadas en la subestación Canoas 115

El estado de la capacidad por barra en la subestación Canoas 115, teniendo en cuenta la priorización se puede observar en la siguiente figura.

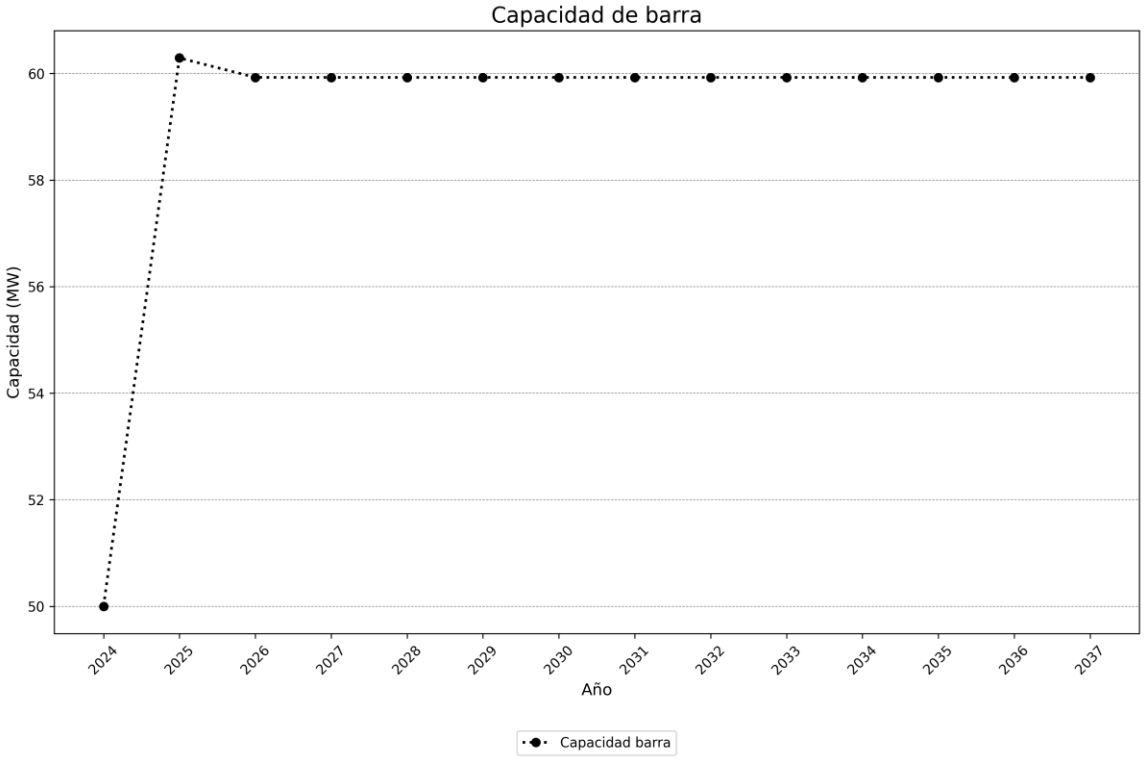


Figura 2-125. Balance de capacidad por barra después de la priorización para la subestación Canoas 115

Capacidad excedente de interrupción de corriente de cortocircuito:

Para la subestación Canoas 115 se presentaron 21 alternativas de conexión las cuales tienen aportes de corriente de cortocircuito. Estas alternativas se muestran en la siguiente tabla:

Tabla 2-128. Alternativas de conexión que aportan corriente de cortocircuito en la subestación Canoas 115

Solicitud	tipo	FPO	Barra a la que aporta CC	Aporte de cortocircuito (kA)	Restricción
SC_2023_5280_A1	Solar FV	2028	Canoas 115	0.030	SATISFACE
SC_2023_5280_A2	Solar FV	2028	Canoas 115	0.028	SATISFACE
SC_2023_5287_A1	Solar FV	2026	Canoas 115	0.016	SATISFACE

SC_2023_5287_A2	Solar FV	2026	Canoas 115	0.016	SATISFACE
SC_2023_5288_A1	Solar FV	2026	Canoas 115	0.009	SATISFACE
SC_2023_5288_A2	Solar FV	2026	Canoas 115	0.025	SATISFACE
SC_2023_5375_A1	Solar FV	2026	Canoas 115	0.016	SATISFACE
SC_2023_5399_A1	Solar FV	2026	Canoas 115	0.009	SATISFACE
SC_2023_5399_A2	Solar FV	2026	Canoas 115	0.025	SATISFACE
SC_2023_5480_A1	Solar FV	2026	Canoas 115	0.016	SATISFACE
SC_2023_5480_A2	Solar FV	2026	Canoas 115	0.016	SATISFACE
SC_3121_A1	Solar FV	2026	Canoas 115	0.002	SATISFACE
SC_3121_A2	Solar FV	2026	Canoas 115	0.002	SATISFACE
SC_3132_A1	Solar FV	2026	Canoas 115	0.035	SATISFACE
SC_3132_A2	Solar FV	2026	Canoas 115	0.030	SATISFACE
SC_4083_A1	Solar FV	2027	Canoas 115	0.001	SATISFACE
SC_4083_A2	Solar FV	2027	Canoas 115	0.001	SATISFACE
SC_4765_A1	Solar FV	2029	Canoas 115	0.001	SATISFACE
SC_4765_A2	Solar FV	2029	Canoas 115	0.000	SATISFACE
SC_4819_A1	Solar FV	2029	Canoas 115	0.056	SATISFACE
SC_4819_A2	Solar FV	2029	Canoas 115	0.050	SATISFACE

No se priorizó ninguna de las alternativas de conexión que tengan aportes de corriente de cortocircuito en la subestación Canoas 115

El estado de la capacidad de cortocircuito en la subestación Canoas 115, teniendo en cuenta la priorización se puede observar en la siguiente figura.

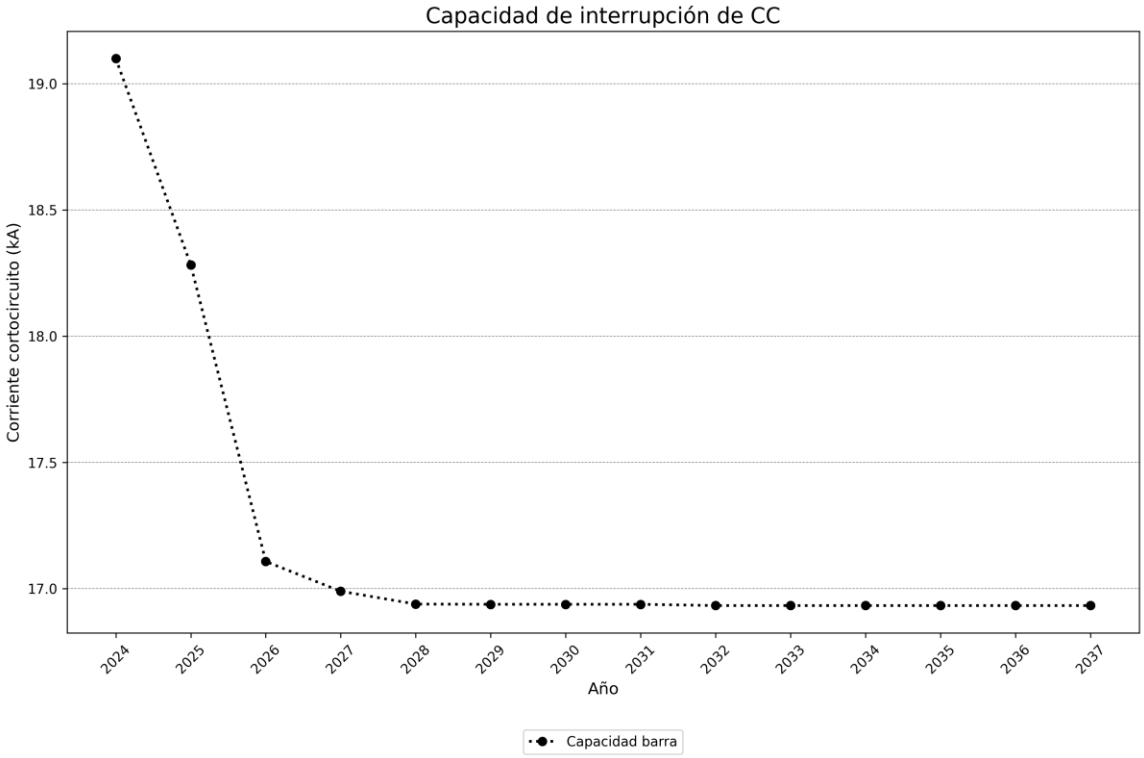


Figura 2-126. Balance de capacidad de cortocircuito después de la priorización para la subestación Canoas 115

Subestación Caqueza 115:

Capacidad por barra:

Para la subestación Caqueza 115 se presentaron 0 alternativas de conexión las cuales se muestran en la siguiente tabla:

Tabla 2-129. Alternativas de conexión presentadas a la subestación Caqueza 115

Solicitud	Capacidad	Tipo	Barra	FPO solicitada	Restricción

No se priorizó ninguna de las alternativas de conexión presentadas en la subestación Caqueza 115

El estado de la capacidad por barra en la subestación Caqueza 115, teniendo en cuenta la priorización se puede observar en la siguiente figura.

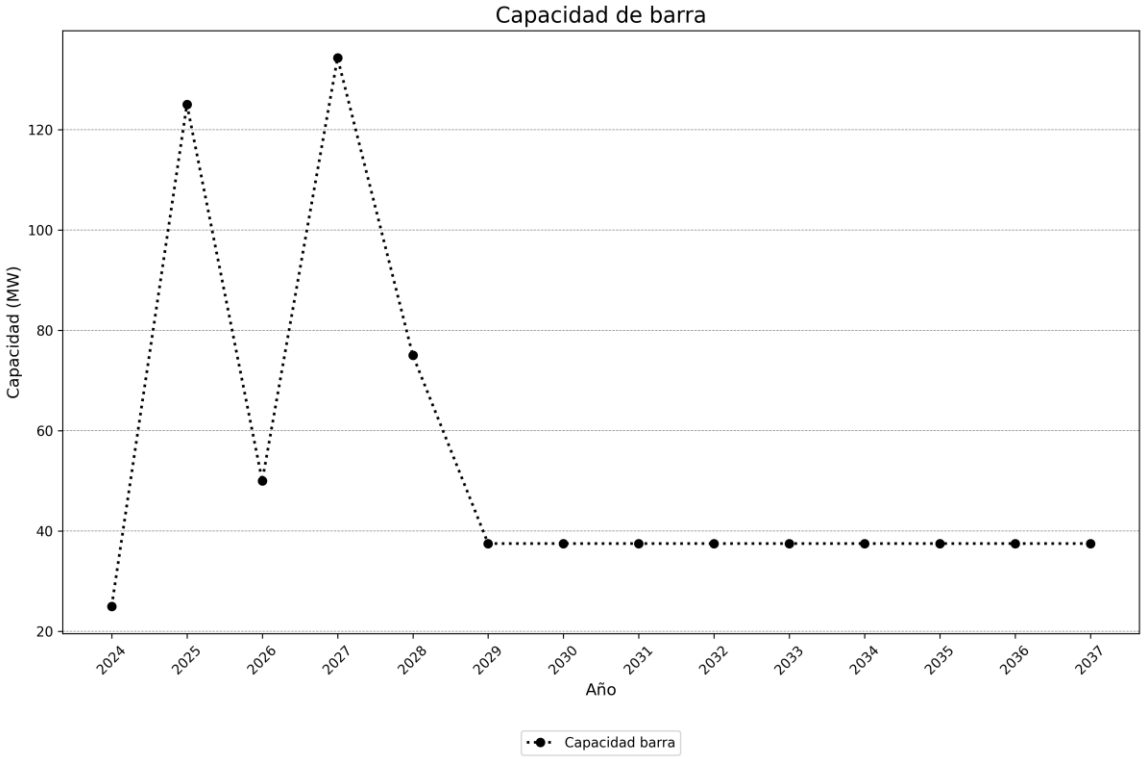


Figura 2-127. Balance de capacidad por barra después de la priorización para la subestación Caqueza 115

Capacidad excedente de interrupción de corriente de cortocircuito:

Para la subestación Caqueza 115 se presentaron 29 alternativas de conexión las cuales tienen aportes de corriente de cortocircuito. Estas alternativas se muestran en la siguiente tabla:

Tabla 2-130. Alternativas de conexión que aportan corriente de cortocircuito en la subestación Caqueza 115

Solicitud	tipo	FPO	Barra a la que aporta CC	Aporte de cortocircuito (kA)	Restricción
SC_2023_5280_A1	Solar FV	2028	Caqueza 115	0.020	SATISFACE
SC_2023_5280_A2	Solar FV	2028	Caqueza 115	0.018	SATISFACE
SC_2023_5287_A1	Solar FV	2026	Caqueza 115	0.011	SATISFACE
SC_2023_5287_A2	Solar FV	2026	Caqueza 115	0.011	SATISFACE
SC_2023_5288_A1	Solar FV	2026	Caqueza 115	0.006	SATISFACE
SC_2023_5288_A2	Solar FV	2026	Caqueza 115	0.016	SATISFACE
SC_2023_5375_A1	Solar FV	2026	Caqueza 115	0.011	SATISFACE
SC_2023_5399_A1	Solar FV	2026	Caqueza 115	0.006	SATISFACE
SC_2023_5399_A2	Solar FV	2026	Caqueza 115	0.016	SATISFACE
SC_2023_5480_A1	Solar FV	2026	Caqueza 115	0.011	SATISFACE
SC_2023_5480_A2	Solar FV	2026	Caqueza 115	0.011	SATISFACE
SC_2023_5557_A1	Solar FV	2028	Caqueza 115	0.043	SATISFACE
SC_2936_A1	Solar FV	2026	Caqueza 115	0.000	SATISFACE
SC_2936_A2	Solar FV	2026	Caqueza 115	0.000	SATISFACE
SC_3121_A1	Solar FV	2026	Caqueza 115	0.001	SATISFACE
SC_3121_A2	Solar FV	2026	Caqueza 115	0.001	SATISFACE
SC_3132_A1	Solar FV	2026	Caqueza 115	0.023	SATISFACE
SC_3132_A2	Solar FV	2026	Caqueza 115	0.019	SATISFACE
SC_3882_A1	Solar FV	2026	Caqueza 115	0.041	SATISFACE
SC_4083_A1	Solar FV	2027	Caqueza 115	0.000	SATISFACE
SC_4083_A2	Solar FV	2027	Caqueza 115	0.000	SATISFACE
SC_4765_A1	Solar FV	2029	Caqueza 115	0.000	SATISFACE
SC_4765_A2	Solar FV	2029	Caqueza 115	0.000	SATISFACE
SC_4819_A1	Solar FV	2029	Caqueza 115	0.036	SATISFACE
SC_4819_A2	Solar FV	2029	Caqueza 115	0.032	SATISFACE
SC_4974_A1	Solar FV	2026	Caqueza 115	0.004	SATISFACE
SC_4974_A2	Solar FV	2026	Caqueza 115	0.003	SATISFACE
SC_4978_A1	Solar FV	2026	Caqueza 115	0.000	SATISFACE
SC_4978_A2	Solar FV	2026	Caqueza 115	0.002	SATISFACE

No se priorizó ninguna de las alternativas de conexión que tengan aportes de corriente de cortocircuito en la subestación Caqueza 115

El estado de la capacidad de cortocircuito en la subestación Caqueza 115, teniendo en cuenta la priorización se puede observar en la siguiente figura.

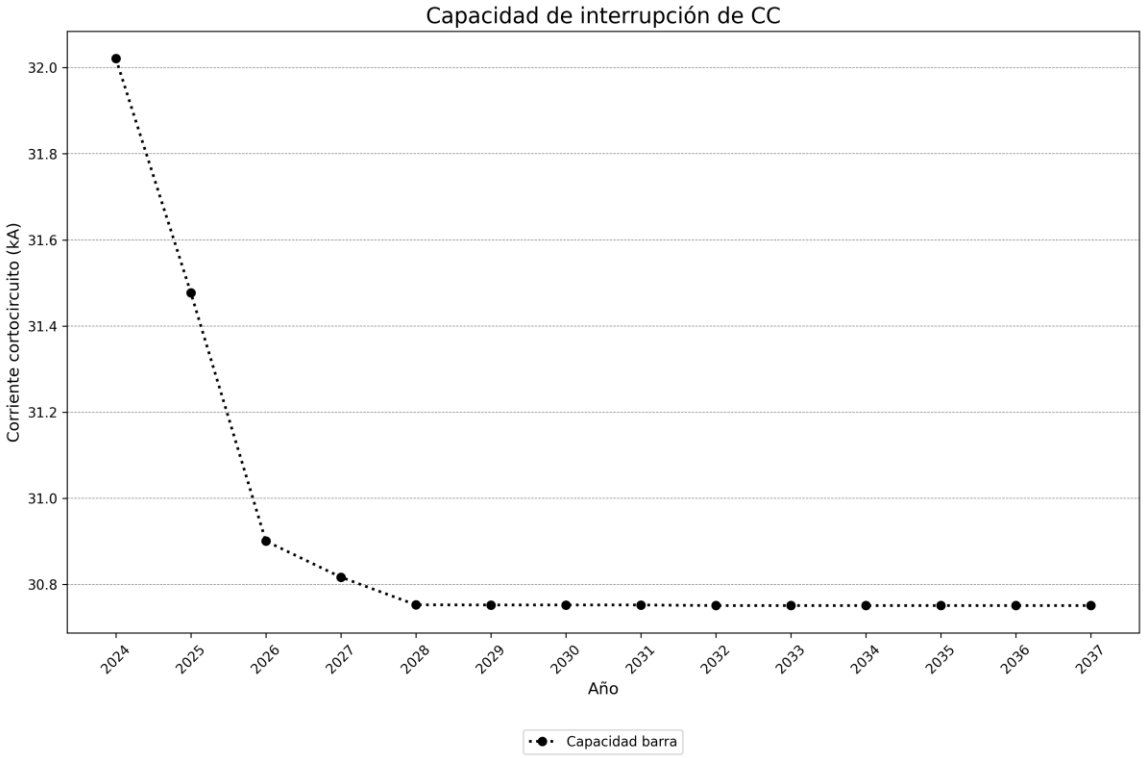


Figura 2-128. Balance de capacidad de cortocircuito después de la priorización para la subestación Caqueza 115

Subestación Carrera 5 115:

Capacidad por barra:

Para la subestación Carrera 5 115 se presentaron 0 alternativas de conexión las cuales se muestran en la siguiente tabla:

Tabla 2-131. Alternativas de conexión presentadas a la subestación Carrera 5 115

Solicitud	Capacidad	Tipo	Barra	FPO solicitada	Restricción

No se priorizó ninguna de las alternativas de conexión presentadas en la subestación Carrera 5 115

El estado de la capacidad por barra en la subestación Carrera 5 115, teniendo en cuenta la priorización se puede observar en la siguiente figura.

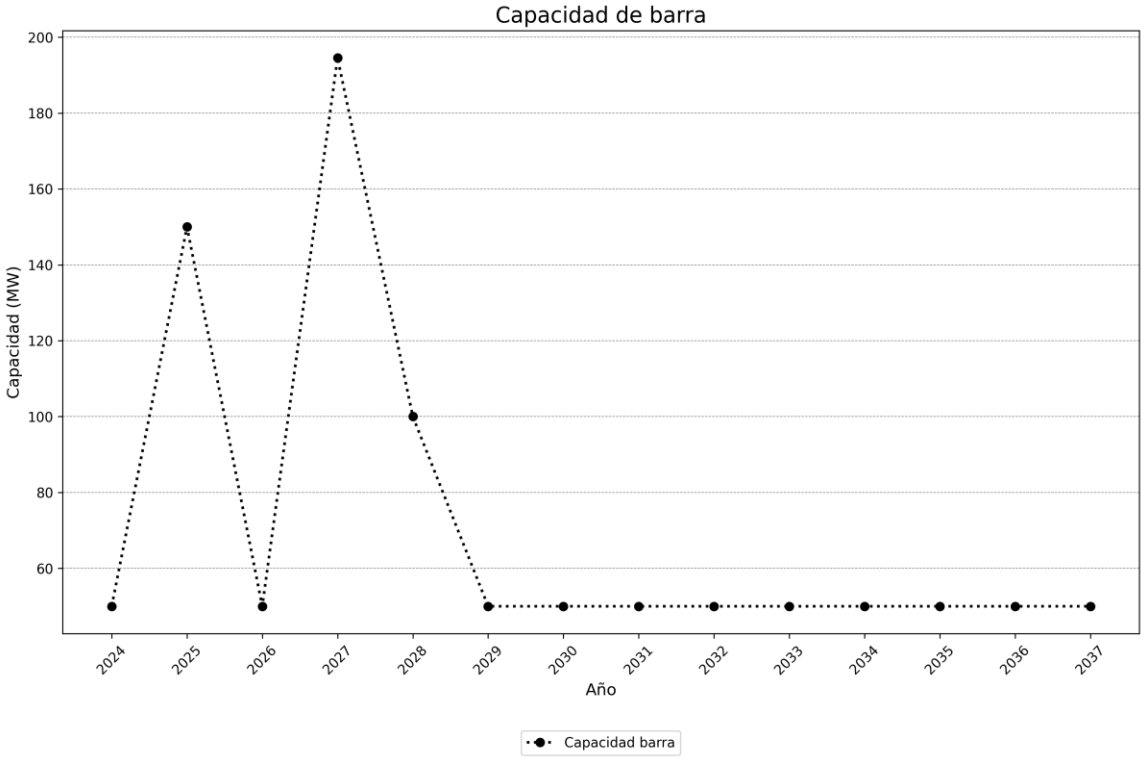


Figura 2-129. Balance de capacidad por barra después de la priorización para la subestación Carrera 5 115

Capacidad excedente de interrupción de corriente de cortocircuito:

Para la subestación Carrera 5 115 se presentaron 19 alternativas de conexión las cuales tienen aportes de corriente de cortocircuito. Estas alternativas se muestran en la siguiente tabla:

Tabla 2-132. Alternativas de conexión que aportan corriente de cortocircuito en la subestación Carrera 5 115

Solicitud	tipo	FPO	Barra a la que aporta CC	Aporte de cortocircuito (kA)	Restricción
SC_2023_5287_A1	Solar FV	2026	Carrera 5 115	0.032	SATISFACE
SC_2023_5287_A2	Solar FV	2026	Carrera 5 115	0.033	SATISFACE
SC_2023_5288_A1	Solar FV	2026	Carrera 5 115	0.019	SATISFACE
SC_2023_5288_A2	Solar FV	2026	Carrera 5 115	0.049	SATISFACE
SC_2023_5375_A1	Solar FV	2026	Carrera 5 115	0.032	SATISFACE
SC_2023_5399_A1	Solar FV	2026	Carrera 5 115	0.019	SATISFACE
SC_2023_5399_A2	Solar FV	2026	Carrera 5 115	0.049	SATISFACE
SC_2023_5480_A1	Solar FV	2026	Carrera 5 115	0.032	SATISFACE
SC_2023_5480_A2	Solar FV	2026	Carrera 5 115	0.033	SATISFACE
SC_2023_5557_A1	Solar FV	2028	Carrera 5 115	0.133	SATISFACE
SC_2936_A1	Solar FV	2026	Carrera 5 115	0.000	SATISFACE
SC_2936_A2	Solar FV	2026	Carrera 5 115	0.000	SATISFACE
SC_3882_A1	Solar FV	2026	Carrera 5 115	0.126	SATISFACE
SC_4083_A1	Solar FV	2027	Carrera 5 115	0.000	SATISFACE
SC_4083_A2	Solar FV	2027	Carrera 5 115	0.000	SATISFACE
SC_4765_A1	Solar FV	2029	Carrera 5 115	0.004	SATISFACE
SC_4765_A2	Solar FV	2029	Carrera 5 115	0.002	SATISFACE
SC_4978_A1	Solar FV	2026	Carrera 5 115	0.000	SATISFACE
SC_4978_A2	Solar FV	2026	Carrera 5 115	0.005	SATISFACE

No se priorizó ninguna de las alternativas de conexión que tengan aportes de corriente de cortocircuito en la subestación Carrera 5 115

El estado de la capacidad de cortocircuito en la subestación Carrera 5 115, teniendo en cuenta la priorización se puede observar en la siguiente figura.

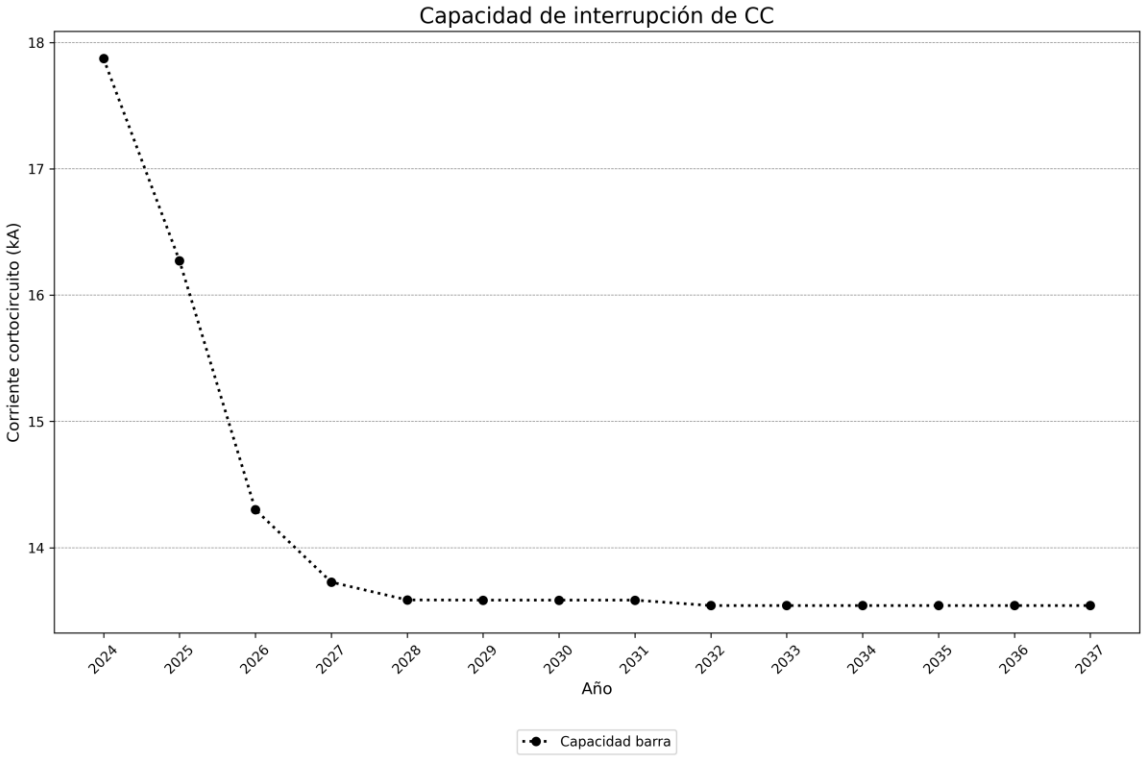


Figura 2-130. Balance de capacidad de cortocircuito después de la priorización para la subestación Carrera 5 115

Subestación Carrieles 110:

Capacidad por barra:

Para la subestación Carrieles 110 se presentaron 0 alternativas de conexión las cuales se muestran en la siguiente tabla:

Tabla 2-133. Alternativas de conexión presentadas a la subestación Carrieles 110

Solicitud	Capacidad	Tipo	Barra	FPO solicitada	Restricción

No se priorizó ninguna de las alternativas de conexión presentadas en la subestación Carrieles 110

El estado de la capacidad por barra en la subestación Carrieles 110, teniendo en cuenta la priorización se puede observar en la siguiente figura.

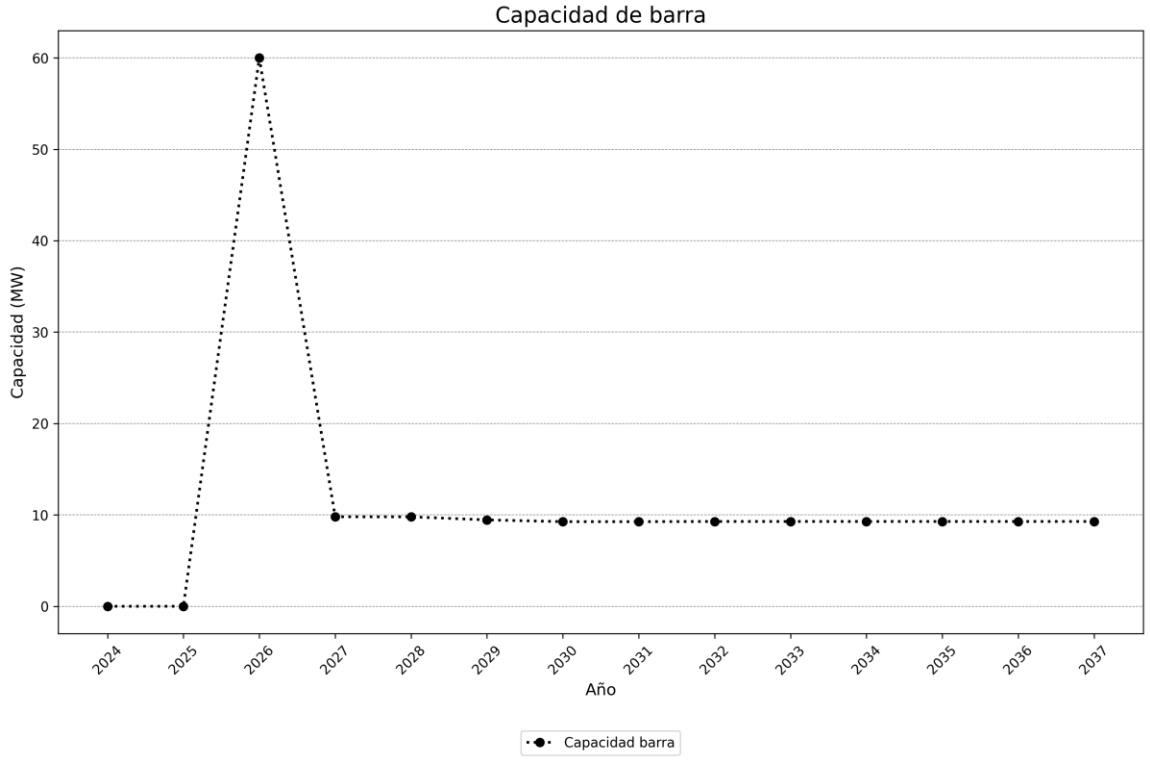


Figura 2-131. Balance de capacidad por barra después de la priorización para la subestación Carrieles 110

Capacidad excedente de interrupción de corriente de cortocircuito:

Para la subestación Carrieles 110 se presentaron 1 alternativas de conexión las cuales tienen aportes de corriente de cortocircuito. Estas alternativas se muestran en la siguiente tabla:

Tabla 2-134. Alternativas de conexión que aportan corriente de cortocircuito en la subestación Carrieles 110

Solicitud	tipo	FPO	Barra a la que aporta CC	Aporte de cortocircuito (kA)	Restricción
SC_3331_A1	Solar FV	2026	Carrieles 110	0.079	SATISFACE

No se priorizó ninguna de las alternativas de conexión que tengan aportes de corriente de cortocircuito en la subestación Carrieles 110

El estado de la capacidad de cortocircuito en la subestación Carrieles 110, teniendo en cuenta la priorización se puede observar en la siguiente figura.

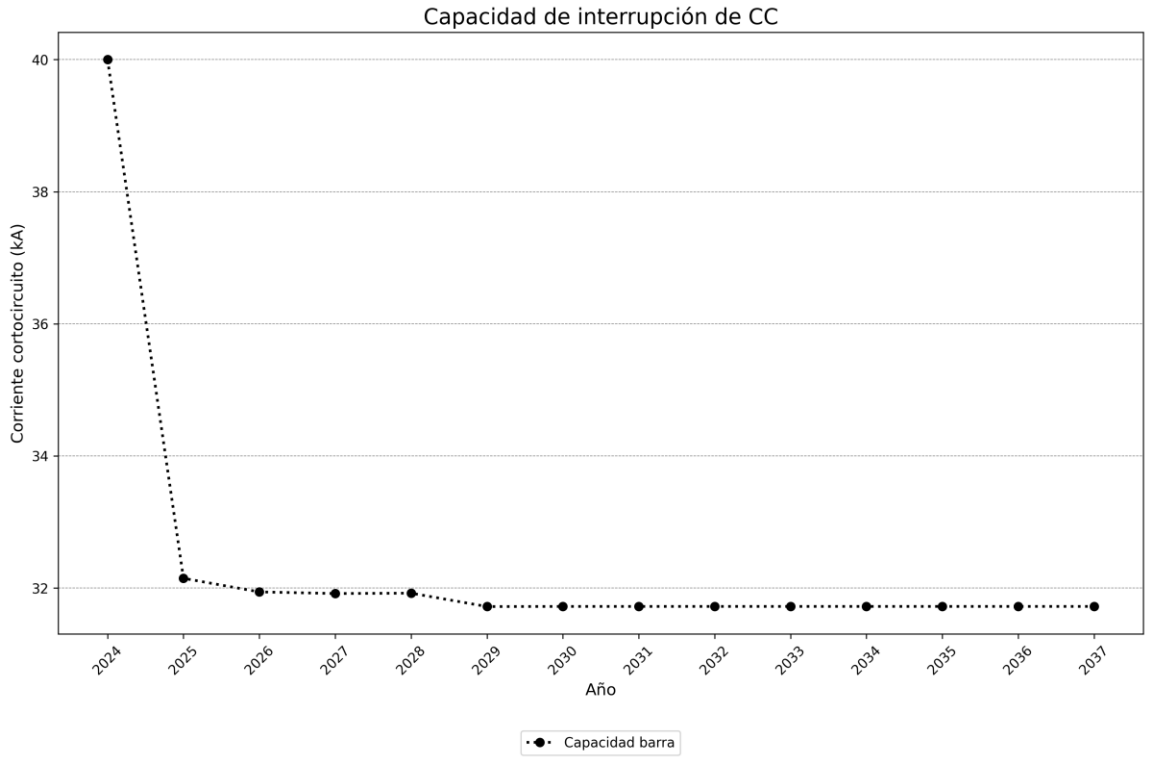


Figura 2-132. Balance de capacidad de cortocircuito después de la priorización para la subestación Carrieles 110

Subestación Carrieles 220:

Capacidad por barra:

Para la subestación Carrieles 220 se presentaron 0 alternativas de conexión las cuales se muestran en la siguiente tabla:

Tabla 2-135. Alternativas de conexión presentadas a la subestación Carrieles 220

Solicitud	Capacidad	Tipo	Barra	FPO solicitada	Restricción

No se priorizó ninguna de las alternativas de conexión presentadas en la subestación Carrieles 220

El estado de la capacidad por barra en la subestación Carrieles 220, teniendo en cuenta la priorización se puede observar en la siguiente figura.

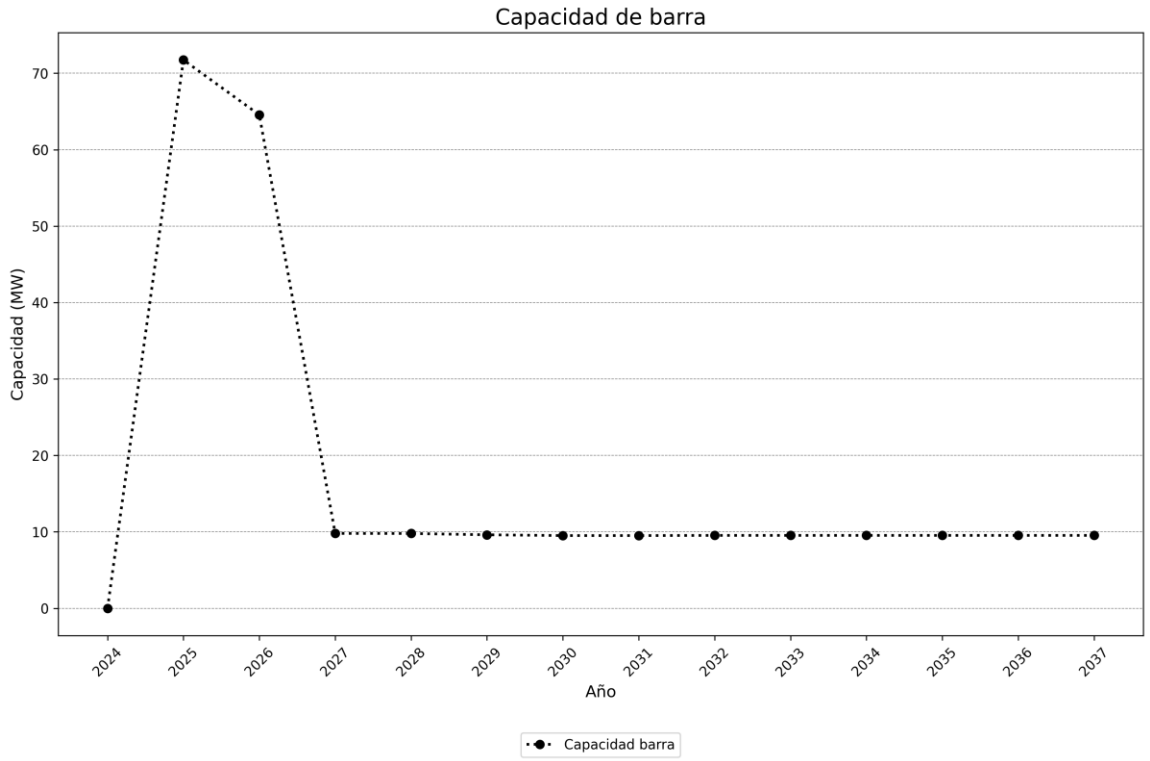


Figura 2-133. Balance de capacidad por barra después de la priorización para la subestación Carrieles 220

Capacidad excedente de interrupción de corriente de cortocircuito:

Para la subestación Carrieles 220 se presentaron 15 alternativas de conexión las cuales tienen aportes de corriente de cortocircuito. Estas alternativas se muestran en la siguiente tabla:

Tabla 2-136. Alternativas de conexión que aportan corriente de cortocircuito en la subestación Carrieles 220

Solicitud	tipo	FPO	Barra a la que aporta CC	Aporte de cortocircuito (kA)	Restricción
SC_2023_5293_A1	Solar FV	2028	Carrieles 220	0.020	SATISFACE
SC_2023_5293_A2	Solar FV	2028	Carrieles 220	0.016	SATISFACE
SC_2023_5339_A1	PCH	2026	Carrieles 220	0.001	SATISFACE
SC_2023_5339_A2	PCH	2026	Carrieles 220	0.001	SATISFACE
SC_2023_5557_A1	Solar FV	2028	Carrieles 220	0.055	SATISFACE
SC_2936_A1	Solar FV	2026	Carrieles 220	0.000	SATISFACE
SC_2936_A2	Solar FV	2026	Carrieles 220	0.000	SATISFACE
SC_3133_A1	Solar FV	2028	Carrieles 220	0.111	SATISFACE
SC_3133_A2	Solar FV	2028	Carrieles 220	0.078	SATISFACE
SC_3331_A1	Solar FV	2026	Carrieles 220	0.055	SATISFACE
SC_3882_A1	Solar FV	2026	Carrieles 220	0.053	SATISFACE
SC_4974_A1	Solar FV	2026	Carrieles 220	0.005	SATISFACE
SC_4974_A2	Solar FV	2026	Carrieles 220	0.005	SATISFACE
SC_4978_A1	Solar FV	2026	Carrieles 220	0.001	SATISFACE
SC_4978_A2	Solar FV	2026	Carrieles 220	0.002	SATISFACE

No se priorizó ninguna de las alternativas de conexión que tengan aportes de corriente de cortocircuito en la subestación Carrieles 220

El estado de la capacidad de cortocircuito en la subestación Carrieles 220, teniendo en cuenta la priorización se puede observar en la siguiente figura.

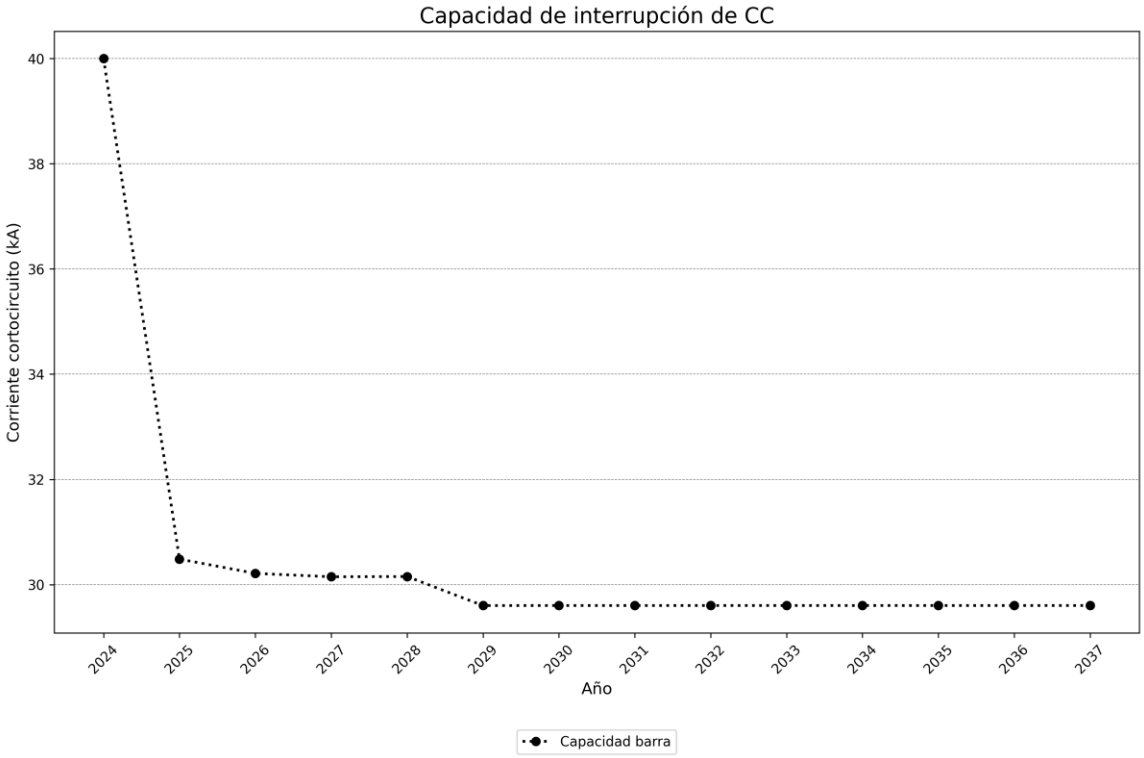


Figura 2-134. Balance de capacidad de cortocircuito después de la priorización para la subestación Carrieles 220

Subestación Cartago 115:

Capacidad por barra:

Para la subestación Cartago 115 se presentaron 0 alternativas de conexión las cuales se muestran en la siguiente tabla:

Tabla 2-137. Alternativas de conexión presentadas a la subestación Cartago 115

Solicitud	Capacidad	Tipo	Barra	FPO solicitada	Restricción

No se priorizó ninguna de las alternativas de conexión presentadas en la subestación Cartago 115

El estado de la capacidad por barra en la subestación Cartago 115, teniendo en cuenta la priorización se puede observar en la siguiente figura.

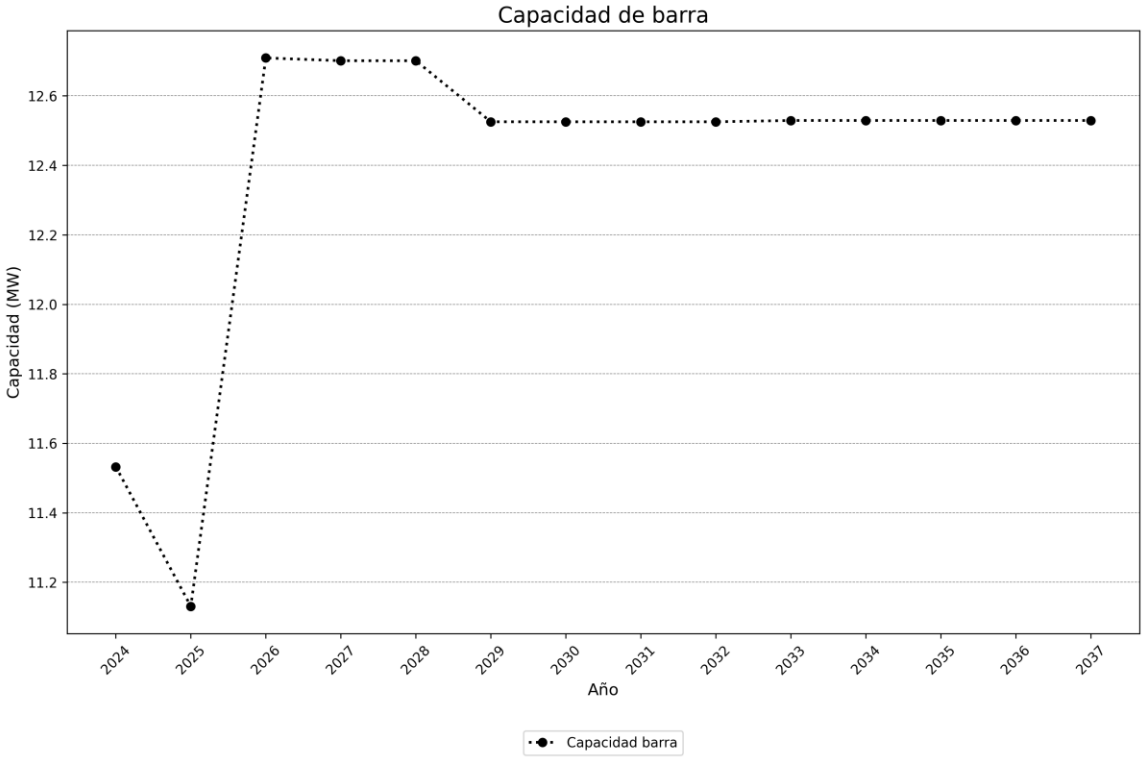


Figura 2-135. Balance de capacidad por barra después de la priorización para la subestación Cartago 115

Capacidad excedente de interrupción de corriente de cortocircuito:

Para la subestación Cartago 115 se presentaron 83 alternativas de conexión las cuales tienen aportes de corriente de cortocircuito. Estas alternativas se muestran en la siguiente tabla:

Tabla 2-138. Alternativas de conexión que aportan corriente de cortocircuito en la subestación Cartago 115

Solicitud	tipo	FPO	Barra a la que aporta CC	Aporte de cortocircuito (kA)	Restricción
SC_2023_5136_A1	Solar FV	2026	Cartago 115	0.015	SATISFACE
SC_2023_5136_A2	Solar FV	2026	Cartago 115	0.015	SATISFACE
SC_2023_5144_A1	Solar FV	2028	Cartago 115	0.314	SATISFACE
SC_2023_5144_A2	Solar FV	2028	Cartago 115	0.122	SATISFACE
SC_2023_5150_A1	Solar FV	2028	Cartago 115	0.127	SATISFACE
SC_2023_5185_A1	Solar FV	2026	Cartago 115	0.312	SATISFACE
SC_2023_5185_A2	Solar FV	2026	Cartago 115	0.322	SATISFACE
SC_2023_5188_A1	Solar FV	2026	Cartago 115	0.031	SATISFACE
SC_2023_5188_A2	Solar FV	2026	Cartago 115	0.098	SATISFACE
SC_2023_5200_A1	Solar FV	2028	Cartago 115	0.591	SATISFACE
SC_2023_5200_A2	Solar FV	2028	Cartago 115	0.249	SATISFACE
SC_2023_5293_A1	Solar FV	2028	Cartago 115	0.057	SATISFACE
SC_2023_5293_A2	Solar FV	2028	Cartago 115	0.082	SATISFACE
SC_2023_5294_A1	Solar FV	2029	Cartago 115	0.015	SATISFACE
SC_2023_5294_A2	Solar FV	2029	Cartago 115	0.016	SATISFACE
SC_2023_5339_A1	PCH	2026	Cartago 115	0.002	SATISFACE
SC_2023_5339_A2	PCH	2026	Cartago 115	0.002	SATISFACE
SC_2023_5345_A1	Solar FV	2027	Cartago 115	0.010	SATISFACE
SC_2023_5345_A2	Solar FV	2027	Cartago 115	0.012	SATISFACE
SC_2023_5346_A1	Solar FV	2027	Cartago 115	0.010	SATISFACE
SC_2023_5346_A2	Solar FV	2027	Cartago 115	0.012	SATISFACE
SC_2023_5431_A1	Solar FV	2028	Cartago 115	0.000	SATISFACE
SC_2023_5431_A2	Solar FV	2028	Cartago 115	0.000	SATISFACE
SC_2023_5551_A1	Solar FV	2027	Cartago 115	0.532	SATISFACE
SC_2023_5551_A2	Solar FV	2027	Cartago 115	0.224	SATISFACE
SC_2023_5557_A1	Solar FV	2028	Cartago 115	0.116	SATISFACE
SC_2023_5564_A1	Solar FV	2026	Cartago 115	0.031	SATISFACE
SC_2023_5564_A2	Solar FV	2026	Cartago 115	0.031	SATISFACE
SC_2023_5565_A1	Solar FV	2027	Cartago 115	0.034	SATISFACE
SC_2023_5566_A1	Solar FV	2028	Cartago 115	0.030	SATISFACE
SC_2023_5566_A2	Solar FV	2028	Cartago 115	0.032	SATISFACE
SC_2023_5659_A1	PCH	2026	Cartago 115	0.047	SATISFACE
SC_2436_A1	Solar FV	2028	Cartago 115	0.040	SATISFACE
SC_2436_A2	Solar FV	2028	Cartago 115	0.040	SATISFACE
SC_2438_A1	Solar FV	2028	Cartago 115	0.000	SATISFACE
SC_2438_A2	Solar FV	2028	Cartago 115	0.000	SATISFACE
SC_2527_A1	Solar FV	2028	Cartago 115	0.130	SATISFACE

SC_2527_A2	Solar FV	2028	Cartago 115	0.100	SATISFACE
SC_2634_A1	Solar FV	2026	Cartago 115	0.000	SATISFACE
SC_2634_A2	Solar FV	2026	Cartago 115	0.000	SATISFACE
SC_2802_A1	Solar FV	2027	Cartago 115	0.002	SATISFACE
SC_2802_A2	Solar FV	2027	Cartago 115	0.001	SATISFACE
SC_2924_A1	Solar FV	2026	Cartago 115	0.250	SATISFACE
SC_2924_A2	Solar FV	2026	Cartago 115	0.258	SATISFACE
SC_2936_A1	Solar FV	2026	Cartago 115	0.000	SATISFACE
SC_2936_A2	Solar FV	2026	Cartago 115	0.000	SATISFACE
SC_3238_A1	Solar FV	2027	Cartago 115	0.537	SATISFACE
SC_3238_A2	Solar FV	2027	Cartago 115	0.342	SATISFACE
SC_3247_A1	Solar FV	2027	Cartago 115	0.128	SATISFACE
SC_3247_A2	Solar FV	2027	Cartago 115	0.094	SATISFACE
SC_3248_A1	Solar FV	2027	Cartago 115	0.537	SATISFACE
SC_3248_A2	Solar FV	2027	Cartago 115	0.342	SATISFACE
SC_3251_A1	Hidráulica	2026	Cartago 115	0.010	SATISFACE
SC_3251_A2	Hidráulica	2026	Cartago 115	0.010	SATISFACE
SC_3441_A1	Solar FV	2027	Cartago 115	0.128	SATISFACE
SC_3441_A2	Solar FV	2027	Cartago 115	0.094	SATISFACE
SC_3453_A1	Solar FV	2027	Cartago 115	0.008	SATISFACE
SC_3453_A2	Solar FV	2027	Cartago 115	0.008	SATISFACE
SC_3514_A1	Solar FV	2027	Cartago 115	0.008	SATISFACE
SC_3514_A2	Solar FV	2027	Cartago 115	0.008	SATISFACE
SC_3667_A1	Solar FV	2029	Cartago 115	0.011	SATISFACE
SC_3667_A2	Solar FV	2029	Cartago 115	0.007	SATISFACE
SC_3882_A1	Solar FV	2026	Cartago 115	0.114	SATISFACE
SC_4296_A1	Solar FV	2028	Cartago 115	0.319	SATISFACE
SC_4296_A2	Solar FV	2028	Cartago 115	0.223	SATISFACE
SC_4809_A1	Solar FV	2027	Cartago 115	0.000	SATISFACE
SC_4809_A2	Solar FV	2027	Cartago 115	0.173	SATISFACE
SC_4826_A1	Solar FV	2027	Cartago 115	0.008	SATISFACE
SC_4826_A2	Solar FV	2027	Cartago 115	0.008	SATISFACE
SC_4827_A1	Solar FV	2027	Cartago 115	0.008	SATISFACE
SC_4827_A2	Solar FV	2027	Cartago 115	0.008	SATISFACE
SC_4842_A1	Solar FV	2028	Cartago 115	0.127	SATISFACE
SC_4910_A1	Solar FV	2026	Cartago 115	0.014	SATISFACE
SC_4910_A2	Solar FV	2026	Cartago 115	0.014	SATISFACE
SC_4947_A1	Solar FV	2027	Cartago 115	0.118	SATISFACE
SC_4960_A2	Solar FV	2029	Cartago 115	0.051	SATISFACE
SC_5009_A1	Solar FV	2026	Cartago 115	0.087	SATISFACE

SC_5009_A2	Solar FV	2026	Cartago 115	0.034	SATISFACE
SC_5011_A1	Solar FV	2027	Cartago 115	0.087	SATISFACE
SC_5011_A2	Solar FV	2027	Cartago 115	0.034	SATISFACE
SC_5060_A1	Solar FV	2026	Cartago 115	0.014	SATISFACE
SC_5060_A2	Solar FV	2026	Cartago 115	0.014	SATISFACE
SC_5087_A2	Solar FV	2027	Cartago 115	0.027	SATISFACE

No se priorizó ninguna de las alternativas de conexión que tengan aportes de corriente de cortocircuito en la subestación Cartago 115

El estado de la capacidad de cortocircuito en la subestación Cartago 115, teniendo en cuenta la priorización se puede observar en la siguiente figura.

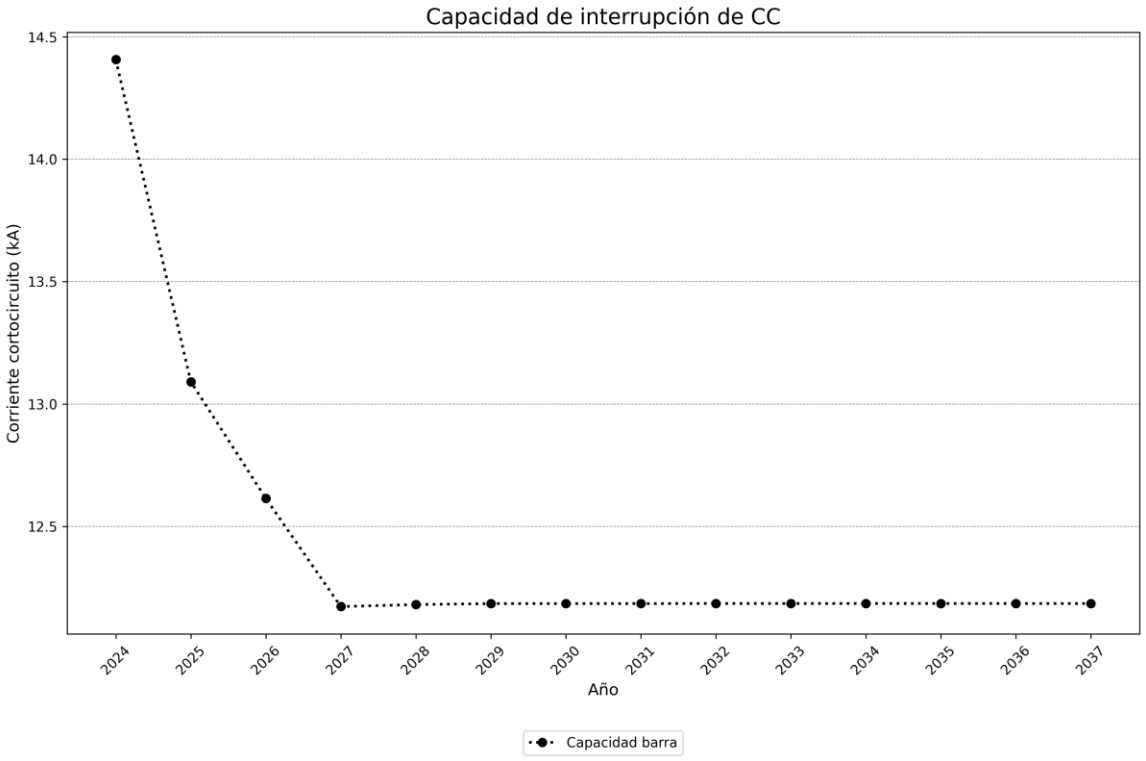


Figura 2-136. Balance de capacidad de cortocircuito después de la priorización para la subestación Cartago 115

Subestación Cartago 220:

Capacidad por barra:

Para la subestación Cartago 220 se presentaron 0 alternativas de conexión las cuales se muestran en la siguiente tabla:

Tabla 2-139. Alternativas de conexión presentadas a la subestación Cartago 220

Solicitud	Capacidad	Tipo	Barra	FPO solicitada	Restricción

No se priorizó ninguna de las alternativas de conexión presentadas en la subestación Cartago 220

El estado de la capacidad por barra en la subestación Cartago 220, teniendo en cuenta la priorización se puede observar en la siguiente figura.

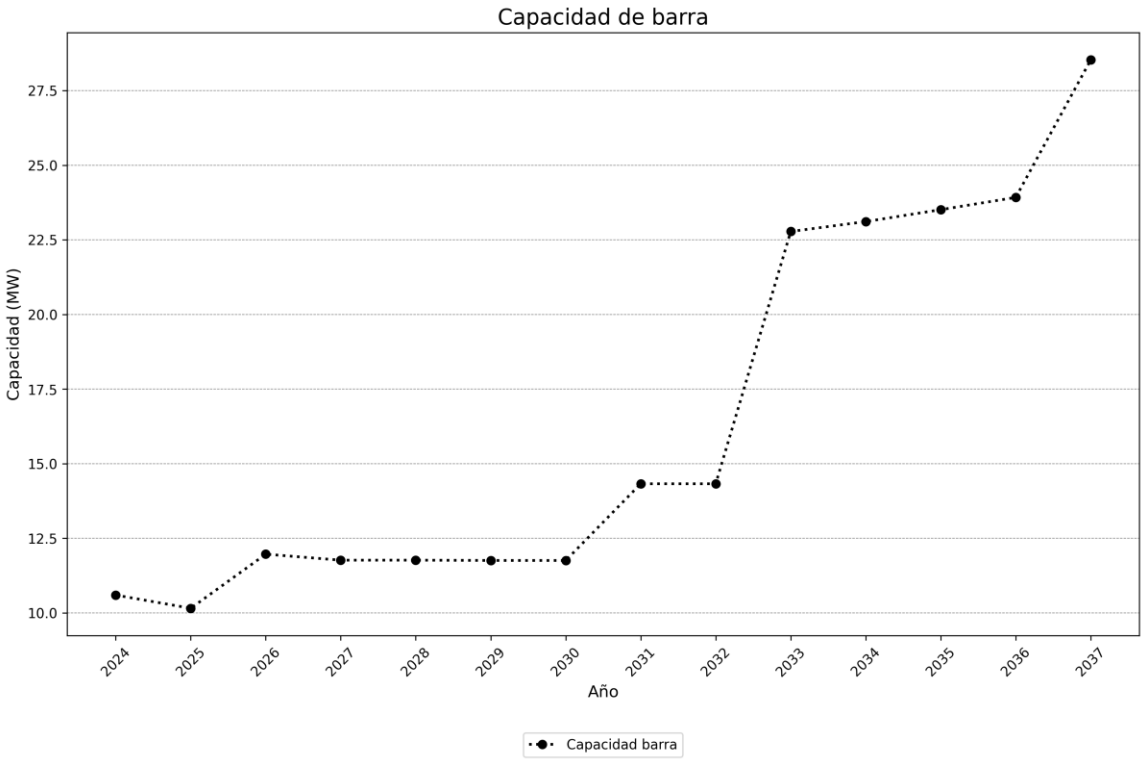


Figura 2-137. Balance de capacidad por barra después de la priorización para la subestación Cartago 220

Capacidad excedente de interrupción de corriente de cortocircuito:

Para la subestación Cartago 220 se presentaron 91 alternativas de conexión las cuales tienen aportes de corriente de cortocircuito. Estas alternativas se muestran en la siguiente tabla:

Tabla 2-140. Alternativas de conexión que aportan corriente de cortocircuito en la subestación Cartago 220

Solicitud	tipo	FPO	Barra a la que aporta CC	Aporte de cortocircuito (kA)	Restricción
SC_2023_5136_A1	Solar FV	2026	Cartago 220	0.015	SATISFACE
SC_2023_5136_A2	Solar FV	2026	Cartago 220	0.015	SATISFACE
SC_2023_5144_A1	Solar FV	2028	Cartago 220	0.559	SATISFACE
SC_2023_5144_A2	Solar FV	2028	Cartago 220	0.128	SATISFACE
SC_2023_5150_A1	Solar FV	2028	Cartago 220	0.125	SATISFACE
SC_2023_5185_A1	Solar FV	2026	Cartago 220	0.288	SATISFACE
SC_2023_5185_A2	Solar FV	2026	Cartago 220	0.313	SATISFACE
SC_2023_5188_A1	Solar FV	2026	Cartago 220	0.030	SATISFACE
SC_2023_5188_A2	Solar FV	2026	Cartago 220	0.089	SATISFACE
SC_2023_5200_A1	Solar FV	2028	Cartago 220	0.839	SATISFACE
SC_2023_5200_A2	Solar FV	2028	Cartago 220	0.311	SATISFACE
SC_2023_5293_A1	Solar FV	2028	Cartago 220	0.062	SATISFACE
SC_2023_5293_A2	Solar FV	2028	Cartago 220	0.152	SATISFACE
SC_2023_5294_A1	Solar FV	2029	Cartago 220	0.017	SATISFACE
SC_2023_5294_A2	Solar FV	2029	Cartago 220	0.017	SATISFACE
SC_2023_5345_A1	Solar FV	2027	Cartago 220	0.009	SATISFACE
SC_2023_5345_A2	Solar FV	2027	Cartago 220	0.011	SATISFACE
SC_2023_5346_A1	Solar FV	2027	Cartago 220	0.009	SATISFACE
SC_2023_5346_A2	Solar FV	2027	Cartago 220	0.011	SATISFACE
SC_2023_5431_A1	Solar FV	2028	Cartago 220	0.000	SATISFACE
SC_2023_5431_A2	Solar FV	2028	Cartago 220	0.000	SATISFACE
SC_2023_5551_A1	Solar FV	2027	Cartago 220	0.775	SATISFACE
SC_2023_5551_A2	Solar FV	2027	Cartago 220	0.285	SATISFACE
SC_2023_5557_A1	Solar FV	2028	Cartago 220	0.124	SATISFACE

SC_2023_5564_A1	Solar FV	2026	Cartago 220	0.016	SATISFACE
SC_2023_5564_A2	Solar FV	2026	Cartago 220	0.016	SATISFACE
SC_2023_5565_A1	Solar FV	2027	Cartago 220	0.017	SATISFACE
SC_2023_5566_A1	Solar FV	2028	Cartago 220	0.016	SATISFACE
SC_2023_5566_A2	Solar FV	2028	Cartago 220	0.017	SATISFACE
SC_2023_5659_A1	PCH	2026	Cartago 220	0.033	SATISFACE
SC_2436_A1	Solar FV	2028	Cartago 220	0.040	SATISFACE
SC_2436_A2	Solar FV	2028	Cartago 220	0.040	SATISFACE
SC_2438_A1	Solar FV	2028	Cartago 220	0.000	SATISFACE
SC_2438_A2	Solar FV	2028	Cartago 220	0.003	SATISFACE
SC_2527_A1	Solar FV	2028	Cartago 220	0.180	SATISFACE
SC_2527_A2	Solar FV	2028	Cartago 220	0.100	SATISFACE
SC_2634_A1	Solar FV	2026	Cartago 220	0.000	SATISFACE
SC_2634_A2	Solar FV	2026	Cartago 220	0.000	SATISFACE
SC_2670_A1	Solar FV	2028	Cartago 220	0.040	SATISFACE
SC_2670_A2	Solar FV	2028	Cartago 220	0.250	SATISFACE
SC_2802_A1	Solar FV	2027	Cartago 220	0.005	SATISFACE
SC_2802_A2	Solar FV	2027	Cartago 220	0.004	SATISFACE
SC_2924_A1	Solar FV	2026	Cartago 220	0.230	SATISFACE
SC_2924_A2	Solar FV	2026	Cartago 220	0.252	SATISFACE
SC_2936_A1	Solar FV	2026	Cartago 220	0.000	SATISFACE
SC_2936_A2	Solar FV	2026	Cartago 220	0.000	SATISFACE
SC_3012_A1	Solar FV	2027	Cartago 220	0.020	SATISFACE
SC_3012_A2	Solar FV	2027	Cartago 220	0.010	SATISFACE
SC_3101_A1	Solar FV	2027	Cartago 220	0.007	SATISFACE
SC_3101_A2	Solar FV	2027	Cartago 220	0.001	SATISFACE
SC_3133_A1	Solar FV	2028	Cartago 220	0.489	SATISFACE
SC_3133_A2	Solar FV	2028	Cartago 220	0.263	SATISFACE
SC_3238_A1	Solar FV	2027	Cartago 220	0.649	SATISFACE
SC_3238_A2	Solar FV	2027	Cartago 220	0.306	SATISFACE
SC_3247_A1	Solar FV	2027	Cartago 220	0.126	SATISFACE
SC_3247_A2	Solar FV	2027	Cartago 220	0.092	SATISFACE
SC_3248_A1	Solar FV	2027	Cartago 220	0.649	SATISFACE
SC_3248_A2	Solar FV	2027	Cartago 220	0.306	SATISFACE
SC_3251_A1	Hidráulica	2026	Cartago 220	0.010	SATISFACE
SC_3251_A2	Hidráulica	2026	Cartago 220	0.010	SATISFACE
SC_3441_A1	Solar FV	2027	Cartago 220	0.126	SATISFACE
SC_3441_A2	Solar FV	2027	Cartago 220	0.092	SATISFACE
SC_3453_A1	Solar FV	2027	Cartago 220	0.008	SATISFACE
SC_3453_A2	Solar FV	2027	Cartago 220	0.008	SATISFACE

SC_3514_A1	Solar FV	2027	Cartago 220	0.008	SATISFACE
SC_3514_A2	Solar FV	2027	Cartago 220	0.008	SATISFACE
SC_3667_A1	Solar FV	2029	Cartago 220	0.010	SATISFACE
SC_3667_A2	Solar FV	2029	Cartago 220	0.007	SATISFACE
SC_3882_A1	Solar FV	2026	Cartago 220	0.122	SATISFACE
SC_4296_A1	Solar FV	2028	Cartago 220	0.597	SATISFACE
SC_4296_A2	Solar FV	2028	Cartago 220	0.245	SATISFACE
SC_4809_A1	Solar FV	2027	Cartago 220	0.015	SATISFACE
SC_4809_A2	Solar FV	2027	Cartago 220	0.151	SATISFACE
SC_4824_A1	Solar FV	2025	Cartago 220	0.000	SATISFACE
SC_4824_A2	Solar FV	2025	Cartago 220	0.000	SATISFACE
SC_4826_A1	Solar FV	2027	Cartago 220	0.009	SATISFACE
SC_4826_A2	Solar FV	2027	Cartago 220	0.009	SATISFACE
SC_4827_A1	Solar FV	2027	Cartago 220	0.009	SATISFACE
SC_4827_A2	Solar FV	2027	Cartago 220	0.009	SATISFACE
SC_4842_A1	Solar FV	2028	Cartago 220	0.125	SATISFACE
SC_4910_A1	Solar FV	2026	Cartago 220	0.015	SATISFACE
SC_4910_A2	Solar FV	2026	Cartago 220	0.015	SATISFACE
SC_4947_A1	Solar FV	2027	Cartago 220	0.254	SATISFACE
SC_4960_A2	Solar FV	2029	Cartago 220	0.054	SATISFACE
SC_5009_A1	Solar FV	2026	Cartago 220	0.107	SATISFACE
SC_5009_A2	Solar FV	2026	Cartago 220	0.054	SATISFACE
SC_5011_A1	Solar FV	2027	Cartago 220	0.107	SATISFACE
SC_5011_A2	Solar FV	2027	Cartago 220	0.054	SATISFACE
SC_5060_A1	Solar FV	2026	Cartago 220	0.015	SATISFACE
SC_5060_A2	Solar FV	2026	Cartago 220	0.015	SATISFACE
SC_5087_A2	Solar FV	2027	Cartago 220	0.028	SATISFACE

No se priorizó ninguna de las alternativas de conexión que tengan aportes de corriente de cortocircuito en la subestación Cartago 220

El estado de la capacidad de cortocircuito en la subestación Cartago 220, teniendo en cuenta la priorización se puede observar en la siguiente figura.

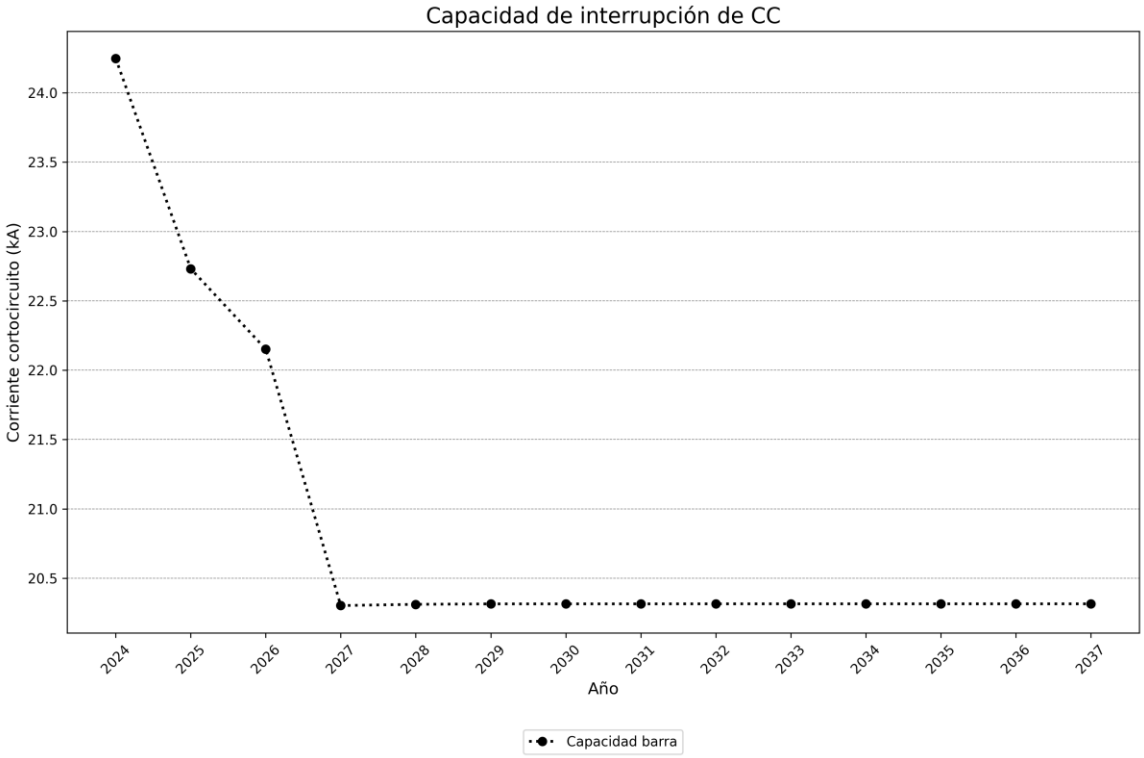


Figura 2-138. Balance de capacidad de cortocircuito después de la priorización para la subestación Cartago 220

Subestación Castellana 115:

Capacidad por barra:

Para la subestación Castellana 115 se presentaron 0 alternativas de conexión las cuales se muestran en la siguiente tabla:

Tabla 2-141. Alternativas de conexión presentadas a la subestación Castellana 115

Solicitud	Capacidad	Tipo	Barra	FPO solicitada	Restricción

No se priorizó ninguna de las alternativas de conexión presentadas en la subestación Castellana 115

El estado de la capacidad por barra en la subestación Castellana 115, teniendo en cuenta la priorización se puede observar en la siguiente figura.

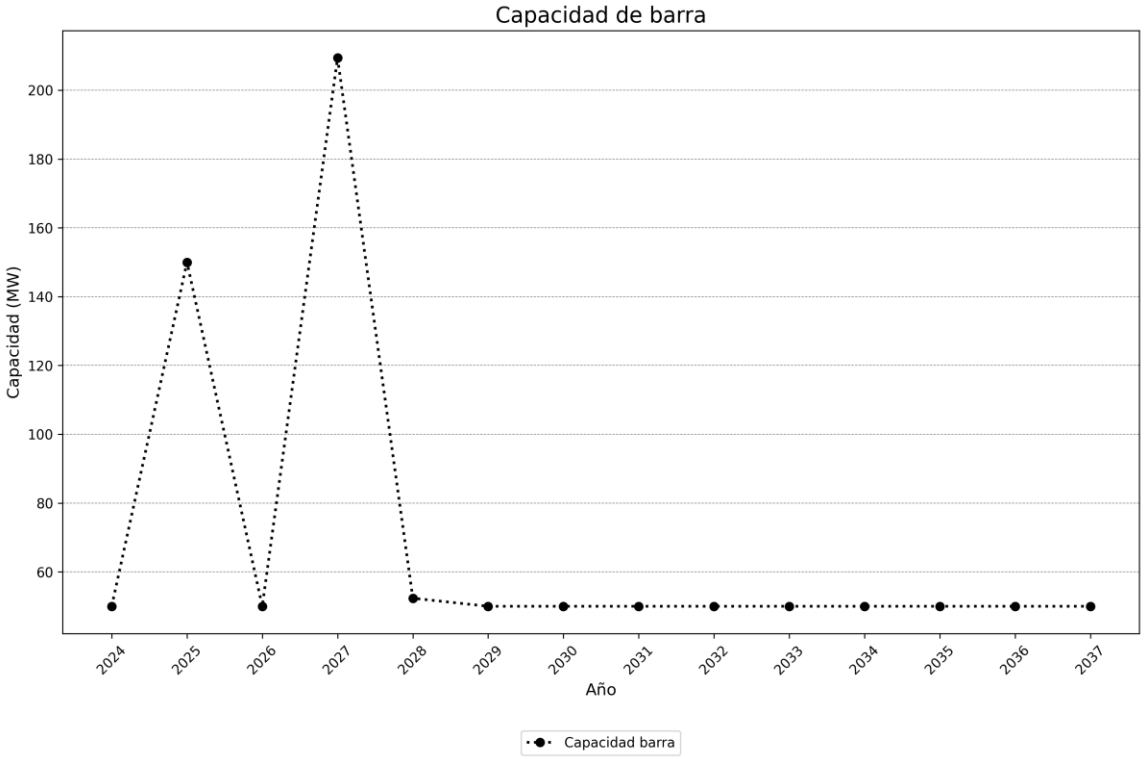


Figura 2-139. Balance de capacidad por barra después de la priorización para la subestación Castellana 115

Capacidad excedente de interrupción de corriente de cortocircuito:

Para la subestación Castellana 115 se presentaron 27 alternativas de conexión las cuales tienen aportes de corriente de cortocircuito. Estas alternativas se muestran en la siguiente tabla:

Tabla 2-142. Alternativas de conexión que aportan corriente de cortocircuito en la subestación Castellana 115

Solicitud	tipo	FPO	Barra a la que aporta CC	Aporte de cortocircuito (kA)	Restricción
SC_2023_5280_A1	Solar FV	2028	Castellana 115	0.081	SATISFACE
SC_2023_5280_A2	Solar FV	2028	Castellana 115	0.073	SATISFACE
SC_2023_5287_A1	Solar FV	2026	Castellana 115	0.041	SATISFACE
SC_2023_5287_A2	Solar FV	2026	Castellana 115	0.042	SATISFACE
SC_2023_5288_A1	Solar FV	2026	Castellana 115	0.024	SATISFACE
SC_2023_5288_A2	Solar FV	2026	Castellana 115	0.064	SATISFACE
SC_2023_5375_A1	Solar FV	2026	Castellana 115	0.041	SATISFACE
SC_2023_5399_A1	Solar FV	2026	Castellana 115	0.024	SATISFACE
SC_2023_5399_A2	Solar FV	2026	Castellana 115	0.064	SATISFACE
SC_2023_5480_A1	Solar FV	2026	Castellana 115	0.041	SATISFACE
SC_2023_5480_A2	Solar FV	2026	Castellana 115	0.042	SATISFACE
SC_2023_5557_A1	Solar FV	2028	Castellana 115	0.168	SATISFACE
SC_2936_A1	Solar FV	2026	Castellana 115	0.000	SATISFACE
SC_2936_A2	Solar FV	2026	Castellana 115	0.000	SATISFACE
SC_3121_A1	Solar FV	2026	Castellana 115	0.006	SATISFACE
SC_3121_A2	Solar FV	2026	Castellana 115	0.006	SATISFACE
SC_3132_A1	Solar FV	2026	Castellana 115	0.091	SATISFACE
SC_3132_A2	Solar FV	2026	Castellana 115	0.079	SATISFACE
SC_3882_A1	Solar FV	2026	Castellana 115	0.159	SATISFACE
SC_4083_A1	Solar FV	2027	Castellana 115	0.001	SATISFACE
SC_4083_A2	Solar FV	2027	Castellana 115	0.001	SATISFACE
SC_4765_A1	Solar FV	2029	Castellana 115	0.007	SATISFACE
SC_4765_A2	Solar FV	2029	Castellana 115	0.004	SATISFACE
SC_4819_A1	Solar FV	2029	Castellana 115	0.148	SATISFACE
SC_4819_A2	Solar FV	2029	Castellana 115	0.133	SATISFACE
SC_4978_A1	Solar FV	2026	Castellana 115	0.000	SATISFACE
SC_4978_A2	Solar FV	2026	Castellana 115	0.007	SATISFACE

No se priorizó ninguna de las alternativas de conexión que tengan aportes de corriente de cortocircuito en la subestación Castellana 115

El estado de la capacidad de cortocircuito en la subestación Castellana 115, teniendo en cuenta la priorización se puede observar en la siguiente figura.

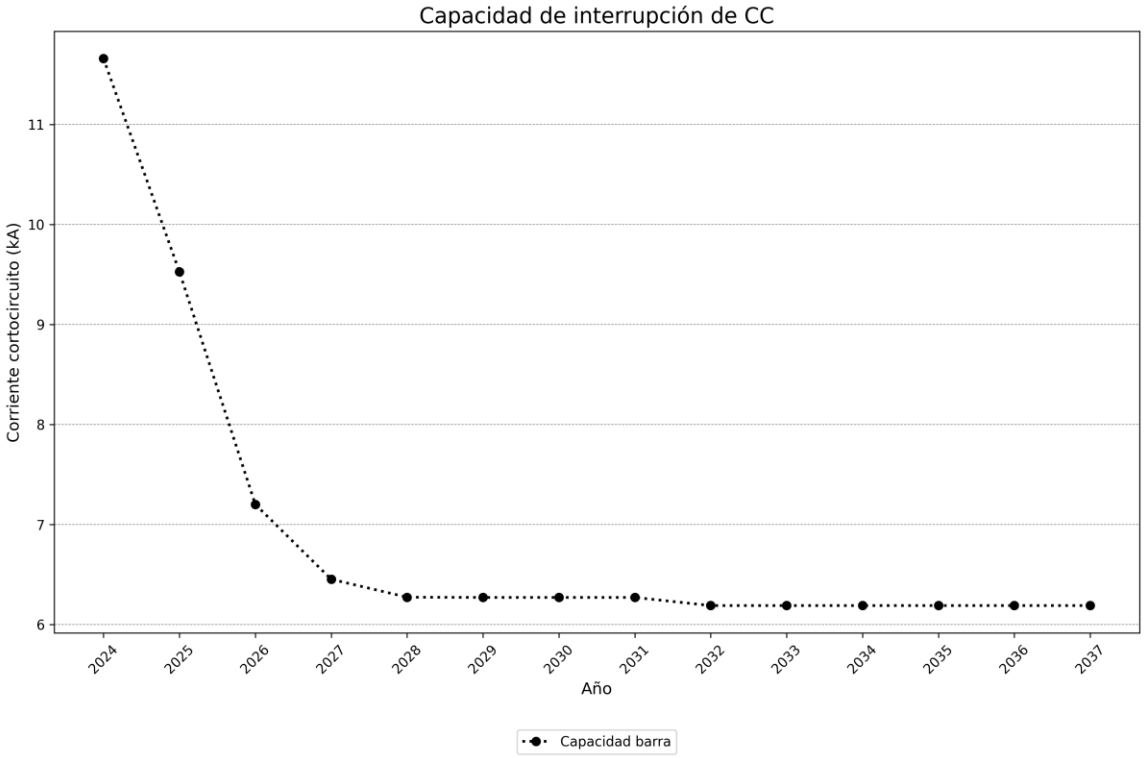


Figura 2-140. Balance de capacidad de cortocircuito después de la priorización para la subestación Castellana 115

Subestación Castilla 110:

Capacidad por barra:

Para la subestación Castilla 110 se presentaron 0 alternativas de conexión las cuales se muestran en la siguiente tabla:

Tabla 2-143. Alternativas de conexión presentadas a la subestación Castilla 110

Solicitud	Capacidad	Tipo	Barra	FPO solicitada	Restricción

No se priorizó ninguna de las alternativas de conexión presentadas en la subestación Castilla 110

El estado de la capacidad por barra en la subestación Castilla 110, teniendo en cuenta la priorización se puede observar en la siguiente figura.

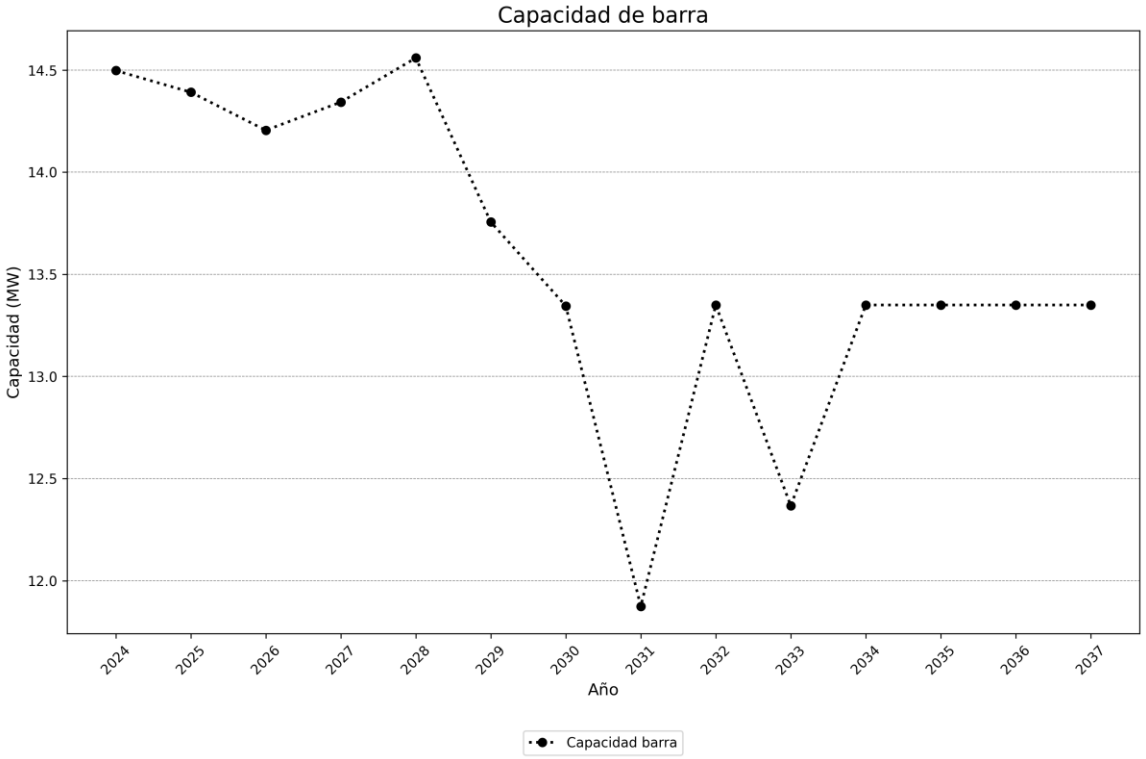


Figura 2-141. Balance de capacidad por barra después de la priorización para la subestación Castilla 110

Capacidad excedente de interrupción de corriente de cortocircuito:

Para la subestación Castilla 110 se presentaron 1 alternativas de conexión las cuales tienen aportes de corriente de cortocircuito. Estas alternativas se muestran en la siguiente tabla:

Tabla 2-144. Alternativas de conexión que aportan corriente de cortocircuito en la subestación Castilla 110

Solicitud	tipo	FPO	Barra a la que aporta CC	Aporte de cortocircuito (kA)	Restricción
SC_3331_A1	Solar FV	2026	Castilla 110	0.103	SATISFACE

No se priorizó ninguna de las alternativas de conexión que tengan aportes de corriente de cortocircuito en la subestación Castilla 110

El estado de la capacidad de cortocircuito en la subestación Castilla 110, teniendo en cuenta la priorización se puede observar en la siguiente figura.

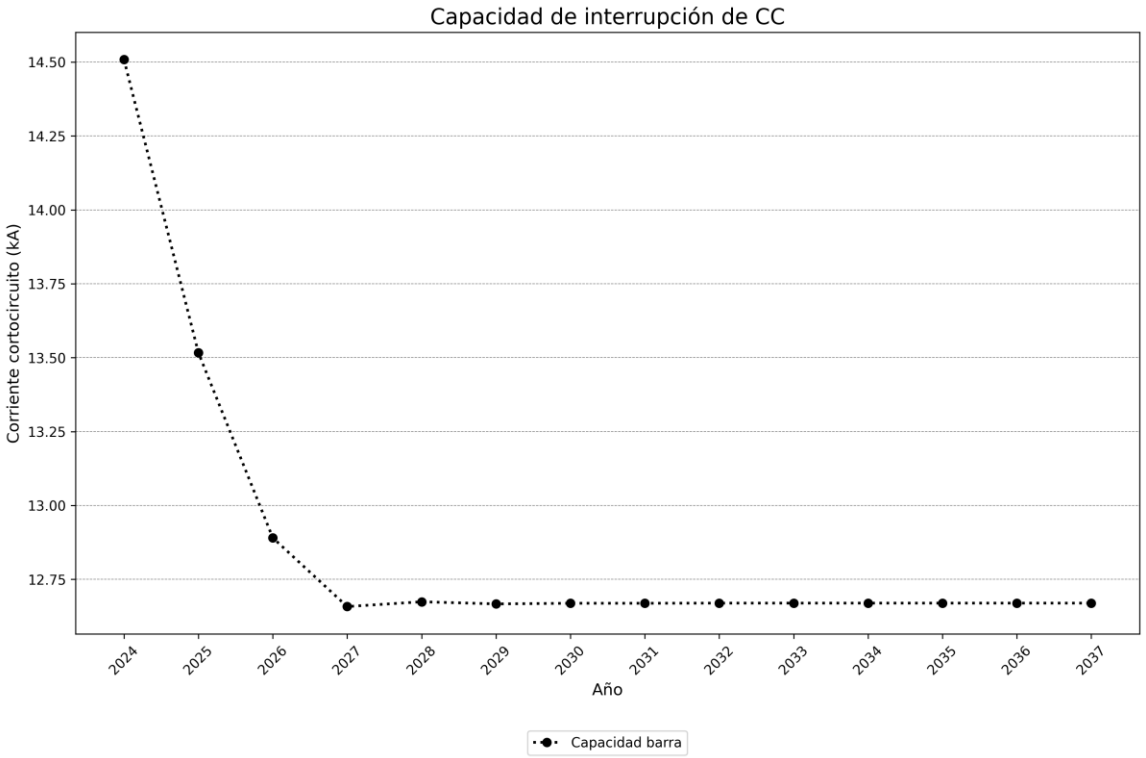


Figura 2-142. Balance de capacidad de cortocircuito después de la priorización para la subestación Castilla 110

Subestación Catambuco 115:

Capacidad por barra:

Para la subestación Catambuco 115 se presentaron 0 alternativas de conexión las cuales se muestran en la siguiente tabla:

Tabla 2-145. Alternativas de conexión presentadas a la subestación Catambuco 115

Solicitud	Capacidad	Tipo	Barra	FPO solicitada	Restricción

No se priorizó ninguna de las alternativas de conexión presentadas en la subestación Catambuco 115

El estado de la capacidad por barra en la subestación Catambuco 115, teniendo en cuenta la priorización se puede observar en la siguiente figura.

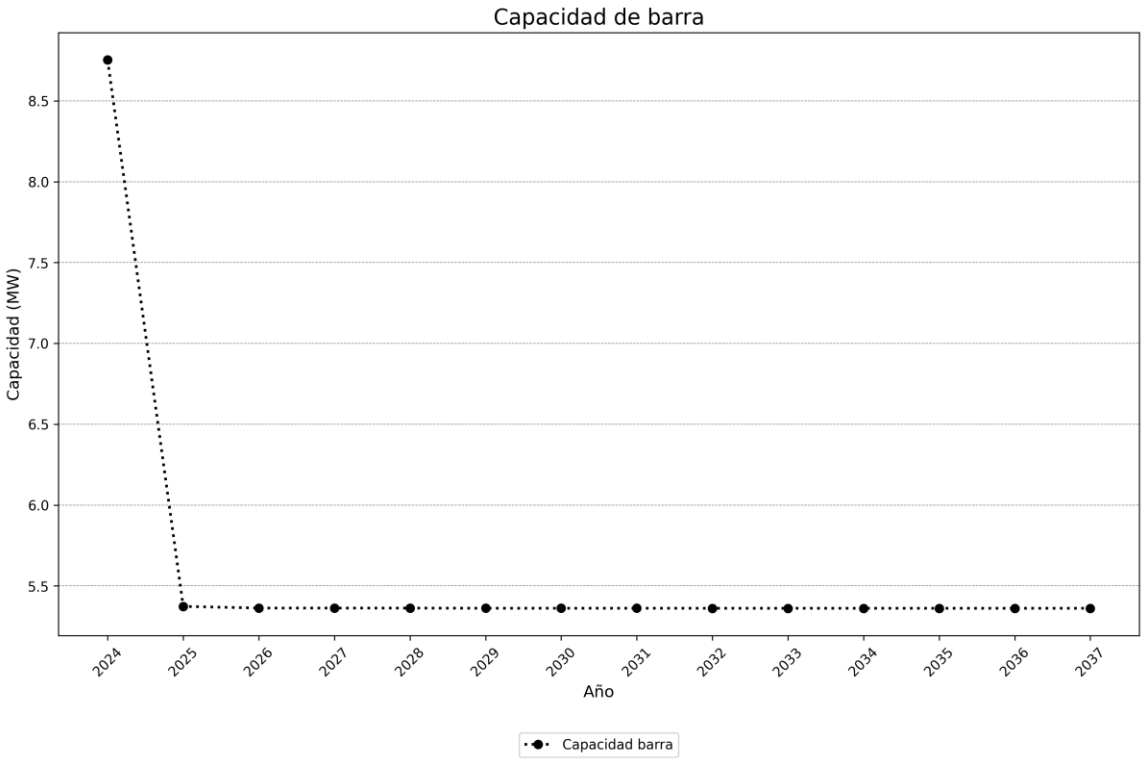


Figura 2-143. Balance de capacidad por barra después de la priorización para la subestación Catambuco 115

Capacidad excedente de interrupción de corriente de cortocircuito:

Para la subestación Catambuco 115 se presentaron 29 alternativas de conexión las cuales tienen aportes de corriente de cortocircuito. Estas alternativas se muestran en la siguiente tabla:

Tabla 2-146. Alternativas de conexión que aportan corriente de cortocircuito en la subestación Catambuco 115

Solicitud	tipo	FPO	Barra a la que aporta CC	Aporte de cortocircuito (kA)	Restricción
SC_2023_5280_A1	Solar FV	2028	Catambuco 115	0.009	SATISFACE
SC_2023_5280_A2	Solar FV	2028	Catambuco 115	0.009	SATISFACE
SC_2023_5287_A1	Solar FV	2026	Catambuco 115	0.004	SATISFACE
SC_2023_5287_A2	Solar FV	2026	Catambuco 115	0.004	SATISFACE
SC_2023_5288_A1	Solar FV	2026	Catambuco 115	0.002	SATISFACE
SC_2023_5288_A2	Solar FV	2026	Catambuco 115	0.006	SATISFACE
SC_2023_5375_A1	Solar FV	2026	Catambuco 115	0.004	SATISFACE
SC_2023_5399_A1	Solar FV	2026	Catambuco 115	0.002	SATISFACE
SC_2023_5399_A2	Solar FV	2026	Catambuco 115	0.006	SATISFACE
SC_2023_5480_A1	Solar FV	2026	Catambuco 115	0.004	SATISFACE
SC_2023_5480_A2	Solar FV	2026	Catambuco 115	0.004	SATISFACE
SC_2023_5557_A1	Solar FV	2028	Catambuco 115	0.009	SATISFACE
SC_2936_A1	Solar FV	2026	Catambuco 115	0.000	SATISFACE

SC_2936_A2	Solar FV	2026	Catambuco 115	0.000	SATISFACE
SC_3121_A1	Solar FV	2026	Catambuco 115	0.000	SATISFACE
SC_3121_A2	Solar FV	2026	Catambuco 115	0.000	SATISFACE
SC_3132_A1	Solar FV	2026	Catambuco 115	0.011	SATISFACE
SC_3132_A2	Solar FV	2026	Catambuco 115	0.010	SATISFACE
SC_3882_A1	Solar FV	2026	Catambuco 115	0.009	SATISFACE
SC_4083_A1	Solar FV	2027	Catambuco 115	0.000	SATISFACE
SC_4083_A2	Solar FV	2027	Catambuco 115	0.000	SATISFACE
SC_4765_A1	Solar FV	2029	Catambuco 115	0.000	SATISFACE
SC_4765_A2	Solar FV	2029	Catambuco 115	0.000	SATISFACE
SC_4819_A1	Solar FV	2029	Catambuco 115	0.013	SATISFACE
SC_4819_A2	Solar FV	2029	Catambuco 115	0.012	SATISFACE
SC_4974_A1	Solar FV	2026	Catambuco 115	0.004	SATISFACE
SC_4974_A2	Solar FV	2026	Catambuco 115	0.004	SATISFACE
SC_4978_A1	Solar FV	2026	Catambuco 115	0.001	SATISFACE
SC_4978_A2	Solar FV	2026	Catambuco 115	0.002	SATISFACE

No se priorizó ninguna de las alternativas de conexión que tengan aportes de corriente de cortocircuito en la subestación Catambuco 115

El estado de la capacidad de cortocircuito en la subestación Catambuco 115, teniendo en cuenta la priorización se puede observar en la siguiente figura.

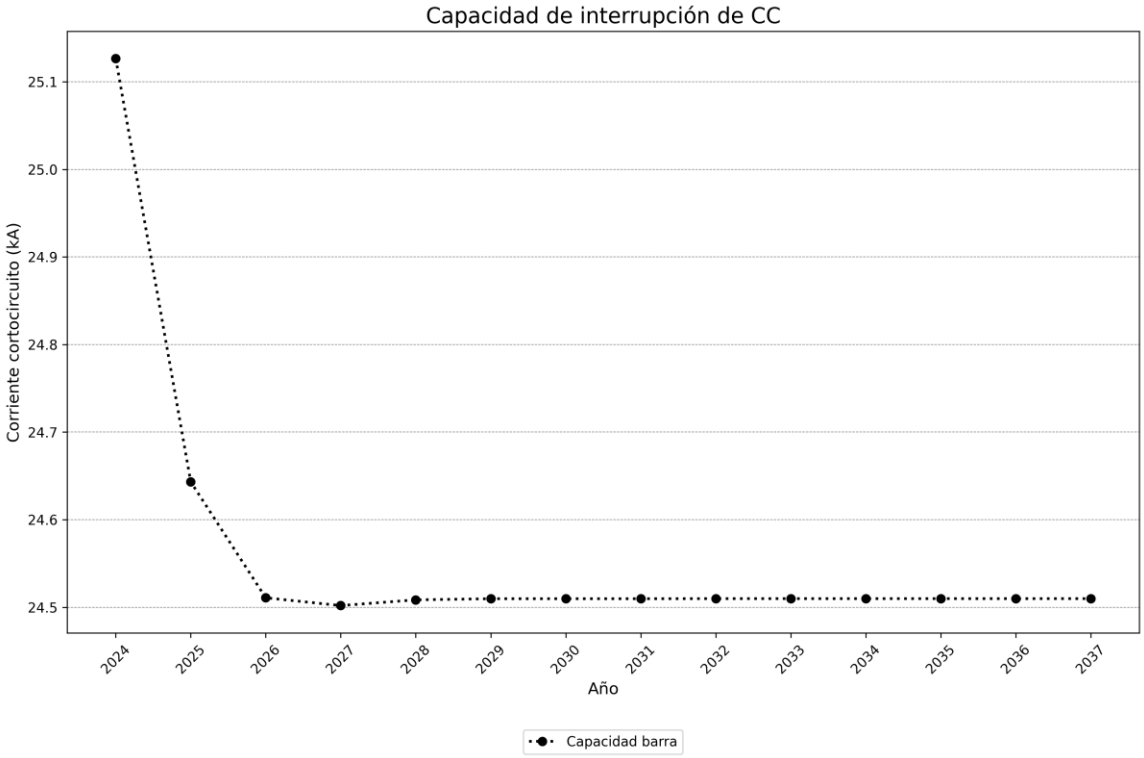


Figura 2-144. Balance de capacidad de cortocircuito después de la priorización para la subestación Catambuco 115

Subestación Caucheras 110:

Capacidad por barra:

Para la subestación Caucheras 110 se presentaron 0 alternativas de conexión las cuales se muestran en la siguiente tabla:

Tabla 2-147. Alternativas de conexión presentadas a la subestación Caucheras 110

Solicitud	Capacidad	Tipo	Barra	FPO solicitada	Restricción

No se priorizó ninguna de las alternativas de conexión presentadas en la subestación Caucheras 110

El estado de la capacidad por barra en la subestación Caucheras 110, teniendo en cuenta la priorización se puede observar en la siguiente figura.

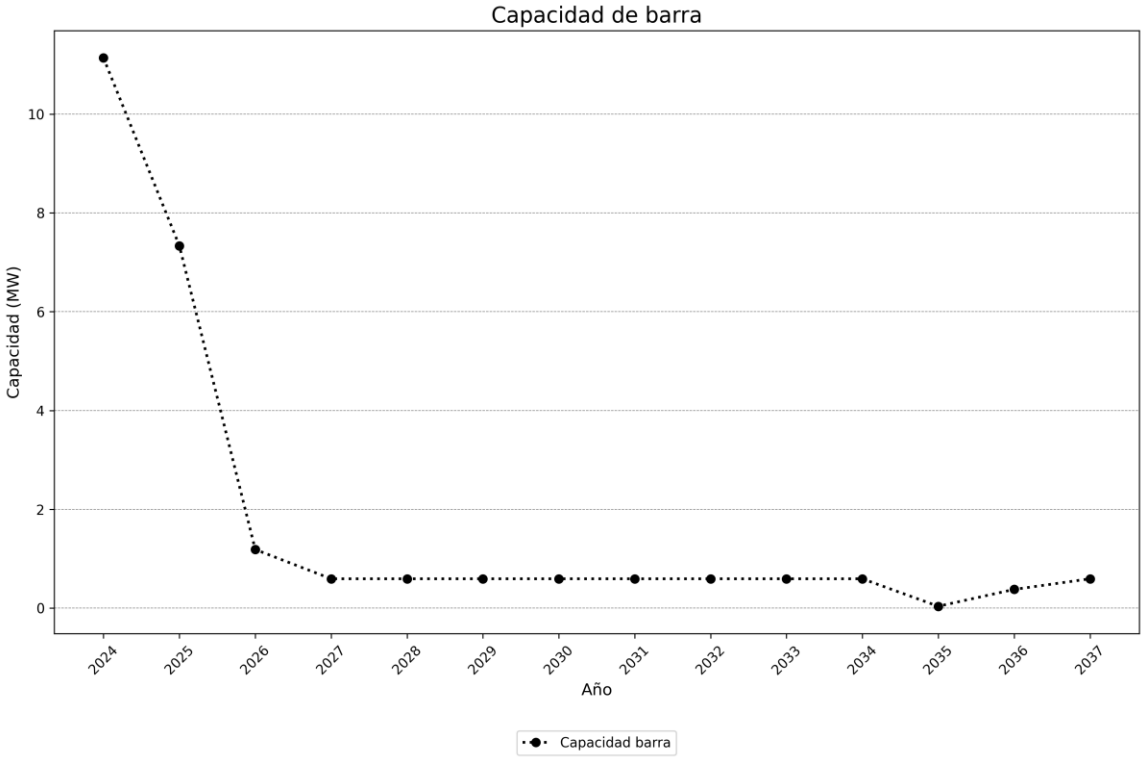


Figura 2-145. Balance de capacidad por barra después de la priorización para la subestación Caucheras 110

Capacidad excedente de interrupción de corriente de cortocircuito:

Para la subestación Caucheras 110 se presentaron 1 alternativas de conexión las cuales tienen aportes de corriente de cortocircuito. Estas alternativas se muestran en la siguiente tabla:

Tabla 2-148. Alternativas de conexión que aportan corriente de cortocircuito en la subestación Caucheras 110

Solicitud	tipo	FPO	Barra a la que aporta CC	Aporte de cortocircuito (kA)	Restricción
SC_3331_A1	Solar FV	2026	Caucheras 110	0.003	SATISFACE

No se priorizó ninguna de las alternativas de conexión que tengan aportes de corriente de cortocircuito en la subestación Caucheras 110

El estado de la capacidad de cortocircuito en la subestación Caucheras 110, teniendo en cuenta la priorización se puede observar en la siguiente figura.

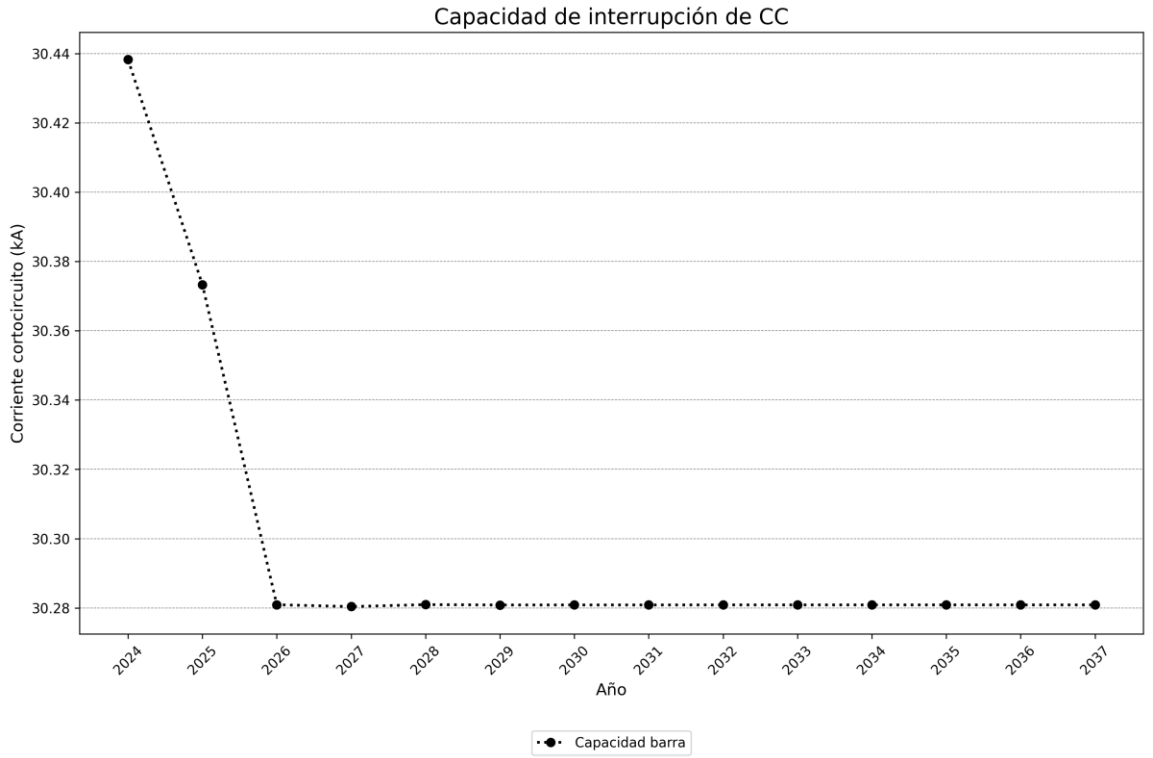


Figura 2-146. Balance de capacidad de cortocircuito después de la priorización para la subestación Caucheras 110

Subestación Cemex 115:

Capacidad por barra:

Para la subestación Cemex 115 se presentaron 0 alternativas de conexión las cuales se muestran en la siguiente tabla:

Tabla 2-149. Alternativas de conexión presentadas a la subestación Cemex 115

Solicitud	Capacidad	Tipo	Barra	FPO solicitada	Restricción

No se priorizó ninguna de las alternativas de conexión presentadas en la subestación Cemex 115

El estado de la capacidad por barra en la subestación Cemex 115, teniendo en cuenta la priorización se puede observar en la siguiente figura.

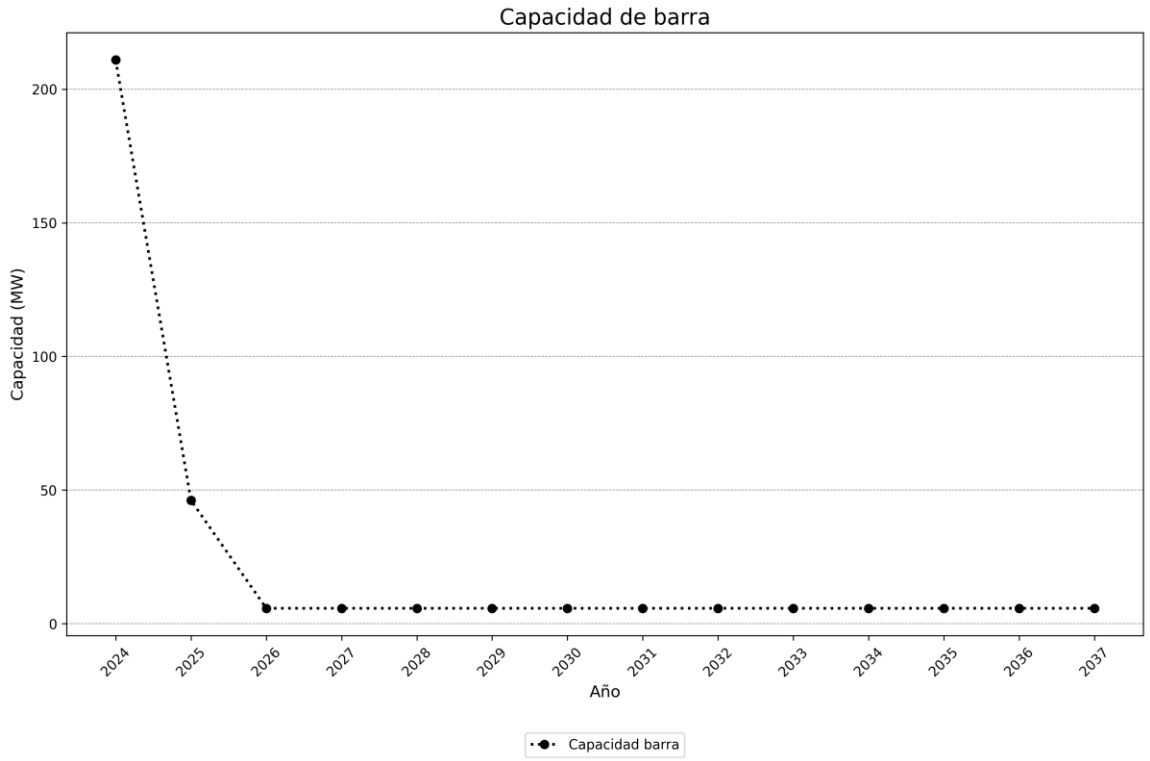


Figura 2-147. Balance de capacidad por barra después de la priorización para la subestación Cemex 115

Capacidad excedente de interrupción de corriente de cortocircuito:

Para la subestación Cemex 115 se presentaron 21 alternativas de conexión las cuales tienen aportes de corriente de cortocircuito. Estas alternativas se muestran en la siguiente tabla:

Tabla 2-150. Alternativas de conexión que aportan corriente de cortocircuito en la subestación Cemex 115

Solicitud	tipo	FPO	Barra a la que aporta CC	Aporte de cortocircuito (kA)	Restricción
SC_2023_5280_A1	Solar FV	2028	Cemex 115	0.027	SATISFACE
SC_2023_5280_A2	Solar FV	2028	Cemex 115	0.024	SATISFACE
SC_2023_5287_A1	Solar FV	2026	Cemex 115	0.013	SATISFACE
SC_2023_5287_A2	Solar FV	2026	Cemex 115	0.013	SATISFACE
SC_2023_5288_A1	Solar FV	2026	Cemex 115	0.008	SATISFACE
SC_2023_5288_A2	Solar FV	2026	Cemex 115	0.020	SATISFACE
SC_2023_5375_A1	Solar FV	2026	Cemex 115	0.013	SATISFACE
SC_2023_5399_A1	Solar FV	2026	Cemex 115	0.008	SATISFACE
SC_2023_5399_A2	Solar FV	2026	Cemex 115	0.020	SATISFACE
SC_2023_5480_A1	Solar FV	2026	Cemex 115	0.013	SATISFACE
SC_2023_5480_A2	Solar FV	2026	Cemex 115	0.013	SATISFACE
SC_2023_5557_A1	Solar FV	2028	Cemex 115	0.048	SATISFACE
SC_2936_A1	Solar FV	2026	Cemex 115	0.000	SATISFACE
SC_2936_A2	Solar FV	2026	Cemex 115	0.000	SATISFACE
SC_3132_A1	Solar FV	2026	Cemex 115	0.030	SATISFACE
SC_3132_A2	Solar FV	2026	Cemex 115	0.025	SATISFACE
SC_3882_A1	Solar FV	2026	Cemex 115	0.047	SATISFACE
SC_4765_A1	Solar FV	2029	Cemex 115	0.001	SATISFACE
SC_4765_A2	Solar FV	2029	Cemex 115	0.000	SATISFACE
SC_4819_A1	Solar FV	2029	Cemex 115	0.052	SATISFACE
SC_4819_A2	Solar FV	2029	Cemex 115	0.046	SATISFACE

No se priorizó ninguna de las alternativas de conexión que tengan aportes de corriente de cortocircuito en la subestación Cemex 115

El estado de la capacidad de cortocircuito en la subestación Cemex 115, teniendo en cuenta la priorización se puede observar en la siguiente figura.

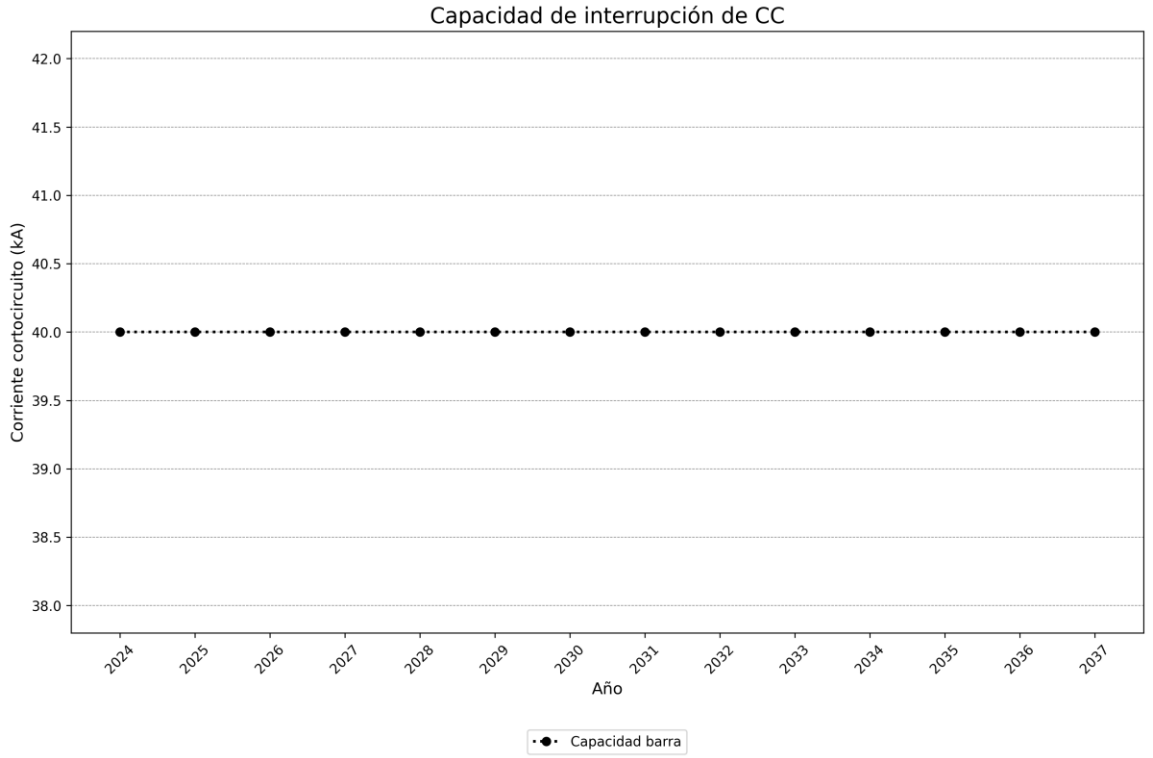


Figura 2-148. Balance de capacidad de cortocircuito después de la priorización para la subestación Cemex 115

Subestación Central 110:

Capacidad por barra:

Para la subestación Central 110 se presentaron 0 alternativas de conexión las cuales se muestran en la siguiente tabla:

Tabla 2-151. Alternativas de conexión presentadas a la subestación Central 110

Solicitud	Capacidad	Tipo	Barra	FPO solicitada	Restricción

No se priorizó ninguna de las alternativas de conexión presentadas en la subestación Central 110

El estado de la capacidad por barra en la subestación Central 110, teniendo en cuenta la priorización se puede observar en la siguiente figura.

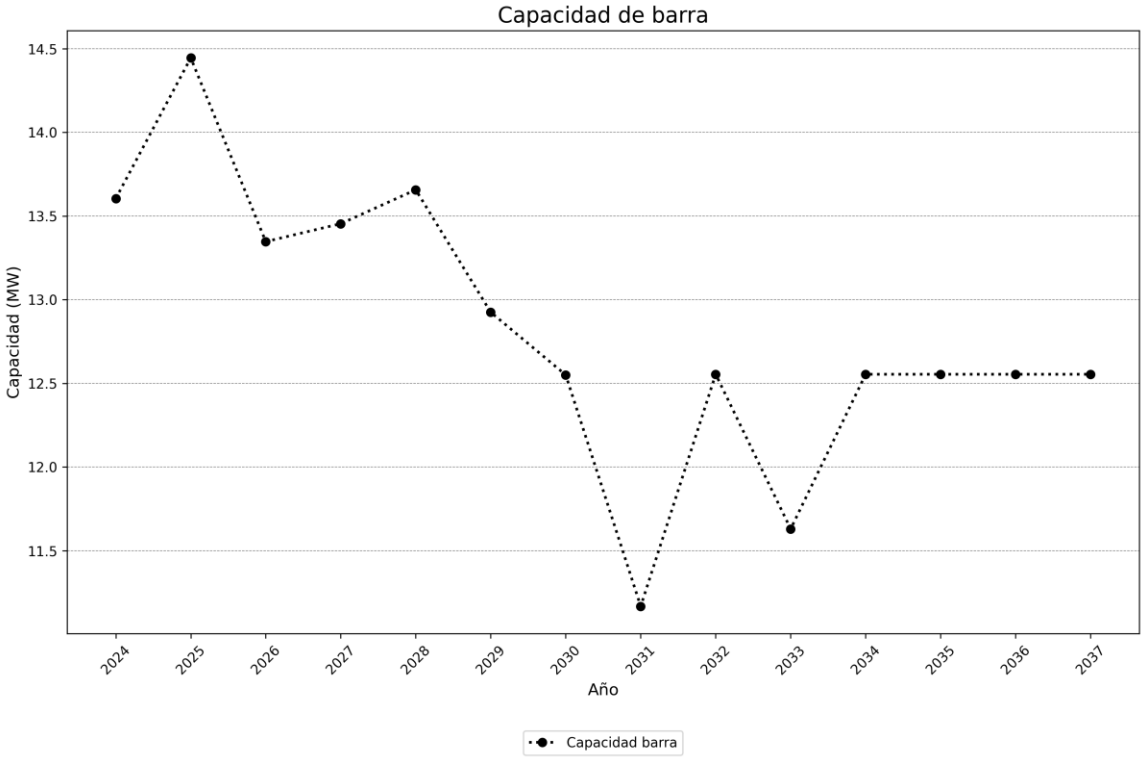


Figura 2-149. Balance de capacidad por barra después de la priorización para la subestación Central 110

Capacidad excedente de interrupción de corriente de cortocircuito:

Para la subestación Central 110 se presentaron 1 alternativas de conexión las cuales tienen aportes de corriente de cortocircuito. Estas alternativas se muestran en la siguiente tabla:

Tabla 2-152. Alternativas de conexión que aportan corriente de cortocircuito en la subestación Central 110

Solicitud	tipo	FPO	Barra a la que aporta CC	Aporte de cortocircuito (kA)	Restricción
SC_3331_A1	Solar FV	2026	Central 110	0.118	NO SATISFACE

No se priorizó ninguna de las alternativas de conexión que tengan aportes de corriente de cortocircuito en la subestación Central 110

El estado de la capacidad de cortocircuito en la subestación Central 110, teniendo en cuenta la priorización se puede observar en la siguiente figura.

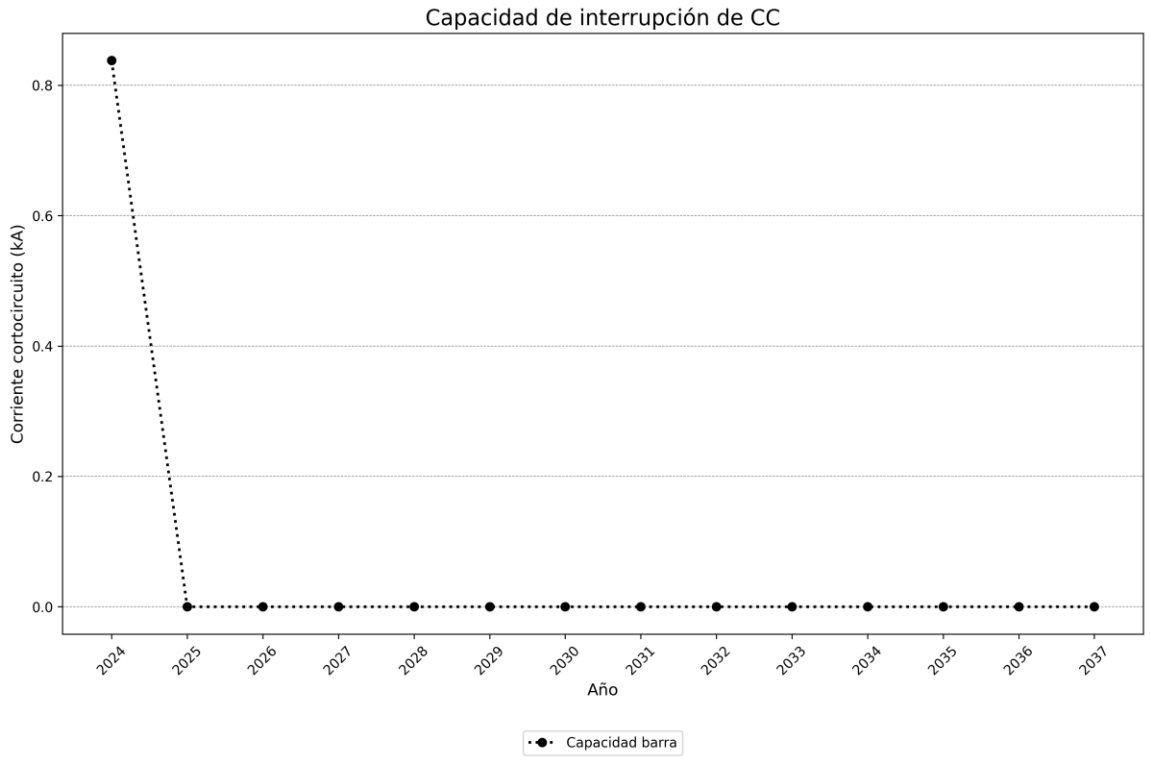


Figura 2-150. Balance de capacidad de cortocircuito después de la priorización para la subestación Central 110

Subestación Cerrito 115:

Capacidad por barra:

Para la subestación Cerrito 115 se presentaron 0 alternativas de conexión las cuales se muestran en la siguiente tabla:

Tabla 2-153. Alternativas de conexión presentadas a la subestación Cerrito 115

Solicitud	Capacidad	Tipo	Barra	FPO solicitada	Restricción

No se priorizó ninguna de las alternativas de conexión presentadas en la subestación Cerrito 115

El estado de la capacidad por barra en la subestación Cerrito 115, teniendo en cuenta la priorización se puede observar en la siguiente figura.

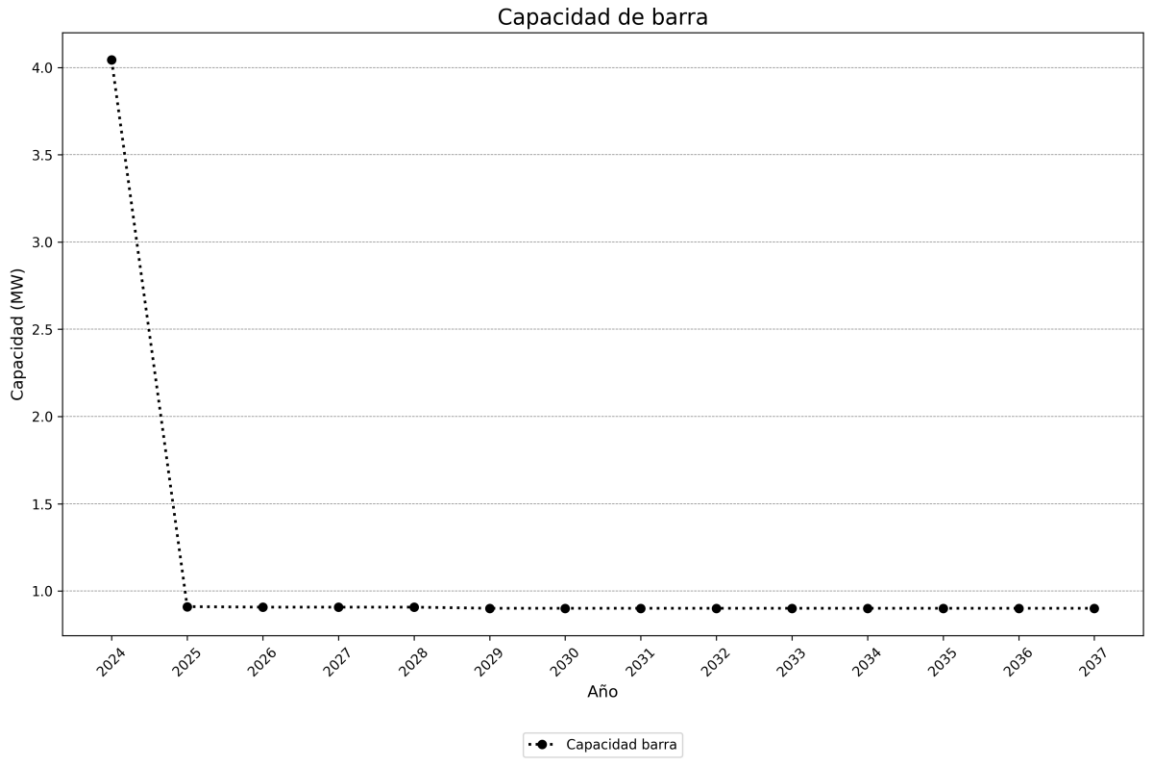


Figura 2-151. Balance de capacidad por barra después de la priorización para la subestación Cerrito 115

Capacidad excedente de interrupción de corriente de cortocircuito:

Para la subestación Cerrito 115 se presentaron 4 alternativas de conexión las cuales tienen aportes de corriente de cortocircuito. Estas alternativas se muestran en la siguiente tabla:

Tabla 2-154. Alternativas de conexión que aportan corriente de cortocircuito en la subestación Cerrito 115

Solicitud	tipo	FPO	Barra a la que aporta CC	Aporte de cortocircuito (kA)	Restricción
SC_2023_5557_A1	Solar FV	2028	Cerrito 115	0.036	SATISFACE
SC_2936_A1	Solar FV	2026	Cerrito 115	0.000	SATISFACE
SC_2936_A2	Solar FV	2026	Cerrito 115	0.000	SATISFACE
SC_3882_A1	Solar FV	2026	Cerrito 115	0.035	SATISFACE

No se priorizó ninguna de las alternativas de conexión que tengan aportes de corriente de cortocircuito en la subestación Cerrito 115

El estado de la capacidad de cortocircuito en la subestación Cerrito 115, teniendo en cuenta la priorización se puede observar en la siguiente figura.

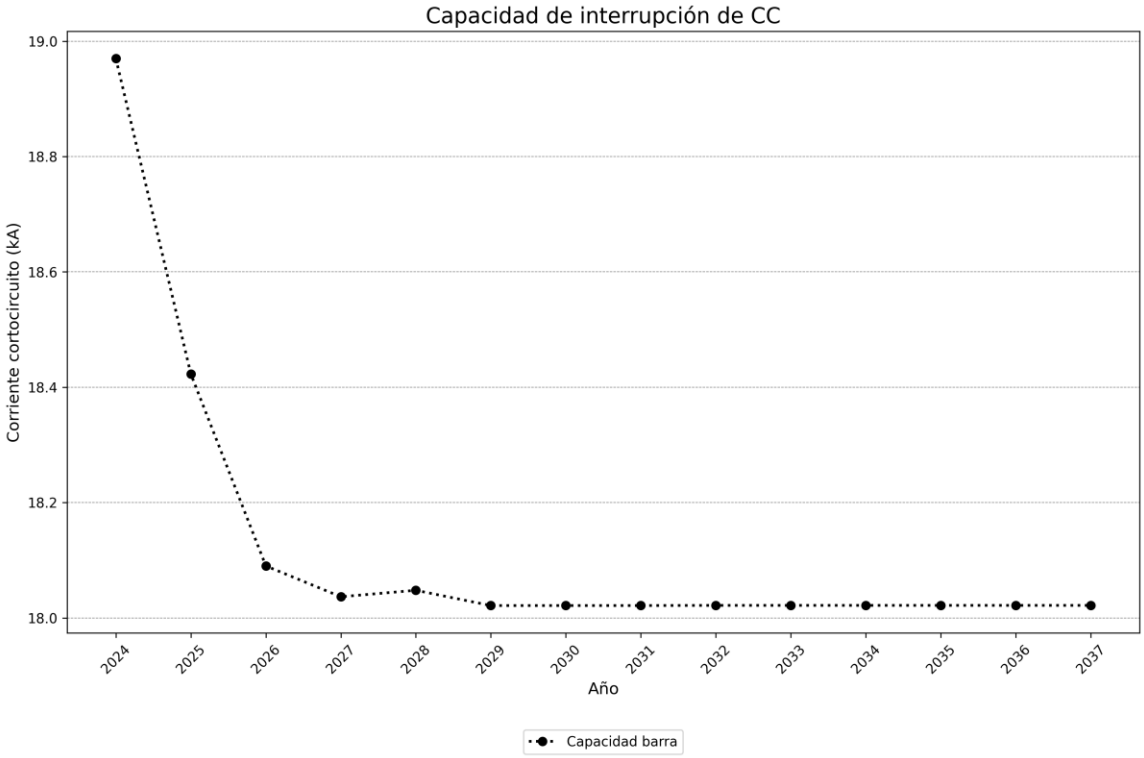


Figura 2-152. Balance de capacidad de cortocircuito después de la priorización para la subestación Cerrito 115

Subestación Cerromatoso 220:

Capacidad por barra:

Para la subestación Cerromatoso 220 se presentaron 0 alternativas de conexión las cuales se muestran en la siguiente tabla:

Tabla 2-155. Alternativas de conexión presentadas a la subestación Cerromatoso 220

Solicitud	Capacidad	Tipo	Barra	FPO solicitada	Restricción

No se priorizó ninguna de las alternativas de conexión presentadas en la subestación Cerromatoso 220

El estado de la capacidad por barra en la subestación Cerromatoso 220, teniendo en cuenta la priorización se puede observar en la siguiente figura.

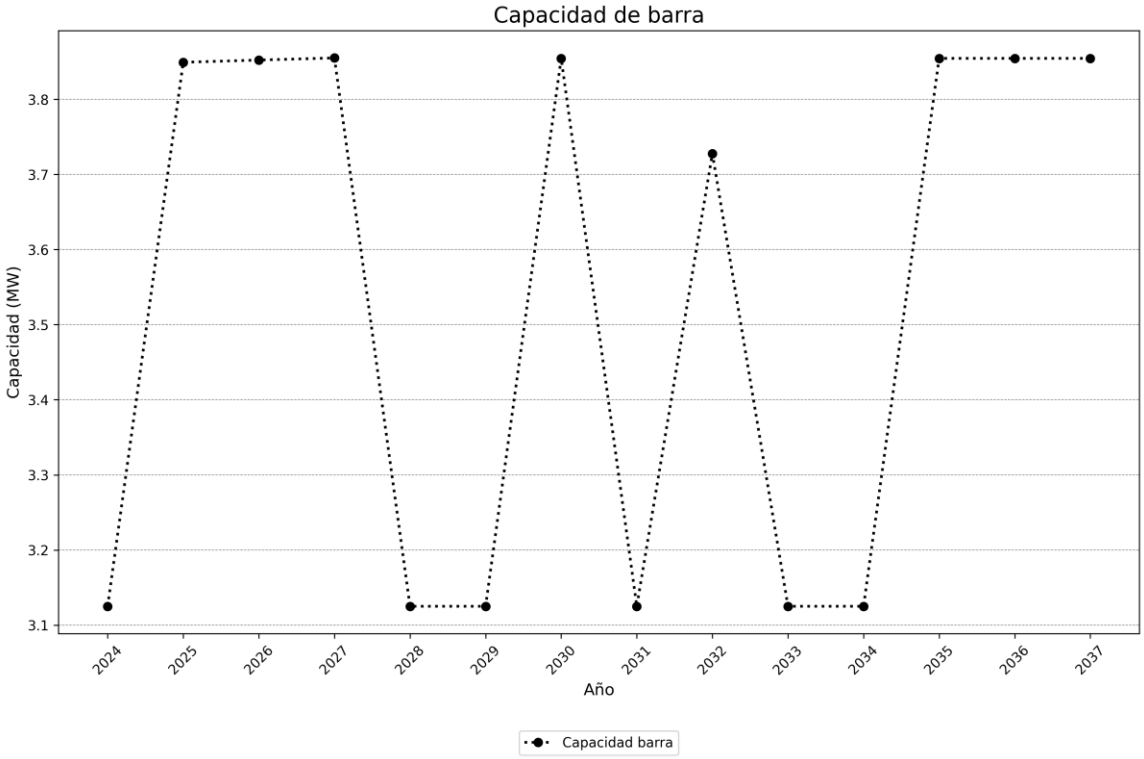


Figura 2-153. Balance de capacidad por barra después de la priorización para la subestación Cerromatoso 220

Capacidad excedente de interrupción de corriente de cortocircuito:

Para la subestación Cerromatoso 220 se presentaron 1 alternativas de conexión las cuales tienen aportes de corriente de cortocircuito. Estas alternativas se muestran en la siguiente tabla:

Tabla 2-156. Alternativas de conexión que aportan corriente de cortocircuito en la subestación Cerromatoso 220

Solicitud	tipo	FPO	Barra a la que aporta CC	Aporte de cortocircuito (kA)	Restricción
SC_3331_A1	Solar FV	2026	Cerromatoso 220	0.019	SATISFACE

No se priorizó ninguna de las alternativas de conexión que tengan aportes de corriente de cortocircuito en la subestación Cerromatoso 220

El estado de la capacidad de cortocircuito en la subestación Cerromatoso 220, teniendo en cuenta la priorización se puede observar en la siguiente figura.

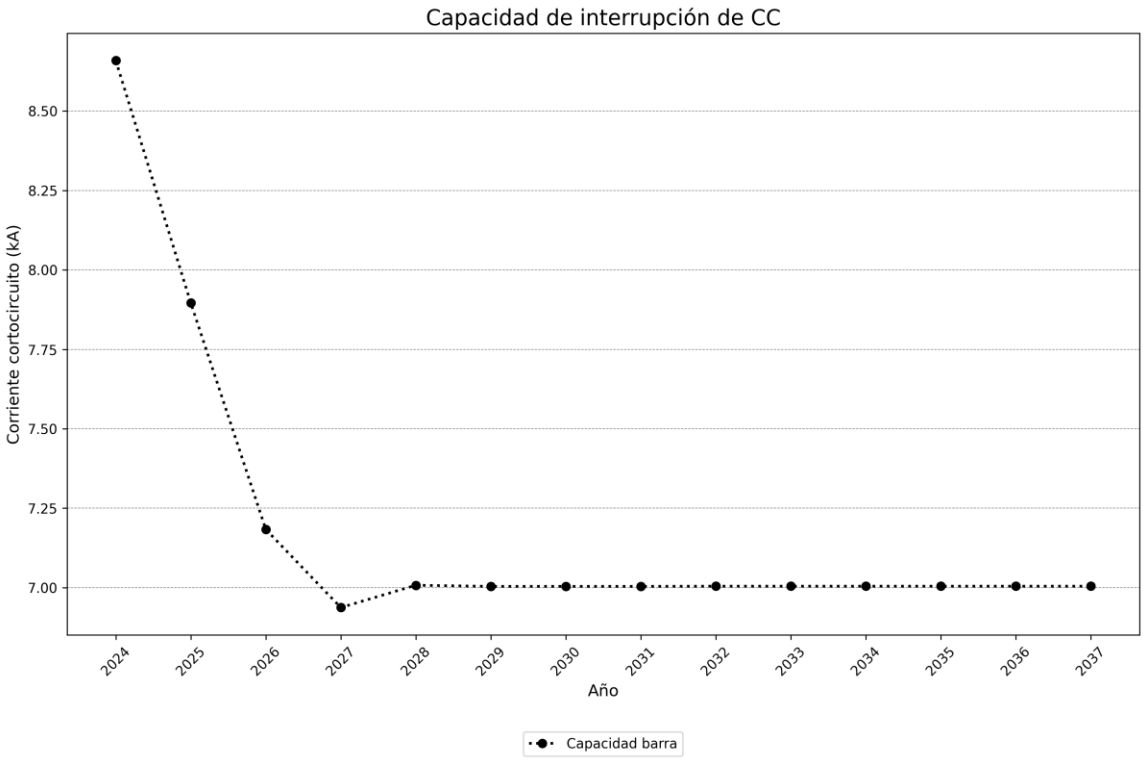


Figura 2-154. Balance de capacidad de cortocircuito después de la priorización para la subestación Cerromatoso 220

Subestación Cerromatoso 500:

Capacidad por barra:

Para la subestación Cerromatoso 500 se presentaron 0 alternativas de conexión las cuales se muestran en la siguiente tabla:

Tabla 2-157. Alternativas de conexión presentadas a la subestación Cerromatoso 500

Solicitud	Capacidad	Tipo	Barra	FPO solicitada	Restricción

No se priorizó ninguna de las alternativas de conexión presentadas en la subestación Cerromatoso 500

El estado de la capacidad por barra en la subestación Cerromatoso 500, teniendo en cuenta la priorización se puede observar en la siguiente figura.

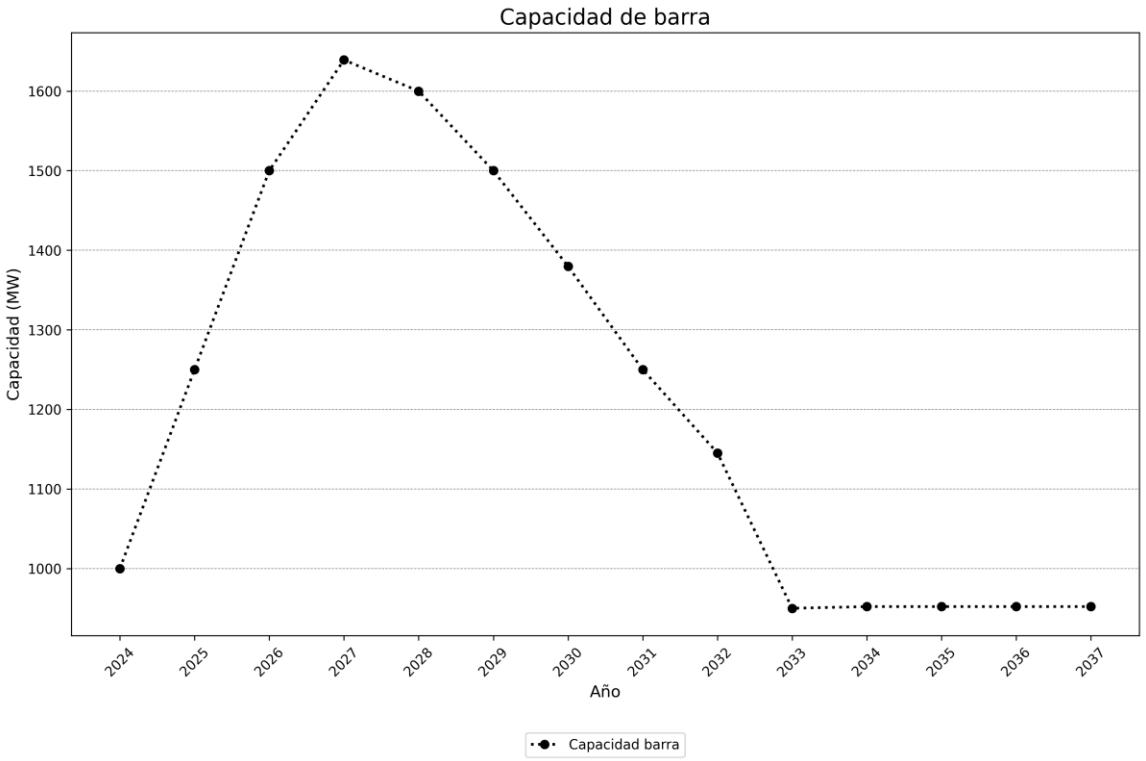


Figura 2-155. Balance de capacidad por barra después de la priorización para la subestación Cerromatoso 500

Capacidad excedente de interrupción de corriente de cortocircuito:

Para la subestación Cerromatoso 500 se presentaron 1 alternativas de conexión las cuales tienen aportes de corriente de cortocircuito. Estas alternativas se muestran en la siguiente tabla:

Tabla 2-158. Alternativas de conexión que aportan corriente de cortocircuito en la subestación Cerromatoso 500

Solicitud	tipo	FPO	Barra a la que aporta CC	Aporte de cortocircuito (kA)	Restricción
SC_3331_A1	Solar FV	2026	Cerromatoso 500	0.046	SATISFACE

No se priorizó ninguna de las alternativas de conexión que tengan aportes de corriente de cortocircuito en la subestación Cerromatoso 500

El estado de la capacidad de cortocircuito en la subestación Cerromatoso 500, teniendo en cuenta la priorización se puede observar en la siguiente figura.

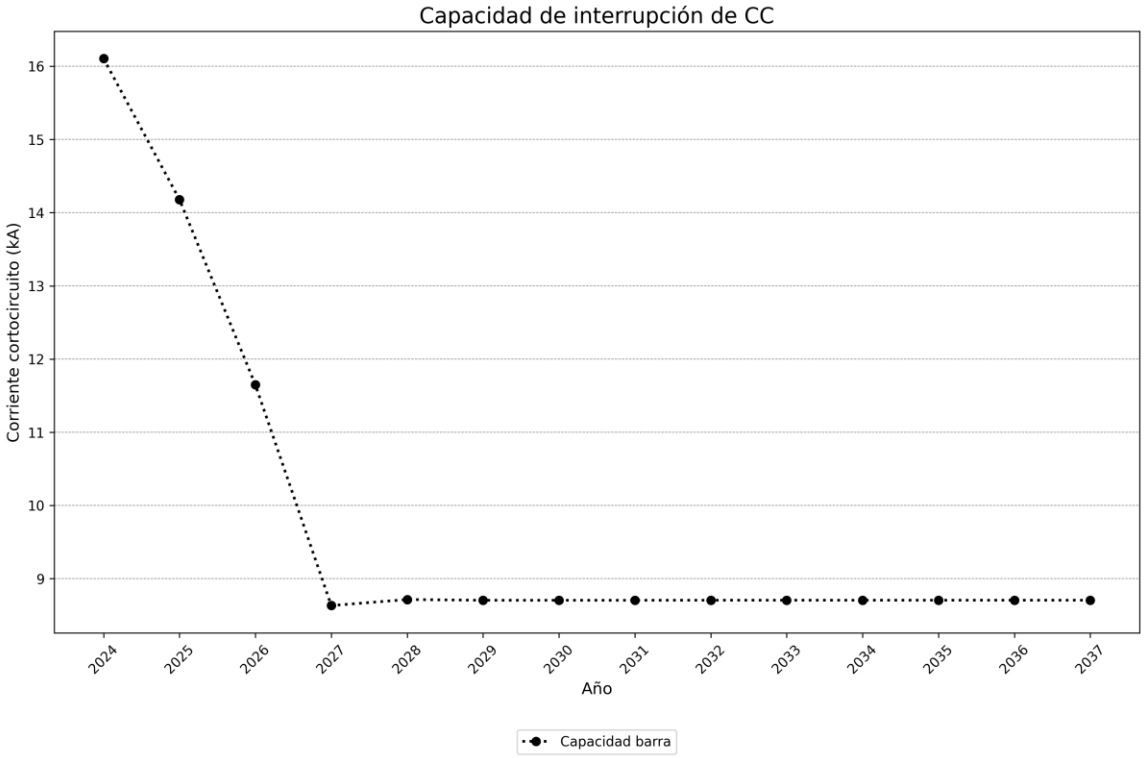


Figura 2-156. Balance de capacidad de cortocircuito después de la priorización para la subestación Cerromatoso 500

Subestación Certegui 115:

Capacidad por barra:

Para la subestación Certegui 115 se presentaron 0 alternativas de conexión las cuales se muestran en la siguiente tabla:

Tabla 2-159. Alternativas de conexión presentadas a la subestación Certegui 115

Solicitud	Capacidad	Tipo	Barra	FPO solicitada	Restricción

No se priorizó ninguna de las alternativas de conexión presentadas en la subestación Certegui 115

El estado de la capacidad por barra en la subestación Certegui 115, teniendo en cuenta la priorización se puede observar en la siguiente figura.

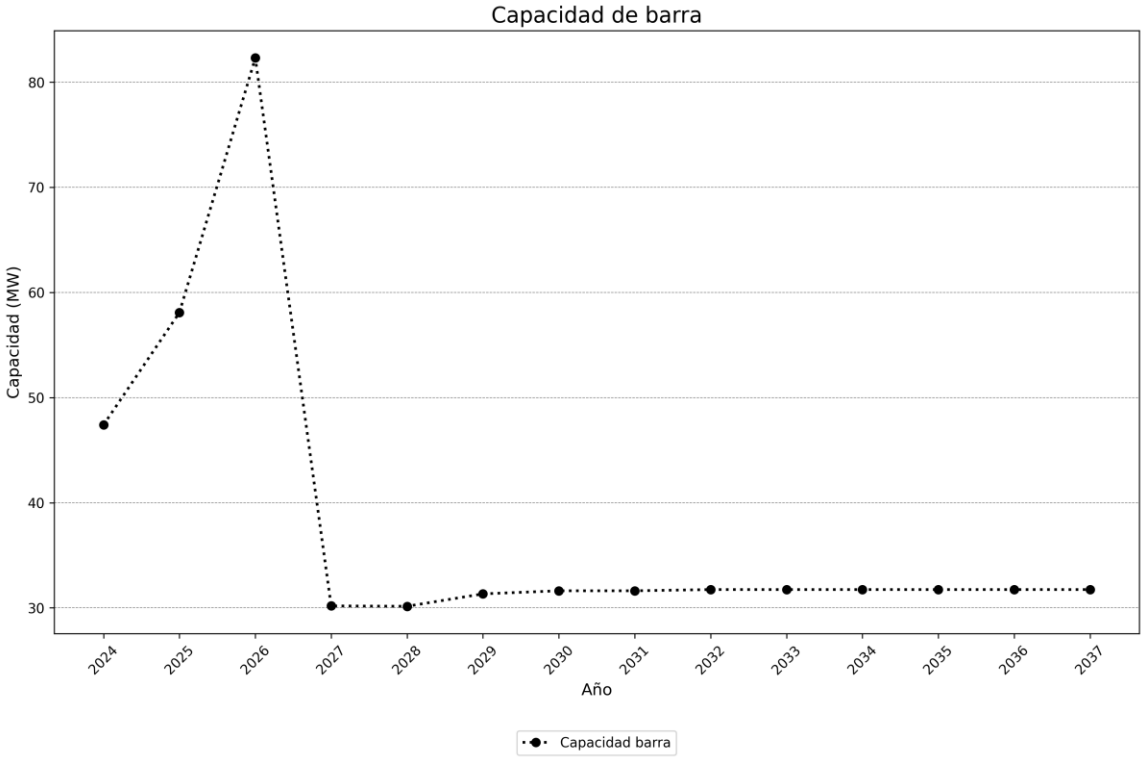


Figura 2-157. Balance de capacidad por barra después de la priorización para la subestación Certegui 115

Capacidad excedente de interrupción de corriente de cortocircuito:

Para la subestación Certegui 115 se presentaron 66 alternativas de conexión las cuales tienen aportes de corriente de cortocircuito. Estas alternativas se muestran en la siguiente tabla:

Tabla 2-160. Alternativas de conexión que aportan corriente de cortocircuito en la subestación Certegui 115

Solicitud	tipo	FPO	Barra a la que aporta CC	Aporte de cortocircuito (kA)	Restricción
SC_2023_5136_A1	Solar FV	2026	Certegui 115	0.001	SATISFACE
SC_2023_5136_A2	Solar FV	2026	Certegui 115	0.001	SATISFACE
SC_2023_5144_A1	Solar FV	2028	Certegui 115	0.025	SATISFACE
SC_2023_5144_A2	Solar FV	2028	Certegui 115	0.012	SATISFACE
SC_2023_5150_A1	Solar FV	2028	Certegui 115	0.012	SATISFACE
SC_2023_5158_A1	Solar FV	2028	Certegui 115	0.015	SATISFACE
SC_2023_5185_A1	Solar FV	2026	Certegui 115	0.026	SATISFACE
SC_2023_5185_A2	Solar FV	2026	Certegui 115	0.029	SATISFACE
SC_2023_5188_A1	Solar FV	2026	Certegui 115	0.003	SATISFACE
SC_2023_5188_A2	Solar FV	2026	Certegui 115	0.008	SATISFACE
SC_2023_5200_A1	Solar FV	2028	Certegui 115	0.050	SATISFACE
SC_2023_5200_A2	Solar FV	2028	Certegui 115	0.023	SATISFACE
SC_2023_5294_A1	Solar FV	2029	Certegui 115	0.001	SATISFACE
SC_2023_5294_A2	Solar FV	2029	Certegui 115	0.001	SATISFACE
SC_2023_5339_A1	PCH	2026	Certegui 115	0.000	SATISFACE
SC_2023_5339_A2	PCH	2026	Certegui 115	0.000	SATISFACE
SC_2023_5345_A1	Solar FV	2027	Certegui 115	0.001	SATISFACE
SC_2023_5345_A2	Solar FV	2027	Certegui 115	0.001	SATISFACE
SC_2023_5346_A1	Solar FV	2027	Certegui 115	0.001	SATISFACE
SC_2023_5346_A2	Solar FV	2027	Certegui 115	0.001	SATISFACE
SC_2023_5431_A1	Solar FV	2028	Certegui 115	0.000	SATISFACE
SC_2023_5431_A2	Solar FV	2028	Certegui 115	0.000	SATISFACE
SC_2023_5551_A1	Solar FV	2027	Certegui 115	0.044	SATISFACE
SC_2023_5551_A2	Solar FV	2027	Certegui 115	0.020	SATISFACE
SC_2436_A1	Solar FV	2028	Certegui 115	0.030	SATISFACE
SC_2436_A2	Solar FV	2028	Certegui 115	0.010	SATISFACE
SC_2438_A1	Solar FV	2028	Certegui 115	0.000	SATISFACE
SC_2438_A2	Solar FV	2028	Certegui 115	0.000	SATISFACE
SC_2527_A1	Solar FV	2028	Certegui 115	0.020	SATISFACE
SC_2527_A2	Solar FV	2028	Certegui 115	0.010	SATISFACE
SC_2634_A1	Solar FV	2026	Certegui 115	0.031	SATISFACE
SC_2634_A2	Solar FV	2026	Certegui 115	0.044	SATISFACE
SC_2802_A1	Solar FV	2027	Certegui 115	0.000	SATISFACE
SC_2802_A2	Solar FV	2027	Certegui 115	0.000	SATISFACE
SC_2924_A1	Solar FV	2026	Certegui 115	0.021	SATISFACE
SC_2924_A2	Solar FV	2026	Certegui 115	0.023	SATISFACE
SC_2979_A1	Solar FV	2027	Certegui 115	0.000	SATISFACE

SC_2979_A2	Solar FV	2027	Certegui 115	0.000	SATISFACE
SC_2984_A1	Solar FV	2027	Certegui 115	0.000	SATISFACE
SC_2984_A2	Solar FV	2027	Certegui 115	0.000	SATISFACE
SC_3054_A2	Solar FV	2027	Certegui 115	0.000	SATISFACE
SC_3251_A1	Hidráulica	2026	Certegui 115	0.020	SATISFACE
SC_3251_A2	Hidráulica	2026	Certegui 115	0.020	SATISFACE
SC_3331_A1	Solar FV	2026	Certegui 115	0.009	SATISFACE
SC_3453_A1	Solar FV	2027	Certegui 115	0.001	SATISFACE
SC_3453_A2	Solar FV	2027	Certegui 115	0.001	SATISFACE
SC_3514_A1	Solar FV	2027	Certegui 115	0.001	SATISFACE
SC_3514_A2	Solar FV	2027	Certegui 115	0.001	SATISFACE
SC_3667_A1	Solar FV	2029	Certegui 115	0.001	SATISFACE
SC_3667_A2	Solar FV	2029	Certegui 115	0.000	SATISFACE
SC_4296_A1	Solar FV	2028	Certegui 115	0.025	SATISFACE
SC_4296_A2	Solar FV	2028	Certegui 115	0.020	SATISFACE
SC_4809_A1	Solar FV	2027	Certegui 115	0.004	SATISFACE
SC_4809_A2	Solar FV	2027	Certegui 115	0.022	SATISFACE
SC_4826_A1	Solar FV	2027	Certegui 115	0.001	SATISFACE
SC_4826_A2	Solar FV	2027	Certegui 115	0.001	SATISFACE
SC_4827_A1	Solar FV	2027	Certegui 115	0.001	SATISFACE
SC_4827_A2	Solar FV	2027	Certegui 115	0.001	SATISFACE
SC_4842_A1	Solar FV	2028	Certegui 115	0.012	SATISFACE
SC_4910_A1	Solar FV	2026	Certegui 115	0.001	SATISFACE
SC_4910_A2	Solar FV	2026	Certegui 115	0.001	SATISFACE
SC_4947_A1	Solar FV	2027	Certegui 115	0.008	SATISFACE
SC_4960_A2	Solar FV	2029	Certegui 115	0.004	SATISFACE
SC_5060_A1	Solar FV	2026	Certegui 115	0.001	SATISFACE
SC_5060_A2	Solar FV	2026	Certegui 115	0.001	SATISFACE
SC_5087_A2	Solar FV	2027	Certegui 115	0.003	SATISFACE

No se priorizó ninguna de las alternativas de conexión que tengan aportes de corriente de cortocircuito en la subestación Certegui 115

El estado de la capacidad de cortocircuito en la subestación Certegui 115, teniendo en cuenta la priorización se puede observar en la siguiente figura.

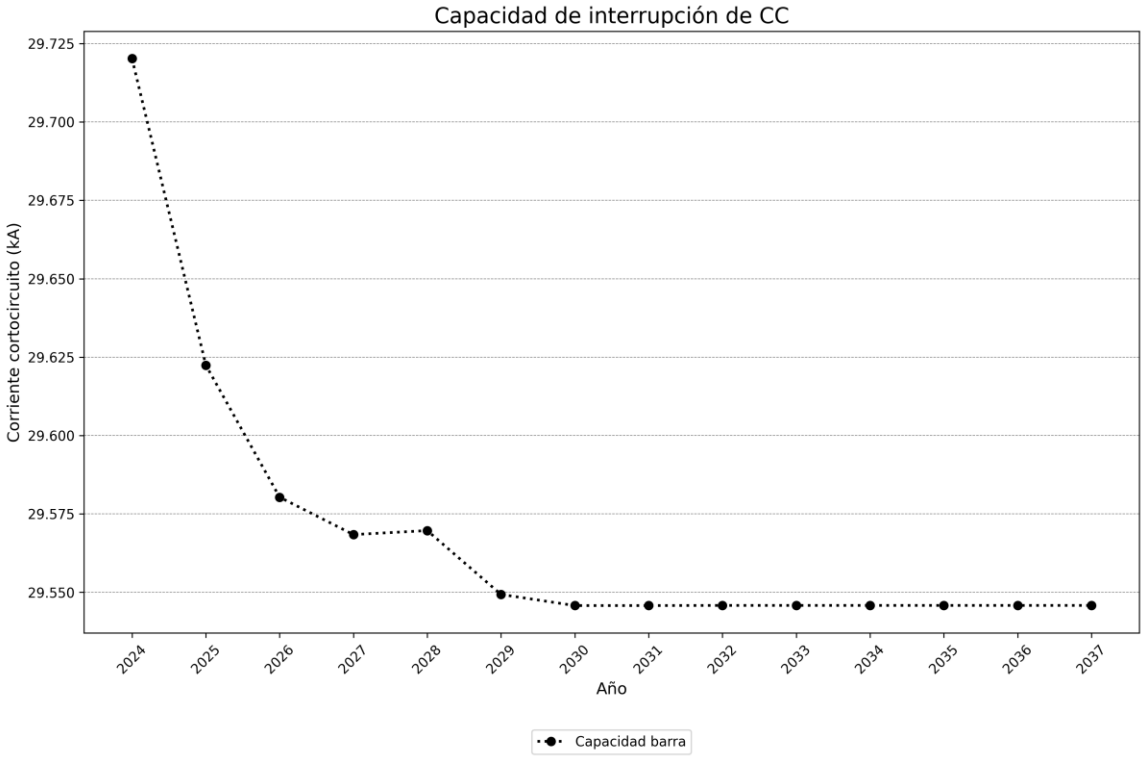


Figura 2-158. Balance de capacidad de cortocircuito después de la priorización para la subestación Certegui 115

Subestación Chia 115:

Capacidad por barra:

Para la subestación Chia 115 se presentaron 0 alternativas de conexión las cuales se muestran en la siguiente tabla:

Tabla 2-161. Alternativas de conexión presentadas a la subestación Chia 115

Solicitud	Capacidad	Tipo	Barra	FPO solicitada	Restricción

No se priorizó ninguna de las alternativas de conexión presentadas en la subestación Chia 115

El estado de la capacidad por barra en la subestación Chia 115, teniendo en cuenta la priorización se puede observar en la siguiente figura.

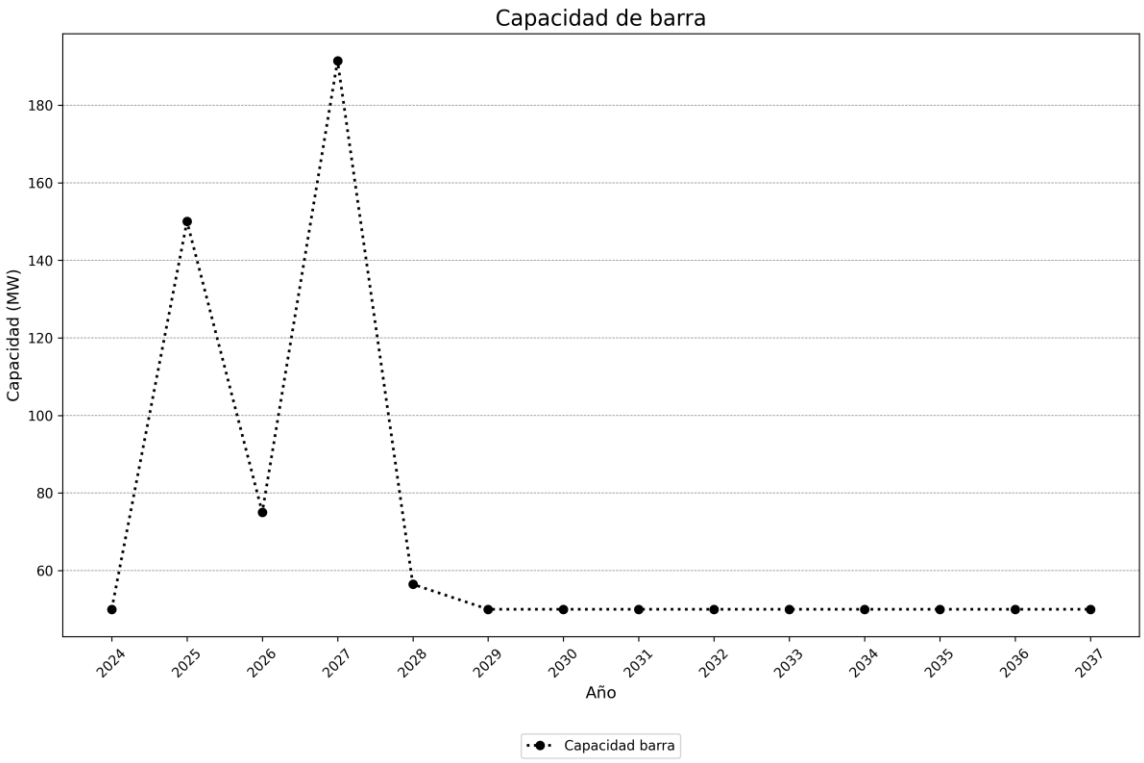


Figura 2-159. Balance de capacidad por barra después de la priorización para la subestación Chia 115

Capacidad excedente de interrupción de corriente de cortocircuito:

Para la subestación Chia 115 se presentaron 29 alternativas de conexión las cuales tienen aportes de corriente de cortocircuito. Estas alternativas se muestran en la siguiente tabla:

Tabla 2-162. Alternativas de conexión que aportan corriente de cortocircuito en la subestación Chia 115

Solicitud	tipo	FPO	Barra a la que aporta CC	Aporte de cortocircuito (kA)	Restricción

SC_2023_5280_A1	Solar FV	2028	Chia 115	0.028	SATISFACE
SC_2023_5280_A2	Solar FV	2028	Chia 115	0.026	SATISFACE
SC_2023_5287_A1	Solar FV	2026	Chia 115	0.015	SATISFACE
SC_2023_5287_A2	Solar FV	2026	Chia 115	0.016	SATISFACE
SC_2023_5288_A1	Solar FV	2026	Chia 115	0.009	SATISFACE
SC_2023_5288_A2	Solar FV	2026	Chia 115	0.024	SATISFACE
SC_2023_5375_A1	Solar FV	2026	Chia 115	0.015	SATISFACE
SC_2023_5399_A1	Solar FV	2026	Chia 115	0.009	SATISFACE
SC_2023_5399_A2	Solar FV	2026	Chia 115	0.024	SATISFACE
SC_2023_5480_A1	Solar FV	2026	Chia 115	0.015	SATISFACE
SC_2023_5480_A2	Solar FV	2026	Chia 115	0.016	SATISFACE
SC_2023_5557_A1	Solar FV	2028	Chia 115	0.058	SATISFACE
SC_2936_A1	Solar FV	2026	Chia 115	0.000	SATISFACE
SC_2936_A2	Solar FV	2026	Chia 115	0.000	SATISFACE
SC_3121_A1	Solar FV	2026	Chia 115	0.002	SATISFACE
SC_3121_A2	Solar FV	2026	Chia 115	0.002	SATISFACE
SC_3132_A1	Solar FV	2026	Chia 115	0.032	SATISFACE
SC_3132_A2	Solar FV	2026	Chia 115	0.028	SATISFACE
SC_3882_A1	Solar FV	2026	Chia 115	0.056	SATISFACE
SC_4083_A1	Solar FV	2027	Chia 115	0.000	SATISFACE
SC_4083_A2	Solar FV	2027	Chia 115	0.000	SATISFACE
SC_4765_A1	Solar FV	2029	Chia 115	0.001	SATISFACE
SC_4765_A2	Solar FV	2029	Chia 115	0.000	SATISFACE
SC_4819_A1	Solar FV	2029	Chia 115	0.049	SATISFACE
SC_4819_A2	Solar FV	2029	Chia 115	0.044	SATISFACE
SC_4974_A1	Solar FV	2026	Chia 115	0.004	SATISFACE
SC_4974_A2	Solar FV	2026	Chia 115	0.004	SATISFACE
SC_4978_A1	Solar FV	2026	Chia 115	0.000	SATISFACE
SC_4978_A2	Solar FV	2026	Chia 115	0.006	SATISFACE

No se priorizó ninguna de las alternativas de conexión que tengan aportes de corriente de cortocircuito en la subestación Chia 115

El estado de la capacidad de cortocircuito en la subestación Chia 115, teniendo en cuenta la priorización se puede observar en la siguiente figura.

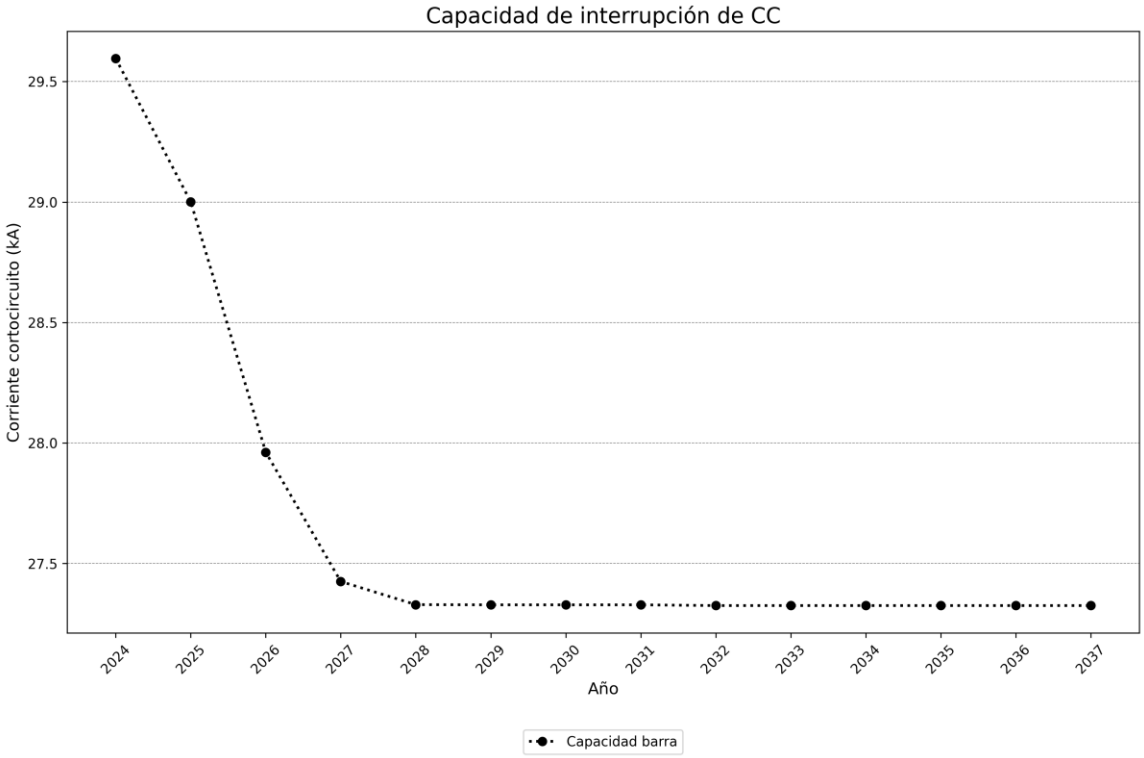


Figura 2-160. Balance de capacidad de cortocircuito después de la priorización para la subestación Chia 115

Subestación Chicala 115:

Capacidad por barra:

Para la subestación Chicala 115 se presentaron 0 alternativas de conexión las cuales se muestran en la siguiente tabla:

Tabla 2-163. Alternativas de conexión presentadas a la subestación Chicala 115

Solicitud	Capacidad	Tipo	Barra	FPO solicitada	Restricción

No se priorizó ninguna de las alternativas de conexión presentadas en la subestación Chicala 115

El estado de la capacidad por barra en la subestación Chicala 115, teniendo en cuenta la priorización se puede observar en la siguiente figura.

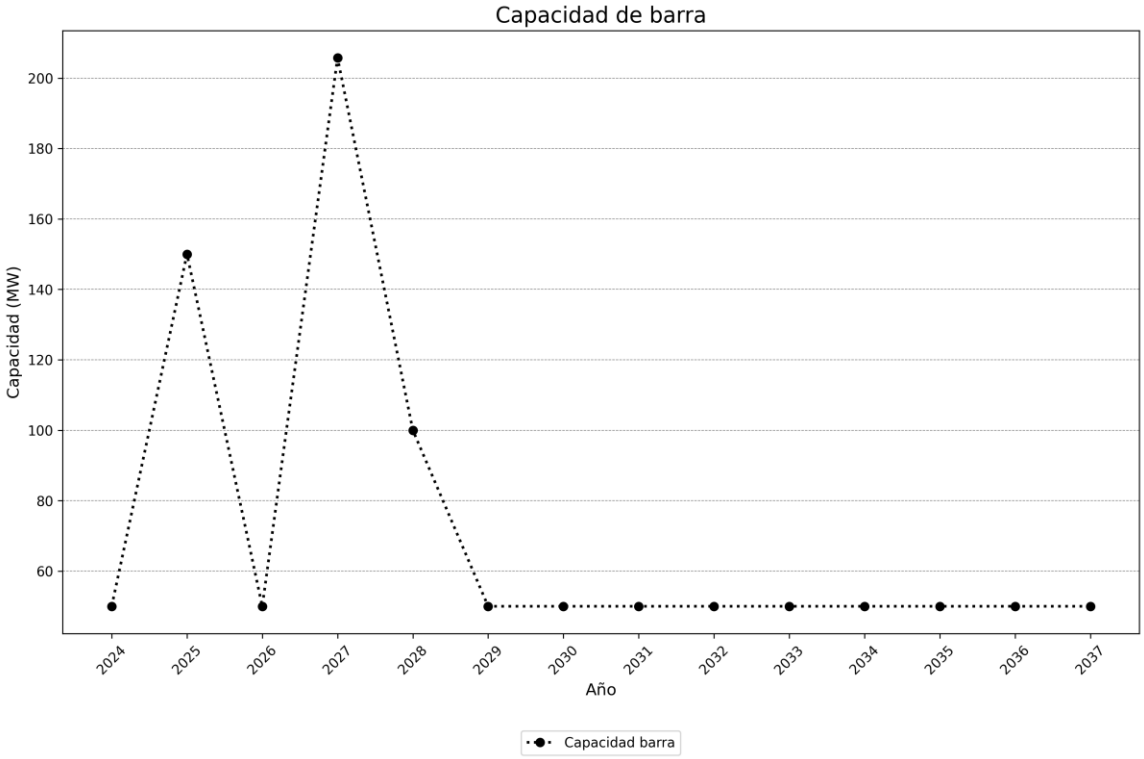


Figura 2-161. Balance de capacidad por barra después de la priorización para la subestación Chicala 115

Capacidad excedente de interrupción de corriente de cortocircuito:

Para la subestación Chicala 115 se presentaron 29 alternativas de conexión las cuales tienen aportes de corriente de cortocircuito. Estas alternativas se muestran en la siguiente tabla:

Tabla 2-164. Alternativas de conexión que aportan corriente de cortocircuito en la subestación Chicala 115

Solicitud	tipo	FPO	Barra a la que aporta CC	Aporte de cortocircuito (kA)	Restricción
SC_2023_5280_A1	Solar FV	2028	Chicala 115	0.032	SATISFACE
SC_2023_5280_A2	Solar FV	2028	Chicala 115	0.029	SATISFACE
SC_2023_5287_A1	Solar FV	2026	Chicala 115	0.017	SATISFACE
SC_2023_5287_A2	Solar FV	2026	Chicala 115	0.017	SATISFACE
SC_2023_5288_A1	Solar FV	2026	Chicala 115	0.010	SATISFACE
SC_2023_5288_A2	Solar FV	2026	Chicala 115	0.026	SATISFACE
SC_2023_5375_A1	Solar FV	2026	Chicala 115	0.017	SATISFACE
SC_2023_5399_A1	Solar FV	2026	Chicala 115	0.010	SATISFACE
SC_2023_5399_A2	Solar FV	2026	Chicala 115	0.026	SATISFACE
SC_2023_5480_A1	Solar FV	2026	Chicala 115	0.017	SATISFACE
SC_2023_5480_A2	Solar FV	2026	Chicala 115	0.017	SATISFACE
SC_2023_5557_A1	Solar FV	2028	Chicala 115	0.069	SATISFACE
SC_2936_A1	Solar FV	2026	Chicala 115	0.000	SATISFACE
SC_2936_A2	Solar FV	2026	Chicala 115	0.000	SATISFACE
SC_3121_A1	Solar FV	2026	Chicala 115	0.002	SATISFACE
SC_3121_A2	Solar FV	2026	Chicala 115	0.002	SATISFACE
SC_3132_A1	Solar FV	2026	Chicala 115	0.036	SATISFACE
SC_3132_A2	Solar FV	2026	Chicala 115	0.031	SATISFACE
SC_3882_A1	Solar FV	2026	Chicala 115	0.066	SATISFACE
SC_4083_A1	Solar FV	2027	Chicala 115	0.000	SATISFACE
SC_4083_A2	Solar FV	2027	Chicala 115	0.000	SATISFACE
SC_4765_A1	Solar FV	2029	Chicala 115	0.001	SATISFACE
SC_4765_A2	Solar FV	2029	Chicala 115	0.001	SATISFACE
SC_4819_A1	Solar FV	2029	Chicala 115	0.059	SATISFACE
SC_4819_A2	Solar FV	2029	Chicala 115	0.053	SATISFACE
SC_4974_A1	Solar FV	2026	Chicala 115	0.006	SATISFACE
SC_4974_A2	Solar FV	2026	Chicala 115	0.006	SATISFACE
SC_4978_A1	Solar FV	2026	Chicala 115	0.000	SATISFACE
SC_4978_A2	Solar FV	2026	Chicala 115	0.003	SATISFACE

No se priorizó ninguna de las alternativas de conexión que tengan aportes de corriente de cortocircuito en la subestación Chicala 115

El estado de la capacidad de cortocircuito en la subestación Chicala 115, teniendo en cuenta la priorización se puede observar en la siguiente figura.

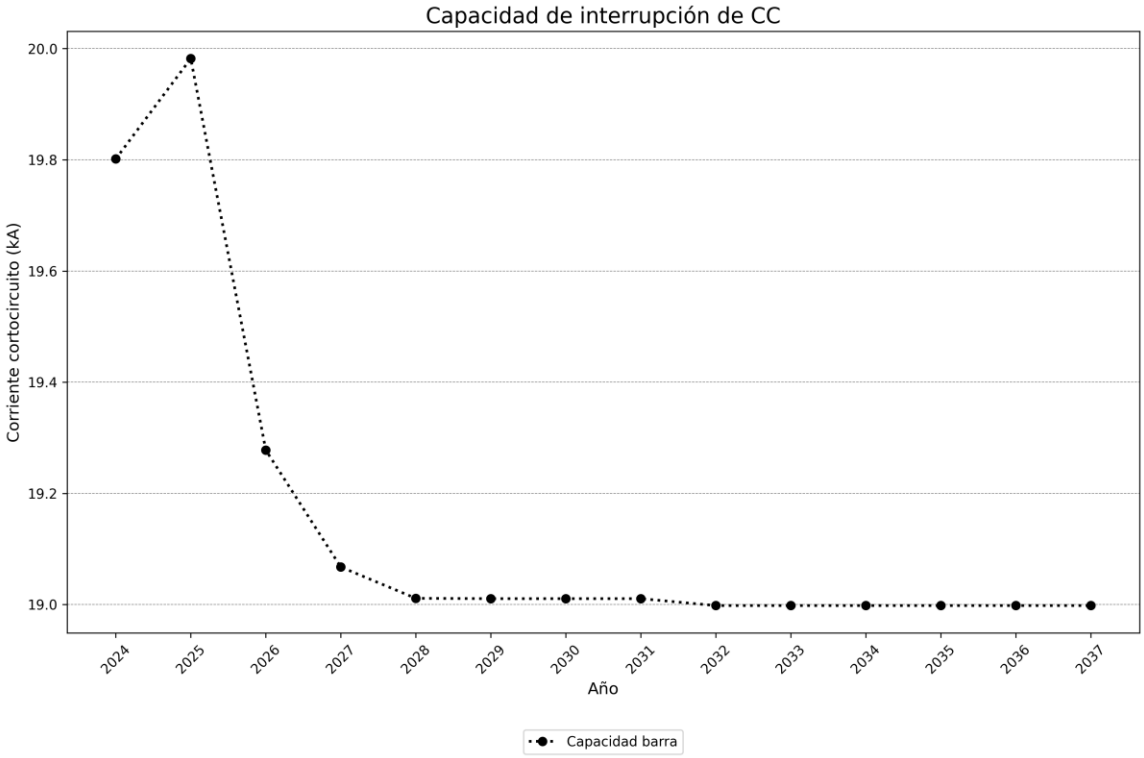


Figura 2-162. Balance de capacidad de cortocircuito después de la priorización para la subestación Chicala 115

Subestación Chinchina 33:

Capacidad por barra:

Para la subestación Chinchina 33 se presentaron 1 alternativas de conexión las cuales se muestran en la siguiente tabla:

Tabla 2-165. Alternativas de conexión presentadas a la subestación Chinchina 33

Solicitud	Capacidad	Tipo	Barra	FPO solicitada	Restricción
SC_2023_5549_A1	19.9	Solar FV	Chinchina 33	2028	NO SATISFACE

No se priorizó ninguna de las alternativas de conexión presentadas en la subestación Chinchina 33

El estado de la capacidad por barra en la subestación Chinchina 33, teniendo en cuenta la priorización se puede observar en la siguiente figura.

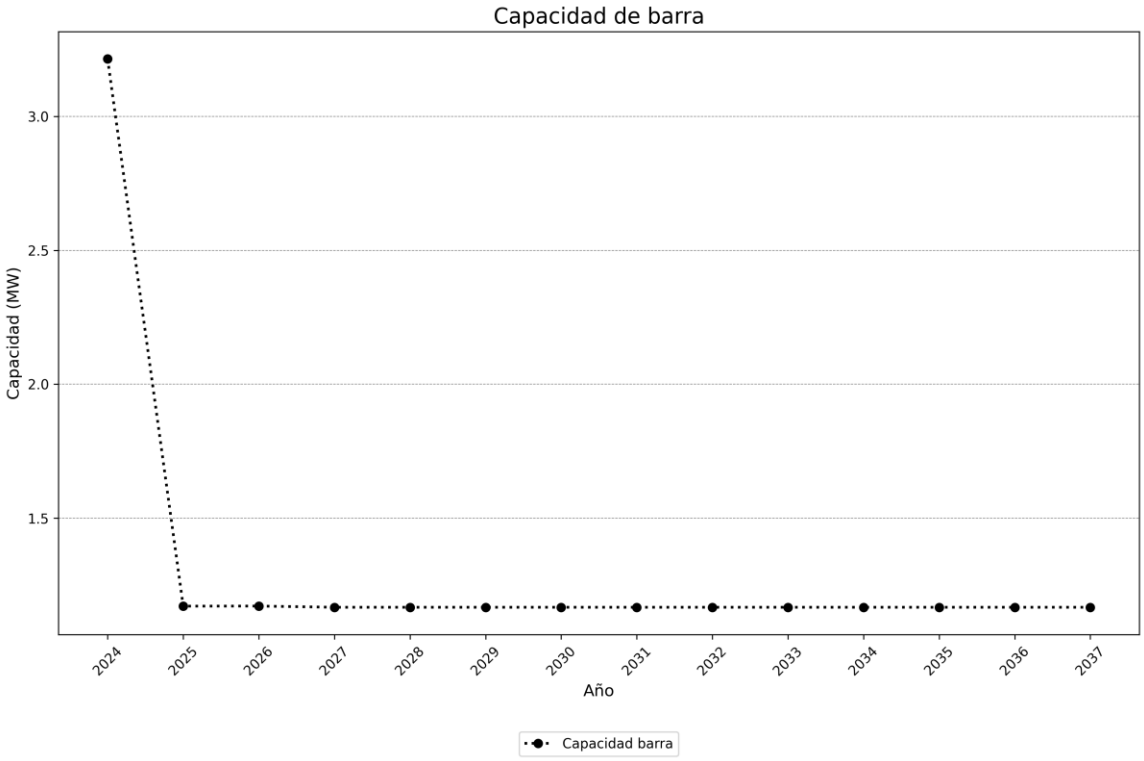


Figura 2-163. Balance de capacidad por barra después de la priorización para la subestación Chinchina 33

Subestación Chinu 220:

Capacidad por barra:

Para la subestación Chinu 220 se presentaron 0 alternativas de conexión las cuales se muestran en la siguiente tabla:

Tabla 2-166. Alternativas de conexión presentadas a la subestación Chinu 220

Solicitud	Capacidad	Tipo	Barra	FPO solicitada	Restricción

No se priorizó ninguna de las alternativas de conexión presentadas en la subestación Chinu 220

El estado de la capacidad por barra en la subestación Chinu 220, teniendo en cuenta la priorización se puede observar en la siguiente figura.

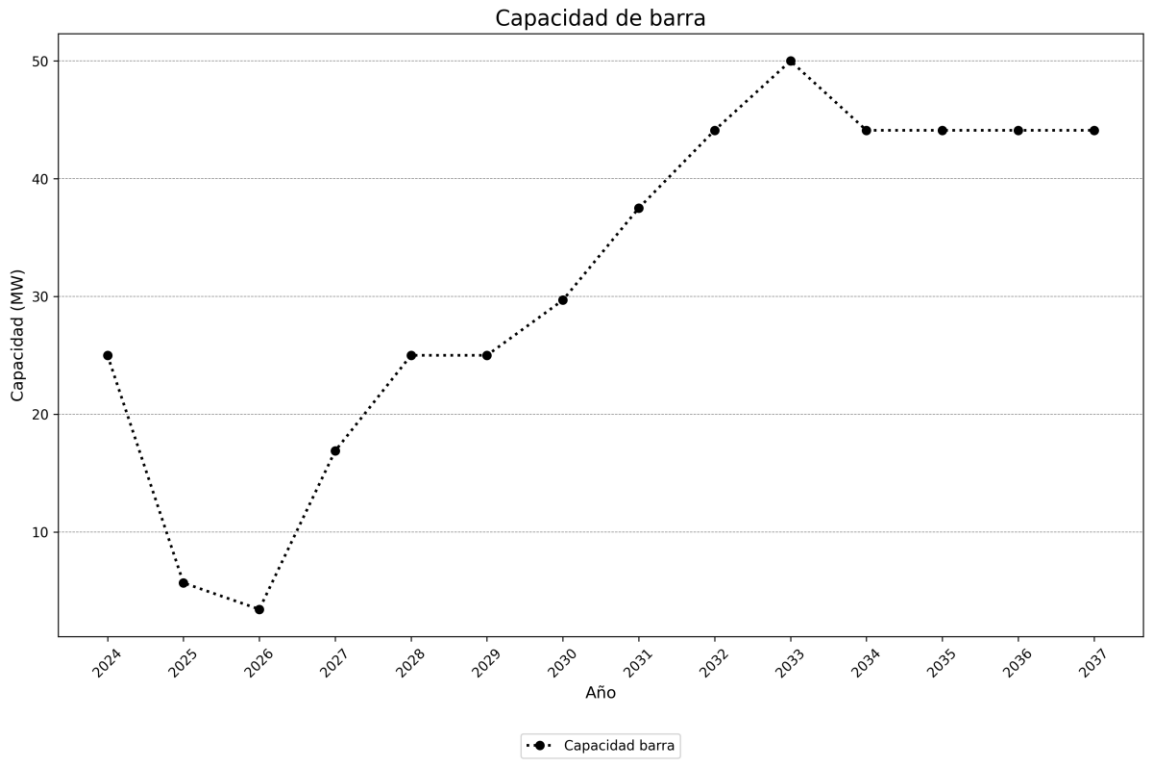


Figura 2-164. Balance de capacidad por barra después de la priorización para la subestación Chinu 220

Capacidad excedente de interrupción de corriente de cortocircuito:

Para la subestación Chinu 220 se presentaron 1 alternativas de conexión las cuales tienen aportes de corriente de cortocircuito. Estas alternativas se muestran en la siguiente tabla:

Tabla 2-167. Alternativas de conexión que aportan corriente de cortocircuito en la subestación Chinu 220

Solicitud	tipo	FPO	Barra a la que aporta CC	Aporte de cortocircuito (kA)	Restricción
SC_3331_A1	Solar FV	2026	Chinu 220	0.023	SATISFACE

No se priorizó ninguna de las alternativas de conexión que tengan aportes de corriente de cortocircuito en la subestación Chinu 220

El estado de la capacidad de cortocircuito en la subestación Chinu 220, teniendo en cuenta la priorización se puede observar en la siguiente figura.

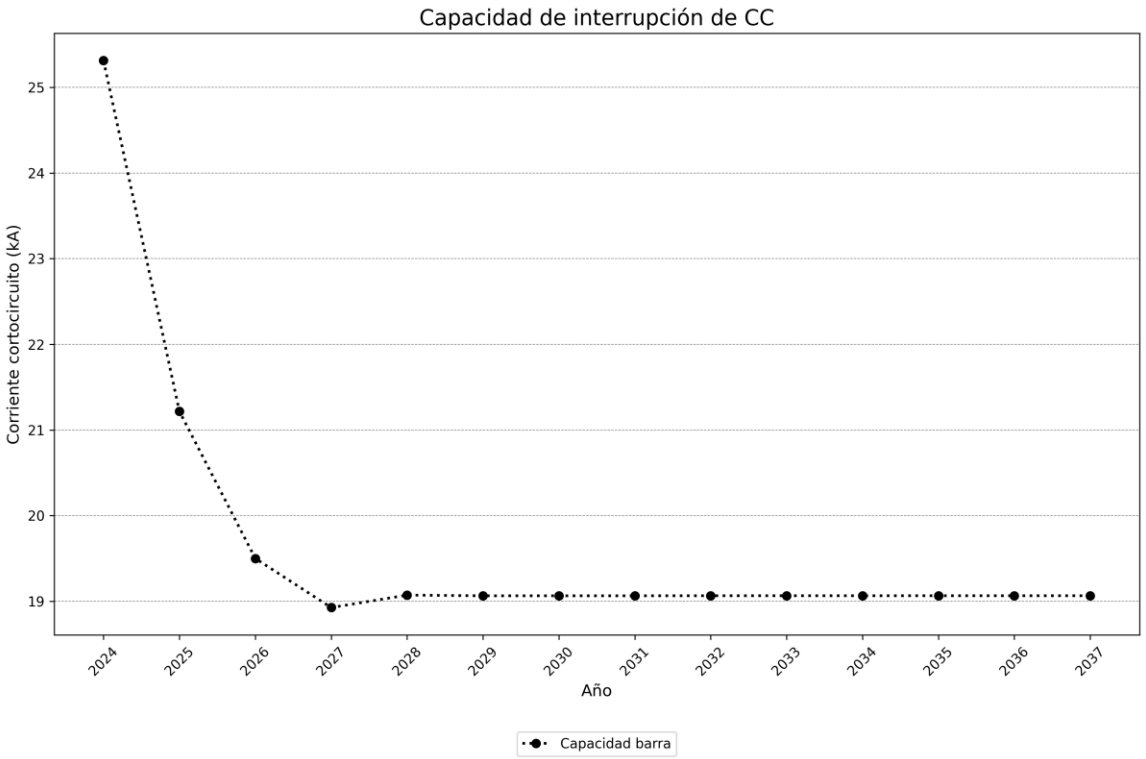


Figura 2-165. Balance de capacidad de cortocircuito después de la priorización para la subestación Chinu 220

Subestación Chinu 500:

Capacidad por barra:

Para la subestación Chinu 500 se presentaron 0 alternativas de conexión las cuales se muestran en la siguiente tabla:

Tabla 2-168. Alternativas de conexión presentadas a la subestación Chinu 500

Solicitud	Capacidad	Tipo	Barra	FPO solicitada	Restricción

No se priorizó ninguna de las alternativas de conexión presentadas en la subestación Chinu 500

El estado de la capacidad por barra en la subestación Chinu 500, teniendo en cuenta la priorización se puede observar en la siguiente figura.

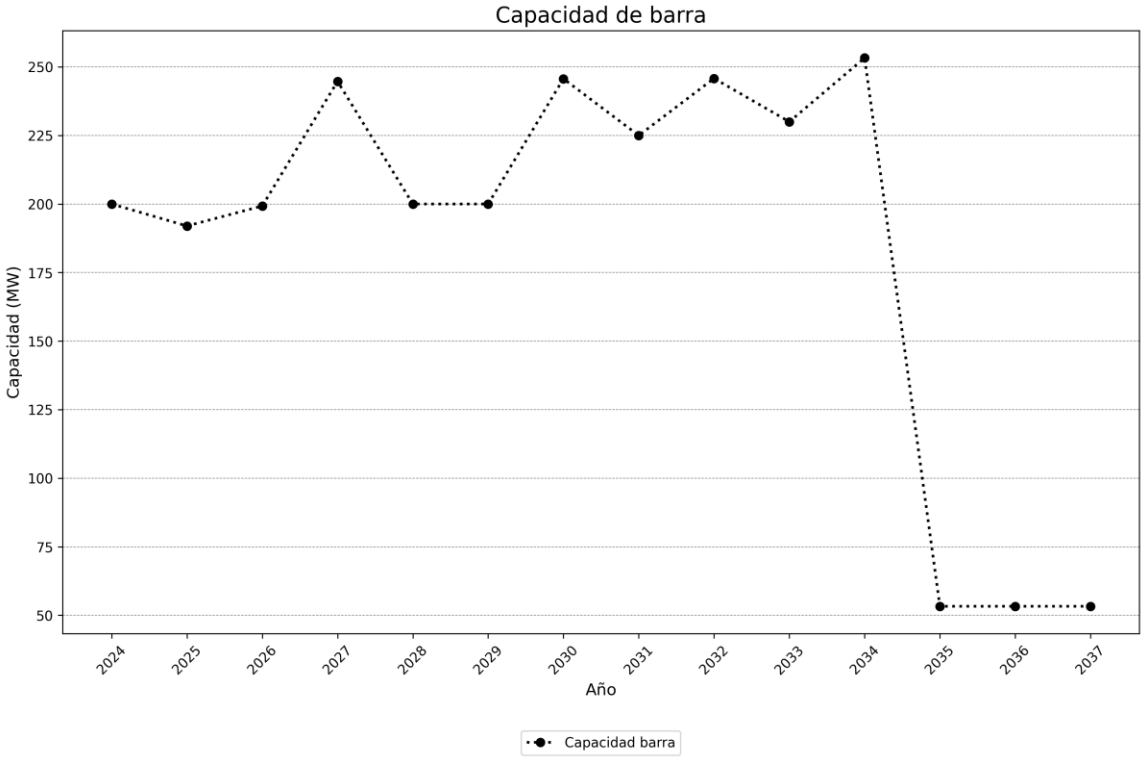


Figura 2-166. Balance de capacidad por barra después de la priorización para la subestación Chinu 500

Capacidad excedente de interrupción de corriente de cortocircuito:

Para la subestación Chinu 500 se presentaron 1 alternativas de conexión las cuales tienen aportes de corriente de cortocircuito. Estas alternativas se muestran en la siguiente tabla:

Tabla 2-169. Alternativas de conexión que aportan corriente de cortocircuito en la subestación Chinu 500

Solicitud	tipo	FPO	Barra a la que aporta CC	Aporte de cortocircuito (kA)	Restricción
SC_3331_A1	Solar FV	2026	Chinu 500	0.035	SATISFACE

No se priorizó ninguna de las alternativas de conexión que tengan aportes de corriente de cortocircuito en la subestación Chinu 500

El estado de la capacidad de cortocircuito en la subestación Chinu 500, teniendo en cuenta la priorización se puede observar en la siguiente figura.

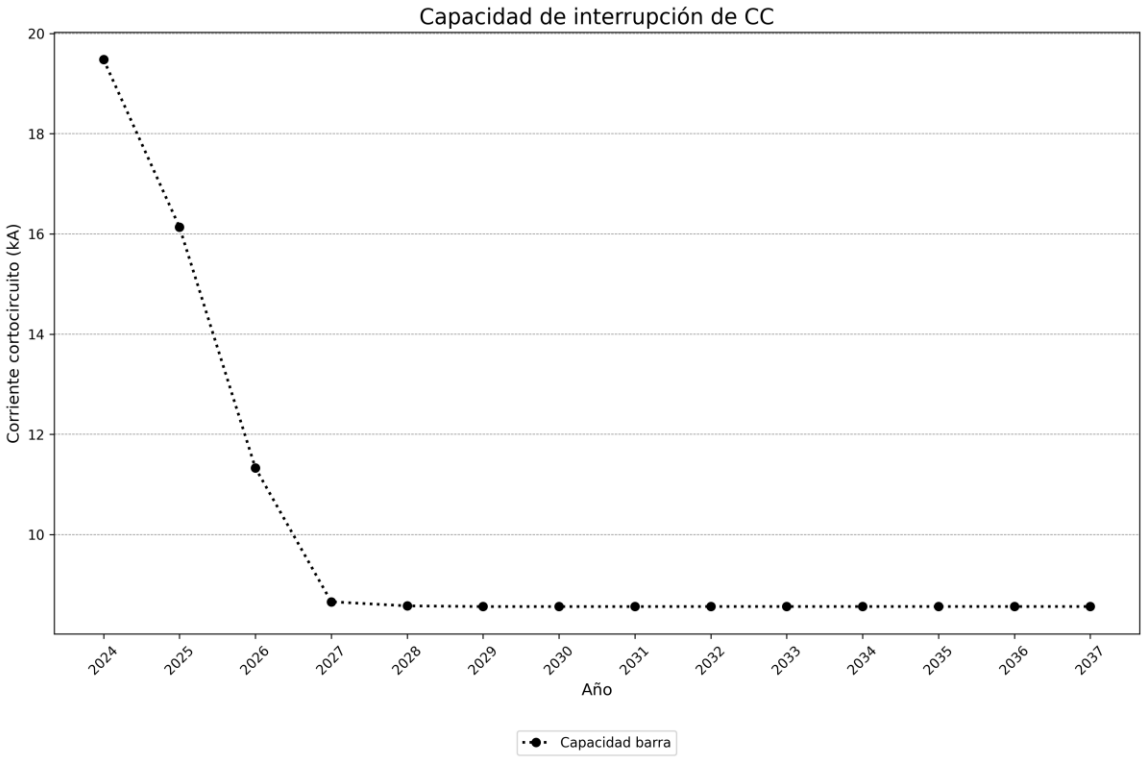


Figura 2-167. Balance de capacidad de cortocircuito después de la priorización para la subestación Chinu 500

Subestación Chipichape 115:

Capacidad por barra:

Para la subestación Chipichape 115 se presentaron 0 alternativas de conexión las cuales se muestran en la siguiente tabla:

Tabla 2-170. Alternativas de conexión presentadas a la subestación Chipichape 115

Solicitud	Capacidad	Tipo	Barra	FPO solicitada	Restricción

No se priorizó ninguna de las alternativas de conexión presentadas en la subestación Chipichape 115

El estado de la capacidad por barra en la subestación Chipichape 115, teniendo en cuenta la priorización se puede observar en la siguiente figura.

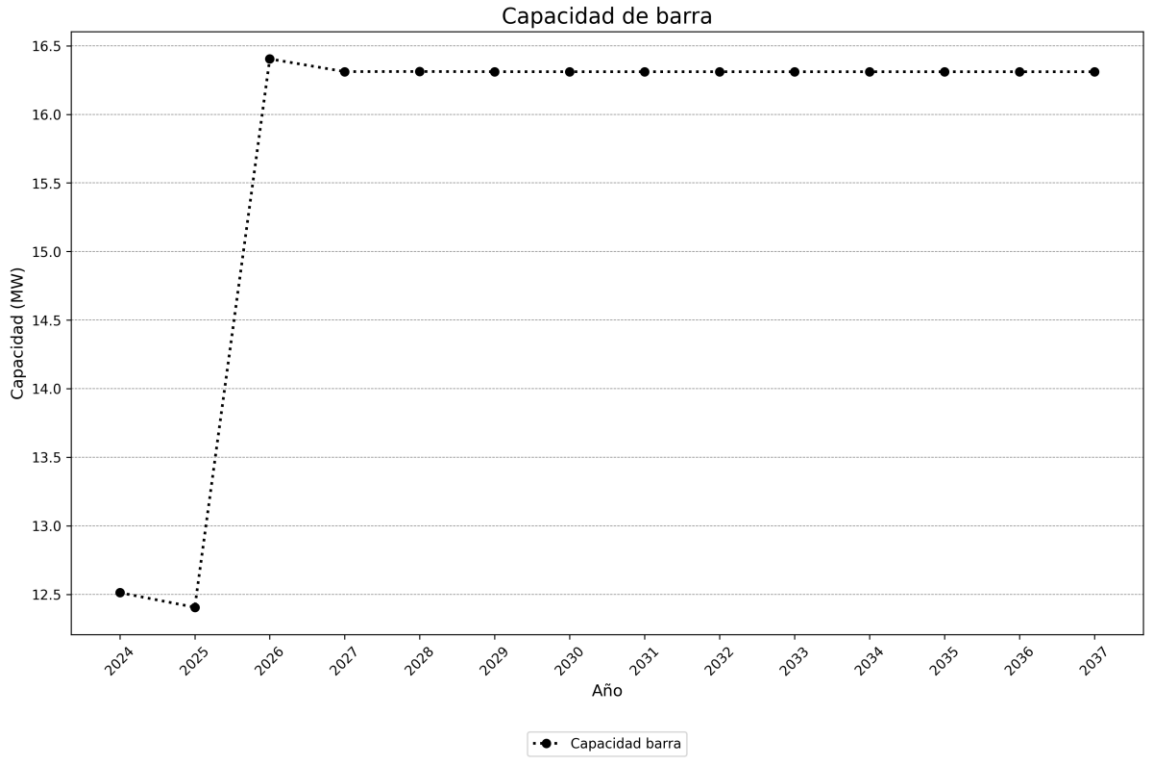


Figura 2-168. Balance de capacidad por barra después de la priorización para la subestación Chipichape 115

Capacidad excedente de interrupción de corriente de cortocircuito:

Para la subestación Chipichape 115 se presentaron 4 alternativas de conexión las cuales tienen aportes de corriente de cortocircuito. Estas alternativas se muestran en la siguiente tabla:

Tabla 2-171. Alternativas de conexión que aportan corriente de cortocircuito en la subestación Chipichape 115

Solicitud	tipo	FPO	Barra a la que aporta CC	Aporte de cortocircuito (kA)	Restricción
SC_2023_5557_A1	Solar FV	2028	Chipichape 115	0.066	SATISFACE
SC_2936_A1	Solar FV	2026	Chipichape 115	0.000	SATISFACE
SC_2936_A2	Solar FV	2026	Chipichape 115	0.000	SATISFACE
SC_3882_A1	Solar FV	2026	Chipichape 115	0.064	SATISFACE

No se priorizó ninguna de las alternativas de conexión que tengan aportes de corriente de cortocircuito en la subestación Chipichape 115

El estado de la capacidad de cortocircuito en la subestación Chipichape 115, teniendo en cuenta la priorización se puede observar en la siguiente figura.

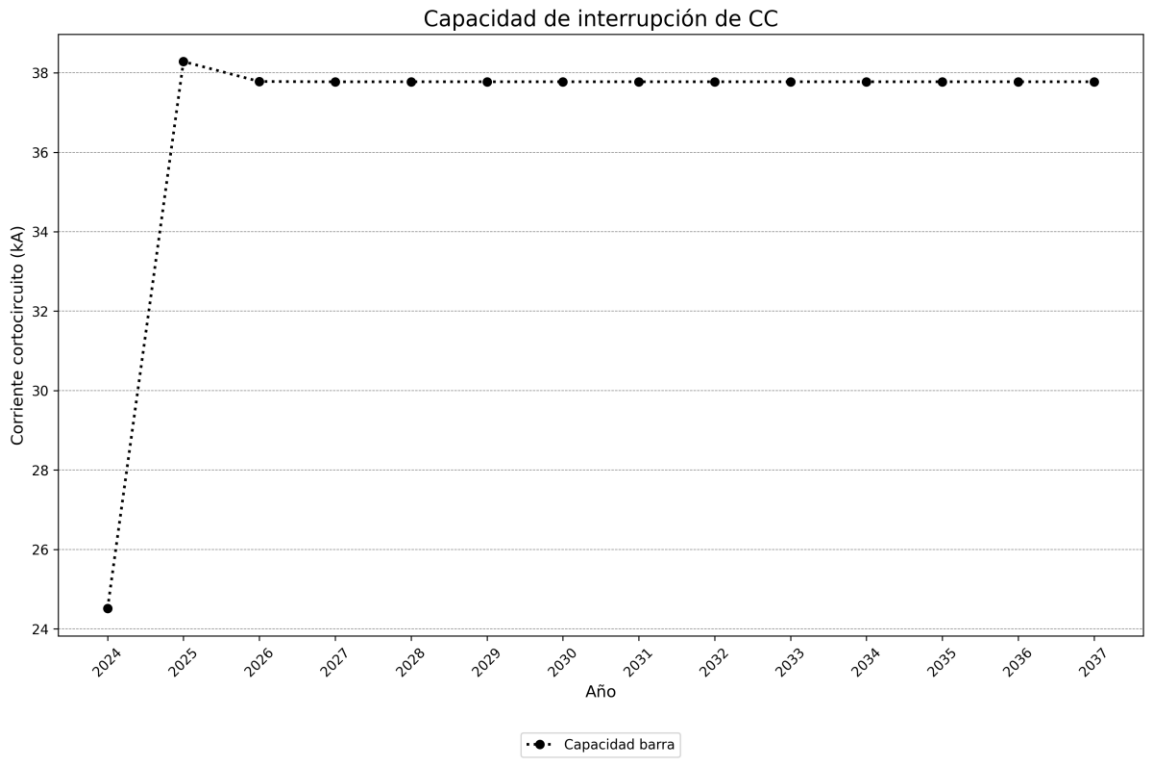


Figura 2-169. Balance de capacidad de cortocircuito después de la priorización para la subestación Chipichape 115

Subestación Chipre 33:

Capacidad por barra:

Para la subestación Chipre 33 se presentaron 0 alternativas de conexión las cuales se muestran en la siguiente tabla:

Tabla 2-172. Alternativas de conexión presentadas a la subestación Chipre 33

Solicitud	Capacidad	Tipo	Barra	FPO solicitada	Restricción

No se priorizó ninguna de las alternativas de conexión presentadas en la subestación Chipre 33

El estado de la capacidad por barra en la subestación Chipre 33, teniendo en cuenta la priorización se puede observar en la siguiente figura.

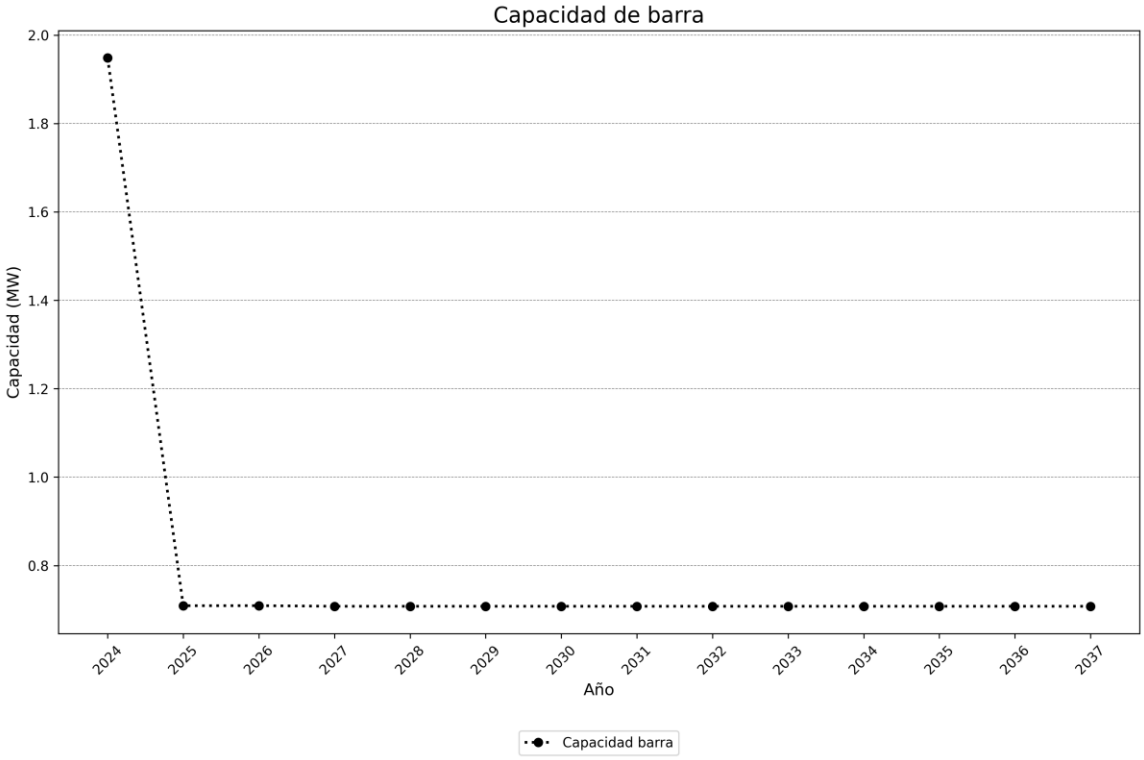


Figura 2-170. Balance de capacidad por barra después de la priorización para la subestación Chipre 33

Subestación Chivor 115:

Capacidad por barra:

Para la subestación Chivor 115 se presentaron 0 alternativas de conexión las cuales se muestran en la siguiente tabla:

Tabla 2-173. Alternativas de conexión presentadas a la subestación Chivor 115

Solicitud	Capacidad	Tipo	Barra	FPO solicitada	Restricción

No se priorizó ninguna de las alternativas de conexión presentadas en la subestación Chivor 115

El estado de la capacidad por barra en la subestación Chivor 115, teniendo en cuenta la priorización se puede observar en la siguiente figura.

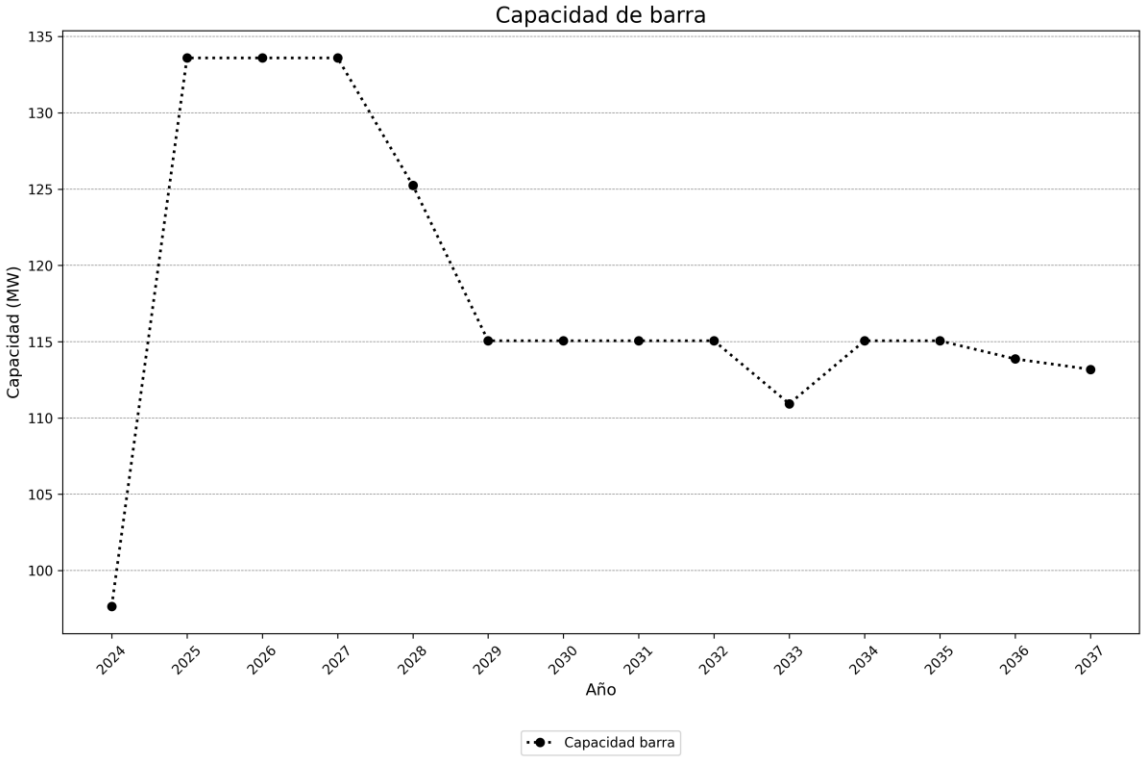


Figura 2-171. Balance de capacidad por barra después de la priorización para la subestación Chivor 115

Capacidad excedente de interrupción de corriente de cortocircuito:

Para la subestación Chivor 115 se presentaron 23 alternativas de conexión las cuales tienen aportes de corriente de cortocircuito. Estas alternativas se muestran en la siguiente tabla:

Tabla 2-174. Alternativas de conexión que aportan corriente de cortocircuito en la subestación Chivor 115

Solicitud	tipo	FPO	Barra a la que aporta CC	Aporte de cortocircuito (kA)	Restricción
SC_2023_5280_A1	Solar FV	2028	Chivor 115	0.017	SATISFACE
SC_2023_5280_A2	Solar FV	2028	Chivor 115	0.016	SATISFACE
SC_2023_5287_A1	Solar FV	2026	Chivor 115	0.010	SATISFACE
SC_2023_5287_A2	Solar FV	2026	Chivor 115	0.010	SATISFACE
SC_2023_5288_A1	Solar FV	2026	Chivor 115	0.006	SATISFACE
SC_2023_5288_A2	Solar FV	2026	Chivor 115	0.015	SATISFACE
SC_2023_5375_A1	Solar FV	2026	Chivor 115	0.009	SATISFACE
SC_2023_5399_A1	Solar FV	2026	Chivor 115	0.006	SATISFACE
SC_2023_5399_A2	Solar FV	2026	Chivor 115	0.015	SATISFACE
SC_2023_5480_A1	Solar FV	2026	Chivor 115	0.010	SATISFACE
SC_2023_5480_A2	Solar FV	2026	Chivor 115	0.010	SATISFACE
SC_2023_5557_A1	Solar FV	2028	Chivor 115	0.036	SATISFACE
SC_2936_A1	Solar FV	2026	Chivor 115	0.000	SATISFACE
SC_2936_A2	Solar FV	2026	Chivor 115	0.000	SATISFACE
SC_3121_A1	Solar FV	2026	Chivor 115	0.001	SATISFACE
SC_3121_A2	Solar FV	2026	Chivor 115	0.001	SATISFACE
SC_3132_A1	Solar FV	2026	Chivor 115	0.019	SATISFACE
SC_3132_A2	Solar FV	2026	Chivor 115	0.016	SATISFACE
SC_3882_A1	Solar FV	2026	Chivor 115	0.034	SATISFACE
SC_4083_A1	Solar FV	2027	Chivor 115	0.000	SATISFACE
SC_4083_A2	Solar FV	2027	Chivor 115	0.000	SATISFACE
SC_4819_A1	Solar FV	2029	Chivor 115	0.026	SATISFACE
SC_4819_A2	Solar FV	2029	Chivor 115	0.024	SATISFACE

No se priorizó ninguna de las alternativas de conexión que tengan aportes de corriente de cortocircuito en la subestación Chivor 115

El estado de la capacidad de cortocircuito en la subestación Chivor 115, teniendo en cuenta la priorización se puede observar en la siguiente figura.

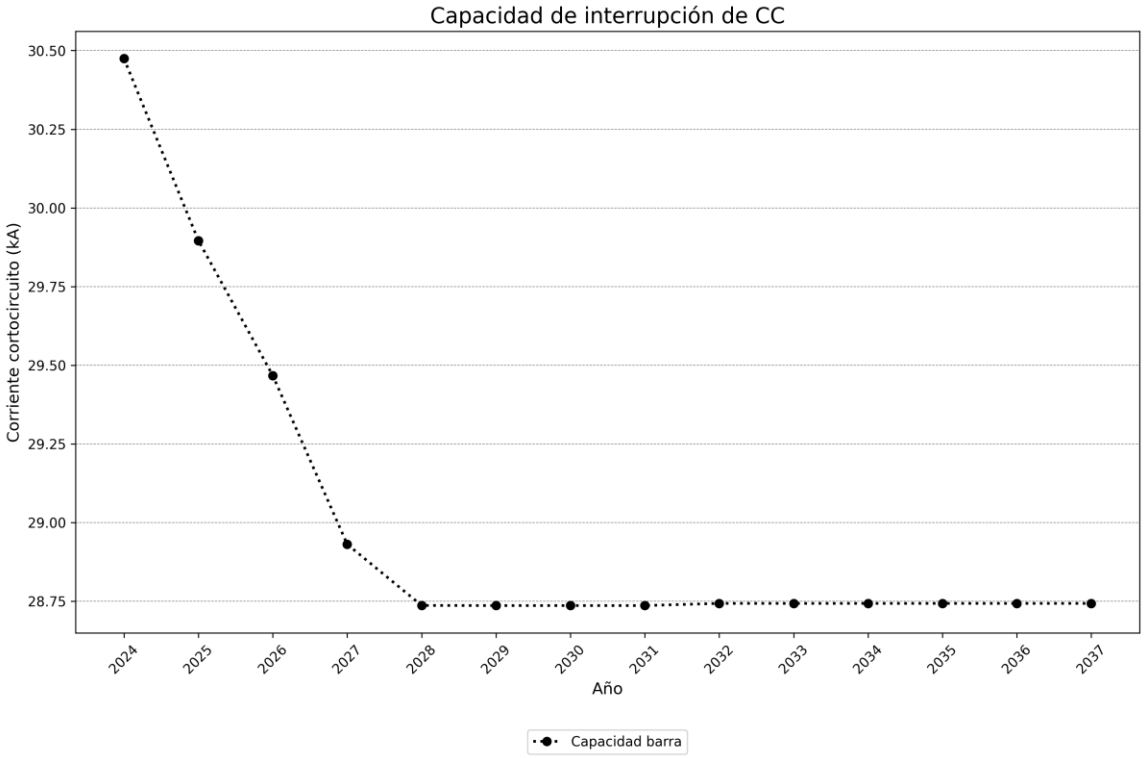


Figura 2-172. Balance de capacidad de cortocircuito después de la priorización para la subestación Chivor 115

Subestación Chivor 220:

Capacidad por barra:

Para la subestación Chivor 220 se presentaron 0 alternativas de conexión las cuales se muestran en la siguiente tabla:

Tabla 2-175. Alternativas de conexión presentadas a la subestación Chivor 220

Solicitud	Capacidad	Tipo	Barra	FPO solicitada	Restricción

No se priorizó ninguna de las alternativas de conexión presentadas en la subestación Chivor 220

El estado de la capacidad por barra en la subestación Chivor 220, teniendo en cuenta la priorización se puede observar en la siguiente figura.

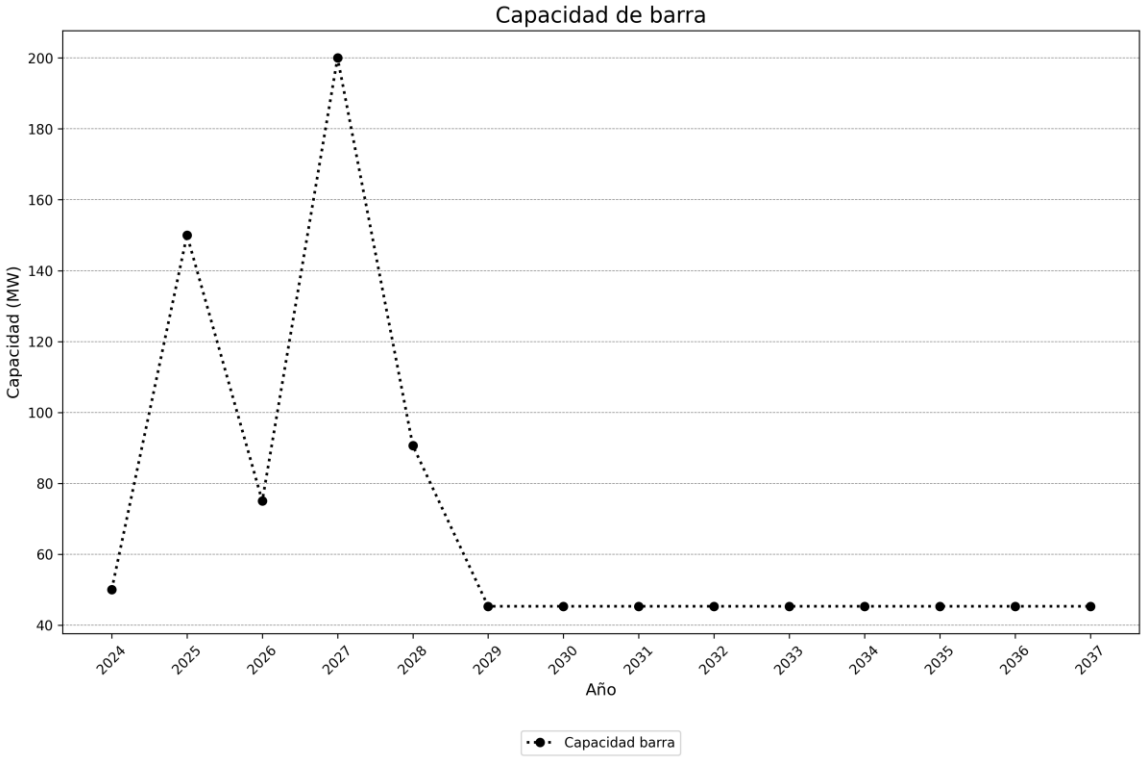


Figura 2-173. Balance de capacidad por barra después de la priorización para la subestación Chivor 220

Capacidad excedente de interrupción de corriente de cortocircuito:

Para la subestación Chivor 220 se presentaron 27 alternativas de conexión las cuales tienen aportes de corriente de cortocircuito. Estas alternativas se muestran en la siguiente tabla:

Tabla 2-176. Alternativas de conexión que aportan corriente de cortocircuito en la subestación Chivor 220

Solicitud	tipo	FPO	Barra a la que aporta CC	Aporte de cortocircuito (kA)	Restricción
SC_2023_5280_A1	Solar FV	2028	Chivor 220	0.054	SATISFACE
SC_2023_5280_A2	Solar FV	2028	Chivor 220	0.049	SATISFACE
SC_2023_5287_A1	Solar FV	2026	Chivor 220	0.030	SATISFACE
SC_2023_5287_A2	Solar FV	2026	Chivor 220	0.031	SATISFACE
SC_2023_5288_A1	Solar FV	2026	Chivor 220	0.018	SATISFACE
SC_2023_5288_A2	Solar FV	2026	Chivor 220	0.047	SATISFACE
SC_2023_5375_A1	Solar FV	2026	Chivor 220	0.030	SATISFACE
SC_2023_5399_A1	Solar FV	2026	Chivor 220	0.018	SATISFACE
SC_2023_5399_A2	Solar FV	2026	Chivor 220	0.047	SATISFACE
SC_2023_5480_A1	Solar FV	2026	Chivor 220	0.030	SATISFACE
SC_2023_5480_A2	Solar FV	2026	Chivor 220	0.031	SATISFACE
SC_2023_5557_A1	Solar FV	2028	Chivor 220	0.117	SATISFACE
SC_2936_A1	Solar FV	2026	Chivor 220	0.000	SATISFACE
SC_2936_A2	Solar FV	2026	Chivor 220	0.000	SATISFACE
SC_3121_A1	Solar FV	2026	Chivor 220	0.003	SATISFACE
SC_3121_A2	Solar FV	2026	Chivor 220	0.003	SATISFACE
SC_3132_A1	Solar FV	2026	Chivor 220	0.062	SATISFACE
SC_3132_A2	Solar FV	2026	Chivor 220	0.054	SATISFACE
SC_3882_A1	Solar FV	2026	Chivor 220	0.112	SATISFACE
SC_4083_A1	Solar FV	2027	Chivor 220	0.001	SATISFACE
SC_4083_A2	Solar FV	2027	Chivor 220	0.001	SATISFACE
SC_4765_A1	Solar FV	2029	Chivor 220	0.005	SATISFACE
SC_4765_A2	Solar FV	2029	Chivor 220	0.003	SATISFACE
SC_4819_A1	Solar FV	2029	Chivor 220	0.097	SATISFACE
SC_4819_A2	Solar FV	2029	Chivor 220	0.087	SATISFACE
SC_4978_A1	Solar FV	2026	Chivor 220	0.000	SATISFACE
SC_4978_A2	Solar FV	2026	Chivor 220	0.004	SATISFACE

No se priorizó ninguna de las alternativas de conexión que tengan aportes de corriente de cortocircuito en la subestación Chivor 220

El estado de la capacidad de cortocircuito en la subestación Chivor 220, teniendo en cuenta la priorización se puede observar en la siguiente figura.

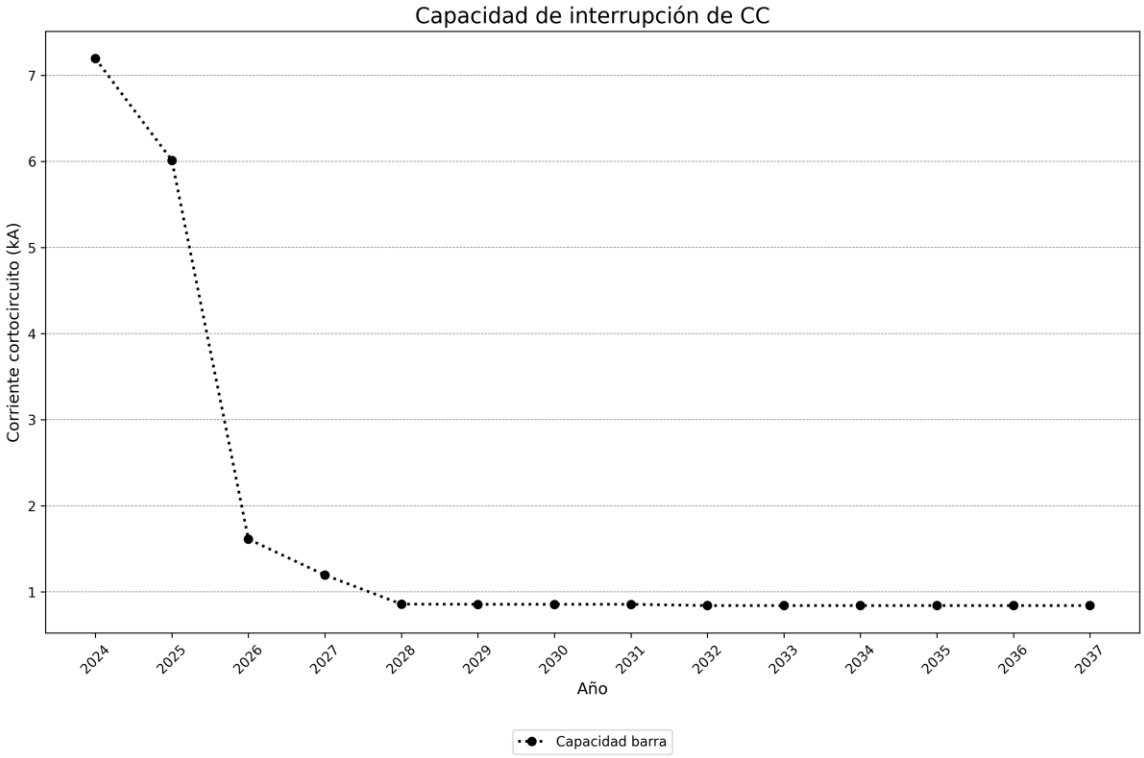


Figura 2-174. Balance de capacidad de cortocircuito después de la priorización para la subestación Chivor 220

Subestación Chivor II 220:

Capacidad por barra:

Para la subestación Chivor II 220 se presentaron 0 alternativas de conexión las cuales se muestran en la siguiente tabla:

Tabla 2-177. Alternativas de conexión presentadas a la subestación Chivor II 220

Solicitud	Capacidad	Tipo	Barra	FPO solicitada	Restricción

No se priorizó ninguna de las alternativas de conexión presentadas en la subestación Chivor II 220

El estado de la capacidad por barra en la subestación Chivor II 220, teniendo en cuenta la priorización se puede observar en la siguiente figura.

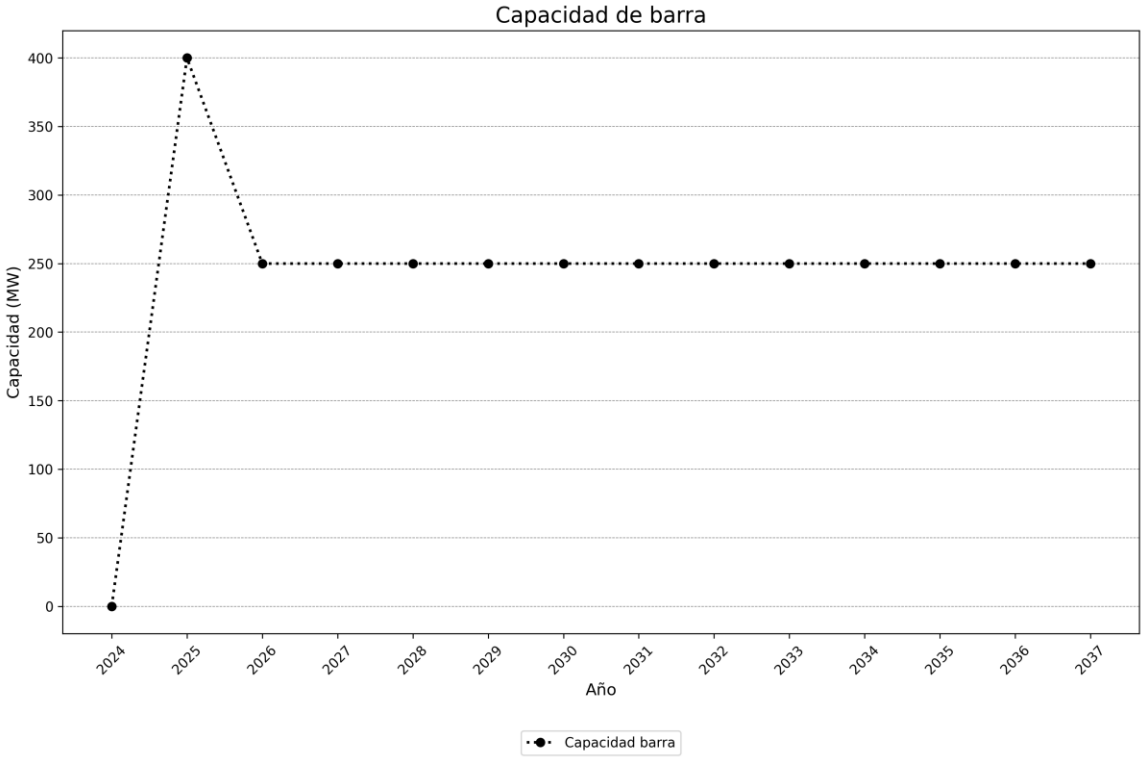


Figura 2-175. Balance de capacidad por barra después de la priorización para la subestación Chivor II 220

Capacidad excedente de interrupción de corriente de cortocircuito:

Para la subestación Chivor II 220 se presentaron 8 alternativas de conexión las cuales tienen aportes de corriente de cortocircuito. Estas alternativas se muestran en la siguiente tabla:

Tabla 2-178. Alternativas de conexión que aportan corriente de cortocircuito en la subestación Chivor II 220

Solicitud	tipo	FPO	Barra a la que aporta CC	Aporte de cortocircuito (kA)	Restricción
SC_2023_5557_A1	Solar FV	2028	Chivor II 220	0.092	SATISFACE
SC_2936_A1	Solar FV	2026	Chivor II 220	0.000	SATISFACE
SC_2936_A2	Solar FV	2026	Chivor II 220	0.000	SATISFACE
SC_3882_A1	Solar FV	2026	Chivor II 220	0.089	SATISFACE
SC_4974_A1	Solar FV	2026	Chivor II 220	0.004	SATISFACE
SC_4974_A2	Solar FV	2026	Chivor II 220	0.004	SATISFACE
SC_4978_A1	Solar FV	2026	Chivor II 220	0.000	SATISFACE
SC_4978_A2	Solar FV	2026	Chivor II 220	0.004	SATISFACE

No se priorizó ninguna de las alternativas de conexión que tengan aportes de corriente de cortocircuito en la subestación Chivor II 220

El estado de la capacidad de cortocircuito en la subestación Chivor II 220, teniendo en cuenta la priorización se puede observar en la siguiente figura.

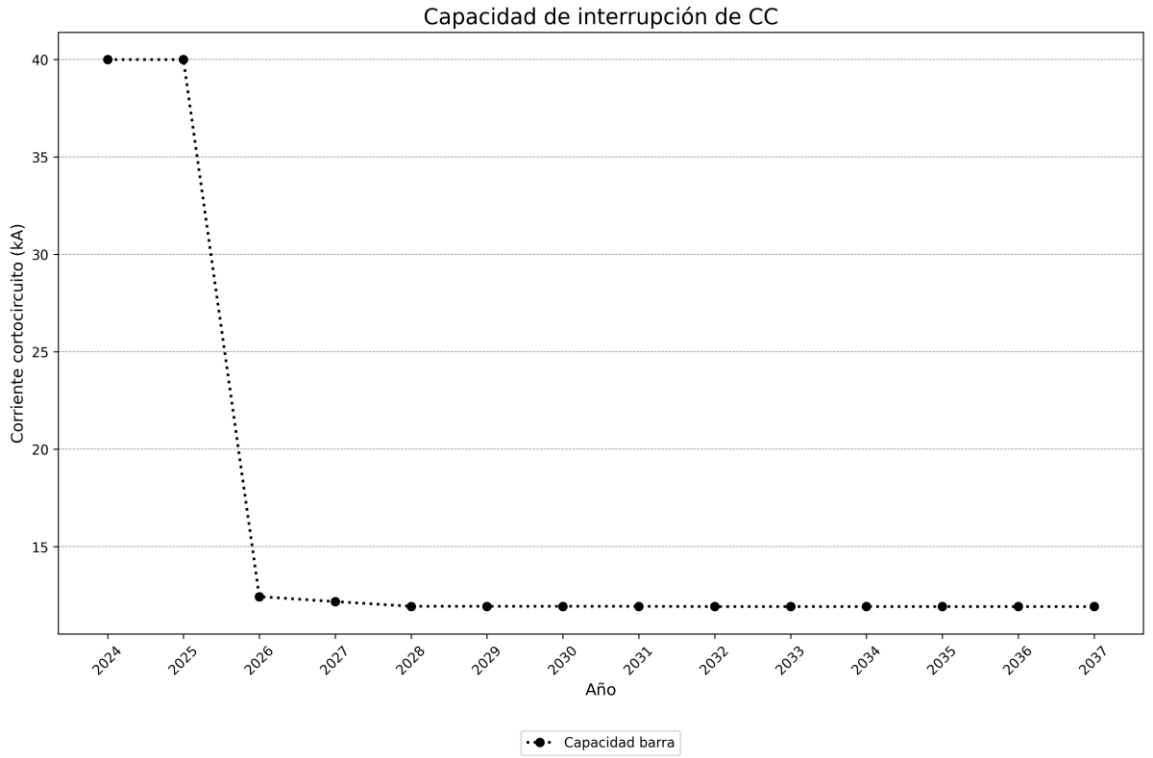


Figura 2-176. Balance de capacidad de cortocircuito después de la priorización para la subestación Chivor II 220

Subestación Chorodo 110:

Capacidad por barra:

Para la subestación Chorodo 110 se presentaron 0 alternativas de conexión las cuales se muestran en la siguiente tabla:

Tabla 2-179. Alternativas de conexión presentadas a la subestación Chorodo 110

Solicitud	Capacidad	Tipo	Barra	FPO solicitada	Restricción

No se priorizó ninguna de las alternativas de conexión presentadas en la subestación Chorodo 110

El estado de la capacidad por barra en la subestación Chorodo 110, teniendo en cuenta la priorización se puede observar en la siguiente figura.

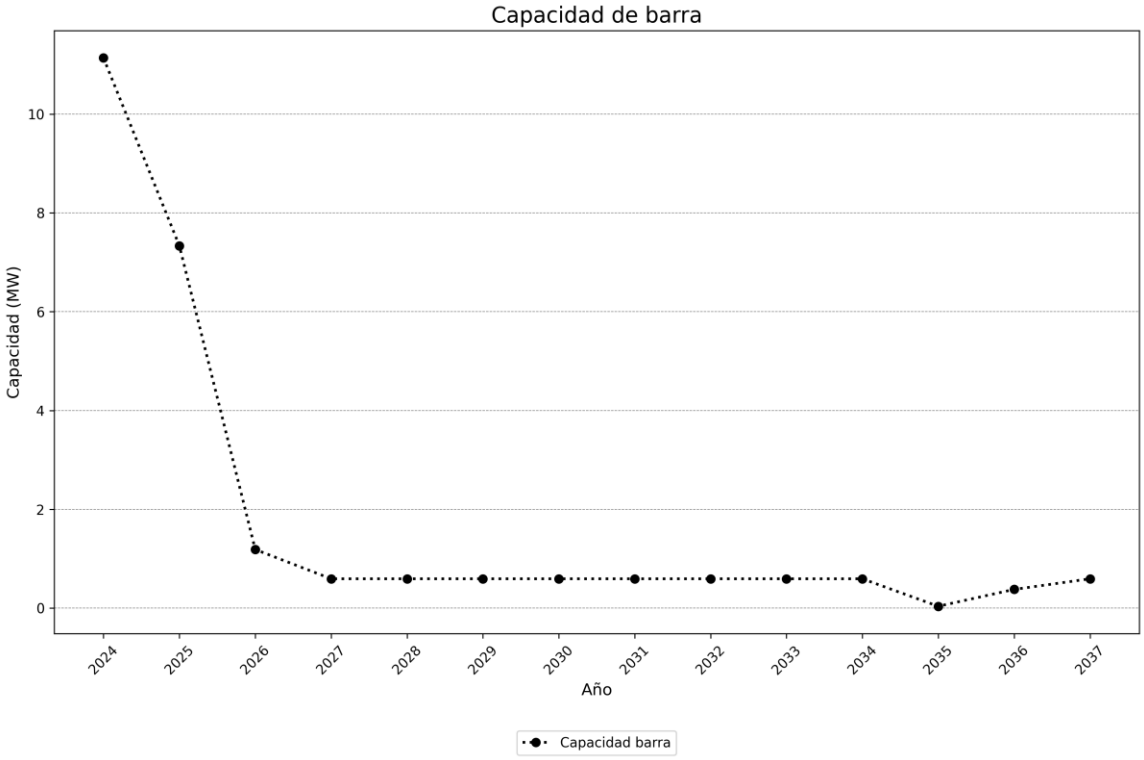


Figura 2-177. Balance de capacidad por barra después de la priorización para la subestación Chorodo 110

Capacidad excedente de interrupción de corriente de cortocircuito:

Para la subestación Chorodo 110 se presentaron 1 alternativas de conexión las cuales tienen aportes de corriente de cortocircuito. Estas alternativas se muestran en la siguiente tabla:

Tabla 2-180. Alternativas de conexión que aportan corriente de cortocircuito en la subestación Chorodo 110

Solicitud	tipo	FPO	Barra a la que aporta CC	Aporte de cortocircuito (kA)	Restricción
SC_3331_A1	Solar FV	2026	Chorodo 110	0.007	SATISFACE

No se priorizó ninguna de las alternativas de conexión que tengan aportes de corriente de cortocircuito en la subestación Chorodo 110

El estado de la capacidad de cortocircuito en la subestación Chorodo 110, teniendo en cuenta la priorización se puede observar en la siguiente figura.

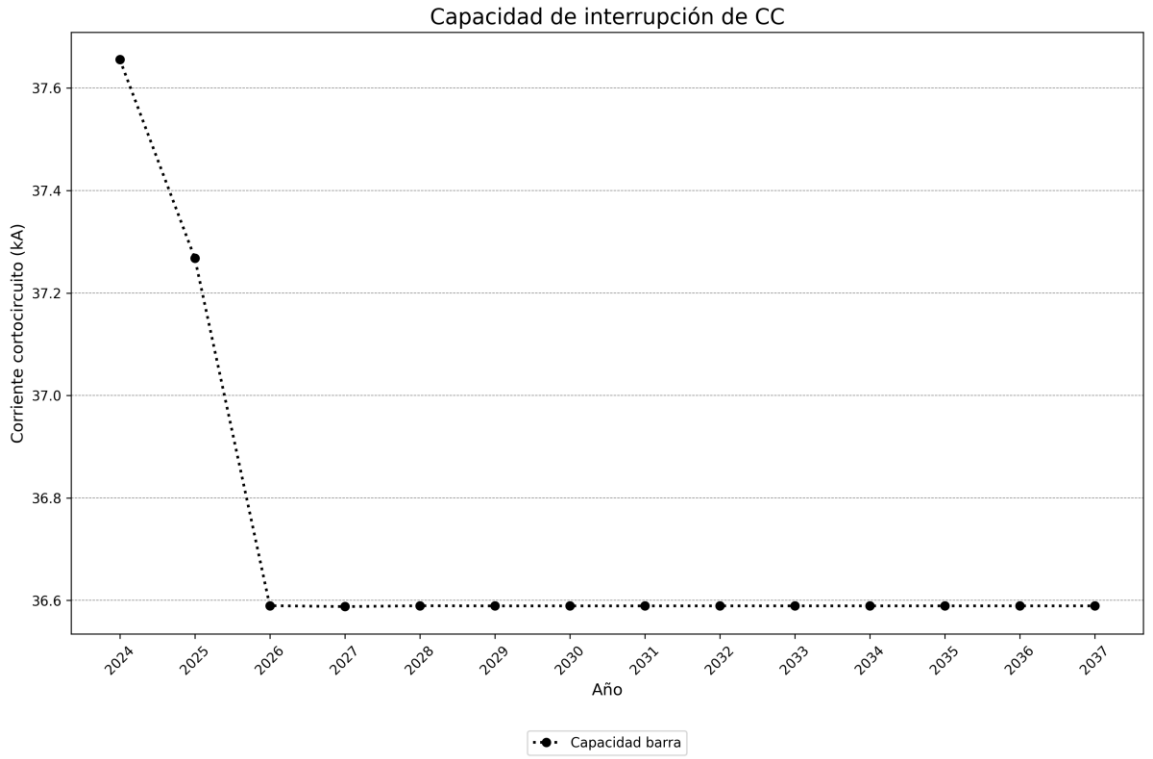


Figura 2-178. Balance de capacidad de cortocircuito después de la priorización para la subestación Chorodo 110

Subestación Circo 115:

Capacidad por barra:

Para la subestación Circo 115 se presentaron 0 alternativas de conexión las cuales se muestran en la siguiente tabla:

Tabla 2-181. Alternativas de conexión presentadas a la subestación Circo 115

Solicitud	Capacidad	Tipo	Barra	FPO solicitada	Restricción

No se priorizó ninguna de las alternativas de conexión presentadas en la subestación Circo 115

El estado de la capacidad por barra en la subestación Circo 115, teniendo en cuenta la priorización se puede observar en la siguiente figura.

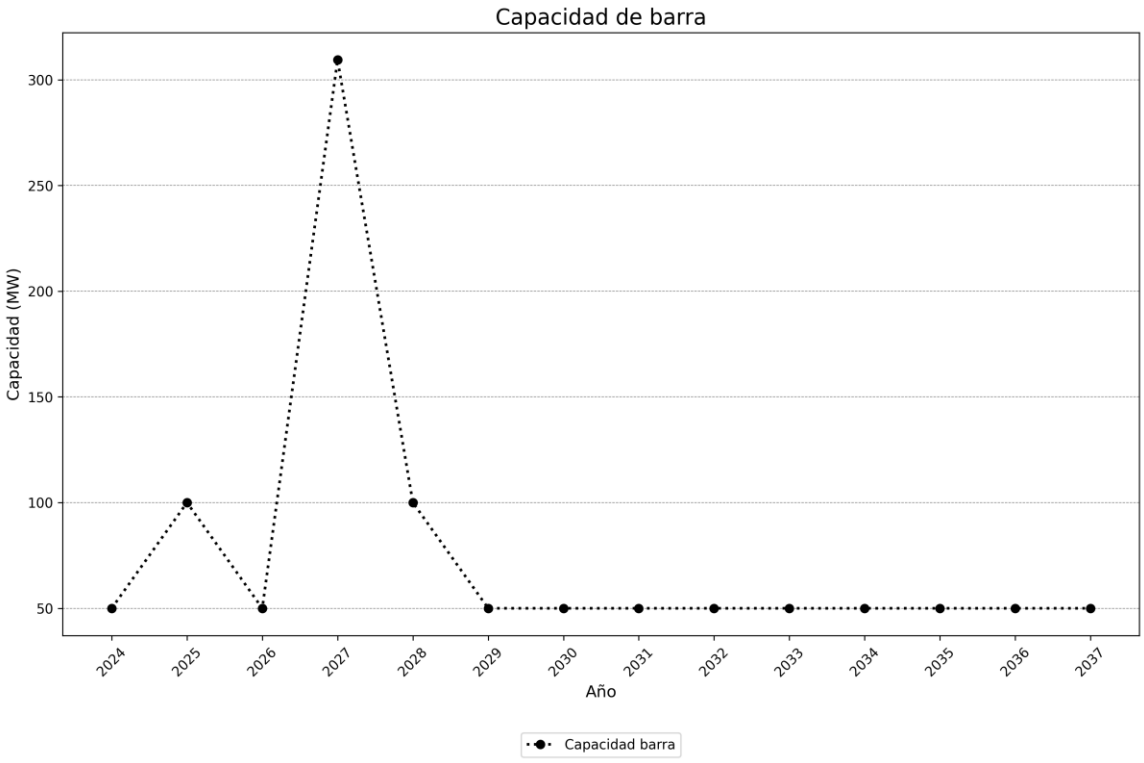


Figura 2-179. Balance de capacidad por barra después de la priorización para la subestación Circo 115

Capacidad excedente de interrupción de corriente de cortocircuito:

Para la subestación Circo 115 se presentaron 29 alternativas de conexión las cuales tienen aportes de corriente de cortocircuito. Estas alternativas se muestran en la siguiente tabla:

Tabla 2-182. Alternativas de conexión que aportan corriente de cortocircuito en la subestación Circo 115

Solicitud	tipo	FPO	Barra a la que aporta CC	Aporte de cortocircuito (kA)	Restricción
SC_2023_5280_A1	Solar FV	2028	Circo 115	0.097	NO SATISFACE
SC_2023_5280_A2	Solar FV	2028	Circo 115	0.087	NO SATISFACE
SC_2023_5287_A1	Solar FV	2026	Circo 115	0.047	NO SATISFACE
SC_2023_5287_A2	Solar FV	2026	Circo 115	0.048	NO SATISFACE
SC_2023_5288_A1	Solar FV	2026	Circo 115	0.028	NO SATISFACE
SC_2023_5288_A2	Solar FV	2026	Circo 115	0.072	NO SATISFACE
SC_2023_5375_A1	Solar FV	2026	Circo 115	0.046	NO SATISFACE
SC_2023_5399_A1	Solar FV	2026	Circo 115	0.028	NO SATISFACE
SC_2023_5399_A2	Solar FV	2026	Circo 115	0.072	NO SATISFACE
SC_2023_5480_A1	Solar FV	2026	Circo 115	0.047	NO SATISFACE
SC_2023_5480_A2	Solar FV	2026	Circo 115	0.048	NO SATISFACE
SC_2023_5557_A1	Solar FV	2028	Circo 115	0.207	NO SATISFACE
SC_2023_5562_A1	Solar FV	2026	Circo 115	0.096	NO SATISFACE
SC_2023_5562_A2	Solar FV	2026	Circo 115	0.108	NO SATISFACE
SC_2936_A1	Solar FV	2026	Circo 115	0.000	NO SATISFACE
SC_2936_A2	Solar FV	2026	Circo 115	0.000	NO SATISFACE
SC_3121_A1	Solar FV	2026	Circo 115	0.006	NO SATISFACE
SC_3121_A2	Solar FV	2026	Circo 115	0.006	NO SATISFACE
SC_3132_A1	Solar FV	2026	Circo 115	0.110	NO SATISFACE
SC_3132_A2	Solar FV	2026	Circo 115	0.094	NO SATISFACE
SC_3882_A1	Solar FV	2026	Circo 115	0.194	NO SATISFACE
SC_4083_A1	Solar FV	2027	Circo 115	0.001	NO SATISFACE
SC_4083_A2	Solar FV	2027	Circo 115	0.001	NO SATISFACE
SC_4765_A1	Solar FV	2029	Circo 115	0.008	NO SATISFACE
SC_4765_A2	Solar FV	2029	Circo 115	0.005	NO SATISFACE
SC_4819_A1	Solar FV	2029	Circo 115	0.178	NO SATISFACE
SC_4819_A2	Solar FV	2029	Circo 115	0.160	NO SATISFACE
SC_4978_A1	Solar FV	2026	Circo 115	0.000	SATISFACE
SC_4978_A2	Solar FV	2026	Circo 115	0.008	NO SATISFACE

No se priorizó ninguna de las alternativas de conexión que tengan aportes de corriente de cortocircuito en la subestación Circo 115

El estado de la capacidad de cortocircuito en la subestación Circo 115, teniendo en cuenta la priorización se puede observar en la siguiente figura.

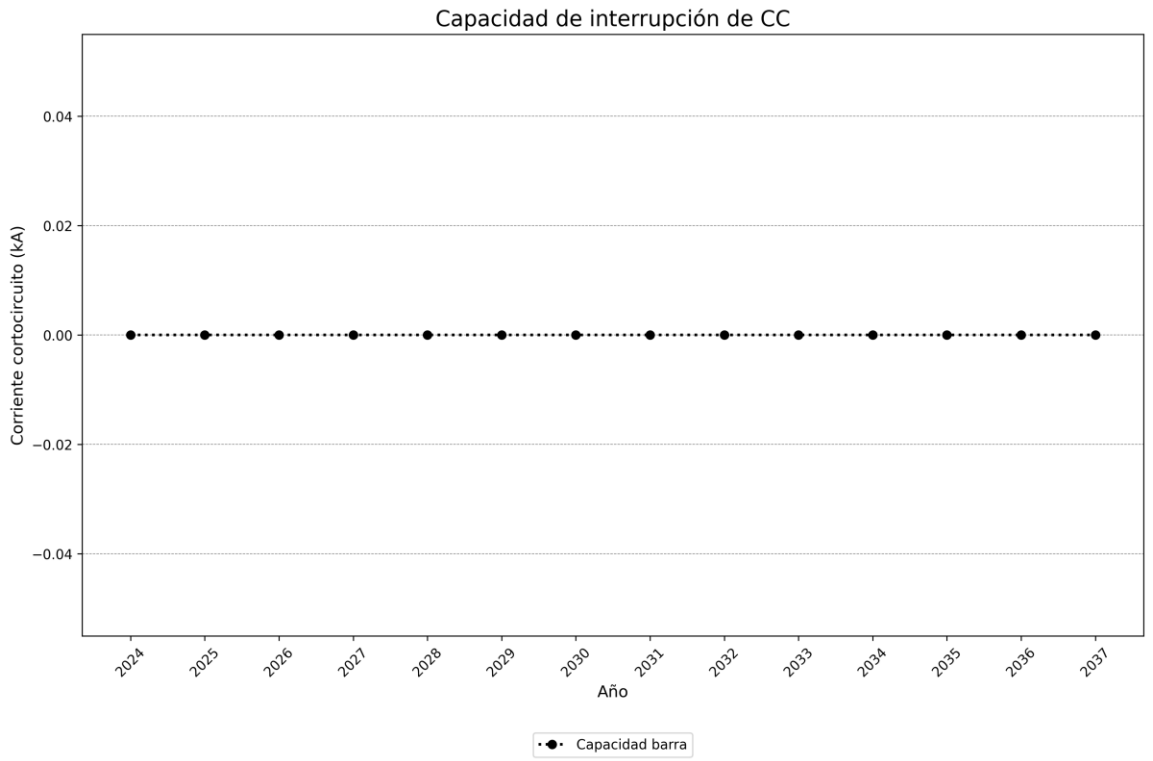


Figura 2-180. Balance de capacidad de cortocircuito después de la priorización para la subestación Circo 115

Subestación Circo 220:

Capacidad por barra:

Para la subestación Circo 220 se presentaron 0 alternativas de conexión las cuales se muestran en la siguiente tabla:

Tabla 2-183. Alternativas de conexión presentadas a la subestación Circo 220

Solicitud	Capacidad	Tipo	Barra	FPO solicitada	Restricción

No se priorizó ninguna de las alternativas de conexión presentadas en la subestación Circo 220

El estado de la capacidad por barra en la subestación Circo 220, teniendo en cuenta la priorización se puede observar en la siguiente figura.

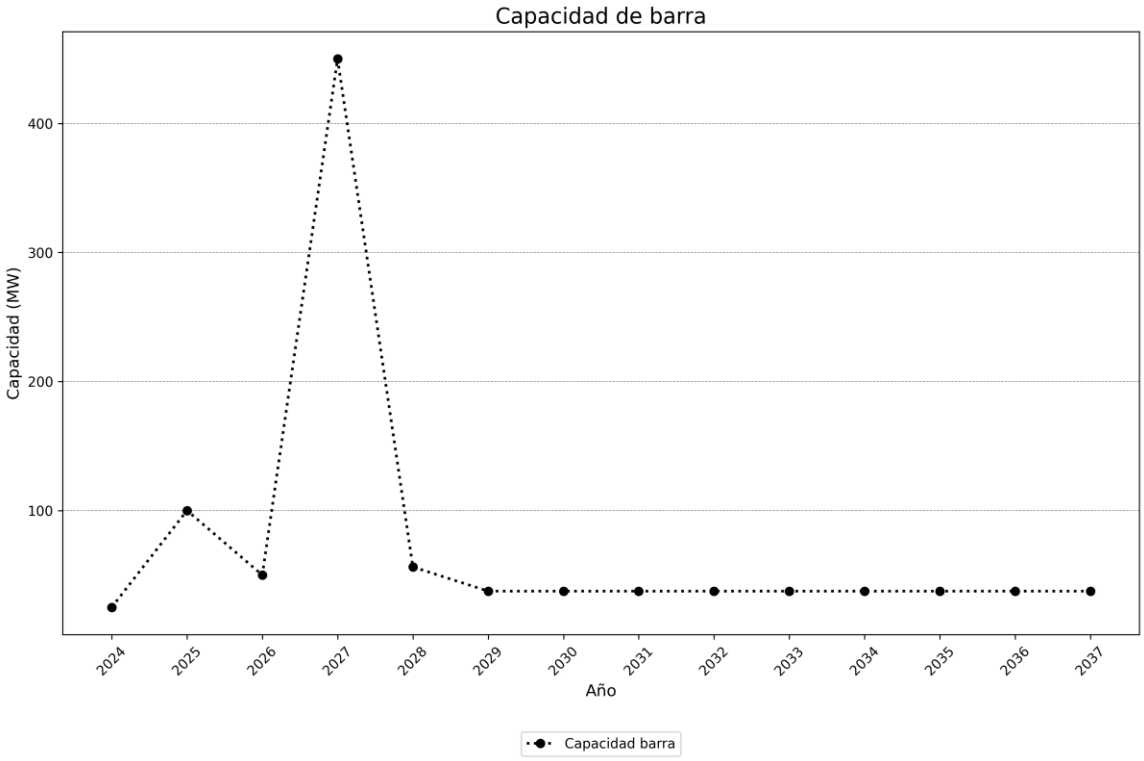


Figura 2-181. Balance de capacidad por barra después de la priorización para la subestación Circo 220

Capacidad excedente de interrupción de corriente de cortocircuito:

Para la subestación Circo 220 se presentaron 27 alternativas de conexión las cuales tienen aportes de corriente de cortocircuito. Estas alternativas se muestran en la siguiente tabla:

Tabla 2-184. Alternativas de conexión que aportan corriente de cortocircuito en la subestación Circo 220

Solicitud	tipo	FPO	Barra a la que aporta CC	Aporte de cortocircuito (kA)	Restricción
SC_2023_5280_A1	Solar FV	2028	Circo 220	0.044	SATISFACE
SC_2023_5280_A2	Solar FV	2028	Circo 220	0.040	SATISFACE
SC_2023_5287_A1	Solar FV	2026	Circo 220	0.023	SATISFACE
SC_2023_5287_A2	Solar FV	2026	Circo 220	0.023	SATISFACE
SC_2023_5288_A1	Solar FV	2026	Circo 220	0.013	SATISFACE
SC_2023_5288_A2	Solar FV	2026	Circo 220	0.035	SATISFACE
SC_2023_5375_A1	Solar FV	2026	Circo 220	0.023	SATISFACE
SC_2023_5399_A1	Solar FV	2026	Circo 220	0.013	SATISFACE
SC_2023_5399_A2	Solar FV	2026	Circo 220	0.035	SATISFACE
SC_2023_5480_A1	Solar FV	2026	Circo 220	0.023	SATISFACE
SC_2023_5480_A2	Solar FV	2026	Circo 220	0.023	SATISFACE
SC_2023_5557_A1	Solar FV	2028	Circo 220	0.095	SATISFACE
SC_2936_A1	Solar FV	2026	Circo 220	0.000	SATISFACE
SC_2936_A2	Solar FV	2026	Circo 220	0.000	SATISFACE
SC_3121_A1	Solar FV	2026	Circo 220	0.003	SATISFACE
SC_3121_A2	Solar FV	2026	Circo 220	0.003	SATISFACE
SC_3132_A1	Solar FV	2026	Circo 220	0.050	SATISFACE
SC_3132_A2	Solar FV	2026	Circo 220	0.042	SATISFACE
SC_3882_A1	Solar FV	2026	Circo 220	0.091	SATISFACE
SC_4083_A1	Solar FV	2027	Circo 220	0.000	SATISFACE
SC_4083_A2	Solar FV	2027	Circo 220	0.000	SATISFACE
SC_4765_A1	Solar FV	2029	Circo 220	0.004	SATISFACE
SC_4765_A2	Solar FV	2029	Circo 220	0.002	SATISFACE
SC_4819_A1	Solar FV	2029	Circo 220	0.083	SATISFACE
SC_4819_A2	Solar FV	2029	Circo 220	0.073	SATISFACE
SC_4978_A1	Solar FV	2026	Circo 220	0.000	SATISFACE
SC_4978_A2	Solar FV	2026	Circo 220	0.004	SATISFACE

No se priorizó ninguna de las alternativas de conexión que tengan aportes de corriente de cortocircuito en la subestación Circo 220

El estado de la capacidad de cortocircuito en la subestación Circo 220, teniendo en cuenta la priorización se puede observar en la siguiente figura.

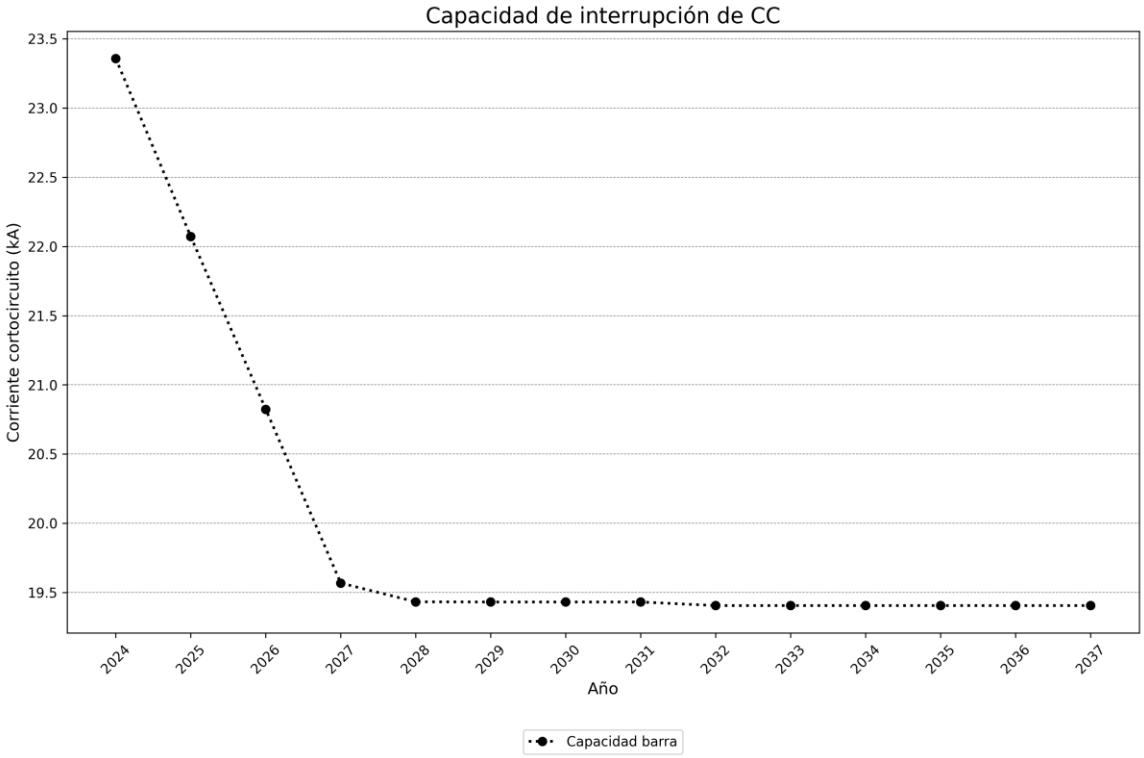


Figura 2-182. Balance de capacidad de cortocircuito después de la priorización para la subestación Circo 220

Subestación Cocorna 110:

Capacidad por barra:

Para la subestación Cocorna 110 se presentaron 0 alternativas de conexión las cuales se muestran en la siguiente tabla:

Tabla 2-185. Alternativas de conexión presentadas a la subestación Cocorna 110

Solicitud	Capacidad	Tipo	Barra	FPO solicitada	Restricción

No se priorizó ninguna de las alternativas de conexión presentadas en la subestación Cocorna 110

El estado de la capacidad por barra en la subestación Cocorna 110, teniendo en cuenta la priorización se puede observar en la siguiente figura.

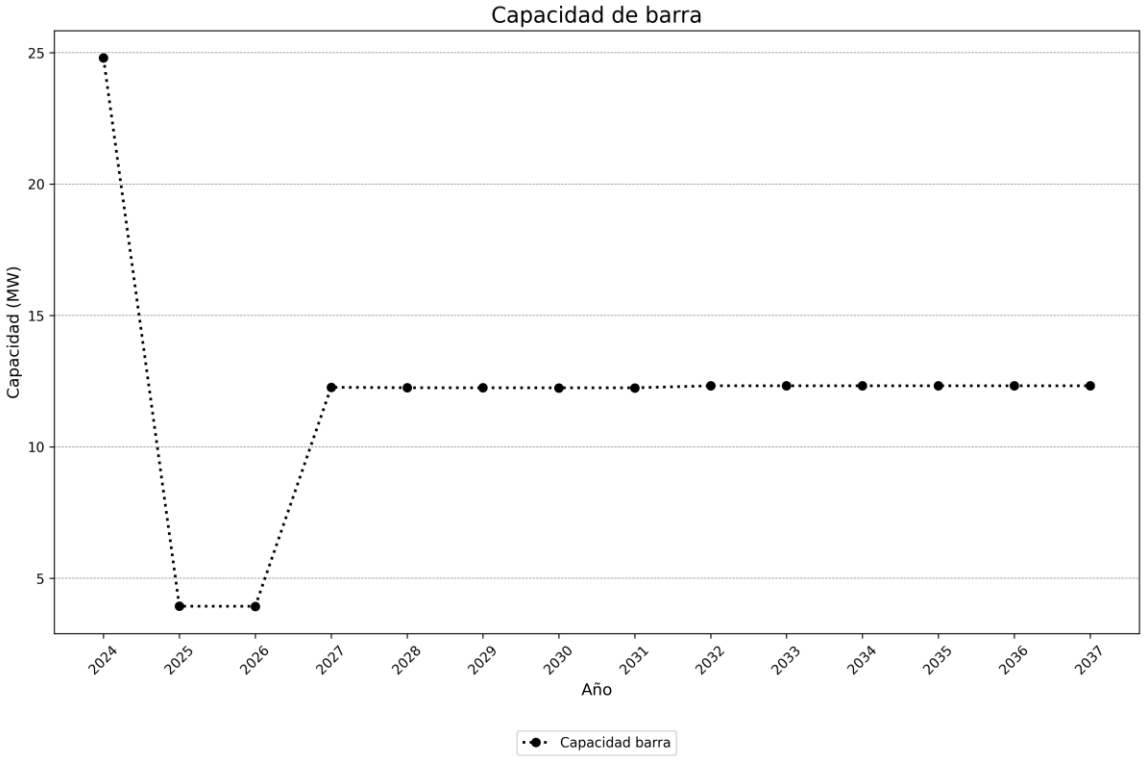


Figura 2-183. Balance de capacidad por barra después de la priorización para la subestación Cocorna 110

Capacidad excedente de interrupción de corriente de cortocircuito:

Para la subestación Cocorna 110 se presentaron 6 alternativas de conexión las cuales tienen aportes de corriente de cortocircuito. Estas alternativas se muestran en la siguiente tabla:

Tabla 2-186. Alternativas de conexión que aportan corriente de cortocircuito en la subestación Cocorna 110

Solicitud	tipo	FPO	Barra a la que aporta CC	Aporte de cortocircuito (kA)	Restricción
SC_2023_5294_A1	Solar FV	2029	Cocorna 110	0.007	SATISFACE
SC_2023_5294_A2	Solar FV	2029	Cocorna 110	0.006	SATISFACE
SC_3331_A1	Solar FV	2026	Cocorna 110	0.123	SATISFACE
SC_3667_A1	Solar FV	2029	Cocorna 110	0.001	SATISFACE
SC_3667_A2	Solar FV	2029	Cocorna 110	0.001	SATISFACE
SC_4960_A2	Solar FV	2029	Cocorna 110	0.011	SATISFACE

No se priorizó ninguna de las alternativas de conexión que tengan aportes de corriente de cortocircuito en la subestación Cocorna 110

El estado de la capacidad de cortocircuito en la subestación Cocorna 110, teniendo en cuenta la priorización se puede observar en la siguiente figura.

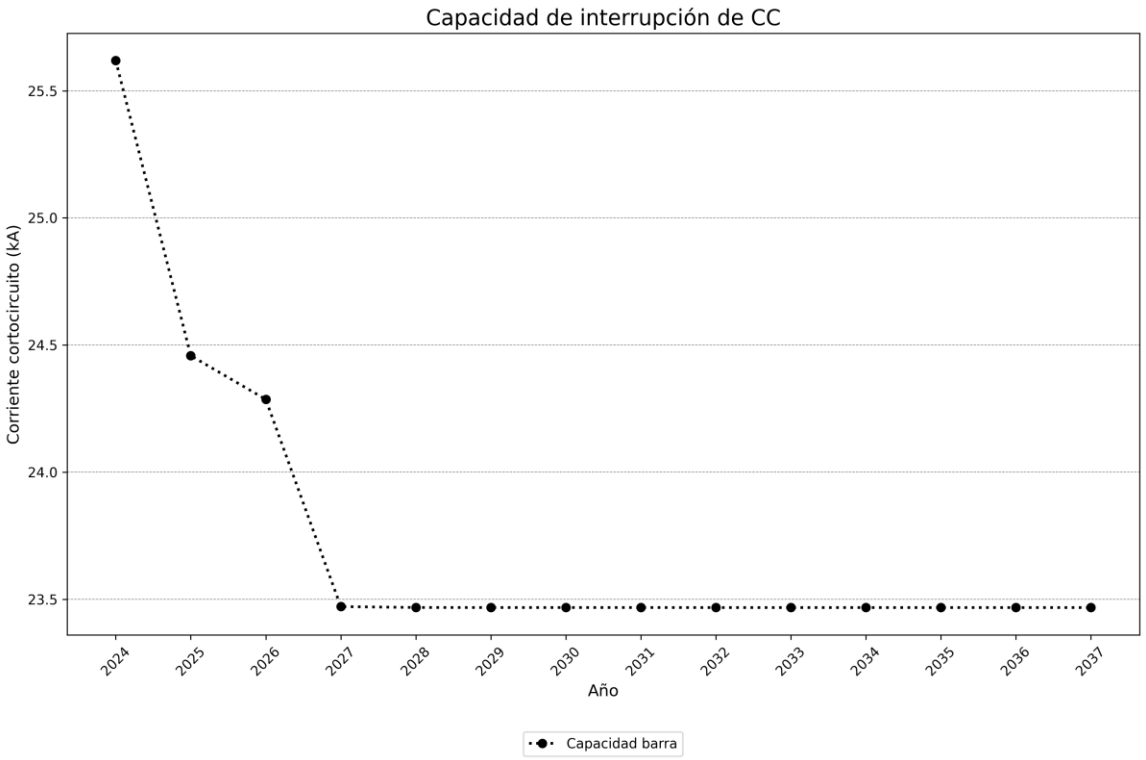


Figura 2-184. Balance de capacidad de cortocircuito después de la priorización para la subestación Cocorna 110

Subestación Codazzi 115:

Capacidad por barra:

Para la subestación Codazzi 115 se presentaron 0 alternativas de conexión las cuales se muestran en la siguiente tabla:

Tabla 2-187. Alternativas de conexión presentadas a la subestación Codazzi 115

Solicitud	Capacidad	Tipo	Barra	FPO solicitada	Restricción

No se priorizó ninguna de las alternativas de conexión presentadas en la subestación Codazzi 115

El estado de la capacidad por barra en la subestación Codazzi 115, teniendo en cuenta la priorización se puede observar en la siguiente figura.

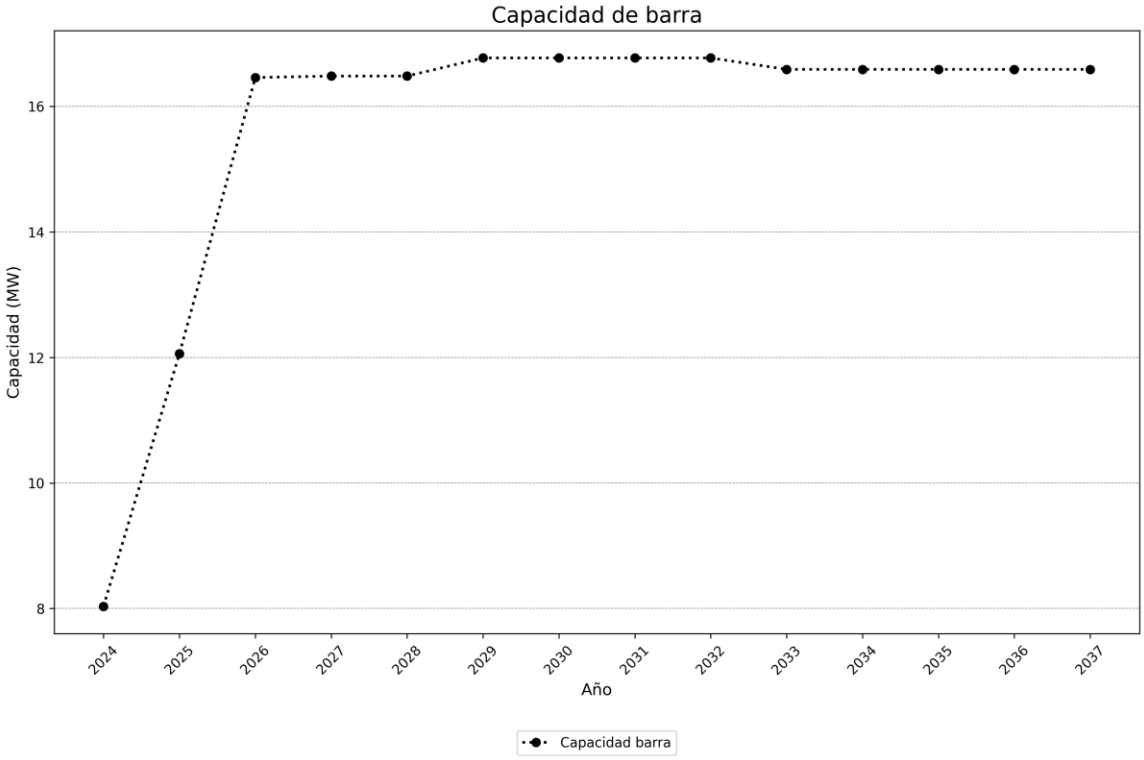


Figura 2-185. Balance de capacidad por barra después de la priorización para la subestación Codazzi 115

Capacidad excedente de interrupción de corriente de cortocircuito:

Para la subestación Codazzi 115 se presentaron 4 alternativas de conexión las cuales tienen aportes de corriente de cortocircuito. Estas alternativas se muestran en la siguiente tabla:

Tabla 2-188. Alternativas de conexión que aportan corriente de cortocircuito en la subestación Codazzi 115

Solicitud	tipo	FPO	Barra a la que aporta CC	Aporte de cortocircuito (kA)	Restricción
SC_2023_5557_A1	Solar FV	2028	Codazzi 115	0.049	SATISFACE
SC_2936_A1	Solar FV	2026	Codazzi 115	0.000	SATISFACE
SC_2936_A2	Solar FV	2026	Codazzi 115	0.000	SATISFACE

SC_3882_A1	Solar FV	2026	Codazzi 115	0.048	SATISFACE

No se priorizó ninguna de las alternativas de conexión que tengan aportes de corriente de cortocircuito en la subestación Codazzi 115

El estado de la capacidad de cortocircuito en la subestación Codazzi 115, teniendo en cuenta la priorización se puede observar en la siguiente figura.

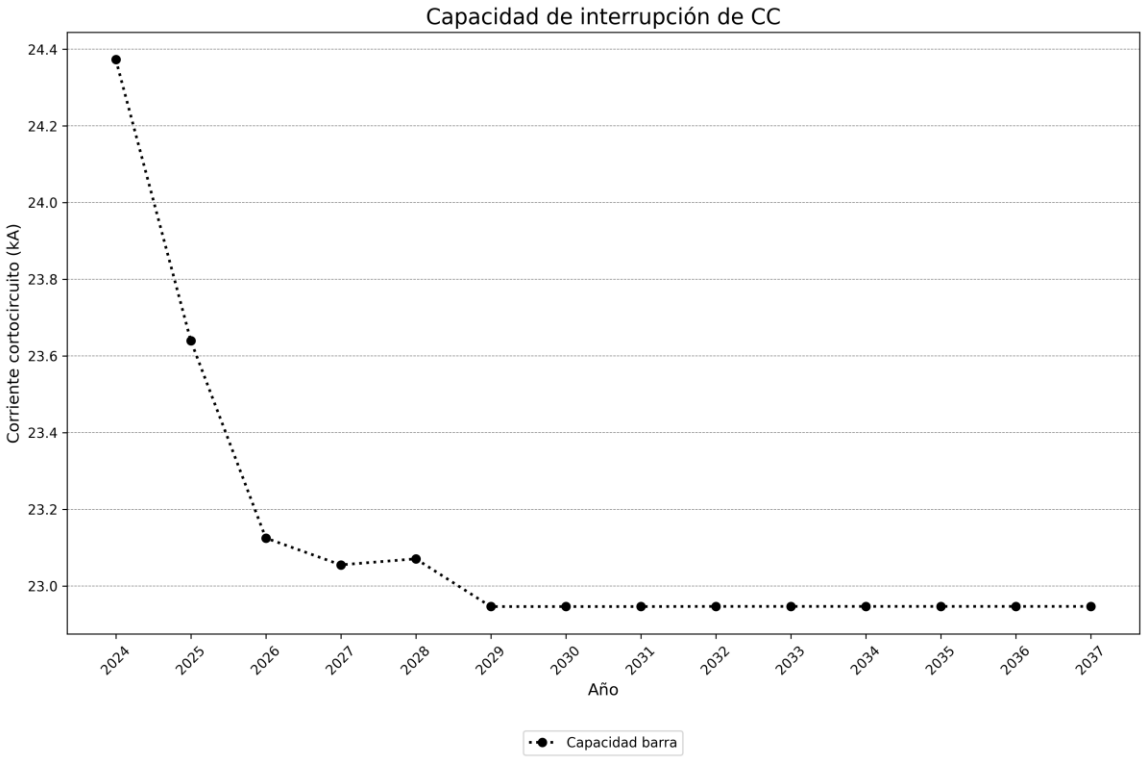


Figura 2-186. Balance de capacidad de cortocircuito después de la priorización para la subestación Codazzi 115

Subestación Colegio 115:

Capacidad por barra:

Para la subestación Colegio 115 se presentaron 0 alternativas de conexión las cuales se muestran en la siguiente tabla:

Tabla 2-189. Alternativas de conexión presentadas a la subestación Colegio 115

Solicitud	Capacidad	Tipo	Barra	FPO solicitada	Restricción

No se priorizó ninguna de las alternativas de conexión presentadas en la subestación Colegio 115

El estado de la capacidad por barra en la subestación Colegio 115, teniendo en cuenta la priorización se puede observar en la siguiente figura.

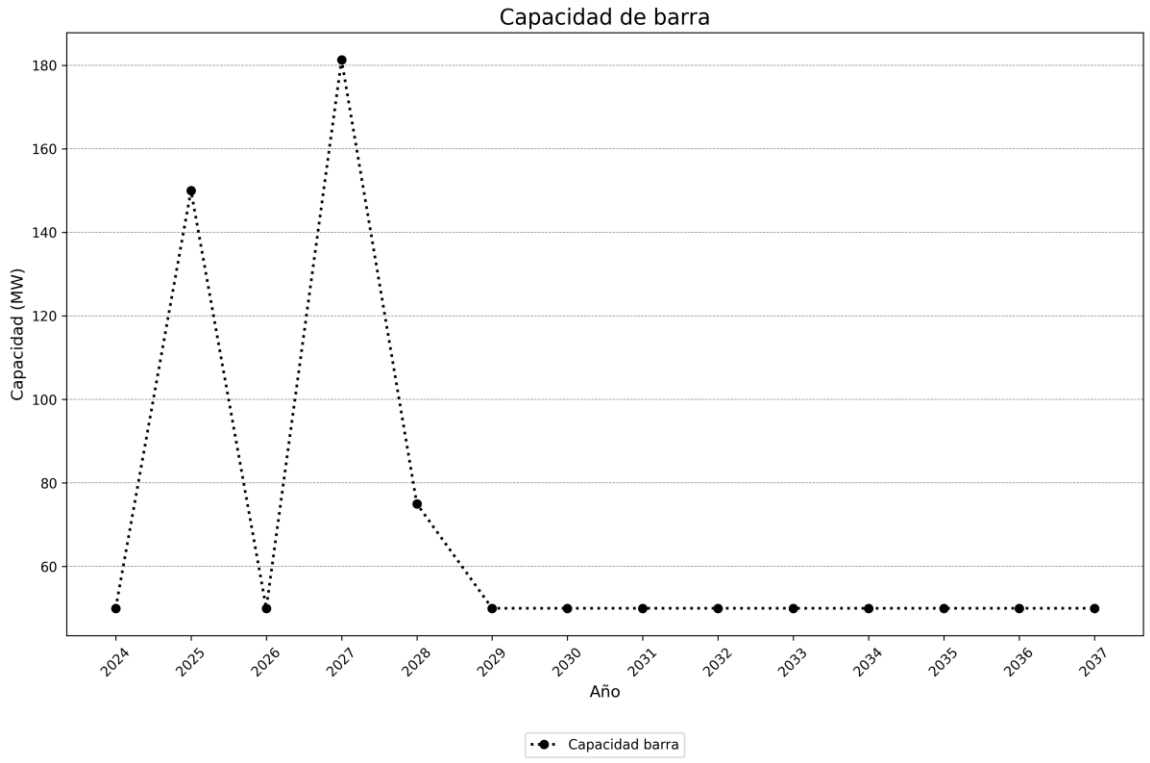


Figura 2-187. Balance de capacidad por barra después de la priorización para la subestación Colegio 115

Capacidad excedente de interrupción de corriente de cortocircuito:

Para la subestación Colegio 115 se presentaron 29 alternativas de conexión las cuales tienen aportes de corriente de cortocircuito. Estas alternativas se muestran en la siguiente tabla:

Tabla 2-190. Alternativas de conexión que aportan corriente de cortocircuito en la subestación Colegio 115

Solicitud	tipo	FPO	Barra a la que aporta CC	Aporte de cortocircuito (kA)	Restricción
SC_2023_5280_A1	Solar FV	2028	Colegio 115	0.071	SATISFACE
SC_2023_5280_A2	Solar FV	2028	Colegio 115	0.063	SATISFACE
SC_2023_5287_A1	Solar FV	2026	Colegio 115	0.037	SATISFACE
SC_2023_5287_A2	Solar FV	2026	Colegio 115	0.037	SATISFACE
SC_2023_5288_A1	Solar FV	2026	Colegio 115	0.021	SATISFACE
SC_2023_5288_A2	Solar FV	2026	Colegio 115	0.056	SATISFACE
SC_2023_5375_A1	Solar FV	2026	Colegio 115	0.036	SATISFACE
SC_2023_5399_A1	Solar FV	2026	Colegio 115	0.021	SATISFACE
SC_2023_5399_A2	Solar FV	2026	Colegio 115	0.056	SATISFACE
SC_2023_5480_A1	Solar FV	2026	Colegio 115	0.037	SATISFACE
SC_2023_5480_A2	Solar FV	2026	Colegio 115	0.037	SATISFACE
SC_2023_5557_A1	Solar FV	2028	Colegio 115	0.151	SATISFACE
SC_2936_A1	Solar FV	2026	Colegio 115	0.000	SATISFACE
SC_2936_A2	Solar FV	2026	Colegio 115	0.000	SATISFACE
SC_3121_A1	Solar FV	2026	Colegio 115	0.006	SATISFACE
SC_3121_A2	Solar FV	2026	Colegio 115	0.006	SATISFACE
SC_3132_A1	Solar FV	2026	Colegio 115	0.079	SATISFACE
SC_3132_A2	Solar FV	2026	Colegio 115	0.067	SATISFACE
SC_3882_A1	Solar FV	2026	Colegio 115	0.145	SATISFACE
SC_4083_A1	Solar FV	2027	Colegio 115	0.001	SATISFACE
SC_4083_A2	Solar FV	2027	Colegio 115	0.001	SATISFACE
SC_4765_A1	Solar FV	2029	Colegio 115	0.005	SATISFACE
SC_4765_A2	Solar FV	2029	Colegio 115	0.003	SATISFACE
SC_4819_A1	Solar FV	2029	Colegio 115	0.133	SATISFACE
SC_4819_A2	Solar FV	2029	Colegio 115	0.118	SATISFACE
SC_4974_A1	Solar FV	2026	Colegio 115	0.007	SATISFACE
SC_4974_A2	Solar FV	2026	Colegio 115	0.007	SATISFACE
SC_4978_A1	Solar FV	2026	Colegio 115	0.000	SATISFACE
SC_4978_A2	Solar FV	2026	Colegio 115	0.006	SATISFACE

No se priorizó ninguna de las alternativas de conexión que tengan aportes de corriente de cortocircuito en la subestación Colegio 115

El estado de la capacidad de cortocircuito en la subestación Colegio 115, teniendo en cuenta la priorización se puede observar en la siguiente figura.

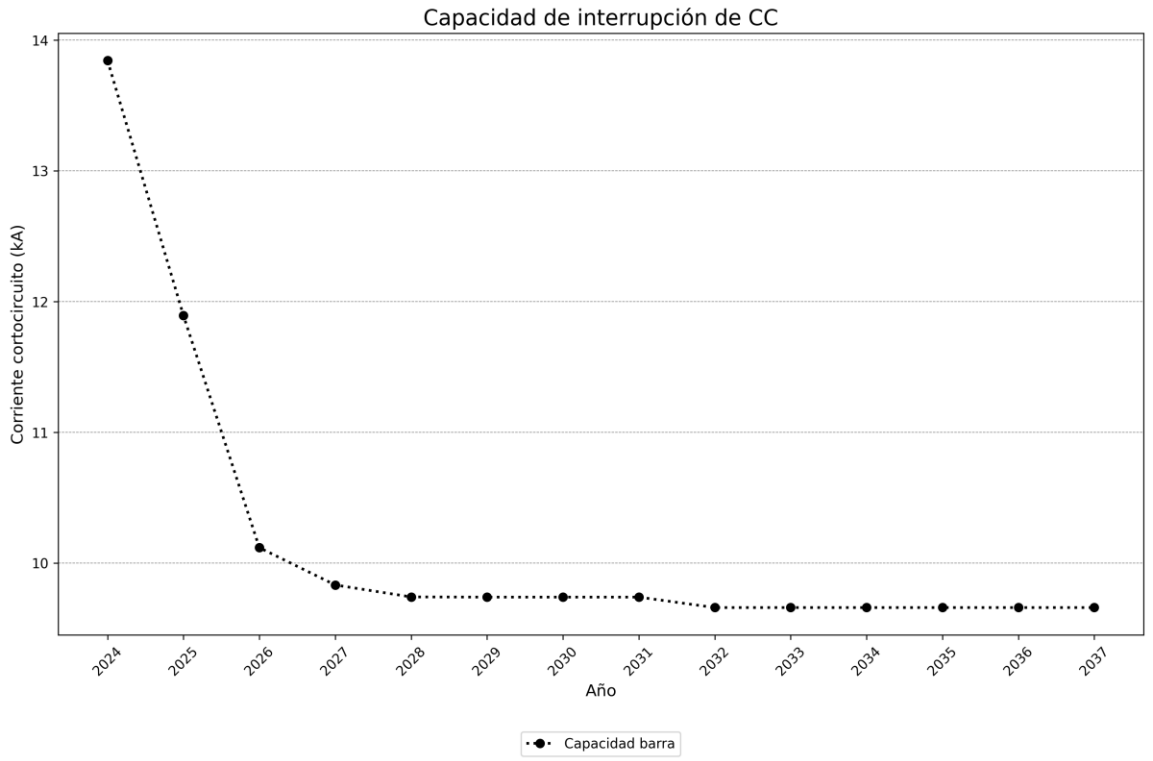


Figura 2-188. Balance de capacidad de cortocircuito después de la priorización para la subestación Colegio 115

Subestación Colombia 110:

Capacidad por barra:

Para la subestación Colombia 110 se presentaron 0 alternativas de conexión las cuales se muestran en la siguiente tabla:

Tabla 2-191. Alternativas de conexión presentadas a la subestación Colombia 110

Solicitud	Capacidad	Tipo	Barra	FPO solicitada	Restricción

No se priorizó ninguna de las alternativas de conexión presentadas en la subestación Colombia 110

El estado de la capacidad por barra en la subestación Colombia 110, teniendo en cuenta la priorización se puede observar en la siguiente figura.

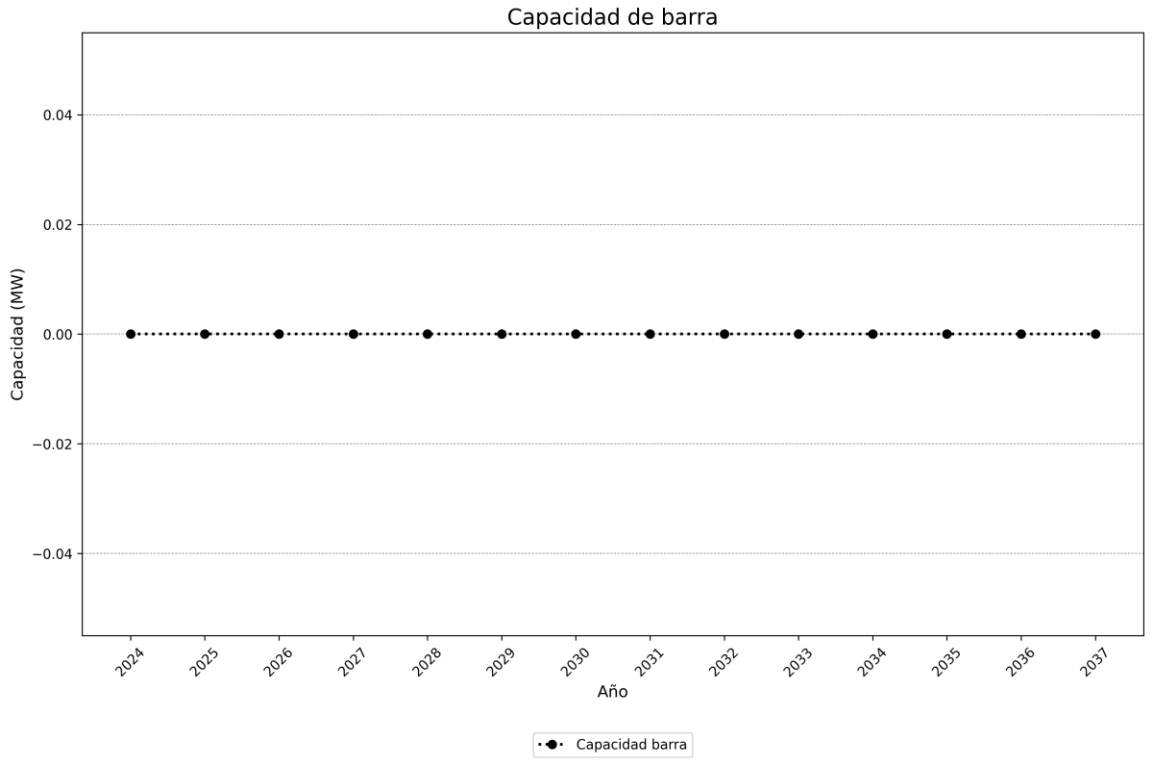


Figura 2-189. Balance de capacidad por barra después de la priorización para la subestación Colombia 110

En el caso anterior se observa que la capacidad por barra es igual a 0 dado que, desde los comentarios presentados por transportador, se identificó que la subestación Colombia 110 no cuenta con disponibilidad de espacio físico para la conexión de nuevos proyectos.

Capacidad excedente de interrupción de corriente de cortocircuito:

Para la subestación Colombia 110 se presentaron 1 alternativas de conexión las cuales tienen aportes de corriente de cortocircuito. Estas alternativas se muestran en la siguiente tabla:

Tabla 2-192. Alternativas de conexión que aportan corriente de cortocircuito en la subestación Colombia 110

Solicitud	tipo	FPO	Barra a la que aporta CC	Aporte de cortocircuito (kA)	Restricción
SC_3331_A1	Solar FV	2026	Colombia 110	0.085	SATISFACE

No se priorizó ninguna de las alternativas de conexión que tengan aportes de corriente de cortocircuito en la subestación Colombia 110

El estado de la capacidad de cortocircuito en la subestación Colombia 110, teniendo en cuenta la priorización se puede observar en la siguiente figura.

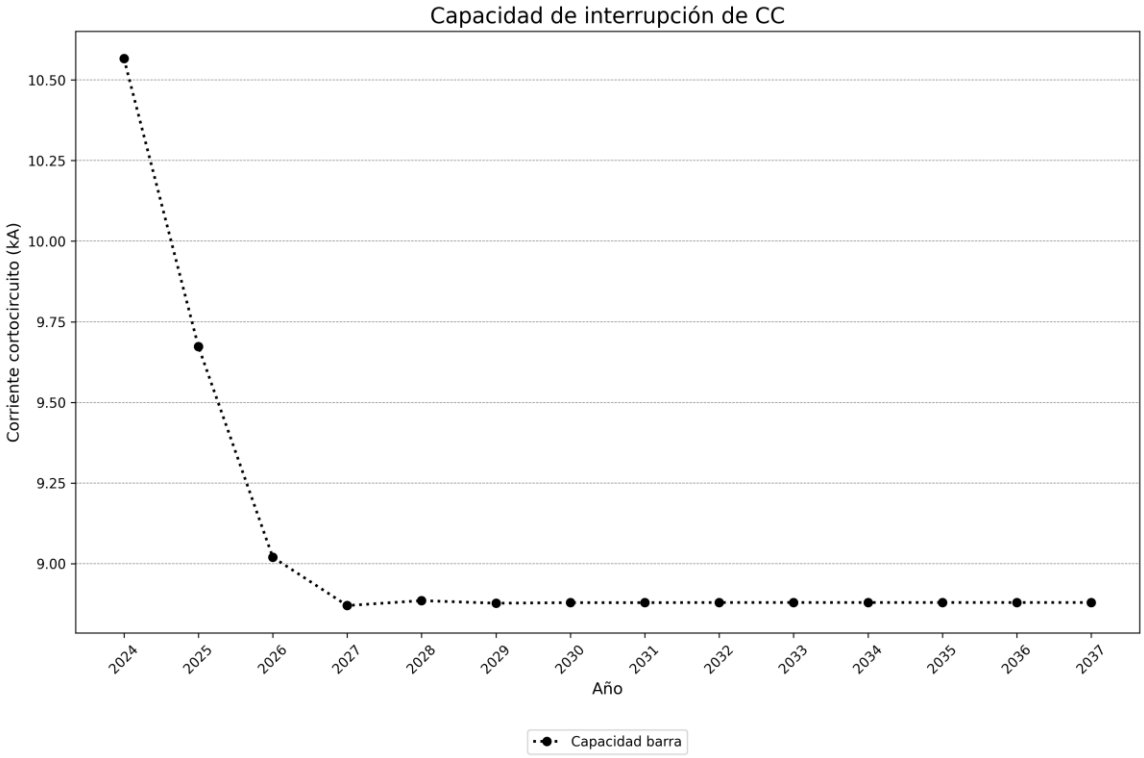


Figura 2-190. Balance de capacidad de cortocircuito después de la priorización para la subestación Colombia 110

Subestación Compartir 115:

Capacidad por barra:

Para la subestación Compartir 115 se presentaron 0 alternativas de conexión las cuales se muestran en la siguiente tabla:

Tabla 2-193. Alternativas de conexión presentadas a la subestación Compartir 115

Solicitud	Capacidad	Tipo	Barra	FPO solicitada	Restricción

No se priorizó ninguna de las alternativas de conexión presentadas en la subestación Compartir 115

El estado de la capacidad por barra en la subestación Compartir 115, teniendo en cuenta la priorización se puede observar en la siguiente figura.

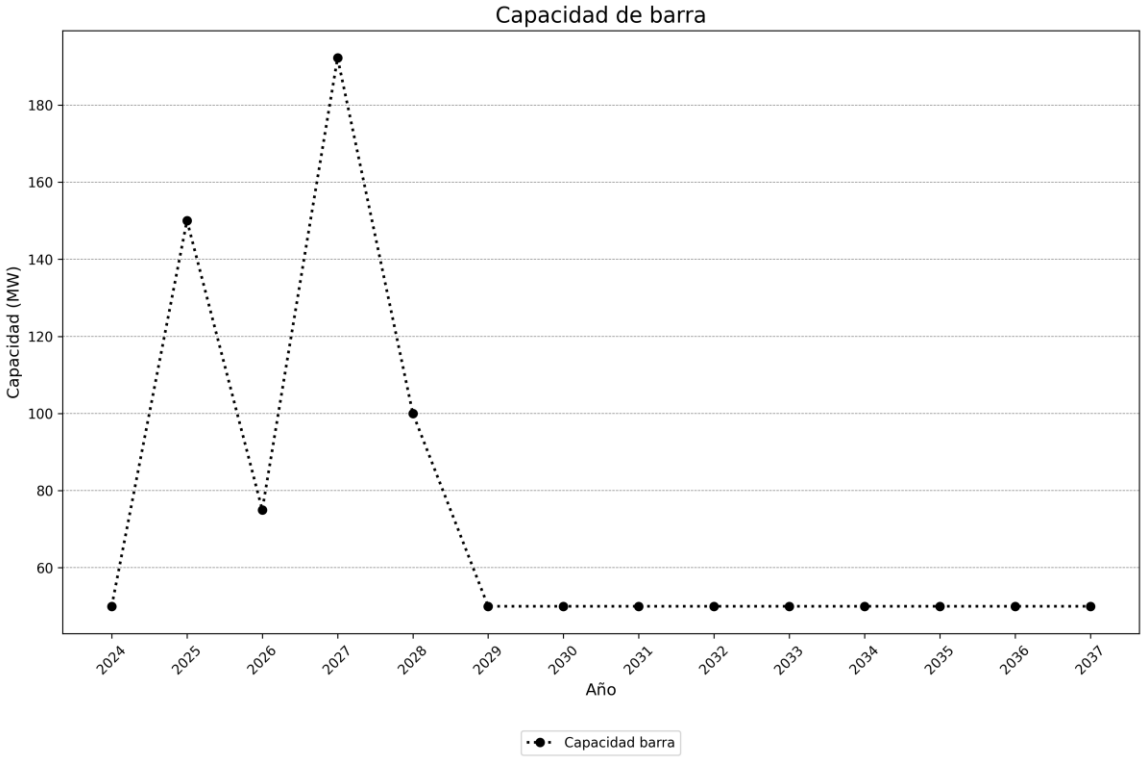


Figura 2-191. Balance de capacidad por barra después de la priorización para la subestación Compartir 115

Capacidad excedente de interrupción de corriente de cortocircuito:

Para la subestación Compartir 115 se presentaron 25 alternativas de conexión las cuales tienen aportes de corriente de cortocircuito. Estas alternativas se muestran en la siguiente tabla:

Tabla 2-194. Alternativas de conexión que aportan corriente de cortocircuito en la subestación Compartir 115

Solicitud	tipo	FPO	Barra a la que aporta CC	Aporte de cortocircuito (kA)	Restricción
SC_2023_5280_A1	Solar FV	2028	Compartir 115	0.049	SATISFACE
SC_2023_5280_A2	Solar FV	2028	Compartir 115	0.044	SATISFACE
SC_2023_5287_A1	Solar FV	2026	Compartir 115	0.026	SATISFACE
SC_2023_5287_A2	Solar FV	2026	Compartir 115	0.026	SATISFACE
SC_2023_5288_A1	Solar FV	2026	Compartir 115	0.015	SATISFACE
SC_2023_5288_A2	Solar FV	2026	Compartir 115	0.039	SATISFACE
SC_2023_5375_A1	Solar FV	2026	Compartir 115	0.026	SATISFACE
SC_2023_5399_A1	Solar FV	2026	Compartir 115	0.015	SATISFACE
SC_2023_5399_A2	Solar FV	2026	Compartir 115	0.039	SATISFACE
SC_2023_5480_A1	Solar FV	2026	Compartir 115	0.026	SATISFACE
SC_2023_5480_A2	Solar FV	2026	Compartir 115	0.026	SATISFACE
SC_3121_A1	Solar FV	2026	Compartir 115	0.003	SATISFACE
SC_3121_A2	Solar FV	2026	Compartir 115	0.003	SATISFACE
SC_3132_A1	Solar FV	2026	Compartir 115	0.055	SATISFACE
SC_3132_A2	Solar FV	2026	Compartir 115	0.048	SATISFACE
SC_4083_A1	Solar FV	2027	Compartir 115	0.000	SATISFACE
SC_4083_A2	Solar FV	2027	Compartir 115	0.000	SATISFACE
SC_4765_A1	Solar FV	2029	Compartir 115	0.002	SATISFACE
SC_4765_A2	Solar FV	2029	Compartir 115	0.001	SATISFACE
SC_4819_A1	Solar FV	2029	Compartir 115	0.089	SATISFACE
SC_4819_A2	Solar FV	2029	Compartir 115	0.080	SATISFACE
SC_4974_A1	Solar FV	2026	Compartir 115	0.005	SATISFACE
SC_4974_A2	Solar FV	2026	Compartir 115	0.005	SATISFACE
SC_4978_A1	Solar FV	2026	Compartir 115	0.000	SATISFACE
SC_4978_A2	Solar FV	2026	Compartir 115	0.008	SATISFACE

No se priorizó ninguna de las alternativas de conexión que tengan aportes de corriente de cortocircuito en la subestación Compartir 115

El estado de la capacidad de cortocircuito en la subestación Compartir 115, teniendo en cuenta la priorización se puede observar en la siguiente figura.

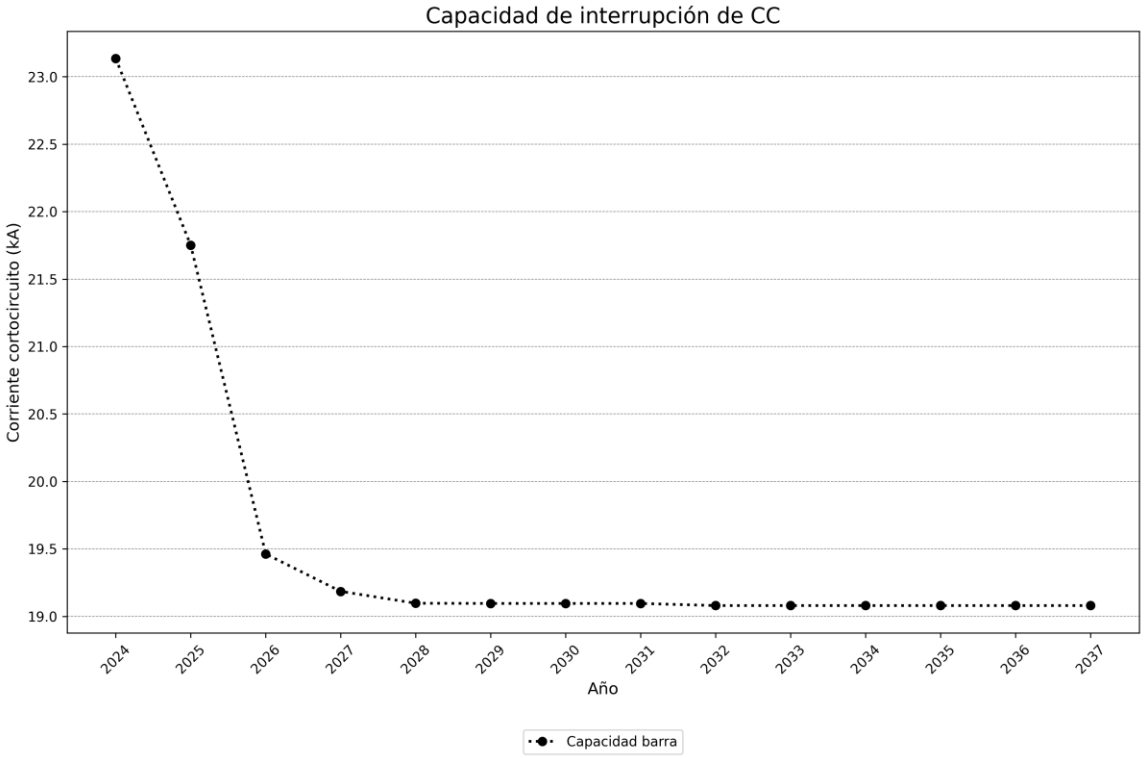


Figura 2-192. Balance de capacidad de cortocircuito después de la priorización para la subestación Compartir 115

Subestación Comuneros 220:

Capacidad por barra:

Para la subestación Comuneros 220 se presentaron 0 alternativas de conexión las cuales se muestran en la siguiente tabla:

Tabla 2-195. Alternativas de conexión presentadas a la subestación Comuneros 220

Solicitud	Capacidad	Tipo	Barra	FPO solicitada	Restricción

No se priorizó ninguna de las alternativas de conexión presentadas en la subestación Comuneros 220

El estado de la capacidad por barra en la subestación Comuneros 220, teniendo en cuenta la priorización se puede observar en la siguiente figura.

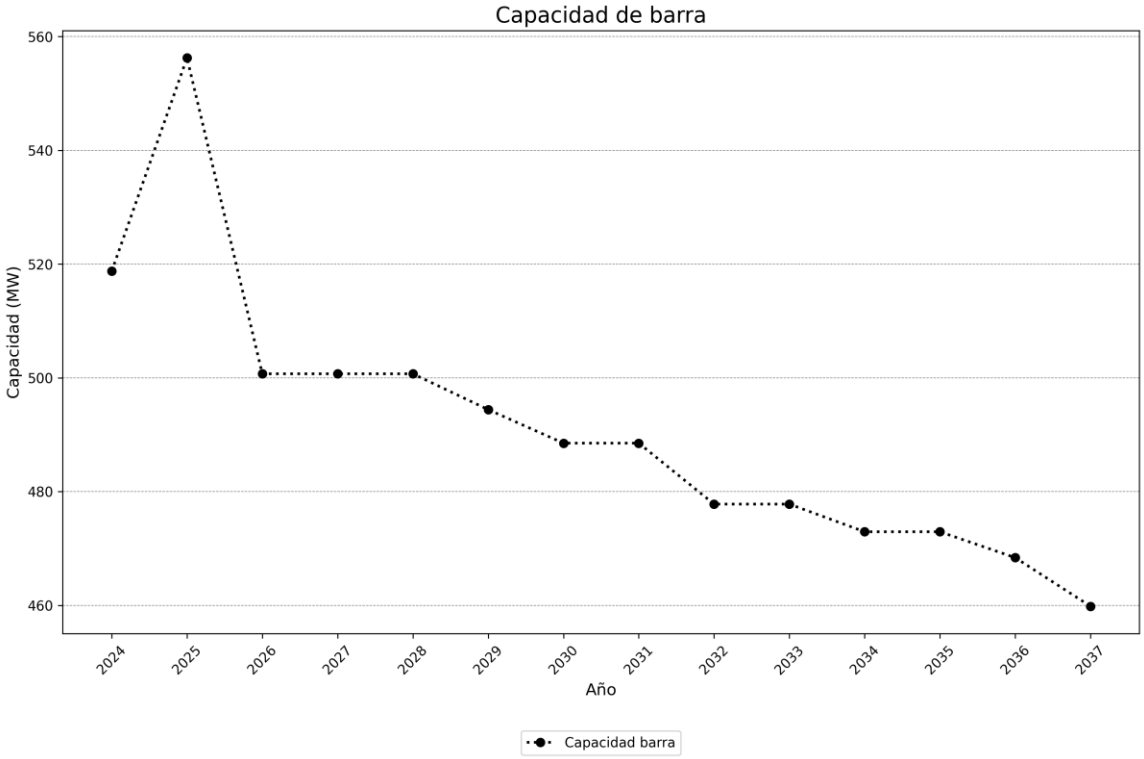


Figura 2-193. Balance de capacidad por barra después de la priorización para la subestación Comuneros 220

Capacidad excedente de interrupción de corriente de cortocircuito:

Para la subestación Comuneros 220 se presentaron 1 alternativas de conexión las cuales tienen aportes de corriente de cortocircuito. Estas alternativas se muestran en la siguiente tabla:

Tabla 2-196. Alternativas de conexión que aportan corriente de cortocircuito en la subestación Comuneros 220

Solicitud	tipo	FPO	Barra a la que aporta CC	Aporte de cortocircuito (kA)	Restricción
SC_3331_A1	Solar FV	2026	Comuneros 220	0.033	SATISFACE

No se priorizó ninguna de las alternativas de conexión que tengan aportes de corriente de cortocircuito en la subestación Comuneros 220

El estado de la capacidad de cortocircuito en la subestación Comuneros 220, teniendo en cuenta la priorización se puede observar en la siguiente figura.

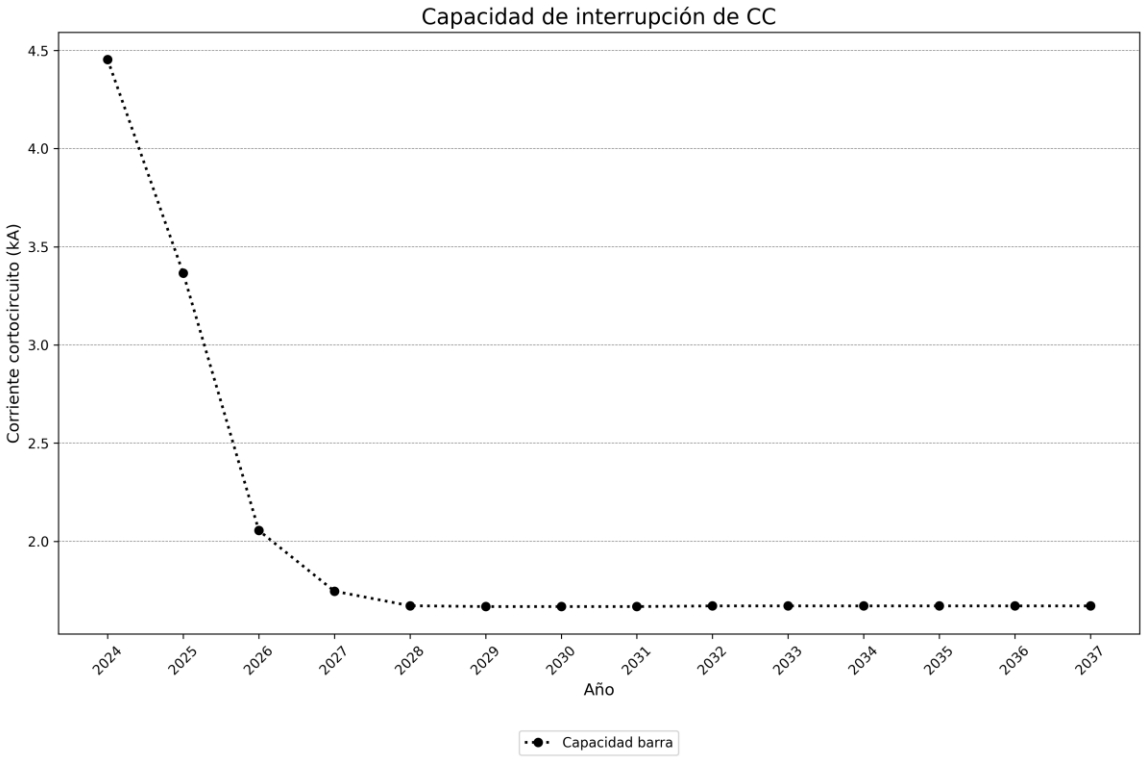


Figura 2-194. Balance de capacidad de cortocircuito después de la priorización para la subestación Comuneros 220

Subestación Concordia 115:

Capacidad por barra:

Para la subestación Concordia 115 se presentaron 0 alternativas de conexión las cuales se muestran en la siguiente tabla:

Tabla 2-197. Alternativas de conexión presentadas a la subestación Concordia 115

Solicitud	Capacidad	Tipo	Barra	FPO solicitada	Restricción

No se priorizó ninguna de las alternativas de conexión presentadas en la subestación Concordia 115

El estado de la capacidad por barra en la subestación Concordia 115, teniendo en cuenta la priorización se puede observar en la siguiente figura.

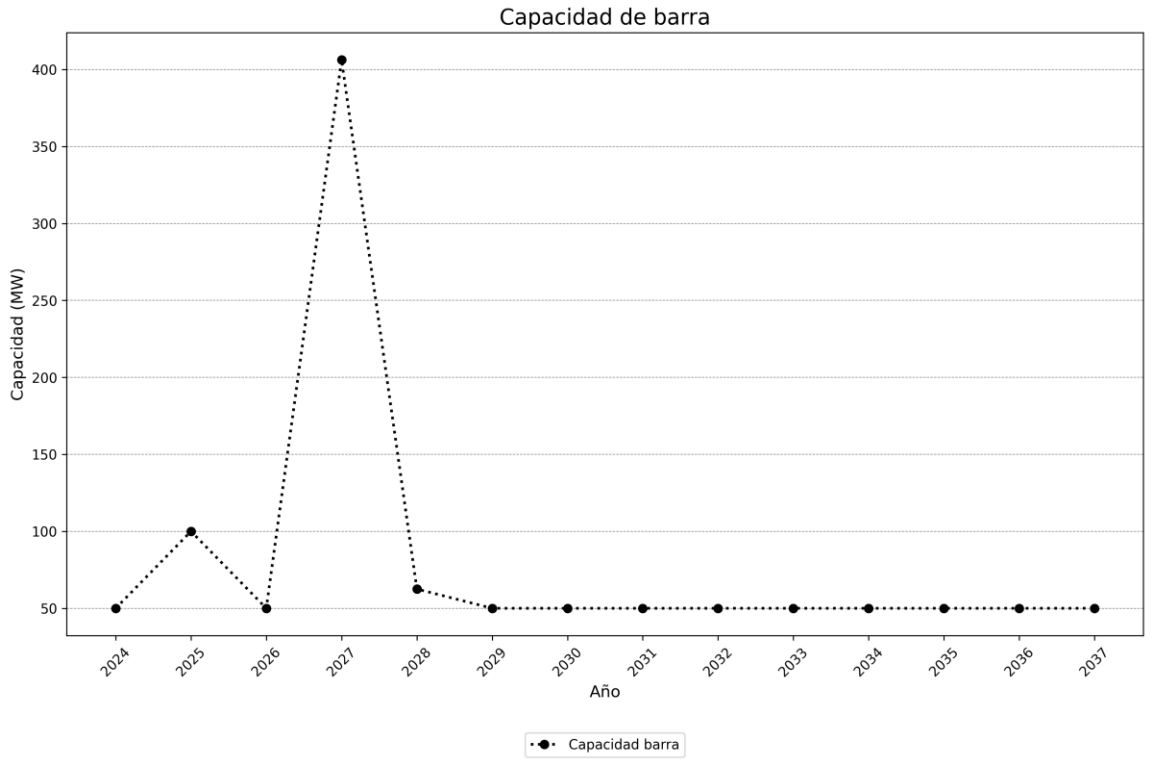


Figura 2-195. Balance de capacidad por barra después de la priorización para la subestación Concordia 115

Capacidad excedente de interrupción de corriente de cortocircuito:

Para la subestación Concordia 115 se presentaron 29 alternativas de conexión las cuales tienen aportes de corriente de cortocircuito. Estas alternativas se muestran en la siguiente tabla:

Tabla 2-198. Alternativas de conexión que aportan corriente de cortocircuito en la subestación Concordia 115

Solicitud	tipo	FPO	Barra a la que aporta CC	Aporte de cortocircuito (kA)	Restricción
SC_2023_5280_A1	Solar FV	2028	Concordia 115	0.094	NO SATISFACE
SC_2023_5280_A2	Solar FV	2028	Concordia 115	0.085	NO SATISFACE
SC_2023_5287_A1	Solar FV	2026	Concordia 115	0.045	NO SATISFACE
SC_2023_5287_A2	Solar FV	2026	Concordia 115	0.046	NO SATISFACE
SC_2023_5288_A1	Solar FV	2026	Concordia 115	0.026	NO SATISFACE
SC_2023_5288_A2	Solar FV	2026	Concordia 115	0.069	NO SATISFACE
SC_2023_5375_A1	Solar FV	2026	Concordia 115	0.044	NO SATISFACE
SC_2023_5399_A1	Solar FV	2026	Concordia 115	0.026	NO SATISFACE
SC_2023_5399_A2	Solar FV	2026	Concordia 115	0.069	NO SATISFACE
SC_2023_5480_A1	Solar FV	2026	Concordia 115	0.045	NO SATISFACE
SC_2023_5480_A2	Solar FV	2026	Concordia 115	0.046	NO SATISFACE
SC_2023_5557_A1	Solar FV	2028	Concordia 115	0.201	NO SATISFACE
SC_2936_A1	Solar FV	2026	Concordia 115	0.000	NO SATISFACE

SC_2936_A2	Solar FV	2026	Concordia 115	0.000	NO SATISFACE
SC_3121_A1	Solar FV	2026	Concordia 115	0.006	NO SATISFACE
SC_3121_A2	Solar FV	2026	Concordia 115	0.006	NO SATISFACE
SC_3132_A1	Solar FV	2026	Concordia 115	0.107	NO SATISFACE
SC_3132_A2	Solar FV	2026	Concordia 115	0.091	NO SATISFACE
SC_3882_A1	Solar FV	2026	Concordia 115	0.188	NO SATISFACE
SC_4083_A1	Solar FV	2027	Concordia 115	0.001	NO SATISFACE
SC_4083_A2	Solar FV	2027	Concordia 115	0.001	NO SATISFACE
SC_4765_A1	Solar FV	2029	Concordia 115	0.008	NO SATISFACE
SC_4765_A2	Solar FV	2029	Concordia 115	0.005	NO SATISFACE
SC_4819_A1	Solar FV	2029	Concordia 115	0.173	NO SATISFACE
SC_4819_A2	Solar FV	2029	Concordia 115	0.155	NO SATISFACE
SC_4974_A1	Solar FV	2026	Concordia 115	0.010	NO SATISFACE
SC_4974_A2	Solar FV	2026	Concordia 115	0.009	NO SATISFACE
SC_4978_A1	Solar FV	2026	Concordia 115	0.000	SATISFACE
SC_4978_A2	Solar FV	2026	Concordia 115	0.008	NO SATISFACE

No se priorizó ninguna de las alternativas de conexión que tengan aportes de corriente de cortocircuito en la subestación Concordia 115

El estado de la capacidad de cortocircuito en la subestación Concordia 115, teniendo en cuenta la priorización se puede observar en la siguiente figura.

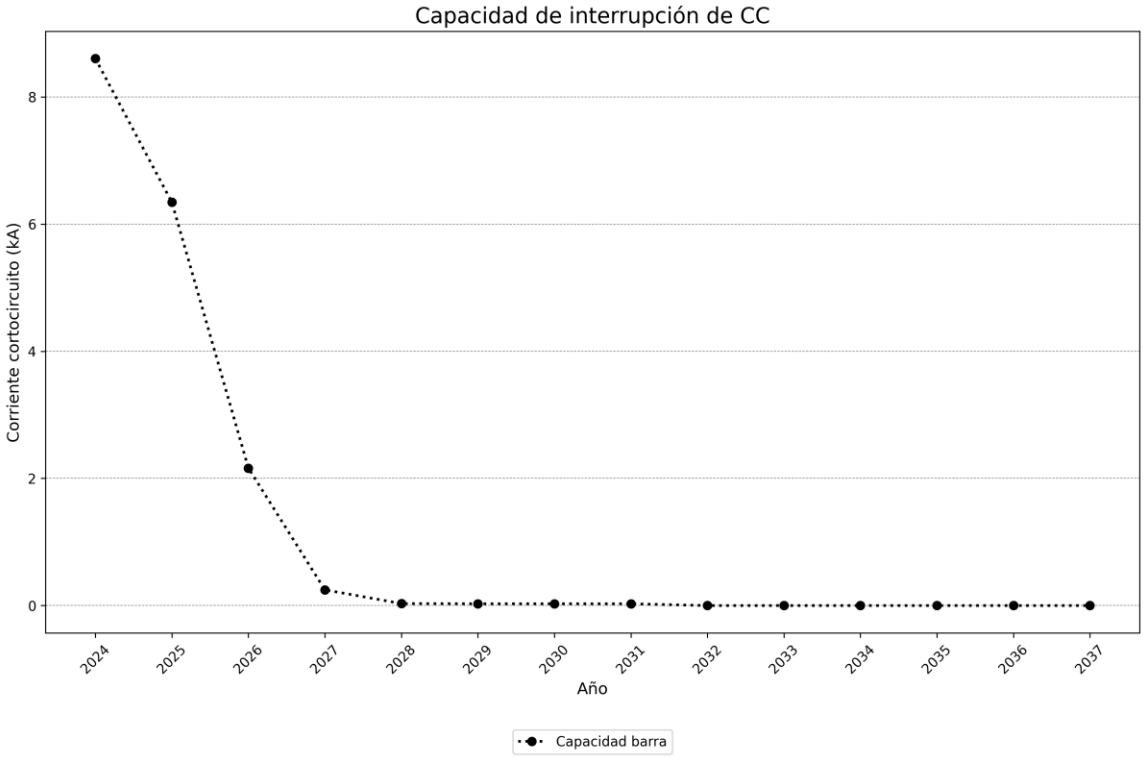


Figura 2-196. Balance de capacidad de cortocircuito después de la priorización para la subestación Concordia 115

Subestación Cordova (Antioquia) 110:

Capacidad por barra:

Para la subestación Cordova (Antioquia) 110 se presentaron 0 alternativas de conexión las cuales se muestran en la siguiente tabla:

Tabla 2-199. Alternativas de conexión presentadas a la subestación Cordova (Antioquia) 110

Solicitud	Capacidad	Tipo	Barra	FPO solicitada	Restricción

No se priorizó ninguna de las alternativas de conexión presentadas en la subestación Cordova (Antioquia) 110

El estado de la capacidad por barra en la subestación Cordova (Antioquia) 110, teniendo en cuenta la priorización se puede observar en la siguiente figura.

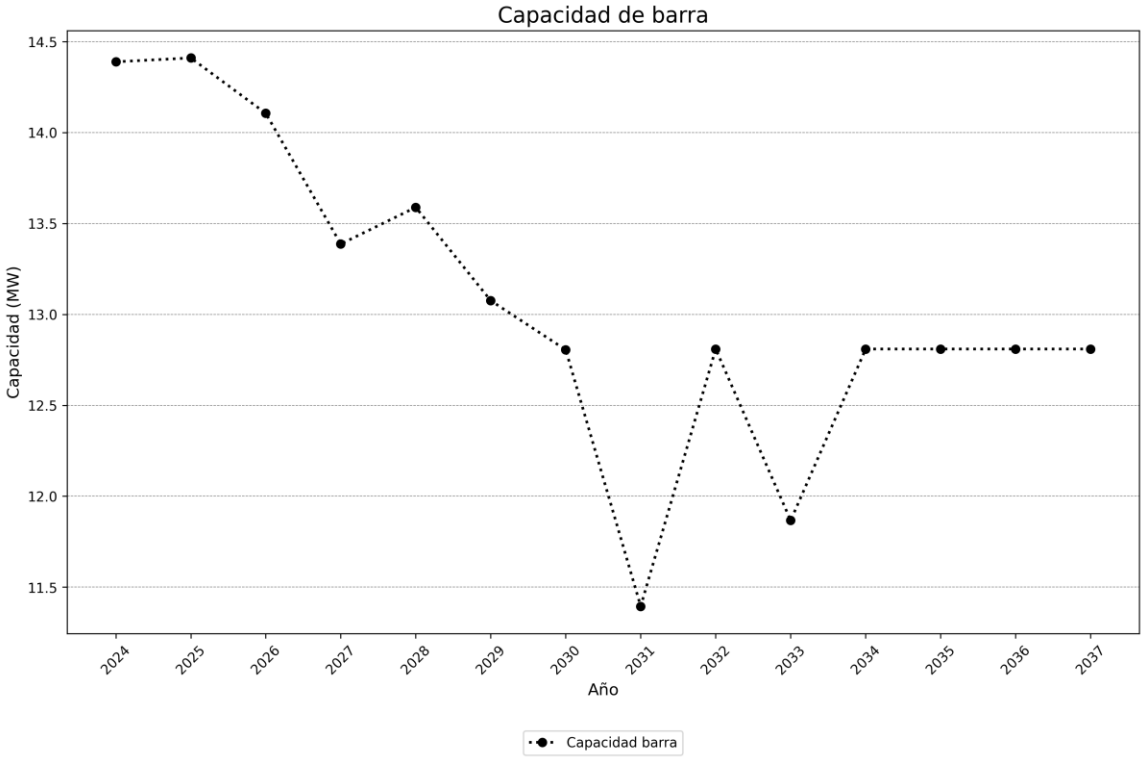


Figura 2-197. Balance de capacidad por barra después de la priorización para la subestación Cordova (Antioquia) 110

Capacidad excedente de interrupción de corriente de cortocircuito:

Para la subestación Cordova (Antioquia) 110 se presentaron 1 alternativas de conexión las cuales tienen aportes de corriente de cortocircuito. Estas alternativas se muestran en la siguiente tabla:

Tabla 2-200. Alternativas de conexión que aportan corriente de cortocircuito en la subestación Cordova (Antioquia) 110

Solicitud	tipo	FPO	Barra a la que aporta CC	Aporte de cortocircuito (kA)	Restricción
SC_3331_A1	Solar FV	2026	Cordova (Antioquia) 110	0.109	SATISFACE

No se priorizó ninguna de las alternativas de conexión que tengan aportes de corriente de cortocircuito en la subestación Cordova (Antioquia) 110

El estado de la capacidad de cortocircuito en la subestación Cordova (Antioquia) 110, teniendo en cuenta la priorización se puede observar en la siguiente figura.

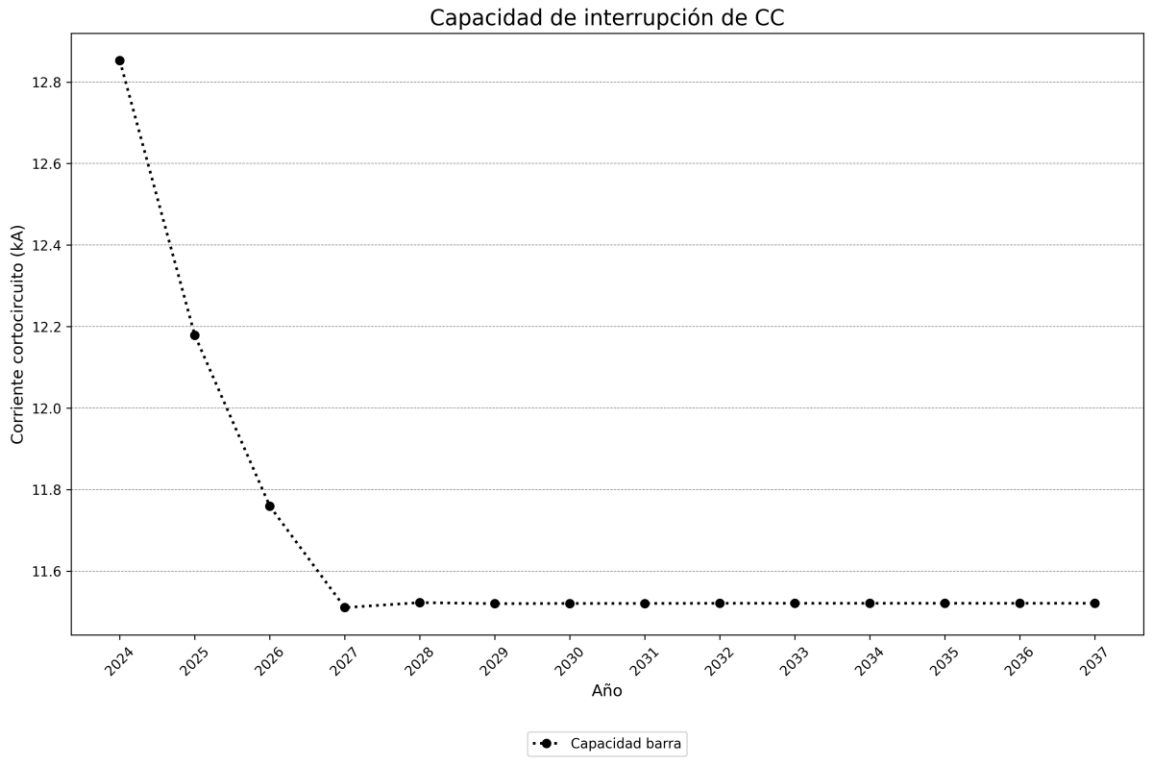


Figura 2-198. Balance de capacidad de cortocircuito después de la priorización para la subestación Cordova (Antioquia) 110

Subestación Cruzada 110:

Capacidad por barra:

Para la subestación Cruzada 110 se presentaron 0 alternativas de conexión las cuales se muestran en la siguiente tabla:

Tabla 2-201. Alternativas de conexión presentadas a la subestación Cruzada 110

Solicitud	Capacidad	Tipo	Barra	FPO solicitada	Restricción

No se priorizó ninguna de las alternativas de conexión presentadas en la subestación Cruzada 110

El estado de la capacidad por barra en la subestación Cruzada 110, teniendo en cuenta la priorización se puede observar en la siguiente figura.

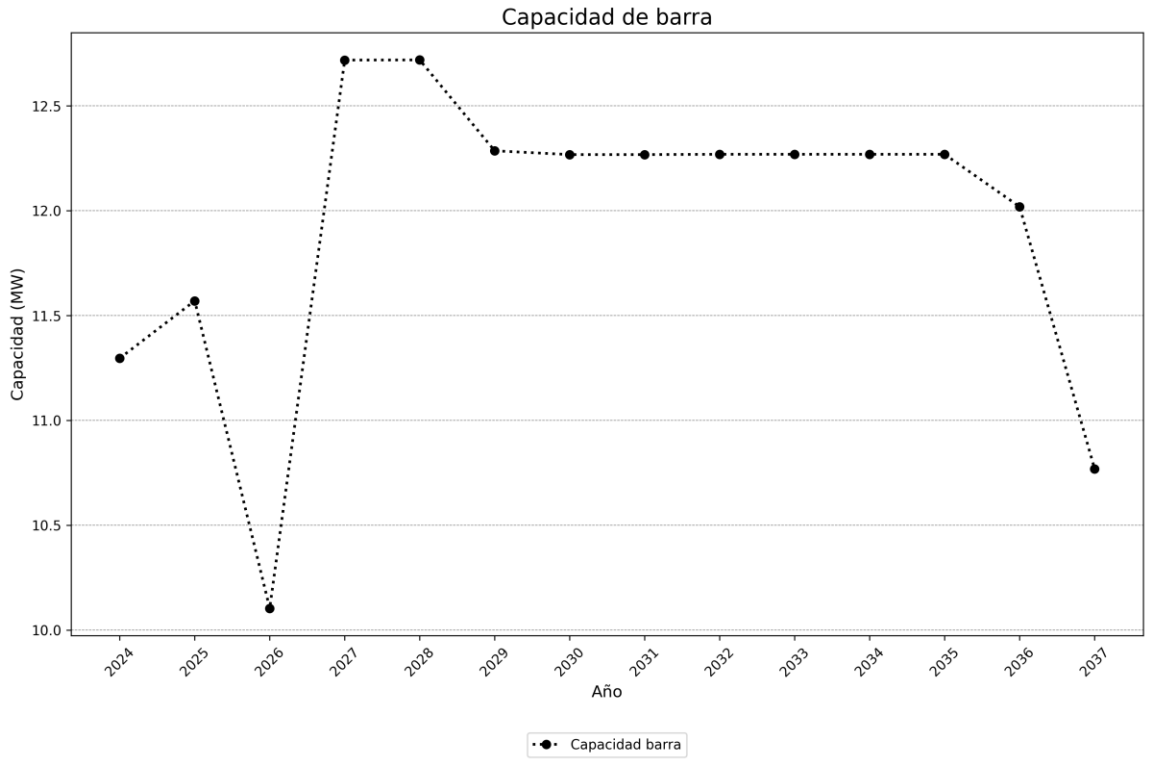


Figura 2-199. Balance de capacidad por barra después de la priorización para la subestación Cruzada 110

Capacidad excedente de interrupción de corriente de cortocircuito:

Para la subestación Cruzada 110 se presentaron 1 alternativas de conexión las cuales tienen aportes de corriente de cortocircuito. Estas alternativas se muestran en la siguiente tabla:

Tabla 2-202. Alternativas de conexión que aportan corriente de cortocircuito en la subestación Cruzada 110

Solicitud	tipo	FPO	Barra a la que aporta CC	Aporte de cortocircuito (kA)	Restricción
SC_3331_A1	Solar FV	2026	Cruzada 110	0.007	SATISFACE

No se priorizó ninguna de las alternativas de conexión que tengan aportes de corriente de cortocircuito en la subestación Cruzada 110

El estado de la capacidad de cortocircuito en la subestación Cruzada 110, teniendo en cuenta la priorización se puede observar en la siguiente figura.

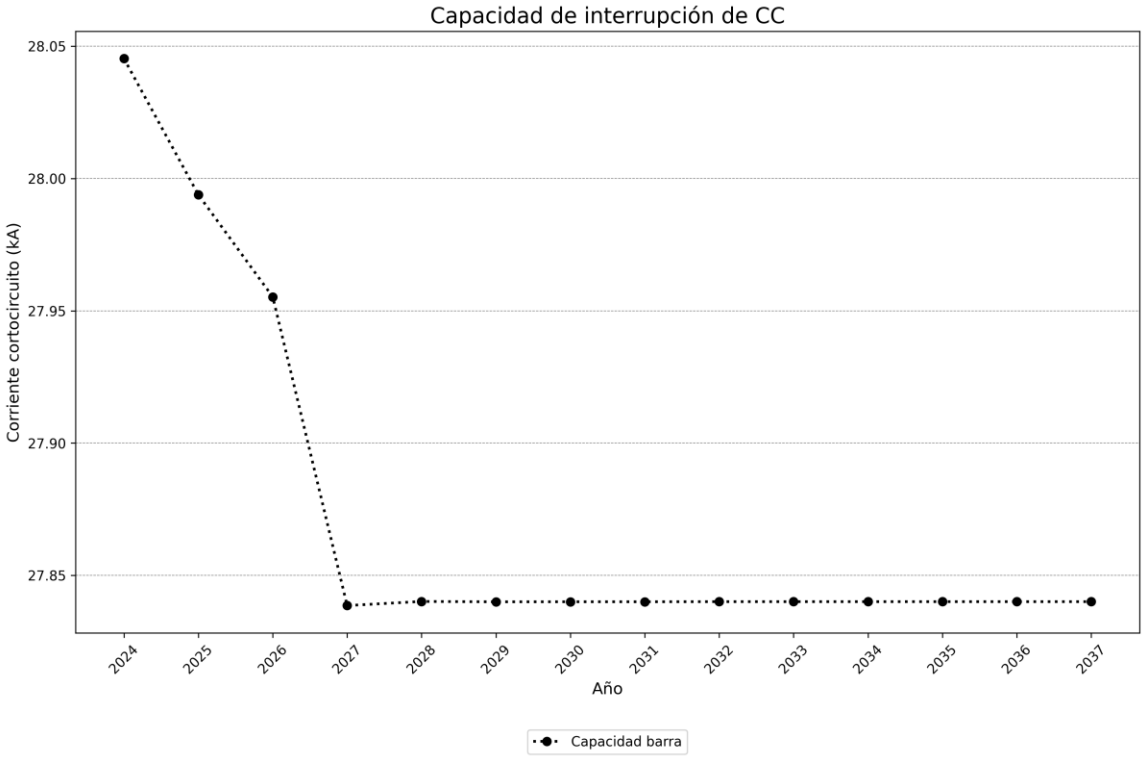


Figura 2-200. Balance de capacidad de cortocircuito después de la priorización para la subestación Cruzada 110

Subestación Cuba 115:

Capacidad por barra:

Para la subestación Cuba 115 se presentaron 0 alternativas de conexión las cuales se muestran en la siguiente tabla:

Tabla 2-203. Alternativas de conexión presentadas a la subestación Cuba 115

Solicitud	Capacidad	Tipo	Barra	FPO solicitada	Restricción

No se priorizó ninguna de las alternativas de conexión presentadas en la subestación Cuba 115

El estado de la capacidad por barra en la subestación Cuba 115, teniendo en cuenta la priorización se puede observar en la siguiente figura.

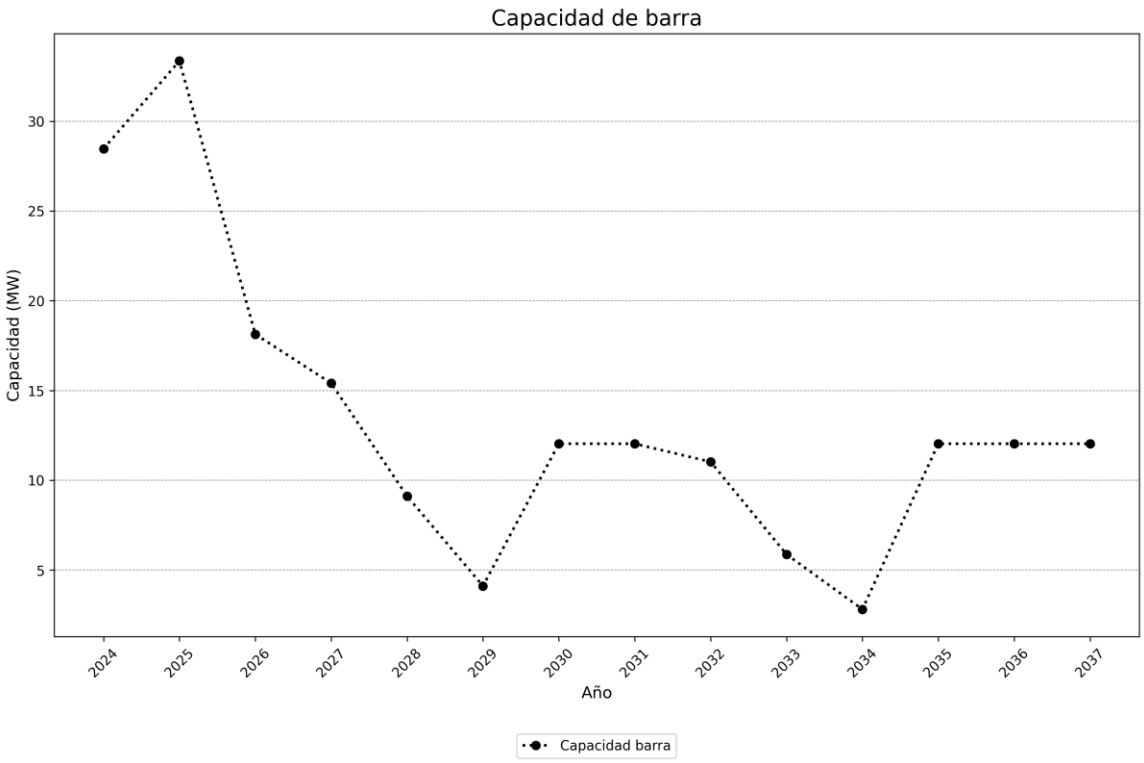


Figura 2-201. Balance de capacidad por barra después de la priorización para la subestación Cuba 115

Capacidad excedente de interrupción de corriente de cortocircuito:

Para la subestación Cuba 115 se presentaron 154 alternativas de conexión las cuales tienen aportes de corriente de cortocircuito. Estas alternativas se muestran en la siguiente tabla:

Tabla 2-204. Alternativas de conexión que aportan corriente de cortocircuito en la subestación Cuba 115

Solicitud	tipo	FPO	Barra a la que aporta CC	Aporte de cortocircuito (kA)	Restricción

SC_2023_5136_A1	Solar FV	2026	Cuba 115	0.010	SATISFACE
SC_2023_5136_A2	Solar FV	2026	Cuba 115	0.010	SATISFACE
SC_2023_5144_A1	Solar FV	2028	Cuba 115	0.127	SATISFACE
SC_2023_5144_A2	Solar FV	2028	Cuba 115	0.057	SATISFACE
SC_2023_5150_A1	Solar FV	2028	Cuba 115	0.080	SATISFACE
SC_2023_5152_A1	Solar FV	2025	Cuba 115	0.013	SATISFACE
SC_2023_5152_A2	Solar FV	2025	Cuba 115	0.011	SATISFACE
SC_2023_5171_A1	Solar FV	2025	Cuba 115	0.010	SATISFACE
SC_2023_5171_A2	Solar FV	2025	Cuba 115	0.012	SATISFACE
SC_2023_5185_A1	Solar FV	2026	Cuba 115	0.242	SATISFACE
SC_2023_5185_A2	Solar FV	2026	Cuba 115	0.217	SATISFACE
SC_2023_5188_A1	Solar FV	2026	Cuba 115	0.021	SATISFACE
SC_2023_5188_A2	Solar FV	2026	Cuba 115	0.079	SATISFACE
SC_2023_5200_A1	Solar FV	2028	Cuba 115	0.270	SATISFACE
SC_2023_5200_A2	Solar FV	2028	Cuba 115	0.119	SATISFACE
SC_2023_5248_A1	Solar FV	2025	Cuba 115	0.030	SATISFACE
SC_2023_5248_A2	Solar FV	2025	Cuba 115	0.035	SATISFACE
SC_2023_5249_A1	Solar FV	2025	Cuba 115	0.024	SATISFACE
SC_2023_5249_A2	Solar FV	2025	Cuba 115	0.025	SATISFACE
SC_2023_5251_A1	Solar FV	2025	Cuba 115	0.020	SATISFACE
SC_2023_5251_A2	Solar FV	2025	Cuba 115	0.020	SATISFACE
SC_2023_5252_A1	Solar FV	2028	Cuba 115	0.041	SATISFACE
SC_2023_5252_A2	Solar FV	2028	Cuba 115	0.027	SATISFACE
SC_2023_5253_A1	Solar FV	2025	Cuba 115	0.020	SATISFACE
SC_2023_5253_A2	Solar FV	2025	Cuba 115	0.020	SATISFACE
SC_2023_5256_A2	Solar FV	2028	Cuba 115	0.020	SATISFACE
SC_2023_5257_A1	Solar FV	2025	Cuba 115	0.025	SATISFACE
SC_2023_5257_A2	Solar FV	2025	Cuba 115	0.025	SATISFACE
SC_2023_5280_A1	Solar FV	2028	Cuba 115	0.039	SATISFACE
SC_2023_5280_A2	Solar FV	2028	Cuba 115	0.037	SATISFACE
SC_2023_5287_A1	Solar FV	2026	Cuba 115	0.020	SATISFACE
SC_2023_5287_A2	Solar FV	2026	Cuba 115	0.021	SATISFACE
SC_2023_5288_A1	Solar FV	2026	Cuba 115	0.013	SATISFACE
SC_2023_5288_A2	Solar FV	2026	Cuba 115	0.033	SATISFACE
SC_2023_5293_A1	Solar FV	2028	Cuba 115	0.036	SATISFACE
SC_2023_5293_A2	Solar FV	2028	Cuba 115	0.034	SATISFACE
SC_2023_5294_A1	Solar FV	2029	Cuba 115	0.009	SATISFACE
SC_2023_5294_A2	Solar FV	2029	Cuba 115	0.010	SATISFACE
SC_2023_5304_A1	Solar FV	2026	Cuba 115	0.002	SATISFACE
SC_2023_5309_A1	Solar FV	2026	Cuba 115	0.002	SATISFACE

SC_2023_5337_A2	Solar FV	2025	Cuba 115	0.053	SATISFACE
SC_2023_5339_A1	PCH	2026	Cuba 115	0.001	SATISFACE
SC_2023_5339_A2	PCH	2026	Cuba 115	0.001	SATISFACE
SC_2023_5345_A1	Solar FV	2027	Cuba 115	0.009	SATISFACE
SC_2023_5345_A2	Solar FV	2027	Cuba 115	0.011	SATISFACE
SC_2023_5346_A1	Solar FV	2027	Cuba 115	0.009	SATISFACE
SC_2023_5346_A2	Solar FV	2027	Cuba 115	0.011	SATISFACE
SC_2023_5375_A1	Solar FV	2026	Cuba 115	0.020	SATISFACE
SC_2023_5383_A1	Solar FV	2027	Cuba 115	0.070	SATISFACE
SC_2023_5383_A2	Solar FV	2027	Cuba 115	0.084	SATISFACE
SC_2023_5399_A1	Solar FV	2026	Cuba 115	0.013	SATISFACE
SC_2023_5399_A2	Solar FV	2026	Cuba 115	0.033	SATISFACE
SC_2023_5431_A1	Solar FV	2028	Cuba 115	0.000	SATISFACE
SC_2023_5431_A2	Solar FV	2028	Cuba 115	0.000	SATISFACE
SC_2023_5480_A1	Solar FV	2026	Cuba 115	0.020	SATISFACE
SC_2023_5480_A2	Solar FV	2026	Cuba 115	0.021	SATISFACE
SC_2023_5551_A1	Solar FV	2027	Cuba 115	0.241	SATISFACE
SC_2023_5551_A2	Solar FV	2027	Cuba 115	0.107	SATISFACE
SC_2023_5557_A1	Solar FV	2028	Cuba 115	0.073	SATISFACE
SC_2023_5564_A1	Solar FV	2026	Cuba 115	0.038	SATISFACE
SC_2023_5564_A2	Solar FV	2026	Cuba 115	0.037	SATISFACE
SC_2023_5565_A1	Solar FV	2027	Cuba 115	0.035	SATISFACE
SC_2023_5566_A1	Solar FV	2028	Cuba 115	0.039	SATISFACE
SC_2023_5566_A2	Solar FV	2028	Cuba 115	0.041	SATISFACE
SC_2023_5598_A1	Solar FV	2025	Cuba 115	0.013	SATISFACE
SC_2023_5598_A2	Solar FV	2025	Cuba 115	0.011	SATISFACE
SC_2023_5659_A1	PCH	2026	Cuba 115	0.163	SATISFACE
SC_2024_5939_A1	Solar FV	2028	Cuba 115	0.000	SATISFACE
SC_2024_5939_A2	Solar FV	2028	Cuba 115	0.000	SATISFACE
SC_2438_A1	Solar FV	2028	Cuba 115	0.000	SATISFACE
SC_2438_A2	Solar FV	2028	Cuba 115	0.000	SATISFACE
SC_2562_A1	Solar FV	2026	Cuba 115	0.010	SATISFACE
SC_2634_A1	Solar FV	2026	Cuba 115	0.012	SATISFACE
SC_2634_A2	Solar FV	2026	Cuba 115	0.017	SATISFACE
SC_2802_A1	Solar FV	2027	Cuba 115	0.001	SATISFACE
SC_2802_A2	Solar FV	2027	Cuba 115	0.001	SATISFACE
SC_2924_A1	Solar FV	2026	Cuba 115	0.194	SATISFACE
SC_2924_A2	Solar FV	2026	Cuba 115	0.174	SATISFACE
SC_2936_A1	Solar FV	2026	Cuba 115	0.000	SATISFACE
SC_2936_A2	Solar FV	2026	Cuba 115	0.000	SATISFACE

SC_2962_A1	Solar FV	2028	Cuba 115	0.034	SATISFACE
SC_2962_A2	Solar FV	2028	Cuba 115	0.034	SATISFACE
SC_3121_A1	Solar FV	2026	Cuba 115	0.003	SATISFACE
SC_3121_A2	Solar FV	2026	Cuba 115	0.003	SATISFACE
SC_3132_A1	Solar FV	2026	Cuba 115	0.044	SATISFACE
SC_3132_A2	Solar FV	2026	Cuba 115	0.042	SATISFACE
SC_3238_A1	Solar FV	2027	Cuba 115	0.253	SATISFACE
SC_3238_A2	Solar FV	2027	Cuba 115	0.177	SATISFACE
SC_3247_A1	Solar FV	2027	Cuba 115	0.080	SATISFACE
SC_3247_A2	Solar FV	2027	Cuba 115	0.060	SATISFACE
SC_3248_A1	Solar FV	2027	Cuba 115	0.253	SATISFACE
SC_3248_A2	Solar FV	2027	Cuba 115	0.177	SATISFACE
SC_3251_A1	Hidráulica	2026	Cuba 115	0.010	SATISFACE
SC_3251_A2	Hidráulica	2026	Cuba 115	0.010	SATISFACE
SC_3353_A1	Solar FV	2027	Cuba 115	0.012	SATISFACE
SC_3353_A2	Solar FV	2027	Cuba 115	0.010	SATISFACE
SC_3382_A1	Solar FV	2027	Cuba 115	0.005	SATISFACE
SC_3382_A2	Solar FV	2027	Cuba 115	0.007	SATISFACE
SC_3392_A1	Solar FV	2027	Cuba 115	0.039	SATISFACE
SC_3392_A2	Solar FV	2027	Cuba 115	0.015	SATISFACE
SC_3441_A1	Solar FV	2027	Cuba 115	0.080	SATISFACE
SC_3441_A2	Solar FV	2027	Cuba 115	0.060	SATISFACE
SC_3453_A1	Solar FV	2027	Cuba 115	0.006	SATISFACE
SC_3453_A2	Solar FV	2027	Cuba 115	0.006	SATISFACE
SC_3514_A1	Solar FV	2027	Cuba 115	0.006	SATISFACE
SC_3514_A2	Solar FV	2027	Cuba 115	0.006	SATISFACE
SC_3578_A1	Solar FV	2028	Cuba 115	0.000	SATISFACE
SC_3578_A2	Solar FV	2028	Cuba 115	0.000	SATISFACE
SC_3667_A1	Solar FV	2029	Cuba 115	0.010	SATISFACE
SC_3667_A2	Solar FV	2029	Cuba 115	0.006	SATISFACE
SC_3846_A1	Solar FV	2028	Cuba 115	0.008	SATISFACE
SC_3846_A2	Solar FV	2028	Cuba 115	0.008	SATISFACE
SC_3882_A1	Solar FV	2026	Cuba 115	0.072	SATISFACE
SC_4083_A1	Solar FV	2027	Cuba 115	0.000	SATISFACE
SC_4083_A2	Solar FV	2027	Cuba 115	0.000	SATISFACE
SC_4175_A1	Solar FV	2026	Cuba 115	0.017	SATISFACE
SC_4175_A2	Solar FV	2026	Cuba 115	0.017	SATISFACE
SC_4296_A1	Solar FV	2028	Cuba 115	0.127	SATISFACE
SC_4296_A2	Solar FV	2028	Cuba 115	0.135	SATISFACE
SC_4751_A1	Solar FV	2027	Cuba 115	0.001	SATISFACE

SC_4760_A1	Solar FV	2026	Cuba 115	0.060	SATISFACE
SC_4765_A1	Solar FV	2029	Cuba 115	0.002	SATISFACE
SC_4765_A2	Solar FV	2029	Cuba 115	0.001	SATISFACE
SC_4789_A1	Solar FV	2027	Cuba 115	0.016	SATISFACE
SC_4789_A2	Solar FV	2027	Cuba 115	0.016	SATISFACE
SC_4809_A1	Solar FV	2027	Cuba 115	0.000	SATISFACE
SC_4809_A2	Solar FV	2027	Cuba 115	0.099	SATISFACE
SC_4819_A1	Solar FV	2029	Cuba 115	0.075	SATISFACE
SC_4819_A2	Solar FV	2029	Cuba 115	0.072	SATISFACE
SC_4821_A1	Solar FV	2027	Cuba 115	0.039	SATISFACE
SC_4821_A2	Solar FV	2027	Cuba 115	0.015	SATISFACE
SC_4824_A1	Solar FV	2025	Cuba 115	0.000	SATISFACE
SC_4824_A2	Solar FV	2025	Cuba 115	0.000	SATISFACE
SC_4826_A1	Solar FV	2027	Cuba 115	0.006	SATISFACE
SC_4826_A2	Solar FV	2027	Cuba 115	0.006	SATISFACE
SC_4827_A1	Solar FV	2027	Cuba 115	0.006	SATISFACE
SC_4827_A2	Solar FV	2027	Cuba 115	0.006	SATISFACE
SC_4842_A1	Solar FV	2028	Cuba 115	0.080	SATISFACE
SC_4910_A1	Solar FV	2026	Cuba 115	0.010	SATISFACE
SC_4910_A2	Solar FV	2026	Cuba 115	0.010	SATISFACE
SC_4926_A1	Solar FV	2027	Cuba 115	0.001	SATISFACE
SC_4947_A1	Solar FV	2027	Cuba 115	0.045	SATISFACE
SC_4960_A2	Solar FV	2029	Cuba 115	0.035	SATISFACE
SC_4974_A1	Solar FV	2026	Cuba 115	0.004	SATISFACE
SC_4974_A2	Solar FV	2026	Cuba 115	0.004	SATISFACE
SC_4978_A1	Solar FV	2026	Cuba 115	0.001	SATISFACE
SC_4978_A2	Solar FV	2026	Cuba 115	0.005	SATISFACE
SC_5009_A1	Solar FV	2026	Cuba 115	0.039	SATISFACE
SC_5009_A2	Solar FV	2026	Cuba 115	0.015	SATISFACE
SC_5011_A1	Solar FV	2027	Cuba 115	0.039	SATISFACE
SC_5011_A2	Solar FV	2027	Cuba 115	0.015	SATISFACE
SC_5060_A1	Solar FV	2026	Cuba 115	0.010	SATISFACE
SC_5060_A2	Solar FV	2026	Cuba 115	0.010	SATISFACE
SC_5087_A2	Solar FV	2027	Cuba 115	0.018	SATISFACE

No se priorizó ninguna de las alternativas de conexión que tengan aportes de corriente de cortocircuito en la subestación Cuba 115

El estado de la capacidad de cortocircuito en la subestación Cuba 115, teniendo en cuenta la priorización se puede observar en la siguiente figura.

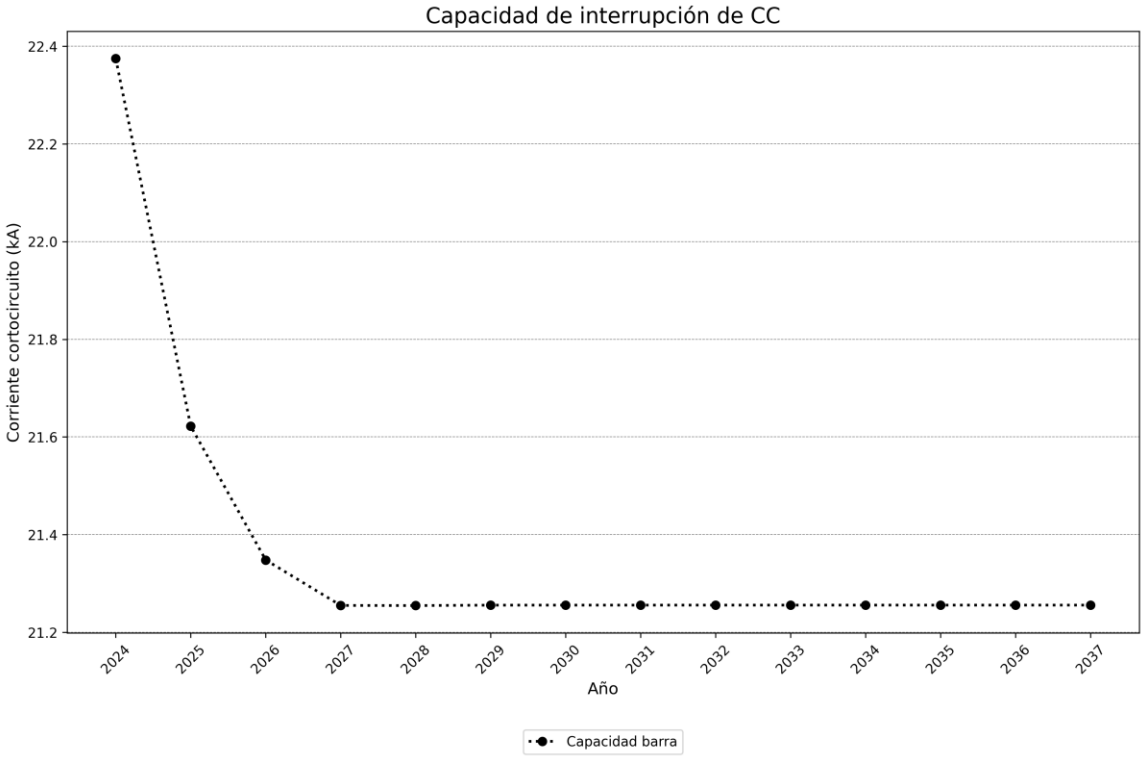


Figura 2-202. Balance de capacidad de cortocircuito después de la priorización para la subestación Cuba 115

Subestación Cuba 13.2:

Capacidad por barra:

Para la subestación Cuba 13.2 se presentaron 1 alternativas de conexión las cuales se muestran en la siguiente tabla:

Tabla 2-205. Alternativas de conexión presentadas a la subestación Cuba 13.2

Solicitud	Capacidad	Tipo	Barra	FPO solicitada	Restricción

SC_2023_5566_A2	9.9	Solar FV	Cuba 13.2	2028	NO SATISFACE

No se priorizó ninguna de las alternativas de conexión presentadas en la subestación Cuba 13.2

El estado de la capacidad por barra en la subestación Cuba 13.2, teniendo en cuenta la priorización se puede observar en la siguiente figura.

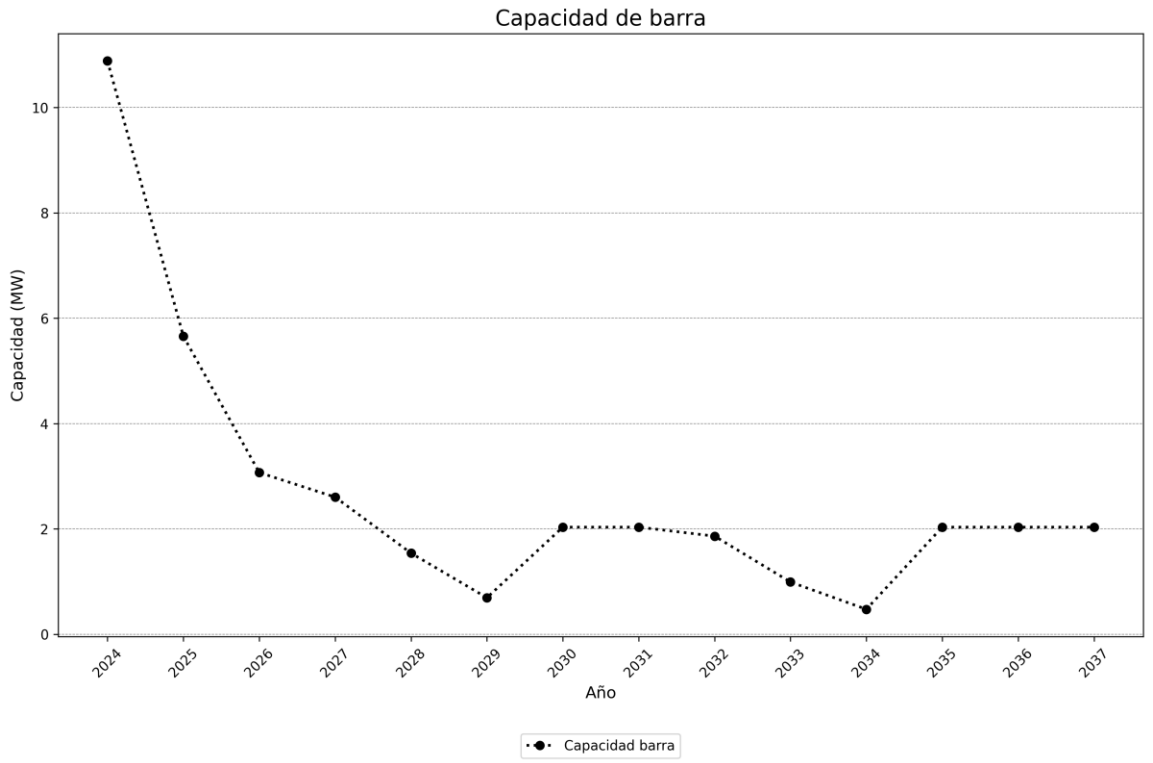


Figura 2-203. Balance de capacidad por barra después de la priorización para la subestación Cuba 13.2

Subestación Cuba 33:

Capacidad por barra:

Para la subestación Cuba 33 se presentaron 2 alternativas de conexión las cuales se muestran en la siguiente tabla:

Tabla 2-206. Alternativas de conexión presentadas a la subestación Cuba 33

Solicitud	Capacidad	Tipo	Barra	FPO solicitada	Restricción
SC_2023_5248_A2	9.9	Solar FV	Cuba 33	2025	NO SATISFACE
SC_2023_5566_A1	9.9	Solar FV	Cuba 33	2028	NO SATISFACE

No se priorizó ninguna de las alternativas de conexión presentadas en la subestación Cuba 33

El estado de la capacidad por barra en la subestación Cuba 33, teniendo en cuenta la priorización se puede observar en la siguiente figura.

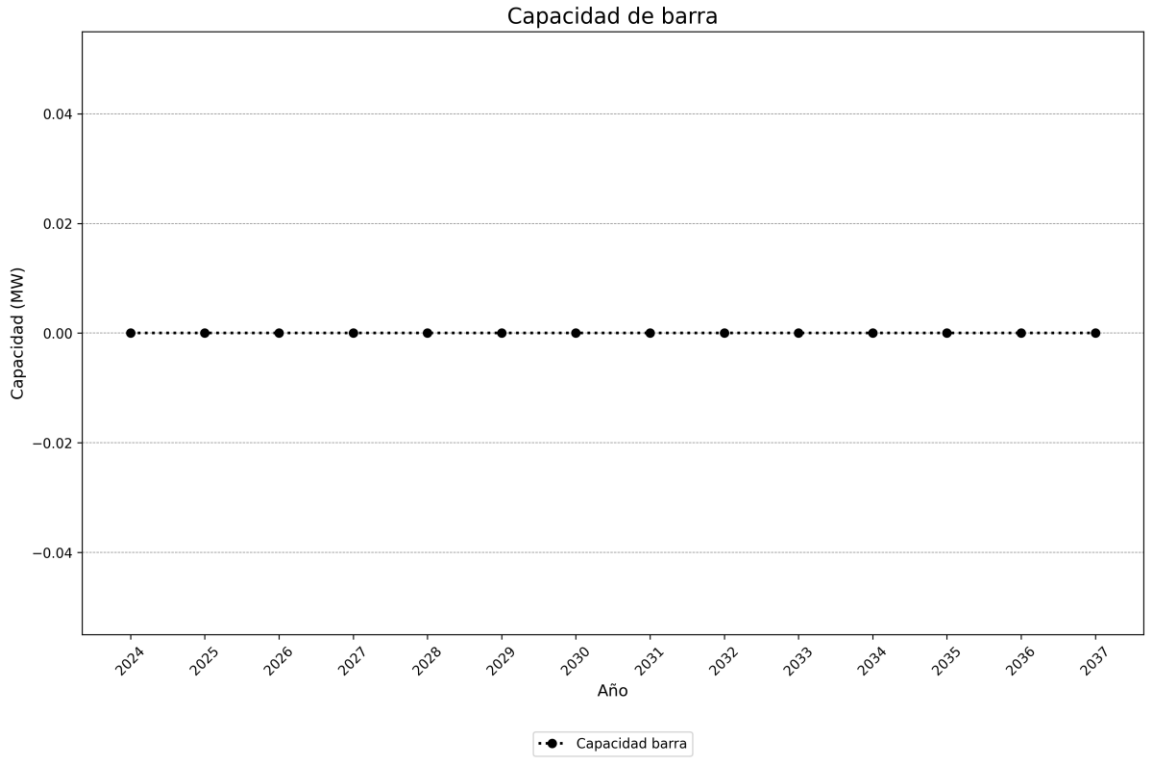


Figura 2-204. Balance de capacidad por barra después de la priorización para la subestación Cuba 33

En el caso anterior se observa que la capacidad por barra es igual a 0 dado que, desde los comentarios presentados por transportador, se identificó que la subestación Cuba 33 no cuenta con disponibilidad de espacio físico para la conexión de nuevos proyectos.

Subestación Cucuana 115:

Capacidad por barra:

Para la subestación Cucuana 115 se presentaron 0 alternativas de conexión las cuales se muestran en la siguiente tabla:

Tabla 2-207. Alternativas de conexión presentadas a la subestación Cucuana 115

Solicitud	Capacidad	Tipo	Barra	FPO solicitada	Restricción

No se priorizó ninguna de las alternativas de conexión presentadas en la subestación Cucuana 115

El estado de la capacidad por barra en la subestación Cucuana 115, teniendo en cuenta la priorización se puede observar en la siguiente figura.

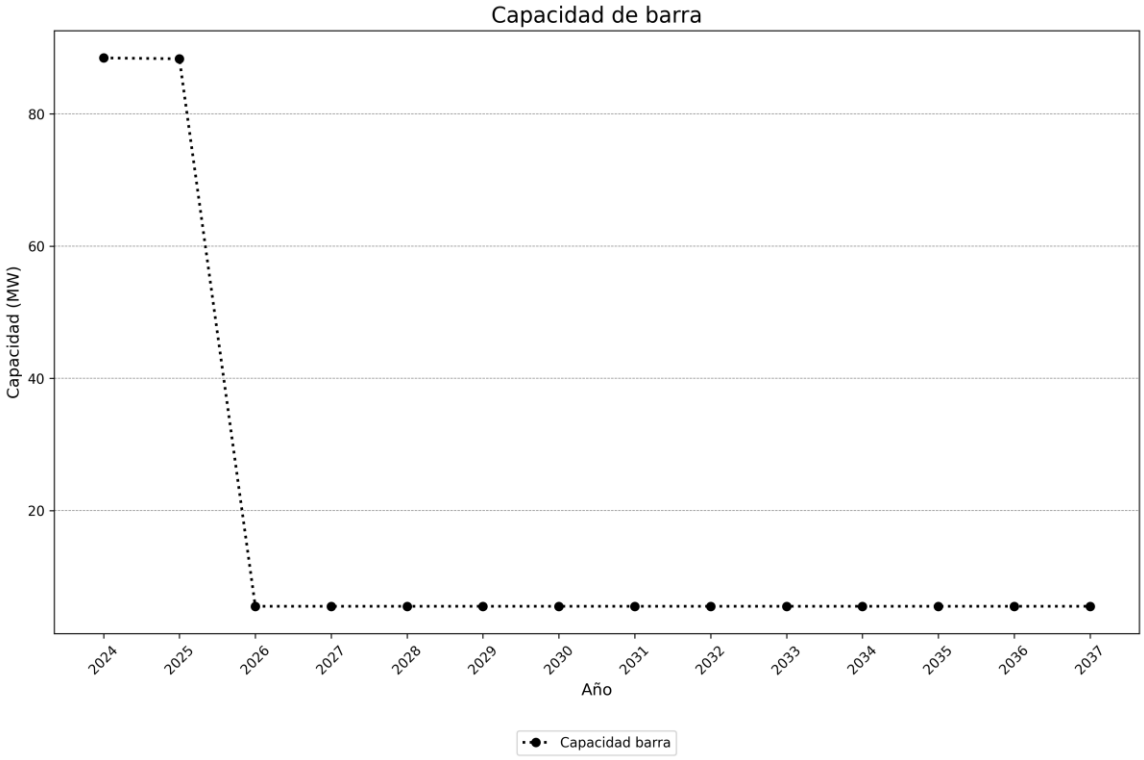


Figura 2-205. Balance de capacidad por barra después de la priorización para la subestación Cucuana 115

Capacidad excedente de interrupción de corriente de cortocircuito:

Para la subestación Cucuana 115 se presentaron 25 alternativas de conexión las cuales tienen aportes de corriente de cortocircuito. Estas alternativas se muestran en la siguiente tabla:

Tabla 2-208. Alternativas de conexión que aportan corriente de cortocircuito en la subestación Cucuana 115

Solicitud	tipo	FPO	Barra a la que aporta CC	Aporte de cortocircuito (kA)	Restricción
SC_2023_5280_A1	Solar FV	2028	Cucuana 115	0.009	SATISFACE
SC_2023_5280_A2	Solar FV	2028	Cucuana 115	0.008	SATISFACE
SC_2023_5287_A1	Solar FV	2026	Cucuana 115	0.030	SATISFACE

SC_2023_5287_A2	Solar FV	2026	Cucuana 115	0.031	SATISFACE
SC_2023_5288_A1	Solar FV	2026	Cucuana 115	0.018	SATISFACE
SC_2023_5288_A2	Solar FV	2026	Cucuana 115	0.046	SATISFACE
SC_2023_5375_A1	Solar FV	2026	Cucuana 115	0.030	SATISFACE
SC_2023_5399_A1	Solar FV	2026	Cucuana 115	0.018	SATISFACE
SC_2023_5399_A2	Solar FV	2026	Cucuana 115	0.046	SATISFACE
SC_2023_5480_A1	Solar FV	2026	Cucuana 115	0.030	SATISFACE
SC_2023_5480_A2	Solar FV	2026	Cucuana 115	0.031	SATISFACE
SC_2023_5557_A1	Solar FV	2028	Cucuana 115	0.017	SATISFACE
SC_2936_A1	Solar FV	2026	Cucuana 115	0.000	SATISFACE
SC_2936_A2	Solar FV	2026	Cucuana 115	0.000	SATISFACE
SC_3121_A1	Solar FV	2026	Cucuana 115	0.001	SATISFACE
SC_3121_A2	Solar FV	2026	Cucuana 115	0.001	SATISFACE
SC_3132_A1	Solar FV	2026	Cucuana 115	0.010	SATISFACE
SC_3132_A2	Solar FV	2026	Cucuana 115	0.008	SATISFACE
SC_3882_A1	Solar FV	2026	Cucuana 115	0.016	SATISFACE
SC_4083_A1	Solar FV	2027	Cucuana 115	0.000	SATISFACE
SC_4083_A2	Solar FV	2027	Cucuana 115	0.000	SATISFACE
SC_4765_A1	Solar FV	2029	Cucuana 115	0.000	SATISFACE
SC_4765_A2	Solar FV	2029	Cucuana 115	0.000	SATISFACE
SC_4819_A1	Solar FV	2029	Cucuana 115	0.018	SATISFACE
SC_4819_A2	Solar FV	2029	Cucuana 115	0.016	SATISFACE

No se priorizó ninguna de las alternativas de conexión que tengan aportes de corriente de cortocircuito en la subestación Cucuana 115

El estado de la capacidad de cortocircuito en la subestación Cucuana 115, teniendo en cuenta la priorización se puede observar en la siguiente figura.

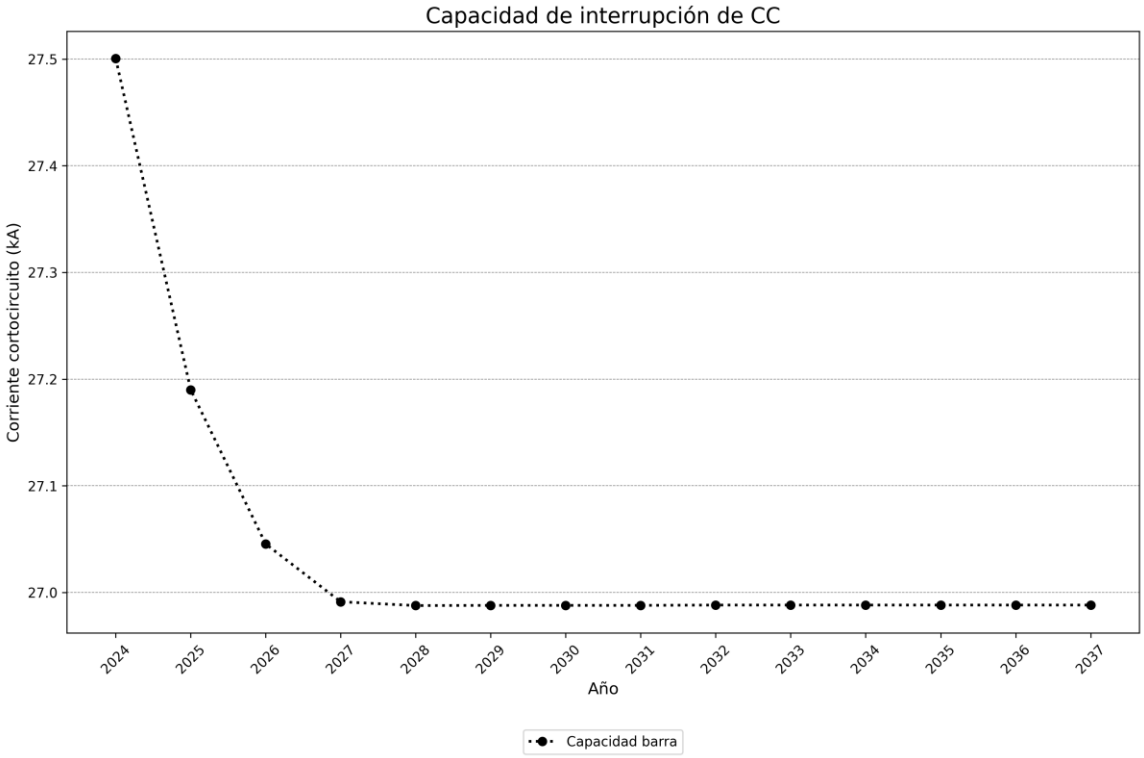


Figura 2-206. Balance de capacidad de cortocircuito después de la priorización para la subestación Cucuana 115

Subestación Diaco COD 115:

Capacidad por barra:

Para la subestación Diaco COD 115 se presentaron 0 alternativas de conexión las cuales se muestran en la siguiente tabla:

Tabla 2-209. Alternativas de conexión presentadas a la subestación Diaco COD 115

Solicitud	Capacidad	Tipo	Barra	FPO solicitada	Restricción

No se priorizó ninguna de las alternativas de conexión presentadas en la subestación Diaco COD 115

El estado de la capacidad por barra en la subestación Diaco COD 115, teniendo en cuenta la priorización se puede observar en la siguiente figura.

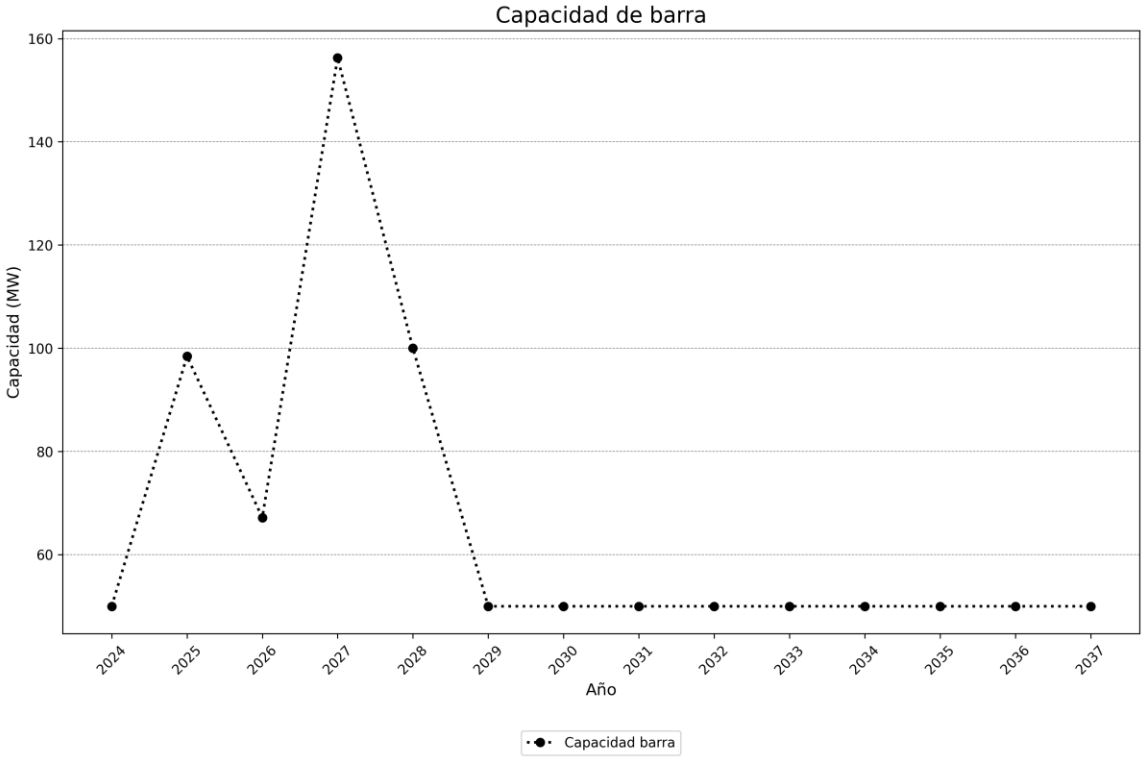


Figura 2-207. Balance de capacidad por barra después de la priorización para la subestación Diaco COD 115

Capacidad excedente de interrupción de corriente de cortocircuito:

Para la subestación Diaco COD 115 se presentaron 29 alternativas de conexión las cuales tienen aportes de corriente de cortocircuito. Estas alternativas se muestran en la siguiente tabla:

Tabla 2-210. Alternativas de conexión que aportan corriente de cortocircuito en la subestación Diaco COD 115

Solicitud	tipo	FPO	Barra a la que aporta CC	Aporte de cortocircuito (kA)	Restricción
SC_2023_5280_A1	Solar FV	2028	Diaco COD 115	0.041	SATISFACE
SC_2023_5280_A2	Solar FV	2028	Diaco COD 115	0.038	SATISFACE
SC_2023_5287_A1	Solar FV	2026	Diaco COD 115	0.023	SATISFACE
SC_2023_5287_A2	Solar FV	2026	Diaco COD 115	0.023	SATISFACE
SC_2023_5288_A1	Solar FV	2026	Diaco COD 115	0.013	SATISFACE
SC_2023_5288_A2	Solar FV	2026	Diaco COD 115	0.035	SATISFACE
SC_2023_5375_A1	Solar FV	2026	Diaco COD 115	0.022	SATISFACE
SC_2023_5399_A1	Solar FV	2026	Diaco COD 115	0.013	SATISFACE
SC_2023_5399_A2	Solar FV	2026	Diaco COD 115	0.035	SATISFACE
SC_2023_5480_A1	Solar FV	2026	Diaco COD 115	0.023	SATISFACE
SC_2023_5480_A2	Solar FV	2026	Diaco COD 115	0.023	SATISFACE
SC_2023_5557_A1	Solar FV	2028	Diaco COD 115	0.087	SATISFACE
SC_2936_A1	Solar FV	2026	Diaco COD 115	0.000	SATISFACE
SC_2936_A2	Solar FV	2026	Diaco COD 115	0.000	SATISFACE
SC_3121_A1	Solar FV	2026	Diaco COD 115	0.002	SATISFACE
SC_3121_A2	Solar FV	2026	Diaco COD 115	0.002	SATISFACE
SC_3132_A1	Solar FV	2026	Diaco COD 115	0.047	SATISFACE
SC_3132_A2	Solar FV	2026	Diaco COD 115	0.041	SATISFACE
SC_3882_A1	Solar FV	2026	Diaco COD 115	0.084	SATISFACE

SC_4083_A1	Solar FV	2027	Diaco COD 115	0.000	SATISFACE
SC_4083_A2	Solar FV	2027	Diaco COD 115	0.000	SATISFACE
SC_4765_A1	Solar FV	2029	Diaco COD 115	0.002	SATISFACE
SC_4765_A2	Solar FV	2029	Diaco COD 115	0.001	SATISFACE
SC_4819_A1	Solar FV	2029	Diaco COD 115	0.073	SATISFACE
SC_4819_A2	Solar FV	2029	Diaco COD 115	0.066	SATISFACE
SC_4974_A1	Solar FV	2026	Diaco COD 115	0.004	SATISFACE
SC_4974_A2	Solar FV	2026	Diaco COD 115	0.004	SATISFACE
SC_4978_A1	Solar FV	2026	Diaco COD 115	0.001	SATISFACE
SC_4978_A2	Solar FV	2026	Diaco COD 115	0.003	SATISFACE

No se priorizó ninguna de las alternativas de conexión que tengan aportes de corriente de cortocircuito en la subestación Diaco COD 115

El estado de la capacidad de cortocircuito en la subestación Diaco COD 115, teniendo en cuenta la priorización se puede observar en la siguiente figura.

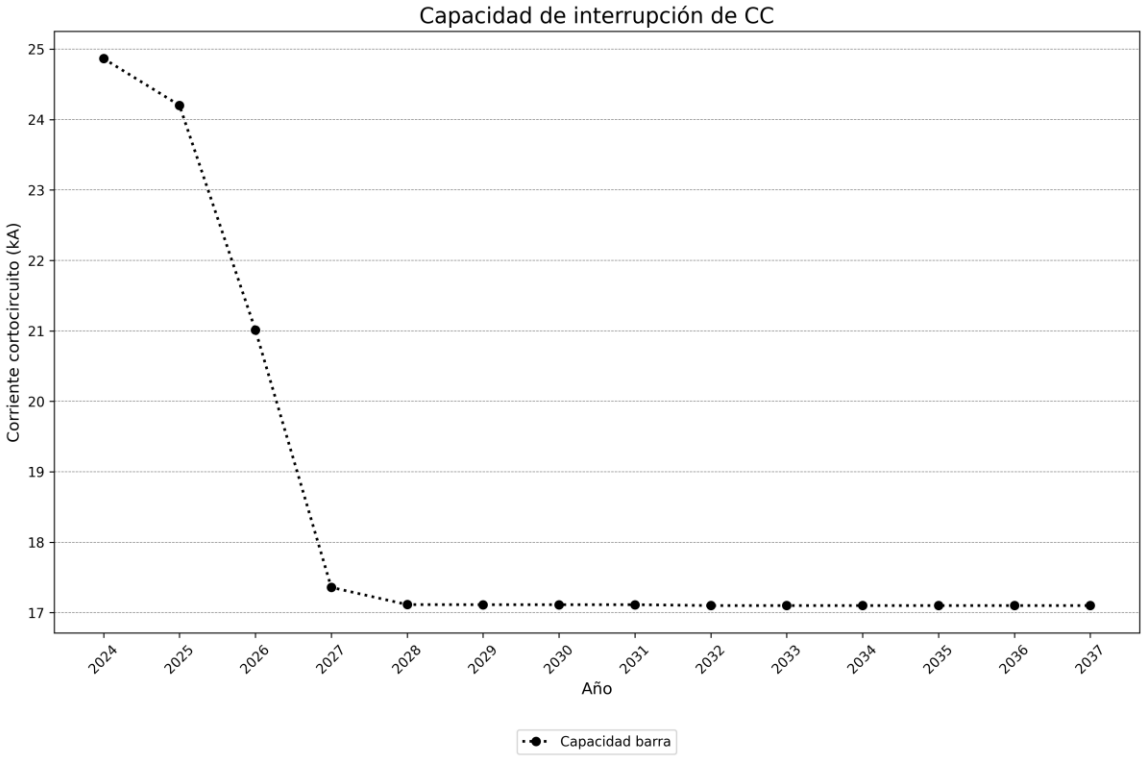


Figura 2-208. Balance de capacidad de cortocircuito después de la priorización para la subestación Diaco COD 115

Subestación Diesel II 115:

Capacidad por barra:

Para la subestación Diesel II 115 se presentaron 0 alternativas de conexión las cuales se muestran en la siguiente tabla:

Tabla 2-211. Alternativas de conexión presentadas a la subestación Diesel II 115

Solicitud	Capacidad	Tipo	Barra	FPO solicitada	Restricción

No se priorizó ninguna de las alternativas de conexión presentadas en la subestación Diesel II 115

El estado de la capacidad por barra en la subestación Diesel II 115, teniendo en cuenta la priorización se puede observar en la siguiente figura.

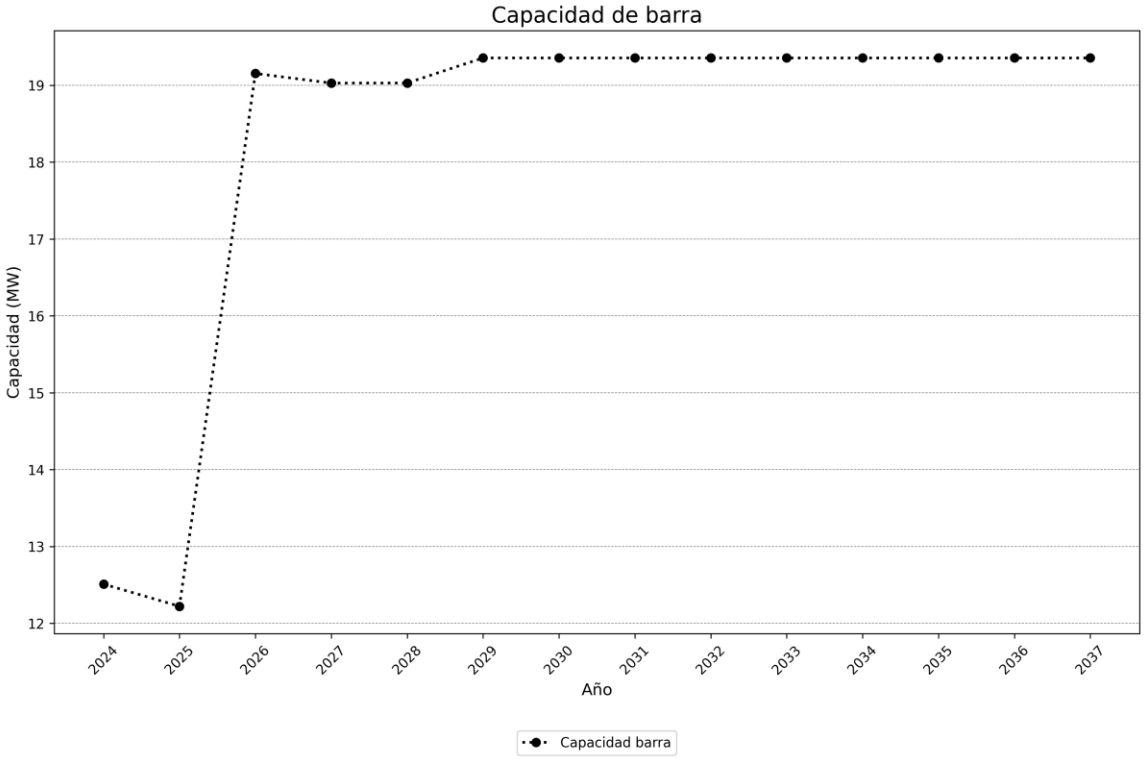


Figura 2-209. Balance de capacidad por barra después de la priorización para la subestación Diesel II 115

Capacidad excedente de interrupción de corriente de cortocircuito:

Para la subestación Diesel II 115 se presentaron 4 alternativas de conexión las cuales tienen aportes de corriente de cortocircuito. Estas alternativas se muestran en la siguiente tabla:

Tabla 2-212. Alternativas de conexión que aportan corriente de cortocircuito en la subestación Diesel II 115

Solicitud	tipo	FPO	Barra a la que aporta CC	Aporte de cortocircuito (kA)	Restricción
SC_2023_5557_A1	Solar FV	2028	Diesel II 115	0.091	SATISFACE
SC_2936_A1	Solar FV	2026	Diesel II 115	0.000	SATISFACE
SC_2936_A2	Solar FV	2026	Diesel II 115	0.000	SATISFACE
SC_3882_A1	Solar FV	2026	Diesel II 115	0.089	SATISFACE

No se priorizó ninguna de las alternativas de conexión que tengan aportes de corriente de cortocircuito en la subestación Diesel II 115

El estado de la capacidad de cortocircuito en la subestación Diesel II 115, teniendo en cuenta la priorización se puede observar en la siguiente figura.

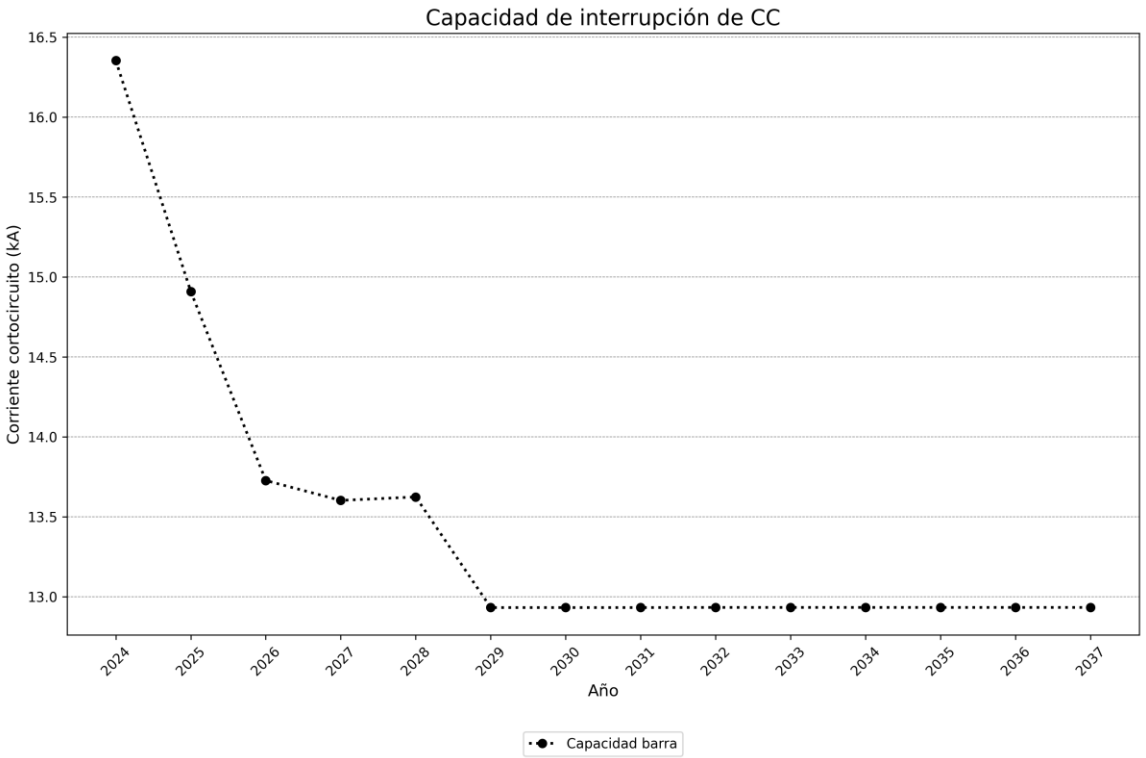


Figura 2-210. Balance de capacidad de cortocircuito después de la priorización para la subestación Diesel II 115

Subestación Doncello 115:

Capacidad por barra:

Para la subestación Doncello 115 se presentaron 0 alternativas de conexión las cuales se muestran en la siguiente tabla:

Tabla 2-213. Alternativas de conexión presentadas a la subestación Doncello 115

Solicitud	Capacidad	Tipo	Barra	FPO solicitada	Restricción

No se priorizó ninguna de las alternativas de conexión presentadas en la subestación Doncello 115

El estado de la capacidad por barra en la subestación Doncello 115, teniendo en cuenta la priorización se puede observar en la siguiente figura.

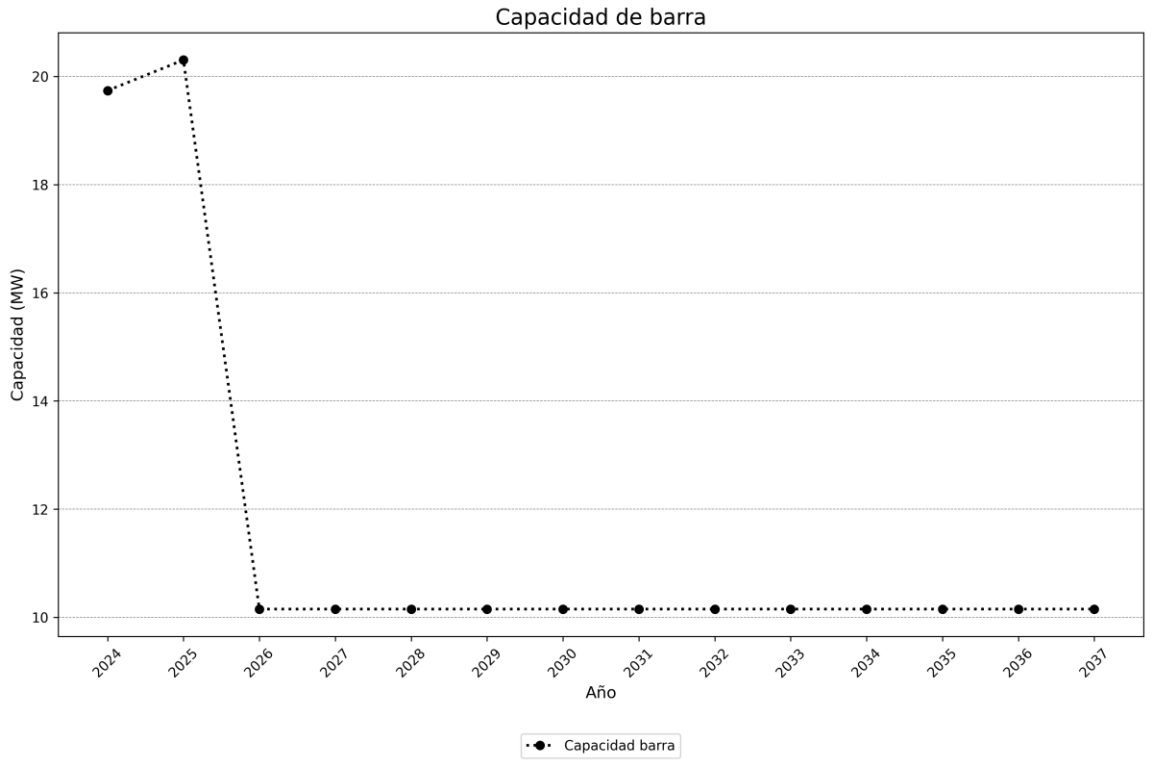


Figura 2-211. Balance de capacidad por barra después de la priorización para la subestación Doncello 115

Capacidad excedente de interrupción de corriente de cortocircuito:

Para la subestación Doncello 115 se presentaron 25 alternativas de conexión las cuales tienen aportes de corriente de cortocircuito. Estas alternativas se muestran en la siguiente tabla:

Tabla 2-214. Alternativas de conexión que aportan corriente de cortocircuito en la subestación Doncello 115

Solicitud	tipo	FPO	Barra a la que aporta CC	Aporte de cortocircuito (kA)	Restricción
SC_2023_5280_A1	Solar FV	2028	Doncello 115	0.002	SATISFACE
SC_2023_5280_A2	Solar FV	2028	Doncello 115	0.002	SATISFACE
SC_2023_5287_A1	Solar FV	2026	Doncello 115	0.001	SATISFACE
SC_2023_5287_A2	Solar FV	2026	Doncello 115	0.001	SATISFACE
SC_2023_5288_A1	Solar FV	2026	Doncello 115	0.001	SATISFACE
SC_2023_5288_A2	Solar FV	2026	Doncello 115	0.001	SATISFACE
SC_2023_5375_A1	Solar FV	2026	Doncello 115	0.001	SATISFACE
SC_2023_5399_A1	Solar FV	2026	Doncello 115	0.001	SATISFACE
SC_2023_5399_A2	Solar FV	2026	Doncello 115	0.001	SATISFACE
SC_2023_5480_A1	Solar FV	2026	Doncello 115	0.001	SATISFACE
SC_2023_5480_A2	Solar FV	2026	Doncello 115	0.001	SATISFACE
SC_2023_5557_A1	Solar FV	2028	Doncello 115	0.003	SATISFACE
SC_2936_A1	Solar FV	2026	Doncello 115	0.000	SATISFACE
SC_2936_A2	Solar FV	2026	Doncello 115	0.000	SATISFACE
SC_3121_A1	Solar FV	2026	Doncello 115	0.000	SATISFACE
SC_3121_A2	Solar FV	2026	Doncello 115	0.000	SATISFACE
SC_3132_A1	Solar FV	2026	Doncello 115	0.002	SATISFACE
SC_3132_A2	Solar FV	2026	Doncello 115	0.002	SATISFACE
SC_3882_A1	Solar FV	2026	Doncello 115	0.003	SATISFACE
SC_4083_A1	Solar FV	2027	Doncello 115	0.000	SATISFACE
SC_4083_A2	Solar FV	2027	Doncello 115	0.000	SATISFACE
SC_4765_A1	Solar FV	2029	Doncello 115	0.000	SATISFACE
SC_4765_A2	Solar FV	2029	Doncello 115	0.000	SATISFACE
SC_4819_A1	Solar FV	2029	Doncello 115	0.004	SATISFACE

SC_4819_A2	Solar FV	2029	Doncello 115	0.003	SATISFACE

No se priorizó ninguna de las alternativas de conexión que tengan aportes de corriente de cortocircuito en la subestación Doncello 115

El estado de la capacidad de cortocircuito en la subestación Doncello 115, teniendo en cuenta la priorización se puede observar en la siguiente figura.

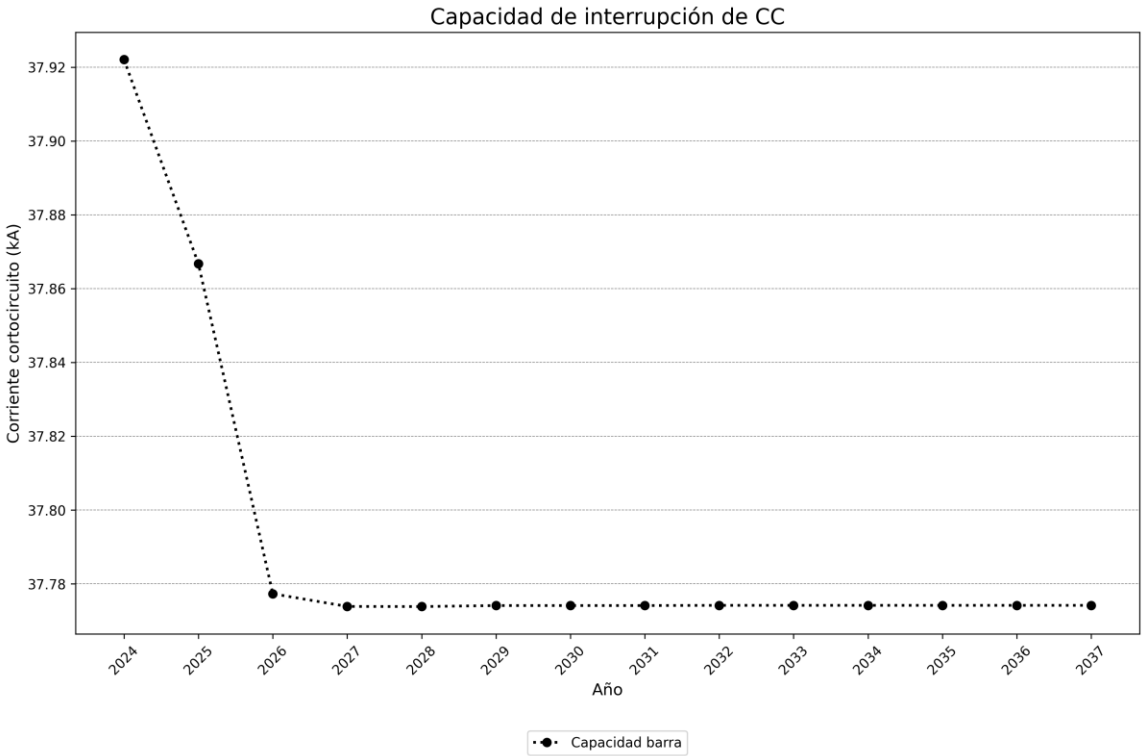


Figura 2-212. Balance de capacidad de cortocircuito después de la priorización para la subestación Doncello 115

Subestación Dorada 115:

Capacidad por barra:

Para la subestación Dorada 115 se presentaron 6 alternativas de conexión las cuales se muestran en la siguiente tabla:

Tabla 2-215. Alternativas de conexión presentadas a la subestación Dorada 115

Solicitud	Capacidad	Tipo	Barra	FPO solicitada	Restricción
SC_2023_5256_A2	100.0	Solar FV	Dorada 115	2028	NO SATISFACE
SC_2023_5294_A2	50.0	Solar FV	Dorada 115	2029	NO SATISFACE
SC_2024_5992_A1	50.0	Solar FV	Dorada 115	2027	NO SATISFACE
SC_3578_A2	90.0	Solar FV	Dorada 115	2028	NO SATISFACE
SC_4809_A1	100.0	Solar FV	Dorada 115	2027	NO SATISFACE
SC_5087_A2	99.9	Solar FV	Dorada 115	2027	NO SATISFACE

No se priorizó ninguna de las alternativas de conexión presentadas en la subestación Dorada 115

El estado de la capacidad por barra en la subestación Dorada 115, teniendo en cuenta la priorización se puede observar en la siguiente figura.

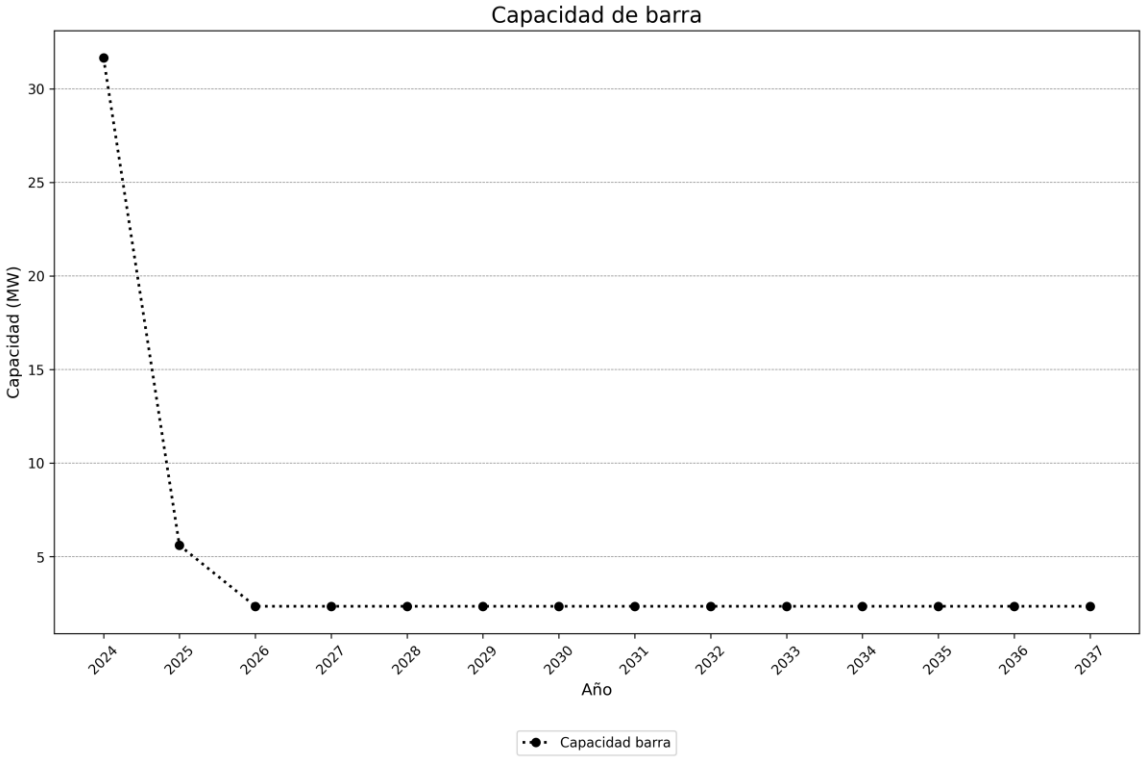


Figura 2-213. Balance de capacidad por barra después de la priorización para la subestación Dorada 115

Capacidad excedente de interrupción de corriente de cortocircuito:

Para la subestación Dorada 115 se presentaron 199 alternativas de conexión las cuales tienen aportes de corriente de cortocircuito. Estas alternativas se muestran en la siguiente tabla:

Tabla 2-216. Alternativas de conexión que aportan corriente de cortocircuito en la subestación Dorada 115

Solicitud	tipo	FPO	Barra a la que aporta CC	Aporte de cortocircuito (kA)	Restricción
SC_2023_5136_A1	Solar FV	2026	Dorada 115	0.071	SATISFACE
SC_2023_5136_A2	Solar FV	2026	Dorada 115	0.071	SATISFACE
SC_2023_5144_A1	Solar FV	2028	Dorada 115	0.048	SATISFACE

SC_2023_5144_A2	Solar FV	2028	Dorada 115	0.036	SATISFACE
SC_2023_5150_A1	Solar FV	2028	Dorada 115	0.147	SATISFACE
SC_2023_5152_A1	Solar FV	2025	Dorada 115	0.000	SATISFACE
SC_2023_5152_A2	Solar FV	2025	Dorada 115	0.000	SATISFACE
SC_2023_5158_A1	Solar FV	2028	Dorada 115	0.027	SATISFACE
SC_2023_5171_A1	Solar FV	2025	Dorada 115	0.000	SATISFACE
SC_2023_5171_A2	Solar FV	2025	Dorada 115	0.000	SATISFACE
SC_2023_5185_A1	Solar FV	2026	Dorada 115	0.160	SATISFACE
SC_2023_5185_A2	Solar FV	2026	Dorada 115	0.139	SATISFACE
SC_2023_5188_A1	Solar FV	2026	Dorada 115	0.424	SATISFACE
SC_2023_5188_A2	Solar FV	2026	Dorada 115	0.061	SATISFACE
SC_2023_5200_A1	Solar FV	2028	Dorada 115	0.093	SATISFACE
SC_2023_5200_A2	Solar FV	2028	Dorada 115	0.066	SATISFACE
SC_2023_5248_A1	Solar FV	2025	Dorada 115	0.000	SATISFACE
SC_2023_5248_A2	Solar FV	2025	Dorada 115	0.000	SATISFACE
SC_2023_5249_A1	Solar FV	2025	Dorada 115	0.000	SATISFACE
SC_2023_5249_A2	Solar FV	2025	Dorada 115	0.000	SATISFACE
SC_2023_5251_A1	Solar FV	2025	Dorada 115	0.002	SATISFACE
SC_2023_5251_A2	Solar FV	2025	Dorada 115	0.002	SATISFACE
SC_2023_5252_A1	Solar FV	2028	Dorada 115	0.000	SATISFACE
SC_2023_5252_A2	Solar FV	2028	Dorada 115	0.000	SATISFACE
SC_2023_5253_A1	Solar FV	2025	Dorada 115	0.002	SATISFACE
SC_2023_5253_A2	Solar FV	2025	Dorada 115	0.002	SATISFACE
SC_2023_5256_A2	Solar FV	2028	Dorada 115	1.980	SATISFACE
SC_2023_5257_A1	Solar FV	2025	Dorada 115	0.000	SATISFACE
SC_2023_5257_A2	Solar FV	2025	Dorada 115	0.000	SATISFACE
SC_2023_5280_A1	Solar FV	2028	Dorada 115	0.077	SATISFACE
SC_2023_5280_A2	Solar FV	2028	Dorada 115	0.140	SATISFACE
SC_2023_5287_A1	Solar FV	2026	Dorada 115	0.079	SATISFACE
SC_2023_5287_A2	Solar FV	2026	Dorada 115	0.080	SATISFACE
SC_2023_5288_A1	Solar FV	2026	Dorada 115	0.069	SATISFACE
SC_2023_5288_A2	Solar FV	2026	Dorada 115	0.181	SATISFACE
SC_2023_5293_A1	Solar FV	2028	Dorada 115	0.013	SATISFACE
SC_2023_5293_A2	Solar FV	2028	Dorada 115	0.011	SATISFACE
SC_2023_5294_A1	Solar FV	2029	Dorada 115	0.268	SATISFACE
SC_2023_5294_A2	Solar FV	2029	Dorada 115	0.887	SATISFACE
SC_2023_5304_A1	Solar FV	2026	Dorada 115	0.043	SATISFACE
SC_2023_5309_A1	Solar FV	2026	Dorada 115	0.043	SATISFACE
SC_2023_5337_A2	Solar FV	2025	Dorada 115	0.089	SATISFACE
SC_2023_5339_A1	PCH	2026	Dorada 115	0.001	SATISFACE

SC_2023_5339_A2	PCH	2026	Dorada 115	0.001	SATISFACE
SC_2023_5345_A1	Solar FV	2027	Dorada 115	0.002	SATISFACE
SC_2023_5345_A2	Solar FV	2027	Dorada 115	0.002	SATISFACE
SC_2023_5346_A1	Solar FV	2027	Dorada 115	0.002	SATISFACE
SC_2023_5346_A2	Solar FV	2027	Dorada 115	0.002	SATISFACE
SC_2023_5375_A1	Solar FV	2026	Dorada 115	0.077	SATISFACE
SC_2023_5383_A1	Solar FV	2027	Dorada 115	0.020	SATISFACE
SC_2023_5383_A2	Solar FV	2027	Dorada 115	0.025	SATISFACE
SC_2023_5399_A1	Solar FV	2026	Dorada 115	0.069	SATISFACE
SC_2023_5399_A2	Solar FV	2026	Dorada 115	0.181	SATISFACE
SC_2023_5431_A1	Solar FV	2028	Dorada 115	0.042	SATISFACE
SC_2023_5431_A2	Solar FV	2028	Dorada 115	0.032	SATISFACE
SC_2023_5480_A1	Solar FV	2026	Dorada 115	0.079	SATISFACE
SC_2023_5480_A2	Solar FV	2026	Dorada 115	0.080	SATISFACE
SC_2023_5551_A1	Solar FV	2027	Dorada 115	0.084	SATISFACE
SC_2023_5551_A2	Solar FV	2027	Dorada 115	0.059	SATISFACE
SC_2023_5557_A1	Solar FV	2028	Dorada 115	0.143	SATISFACE
SC_2023_5598_A1	Solar FV	2025	Dorada 115	0.000	SATISFACE
SC_2023_5598_A2	Solar FV	2025	Dorada 115	0.000	SATISFACE
SC_2024_5939_A1	Solar FV	2028	Dorada 115	0.263	SATISFACE
SC_2024_5939_A2	Solar FV	2028	Dorada 115	0.265	SATISFACE
SC_2024_5992_A1	Solar FV	2027	Dorada 115	1.437	SATISFACE
SC_2344_A1	Eólico Onshore	2027	Dorada 115	0.020	SATISFACE
SC_2344_A2	Eólico Onshore	2027	Dorada 115	1.310	SATISFACE
SC_2347_A1	Solar FV	2026	Dorada 115	0.020	SATISFACE
SC_2347_A2	Solar FV	2026	Dorada 115	0.030	SATISFACE
SC_2348_A1	Solar FV	2026	Dorada 115	0.020	SATISFACE
SC_2348_A2	Solar FV	2026	Dorada 115	0.030	SATISFACE
SC_2438_A1	Solar FV	2028	Dorada 115	0.046	SATISFACE
SC_2438_A2	Solar FV	2028	Dorada 115	1.571	SATISFACE
SC_2442_A1	Solar FV	2027	Dorada 115	0.004	SATISFACE
SC_2442_A2	Solar FV	2027	Dorada 115	0.004	SATISFACE
SC_2475_A1	Solar FV	2028	Dorada 115	0.170	SATISFACE
SC_2475_A2	Solar FV	2028	Dorada 115	0.120	SATISFACE
SC_2562_A1	Solar FV	2026	Dorada 115	0.050	SATISFACE
SC_2629_A1	Solar FV	2026	Dorada 115	0.004	SATISFACE
SC_2629_A2	Solar FV	2026	Dorada 115	0.004	SATISFACE
SC_2634_A1	Solar FV	2026	Dorada 115	0.000	SATISFACE
SC_2634_A2	Solar FV	2026	Dorada 115	0.000	SATISFACE
SC_2680_A1	Solar FV	2028	Dorada 115	0.030	SATISFACE

SC_2680_A2	Solar FV	2028	Dorada 115	0.050	SATISFACE
SC_2681_A1	Solar FV	2027	Dorada 115	0.040	SATISFACE
SC_2681_A2	Solar FV	2027	Dorada 115	0.030	SATISFACE
SC_2682_A1	Solar FV	2025	Dorada 115	0.019	SATISFACE
SC_2682_A2	Solar FV	2025	Dorada 115	0.001	SATISFACE
SC_2683_A1	Solar FV	2026	Dorada 115	0.050	SATISFACE
SC_2683_A2	Solar FV	2026	Dorada 115	0.050	SATISFACE
SC_2693_A1	Solar FV	2026	Dorada 115	0.000	SATISFACE
SC_2693_A2	Solar FV	2026	Dorada 115	0.000	SATISFACE
SC_2722_A1	Solar FV	2026	Dorada 115	0.004	SATISFACE
SC_2722_A2	Solar FV	2026	Dorada 115	0.004	SATISFACE
SC_2802_A1	Solar FV	2027	Dorada 115	0.004	SATISFACE
SC_2802_A2	Solar FV	2027	Dorada 115	0.015	SATISFACE
SC_2816_A1	Solar FV	2027	Dorada 115	0.000	SATISFACE
SC_2870_A1	Solar FV	2027	Dorada 115	0.000	SATISFACE
SC_2870_A2	Solar FV	2027	Dorada 115	0.010	SATISFACE
SC_2892_A1	Solar FV	2027	Dorada 115	0.150	SATISFACE
SC_2892_A2	Solar FV	2027	Dorada 115	0.100	SATISFACE
SC_2893_A1	Solar FV	2026	Dorada 115	0.080	SATISFACE
SC_2893_A2	Solar FV	2026	Dorada 115	0.080	SATISFACE
SC_2902_A1	Solar FV	2028	Dorada 115	0.260	SATISFACE
SC_2902_A2	Solar FV	2028	Dorada 115	0.000	SATISFACE
SC_2905_A2	Solar FV	2028	Dorada 115	0.420	SATISFACE
SC_2924_A1	Solar FV	2026	Dorada 115	0.128	SATISFACE
SC_2924_A2	Solar FV	2026	Dorada 115	0.111	SATISFACE
SC_2936_A1	Solar FV	2026	Dorada 115	0.000	SATISFACE
SC_2936_A2	Solar FV	2026	Dorada 115	0.000	SATISFACE
SC_2962_A1	Solar FV	2028	Dorada 115	0.356	SATISFACE
SC_2962_A2	Solar FV	2028	Dorada 115	0.210	SATISFACE
SC_2967_A1	Solar FV	2026	Dorada 115	0.004	SATISFACE
SC_2967_A2	Solar FV	2026	Dorada 115	0.004	SATISFACE
SC_3012_A1	Solar FV	2027	Dorada 115	0.000	SATISFACE
SC_3012_A2	Solar FV	2027	Dorada 115	0.010	SATISFACE
SC_3018_A1	Solar FV	2026	Dorada 115	0.020	SATISFACE
SC_3018_A2	Solar FV	2026	Dorada 115	0.030	SATISFACE
SC_3054_A2	Solar FV	2027	Dorada 115	0.001	SATISFACE
SC_3101_A1	Solar FV	2027	Dorada 115	0.002	SATISFACE
SC_3101_A2	Solar FV	2027	Dorada 115	0.013	SATISFACE
SC_3121_A1	Solar FV	2026	Dorada 115	0.012	SATISFACE
SC_3121_A2	Solar FV	2026	Dorada 115	0.012	SATISFACE

SC_3126_A1	PCH	2026	Dorada 115	0.010	SATISFACE
SC_3126_A2	PCH	2026	Dorada 115	0.010	SATISFACE
SC_3132_A1	Solar FV	2026	Dorada 115	0.085	SATISFACE
SC_3132_A2	Solar FV	2026	Dorada 115	0.226	SATISFACE
SC_3238_A1	Solar FV	2027	Dorada 115	0.174	SATISFACE
SC_3238_A2	Solar FV	2027	Dorada 115	0.162	SATISFACE
SC_3247_A1	Solar FV	2027	Dorada 115	0.148	SATISFACE
SC_3247_A2	Solar FV	2027	Dorada 115	0.232	SATISFACE
SC_3248_A1	Solar FV	2027	Dorada 115	0.174	SATISFACE
SC_3248_A2	Solar FV	2027	Dorada 115	0.162	SATISFACE
SC_3251_A1	Hidráulica	2026	Dorada 115	0.150	SATISFACE
SC_3251_A2	Hidráulica	2026	Dorada 115	0.010	SATISFACE
SC_3353_A1	Solar FV	2027	Dorada 115	0.001	SATISFACE
SC_3353_A2	Solar FV	2027	Dorada 115	0.001	SATISFACE
SC_3382_A1	Solar FV	2027	Dorada 115	0.000	SATISFACE
SC_3382_A2	Solar FV	2027	Dorada 115	0.000	SATISFACE
SC_3392_A1	Solar FV	2027	Dorada 115	0.012	SATISFACE
SC_3392_A2	Solar FV	2027	Dorada 115	0.008	SATISFACE
SC_3441_A1	Solar FV	2027	Dorada 115	0.148	SATISFACE
SC_3441_A2	Solar FV	2027	Dorada 115	0.232	SATISFACE
SC_3453_A1	Solar FV	2027	Dorada 115	0.055	SATISFACE
SC_3453_A2	Solar FV	2027	Dorada 115	0.054	SATISFACE
SC_3514_A1	Solar FV	2027	Dorada 115	0.055	SATISFACE
SC_3514_A2	Solar FV	2027	Dorada 115	0.054	SATISFACE
SC_3578_A1	Solar FV	2028	Dorada 115	0.261	SATISFACE
SC_3578_A2	Solar FV	2028	Dorada 115	0.478	SATISFACE
SC_3667_A1	Solar FV	2029	Dorada 115	0.003	SATISFACE
SC_3667_A2	Solar FV	2029	Dorada 115	0.002	SATISFACE
SC_3846_A1	Solar FV	2028	Dorada 115	0.003	SATISFACE
SC_3846_A2	Solar FV	2028	Dorada 115	0.003	SATISFACE
SC_3882_A1	Solar FV	2026	Dorada 115	0.144	SATISFACE
SC_4083_A1	Solar FV	2027	Dorada 115	0.002	SATISFACE
SC_4083_A2	Solar FV	2027	Dorada 115	0.002	SATISFACE
SC_4175_A1	Solar FV	2026	Dorada 115	0.003	SATISFACE
SC_4175_A2	Solar FV	2026	Dorada 115	0.003	SATISFACE
SC_4296_A1	Solar FV	2028	Dorada 115	0.048	SATISFACE
SC_4296_A2	Solar FV	2028	Dorada 115	0.055	SATISFACE
SC_4751_A1	Solar FV	2027	Dorada 115	0.005	SATISFACE
SC_4760_A1	Solar FV	2026	Dorada 115	0.019	SATISFACE
SC_4765_A1	Solar FV	2029	Dorada 115	0.006	SATISFACE

SC_4765_A2	Solar FV	2029	Dorada 115	0.058	SATISFACE
SC_4789_A1	Solar FV	2027	Dorada 115	0.002	SATISFACE
SC_4789_A2	Solar FV	2027	Dorada 115	0.002	SATISFACE
SC_4809_A1	Solar FV	2027	Dorada 115	4.656	SATISFACE
SC_4809_A2	Solar FV	2027	Dorada 115	0.968	SATISFACE
SC_4819_A1	Solar FV	2029	Dorada 115	0.139	SATISFACE
SC_4819_A2	Solar FV	2029	Dorada 115	0.285	SATISFACE
SC_4821_A1	Solar FV	2027	Dorada 115	0.012	SATISFACE
SC_4821_A2	Solar FV	2027	Dorada 115	0.008	SATISFACE
SC_4824_A1	Solar FV	2025	Dorada 115	0.000	SATISFACE
SC_4824_A2	Solar FV	2025	Dorada 115	0.000	SATISFACE
SC_4826_A1	Solar FV	2027	Dorada 115	0.024	SATISFACE
SC_4826_A2	Solar FV	2027	Dorada 115	0.024	SATISFACE
SC_4827_A1	Solar FV	2027	Dorada 115	0.024	SATISFACE
SC_4827_A2	Solar FV	2027	Dorada 115	0.024	SATISFACE
SC_4842_A1	Solar FV	2028	Dorada 115	0.147	SATISFACE
SC_4910_A1	Solar FV	2026	Dorada 115	0.077	SATISFACE
SC_4910_A2	Solar FV	2026	Dorada 115	0.077	SATISFACE
SC_4926_A1	Solar FV	2027	Dorada 115	0.005	SATISFACE
SC_4947_A1	Solar FV	2027	Dorada 115	0.010	SATISFACE
SC_4960_A2	Solar FV	2029	Dorada 115	0.358	SATISFACE
SC_4974_A1	Solar FV	2026	Dorada 115	0.017	SATISFACE
SC_4974_A2	Solar FV	2026	Dorada 115	0.016	SATISFACE
SC_4978_A1	Solar FV	2026	Dorada 115	0.021	SATISFACE
SC_4978_A2	Solar FV	2026	Dorada 115	0.023	SATISFACE
SC_5009_A1	Solar FV	2026	Dorada 115	0.012	SATISFACE
SC_5009_A2	Solar FV	2026	Dorada 115	0.008	SATISFACE
SC_5011_A1	Solar FV	2027	Dorada 115	0.012	SATISFACE
SC_5011_A2	Solar FV	2027	Dorada 115	0.008	SATISFACE
SC_5060_A1	Solar FV	2026	Dorada 115	0.077	SATISFACE
SC_5060_A2	Solar FV	2026	Dorada 115	0.077	SATISFACE
SC_5076_A1	Solar FV	2027	Dorada 115	0.000	SATISFACE
SC_5076_A2	Solar FV	2027	Dorada 115	0.000	SATISFACE
SC_5077_A1	Solar FV	2027	Dorada 115	0.000	SATISFACE
SC_5077_A2	Solar FV	2027	Dorada 115	0.000	SATISFACE
SC_5087_A2	Solar FV	2027	Dorada 115	1.311	SATISFACE

Posterior a la ejecución del MACC se priorizaron las siguientes alternativas de conexión que tienen aportes de cortocircuito de la subestación en análisis:

Tabla 2-217. Alternativas de conexión priorizadas que aportan corriente de cortocircuito en la subestación Dorada 115

index	tipo	periodoIni	Barra a la que aporta CC	Aporte de cortocircuito (kA)	Restricción
SC_5076_A2	Solar FV	2027	Dorada 115	0.000	SATISFACE
SC_5077_A2	Solar FV	2027	Dorada 115	0.000	SATISFACE

El estado de la capacidad de cortocircuito en la subestación Dorada 115, teniendo en cuenta la priorización se puede observar en la siguiente figura.

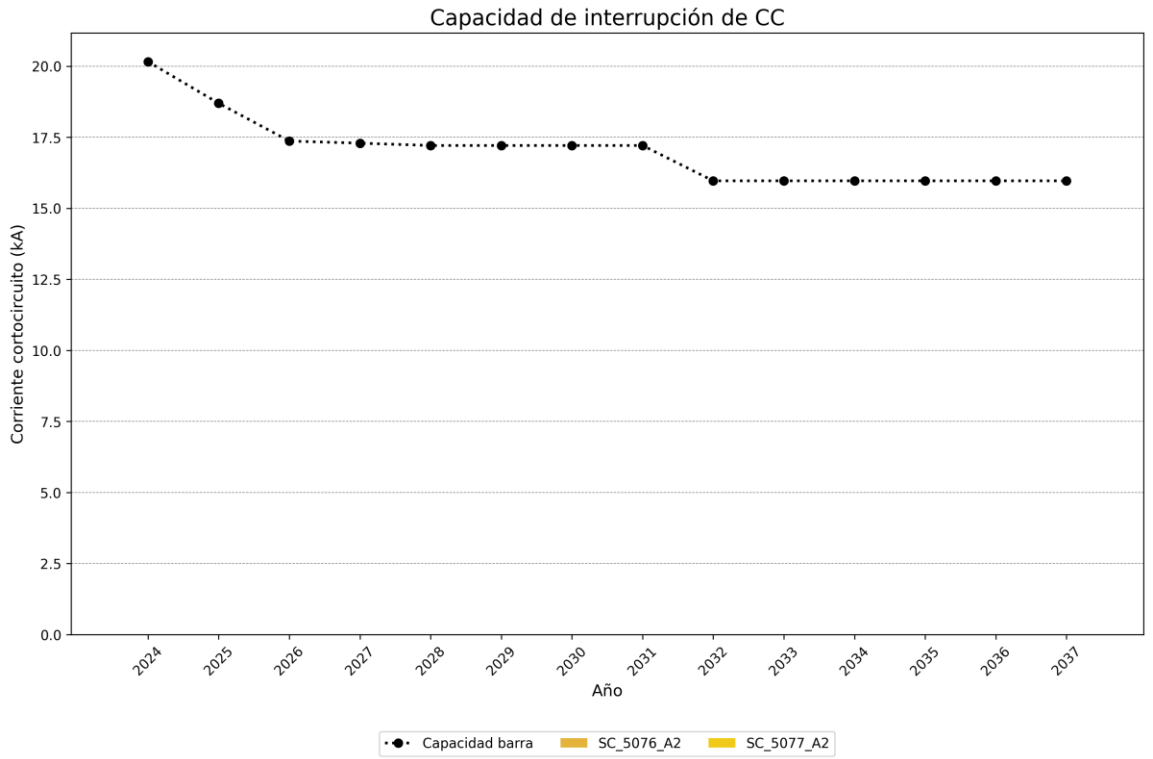


Figura 2-214. Balance de capacidad de cortocircuito después de la priorización para la subestación Dorada 115

Subestación Dorada 33:

Capacidad por barra:

Para la subestación Dorada 33 se presentaron 5 alternativas de conexión las cuales se muestran en la siguiente tabla:

Tabla 2-218. Alternativas de conexión presentadas a la subestación Dorada 33

Solicitud	Capacidad	Tipo	Barra	FPO solicitada	Restricción
SC_2023_5304_A1	9.9	Solar FV	Dorada 33	2026	NO SATISFACE
SC_2023_5309_A1	9.9	Solar FV	Dorada 33	2026	NO SATISFACE
SC_2634_A2	19.9	Solar FV	Dorada 33	2026	NO SATISFACE
SC_2683_A1	9.9	Solar FV	Dorada 33	2026	NO SATISFACE
SC_2893_A1	19.9	Solar FV	Dorada 33	2026	NO SATISFACE

No se priorizó ninguna de las alternativas de conexión presentadas en la subestación Dorada 33

El estado de la capacidad por barra en la subestación Dorada 33, teniendo en cuenta la priorización se puede observar en la siguiente figura.

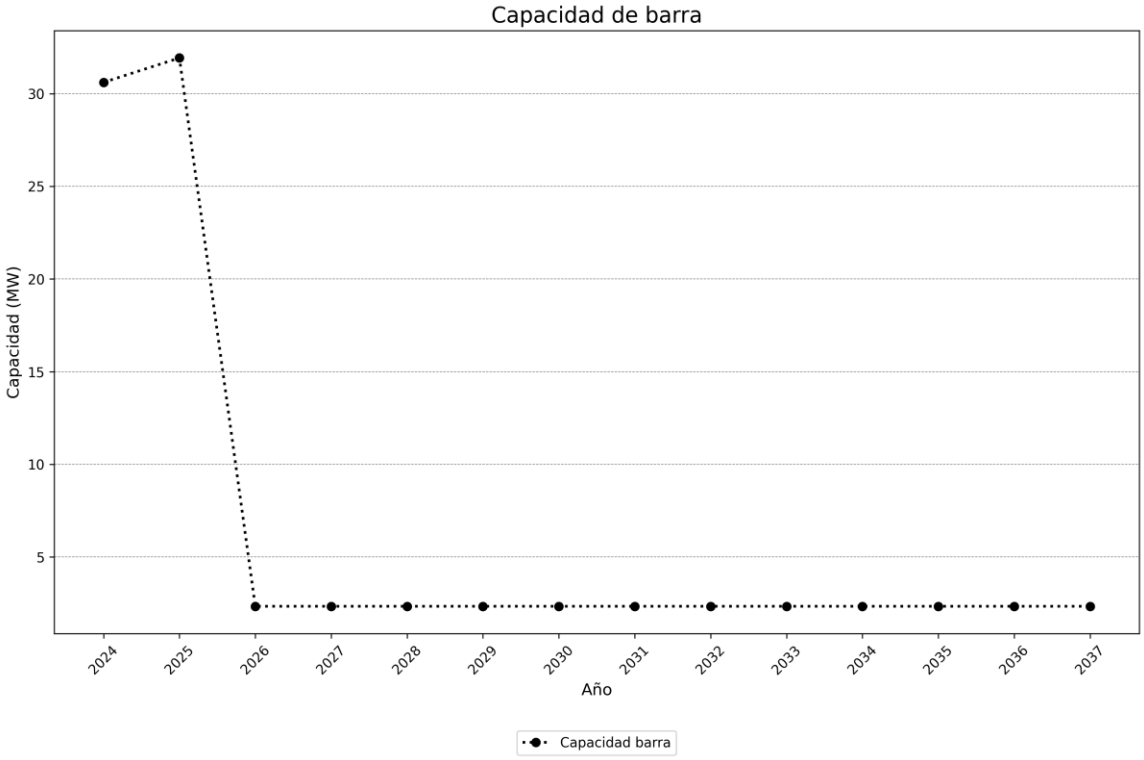


Figura 2-215. Balance de capacidad por barra después de la priorización para la subestación Dorada 33

Subestación Dorada Norte 115:

Capacidad por barra:

Para la subestación Dorada Norte 115 se presentaron 2 alternativas de conexión las cuales se muestran en la siguiente tabla:

Tabla 2-219. Alternativas de conexión presentadas a la subestación Dorada Norte 115

Solicitud	Capacidad	Tipo	Barra	FPO solicitada	Restricción
SC_2023_5431_A2	19.9	Solar FV	Dorada Norte 115	2028	NO SATISFACE
SC_2024_5939_A1	90.0	Solar FV	Dorada Norte 115	2028	NO SATISFACE

No se priorizó ninguna de las alternativas de conexión presentadas en la subestación Dorada Norte 115

El estado de la capacidad por barra en la subestación Dorada Norte 115, teniendo en cuenta la priorización se puede observar en la siguiente figura.

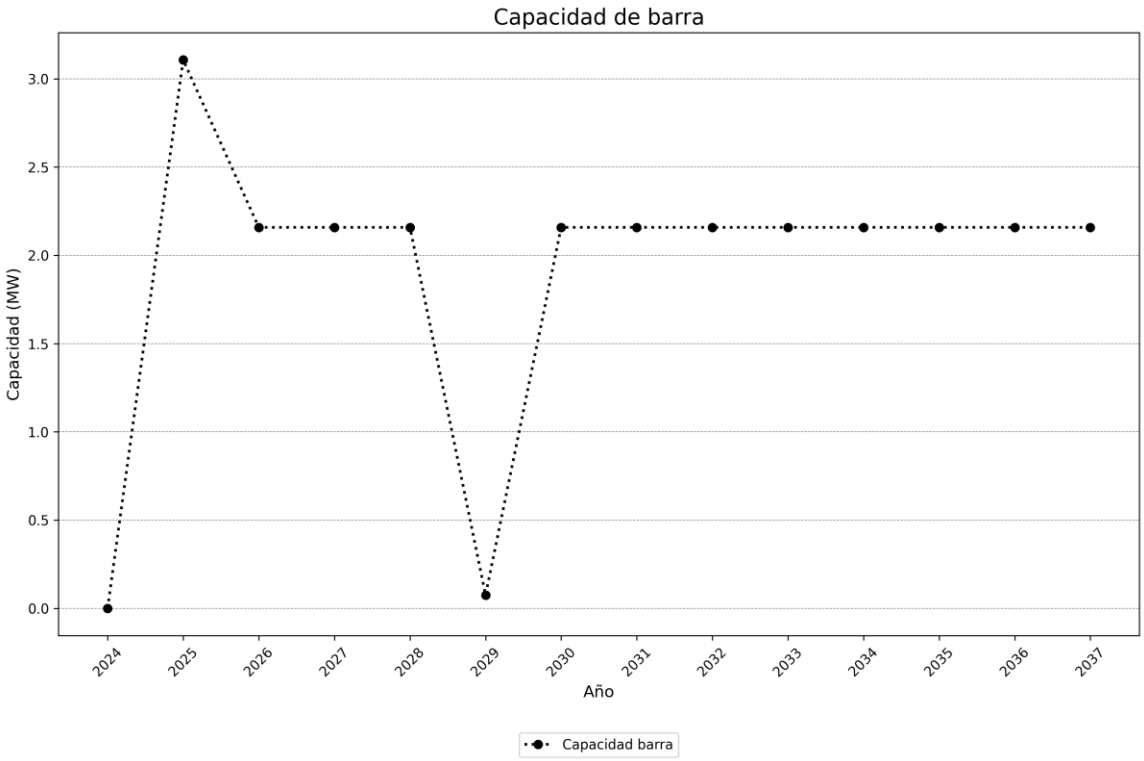


Figura 2-216. Balance de capacidad por barra después de la priorización para la subestación Dorada Norte 115

Capacidad excedente de interrupción de corriente de cortocircuito:

Para la subestación Dorada Norte 115 se presentaron 21 alternativas de conexión las cuales tienen aportes de corriente de cortocircuito. Estas alternativas se muestran en la siguiente tabla:

Tabla 2-220. Alternativas de conexión que aportan corriente de cortocircuito en la subestación Dorada Norte 115

Solicitud	tipo	FPO	Barra a la que aporta CC	Aporte de cortocircuito (kA)	Restricción
SC_2024_5939_A1	Solar FV	2028	Dorada Norte 115	0.488	SATISFACE
SC_2024_5939_A2	Solar FV	2028	Dorada Norte 115	0.160	SATISFACE
SC_2438_A1	Solar FV	2028	Dorada Norte 115	0.028	SATISFACE
SC_2438_A2	Solar FV	2028	Dorada Norte 115	1.154	SATISFACE
SC_2634_A1	Solar FV	2026	Dorada Norte 115	0.008	SATISFACE
SC_2634_A2	Solar FV	2026	Dorada Norte 115	0.149	SATISFACE
SC_3453_A1	Solar FV	2027	Dorada Norte 115	0.033	SATISFACE
SC_3453_A2	Solar FV	2027	Dorada Norte 115	0.033	SATISFACE
SC_3514_A1	Solar FV	2027	Dorada Norte 115	0.033	SATISFACE
SC_3514_A2	Solar FV	2027	Dorada Norte 115	0.033	SATISFACE
SC_4760_A1	Solar FV	2026	Dorada Norte 115	0.012	SATISFACE
SC_4824_A1	Solar FV	2025	Dorada Norte 115	0.000	SATISFACE
SC_4824_A2	Solar FV	2025	Dorada Norte 115	0.000	SATISFACE
SC_4826_A1	Solar FV	2027	Dorada Norte 115	0.017	SATISFACE
SC_4826_A2	Solar FV	2027	Dorada Norte 115	0.017	SATISFACE
SC_4827_A1	Solar FV	2027	Dorada Norte 115	0.017	SATISFACE
SC_4827_A2	Solar FV	2027	Dorada Norte 115	0.017	SATISFACE

SC_5076_A1	Solar FV	2027	Dorada Norte 115	0.000	SATISFACE
SC_5076_A2	Solar FV	2027	Dorada Norte 115	0.000	SATISFACE
SC_5077_A1	Solar FV	2027	Dorada Norte 115	0.000	SATISFACE
SC_5077_A2	Solar FV	2027	Dorada Norte 115	0.000	SATISFACE

Posterior a la ejecución del MACC se priorizaron las siguientes alternativas de conexión que tienen aportes de cortocircuito de la subestación en análisis:

Tabla 2-221. Alternativas de conexión priorizadas que aportan corriente de cortocircuito en la subestación Dorada Norte 115

index	tipo	periodoIni	Barra a la que aporta CC	Aporte de cortocircuito (kA)	Restricción
SC_5076_A2	Solar FV	2027	Dorada Norte 115	0.000	SATISFACE
SC_5077_A2	Solar FV	2027	Dorada Norte 115	0.000	SATISFACE

El estado de la capacidad de cortocircuito en la subestación Dorada Norte 115, teniendo en cuenta la priorización se puede observar en la siguiente figura.

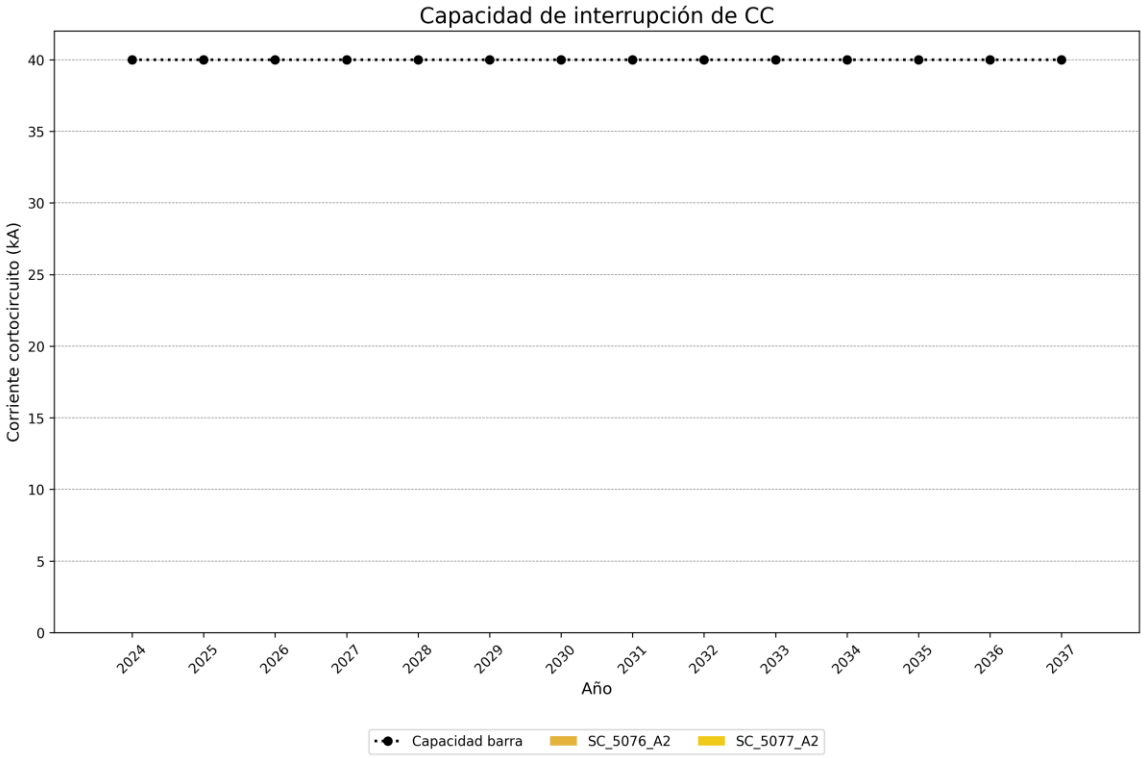


Figura 2-217. Balance de capacidad de cortocircuito después de la priorización para la subestación Dorada Norte 115

Subestación Dorada Norte 33:

Capacidad por barra:

Para la subestación Dorada Norte 33 se presentaron 4 alternativas de conexión las cuales se muestran en la siguiente tabla:

Tabla 2-222. Alternativas de conexión presentadas a la subestación Dorada Norte 33

Solicitud	Capacidad	Tipo	Barra	FPO solicitada	Restricción
SC_2023_5431_A1	19.9	Solar FV	Dorada Norte 33	2028	NO SATISFACE
SC_2438_A2	30.0	Solar FV	Dorada Norte 33	2028	NO SATISFACE

SC_2683_A2	9.9	Solar FV	Dorada Norte 33	2026	NO SATISFACE
SC_2893_A2	19.9	Solar FV	Dorada Norte 33	2026	NO SATISFACE

No se priorizó ninguna de las alternativas de conexión presentadas en la subestación Dorada Norte 33

El estado de la capacidad por barra en la subestación Dorada Norte 33, teniendo en cuenta la priorización se puede observar en la siguiente figura.

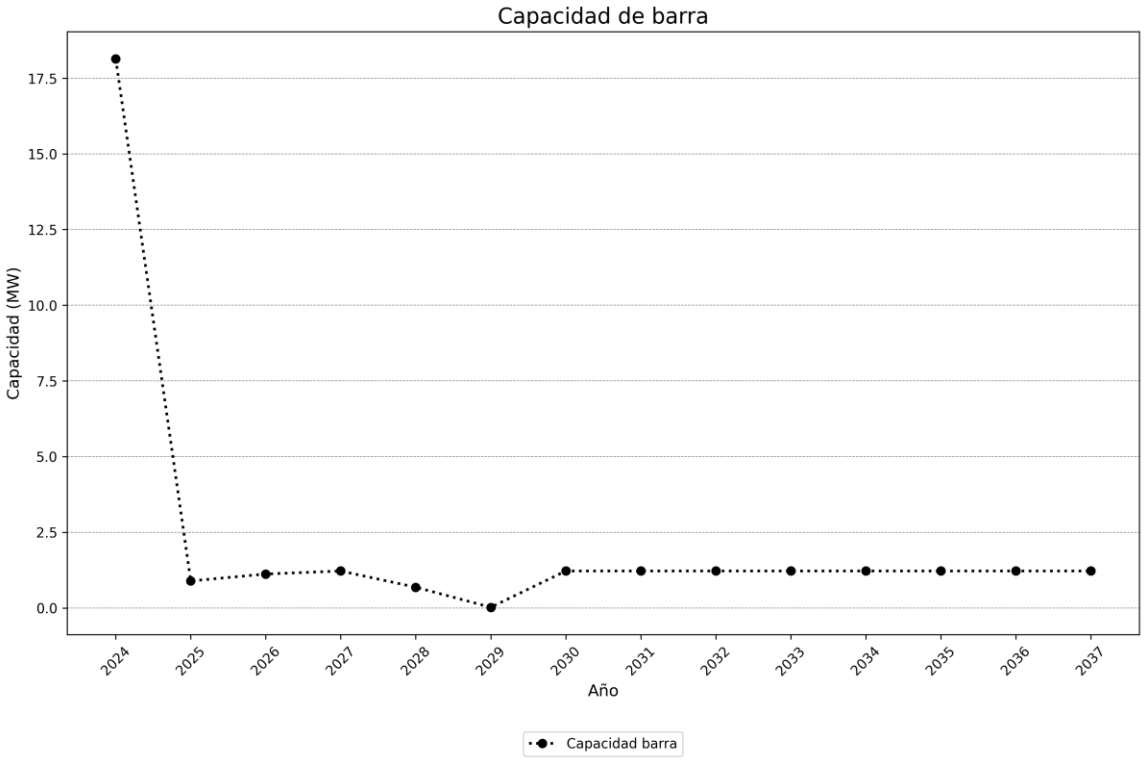


Figura 2-218. Balance de capacidad por barra después de la priorización para la subestación Dorada Norte 33

Subestación Dosquebradas 115:

Capacidad por barra:

Para la subestación Dosquebradas 115 se presentaron 0 alternativas de conexión las cuales se muestran en la siguiente tabla:

Tabla 2-223. Alternativas de conexión presentadas a la subestación Dosquebradas 115

Solicitud	Capacidad	Tipo	Barra	FPO solicitada	Restricción

No se priorizó ninguna de las alternativas de conexión presentadas en la subestación Dosquebradas 115

El estado de la capacidad por barra en la subestación Dosquebradas 115, teniendo en cuenta la priorización se puede observar en la siguiente figura.

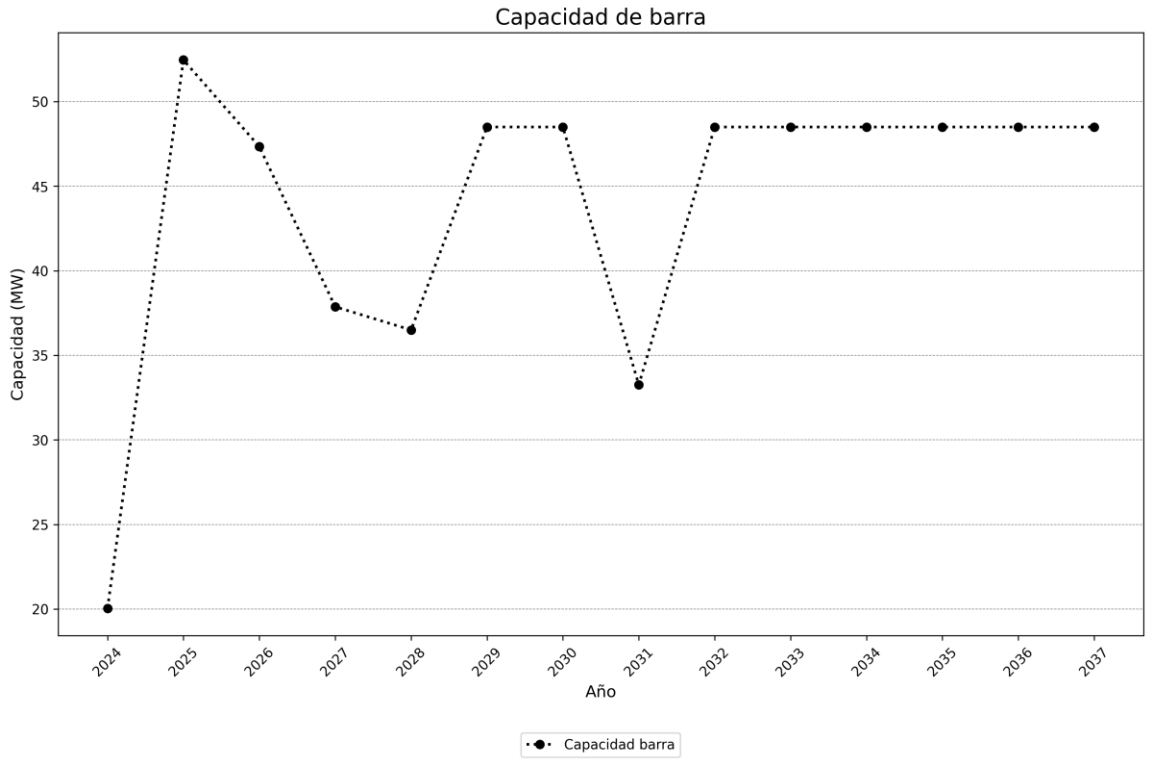


Figura 2-219. Balance de capacidad por barra después de la priorización para la subestación Dosquebradas 115

Capacidad excedente de interrupción de corriente de cortocircuito:

Para la subestación Dosquebradas 115 se presentaron 144 alternativas de conexión las cuales tienen aportes de corriente de cortocircuito. Estas alternativas se muestran en la siguiente tabla:

Tabla 2-224. Alternativas de conexión que aportan corriente de cortocircuito en la subestación Dosquebradas 115

Solicitud	tipo	FPO	Barra a la que aporta CC	Aporte de cortocircuito (kA)	Restricción
SC_2023_5136_A1	Solar FV	2026	Dosquebradas 115	0.014	SATISFACE
SC_2023_5136_A2	Solar FV	2026	Dosquebradas 115	0.014	SATISFACE
SC_2023_5152_A1	Solar FV	2025	Dosquebradas 115	0.033	SATISFACE
SC_2023_5152_A2	Solar FV	2025	Dosquebradas 115	0.028	SATISFACE
SC_2023_5171_A1	Solar FV	2025	Dosquebradas 115	0.026	SATISFACE
SC_2023_5171_A2	Solar FV	2025	Dosquebradas 115	0.031	SATISFACE
SC_2023_5185_A1	Solar FV	2026	Dosquebradas 115	0.327	SATISFACE
SC_2023_5185_A2	Solar FV	2026	Dosquebradas 115	0.296	SATISFACE
SC_2023_5188_A1	Solar FV	2026	Dosquebradas 115	0.028	SATISFACE
SC_2023_5188_A2	Solar FV	2026	Dosquebradas 115	0.106	SATISFACE
SC_2023_5200_A1	Solar FV	2028	Dosquebradas 115	0.382	SATISFACE
SC_2023_5200_A2	Solar FV	2028	Dosquebradas 115	0.168	SATISFACE
SC_2023_5248_A1	Solar FV	2025	Dosquebradas 115	0.037	SATISFACE

SC_2023_5248_A2	Solar FV	2025	Dosquebradas 115	0.038	SATISFACE
SC_2023_5249_A1	Solar FV	2025	Dosquebradas 115	0.045	SATISFACE
SC_2023_5249_A2	Solar FV	2025	Dosquebradas 115	0.045	SATISFACE
SC_2023_5251_A1	Solar FV	2025	Dosquebradas 115	0.027	SATISFACE
SC_2023_5251_A2	Solar FV	2025	Dosquebradas 115	0.027	SATISFACE
SC_2023_5252_A1	Solar FV	2028	Dosquebradas 115	0.107	SATISFACE
SC_2023_5252_A2	Solar FV	2028	Dosquebradas 115	0.059	SATISFACE
SC_2023_5253_A1	Solar FV	2025	Dosquebradas 115	0.027	SATISFACE
SC_2023_5253_A2	Solar FV	2025	Dosquebradas 115	0.027	SATISFACE
SC_2023_5256_A2	Solar FV	2028	Dosquebradas 115	0.029	SATISFACE
SC_2023_5257_A1	Solar FV	2025	Dosquebradas 115	0.046	SATISFACE
SC_2023_5257_A2	Solar FV	2025	Dosquebradas 115	0.046	SATISFACE
SC_2023_5280_A1	Solar FV	2028	Dosquebradas 115	0.056	SATISFACE
SC_2023_5280_A2	Solar FV	2028	Dosquebradas 115	0.053	SATISFACE
SC_2023_5287_A1	Solar FV	2026	Dosquebradas 115	0.029	SATISFACE
SC_2023_5287_A2	Solar FV	2026	Dosquebradas 115	0.030	SATISFACE
SC_2023_5288_A1	Solar FV	2026	Dosquebradas 115	0.018	SATISFACE
SC_2023_5288_A2	Solar FV	2026	Dosquebradas 115	0.047	SATISFACE
SC_2023_5293_A1	Solar FV	2028	Dosquebradas 115	0.052	SATISFACE
SC_2023_5293_A2	Solar FV	2028	Dosquebradas 115	0.052	SATISFACE

SC_2023_5294_A1	Solar FV	2029	Dosquebradas 115	0.014	SATISFACE
SC_2023_5294_A2	Solar FV	2029	Dosquebradas 115	0.014	SATISFACE
SC_2023_5304_A1	Solar FV	2026	Dosquebradas 115	0.002	SATISFACE
SC_2023_5309_A1	Solar FV	2026	Dosquebradas 115	0.002	SATISFACE
SC_2023_5337_A2	Solar FV	2025	Dosquebradas 115	0.076	SATISFACE
SC_2023_5339_A1	PCH	2026	Dosquebradas 115	0.002	SATISFACE
SC_2023_5339_A2	PCH	2026	Dosquebradas 115	0.002	SATISFACE
SC_2023_5345_A1	Solar FV	2027	Dosquebradas 115	0.013	SATISFACE
SC_2023_5345_A2	Solar FV	2027	Dosquebradas 115	0.016	SATISFACE
SC_2023_5346_A1	Solar FV	2027	Dosquebradas 115	0.013	SATISFACE
SC_2023_5346_A2	Solar FV	2027	Dosquebradas 115	0.016	SATISFACE
SC_2023_5375_A1	Solar FV	2026	Dosquebradas 115	0.029	SATISFACE
SC_2023_5383_A1	Solar FV	2027	Dosquebradas 115	0.067	SATISFACE
SC_2023_5383_A2	Solar FV	2027	Dosquebradas 115	0.081	SATISFACE
SC_2023_5399_A1	Solar FV	2026	Dosquebradas 115	0.018	SATISFACE
SC_2023_5399_A2	Solar FV	2026	Dosquebradas 115	0.047	SATISFACE
SC_2023_5431_A1	Solar FV	2028	Dosquebradas 115	0.001	SATISFACE
SC_2023_5431_A2	Solar FV	2028	Dosquebradas 115	0.001	SATISFACE
SC_2023_5480_A1	Solar FV	2026	Dosquebradas 115	0.029	SATISFACE
SC_2023_5480_A2	Solar FV	2026	Dosquebradas 115	0.030	SATISFACE

SC_2023_5551_A1	Solar FV	2027	Dosquebradas 115	0.342	SATISFACE
SC_2023_5551_A2	Solar FV	2027	Dosquebradas 115	0.151	SATISFACE
SC_2023_5557_A1	Solar FV	2028	Dosquebradas 115	0.104	SATISFACE
SC_2023_5564_A1	Solar FV	2026	Dosquebradas 115	0.046	SATISFACE
SC_2023_5564_A2	Solar FV	2026	Dosquebradas 115	0.046	SATISFACE
SC_2023_5565_A1	Solar FV	2027	Dosquebradas 115	0.045	SATISFACE
SC_2023_5566_A1	Solar FV	2028	Dosquebradas 115	0.046	SATISFACE
SC_2023_5566_A2	Solar FV	2028	Dosquebradas 115	0.049	SATISFACE
SC_2023_5598_A1	Solar FV	2025	Dosquebradas 115	0.033	SATISFACE
SC_2023_5598_A2	Solar FV	2025	Dosquebradas 115	0.028	SATISFACE
SC_2023_5659_A1	PCH	2026	Dosquebradas 115	0.368	SATISFACE
SC_2024_5939_A1	Solar FV	2028	Dosquebradas 115	0.001	SATISFACE
SC_2024_5939_A2	Solar FV	2028	Dosquebradas 115	0.001	SATISFACE
SC_2436_A1	Solar FV	2028	Dosquebradas 115	0.050	SATISFACE
SC_2436_A2	Solar FV	2028	Dosquebradas 115	0.060	SATISFACE
SC_2438_A1	Solar FV	2028	Dosquebradas 115	0.000	SATISFACE
SC_2438_A2	Solar FV	2028	Dosquebradas 115	0.000	SATISFACE
SC_2562_A1	Solar FV	2026	Dosquebradas 115	0.010	SATISFACE
SC_2634_A1	Solar FV	2026	Dosquebradas 115	0.031	SATISFACE
SC_2634_A2	Solar FV	2026	Dosquebradas 115	0.026	SATISFACE

SC_2802_A1	Solar FV	2027	Dosquebradas 115	0.003	SATISFACE
SC_2802_A2	Solar FV	2027	Dosquebradas 115	0.002	SATISFACE
SC_2924_A1	Solar FV	2026	Dosquebradas 115	0.261	SATISFACE
SC_2924_A2	Solar FV	2026	Dosquebradas 115	0.237	SATISFACE
SC_2936_A1	Solar FV	2026	Dosquebradas 115	0.000	SATISFACE
SC_2936_A2	Solar FV	2026	Dosquebradas 115	0.000	SATISFACE
SC_2962_A1	Solar FV	2028	Dosquebradas 115	0.047	SATISFACE
SC_2962_A2	Solar FV	2028	Dosquebradas 115	0.048	SATISFACE
SC_3121_A1	Solar FV	2026	Dosquebradas 115	0.004	SATISFACE
SC_3121_A2	Solar FV	2026	Dosquebradas 115	0.004	SATISFACE
SC_3132_A1	Solar FV	2026	Dosquebradas 115	0.063	SATISFACE
SC_3132_A2	Solar FV	2026	Dosquebradas 115	0.060	SATISFACE
SC_3251_A1	Hidráulica	2026	Dosquebradas 115	0.000	SATISFACE
SC_3251_A2	Hidráulica	2026	Dosquebradas 115	0.010	SATISFACE
SC_3353_A1	Solar FV	2027	Dosquebradas 115	0.024	SATISFACE
SC_3353_A2	Solar FV	2027	Dosquebradas 115	0.022	SATISFACE
SC_3382_A1	Solar FV	2027	Dosquebradas 115	0.010	SATISFACE
SC_3382_A2	Solar FV	2027	Dosquebradas 115	0.014	SATISFACE
SC_3392_A1	Solar FV	2027	Dosquebradas 115	0.060	SATISFACE
SC_3392_A2	Solar FV	2027	Dosquebradas 115	0.023	SATISFACE

SC_3453_A1	Solar FV	2027	Dosquebradas 115	0.008	SATISFACE
SC_3453_A2	Solar FV	2027	Dosquebradas 115	0.008	SATISFACE
SC_3514_A1	Solar FV	2027	Dosquebradas 115	0.008	SATISFACE
SC_3514_A2	Solar FV	2027	Dosquebradas 115	0.008	SATISFACE
SC_3578_A1	Solar FV	2028	Dosquebradas 115	0.001	SATISFACE
SC_3578_A2	Solar FV	2028	Dosquebradas 115	0.001	SATISFACE
SC_3667_A1	Solar FV	2029	Dosquebradas 115	0.014	SATISFACE
SC_3667_A2	Solar FV	2029	Dosquebradas 115	0.009	SATISFACE
SC_3846_A1	Solar FV	2028	Dosquebradas 115	0.011	SATISFACE
SC_3846_A2	Solar FV	2028	Dosquebradas 115	0.011	SATISFACE
SC_3882_A1	Solar FV	2026	Dosquebradas 115	0.103	SATISFACE
SC_4083_A1	Solar FV	2027	Dosquebradas 115	0.001	SATISFACE
SC_4083_A2	Solar FV	2027	Dosquebradas 115	0.001	SATISFACE
SC_4175_A1	Solar FV	2026	Dosquebradas 115	0.023	SATISFACE
SC_4175_A2	Solar FV	2026	Dosquebradas 115	0.023	SATISFACE
SC_4751_A1	Solar FV	2027	Dosquebradas 115	0.003	SATISFACE
SC_4760_A1	Solar FV	2026	Dosquebradas 115	0.083	SATISFACE
SC_4765_A1	Solar FV	2029	Dosquebradas 115	0.003	SATISFACE
SC_4765_A2	Solar FV	2029	Dosquebradas 115	0.003	SATISFACE
SC_4789_A1	Solar FV	2027	Dosquebradas 115	0.022	SATISFACE

SC_4789_A2	Solar FV	2027	Dosquebradas 115	0.022	SATISFACE
SC_4819_A1	Solar FV	2029	Dosquebradas 115	0.107	SATISFACE
SC_4819_A2	Solar FV	2029	Dosquebradas 115	0.103	SATISFACE
SC_4821_A1	Solar FV	2027	Dosquebradas 115	0.060	SATISFACE
SC_4821_A2	Solar FV	2027	Dosquebradas 115	0.023	SATISFACE
SC_4824_A1	Solar FV	2025	Dosquebradas 115	0.000	SATISFACE
SC_4824_A2	Solar FV	2025	Dosquebradas 115	0.000	SATISFACE
SC_4826_A1	Solar FV	2027	Dosquebradas 115	0.008	SATISFACE
SC_4826_A2	Solar FV	2027	Dosquebradas 115	0.008	SATISFACE
SC_4827_A1	Solar FV	2027	Dosquebradas 115	0.008	SATISFACE
SC_4827_A2	Solar FV	2027	Dosquebradas 115	0.008	SATISFACE
SC_4910_A1	Solar FV	2026	Dosquebradas 115	0.015	SATISFACE
SC_4910_A2	Solar FV	2026	Dosquebradas 115	0.015	SATISFACE
SC_4926_A1	Solar FV	2027	Dosquebradas 115	0.003	SATISFACE
SC_4947_A1	Solar FV	2027	Dosquebradas 115	0.068	SATISFACE
SC_4960_A2	Solar FV	2029	Dosquebradas 115	0.049	SATISFACE
SC_4974_A1	Solar FV	2026	Dosquebradas 115	0.007	SATISFACE
SC_4974_A2	Solar FV	2026	Dosquebradas 115	0.007	SATISFACE
SC_4978_A1	Solar FV	2026	Dosquebradas 115	0.002	SATISFACE
SC_4978_A2	Solar FV	2026	Dosquebradas 115	0.005	SATISFACE

SC_5009_A1	Solar FV	2026	Dosquebradas 115	0.059	SATISFACE
SC_5009_A2	Solar FV	2026	Dosquebradas 115	0.023	SATISFACE
SC_5011_A1	Solar FV	2027	Dosquebradas 115	0.059	SATISFACE
SC_5011_A2	Solar FV	2027	Dosquebradas 115	0.023	SATISFACE
SC_5060_A1	Solar FV	2026	Dosquebradas 115	0.015	SATISFACE
SC_5060_A2	Solar FV	2026	Dosquebradas 115	0.015	SATISFACE
SC_5076_A1	Solar FV	2027	Dosquebradas 115	0.000	SATISFACE
SC_5076_A2	Solar FV	2027	Dosquebradas 115	0.000	SATISFACE
SC_5077_A1	Solar FV	2027	Dosquebradas 115	0.000	SATISFACE
SC_5077_A2	Solar FV	2027	Dosquebradas 115	0.000	SATISFACE
SC_5087_A2	Solar FV	2027	Dosquebradas 115	0.026	SATISFACE

Posterior a la ejecución del MACC se priorizaron las siguientes alternativas de conexión que tienen aportes de cortocircuito de la subestación en análisis:

Tabla 2-225. Alternativas de conexión priorizadas que aportan corriente de cortocircuito en la subestación Dosquebradas 115

index	tipo	periodoIni	Barra a la que aporta CC	Aporte de cortocircuito (kA)	Restricción
SC_5076_A2	Solar FV	2027	Dosquebradas 115	0.000	SATISFACE
SC_5077_A2	Solar FV	2027	Dosquebradas 115	0.000	SATISFACE

El estado de la capacidad de cortocircuito en la subestación Dosquebradas 115, teniendo en cuenta la priorización se puede observar en la siguiente figura.

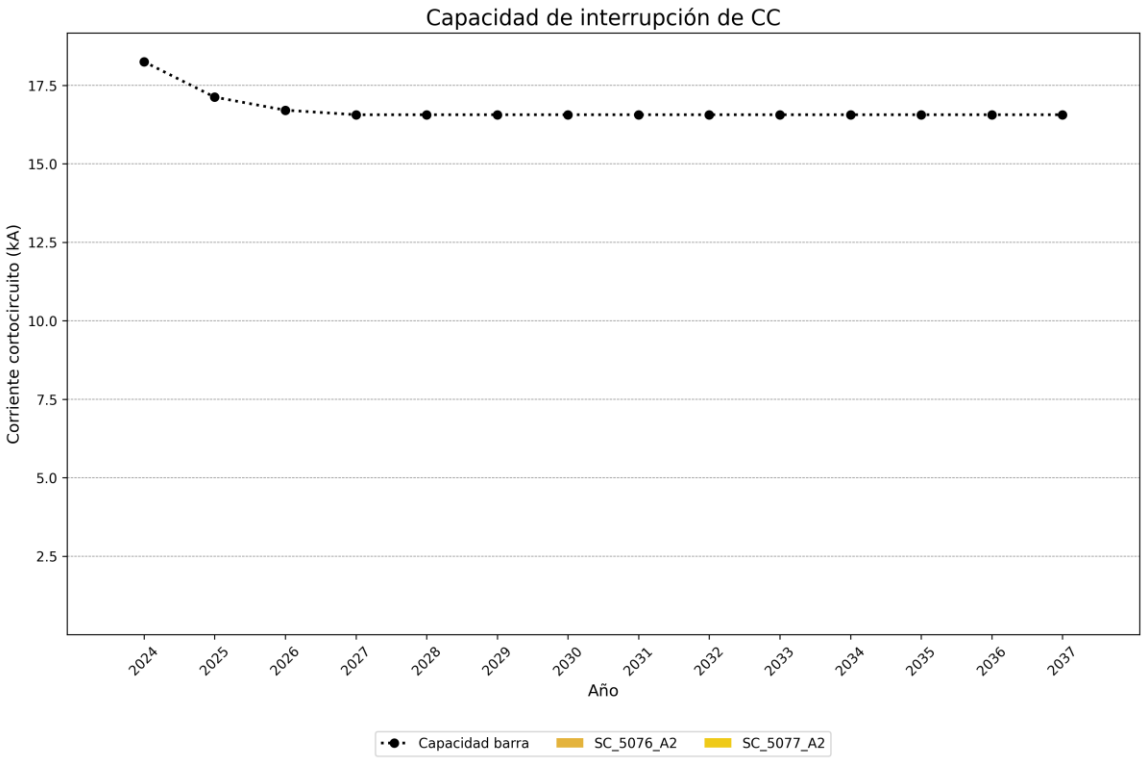


Figura 2-220. Balance de capacidad de cortocircuito después de la priorización para la subestación Dosquebradas 115

Subestación Dosquebradas 13.8:

Capacidad por barra:

Para la subestación Dosquebradas 13.8 se presentaron 1 alternativas de conexión las cuales se muestran en la siguiente tabla:

Tabla 2-226. Alternativas de conexión presentadas a la subestación Dosquebradas 13.8

Solicitud	Capacidad	Tipo	Barra	FPO solicitada	Restricción
SC_2023_5659_A1	8.0	PCH	Dosquebradas 13.8	2026	NO SATISFACE

No se priorizó ninguna de las alternativas de conexión presentadas en la subestación Dosquebradas 13.8

El estado de la capacidad por barra en la subestación Dosquebradas 13.8, teniendo en cuenta la priorización se puede observar en la siguiente figura.

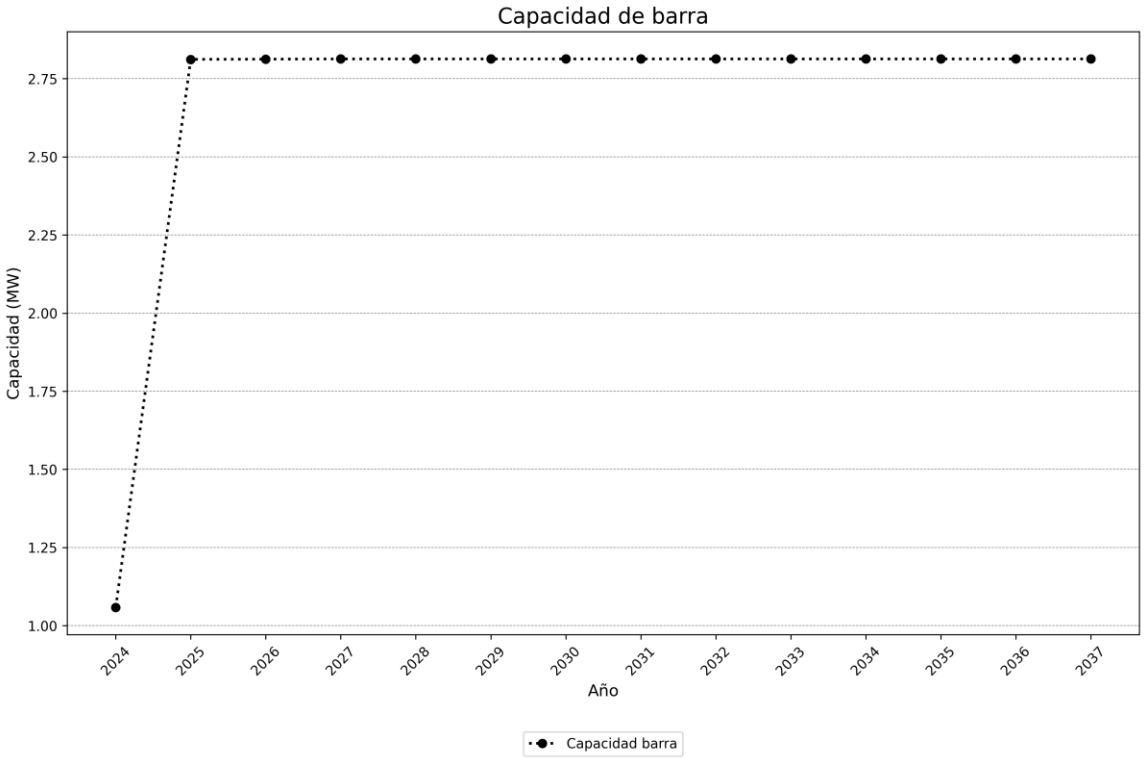


Figura 2-221. Balance de capacidad por barra después de la priorización para la subestación Dosquebradas 13.8

Subestación Dosquebradas 34.7:

Capacidad por barra:

Para la subestación Dosquebradas 34.7 se presentaron 2 alternativas de conexión las cuales se muestran en la siguiente tabla:

Tabla 2-227. Alternativas de conexión presentadas a la subestación Dosquebradas 34.7

Solicitud	Capacidad	Tipo	Barra	FPO solicitada	Restricción
SC_2023_5249_A2	9.9	Solar FV	Dosquebradas 34.7	2025	NO SATISFACE
SC_2023_5257_A2	9.9	Solar FV	Dosquebradas 34.7	2025	NO SATISFACE

No se priorizó ninguna de las alternativas de conexión presentadas en la subestación Dosquebradas 34.7

El estado de la capacidad por barra en la subestación Dosquebradas 34.7, teniendo en cuenta la priorización se puede observar en la siguiente figura.

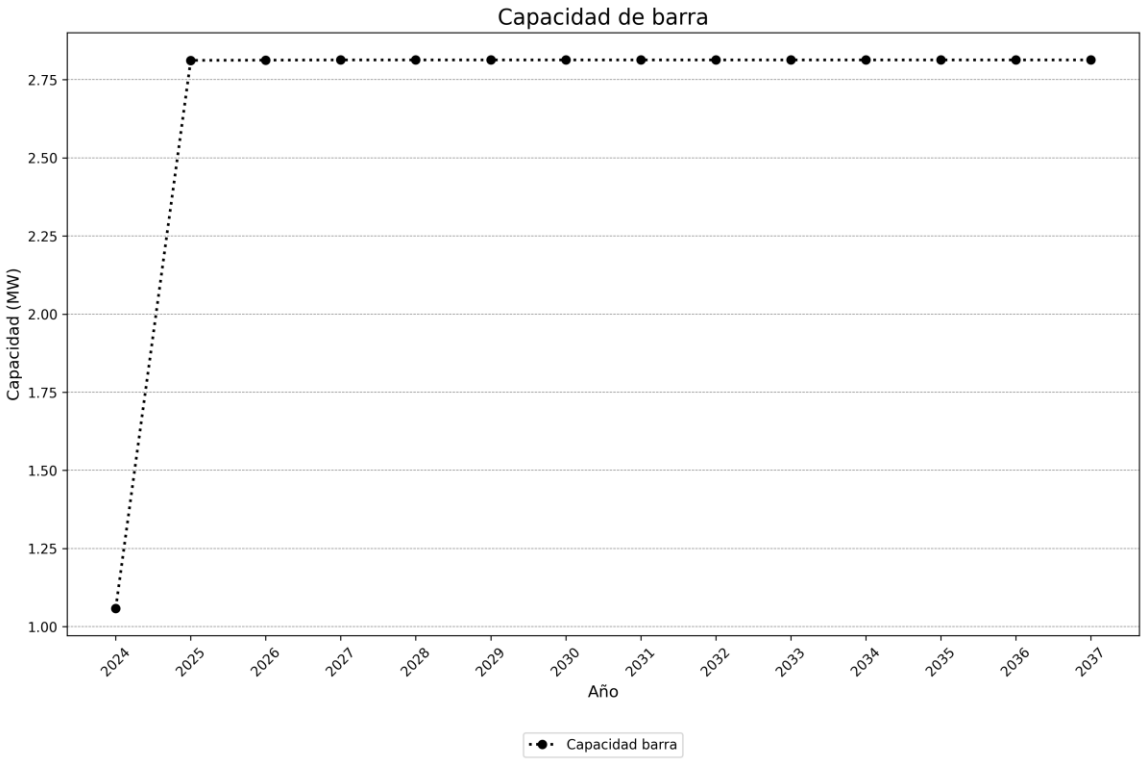


Figura 2-222. Balance de capacidad por barra después de la priorización para la subestación Dosquebradas 34.7

Subestación El Bote 115:

Capacidad por barra:

Para la subestación El Bote 115 se presentaron 0 alternativas de conexión las cuales se muestran en la siguiente tabla:

Tabla 2-228. Alternativas de conexión presentadas a la subestación El Bote 115

Solicitud	Capacidad	Tipo	Barra	FPO solicitada	Restricción

No se priorizó ninguna de las alternativas de conexión presentadas en la subestación El Bote 115

El estado de la capacidad por barra en la subestación El Bote 115, teniendo en cuenta la priorización se puede observar en la siguiente figura.

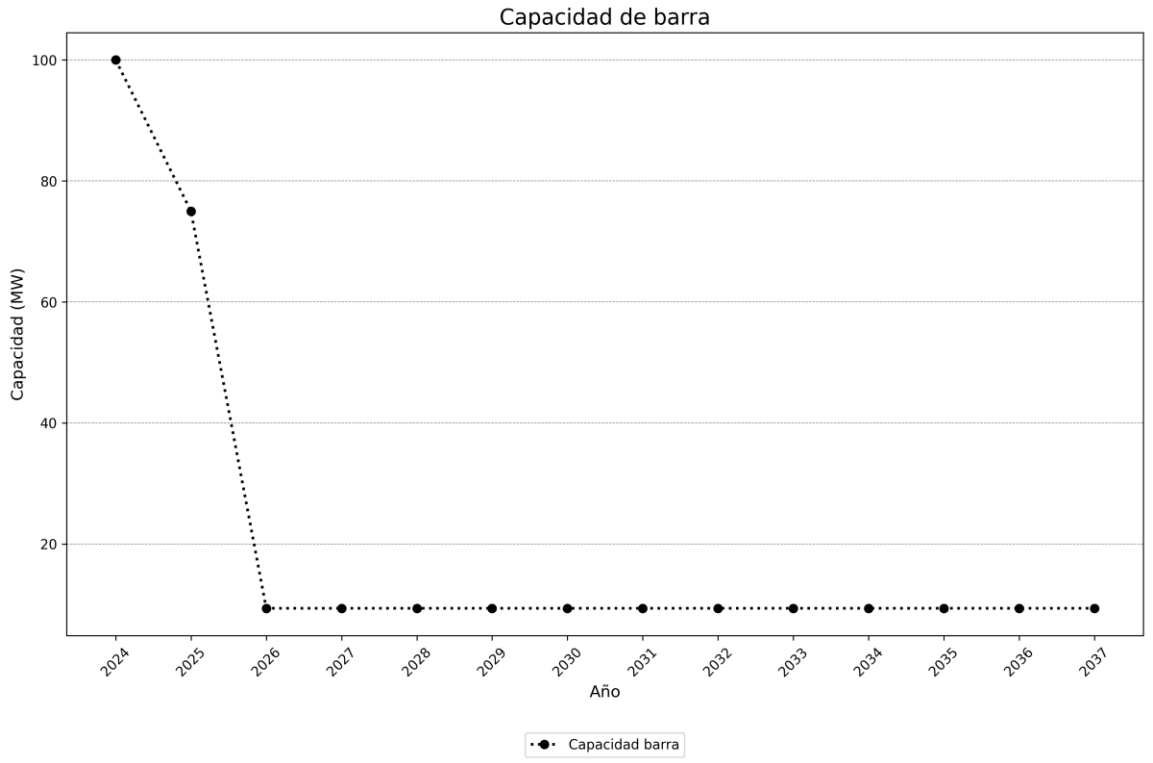


Figura 2-223. Balance de capacidad por barra después de la priorización para la subestación El Bote 115

Capacidad excedente de interrupción de corriente de cortocircuito:

Para la subestación El Bote 115 se presentaron 29 alternativas de conexión las cuales tienen aportes de corriente de cortocircuito. Estas alternativas se muestran en la siguiente tabla:

Tabla 2-229. Alternativas de conexión que aportan corriente de cortocircuito en la subestación El Bote 115

Solicitud	tipo	FPO	Barra a la que aporta CC	Aporte de cortocircuito (kA)	Restricción
SC_2023_5280_A1	Solar FV	2028	El Bote 115	0.020	SATISFACE
SC_2023_5280_A2	Solar FV	2028	El Bote 115	0.018	SATISFACE
SC_2023_5287_A1	Solar FV	2026	El Bote 115	0.010	SATISFACE
SC_2023_5287_A2	Solar FV	2026	El Bote 115	0.010	SATISFACE
SC_2023_5288_A1	Solar FV	2026	El Bote 115	0.006	SATISFACE
SC_2023_5288_A2	Solar FV	2026	El Bote 115	0.015	SATISFACE
SC_2023_5375_A1	Solar FV	2026	El Bote 115	0.010	SATISFACE
SC_2023_5399_A1	Solar FV	2026	El Bote 115	0.006	SATISFACE
SC_2023_5399_A2	Solar FV	2026	El Bote 115	0.015	SATISFACE
SC_2023_5480_A1	Solar FV	2026	El Bote 115	0.010	SATISFACE
SC_2023_5480_A2	Solar FV	2026	El Bote 115	0.010	SATISFACE
SC_2023_5557_A1	Solar FV	2028	El Bote 115	0.037	SATISFACE
SC_2936_A1	Solar FV	2026	El Bote 115	0.000	SATISFACE
SC_2936_A2	Solar FV	2026	El Bote 115	0.000	SATISFACE
SC_3121_A1	Solar FV	2026	El Bote 115	0.001	SATISFACE
SC_3121_A2	Solar FV	2026	El Bote 115	0.001	SATISFACE
SC_3132_A1	Solar FV	2026	El Bote 115	0.026	SATISFACE
SC_3132_A2	Solar FV	2026	El Bote 115	0.022	SATISFACE
SC_3882_A1	Solar FV	2026	El Bote 115	0.036	SATISFACE
SC_4083_A1	Solar FV	2027	El Bote 115	0.000	SATISFACE
SC_4083_A2	Solar FV	2027	El Bote 115	0.000	SATISFACE
SC_4765_A1	Solar FV	2029	El Bote 115	0.000	SATISFACE
SC_4765_A2	Solar FV	2029	El Bote 115	0.000	SATISFACE
SC_4819_A1	Solar FV	2029	El Bote 115	0.044	SATISFACE

SC_4819_A2	Solar FV	2029	El Bote 115	0.040	SATISFACE
SC_4974_A1	Solar FV	2026	El Bote 115	0.002	SATISFACE
SC_4974_A2	Solar FV	2026	El Bote 115	0.002	SATISFACE
SC_4978_A1	Solar FV	2026	El Bote 115	0.000	SATISFACE
SC_4978_A2	Solar FV	2026	El Bote 115	0.002	SATISFACE

No se priorizó ninguna de las alternativas de conexión que tengan aportes de corriente de cortocircuito en la subestación El Bote 115

El estado de la capacidad de cortocircuito en la subestación El Bote 115, teniendo en cuenta la priorización se puede observar en la siguiente figura.

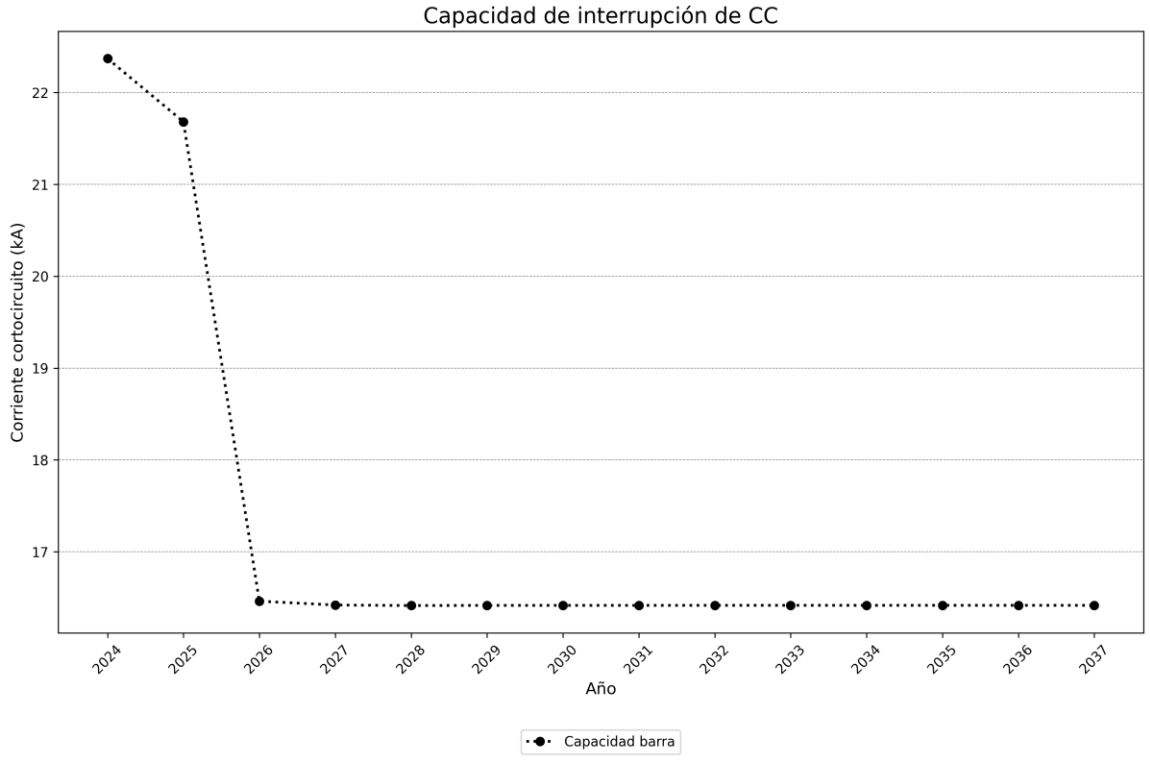


Figura 2-224. Balance de capacidad de cortocircuito después de la priorización para la subestación El Bote 115

Subestación El Caimo 33:

Capacidad por barra:

Para la subestación El Caimo 33 se presentaron 0 alternativas de conexión las cuales se muestran en la siguiente tabla:

Tabla 2-230. Alternativas de conexión presentadas a la subestación El Caimo 33

Solicitud	Capacidad	Tipo	Barra	FPO solicitada	Restricción

No se priorizó ninguna de las alternativas de conexión presentadas en la subestación El Caimo 33

El estado de la capacidad por barra en la subestación El Caimo 33, teniendo en cuenta la priorización se puede observar en la siguiente figura.

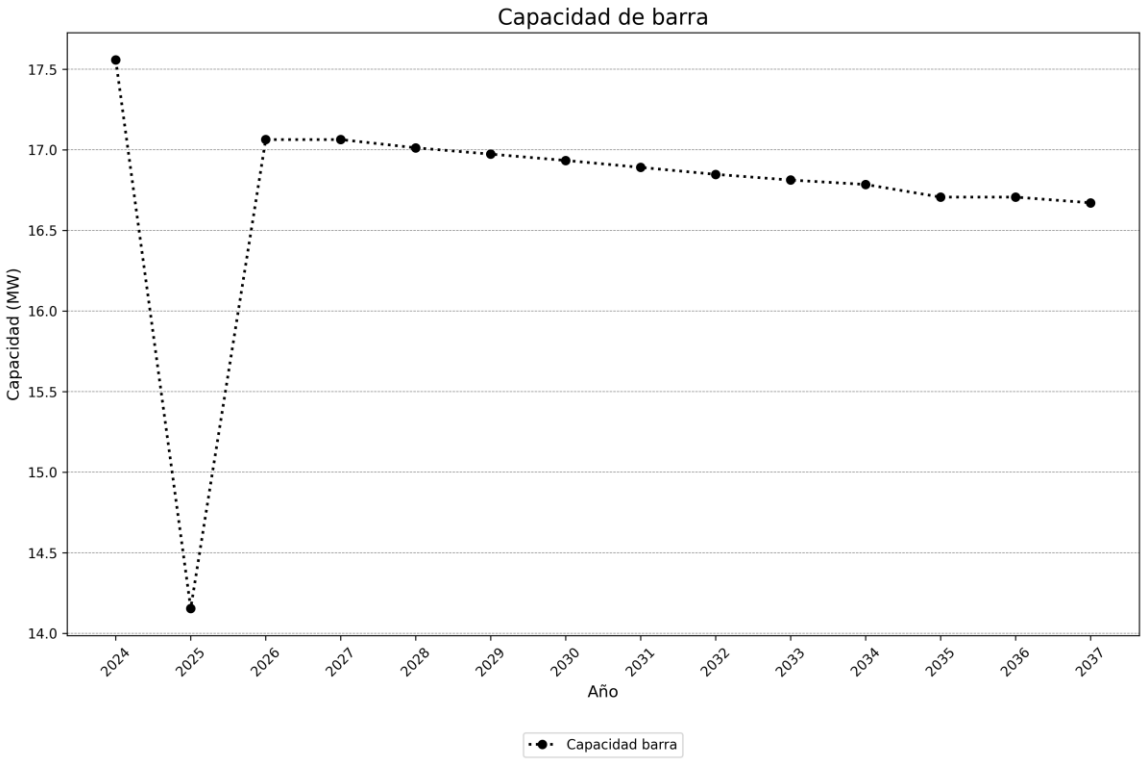


Figura 2-225. Balance de capacidad por barra después de la priorización para la subestación El Caimo 33

Subestación El Carmelo 115:

Capacidad por barra:

Para la subestación El Carmelo 115 se presentaron 0 alternativas de conexión las cuales se muestran en la siguiente tabla:

Tabla 2-231. Alternativas de conexión presentadas a la subestación El Carmelo 115

Solicitud	Capacidad	Tipo	Barra	FPO solicitada	Restricción

No se priorizó ninguna de las alternativas de conexión presentadas en la subestación El Carmelo 115

El estado de la capacidad por barra en la subestación El Carmelo 115, teniendo en cuenta la priorización se puede observar en la siguiente figura.

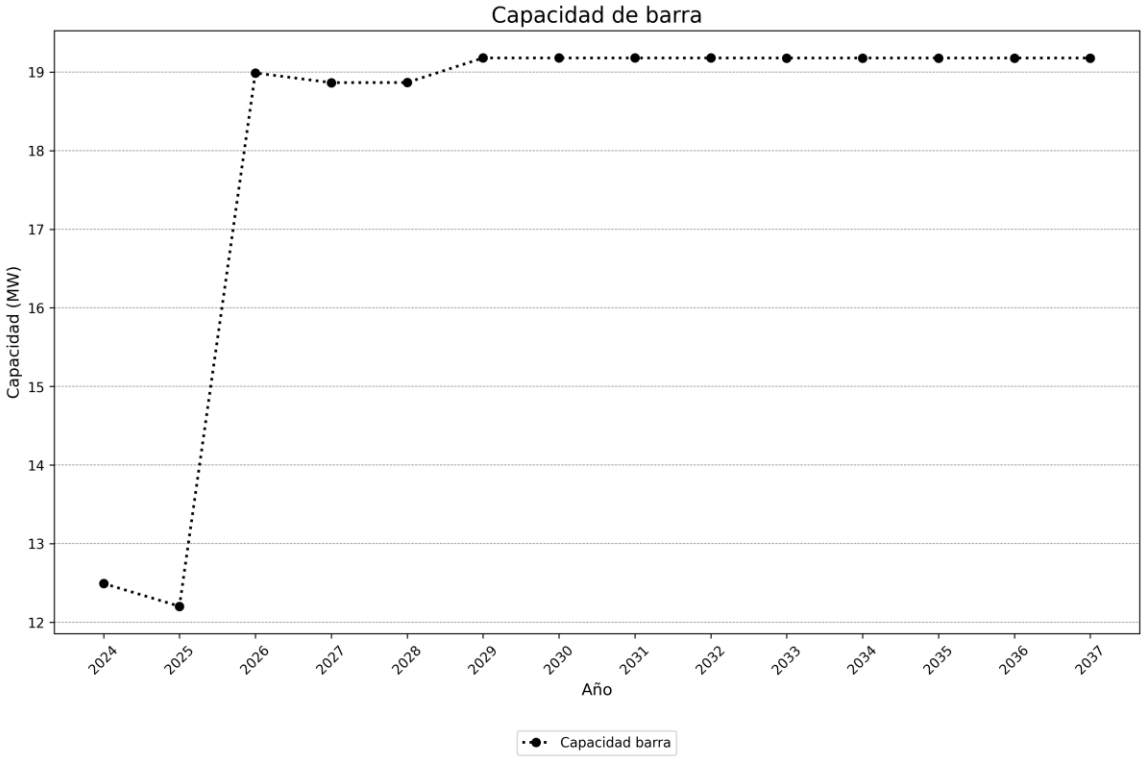


Figura 2-226. Balance de capacidad por barra después de la priorización para la subestación El Carmelo 115

Capacidad excedente de interrupción de corriente de cortocircuito:

Para la subestación El Carmelo 115 se presentaron 4 alternativas de conexión las cuales tienen aportes de corriente de cortocircuito. Estas alternativas se muestran en la siguiente tabla:

Tabla 2-232. Alternativas de conexión que aportan corriente de cortocircuito en la subestación El Carmelo 115

Solicitud	tipo	FPO	Barra a la que aporta CC	Aporte de cortocircuito (kA)	Restricción
SC_2023_5557_A1	Solar FV	2028	El Carmelo 115	0.062	SATISFACE

SC_2936_A1	Solar FV	2026	El Carmelo 115	0.000	SATISFACE
SC_2936_A2	Solar FV	2026	El Carmelo 115	0.000	SATISFACE
SC_3882_A1	Solar FV	2026	El Carmelo 115	0.061	SATISFACE

No se priorizó ninguna de las alternativas de conexión que tengan aportes de corriente de cortocircuito en la subestación El Carmelo 115

El estado de la capacidad de cortocircuito en la subestación El Carmelo 115, teniendo en cuenta la priorización se puede observar en la siguiente figura.

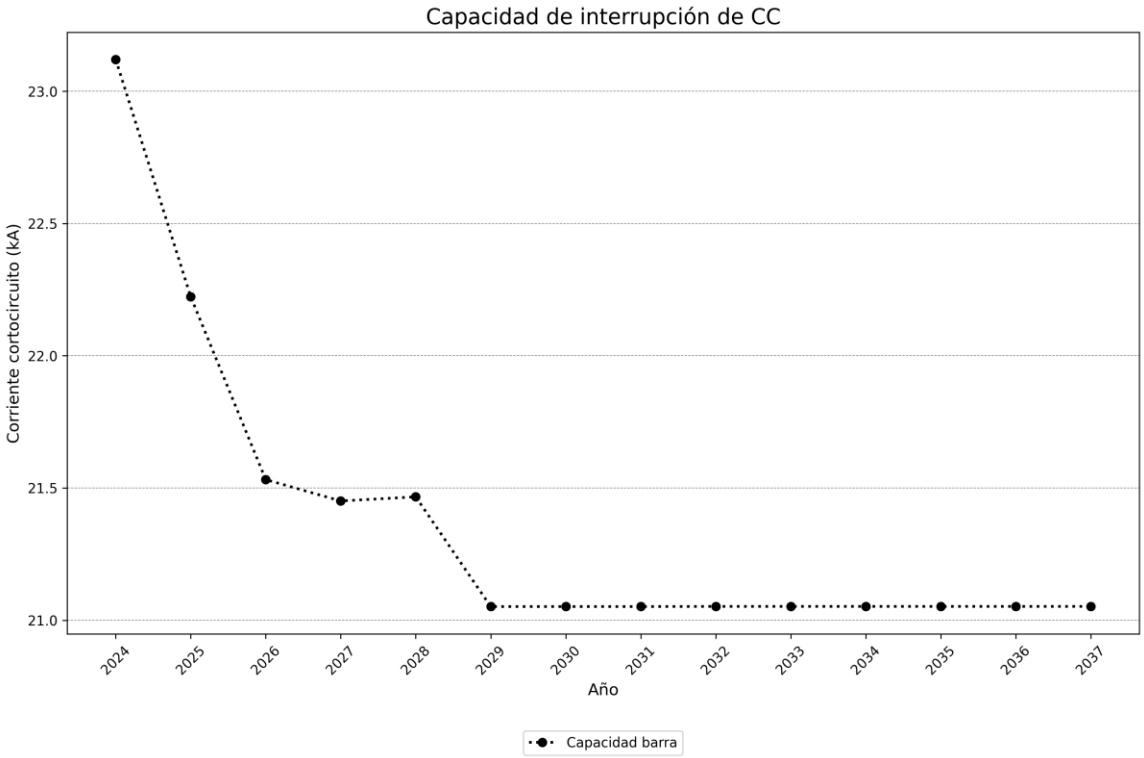


Figura 2-227. Balance de capacidad de cortocircuito después de la priorización para la subestación El Carmelo 115

Subestación El Dorado 33:

Capacidad por barra:

Para la subestación El Dorado 33 se presentaron 1 alternativas de conexión las cuales se muestran en la siguiente tabla:

Tabla 2-233. Alternativas de conexión presentadas a la subestación El Dorado 33

Solicitud	Capacidad	Tipo	Barra	FPO solicitada	Restricción
SC_2023_5543_A1	9.2	Hidráulica	El Dorado 33	2026	SATISFACE

Posterior a la ejecución del MACC se priorizaron las siguientes alternativas de conexión:

Tabla 2-234. Alternativas de conexión priorizadas en la subestación El Dorado 33

Solicitud	Capacidad	Tipo	Barra	FPO solicitada	Restricción
SC_2023_5543_A1	9.2	Hidráulica	El Dorado 33	2026	SATISFACE

El estado de la capacidad por barra en la subestación El Dorado 33, teniendo en cuenta la priorización se puede observar en la siguiente figura.

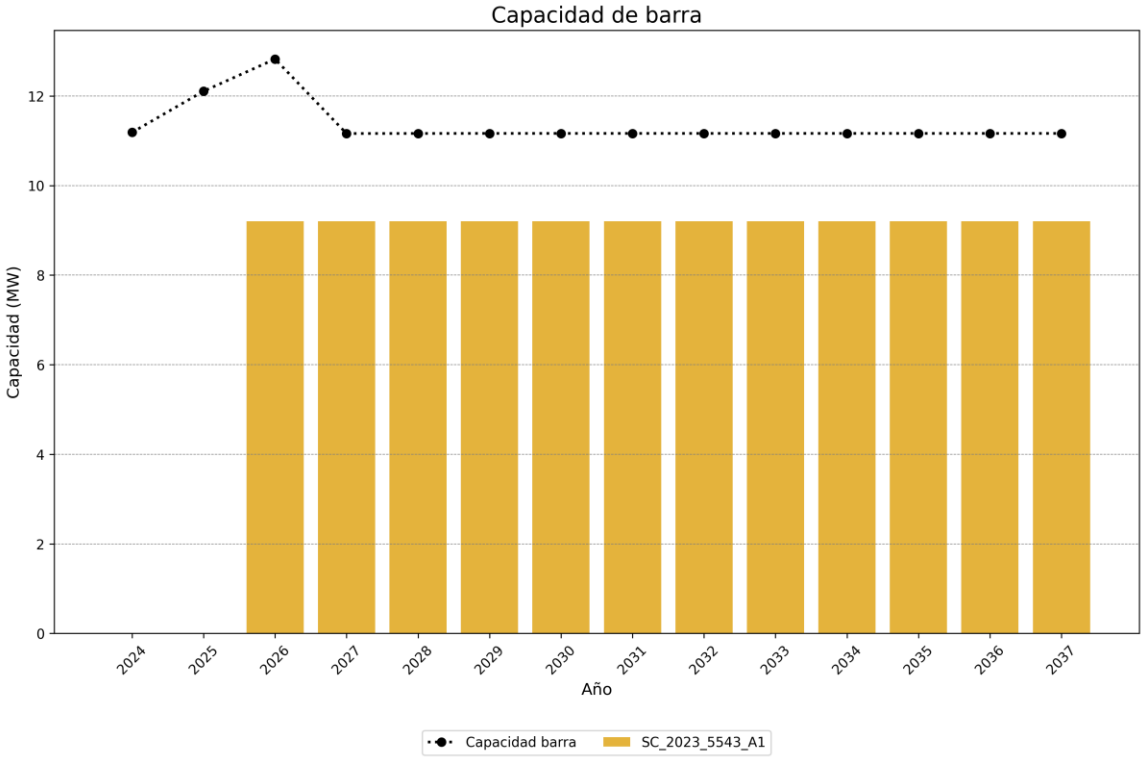


Figura 2-228. Balance de capacidad por barra después de la priorización para la subestación El Dorado 33

Subestación El Rio (Bogota) 115:

Capacidad por barra:

Para la subestación El Rio (Bogota) 115 se presentaron 0 alternativas de conexión las cuales se muestran en la siguiente tabla:

Tabla 2-235. Alternativas de conexión presentadas a la subestación El Rio (Bogota) 115

Solicitud	Capacidad	Tipo	Barra	FPO solicitada	Restricción

No se priorizó ninguna de las alternativas de conexión presentadas en la subestación El Rio (Bogota) 115

El estado de la capacidad por barra en la subestación El Rio (Bogota) 115, teniendo en cuenta la priorización se puede observar en la siguiente figura.

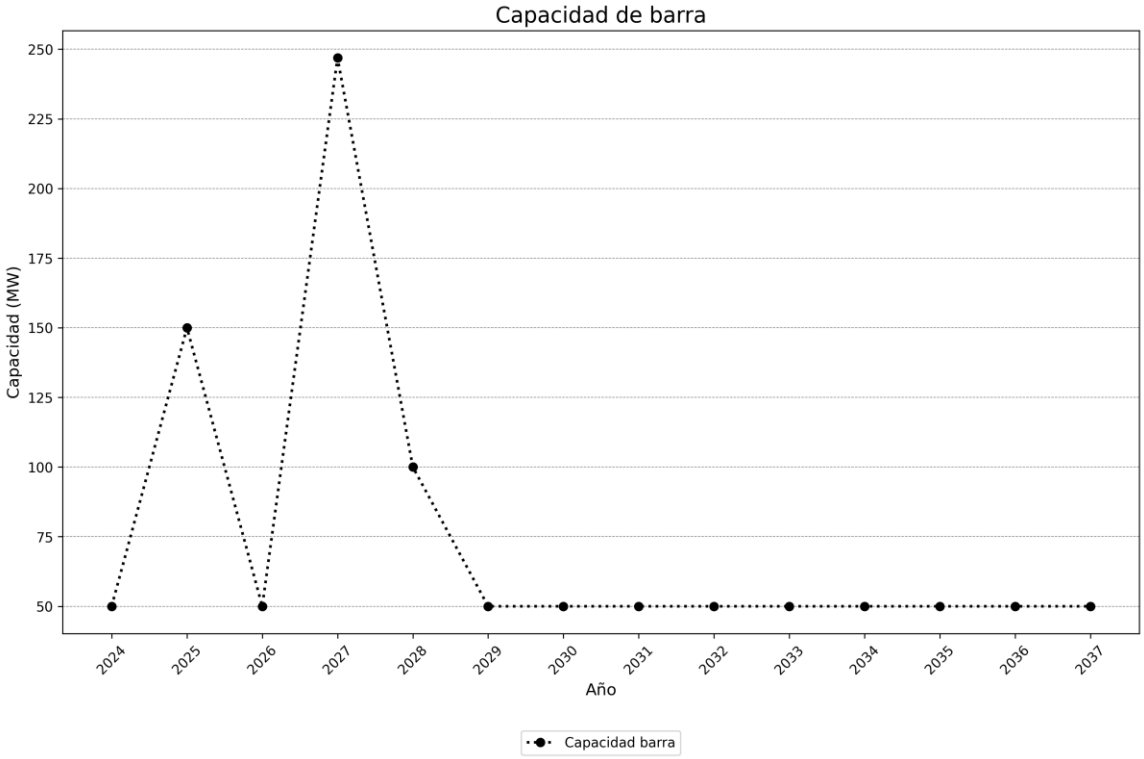


Figura 2-229. Balance de capacidad por barra después de la priorización para la subestación El Rio (Bogota) 115

Capacidad excedente de interrupción de corriente de cortocircuito:

Para la subestación El Rio (Bogota) 115 se presentaron 4 alternativas de conexión las cuales tienen aportes de corriente de cortocircuito. Estas alternativas se muestran en la siguiente tabla:

Tabla 2-236. Alternativas de conexión que aportan corriente de cortocircuito en la subestación El Rio (Bogota) 115

Solicitud	tipo	FPO	Barra a la que aporta CC	Aporte de cortocircuito (kA)	Restricción
SC_2023_5557_A1	Solar FV	2028	El Rio (Bogota) 115	0.105	SATISFACE
SC_2936_A1	Solar FV	2026	El Rio (Bogota) 115	0.000	SATISFACE
SC_2936_A2	Solar FV	2026	El Rio (Bogota) 115	0.000	SATISFACE
SC_3882_A1	Solar FV	2026	El Rio (Bogota) 115	0.099	SATISFACE

No se priorizó ninguna de las alternativas de conexión que tengan aportes de corriente de cortocircuito en la subestación El Rio (Bogota) 115

El estado de la capacidad de cortocircuito en la subestación El Rio (Bogota) 115, teniendo en cuenta la priorización se puede observar en la siguiente figura.

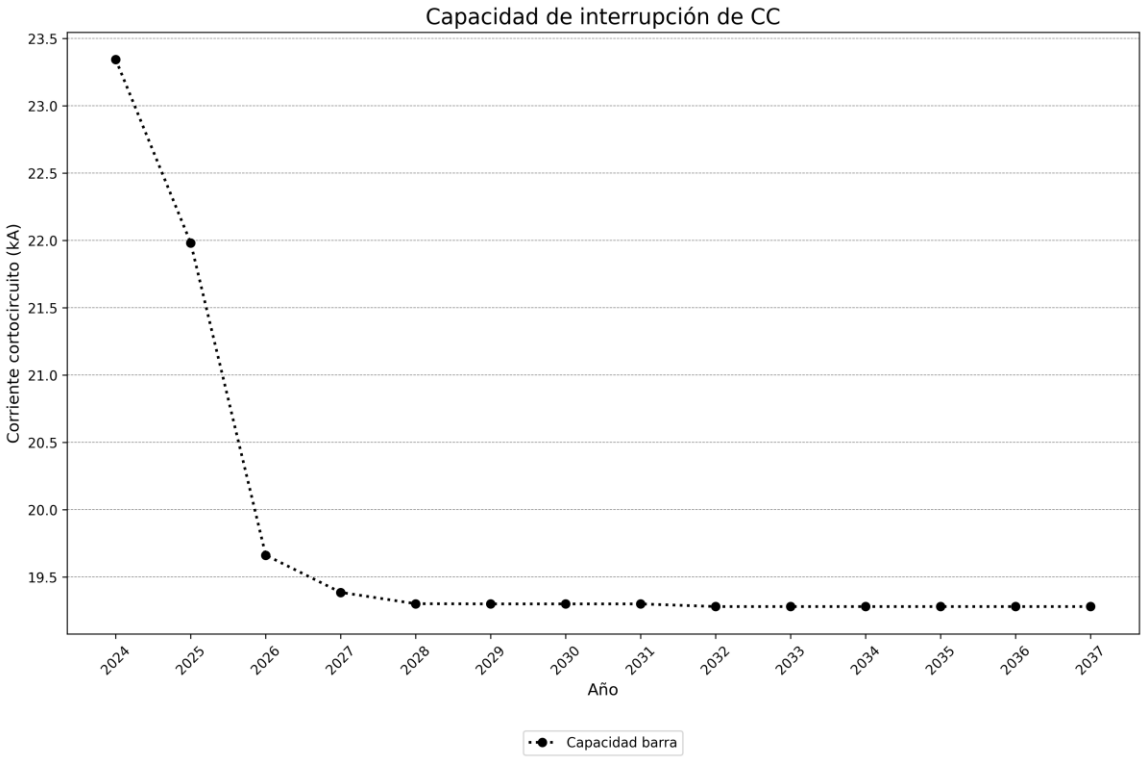


Figura 2-230. Balance de capacidad de cortocircuito después de la priorización para la subestación El Rio (Bogota) 115

Subestación El Salto (EPM) 110:

Capacidad por barra:

Para la subestación El Salto (EPM) 110 se presentaron 0 alternativas de conexión las cuales se muestran en la siguiente tabla:

Tabla 2-237. Alternativas de conexión presentadas a la subestación El Salto (EPM) 110

Solicitud	Capacidad	Tipo	Barra	FPO solicitada	Restricción

No se priorizó ninguna de las alternativas de conexión presentadas en la subestación El Salto (EPM) 110

El estado de la capacidad por barra en la subestación El Salto (EPM) 110, teniendo en cuenta la priorización se puede observar en la siguiente figura.

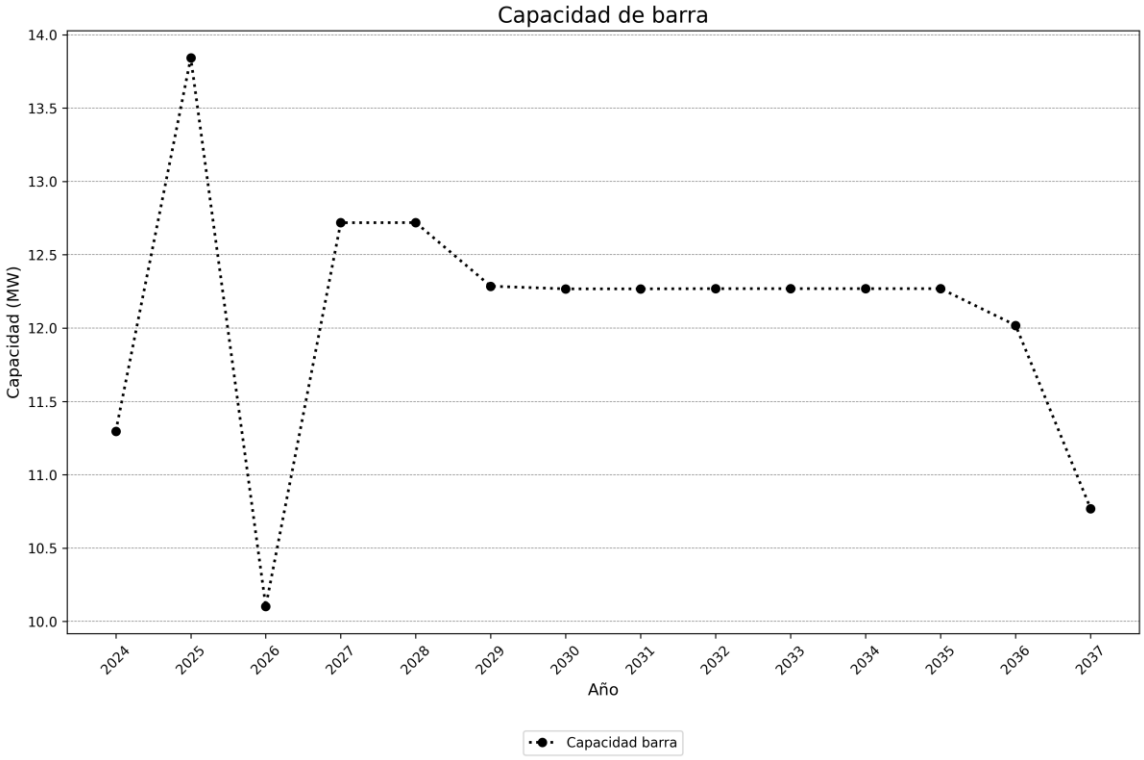


Figura 2-231. Balance de capacidad por barra después de la priorización para la subestación El Salto (EPM) 110

Capacidad excedente de interrupción de corriente de cortocircuito:

Para la subestación El Salto (EPM) 110 se presentaron 1 alternativas de conexión las cuales tienen aportes de corriente de cortocircuito. Estas alternativas se muestran en la siguiente tabla:

Tabla 2-238. Alternativas de conexión que aportan corriente de cortocircuito en la subestación El Salto (EPM) 110

Solicitud	tipo	FPO	Barra a la que aporta CC	Aporte de cortocircuito (kA)	Restricción
SC_3331_A1	Solar FV	2026	El Salto (EPM) 110	0.078	NO SATISFACE

No se priorizó ninguna de las alternativas de conexión que tengan aportes de corriente de cortocircuito en la subestación El Salto (EPM) 110

El estado de la capacidad de cortocircuito en la subestación El Salto (EPM) 110, teniendo en cuenta la priorización se puede observar en la siguiente figura.

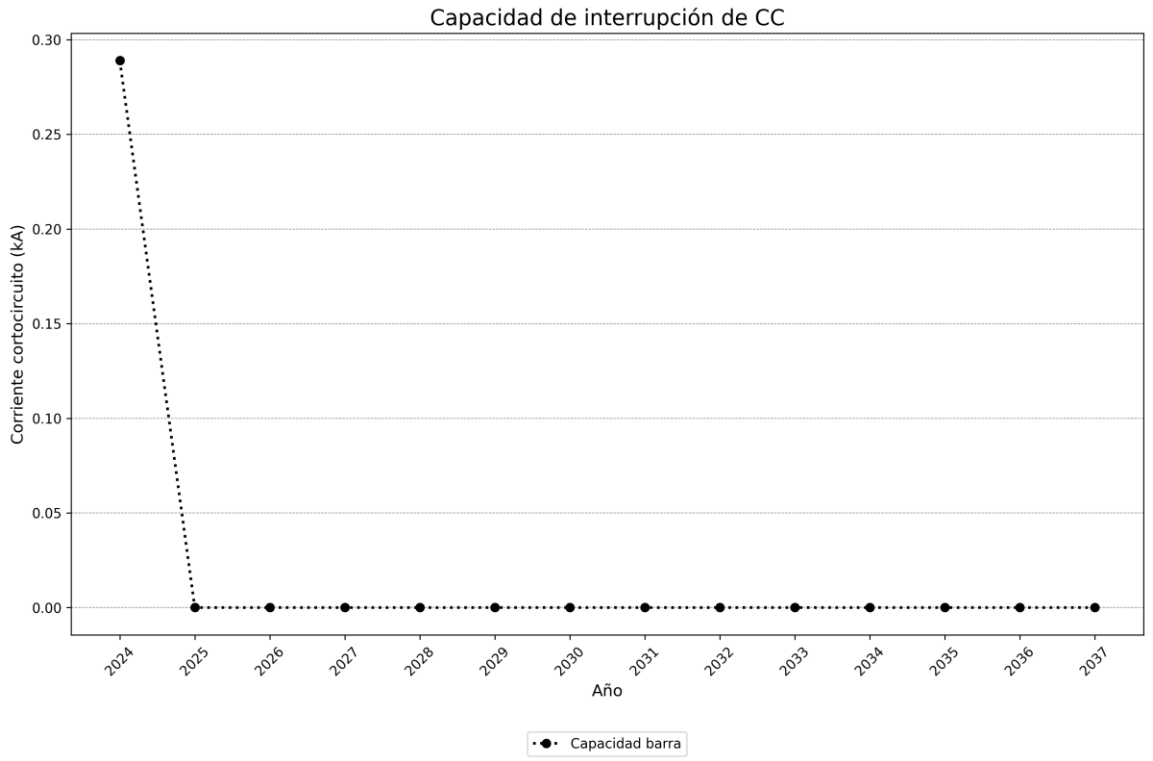


Figura 2-232. Balance de capacidad de cortocircuito después de la priorización para la subestación El Salto (EPM) 110

Subestación El Salto 220:

Capacidad por barra:

Para la subestación El Salto 220 se presentaron 0 alternativas de conexión las cuales se muestran en la siguiente tabla:

Tabla 2-239. Alternativas de conexión presentadas a la subestación El Salto 220

Solicitud	Capacidad	Tipo	Barra	FPO solicitada	Restricción

No se priorizó ninguna de las alternativas de conexión presentadas en la subestación El Salto 220

El estado de la capacidad por barra en la subestación El Salto 220, teniendo en cuenta la priorización se puede observar en la siguiente figura.

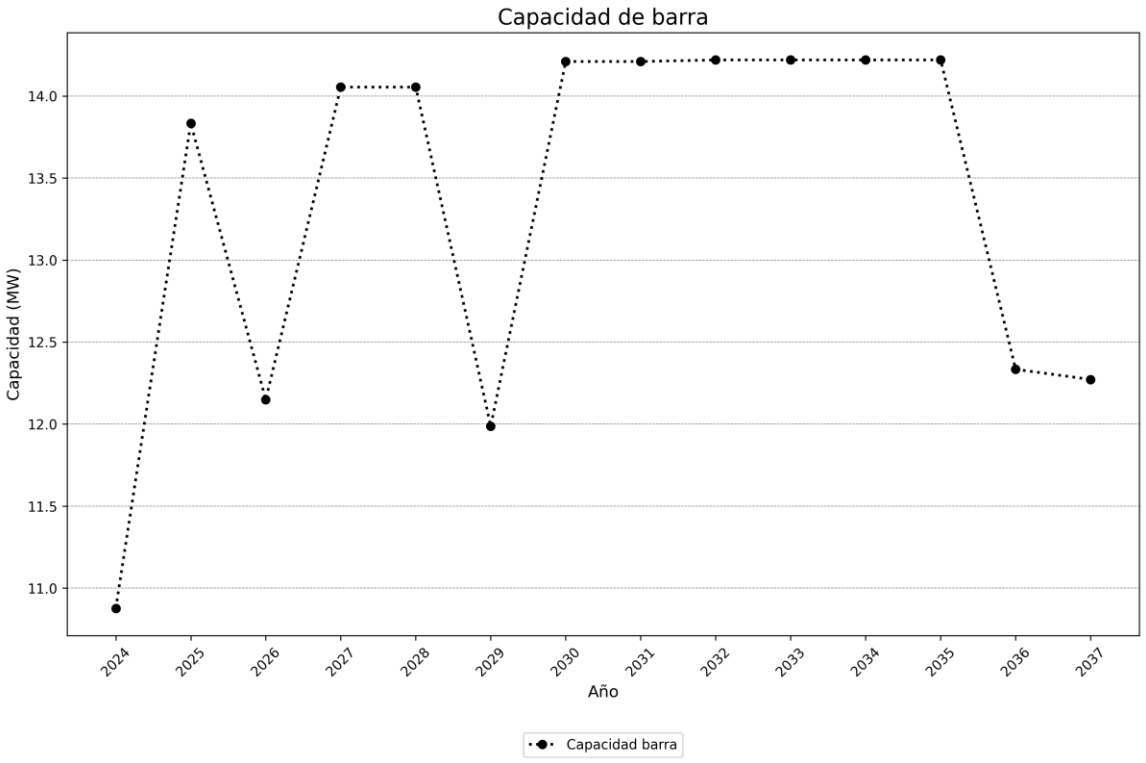


Figura 2-233. Balance de capacidad por barra después de la priorización para la subestación El Salto 220

Capacidad excedente de interrupción de corriente de cortocircuito:

Para la subestación El Salto 220 se presentaron 1 alternativas de conexión las cuales tienen aportes de corriente de cortocircuito. Estas alternativas se muestran en la siguiente tabla:

Tabla 2-240. Alternativas de conexión que aportan corriente de cortocircuito en la subestación El Salto 220

Solicitud	tipo	FPO	Barra a la que aporta CC	Aporte de cortocircuito (kA)	Restricción
SC_3331_A1	Solar FV	2026	El Salto 220	0.064	SATISFACE

No se priorizó ninguna de las alternativas de conexión que tengan aportes de corriente de cortocircuito en la subestación El Salto 220

El estado de la capacidad de cortocircuito en la subestación El Salto 220, teniendo en cuenta la priorización se puede observar en la siguiente figura.

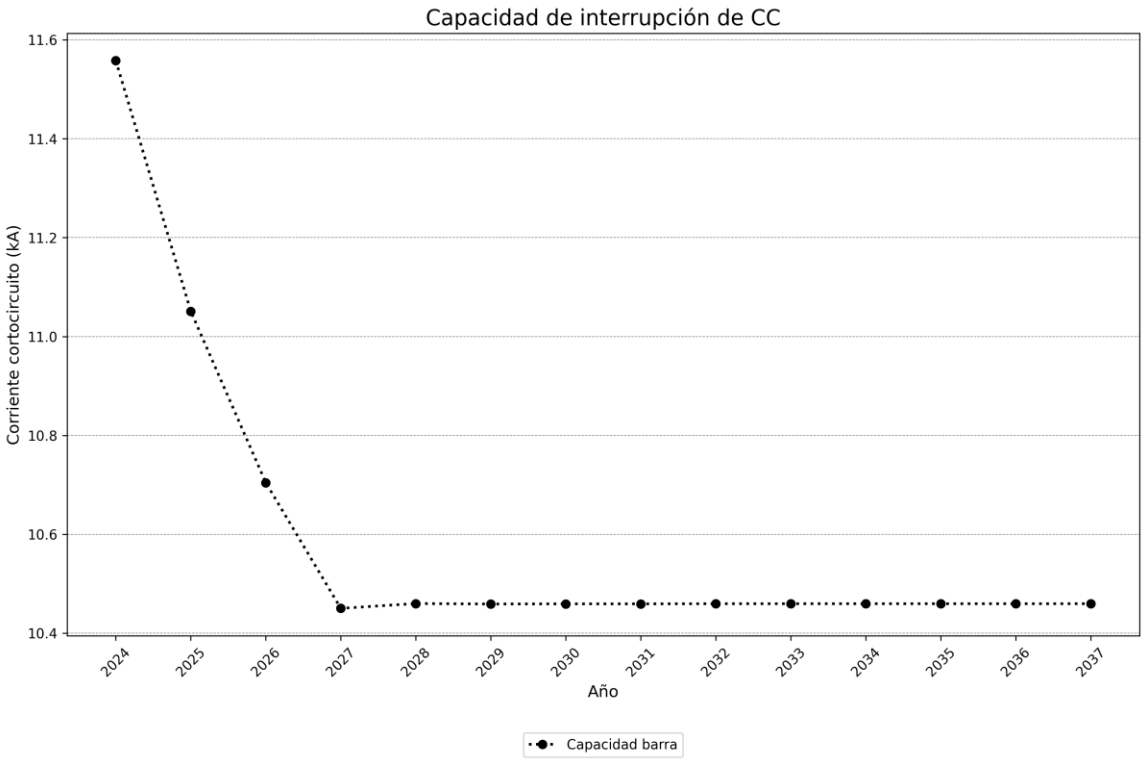


Figura 2-234. Balance de capacidad de cortocircuito después de la priorización para la subestación El Salto 220

Subestación El Siete 115:

Capacidad por barra:

Para la subestación El Siete 115 se presentaron 0 alternativas de conexión las cuales se muestran en la siguiente tabla:

Tabla 2-241. Alternativas de conexión presentadas a la subestación El Siete 115

Solicitud	Capacidad	Tipo	Barra	FPO solicitada	Restricción

No se priorizó ninguna de las alternativas de conexión presentadas en la subestación El Siete 115

El estado de la capacidad por barra en la subestación El Siete 115, teniendo en cuenta la priorización se puede observar en la siguiente figura.

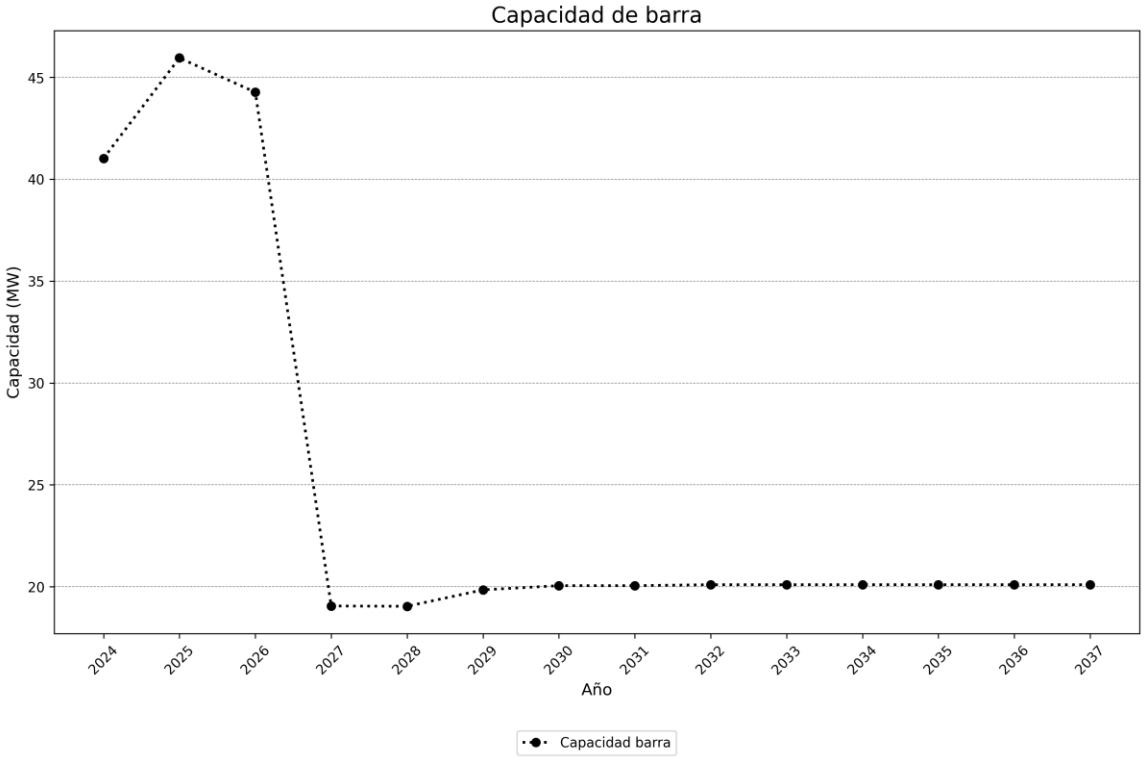


Figura 2-235. Balance de capacidad por barra después de la priorización para la subestación El Siete 115

Capacidad excedente de interrupción de corriente de cortocircuito:

Para la subestación El Siete 115 se presentaron 4 alternativas de conexión las cuales tienen aportes de corriente de cortocircuito. Estas alternativas se muestran en la siguiente tabla:

Tabla 2-242. Alternativas de conexión que aportan corriente de cortocircuito en la subestación El Siete 115

Solicitud	tipo	FPO	Barra a la que aporta CC	Aporte de cortocircuito (kA)	Restricción
SC_3054_A2	Solar FV	2027	El Siete 115	0.000	SATISFACE
SC_3121_A1	Solar FV	2026	El Siete 115	0.003	SATISFACE
SC_3121_A2	Solar FV	2026	El Siete 115	0.003	SATISFACE

SC_3331_A1	Solar FV	2026	El Siete 115	0.015	SATISFACE

No se priorizó ninguna de las alternativas de conexión que tengan aportes de corriente de cortocircuito en la subestación El Siete 115

El estado de la capacidad de cortocircuito en la subestación El Siete 115, teniendo en cuenta la priorización se puede observar en la siguiente figura.

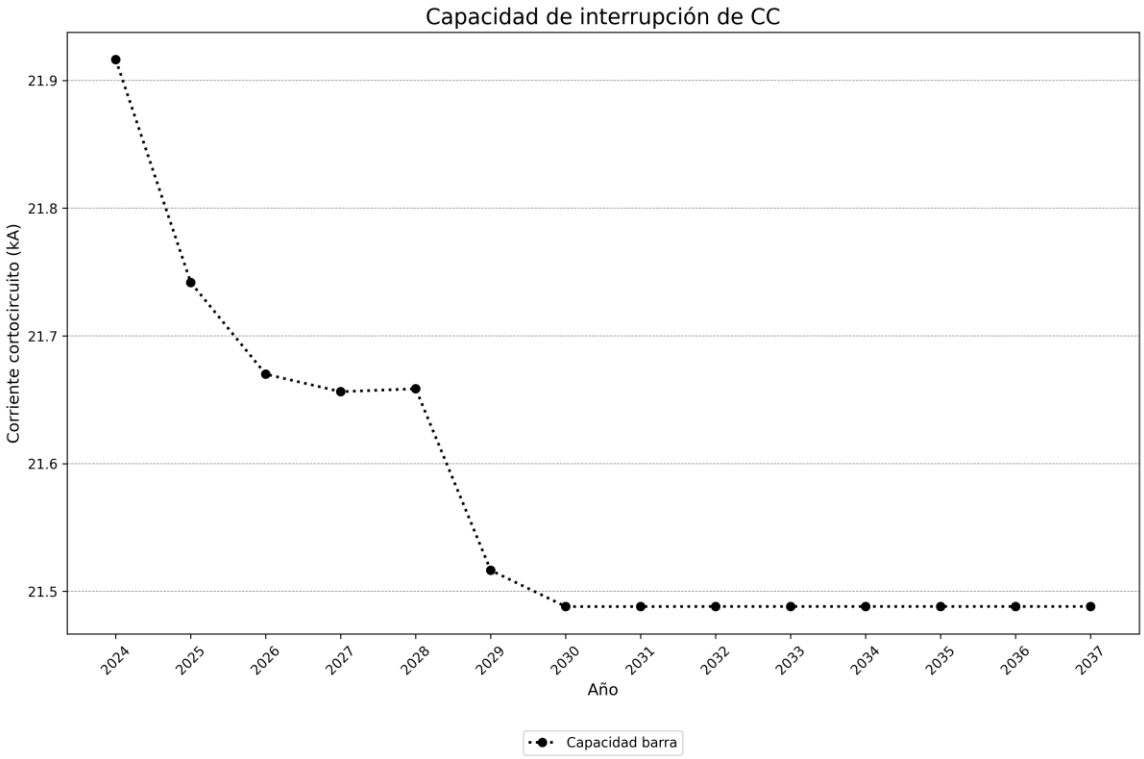


Figura 2-236. Balance de capacidad de cortocircuito después de la priorización para la subestación El Siete 115

Subestación El Sol 115:

Capacidad por barra:

Para la subestación El Sol 115 se presentaron 0 alternativas de conexión las cuales se muestran en la siguiente tabla:

Tabla 2-243. Alternativas de conexión presentadas a la subestación El Sol 115

Solicitud	Capacidad	Tipo	Barra	FPO solicitada	Restricción

No se priorizó ninguna de las alternativas de conexión presentadas en la subestación El Sol 115

El estado de la capacidad por barra en la subestación El Sol 115, teniendo en cuenta la priorización se puede observar en la siguiente figura.

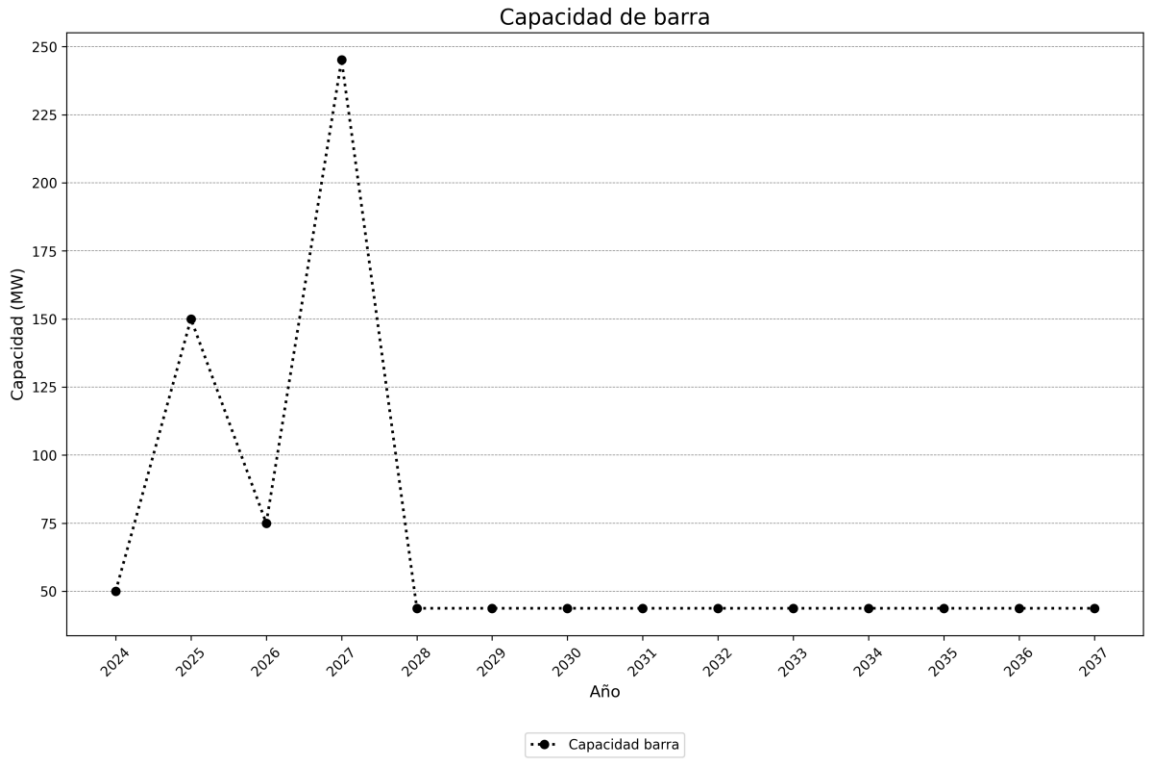


Figura 2-237. Balance de capacidad por barra después de la priorización para la subestación El Sol 115

Capacidad excedente de interrupción de corriente de cortocircuito:

Para la subestación El Sol 115 se presentaron 45 alternativas de conexión las cuales tienen aportes de corriente de cortocircuito. Estas alternativas se muestran en la siguiente tabla:

Tabla 2-244. Alternativas de conexión que aportan corriente de cortocircuito en la subestación El Sol 115

Solicitud	tipo	FPO	Barra a la que aporta CC	Aporte de cortocircuito (kA)	Restricción
SC_2023_5144_A1	Solar FV	2028	El Sol 115	0.055	SATISFACE
SC_2023_5144_A2	Solar FV	2028	El Sol 115	0.063	SATISFACE
SC_2023_5150_A1	Solar FV	2028	El Sol 115	0.101	SATISFACE
SC_2023_5280_A1	Solar FV	2028	El Sol 115	0.045	SATISFACE
SC_2023_5280_A2	Solar FV	2028	El Sol 115	0.042	SATISFACE
SC_2023_5287_A1	Solar FV	2026	El Sol 115	0.024	SATISFACE
SC_2023_5287_A2	Solar FV	2026	El Sol 115	0.025	SATISFACE
SC_2023_5288_A1	Solar FV	2026	El Sol 115	0.014	SATISFACE
SC_2023_5288_A2	Solar FV	2026	El Sol 115	0.037	SATISFACE
SC_2023_5375_A1	Solar FV	2026	El Sol 115	0.024	SATISFACE
SC_2023_5399_A1	Solar FV	2026	El Sol 115	0.014	SATISFACE
SC_2023_5399_A2	Solar FV	2026	El Sol 115	0.037	SATISFACE
SC_2023_5480_A1	Solar FV	2026	El Sol 115	0.024	SATISFACE
SC_2023_5480_A2	Solar FV	2026	El Sol 115	0.025	SATISFACE
SC_2023_5557_A1	Solar FV	2028	El Sol 115	0.094	SATISFACE
SC_2936_A1	Solar FV	2026	El Sol 115	0.000	SATISFACE
SC_2936_A2	Solar FV	2026	El Sol 115	0.000	SATISFACE
SC_3121_A1	Solar FV	2026	El Sol 115	0.003	SATISFACE
SC_3121_A2	Solar FV	2026	El Sol 115	0.003	SATISFACE
SC_3132_A1	Solar FV	2026	El Sol 115	0.051	SATISFACE
SC_3132_A2	Solar FV	2026	El Sol 115	0.045	SATISFACE
SC_3238_A1	Solar FV	2027	El Sol 115	0.267	SATISFACE
SC_3238_A2	Solar FV	2027	El Sol 115	0.280	SATISFACE
SC_3247_A1	Solar FV	2027	El Sol 115	0.102	SATISFACE
SC_3247_A2	Solar FV	2027	El Sol 115	0.073	SATISFACE
SC_3248_A1	Solar FV	2027	El Sol 115	0.267	SATISFACE
SC_3248_A2	Solar FV	2027	El Sol 115	0.280	SATISFACE
SC_3441_A1	Solar FV	2027	El Sol 115	0.102	SATISFACE
SC_3441_A2	Solar FV	2027	El Sol 115	0.073	SATISFACE

SC_3882_A1	Solar FV	2026	El Sol 115	0.090	SATISFACE
SC_4083_A1	Solar FV	2027	El Sol 115	0.000	SATISFACE
SC_4083_A2	Solar FV	2027	El Sol 115	0.000	SATISFACE
SC_4296_A1	Solar FV	2028	El Sol 115	0.055	SATISFACE
SC_4296_A2	Solar FV	2028	El Sol 115	0.052	SATISFACE
SC_4765_A1	Solar FV	2029	El Sol 115	0.002	SATISFACE
SC_4765_A2	Solar FV	2029	El Sol 115	0.001	SATISFACE
SC_4809_A1	Solar FV	2027	El Sol 115	0.058	SATISFACE
SC_4809_A2	Solar FV	2027	El Sol 115	0.201	SATISFACE
SC_4819_A1	Solar FV	2029	El Sol 115	0.082	SATISFACE
SC_4819_A2	Solar FV	2029	El Sol 115	0.074	SATISFACE
SC_4842_A1	Solar FV	2028	El Sol 115	0.101	SATISFACE
SC_4974_A1	Solar FV	2026	El Sol 115	0.007	SATISFACE
SC_4974_A2	Solar FV	2026	El Sol 115	0.007	SATISFACE
SC_4978_A1	Solar FV	2026	El Sol 115	0.000	SATISFACE
SC_4978_A2	Solar FV	2026	El Sol 115	0.004	SATISFACE

No se priorizó ninguna de las alternativas de conexión que tengan aportes de corriente de cortocircuito en la subestación El Sol 115

El estado de la capacidad de cortocircuito en la subestación El Sol 115, teniendo en cuenta la priorización se puede observar en la siguiente figura.

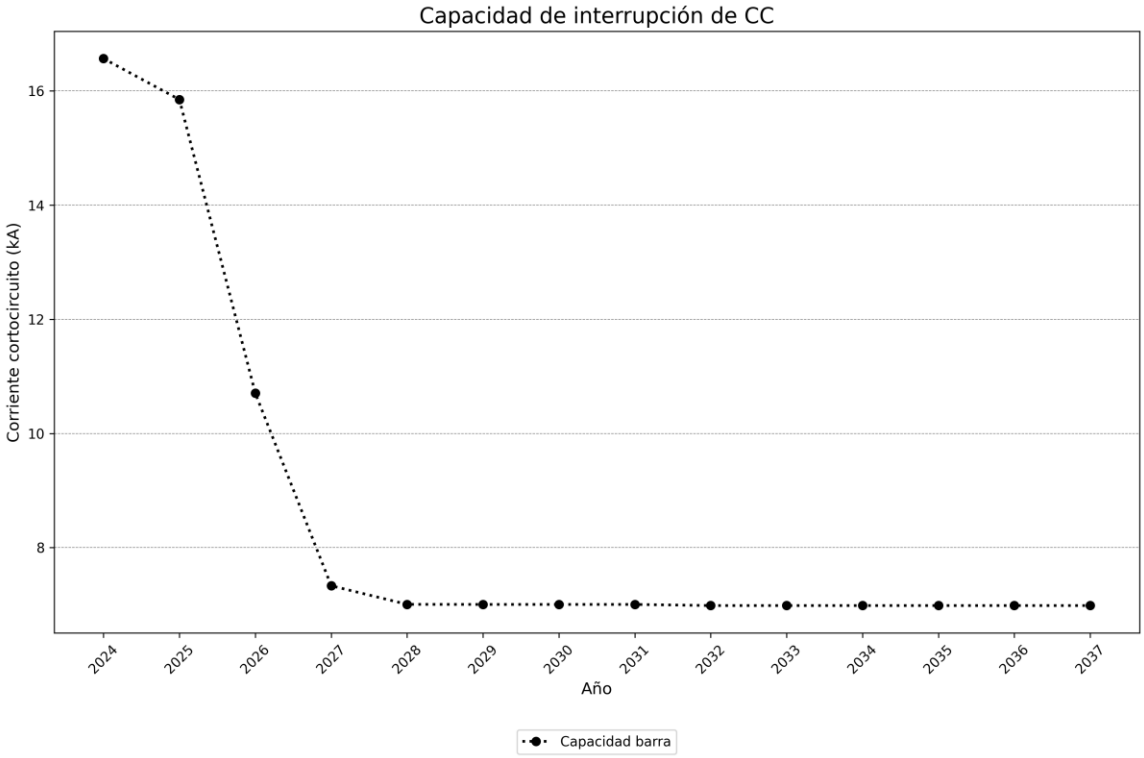


Figura 2-238. Balance de capacidad de cortocircuito después de la priorización para la subestación El Sol 115

Subestación El Zaque 115:

Capacidad por barra:

Para la subestación El Zaque 115 se presentaron 0 alternativas de conexión las cuales se muestran en la siguiente tabla:

Tabla 2-245. Alternativas de conexión presentadas a la subestación El Zaque 115

Solicitud	Capacidad	Tipo	Barra	FPO solicitada	Restricción

No se priorizó ninguna de las alternativas de conexión presentadas en la subestación El Zaque 115

El estado de la capacidad por barra en la subestación El Zaque 115, teniendo en cuenta la priorización se puede observar en la siguiente figura.

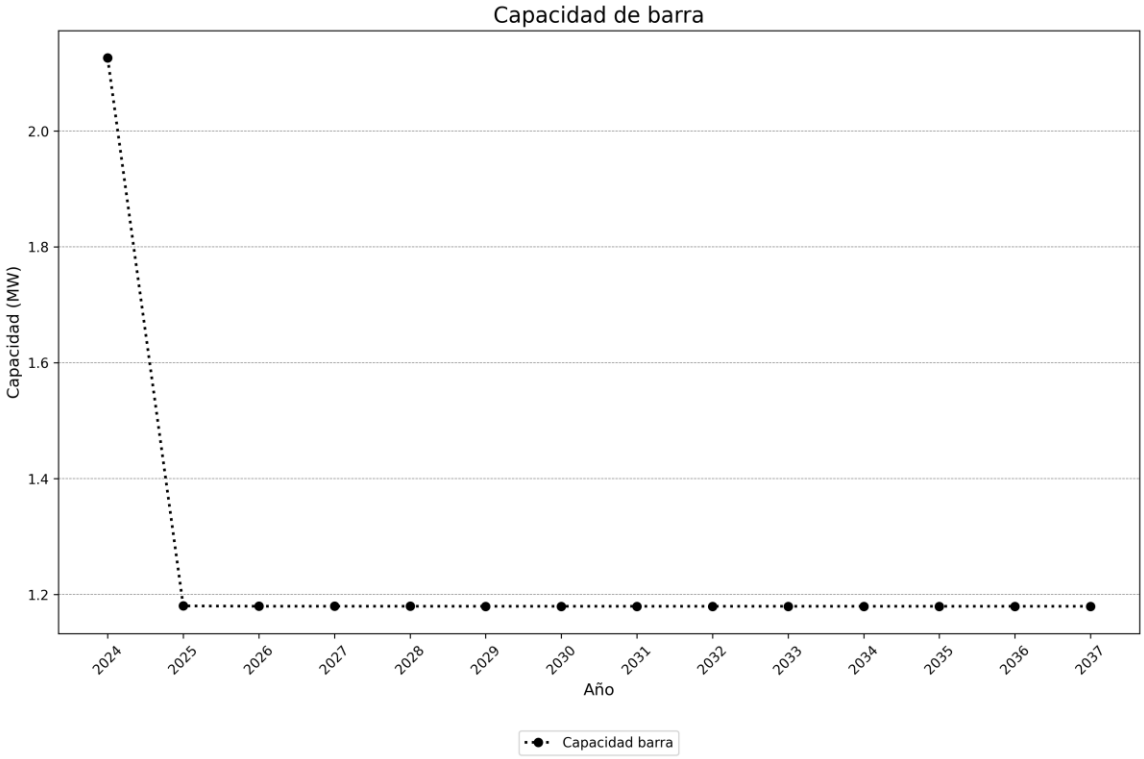


Figura 2-239. Balance de capacidad por barra después de la priorización para la subestación El Zaque 115

Capacidad excedente de interrupción de corriente de cortocircuito:

Para la subestación El Zaque 115 se presentaron 29 alternativas de conexión las cuales tienen aportes de corriente de cortocircuito. Estas alternativas se muestran en la siguiente tabla:

Tabla 2-246. Alternativas de conexión que aportan corriente de cortocircuito en la subestación El Zaque 115

Solicitud	tipo	FPO	Barra a la que aporta CC	Aporte de cortocircuito (kA)	Restricción
SC_2023_5280_A1	Solar FV	2028	El Zaque 115	0.007	SATISFACE
SC_2023_5280_A2	Solar FV	2028	El Zaque 115	0.006	SATISFACE
SC_2023_5287_A1	Solar FV	2026	El Zaque 115	0.003	SATISFACE
SC_2023_5287_A2	Solar FV	2026	El Zaque 115	0.003	SATISFACE
SC_2023_5288_A1	Solar FV	2026	El Zaque 115	0.002	SATISFACE
SC_2023_5288_A2	Solar FV	2026	El Zaque 115	0.004	SATISFACE
SC_2023_5375_A1	Solar FV	2026	El Zaque 115	0.003	SATISFACE
SC_2023_5399_A1	Solar FV	2026	El Zaque 115	0.002	SATISFACE
SC_2023_5399_A2	Solar FV	2026	El Zaque 115	0.004	SATISFACE
SC_2023_5480_A1	Solar FV	2026	El Zaque 115	0.003	SATISFACE
SC_2023_5480_A2	Solar FV	2026	El Zaque 115	0.003	SATISFACE
SC_2023_5557_A1	Solar FV	2028	El Zaque 115	0.007	SATISFACE
SC_2936_A1	Solar FV	2026	El Zaque 115	0.000	SATISFACE
SC_2936_A2	Solar FV	2026	El Zaque 115	0.000	SATISFACE
SC_3121_A1	Solar FV	2026	El Zaque 115	0.000	SATISFACE
SC_3121_A2	Solar FV	2026	El Zaque 115	0.000	SATISFACE
SC_3132_A1	Solar FV	2026	El Zaque 115	0.007	SATISFACE
SC_3132_A2	Solar FV	2026	El Zaque 115	0.007	SATISFACE
SC_3882_A1	Solar FV	2026	El Zaque 115	0.007	SATISFACE
SC_4083_A1	Solar FV	2027	El Zaque 115	0.000	SATISFACE
SC_4083_A2	Solar FV	2027	El Zaque 115	0.000	SATISFACE
SC_4765_A1	Solar FV	2029	El Zaque 115	0.000	SATISFACE
SC_4765_A2	Solar FV	2029	El Zaque 115	0.000	SATISFACE
SC_4819_A1	Solar FV	2029	El Zaque 115	0.009	SATISFACE
SC_4819_A2	Solar FV	2029	El Zaque 115	0.008	SATISFACE
SC_4974_A1	Solar FV	2026	El Zaque 115	0.001	SATISFACE
SC_4974_A2	Solar FV	2026	El Zaque 115	0.001	SATISFACE
SC_4978_A1	Solar FV	2026	El Zaque 115	0.000	SATISFACE
SC_4978_A2	Solar FV	2026	El Zaque 115	0.001	SATISFACE

No se priorizó ninguna de las alternativas de conexión que tengan aportes de corriente de cortocircuito en la subestación El Zaque 115

El estado de la capacidad de cortocircuito en la subestación El Zaque 115, teniendo en cuenta la priorización se puede observar en la siguiente figura.

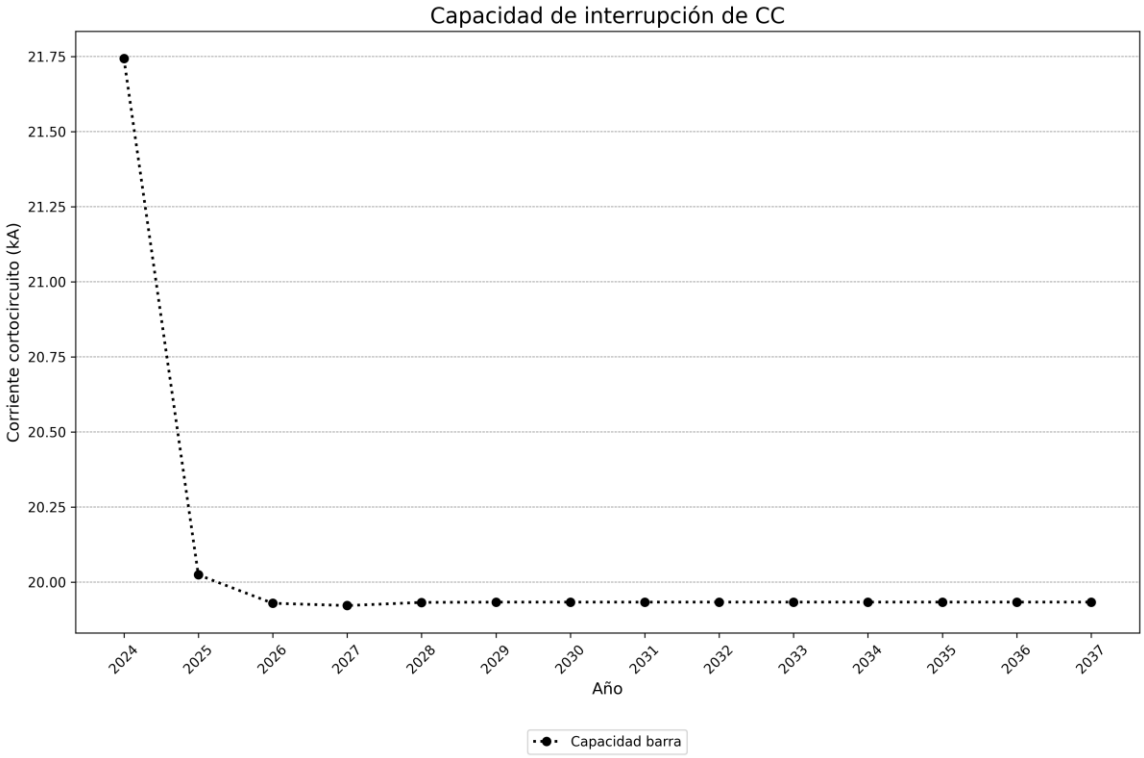


Figura 2-240. Balance de capacidad de cortocircuito después de la priorización para la subestación El Zaque 115

Subestación Enea 115:

Capacidad por barra:

Para la subestación Enea 115 se presentaron 3 alternativas de conexión las cuales se muestran en la siguiente tabla:

Tabla 2-247. Alternativas de conexión presentadas a la subestación Enea 115

Solicitud	Capacidad	Tipo	Barra	FPO solicitada	Restricción
SC_2023_5185_A1	250.0	Solar FV	Enea 115	2026	NO SATISFACE
SC_2344_A1	36.0	Eólico Onshore	Enea 115	2027	NO SATISFACE

SC_2924_A1	200.0	Solar FV	Enea 115	2026	NO SATISFACE

No se priorizó ninguna de las alternativas de conexión presentadas en la subestación Enea 115

El estado de la capacidad por barra en la subestación Enea 115, teniendo en cuenta la priorización se puede observar en la siguiente figura.

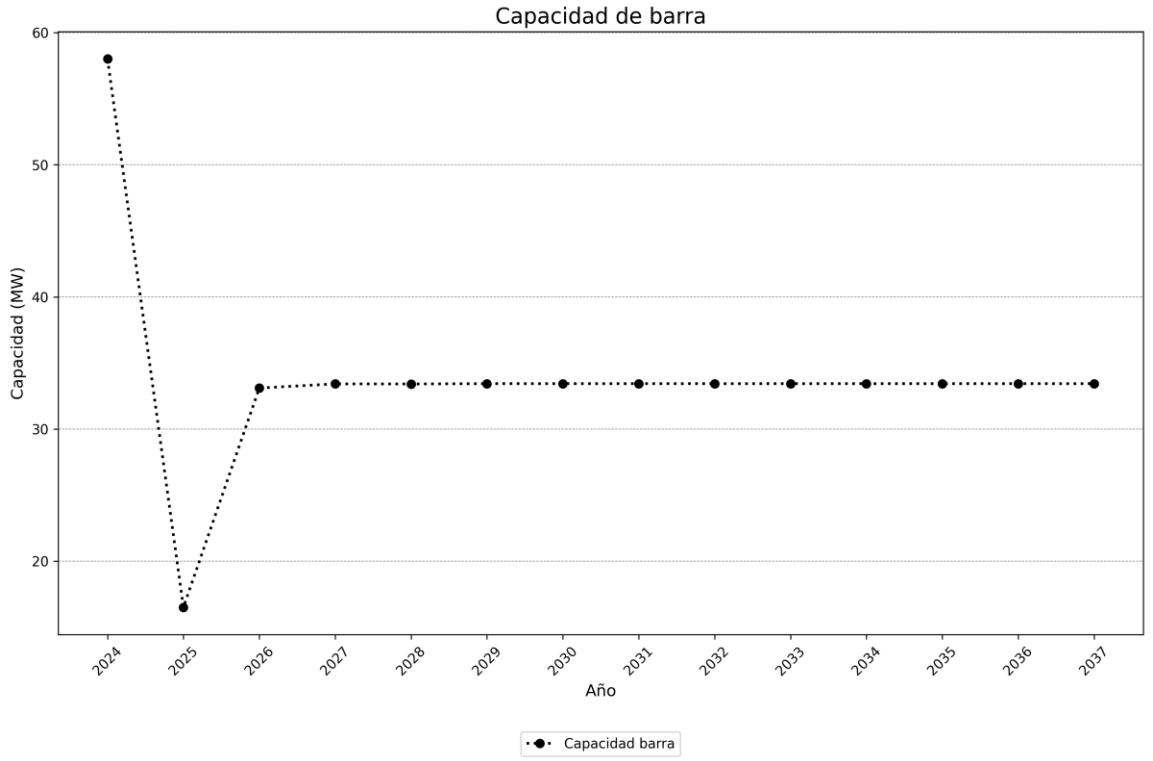


Figura 2-241. Balance de capacidad por barra después de la priorización para la subestación Enea 115

Capacidad excedente de interrupción de corriente de cortocircuito:

Para la subestación Enea 115 se presentaron 198 alternativas de conexión las cuales tienen aportes de corriente de cortocircuito. Estas alternativas se muestran en la siguiente tabla:

Tabla 2-248. Alternativas de conexión que aportan corriente de cortocircuito en la subestación Enea 115

Solicitud	tipo	FPO	Barra a la que aporta CC	Aporte de cortocircuito (kA)	Restricción
SC_2023_5136_A1	Solar FV	2026	Enea 115	0.041	SATISFACE
SC_2023_5136_A2	Solar FV	2026	Enea 115	0.041	SATISFACE
SC_2023_5144_A1	Solar FV	2028	Enea 115	0.186	SATISFACE
SC_2023_5144_A2	Solar FV	2028	Enea 115	0.088	SATISFACE
SC_2023_5150_A1	Solar FV	2028	Enea 115	0.241	SATISFACE
SC_2023_5152_A1	Solar FV	2025	Enea 115	0.002	SATISFACE
SC_2023_5152_A2	Solar FV	2025	Enea 115	0.002	SATISFACE
SC_2023_5158_A1	Solar FV	2028	Enea 115	0.114	SATISFACE
SC_2023_5171_A1	Solar FV	2025	Enea 115	0.002	SATISFACE
SC_2023_5171_A2	Solar FV	2025	Enea 115	0.002	SATISFACE
SC_2023_5174_A1	Solar FV	2027	Enea 115	0.033	SATISFACE
SC_2023_5174_A2	Solar FV	2027	Enea 115	0.042	SATISFACE
SC_2023_5185_A1	Solar FV	2026	Enea 115	2.392	SATISFACE
SC_2023_5185_A2	Solar FV	2026	Enea 115	0.773	SATISFACE
SC_2023_5188_A1	Solar FV	2026	Enea 115	0.062	SATISFACE
SC_2023_5188_A2	Solar FV	2026	Enea 115	0.558	SATISFACE
SC_2023_5200_A1	Solar FV	2028	Enea 115	0.379	SATISFACE
SC_2023_5200_A2	Solar FV	2028	Enea 115	0.178	SATISFACE
SC_2023_5216_A1	Solar FV	2026	Enea 115	0.052	SATISFACE
SC_2023_5216_A2	Solar FV	2026	Enea 115	0.015	SATISFACE
SC_2023_5248_A1	Solar FV	2025	Enea 115	0.003	SATISFACE
SC_2023_5248_A2	Solar FV	2025	Enea 115	0.003	SATISFACE
SC_2023_5249_A1	Solar FV	2025	Enea 115	0.003	SATISFACE
SC_2023_5249_A2	Solar FV	2025	Enea 115	0.003	SATISFACE
SC_2023_5251_A1	Solar FV	2025	Enea 115	0.013	SATISFACE
SC_2023_5251_A2	Solar FV	2025	Enea 115	0.013	SATISFACE
SC_2023_5252_A1	Solar FV	2028	Enea 115	0.118	SATISFACE
SC_2023_5252_A2	Solar FV	2028	Enea 115	0.084	SATISFACE
SC_2023_5253_A1	Solar FV	2025	Enea 115	0.013	SATISFACE
SC_2023_5253_A2	Solar FV	2025	Enea 115	0.013	SATISFACE
SC_2023_5256_A2	Solar FV	2028	Enea 115	0.068	SATISFACE
SC_2023_5257_A1	Solar FV	2025	Enea 115	0.003	SATISFACE
SC_2023_5257_A2	Solar FV	2025	Enea 115	0.003	SATISFACE
SC_2023_5280_A1	Solar FV	2028	Enea 115	0.112	SATISFACE

SC_2023_5280_A2	Solar FV	2028	Enea 115	0.118	SATISFACE
SC_2023_5282_A1	Solar FV	2028	Enea 115	0.005	SATISFACE
SC_2023_5287_A1	Solar FV	2026	Enea 115	0.065	SATISFACE
SC_2023_5287_A2	Solar FV	2026	Enea 115	0.066	SATISFACE
SC_2023_5288_A1	Solar FV	2026	Enea 115	0.044	SATISFACE
SC_2023_5288_A2	Solar FV	2026	Enea 115	0.116	SATISFACE
SC_2023_5293_A1	Solar FV	2028	Enea 115	0.063	SATISFACE
SC_2023_5293_A2	Solar FV	2028	Enea 115	0.051	SATISFACE
SC_2023_5294_A1	Solar FV	2029	Enea 115	0.033	SATISFACE
SC_2023_5294_A2	Solar FV	2029	Enea 115	0.037	SATISFACE
SC_2023_5304_A1	Solar FV	2026	Enea 115	0.005	SATISFACE
SC_2023_5309_A1	Solar FV	2026	Enea 115	0.005	SATISFACE
SC_2023_5337_A2	Solar FV	2025	Enea 115	0.171	SATISFACE
SC_2023_5339_A1	PCH	2026	Enea 115	0.003	SATISFACE
SC_2023_5339_A2	PCH	2026	Enea 115	0.003	SATISFACE
SC_2023_5345_A1	Solar FV	2027	Enea 115	0.018	SATISFACE
SC_2023_5345_A2	Solar FV	2027	Enea 115	0.022	SATISFACE
SC_2023_5346_A1	Solar FV	2027	Enea 115	0.018	SATISFACE
SC_2023_5346_A2	Solar FV	2027	Enea 115	0.022	SATISFACE
SC_2023_5375_A1	Solar FV	2026	Enea 115	0.063	SATISFACE
SC_2023_5383_A1	Solar FV	2027	Enea 115	0.085	SATISFACE
SC_2023_5383_A2	Solar FV	2027	Enea 115	0.112	SATISFACE
SC_2023_5399_A1	Solar FV	2026	Enea 115	0.044	SATISFACE
SC_2023_5399_A2	Solar FV	2026	Enea 115	0.116	SATISFACE
SC_2023_5431_A1	Solar FV	2028	Enea 115	0.001	SATISFACE
SC_2023_5431_A2	Solar FV	2028	Enea 115	0.001	SATISFACE
SC_2023_5480_A1	Solar FV	2026	Enea 115	0.065	SATISFACE
SC_2023_5480_A2	Solar FV	2026	Enea 115	0.066	SATISFACE
SC_2023_5549_A1	Solar FV	2028	Enea 115	0.075	SATISFACE
SC_2023_5549_A2	Solar FV	2028	Enea 115	0.103	SATISFACE
SC_2023_5551_A1	Solar FV	2027	Enea 115	0.339	SATISFACE
SC_2023_5551_A2	Solar FV	2027	Enea 115	0.159	SATISFACE
SC_2023_5557_A1	Solar FV	2028	Enea 115	0.218	SATISFACE
SC_2023_5564_A1	Solar FV	2026	Enea 115	0.016	SATISFACE
SC_2023_5564_A2	Solar FV	2026	Enea 115	0.016	SATISFACE
SC_2023_5565_A1	Solar FV	2027	Enea 115	0.015	SATISFACE
SC_2023_5566_A1	Solar FV	2028	Enea 115	0.016	SATISFACE
SC_2023_5566_A2	Solar FV	2028	Enea 115	0.017	SATISFACE
SC_2023_5598_A1	Solar FV	2025	Enea 115	0.002	SATISFACE
SC_2023_5598_A2	Solar FV	2025	Enea 115	0.002	SATISFACE

SC_2024_5939_A1	Solar FV	2028	Enea 115	0.003	SATISFACE
SC_2024_5939_A2	Solar FV	2028	Enea 115	0.003	SATISFACE
SC_2344_A1	Eólico Onshore	2027	Enea 115	0.220	SATISFACE
SC_2344_A2	Eólico Onshore	2027	Enea 115	0.070	SATISFACE
SC_2436_A1	Solar FV	2028	Enea 115	0.050	SATISFACE
SC_2436_A2	Solar FV	2028	Enea 115	0.060	SATISFACE
SC_2438_A1	Solar FV	2028	Enea 115	0.000	SATISFACE
SC_2438_A2	Solar FV	2028	Enea 115	0.003	SATISFACE
SC_2442_A1	Solar FV	2027	Enea 115	0.001	SATISFACE
SC_2442_A2	Solar FV	2027	Enea 115	0.001	SATISFACE
SC_2475_A1	Solar FV	2028	Enea 115	0.070	SATISFACE
SC_2475_A2	Solar FV	2028	Enea 115	0.060	SATISFACE
SC_2527_A1	Solar FV	2028	Enea 115	0.090	SATISFACE
SC_2527_A2	Solar FV	2028	Enea 115	0.170	SATISFACE
SC_2562_A1	Solar FV	2026	Enea 115	0.010	SATISFACE
SC_2629_A1	Solar FV	2026	Enea 115	0.001	SATISFACE
SC_2629_A2	Solar FV	2026	Enea 115	0.001	SATISFACE
SC_2634_A1	Solar FV	2026	Enea 115	0.000	SATISFACE
SC_2634_A2	Solar FV	2026	Enea 115	0.000	SATISFACE
SC_2683_A1	Solar FV	2026	Enea 115	0.010	SATISFACE
SC_2683_A2	Solar FV	2026	Enea 115	0.010	SATISFACE
SC_2722_A1	Solar FV	2026	Enea 115	0.001	SATISFACE
SC_2722_A2	Solar FV	2026	Enea 115	0.001	SATISFACE
SC_2802_A1	Solar FV	2027	Enea 115	0.008	SATISFACE
SC_2802_A2	Solar FV	2027	Enea 115	0.009	SATISFACE
SC_2816_A1	Solar FV	2027	Enea 115	0.010	SATISFACE
SC_2870_A1	Solar FV	2027	Enea 115	0.010	SATISFACE
SC_2870_A2	Solar FV	2027	Enea 115	0.020	SATISFACE
SC_2892_A1	Solar FV	2027	Enea 115	0.070	SATISFACE
SC_2892_A2	Solar FV	2027	Enea 115	0.120	SATISFACE
SC_2893_A1	Solar FV	2026	Enea 115	0.010	SATISFACE
SC_2893_A2	Solar FV	2026	Enea 115	0.010	SATISFACE
SC_2902_A1	Solar FV	2028	Enea 115	1.820	SATISFACE
SC_2902_A2	Solar FV	2028	Enea 115	0.100	SATISFACE
SC_2905_A2	Solar FV	2028	Enea 115	0.000	SATISFACE
SC_2924_A1	Solar FV	2026	Enea 115	2.029	SATISFACE
SC_2924_A2	Solar FV	2026	Enea 115	0.648	SATISFACE
SC_2936_A1	Solar FV	2026	Enea 115	0.000	SATISFACE
SC_2936_A2	Solar FV	2026	Enea 115	0.000	SATISFACE
SC_2962_A1	Solar FV	2028	Enea 115	0.139	SATISFACE

SC_2962_A2	Solar FV	2028	Enea 115	0.123	SATISFACE
SC_2967_A1	Solar FV	2026	Enea 115	0.001	SATISFACE
SC_2967_A2	Solar FV	2026	Enea 115	0.001	SATISFACE
SC_3012_A1	Solar FV	2027	Enea 115	0.020	SATISFACE
SC_3012_A2	Solar FV	2027	Enea 115	0.000	SATISFACE
SC_3054_A2	Solar FV	2027	Enea 115	0.045	SATISFACE
SC_3101_A1	Solar FV	2027	Enea 115	0.008	SATISFACE
SC_3101_A2	Solar FV	2027	Enea 115	0.003	SATISFACE
SC_3121_A1	Solar FV	2026	Enea 115	0.009	SATISFACE
SC_3121_A2	Solar FV	2026	Enea 115	0.009	SATISFACE
SC_3132_A1	Solar FV	2026	Enea 115	0.124	SATISFACE
SC_3132_A2	Solar FV	2026	Enea 115	0.146	SATISFACE
SC_3238_A1	Solar FV	2027	Enea 115	0.393	SATISFACE
SC_3238_A2	Solar FV	2027	Enea 115	0.286	SATISFACE
SC_3247_A1	Solar FV	2027	Enea 115	0.242	SATISFACE
SC_3247_A2	Solar FV	2027	Enea 115	0.194	SATISFACE
SC_3248_A1	Solar FV	2027	Enea 115	0.393	SATISFACE
SC_3248_A2	Solar FV	2027	Enea 115	0.286	SATISFACE
SC_3251_A1	Hidráulica	2026	Enea 115	0.090	SATISFACE
SC_3251_A2	Hidráulica	2026	Enea 115	0.010	SATISFACE
SC_3353_A1	Solar FV	2027	Enea 115	0.004	SATISFACE
SC_3353_A2	Solar FV	2027	Enea 115	0.004	SATISFACE
SC_3382_A1	Solar FV	2027	Enea 115	0.013	SATISFACE
SC_3382_A2	Solar FV	2027	Enea 115	0.018	SATISFACE
SC_3392_A1	Solar FV	2027	Enea 115	0.057	SATISFACE
SC_3392_A2	Solar FV	2027	Enea 115	0.023	SATISFACE
SC_3441_A1	Solar FV	2027	Enea 115	0.242	SATISFACE
SC_3441_A2	Solar FV	2027	Enea 115	0.194	SATISFACE
SC_3453_A1	Solar FV	2027	Enea 115	0.025	SATISFACE
SC_3453_A2	Solar FV	2027	Enea 115	0.025	SATISFACE
SC_3514_A1	Solar FV	2027	Enea 115	0.025	SATISFACE
SC_3514_A2	Solar FV	2027	Enea 115	0.025	SATISFACE
SC_3578_A1	Solar FV	2028	Enea 115	0.003	SATISFACE
SC_3578_A2	Solar FV	2028	Enea 115	0.004	SATISFACE
SC_3667_A1	Solar FV	2029	Enea 115	0.018	SATISFACE
SC_3667_A2	Solar FV	2029	Enea 115	0.012	SATISFACE
SC_3846_A1	Solar FV	2028	Enea 115	0.015	SATISFACE
SC_3846_A2	Solar FV	2028	Enea 115	0.015	SATISFACE
SC_3882_A1	Solar FV	2026	Enea 115	0.218	SATISFACE
SC_4083_A1	Solar FV	2027	Enea 115	0.001	SATISFACE

SC_4083_A2	Solar FV	2027	Enea 115	0.001	SATISFACE
SC_4175_A1	Solar FV	2026	Enea 115	0.011	SATISFACE
SC_4175_A2	Solar FV	2026	Enea 115	0.011	SATISFACE
SC_4296_A1	Solar FV	2028	Enea 115	0.187	SATISFACE
SC_4296_A2	Solar FV	2028	Enea 115	0.247	SATISFACE
SC_4751_A1	Solar FV	2027	Enea 115	0.010	SATISFACE
SC_4760_A1	Solar FV	2026	Enea 115	0.117	SATISFACE
SC_4765_A1	Solar FV	2029	Enea 115	0.012	SATISFACE
SC_4765_A2	Solar FV	2029	Enea 115	0.016	SATISFACE
SC_4789_A1	Solar FV	2027	Enea 115	0.011	SATISFACE
SC_4789_A2	Solar FV	2027	Enea 115	0.011	SATISFACE
SC_4809_A1	Solar FV	2027	Enea 115	0.025	SATISFACE
SC_4809_A2	Solar FV	2027	Enea 115	0.206	SATISFACE
SC_4819_A1	Solar FV	2029	Enea 115	0.217	SATISFACE
SC_4819_A2	Solar FV	2029	Enea 115	0.237	SATISFACE
SC_4821_A1	Solar FV	2027	Enea 115	0.057	SATISFACE
SC_4821_A2	Solar FV	2027	Enea 115	0.023	SATISFACE
SC_4824_A1	Solar FV	2025	Enea 115	0.000	SATISFACE
SC_4824_A2	Solar FV	2025	Enea 115	0.000	SATISFACE
SC_4826_A1	Solar FV	2027	Enea 115	0.019	SATISFACE
SC_4826_A2	Solar FV	2027	Enea 115	0.019	SATISFACE
SC_4827_A1	Solar FV	2027	Enea 115	0.019	SATISFACE
SC_4827_A2	Solar FV	2027	Enea 115	0.019	SATISFACE
SC_4842_A1	Solar FV	2028	Enea 115	0.241	SATISFACE
SC_4910_A1	Solar FV	2026	Enea 115	0.042	SATISFACE
SC_4910_A2	Solar FV	2026	Enea 115	0.042	SATISFACE
SC_4926_A1	Solar FV	2027	Enea 115	0.010	SATISFACE
SC_4947_A1	Solar FV	2027	Enea 115	0.063	SATISFACE
SC_4960_A2	Solar FV	2029	Enea 115	0.155	SATISFACE
SC_4974_A1	Solar FV	2026	Enea 115	0.014	SATISFACE
SC_4974_A2	Solar FV	2026	Enea 115	0.013	SATISFACE
SC_4978_A1	Solar FV	2026	Enea 115	0.011	SATISFACE
SC_4978_A2	Solar FV	2026	Enea 115	0.014	SATISFACE
SC_5009_A1	Solar FV	2026	Enea 115	0.058	SATISFACE
SC_5009_A2	Solar FV	2026	Enea 115	0.024	SATISFACE
SC_5011_A1	Solar FV	2027	Enea 115	0.058	SATISFACE
SC_5011_A2	Solar FV	2027	Enea 115	0.024	SATISFACE
SC_5060_A1	Solar FV	2026	Enea 115	0.042	SATISFACE
SC_5060_A2	Solar FV	2026	Enea 115	0.042	SATISFACE
SC_5076_A1	Solar FV	2027	Enea 115	0.000	SATISFACE

SC_5076_A2	Solar FV	2027	Enea 115	0.000	SATISFACE
SC_5077_A1	Solar FV	2027	Enea 115	0.000	SATISFACE
SC_5077_A2	Solar FV	2027	Enea 115	0.000	SATISFACE
SC_5087_A2	Solar FV	2027	Enea 115	0.061	SATISFACE

Posterior a la ejecución del MACC se priorizaron las siguientes alternativas de conexión que tienen aportes de cortocircuito de la subestación en análisis:

Tabla 2-249. Alternativas de conexión priorizadas que aportan corriente de cortocircuito en la subestación Enea 115

index	tipo	periodoIni	Barra a la que aporta CC	Aporte de cortocircuito (kA)	Restricción
SC_5076_A2	Solar FV	2027	Enea 115	0.000	SATISFACE
SC_5077_A2	Solar FV	2027	Enea 115	0.000	SATISFACE

El estado de la capacidad de cortocircuito en la subestación Enea 115, teniendo en cuenta la priorización se puede observar en la siguiente figura.

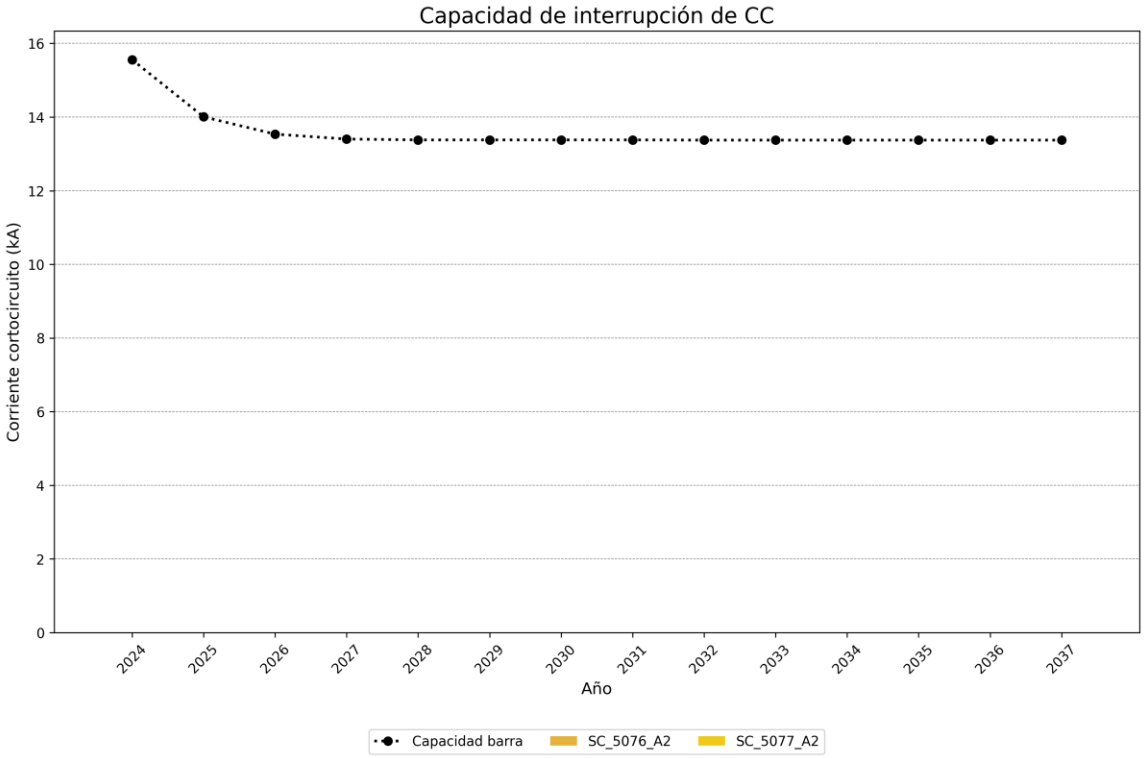


Figura 2-242. Balance de capacidad de cortocircuito después de la priorización para la subestación Enea 115

Subestación Enea 220:

Capacidad por barra:

Para la subestación Enea 220 se presentaron 1 alternativas de conexión las cuales se muestran en la siguiente tabla:

Tabla 2-250. Alternativas de conexión presentadas a la subestación Enea 220

Solicitud	Capacidad	Tipo	Barra	FPO solicitada	Restricción
SC_2023_5185_A2	250.0	Solar FV	Enea 220	2026	NO SATISFACE

No se priorizó ninguna de las alternativas de conexión presentadas en la subestación Enea 220

El estado de la capacidad por barra en la subestación Enea 220, teniendo en cuenta la priorización se puede observar en la siguiente figura.

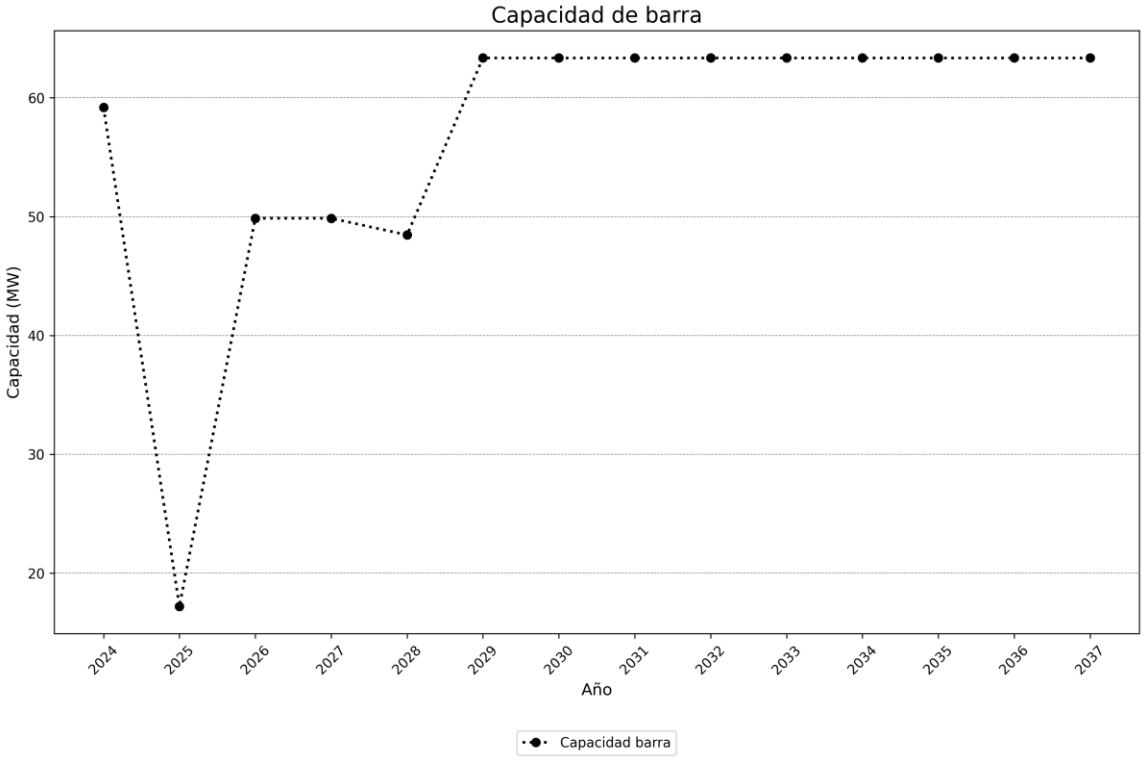


Figura 2-243. Balance de capacidad por barra después de la priorización para la subestación Enea 220

Capacidad excedente de interrupción de corriente de cortocircuito:

Para la subestación Enea 220 se presentaron 199 alternativas de conexión las cuales tienen aportes de corriente de cortocircuito. Estas alternativas se muestran en la siguiente tabla:

Tabla 2-251. Alternativas de conexión que aportan corriente de cortocircuito en la subestación Enea 220

Solicitud	tipo	FPO	Barra a la que aporta CC	Aporte de cortocircuito (kA)	Restricción
SC_2023_5136_A1	Solar FV	2026	Enea 220	0.034	SATISFACE
SC_2023_5136_A2	Solar FV	2026	Enea 220	0.034	SATISFACE
SC_2023_5144_A1	Solar FV	2028	Enea 220	0.202	SATISFACE
SC_2023_5144_A2	Solar FV	2028	Enea 220	0.094	SATISFACE
SC_2023_5150_A1	Solar FV	2028	Enea 220	0.385	SATISFACE
SC_2023_5152_A1	Solar FV	2025	Enea 220	0.005	SATISFACE
SC_2023_5152_A2	Solar FV	2025	Enea 220	0.004	SATISFACE
SC_2023_5158_A1	Solar FV	2028	Enea 220	0.120	SATISFACE
SC_2023_5171_A1	Solar FV	2025	Enea 220	0.004	SATISFACE
SC_2023_5171_A2	Solar FV	2025	Enea 220	0.005	SATISFACE
SC_2023_5185_A1	Solar FV	2026	Enea 220	0.683	SATISFACE
SC_2023_5185_A2	Solar FV	2026	Enea 220	2.235	NO SATISFACE
SC_2023_5188_A1	Solar FV	2026	Enea 220	0.053	SATISFACE
SC_2023_5188_A2	Solar FV	2026	Enea 220	0.179	SATISFACE
SC_2023_5200_A1	Solar FV	2028	Enea 220	0.384	SATISFACE
SC_2023_5200_A2	Solar FV	2028	Enea 220	0.182	SATISFACE
SC_2023_5248_A1	Solar FV	2025	Enea 220	0.005	SATISFACE
SC_2023_5248_A2	Solar FV	2025	Enea 220	0.006	SATISFACE
SC_2023_5249_A1	Solar FV	2025	Enea 220	0.005	SATISFACE
SC_2023_5249_A2	Solar FV	2025	Enea 220	0.006	SATISFACE
SC_2023_5251_A1	Solar FV	2025	Enea 220	0.013	SATISFACE
SC_2023_5251_A2	Solar FV	2025	Enea 220	0.013	SATISFACE
SC_2023_5252_A1	Solar FV	2028	Enea 220	0.445	SATISFACE
SC_2023_5252_A2	Solar FV	2028	Enea 220	0.094	SATISFACE
SC_2023_5253_A1	Solar FV	2025	Enea 220	0.013	SATISFACE
SC_2023_5253_A2	Solar FV	2025	Enea 220	0.013	SATISFACE
SC_2023_5256_A2	Solar FV	2028	Enea 220	0.057	SATISFACE
SC_2023_5257_A1	Solar FV	2025	Enea 220	0.006	SATISFACE
SC_2023_5257_A2	Solar FV	2025	Enea 220	0.006	SATISFACE
SC_2023_5280_A1	Solar FV	2028	Enea 220	0.143	SATISFACE
SC_2023_5280_A2	Solar FV	2028	Enea 220	0.115	SATISFACE
SC_2023_5282_A1	Solar FV	2028	Enea 220	0.008	SATISFACE
SC_2023_5287_A1	Solar FV	2026	Enea 220	0.065	SATISFACE
SC_2023_5287_A2	Solar FV	2026	Enea 220	0.066	SATISFACE
SC_2023_5288_A1	Solar FV	2026	Enea 220	0.038	SATISFACE
SC_2023_5288_A2	Solar FV	2026	Enea 220	0.100	SATISFACE

SC_2023_5293_A1	Solar FV	2028	Enea 220	0.068	SATISFACE
SC_2023_5293_A2	Solar FV	2028	Enea 220	0.053	SATISFACE
SC_2023_5294_A1	Solar FV	2029	Enea 220	0.030	SATISFACE
SC_2023_5294_A2	Solar FV	2029	Enea 220	0.031	SATISFACE
SC_2023_5304_A1	Solar FV	2026	Enea 220	0.005	SATISFACE
SC_2023_5309_A1	Solar FV	2026	Enea 220	0.005	SATISFACE
SC_2023_5337_A2	Solar FV	2025	Enea 220	0.245	SATISFACE
SC_2023_5339_A1	PCH	2026	Enea 220	0.005	SATISFACE
SC_2023_5339_A2	PCH	2026	Enea 220	0.005	SATISFACE
SC_2023_5345_A1	Solar FV	2027	Enea 220	0.011	SATISFACE
SC_2023_5345_A2	Solar FV	2027	Enea 220	0.014	SATISFACE
SC_2023_5346_A1	Solar FV	2027	Enea 220	0.011	SATISFACE
SC_2023_5346_A2	Solar FV	2027	Enea 220	0.014	SATISFACE
SC_2023_5375_A1	Solar FV	2026	Enea 220	0.065	SATISFACE
SC_2023_5383_A1	Solar FV	2027	Enea 220	0.051	SATISFACE
SC_2023_5383_A2	Solar FV	2027	Enea 220	0.065	SATISFACE
SC_2023_5399_A1	Solar FV	2026	Enea 220	0.038	SATISFACE
SC_2023_5399_A2	Solar FV	2026	Enea 220	0.100	SATISFACE
SC_2023_5431_A1	Solar FV	2028	Enea 220	0.001	SATISFACE
SC_2023_5431_A2	Solar FV	2028	Enea 220	0.001	SATISFACE
SC_2023_5480_A1	Solar FV	2026	Enea 220	0.065	SATISFACE
SC_2023_5480_A2	Solar FV	2026	Enea 220	0.066	SATISFACE
SC_2023_5551_A1	Solar FV	2027	Enea 220	0.343	SATISFACE
SC_2023_5551_A2	Solar FV	2027	Enea 220	0.163	SATISFACE
SC_2023_5557_A1	Solar FV	2028	Enea 220	0.274	SATISFACE
SC_2023_5564_A1	Solar FV	2026	Enea 220	0.013	SATISFACE
SC_2023_5564_A2	Solar FV	2026	Enea 220	0.013	SATISFACE
SC_2023_5565_A1	Solar FV	2027	Enea 220	0.013	SATISFACE
SC_2023_5566_A1	Solar FV	2028	Enea 220	0.013	SATISFACE
SC_2023_5566_A2	Solar FV	2028	Enea 220	0.014	SATISFACE
SC_2023_5598_A1	Solar FV	2025	Enea 220	0.005	SATISFACE
SC_2023_5598_A2	Solar FV	2025	Enea 220	0.004	SATISFACE
SC_2024_5939_A1	Solar FV	2028	Enea 220	0.006	SATISFACE
SC_2024_5939_A2	Solar FV	2028	Enea 220	0.007	SATISFACE
SC_2438_A1	Solar FV	2028	Enea 220	0.001	SATISFACE
SC_2438_A2	Solar FV	2028	Enea 220	0.023	SATISFACE
SC_2442_A1	Solar FV	2027	Enea 220	0.002	SATISFACE
SC_2442_A2	Solar FV	2027	Enea 220	0.002	SATISFACE
SC_2475_A1	Solar FV	2028	Enea 220	0.050	SATISFACE
SC_2475_A2	Solar FV	2028	Enea 220	0.060	SATISFACE

SC_2562_A1	Solar FV	2026	Enea 220	0.010	SATISFACE
SC_2629_A1	Solar FV	2026	Enea 220	0.002	SATISFACE
SC_2629_A2	Solar FV	2026	Enea 220	0.002	SATISFACE
SC_2634_A1	Solar FV	2026	Enea 220	0.000	SATISFACE
SC_2634_A2	Solar FV	2026	Enea 220	0.000	SATISFACE
SC_2670_A1	Solar FV	2028	Enea 220	0.010	SATISFACE
SC_2670_A2	Solar FV	2028	Enea 220	0.090	SATISFACE
SC_2680_A1	Solar FV	2028	Enea 220	0.030	SATISFACE
SC_2680_A2	Solar FV	2028	Enea 220	0.020	SATISFACE
SC_2681_A1	Solar FV	2027	Enea 220	0.020	SATISFACE
SC_2681_A2	Solar FV	2027	Enea 220	0.030	SATISFACE
SC_2682_A1	Solar FV	2025	Enea 220	0.010	SATISFACE
SC_2682_A2	Solar FV	2025	Enea 220	0.001	SATISFACE
SC_2683_A1	Solar FV	2026	Enea 220	0.010	SATISFACE
SC_2683_A2	Solar FV	2026	Enea 220	0.010	SATISFACE
SC_2722_A1	Solar FV	2026	Enea 220	0.002	SATISFACE
SC_2722_A2	Solar FV	2026	Enea 220	0.002	SATISFACE
SC_2802_A1	Solar FV	2027	Enea 220	0.032	SATISFACE
SC_2802_A2	Solar FV	2027	Enea 220	0.023	SATISFACE
SC_2816_A1	Solar FV	2027	Enea 220	0.070	SATISFACE
SC_2870_A1	Solar FV	2027	Enea 220	0.040	SATISFACE
SC_2870_A2	Solar FV	2027	Enea 220	0.070	SATISFACE
SC_2892_A1	Solar FV	2027	Enea 220	0.050	SATISFACE
SC_2892_A2	Solar FV	2027	Enea 220	0.060	SATISFACE
SC_2893_A1	Solar FV	2026	Enea 220	0.020	SATISFACE
SC_2893_A2	Solar FV	2026	Enea 220	0.020	SATISFACE
SC_2902_A1	Solar FV	2028	Enea 220	0.140	SATISFACE
SC_2902_A2	Solar FV	2028	Enea 220	1.530	NO SATISFACE
SC_2905_A2	Solar FV	2028	Enea 220	0.010	SATISFACE
SC_2924_A1	Solar FV	2026	Enea 220	0.575	SATISFACE
SC_2924_A2	Solar FV	2026	Enea 220	2.074	NO SATISFACE
SC_2936_A1	Solar FV	2026	Enea 220	0.000	SATISFACE
SC_2936_A2	Solar FV	2026	Enea 220	0.000	SATISFACE
SC_2962_A1	Solar FV	2028	Enea 220	0.096	SATISFACE
SC_2962_A2	Solar FV	2028	Enea 220	0.106	SATISFACE
SC_2967_A1	Solar FV	2026	Enea 220	0.002	SATISFACE
SC_2967_A2	Solar FV	2026	Enea 220	0.002	SATISFACE
SC_3012_A1	Solar FV	2027	Enea 220	0.100	SATISFACE

SC_3012_A2	Solar FV	2027	Enea 220	0.030	SATISFACE
SC_3054_A2	Solar FV	2027	Enea 220	0.050	SATISFACE
SC_3101_A1	Solar FV	2027	Enea 220	0.050	SATISFACE
SC_3101_A2	Solar FV	2027	Enea 220	0.031	SATISFACE
SC_3121_A1	Solar FV	2026	Enea 220	0.010	SATISFACE
SC_3121_A2	Solar FV	2026	Enea 220	0.010	SATISFACE
SC_3131_A1	Solar FV	2026	Enea 220	0.002	SATISFACE
SC_3131_A2	Solar FV	2026	Enea 220	0.002	SATISFACE
SC_3132_A1	Solar FV	2026	Enea 220	0.154	SATISFACE
SC_3132_A2	Solar FV	2026	Enea 220	0.122	SATISFACE
SC_3133_A1	Solar FV	2028	Enea 220	0.243	SATISFACE
SC_3133_A2	Solar FV	2028	Enea 220	0.151	SATISFACE
SC_3238_A1	Solar FV	2027	Enea 220	0.366	SATISFACE
SC_3238_A2	Solar FV	2027	Enea 220	0.259	SATISFACE
SC_3247_A1	Solar FV	2027	Enea 220	0.385	SATISFACE
SC_3247_A2	Solar FV	2027	Enea 220	0.199	SATISFACE
SC_3248_A1	Solar FV	2027	Enea 220	0.366	SATISFACE
SC_3248_A2	Solar FV	2027	Enea 220	0.259	SATISFACE
SC_3251_A1	Hidráulica	2026	Enea 220	0.090	SATISFACE
SC_3251_A2	Hidráulica	2026	Enea 220	0.010	SATISFACE
SC_3353_A1	Solar FV	2027	Enea 220	0.004	SATISFACE
SC_3353_A2	Solar FV	2027	Enea 220	0.013	SATISFACE
SC_3382_A1	Solar FV	2027	Enea 220	0.015	SATISFACE
SC_3382_A2	Solar FV	2027	Enea 220	0.021	SATISFACE
SC_3392_A1	Solar FV	2027	Enea 220	0.061	SATISFACE
SC_3392_A2	Solar FV	2027	Enea 220	0.025	SATISFACE
SC_3433_A2	Solar FV	2027	Enea 220	0.000	SATISFACE
SC_3441_A1	Solar FV	2027	Enea 220	0.385	SATISFACE
SC_3441_A2	Solar FV	2027	Enea 220	0.199	SATISFACE
SC_3453_A1	Solar FV	2027	Enea 220	0.017	SATISFACE
SC_3453_A2	Solar FV	2027	Enea 220	0.017	SATISFACE
SC_3514_A1	Solar FV	2027	Enea 220	0.017	SATISFACE
SC_3514_A2	Solar FV	2027	Enea 220	0.017	SATISFACE
SC_3578_A1	Solar FV	2028	Enea 220	0.006	SATISFACE
SC_3578_A2	Solar FV	2028	Enea 220	0.007	SATISFACE
SC_3667_A1	Solar FV	2029	Enea 220	0.012	SATISFACE
SC_3667_A2	Solar FV	2029	Enea 220	0.008	SATISFACE
SC_3846_A1	Solar FV	2028	Enea 220	0.010	SATISFACE
SC_3846_A2	Solar FV	2028	Enea 220	0.010	SATISFACE
SC_3882_A1	Solar FV	2026	Enea 220	0.281	SATISFACE

SC_4083_A1	Solar FV	2027	Enea 220	0.002	SATISFACE
SC_4083_A2	Solar FV	2027	Enea 220	0.002	SATISFACE
SC_4175_A1	Solar FV	2026	Enea 220	0.010	SATISFACE
SC_4175_A2	Solar FV	2026	Enea 220	0.010	SATISFACE
SC_4296_A1	Solar FV	2028	Enea 220	0.205	SATISFACE
SC_4296_A2	Solar FV	2028	Enea 220	0.356	SATISFACE
SC_4751_A1	Solar FV	2027	Enea 220	0.043	SATISFACE
SC_4760_A1	Solar FV	2026	Enea 220	0.075	SATISFACE
SC_4765_A1	Solar FV	2029	Enea 220	0.051	SATISFACE
SC_4765_A2	Solar FV	2029	Enea 220	0.030	SATISFACE
SC_4789_A1	Solar FV	2027	Enea 220	0.010	SATISFACE
SC_4789_A2	Solar FV	2027	Enea 220	0.010	SATISFACE
SC_4809_A1	Solar FV	2027	Enea 220	0.008	SATISFACE
SC_4809_A2	Solar FV	2027	Enea 220	0.175	SATISFACE
SC_4819_A1	Solar FV	2029	Enea 220	0.264	SATISFACE
SC_4819_A2	Solar FV	2029	Enea 220	0.234	SATISFACE
SC_4821_A1	Solar FV	2027	Enea 220	0.061	SATISFACE
SC_4821_A2	Solar FV	2027	Enea 220	0.025	SATISFACE
SC_4824_A1	Solar FV	2025	Enea 220	0.000	SATISFACE
SC_4824_A2	Solar FV	2025	Enea 220	0.000	SATISFACE
SC_4826_A1	Solar FV	2027	Enea 220	0.020	SATISFACE
SC_4826_A2	Solar FV	2027	Enea 220	0.020	SATISFACE
SC_4827_A1	Solar FV	2027	Enea 220	0.020	SATISFACE
SC_4827_A2	Solar FV	2027	Enea 220	0.020	SATISFACE
SC_4842_A1	Solar FV	2028	Enea 220	0.385	SATISFACE
SC_4910_A1	Solar FV	2026	Enea 220	0.034	SATISFACE
SC_4910_A2	Solar FV	2026	Enea 220	0.034	SATISFACE
SC_4926_A1	Solar FV	2027	Enea 220	0.043	SATISFACE
SC_4947_A1	Solar FV	2027	Enea 220	0.072	SATISFACE
SC_4960_A2	Solar FV	2029	Enea 220	0.108	SATISFACE
SC_4974_A1	Solar FV	2026	Enea 220	0.014	SATISFACE
SC_4974_A2	Solar FV	2026	Enea 220	0.013	SATISFACE
SC_4978_A1	Solar FV	2026	Enea 220	0.009	SATISFACE
SC_4978_A2	Solar FV	2026	Enea 220	0.012	SATISFACE
SC_5009_A1	Solar FV	2026	Enea 220	0.060	SATISFACE
SC_5009_A2	Solar FV	2026	Enea 220	0.025	SATISFACE
SC_5011_A1	Solar FV	2027	Enea 220	0.060	SATISFACE
SC_5011_A2	Solar FV	2027	Enea 220	0.025	SATISFACE
SC_5060_A1	Solar FV	2026	Enea 220	0.034	SATISFACE
SC_5060_A2	Solar FV	2026	Enea 220	0.034	SATISFACE

SC_5076_A1	Solar FV	2027	Enea 220	0.000	SATISFACE
SC_5076_A2	Solar FV	2027	Enea 220	0.000	SATISFACE
SC_5077_A1	Solar FV	2027	Enea 220	0.000	SATISFACE
SC_5077_A2	Solar FV	2027	Enea 220	0.000	SATISFACE
SC_5087_A2	Solar FV	2027	Enea 220	0.052	SATISFACE

Posterior a la ejecución del MACC se priorizaron las siguientes alternativas de conexión que tienen aportes de cortocircuito de la subestación en análisis:

Tabla 2-252. Alternativas de conexión priorizadas que aportan corriente de cortocircuito en la subestación Enea 220

index	tipo	periodoIni	Barra a la que aporta CC	Aporte de cortocircuito (kA)	Restricción
SC_3131_A1	Solar FV	2026	Enea 220	0.002	SATISFACE
SC_5076_A2	Solar FV	2027	Enea 220	0.000	SATISFACE
SC_5077_A2	Solar FV	2027	Enea 220	0.000	SATISFACE

El estado de la capacidad de cortocircuito en la subestación Enea 220, teniendo en cuenta la priorización se puede observar en la siguiente figura.

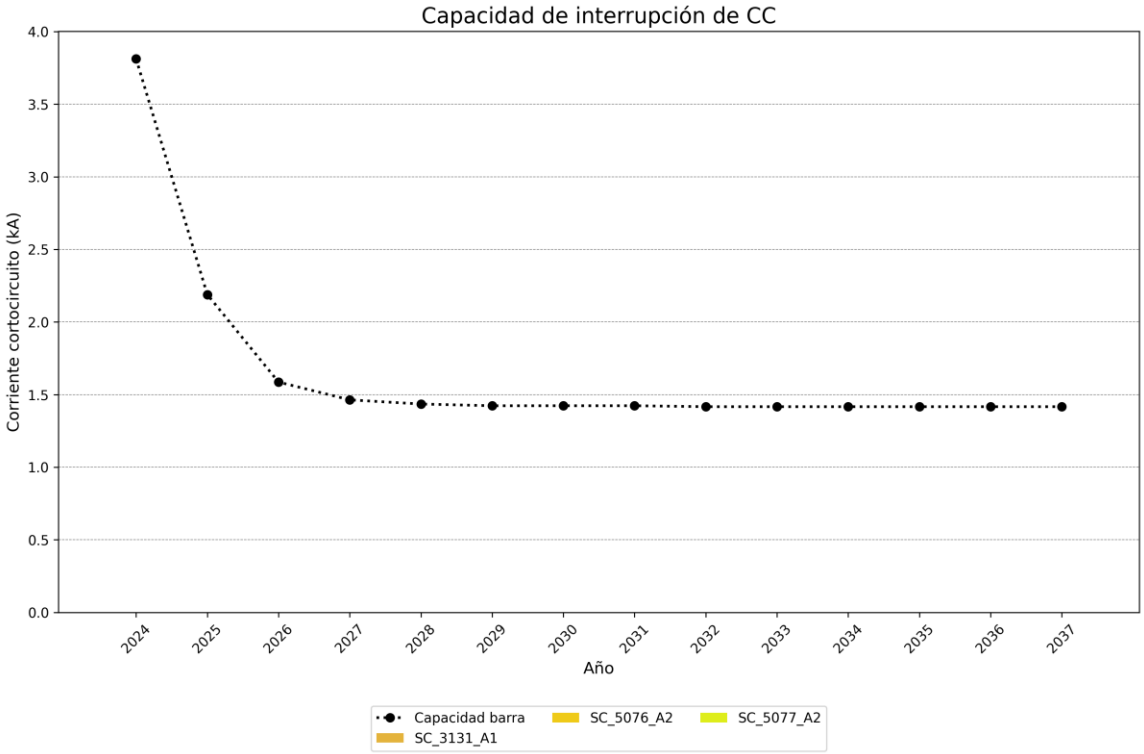


Figura 2-244. Balance de capacidad de cortocircuito después de la priorización para la subestación Enea 220

Subestación Enea 33:

Capacidad por barra:

Para la subestación Enea 33 se presentaron 2 alternativas de conexión las cuales se muestran en la siguiente tabla:

Tabla 2-253. Alternativas de conexión presentadas a la subestación Enea 33

Solicitud	Capacidad	Tipo	Barra	FPO solicitada	Restricción
SC_2344_A2	36.0	Eólico Onshore	Enea 33	2027	NO SATISFACE
SC_2924_A2	200.0	Solar FV	Enea 33	2026	NO SATISFACE

No se priorizó ninguna de las alternativas de conexión presentadas en la subestación Enea 33

El estado de la capacidad por barra en la subestación Enea 33, teniendo en cuenta la priorización se puede observar en la siguiente figura.

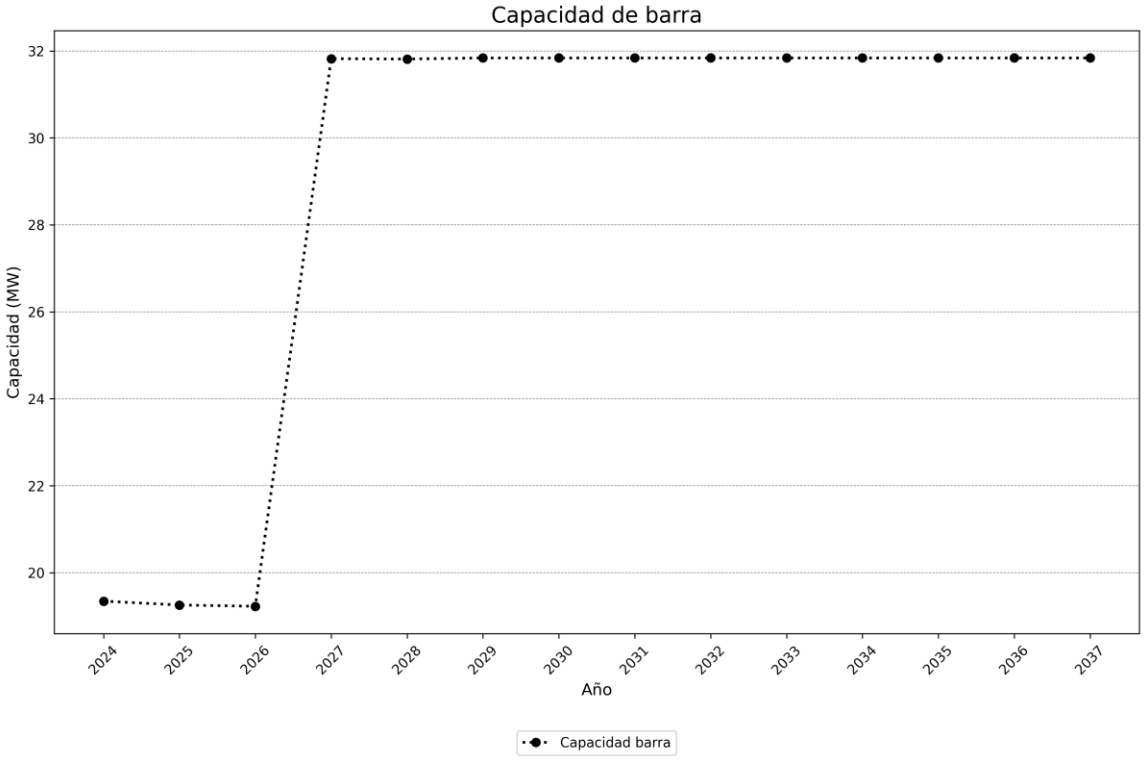


Figura 2-245. Balance de capacidad por barra después de la priorización para la subestación Enea 33

Subestación Envigado 110:

Capacidad por barra:

Para la subestación Envigado 110 se presentaron 0 alternativas de conexión las cuales se muestran en la siguiente tabla:

Tabla 2-254. Alternativas de conexión presentadas a la subestación Envigado 110

Solicitud	Capacidad	Tipo	Barra	FPO solicitada	Restricción

No se priorizó ninguna de las alternativas de conexión presentadas en la subestación Envigado 110

El estado de la capacidad por barra en la subestación Envigado 110, teniendo en cuenta la priorización se puede observar en la siguiente figura.

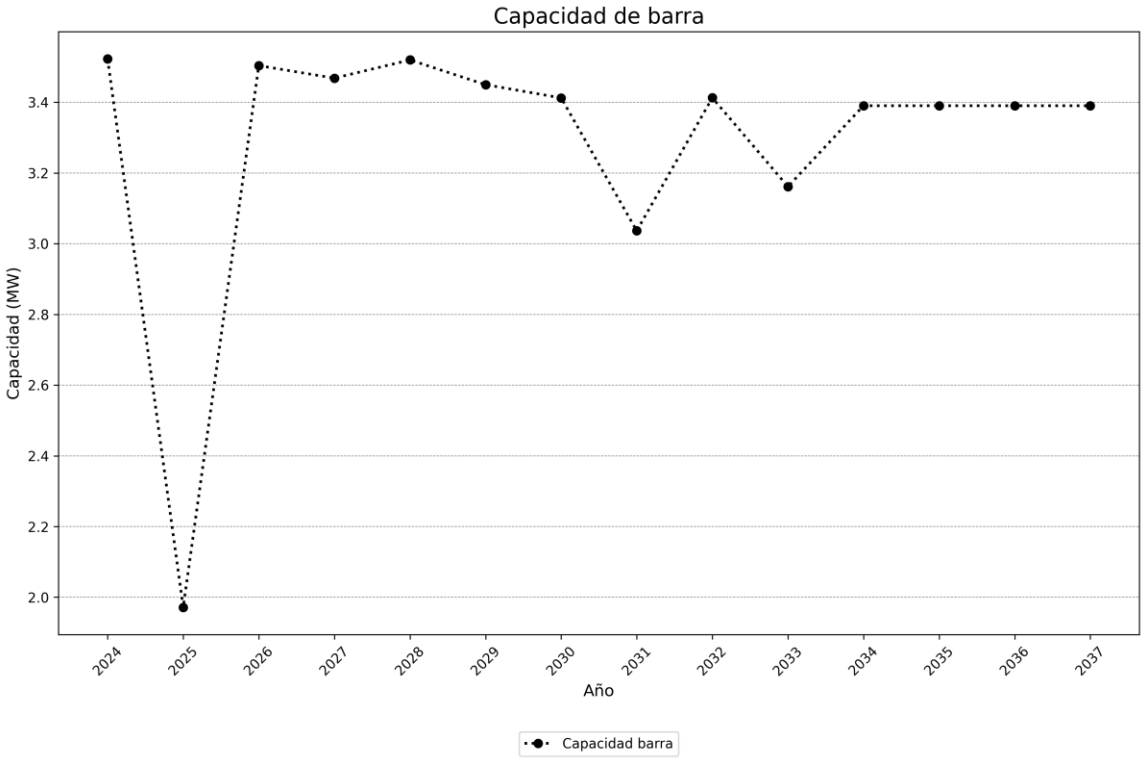


Figura 2-246. Balance de capacidad por barra después de la priorización para la subestación Envigado 110

Capacidad excedente de interrupción de corriente de cortocircuito:

Para la subestación Envigado 110 se presentaron 1 alternativas de conexión las cuales tienen aportes de corriente de cortocircuito. Estas alternativas se muestran en la siguiente tabla:

Tabla 2-255. Alternativas de conexión que aportan corriente de cortocircuito en la subestación Envigado 110

Solicitud	tipo	FPO	Barra a la que aporta CC	Aporte de cortocircuito (kA)	Restricción
SC_3331_A1	Solar FV	2026	Envigado 110	0.096	SATISFACE

No se priorizó ninguna de las alternativas de conexión que tengan aportes de corriente de cortocircuito en la subestación Envigado 110

El estado de la capacidad de cortocircuito en la subestación Envigado 110, teniendo en cuenta la priorización se puede observar en la siguiente figura.

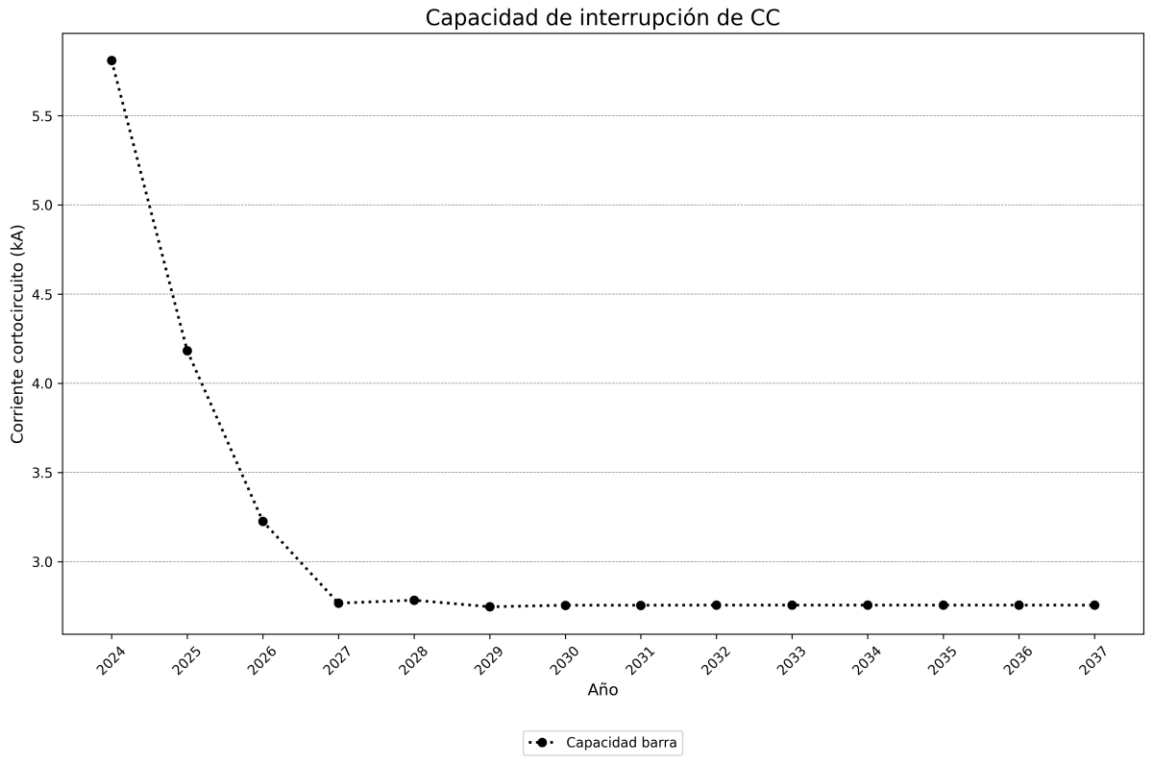


Figura 2-247. Balance de capacidad de cortocircuito después de la priorización para la subestación Envigado 110

Subestación Envigado 220:

Capacidad por barra:

Para la subestación Envigado 220 se presentaron 0 alternativas de conexión las cuales se muestran en la siguiente tabla:

Tabla 2-256. Alternativas de conexión presentadas a la subestación Envigado 220

Solicitud	Capacidad	Tipo	Barra	FPO solicitada	Restricción

No se priorizó ninguna de las alternativas de conexión presentadas en la subestación Envigado 220

El estado de la capacidad por barra en la subestación Envigado 220, teniendo en cuenta la priorización se puede observar en la siguiente figura.

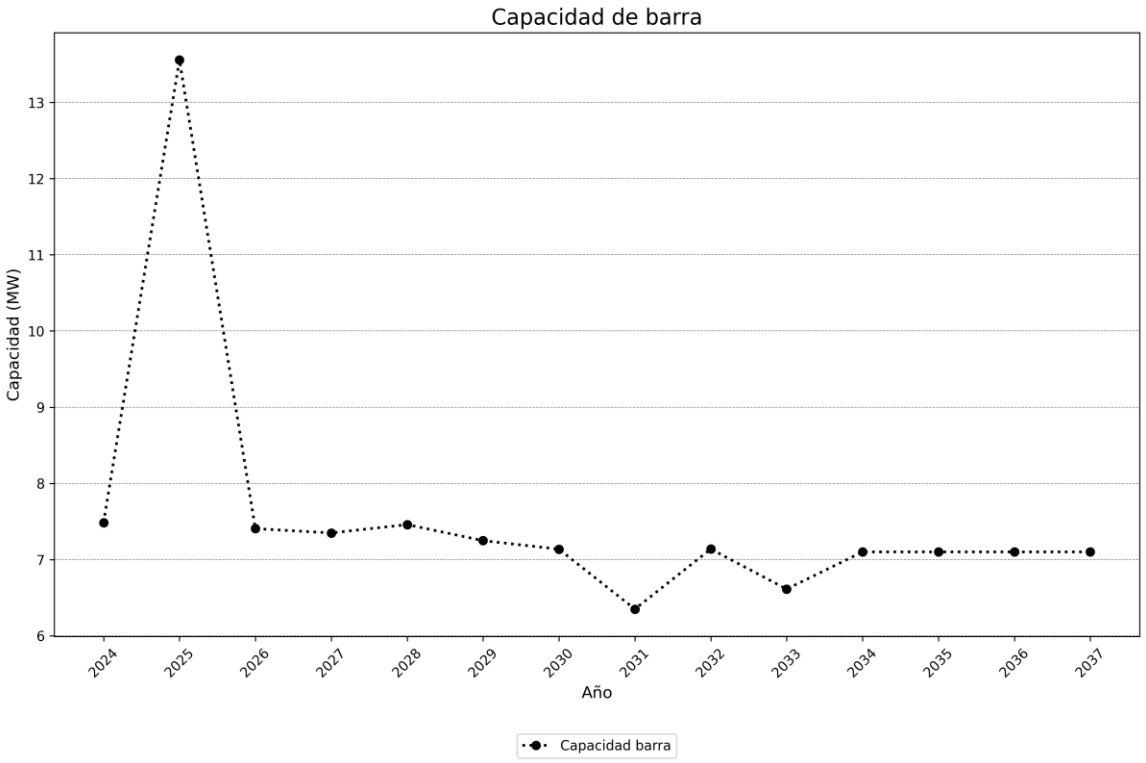


Figura 2-248. Balance de capacidad por barra después de la priorización para la subestación Envigado 220

Capacidad excedente de interrupción de corriente de cortocircuito:

Para la subestación Envigado 220 se presentaron 1 alternativas de conexión las cuales tienen aportes de corriente de cortocircuito. Estas alternativas se muestran en la siguiente tabla:

Tabla 2-257. Alternativas de conexión que aportan corriente de cortocircuito en la subestación Envigado 220

Solicitud	tipo	FPO	Barra a la que aporta CC	Aporte de cortocircuito (kA)	Restricción
SC_3331_A1	Solar FV	2026	Envigado 220	0.087	SATISFACE

No se priorizó ninguna de las alternativas de conexión que tengan aportes de corriente de cortocircuito en la subestación Envigado 220

El estado de la capacidad de cortocircuito en la subestación Envigado 220, teniendo en cuenta la priorización se puede observar en la siguiente figura.

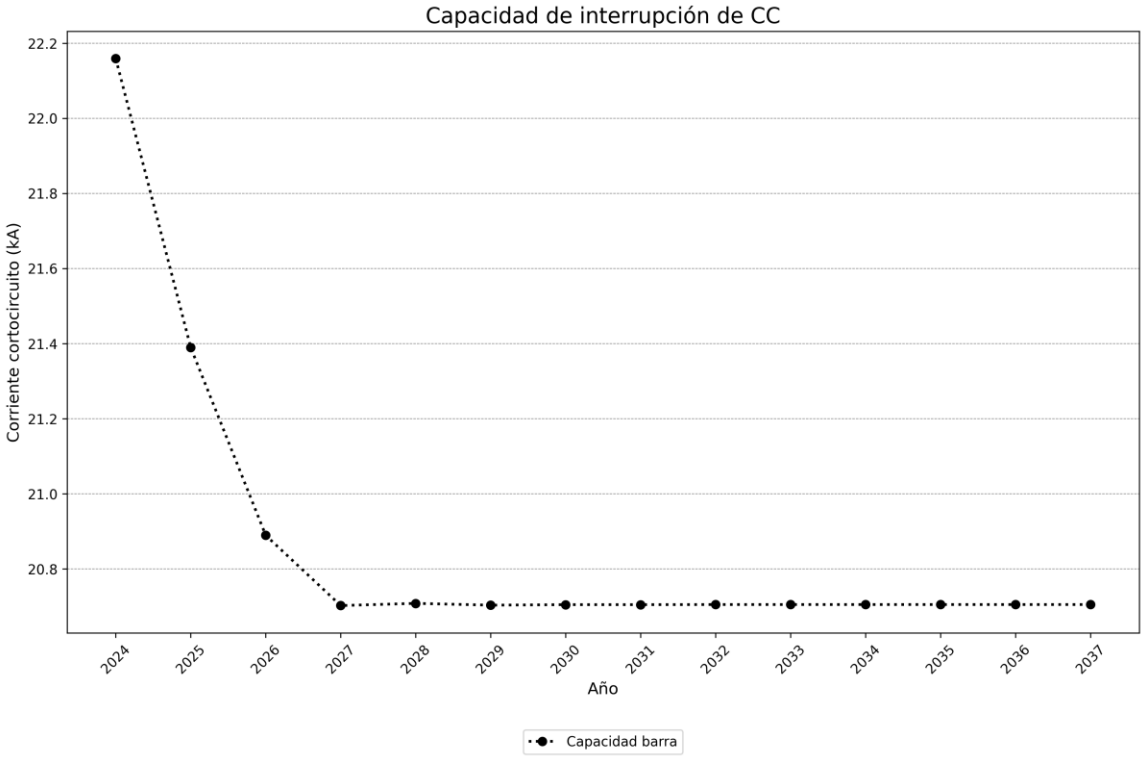


Figura 2-249. Balance de capacidad de cortocircuito después de la priorización para la subestación Envigado 220

Subestación Esmeralda 220:

Capacidad por barra:

Para la subestación Esmeralda 220 se presentaron 4 alternativas de conexión las cuales se muestran en la siguiente tabla:

Tabla 2-258. Alternativas de conexión presentadas a la subestación Esmeralda 220

Solicitud	Capacidad	Tipo	Barra	FPO solicitada	Restricción
SC_2023_5252_A1	100.0	Solar FV	Esmeralda 220	2028	NO SATISFACE
SC_2023_5293_A1	100.0	Solar FV	Esmeralda 220	2028	NO SATISFACE

SC_2902_A1	200.0	Solar FV	Esmeralda 220	2028	NO SATISFACE
SC_4296_A2	100.0	Solar FV	Esmeralda 220	2028	NO SATISFACE

No se priorizó ninguna de las alternativas de conexión presentadas en la subestación Esmeralda 220

El estado de la capacidad por barra en la subestación Esmeralda 220, teniendo en cuenta la priorización se puede observar en la siguiente figura.

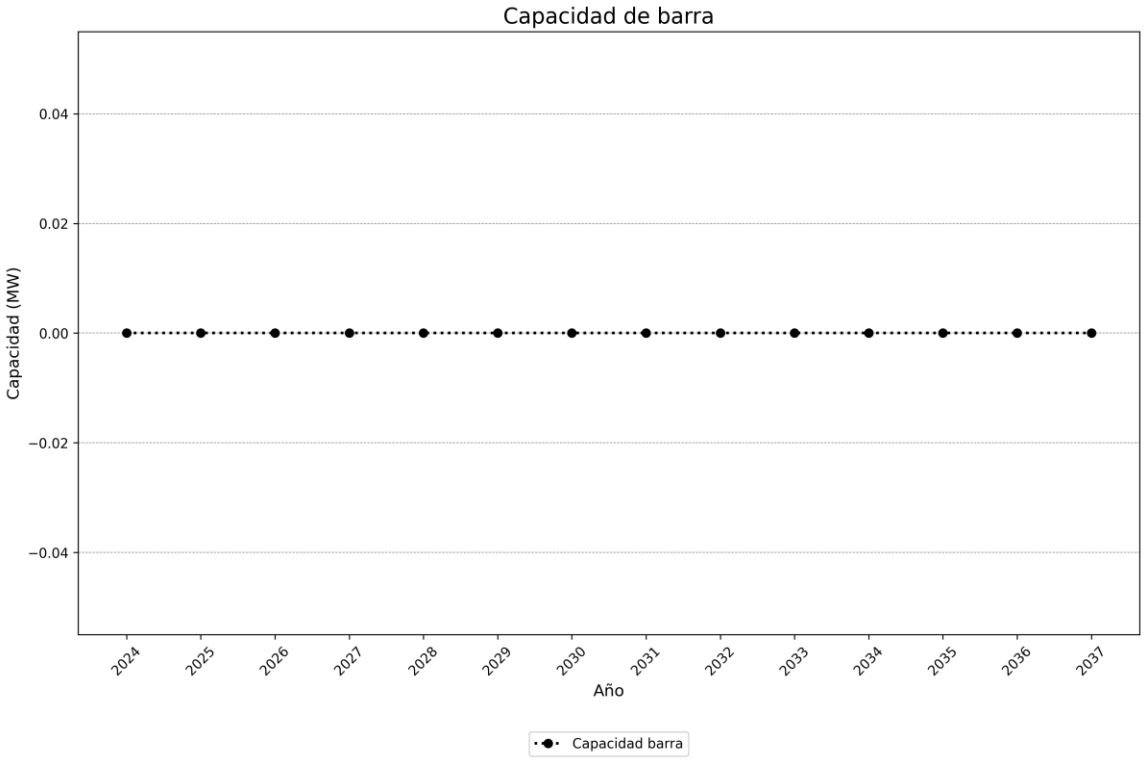


Figura 2-250. Balance de capacidad por barra después de la priorización para la subestación Esmeralda 220

En el caso anterior se observa que la capacidad por barra es igual a 0 dado que, desde los comentarios presentados por transportador, se identificó que la subestación Esmeralda 220 no cuenta con disponibilidad de espacio físico para la conexión de nuevos proyectos.

Capacidad excedente de interrupción de corriente de cortocircuito:

Para la subestación Esmeralda 220 se presentaron 190 alternativas de conexión las cuales tienen aportes de corriente de cortocircuito. Estas alternativas se muestran en la siguiente tabla:

Tabla 2-259. Alternativas de conexión que aportan corriente de cortocircuito en la subestación Esmeralda 220

Solicitud	tipo	FPO	Barra a la que aporta CC	Aporte de cortocircuito (kA)	Restricción
SC_2023_5136_A1	Solar FV	2026	Esmeralda 220	0.034	SATISFACE
SC_2023_5136_A2	Solar FV	2026	Esmeralda 220	0.034	SATISFACE
SC_2023_5144_A1	Solar FV	2028	Esmeralda 220	0.541	SATISFACE
SC_2023_5144_A2	Solar FV	2028	Esmeralda 220	0.167	SATISFACE
SC_2023_5150_A1	Solar FV	2028	Esmeralda 220	0.277	SATISFACE
SC_2023_5152_A1	Solar FV	2025	Esmeralda 220	0.015	SATISFACE
SC_2023_5152_A2	Solar FV	2025	Esmeralda 220	0.012	SATISFACE
SC_2023_5158_A1	Solar FV	2028	Esmeralda 220	0.286	SATISFACE
SC_2023_5171_A1	Solar FV	2025	Esmeralda 220	0.011	SATISFACE
SC_2023_5171_A2	Solar FV	2025	Esmeralda 220	0.014	SATISFACE
SC_2023_5185_A1	Solar FV	2026	Esmeralda 220	0.623	SATISFACE
SC_2023_5185_A2	Solar FV	2026	Esmeralda 220	0.932	SATISFACE
SC_2023_5188_A1	Solar FV	2026	Esmeralda 220	0.057	SATISFACE
SC_2023_5188_A2	Solar FV	2026	Esmeralda 220	0.189	SATISFACE
SC_2023_5200_A1	Solar FV	2028	Esmeralda 220	0.885	SATISFACE
SC_2023_5200_A2	Solar FV	2028	Esmeralda 220	0.373	SATISFACE
SC_2023_5248_A1	Solar FV	2025	Esmeralda 220	0.015	SATISFACE
SC_2023_5248_A2	Solar FV	2025	Esmeralda 220	0.016	SATISFACE
SC_2023_5249_A1	Solar FV	2025	Esmeralda 220	0.015	SATISFACE
SC_2023_5249_A2	Solar FV	2025	Esmeralda 220	0.016	SATISFACE
SC_2023_5251_A1	Solar FV	2025	Esmeralda 220	0.024	SATISFACE
SC_2023_5251_A2	Solar FV	2025	Esmeralda 220	0.024	SATISFACE
SC_2023_5252_A1	Solar FV	2028	Esmeralda 220	3.051	NO SATISFACE
SC_2023_5252_A2	Solar FV	2028	Esmeralda 220	0.254	SATISFACE
SC_2023_5253_A1	Solar FV	2025	Esmeralda 220	0.024	SATISFACE

SC_2023_5253_A2	Solar FV	2025	Esmeralda 220	0.024	SATISFACE
SC_2023_5256_A2	Solar FV	2028	Esmeralda 220	0.065	SATISFACE
SC_2023_5257_A1	Solar FV	2025	Esmeralda 220	0.016	SATISFACE
SC_2023_5257_A2	Solar FV	2025	Esmeralda 220	0.016	SATISFACE
SC_2023_5280_A1	Solar FV	2028	Esmeralda 220	0.123	SATISFACE
SC_2023_5280_A2	Solar FV	2028	Esmeralda 220	0.110	SATISFACE
SC_2023_5282_A1	Solar FV	2028	Esmeralda 220	0.025	SATISFACE
SC_2023_5287_A1	Solar FV	2026	Esmeralda 220	0.061	SATISFACE
SC_2023_5287_A2	Solar FV	2026	Esmeralda 220	0.062	SATISFACE
SC_2023_5288_A1	Solar FV	2026	Esmeralda 220	0.037	SATISFACE
SC_2023_5288_A2	Solar FV	2026	Esmeralda 220	0.096	SATISFACE
SC_2023_5293_A1	Solar FV	2028	Esmeralda 220	0.165	SATISFACE
SC_2023_5293_A2	Solar FV	2028	Esmeralda 220	0.152	SATISFACE
SC_2023_5294_A1	Solar FV	2029	Esmeralda 220	0.032	SATISFACE
SC_2023_5294_A2	Solar FV	2029	Esmeralda 220	0.033	SATISFACE
SC_2023_5304_A1	Solar FV	2026	Esmeralda 220	0.005	SATISFACE
SC_2023_5309_A1	Solar FV	2026	Esmeralda 220	0.005	SATISFACE
SC_2023_5337_A2	Solar FV	2025	Esmeralda 220	0.184	SATISFACE
SC_2023_5339_A1	PCH	2026	Esmeralda 220	0.016	SATISFACE
SC_2023_5339_A2	PCH	2026	Esmeralda 220	0.016	SATISFACE
SC_2023_5345_A1	Solar FV	2027	Esmeralda 220	0.021	SATISFACE
SC_2023_5345_A2	Solar FV	2027	Esmeralda 220	0.032	SATISFACE
SC_2023_5346_A1	Solar FV	2027	Esmeralda 220	0.021	SATISFACE
SC_2023_5346_A2	Solar FV	2027	Esmeralda 220	0.032	SATISFACE
SC_2023_5375_A1	Solar FV	2026	Esmeralda 220	0.059	SATISFACE
SC_2023_5383_A1	Solar FV	2027	Esmeralda 220	0.053	SATISFACE
SC_2023_5383_A2	Solar FV	2027	Esmeralda 220	0.065	SATISFACE
SC_2023_5399_A1	Solar FV	2026	Esmeralda 220	0.037	SATISFACE
SC_2023_5399_A2	Solar FV	2026	Esmeralda 220	0.096	SATISFACE
SC_2023_5431_A1	Solar FV	2028	Esmeralda 220	0.001	SATISFACE
SC_2023_5431_A2	Solar FV	2028	Esmeralda 220	0.001	SATISFACE
SC_2023_5480_A1	Solar FV	2026	Esmeralda 220	0.061	SATISFACE
SC_2023_5480_A2	Solar FV	2026	Esmeralda 220	0.062	SATISFACE
SC_2023_5551_A1	Solar FV	2027	Esmeralda 220	0.808	SATISFACE
SC_2023_5551_A2	Solar FV	2027	Esmeralda 220	0.339	SATISFACE
SC_2023_5557_A1	Solar FV	2028	Esmeralda 220	0.246	SATISFACE
SC_2023_5564_A1	Solar FV	2026	Esmeralda 220	0.024	SATISFACE
SC_2023_5564_A2	Solar FV	2026	Esmeralda 220	0.024	SATISFACE
SC_2023_5565_A1	Solar FV	2027	Esmeralda 220	0.023	SATISFACE
SC_2023_5566_A1	Solar FV	2028	Esmeralda 220	0.024	SATISFACE

SC_2023_5566_A2	Solar FV	2028	Esmeralda 220	0.025	SATISFACE
SC_2023_5598_A1	Solar FV	2025	Esmeralda 220	0.015	SATISFACE
SC_2023_5598_A2	Solar FV	2025	Esmeralda 220	0.013	SATISFACE
SC_2024_5939_A1	Solar FV	2028	Esmeralda 220	0.006	SATISFACE
SC_2024_5939_A2	Solar FV	2028	Esmeralda 220	0.006	SATISFACE
SC_2344_A1	Eólico Onshore	2027	Esmeralda 220	0.080	SATISFACE
SC_2344_A2	Eólico Onshore	2027	Esmeralda 220	0.020	SATISFACE
SC_2436_A1	Solar FV	2028	Esmeralda 220	0.070	SATISFACE
SC_2436_A2	Solar FV	2028	Esmeralda 220	0.080	SATISFACE
SC_2438_A1	Solar FV	2028	Esmeralda 220	0.001	SATISFACE
SC_2438_A2	Solar FV	2028	Esmeralda 220	0.026	SATISFACE
SC_2527_A1	Solar FV	2028	Esmeralda 220	0.200	SATISFACE
SC_2527_A2	Solar FV	2028	Esmeralda 220	0.200	SATISFACE
SC_2545_A1	Solar FV	2026	Esmeralda 220	0.020	SATISFACE
SC_2545_A2	Solar FV	2026	Esmeralda 220	0.020	SATISFACE
SC_2562_A1	Solar FV	2026	Esmeralda 220	0.010	SATISFACE
SC_2634_A1	Solar FV	2026	Esmeralda 220	0.001	SATISFACE
SC_2634_A2	Solar FV	2026	Esmeralda 220	0.001	SATISFACE
SC_2643_A1	Solar FV	2026	Esmeralda 220	0.020	SATISFACE
SC_2643_A2	Solar FV	2026	Esmeralda 220	0.020	SATISFACE
SC_2670_A1	Solar FV	2028	Esmeralda 220	0.050	SATISFACE
SC_2670_A2	Solar FV	2028	Esmeralda 220	0.310	SATISFACE
SC_2802_A1	Solar FV	2027	Esmeralda 220	0.024	SATISFACE
SC_2802_A2	Solar FV	2027	Esmeralda 220	0.018	SATISFACE
SC_2816_A1	Solar FV	2027	Esmeralda 220	0.040	SATISFACE
SC_2870_A1	Solar FV	2027	Esmeralda 220	0.150	SATISFACE
SC_2870_A2	Solar FV	2027	Esmeralda 220	0.040	SATISFACE
SC_2902_A1	Solar FV	2028	Esmeralda 220	0.770	SATISFACE
SC_2902_A2	Solar FV	2028	Esmeralda 220	0.300	SATISFACE
SC_2905_A2	Solar FV	2028	Esmeralda 220	0.010	SATISFACE
SC_2924_A1	Solar FV	2026	Esmeralda 220	0.505	SATISFACE
SC_2924_A2	Solar FV	2026	Esmeralda 220	0.800	SATISFACE
SC_2936_A1	Solar FV	2026	Esmeralda 220	0.000	SATISFACE
SC_2936_A2	Solar FV	2026	Esmeralda 220	0.000	SATISFACE
SC_2962_A1	Solar FV	2028	Esmeralda 220	0.104	SATISFACE
SC_2962_A2	Solar FV	2028	Esmeralda 220	0.109	SATISFACE
SC_2979_A1	Solar FV	2027	Esmeralda 220	0.020	SATISFACE
SC_2979_A2	Solar FV	2027	Esmeralda 220	0.030	SATISFACE
SC_2984_A1	Solar FV	2027	Esmeralda 220	0.030	SATISFACE
SC_2984_A2	Solar FV	2027	Esmeralda 220	0.030	SATISFACE

SC_3012_A1	Solar FV	2027	Esmeralda 220	0.070	SATISFACE
SC_3012_A2	Solar FV	2027	Esmeralda 220	0.020	SATISFACE
SC_3054_A2	Solar FV	2027	Esmeralda 220	0.125	SATISFACE
SC_3101_A1	Solar FV	2027	Esmeralda 220	0.035	SATISFACE
SC_3101_A2	Solar FV	2027	Esmeralda 220	0.022	SATISFACE
SC_3121_A1	Solar FV	2026	Esmeralda 220	0.009	SATISFACE
SC_3121_A2	Solar FV	2026	Esmeralda 220	0.009	SATISFACE
SC_3132_A1	Solar FV	2026	Esmeralda 220	0.135	SATISFACE
SC_3132_A2	Solar FV	2026	Esmeralda 220	0.120	SATISFACE
SC_3133_A1	Solar FV	2028	Esmeralda 220	0.518	SATISFACE
SC_3133_A2	Solar FV	2028	Esmeralda 220	0.300	SATISFACE
SC_3238_A1	Solar FV	2027	Esmeralda 220	0.673	SATISFACE
SC_3238_A2	Solar FV	2027	Esmeralda 220	0.404	SATISFACE
SC_3247_A1	Solar FV	2027	Esmeralda 220	0.279	SATISFACE
SC_3247_A2	Solar FV	2027	Esmeralda 220	0.187	SATISFACE
SC_3248_A1	Solar FV	2027	Esmeralda 220	0.673	SATISFACE
SC_3248_A2	Solar FV	2027	Esmeralda 220	0.404	SATISFACE
SC_3251_A1	Hidráulica	2026	Esmeralda 220	0.090	SATISFACE
SC_3251_A2	Hidráulica	2026	Esmeralda 220	0.080	SATISFACE
SC_3331_A1	Solar FV	2026	Esmeralda 220	0.197	SATISFACE
SC_3353_A1	Solar FV	2027	Esmeralda 220	0.026	SATISFACE
SC_3353_A2	Solar FV	2027	Esmeralda 220	0.110	SATISFACE
SC_3382_A1	Solar FV	2027	Esmeralda 220	0.045	SATISFACE
SC_3382_A2	Solar FV	2027	Esmeralda 220	0.064	SATISFACE
SC_3392_A1	Solar FV	2027	Esmeralda 220	0.117	SATISFACE
SC_3392_A2	Solar FV	2027	Esmeralda 220	0.046	SATISFACE
SC_3433_A2	Solar FV	2027	Esmeralda 220	0.000	SATISFACE
SC_3441_A1	Solar FV	2027	Esmeralda 220	0.279	SATISFACE
SC_3441_A2	Solar FV	2027	Esmeralda 220	0.187	SATISFACE
SC_3453_A1	Solar FV	2027	Esmeralda 220	0.018	SATISFACE
SC_3453_A2	Solar FV	2027	Esmeralda 220	0.018	SATISFACE
SC_3514_A1	Solar FV	2027	Esmeralda 220	0.018	SATISFACE
SC_3514_A2	Solar FV	2027	Esmeralda 220	0.018	SATISFACE
SC_3578_A1	Solar FV	2028	Esmeralda 220	0.006	SATISFACE
SC_3578_A2	Solar FV	2028	Esmeralda 220	0.007	SATISFACE
SC_3667_A1	Solar FV	2029	Esmeralda 220	0.021	SATISFACE
SC_3667_A2	Solar FV	2029	Esmeralda 220	0.013	SATISFACE
SC_3846_A1	Solar FV	2028	Esmeralda 220	0.018	SATISFACE
SC_3846_A2	Solar FV	2028	Esmeralda 220	0.018	SATISFACE
SC_3882_A1	Solar FV	2026	Esmeralda 220	0.245	SATISFACE

SC_4083_A1	Solar FV	2027	Esmeralda 220	0.001	SATISFACE
SC_4083_A2	Solar FV	2027	Esmeralda 220	0.001	SATISFACE
SC_4175_A1	Solar FV	2026	Esmeralda 220	0.021	SATISFACE
SC_4175_A2	Solar FV	2026	Esmeralda 220	0.021	SATISFACE
SC_4296_A1	Solar FV	2028	Esmeralda 220	0.567	SATISFACE
SC_4296_A2	Solar FV	2028	Esmeralda 220	1.482	NO SATISFACE
SC_4751_A1	Solar FV	2027	Esmeralda 220	0.029	SATISFACE
SC_4760_A1	Solar FV	2026	Esmeralda 220	0.175	SATISFACE
SC_4765_A1	Solar FV	2029	Esmeralda 220	0.035	SATISFACE
SC_4765_A2	Solar FV	2029	Esmeralda 220	0.023	SATISFACE
SC_4789_A1	Solar FV	2027	Esmeralda 220	0.019	SATISFACE
SC_4789_A2	Solar FV	2027	Esmeralda 220	0.019	SATISFACE
SC_4809_A1	Solar FV	2027	Esmeralda 220	0.024	SATISFACE
SC_4809_A2	Solar FV	2027	Esmeralda 220	0.227	SATISFACE
SC_4819_A1	Solar FV	2029	Esmeralda 220	0.236	SATISFACE
SC_4819_A2	Solar FV	2029	Esmeralda 220	0.216	SATISFACE
SC_4821_A1	Solar FV	2027	Esmeralda 220	0.117	SATISFACE
SC_4821_A2	Solar FV	2027	Esmeralda 220	0.046	SATISFACE
SC_4824_A1	Solar FV	2025	Esmeralda 220	0.000	SATISFACE
SC_4824_A2	Solar FV	2025	Esmeralda 220	0.000	SATISFACE
SC_4826_A1	Solar FV	2027	Esmeralda 220	0.018	SATISFACE
SC_4826_A2	Solar FV	2027	Esmeralda 220	0.018	SATISFACE
SC_4827_A1	Solar FV	2027	Esmeralda 220	0.018	SATISFACE
SC_4827_A2	Solar FV	2027	Esmeralda 220	0.018	SATISFACE
SC_4842_A1	Solar FV	2028	Esmeralda 220	0.277	SATISFACE
SC_4910_A1	Solar FV	2026	Esmeralda 220	0.033	SATISFACE
SC_4910_A2	Solar FV	2026	Esmeralda 220	0.033	SATISFACE
SC_4926_A1	Solar FV	2027	Esmeralda 220	0.029	SATISFACE
SC_4947_A1	Solar FV	2027	Esmeralda 220	0.227	SATISFACE
SC_4960_A2	Solar FV	2029	Esmeralda 220	0.111	SATISFACE
SC_4974_A1	Solar FV	2026	Esmeralda 220	0.014	SATISFACE
SC_4974_A2	Solar FV	2026	Esmeralda 220	0.014	SATISFACE
SC_4978_A1	Solar FV	2026	Esmeralda 220	0.008	SATISFACE
SC_4978_A2	Solar FV	2026	Esmeralda 220	0.012	SATISFACE
SC_5009_A1	Solar FV	2026	Esmeralda 220	0.119	SATISFACE
SC_5009_A2	Solar FV	2026	Esmeralda 220	0.060	SATISFACE
SC_5011_A1	Solar FV	2027	Esmeralda 220	0.119	SATISFACE
SC_5011_A2	Solar FV	2027	Esmeralda 220	0.060	SATISFACE
SC_5060_A1	Solar FV	2026	Esmeralda 220	0.033	SATISFACE

SC_5060_A2	Solar FV	2026	Esmeralda 220	0.033	SATISFACE
SC_5076_A1	Solar FV	2027	Esmeralda 220	0.000	SATISFACE
SC_5076_A2	Solar FV	2027	Esmeralda 220	0.000	SATISFACE
SC_5077_A1	Solar FV	2027	Esmeralda 220	0.000	SATISFACE
SC_5077_A2	Solar FV	2027	Esmeralda 220	0.000	SATISFACE
SC_5087_A2	Solar FV	2027	Esmeralda 220	0.057	SATISFACE

Posterior a la ejecución del MACC se priorizaron las siguientes alternativas de conexión que tienen aportes de cortocircuito de la subestación en análisis:

Tabla 2-260. Alternativas de conexión priorizadas que aportan corriente de cortocircuito en la subestación Esmeralda 220

index	tipo	periodoIni	Barra a la que aporta CC	Aporte de cortocircuito (kA)	Restricción
SC_2545_A1	Solar FV	2026	Esmeralda 220	0.020	SATISFACE
SC_2643_A1	Solar FV	2026	Esmeralda 220	0.020	SATISFACE
SC_5076_A2	Solar FV	2027	Esmeralda 220	0.000	SATISFACE
SC_5077_A2	Solar FV	2027	Esmeralda 220	0.000	SATISFACE

El estado de la capacidad de cortocircuito en la subestación Esmeralda 220, teniendo en cuenta la priorización se puede observar en la siguiente figura.

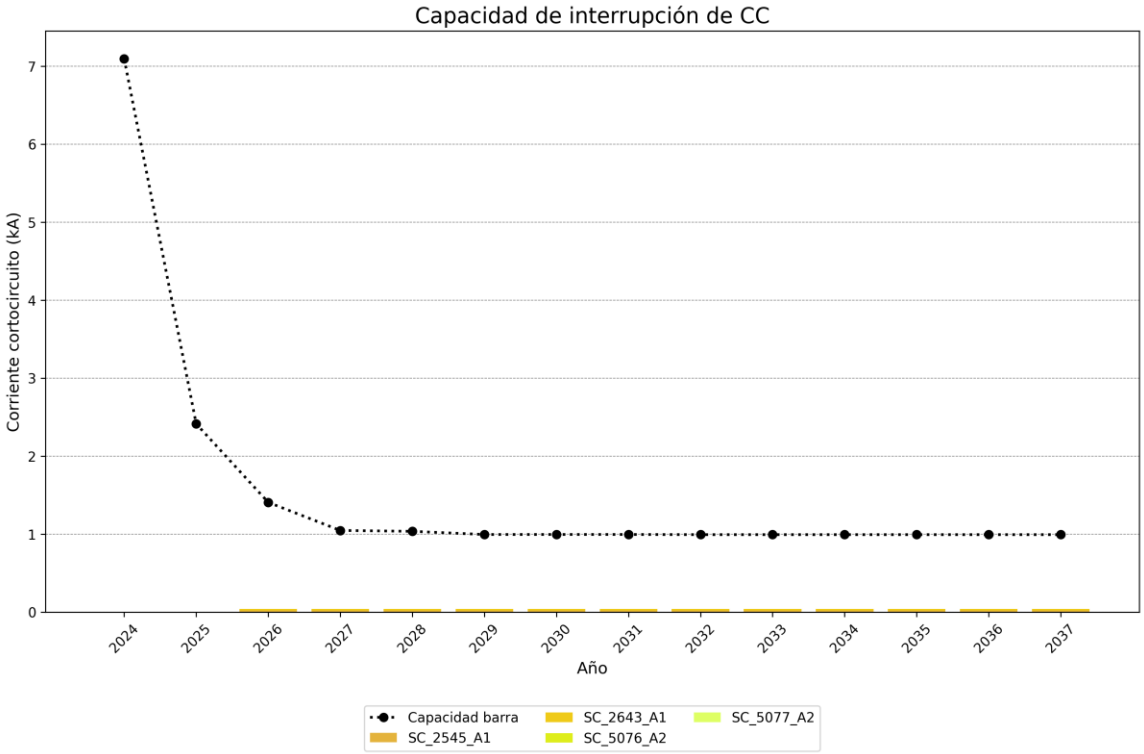


Figura 2-251. Balance de capacidad de cortocircuito después de la priorización para la subestación Esmeralda 220

Subestación Esmeralda 33:

Capacidad por barra:

Para la subestación Esmeralda 33 se presentaron 0 alternativas de conexión las cuales se muestran en la siguiente tabla:

Tabla 2-261. Alternativas de conexión presentadas a la subestación Esmeralda 33

Solicitud	Capacidad	Tipo	Barra	FPO solicitada	Restricción

No se priorizó ninguna de las alternativas de conexión presentadas en la subestación Esmeralda 33

El estado de la capacidad por barra en la subestación Esmeralda 33, teniendo en cuenta la priorización se puede observar en la siguiente figura.

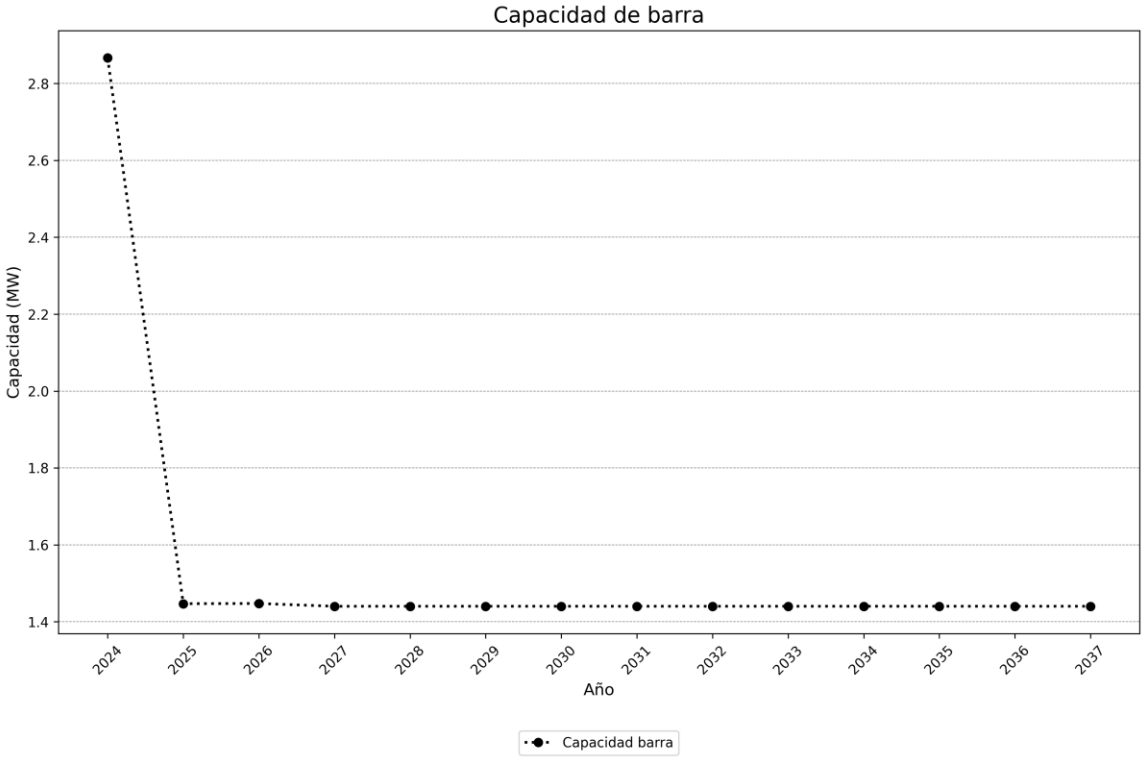


Figura 2-252. Balance de capacidad por barra después de la priorización para la subestación Esmeralda 33

Subestación Esmeralda CQR 115:

Capacidad por barra:

Para la subestación Esmeralda CQR 115 se presentaron 6 alternativas de conexión las cuales se muestran en la siguiente tabla:

Tabla 2-262. Alternativas de conexión presentadas a la subestación Esmeralda CQR 115

Solicitud	Capacidad	Tipo	Barra	FPO solicitada	Restricción
SC_2023_5252_A2	100.0	Solar FV	Esmeralda CQR 115	2028	NO SATISFACE
SC_2436_A2	40.0	Solar FV	Esmeralda CQR 115	2028	NO SATISFACE
SC_2527_A2	100.0	Solar FV	Esmeralda CQR 115	2028	NO SATISFACE
SC_2902_A2	200.0	Solar FV	Esmeralda CQR 115	2028	NO SATISFACE
SC_3054_A2	80.0	Solar FV	Esmeralda CQR 115	2027	NO SATISFACE
SC_4760_A1	45.0	Solar FV	Esmeralda CQR 115	2026	NO SATISFACE

No se priorizó ninguna de las alternativas de conexión presentadas en la subestación Esmeralda CQR 115

El estado de la capacidad por barra en la subestación Esmeralda CQR 115, teniendo en cuenta la priorización se puede observar en la siguiente figura.

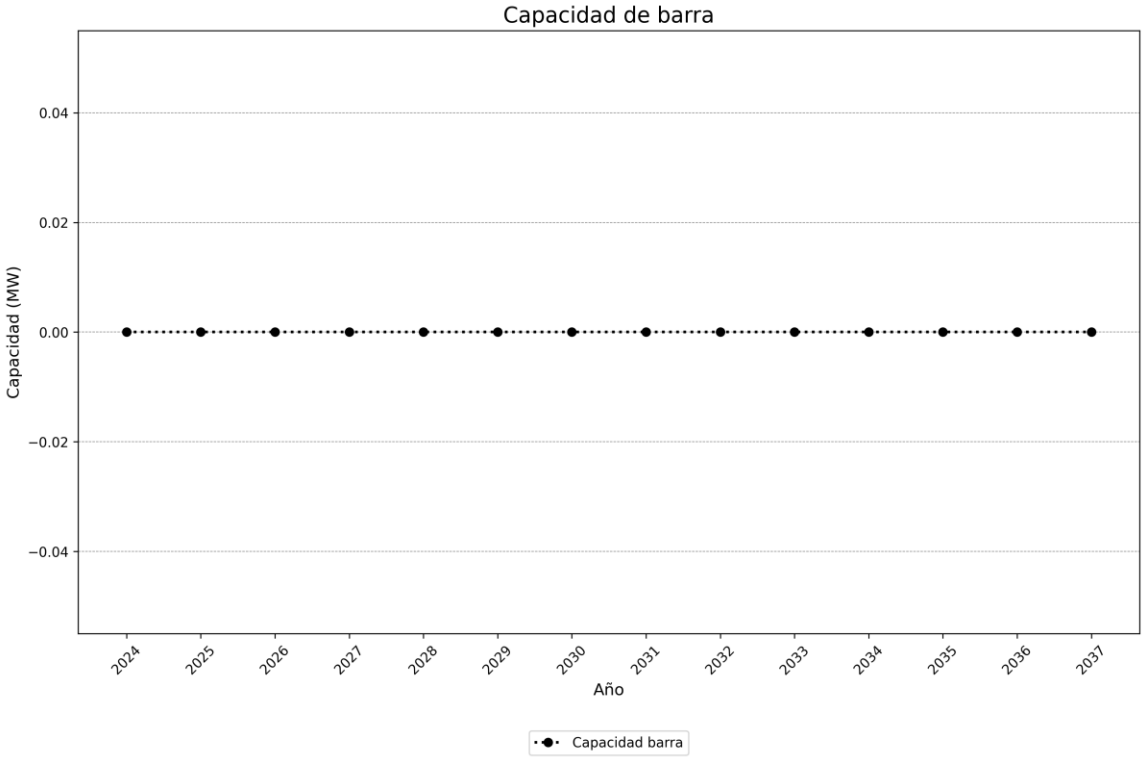


Figura 2-253. Balance de capacidad por barra después de la priorización para la subestación Esmeralda CQR 115

En el caso anterior se observa que la capacidad por barra es igual a 0 dado que, desde los comentarios presentados por transportador, se identificó que la subestación Esmeralda CQR 115 no cuenta con disponibilidad de espacio físico para la conexión de nuevos proyectos.

Capacidad excedente de interrupción de corriente de cortocircuito:

Para la subestación Esmeralda CQR 115 se presentaron 182 alternativas de conexión las cuales tienen aportes de corriente de cortocircuito. Estas alternativas se muestran en la siguiente tabla:

Tabla 2-263. Alternativas de conexión que aportan corriente de cortocircuito en la subestación Esmeralda CQR 115

Solicitud	tipo	FPO	Barra a la que aporta CC	Aporte de cortocircuito (kA)	Restricción
SC_2023_5136_A1	Solar FV	2026	Esmeralda CQR 115	0.040	NO SATISFACE
SC_2023_5136_A2	Solar FV	2026	Esmeralda CQR 115	0.040	NO SATISFACE
SC_2023_5144_A1	Solar FV	2028	Esmeralda CQR 115	0.362	NO SATISFACE
SC_2023_5144_A2	Solar FV	2028	Esmeralda CQR 115	0.162	NO SATISFACE
SC_2023_5150_A1	Solar FV	2028	Esmeralda CQR 115	0.272	NO SATISFACE
SC_2023_5152_A1	Solar FV	2025	Esmeralda CQR 115	0.012	NO SATISFACE
SC_2023_5152_A2	Solar FV	2025	Esmeralda CQR 115	0.010	NO SATISFACE
SC_2023_5158_A1	Solar FV	2028	Esmeralda CQR 115	0.219	NO SATISFACE
SC_2023_5171_A1	Solar FV	2025	Esmeralda CQR 115	0.009	NO SATISFACE
SC_2023_5171_A2	Solar FV	2025	Esmeralda CQR 115	0.011	NO SATISFACE
SC_2023_5185_A1	Solar FV	2026	Esmeralda CQR 115	1.055	NO SATISFACE
SC_2023_5185_A2	Solar FV	2026	Esmeralda CQR 115	0.729	NO SATISFACE
SC_2023_5188_A1	Solar FV	2026	Esmeralda CQR 115	0.068	NO SATISFACE
SC_2023_5188_A2	Solar FV	2026	Esmeralda CQR 115	0.361	NO SATISFACE
SC_2023_5200_A1	Solar FV	2028	Esmeralda CQR 115	0.709	NO SATISFACE
SC_2023_5200_A2	Solar FV	2028	Esmeralda CQR 115	0.320	NO SATISFACE
SC_2023_5248_A1	Solar FV	2025	Esmeralda CQR 115	0.015	NO SATISFACE
SC_2023_5248_A2	Solar FV	2025	Esmeralda CQR 115	0.016	NO SATISFACE
SC_2023_5249_A1	Solar FV	2025	Esmeralda CQR 115	0.015	NO SATISFACE

SC_2023_5249_A2	Solar FV	2025	Esmeralda CQR 115	0.015	NO SATISFACE
SC_2023_5251_A1	Solar FV	2025	Esmeralda CQR 115	0.032	NO SATISFACE
SC_2023_5251_A2	Solar FV	2025	Esmeralda CQR 115	0.032	NO SATISFACE
SC_2023_5252_A1	Solar FV	2028	Esmeralda CQR 115	0.450	NO SATISFACE
SC_2023_5252_A2	Solar FV	2028	Esmeralda CQR 115	1.367	NO SATISFACE
SC_2023_5253_A1	Solar FV	2025	Esmeralda CQR 115	0.032	NO SATISFACE
SC_2023_5253_A2	Solar FV	2025	Esmeralda CQR 115	0.032	NO SATISFACE
SC_2023_5256_A2	Solar FV	2028	Esmeralda CQR 115	0.073	NO SATISFACE
SC_2023_5257_A1	Solar FV	2025	Esmeralda CQR 115	0.016	NO SATISFACE
SC_2023_5257_A2	Solar FV	2025	Esmeralda CQR 115	0.016	NO SATISFACE
SC_2023_5280_A1	Solar FV	2028	Esmeralda CQR 115	0.130	NO SATISFACE
SC_2023_5280_A2	Solar FV	2028	Esmeralda CQR 115	0.130	NO SATISFACE
SC_2023_5282_A1	Solar FV	2028	Esmeralda CQR 115	0.060	NO SATISFACE
SC_2023_5287_A1	Solar FV	2026	Esmeralda CQR 115	0.072	NO SATISFACE
SC_2023_5287_A2	Solar FV	2026	Esmeralda CQR 115	0.073	NO SATISFACE
SC_2023_5288_A1	Solar FV	2026	Esmeralda CQR 115	0.046	NO SATISFACE
SC_2023_5288_A2	Solar FV	2026	Esmeralda CQR 115	0.121	NO SATISFACE
SC_2023_5293_A1	Solar FV	2028	Esmeralda CQR 115	0.122	NO SATISFACE
SC_2023_5293_A2	Solar FV	2028	Esmeralda CQR 115	0.104	NO SATISFACE
SC_2023_5294_A1	Solar FV	2029	Esmeralda CQR 115	0.036	NO SATISFACE

SC_2023_5294_A2	Solar FV	2029	Esmeralda CQR 115	0.038	NO SATISFACE
SC_2023_5304_A1	Solar FV	2026	Esmeralda CQR 115	0.005	SATISFACE
SC_2023_5309_A1	Solar FV	2026	Esmeralda CQR 115	0.005	SATISFACE
SC_2023_5337_A2	Solar FV	2025	Esmeralda CQR 115	0.181	NO SATISFACE
SC_2023_5339_A1	PCH	2026	Esmeralda CQR 115	0.017	NO SATISFACE
SC_2023_5339_A2	PCH	2026	Esmeralda CQR 115	0.017	NO SATISFACE
SC_2023_5345_A1	Solar FV	2027	Esmeralda CQR 115	0.069	NO SATISFACE
SC_2023_5345_A2	Solar FV	2027	Esmeralda CQR 115	0.157	NO SATISFACE
SC_2023_5346_A1	Solar FV	2027	Esmeralda CQR 115	0.069	NO SATISFACE
SC_2023_5346_A2	Solar FV	2027	Esmeralda CQR 115	0.157	NO SATISFACE
SC_2023_5375_A1	Solar FV	2026	Esmeralda CQR 115	0.069	NO SATISFACE
SC_2023_5383_A1	Solar FV	2027	Esmeralda CQR 115	0.123	NO SATISFACE
SC_2023_5383_A2	Solar FV	2027	Esmeralda CQR 115	0.149	NO SATISFACE
SC_2023_5399_A1	Solar FV	2026	Esmeralda CQR 115	0.046	NO SATISFACE
SC_2023_5399_A2	Solar FV	2026	Esmeralda CQR 115	0.121	NO SATISFACE
SC_2023_5431_A1	Solar FV	2028	Esmeralda CQR 115	0.001	SATISFACE
SC_2023_5431_A2	Solar FV	2028	Esmeralda CQR 115	0.001	SATISFACE
SC_2023_5480_A1	Solar FV	2026	Esmeralda CQR 115	0.072	NO SATISFACE
SC_2023_5480_A2	Solar FV	2026	Esmeralda CQR 115	0.073	NO SATISFACE
SC_2023_5551_A1	Solar FV	2027	Esmeralda CQR 115	0.634	NO SATISFACE

SC_2023_5551_A2	Solar FV	2027	Esmeralda CQR 115	0.286	NO SATISFACE
SC_2023_5557_A1	Solar FV	2028	Esmeralda CQR 115	0.251	NO SATISFACE
SC_2023_5564_A1	Solar FV	2026	Esmeralda CQR 115	0.037	NO SATISFACE
SC_2023_5564_A2	Solar FV	2026	Esmeralda CQR 115	0.037	NO SATISFACE
SC_2023_5565_A1	Solar FV	2027	Esmeralda CQR 115	0.036	NO SATISFACE
SC_2023_5566_A1	Solar FV	2028	Esmeralda CQR 115	0.037	NO SATISFACE
SC_2023_5566_A2	Solar FV	2028	Esmeralda CQR 115	0.040	NO SATISFACE
SC_2023_5598_A1	Solar FV	2025	Esmeralda CQR 115	0.012	NO SATISFACE
SC_2023_5598_A2	Solar FV	2025	Esmeralda CQR 115	0.010	NO SATISFACE
SC_2024_5939_A1	Solar FV	2028	Esmeralda CQR 115	0.003	SATISFACE
SC_2024_5939_A2	Solar FV	2028	Esmeralda CQR 115	0.003	SATISFACE
SC_2344_A1	Eólico Onshore	2027	Esmeralda CQR 115	0.120	NO SATISFACE
SC_2344_A2	Eólico Onshore	2027	Esmeralda CQR 115	0.040	NO SATISFACE
SC_2436_A1	Solar FV	2028	Esmeralda CQR 115	0.160	NO SATISFACE
SC_2436_A2	Solar FV	2028	Esmeralda CQR 115	0.200	NO SATISFACE
SC_2438_A1	Solar FV	2028	Esmeralda CQR 115	0.000	SATISFACE
SC_2438_A2	Solar FV	2028	Esmeralda CQR 115	0.003	SATISFACE
SC_2527_A1	Solar FV	2028	Esmeralda CQR 115	0.160	NO SATISFACE
SC_2527_A2	Solar FV	2028	Esmeralda CQR 115	0.500	NO SATISFACE
SC_2562_A1	Solar FV	2026	Esmeralda CQR 115	0.010	NO SATISFACE

SC_2634_A1	Solar FV	2026	Esmeralda CQR 115	0.001	SATISFACE
SC_2634_A2	Solar FV	2026	Esmeralda CQR 115	0.001	SATISFACE
SC_2670_A1	Solar FV	2028	Esmeralda CQR 115	0.010	NO SATISFACE
SC_2670_A2	Solar FV	2028	Esmeralda CQR 115	0.090	NO SATISFACE
SC_2802_A1	Solar FV	2027	Esmeralda CQR 115	0.009	NO SATISFACE
SC_2802_A2	Solar FV	2027	Esmeralda CQR 115	0.008	NO SATISFACE
SC_2816_A1	Solar FV	2027	Esmeralda CQR 115	0.020	NO SATISFACE
SC_2870_A1	Solar FV	2027	Esmeralda CQR 115	0.050	NO SATISFACE
SC_2870_A2	Solar FV	2027	Esmeralda CQR 115	0.020	NO SATISFACE
SC_2902_A1	Solar FV	2028	Esmeralda CQR 115	5.140	NO SATISFACE
SC_2902_A2	Solar FV	2028	Esmeralda CQR 115	1.050	NO SATISFACE
SC_2905_A2	Solar FV	2028	Esmeralda CQR 115	0.000	SATISFACE
SC_2924_A1	Solar FV	2026	Esmeralda CQR 115	0.845	NO SATISFACE
SC_2924_A2	Solar FV	2026	Esmeralda CQR 115	0.587	NO SATISFACE
SC_2936_A1	Solar FV	2026	Esmeralda CQR 115	0.000	SATISFACE
SC_2936_A2	Solar FV	2026	Esmeralda CQR 115	0.000	SATISFACE
SC_2962_A1	Solar FV	2028	Esmeralda CQR 115	0.131	NO SATISFACE
SC_2962_A2	Solar FV	2028	Esmeralda CQR 115	0.125	NO SATISFACE
SC_2979_A1	Solar FV	2027	Esmeralda CQR 115	0.060	NO SATISFACE
SC_2979_A2	Solar FV	2027	Esmeralda CQR 115	0.080	NO SATISFACE

SC_2984_A1	Solar FV	2027	Esmeralda CQR 115	0.070	NO SATISFACE
SC_2984_A2	Solar FV	2027	Esmeralda CQR 115	0.090	NO SATISFACE
SC_3012_A1	Solar FV	2027	Esmeralda CQR 115	0.020	NO SATISFACE
SC_3012_A2	Solar FV	2027	Esmeralda CQR 115	0.000	SATISFACE
SC_3054_A2	Solar FV	2027	Esmeralda CQR 115	0.428	NO SATISFACE
SC_3101_A1	Solar FV	2027	Esmeralda CQR 115	0.012	NO SATISFACE
SC_3101_A2	Solar FV	2027	Esmeralda CQR 115	0.004	SATISFACE
SC_3121_A1	Solar FV	2026	Esmeralda CQR 115	0.009	NO SATISFACE
SC_3121_A2	Solar FV	2026	Esmeralda CQR 115	0.009	NO SATISFACE
SC_3132_A1	Solar FV	2026	Esmeralda CQR 115	0.145	NO SATISFACE
SC_3132_A2	Solar FV	2026	Esmeralda CQR 115	0.152	NO SATISFACE
SC_3238_A1	Solar FV	2027	Esmeralda CQR 115	0.679	NO SATISFACE
SC_3238_A2	Solar FV	2027	Esmeralda CQR 115	0.475	NO SATISFACE
SC_3247_A1	Solar FV	2027	Esmeralda CQR 115	0.273	NO SATISFACE
SC_3247_A2	Solar FV	2027	Esmeralda CQR 115	0.212	NO SATISFACE
SC_3248_A1	Solar FV	2027	Esmeralda CQR 115	0.679	NO SATISFACE
SC_3248_A2	Solar FV	2027	Esmeralda CQR 115	0.475	NO SATISFACE
SC_3251_A1	Hidráulica	2026	Esmeralda CQR 115	0.060	NO SATISFACE
SC_3251_A2	Hidráulica	2026	Esmeralda CQR 115	0.060	NO SATISFACE
SC_3353_A1	Solar FV	2027	Esmeralda CQR 115	0.010	NO SATISFACE

SC_3353_A2	Solar FV	2027	Esmeralda CQR 115	0.014	NO SATISFACE
SC_3382_A1	Solar FV	2027	Esmeralda CQR 115	0.122	NO SATISFACE
SC_3382_A2	Solar FV	2027	Esmeralda CQR 115	0.171	NO SATISFACE
SC_3392_A1	Solar FV	2027	Esmeralda CQR 115	0.115	NO SATISFACE
SC_3392_A2	Solar FV	2027	Esmeralda CQR 115	0.045	NO SATISFACE
SC_3441_A1	Solar FV	2027	Esmeralda CQR 115	0.273	NO SATISFACE
SC_3441_A2	Solar FV	2027	Esmeralda CQR 115	0.212	NO SATISFACE
SC_3453_A1	Solar FV	2027	Esmeralda CQR 115	0.023	NO SATISFACE
SC_3453_A2	Solar FV	2027	Esmeralda CQR 115	0.023	NO SATISFACE
SC_3514_A1	Solar FV	2027	Esmeralda CQR 115	0.023	NO SATISFACE
SC_3514_A2	Solar FV	2027	Esmeralda CQR 115	0.023	NO SATISFACE
SC_3578_A1	Solar FV	2028	Esmeralda CQR 115	0.003	SATISFACE
SC_3578_A2	Solar FV	2028	Esmeralda CQR 115	0.004	SATISFACE
SC_3667_A1	Solar FV	2029	Esmeralda CQR 115	0.058	NO SATISFACE
SC_3667_A2	Solar FV	2029	Esmeralda CQR 115	0.037	NO SATISFACE
SC_3846_A1	Solar FV	2028	Esmeralda CQR 115	0.040	NO SATISFACE
SC_3846_A2	Solar FV	2028	Esmeralda CQR 115	0.040	NO SATISFACE
SC_3882_A1	Solar FV	2026	Esmeralda CQR 115	0.249	NO SATISFACE
SC_4083_A1	Solar FV	2027	Esmeralda CQR 115	0.001	SATISFACE
SC_4083_A2	Solar FV	2027	Esmeralda CQR 115	0.001	SATISFACE

SC_4175_A1	Solar FV	2026	Esmeralda CQR 115	0.027	NO SATISFACE
SC_4175_A2	Solar FV	2026	Esmeralda CQR 115	0.027	NO SATISFACE
SC_4296_A1	Solar FV	2028	Esmeralda CQR 115	0.363	NO SATISFACE
SC_4296_A2	Solar FV	2028	Esmeralda CQR 115	0.489	NO SATISFACE
SC_4751_A1	Solar FV	2027	Esmeralda CQR 115	0.012	NO SATISFACE
SC_4760_A1	Solar FV	2026	Esmeralda CQR 115	0.910	NO SATISFACE
SC_4765_A1	Solar FV	2029	Esmeralda CQR 115	0.015	NO SATISFACE
SC_4765_A2	Solar FV	2029	Esmeralda CQR 115	0.014	NO SATISFACE
SC_4789_A1	Solar FV	2027	Esmeralda CQR 115	0.025	NO SATISFACE
SC_4789_A2	Solar FV	2027	Esmeralda CQR 115	0.025	NO SATISFACE
SC_4809_A1	Solar FV	2027	Esmeralda CQR 115	0.027	NO SATISFACE
SC_4809_A2	Solar FV	2027	Esmeralda CQR 115	0.286	NO SATISFACE
SC_4819_A1	Solar FV	2029	Esmeralda CQR 115	0.253	NO SATISFACE
SC_4819_A2	Solar FV	2029	Esmeralda CQR 115	0.256	NO SATISFACE
SC_4821_A1	Solar FV	2027	Esmeralda CQR 115	0.115	NO SATISFACE
SC_4821_A2	Solar FV	2027	Esmeralda CQR 115	0.045	NO SATISFACE
SC_4824_A1	Solar FV	2025	Esmeralda CQR 115	0.000	SATISFACE
SC_4824_A2	Solar FV	2025	Esmeralda CQR 115	0.000	SATISFACE
SC_4826_A1	Solar FV	2027	Esmeralda CQR 115	0.021	NO SATISFACE
SC_4826_A2	Solar FV	2027	Esmeralda CQR 115	0.021	NO SATISFACE

SC_4827_A1	Solar FV	2027	Esmeralda CQR 115	0.021	NO SATISFACE
SC_4827_A2	Solar FV	2027	Esmeralda CQR 115	0.021	NO SATISFACE
SC_4842_A1	Solar FV	2028	Esmeralda CQR 115	0.272	NO SATISFACE
SC_4910_A1	Solar FV	2026	Esmeralda CQR 115	0.040	NO SATISFACE
SC_4910_A2	Solar FV	2026	Esmeralda CQR 115	0.040	NO SATISFACE
SC_4926_A1	Solar FV	2027	Esmeralda CQR 115	0.012	NO SATISFACE
SC_4947_A1	Solar FV	2027	Esmeralda CQR 115	0.127	NO SATISFACE
SC_4960_A2	Solar FV	2029	Esmeralda CQR 115	0.145	NO SATISFACE
SC_4974_A1	Solar FV	2026	Esmeralda CQR 115	0.016	NO SATISFACE
SC_4974_A2	Solar FV	2026	Esmeralda CQR 115	0.016	NO SATISFACE
SC_4978_A1	Solar FV	2026	Esmeralda CQR 115	0.010	NO SATISFACE
SC_4978_A2	Solar FV	2026	Esmeralda CQR 115	0.015	NO SATISFACE
SC_5009_A1	Solar FV	2026	Esmeralda CQR 115	0.112	NO SATISFACE
SC_5009_A2	Solar FV	2026	Esmeralda CQR 115	0.045	NO SATISFACE
SC_5011_A1	Solar FV	2027	Esmeralda CQR 115	0.112	NO SATISFACE
SC_5011_A2	Solar FV	2027	Esmeralda CQR 115	0.046	NO SATISFACE
SC_5060_A1	Solar FV	2026	Esmeralda CQR 115	0.040	NO SATISFACE
SC_5060_A2	Solar FV	2026	Esmeralda CQR 115	0.040	NO SATISFACE
SC_5076_A1	Solar FV	2027	Esmeralda CQR 115	0.000	SATISFACE
SC_5076_A2	Solar FV	2027	Esmeralda CQR 115	0.000	SATISFACE

SC_5077_A1	Solar FV	2027	Esmeralda CQR 115	0.000	SATISFACE
SC_5077_A2	Solar FV	2027	Esmeralda CQR 115	0.000	SATISFACE
SC_5087_A2	Solar FV	2027	Esmeralda CQR 115	0.065	NO SATISFACE

Posterior a la ejecución del MACC se priorizaron las siguientes alternativas de conexión que tienen aportes de cortocircuito de la subestación en análisis:

Tabla 2-264. Alternativas de conexión priorizadas que aportan corriente de cortocircuito en la subestación Esmeralda CQR 115

index	tipo	periodoIni	Barra a la que aporta CC	Aporte de cortocircuito (kA)	Restricción
SC_5076_A2	Solar FV	2027	Esmeralda CQR 115	0.000	SATISFACE
SC_5077_A2	Solar FV	2027	Esmeralda CQR 115	0.000	SATISFACE

El estado de la capacidad de cortocircuito en la subestación Esmeralda CQR 115, teniendo en cuenta la priorización se puede observar en la siguiente figura.

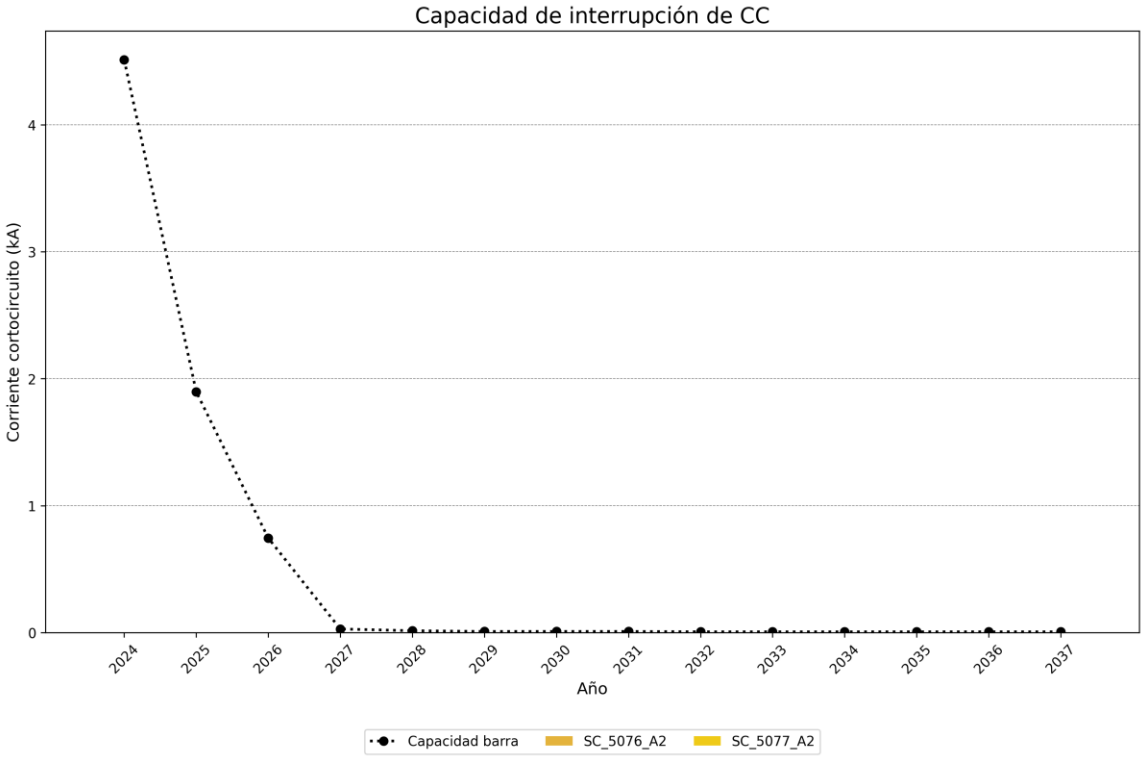


Figura 2-254. Balance de capacidad de cortocircuito después de la priorización para la subestación Esmeralda CQR 115

Subestación Estambul 230:

Capacidad por barra:

Para la subestación Estambul 230 se presentaron 0 alternativas de conexión las cuales se muestran en la siguiente tabla:

Tabla 2-265. Alternativas de conexión presentadas a la subestación Estambul 230

Solicitud	Capacidad	Tipo	Barra	FPO solicitada	Restricción

No se priorizó ninguna de las alternativas de conexión presentadas en la subestación Estambul 230

El estado de la capacidad por barra en la subestación Estambul 230, teniendo en cuenta la priorización se puede observar en la siguiente figura.

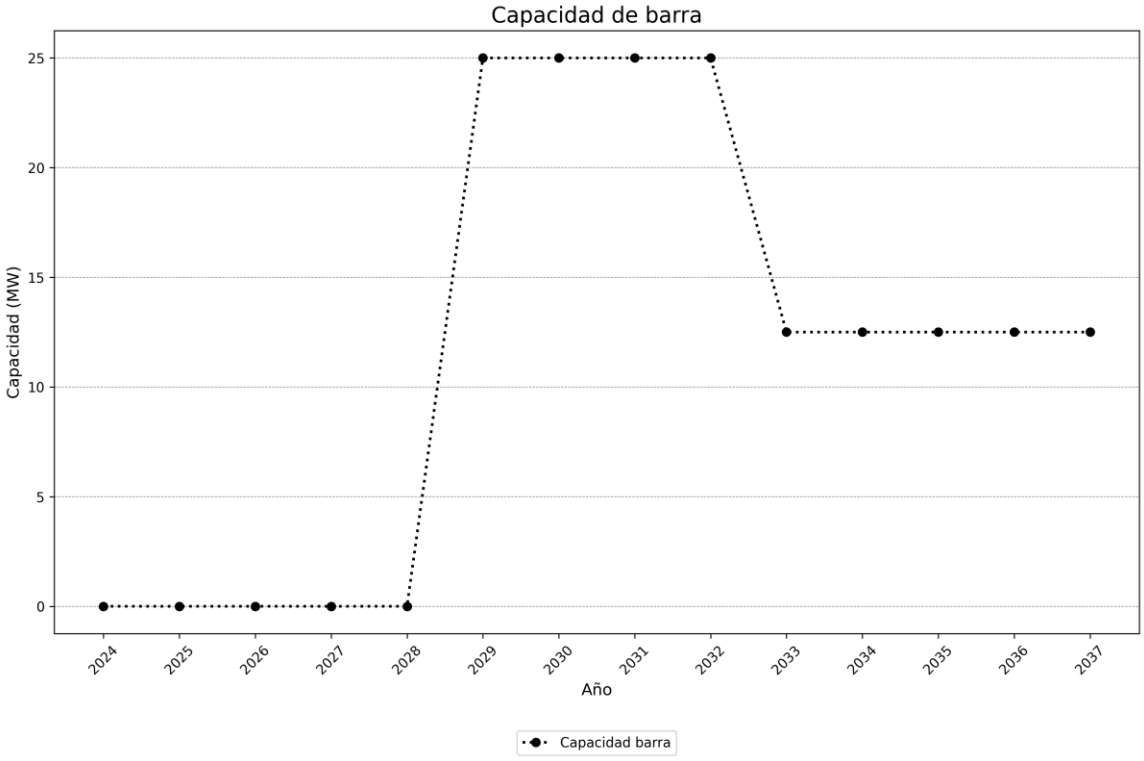


Figura 2-255. Balance de capacidad por barra después de la priorización para la subestación Estambul 230

Capacidad excedente de interrupción de corriente de cortocircuito:

Para la subestación Estambul 230 se presentaron 2 alternativas de conexión las cuales tienen aportes de corriente de cortocircuito. Estas alternativas se muestran en la siguiente tabla:

Tabla 2-266. Alternativas de conexión que aportan corriente de cortocircuito en la subestación Estambul 230

Solicitud	tipo	FPO	Barra a la que aporta CC	Aporte de cortocircuito (kA)	Restricción
SC_3012_A1	Solar FV	2027	Estambul 230	0.010	SATISFACE
SC_3012_A2	Solar FV	2027	Estambul 230	0.000	SATISFACE

No se priorizó ninguna de las alternativas de conexión que tengan aportes de corriente de cortocircuito en la subestación Estambul 230

El estado de la capacidad de cortocircuito en la subestación Estambul 230, teniendo en cuenta la priorización se puede observar en la siguiente figura.

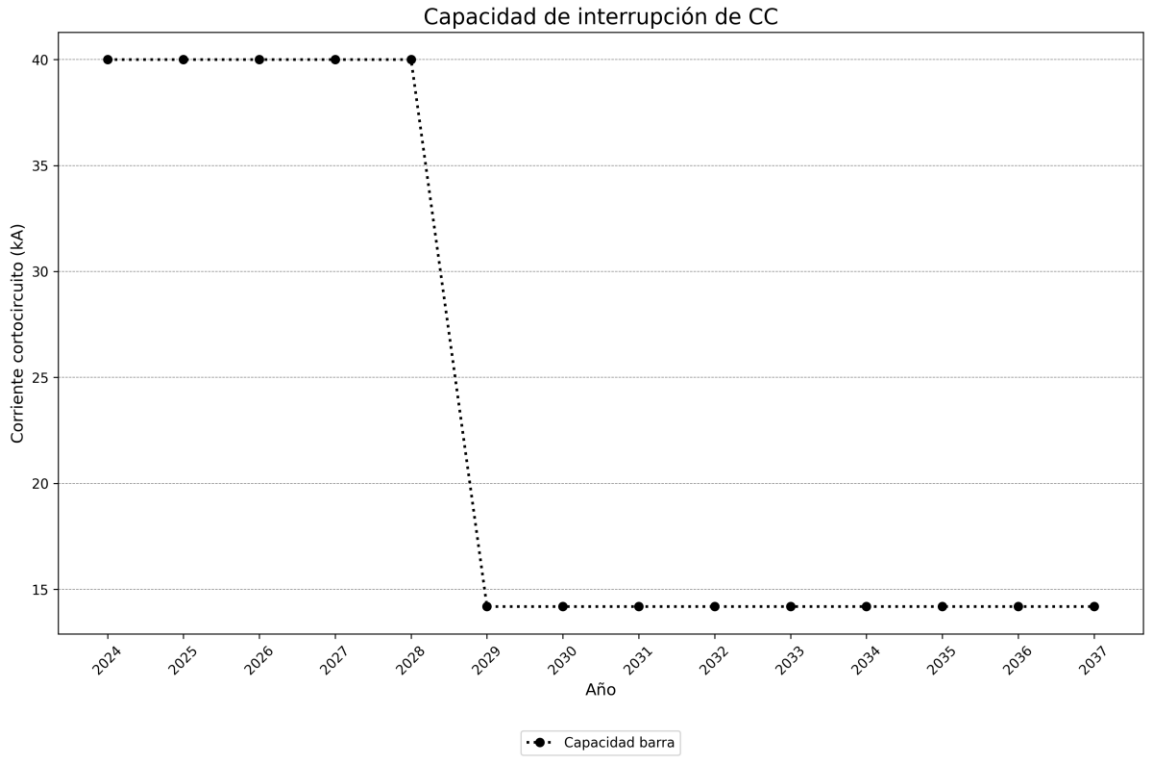


Figura 2-256. Balance de capacidad de cortocircuito después de la priorización para la subestación Estambul 230

Subestación Facatativa 115:

Capacidad por barra:

Para la subestación Facatativa 115 se presentaron 0 alternativas de conexión las cuales se muestran en la siguiente tabla:

Tabla 2-267. Alternativas de conexión presentadas a la subestación Facatativa 115

Solicitud	Capacidad	Tipo	Barra	FPO solicitada	Restricción

No se priorizó ninguna de las alternativas de conexión presentadas en la subestación Facatativa 115

El estado de la capacidad por barra en la subestación Facatativa 115, teniendo en cuenta la priorización se puede observar en la siguiente figura.

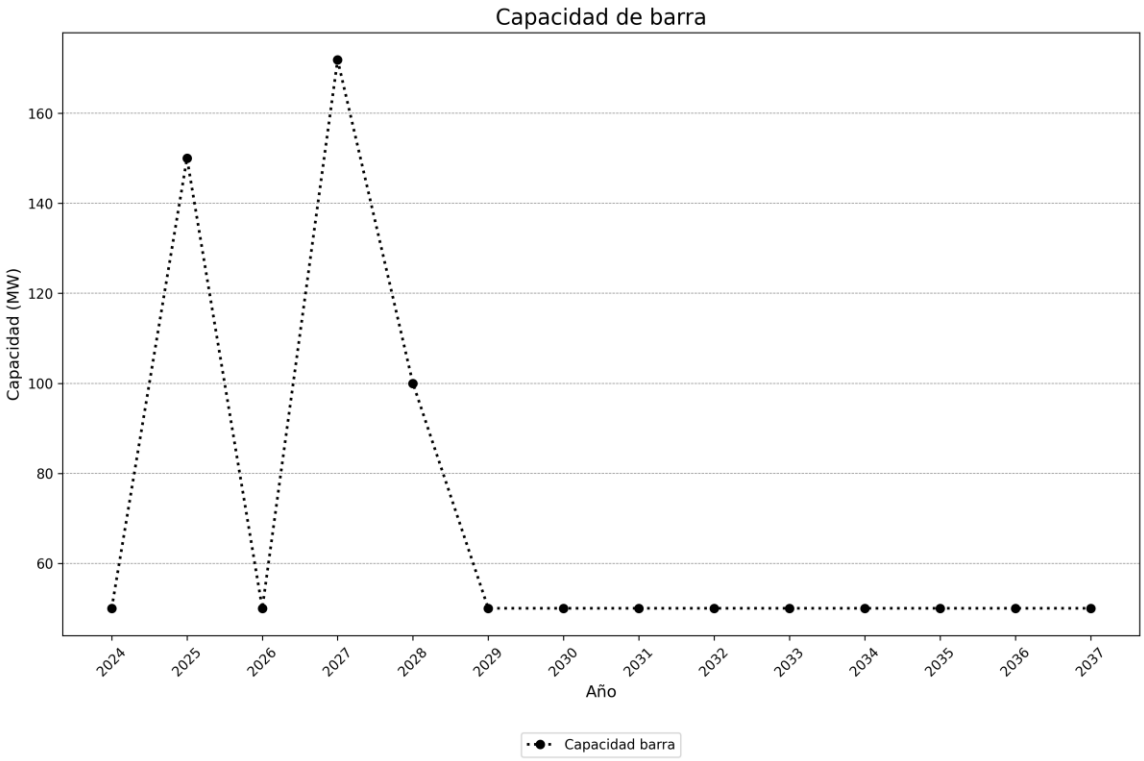


Figura 2-257. Balance de capacidad por barra después de la priorización para la subestación Facatativa 115

Capacidad excedente de interrupción de corriente de cortocircuito:

Para la subestación Facatativa 115 se presentaron 29 alternativas de conexión las cuales tienen aportes de corriente de cortocircuito. Estas alternativas se muestran en la siguiente tabla:

Tabla 2-268. Alternativas de conexión que aportan corriente de cortocircuito en la subestación Facatativa 115

Solicitud	tipo	FPO	Barra a la que aporta CC	Aporte de cortocircuito (kA)	Restricción
SC_2023_5280_A1	Solar FV	2028	Facatativa 115	0.024	SATISFACE
SC_2023_5280_A2	Solar FV	2028	Facatativa 115	0.022	SATISFACE
SC_2023_5287_A1	Solar FV	2026	Facatativa 115	0.013	SATISFACE
SC_2023_5287_A2	Solar FV	2026	Facatativa 115	0.013	SATISFACE
SC_2023_5288_A1	Solar FV	2026	Facatativa 115	0.007	SATISFACE
SC_2023_5288_A2	Solar FV	2026	Facatativa 115	0.019	SATISFACE
SC_2023_5375_A1	Solar FV	2026	Facatativa 115	0.013	SATISFACE
SC_2023_5399_A1	Solar FV	2026	Facatativa 115	0.007	SATISFACE
SC_2023_5399_A2	Solar FV	2026	Facatativa 115	0.019	SATISFACE
SC_2023_5480_A1	Solar FV	2026	Facatativa 115	0.013	SATISFACE
SC_2023_5480_A2	Solar FV	2026	Facatativa 115	0.013	SATISFACE
SC_2023_5557_A1	Solar FV	2028	Facatativa 115	0.051	SATISFACE
SC_2936_A1	Solar FV	2026	Facatativa 115	0.000	SATISFACE
SC_2936_A2	Solar FV	2026	Facatativa 115	0.000	SATISFACE
SC_3121_A1	Solar FV	2026	Facatativa 115	0.001	SATISFACE
SC_3121_A2	Solar FV	2026	Facatativa 115	0.001	SATISFACE
SC_3132_A1	Solar FV	2026	Facatativa 115	0.027	SATISFACE
SC_3132_A2	Solar FV	2026	Facatativa 115	0.023	SATISFACE
SC_3882_A1	Solar FV	2026	Facatativa 115	0.049	SATISFACE
SC_4083_A1	Solar FV	2027	Facatativa 115	0.000	SATISFACE
SC_4083_A2	Solar FV	2027	Facatativa 115	0.000	SATISFACE
SC_4765_A1	Solar FV	2029	Facatativa 115	0.001	SATISFACE
SC_4765_A2	Solar FV	2029	Facatativa 115	0.000	SATISFACE
SC_4819_A1	Solar FV	2029	Facatativa 115	0.044	SATISFACE
SC_4819_A2	Solar FV	2029	Facatativa 115	0.039	SATISFACE
SC_4974_A1	Solar FV	2026	Facatativa 115	0.003	SATISFACE

SC_4974_A2	Solar FV	2026	Facatativa 115	0.003	SATISFACE
SC_4978_A1	Solar FV	2026	Facatativa 115	0.000	SATISFACE
SC_4978_A2	Solar FV	2026	Facatativa 115	0.002	SATISFACE

No se priorizó ninguna de las alternativas de conexión que tengan aportes de corriente de cortocircuito en la subestación Facatativa 115

El estado de la capacidad de cortocircuito en la subestación Facatativa 115, teniendo en cuenta la priorización se puede observar en la siguiente figura.

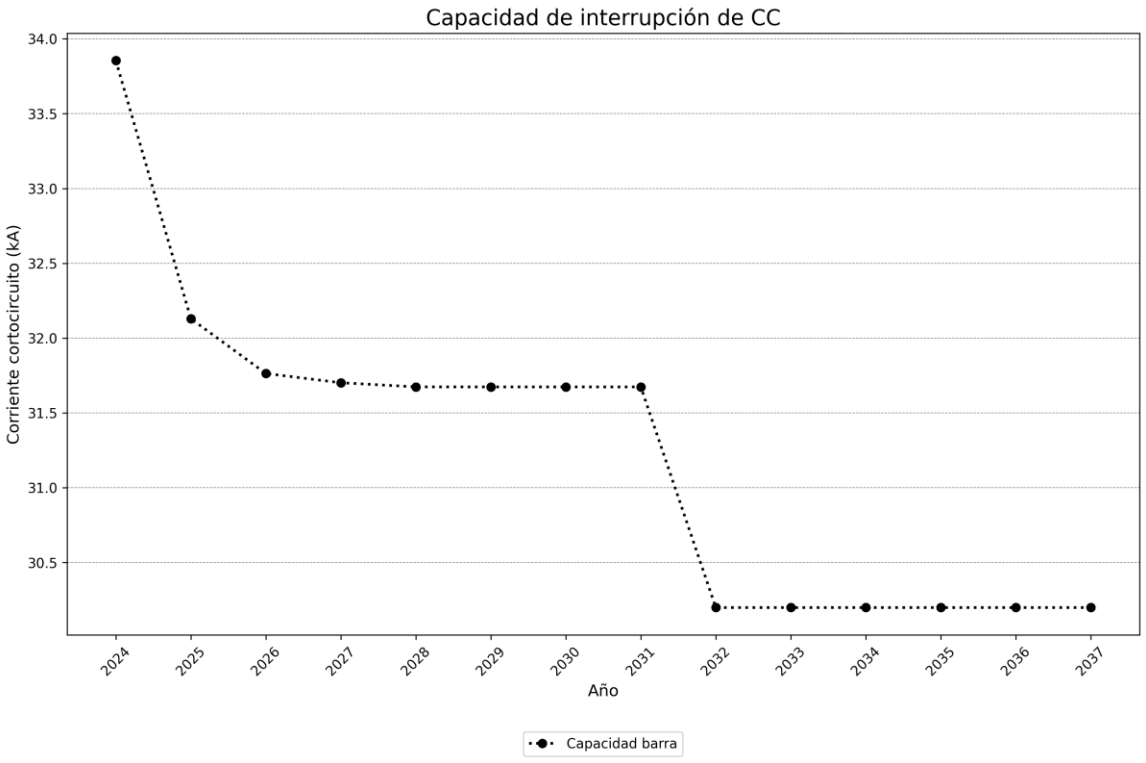


Figura 2-258. Balance de capacidad de cortocircuito después de la priorización para la subestación Facatativa 115

Subestación Felisa 33:

Capacidad por barra:

Para la subestación Felisa 33 se presentaron 0 alternativas de conexión las cuales se muestran en la siguiente tabla:

Tabla 2-269. Alternativas de conexión presentadas a la subestación Felisa 33

Solicitud	Capacidad	Tipo	Barra	FPO solicitada	Restricción

No se priorizó ninguna de las alternativas de conexión presentadas en la subestación Felisa 33

El estado de la capacidad por barra en la subestación Felisa 33, teniendo en cuenta la priorización se puede observar en la siguiente figura.

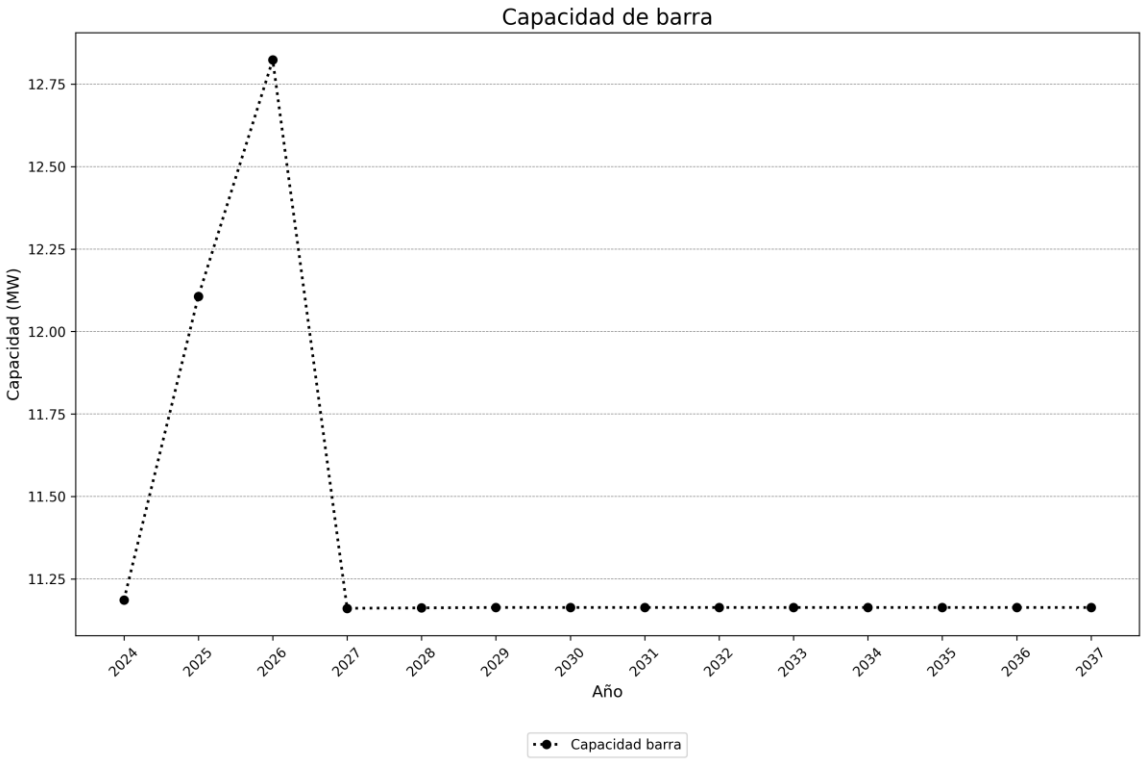


Figura 2-259. Balance de capacidad por barra después de la priorización para la subestación Felisa 33

Subestación Filadelfia 33:

Capacidad por barra:

Para la subestación Filadelfia 33 se presentaron 0 alternativas de conexión las cuales se muestran en la siguiente tabla:

Tabla 2-270. Alternativas de conexión presentadas a la subestación Filadelfia 33

Solicitud	Capacidad	Tipo	Barra	FPO solicitada	Restricción

No se priorizó ninguna de las alternativas de conexión presentadas en la subestación Filadelfia 33

El estado de la capacidad por barra en la subestación Filadelfia 33, teniendo en cuenta la priorización se puede observar en la siguiente figura.

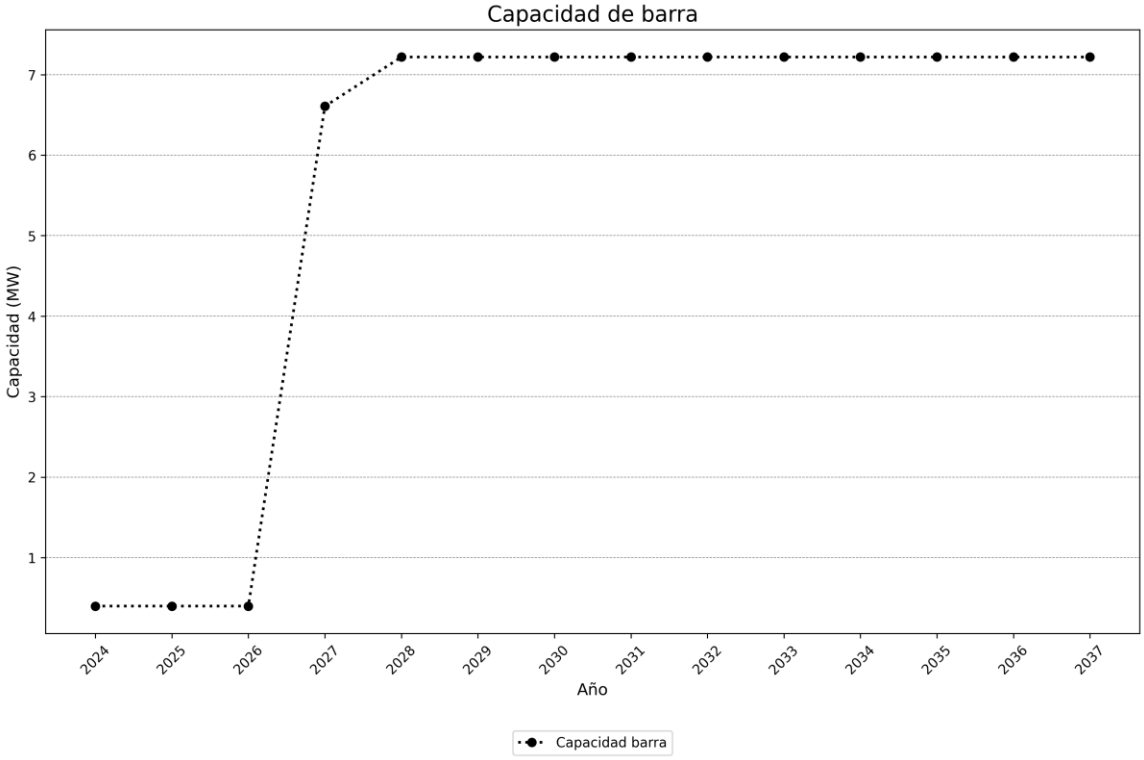


Figura 2-260. Balance de capacidad por barra después de la priorización para la subestación Filadelfia 33

Subestación Flandes 115:

Capacidad por barra:

Para la subestación Flandes 115 se presentaron 0 alternativas de conexión las cuales se muestran en la siguiente tabla:

Tabla 2-271. Alternativas de conexión presentadas a la subestación Flandes 115

Solicitud	Capacidad	Tipo	Barra	FPO solicitada	Restricción

No se priorizó ninguna de las alternativas de conexión presentadas en la subestación Flandes 115

El estado de la capacidad por barra en la subestación Flandes 115, teniendo en cuenta la priorización se puede observar en la siguiente figura.

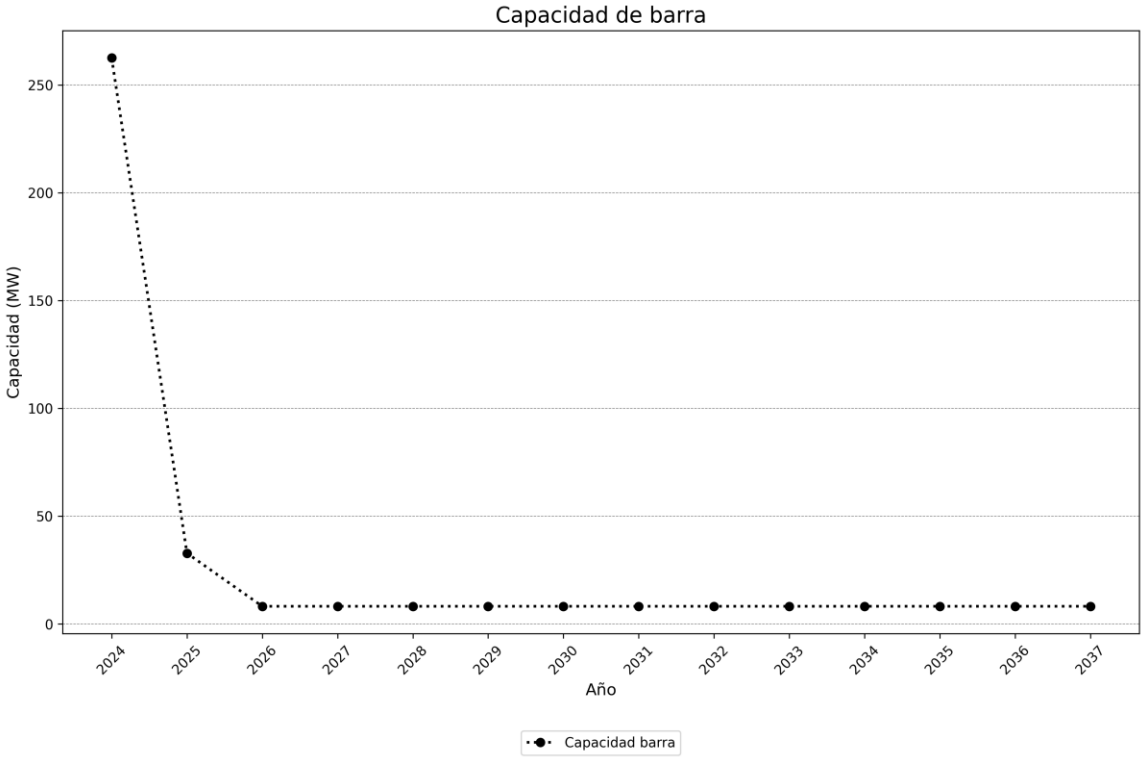


Figura 2-261. Balance de capacidad por barra después de la priorización para la subestación Flandes 115

Capacidad excedente de interrupción de corriente de cortocircuito:

Para la subestación Flandes 115 se presentaron 29 alternativas de conexión las cuales tienen aportes de corriente de cortocircuito. Estas alternativas se muestran en la siguiente tabla:

Tabla 2-272. Alternativas de conexión que aportan corriente de cortocircuito en la subestación Flandes 115

Solicitud	tipo	FPO	Barra a la que aporta CC	Aporte de cortocircuito (kA)	Restricción
SC_2023_5280_A1	Solar FV	2028	Flandes 115	0.029	SATISFACE
SC_2023_5280_A2	Solar FV	2028	Flandes 115	0.026	SATISFACE
SC_2023_5287_A1	Solar FV	2026	Flandes 115	0.000	SATISFACE

SC_2023_5287_A2	Solar FV	2026	Flandes 115	0.000	SATISFACE
SC_2023_5288_A1	Solar FV	2026	Flandes 115	0.000	SATISFACE
SC_2023_5288_A2	Solar FV	2026	Flandes 115	0.000	SATISFACE
SC_2023_5375_A1	Solar FV	2026	Flandes 115	0.000	SATISFACE
SC_2023_5399_A1	Solar FV	2026	Flandes 115	0.000	SATISFACE
SC_2023_5399_A2	Solar FV	2026	Flandes 115	0.000	SATISFACE
SC_2023_5480_A1	Solar FV	2026	Flandes 115	0.000	SATISFACE
SC_2023_5480_A2	Solar FV	2026	Flandes 115	0.000	SATISFACE
SC_2023_5557_A1	Solar FV	2028	Flandes 115	0.060	SATISFACE
SC_2936_A1	Solar FV	2026	Flandes 115	0.000	SATISFACE
SC_2936_A2	Solar FV	2026	Flandes 115	0.000	SATISFACE
SC_3121_A1	Solar FV	2026	Flandes 115	0.002	SATISFACE
SC_3121_A2	Solar FV	2026	Flandes 115	0.002	SATISFACE
SC_3132_A1	Solar FV	2026	Flandes 115	0.032	SATISFACE
SC_3132_A2	Solar FV	2026	Flandes 115	0.027	SATISFACE
SC_3882_A1	Solar FV	2026	Flandes 115	0.057	SATISFACE
SC_4083_A1	Solar FV	2027	Flandes 115	0.000	SATISFACE
SC_4083_A2	Solar FV	2027	Flandes 115	0.000	SATISFACE
SC_4765_A1	Solar FV	2029	Flandes 115	0.001	SATISFACE
SC_4765_A2	Solar FV	2029	Flandes 115	0.000	SATISFACE
SC_4819_A1	Solar FV	2029	Flandes 115	0.063	SATISFACE
SC_4819_A2	Solar FV	2029	Flandes 115	0.056	SATISFACE
SC_4974_A1	Solar FV	2026	Flandes 115	0.004	SATISFACE
SC_4974_A2	Solar FV	2026	Flandes 115	0.004	SATISFACE
SC_4978_A1	Solar FV	2026	Flandes 115	0.000	SATISFACE
SC_4978_A2	Solar FV	2026	Flandes 115	0.002	SATISFACE

No se priorizó ninguna de las alternativas de conexión que tengan aportes de corriente de cortocircuito en la subestación Flandes 115

El estado de la capacidad de cortocircuito en la subestación Flandes 115, teniendo en cuenta la priorización se puede observar en la siguiente figura.

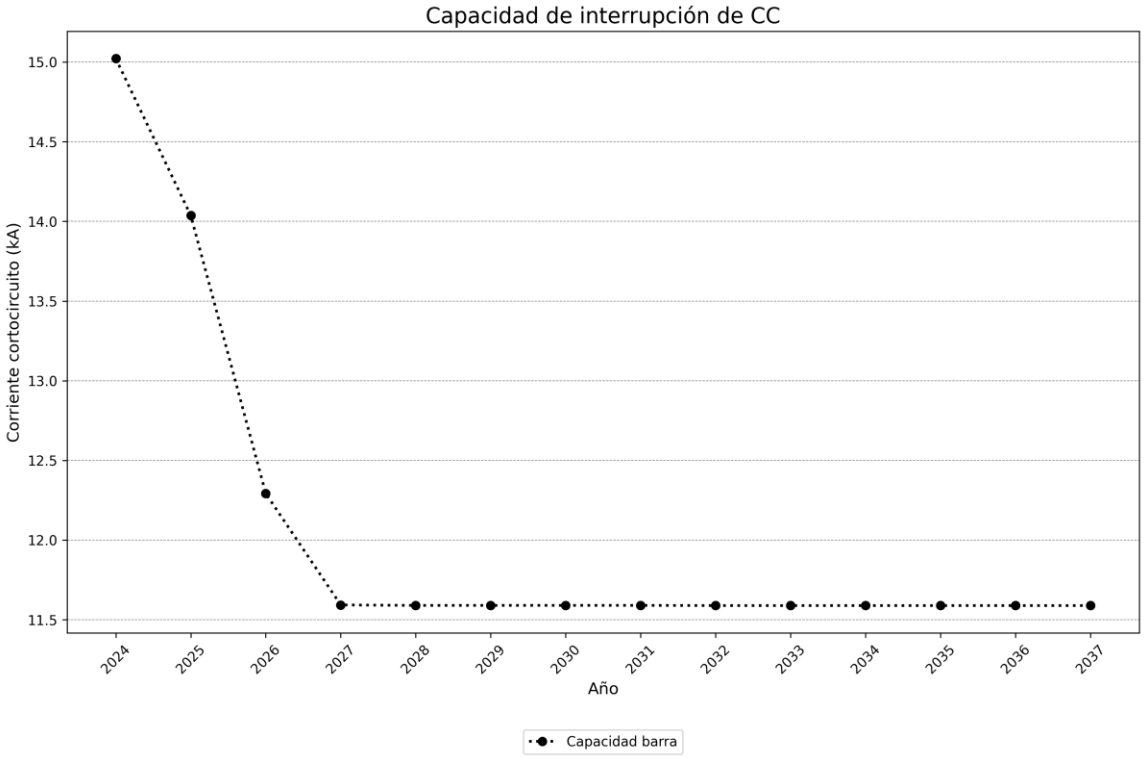


Figura 2-262. Balance de capacidad de cortocircuito después de la priorización para la subestación Flandes 115

Subestación Florencia 115:

Capacidad por barra:

Para la subestación Florencia 115 se presentaron 0 alternativas de conexión las cuales se muestran en la siguiente tabla:

Tabla 2-273. Alternativas de conexión presentadas a la subestación Florencia 115

Solicitud	Capacidad	Tipo	Barra	FPO solicitada	Restricción

No se priorizó ninguna de las alternativas de conexión presentadas en la subestación Florencia 115

El estado de la capacidad por barra en la subestación Florencia 115, teniendo en cuenta la priorización se puede observar en la siguiente figura.

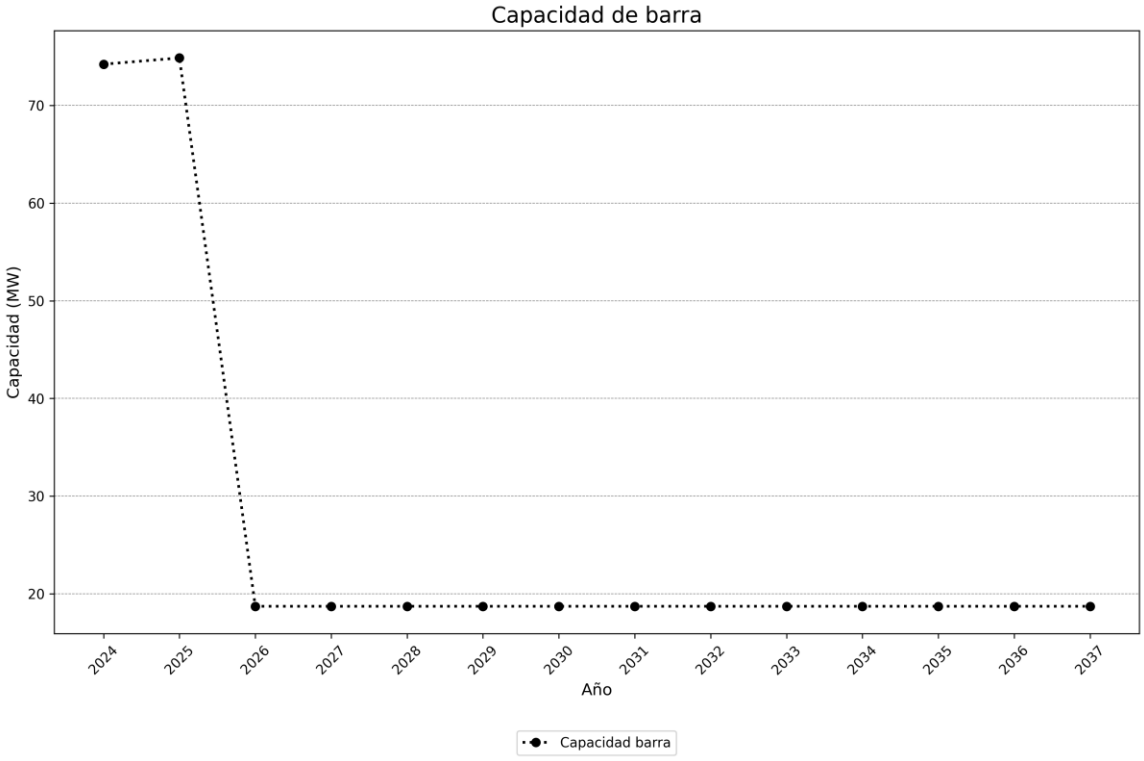


Figura 2-263. Balance de capacidad por barra después de la priorización para la subestación Florencia 115

Capacidad excedente de interrupción de corriente de cortocircuito:

Para la subestación Florencia 115 se presentaron 25 alternativas de conexión las cuales tienen aportes de corriente de cortocircuito. Estas alternativas se muestran en la siguiente tabla:

Tabla 2-274. Alternativas de conexión que aportan corriente de cortocircuito en la subestación Florencia 115

Solicitud	tipo	FPO	Barra a la que aporta CC	Aporte de cortocircuito (kA)	Restricción
SC_2023_5280_A1	Solar FV	2028	Florencia 115	0.003	SATISFACE
SC_2023_5280_A2	Solar FV	2028	Florencia 115	0.003	SATISFACE
SC_2023_5287_A1	Solar FV	2026	Florencia 115	0.001	SATISFACE
SC_2023_5287_A2	Solar FV	2026	Florencia 115	0.001	SATISFACE
SC_2023_5288_A1	Solar FV	2026	Florencia 115	0.001	SATISFACE
SC_2023_5288_A2	Solar FV	2026	Florencia 115	0.002	SATISFACE
SC_2023_5375_A1	Solar FV	2026	Florencia 115	0.001	SATISFACE
SC_2023_5399_A1	Solar FV	2026	Florencia 115	0.001	SATISFACE
SC_2023_5399_A2	Solar FV	2026	Florencia 115	0.002	SATISFACE
SC_2023_5480_A1	Solar FV	2026	Florencia 115	0.001	SATISFACE
SC_2023_5480_A2	Solar FV	2026	Florencia 115	0.001	SATISFACE
SC_2023_5557_A1	Solar FV	2028	Florencia 115	0.004	SATISFACE
SC_2936_A1	Solar FV	2026	Florencia 115	0.000	SATISFACE
SC_2936_A2	Solar FV	2026	Florencia 115	0.000	SATISFACE
SC_3121_A1	Solar FV	2026	Florencia 115	0.000	SATISFACE
SC_3121_A2	Solar FV	2026	Florencia 115	0.000	SATISFACE
SC_3132_A1	Solar FV	2026	Florencia 115	0.003	SATISFACE
SC_3132_A2	Solar FV	2026	Florencia 115	0.003	SATISFACE
SC_3882_A1	Solar FV	2026	Florencia 115	0.004	SATISFACE
SC_4083_A1	Solar FV	2027	Florencia 115	0.000	SATISFACE
SC_4083_A2	Solar FV	2027	Florencia 115	0.000	SATISFACE
SC_4765_A1	Solar FV	2029	Florencia 115	0.000	SATISFACE
SC_4765_A2	Solar FV	2029	Florencia 115	0.000	SATISFACE
SC_4819_A1	Solar FV	2029	Florencia 115	0.005	SATISFACE
SC_4819_A2	Solar FV	2029	Florencia 115	0.004	SATISFACE

No se priorizó ninguna de las alternativas de conexión que tengan aportes de corriente de cortocircuito en la subestación Florencia 115

El estado de la capacidad de cortocircuito en la subestación Florencia 115, teniendo en cuenta la priorización se puede observar en la siguiente figura.

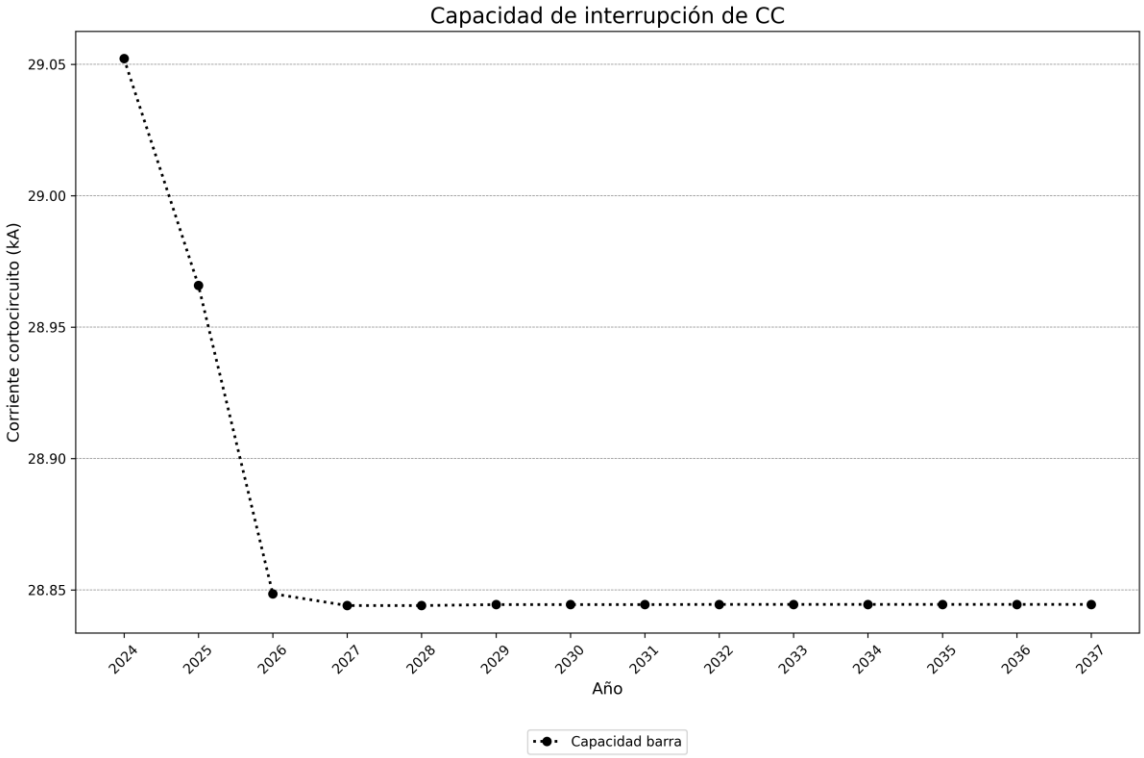


Figura 2-264. Balance de capacidad de cortocircuito después de la priorización para la subestación Florencia 115

Subestación Florida (Cauca) 115:

Capacidad por barra:

Para la subestación Florida (Cauca) 115 se presentaron 0 alternativas de conexión las cuales se muestran en la siguiente tabla:

Tabla 2-275. Alternativas de conexión presentadas a la subestación Florida (Cauca) 115

Solicitud	Capacidad	Tipo	Barra	FPO solicitada	Restricción

No se priorizó ninguna de las alternativas de conexión presentadas en la subestación Florida (Cauca) 115

El estado de la capacidad por barra en la subestación Florida (Cauca) 115, teniendo en cuenta la priorización se puede observar en la siguiente figura.

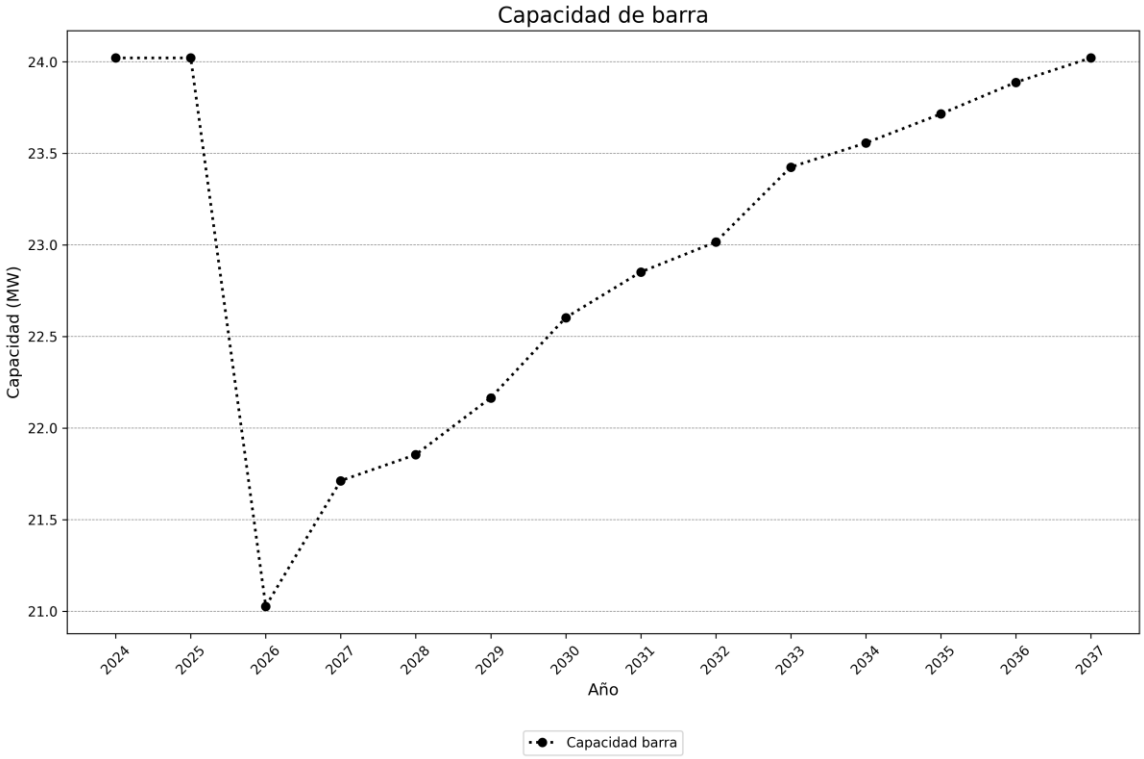


Figura 2-265. Balance de capacidad por barra después de la priorización para la subestación Florida (Cauca) 115

Capacidad excedente de interrupción de corriente de cortocircuito:

Para la subestación Florida (Cauca) 115 se presentaron 29 alternativas de conexión las cuales tienen aportes de corriente de cortocircuito. Estas alternativas se muestran en la siguiente tabla:

Tabla 2-276. Alternativas de conexión que aportan corriente de cortocircuito en la subestación Florida (Cauca) 115

Solicitud	tipo	FPO	Barra a la que aporta CC	Aporte de cortocircuito (kA)	Restricción
SC_2023_5280_A1	Solar FV	2028	Florida (Cauca) 115	0.007	SATISFACE
SC_2023_5280_A2	Solar FV	2028	Florida (Cauca) 115	0.007	SATISFACE
SC_2023_5287_A1	Solar FV	2026	Florida (Cauca) 115	0.003	SATISFACE
SC_2023_5287_A2	Solar FV	2026	Florida (Cauca) 115	0.003	SATISFACE
SC_2023_5288_A1	Solar FV	2026	Florida (Cauca) 115	0.002	SATISFACE
SC_2023_5288_A2	Solar FV	2026	Florida (Cauca) 115	0.005	SATISFACE
SC_2023_5375_A1	Solar FV	2026	Florida (Cauca) 115	0.003	SATISFACE
SC_2023_5399_A1	Solar FV	2026	Florida (Cauca) 115	0.002	SATISFACE
SC_2023_5399_A2	Solar FV	2026	Florida (Cauca) 115	0.005	SATISFACE
SC_2023_5480_A1	Solar FV	2026	Florida (Cauca) 115	0.003	SATISFACE
SC_2023_5480_A2	Solar FV	2026	Florida (Cauca) 115	0.003	SATISFACE
SC_2023_5557_A1	Solar FV	2028	Florida (Cauca) 115	0.010	SATISFACE
SC_2936_A1	Solar FV	2026	Florida (Cauca) 115	0.000	SATISFACE
SC_2936_A2	Solar FV	2026	Florida (Cauca) 115	0.000	SATISFACE
SC_3121_A1	Solar FV	2026	Florida (Cauca) 115	0.000	SATISFACE
SC_3121_A2	Solar FV	2026	Florida (Cauca) 115	0.000	SATISFACE
SC_3132_A1	Solar FV	2026	Florida (Cauca) 115	0.008	SATISFACE
SC_3132_A2	Solar FV	2026	Florida (Cauca) 115	0.007	SATISFACE
SC_3882_A1	Solar FV	2026	Florida (Cauca) 115	0.009	SATISFACE

SC_4083_A1	Solar FV	2027	Florida (Cauca) 115	0.000	SATISFACE
SC_4083_A2	Solar FV	2027	Florida (Cauca) 115	0.000	SATISFACE
SC_4765_A1	Solar FV	2029	Florida (Cauca) 115	0.000	SATISFACE
SC_4765_A2	Solar FV	2029	Florida (Cauca) 115	0.000	SATISFACE
SC_4819_A1	Solar FV	2029	Florida (Cauca) 115	0.012	SATISFACE
SC_4819_A2	Solar FV	2029	Florida (Cauca) 115	0.011	SATISFACE
SC_4974_A1	Solar FV	2026	Florida (Cauca) 115	0.004	SATISFACE
SC_4974_A2	Solar FV	2026	Florida (Cauca) 115	0.004	SATISFACE
SC_4978_A1	Solar FV	2026	Florida (Cauca) 115	0.000	SATISFACE
SC_4978_A2	Solar FV	2026	Florida (Cauca) 115	0.002	SATISFACE

No se priorizó ninguna de las alternativas de conexión que tengan aportes de corriente de cortocircuito en la subestación Florida (Cauca) 115

El estado de la capacidad de cortocircuito en la subestación Florida (Cauca) 115, teniendo en cuenta la priorización se puede observar en la siguiente figura.

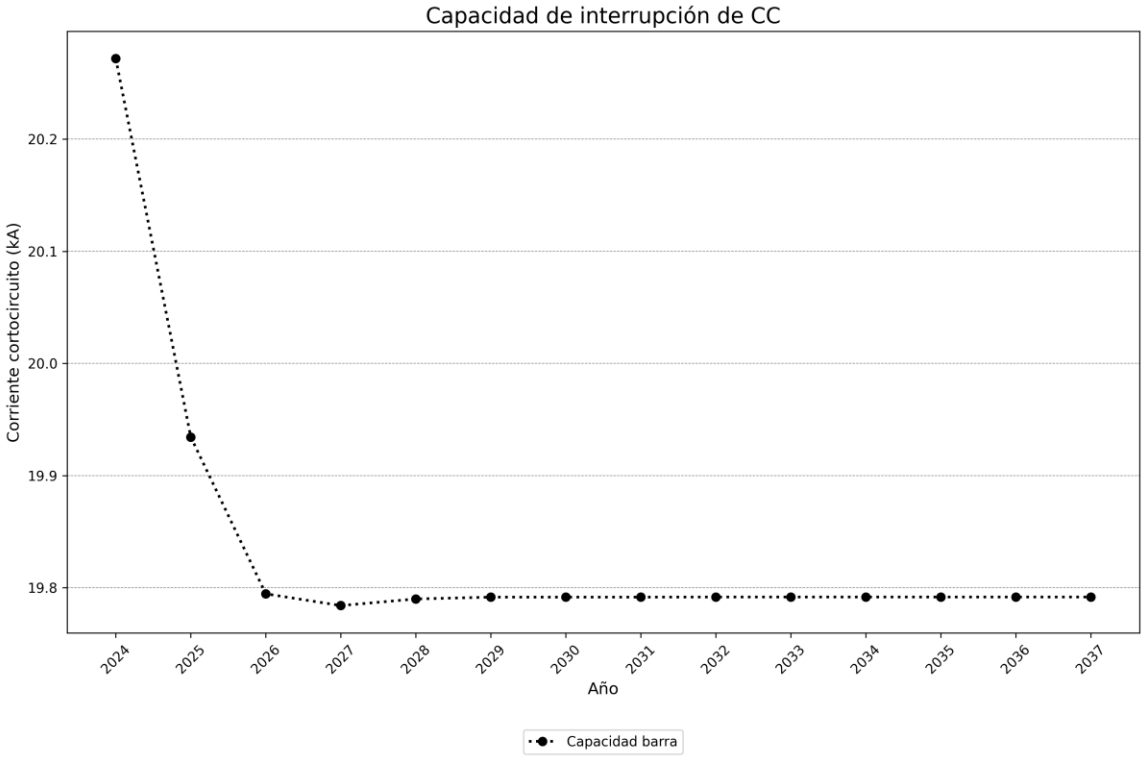


Figura 2-266. Balance de capacidad de cortocircuito después de la priorización para la subestación Florida (Cauca) 115

Subestación Florida COD 115:

Capacidad por barra:

Para la subestación Florida COD 115 se presentaron 0 alternativas de conexión las cuales se muestran en la siguiente tabla:

Tabla 2-277. Alternativas de conexión presentadas a la subestación Florida COD 115

Solicitud	Capacidad	Tipo	Barra	FPO solicitada	Restricción

No se priorizó ninguna de las alternativas de conexión presentadas en la subestación Florida COD 115

El estado de la capacidad por barra en la subestación Florida COD 115, teniendo en cuenta la priorización se puede observar en la siguiente figura.

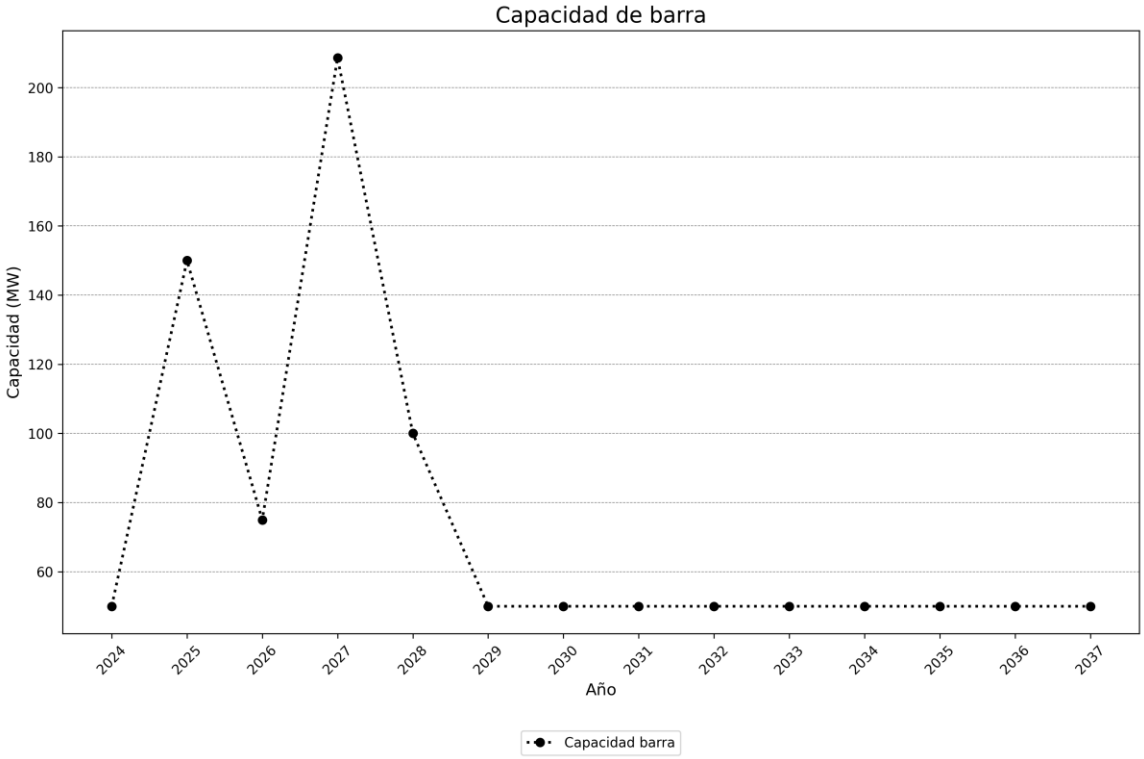


Figura 2-267. Balance de capacidad por barra después de la priorización para la subestación Florida COD 115

Capacidad excedente de interrupción de corriente de cortocircuito:

Para la subestación Florida COD 115 se presentaron 29 alternativas de conexión las cuales tienen aportes de corriente de cortocircuito. Estas alternativas se muestran en la siguiente tabla:

Tabla 2-278. Alternativas de conexión que aportan corriente de cortocircuito en la subestación Florida COD 115

Solicitud	tipo	FPO	Barra a la que aporta CC	Aporte de cortocircuito (kA)	Restricción
SC_2023_5280_A1	Solar FV	2028	Florida COD 115	0.040	SATISFACE
SC_2023_5280_A2	Solar FV	2028	Florida COD 115	0.036	SATISFACE
SC_2023_5287_A1	Solar FV	2026	Florida COD 115	0.021	SATISFACE
SC_2023_5287_A2	Solar FV	2026	Florida COD 115	0.021	SATISFACE
SC_2023_5288_A1	Solar FV	2026	Florida COD 115	0.012	SATISFACE
SC_2023_5288_A2	Solar FV	2026	Florida COD 115	0.033	SATISFACE
SC_2023_5375_A1	Solar FV	2026	Florida COD 115	0.021	SATISFACE
SC_2023_5399_A1	Solar FV	2026	Florida COD 115	0.012	SATISFACE
SC_2023_5399_A2	Solar FV	2026	Florida COD 115	0.033	SATISFACE
SC_2023_5480_A1	Solar FV	2026	Florida COD 115	0.021	SATISFACE
SC_2023_5480_A2	Solar FV	2026	Florida COD 115	0.021	SATISFACE
SC_2023_5557_A1	Solar FV	2028	Florida COD 115	0.082	SATISFACE
SC_2936_A1	Solar FV	2026	Florida COD 115	0.000	SATISFACE
SC_2936_A2	Solar FV	2026	Florida COD 115	0.000	SATISFACE
SC_3121_A1	Solar FV	2026	Florida COD 115	0.003	SATISFACE
SC_3121_A2	Solar FV	2026	Florida COD 115	0.003	SATISFACE
SC_3132_A1	Solar FV	2026	Florida COD 115	0.045	SATISFACE
SC_3132_A2	Solar FV	2026	Florida COD 115	0.039	SATISFACE
SC_3882_A1	Solar FV	2026	Florida COD 115	0.079	SATISFACE

SC_4083_A1	Solar FV	2027	Florida COD 115	0.000	SATISFACE
SC_4083_A2	Solar FV	2027	Florida COD 115	0.000	SATISFACE
SC_4765_A1	Solar FV	2029	Florida COD 115	0.001	SATISFACE
SC_4765_A2	Solar FV	2029	Florida COD 115	0.001	SATISFACE
SC_4819_A1	Solar FV	2029	Florida COD 115	0.071	SATISFACE
SC_4819_A2	Solar FV	2029	Florida COD 115	0.065	SATISFACE
SC_4974_A1	Solar FV	2026	Florida COD 115	0.008	SATISFACE
SC_4974_A2	Solar FV	2026	Florida COD 115	0.008	SATISFACE
SC_4978_A1	Solar FV	2026	Florida COD 115	0.000	SATISFACE
SC_4978_A2	Solar FV	2026	Florida COD 115	0.003	SATISFACE

No se priorizó ninguna de las alternativas de conexión que tengan aportes de corriente de cortocircuito en la subestación Florida COD 115

El estado de la capacidad de cortocircuito en la subestación Florida COD 115, teniendo en cuenta la priorización se puede observar en la siguiente figura.

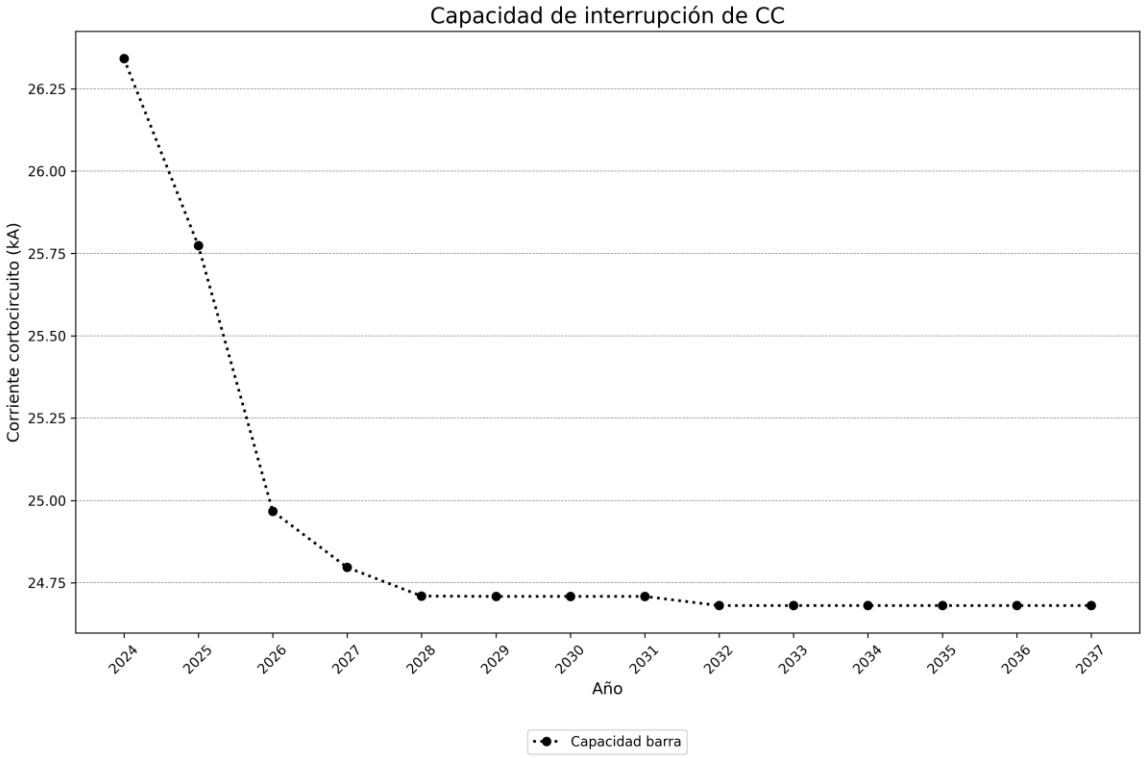


Figura 2-268. Balance de capacidad de cortocircuito después de la priorización para la subestación Florida COD 115

Subestación Fontibon 115:

Capacidad por barra:

Para la subestación Fontibon 115 se presentaron 0 alternativas de conexión las cuales se muestran en la siguiente tabla:

Tabla 2-279. Alternativas de conexión presentadas a la subestación Fontibon 115

Solicitud	Capacidad	Tipo	Barra	FPO solicitada	Restricción

No se priorizó ninguna de las alternativas de conexión presentadas en la subestación Fontibon 115

El estado de la capacidad por barra en la subestación Fontibon 115, teniendo en cuenta la priorización se puede observar en la siguiente figura.

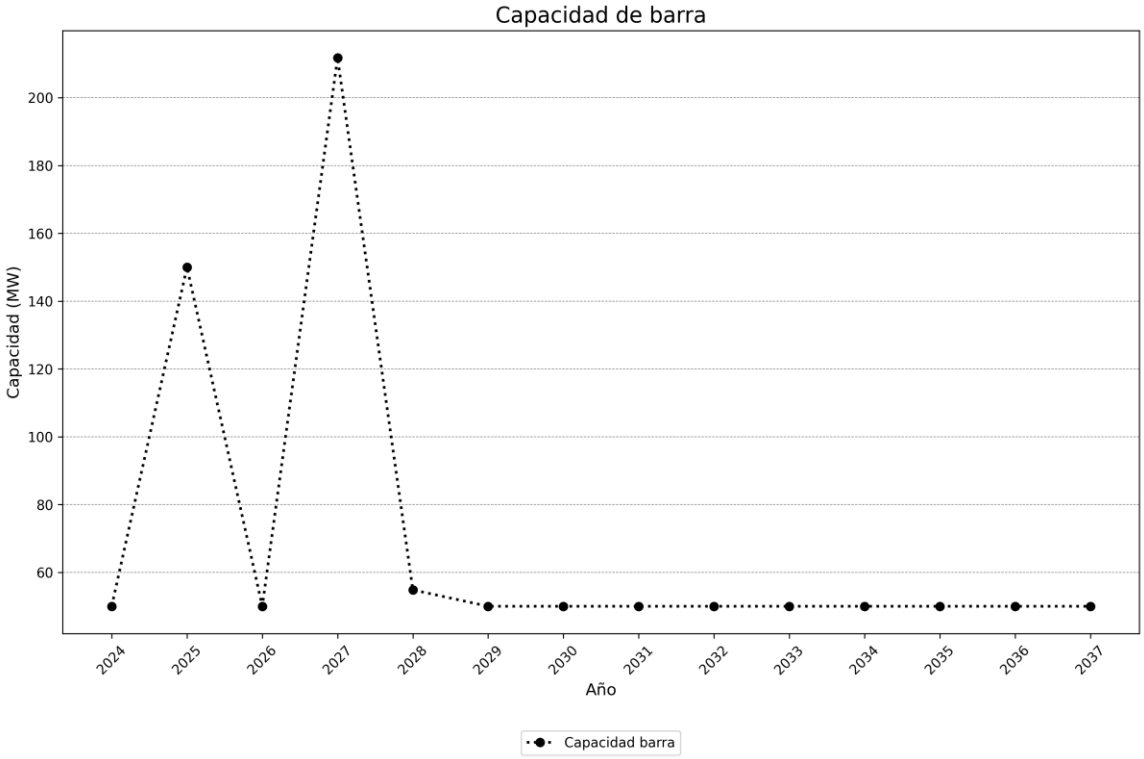


Figura 2-269. Balance de capacidad por barra después de la priorización para la subestación Fontibon 115

Capacidad excedente de interrupción de corriente de cortocircuito:

Para la subestación Fontibon 115 se presentaron 29 alternativas de conexión las cuales tienen aportes de corriente de cortocircuito. Estas alternativas se muestran en la siguiente tabla:

Tabla 2-280. Alternativas de conexión que aportan corriente de cortocircuito en la subestación Fontibon 115

Solicitud	tipo	FPO	Barra a la que aporta CC	Aporte de cortocircuito (kA)	Restricción
SC_2023_5280_A1	Solar FV	2028	Fontibon 115	0.065	SATISFACE
SC_2023_5280_A2	Solar FV	2028	Fontibon 115	0.058	SATISFACE
SC_2023_5287_A1	Solar FV	2026	Fontibon 115	0.033	SATISFACE
SC_2023_5287_A2	Solar FV	2026	Fontibon 115	0.033	SATISFACE
SC_2023_5288_A1	Solar FV	2026	Fontibon 115	0.019	SATISFACE
SC_2023_5288_A2	Solar FV	2026	Fontibon 115	0.050	SATISFACE
SC_2023_5375_A1	Solar FV	2026	Fontibon 115	0.033	SATISFACE
SC_2023_5399_A1	Solar FV	2026	Fontibon 115	0.019	SATISFACE
SC_2023_5399_A2	Solar FV	2026	Fontibon 115	0.050	SATISFACE
SC_2023_5480_A1	Solar FV	2026	Fontibon 115	0.033	SATISFACE
SC_2023_5480_A2	Solar FV	2026	Fontibon 115	0.033	SATISFACE
SC_2023_5557_A1	Solar FV	2028	Fontibon 115	0.136	SATISFACE
SC_2936_A1	Solar FV	2026	Fontibon 115	0.000	SATISFACE
SC_2936_A2	Solar FV	2026	Fontibon 115	0.000	SATISFACE
SC_3121_A1	Solar FV	2026	Fontibon 115	0.005	SATISFACE
SC_3121_A2	Solar FV	2026	Fontibon 115	0.005	SATISFACE
SC_3132_A1	Solar FV	2026	Fontibon 115	0.073	SATISFACE
SC_3132_A2	Solar FV	2026	Fontibon 115	0.062	SATISFACE
SC_3882_A1	Solar FV	2026	Fontibon 115	0.129	SATISFACE
SC_4083_A1	Solar FV	2027	Fontibon 115	0.001	SATISFACE
SC_4083_A2	Solar FV	2027	Fontibon 115	0.001	SATISFACE
SC_4765_A1	Solar FV	2029	Fontibon 115	0.004	SATISFACE
SC_4765_A2	Solar FV	2029	Fontibon 115	0.002	SATISFACE
SC_4819_A1	Solar FV	2029	Fontibon 115	0.119	SATISFACE
SC_4819_A2	Solar FV	2029	Fontibon 115	0.107	SATISFACE
SC_4974_A1	Solar FV	2026	Fontibon 115	0.007	SATISFACE
SC_4974_A2	Solar FV	2026	Fontibon 115	0.006	SATISFACE
SC_4978_A1	Solar FV	2026	Fontibon 115	0.000	SATISFACE
SC_4978_A2	Solar FV	2026	Fontibon 115	0.005	SATISFACE

No se priorizó ninguna de las alternativas de conexión que tengan aportes de corriente de cortocircuito en la subestación Fontibon 115

El estado de la capacidad de cortocircuito en la subestación Fontibon 115, teniendo en cuenta la priorización se puede observar en la siguiente figura.

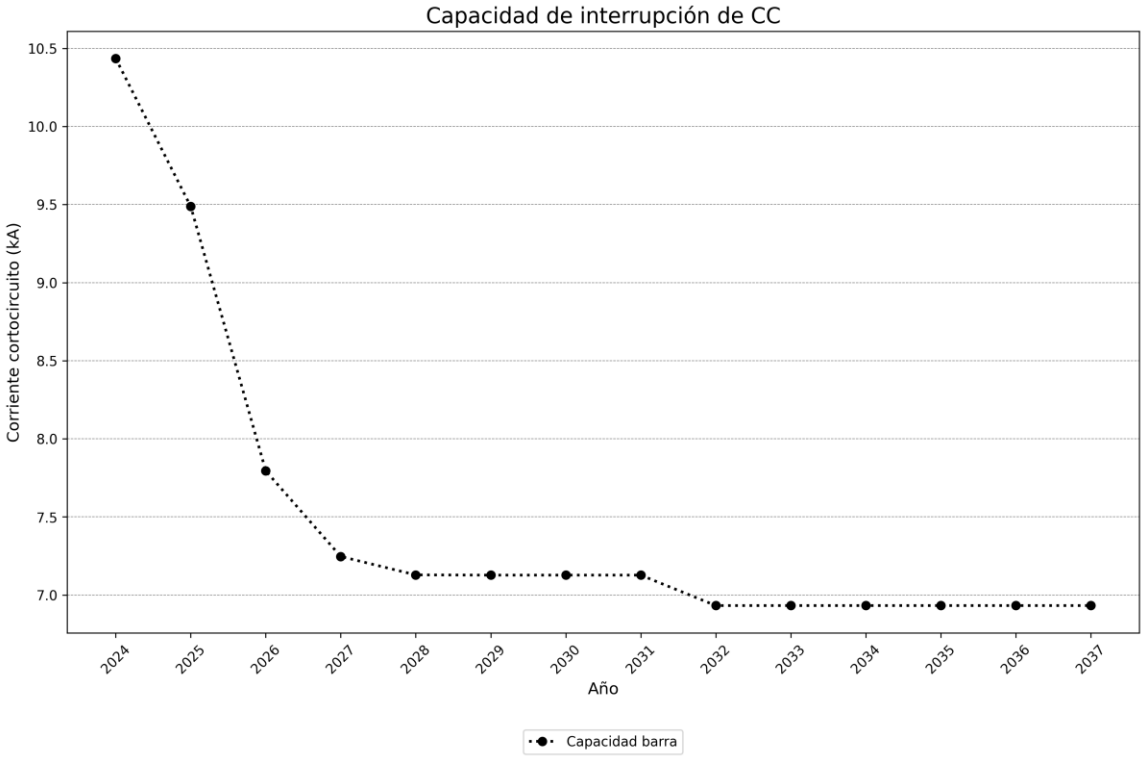


Figura 2-270. Balance de capacidad de cortocircuito después de la priorización para la subestación Fontibon 115

Subestación Girardota 110:

Capacidad por barra:

Para la subestación Girardota 110 se presentaron 0 alternativas de conexión las cuales se muestran en la siguiente tabla:

Tabla 2-281. Alternativas de conexión presentadas a la subestación Girardota 110

Solicitud	Capacidad	Tipo	Barra	FPO solicitada	Restricción

No se priorizó ninguna de las alternativas de conexión presentadas en la subestación Girardota 110

El estado de la capacidad por barra en la subestación Girardota 110, teniendo en cuenta la priorización se puede observar en la siguiente figura.

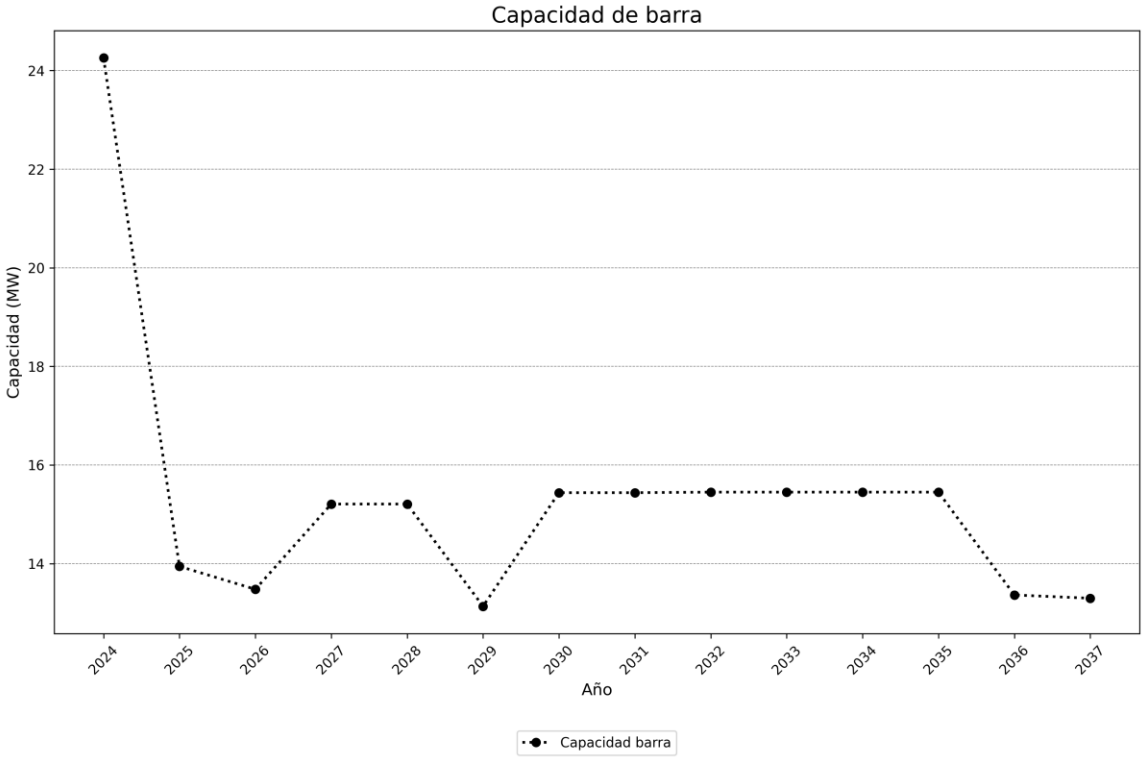


Figura 2-271. Balance de capacidad por barra después de la priorización para la subestación Girardota 110

Capacidad excedente de interrupción de corriente de cortocircuito:

Para la subestación Girardota 110 se presentaron 1 alternativas de conexión las cuales tienen aportes de corriente de cortocircuito. Estas alternativas se muestran en la siguiente tabla:

Tabla 2-282. Alternativas de conexión que aportan corriente de cortocircuito en la subestación Girardota 110

Solicitud	tipo	FPO	Barra a la que aporta CC	Aporte de cortocircuito (kA)	Restricción
SC_3331_A1	Solar FV	2026	Girardota 110	0.072	SATISFACE

No se priorizó ninguna de las alternativas de conexión que tengan aportes de corriente de cortocircuito en la subestación Girardota 110

El estado de la capacidad de cortocircuito en la subestación Girardota 110, teniendo en cuenta la priorización se puede observar en la siguiente figura.

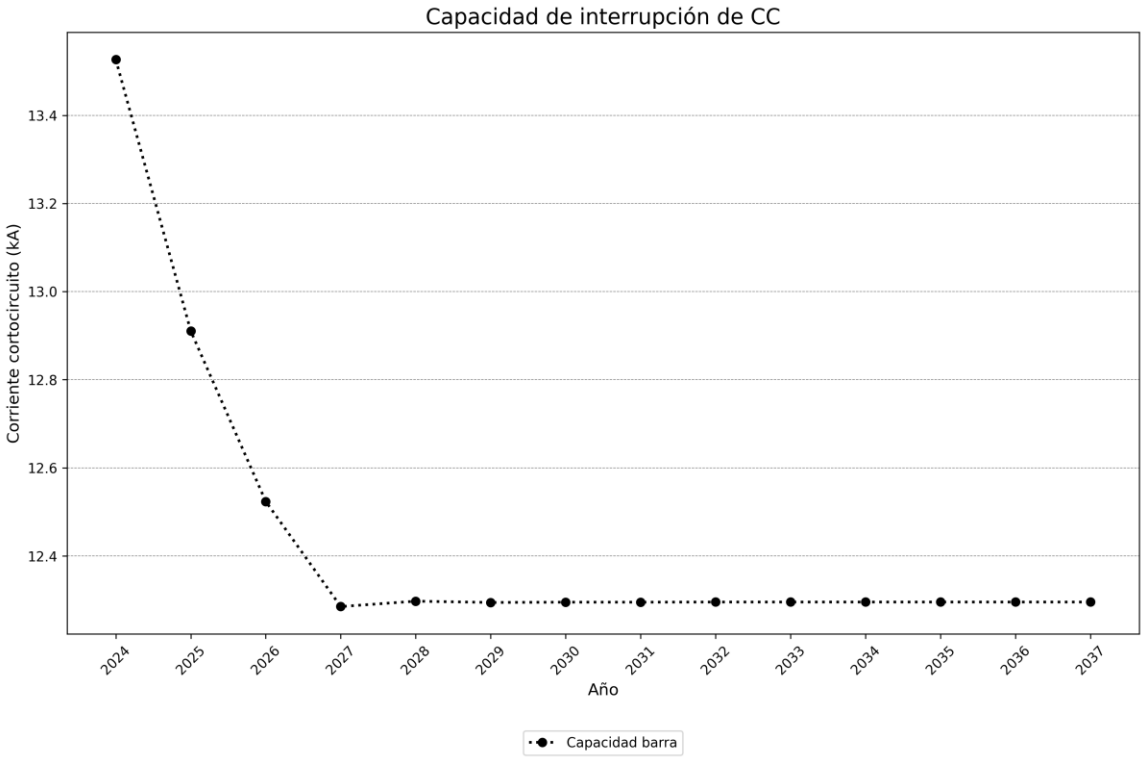


Figura 2-272. Balance de capacidad de cortocircuito después de la priorización para la subestación Girardota 110

Subestación Gran Sabana 115:

Capacidad por barra:

Para la subestación Gran Sabana 115 se presentaron 0 alternativas de conexión las cuales se muestran en la siguiente tabla:

Tabla 2-283. Alternativas de conexión presentadas a la subestación Gran Sabana 115

Solicitud	Capacidad	Tipo	Barra	FPO solicitada	Restricción

No se priorizó ninguna de las alternativas de conexión presentadas en la subestación Gran Sabana 115

El estado de la capacidad por barra en la subestación Gran Sabana 115, teniendo en cuenta la priorización se puede observar en la siguiente figura.

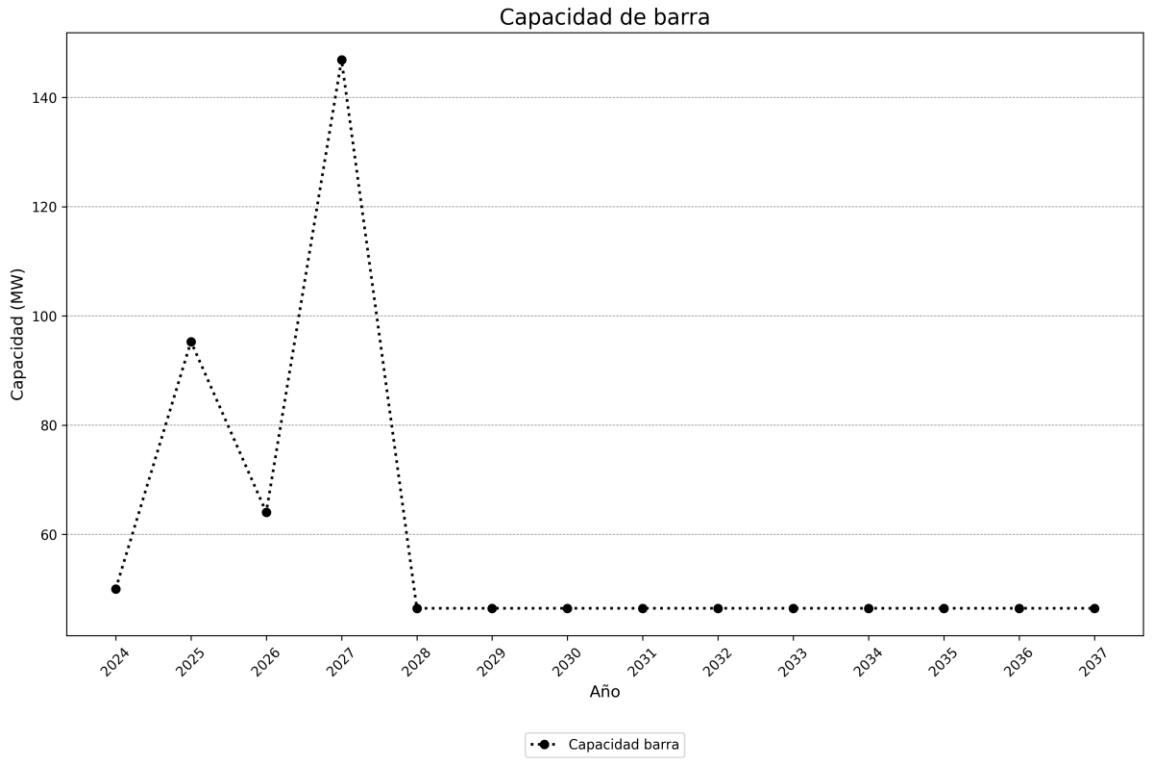


Figura 2-273. Balance de capacidad por barra después de la priorización para la subestación Gran Sabana 115

Capacidad excedente de interrupción de corriente de cortocircuito:

Para la subestación Gran Sabana 115 se presentaron 29 alternativas de conexión las cuales tienen aportes de corriente de cortocircuito. Estas alternativas se muestran en la siguiente tabla:

Tabla 2-284. Alternativas de conexión que aportan corriente de cortocircuito en la subestación Gran Sabana 115

Solicitud	tipo	FPO	Barra a la que aporta CC	Aporte de cortocircuito (kA)	Restricción
SC_2023_5280_A1	Solar FV	2028	Gran Sabana 115	0.041	SATISFACE
SC_2023_5280_A2	Solar FV	2028	Gran Sabana 115	0.037	SATISFACE
SC_2023_5287_A1	Solar FV	2026	Gran Sabana 115	0.022	SATISFACE
SC_2023_5287_A2	Solar FV	2026	Gran Sabana 115	0.022	SATISFACE
SC_2023_5288_A1	Solar FV	2026	Gran Sabana 115	0.013	SATISFACE
SC_2023_5288_A2	Solar FV	2026	Gran Sabana 115	0.034	SATISFACE
SC_2023_5375_A1	Solar FV	2026	Gran Sabana 115	0.022	SATISFACE
SC_2023_5399_A1	Solar FV	2026	Gran Sabana 115	0.013	SATISFACE
SC_2023_5399_A2	Solar FV	2026	Gran Sabana 115	0.034	SATISFACE
SC_2023_5480_A1	Solar FV	2026	Gran Sabana 115	0.022	SATISFACE
SC_2023_5480_A2	Solar FV	2026	Gran Sabana 115	0.022	SATISFACE
SC_2023_5557_A1	Solar FV	2028	Gran Sabana 115	0.085	SATISFACE
SC_2936_A1	Solar FV	2026	Gran Sabana 115	0.000	SATISFACE

SC_2936_A2	Solar FV	2026	Gran Sabana 115	0.000	SATISFACE
SC_3121_A1	Solar FV	2026	Gran Sabana 115	0.002	SATISFACE
SC_3121_A2	Solar FV	2026	Gran Sabana 115	0.002	SATISFACE
SC_3132_A1	Solar FV	2026	Gran Sabana 115	0.046	SATISFACE
SC_3132_A2	Solar FV	2026	Gran Sabana 115	0.040	SATISFACE
SC_3882_A1	Solar FV	2026	Gran Sabana 115	0.082	SATISFACE
SC_4083_A1	Solar FV	2027	Gran Sabana 115	0.000	SATISFACE
SC_4083_A2	Solar FV	2027	Gran Sabana 115	0.000	SATISFACE
SC_4765_A1	Solar FV	2029	Gran Sabana 115	0.002	SATISFACE
SC_4765_A2	Solar FV	2029	Gran Sabana 115	0.001	SATISFACE
SC_4819_A1	Solar FV	2029	Gran Sabana 115	0.073	SATISFACE
SC_4819_A2	Solar FV	2029	Gran Sabana 115	0.066	SATISFACE
SC_4974_A1	Solar FV	2026	Gran Sabana 115	0.004	SATISFACE
SC_4974_A2	Solar FV	2026	Gran Sabana 115	0.004	SATISFACE
SC_4978_A1	Solar FV	2026	Gran Sabana 115	0.000	SATISFACE
SC_4978_A2	Solar FV	2026	Gran Sabana 115	0.003	SATISFACE

No se priorizó ninguna de las alternativas de conexión que tengan aportes de corriente de cortocircuito en la subestación Gran Sabana 115

El estado de la capacidad de cortocircuito en la subestación Gran Sabana 115, teniendo en cuenta la priorización se puede observar en la siguiente figura.

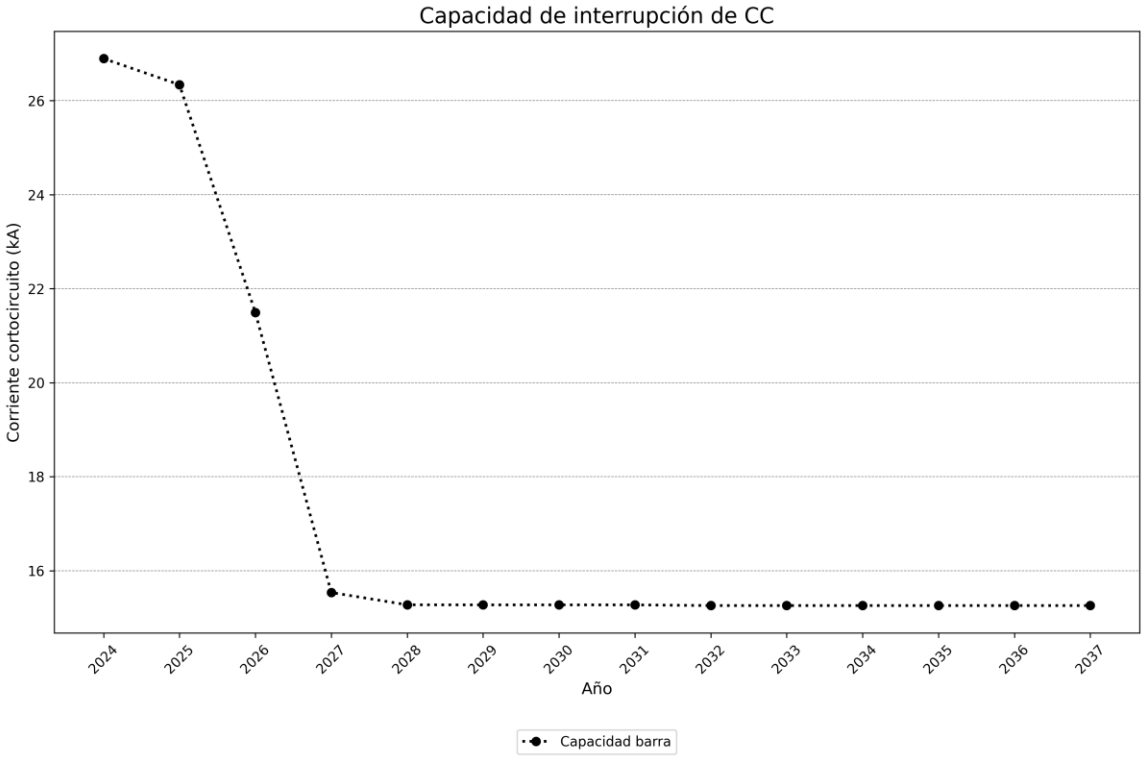


Figura 2-274. Balance de capacidad de cortocircuito después de la priorización para la subestación Gran Sabana 115

Subestación Guaca 115:

Capacidad por barra:

Para la subestación Guaca 115 se presentaron 0 alternativas de conexión las cuales se muestran en la siguiente tabla:

Tabla 2-285. Alternativas de conexión presentadas a la subestación Guaca 115

Solicitud	Capacidad	Tipo	Barra	FPO solicitada	Restricción

No se priorizó ninguna de las alternativas de conexión presentadas en la subestación Guaca 115

El estado de la capacidad por barra en la subestación Guaca 115, teniendo en cuenta la priorización se puede observar en la siguiente figura.

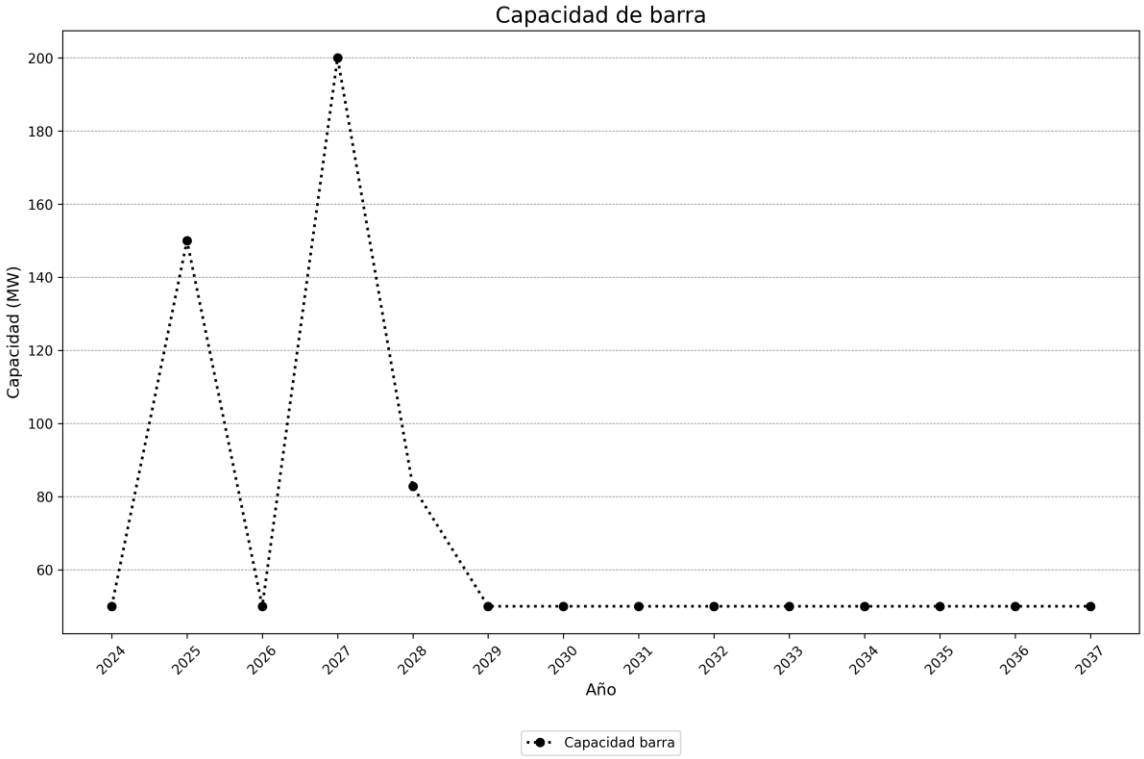


Figura 2-275. Balance de capacidad por barra después de la priorización para la subestación Guaca 115

Capacidad excedente de interrupción de corriente de cortocircuito:

Para la subestación Guaca 115 se presentaron 29 alternativas de conexión las cuales tienen aportes de corriente de cortocircuito. Estas alternativas se muestran en la siguiente tabla:

Tabla 2-286. Alternativas de conexión que aportan corriente de cortocircuito en la subestación Guaca 115

Solicitud	tipo	FPO	Barra a la que aporta CC	Aporte de cortocircuito (kA)	Restricción
SC_2023_5280_A1	Solar FV	2028	Guaca 115	0.063	SATISFACE
SC_2023_5280_A2	Solar FV	2028	Guaca 115	0.056	SATISFACE
SC_2023_5287_A1	Solar FV	2026	Guaca 115	0.032	SATISFACE
SC_2023_5287_A2	Solar FV	2026	Guaca 115	0.033	SATISFACE
SC_2023_5288_A1	Solar FV	2026	Guaca 115	0.019	SATISFACE
SC_2023_5288_A2	Solar FV	2026	Guaca 115	0.049	SATISFACE
SC_2023_5375_A1	Solar FV	2026	Guaca 115	0.032	SATISFACE
SC_2023_5399_A1	Solar FV	2026	Guaca 115	0.019	SATISFACE
SC_2023_5399_A2	Solar FV	2026	Guaca 115	0.049	SATISFACE
SC_2023_5480_A1	Solar FV	2026	Guaca 115	0.032	SATISFACE
SC_2023_5480_A2	Solar FV	2026	Guaca 115	0.033	SATISFACE
SC_2023_5557_A1	Solar FV	2028	Guaca 115	0.136	SATISFACE
SC_2936_A1	Solar FV	2026	Guaca 115	0.000	SATISFACE
SC_2936_A2	Solar FV	2026	Guaca 115	0.000	SATISFACE
SC_3121_A1	Solar FV	2026	Guaca 115	0.006	SATISFACE
SC_3121_A2	Solar FV	2026	Guaca 115	0.006	SATISFACE
SC_3132_A1	Solar FV	2026	Guaca 115	0.071	SATISFACE
SC_3132_A2	Solar FV	2026	Guaca 115	0.059	SATISFACE
SC_3882_A1	Solar FV	2026	Guaca 115	0.130	SATISFACE
SC_4083_A1	Solar FV	2027	Guaca 115	0.001	SATISFACE
SC_4083_A2	Solar FV	2027	Guaca 115	0.001	SATISFACE
SC_4765_A1	Solar FV	2029	Guaca 115	0.004	SATISFACE
SC_4765_A2	Solar FV	2029	Guaca 115	0.002	SATISFACE
SC_4819_A1	Solar FV	2029	Guaca 115	0.119	SATISFACE
SC_4819_A2	Solar FV	2029	Guaca 115	0.105	SATISFACE
SC_4974_A1	Solar FV	2026	Guaca 115	0.006	SATISFACE
SC_4974_A2	Solar FV	2026	Guaca 115	0.006	SATISFACE
SC_4978_A1	Solar FV	2026	Guaca 115	0.000	SATISFACE
SC_4978_A2	Solar FV	2026	Guaca 115	0.005	SATISFACE

No se priorizó ninguna de las alternativas de conexión que tengan aportes de corriente de cortocircuito en la subestación Guaca 115

El estado de la capacidad de cortocircuito en la subestación Guaca 115, teniendo en cuenta la priorización se puede observar en la siguiente figura.

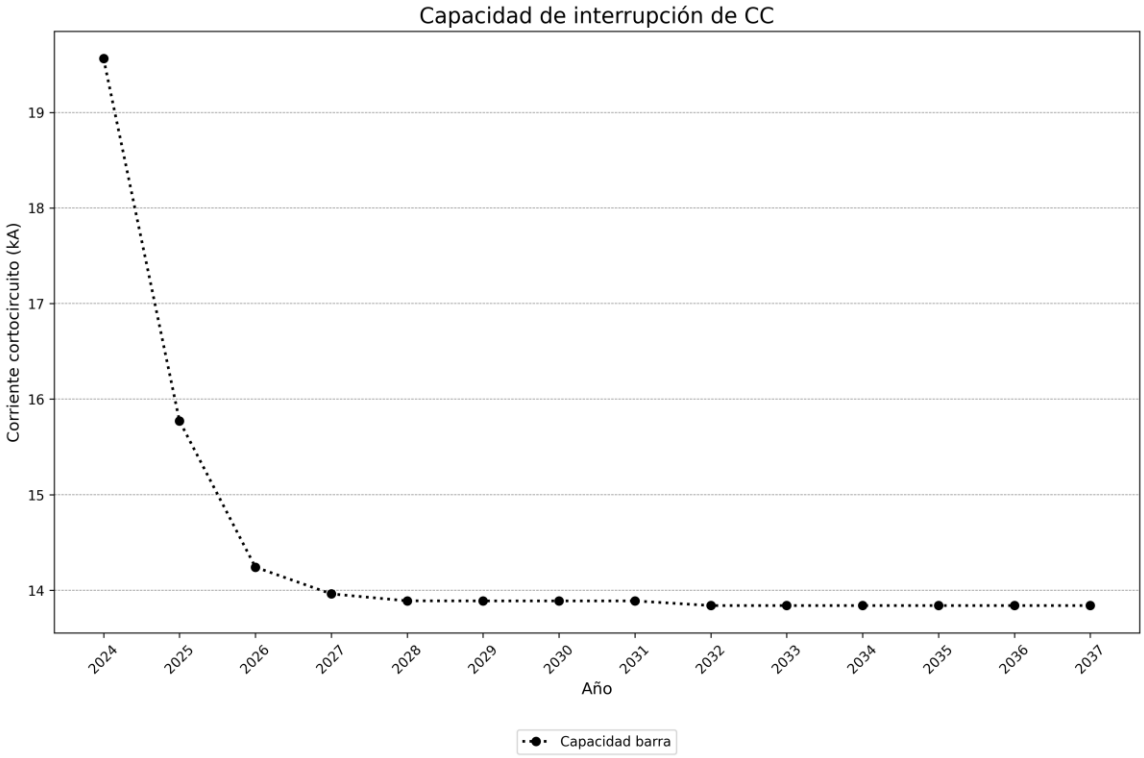


Figura 2-276. Balance de capacidad de cortocircuito después de la priorización para la subestación Guaca 115

Subestación Guaca 220:

Capacidad por barra:

Para la subestación Guaca 220 se presentaron 0 alternativas de conexión las cuales se muestran en la siguiente tabla:

Tabla 2-287. Alternativas de conexión presentadas a la subestación Guaca 220

Solicitud	Capacidad	Tipo	Barra	FPO solicitada	Restricción

No se priorizó ninguna de las alternativas de conexión presentadas en la subestación Guaca 220

El estado de la capacidad por barra en la subestación Guaca 220, teniendo en cuenta la priorización se puede observar en la siguiente figura.

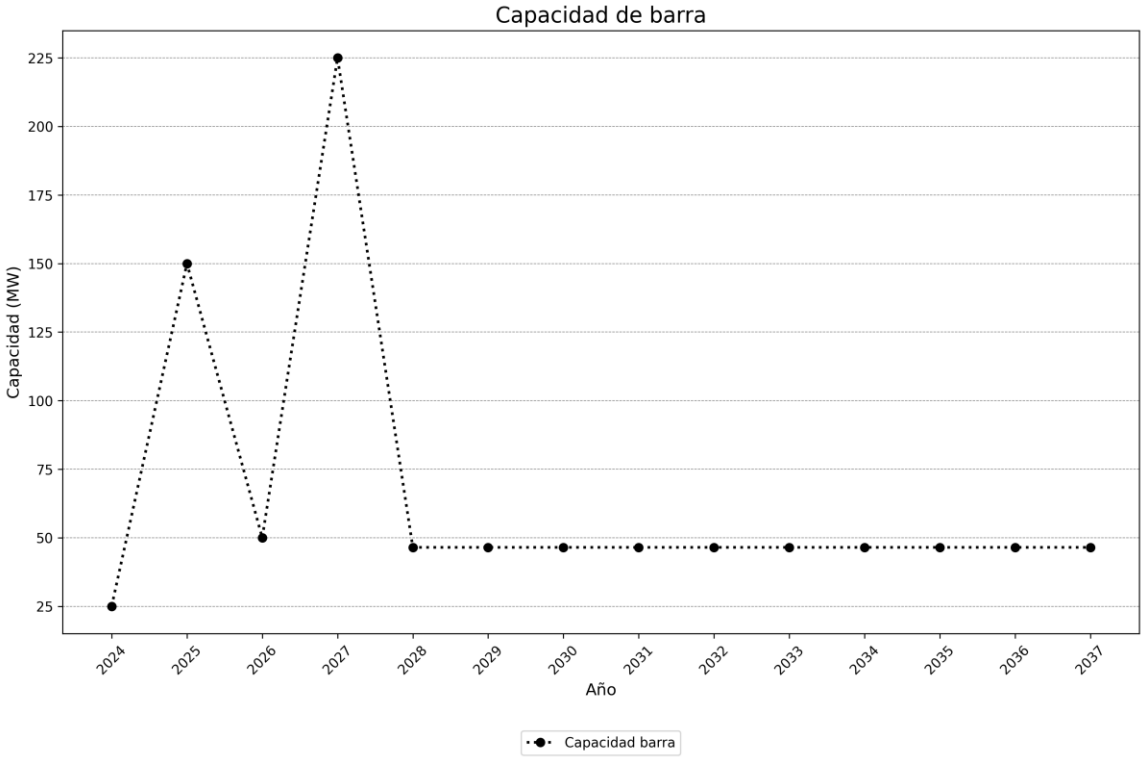


Figura 2-277. Balance de capacidad por barra después de la priorización para la subestación Guaca 220

Capacidad excedente de interrupción de corriente de cortocircuito:

Para la subestación Guaca 220 se presentaron 29 alternativas de conexión las cuales tienen aportes de corriente de cortocircuito. Estas alternativas se muestran en la siguiente tabla:

Tabla 2-288. Alternativas de conexión que aportan corriente de cortocircuito en la subestación Guaca 220

Solicitud	tipo	FPO	Barra a la que aporta CC	Aporte de cortocircuito (kA)	Restricción
SC_2023_5280_A1	Solar FV	2028	Guaca 220	0.141	SATISFACE
SC_2023_5280_A2	Solar FV	2028	Guaca 220	0.117	SATISFACE
SC_2023_5287_A1	Solar FV	2026	Guaca 220	0.066	SATISFACE
SC_2023_5287_A2	Solar FV	2026	Guaca 220	0.067	SATISFACE
SC_2023_5288_A1	Solar FV	2026	Guaca 220	0.037	SATISFACE
SC_2023_5288_A2	Solar FV	2026	Guaca 220	0.098	SATISFACE
SC_2023_5375_A1	Solar FV	2026	Guaca 220	0.064	SATISFACE
SC_2023_5399_A1	Solar FV	2026	Guaca 220	0.037	SATISFACE
SC_2023_5399_A2	Solar FV	2026	Guaca 220	0.098	SATISFACE
SC_2023_5480_A1	Solar FV	2026	Guaca 220	0.066	SATISFACE
SC_2023_5480_A2	Solar FV	2026	Guaca 220	0.067	SATISFACE
SC_2023_5557_A1	Solar FV	2028	Guaca 220	0.284	SATISFACE
SC_2936_A1	Solar FV	2026	Guaca 220	0.000	SATISFACE
SC_2936_A2	Solar FV	2026	Guaca 220	0.000	SATISFACE
SC_3121_A1	Solar FV	2026	Guaca 220	0.009	SATISFACE
SC_3121_A2	Solar FV	2026	Guaca 220	0.009	SATISFACE
SC_3132_A1	Solar FV	2026	Guaca 220	0.155	SATISFACE
SC_3132_A2	Solar FV	2026	Guaca 220	0.120	SATISFACE
SC_3882_A1	Solar FV	2026	Guaca 220	0.282	SATISFACE
SC_4083_A1	Solar FV	2027	Guaca 220	0.002	SATISFACE
SC_4083_A2	Solar FV	2027	Guaca 220	0.002	SATISFACE
SC_4765_A1	Solar FV	2029	Guaca 220	0.042	SATISFACE
SC_4765_A2	Solar FV	2029	Guaca 220	0.020	SATISFACE
SC_4819_A1	Solar FV	2029	Guaca 220	0.271	SATISFACE
SC_4819_A2	Solar FV	2029	Guaca 220	0.229	SATISFACE
SC_4974_A1	Solar FV	2026	Guaca 220	0.014	SATISFACE
SC_4974_A2	Solar FV	2026	Guaca 220	0.013	SATISFACE
SC_4978_A1	Solar FV	2026	Guaca 220	0.000	SATISFACE
SC_4978_A2	Solar FV	2026	Guaca 220	0.011	SATISFACE

No se priorizó ninguna de las alternativas de conexión que tengan aportes de corriente de cortocircuito en la subestación Guaca 220

El estado de la capacidad de cortocircuito en la subestación Guaca 220, teniendo en cuenta la priorización se puede observar en la siguiente figura.

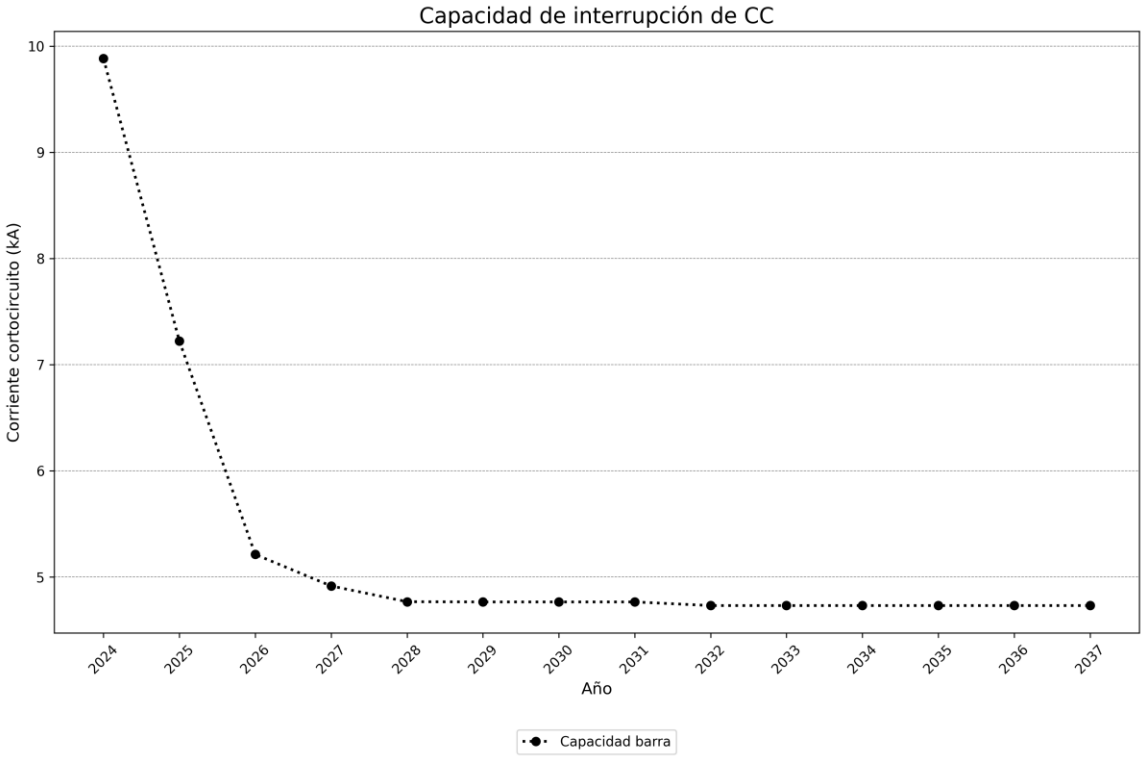


Figura 2-278. Balance de capacidad de cortocircuito después de la priorización para la subestación Guaca 220

Subestación Guachal 115:

Capacidad por barra:

Para la subestación Guachal 115 se presentaron 0 alternativas de conexión las cuales se muestran en la siguiente tabla:

Tabla 2-289. Alternativas de conexión presentadas a la subestación Guachal 115

Solicitud	Capacidad	Tipo	Barra	FPO solicitada	Restricción

No se priorizó ninguna de las alternativas de conexión presentadas en la subestación Guachal 115

El estado de la capacidad por barra en la subestación Guachal 115, teniendo en cuenta la priorización se puede observar en la siguiente figura.

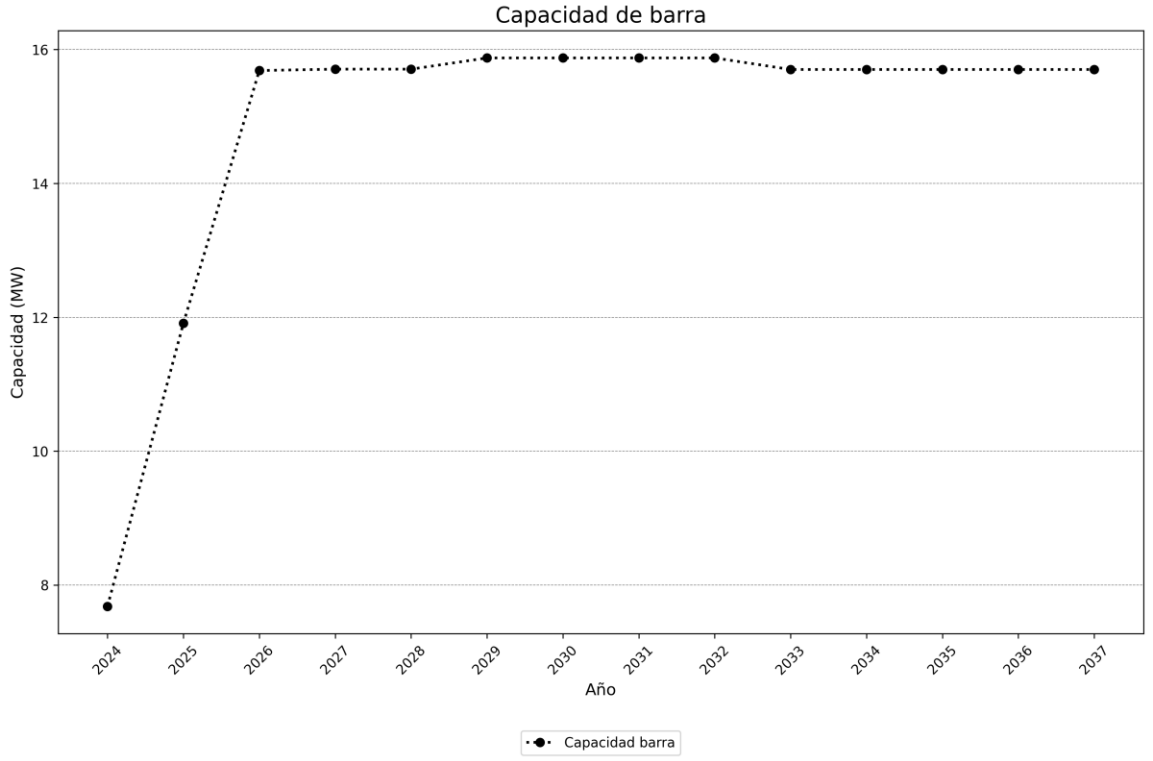


Figura 2-279. Balance de capacidad por barra después de la priorización para la subestación Guachal 115

Capacidad excedente de interrupción de corriente de cortocircuito:

Para la subestación Guachal 115 se presentaron 4 alternativas de conexión las cuales tienen aportes de corriente de cortocircuito. Estas alternativas se muestran en la siguiente tabla:

Tabla 2-290. Alternativas de conexión que aportan corriente de cortocircuito en la subestación Guachal 115

Solicitud	tipo	FPO	Barra a la que aporta CC	Aporte de cortocircuito (kA)	Restricción
SC_2023_5557_A1	Solar FV	2028	Guachal 115	0.069	SATISFACE
SC_2936_A1	Solar FV	2026	Guachal 115	0.000	SATISFACE
SC_2936_A2	Solar FV	2026	Guachal 115	0.000	SATISFACE
SC_3882_A1	Solar FV	2026	Guachal 115	0.068	SATISFACE

No se priorizó ninguna de las alternativas de conexión que tengan aportes de corriente de cortocircuito en la subestación Guachal 115

El estado de la capacidad de cortocircuito en la subestación Guachal 115, teniendo en cuenta la priorización se puede observar en la siguiente figura.

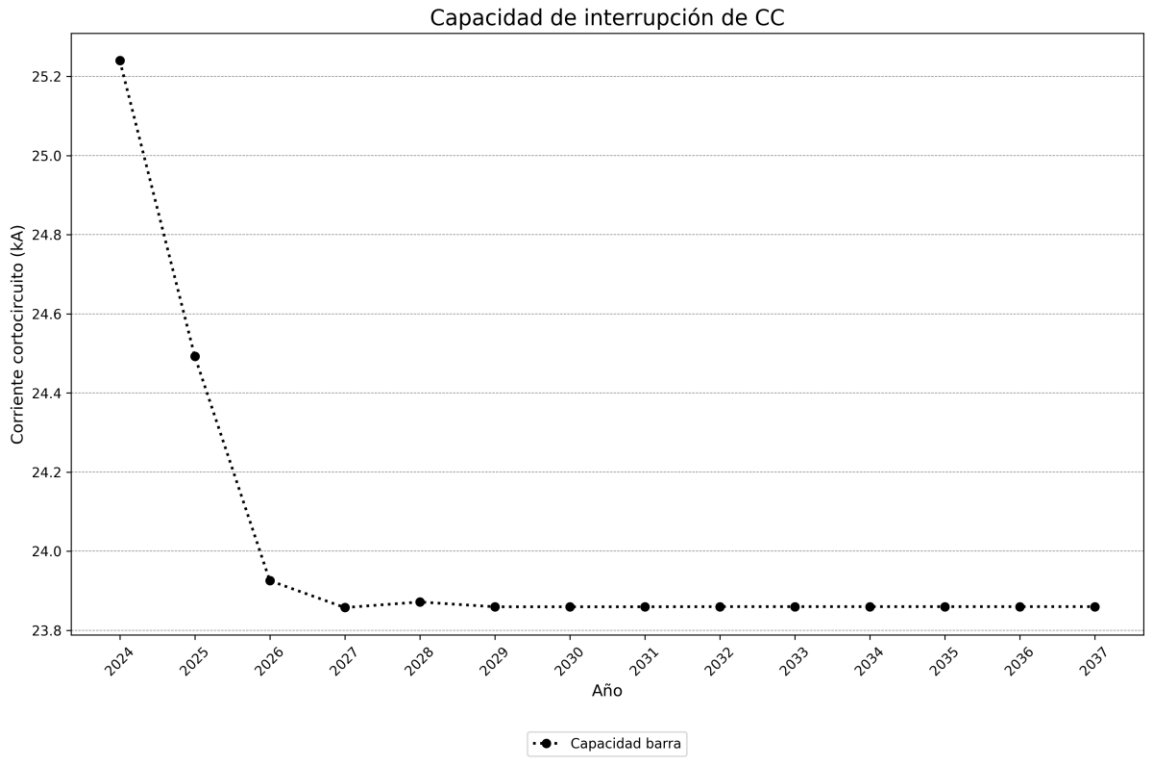


Figura 2-280. Balance de capacidad de cortocircuito después de la priorización para la subestación Guachal 115

Subestación Guadalupe 220:

Capacidad por barra:

Para la subestación Guadalupe 220 se presentaron 0 alternativas de conexión las cuales se muestran en la siguiente tabla:

Tabla 2-291. Alternativas de conexión presentadas a la subestación Guadalupe 220

Solicitud	Capacidad	Tipo	Barra	FPO solicitada	Restricción

No se priorizó ninguna de las alternativas de conexión presentadas en la subestación Guadalupe 220

El estado de la capacidad por barra en la subestación Guadalupe 220, teniendo en cuenta la priorización se puede observar en la siguiente figura.

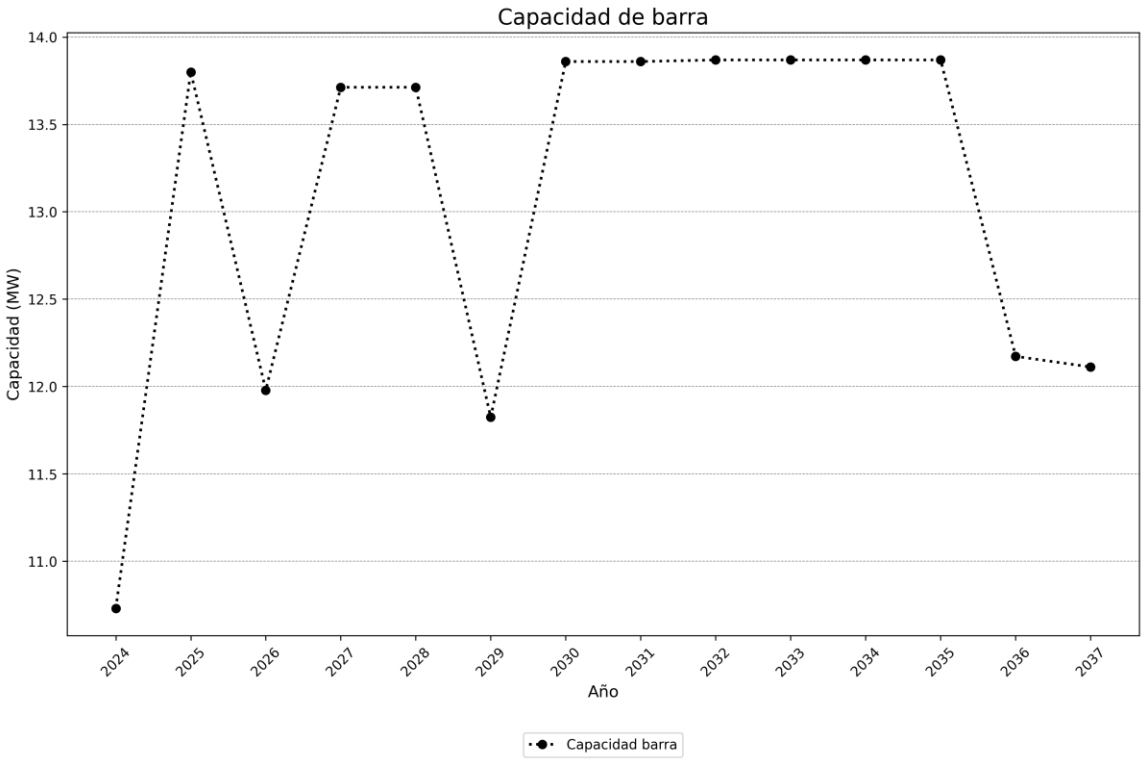


Figura 2-281. Balance de capacidad por barra después de la priorización para la subestación Guadalupe 220

Capacidad excedente de interrupción de corriente de cortocircuito:

Para la subestación Guadalupe 220 se presentaron 1 alternativas de conexión las cuales tienen aportes de corriente de cortocircuito. Estas alternativas se muestran en la siguiente tabla:

Tabla 2-292. Alternativas de conexión que aportan corriente de cortocircuito en la subestación Guadalupe 220

Solicitud	tipo	FPO	Barra a la que aporta CC	Aporte de cortocircuito (kA)	Restricción
SC_3331_A1	Solar FV	2026	Guadalupe 220	0.071	SATISFACE

No se priorizó ninguna de las alternativas de conexión que tengan aportes de corriente de cortocircuito en la subestación Guadalupe 220

El estado de la capacidad de cortocircuito en la subestación Guadalupe 220, teniendo en cuenta la priorización se puede observar en la siguiente figura.

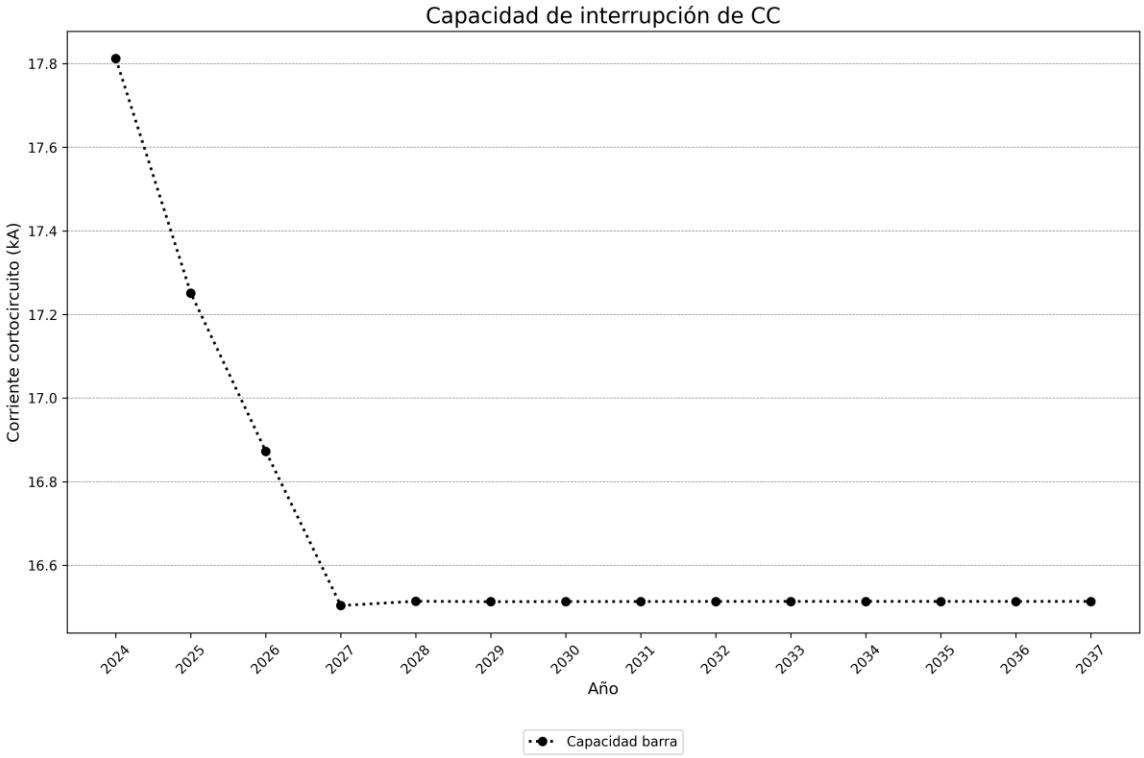


Figura 2-282. Balance de capacidad de cortocircuito después de la priorización para la subestación Guadalupe 220

Subestación Gualanday 115:

Capacidad por barra:

Para la subestación Gualanday 115 se presentaron 0 alternativas de conexión las cuales se muestran en la siguiente tabla:

Tabla 2-293. Alternativas de conexión presentadas a la subestación Gualanday 115

Solicitud	Capacidad	Tipo	Barra	FPO solicitada	Restricción

No se priorizó ninguna de las alternativas de conexión presentadas en la subestación Gualanday 115

El estado de la capacidad por barra en la subestación Gualanday 115, teniendo en cuenta la priorización se puede observar en la siguiente figura.

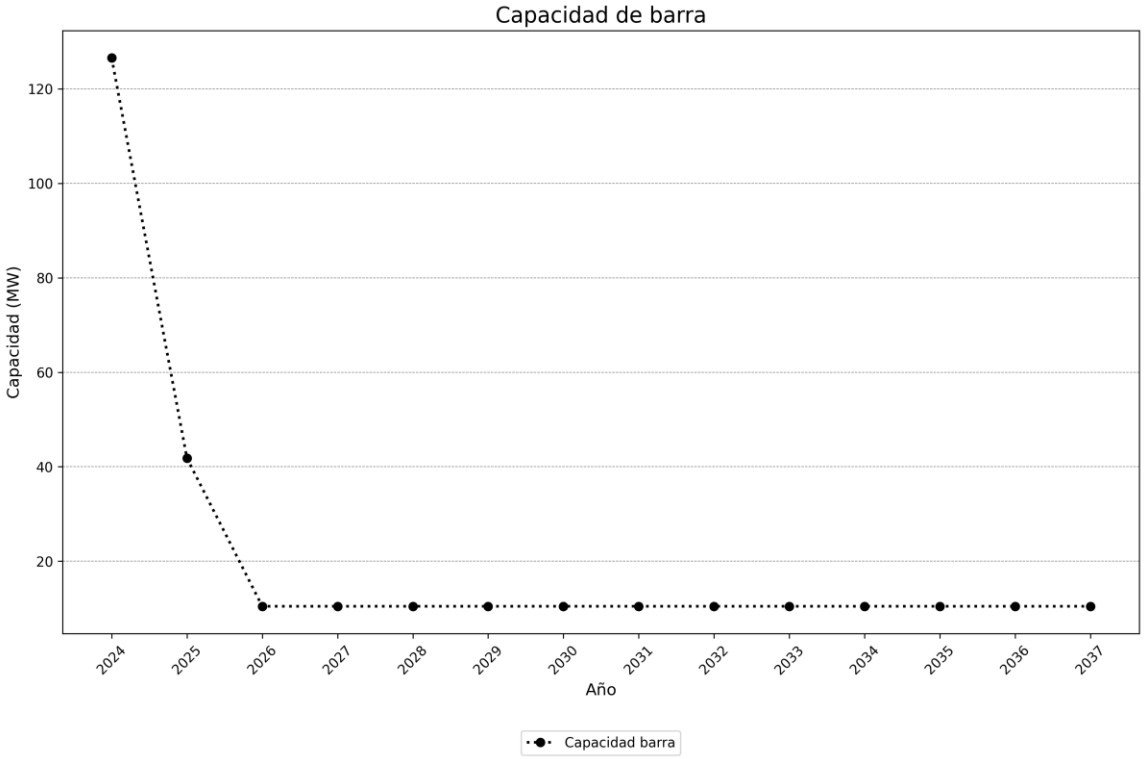


Figura 2-283. Balance de capacidad por barra después de la priorización para la subestación Gualanday 115

Capacidad excedente de interrupción de corriente de cortocircuito:

Para la subestación Gualanday 115 se presentaron 32 alternativas de conexión las cuales tienen aportes de corriente de cortocircuito. Estas alternativas se muestran en la siguiente tabla:

Tabla 2-294. Alternativas de conexión que aportan corriente de cortocircuito en la subestación Gualanday 115

Solicitud	tipo	FPO	Barra a la que aporta CC	Aporte de cortocircuito (kA)	Restricción
SC_2023_5280_A1	Solar FV	2028	Gualanday 115	0.028	SATISFACE
SC_2023_5280_A2	Solar FV	2028	Gualanday 115	0.025	SATISFACE
SC_2023_5287_A1	Solar FV	2026	Gualanday 115	0.014	SATISFACE
SC_2023_5287_A2	Solar FV	2026	Gualanday 115	0.014	SATISFACE
SC_2023_5288_A1	Solar FV	2026	Gualanday 115	0.008	SATISFACE
SC_2023_5288_A2	Solar FV	2026	Gualanday 115	0.021	SATISFACE
SC_2023_5375_A1	Solar FV	2026	Gualanday 115	0.014	SATISFACE
SC_2023_5399_A1	Solar FV	2026	Gualanday 115	0.008	SATISFACE
SC_2023_5399_A2	Solar FV	2026	Gualanday 115	0.021	SATISFACE
SC_2023_5480_A1	Solar FV	2026	Gualanday 115	0.014	SATISFACE
SC_2023_5480_A2	Solar FV	2026	Gualanday 115	0.014	SATISFACE
SC_2023_5557_A1	Solar FV	2028	Gualanday 115	0.044	SATISFACE
SC_2816_A1	Solar FV	2027	Gualanday 115	0.000	SATISFACE
SC_2870_A1	Solar FV	2027	Gualanday 115	0.000	SATISFACE
SC_2870_A2	Solar FV	2027	Gualanday 115	0.000	SATISFACE
SC_2936_A1	Solar FV	2026	Gualanday 115	0.000	SATISFACE
SC_2936_A2	Solar FV	2026	Gualanday 115	0.000	SATISFACE
SC_3121_A1	Solar FV	2026	Gualanday 115	0.002	SATISFACE
SC_3121_A2	Solar FV	2026	Gualanday 115	0.002	SATISFACE
SC_3132_A1	Solar FV	2026	Gualanday 115	0.031	SATISFACE
SC_3132_A2	Solar FV	2026	Gualanday 115	0.026	SATISFACE
SC_3882_A1	Solar FV	2026	Gualanday 115	0.043	SATISFACE
SC_4083_A1	Solar FV	2027	Gualanday 115	0.000	SATISFACE
SC_4083_A2	Solar FV	2027	Gualanday 115	0.000	SATISFACE
SC_4765_A1	Solar FV	2029	Gualanday 115	0.001	SATISFACE
SC_4765_A2	Solar FV	2029	Gualanday 115	0.000	SATISFACE
SC_4819_A1	Solar FV	2029	Gualanday 115	0.061	SATISFACE
SC_4819_A2	Solar FV	2029	Gualanday 115	0.054	SATISFACE
SC_4974_A1	Solar FV	2026	Gualanday 115	0.003	SATISFACE
SC_4974_A2	Solar FV	2026	Gualanday 115	0.003	SATISFACE
SC_4978_A1	Solar FV	2026	Gualanday 115	0.000	SATISFACE
SC_4978_A2	Solar FV	2026	Gualanday 115	0.003	SATISFACE

No se priorizó ninguna de las alternativas de conexión que tengan aportes de corriente de cortocircuito en la subestación Gualanday 115

El estado de la capacidad de cortocircuito en la subestación Gualanday 115, teniendo en cuenta la priorización se puede observar en la siguiente figura.

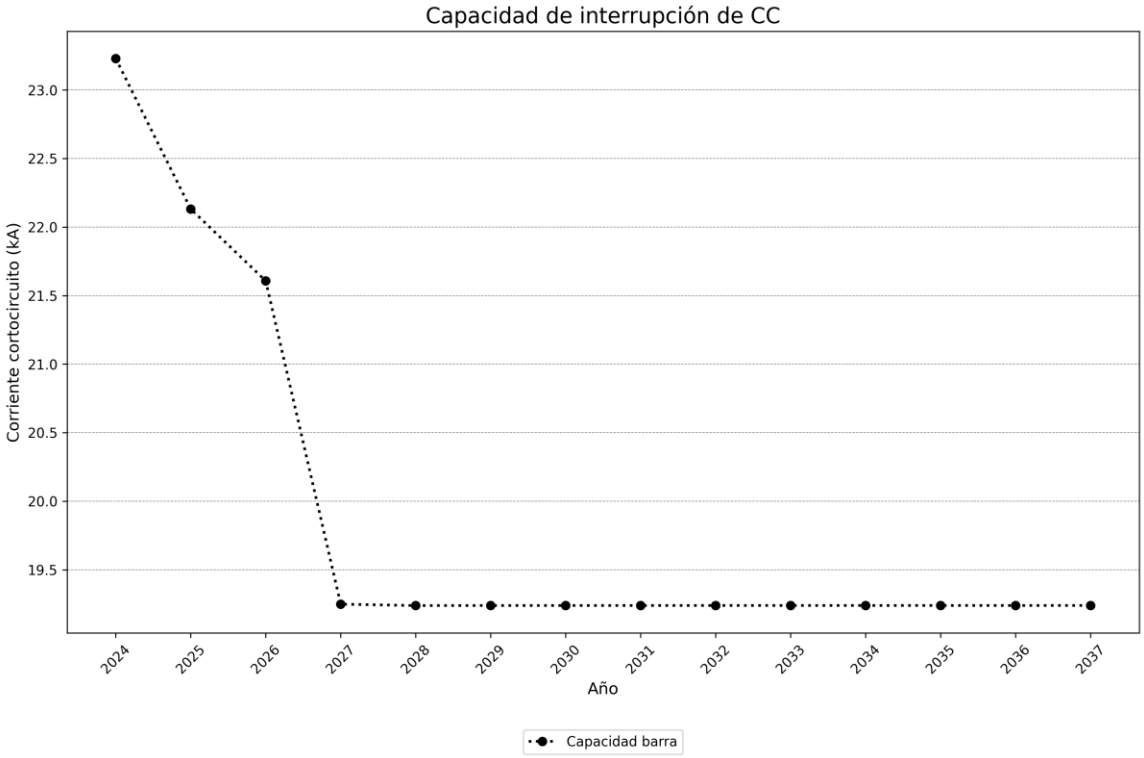


Figura 2-284. Balance de capacidad de cortocircuito después de la priorización para la subestación Gualanday 115

Subestación Guapi 115:

Capacidad por barra:

Para la subestación Guapi 115 se presentaron 0 alternativas de conexión las cuales se muestran en la siguiente tabla:

Tabla 2-295. Alternativas de conexión presentadas a la subestación Guapi 115

Solicitud	Capacidad	Tipo	Barra	FPO solicitada	Restricción

No se priorizó ninguna de las alternativas de conexión presentadas en la subestación Guapi 115

El estado de la capacidad por barra en la subestación Guapi 115, teniendo en cuenta la priorización se puede observar en la siguiente figura.

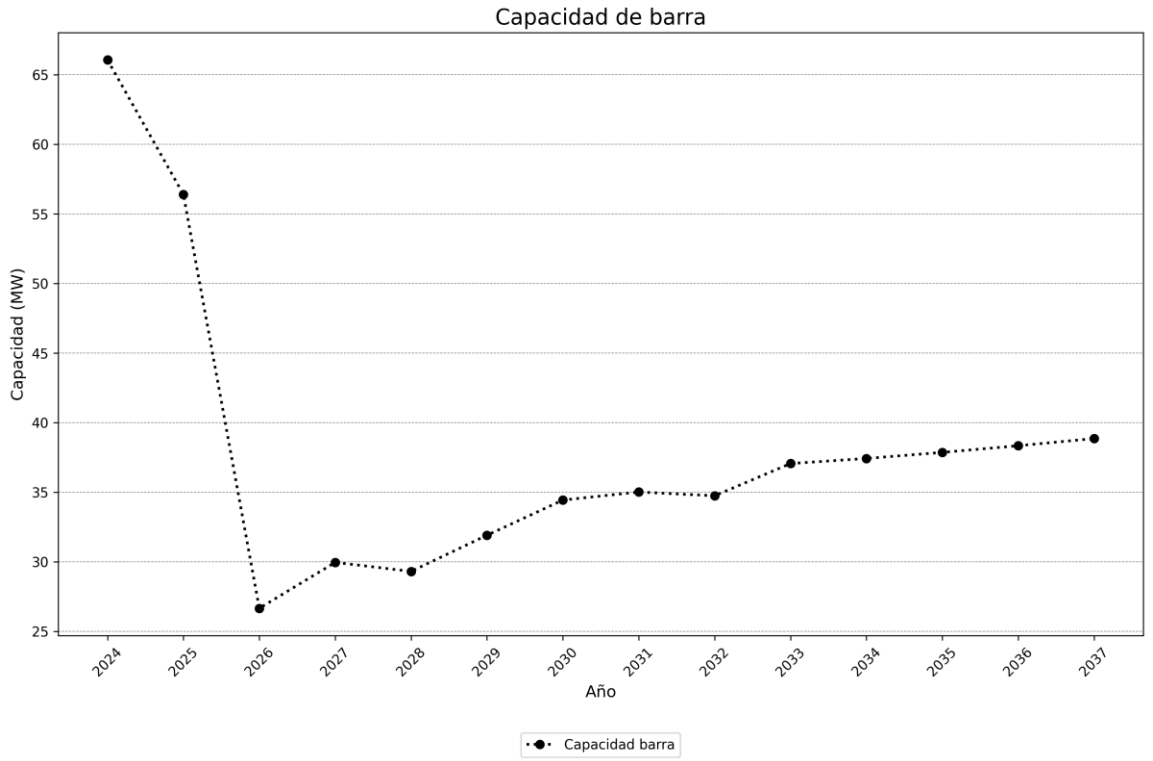


Figura 2-285. Balance de capacidad por barra después de la priorización para la subestación Guapi 115

Capacidad excedente de interrupción de corriente de cortocircuito:

Para la subestación Guapi 115 se presentaron 29 alternativas de conexión las cuales tienen aportes de corriente de cortocircuito. Estas alternativas se muestran en la siguiente tabla:

Tabla 2-296. Alternativas de conexión que aportan corriente de cortocircuito en la subestación Guapi 115

Solicitud	tipo	FPO	Barra a la que aporta CC	Aporte de cortocircuito (kA)	Restricción
SC_2023_5280_A1	Solar FV	2028	Guapi 115	0.002	SATISFACE
SC_2023_5280_A2	Solar FV	2028	Guapi 115	0.001	SATISFACE
SC_2023_5287_A1	Solar FV	2026	Guapi 115	0.001	SATISFACE
SC_2023_5287_A2	Solar FV	2026	Guapi 115	0.001	SATISFACE
SC_2023_5288_A1	Solar FV	2026	Guapi 115	0.000	SATISFACE
SC_2023_5288_A2	Solar FV	2026	Guapi 115	0.001	SATISFACE
SC_2023_5375_A1	Solar FV	2026	Guapi 115	0.001	SATISFACE
SC_2023_5399_A1	Solar FV	2026	Guapi 115	0.000	SATISFACE
SC_2023_5399_A2	Solar FV	2026	Guapi 115	0.001	SATISFACE
SC_2023_5480_A1	Solar FV	2026	Guapi 115	0.001	SATISFACE
SC_2023_5480_A2	Solar FV	2026	Guapi 115	0.001	SATISFACE
SC_2023_5557_A1	Solar FV	2028	Guapi 115	0.002	SATISFACE
SC_2936_A1	Solar FV	2026	Guapi 115	0.000	SATISFACE
SC_2936_A2	Solar FV	2026	Guapi 115	0.000	SATISFACE
SC_3121_A1	Solar FV	2026	Guapi 115	0.000	SATISFACE
SC_3121_A2	Solar FV	2026	Guapi 115	0.000	SATISFACE
SC_3132_A1	Solar FV	2026	Guapi 115	0.002	SATISFACE
SC_3132_A2	Solar FV	2026	Guapi 115	0.002	SATISFACE
SC_3882_A1	Solar FV	2026	Guapi 115	0.002	SATISFACE
SC_4083_A1	Solar FV	2027	Guapi 115	0.000	SATISFACE
SC_4083_A2	Solar FV	2027	Guapi 115	0.000	SATISFACE
SC_4765_A1	Solar FV	2029	Guapi 115	0.000	SATISFACE
SC_4765_A2	Solar FV	2029	Guapi 115	0.000	SATISFACE
SC_4819_A1	Solar FV	2029	Guapi 115	0.002	SATISFACE
SC_4819_A2	Solar FV	2029	Guapi 115	0.002	SATISFACE
SC_4974_A1	Solar FV	2026	Guapi 115	0.003	SATISFACE
SC_4974_A2	Solar FV	2026	Guapi 115	0.003	SATISFACE
SC_4978_A1	Solar FV	2026	Guapi 115	0.000	SATISFACE
SC_4978_A2	Solar FV	2026	Guapi 115	0.005	SATISFACE

No se priorizó ninguna de las alternativas de conexión que tengan aportes de corriente de cortocircuito en la subestación Guapi 115

El estado de la capacidad de cortocircuito en la subestación Guapi 115, teniendo en cuenta la priorización se puede observar en la siguiente figura.

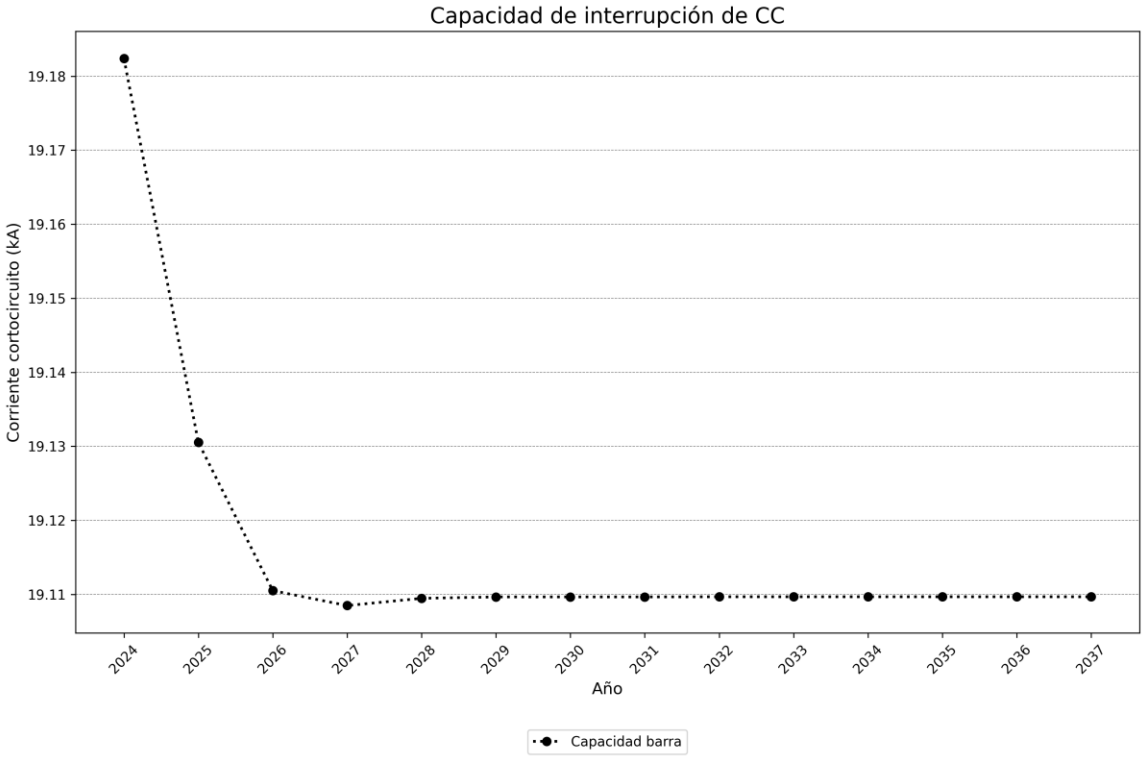


Figura 2-286. Balance de capacidad de cortocircuito después de la priorización para la subestación Guapi 115

Subestación Guarato 33:

Capacidad por barra:

Para la subestación Guarato 33 se presentaron 0 alternativas de conexión las cuales se muestran en la siguiente tabla:

Tabla 2-297. Alternativas de conexión presentadas a la subestación Guarato 33

Solicitud	Capacidad	Tipo	Barra	FPO solicitada	Restricción

No se priorizó ninguna de las alternativas de conexión presentadas en la subestación Guarato 33

El estado de la capacidad por barra en la subestación Guarato 33, teniendo en cuenta la priorización se puede observar en la siguiente figura.

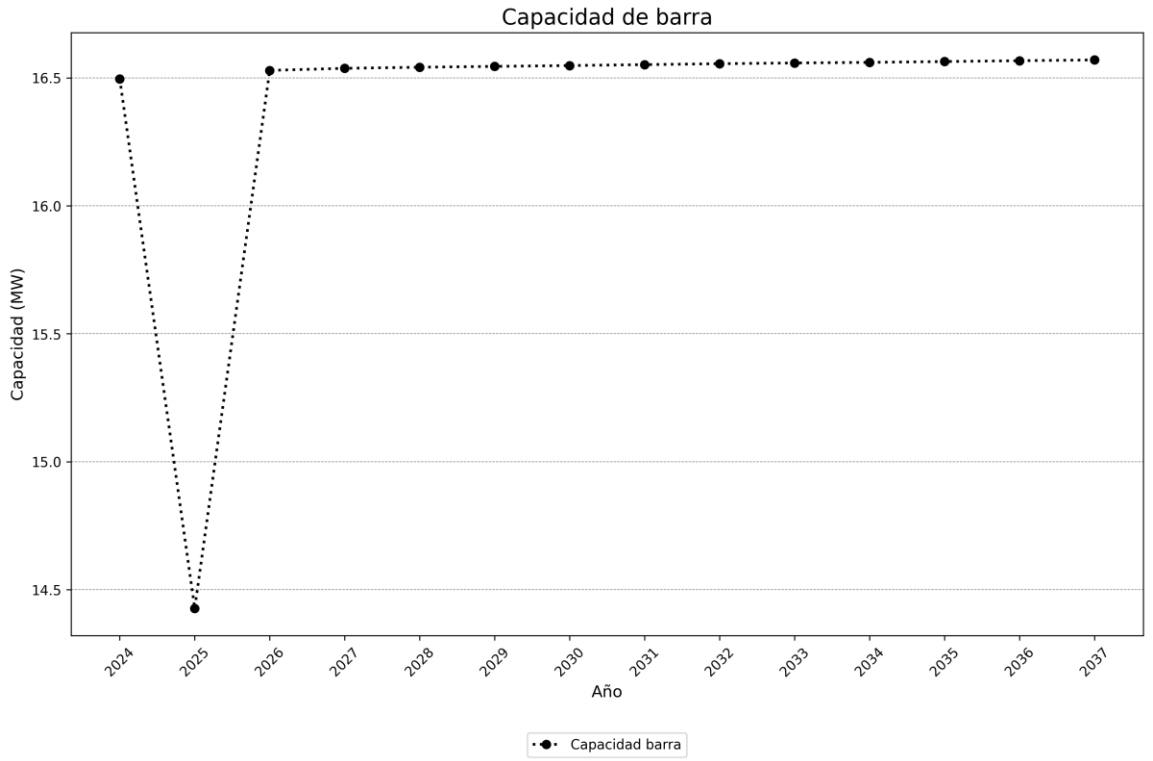


Figura 2-287. Balance de capacidad por barra después de la priorización para la subestación Guarato 33

Subestación Guatape 110:

Capacidad por barra:

Para la subestación Guatape 110 se presentaron 0 alternativas de conexión las cuales se muestran en la siguiente tabla:

Tabla 2-298. Alternativas de conexión presentadas a la subestación Guatape 110

Solicitud	Capacidad	Tipo	Barra	FPO solicitada	Restricción

No se priorizó ninguna de las alternativas de conexión presentadas en la subestación Guatape 110

El estado de la capacidad por barra en la subestación Guatape 110, teniendo en cuenta la priorización se puede observar en la siguiente figura.

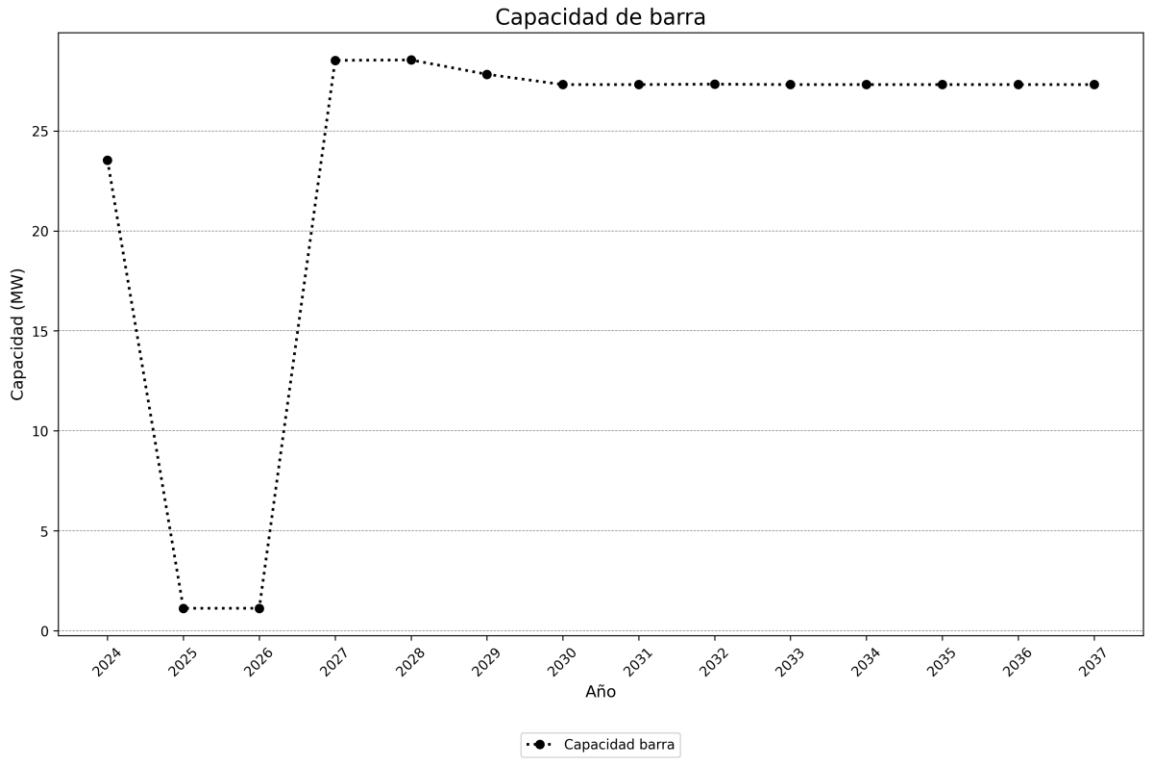


Figura 2-288. Balance de capacidad por barra después de la priorización para la subestación Guatape 110

Capacidad excedente de interrupción de corriente de cortocircuito:

Para la subestación Guatape 110 se presentaron 1 alternativas de conexión las cuales tienen aportes de corriente de cortocircuito. Estas alternativas se muestran en la siguiente tabla:

Tabla 2-299. Alternativas de conexión que aportan corriente de cortocircuito en la subestación Guatape 110

Solicitud	tipo	FPO	Barra a la que aporta CC	Aporte de cortocircuito (kA)	Restricción
SC_3331_A1	Solar FV	2026	Guatape 110	0.204	SATISFACE

No se priorizó ninguna de las alternativas de conexión que tengan aportes de corriente de cortocircuito en la subestación Guatape 110

El estado de la capacidad de cortocircuito en la subestación Guatape 110, teniendo en cuenta la priorización se puede observar en la siguiente figura.

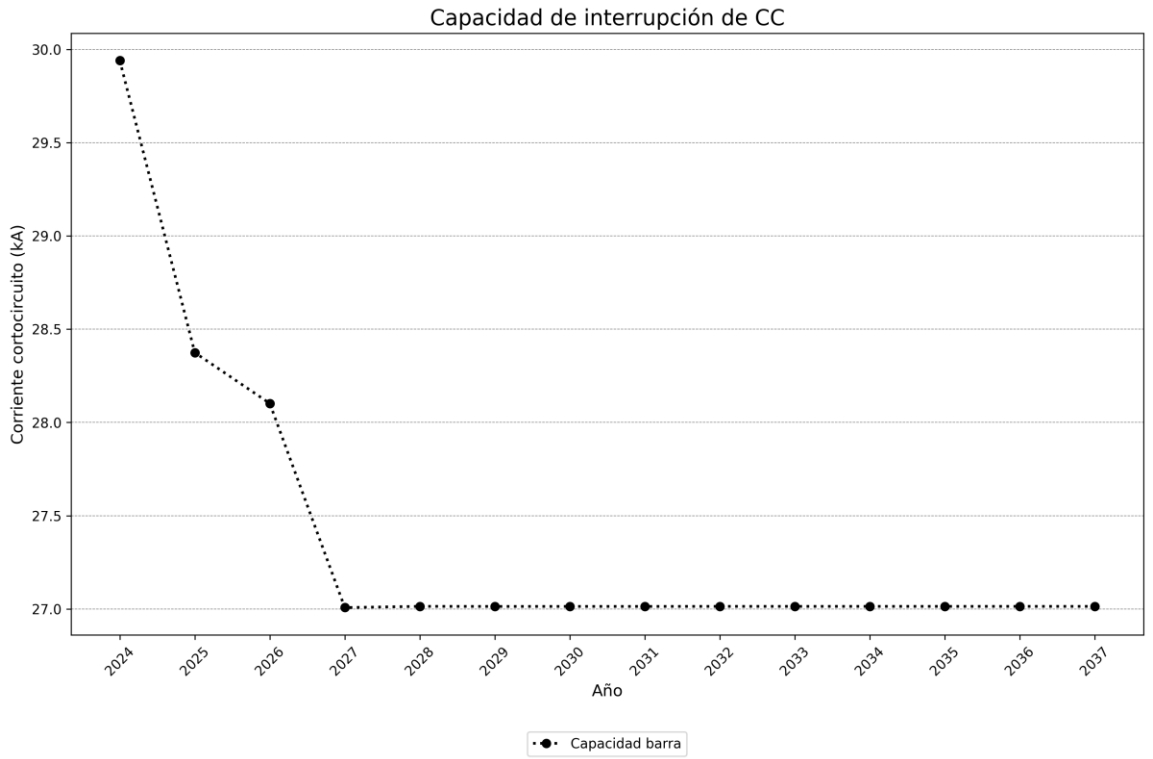


Figura 2-289. Balance de capacidad de cortocircuito después de la priorización para la subestación Guatape 110

Subestación Guatape 220:

Capacidad por barra:

Para la subestación Guatape 220 se presentaron 0 alternativas de conexión las cuales se muestran en la siguiente tabla:

Tabla 2-300. Alternativas de conexión presentadas a la subestación Guatape 220

Solicitud	Capacidad	Tipo	Barra	FPO solicitada	Restricción

No se priorizó ninguna de las alternativas de conexión presentadas en la subestación Guatape 220

El estado de la capacidad por barra en la subestación Guatape 220, teniendo en cuenta la priorización se puede observar en la siguiente figura.

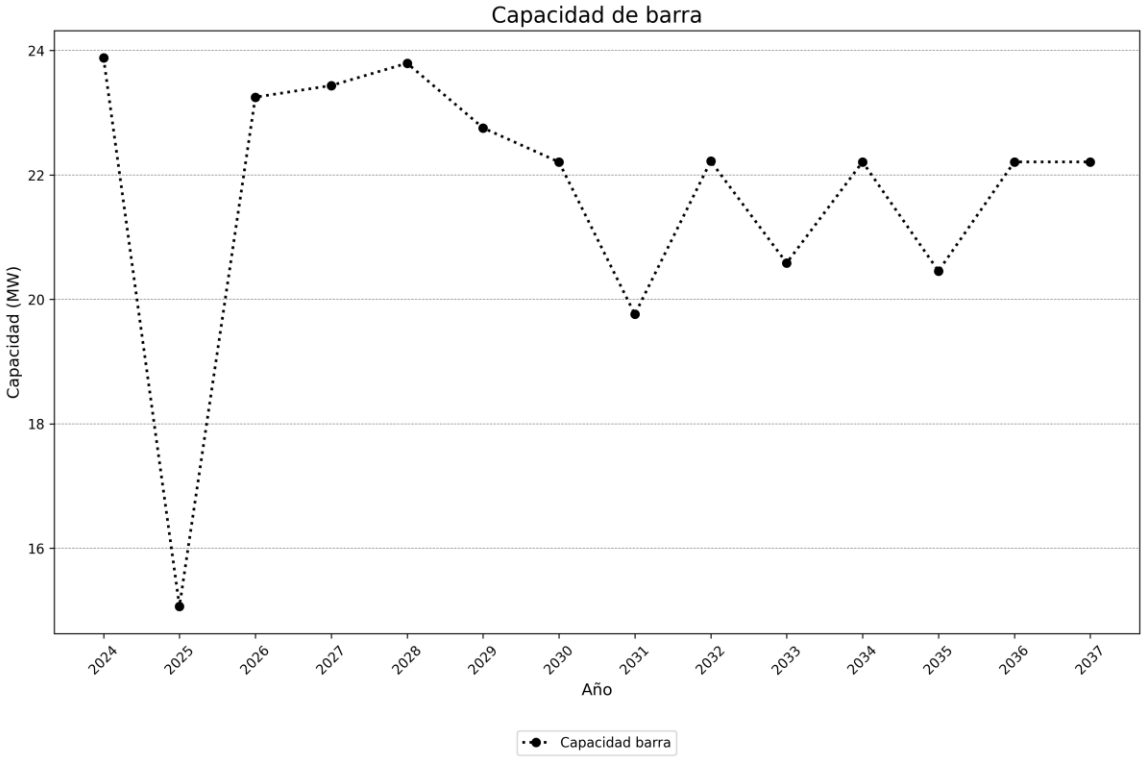


Figura 2-290. Balance de capacidad por barra después de la priorización para la subestación Guatape 220

Capacidad excedente de interrupción de corriente de cortocircuito:

Para la subestación Guatape 220 se presentaron 1 alternativas de conexión las cuales tienen aportes de corriente de cortocircuito. Estas alternativas se muestran en la siguiente tabla:

Tabla 2-301. Alternativas de conexión que aportan corriente de cortocircuito en la subestación Guatape 220

Solicitud	tipo	FPO	Barra a la que aporta CC	Aporte de cortocircuito (kA)	Restricción
SC_3331_A1	Solar FV	2026	Guatape 220	0.216	NO SATISFACE

No se priorizó ninguna de las alternativas de conexión que tengan aportes de corriente de cortocircuito en la subestación Guatape 220

El estado de la capacidad de cortocircuito en la subestación Guatape 220, teniendo en cuenta la priorización se puede observar en la siguiente figura.

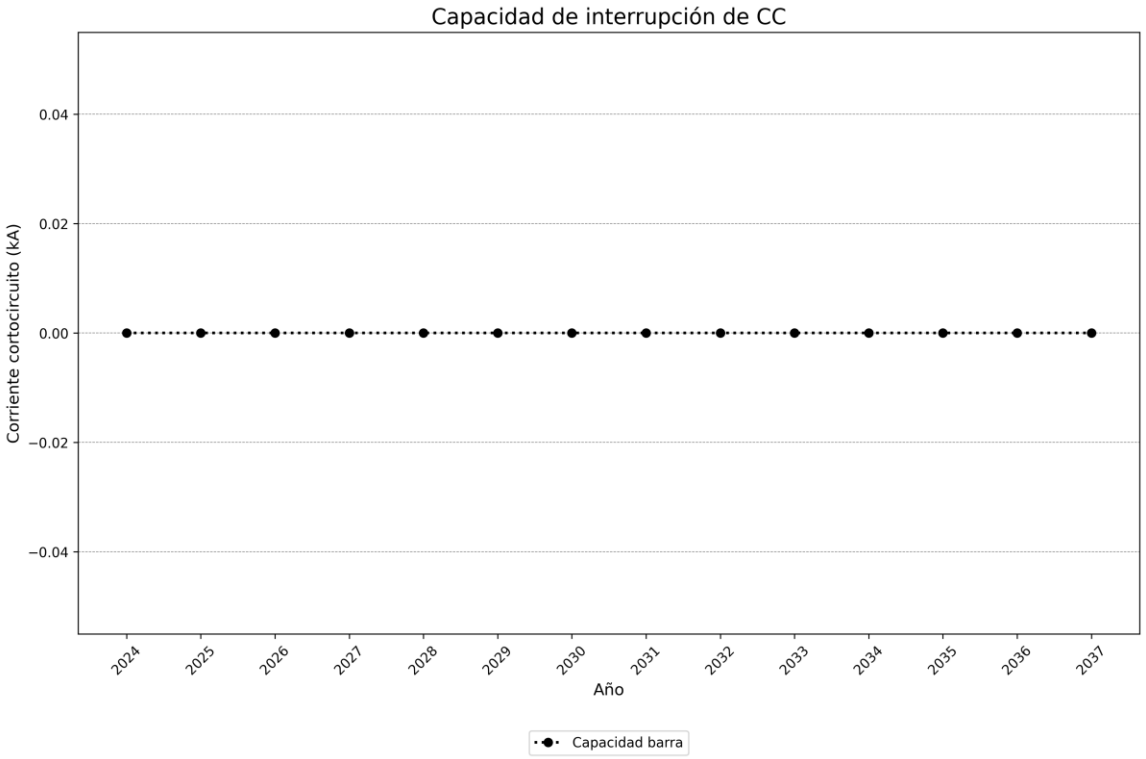


Figura 2-291. Balance de capacidad de cortocircuito después de la priorización para la subestación Guatape 220

Subestación Guateque 115:

Capacidad por barra:

Para la subestación Guateque 115 se presentaron 0 alternativas de conexión las cuales se muestran en la siguiente tabla:

Tabla 2-302. Alternativas de conexión presentadas a la subestación Guateque 115

Solicitud	Capacidad	Tipo	Barra	FPO solicitada	Restricción

No se priorizó ninguna de las alternativas de conexión presentadas en la subestación Guateque 115

El estado de la capacidad por barra en la subestación Guateque 115, teniendo en cuenta la priorización se puede observar en la siguiente figura.

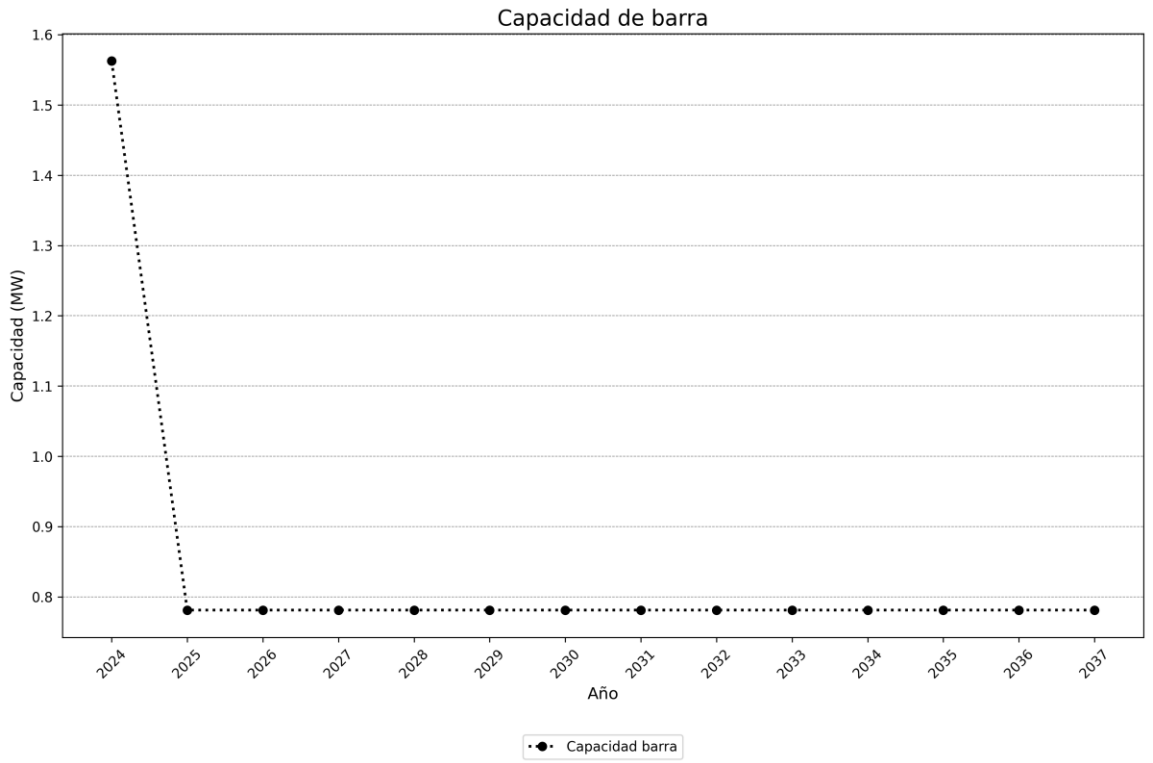


Figura 2-292. Balance de capacidad por barra después de la priorización para la subestación Guateque 115

Capacidad excedente de interrupción de corriente de cortocircuito:

Para la subestación Guateque 115 se presentaron 25 alternativas de conexión las cuales tienen aportes de corriente de cortocircuito. Estas alternativas se muestran en la siguiente tabla:

Tabla 2-303. Alternativas de conexión que aportan corriente de cortocircuito en la subestación Guateque 115

Solicitud	tipo	FPO	Barra a la que aporta CC	Aporte de cortocircuito (kA)	Restricción
SC_2023_5280_A1	Solar FV	2028	Guateque 115	0.013	SATISFACE
SC_2023_5280_A2	Solar FV	2028	Guateque 115	0.012	SATISFACE
SC_2023_5287_A1	Solar FV	2026	Guateque 115	0.008	SATISFACE
SC_2023_5287_A2	Solar FV	2026	Guateque 115	0.008	SATISFACE
SC_2023_5288_A1	Solar FV	2026	Guateque 115	0.005	SATISFACE
SC_2023_5288_A2	Solar FV	2026	Guateque 115	0.013	SATISFACE
SC_2023_5375_A1	Solar FV	2026	Guateque 115	0.008	SATISFACE
SC_2023_5399_A1	Solar FV	2026	Guateque 115	0.005	SATISFACE
SC_2023_5399_A2	Solar FV	2026	Guateque 115	0.013	SATISFACE
SC_2023_5480_A1	Solar FV	2026	Guateque 115	0.008	SATISFACE
SC_2023_5480_A2	Solar FV	2026	Guateque 115	0.008	SATISFACE
SC_2023_5557_A1	Solar FV	2028	Guateque 115	0.029	SATISFACE
SC_2936_A1	Solar FV	2026	Guateque 115	0.000	SATISFACE
SC_2936_A2	Solar FV	2026	Guateque 115	0.000	SATISFACE
SC_3121_A1	Solar FV	2026	Guateque 115	0.000	SATISFACE
SC_3121_A2	Solar FV	2026	Guateque 115	0.000	SATISFACE
SC_3132_A1	Solar FV	2026	Guateque 115	0.016	SATISFACE
SC_3132_A2	Solar FV	2026	Guateque 115	0.014	SATISFACE
SC_3882_A1	Solar FV	2026	Guateque 115	0.028	SATISFACE
SC_4083_A1	Solar FV	2027	Guateque 115	0.000	SATISFACE
SC_4083_A2	Solar FV	2027	Guateque 115	0.000	SATISFACE
SC_4765_A1	Solar FV	2029	Guateque 115	0.000	SATISFACE
SC_4765_A2	Solar FV	2029	Guateque 115	0.000	SATISFACE
SC_4819_A1	Solar FV	2029	Guateque 115	0.023	SATISFACE
SC_4819_A2	Solar FV	2029	Guateque 115	0.021	SATISFACE

No se priorizó ninguna de las alternativas de conexión que tengan aportes de corriente de cortocircuito en la subestación Guateque 115

El estado de la capacidad de cortocircuito en la subestación Guateque 115, teniendo en cuenta la priorización se puede observar en la siguiente figura.

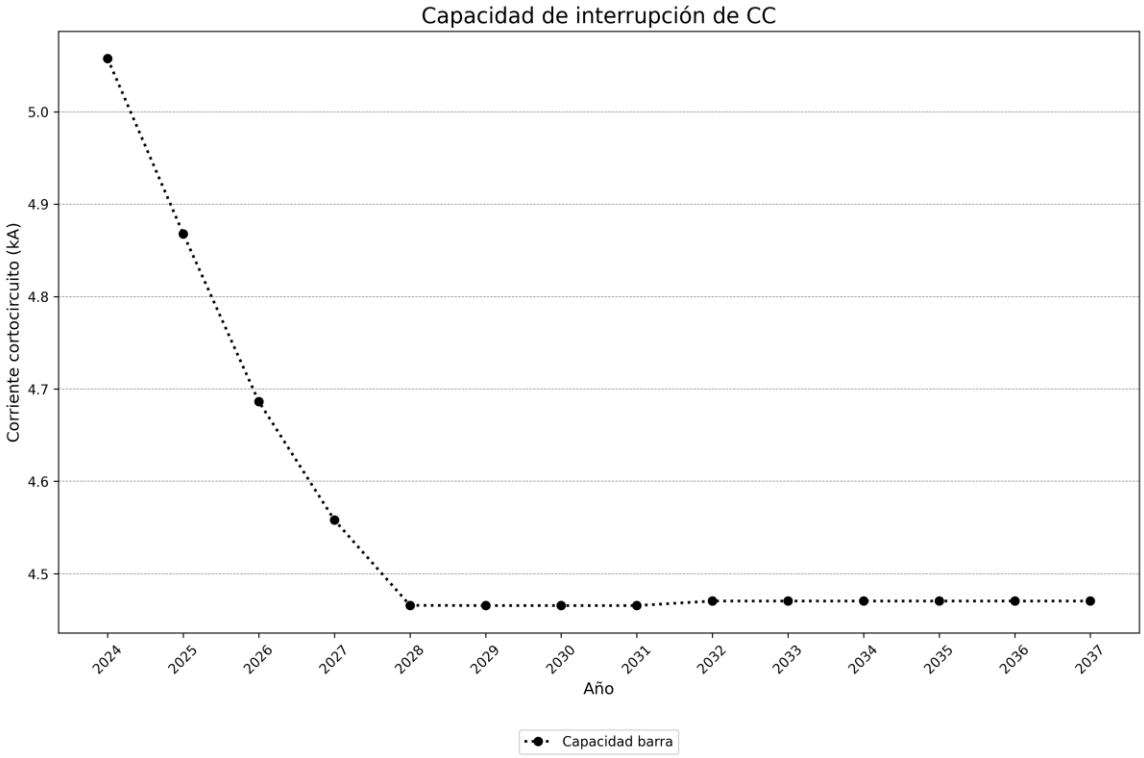


Figura 2-293. Balance de capacidad de cortocircuito después de la priorización para la subestación Guateque 115

Subestación Guatiguara 220:

Capacidad por barra:

Para la subestación Guatiguara 220 se presentaron 0 alternativas de conexión las cuales se muestran en la siguiente tabla:

Tabla 2-304. Alternativas de conexión presentadas a la subestación Guatiguara 220

Solicitud	Capacidad	Tipo	Barra	FPO solicitada	Restricción

No se priorizó ninguna de las alternativas de conexión presentadas en la subestación Guatiguara 220

El estado de la capacidad por barra en la subestación Guatiguara 220, teniendo en cuenta la priorización se puede observar en la siguiente figura.

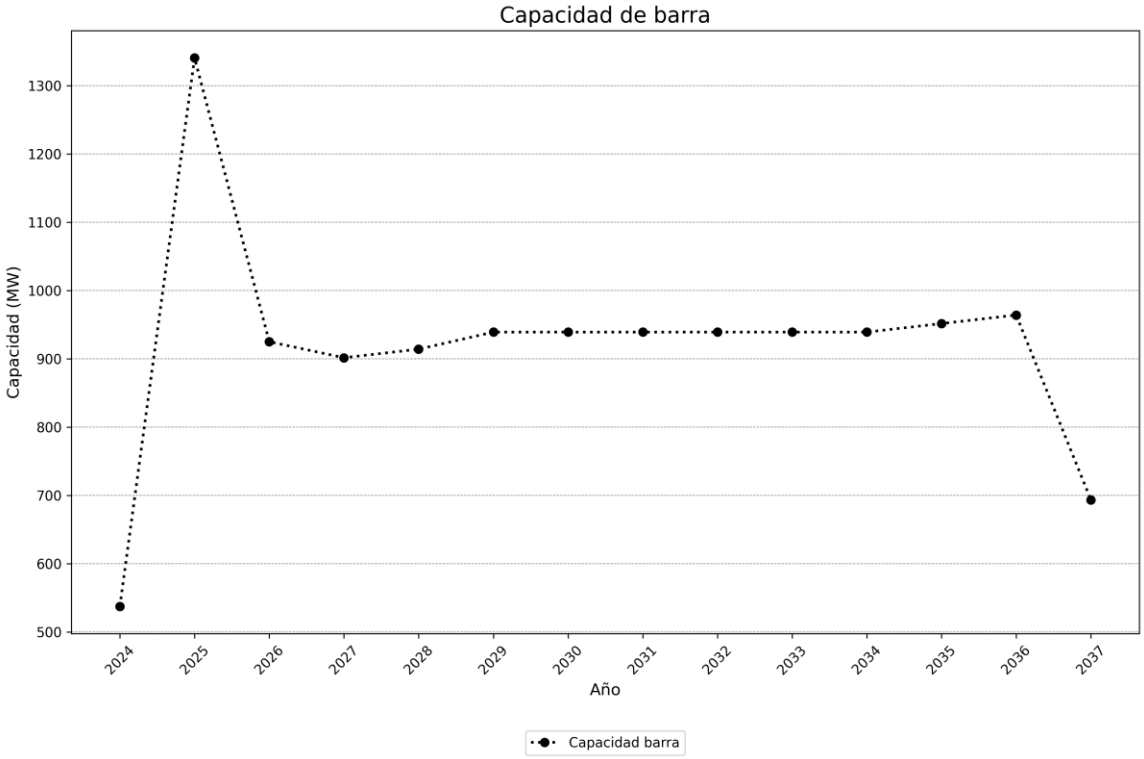


Figura 2-294. Balance de capacidad por barra después de la priorización para la subestación Guatiguara 220

Capacidad excedente de interrupción de corriente de cortocircuito:

Para la subestación Guatiguara 220 se presentaron 1 alternativas de conexión las cuales tienen aportes de corriente de cortocircuito. Estas alternativas se muestran en la siguiente tabla:

Tabla 2-305. Alternativas de conexión que aportan corriente de cortocircuito en la subestación Guatiguara 220

Solicitud	tipo	FPO	Barra a la que aporta CC	Aporte de cortocircuito (kA)	Restricción
SC_3331_A1	Solar FV	2026	Guatiguara 220	0.034	SATISFACE

No se priorizó ninguna de las alternativas de conexión que tengan aportes de corriente de cortocircuito en la subestación Guatiguara 220

El estado de la capacidad de cortocircuito en la subestación Guatiguara 220, teniendo en cuenta la priorización se puede observar en la siguiente figura.

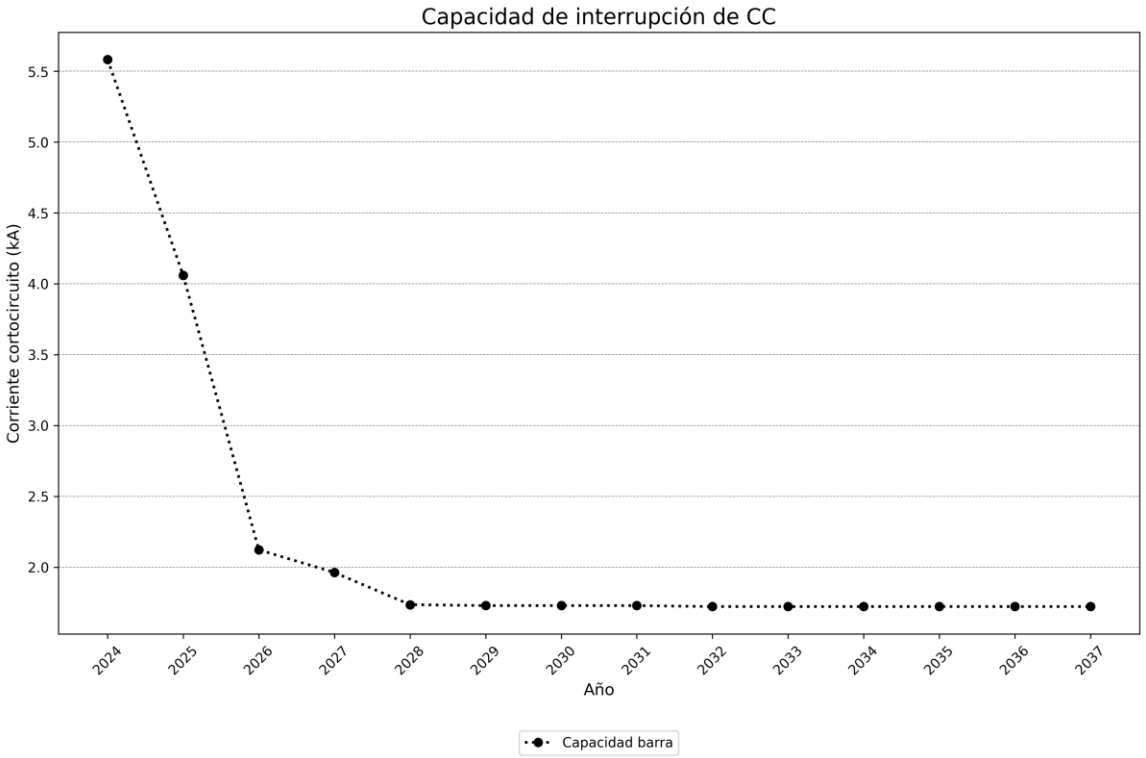


Figura 2-295. Balance de capacidad de cortocircuito después de la priorización para la subestación Guatiguara 220

Subestación Guavio 115:

Capacidad por barra:

Para la subestación Guavio 115 se presentaron 0 alternativas de conexión las cuales se muestran en la siguiente tabla:

Tabla 2-306. Alternativas de conexión presentadas a la subestación Guavio 115

Solicitud	Capacidad	Tipo	Barra	FPO solicitada	Restricción

No se priorizó ninguna de las alternativas de conexión presentadas en la subestación Guavio 115

El estado de la capacidad por barra en la subestación Guavio 115, teniendo en cuenta la priorización se puede observar en la siguiente figura.

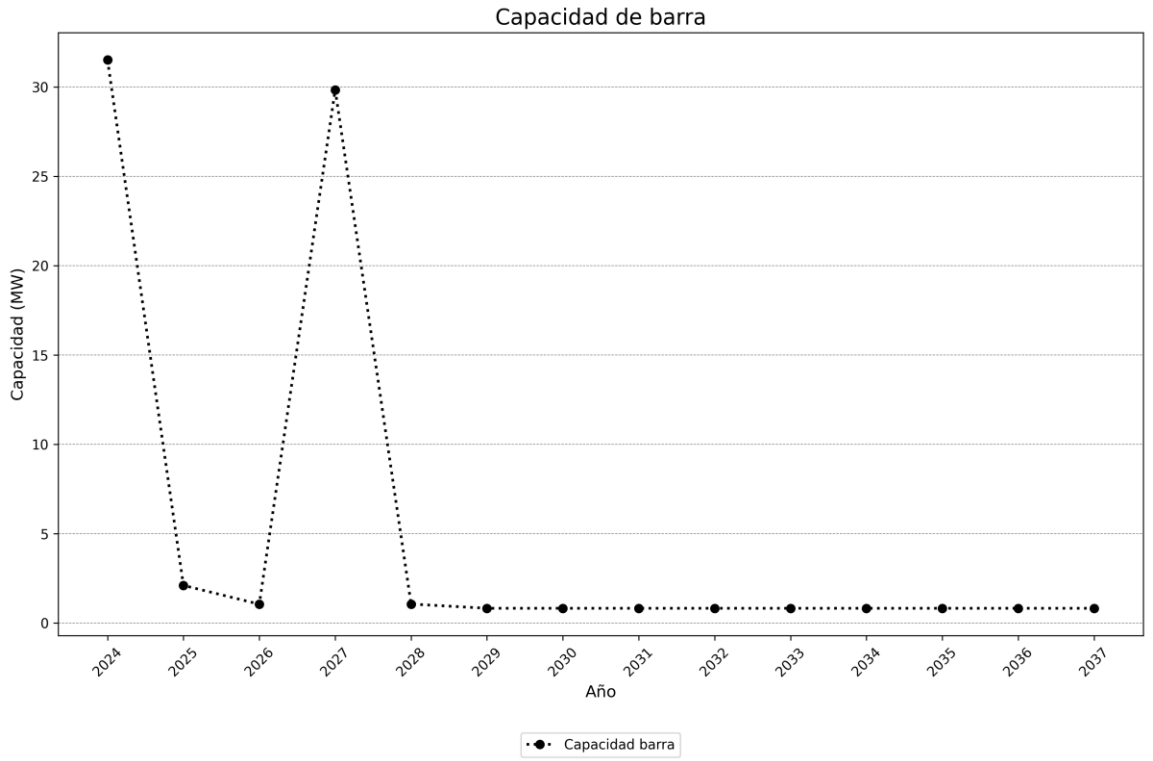


Figura 2-296. Balance de capacidad por barra después de la priorización para la subestación Guavio 115

Capacidad excedente de interrupción de corriente de cortocircuito:

Para la subestación Guavio 115 se presentaron 29 alternativas de conexión las cuales tienen aportes de corriente de cortocircuito. Estas alternativas se muestran en la siguiente tabla:

Tabla 2-307. Alternativas de conexión que aportan corriente de cortocircuito en la subestación Guavio 115

Solicitud	tipo	FPO	Barra a la que aporta CC	Aporte de cortocircuito (kA)	Restricción
SC_2023_5280_A1	Solar FV	2028	Guavio 115	0.010	SATISFACE
SC_2023_5280_A2	Solar FV	2028	Guavio 115	0.009	SATISFACE
SC_2023_5287_A1	Solar FV	2026	Guavio 115	0.006	SATISFACE
SC_2023_5287_A2	Solar FV	2026	Guavio 115	0.006	SATISFACE
SC_2023_5288_A1	Solar FV	2026	Guavio 115	0.003	SATISFACE
SC_2023_5288_A2	Solar FV	2026	Guavio 115	0.009	SATISFACE
SC_2023_5375_A1	Solar FV	2026	Guavio 115	0.006	SATISFACE
SC_2023_5399_A1	Solar FV	2026	Guavio 115	0.003	SATISFACE
SC_2023_5399_A2	Solar FV	2026	Guavio 115	0.009	SATISFACE
SC_2023_5480_A1	Solar FV	2026	Guavio 115	0.006	SATISFACE
SC_2023_5480_A2	Solar FV	2026	Guavio 115	0.006	SATISFACE
SC_2023_5557_A1	Solar FV	2028	Guavio 115	0.021	SATISFACE
SC_2936_A1	Solar FV	2026	Guavio 115	0.000	SATISFACE
SC_2936_A2	Solar FV	2026	Guavio 115	0.000	SATISFACE
SC_3121_A1	Solar FV	2026	Guavio 115	0.001	SATISFACE
SC_3121_A2	Solar FV	2026	Guavio 115	0.001	SATISFACE
SC_3132_A1	Solar FV	2026	Guavio 115	0.011	SATISFACE
SC_3132_A2	Solar FV	2026	Guavio 115	0.009	SATISFACE
SC_3882_A1	Solar FV	2026	Guavio 115	0.020	SATISFACE
SC_4083_A1	Solar FV	2027	Guavio 115	0.000	SATISFACE
SC_4083_A2	Solar FV	2027	Guavio 115	0.000	SATISFACE
SC_4765_A1	Solar FV	2029	Guavio 115	0.000	SATISFACE
SC_4765_A2	Solar FV	2029	Guavio 115	0.000	SATISFACE
SC_4819_A1	Solar FV	2029	Guavio 115	0.016	SATISFACE
SC_4819_A2	Solar FV	2029	Guavio 115	0.014	SATISFACE
SC_4974_A1	Solar FV	2026	Guavio 115	0.002	SATISFACE
SC_4974_A2	Solar FV	2026	Guavio 115	0.002	SATISFACE

SC_4978_A1	Solar FV	2026	Guavio 115	0.000	SATISFACE
SC_4978_A2	Solar FV	2026	Guavio 115	0.001	SATISFACE

No se priorizó ninguna de las alternativas de conexión que tengan aportes de corriente de cortocircuito en la subestación Guavio 115

El estado de la capacidad de cortocircuito en la subestación Guavio 115, teniendo en cuenta la priorización se puede observar en la siguiente figura.

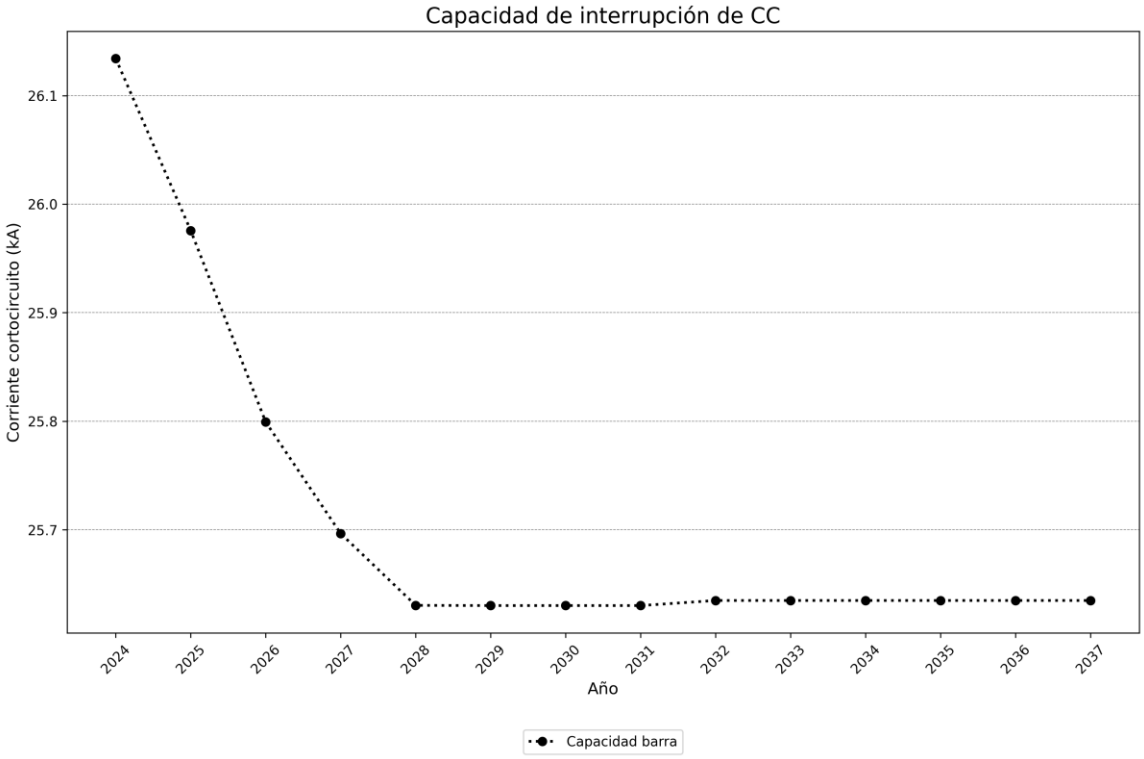


Figura 2-297. Balance de capacidad de cortocircuito después de la priorización para la subestación Guavio 115

Subestación Guavio 220:

Capacidad por barra:

Para la subestación Guavio 220 se presentaron 0 alternativas de conexión las cuales se muestran en la siguiente tabla:

Tabla 2-308. Alternativas de conexión presentadas a la subestación Guavio 220

Solicitud	Capacidad	Tipo	Barra	FPO solicitada	Restricción

No se priorizó ninguna de las alternativas de conexión presentadas en la subestación Guavio 220

El estado de la capacidad por barra en la subestación Guavio 220, teniendo en cuenta la priorización se puede observar en la siguiente figura.

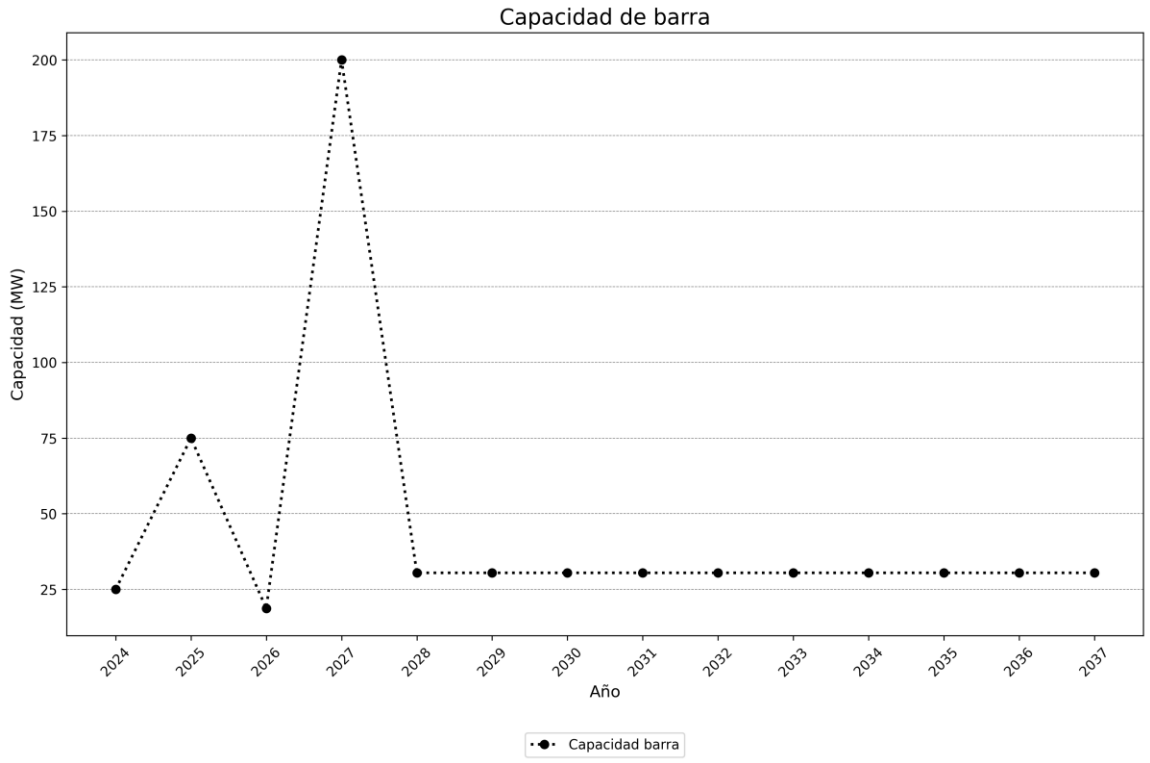


Figura 2-298. Balance de capacidad por barra después de la priorización para la subestación Guavio 220

Capacidad excedente de interrupción de corriente de cortocircuito:

Para la subestación Guavio 220 se presentaron 27 alternativas de conexión las cuales tienen aportes de corriente de cortocircuito. Estas alternativas se muestran en la siguiente tabla:

Tabla 2-309. Alternativas de conexión que aportan corriente de cortocircuito en la subestación Guavio 220

Solicitud	tipo	FPO	Barra a la que aporta CC	Aporte de cortocircuito (kA)	Restricción
SC_2023_5280_A1	Solar FV	2028	Guavio 220	0.064	NO SATISFACE
SC_2023_5280_A2	Solar FV	2028	Guavio 220	0.058	NO SATISFACE
SC_2023_5287_A1	Solar FV	2026	Guavio 220	0.033	NO SATISFACE
SC_2023_5287_A2	Solar FV	2026	Guavio 220	0.034	NO SATISFACE
SC_2023_5288_A1	Solar FV	2026	Guavio 220	0.019	NO SATISFACE
SC_2023_5288_A2	Solar FV	2026	Guavio 220	0.051	NO SATISFACE
SC_2023_5375_A1	Solar FV	2026	Guavio 220	0.032	NO SATISFACE
SC_2023_5399_A1	Solar FV	2026	Guavio 220	0.019	NO SATISFACE
SC_2023_5399_A2	Solar FV	2026	Guavio 220	0.051	NO SATISFACE
SC_2023_5480_A1	Solar FV	2026	Guavio 220	0.033	NO SATISFACE
SC_2023_5480_A2	Solar FV	2026	Guavio 220	0.034	NO SATISFACE
SC_2023_5557_A1	Solar FV	2028	Guavio 220	0.136	NO SATISFACE
SC_2936_A1	Solar FV	2026	Guavio 220	0.000	NO SATISFACE
SC_2936_A2	Solar FV	2026	Guavio 220	0.000	NO SATISFACE
SC_3121_A1	Solar FV	2026	Guavio 220	0.004	NO SATISFACE
SC_3121_A2	Solar FV	2026	Guavio 220	0.004	NO SATISFACE
SC_3132_A1	Solar FV	2026	Guavio 220	0.072	NO SATISFACE
SC_3132_A2	Solar FV	2026	Guavio 220	0.061	NO SATISFACE
SC_3882_A1	Solar FV	2026	Guavio 220	0.131	NO SATISFACE
SC_4083_A1	Solar FV	2027	Guavio 220	0.001	NO SATISFACE
SC_4083_A2	Solar FV	2027	Guavio 220	0.001	NO SATISFACE
SC_4765_A1	Solar FV	2029	Guavio 220	0.006	NO SATISFACE
SC_4765_A2	Solar FV	2029	Guavio 220	0.004	NO SATISFACE
SC_4819_A1	Solar FV	2029	Guavio 220	0.116	NO SATISFACE
SC_4819_A2	Solar FV	2029	Guavio 220	0.104	NO SATISFACE
SC_4978_A1	Solar FV	2026	Guavio 220	0.000	NO SATISFACE
SC_4978_A2	Solar FV	2026	Guavio 220	0.005	NO SATISFACE

No se priorizó ninguna de las alternativas de conexión que tengan aportes de corriente de cortocircuito en la subestación Guavio 220

El estado de la capacidad de cortocircuito en la subestación Guavio 220, teniendo en cuenta la priorización se puede observar en la siguiente figura.

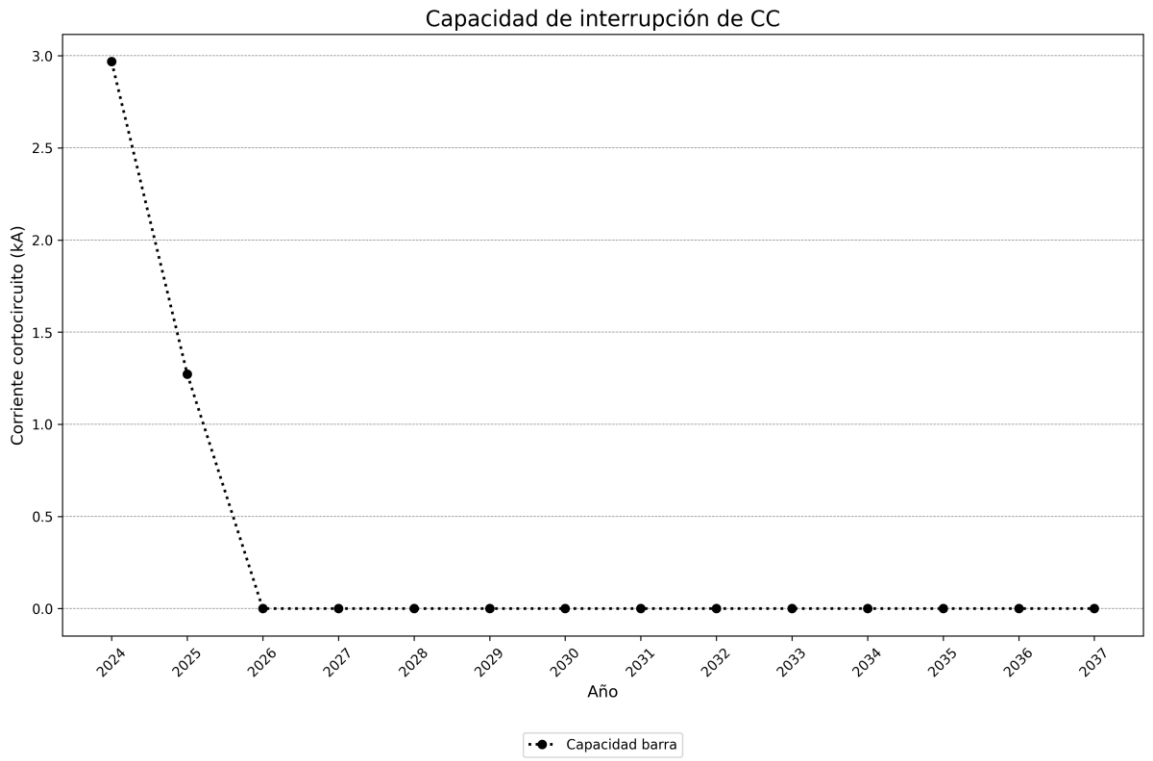


Figura 2-299. Balance de capacidad de cortocircuito después de la priorización para la subestación Guavio 220

Subestación Guayabal 110:

Capacidad por barra:

Para la subestación Guayabal 110 se presentaron 0 alternativas de conexión las cuales se muestran en la siguiente tabla:

Tabla 2-310. Alternativas de conexión presentadas a la subestación Guayabal 110

Solicitud	Capacidad	Tipo	Barra	FPO solicitada	Restricción

No se priorizó ninguna de las alternativas de conexión presentadas en la subestación Guayabal 110

El estado de la capacidad por barra en la subestación Guayabal 110, teniendo en cuenta la priorización se puede observar en la siguiente figura.

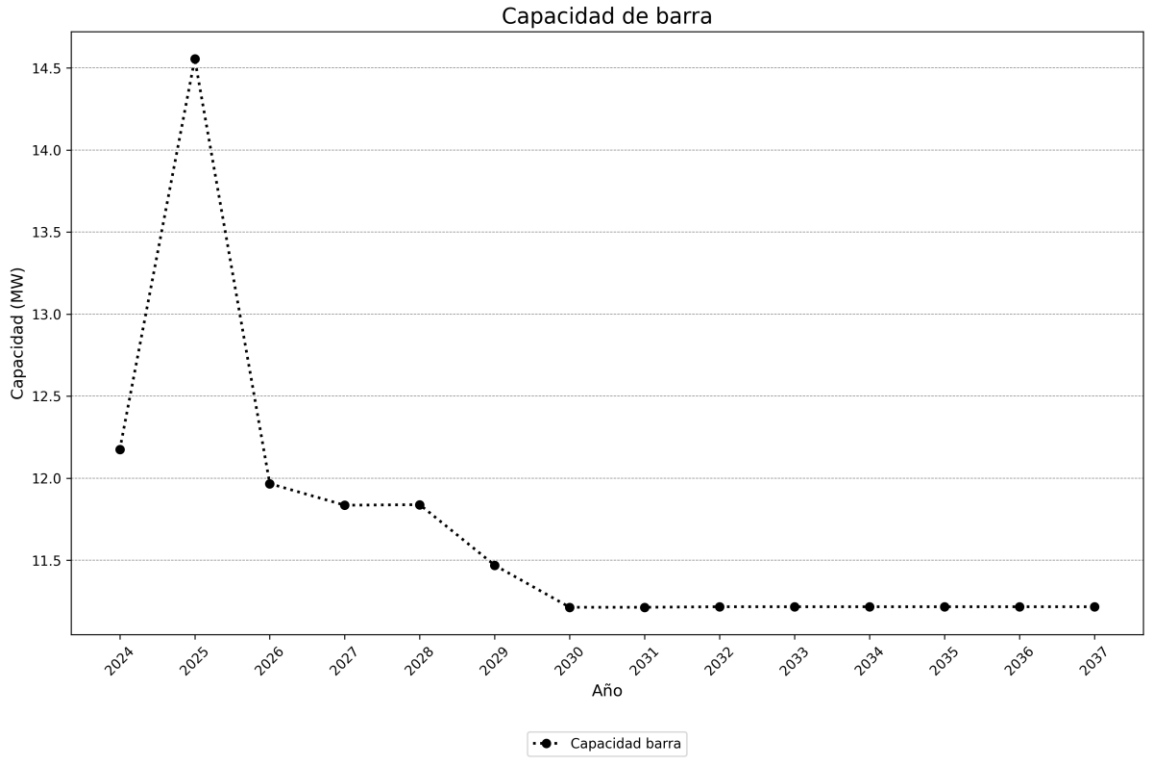


Figura 2-300. Balance de capacidad por barra después de la priorización para la subestación Guayabal 110

Capacidad excedente de interrupción de corriente de cortocircuito:

Para la subestación Guayabal 110 se presentaron 1 alternativas de conexión las cuales tienen aportes de corriente de cortocircuito. Estas alternativas se muestran en la siguiente tabla:

Tabla 2-311. Alternativas de conexión que aportan corriente de cortocircuito en la subestación Guayabal 110

Solicitud	tipo	FPO	Barra a la que aporta CC	Aporte de cortocircuito (kA)	Restricción
SC_3331_A1	Solar FV	2026	Guayabal 110	0.134	NO SATISFACE

No se priorizó ninguna de las alternativas de conexión que tengan aportes de corriente de cortocircuito en la subestación Guayabal 110

El estado de la capacidad de cortocircuito en la subestación Guayabal 110, teniendo en cuenta la priorización se puede observar en la siguiente figura.

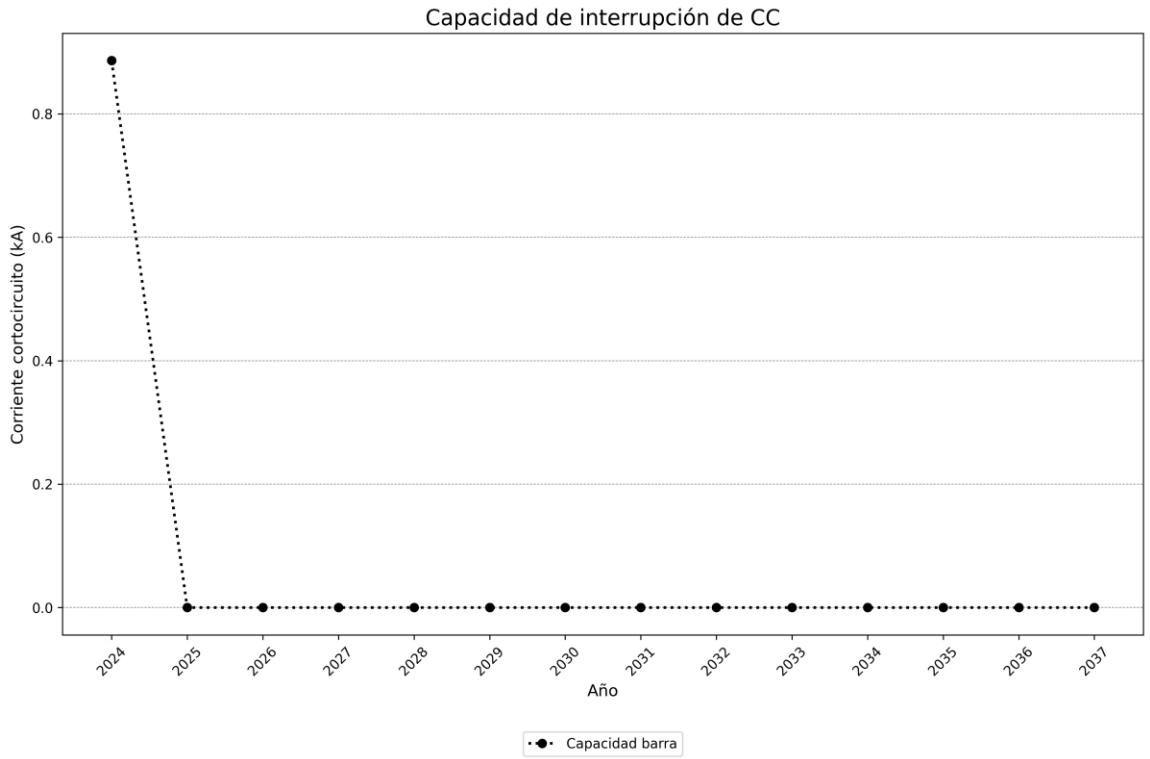


Figura 2-301. Balance de capacidad de cortocircuito después de la priorización para la subestación Guayabal 110

Subestación Guayabal 220:

Capacidad por barra:

Para la subestación Guayabal 220 se presentaron 0 alternativas de conexión las cuales se muestran en la siguiente tabla:

Tabla 2-312. Alternativas de conexión presentadas a la subestación Guayabal 220

Solicitud	Capacidad	Tipo	Barra	FPO solicitada	Restricción

No se priorizó ninguna de las alternativas de conexión presentadas en la subestación Guayabal 220

El estado de la capacidad por barra en la subestación Guayabal 220, teniendo en cuenta la priorización se puede observar en la siguiente figura.

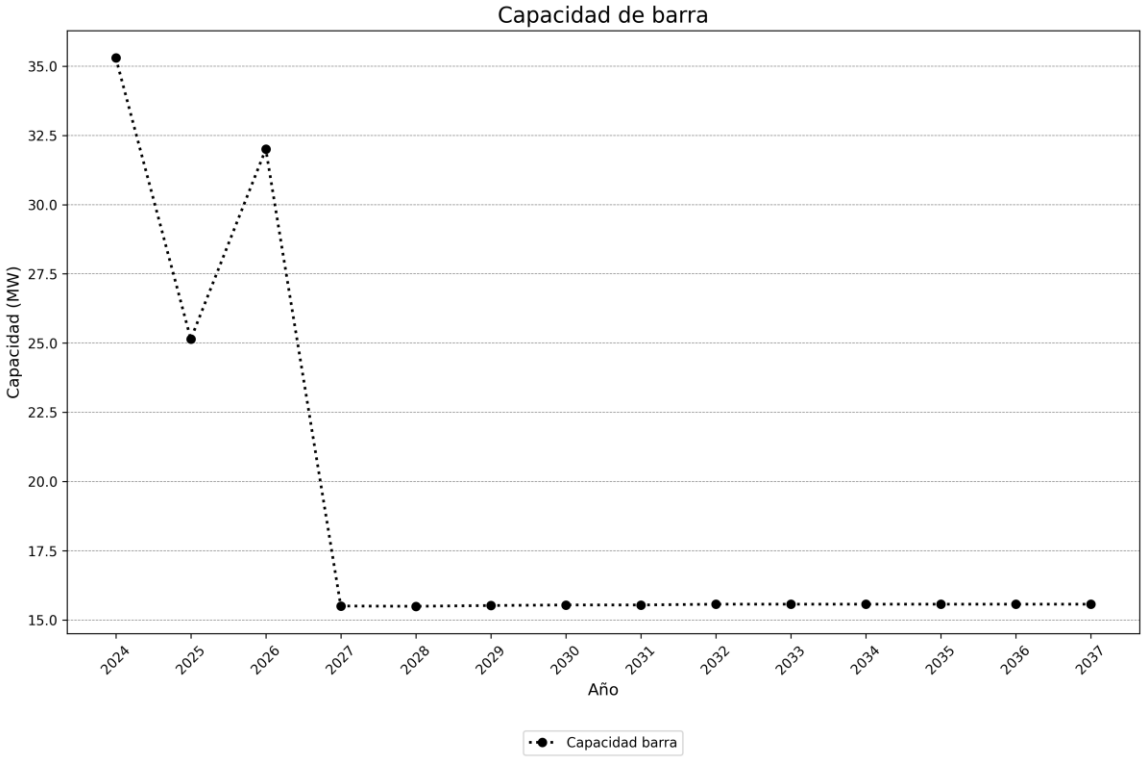


Figura 2-302. Balance de capacidad por barra después de la priorización para la subestación Guayabal 220

Capacidad excedente de interrupción de corriente de cortocircuito:

Para la subestación Guayabal 220 se presentaron 1 alternativas de conexión las cuales tienen aportes de corriente de cortocircuito. Estas alternativas se muestran en la siguiente tabla:

Tabla 2-313. Alternativas de conexión que aportan corriente de cortocircuito en la subestación Guayabal 220

Solicitud	tipo	FPO	Barra a la que aporta CC	Aporte de cortocircuito (kA)	Restricción
SC_3331_A1	Solar FV	2026	Guayabal 220	0.075	SATISFACE

No se priorizó ninguna de las alternativas de conexión que tengan aportes de corriente de cortocircuito en la subestación Guayabal 220

El estado de la capacidad de cortocircuito en la subestación Guayabal 220, teniendo en cuenta la priorización se puede observar en la siguiente figura.

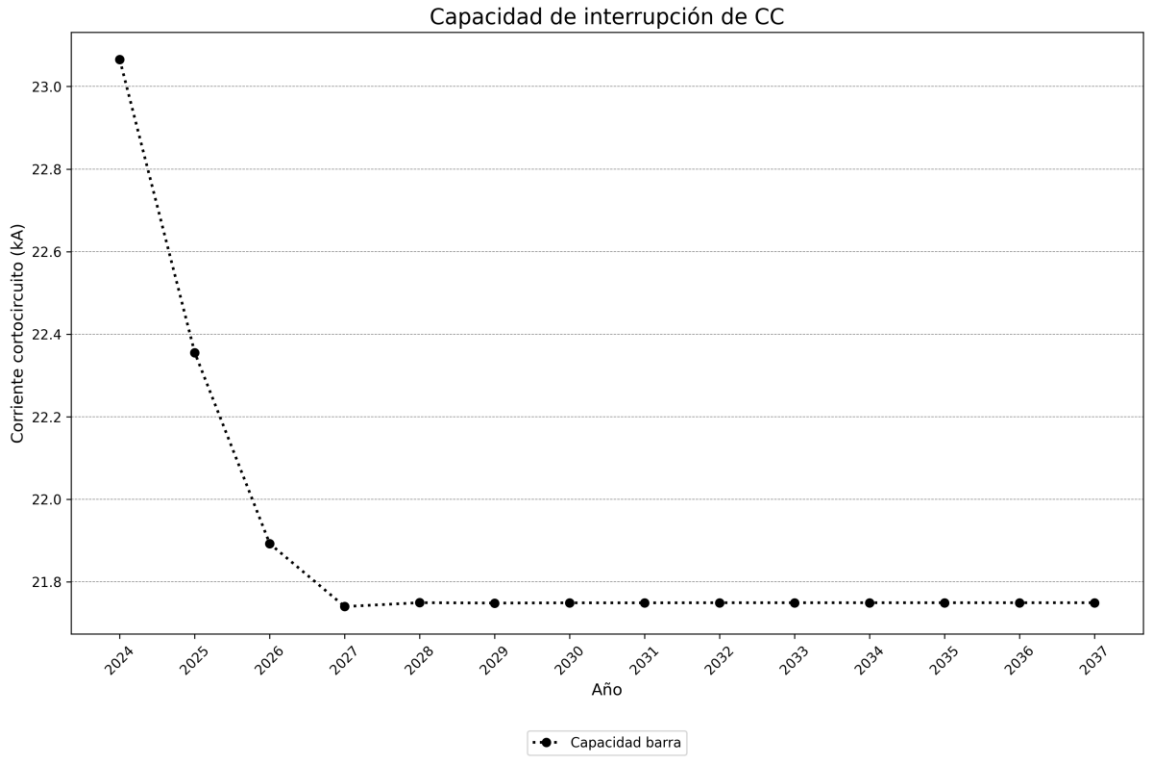


Figura 2-303. Balance de capacidad de cortocircuito después de la priorización para la subestación Guayabal 220

Subestación Guayabal_34.5:

Capacidad por barra:

Para la subestación Guayabal_34.5 se presentaron 6 alternativas de conexión las cuales se muestran en la siguiente tabla:

Tabla 2-314. Alternativas de conexión presentadas a la subestación Guayabal_34.5

Solicitud	Capacidad	Tipo	Barra	FPO solicitada	Restricción
SC_2023_5287_A1	9.9	Solar FV	Guayabal_34.5	2026	NO SATISFACE
SC_2023_5480_A1	9.9	Solar FV	Guayabal_34.5	2026	NO SATISFACE
SC_3121_A1	9.9	Solar FV	Guayabal_34.5	2026	NO SATISFACE
SC_3126_A2	23.6	PCH	Guayabal_34.5	2026	NO SATISFACE
SC_4083_A1	9.9	Solar FV	Guayabal_34.5	2027	NO SATISFACE
SC_4974_A2	9.9	Solar FV	Guayabal_34.5	2026	NO SATISFACE

No se priorizó ninguna de las alternativas de conexión presentadas en la subestación Guayabal_34.5

El estado de la capacidad por barra en la subestación Guayabal_34.5, teniendo en cuenta la priorización se puede observar en la siguiente figura.

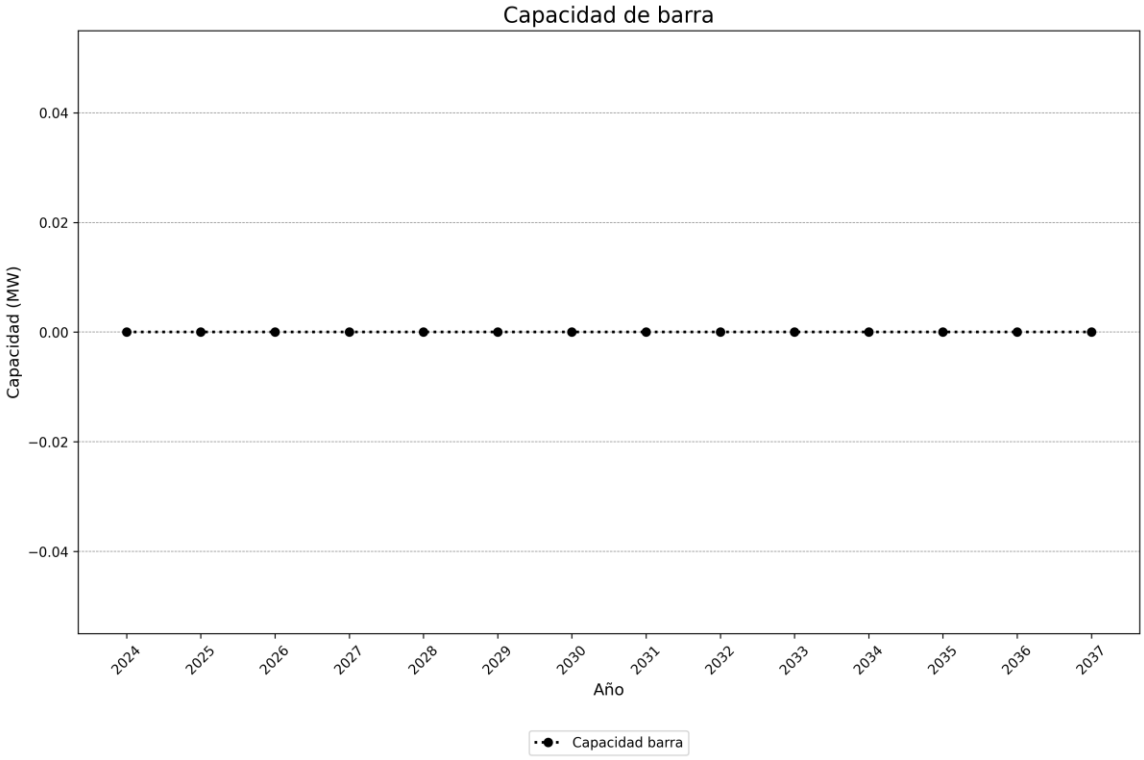


Figura 2-304. Balance de capacidad por barra después de la priorización para la subestación Guayabal_34.5

En el caso anterior se observa que la capacidad por barra es igual a 0 dado que, desde los comentarios presentados por transportador, se identificó que la subestación Guayabal_34.5 no cuenta con disponibilidad de espacio físico para la conexión de nuevos proyectos.

Subestación Guárcama 110:

Capacidad por barra:

Para la subestación Guárcama 110 se presentaron 0 alternativas de conexión las cuales se muestran en la siguiente tabla:

Tabla 2-315. Alternativas de conexión presentadas a la subestación Guárcama 110

Solicitud	Capacidad	Tipo	Barra	FPO solicitada	Restricción

No se priorizó ninguna de las alternativas de conexión presentadas en la subestación Guárcama 110

El estado de la capacidad por barra en la subestación Guárcama 110, teniendo en cuenta la priorización se puede observar en la siguiente figura.

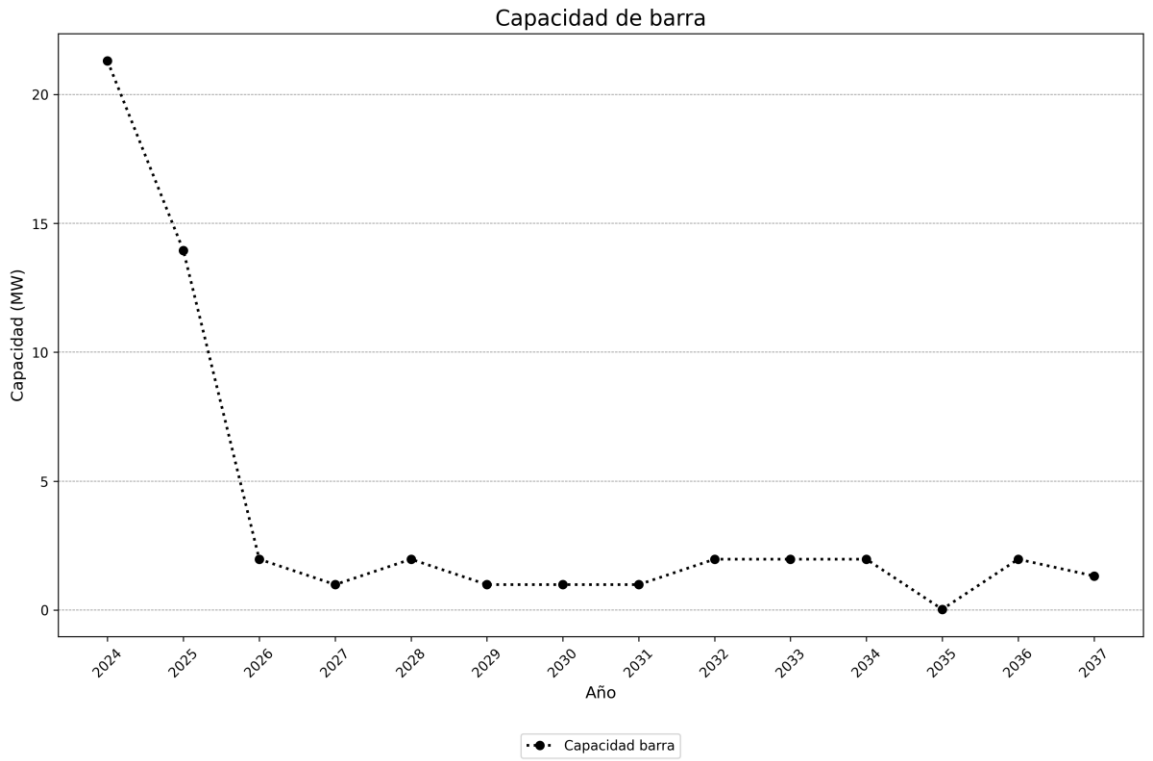


Figura 2-305. Balance de capacidad por barra después de la priorización para la subestación Guárcama 110

Capacidad excedente de interrupción de corriente de cortocircuito:

Para la subestación Guárcama 110 se presentaron 1 alternativas de conexión las cuales tienen aportes de corriente de cortocircuito. Estas alternativas se muestran en la siguiente tabla:

Tabla 2-316. Alternativas de conexión que aportan corriente de cortocircuito en la subestación Guárcama 110

Solicitud	tipo	FPO	Barra a la que aporta CC	Aporte de cortocircuito (kA)	Restricción
SC_3331_A1	Solar FV	2026	Guárcama 110	0.016	SATISFACE

No se priorizó ninguna de las alternativas de conexión que tengan aportes de corriente de cortocircuito en la subestación Guárcama 110

El estado de la capacidad de cortocircuito en la subestación Guárcama 110, teniendo en cuenta la priorización se puede observar en la siguiente figura.

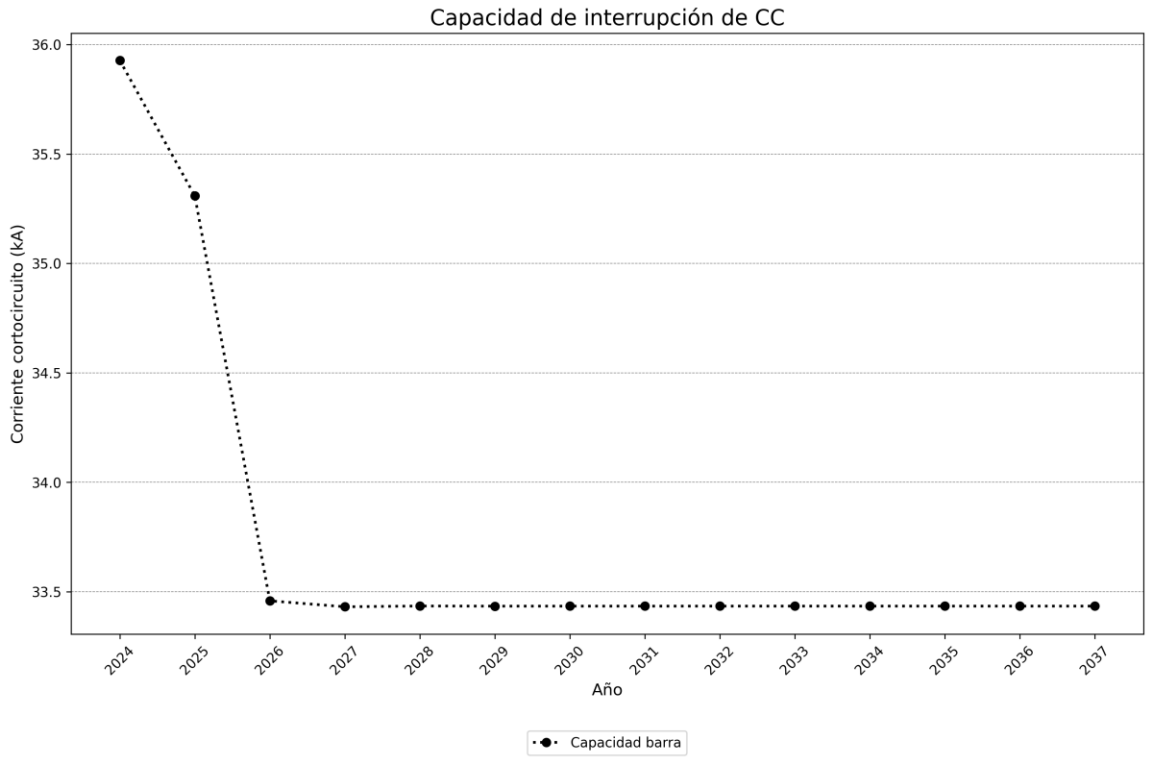


Figura 2-306. Balance de capacidad de cortocircuito después de la priorización para la subestación Guárcama 110

Subestación Heliconia 220:

Capacidad por barra:

Para la subestación Heliconia 220 se presentaron 0 alternativas de conexión las cuales se muestran en la siguiente tabla:

Tabla 2-317. Alternativas de conexión presentadas a la subestación Heliconia 220

Solicitud	Capacidad	Tipo	Barra	FPO solicitada	Restricción

No se priorizó ninguna de las alternativas de conexión presentadas en la subestación Heliconia 220

El estado de la capacidad por barra en la subestación Heliconia 220, teniendo en cuenta la priorización se puede observar en la siguiente figura.

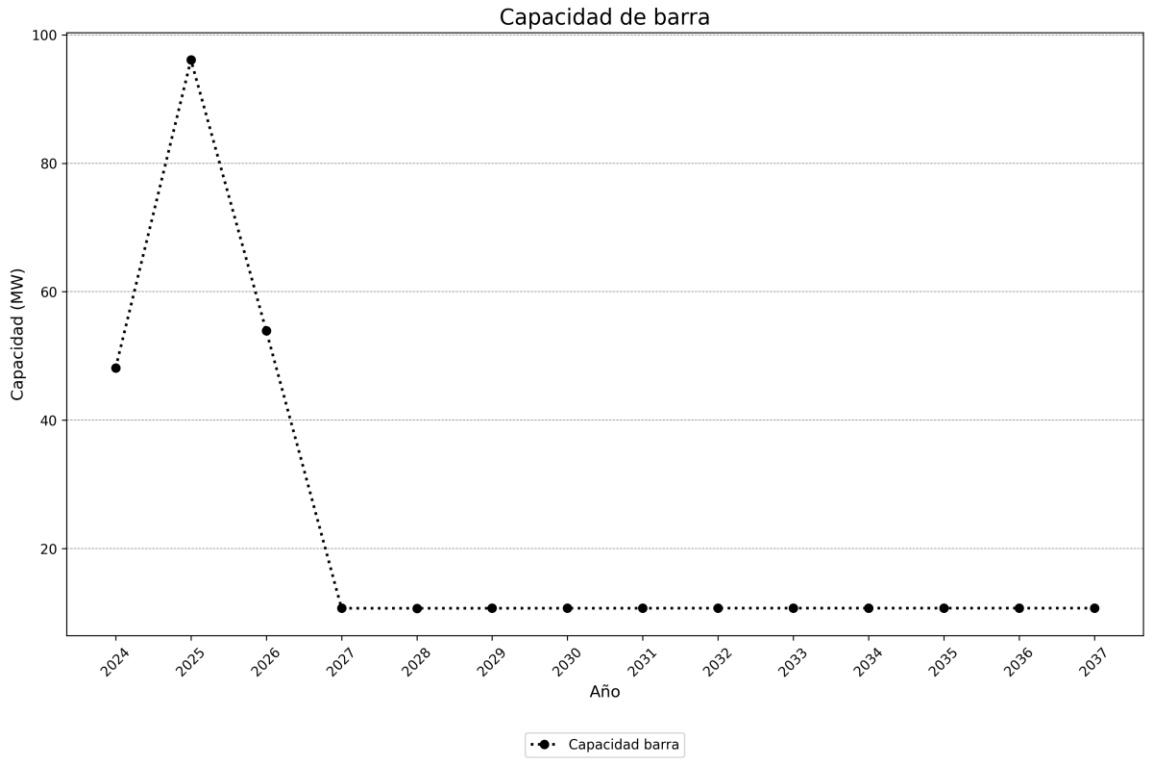


Figura 2-307. Balance de capacidad por barra después de la priorización para la subestación Heliconia 220

Capacidad excedente de interrupción de corriente de cortocircuito:

Para la subestación Heliconia 220 se presentaron 3 alternativas de conexión las cuales tienen aportes de corriente de cortocircuito. Estas alternativas se muestran en la siguiente tabla:

Tabla 2-318. Alternativas de conexión que aportan corriente de cortocircuito en la subestación Heliconia 220

Solicitud	tipo	FPO	Barra a la que aporta CC	Aporte de cortocircuito (kA)	Restricción
SC_3133_A1	Solar FV	2028	Heliconia 220	0.178	SATISFACE
SC_3133_A2	Solar FV	2028	Heliconia 220	0.191	SATISFACE
SC_3331_A1	Solar FV	2026	Heliconia 220	0.120	SATISFACE

No se priorizó ninguna de las alternativas de conexión que tengan aportes de corriente de cortocircuito en la subestación Heliconia 220

El estado de la capacidad de cortocircuito en la subestación Heliconia 220, teniendo en cuenta la priorización se puede observar en la siguiente figura.

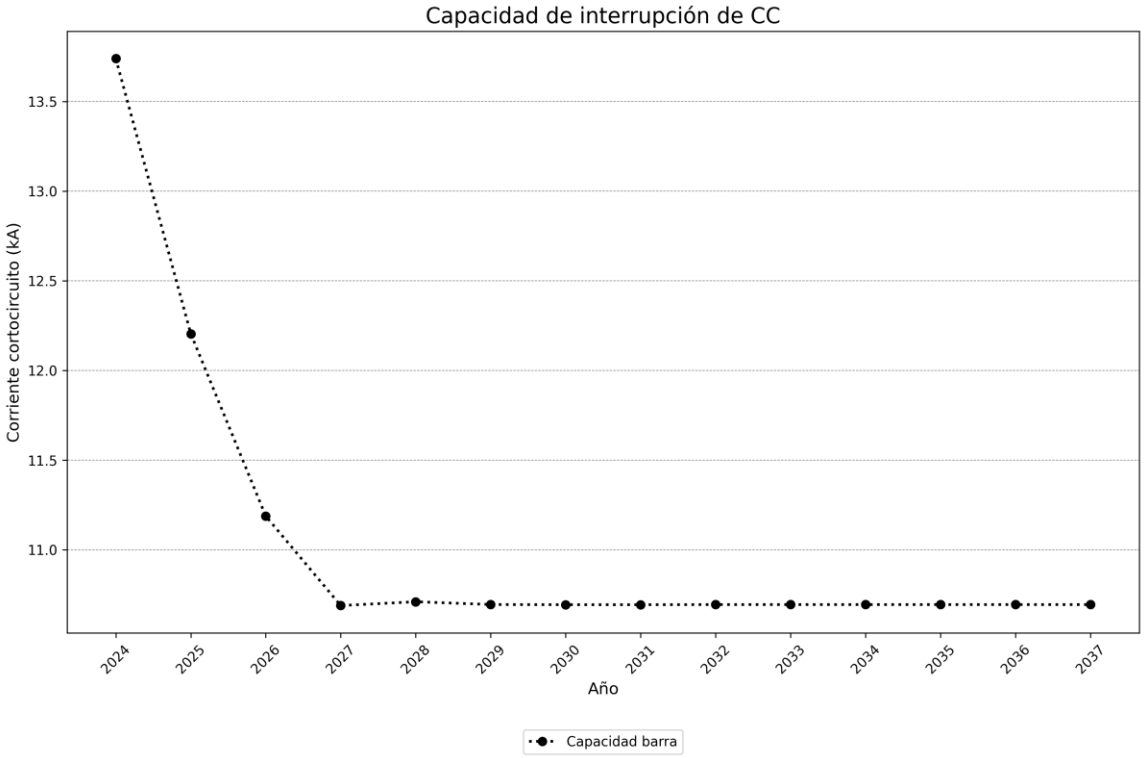


Figura 2-308. Balance de capacidad de cortocircuito después de la priorización para la subestación Heliconia 220

Subestación Heliconia 500:

Capacidad por barra:

Para la subestación Heliconia 500 se presentaron 0 alternativas de conexión las cuales se muestran en la siguiente tabla:

Tabla 2-319. Alternativas de conexión presentadas a la subestación Heliconia 500

Solicitud	Capacidad	Tipo	Barra	FPO solicitada	Restricción

No se priorizó ninguna de las alternativas de conexión presentadas en la subestación Heliconia 500

El estado de la capacidad por barra en la subestación Heliconia 500, teniendo en cuenta la priorización se puede observar en la siguiente figura.

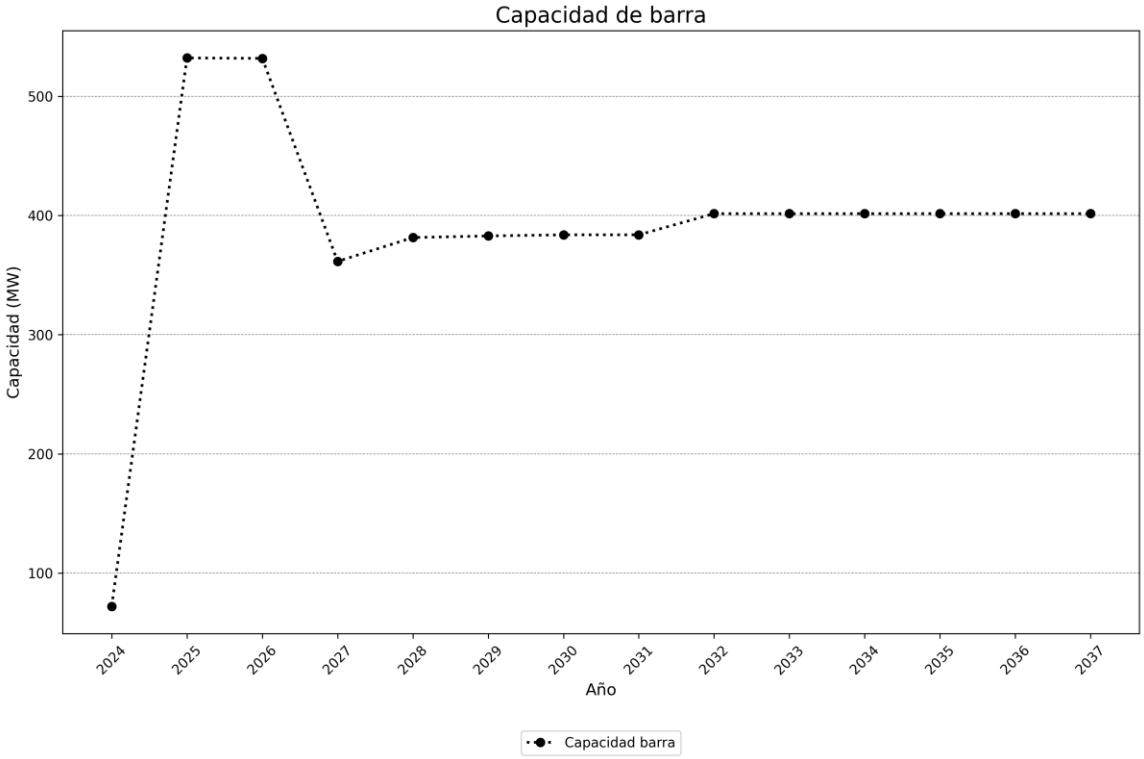


Figura 2-309. Balance de capacidad por barra después de la priorización para la subestación Heliconia 500

Capacidad excedente de interrupción de corriente de cortocircuito:

Para la subestación Heliconia 500 se presentaron 21 alternativas de conexión las cuales tienen aportes de corriente de cortocircuito. Estas alternativas se muestran en la siguiente tabla:

Tabla 2-320. Alternativas de conexión que aportan corriente de cortocircuito en la subestación Heliconia 500

Solicitud	tipo	FPO	Barra a la que aporta CC	Aporte de cortocircuito (kA)	Restricción
SC_2023_5144_A1	Solar FV	2028	Heliconia 500	0.065	SATISFACE
SC_2023_5144_A2	Solar FV	2028	Heliconia 500	0.084	SATISFACE
SC_2023_5150_A1	Solar FV	2028	Heliconia 500	0.050	SATISFACE
SC_2670_A1	Solar FV	2028	Heliconia 500	0.030	SATISFACE
SC_2670_A2	Solar FV	2028	Heliconia 500	0.010	SATISFACE
SC_3133_A1	Solar FV	2028	Heliconia 500	0.100	SATISFACE
SC_3133_A2	Solar FV	2028	Heliconia 500	0.118	SATISFACE
SC_3238_A1	Solar FV	2027	Heliconia 500	0.162	SATISFACE
SC_3238_A2	Solar FV	2027	Heliconia 500	0.175	SATISFACE
SC_3247_A1	Solar FV	2027	Heliconia 500	0.050	SATISFACE
SC_3247_A2	Solar FV	2027	Heliconia 500	0.037	SATISFACE
SC_3248_A1	Solar FV	2027	Heliconia 500	0.162	SATISFACE
SC_3248_A2	Solar FV	2027	Heliconia 500	0.175	SATISFACE
SC_3331_A1	Solar FV	2026	Heliconia 500	0.050	SATISFACE
SC_3441_A1	Solar FV	2027	Heliconia 500	0.050	SATISFACE
SC_3441_A2	Solar FV	2027	Heliconia 500	0.037	SATISFACE
SC_4296_A1	Solar FV	2028	Heliconia 500	0.065	SATISFACE
SC_4296_A2	Solar FV	2028	Heliconia 500	0.059	SATISFACE
SC_4809_A1	Solar FV	2027	Heliconia 500	0.022	SATISFACE
SC_4809_A2	Solar FV	2027	Heliconia 500	0.089	SATISFACE
SC_4842_A1	Solar FV	2028	Heliconia 500	0.050	SATISFACE

No se priorizó ninguna de las alternativas de conexión que tengan aportes de corriente de cortocircuito en la subestación Heliconia 500

El estado de la capacidad de cortocircuito en la subestación Heliconia 500, teniendo en cuenta la priorización se puede observar en la siguiente figura.

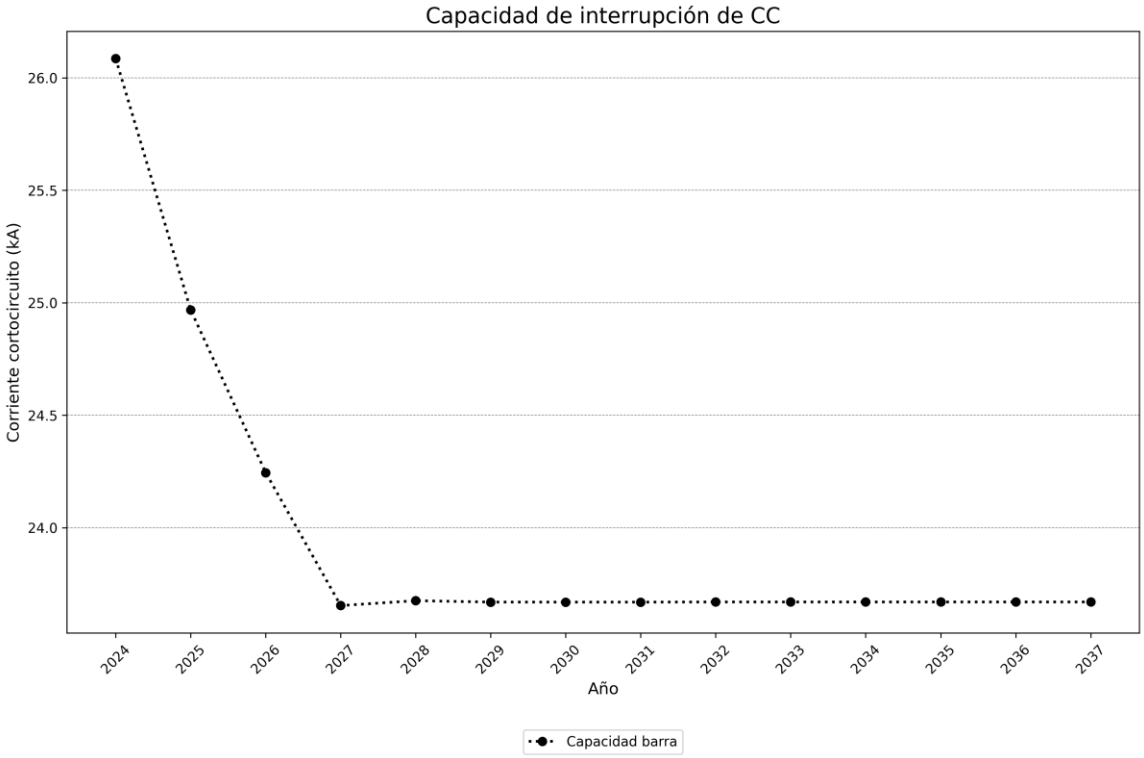


Figura 2-310. Balance de capacidad de cortocircuito después de la priorización para la subestación Heliconia 500

Subestación Hermosa 115:

Capacidad por barra:

Para la subestación Hermosa 115 se presentaron 0 alternativas de conexión las cuales se muestran en la siguiente tabla:

Tabla 2-321. Alternativas de conexión presentadas a la subestación Hermosa 115

Solicitud	Capacidad	Tipo	Barra	FPO solicitada	Restricción

No se priorizó ninguna de las alternativas de conexión presentadas en la subestación Hermosa 115

El estado de la capacidad por barra en la subestación Hermosa 115, teniendo en cuenta la priorización se puede observar en la siguiente figura.

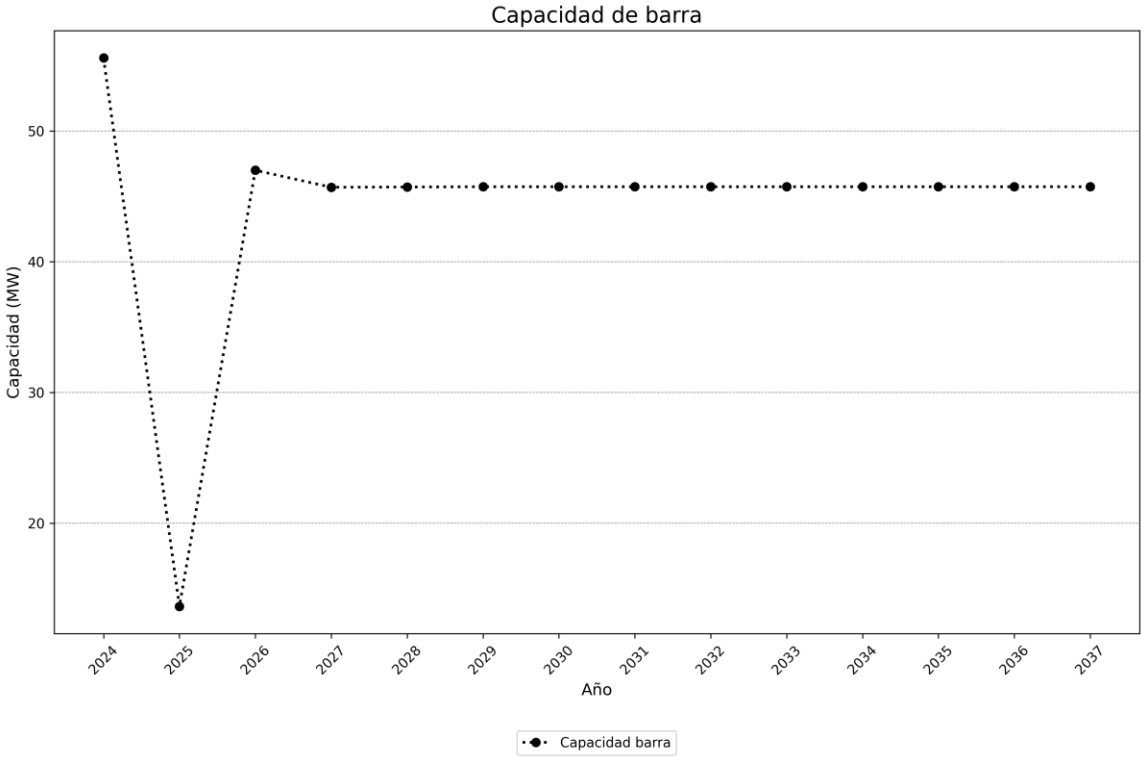


Figura 2-311. Balance de capacidad por barra después de la priorización para la subestación Hermosa 115

Capacidad excedente de interrupción de corriente de cortocircuito:

Para la subestación Hermosa 115 se presentaron 173 alternativas de conexión las cuales tienen aportes de corriente de cortocircuito. Estas alternativas se muestran en la siguiente tabla:

Tabla 2-322. Alternativas de conexión que aportan corriente de cortocircuito en la subestación Hermosa 115

Solicitud	tipo	FPO	Barra a la que aporta CC	Aporte de cortocircuito (kA)	Restricción
SC_2023_5136_A1	Solar FV	2026	Hermosa 115	0.025	SATISFACE
SC_2023_5136_A2	Solar FV	2026	Hermosa 115	0.025	SATISFACE
SC_2023_5144_A1	Solar FV	2028	Hermosa 115	0.306	SATISFACE
SC_2023_5144_A2	Solar FV	2028	Hermosa 115	0.133	SATISFACE
SC_2023_5150_A1	Solar FV	2028	Hermosa 115	0.192	SATISFACE
SC_2023_5152_A1	Solar FV	2025	Hermosa 115	0.028	SATISFACE
SC_2023_5152_A2	Solar FV	2025	Hermosa 115	0.024	SATISFACE
SC_2023_5158_A1	Solar FV	2028	Hermosa 115	0.185	SATISFACE
SC_2023_5171_A1	Solar FV	2025	Hermosa 115	0.022	SATISFACE
SC_2023_5171_A2	Solar FV	2025	Hermosa 115	0.027	SATISFACE
SC_2023_5185_A1	Solar FV	2026	Hermosa 115	0.564	SATISFACE
SC_2023_5185_A2	Solar FV	2026	Hermosa 115	0.507	SATISFACE
SC_2023_5188_A1	Solar FV	2026	Hermosa 115	0.047	SATISFACE
SC_2023_5188_A2	Solar FV	2026	Hermosa 115	0.184	SATISFACE
SC_2023_5200_A1	Solar FV	2028	Hermosa 115	0.602	SATISFACE
SC_2023_5200_A2	Solar FV	2028	Hermosa 115	0.266	SATISFACE
SC_2023_5248_A1	Solar FV	2025	Hermosa 115	0.040	SATISFACE
SC_2023_5248_A2	Solar FV	2025	Hermosa 115	0.043	SATISFACE
SC_2023_5249_A1	Solar FV	2025	Hermosa 115	0.041	SATISFACE
SC_2023_5249_A2	Solar FV	2025	Hermosa 115	0.042	SATISFACE
SC_2023_5251_A1	Solar FV	2025	Hermosa 115	0.046	SATISFACE
SC_2023_5251_A2	Solar FV	2025	Hermosa 115	0.046	SATISFACE
SC_2023_5252_A1	Solar FV	2028	Hermosa 115	0.279	SATISFACE
SC_2023_5252_A2	Solar FV	2028	Hermosa 115	0.172	SATISFACE
SC_2023_5253_A1	Solar FV	2025	Hermosa 115	0.046	SATISFACE
SC_2023_5253_A2	Solar FV	2025	Hermosa 115	0.046	SATISFACE
SC_2023_5256_A2	Solar FV	2028	Hermosa 115	0.048	SATISFACE
SC_2023_5257_A1	Solar FV	2025	Hermosa 115	0.042	SATISFACE
SC_2023_5257_A2	Solar FV	2025	Hermosa 115	0.042	SATISFACE
SC_2023_5280_A1	Solar FV	2028	Hermosa 115	0.092	SATISFACE
SC_2023_5280_A2	Solar FV	2028	Hermosa 115	0.088	SATISFACE
SC_2023_5287_A1	Solar FV	2026	Hermosa 115	0.048	SATISFACE
SC_2023_5287_A2	Solar FV	2026	Hermosa 115	0.049	SATISFACE
SC_2023_5288_A1	Solar FV	2026	Hermosa 115	0.030	SATISFACE
SC_2023_5288_A2	Solar FV	2026	Hermosa 115	0.078	SATISFACE
SC_2023_5293_A1	Solar FV	2028	Hermosa 115	0.092	SATISFACE
SC_2023_5293_A2	Solar FV	2028	Hermosa 115	0.087	SATISFACE

SC_2023_5294_A1	Solar FV	2029	Hermosa 115	0.023	SATISFACE
SC_2023_5294_A2	Solar FV	2029	Hermosa 115	0.024	SATISFACE
SC_2023_5304_A1	Solar FV	2026	Hermosa 115	0.004	SATISFACE
SC_2023_5309_A1	Solar FV	2026	Hermosa 115	0.004	SATISFACE
SC_2023_5337_A2	Solar FV	2025	Hermosa 115	0.128	SATISFACE
SC_2023_5339_A1	PCH	2026	Hermosa 115	0.005	SATISFACE
SC_2023_5339_A2	PCH	2026	Hermosa 115	0.005	SATISFACE
SC_2023_5345_A1	Solar FV	2027	Hermosa 115	0.023	SATISFACE
SC_2023_5345_A2	Solar FV	2027	Hermosa 115	0.030	SATISFACE
SC_2023_5346_A1	Solar FV	2027	Hermosa 115	0.023	SATISFACE
SC_2023_5346_A2	Solar FV	2027	Hermosa 115	0.030	SATISFACE
SC_2023_5375_A1	Solar FV	2026	Hermosa 115	0.047	SATISFACE
SC_2023_5383_A1	Solar FV	2027	Hermosa 115	0.074	SATISFACE
SC_2023_5383_A2	Solar FV	2027	Hermosa 115	0.090	SATISFACE
SC_2023_5399_A1	Solar FV	2026	Hermosa 115	0.030	SATISFACE
SC_2023_5399_A2	Solar FV	2026	Hermosa 115	0.078	SATISFACE
SC_2023_5431_A1	Solar FV	2028	Hermosa 115	0.001	SATISFACE
SC_2023_5431_A2	Solar FV	2028	Hermosa 115	0.001	SATISFACE
SC_2023_5480_A1	Solar FV	2026	Hermosa 115	0.048	SATISFACE
SC_2023_5480_A2	Solar FV	2026	Hermosa 115	0.049	SATISFACE
SC_2023_5551_A1	Solar FV	2027	Hermosa 115	0.539	SATISFACE
SC_2023_5551_A2	Solar FV	2027	Hermosa 115	0.238	SATISFACE
SC_2023_5557_A1	Solar FV	2028	Hermosa 115	0.175	SATISFACE
SC_2023_5564_A1	Solar FV	2026	Hermosa 115	0.056	SATISFACE
SC_2023_5564_A2	Solar FV	2026	Hermosa 115	0.055	SATISFACE
SC_2023_5565_A1	Solar FV	2027	Hermosa 115	0.053	SATISFACE
SC_2023_5566_A1	Solar FV	2028	Hermosa 115	0.056	SATISFACE
SC_2023_5566_A2	Solar FV	2028	Hermosa 115	0.059	SATISFACE
SC_2023_5598_A1	Solar FV	2025	Hermosa 115	0.029	SATISFACE
SC_2023_5598_A2	Solar FV	2025	Hermosa 115	0.025	SATISFACE
SC_2024_5939_A1	Solar FV	2028	Hermosa 115	0.002	SATISFACE
SC_2024_5939_A2	Solar FV	2028	Hermosa 115	0.002	SATISFACE
SC_2344_A1	Eólico Onshore	2027	Hermosa 115	0.070	SATISFACE
SC_2344_A2	Eólico Onshore	2027	Hermosa 115	5.040	SATISFACE
SC_2436_A1	Solar FV	2028	Hermosa 115	0.080	SATISFACE
SC_2436_A2	Solar FV	2028	Hermosa 115	0.090	SATISFACE
SC_2438_A1	Solar FV	2028	Hermosa 115	0.000	SATISFACE
SC_2438_A2	Solar FV	2028	Hermosa 115	0.000	SATISFACE
SC_2527_A1	Solar FV	2028	Hermosa 115	0.140	SATISFACE
SC_2527_A2	Solar FV	2028	Hermosa 115	0.230	SATISFACE

SC_2545_A1	Solar FV	2026	Hermosa 115	0.050	SATISFACE
SC_2545_A2	Solar FV	2026	Hermosa 115	0.050	SATISFACE
SC_2562_A1	Solar FV	2026	Hermosa 115	0.010	SATISFACE
SC_2634_A1	Solar FV	2026	Hermosa 115	0.000	SATISFACE
SC_2634_A2	Solar FV	2026	Hermosa 115	0.000	SATISFACE
SC_2643_A1	Solar FV	2026	Hermosa 115	0.050	SATISFACE
SC_2643_A2	Solar FV	2026	Hermosa 115	0.050	SATISFACE
SC_2670_A1	Solar FV	2028	Hermosa 115	0.010	SATISFACE
SC_2670_A2	Solar FV	2028	Hermosa 115	0.070	SATISFACE
SC_2802_A1	Solar FV	2027	Hermosa 115	0.005	SATISFACE
SC_2802_A2	Solar FV	2027	Hermosa 115	0.004	SATISFACE
SC_2902_A1	Solar FV	2028	Hermosa 115	1.930	SATISFACE
SC_2902_A2	Solar FV	2028	Hermosa 115	0.200	SATISFACE
SC_2905_A2	Solar FV	2028	Hermosa 115	0.000	SATISFACE
SC_2924_A1	Solar FV	2026	Hermosa 115	0.451	SATISFACE
SC_2924_A2	Solar FV	2026	Hermosa 115	0.408	SATISFACE
SC_2936_A1	Solar FV	2026	Hermosa 115	0.000	SATISFACE
SC_2936_A2	Solar FV	2026	Hermosa 115	0.000	SATISFACE
SC_2962_A1	Solar FV	2028	Hermosa 115	0.080	SATISFACE
SC_2962_A2	Solar FV	2028	Hermosa 115	0.081	SATISFACE
SC_3101_A1	Solar FV	2027	Hermosa 115	0.005	SATISFACE
SC_3101_A2	Solar FV	2027	Hermosa 115	0.000	SATISFACE
SC_3121_A1	Solar FV	2026	Hermosa 115	0.006	SATISFACE
SC_3121_A2	Solar FV	2026	Hermosa 115	0.006	SATISFACE
SC_3132_A1	Solar FV	2026	Hermosa 115	0.103	SATISFACE
SC_3132_A2	Solar FV	2026	Hermosa 115	0.100	SATISFACE
SC_3238_A1	Solar FV	2027	Hermosa 115	0.572	SATISFACE
SC_3238_A2	Solar FV	2027	Hermosa 115	0.393	SATISFACE
SC_3247_A1	Solar FV	2027	Hermosa 115	0.193	SATISFACE
SC_3247_A2	Solar FV	2027	Hermosa 115	0.143	SATISFACE
SC_3248_A1	Solar FV	2027	Hermosa 115	0.572	SATISFACE
SC_3248_A2	Solar FV	2027	Hermosa 115	0.393	SATISFACE
SC_3353_A1	Solar FV	2027	Hermosa 115	0.149	SATISFACE
SC_3353_A2	Solar FV	2027	Hermosa 115	0.152	SATISFACE
SC_3382_A1	Solar FV	2027	Hermosa 115	0.026	SATISFACE
SC_3382_A2	Solar FV	2027	Hermosa 115	0.036	SATISFACE
SC_3392_A1	Solar FV	2027	Hermosa 115	0.095	SATISFACE
SC_3392_A2	Solar FV	2027	Hermosa 115	0.037	SATISFACE
SC_3441_A1	Solar FV	2027	Hermosa 115	0.193	SATISFACE
SC_3441_A2	Solar FV	2027	Hermosa 115	0.143	SATISFACE

SC_3453_A1	Solar FV	2027	Hermosa 115	0.014	SATISFACE
SC_3453_A2	Solar FV	2027	Hermosa 115	0.014	SATISFACE
SC_3514_A1	Solar FV	2027	Hermosa 115	0.014	SATISFACE
SC_3514_A2	Solar FV	2027	Hermosa 115	0.014	SATISFACE
SC_3578_A1	Solar FV	2028	Hermosa 115	0.002	SATISFACE
SC_3578_A2	Solar FV	2028	Hermosa 115	0.002	SATISFACE
SC_3667_A1	Solar FV	2029	Hermosa 115	0.024	SATISFACE
SC_3667_A2	Solar FV	2029	Hermosa 115	0.016	SATISFACE
SC_3846_A1	Solar FV	2028	Hermosa 115	0.019	SATISFACE
SC_3846_A2	Solar FV	2028	Hermosa 115	0.019	SATISFACE
SC_3882_A1	Solar FV	2026	Hermosa 115	0.173	SATISFACE
SC_4083_A1	Solar FV	2027	Hermosa 115	0.001	SATISFACE
SC_4083_A2	Solar FV	2027	Hermosa 115	0.001	SATISFACE
SC_4175_A1	Solar FV	2026	Hermosa 115	0.039	SATISFACE
SC_4175_A2	Solar FV	2026	Hermosa 115	0.040	SATISFACE
SC_4296_A1	Solar FV	2028	Hermosa 115	0.307	SATISFACE
SC_4296_A2	Solar FV	2028	Hermosa 115	0.365	SATISFACE
SC_4751_A1	Solar FV	2027	Hermosa 115	0.006	SATISFACE
SC_4760_A1	Solar FV	2026	Hermosa 115	0.165	SATISFACE
SC_4765_A1	Solar FV	2029	Hermosa 115	0.008	SATISFACE
SC_4765_A2	Solar FV	2029	Hermosa 115	0.006	SATISFACE
SC_4789_A1	Solar FV	2027	Hermosa 115	0.036	SATISFACE
SC_4789_A2	Solar FV	2027	Hermosa 115	0.036	SATISFACE
SC_4809_A1	Solar FV	2027	Hermosa 115	0.006	SATISFACE
SC_4809_A2	Solar FV	2027	Hermosa 115	0.223	SATISFACE
SC_4819_A1	Solar FV	2029	Hermosa 115	0.177	SATISFACE
SC_4819_A2	Solar FV	2029	Hermosa 115	0.170	SATISFACE
SC_4821_A1	Solar FV	2027	Hermosa 115	0.095	SATISFACE
SC_4821_A2	Solar FV	2027	Hermosa 115	0.037	SATISFACE
SC_4824_A1	Solar FV	2025	Hermosa 115	0.000	SATISFACE
SC_4824_A2	Solar FV	2025	Hermosa 115	0.000	SATISFACE
SC_4826_A1	Solar FV	2027	Hermosa 115	0.014	SATISFACE
SC_4826_A2	Solar FV	2027	Hermosa 115	0.014	SATISFACE
SC_4827_A1	Solar FV	2027	Hermosa 115	0.014	SATISFACE
SC_4827_A2	Solar FV	2027	Hermosa 115	0.014	SATISFACE
SC_4842_A1	Solar FV	2028	Hermosa 115	0.192	SATISFACE
SC_4910_A1	Solar FV	2026	Hermosa 115	0.025	SATISFACE
SC_4910_A2	Solar FV	2026	Hermosa 115	0.025	SATISFACE
SC_4926_A1	Solar FV	2027	Hermosa 115	0.006	SATISFACE
SC_4947_A1	Solar FV	2027	Hermosa 115	0.109	SATISFACE

SC_4960_A2	Solar FV	2029	Hermosa 115	0.085	SATISFACE
SC_4974_A1	Solar FV	2026	Hermosa 115	0.010	SATISFACE
SC_4974_A2	Solar FV	2026	Hermosa 115	0.010	SATISFACE
SC_4978_A1	Solar FV	2026	Hermosa 115	0.004	SATISFACE
SC_4978_A2	Solar FV	2026	Hermosa 115	0.009	SATISFACE
SC_5009_A1	Solar FV	2026	Hermosa 115	0.097	SATISFACE
SC_5009_A2	Solar FV	2026	Hermosa 115	0.038	SATISFACE
SC_5011_A1	Solar FV	2027	Hermosa 115	0.097	SATISFACE
SC_5011_A2	Solar FV	2027	Hermosa 115	0.038	SATISFACE
SC_5060_A1	Solar FV	2026	Hermosa 115	0.025	SATISFACE
SC_5060_A2	Solar FV	2026	Hermosa 115	0.025	SATISFACE
SC_5076_A1	Solar FV	2027	Hermosa 115	0.000	SATISFACE
SC_5076_A2	Solar FV	2027	Hermosa 115	0.000	SATISFACE
SC_5077_A1	Solar FV	2027	Hermosa 115	0.000	SATISFACE
SC_5077_A2	Solar FV	2027	Hermosa 115	0.000	SATISFACE
SC_5087_A2	Solar FV	2027	Hermosa 115	0.043	SATISFACE

Posterior a la ejecución del MACC se priorizaron las siguientes alternativas de conexión que tienen aportes de cortocircuito de la subestación en análisis:

Tabla 2-323. Alternativas de conexión priorizadas que aportan corriente de cortocircuito en la subestación Hermosa 115

index	tipo	periodoIni	Barra a la que aporta CC	Aporte de cortocircuito (kA)	Restricción
SC_2545_A1	Solar FV	2026	Hermosa 115	0.050	SATISFACE
SC_2643_A1	Solar FV	2026	Hermosa 115	0.050	SATISFACE
SC_5076_A2	Solar FV	2027	Hermosa 115	0.000	SATISFACE
SC_5077_A2	Solar FV	2027	Hermosa 115	0.000	SATISFACE

El estado de la capacidad de cortocircuito en la subestación Hermosa 115, teniendo en cuenta la priorización se puede observar en la siguiente figura.

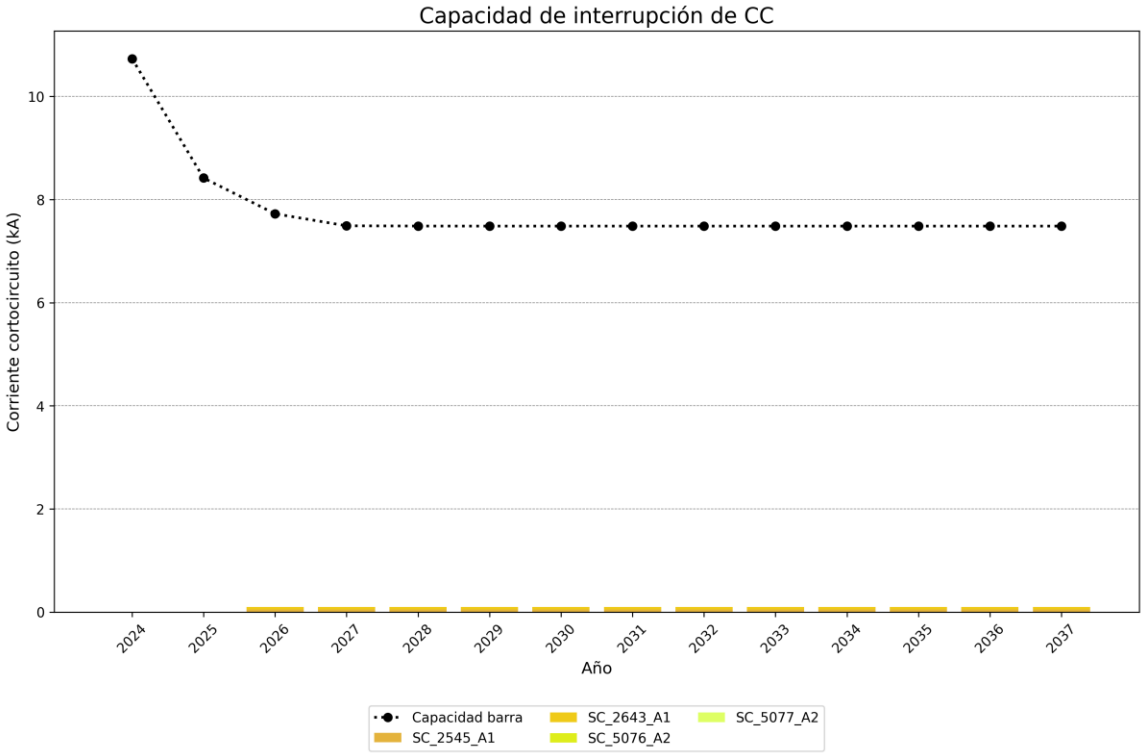


Figura 2-312. Balance de capacidad de cortocircuito después de la priorización para la subestación Hermosa 115

Subestación Hermosa 220:

Capacidad por barra:

Para la subestación Hermosa 220 se presentaron 0 alternativas de conexión las cuales se muestran en la siguiente tabla:

Tabla 2-324. Alternativas de conexión presentadas a la subestación Hermosa 220

Solicitud	Capacidad	Tipo	Barra	FPO solicitada	Restricción

No se priorizó ninguna de las alternativas de conexión presentadas en la subestación Hermosa 220

El estado de la capacidad por barra en la subestación Hermosa 220, teniendo en cuenta la priorización se puede observar en la siguiente figura.

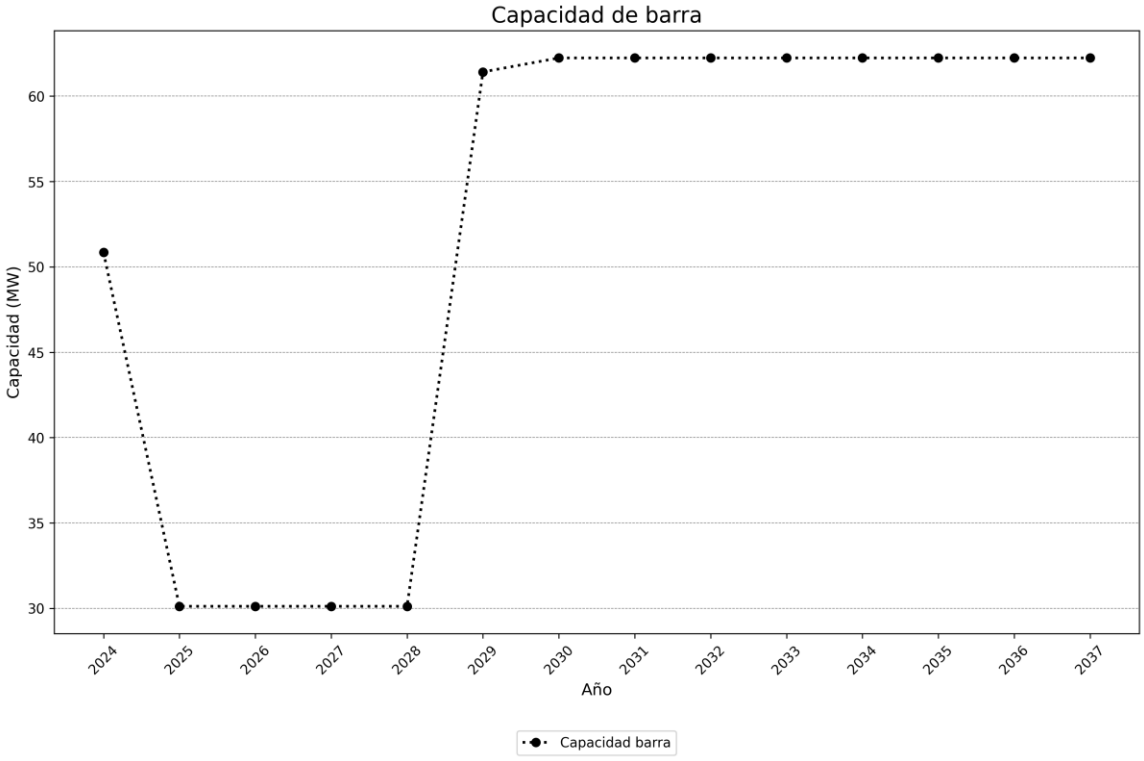


Figura 2-313. Balance de capacidad por barra después de la priorización para la subestación Hermosa 220

Capacidad excedente de interrupción de corriente de cortocircuito:

Para la subestación Hermosa 220 se presentaron 178 alternativas de conexión las cuales tienen aportes de corriente de cortocircuito. Estas alternativas se muestran en la siguiente tabla:

Tabla 2-325. Alternativas de conexión que aportan corriente de cortocircuito en la subestación Hermosa 220

Solicitud	tipo	FPO	Barra a la que aporta CC	Aporte de cortocircuito (kA)	Restricción
SC_2023_5136_A1	Solar FV	2026	Hermosa 220	0.019	SATISFACE
SC_2023_5136_A2	Solar FV	2026	Hermosa 220	0.019	SATISFACE
SC_2023_5144_A1	Solar FV	2028	Hermosa 220	0.268	SATISFACE
SC_2023_5144_A2	Solar FV	2028	Hermosa 220	0.105	SATISFACE
SC_2023_5150_A1	Solar FV	2028	Hermosa 220	0.151	SATISFACE
SC_2023_5152_A1	Solar FV	2025	Hermosa 220	0.009	SATISFACE
SC_2023_5152_A2	Solar FV	2025	Hermosa 220	0.008	SATISFACE
SC_2023_5158_A1	Solar FV	2028	Hermosa 220	0.152	SATISFACE
SC_2023_5171_A1	Solar FV	2025	Hermosa 220	0.007	SATISFACE
SC_2023_5171_A2	Solar FV	2025	Hermosa 220	0.009	SATISFACE
SC_2023_5185_A1	Solar FV	2026	Hermosa 220	0.370	SATISFACE
SC_2023_5185_A2	Solar FV	2026	Hermosa 220	0.430	SATISFACE
SC_2023_5188_A1	Solar FV	2026	Hermosa 220	0.035	SATISFACE
SC_2023_5188_A2	Solar FV	2026	Hermosa 220	0.115	SATISFACE
SC_2023_5200_A1	Solar FV	2028	Hermosa 220	0.483	SATISFACE
SC_2023_5200_A2	Solar FV	2028	Hermosa 220	0.207	SATISFACE
SC_2023_5248_A1	Solar FV	2025	Hermosa 220	0.011	SATISFACE
SC_2023_5248_A2	Solar FV	2025	Hermosa 220	0.011	SATISFACE
SC_2023_5249_A1	Solar FV	2025	Hermosa 220	0.011	SATISFACE
SC_2023_5249_A2	Solar FV	2025	Hermosa 220	0.011	SATISFACE
SC_2023_5251_A1	Solar FV	2025	Hermosa 220	0.019	SATISFACE
SC_2023_5251_A2	Solar FV	2025	Hermosa 220	0.019	SATISFACE
SC_2023_5252_A1	Solar FV	2028	Hermosa 220	0.589	SATISFACE
SC_2023_5252_A2	Solar FV	2028	Hermosa 220	0.115	SATISFACE
SC_2023_5253_A1	Solar FV	2025	Hermosa 220	0.019	SATISFACE
SC_2023_5253_A2	Solar FV	2025	Hermosa 220	0.019	SATISFACE
SC_2023_5256_A2	Solar FV	2028	Hermosa 220	0.036	SATISFACE
SC_2023_5257_A1	Solar FV	2025	Hermosa 220	0.011	SATISFACE
SC_2023_5257_A2	Solar FV	2025	Hermosa 220	0.011	SATISFACE
SC_2023_5280_A1	Solar FV	2028	Hermosa 220	0.072	SATISFACE
SC_2023_5280_A2	Solar FV	2028	Hermosa 220	0.068	SATISFACE
SC_2023_5287_A1	Solar FV	2026	Hermosa 220	0.037	SATISFACE
SC_2023_5287_A2	Solar FV	2026	Hermosa 220	0.038	SATISFACE
SC_2023_5288_A1	Solar FV	2026	Hermosa 220	0.023	SATISFACE
SC_2023_5288_A2	Solar FV	2026	Hermosa 220	0.059	SATISFACE
SC_2023_5293_A1	Solar FV	2028	Hermosa 220	0.078	SATISFACE
SC_2023_5293_A2	Solar FV	2028	Hermosa 220	0.072	SATISFACE

SC_2023_5294_A1	Solar FV	2029	Hermosa 220	0.018	SATISFACE
SC_2023_5294_A2	Solar FV	2029	Hermosa 220	0.019	SATISFACE
SC_2023_5304_A1	Solar FV	2026	Hermosa 220	0.003	SATISFACE
SC_2023_5309_A1	Solar FV	2026	Hermosa 220	0.003	SATISFACE
SC_2023_5337_A2	Solar FV	2025	Hermosa 220	0.104	SATISFACE
SC_2023_5339_A1	PCH	2026	Hermosa 220	0.007	SATISFACE
SC_2023_5339_A2	PCH	2026	Hermosa 220	0.007	SATISFACE
SC_2023_5345_A1	Solar FV	2027	Hermosa 220	0.012	SATISFACE
SC_2023_5345_A2	Solar FV	2027	Hermosa 220	0.016	SATISFACE
SC_2023_5346_A1	Solar FV	2027	Hermosa 220	0.012	SATISFACE
SC_2023_5346_A2	Solar FV	2027	Hermosa 220	0.016	SATISFACE
SC_2023_5375_A1	Solar FV	2026	Hermosa 220	0.037	SATISFACE
SC_2023_5383_A1	Solar FV	2027	Hermosa 220	0.056	SATISFACE
SC_2023_5383_A2	Solar FV	2027	Hermosa 220	0.068	SATISFACE
SC_2023_5399_A1	Solar FV	2026	Hermosa 220	0.023	SATISFACE
SC_2023_5399_A2	Solar FV	2026	Hermosa 220	0.059	SATISFACE
SC_2023_5431_A1	Solar FV	2028	Hermosa 220	0.001	SATISFACE
SC_2023_5431_A2	Solar FV	2028	Hermosa 220	0.001	SATISFACE
SC_2023_5480_A1	Solar FV	2026	Hermosa 220	0.037	SATISFACE
SC_2023_5480_A2	Solar FV	2026	Hermosa 220	0.038	SATISFACE
SC_2023_5551_A1	Solar FV	2027	Hermosa 220	0.436	SATISFACE
SC_2023_5551_A2	Solar FV	2027	Hermosa 220	0.187	SATISFACE
SC_2023_5557_A1	Solar FV	2028	Hermosa 220	0.143	SATISFACE
SC_2023_5564_A1	Solar FV	2026	Hermosa 220	0.019	SATISFACE
SC_2023_5564_A2	Solar FV	2026	Hermosa 220	0.019	SATISFACE
SC_2023_5565_A1	Solar FV	2027	Hermosa 220	0.019	SATISFACE
SC_2023_5566_A1	Solar FV	2028	Hermosa 220	0.019	SATISFACE
SC_2023_5566_A2	Solar FV	2028	Hermosa 220	0.020	SATISFACE
SC_2023_5598_A1	Solar FV	2025	Hermosa 220	0.009	SATISFACE
SC_2023_5598_A2	Solar FV	2025	Hermosa 220	0.008	SATISFACE
SC_2024_5939_A1	Solar FV	2028	Hermosa 220	0.002	SATISFACE
SC_2024_5939_A2	Solar FV	2028	Hermosa 220	0.002	SATISFACE
SC_2436_A1	Solar FV	2028	Hermosa 220	0.050	SATISFACE
SC_2436_A2	Solar FV	2028	Hermosa 220	0.050	SATISFACE
SC_2438_A1	Solar FV	2028	Hermosa 220	0.000	SATISFACE
SC_2438_A2	Solar FV	2028	Hermosa 220	0.005	SATISFACE
SC_2527_A1	Solar FV	2028	Hermosa 220	0.130	SATISFACE
SC_2527_A2	Solar FV	2028	Hermosa 220	0.130	SATISFACE
SC_2545_A1	Solar FV	2026	Hermosa 220	0.020	SATISFACE
SC_2545_A2	Solar FV	2026	Hermosa 220	0.020	SATISFACE

SC_2562_A1	Solar FV	2026	Hermosa 220	0.010	SATISFACE
SC_2634_A1	Solar FV	2026	Hermosa 220	0.000	SATISFACE
SC_2634_A2	Solar FV	2026	Hermosa 220	0.000	SATISFACE
SC_2643_A1	Solar FV	2026	Hermosa 220	0.020	SATISFACE
SC_2643_A2	Solar FV	2026	Hermosa 220	0.020	SATISFACE
SC_2670_A1	Solar FV	2028	Hermosa 220	0.020	SATISFACE
SC_2670_A2	Solar FV	2028	Hermosa 220	0.140	SATISFACE
SC_2802_A1	Solar FV	2027	Hermosa 220	0.009	SATISFACE
SC_2802_A2	Solar FV	2027	Hermosa 220	0.007	SATISFACE
SC_2902_A1	Solar FV	2028	Hermosa 220	0.180	SATISFACE
SC_2902_A2	Solar FV	2028	Hermosa 220	1.160	SATISFACE
SC_2905_A2	Solar FV	2028	Hermosa 220	0.000	SATISFACE
SC_2924_A1	Solar FV	2026	Hermosa 220	0.296	SATISFACE
SC_2924_A2	Solar FV	2026	Hermosa 220	0.354	SATISFACE
SC_2936_A1	Solar FV	2026	Hermosa 220	0.000	SATISFACE
SC_2936_A2	Solar FV	2026	Hermosa 220	0.000	SATISFACE
SC_2962_A1	Solar FV	2028	Hermosa 220	0.058	SATISFACE
SC_2962_A2	Solar FV	2028	Hermosa 220	0.061	SATISFACE
SC_3012_A1	Solar FV	2027	Hermosa 220	0.020	SATISFACE
SC_3012_A2	Solar FV	2027	Hermosa 220	0.000	SATISFACE
SC_3101_A1	Solar FV	2027	Hermosa 220	0.012	SATISFACE
SC_3101_A2	Solar FV	2027	Hermosa 220	0.005	SATISFACE
SC_3121_A1	Solar FV	2026	Hermosa 220	0.005	SATISFACE
SC_3121_A2	Solar FV	2026	Hermosa 220	0.005	SATISFACE
SC_3132_A1	Solar FV	2026	Hermosa 220	0.080	SATISFACE
SC_3132_A2	Solar FV	2026	Hermosa 220	0.074	SATISFACE
SC_3133_A1	Solar FV	2028	Hermosa 220	0.294	SATISFACE
SC_3133_A2	Solar FV	2028	Hermosa 220	0.173	SATISFACE
SC_3238_A1	Solar FV	2027	Hermosa 220	0.423	SATISFACE
SC_3238_A2	Solar FV	2027	Hermosa 220	0.270	SATISFACE
SC_3247_A1	Solar FV	2027	Hermosa 220	0.151	SATISFACE
SC_3247_A2	Solar FV	2027	Hermosa 220	0.111	SATISFACE
SC_3248_A1	Solar FV	2027	Hermosa 220	0.423	SATISFACE
SC_3248_A2	Solar FV	2027	Hermosa 220	0.270	SATISFACE
SC_3251_A1	Hidráulica	2026	Hermosa 220	0.020	SATISFACE
SC_3251_A2	Hidráulica	2026	Hermosa 220	0.010	SATISFACE
SC_3353_A1	Solar FV	2027	Hermosa 220	0.063	SATISFACE
SC_3353_A2	Solar FV	2027	Hermosa 220	0.284	SATISFACE
SC_3382_A1	Solar FV	2027	Hermosa 220	0.020	SATISFACE
SC_3382_A2	Solar FV	2027	Hermosa 220	0.028	SATISFACE

SC_3392_A1	Solar FV	2027	Hermosa 220	0.075	SATISFACE
SC_3392_A2	Solar FV	2027	Hermosa 220	0.029	SATISFACE
SC_3433_A2	Solar FV	2027	Hermosa 220	0.000	SATISFACE
SC_3441_A1	Solar FV	2027	Hermosa 220	0.151	SATISFACE
SC_3441_A2	Solar FV	2027	Hermosa 220	0.111	SATISFACE
SC_3453_A1	Solar FV	2027	Hermosa 220	0.010	SATISFACE
SC_3453_A2	Solar FV	2027	Hermosa 220	0.010	SATISFACE
SC_3514_A1	Solar FV	2027	Hermosa 220	0.010	SATISFACE
SC_3514_A2	Solar FV	2027	Hermosa 220	0.010	SATISFACE
SC_3578_A1	Solar FV	2028	Hermosa 220	0.002	SATISFACE
SC_3578_A2	Solar FV	2028	Hermosa 220	0.003	SATISFACE
SC_3667_A1	Solar FV	2029	Hermosa 220	0.013	SATISFACE
SC_3667_A2	Solar FV	2029	Hermosa 220	0.008	SATISFACE
SC_3846_A1	Solar FV	2028	Hermosa 220	0.011	SATISFACE
SC_3846_A2	Solar FV	2028	Hermosa 220	0.011	SATISFACE
SC_3882_A1	Solar FV	2026	Hermosa 220	0.141	SATISFACE
SC_4083_A1	Solar FV	2027	Hermosa 220	0.001	SATISFACE
SC_4083_A2	Solar FV	2027	Hermosa 220	0.001	SATISFACE
SC_4175_A1	Solar FV	2026	Hermosa 220	0.016	SATISFACE
SC_4175_A2	Solar FV	2026	Hermosa 220	0.016	SATISFACE
SC_4296_A1	Solar FV	2028	Hermosa 220	0.275	SATISFACE
SC_4296_A2	Solar FV	2028	Hermosa 220	0.463	SATISFACE
SC_4751_A1	Solar FV	2027	Hermosa 220	0.010	SATISFACE
SC_4760_A1	Solar FV	2026	Hermosa 220	0.090	SATISFACE
SC_4765_A1	Solar FV	2029	Hermosa 220	0.013	SATISFACE
SC_4765_A2	Solar FV	2029	Hermosa 220	0.009	SATISFACE
SC_4789_A1	Solar FV	2027	Hermosa 220	0.015	SATISFACE
SC_4789_A2	Solar FV	2027	Hermosa 220	0.015	SATISFACE
SC_4809_A1	Solar FV	2027	Hermosa 220	0.014	SATISFACE
SC_4809_A2	Solar FV	2027	Hermosa 220	0.151	SATISFACE
SC_4819_A1	Solar FV	2029	Hermosa 220	0.141	SATISFACE
SC_4819_A2	Solar FV	2029	Hermosa 220	0.132	SATISFACE
SC_4821_A1	Solar FV	2027	Hermosa 220	0.075	SATISFACE
SC_4821_A2	Solar FV	2027	Hermosa 220	0.029	SATISFACE
SC_4824_A1	Solar FV	2025	Hermosa 220	0.000	SATISFACE
SC_4824_A2	Solar FV	2025	Hermosa 220	0.000	SATISFACE
SC_4826_A1	Solar FV	2027	Hermosa 220	0.011	SATISFACE
SC_4826_A2	Solar FV	2027	Hermosa 220	0.011	SATISFACE
SC_4827_A1	Solar FV	2027	Hermosa 220	0.011	SATISFACE
SC_4827_A2	Solar FV	2027	Hermosa 220	0.011	SATISFACE

SC_4842_A1	Solar FV	2028	Hermosa 220	0.151	SATISFACE
SC_4910_A1	Solar FV	2026	Hermosa 220	0.019	SATISFACE
SC_4910_A2	Solar FV	2026	Hermosa 220	0.019	SATISFACE
SC_4926_A1	Solar FV	2027	Hermosa 220	0.010	SATISFACE
SC_4947_A1	Solar FV	2027	Hermosa 220	0.101	SATISFACE
SC_4960_A2	Solar FV	2029	Hermosa 220	0.063	SATISFACE
SC_4974_A1	Solar FV	2026	Hermosa 220	0.008	SATISFACE
SC_4974_A2	Solar FV	2026	Hermosa 220	0.008	SATISFACE
SC_4978_A1	Solar FV	2026	Hermosa 220	0.004	SATISFACE
SC_4978_A2	Solar FV	2026	Hermosa 220	0.007	SATISFACE
SC_5009_A1	Solar FV	2026	Hermosa 220	0.075	SATISFACE
SC_5009_A2	Solar FV	2026	Hermosa 220	0.030	SATISFACE
SC_5011_A1	Solar FV	2027	Hermosa 220	0.075	SATISFACE
SC_5011_A2	Solar FV	2027	Hermosa 220	0.030	SATISFACE
SC_5060_A1	Solar FV	2026	Hermosa 220	0.019	SATISFACE
SC_5060_A2	Solar FV	2026	Hermosa 220	0.019	SATISFACE
SC_5076_A1	Solar FV	2027	Hermosa 220	0.000	SATISFACE
SC_5076_A2	Solar FV	2027	Hermosa 220	0.000	SATISFACE
SC_5077_A1	Solar FV	2027	Hermosa 220	0.000	SATISFACE
SC_5077_A2	Solar FV	2027	Hermosa 220	0.000	SATISFACE
SC_5087_A2	Solar FV	2027	Hermosa 220	0.033	SATISFACE

Posterior a la ejecución del MACC se priorizaron las siguientes alternativas de conexión que tienen aportes de cortocircuito de la subestación en análisis:

Tabla 2-326. Alternativas de conexión priorizadas que aportan corriente de cortocircuito en la subestación Hermosa 220

index	tipo	periodoIni	Barra a la que aporta CC	Aporte de cortocircuito (kA)	Restricción
SC_2545_A1	Solar FV	2026	Hermosa 220	0.020	SATISFACE
SC_2643_A1	Solar FV	2026	Hermosa 220	0.020	SATISFACE
SC_5076_A2	Solar FV	2027	Hermosa 220	0.000	SATISFACE
SC_5077_A2	Solar FV	2027	Hermosa 220	0.000	SATISFACE

El estado de la capacidad de cortocircuito en la subestación Hermosa 220, teniendo en cuenta la priorización se puede observar en la siguiente figura.

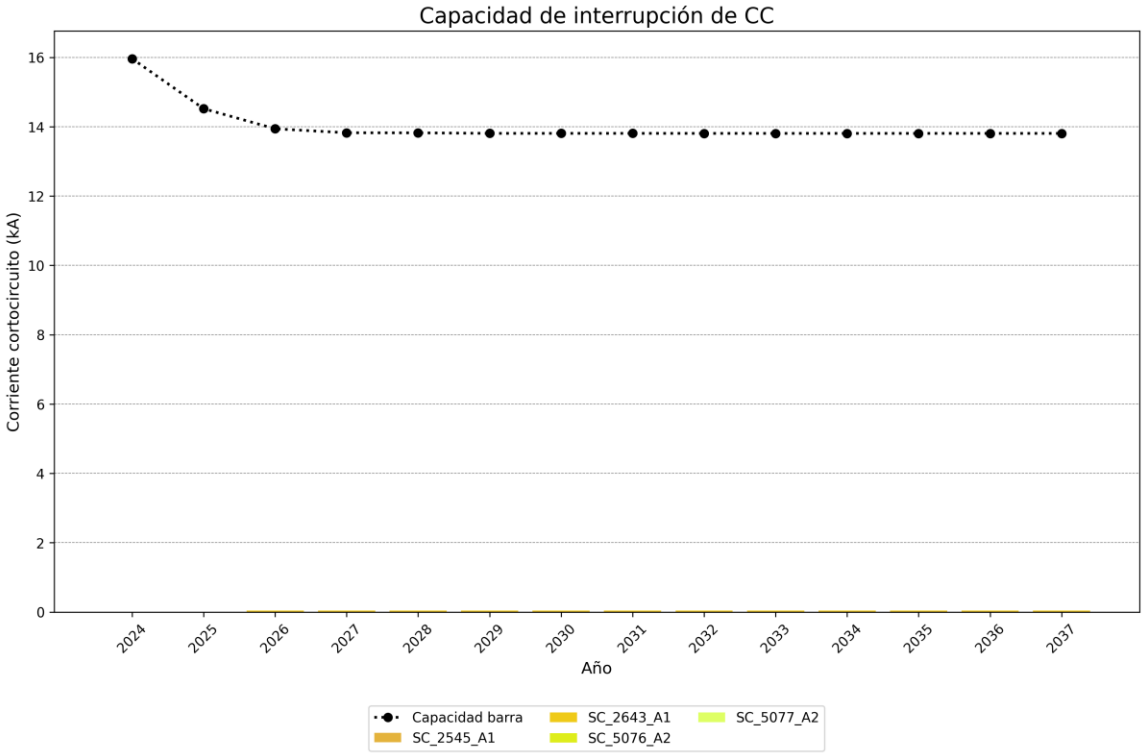


Figura 2-314. Balance de capacidad de cortocircuito después de la priorización para la subestación Hermosa 220

Subestación Hermosa 33:

Capacidad por barra:

Para la subestación Hermosa 33 se presentaron 0 alternativas de conexión las cuales se muestran en la siguiente tabla:

Tabla 2-327. Alternativas de conexión presentadas a la subestación Hermosa 33

Solicitud	Capacidad	Tipo	Barra	FPO solicitada	Restricción

No se priorizó ninguna de las alternativas de conexión presentadas en la subestación Hermosa 33

El estado de la capacidad por barra en la subestación Hermosa 33, teniendo en cuenta la priorización se puede observar en la siguiente figura.

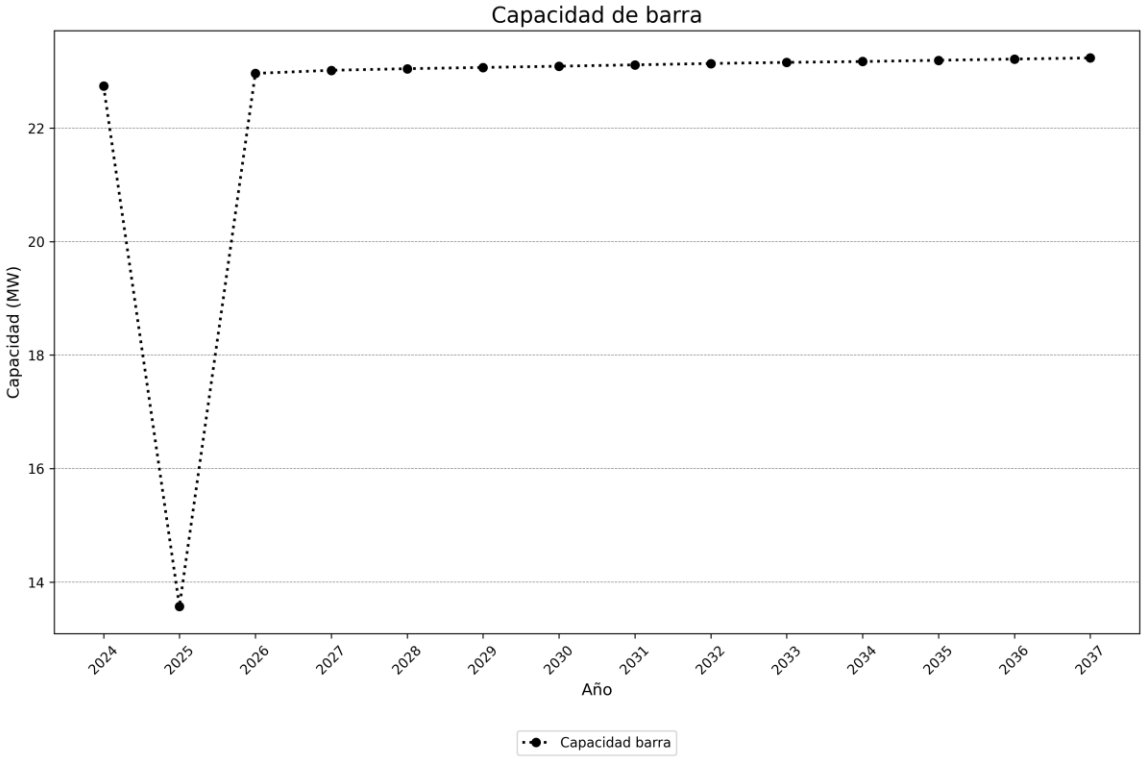


Figura 2-315. Balance de capacidad por barra después de la priorización para la subestación Hermosa 33

Subestación Hispania 110:

Capacidad por barra:

Para la subestación Hispania 110 se presentaron 0 alternativas de conexión las cuales se muestran en la siguiente tabla:

Tabla 2-328. Alternativas de conexión presentadas a la subestación Hispania 110

Solicitud	Capacidad	Tipo	Barra	FPO solicitada	Restricción

No se priorizó ninguna de las alternativas de conexión presentadas en la subestación Hispania 110

El estado de la capacidad por barra en la subestación Hispania 110, teniendo en cuenta la priorización se puede observar en la siguiente figura.

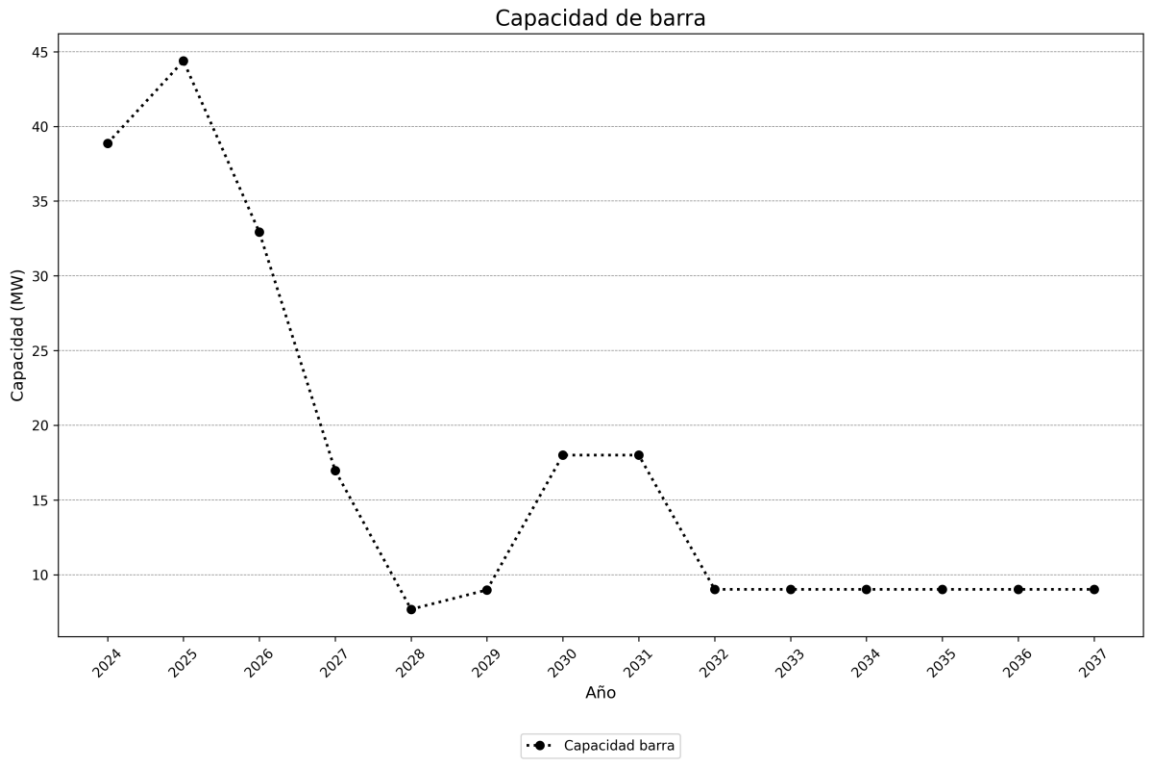


Figura 2-316. Balance de capacidad por barra después de la priorización para la subestación Hispania 110

Capacidad excedente de interrupción de corriente de cortocircuito:

Para la subestación Hispania 110 se presentaron 1 alternativas de conexión las cuales tienen aportes de corriente de cortocircuito. Estas alternativas se muestran en la siguiente tabla:

Tabla 2-329. Alternativas de conexión que aportan corriente de cortocircuito en la subestación Hispania 110

Solicitud	tipo	FPO	Barra a la que aporta CC	Aporte de cortocircuito (kA)	Restricción
SC_3331_A1	Solar FV	2026	Hispania 110	0.034	SATISFACE

No se priorizó ninguna de las alternativas de conexión que tengan aportes de corriente de cortocircuito en la subestación Hispania 110

El estado de la capacidad de cortocircuito en la subestación Hispania 110, teniendo en cuenta la priorización se puede observar en la siguiente figura.

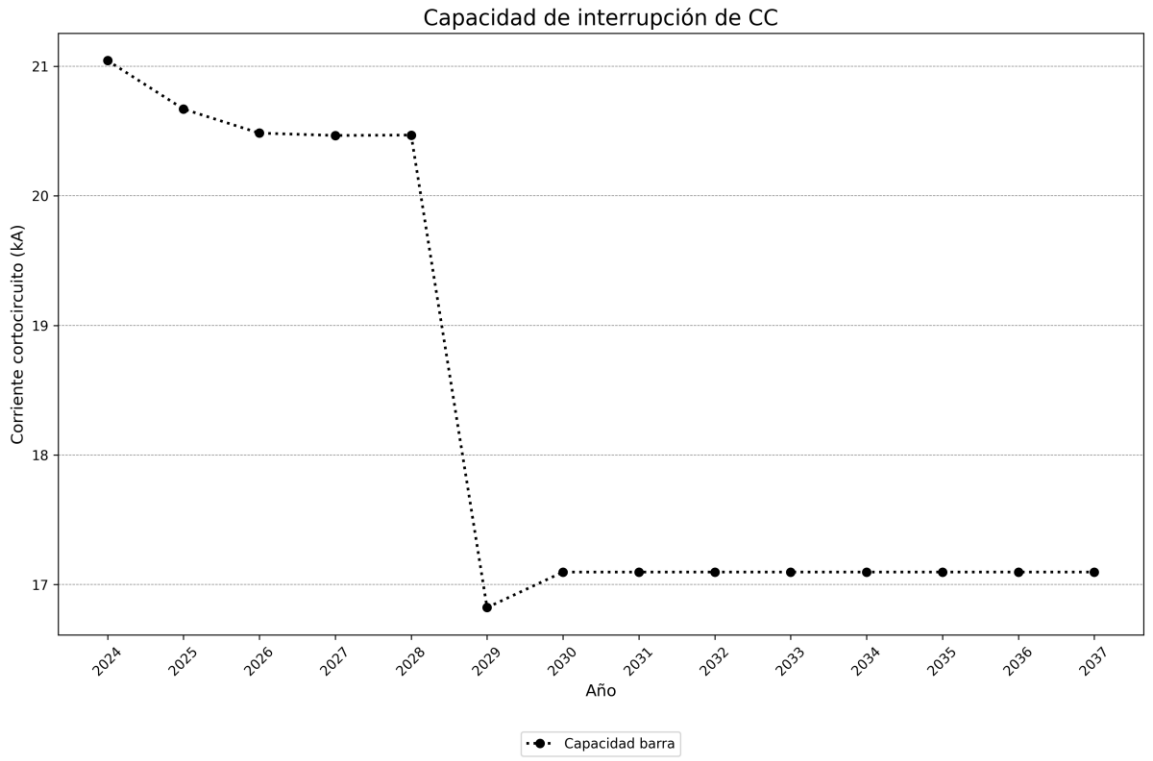


Figura 2-317. Balance de capacidad de cortocircuito después de la priorización para la subestación Hispania 110

Subestación Hobo 115:

Capacidad por barra:

Para la subestación Hobo 115 se presentaron 0 alternativas de conexión las cuales se muestran en la siguiente tabla:

Tabla 2-330. Alternativas de conexión presentadas a la subestación Hobo 115

Solicitud	Capacidad	Tipo	Barra	FPO solicitada	Restricción

No se priorizó ninguna de las alternativas de conexión presentadas en la subestación Hobo 115

El estado de la capacidad por barra en la subestación Hobo 115, teniendo en cuenta la priorización se puede observar en la siguiente figura.

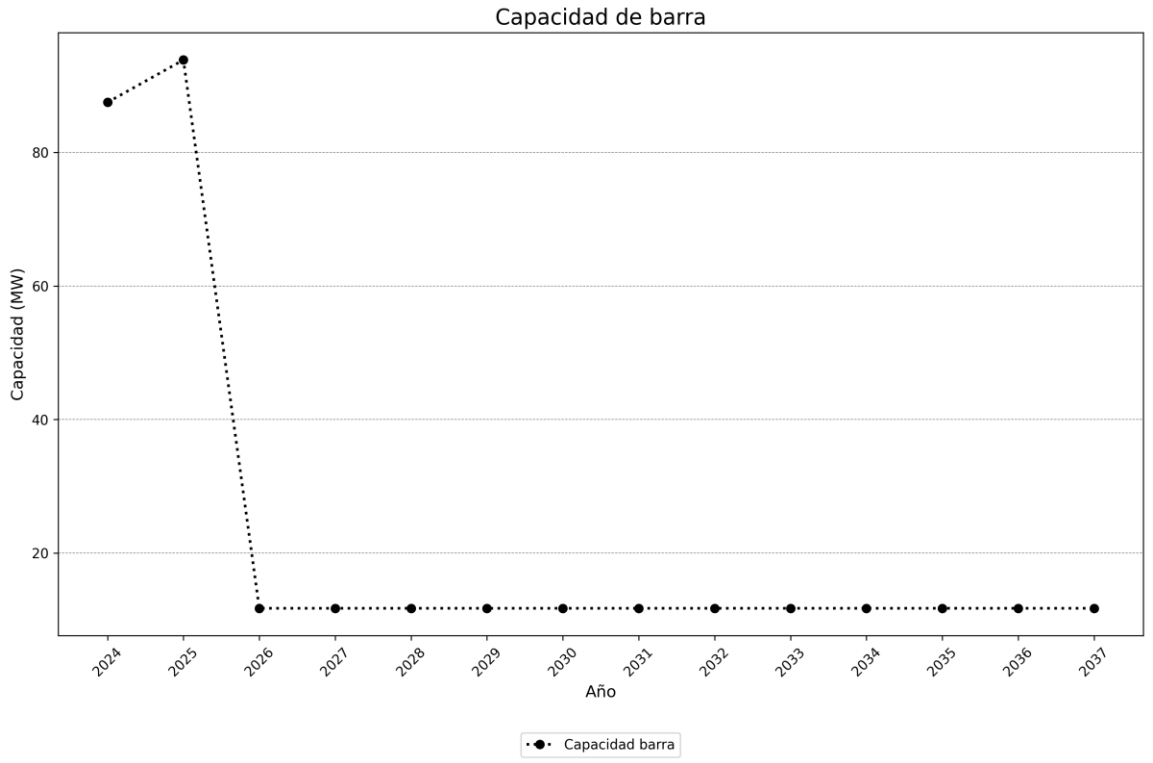


Figura 2-318. Balance de capacidad por barra después de la priorización para la subestación Hobo 115

Capacidad excedente de interrupción de corriente de cortocircuito:

Para la subestación Hobo 115 se presentaron 29 alternativas de conexión las cuales tienen aportes de corriente de cortocircuito. Estas alternativas se muestran en la siguiente tabla:

Tabla 2-331. Alternativas de conexión que aportan corriente de cortocircuito en la subestación Hobo 115

Solicitud	tipo	FPO	Barra a la que aporta CC	Aporte de cortocircuito (kA)	Restricción
SC_2023_5280_A1	Solar FV	2028	Hobo 115	0.010	SATISFACE
SC_2023_5280_A2	Solar FV	2028	Hobo 115	0.009	SATISFACE
SC_2023_5287_A1	Solar FV	2026	Hobo 115	0.004	SATISFACE
SC_2023_5287_A2	Solar FV	2026	Hobo 115	0.004	SATISFACE
SC_2023_5288_A1	Solar FV	2026	Hobo 115	0.002	SATISFACE
SC_2023_5288_A2	Solar FV	2026	Hobo 115	0.007	SATISFACE
SC_2023_5375_A1	Solar FV	2026	Hobo 115	0.004	SATISFACE
SC_2023_5399_A1	Solar FV	2026	Hobo 115	0.002	SATISFACE
SC_2023_5399_A2	Solar FV	2026	Hobo 115	0.007	SATISFACE
SC_2023_5480_A1	Solar FV	2026	Hobo 115	0.004	SATISFACE
SC_2023_5480_A2	Solar FV	2026	Hobo 115	0.004	SATISFACE
SC_2023_5557_A1	Solar FV	2028	Hobo 115	0.018	SATISFACE
SC_2936_A1	Solar FV	2026	Hobo 115	0.000	SATISFACE
SC_2936_A2	Solar FV	2026	Hobo 115	0.000	SATISFACE
SC_3121_A1	Solar FV	2026	Hobo 115	0.001	SATISFACE
SC_3121_A2	Solar FV	2026	Hobo 115	0.001	SATISFACE
SC_3132_A1	Solar FV	2026	Hobo 115	0.010	SATISFACE
SC_3132_A2	Solar FV	2026	Hobo 115	0.009	SATISFACE
SC_3882_A1	Solar FV	2026	Hobo 115	0.017	SATISFACE
SC_4083_A1	Solar FV	2027	Hobo 115	0.000	SATISFACE
SC_4083_A2	Solar FV	2027	Hobo 115	0.000	SATISFACE
SC_4765_A1	Solar FV	2029	Hobo 115	0.000	SATISFACE
SC_4765_A2	Solar FV	2029	Hobo 115	0.000	SATISFACE
SC_4819_A1	Solar FV	2029	Hobo 115	0.021	SATISFACE

SC_4819_A2	Solar FV	2029	Hobo 115	0.019	SATISFACE
SC_4974_A1	Solar FV	2026	Hobo 115	0.001	SATISFACE
SC_4974_A2	Solar FV	2026	Hobo 115	0.001	SATISFACE
SC_4978_A1	Solar FV	2026	Hobo 115	0.000	SATISFACE
SC_4978_A2	Solar FV	2026	Hobo 115	0.005	SATISFACE

No se priorizó ninguna de las alternativas de conexión que tengan aportes de corriente de cortocircuito en la subestación Hobo 115

El estado de la capacidad de cortocircuito en la subestación Hobo 115, teniendo en cuenta la priorización se puede observar en la siguiente figura.

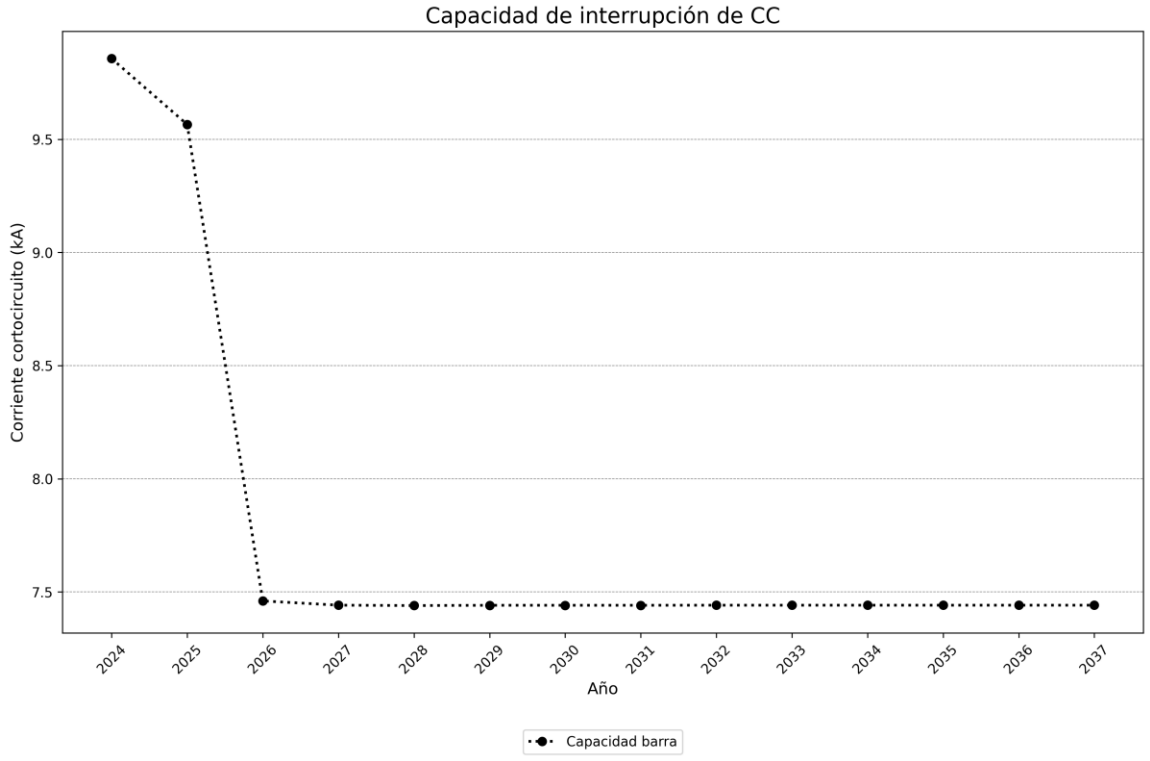


Figura 2-319. Balance de capacidad de cortocircuito después de la priorización para la subestación Hobo 115

Subestación HondaGuali_13.2:

Capacidad por barra:

Para la subestación HondaGuali_13.2 se presentaron 2 alternativas de conexión las cuales se muestran en la siguiente tabla:

Tabla 2-332. Alternativas de conexión presentadas a la subestación HondaGuali_13.2

Solicitud	Capacidad	Tipo	Barra	FPO solicitada	Restricción
SC_2722_A2	9.9	Solar FV	HondaGuali_13.2	2026	NO SATISFACE
SC_5060_A2	9.9	Solar FV	HondaGuali_13.2	2026	NO SATISFACE

No se priorizó ninguna de las alternativas de conexión presentadas en la subestación HondaGuali_13.2

El estado de la capacidad por barra en la subestación HondaGuali_13.2, teniendo en cuenta la priorización se puede observar en la siguiente figura.

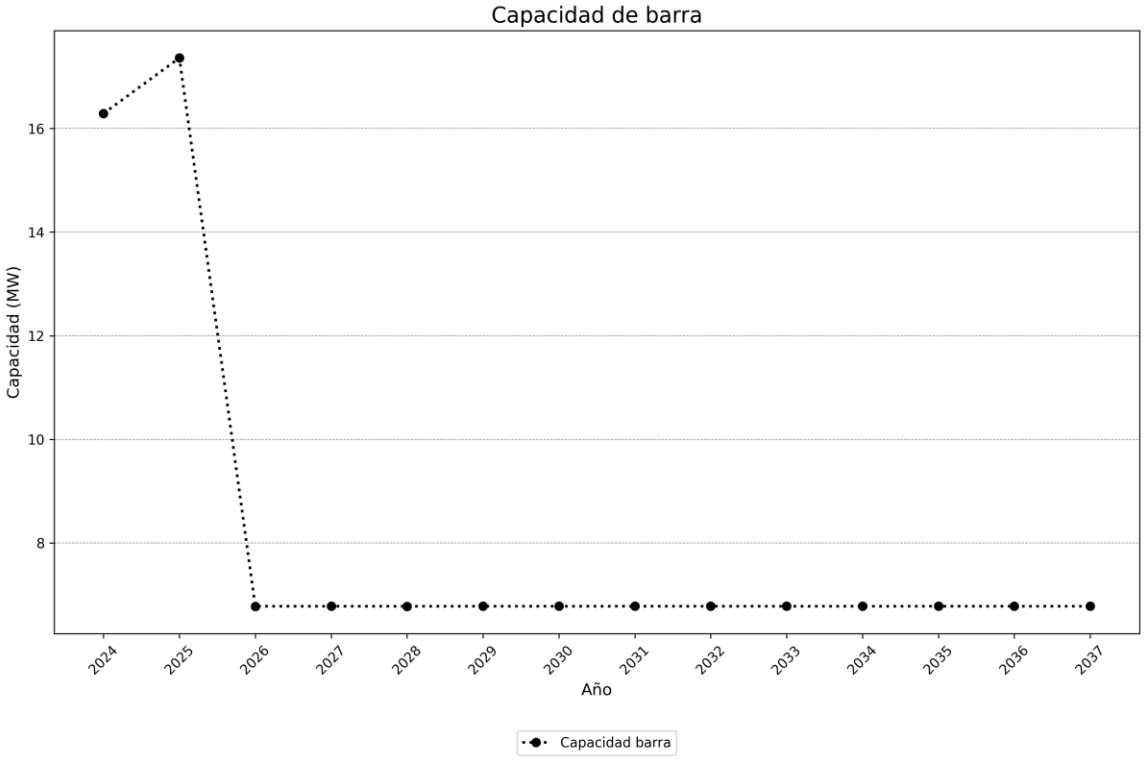


Figura 2-320. Balance de capacidad por barra después de la priorización para la subestación HondaGuali_13.2

Subestación HondaGuali_34.5:

Capacidad por barra:

Para la subestación HondaGuali_34.5 se presentaron 3 alternativas de conexión las cuales se muestran en la siguiente tabla:

Tabla 2-333. Alternativas de conexión presentadas a la subestación HondaGuali_34.5

Solicitud	Capacidad	Tipo	Barra	FPO solicitada	Restricción
SC_2722_A1	9.9	Solar FV	HondaGuali_34.5	2026	NO SATISFACE
SC_4978_A2	9.9	Solar FV	HondaGuali_34.5	2026	NO SATISFACE
SC_5060_A1	9.9	Solar FV	HondaGuali_34.5	2026	NO SATISFACE

No se priorizó ninguna de las alternativas de conexión presentadas en la subestación HondaGuali_34.5

El estado de la capacidad por barra en la subestación HondaGuali_34.5, teniendo en cuenta la priorización se puede observar en la siguiente figura.

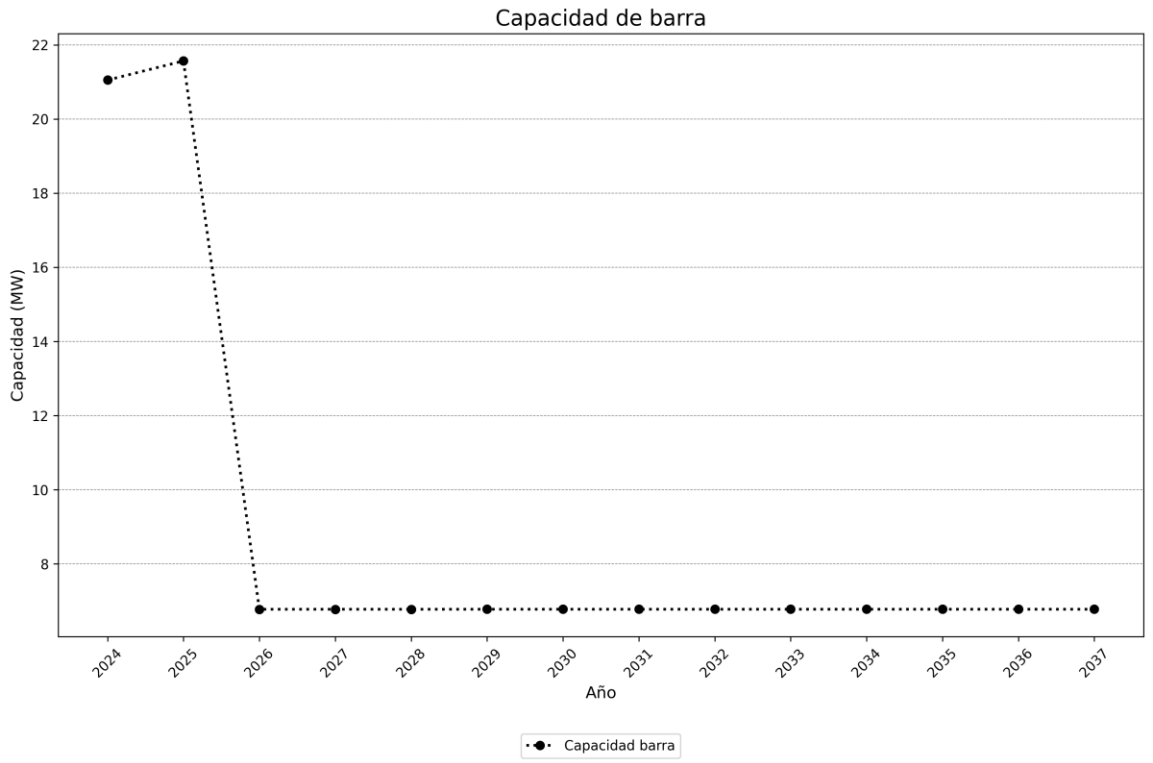


Figura 2-321. Balance de capacidad por barra después de la priorización para la subestación HondaGuali_34.5

Subestación Horizonte 110:

Capacidad por barra:

Para la subestación Horizonte 110 se presentaron 0 alternativas de conexión las cuales se muestran en la siguiente tabla:

Tabla 2-334. Alternativas de conexión presentadas a la subestación Horizonte 110

Solicitud	Capacidad	Tipo	Barra	FPO solicitada	Restricción

No se priorizó ninguna de las alternativas de conexión presentadas en la subestación Horizonte 110

El estado de la capacidad por barra en la subestación Horizonte 110, teniendo en cuenta la priorización se puede observar en la siguiente figura.

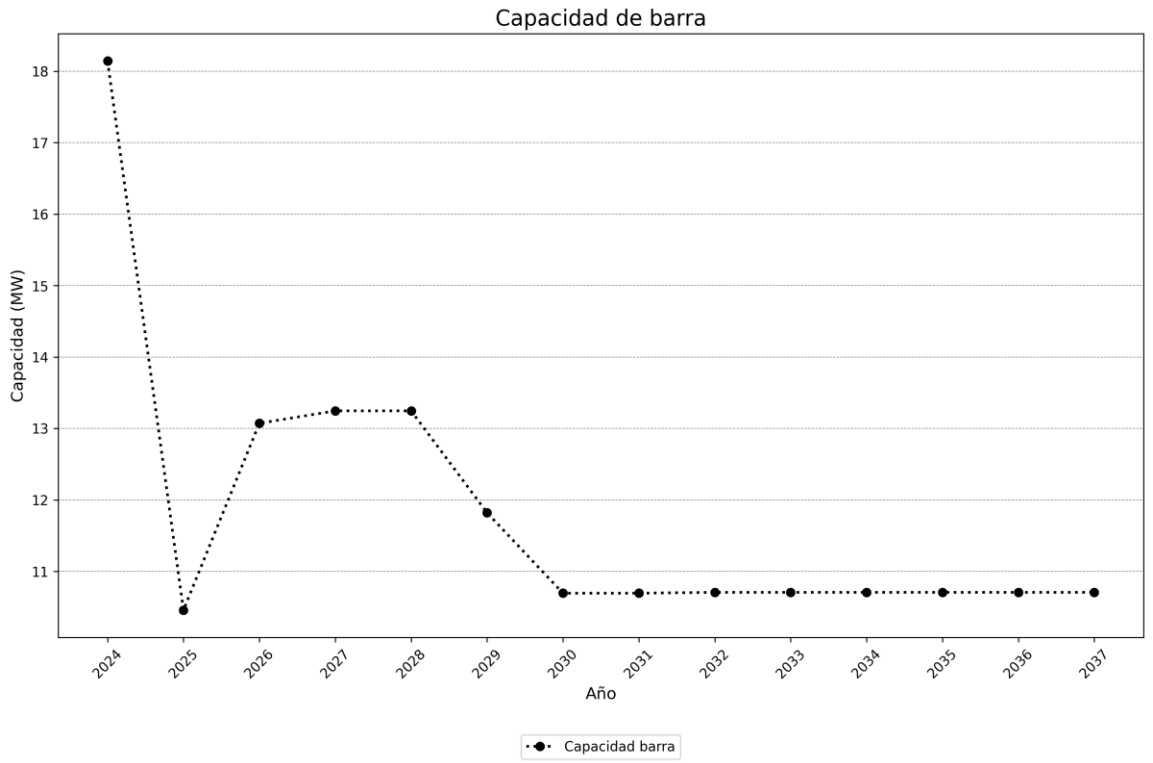


Figura 2-322. Balance de capacidad por barra después de la priorización para la subestación Horizonte 110

Capacidad excedente de interrupción de corriente de cortocircuito:

Para la subestación Horizonte 110 se presentaron 1 alternativas de conexión las cuales tienen aportes de corriente de cortocircuito. Estas alternativas se muestran en la siguiente tabla:

Tabla 2-335. Alternativas de conexión que aportan corriente de cortocircuito en la subestación Horizonte 110

Solicitud	tipo	FPO	Barra a la que aporta CC	Aporte de cortocircuito (kA)	Restricción
SC_3331_A1	Solar FV	2026	Horizonte 110	0.070	SATISFACE

No se priorizó ninguna de las alternativas de conexión que tengan aportes de corriente de cortocircuito en la subestación Horizonte 110

El estado de la capacidad de cortocircuito en la subestación Horizonte 110, teniendo en cuenta la priorización se puede observar en la siguiente figura.

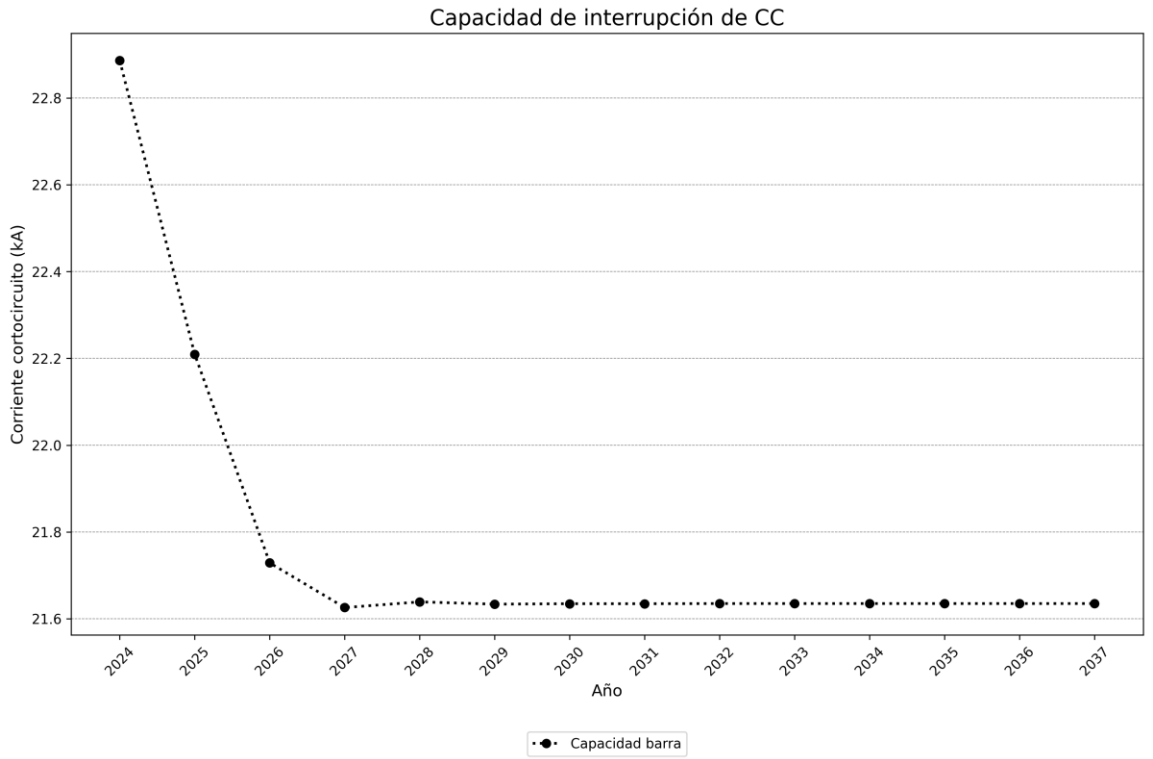


Figura 2-323. Balance de capacidad de cortocircuito después de la priorización para la subestación Horizonte 110

Subestación Huila 115:

Capacidad por barra:

Para la subestación Huila 115 se presentaron 0 alternativas de conexión las cuales se muestran en la siguiente tabla:

Tabla 2-336. Alternativas de conexión presentadas a la subestación Huila 115

Solicitud	Capacidad	Tipo	Barra	FPO solicitada	Restricción

No se priorizó ninguna de las alternativas de conexión presentadas en la subestación Huila 115

El estado de la capacidad por barra en la subestación Huila 115, teniendo en cuenta la priorización se puede observar en la siguiente figura.

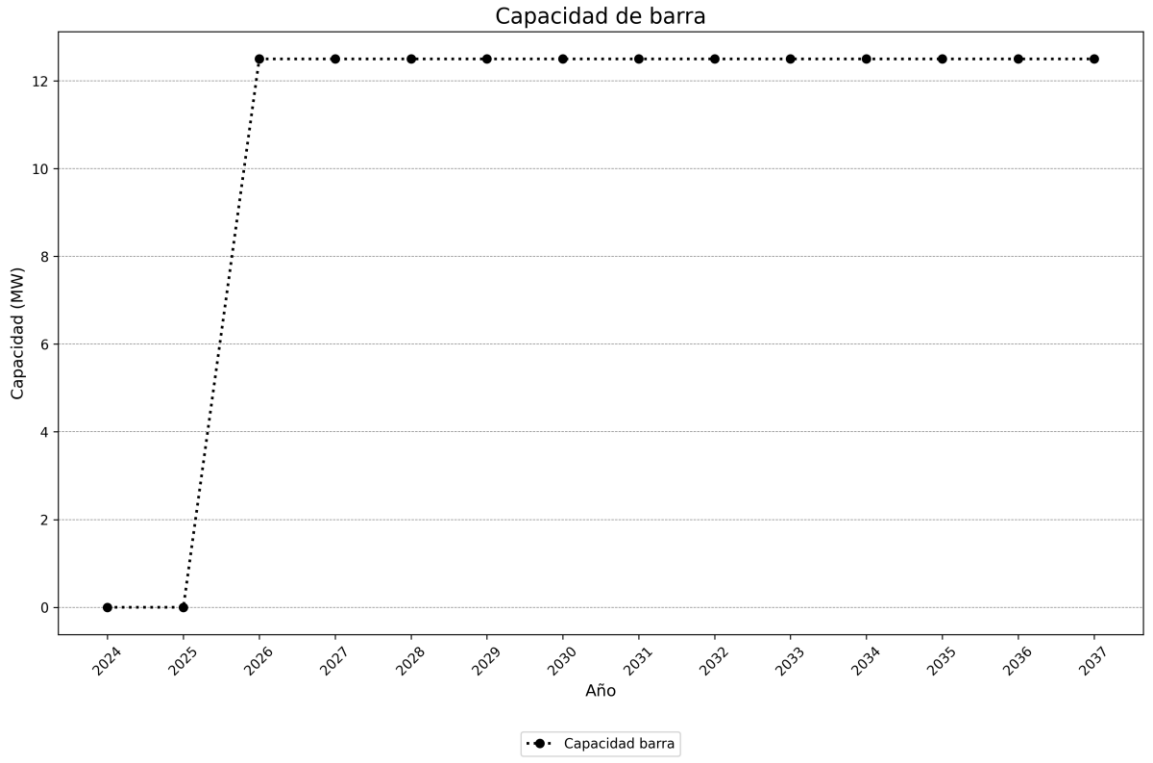


Figura 2-324. Balance de capacidad por barra después de la priorización para la subestación Huila 115

Capacidad excedente de interrupción de corriente de cortocircuito:

Para la subestación Huila 115 se presentaron 25 alternativas de conexión las cuales tienen aportes de corriente de cortocircuito. Estas alternativas se muestran en la siguiente tabla:

Tabla 2-337. Alternativas de conexión que aportan corriente de cortocircuito en la subestación Huila 115

Solicitud	tipo	FPO	Barra a la que aporta CC	Aporte de cortocircuito (kA)	Restricción
SC_2023_5280_A1	Solar FV	2028	Huila 115	0.024	SATISFACE
SC_2023_5280_A2	Solar FV	2028	Huila 115	0.022	SATISFACE
SC_2023_5287_A1	Solar FV	2026	Huila 115	0.012	SATISFACE
SC_2023_5287_A2	Solar FV	2026	Huila 115	0.012	SATISFACE
SC_2023_5288_A1	Solar FV	2026	Huila 115	0.007	SATISFACE
SC_2023_5288_A2	Solar FV	2026	Huila 115	0.018	SATISFACE
SC_2023_5375_A1	Solar FV	2026	Huila 115	0.011	SATISFACE
SC_2023_5399_A1	Solar FV	2026	Huila 115	0.007	SATISFACE
SC_2023_5399_A2	Solar FV	2026	Huila 115	0.018	SATISFACE
SC_2023_5480_A1	Solar FV	2026	Huila 115	0.012	SATISFACE
SC_2023_5480_A2	Solar FV	2026	Huila 115	0.012	SATISFACE
SC_2023_5557_A1	Solar FV	2028	Huila 115	0.046	SATISFACE
SC_2936_A1	Solar FV	2026	Huila 115	0.000	SATISFACE
SC_2936_A2	Solar FV	2026	Huila 115	0.000	SATISFACE
SC_3121_A1	Solar FV	2026	Huila 115	0.001	SATISFACE
SC_3121_A2	Solar FV	2026	Huila 115	0.001	SATISFACE
SC_3132_A1	Solar FV	2026	Huila 115	0.027	SATISFACE
SC_3132_A2	Solar FV	2026	Huila 115	0.023	SATISFACE
SC_3882_A1	Solar FV	2026	Huila 115	0.044	SATISFACE
SC_4083_A1	Solar FV	2027	Huila 115	0.000	SATISFACE
SC_4083_A2	Solar FV	2027	Huila 115	0.000	SATISFACE
SC_4765_A1	Solar FV	2029	Huila 115	0.000	SATISFACE
SC_4765_A2	Solar FV	2029	Huila 115	0.000	SATISFACE
SC_4819_A1	Solar FV	2029	Huila 115	0.049	SATISFACE

SC_4819_A2	Solar FV	2029	Huila 115	0.044	SATISFACE

No se priorizó ninguna de las alternativas de conexión que tengan aportes de corriente de cortocircuito en la subestación Huila 115

El estado de la capacidad de cortocircuito en la subestación Huila 115, teniendo en cuenta la priorización se puede observar en la siguiente figura.

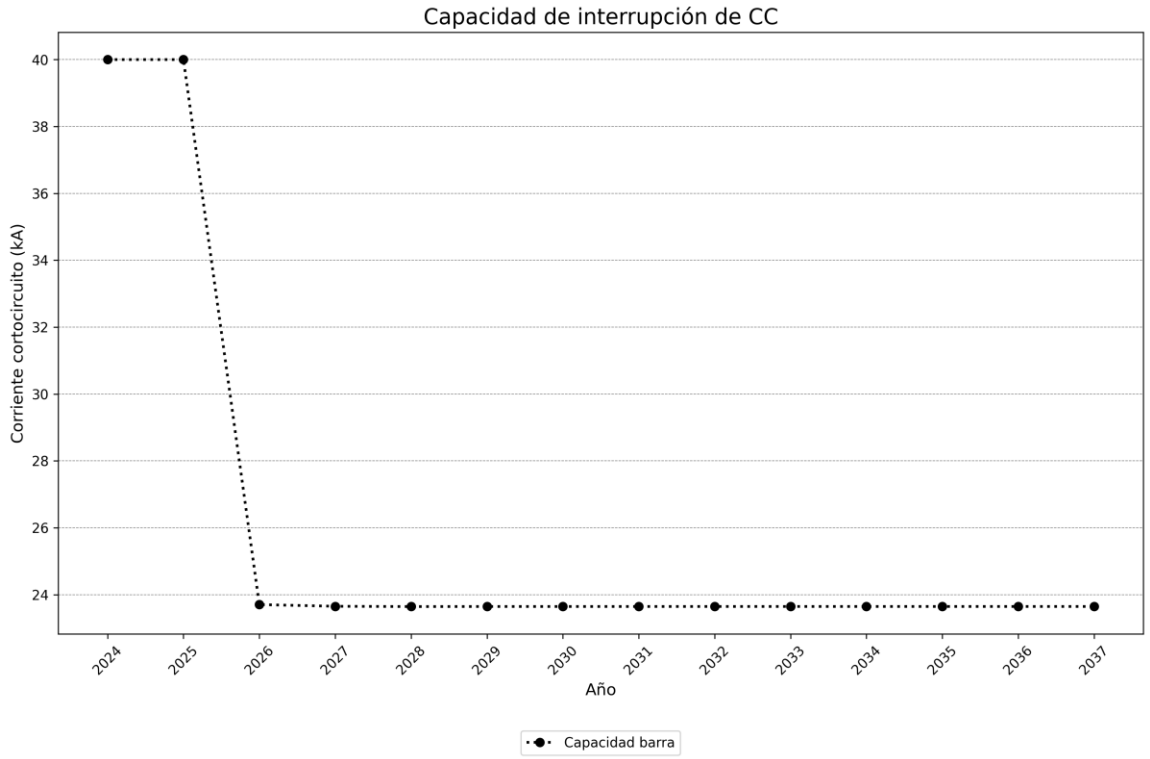


Figura 2-325. Balance de capacidad de cortocircuito después de la priorización para la subestación Huila 115

Subestación Huila 230:

Capacidad por barra:

Para la subestación Huila 230 se presentaron 0 alternativas de conexión las cuales se muestran en la siguiente tabla:

Tabla 2-338. Alternativas de conexión presentadas a la subestación Huila 230

Solicitud	Capacidad	Tipo	Barra	FPO solicitada	Restricción

No se priorizó ninguna de las alternativas de conexión presentadas en la subestación Huila 230

El estado de la capacidad por barra en la subestación Huila 230, teniendo en cuenta la priorización se puede observar en la siguiente figura.

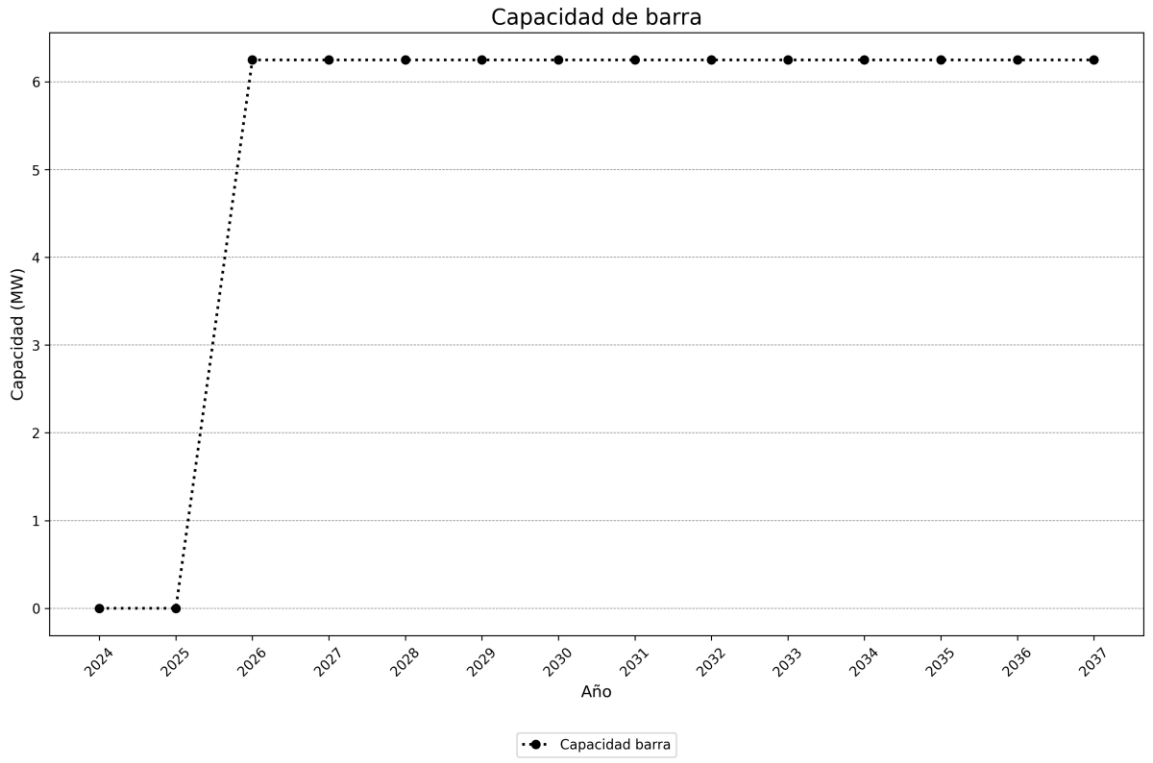


Figura 2-326. Balance de capacidad por barra después de la priorización para la subestación Huila 230

Capacidad excedente de interrupción de corriente de cortocircuito:

Para la subestación Huila 230 se presentaron 25 alternativas de conexión las cuales tienen aportes de corriente de cortocircuito. Estas alternativas se muestran en la siguiente tabla:

Tabla 2-339. Alternativas de conexión que aportan corriente de cortocircuito en la subestación Huila 230

Solicitud	tipo	FPO	Barra a la que aporta CC	Aporte de cortocircuito (kA)	Restricción
SC_2023_5280_A1	Solar FV	2028	Huila 230	0.020	SATISFACE
SC_2023_5280_A2	Solar FV	2028	Huila 230	0.017	SATISFACE
SC_2023_5287_A1	Solar FV	2026	Huila 230	0.009	SATISFACE
SC_2023_5287_A2	Solar FV	2026	Huila 230	0.009	SATISFACE
SC_2023_5288_A1	Solar FV	2026	Huila 230	0.005	SATISFACE
SC_2023_5288_A2	Solar FV	2026	Huila 230	0.013	SATISFACE
SC_2023_5375_A1	Solar FV	2026	Huila 230	0.009	SATISFACE
SC_2023_5399_A1	Solar FV	2026	Huila 230	0.005	SATISFACE
SC_2023_5399_A2	Solar FV	2026	Huila 230	0.013	SATISFACE
SC_2023_5480_A1	Solar FV	2026	Huila 230	0.009	SATISFACE
SC_2023_5480_A2	Solar FV	2026	Huila 230	0.009	SATISFACE
SC_2023_5557_A1	Solar FV	2028	Huila 230	0.038	SATISFACE
SC_2936_A1	Solar FV	2026	Huila 230	0.000	SATISFACE
SC_2936_A2	Solar FV	2026	Huila 230	0.000	SATISFACE
SC_3121_A1	Solar FV	2026	Huila 230	0.001	SATISFACE
SC_3121_A2	Solar FV	2026	Huila 230	0.001	SATISFACE
SC_3132_A1	Solar FV	2026	Huila 230	0.022	SATISFACE
SC_3132_A2	Solar FV	2026	Huila 230	0.018	SATISFACE
SC_3882_A1	Solar FV	2026	Huila 230	0.037	SATISFACE
SC_4083_A1	Solar FV	2027	Huila 230	0.000	SATISFACE
SC_4083_A2	Solar FV	2027	Huila 230	0.000	SATISFACE
SC_4765_A1	Solar FV	2029	Huila 230	0.001	SATISFACE
SC_4765_A2	Solar FV	2029	Huila 230	0.000	SATISFACE
SC_4819_A1	Solar FV	2029	Huila 230	0.039	SATISFACE
SC_4819_A2	Solar FV	2029	Huila 230	0.034	SATISFACE

No se priorizó ninguna de las alternativas de conexión que tengan aportes de corriente de cortocircuito en la subestación Huila 230

El estado de la capacidad de cortocircuito en la subestación Huila 230, teniendo en cuenta la priorización se puede observar en la siguiente figura.

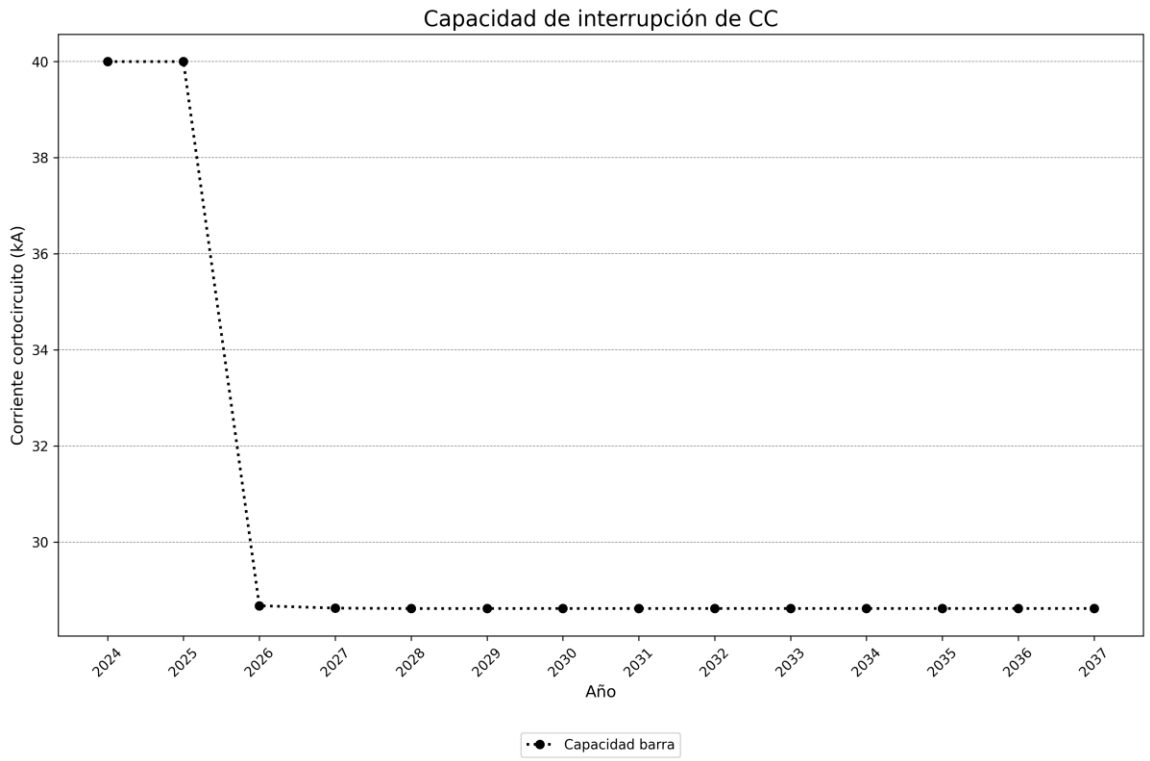


Figura 2-327. Balance de capacidad de cortocircuito después de la priorización para la subestación Huila 230

Subestación Incauca 115:

Capacidad por barra:

Para la subestación Incauca 115 se presentaron 0 alternativas de conexión las cuales se muestran en la siguiente tabla:

Tabla 2-340. Alternativas de conexión presentadas a la subestación Incauca 115

Solicitud	Capacidad	Tipo	Barra	FPO solicitada	Restricción

No se priorizó ninguna de las alternativas de conexión presentadas en la subestación Incauca 115

El estado de la capacidad por barra en la subestación Incauca 115, teniendo en cuenta la priorización se puede observar en la siguiente figura.

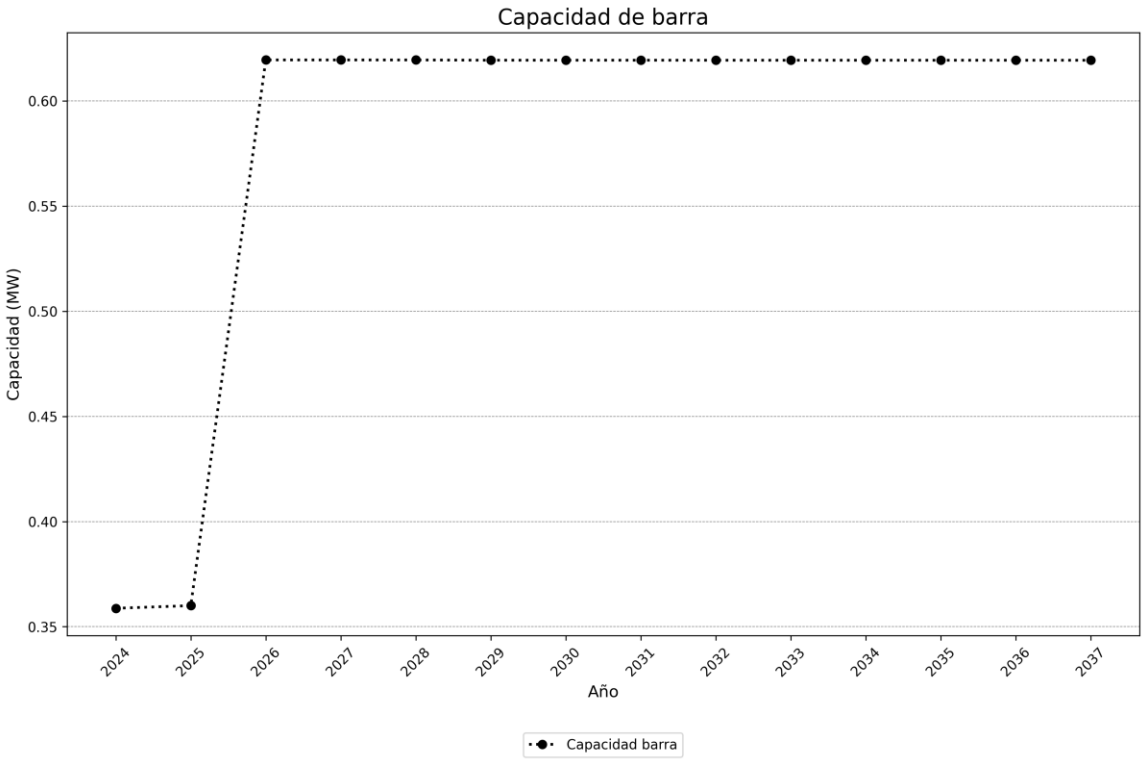


Figura 2-328. Balance de capacidad por barra después de la priorización para la subestación Incauca 115

Capacidad excedente de interrupción de corriente de cortocircuito:

Para la subestación Incauca 115 se presentaron 19 alternativas de conexión las cuales tienen aportes de corriente de cortocircuito. Estas alternativas se muestran en la siguiente tabla:

Tabla 2-341. Alternativas de conexión que aportan corriente de cortocircuito en la subestación Incauca 115

Solicitud	tipo	FPO	Barra a la que aporta CC	Aporte de cortocircuito (kA)	Restricción
SC_2023_5280_A1	Solar FV	2028	Incauca 115	0.009	SATISFACE
SC_2023_5280_A2	Solar FV	2028	Incauca 115	0.008	SATISFACE
SC_2023_5287_A1	Solar FV	2026	Incauca 115	0.005	SATISFACE
SC_2023_5287_A2	Solar FV	2026	Incauca 115	0.005	SATISFACE
SC_2023_5288_A1	Solar FV	2026	Incauca 115	0.003	SATISFACE
SC_2023_5288_A2	Solar FV	2026	Incauca 115	0.007	SATISFACE
SC_2023_5375_A1	Solar FV	2026	Incauca 115	0.005	SATISFACE
SC_2023_5399_A1	Solar FV	2026	Incauca 115	0.003	SATISFACE
SC_2023_5399_A2	Solar FV	2026	Incauca 115	0.007	SATISFACE
SC_2023_5480_A1	Solar FV	2026	Incauca 115	0.005	SATISFACE
SC_2023_5480_A2	Solar FV	2026	Incauca 115	0.005	SATISFACE
SC_3132_A1	Solar FV	2026	Incauca 115	0.010	SATISFACE
SC_3132_A2	Solar FV	2026	Incauca 115	0.009	SATISFACE
SC_4083_A1	Solar FV	2027	Incauca 115	0.000	SATISFACE
SC_4083_A2	Solar FV	2027	Incauca 115	0.000	SATISFACE
SC_4765_A1	Solar FV	2029	Incauca 115	0.000	SATISFACE
SC_4765_A2	Solar FV	2029	Incauca 115	0.000	SATISFACE
SC_4819_A1	Solar FV	2029	Incauca 115	0.015	SATISFACE
SC_4819_A2	Solar FV	2029	Incauca 115	0.014	SATISFACE

No se priorizó ninguna de las alternativas de conexión que tengan aportes de corriente de cortocircuito en la subestación Incauca 115

El estado de la capacidad de cortocircuito en la subestación Incauca 115, teniendo en cuenta la priorización se puede observar en la siguiente figura.

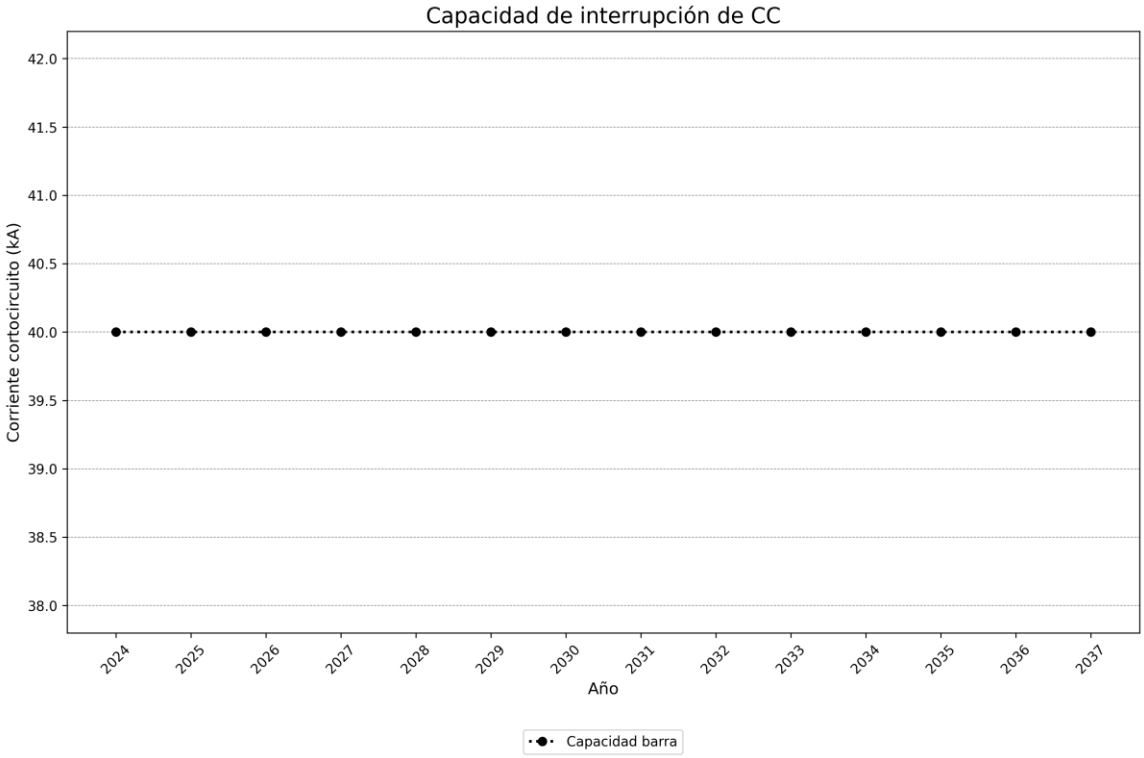


Figura 2-329. Balance de capacidad de cortocircuito después de la priorización para la subestación Incauca 115

Subestación Industriales 110:

Capacidad por barra:

Para la subestación Industriales 110 se presentaron 0 alternativas de conexión las cuales se muestran en la siguiente tabla:

Tabla 2-342. Alternativas de conexión presentadas a la subestación Industriales 110

Solicitud	Capacidad	Tipo	Barra	FPO solicitada	Restricción

No se priorizó ninguna de las alternativas de conexión presentadas en la subestación Industriales 110

El estado de la capacidad por barra en la subestación Industriales 110, teniendo en cuenta la priorización se puede observar en la siguiente figura.

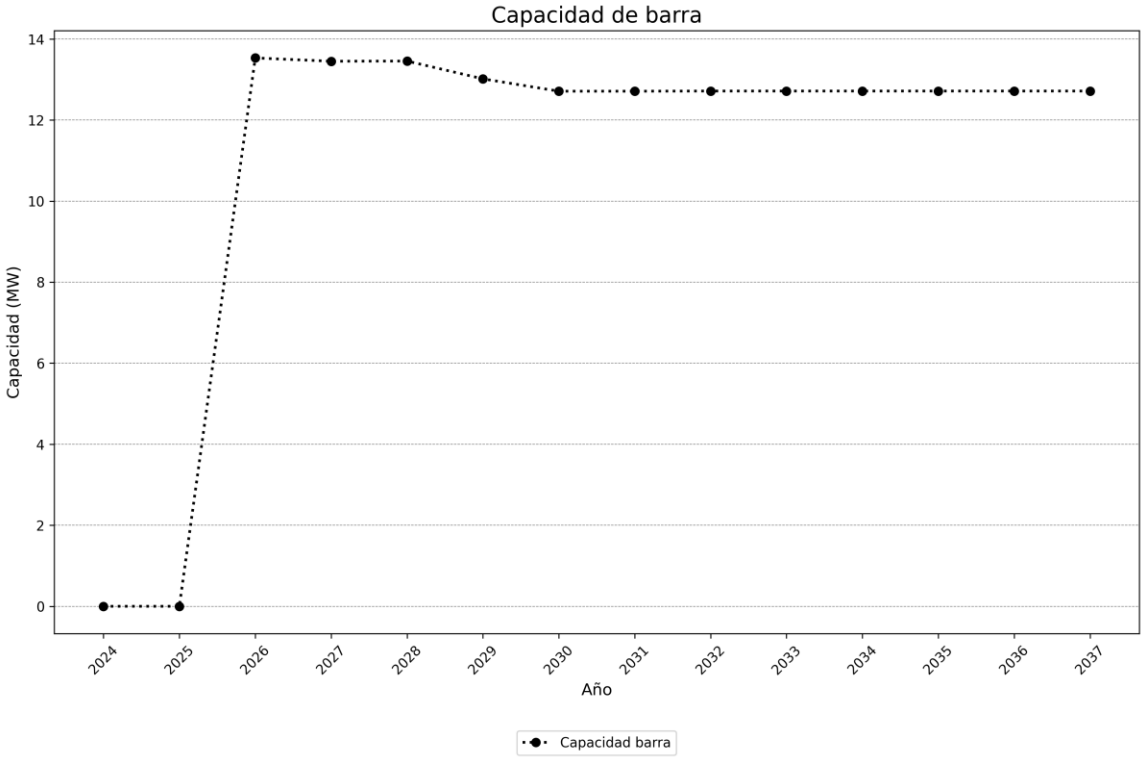


Figura 2-330. Balance de capacidad por barra después de la priorización para la subestación Industriales 110

Capacidad excedente de interrupción de corriente de cortocircuito:

Para la subestación Industriales 110 se presentaron 1 alternativas de conexión las cuales tienen aportes de corriente de cortocircuito. Estas alternativas se muestran en la siguiente tabla:

Tabla 2-343. Alternativas de conexión que aportan corriente de cortocircuito en la subestación Industriales 110

Solicitud	tipo	FPO	Barra a la que aporta CC	Aporte de cortocircuito (kA)	Restricción
SC_3331_A1	Solar FV	2026	Industriales 110	0.116	SATISFACE

No se priorizó ninguna de las alternativas de conexión que tengan aportes de corriente de cortocircuito en la subestación Industriales 110

El estado de la capacidad de cortocircuito en la subestación Industriales 110, teniendo en cuenta la priorización se puede observar en la siguiente figura.

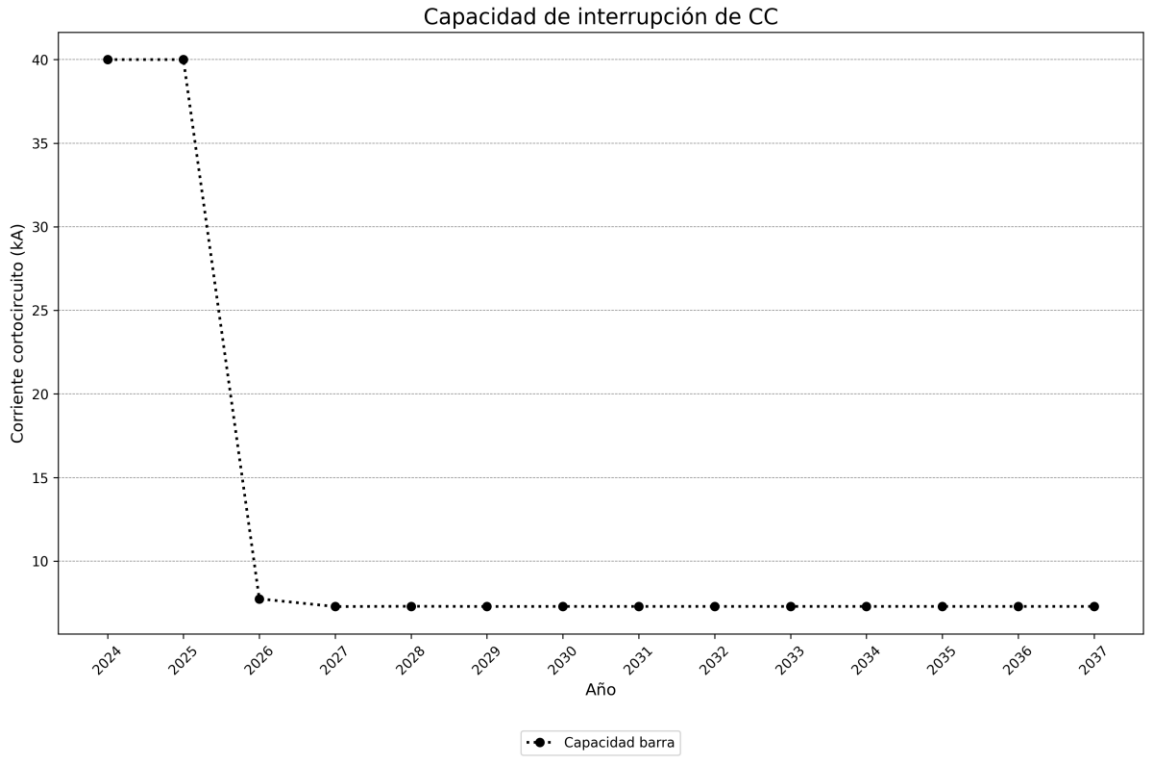


Figura 2-331. Balance de capacidad de cortocircuito después de la priorización para la subestación Industriales 110

Subestación Insula 115:

Capacidad por barra:

Para la subestación Insula 115 se presentaron 0 alternativas de conexión las cuales se muestran en la siguiente tabla:

Tabla 2-344. Alternativas de conexión presentadas a la subestación Insula 115

Solicitud	Capacidad	Tipo	Barra	FPO solicitada	Restricción

No se priorizó ninguna de las alternativas de conexión presentadas en la subestación Insula 115

El estado de la capacidad por barra en la subestación Insula 115, teniendo en cuenta la priorización se puede observar en la siguiente figura.

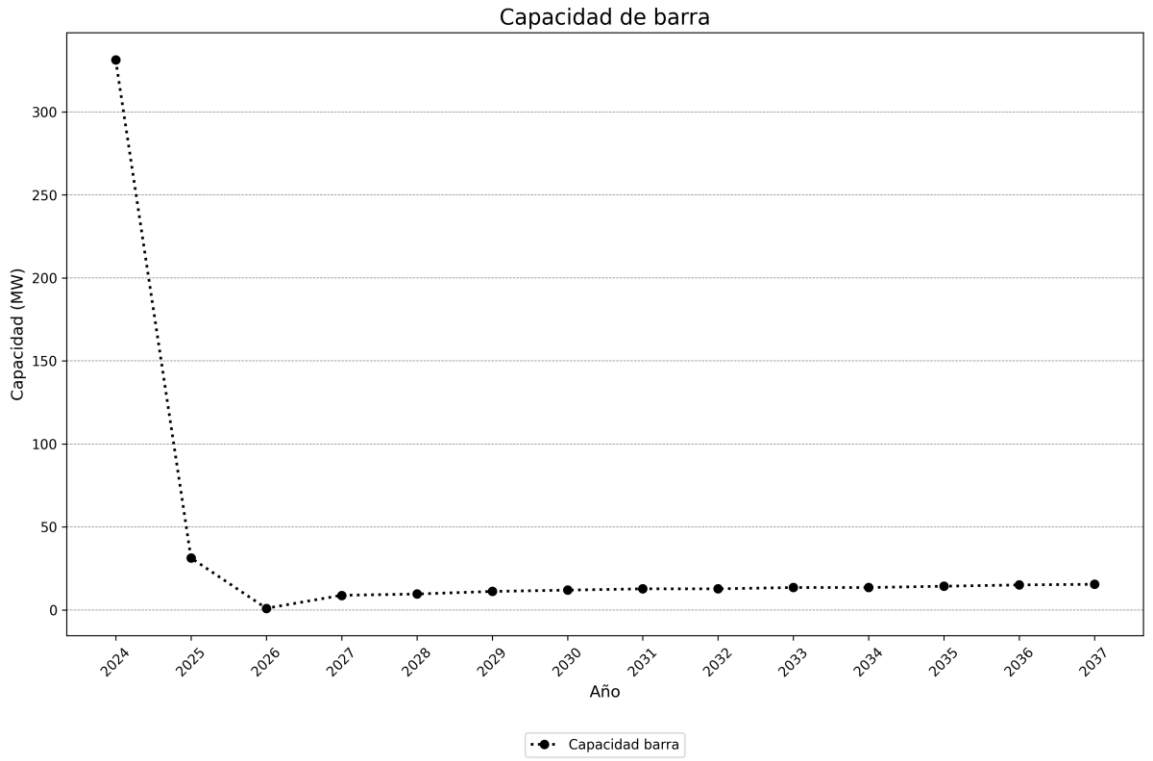


Figura 2-332. Balance de capacidad por barra después de la priorización para la subestación Insula 115

Capacidad excedente de interrupción de corriente de cortocircuito:

Para la subestación Insula 115 se presentaron 33 alternativas de conexión las cuales tienen aportes de corriente de cortocircuito. Estas alternativas se muestran en la siguiente tabla:

Tabla 2-345. Alternativas de conexión que aportan corriente de cortocircuito en la subestación Insula 115

Solicitud	tipo	FPO	Barra a la que aporta CC	Aporte de cortocircuito (kA)	Restricción
SC_2023_5293_A1	Solar FV	2028	Insula 115	0.048	SATISFACE
SC_2023_5293_A2	Solar FV	2028	Insula 115	0.040	SATISFACE
SC_2023_5304_A1	Solar FV	2026	Insula 115	0.004	SATISFACE
SC_2023_5309_A1	Solar FV	2026	Insula 115	0.004	SATISFACE
SC_2023_5337_A2	Solar FV	2025	Insula 115	0.094	SATISFACE
SC_2436_A1	Solar FV	2028	Insula 115	0.070	SATISFACE
SC_2436_A2	Solar FV	2028	Insula 115	0.080	SATISFACE
SC_2527_A1	Solar FV	2028	Insula 115	0.080	SATISFACE
SC_2527_A2	Solar FV	2028	Insula 115	0.220	SATISFACE
SC_2902_A1	Solar FV	2028	Insula 115	0.670	SATISFACE
SC_2902_A2	Solar FV	2028	Insula 115	0.180	SATISFACE
SC_2905_A2	Solar FV	2028	Insula 115	0.000	SATISFACE
SC_2979_A1	Solar FV	2027	Insula 115	0.010	SATISFACE
SC_2979_A2	Solar FV	2027	Insula 115	0.010	SATISFACE
SC_2984_A1	Solar FV	2027	Insula 115	0.010	SATISFACE
SC_2984_A2	Solar FV	2027	Insula 115	0.010	SATISFACE
SC_3101_A1	Solar FV	2027	Insula 115	0.001	SATISFACE
SC_3101_A2	Solar FV	2027	Insula 115	0.000	SATISFACE
SC_3121_A1	Solar FV	2026	Insula 115	0.005	SATISFACE
SC_3121_A2	Solar FV	2026	Insula 115	0.005	SATISFACE
SC_3251_A1	Hidráulica	2026	Insula 115	0.560	SATISFACE
SC_3251_A2	Hidráulica	2026	Insula 115	0.010	SATISFACE
SC_3382_A1	Solar FV	2027	Insula 115	0.022	SATISFACE
SC_3382_A2	Solar FV	2027	Insula 115	0.029	SATISFACE
SC_3392_A1	Solar FV	2027	Insula 115	0.047	SATISFACE
SC_3392_A2	Solar FV	2027	Insula 115	0.019	SATISFACE
SC_4821_A1	Solar FV	2027	Insula 115	0.047	SATISFACE

SC_4821_A2	Solar FV	2027	Insula 115	0.019	SATISFACE
SC_5009_A1	Solar FV	2026	Insula 115	0.047	SATISFACE
SC_5009_A2	Solar FV	2026	Insula 115	0.018	SATISFACE
SC_5011_A1	Solar FV	2027	Insula 115	0.047	SATISFACE
SC_5011_A2	Solar FV	2027	Insula 115	0.018	SATISFACE
SC_5087_A2	Solar FV	2027	Insula 115	0.037	SATISFACE

No se priorizó ninguna de las alternativas de conexión que tengan aportes de corriente de cortocircuito en la subestación Insula 115

El estado de la capacidad de cortocircuito en la subestación Insula 115, teniendo en cuenta la priorización se puede observar en la siguiente figura.

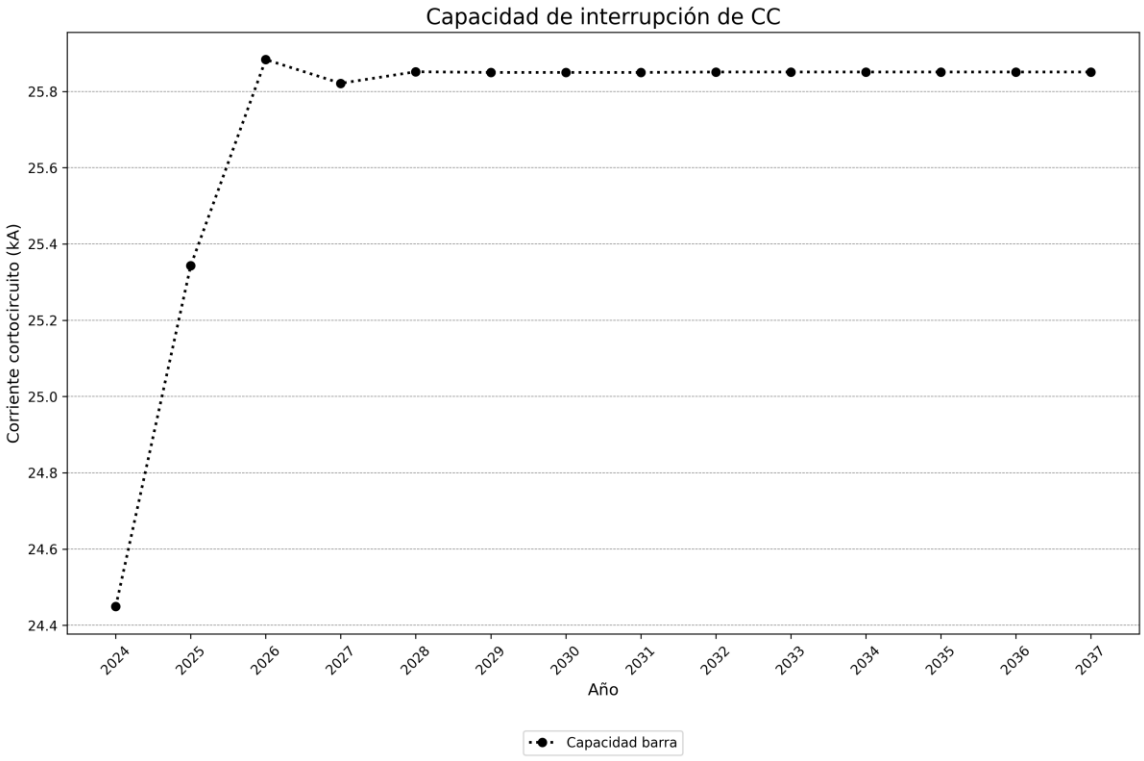


Figura 2-333. Balance de capacidad de cortocircuito después de la priorización para la subestación Insula 115

Subestación Insula 33:

Capacidad por barra:

Para la subestación Insula 33 se presentaron 0 alternativas de conexión las cuales se muestran en la siguiente tabla:

Tabla 2-346. Alternativas de conexión presentadas a la subestación Insula 33

Solicitud	Capacidad	Tipo	Barra	FPO solicitada	Restricción

No se priorizó ninguna de las alternativas de conexión presentadas en la subestación Insula 33

El estado de la capacidad por barra en la subestación Insula 33, teniendo en cuenta la priorización se puede observar en la siguiente figura.

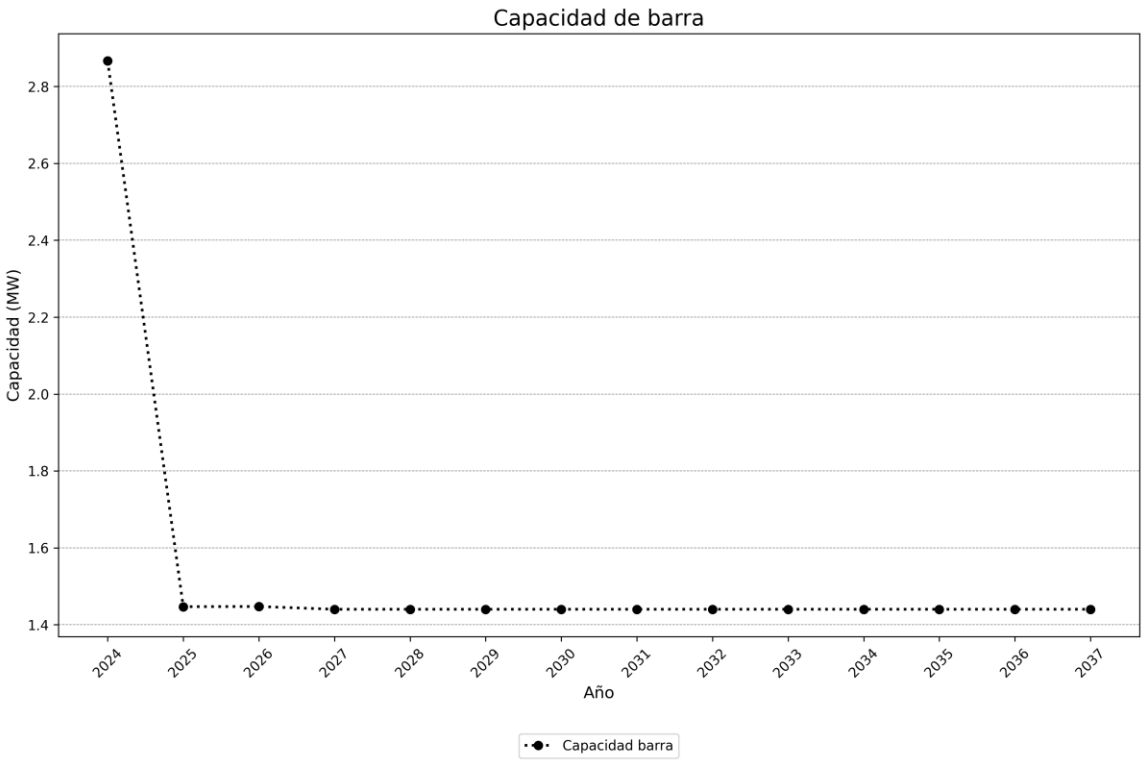


Figura 2-334. Balance de capacidad por barra después de la priorización para la subestación Insula 33

Subestación Insula CQR 115:

Capacidad por barra:

Para la subestación Insula CQR 115 se presentaron 0 alternativas de conexión las cuales se muestran en la siguiente tabla:

Tabla 2-347. Alternativas de conexión presentadas a la subestación Insula CQR 115

Solicitud	Capacidad	Tipo	Barra	FPO solicitada	Restricción

No se priorizó ninguna de las alternativas de conexión presentadas en la subestación Insula CQR 115

El estado de la capacidad por barra en la subestación Insula CQR 115, teniendo en cuenta la priorización se puede observar en la siguiente figura.

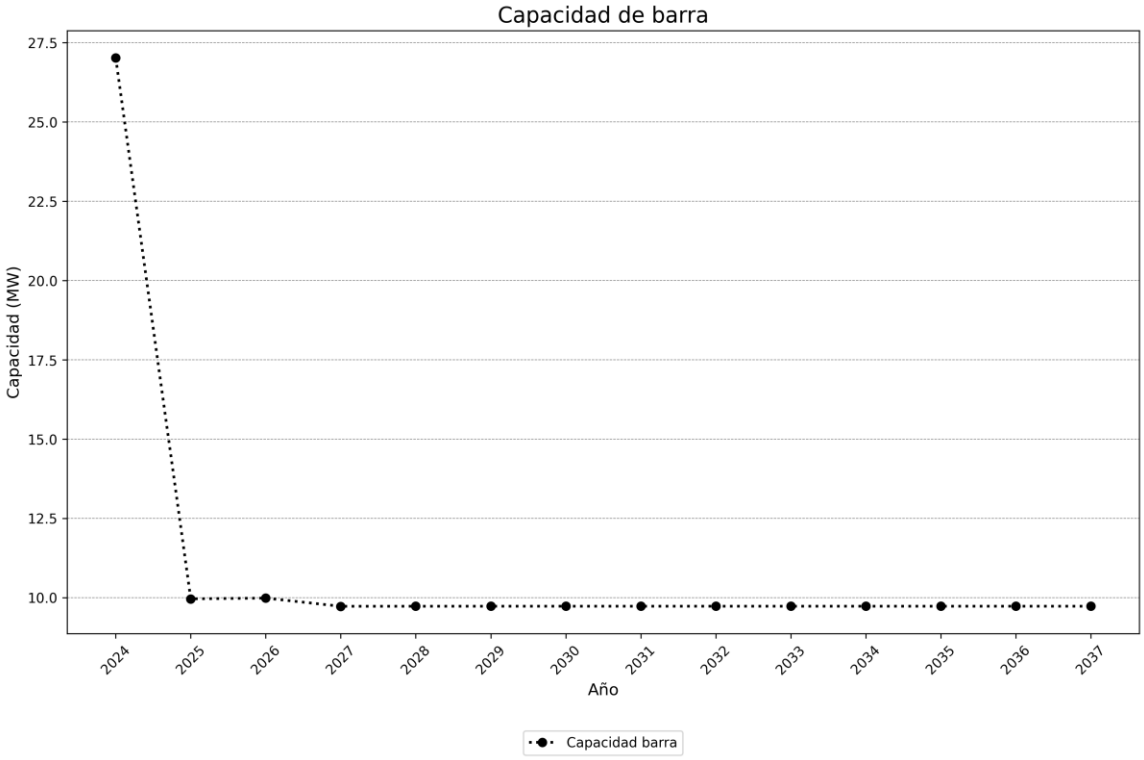


Figura 2-335. Balance de capacidad por barra después de la priorización para la subestación Insula CQR 115

Capacidad excedente de interrupción de corriente de cortocircuito:

Para la subestación Insula CQR 115 se presentaron 147 alternativas de conexión las cuales tienen aportes de corriente de cortocircuito. Estas alternativas se muestran en la siguiente tabla:

Tabla 2-348. Alternativas de conexión que aportan corriente de cortocircuito en la subestación Insula CQR 115

Solicitud	tipo	FPO	Barra a la que aporta CC	Aporte de cortocircuito (kA)	Restricción
SC_2023_5136_A1	Solar FV	2026	Insula CQR 115	0.023	SATISFACE

SC_2023_5136_A2	Solar FV	2026	Insula CQR 115	0.023	SATISFACE
SC_2023_5144_A1	Solar FV	2028	Insula CQR 115	0.152	SATISFACE
SC_2023_5144_A2	Solar FV	2028	Insula CQR 115	0.071	SATISFACE
SC_2023_5150_A1	Solar FV	2028	Insula CQR 115	0.138	SATISFACE
SC_2023_5152_A1	Solar FV	2025	Insula CQR 115	0.002	SATISFACE
SC_2023_5152_A2	Solar FV	2025	Insula CQR 115	0.002	SATISFACE
SC_2023_5158_A1	Solar FV	2028	Insula CQR 115	0.093	SATISFACE
SC_2023_5171_A1	Solar FV	2025	Insula CQR 115	0.001	SATISFACE
SC_2023_5171_A2	Solar FV	2025	Insula CQR 115	0.002	SATISFACE
SC_2023_5174_A1	Solar FV	2027	Insula CQR 115	0.037	SATISFACE
SC_2023_5174_A2	Solar FV	2027	Insula CQR 115	0.048	SATISFACE
SC_2023_5185_A1	Solar FV	2026	Insula CQR 115	0.742	SATISFACE
SC_2023_5185_A2	Solar FV	2026	Insula CQR 115	0.368	SATISFACE
SC_2023_5188_A1	Solar FV	2026	Insula CQR 115	0.038	SATISFACE
SC_2023_5188_A2	Solar FV	2026	Insula CQR 115	0.269	SATISFACE
SC_2023_5200_A1	Solar FV	2028	Insula CQR 115	0.305	SATISFACE
SC_2023_5200_A2	Solar FV	2028	Insula CQR 115	0.140	SATISFACE
SC_2023_5216_A1	Solar FV	2026	Insula CQR 115	0.032	SATISFACE
SC_2023_5216_A2	Solar FV	2026	Insula CQR 115	0.015	SATISFACE
SC_2023_5248_A1	Solar FV	2025	Insula CQR 115	0.003	SATISFACE

SC_2023_5248_A2	Solar FV	2025	Insula CQR 115	0.003	SATISFACE
SC_2023_5249_A1	Solar FV	2025	Insula CQR 115	0.003	SATISFACE
SC_2023_5249_A2	Solar FV	2025	Insula CQR 115	0.003	SATISFACE
SC_2023_5251_A1	Solar FV	2025	Insula CQR 115	0.014	SATISFACE
SC_2023_5251_A2	Solar FV	2025	Insula CQR 115	0.014	SATISFACE
SC_2023_5252_A1	Solar FV	2028	Insula CQR 115	0.083	SATISFACE
SC_2023_5252_A2	Solar FV	2028	Insula CQR 115	0.148	SATISFACE
SC_2023_5253_A1	Solar FV	2025	Insula CQR 115	0.014	SATISFACE
SC_2023_5253_A2	Solar FV	2025	Insula CQR 115	0.014	SATISFACE
SC_2023_5256_A2	Solar FV	2028	Insula CQR 115	0.041	SATISFACE
SC_2023_5257_A1	Solar FV	2025	Insula CQR 115	0.003	SATISFACE
SC_2023_5257_A2	Solar FV	2025	Insula CQR 115	0.003	SATISFACE
SC_2023_5280_A1	Solar FV	2028	Insula CQR 115	0.069	SATISFACE
SC_2023_5280_A2	Solar FV	2028	Insula CQR 115	0.074	SATISFACE
SC_2023_5282_A1	Solar FV	2028	Insula CQR 115	0.008	SATISFACE
SC_2023_5287_A1	Solar FV	2026	Insula CQR 115	0.040	SATISFACE
SC_2023_5287_A2	Solar FV	2026	Insula CQR 115	0.040	SATISFACE
SC_2023_5288_A1	Solar FV	2026	Insula CQR 115	0.027	SATISFACE
SC_2023_5288_A2	Solar FV	2026	Insula CQR 115	0.070	SATISFACE
SC_2023_5294_A1	Solar FV	2029	Insula CQR 115	0.020	SATISFACE

SC_2023_5294_A2	Solar FV	2029	Insula CQR 115	0.022	SATISFACE
SC_2023_5339_A1	PCH	2026	Insula CQR 115	0.004	SATISFACE
SC_2023_5339_A2	PCH	2026	Insula CQR 115	0.003	SATISFACE
SC_2023_5345_A1	Solar FV	2027	Insula CQR 115	0.022	SATISFACE
SC_2023_5345_A2	Solar FV	2027	Insula CQR 115	0.025	SATISFACE
SC_2023_5346_A1	Solar FV	2027	Insula CQR 115	0.022	SATISFACE
SC_2023_5346_A2	Solar FV	2027	Insula CQR 115	0.025	SATISFACE
SC_2023_5375_A1	Solar FV	2026	Insula CQR 115	0.038	SATISFACE
SC_2023_5383_A1	Solar FV	2027	Insula CQR 115	0.125	SATISFACE
SC_2023_5383_A2	Solar FV	2027	Insula CQR 115	0.164	SATISFACE
SC_2023_5399_A1	Solar FV	2026	Insula CQR 115	0.027	SATISFACE
SC_2023_5399_A2	Solar FV	2026	Insula CQR 115	0.070	SATISFACE
SC_2023_5431_A1	Solar FV	2028	Insula CQR 115	0.001	SATISFACE
SC_2023_5431_A2	Solar FV	2028	Insula CQR 115	0.001	SATISFACE
SC_2023_5480_A1	Solar FV	2026	Insula CQR 115	0.040	SATISFACE
SC_2023_5480_A2	Solar FV	2026	Insula CQR 115	0.040	SATISFACE
SC_2023_5549_A1	Solar FV	2028	Insula CQR 115	0.075	SATISFACE
SC_2023_5549_A2	Solar FV	2028	Insula CQR 115	0.066	SATISFACE
SC_2023_5551_A1	Solar FV	2027	Insula CQR 115	0.273	SATISFACE
SC_2023_5551_A2	Solar FV	2027	Insula CQR 115	0.125	SATISFACE

SC_2023_5557_A1	Solar FV	2028	Insula CQR 115	0.130	SATISFACE
SC_2023_5564_A1	Solar FV	2026	Insula CQR 115	0.015	SATISFACE
SC_2023_5564_A2	Solar FV	2026	Insula CQR 115	0.015	SATISFACE
SC_2023_5565_A1	Solar FV	2027	Insula CQR 115	0.015	SATISFACE
SC_2023_5566_A1	Solar FV	2028	Insula CQR 115	0.015	SATISFACE
SC_2023_5566_A2	Solar FV	2028	Insula CQR 115	0.016	SATISFACE
SC_2023_5598_A1	Solar FV	2025	Insula CQR 115	0.002	SATISFACE
SC_2023_5598_A2	Solar FV	2025	Insula CQR 115	0.002	SATISFACE
SC_2024_5939_A1	Solar FV	2028	Insula CQR 115	0.001	SATISFACE
SC_2024_5939_A2	Solar FV	2028	Insula CQR 115	0.001	SATISFACE
SC_2344_A1	Eólico Onshore	2027	Insula CQR 115	0.090	SATISFACE
SC_2344_A2	Eólico Onshore	2027	Insula CQR 115	0.030	SATISFACE
SC_2438_A1	Solar FV	2028	Insula CQR 115	0.000	SATISFACE
SC_2438_A2	Solar FV	2028	Insula CQR 115	0.000	SATISFACE
SC_2562_A1	Solar FV	2026	Insula CQR 115	0.010	SATISFACE
SC_2634_A1	Solar FV	2026	Insula CQR 115	0.001	SATISFACE
SC_2634_A2	Solar FV	2026	Insula CQR 115	0.001	SATISFACE
SC_2802_A1	Solar FV	2027	Insula CQR 115	0.003	SATISFACE
SC_2802_A2	Solar FV	2027	Insula CQR 115	0.003	SATISFACE
SC_2924_A1	Solar FV	2026	Insula CQR 115	0.594	SATISFACE

SC_2924_A2	Solar FV	2026	Insula CQR 115	0.295	SATISFACE
SC_2936_A1	Solar FV	2026	Insula CQR 115	0.000	SATISFACE
SC_2936_A2	Solar FV	2026	Insula CQR 115	0.000	SATISFACE
SC_2962_A1	Solar FV	2028	Insula CQR 115	0.081	SATISFACE
SC_2962_A2	Solar FV	2028	Insula CQR 115	0.073	SATISFACE
SC_3132_A1	Solar FV	2026	Insula CQR 115	0.077	SATISFACE
SC_3132_A2	Solar FV	2026	Insula CQR 115	0.090	SATISFACE
SC_3238_A1	Solar FV	2027	Insula CQR 115	0.321	SATISFACE
SC_3238_A2	Solar FV	2027	Insula CQR 115	0.230	SATISFACE
SC_3247_A1	Solar FV	2027	Insula CQR 115	0.139	SATISFACE
SC_3247_A2	Solar FV	2027	Insula CQR 115	0.116	SATISFACE
SC_3248_A1	Solar FV	2027	Insula CQR 115	0.321	SATISFACE
SC_3248_A2	Solar FV	2027	Insula CQR 115	0.230	SATISFACE
SC_3353_A1	Solar FV	2027	Insula CQR 115	0.005	SATISFACE
SC_3353_A2	Solar FV	2027	Insula CQR 115	0.004	SATISFACE
SC_3441_A1	Solar FV	2027	Insula CQR 115	0.139	SATISFACE
SC_3441_A2	Solar FV	2027	Insula CQR 115	0.116	SATISFACE
SC_3453_A1	Solar FV	2027	Insula CQR 115	0.014	SATISFACE
SC_3453_A2	Solar FV	2027	Insula CQR 115	0.014	SATISFACE
SC_3514_A1	Solar FV	2027	Insula CQR 115	0.014	SATISFACE

SC_3514_A2	Solar FV	2027	Insula CQR 115	0.014	SATISFACE
SC_3578_A1	Solar FV	2028	Insula CQR 115	0.001	SATISFACE
SC_3578_A2	Solar FV	2028	Insula CQR 115	0.002	SATISFACE
SC_3667_A1	Solar FV	2029	Insula CQR 115	0.022	SATISFACE
SC_3667_A2	Solar FV	2029	Insula CQR 115	0.014	SATISFACE
SC_3846_A1	Solar FV	2028	Insula CQR 115	0.017	SATISFACE
SC_3846_A2	Solar FV	2028	Insula CQR 115	0.017	SATISFACE
SC_3882_A1	Solar FV	2026	Insula CQR 115	0.129	SATISFACE
SC_4083_A1	Solar FV	2027	Insula CQR 115	0.000	SATISFACE
SC_4083_A2	Solar FV	2027	Insula CQR 115	0.000	SATISFACE
SC_4175_A1	Solar FV	2026	Insula CQR 115	0.011	SATISFACE
SC_4175_A2	Solar FV	2026	Insula CQR 115	0.011	SATISFACE
SC_4296_A1	Solar FV	2028	Insula CQR 115	0.152	SATISFACE
SC_4296_A2	Solar FV	2028	Insula CQR 115	0.188	SATISFACE
SC_4751_A1	Solar FV	2027	Insula CQR 115	0.004	SATISFACE
SC_4760_A1	Solar FV	2026	Insula CQR 115	0.143	SATISFACE
SC_4765_A1	Solar FV	2029	Insula CQR 115	0.005	SATISFACE
SC_4765_A2	Solar FV	2029	Insula CQR 115	0.006	SATISFACE
SC_4789_A1	Solar FV	2027	Insula CQR 115	0.010	SATISFACE
SC_4789_A2	Solar FV	2027	Insula CQR 115	0.010	SATISFACE

SC_4809_A1	Solar FV	2027	Insula CQR 115	0.017	SATISFACE
SC_4809_A2	Solar FV	2027	Insula CQR 115	0.150	SATISFACE
SC_4819_A1	Solar FV	2029	Insula CQR 115	0.133	SATISFACE
SC_4819_A2	Solar FV	2029	Insula CQR 115	0.145	SATISFACE
SC_4824_A1	Solar FV	2025	Insula CQR 115	0.000	SATISFACE
SC_4824_A2	Solar FV	2025	Insula CQR 115	0.000	SATISFACE
SC_4826_A1	Solar FV	2027	Insula CQR 115	0.011	SATISFACE
SC_4826_A2	Solar FV	2027	Insula CQR 115	0.011	SATISFACE
SC_4827_A1	Solar FV	2027	Insula CQR 115	0.011	SATISFACE
SC_4827_A2	Solar FV	2027	Insula CQR 115	0.011	SATISFACE
SC_4842_A1	Solar FV	2028	Insula CQR 115	0.138	SATISFACE
SC_4910_A1	Solar FV	2026	Insula CQR 115	0.023	SATISFACE
SC_4910_A2	Solar FV	2026	Insula CQR 115	0.023	SATISFACE
SC_4926_A1	Solar FV	2027	Insula CQR 115	0.004	SATISFACE
SC_4947_A1	Solar FV	2027	Insula CQR 115	0.050	SATISFACE
SC_4960_A2	Solar FV	2029	Insula CQR 115	0.090	SATISFACE
SC_4974_A1	Solar FV	2026	Insula CQR 115	0.008	SATISFACE
SC_4974_A2	Solar FV	2026	Insula CQR 115	0.008	SATISFACE
SC_4978_A1	Solar FV	2026	Insula CQR 115	0.006	SATISFACE
SC_4978_A2	Solar FV	2026	Insula CQR 115	0.008	SATISFACE

SC_5060_A1	Solar FV	2026	Insula CQR 115	0.023	SATISFACE
SC_5060_A2	Solar FV	2026	Insula CQR 115	0.023	SATISFACE
SC_5076_A1	Solar FV	2027	Insula CQR 115	0.000	SATISFACE
SC_5076_A2	Solar FV	2027	Insula CQR 115	0.000	SATISFACE
SC_5077_A1	Solar FV	2027	Insula CQR 115	0.000	SATISFACE
SC_5077_A2	Solar FV	2027	Insula CQR 115	0.000	SATISFACE

Posterior a la ejecución del MACC se priorizaron las siguientes alternativas de conexión que tienen aportes de cortocircuito de la subestación en análisis:

Tabla 2-349. Alternativas de conexión priorizadas que aportan corriente de cortocircuito en la subestación Insula CQR 115

index	tipo	periodoIni	Barra a la que aporta CC	Aporte de cortocircuito (kA)	Restricción
SC_5076_A2	Solar FV	2027	Insula CQR 115	0.000	SATISFACE
SC_5077_A2	Solar FV	2027	Insula CQR 115	0.000	SATISFACE

El estado de la capacidad de cortocircuito en la subestación Insula CQR 115, teniendo en cuenta la priorización se puede observar en la siguiente figura.

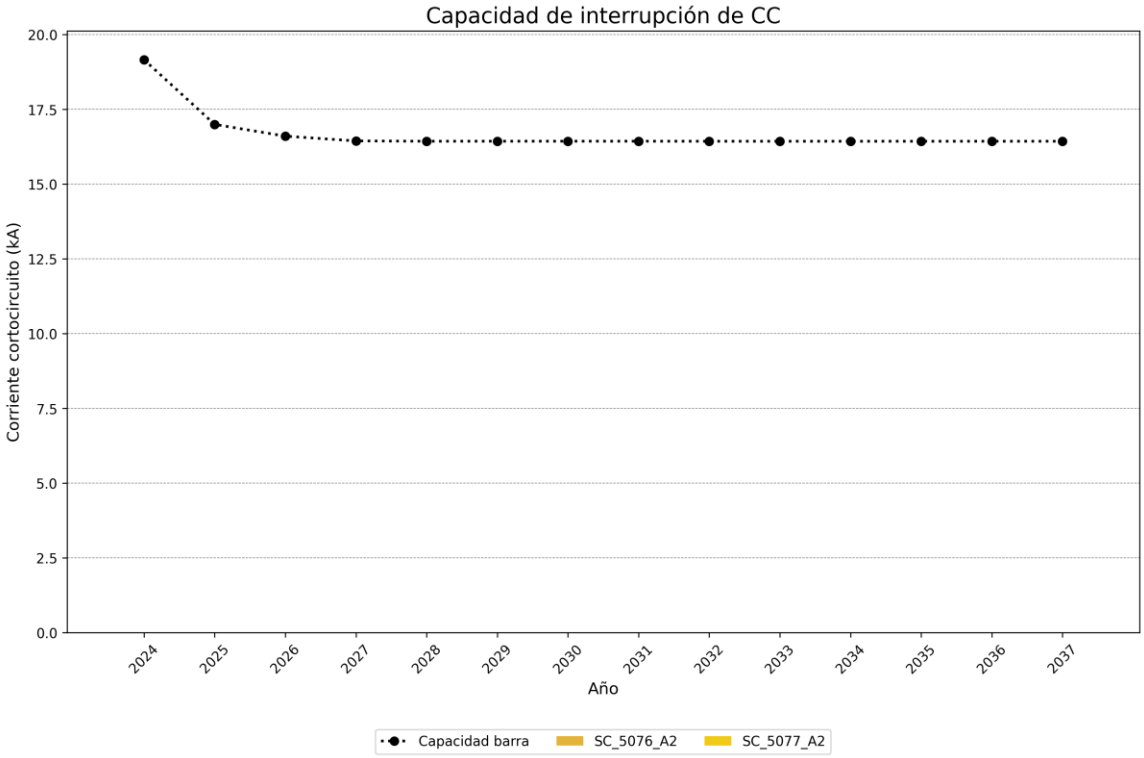


Figura 2-336. Balance de capacidad de cortocircuito después de la priorización para la subestación Insula CQR 115

Subestación Irra 115:

Capacidad por barra:

Para la subestación Irra 115 se presentaron 0 alternativas de conexión las cuales se muestran en la siguiente tabla:

Tabla 2-350. Alternativas de conexión presentadas a la subestación Irra 115

Solicitud	Capacidad	Tipo	Barra	FPO solicitada	Restricción

No se priorizó ninguna de las alternativas de conexión presentadas en la subestación Irra 115

El estado de la capacidad por barra en la subestación Irra 115, teniendo en cuenta la priorización se puede observar en la siguiente figura.

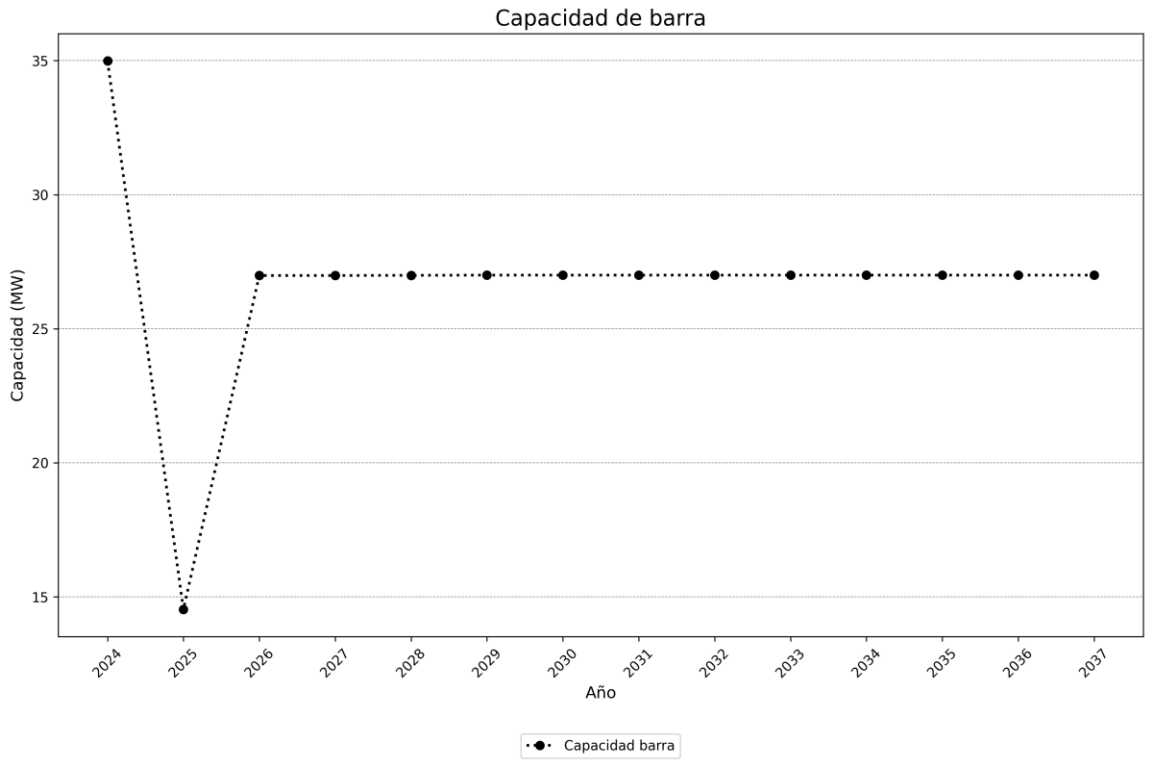


Figura 2-337. Balance de capacidad por barra después de la priorización para la subestación Irra 115

Capacidad excedente de interrupción de corriente de cortocircuito:

Para la subestación Irra 115 se presentaron 175 alternativas de conexión las cuales tienen aportes de corriente de cortocircuito. Estas alternativas se muestran en la siguiente tabla:

Tabla 2-351. Alternativas de conexión que aportan corriente de cortocircuito en la subestación Irra 115

Solicitud	tipo	FPO	Barra a la que aporta CC	Aporte de cortocircuito (kA)	Restricción

SC_2023_5136_A1	Solar FV	2026	Irra 115	0.010	SATISFACE
SC_2023_5136_A2	Solar FV	2026	Irra 115	0.010	SATISFACE
SC_2023_5144_A1	Solar FV	2028	Irra 115	0.092	SATISFACE
SC_2023_5144_A2	Solar FV	2028	Irra 115	0.044	SATISFACE
SC_2023_5150_A1	Solar FV	2028	Irra 115	0.070	SATISFACE
SC_2023_5152_A1	Solar FV	2025	Irra 115	0.001	SATISFACE
SC_2023_5152_A2	Solar FV	2025	Irra 115	0.001	SATISFACE
SC_2023_5158_A1	Solar FV	2028	Irra 115	0.057	SATISFACE
SC_2023_5171_A1	Solar FV	2025	Irra 115	0.001	SATISFACE
SC_2023_5171_A2	Solar FV	2025	Irra 115	0.001	SATISFACE
SC_2023_5174_A1	Solar FV	2027	Irra 115	0.016	SATISFACE
SC_2023_5174_A2	Solar FV	2027	Irra 115	0.020	SATISFACE
SC_2023_5185_A1	Solar FV	2026	Irra 115	0.242	SATISFACE
SC_2023_5185_A2	Solar FV	2026	Irra 115	0.180	SATISFACE
SC_2023_5188_A1	Solar FV	2026	Irra 115	0.018	SATISFACE
SC_2023_5188_A2	Solar FV	2026	Irra 115	0.081	SATISFACE
SC_2023_5200_A1	Solar FV	2028	Irra 115	0.182	SATISFACE
SC_2023_5200_A2	Solar FV	2028	Irra 115	0.084	SATISFACE
SC_2023_5216_A1	Solar FV	2026	Irra 115	0.010	SATISFACE
SC_2023_5216_A2	Solar FV	2026	Irra 115	0.031	SATISFACE
SC_2023_5248_A1	Solar FV	2025	Irra 115	0.001	SATISFACE
SC_2023_5248_A2	Solar FV	2025	Irra 115	0.002	SATISFACE
SC_2023_5249_A1	Solar FV	2025	Irra 115	0.002	SATISFACE
SC_2023_5249_A2	Solar FV	2025	Irra 115	0.002	SATISFACE
SC_2023_5251_A1	Solar FV	2025	Irra 115	0.007	SATISFACE
SC_2023_5251_A2	Solar FV	2025	Irra 115	0.007	SATISFACE
SC_2023_5252_A1	Solar FV	2028	Irra 115	0.023	SATISFACE
SC_2023_5252_A2	Solar FV	2028	Irra 115	0.044	SATISFACE
SC_2023_5253_A1	Solar FV	2025	Irra 115	0.007	SATISFACE
SC_2023_5253_A2	Solar FV	2025	Irra 115	0.007	SATISFACE
SC_2023_5256_A2	Solar FV	2028	Irra 115	0.019	SATISFACE
SC_2023_5257_A1	Solar FV	2025	Irra 115	0.002	SATISFACE
SC_2023_5257_A2	Solar FV	2025	Irra 115	0.002	SATISFACE
SC_2023_5280_A1	Solar FV	2028	Irra 115	0.035	SATISFACE
SC_2023_5280_A2	Solar FV	2028	Irra 115	0.034	SATISFACE
SC_2023_5282_A1	Solar FV	2028	Irra 115	0.110	SATISFACE
SC_2023_5287_A1	Solar FV	2026	Irra 115	0.018	SATISFACE
SC_2023_5287_A2	Solar FV	2026	Irra 115	0.019	SATISFACE
SC_2023_5288_A1	Solar FV	2026	Irra 115	0.012	SATISFACE
SC_2023_5288_A2	Solar FV	2026	Irra 115	0.031	SATISFACE

SC_2023_5293_A1	Solar FV	2028	Irra 115	0.031	SATISFACE
SC_2023_5293_A2	Solar FV	2028	Irra 115	0.025	SATISFACE
SC_2023_5294_A1	Solar FV	2029	Irra 115	0.009	SATISFACE
SC_2023_5294_A2	Solar FV	2029	Irra 115	0.009	SATISFACE
SC_2023_5304_A1	Solar FV	2026	Irra 115	0.002	SATISFACE
SC_2023_5309_A1	Solar FV	2026	Irra 115	0.002	SATISFACE
SC_2023_5337_A2	Solar FV	2025	Irra 115	0.047	SATISFACE
SC_2023_5339_A1	PCH	2026	Irra 115	0.020	SATISFACE
SC_2023_5339_A2	PCH	2026	Irra 115	0.020	SATISFACE
SC_2023_5345_A1	Solar FV	2027	Irra 115	0.011	SATISFACE
SC_2023_5345_A2	Solar FV	2027	Irra 115	0.014	SATISFACE
SC_2023_5346_A1	Solar FV	2027	Irra 115	0.011	SATISFACE
SC_2023_5346_A2	Solar FV	2027	Irra 115	0.014	SATISFACE
SC_2023_5375_A1	Solar FV	2026	Irra 115	0.018	SATISFACE
SC_2023_5383_A1	Solar FV	2027	Irra 115	0.091	SATISFACE
SC_2023_5383_A2	Solar FV	2027	Irra 115	0.110	SATISFACE
SC_2023_5399_A1	Solar FV	2026	Irra 115	0.012	SATISFACE
SC_2023_5399_A2	Solar FV	2026	Irra 115	0.031	SATISFACE
SC_2023_5431_A1	Solar FV	2028	Irra 115	0.000	SATISFACE
SC_2023_5431_A2	Solar FV	2028	Irra 115	0.000	SATISFACE
SC_2023_5480_A1	Solar FV	2026	Irra 115	0.018	SATISFACE
SC_2023_5480_A2	Solar FV	2026	Irra 115	0.019	SATISFACE
SC_2023_5529_A1	Solar FV	2026	Irra 115	0.041	SATISFACE
SC_2023_5529_A2	Solar FV	2026	Irra 115	0.041	SATISFACE
SC_2023_5543_A1	Hidráulica	2026	Irra 115	0.045	SATISFACE
SC_2023_5543_A2	Hidráulica	2026	Irra 115	0.062	SATISFACE
SC_2023_5549_A1	Solar FV	2028	Irra 115	0.019	SATISFACE
SC_2023_5549_A2	Solar FV	2028	Irra 115	0.020	SATISFACE
SC_2023_5551_A1	Solar FV	2027	Irra 115	0.163	SATISFACE
SC_2023_5551_A2	Solar FV	2027	Irra 115	0.075	SATISFACE
SC_2023_5557_A1	Solar FV	2028	Irra 115	0.064	SATISFACE
SC_2023_5598_A1	Solar FV	2025	Irra 115	0.001	SATISFACE
SC_2023_5598_A2	Solar FV	2025	Irra 115	0.001	SATISFACE
SC_2024_5939_A1	Solar FV	2028	Irra 115	0.000	SATISFACE
SC_2024_5939_A2	Solar FV	2028	Irra 115	0.000	SATISFACE
SC_2344_A1	Eólico Onshore	2027	Irra 115	0.030	SATISFACE
SC_2344_A2	Eólico Onshore	2027	Irra 115	3.870	SATISFACE
SC_2436_A1	Solar FV	2028	Irra 115	0.040	SATISFACE
SC_2436_A2	Solar FV	2028	Irra 115	0.050	SATISFACE
SC_2438_A1	Solar FV	2028	Irra 115	0.000	SATISFACE

SC_2438_A2	Solar FV	2028	Irra 115	0.000	SATISFACE
SC_2527_A1	Solar FV	2028	Irra 115	0.050	SATISFACE
SC_2527_A2	Solar FV	2028	Irra 115	0.130	SATISFACE
SC_2562_A1	Solar FV	2026	Irra 115	0.000	SATISFACE
SC_2634_A1	Solar FV	2026	Irra 115	0.000	SATISFACE
SC_2634_A2	Solar FV	2026	Irra 115	0.000	SATISFACE
SC_2802_A1	Solar FV	2027	Irra 115	0.001	SATISFACE
SC_2802_A2	Solar FV	2027	Irra 115	0.001	SATISFACE
SC_2902_A1	Solar FV	2028	Irra 115	0.000	SATISFACE
SC_2902_A2	Solar FV	2028	Irra 115	0.900	SATISFACE
SC_2905_A2	Solar FV	2028	Irra 115	0.000	SATISFACE
SC_2924_A1	Solar FV	2026	Irra 115	0.193	SATISFACE
SC_2924_A2	Solar FV	2026	Irra 115	0.144	SATISFACE
SC_2936_A1	Solar FV	2026	Irra 115	0.000	SATISFACE
SC_2936_A2	Solar FV	2026	Irra 115	0.000	SATISFACE
SC_2962_A1	Solar FV	2028	Irra 115	0.033	SATISFACE
SC_2962_A2	Solar FV	2028	Irra 115	0.032	SATISFACE
SC_3101_A1	Solar FV	2027	Irra 115	0.000	SATISFACE
SC_3101_A2	Solar FV	2027	Irra 115	0.000	SATISFACE
SC_3121_A1	Solar FV	2026	Irra 115	0.003	SATISFACE
SC_3121_A2	Solar FV	2026	Irra 115	0.003	SATISFACE
SC_3132_A1	Solar FV	2026	Irra 115	0.039	SATISFACE
SC_3132_A2	Solar FV	2026	Irra 115	0.040	SATISFACE
SC_3238_A1	Solar FV	2027	Irra 115	0.196	SATISFACE
SC_3238_A2	Solar FV	2027	Irra 115	0.142	SATISFACE
SC_3247_A1	Solar FV	2027	Irra 115	0.070	SATISFACE
SC_3247_A2	Solar FV	2027	Irra 115	0.054	SATISFACE
SC_3248_A1	Solar FV	2027	Irra 115	0.196	SATISFACE
SC_3248_A2	Solar FV	2027	Irra 115	0.142	SATISFACE
SC_3251_A1	Hidráulica	2026	Irra 115	0.050	SATISFACE
SC_3251_A2	Hidráulica	2026	Irra 115	0.060	SATISFACE
SC_3353_A1	Solar FV	2027	Irra 115	0.003	SATISFACE
SC_3353_A2	Solar FV	2027	Irra 115	0.002	SATISFACE
SC_3382_A1	Solar FV	2027	Irra 115	0.007	SATISFACE
SC_3382_A2	Solar FV	2027	Irra 115	0.010	SATISFACE
SC_3392_A1	Solar FV	2027	Irra 115	0.029	SATISFACE
SC_3392_A2	Solar FV	2027	Irra 115	0.012	SATISFACE
SC_3441_A1	Solar FV	2027	Irra 115	0.070	SATISFACE
SC_3441_A2	Solar FV	2027	Irra 115	0.054	SATISFACE
SC_3453_A1	Solar FV	2027	Irra 115	0.005	SATISFACE

SC_3453_A2	Solar FV	2027	Irra 115	0.005	SATISFACE
SC_3514_A1	Solar FV	2027	Irra 115	0.005	SATISFACE
SC_3514_A2	Solar FV	2027	Irra 115	0.005	SATISFACE
SC_3578_A1	Solar FV	2028	Irra 115	0.000	SATISFACE
SC_3578_A2	Solar FV	2028	Irra 115	0.000	SATISFACE
SC_3667_A1	Solar FV	2029	Irra 115	0.012	SATISFACE
SC_3667_A2	Solar FV	2029	Irra 115	0.008	SATISFACE
SC_3846_A1	Solar FV	2028	Irra 115	0.044	SATISFACE
SC_3846_A2	Solar FV	2028	Irra 115	0.044	SATISFACE
SC_3882_A1	Solar FV	2026	Irra 115	0.064	SATISFACE
SC_4083_A1	Solar FV	2027	Irra 115	0.001	SATISFACE
SC_4083_A2	Solar FV	2027	Irra 115	0.001	SATISFACE
SC_4175_A1	Solar FV	2026	Irra 115	0.006	SATISFACE
SC_4175_A2	Solar FV	2026	Irra 115	0.006	SATISFACE
SC_4296_A1	Solar FV	2028	Irra 115	0.092	SATISFACE
SC_4296_A2	Solar FV	2028	Irra 115	0.113	SATISFACE
SC_4751_A1	Solar FV	2027	Irra 115	0.001	SATISFACE
SC_4760_A1	Solar FV	2026	Irra 115	0.079	SATISFACE
SC_4765_A1	Solar FV	2029	Irra 115	0.001	SATISFACE
SC_4765_A2	Solar FV	2029	Irra 115	0.001	SATISFACE
SC_4789_A1	Solar FV	2027	Irra 115	0.006	SATISFACE
SC_4789_A2	Solar FV	2027	Irra 115	0.006	SATISFACE
SC_4809_A1	Solar FV	2027	Irra 115	0.009	SATISFACE
SC_4809_A2	Solar FV	2027	Irra 115	0.085	SATISFACE
SC_4819_A1	Solar FV	2029	Irra 115	0.066	SATISFACE
SC_4819_A2	Solar FV	2029	Irra 115	0.065	SATISFACE
SC_4821_A1	Solar FV	2027	Irra 115	0.029	SATISFACE
SC_4821_A2	Solar FV	2027	Irra 115	0.012	SATISFACE
SC_4824_A1	Solar FV	2025	Irra 115	0.000	SATISFACE
SC_4824_A2	Solar FV	2025	Irra 115	0.000	SATISFACE
SC_4826_A1	Solar FV	2027	Irra 115	0.005	SATISFACE
SC_4826_A2	Solar FV	2027	Irra 115	0.005	SATISFACE
SC_4827_A1	Solar FV	2027	Irra 115	0.005	SATISFACE
SC_4827_A2	Solar FV	2027	Irra 115	0.005	SATISFACE
SC_4842_A1	Solar FV	2028	Irra 115	0.070	SATISFACE
SC_4910_A1	Solar FV	2026	Irra 115	0.010	SATISFACE
SC_4910_A2	Solar FV	2026	Irra 115	0.010	SATISFACE
SC_4926_A1	Solar FV	2027	Irra 115	0.001	SATISFACE
SC_4947_A1	Solar FV	2027	Irra 115	0.030	SATISFACE
SC_4960_A2	Solar FV	2029	Irra 115	0.034	SATISFACE

SC_4974_A1	Solar FV	2026	Irra 115	0.011	SATISFACE
SC_4974_A2	Solar FV	2026	Irra 115	0.011	SATISFACE
SC_4978_A1	Solar FV	2026	Irra 115	0.002	SATISFACE
SC_4978_A2	Solar FV	2026	Irra 115	0.003	SATISFACE
SC_5009_A1	Solar FV	2026	Irra 115	0.029	SATISFACE
SC_5009_A2	Solar FV	2026	Irra 115	0.012	SATISFACE
SC_5011_A1	Solar FV	2027	Irra 115	0.029	SATISFACE
SC_5011_A2	Solar FV	2027	Irra 115	0.012	SATISFACE
SC_5060_A1	Solar FV	2026	Irra 115	0.010	SATISFACE
SC_5060_A2	Solar FV	2026	Irra 115	0.010	SATISFACE
SC_5076_A1	Solar FV	2027	Irra 115	0.000	SATISFACE
SC_5076_A2	Solar FV	2027	Irra 115	0.000	SATISFACE
SC_5077_A1	Solar FV	2027	Irra 115	0.000	SATISFACE
SC_5077_A2	Solar FV	2027	Irra 115	0.000	SATISFACE
SC_5087_A2	Solar FV	2027	Irra 115	0.017	SATISFACE

Posterior a la ejecución del MACC se priorizaron las siguientes alternativas de conexión que tienen aportes de cortocircuito de la subestación en análisis:

Tabla 2-352. Alternativas de conexión priorizadas que aportan corriente de cortocircuito en la subestación Irra 115

index	tipo	periodoIni	Barra a la que aporta CC	Aporte de cortocircuito (kA)	Restricción
SC_2023_5529_A2	Solar FV	2026	Irra 115	0.041	SATISFACE
SC_2023_5543_A1	Hidráulica	2026	Irra 115	0.045	SATISFACE
SC_5076_A2	Solar FV	2027	Irra 115	0.000	SATISFACE
SC_5077_A2	Solar FV	2027	Irra 115	0.000	SATISFACE

El estado de la capacidad de cortocircuito en la subestación Irra 115, teniendo en cuenta la priorización se puede observar en la siguiente figura.

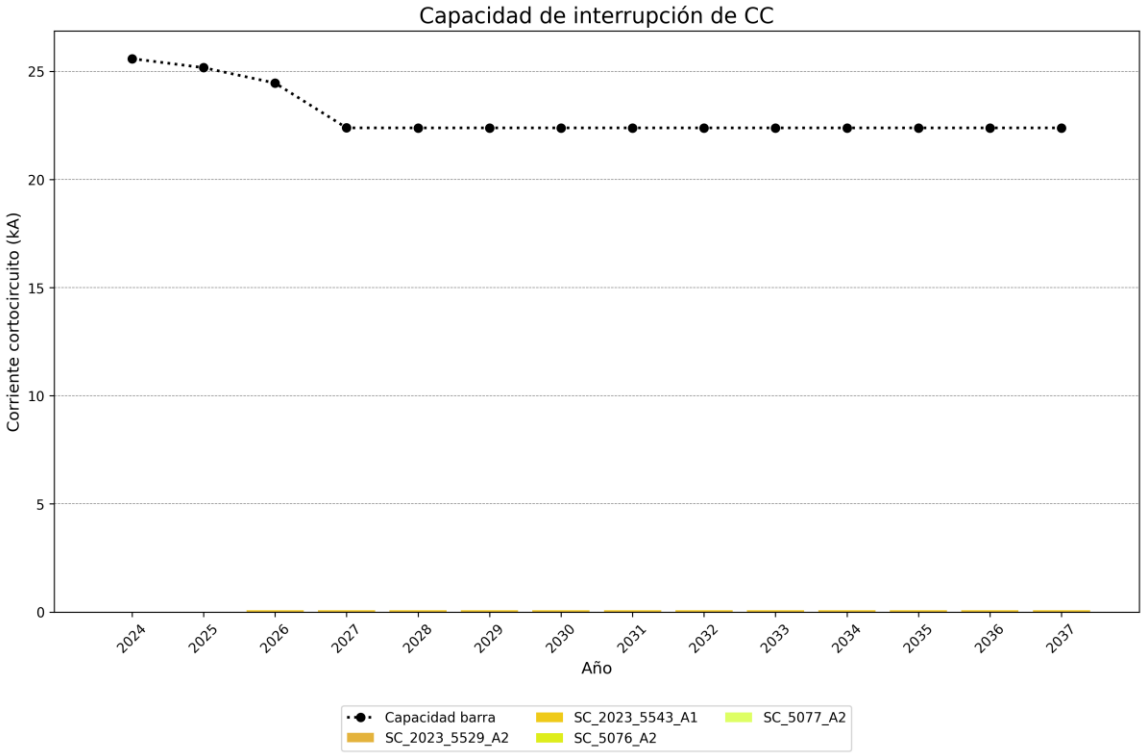


Figura 2-338. Balance de capacidad de cortocircuito después de la priorización para la subestación Irra 115

Subestación Irra 33:

Capacidad por barra:

Para la subestación Irra 33 se presentaron 4 alternativas de conexión las cuales se muestran en la siguiente tabla:

Tabla 2-353. Alternativas de conexión presentadas a la subestación Irra 33

Solicitud	Capacidad	Tipo	Barra	FPO solicitada	Restricción
SC_2023_5282_A1	19.9	Solar FV	Irra 33	2028	NO SATISFACE
SC_3846_A1	9.9	Solar FV	Irra 33	2028	SATISFACE
SC_3846_A2	9.9	Solar FV	Irra 33	2028	SATISFACE
SC_5077_A2	9.9	Solar FV	Irra 33	2027	SATISFACE

Posterior a la ejecución del MACC se priorizaron las siguientes alternativas de conexión:

Tabla 2-354. Alternativas de conexión priorizadas en la subestación Irra 33

Solicitud	Capacidad	Tipo	Barra	FPO solicitada	Restricción
SC_5077_A2	9.9	Solar FV	Irra 33	2027	SATISFACE

El estado de la capacidad por barra en la subestación Irra 33, teniendo en cuenta la priorización se puede observar en la siguiente figura.

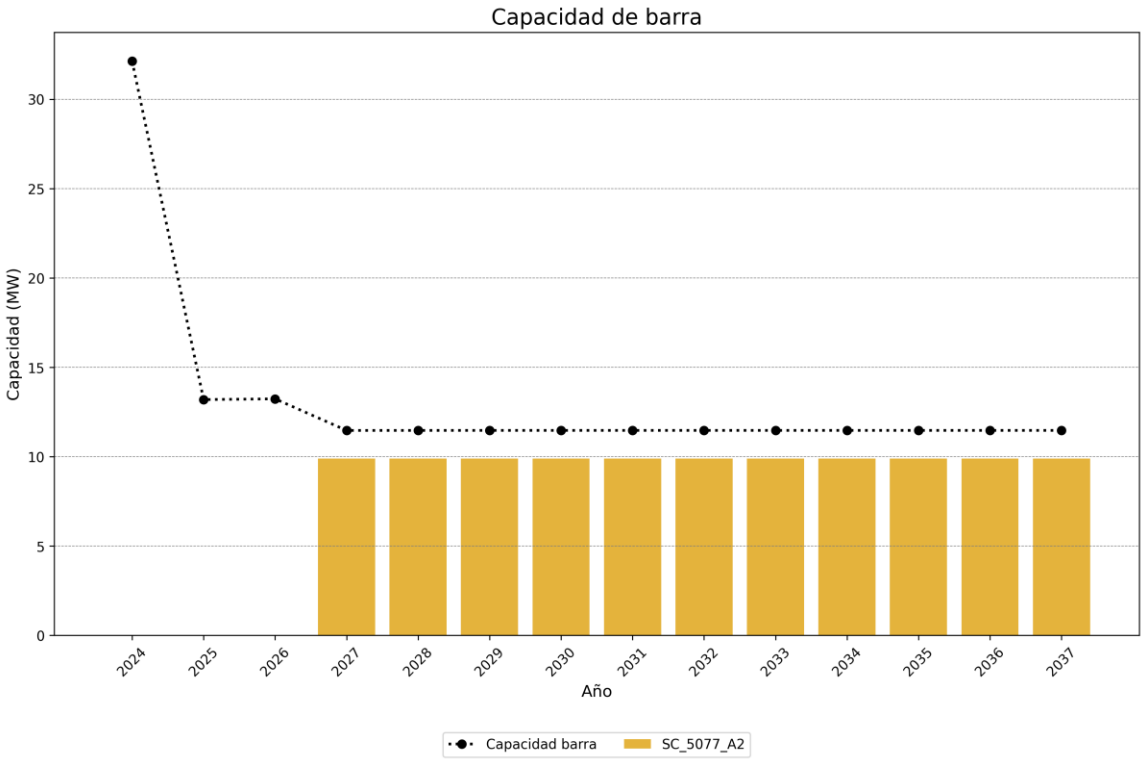


Figura 2-339. Balance de capacidad por barra después de la priorización para la subestación Irra 33

Subestación Istmina 115:

Capacidad por barra:

Para la subestación Istmina 115 se presentaron 0 alternativas de conexión las cuales se muestran en la siguiente tabla:

Tabla 2-355. Alternativas de conexión presentadas a la subestación Istmina 115

Solicitud	Capacidad	Tipo	Barra	FPO solicitada	Restricción

No se priorizó ninguna de las alternativas de conexión presentadas en la subestación Istmina 115

El estado de la capacidad por barra en la subestación Istmina 115, teniendo en cuenta la priorización se puede observar en la siguiente figura.

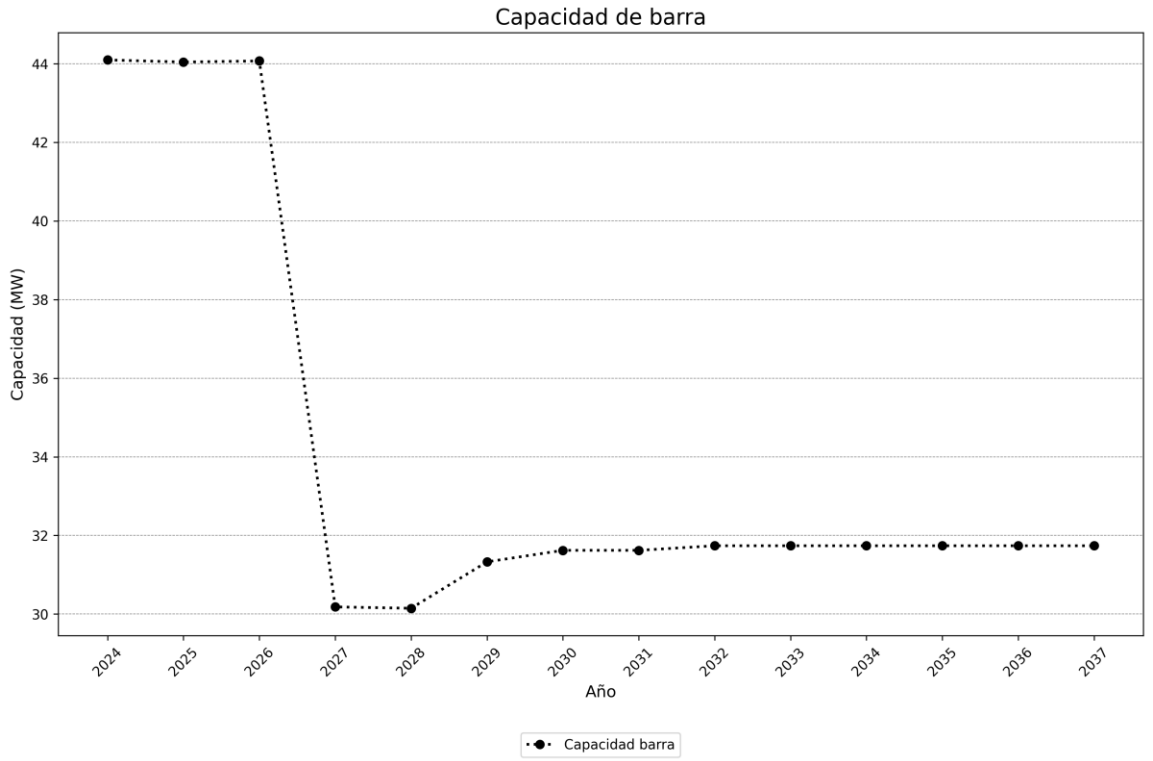


Figura 2-340. Balance de capacidad por barra después de la priorización para la subestación Istmina 115

Capacidad excedente de interrupción de corriente de cortocircuito:

Para la subestación Istmina 115 se presentaron 58 alternativas de conexión las cuales tienen aportes de corriente de cortocircuito. Estas alternativas se muestran en la siguiente tabla:

Tabla 2-356. Alternativas de conexión que aportan corriente de cortocircuito en la subestación Istmina 115

Solicitud	tipo	FPO	Barra a la que aporta CC	Aporte de cortocircuito (kA)	Restricción
SC_2023_5136_A1	Solar FV	2026	Istmina 115	0.001	SATISFACE
SC_2023_5136_A2	Solar FV	2026	Istmina 115	0.001	SATISFACE
SC_2023_5158_A1	Solar FV	2028	Istmina 115	0.011	SATISFACE
SC_2023_5185_A1	Solar FV	2026	Istmina 115	0.020	SATISFACE
SC_2023_5185_A2	Solar FV	2026	Istmina 115	0.022	SATISFACE
SC_2023_5188_A1	Solar FV	2026	Istmina 115	0.002	SATISFACE
SC_2023_5188_A2	Solar FV	2026	Istmina 115	0.006	SATISFACE
SC_2023_5200_A1	Solar FV	2028	Istmina 115	0.038	SATISFACE
SC_2023_5200_A2	Solar FV	2028	Istmina 115	0.017	SATISFACE
SC_2023_5251_A1	Solar FV	2025	Istmina 115	0.001	SATISFACE
SC_2023_5251_A2	Solar FV	2025	Istmina 115	0.001	SATISFACE
SC_2023_5253_A1	Solar FV	2025	Istmina 115	0.001	SATISFACE
SC_2023_5253_A2	Solar FV	2025	Istmina 115	0.001	SATISFACE
SC_2023_5294_A1	Solar FV	2029	Istmina 115	0.001	SATISFACE
SC_2023_5294_A2	Solar FV	2029	Istmina 115	0.001	SATISFACE
SC_2023_5339_A1	PCH	2026	Istmina 115	0.000	SATISFACE
SC_2023_5339_A2	PCH	2026	Istmina 115	0.000	SATISFACE
SC_2023_5345_A1	Solar FV	2027	Istmina 115	0.000	SATISFACE
SC_2023_5345_A2	Solar FV	2027	Istmina 115	0.001	SATISFACE
SC_2023_5346_A1	Solar FV	2027	Istmina 115	0.000	SATISFACE
SC_2023_5346_A2	Solar FV	2027	Istmina 115	0.001	SATISFACE
SC_2023_5431_A1	Solar FV	2028	Istmina 115	0.000	SATISFACE
SC_2023_5431_A2	Solar FV	2028	Istmina 115	0.000	SATISFACE
SC_2023_5551_A1	Solar FV	2027	Istmina 115	0.034	SATISFACE
SC_2023_5551_A2	Solar FV	2027	Istmina 115	0.016	SATISFACE
SC_2438_A1	Solar FV	2028	Istmina 115	0.000	SATISFACE
SC_2438_A2	Solar FV	2028	Istmina 115	0.000	SATISFACE

SC_2634_A1	Solar FV	2026	Istmina 115	0.001	SATISFACE
SC_2634_A2	Solar FV	2026	Istmina 115	0.002	SATISFACE
SC_2802_A1	Solar FV	2027	Istmina 115	0.000	SATISFACE
SC_2802_A2	Solar FV	2027	Istmina 115	0.000	SATISFACE
SC_2924_A1	Solar FV	2026	Istmina 115	0.016	SATISFACE
SC_2924_A2	Solar FV	2026	Istmina 115	0.018	SATISFACE
SC_2979_A1	Solar FV	2027	Istmina 115	0.000	SATISFACE
SC_2979_A2	Solar FV	2027	Istmina 115	0.000	SATISFACE
SC_2984_A1	Solar FV	2027	Istmina 115	0.000	SATISFACE
SC_2984_A2	Solar FV	2027	Istmina 115	0.000	SATISFACE
SC_3054_A2	Solar FV	2027	Istmina 115	0.000	SATISFACE
SC_3251_A1	Hidráulica	2026	Istmina 115	0.010	SATISFACE
SC_3251_A2	Hidráulica	2026	Istmina 115	0.010	SATISFACE
SC_3331_A1	Solar FV	2026	Istmina 115	0.007	SATISFACE
SC_3453_A1	Solar FV	2027	Istmina 115	0.001	SATISFACE
SC_3453_A2	Solar FV	2027	Istmina 115	0.001	SATISFACE
SC_3514_A1	Solar FV	2027	Istmina 115	0.001	SATISFACE
SC_3514_A2	Solar FV	2027	Istmina 115	0.001	SATISFACE
SC_3667_A1	Solar FV	2029	Istmina 115	0.001	SATISFACE
SC_3667_A2	Solar FV	2029	Istmina 115	0.000	SATISFACE
SC_4826_A1	Solar FV	2027	Istmina 115	0.001	SATISFACE
SC_4826_A2	Solar FV	2027	Istmina 115	0.001	SATISFACE
SC_4827_A1	Solar FV	2027	Istmina 115	0.001	SATISFACE
SC_4827_A2	Solar FV	2027	Istmina 115	0.001	SATISFACE
SC_4910_A1	Solar FV	2026	Istmina 115	0.001	SATISFACE
SC_4910_A2	Solar FV	2026	Istmina 115	0.001	SATISFACE
SC_4947_A1	Solar FV	2027	Istmina 115	0.006	SATISFACE
SC_4960_A2	Solar FV	2029	Istmina 115	0.003	SATISFACE
SC_5060_A1	Solar FV	2026	Istmina 115	0.001	SATISFACE
SC_5060_A2	Solar FV	2026	Istmina 115	0.001	SATISFACE
SC_5087_A2	Solar FV	2027	Istmina 115	0.002	SATISFACE

No se priorizó ninguna de las alternativas de conexión que tengan aportes de corriente de cortocircuito en la subestación Istmina 115

El estado de la capacidad de cortocircuito en la subestación Istmina 115, teniendo en cuenta la priorización se puede observar en la siguiente figura.

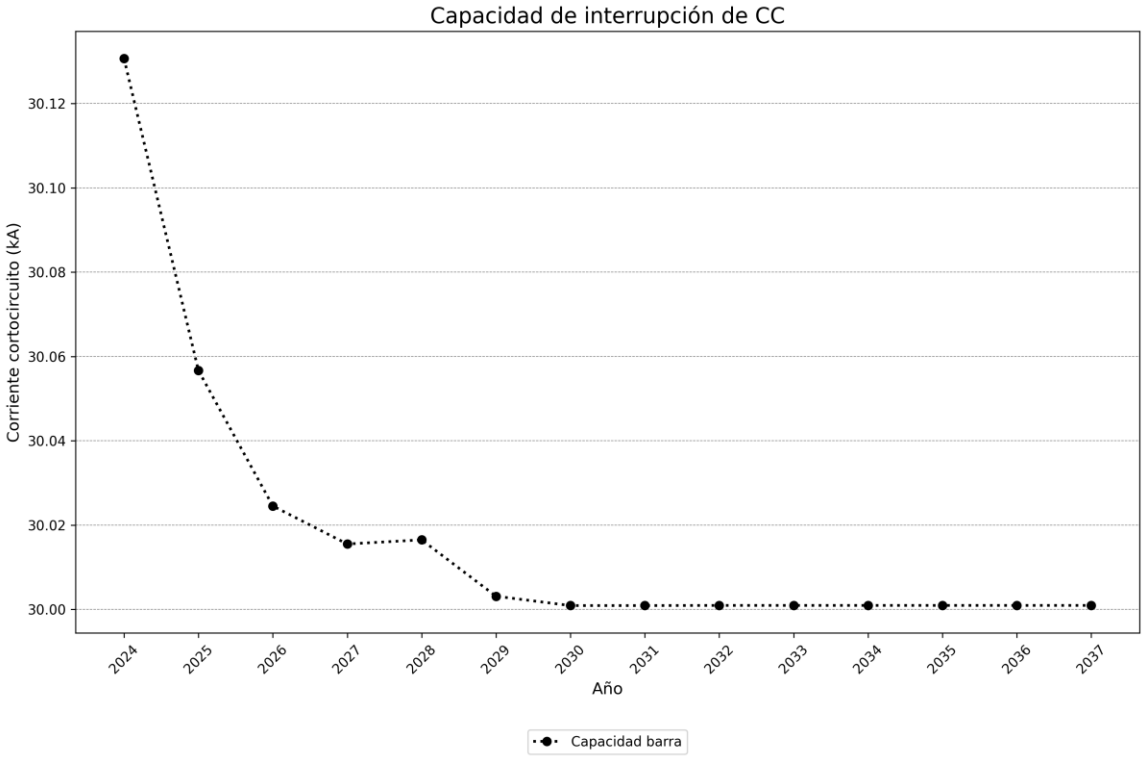


Figura 2-341. Balance de capacidad de cortocircuito después de la priorización para la subestación Istmina 115

Subestación Itagui 110:

Capacidad por barra:

Para la subestación Itagui 110 se presentaron 0 alternativas de conexión las cuales se muestran en la siguiente tabla:

Tabla 2-357. Alternativas de conexión presentadas a la subestación Itagui 110

Solicitud	Capacidad	Tipo	Barra	FPO solicitada	Restricción

No se priorizó ninguna de las alternativas de conexión presentadas en la subestación Itagui 110

El estado de la capacidad por barra en la subestación Itagui 110, teniendo en cuenta la priorización se puede observar en la siguiente figura.

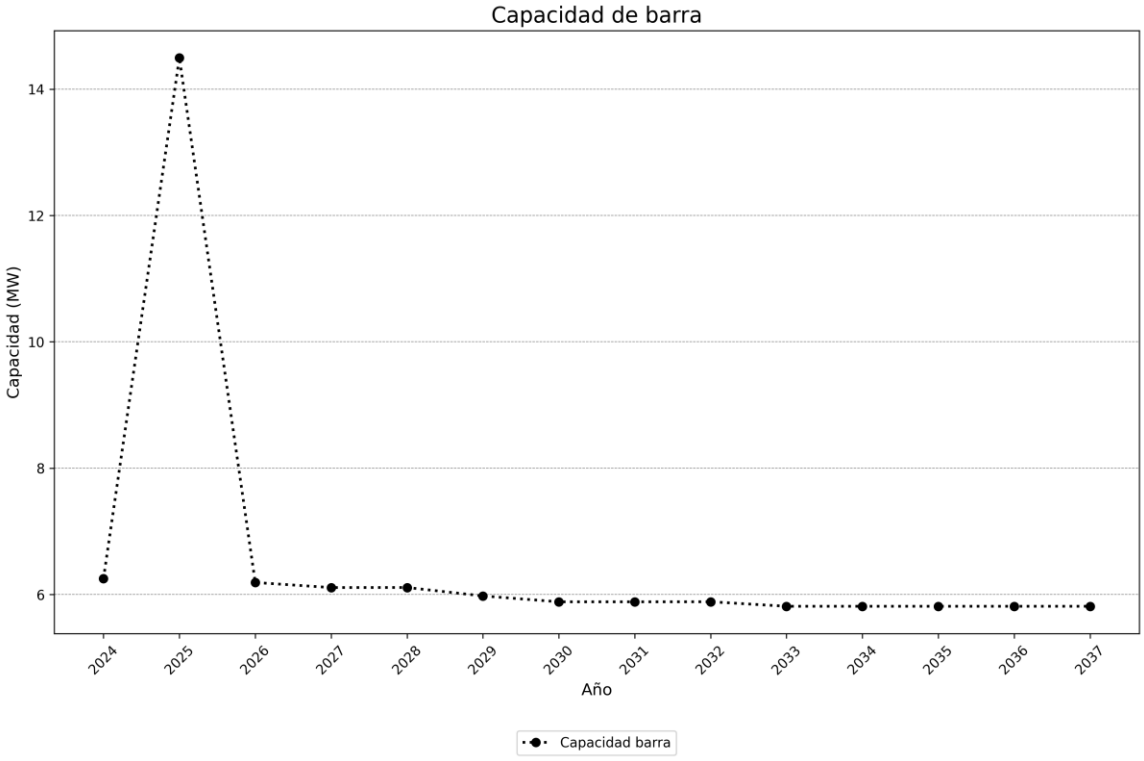


Figura 2-342. Balance de capacidad por barra después de la priorización para la subestación Itagui 110

Capacidad excedente de interrupción de corriente de cortocircuito:

Para la subestación Itagui 110 se presentaron 1 alternativas de conexión las cuales tienen aportes de corriente de cortocircuito. Estas alternativas se muestran en la siguiente tabla:

Tabla 2-358. Alternativas de conexión que aportan corriente de cortocircuito en la subestación Itagui 110

Solicitud	tipo	FPO	Barra a la que aporta CC	Aporte de cortocircuito (kA)	Restricción
SC_3331_A1	Solar FV	2026	Itagui 110	0.074	SATISFACE

No se priorizó ninguna de las alternativas de conexión que tengan aportes de corriente de cortocircuito en la subestación Itagui 110

El estado de la capacidad de cortocircuito en la subestación Itagui 110, teniendo en cuenta la priorización se puede observar en la siguiente figura.

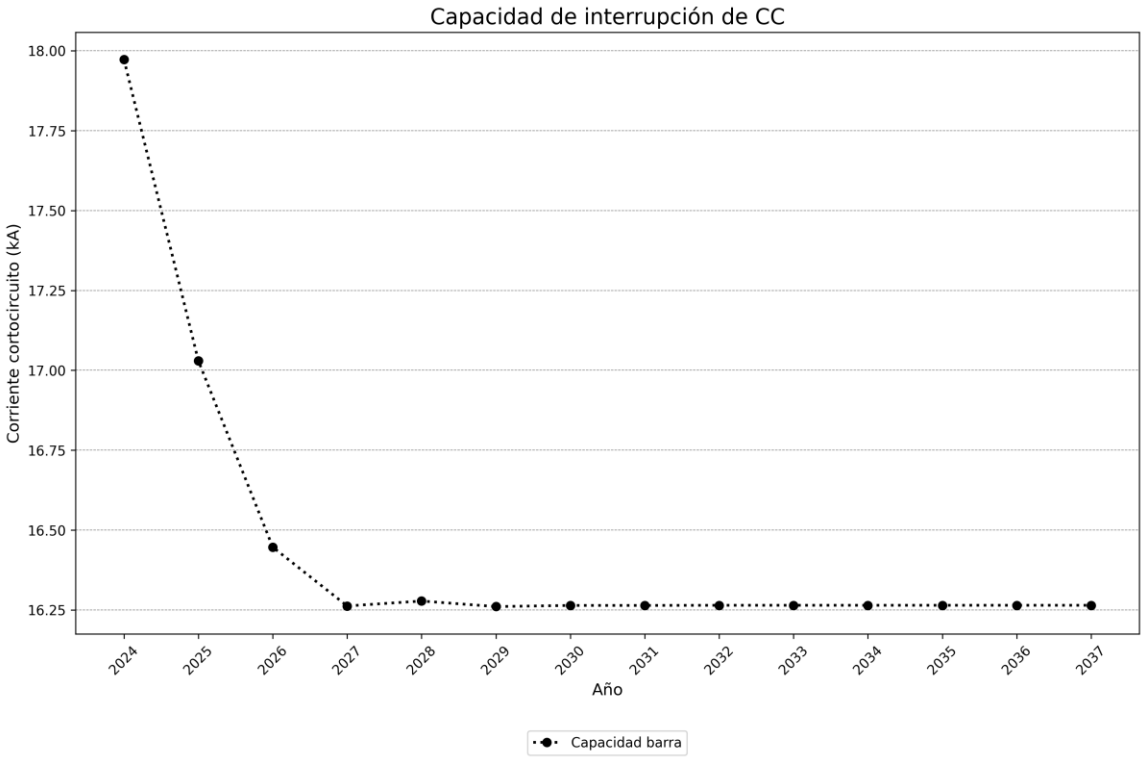


Figura 2-343. Balance de capacidad de cortocircuito después de la priorización para la subestación Itagui 110

Subestación Jaguas 220:

Capacidad por barra:

Para la subestación Jaguas 220 se presentaron 0 alternativas de conexión las cuales se muestran en la siguiente tabla:

Tabla 2-359. Alternativas de conexión presentadas a la subestación Jaguas 220

Solicitud	Capacidad	Tipo	Barra	FPO solicitada	Restricción

No se priorizó ninguna de las alternativas de conexión presentadas en la subestación Jaguas 220

El estado de la capacidad por barra en la subestación Jaguas 220, teniendo en cuenta la priorización se puede observar en la siguiente figura.

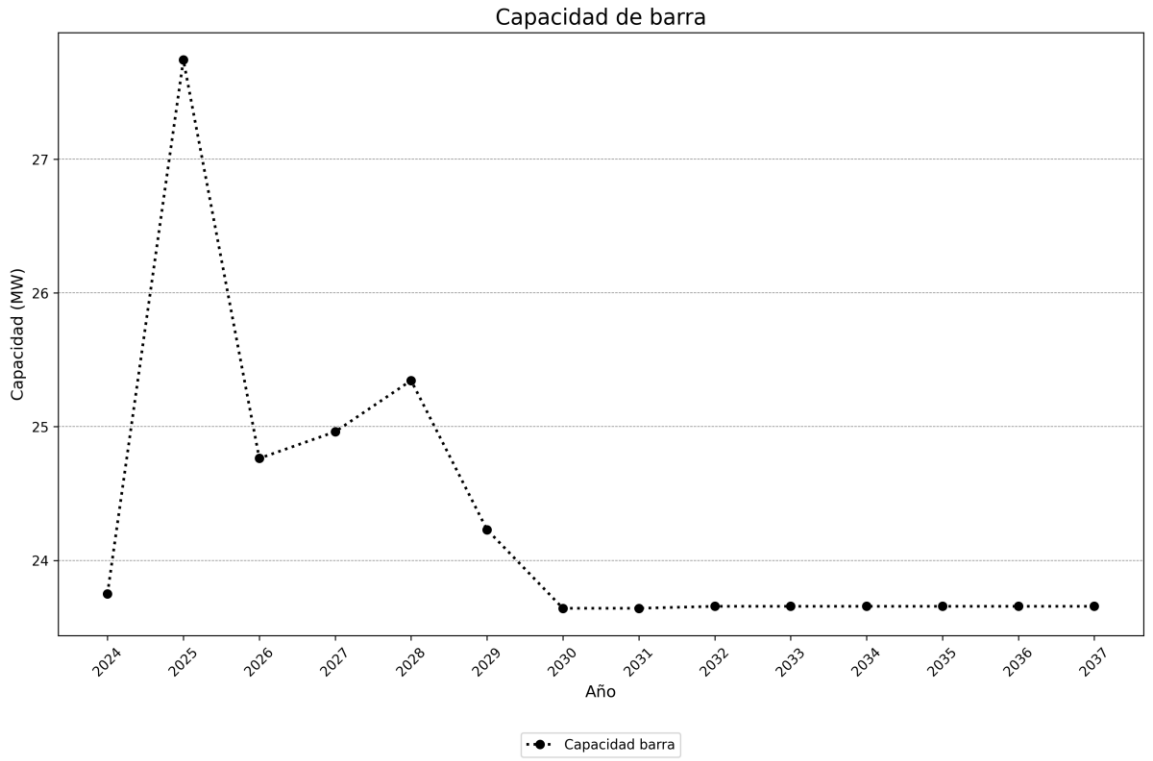


Figura 2-344. Balance de capacidad por barra después de la priorización para la subestación Jaguas 220

Capacidad excedente de interrupción de corriente de cortocircuito:

Para la subestación Jaguas 220 se presentaron 1 alternativas de conexión las cuales tienen aportes de corriente de cortocircuito. Estas alternativas se muestran en la siguiente tabla:

Tabla 2-360. Alternativas de conexión que aportan corriente de cortocircuito en la subestación Jaguas 220

Solicitud	tipo	FPO	Barra a la que aporta CC	Aporte de cortocircuito (kA)	Restricción
SC_3331_A1	Solar FV	2026	Jaguas 220	0.132	SATISFACE

No se priorizó ninguna de las alternativas de conexión que tengan aportes de corriente de cortocircuito en la subestación Jaguas 220

El estado de la capacidad de cortocircuito en la subestación Jaguas 220, teniendo en cuenta la priorización se puede observar en la siguiente figura.

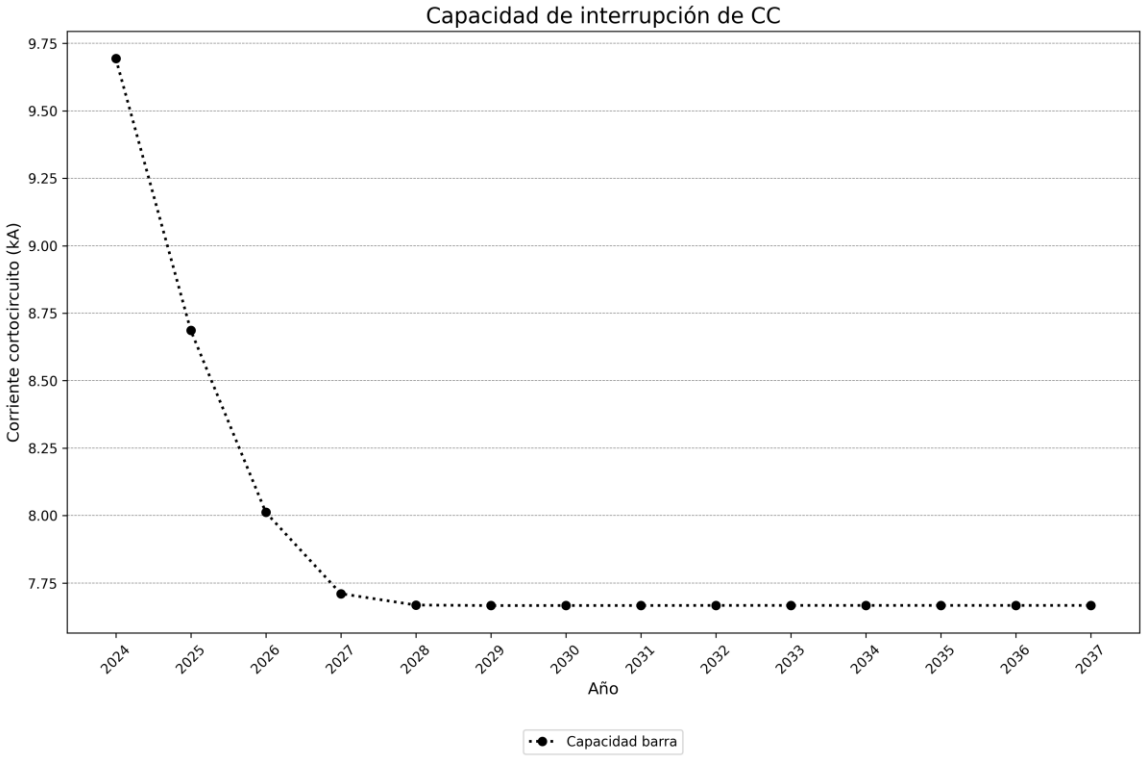


Figura 2-345. Balance de capacidad de cortocircuito después de la priorización para la subestación Jaguas 220

Subestación Jamondino 115:

Capacidad por barra:

Para la subestación Jamondino 115 se presentaron 0 alternativas de conexión las cuales se muestran en la siguiente tabla:

Tabla 2-361. Alternativas de conexión presentadas a la subestación Jamondino 115

Solicitud	Capacidad	Tipo	Barra	FPO solicitada	Restricción

No se priorizó ninguna de las alternativas de conexión presentadas en la subestación Jamondino 115

El estado de la capacidad por barra en la subestación Jamondino 115, teniendo en cuenta la priorización se puede observar en la siguiente figura.

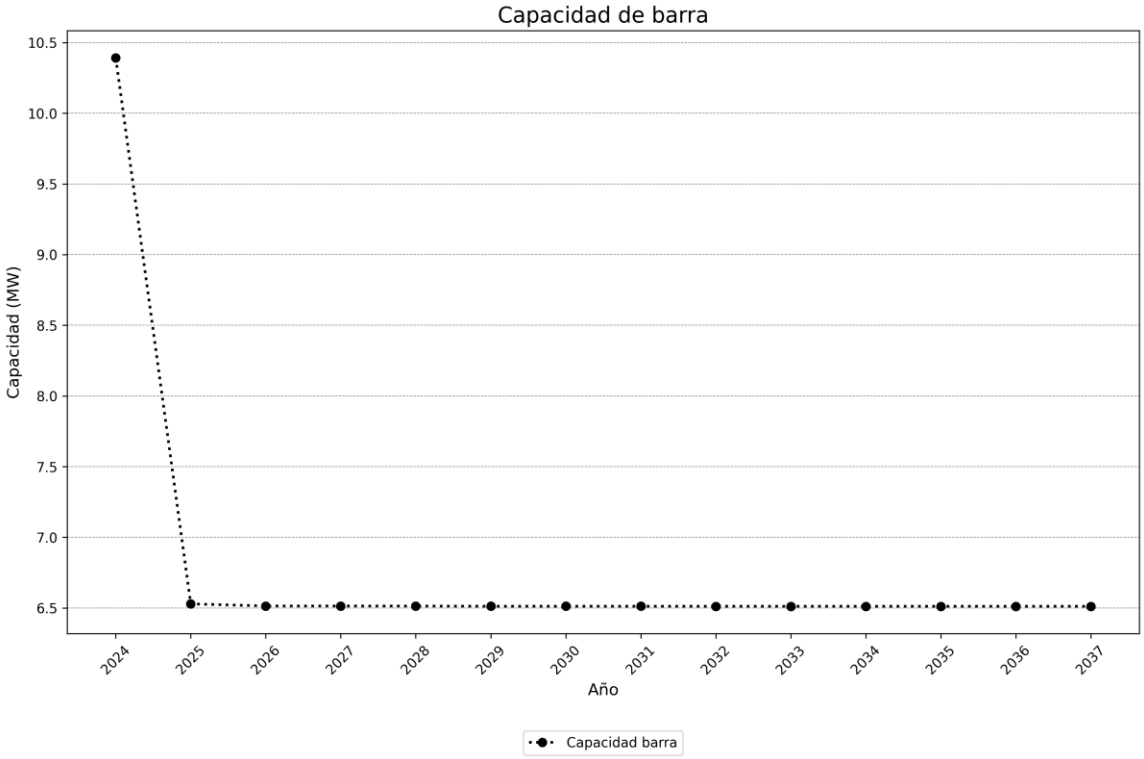


Figura 2-346. Balance de capacidad por barra después de la priorización para la subestación Jamondino 115

Capacidad excedente de interrupción de corriente de cortocircuito:

Para la subestación Jamondino 115 se presentaron 29 alternativas de conexión las cuales tienen aportes de corriente de cortocircuito. Estas alternativas se muestran en la siguiente tabla:

Tabla 2-362. Alternativas de conexión que aportan corriente de cortocircuito en la subestación Jamondino 115

Solicitud	tipo	FPO	Barra a la que aporta CC	Aporte de cortocircuito (kA)	Restricción
SC_2023_5280_A1	Solar FV	2028	Jamondino 115	0.014	SATISFACE
SC_2023_5280_A2	Solar FV	2028	Jamondino 115	0.013	SATISFACE
SC_2023_5287_A1	Solar FV	2026	Jamondino 115	0.006	SATISFACE
SC_2023_5287_A2	Solar FV	2026	Jamondino 115	0.007	SATISFACE
SC_2023_5288_A1	Solar FV	2026	Jamondino 115	0.004	SATISFACE
SC_2023_5288_A2	Solar FV	2026	Jamondino 115	0.010	SATISFACE
SC_2023_5375_A1	Solar FV	2026	Jamondino 115	0.006	SATISFACE
SC_2023_5399_A1	Solar FV	2026	Jamondino 115	0.004	SATISFACE
SC_2023_5399_A2	Solar FV	2026	Jamondino 115	0.010	SATISFACE
SC_2023_5480_A1	Solar FV	2026	Jamondino 115	0.006	SATISFACE
SC_2023_5480_A2	Solar FV	2026	Jamondino 115	0.007	SATISFACE
SC_2023_5557_A1	Solar FV	2028	Jamondino 115	0.016	SATISFACE
SC_2936_A1	Solar FV	2026	Jamondino 115	0.000	SATISFACE
SC_2936_A2	Solar FV	2026	Jamondino 115	0.000	SATISFACE
SC_3121_A1	Solar FV	2026	Jamondino 115	0.001	SATISFACE
SC_3121_A2	Solar FV	2026	Jamondino 115	0.001	SATISFACE
SC_3132_A1	Solar FV	2026	Jamondino 115	0.016	SATISFACE
SC_3132_A2	Solar FV	2026	Jamondino 115	0.014	SATISFACE
SC_3882_A1	Solar FV	2026	Jamondino 115	0.015	SATISFACE
SC_4083_A1	Solar FV	2027	Jamondino 115	0.000	SATISFACE
SC_4083_A2	Solar FV	2027	Jamondino 115	0.000	SATISFACE
SC_4765_A1	Solar FV	2029	Jamondino 115	0.000	SATISFACE
SC_4765_A2	Solar FV	2029	Jamondino 115	0.000	SATISFACE
SC_4819_A1	Solar FV	2029	Jamondino 115	0.023	SATISFACE
SC_4819_A2	Solar FV	2029	Jamondino 115	0.021	SATISFACE
SC_4974_A1	Solar FV	2026	Jamondino 115	0.016	SATISFACE
SC_4974_A2	Solar FV	2026	Jamondino 115	0.015	SATISFACE
SC_4978_A1	Solar FV	2026	Jamondino 115	0.000	SATISFACE
SC_4978_A2	Solar FV	2026	Jamondino 115	0.002	SATISFACE

No se priorizó ninguna de las alternativas de conexión que tengan aportes de corriente de cortocircuito en la subestación Jamondino 115

El estado de la capacidad de cortocircuito en la subestación Jamondino 115, teniendo en cuenta la priorización se puede observar en la siguiente figura.

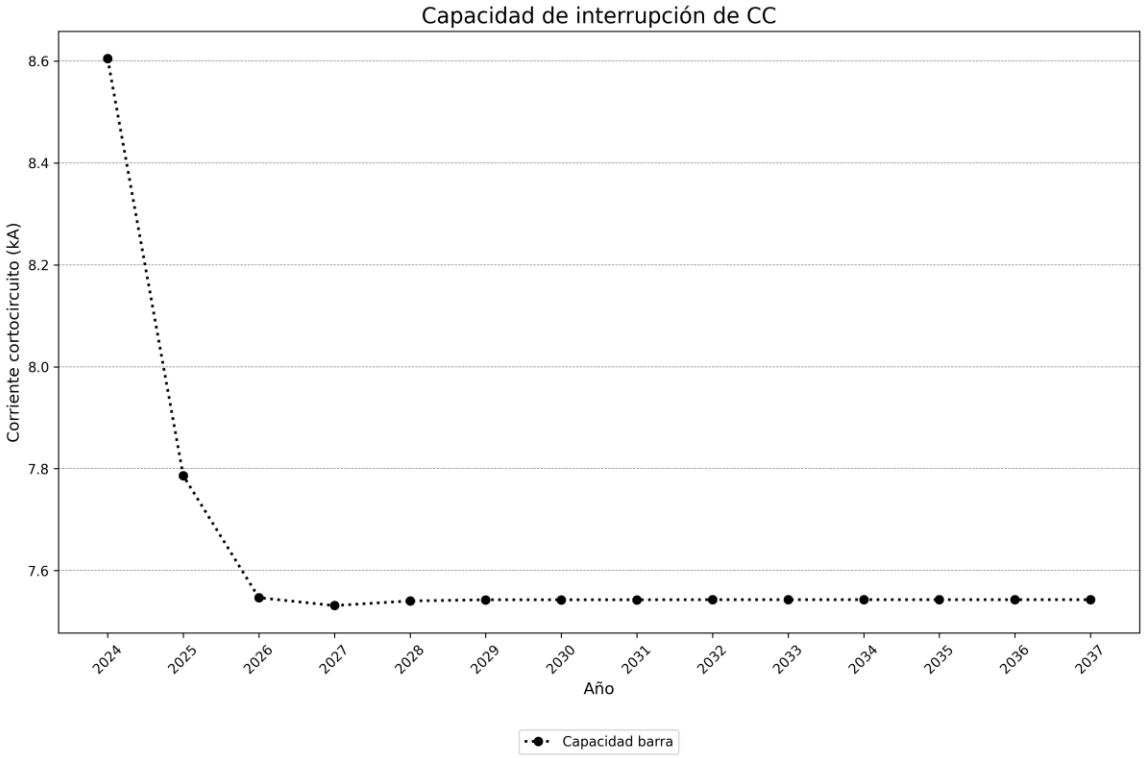


Figura 2-347. Balance de capacidad de cortocircuito después de la priorización para la subestación Jamondino 115

Subestación Jamondino 220:

Capacidad por barra:

Para la subestación Jamondino 220 se presentaron 0 alternativas de conexión las cuales se muestran en la siguiente tabla:

Tabla 2-363. Alternativas de conexión presentadas a la subestación Jamondino 220

Solicitud	Capacidad	Tipo	Barra	FPO solicitada	Restricción

No se priorizó ninguna de las alternativas de conexión presentadas en la subestación Jamondino 220

El estado de la capacidad por barra en la subestación Jamondino 220, teniendo en cuenta la priorización se puede observar en la siguiente figura.

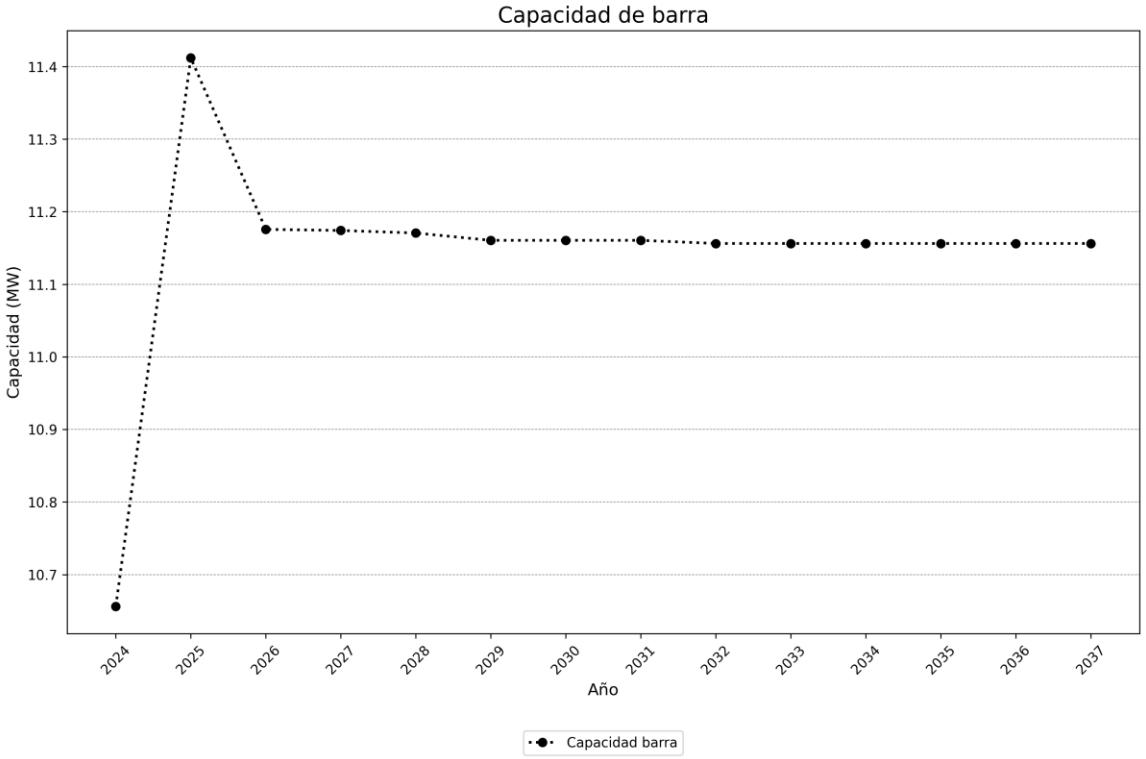


Figura 2-348. Balance de capacidad por barra después de la priorización para la subestación Jamondino 220

Capacidad excedente de interrupción de corriente de cortocircuito:

Para la subestación Jamondino 220 se presentaron 29 alternativas de conexión las cuales tienen aportes de corriente de cortocircuito. Estas alternativas se muestran en la siguiente tabla:

Tabla 2-364. Alternativas de conexión que aportan corriente de cortocircuito en la subestación Jamondino 220

Solicitud	tipo	FPO	Barra a la que aporta CC	Aporte de cortocircuito (kA)	Restricción
SC_2023_5280_A1	Solar FV	2028	Jamondino 220	0.008	SATISFACE
SC_2023_5280_A2	Solar FV	2028	Jamondino 220	0.008	SATISFACE
SC_2023_5287_A1	Solar FV	2026	Jamondino 220	0.005	SATISFACE
SC_2023_5287_A2	Solar FV	2026	Jamondino 220	0.005	SATISFACE
SC_2023_5288_A1	Solar FV	2026	Jamondino 220	0.003	SATISFACE
SC_2023_5288_A2	Solar FV	2026	Jamondino 220	0.008	SATISFACE
SC_2023_5375_A1	Solar FV	2026	Jamondino 220	0.005	SATISFACE
SC_2023_5399_A1	Solar FV	2026	Jamondino 220	0.003	SATISFACE
SC_2023_5399_A2	Solar FV	2026	Jamondino 220	0.008	SATISFACE
SC_2023_5480_A1	Solar FV	2026	Jamondino 220	0.005	SATISFACE
SC_2023_5480_A2	Solar FV	2026	Jamondino 220	0.005	SATISFACE
SC_2023_5557_A1	Solar FV	2028	Jamondino 220	0.014	SATISFACE
SC_2936_A1	Solar FV	2026	Jamondino 220	0.000	SATISFACE
SC_2936_A2	Solar FV	2026	Jamondino 220	0.000	SATISFACE
SC_3121_A1	Solar FV	2026	Jamondino 220	0.000	SATISFACE
SC_3121_A2	Solar FV	2026	Jamondino 220	0.000	SATISFACE
SC_3132_A1	Solar FV	2026	Jamondino 220	0.009	SATISFACE
SC_3132_A2	Solar FV	2026	Jamondino 220	0.008	SATISFACE
SC_3882_A1	Solar FV	2026	Jamondino 220	0.014	SATISFACE
SC_4083_A1	Solar FV	2027	Jamondino 220	0.000	SATISFACE
SC_4083_A2	Solar FV	2027	Jamondino 220	0.000	SATISFACE
SC_4765_A1	Solar FV	2029	Jamondino 220	0.000	SATISFACE
SC_4765_A2	Solar FV	2029	Jamondino 220	0.000	SATISFACE
SC_4819_A1	Solar FV	2029	Jamondino 220	0.017	SATISFACE
SC_4819_A2	Solar FV	2029	Jamondino 220	0.016	SATISFACE
SC_4974_A1	Solar FV	2026	Jamondino 220	0.011	SATISFACE
SC_4974_A2	Solar FV	2026	Jamondino 220	0.011	SATISFACE
SC_4978_A1	Solar FV	2026	Jamondino 220	0.000	SATISFACE
SC_4978_A2	Solar FV	2026	Jamondino 220	0.001	SATISFACE

No se priorizó ninguna de las alternativas de conexión que tengan aportes de corriente de cortocircuito en la subestación Jamondino 220

El estado de la capacidad de cortocircuito en la subestación Jamondino 220, teniendo en cuenta la priorización se puede observar en la siguiente figura.

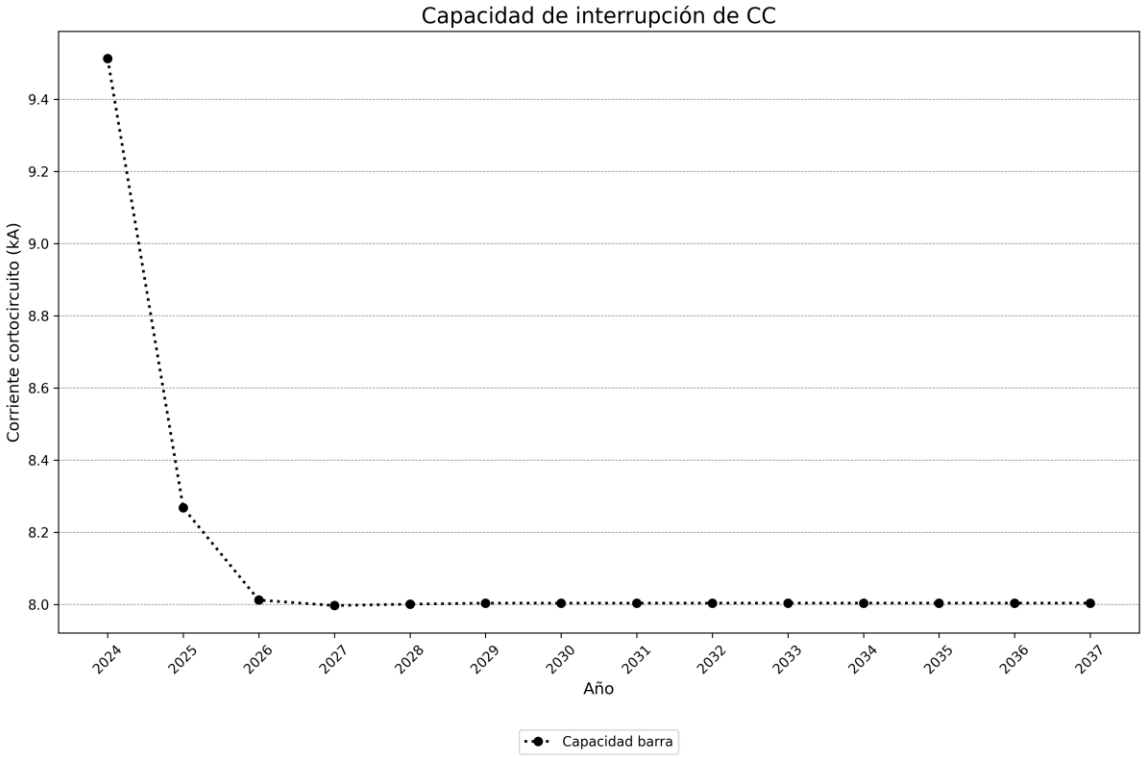


Figura 2-349. Balance de capacidad de cortocircuito después de la priorización para la subestación Jamondino 220

Subestación Jamundi 115:

Capacidad por barra:

Para la subestación Jamundi 115 se presentaron 0 alternativas de conexión las cuales se muestran en la siguiente tabla:

Tabla 2-365. Alternativas de conexión presentadas a la subestación Jamundi 115

Solicitud	Capacidad	Tipo	Barra	FPO solicitada	Restricción

No se priorizó ninguna de las alternativas de conexión presentadas en la subestación Jamundi 115

El estado de la capacidad por barra en la subestación Jamundi 115, teniendo en cuenta la priorización se puede observar en la siguiente figura.

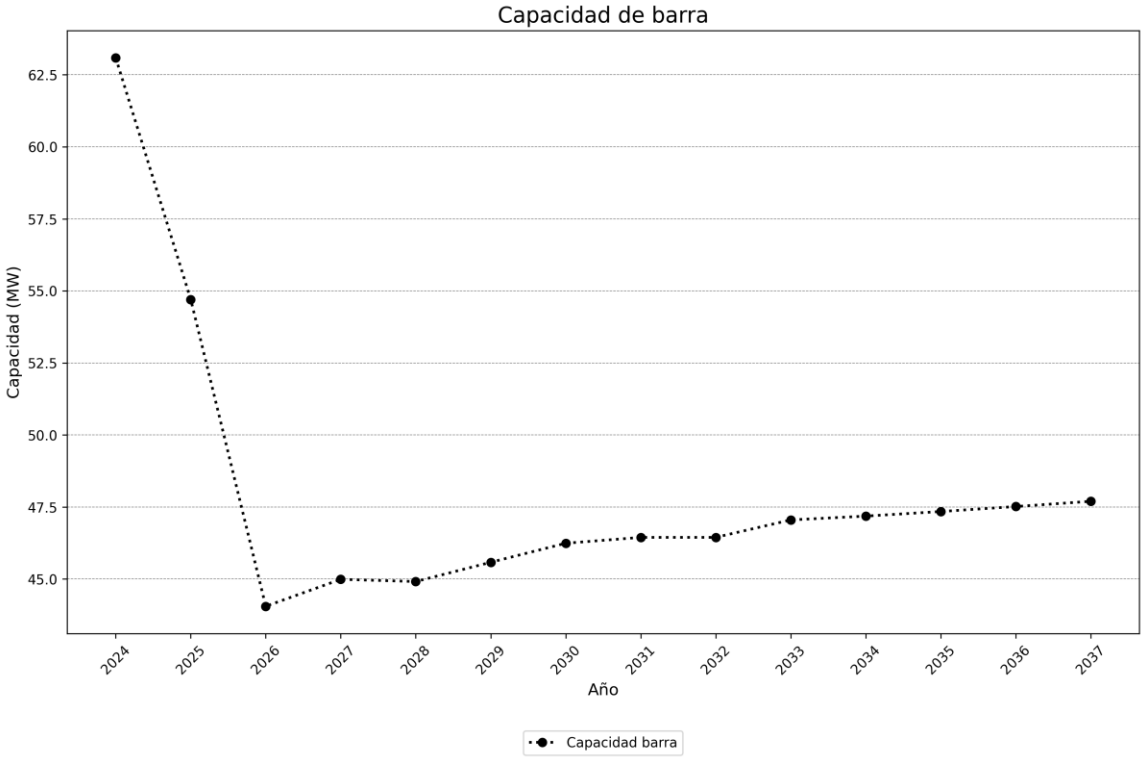


Figura 2-350. Balance de capacidad por barra después de la priorización para la subestación Jamundi 115

Capacidad excedente de interrupción de corriente de cortocircuito:

Para la subestación Jamundi 115 se presentaron 29 alternativas de conexión las cuales tienen aportes de corriente de cortocircuito. Estas alternativas se muestran en la siguiente tabla:

Tabla 2-366. Alternativas de conexión que aportan corriente de cortocircuito en la subestación Jamundi 115

Solicitud	tipo	FPO	Barra a la que aporta CC	Aporte de cortocircuito (kA)	Restricción
SC_2023_5280_A1	Solar FV	2028	Jamundi 115	0.018	SATISFACE
SC_2023_5280_A2	Solar FV	2028	Jamundi 115	0.017	SATISFACE
SC_2023_5287_A1	Solar FV	2026	Jamundi 115	0.010	SATISFACE
SC_2023_5287_A2	Solar FV	2026	Jamundi 115	0.010	SATISFACE
SC_2023_5288_A1	Solar FV	2026	Jamundi 115	0.006	SATISFACE
SC_2023_5288_A2	Solar FV	2026	Jamundi 115	0.016	SATISFACE
SC_2023_5375_A1	Solar FV	2026	Jamundi 115	0.010	SATISFACE
SC_2023_5399_A1	Solar FV	2026	Jamundi 115	0.006	SATISFACE
SC_2023_5399_A2	Solar FV	2026	Jamundi 115	0.016	SATISFACE
SC_2023_5480_A1	Solar FV	2026	Jamundi 115	0.010	SATISFACE
SC_2023_5480_A2	Solar FV	2026	Jamundi 115	0.010	SATISFACE
SC_2023_5557_A1	Solar FV	2028	Jamundi 115	0.029	SATISFACE
SC_2936_A1	Solar FV	2026	Jamundi 115	0.000	SATISFACE
SC_2936_A2	Solar FV	2026	Jamundi 115	0.000	SATISFACE
SC_3121_A1	Solar FV	2026	Jamundi 115	0.001	SATISFACE
SC_3121_A2	Solar FV	2026	Jamundi 115	0.001	SATISFACE
SC_3132_A1	Solar FV	2026	Jamundi 115	0.021	SATISFACE
SC_3132_A2	Solar FV	2026	Jamundi 115	0.019	SATISFACE
SC_3882_A1	Solar FV	2026	Jamundi 115	0.029	SATISFACE
SC_4083_A1	Solar FV	2027	Jamundi 115	0.000	SATISFACE
SC_4083_A2	Solar FV	2027	Jamundi 115	0.000	SATISFACE
SC_4765_A1	Solar FV	2029	Jamundi 115	0.000	SATISFACE
SC_4765_A2	Solar FV	2029	Jamundi 115	0.000	SATISFACE
SC_4819_A1	Solar FV	2029	Jamundi 115	0.033	SATISFACE
SC_4819_A2	Solar FV	2029	Jamundi 115	0.031	SATISFACE
SC_4974_A1	Solar FV	2026	Jamundi 115	0.015	SATISFACE
SC_4974_A2	Solar FV	2026	Jamundi 115	0.014	SATISFACE
SC_4978_A1	Solar FV	2026	Jamundi 115	0.000	SATISFACE
SC_4978_A2	Solar FV	2026	Jamundi 115	0.002	SATISFACE

No se priorizó ninguna de las alternativas de conexión que tengan aportes de corriente de cortocircuito en la subestación Jamundi 115

El estado de la capacidad de cortocircuito en la subestación Jamundi 115, teniendo en cuenta la priorización se puede observar en la siguiente figura.

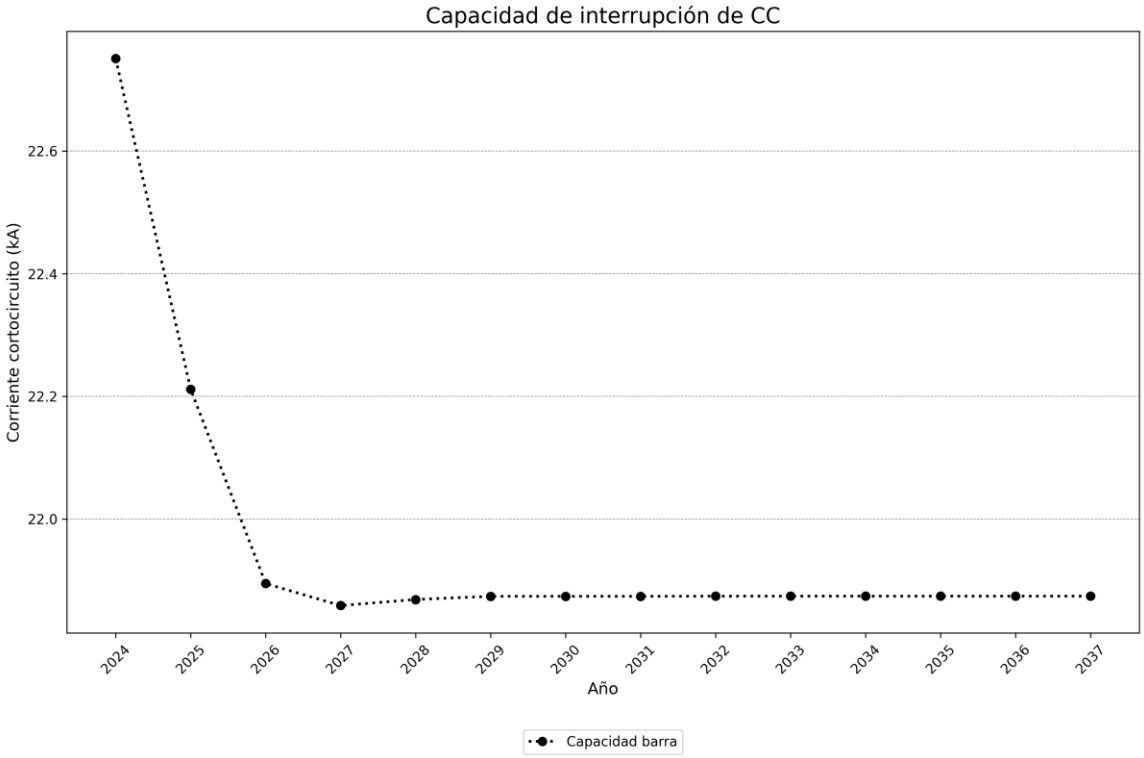


Figura 2-351. Balance de capacidad de cortocircuito después de la priorización para la subestación Jamundi 115

Subestación Jardinera 115:

Capacidad por barra:

Para la subestación Jardinera 115 se presentaron 0 alternativas de conexión las cuales se muestran en la siguiente tabla:

Tabla 2-367. Alternativas de conexión presentadas a la subestación Jardinera 115

Solicitud	Capacidad	Tipo	Barra	FPO solicitada	Restricción

No se priorizó ninguna de las alternativas de conexión presentadas en la subestación Jardinera 115

El estado de la capacidad por barra en la subestación Jardinera 115, teniendo en cuenta la priorización se puede observar en la siguiente figura.

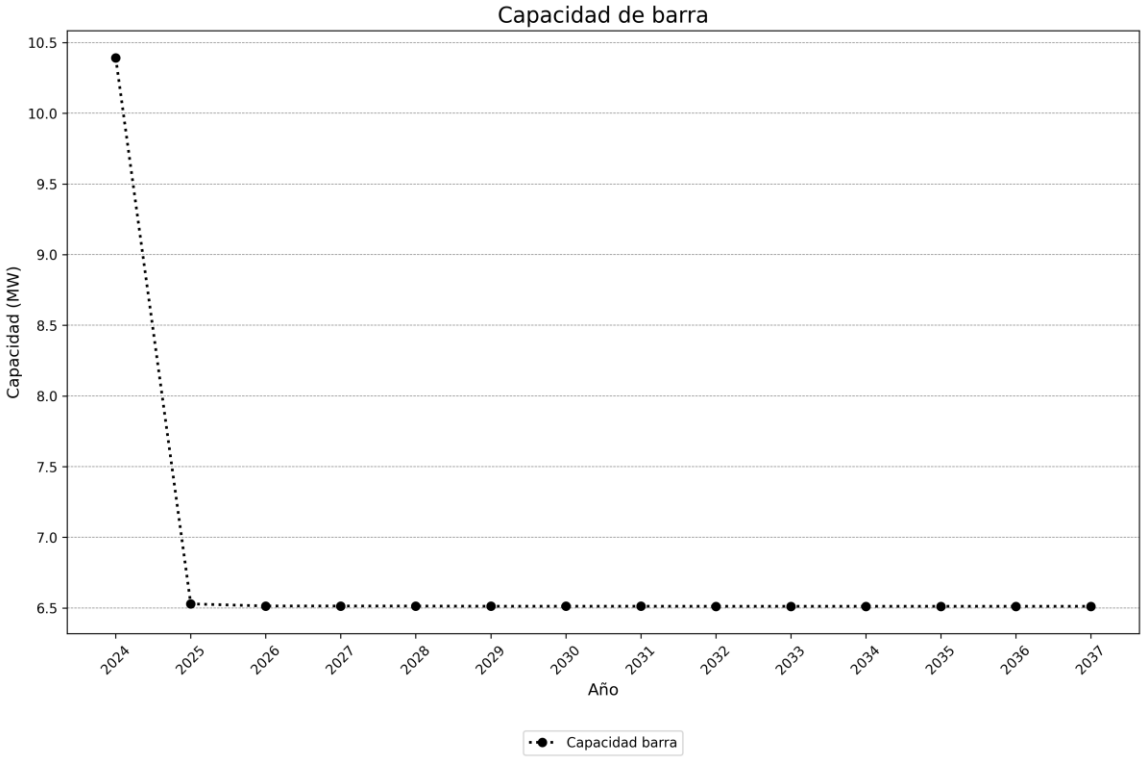


Figura 2-352. Balance de capacidad por barra después de la priorización para la subestación Jardinera 115

Capacidad excedente de interrupción de corriente de cortocircuito:

Para la subestación Jardinera 115 se presentaron 29 alternativas de conexión las cuales tienen aportes de corriente de cortocircuito. Estas alternativas se muestran en la siguiente tabla:

Tabla 2-368. Alternativas de conexión que aportan corriente de cortocircuito en la subestación Jardinera 115

Solicitud	tipo	FPO	Barra a la que aporta CC	Aporte de cortocircuito (kA)	Restricción
SC_2023_5280_A1	Solar FV	2028	Jardinera 115	0.005	SATISFACE
SC_2023_5280_A2	Solar FV	2028	Jardinera 115	0.004	SATISFACE
SC_2023_5287_A1	Solar FV	2026	Jardinera 115	0.002	SATISFACE
SC_2023_5287_A2	Solar FV	2026	Jardinera 115	0.002	SATISFACE
SC_2023_5288_A1	Solar FV	2026	Jardinera 115	0.001	SATISFACE
SC_2023_5288_A2	Solar FV	2026	Jardinera 115	0.002	SATISFACE
SC_2023_5375_A1	Solar FV	2026	Jardinera 115	0.002	SATISFACE
SC_2023_5399_A1	Solar FV	2026	Jardinera 115	0.001	SATISFACE
SC_2023_5399_A2	Solar FV	2026	Jardinera 115	0.002	SATISFACE
SC_2023_5480_A1	Solar FV	2026	Jardinera 115	0.002	SATISFACE
SC_2023_5480_A2	Solar FV	2026	Jardinera 115	0.002	SATISFACE
SC_2023_5557_A1	Solar FV	2028	Jardinera 115	0.004	SATISFACE
SC_2936_A1	Solar FV	2026	Jardinera 115	0.000	SATISFACE
SC_2936_A2	Solar FV	2026	Jardinera 115	0.000	SATISFACE
SC_3121_A1	Solar FV	2026	Jardinera 115	0.000	SATISFACE
SC_3121_A2	Solar FV	2026	Jardinera 115	0.000	SATISFACE
SC_3132_A1	Solar FV	2026	Jardinera 115	0.005	SATISFACE
SC_3132_A2	Solar FV	2026	Jardinera 115	0.005	SATISFACE
SC_3882_A1	Solar FV	2026	Jardinera 115	0.004	SATISFACE
SC_4083_A1	Solar FV	2027	Jardinera 115	0.000	SATISFACE
SC_4083_A2	Solar FV	2027	Jardinera 115	0.000	SATISFACE
SC_4765_A1	Solar FV	2029	Jardinera 115	0.000	SATISFACE
SC_4765_A2	Solar FV	2029	Jardinera 115	0.000	SATISFACE
SC_4819_A1	Solar FV	2029	Jardinera 115	0.006	SATISFACE
SC_4819_A2	Solar FV	2029	Jardinera 115	0.005	SATISFACE
SC_4974_A1	Solar FV	2026	Jardinera 115	0.002	SATISFACE
SC_4974_A2	Solar FV	2026	Jardinera 115	0.002	SATISFACE
SC_4978_A1	Solar FV	2026	Jardinera 115	0.000	SATISFACE
SC_4978_A2	Solar FV	2026	Jardinera 115	0.000	SATISFACE

No se priorizó ninguna de las alternativas de conexión que tengan aportes de corriente de cortocircuito en la subestación Jardinera 115

El estado de la capacidad de cortocircuito en la subestación Jardinera 115, teniendo en cuenta la priorización se puede observar en la siguiente figura.

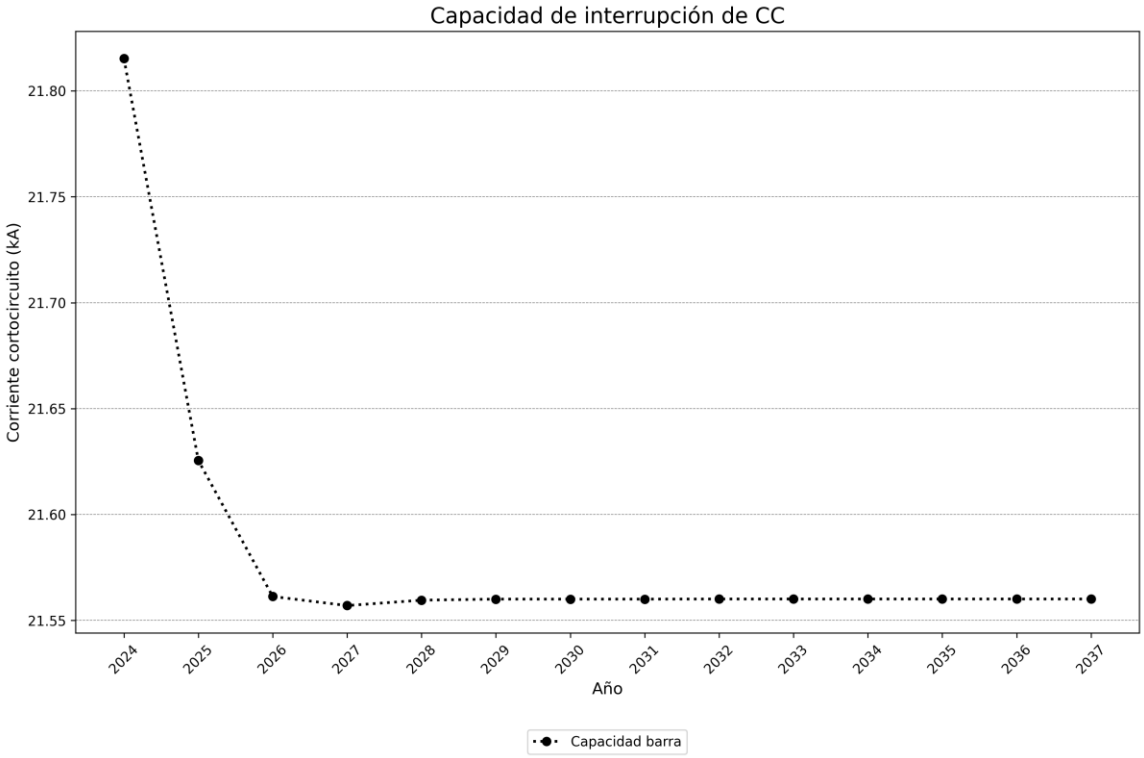


Figura 2-353. Balance de capacidad de cortocircuito después de la priorización para la subestación Jardinera 115

Subestación Juanchito 115:

Capacidad por barra:

Para la subestación Juanchito 115 se presentaron 0 alternativas de conexión las cuales se muestran en la siguiente tabla:

Tabla 2-369. Alternativas de conexión presentadas a la subestación Juanchito 115

Solicitud	Capacidad	Tipo	Barra	FPO solicitada	Restricción

No se priorizó ninguna de las alternativas de conexión presentadas en la subestación Juanchito 115

El estado de la capacidad por barra en la subestación Juanchito 115, teniendo en cuenta la priorización se puede observar en la siguiente figura.

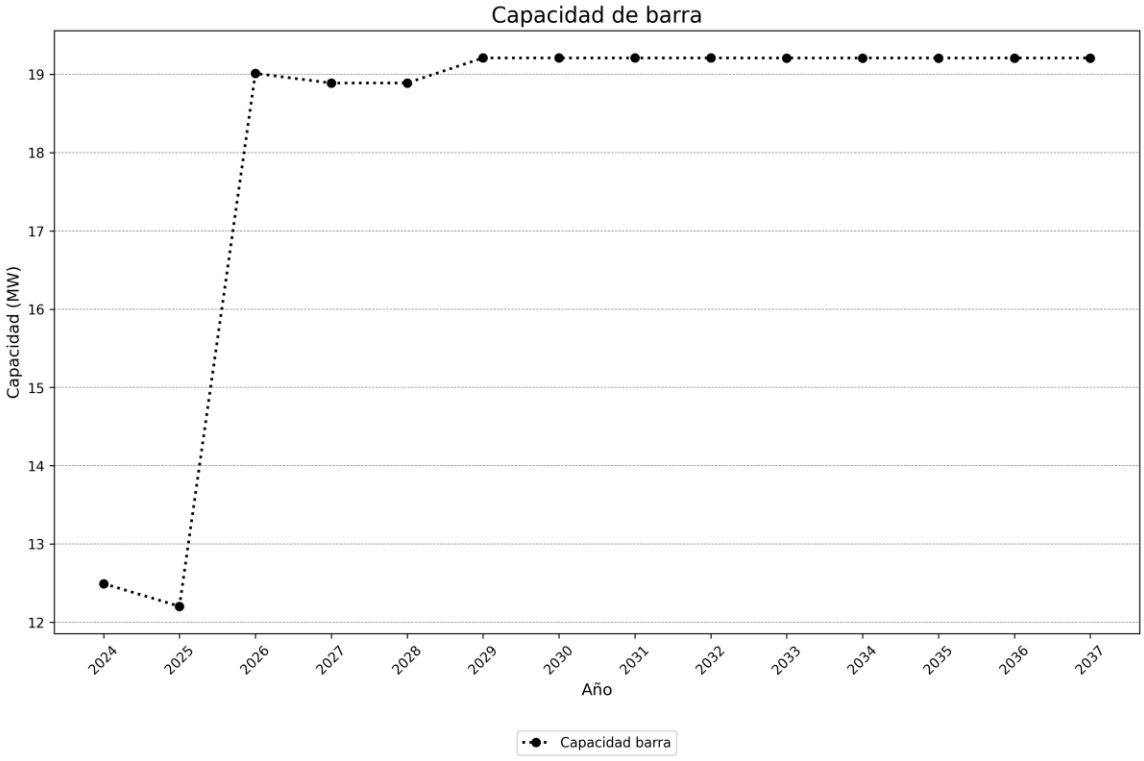


Figura 2-354. Balance de capacidad por barra después de la priorización para la subestación Juanchito 115

Capacidad excedente de interrupción de corriente de cortocircuito:

Para la subestación Juanchito 115 se presentaron 4 alternativas de conexión las cuales tienen aportes de corriente de cortocircuito. Estas alternativas se muestran en la siguiente tabla:

Tabla 2-370. Alternativas de conexión que aportan corriente de cortocircuito en la subestación Juanchito 115

Solicitud	tipo	FPO	Barra a la que aporta CC	Aporte de cortocircuito (kA)	Restricción
SC_2023_5557_A1	Solar FV	2028	Juanchito 115	0.119	NO SATISFACE
SC_2936_A1	Solar FV	2026	Juanchito 115	0.000	NO SATISFACE
SC_2936_A2	Solar FV	2026	Juanchito 115	0.000	NO SATISFACE
SC_3882_A1	Solar FV	2026	Juanchito 115	0.116	NO SATISFACE

No se priorizó ninguna de las alternativas de conexión que tengan aportes de corriente de cortocircuito en la subestación Juanchito 115

El estado de la capacidad de cortocircuito en la subestación Juanchito 115, teniendo en cuenta la priorización se puede observar en la siguiente figura.

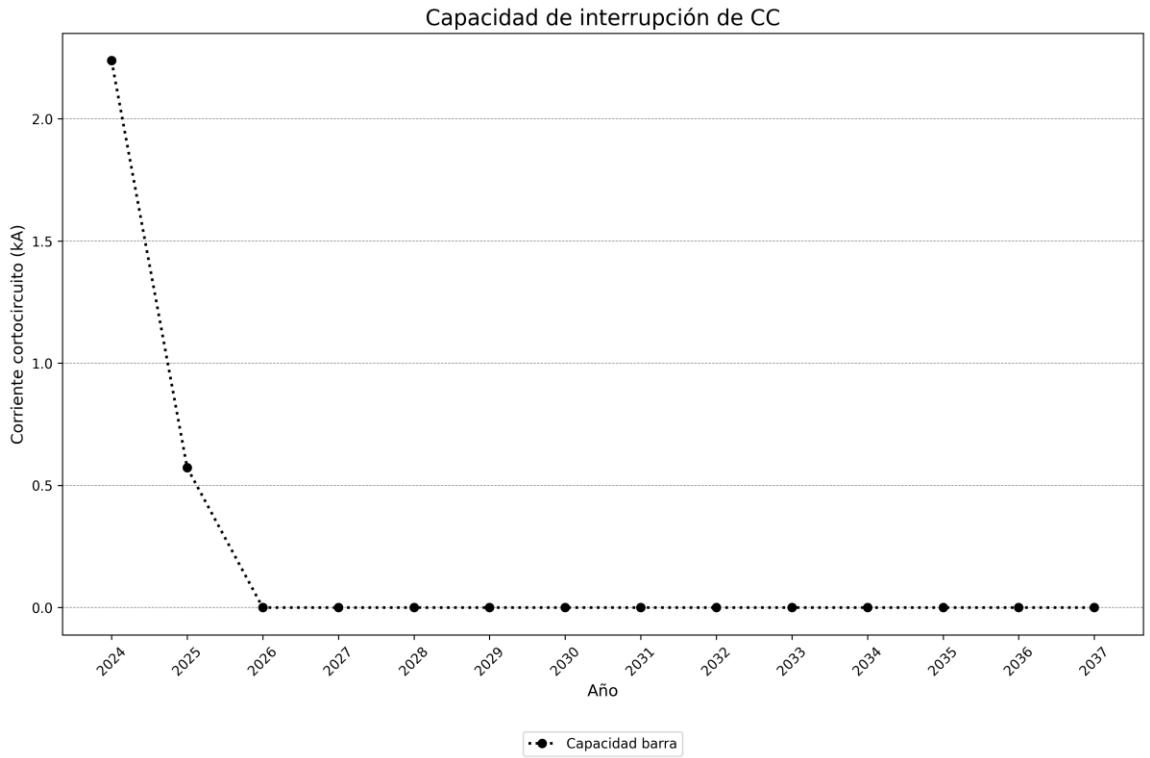


Figura 2-355. Balance de capacidad de cortocircuito después de la priorización para la subestación Juanchito 115

Subestación Juanchito 220:

Capacidad por barra:

Para la subestación Juanchito 220 se presentaron 0 alternativas de conexión las cuales se muestran en la siguiente tabla:

Tabla 2-371. Alternativas de conexión presentadas a la subestación Juanchito 220

Solicitud	Capacidad	Tipo	Barra	FPO solicitada	Restricción

No se priorizó ninguna de las alternativas de conexión presentadas en la subestación Juanchito 220

El estado de la capacidad por barra en la subestación Juanchito 220, teniendo en cuenta la priorización se puede observar en la siguiente figura.

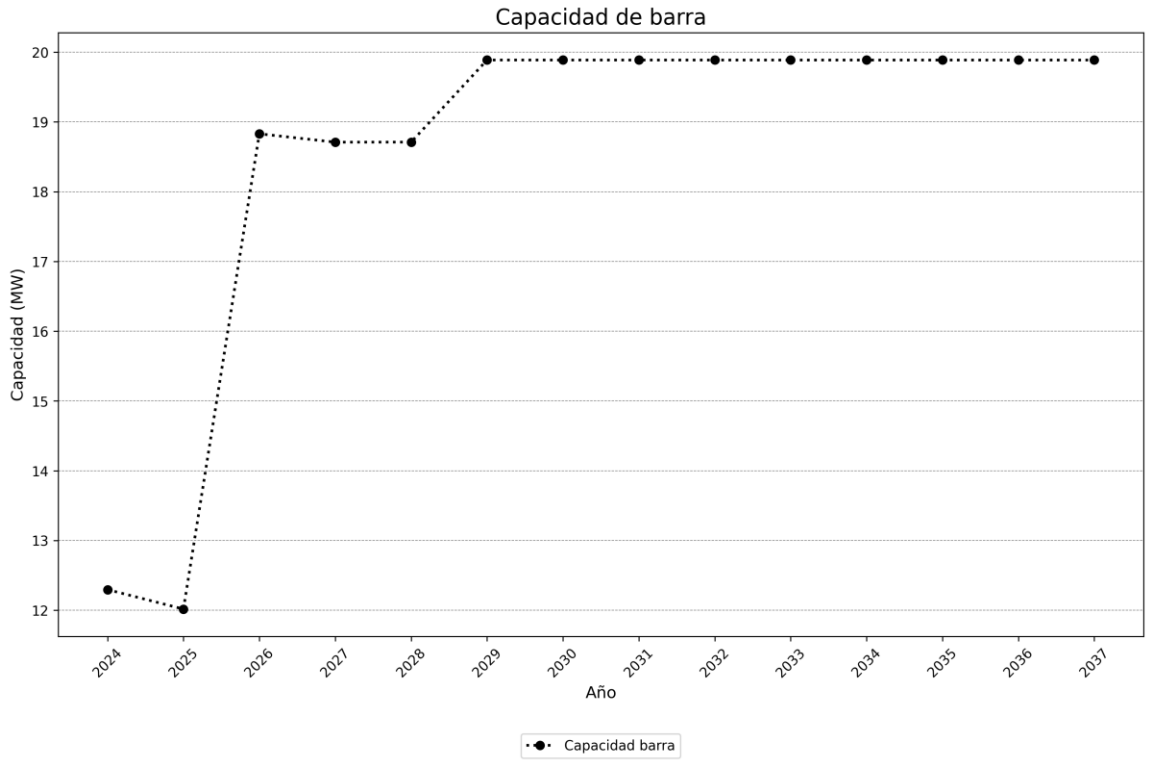


Figura 2-356. Balance de capacidad por barra después de la priorización para la subestación Juanchito 220

Capacidad excedente de interrupción de corriente de cortocircuito:

Para la subestación Juanchito 220 se presentaron 4 alternativas de conexión las cuales tienen aportes de corriente de cortocircuito. Estas alternativas se muestran en la siguiente tabla:

Tabla 2-372. Alternativas de conexión que aportan corriente de cortocircuito en la subestación Juanchito 220

Solicitud	tipo	FPO	Barra a la que aporta CC	Aporte de cortocircuito (kA)	Restricción
SC_2023_5557_A1	Solar FV	2028	Juanchito 220	0.080	SATISFACE
SC_2936_A1	Solar FV	2026	Juanchito 220	0.000	SATISFACE
SC_2936_A2	Solar FV	2026	Juanchito 220	0.000	SATISFACE
SC_3882_A1	Solar FV	2026	Juanchito 220	0.078	SATISFACE

No se priorizó ninguna de las alternativas de conexión que tengan aportes de corriente de cortocircuito en la subestación Juanchito 220

El estado de la capacidad de cortocircuito en la subestación Juanchito 220, teniendo en cuenta la priorización se puede observar en la siguiente figura.

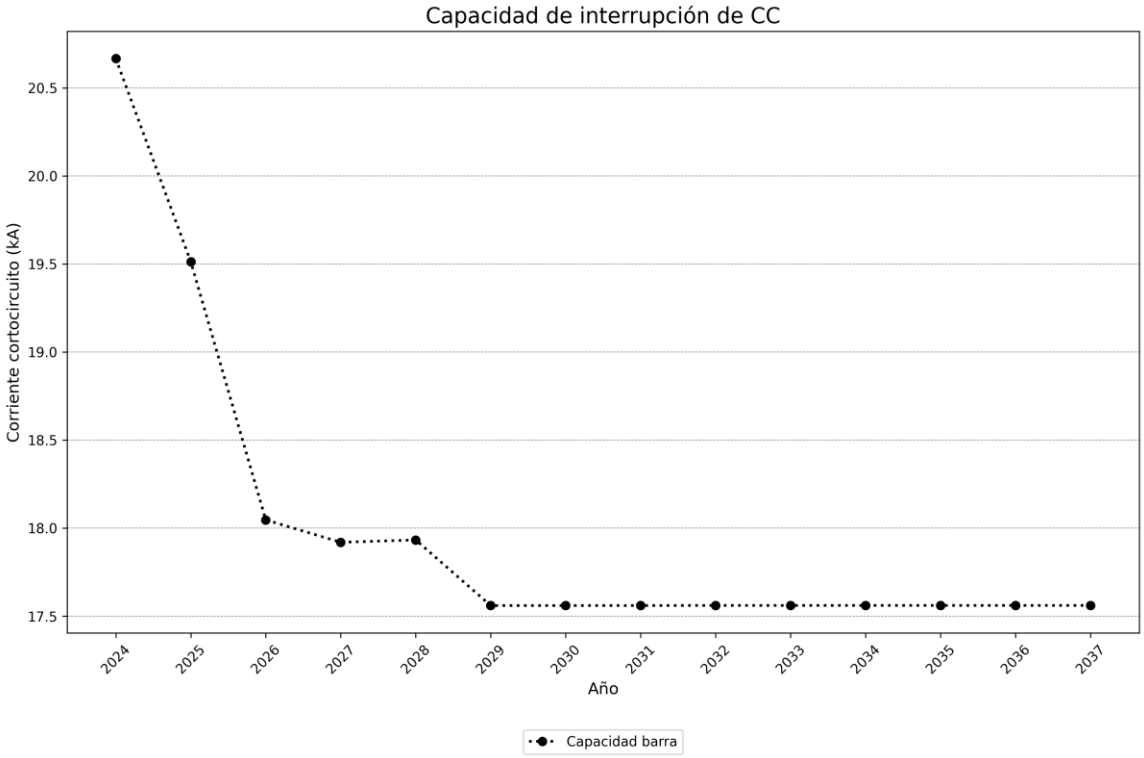


Figura 2-357. Balance de capacidad de cortocircuito después de la priorización para la subestación Juanchito 220

Subestación Juanchito 220 (115):

Capacidad por barra:

Para la subestación Juanchito 220 (115) se presentaron 0 alternativas de conexión las cuales se muestran en la siguiente tabla:

Tabla 2-373. Alternativas de conexión presentadas a la subestación Juanchito 220 (115)

Solicitud	Capacidad	Tipo	Barra	FPO solicitada	Restricción

No se priorizó ninguna de las alternativas de conexión presentadas en la subestación Juanchito 220 (115)

El estado de la capacidad por barra en la subestación Juanchito 220 (115), teniendo en cuenta la priorización se puede observar en la siguiente figura.

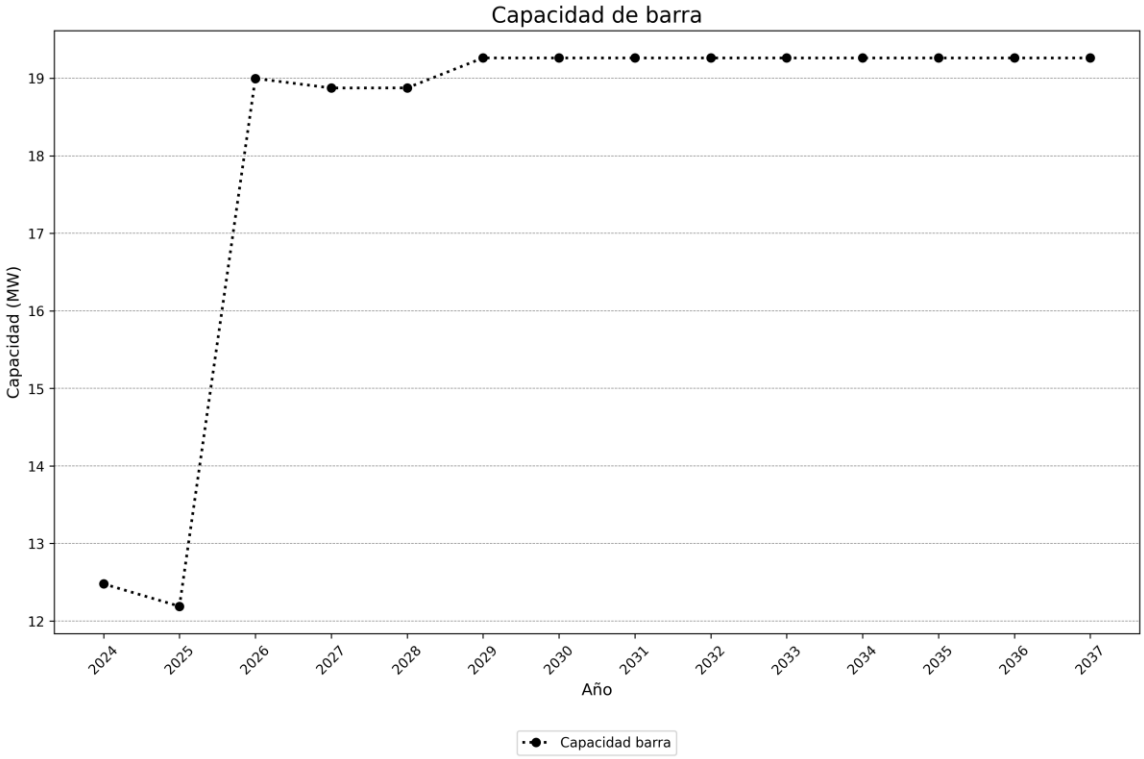


Figura 2-358. Balance de capacidad por barra después de la priorización para la subestación Juanchito 220 (115)

Capacidad excedente de interrupción de corriente de cortocircuito:

Para la subestación Juanchito 220 (115) se presentaron 4 alternativas de conexión las cuales tienen aportes de corriente de cortocircuito. Estas alternativas se muestran en la siguiente tabla:

Tabla 2-374. Alternativas de conexión que aportan corriente de cortocircuito en la subestación Juanchito 220 (115)

Solicitud	tipo	FPO	Barra a la que aporta CC	Aporte de cortocircuito (kA)	Restricción
SC_2023_5557_A1	Solar FV	2028	Juanchito 220 (115)	0.112	SATISFACE
SC_2936_A1	Solar FV	2026	Juanchito 220 (115)	0.000	SATISFACE
SC_2936_A2	Solar FV	2026	Juanchito 220 (115)	0.000	SATISFACE
SC_3882_A1	Solar FV	2026	Juanchito 220 (115)	0.109	SATISFACE

No se priorizó ninguna de las alternativas de conexión que tengan aportes de corriente de cortocircuito en la subestación Juanchito 220 (115)

El estado de la capacidad de cortocircuito en la subestación Juanchito 220 (115), teniendo en cuenta la priorización se puede observar en la siguiente figura.

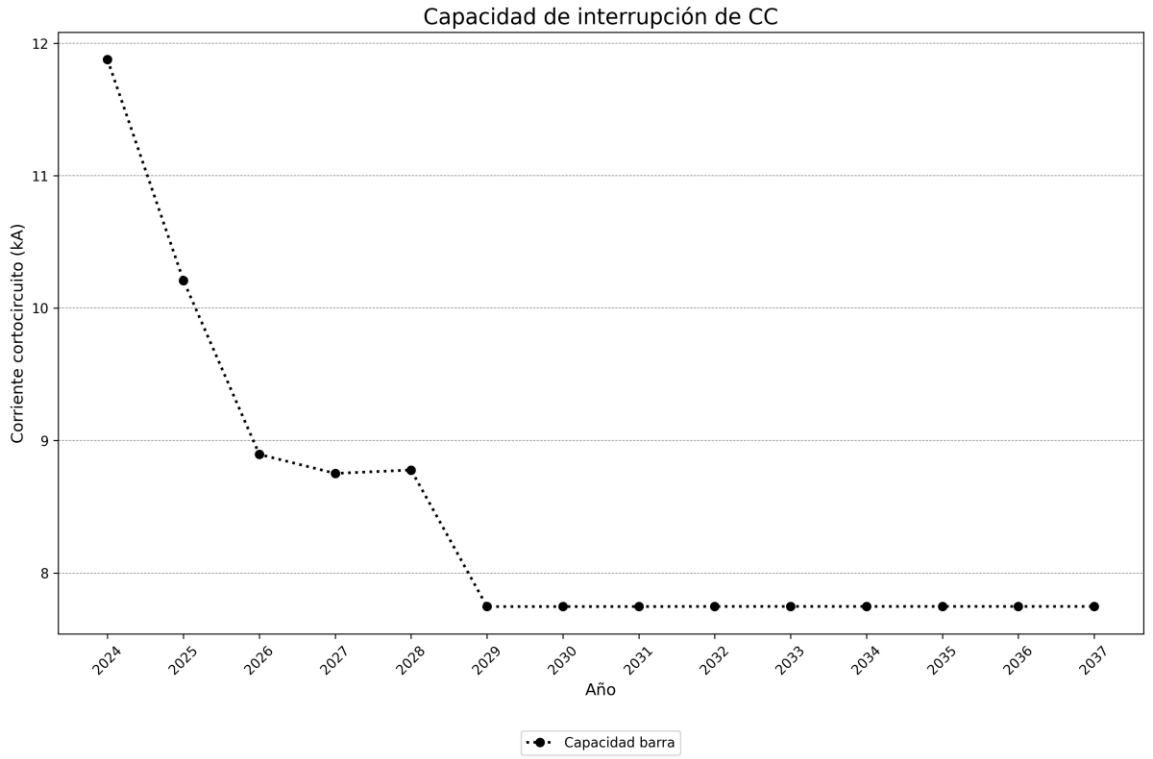


Figura 2-359. Balance de capacidad de cortocircuito después de la priorización para la subestación Juanchito 220 (115)

Subestación Junin 115:

Capacidad por barra:

Para la subestación Junin 115 se presentaron 0 alternativas de conexión las cuales se muestran en la siguiente tabla:

Tabla 2-375. Alternativas de conexión presentadas a la subestación Junin 115

Solicitud	Capacidad	Tipo	Barra	FPO solicitada	Restricción

No se priorizó ninguna de las alternativas de conexión presentadas en la subestación Junin 115

El estado de la capacidad por barra en la subestación Junin 115, teniendo en cuenta la priorización se puede observar en la siguiente figura.

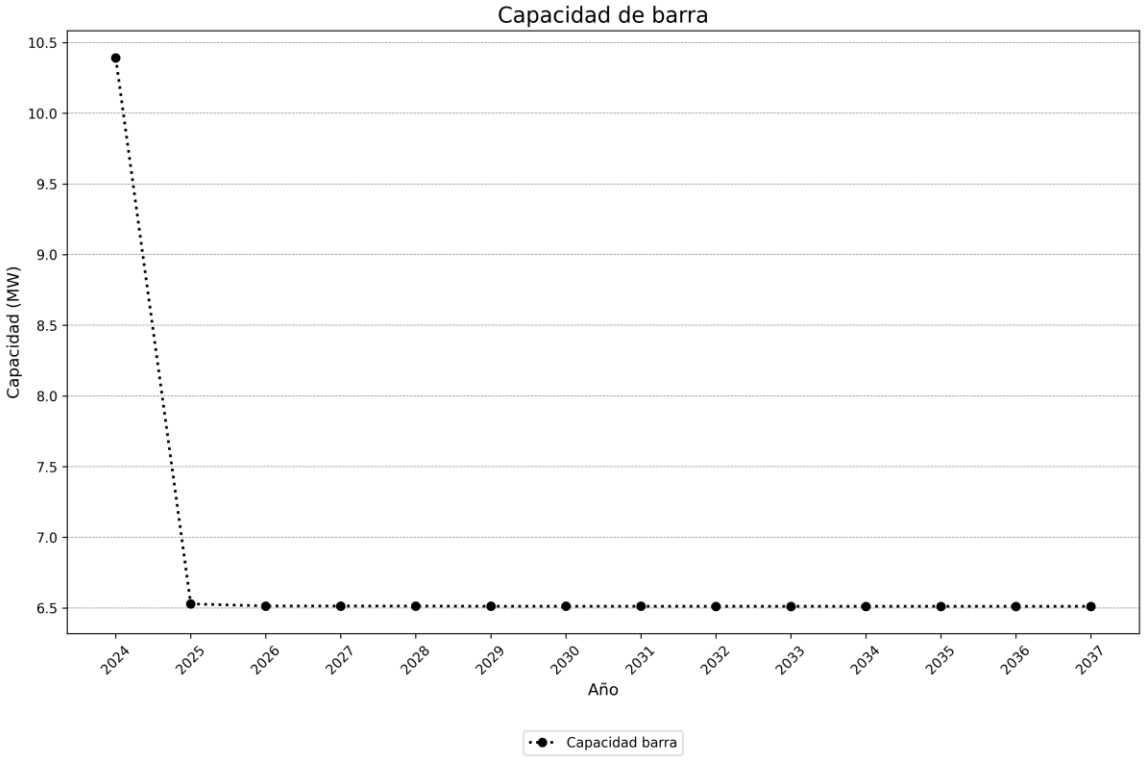


Figura 2-360. Balance de capacidad por barra después de la priorización para la subestación Junin 115

Capacidad excedente de interrupción de corriente de cortocircuito:

Para la subestación Junin 115 se presentaron 29 alternativas de conexión las cuales tienen aportes de corriente de cortocircuito. Estas alternativas se muestran en la siguiente tabla:

Tabla 2-376. Alternativas de conexión que aportan corriente de cortocircuito en la subestación Junin 115

Solicitud	tipo	FPO	Barra a la que aporta CC	Aporte de cortocircuito (kA)	Restricción
SC_2023_5280_A1	Solar FV	2028	Junin 115	0.002	SATISFACE
SC_2023_5280_A2	Solar FV	2028	Junin 115	0.002	SATISFACE
SC_2023_5287_A1	Solar FV	2026	Junin 115	0.001	SATISFACE

SC_2023_5287_A2	Solar FV	2026	Junin 115	0.001	SATISFACE
SC_2023_5288_A1	Solar FV	2026	Junin 115	0.000	SATISFACE
SC_2023_5288_A2	Solar FV	2026	Junin 115	0.001	SATISFACE
SC_2023_5375_A1	Solar FV	2026	Junin 115	0.001	SATISFACE
SC_2023_5399_A1	Solar FV	2026	Junin 115	0.000	SATISFACE
SC_2023_5399_A2	Solar FV	2026	Junin 115	0.001	SATISFACE
SC_2023_5480_A1	Solar FV	2026	Junin 115	0.001	SATISFACE
SC_2023_5480_A2	Solar FV	2026	Junin 115	0.001	SATISFACE
SC_2023_5557_A1	Solar FV	2028	Junin 115	0.002	SATISFACE
SC_2936_A1	Solar FV	2026	Junin 115	0.000	SATISFACE
SC_2936_A2	Solar FV	2026	Junin 115	0.000	SATISFACE
SC_3121_A1	Solar FV	2026	Junin 115	0.000	SATISFACE
SC_3121_A2	Solar FV	2026	Junin 115	0.000	SATISFACE
SC_3132_A1	Solar FV	2026	Junin 115	0.002	SATISFACE
SC_3132_A2	Solar FV	2026	Junin 115	0.002	SATISFACE
SC_3882_A1	Solar FV	2026	Junin 115	0.002	SATISFACE
SC_4083_A1	Solar FV	2027	Junin 115	0.000	SATISFACE
SC_4083_A2	Solar FV	2027	Junin 115	0.000	SATISFACE
SC_4765_A1	Solar FV	2029	Junin 115	0.000	SATISFACE
SC_4765_A2	Solar FV	2029	Junin 115	0.000	SATISFACE
SC_4819_A1	Solar FV	2029	Junin 115	0.002	SATISFACE
SC_4819_A2	Solar FV	2029	Junin 115	0.002	SATISFACE
SC_4974_A1	Solar FV	2026	Junin 115	0.002	SATISFACE
SC_4974_A2	Solar FV	2026	Junin 115	0.002	SATISFACE
SC_4978_A1	Solar FV	2026	Junin 115	0.000	SATISFACE
SC_4978_A2	Solar FV	2026	Junin 115	0.001	SATISFACE

No se priorizó ninguna de las alternativas de conexión que tengan aportes de corriente de cortocircuito en la subestación Junin 115

El estado de la capacidad de cortocircuito en la subestación Junin 115, teniendo en cuenta la priorización se puede observar en la siguiente figura.

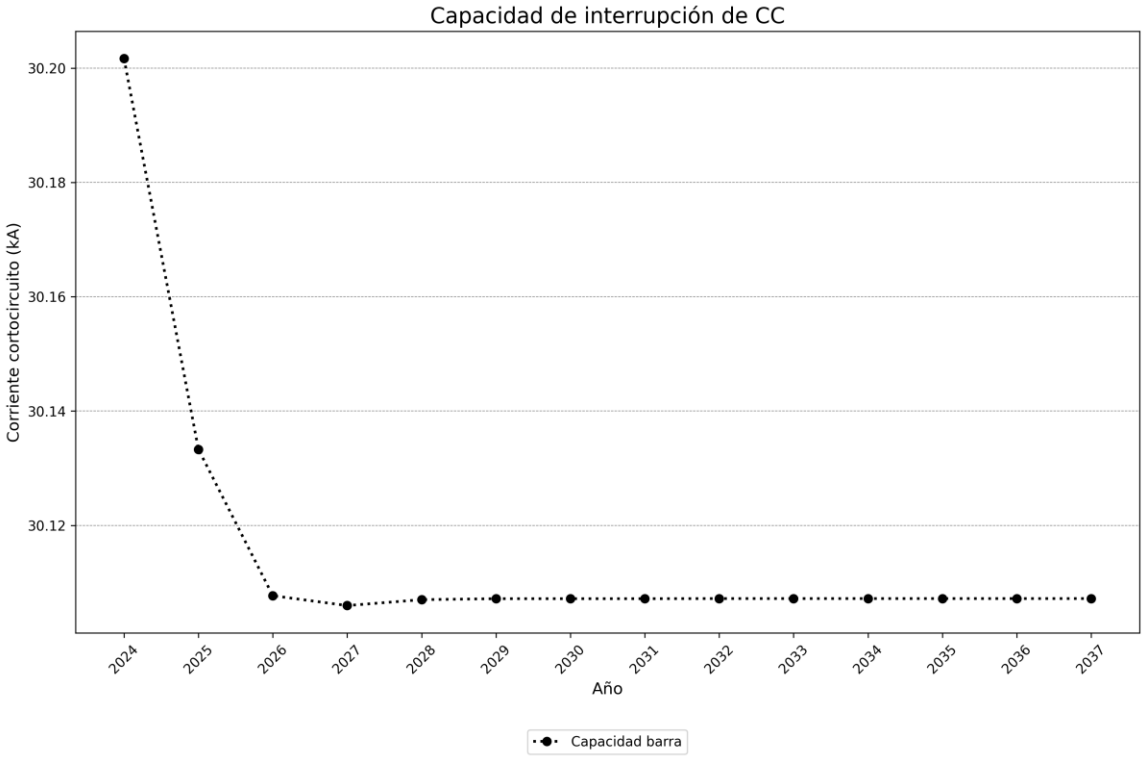


Figura 2-361. Balance de capacidad de cortocircuito después de la priorización para la subestación Junin 115

Subestación La Ceja 110:

Capacidad por barra:

Para la subestación La Ceja 110 se presentaron 0 alternativas de conexión las cuales se muestran en la siguiente tabla:

Tabla 2-377. Alternativas de conexión presentadas a la subestación La Ceja 110

Solicitud	Capacidad	Tipo	Barra	FPO solicitada	Restricción

No se priorizó ninguna de las alternativas de conexión presentadas en la subestación La Ceja 110

El estado de la capacidad por barra en la subestación La Ceja 110, teniendo en cuenta la priorización se puede observar en la siguiente figura.

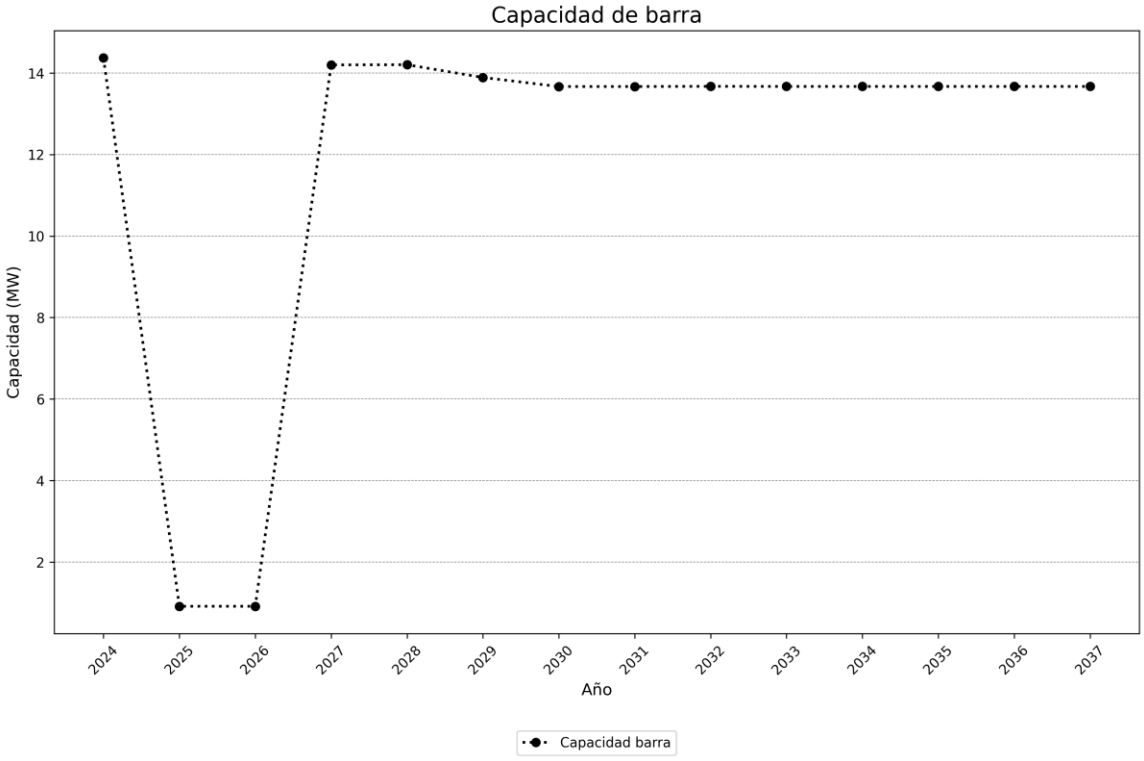


Figura 2-362. Balance de capacidad por barra después de la priorización para la subestación La Ceja 110

Capacidad excedente de interrupción de corriente de cortocircuito:

Para la subestación La Ceja 110 se presentaron 1 alternativas de conexión las cuales tienen aportes de corriente de cortocircuito. Estas alternativas se muestran en la siguiente tabla:

Tabla 2-378. Alternativas de conexión que aportan corriente de cortocircuito en la subestación La Ceja 110

Solicitud	tipo	FPO	Barra a la que aporta CC	Aporte de cortocircuito (kA)	Restricción
SC_3331_A1	Solar FV	2026	La Ceja 110	0.075	SATISFACE

No se priorizó ninguna de las alternativas de conexión que tengan aportes de corriente de cortocircuito en la subestación La Ceja 110

El estado de la capacidad de cortocircuito en la subestación La Ceja 110, teniendo en cuenta la priorización se puede observar en la siguiente figura.

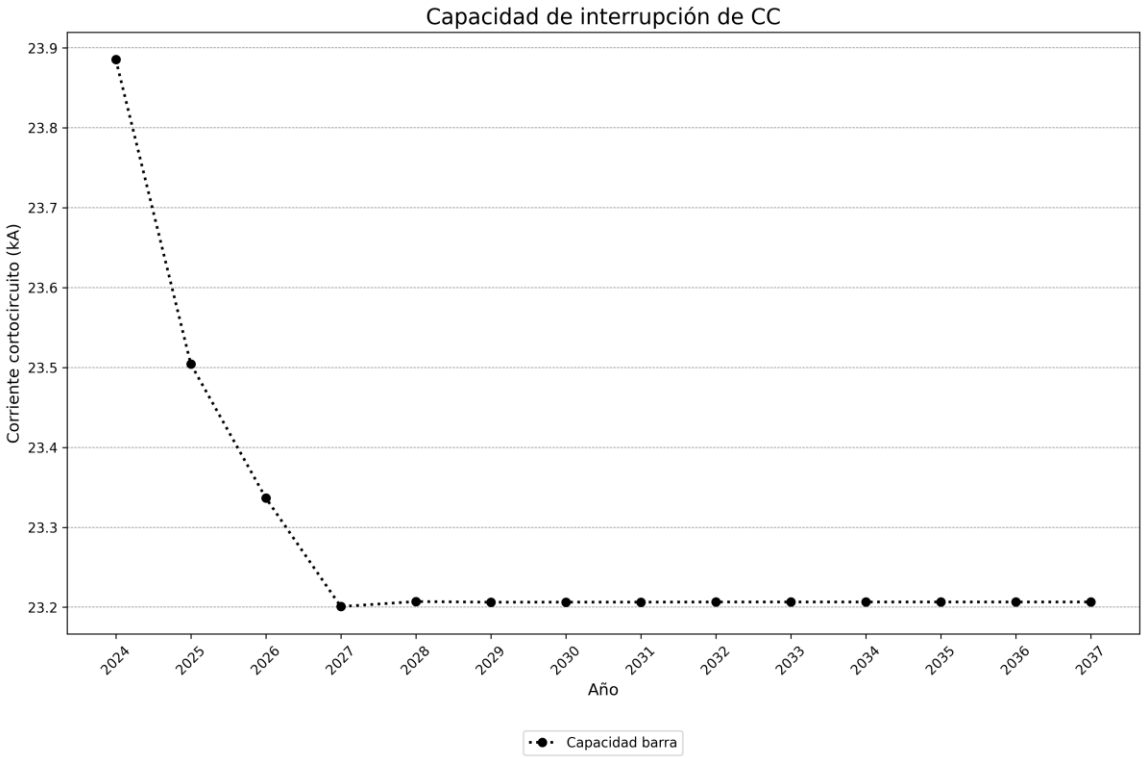


Figura 2-363. Balance de capacidad de cortocircuito después de la priorización para la subestación La Ceja 110

Subestación La Manuela 33:

Capacidad por barra:

Para la subestación La Manuela 33 se presentaron 0 alternativas de conexión las cuales se muestran en la siguiente tabla:

Tabla 2-379. Alternativas de conexión presentadas a la subestación La Manuela 33

Solicitud	Capacidad	Tipo	Barra	FPO solicitada	Restricción

No se priorizó ninguna de las alternativas de conexión presentadas en la subestación La Manuela 33

El estado de la capacidad por barra en la subestación La Manuela 33, teniendo en cuenta la priorización se puede observar en la siguiente figura.

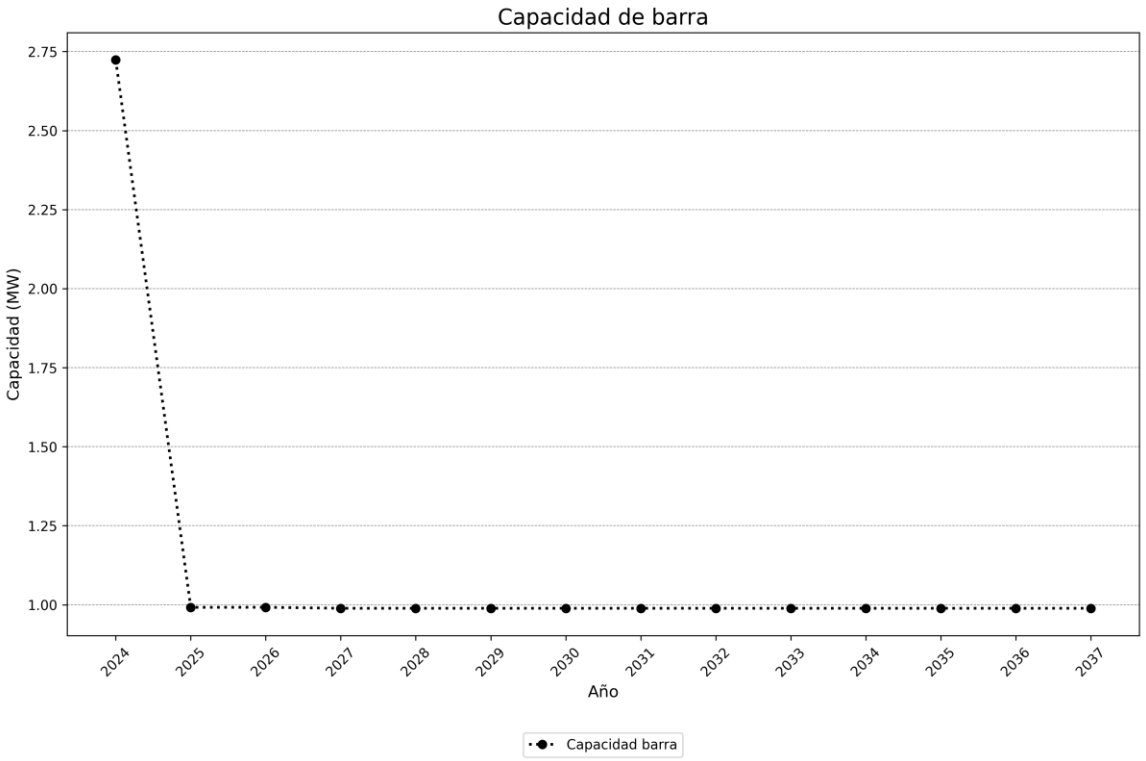


Figura 2-364. Balance de capacidad por barra después de la priorización para la subestación La Manuela 33

Subestación La Merced 33:

Capacidad por barra:

Para la subestación La Merced 33 se presentaron 0 alternativas de conexión las cuales se muestran en la siguiente tabla:

Tabla 2-380. Alternativas de conexión presentadas a la subestación La Merced 33

Solicitud	Capacidad	Tipo	Barra	FPO solicitada	Restricción

No se priorizó ninguna de las alternativas de conexión presentadas en la subestación La Merced 33

El estado de la capacidad por barra en la subestación La Merced 33, teniendo en cuenta la priorización se puede observar en la siguiente figura.

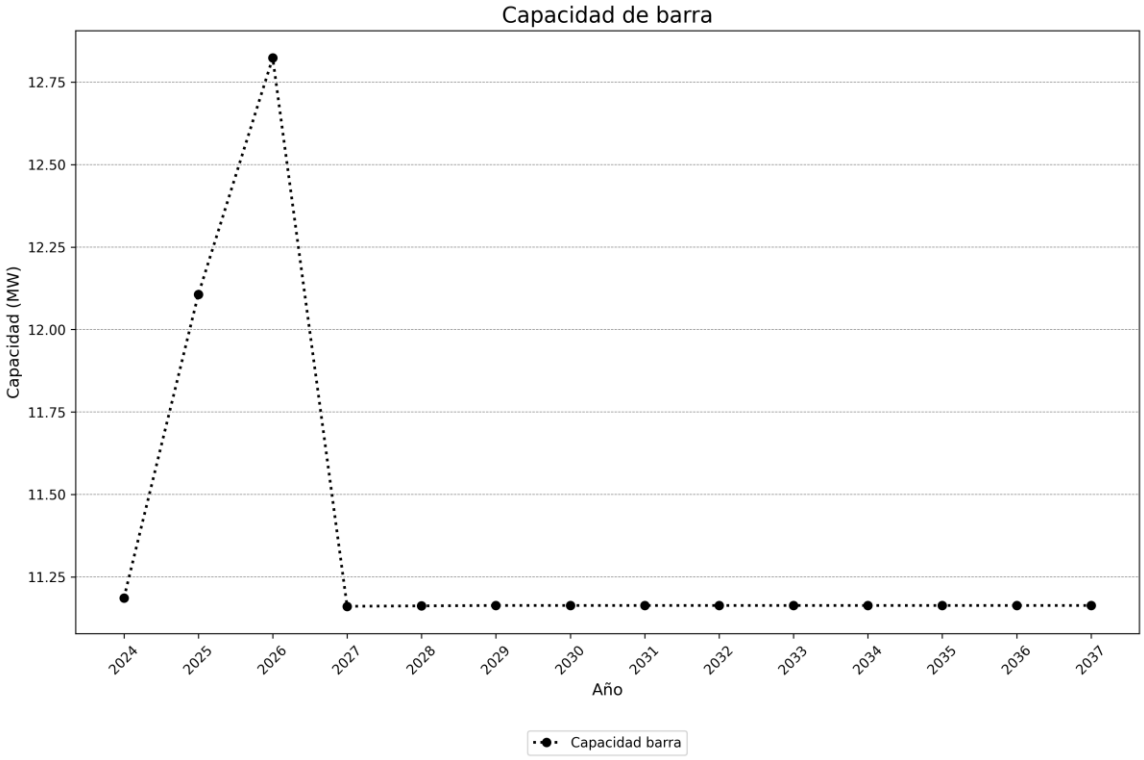


Figura 2-365. Balance de capacidad por barra después de la priorización para la subestación La Merced 33

Subestación La Miel 220:

Capacidad por barra:

Para la subestación La Miel 220 se presentaron 2 alternativas de conexión las cuales se muestran en la siguiente tabla:

Tabla 2-381. Alternativas de conexión presentadas a la subestación La Miel 220

Solicitud	Capacidad	Tipo	Barra	FPO solicitada	Restricción
SC_3012_A2	180.0	Solar FV	La Miel 220	2027	NO SATISFACE
SC_3433_A2	100.0	Solar FV	La Miel 220	2027	NO SATISFACE

No se priorizó ninguna de las alternativas de conexión presentadas en la subestación La Miel 220

El estado de la capacidad por barra en la subestación La Miel 220, teniendo en cuenta la priorización se puede observar en la siguiente figura.

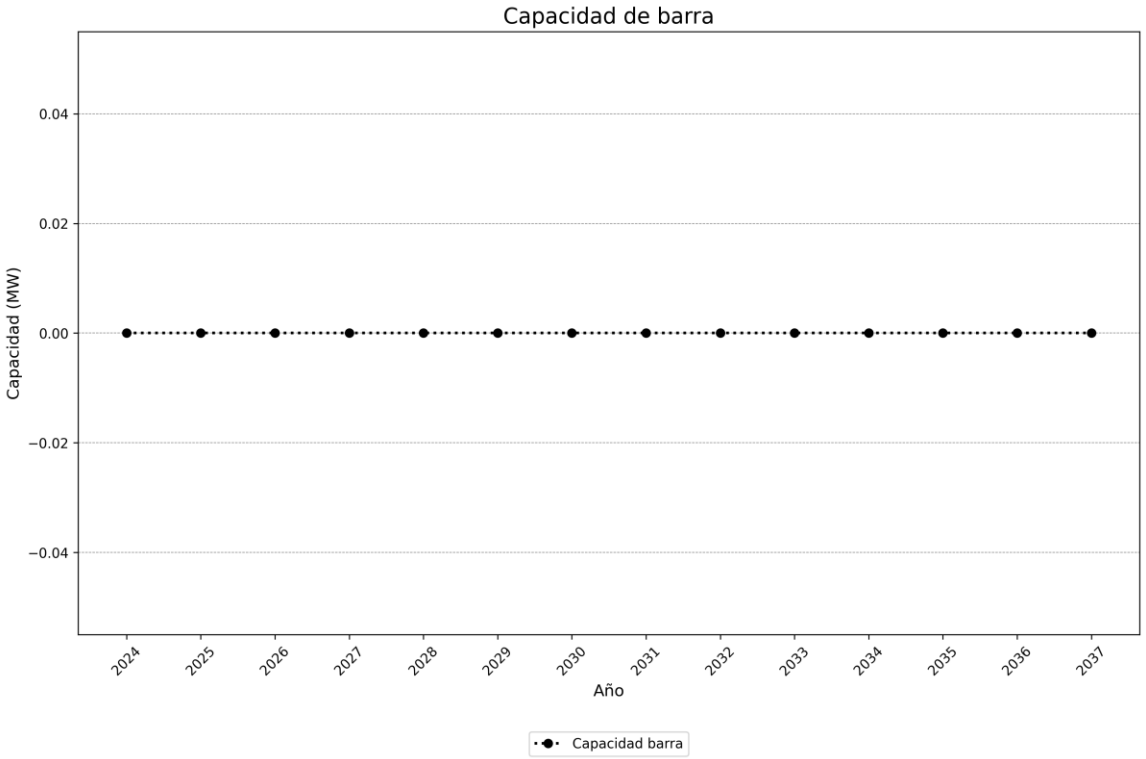


Figura 2-366. Balance de capacidad por barra después de la priorización para la subestación La Miel 220

En el caso anterior se observa que la capacidad por barra es igual a 0 dado que, desde los comentarios presentados por transportador, se identificó que la subestación La Miel 220 no cuenta con disponibilidad de espacio físico para la conexión de nuevos proyectos.

Capacidad excedente de interrupción de corriente de cortocircuito:

Para la subestación La Miel 220 se presentaron 176 alternativas de conexión las cuales tienen aportes de corriente de cortocircuito. Estas alternativas se muestran en la siguiente tabla:

Tabla 2-382. Alternativas de conexión que aportan corriente de cortocircuito en la subestación La Miel 220

Solicitud	tipo	FPO	Barra a la que aporta CC	Aporte de cortocircuito (kA)	Restricción
SC_2023_5136_A1	Solar FV	2026	La Miel 220	0.044	SATISFACE
SC_2023_5136_A2	Solar FV	2026	La Miel 220	0.044	SATISFACE
SC_2023_5144_A1	Solar FV	2028	La Miel 220	0.096	SATISFACE
SC_2023_5144_A2	Solar FV	2028	La Miel 220	0.073	SATISFACE
SC_2023_5150_A1	Solar FV	2028	La Miel 220	0.426	SATISFACE
SC_2023_5152_A1	Solar FV	2025	La Miel 220	0.001	SATISFACE
SC_2023_5152_A2	Solar FV	2025	La Miel 220	0.001	SATISFACE
SC_2023_5171_A1	Solar FV	2025	La Miel 220	0.001	SATISFACE
SC_2023_5171_A2	Solar FV	2025	La Miel 220	0.001	SATISFACE
SC_2023_5185_A1	Solar FV	2026	La Miel 220	0.231	SATISFACE
SC_2023_5185_A2	Solar FV	2026	La Miel 220	0.279	SATISFACE
SC_2023_5188_A1	Solar FV	2026	La Miel 220	0.157	SATISFACE
SC_2023_5188_A2	Solar FV	2026	La Miel 220	0.073	SATISFACE
SC_2023_5200_A1	Solar FV	2028	La Miel 220	0.179	SATISFACE
SC_2023_5200_A2	Solar FV	2028	La Miel 220	0.130	SATISFACE
SC_2023_5248_A1	Solar FV	2025	La Miel 220	0.001	SATISFACE
SC_2023_5248_A2	Solar FV	2025	La Miel 220	0.001	SATISFACE
SC_2023_5249_A1	Solar FV	2025	La Miel 220	0.001	SATISFACE
SC_2023_5249_A2	Solar FV	2025	La Miel 220	0.001	SATISFACE
SC_2023_5251_A1	Solar FV	2025	La Miel 220	0.006	SATISFACE
SC_2023_5251_A2	Solar FV	2025	La Miel 220	0.006	SATISFACE
SC_2023_5252_A1	Solar FV	2028	La Miel 220	0.035	SATISFACE
SC_2023_5252_A2	Solar FV	2028	La Miel 220	0.008	SATISFACE
SC_2023_5253_A1	Solar FV	2025	La Miel 220	0.006	SATISFACE
SC_2023_5253_A2	Solar FV	2025	La Miel 220	0.006	SATISFACE
SC_2023_5256_A2	Solar FV	2028	La Miel 220	0.146	SATISFACE
SC_2023_5257_A1	Solar FV	2025	La Miel 220	0.001	SATISFACE
SC_2023_5257_A2	Solar FV	2025	La Miel 220	0.001	SATISFACE
SC_2023_5280_A1	Solar FV	2028	La Miel 220	0.171	SATISFACE
SC_2023_5280_A2	Solar FV	2028	La Miel 220	0.147	SATISFACE

SC_2023_5287_A1	Solar FV	2026	La Miel 220	0.087	SATISFACE
SC_2023_5287_A2	Solar FV	2026	La Miel 220	0.088	SATISFACE
SC_2023_5288_A1	Solar FV	2026	La Miel 220	0.052	SATISFACE
SC_2023_5288_A2	Solar FV	2026	La Miel 220	0.136	SATISFACE
SC_2023_5293_A1	Solar FV	2028	La Miel 220	0.024	SATISFACE
SC_2023_5293_A2	Solar FV	2028	La Miel 220	0.020	SATISFACE
SC_2023_5294_A1	Solar FV	2029	La Miel 220	0.094	SATISFACE
SC_2023_5294_A2	Solar FV	2029	La Miel 220	0.081	SATISFACE
SC_2023_5304_A1	Solar FV	2026	La Miel 220	0.012	SATISFACE
SC_2023_5309_A1	Solar FV	2026	La Miel 220	0.012	SATISFACE
SC_2023_5337_A2	Solar FV	2025	La Miel 220	0.287	SATISFACE
SC_2023_5339_A1	PCH	2026	La Miel 220	0.001	SATISFACE
SC_2023_5339_A2	PCH	2026	La Miel 220	0.001	SATISFACE
SC_2023_5345_A1	Solar FV	2027	La Miel 220	0.004	SATISFACE
SC_2023_5345_A2	Solar FV	2027	La Miel 220	0.005	SATISFACE
SC_2023_5346_A1	Solar FV	2027	La Miel 220	0.004	SATISFACE
SC_2023_5346_A2	Solar FV	2027	La Miel 220	0.005	SATISFACE
SC_2023_5375_A1	Solar FV	2026	La Miel 220	0.084	SATISFACE
SC_2023_5383_A1	Solar FV	2027	La Miel 220	0.017	SATISFACE
SC_2023_5383_A2	Solar FV	2027	La Miel 220	0.021	SATISFACE
SC_2023_5399_A1	Solar FV	2026	La Miel 220	0.052	SATISFACE
SC_2023_5399_A2	Solar FV	2026	La Miel 220	0.136	SATISFACE
SC_2023_5431_A1	Solar FV	2028	La Miel 220	0.005	SATISFACE
SC_2023_5431_A2	Solar FV	2028	La Miel 220	0.006	SATISFACE
SC_2023_5480_A1	Solar FV	2026	La Miel 220	0.087	SATISFACE
SC_2023_5480_A2	Solar FV	2026	La Miel 220	0.088	SATISFACE
SC_2023_5551_A1	Solar FV	2027	La Miel 220	0.161	SATISFACE
SC_2023_5551_A2	Solar FV	2027	La Miel 220	0.117	SATISFACE
SC_2023_5557_A1	Solar FV	2028	La Miel 220	0.362	SATISFACE
SC_2023_5598_A1	Solar FV	2025	La Miel 220	0.001	SATISFACE
SC_2023_5598_A2	Solar FV	2025	La Miel 220	0.001	SATISFACE
SC_2024_5939_A1	Solar FV	2028	La Miel 220	0.048	SATISFACE
SC_2024_5939_A2	Solar FV	2028	La Miel 220	0.050	SATISFACE
SC_2344_A1	Eólico Onshore	2027	La Miel 220	0.030	SATISFACE
SC_2344_A2	Eólico Onshore	2027	La Miel 220	5.900	SATISFACE
SC_2438_A1	Solar FV	2028	La Miel 220	0.010	SATISFACE
SC_2438_A2	Solar FV	2028	La Miel 220	0.184	SATISFACE
SC_2442_A1	Solar FV	2027	La Miel 220	0.003	SATISFACE
SC_2442_A2	Solar FV	2027	La Miel 220	0.003	SATISFACE
SC_2562_A1	Solar FV	2026	La Miel 220	0.020	SATISFACE

SC_2629_A1	Solar FV	2026	La Miel 220	0.003	SATISFACE
SC_2629_A2	Solar FV	2026	La Miel 220	0.003	SATISFACE
SC_2634_A1	Solar FV	2026	La Miel 220	0.000	SATISFACE
SC_2634_A2	Solar FV	2026	La Miel 220	0.000	SATISFACE
SC_2680_A1	Solar FV	2028	La Miel 220	0.040	SATISFACE
SC_2680_A2	Solar FV	2028	La Miel 220	0.030	SATISFACE
SC_2681_A1	Solar FV	2027	La Miel 220	0.030	SATISFACE
SC_2681_A2	Solar FV	2027	La Miel 220	0.040	SATISFACE
SC_2682_A1	Solar FV	2025	La Miel 220	0.013	SATISFACE
SC_2682_A2	Solar FV	2025	La Miel 220	0.000	SATISFACE
SC_2683_A1	Solar FV	2026	La Miel 220	0.020	SATISFACE
SC_2683_A2	Solar FV	2026	La Miel 220	0.020	SATISFACE
SC_2722_A1	Solar FV	2026	La Miel 220	0.003	SATISFACE
SC_2722_A2	Solar FV	2026	La Miel 220	0.002	SATISFACE
SC_2802_A1	Solar FV	2027	La Miel 220	0.039	SATISFACE
SC_2802_A2	Solar FV	2027	La Miel 220	0.029	SATISFACE
SC_2893_A1	Solar FV	2026	La Miel 220	0.020	SATISFACE
SC_2893_A2	Solar FV	2026	La Miel 220	0.020	SATISFACE
SC_2902_A1	Solar FV	2028	La Miel 220	1.570	SATISFACE
SC_2902_A2	Solar FV	2028	La Miel 220	0.010	SATISFACE
SC_2905_A2	Solar FV	2028	La Miel 220	0.080	SATISFACE
SC_2924_A1	Solar FV	2026	La Miel 220	0.185	SATISFACE
SC_2924_A2	Solar FV	2026	La Miel 220	0.223	SATISFACE
SC_2936_A1	Solar FV	2026	La Miel 220	0.000	SATISFACE
SC_2936_A2	Solar FV	2026	La Miel 220	0.000	SATISFACE
SC_2962_A1	Solar FV	2028	La Miel 220	0.134	SATISFACE
SC_2962_A2	Solar FV	2028	La Miel 220	0.143	SATISFACE
SC_2967_A1	Solar FV	2026	La Miel 220	0.003	SATISFACE
SC_2967_A2	Solar FV	2026	La Miel 220	0.003	SATISFACE
SC_3012_A1	Solar FV	2027	La Miel 220	0.120	SATISFACE
SC_3012_A2	Solar FV	2027	La Miel 220	0.500	SATISFACE
SC_3054_A2	Solar FV	2027	La Miel 220	0.005	SATISFACE
SC_3101_A1	Solar FV	2027	La Miel 220	0.065	SATISFACE
SC_3101_A2	Solar FV	2027	La Miel 220	0.044	SATISFACE
SC_3121_A1	Solar FV	2026	La Miel 220	0.012	SATISFACE
SC_3121_A2	Solar FV	2026	La Miel 220	0.012	SATISFACE
SC_3132_A1	Solar FV	2026	La Miel 220	0.185	SATISFACE
SC_3132_A2	Solar FV	2026	La Miel 220	0.155	SATISFACE
SC_3238_A1	Solar FV	2027	La Miel 220	0.311	SATISFACE
SC_3238_A2	Solar FV	2027	La Miel 220	0.291	SATISFACE

SC_3247_A1	Solar FV	2027	La Miel 220	0.426	SATISFACE
SC_3247_A2	Solar FV	2027	La Miel 220	0.269	SATISFACE
SC_3248_A1	Solar FV	2027	La Miel 220	0.311	SATISFACE
SC_3248_A2	Solar FV	2027	La Miel 220	0.291	SATISFACE
SC_3251_A1	Hidráulica	2026	La Miel 220	0.010	SATISFACE
SC_3251_A2	Hidráulica	2026	La Miel 220	0.000	SATISFACE
SC_3331_A1	Solar FV	2026	La Miel 220	0.094	SATISFACE
SC_3382_A1	Solar FV	2027	La Miel 220	0.001	SATISFACE
SC_3382_A2	Solar FV	2027	La Miel 220	0.002	SATISFACE
SC_3392_A1	Solar FV	2027	La Miel 220	0.023	SATISFACE
SC_3392_A2	Solar FV	2027	La Miel 220	0.015	SATISFACE
SC_3433_A2	Solar FV	2027	La Miel 220	0.158	SATISFACE
SC_3441_A1	Solar FV	2027	La Miel 220	0.426	SATISFACE
SC_3441_A2	Solar FV	2027	La Miel 220	0.269	SATISFACE
SC_3453_A1	Solar FV	2027	La Miel 220	0.024	SATISFACE
SC_3453_A2	Solar FV	2027	La Miel 220	0.024	SATISFACE
SC_3514_A1	Solar FV	2027	La Miel 220	0.024	SATISFACE
SC_3514_A2	Solar FV	2027	La Miel 220	0.024	SATISFACE
SC_3578_A1	Solar FV	2028	La Miel 220	0.050	SATISFACE
SC_3578_A2	Solar FV	2028	La Miel 220	0.041	SATISFACE
SC_3667_A1	Solar FV	2029	La Miel 220	0.005	SATISFACE
SC_3667_A2	Solar FV	2029	La Miel 220	0.003	SATISFACE
SC_3846_A1	Solar FV	2028	La Miel 220	0.004	SATISFACE
SC_3846_A2	Solar FV	2028	La Miel 220	0.004	SATISFACE
SC_3882_A1	Solar FV	2026	La Miel 220	0.366	SATISFACE
SC_4083_A1	Solar FV	2027	La Miel 220	0.003	SATISFACE
SC_4083_A2	Solar FV	2027	La Miel 220	0.003	SATISFACE
SC_4175_A1	Solar FV	2026	La Miel 220	0.005	SATISFACE
SC_4175_A2	Solar FV	2026	La Miel 220	0.005	SATISFACE
SC_4296_A1	Solar FV	2028	La Miel 220	0.096	SATISFACE
SC_4296_A2	Solar FV	2028	La Miel 220	0.110	SATISFACE
SC_4751_A1	Solar FV	2027	La Miel 220	0.054	SATISFACE
SC_4760_A1	Solar FV	2026	La Miel 220	0.030	SATISFACE
SC_4765_A1	Solar FV	2029	La Miel 220	0.064	SATISFACE
SC_4765_A2	Solar FV	2029	La Miel 220	0.040	SATISFACE
SC_4789_A1	Solar FV	2027	La Miel 220	0.005	SATISFACE
SC_4789_A2	Solar FV	2027	La Miel 220	0.004	SATISFACE
SC_4809_A1	Solar FV	2027	La Miel 220	0.109	SATISFACE
SC_4809_A2	Solar FV	2027	La Miel 220	0.388	SATISFACE
SC_4819_A1	Solar FV	2029	La Miel 220	0.350	SATISFACE

SC_4819_A2	Solar FV	2029	La Miel 220	0.311	SATISFACE
SC_4821_A1	Solar FV	2027	La Miel 220	0.023	SATISFACE
SC_4821_A2	Solar FV	2027	La Miel 220	0.015	SATISFACE
SC_4824_A1	Solar FV	2025	La Miel 220	0.000	SATISFACE
SC_4824_A2	Solar FV	2025	La Miel 220	0.000	SATISFACE
SC_4826_A1	Solar FV	2027	La Miel 220	0.025	SATISFACE
SC_4826_A2	Solar FV	2027	La Miel 220	0.025	SATISFACE
SC_4827_A1	Solar FV	2027	La Miel 220	0.025	SATISFACE
SC_4827_A2	Solar FV	2027	La Miel 220	0.025	SATISFACE
SC_4842_A1	Solar FV	2028	La Miel 220	0.426	SATISFACE
SC_4910_A1	Solar FV	2026	La Miel 220	0.044	SATISFACE
SC_4910_A2	Solar FV	2026	La Miel 220	0.044	SATISFACE
SC_4926_A1	Solar FV	2027	La Miel 220	0.054	SATISFACE
SC_4947_A1	Solar FV	2027	La Miel 220	0.025	SATISFACE
SC_4960_A2	Solar FV	2029	La Miel 220	0.150	SATISFACE
SC_4974_A1	Solar FV	2026	La Miel 220	0.018	SATISFACE
SC_4974_A2	Solar FV	2026	La Miel 220	0.018	SATISFACE
SC_4978_A1	Solar FV	2026	La Miel 220	0.013	SATISFACE
SC_4978_A2	Solar FV	2026	La Miel 220	0.017	SATISFACE
SC_5009_A1	Solar FV	2026	La Miel 220	0.024	SATISFACE
SC_5009_A2	Solar FV	2026	La Miel 220	0.015	SATISFACE
SC_5011_A1	Solar FV	2027	La Miel 220	0.024	SATISFACE
SC_5011_A2	Solar FV	2027	La Miel 220	0.015	SATISFACE
SC_5060_A1	Solar FV	2026	La Miel 220	0.044	SATISFACE
SC_5060_A2	Solar FV	2026	La Miel 220	0.044	SATISFACE
SC_5087_A2	Solar FV	2027	La Miel 220	0.137	SATISFACE

No se priorizó ninguna de las alternativas de conexión que tengan aportes de corriente de cortocircuito en la subestación La Miel 220

El estado de la capacidad de cortocircuito en la subestación La Miel 220, teniendo en cuenta la priorización se puede observar en la siguiente figura.

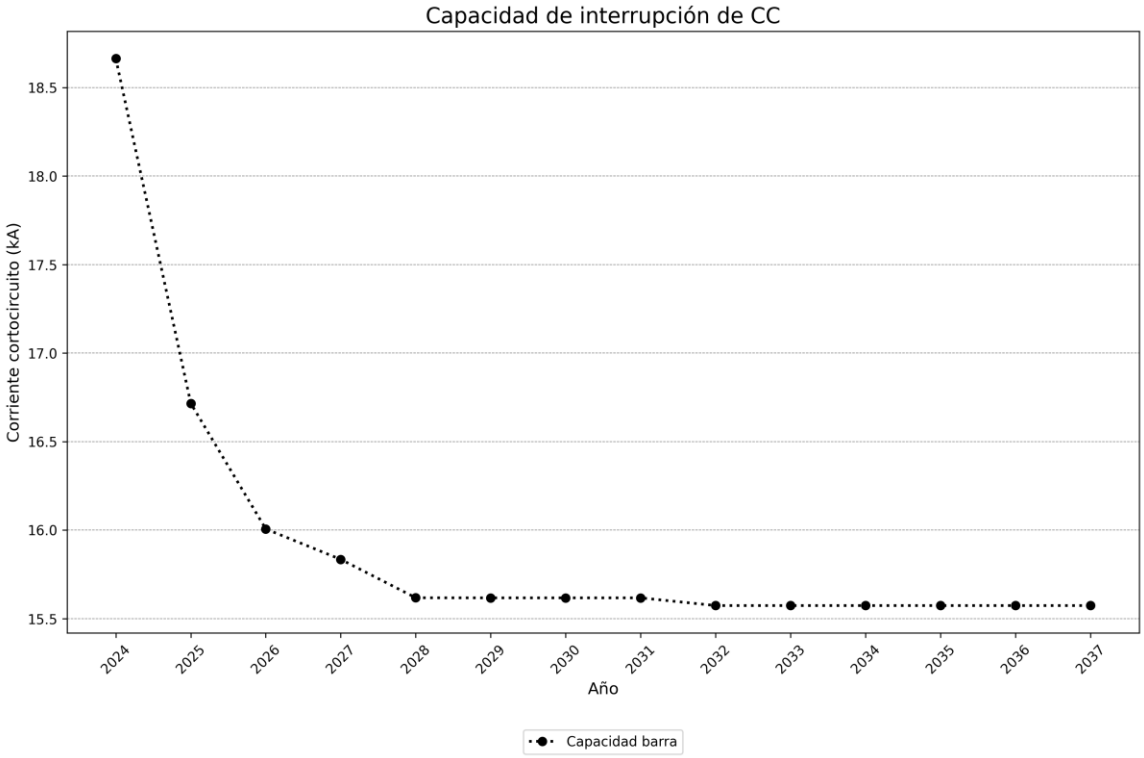


Figura 2-367. Balance de capacidad de cortocircuito después de la priorización para la subestación La Miel 220

Subestación La Patria 33:

Capacidad por barra:

Para la subestación La Patria 33 se presentaron 0 alternativas de conexión las cuales se muestran en la siguiente tabla:

Tabla 2-383. Alternativas de conexión presentadas a la subestación La Patria 33

Solicitud	Capacidad	Tipo	Barra	FPO solicitada	Restricción

No se priorizó ninguna de las alternativas de conexión presentadas en la subestación La Patria 33

El estado de la capacidad por barra en la subestación La Patria 33, teniendo en cuenta la priorización se puede observar en la siguiente figura.

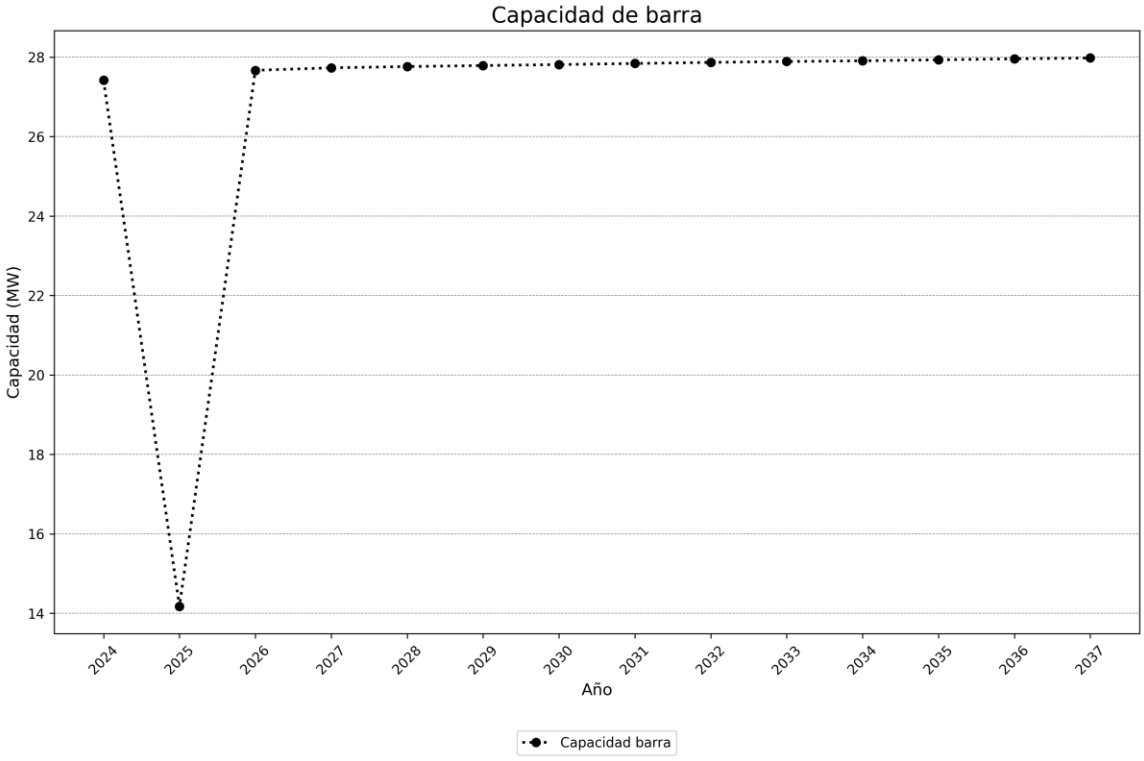


Figura 2-368. Balance de capacidad por barra después de la priorización para la subestación La Patria 33

Subestación La Paz 115:

Capacidad por barra:

Para la subestación La Paz 115 se presentaron 0 alternativas de conexión las cuales se muestran en la siguiente tabla:

Tabla 2-384. Alternativas de conexión presentadas a la subestación La Paz 115

Solicitud	Capacidad	Tipo	Barra	FPO solicitada	Restricción

No se priorizó ninguna de las alternativas de conexión presentadas en la subestación La Paz 115

El estado de la capacidad por barra en la subestación La Paz 115, teniendo en cuenta la priorización se puede observar en la siguiente figura.

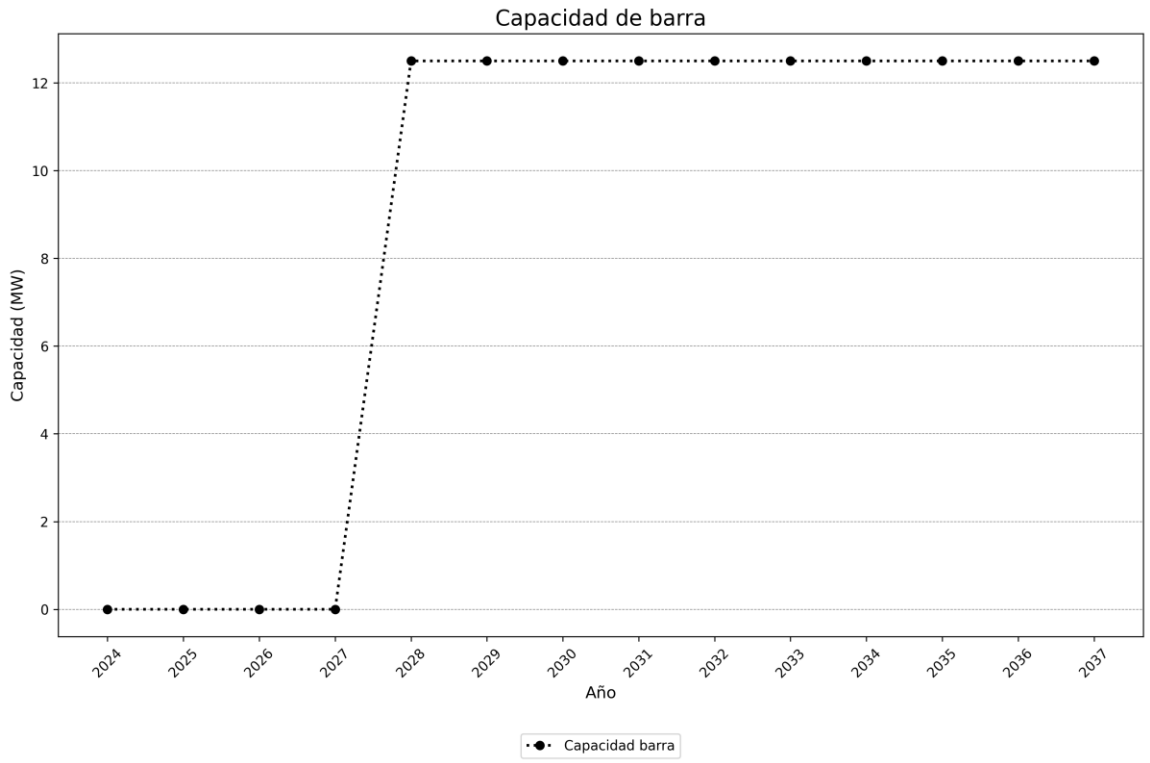


Figura 2-369. Balance de capacidad por barra después de la priorización para la subestación La Paz 115

Capacidad excedente de interrupción de corriente de cortocircuito:

Para la subestación La Paz 115 se presentaron 29 alternativas de conexión las cuales tienen aportes de corriente de cortocircuito. Estas alternativas se muestran en la siguiente tabla:

Tabla 2-385. Alternativas de conexión que aportan corriente de cortocircuito en la subestación La Paz 115

Solicitud	tipo	FPO	Barra a la que aporta CC	Aporte de cortocircuito (kA)	Restricción
SC_2023_5280_A1	Solar FV	2028	La Paz 115	0.080	SATISFACE
SC_2023_5280_A2	Solar FV	2028	La Paz 115	0.072	SATISFACE
SC_2023_5287_A1	Solar FV	2026	La Paz 115	0.001	SATISFACE
SC_2023_5287_A2	Solar FV	2026	La Paz 115	0.001	SATISFACE
SC_2023_5288_A1	Solar FV	2026	La Paz 115	0.001	SATISFACE
SC_2023_5288_A2	Solar FV	2026	La Paz 115	0.002	SATISFACE
SC_2023_5375_A1	Solar FV	2026	La Paz 115	0.001	SATISFACE
SC_2023_5399_A1	Solar FV	2026	La Paz 115	0.001	SATISFACE
SC_2023_5399_A2	Solar FV	2026	La Paz 115	0.002	SATISFACE
SC_2023_5480_A1	Solar FV	2026	La Paz 115	0.001	SATISFACE
SC_2023_5480_A2	Solar FV	2026	La Paz 115	0.001	SATISFACE
SC_2023_5557_A1	Solar FV	2028	La Paz 115	0.168	SATISFACE
SC_2936_A1	Solar FV	2026	La Paz 115	0.000	SATISFACE
SC_2936_A2	Solar FV	2026	La Paz 115	0.000	SATISFACE
SC_3121_A1	Solar FV	2026	La Paz 115	0.006	SATISFACE
SC_3121_A2	Solar FV	2026	La Paz 115	0.006	SATISFACE
SC_3132_A1	Solar FV	2026	La Paz 115	0.090	SATISFACE
SC_3132_A2	Solar FV	2026	La Paz 115	0.078	SATISFACE
SC_3882_A1	Solar FV	2026	La Paz 115	0.160	SATISFACE
SC_4083_A1	Solar FV	2027	La Paz 115	0.000	SATISFACE
SC_4083_A2	Solar FV	2027	La Paz 115	0.000	SATISFACE
SC_4765_A1	Solar FV	2029	La Paz 115	0.007	SATISFACE
SC_4765_A2	Solar FV	2029	La Paz 115	0.004	SATISFACE
SC_4819_A1	Solar FV	2029	La Paz 115	0.147	SATISFACE
SC_4819_A2	Solar FV	2029	La Paz 115	0.132	SATISFACE
SC_4974_A1	Solar FV	2026	La Paz 115	0.008	SATISFACE
SC_4974_A2	Solar FV	2026	La Paz 115	0.008	SATISFACE
SC_4978_A1	Solar FV	2026	La Paz 115	0.000	SATISFACE
SC_4978_A2	Solar FV	2026	La Paz 115	0.007	SATISFACE

No se priorizó ninguna de las alternativas de conexión que tengan aportes de corriente de cortocircuito en la subestación La Paz 115

El estado de la capacidad de cortocircuito en la subestación La Paz 115, teniendo en cuenta la priorización se puede observar en la siguiente figura.

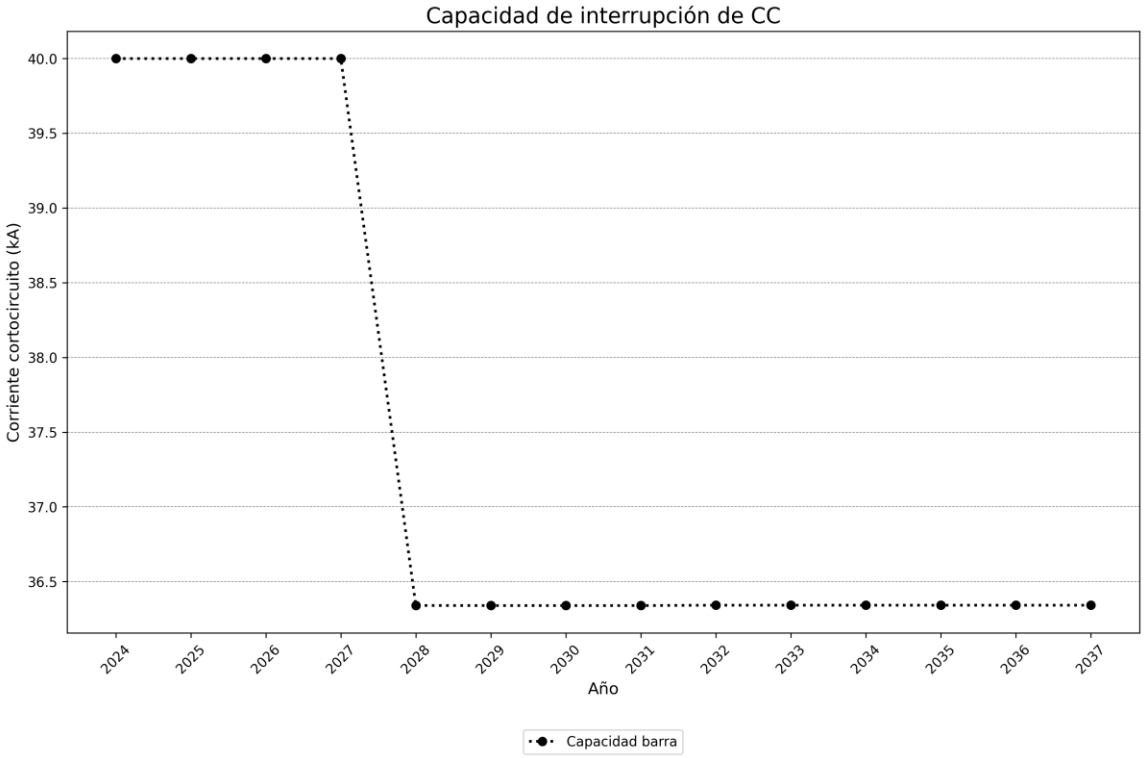


Figura 2-370. Balance de capacidad de cortocircuito después de la priorización para la subestación La Paz 115

Subestación La Rosa 115:

Capacidad por barra:

Para la subestación La Rosa 115 se presentaron 0 alternativas de conexión las cuales se muestran en la siguiente tabla:

Tabla 2-386. Alternativas de conexión presentadas a la subestación La Rosa 115

Solicitud	Capacidad	Tipo	Barra	FPO solicitada	Restricción

No se priorizó ninguna de las alternativas de conexión presentadas en la subestación La Rosa 115

El estado de la capacidad por barra en la subestación La Rosa 115, teniendo en cuenta la priorización se puede observar en la siguiente figura.

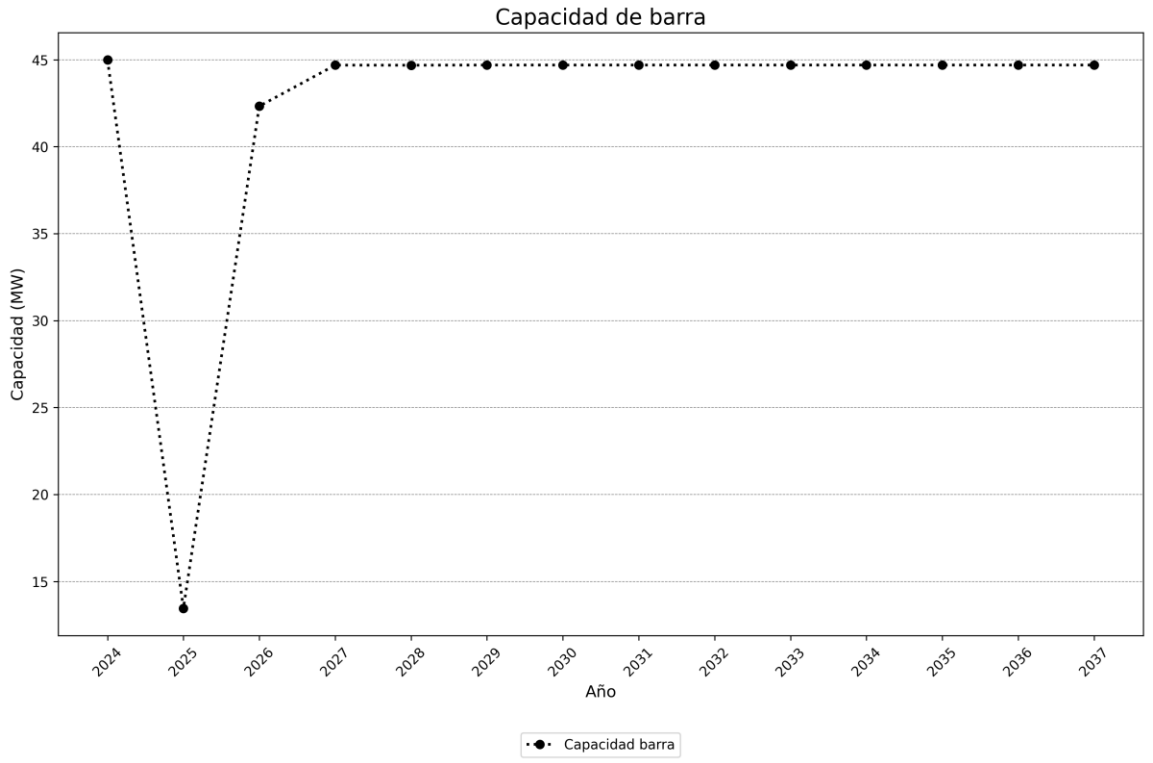


Figura 2-371. Balance de capacidad por barra después de la priorización para la subestación La Rosa 115

Capacidad excedente de interrupción de corriente de cortocircuito:

Para la subestación La Rosa 115 se presentaron 185 alternativas de conexión las cuales tienen aportes de corriente de cortocircuito. Estas alternativas se muestran en la siguiente tabla:

Tabla 2-387. Alternativas de conexión que aportan corriente de cortocircuito en la subestación La Rosa 115

Solicitud	tipo	FPO	Barra a la que aporta CC	Aporte de cortocircuito (kA)	Restricción
SC_2023_5136_A1	Solar FV	2026	La Rosa 115	0.019	SATISFACE
SC_2023_5136_A2	Solar FV	2026	La Rosa 115	0.019	SATISFACE
SC_2023_5144_A1	Solar FV	2028	La Rosa 115	0.237	SATISFACE
SC_2023_5144_A2	Solar FV	2028	La Rosa 115	0.105	SATISFACE
SC_2023_5150_A1	Solar FV	2028	La Rosa 115	0.147	SATISFACE
SC_2023_5152_A1	Solar FV	2025	La Rosa 115	0.032	SATISFACE
SC_2023_5152_A2	Solar FV	2025	La Rosa 115	0.027	SATISFACE
SC_2023_5158_A1	Solar FV	2028	La Rosa 115	0.143	SATISFACE
SC_2023_5171_A1	Solar FV	2025	La Rosa 115	0.025	SATISFACE
SC_2023_5171_A2	Solar FV	2025	La Rosa 115	0.030	SATISFACE
SC_2023_5174_A1	Solar FV	2027	La Rosa 115	0.010	SATISFACE
SC_2023_5174_A2	Solar FV	2027	La Rosa 115	0.012	SATISFACE
SC_2023_5185_A1	Solar FV	2026	La Rosa 115	0.429	SATISFACE
SC_2023_5185_A2	Solar FV	2026	La Rosa 115	0.387	SATISFACE
SC_2023_5188_A1	Solar FV	2026	La Rosa 115	0.036	SATISFACE
SC_2023_5188_A2	Solar FV	2026	La Rosa 115	0.139	SATISFACE
SC_2023_5200_A1	Solar FV	2028	La Rosa 115	0.479	SATISFACE
SC_2023_5200_A2	Solar FV	2028	La Rosa 115	0.211	SATISFACE
SC_2023_5216_A1	Solar FV	2026	La Rosa 115	0.006	SATISFACE
SC_2023_5216_A2	Solar FV	2026	La Rosa 115	0.020	SATISFACE
SC_2023_5248_A1	Solar FV	2025	La Rosa 115	0.045	SATISFACE
SC_2023_5248_A2	Solar FV	2025	La Rosa 115	0.049	SATISFACE
SC_2023_5249_A1	Solar FV	2025	La Rosa 115	0.047	SATISFACE
SC_2023_5249_A2	Solar FV	2025	La Rosa 115	0.047	SATISFACE
SC_2023_5251_A1	Solar FV	2025	La Rosa 115	0.037	SATISFACE
SC_2023_5251_A2	Solar FV	2025	La Rosa 115	0.037	SATISFACE
SC_2023_5252_A1	Solar FV	2028	La Rosa 115	0.189	SATISFACE
SC_2023_5252_A2	Solar FV	2028	La Rosa 115	0.111	SATISFACE
SC_2023_5253_A1	Solar FV	2025	La Rosa 115	0.037	SATISFACE
SC_2023_5253_A2	Solar FV	2025	La Rosa 115	0.037	SATISFACE
SC_2023_5256_A2	Solar FV	2028	La Rosa 115	0.037	SATISFACE
SC_2023_5257_A1	Solar FV	2025	La Rosa 115	0.048	SATISFACE
SC_2023_5257_A2	Solar FV	2025	La Rosa 115	0.048	SATISFACE
SC_2023_5280_A1	Solar FV	2028	La Rosa 115	0.070	SATISFACE

SC_2023_5280_A2	Solar FV	2028	La Rosa 115	0.067	SATISFACE
SC_2023_5287_A1	Solar FV	2026	La Rosa 115	0.037	SATISFACE
SC_2023_5287_A2	Solar FV	2026	La Rosa 115	0.038	SATISFACE
SC_2023_5288_A1	Solar FV	2026	La Rosa 115	0.023	SATISFACE
SC_2023_5288_A2	Solar FV	2026	La Rosa 115	0.060	SATISFACE
SC_2023_5293_A1	Solar FV	2028	La Rosa 115	0.069	SATISFACE
SC_2023_5293_A2	Solar FV	2028	La Rosa 115	0.066	SATISFACE
SC_2023_5294_A1	Solar FV	2029	La Rosa 115	0.018	SATISFACE
SC_2023_5294_A2	Solar FV	2029	La Rosa 115	0.018	SATISFACE
SC_2023_5304_A1	Solar FV	2026	La Rosa 115	0.003	SATISFACE
SC_2023_5309_A1	Solar FV	2026	La Rosa 115	0.003	SATISFACE
SC_2023_5337_A2	Solar FV	2025	La Rosa 115	0.100	SATISFACE
SC_2023_5339_A1	PCH	2026	La Rosa 115	0.004	SATISFACE
SC_2023_5339_A2	PCH	2026	La Rosa 115	0.004	SATISFACE
SC_2023_5345_A1	Solar FV	2027	La Rosa 115	0.017	SATISFACE
SC_2023_5345_A2	Solar FV	2027	La Rosa 115	0.021	SATISFACE
SC_2023_5346_A1	Solar FV	2027	La Rosa 115	0.017	SATISFACE
SC_2023_5346_A2	Solar FV	2027	La Rosa 115	0.021	SATISFACE
SC_2023_5375_A1	Solar FV	2026	La Rosa 115	0.037	SATISFACE
SC_2023_5383_A1	Solar FV	2027	La Rosa 115	0.071	SATISFACE
SC_2023_5383_A2	Solar FV	2027	La Rosa 115	0.086	SATISFACE
SC_2023_5399_A1	Solar FV	2026	La Rosa 115	0.023	SATISFACE
SC_2023_5399_A2	Solar FV	2026	La Rosa 115	0.060	SATISFACE
SC_2023_5431_A1	Solar FV	2028	La Rosa 115	0.000	SATISFACE
SC_2023_5431_A2	Solar FV	2028	La Rosa 115	0.000	SATISFACE
SC_2023_5480_A1	Solar FV	2026	La Rosa 115	0.037	SATISFACE
SC_2023_5480_A2	Solar FV	2026	La Rosa 115	0.038	SATISFACE
SC_2023_5529_A1	Solar FV	2026	La Rosa 115	0.076	SATISFACE
SC_2023_5529_A2	Solar FV	2026	La Rosa 115	0.076	SATISFACE
SC_2023_5543_A1	Hidráulica	2026	La Rosa 115	0.005	SATISFACE
SC_2023_5543_A2	Hidráulica	2026	La Rosa 115	0.006	SATISFACE
SC_2023_5549_A1	Solar FV	2028	La Rosa 115	0.012	SATISFACE
SC_2023_5549_A2	Solar FV	2028	La Rosa 115	0.012	SATISFACE
SC_2023_5551_A1	Solar FV	2027	La Rosa 115	0.428	SATISFACE
SC_2023_5551_A2	Solar FV	2027	La Rosa 115	0.189	SATISFACE
SC_2023_5557_A1	Solar FV	2028	La Rosa 115	0.134	SATISFACE
SC_2023_5564_A1	Solar FV	2026	La Rosa 115	0.054	SATISFACE
SC_2023_5564_A2	Solar FV	2026	La Rosa 115	0.054	SATISFACE
SC_2023_5565_A1	Solar FV	2027	La Rosa 115	0.052	SATISFACE
SC_2023_5566_A1	Solar FV	2028	La Rosa 115	0.055	SATISFACE

SC_2023_5566_A2	Solar FV	2028	La Rosa 115	0.058	SATISFACE
SC_2023_5598_A1	Solar FV	2025	La Rosa 115	0.032	SATISFACE
SC_2023_5598_A2	Solar FV	2025	La Rosa 115	0.027	SATISFACE
SC_2024_5939_A1	Solar FV	2028	La Rosa 115	0.001	SATISFACE
SC_2024_5939_A2	Solar FV	2028	La Rosa 115	0.001	SATISFACE
SC_2344_A1	Eólico Onshore	2027	La Rosa 115	0.050	SATISFACE
SC_2344_A2	Eólico Onshore	2027	La Rosa 115	0.010	SATISFACE
SC_2436_A1	Solar FV	2028	La Rosa 115	0.060	SATISFACE
SC_2436_A2	Solar FV	2028	La Rosa 115	0.070	SATISFACE
SC_2438_A1	Solar FV	2028	La Rosa 115	0.000	SATISFACE
SC_2438_A2	Solar FV	2028	La Rosa 115	0.000	SATISFACE
SC_2527_A1	Solar FV	2028	La Rosa 115	0.120	SATISFACE
SC_2527_A2	Solar FV	2028	La Rosa 115	0.190	SATISFACE
SC_2545_A1	Solar FV	2026	La Rosa 115	0.030	SATISFACE
SC_2545_A2	Solar FV	2026	La Rosa 115	0.030	SATISFACE
SC_2562_A1	Solar FV	2026	La Rosa 115	0.010	SATISFACE
SC_2634_A1	Solar FV	2026	La Rosa 115	0.001	SATISFACE
SC_2634_A2	Solar FV	2026	La Rosa 115	0.001	SATISFACE
SC_2643_A1	Solar FV	2026	La Rosa 115	0.030	SATISFACE
SC_2643_A2	Solar FV	2026	La Rosa 115	0.030	SATISFACE
SC_2802_A1	Solar FV	2027	La Rosa 115	0.004	SATISFACE
SC_2802_A2	Solar FV	2027	La Rosa 115	0.003	SATISFACE
SC_2816_A1	Solar FV	2027	La Rosa 115	0.000	SATISFACE
SC_2870_A1	Solar FV	2027	La Rosa 115	0.020	SATISFACE
SC_2870_A2	Solar FV	2027	La Rosa 115	0.000	SATISFACE
SC_2902_A1	Solar FV	2028	La Rosa 115	0.060	SATISFACE
SC_2902_A2	Solar FV	2028	La Rosa 115	0.480	SATISFACE
SC_2905_A2	Solar FV	2028	La Rosa 115	0.000	SATISFACE
SC_2924_A1	Solar FV	2026	La Rosa 115	0.344	SATISFACE
SC_2924_A2	Solar FV	2026	La Rosa 115	0.311	SATISFACE
SC_2936_A1	Solar FV	2026	La Rosa 115	0.000	SATISFACE
SC_2936_A2	Solar FV	2026	La Rosa 115	0.000	SATISFACE
SC_2962_A1	Solar FV	2028	La Rosa 115	0.061	SATISFACE
SC_2962_A2	Solar FV	2028	La Rosa 115	0.062	SATISFACE
SC_3054_A2	Solar FV	2027	La Rosa 115	0.059	SATISFACE
SC_3121_A1	Solar FV	2026	La Rosa 115	0.005	SATISFACE
SC_3121_A2	Solar FV	2026	La Rosa 115	0.005	SATISFACE
SC_3132_A1	Solar FV	2026	La Rosa 115	0.079	SATISFACE
SC_3132_A2	Solar FV	2026	La Rosa 115	0.076	SATISFACE
SC_3238_A1	Solar FV	2027	La Rosa 115	0.460	SATISFACE

SC_3238_A2	Solar FV	2027	La Rosa 115	0.318	SATISFACE
SC_3247_A1	Solar FV	2027	La Rosa 115	0.147	SATISFACE
SC_3247_A2	Solar FV	2027	La Rosa 115	0.109	SATISFACE
SC_3248_A1	Solar FV	2027	La Rosa 115	0.460	SATISFACE
SC_3248_A2	Solar FV	2027	La Rosa 115	0.318	SATISFACE
SC_3251_A1	Hidráulica	2026	La Rosa 115	0.010	SATISFACE
SC_3251_A2	Hidráulica	2026	La Rosa 115	0.130	SATISFACE
SC_3353_A1	Solar FV	2027	La Rosa 115	0.074	SATISFACE
SC_3353_A2	Solar FV	2027	La Rosa 115	0.067	SATISFACE
SC_3382_A1	Solar FV	2027	La Rosa 115	0.017	SATISFACE
SC_3382_A2	Solar FV	2027	La Rosa 115	0.024	SATISFACE
SC_3392_A1	Solar FV	2027	La Rosa 115	0.074	SATISFACE
SC_3392_A2	Solar FV	2027	La Rosa 115	0.029	SATISFACE
SC_3441_A1	Solar FV	2027	La Rosa 115	0.147	SATISFACE
SC_3441_A2	Solar FV	2027	La Rosa 115	0.109	SATISFACE
SC_3453_A1	Solar FV	2027	La Rosa 115	0.010	SATISFACE
SC_3453_A2	Solar FV	2027	La Rosa 115	0.010	SATISFACE
SC_3514_A1	Solar FV	2027	La Rosa 115	0.010	SATISFACE
SC_3514_A2	Solar FV	2027	La Rosa 115	0.010	SATISFACE
SC_3578_A1	Solar FV	2028	La Rosa 115	0.001	SATISFACE
SC_3578_A2	Solar FV	2028	La Rosa 115	0.001	SATISFACE
SC_3667_A1	Solar FV	2029	La Rosa 115	0.018	SATISFACE
SC_3667_A2	Solar FV	2029	La Rosa 115	0.012	SATISFACE
SC_3846_A1	Solar FV	2028	La Rosa 115	0.014	SATISFACE
SC_3846_A2	Solar FV	2028	La Rosa 115	0.014	SATISFACE
SC_3882_A1	Solar FV	2026	La Rosa 115	0.132	SATISFACE
SC_4083_A1	Solar FV	2027	La Rosa 115	0.001	SATISFACE
SC_4083_A2	Solar FV	2027	La Rosa 115	0.001	SATISFACE
SC_4175_A1	Solar FV	2026	La Rosa 115	0.031	SATISFACE
SC_4175_A2	Solar FV	2026	La Rosa 115	0.031	SATISFACE
SC_4296_A1	Solar FV	2028	La Rosa 115	0.238	SATISFACE
SC_4296_A2	Solar FV	2028	La Rosa 115	0.262	SATISFACE
SC_4751_A1	Solar FV	2027	La Rosa 115	0.004	SATISFACE
SC_4760_A1	Solar FV	2026	La Rosa 115	0.123	SATISFACE
SC_4765_A1	Solar FV	2029	La Rosa 115	0.006	SATISFACE
SC_4765_A2	Solar FV	2029	La Rosa 115	0.004	SATISFACE
SC_4789_A1	Solar FV	2027	La Rosa 115	0.029	SATISFACE
SC_4789_A2	Solar FV	2027	La Rosa 115	0.029	SATISFACE
SC_4809_A1	Solar FV	2027	La Rosa 115	0.000	SATISFACE
SC_4809_A2	Solar FV	2027	La Rosa 115	0.178	SATISFACE

SC_4819_A1	Solar FV	2029	La Rosa 115	0.136	SATISFACE
SC_4819_A2	Solar FV	2029	La Rosa 115	0.131	SATISFACE
SC_4821_A1	Solar FV	2027	La Rosa 115	0.074	SATISFACE
SC_4821_A2	Solar FV	2027	La Rosa 115	0.029	SATISFACE
SC_4824_A1	Solar FV	2025	La Rosa 115	0.000	SATISFACE
SC_4824_A2	Solar FV	2025	La Rosa 115	0.000	SATISFACE
SC_4826_A1	Solar FV	2027	La Rosa 115	0.010	SATISFACE
SC_4826_A2	Solar FV	2027	La Rosa 115	0.010	SATISFACE
SC_4827_A1	Solar FV	2027	La Rosa 115	0.010	SATISFACE
SC_4827_A2	Solar FV	2027	La Rosa 115	0.010	SATISFACE
SC_4842_A1	Solar FV	2028	La Rosa 115	0.147	SATISFACE
SC_4910_A1	Solar FV	2026	La Rosa 115	0.019	SATISFACE
SC_4910_A2	Solar FV	2026	La Rosa 115	0.019	SATISFACE
SC_4926_A1	Solar FV	2027	La Rosa 115	0.004	SATISFACE
SC_4947_A1	Solar FV	2027	La Rosa 115	0.083	SATISFACE
SC_4960_A2	Solar FV	2029	La Rosa 115	0.064	SATISFACE
SC_4974_A1	Solar FV	2026	La Rosa 115	0.008	SATISFACE
SC_4974_A2	Solar FV	2026	La Rosa 115	0.008	SATISFACE
SC_4978_A1	Solar FV	2026	La Rosa 115	0.003	SATISFACE
SC_4978_A2	Solar FV	2026	La Rosa 115	0.007	SATISFACE
SC_5009_A1	Solar FV	2026	La Rosa 115	0.075	SATISFACE
SC_5009_A2	Solar FV	2026	La Rosa 115	0.029	SATISFACE
SC_5011_A1	Solar FV	2027	La Rosa 115	0.075	SATISFACE
SC_5011_A2	Solar FV	2027	La Rosa 115	0.029	SATISFACE
SC_5060_A1	Solar FV	2026	La Rosa 115	0.019	SATISFACE
SC_5060_A2	Solar FV	2026	La Rosa 115	0.019	SATISFACE
SC_5076_A1	Solar FV	2027	La Rosa 115	0.000	SATISFACE
SC_5076_A2	Solar FV	2027	La Rosa 115	0.000	SATISFACE
SC_5077_A1	Solar FV	2027	La Rosa 115	0.000	SATISFACE
SC_5077_A2	Solar FV	2027	La Rosa 115	0.000	SATISFACE
SC_5087_A2	Solar FV	2027	La Rosa 115	0.033	SATISFACE

Posterior a la ejecución del MACC se priorizaron las siguientes alternativas de conexión que tienen aportes de cortocircuito de la subestación en análisis:

Tabla 2-388. Alternativas de conexión priorizadas que aportan corriente de cortocircuito en la subestación La Rosa 115

index	tipo	periodoIni	Barra a la que aporta CC	Aporte de cortocircuito (kA)	Restricción
SC_2023_5529_A2	Solar FV	2026	La Rosa 115	0.076	SATISFACE
SC_2023_5543_A1	Hidráulica	2026	La Rosa 115	0.005	SATISFACE
SC_2545_A1	Solar FV	2026	La Rosa 115	0.030	SATISFACE
SC_2643_A1	Solar FV	2026	La Rosa 115	0.030	SATISFACE
SC_5076_A2	Solar FV	2027	La Rosa 115	0.000	SATISFACE
SC_5077_A2	Solar FV	2027	La Rosa 115	0.000	SATISFACE

El estado de la capacidad de cortocircuito en la subestación La Rosa 115, teniendo en cuenta la priorización se puede observar en la siguiente figura.

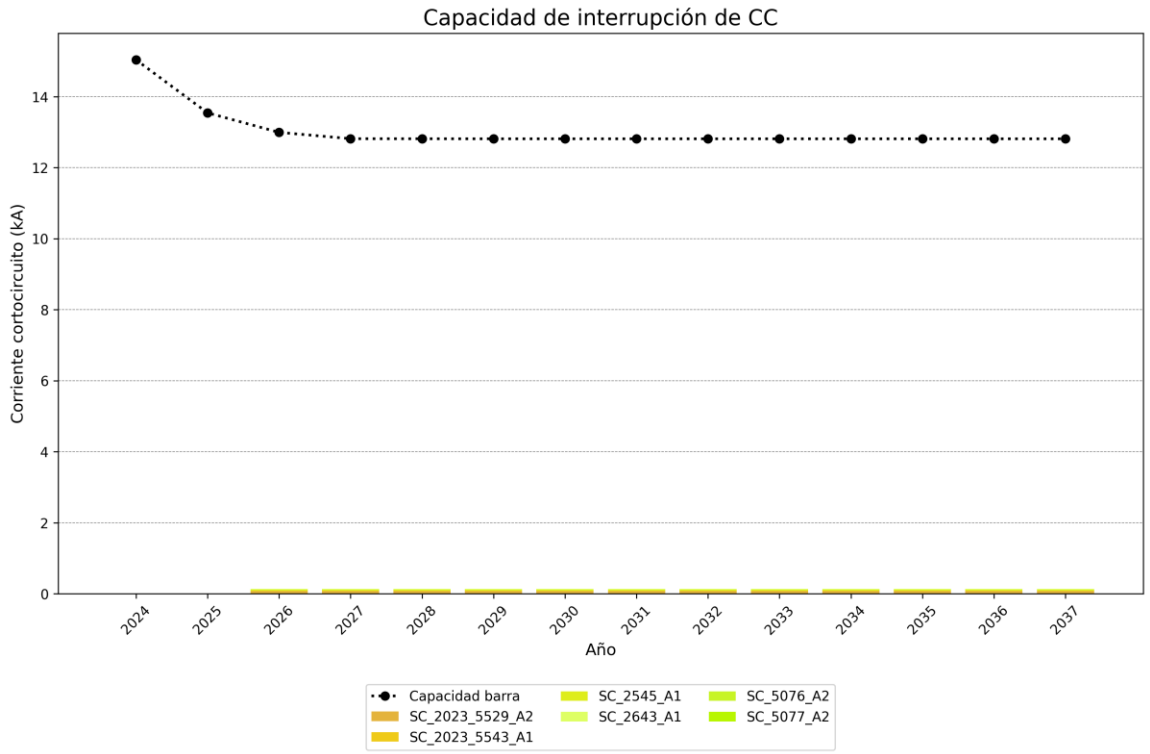


Figura 2-372. Balance de capacidad de cortocircuito después de la priorización para la subestación La Rosa 115

Subestación La Sierra 110:

Capacidad por barra:

Para la subestación La Sierra 110 se presentaron 0 alternativas de conexión las cuales se muestran en la siguiente tabla:

Tabla 2-389. Alternativas de conexión presentadas a la subestación La Sierra 110

Solicitud	Capacidad	Tipo	Barra	FPO solicitada	Restricción

No se priorizó ninguna de las alternativas de conexión presentadas en la subestación La Sierra 110

El estado de la capacidad por barra en la subestación La Sierra 110, teniendo en cuenta la priorización se puede observar en la siguiente figura.

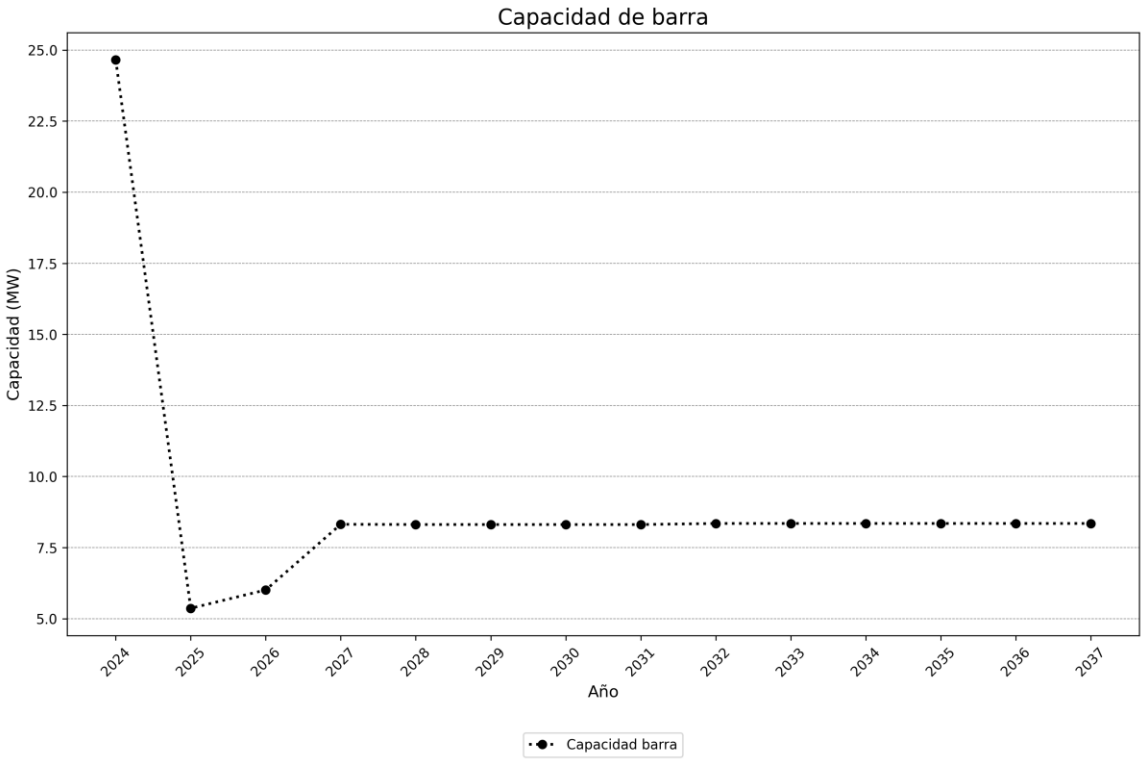


Figura 2-373. Balance de capacidad por barra después de la priorización para la subestación La Sierra 110

Capacidad excedente de interrupción de corriente de cortocircuito:

Para la subestación La Sierra 110 se presentaron 14 alternativas de conexión las cuales tienen aportes de corriente de cortocircuito. Estas alternativas se muestran en la siguiente tabla:

Tabla 2-390. Alternativas de conexión que aportan corriente de cortocircuito en la subestación La Sierra 110

Solicitud	tipo	FPO	Barra a la que aporta CC	Aporte de cortocircuito (kA)	Restricción
SC_2023_5294_A1	Solar FV	2029	La Sierra 110	0.011	SATISFACE
SC_2023_5294_A2	Solar FV	2029	La Sierra 110	0.009	SATISFACE
SC_2816_A1	Solar FV	2027	La Sierra 110	0.000	SATISFACE
SC_2870_A1	Solar FV	2027	La Sierra 110	0.000	SATISFACE
SC_2870_A2	Solar FV	2027	La Sierra 110	0.000	SATISFACE
SC_3054_A2	Solar FV	2027	La Sierra 110	0.000	SATISFACE
SC_3331_A1	Solar FV	2026	La Sierra 110	0.096	SATISFACE
SC_3578_A1	Solar FV	2028	La Sierra 110	0.000	SATISFACE
SC_3578_A2	Solar FV	2028	La Sierra 110	0.000	SATISFACE
SC_3667_A1	Solar FV	2029	La Sierra 110	0.001	SATISFACE
SC_3667_A2	Solar FV	2029	La Sierra 110	0.001	SATISFACE
SC_4765_A1	Solar FV	2029	La Sierra 110	0.000	SATISFACE
SC_4765_A2	Solar FV	2029	La Sierra 110	0.000	SATISFACE
SC_4960_A2	Solar FV	2029	La Sierra 110	0.015	SATISFACE

No se priorizó ninguna de las alternativas de conexión que tengan aportes de corriente de cortocircuito en la subestación La Sierra 110

El estado de la capacidad de cortocircuito en la subestación La Sierra 110, teniendo en cuenta la priorización se puede observar en la siguiente figura.

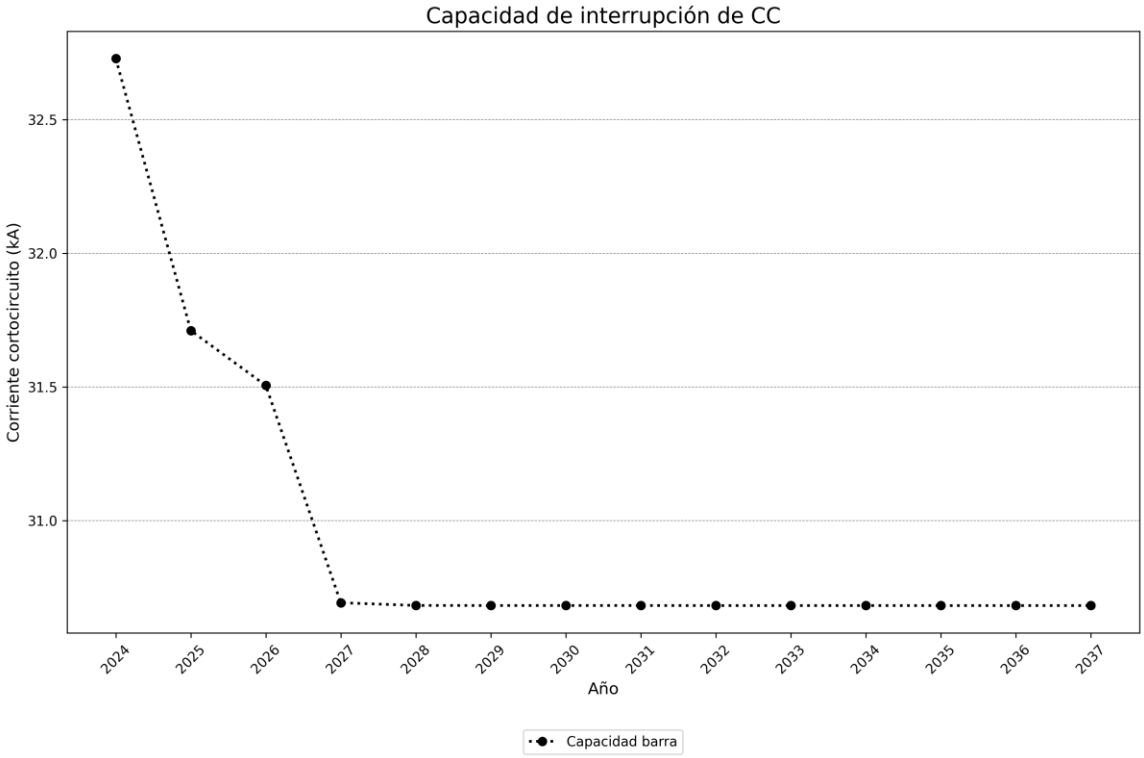


Figura 2-374. Balance de capacidad de cortocircuito después de la priorización para la subestación La Sierra 110

Subestación La Sierra 220:

Capacidad por barra:

Para la subestación La Sierra 220 se presentaron 0 alternativas de conexión las cuales se muestran en la siguiente tabla:

Tabla 2-391. Alternativas de conexión presentadas a la subestación La Sierra 220

Solicitud	Capacidad	Tipo	Barra	FPO solicitada	Restricción

No se priorizó ninguna de las alternativas de conexión presentadas en la subestación La Sierra 220

El estado de la capacidad por barra en la subestación La Sierra 220, teniendo en cuenta la priorización se puede observar en la siguiente figura.

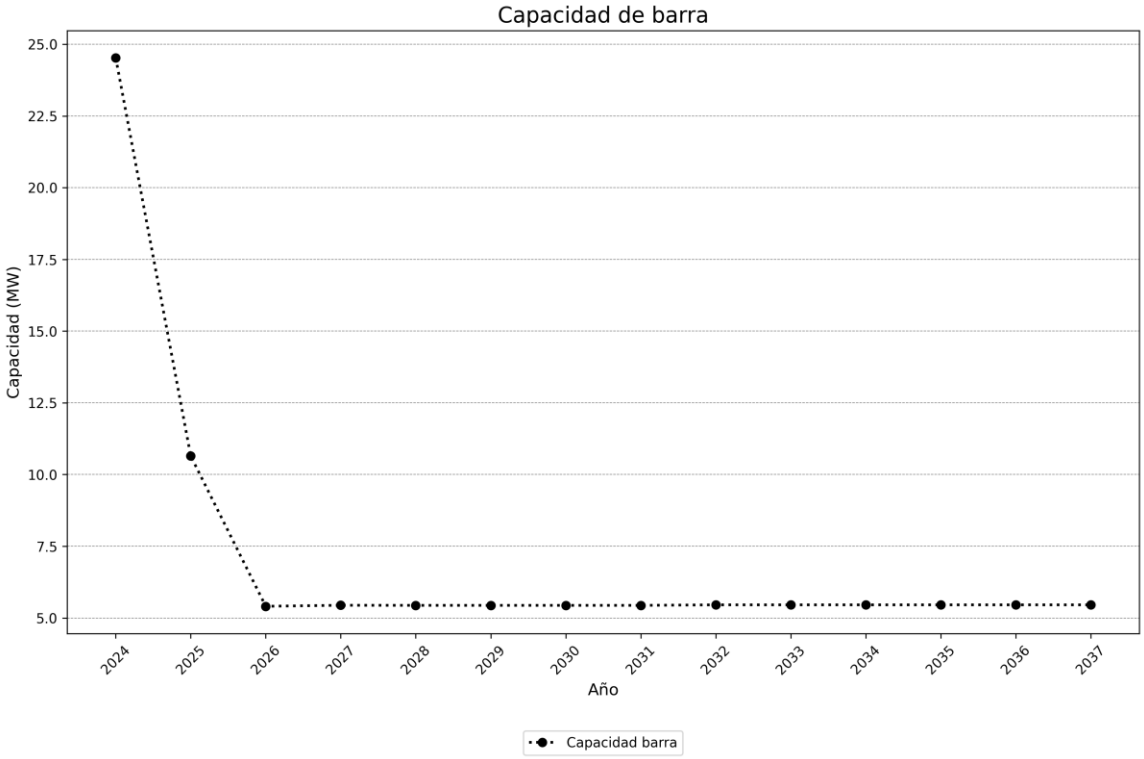


Figura 2-375. Balance de capacidad por barra después de la priorización para la subestación La Sierra 220

Capacidad excedente de interrupción de corriente de cortocircuito:

Para la subestación La Sierra 220 se presentaron 27 alternativas de conexión las cuales tienen aportes de corriente de cortocircuito. Estas alternativas se muestran en la siguiente tabla:

Tabla 2-392. Alternativas de conexión que aportan corriente de cortocircuito en la subestación La Sierra 220

Solicitud	tipo	FPO	Barra a la que aporta CC	Aporte de cortocircuito (kA)	Restricción
SC_2023_5256_A2	Solar FV	2028	La Sierra 220	0.062	SATISFACE
SC_2023_5294_A1	Solar FV	2029	La Sierra 220	0.042	SATISFACE
SC_2023_5294_A2	Solar FV	2029	La Sierra 220	0.037	SATISFACE
SC_2024_5939_A1	Solar FV	2028	La Sierra 220	0.011	SATISFACE
SC_2024_5939_A2	Solar FV	2028	La Sierra 220	0.012	SATISFACE
SC_2670_A1	Solar FV	2028	La Sierra 220	0.010	SATISFACE
SC_2670_A2	Solar FV	2028	La Sierra 220	0.010	SATISFACE
SC_2816_A1	Solar FV	2027	La Sierra 220	0.010	SATISFACE
SC_2870_A1	Solar FV	2027	La Sierra 220	0.000	SATISFACE
SC_2870_A2	Solar FV	2027	La Sierra 220	0.010	SATISFACE
SC_2902_A1	Solar FV	2028	La Sierra 220	0.010	SATISFACE
SC_2902_A2	Solar FV	2028	La Sierra 220	0.480	SATISFACE
SC_2905_A2	Solar FV	2028	La Sierra 220	0.020	SATISFACE
SC_3012_A1	Solar FV	2027	La Sierra 220	0.000	SATISFACE
SC_3012_A2	Solar FV	2027	La Sierra 220	0.020	SATISFACE
SC_3054_A2	Solar FV	2027	La Sierra 220	0.002	SATISFACE
SC_3101_A1	Solar FV	2027	La Sierra 220	0.003	SATISFACE
SC_3101_A2	Solar FV	2027	La Sierra 220	0.000	SATISFACE
SC_3331_A1	Solar FV	2026	La Sierra 220	0.144	SATISFACE
SC_3433_A2	Solar FV	2027	La Sierra 220	0.000	SATISFACE
SC_3578_A1	Solar FV	2028	La Sierra 220	0.012	SATISFACE
SC_3578_A2	Solar FV	2028	La Sierra 220	0.009	SATISFACE
SC_3667_A1	Solar FV	2029	La Sierra 220	0.002	SATISFACE
SC_3667_A2	Solar FV	2029	La Sierra 220	0.002	SATISFACE
SC_4765_A1	Solar FV	2029	La Sierra 220	0.005	SATISFACE
SC_4765_A2	Solar FV	2029	La Sierra 220	0.005	SATISFACE
SC_4960_A2	Solar FV	2029	La Sierra 220	0.057	SATISFACE

No se priorizó ninguna de las alternativas de conexión que tengan aportes de corriente de cortocircuito en la subestación La Sierra 220

El estado de la capacidad de cortocircuito en la subestación La Sierra 220, teniendo en cuenta la priorización se puede observar en la siguiente figura.

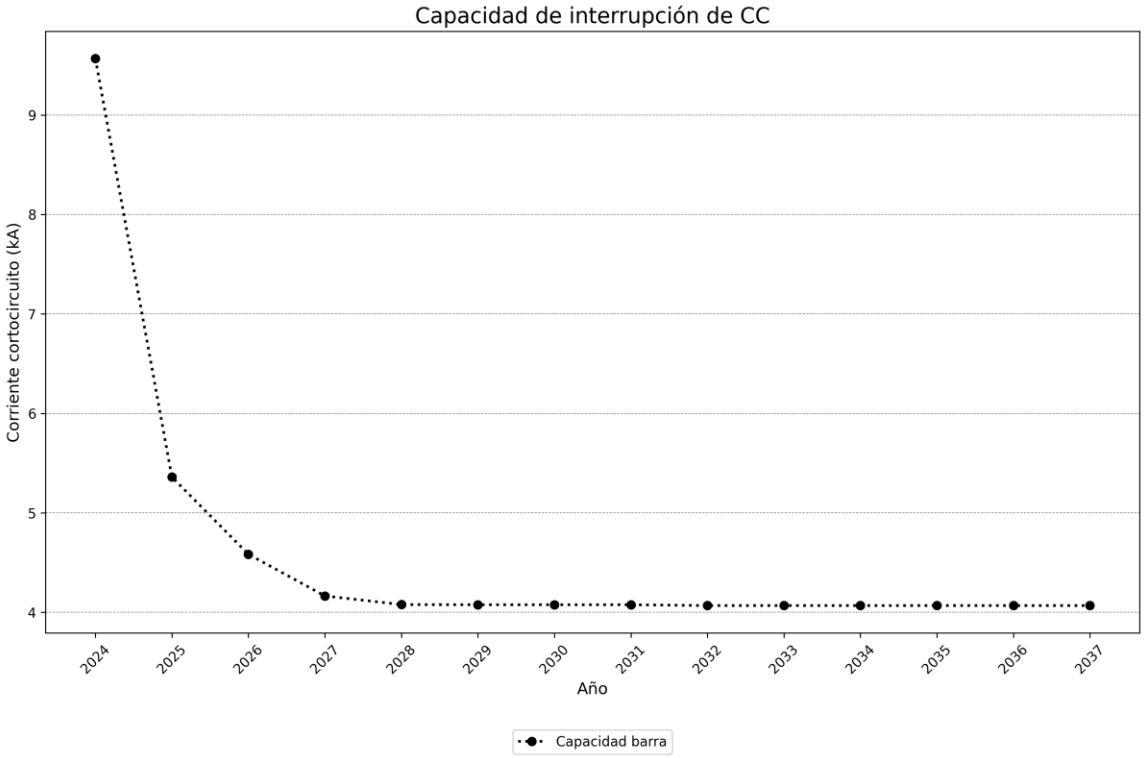


Figura 2-376. Balance de capacidad de cortocircuito después de la priorización para la subestación La Sierra 220

Subestación La Tasajera 220:

Capacidad por barra:

Para la subestación La Tasajera 220 se presentaron 0 alternativas de conexión las cuales se muestran en la siguiente tabla:

Tabla 2-393. Alternativas de conexión presentadas a la subestación La Tasajera 220

Solicitud	Capacidad	Tipo	Barra	FPO solicitada	Restricción

No se priorizó ninguna de las alternativas de conexión presentadas en la subestación La Tasajera 220

El estado de la capacidad por barra en la subestación La Tasajera 220, teniendo en cuenta la priorización se puede observar en la siguiente figura.

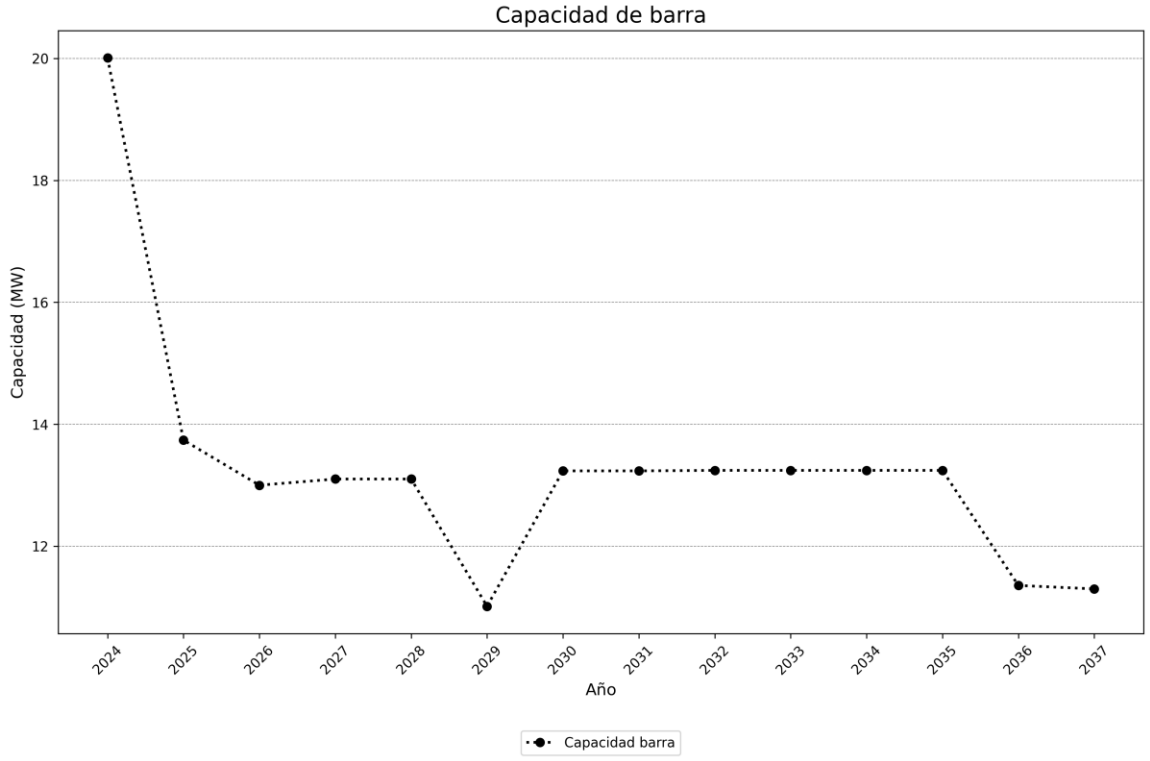


Figura 2-377. Balance de capacidad por barra después de la priorización para la subestación La Tasajera 220

Capacidad excedente de interrupción de corriente de cortocircuito:

Para la subestación La Tasajera 220 se presentaron 1 alternativas de conexión las cuales tienen aportes de corriente de cortocircuito. Estas alternativas se muestran en la siguiente tabla:

Tabla 2-394. Alternativas de conexión que aportan corriente de cortocircuito en la subestación La Tasajera 220

Solicitud	tipo	FPO	Barra a la que aporta CC	Aporte de cortocircuito (kA)	Restricción
SC_3331_A1	Solar FV	2026	La Tasajera 220	0.089	SATISFACE

No se priorizó ninguna de las alternativas de conexión que tengan aportes de corriente de cortocircuito en la subestación La Tasajera 220

El estado de la capacidad de cortocircuito en la subestación La Tasajera 220, teniendo en cuenta la priorización se puede observar en la siguiente figura.

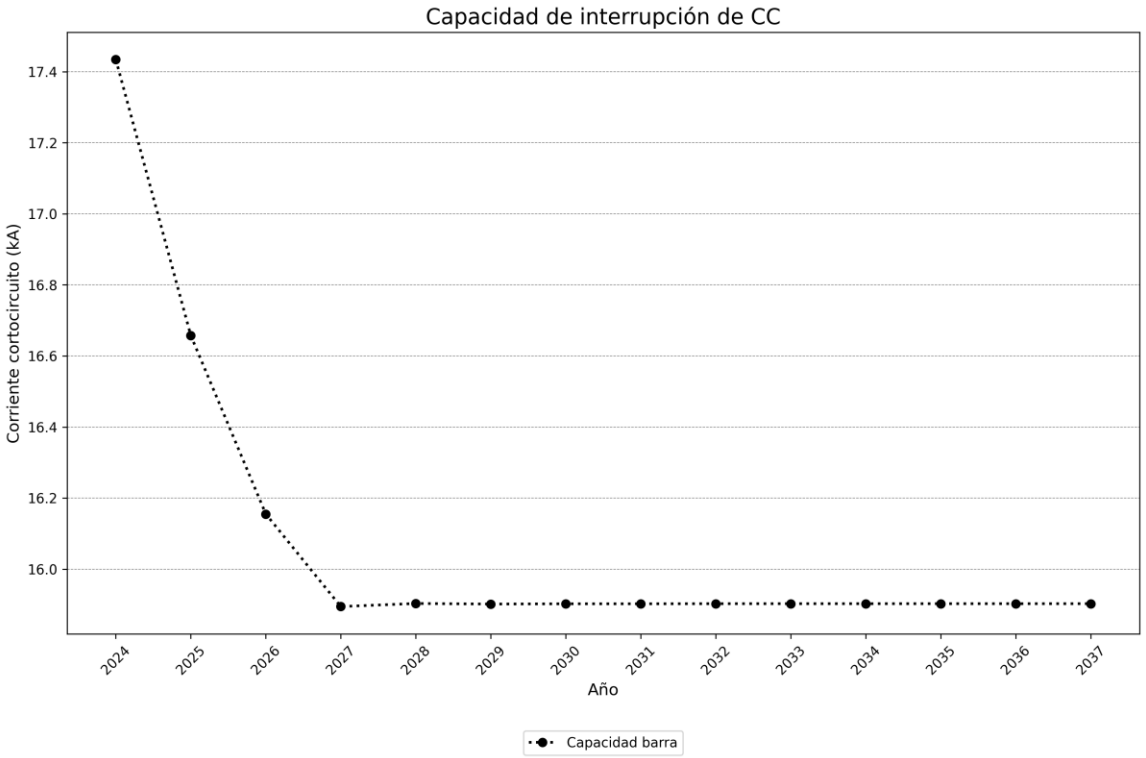


Figura 2-378. Balance de capacidad de cortocircuito después de la priorización para la subestación La Tasajera 220

Subestación La Union 115:

Capacidad por barra:

Para la subestación La Union 115 se presentaron 0 alternativas de conexión las cuales se muestran en la siguiente tabla:

Tabla 2-395. Alternativas de conexión presentadas a la subestación La Union 115

Solicitud	Capacidad	Tipo	Barra	FPO solicitada	Restricción

No se priorizó ninguna de las alternativas de conexión presentadas en la subestación La Union 115

El estado de la capacidad por barra en la subestación La Union 115, teniendo en cuenta la priorización se puede observar en la siguiente figura.

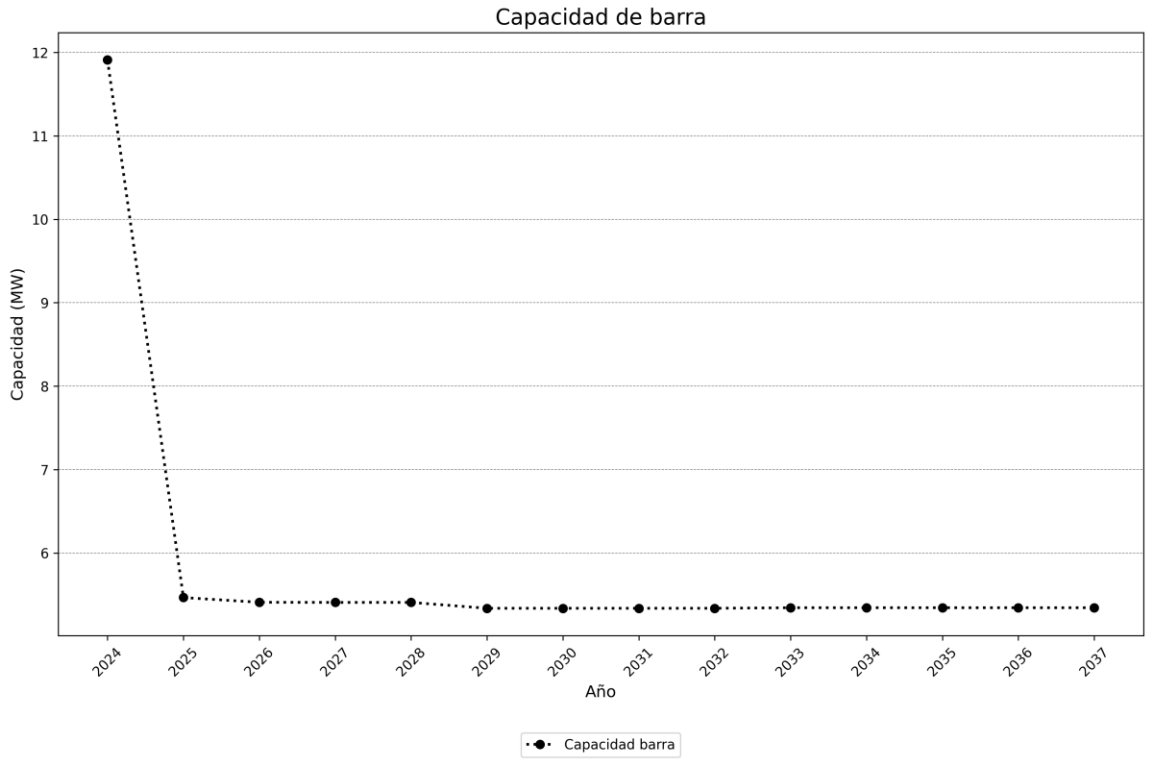


Figura 2-379. Balance de capacidad por barra después de la priorización para la subestación La Union 115

Capacidad excedente de interrupción de corriente de cortocircuito:

Para la subestación La Union 115 se presentaron 4 alternativas de conexión las cuales tienen aportes de corriente de cortocircuito. Estas alternativas se muestran en la siguiente tabla:

Tabla 2-396. Alternativas de conexión que aportan corriente de cortocircuito en la subestación La Union 115

Solicitud	tipo	FPO	Barra a la que aporta CC	Aporte de cortocircuito (kA)	Restricción
SC_2023_5557_A1	Solar FV	2028	La Union 115	0.033	SATISFACE
SC_2936_A1	Solar FV	2026	La Union 115	0.000	SATISFACE
SC_2936_A2	Solar FV	2026	La Union 115	0.000	SATISFACE
SC_3882_A1	Solar FV	2026	La Union 115	0.033	SATISFACE

No se priorizó ninguna de las alternativas de conexión que tengan aportes de corriente de cortocircuito en la subestación La Union 115

El estado de la capacidad de cortocircuito en la subestación La Union 115, teniendo en cuenta la priorización se puede observar en la siguiente figura.

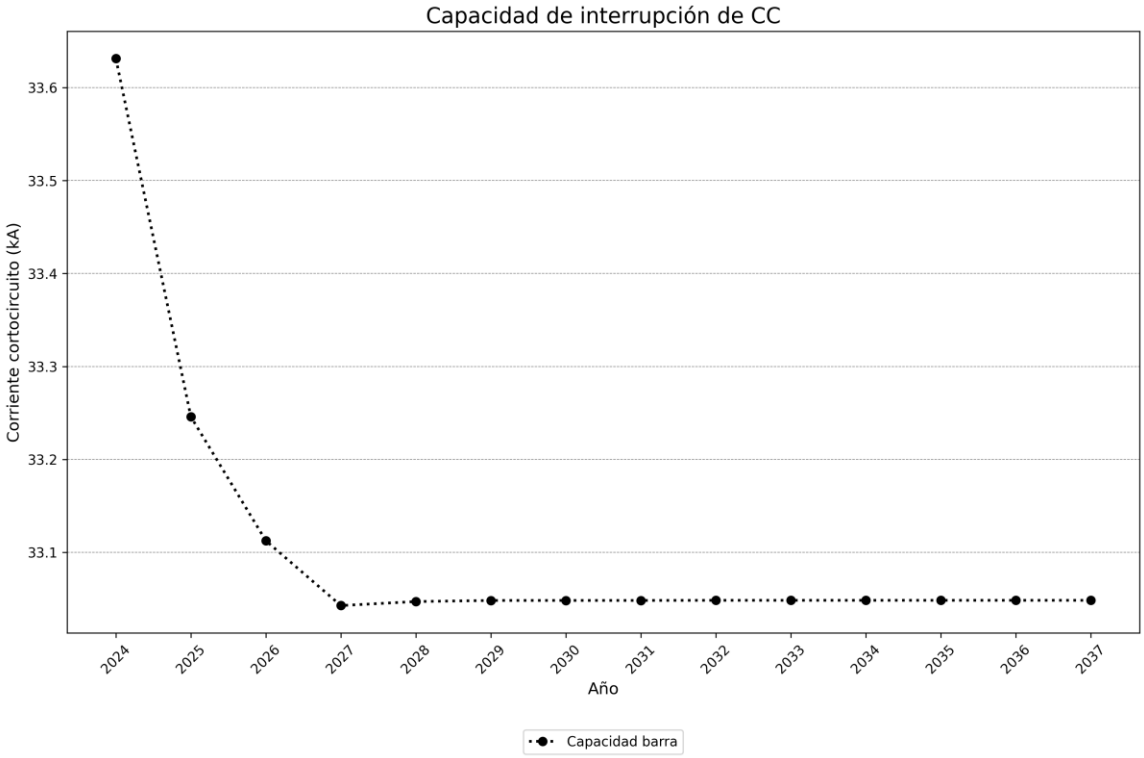


Figura 2-380. Balance de capacidad de cortocircuito después de la priorización para la subestación La Union 115

Subestación La cabaña 33:

Capacidad por barra:

Para la subestación La cabaña 33 se presentaron 0 alternativas de conexión las cuales se muestran en la siguiente tabla:

Tabla 2-397. Alternativas de conexión presentadas a la subestación La cabaña 33

Solicitud	Capacidad	Tipo	Barra	FPO solicitada	Restricción

No se priorizó ninguna de las alternativas de conexión presentadas en la subestación La cabaña 33

El estado de la capacidad por barra en la subestación La cabaña 33, teniendo en cuenta la priorización se puede observar en la siguiente figura.

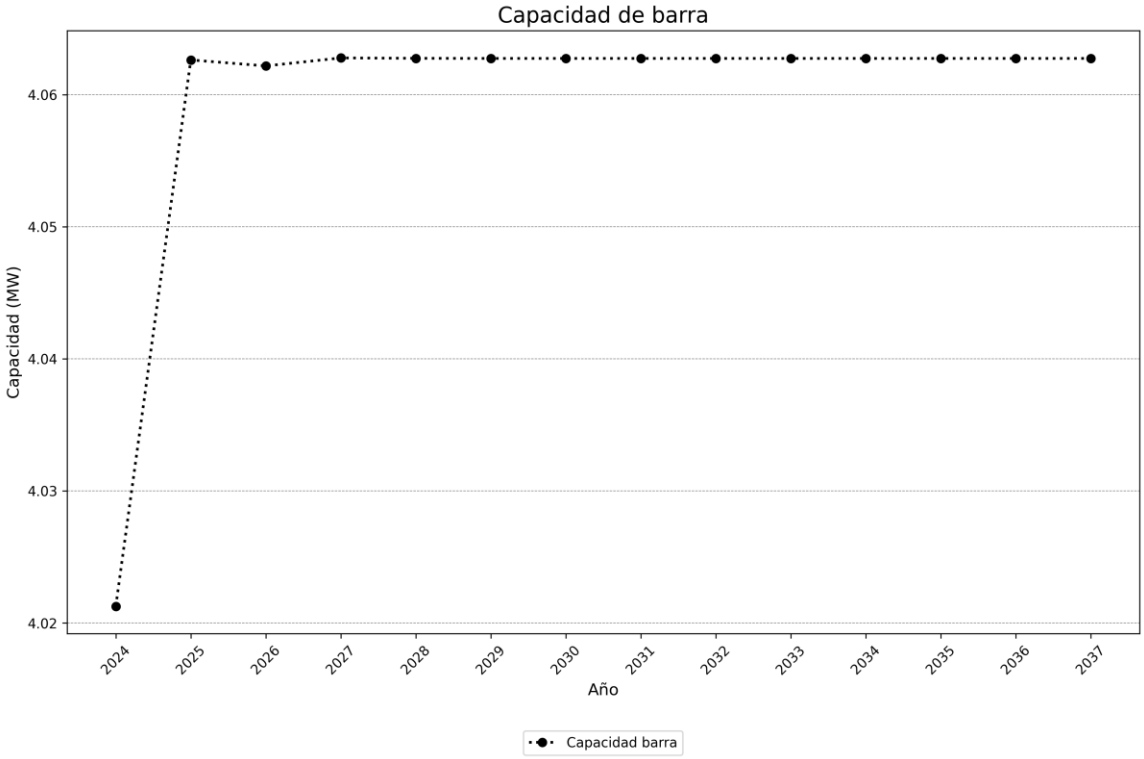


Figura 2-381. Balance de capacidad por barra después de la priorización para la subestación La cabaña 33

Subestación La rosa 33:

Capacidad por barra:

Para la subestación La rosa 33 se presentaron 1 alternativas de conexión las cuales se muestran en la siguiente tabla:

Tabla 2-398. Alternativas de conexión presentadas a la subestación La rosa 33

Solicitud	Capacidad	Tipo	Barra	FPO solicitada	Restricción
SC_2023_5529_A2	9.9	Solar FV	La rosa 33	2026	SATISFACE

Posterior a la ejecución del MACC se priorizaron las siguientes alternativas de conexión:

Tabla 2-399. Alternativas de conexión priorizadas en la subestación La rosa 33

Solicitud	Capacidad	Tipo	Barra	FPO solicitada	Restricción
SC_2023_5529_A2	9.9	Solar FV	La rosa 33	2026	SATISFACE

El estado de la capacidad por barra en la subestación La rosa 33, teniendo en cuenta la priorización se puede observar en la siguiente figura.

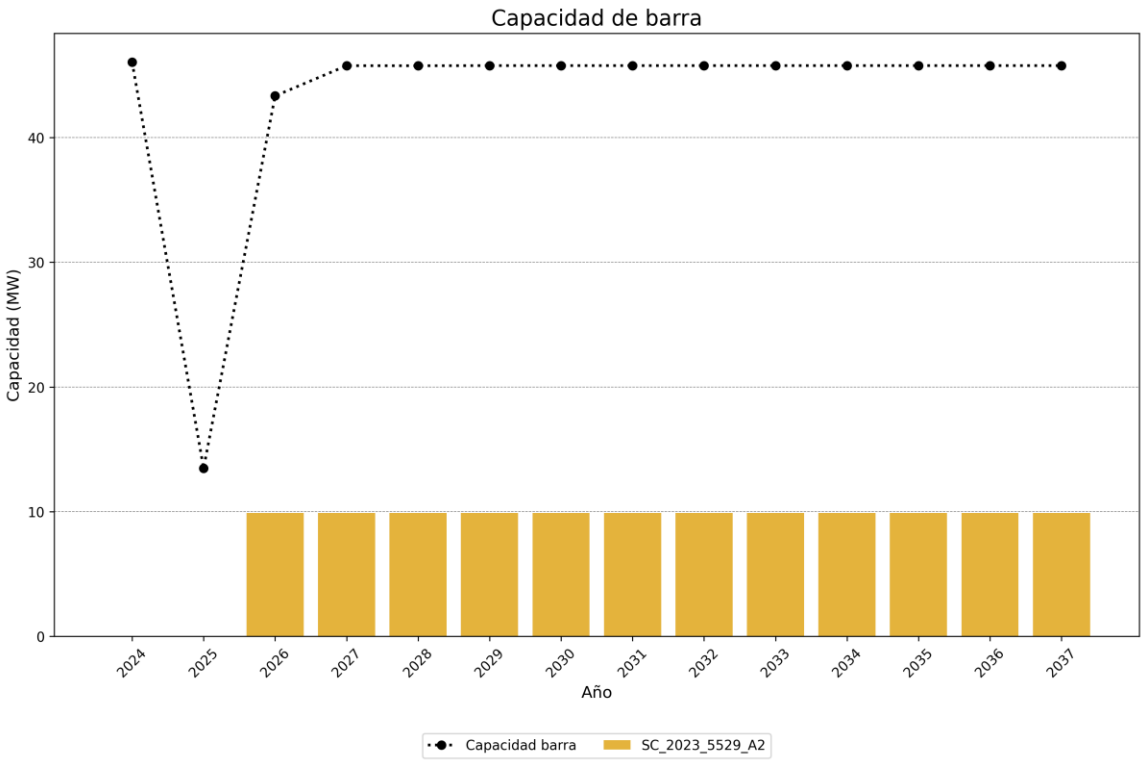


Figura 2-382. Balance de capacidad por barra después de la priorización para la subestación La rosa 33

Subestación Ladera 115:

Capacidad por barra:

Para la subestación Ladera 115 se presentaron 0 alternativas de conexión las cuales se muestran en la siguiente tabla:

Tabla 2-400. Alternativas de conexión presentadas a la subestación Ladera 115

Solicitud	Capacidad	Tipo	Barra	FPO solicitada	Restricción

No se priorizó ninguna de las alternativas de conexión presentadas en la subestación Ladera 115

El estado de la capacidad por barra en la subestación Ladera 115, teniendo en cuenta la priorización se puede observar en la siguiente figura.

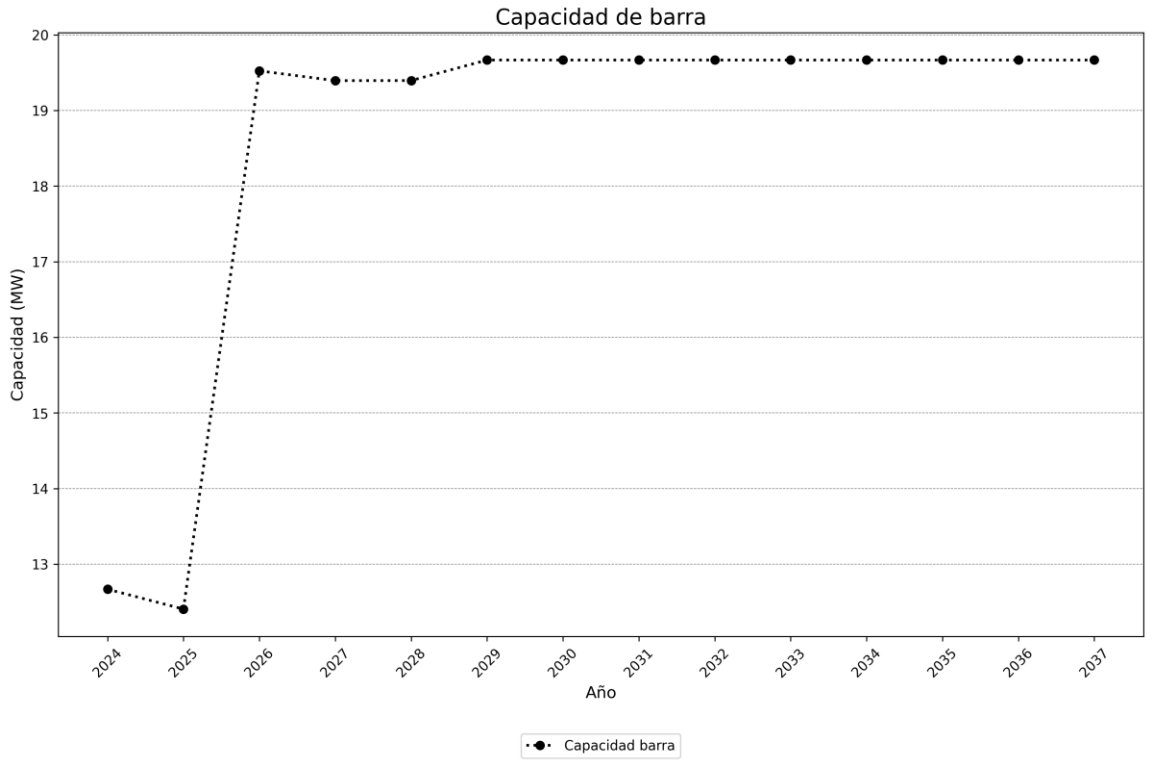


Figura 2-383. Balance de capacidad por barra después de la priorización para la subestación Ladera 115

Capacidad excedente de interrupción de corriente de cortocircuito:

Para la subestación Ladera 115 se presentaron 4 alternativas de conexión las cuales tienen aportes de corriente de cortocircuito. Estas alternativas se muestran en la siguiente tabla:

Tabla 2-401. Alternativas de conexión que aportan corriente de cortocircuito en la subestación Ladera 115

Solicitud	tipo	FPO	Barra a la que aporta CC	Aporte de cortocircuito (kA)	Restricción
SC_2023_5557_A1	Solar FV	2028	Ladera 115	0.065	SATISFACE
SC_2936_A1	Solar FV	2026	Ladera 115	0.000	SATISFACE
SC_2936_A2	Solar FV	2026	Ladera 115	0.000	SATISFACE
SC_3882_A1	Solar FV	2026	Ladera 115	0.064	SATISFACE

No se priorizó ninguna de las alternativas de conexión que tengan aportes de corriente de cortocircuito en la subestación Ladera 115

El estado de la capacidad de cortocircuito en la subestación Ladera 115, teniendo en cuenta la priorización se puede observar en la siguiente figura.

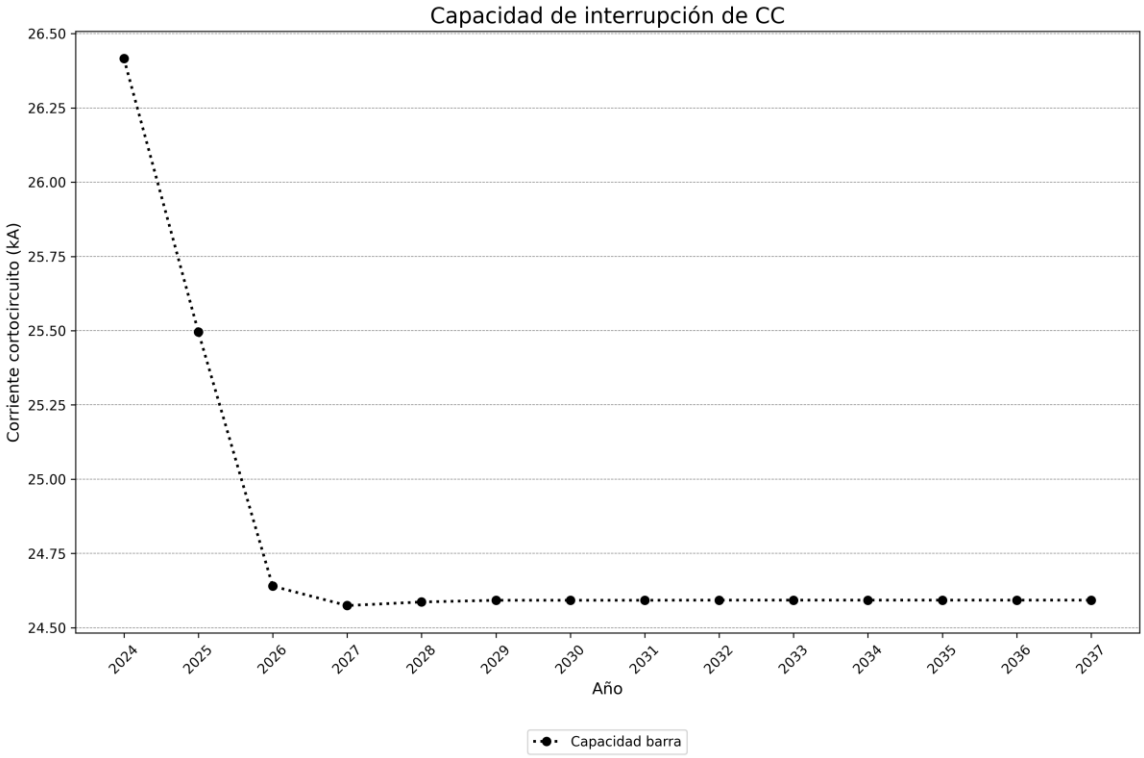


Figura 2-384. Balance de capacidad de cortocircuito después de la priorización para la subestación Ladera 115

Subestación Laguneta 115:

Capacidad por barra:

Para la subestación Laguneta 115 se presentaron 0 alternativas de conexión las cuales se muestran en la siguiente tabla:

Tabla 2-402. Alternativas de conexión presentadas a la subestación Laguneta 115

Solicitud	Capacidad	Tipo	Barra	FPO solicitada	Restricción

No se priorizó ninguna de las alternativas de conexión presentadas en la subestación Laguneta 115

El estado de la capacidad por barra en la subestación Laguneta 115, teniendo en cuenta la priorización se puede observar en la siguiente figura.

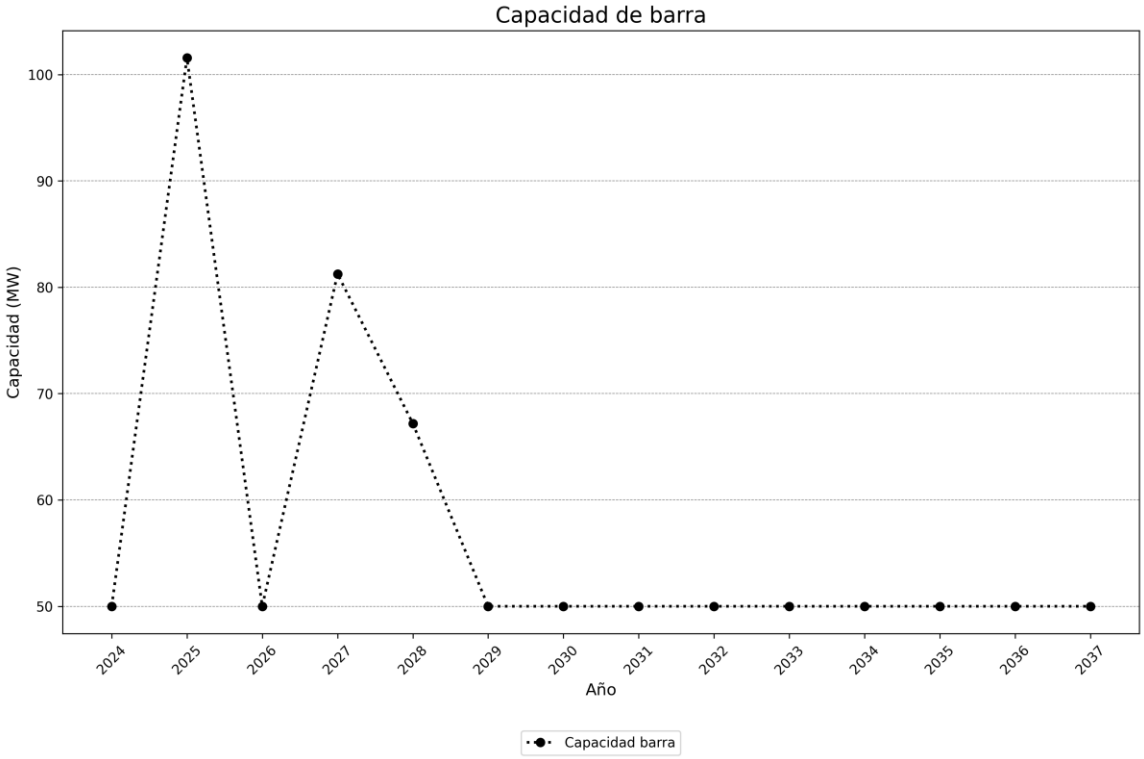


Figura 2-385. Balance de capacidad por barra después de la priorización para la subestación Laguneta 115

Capacidad excedente de interrupción de corriente de cortocircuito:

Para la subestación Laguneta 115 se presentaron 29 alternativas de conexión las cuales tienen aportes de corriente de cortocircuito. Estas alternativas se muestran en la siguiente tabla:

Tabla 2-403. Alternativas de conexión que aportan corriente de cortocircuito en la subestación Laguneta 115

Solicitud	tipo	FPO	Barra a la que aporta CC	Aporte de cortocircuito (kA)	Restricción
SC_2023_5280_A1	Solar FV	2028	Laguneta 115	0.062	SATISFACE
SC_2023_5280_A2	Solar FV	2028	Laguneta 115	0.056	SATISFACE
SC_2023_5287_A1	Solar FV	2026	Laguneta 115	0.032	SATISFACE
SC_2023_5287_A2	Solar FV	2026	Laguneta 115	0.033	SATISFACE
SC_2023_5288_A1	Solar FV	2026	Laguneta 115	0.019	SATISFACE
SC_2023_5288_A2	Solar FV	2026	Laguneta 115	0.049	SATISFACE
SC_2023_5375_A1	Solar FV	2026	Laguneta 115	0.032	SATISFACE
SC_2023_5399_A1	Solar FV	2026	Laguneta 115	0.019	SATISFACE
SC_2023_5399_A2	Solar FV	2026	Laguneta 115	0.049	SATISFACE
SC_2023_5480_A1	Solar FV	2026	Laguneta 115	0.032	SATISFACE
SC_2023_5480_A2	Solar FV	2026	Laguneta 115	0.033	SATISFACE
SC_2023_5557_A1	Solar FV	2028	Laguneta 115	0.131	SATISFACE
SC_2936_A1	Solar FV	2026	Laguneta 115	0.000	SATISFACE
SC_2936_A2	Solar FV	2026	Laguneta 115	0.000	SATISFACE
SC_3121_A1	Solar FV	2026	Laguneta 115	0.004	SATISFACE
SC_3121_A2	Solar FV	2026	Laguneta 115	0.004	SATISFACE
SC_3132_A1	Solar FV	2026	Laguneta 115	0.070	SATISFACE
SC_3132_A2	Solar FV	2026	Laguneta 115	0.060	SATISFACE
SC_3882_A1	Solar FV	2026	Laguneta 115	0.124	SATISFACE
SC_4083_A1	Solar FV	2027	Laguneta 115	0.000	SATISFACE
SC_4083_A2	Solar FV	2027	Laguneta 115	0.000	SATISFACE
SC_4765_A1	Solar FV	2029	Laguneta 115	0.004	SATISFACE
SC_4765_A2	Solar FV	2029	Laguneta 115	0.002	SATISFACE
SC_4819_A1	Solar FV	2029	Laguneta 115	0.114	SATISFACE
SC_4819_A2	Solar FV	2029	Laguneta 115	0.102	SATISFACE
SC_4974_A1	Solar FV	2026	Laguneta 115	0.006	SATISFACE
SC_4974_A2	Solar FV	2026	Laguneta 115	0.006	SATISFACE
SC_4978_A1	Solar FV	2026	Laguneta 115	0.000	SATISFACE
SC_4978_A2	Solar FV	2026	Laguneta 115	0.005	SATISFACE

No se priorizó ninguna de las alternativas de conexión que tengan aportes de corriente de cortocircuito en la subestación Laguneta 115

El estado de la capacidad de cortocircuito en la subestación Laguneta 115, teniendo en cuenta la priorización se puede observar en la siguiente figura.

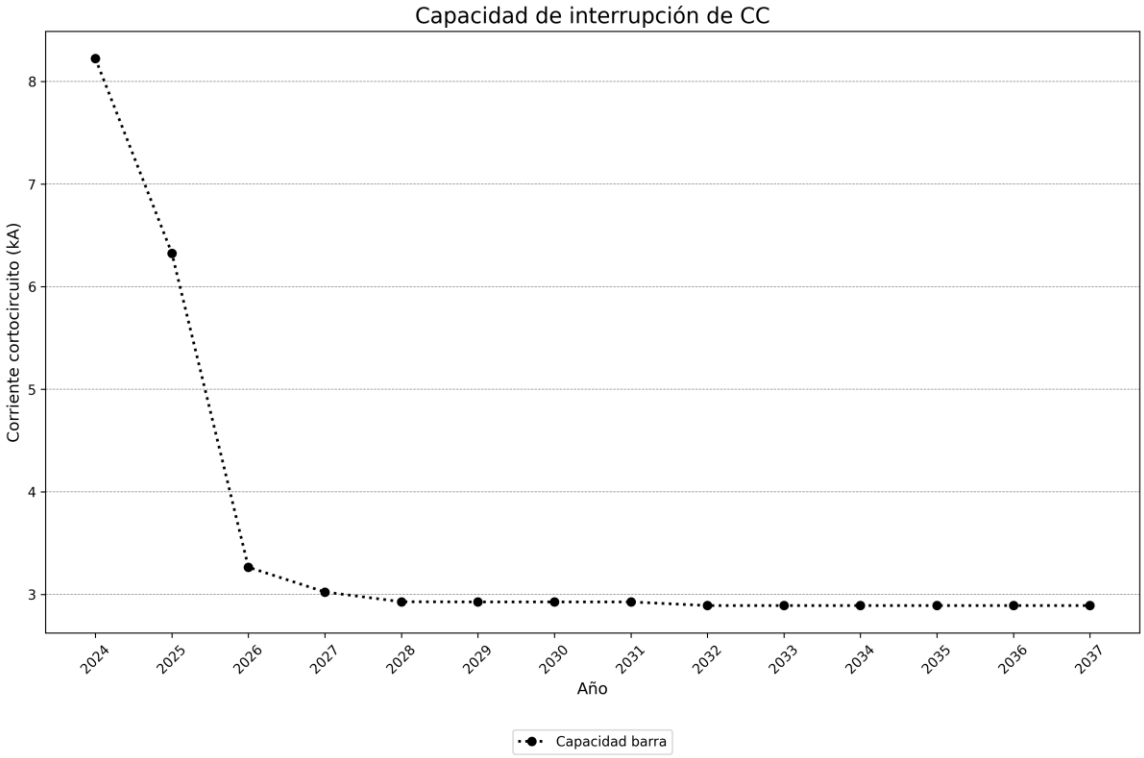


Figura 2-386. Balance de capacidad de cortocircuito después de la priorización para la subestación Laguneta 115

Subestación Lanceros 115:

Capacidad por barra:

Para la subestación Lanceros 115 se presentaron 0 alternativas de conexión las cuales se muestran en la siguiente tabla:

Tabla 2-404. Alternativas de conexión presentadas a la subestación Lanceros 115

Solicitud	Capacidad	Tipo	Barra	FPO solicitada	Restricción

No se priorizó ninguna de las alternativas de conexión presentadas en la subestación Lanceros 115

El estado de la capacidad por barra en la subestación Lanceros 115, teniendo en cuenta la priorización se puede observar en la siguiente figura.

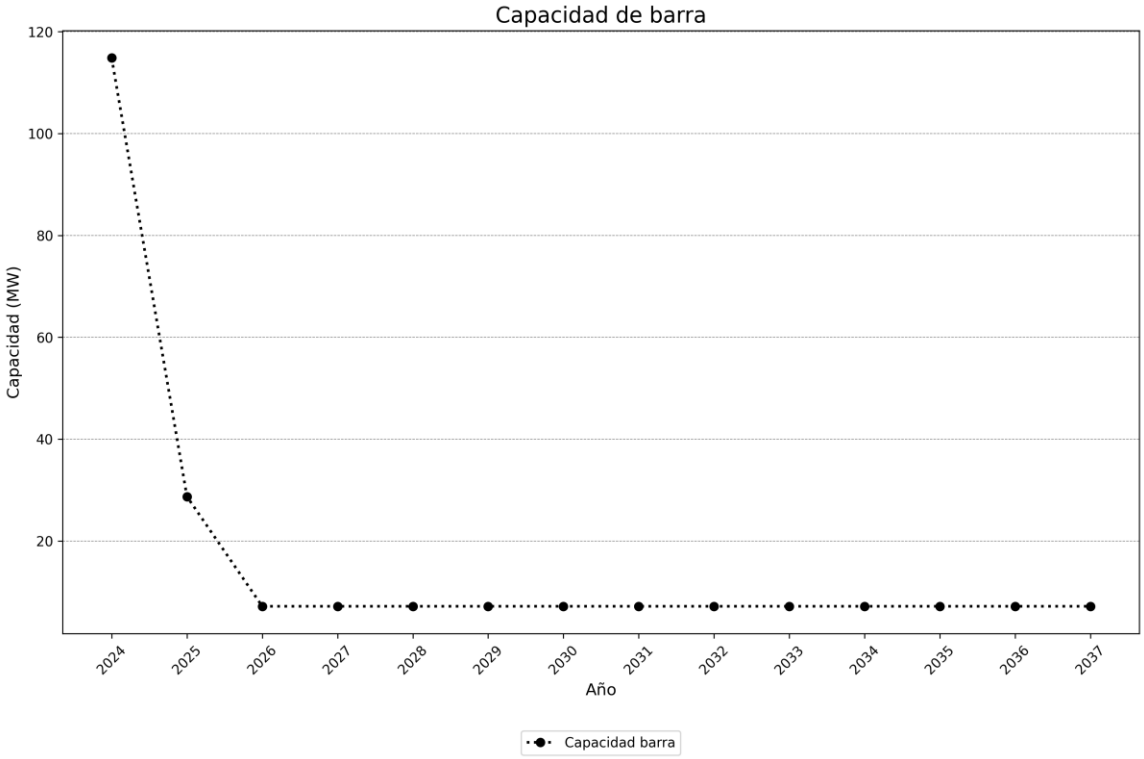


Figura 2-387. Balance de capacidad por barra después de la priorización para la subestación Lanceros 115

Capacidad excedente de interrupción de corriente de cortocircuito:

Para la subestación Lanceros 115 se presentaron 29 alternativas de conexión las cuales tienen aportes de corriente de cortocircuito. Estas alternativas se muestran en la siguiente tabla:

Tabla 2-405. Alternativas de conexión que aportan corriente de cortocircuito en la subestación Lanceros 115

Solicitud	tipo	FPO	Barra a la que aporta CC	Aporte de cortocircuito (kA)	Restricción
SC_2023_5280_A1	Solar FV	2028	Lanceros 115	0.015	SATISFACE
SC_2023_5280_A2	Solar FV	2028	Lanceros 115	0.014	SATISFACE
SC_2023_5287_A1	Solar FV	2026	Lanceros 115	0.008	SATISFACE
SC_2023_5287_A2	Solar FV	2026	Lanceros 115	0.008	SATISFACE
SC_2023_5288_A1	Solar FV	2026	Lanceros 115	0.004	SATISFACE
SC_2023_5288_A2	Solar FV	2026	Lanceros 115	0.012	SATISFACE
SC_2023_5375_A1	Solar FV	2026	Lanceros 115	0.008	SATISFACE
SC_2023_5399_A1	Solar FV	2026	Lanceros 115	0.004	SATISFACE
SC_2023_5399_A2	Solar FV	2026	Lanceros 115	0.012	SATISFACE
SC_2023_5480_A1	Solar FV	2026	Lanceros 115	0.008	SATISFACE
SC_2023_5480_A2	Solar FV	2026	Lanceros 115	0.008	SATISFACE
SC_2023_5557_A1	Solar FV	2028	Lanceros 115	0.023	SATISFACE
SC_2936_A1	Solar FV	2026	Lanceros 115	0.000	SATISFACE
SC_2936_A2	Solar FV	2026	Lanceros 115	0.000	SATISFACE
SC_3121_A1	Solar FV	2026	Lanceros 115	0.001	SATISFACE
SC_3121_A2	Solar FV	2026	Lanceros 115	0.001	SATISFACE
SC_3132_A1	Solar FV	2026	Lanceros 115	0.017	SATISFACE
SC_3132_A2	Solar FV	2026	Lanceros 115	0.014	SATISFACE
SC_3882_A1	Solar FV	2026	Lanceros 115	0.022	SATISFACE
SC_4083_A1	Solar FV	2027	Lanceros 115	0.000	SATISFACE
SC_4083_A2	Solar FV	2027	Lanceros 115	0.000	SATISFACE
SC_4765_A1	Solar FV	2029	Lanceros 115	0.000	SATISFACE
SC_4765_A2	Solar FV	2029	Lanceros 115	0.000	SATISFACE
SC_4819_A1	Solar FV	2029	Lanceros 115	0.039	SATISFACE
SC_4819_A2	Solar FV	2029	Lanceros 115	0.034	SATISFACE
SC_4974_A1	Solar FV	2026	Lanceros 115	0.001	SATISFACE
SC_4974_A2	Solar FV	2026	Lanceros 115	0.001	SATISFACE
SC_4978_A1	Solar FV	2026	Lanceros 115	0.000	SATISFACE
SC_4978_A2	Solar FV	2026	Lanceros 115	0.001	SATISFACE

No se priorizó ninguna de las alternativas de conexión que tengan aportes de corriente de cortocircuito en la subestación Lanceros 115

El estado de la capacidad de cortocircuito en la subestación Lanceros 115, teniendo en cuenta la priorización se puede observar en la siguiente figura.

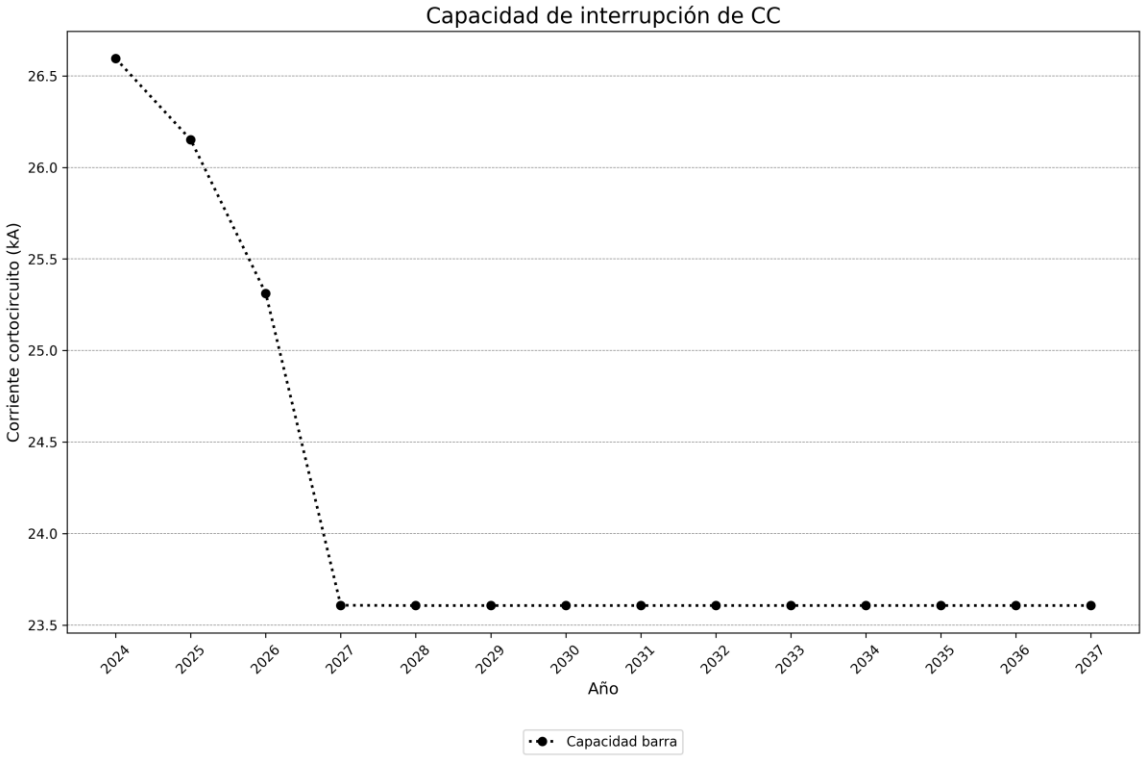


Figura 2-388. Balance de capacidad de cortocircuito después de la priorización para la subestación Lanceros 115

Subestación Las Coles 33:

Capacidad por barra:

Para la subestación Las Coles 33 se presentaron 0 alternativas de conexión las cuales se muestran en la siguiente tabla:

Tabla 2-406. Alternativas de conexión presentadas a la subestación Las Coles 33

Solicitud	Capacidad	Tipo	Barra	FPO solicitada	Restricción

No se priorizó ninguna de las alternativas de conexión presentadas en la subestación Las Coles 33

El estado de la capacidad por barra en la subestación Las Coles 33, teniendo en cuenta la priorización se puede observar en la siguiente figura.

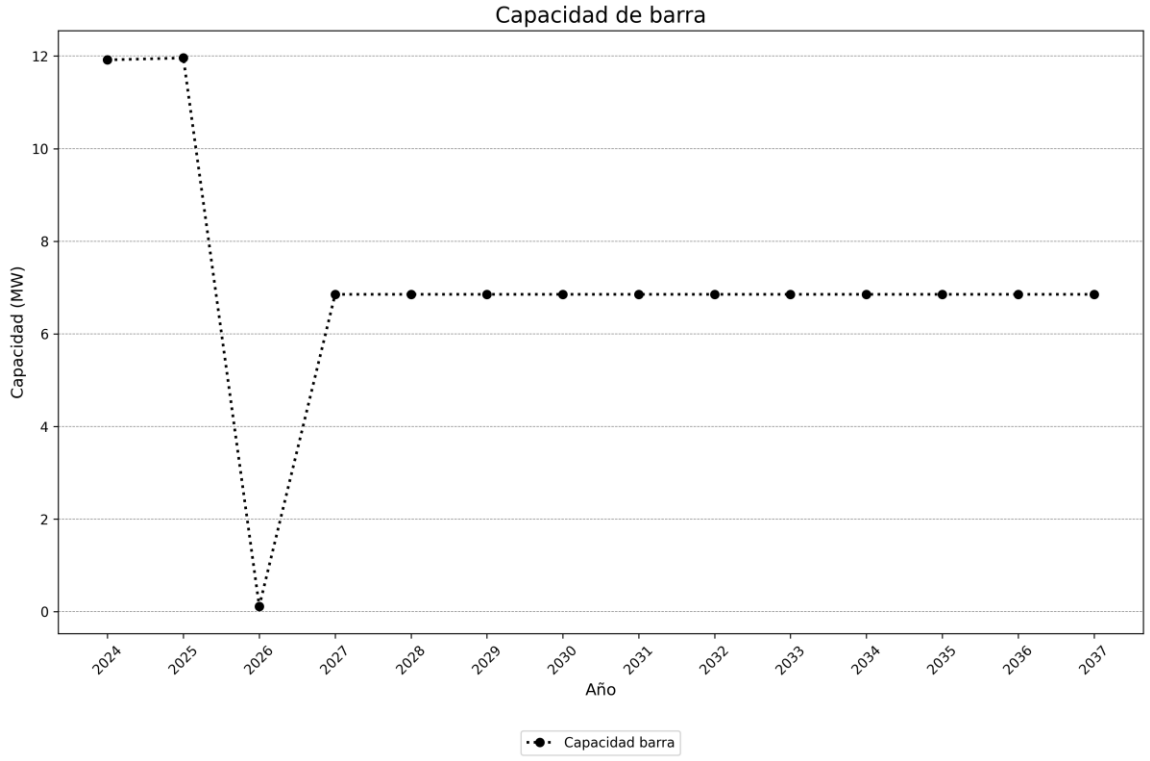


Figura 2-389. Balance de capacidad por barra después de la priorización para la subestación Las Coles 33

Subestación Las Margaritas 33:

Capacidad por barra:

Para la subestación Las Margaritas 33 se presentaron 2 alternativas de conexión las cuales se muestran en la siguiente tabla:

Tabla 2-407. Alternativas de conexión presentadas a la subestación Las Margaritas 33

Solicitud	Capacidad	Tipo	Barra	FPO solicitada	Restricción
SC_2023_5529_A1	9.9	Solar FV	Las Margaritas 33	2026	NO SATISFACE
SC_5077_A1	9.9	Solar FV	Las Margaritas 33	2027	NO SATISFACE

No se priorizó ninguna de las alternativas de conexión presentadas en la subestación Las Margaritas 33

El estado de la capacidad por barra en la subestación Las Margaritas 33, teniendo en cuenta la priorización se puede observar en la siguiente figura.

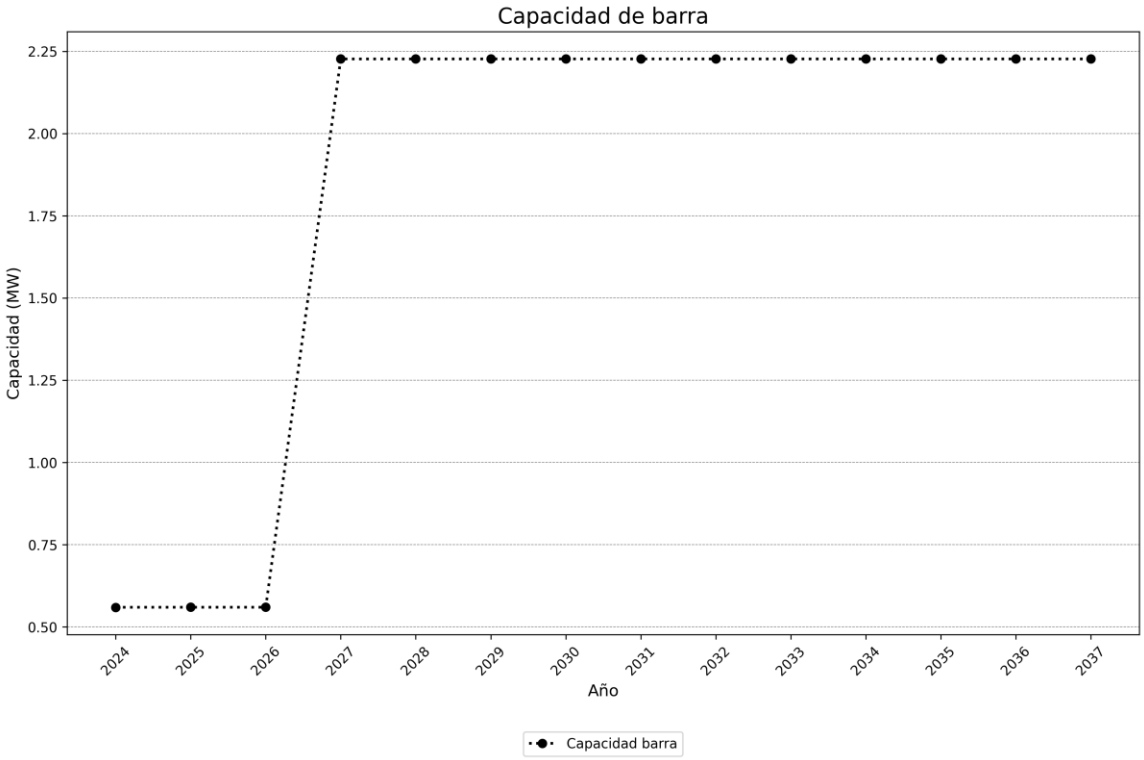


Figura 2-390. Balance de capacidad por barra después de la priorización para la subestación Las Margaritas 33

Subestación Lerida_13.2:

Capacidad por barra:

Para la subestación Lerida_13.2 se presentaron 3 alternativas de conexión las cuales se muestran en la siguiente tabla:

Tabla 2-408. Alternativas de conexión presentadas a la subestación Lerida_13.2

Solicitud	Capacidad	Tipo	Barra	FPO solicitada	Restricción
SC_2023_5136_A2	9.9	Solar FV	Lerida_13.2	2026	SATISFACE
SC_3131_A1	9.9	Solar FV	Lerida_13.2	2026	SATISFACE
SC_4827_A2	9.9	Solar FV	Lerida_13.2	2027	SATISFACE

Posterior a la ejecución del MACC se priorizaron las siguientes alternativas de conexión:

Tabla 2-409. Alternativas de conexión priorizadas en la subestación Lerida_13.2

Solicitud	Capacidad	Tipo	Barra	FPO solicitada	Restricción
SC_3131_A1	9.9	Solar FV	Lerida_13.2	2026	SATISFACE

El estado de la capacidad por barra en la subestación Lerida_13.2, teniendo en cuenta la priorización se puede observar en la siguiente figura.

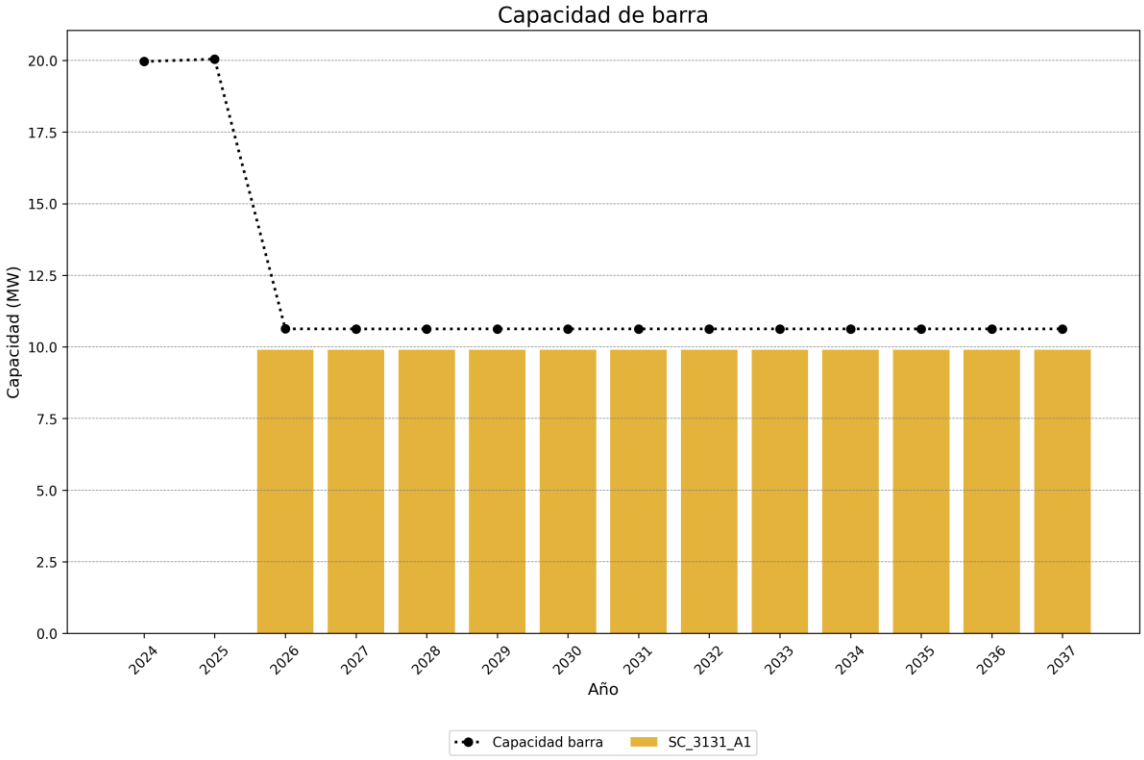


Figura 2-391. Balance de capacidad por barra después de la priorización para la subestación Lerida_13.2

Subestación Lerida_34.5:

Capacidad por barra:

Para la subestación Lerida_34.5 se presentaron 5 alternativas de conexión las cuales se muestran en la siguiente tabla:

Tabla 2-410. Alternativas de conexión presentadas a la subestación Lerida_34.5

Solicitud	Capacidad	Tipo	Barra	FPO solicitada	Restricción
SC_2023_5136_A1	9.9	Solar FV	Lerida_34.5	2026	NO SATISFACE
SC_2023_5375_A1	9.9	Solar FV	Lerida_34.5	2026	NO SATISFACE

SC_3131_A2	9.9	Solar FV	Lerida_34.5	2026	NO SATISFACE
SC_4083_A2	9.9	Solar FV	Lerida_34.5	2027	NO SATISFACE
SC_4827_A1	9.9	Solar FV	Lerida_34.5	2027	NO SATISFACE

No se priorizó ninguna de las alternativas de conexión presentadas en la subestación Lerida_34.5

El estado de la capacidad por barra en la subestación Lerida_34.5, teniendo en cuenta la priorización se puede observar en la siguiente figura.

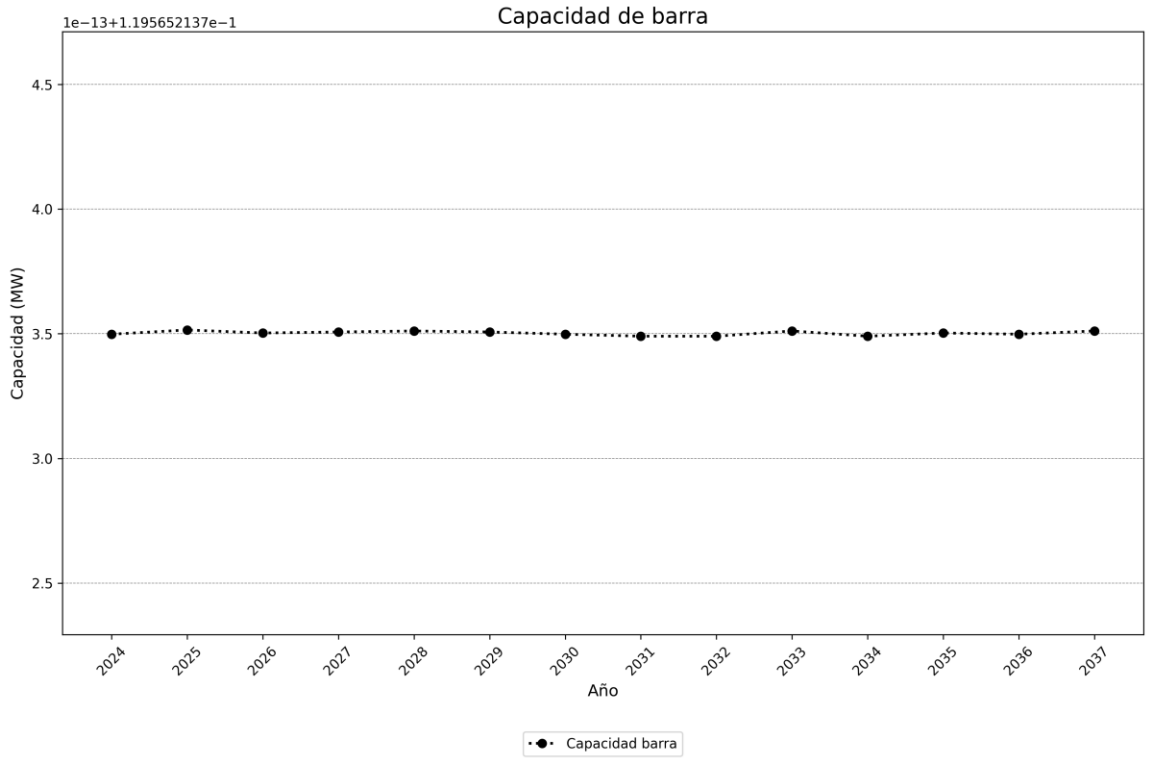


Figura 2-392. Balance de capacidad por barra después de la priorización para la subestación Lerida_34.5

Subestación Malena 220:

Capacidad por barra:

Para la subestación Malena 220 se presentaron 0 alternativas de conexión las cuales se muestran en la siguiente tabla:

Tabla 2-411. Alternativas de conexión presentadas a la subestación Malena 220

Solicitud	Capacidad	Tipo	Barra	FPO solicitada	Restricción

No se priorizó ninguna de las alternativas de conexión presentadas en la subestación Malena 220

El estado de la capacidad por barra en la subestación Malena 220, teniendo en cuenta la priorización se puede observar en la siguiente figura.

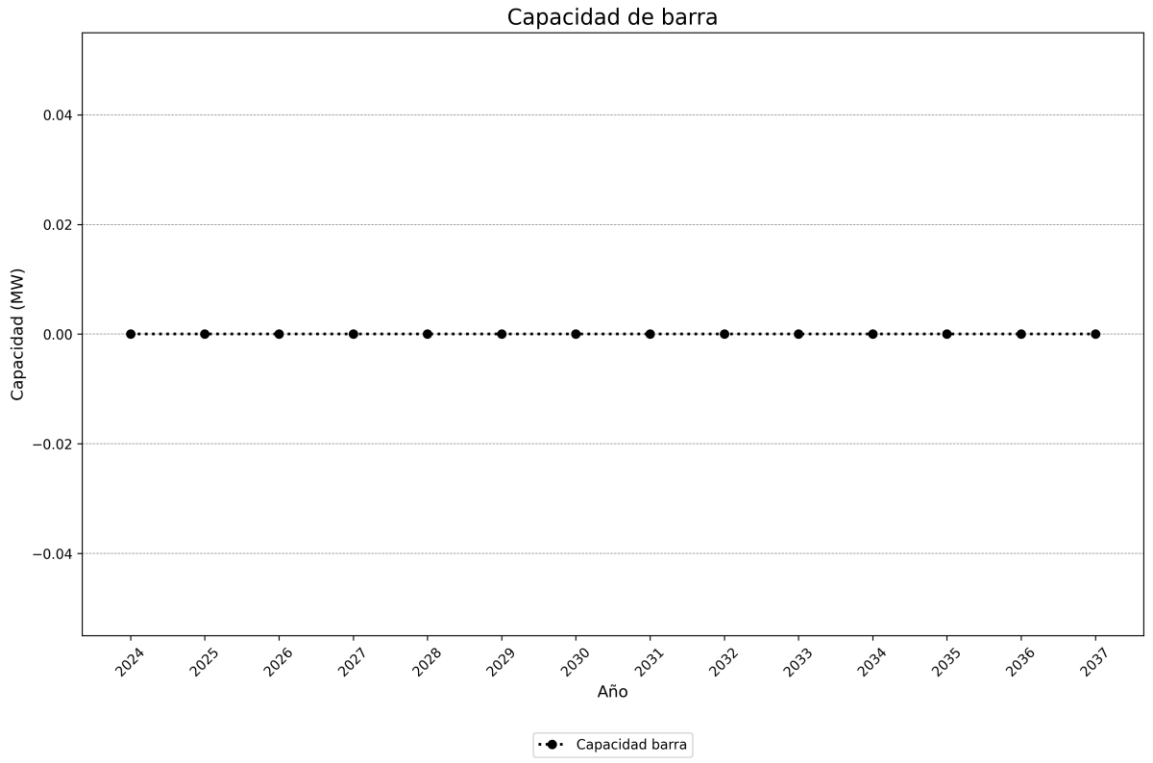


Figura 2-393. Balance de capacidad por barra después de la priorización para la subestación Malena 220

En el caso anterior se observa que la capacidad por barra es igual a 0 dado que, desde los comentarios presentados por transportador, se identificó que la subestación Malena 220 no cuenta con disponibilidad de espacio físico para la conexión de nuevos proyectos.

Capacidad excedente de interrupción de corriente de cortocircuito:

Para la subestación Malena 220 se presentaron 1 alternativas de conexión las cuales tienen aportes de corriente de cortocircuito. Estas alternativas se muestran en la siguiente tabla:

Tabla 2-412. Alternativas de conexión que aportan corriente de cortocircuito en la subestación Malena 220

Solicitud	tipo	FPO	Barra a la que aporta CC	Aporte de cortocircuito (kA)	Restricción
SC_3331_A1	Solar FV	2026	Malena 220	0.073	SATISFACE

No se priorizó ninguna de las alternativas de conexión que tengan aportes de corriente de cortocircuito en la subestación Malena 220

El estado de la capacidad de cortocircuito en la subestación Malena 220, teniendo en cuenta la priorización se puede observar en la siguiente figura.

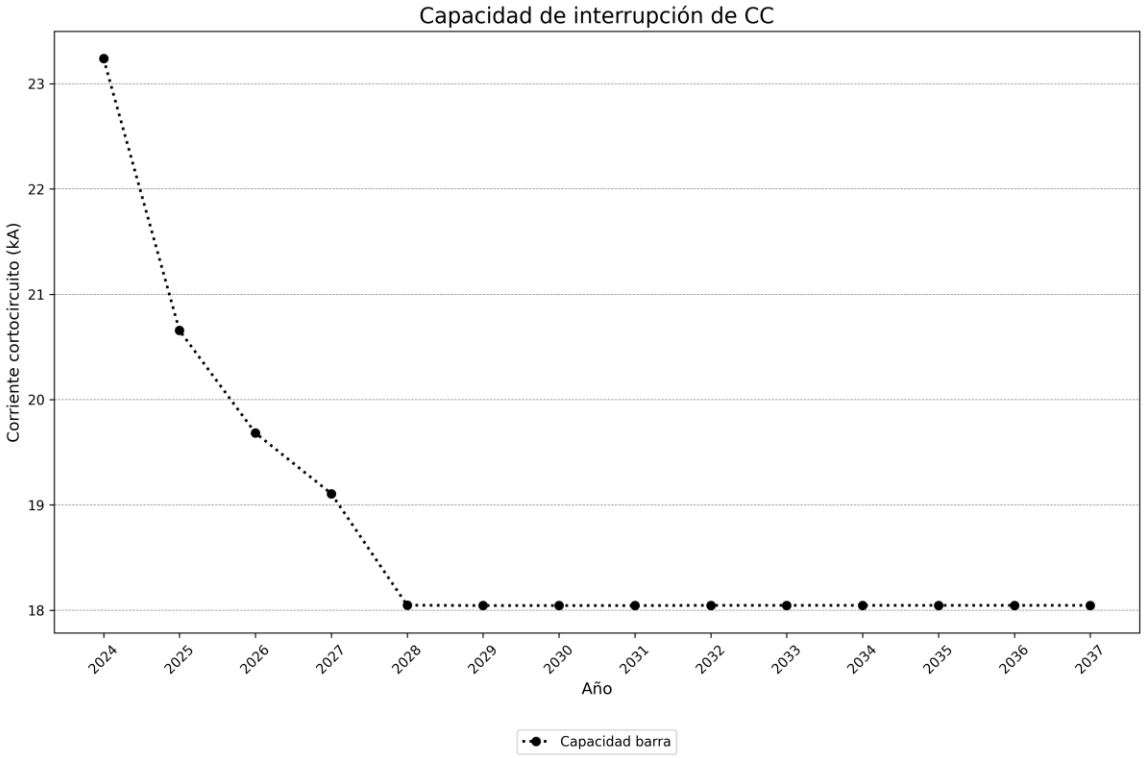


Figura 2-394. Balance de capacidad de cortocircuito después de la priorización para la subestación Malena 220

Subestación Mambita 115:

Capacidad por barra:

Para la subestación Mambita 115 se presentaron 0 alternativas de conexión las cuales se muestran en la siguiente tabla:

Tabla 2-413. Alternativas de conexión presentadas a la subestación Mambita 115

Solicitud	Capacidad	Tipo	Barra	FPO solicitada	Restricción

No se priorizó ninguna de las alternativas de conexión presentadas en la subestación Mambita 115

El estado de la capacidad por barra en la subestación Mambita 115, teniendo en cuenta la priorización se puede observar en la siguiente figura.

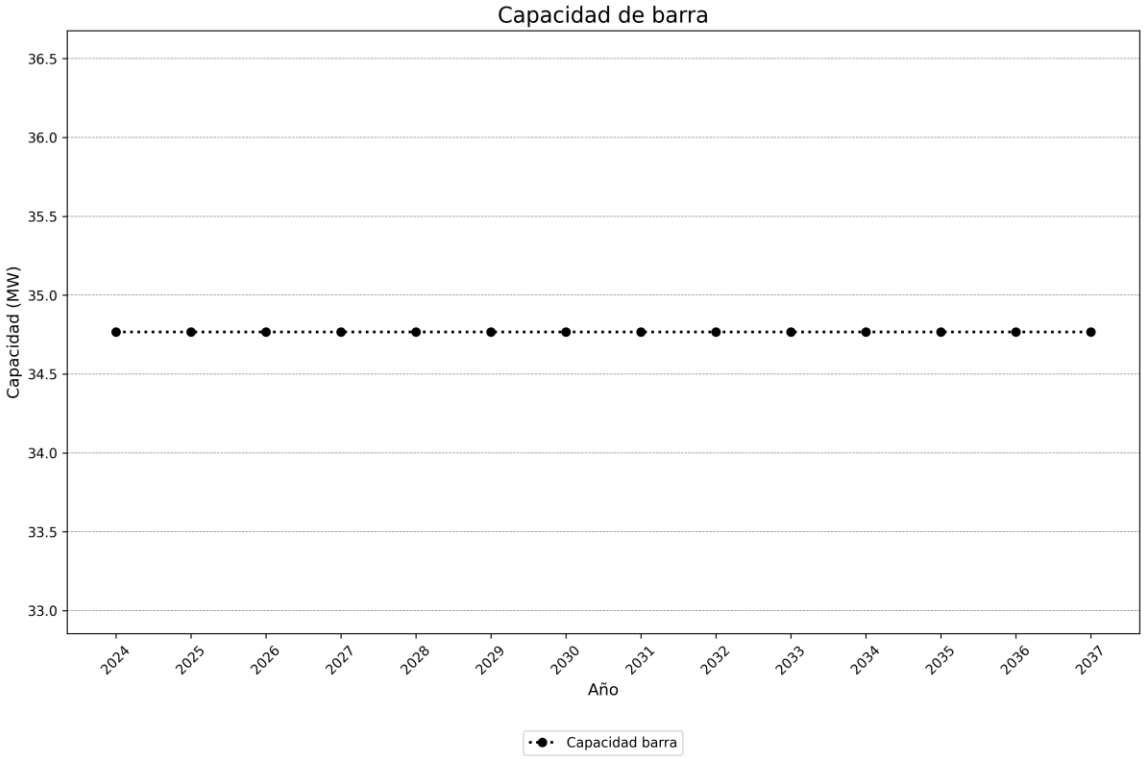


Figura 2-395. Balance de capacidad por barra después de la priorización para la subestación Mambita 115

Capacidad excedente de interrupción de corriente de cortocircuito:

Para la subestación Mambita 115 se presentaron 19 alternativas de conexión las cuales tienen aportes de corriente de cortocircuito. Estas alternativas se muestran en la siguiente tabla:

Tabla 2-414. Alternativas de conexión que aportan corriente de cortocircuito en la subestación Mambita 115

Solicitud	tipo	FPO	Barra a la que aporta CC	Aporte de cortocircuito (kA)	Restricción
SC_2023_5287_A1	Solar FV	2026	Mambita 115	0.005	SATISFACE
SC_2023_5287_A2	Solar FV	2026	Mambita 115	0.005	SATISFACE
SC_2023_5288_A1	Solar FV	2026	Mambita 115	0.003	SATISFACE
SC_2023_5288_A2	Solar FV	2026	Mambita 115	0.008	SATISFACE
SC_2023_5375_A1	Solar FV	2026	Mambita 115	0.005	SATISFACE
SC_2023_5399_A1	Solar FV	2026	Mambita 115	0.003	SATISFACE
SC_2023_5399_A2	Solar FV	2026	Mambita 115	0.008	SATISFACE
SC_2023_5480_A1	Solar FV	2026	Mambita 115	0.005	SATISFACE
SC_2023_5480_A2	Solar FV	2026	Mambita 115	0.005	SATISFACE
SC_3121_A1	Solar FV	2026	Mambita 115	0.001	SATISFACE
SC_3121_A2	Solar FV	2026	Mambita 115	0.001	SATISFACE
SC_4083_A1	Solar FV	2027	Mambita 115	0.000	SATISFACE
SC_4083_A2	Solar FV	2027	Mambita 115	0.000	SATISFACE
SC_4819_A1	Solar FV	2029	Mambita 115	0.014	SATISFACE
SC_4819_A2	Solar FV	2029	Mambita 115	0.013	SATISFACE
SC_4974_A1	Solar FV	2026	Mambita 115	0.001	SATISFACE
SC_4974_A2	Solar FV	2026	Mambita 115	0.001	SATISFACE
SC_4978_A1	Solar FV	2026	Mambita 115	0.000	SATISFACE
SC_4978_A2	Solar FV	2026	Mambita 115	0.004	SATISFACE

No se priorizó ninguna de las alternativas de conexión que tengan aportes de corriente de cortocircuito en la subestación Mambita 115

El estado de la capacidad de cortocircuito en la subestación Mambita 115, teniendo en cuenta la priorización se puede observar en la siguiente figura.

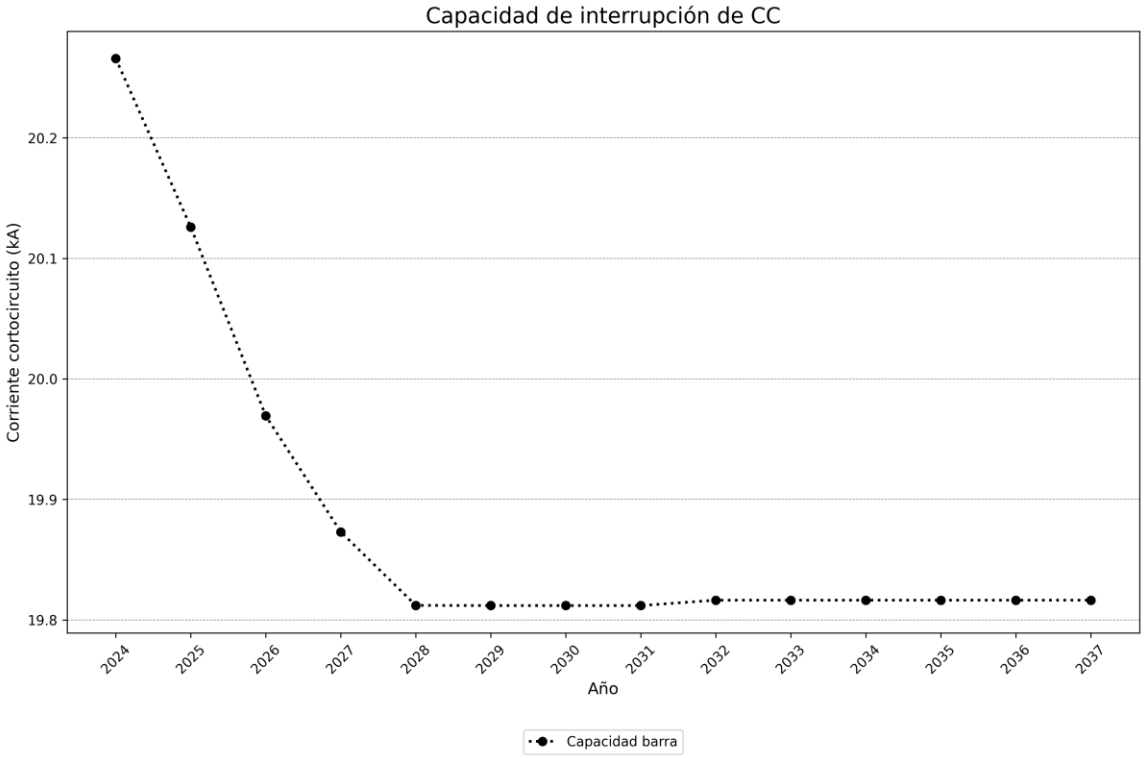


Figura 2-396. Balance de capacidad de cortocircuito después de la priorización para la subestación Mambita 115

Subestación Manizales 115:

Capacidad por barra:

Para la subestación Manizales 115 se presentaron 0 alternativas de conexión las cuales se muestran en la siguiente tabla:

Tabla 2-415. Alternativas de conexión presentadas a la subestación Manizales 115

Solicitud	Capacidad	Tipo	Barra	FPO solicitada	Restricción

No se priorizó ninguna de las alternativas de conexión presentadas en la subestación Manizales 115

El estado de la capacidad por barra en la subestación Manizales 115, teniendo en cuenta la priorización se puede observar en la siguiente figura.

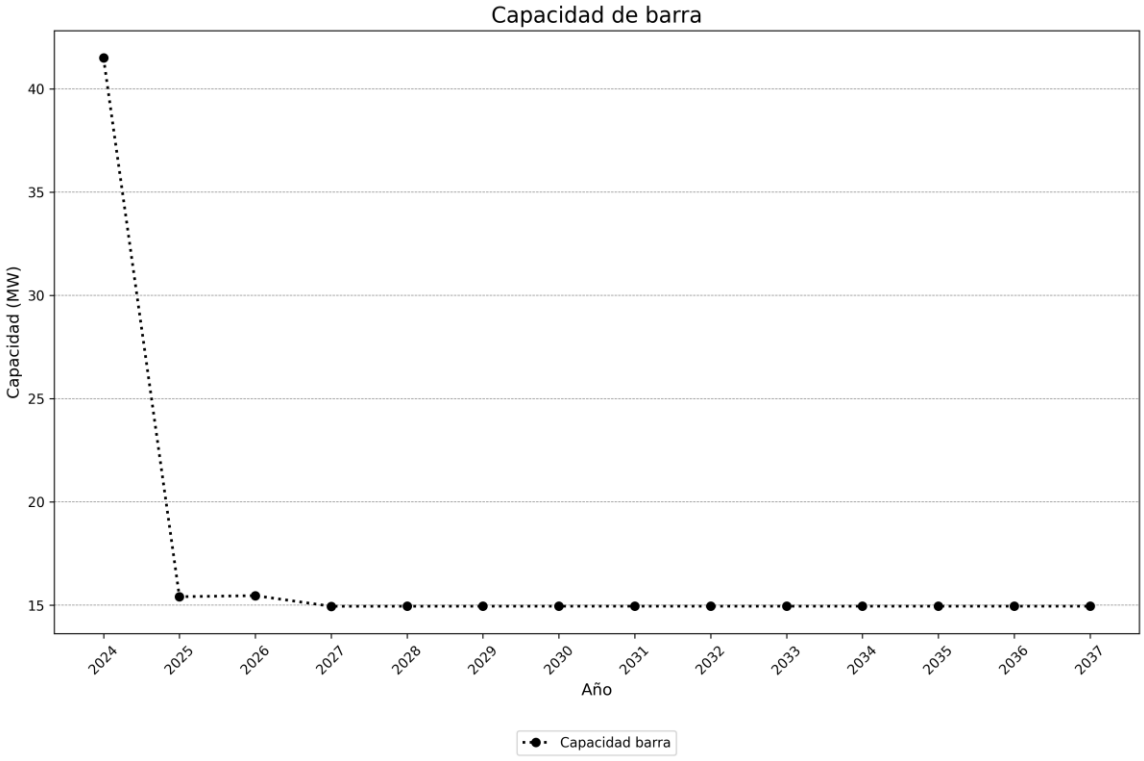


Figura 2-397. Balance de capacidad por barra después de la priorización para la subestación Manizales 115

Capacidad excedente de interrupción de corriente de cortocircuito:

Para la subestación Manizales 115 se presentaron 183 alternativas de conexión las cuales tienen aportes de corriente de cortocircuito. Estas alternativas se muestran en la siguiente tabla:

Tabla 2-416. Alternativas de conexión que aportan corriente de cortocircuito en la subestación Manizales 115

Solicitud	tipo	FPO	Barra a la que aporta CC	Aporte de cortocircuito (kA)	Restricción
SC_2023_5136_A1	Solar FV	2026	Manizales 115	0.035	SATISFACE
SC_2023_5136_A2	Solar FV	2026	Manizales 115	0.035	SATISFACE
SC_2023_5144_A1	Solar FV	2028	Manizales 115	0.161	SATISFACE
SC_2023_5144_A2	Solar FV	2028	Manizales 115	0.077	SATISFACE
SC_2023_5150_A1	Solar FV	2028	Manizales 115	0.175	SATISFACE
SC_2023_5152_A1	Solar FV	2025	Manizales 115	0.003	SATISFACE
SC_2023_5152_A2	Solar FV	2025	Manizales 115	0.003	SATISFACE
SC_2023_5158_A1	Solar FV	2028	Manizales 115	0.099	SATISFACE
SC_2023_5171_A1	Solar FV	2025	Manizales 115	0.002	SATISFACE
SC_2023_5171_A2	Solar FV	2025	Manizales 115	0.003	SATISFACE
SC_2023_5174_A1	Solar FV	2027	Manizales 115	0.035	SATISFACE
SC_2023_5174_A2	Solar FV	2027	Manizales 115	0.045	SATISFACE
SC_2023_5185_A1	Solar FV	2026	Manizales 115	1.241	SATISFACE
SC_2023_5185_A2	Solar FV	2026	Manizales 115	0.492	SATISFACE
SC_2023_5188_A1	Solar FV	2026	Manizales 115	0.052	SATISFACE
SC_2023_5188_A2	Solar FV	2026	Manizales 115	0.590	SATISFACE
SC_2023_5200_A1	Solar FV	2028	Manizales 115	0.331	SATISFACE
SC_2023_5200_A2	Solar FV	2028	Manizales 115	0.154	SATISFACE
SC_2023_5216_A1	Solar FV	2026	Manizales 115	0.048	SATISFACE
SC_2023_5216_A2	Solar FV	2026	Manizales 115	0.000	SATISFACE
SC_2023_5248_A1	Solar FV	2025	Manizales 115	0.003	SATISFACE
SC_2023_5248_A2	Solar FV	2025	Manizales 115	0.004	SATISFACE
SC_2023_5249_A1	Solar FV	2025	Manizales 115	0.004	SATISFACE
SC_2023_5249_A2	Solar FV	2025	Manizales 115	0.004	SATISFACE
SC_2023_5251_A1	Solar FV	2025	Manizales 115	0.013	SATISFACE
SC_2023_5251_A2	Solar FV	2025	Manizales 115	0.013	SATISFACE
SC_2023_5252_A1	Solar FV	2028	Manizales 115	0.112	SATISFACE
SC_2023_5252_A2	Solar FV	2028	Manizales 115	0.128	SATISFACE
SC_2023_5253_A1	Solar FV	2025	Manizales 115	0.013	SATISFACE
SC_2023_5253_A2	Solar FV	2025	Manizales 115	0.013	SATISFACE
SC_2023_5256_A2	Solar FV	2028	Manizales 115	0.057	SATISFACE
SC_2023_5257_A1	Solar FV	2025	Manizales 115	0.004	SATISFACE
SC_2023_5257_A2	Solar FV	2025	Manizales 115	0.004	SATISFACE
SC_2023_5280_A1	Solar FV	2028	Manizales 115	0.084	SATISFACE
SC_2023_5280_A2	Solar FV	2028	Manizales 115	0.096	SATISFACE
SC_2023_5282_A1	Solar FV	2028	Manizales 115	0.007	SATISFACE
SC_2023_5287_A1	Solar FV	2026	Manizales 115	0.053	SATISFACE

SC_2023_5287_A2	Solar FV	2026	Manizales 115	0.054	SATISFACE
SC_2023_5288_A1	Solar FV	2026	Manizales 115	0.037	SATISFACE
SC_2023_5288_A2	Solar FV	2026	Manizales 115	0.097	SATISFACE
SC_2023_5293_A1	Solar FV	2028	Manizales 115	0.054	SATISFACE
SC_2023_5293_A2	Solar FV	2028	Manizales 115	0.044	SATISFACE
SC_2023_5294_A1	Solar FV	2029	Manizales 115	0.027	SATISFACE
SC_2023_5294_A2	Solar FV	2029	Manizales 115	0.031	SATISFACE
SC_2023_5304_A1	Solar FV	2026	Manizales 115	0.005	SATISFACE
SC_2023_5309_A1	Solar FV	2026	Manizales 115	0.005	SATISFACE
SC_2023_5337_A2	Solar FV	2025	Manizales 115	0.128	SATISFACE
SC_2023_5339_A1	PCH	2026	Manizales 115	0.003	SATISFACE
SC_2023_5339_A2	PCH	2026	Manizales 115	0.003	SATISFACE
SC_2023_5345_A1	Solar FV	2027	Manizales 115	0.019	SATISFACE
SC_2023_5345_A2	Solar FV	2027	Manizales 115	0.023	SATISFACE
SC_2023_5346_A1	Solar FV	2027	Manizales 115	0.019	SATISFACE
SC_2023_5346_A2	Solar FV	2027	Manizales 115	0.023	SATISFACE
SC_2023_5375_A1	Solar FV	2026	Manizales 115	0.053	SATISFACE
SC_2023_5383_A1	Solar FV	2027	Manizales 115	0.103	SATISFACE
SC_2023_5383_A2	Solar FV	2027	Manizales 115	0.135	SATISFACE
SC_2023_5399_A1	Solar FV	2026	Manizales 115	0.037	SATISFACE
SC_2023_5399_A2	Solar FV	2026	Manizales 115	0.097	SATISFACE
SC_2023_5431_A1	Solar FV	2028	Manizales 115	0.001	SATISFACE
SC_2023_5431_A2	Solar FV	2028	Manizales 115	0.001	SATISFACE
SC_2023_5480_A1	Solar FV	2026	Manizales 115	0.053	SATISFACE
SC_2023_5480_A2	Solar FV	2026	Manizales 115	0.054	SATISFACE
SC_2023_5549_A1	Solar FV	2028	Manizales 115	0.078	SATISFACE
SC_2023_5549_A2	Solar FV	2028	Manizales 115	0.099	SATISFACE
SC_2023_5551_A1	Solar FV	2027	Manizales 115	0.296	SATISFACE
SC_2023_5551_A2	Solar FV	2027	Manizales 115	0.138	SATISFACE
SC_2023_5557_A1	Solar FV	2028	Manizales 115	0.166	SATISFACE
SC_2023_5564_A1	Solar FV	2026	Manizales 115	0.015	SATISFACE
SC_2023_5564_A2	Solar FV	2026	Manizales 115	0.015	SATISFACE
SC_2023_5565_A1	Solar FV	2027	Manizales 115	0.015	SATISFACE
SC_2023_5566_A1	Solar FV	2028	Manizales 115	0.015	SATISFACE
SC_2023_5566_A2	Solar FV	2028	Manizales 115	0.016	SATISFACE
SC_2023_5598_A1	Solar FV	2025	Manizales 115	0.003	SATISFACE
SC_2023_5598_A2	Solar FV	2025	Manizales 115	0.003	SATISFACE
SC_2024_5939_A1	Solar FV	2028	Manizales 115	0.003	SATISFACE
SC_2024_5939_A2	Solar FV	2028	Manizales 115	0.003	SATISFACE
SC_2347_A1	Solar FV	2026	Manizales 115	0.020	SATISFACE

SC_2347_A2	Solar FV	2026	Manizales 115	0.020	SATISFACE
SC_2348_A1	Solar FV	2026	Manizales 115	0.020	SATISFACE
SC_2348_A2	Solar FV	2026	Manizales 115	0.020	SATISFACE
SC_2436_A1	Solar FV	2028	Manizales 115	0.060	SATISFACE
SC_2436_A2	Solar FV	2028	Manizales 115	0.080	SATISFACE
SC_2438_A1	Solar FV	2028	Manizales 115	0.000	SATISFACE
SC_2438_A2	Solar FV	2028	Manizales 115	0.002	SATISFACE
SC_2475_A1	Solar FV	2028	Manizales 115	0.070	SATISFACE
SC_2475_A2	Solar FV	2028	Manizales 115	0.060	SATISFACE
SC_2527_A1	Solar FV	2028	Manizales 115	0.080	SATISFACE
SC_2527_A2	Solar FV	2028	Manizales 115	0.200	SATISFACE
SC_2562_A1	Solar FV	2026	Manizales 115	0.010	SATISFACE
SC_2634_A1	Solar FV	2026	Manizales 115	0.000	SATISFACE
SC_2634_A2	Solar FV	2026	Manizales 115	0.000	SATISFACE
SC_2683_A1	Solar FV	2026	Manizales 115	0.010	SATISFACE
SC_2683_A2	Solar FV	2026	Manizales 115	0.010	SATISFACE
SC_2802_A1	Solar FV	2027	Manizales 115	0.006	SATISFACE
SC_2802_A2	Solar FV	2027	Manizales 115	0.007	SATISFACE
SC_2892_A1	Solar FV	2027	Manizales 115	0.070	SATISFACE
SC_2892_A2	Solar FV	2027	Manizales 115	0.120	SATISFACE
SC_2893_A1	Solar FV	2026	Manizales 115	0.010	SATISFACE
SC_2893_A2	Solar FV	2026	Manizales 115	0.010	SATISFACE
SC_2924_A1	Solar FV	2026	Manizales 115	1.007	SATISFACE
SC_2924_A2	Solar FV	2026	Manizales 115	0.399	SATISFACE
SC_2936_A1	Solar FV	2026	Manizales 115	0.000	SATISFACE
SC_2936_A2	Solar FV	2026	Manizales 115	0.000	SATISFACE
SC_2962_A1	Solar FV	2028	Manizales 115	0.119	SATISFACE
SC_2962_A2	Solar FV	2028	Manizales 115	0.102	SATISFACE
SC_3018_A1	Solar FV	2026	Manizales 115	0.020	SATISFACE
SC_3018_A2	Solar FV	2026	Manizales 115	0.020	SATISFACE
SC_3121_A1	Solar FV	2026	Manizales 115	0.008	SATISFACE
SC_3121_A2	Solar FV	2026	Manizales 115	0.008	SATISFACE
SC_3132_A1	Solar FV	2026	Manizales 115	0.094	SATISFACE
SC_3132_A2	Solar FV	2026	Manizales 115	0.120	SATISFACE
SC_3238_A1	Solar FV	2027	Manizales 115	0.332	SATISFACE
SC_3238_A2	Solar FV	2027	Manizales 115	0.241	SATISFACE
SC_3247_A1	Solar FV	2027	Manizales 115	0.175	SATISFACE
SC_3247_A2	Solar FV	2027	Manizales 115	0.156	SATISFACE
SC_3248_A1	Solar FV	2027	Manizales 115	0.332	SATISFACE
SC_3248_A2	Solar FV	2027	Manizales 115	0.241	SATISFACE

SC_3251_A1	Hidráulica	2026	Manizales 115	0.150	SATISFACE
SC_3251_A2	Hidráulica	2026	Manizales 115	0.010	SATISFACE
SC_3353_A1	Solar FV	2027	Manizales 115	0.005	SATISFACE
SC_3353_A2	Solar FV	2027	Manizales 115	0.004	SATISFACE
SC_3382_A1	Solar FV	2027	Manizales 115	0.019	SATISFACE
SC_3382_A2	Solar FV	2027	Manizales 115	0.026	SATISFACE
SC_3392_A1	Solar FV	2027	Manizales 115	0.051	SATISFACE
SC_3392_A2	Solar FV	2027	Manizales 115	0.021	SATISFACE
SC_3441_A1	Solar FV	2027	Manizales 115	0.175	SATISFACE
SC_3441_A2	Solar FV	2027	Manizales 115	0.156	SATISFACE
SC_3453_A1	Solar FV	2027	Manizales 115	0.022	SATISFACE
SC_3453_A2	Solar FV	2027	Manizales 115	0.022	SATISFACE
SC_3514_A1	Solar FV	2027	Manizales 115	0.022	SATISFACE
SC_3514_A2	Solar FV	2027	Manizales 115	0.022	SATISFACE
SC_3578_A1	Solar FV	2028	Manizales 115	0.003	SATISFACE
SC_3578_A2	Solar FV	2028	Manizales 115	0.004	SATISFACE
SC_3667_A1	Solar FV	2029	Manizales 115	0.019	SATISFACE
SC_3667_A2	Solar FV	2029	Manizales 115	0.013	SATISFACE
SC_3846_A1	Solar FV	2028	Manizales 115	0.015	SATISFACE
SC_3846_A2	Solar FV	2028	Manizales 115	0.015	SATISFACE
SC_3882_A1	Solar FV	2026	Manizales 115	0.166	SATISFACE
SC_4083_A1	Solar FV	2027	Manizales 115	0.001	SATISFACE
SC_4083_A2	Solar FV	2027	Manizales 115	0.001	SATISFACE
SC_4175_A1	Solar FV	2026	Manizales 115	0.011	SATISFACE
SC_4175_A2	Solar FV	2026	Manizales 115	0.011	SATISFACE
SC_4296_A1	Solar FV	2028	Manizales 115	0.161	SATISFACE
SC_4296_A2	Solar FV	2028	Manizales 115	0.198	SATISFACE
SC_4751_A1	Solar FV	2027	Manizales 115	0.007	SATISFACE
SC_4760_A1	Solar FV	2026	Manizales 115	0.125	SATISFACE
SC_4765_A1	Solar FV	2029	Manizales 115	0.009	SATISFACE
SC_4765_A2	Solar FV	2029	Manizales 115	0.015	SATISFACE
SC_4789_A1	Solar FV	2027	Manizales 115	0.010	SATISFACE
SC_4789_A2	Solar FV	2027	Manizales 115	0.010	SATISFACE
SC_4809_A1	Solar FV	2027	Manizales 115	0.023	SATISFACE
SC_4809_A2	Solar FV	2027	Manizales 115	0.171	SATISFACE
SC_4819_A1	Solar FV	2029	Manizales 115	0.166	SATISFACE
SC_4819_A2	Solar FV	2029	Manizales 115	0.193	SATISFACE
SC_4821_A1	Solar FV	2027	Manizales 115	0.051	SATISFACE
SC_4821_A2	Solar FV	2027	Manizales 115	0.021	SATISFACE
SC_4824_A1	Solar FV	2025	Manizales 115	0.000	SATISFACE

SC_4824_A2	Solar FV	2025	Manizales 115	0.000	SATISFACE
SC_4826_A1	Solar FV	2027	Manizales 115	0.016	SATISFACE
SC_4826_A2	Solar FV	2027	Manizales 115	0.016	SATISFACE
SC_4827_A1	Solar FV	2027	Manizales 115	0.016	SATISFACE
SC_4827_A2	Solar FV	2027	Manizales 115	0.016	SATISFACE
SC_4842_A1	Solar FV	2028	Manizales 115	0.175	SATISFACE
SC_4910_A1	Solar FV	2026	Manizales 115	0.036	SATISFACE
SC_4910_A2	Solar FV	2026	Manizales 115	0.036	SATISFACE
SC_4926_A1	Solar FV	2027	Manizales 115	0.007	SATISFACE
SC_4947_A1	Solar FV	2027	Manizales 115	0.055	SATISFACE
SC_4960_A2	Solar FV	2029	Manizales 115	0.134	SATISFACE
SC_4974_A1	Solar FV	2026	Manizales 115	0.011	SATISFACE
SC_4974_A2	Solar FV	2026	Manizales 115	0.011	SATISFACE
SC_4978_A1	Solar FV	2026	Manizales 115	0.009	SATISFACE
SC_4978_A2	Solar FV	2026	Manizales 115	0.012	SATISFACE
SC_5009_A1	Solar FV	2026	Manizales 115	0.051	SATISFACE
SC_5009_A2	Solar FV	2026	Manizales 115	0.020	SATISFACE
SC_5011_A1	Solar FV	2027	Manizales 115	0.051	SATISFACE
SC_5011_A2	Solar FV	2027	Manizales 115	0.020	SATISFACE
SC_5060_A1	Solar FV	2026	Manizales 115	0.036	SATISFACE
SC_5060_A2	Solar FV	2026	Manizales 115	0.036	SATISFACE
SC_5076_A1	Solar FV	2027	Manizales 115	0.000	SATISFACE
SC_5076_A2	Solar FV	2027	Manizales 115	0.000	SATISFACE
SC_5077_A1	Solar FV	2027	Manizales 115	0.000	SATISFACE
SC_5077_A2	Solar FV	2027	Manizales 115	0.000	SATISFACE
SC_5087_A2	Solar FV	2027	Manizales 115	0.051	SATISFACE

Posterior a la ejecución del MACC se priorizaron las siguientes alternativas de conexión que tienen aportes de cortocircuito de la subestación en análisis:

Tabla 2-417. Alternativas de conexión priorizadas que aportan corriente de cortocircuito en la subestación Manizales 115

index	tipo	periodoIni	Barra a la que aporta CC	Aporte de cortocircuito (kA)	Restricción
SC_5076_A2	Solar FV	2027	Manizales 115	0.000	SATISFACE
SC_5077_A2	Solar FV	2027	Manizales 115	0.000	SATISFACE

El estado de la capacidad de cortocircuito en la subestación Manizales 115, teniendo en cuenta la priorización se puede observar en la siguiente figura.

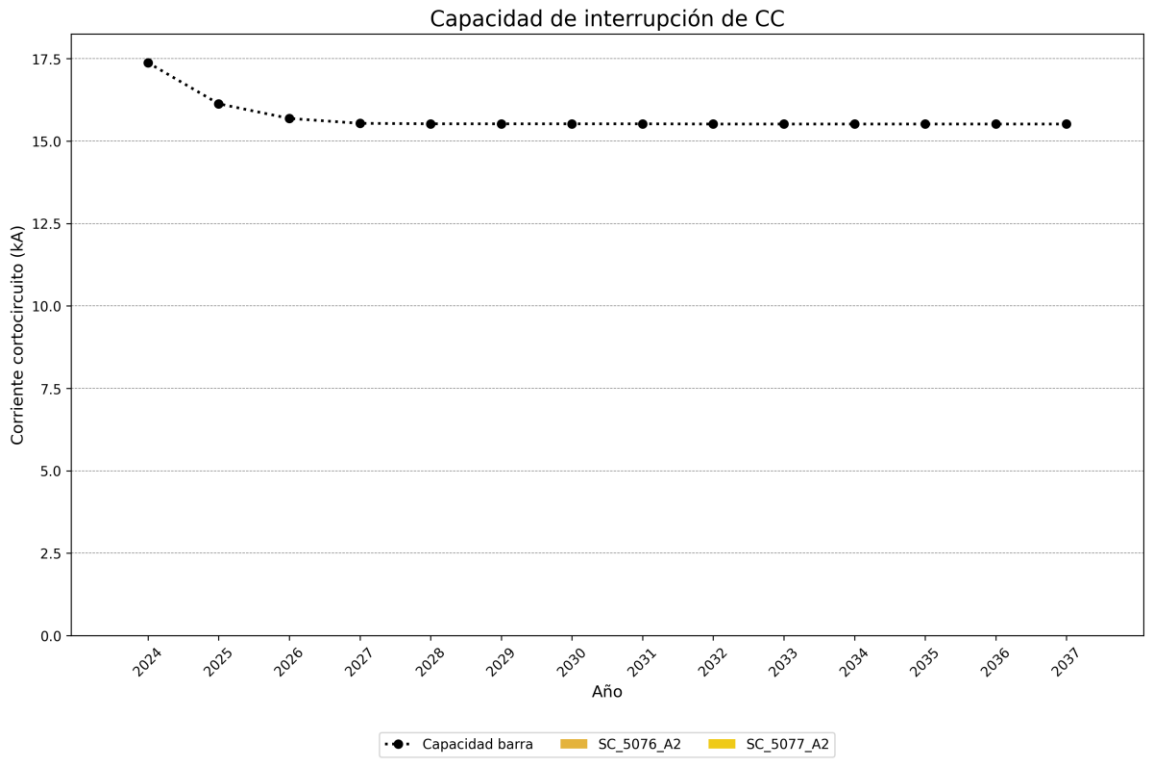


Figura 2-398. Balance de capacidad de cortocircuito después de la priorización para la subestación Manizales 115

Subestación Manizales 33:

Capacidad por barra:

Para la subestación Manizales 33 se presentaron 0 alternativas de conexión las cuales se muestran en la siguiente tabla:

Tabla 2-418. Alternativas de conexión presentadas a la subestación Manizales 33

Solicitud	Capacidad	Tipo	Barra	FPO solicitada	Restricción

No se priorizó ninguna de las alternativas de conexión presentadas en la subestación Manizales 33

El estado de la capacidad por barra en la subestación Manizales 33, teniendo en cuenta la priorización se puede observar en la siguiente figura.

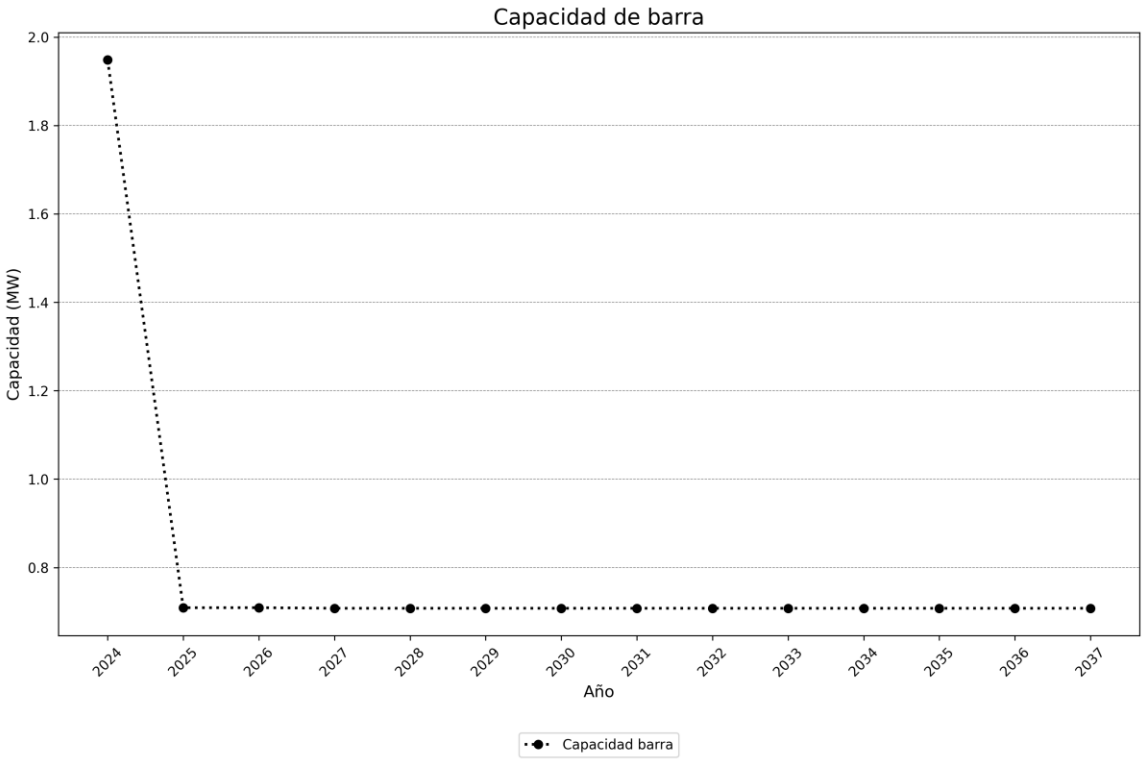


Figura 2-399. Balance de capacidad por barra después de la priorización para la subestación Manizales 33

Subestación Manzanares 110:

Capacidad por barra:

Para la subestación Manzanares 110 se presentaron 0 alternativas de conexión las cuales se muestran en la siguiente tabla:

Tabla 2-419. Alternativas de conexión presentadas a la subestación Manzanares 110

Solicitud	Capacidad	Tipo	Barra	FPO solicitada	Restricción

No se priorizó ninguna de las alternativas de conexión presentadas en la subestación Manzanares 110

El estado de la capacidad por barra en la subestación Manzanares 110, teniendo en cuenta la priorización se puede observar en la siguiente figura.

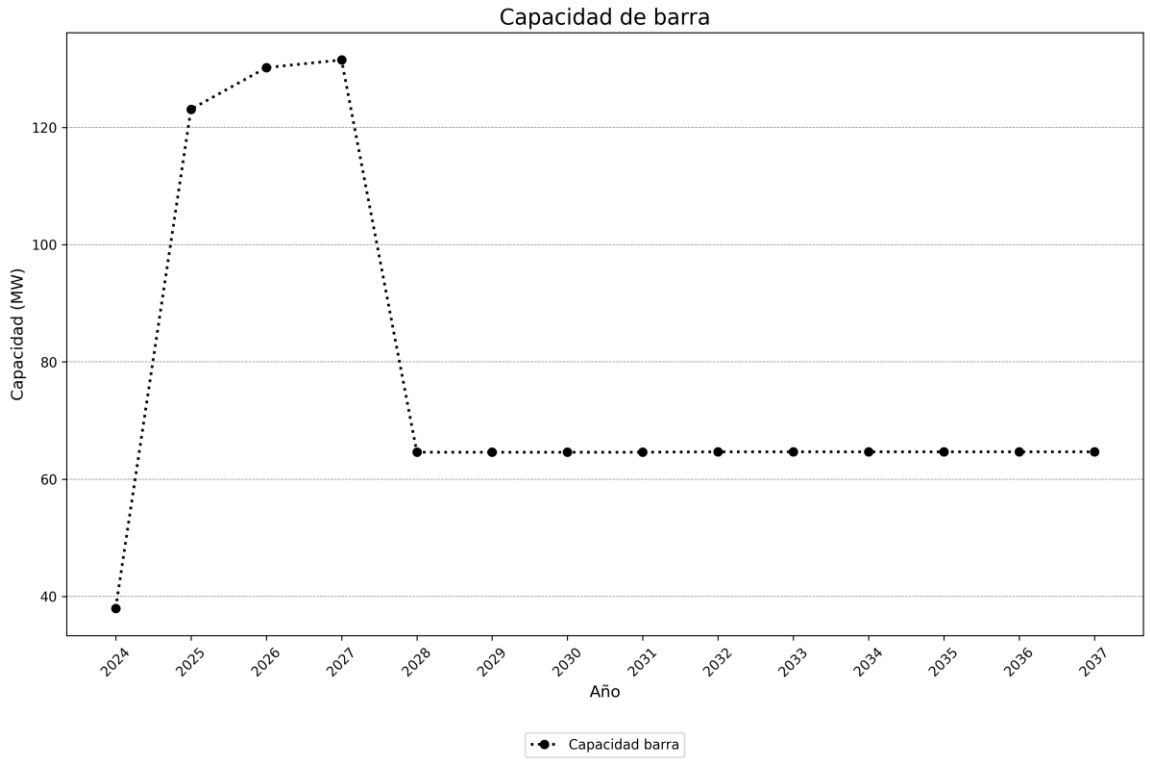


Figura 2-400. Balance de capacidad por barra después de la priorización para la subestación Manzanares 110

Capacidad excedente de interrupción de corriente de cortocircuito:

Para la subestación Manzanares 110 se presentaron 2 alternativas de conexión las cuales tienen aportes de corriente de cortocircuito. Estas alternativas se muestran en la siguiente tabla:

Tabla 2-420. Alternativas de conexión que aportan corriente de cortocircuito en la subestación Manzanares 110

Solicitud	tipo	FPO	Barra a la que aporta CC	Aporte de cortocircuito (kA)	Restricción
SC_3382_A1	Solar FV	2027	Manzanares 110	0.000	SATISFACE
SC_3382_A2	Solar FV	2027	Manzanares 110	0.000	SATISFACE

No se priorizó ninguna de las alternativas de conexión que tengan aportes de corriente de cortocircuito en la subestación Manzanares 110

El estado de la capacidad de cortocircuito en la subestación Manzanares 110, teniendo en cuenta la priorización se puede observar en la siguiente figura.

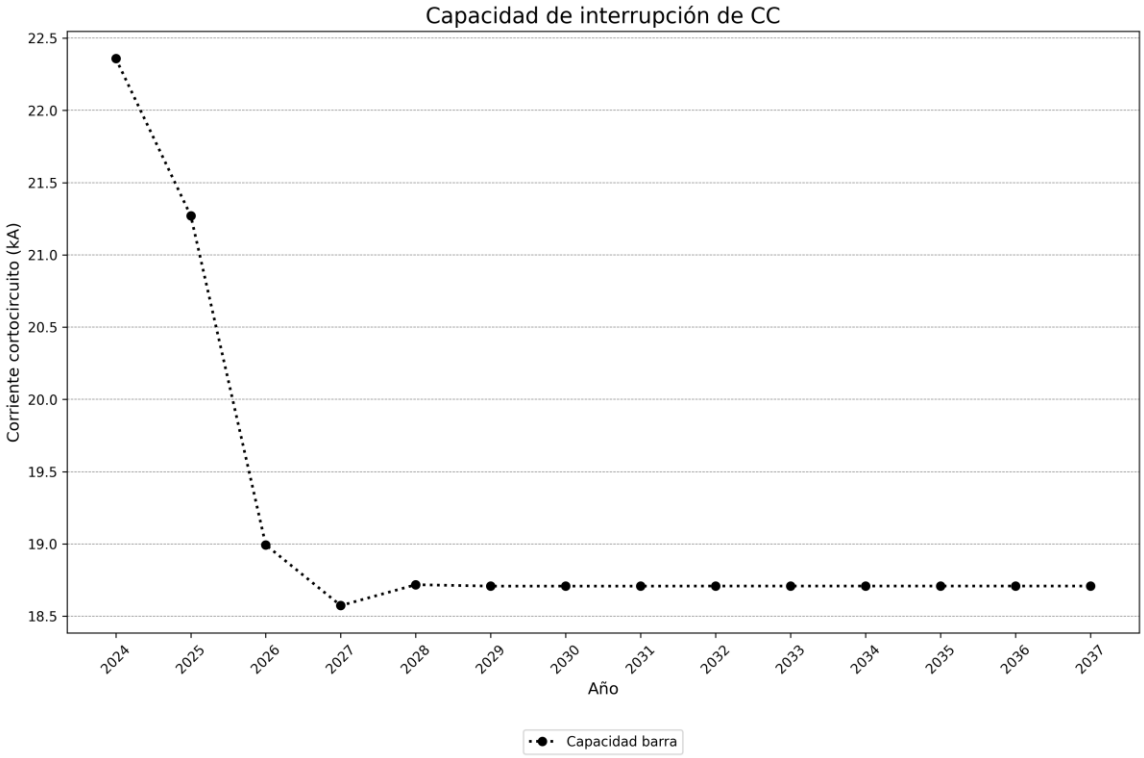


Figura 2-401. Balance de capacidad de cortocircuito después de la priorización para la subestación Manzanares 110

Subestación Manzanares 115:

Capacidad por barra:

Para la subestación Manzanares 115 se presentaron 1 alternativas de conexión las cuales se muestran en la siguiente tabla:

Tabla 2-421. Alternativas de conexión presentadas a la subestación Manzanares 115

Solicitud	Capacidad	Tipo	Barra	FPO solicitada	Restricción
SC_2892_A2	60.0	Solar FV	Manzanares 115	2027	NO SATISFACE

No se priorizó ninguna de las alternativas de conexión presentadas en la subestación Manzanares 115

El estado de la capacidad por barra en la subestación Manzanares 115, teniendo en cuenta la priorización se puede observar en la siguiente figura.

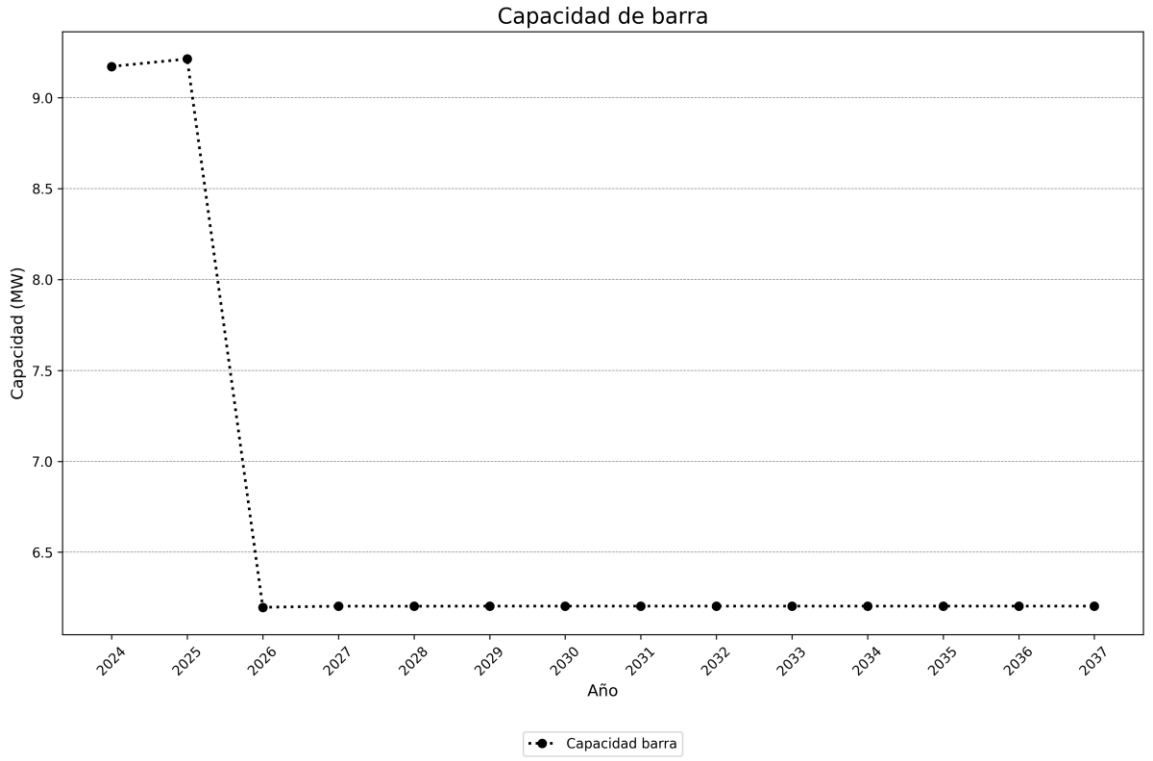


Figura 2-402. Balance de capacidad por barra después de la priorización para la subestación Manzanares 115

Capacidad excedente de interrupción de corriente de cortocircuito:

Para la subestación Manzanares 115 se presentaron 198 alternativas de conexión las cuales tienen aportes de corriente de cortocircuito. Estas alternativas se muestran en la siguiente tabla:

Tabla 2-422. Alternativas de conexión que aportan corriente de cortocircuito en la subestación Manzanares 115

Solicitud	tipo	FPO	Barra a la que aporta CC	Aporte de cortocircuito (kA)	Restricción
SC_2023_5136_A1	Solar FV	2026	Manzanares 115	0.056	SATISFACE
SC_2023_5136_A2	Solar FV	2026	Manzanares 115	0.056	SATISFACE
SC_2023_5144_A1	Solar FV	2028	Manzanares 115	0.040	SATISFACE
SC_2023_5144_A2	Solar FV	2028	Manzanares 115	0.022	SATISFACE
SC_2023_5150_A1	Solar FV	2028	Manzanares 115	0.089	SATISFACE
SC_2023_5152_A1	Solar FV	2025	Manzanares 115	0.000	SATISFACE
SC_2023_5152_A2	Solar FV	2025	Manzanares 115	0.000	SATISFACE
SC_2023_5158_A1	Solar FV	2028	Manzanares 115	0.023	SATISFACE
SC_2023_5171_A1	Solar FV	2025	Manzanares 115	0.000	SATISFACE
SC_2023_5171_A2	Solar FV	2025	Manzanares 115	0.000	SATISFACE
SC_2023_5185_A1	Solar FV	2026	Manzanares 115	0.238	SATISFACE
SC_2023_5185_A2	Solar FV	2026	Manzanares 115	0.121	SATISFACE
SC_2023_5188_A1	Solar FV	2026	Manzanares 115	0.066	SATISFACE
SC_2023_5188_A2	Solar FV	2026	Manzanares 115	0.107	SATISFACE
SC_2023_5200_A1	Solar FV	2028	Manzanares 115	0.077	SATISFACE
SC_2023_5200_A2	Solar FV	2028	Manzanares 115	0.041	SATISFACE
SC_2023_5248_A1	Solar FV	2025	Manzanares 115	0.000	SATISFACE

SC_2023_5248_A2	Solar FV	2025	Manzanares 115	0.000	SATISFACE
SC_2023_5249_A1	Solar FV	2025	Manzanares 115	0.000	SATISFACE
SC_2023_5249_A2	Solar FV	2025	Manzanares 115	0.000	SATISFACE
SC_2023_5251_A1	Solar FV	2025	Manzanares 115	0.003	SATISFACE
SC_2023_5251_A2	Solar FV	2025	Manzanares 115	0.003	SATISFACE
SC_2023_5252_A1	Solar FV	2028	Manzanares 115	0.000	SATISFACE
SC_2023_5252_A2	Solar FV	2028	Manzanares 115	0.001	SATISFACE
SC_2023_5253_A1	Solar FV	2025	Manzanares 115	0.003	SATISFACE
SC_2023_5253_A2	Solar FV	2025	Manzanares 115	0.003	SATISFACE
SC_2023_5256_A2	Solar FV	2028	Manzanares 115	0.087	SATISFACE
SC_2023_5257_A1	Solar FV	2025	Manzanares 115	0.000	SATISFACE
SC_2023_5257_A2	Solar FV	2025	Manzanares 115	0.000	SATISFACE
SC_2023_5280_A1	Solar FV	2028	Manzanares 115	0.044	SATISFACE
SC_2023_5280_A2	Solar FV	2028	Manzanares 115	0.102	SATISFACE
SC_2023_5282_A1	Solar FV	2028	Manzanares 115	0.000	SATISFACE
SC_2023_5287_A1	Solar FV	2026	Manzanares 115	0.060	SATISFACE
SC_2023_5287_A2	Solar FV	2026	Manzanares 115	0.061	SATISFACE
SC_2023_5288_A1	Solar FV	2026	Manzanares 115	0.055	SATISFACE
SC_2023_5288_A2	Solar FV	2026	Manzanares 115	0.144	SATISFACE
SC_2023_5293_A1	Solar FV	2028	Manzanares 115	0.012	SATISFACE

SC_2023_5293_A2	Solar FV	2028	Manzanares 115	0.010	SATISFACE
SC_2023_5294_A1	Solar FV	2029	Manzanares 115	0.039	SATISFACE
SC_2023_5294_A2	Solar FV	2029	Manzanares 115	0.049	SATISFACE
SC_2023_5304_A1	Solar FV	2026	Manzanares 115	0.008	SATISFACE
SC_2023_5309_A1	Solar FV	2026	Manzanares 115	0.008	SATISFACE
SC_2023_5337_A2	Solar FV	2025	Manzanares 115	0.066	SATISFACE
SC_2023_5339_A1	PCH	2026	Manzanares 115	0.000	SATISFACE
SC_2023_5339_A2	PCH	2026	Manzanares 115	0.000	SATISFACE
SC_2023_5345_A1	Solar FV	2027	Manzanares 115	0.003	SATISFACE
SC_2023_5345_A2	Solar FV	2027	Manzanares 115	0.004	SATISFACE
SC_2023_5346_A1	Solar FV	2027	Manzanares 115	0.003	SATISFACE
SC_2023_5346_A2	Solar FV	2027	Manzanares 115	0.004	SATISFACE
SC_2023_5375_A1	Solar FV	2026	Manzanares 115	0.060	SATISFACE
SC_2023_5383_A1	Solar FV	2027	Manzanares 115	0.050	SATISFACE
SC_2023_5383_A2	Solar FV	2027	Manzanares 115	0.066	SATISFACE
SC_2023_5399_A1	Solar FV	2026	Manzanares 115	0.055	SATISFACE
SC_2023_5399_A2	Solar FV	2026	Manzanares 115	0.144	SATISFACE
SC_2023_5431_A1	Solar FV	2028	Manzanares 115	0.001	SATISFACE
SC_2023_5431_A2	Solar FV	2028	Manzanares 115	0.001	SATISFACE
SC_2023_5480_A1	Solar FV	2026	Manzanares 115	0.060	SATISFACE

SC_2023_5480_A2	Solar FV	2026	Manzanares 115	0.061	SATISFACE
SC_2023_5551_A1	Solar FV	2027	Manzanares 115	0.069	SATISFACE
SC_2023_5551_A2	Solar FV	2027	Manzanares 115	0.037	SATISFACE
SC_2023_5557_A1	Solar FV	2028	Manzanares 115	0.088	SATISFACE
SC_2023_5598_A1	Solar FV	2025	Manzanares 115	0.000	SATISFACE
SC_2023_5598_A2	Solar FV	2025	Manzanares 115	0.000	SATISFACE
SC_2024_5939_A1	Solar FV	2028	Manzanares 115	0.007	SATISFACE
SC_2024_5939_A2	Solar FV	2028	Manzanares 115	0.007	SATISFACE
SC_2024_5992_A1	Solar FV	2027	Manzanares 115	0.051	SATISFACE
SC_2344_A1	Eólico Onshore	2027	Manzanares 115	0.030	SATISFACE
SC_2344_A2	Eólico Onshore	2027	Manzanares 115	12.390	SATISFACE
SC_2347_A1	Solar FV	2026	Manzanares 115	0.020	SATISFACE
SC_2347_A2	Solar FV	2026	Manzanares 115	0.030	SATISFACE
SC_2348_A1	Solar FV	2026	Manzanares 115	0.020	SATISFACE
SC_2348_A2	Solar FV	2026	Manzanares 115	0.030	SATISFACE
SC_2438_A1	Solar FV	2028	Manzanares 115	0.001	SATISFACE
SC_2438_A2	Solar FV	2028	Manzanares 115	0.017	SATISFACE
SC_2442_A1	Solar FV	2027	Manzanares 115	0.003	SATISFACE
SC_2442_A2	Solar FV	2027	Manzanares 115	0.003	SATISFACE
SC_2475_A1	Solar FV	2028	Manzanares 115	0.130	SATISFACE

SC_2475_A2	Solar FV	2028	Manzanares 115	0.090	SATISFACE
SC_2562_A1	Solar FV	2026	Manzanares 115	0.010	SATISFACE
SC_2629_A1	Solar FV	2026	Manzanares 115	0.003	SATISFACE
SC_2629_A2	Solar FV	2026	Manzanares 115	0.003	SATISFACE
SC_2634_A1	Solar FV	2026	Manzanares 115	0.000	SATISFACE
SC_2634_A2	Solar FV	2026	Manzanares 115	0.000	SATISFACE
SC_2680_A1	Solar FV	2028	Manzanares 115	0.020	SATISFACE
SC_2680_A2	Solar FV	2028	Manzanares 115	0.040	SATISFACE
SC_2681_A1	Solar FV	2027	Manzanares 115	0.030	SATISFACE
SC_2681_A2	Solar FV	2027	Manzanares 115	0.020	SATISFACE
SC_2682_A1	Solar FV	2025	Manzanares 115	0.014	SATISFACE
SC_2682_A2	Solar FV	2025	Manzanares 115	0.000	SATISFACE
SC_2683_A1	Solar FV	2026	Manzanares 115	0.010	SATISFACE
SC_2683_A2	Solar FV	2026	Manzanares 115	0.010	SATISFACE
SC_2693_A1	Solar FV	2026	Manzanares 115	0.000	SATISFACE
SC_2693_A2	Solar FV	2026	Manzanares 115	0.000	SATISFACE
SC_2722_A1	Solar FV	2026	Manzanares 115	0.003	SATISFACE
SC_2722_A2	Solar FV	2026	Manzanares 115	0.003	SATISFACE
SC_2802_A1	Solar FV	2027	Manzanares 115	0.001	SATISFACE
SC_2802_A2	Solar FV	2027	Manzanares 115	0.009	SATISFACE

SC_2816_A1	Solar FV	2027	Manzanares 115	0.000	SATISFACE
SC_2870_A1	Solar FV	2027	Manzanares 115	0.000	SATISFACE
SC_2870_A2	Solar FV	2027	Manzanares 115	0.000	SATISFACE
SC_2892_A1	Solar FV	2027	Manzanares 115	0.130	SATISFACE
SC_2892_A2	Solar FV	2027	Manzanares 115	0.300	SATISFACE
SC_2893_A1	Solar FV	2026	Manzanares 115	0.020	SATISFACE
SC_2893_A2	Solar FV	2026	Manzanares 115	0.020	SATISFACE
SC_2902_A1	Solar FV	2028	Manzanares 115	0.000	SATISFACE
SC_2902_A2	Solar FV	2028	Manzanares 115	0.660	SATISFACE
SC_2905_A2	Solar FV	2028	Manzanares 115	0.000	SATISFACE
SC_2924_A1	Solar FV	2026	Manzanares 115	0.190	SATISFACE
SC_2924_A2	Solar FV	2026	Manzanares 115	0.097	SATISFACE
SC_2936_A1	Solar FV	2026	Manzanares 115	0.000	SATISFACE
SC_2936_A2	Solar FV	2026	Manzanares 115	0.000	SATISFACE
SC_2962_A1	Solar FV	2028	Manzanares 115	0.315	SATISFACE
SC_2962_A2	Solar FV	2028	Manzanares 115	0.158	SATISFACE
SC_2967_A1	Solar FV	2026	Manzanares 115	0.003	SATISFACE
SC_2967_A2	Solar FV	2026	Manzanares 115	0.003	SATISFACE
SC_3012_A1	Solar FV	2027	Manzanares 115	0.000	SATISFACE
SC_3012_A2	Solar FV	2027	Manzanares 115	0.000	SATISFACE

SC_3018_A1	Solar FV	2026	Manzanares 115	0.020	SATISFACE
SC_3018_A2	Solar FV	2026	Manzanares 115	0.030	SATISFACE
SC_3054_A2	Solar FV	2027	Manzanares 115	0.002	SATISFACE
SC_3101_A1	Solar FV	2027	Manzanares 115	0.000	SATISFACE
SC_3101_A2	Solar FV	2027	Manzanares 115	0.004	SATISFACE
SC_3121_A1	Solar FV	2026	Manzanares 115	0.010	SATISFACE
SC_3121_A2	Solar FV	2026	Manzanares 115	0.010	SATISFACE
SC_3126_A1	PCH	2026	Manzanares 115	0.010	SATISFACE
SC_3126_A2	PCH	2026	Manzanares 115	0.010	SATISFACE
SC_3132_A1	Solar FV	2026	Manzanares 115	0.049	SATISFACE
SC_3132_A2	Solar FV	2026	Manzanares 115	0.168	SATISFACE
SC_3238_A1	Solar FV	2027	Manzanares 115	0.105	SATISFACE
SC_3238_A2	Solar FV	2027	Manzanares 115	0.085	SATISFACE
SC_3247_A1	Solar FV	2027	Manzanares 115	0.089	SATISFACE
SC_3247_A2	Solar FV	2027	Manzanares 115	0.175	SATISFACE
SC_3248_A1	Solar FV	2027	Manzanares 115	0.105	SATISFACE
SC_3248_A2	Solar FV	2027	Manzanares 115	0.085	SATISFACE
SC_3251_A1	Hidráulica	2026	Manzanares 115	0.010	SATISFACE
SC_3251_A2	Hidráulica	2026	Manzanares 115	0.000	SATISFACE
SC_3353_A1	Solar FV	2027	Manzanares 115	0.001	SATISFACE

SC_3353_A2	Solar FV	2027	Manzanares 115	0.001	SATISFACE
SC_3392_A1	Solar FV	2027	Manzanares 115	0.012	SATISFACE
SC_3392_A2	Solar FV	2027	Manzanares 115	0.005	SATISFACE
SC_3441_A1	Solar FV	2027	Manzanares 115	0.089	SATISFACE
SC_3441_A2	Solar FV	2027	Manzanares 115	0.175	SATISFACE
SC_3453_A1	Solar FV	2027	Manzanares 115	0.045	SATISFACE
SC_3453_A2	Solar FV	2027	Manzanares 115	0.044	SATISFACE
SC_3514_A1	Solar FV	2027	Manzanares 115	0.045	SATISFACE
SC_3514_A2	Solar FV	2027	Manzanares 115	0.044	SATISFACE
SC_3578_A1	Solar FV	2028	Manzanares 115	0.006	SATISFACE
SC_3578_A2	Solar FV	2028	Manzanares 115	0.011	SATISFACE
SC_3667_A1	Solar FV	2029	Manzanares 115	0.003	SATISFACE
SC_3667_A2	Solar FV	2029	Manzanares 115	0.002	SATISFACE
SC_3846_A1	Solar FV	2028	Manzanares 115	0.003	SATISFACE
SC_3846_A2	Solar FV	2028	Manzanares 115	0.003	SATISFACE
SC_3882_A1	Solar FV	2026	Manzanares 115	0.088	SATISFACE
SC_4083_A1	Solar FV	2027	Manzanares 115	0.001	SATISFACE
SC_4083_A2	Solar FV	2027	Manzanares 115	0.001	SATISFACE
SC_4175_A1	Solar FV	2026	Manzanares 115	0.002	SATISFACE
SC_4175_A2	Solar FV	2026	Manzanares 115	0.002	SATISFACE

SC_4296_A1	Solar FV	2028	Manzanares 115	0.040	SATISFACE
SC_4296_A2	Solar FV	2028	Manzanares 115	0.048	SATISFACE
SC_4751_A1	Solar FV	2027	Manzanares 115	0.002	SATISFACE
SC_4760_A1	Solar FV	2026	Manzanares 115	0.022	SATISFACE
SC_4765_A1	Solar FV	2029	Manzanares 115	0.002	SATISFACE
SC_4765_A2	Solar FV	2029	Manzanares 115	0.040	SATISFACE
SC_4789_A1	Solar FV	2027	Manzanares 115	0.002	SATISFACE
SC_4789_A2	Solar FV	2027	Manzanares 115	0.002	SATISFACE
SC_4809_A1	Solar FV	2027	Manzanares 115	0.055	SATISFACE
SC_4809_A2	Solar FV	2027	Manzanares 115	0.138	SATISFACE
SC_4819_A1	Solar FV	2029	Manzanares 115	0.085	SATISFACE
SC_4819_A2	Solar FV	2029	Manzanares 115	0.214	SATISFACE
SC_4821_A1	Solar FV	2027	Manzanares 115	0.012	SATISFACE
SC_4821_A2	Solar FV	2027	Manzanares 115	0.005	SATISFACE
SC_4824_A1	Solar FV	2025	Manzanares 115	0.000	SATISFACE
SC_4824_A2	Solar FV	2025	Manzanares 115	0.000	SATISFACE
SC_4826_A1	Solar FV	2027	Manzanares 115	0.018	SATISFACE
SC_4826_A2	Solar FV	2027	Manzanares 115	0.018	SATISFACE
SC_4827_A1	Solar FV	2027	Manzanares 115	0.018	SATISFACE
SC_4827_A2	Solar FV	2027	Manzanares 115	0.018	SATISFACE

SC_4842_A1	Solar FV	2028	Manzanares 115	0.089	SATISFACE
SC_4910_A1	Solar FV	2026	Manzanares 115	0.061	SATISFACE
SC_4910_A2	Solar FV	2026	Manzanares 115	0.061	SATISFACE
SC_4926_A1	Solar FV	2027	Manzanares 115	0.002	SATISFACE
SC_4947_A1	Solar FV	2027	Manzanares 115	0.012	SATISFACE
SC_4960_A2	Solar FV	2029	Manzanares 115	0.288	SATISFACE
SC_4974_A1	Solar FV	2026	Manzanares 115	0.012	SATISFACE
SC_4974_A2	Solar FV	2026	Manzanares 115	0.012	SATISFACE
SC_4978_A1	Solar FV	2026	Manzanares 115	0.017	SATISFACE
SC_4978_A2	Solar FV	2026	Manzanares 115	0.018	SATISFACE
SC_5009_A1	Solar FV	2026	Manzanares 115	0.011	SATISFACE
SC_5009_A2	Solar FV	2026	Manzanares 115	0.005	SATISFACE
SC_5011_A1	Solar FV	2027	Manzanares 115	0.011	SATISFACE
SC_5011_A2	Solar FV	2027	Manzanares 115	0.005	SATISFACE
SC_5060_A1	Solar FV	2026	Manzanares 115	0.061	SATISFACE
SC_5060_A2	Solar FV	2026	Manzanares 115	0.061	SATISFACE
SC_5076_A1	Solar FV	2027	Manzanares 115	0.000	SATISFACE
SC_5076_A2	Solar FV	2027	Manzanares 115	0.000	SATISFACE
SC_5077_A1	Solar FV	2027	Manzanares 115	0.000	SATISFACE
SC_5077_A2	Solar FV	2027	Manzanares 115	0.000	SATISFACE

SC_5087_A2	Solar FV	2027	Manzanares 115	0.082	SATISFACE

Posterior a la ejecución del MACC se priorizaron las siguientes alternativas de conexión que tienen aportes de cortocircuito de la subestación en análisis:

Tabla 2-423. Alternativas de conexión priorizadas que aportan corriente de cortocircuito en la subestación Manzanares 115

index	tipo	periodoIni	Barra a la que aporta CC	Aporte de cortocircuito (kA)	Restricción
SC_5076_A2	Solar FV	2027	Manzanares 115	0.000	SATISFACE
SC_5077_A2	Solar FV	2027	Manzanares 115	0.000	SATISFACE

El estado de la capacidad de cortocircuito en la subestación Manzanares 115, teniendo en cuenta la priorización se puede observar en la siguiente figura.

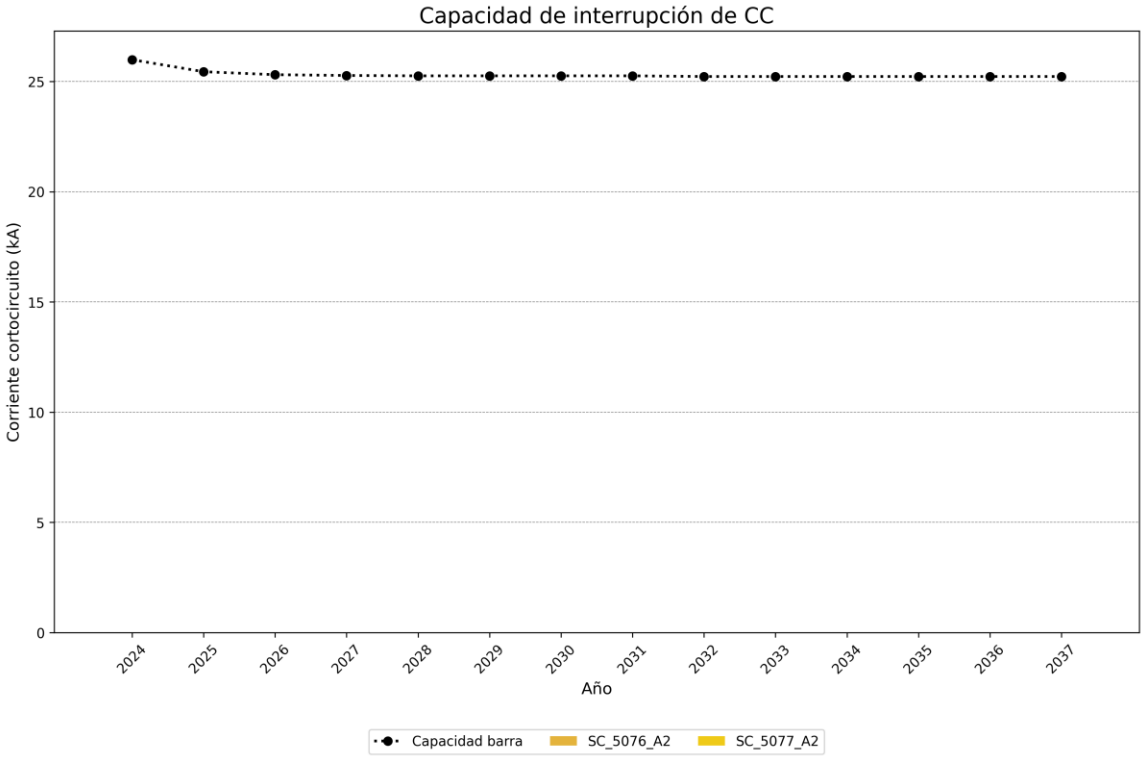


Figura 2-403. Balance de capacidad de cortocircuito después de la priorización para la subestación Manzanares 115

Subestación Manzanares 13.8:

Capacidad por barra:

Para la subestación Manzanares 13.8 se presentaron 1 alternativas de conexión las cuales se muestran en la siguiente tabla:

Tabla 2-424. Alternativas de conexión presentadas a la subestación Manzanares 13.8

Solicitud	Capacidad	Tipo	Barra	FPO solicitada	Restricción
SC_3251_A2	3.0	Hidráulica	Manzanares 13.8	2026	NO SATISFACE

No se priorizó ninguna de las alternativas de conexión presentadas en la subestación Manzanares 13.8

El estado de la capacidad por barra en la subestación Manzanares 13.8, teniendo en cuenta la priorización se puede observar en la siguiente figura.

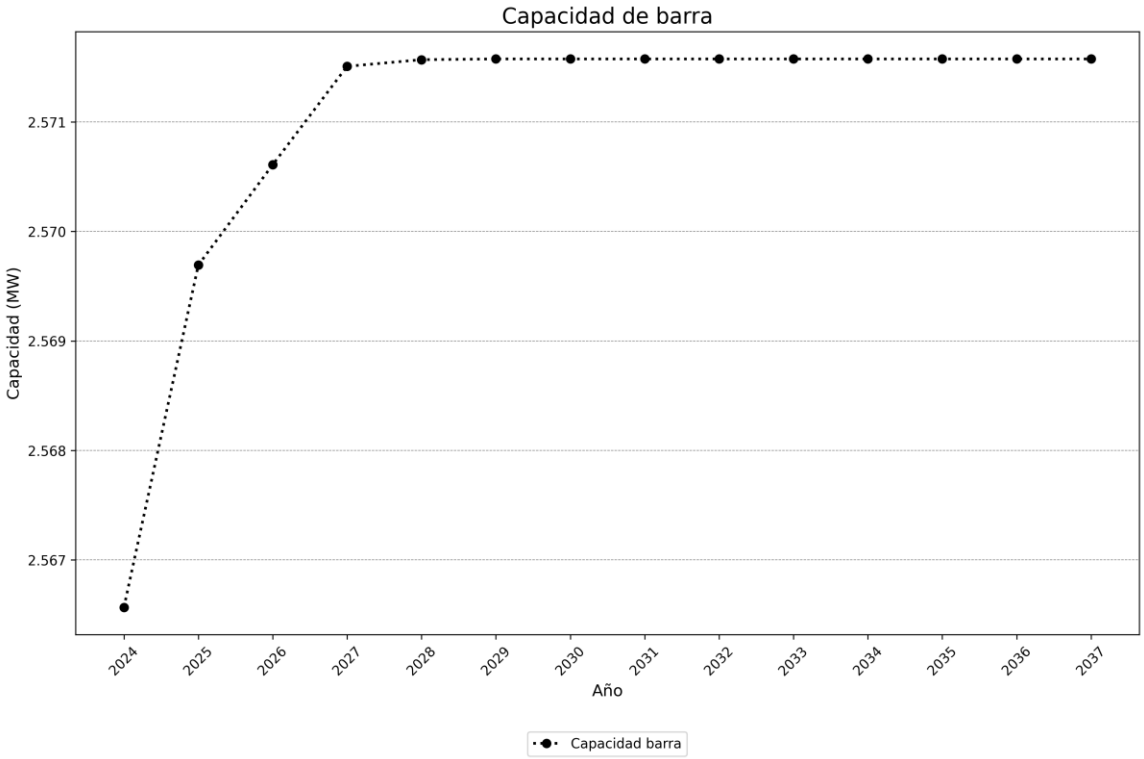


Figura 2-404. Balance de capacidad por barra después de la priorización para la subestación Manzanares 13.8

Subestación Manzanares 33:

Capacidad por barra:

Para la subestación Manzanares 33 se presentaron 1 alternativas de conexión las cuales se muestran en la siguiente tabla:

Tabla 2-425. Alternativas de conexión presentadas a la subestación Manzanares 33

Solicitud	Capacidad	Tipo	Barra	FPO solicitada	Restricción
SC_3251_A1	3.0	Hidráulica	Manzanares 33	2026	NO SATISFACE

No se priorizó ninguna de las alternativas de conexión presentadas en la subestación Manzanares 33

El estado de la capacidad por barra en la subestación Manzanares 33, teniendo en cuenta la priorización se puede observar en la siguiente figura.

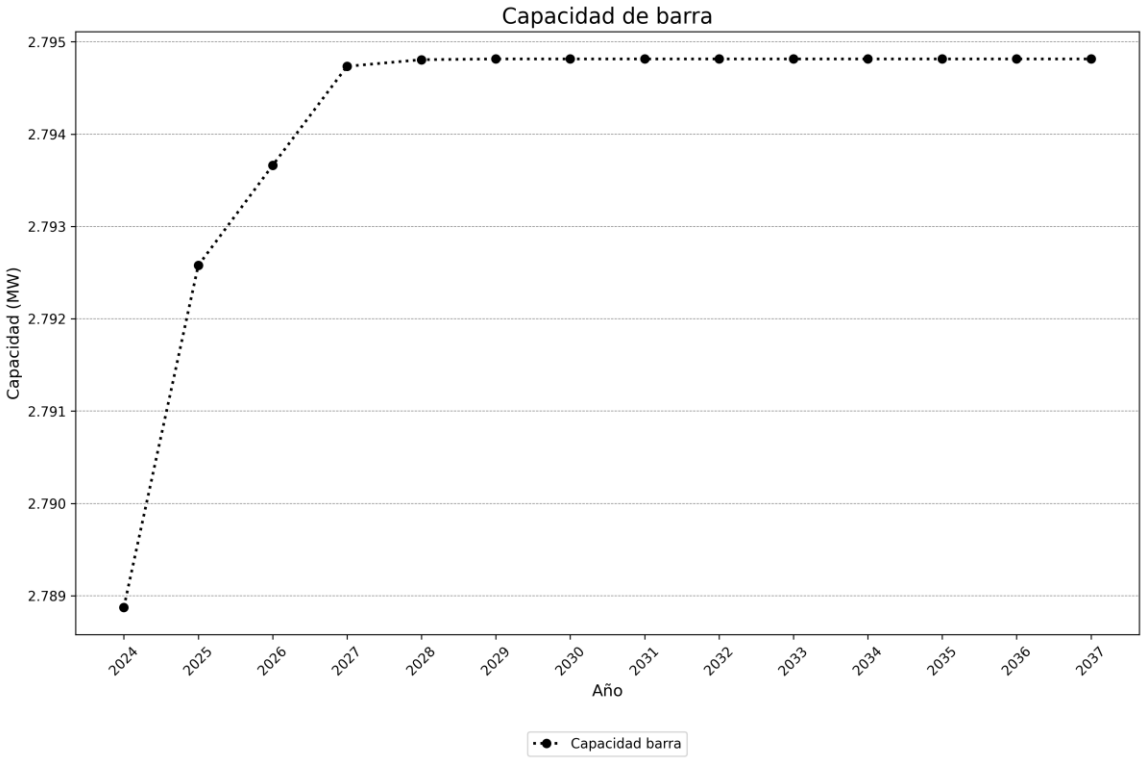


Figura 2-405. Balance de capacidad por barra después de la priorización para la subestación Manzanares 33

Subestación Mariquita 115:

Capacidad por barra:

Para la subestación Mariquita 115 se presentaron 6 alternativas de conexión las cuales se muestran en la siguiente tabla:

Tabla 2-426. Alternativas de conexión presentadas a la subestación Mariquita 115

Solicitud	Capacidad	Tipo	Barra	FPO solicitada	Restricción
SC_2475_A2	60.0	Solar FV	Mariquita 115	2028	NO SATISFACE
SC_2680_A2	19.9	Solar FV	Mariquita 115	2028	NO SATISFACE
SC_2681_A1	19.9	Solar FV	Mariquita 115	2027	NO SATISFACE
SC_2962_A2	99.9	Solar FV	Mariquita 115	2028	NO SATISFACE
SC_3132_A2	100.0	Solar FV	Mariquita 115	2026	NO SATISFACE
SC_4765_A2	102.0	Solar FV	Mariquita 115	2029	NO SATISFACE

No se priorizó ninguna de las alternativas de conexión presentadas en la subestación Mariquita 115

El estado de la capacidad por barra en la subestación Mariquita 115, teniendo en cuenta la priorización se puede observar en la siguiente figura.

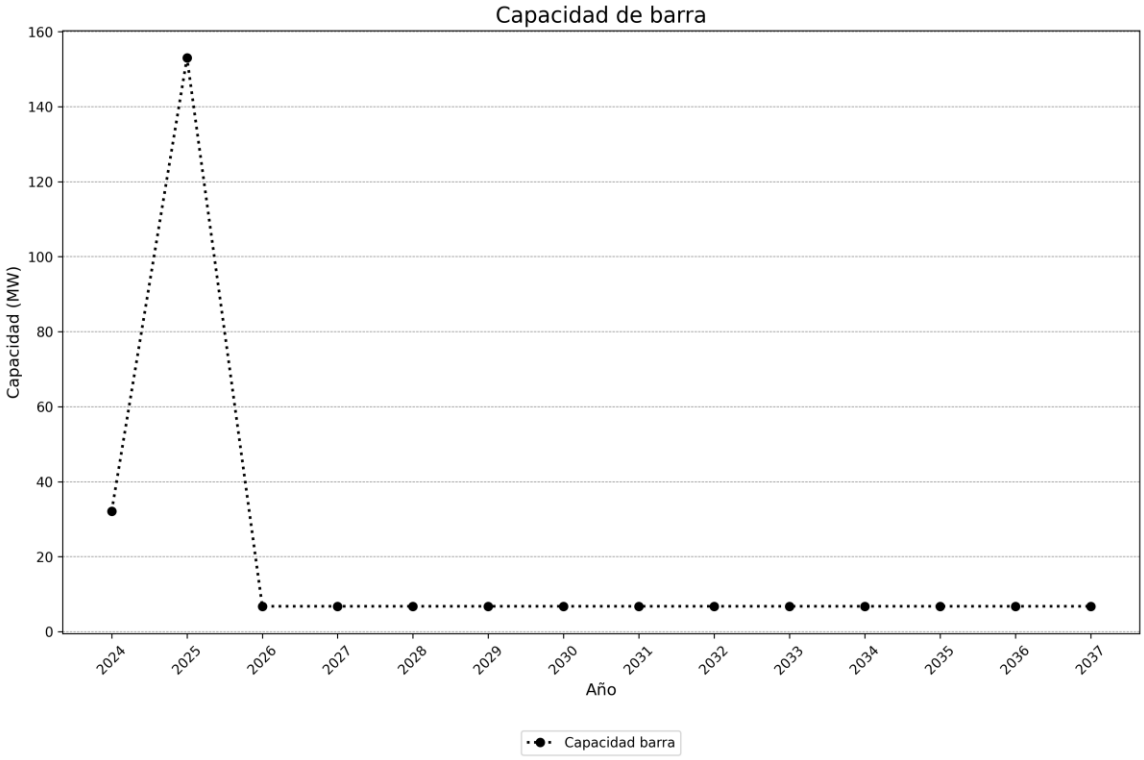


Figura 2-406. Balance de capacidad por barra después de la priorización para la subestación Mariquita 115

Capacidad excedente de interrupción de corriente de cortocircuito:

Para la subestación Mariquita 115 se presentaron 179 alternativas de conexión las cuales tienen aportes de corriente de cortocircuito. Estas alternativas se muestran en la siguiente tabla:

Tabla 2-427. Alternativas de conexión que aportan corriente de cortocircuito en la subestación Mariquita 115

Solicitud	tipo	FPO	Barra a la que aporta CC	Aporte de cortocircuito (kA)	Restricción
SC_2023_5136_A1	Solar FV	2026	Mariquita 115	0.192	SATISFACE
SC_2023_5136_A2	Solar FV	2026	Mariquita 115	0.192	SATISFACE

SC_2023_5152_A1	Solar FV	2025	Mariquita 115	0.001	SATISFACE
SC_2023_5152_A2	Solar FV	2025	Mariquita 115	0.001	SATISFACE
SC_2023_5158_A1	Solar FV	2028	Mariquita 115	0.031	SATISFACE
SC_2023_5171_A1	Solar FV	2025	Mariquita 115	0.000	SATISFACE
SC_2023_5171_A2	Solar FV	2025	Mariquita 115	0.001	SATISFACE
SC_2023_5185_A1	Solar FV	2026	Mariquita 115	0.198	SATISFACE
SC_2023_5185_A2	Solar FV	2026	Mariquita 115	0.176	SATISFACE
SC_2023_5188_A1	Solar FV	2026	Mariquita 115	0.107	SATISFACE
SC_2023_5188_A2	Solar FV	2026	Mariquita 115	0.075	SATISFACE
SC_2023_5200_A1	Solar FV	2028	Mariquita 115	0.103	SATISFACE
SC_2023_5200_A2	Solar FV	2028	Mariquita 115	0.061	SATISFACE
SC_2023_5248_A1	Solar FV	2025	Mariquita 115	0.001	SATISFACE
SC_2023_5248_A2	Solar FV	2025	Mariquita 115	0.001	SATISFACE
SC_2023_5249_A1	Solar FV	2025	Mariquita 115	0.001	SATISFACE
SC_2023_5249_A2	Solar FV	2025	Mariquita 115	0.001	SATISFACE
SC_2023_5251_A1	Solar FV	2025	Mariquita 115	0.004	SATISFACE
SC_2023_5251_A2	Solar FV	2025	Mariquita 115	0.004	SATISFACE
SC_2023_5252_A1	Solar FV	2028	Mariquita 115	0.001	SATISFACE
SC_2023_5252_A2	Solar FV	2028	Mariquita 115	0.001	SATISFACE
SC_2023_5253_A1	Solar FV	2025	Mariquita 115	0.004	SATISFACE
SC_2023_5253_A2	Solar FV	2025	Mariquita 115	0.004	SATISFACE
SC_2023_5256_A2	Solar FV	2028	Mariquita 115	0.141	SATISFACE
SC_2023_5257_A1	Solar FV	2025	Mariquita 115	0.001	SATISFACE
SC_2023_5257_A2	Solar FV	2025	Mariquita 115	0.001	SATISFACE
SC_2023_5280_A1	Solar FV	2028	Mariquita 115	0.101	SATISFACE
SC_2023_5280_A2	Solar FV	2028	Mariquita 115	0.322	SATISFACE
SC_2023_5282_A1	Solar FV	2028	Mariquita 115	0.000	SATISFACE
SC_2023_5287_A1	Solar FV	2026	Mariquita 115	0.195	SATISFACE
SC_2023_5287_A2	Solar FV	2026	Mariquita 115	0.198	SATISFACE
SC_2023_5288_A1	Solar FV	2026	Mariquita 115	0.189	SATISFACE
SC_2023_5288_A2	Solar FV	2026	Mariquita 115	0.494	SATISFACE
SC_2023_5293_A1	Solar FV	2028	Mariquita 115	0.016	SATISFACE
SC_2023_5293_A2	Solar FV	2028	Mariquita 115	0.013	SATISFACE
SC_2023_5294_A1	Solar FV	2029	Mariquita 115	0.064	SATISFACE
SC_2023_5294_A2	Solar FV	2029	Mariquita 115	0.080	SATISFACE
SC_2023_5304_A1	Solar FV	2026	Mariquita 115	0.013	SATISFACE
SC_2023_5309_A1	Solar FV	2026	Mariquita 115	0.013	SATISFACE
SC_2023_5337_A2	Solar FV	2025	Mariquita 115	0.154	SATISFACE
SC_2023_5339_A1	PCH	2026	Mariquita 115	0.000	SATISFACE
SC_2023_5339_A2	PCH	2026	Mariquita 115	0.000	SATISFACE

SC_2023_5345_A1	Solar FV	2027	Mariquita 115	0.002	SATISFACE
SC_2023_5345_A2	Solar FV	2027	Mariquita 115	0.003	SATISFACE
SC_2023_5346_A1	Solar FV	2027	Mariquita 115	0.002	SATISFACE
SC_2023_5346_A2	Solar FV	2027	Mariquita 115	0.003	SATISFACE
SC_2023_5375_A1	Solar FV	2026	Mariquita 115	0.189	SATISFACE
SC_2023_5383_A1	Solar FV	2027	Mariquita 115	0.031	SATISFACE
SC_2023_5383_A2	Solar FV	2027	Mariquita 115	0.040	SATISFACE
SC_2023_5399_A1	Solar FV	2026	Mariquita 115	0.189	SATISFACE
SC_2023_5399_A2	Solar FV	2026	Mariquita 115	0.494	SATISFACE
SC_2023_5431_A1	Solar FV	2028	Mariquita 115	0.003	SATISFACE
SC_2023_5431_A2	Solar FV	2028	Mariquita 115	0.003	SATISFACE
SC_2023_5480_A1	Solar FV	2026	Mariquita 115	0.195	SATISFACE
SC_2023_5480_A2	Solar FV	2026	Mariquita 115	0.198	SATISFACE
SC_2023_5551_A1	Solar FV	2027	Mariquita 115	0.092	SATISFACE
SC_2023_5551_A2	Solar FV	2027	Mariquita 115	0.055	SATISFACE
SC_2023_5557_A1	Solar FV	2028	Mariquita 115	0.209	SATISFACE
SC_2023_5562_A1	Solar FV	2026	Mariquita 115	0.392	SATISFACE
SC_2023_5562_A2	Solar FV	2026	Mariquita 115	0.116	SATISFACE
SC_2023_5598_A1	Solar FV	2025	Mariquita 115	0.001	SATISFACE
SC_2023_5598_A2	Solar FV	2025	Mariquita 115	0.001	SATISFACE
SC_2024_5939_A1	Solar FV	2028	Mariquita 115	0.018	SATISFACE
SC_2024_5939_A2	Solar FV	2028	Mariquita 115	0.018	SATISFACE
SC_2024_5992_A1	Solar FV	2027	Mariquita 115	0.080	SATISFACE
SC_2347_A1	Solar FV	2026	Mariquita 115	0.040	SATISFACE
SC_2347_A2	Solar FV	2026	Mariquita 115	0.060	SATISFACE
SC_2348_A1	Solar FV	2026	Mariquita 115	0.040	SATISFACE
SC_2348_A2	Solar FV	2026	Mariquita 115	0.060	SATISFACE
SC_2438_A1	Solar FV	2028	Mariquita 115	0.003	SATISFACE
SC_2438_A2	Solar FV	2028	Mariquita 115	0.073	SATISFACE
SC_2442_A1	Solar FV	2027	Mariquita 115	0.026	SATISFACE
SC_2442_A2	Solar FV	2027	Mariquita 115	0.027	SATISFACE
SC_2475_A1	Solar FV	2028	Mariquita 115	0.200	SATISFACE
SC_2475_A2	Solar FV	2028	Mariquita 115	0.300	SATISFACE
SC_2629_A1	Solar FV	2026	Mariquita 115	0.026	SATISFACE
SC_2629_A2	Solar FV	2026	Mariquita 115	0.027	SATISFACE
SC_2634_A1	Solar FV	2026	Mariquita 115	0.000	SATISFACE
SC_2634_A2	Solar FV	2026	Mariquita 115	0.000	SATISFACE
SC_2680_A1	Solar FV	2028	Mariquita 115	0.100	SATISFACE
SC_2680_A2	Solar FV	2028	Mariquita 115	0.580	SATISFACE
SC_2681_A1	Solar FV	2027	Mariquita 115	0.720	SATISFACE

SC_2681_A2	Solar FV	2027	Mariquita 115	0.080	SATISFACE
SC_2682_A1	Solar FV	2025	Mariquita 115	0.058	SATISFACE
SC_2682_A2	Solar FV	2025	Mariquita 115	0.001	SATISFACE
SC_2683_A1	Solar FV	2026	Mariquita 115	0.020	SATISFACE
SC_2683_A2	Solar FV	2026	Mariquita 115	0.020	SATISFACE
SC_2693_A1	Solar FV	2026	Mariquita 115	0.000	SATISFACE
SC_2693_A2	Solar FV	2026	Mariquita 115	0.000	SATISFACE
SC_2722_A1	Solar FV	2026	Mariquita 115	0.026	SATISFACE
SC_2722_A2	Solar FV	2026	Mariquita 115	0.025	SATISFACE
SC_2802_A1	Solar FV	2027	Mariquita 115	0.010	SATISFACE
SC_2802_A2	Solar FV	2027	Mariquita 115	0.107	SATISFACE
SC_2816_A1	Solar FV	2027	Mariquita 115	0.020	SATISFACE
SC_2870_A1	Solar FV	2027	Mariquita 115	0.000	SATISFACE
SC_2870_A2	Solar FV	2027	Mariquita 115	0.010	SATISFACE
SC_2892_A1	Solar FV	2027	Mariquita 115	0.200	SATISFACE
SC_2892_A2	Solar FV	2027	Mariquita 115	0.130	SATISFACE
SC_2893_A1	Solar FV	2026	Mariquita 115	0.030	SATISFACE
SC_2893_A2	Solar FV	2026	Mariquita 115	0.030	SATISFACE
SC_2924_A1	Solar FV	2026	Mariquita 115	0.158	SATISFACE
SC_2924_A2	Solar FV	2026	Mariquita 115	0.141	SATISFACE
SC_2936_A1	Solar FV	2026	Mariquita 115	0.000	SATISFACE
SC_2936_A2	Solar FV	2026	Mariquita 115	0.000	SATISFACE
SC_2962_A1	Solar FV	2028	Mariquita 115	0.743	SATISFACE
SC_2962_A2	Solar FV	2028	Mariquita 115	1.830	SATISFACE
SC_2967_A1	Solar FV	2026	Mariquita 115	0.026	SATISFACE
SC_2967_A2	Solar FV	2026	Mariquita 115	0.027	SATISFACE
SC_3012_A1	Solar FV	2027	Mariquita 115	0.020	SATISFACE
SC_3012_A2	Solar FV	2027	Mariquita 115	0.010	SATISFACE
SC_3018_A1	Solar FV	2026	Mariquita 115	0.040	SATISFACE
SC_3018_A2	Solar FV	2026	Mariquita 115	0.060	SATISFACE
SC_3054_A2	Solar FV	2027	Mariquita 115	0.002	SATISFACE
SC_3101_A1	Solar FV	2027	Mariquita 115	0.011	SATISFACE
SC_3101_A2	Solar FV	2027	Mariquita 115	0.194	SATISFACE
SC_3121_A1	Solar FV	2026	Mariquita 115	0.031	SATISFACE
SC_3121_A2	Solar FV	2026	Mariquita 115	0.032	SATISFACE
SC_3126_A1	PCH	2026	Mariquita 115	0.060	SATISFACE
SC_3126_A2	PCH	2026	Mariquita 115	0.070	SATISFACE
SC_3131_A1	Solar FV	2026	Mariquita 115	0.011	SATISFACE
SC_3131_A2	Solar FV	2026	Mariquita 115	0.011	SATISFACE
SC_3132_A1	Solar FV	2026	Mariquita 115	0.112	SATISFACE

SC_3132_A2	Solar FV	2026	Mariquita 115	1.629	SATISFACE
SC_3251_A1	Hidráulica	2026	Mariquita 115	0.000	SATISFACE
SC_3251_A2	Hidráulica	2026	Mariquita 115	0.000	SATISFACE
SC_3353_A1	Solar FV	2027	Mariquita 115	0.001	SATISFACE
SC_3353_A2	Solar FV	2027	Mariquita 115	0.001	SATISFACE
SC_3382_A1	Solar FV	2027	Mariquita 115	0.000	SATISFACE
SC_3382_A2	Solar FV	2027	Mariquita 115	0.001	SATISFACE
SC_3392_A1	Solar FV	2027	Mariquita 115	0.015	SATISFACE
SC_3392_A2	Solar FV	2027	Mariquita 115	0.008	SATISFACE
SC_3453_A1	Solar FV	2027	Mariquita 115	0.086	SATISFACE
SC_3453_A2	Solar FV	2027	Mariquita 115	0.082	SATISFACE
SC_3514_A1	Solar FV	2027	Mariquita 115	0.086	SATISFACE
SC_3514_A2	Solar FV	2027	Mariquita 115	0.082	SATISFACE
SC_3578_A1	Solar FV	2028	Mariquita 115	0.018	SATISFACE
SC_3578_A2	Solar FV	2028	Mariquita 115	0.029	SATISFACE
SC_3667_A1	Solar FV	2029	Mariquita 115	0.003	SATISFACE
SC_3667_A2	Solar FV	2029	Mariquita 115	0.002	SATISFACE
SC_3846_A1	Solar FV	2028	Mariquita 115	0.003	SATISFACE
SC_3846_A2	Solar FV	2028	Mariquita 115	0.003	SATISFACE
SC_4083_A1	Solar FV	2027	Mariquita 115	0.011	SATISFACE
SC_4083_A2	Solar FV	2027	Mariquita 115	0.011	SATISFACE
SC_4175_A1	Solar FV	2026	Mariquita 115	0.003	SATISFACE
SC_4175_A2	Solar FV	2026	Mariquita 115	0.003	SATISFACE
SC_4751_A1	Solar FV	2027	Mariquita 115	0.013	SATISFACE
SC_4760_A1	Solar FV	2026	Mariquita 115	0.022	SATISFACE
SC_4765_A1	Solar FV	2029	Mariquita 115	0.015	SATISFACE
SC_4765_A2	Solar FV	2029	Mariquita 115	0.535	SATISFACE
SC_4789_A1	Solar FV	2027	Mariquita 115	0.003	SATISFACE
SC_4789_A2	Solar FV	2027	Mariquita 115	0.003	SATISFACE
SC_4809_A1	Solar FV	2027	Mariquita 115	0.001	SATISFACE
SC_4809_A2	Solar FV	2027	Mariquita 115	0.224	SATISFACE
SC_4819_A1	Solar FV	2029	Mariquita 115	0.226	SATISFACE
SC_4819_A2	Solar FV	2029	Mariquita 115	0.766	SATISFACE
SC_4821_A1	Solar FV	2027	Mariquita 115	0.015	SATISFACE
SC_4821_A2	Solar FV	2027	Mariquita 115	0.008	SATISFACE
SC_4824_A1	Solar FV	2025	Mariquita 115	0.000	SATISFACE
SC_4824_A2	Solar FV	2025	Mariquita 115	0.000	SATISFACE
SC_4826_A1	Solar FV	2027	Mariquita 115	0.058	SATISFACE
SC_4826_A2	Solar FV	2027	Mariquita 115	0.058	SATISFACE
SC_4827_A1	Solar FV	2027	Mariquita 115	0.058	SATISFACE

SC_4827_A2	Solar FV	2027	Mariquita 115	0.058	SATISFACE
SC_4910_A1	Solar FV	2026	Mariquita 115	0.207	SATISFACE
SC_4910_A2	Solar FV	2026	Mariquita 115	0.207	SATISFACE
SC_4926_A1	Solar FV	2027	Mariquita 115	0.013	SATISFACE
SC_4947_A1	Solar FV	2027	Mariquita 115	0.012	SATISFACE
SC_4960_A2	Solar FV	2029	Mariquita 115	0.577	SATISFACE
SC_4974_A1	Solar FV	2026	Mariquita 115	0.040	SATISFACE
SC_4974_A2	Solar FV	2026	Mariquita 115	0.040	SATISFACE
SC_4978_A1	Solar FV	2026	Mariquita 115	0.061	SATISFACE
SC_4978_A2	Solar FV	2026	Mariquita 115	0.062	SATISFACE
SC_5009_A1	Solar FV	2026	Mariquita 115	0.015	SATISFACE
SC_5009_A2	Solar FV	2026	Mariquita 115	0.008	SATISFACE
SC_5011_A1	Solar FV	2027	Mariquita 115	0.015	SATISFACE
SC_5011_A2	Solar FV	2027	Mariquita 115	0.008	SATISFACE
SC_5060_A1	Solar FV	2026	Mariquita 115	0.207	SATISFACE
SC_5060_A2	Solar FV	2026	Mariquita 115	0.207	SATISFACE
SC_5087_A2	Solar FV	2027	Mariquita 115	0.133	SATISFACE

Posterior a la ejecución del MACC se priorizaron las siguientes alternativas de conexión que tienen aportes de cortocircuito de la subestación en análisis:

Tabla 2-428. Alternativas de conexión priorizadas que aportan corriente de cortocircuito en la subestación Mariquita 115

index	tipo	periodoIni	Barra a la que aporta CC	Aporte de cortocircuito (kA)	Restricción
SC_3131_A1	Solar FV	2026	Mariquita 115	0.011	SATISFACE

El estado de la capacidad de cortocircuito en la subestación Mariquita 115, teniendo en cuenta la priorización se puede observar en la siguiente figura.

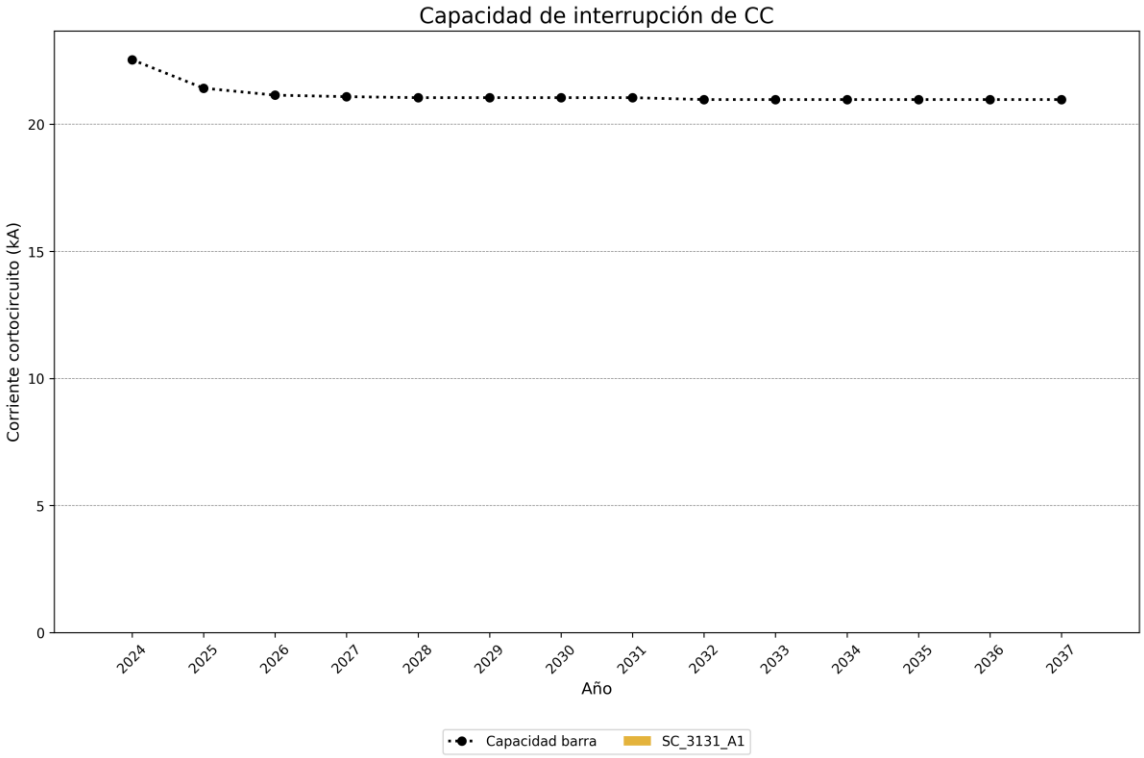


Figura 2-407. Balance de capacidad de cortocircuito después de la priorización para la subestación Mariquita 115

Subestación Mariquita_13.2:

Capacidad por barra:

Para la subestación Mariquita_13.2 se presentaron 6 alternativas de conexión las cuales se muestran en la siguiente tabla:

Tabla 2-429. Alternativas de conexión presentadas a la subestación Mariquita_13.2

Solicitud	Capacidad	Tipo	Barra	FPO solicitada	Restricción
SC_2023_5288_A1	9.9	Solar FV	Mariquita_13.2	2026	NO SATISFACE
SC_2023_5399_A1	9.9	Solar FV	Mariquita_13.2	2026	NO SATISFACE

SC_2442_A1	9.9	Solar FV	Mariquita_13.2	2027	NO SATISFACE
SC_2629_A1	9.9	Solar FV	Mariquita_13.2	2026	NO SATISFACE
SC_2967_A1	9.9	Solar FV	Mariquita_13.2	2026	NO SATISFACE
SC_4910_A2	9.9	Solar FV	Mariquita_13.2	2026	NO SATISFACE

No se priorizó ninguna de las alternativas de conexión presentadas en la subestación Mariquita_13.2

El estado de la capacidad por barra en la subestación Mariquita_13.2, teniendo en cuenta la priorización se puede observar en la siguiente figura.

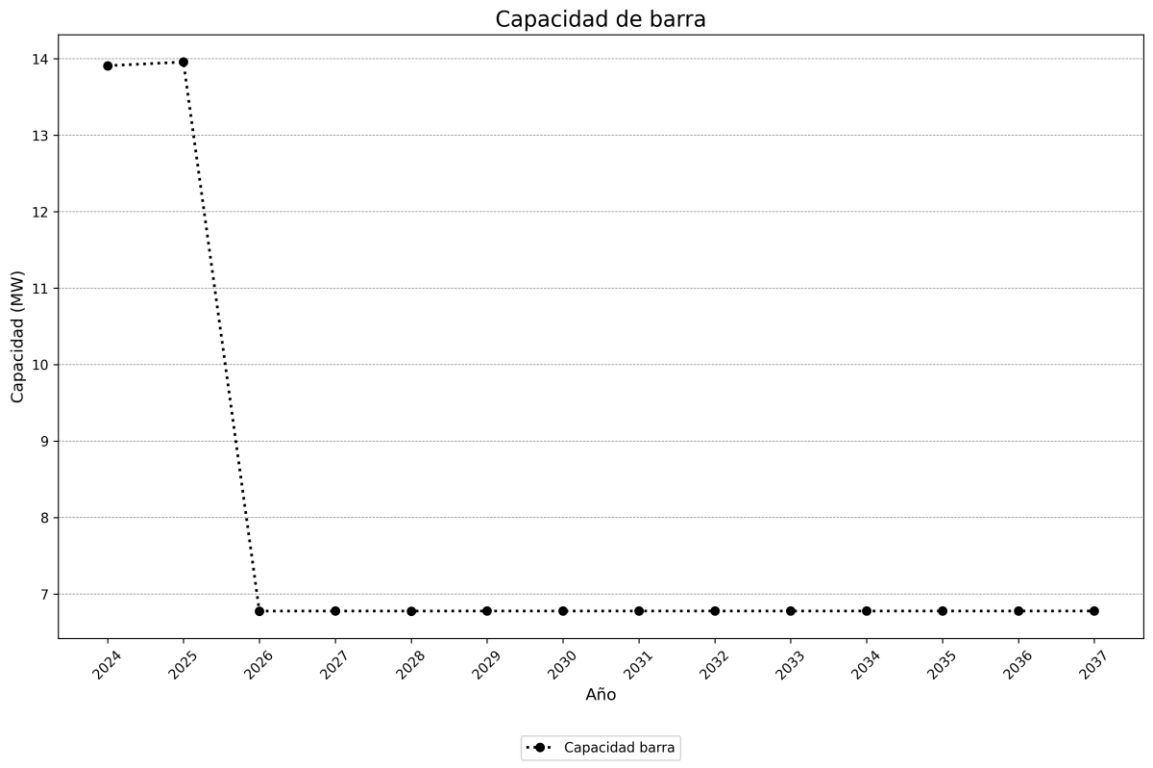


Figura 2-408. Balance de capacidad por barra después de la priorización para la subestación Mariquita_13.2

Subestación Mariquita_13.2B:

Capacidad por barra:

Para la subestación Mariquita_13.2B se presentaron 0 alternativas de conexión las cuales se muestran en la siguiente tabla:

Tabla 2-430. Alternativas de conexión presentadas a la subestación Mariquita_13.2B

Solicitud	Capacidad	Tipo	Barra	FPO solicitada	Restricción

No se priorizó ninguna de las alternativas de conexión presentadas en la subestación Mariquita_13.2B

El estado de la capacidad por barra en la subestación Mariquita_13.2B, teniendo en cuenta la priorización se puede observar en la siguiente figura.

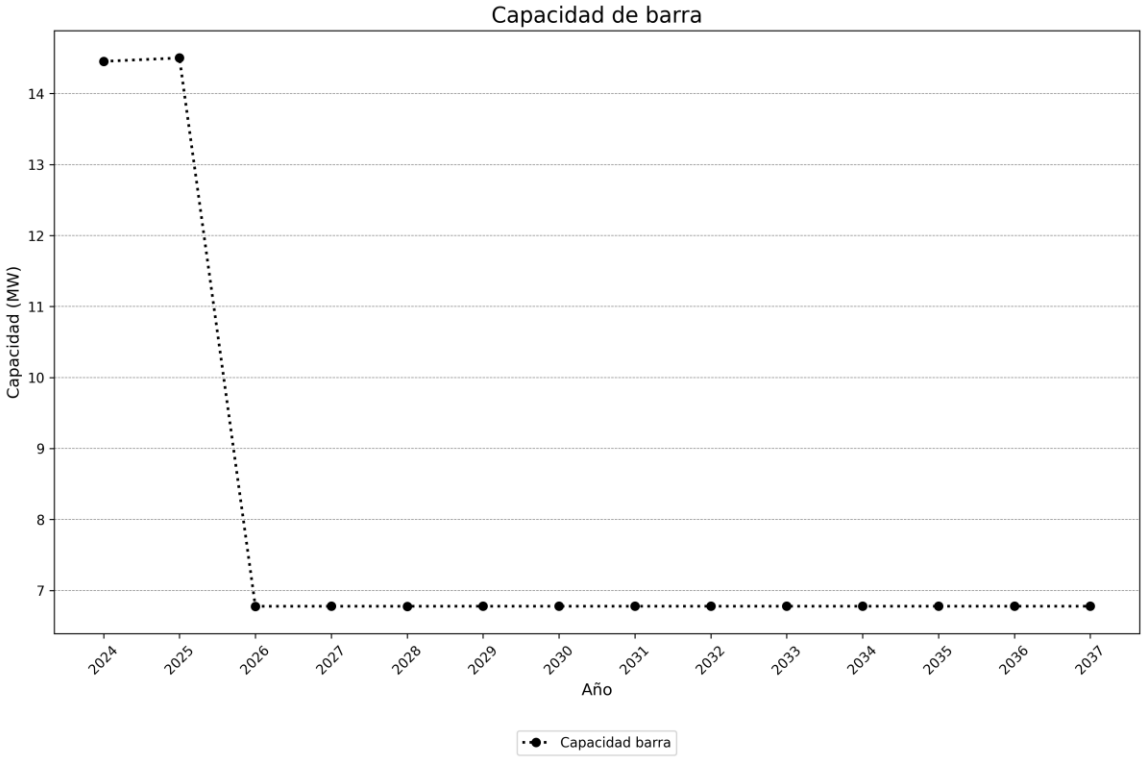


Figura 2-409. Balance de capacidad por barra después de la priorización para la subestación Mariquita_13.2B

Subestación Mariquita_34.5 A:

Capacidad por barra:

Para la subestación Mariquita_34.5 A se presentaron 13 alternativas de conexión las cuales se muestran en la siguiente tabla:

Tabla 2-431. Alternativas de conexión presentadas a la subestación Mariquita_34.5 A

Solicitud	Capacidad	Tipo	Barra	FPO solicitada	Restricción
SC_2023_5288_A2	9.9	Solar FV	Mariquita_34.5 A	2026	NO SATISFACE
SC_2023_5399_A2	9.9	Solar FV	Mariquita_34.5 A	2026	NO SATISFACE

SC_2347_A2	9.9	Solar FV	Mariquita_34.5 A	2026	NO SATISFACE
SC_2348_A2	9.9	Solar FV	Mariquita_34.5 A	2026	NO SATISFACE
SC_2442_A2	9.9	Solar FV	Mariquita_34.5 A	2027	NO SATISFACE
SC_2629_A2	9.9	Solar FV	Mariquita_34.5 A	2026	NO SATISFACE
SC_2682_A1	9.9	Solar FV	Mariquita_34.5 A	2025	NO SATISFACE
SC_2693_A1	19.9	Solar FV	Mariquita_34.5 A	2026	NO SATISFACE
SC_2967_A2	9.9	Solar FV	Mariquita_34.5 A	2026	NO SATISFACE
SC_3018_A2	19.9	Solar FV	Mariquita_34.5 A	2026	NO SATISFACE
SC_3453_A2	9.9	Solar FV	Mariquita_34.5 A	2027	NO SATISFACE
SC_4910_A1	9.9	Solar FV	Mariquita_34.5 A	2026	NO SATISFACE
SC_4978_A1	9.9	Solar FV	Mariquita_34.5 A	2026	NO SATISFACE

No se priorizó ninguna de las alternativas de conexión presentadas en la subestación Mariquita_34.5 A

El estado de la capacidad por barra en la subestación Mariquita_34.5 A, teniendo en cuenta la priorización se puede observar en la siguiente figura.

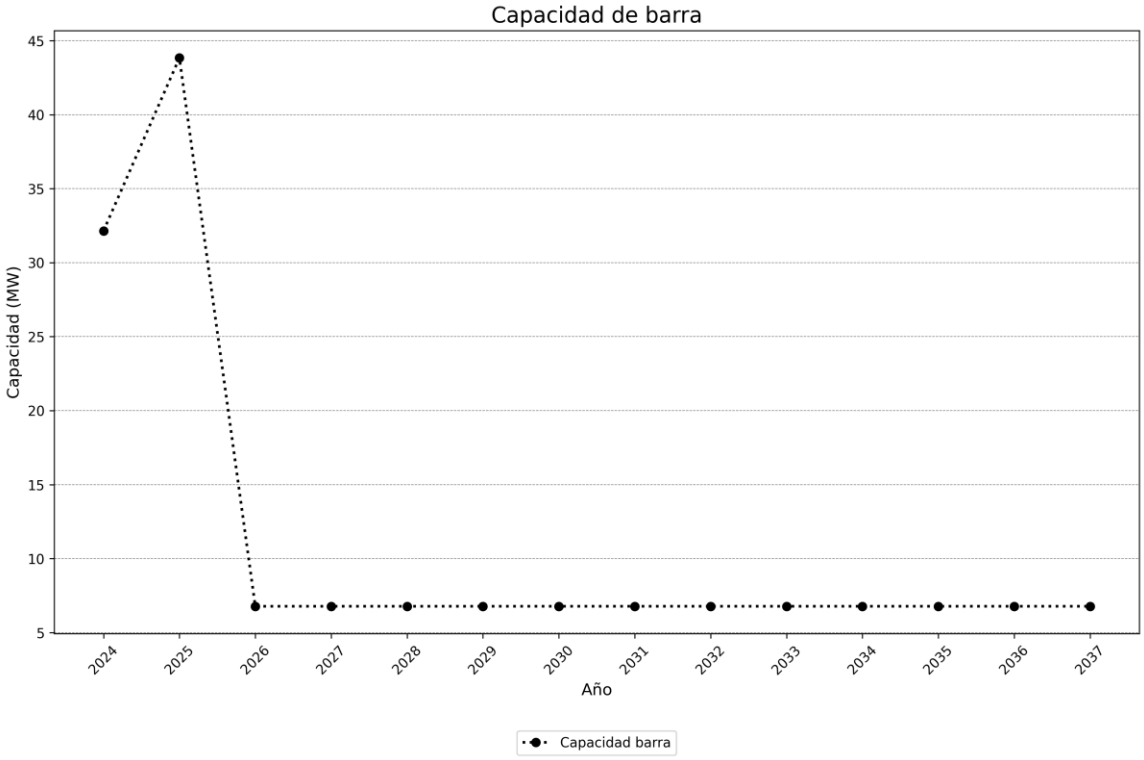


Figura 2-410. Balance de capacidad por barra después de la priorización para la subestación Mariquita_34.5 A

Subestación Mariquita_34.5 B:

Capacidad por barra:

Para la subestación Mariquita_34.5 B se presentaron 0 alternativas de conexión las cuales se muestran en la siguiente tabla:

Tabla 2-432. Alternativas de conexión presentadas a la subestación Mariquita_34.5 B

Solicitud	Capacidad	Tipo	Barra	FPO solicitada	Restricción

No se priorizó ninguna de las alternativas de conexión presentadas en la subestación Mariquita_34.5 B

El estado de la capacidad por barra en la subestación Mariquita_34.5 B, teniendo en cuenta la priorización se puede observar en la siguiente figura.

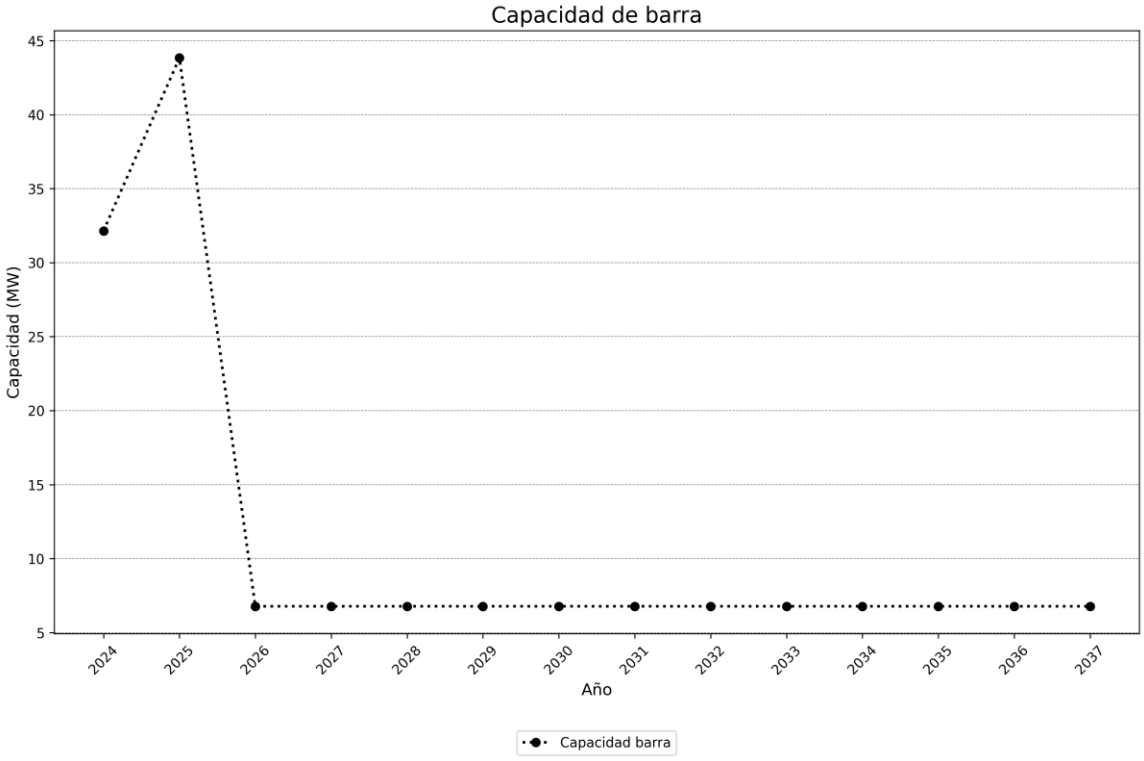


Figura 2-411. Balance de capacidad por barra después de la priorización para la subestación Mariquita_34.5 B

Subestación Marmato 33:

Capacidad por barra:

Para la subestación Marmato 33 se presentaron 1 alternativas de conexión las cuales se muestran en la siguiente tabla:

Tabla 2-433. Alternativas de conexión presentadas a la subestación Marmato 33

Solicitud	Capacidad	Tipo	Barra	FPO solicitada	Restricción
SC_2023_5549_A2	19.9	Solar FV	Marmato 33	2028	NO SATISFACE

No se priorizó ninguna de las alternativas de conexión presentadas en la subestación Marmato 33

El estado de la capacidad por barra en la subestación Marmato 33, teniendo en cuenta la priorización se puede observar en la siguiente figura.

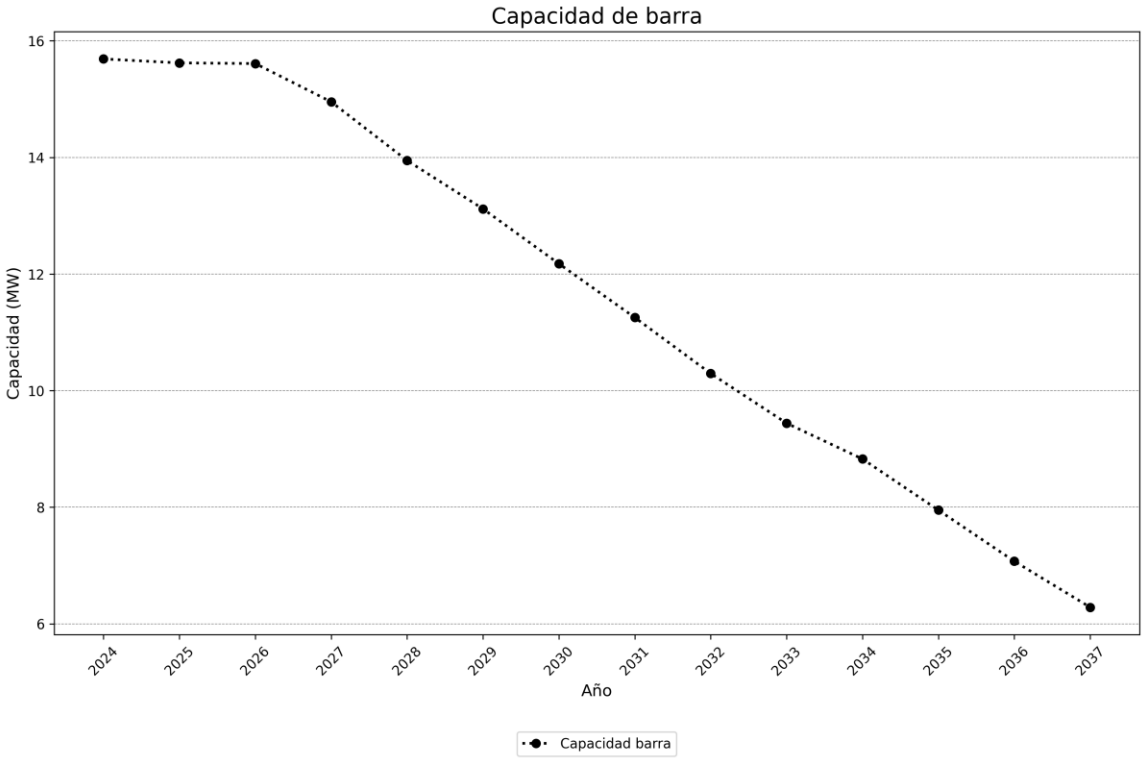


Figura 2-412. Balance de capacidad por barra después de la priorización para la subestación Marmato 33

Subestación Marquetalia 33:

Capacidad por barra:

Para la subestación Marquetalia 33 se presentaron 0 alternativas de conexión las cuales se muestran en la siguiente tabla:

Tabla 2-434. Alternativas de conexión presentadas a la subestación Marquetalia 33

Solicitud	Capacidad	Tipo	Barra	FPO solicitada	Restricción

No se priorizó ninguna de las alternativas de conexión presentadas en la subestación Marquetalia 33

El estado de la capacidad por barra en la subestación Marquetalia 33, teniendo en cuenta la priorización se puede observar en la siguiente figura.

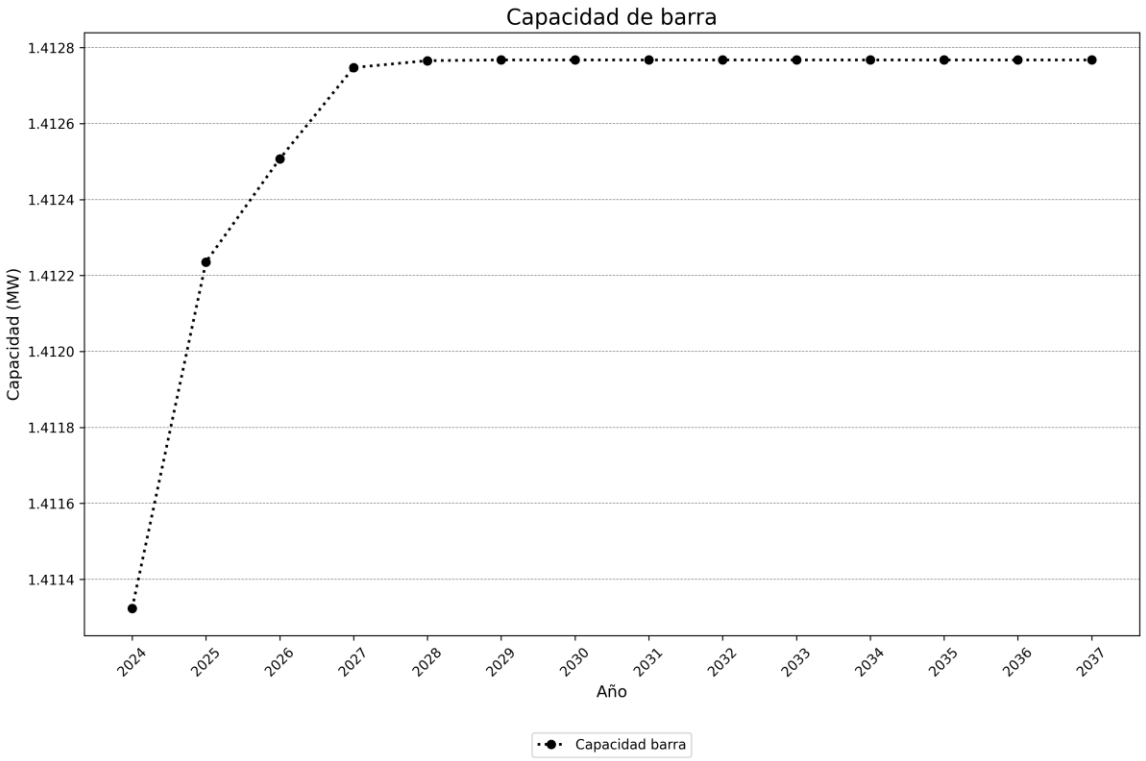


Figura 2-413. Balance de capacidad por barra después de la priorización para la subestación Marquetalia 33

Subestación Marsella 33:

Capacidad por barra:

Para la subestación Marsella 33 se presentaron 0 alternativas de conexión las cuales se muestran en la siguiente tabla:

Tabla 2-435. Alternativas de conexión presentadas a la subestación Marsella 33

Solicitud	Capacidad	Tipo	Barra	FPO solicitada	Restricción

No se priorizó ninguna de las alternativas de conexión presentadas en la subestación Marsella 33

El estado de la capacidad por barra en la subestación Marsella 33, teniendo en cuenta la priorización se puede observar en la siguiente figura.

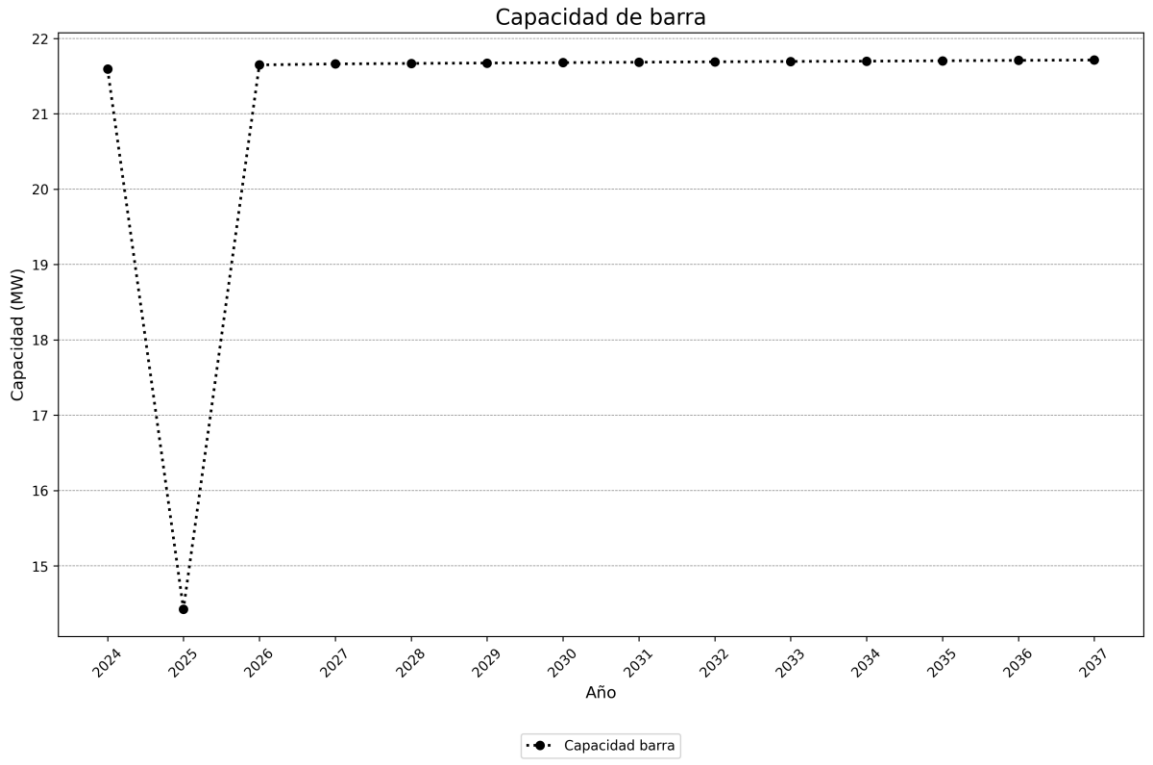


Figura 2-414. Balance de capacidad por barra después de la priorización para la subestación Marsella 33

Subestación Melendez 115:

Capacidad por barra:

Para la subestación Melendez 115 se presentaron 0 alternativas de conexión las cuales se muestran en la siguiente tabla:

Tabla 2-436. Alternativas de conexión presentadas a la subestación Melendez 115

Solicitud	Capacidad	Tipo	Barra	FPO solicitada	Restricción

No se priorizó ninguna de las alternativas de conexión presentadas en la subestación Melendez 115

El estado de la capacidad por barra en la subestación Melendez 115, teniendo en cuenta la priorización se puede observar en la siguiente figura.

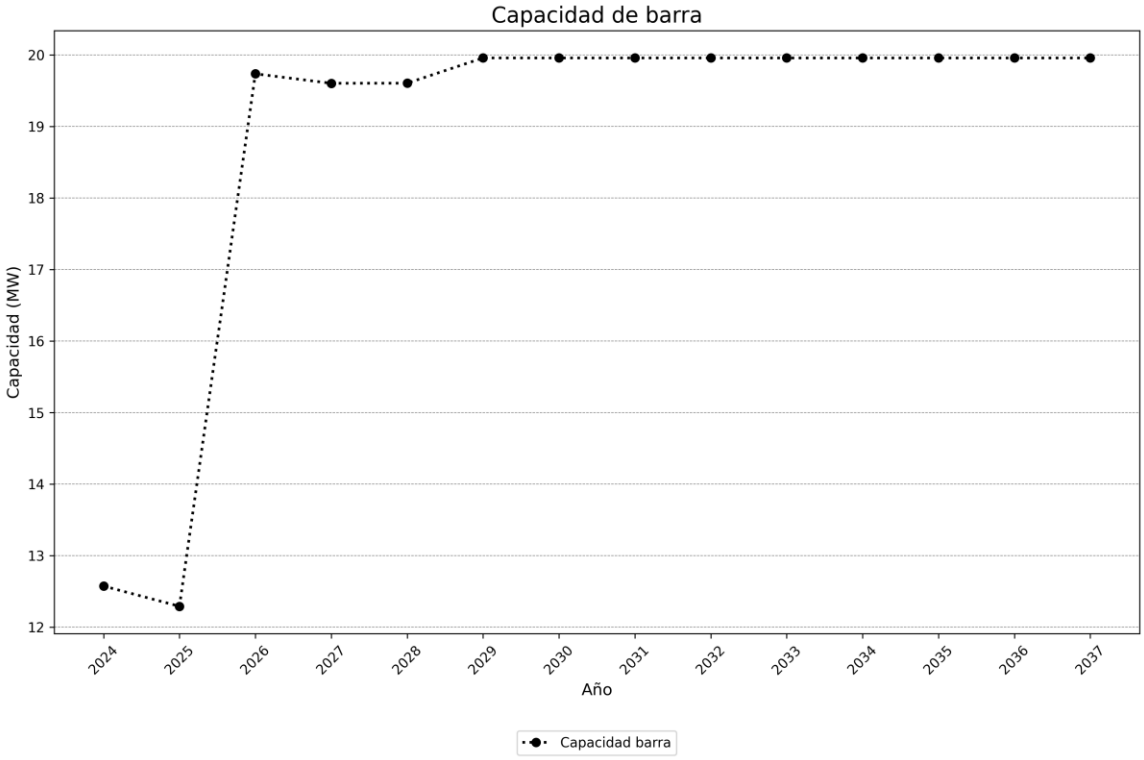


Figura 2-415. Balance de capacidad por barra después de la priorización para la subestación Melendez 115

Capacidad excedente de interrupción de corriente de cortocircuito:

Para la subestación Melendez 115 se presentaron 4 alternativas de conexión las cuales tienen aportes de corriente de cortocircuito. Estas alternativas se muestran en la siguiente tabla:

Tabla 2-437. Alternativas de conexión que aportan corriente de cortocircuito en la subestación Melendez 115

Solicitud	tipo	FPO	Barra a la que aporta CC	Aporte de cortocircuito (kA)	Restricción
SC_2023_5557_A1	Solar FV	2028	Melendez 115	0.083	SATISFACE
SC_2936_A1	Solar FV	2026	Melendez 115	0.000	SATISFACE
SC_2936_A2	Solar FV	2026	Melendez 115	0.000	SATISFACE

SC_3882_A1	Solar FV	2026	Melendez 115	0.081	SATISFACE

No se priorizó ninguna de las alternativas de conexión que tengan aportes de corriente de cortocircuito en la subestación Melendez 115

El estado de la capacidad de cortocircuito en la subestación Melendez 115, teniendo en cuenta la priorización se puede observar en la siguiente figura.

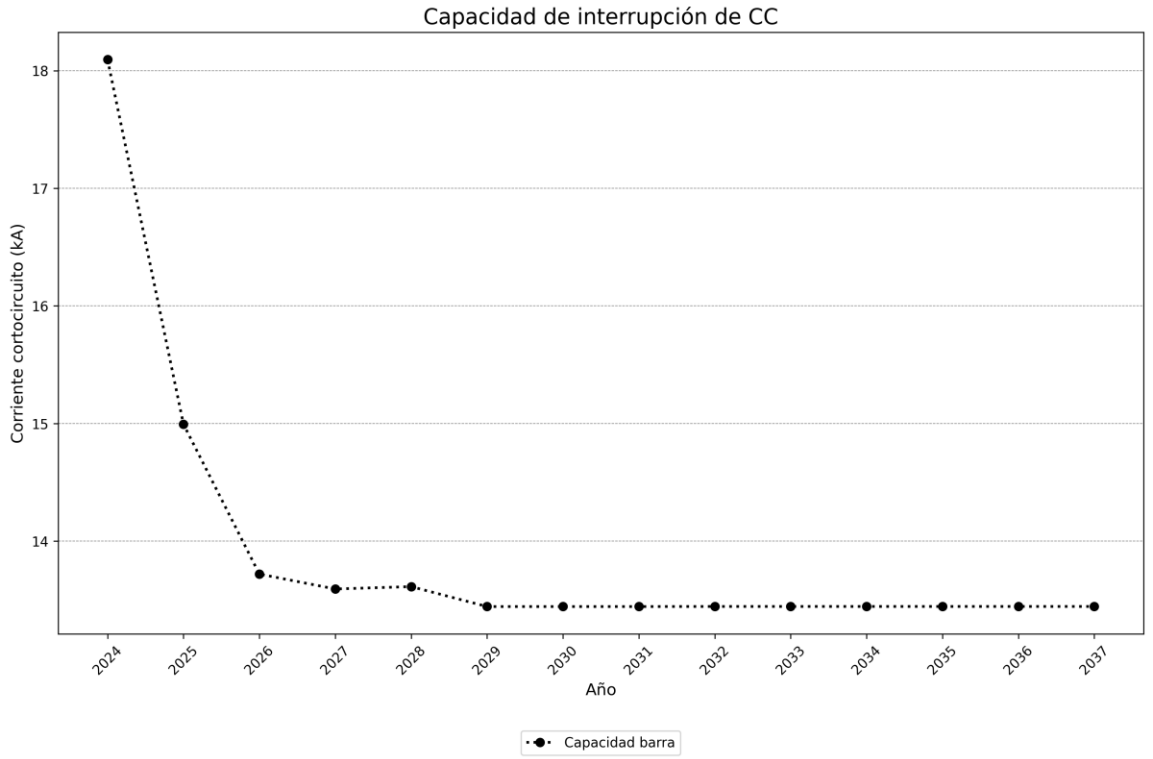


Figura 2-416. Balance de capacidad de cortocircuito después de la priorización para la subestación Melendez 115

Subestación Mesa 220:

Capacidad por barra:

Para la subestación Mesa 220 se presentaron 0 alternativas de conexión las cuales se muestran en la siguiente tabla:

Tabla 2-438. Alternativas de conexión presentadas a la subestación Mesa 220

Solicitud	Capacidad	Tipo	Barra	FPO solicitada	Restricción

No se priorizó ninguna de las alternativas de conexión presentadas en la subestación Mesa 220

El estado de la capacidad por barra en la subestación Mesa 220, teniendo en cuenta la priorización se puede observar en la siguiente figura.

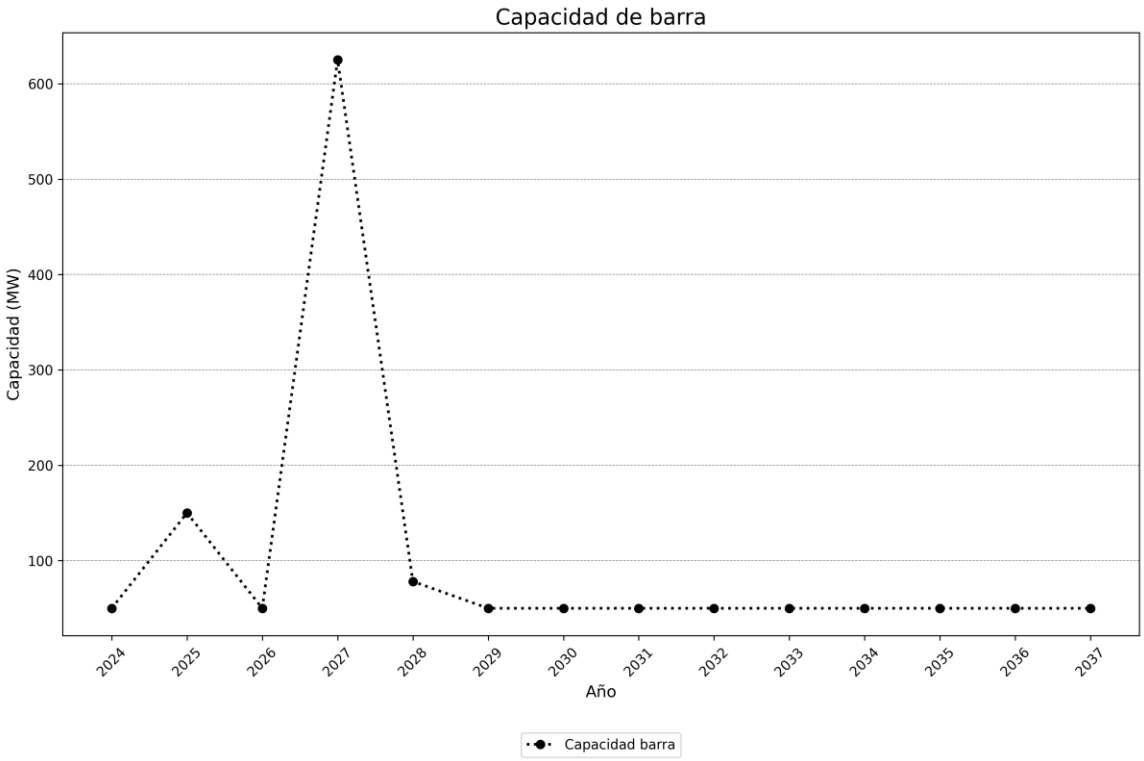


Figura 2-417. Balance de capacidad por barra después de la priorización para la subestación Mesa 220

Capacidad excedente de interrupción de corriente de cortocircuito:

Para la subestación Mesa 220 se presentaron 120 alternativas de conexión las cuales tienen aportes de corriente de cortocircuito. Estas alternativas se muestran en la siguiente tabla:

Tabla 2-439. Alternativas de conexión que aportan corriente de cortocircuito en la subestación Mesa 220

Solicitud	tipo	FPO	Barra a la que aporta CC	Aporte de cortocircuito (kA)	Restricción
SC_2023_5136_A1	Solar FV	2026	Mesa 220	0.031	NO SATISFACE
SC_2023_5136_A2	Solar FV	2026	Mesa 220	0.031	NO SATISFACE
SC_2023_5144_A1	Solar FV	2028	Mesa 220	0.101	NO SATISFACE
SC_2023_5144_A2	Solar FV	2028	Mesa 220	0.093	NO SATISFACE
SC_2023_5150_A1	Solar FV	2028	Mesa 220	0.359	NO SATISFACE
SC_2023_5185_A1	Solar FV	2026	Mesa 220	0.204	NO SATISFACE
SC_2023_5185_A2	Solar FV	2026	Mesa 220	0.246	NO SATISFACE
SC_2023_5188_A1	Solar FV	2026	Mesa 220	0.066	NO SATISFACE
SC_2023_5188_A2	Solar FV	2026	Mesa 220	0.063	NO SATISFACE
SC_2023_5200_A1	Solar FV	2028	Mesa 220	0.192	NO SATISFACE
SC_2023_5200_A2	Solar FV	2028	Mesa 220	0.171	NO SATISFACE
SC_2023_5252_A1	Solar FV	2028	Mesa 220	0.048	NO SATISFACE
SC_2023_5252_A2	Solar FV	2028	Mesa 220	0.011	NO SATISFACE
SC_2023_5256_A2	Solar FV	2028	Mesa 220	0.067	NO SATISFACE
SC_2023_5280_A1	Solar FV	2028	Mesa 220	0.149	NO SATISFACE
SC_2023_5280_A2	Solar FV	2028	Mesa 220	0.118	NO SATISFACE
SC_2023_5287_A1	Solar FV	2026	Mesa 220	0.066	NO SATISFACE
SC_2023_5287_A2	Solar FV	2026	Mesa 220	0.067	NO SATISFACE
SC_2023_5288_A1	Solar FV	2026	Mesa 220	0.037	NO SATISFACE
SC_2023_5288_A2	Solar FV	2026	Mesa 220	0.098	NO SATISFACE
SC_2023_5294_A1	Solar FV	2029	Mesa 220	0.036	NO SATISFACE
SC_2023_5294_A2	Solar FV	2029	Mesa 220	0.035	NO SATISFACE
SC_2023_5337_A2	Solar FV	2025	Mesa 220	0.240	NO SATISFACE
SC_2023_5339_A1	PCH	2026	Mesa 220	0.001	NO SATISFACE
SC_2023_5339_A2	PCH	2026	Mesa 220	0.001	NO SATISFACE
SC_2023_5345_A1	Solar FV	2027	Mesa 220	0.003	NO SATISFACE
SC_2023_5345_A2	Solar FV	2027	Mesa 220	0.004	NO SATISFACE
SC_2023_5346_A1	Solar FV	2027	Mesa 220	0.003	NO SATISFACE
SC_2023_5346_A2	Solar FV	2027	Mesa 220	0.004	NO SATISFACE
SC_2023_5375_A1	Solar FV	2026	Mesa 220	0.065	NO SATISFACE

SC_2023_5399_A1	Solar FV	2026	Mesa 220	0.037	NO SATISFACE
SC_2023_5399_A2	Solar FV	2026	Mesa 220	0.098	NO SATISFACE
SC_2023_5431_A1	Solar FV	2028	Mesa 220	0.002	NO SATISFACE
SC_2023_5431_A2	Solar FV	2028	Mesa 220	0.002	NO SATISFACE
SC_2023_5480_A1	Solar FV	2026	Mesa 220	0.066	NO SATISFACE
SC_2023_5480_A2	Solar FV	2026	Mesa 220	0.067	NO SATISFACE
SC_2023_5551_A1	Solar FV	2027	Mesa 220	0.172	NO SATISFACE
SC_2023_5551_A2	Solar FV	2027	Mesa 220	0.154	NO SATISFACE
SC_2023_5557_A1	Solar FV	2028	Mesa 220	0.295	NO SATISFACE
SC_2347_A1	Solar FV	2026	Mesa 220	0.010	NO SATISFACE
SC_2347_A2	Solar FV	2026	Mesa 220	0.010	NO SATISFACE
SC_2348_A1	Solar FV	2026	Mesa 220	0.010	NO SATISFACE
SC_2348_A2	Solar FV	2026	Mesa 220	0.010	NO SATISFACE
SC_2438_A1	Solar FV	2028	Mesa 220	0.002	NO SATISFACE
SC_2438_A2	Solar FV	2028	Mesa 220	0.034	NO SATISFACE
SC_2442_A1	Solar FV	2027	Mesa 220	0.002	NO SATISFACE
SC_2442_A2	Solar FV	2027	Mesa 220	0.002	NO SATISFACE
SC_2629_A1	Solar FV	2026	Mesa 220	0.002	NO SATISFACE
SC_2629_A2	Solar FV	2026	Mesa 220	0.002	NO SATISFACE
SC_2634_A1	Solar FV	2026	Mesa 220	0.002	NO SATISFACE
SC_2634_A2	Solar FV	2026	Mesa 220	0.002	NO SATISFACE
SC_2722_A1	Solar FV	2026	Mesa 220	0.001	NO SATISFACE
SC_2722_A2	Solar FV	2026	Mesa 220	0.001	NO SATISFACE
SC_2802_A1	Solar FV	2027	Mesa 220	0.031	NO SATISFACE
SC_2802_A2	Solar FV	2027	Mesa 220	0.021	NO SATISFACE
SC_2816_A1	Solar FV	2027	Mesa 220	0.050	NO SATISFACE
SC_2870_A1	Solar FV	2027	Mesa 220	0.010	NO SATISFACE
SC_2870_A2	Solar FV	2027	Mesa 220	0.050	NO SATISFACE
SC_2924_A1	Solar FV	2026	Mesa 220	0.163	NO SATISFACE
SC_2924_A2	Solar FV	2026	Mesa 220	0.197	NO SATISFACE
SC_2936_A1	Solar FV	2026	Mesa 220	0.000	NO SATISFACE
SC_2936_A2	Solar FV	2026	Mesa 220	0.000	NO SATISFACE
SC_2967_A1	Solar FV	2026	Mesa 220	0.002	NO SATISFACE
SC_2967_A2	Solar FV	2026	Mesa 220	0.002	NO SATISFACE
SC_3012_A1	Solar FV	2027	Mesa 220	0.100	NO SATISFACE
SC_3012_A2	Solar FV	2027	Mesa 220	0.030	NO SATISFACE
SC_3018_A1	Solar FV	2026	Mesa 220	0.010	NO SATISFACE
SC_3018_A2	Solar FV	2026	Mesa 220	0.010	NO SATISFACE
SC_3101_A1	Solar FV	2027	Mesa 220	0.054	NO SATISFACE
SC_3101_A2	Solar FV	2027	Mesa 220	0.030	NO SATISFACE

SC_3121_A1	Solar FV	2026	Mesa 220	0.010	NO SATISFACE
SC_3121_A2	Solar FV	2026	Mesa 220	0.010	NO SATISFACE
SC_3132_A1	Solar FV	2026	Mesa 220	0.163	NO SATISFACE
SC_3132_A2	Solar FV	2026	Mesa 220	0.120	NO SATISFACE
SC_3238_A1	Solar FV	2027	Mesa 220	0.331	NO SATISFACE
SC_3238_A2	Solar FV	2027	Mesa 220	0.330	NO SATISFACE
SC_3247_A1	Solar FV	2027	Mesa 220	0.360	NO SATISFACE
SC_3247_A2	Solar FV	2027	Mesa 220	0.208	NO SATISFACE
SC_3248_A1	Solar FV	2027	Mesa 220	0.331	NO SATISFACE
SC_3248_A2	Solar FV	2027	Mesa 220	0.330	NO SATISFACE
SC_3433_A2	Solar FV	2027	Mesa 220	0.000	SATISFACE
SC_3441_A1	Solar FV	2027	Mesa 220	0.360	NO SATISFACE
SC_3441_A2	Solar FV	2027	Mesa 220	0.208	NO SATISFACE
SC_3453_A1	Solar FV	2027	Mesa 220	0.015	NO SATISFACE
SC_3453_A2	Solar FV	2027	Mesa 220	0.015	NO SATISFACE
SC_3514_A1	Solar FV	2027	Mesa 220	0.015	NO SATISFACE
SC_3514_A2	Solar FV	2027	Mesa 220	0.015	NO SATISFACE
SC_3578_A1	Solar FV	2028	Mesa 220	0.010	NO SATISFACE
SC_3578_A2	Solar FV	2028	Mesa 220	0.009	NO SATISFACE
SC_3667_A1	Solar FV	2029	Mesa 220	0.004	NO SATISFACE
SC_3667_A2	Solar FV	2029	Mesa 220	0.003	NO SATISFACE
SC_3882_A1	Solar FV	2026	Mesa 220	0.296	NO SATISFACE
SC_4083_A1	Solar FV	2027	Mesa 220	0.003	NO SATISFACE
SC_4083_A2	Solar FV	2027	Mesa 220	0.002	NO SATISFACE
SC_4296_A1	Solar FV	2028	Mesa 220	0.101	NO SATISFACE
SC_4296_A2	Solar FV	2028	Mesa 220	0.107	NO SATISFACE
SC_4765_A1	Solar FV	2029	Mesa 220	0.051	NO SATISFACE
SC_4765_A2	Solar FV	2029	Mesa 220	0.024	NO SATISFACE
SC_4809_A1	Solar FV	2027	Mesa 220	0.051	NO SATISFACE
SC_4809_A2	Solar FV	2027	Mesa 220	0.251	NO SATISFACE
SC_4819_A1	Solar FV	2029	Mesa 220	0.282	NO SATISFACE
SC_4819_A2	Solar FV	2029	Mesa 220	0.232	NO SATISFACE
SC_4824_A1	Solar FV	2025	Mesa 220	0.000	SATISFACE
SC_4824_A2	Solar FV	2025	Mesa 220	0.000	SATISFACE
SC_4826_A1	Solar FV	2027	Mesa 220	0.019	NO SATISFACE
SC_4826_A2	Solar FV	2027	Mesa 220	0.019	NO SATISFACE
SC_4827_A1	Solar FV	2027	Mesa 220	0.019	NO SATISFACE
SC_4827_A2	Solar FV	2027	Mesa 220	0.019	NO SATISFACE
SC_4842_A1	Solar FV	2028	Mesa 220	0.359	NO SATISFACE
SC_4910_A1	Solar FV	2026	Mesa 220	0.030	NO SATISFACE

SC_4910_A2	Solar FV	2026	Mesa 220	0.030	NO SATISFACE
SC_4947_A1	Solar FV	2027	Mesa 220	0.027	NO SATISFACE
SC_4960_A2	Solar FV	2029	Mesa 220	0.093	NO SATISFACE
SC_4974_A1	Solar FV	2026	Mesa 220	0.014	NO SATISFACE
SC_4974_A2	Solar FV	2026	Mesa 220	0.013	NO SATISFACE
SC_4978_A1	Solar FV	2026	Mesa 220	0.000	NO SATISFACE
SC_4978_A2	Solar FV	2026	Mesa 220	0.011	NO SATISFACE
SC_5060_A1	Solar FV	2026	Mesa 220	0.030	NO SATISFACE
SC_5060_A2	Solar FV	2026	Mesa 220	0.030	NO SATISFACE
SC_5087_A2	Solar FV	2027	Mesa 220	0.060	NO SATISFACE

No se priorizó ninguna de las alternativas de conexión que tengan aportes de corriente de cortocircuito en la subestación Mesa 220

El estado de la capacidad de cortocircuito en la subestación Mesa 220, teniendo en cuenta la priorización se puede observar en la siguiente figura.

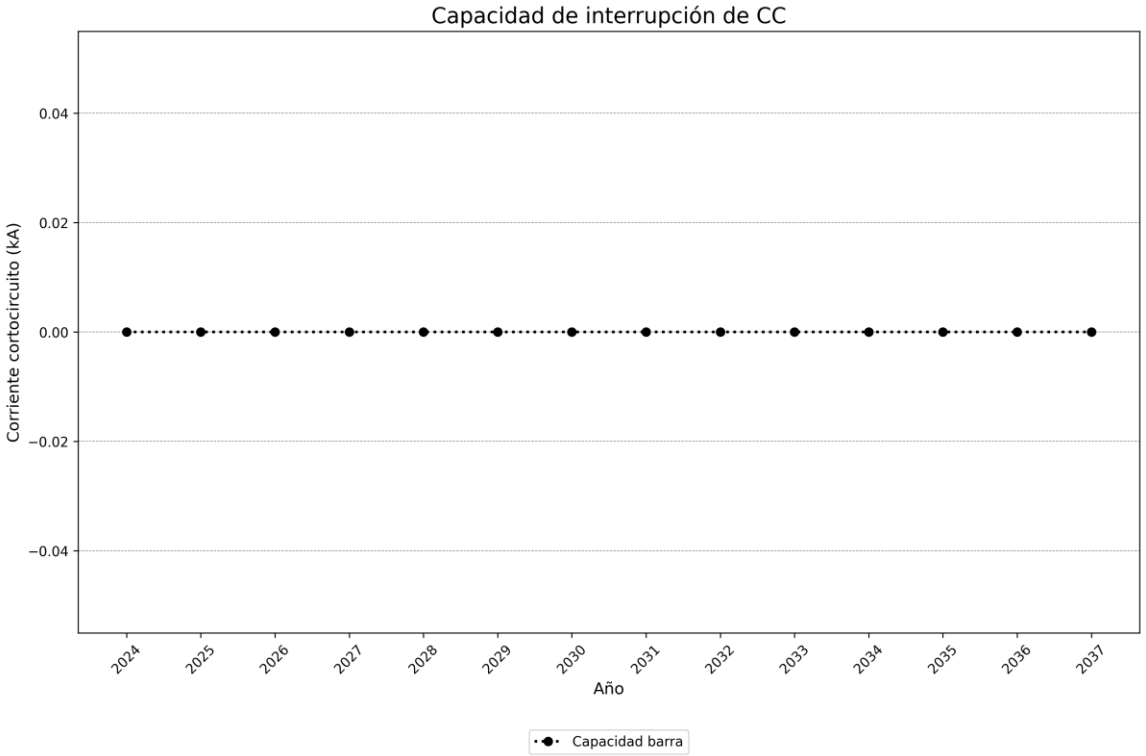


Figura 2-418. Balance de capacidad de cortocircuito después de la priorización para la subestación Mesa 220

Subestación Miraflores 110:

Capacidad por barra:

Para la subestación Miraflores 110 se presentaron 0 alternativas de conexión las cuales se muestran en la siguiente tabla:

Tabla 2-440. Alternativas de conexión presentadas a la subestación Miraflores 110

Solicitud	Capacidad	Tipo	Barra	FPO solicitada	Restricción

No se priorizó ninguna de las alternativas de conexión presentadas en la subestación Miraflores 110

El estado de la capacidad por barra en la subestación Miraflores 110, teniendo en cuenta la priorización se puede observar en la siguiente figura.

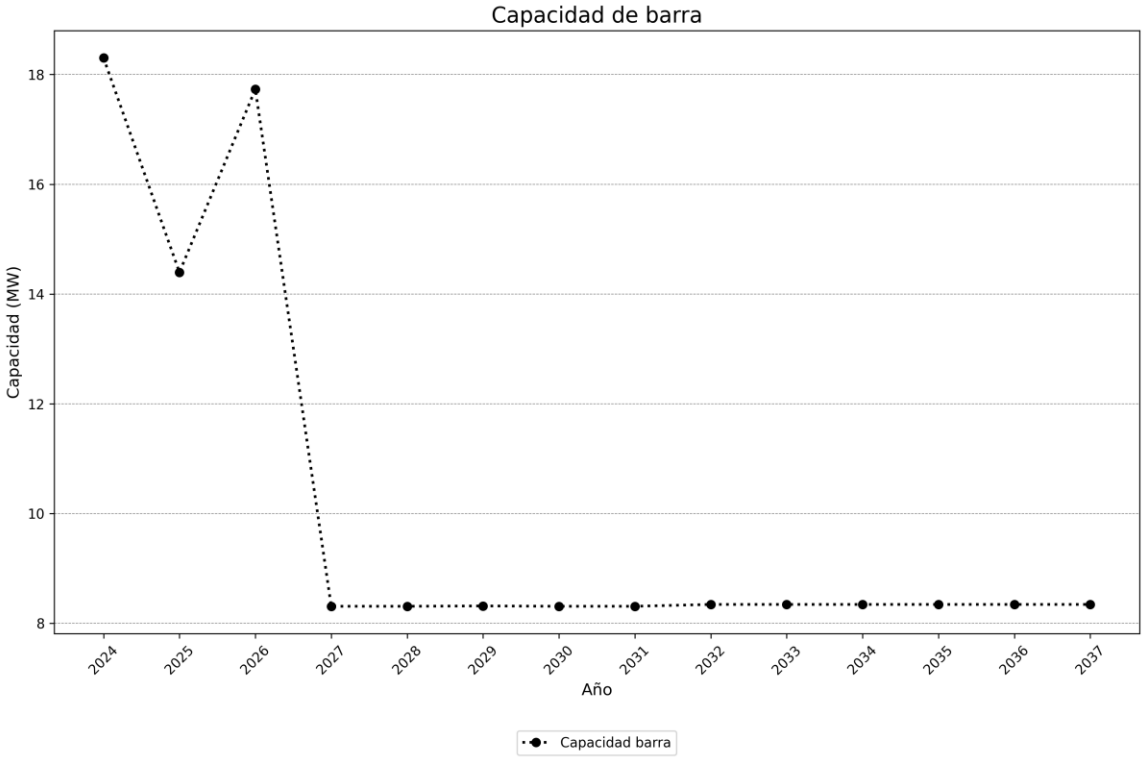


Figura 2-419. Balance de capacidad por barra después de la priorización para la subestación Miraflores 110

Capacidad excedente de interrupción de corriente de cortocircuito:

Para la subestación Miraflores 110 se presentaron 1 alternativas de conexión las cuales tienen aportes de corriente de cortocircuito. Estas alternativas se muestran en la siguiente tabla:

Tabla 2-441. Alternativas de conexión que aportan corriente de cortocircuito en la subestación Miraflores 110

Solicitud	tipo	FPO	Barra a la que aporta CC	Aporte de cortocircuito (kA)	Restricción
SC_3331_A1	Solar FV	2026	Miraflores 110	0.166	SATISFACE

No se priorizó ninguna de las alternativas de conexión que tengan aportes de corriente de cortocircuito en la subestación Miraflores 110

El estado de la capacidad de cortocircuito en la subestación Miraflores 110, teniendo en cuenta la priorización se puede observar en la siguiente figura.

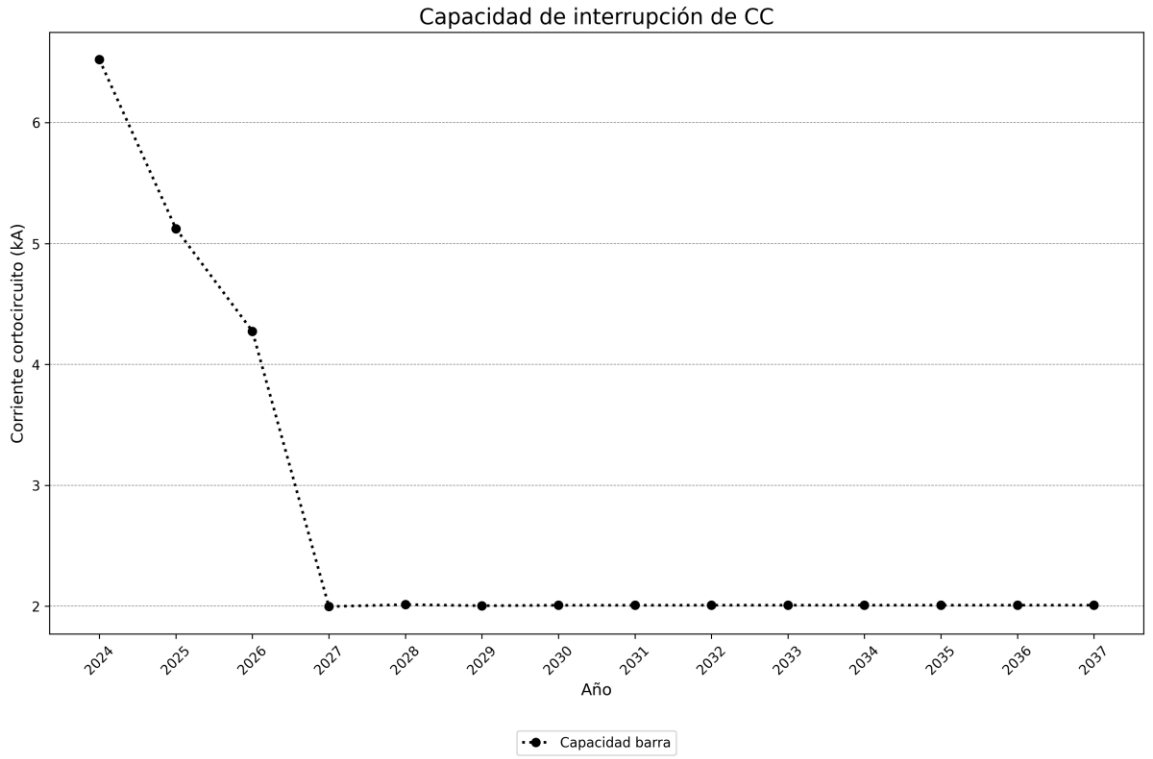


Figura 2-420. Balance de capacidad de cortocircuito después de la priorización para la subestación Miraflores 110

Subestación Miraflores 220:

Capacidad por barra:

Para la subestación Miraflores 220 se presentaron 0 alternativas de conexión las cuales se muestran en la siguiente tabla:

Tabla 2-442. Alternativas de conexión presentadas a la subestación Miraflores 220

Solicitud	Capacidad	Tipo	Barra	FPO solicitada	Restricción

No se priorizó ninguna de las alternativas de conexión presentadas en la subestación Miraflores 220

El estado de la capacidad por barra en la subestación Miraflores 220, teniendo en cuenta la priorización se puede observar en la siguiente figura.

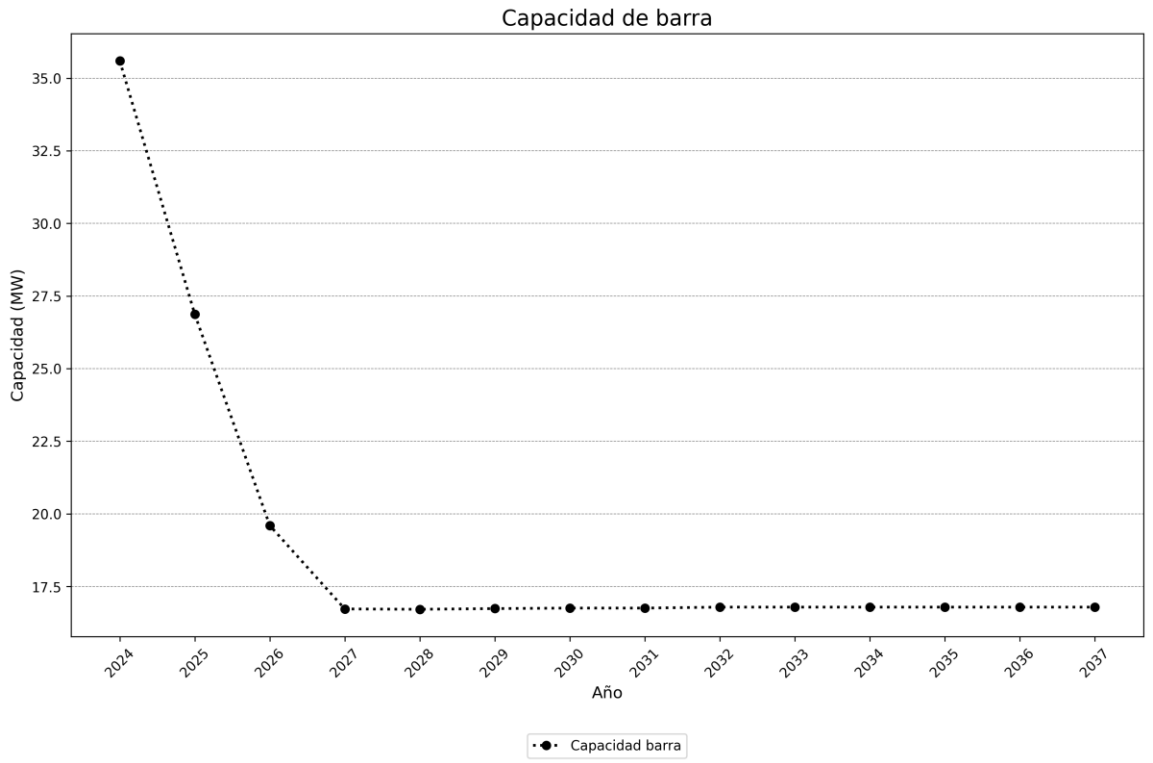


Figura 2-421. Balance de capacidad por barra después de la priorización para la subestación Miraflores 220

Capacidad excedente de interrupción de corriente de cortocircuito:

Para la subestación Miraflores 220 se presentaron 1 alternativas de conexión las cuales tienen aportes de corriente de cortocircuito. Estas alternativas se muestran en la siguiente tabla:

Tabla 2-443. Alternativas de conexión que aportan corriente de cortocircuito en la subestación Miraflores 220

Solicitud	tipo	FPO	Barra a la que aporta CC	Aporte de cortocircuito (kA)	Restricción
SC_3331_A1	Solar FV	2026	Miraflores 220	0.101	SATISFACE

No se priorizó ninguna de las alternativas de conexión que tengan aportes de corriente de cortocircuito en la subestación Miraflores 220

El estado de la capacidad de cortocircuito en la subestación Miraflores 220, teniendo en cuenta la priorización se puede observar en la siguiente figura.

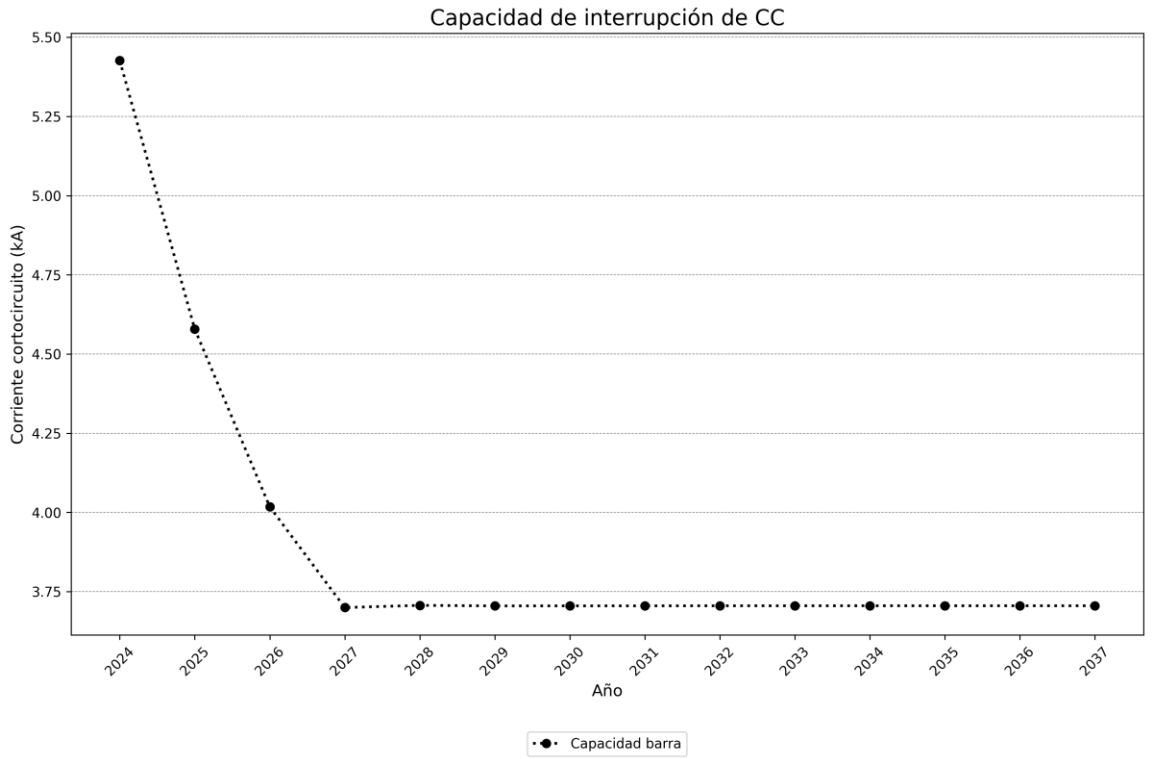


Figura 2-422. Balance de capacidad de cortocircuito después de la priorización para la subestación Miraflores 220

Subestación Mirolindo 115:

Capacidad por barra:

Para la subestación Mirolindo 115 se presentaron 0 alternativas de conexión las cuales se muestran en la siguiente tabla:

Tabla 2-444. Alternativas de conexión presentadas a la subestación Mirolindo 115

Solicitud	Capacidad	Tipo	Barra	FPO solicitada	Restricción

No se priorizó ninguna de las alternativas de conexión presentadas en la subestación Mirolindo 115

El estado de la capacidad por barra en la subestación Mirolindo 115, teniendo en cuenta la priorización se puede observar en la siguiente figura.

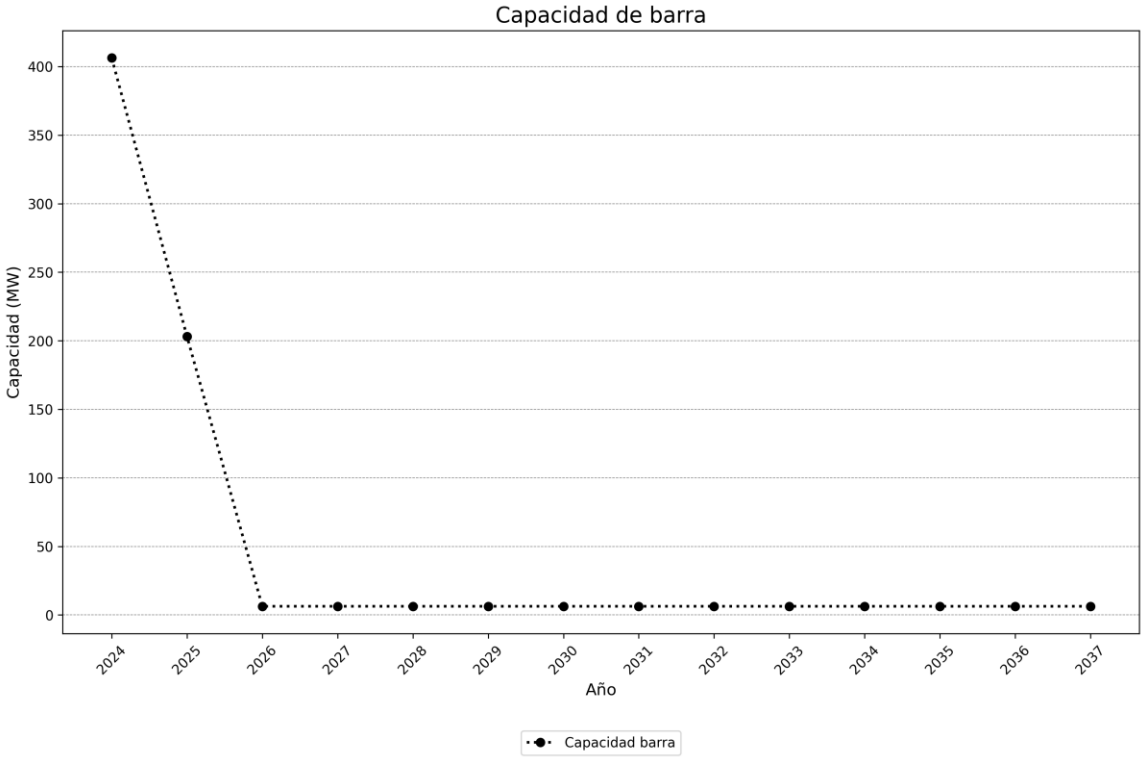


Figura 2-423. Balance de capacidad por barra después de la priorización para la subestación Mirolindo 115

Capacidad excedente de interrupción de corriente de cortocircuito:

Para la subestación Mirolindo 115 se presentaron 23 alternativas de conexión las cuales tienen aportes de corriente de cortocircuito. Estas alternativas se muestran en la siguiente tabla:

Tabla 2-445. Alternativas de conexión que aportan corriente de cortocircuito en la subestación Mirolindo 115

Solicitud	tipo	FPO	Barra a la que aporta CC	Aporte de cortocircuito (kA)	Restricción
SC_2023_5280_A1	Solar FV	2028	Mirolindo 115	0.048	SATISFACE
SC_2023_5280_A2	Solar FV	2028	Mirolindo 115	0.043	SATISFACE
SC_2023_5557_A1	Solar FV	2028	Mirolindo 115	0.097	SATISFACE

SC_2816_A1	Solar FV	2027	Mirolindo 115	0.000	SATISFACE
SC_2870_A1	Solar FV	2027	Mirolindo 115	0.000	SATISFACE
SC_2870_A2	Solar FV	2027	Mirolindo 115	0.000	SATISFACE
SC_2936_A1	Solar FV	2026	Mirolindo 115	0.000	SATISFACE
SC_2936_A2	Solar FV	2026	Mirolindo 115	0.000	SATISFACE
SC_3121_A1	Solar FV	2026	Mirolindo 115	0.003	SATISFACE
SC_3121_A2	Solar FV	2026	Mirolindo 115	0.003	SATISFACE
SC_3132_A1	Solar FV	2026	Mirolindo 115	0.053	SATISFACE
SC_3132_A2	Solar FV	2026	Mirolindo 115	0.045	SATISFACE
SC_3882_A1	Solar FV	2026	Mirolindo 115	0.094	SATISFACE
SC_4083_A1	Solar FV	2027	Mirolindo 115	0.000	SATISFACE
SC_4083_A2	Solar FV	2027	Mirolindo 115	0.000	SATISFACE
SC_4765_A1	Solar FV	2029	Mirolindo 115	0.002	SATISFACE
SC_4765_A2	Solar FV	2029	Mirolindo 115	0.001	SATISFACE
SC_4819_A1	Solar FV	2029	Mirolindo 115	0.095	SATISFACE
SC_4819_A2	Solar FV	2029	Mirolindo 115	0.084	SATISFACE
SC_4974_A1	Solar FV	2026	Mirolindo 115	0.005	SATISFACE
SC_4974_A2	Solar FV	2026	Mirolindo 115	0.005	SATISFACE
SC_4978_A1	Solar FV	2026	Mirolindo 115	0.000	SATISFACE
SC_4978_A2	Solar FV	2026	Mirolindo 115	0.004	SATISFACE

No se priorizó ninguna de las alternativas de conexión que tengan aportes de corriente de cortocircuito en la subestación Mirolindo 115

El estado de la capacidad de cortocircuito en la subestación Mirolindo 115, teniendo en cuenta la priorización se puede observar en la siguiente figura.

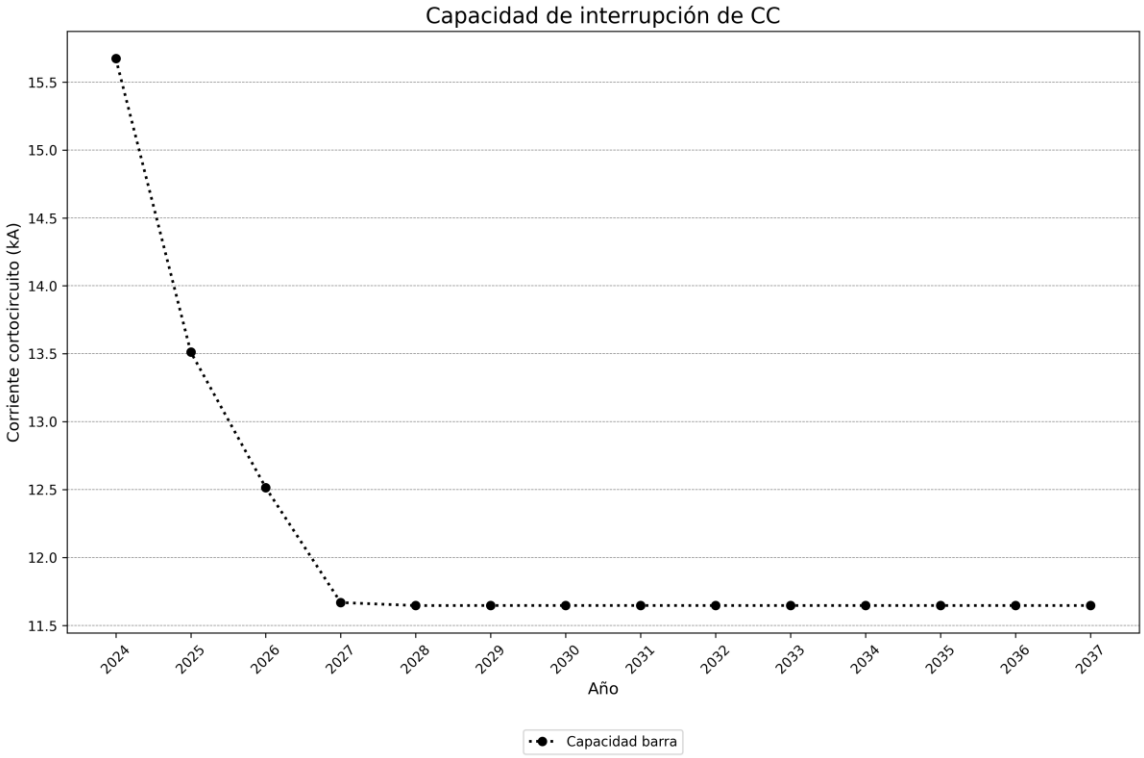


Figura 2-424. Balance de capacidad de cortocircuito después de la priorización para la subestación Mirolindo 115

Subestación Mirolindo 220:

Capacidad por barra:

Para la subestación Mirolindo 220 se presentaron 0 alternativas de conexión las cuales se muestran en la siguiente tabla:

Tabla 2-446. Alternativas de conexión presentadas a la subestación Mirolindo 220

Solicitud	Capacidad	Tipo	Barra	FPO solicitada	Restricción

No se priorizó ninguna de las alternativas de conexión presentadas en la subestación Mirolindo 220

El estado de la capacidad por barra en la subestación Mirolindo 220, teniendo en cuenta la priorización se puede observar en la siguiente figura.

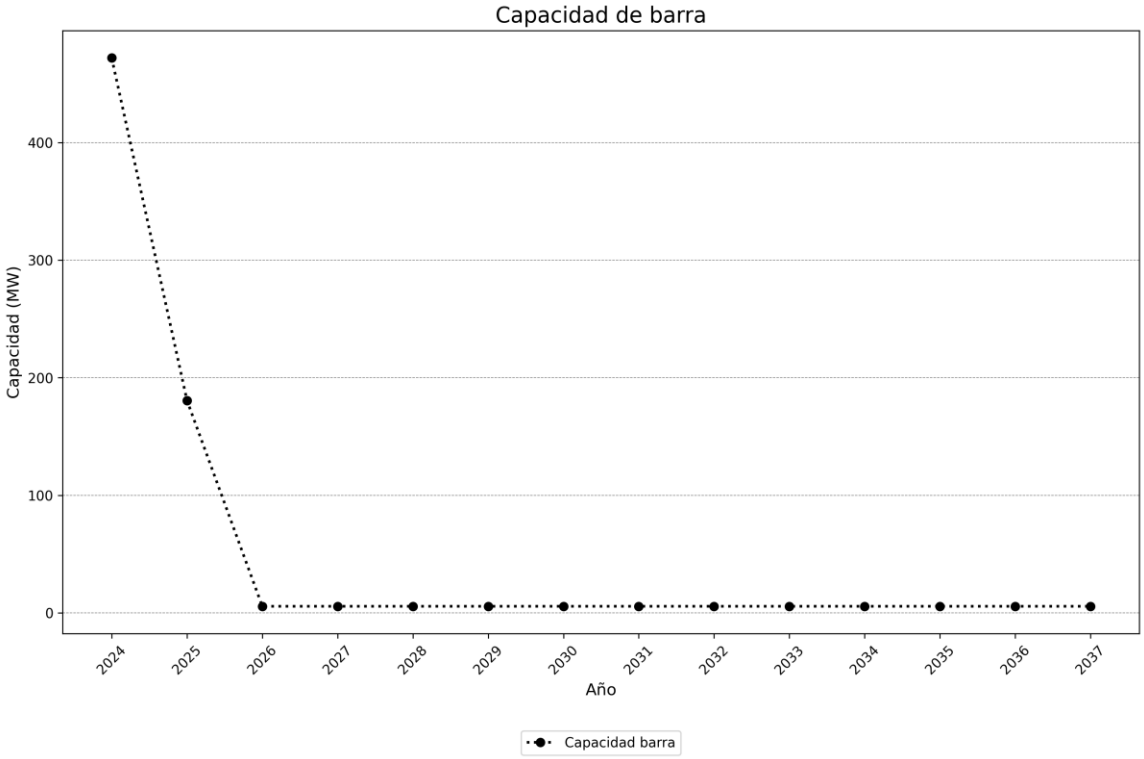


Figura 2-425. Balance de capacidad por barra después de la priorización para la subestación Mirolindo 220

Capacidad excedente de interrupción de corriente de cortocircuito:

Para la subestación Mirolindo 220 se presentaron 30 alternativas de conexión las cuales tienen aportes de corriente de cortocircuito. Estas alternativas se muestran en la siguiente tabla:

Tabla 2-447. Alternativas de conexión que aportan corriente de cortocircuito en la subestación Mirolindo 220

Solicitud	tipo	FPO	Barra a la que aporta CC	Aporte de cortocircuito (kA)	Restricción
SC_2023_5280_A1	Solar FV	2028	Mirolindo 220	0.036	SATISFACE
SC_2023_5280_A2	Solar FV	2028	Mirolindo 220	0.032	SATISFACE
SC_2023_5287_A1	Solar FV	2026	Mirolindo 220	0.018	SATISFACE
SC_2023_5287_A2	Solar FV	2026	Mirolindo 220	0.018	SATISFACE
SC_2023_5288_A1	Solar FV	2026	Mirolindo 220	0.010	SATISFACE
SC_2023_5288_A2	Solar FV	2026	Mirolindo 220	0.027	SATISFACE
SC_2023_5375_A1	Solar FV	2026	Mirolindo 220	0.018	SATISFACE
SC_2023_5399_A1	Solar FV	2026	Mirolindo 220	0.010	SATISFACE
SC_2023_5399_A2	Solar FV	2026	Mirolindo 220	0.027	SATISFACE
SC_2023_5480_A1	Solar FV	2026	Mirolindo 220	0.018	SATISFACE
SC_2023_5480_A2	Solar FV	2026	Mirolindo 220	0.018	SATISFACE
SC_2023_5557_A1	Solar FV	2028	Mirolindo 220	0.076	SATISFACE
SC_2816_A1	Solar FV	2027	Mirolindo 220	0.010	SATISFACE
SC_2870_A1	Solar FV	2027	Mirolindo 220	0.000	SATISFACE
SC_2870_A2	Solar FV	2027	Mirolindo 220	0.000	SATISFACE
SC_2936_A1	Solar FV	2026	Mirolindo 220	0.000	SATISFACE
SC_2936_A2	Solar FV	2026	Mirolindo 220	0.000	SATISFACE
SC_3132_A1	Solar FV	2026	Mirolindo 220	0.041	SATISFACE
SC_3132_A2	Solar FV	2026	Mirolindo 220	0.033	SATISFACE
SC_3882_A1	Solar FV	2026	Mirolindo 220	0.074	SATISFACE
SC_4083_A1	Solar FV	2027	Mirolindo 220	0.000	SATISFACE
SC_4083_A2	Solar FV	2027	Mirolindo 220	0.000	SATISFACE
SC_4765_A1	Solar FV	2029	Mirolindo 220	0.003	SATISFACE
SC_4765_A2	Solar FV	2029	Mirolindo 220	0.001	SATISFACE
SC_4819_A1	Solar FV	2029	Mirolindo 220	0.072	SATISFACE
SC_4819_A2	Solar FV	2029	Mirolindo 220	0.062	SATISFACE
SC_4974_A1	Solar FV	2026	Mirolindo 220	0.005	SATISFACE
SC_4974_A2	Solar FV	2026	Mirolindo 220	0.005	SATISFACE
SC_4978_A1	Solar FV	2026	Mirolindo 220	0.000	SATISFACE
SC_4978_A2	Solar FV	2026	Mirolindo 220	0.003	SATISFACE

No se priorizó ninguna de las alternativas de conexión que tengan aportes de corriente de cortocircuito en la subestación Mirolindo 220

El estado de la capacidad de cortocircuito en la subestación Mirolindo 220, teniendo en cuenta la priorización se puede observar en la siguiente figura.

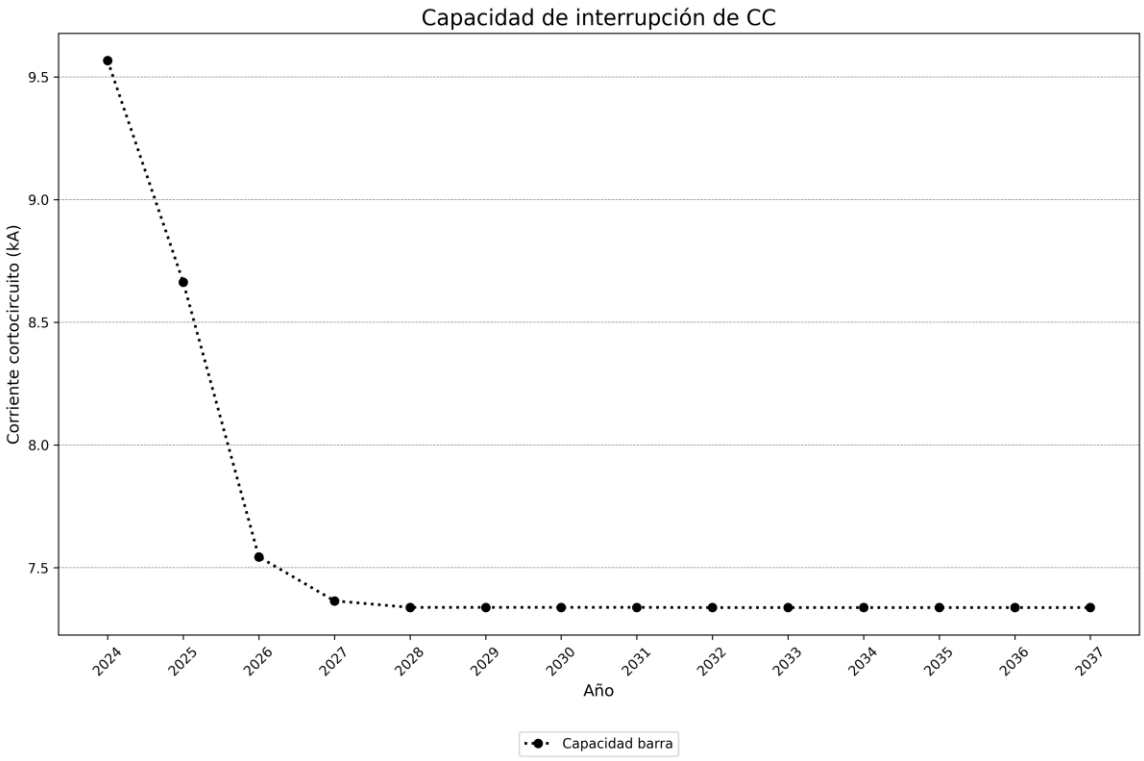


Figura 2-426. Balance de capacidad de cortocircuito después de la priorización para la subestación Mirolindo 220

Subestación Mistrato 33:

Capacidad por barra:

Para la subestación Mistrato 33 se presentaron 0 alternativas de conexión las cuales se muestran en la siguiente tabla:

Tabla 2-448. Alternativas de conexión presentadas a la subestación Mistrato 33

Solicitud	Capacidad	Tipo	Barra	FPO solicitada	Restricción

No se priorizó ninguna de las alternativas de conexión presentadas en la subestación Mistrato 33

El estado de la capacidad por barra en la subestación Mistrato 33, teniendo en cuenta la priorización se puede observar en la siguiente figura.

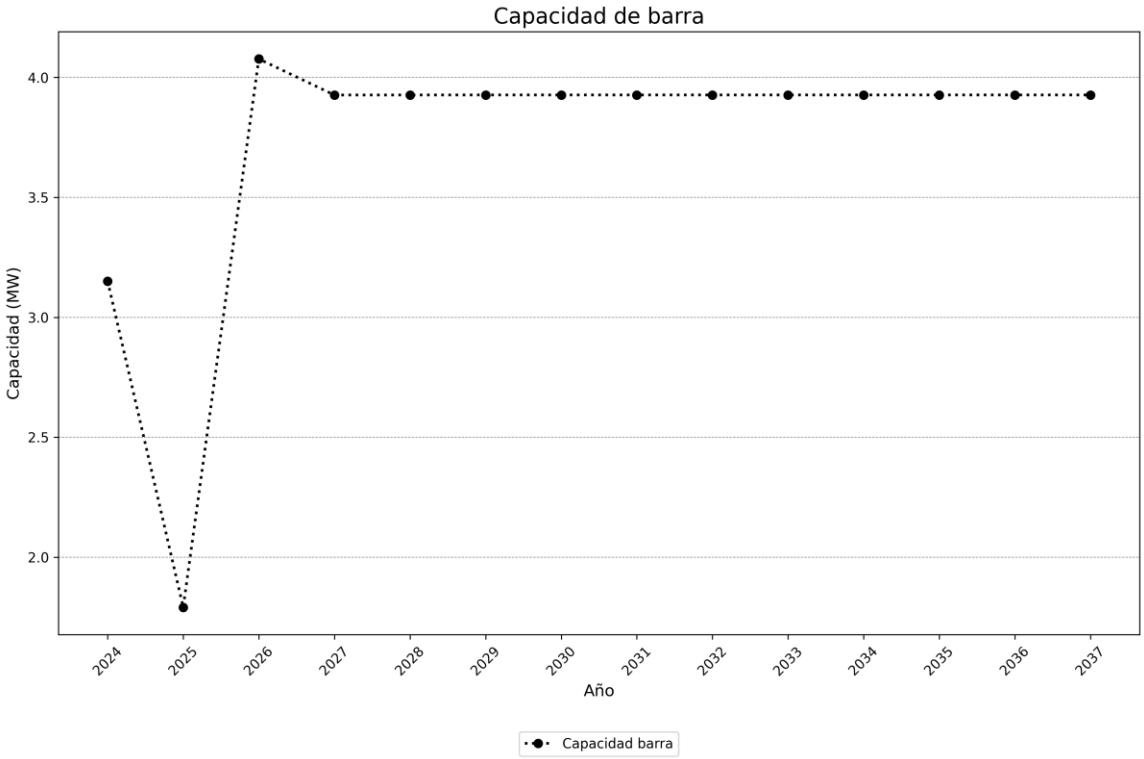


Figura 2-427. Balance de capacidad por barra después de la priorización para la subestación Mistrato 33

Subestación Molinos 115:

Capacidad por barra:

Para la subestación Molinos 115 se presentaron 0 alternativas de conexión las cuales se muestran en la siguiente tabla:

Tabla 2-449. Alternativas de conexión presentadas a la subestación Molinos 115

Solicitud	Capacidad	Tipo	Barra	FPO solicitada	Restricción

No se priorizó ninguna de las alternativas de conexión presentadas en la subestación Molinos 115

El estado de la capacidad por barra en la subestación Molinos 115, teniendo en cuenta la priorización se puede observar en la siguiente figura.

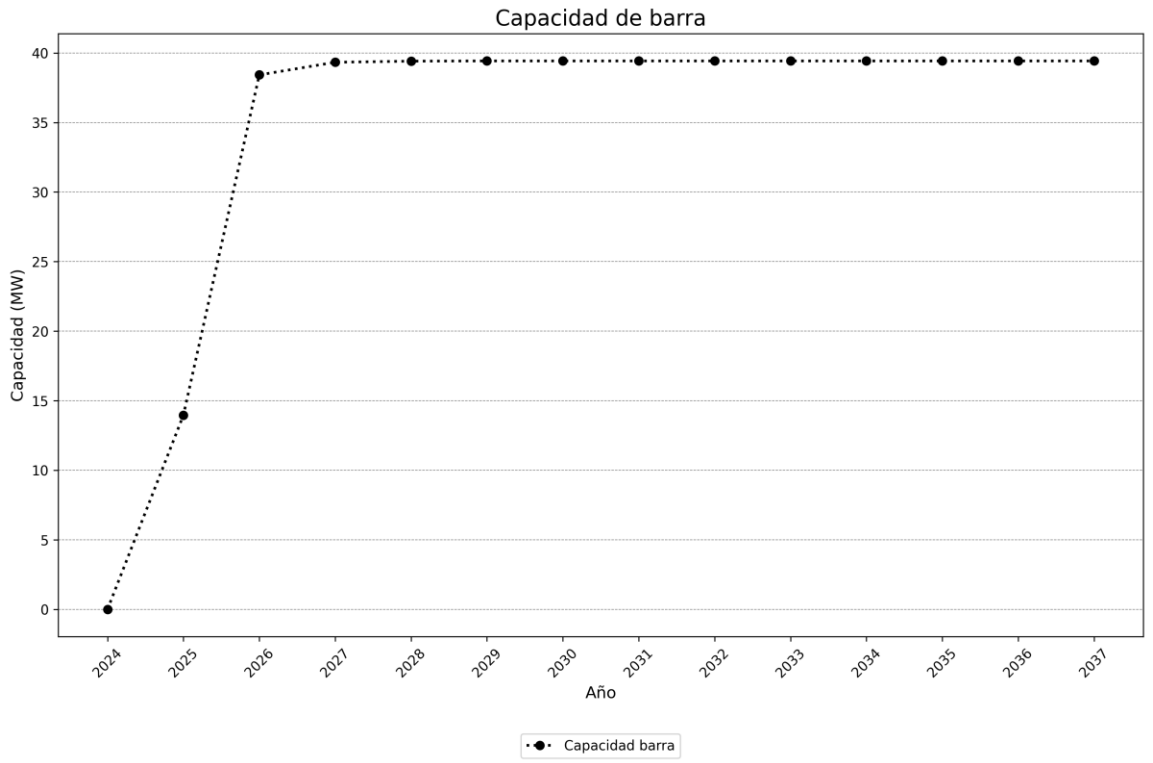


Figura 2-428. Balance de capacidad por barra después de la priorización para la subestación Molinos 115

Capacidad excedente de interrupción de corriente de cortocircuito:

Para la subestación Molinos 115 se presentaron 145 alternativas de conexión las cuales tienen aportes de corriente de cortocircuito. Estas alternativas se muestran en la siguiente tabla:

Tabla 2-450. Alternativas de conexión que aportan corriente de cortocircuito en la subestación Molinos 115

Solicitud	tipo	FPO	Barra a la que aporta CC	Aporte de cortocircuito (kA)	Restricción
SC_2023_5144_A1	Solar FV	2028	Molinos 115	0.125	SATISFACE
SC_2023_5144_A2	Solar FV	2028	Molinos 115	0.056	SATISFACE
SC_2023_5150_A1	Solar FV	2028	Molinos 115	0.081	SATISFACE
SC_2023_5152_A1	Solar FV	2025	Molinos 115	0.006	SATISFACE
SC_2023_5152_A2	Solar FV	2025	Molinos 115	0.005	SATISFACE
SC_2023_5158_A1	Solar FV	2028	Molinos 115	0.078	SATISFACE
SC_2023_5171_A1	Solar FV	2025	Molinos 115	0.004	SATISFACE
SC_2023_5171_A2	Solar FV	2025	Molinos 115	0.005	SATISFACE
SC_2023_5185_A1	Solar FV	2026	Molinos 115	0.225	SATISFACE
SC_2023_5185_A2	Solar FV	2026	Molinos 115	0.204	SATISFACE
SC_2023_5188_A1	Solar FV	2026	Molinos 115	0.020	SATISFACE
SC_2023_5188_A2	Solar FV	2026	Molinos 115	0.073	SATISFACE
SC_2023_5200_A1	Solar FV	2028	Molinos 115	0.248	SATISFACE
SC_2023_5200_A2	Solar FV	2028	Molinos 115	0.111	SATISFACE
SC_2023_5248_A1	Solar FV	2025	Molinos 115	0.008	SATISFACE
SC_2023_5248_A2	Solar FV	2025	Molinos 115	0.008	SATISFACE
SC_2023_5249_A1	Solar FV	2025	Molinos 115	0.008	SATISFACE
SC_2023_5249_A2	Solar FV	2025	Molinos 115	0.008	SATISFACE
SC_2023_5251_A1	Solar FV	2025	Molinos 115	0.028	SATISFACE
SC_2023_5251_A2	Solar FV	2025	Molinos 115	0.028	SATISFACE
SC_2023_5252_A1	Solar FV	2028	Molinos 115	0.040	SATISFACE
SC_2023_5252_A2	Solar FV	2028	Molinos 115	0.025	SATISFACE
SC_2023_5253_A1	Solar FV	2025	Molinos 115	0.028	SATISFACE
SC_2023_5253_A2	Solar FV	2025	Molinos 115	0.028	SATISFACE
SC_2023_5256_A2	Solar FV	2028	Molinos 115	0.021	SATISFACE
SC_2023_5257_A1	Solar FV	2025	Molinos 115	0.008	SATISFACE
SC_2023_5257_A2	Solar FV	2025	Molinos 115	0.008	SATISFACE
SC_2023_5280_A1	Solar FV	2028	Molinos 115	0.040	SATISFACE
SC_2023_5280_A2	Solar FV	2028	Molinos 115	0.038	SATISFACE
SC_2023_5287_A1	Solar FV	2026	Molinos 115	0.021	SATISFACE
SC_2023_5287_A2	Solar FV	2026	Molinos 115	0.021	SATISFACE
SC_2023_5288_A1	Solar FV	2026	Molinos 115	0.013	SATISFACE
SC_2023_5288_A2	Solar FV	2026	Molinos 115	0.033	SATISFACE

SC_2023_5293_A1	Solar FV	2028	Molinos 115	0.076	SATISFACE
SC_2023_5293_A2	Solar FV	2028	Molinos 115	0.073	SATISFACE
SC_2023_5294_A1	Solar FV	2029	Molinos 115	0.010	SATISFACE
SC_2023_5294_A2	Solar FV	2029	Molinos 115	0.010	SATISFACE
SC_2023_5304_A1	Solar FV	2026	Molinos 115	0.003	SATISFACE
SC_2023_5309_A1	Solar FV	2026	Molinos 115	0.003	SATISFACE
SC_2023_5339_A1	PCH	2026	Molinos 115	0.001	SATISFACE
SC_2023_5339_A2	PCH	2026	Molinos 115	0.001	SATISFACE
SC_2023_5375_A1	Solar FV	2026	Molinos 115	0.021	SATISFACE
SC_2023_5383_A1	Solar FV	2027	Molinos 115	0.068	SATISFACE
SC_2023_5383_A2	Solar FV	2027	Molinos 115	0.082	SATISFACE
SC_2023_5399_A1	Solar FV	2026	Molinos 115	0.013	SATISFACE
SC_2023_5399_A2	Solar FV	2026	Molinos 115	0.033	SATISFACE
SC_2023_5431_A1	Solar FV	2028	Molinos 115	0.000	SATISFACE
SC_2023_5431_A2	Solar FV	2028	Molinos 115	0.000	SATISFACE
SC_2023_5480_A1	Solar FV	2026	Molinos 115	0.021	SATISFACE
SC_2023_5480_A2	Solar FV	2026	Molinos 115	0.021	SATISFACE
SC_2023_5551_A1	Solar FV	2027	Molinos 115	0.222	SATISFACE
SC_2023_5551_A2	Solar FV	2027	Molinos 115	0.099	SATISFACE
SC_2023_5557_A1	Solar FV	2028	Molinos 115	0.074	SATISFACE
SC_2023_5598_A1	Solar FV	2025	Molinos 115	0.006	SATISFACE
SC_2023_5598_A2	Solar FV	2025	Molinos 115	0.005	SATISFACE
SC_2024_5939_A1	Solar FV	2028	Molinos 115	0.000	SATISFACE
SC_2024_5939_A2	Solar FV	2028	Molinos 115	0.000	SATISFACE
SC_2438_A1	Solar FV	2028	Molinos 115	0.000	SATISFACE
SC_2438_A2	Solar FV	2028	Molinos 115	0.000	SATISFACE
SC_2545_A1	Solar FV	2026	Molinos 115	0.040	SATISFACE
SC_2545_A2	Solar FV	2026	Molinos 115	0.040	SATISFACE
SC_2562_A1	Solar FV	2026	Molinos 115	0.010	SATISFACE
SC_2634_A1	Solar FV	2026	Molinos 115	0.000	SATISFACE
SC_2634_A2	Solar FV	2026	Molinos 115	0.000	SATISFACE
SC_2643_A1	Solar FV	2026	Molinos 115	0.040	SATISFACE
SC_2643_A2	Solar FV	2026	Molinos 115	0.040	SATISFACE
SC_2802_A1	Solar FV	2027	Molinos 115	0.001	SATISFACE
SC_2802_A2	Solar FV	2027	Molinos 115	0.001	SATISFACE
SC_2902_A1	Solar FV	2028	Molinos 115	0.010	SATISFACE
SC_2902_A2	Solar FV	2028	Molinos 115	1.860	SATISFACE
SC_2905_A2	Solar FV	2028	Molinos 115	0.000	SATISFACE
SC_2924_A1	Solar FV	2026	Molinos 115	0.180	SATISFACE
SC_2924_A2	Solar FV	2026	Molinos 115	0.163	SATISFACE

SC_2936_A1	Solar FV	2026	Molinos 115	0.000	SATISFACE
SC_2936_A2	Solar FV	2026	Molinos 115	0.000	SATISFACE
SC_2962_A1	Solar FV	2028	Molinos 115	0.034	SATISFACE
SC_2962_A2	Solar FV	2028	Molinos 115	0.034	SATISFACE
SC_3121_A1	Solar FV	2026	Molinos 115	0.006	SATISFACE
SC_3121_A2	Solar FV	2026	Molinos 115	0.006	SATISFACE
SC_3132_A1	Solar FV	2026	Molinos 115	0.045	SATISFACE
SC_3132_A2	Solar FV	2026	Molinos 115	0.043	SATISFACE
SC_3238_A1	Solar FV	2027	Molinos 115	0.252	SATISFACE
SC_3238_A2	Solar FV	2027	Molinos 115	0.178	SATISFACE
SC_3247_A1	Solar FV	2027	Molinos 115	0.081	SATISFACE
SC_3247_A2	Solar FV	2027	Molinos 115	0.060	SATISFACE
SC_3248_A1	Solar FV	2027	Molinos 115	0.252	SATISFACE
SC_3248_A2	Solar FV	2027	Molinos 115	0.178	SATISFACE
SC_3251_A1	Hidráulica	2026	Molinos 115	0.830	SATISFACE
SC_3251_A2	Hidráulica	2026	Molinos 115	0.010	SATISFACE
SC_3353_A1	Solar FV	2027	Molinos 115	0.215	SATISFACE
SC_3353_A2	Solar FV	2027	Molinos 115	0.153	SATISFACE
SC_3382_A1	Solar FV	2027	Molinos 115	0.005	SATISFACE
SC_3382_A2	Solar FV	2027	Molinos 115	0.006	SATISFACE
SC_3392_A1	Solar FV	2027	Molinos 115	0.080	SATISFACE
SC_3392_A2	Solar FV	2027	Molinos 115	0.031	SATISFACE
SC_3441_A1	Solar FV	2027	Molinos 115	0.081	SATISFACE
SC_3441_A2	Solar FV	2027	Molinos 115	0.060	SATISFACE
SC_3453_A1	Solar FV	2027	Molinos 115	0.006	SATISFACE
SC_3453_A2	Solar FV	2027	Molinos 115	0.006	SATISFACE
SC_3514_A1	Solar FV	2027	Molinos 115	0.006	SATISFACE
SC_3514_A2	Solar FV	2027	Molinos 115	0.006	SATISFACE
SC_3578_A1	Solar FV	2028	Molinos 115	0.000	SATISFACE
SC_3578_A2	Solar FV	2028	Molinos 115	0.000	SATISFACE
SC_3667_A1	Solar FV	2029	Molinos 115	0.010	SATISFACE
SC_3667_A2	Solar FV	2029	Molinos 115	0.006	SATISFACE
SC_3846_A1	Solar FV	2028	Molinos 115	0.008	SATISFACE
SC_3846_A2	Solar FV	2028	Molinos 115	0.008	SATISFACE
SC_3882_A1	Solar FV	2026	Molinos 115	0.073	SATISFACE
SC_4083_A1	Solar FV	2027	Molinos 115	0.000	SATISFACE
SC_4083_A2	Solar FV	2027	Molinos 115	0.000	SATISFACE
SC_4175_A1	Solar FV	2026	Molinos 115	0.023	SATISFACE
SC_4175_A2	Solar FV	2026	Molinos 115	0.025	SATISFACE
SC_4296_A1	Solar FV	2028	Molinos 115	0.125	SATISFACE

SC_4296_A2	Solar FV	2028	Molinos 115	0.134	SATISFACE
SC_4751_A1	Solar FV	2027	Molinos 115	0.001	SATISFACE
SC_4760_A1	Solar FV	2026	Molinos 115	0.086	SATISFACE
SC_4765_A1	Solar FV	2029	Molinos 115	0.002	SATISFACE
SC_4765_A2	Solar FV	2029	Molinos 115	0.001	SATISFACE
SC_4789_A1	Solar FV	2027	Molinos 115	0.022	SATISFACE
SC_4789_A2	Solar FV	2027	Molinos 115	0.022	SATISFACE
SC_4809_A1	Solar FV	2027	Molinos 115	0.004	SATISFACE
SC_4809_A2	Solar FV	2027	Molinos 115	0.101	SATISFACE
SC_4821_A1	Solar FV	2027	Molinos 115	0.080	SATISFACE
SC_4821_A2	Solar FV	2027	Molinos 115	0.031	SATISFACE
SC_4824_A1	Solar FV	2025	Molinos 115	0.000	SATISFACE
SC_4824_A2	Solar FV	2025	Molinos 115	0.000	SATISFACE
SC_4826_A1	Solar FV	2027	Molinos 115	0.006	SATISFACE
SC_4826_A2	Solar FV	2027	Molinos 115	0.006	SATISFACE
SC_4827_A1	Solar FV	2027	Molinos 115	0.006	SATISFACE
SC_4827_A2	Solar FV	2027	Molinos 115	0.006	SATISFACE
SC_4842_A1	Solar FV	2028	Molinos 115	0.081	SATISFACE
SC_4926_A1	Solar FV	2027	Molinos 115	0.001	SATISFACE
SC_4960_A2	Solar FV	2029	Molinos 115	0.035	SATISFACE
SC_4974_A1	Solar FV	2026	Molinos 115	0.004	SATISFACE
SC_4974_A2	Solar FV	2026	Molinos 115	0.004	SATISFACE
SC_4978_A1	Solar FV	2026	Molinos 115	0.267	SATISFACE
SC_4978_A2	Solar FV	2026	Molinos 115	0.269	SATISFACE
SC_5009_A1	Solar FV	2026	Molinos 115	0.081	SATISFACE
SC_5009_A2	Solar FV	2026	Molinos 115	0.032	SATISFACE
SC_5011_A1	Solar FV	2027	Molinos 115	0.081	SATISFACE
SC_5011_A2	Solar FV	2027	Molinos 115	0.032	SATISFACE
SC_5076_A1	Solar FV	2027	Molinos 115	0.000	SATISFACE
SC_5076_A2	Solar FV	2027	Molinos 115	0.000	SATISFACE
SC_5077_A1	Solar FV	2027	Molinos 115	0.000	SATISFACE
SC_5077_A2	Solar FV	2027	Molinos 115	0.000	SATISFACE

Posterior a la ejecución del MACC se priorizaron las siguientes alternativas de conexión que tienen aportes de cortocircuito de la subestación en análisis:

Tabla 2-451. Alternativas de conexión priorizadas que aportan corriente de cortocircuito en la subestación Molinos 115

index	tipo	periodoIni	Barra a la que aporta CC	Aporte de cortocircuito (kA)	Restricción
SC_2545_A1	Solar FV	2026	Molinos 115	0.040	SATISFACE
SC_2643_A1	Solar FV	2026	Molinos 115	0.040	SATISFACE
SC_5076_A2	Solar FV	2027	Molinos 115	0.000	SATISFACE
SC_5077_A2	Solar FV	2027	Molinos 115	0.000	SATISFACE

El estado de la capacidad de cortocircuito en la subestación Molinos 115, teniendo en cuenta la priorización se puede observar en la siguiente figura.

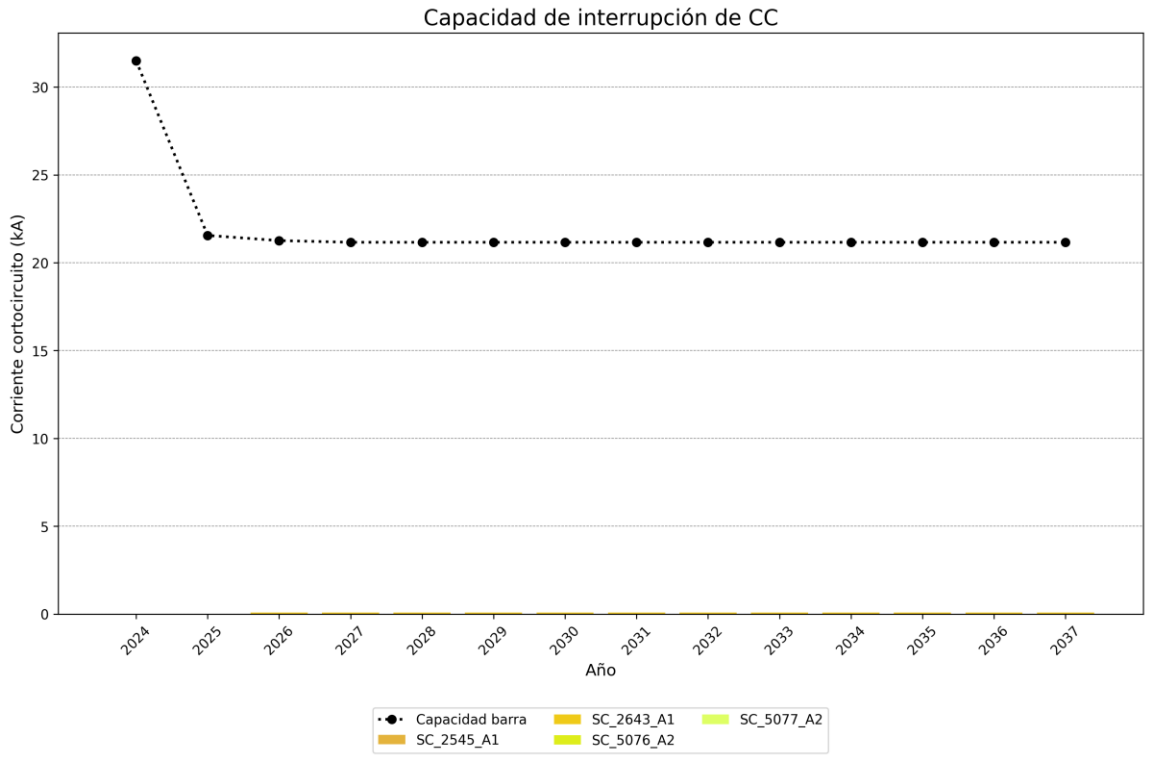


Figura 2-429. Balance de capacidad de cortocircuito después de la priorización para la subestación Molinos 115

Subestación Montenegro 33:

Capacidad por barra:

Para la subestación Montenegro 33 se presentaron 0 alternativas de conexión las cuales se muestran en la siguiente tabla:

Tabla 2-452. Alternativas de conexión presentadas a la subestación Montenegro 33

Solicitud	Capacidad	Tipo	Barra	FPO solicitada	Restricción

No se priorizó ninguna de las alternativas de conexión presentadas en la subestación Montenegro 33

El estado de la capacidad por barra en la subestación Montenegro 33, teniendo en cuenta la priorización se puede observar en la siguiente figura.

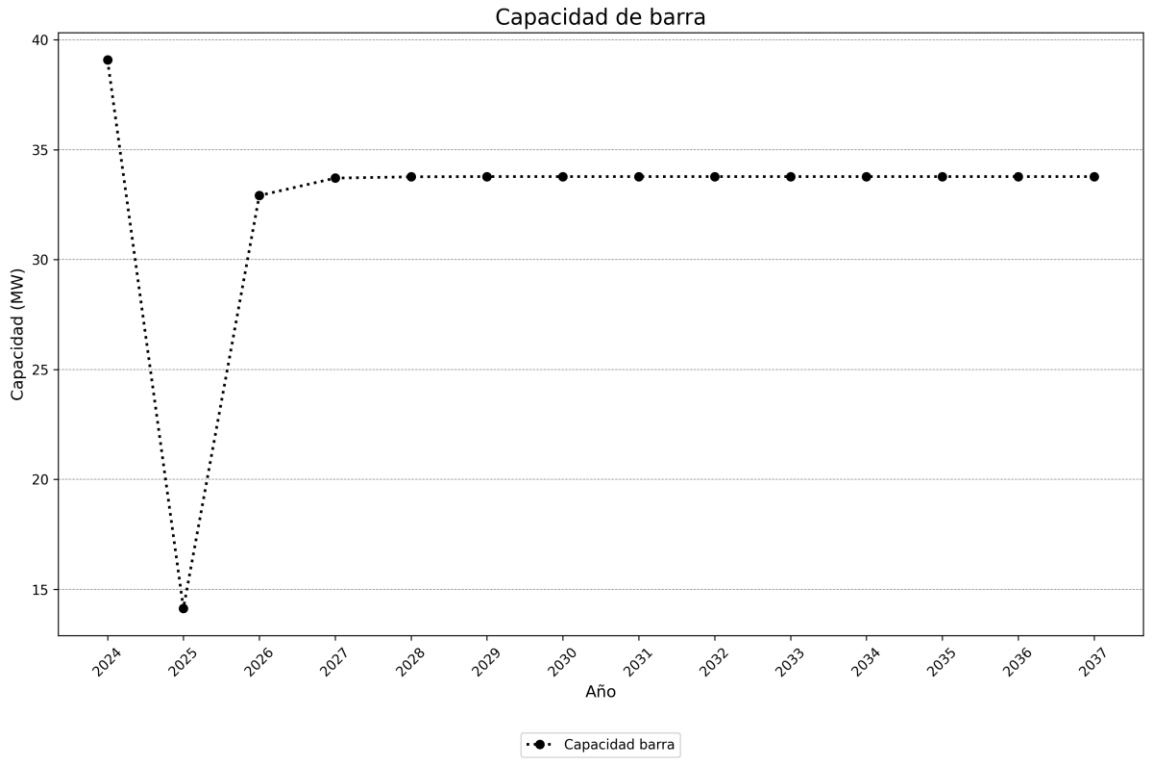


Figura 2-430. Balance de capacidad por barra después de la priorización para la subestación Montenegro 33

Subestación Morato 115:

Capacidad por barra:

Para la subestación Morato 115 se presentaron 0 alternativas de conexión las cuales se muestran en la siguiente tabla:

Tabla 2-453. Alternativas de conexión presentadas a la subestación Morato 115

Solicitud	Capacidad	Tipo	Barra	FPO solicitada	Restricción

No se priorizó ninguna de las alternativas de conexión presentadas en la subestación Morato 115

El estado de la capacidad por barra en la subestación Morato 115, teniendo en cuenta la priorización se puede observar en la siguiente figura.

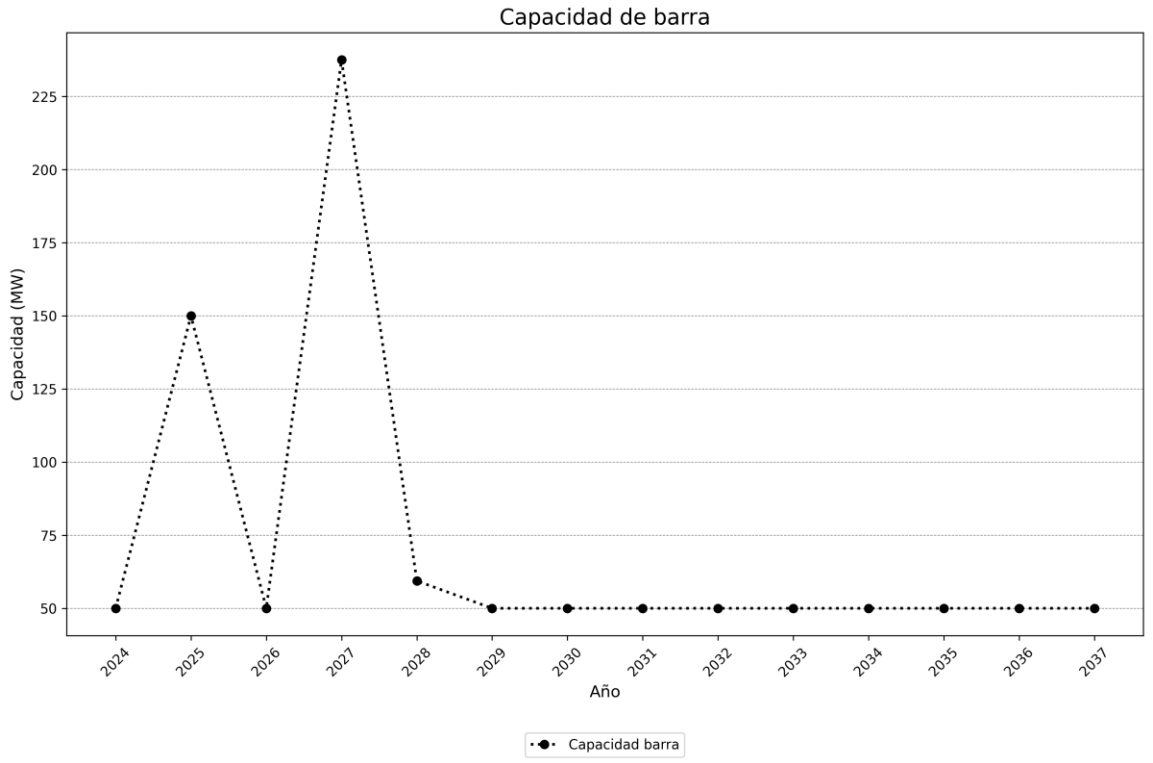


Figura 2-431. Balance de capacidad por barra después de la priorización para la subestación Morato 115

Capacidad excedente de interrupción de corriente de cortocircuito:

Para la subestación Morato 115 se presentaron 29 alternativas de conexión las cuales tienen aportes de corriente de cortocircuito. Estas alternativas se muestran en la siguiente tabla:

Tabla 2-454. Alternativas de conexión que aportan corriente de cortocircuito en la subestación Morato 115

Solicitud	tipo	FPO	Barra a la que aporta CC	Aporte de cortocircuito (kA)	Restricción
SC_2023_5280_A1	Solar FV	2028	Morato 115	0.068	SATISFACE
SC_2023_5280_A2	Solar FV	2028	Morato 115	0.062	SATISFACE
SC_2023_5287_A1	Solar FV	2026	Morato 115	0.035	SATISFACE
SC_2023_5287_A2	Solar FV	2026	Morato 115	0.035	SATISFACE
SC_2023_5288_A1	Solar FV	2026	Morato 115	0.020	SATISFACE
SC_2023_5288_A2	Solar FV	2026	Morato 115	0.053	SATISFACE
SC_2023_5375_A1	Solar FV	2026	Morato 115	0.035	SATISFACE
SC_2023_5399_A1	Solar FV	2026	Morato 115	0.020	SATISFACE
SC_2023_5399_A2	Solar FV	2026	Morato 115	0.053	SATISFACE
SC_2023_5480_A1	Solar FV	2026	Morato 115	0.035	SATISFACE
SC_2023_5480_A2	Solar FV	2026	Morato 115	0.035	SATISFACE
SC_2023_5557_A1	Solar FV	2028	Morato 115	0.142	SATISFACE
SC_2936_A1	Solar FV	2026	Morato 115	0.000	SATISFACE
SC_2936_A2	Solar FV	2026	Morato 115	0.000	SATISFACE
SC_3121_A1	Solar FV	2026	Morato 115	0.005	SATISFACE
SC_3121_A2	Solar FV	2026	Morato 115	0.005	SATISFACE
SC_3132_A1	Solar FV	2026	Morato 115	0.077	SATISFACE
SC_3132_A2	Solar FV	2026	Morato 115	0.066	SATISFACE
SC_3882_A1	Solar FV	2026	Morato 115	0.134	SATISFACE
SC_4083_A1	Solar FV	2027	Morato 115	0.000	SATISFACE
SC_4083_A2	Solar FV	2027	Morato 115	0.000	SATISFACE
SC_4765_A1	Solar FV	2029	Morato 115	0.005	SATISFACE
SC_4765_A2	Solar FV	2029	Morato 115	0.003	SATISFACE
SC_4819_A1	Solar FV	2029	Morato 115	0.124	SATISFACE

SC_4819_A2	Solar FV	2029	Morato 115	0.112	SATISFACE
SC_4974_A1	Solar FV	2026	Morato 115	0.007	SATISFACE
SC_4974_A2	Solar FV	2026	Morato 115	0.007	SATISFACE
SC_4978_A1	Solar FV	2026	Morato 115	0.267	SATISFACE
SC_4978_A2	Solar FV	2026	Morato 115	0.269	SATISFACE

No se priorizó ninguna de las alternativas de conexión que tengan aportes de corriente de cortocircuito en la subestación Morato 115

El estado de la capacidad de cortocircuito en la subestación Morato 115, teniendo en cuenta la priorización se puede observar en la siguiente figura.

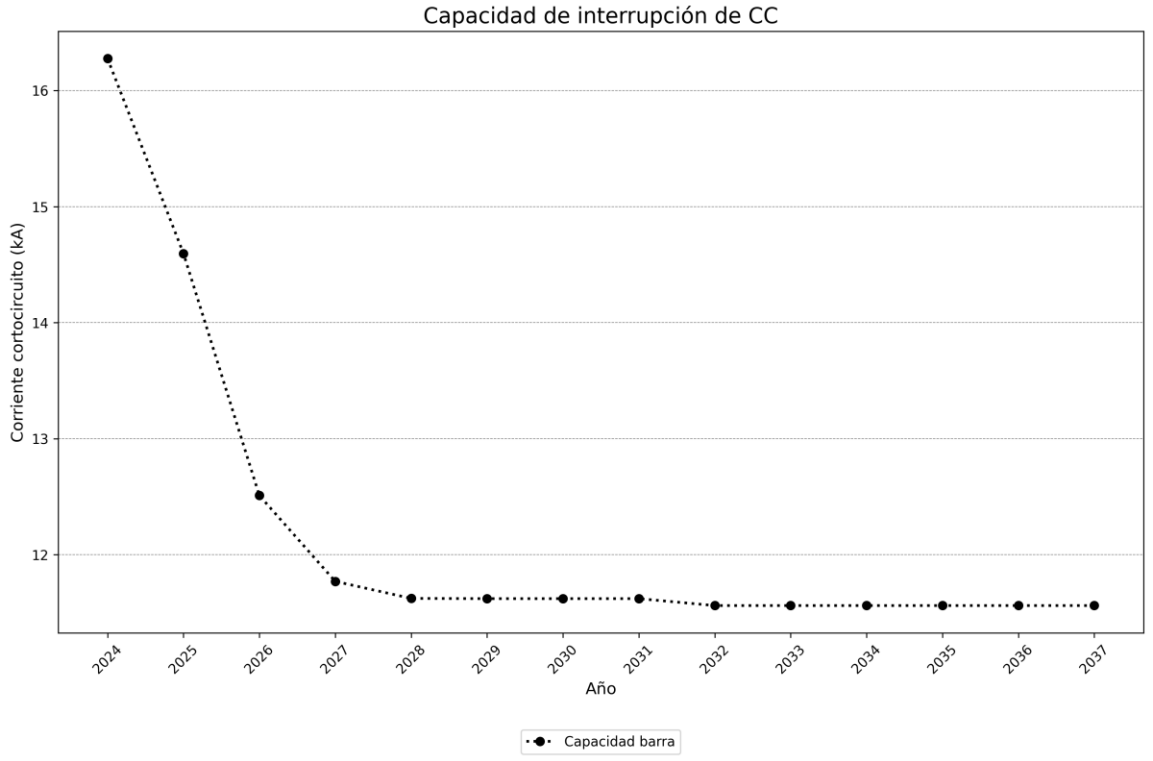


Figura 2-432. Balance de capacidad de cortocircuito después de la priorización para la subestación Morato 115

Subestación Mosquera 115:

Capacidad por barra:

Para la subestación Mosquera 115 se presentaron 0 alternativas de conexión las cuales se muestran en la siguiente tabla:

Tabla 2-455. Alternativas de conexión presentadas a la subestación Mosquera 115

Solicitud	Capacidad	Tipo	Barra	FPO solicitada	Restricción

No se priorizó ninguna de las alternativas de conexión presentadas en la subestación Mosquera 115

El estado de la capacidad por barra en la subestación Mosquera 115, teniendo en cuenta la priorización se puede observar en la siguiente figura.

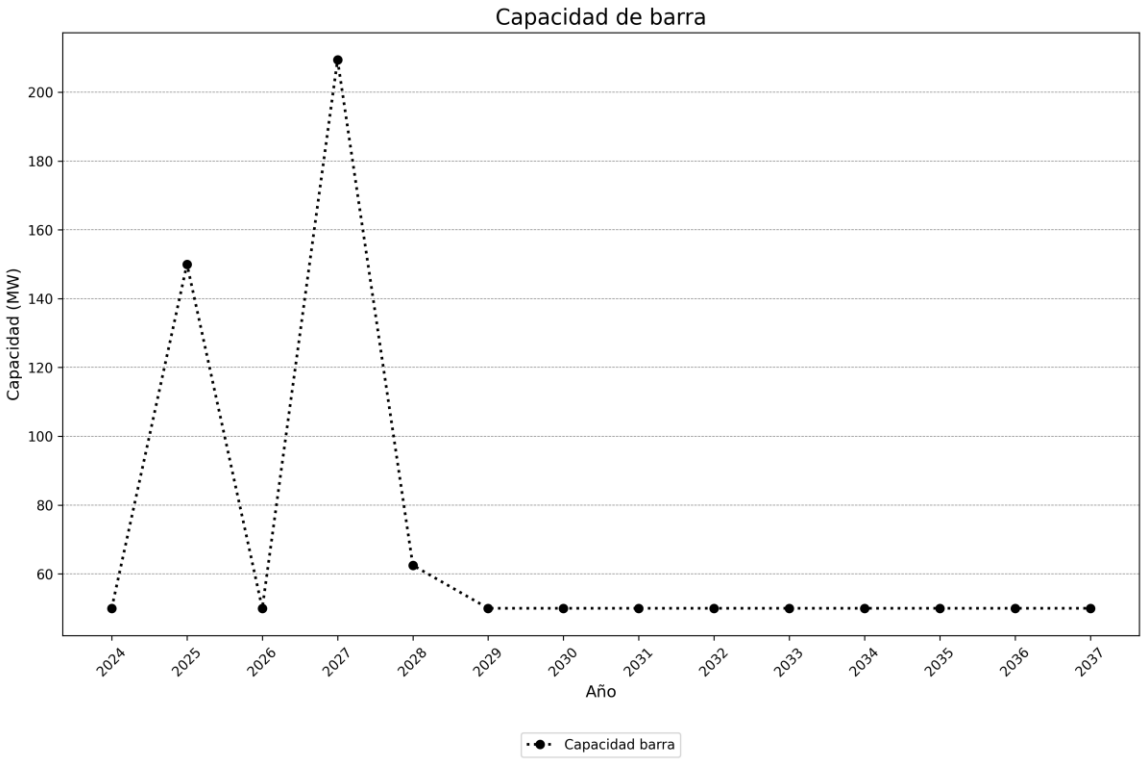


Figura 2-433. Balance de capacidad por barra después de la priorización para la subestación Mosquera 115

Capacidad excedente de interrupción de corriente de cortocircuito:

Para la subestación Mosquera 115 se presentaron 29 alternativas de conexión las cuales tienen aportes de corriente de cortocircuito. Estas alternativas se muestran en la siguiente tabla:

Tabla 2-456. Alternativas de conexión que aportan corriente de cortocircuito en la subestación Mosquera 115

Solicitud	tipo	FPO	Barra a la que aporta CC	Aporte de cortocircuito (kA)	Restricción
SC_2023_5280_A1	Solar FV	2028	Mosquera 115	0.052	SATISFACE
SC_2023_5280_A2	Solar FV	2028	Mosquera 115	0.047	SATISFACE
SC_2023_5287_A1	Solar FV	2026	Mosquera 115	0.027	SATISFACE
SC_2023_5287_A2	Solar FV	2026	Mosquera 115	0.027	SATISFACE
SC_2023_5288_A1	Solar FV	2026	Mosquera 115	0.016	SATISFACE
SC_2023_5288_A2	Solar FV	2026	Mosquera 115	0.041	SATISFACE
SC_2023_5375_A1	Solar FV	2026	Mosquera 115	0.027	SATISFACE
SC_2023_5399_A1	Solar FV	2026	Mosquera 115	0.016	SATISFACE
SC_2023_5399_A2	Solar FV	2026	Mosquera 115	0.041	SATISFACE
SC_2023_5480_A1	Solar FV	2026	Mosquera 115	0.027	SATISFACE
SC_2023_5480_A2	Solar FV	2026	Mosquera 115	0.027	SATISFACE
SC_2023_5557_A1	Solar FV	2028	Mosquera 115	0.111	SATISFACE
SC_2936_A1	Solar FV	2026	Mosquera 115	0.000	SATISFACE
SC_2936_A2	Solar FV	2026	Mosquera 115	0.000	SATISFACE
SC_3121_A1	Solar FV	2026	Mosquera 115	0.005	SATISFACE
SC_3121_A2	Solar FV	2026	Mosquera 115	0.006	SATISFACE
SC_3132_A1	Solar FV	2026	Mosquera 115	0.059	SATISFACE
SC_3132_A2	Solar FV	2026	Mosquera 115	0.050	SATISFACE
SC_3882_A1	Solar FV	2026	Mosquera 115	0.106	SATISFACE
SC_4083_A1	Solar FV	2027	Mosquera 115	0.001	SATISFACE
SC_4083_A2	Solar FV	2027	Mosquera 115	0.001	SATISFACE
SC_4765_A1	Solar FV	2029	Mosquera 115	0.003	SATISFACE
SC_4765_A2	Solar FV	2029	Mosquera 115	0.002	SATISFACE
SC_4819_A1	Solar FV	2029	Mosquera 115	0.097	SATISFACE

SC_4819_A2	Solar FV	2029	Mosquera 115	0.087	SATISFACE
SC_4974_A1	Solar FV	2026	Mosquera 115	0.005	SATISFACE
SC_4974_A2	Solar FV	2026	Mosquera 115	0.005	SATISFACE
SC_4978_A1	Solar FV	2026	Mosquera 115	0.001	SATISFACE
SC_4978_A2	Solar FV	2026	Mosquera 115	0.004	SATISFACE

No se priorizó ninguna de las alternativas de conexión que tengan aportes de corriente de cortocircuito en la subestación Mosquera 115

El estado de la capacidad de cortocircuito en la subestación Mosquera 115, teniendo en cuenta la priorización se puede observar en la siguiente figura.

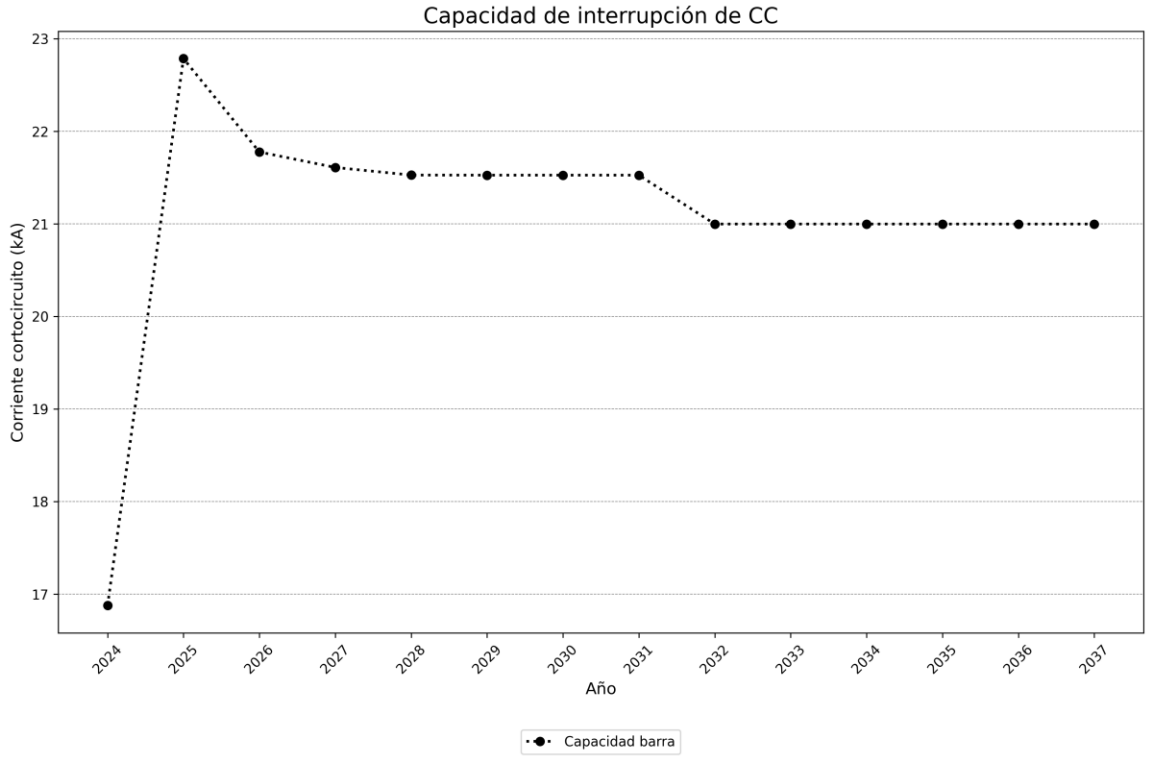


Figura 2-434. Balance de capacidad de cortocircuito después de la priorización para la subestación Mosquera 115

Subestación Muzu 115:

Capacidad por barra:

Para la subestación Muzu 115 se presentaron 0 alternativas de conexión las cuales se muestran en la siguiente tabla:

Tabla 2-457. Alternativas de conexión presentadas a la subestación Muzu 115

Solicitud	Capacidad	Tipo	Barra	FPO solicitada	Restricción

No se priorizó ninguna de las alternativas de conexión presentadas en la subestación Muzu 115

El estado de la capacidad por barra en la subestación Muzu 115, teniendo en cuenta la priorización se puede observar en la siguiente figura.

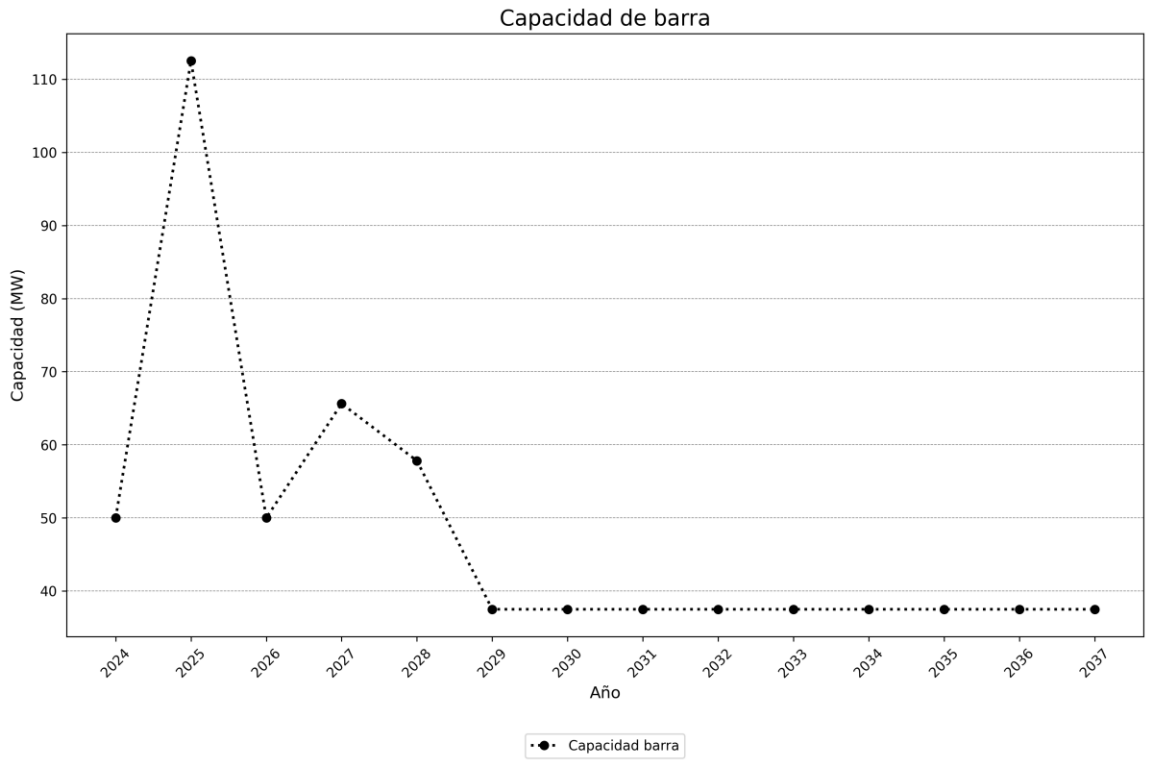


Figura 2-435. Balance de capacidad por barra después de la priorización para la subestación Muzu 115

Capacidad excedente de interrupción de corriente de cortocircuito:

Para la subestación Muzu 115 se presentaron 29 alternativas de conexión las cuales tienen aportes de corriente de cortocircuito. Estas alternativas se muestran en la siguiente tabla:

Tabla 2-458. Alternativas de conexión que aportan corriente de cortocircuito en la subestación Muzu 115

Solicitud	tipo	FPO	Barra a la que aporta CC	Aporte de cortocircuito (kA)	Restricción
SC_2023_5280_A1	Solar FV	2028	Muzu 115	0.088	SATISFACE
SC_2023_5280_A2	Solar FV	2028	Muzu 115	0.079	SATISFACE
SC_2023_5287_A1	Solar FV	2026	Muzu 115	0.044	SATISFACE
SC_2023_5287_A2	Solar FV	2026	Muzu 115	0.044	SATISFACE
SC_2023_5288_A1	Solar FV	2026	Muzu 115	0.026	SATISFACE
SC_2023_5288_A2	Solar FV	2026	Muzu 115	0.067	SATISFACE
SC_2023_5375_A1	Solar FV	2026	Muzu 115	0.044	SATISFACE
SC_2023_5399_A1	Solar FV	2026	Muzu 115	0.026	SATISFACE
SC_2023_5399_A2	Solar FV	2026	Muzu 115	0.067	SATISFACE
SC_2023_5480_A1	Solar FV	2026	Muzu 115	0.044	SATISFACE
SC_2023_5480_A2	Solar FV	2026	Muzu 115	0.044	SATISFACE
SC_2023_5557_A1	Solar FV	2028	Muzu 115	0.184	SATISFACE
SC_2936_A1	Solar FV	2026	Muzu 115	0.000	SATISFACE
SC_2936_A2	Solar FV	2026	Muzu 115	0.000	SATISFACE
SC_3121_A1	Solar FV	2026	Muzu 115	0.006	SATISFACE
SC_3121_A2	Solar FV	2026	Muzu 115	0.006	SATISFACE
SC_3132_A1	Solar FV	2026	Muzu 115	0.099	SATISFACE
SC_3132_A2	Solar FV	2026	Muzu 115	0.085	SATISFACE
SC_3882_A1	Solar FV	2026	Muzu 115	0.174	SATISFACE
SC_4083_A1	Solar FV	2027	Muzu 115	0.000	SATISFACE
SC_4083_A2	Solar FV	2027	Muzu 115	0.000	SATISFACE
SC_4765_A1	Solar FV	2029	Muzu 115	0.008	SATISFACE
SC_4765_A2	Solar FV	2029	Muzu 115	0.004	SATISFACE
SC_4819_A1	Solar FV	2029	Muzu 115	0.162	SATISFACE

SC_4819_A2	Solar FV	2029	Muzu 115	0.145	SATISFACE
SC_4974_A1	Solar FV	2026	Muzu 115	0.009	SATISFACE
SC_4974_A2	Solar FV	2026	Muzu 115	0.009	SATISFACE
SC_4978_A1	Solar FV	2026	Muzu 115	4.968	NO SATISFACE
SC_4978_A2	Solar FV	2026	Muzu 115	0.007	SATISFACE

No se priorizó ninguna de las alternativas de conexión que tengan aportes de corriente de cortocircuito en la subestación Muzu 115

El estado de la capacidad de cortocircuito en la subestación Muzu 115, teniendo en cuenta la priorización se puede observar en la siguiente figura.

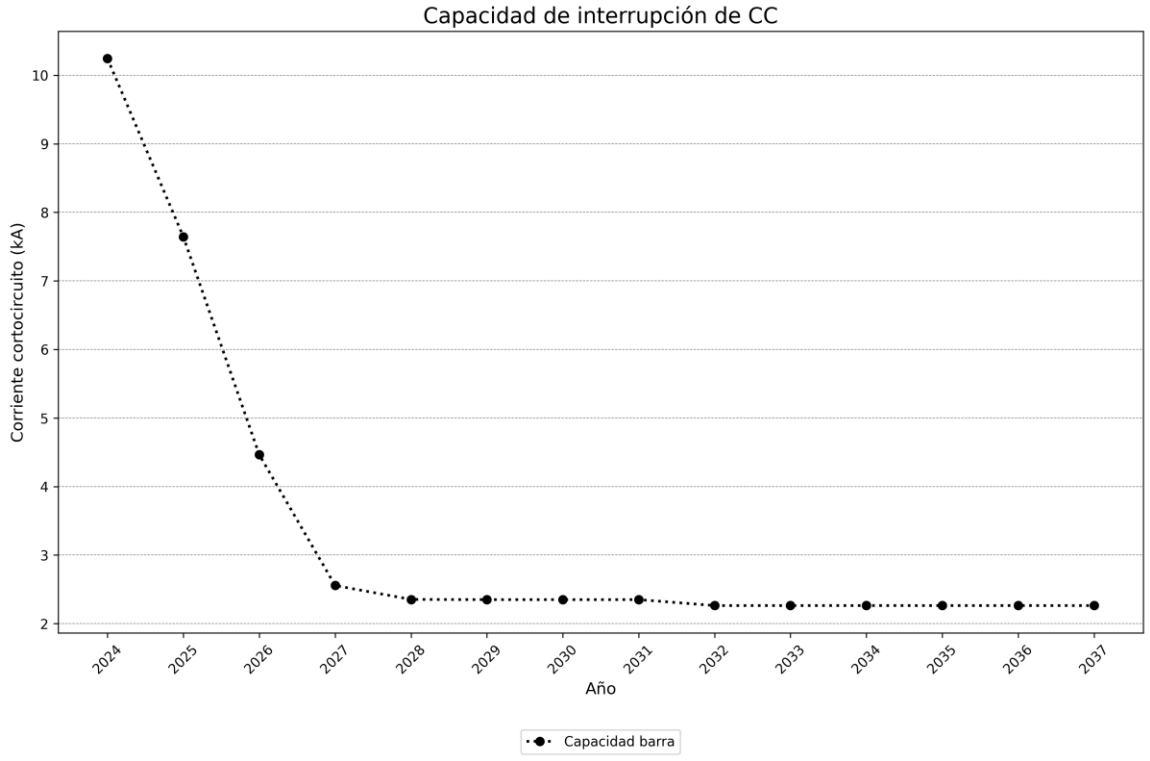


Figura 2-436. Balance de capacidad de cortocircuito después de la priorización para la subestación Muzu 115

Subestación Muña 1 115:

Capacidad por barra:

Para la subestación Muña 1 115 se presentaron 0 alternativas de conexión las cuales se muestran en la siguiente tabla:

Tabla 2-459. Alternativas de conexión presentadas a la subestación Muña 1 115

Solicitud	Capacidad	Tipo	Barra	FPO solicitada	Restricción

No se priorizó ninguna de las alternativas de conexión presentadas en la subestación Muña 1 115

El estado de la capacidad por barra en la subestación Muña 1 115, teniendo en cuenta la priorización se puede observar en la siguiente figura.

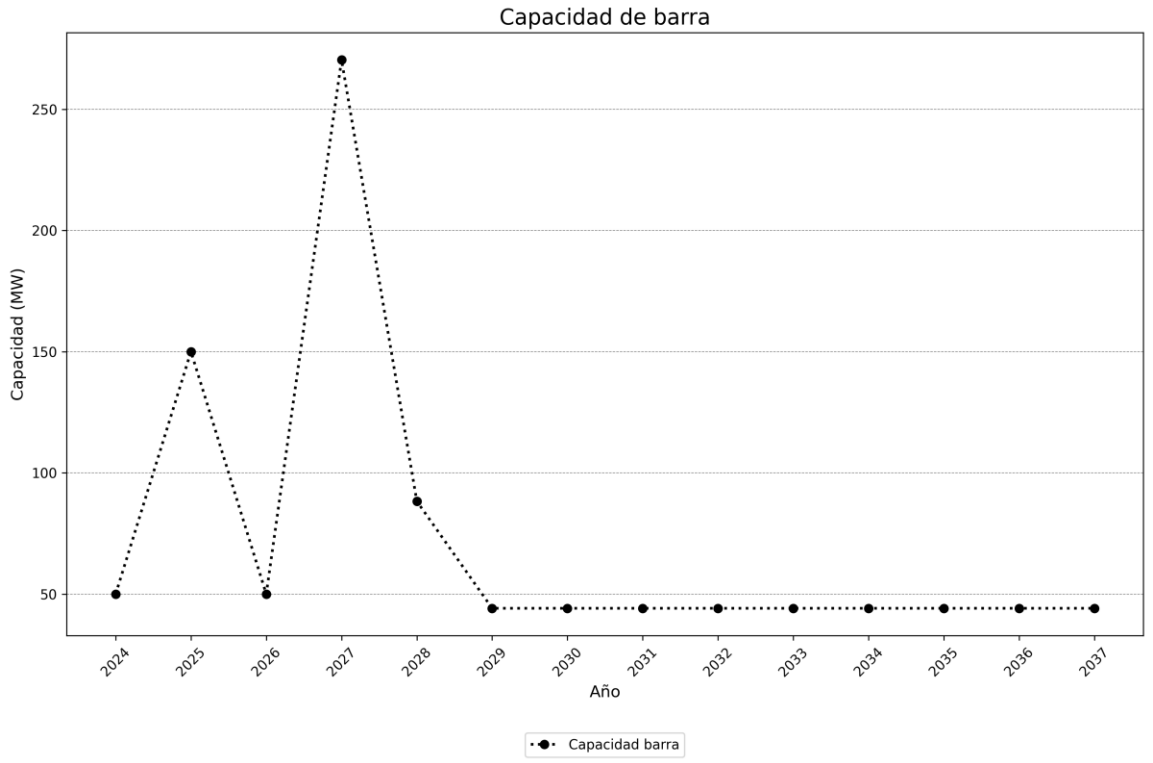


Figura 2-437. Balance de capacidad por barra después de la priorización para la subestación Muña 1 115

Capacidad excedente de interrupción de corriente de cortocircuito:

Para la subestación Muña 1 115 se presentaron 18 alternativas de conexión las cuales tienen aportes de corriente de cortocircuito. Estas alternativas se muestran en la siguiente tabla:

Tabla 2-460. Alternativas de conexión que aportan corriente de cortocircuito en la subestación Muña 1 115

Solicitud	tipo	FPO	Barra a la que aporta CC	Aporte de cortocircuito (kA)	Restricción
SC_2023_5280_A1	Solar FV	2028	Muña 1 115	0.058	SATISFACE
SC_2023_5280_A2	Solar FV	2028	Muña 1 115	0.052	SATISFACE
SC_2023_5557_A1	Solar FV	2028	Muña 1 115	0.122	SATISFACE
SC_2936_A1	Solar FV	2026	Muña 1 115	0.000	SATISFACE
SC_2936_A2	Solar FV	2026	Muña 1 115	0.000	SATISFACE
SC_3132_A1	Solar FV	2026	Muña 1 115	0.066	SATISFACE
SC_3132_A2	Solar FV	2026	Muña 1 115	0.056	SATISFACE
SC_3882_A1	Solar FV	2026	Muña 1 115	0.115	SATISFACE
SC_4083_A1	Solar FV	2027	Muña 1 115	0.000	SATISFACE
SC_4083_A2	Solar FV	2027	Muña 1 115	0.000	SATISFACE
SC_4765_A1	Solar FV	2029	Muña 1 115	0.003	SATISFACE
SC_4765_A2	Solar FV	2029	Muña 1 115	0.002	SATISFACE
SC_4819_A1	Solar FV	2029	Muña 1 115	0.106	SATISFACE
SC_4819_A2	Solar FV	2029	Muña 1 115	0.095	SATISFACE
SC_4974_A1	Solar FV	2026	Muña 1 115	0.006	SATISFACE
SC_4974_A2	Solar FV	2026	Muña 1 115	0.006	SATISFACE
SC_4978_A1	Solar FV	2026	Muña 1 115	0.000	SATISFACE
SC_4978_A2	Solar FV	2026	Muña 1 115	0.005	SATISFACE

No se priorizó ninguna de las alternativas de conexión que tengan aportes de corriente de cortocircuito en la subestación Muña 1 115

El estado de la capacidad de cortocircuito en la subestación Muña 1 115, teniendo en cuenta la priorización se puede observar en la siguiente figura.

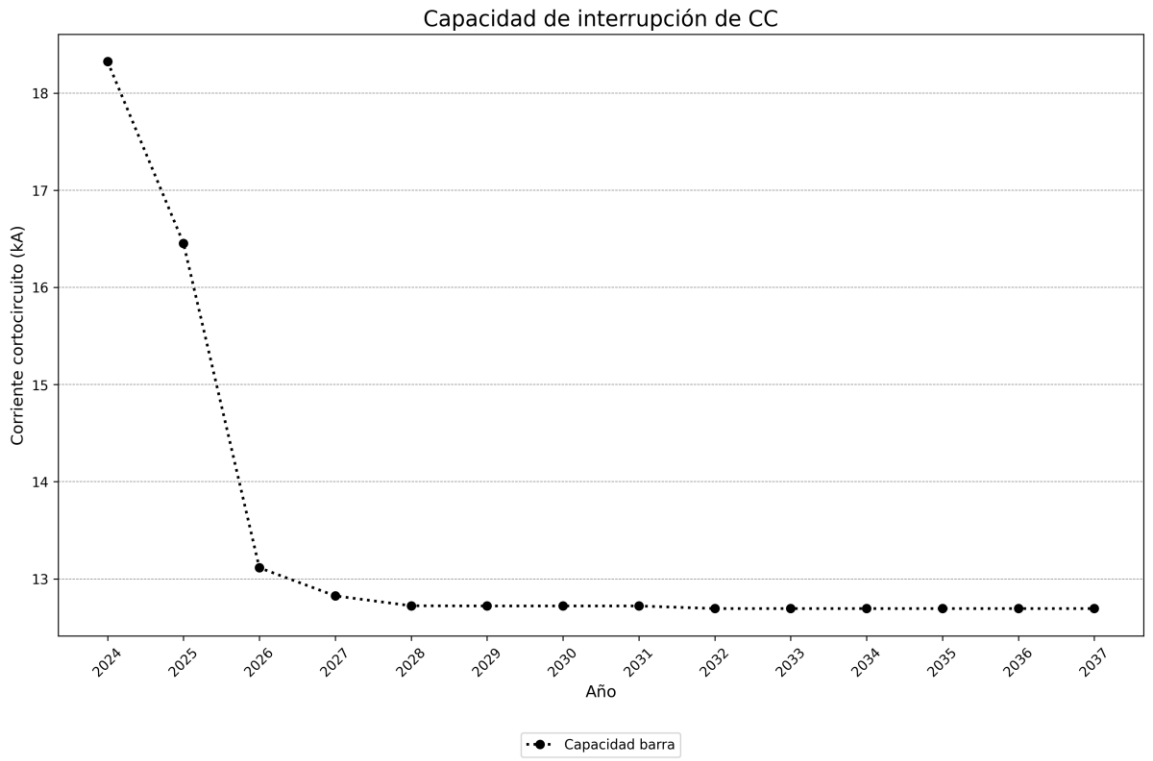


Figura 2-438. Balance de capacidad de cortocircuito después de la priorización para la subestación Muña 1 115

Subestación Muña 3 115:

Capacidad por barra:

Para la subestación Muña 3 115 se presentaron 0 alternativas de conexión las cuales se muestran en la siguiente tabla:

Tabla 2-461. Alternativas de conexión presentadas a la subestación Muña 3 115

Solicitud	Capacidad	Tipo	Barra	FPO solicitada	Restricción

No se priorizó ninguna de las alternativas de conexión presentadas en la subestación Muña 3 115

El estado de la capacidad por barra en la subestación Muña 3 115, teniendo en cuenta la priorización se puede observar en la siguiente figura.

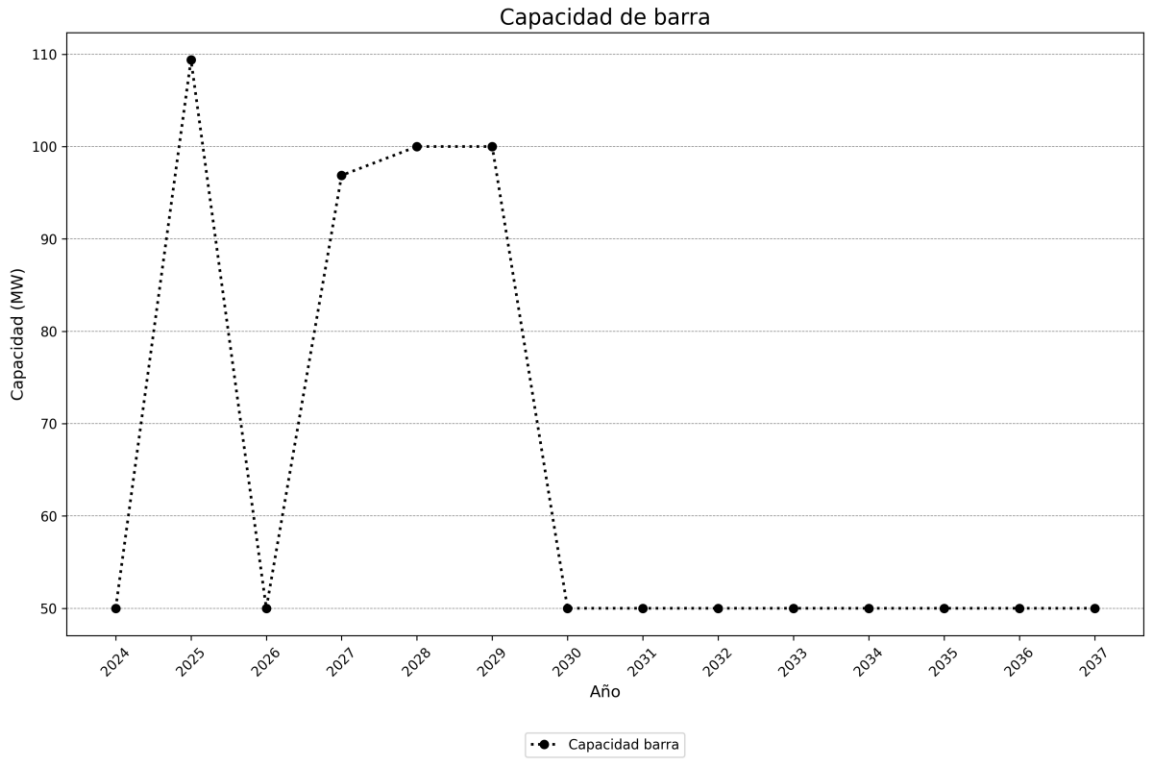


Figura 2-439. Balance de capacidad por barra después de la priorización para la subestación Muña 3 115

Capacidad excedente de interrupción de corriente de cortocircuito:

Para la subestación Muña 3 115 se presentaron 20 alternativas de conexión las cuales tienen aportes de corriente de cortocircuito. Estas alternativas se muestran en la siguiente tabla:

Tabla 2-462. Alternativas de conexión que aportan corriente de cortocircuito en la subestación Muña 3 115

Solicitud	tipo	FPO	Barra a la que aporta CC	Aporte de cortocircuito (kA)	Restricción
SC_2023_5280_A1	Solar FV	2028	Muña 3 115	0.051	SATISFACE
SC_2023_5280_A2	Solar FV	2028	Muña 3 115	0.046	SATISFACE
SC_2023_5557_A1	Solar FV	2028	Muña 3 115	0.108	SATISFACE
SC_2936_A1	Solar FV	2026	Muña 3 115	0.000	SATISFACE
SC_2936_A2	Solar FV	2026	Muña 3 115	0.000	SATISFACE
SC_3121_A1	Solar FV	2026	Muña 3 115	0.004	SATISFACE
SC_3121_A2	Solar FV	2026	Muña 3 115	0.004	SATISFACE
SC_3132_A1	Solar FV	2026	Muña 3 115	0.058	SATISFACE
SC_3132_A2	Solar FV	2026	Muña 3 115	0.050	SATISFACE
SC_3882_A1	Solar FV	2026	Muña 3 115	0.102	SATISFACE
SC_4083_A1	Solar FV	2027	Muña 3 115	0.000	SATISFACE
SC_4083_A2	Solar FV	2027	Muña 3 115	0.000	SATISFACE
SC_4765_A1	Solar FV	2029	Muña 3 115	0.003	SATISFACE
SC_4765_A2	Solar FV	2029	Muña 3 115	0.001	SATISFACE
SC_4819_A1	Solar FV	2029	Muña 3 115	0.094	SATISFACE
SC_4819_A2	Solar FV	2029	Muña 3 115	0.084	SATISFACE
SC_4974_A1	Solar FV	2026	Muña 3 115	0.005	SATISFACE
SC_4974_A2	Solar FV	2026	Muña 3 115	0.005	SATISFACE
SC_4978_A1	Solar FV	2026	Muña 3 115	0.000	SATISFACE
SC_4978_A2	Solar FV	2026	Muña 3 115	0.004	SATISFACE

No se priorizó ninguna de las alternativas de conexión que tengan aportes de corriente de cortocircuito en la subestación Muña 3 115

El estado de la capacidad de cortocircuito en la subestación Muña 3 115, teniendo en cuenta la priorización se puede observar en la siguiente figura.

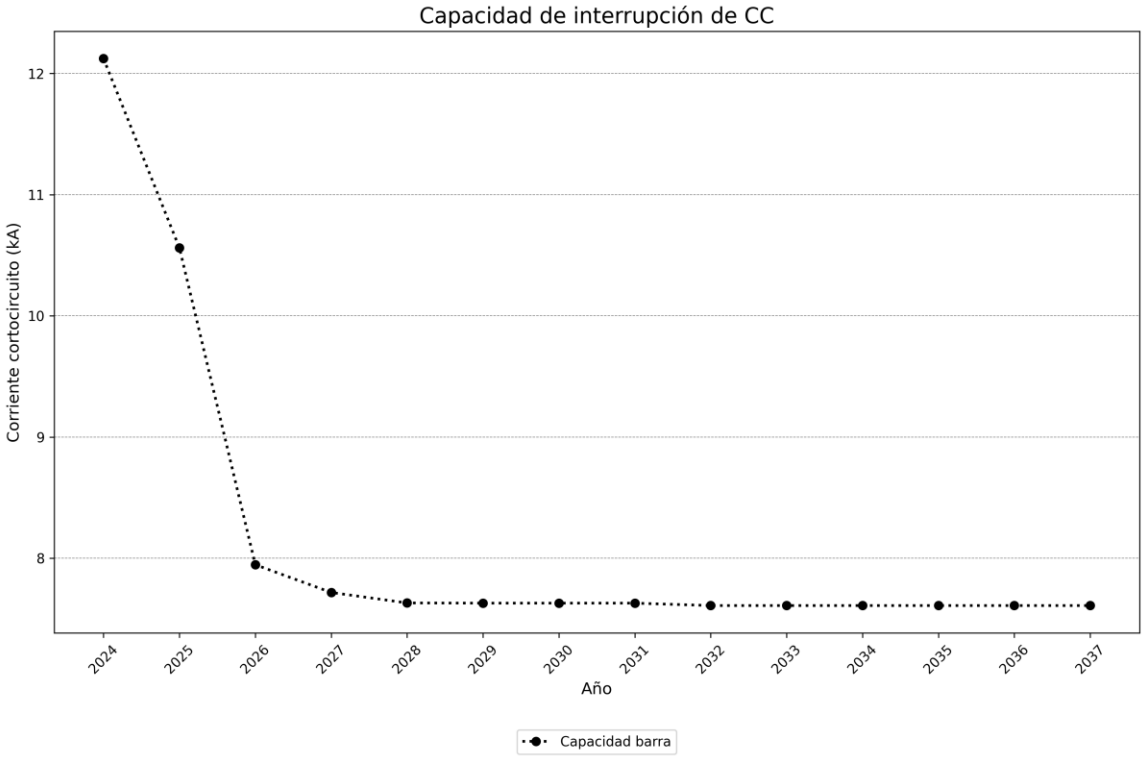


Figura 2-440. Balance de capacidad de cortocircuito después de la priorización para la subestación Muña 3 115

Subestación Naranjito 33:

Capacidad por barra:

Para la subestación Naranjito 33 se presentaron 1 alternativas de conexión las cuales se muestran en la siguiente tabla:

Tabla 2-463. Alternativas de conexión presentadas a la subestación Naranjito 33

Solicitud	Capacidad	Tipo	Barra	FPO solicitada	Restricción
SC_2023_5564_A2	9.9	Solar FV	Naranjito 33	2026	SATISFACE

No se priorizó ninguna de las alternativas de conexión presentadas en la subestación Naranjito 33

El estado de la capacidad por barra en la subestación Naranjito 33, teniendo en cuenta la priorización se puede observar en la siguiente figura.

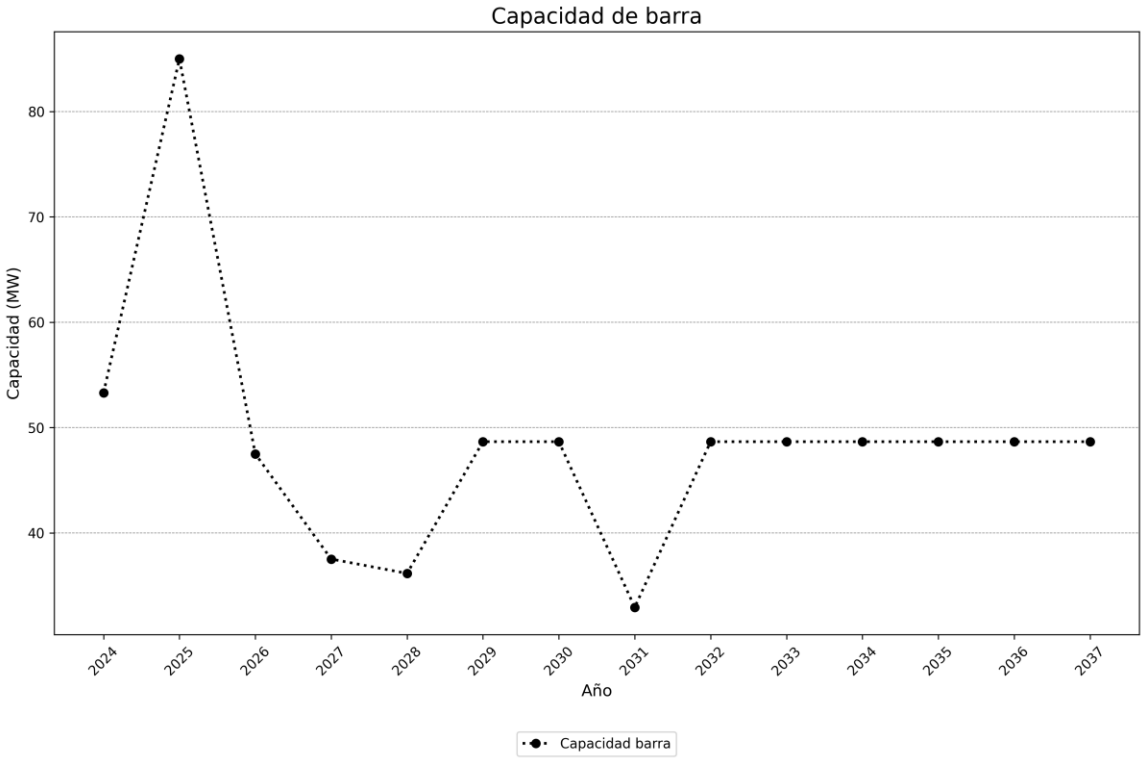


Figura 2-441. Balance de capacidad por barra después de la priorización para la subestación Naranjito 33

Subestación Natagaima 115:

Capacidad por barra:

Para la subestación Natagaima 115 se presentaron 0 alternativas de conexión las cuales se muestran en la siguiente tabla:

Tabla 2-464. Alternativas de conexión presentadas a la subestación Natagaima 115

Solicitud	Capacidad	Tipo	Barra	FPO solicitada	Restricción

No se priorizó ninguna de las alternativas de conexión presentadas en la subestación Natagaima 115

El estado de la capacidad por barra en la subestación Natagaima 115, teniendo en cuenta la priorización se puede observar en la siguiente figura.

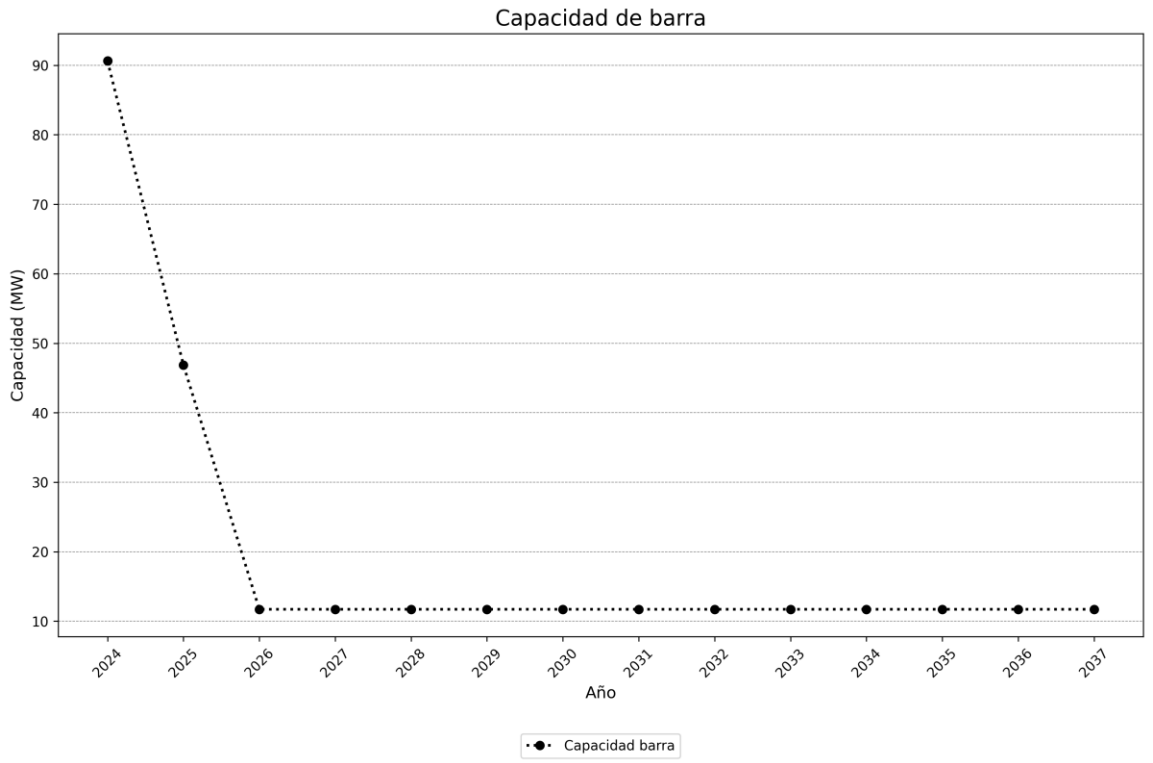


Figura 2-442. Balance de capacidad por barra después de la priorización para la subestación Natagaima 115

Capacidad excedente de interrupción de corriente de cortocircuito:

Para la subestación Natagaima 115 se presentaron 27 alternativas de conexión las cuales tienen aportes de corriente de cortocircuito. Estas alternativas se muestran en la siguiente tabla:

Tabla 2-465. Alternativas de conexión que aportan corriente de cortocircuito en la subestación Natagaima 115

Solicitud	tipo	FPO	Barra a la que aporta CC	Aporte de cortocircuito (kA)	Restricción
SC_2023_5280_A1	Solar FV	2028	Natagaima 115	0.014	SATISFACE
SC_2023_5280_A2	Solar FV	2028	Natagaima 115	0.013	SATISFACE
SC_2023_5287_A1	Solar FV	2026	Natagaima 115	0.007	SATISFACE
SC_2023_5287_A2	Solar FV	2026	Natagaima 115	0.007	SATISFACE
SC_2023_5288_A1	Solar FV	2026	Natagaima 115	0.004	SATISFACE
SC_2023_5288_A2	Solar FV	2026	Natagaima 115	0.011	SATISFACE
SC_2023_5375_A1	Solar FV	2026	Natagaima 115	0.007	SATISFACE
SC_2023_5399_A1	Solar FV	2026	Natagaima 115	0.004	SATISFACE
SC_2023_5399_A2	Solar FV	2026	Natagaima 115	0.011	SATISFACE
SC_2023_5480_A1	Solar FV	2026	Natagaima 115	0.007	SATISFACE
SC_2023_5480_A2	Solar FV	2026	Natagaima 115	0.007	SATISFACE
SC_2023_5557_A1	Solar FV	2028	Natagaima 115	0.029	SATISFACE
SC_2936_A1	Solar FV	2026	Natagaima 115	0.000	SATISFACE
SC_2936_A2	Solar FV	2026	Natagaima 115	0.000	SATISFACE
SC_3132_A1	Solar FV	2026	Natagaima 115	0.016	SATISFACE
SC_3132_A2	Solar FV	2026	Natagaima 115	0.013	SATISFACE
SC_3882_A1	Solar FV	2026	Natagaima 115	0.028	SATISFACE
SC_4083_A1	Solar FV	2027	Natagaima 115	0.000	SATISFACE
SC_4083_A2	Solar FV	2027	Natagaima 115	0.000	SATISFACE
SC_4765_A1	Solar FV	2029	Natagaima 115	0.000	SATISFACE
SC_4765_A2	Solar FV	2029	Natagaima 115	0.000	SATISFACE
SC_4819_A1	Solar FV	2029	Natagaima 115	0.034	SATISFACE
SC_4819_A2	Solar FV	2029	Natagaima 115	0.030	SATISFACE
SC_4974_A1	Solar FV	2026	Natagaima 115	0.002	SATISFACE
SC_4974_A2	Solar FV	2026	Natagaima 115	0.002	SATISFACE
SC_4978_A1	Solar FV	2026	Natagaima 115	0.000	SATISFACE
SC_4978_A2	Solar FV	2026	Natagaima 115	1.502	SATISFACE

No se priorizó ninguna de las alternativas de conexión que tengan aportes de corriente de cortocircuito en la subestación Natagaima 115

El estado de la capacidad de cortocircuito en la subestación Natagaima 115, teniendo en cuenta la priorización se puede observar en la siguiente figura.

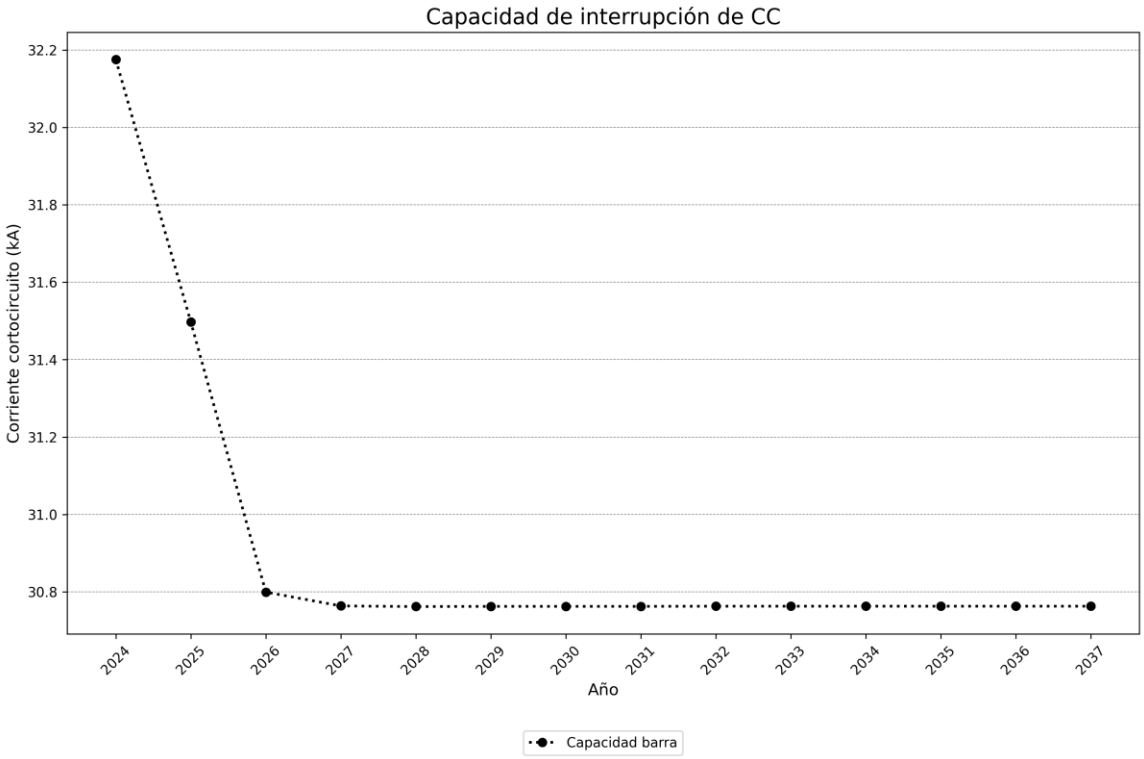


Figura 2-443. Balance de capacidad de cortocircuito después de la priorización para la subestación Natagaima 115

Subestación Neira 33:

Capacidad por barra:

Para la subestación Neira 33 se presentaron 1 alternativas de conexión las cuales se muestran en la siguiente tabla:

Tabla 2-466. Alternativas de conexión presentadas a la subestación Neira 33

Solicitud	Capacidad	Tipo	Barra	FPO solicitada	Restricción
SC_2023_5216_A2	9.9	Solar FV	Neira 33	2026	NO SATISFACE

No se priorizó ninguna de las alternativas de conexión presentadas en la subestación Neira 33

El estado de la capacidad por barra en la subestación Neira 33, teniendo en cuenta la priorización se puede observar en la siguiente figura.

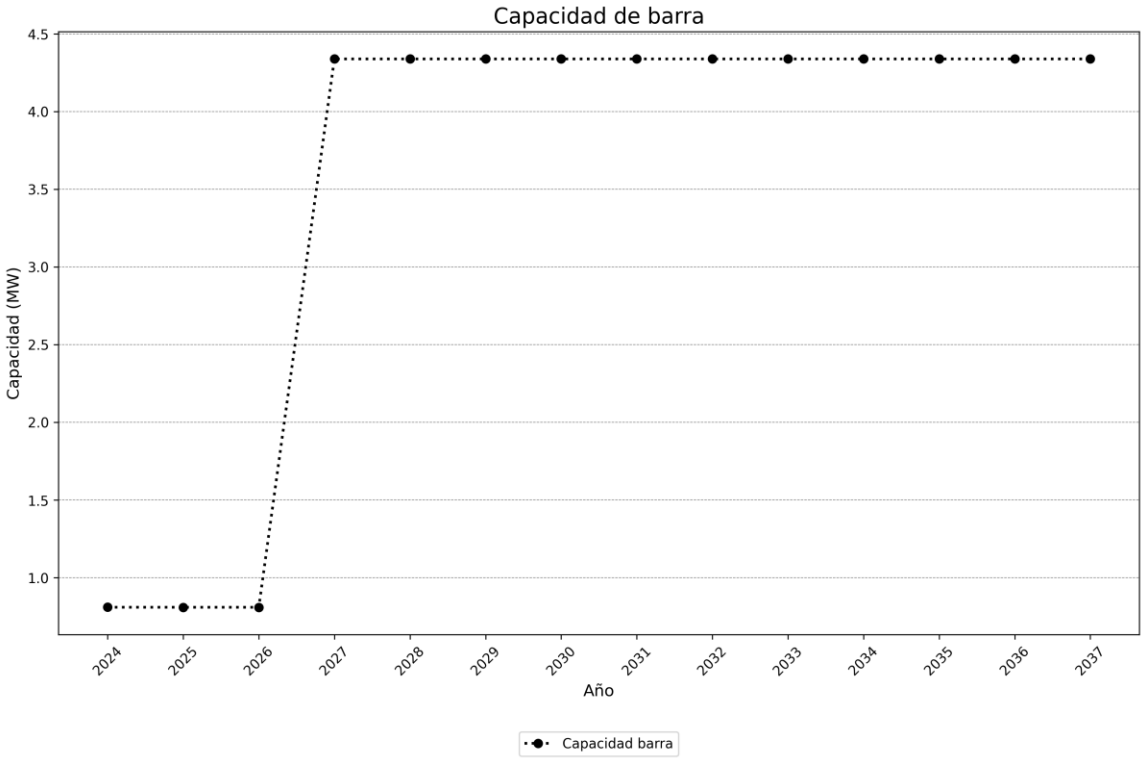


Figura 2-444. Balance de capacidad por barra después de la priorización para la subestación Neira 33

Subestación Noroeste 115:

Capacidad por barra:

Para la subestación Noroeste 115 se presentaron 0 alternativas de conexión las cuales se muestran en la siguiente tabla:

Tabla 2-467. Alternativas de conexión presentadas a la subestación Noroeste 115

Solicitud	Capacidad	Tipo	Barra	FPO solicitada	Restricción

No se priorizó ninguna de las alternativas de conexión presentadas en la subestación Noroeste 115

El estado de la capacidad por barra en la subestación Noroeste 115, teniendo en cuenta la priorización se puede observar en la siguiente figura.

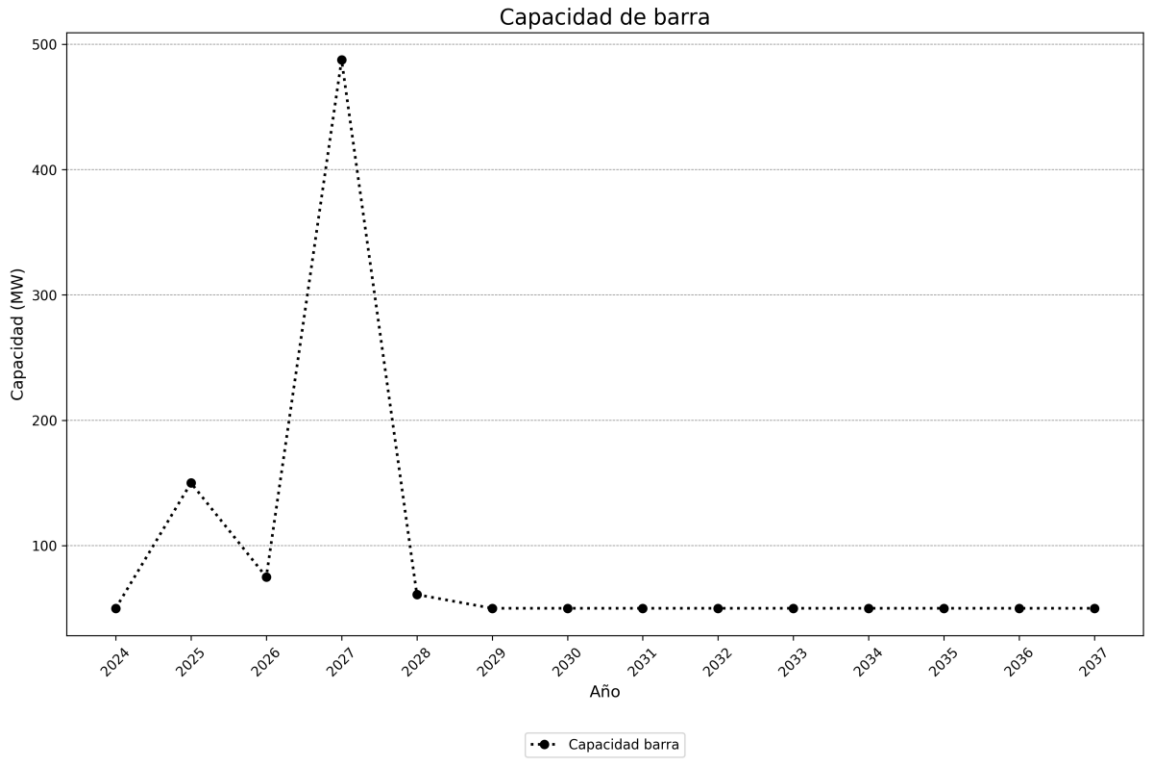


Figura 2-445. Balance de capacidad por barra después de la priorización para la subestación Noroeste 115

Capacidad excedente de interrupción de corriente de cortocircuito:

Para la subestación Noroeste 115 se presentaron 32 alternativas de conexión las cuales tienen aportes de corriente de cortocircuito. Estas alternativas se muestran en la siguiente tabla:

Tabla 2-468. Alternativas de conexión que aportan corriente de cortocircuito en la subestación Noroeste 115

Solicitud	tipo	FPO	Barra a la que aporta CC	Aporte de cortocircuito (kA)	Restricción
SC_2023_5280_A1	Solar FV	2028	Noroeste 115	0.085	SATISFACE
SC_2023_5280_A2	Solar FV	2028	Noroeste 115	0.077	SATISFACE
SC_2023_5287_A1	Solar FV	2026	Noroeste 115	0.044	SATISFACE
SC_2023_5287_A2	Solar FV	2026	Noroeste 115	0.045	SATISFACE
SC_2023_5288_A1	Solar FV	2026	Noroeste 115	0.026	SATISFACE
SC_2023_5288_A2	Solar FV	2026	Noroeste 115	0.068	SATISFACE
SC_2023_5375_A1	Solar FV	2026	Noroeste 115	0.043	SATISFACE
SC_2023_5399_A1	Solar FV	2026	Noroeste 115	0.026	SATISFACE
SC_2023_5399_A2	Solar FV	2026	Noroeste 115	0.068	SATISFACE
SC_2023_5480_A1	Solar FV	2026	Noroeste 115	0.044	SATISFACE
SC_2023_5480_A2	Solar FV	2026	Noroeste 115	0.045	SATISFACE
SC_2023_5557_A1	Solar FV	2028	Noroeste 115	0.175	NO SATISFACE
SC_2816_A1	Solar FV	2027	Noroeste 115	0.010	SATISFACE
SC_2870_A1	Solar FV	2027	Noroeste 115	0.000	SATISFACE
SC_2870_A2	Solar FV	2027	Noroeste 115	0.000	SATISFACE
SC_2936_A1	Solar FV	2026	Noroeste 115	0.000	SATISFACE
SC_2936_A2	Solar FV	2026	Noroeste 115	0.000	SATISFACE
SC_3121_A1	Solar FV	2026	Noroeste 115	0.008	SATISFACE
SC_3121_A2	Solar FV	2026	Noroeste 115	0.008	SATISFACE
SC_3132_A1	Solar FV	2026	Noroeste 115	0.095	SATISFACE
SC_3132_A2	Solar FV	2026	Noroeste 115	0.083	SATISFACE
SC_3882_A1	Solar FV	2026	Noroeste 115	0.169	NO SATISFACE
SC_4083_A1	Solar FV	2027	Noroeste 115	0.001	SATISFACE
SC_4083_A2	Solar FV	2027	Noroeste 115	0.001	SATISFACE
SC_4765_A1	Solar FV	2029	Noroeste 115	0.006	SATISFACE
SC_4765_A2	Solar FV	2029	Noroeste 115	0.004	SATISFACE
SC_4819_A1	Solar FV	2029	Noroeste 115	0.153	NO SATISFACE
SC_4819_A2	Solar FV	2029	Noroeste 115	0.139	NO SATISFACE
SC_4974_A1	Solar FV	2026	Noroeste 115	0.009	SATISFACE

SC_4974_A2	Solar FV	2026	Noroeste 115	0.008	SATISFACE
SC_4978_A1	Solar FV	2026	Noroeste 115	0.000	SATISFACE
SC_4978_A2	Solar FV	2026	Noroeste 115	0.007	SATISFACE

No se priorizó ninguna de las alternativas de conexión que tengan aportes de corriente de cortocircuito en la subestación Noroeste 115

El estado de la capacidad de cortocircuito en la subestación Noroeste 115, teniendo en cuenta la priorización se puede observar en la siguiente figura.

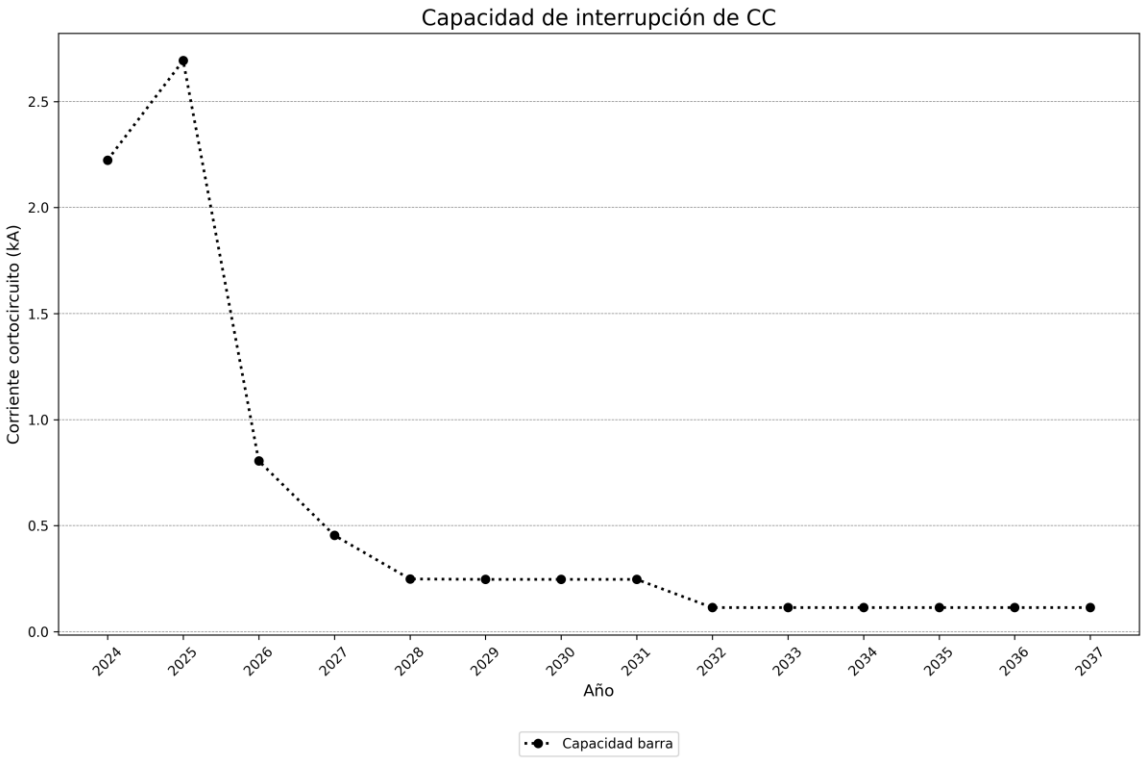


Figura 2-446. Balance de capacidad de cortocircuito después de la priorización para la subestación Noroeste 115

Subestación Noroeste 220:

Capacidad por barra:

Para la subestación Noroeste 220 se presentaron 0 alternativas de conexión las cuales se muestran en la siguiente tabla:

Tabla 2-469. Alternativas de conexión presentadas a la subestación Noroeste 220

Solicitud	Capacidad	Tipo	Barra	FPO solicitada	Restricción

No se priorizó ninguna de las alternativas de conexión presentadas en la subestación Noroeste 220

El estado de la capacidad por barra en la subestación Noroeste 220, teniendo en cuenta la priorización se puede observar en la siguiente figura.

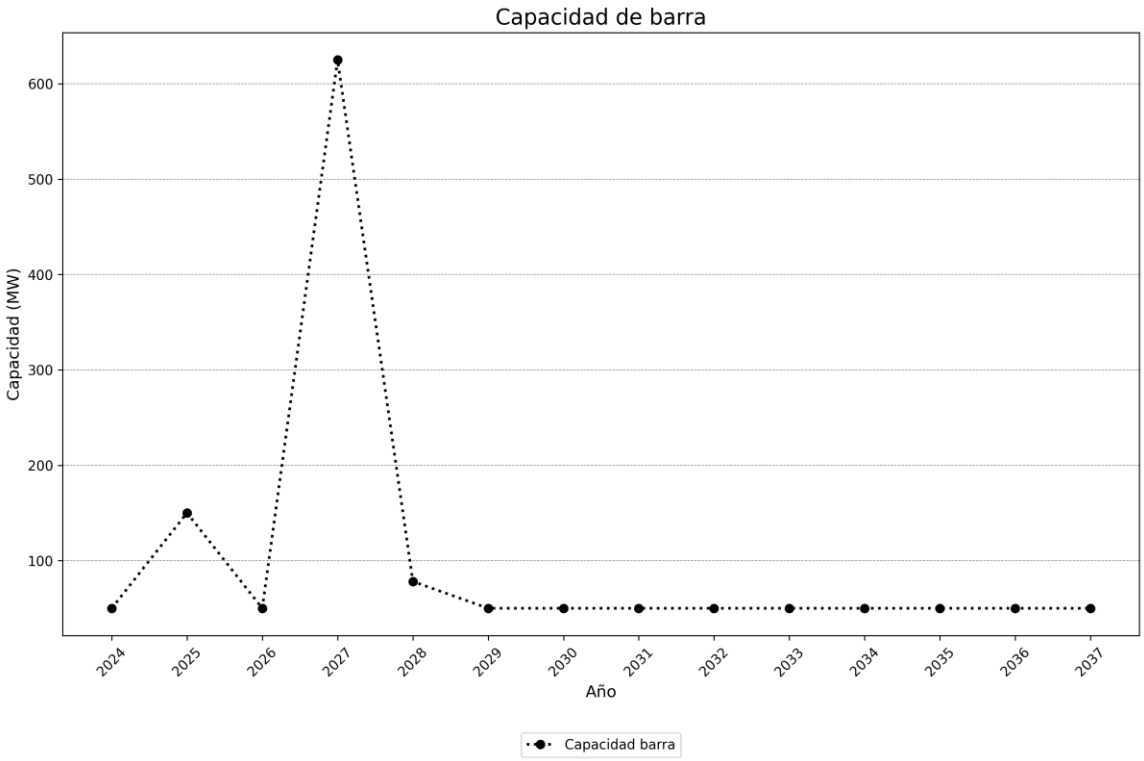


Figura 2-447. Balance de capacidad por barra después de la priorización para la subestación Noroeste 220

Capacidad excedente de interrupción de corriente de cortocircuito:

Para la subestación Noroeste 220 se presentaron 42 alternativas de conexión las cuales tienen aportes de corriente de cortocircuito. Estas alternativas se muestran en la siguiente tabla:

Tabla 2-470. Alternativas de conexión que aportan corriente de cortocircuito en la subestación Noroeste 220

Solicitud	tipo	FPO	Barra a la que aporta CC	Aporte de cortocircuito (kA)	Restricción
SC_2023_5280_A1	Solar FV	2028	Noroeste 220	0.103	SATISFACE
SC_2023_5280_A2	Solar FV	2028	Noroeste 220	0.094	SATISFACE
SC_2023_5287_A1	Solar FV	2026	Noroeste 220	0.052	SATISFACE
SC_2023_5287_A2	Solar FV	2026	Noroeste 220	0.053	SATISFACE
SC_2023_5288_A1	Solar FV	2026	Noroeste 220	0.031	SATISFACE
SC_2023_5288_A2	Solar FV	2026	Noroeste 220	0.081	SATISFACE
SC_2023_5294_A1	Solar FV	2029	Noroeste 220	0.044	SATISFACE
SC_2023_5294_A2	Solar FV	2029	Noroeste 220	0.040	SATISFACE
SC_2023_5375_A1	Solar FV	2026	Noroeste 220	0.050	SATISFACE
SC_2023_5399_A1	Solar FV	2026	Noroeste 220	0.031	SATISFACE
SC_2023_5399_A2	Solar FV	2026	Noroeste 220	0.081	SATISFACE
SC_2023_5480_A1	Solar FV	2026	Noroeste 220	0.052	SATISFACE
SC_2023_5480_A2	Solar FV	2026	Noroeste 220	0.053	SATISFACE
SC_2023_5557_A1	Solar FV	2028	Noroeste 220	0.209	SATISFACE
SC_2816_A1	Solar FV	2027	Noroeste 220	0.030	SATISFACE
SC_2870_A1	Solar FV	2027	Noroeste 220	0.010	SATISFACE
SC_2870_A2	Solar FV	2027	Noroeste 220	0.030	SATISFACE
SC_2936_A1	Solar FV	2026	Noroeste 220	0.000	SATISFACE
SC_2936_A2	Solar FV	2026	Noroeste 220	0.000	SATISFACE
SC_3054_A2	Solar FV	2027	Noroeste 220	0.006	SATISFACE
SC_3121_A1	Solar FV	2026	Noroeste 220	0.007	SATISFACE
SC_3121_A2	Solar FV	2026	Noroeste 220	0.007	SATISFACE
SC_3132_A1	Solar FV	2026	Noroeste 220	0.114	SATISFACE
SC_3132_A2	Solar FV	2026	Noroeste 220	0.100	SATISFACE
SC_3331_A1	Solar FV	2026	Noroeste 220	0.076	SATISFACE
SC_3433_A2	Solar FV	2027	Noroeste 220	0.000	SATISFACE
SC_3578_A1	Solar FV	2028	Noroeste 220	0.015	SATISFACE
SC_3578_A2	Solar FV	2028	Noroeste 220	0.013	SATISFACE

SC_3667_A1	Solar FV	2029	Noroeste 220	0.004	SATISFACE
SC_3667_A2	Solar FV	2029	Noroeste 220	0.002	SATISFACE
SC_3882_A1	Solar FV	2026	Noroeste 220	0.203	SATISFACE
SC_4083_A1	Solar FV	2027	Noroeste 220	0.002	SATISFACE
SC_4083_A2	Solar FV	2027	Noroeste 220	0.002	SATISFACE
SC_4765_A1	Solar FV	2029	Noroeste 220	0.024	SATISFACE
SC_4765_A2	Solar FV	2029	Noroeste 220	0.014	SATISFACE
SC_4819_A1	Solar FV	2029	Noroeste 220	0.191	SATISFACE
SC_4819_A2	Solar FV	2029	Noroeste 220	0.174	SATISFACE
SC_4960_A2	Solar FV	2029	Noroeste 220	0.080	SATISFACE
SC_4974_A1	Solar FV	2026	Noroeste 220	0.011	SATISFACE
SC_4974_A2	Solar FV	2026	Noroeste 220	0.011	SATISFACE
SC_4978_A1	Solar FV	2026	Noroeste 220	0.001	SATISFACE
SC_4978_A2	Solar FV	2026	Noroeste 220	0.009	SATISFACE

No se priorizó ninguna de las alternativas de conexión que tengan aportes de corriente de cortocircuito en la subestación Noroeste 220

El estado de la capacidad de cortocircuito en la subestación Noroeste 220, teniendo en cuenta la priorización se puede observar en la siguiente figura.

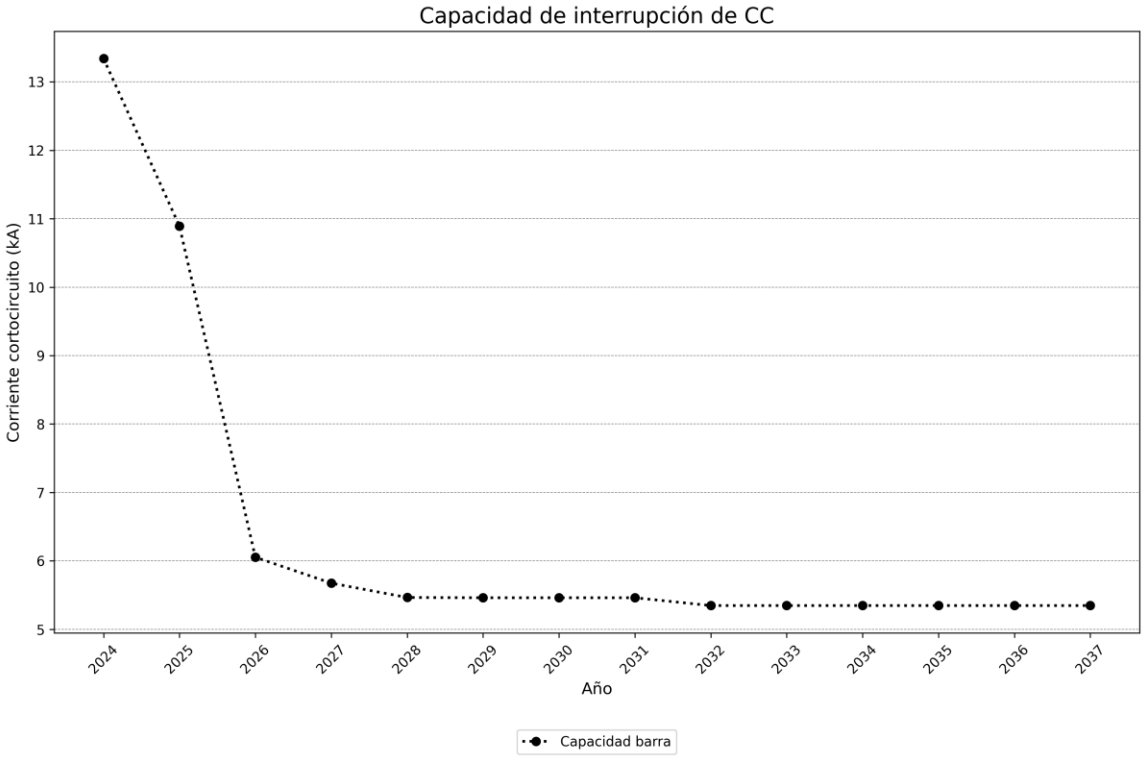


Figura 2-448. Balance de capacidad de cortocircuito después de la priorización para la subestación Noroeste 220

Subestación Norte 500:

Capacidad por barra:

Para la subestación Norte 500 se presentaron 0 alternativas de conexión las cuales se muestran en la siguiente tabla:

Tabla 2-471. Alternativas de conexión presentadas a la subestación Norte 500

Solicitud	Capacidad	Tipo	Barra	FPO solicitada	Restricción

No se priorizó ninguna de las alternativas de conexión presentadas en la subestación Norte 500

El estado de la capacidad por barra en la subestación Norte 500, teniendo en cuenta la priorización se puede observar en la siguiente figura.

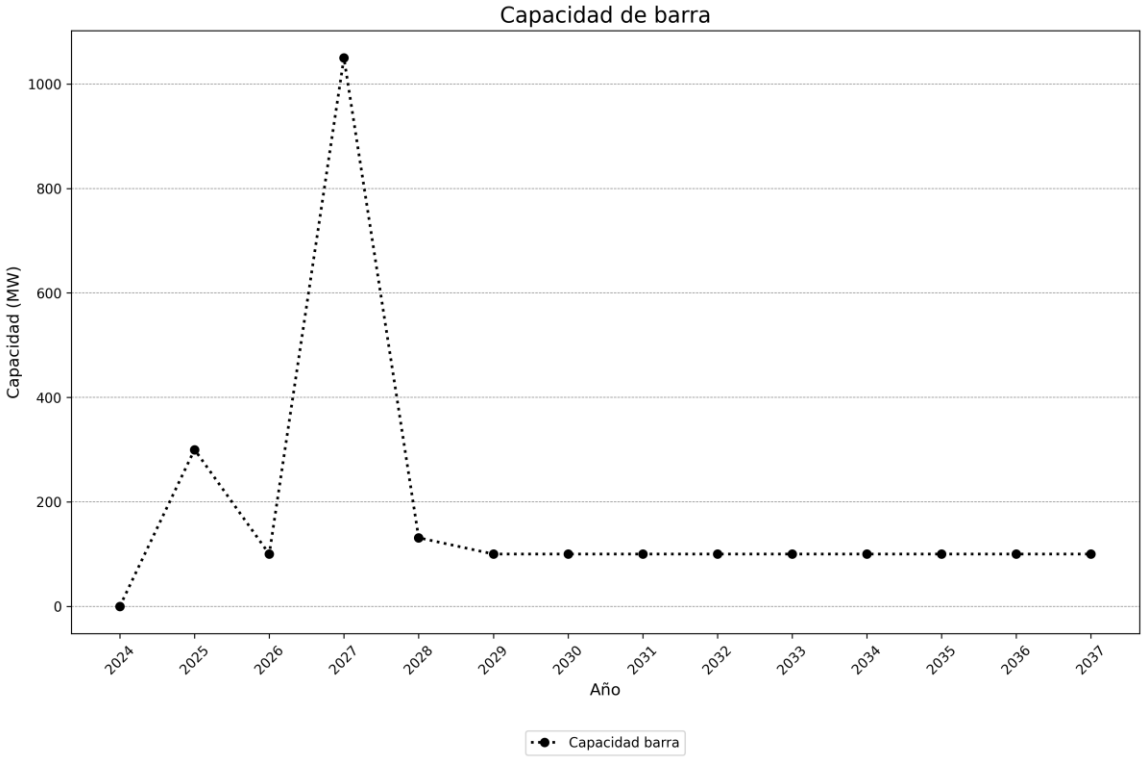


Figura 2-449. Balance de capacidad por barra después de la priorización para la subestación Norte 500

Capacidad excedente de interrupción de corriente de cortocircuito:

Para la subestación Norte 500 se presentaron 2 alternativas de conexión las cuales tienen aportes de corriente de cortocircuito. Estas alternativas se muestran en la siguiente tabla:

Tabla 2-472. Alternativas de conexión que aportan corriente de cortocircuito en la subestación Norte 500

Solicitud	tipo	FPO	Barra a la que aporta CC	Aporte de cortocircuito (kA)	Restricción
SC_3133_A1	Solar FV	2028	Norte 500	0.060	SATISFACE
SC_3133_A2	Solar FV	2028	Norte 500	0.068	SATISFACE

No se priorizó ninguna de las alternativas de conexión que tengan aportes de corriente de cortocircuito en la subestación Norte 500

El estado de la capacidad de cortocircuito en la subestación Norte 500, teniendo en cuenta la priorización se puede observar en la siguiente figura.

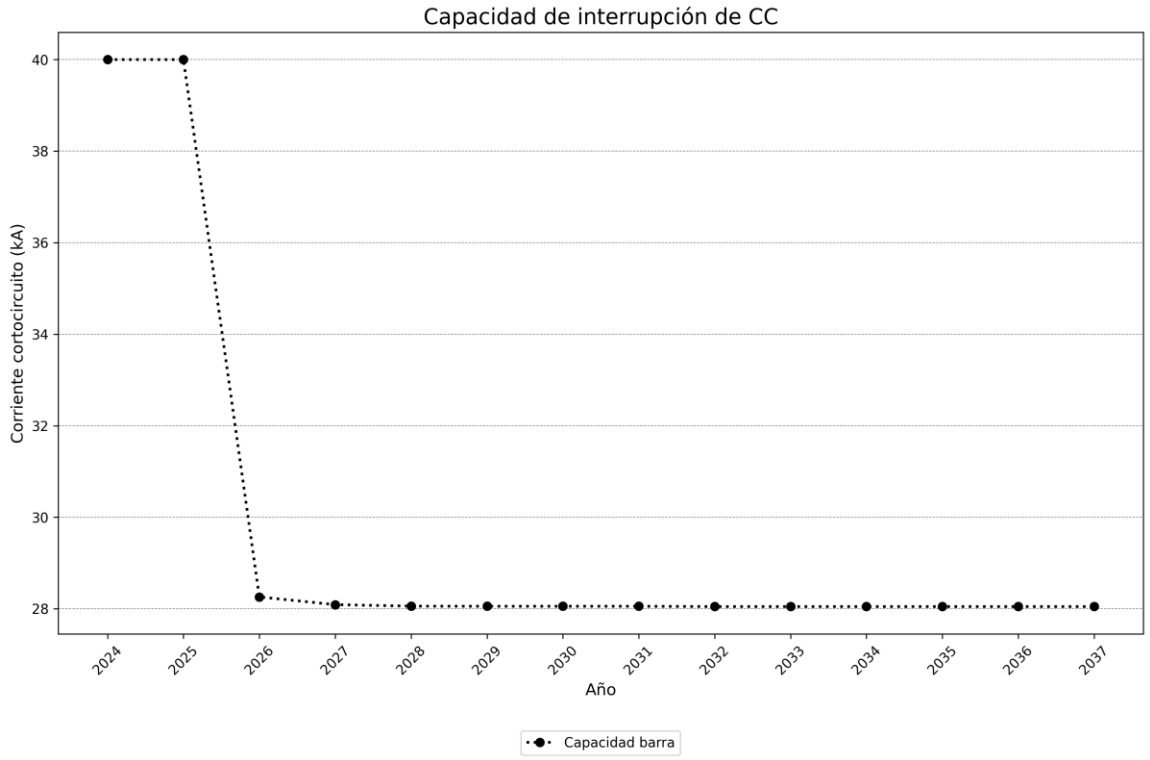


Figura 2-450. Balance de capacidad de cortocircuito después de la priorización para la subestación Norte 500

Subestación Nva Cajamarca 115:

Capacidad por barra:

Para la subestación Nva Cajamarca 115 se presentaron 0 alternativas de conexión las cuales se muestran en la siguiente tabla:

Tabla 2-473. Alternativas de conexión presentadas a la subestación Nva Cajamarca 115

Solicitud	Capacidad	Tipo	Barra	FPO solicitada	Restricción

No se priorizó ninguna de las alternativas de conexión presentadas en la subestación Nva Cajamarca 115

El estado de la capacidad por barra en la subestación Nva Cajamarca 115, teniendo en cuenta la priorización se puede observar en la siguiente figura.

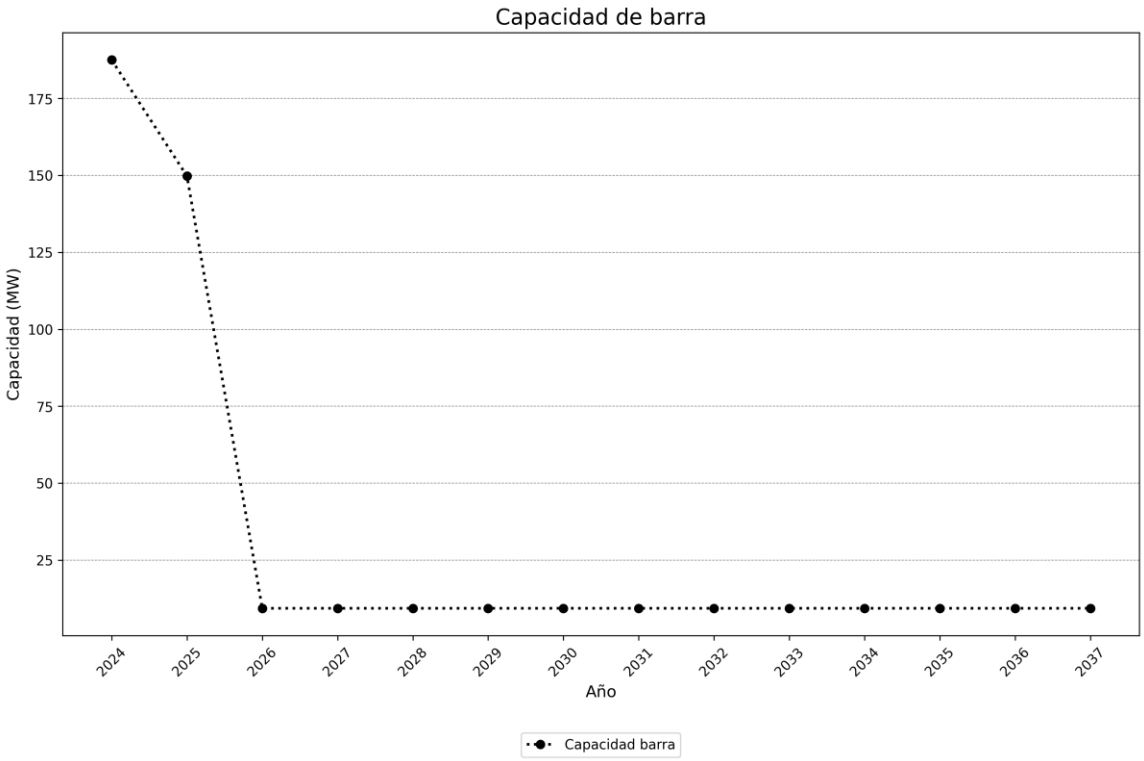


Figura 2-451. Balance de capacidad por barra después de la priorización para la subestación Nva Cajamarca 115

Capacidad excedente de interrupción de corriente de cortocircuito:

Para la subestación Nva Cajamarca 115 se presentaron 98 alternativas de conexión las cuales tienen aportes de corriente de cortocircuito. Estas alternativas se muestran en la siguiente tabla:

Tabla 2-474. Alternativas de conexión que aportan corriente de cortocircuito en la subestación Nva Cajamarca 115

Solicitud	tipo	FPO	Barra a la que aporta CC	Aporte de cortocircuito (kA)	Restricción
SC_2023_5136_A1	Solar FV	2026	Nva Cajamarca 115	0.006	SATISFACE
SC_2023_5136_A2	Solar FV	2026	Nva Cajamarca 115	0.006	SATISFACE
SC_2023_5144_A1	Solar FV	2028	Nva Cajamarca 115	0.064	SATISFACE
SC_2023_5144_A2	Solar FV	2028	Nva Cajamarca 115	0.033	SATISFACE
SC_2023_5150_A1	Solar FV	2028	Nva Cajamarca 115	0.054	SATISFACE
SC_2023_5158_A1	Solar FV	2028	Nva Cajamarca 115	0.040	SATISFACE
SC_2023_5185_A1	Solar FV	2026	Nva Cajamarca 115	0.110	SATISFACE
SC_2023_5185_A2	Solar FV	2026	Nva Cajamarca 115	0.107	SATISFACE
SC_2023_5188_A1	Solar FV	2026	Nva Cajamarca 115	0.013	SATISFACE
SC_2023_5188_A2	Solar FV	2026	Nva Cajamarca 115	0.035	SATISFACE
SC_2023_5200_A1	Solar FV	2028	Nva Cajamarca 115	0.127	SATISFACE
SC_2023_5200_A2	Solar FV	2028	Nva Cajamarca 115	0.065	SATISFACE
SC_2023_5280_A1	Solar FV	2028	Nva Cajamarca 115	0.026	SATISFACE

SC_2023_5280_A2	Solar FV	2028	Nva Cajamarca 115	0.024	SATISFACE
SC_2023_5287_A1	Solar FV	2026	Nva Cajamarca 115	0.013	SATISFACE
SC_2023_5287_A2	Solar FV	2026	Nva Cajamarca 115	0.014	SATISFACE
SC_2023_5288_A1	Solar FV	2026	Nva Cajamarca 115	0.008	SATISFACE
SC_2023_5288_A2	Solar FV	2026	Nva Cajamarca 115	0.021	SATISFACE
SC_2023_5294_A1	Solar FV	2029	Nva Cajamarca 115	0.006	SATISFACE
SC_2023_5294_A2	Solar FV	2029	Nva Cajamarca 115	0.006	SATISFACE
SC_2023_5339_A1	PCH	2026	Nva Cajamarca 115	0.001	SATISFACE
SC_2023_5339_A2	PCH	2026	Nva Cajamarca 115	0.001	SATISFACE
SC_2023_5345_A1	Solar FV	2027	Nva Cajamarca 115	0.004	SATISFACE
SC_2023_5345_A2	Solar FV	2027	Nva Cajamarca 115	0.005	SATISFACE
SC_2023_5346_A1	Solar FV	2027	Nva Cajamarca 115	0.004	SATISFACE
SC_2023_5346_A2	Solar FV	2027	Nva Cajamarca 115	0.005	SATISFACE
SC_2023_5375_A1	Solar FV	2026	Nva Cajamarca 115	0.013	SATISFACE
SC_2023_5399_A1	Solar FV	2026	Nva Cajamarca 115	0.008	SATISFACE
SC_2023_5399_A2	Solar FV	2026	Nva Cajamarca 115	0.021	SATISFACE
SC_2023_5431_A1	Solar FV	2028	Nva Cajamarca 115	0.000	SATISFACE
SC_2023_5431_A2	Solar FV	2028	Nva Cajamarca 115	0.000	SATISFACE
SC_2023_5480_A1	Solar FV	2026	Nva Cajamarca 115	0.013	SATISFACE
SC_2023_5480_A2	Solar FV	2026	Nva Cajamarca 115	0.014	SATISFACE

SC_2023_5551_A1	Solar FV	2027	Nva Cajamarca 115	0.114	SATISFACE
SC_2023_5551_A2	Solar FV	2027	Nva Cajamarca 115	0.058	SATISFACE
SC_2023_5557_A1	Solar FV	2028	Nva Cajamarca 115	0.050	SATISFACE
SC_2438_A1	Solar FV	2028	Nva Cajamarca 115	0.000	SATISFACE
SC_2438_A2	Solar FV	2028	Nva Cajamarca 115	0.000	SATISFACE
SC_2545_A1	Solar FV	2026	Nva Cajamarca 115	0.010	SATISFACE
SC_2545_A2	Solar FV	2026	Nva Cajamarca 115	0.010	SATISFACE
SC_2634_A1	Solar FV	2026	Nva Cajamarca 115	0.000	SATISFACE
SC_2634_A2	Solar FV	2026	Nva Cajamarca 115	0.000	SATISFACE
SC_2643_A1	Solar FV	2026	Nva Cajamarca 115	0.010	SATISFACE
SC_2643_A2	Solar FV	2026	Nva Cajamarca 115	0.010	SATISFACE
SC_2802_A1	Solar FV	2027	Nva Cajamarca 115	0.001	SATISFACE
SC_2802_A2	Solar FV	2027	Nva Cajamarca 115	0.001	SATISFACE
SC_2924_A1	Solar FV	2026	Nva Cajamarca 115	0.088	SATISFACE
SC_2924_A2	Solar FV	2026	Nva Cajamarca 115	0.085	SATISFACE
SC_2936_A1	Solar FV	2026	Nva Cajamarca 115	0.000	SATISFACE
SC_2936_A2	Solar FV	2026	Nva Cajamarca 115	0.000	SATISFACE
SC_3121_A1	Solar FV	2026	Nva Cajamarca 115	0.003	SATISFACE
SC_3121_A2	Solar FV	2026	Nva Cajamarca 115	0.003	SATISFACE
SC_3132_A1	Solar FV	2026	Nva Cajamarca 115	0.029	SATISFACE

SC_3132_A2	Solar FV	2026	Nva Cajamarca 115	0.027	SATISFACE
SC_3238_A1	Solar FV	2027	Nva Cajamarca 115	0.166	SATISFACE
SC_3238_A2	Solar FV	2027	Nva Cajamarca 115	0.133	SATISFACE
SC_3247_A1	Solar FV	2027	Nva Cajamarca 115	0.054	SATISFACE
SC_3247_A2	Solar FV	2027	Nva Cajamarca 115	0.039	SATISFACE
SC_3248_A1	Solar FV	2027	Nva Cajamarca 115	0.166	SATISFACE
SC_3248_A2	Solar FV	2027	Nva Cajamarca 115	0.133	SATISFACE
SC_3251_A1	Hidráulica	2026	Nva Cajamarca 115	0.000	SATISFACE
SC_3251_A2	Hidráulica	2026	Nva Cajamarca 115	0.000	SATISFACE
SC_3441_A1	Solar FV	2027	Nva Cajamarca 115	0.054	SATISFACE
SC_3441_A2	Solar FV	2027	Nva Cajamarca 115	0.039	SATISFACE
SC_3453_A1	Solar FV	2027	Nva Cajamarca 115	0.003	SATISFACE
SC_3453_A2	Solar FV	2027	Nva Cajamarca 115	0.003	SATISFACE
SC_3514_A1	Solar FV	2027	Nva Cajamarca 115	0.003	SATISFACE
SC_3514_A2	Solar FV	2027	Nva Cajamarca 115	0.003	SATISFACE
SC_3667_A1	Solar FV	2029	Nva Cajamarca 115	0.004	SATISFACE
SC_3667_A2	Solar FV	2029	Nva Cajamarca 115	0.003	SATISFACE
SC_3882_A1	Solar FV	2026	Nva Cajamarca 115	0.049	SATISFACE
SC_4083_A1	Solar FV	2027	Nva Cajamarca 115	0.000	SATISFACE
SC_4083_A2	Solar FV	2027	Nva Cajamarca 115	0.000	SATISFACE

SC_4296_A1	Solar FV	2028	Nva Cajamarca 115	0.064	SATISFACE
SC_4296_A2	Solar FV	2028	Nva Cajamarca 115	0.067	SATISFACE
SC_4765_A1	Solar FV	2029	Nva Cajamarca 115	0.001	SATISFACE
SC_4765_A2	Solar FV	2029	Nva Cajamarca 115	0.000	SATISFACE
SC_4809_A1	Solar FV	2027	Nva Cajamarca 115	0.009	SATISFACE
SC_4809_A2	Solar FV	2027	Nva Cajamarca 115	0.082	SATISFACE
SC_4819_A1	Solar FV	2029	Nva Cajamarca 115	0.051	SATISFACE
SC_4819_A2	Solar FV	2029	Nva Cajamarca 115	0.047	SATISFACE
SC_4824_A1	Solar FV	2025	Nva Cajamarca 115	0.000	SATISFACE
SC_4824_A2	Solar FV	2025	Nva Cajamarca 115	0.000	SATISFACE
SC_4826_A1	Solar FV	2027	Nva Cajamarca 115	0.004	SATISFACE
SC_4826_A2	Solar FV	2027	Nva Cajamarca 115	0.004	SATISFACE
SC_4827_A1	Solar FV	2027	Nva Cajamarca 115	0.004	SATISFACE
SC_4827_A2	Solar FV	2027	Nva Cajamarca 115	0.004	SATISFACE
SC_4842_A1	Solar FV	2028	Nva Cajamarca 115	0.054	SATISFACE
SC_4910_A1	Solar FV	2026	Nva Cajamarca 115	0.006	SATISFACE
SC_4910_A2	Solar FV	2026	Nva Cajamarca 115	0.006	SATISFACE
SC_4947_A1	Solar FV	2027	Nva Cajamarca 115	0.021	SATISFACE
SC_4960_A2	Solar FV	2029	Nva Cajamarca 115	0.020	SATISFACE
SC_4974_A1	Solar FV	2026	Nva Cajamarca 115	0.003	SATISFACE

SC_4974_A2	Solar FV	2026	Nva Cajamarca 115	0.003	SATISFACE
SC_4978_A1	Solar FV	2026	Nva Cajamarca 115	0.000	SATISFACE
SC_4978_A2	Solar FV	2026	Nva Cajamarca 115	0.004	SATISFACE
SC_5060_A1	Solar FV	2026	Nva Cajamarca 115	0.006	SATISFACE
SC_5060_A2	Solar FV	2026	Nva Cajamarca 115	0.006	SATISFACE

Posterior a la ejecución del MACC se priorizaron las siguientes alternativas de conexión que tienen aportes de cortocircuito de la subestación en análisis:

Tabla 2-475. Alternativas de conexión priorizadas que aportan corriente de cortocircuito en la subestación Nva Cajamarca 115

index	tipo	periodoIni	Barra a la que aporta CC	Aporte de cortocircuito (kA)	Restricción
SC_2545_A1	Solar FV	2026	Nva Cajamarca 115	0.010	SATISFACE
SC_2643_A1	Solar FV	2026	Nva Cajamarca 115	0.010	SATISFACE

El estado de la capacidad de cortocircuito en la subestación Nva Cajamarca 115, teniendo en cuenta la priorización se puede observar en la siguiente figura.

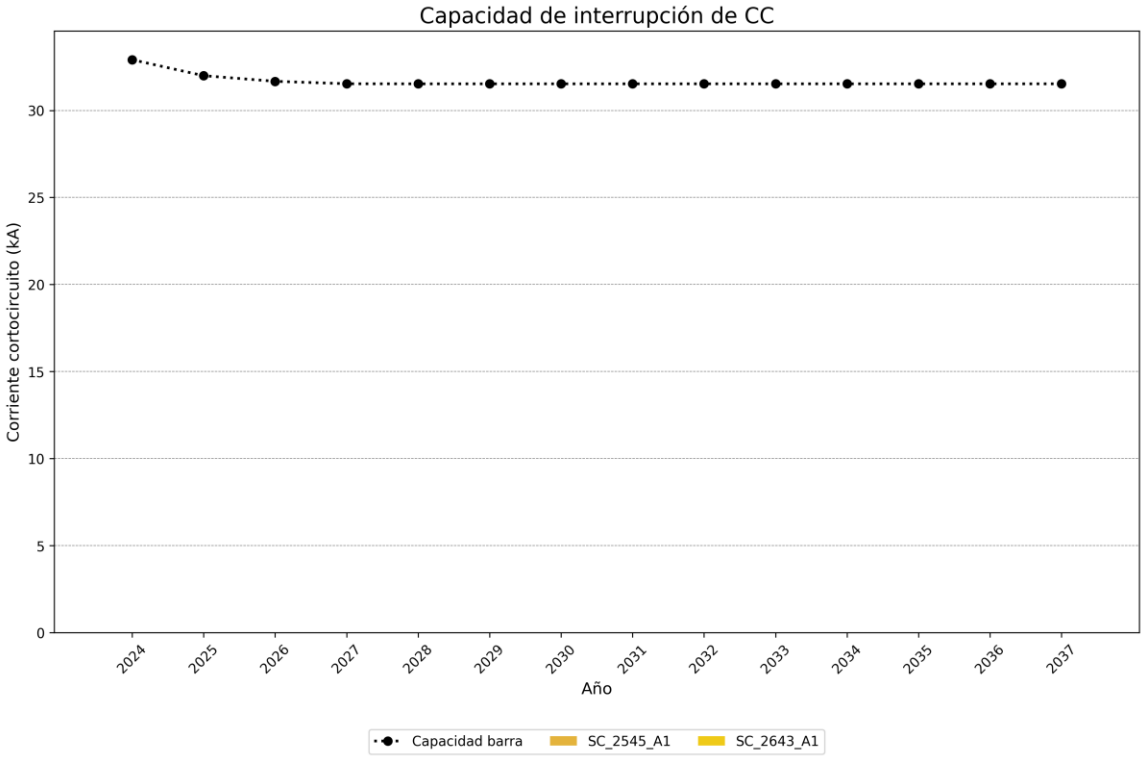


Figura 2-452. Balance de capacidad de cortocircuito después de la priorización para la subestación Nva Cajamarca 115

Subestación Nva Colonia 110:

Capacidad por barra:

Para la subestación Nva Colonia 110 se presentaron 0 alternativas de conexión las cuales se muestran en la siguiente tabla:

Tabla 2-476. Alternativas de conexión presentadas a la subestación Nva Colonia 110

Solicitud	Capacidad	Tipo	Barra	FPO solicitada	Restricción

No se priorizó ninguna de las alternativas de conexión presentadas en la subestación Nva Colonia 110

El estado de la capacidad por barra en la subestación Nva Colonia 110, teniendo en cuenta la priorización se puede observar en la siguiente figura.

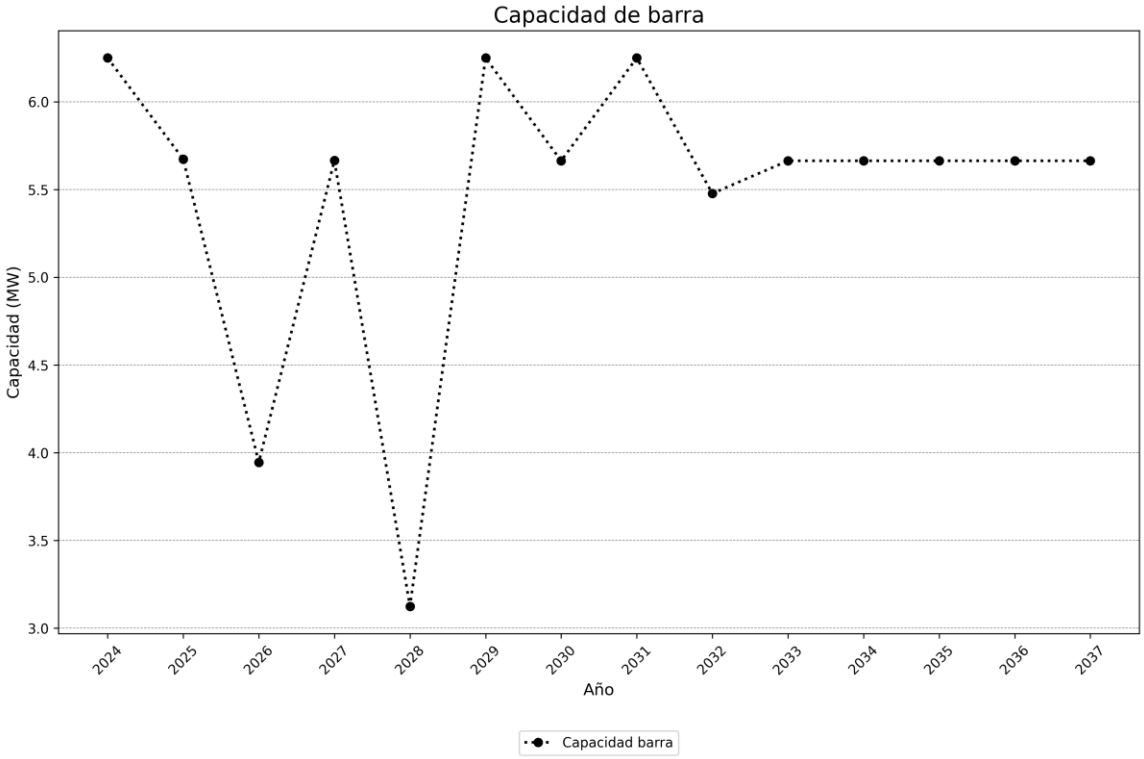


Figura 2-453. Balance de capacidad por barra después de la priorización para la subestación Nva Colonia 110

Capacidad excedente de interrupción de corriente de cortocircuito:

Para la subestación Nva Colonia 110 se presentaron 1 alternativas de conexión las cuales tienen aportes de corriente de cortocircuito. Estas alternativas se muestran en la siguiente tabla:

Tabla 2-477. Alternativas de conexión que aportan corriente de cortocircuito en la subestación Nva Colonia 110

Solicitud	tipo	FPO	Barra a la que aporta CC	Aporte de cortocircuito (kA)	Restricción
SC_3331_A1	Solar FV	2026	Nva Colonia 110	0.007	SATISFACE

No se priorizó ninguna de las alternativas de conexión que tengan aportes de corriente de cortocircuito en la subestación Nva Colonia 110

El estado de la capacidad de cortocircuito en la subestación Nva Colonia 110, teniendo en cuenta la priorización se puede observar en la siguiente figura.

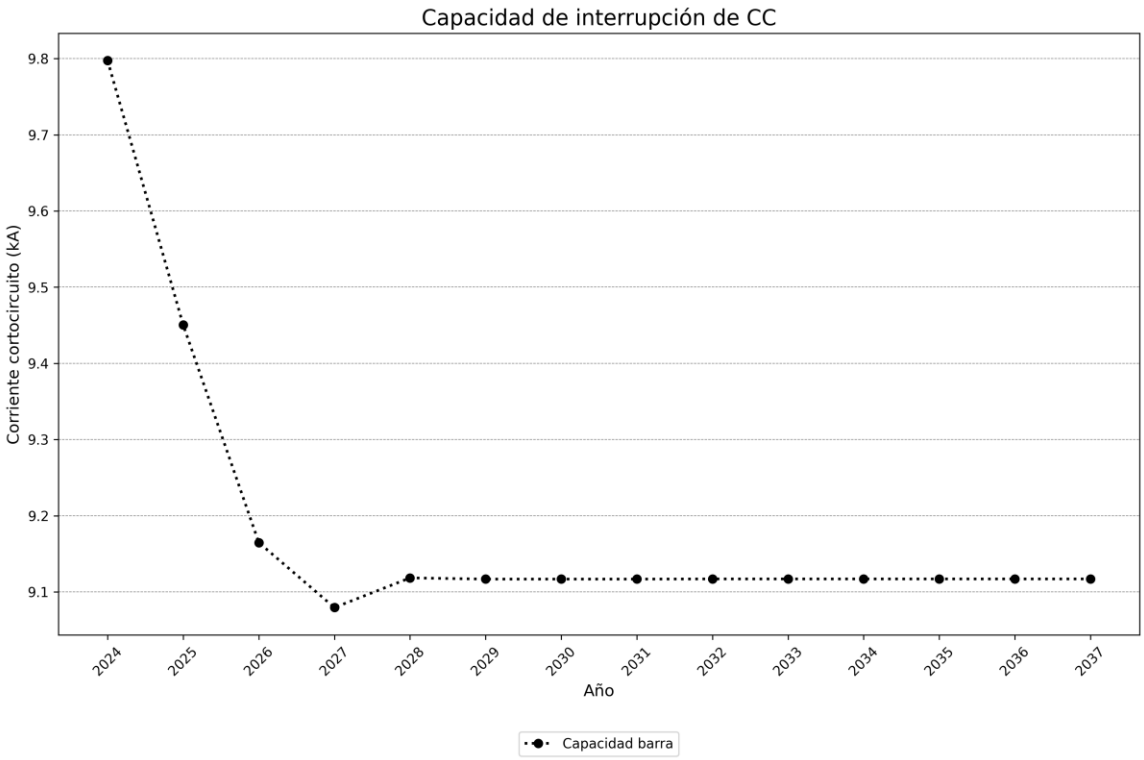


Figura 2-454. Balance de capacidad de cortocircuito después de la priorización para la subestación Nva Colonia 110

Subestación Nva Esperanza 115:

Capacidad por barra:

Para la subestación Nva Esperanza 115 se presentaron 0 alternativas de conexión las cuales se muestran en la siguiente tabla:

Tabla 2-478. Alternativas de conexión presentadas a la subestación Nva Esperanza 115

Solicitud	Capacidad	Tipo	Barra	FPO solicitada	Restricción

No se priorizó ninguna de las alternativas de conexión presentadas en la subestación Nva Esperanza 115

El estado de la capacidad por barra en la subestación Nva Esperanza 115, teniendo en cuenta la priorización se puede observar en la siguiente figura.

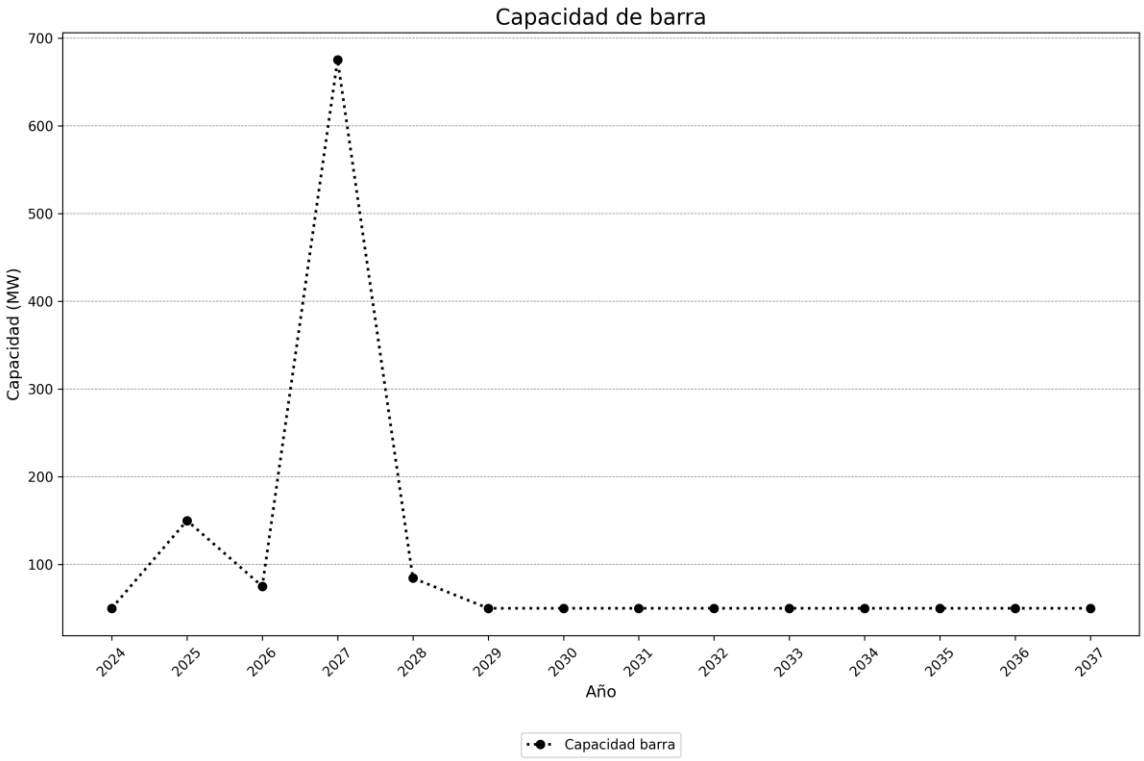


Figura 2-455. Balance de capacidad por barra después de la priorización para la subestación Nva Esperanza 115

Capacidad excedente de interrupción de corriente de cortocircuito:

Para la subestación Nva Esperanza 115 se presentaron 29 alternativas de conexión las cuales tienen aportes de corriente de cortocircuito. Estas alternativas se muestran en la siguiente tabla:

Tabla 2-479. Alternativas de conexión que aportan corriente de cortocircuito en la subestación Nva Esperanza 115

Solicitud	tipo	FPO	Barra a la que aporta CC	Aporte de cortocircuito (kA)	Restricción
SC_2023_5280_A1	Solar FV	2028	Nva Esperanza 115	0.110	SATISFACE
SC_2023_5280_A2	Solar FV	2028	Nva Esperanza 115	0.099	SATISFACE
SC_2023_5287_A1	Solar FV	2026	Nva Esperanza 115	0.056	SATISFACE
SC_2023_5287_A2	Solar FV	2026	Nva Esperanza 115	0.057	SATISFACE
SC_2023_5288_A1	Solar FV	2026	Nva Esperanza 115	0.033	SATISFACE
SC_2023_5288_A2	Solar FV	2026	Nva Esperanza 115	0.086	SATISFACE
SC_2023_5375_A1	Solar FV	2026	Nva Esperanza 115	0.055	SATISFACE
SC_2023_5399_A1	Solar FV	2026	Nva Esperanza 115	0.033	SATISFACE
SC_2023_5399_A2	Solar FV	2026	Nva Esperanza 115	0.086	SATISFACE
SC_2023_5480_A1	Solar FV	2026	Nva Esperanza 115	0.056	SATISFACE
SC_2023_5480_A2	Solar FV	2026	Nva Esperanza 115	0.057	SATISFACE
SC_2023_5557_A1	Solar FV	2028	Nva Esperanza 115	0.229	SATISFACE
SC_2936_A1	Solar FV	2026	Nva Esperanza 115	0.000	SATISFACE

SC_2936_A2	Solar FV	2026	Nva Esperanza 115	0.000	SATISFACE
SC_3121_A1	Solar FV	2026	Nva Esperanza 115	0.007	SATISFACE
SC_3121_A2	Solar FV	2026	Nva Esperanza 115	0.007	SATISFACE
SC_3132_A1	Solar FV	2026	Nva Esperanza 115	0.124	SATISFACE
SC_3132_A2	Solar FV	2026	Nva Esperanza 115	0.107	SATISFACE
SC_3882_A1	Solar FV	2026	Nva Esperanza 115	0.215	SATISFACE
SC_4083_A1	Solar FV	2027	Nva Esperanza 115	0.001	SATISFACE
SC_4083_A2	Solar FV	2027	Nva Esperanza 115	0.001	SATISFACE
SC_4765_A1	Solar FV	2029	Nva Esperanza 115	0.012	SATISFACE
SC_4765_A2	Solar FV	2029	Nva Esperanza 115	0.007	SATISFACE
SC_4819_A1	Solar FV	2029	Nva Esperanza 115	0.202	SATISFACE
SC_4819_A2	Solar FV	2029	Nva Esperanza 115	0.182	SATISFACE
SC_4974_A1	Solar FV	2026	Nva Esperanza 115	0.012	SATISFACE
SC_4974_A2	Solar FV	2026	Nva Esperanza 115	0.012	SATISFACE
SC_4978_A1	Solar FV	2026	Nva Esperanza 115	0.000	SATISFACE
SC_4978_A2	Solar FV	2026	Nva Esperanza 115	0.009	SATISFACE

No se priorizó ninguna de las alternativas de conexión que tengan aportes de corriente de cortocircuito en la subestación Nva Esperanza 115

El estado de la capacidad de cortocircuito en la subestación Nva Esperanza 115, teniendo en cuenta la priorización se puede observar en la siguiente figura.

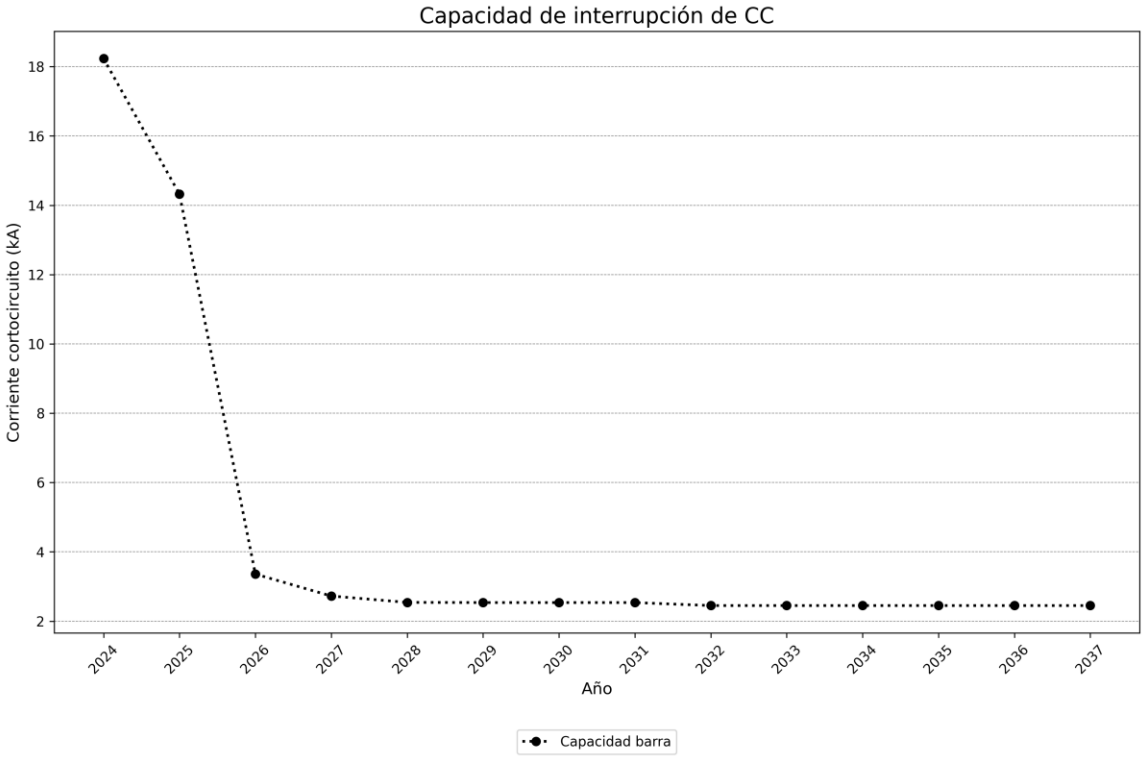


Figura 2-456. Balance de capacidad de cortocircuito después de la priorización para la subestación Nva Esperanza 115

Subestación Nva Esperanza 220:

Capacidad por barra:

Para la subestación Nva Esperanza 220 se presentaron 0 alternativas de conexión las cuales se muestran en la siguiente tabla:

Tabla 2-480. Alternativas de conexión presentadas a la subestación Nva Esperanza 220

Solicitud	Capacidad	Tipo	Barra	FPO solicitada	Restricción

No se priorizó ninguna de las alternativas de conexión presentadas en la subestación Nva Esperanza 220

El estado de la capacidad por barra en la subestación Nva Esperanza 220, teniendo en cuenta la priorización se puede observar en la siguiente figura.

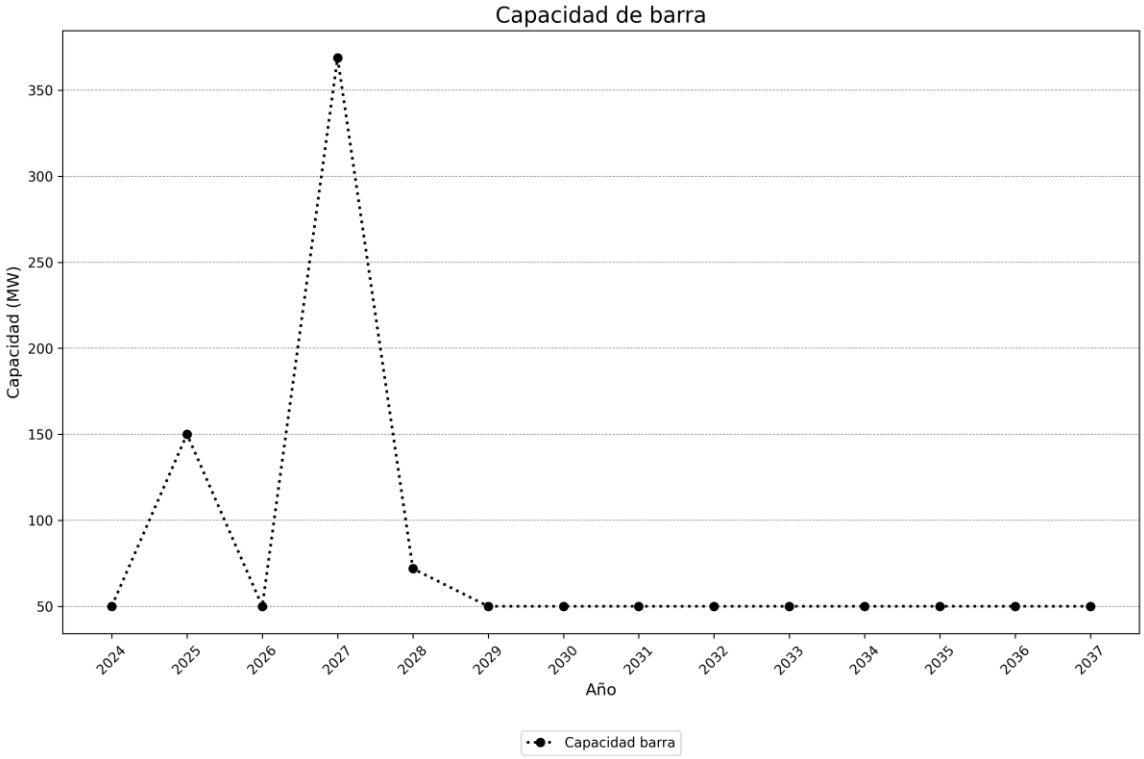


Figura 2-457. Balance de capacidad por barra después de la priorización para la subestación Nva Esperanza 220

Capacidad excedente de interrupción de corriente de cortocircuito:

Para la subestación Nva Esperanza 220 se presentaron 32 alternativas de conexión las cuales tienen aportes de corriente de cortocircuito. Estas alternativas se muestran en la siguiente tabla:

Tabla 2-481. Alternativas de conexión que aportan corriente de cortocircuito en la subestación Nva Esperanza 220

Solicitud	tipo	FPO	Barra a la que aporta CC	Aporte de cortocircuito (kA)	Restricción
SC_2023_5280_A1	Solar FV	2028	Nva Esperanza 220	0.087	SATISFACE
SC_2023_5280_A2	Solar FV	2028	Nva Esperanza 220	0.076	SATISFACE
SC_2023_5287_A1	Solar FV	2026	Nva Esperanza 220	0.044	SATISFACE
SC_2023_5287_A2	Solar FV	2026	Nva Esperanza 220	0.044	SATISFACE
SC_2023_5288_A1	Solar FV	2026	Nva Esperanza 220	0.025	SATISFACE
SC_2023_5288_A2	Solar FV	2026	Nva Esperanza 220	0.066	SATISFACE
SC_2023_5375_A1	Solar FV	2026	Nva Esperanza 220	0.042	SATISFACE
SC_2023_5399_A1	Solar FV	2026	Nva Esperanza 220	0.025	SATISFACE
SC_2023_5399_A2	Solar FV	2026	Nva Esperanza 220	0.066	SATISFACE
SC_2023_5480_A1	Solar FV	2026	Nva Esperanza 220	0.044	SATISFACE
SC_2023_5480_A2	Solar FV	2026	Nva Esperanza 220	0.044	SATISFACE
SC_2023_5557_A1	Solar FV	2028	Nva Esperanza 220	0.186	SATISFACE
SC_2936_A1	Solar FV	2026	Nva Esperanza 220	0.000	SATISFACE
SC_2936_A2	Solar FV	2026	Nva Esperanza 220	0.000	SATISFACE
SC_3121_A1	Solar FV	2026	Nva Esperanza 220	0.006	SATISFACE
SC_3121_A2	Solar FV	2026	Nva Esperanza 220	0.006	SATISFACE
SC_3132_A1	Solar FV	2026	Nva Esperanza 220	0.097	SATISFACE
SC_3132_A2	Solar FV	2026	Nva Esperanza 220	0.080	SATISFACE
SC_3133_A1	Solar FV	2028	Nva Esperanza 220	0.127	SATISFACE

SC_3133_A2	Solar FV	2028	Nva Esperanza 220	0.131	SATISFACE
SC_3433_A2	Solar FV	2027	Nva Esperanza 220	0.000	SATISFACE
SC_3882_A1	Solar FV	2026	Nva Esperanza 220	0.180	SATISFACE
SC_4083_A1	Solar FV	2027	Nva Esperanza 220	0.001	SATISFACE
SC_4083_A2	Solar FV	2027	Nva Esperanza 220	0.001	SATISFACE
SC_4765_A1	Solar FV	2029	Nva Esperanza 220	0.018	SATISFACE
SC_4765_A2	Solar FV	2029	Nva Esperanza 220	0.009	SATISFACE
SC_4819_A1	Solar FV	2029	Nva Esperanza 220	0.166	SATISFACE
SC_4819_A2	Solar FV	2029	Nva Esperanza 220	0.145	SATISFACE
SC_4974_A1	Solar FV	2026	Nva Esperanza 220	0.009	SATISFACE
SC_4974_A2	Solar FV	2026	Nva Esperanza 220	0.009	SATISFACE
SC_4978_A1	Solar FV	2026	Nva Esperanza 220	0.000	SATISFACE
SC_4978_A2	Solar FV	2026	Nva Esperanza 220	0.007	SATISFACE

No se priorizó ninguna de las alternativas de conexión que tengan aportes de corriente de cortocircuito en la subestación Nva Esperanza 220

El estado de la capacidad de cortocircuito en la subestación Nva Esperanza 220, teniendo en cuenta la priorización se puede observar en la siguiente figura.

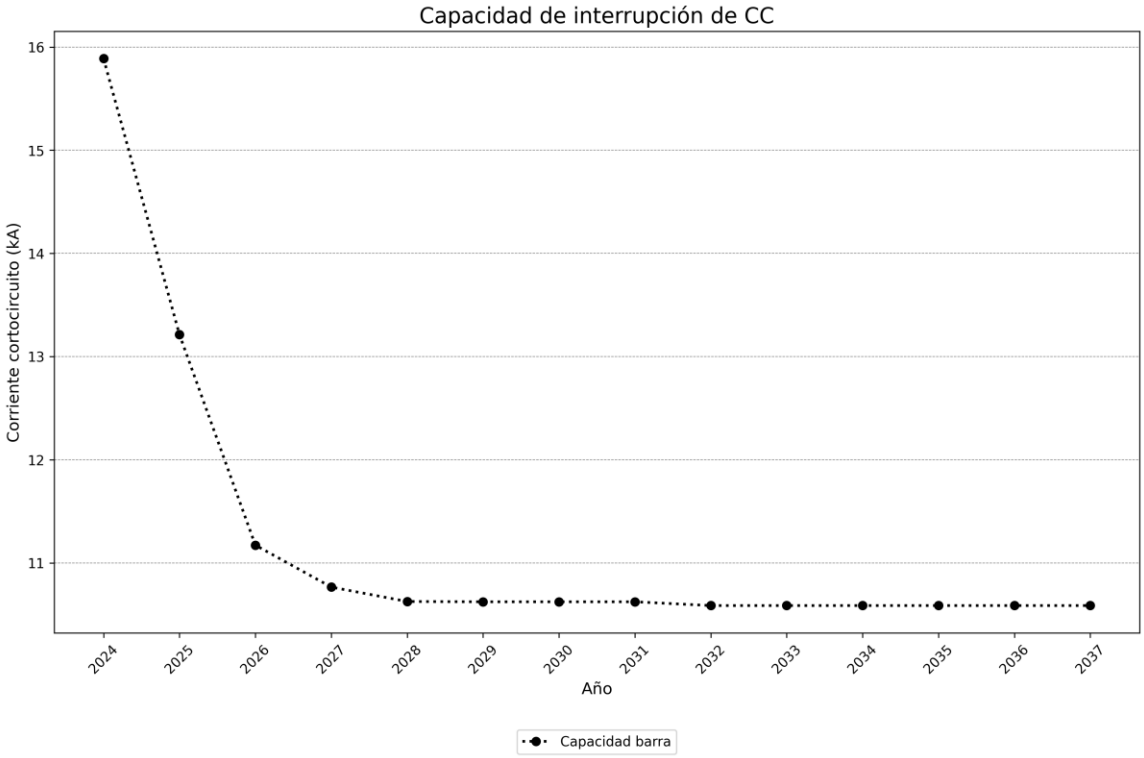


Figura 2-458. Balance de capacidad de cortocircuito después de la priorización para la subestación Nva Esperanza 220

Subestación Nva Esperanza 500:

Capacidad por barra:

Para la subestación Nva Esperanza 500 se presentaron 0 alternativas de conexión las cuales se muestran en la siguiente tabla:

Tabla 2-482. Alternativas de conexión presentadas a la subestación Nva Esperanza 500

Solicitud	Capacidad	Tipo	Barra	FPO solicitada	Restricción

No se priorizó ninguna de las alternativas de conexión presentadas en la subestación Nva Esperanza 500

El estado de la capacidad por barra en la subestación Nva Esperanza 500, teniendo en cuenta la priorización se puede observar en la siguiente figura.

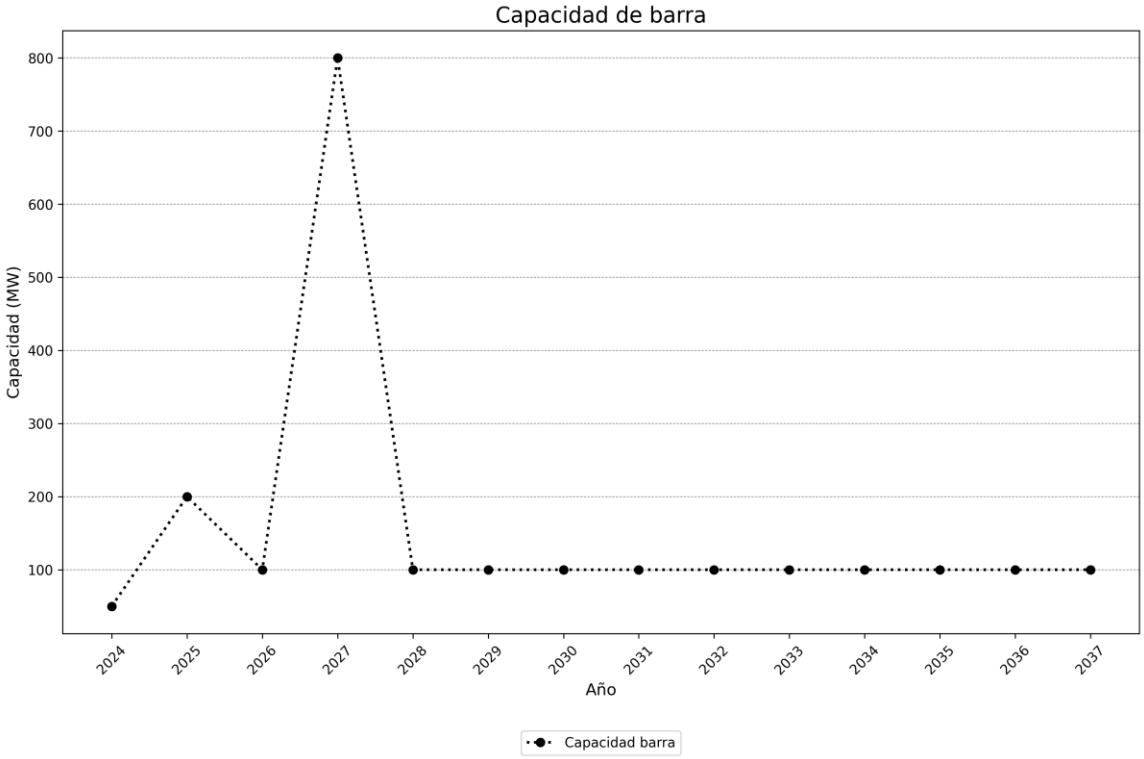


Figura 2-459. Balance de capacidad por barra después de la priorización para la subestación Nva Esperanza 500

Capacidad excedente de interrupción de corriente de cortocircuito:

Para la subestación Nva Esperanza 500 se presentaron 48 alternativas de conexión las cuales tienen aportes de corriente de cortocircuito. Estas alternativas se muestran en la siguiente tabla:

Tabla 2-483. Alternativas de conexión que aportan corriente de cortocircuito en la subestación Nva Esperanza 500

Solicitud	tipo	FPO	Barra a la que aporta CC	Aporte de cortocircuito (kA)	Restricción
SC_2023_5144_A1	Solar FV	2028	Nva Esperanza 500	0.060	SATISFACE
SC_2023_5144_A2	Solar FV	2028	Nva Esperanza 500	0.075	SATISFACE
SC_2023_5150_A1	Solar FV	2028	Nva Esperanza 500	0.086	SATISFACE
SC_2023_5280_A1	Solar FV	2028	Nva Esperanza 500	0.040	SATISFACE
SC_2023_5280_A2	Solar FV	2028	Nva Esperanza 500	0.036	SATISFACE
SC_2023_5287_A1	Solar FV	2026	Nva Esperanza 500	0.020	SATISFACE
SC_2023_5287_A2	Solar FV	2026	Nva Esperanza 500	0.021	SATISFACE
SC_2023_5288_A1	Solar FV	2026	Nva Esperanza 500	0.012	SATISFACE
SC_2023_5288_A2	Solar FV	2026	Nva Esperanza 500	0.031	SATISFACE
SC_2023_5375_A1	Solar FV	2026	Nva Esperanza 500	0.020	SATISFACE
SC_2023_5399_A1	Solar FV	2026	Nva Esperanza 500	0.012	SATISFACE
SC_2023_5399_A2	Solar FV	2026	Nva Esperanza 500	0.031	SATISFACE
SC_2023_5480_A1	Solar FV	2026	Nva Esperanza 500	0.020	SATISFACE
SC_2023_5480_A2	Solar FV	2026	Nva Esperanza 500	0.021	SATISFACE
SC_2023_5557_A1	Solar FV	2028	Nva Esperanza 500	0.080	SATISFACE
SC_2936_A1	Solar FV	2026	Nva Esperanza 500	0.000	SATISFACE
SC_2936_A2	Solar FV	2026	Nva Esperanza 500	0.000	SATISFACE
SC_3121_A1	Solar FV	2026	Nva Esperanza 500	0.003	SATISFACE
SC_3121_A2	Solar FV	2026	Nva Esperanza 500	0.003	SATISFACE

SC_3132_A1	Solar FV	2026	Nva Esperanza 500	0.045	SATISFACE
SC_3132_A2	Solar FV	2026	Nva Esperanza 500	0.039	SATISFACE
SC_3133_A1	Solar FV	2028	Nva Esperanza 500	0.089	SATISFACE
SC_3133_A2	Solar FV	2028	Nva Esperanza 500	0.106	SATISFACE
SC_3238_A1	Solar FV	2027	Nva Esperanza 500	0.174	SATISFACE
SC_3238_A2	Solar FV	2027	Nva Esperanza 500	0.187	SATISFACE
SC_3247_A1	Solar FV	2027	Nva Esperanza 500	0.087	SATISFACE
SC_3247_A2	Solar FV	2027	Nva Esperanza 500	0.062	SATISFACE
SC_3248_A1	Solar FV	2027	Nva Esperanza 500	0.174	SATISFACE
SC_3248_A2	Solar FV	2027	Nva Esperanza 500	0.187	SATISFACE
SC_3433_A2	Solar FV	2027	Nva Esperanza 500	0.000	SATISFACE
SC_3441_A1	Solar FV	2027	Nva Esperanza 500	0.087	SATISFACE
SC_3441_A2	Solar FV	2027	Nva Esperanza 500	0.062	SATISFACE
SC_3882_A1	Solar FV	2026	Nva Esperanza 500	0.078	SATISFACE
SC_4083_A1	Solar FV	2027	Nva Esperanza 500	0.001	SATISFACE
SC_4083_A2	Solar FV	2027	Nva Esperanza 500	0.001	SATISFACE
SC_4296_A1	Solar FV	2028	Nva Esperanza 500	0.060	SATISFACE
SC_4296_A2	Solar FV	2028	Nva Esperanza 500	0.054	SATISFACE
SC_4765_A1	Solar FV	2029	Nva Esperanza 500	0.008	SATISFACE
SC_4765_A2	Solar FV	2029	Nva Esperanza 500	0.004	SATISFACE

SC_4809_A1	Solar FV	2027	Nva Esperanza 500	0.031	SATISFACE
SC_4809_A2	Solar FV	2027	Nva Esperanza 500	0.120	SATISFACE
SC_4819_A1	Solar FV	2029	Nva Esperanza 500	0.074	SATISFACE
SC_4819_A2	Solar FV	2029	Nva Esperanza 500	0.067	SATISFACE
SC_4842_A1	Solar FV	2028	Nva Esperanza 500	0.086	SATISFACE
SC_4974_A1	Solar FV	2026	Nva Esperanza 500	0.007	SATISFACE
SC_4974_A2	Solar FV	2026	Nva Esperanza 500	0.007	SATISFACE
SC_4978_A1	Solar FV	2026	Nva Esperanza 500	0.000	SATISFACE
SC_4978_A2	Solar FV	2026	Nva Esperanza 500	0.004	SATISFACE

No se priorizó ninguna de las alternativas de conexión que tengan aportes de corriente de cortocircuito en la subestación Nva Esperanza 500

El estado de la capacidad de cortocircuito en la subestación Nva Esperanza 500, teniendo en cuenta la priorización se puede observar en la siguiente figura.

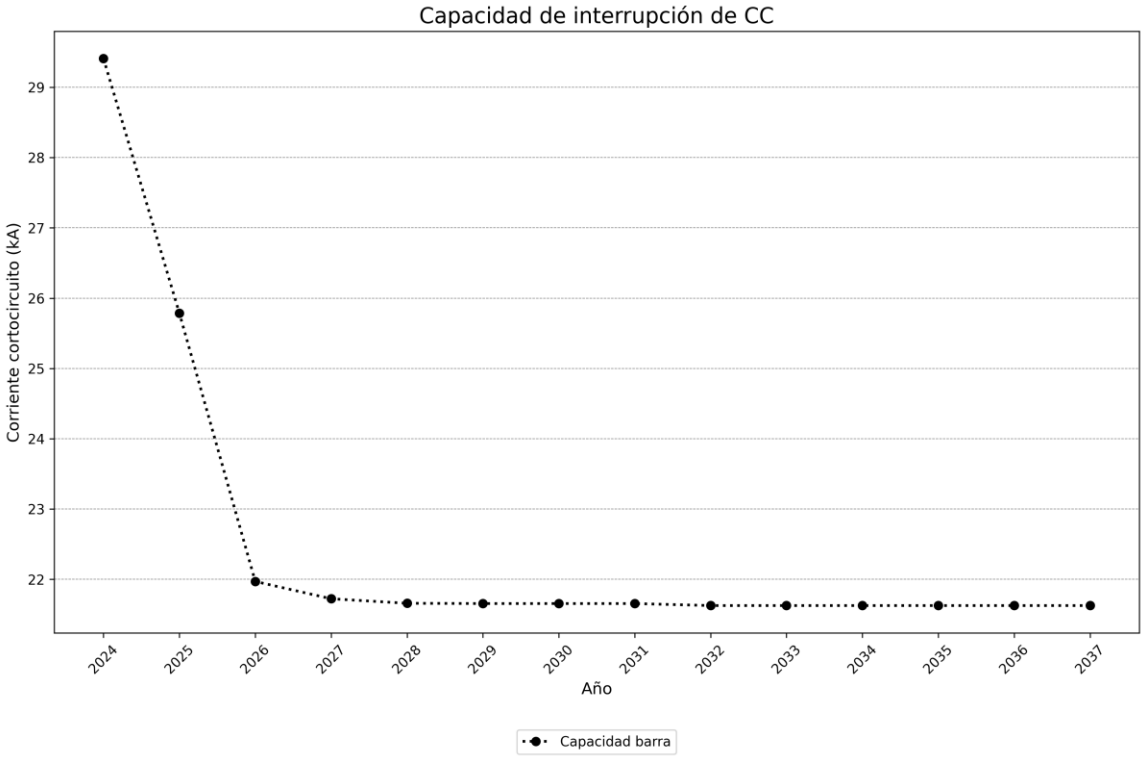


Figura 2-460. Balance de capacidad de cortocircuito después de la priorización para la subestación Nva Esperanza 500

Subestación Nva Espinal 115:

Capacidad por barra:

Para la subestación Nva Espinal 115 se presentaron 0 alternativas de conexión las cuales se muestran en la siguiente tabla:

Tabla 2-484. Alternativas de conexión presentadas a la subestación Nva Espinal 115

Solicitud	Capacidad	Tipo	Barra	FPO solicitada	Restricción

No se priorizó ninguna de las alternativas de conexión presentadas en la subestación Nva Espinal 115

El estado de la capacidad por barra en la subestación Nva Espinal 115, teniendo en cuenta la priorización se puede observar en la siguiente figura.

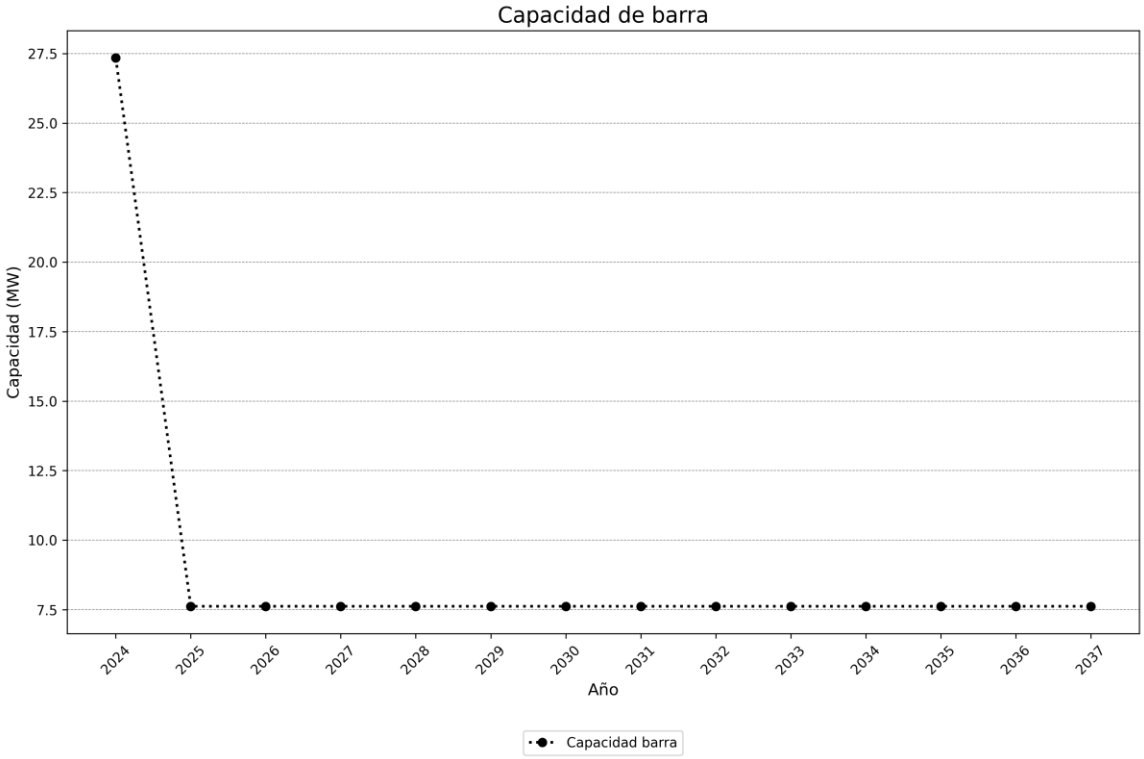


Figura 2-461. Balance de capacidad por barra después de la priorización para la subestación Nva Espinal 115

Capacidad excedente de interrupción de corriente de cortocircuito:

Para la subestación Nva Espinal 115 se presentaron 29 alternativas de conexión las cuales tienen aportes de corriente de cortocircuito. Estas alternativas se muestran en la siguiente tabla:

Tabla 2-485. Alternativas de conexión que aportan corriente de cortocircuito en la subestación Nva Espinal 115

Solicitud	tipo	FPO	Barra a la que aporta CC	Aporte de cortocircuito (kA)	Restricción
SC_2023_5280_A1	Solar FV	2028	Nva Espinal 115	0.012	SATISFACE
SC_2023_5280_A2	Solar FV	2028	Nva Espinal 115	0.011	SATISFACE
SC_2023_5287_A1	Solar FV	2026	Nva Espinal 115	0.006	SATISFACE
SC_2023_5287_A2	Solar FV	2026	Nva Espinal 115	0.006	SATISFACE
SC_2023_5288_A1	Solar FV	2026	Nva Espinal 115	0.003	SATISFACE
SC_2023_5288_A2	Solar FV	2026	Nva Espinal 115	0.009	SATISFACE
SC_2023_5375_A1	Solar FV	2026	Nva Espinal 115	0.006	SATISFACE
SC_2023_5399_A1	Solar FV	2026	Nva Espinal 115	0.003	SATISFACE
SC_2023_5399_A2	Solar FV	2026	Nva Espinal 115	0.009	SATISFACE
SC_2023_5480_A1	Solar FV	2026	Nva Espinal 115	0.006	SATISFACE
SC_2023_5480_A2	Solar FV	2026	Nva Espinal 115	0.006	SATISFACE
SC_2023_5557_A1	Solar FV	2028	Nva Espinal 115	0.028	SATISFACE
SC_2936_A1	Solar FV	2026	Nva Espinal 115	0.000	SATISFACE
SC_2936_A2	Solar FV	2026	Nva Espinal 115	0.000	SATISFACE
SC_3121_A1	Solar FV	2026	Nva Espinal 115	0.001	SATISFACE
SC_3121_A2	Solar FV	2026	Nva Espinal 115	0.001	SATISFACE
SC_3132_A1	Solar FV	2026	Nva Espinal 115	0.013	SATISFACE
SC_3132_A2	Solar FV	2026	Nva Espinal 115	0.011	SATISFACE
SC_3882_A1	Solar FV	2026	Nva Espinal 115	0.027	SATISFACE

SC_4083_A1	Solar FV	2027	Nva Espinal 115	0.000	SATISFACE
SC_4083_A2	Solar FV	2027	Nva Espinal 115	0.000	SATISFACE
SC_4765_A1	Solar FV	2029	Nva Espinal 115	0.000	SATISFACE
SC_4765_A2	Solar FV	2029	Nva Espinal 115	0.000	SATISFACE
SC_4819_A1	Solar FV	2029	Nva Espinal 115	0.029	SATISFACE
SC_4819_A2	Solar FV	2029	Nva Espinal 115	0.026	SATISFACE
SC_4974_A1	Solar FV	2026	Nva Espinal 115	0.002	SATISFACE
SC_4974_A2	Solar FV	2026	Nva Espinal 115	0.002	SATISFACE
SC_4978_A1	Solar FV	2026	Nva Espinal 115	0.000	SATISFACE
SC_4978_A2	Solar FV	2026	Nva Espinal 115	0.003	SATISFACE

No se priorizó ninguna de las alternativas de conexión que tengan aportes de corriente de cortocircuito en la subestación Nva Espinal 115

El estado de la capacidad de cortocircuito en la subestación Nva Espinal 115, teniendo en cuenta la priorización se puede observar en la siguiente figura.

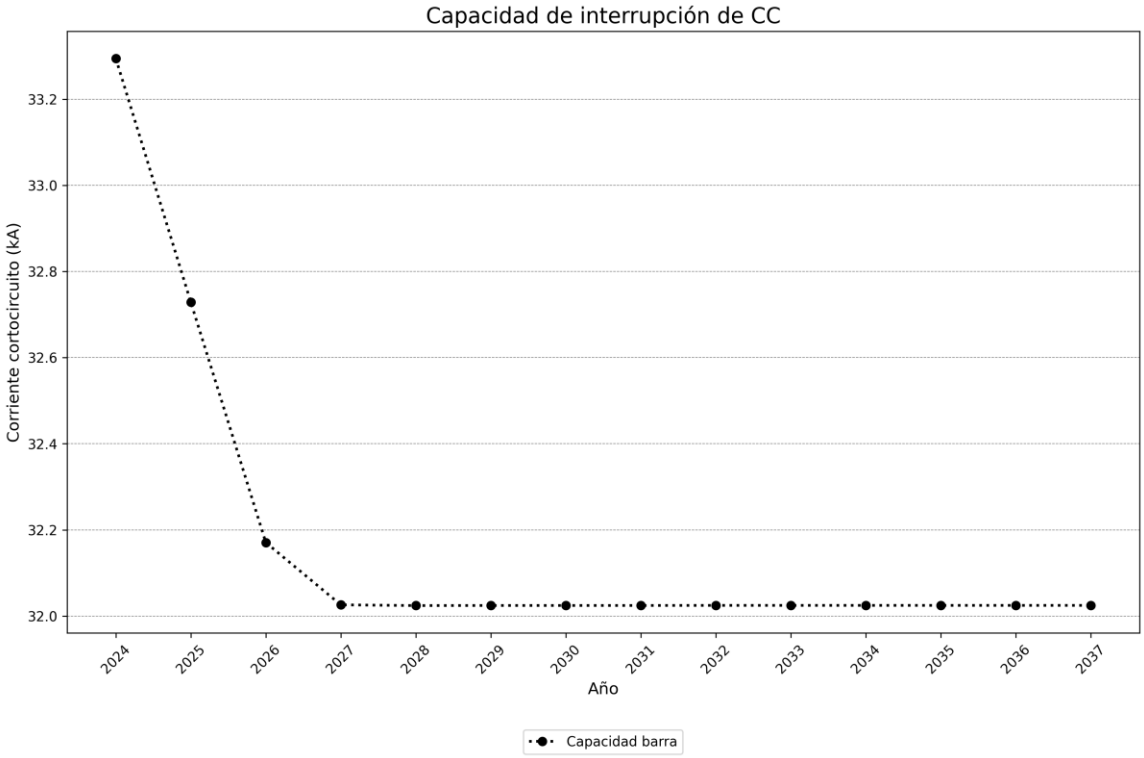


Figura 2-462. Balance de capacidad de cortocircuito después de la priorización para la subestación Nva Espinal 115

Subestación Nva SRosa 110:

Capacidad por barra:

Para la subestación Nva SRosa 110 se presentaron 0 alternativas de conexión las cuales se muestran en la siguiente tabla:

Tabla 2-486. Alternativas de conexión presentadas a la subestación Nva SRosa 110

Solicitud	Capacidad	Tipo	Barra	FPO solicitada	Restricción

No se priorizó ninguna de las alternativas de conexión presentadas en la subestación Nva SRosa 110

El estado de la capacidad por barra en la subestación Nva SRosa 110, teniendo en cuenta la priorización se puede observar en la siguiente figura.

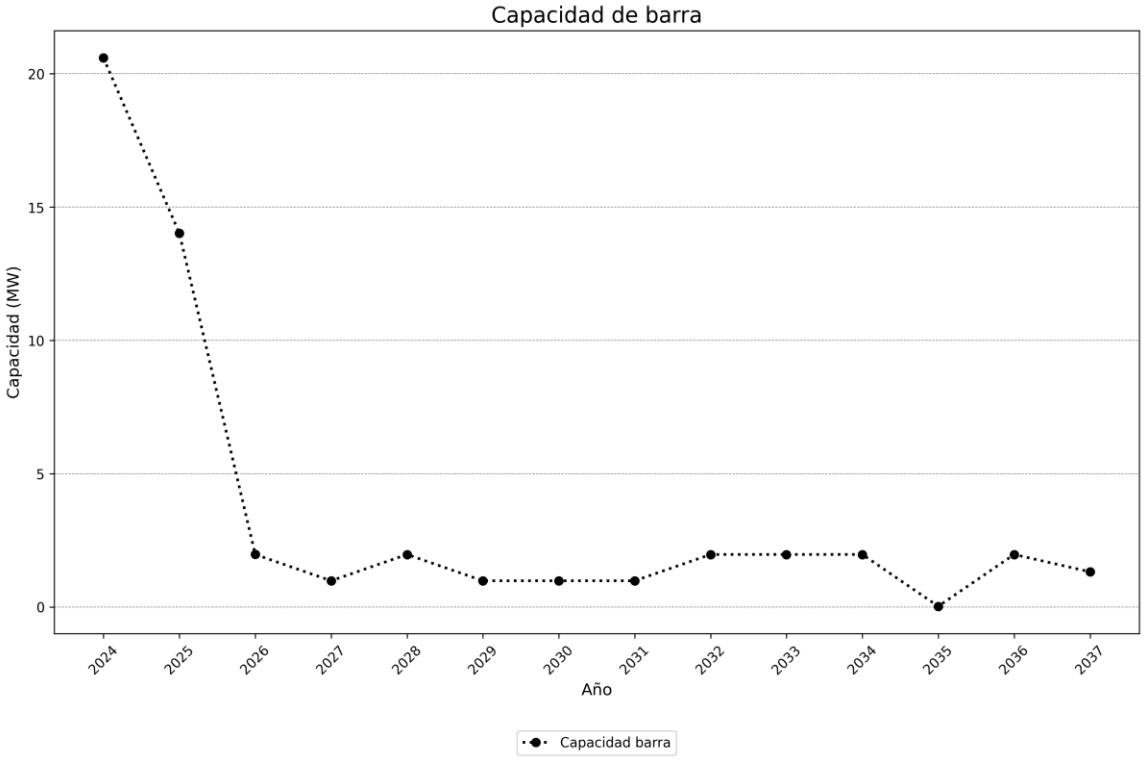


Figura 2-463. Balance de capacidad por barra después de la priorización para la subestación Nva SRosa 110

Capacidad excedente de interrupción de corriente de cortocircuito:

Para la subestación Nva SRosa 110 se presentaron 1 alternativas de conexión las cuales tienen aportes de corriente de cortocircuito. Estas alternativas se muestran en la siguiente tabla:

Tabla 2-487. Alternativas de conexión que aportan corriente de cortocircuito en la subestación Nva SRosa 110

Solicitud	tipo	FPO	Barra a la que aporta CC	Aporte de cortocircuito (kA)	Restricción
SC_3331_A1	Solar FV	2026	Nva SRosa 110	0.021	SATISFACE

No se priorizó ninguna de las alternativas de conexión que tengan aportes de corriente de cortocircuito en la subestación Nva SRosa 110

El estado de la capacidad de cortocircuito en la subestación Nva SRosa 110, teniendo en cuenta la priorización se puede observar en la siguiente figura.

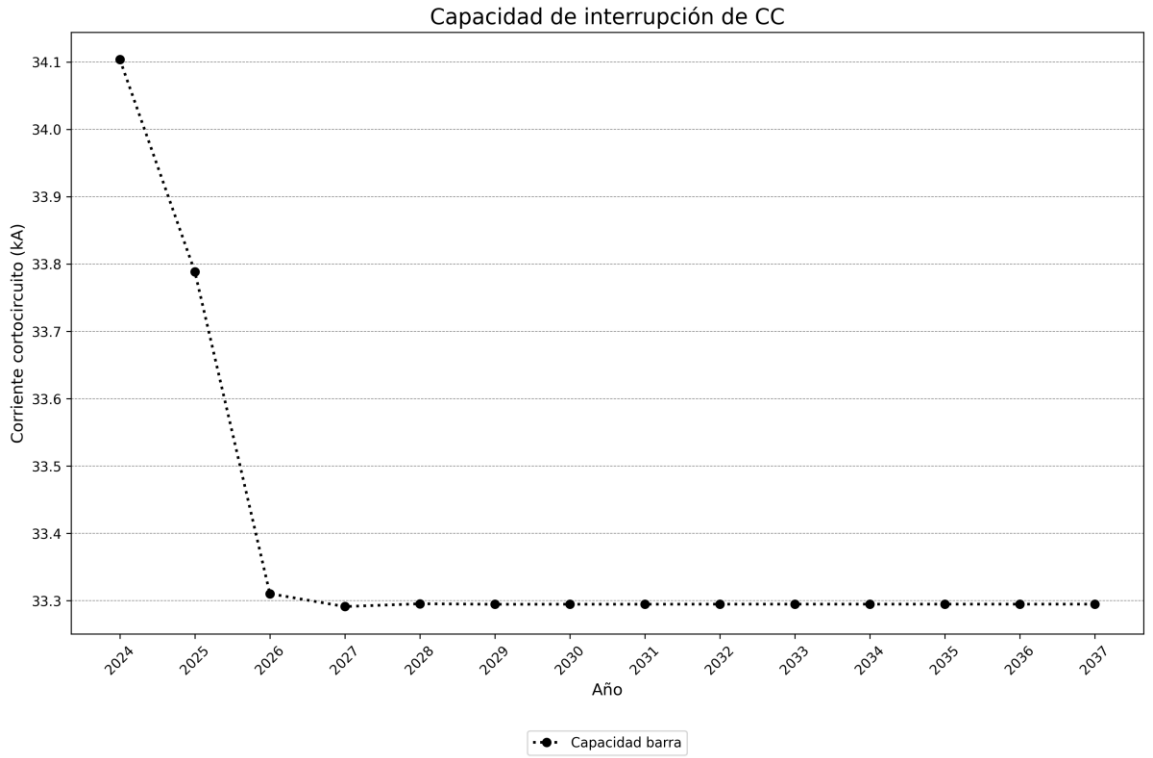


Figura 2-464. Balance de capacidad de cortocircuito después de la priorización para la subestación Nva SRosa 110

Subestación Occidente 110:

Capacidad por barra:

Para la subestación Occidente 110 se presentaron 0 alternativas de conexión las cuales se muestran en la siguiente tabla:

Tabla 2-488. Alternativas de conexión presentadas a la subestación Occidente 110

Solicitud	Capacidad	Tipo	Barra	FPO solicitada	Restricción

No se priorizó ninguna de las alternativas de conexión presentadas en la subestación Occidente 110

El estado de la capacidad por barra en la subestación Occidente 110, teniendo en cuenta la priorización se puede observar en la siguiente figura.

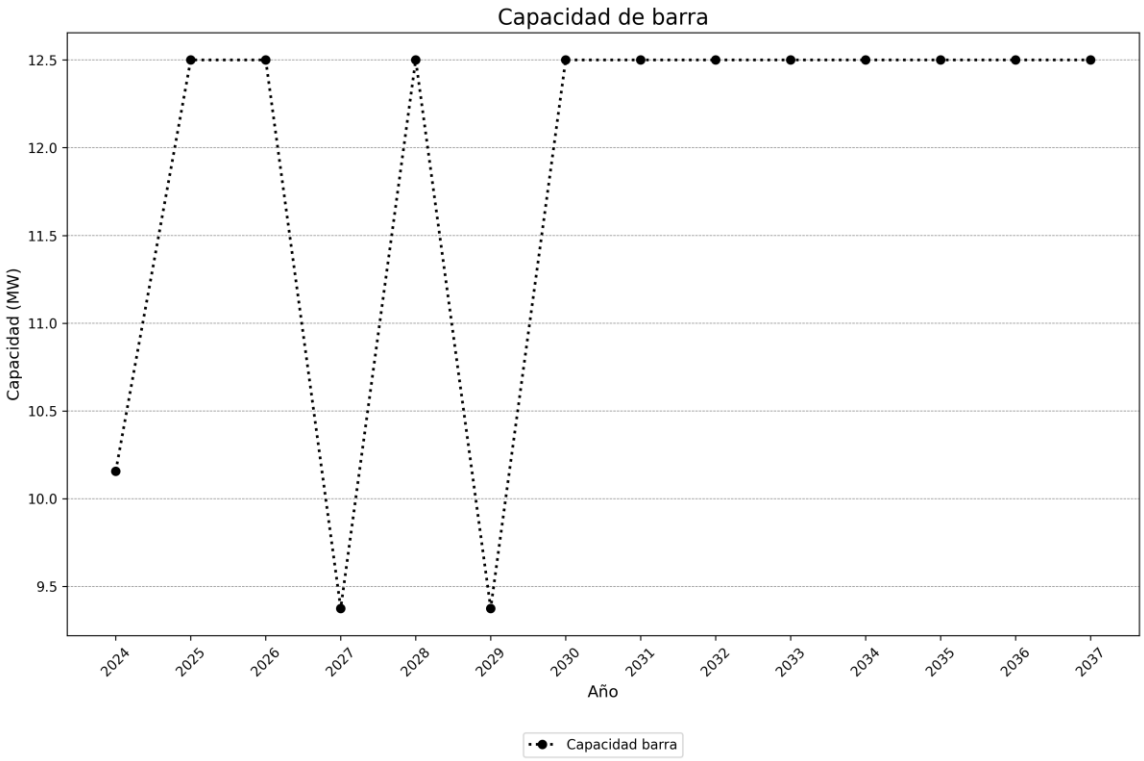


Figura 2-465. Balance de capacidad por barra después de la priorización para la subestación Occidente 110

Capacidad excedente de interrupción de corriente de cortocircuito:

Para la subestación Occidente 110 se presentaron 1 alternativas de conexión las cuales tienen aportes de corriente de cortocircuito. Estas alternativas se muestran en la siguiente tabla:

Tabla 2-489. Alternativas de conexión que aportan corriente de cortocircuito en la subestación Occidente 110

Solicitud	tipo	FPO	Barra a la que aporta CC	Aporte de cortocircuito (kA)	Restricción
SC_3331_A1	Solar FV	2026	Occidente 110	0.107	SATISFACE

No se priorizó ninguna de las alternativas de conexión que tengan aportes de corriente de cortocircuito en la subestación Occidente 110

El estado de la capacidad de cortocircuito en la subestación Occidente 110, teniendo en cuenta la priorización se puede observar en la siguiente figura.

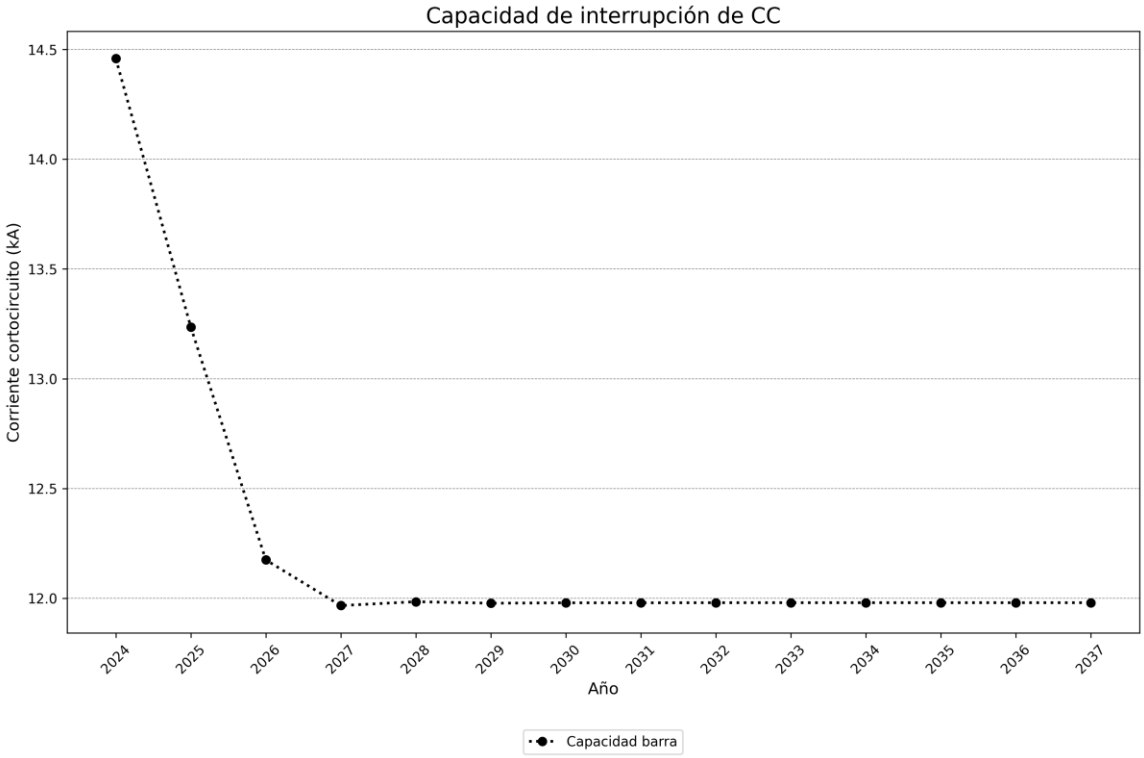


Figura 2-466. Balance de capacidad de cortocircuito después de la priorización para la subestación Occidente 110

Subestación Occidente 220:

Capacidad por barra:

Para la subestación Occidente 220 se presentaron 0 alternativas de conexión las cuales se muestran en la siguiente tabla:

Tabla 2-490. Alternativas de conexión presentadas a la subestación Occidente 220

Solicitud	Capacidad	Tipo	Barra	FPO solicitada	Restricción

No se priorizó ninguna de las alternativas de conexión presentadas en la subestación Occidente 220

El estado de la capacidad por barra en la subestación Occidente 220, teniendo en cuenta la priorización se puede observar en la siguiente figura.

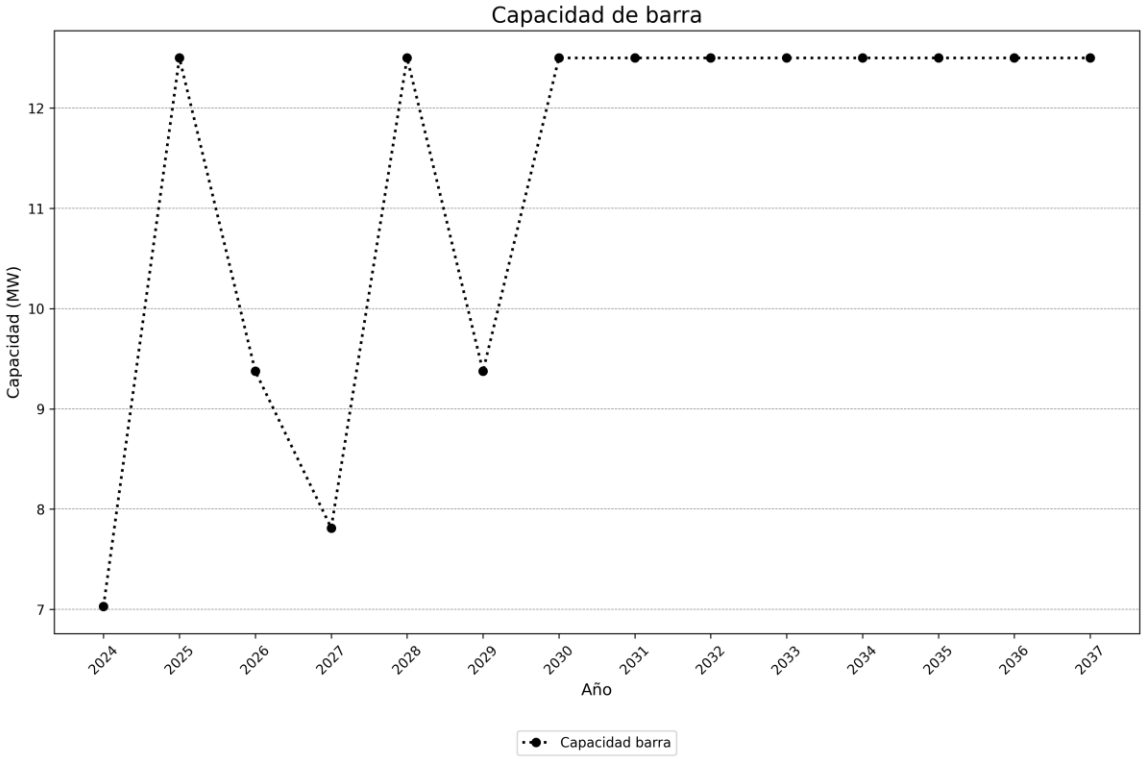


Figura 2-467. Balance de capacidad por barra después de la priorización para la subestación Occidente 220

Capacidad excedente de interrupción de corriente de cortocircuito:

Para la subestación Occidente 220 se presentaron 1 alternativas de conexión las cuales tienen aportes de corriente de cortocircuito. Estas alternativas se muestran en la siguiente tabla:

Tabla 2-491. Alternativas de conexión que aportan corriente de cortocircuito en la subestación Occidente 220

Solicitud	tipo	FPO	Barra a la que aporta CC	Aporte de cortocircuito (kA)	Restricción
SC_3331_A1	Solar FV	2026	Occidente 220	0.093	SATISFACE

No se priorizó ninguna de las alternativas de conexión que tengan aportes de corriente de cortocircuito en la subestación Occidente 220

El estado de la capacidad de cortocircuito en la subestación Occidente 220, teniendo en cuenta la priorización se puede observar en la siguiente figura.

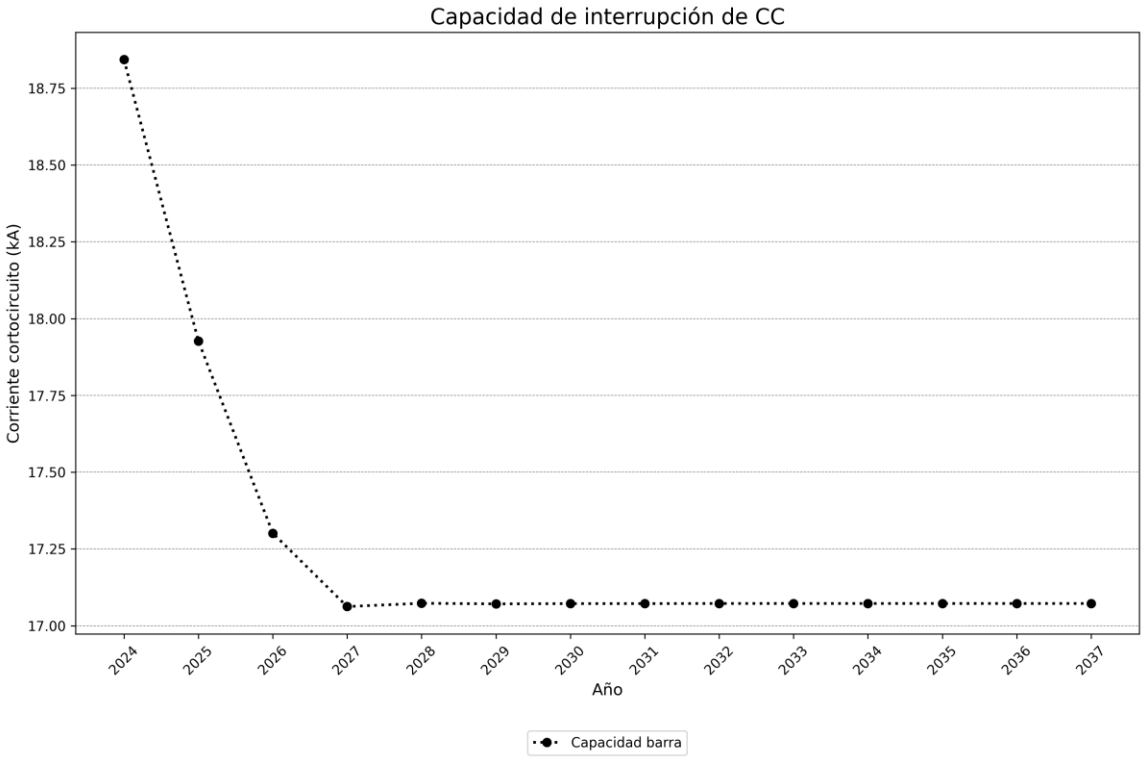


Figura 2-468. Balance de capacidad de cortocircuito después de la priorización para la subestación Occidente 220

Subestación Olaya 115:

Capacidad por barra:

Para la subestación Olaya 115 se presentaron 0 alternativas de conexión las cuales se muestran en la siguiente tabla:

Tabla 2-492. Alternativas de conexión presentadas a la subestación Olaya 115

Solicitud	Capacidad	Tipo	Barra	FPO solicitada	Restricción

No se priorizó ninguna de las alternativas de conexión presentadas en la subestación Olaya 115

El estado de la capacidad por barra en la subestación Olaya 115, teniendo en cuenta la priorización se puede observar en la siguiente figura.

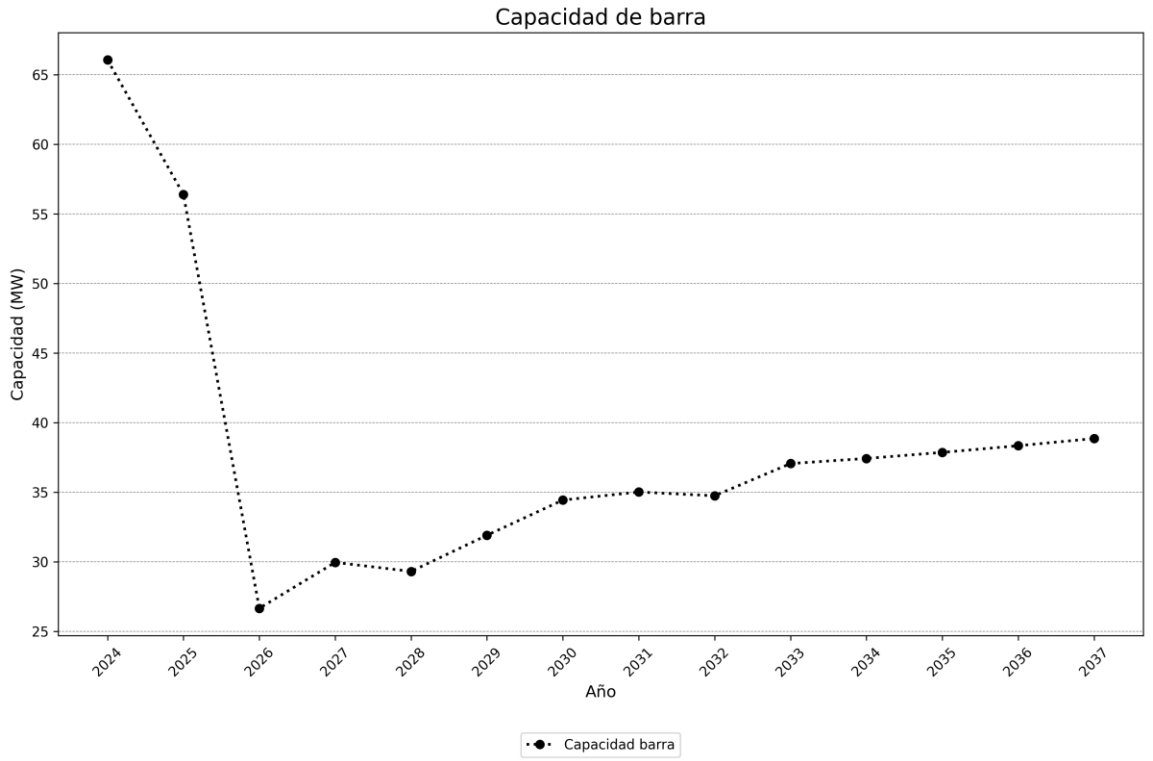


Figura 2-469. Balance de capacidad por barra después de la priorización para la subestación Olaya 115

Capacidad excedente de interrupción de corriente de cortocircuito:

Para la subestación Olaya 115 se presentaron 29 alternativas de conexión las cuales tienen aportes de corriente de cortocircuito. Estas alternativas se muestran en la siguiente tabla:

Tabla 2-493. Alternativas de conexión que aportan corriente de cortocircuito en la subestación Olaya 115

Solicitud	tipo	FPO	Barra a la que aporta CC	Aporte de cortocircuito (kA)	Restricción
SC_2023_5280_A1	Solar FV	2028	Olaya 115	0.001	SATISFACE
SC_2023_5280_A2	Solar FV	2028	Olaya 115	0.001	SATISFACE
SC_2023_5287_A1	Solar FV	2026	Olaya 115	0.000	SATISFACE
SC_2023_5287_A2	Solar FV	2026	Olaya 115	0.001	SATISFACE
SC_2023_5288_A1	Solar FV	2026	Olaya 115	0.000	SATISFACE
SC_2023_5288_A2	Solar FV	2026	Olaya 115	0.001	SATISFACE
SC_2023_5375_A1	Solar FV	2026	Olaya 115	0.000	SATISFACE
SC_2023_5399_A1	Solar FV	2026	Olaya 115	0.000	SATISFACE
SC_2023_5399_A2	Solar FV	2026	Olaya 115	0.001	SATISFACE
SC_2023_5480_A1	Solar FV	2026	Olaya 115	0.000	SATISFACE
SC_2023_5480_A2	Solar FV	2026	Olaya 115	0.001	SATISFACE
SC_2023_5557_A1	Solar FV	2028	Olaya 115	0.001	SATISFACE
SC_2936_A1	Solar FV	2026	Olaya 115	0.000	SATISFACE
SC_2936_A2	Solar FV	2026	Olaya 115	0.000	SATISFACE
SC_3121_A1	Solar FV	2026	Olaya 115	0.000	SATISFACE
SC_3121_A2	Solar FV	2026	Olaya 115	0.000	SATISFACE
SC_3132_A1	Solar FV	2026	Olaya 115	0.001	SATISFACE
SC_3132_A2	Solar FV	2026	Olaya 115	0.001	SATISFACE
SC_3882_A1	Solar FV	2026	Olaya 115	0.001	SATISFACE
SC_4083_A1	Solar FV	2027	Olaya 115	0.000	SATISFACE
SC_4083_A2	Solar FV	2027	Olaya 115	0.000	SATISFACE
SC_4765_A1	Solar FV	2029	Olaya 115	0.000	SATISFACE
SC_4765_A2	Solar FV	2029	Olaya 115	0.000	SATISFACE
SC_4819_A1	Solar FV	2029	Olaya 115	0.002	SATISFACE
SC_4819_A2	Solar FV	2029	Olaya 115	0.002	SATISFACE
SC_4974_A1	Solar FV	2026	Olaya 115	0.001	SATISFACE
SC_4974_A2	Solar FV	2026	Olaya 115	0.001	SATISFACE

SC_4978_A1	Solar FV	2026	Olaya 115	0.000	SATISFACE
SC_4978_A2	Solar FV	2026	Olaya 115	0.003	SATISFACE

No se priorizó ninguna de las alternativas de conexión que tengan aportes de corriente de cortocircuito en la subestación Olaya 115

El estado de la capacidad de cortocircuito en la subestación Olaya 115, teniendo en cuenta la priorización se puede observar en la siguiente figura.

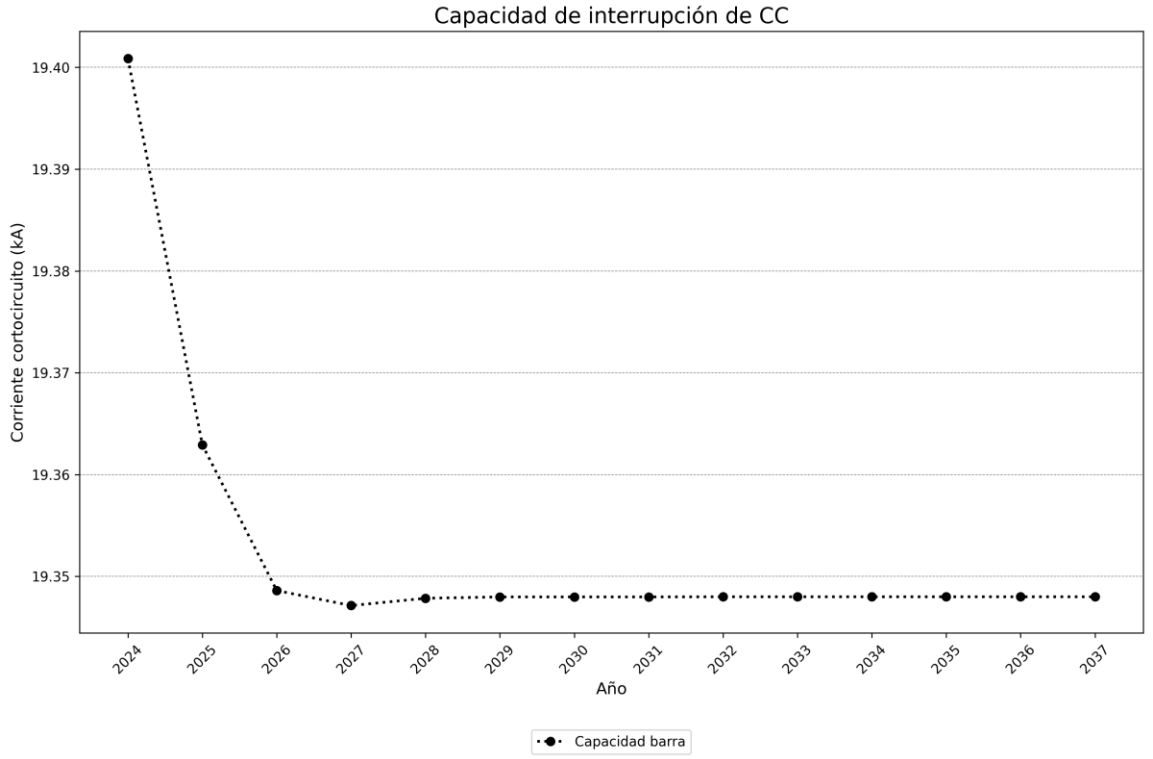


Figura 2-470. Balance de capacidad de cortocircuito después de la priorización para la subestación Olaya 115

Subestación Oriente 110:

Capacidad por barra:

Para la subestación Oriente 110 se presentaron 0 alternativas de conexión las cuales se muestran en la siguiente tabla:

Tabla 2-494. Alternativas de conexión presentadas a la subestación Oriente 110

Solicitud	Capacidad	Tipo	Barra	FPO solicitada	Restricción

No se priorizó ninguna de las alternativas de conexión presentadas en la subestación Oriente 110

El estado de la capacidad por barra en la subestación Oriente 110, teniendo en cuenta la priorización se puede observar en la siguiente figura.

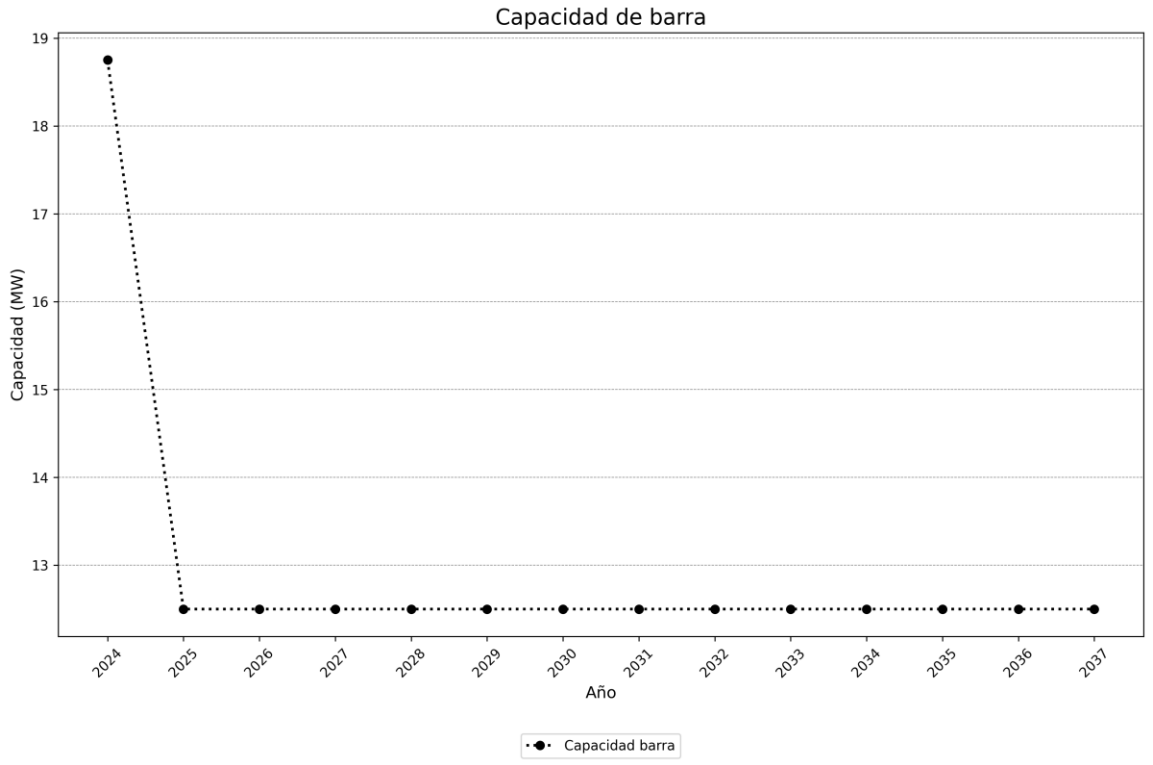


Figura 2-471. Balance de capacidad por barra después de la priorización para la subestación Oriente 110

Capacidad excedente de interrupción de corriente de cortocircuito:

Para la subestación Oriente 110 se presentaron 1 alternativas de conexión las cuales tienen aportes de corriente de cortocircuito. Estas alternativas se muestran en la siguiente tabla:

Tabla 2-495. Alternativas de conexión que aportan corriente de cortocircuito en la subestación Oriente 110

Solicitud	tipo	FPO	Barra a la que aporta CC	Aporte de cortocircuito (kA)	Restricción
SC_3331_A1	Solar FV	2026	Oriente 110	0.136	SATISFACE

No se priorizó ninguna de las alternativas de conexión que tengan aportes de corriente de cortocircuito en la subestación Oriente 110

El estado de la capacidad de cortocircuito en la subestación Oriente 110, teniendo en cuenta la priorización se puede observar en la siguiente figura.

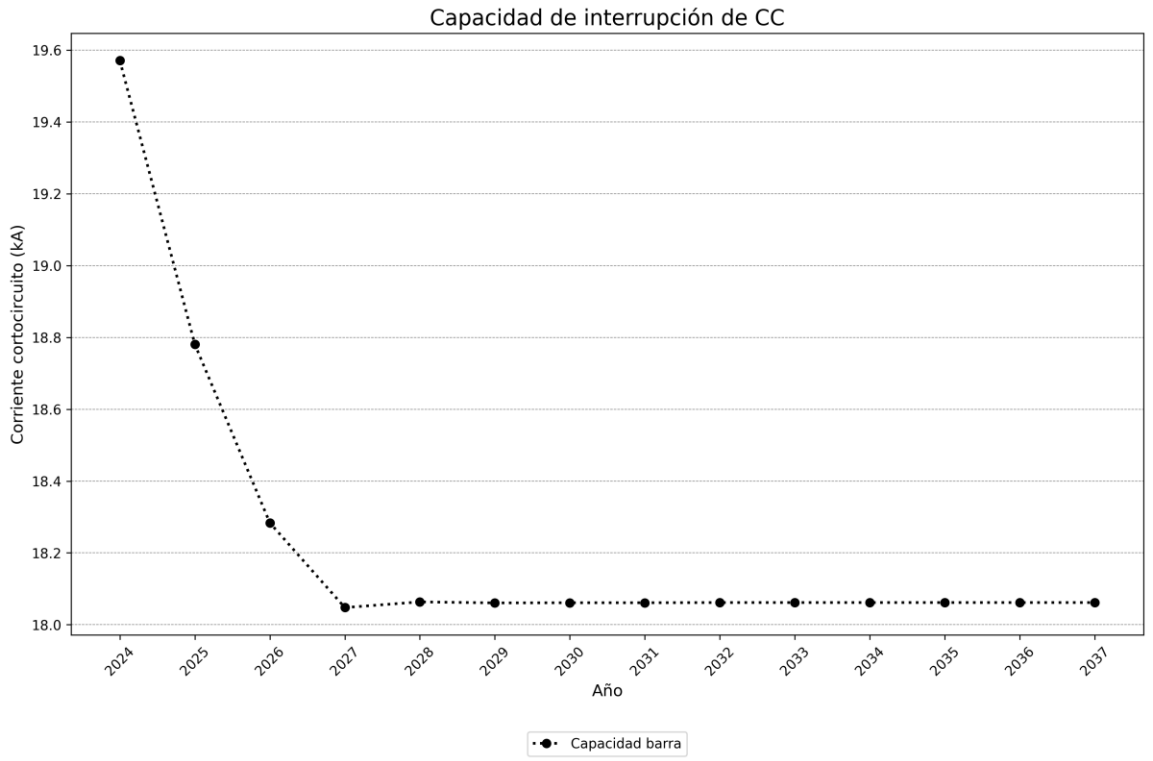


Figura 2-472. Balance de capacidad de cortocircuito después de la priorización para la subestación Oriente 110

Subestación Oriente 115:

Capacidad por barra:

Para la subestación Oriente 115 se presentaron 0 alternativas de conexión las cuales se muestran en la siguiente tabla:

Tabla 2-496. Alternativas de conexión presentadas a la subestación Oriente 115

Solicitud	Capacidad	Tipo	Barra	FPO solicitada	Restricción

No se priorizó ninguna de las alternativas de conexión presentadas en la subestación Oriente 115

El estado de la capacidad por barra en la subestación Oriente 115, teniendo en cuenta la priorización se puede observar en la siguiente figura.

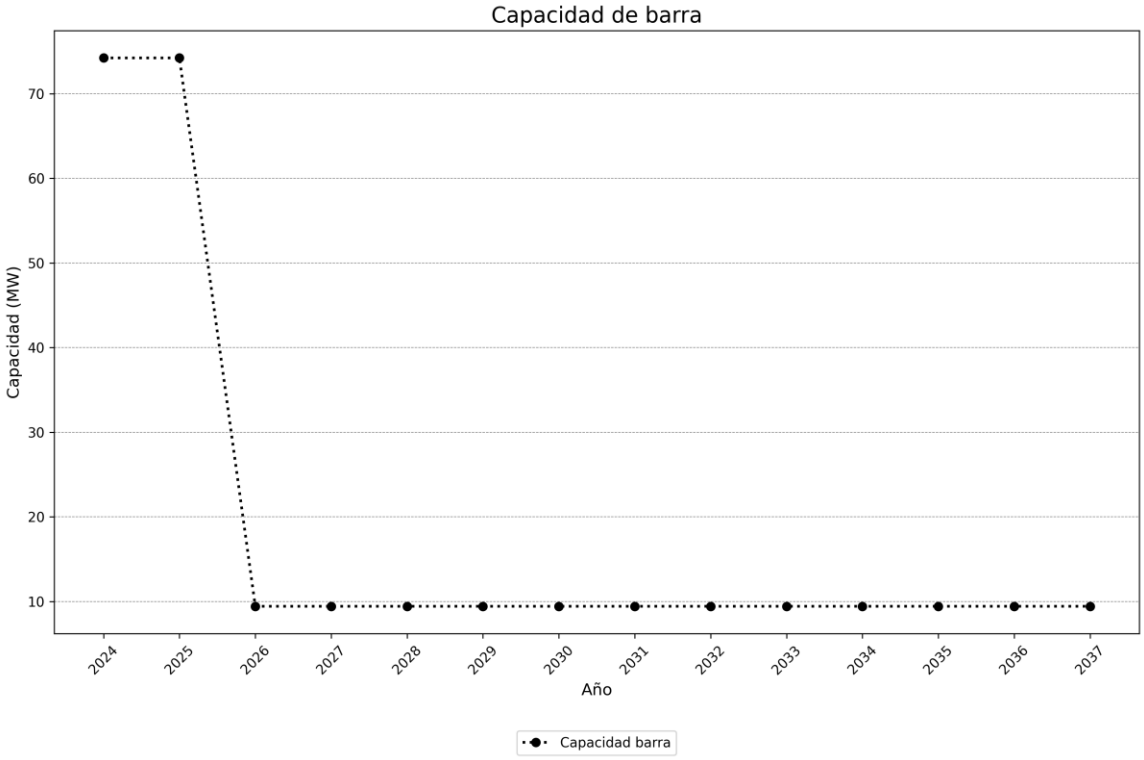


Figura 2-473. Balance de capacidad por barra después de la priorización para la subestación Oriente 115

Capacidad excedente de interrupción de corriente de cortocircuito:

Para la subestación Oriente 115 se presentaron 29 alternativas de conexión las cuales tienen aportes de corriente de cortocircuito. Estas alternativas se muestran en la siguiente tabla:

Tabla 2-497. Alternativas de conexión que aportan corriente de cortocircuito en la subestación Oriente 115

Solicitud	tipo	FPO	Barra a la que aporta CC	Aporte de cortocircuito (kA)	Restricción
SC_2023_5280_A1	Solar FV	2028	Oriente 115	0.015	SATISFACE
SC_2023_5280_A2	Solar FV	2028	Oriente 115	0.014	SATISFACE
SC_2023_5287_A1	Solar FV	2026	Oriente 115	0.007	SATISFACE

SC_2023_5287_A2	Solar FV	2026	Oriente 115	0.008	SATISFACE
SC_2023_5288_A1	Solar FV	2026	Oriente 115	0.004	SATISFACE
SC_2023_5288_A2	Solar FV	2026	Oriente 115	0.011	SATISFACE
SC_2023_5375_A1	Solar FV	2026	Oriente 115	0.007	SATISFACE
SC_2023_5399_A1	Solar FV	2026	Oriente 115	0.004	SATISFACE
SC_2023_5399_A2	Solar FV	2026	Oriente 115	0.011	SATISFACE
SC_2023_5480_A1	Solar FV	2026	Oriente 115	0.007	SATISFACE
SC_2023_5480_A2	Solar FV	2026	Oriente 115	0.008	SATISFACE
SC_2023_5557_A1	Solar FV	2028	Oriente 115	0.029	SATISFACE
SC_2936_A1	Solar FV	2026	Oriente 115	0.000	SATISFACE
SC_2936_A2	Solar FV	2026	Oriente 115	0.000	SATISFACE
SC_3121_A1	Solar FV	2026	Oriente 115	0.001	SATISFACE
SC_3121_A2	Solar FV	2026	Oriente 115	0.001	SATISFACE
SC_3132_A1	Solar FV	2026	Oriente 115	0.017	SATISFACE
SC_3132_A2	Solar FV	2026	Oriente 115	0.014	SATISFACE
SC_3882_A1	Solar FV	2026	Oriente 115	0.027	SATISFACE
SC_4083_A1	Solar FV	2027	Oriente 115	0.000	SATISFACE
SC_4083_A2	Solar FV	2027	Oriente 115	0.000	SATISFACE
SC_4765_A1	Solar FV	2029	Oriente 115	0.000	SATISFACE
SC_4765_A2	Solar FV	2029	Oriente 115	0.000	SATISFACE
SC_4819_A1	Solar FV	2029	Oriente 115	0.031	SATISFACE
SC_4819_A2	Solar FV	2029	Oriente 115	0.027	SATISFACE
SC_4974_A1	Solar FV	2026	Oriente 115	0.001	SATISFACE
SC_4974_A2	Solar FV	2026	Oriente 115	0.001	SATISFACE
SC_4978_A1	Solar FV	2026	Oriente 115	0.000	SATISFACE
SC_4978_A2	Solar FV	2026	Oriente 115	0.007	SATISFACE

No se priorizó ninguna de las alternativas de conexión que tengan aportes de corriente de cortocircuito en la subestación Oriente 115

El estado de la capacidad de cortocircuito en la subestación Oriente 115, teniendo en cuenta la priorización se puede observar en la siguiente figura.

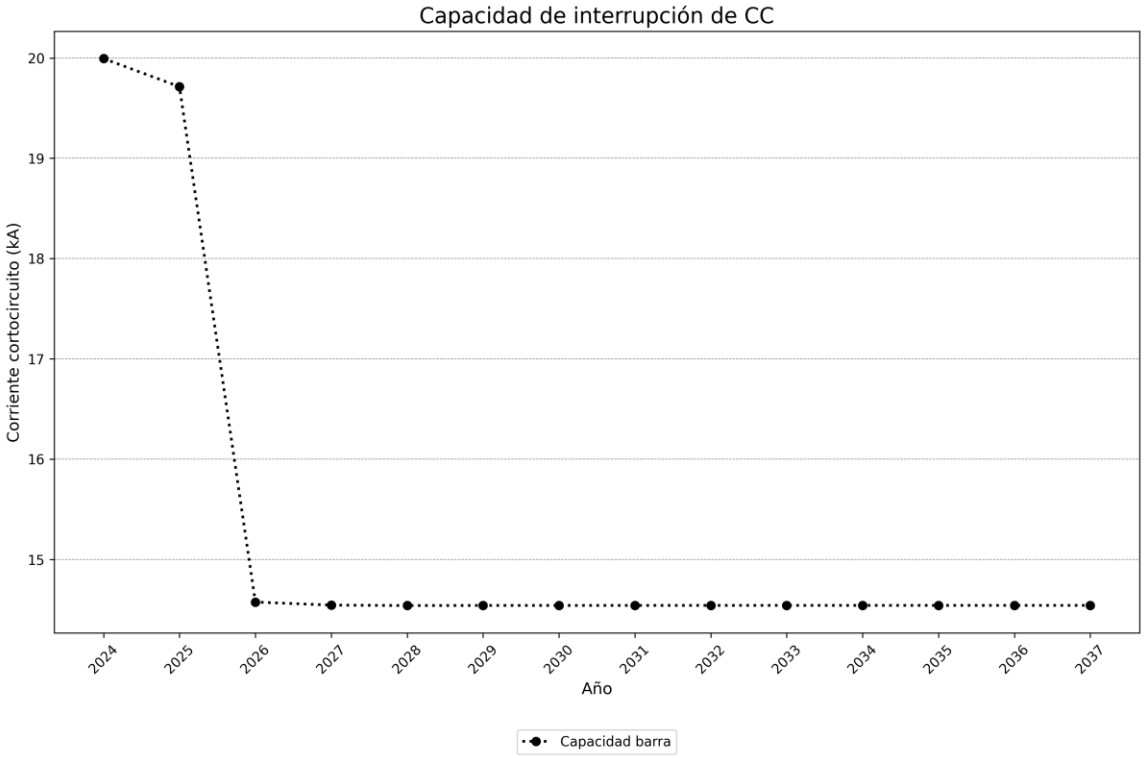


Figura 2-474. Balance de capacidad de cortocircuito después de la priorización para la subestación Oriente 115

Subestación Oriente 220:

Capacidad por barra:

Para la subestación Oriente 220 se presentaron 0 alternativas de conexión las cuales se muestran en la siguiente tabla:

Tabla 2-498. Alternativas de conexión presentadas a la subestación Oriente 220

Solicitud	Capacidad	Tipo	Barra	FPO solicitada	Restricción

No se priorizó ninguna de las alternativas de conexión presentadas en la subestación Oriente 220

El estado de la capacidad por barra en la subestación Oriente 220, teniendo en cuenta la priorización se puede observar en la siguiente figura.

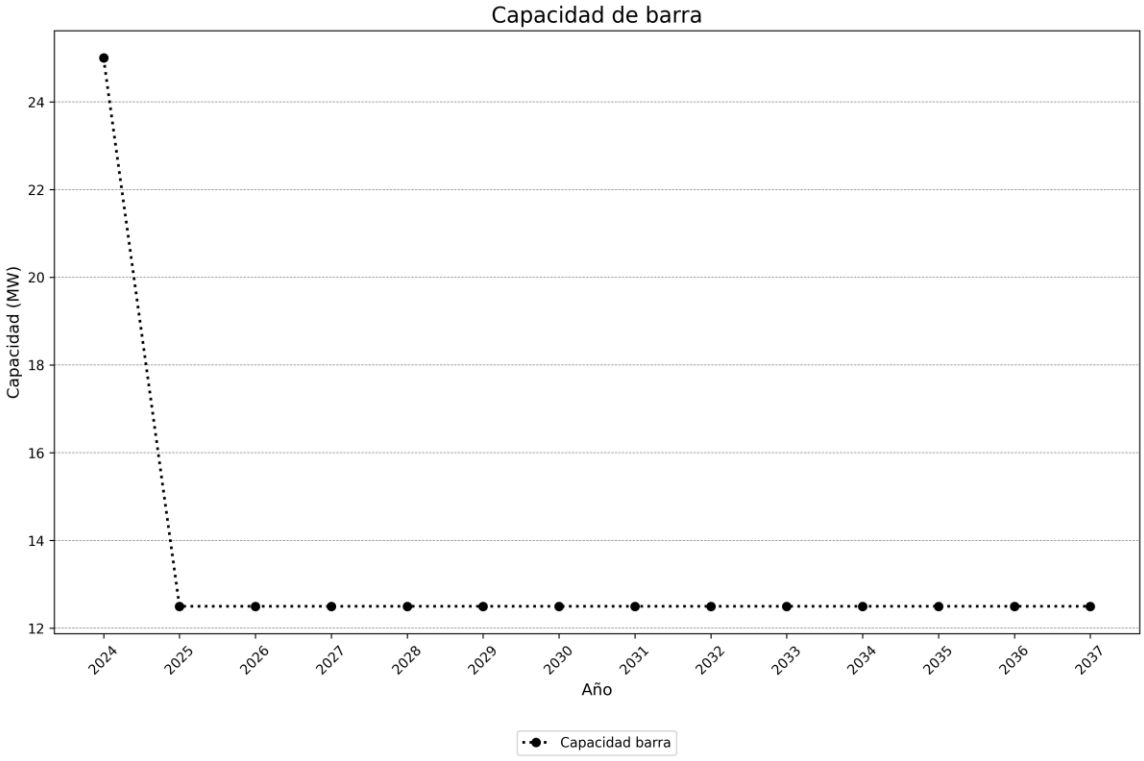


Figura 2-475. Balance de capacidad por barra después de la priorización para la subestación Oriente 220

Capacidad excedente de interrupción de corriente de cortocircuito:

Para la subestación Oriente 220 se presentaron 1 alternativas de conexión las cuales tienen aportes de corriente de cortocircuito. Estas alternativas se muestran en la siguiente tabla:

Tabla 2-499. Alternativas de conexión que aportan corriente de cortocircuito en la subestación Oriente 220

Solicitud	tipo	FPO	Barra a la que aporta CC	Aporte de cortocircuito (kA)	Restricción
SC_3331_A1	Solar FV	2026	Oriente 220	0.099	SATISFACE

No se priorizó ninguna de las alternativas de conexión que tengan aportes de corriente de cortocircuito en la subestación Oriente 220

El estado de la capacidad de cortocircuito en la subestación Oriente 220, teniendo en cuenta la priorización se puede observar en la siguiente figura.

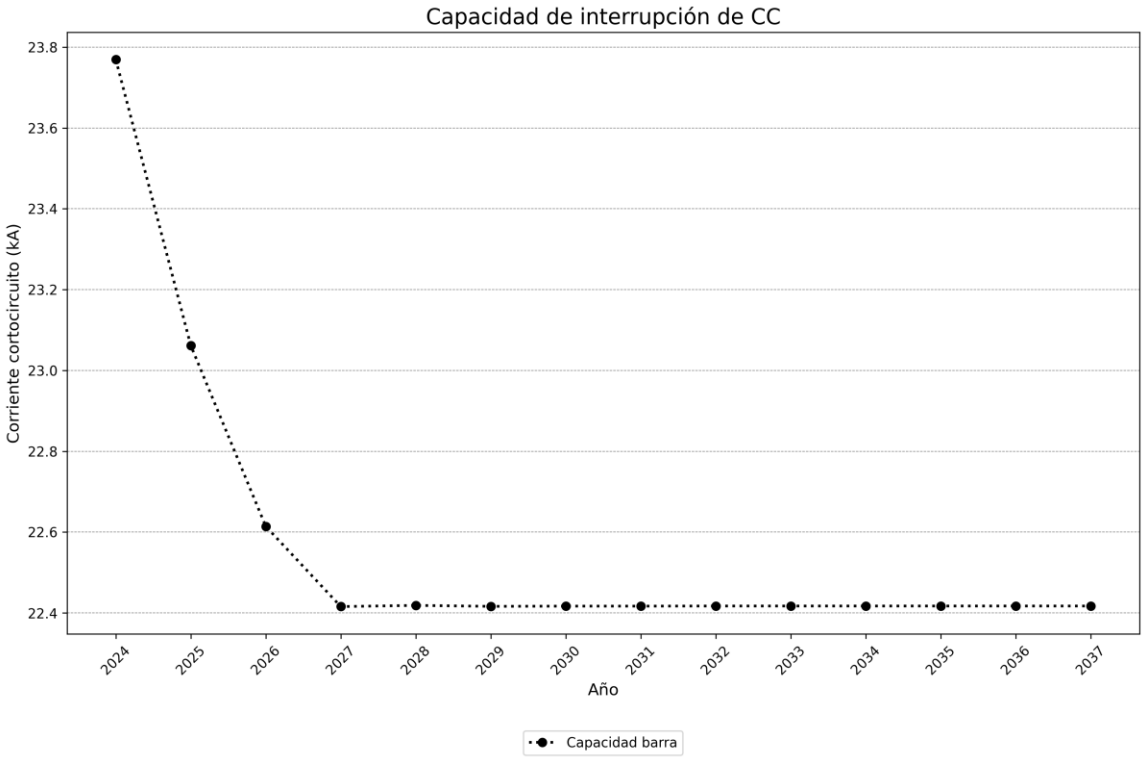


Figura 2-476. Balance de capacidad de cortocircuito después de la priorización para la subestación Oriente 220

Subestación P Blancas 110:

Capacidad por barra:

Para la subestación P Blancas 110 se presentaron 0 alternativas de conexión las cuales se muestran en la siguiente tabla:

Tabla 2-500. Alternativas de conexión presentadas a la subestación P Blancas 110

Solicitud	Capacidad	Tipo	Barra	FPO solicitada	Restricción

No se priorizó ninguna de las alternativas de conexión presentadas en la subestación P Blancas 110

El estado de la capacidad por barra en la subestación P Blancas 110, teniendo en cuenta la priorización se puede observar en la siguiente figura.

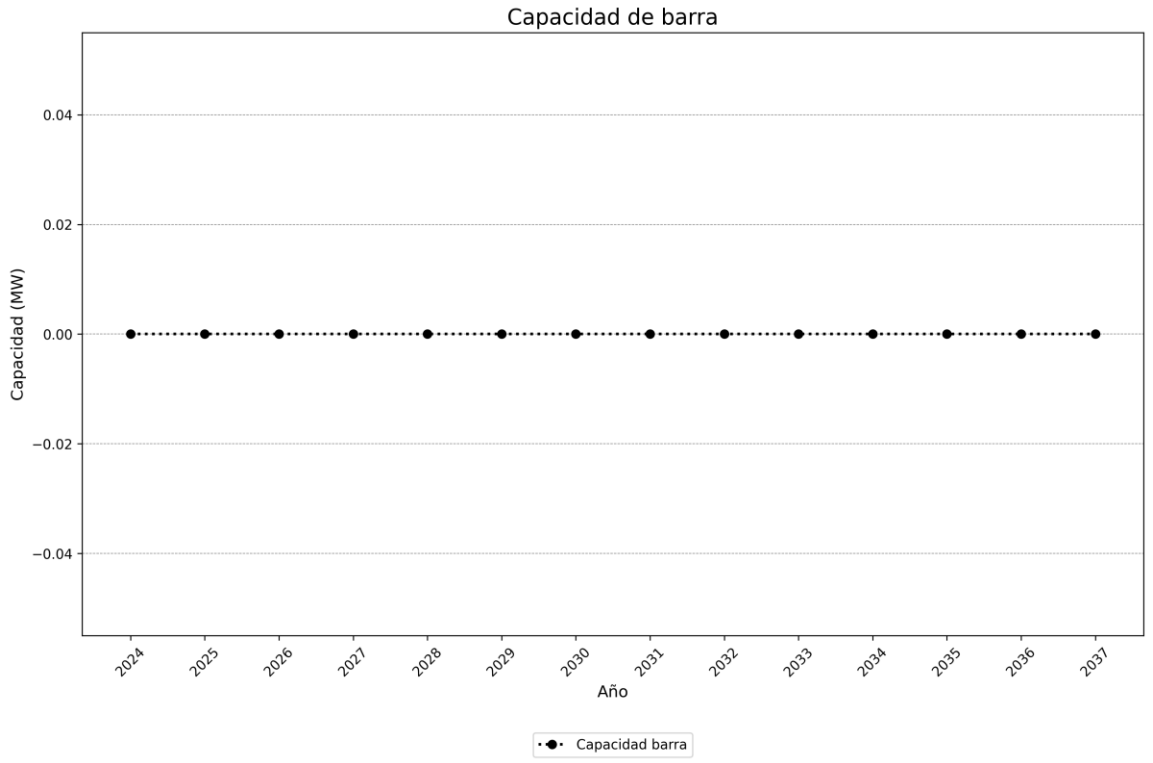


Figura 2-477. Balance de capacidad por barra después de la priorización para la subestación P Blancas 110

En el caso anterior se observa que la capacidad por barra es igual a 0 dado que, desde los comentarios presentados por transportador, se identificó que la subestación P Blancas 110 no cuenta con disponibilidad de espacio físico para la conexión de nuevos proyectos.

Capacidad excedente de interrupción de corriente de cortocircuito:

Para la subestación P Blancas 110 se presentaron 1 alternativas de conexión las cuales tienen aportes de corriente de cortocircuito. Estas alternativas se muestran en la siguiente tabla:

Tabla 2-501. Alternativas de conexión que aportan corriente de cortocircuito en la subestación P Blancas 110

Solicitud	tipo	FPO	Barra a la que aporta CC	Aporte de cortocircuito (kA)	Restricción
SC_3331_A1	Solar FV	2026	P Blancas 110	0.125	SATISFACE

No se priorizó ninguna de las alternativas de conexión que tengan aportes de corriente de cortocircuito en la subestación P Blancas 110

El estado de la capacidad de cortocircuito en la subestación P Blancas 110, teniendo en cuenta la priorización se puede observar en la siguiente figura.

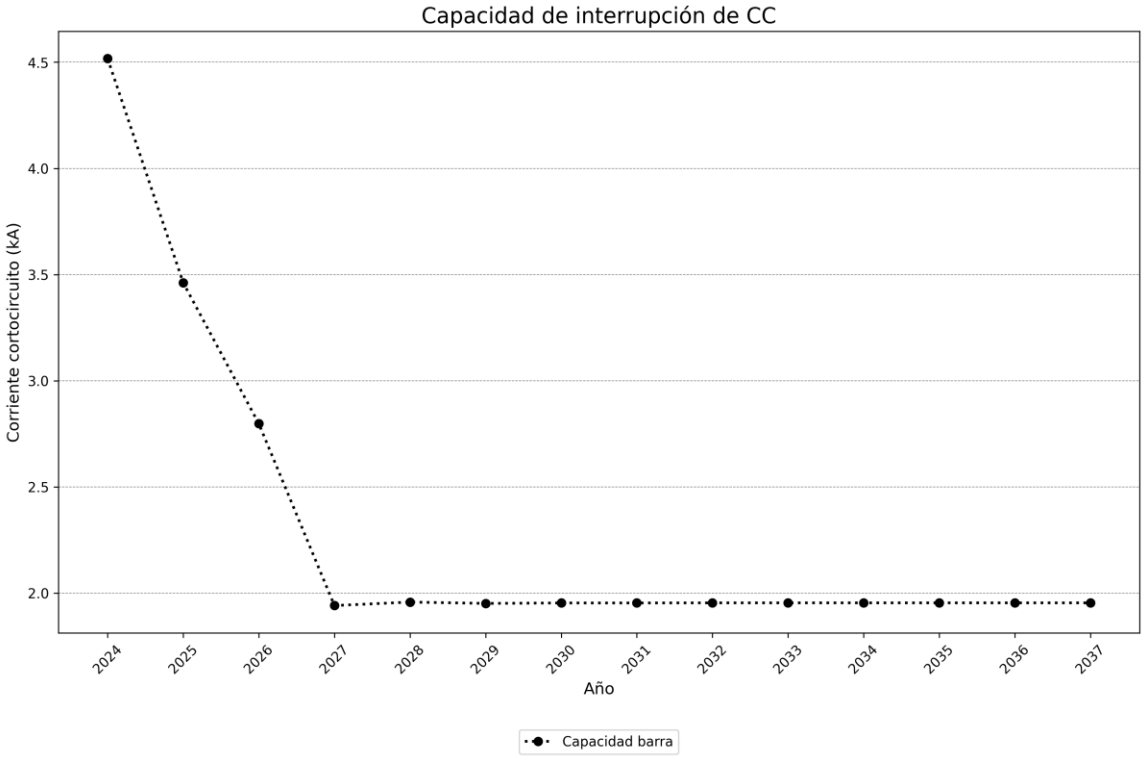


Figura 2-478. Balance de capacidad de cortocircuito después de la priorización para la subestación P Blancas 110

Subestación Pacora 33:

Capacidad por barra:

Para la subestación Pacora 33 se presentaron 1 alternativas de conexión las cuales se muestran en la siguiente tabla:

Tabla 2-502. Alternativas de conexión presentadas a la subestación Pacora 33

Solicitud	Capacidad	Tipo	Barra	FPO solicitada	Restricción
SC_2023_5339_A2	5.6	PCH	Pacora 33	2026	NO SATISFACE

No se priorizó ninguna de las alternativas de conexión presentadas en la subestación Pacora 33

El estado de la capacidad por barra en la subestación Pacora 33, teniendo en cuenta la priorización se puede observar en la siguiente figura.

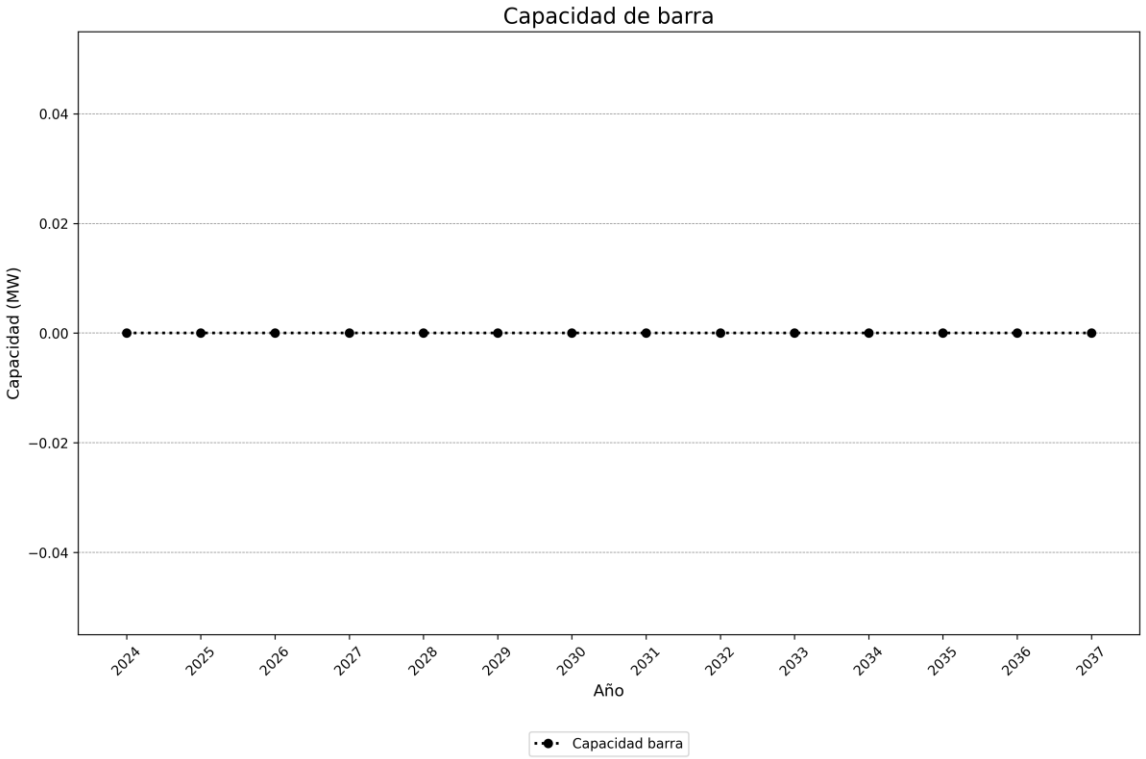


Figura 2-479. Balance de capacidad por barra después de la priorización para la subestación Pacora 33

En el caso anterior se observa que la capacidad por barra es igual a 0 dado que, desde los comentarios presentados por transportador, se identificó que la subestación Pacora 33 no cuenta con disponibilidad de espacio físico para la conexión de nuevos proyectos.

Subestación Paez (Cabaña) 115:

Capacidad por barra:

Para la subestación Paez (Cabaña) 115 se presentaron 0 alternativas de conexión las cuales se muestran en la siguiente tabla:

Tabla 2-503. Alternativas de conexión presentadas a la subestación Paez (Cabaña) 115

Solicitud	Capacidad	Tipo	Barra	FPO solicitada	Restricción

No se priorizó ninguna de las alternativas de conexión presentadas en la subestación Paez (Cabaña) 115

El estado de la capacidad por barra en la subestación Paez (Cabaña) 115, teniendo en cuenta la priorización se puede observar en la siguiente figura.

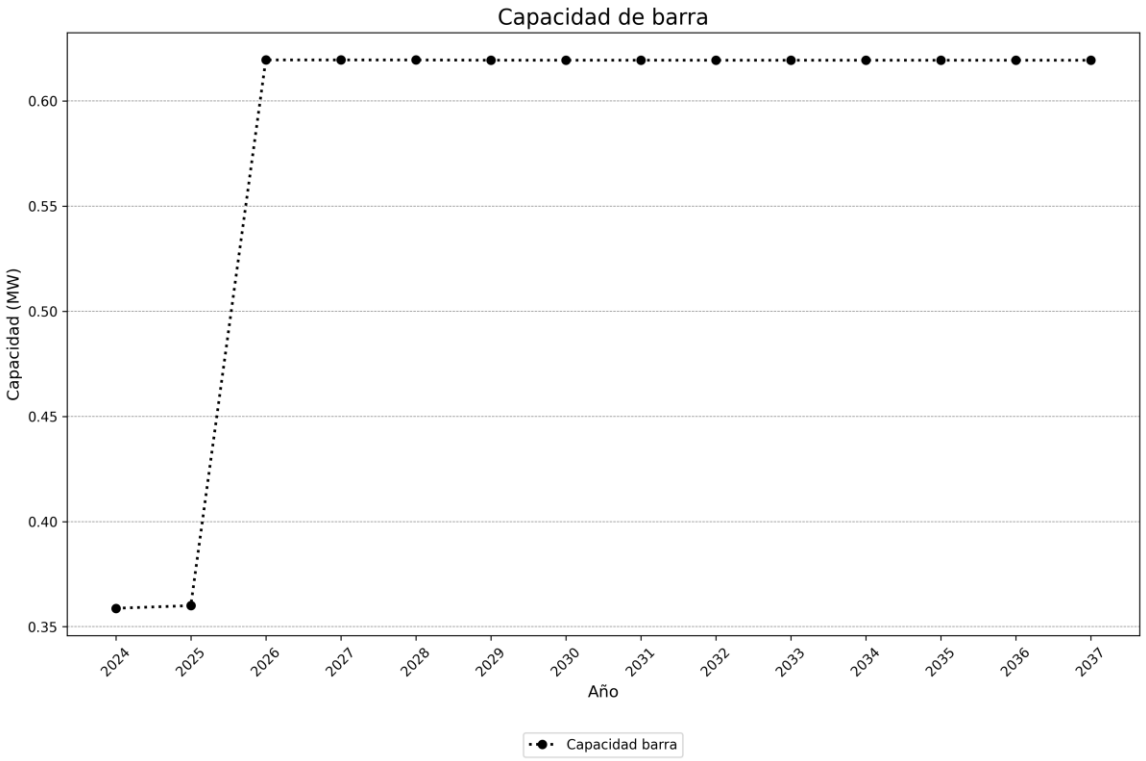


Figura 2-480. Balance de capacidad por barra después de la priorización para la subestación Paez (Cabaña) 115

Capacidad excedente de interrupción de corriente de cortocircuito:

Para la subestación Paez (Cabaña) 115 se presentaron 16 alternativas de conexión las cuales tienen aportes de corriente de cortocircuito. Estas alternativas se muestran en la siguiente tabla:

Tabla 2-504. Alternativas de conexión que aportan corriente de cortocircuito en la subestación Paez (Cabaña) 115

Solicitud	tipo	FPO	Barra a la que aporta CC	Aporte de cortocircuito (kA)	Restricción
SC_2023_5280_A1	Solar FV	2028	Paez (Cabaña) 115	0.020	SATISFACE
SC_2023_5280_A2	Solar FV	2028	Paez (Cabaña) 115	0.018	SATISFACE
SC_2023_5557_A1	Solar FV	2028	Paez (Cabaña) 115	0.025	SATISFACE
SC_2936_A1	Solar FV	2026	Paez (Cabaña) 115	0.000	SATISFACE
SC_2936_A2	Solar FV	2026	Paez (Cabaña) 115	0.000	SATISFACE
SC_3121_A1	Solar FV	2026	Paez (Cabaña) 115	0.001	SATISFACE
SC_3121_A2	Solar FV	2026	Paez (Cabaña) 115	0.001	SATISFACE
SC_3132_A1	Solar FV	2026	Paez (Cabaña) 115	0.022	SATISFACE
SC_3132_A2	Solar FV	2026	Paez (Cabaña) 115	0.018	SATISFACE
SC_3882_A1	Solar FV	2026	Paez (Cabaña) 115	0.024	SATISFACE
SC_4083_A1	Solar FV	2027	Paez (Cabaña) 115	0.000	SATISFACE
SC_4083_A2	Solar FV	2027	Paez (Cabaña) 115	0.000	SATISFACE
SC_4765_A1	Solar FV	2029	Paez (Cabaña) 115	0.000	SATISFACE

SC_4765_A2	Solar FV	2029	Paez (Cabaña) 115	0.000	SATISFACE
SC_4819_A1	Solar FV	2029	Paez (Cabaña) 115	0.029	SATISFACE
SC_4819_A2	Solar FV	2029	Paez (Cabaña) 115	0.027	SATISFACE

No se priorizó ninguna de las alternativas de conexión que tengan aportes de corriente de cortocircuito en la subestación Paez (Cabaña) 115

El estado de la capacidad de cortocircuito en la subestación Paez (Cabaña) 115, teniendo en cuenta la priorización se puede observar en la siguiente figura.

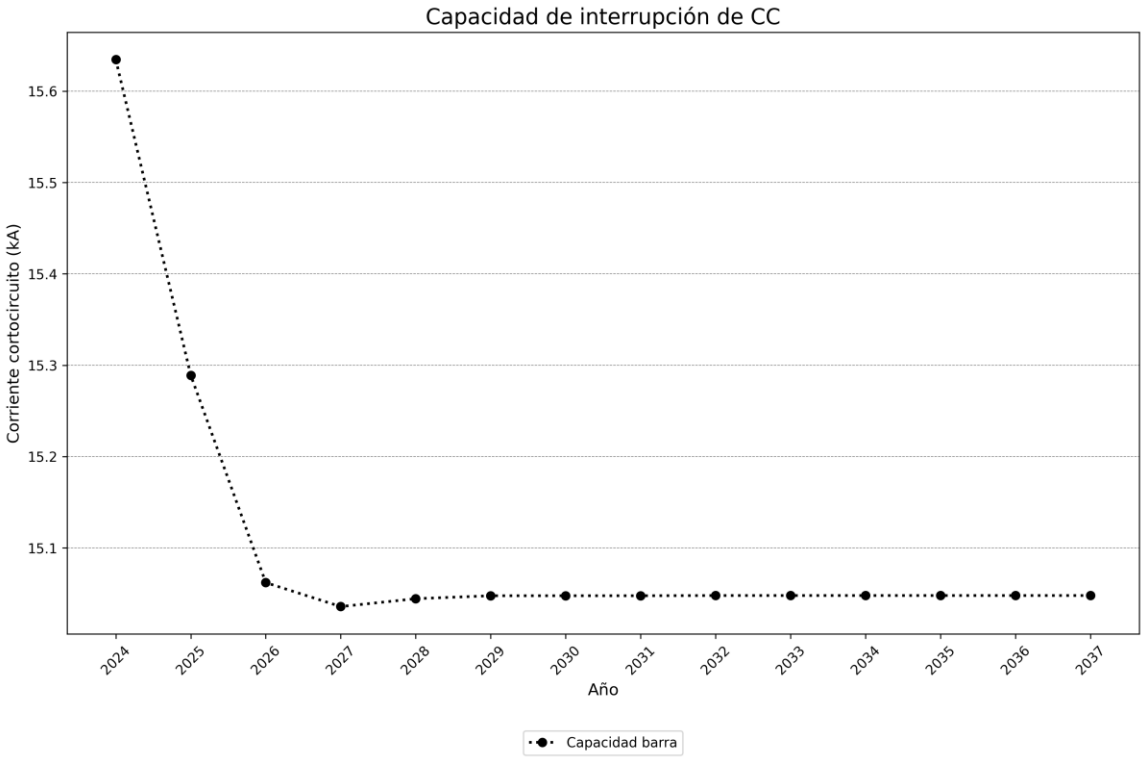


Figura 2-481. Balance de capacidad de cortocircuito después de la priorización para la subestación Paez (Cabaña) 115

Subestación Paez 220:

Capacidad por barra:

Para la subestación Paez 220 se presentaron 0 alternativas de conexión las cuales se muestran en la siguiente tabla:

Tabla 2-505. Alternativas de conexión presentadas a la subestación Paez 220

Solicitud	Capacidad	Tipo	Barra	FPO solicitada	Restricción

No se priorizó ninguna de las alternativas de conexión presentadas en la subestación Paez 220

El estado de la capacidad por barra en la subestación Paez 220, teniendo en cuenta la priorización se puede observar en la siguiente figura.

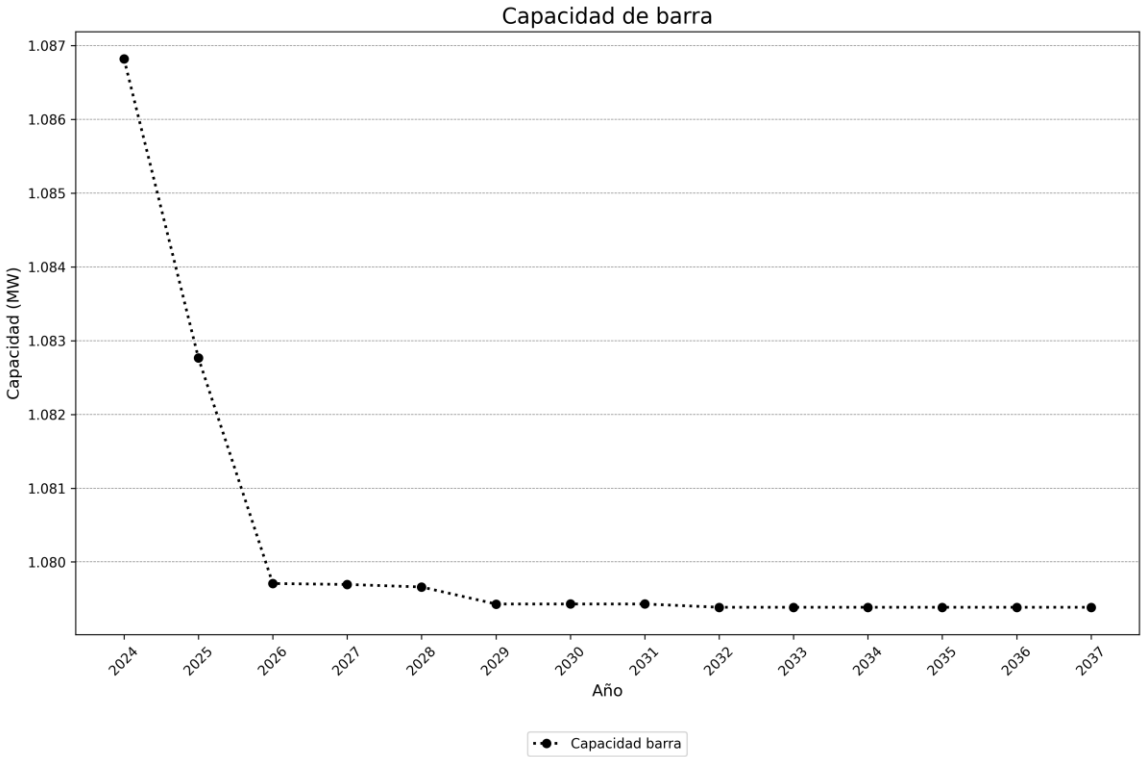


Figura 2-482. Balance de capacidad por barra después de la priorización para la subestación Paez 220

Capacidad excedente de interrupción de corriente de cortocircuito:

Para la subestación Paez 220 se presentaron 29 alternativas de conexión las cuales tienen aportes de corriente de cortocircuito. Estas alternativas se muestran en la siguiente tabla:

Tabla 2-506. Alternativas de conexión que aportan corriente de cortocircuito en la subestación Paez 220

Solicitud	tipo	FPO	Barra a la que aporta CC	Aporte de cortocircuito (kA)	Restricción
SC_2023_5280_A1	Solar FV	2028	Paez 220	0.018	SATISFACE
SC_2023_5280_A2	Solar FV	2028	Paez 220	0.017	SATISFACE
SC_2023_5287_A1	Solar FV	2026	Paez 220	0.010	SATISFACE
SC_2023_5287_A2	Solar FV	2026	Paez 220	0.010	SATISFACE
SC_2023_5288_A1	Solar FV	2026	Paez 220	0.006	SATISFACE
SC_2023_5288_A2	Solar FV	2026	Paez 220	0.015	SATISFACE
SC_2023_5375_A1	Solar FV	2026	Paez 220	0.010	SATISFACE
SC_2023_5399_A1	Solar FV	2026	Paez 220	0.006	SATISFACE
SC_2023_5399_A2	Solar FV	2026	Paez 220	0.015	SATISFACE
SC_2023_5480_A1	Solar FV	2026	Paez 220	0.010	SATISFACE
SC_2023_5480_A2	Solar FV	2026	Paez 220	0.010	SATISFACE
SC_2023_5557_A1	Solar FV	2028	Paez 220	0.029	SATISFACE
SC_2936_A1	Solar FV	2026	Paez 220	0.000	SATISFACE
SC_2936_A2	Solar FV	2026	Paez 220	0.000	SATISFACE
SC_3121_A1	Solar FV	2026	Paez 220	0.001	SATISFACE
SC_3121_A2	Solar FV	2026	Paez 220	0.001	SATISFACE
SC_3132_A1	Solar FV	2026	Paez 220	0.020	SATISFACE
SC_3132_A2	Solar FV	2026	Paez 220	0.019	SATISFACE
SC_3882_A1	Solar FV	2026	Paez 220	0.028	SATISFACE
SC_4083_A1	Solar FV	2027	Paez 220	0.000	SATISFACE
SC_4083_A2	Solar FV	2027	Paez 220	0.000	SATISFACE
SC_4765_A1	Solar FV	2029	Paez 220	0.000	SATISFACE
SC_4765_A2	Solar FV	2029	Paez 220	0.000	SATISFACE
SC_4819_A1	Solar FV	2029	Paez 220	0.033	SATISFACE

SC_4819_A2	Solar FV	2029	Paez 220	0.030	SATISFACE
SC_4974_A1	Solar FV	2026	Paez 220	0.005	SATISFACE
SC_4974_A2	Solar FV	2026	Paez 220	0.005	SATISFACE
SC_4978_A1	Solar FV	2026	Paez 220	0.000	SATISFACE
SC_4978_A2	Solar FV	2026	Paez 220	0.001	SATISFACE

No se priorizó ninguna de las alternativas de conexión que tengan aportes de corriente de cortocircuito en la subestación Paez 220

El estado de la capacidad de cortocircuito en la subestación Paez 220, teniendo en cuenta la priorización se puede observar en la siguiente figura.

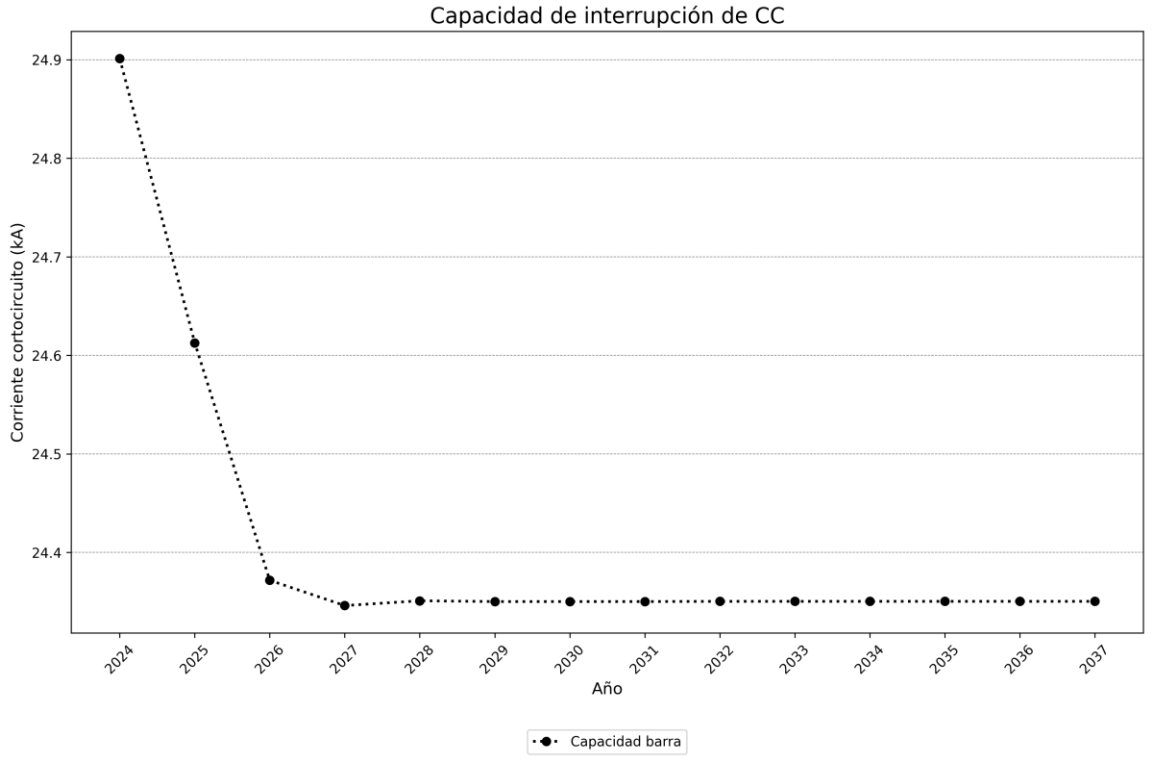


Figura 2-483. Balance de capacidad de cortocircuito después de la priorización para la subestación Paez 220

Subestación Pailon 115:

Capacidad por barra:

Para la subestación Pailon 115 se presentaron 0 alternativas de conexión las cuales se muestran en la siguiente tabla:

Tabla 2-507. Alternativas de conexión presentadas a la subestación Pailon 115

Solicitud	Capacidad	Tipo	Barra	FPO solicitada	Restricción

No se priorizó ninguna de las alternativas de conexión presentadas en la subestación Pailon 115

El estado de la capacidad por barra en la subestación Pailon 115, teniendo en cuenta la priorización se puede observar en la siguiente figura.

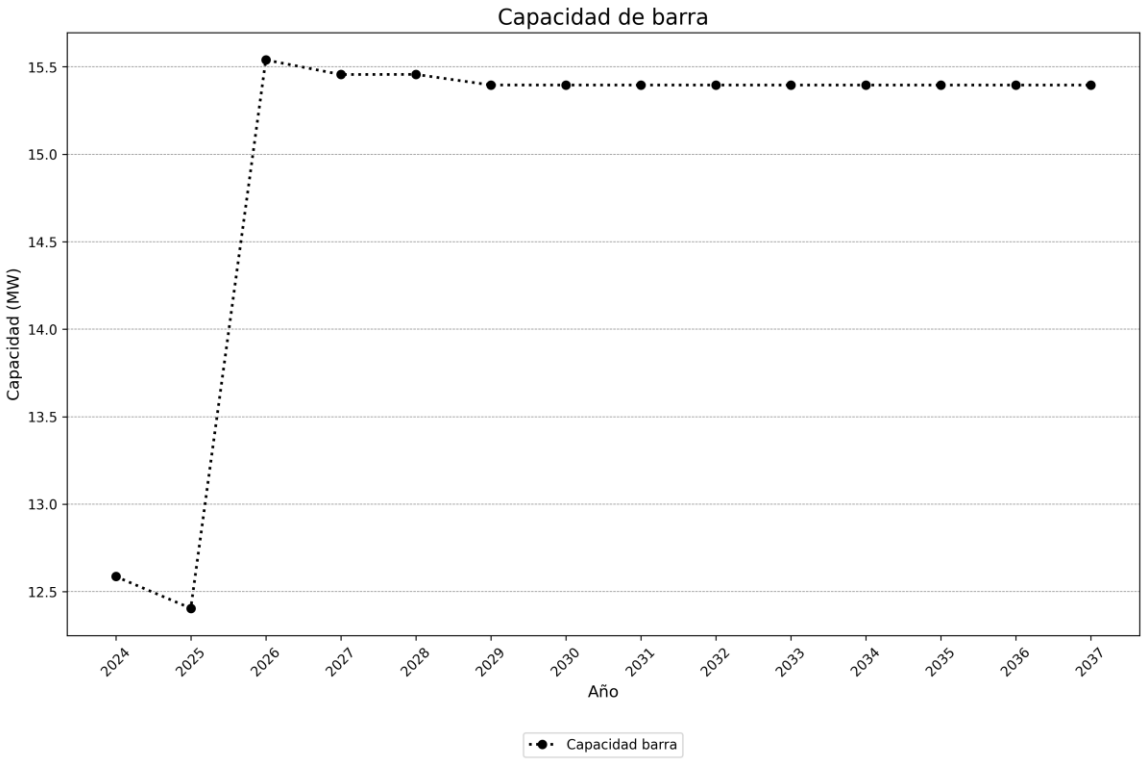


Figura 2-484. Balance de capacidad por barra después de la priorización para la subestación Pailon 115

Capacidad excedente de interrupción de corriente de cortocircuito:

Para la subestación Pailon 115 se presentaron 4 alternativas de conexión las cuales tienen aportes de corriente de cortocircuito. Estas alternativas se muestran en la siguiente tabla:

Tabla 2-508. Alternativas de conexión que aportan corriente de cortocircuito en la subestación Pailon 115

Solicitud	tipo	FPO	Barra a la que aporta CC	Aporte de cortocircuito (kA)	Restricción
SC_2023_5557_A1	Solar FV	2028	Pailon 115	0.027	SATISFACE
SC_2936_A1	Solar FV	2026	Pailon 115	0.000	SATISFACE
SC_2936_A2	Solar FV	2026	Pailon 115	0.000	SATISFACE
SC_3882_A1	Solar FV	2026	Pailon 115	0.026	SATISFACE

No se priorizó ninguna de las alternativas de conexión que tengan aportes de corriente de cortocircuito en la subestación Pailon 115

El estado de la capacidad de cortocircuito en la subestación Pailon 115, teniendo en cuenta la priorización se puede observar en la siguiente figura.

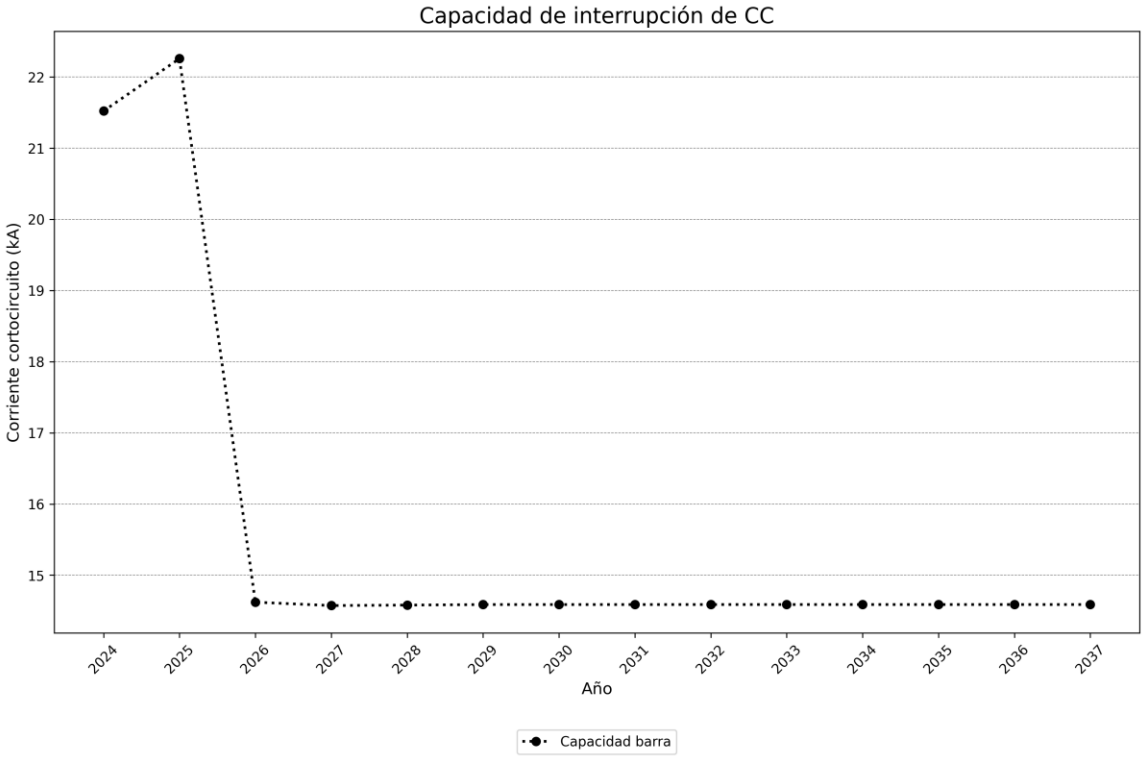


Figura 2-485. Balance de capacidad de cortocircuito después de la priorización para la subestación Pailon 115

Subestación Paipa 115:

Capacidad por barra:

Para la subestación Paipa 115 se presentaron 0 alternativas de conexión las cuales se muestran en la siguiente tabla:

Tabla 2-509. Alternativas de conexión presentadas a la subestación Paipa 115

Solicitud	Capacidad	Tipo	Barra	FPO solicitada	Restricción

No se priorizó ninguna de las alternativas de conexión presentadas en la subestación Paipa 115

El estado de la capacidad por barra en la subestación Paipa 115, teniendo en cuenta la priorización se puede observar en la siguiente figura.

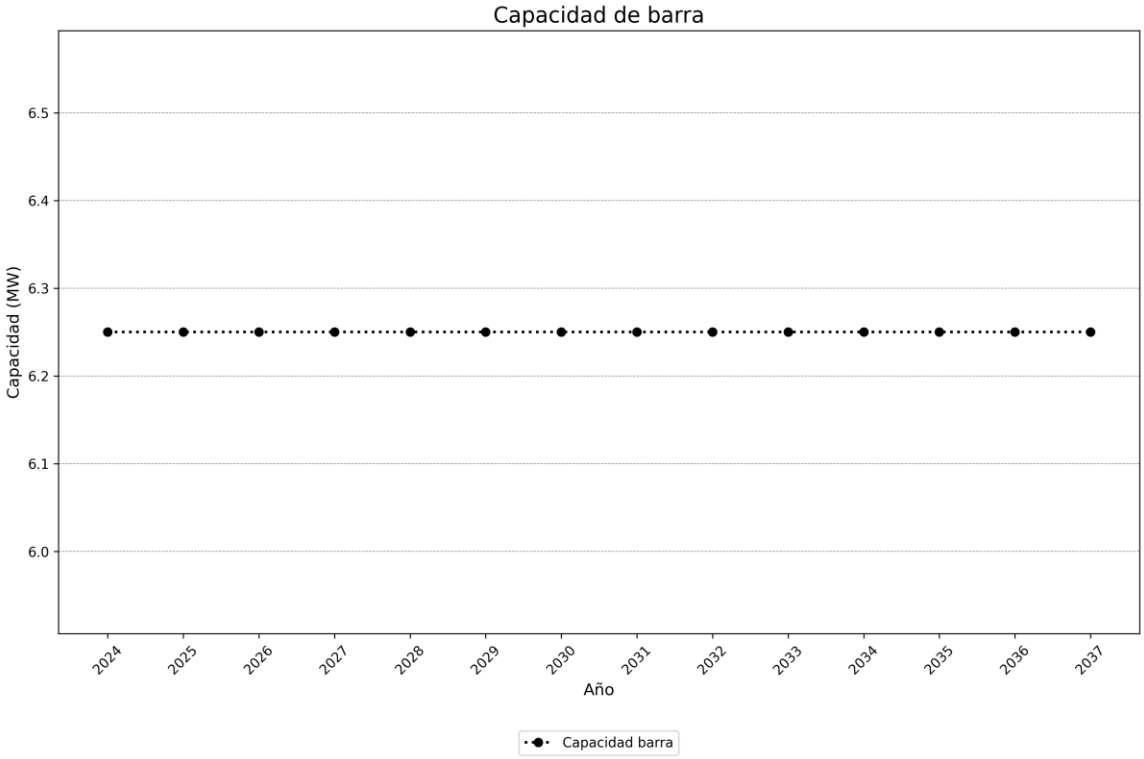


Figura 2-486. Balance de capacidad por barra después de la priorización para la subestación Paipa 115

Capacidad excedente de interrupción de corriente de cortocircuito:

Para la subestación Paipa 115 se presentaron 4 alternativas de conexión las cuales tienen aportes de corriente de cortocircuito. Estas alternativas se muestran en la siguiente tabla:

Tabla 2-510. Alternativas de conexión que aportan corriente de cortocircuito en la subestación Paipa 115

Solicitud	tipo	FPO	Barra a la que aporta CC	Aporte de cortocircuito (kA)	Restricción
SC_2023_5557_A1	Solar FV	2028	Paipa 115	0.092	NO SATISFACE
SC_2936_A1	Solar FV	2026	Paipa 115	0.000	NO SATISFACE
SC_2936_A2	Solar FV	2026	Paipa 115	0.000	NO SATISFACE
SC_3882_A1	Solar FV	2026	Paipa 115	0.089	NO SATISFACE

No se priorizó ninguna de las alternativas de conexión que tengan aportes de corriente de cortocircuito en la subestación Paipa 115

El estado de la capacidad de cortocircuito en la subestación Paipa 115, teniendo en cuenta la priorización se puede observar en la siguiente figura.

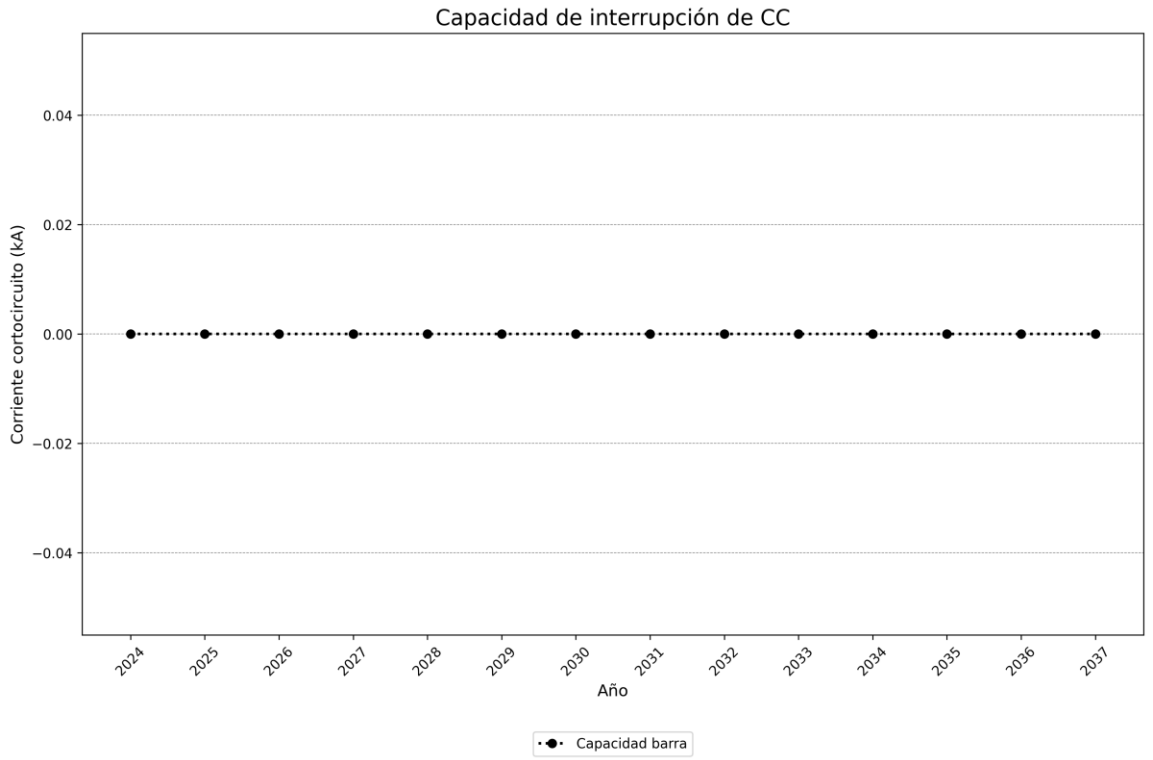


Figura 2-487. Balance de capacidad de cortocircuito después de la priorización para la subestación Paipa 115

Subestación Palmaseca 115:

Capacidad por barra:

Para la subestación Palmaseca 115 se presentaron 0 alternativas de conexión las cuales se muestran en la siguiente tabla:

Tabla 2-511. Alternativas de conexión presentadas a la subestación Palmaseca 115

Solicitud	Capacidad	Tipo	Barra	FPO solicitada	Restricción

No se priorizó ninguna de las alternativas de conexión presentadas en la subestación Palmaseca 115

El estado de la capacidad por barra en la subestación Palmaseca 115, teniendo en cuenta la priorización se puede observar en la siguiente figura.

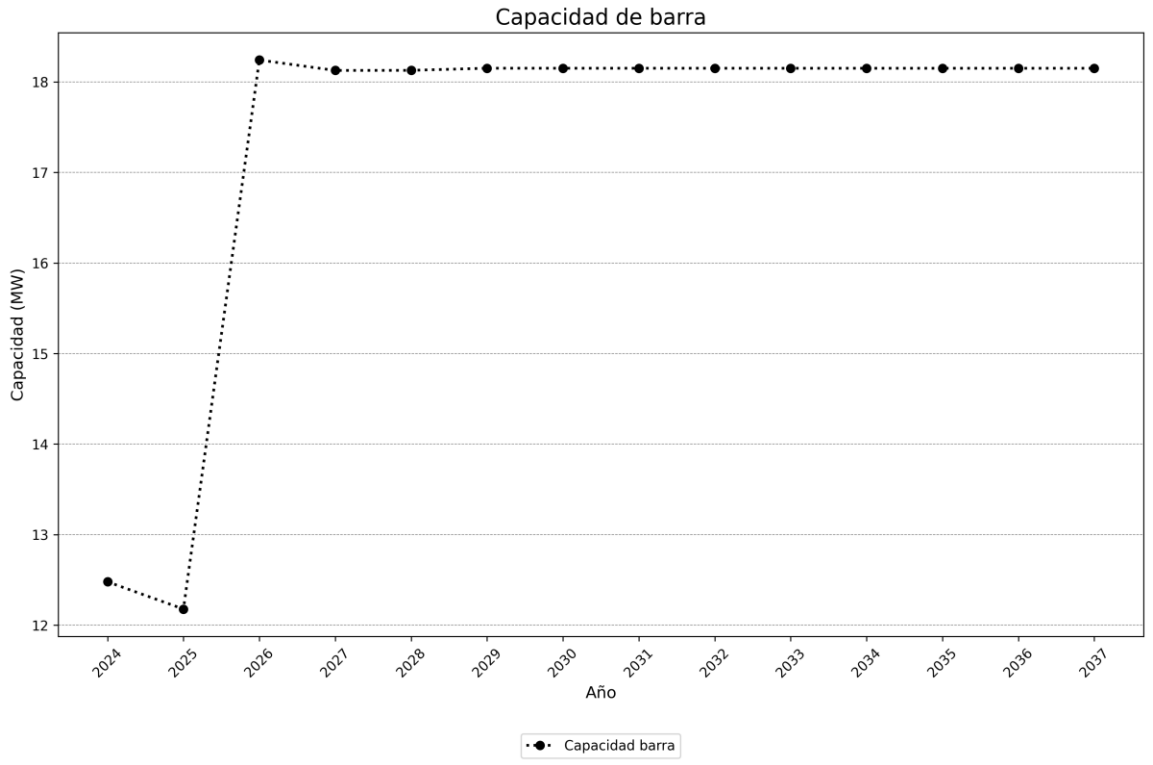


Figura 2-488. Balance de capacidad por barra después de la priorización para la subestación Palmaseca 115

Capacidad excedente de interrupción de corriente de cortocircuito:

Para la subestación Palmaseca 115 se presentaron 4 alternativas de conexión las cuales tienen aportes de corriente de cortocircuito. Estas alternativas se muestran en la siguiente tabla:

Tabla 2-512. Alternativas de conexión que aportan corriente de cortocircuito en la subestación Palmaseca 115

Solicitud	tipo	FPO	Barra a la que aporta CC	Aporte de cortocircuito (kA)	Restricción
SC_2023_5557_A1	Solar FV	2028	Palmaseca 115	0.102	SATISFACE
SC_2936_A1	Solar FV	2026	Palmaseca 115	0.000	SATISFACE
SC_2936_A2	Solar FV	2026	Palmaseca 115	0.000	SATISFACE
SC_3882_A1	Solar FV	2026	Palmaseca 115	0.100	SATISFACE

No se priorizó ninguna de las alternativas de conexión que tengan aportes de corriente de cortocircuito en la subestación Palmaseca 115

El estado de la capacidad de cortocircuito en la subestación Palmaseca 115, teniendo en cuenta la priorización se puede observar en la siguiente figura.

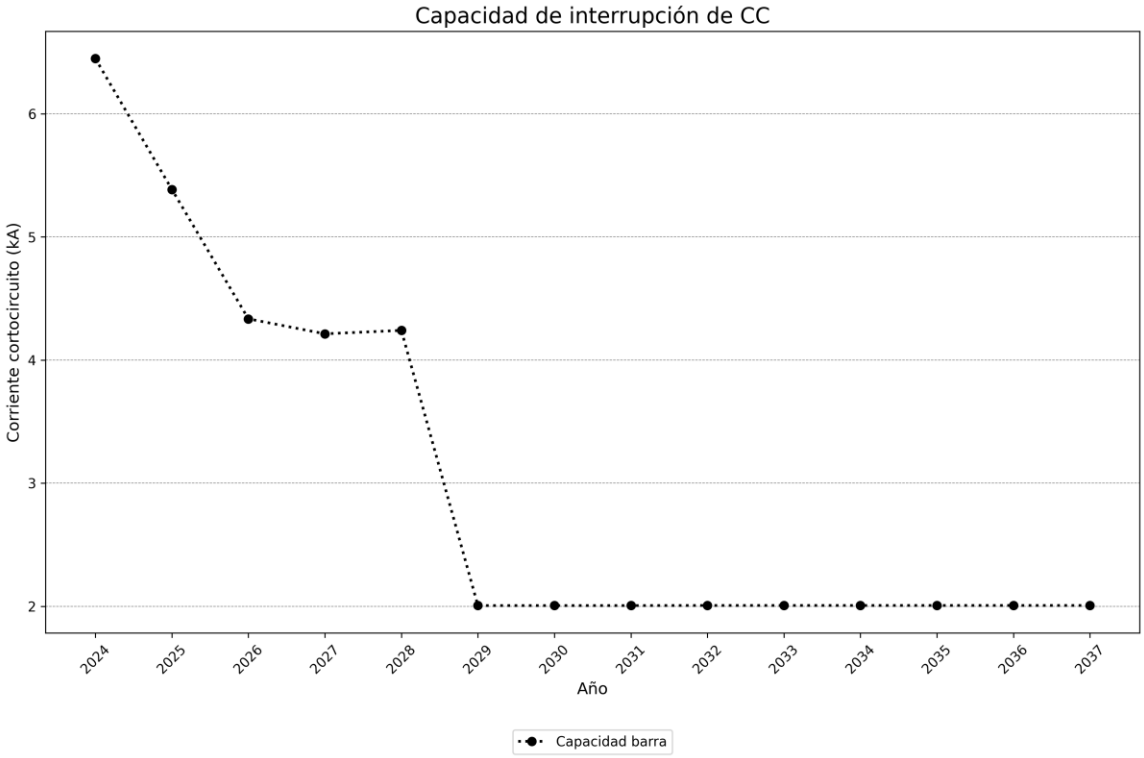


Figura 2-489. Balance de capacidad de cortocircuito después de la priorización para la subestación Palmaseca 115

Subestación Panamericana 115:

Capacidad por barra:

Para la subestación Panamericana 115 se presentaron 0 alternativas de conexión las cuales se muestran en la siguiente tabla:

Tabla 2-513. Alternativas de conexión presentadas a la subestación Panamericana 115

Solicitud	Capacidad	Tipo	Barra	FPO solicitada	Restricción

No se priorizó ninguna de las alternativas de conexión presentadas en la subestación Panamericana 115

El estado de la capacidad por barra en la subestación Panamericana 115, teniendo en cuenta la priorización se puede observar en la siguiente figura.

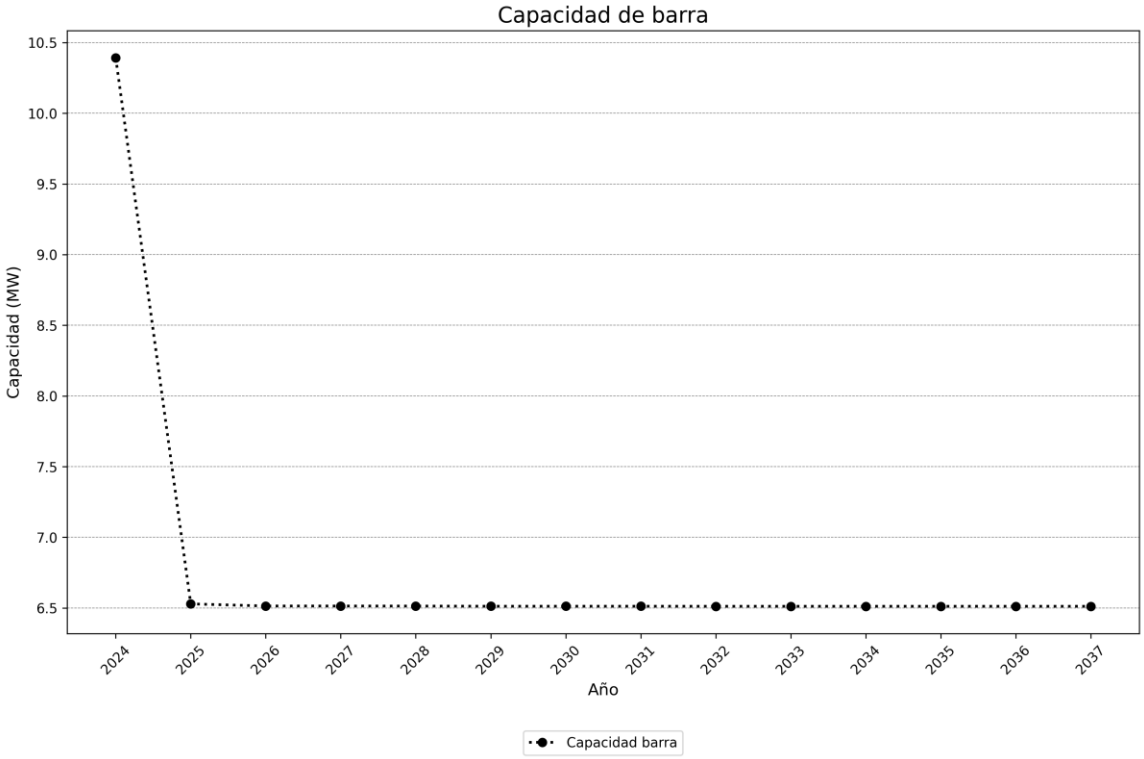


Figura 2-490. Balance de capacidad por barra después de la priorización para la subestación Panamericana 115

Capacidad excedente de interrupción de corriente de cortocircuito:

Para la subestación Panamericana 115 se presentaron 27 alternativas de conexión las cuales tienen aportes de corriente de cortocircuito. Estas alternativas se muestran en la siguiente tabla:

Tabla 2-514. Alternativas de conexión que aportan corriente de cortocircuito en la subestación Panamericana 115

Solicitud	tipo	FPO	Barra a la que aporta CC	Aporte de cortocircuito (kA)	Restricción
SC_2023_5280_A1	Solar FV	2028	Panamericana 115	0.006	SATISFACE
SC_2023_5280_A2	Solar FV	2028	Panamericana 115	0.005	SATISFACE
SC_2023_5287_A1	Solar FV	2026	Panamericana 115	0.002	SATISFACE
SC_2023_5287_A2	Solar FV	2026	Panamericana 115	0.002	SATISFACE
SC_2023_5288_A1	Solar FV	2026	Panamericana 115	0.001	SATISFACE
SC_2023_5288_A2	Solar FV	2026	Panamericana 115	0.003	SATISFACE
SC_2023_5375_A1	Solar FV	2026	Panamericana 115	0.002	SATISFACE
SC_2023_5399_A1	Solar FV	2026	Panamericana 115	0.001	SATISFACE
SC_2023_5399_A2	Solar FV	2026	Panamericana 115	0.003	SATISFACE
SC_2023_5480_A1	Solar FV	2026	Panamericana 115	0.002	SATISFACE
SC_2023_5480_A2	Solar FV	2026	Panamericana 115	0.002	SATISFACE
SC_2023_5557_A1	Solar FV	2028	Panamericana 115	0.005	SATISFACE
SC_2936_A1	Solar FV	2026	Panamericana 115	0.000	SATISFACE
SC_2936_A2	Solar FV	2026	Panamericana 115	0.000	SATISFACE
SC_3132_A1	Solar FV	2026	Panamericana 115	0.006	SATISFACE
SC_3132_A2	Solar FV	2026	Panamericana 115	0.006	SATISFACE
SC_3882_A1	Solar FV	2026	Panamericana 115	0.005	SATISFACE
SC_4083_A1	Solar FV	2027	Panamericana 115	0.000	SATISFACE
SC_4083_A2	Solar FV	2027	Panamericana 115	0.000	SATISFACE

SC_4765_A1	Solar FV	2029	Panamericana 115	0.000	SATISFACE
SC_4765_A2	Solar FV	2029	Panamericana 115	0.000	SATISFACE
SC_4819_A1	Solar FV	2029	Panamericana 115	0.007	SATISFACE
SC_4819_A2	Solar FV	2029	Panamericana 115	0.006	SATISFACE
SC_4974_A1	Solar FV	2026	Panamericana 115	0.005	SATISFACE
SC_4974_A2	Solar FV	2026	Panamericana 115	0.005	SATISFACE
SC_4978_A1	Solar FV	2026	Panamericana 115	0.000	SATISFACE
SC_4978_A2	Solar FV	2026	Panamericana 115	0.002	SATISFACE

No se priorizó ninguna de las alternativas de conexión que tengan aportes de corriente de cortocircuito en la subestación Panamericana 115

El estado de la capacidad de cortocircuito en la subestación Panamericana 115, teniendo en cuenta la priorización se puede observar en la siguiente figura.

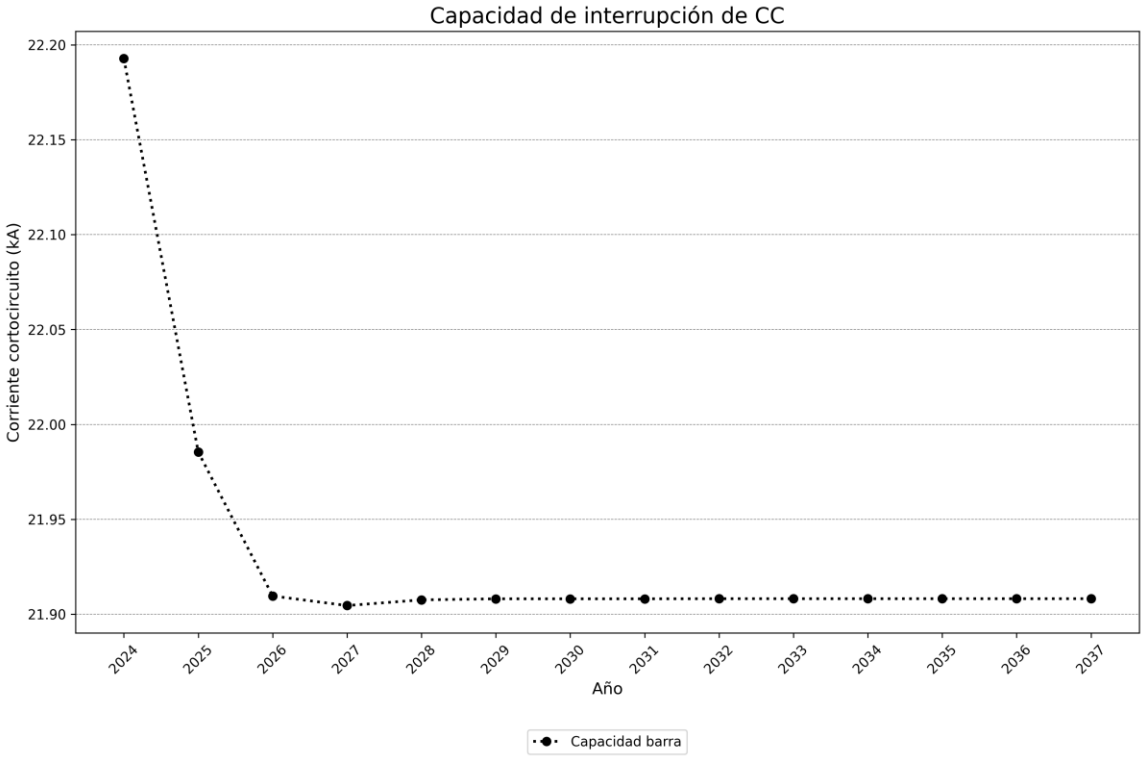


Figura 2-491. Balance de capacidad de cortocircuito después de la priorización para la subestación Panamericana 115

Subestación Pance 115:

Capacidad por barra:

Para la subestación Pance 115 se presentaron 0 alternativas de conexión las cuales se muestran en la siguiente tabla:

Tabla 2-515. Alternativas de conexión presentadas a la subestación Pance 115

Solicitud	Capacidad	Tipo	Barra	FPO solicitada	Restricción

No se priorizó ninguna de las alternativas de conexión presentadas en la subestación Pance 115

El estado de la capacidad por barra en la subestación Pance 115, teniendo en cuenta la priorización se puede observar en la siguiente figura.

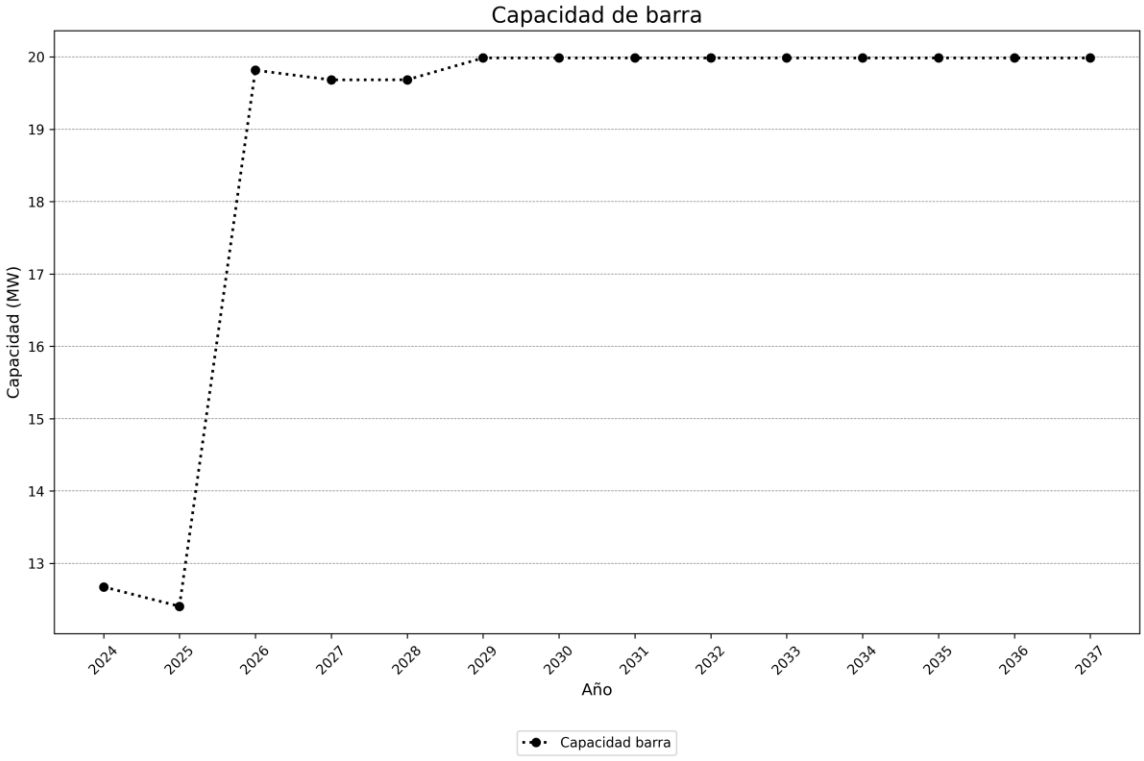


Figura 2-492. Balance de capacidad por barra después de la priorización para la subestación Pance 115

Capacidad excedente de interrupción de corriente de cortocircuito:

Para la subestación Pance 115 se presentaron 8 alternativas de conexión las cuales tienen aportes de corriente de cortocircuito. Estas alternativas se muestran en la siguiente tabla:

Tabla 2-516. Alternativas de conexión que aportan corriente de cortocircuito en la subestación Pance 115

Solicitud	tipo	FPO	Barra a la que aporta CC	Aporte de cortocircuito (kA)	Restricción
SC_2023_5557_A1	Solar FV	2028	Pance 115	0.099	SATISFACE
SC_2936_A1	Solar FV	2026	Pance 115	0.000	SATISFACE
SC_2936_A2	Solar FV	2026	Pance 115	0.000	SATISFACE
SC_3882_A1	Solar FV	2026	Pance 115	0.096	SATISFACE
SC_4974_A1	Solar FV	2026	Pance 115	0.010	SATISFACE
SC_4974_A2	Solar FV	2026	Pance 115	0.010	SATISFACE
SC_4978_A1	Solar FV	2026	Pance 115	0.001	SATISFACE
SC_4978_A2	Solar FV	2026	Pance 115	0.004	SATISFACE

No se priorizó ninguna de las alternativas de conexión que tengan aportes de corriente de cortocircuito en la subestación Pance 115

El estado de la capacidad de cortocircuito en la subestación Pance 115, teniendo en cuenta la priorización se puede observar en la siguiente figura.

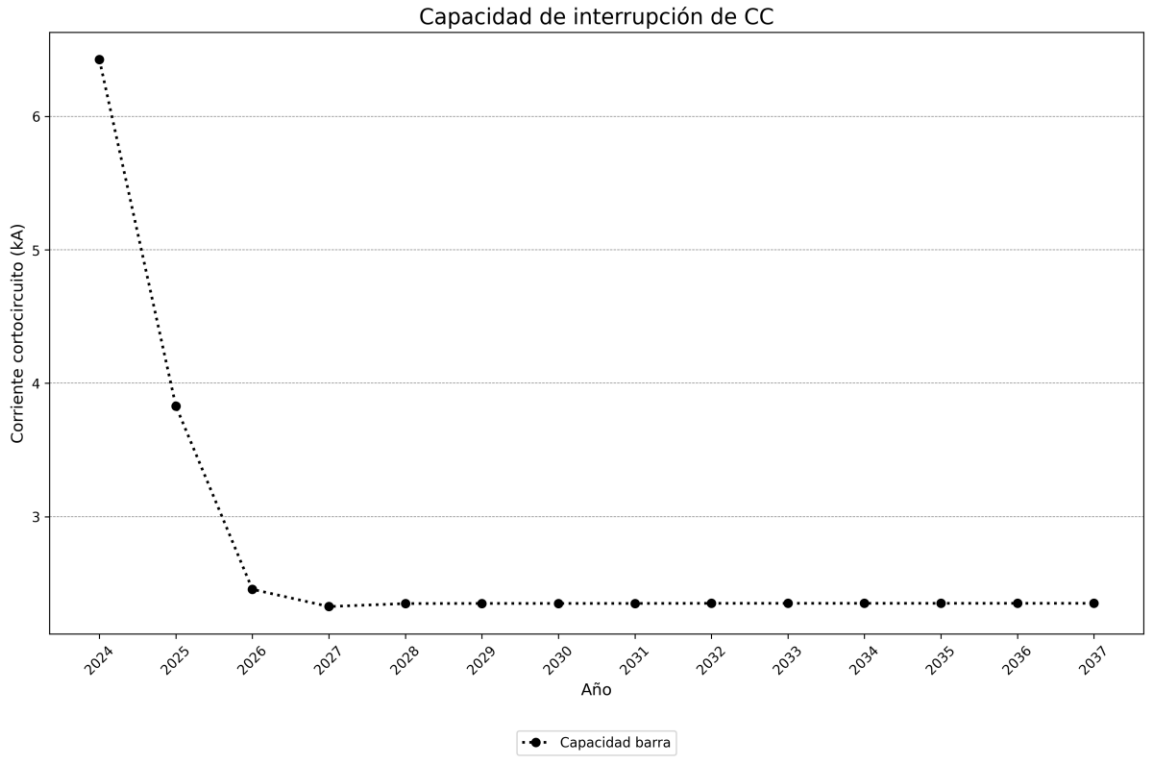


Figura 2-493. Balance de capacidad de cortocircuito después de la priorización para la subestación Pance 115

Subestación Pance 220:

Capacidad por barra:

Para la subestación Pance 220 se presentaron 0 alternativas de conexión las cuales se muestran en la siguiente tabla:

Tabla 2-517. Alternativas de conexión presentadas a la subestación Pance 220

Solicitud	Capacidad	Tipo	Barra	FPO solicitada	Restricción

No se priorizó ninguna de las alternativas de conexión presentadas en la subestación Pance 220

El estado de la capacidad por barra en la subestación Pance 220, teniendo en cuenta la priorización se puede observar en la siguiente figura.

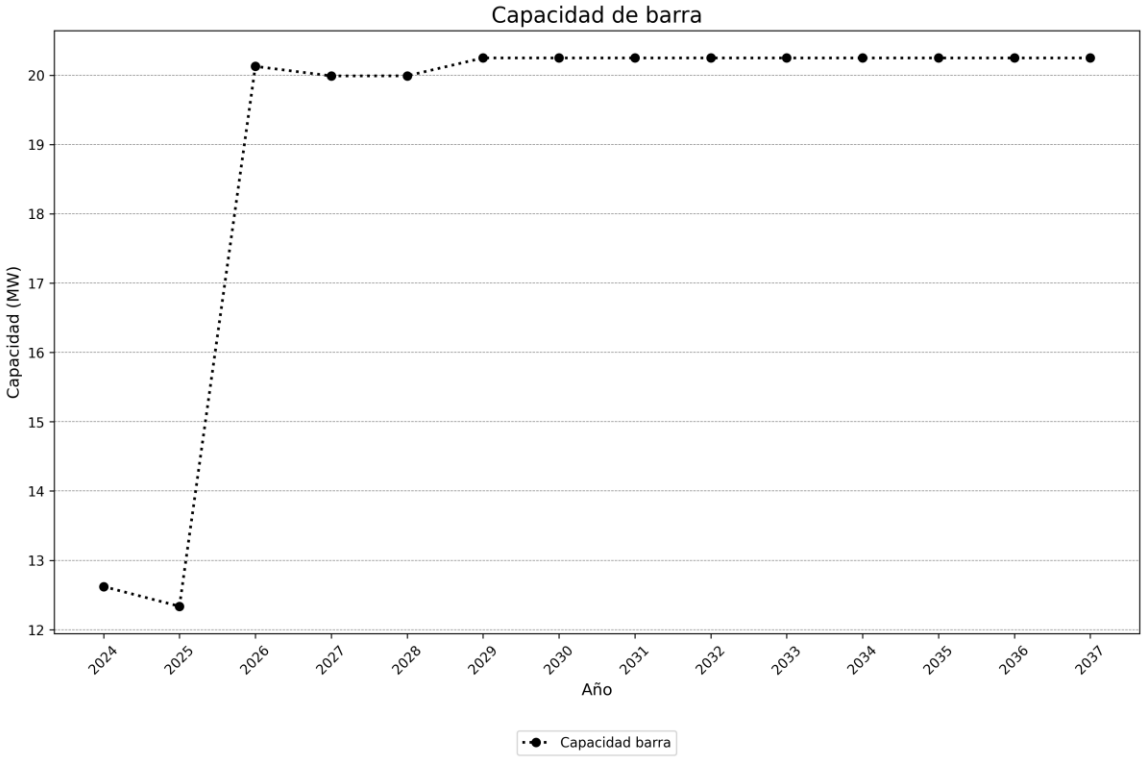


Figura 2-494. Balance de capacidad por barra después de la priorización para la subestación Pance 220

Capacidad excedente de interrupción de corriente de cortocircuito:

Para la subestación Pance 220 se presentaron 4 alternativas de conexión las cuales tienen aportes de corriente de cortocircuito. Estas alternativas se muestran en la siguiente tabla:

Tabla 2-518. Alternativas de conexión que aportan corriente de cortocircuito en la subestación Pance 220

Solicitud	tipo	FPO	Barra a la que aporta CC	Aporte de cortocircuito (kA)	Restricción
SC_2023_5557_A1	Solar FV	2028	Pance 220	0.075	SATISFACE
SC_2936_A1	Solar FV	2026	Pance 220	0.000	SATISFACE
SC_2936_A2	Solar FV	2026	Pance 220	0.000	SATISFACE

SC_3882_A1	Solar FV	2026	Pance 220	0.074	SATISFACE

No se priorizó ninguna de las alternativas de conexión que tengan aportes de corriente de cortocircuito en la subestación Pance 220

El estado de la capacidad de cortocircuito en la subestación Pance 220, teniendo en cuenta la priorización se puede observar en la siguiente figura.

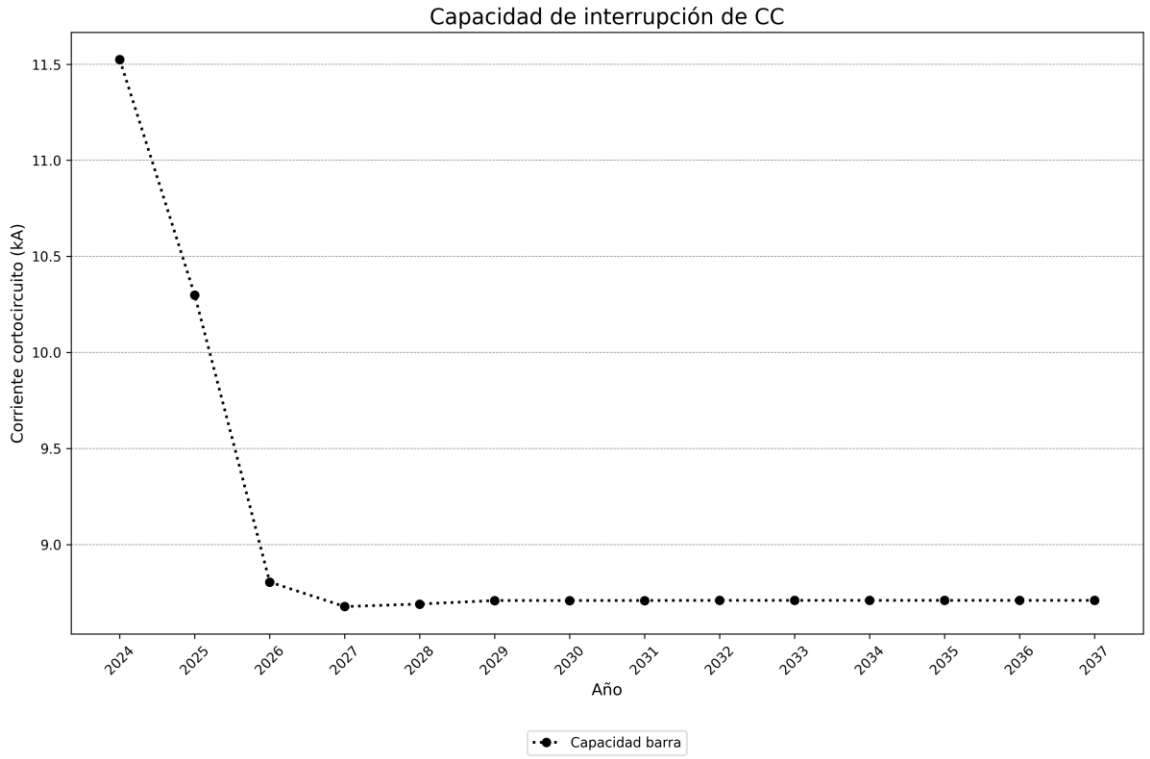


Figura 2-495. Balance de capacidad de cortocircuito después de la priorización para la subestación Pance 220

Subestación Papayo 115:

Capacidad por barra:

Para la subestación Papayo 115 se presentaron 0 alternativas de conexión las cuales se muestran en la siguiente tabla:

Tabla 2-519. Alternativas de conexión presentadas a la subestación Papayo 115

Solicitud	Capacidad	Tipo	Barra	FPO solicitada	Restricción

No se priorizó ninguna de las alternativas de conexión presentadas en la subestación Papayo 115

El estado de la capacidad por barra en la subestación Papayo 115, teniendo en cuenta la priorización se puede observar en la siguiente figura.

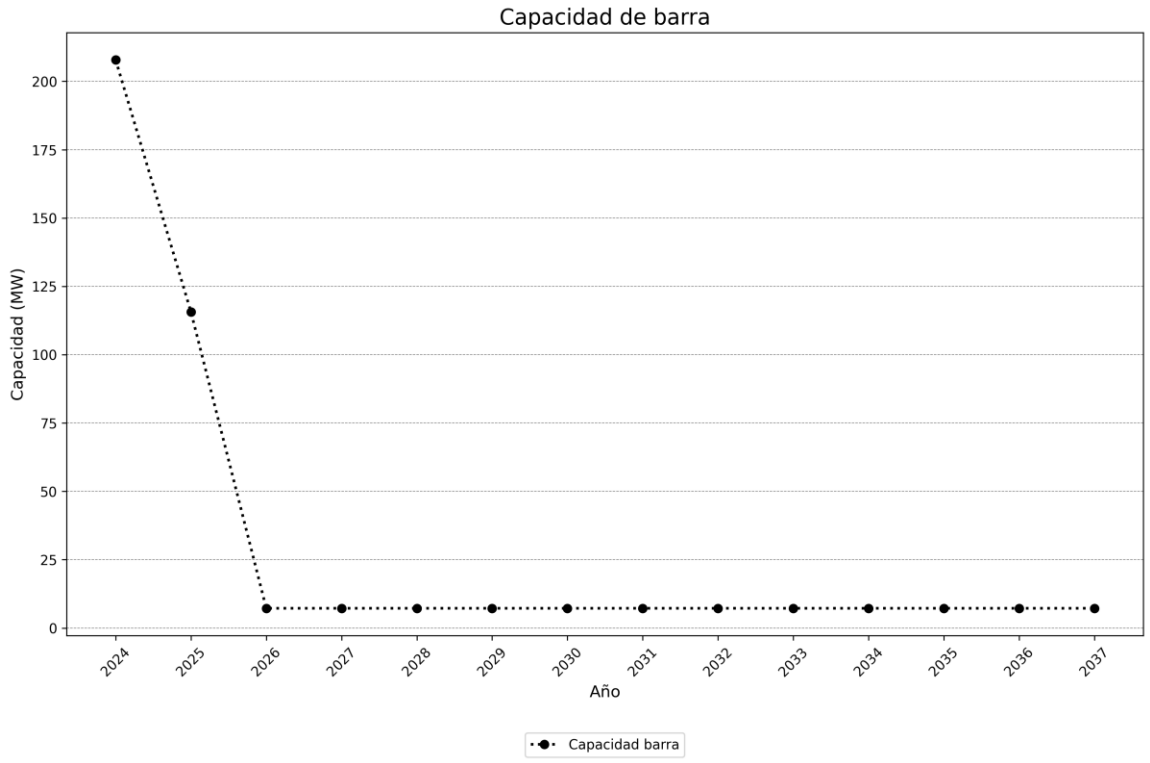


Figura 2-496. Balance de capacidad por barra después de la priorización para la subestación Papayo 115

Capacidad excedente de interrupción de corriente de cortocircuito:

Para la subestación Papayo 115 se presentaron 29 alternativas de conexión las cuales tienen aportes de corriente de cortocircuito. Estas alternativas se muestran en la siguiente tabla:

Tabla 2-520. Alternativas de conexión que aportan corriente de cortocircuito en la subestación Papayo 115

Solicitud	tipo	FPO	Barra a la que aporta CC	Aporte de cortocircuito (kA)	Restricción
SC_2023_5280_A1	Solar FV	2028	Papayo 115	0.036	SATISFACE
SC_2023_5280_A2	Solar FV	2028	Papayo 115	0.032	SATISFACE
SC_2023_5287_A1	Solar FV	2026	Papayo 115	0.018	SATISFACE
SC_2023_5287_A2	Solar FV	2026	Papayo 115	0.018	SATISFACE
SC_2023_5288_A1	Solar FV	2026	Papayo 115	0.010	SATISFACE
SC_2023_5288_A2	Solar FV	2026	Papayo 115	0.027	SATISFACE
SC_2023_5375_A1	Solar FV	2026	Papayo 115	0.017	SATISFACE
SC_2023_5399_A1	Solar FV	2026	Papayo 115	0.010	SATISFACE
SC_2023_5399_A2	Solar FV	2026	Papayo 115	0.027	SATISFACE
SC_2023_5480_A1	Solar FV	2026	Papayo 115	0.018	SATISFACE
SC_2023_5480_A2	Solar FV	2026	Papayo 115	0.018	SATISFACE
SC_2023_5557_A1	Solar FV	2028	Papayo 115	0.076	SATISFACE
SC_2936_A1	Solar FV	2026	Papayo 115	0.000	SATISFACE
SC_2936_A2	Solar FV	2026	Papayo 115	0.000	SATISFACE
SC_3121_A1	Solar FV	2026	Papayo 115	0.003	SATISFACE
SC_3121_A2	Solar FV	2026	Papayo 115	0.003	SATISFACE
SC_3132_A1	Solar FV	2026	Papayo 115	0.040	SATISFACE
SC_3132_A2	Solar FV	2026	Papayo 115	0.034	SATISFACE
SC_3882_A1	Solar FV	2026	Papayo 115	0.073	SATISFACE
SC_4083_A1	Solar FV	2027	Papayo 115	0.000	SATISFACE
SC_4083_A2	Solar FV	2027	Papayo 115	0.000	SATISFACE
SC_4765_A1	Solar FV	2029	Papayo 115	0.001	SATISFACE
SC_4765_A2	Solar FV	2029	Papayo 115	0.001	SATISFACE
SC_4819_A1	Solar FV	2029	Papayo 115	0.078	SATISFACE
SC_4819_A2	Solar FV	2029	Papayo 115	0.069	SATISFACE
SC_4974_A1	Solar FV	2026	Papayo 115	0.052	SATISFACE
SC_4974_A2	Solar FV	2026	Papayo 115	0.201	SATISFACE
SC_4978_A1	Solar FV	2026	Papayo 115	0.000	SATISFACE
SC_4978_A2	Solar FV	2026	Papayo 115	0.003	SATISFACE

No se priorizó ninguna de las alternativas de conexión que tengan aportes de corriente de cortocircuito en la subestación Papayo 115

El estado de la capacidad de cortocircuito en la subestación Papayo 115, teniendo en cuenta la priorización se puede observar en la siguiente figura.

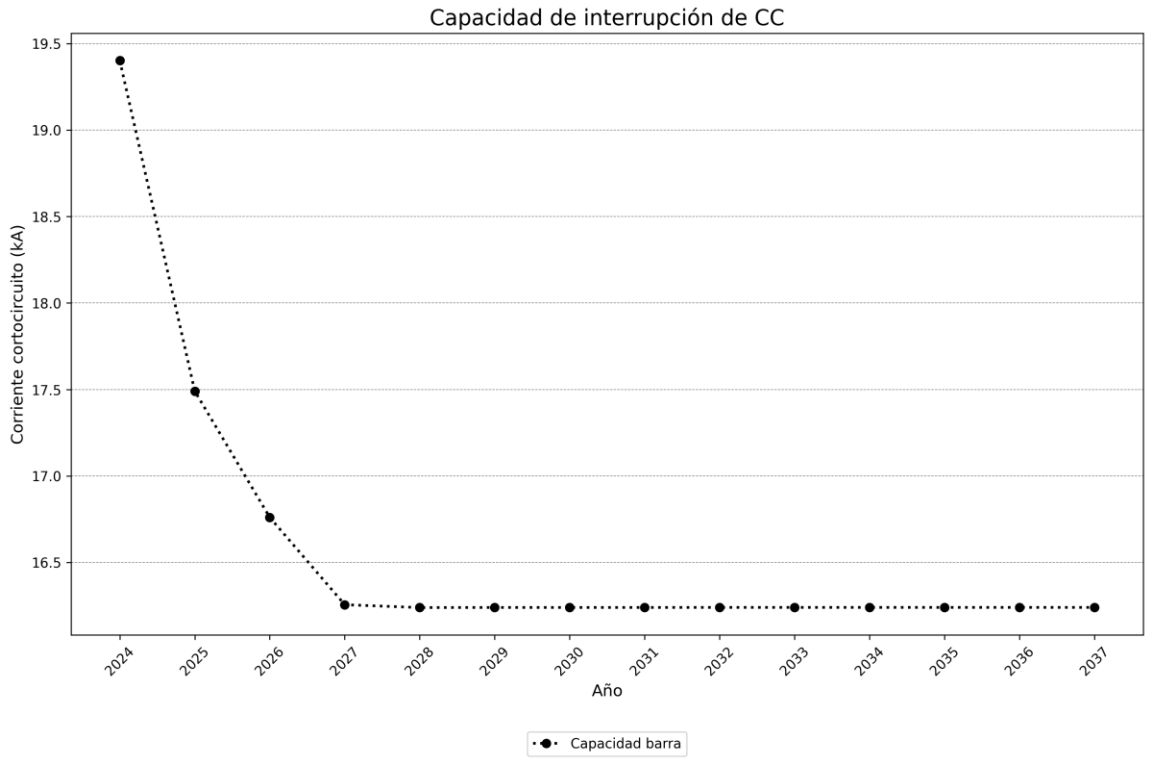


Figura 2-497. Balance de capacidad de cortocircuito después de la priorización para la subestación Papayo 115

Subestación Papel Cauca 115:

Capacidad por barra:

Para la subestación Papel Cauca 115 se presentaron 0 alternativas de conexión las cuales se muestran en la siguiente tabla:

Tabla 2-521. Alternativas de conexión presentadas a la subestación Papel Cauca 115

Solicitud	Capacidad	Tipo	Barra	FPO solicitada	Restricción

No se priorizó ninguna de las alternativas de conexión presentadas en la subestación Papel Cauca 115

El estado de la capacidad por barra en la subestación Papel Cauca 115, teniendo en cuenta la priorización se puede observar en la siguiente figura.

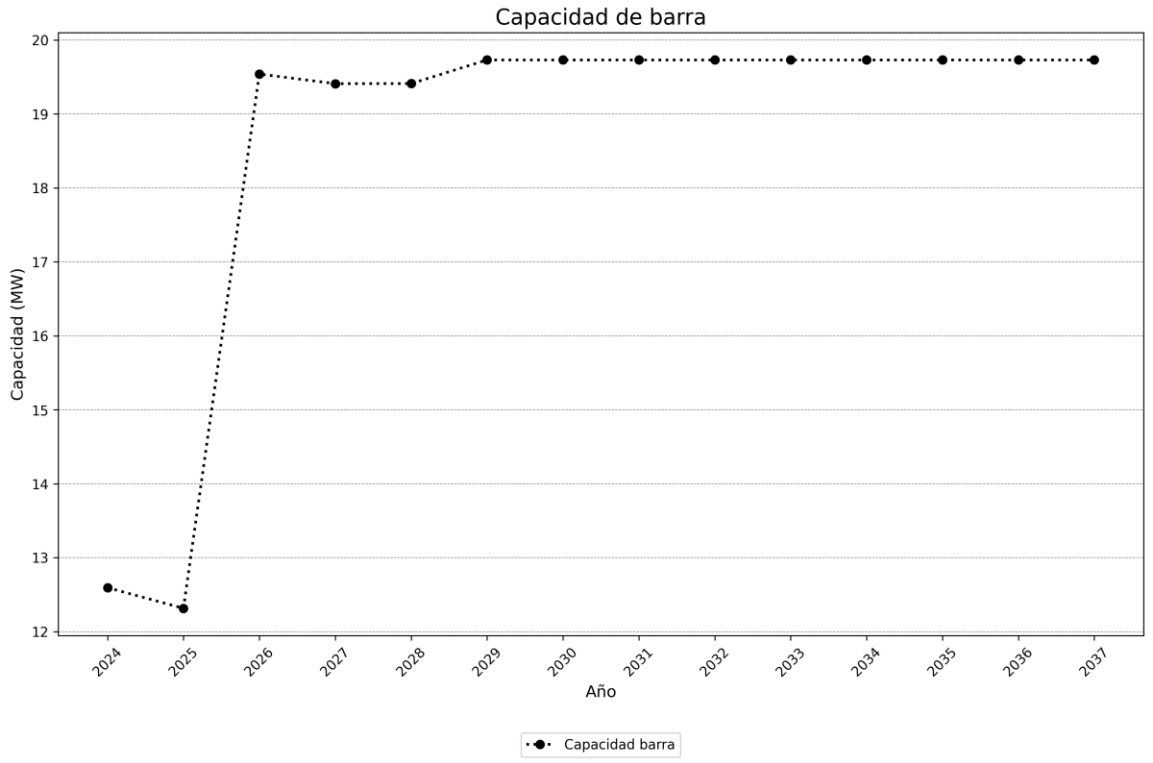


Figura 2-498. Balance de capacidad por barra después de la priorización para la subestación Papel Cauca 115

Capacidad excedente de interrupción de corriente de cortocircuito:

Para la subestación Papel Cauca 115 se presentaron 4 alternativas de conexión las cuales tienen aportes de corriente de cortocircuito. Estas alternativas se muestran en la siguiente tabla:

Tabla 2-522. Alternativas de conexión que aportan corriente de cortocircuito en la subestación Papel Cauca 115

Solicitud	tipo	FPO	Barra a la que aporta CC	Aporte de cortocircuito (kA)	Restricción
SC_2023_5557_A1	Solar FV	2028	Papel Cauca 115	0.044	SATISFACE
SC_2936_A1	Solar FV	2026	Papel Cauca 115	0.000	SATISFACE
SC_2936_A2	Solar FV	2026	Papel Cauca 115	0.000	SATISFACE
SC_3882_A1	Solar FV	2026	Papel Cauca 115	0.043	SATISFACE

No se priorizó ninguna de las alternativas de conexión que tengan aportes de corriente de cortocircuito en la subestación Papel Cauca 115

El estado de la capacidad de cortocircuito en la subestación Papel Cauca 115, teniendo en cuenta la priorización se puede observar en la siguiente figura.

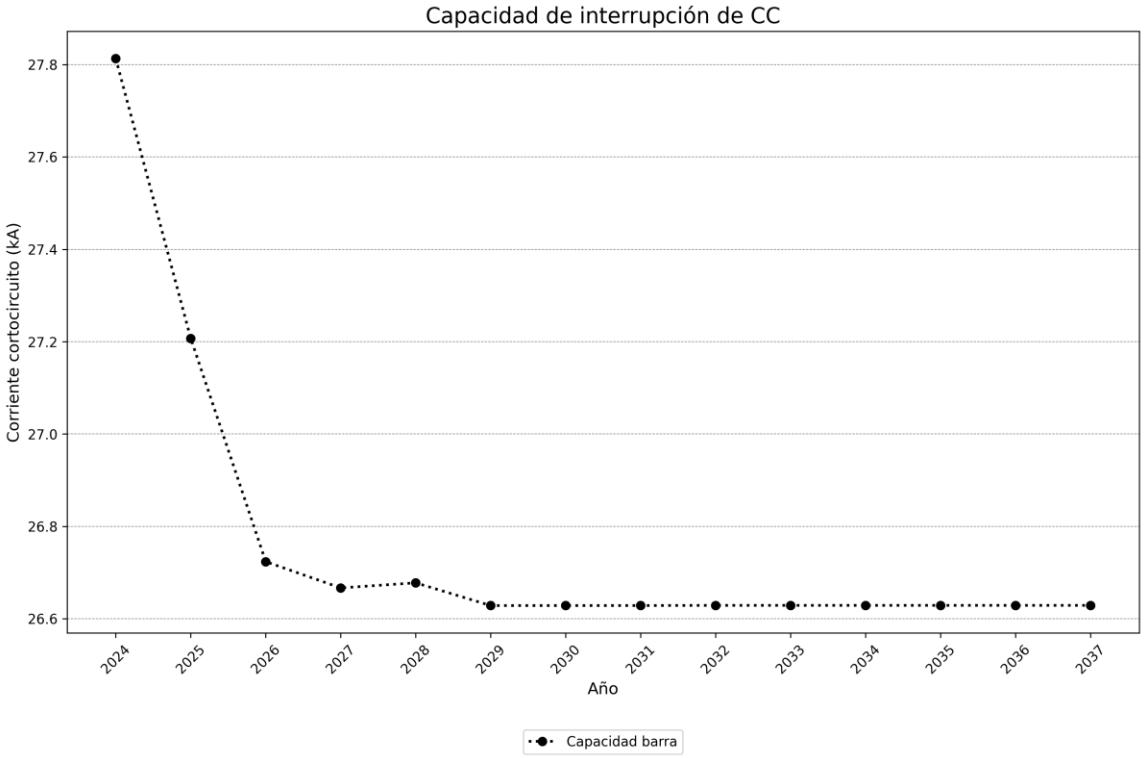


Figura 2-499. Balance de capacidad de cortocircuito después de la priorización para la subestación Papel Cauca 115

Subestación Paraguacito 33:

Capacidad por barra:

Para la subestación Paraguacito 33 se presentaron 2 alternativas de conexión las cuales se muestran en la siguiente tabla:

Tabla 2-523. Alternativas de conexión presentadas a la subestación Paraguacito 33

Solicitud	Capacidad	Tipo	Barra	FPO solicitada	Restricción
SC_4789_A1	9.9	Solar FV	Paraguacito 33	2027	SATISFACE
SC_4789_A2	9.9	Solar FV	Paraguacito 33	2027	SATISFACE

No se priorizó ninguna de las alternativas de conexión presentadas en la subestación Paraguacito 33

El estado de la capacidad por barra en la subestación Paraguacito 33, teniendo en cuenta la priorización se puede observar en la siguiente figura.

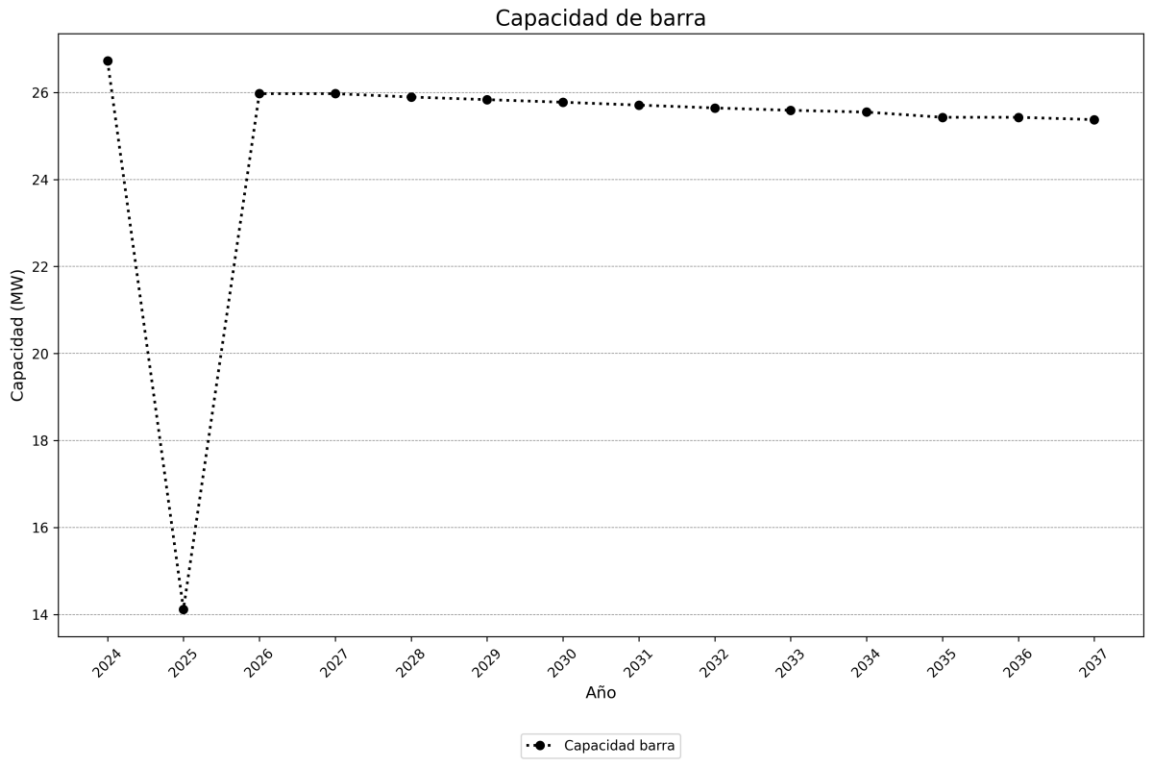


Figura 2-500. Balance de capacidad por barra después de la priorización para la subestación Paraguacito 33

Subestación Paraiso 220:

Capacidad por barra:

Para la subestación Paraiso 220 se presentaron 0 alternativas de conexión las cuales se muestran en la siguiente tabla:

Tabla 2-524. Alternativas de conexión presentadas a la subestación Paraiso 220

Solicitud	Capacidad	Tipo	Barra	FPO solicitada	Restricción

No se priorizó ninguna de las alternativas de conexión presentadas en la subestación Paraiso 220

El estado de la capacidad por barra en la subestación Paraiso 220, teniendo en cuenta la priorización se puede observar en la siguiente figura.

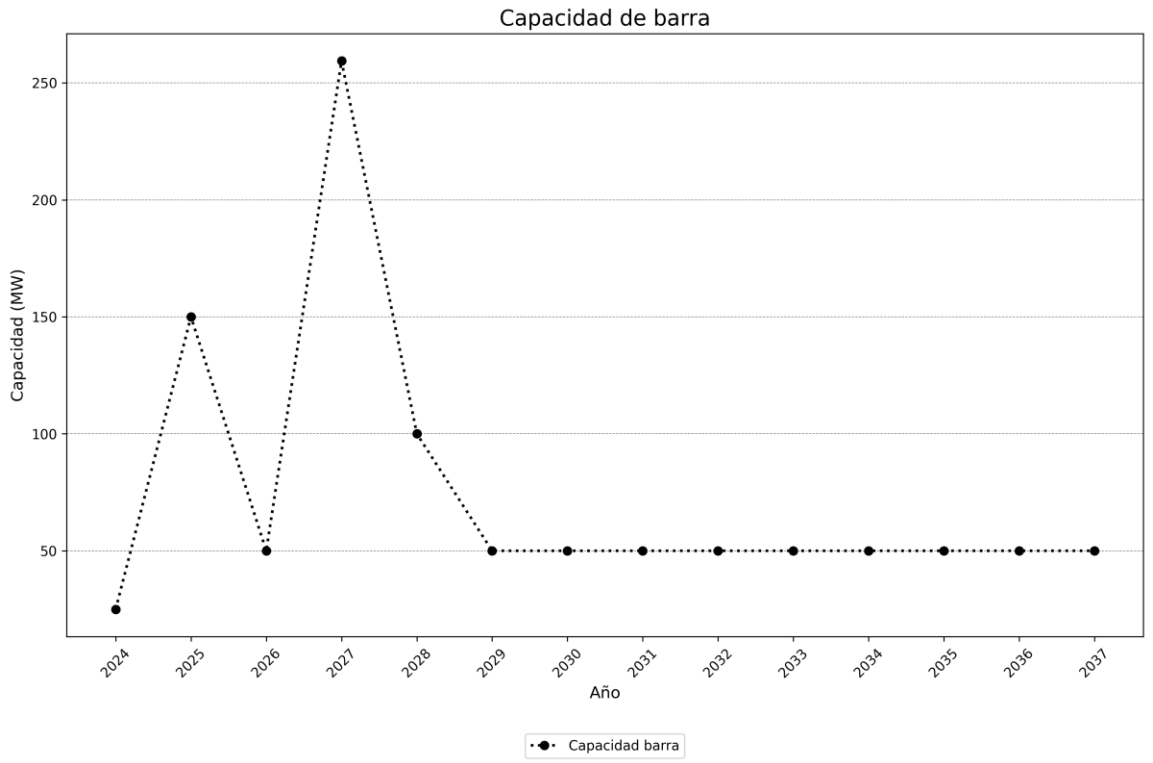


Figura 2-501. Balance de capacidad por barra después de la priorización para la subestación Paraiso 220

Capacidad excedente de interrupción de corriente de cortocircuito:

Para la subestación Paraiso 220 se presentaron 29 alternativas de conexión las cuales tienen aportes de corriente de cortocircuito. Estas alternativas se muestran en la siguiente tabla:

Tabla 2-525. Alternativas de conexión que aportan corriente de cortocircuito en la subestación Paraiso 220

Solicitud	tipo	FPO	Barra a la que aporta CC	Aporte de cortocircuito (kA)	Restricción
SC_2023_5280_A1	Solar FV	2028	Paraiso 220	0.116	SATISFACE
SC_2023_5280_A2	Solar FV	2028	Paraiso 220	0.100	SATISFACE
SC_2023_5287_A1	Solar FV	2026	Paraiso 220	0.056	SATISFACE
SC_2023_5287_A2	Solar FV	2026	Paraiso 220	0.057	SATISFACE
SC_2023_5288_A1	Solar FV	2026	Paraiso 220	0.032	SATISFACE
SC_2023_5288_A2	Solar FV	2026	Paraiso 220	0.084	SATISFACE
SC_2023_5375_A1	Solar FV	2026	Paraiso 220	0.055	SATISFACE
SC_2023_5399_A1	Solar FV	2026	Paraiso 220	0.032	SATISFACE
SC_2023_5399_A2	Solar FV	2026	Paraiso 220	0.084	SATISFACE
SC_2023_5480_A1	Solar FV	2026	Paraiso 220	0.056	SATISFACE
SC_2023_5480_A2	Solar FV	2026	Paraiso 220	0.057	SATISFACE
SC_2023_5557_A1	Solar FV	2028	Paraiso 220	0.241	SATISFACE
SC_2936_A1	Solar FV	2026	Paraiso 220	0.000	SATISFACE
SC_2936_A2	Solar FV	2026	Paraiso 220	0.000	SATISFACE
SC_3121_A1	Solar FV	2026	Paraiso 220	0.008	SATISFACE
SC_3121_A2	Solar FV	2026	Paraiso 220	0.008	SATISFACE
SC_3132_A1	Solar FV	2026	Paraiso 220	0.128	SATISFACE
SC_3132_A2	Solar FV	2026	Paraiso 220	0.102	SATISFACE
SC_3882_A1	Solar FV	2026	Paraiso 220	0.237	SATISFACE
SC_4083_A1	Solar FV	2027	Paraiso 220	0.002	SATISFACE
SC_4083_A2	Solar FV	2027	Paraiso 220	0.002	SATISFACE
SC_4765_A1	Solar FV	2029	Paraiso 220	0.030	SATISFACE
SC_4765_A2	Solar FV	2029	Paraiso 220	0.014	SATISFACE
SC_4819_A1	Solar FV	2029	Paraiso 220	0.224	SATISFACE
SC_4819_A2	Solar FV	2029	Paraiso 220	0.193	SATISFACE
SC_4974_A1	Solar FV	2026	Paraiso 220	0.011	SATISFACE
SC_4974_A2	Solar FV	2026	Paraiso 220	0.011	SATISFACE
SC_4978_A1	Solar FV	2026	Paraiso 220	0.000	SATISFACE
SC_4978_A2	Solar FV	2026	Paraiso 220	0.010	SATISFACE

No se priorizó ninguna de las alternativas de conexión que tengan aportes de corriente de cortocircuito en la subestación Paraiso 220

El estado de la capacidad de cortocircuito en la subestación Paraiso 220, teniendo en cuenta la priorización se puede observar en la siguiente figura.

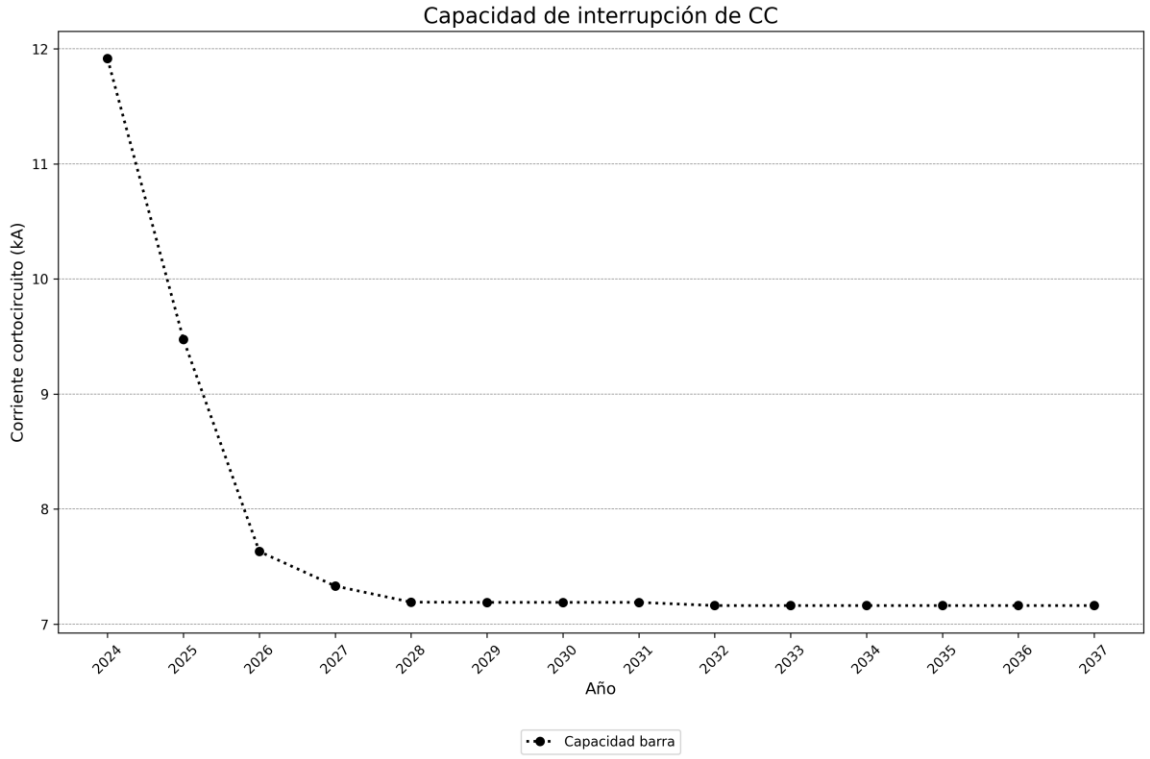


Figura 2-502. Balance de capacidad de cortocircuito después de la priorización para la subestación Paraiso 220

Subestación Parque cafe 33:

Capacidad por barra:

Para la subestación Parque cafe 33 se presentaron 2 alternativas de conexión las cuales se muestran en la siguiente tabla:

Tabla 2-526. Alternativas de conexión presentadas a la subestación Parque cafe 33

Solicitud	Capacidad	Tipo	Barra	FPO solicitada	Restricción
SC_2545_A2	9.9	Solar FV	Parque cafe 33	2026	SATISFACE
SC_2643_A1	9.9	Solar FV	Parque cafe 33	2026	SATISFACE

Posterior a la ejecución del MACC se priorizaron las siguientes alternativas de conexión:

Tabla 2-527. Alternativas de conexión priorizadas en la subestación Parque cafe 33

Solicitud	Capacidad	Tipo	Barra	FPO solicitada	Restricción
SC_2643_A1	9.9	Solar FV	Parque cafe 33	2026	SATISFACE

El estado de la capacidad por barra en la subestación Parque cafe 33, teniendo en cuenta la priorización se puede observar en la siguiente figura.

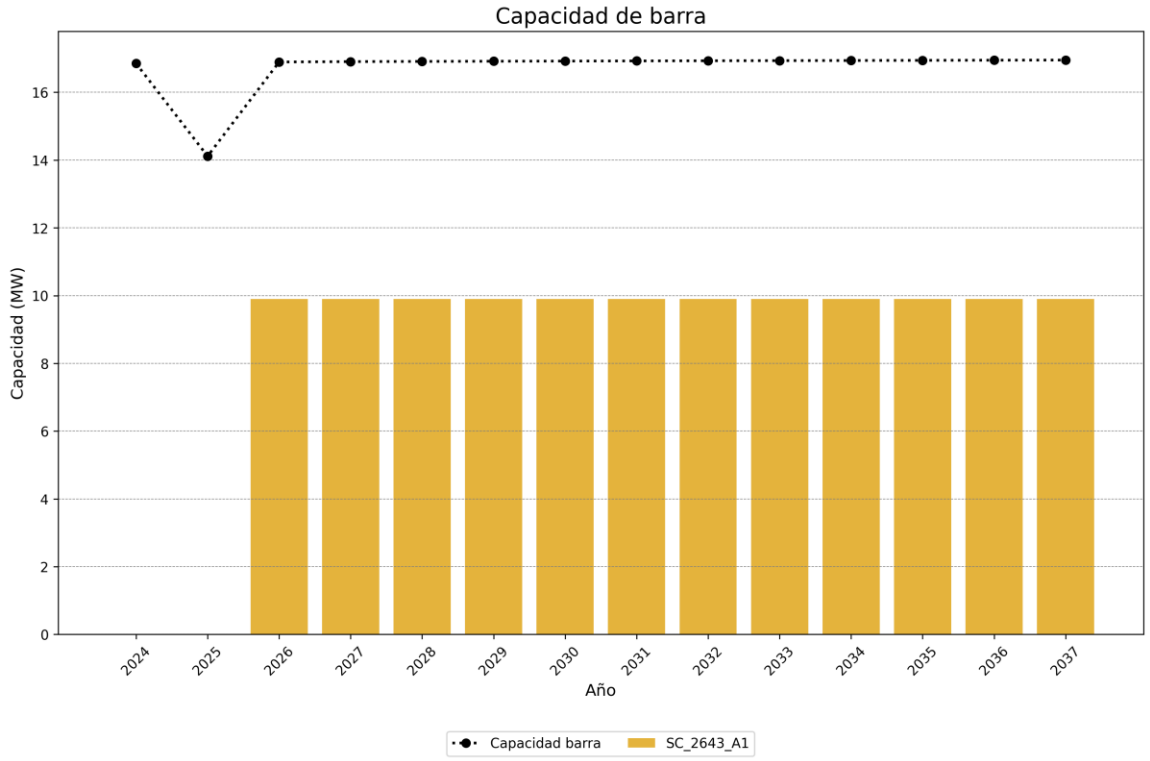


Figura 2-503. Balance de capacidad por barra después de la priorización para la subestación Parque cafe 33

Subestación Pasto 115:

Capacidad por barra:

Para la subestación Pasto 115 se presentaron 0 alternativas de conexión las cuales se muestran en la siguiente tabla:

Tabla 2-528. Alternativas de conexión presentadas a la subestación Pasto 115

Solicitud	Capacidad	Tipo	Barra	FPO solicitada	Restricción

No se priorizó ninguna de las alternativas de conexión presentadas en la subestación Pasto 115

El estado de la capacidad por barra en la subestación Pasto 115, teniendo en cuenta la priorización se puede observar en la siguiente figura.

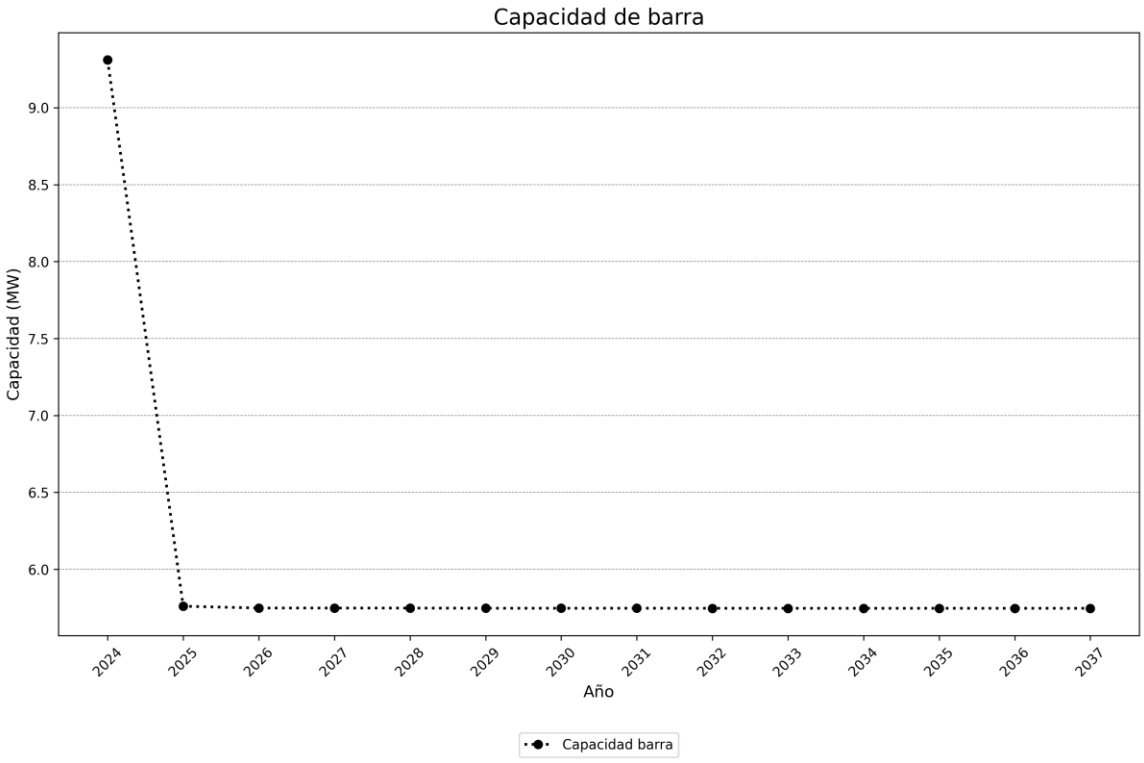


Figura 2-504. Balance de capacidad por barra después de la priorización para la subestación Pasto 115

Capacidad excedente de interrupción de corriente de cortocircuito:

Para la subestación Pasto 115 se presentaron 29 alternativas de conexión las cuales tienen aportes de corriente de cortocircuito. Estas alternativas se muestran en la siguiente tabla:

Tabla 2-529. Alternativas de conexión que aportan corriente de cortocircuito en la subestación Pasto 115

Solicitud	tipo	FPO	Barra a la que aporta CC	Aporte de cortocircuito (kA)	Restricción
SC_2023_5280_A1	Solar FV	2028	Pasto 115	0.011	SATISFACE
SC_2023_5280_A2	Solar FV	2028	Pasto 115	0.010	SATISFACE
SC_2023_5287_A1	Solar FV	2026	Pasto 115	0.004	SATISFACE
SC_2023_5287_A2	Solar FV	2026	Pasto 115	0.004	SATISFACE
SC_2023_5288_A1	Solar FV	2026	Pasto 115	0.003	SATISFACE
SC_2023_5288_A2	Solar FV	2026	Pasto 115	0.007	SATISFACE
SC_2023_5375_A1	Solar FV	2026	Pasto 115	0.004	SATISFACE
SC_2023_5399_A1	Solar FV	2026	Pasto 115	0.003	SATISFACE
SC_2023_5399_A2	Solar FV	2026	Pasto 115	0.007	SATISFACE
SC_2023_5480_A1	Solar FV	2026	Pasto 115	0.004	SATISFACE
SC_2023_5480_A2	Solar FV	2026	Pasto 115	0.004	SATISFACE
SC_2023_5557_A1	Solar FV	2028	Pasto 115	0.011	SATISFACE
SC_2936_A1	Solar FV	2026	Pasto 115	0.000	SATISFACE
SC_2936_A2	Solar FV	2026	Pasto 115	0.000	SATISFACE
SC_3121_A1	Solar FV	2026	Pasto 115	0.000	SATISFACE
SC_3121_A2	Solar FV	2026	Pasto 115	0.000	SATISFACE
SC_3132_A1	Solar FV	2026	Pasto 115	0.012	SATISFACE
SC_3132_A2	Solar FV	2026	Pasto 115	0.011	SATISFACE
SC_3882_A1	Solar FV	2026	Pasto 115	0.010	SATISFACE
SC_4083_A1	Solar FV	2027	Pasto 115	0.000	SATISFACE
SC_4083_A2	Solar FV	2027	Pasto 115	0.000	SATISFACE
SC_4765_A1	Solar FV	2029	Pasto 115	0.000	SATISFACE
SC_4765_A2	Solar FV	2029	Pasto 115	0.000	SATISFACE
SC_4819_A1	Solar FV	2029	Pasto 115	0.015	SATISFACE

SC_4819_A2	Solar FV	2029	Pasto 115	0.014	SATISFACE
SC_4974_A1	Solar FV	2026	Pasto 115	0.001	SATISFACE
SC_4974_A2	Solar FV	2026	Pasto 115	0.001	SATISFACE
SC_4978_A1	Solar FV	2026	Pasto 115	0.000	SATISFACE
SC_4978_A2	Solar FV	2026	Pasto 115	0.001	SATISFACE

No se priorizó ninguna de las alternativas de conexión que tengan aportes de corriente de cortocircuito en la subestación Pasto 115

El estado de la capacidad de cortocircuito en la subestación Pasto 115, teniendo en cuenta la priorización se puede observar en la siguiente figura.

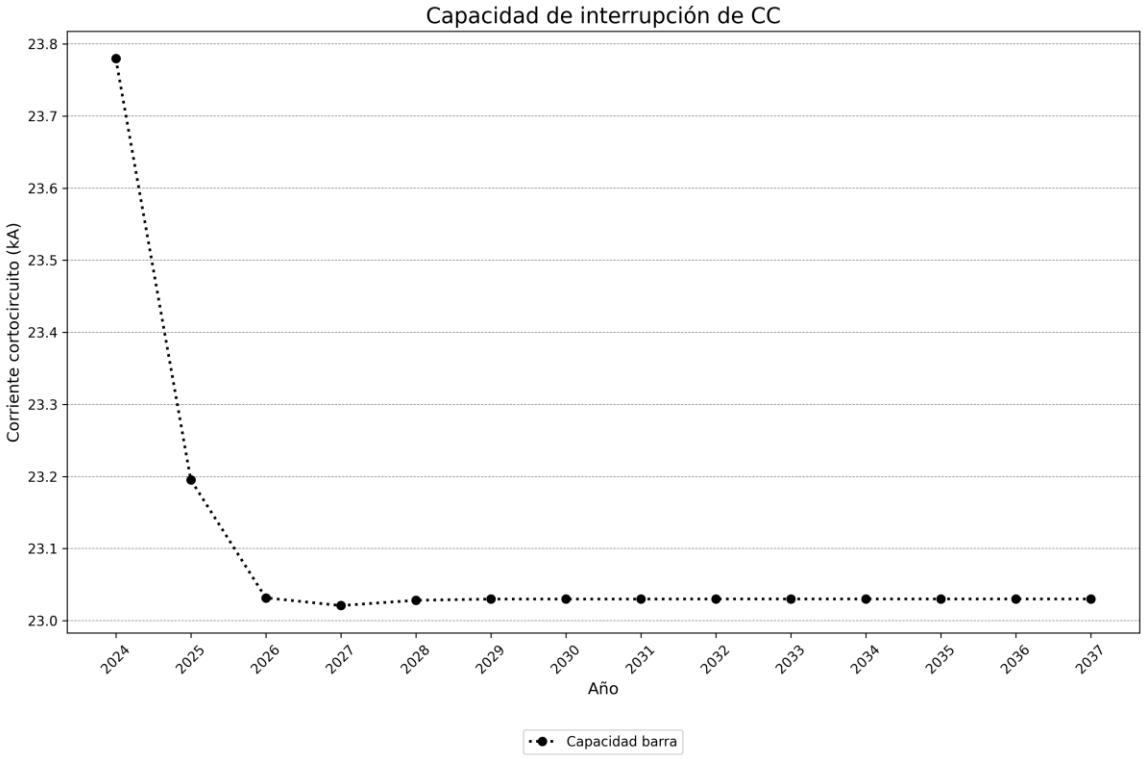


Figura 2-505. Balance de capacidad de cortocircuito después de la priorización para la subestación Pasto 115

Subestación Pavas 115:

Capacidad por barra:

Para la subestación Pavas 115 se presentaron 0 alternativas de conexión las cuales se muestran en la siguiente tabla:

Tabla 2-530. Alternativas de conexión presentadas a la subestación Pavas 115

Solicitud	Capacidad	Tipo	Barra	FPO solicitada	Restricción

No se priorizó ninguna de las alternativas de conexión presentadas en la subestación Pavas 115

El estado de la capacidad por barra en la subestación Pavas 115, teniendo en cuenta la priorización se puede observar en la siguiente figura.

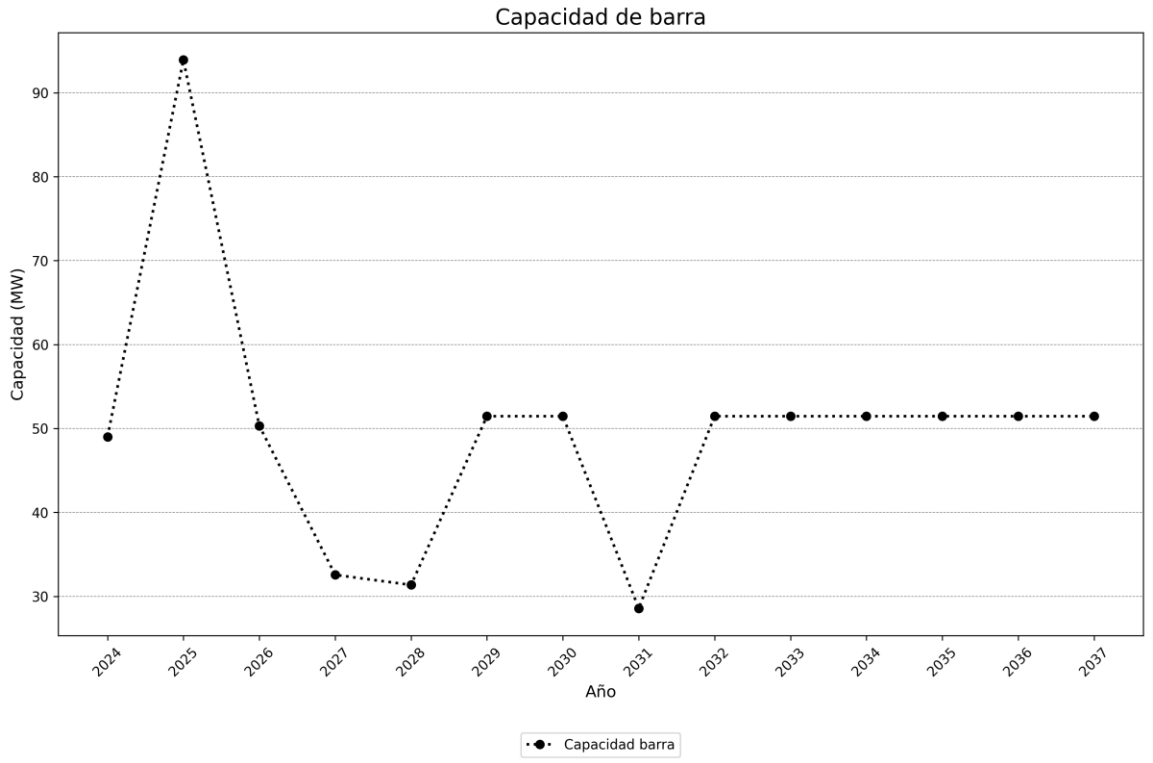


Figura 2-506. Balance de capacidad por barra después de la priorización para la subestación Pavas 115

Capacidad excedente de interrupción de corriente de cortocircuito:

Para la subestación Pavas 115 se presentaron 157 alternativas de conexión las cuales tienen aportes de corriente de cortocircuito. Estas alternativas se muestran en la siguiente tabla:

Tabla 2-531. Alternativas de conexión que aportan corriente de cortocircuito en la subestación Pavas 115

Solicitud	tipo	FPO	Barra a la que aporta CC	Aporte de cortocircuito (kA)	Restricción
SC_2023_5136_A1	Solar FV	2026	Pavas 115	0.011	SATISFACE
SC_2023_5136_A2	Solar FV	2026	Pavas 115	0.011	SATISFACE
SC_2023_5144_A1	Solar FV	2028	Pavas 115	0.166	SATISFACE
SC_2023_5144_A2	Solar FV	2028	Pavas 115	0.074	SATISFACE
SC_2023_5150_A1	Solar FV	2028	Pavas 115	0.088	SATISFACE
SC_2023_5152_A1	Solar FV	2025	Pavas 115	0.047	SATISFACE
SC_2023_5152_A2	Solar FV	2025	Pavas 115	0.040	SATISFACE
SC_2023_5158_A1	Solar FV	2028	Pavas 115	0.103	SATISFACE
SC_2023_5171_A1	Solar FV	2025	Pavas 115	0.037	SATISFACE
SC_2023_5171_A2	Solar FV	2025	Pavas 115	0.045	SATISFACE
SC_2023_5185_A1	Solar FV	2026	Pavas 115	0.248	SATISFACE
SC_2023_5185_A2	Solar FV	2026	Pavas 115	0.235	SATISFACE
SC_2023_5188_A1	Solar FV	2026	Pavas 115	0.023	SATISFACE
SC_2023_5188_A2	Solar FV	2026	Pavas 115	0.080	SATISFACE
SC_2023_5200_A1	Solar FV	2028	Pavas 115	0.342	SATISFACE
SC_2023_5200_A2	Solar FV	2028	Pavas 115	0.149	SATISFACE
SC_2023_5248_A1	Solar FV	2025	Pavas 115	0.020	SATISFACE
SC_2023_5248_A2	Solar FV	2025	Pavas 115	0.017	SATISFACE
SC_2023_5249_A1	Solar FV	2025	Pavas 115	0.019	SATISFACE
SC_2023_5249_A2	Solar FV	2025	Pavas 115	0.019	SATISFACE
SC_2023_5251_A1	Solar FV	2025	Pavas 115	0.018	SATISFACE
SC_2023_5251_A2	Solar FV	2025	Pavas 115	0.018	SATISFACE
SC_2023_5252_A1	Solar FV	2028	Pavas 115	0.054	SATISFACE
SC_2023_5252_A2	Solar FV	2028	Pavas 115	0.024	SATISFACE

SC_2023_5253_A1	Solar FV	2025	Pavas 115	0.018	SATISFACE
SC_2023_5253_A2	Solar FV	2025	Pavas 115	0.018	SATISFACE
SC_2023_5256_A2	Solar FV	2028	Pavas 115	0.022	SATISFACE
SC_2023_5257_A1	Solar FV	2025	Pavas 115	0.020	SATISFACE
SC_2023_5257_A2	Solar FV	2025	Pavas 115	0.020	SATISFACE
SC_2023_5280_A1	Solar FV	2028	Pavas 115	0.043	SATISFACE
SC_2023_5280_A2	Solar FV	2028	Pavas 115	0.041	SATISFACE
SC_2023_5287_A1	Solar FV	2026	Pavas 115	0.022	SATISFACE
SC_2023_5287_A2	Solar FV	2026	Pavas 115	0.022	SATISFACE
SC_2023_5288_A1	Solar FV	2026	Pavas 115	0.014	SATISFACE
SC_2023_5288_A2	Solar FV	2026	Pavas 115	0.035	SATISFACE
SC_2023_5293_A1	Solar FV	2028	Pavas 115	0.039	SATISFACE
SC_2023_5293_A2	Solar FV	2028	Pavas 115	0.044	SATISFACE
SC_2023_5294_A1	Solar FV	2029	Pavas 115	0.010	SATISFACE
SC_2023_5294_A2	Solar FV	2029	Pavas 115	0.011	SATISFACE
SC_2023_5304_A1	Solar FV	2026	Pavas 115	0.002	SATISFACE
SC_2023_5309_A1	Solar FV	2026	Pavas 115	0.002	SATISFACE
SC_2023_5337_A2	Solar FV	2025	Pavas 115	0.056	SATISFACE
SC_2023_5339_A1	PCH	2026	Pavas 115	0.001	SATISFACE
SC_2023_5339_A2	PCH	2026	Pavas 115	0.001	SATISFACE
SC_2023_5345_A1	Solar FV	2027	Pavas 115	0.008	SATISFACE
SC_2023_5345_A2	Solar FV	2027	Pavas 115	0.010	SATISFACE
SC_2023_5346_A1	Solar FV	2027	Pavas 115	0.008	SATISFACE
SC_2023_5346_A2	Solar FV	2027	Pavas 115	0.010	SATISFACE
SC_2023_5375_A1	Solar FV	2026	Pavas 115	0.022	SATISFACE
SC_2023_5383_A1	Solar FV	2027	Pavas 115	0.057	SATISFACE
SC_2023_5383_A2	Solar FV	2027	Pavas 115	0.070	SATISFACE
SC_2023_5399_A1	Solar FV	2026	Pavas 115	0.014	SATISFACE
SC_2023_5399_A2	Solar FV	2026	Pavas 115	0.035	SATISFACE
SC_2023_5431_A1	Solar FV	2028	Pavas 115	0.000	SATISFACE
SC_2023_5431_A2	Solar FV	2028	Pavas 115	0.000	SATISFACE
SC_2023_5480_A1	Solar FV	2026	Pavas 115	0.022	SATISFACE
SC_2023_5480_A2	Solar FV	2026	Pavas 115	0.022	SATISFACE
SC_2023_5551_A1	Solar FV	2027	Pavas 115	0.305	SATISFACE
SC_2023_5551_A2	Solar FV	2027	Pavas 115	0.133	SATISFACE
SC_2023_5557_A1	Solar FV	2028	Pavas 115	0.078	SATISFACE
SC_2023_5564_A1	Solar FV	2026	Pavas 115	0.036	SATISFACE
SC_2023_5564_A2	Solar FV	2026	Pavas 115	0.037	SATISFACE
SC_2023_5565_A1	Solar FV	2027	Pavas 115	0.041	SATISFACE
SC_2023_5566_A1	Solar FV	2028	Pavas 115	0.036	SATISFACE

SC_2023_5566_A2	Solar FV	2028	Pavas 115	0.038	SATISFACE
SC_2023_5598_A1	Solar FV	2025	Pavas 115	0.047	SATISFACE
SC_2023_5598_A2	Solar FV	2025	Pavas 115	0.041	SATISFACE
SC_2023_5659_A1	PCH	2026	Pavas 115	1.294	SATISFACE
SC_2024_5939_A1	Solar FV	2028	Pavas 115	0.000	SATISFACE
SC_2024_5939_A2	Solar FV	2028	Pavas 115	0.000	SATISFACE
SC_2436_A1	Solar FV	2028	Pavas 115	0.040	SATISFACE
SC_2436_A2	Solar FV	2028	Pavas 115	0.040	SATISFACE
SC_2438_A1	Solar FV	2028	Pavas 115	0.000	SATISFACE
SC_2438_A2	Solar FV	2028	Pavas 115	0.000	SATISFACE
SC_2562_A1	Solar FV	2026	Pavas 115	0.010	SATISFACE
SC_2634_A1	Solar FV	2026	Pavas 115	0.000	SATISFACE
SC_2634_A2	Solar FV	2026	Pavas 115	0.000	SATISFACE
SC_2802_A1	Solar FV	2027	Pavas 115	0.002	SATISFACE
SC_2802_A2	Solar FV	2027	Pavas 115	0.001	SATISFACE
SC_2924_A1	Solar FV	2026	Pavas 115	0.199	SATISFACE
SC_2924_A2	Solar FV	2026	Pavas 115	0.188	SATISFACE
SC_2936_A1	Solar FV	2026	Pavas 115	0.000	SATISFACE
SC_2936_A2	Solar FV	2026	Pavas 115	0.000	SATISFACE
SC_2962_A1	Solar FV	2028	Pavas 115	0.036	SATISFACE
SC_2962_A2	Solar FV	2028	Pavas 115	0.037	SATISFACE
SC_3121_A1	Solar FV	2026	Pavas 115	0.003	SATISFACE
SC_3121_A2	Solar FV	2026	Pavas 115	0.003	SATISFACE
SC_3132_A1	Solar FV	2026	Pavas 115	0.048	SATISFACE
SC_3132_A2	Solar FV	2026	Pavas 115	0.046	SATISFACE
SC_3238_A1	Solar FV	2027	Pavas 115	0.327	SATISFACE
SC_3238_A2	Solar FV	2027	Pavas 115	0.222	SATISFACE
SC_3247_A1	Solar FV	2027	Pavas 115	0.088	SATISFACE
SC_3247_A2	Solar FV	2027	Pavas 115	0.065	SATISFACE
SC_3248_A1	Solar FV	2027	Pavas 115	0.327	SATISFACE
SC_3248_A2	Solar FV	2027	Pavas 115	0.222	SATISFACE
SC_3251_A1	Hidráulica	2026	Pavas 115	0.000	SATISFACE
SC_3251_A2	Hidráulica	2026	Pavas 115	0.000	SATISFACE
SC_3353_A1	Solar FV	2027	Pavas 115	0.007	SATISFACE
SC_3353_A2	Solar FV	2027	Pavas 115	0.006	SATISFACE
SC_3382_A1	Solar FV	2027	Pavas 115	0.005	SATISFACE
SC_3382_A2	Solar FV	2027	Pavas 115	0.007	SATISFACE
SC_3392_A1	Solar FV	2027	Pavas 115	0.051	SATISFACE
SC_3392_A2	Solar FV	2027	Pavas 115	0.019	SATISFACE
SC_3441_A1	Solar FV	2027	Pavas 115	0.088	SATISFACE

SC_3441_A2	Solar FV	2027	Pavas 115	0.065	SATISFACE
SC_3453_A1	Solar FV	2027	Pavas 115	0.006	SATISFACE
SC_3453_A2	Solar FV	2027	Pavas 115	0.006	SATISFACE
SC_3514_A1	Solar FV	2027	Pavas 115	0.006	SATISFACE
SC_3514_A2	Solar FV	2027	Pavas 115	0.006	SATISFACE
SC_3578_A1	Solar FV	2028	Pavas 115	0.000	SATISFACE
SC_3578_A2	Solar FV	2028	Pavas 115	0.000	SATISFACE
SC_3667_A1	Solar FV	2029	Pavas 115	0.009	SATISFACE
SC_3667_A2	Solar FV	2029	Pavas 115	0.006	SATISFACE
SC_3846_A1	Solar FV	2028	Pavas 115	0.008	SATISFACE
SC_3846_A2	Solar FV	2028	Pavas 115	0.008	SATISFACE
SC_3882_A1	Solar FV	2026	Pavas 115	0.077	SATISFACE
SC_4083_A1	Solar FV	2027	Pavas 115	0.001	SATISFACE
SC_4083_A2	Solar FV	2027	Pavas 115	0.001	SATISFACE
SC_4175_A1	Solar FV	2026	Pavas 115	0.015	SATISFACE
SC_4175_A2	Solar FV	2026	Pavas 115	0.015	SATISFACE
SC_4296_A1	Solar FV	2028	Pavas 115	0.167	SATISFACE
SC_4296_A2	Solar FV	2028	Pavas 115	0.149	SATISFACE
SC_4751_A1	Solar FV	2027	Pavas 115	0.001	SATISFACE
SC_4760_A1	Solar FV	2026	Pavas 115	0.057	SATISFACE
SC_4765_A1	Solar FV	2029	Pavas 115	0.002	SATISFACE
SC_4765_A2	Solar FV	2029	Pavas 115	0.001	SATISFACE
SC_4789_A1	Solar FV	2027	Pavas 115	0.014	SATISFACE
SC_4789_A2	Solar FV	2027	Pavas 115	0.014	SATISFACE
SC_4809_A1	Solar FV	2027	Pavas 115	0.000	SATISFACE
SC_4809_A2	Solar FV	2027	Pavas 115	0.118	SATISFACE
SC_4819_A1	Solar FV	2029	Pavas 115	0.081	SATISFACE
SC_4819_A2	Solar FV	2029	Pavas 115	0.077	SATISFACE
SC_4821_A1	Solar FV	2027	Pavas 115	0.051	SATISFACE
SC_4821_A2	Solar FV	2027	Pavas 115	0.019	SATISFACE
SC_4824_A1	Solar FV	2025	Pavas 115	0.000	SATISFACE
SC_4824_A2	Solar FV	2025	Pavas 115	0.000	SATISFACE
SC_4826_A1	Solar FV	2027	Pavas 115	0.006	SATISFACE
SC_4826_A2	Solar FV	2027	Pavas 115	0.006	SATISFACE
SC_4827_A1	Solar FV	2027	Pavas 115	0.006	SATISFACE
SC_4827_A2	Solar FV	2027	Pavas 115	0.006	SATISFACE
SC_4842_A1	Solar FV	2028	Pavas 115	0.088	SATISFACE
SC_4910_A1	Solar FV	2026	Pavas 115	0.011	SATISFACE
SC_4910_A2	Solar FV	2026	Pavas 115	0.011	SATISFACE
SC_4926_A1	Solar FV	2027	Pavas 115	0.001	SATISFACE

SC_4947_A1	Solar FV	2027	Pavas 115	0.059	SATISFACE
SC_4960_A2	Solar FV	2029	Pavas 115	0.036	SATISFACE
SC_4974_A1	Solar FV	2026	Pavas 115	0.005	SATISFACE
SC_4974_A2	Solar FV	2026	Pavas 115	0.004	SATISFACE
SC_4978_A1	Solar FV	2026	Pavas 115	0.002	SATISFACE
SC_4978_A2	Solar FV	2026	Pavas 115	0.004	SATISFACE
SC_5009_A1	Solar FV	2026	Pavas 115	0.051	SATISFACE
SC_5009_A2	Solar FV	2026	Pavas 115	0.019	SATISFACE
SC_5011_A1	Solar FV	2027	Pavas 115	0.051	SATISFACE
SC_5011_A2	Solar FV	2027	Pavas 115	0.019	SATISFACE
SC_5060_A1	Solar FV	2026	Pavas 115	0.011	SATISFACE
SC_5060_A2	Solar FV	2026	Pavas 115	0.011	SATISFACE
SC_5087_A2	Solar FV	2027	Pavas 115	0.019	SATISFACE

No se priorizó ninguna de las alternativas de conexión que tengan aportes de corriente de cortocircuito en la subestación Pavas 115

El estado de la capacidad de cortocircuito en la subestación Pavas 115, teniendo en cuenta la priorización se puede observar en la siguiente figura.

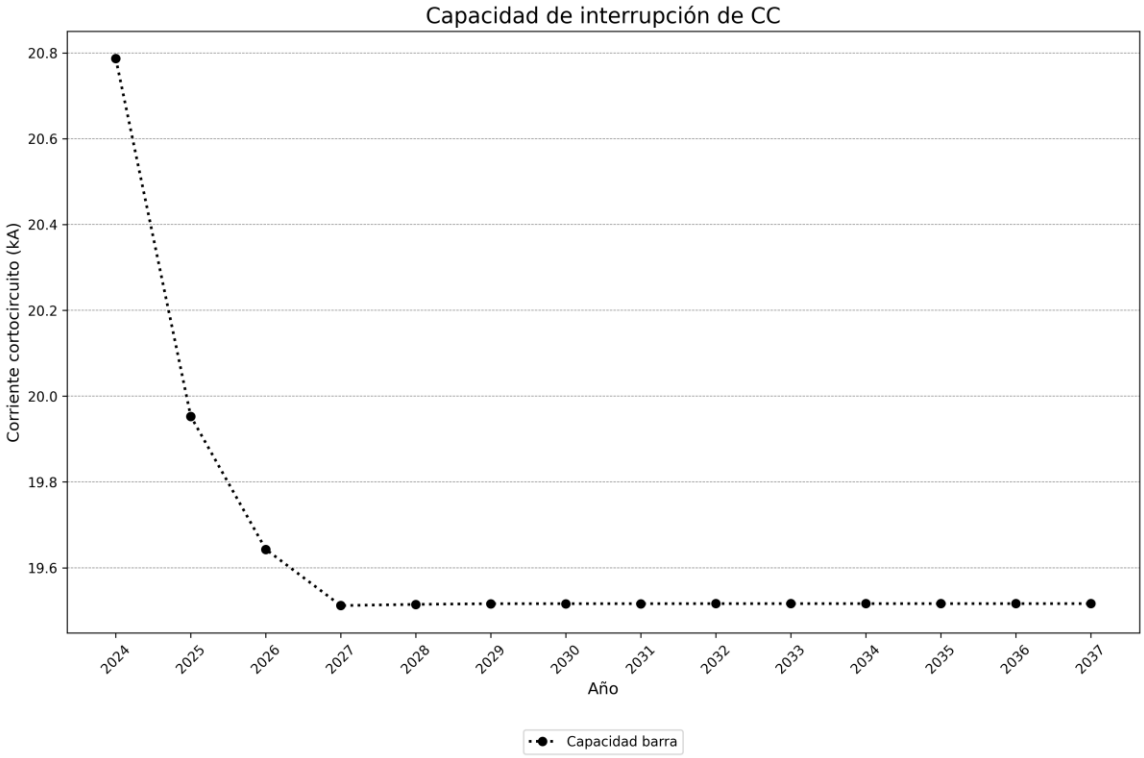


Figura 2-507. Balance de capacidad de cortocircuito después de la priorización para la subestación Pavas 115

Subestación Pavas 13.8:

Capacidad por barra:

Para la subestación Pavas 13.8 se presentaron 2 alternativas de conexión las cuales se muestran en la siguiente tabla:

Tabla 2-532. Alternativas de conexión presentadas a la subestación Pavas 13.8

Solicitud	Capacidad	Tipo	Barra	FPO solicitada	Restricción
SC_2023_5152_A2	9.9	Solar FV	Pavas 13.8	2025	SATISFACE
SC_2023_5598_A2	9.9	Solar FV	Pavas 13.8	2025	SATISFACE

No se priorizó ninguna de las alternativas de conexión presentadas en la subestación Pavas 13.8

El estado de la capacidad por barra en la subestación Pavas 13.8, teniendo en cuenta la priorización se puede observar en la siguiente figura.

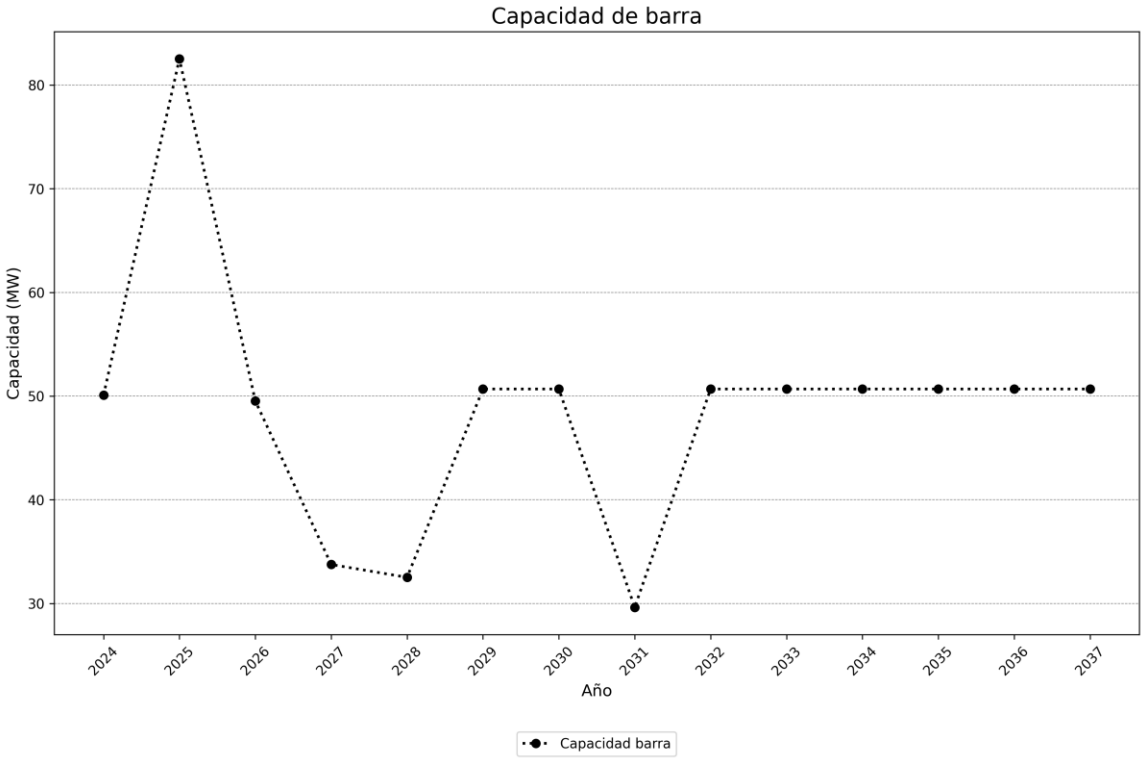


Figura 2-508. Balance de capacidad por barra después de la priorización para la subestación Pavas 13.8

Subestación Pavas 33:

Capacidad por barra:

Para la subestación Pavas 33 se presentaron 5 alternativas de conexión las cuales se muestran en la siguiente tabla:

Tabla 2-533. Alternativas de conexión presentadas a la subestación Pavas 33

Solicitud	Capacidad	Tipo	Barra	FPO solicitada	Restricción
SC_2023_5152_A1	9.9	Solar FV	Pavas 33	2025	SATISFACE
SC_2023_5171_A1	9.9	Solar FV	Pavas 33	2025	SATISFACE
SC_2023_5171_A2	9.9	Solar FV	Pavas 33	2025	SATISFACE
SC_2023_5565_A1	9.9	Solar FV	Pavas 33	2027	SATISFACE
SC_2023_5598_A1	9.9	Solar FV	Pavas 33	2025	SATISFACE

No se priorizó ninguna de las alternativas de conexión presentadas en la subestación Pavas 33

El estado de la capacidad por barra en la subestación Pavas 33, teniendo en cuenta la priorización se puede observar en la siguiente figura.

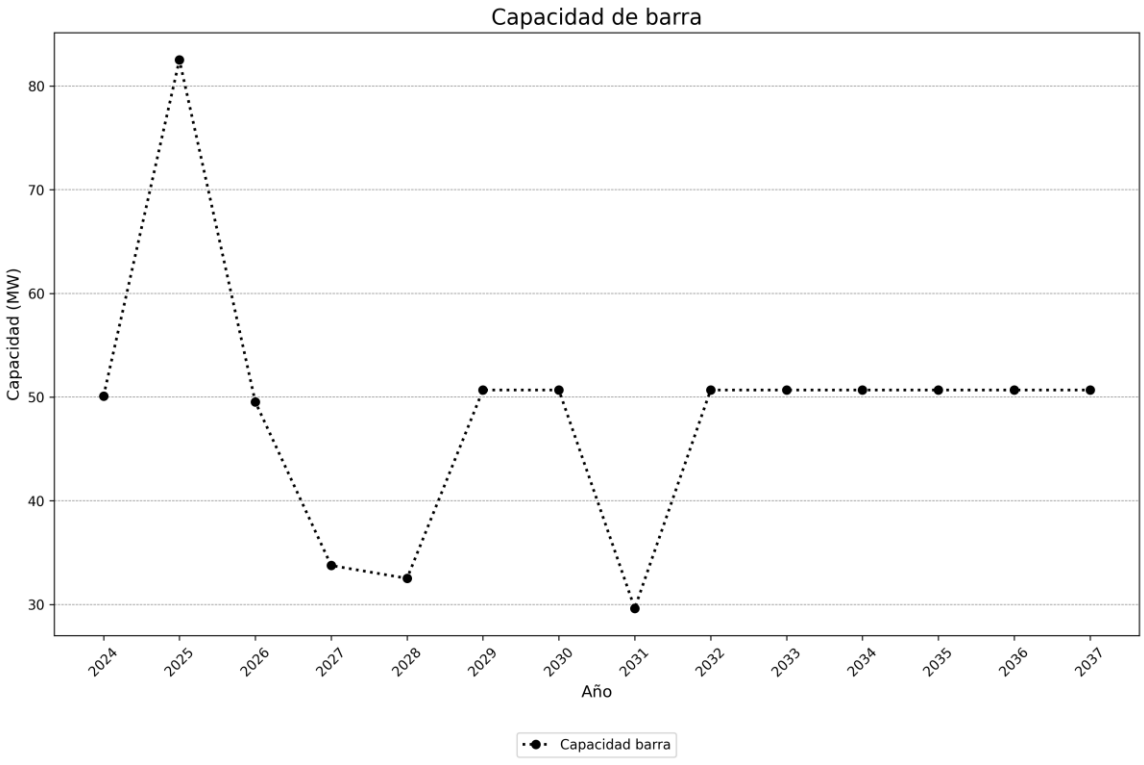


Figura 2-509. Balance de capacidad por barra después de la priorización para la subestación Pavas 33

Subestación Pavco 115:

Capacidad por barra:

Para la subestación Pavco 115 se presentaron 0 alternativas de conexión las cuales se muestran en la siguiente tabla:

Tabla 2-534. Alternativas de conexión presentadas a la subestación Pavco 115

Solicitud	Capacidad	Tipo	Barra	FPO solicitada	Restricción

No se priorizó ninguna de las alternativas de conexión presentadas en la subestación Pavco 115

El estado de la capacidad por barra en la subestación Pavco 115, teniendo en cuenta la priorización se puede observar en la siguiente figura.

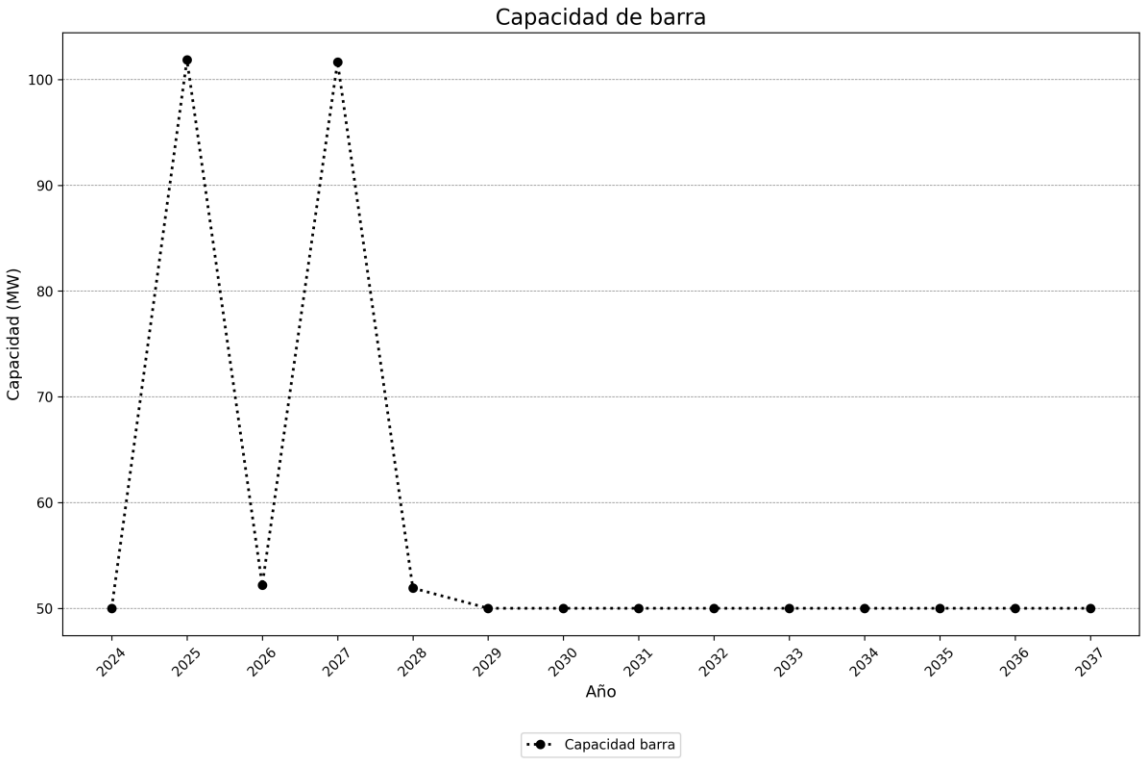


Figura 2-510. Balance de capacidad por barra después de la priorización para la subestación Pavco 115

Capacidad excedente de interrupción de corriente de cortocircuito:

Para la subestación Pavco 115 se presentaron 21 alternativas de conexión las cuales tienen aportes de corriente de cortocircuito. Estas alternativas se muestran en la siguiente tabla:

Tabla 2-535. Alternativas de conexión que aportan corriente de cortocircuito en la subestación Pavco 115

Solicitud	tipo	FPO	Barra a la que aporta CC	Aporte de cortocircuito (kA)	Restricción
SC_2023_5280_A1	Solar FV	2028	Pavco 115	0.052	SATISFACE
SC_2023_5280_A2	Solar FV	2028	Pavco 115	0.047	SATISFACE
SC_2023_5287_A1	Solar FV	2026	Pavco 115	0.027	SATISFACE
SC_2023_5287_A2	Solar FV	2026	Pavco 115	0.028	SATISFACE
SC_2023_5288_A1	Solar FV	2026	Pavco 115	0.016	SATISFACE
SC_2023_5288_A2	Solar FV	2026	Pavco 115	0.042	SATISFACE
SC_2023_5375_A1	Solar FV	2026	Pavco 115	0.027	SATISFACE
SC_2023_5399_A1	Solar FV	2026	Pavco 115	0.016	SATISFACE
SC_2023_5399_A2	Solar FV	2026	Pavco 115	0.042	SATISFACE
SC_2023_5480_A1	Solar FV	2026	Pavco 115	0.027	SATISFACE
SC_2023_5480_A2	Solar FV	2026	Pavco 115	0.028	SATISFACE
SC_3121_A1	Solar FV	2026	Pavco 115	0.003	SATISFACE
SC_3121_A2	Solar FV	2026	Pavco 115	0.003	SATISFACE
SC_3132_A1	Solar FV	2026	Pavco 115	0.060	SATISFACE
SC_3132_A2	Solar FV	2026	Pavco 115	0.051	SATISFACE
SC_4083_A1	Solar FV	2027	Pavco 115	0.001	SATISFACE
SC_4083_A2	Solar FV	2027	Pavco 115	0.001	SATISFACE
SC_4765_A1	Solar FV	2029	Pavco 115	0.003	SATISFACE
SC_4765_A2	Solar FV	2029	Pavco 115	0.002	SATISFACE
SC_4819_A1	Solar FV	2029	Pavco 115	0.096	SATISFACE
SC_4819_A2	Solar FV	2029	Pavco 115	0.086	SATISFACE

No se priorizó ninguna de las alternativas de conexión que tengan aportes de corriente de cortocircuito en la subestación Pavco 115

El estado de la capacidad de cortocircuito en la subestación Pavco 115, teniendo en cuenta la priorización se puede observar en la siguiente figura.

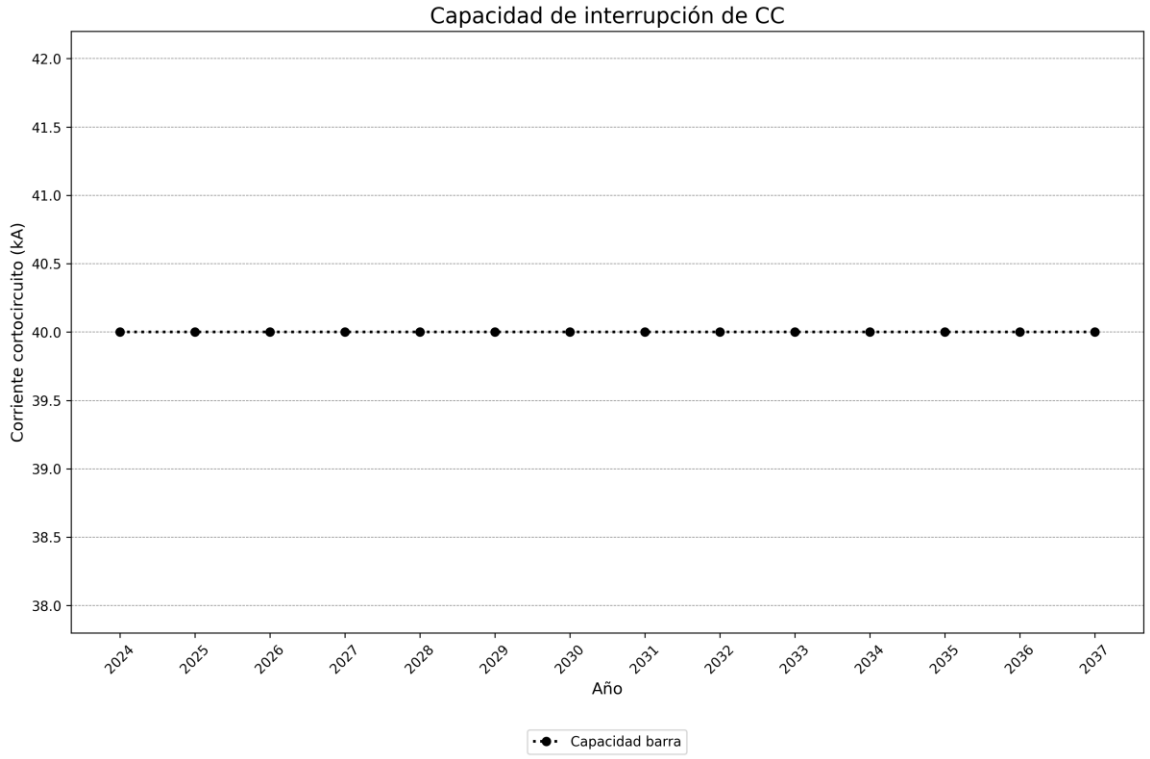


Figura 2-511. Balance de capacidad de cortocircuito después de la priorización para la subestación Pavco 115

Subestación Peldar 115:

Capacidad por barra:

Para la subestación Peldar 115 se presentaron 0 alternativas de conexión las cuales se muestran en la siguiente tabla:

Tabla 2-536. Alternativas de conexión presentadas a la subestación Peldar 115

Solicitud	Capacidad	Tipo	Barra	FPO solicitada	Restricción

No se priorizó ninguna de las alternativas de conexión presentadas en la subestación Peldar 115

El estado de la capacidad por barra en la subestación Peldar 115, teniendo en cuenta la priorización se puede observar en la siguiente figura.

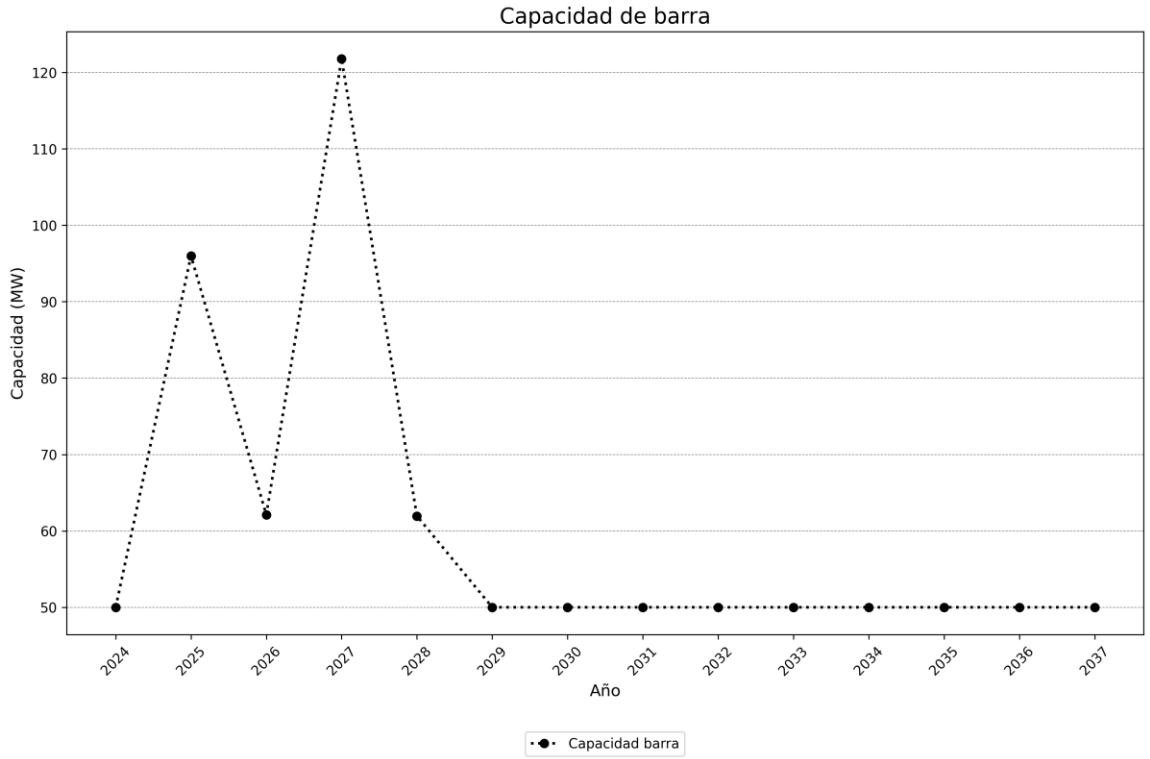


Figura 2-512. Balance de capacidad por barra después de la priorización para la subestación Peldar 115

Capacidad excedente de interrupción de corriente de cortocircuito:

Para la subestación Peldar 115 se presentaron 25 alternativas de conexión las cuales tienen aportes de corriente de cortocircuito. Estas alternativas se muestran en la siguiente tabla:

Tabla 2-537. Alternativas de conexión que aportan corriente de cortocircuito en la subestación Peldar 115

Solicitud	tipo	FPO	Barra a la que aporta CC	Aporte de cortocircuito (kA)	Restricción
SC_2023_5280_A1	Solar FV	2028	Peldar 115	0.025	SATISFACE
SC_2023_5280_A2	Solar FV	2028	Peldar 115	0.023	SATISFACE
SC_2023_5287_A1	Solar FV	2026	Peldar 115	0.014	SATISFACE
SC_2023_5287_A2	Solar FV	2026	Peldar 115	0.014	SATISFACE
SC_2023_5288_A1	Solar FV	2026	Peldar 115	0.008	SATISFACE
SC_2023_5288_A2	Solar FV	2026	Peldar 115	0.022	SATISFACE
SC_2023_5375_A1	Solar FV	2026	Peldar 115	0.014	SATISFACE
SC_2023_5399_A1	Solar FV	2026	Peldar 115	0.008	SATISFACE
SC_2023_5399_A2	Solar FV	2026	Peldar 115	0.022	SATISFACE
SC_2023_5480_A1	Solar FV	2026	Peldar 115	0.014	SATISFACE
SC_2023_5480_A2	Solar FV	2026	Peldar 115	0.014	SATISFACE
SC_2023_5557_A1	Solar FV	2028	Peldar 115	0.053	SATISFACE
SC_2936_A1	Solar FV	2026	Peldar 115	0.000	SATISFACE
SC_2936_A2	Solar FV	2026	Peldar 115	0.000	SATISFACE
SC_3121_A1	Solar FV	2026	Peldar 115	0.002	SATISFACE
SC_3121_A2	Solar FV	2026	Peldar 115	0.002	SATISFACE
SC_3132_A1	Solar FV	2026	Peldar 115	0.029	SATISFACE
SC_3132_A2	Solar FV	2026	Peldar 115	0.025	SATISFACE
SC_3882_A1	Solar FV	2026	Peldar 115	0.051	SATISFACE
SC_4083_A1	Solar FV	2027	Peldar 115	0.000	SATISFACE
SC_4083_A2	Solar FV	2027	Peldar 115	0.000	SATISFACE
SC_4765_A1	Solar FV	2029	Peldar 115	0.001	SATISFACE
SC_4765_A2	Solar FV	2029	Peldar 115	0.000	SATISFACE
SC_4819_A1	Solar FV	2029	Peldar 115	0.043	SATISFACE
SC_4819_A2	Solar FV	2029	Peldar 115	0.040	SATISFACE

No se priorizó ninguna de las alternativas de conexión que tengan aportes de corriente de cortocircuito en la subestación Peldar 115

El estado de la capacidad de cortocircuito en la subestación Peldar 115, teniendo en cuenta la priorización se puede observar en la siguiente figura.

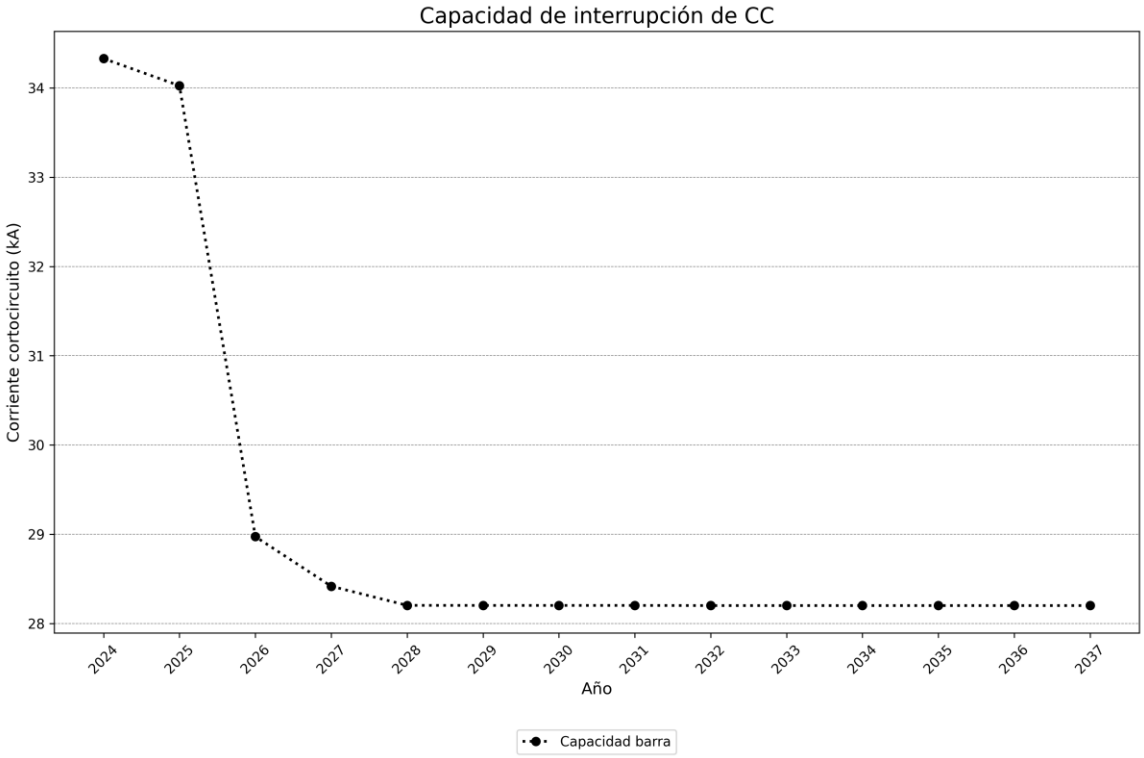


Figura 2-513. Balance de capacidad de cortocircuito después de la priorización para la subestación Peldar 115

Subestación Pensilvania 33:

Capacidad por barra:

Para la subestación Pensilvania 33 se presentaron 0 alternativas de conexión las cuales se muestran en la siguiente tabla:

Tabla 2-538. Alternativas de conexión presentadas a la subestación Pensilvania 33

Solicitud	Capacidad	Tipo	Barra	FPO solicitada	Restricción

No se priorizó ninguna de las alternativas de conexión presentadas en la subestación Pensilvania 33

El estado de la capacidad por barra en la subestación Pensilvania 33, teniendo en cuenta la priorización se puede observar en la siguiente figura.

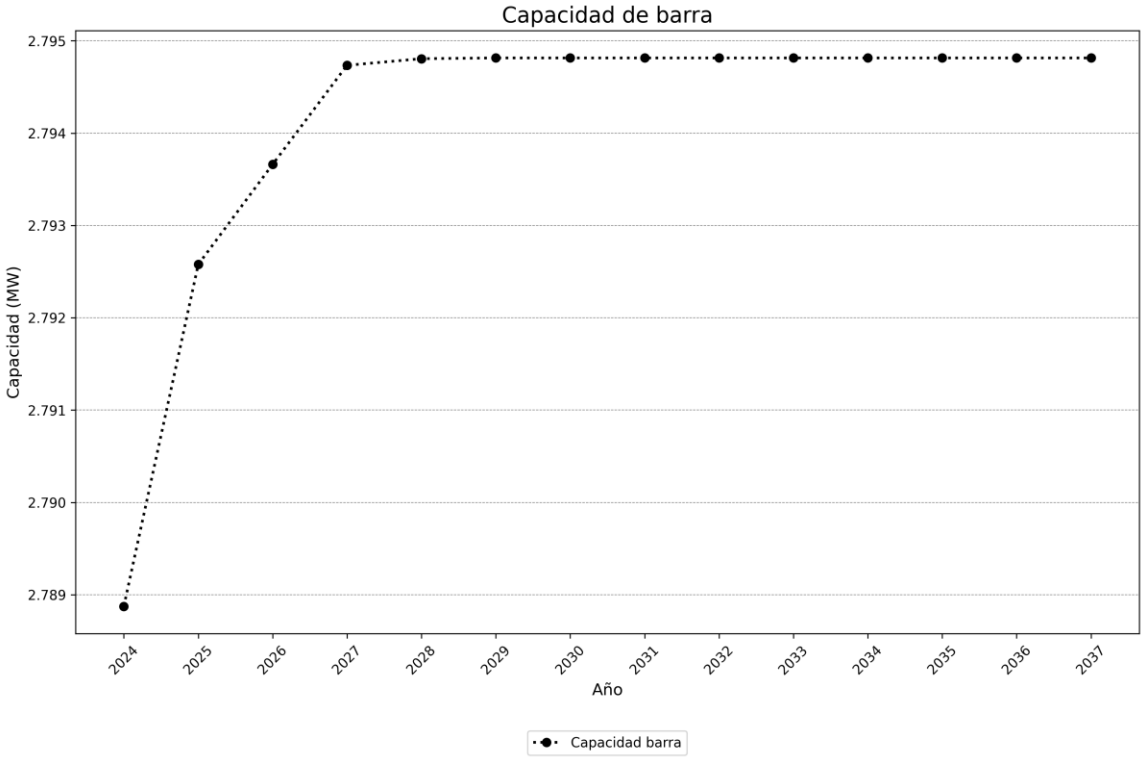


Figura 2-514. Balance de capacidad por barra después de la priorización para la subestación Pensilvania 33

Subestación Peralonso 115:

Capacidad por barra:

Para la subestación Peralonso 115 se presentaron 1 alternativas de conexión las cuales se muestran en la siguiente tabla:

Tabla 2-539. Alternativas de conexión presentadas a la subestación Peralonso 115

Solicitud	Capacidad	Tipo	Barra	FPO solicitada	Restricción
SC_2023_5188_A2	80.0	Solar FV	Peralonso 115	2026	NO SATISFACE

No se priorizó ninguna de las alternativas de conexión presentadas en la subestación Peralonso 115

El estado de la capacidad por barra en la subestación Peralonso 115, teniendo en cuenta la priorización se puede observar en la siguiente figura.

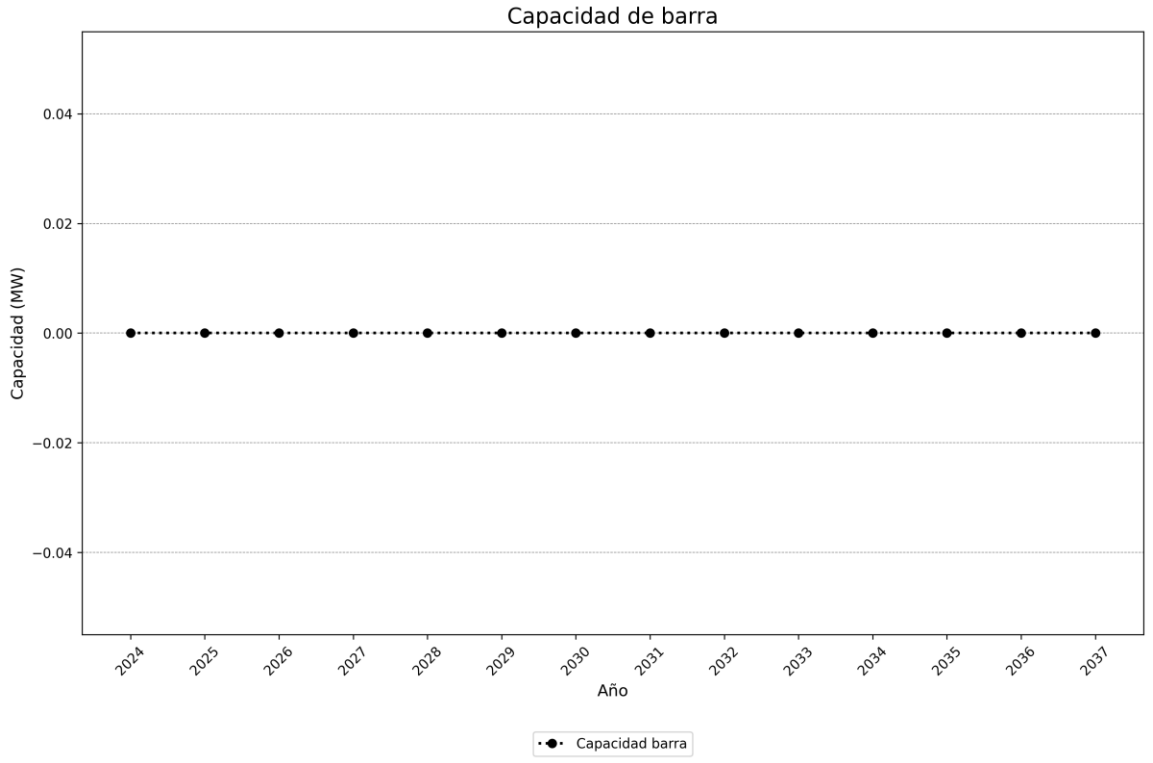


Figura 2-515. Balance de capacidad por barra después de la priorización para la subestación Peralonso 115

En el caso anterior se observa que la capacidad por barra es igual a 0 dado que, desde los comentarios presentados por transportador, se identificó que la subestación Peralonso 115 no cuenta con disponibilidad de espacio físico para la conexión de nuevos proyectos.

Capacidad excedente de interrupción de corriente de cortocircuito:

Para la subestación Peralonso 115 se presentaron 198 alternativas de conexión las cuales tienen aportes de corriente de cortocircuito. Estas alternativas se muestran en la siguiente tabla:

Tabla 2-540. Alternativas de conexión que aportan corriente de cortocircuito en la subestación Peralonso 115

Solicitud	tipo	FPO	Barra a la que aporta CC	Aporte de cortocircuito (kA)	Restricción
SC_2023_5136_A1	Solar FV	2026	Peralonso 115	0.036	SATISFACE
SC_2023_5136_A2	Solar FV	2026	Peralonso 115	0.036	SATISFACE
SC_2023_5144_A1	Solar FV	2028	Peralonso 115	0.126	SATISFACE
SC_2023_5144_A2	Solar FV	2028	Peralonso 115	0.061	SATISFACE
SC_2023_5150_A1	Solar FV	2028	Peralonso 115	0.152	SATISFACE
SC_2023_5152_A1	Solar FV	2025	Peralonso 115	0.002	SATISFACE
SC_2023_5152_A2	Solar FV	2025	Peralonso 115	0.002	SATISFACE
SC_2023_5158_A1	Solar FV	2028	Peralonso 115	0.077	SATISFACE
SC_2023_5171_A1	Solar FV	2025	Peralonso 115	0.002	SATISFACE
SC_2023_5171_A2	Solar FV	2025	Peralonso 115	0.002	SATISFACE
SC_2023_5174_A1	Solar FV	2027	Peralonso 115	0.025	SATISFACE
SC_2023_5174_A2	Solar FV	2027	Peralonso 115	0.033	SATISFACE
SC_2023_5185_A1	Solar FV	2026	Peralonso 115	1.061	SATISFACE
SC_2023_5185_A2	Solar FV	2026	Peralonso 115	0.398	SATISFACE
SC_2023_5188_A1	Solar FV	2026	Peralonso 115	0.050	SATISFACE
SC_2023_5188_A2	Solar FV	2026	Peralonso 115	1.413	SATISFACE
SC_2023_5200_A1	Solar FV	2028	Peralonso 115	0.256	SATISFACE
SC_2023_5200_A2	Solar FV	2028	Peralonso 115	0.120	SATISFACE
SC_2023_5216_A1	Solar FV	2026	Peralonso 115	0.044	SATISFACE
SC_2023_5216_A2	Solar FV	2026	Peralonso 115	0.000	SATISFACE
SC_2023_5248_A1	Solar FV	2025	Peralonso 115	0.002	SATISFACE
SC_2023_5248_A2	Solar FV	2025	Peralonso 115	0.002	SATISFACE
SC_2023_5249_A1	Solar FV	2025	Peralonso 115	0.002	SATISFACE
SC_2023_5249_A2	Solar FV	2025	Peralonso 115	0.002	SATISFACE
SC_2023_5251_A1	Solar FV	2025	Peralonso 115	0.009	SATISFACE
SC_2023_5251_A2	Solar FV	2025	Peralonso 115	0.009	SATISFACE
SC_2023_5252_A1	Solar FV	2028	Peralonso 115	0.060	SATISFACE

SC_2023_5252_A2	Solar FV	2028	Peralonso 115	0.059	SATISFACE
SC_2023_5253_A1	Solar FV	2025	Peralonso 115	0.009	SATISFACE
SC_2023_5253_A2	Solar FV	2025	Peralonso 115	0.009	SATISFACE
SC_2023_5256_A2	Solar FV	2028	Peralonso 115	0.058	SATISFACE
SC_2023_5257_A1	Solar FV	2025	Peralonso 115	0.002	SATISFACE
SC_2023_5257_A2	Solar FV	2025	Peralonso 115	0.002	SATISFACE
SC_2023_5282_A1	Solar FV	2028	Peralonso 115	0.003	SATISFACE
SC_2023_5287_A1	Solar FV	2026	Peralonso 115	0.051	SATISFACE
SC_2023_5287_A2	Solar FV	2026	Peralonso 115	0.051	SATISFACE
SC_2023_5288_A1	Solar FV	2026	Peralonso 115	0.037	SATISFACE
SC_2023_5288_A2	Solar FV	2026	Peralonso 115	0.098	SATISFACE
SC_2023_5293_A1	Solar FV	2028	Peralonso 115	0.043	SATISFACE
SC_2023_5293_A2	Solar FV	2028	Peralonso 115	0.035	SATISFACE
SC_2023_5294_A1	Solar FV	2029	Peralonso 115	0.006	SATISFACE
SC_2023_5294_A2	Solar FV	2029	Peralonso 115	0.008	SATISFACE
SC_2023_5304_A1	Solar FV	2026	Peralonso 115	0.005	SATISFACE
SC_2023_5309_A1	Solar FV	2026	Peralonso 115	0.005	SATISFACE
SC_2023_5337_A2	Solar FV	2025	Peralonso 115	0.110	SATISFACE
SC_2023_5339_A1	PCH	2026	Peralonso 115	0.002	SATISFACE
SC_2023_5339_A2	PCH	2026	Peralonso 115	0.002	SATISFACE
SC_2023_5345_A1	Solar FV	2027	Peralonso 115	0.014	SATISFACE
SC_2023_5345_A2	Solar FV	2027	Peralonso 115	0.016	SATISFACE
SC_2023_5346_A1	Solar FV	2027	Peralonso 115	0.014	SATISFACE
SC_2023_5346_A2	Solar FV	2027	Peralonso 115	0.016	SATISFACE
SC_2023_5375_A1	Solar FV	2026	Peralonso 115	0.051	SATISFACE
SC_2023_5383_A1	Solar FV	2027	Peralonso 115	0.093	SATISFACE
SC_2023_5383_A2	Solar FV	2027	Peralonso 115	0.123	SATISFACE
SC_2023_5399_A1	Solar FV	2026	Peralonso 115	0.037	SATISFACE
SC_2023_5399_A2	Solar FV	2026	Peralonso 115	0.098	SATISFACE
SC_2023_5431_A1	Solar FV	2028	Peralonso 115	0.000	SATISFACE
SC_2023_5431_A2	Solar FV	2028	Peralonso 115	0.000	SATISFACE
SC_2023_5480_A1	Solar FV	2026	Peralonso 115	0.051	SATISFACE
SC_2023_5480_A2	Solar FV	2026	Peralonso 115	0.051	SATISFACE
SC_2023_5549_A1	Solar FV	2028	Peralonso 115	0.061	SATISFACE
SC_2023_5549_A2	Solar FV	2028	Peralonso 115	0.087	SATISFACE
SC_2023_5551_A1	Solar FV	2027	Peralonso 115	0.229	SATISFACE
SC_2023_5551_A2	Solar FV	2027	Peralonso 115	0.108	SATISFACE
SC_2023_5557_A1	Solar FV	2028	Peralonso 115	0.145	SATISFACE
SC_2023_5598_A1	Solar FV	2025	Peralonso 115	0.002	SATISFACE
SC_2023_5598_A2	Solar FV	2025	Peralonso 115	0.002	SATISFACE

SC_2024_5939_A1	Solar FV	2028	Peralonso 115	0.003	SATISFACE
SC_2024_5939_A2	Solar FV	2028	Peralonso 115	0.003	SATISFACE
SC_2024_5992_A1	Solar FV	2027	Peralonso 115	0.031	SATISFACE
SC_2344_A1	Eólico Onshore	2027	Peralonso 115	0.130	SATISFACE
SC_2344_A2	Eólico Onshore	2027	Peralonso 115	2.670	SATISFACE
SC_2436_A1	Solar FV	2028	Peralonso 115	0.050	SATISFACE
SC_2436_A2	Solar FV	2028	Peralonso 115	0.050	SATISFACE
SC_2438_A1	Solar FV	2028	Peralonso 115	0.000	SATISFACE
SC_2438_A2	Solar FV	2028	Peralonso 115	0.001	SATISFACE
SC_2442_A1	Solar FV	2027	Peralonso 115	0.001	SATISFACE
SC_2442_A2	Solar FV	2027	Peralonso 115	0.001	SATISFACE
SC_2475_A1	Solar FV	2028	Peralonso 115	0.060	SATISFACE
SC_2475_A2	Solar FV	2028	Peralonso 115	0.050	SATISFACE
SC_2527_A1	Solar FV	2028	Peralonso 115	0.070	SATISFACE
SC_2527_A2	Solar FV	2028	Peralonso 115	0.150	SATISFACE
SC_2562_A1	Solar FV	2026	Peralonso 115	0.010	SATISFACE
SC_2629_A1	Solar FV	2026	Peralonso 115	0.001	SATISFACE
SC_2629_A2	Solar FV	2026	Peralonso 115	0.001	SATISFACE
SC_2634_A1	Solar FV	2026	Peralonso 115	0.001	SATISFACE
SC_2634_A2	Solar FV	2026	Peralonso 115	0.001	SATISFACE
SC_2680_A1	Solar FV	2028	Peralonso 115	0.020	SATISFACE
SC_2680_A2	Solar FV	2028	Peralonso 115	0.020	SATISFACE
SC_2681_A1	Solar FV	2027	Peralonso 115	0.020	SATISFACE
SC_2681_A2	Solar FV	2027	Peralonso 115	0.020	SATISFACE
SC_2682_A1	Solar FV	2025	Peralonso 115	0.009	SATISFACE
SC_2682_A2	Solar FV	2025	Peralonso 115	0.001	SATISFACE
SC_2683_A1	Solar FV	2026	Peralonso 115	0.010	SATISFACE
SC_2683_A2	Solar FV	2026	Peralonso 115	0.000	SATISFACE
SC_2693_A1	Solar FV	2026	Peralonso 115	0.000	SATISFACE
SC_2693_A2	Solar FV	2026	Peralonso 115	0.000	SATISFACE
SC_2722_A1	Solar FV	2026	Peralonso 115	0.002	SATISFACE
SC_2722_A2	Solar FV	2026	Peralonso 115	0.002	SATISFACE
SC_2802_A1	Solar FV	2027	Peralonso 115	0.005	SATISFACE
SC_2802_A2	Solar FV	2027	Peralonso 115	0.007	SATISFACE
SC_2816_A1	Solar FV	2027	Peralonso 115	0.010	SATISFACE
SC_2870_A1	Solar FV	2027	Peralonso 115	0.010	SATISFACE
SC_2870_A2	Solar FV	2027	Peralonso 115	0.010	SATISFACE
SC_2892_A1	Solar FV	2027	Peralonso 115	0.060	SATISFACE
SC_2892_A2	Solar FV	2027	Peralonso 115	0.130	SATISFACE
SC_2893_A1	Solar FV	2026	Peralonso 115	0.010	SATISFACE

SC_2893_A2	Solar FV	2026	Peralonso 115	0.010	SATISFACE
SC_2902_A1	Solar FV	2028	Peralonso 115	0.020	SATISFACE
SC_2902_A2	Solar FV	2028	Peralonso 115	1.410	SATISFACE
SC_2905_A2	Solar FV	2028	Peralonso 115	0.000	SATISFACE
SC_2924_A1	Solar FV	2026	Peralonso 115	0.863	SATISFACE
SC_2924_A2	Solar FV	2026	Peralonso 115	0.322	SATISFACE
SC_2936_A1	Solar FV	2026	Peralonso 115	0.000	SATISFACE
SC_2936_A2	Solar FV	2026	Peralonso 115	0.000	SATISFACE
SC_2962_A1	Solar FV	2028	Peralonso 115	0.128	SATISFACE
SC_2962_A2	Solar FV	2028	Peralonso 115	0.105	SATISFACE
SC_2967_A1	Solar FV	2026	Peralonso 115	0.001	SATISFACE
SC_2967_A2	Solar FV	2026	Peralonso 115	0.001	SATISFACE
SC_3054_A2	Solar FV	2027	Peralonso 115	0.033	SATISFACE
SC_3101_A1	Solar FV	2027	Peralonso 115	0.003	SATISFACE
SC_3101_A2	Solar FV	2027	Peralonso 115	0.000	SATISFACE
SC_3121_A1	Solar FV	2026	Peralonso 115	0.008	SATISFACE
SC_3121_A2	Solar FV	2026	Peralonso 115	0.008	SATISFACE
SC_3126_A1	PCH	2026	Peralonso 115	0.010	SATISFACE
SC_3126_A2	PCH	2026	Peralonso 115	0.010	SATISFACE
SC_3238_A1	Solar FV	2027	Peralonso 115	0.266	SATISFACE
SC_3238_A2	Solar FV	2027	Peralonso 115	0.196	SATISFACE
SC_3247_A1	Solar FV	2027	Peralonso 115	0.152	SATISFACE
SC_3247_A2	Solar FV	2027	Peralonso 115	0.149	SATISFACE
SC_3248_A1	Solar FV	2027	Peralonso 115	0.266	SATISFACE
SC_3248_A2	Solar FV	2027	Peralonso 115	0.196	SATISFACE
SC_3251_A1	Hidráulica	2026	Peralonso 115	0.130	SATISFACE
SC_3251_A2	Hidráulica	2026	Peralonso 115	0.010	SATISFACE
SC_3353_A1	Solar FV	2027	Peralonso 115	0.001	SATISFACE
SC_3353_A2	Solar FV	2027	Peralonso 115	0.001	SATISFACE
SC_3382_A1	Solar FV	2027	Peralonso 115	0.010	SATISFACE
SC_3382_A2	Solar FV	2027	Peralonso 115	0.013	SATISFACE
SC_3392_A1	Solar FV	2027	Peralonso 115	0.040	SATISFACE
SC_3392_A2	Solar FV	2027	Peralonso 115	0.016	SATISFACE
SC_3441_A1	Solar FV	2027	Peralonso 115	0.152	SATISFACE
SC_3441_A2	Solar FV	2027	Peralonso 115	0.149	SATISFACE
SC_3453_A1	Solar FV	2027	Peralonso 115	0.023	SATISFACE
SC_3453_A2	Solar FV	2027	Peralonso 115	0.023	SATISFACE
SC_3514_A1	Solar FV	2027	Peralonso 115	0.023	SATISFACE
SC_3514_A2	Solar FV	2027	Peralonso 115	0.023	SATISFACE
SC_3578_A1	Solar FV	2028	Peralonso 115	0.003	SATISFACE

SC_3578_A2	Solar FV	2028	Peralonso 115	0.004	SATISFACE
SC_3667_A1	Solar FV	2029	Peralonso 115	0.014	SATISFACE
SC_3667_A2	Solar FV	2029	Peralonso 115	0.009	SATISFACE
SC_3846_A1	Solar FV	2028	Peralonso 115	0.011	SATISFACE
SC_3846_A2	Solar FV	2028	Peralonso 115	0.011	SATISFACE
SC_3882_A1	Solar FV	2026	Peralonso 115	0.145	SATISFACE
SC_4083_A1	Solar FV	2027	Peralonso 115	0.001	SATISFACE
SC_4083_A2	Solar FV	2027	Peralonso 115	0.001	SATISFACE
SC_4175_A1	Solar FV	2026	Peralonso 115	0.008	SATISFACE
SC_4175_A2	Solar FV	2026	Peralonso 115	0.008	SATISFACE
SC_4296_A1	Solar FV	2028	Peralonso 115	0.126	SATISFACE
SC_4296_A2	Solar FV	2028	Peralonso 115	0.156	SATISFACE
SC_4751_A1	Solar FV	2027	Peralonso 115	0.006	SATISFACE
SC_4760_A1	Solar FV	2026	Peralonso 115	0.086	SATISFACE
SC_4765_A1	Solar FV	2029	Peralonso 115	0.007	SATISFACE
SC_4765_A2	Solar FV	2029	Peralonso 115	0.016	SATISFACE
SC_4789_A1	Solar FV	2027	Peralonso 115	0.008	SATISFACE
SC_4789_A2	Solar FV	2027	Peralonso 115	0.008	SATISFACE
SC_4809_A1	Solar FV	2027	Peralonso 115	0.024	SATISFACE
SC_4809_A2	Solar FV	2027	Peralonso 115	0.152	SATISFACE
SC_4819_A1	Solar FV	2029	Peralonso 115	0.145	SATISFACE
SC_4819_A2	Solar FV	2029	Peralonso 115	0.187	SATISFACE
SC_4821_A1	Solar FV	2027	Peralonso 115	0.040	SATISFACE
SC_4821_A2	Solar FV	2027	Peralonso 115	0.016	SATISFACE
SC_4824_A1	Solar FV	2025	Peralonso 115	0.000	SATISFACE
SC_4824_A2	Solar FV	2025	Peralonso 115	0.000	SATISFACE
SC_4826_A1	Solar FV	2027	Peralonso 115	0.016	SATISFACE
SC_4826_A2	Solar FV	2027	Peralonso 115	0.016	SATISFACE
SC_4827_A1	Solar FV	2027	Peralonso 115	0.016	SATISFACE
SC_4827_A2	Solar FV	2027	Peralonso 115	0.016	SATISFACE
SC_4842_A1	Solar FV	2028	Peralonso 115	0.152	SATISFACE
SC_4910_A1	Solar FV	2026	Peralonso 115	0.037	SATISFACE
SC_4910_A2	Solar FV	2026	Peralonso 115	0.037	SATISFACE
SC_4926_A1	Solar FV	2027	Peralonso 115	0.006	SATISFACE
SC_4947_A1	Solar FV	2027	Peralonso 115	0.043	SATISFACE
SC_4960_A2	Solar FV	2029	Peralonso 115	0.145	SATISFACE
SC_4974_A1	Solar FV	2026	Peralonso 115	0.012	SATISFACE
SC_4974_A2	Solar FV	2026	Peralonso 115	0.012	SATISFACE
SC_4978_A1	Solar FV	2026	Peralonso 115	0.010	SATISFACE
SC_4978_A2	Solar FV	2026	Peralonso 115	0.012	SATISFACE

SC_5009_A1	Solar FV	2026	Peralonso 115	0.040	SATISFACE
SC_5009_A2	Solar FV	2026	Peralonso 115	0.016	SATISFACE
SC_5011_A1	Solar FV	2027	Peralonso 115	0.040	SATISFACE
SC_5011_A2	Solar FV	2027	Peralonso 115	0.016	SATISFACE
SC_5060_A1	Solar FV	2026	Peralonso 115	0.037	SATISFACE
SC_5060_A2	Solar FV	2026	Peralonso 115	0.037	SATISFACE
SC_5076_A1	Solar FV	2027	Peralonso 115	0.000	SATISFACE
SC_5076_A2	Solar FV	2027	Peralonso 115	0.000	SATISFACE
SC_5077_A1	Solar FV	2027	Peralonso 115	0.000	SATISFACE
SC_5077_A2	Solar FV	2027	Peralonso 115	0.000	SATISFACE
SC_5087_A2	Solar FV	2027	Peralonso 115	0.052	SATISFACE

Posterior a la ejecución del MACC se priorizaron las siguientes alternativas de conexión que tienen aportes de cortocircuito de la subestación en análisis:

Tabla 2-541. Alternativas de conexión priorizadas que aportan corriente de cortocircuito en la subestación Peralonso 115

index	tipo	periodoIni	Barra a la que aporta CC	Aporte de cortocircuito (kA)	Restricción
SC_5076_A2	Solar FV	2027	Peralonso 115	0.000	SATISFACE
SC_5077_A2	Solar FV	2027	Peralonso 115	0.000	SATISFACE

El estado de la capacidad de cortocircuito en la subestación Peralonso 115, teniendo en cuenta la priorización se puede observar en la siguiente figura.

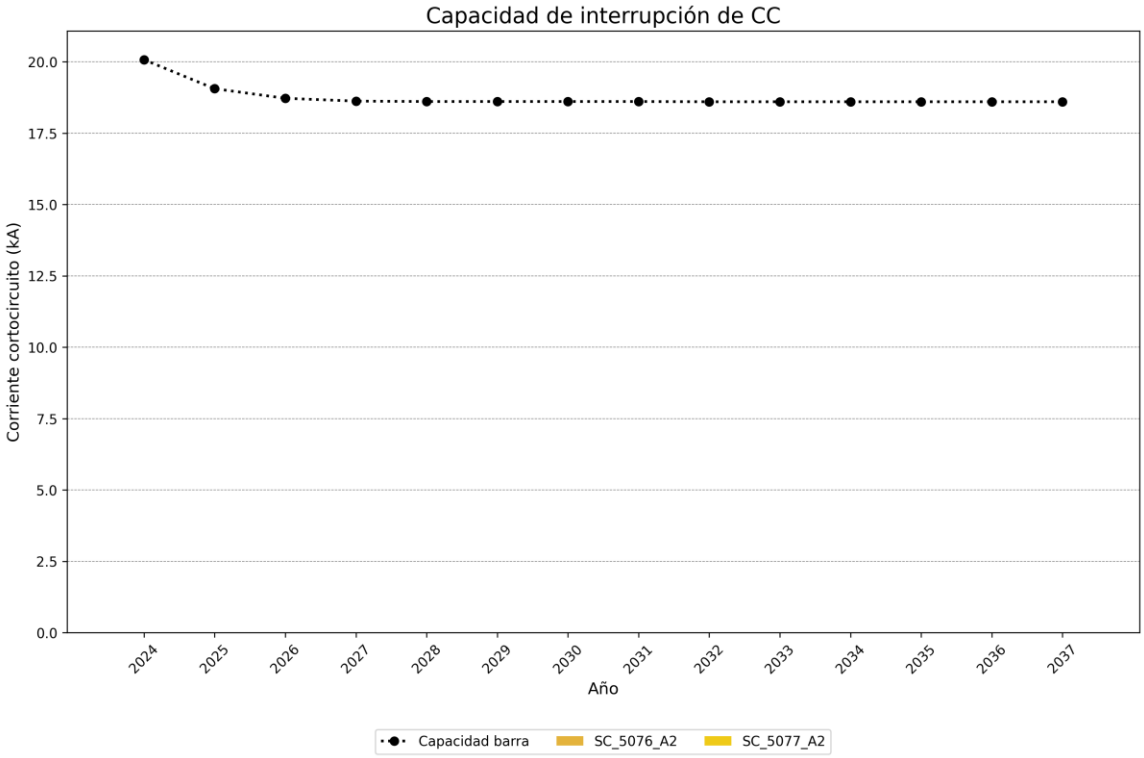


Figura 2-516. Balance de capacidad de cortocircuito después de la priorización para la subestación Peralonso 115

Subestación Peralonso 33:

Capacidad por barra:

Para la subestación Peralonso 33 se presentaron 0 alternativas de conexión las cuales se muestran en la siguiente tabla:

Tabla 2-542. Alternativas de conexión presentadas a la subestación Peralonso 33

Solicitud	Capacidad	Tipo	Barra	FPO solicitada	Restricción

No se priorizó ninguna de las alternativas de conexión presentadas en la subestación Peralonso 33

El estado de la capacidad por barra en la subestación Peralonso 33, teniendo en cuenta la priorización se puede observar en la siguiente figura.

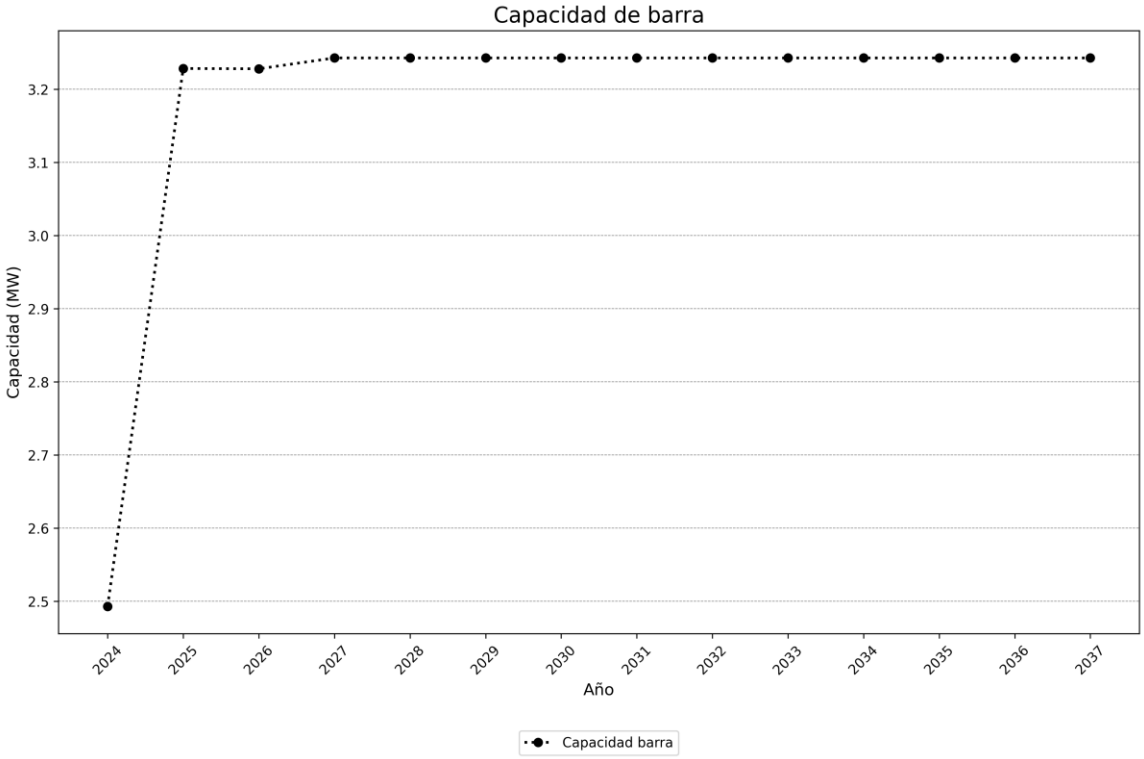


Figura 2-517. Balance de capacidad por barra después de la priorización para la subestación Peralonso 33

Subestación Picaleña 115:

Capacidad por barra:

Para la subestación Picaleña 115 se presentaron 0 alternativas de conexión las cuales se muestran en la siguiente tabla:

Tabla 2-543. Alternativas de conexión presentadas a la subestación Picaleña 115

Solicitud	Capacidad	Tipo	Barra	FPO solicitada	Restricción

No se priorizó ninguna de las alternativas de conexión presentadas en la subestación Picaleña 115

El estado de la capacidad por barra en la subestación Picaleña 115, teniendo en cuenta la priorización se puede observar en la siguiente figura.

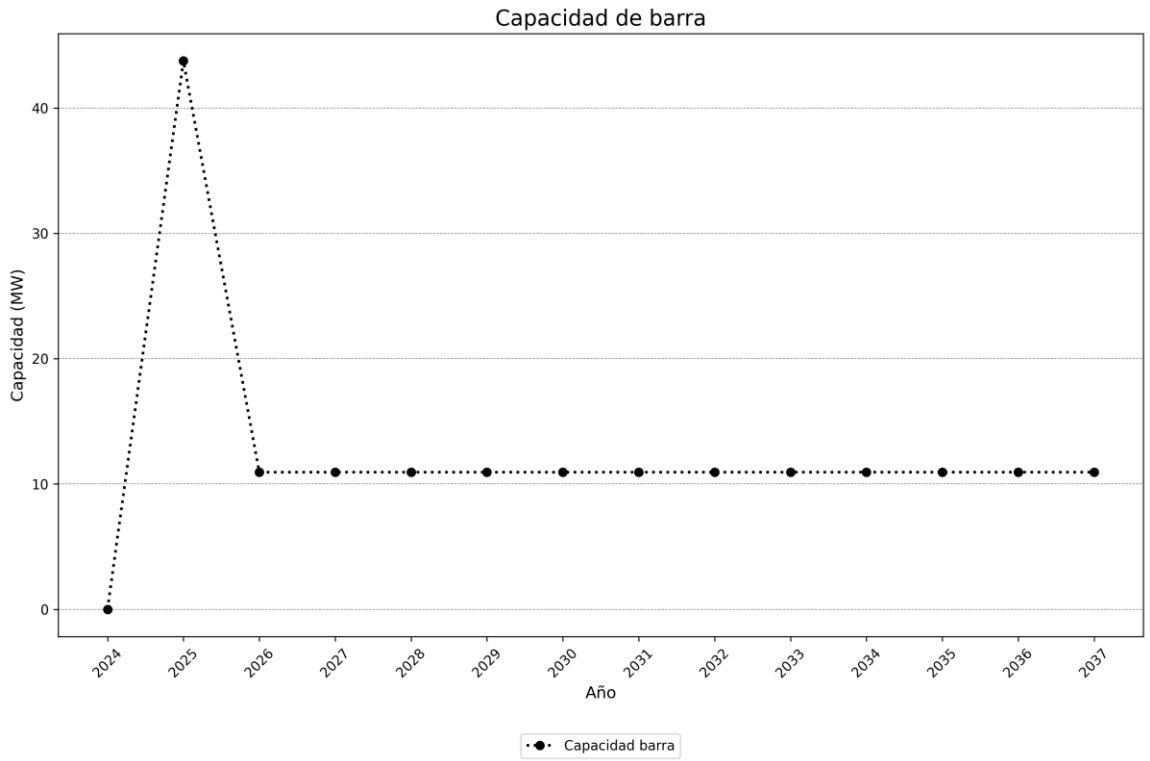


Figura 2-518. Balance de capacidad por barra después de la priorización para la subestación Picaleña 115

Capacidad excedente de interrupción de corriente de cortocircuito:

Para la subestación Picaleña 115 se presentaron 19 alternativas de conexión las cuales tienen aportes de corriente de cortocircuito. Estas alternativas se muestran en la siguiente tabla:

Tabla 2-544. Alternativas de conexión que aportan corriente de cortocircuito en la subestación Picaleña 115

Solicitud	tipo	FPO	Barra a la que aporta CC	Aporte de cortocircuito (kA)	Restricción
SC_2023_5287_A1	Solar FV	2026	Picaleña 115	0.014	SATISFACE
SC_2023_5287_A2	Solar FV	2026	Picaleña 115	0.014	SATISFACE
SC_2023_5288_A1	Solar FV	2026	Picaleña 115	0.008	SATISFACE
SC_2023_5288_A2	Solar FV	2026	Picaleña 115	0.021	SATISFACE
SC_2023_5375_A1	Solar FV	2026	Picaleña 115	0.014	SATISFACE
SC_2023_5399_A1	Solar FV	2026	Picaleña 115	0.008	SATISFACE
SC_2023_5399_A2	Solar FV	2026	Picaleña 115	0.021	SATISFACE
SC_2023_5480_A1	Solar FV	2026	Picaleña 115	0.014	SATISFACE
SC_2023_5480_A2	Solar FV	2026	Picaleña 115	0.014	SATISFACE
SC_2023_5557_A1	Solar FV	2028	Picaleña 115	0.054	SATISFACE
SC_2936_A1	Solar FV	2026	Picaleña 115	0.000	SATISFACE
SC_2936_A2	Solar FV	2026	Picaleña 115	0.000	SATISFACE
SC_3882_A1	Solar FV	2026	Picaleña 115	0.052	SATISFACE
SC_4083_A1	Solar FV	2027	Picaleña 115	0.000	SATISFACE
SC_4083_A2	Solar FV	2027	Picaleña 115	0.000	SATISFACE
SC_4765_A1	Solar FV	2029	Picaleña 115	0.001	SATISFACE
SC_4765_A2	Solar FV	2029	Picaleña 115	0.000	SATISFACE
SC_4819_A1	Solar FV	2029	Picaleña 115	0.053	SATISFACE
SC_4819_A2	Solar FV	2029	Picaleña 115	0.047	SATISFACE

No se priorizó ninguna de las alternativas de conexión que tengan aportes de corriente de cortocircuito en la subestación Picaleña 115

El estado de la capacidad de cortocircuito en la subestación Picaleña 115, teniendo en cuenta la priorización se puede observar en la siguiente figura.

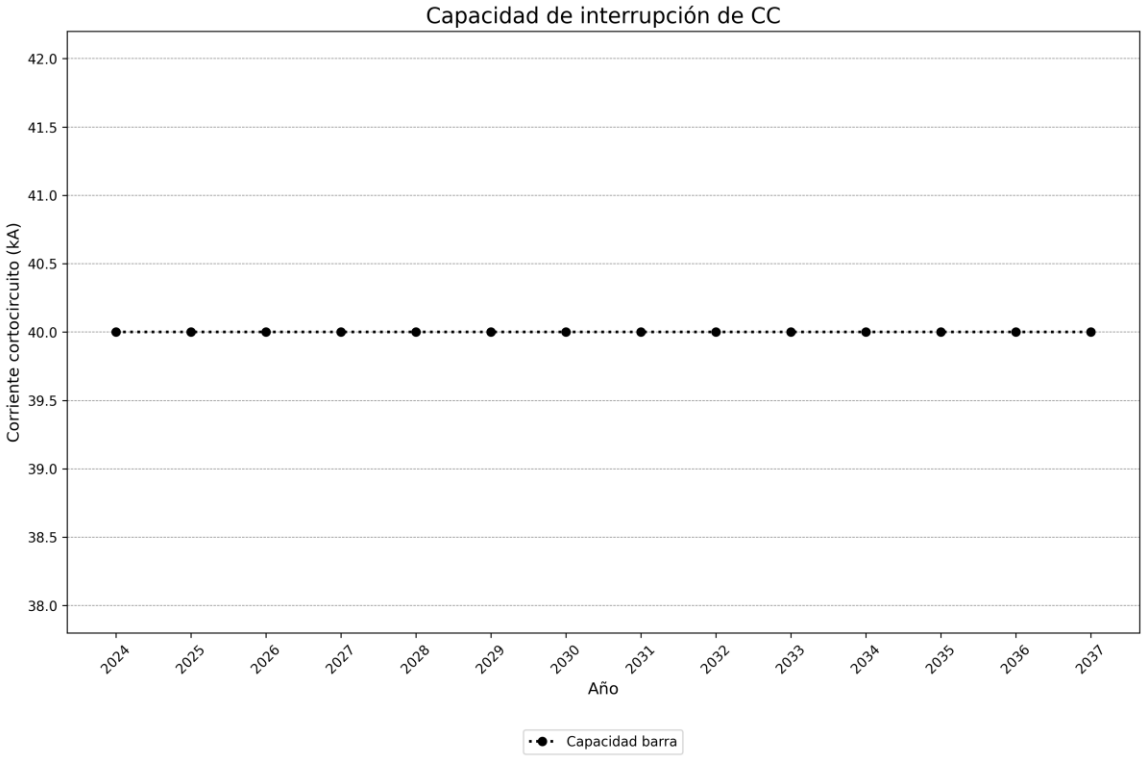


Figura 2-519. Balance de capacidad de cortocircuito después de la priorización para la subestación Picaleña 115

Subestación Pilamo 33:

Capacidad por barra:

Para la subestación Pilamo 33 se presentaron 2 alternativas de conexión las cuales se muestran en la siguiente tabla:

Tabla 2-545. Alternativas de conexión presentadas a la subestación Pilamo 33

Solicitud	Capacidad	Tipo	Barra	FPO solicitada	Restricción
SC_2023_5249_A1	9.9	Solar FV	Pilamo 33	2025	NO SATISFACE
SC_2023_5257_A1	9.9	Solar FV	Pilamo 33	2025	NO SATISFACE

No se priorizó ninguna de las alternativas de conexión presentadas en la subestación Pilamo 33

El estado de la capacidad por barra en la subestación Pilamo 33, teniendo en cuenta la priorización se puede observar en la siguiente figura.

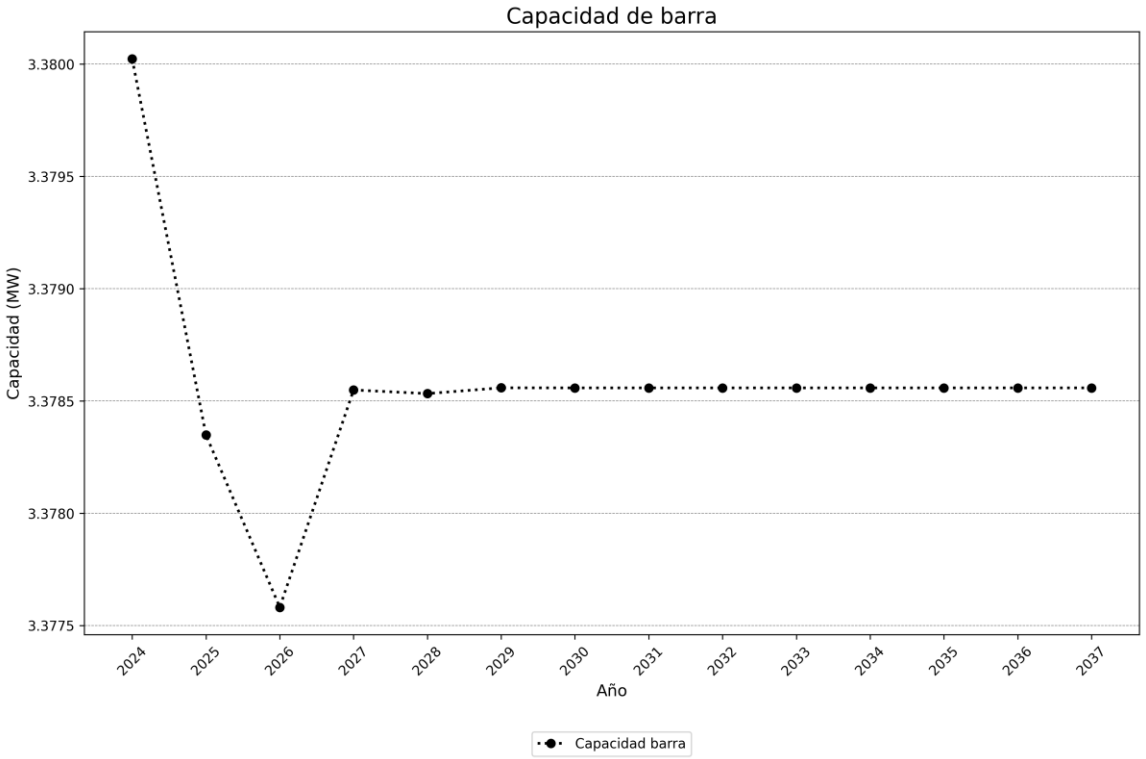


Figura 2-520. Balance de capacidad por barra después de la priorización para la subestación Pilamo 33

Subestación Pitalito 115:

Capacidad por barra:

Para la subestación Pitalito 115 se presentaron 0 alternativas de conexión las cuales se muestran en la siguiente tabla:

Tabla 2-546. Alternativas de conexión presentadas a la subestación Pitalito 115

Solicitud	Capacidad	Tipo	Barra	FPO solicitada	Restricción

No se priorizó ninguna de las alternativas de conexión presentadas en la subestación Pitalito 115

El estado de la capacidad por barra en la subestación Pitalito 115, teniendo en cuenta la priorización se puede observar en la siguiente figura.

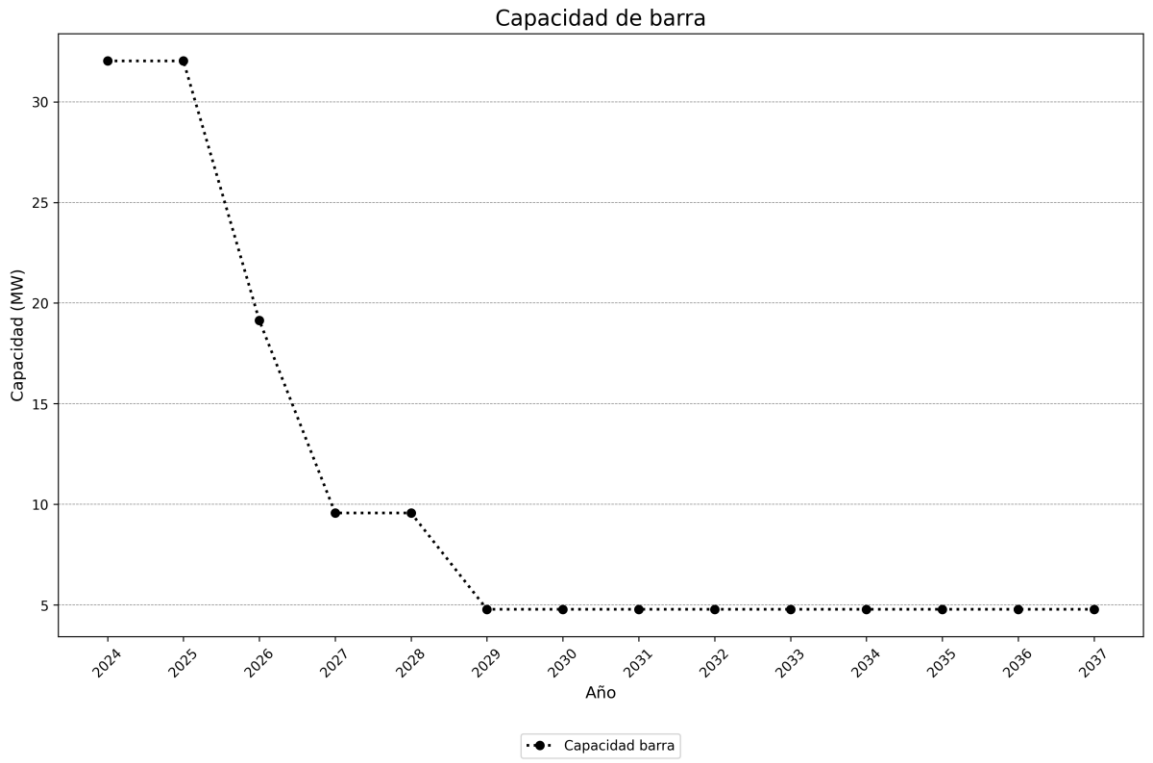


Figura 2-521. Balance de capacidad por barra después de la priorización para la subestación Pitalito 115

Capacidad excedente de interrupción de corriente de cortocircuito:

Para la subestación Pitalito 115 se presentaron 29 alternativas de conexión las cuales tienen aportes de corriente de cortocircuito. Estas alternativas se muestran en la siguiente tabla:

Tabla 2-547. Alternativas de conexión que aportan corriente de cortocircuito en la subestación Pitalito 115

Solicitud	tipo	FPO	Barra a la que aporta CC	Aporte de cortocircuito (kA)	Restricción
SC_2023_5280_A1	Solar FV	2028	Pitalito 115	0.004	SATISFACE
SC_2023_5280_A2	Solar FV	2028	Pitalito 115	0.003	SATISFACE
SC_2023_5287_A1	Solar FV	2026	Pitalito 115	0.002	SATISFACE
SC_2023_5287_A2	Solar FV	2026	Pitalito 115	0.002	SATISFACE
SC_2023_5288_A1	Solar FV	2026	Pitalito 115	0.001	SATISFACE
SC_2023_5288_A2	Solar FV	2026	Pitalito 115	0.002	SATISFACE
SC_2023_5375_A1	Solar FV	2026	Pitalito 115	0.002	SATISFACE
SC_2023_5399_A1	Solar FV	2026	Pitalito 115	0.001	SATISFACE
SC_2023_5399_A2	Solar FV	2026	Pitalito 115	0.002	SATISFACE
SC_2023_5480_A1	Solar FV	2026	Pitalito 115	0.002	SATISFACE
SC_2023_5480_A2	Solar FV	2026	Pitalito 115	0.002	SATISFACE
SC_2023_5557_A1	Solar FV	2028	Pitalito 115	0.005	SATISFACE
SC_2936_A1	Solar FV	2026	Pitalito 115	0.000	SATISFACE
SC_2936_A2	Solar FV	2026	Pitalito 115	0.000	SATISFACE
SC_3121_A1	Solar FV	2026	Pitalito 115	0.000	SATISFACE
SC_3121_A2	Solar FV	2026	Pitalito 115	0.000	SATISFACE
SC_3132_A1	Solar FV	2026	Pitalito 115	0.004	SATISFACE
SC_3132_A2	Solar FV	2026	Pitalito 115	0.003	SATISFACE
SC_3882_A1	Solar FV	2026	Pitalito 115	0.005	SATISFACE
SC_4083_A1	Solar FV	2027	Pitalito 115	0.000	SATISFACE
SC_4083_A2	Solar FV	2027	Pitalito 115	0.000	SATISFACE
SC_4765_A1	Solar FV	2029	Pitalito 115	0.000	SATISFACE
SC_4765_A2	Solar FV	2029	Pitalito 115	0.000	SATISFACE
SC_4819_A1	Solar FV	2029	Pitalito 115	0.006	SATISFACE
SC_4819_A2	Solar FV	2029	Pitalito 115	0.005	SATISFACE
SC_4974_A1	Solar FV	2026	Pitalito 115	0.001	SATISFACE
SC_4974_A2	Solar FV	2026	Pitalito 115	0.001	SATISFACE
SC_4978_A1	Solar FV	2026	Pitalito 115	0.000	SATISFACE
SC_4978_A2	Solar FV	2026	Pitalito 115	0.001	SATISFACE

No se priorizó ninguna de las alternativas de conexión que tengan aportes de corriente de cortocircuito en la subestación Pitalito 115

El estado de la capacidad de cortocircuito en la subestación Pitalito 115, teniendo en cuenta la priorización se puede observar en la siguiente figura.

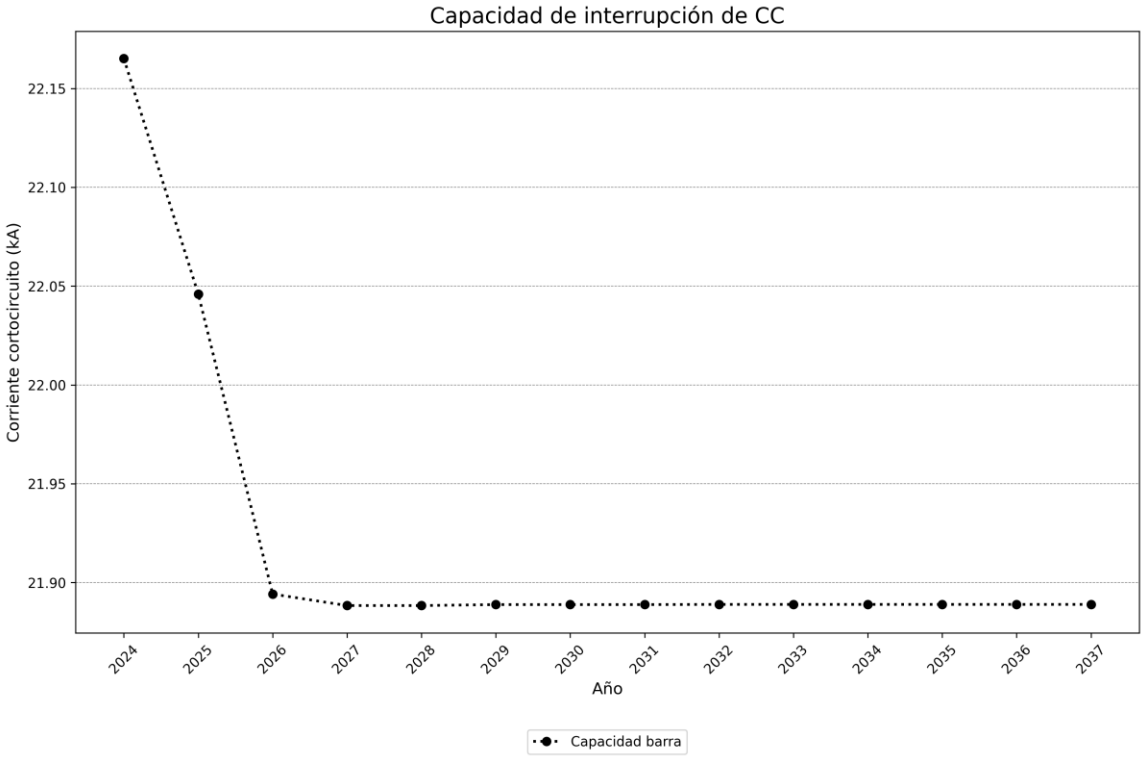


Figura 2-522. Balance de capacidad de cortocircuito después de la priorización para la subestación Pitalito 115

Subestación Playas 110:

Capacidad por barra:

Para la subestación Playas 110 se presentaron 0 alternativas de conexión las cuales se muestran en la siguiente tabla:

Tabla 2-548. Alternativas de conexión presentadas a la subestación Playas 110

Solicitud	Capacidad	Tipo	Barra	FPO solicitada	Restricción

No se priorizó ninguna de las alternativas de conexión presentadas en la subestación Playas 110

El estado de la capacidad por barra en la subestación Playas 110, teniendo en cuenta la priorización se puede observar en la siguiente figura.

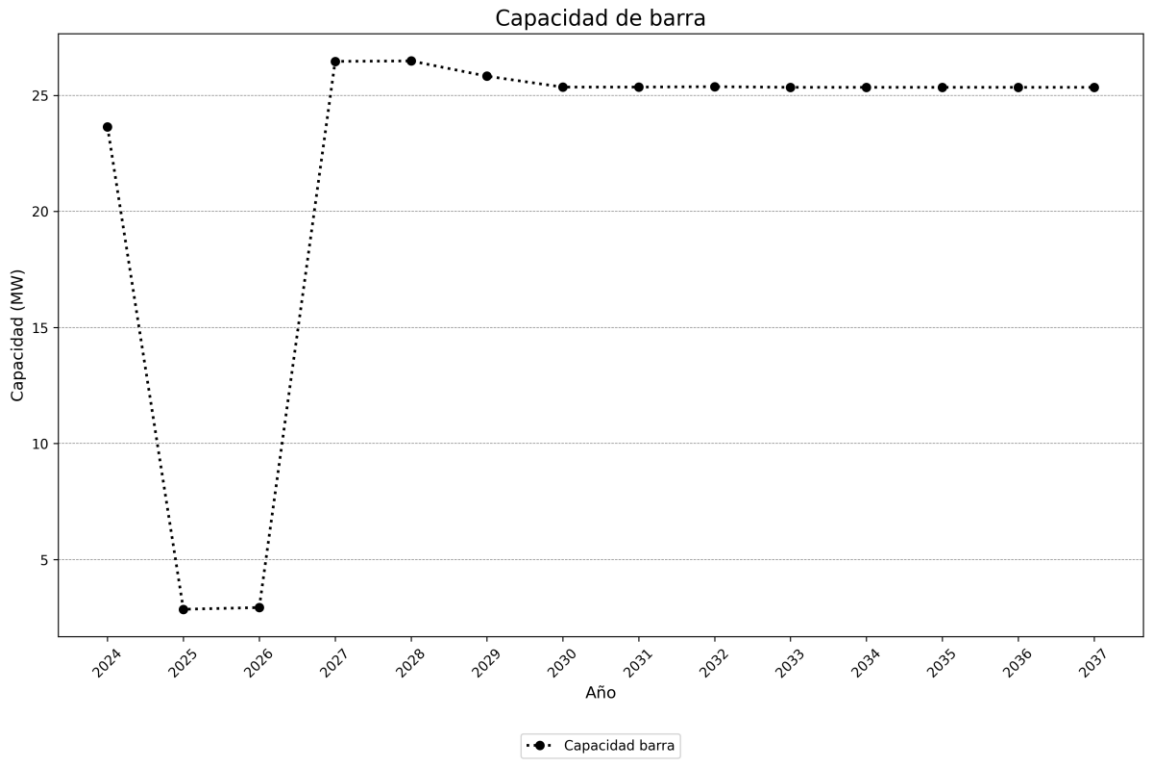


Figura 2-523. Balance de capacidad por barra después de la priorización para la subestación Playas 110

Capacidad excedente de interrupción de corriente de cortocircuito:

Para la subestación Playas 110 se presentaron 1 alternativas de conexión las cuales tienen aportes de corriente de cortocircuito. Estas alternativas se muestran en la siguiente tabla:

Tabla 2-549. Alternativas de conexión que aportan corriente de cortocircuito en la subestación Playas 110

Solicitud	tipo	FPO	Barra a la que aporta CC	Aporte de cortocircuito (kA)	Restricción
SC_3331_A1	Solar FV	2026	Playas 110	0.126	SATISFACE

No se priorizó ninguna de las alternativas de conexión que tengan aportes de corriente de cortocircuito en la subestación Playas 110

El estado de la capacidad de cortocircuito en la subestación Playas 110, teniendo en cuenta la priorización se puede observar en la siguiente figura.

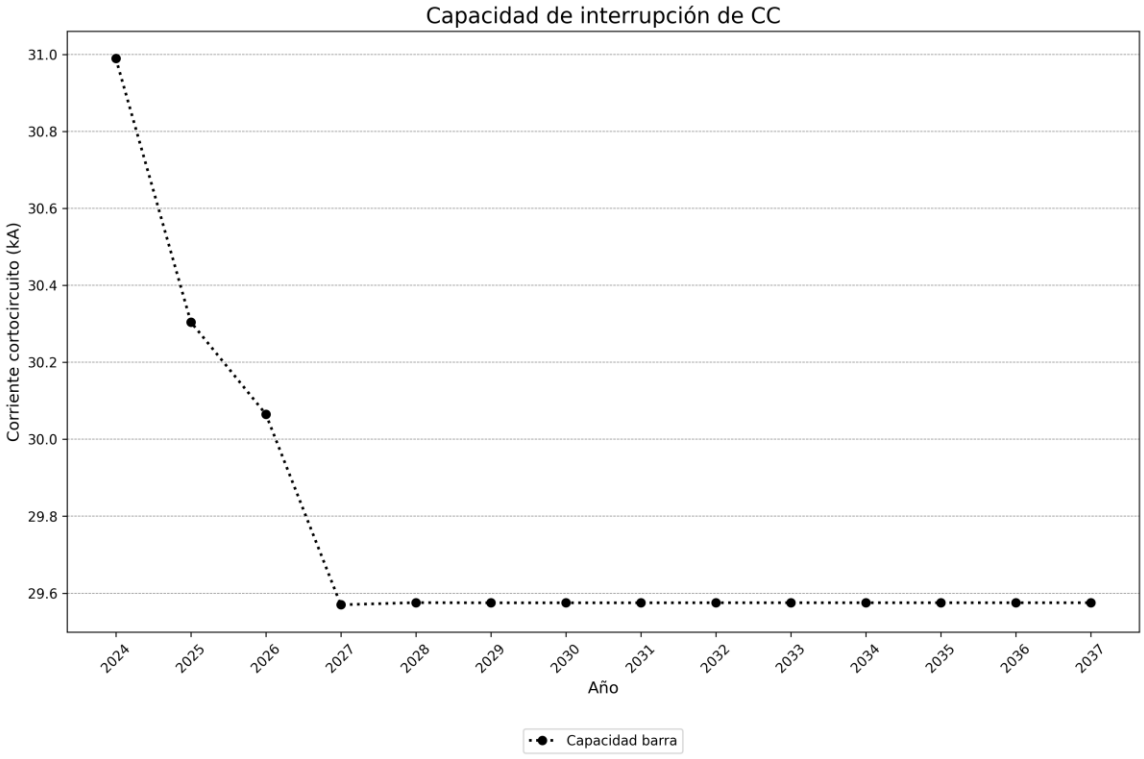


Figura 2-524. Balance de capacidad de cortocircuito después de la priorización para la subestación Playas 110

Subestación Playas 220:

Capacidad por barra:

Para la subestación Playas 220 se presentaron 0 alternativas de conexión las cuales se muestran en la siguiente tabla:

Tabla 2-550. Alternativas de conexión presentadas a la subestación Playas 220

Solicitud	Capacidad	Tipo	Barra	FPO solicitada	Restricción

No se priorizó ninguna de las alternativas de conexión presentadas en la subestación Playas 220

El estado de la capacidad por barra en la subestación Playas 220, teniendo en cuenta la priorización se puede observar en la siguiente figura.

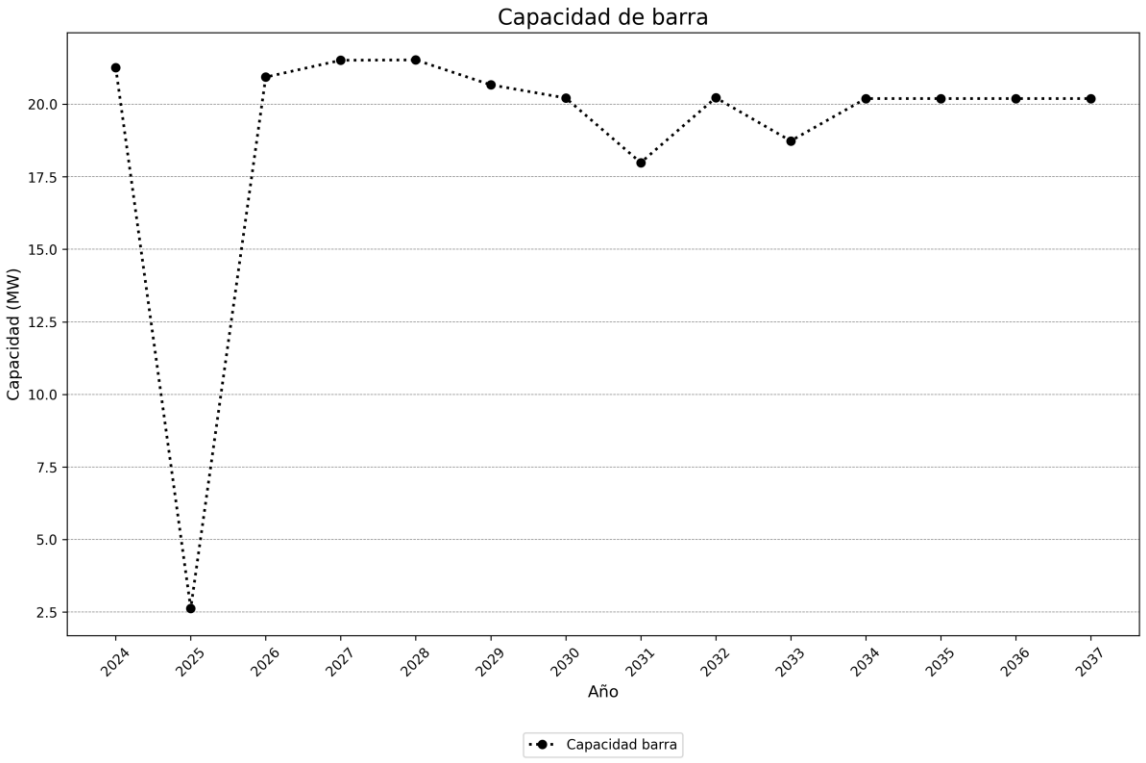


Figura 2-525. Balance de capacidad por barra después de la priorización para la subestación Playas 220

Capacidad excedente de interrupción de corriente de cortocircuito:

Para la subestación Playas 220 se presentaron 1 alternativas de conexión las cuales tienen aportes de corriente de cortocircuito. Estas alternativas se muestran en la siguiente tabla:

Tabla 2-551. Alternativas de conexión que aportan corriente de cortocircuito en la subestación Playas 220

Solicitud	tipo	FPO	Barra a la que aporta CC	Aporte de cortocircuito (kA)	Restricción
SC_3331_A1	Solar FV	2026	Playas 220	0.111	SATISFACE

No se priorizó ninguna de las alternativas de conexión que tengan aportes de corriente de cortocircuito en la subestación Playas 220

El estado de la capacidad de cortocircuito en la subestación Playas 220, teniendo en cuenta la priorización se puede observar en la siguiente figura.

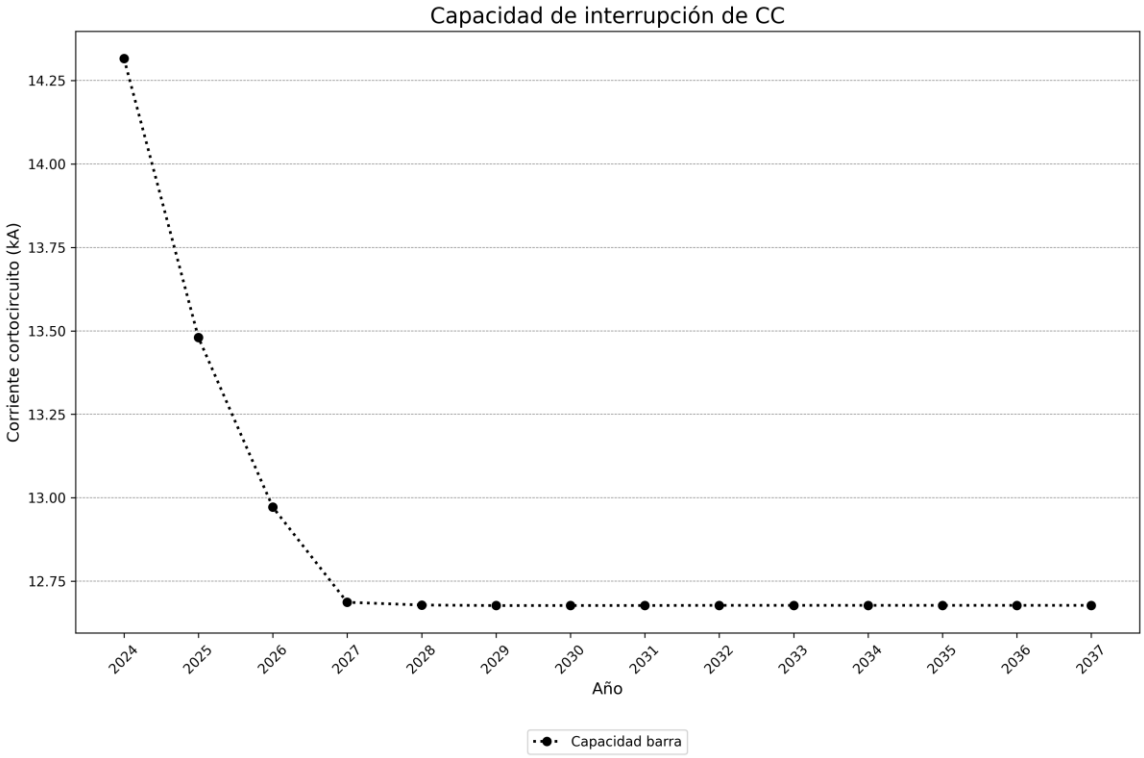


Figura 2-526. Balance de capacidad de cortocircuito después de la priorización para la subestación Playas 220

Subestación Poblado 110:

Capacidad por barra:

Para la subestación Poblado 110 se presentaron 0 alternativas de conexión las cuales se muestran en la siguiente tabla:

Tabla 2-552. Alternativas de conexión presentadas a la subestación Poblado 110

Solicitud	Capacidad	Tipo	Barra	FPO solicitada	Restricción

No se priorizó ninguna de las alternativas de conexión presentadas en la subestación Poblado 110

El estado de la capacidad por barra en la subestación Poblado 110, teniendo en cuenta la priorización se puede observar en la siguiente figura.

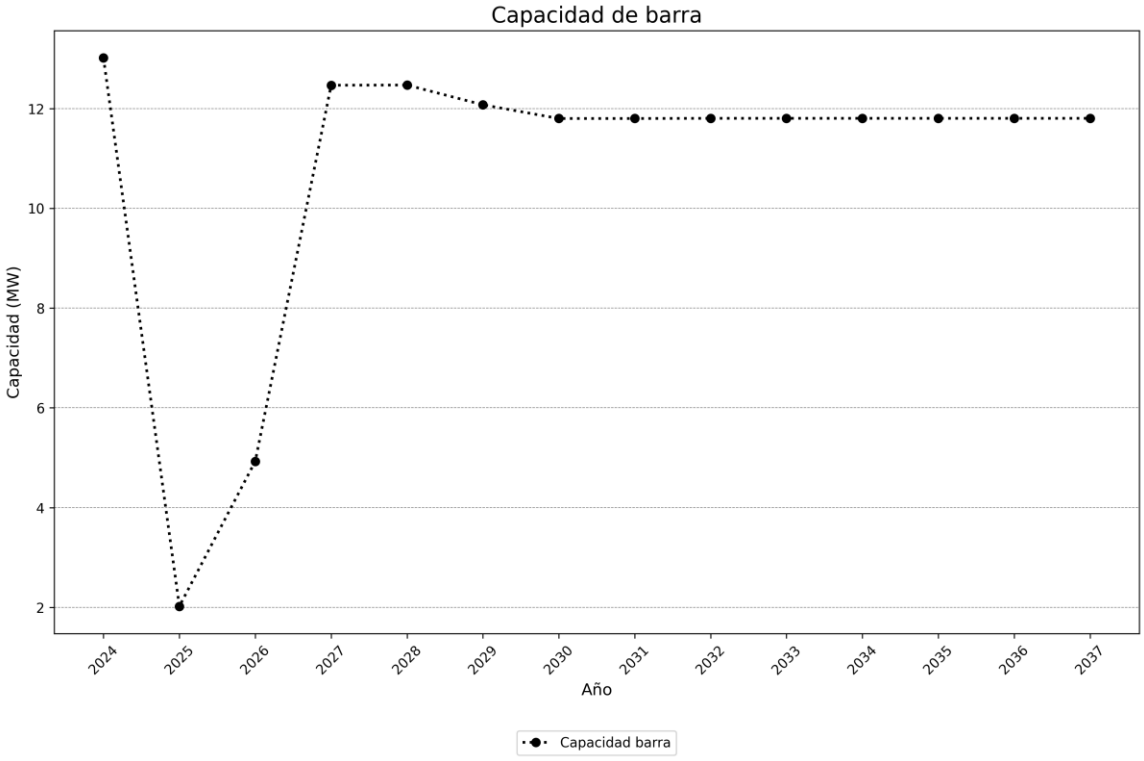


Figura 2-527. Balance de capacidad por barra después de la priorización para la subestación Poblado 110

Capacidad excedente de interrupción de corriente de cortocircuito:

Para la subestación Poblado 110 se presentaron 1 alternativas de conexión las cuales tienen aportes de corriente de cortocircuito. Estas alternativas se muestran en la siguiente tabla:

Tabla 2-553. Alternativas de conexión que aportan corriente de cortocircuito en la subestación Poblado 110

Solicitud	tipo	FPO	Barra a la que aporta CC	Aporte de cortocircuito (kA)	Restricción
SC_3331_A1	Solar FV	2026	Poblado 110	0.106	SATISFACE

No se priorizó ninguna de las alternativas de conexión que tengan aportes de corriente de cortocircuito en la subestación Poblado 110

El estado de la capacidad de cortocircuito en la subestación Poblado 110, teniendo en cuenta la priorización se puede observar en la siguiente figura.

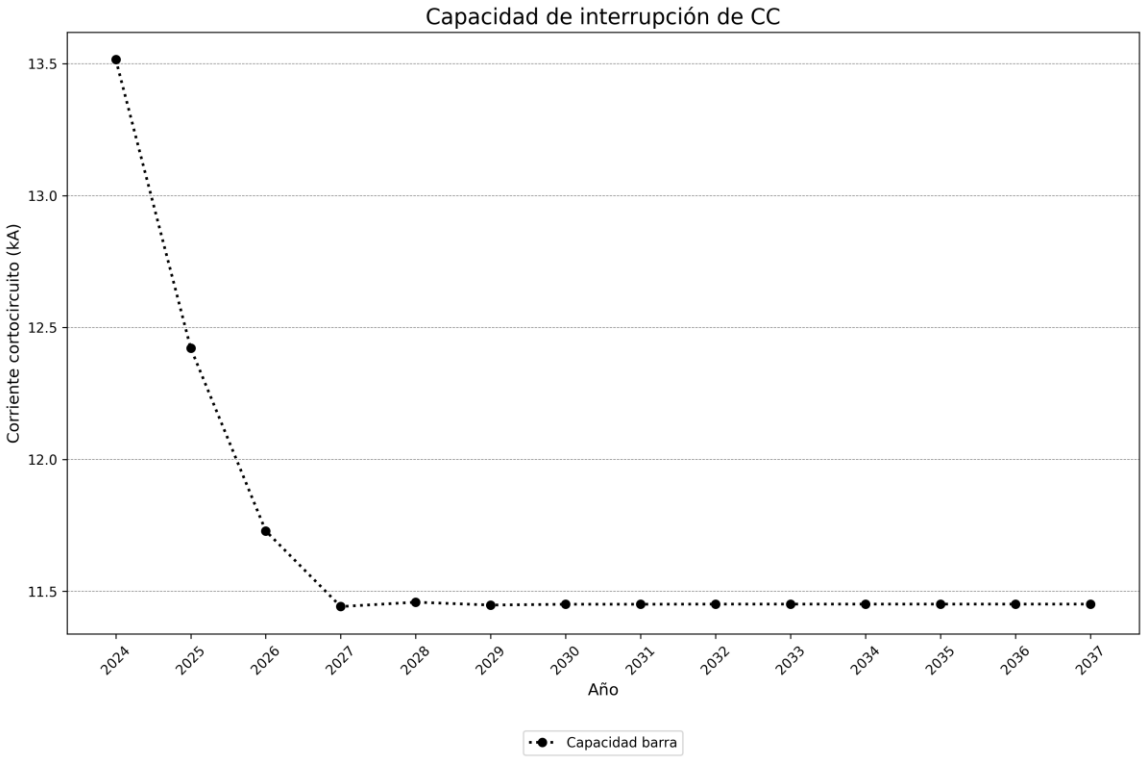


Figura 2-528. Balance de capacidad de cortocircuito después de la priorización para la subestación Poblado 110

Subestación Popayan 115:

Capacidad por barra:

Para la subestación Popayan 115 se presentaron 0 alternativas de conexión las cuales se muestran en la siguiente tabla:

Tabla 2-554. Alternativas de conexión presentadas a la subestación Popayan 115

Solicitud	Capacidad	Tipo	Barra	FPO solicitada	Restricción

No se priorizó ninguna de las alternativas de conexión presentadas en la subestación Popayan 115

El estado de la capacidad por barra en la subestación Popayan 115, teniendo en cuenta la priorización se puede observar en la siguiente figura.

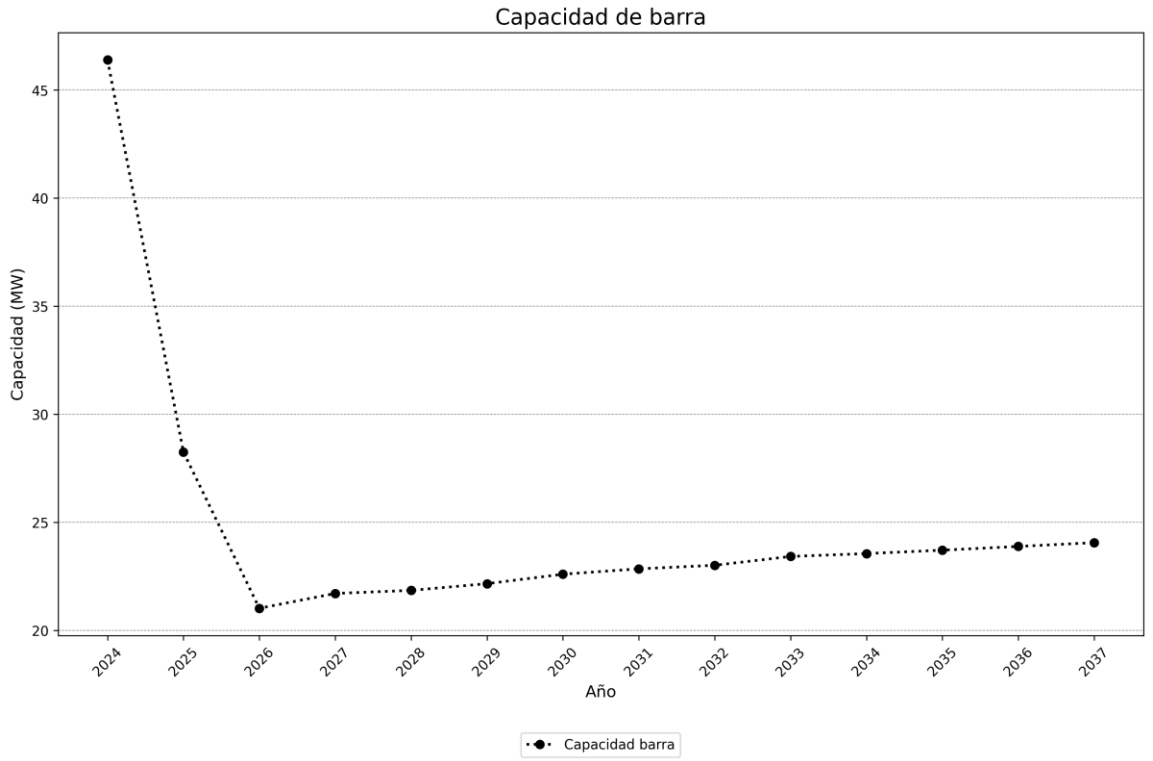


Figura 2-529. Balance de capacidad por barra después de la priorización para la subestación Popayan 115

Capacidad excedente de interrupción de corriente de cortocircuito:

Para la subestación Popayan 115 se presentaron 29 alternativas de conexión las cuales tienen aportes de corriente de cortocircuito. Estas alternativas se muestran en la siguiente tabla:

Tabla 2-555. Alternativas de conexión que aportan corriente de cortocircuito en la subestación Popayan 115

Solicitud	tipo	FPO	Barra a la que aporta CC	Aporte de cortocircuito (kA)	Restricción
SC_2023_5280_A1	Solar FV	2028	Popayan 115	0.012	SATISFACE
SC_2023_5280_A2	Solar FV	2028	Popayan 115	0.011	SATISFACE
SC_2023_5287_A1	Solar FV	2026	Popayan 115	0.006	SATISFACE
SC_2023_5287_A2	Solar FV	2026	Popayan 115	0.006	SATISFACE
SC_2023_5288_A1	Solar FV	2026	Popayan 115	0.003	SATISFACE
SC_2023_5288_A2	Solar FV	2026	Popayan 115	0.009	SATISFACE
SC_2023_5375_A1	Solar FV	2026	Popayan 115	0.006	SATISFACE
SC_2023_5399_A1	Solar FV	2026	Popayan 115	0.003	SATISFACE
SC_2023_5399_A2	Solar FV	2026	Popayan 115	0.009	SATISFACE
SC_2023_5480_A1	Solar FV	2026	Popayan 115	0.006	SATISFACE
SC_2023_5480_A2	Solar FV	2026	Popayan 115	0.006	SATISFACE
SC_2023_5557_A1	Solar FV	2028	Popayan 115	0.016	SATISFACE
SC_2936_A1	Solar FV	2026	Popayan 115	0.000	SATISFACE
SC_2936_A2	Solar FV	2026	Popayan 115	0.000	SATISFACE
SC_3121_A1	Solar FV	2026	Popayan 115	0.001	SATISFACE
SC_3121_A2	Solar FV	2026	Popayan 115	0.001	SATISFACE
SC_3132_A1	Solar FV	2026	Popayan 115	0.014	SATISFACE
SC_3132_A2	Solar FV	2026	Popayan 115	0.012	SATISFACE
SC_3882_A1	Solar FV	2026	Popayan 115	0.016	SATISFACE
SC_4083_A1	Solar FV	2027	Popayan 115	0.000	SATISFACE
SC_4083_A2	Solar FV	2027	Popayan 115	0.000	SATISFACE
SC_4765_A1	Solar FV	2029	Popayan 115	0.000	SATISFACE
SC_4765_A2	Solar FV	2029	Popayan 115	0.000	SATISFACE
SC_4819_A1	Solar FV	2029	Popayan 115	0.019	SATISFACE
SC_4819_A2	Solar FV	2029	Popayan 115	0.018	SATISFACE
SC_4974_A1	Solar FV	2026	Popayan 115	0.001	SATISFACE
SC_4974_A2	Solar FV	2026	Popayan 115	0.001	SATISFACE

SC_4978_A1	Solar FV	2026	Popayan 115	0.001	SATISFACE
SC_4978_A2	Solar FV	2026	Popayan 115	0.003	SATISFACE

No se priorizó ninguna de las alternativas de conexión que tengan aportes de corriente de cortocircuito en la subestación Popayan 115

El estado de la capacidad de cortocircuito en la subestación Popayan 115, teniendo en cuenta la priorización se puede observar en la siguiente figura.

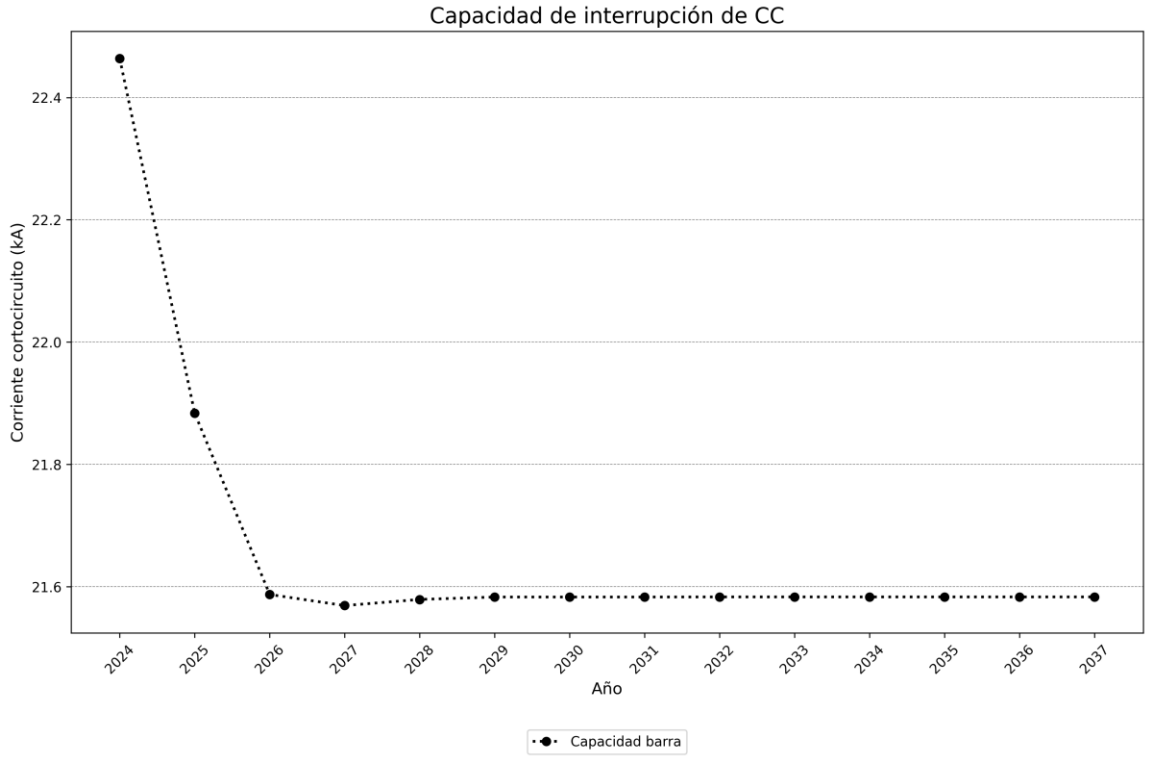


Figura 2-530. Balance de capacidad de cortocircuito después de la priorización para la subestación Popayan 115

Subestación Porce 220:

Capacidad por barra:

Para la subestación Porce 220 se presentaron 0 alternativas de conexión las cuales se muestran en la siguiente tabla:

Tabla 2-556. Alternativas de conexión presentadas a la subestación Porce 220

Solicitud	Capacidad	Tipo	Barra	FPO solicitada	Restricción

No se priorizó ninguna de las alternativas de conexión presentadas en la subestación Porce 220

El estado de la capacidad por barra en la subestación Porce 220, teniendo en cuenta la priorización se puede observar en la siguiente figura.

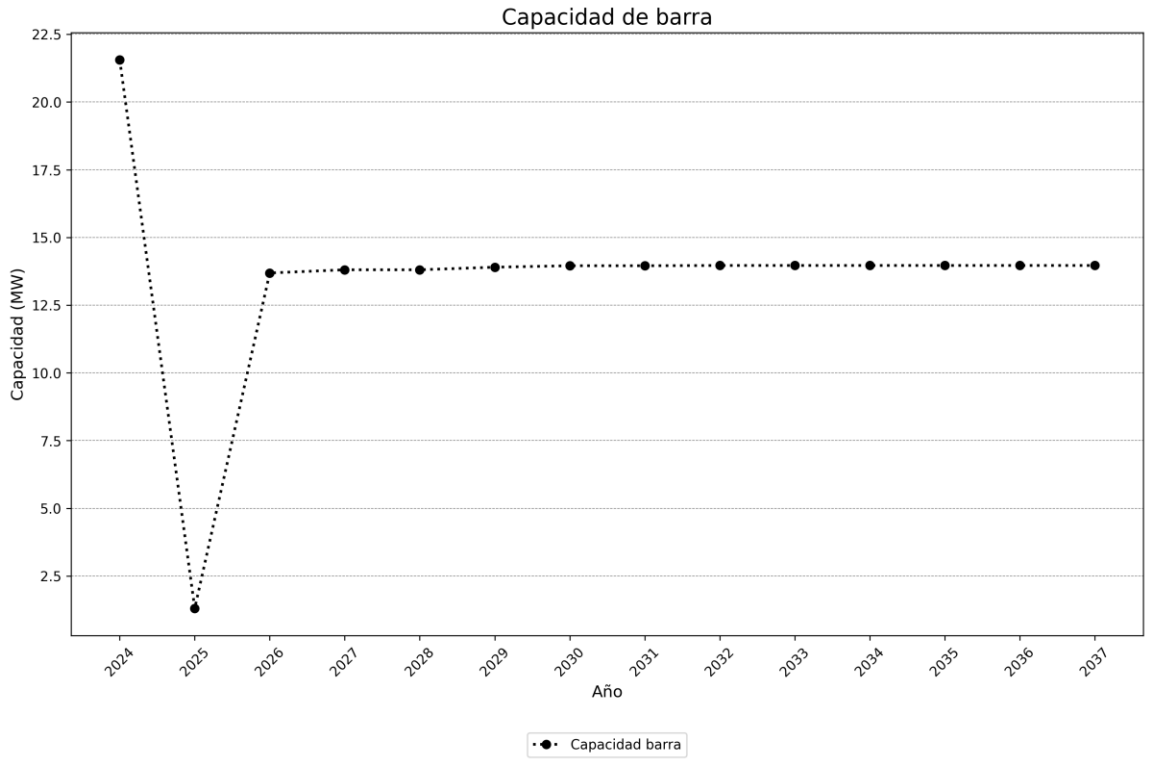


Figura 2-531. Balance de capacidad por barra después de la priorización para la subestación Porce 220

Capacidad excedente de interrupción de corriente de cortocircuito:

Para la subestación Porce 220 se presentaron 1 alternativas de conexión las cuales tienen aportes de corriente de cortocircuito. Estas alternativas se muestran en la siguiente tabla:

Tabla 2-557. Alternativas de conexión que aportan corriente de cortocircuito en la subestación Porce 220

Solicitud	tipo	FPO	Barra a la que aporta CC	Aporte de cortocircuito (kA)	Restricción
SC_3331_A1	Solar FV	2026	Porce 220	0.069	SATISFACE

No se priorizó ninguna de las alternativas de conexión que tengan aportes de corriente de cortocircuito en la subestación Porce 220

El estado de la capacidad de cortocircuito en la subestación Porce 220, teniendo en cuenta la priorización se puede observar en la siguiente figura.

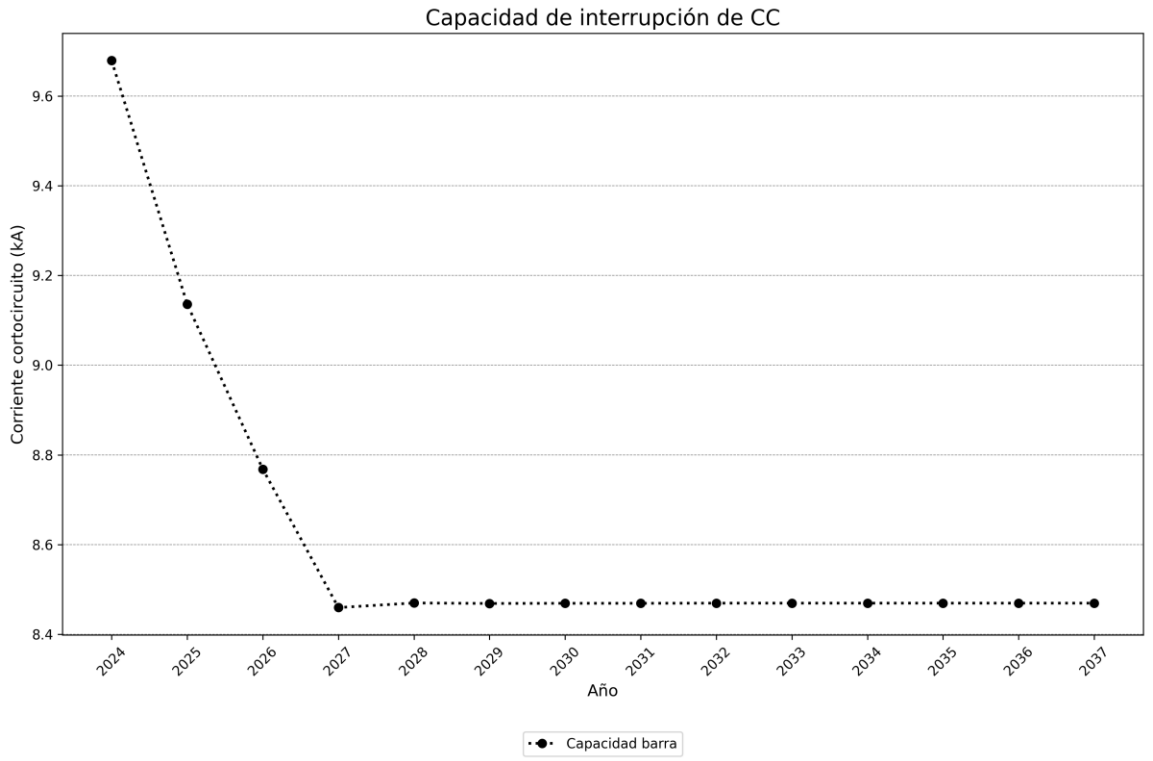


Figura 2-532. Balance de capacidad de cortocircuito después de la priorización para la subestación Porce 220

Subestación Porce III 500:

Capacidad por barra:

Para la subestación Porce III 500 se presentaron 0 alternativas de conexión las cuales se muestran en la siguiente tabla:

Tabla 2-558. Alternativas de conexión presentadas a la subestación Porce III 500

Solicitud	Capacidad	Tipo	Barra	FPO solicitada	Restricción

No se priorizó ninguna de las alternativas de conexión presentadas en la subestación Porce III 500

El estado de la capacidad por barra en la subestación Porce III 500, teniendo en cuenta la priorización se puede observar en la siguiente figura.

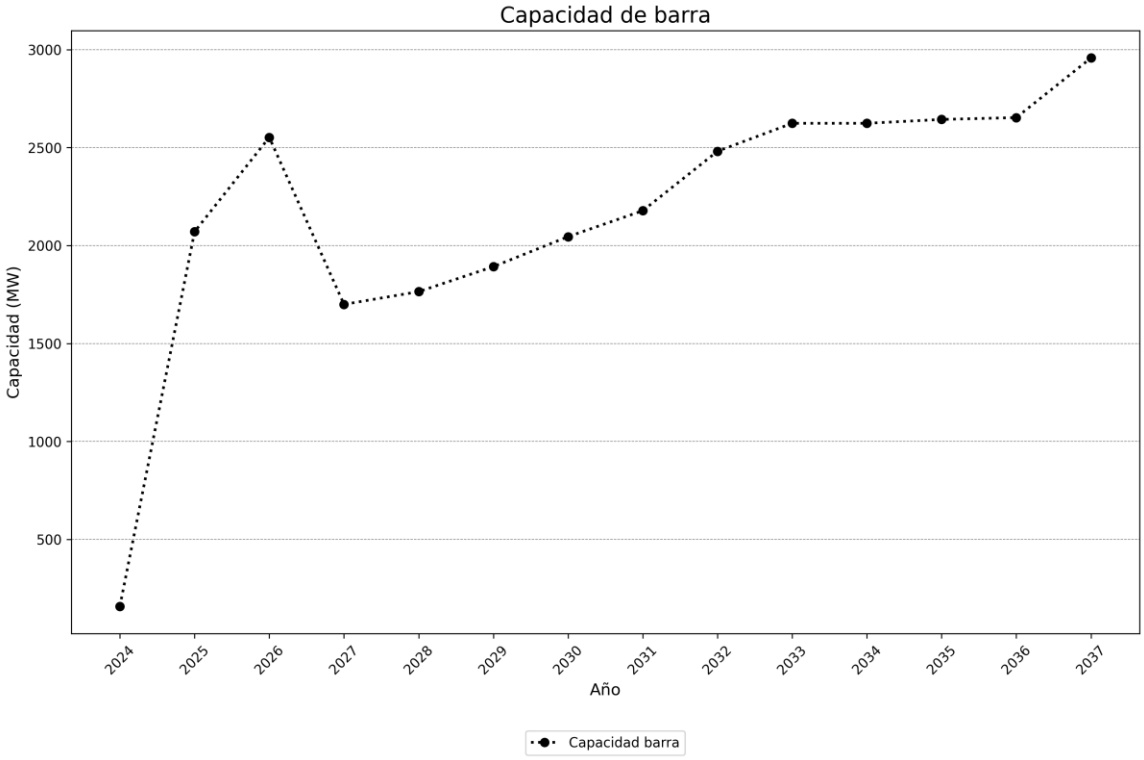


Figura 2-533. Balance de capacidad por barra después de la priorización para la subestación Porce III 500

Capacidad excedente de interrupción de corriente de cortocircuito:

Para la subestación Porce III 500 se presentaron 19 alternativas de conexión las cuales tienen aportes de corriente de cortocircuito. Estas alternativas se muestran en la siguiente tabla:

Tabla 2-559. Alternativas de conexión que aportan corriente de cortocircuito en la subestación Porce III 500

Solicitud	tipo	FPO	Barra a la que aporta CC	Aporte de cortocircuito (kA)	Restricción
SC_2023_5144_A1	Solar FV	2028	Porce III 500	0.052	SATISFACE
SC_2023_5144_A2	Solar FV	2028	Porce III 500	0.065	SATISFACE
SC_2023_5150_A1	Solar FV	2028	Porce III 500	0.051	SATISFACE

SC_3133_A1	Solar FV	2028	Porce III 500	0.072	SATISFACE
SC_3133_A2	Solar FV	2028	Porce III 500	0.083	SATISFACE
SC_3238_A1	Solar FV	2027	Porce III 500	0.171	SATISFACE
SC_3238_A2	Solar FV	2027	Porce III 500	0.185	SATISFACE
SC_3247_A1	Solar FV	2027	Porce III 500	0.052	SATISFACE
SC_3247_A2	Solar FV	2027	Porce III 500	0.039	SATISFACE
SC_3248_A1	Solar FV	2027	Porce III 500	0.171	SATISFACE
SC_3248_A2	Solar FV	2027	Porce III 500	0.185	SATISFACE
SC_3331_A1	Solar FV	2026	Porce III 500	0.059	SATISFACE
SC_3441_A1	Solar FV	2027	Porce III 500	0.052	SATISFACE
SC_3441_A2	Solar FV	2027	Porce III 500	0.039	SATISFACE
SC_4296_A1	Solar FV	2028	Porce III 500	0.052	SATISFACE
SC_4296_A2	Solar FV	2028	Porce III 500	0.048	SATISFACE
SC_4809_A1	Solar FV	2027	Porce III 500	0.029	SATISFACE
SC_4809_A2	Solar FV	2027	Porce III 500	0.108	SATISFACE
SC_4842_A1	Solar FV	2028	Porce III 500	0.051	SATISFACE

No se priorizó ninguna de las alternativas de conexión que tengan aportes de corriente de cortocircuito en la subestación Porce III 500

El estado de la capacidad de cortocircuito en la subestación Porce III 500, teniendo en cuenta la priorización se puede observar en la siguiente figura.

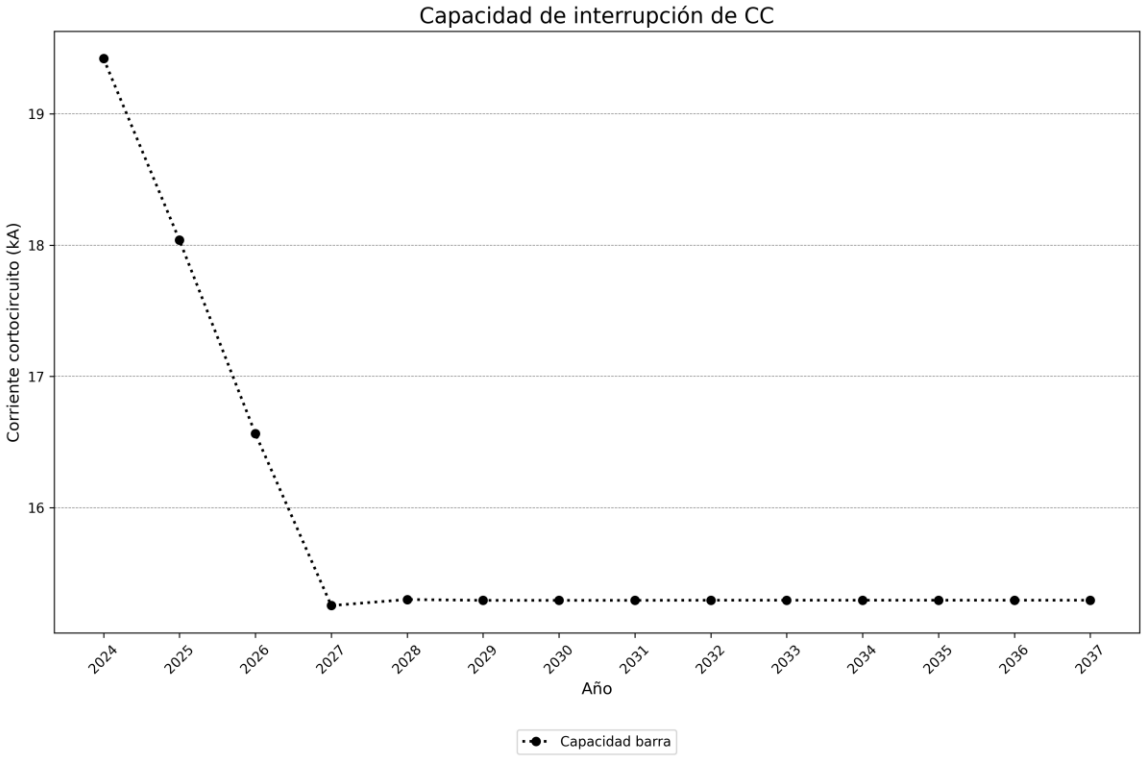


Figura 2-534. Balance de capacidad de cortocircuito después de la priorización para la subestación Porce III 500

Subestación Porcecito 110:

Capacidad por barra:

Para la subestación Porcecito 110 se presentaron 0 alternativas de conexión las cuales se muestran en la siguiente tabla:

Tabla 2-560. Alternativas de conexión presentadas a la subestación Porcecito 110

Solicitud	Capacidad	Tipo	Barra	FPO solicitada	Restricción

No se priorizó ninguna de las alternativas de conexión presentadas en la subestación Porcecito 110

El estado de la capacidad por barra en la subestación Porcecito 110, teniendo en cuenta la priorización se puede observar en la siguiente figura.

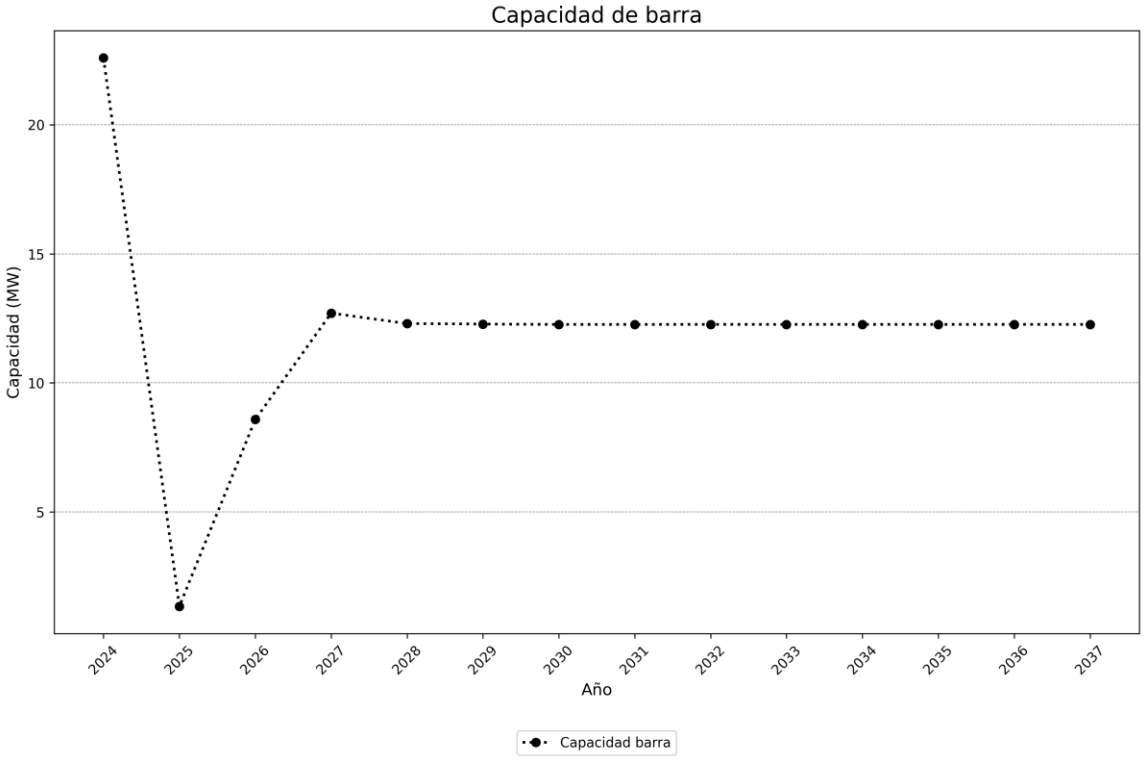


Figura 2-535. Balance de capacidad por barra después de la priorización para la subestación Porcecito 110

Capacidad excedente de interrupción de corriente de cortocircuito:

Para la subestación Porcecito 110 se presentaron 1 alternativas de conexión las cuales tienen aportes de corriente de cortocircuito. Estas alternativas se muestran en la siguiente tabla:

Tabla 2-561. Alternativas de conexión que aportan corriente de cortocircuito en la subestación Porcecito 110

Solicitud	tipo	FPO	Barra a la que aporta CC	Aporte de cortocircuito (kA)	Restricción
SC_3331_A1	Solar FV	2026	Porcecito 110	0.012	SATISFACE

No se priorizó ninguna de las alternativas de conexión que tengan aportes de corriente de cortocircuito en la subestación Porcecito 110

El estado de la capacidad de cortocircuito en la subestación Porcecito 110, teniendo en cuenta la priorización se puede observar en la siguiente figura.

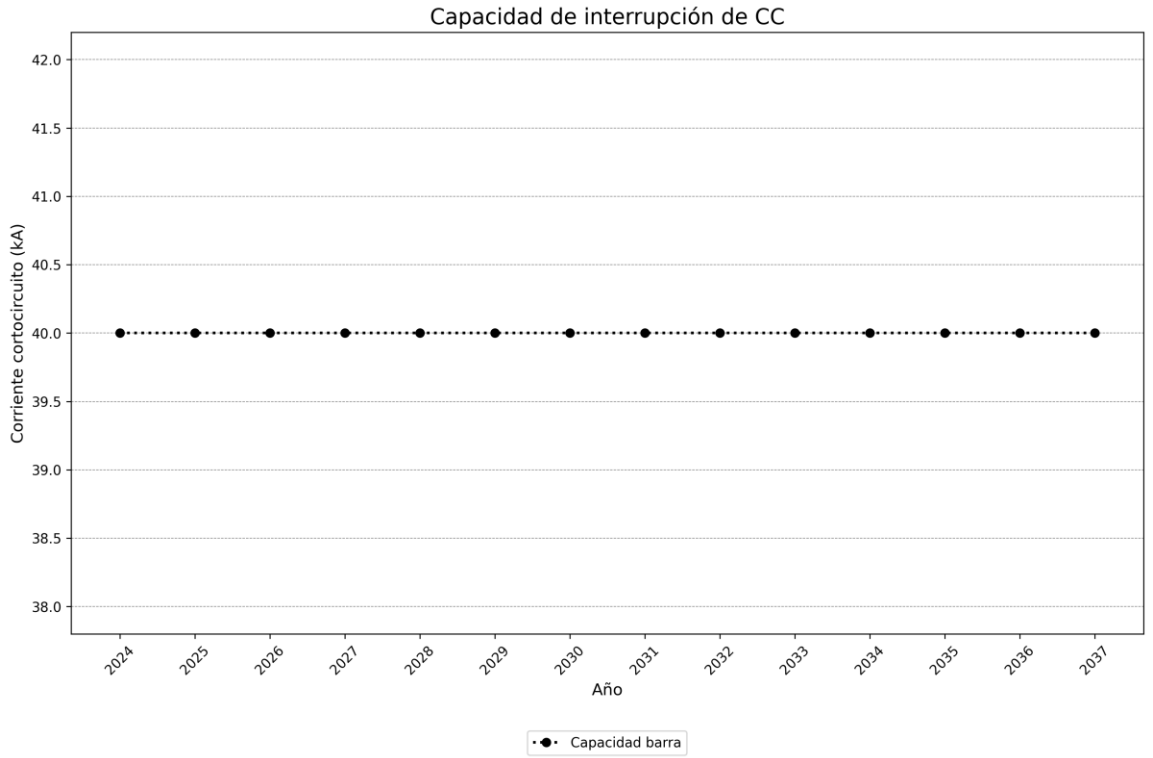


Figura 2-536. Balance de capacidad de cortocircuito después de la priorización para la subestación Porcecito 110

Subestación Portugal 115:

Capacidad por barra:

Para la subestación Portugal 115 se presentaron 0 alternativas de conexión las cuales se muestran en la siguiente tabla:

Tabla 2-562. Alternativas de conexión presentadas a la subestación Portugal 115

Solicitud	Capacidad	Tipo	Barra	FPO solicitada	Restricción

No se priorizó ninguna de las alternativas de conexión presentadas en la subestación Portugal 115

El estado de la capacidad por barra en la subestación Portugal 115, teniendo en cuenta la priorización se puede observar en la siguiente figura.

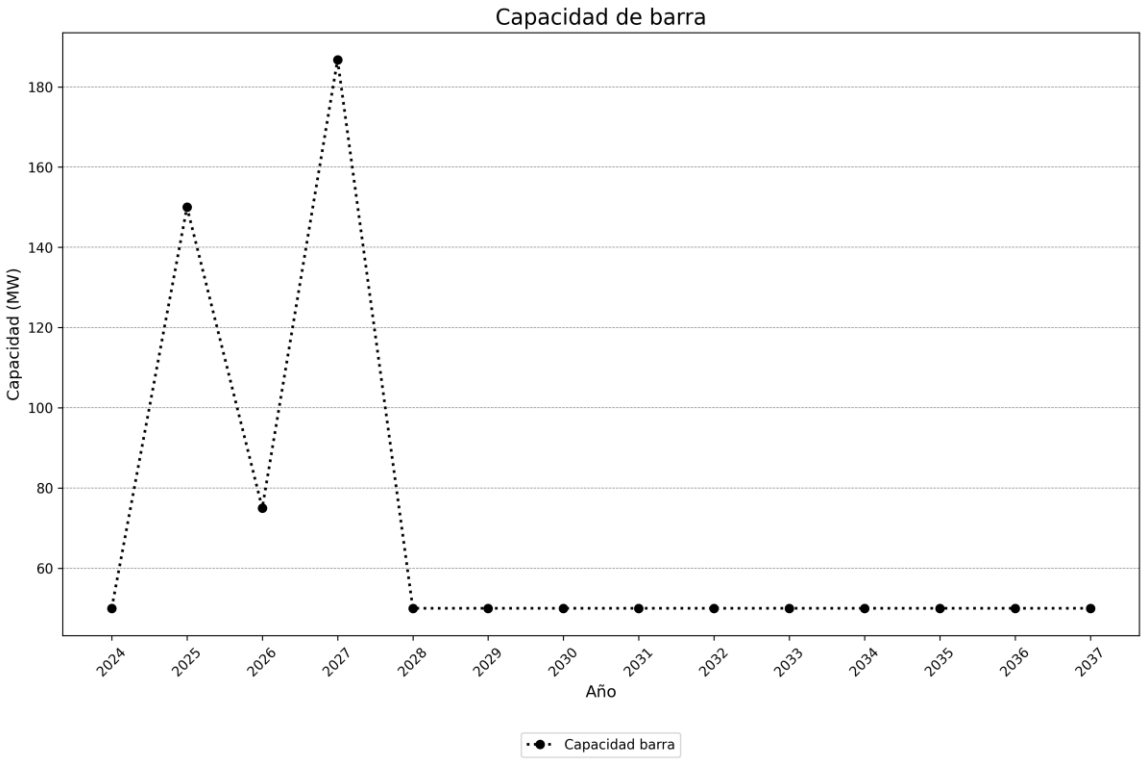


Figura 2-537. Balance de capacidad por barra después de la priorización para la subestación Portugal 115

Capacidad excedente de interrupción de corriente de cortocircuito:

Para la subestación Portugal 115 se presentaron 29 alternativas de conexión las cuales tienen aportes de corriente de cortocircuito. Estas alternativas se muestran en la siguiente tabla:

Tabla 2-563. Alternativas de conexión que aportan corriente de cortocircuito en la subestación Portugal 115

Solicitud	tipo	FPO	Barra a la que aporta CC	Aporte de cortocircuito (kA)	Restricción
SC_2023_5280_A1	Solar FV	2028	Portugal 115	0.044	SATISFACE
SC_2023_5280_A2	Solar FV	2028	Portugal 115	0.040	SATISFACE
SC_2023_5287_A1	Solar FV	2026	Portugal 115	0.023	SATISFACE
SC_2023_5287_A2	Solar FV	2026	Portugal 115	0.024	SATISFACE
SC_2023_5288_A1	Solar FV	2026	Portugal 115	0.014	SATISFACE
SC_2023_5288_A2	Solar FV	2026	Portugal 115	0.036	SATISFACE
SC_2023_5375_A1	Solar FV	2026	Portugal 115	0.023	SATISFACE
SC_2023_5399_A1	Solar FV	2026	Portugal 115	0.014	SATISFACE
SC_2023_5399_A2	Solar FV	2026	Portugal 115	0.036	SATISFACE
SC_2023_5480_A1	Solar FV	2026	Portugal 115	0.023	SATISFACE
SC_2023_5480_A2	Solar FV	2026	Portugal 115	0.024	SATISFACE
SC_2023_5557_A1	Solar FV	2028	Portugal 115	0.091	SATISFACE
SC_2936_A1	Solar FV	2026	Portugal 115	0.000	SATISFACE
SC_2936_A2	Solar FV	2026	Portugal 115	0.000	SATISFACE
SC_3121_A1	Solar FV	2026	Portugal 115	0.004	SATISFACE
SC_3121_A2	Solar FV	2026	Portugal 115	0.004	SATISFACE
SC_3132_A1	Solar FV	2026	Portugal 115	0.050	SATISFACE
SC_3132_A2	Solar FV	2026	Portugal 115	0.043	SATISFACE
SC_3882_A1	Solar FV	2026	Portugal 115	0.087	SATISFACE
SC_4083_A1	Solar FV	2027	Portugal 115	0.000	SATISFACE
SC_4083_A2	Solar FV	2027	Portugal 115	0.000	SATISFACE
SC_4765_A1	Solar FV	2029	Portugal 115	0.002	SATISFACE
SC_4765_A2	Solar FV	2029	Portugal 115	0.001	SATISFACE
SC_4819_A1	Solar FV	2029	Portugal 115	0.079	SATISFACE
SC_4819_A2	Solar FV	2029	Portugal 115	0.072	SATISFACE
SC_4974_A1	Solar FV	2026	Portugal 115	0.004	SATISFACE
SC_4974_A2	Solar FV	2026	Portugal 115	0.004	SATISFACE

SC_4978_A1	Solar FV	2026	Portugal 115	0.000	SATISFACE
SC_4978_A2	Solar FV	2026	Portugal 115	0.004	SATISFACE

No se priorizó ninguna de las alternativas de conexión que tengan aportes de corriente de cortocircuito en la subestación Portugal 115

El estado de la capacidad de cortocircuito en la subestación Portugal 115, teniendo en cuenta la priorización se puede observar en la siguiente figura.

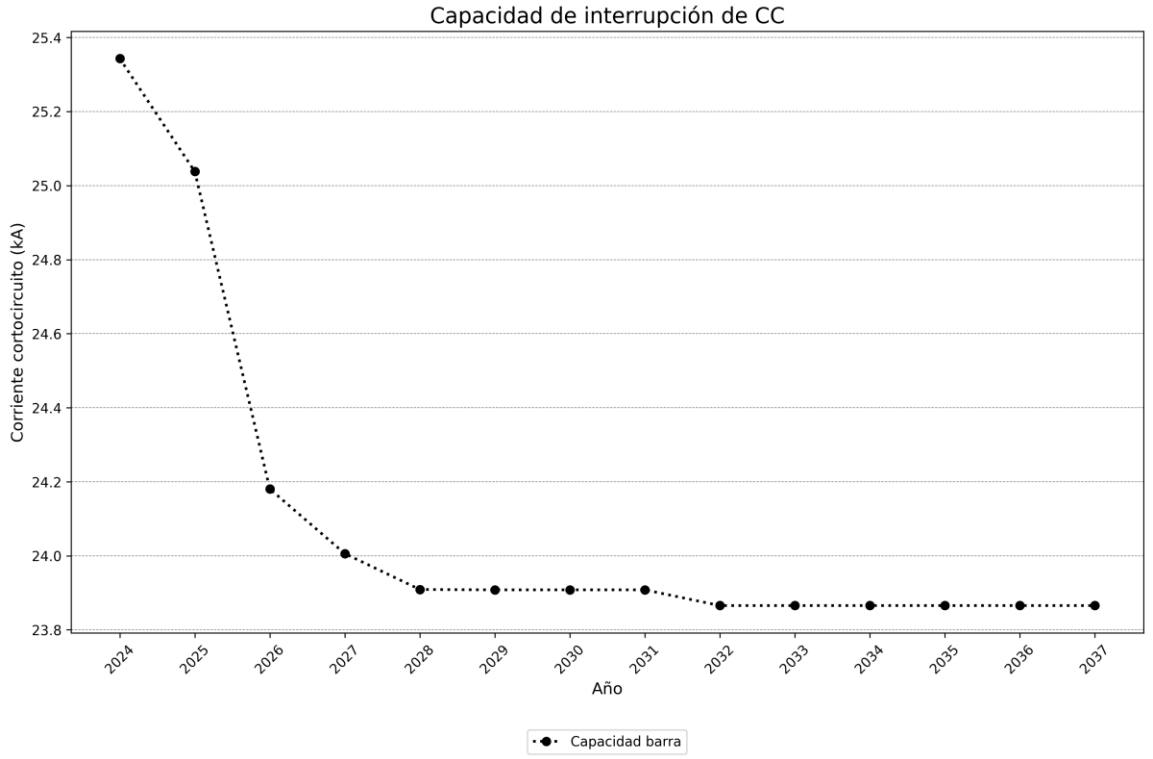


Figura 2-538. Balance de capacidad de cortocircuito después de la priorización para la subestación Portugal 115

Subestación Porvenir 115:

Capacidad por barra:

Para la subestación Porvenir 115 se presentaron 0 alternativas de conexión las cuales se muestran en la siguiente tabla:

Tabla 2-564. Alternativas de conexión presentadas a la subestación Porvenir 115

Solicitud	Capacidad	Tipo	Barra	FPO solicitada	Restricción

No se priorizó ninguna de las alternativas de conexión presentadas en la subestación Porvenir 115

El estado de la capacidad por barra en la subestación Porvenir 115, teniendo en cuenta la priorización se puede observar en la siguiente figura.

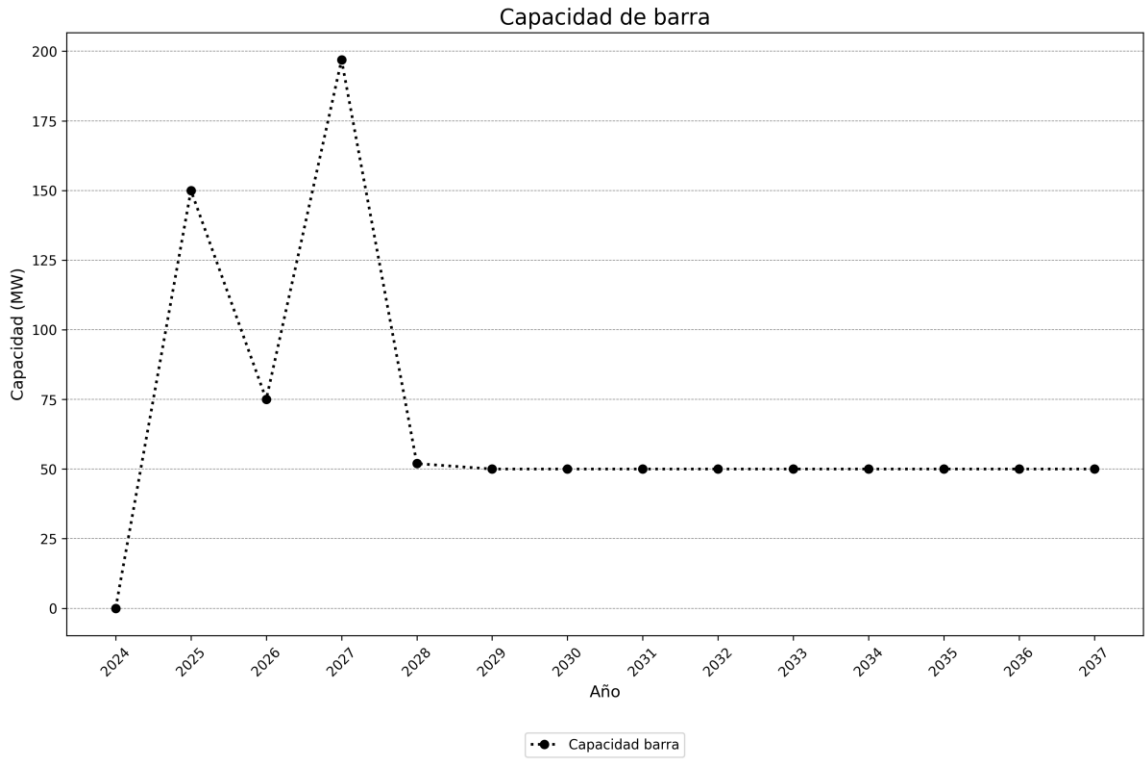


Figura 2-539. Balance de capacidad por barra después de la priorización para la subestación Porvenir 115

Capacidad excedente de interrupción de corriente de cortocircuito:

Para la subestación Porvenir 115 se presentaron 4 alternativas de conexión las cuales tienen aportes de corriente de cortocircuito. Estas alternativas se muestran en la siguiente tabla:

Tabla 2-565. Alternativas de conexión que aportan corriente de cortocircuito en la subestación Porvenir 115

Solicitud	tipo	FPO	Barra a la que aporta CC	Aporte de cortocircuito (kA)	Restricción
SC_4974_A1	Solar FV	2026	Porvenir 115	0.003	SATISFACE
SC_4974_A2	Solar FV	2026	Porvenir 115	0.003	SATISFACE
SC_4978_A1	Solar FV	2026	Porvenir 115	0.000	SATISFACE
SC_4978_A2	Solar FV	2026	Porvenir 115	0.002	SATISFACE

No se priorizó ninguna de las alternativas de conexión que tengan aportes de corriente de cortocircuito en la subestación Porvenir 115

El estado de la capacidad de cortocircuito en la subestación Porvenir 115, teniendo en cuenta la priorización se puede observar en la siguiente figura.

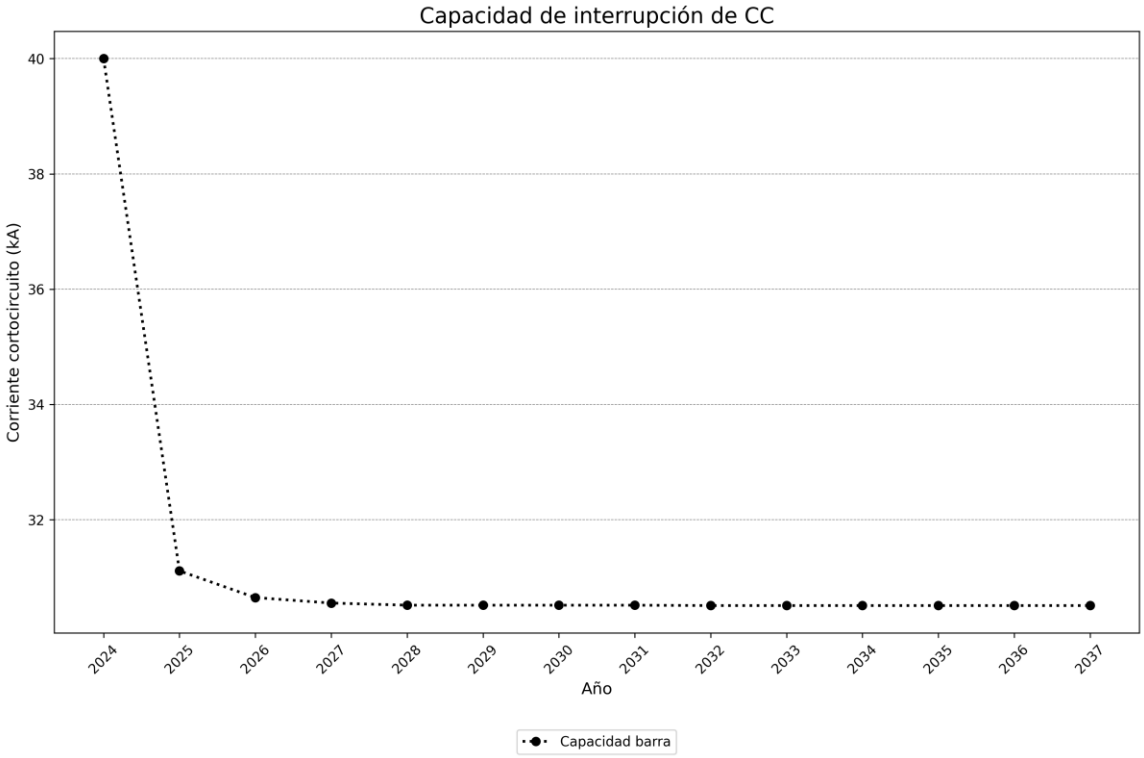


Figura 2-540. Balance de capacidad de cortocircuito después de la priorización para la subestación Porvenir 115

Subestación Prado 115:

Capacidad por barra:

Para la subestación Prado 115 se presentaron 0 alternativas de conexión las cuales se muestran en la siguiente tabla:

Tabla 2-566. Alternativas de conexión presentadas a la subestación Prado 115

Solicitud	Capacidad	Tipo	Barra	FPO solicitada	Restricción

No se priorizó ninguna de las alternativas de conexión presentadas en la subestación Prado 115

El estado de la capacidad por barra en la subestación Prado 115, teniendo en cuenta la priorización se puede observar en la siguiente figura.

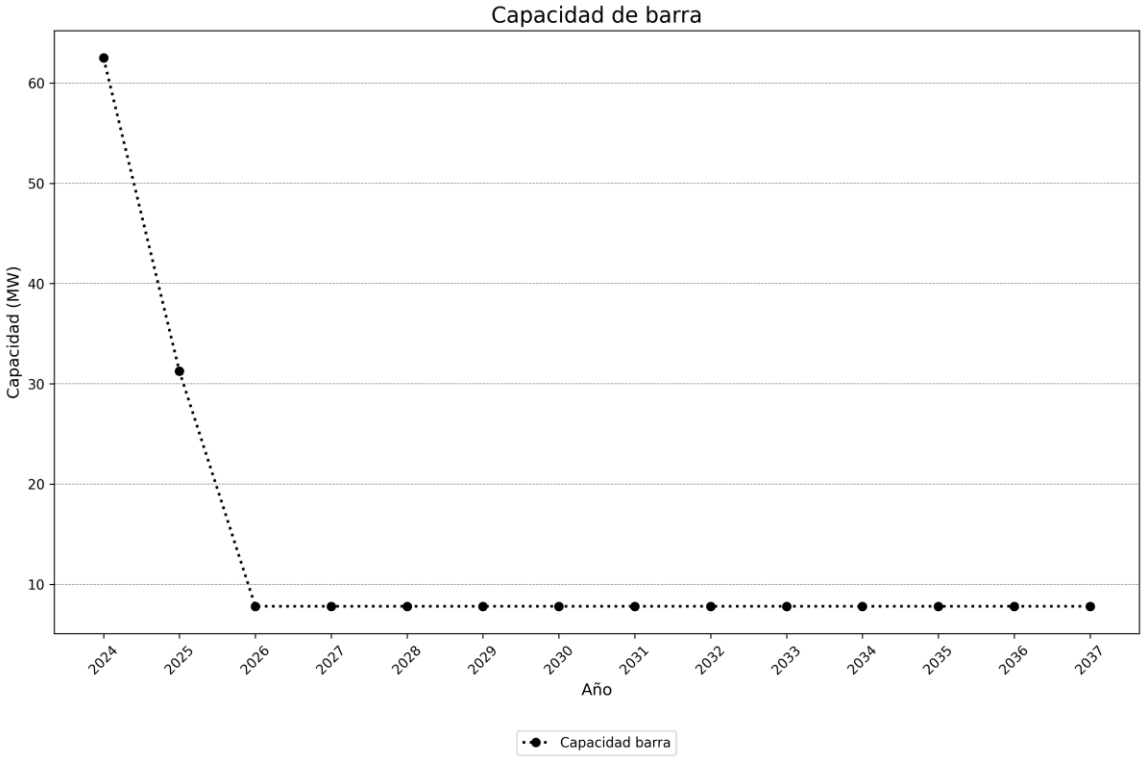


Figura 2-541. Balance de capacidad por barra después de la priorización para la subestación Prado 115

Capacidad excedente de interrupción de corriente de cortocircuito:

Para la subestación Prado 115 se presentaron 27 alternativas de conexión las cuales tienen aportes de corriente de cortocircuito. Estas alternativas se muestran en la siguiente tabla:

Tabla 2-567. Alternativas de conexión que aportan corriente de cortocircuito en la subestación Prado 115

Solicitud	tipo	FPO	Barra a la que aporta CC	Aporte de cortocircuito (kA)	Restricción
SC_2023_5280_A1	Solar FV	2028	Prado 115	0.016	SATISFACE
SC_2023_5280_A2	Solar FV	2028	Prado 115	0.014	SATISFACE
SC_2023_5287_A1	Solar FV	2026	Prado 115	0.008	SATISFACE
SC_2023_5287_A2	Solar FV	2026	Prado 115	0.008	SATISFACE
SC_2023_5288_A1	Solar FV	2026	Prado 115	0.005	SATISFACE
SC_2023_5288_A2	Solar FV	2026	Prado 115	0.012	SATISFACE
SC_2023_5375_A1	Solar FV	2026	Prado 115	0.008	SATISFACE
SC_2023_5399_A1	Solar FV	2026	Prado 115	0.005	SATISFACE
SC_2023_5399_A2	Solar FV	2026	Prado 115	0.012	SATISFACE
SC_2023_5480_A1	Solar FV	2026	Prado 115	0.008	SATISFACE
SC_2023_5480_A2	Solar FV	2026	Prado 115	0.008	SATISFACE
SC_2023_5557_A1	Solar FV	2028	Prado 115	0.032	SATISFACE
SC_2936_A1	Solar FV	2026	Prado 115	0.000	SATISFACE
SC_2936_A2	Solar FV	2026	Prado 115	0.000	SATISFACE
SC_3121_A1	Solar FV	2026	Prado 115	0.001	SATISFACE
SC_3121_A2	Solar FV	2026	Prado 115	0.001	SATISFACE
SC_3132_A1	Solar FV	2026	Prado 115	0.017	SATISFACE
SC_3132_A2	Solar FV	2026	Prado 115	0.015	SATISFACE
SC_3882_A1	Solar FV	2026	Prado 115	0.031	SATISFACE
SC_4083_A1	Solar FV	2027	Prado 115	0.000	SATISFACE
SC_4083_A2	Solar FV	2027	Prado 115	0.000	SATISFACE
SC_4765_A1	Solar FV	2029	Prado 115	0.000	SATISFACE
SC_4765_A2	Solar FV	2029	Prado 115	0.000	SATISFACE
SC_4819_A1	Solar FV	2029	Prado 115	0.037	SATISFACE
SC_4819_A2	Solar FV	2029	Prado 115	0.032	SATISFACE
SC_4978_A1	Solar FV	2026	Prado 115	0.000	SATISFACE
SC_4978_A2	Solar FV	2026	Prado 115	0.001	SATISFACE

No se priorizó ninguna de las alternativas de conexión que tengan aportes de corriente de cortocircuito en la subestación Prado 115

El estado de la capacidad de cortocircuito en la subestación Prado 115, teniendo en cuenta la priorización se puede observar en la siguiente figura.

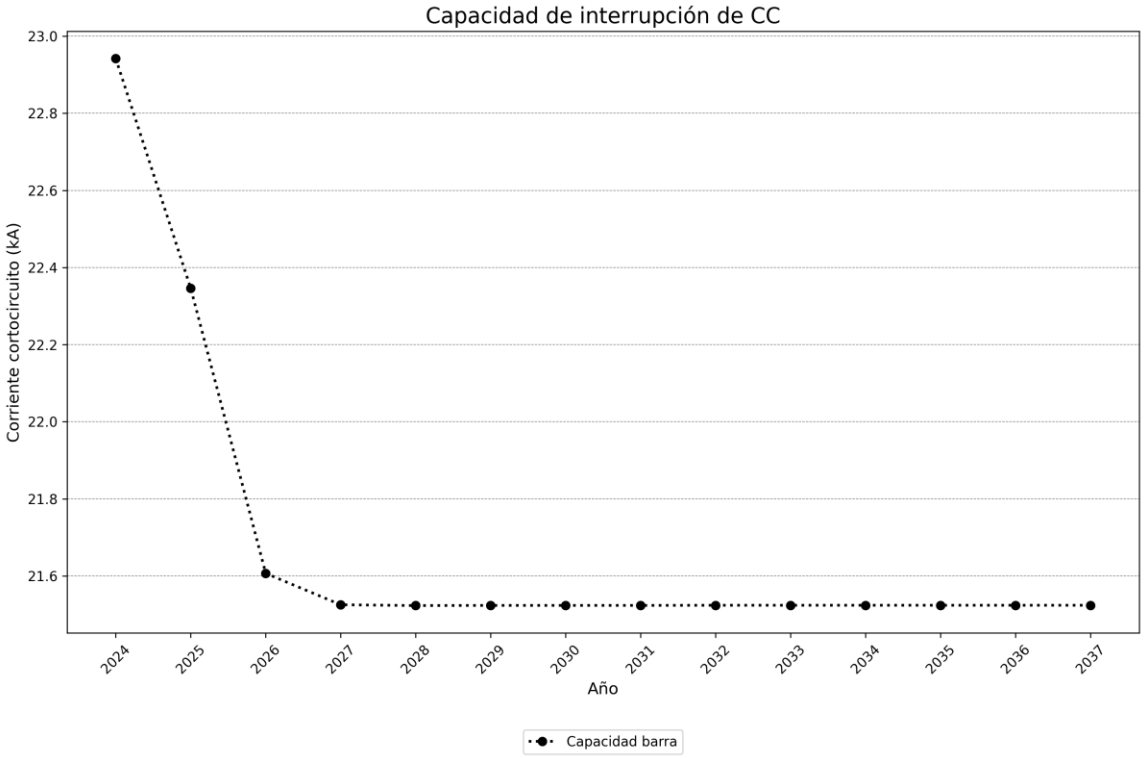


Figura 2-542. Balance de capacidad de cortocircuito después de la priorización para la subestación Prado 115

Subestación Primavera 220:

Capacidad por barra:

Para la subestación Primavera 220 se presentaron 0 alternativas de conexión las cuales se muestran en la siguiente tabla:

Tabla 2-568. Alternativas de conexión presentadas a la subestación Primavera 220

Solicitud	Capacidad	Tipo	Barra	FPO solicitada	Restricción

No se priorizó ninguna de las alternativas de conexión presentadas en la subestación Primavera 220

El estado de la capacidad por barra en la subestación Primavera 220, teniendo en cuenta la priorización se puede observar en la siguiente figura.

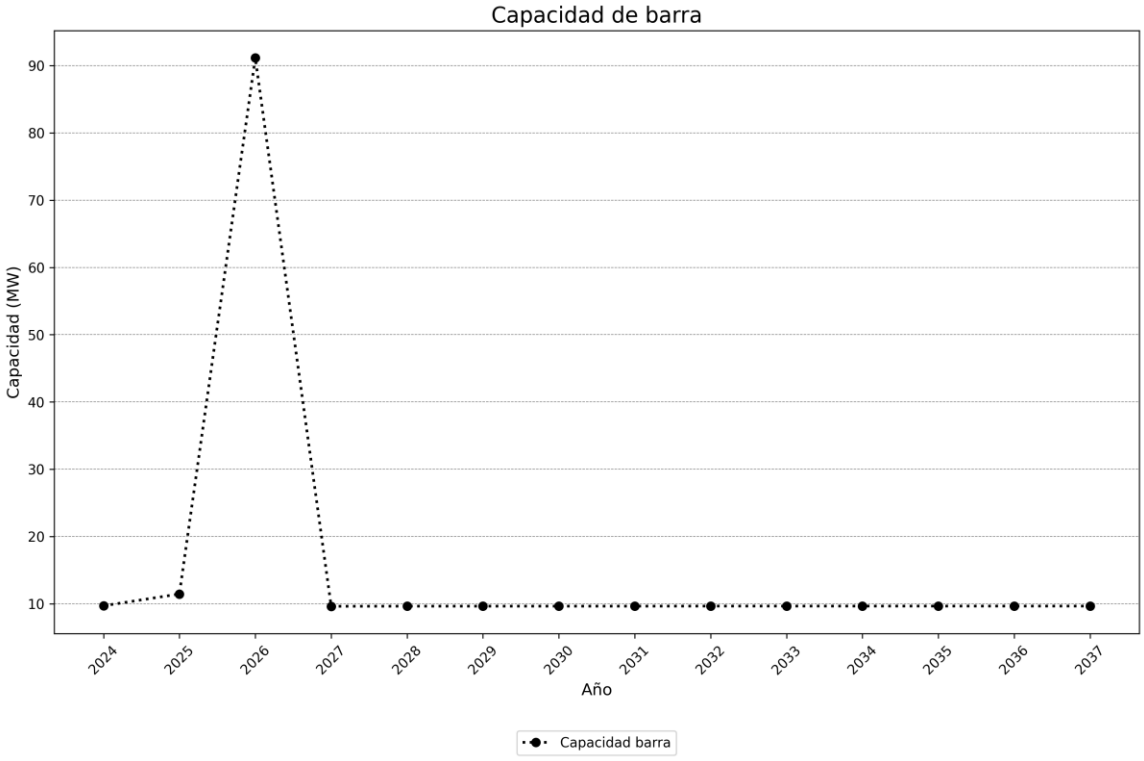


Figura 2-543. Balance de capacidad por barra después de la priorización para la subestación Primavera 220

Capacidad excedente de interrupción de corriente de cortocircuito:

Para la subestación Primavera 220 se presentaron 1 alternativas de conexión las cuales tienen aportes de corriente de cortocircuito. Estas alternativas se muestran en la siguiente tabla:

Tabla 2-569. Alternativas de conexión que aportan corriente de cortocircuito en la subestación Primavera 220

Solicitud	tipo	FPO	Barra a la que aporta CC	Aporte de cortocircuito (kA)	Restricción
SC_3331_A1	Solar FV	2026	Primavera 220	0.120	NO SATISFACE

No se priorizó ninguna de las alternativas de conexión que tengan aportes de corriente de cortocircuito en la subestación Primavera 220

El estado de la capacidad de cortocircuito en la subestación Primavera 220, teniendo en cuenta la priorización se puede observar en la siguiente figura.

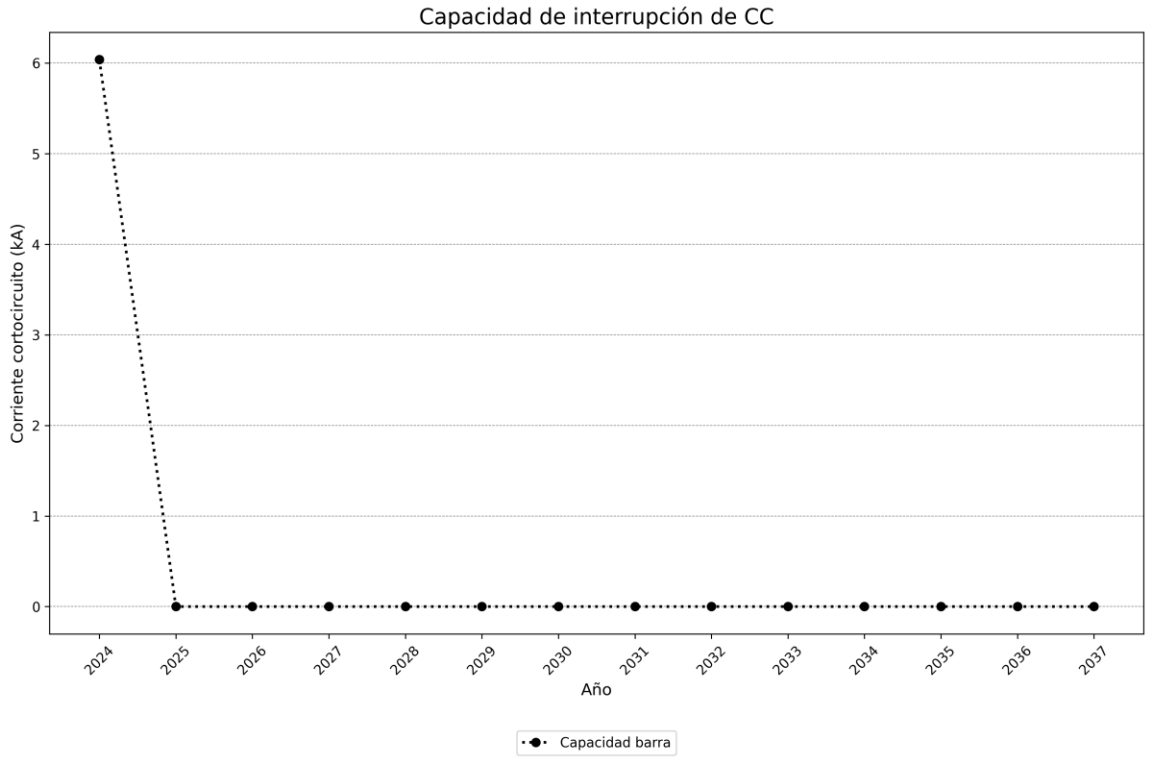


Figura 2-544. Balance de capacidad de cortocircuito después de la priorización para la subestación Primavera 220

Subestación Primavera 500:

Capacidad por barra:

Para la subestación Primavera 500 se presentaron 0 alternativas de conexión las cuales se muestran en la siguiente tabla:

Tabla 2-570. Alternativas de conexión presentadas a la subestación Primavera 500

Solicitud	Capacidad	Tipo	Barra	FPO solicitada	Restricción

No se priorizó ninguna de las alternativas de conexión presentadas en la subestación Primavera 500

El estado de la capacidad por barra en la subestación Primavera 500, teniendo en cuenta la priorización se puede observar en la siguiente figura.

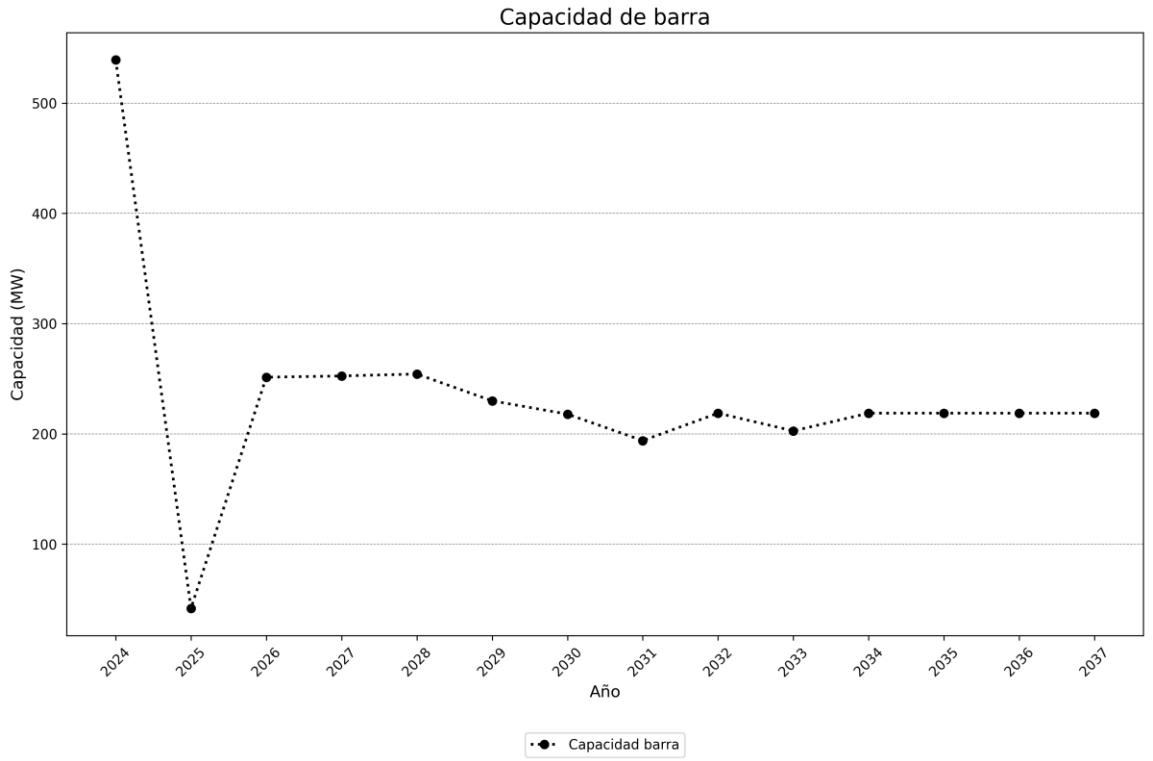


Figura 2-545. Balance de capacidad por barra después de la priorización para la subestación Primavera 500

Capacidad excedente de interrupción de corriente de cortocircuito:

Para la subestación Primavera 500 se presentaron 19 alternativas de conexión las cuales tienen aportes de corriente de cortocircuito. Estas alternativas se muestran en la siguiente tabla:

Tabla 2-571. Alternativas de conexión que aportan corriente de cortocircuito en la subestación Primavera 500

Solicitud	tipo	FPO	Barra a la que aporta CC	Aporte de cortocircuito (kA)	Restricción
SC_2023_5144_A1	Solar FV	2028	Primavera 500	0.059	SATISFACE
SC_2023_5144_A2	Solar FV	2028	Primavera 500	0.072	SATISFACE
SC_2023_5150_A1	Solar FV	2028	Primavera 500	0.069	SATISFACE
SC_3133_A1	Solar FV	2028	Primavera 500	0.085	SATISFACE
SC_3133_A2	Solar FV	2028	Primavera 500	0.096	SATISFACE
SC_3238_A1	Solar FV	2027	Primavera 500	0.178	SATISFACE
SC_3238_A2	Solar FV	2027	Primavera 500	0.191	SATISFACE
SC_3247_A1	Solar FV	2027	Primavera 500	0.070	SATISFACE
SC_3247_A2	Solar FV	2027	Primavera 500	0.052	SATISFACE
SC_3248_A1	Solar FV	2027	Primavera 500	0.178	SATISFACE
SC_3248_A2	Solar FV	2027	Primavera 500	0.191	SATISFACE
SC_3331_A1	Solar FV	2026	Primavera 500	0.074	SATISFACE
SC_3441_A1	Solar FV	2027	Primavera 500	0.070	SATISFACE
SC_3441_A2	Solar FV	2027	Primavera 500	0.052	SATISFACE
SC_4296_A1	Solar FV	2028	Primavera 500	0.059	SATISFACE
SC_4296_A2	Solar FV	2028	Primavera 500	0.056	SATISFACE
SC_4809_A1	Solar FV	2027	Primavera 500	0.033	SATISFACE
SC_4809_A2	Solar FV	2027	Primavera 500	0.119	SATISFACE
SC_4842_A1	Solar FV	2028	Primavera 500	0.069	SATISFACE

No se priorizó ninguna de las alternativas de conexión que tengan aportes de corriente de cortocircuito en la subestación Primavera 500

El estado de la capacidad de cortocircuito en la subestación Primavera 500, teniendo en cuenta la priorización se puede observar en la siguiente figura.

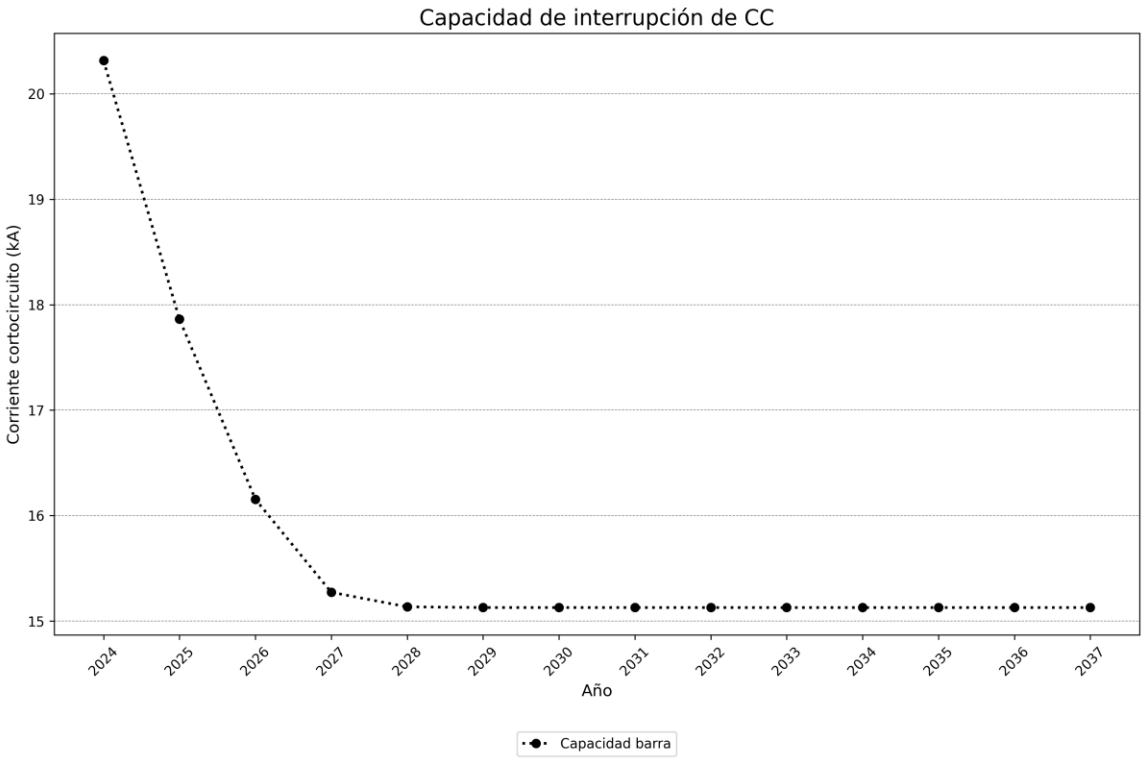


Figura 2-546. Balance de capacidad de cortocircuito después de la priorización para la subestación Primavera 500

Subestación Pto Boyaca 110:

Capacidad por barra:

Para la subestación Pto Boyaca 110 se presentaron 0 alternativas de conexión las cuales se muestran en la siguiente tabla:

Tabla 2-572. Alternativas de conexión presentadas a la subestación Pto Boyaca 110

Solicitud	Capacidad	Tipo	Barra	FPO solicitada	Restricción

No se priorizó ninguna de las alternativas de conexión presentadas en la subestación Pto Boyaca 110

El estado de la capacidad por barra en la subestación Pto Boyaca 110, teniendo en cuenta la priorización se puede observar en la siguiente figura.

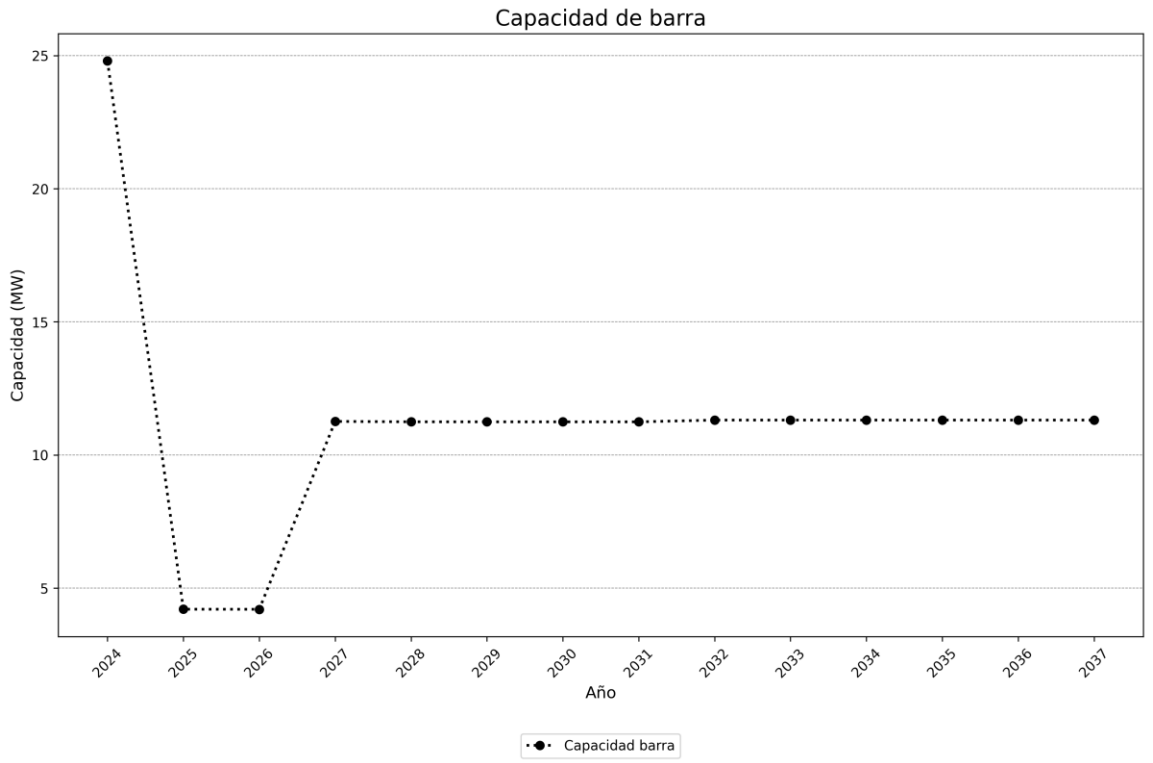


Figura 2-547. Balance de capacidad por barra después de la priorización para la subestación Pto Boyaca 110

Capacidad excedente de interrupción de corriente de cortocircuito:

Para la subestación Pto Boyaca 110 se presentaron 1 alternativas de conexión las cuales tienen aportes de corriente de cortocircuito. Estas alternativas se muestran en la siguiente tabla:

Tabla 2-573. Alternativas de conexión que aportan corriente de cortocircuito en la subestación Pto Boyaca 110

Solicitud	tipo	FPO	Barra a la que aporta CC	Aporte de cortocircuito (kA)	Restricción
SC_3331_A1	Solar FV	2026	Pto Boyaca 110	0.110	SATISFACE

No se priorizó ninguna de las alternativas de conexión que tengan aportes de corriente de cortocircuito en la subestación Pto Boyaca 110

El estado de la capacidad de cortocircuito en la subestación Pto Boyaca 110, teniendo en cuenta la priorización se puede observar en la siguiente figura.

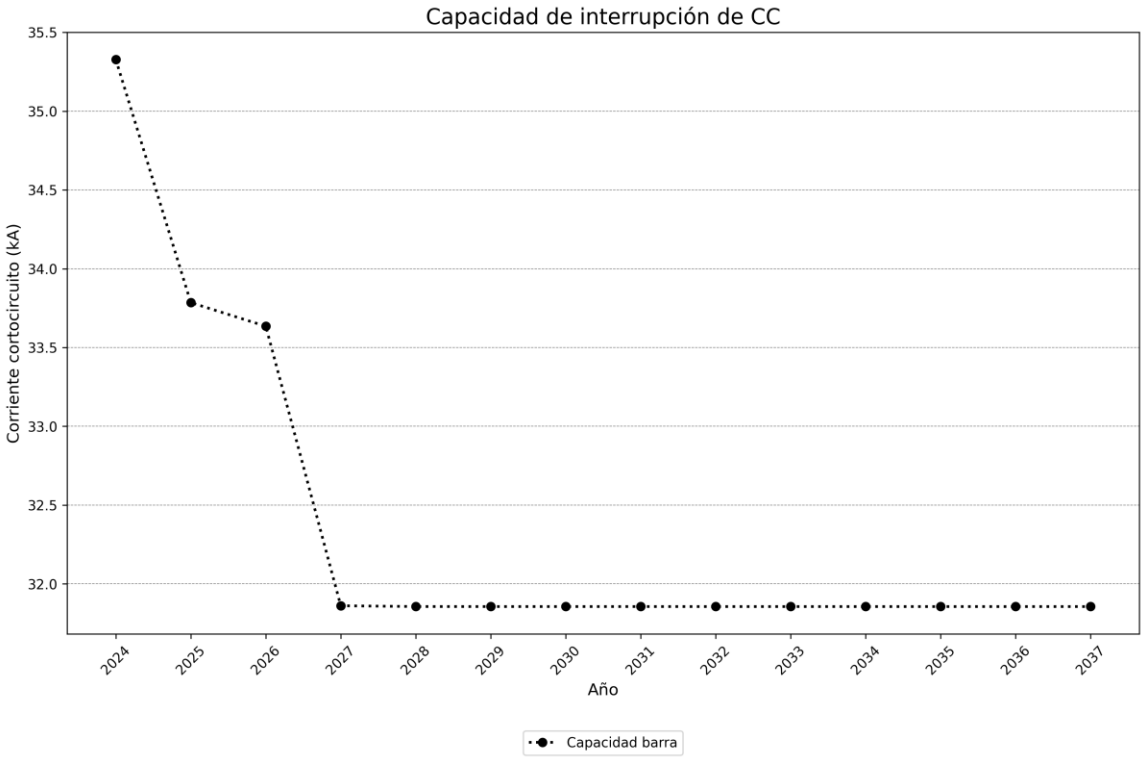


Figura 2-548. Balance de capacidad de cortocircuito después de la priorización para la subestación Pto Boyaca 110

Subestación Pto Nare 110:

Capacidad por barra:

Para la subestación Pto Nare 110 se presentaron 0 alternativas de conexión las cuales se muestran en la siguiente tabla:

Tabla 2-574. Alternativas de conexión presentadas a la subestación Pto Nare 110

Solicitud	Capacidad	Tipo	Barra	FPO solicitada	Restricción

No se priorizó ninguna de las alternativas de conexión presentadas en la subestación Pto Nare 110

El estado de la capacidad por barra en la subestación Pto Nare 110, teniendo en cuenta la priorización se puede observar en la siguiente figura.

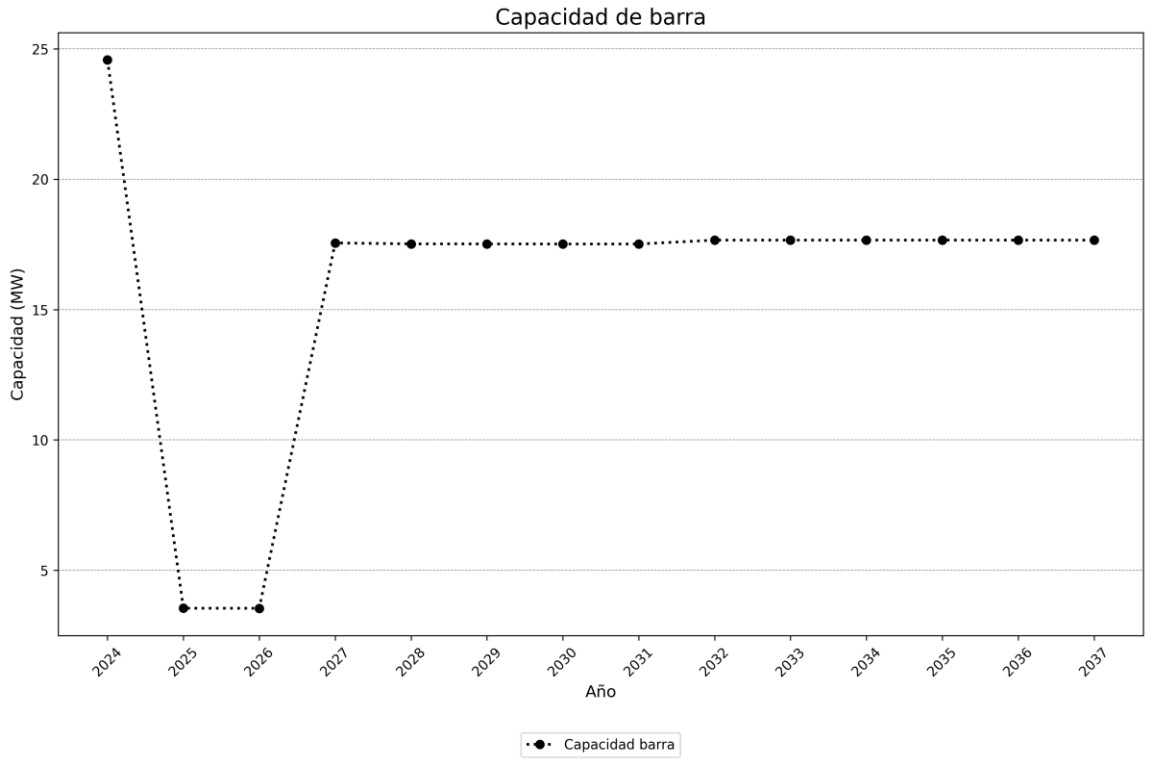


Figura 2-549. Balance de capacidad por barra después de la priorización para la subestación Pto Nare 110

Capacidad excedente de interrupción de corriente de cortocircuito:

Para la subestación Pto Nare 110 se presentaron 6 alternativas de conexión las cuales tienen aportes de corriente de cortocircuito. Estas alternativas se muestran en la siguiente tabla:

Tabla 2-575. Alternativas de conexión que aportan corriente de cortocircuito en la subestación Pto Nare 110

Solicitud	tipo	FPO	Barra a la que aporta CC	Aporte de cortocircuito (kA)	Restricción
SC_2023_5294_A1	Solar FV	2029	Pto Nare 110	0.005	SATISFACE
SC_2023_5294_A2	Solar FV	2029	Pto Nare 110	0.004	SATISFACE
SC_3331_A1	Solar FV	2026	Pto Nare 110	0.090	SATISFACE
SC_3667_A1	Solar FV	2029	Pto Nare 110	0.001	SATISFACE
SC_3667_A2	Solar FV	2029	Pto Nare 110	0.000	SATISFACE
SC_4960_A2	Solar FV	2029	Pto Nare 110	0.008	SATISFACE

No se priorizó ninguna de las alternativas de conexión que tengan aportes de corriente de cortocircuito en la subestación Pto Nare 110

El estado de la capacidad de cortocircuito en la subestación Pto Nare 110, teniendo en cuenta la priorización se puede observar en la siguiente figura.

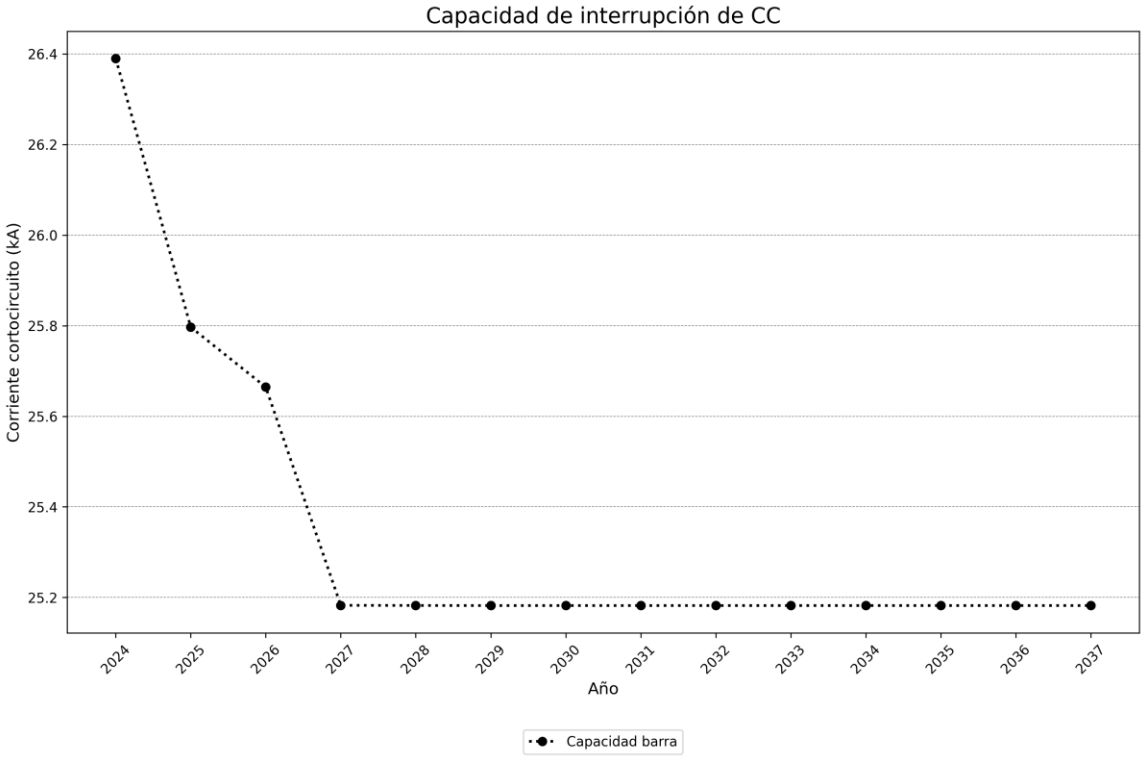


Figura 2-550. Balance de capacidad de cortocircuito después de la priorización para la subestación Pto Nare 110

Subestación Pueblo rico 33:

Capacidad por barra:

Para la subestación Pueblo rico 33 se presentaron 0 alternativas de conexión las cuales se muestran en la siguiente tabla:

Tabla 2-576. Alternativas de conexión presentadas a la subestación Pueblo rico 33

Solicitud	Capacidad	Tipo	Barra	FPO solicitada	Restricción

No se priorizó ninguna de las alternativas de conexión presentadas en la subestación Pueblo rico 33

El estado de la capacidad por barra en la subestación Pueblo rico 33, teniendo en cuenta la priorización se puede observar en la siguiente figura.

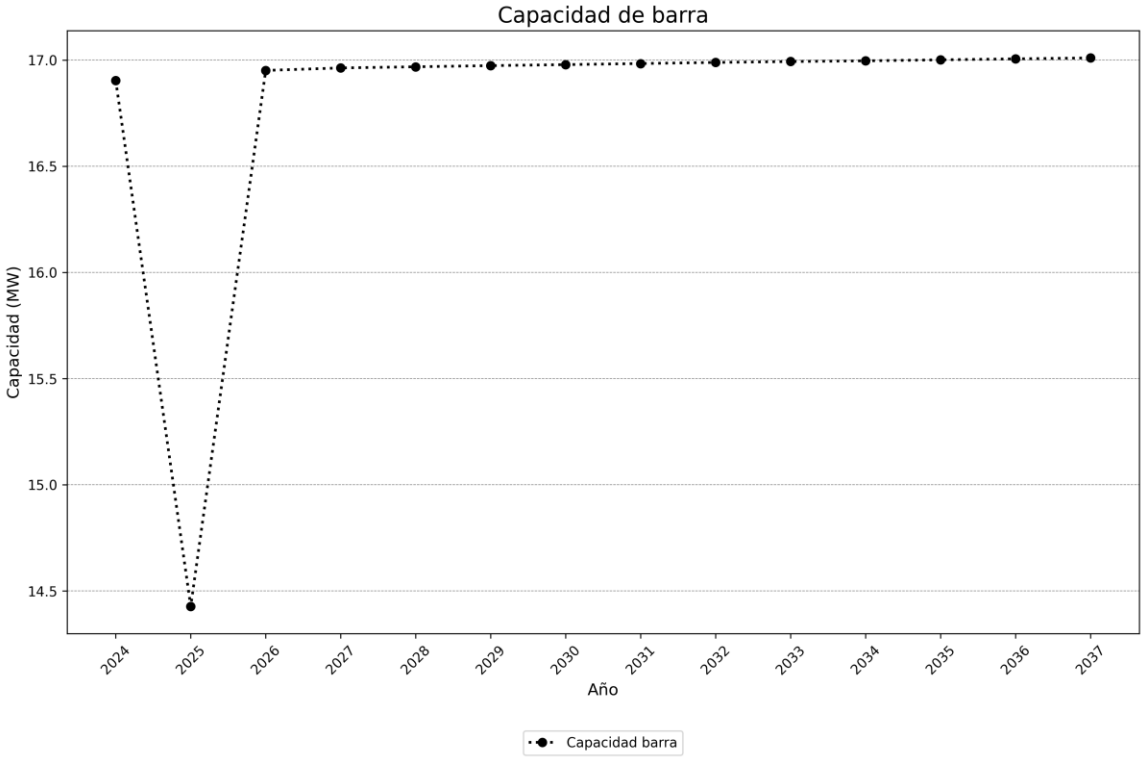


Figura 2-551. Balance de capacidad por barra después de la priorización para la subestación Pueblo rico 33

Subestación Puerto Espejo 33:

Capacidad por barra:

Para la subestación Puerto Espejo 33 se presentaron 1 alternativas de conexión las cuales se muestran en la siguiente tabla:

Tabla 2-577. Alternativas de conexión presentadas a la subestación Puerto Espejo 33

Solicitud	Capacidad	Tipo	Barra	FPO solicitada	Restricción
SC_4175_A2	9.9	Solar FV	Puerto Espejo 33	2026	SATISFACE

No se priorizó ninguna de las alternativas de conexión presentadas en la subestación Puerto Espejo 33

El estado de la capacidad por barra en la subestación Puerto Espejo 33, teniendo en cuenta la priorización se puede observar en la siguiente figura.

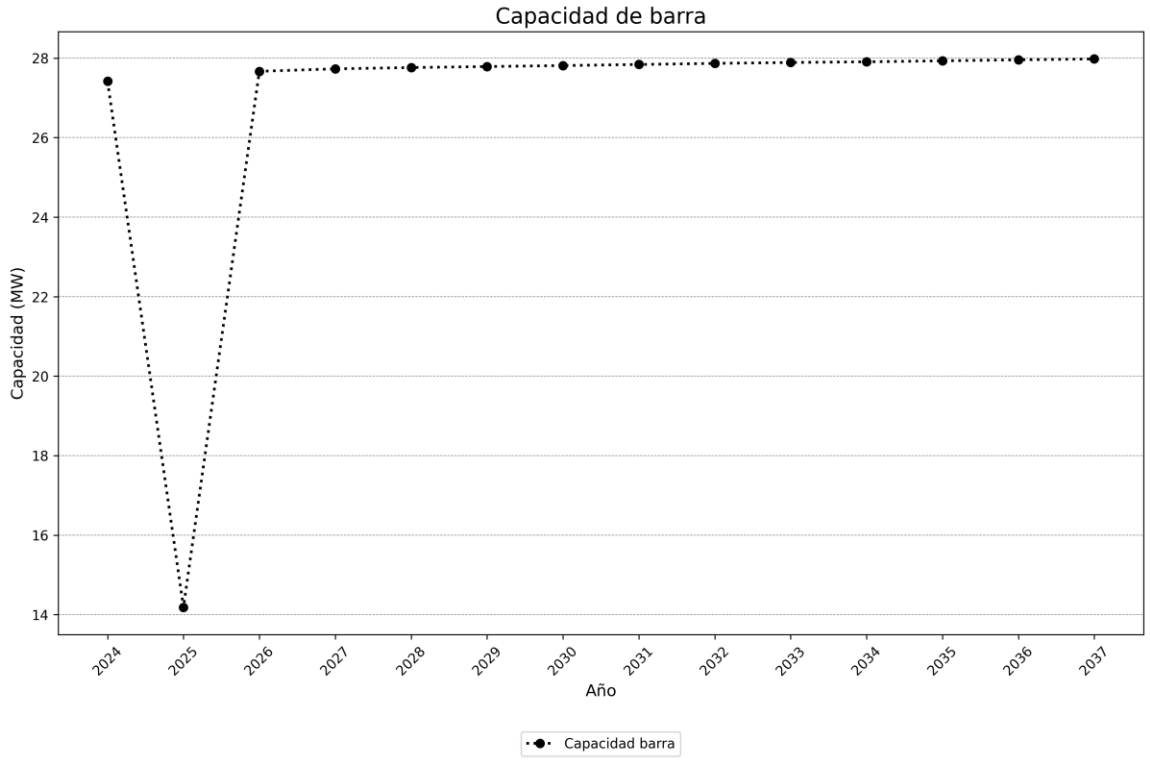


Figura 2-552. Balance de capacidad por barra después de la priorización para la subestación Puerto Espejo 33

Subestación Purnio 115:

Capacidad por barra:

Para la subestación Purnio 115 se presentaron 9 alternativas de conexión las cuales se muestran en la siguiente tabla:

Tabla 2-578. Alternativas de conexión presentadas a la subestación Purnio 115

Solicitud	Capacidad	Tipo	Barra	FPO solicitada	Restricción
SC_2023_5188_A1	80.0	Solar FV	Purnio 115	2026	NO SATISFACE
SC_2023_5294_A1	50.0	Solar FV	Purnio 115	2029	NO SATISFACE
SC_2024_5939_A2	90.0	Solar FV	Purnio 115	2028	NO SATISFACE
SC_2438_A1	30.0	Solar FV	Purnio 115	2028	NO SATISFACE
SC_2562_A1	95.16	Solar FV	Purnio 115	2026	NO SATISFACE
SC_2634_A1	19.9	Solar FV	Purnio 115	2026	NO SATISFACE
SC_2905_A2	150.0	Solar FV	Purnio 115	2028	NO SATISFACE
SC_3578_A1	90.0	Solar FV	Purnio 115	2028	NO SATISFACE
SC_4809_A2	100.0	Solar FV	Purnio 115	2027	NO SATISFACE

No se priorizó ninguna de las alternativas de conexión presentadas en la subestación Purnio 115

El estado de la capacidad por barra en la subestación Purnio 115, teniendo en cuenta la priorización se puede observar en la siguiente figura.

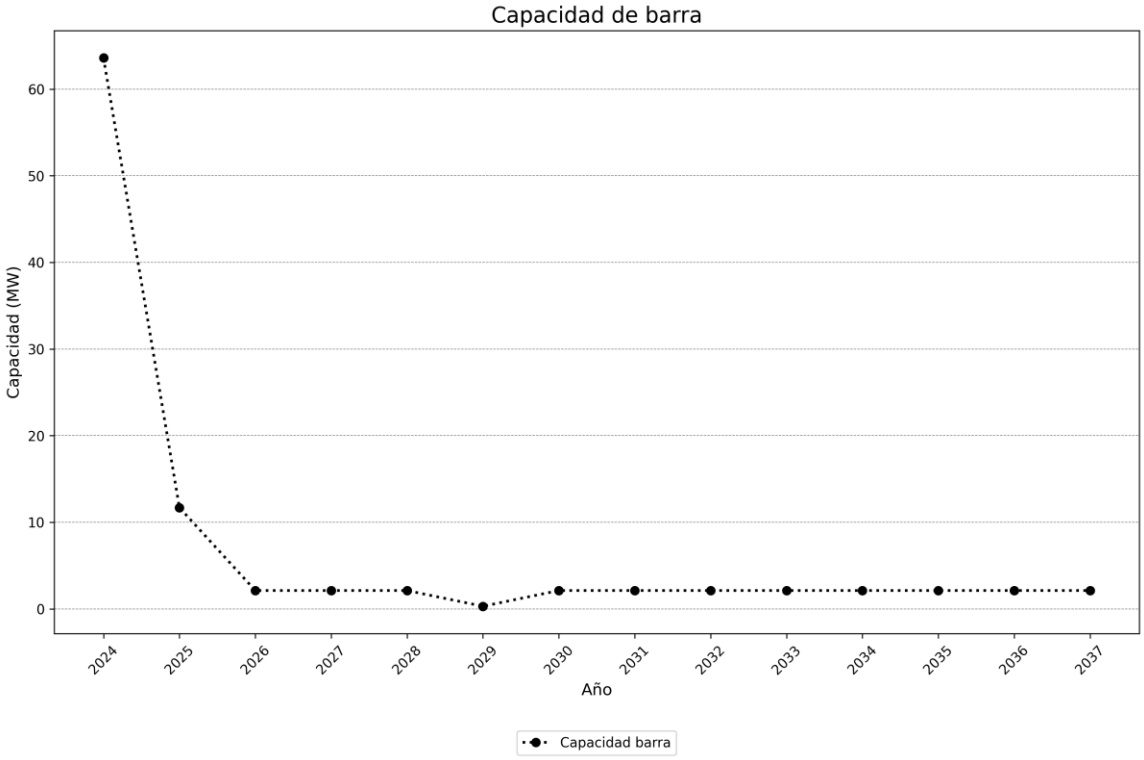


Figura 2-553. Balance de capacidad por barra después de la priorización para la subestación Purnio 115

Capacidad excedente de interrupción de corriente de cortocircuito:

Para la subestación Purnio 115 se presentaron 201 alternativas de conexión las cuales tienen aportes de corriente de cortocircuito. Estas alternativas se muestran en la siguiente tabla:

Tabla 2-579. Alternativas de conexión que aportan corriente de cortocircuito en la subestación Purnio 115

Solicitud	tipo	FPO	Barra a la que aporta CC	Aporte de cortocircuito (kA)	Restricción
SC_2023_5136_A1	Solar FV	2026	Purnio 115	0.069	SATISFACE
SC_2023_5136_A2	Solar FV	2026	Purnio 115	0.069	SATISFACE
SC_2023_5144_A1	Solar FV	2028	Purnio 115	0.064	SATISFACE

SC_2023_5144_A2	Solar FV	2028	Purnio 115	0.050	SATISFACE
SC_2023_5150_A1	Solar FV	2028	Purnio 115	0.195	SATISFACE
SC_2023_5152_A1	Solar FV	2025	Purnio 115	0.001	SATISFACE
SC_2023_5152_A2	Solar FV	2025	Purnio 115	0.001	SATISFACE
SC_2023_5158_A1	Solar FV	2028	Purnio 115	0.036	SATISFACE
SC_2023_5171_A1	Solar FV	2025	Purnio 115	0.000	SATISFACE
SC_2023_5171_A2	Solar FV	2025	Purnio 115	0.000	SATISFACE
SC_2023_5185_A1	Solar FV	2026	Purnio 115	0.187	SATISFACE
SC_2023_5185_A2	Solar FV	2026	Purnio 115	0.173	SATISFACE
SC_2023_5188_A1	Solar FV	2026	Purnio 115	0.896	SATISFACE
SC_2023_5188_A2	Solar FV	2026	Purnio 115	0.069	SATISFACE
SC_2023_5200_A1	Solar FV	2028	Purnio 115	0.120	SATISFACE
SC_2023_5200_A2	Solar FV	2028	Purnio 115	0.089	SATISFACE
SC_2023_5248_A1	Solar FV	2025	Purnio 115	0.001	SATISFACE
SC_2023_5248_A2	Solar FV	2025	Purnio 115	0.001	SATISFACE
SC_2023_5249_A1	Solar FV	2025	Purnio 115	0.001	SATISFACE
SC_2023_5249_A2	Solar FV	2025	Purnio 115	0.001	SATISFACE
SC_2023_5251_A1	Solar FV	2025	Purnio 115	0.004	SATISFACE
SC_2023_5251_A2	Solar FV	2025	Purnio 115	0.004	SATISFACE
SC_2023_5252_A1	Solar FV	2028	Purnio 115	0.000	SATISFACE
SC_2023_5252_A2	Solar FV	2028	Purnio 115	0.000	SATISFACE
SC_2023_5253_A1	Solar FV	2025	Purnio 115	0.004	SATISFACE
SC_2023_5253_A2	Solar FV	2025	Purnio 115	0.004	SATISFACE
SC_2023_5256_A2	Solar FV	2028	Purnio 115	0.668	SATISFACE
SC_2023_5257_A1	Solar FV	2025	Purnio 115	0.001	SATISFACE
SC_2023_5257_A2	Solar FV	2025	Purnio 115	0.001	SATISFACE
SC_2023_5280_A1	Solar FV	2028	Purnio 115	0.101	SATISFACE
SC_2023_5280_A2	Solar FV	2028	Purnio 115	0.160	SATISFACE
SC_2023_5287_A1	Solar FV	2026	Purnio 115	0.089	SATISFACE
SC_2023_5287_A2	Solar FV	2026	Purnio 115	0.090	SATISFACE
SC_2023_5288_A1	Solar FV	2026	Purnio 115	0.075	SATISFACE
SC_2023_5288_A2	Solar FV	2026	Purnio 115	0.195	SATISFACE
SC_2023_5293_A1	Solar FV	2028	Purnio 115	0.017	SATISFACE
SC_2023_5293_A2	Solar FV	2028	Purnio 115	0.014	SATISFACE
SC_2023_5294_A1	Solar FV	2029	Purnio 115	0.610	SATISFACE
SC_2023_5294_A2	Solar FV	2029	Purnio 115	0.364	SATISFACE
SC_2023_5304_A1	Solar FV	2026	Purnio 115	0.045	SATISFACE
SC_2023_5309_A1	Solar FV	2026	Purnio 115	0.045	SATISFACE
SC_2023_5337_A2	Solar FV	2025	Purnio 115	0.093	SATISFACE
SC_2023_5339_A1	PCH	2026	Purnio 115	0.000	SATISFACE

SC_2023_5339_A2	PCH	2026	Purnio 115	0.000	SATISFACE
SC_2023_5345_A1	Solar FV	2027	Purnio 115	0.002	SATISFACE
SC_2023_5345_A2	Solar FV	2027	Purnio 115	0.003	SATISFACE
SC_2023_5346_A1	Solar FV	2027	Purnio 115	0.002	SATISFACE
SC_2023_5346_A2	Solar FV	2027	Purnio 115	0.003	SATISFACE
SC_2023_5375_A1	Solar FV	2026	Purnio 115	0.086	SATISFACE
SC_2023_5383_A1	Solar FV	2027	Purnio 115	0.019	SATISFACE
SC_2023_5383_A2	Solar FV	2027	Purnio 115	0.024	SATISFACE
SC_2023_5399_A1	Solar FV	2026	Purnio 115	0.075	SATISFACE
SC_2023_5399_A2	Solar FV	2026	Purnio 115	0.195	SATISFACE
SC_2023_5431_A1	Solar FV	2028	Purnio 115	0.047	SATISFACE
SC_2023_5431_A2	Solar FV	2028	Purnio 115	0.054	SATISFACE
SC_2023_5480_A1	Solar FV	2026	Purnio 115	0.089	SATISFACE
SC_2023_5480_A2	Solar FV	2026	Purnio 115	0.090	SATISFACE
SC_2023_5551_A1	Solar FV	2027	Purnio 115	0.108	SATISFACE
SC_2023_5551_A2	Solar FV	2027	Purnio 115	0.080	SATISFACE
SC_2023_5557_A1	Solar FV	2028	Purnio 115	0.182	SATISFACE
SC_2023_5598_A1	Solar FV	2025	Purnio 115	0.001	SATISFACE
SC_2023_5598_A2	Solar FV	2025	Purnio 115	0.001	SATISFACE
SC_2024_5939_A1	Solar FV	2028	Purnio 115	0.461	SATISFACE
SC_2024_5939_A2	Solar FV	2028	Purnio 115	0.485	SATISFACE
SC_2024_5992_A1	Solar FV	2027	Purnio 115	0.418	SATISFACE
SC_2347_A1	Solar FV	2026	Purnio 115	0.020	SATISFACE
SC_2347_A2	Solar FV	2026	Purnio 115	0.020	SATISFACE
SC_2348_A1	Solar FV	2026	Purnio 115	0.020	SATISFACE
SC_2348_A2	Solar FV	2026	Purnio 115	0.020	SATISFACE
SC_2438_A1	Solar FV	2028	Purnio 115	0.082	SATISFACE
SC_2438_A2	Solar FV	2028	Purnio 115	1.728	SATISFACE
SC_2442_A1	Solar FV	2027	Purnio 115	0.003	SATISFACE
SC_2442_A2	Solar FV	2027	Purnio 115	0.003	SATISFACE
SC_2475_A1	Solar FV	2028	Purnio 115	0.170	SATISFACE
SC_2475_A2	Solar FV	2028	Purnio 115	0.120	SATISFACE
SC_2562_A1	Solar FV	2026	Purnio 115	0.080	SATISFACE
SC_2629_A1	Solar FV	2026	Purnio 115	0.003	SATISFACE
SC_2629_A2	Solar FV	2026	Purnio 115	0.003	SATISFACE
SC_2634_A1	Solar FV	2026	Purnio 115	0.055	SATISFACE
SC_2634_A2	Solar FV	2026	Purnio 115	0.046	SATISFACE
SC_2670_A1	Solar FV	2028	Purnio 115	0.000	SATISFACE
SC_2670_A2	Solar FV	2028	Purnio 115	0.000	SATISFACE
SC_2680_A1	Solar FV	2028	Purnio 115	0.030	SATISFACE

SC_2680_A2	Solar FV	2028	Purnio 115	0.050	SATISFACE
SC_2681_A1	Solar FV	2027	Purnio 115	0.050	SATISFACE
SC_2681_A2	Solar FV	2027	Purnio 115	0.030	SATISFACE
SC_2682_A1	Solar FV	2025	Purnio 115	0.020	SATISFACE
SC_2682_A2	Solar FV	2025	Purnio 115	0.001	SATISFACE
SC_2683_A1	Solar FV	2026	Purnio 115	0.060	SATISFACE
SC_2683_A2	Solar FV	2026	Purnio 115	0.060	SATISFACE
SC_2693_A1	Solar FV	2026	Purnio 115	0.000	SATISFACE
SC_2693_A2	Solar FV	2026	Purnio 115	0.000	SATISFACE
SC_2722_A1	Solar FV	2026	Purnio 115	0.003	SATISFACE
SC_2722_A2	Solar FV	2026	Purnio 115	0.003	SATISFACE
SC_2802_A1	Solar FV	2027	Purnio 115	0.005	SATISFACE
SC_2802_A2	Solar FV	2027	Purnio 115	0.014	SATISFACE
SC_2816_A1	Solar FV	2027	Purnio 115	0.010	SATISFACE
SC_2870_A1	Solar FV	2027	Purnio 115	0.000	SATISFACE
SC_2870_A2	Solar FV	2027	Purnio 115	0.010	SATISFACE
SC_2892_A1	Solar FV	2027	Purnio 115	0.140	SATISFACE
SC_2892_A2	Solar FV	2027	Purnio 115	0.090	SATISFACE
SC_2893_A1	Solar FV	2026	Purnio 115	0.090	SATISFACE
SC_2893_A2	Solar FV	2026	Purnio 115	0.090	SATISFACE
SC_2902_A1	Solar FV	2028	Purnio 115	2.690	SATISFACE
SC_2902_A2	Solar FV	2028	Purnio 115	0.000	SATISFACE
SC_2905_A2	Solar FV	2028	Purnio 115	0.770	SATISFACE
SC_2924_A1	Solar FV	2026	Purnio 115	0.150	SATISFACE
SC_2924_A2	Solar FV	2026	Purnio 115	0.139	SATISFACE
SC_2936_A1	Solar FV	2026	Purnio 115	0.000	SATISFACE
SC_2936_A2	Solar FV	2026	Purnio 115	0.000	SATISFACE
SC_2962_A1	Solar FV	2028	Purnio 115	0.304	SATISFACE
SC_2962_A2	Solar FV	2028	Purnio 115	0.217	SATISFACE
SC_2967_A1	Solar FV	2026	Purnio 115	0.003	SATISFACE
SC_2967_A2	Solar FV	2026	Purnio 115	0.003	SATISFACE
SC_3012_A1	Solar FV	2027	Purnio 115	0.000	SATISFACE
SC_3012_A2	Solar FV	2027	Purnio 115	0.020	SATISFACE
SC_3018_A1	Solar FV	2026	Purnio 115	0.020	SATISFACE
SC_3018_A2	Solar FV	2026	Purnio 115	0.020	SATISFACE
SC_3054_A2	Solar FV	2027	Purnio 115	0.001	SATISFACE
SC_3101_A1	Solar FV	2027	Purnio 115	0.003	SATISFACE
SC_3101_A2	Solar FV	2027	Purnio 115	0.011	SATISFACE
SC_3121_A1	Solar FV	2026	Purnio 115	0.011	SATISFACE
SC_3121_A2	Solar FV	2026	Purnio 115	0.011	SATISFACE

SC_3126_A1	PCH	2026	Purnio 115	0.010	SATISFACE
SC_3126_A2	PCH	2026	Purnio 115	0.010	SATISFACE
SC_3131_A1	Solar FV	2026	Purnio 115	0.001	SATISFACE
SC_3131_A2	Solar FV	2026	Purnio 115	0.001	SATISFACE
SC_3132_A1	Solar FV	2026	Purnio 115	0.112	SATISFACE
SC_3132_A2	Solar FV	2026	Purnio 115	0.235	SATISFACE
SC_3238_A1	Solar FV	2027	Purnio 115	0.236	SATISFACE
SC_3238_A2	Solar FV	2027	Purnio 115	0.223	SATISFACE
SC_3247_A1	Solar FV	2027	Purnio 115	0.195	SATISFACE
SC_3247_A2	Solar FV	2027	Purnio 115	0.261	SATISFACE
SC_3248_A1	Solar FV	2027	Purnio 115	0.236	SATISFACE
SC_3248_A2	Solar FV	2027	Purnio 115	0.223	SATISFACE
SC_3251_A1	Hidráulica	2026	Purnio 115	0.840	SATISFACE
SC_3251_A2	Hidráulica	2026	Purnio 115	0.000	SATISFACE
SC_3353_A1	Solar FV	2027	Purnio 115	0.001	SATISFACE
SC_3353_A2	Solar FV	2027	Purnio 115	0.001	SATISFACE
SC_3382_A1	Solar FV	2027	Purnio 115	0.000	SATISFACE
SC_3382_A2	Solar FV	2027	Purnio 115	0.000	SATISFACE
SC_3392_A1	Solar FV	2027	Purnio 115	0.017	SATISFACE
SC_3392_A2	Solar FV	2027	Purnio 115	0.011	SATISFACE
SC_3441_A1	Solar FV	2027	Purnio 115	0.195	SATISFACE
SC_3441_A2	Solar FV	2027	Purnio 115	0.261	SATISFACE
SC_3453_A1	Solar FV	2027	Purnio 115	0.052	SATISFACE
SC_3453_A2	Solar FV	2027	Purnio 115	0.052	SATISFACE
SC_3514_A1	Solar FV	2027	Purnio 115	0.052	SATISFACE
SC_3514_A2	Solar FV	2027	Purnio 115	0.052	SATISFACE
SC_3578_A1	Solar FV	2028	Purnio 115	0.480	SATISFACE
SC_3578_A2	Solar FV	2028	Purnio 115	0.341	SATISFACE
SC_3667_A1	Solar FV	2029	Purnio 115	0.003	SATISFACE
SC_3667_A2	Solar FV	2029	Purnio 115	0.002	SATISFACE
SC_3846_A1	Solar FV	2028	Purnio 115	0.004	SATISFACE
SC_3846_A2	Solar FV	2028	Purnio 115	0.004	SATISFACE
SC_3882_A1	Solar FV	2026	Purnio 115	0.183	SATISFACE
SC_4083_A1	Solar FV	2027	Purnio 115	0.002	SATISFACE
SC_4083_A2	Solar FV	2027	Purnio 115	0.002	SATISFACE
SC_4175_A1	Solar FV	2026	Purnio 115	0.003	SATISFACE
SC_4175_A2	Solar FV	2026	Purnio 115	0.003	SATISFACE
SC_4296_A1	Solar FV	2028	Purnio 115	0.064	SATISFACE
SC_4296_A2	Solar FV	2028	Purnio 115	0.073	SATISFACE
SC_4751_A1	Solar FV	2027	Purnio 115	0.006	SATISFACE

SC_4760_A1	Solar FV	2026	Purnio 115	0.023	SATISFACE
SC_4765_A1	Solar FV	2029	Purnio 115	0.007	SATISFACE
SC_4765_A2	Solar FV	2029	Purnio 115	0.046	SATISFACE
SC_4789_A1	Solar FV	2027	Purnio 115	0.003	SATISFACE
SC_4789_A2	Solar FV	2027	Purnio 115	0.003	SATISFACE
SC_4809_A1	Solar FV	2027	Purnio 115	1.019	SATISFACE
SC_4809_A2	Solar FV	2027	Purnio 115	2.886	SATISFACE
SC_4819_A1	Solar FV	2029	Purnio 115	0.182	SATISFACE
SC_4819_A2	Solar FV	2029	Purnio 115	0.321	SATISFACE
SC_4821_A1	Solar FV	2027	Purnio 115	0.017	SATISFACE
SC_4821_A2	Solar FV	2027	Purnio 115	0.011	SATISFACE
SC_4824_A1	Solar FV	2025	Purnio 115	0.000	SATISFACE
SC_4824_A2	Solar FV	2025	Purnio 115	0.000	SATISFACE
SC_4826_A1	Solar FV	2027	Purnio 115	0.025	SATISFACE
SC_4826_A2	Solar FV	2027	Purnio 115	0.025	SATISFACE
SC_4827_A1	Solar FV	2027	Purnio 115	0.025	SATISFACE
SC_4827_A2	Solar FV	2027	Purnio 115	0.025	SATISFACE
SC_4842_A1	Solar FV	2028	Purnio 115	0.195	SATISFACE
SC_4910_A1	Solar FV	2026	Purnio 115	0.074	SATISFACE
SC_4910_A2	Solar FV	2026	Purnio 115	0.074	SATISFACE
SC_4926_A1	Solar FV	2027	Purnio 115	0.006	SATISFACE
SC_4947_A1	Solar FV	2027	Purnio 115	0.011	SATISFACE
SC_4960_A2	Solar FV	2029	Purnio 115	0.344	SATISFACE
SC_4974_A1	Solar FV	2026	Purnio 115	0.019	SATISFACE
SC_4974_A2	Solar FV	2026	Purnio 115	0.019	SATISFACE
SC_4978_A1	Solar FV	2026	Purnio 115	0.023	SATISFACE
SC_4978_A2	Solar FV	2026	Purnio 115	0.025	SATISFACE
SC_5009_A1	Solar FV	2026	Purnio 115	0.017	SATISFACE
SC_5009_A2	Solar FV	2026	Purnio 115	0.011	SATISFACE
SC_5011_A1	Solar FV	2027	Purnio 115	0.016	SATISFACE
SC_5011_A2	Solar FV	2027	Purnio 115	0.011	SATISFACE
SC_5060_A1	Solar FV	2026	Purnio 115	0.074	SATISFACE
SC_5060_A2	Solar FV	2026	Purnio 115	0.074	SATISFACE
SC_5076_A1	Solar FV	2027	Purnio 115	0.000	SATISFACE
SC_5076_A2	Solar FV	2027	Purnio 115	0.000	SATISFACE
SC_5077_A1	Solar FV	2027	Purnio 115	0.000	SATISFACE
SC_5077_A2	Solar FV	2027	Purnio 115	0.000	SATISFACE
SC_5087_A2	Solar FV	2027	Purnio 115	0.600	SATISFACE

Posterior a la ejecución del MACC se priorizaron las siguientes alternativas de conexión que tienen aportes de cortocircuito de la subestación en análisis:

Tabla 2-580. Alternativas de conexión priorizadas que aportan corriente de cortocircuito en la subestación Purnio 115

index	tipo	periodoIni	Barra a la que aporta CC	Aporte de cortocircuito (kA)	Restricción
SC_3131_A1	Solar FV	2026	Purnio 115	0.001	SATISFACE
SC_5076_A2	Solar FV	2027	Purnio 115	0.000	SATISFACE
SC_5077_A2	Solar FV	2027	Purnio 115	0.000	SATISFACE

El estado de la capacidad de cortocircuito en la subestación Purnio 115, teniendo en cuenta la priorización se puede observar en la siguiente figura.

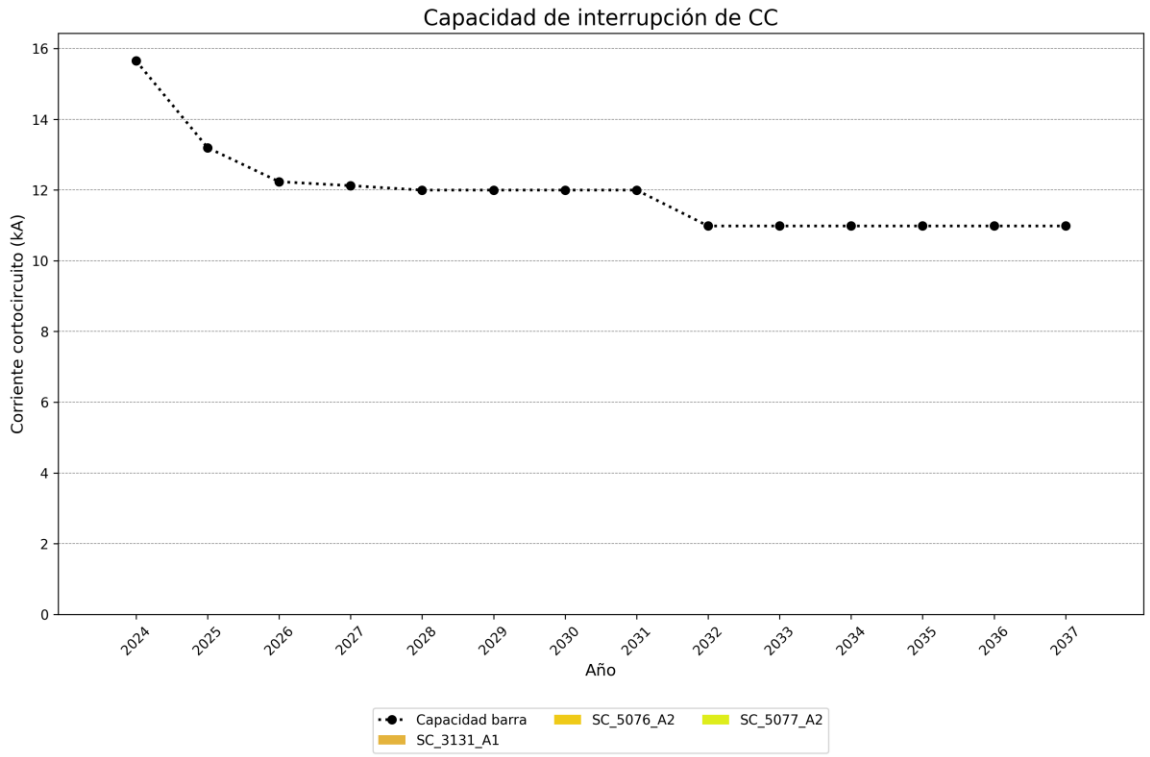


Figura 2-554. Balance de capacidad de cortocircuito después de la priorización para la subestación Purnio 115

Subestación Purnio 220:

Capacidad por barra:

Para la subestación Purnio 220 se presentaron 0 alternativas de conexión las cuales se muestran en la siguiente tabla:

Tabla 2-581. Alternativas de conexión presentadas a la subestación Purnio 220

Solicitud	Capacidad	Tipo	Barra	FPO solicitada	Restricción

No se priorizó ninguna de las alternativas de conexión presentadas en la subestación Purnio 220

El estado de la capacidad por barra en la subestación Purnio 220, teniendo en cuenta la priorización se puede observar en la siguiente figura.

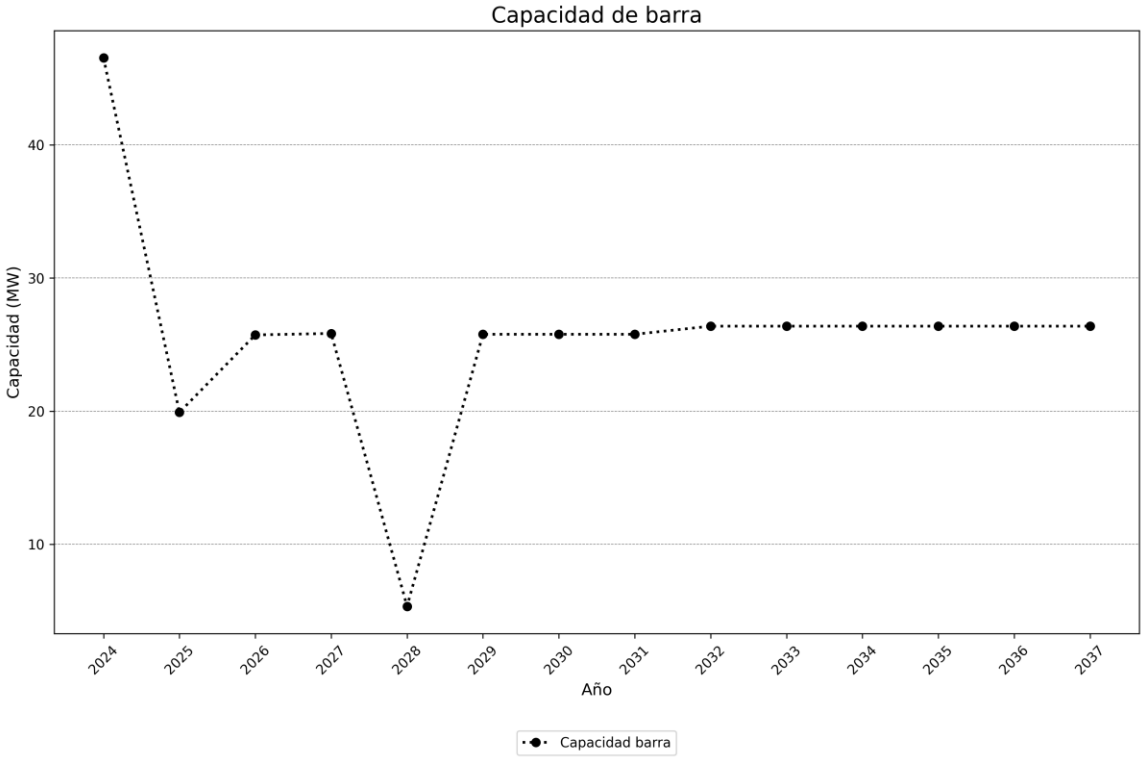


Figura 2-555. Balance de capacidad por barra después de la priorización para la subestación Purnio 220

Capacidad excedente de interrupción de corriente de cortocircuito:

Para la subestación Purnio 220 se presentaron 175 alternativas de conexión las cuales tienen aportes de corriente de cortocircuito. Estas alternativas se muestran en la siguiente tabla:

Tabla 2-582. Alternativas de conexión que aportan corriente de cortocircuito en la subestación Purnio 220

Solicitud	tipo	FPO	Barra a la que aporta CC	Aporte de cortocircuito (kA)	Restricción
SC_2023_5136_A1	Solar FV	2026	Purnio 220	0.040	SATISFACE
SC_2023_5136_A2	Solar FV	2026	Purnio 220	0.040	SATISFACE
SC_2023_5144_A1	Solar FV	2028	Purnio 220	0.090	SATISFACE

SC_2023_5144_A2	Solar FV	2028	Purnio 220	0.077	SATISFACE
SC_2023_5150_A1	Solar FV	2028	Purnio 220	0.267	SATISFACE
SC_2023_5152_A1	Solar FV	2025	Purnio 220	0.001	SATISFACE
SC_2023_5152_A2	Solar FV	2025	Purnio 220	0.001	SATISFACE
SC_2023_5158_A1	Solar FV	2028	Purnio 220	0.049	SATISFACE
SC_2023_5171_A1	Solar FV	2025	Purnio 220	0.001	SATISFACE
SC_2023_5171_A2	Solar FV	2025	Purnio 220	0.001	SATISFACE
SC_2023_5185_A1	Solar FV	2026	Purnio 220	0.193	SATISFACE
SC_2023_5185_A2	Solar FV	2026	Purnio 220	0.221	SATISFACE
SC_2023_5188_A1	Solar FV	2026	Purnio 220	0.276	SATISFACE
SC_2023_5188_A2	Solar FV	2026	Purnio 220	0.062	SATISFACE
SC_2023_5200_A1	Solar FV	2028	Purnio 220	0.164	SATISFACE
SC_2023_5200_A2	Solar FV	2028	Purnio 220	0.136	SATISFACE
SC_2023_5248_A1	Solar FV	2025	Purnio 220	0.001	SATISFACE
SC_2023_5248_A2	Solar FV	2025	Purnio 220	0.001	SATISFACE
SC_2023_5249_A1	Solar FV	2025	Purnio 220	0.001	SATISFACE
SC_2023_5249_A2	Solar FV	2025	Purnio 220	0.001	SATISFACE
SC_2023_5251_A1	Solar FV	2025	Purnio 220	0.005	SATISFACE
SC_2023_5251_A2	Solar FV	2025	Purnio 220	0.005	SATISFACE
SC_2023_5252_A1	Solar FV	2028	Purnio 220	0.034	SATISFACE
SC_2023_5252_A2	Solar FV	2028	Purnio 220	0.008	SATISFACE
SC_2023_5253_A1	Solar FV	2025	Purnio 220	0.005	SATISFACE
SC_2023_5253_A2	Solar FV	2025	Purnio 220	0.005	SATISFACE
SC_2023_5256_A2	Solar FV	2028	Purnio 220	0.210	SATISFACE
SC_2023_5257_A1	Solar FV	2025	Purnio 220	0.001	SATISFACE
SC_2023_5257_A2	Solar FV	2025	Purnio 220	0.001	SATISFACE
SC_2023_5287_A1	Solar FV	2026	Purnio 220	0.070	SATISFACE
SC_2023_5287_A2	Solar FV	2026	Purnio 220	0.071	SATISFACE
SC_2023_5288_A1	Solar FV	2026	Purnio 220	0.046	SATISFACE
SC_2023_5288_A2	Solar FV	2026	Purnio 220	0.120	SATISFACE
SC_2023_5293_A1	Solar FV	2028	Purnio 220	0.021	SATISFACE
SC_2023_5293_A2	Solar FV	2028	Purnio 220	0.018	SATISFACE
SC_2023_5294_A1	Solar FV	2029	Purnio 220	0.179	SATISFACE
SC_2023_5294_A2	Solar FV	2029	Purnio 220	0.114	SATISFACE
SC_2023_5304_A1	Solar FV	2026	Purnio 220	0.018	SATISFACE
SC_2023_5309_A1	Solar FV	2026	Purnio 220	0.018	SATISFACE
SC_2023_5337_A2	Solar FV	2025	Purnio 220	0.179	SATISFACE
SC_2023_5339_A1	PCH	2026	Purnio 220	0.000	SATISFACE
SC_2023_5339_A2	PCH	2026	Purnio 220	0.000	SATISFACE
SC_2023_5345_A1	Solar FV	2027	Purnio 220	0.003	SATISFACE

SC_2023_5345_A2	Solar FV	2027	Purnio 220	0.004	SATISFACE
SC_2023_5346_A1	Solar FV	2027	Purnio 220	0.003	SATISFACE
SC_2023_5346_A2	Solar FV	2027	Purnio 220	0.004	SATISFACE
SC_2023_5375_A1	Solar FV	2026	Purnio 220	0.068	SATISFACE
SC_2023_5383_A1	Solar FV	2027	Purnio 220	0.015	SATISFACE
SC_2023_5383_A2	Solar FV	2027	Purnio 220	0.019	SATISFACE
SC_2023_5399_A1	Solar FV	2026	Purnio 220	0.046	SATISFACE
SC_2023_5399_A2	Solar FV	2026	Purnio 220	0.120	SATISFACE
SC_2023_5431_A1	Solar FV	2028	Purnio 220	0.013	SATISFACE
SC_2023_5431_A2	Solar FV	2028	Purnio 220	0.015	SATISFACE
SC_2023_5480_A1	Solar FV	2026	Purnio 220	0.070	SATISFACE
SC_2023_5480_A2	Solar FV	2026	Purnio 220	0.071	SATISFACE
SC_2023_5551_A1	Solar FV	2027	Purnio 220	0.147	SATISFACE
SC_2023_5551_A2	Solar FV	2027	Purnio 220	0.122	SATISFACE
SC_2023_5557_A1	Solar FV	2028	Purnio 220	0.248	SATISFACE
SC_2023_5598_A1	Solar FV	2025	Purnio 220	0.001	SATISFACE
SC_2023_5598_A2	Solar FV	2025	Purnio 220	0.001	SATISFACE
SC_2024_5939_A1	Solar FV	2028	Purnio 220	0.119	SATISFACE
SC_2024_5939_A2	Solar FV	2028	Purnio 220	0.124	SATISFACE
SC_2024_5992_A1	Solar FV	2027	Purnio 220	0.135	SATISFACE
SC_2438_A1	Solar FV	2028	Purnio 220	0.023	SATISFACE
SC_2438_A2	Solar FV	2028	Purnio 220	0.445	SATISFACE
SC_2442_A1	Solar FV	2027	Purnio 220	0.003	SATISFACE
SC_2442_A2	Solar FV	2027	Purnio 220	0.003	SATISFACE
SC_2562_A1	Solar FV	2026	Purnio 220	0.030	SATISFACE
SC_2629_A1	Solar FV	2026	Purnio 220	0.003	SATISFACE
SC_2629_A2	Solar FV	2026	Purnio 220	0.003	SATISFACE
SC_2634_A1	Solar FV	2026	Purnio 220	0.000	SATISFACE
SC_2634_A2	Solar FV	2026	Purnio 220	0.000	SATISFACE
SC_2670_A1	Solar FV	2028	Purnio 220	0.000	SATISFACE
SC_2670_A2	Solar FV	2028	Purnio 220	0.010	SATISFACE
SC_2680_A1	Solar FV	2028	Purnio 220	0.030	SATISFACE
SC_2680_A2	Solar FV	2028	Purnio 220	0.030	SATISFACE
SC_2681_A1	Solar FV	2027	Purnio 220	0.030	SATISFACE
SC_2681_A2	Solar FV	2027	Purnio 220	0.030	SATISFACE
SC_2682_A1	Solar FV	2025	Purnio 220	0.011	SATISFACE
SC_2682_A2	Solar FV	2025	Purnio 220	0.001	SATISFACE
SC_2683_A1	Solar FV	2026	Purnio 220	0.020	SATISFACE
SC_2683_A2	Solar FV	2026	Purnio 220	0.020	SATISFACE
SC_2693_A1	Solar FV	2026	Purnio 220	0.000	SATISFACE

SC_2693_A2	Solar FV	2026	Purnio 220	0.000	SATISFACE
SC_2722_A1	Solar FV	2026	Purnio 220	0.003	SATISFACE
SC_2722_A2	Solar FV	2026	Purnio 220	0.003	SATISFACE
SC_2802_A1	Solar FV	2027	Purnio 220	0.027	SATISFACE
SC_2802_A2	Solar FV	2027	Purnio 220	0.025	SATISFACE
SC_2816_A1	Solar FV	2027	Purnio 220	0.050	SATISFACE
SC_2870_A1	Solar FV	2027	Purnio 220	0.000	SATISFACE
SC_2870_A2	Solar FV	2027	Purnio 220	0.040	SATISFACE
SC_2893_A1	Solar FV	2026	Purnio 220	0.040	SATISFACE
SC_2893_A2	Solar FV	2026	Purnio 220	0.040	SATISFACE
SC_2902_A1	Solar FV	2028	Purnio 220	0.010	SATISFACE
SC_2902_A2	Solar FV	2028	Purnio 220	0.030	SATISFACE
SC_2905_A2	Solar FV	2028	Purnio 220	0.210	SATISFACE
SC_2924_A1	Solar FV	2026	Purnio 220	0.154	SATISFACE
SC_2924_A2	Solar FV	2026	Purnio 220	0.177	SATISFACE
SC_2936_A1	Solar FV	2026	Purnio 220	0.000	SATISFACE
SC_2936_A2	Solar FV	2026	Purnio 220	0.000	SATISFACE
SC_2967_A1	Solar FV	2026	Purnio 220	0.003	SATISFACE
SC_2967_A2	Solar FV	2026	Purnio 220	0.003	SATISFACE
SC_3012_A1	Solar FV	2027	Purnio 220	0.080	SATISFACE
SC_3012_A2	Solar FV	2027	Purnio 220	0.260	SATISFACE
SC_3054_A2	Solar FV	2027	Purnio 220	0.005	SATISFACE
SC_3101_A1	Solar FV	2027	Purnio 220	0.042	SATISFACE
SC_3101_A2	Solar FV	2027	Purnio 220	0.037	SATISFACE
SC_3126_A1	PCH	2026	Purnio 220	0.010	SATISFACE
SC_3126_A2	PCH	2026	Purnio 220	0.010	SATISFACE
SC_3133_A1	Solar FV	2028	Purnio 220	0.117	SATISFACE
SC_3133_A2	Solar FV	2028	Purnio 220	0.103	SATISFACE
SC_3238_A1	Solar FV	2027	Purnio 220	0.306	SATISFACE
SC_3238_A2	Solar FV	2027	Purnio 220	0.299	SATISFACE
SC_3247_A1	Solar FV	2027	Purnio 220	0.268	SATISFACE
SC_3247_A2	Solar FV	2027	Purnio 220	0.210	SATISFACE
SC_3248_A1	Solar FV	2027	Purnio 220	0.306	SATISFACE
SC_3248_A2	Solar FV	2027	Purnio 220	0.299	SATISFACE
SC_3251_A1	Hidráulica	2026	Purnio 220	0.000	SATISFACE
SC_3251_A2	Hidráulica	2026	Purnio 220	0.130	SATISFACE
SC_3331_A1	Solar FV	2026	Purnio 220	0.111	SATISFACE
SC_3353_A1	Solar FV	2027	Purnio 220	0.002	SATISFACE
SC_3353_A2	Solar FV	2027	Purnio 220	0.002	SATISFACE
SC_3382_A1	Solar FV	2027	Purnio 220	0.001	SATISFACE

SC_3382_A2	Solar FV	2027	Purnio 220	0.002	SATISFACE
SC_3392_A1	Solar FV	2027	Purnio 220	0.021	SATISFACE
SC_3392_A2	Solar FV	2027	Purnio 220	0.016	SATISFACE
SC_3433_A2	Solar FV	2027	Purnio 220	0.000	SATISFACE
SC_3441_A1	Solar FV	2027	Purnio 220	0.268	SATISFACE
SC_3441_A2	Solar FV	2027	Purnio 220	0.210	SATISFACE
SC_3453_A1	Solar FV	2027	Purnio 220	0.024	SATISFACE
SC_3453_A2	Solar FV	2027	Purnio 220	0.024	SATISFACE
SC_3514_A1	Solar FV	2027	Purnio 220	0.024	SATISFACE
SC_3514_A2	Solar FV	2027	Purnio 220	0.024	SATISFACE
SC_3578_A1	Solar FV	2028	Purnio 220	0.125	SATISFACE
SC_3578_A2	Solar FV	2028	Purnio 220	0.095	SATISFACE
SC_3667_A1	Solar FV	2029	Purnio 220	0.004	SATISFACE
SC_3667_A2	Solar FV	2029	Purnio 220	0.003	SATISFACE
SC_3846_A1	Solar FV	2028	Purnio 220	0.004	SATISFACE
SC_3846_A2	Solar FV	2028	Purnio 220	0.004	SATISFACE
SC_3882_A1	Solar FV	2026	Purnio 220	0.247	SATISFACE
SC_4083_A1	Solar FV	2027	Purnio 220	0.002	SATISFACE
SC_4083_A2	Solar FV	2027	Purnio 220	0.002	SATISFACE
SC_4175_A1	Solar FV	2026	Purnio 220	0.004	SATISFACE
SC_4175_A2	Solar FV	2026	Purnio 220	0.004	SATISFACE
SC_4296_A1	Solar FV	2028	Purnio 220	0.090	SATISFACE
SC_4296_A2	Solar FV	2028	Purnio 220	0.099	SATISFACE
SC_4751_A1	Solar FV	2027	Purnio 220	0.033	SATISFACE
SC_4760_A1	Solar FV	2026	Purnio 220	0.026	SATISFACE
SC_4765_A1	Solar FV	2029	Purnio 220	0.041	SATISFACE
SC_4765_A2	Solar FV	2029	Purnio 220	0.041	SATISFACE
SC_4789_A1	Solar FV	2027	Purnio 220	0.004	SATISFACE
SC_4789_A2	Solar FV	2027	Purnio 220	0.004	SATISFACE
SC_4809_A1	Solar FV	2027	Purnio 220	0.229	SATISFACE
SC_4809_A2	Solar FV	2027	Purnio 220	0.716	SATISFACE
SC_4821_A1	Solar FV	2027	Purnio 220	0.021	SATISFACE
SC_4821_A2	Solar FV	2027	Purnio 220	0.016	SATISFACE
SC_4824_A1	Solar FV	2025	Purnio 220	0.000	SATISFACE
SC_4824_A2	Solar FV	2025	Purnio 220	0.000	SATISFACE
SC_4826_A1	Solar FV	2027	Purnio 220	0.021	SATISFACE
SC_4826_A2	Solar FV	2027	Purnio 220	0.021	SATISFACE
SC_4827_A1	Solar FV	2027	Purnio 220	0.021	SATISFACE
SC_4827_A2	Solar FV	2027	Purnio 220	0.021	SATISFACE
SC_4842_A1	Solar FV	2028	Purnio 220	0.267	SATISFACE

SC_4910_A1	Solar FV	2026	Purnio 220	0.041	SATISFACE
SC_4910_A2	Solar FV	2026	Purnio 220	0.041	SATISFACE
SC_4926_A1	Solar FV	2027	Purnio 220	0.033	SATISFACE
SC_4947_A1	Solar FV	2027	Purnio 220	0.023	SATISFACE
SC_4960_A2	Solar FV	2029	Purnio 220	0.150	SATISFACE
SC_5009_A1	Solar FV	2026	Purnio 220	0.021	SATISFACE
SC_5009_A2	Solar FV	2026	Purnio 220	0.016	SATISFACE
SC_5011_A1	Solar FV	2027	Purnio 220	0.021	SATISFACE
SC_5011_A2	Solar FV	2027	Purnio 220	0.016	SATISFACE
SC_5060_A1	Solar FV	2026	Purnio 220	0.041	SATISFACE
SC_5060_A2	Solar FV	2026	Purnio 220	0.041	SATISFACE
SC_5087_A2	Solar FV	2027	Purnio 220	0.196	SATISFACE

No se priorizó ninguna de las alternativas de conexión que tengan aportes de corriente de cortocircuito en la subestación Purnio 220

El estado de la capacidad de cortocircuito en la subestación Purnio 220, teniendo en cuenta la priorización se puede observar en la siguiente figura.

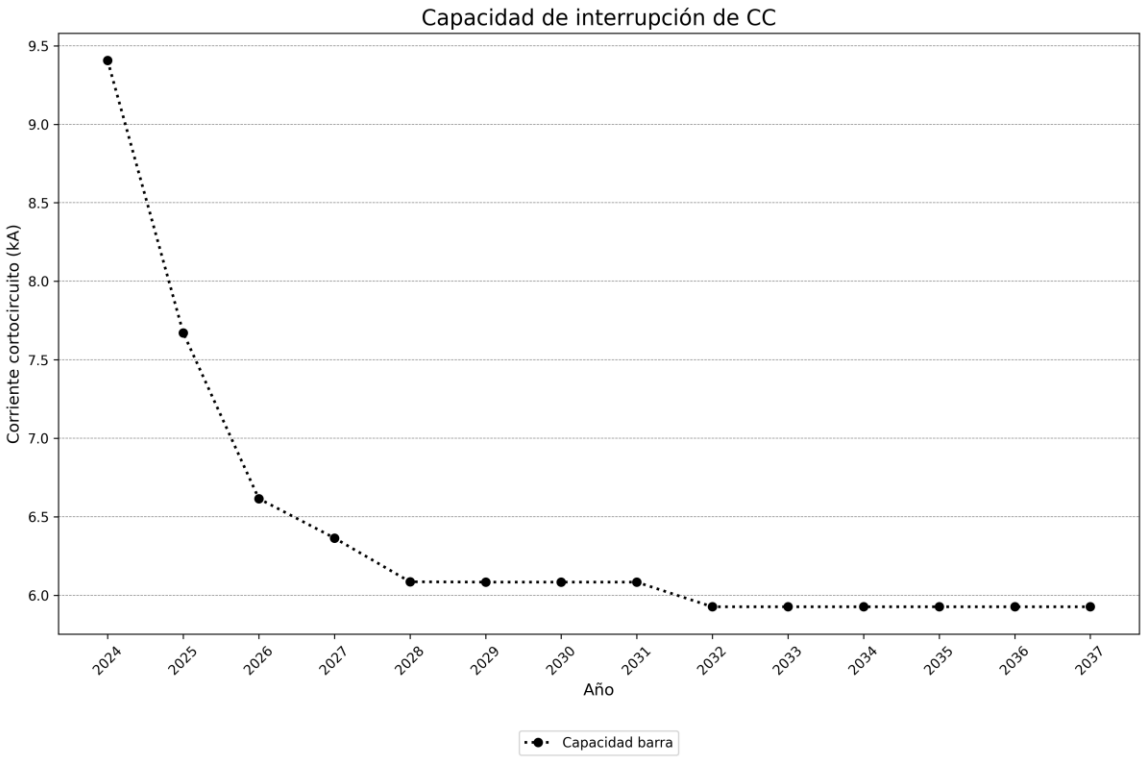


Figura 2-556. Balance de capacidad de cortocircuito después de la priorización para la subestación Purnio 220

Subestación Quibdo 115:

Capacidad por barra:

Para la subestación Quibdo 115 se presentaron 0 alternativas de conexión las cuales se muestran en la siguiente tabla:

Tabla 2-583. Alternativas de conexión presentadas a la subestación Quibdo 115

Solicitud	Capacidad	Tipo	Barra	FPO solicitada	Restricción

No se priorizó ninguna de las alternativas de conexión presentadas en la subestación Quibdo 115

El estado de la capacidad por barra en la subestación Quibdo 115, teniendo en cuenta la priorización se puede observar en la siguiente figura.

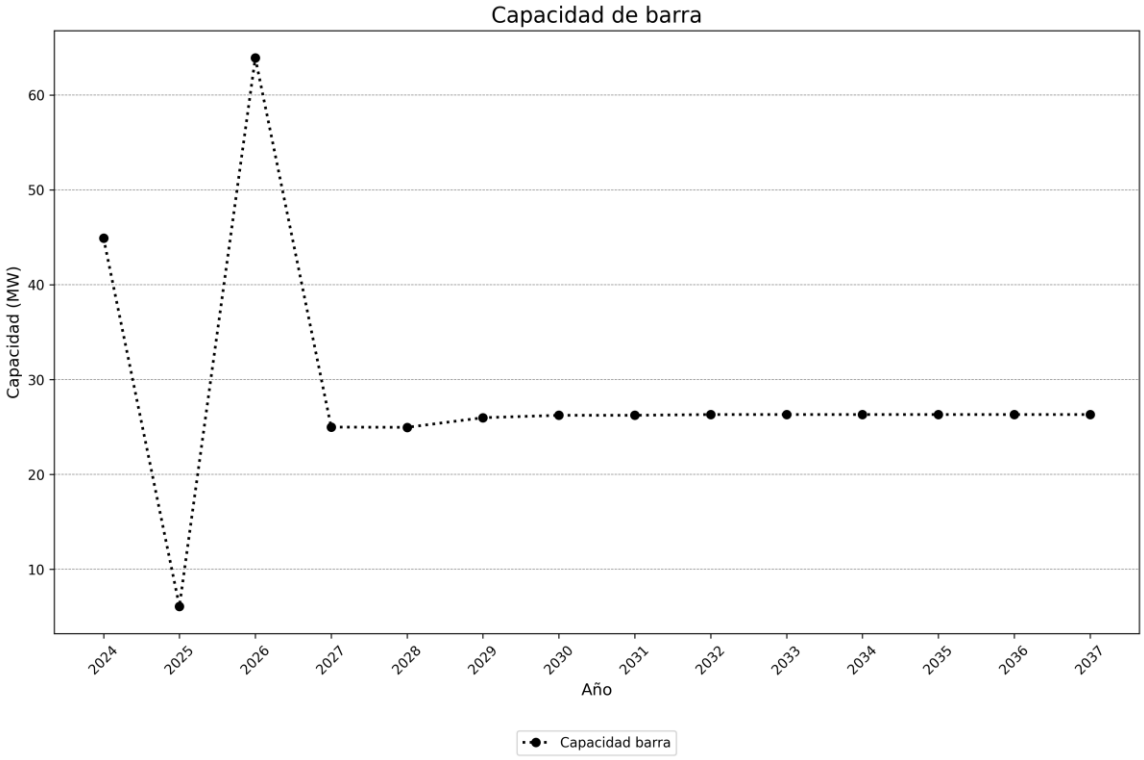


Figura 2-557. Balance de capacidad por barra después de la priorización para la subestación Quibdo 115

Capacidad excedente de interrupción de corriente de cortocircuito:

Para la subestación Quibdo 115 se presentaron 63 alternativas de conexión las cuales tienen aportes de corriente de cortocircuito. Estas alternativas se muestran en la siguiente tabla:

Tabla 2-584. Alternativas de conexión que aportan corriente de cortocircuito en la subestación Quibdo 115

Solicitud	tipo	FPO	Barra a la que aporta CC	Aporte de cortocircuito (kA)	Restricción
SC_2023_5136_A1	Solar FV	2026	Quibdo 115	0.002	SATISFACE
SC_2023_5136_A2	Solar FV	2026	Quibdo 115	0.002	SATISFACE
SC_2023_5158_A1	Solar FV	2028	Quibdo 115	0.014	SATISFACE

SC_2023_5185_A1	Solar FV	2026	Quibdo 115	0.026	SATISFACE
SC_2023_5185_A2	Solar FV	2026	Quibdo 115	0.029	SATISFACE
SC_2023_5188_A1	Solar FV	2026	Quibdo 115	0.003	SATISFACE
SC_2023_5188_A2	Solar FV	2026	Quibdo 115	0.008	SATISFACE
SC_2023_5200_A1	Solar FV	2028	Quibdo 115	0.046	SATISFACE
SC_2023_5200_A2	Solar FV	2028	Quibdo 115	0.022	SATISFACE
SC_2023_5251_A1	Solar FV	2025	Quibdo 115	0.001	SATISFACE
SC_2023_5251_A2	Solar FV	2025	Quibdo 115	0.001	SATISFACE
SC_2023_5253_A1	Solar FV	2025	Quibdo 115	0.001	SATISFACE
SC_2023_5253_A2	Solar FV	2025	Quibdo 115	0.001	SATISFACE
SC_2023_5294_A1	Solar FV	2029	Quibdo 115	0.001	SATISFACE
SC_2023_5294_A2	Solar FV	2029	Quibdo 115	0.001	SATISFACE
SC_2023_5339_A1	PCH	2026	Quibdo 115	0.000	SATISFACE
SC_2023_5339_A2	PCH	2026	Quibdo 115	0.000	SATISFACE
SC_2023_5345_A1	Solar FV	2027	Quibdo 115	0.001	SATISFACE
SC_2023_5345_A2	Solar FV	2027	Quibdo 115	0.001	SATISFACE
SC_2023_5346_A1	Solar FV	2027	Quibdo 115	0.001	SATISFACE
SC_2023_5346_A2	Solar FV	2027	Quibdo 115	0.001	SATISFACE
SC_2023_5431_A1	Solar FV	2028	Quibdo 115	0.000	SATISFACE
SC_2023_5431_A2	Solar FV	2028	Quibdo 115	0.000	SATISFACE
SC_2023_5551_A1	Solar FV	2027	Quibdo 115	0.041	SATISFACE
SC_2023_5551_A2	Solar FV	2027	Quibdo 115	0.020	SATISFACE
SC_2436_A1	Solar FV	2028	Quibdo 115	0.020	SATISFACE
SC_2436_A2	Solar FV	2028	Quibdo 115	0.010	SATISFACE
SC_2438_A1	Solar FV	2028	Quibdo 115	0.000	SATISFACE
SC_2438_A2	Solar FV	2028	Quibdo 115	0.000	SATISFACE
SC_2527_A1	Solar FV	2028	Quibdo 115	0.010	SATISFACE
SC_2527_A2	Solar FV	2028	Quibdo 115	0.010	SATISFACE
SC_2634_A1	Solar FV	2026	Quibdo 115	0.016	SATISFACE
SC_2634_A2	Solar FV	2026	Quibdo 115	0.014	SATISFACE
SC_2802_A1	Solar FV	2027	Quibdo 115	0.000	SATISFACE
SC_2802_A2	Solar FV	2027	Quibdo 115	0.000	SATISFACE
SC_2924_A1	Solar FV	2026	Quibdo 115	0.021	SATISFACE
SC_2924_A2	Solar FV	2026	Quibdo 115	0.023	SATISFACE
SC_2979_A1	Solar FV	2027	Quibdo 115	0.000	SATISFACE
SC_2979_A2	Solar FV	2027	Quibdo 115	0.000	SATISFACE
SC_2984_A1	Solar FV	2027	Quibdo 115	0.000	SATISFACE
SC_2984_A2	Solar FV	2027	Quibdo 115	0.000	SATISFACE
SC_3054_A2	Solar FV	2027	Quibdo 115	0.000	SATISFACE
SC_3251_A1	Hidráulica	2026	Quibdo 115	0.000	SATISFACE

SC_3251_A2	Hidráulica	2026	Quibdo 115	0.000	SATISFACE
SC_3331_A1	Solar FV	2026	Quibdo 115	0.009	SATISFACE
SC_3453_A1	Solar FV	2027	Quibdo 115	0.001	SATISFACE
SC_3453_A2	Solar FV	2027	Quibdo 115	0.001	SATISFACE
SC_3514_A1	Solar FV	2027	Quibdo 115	0.001	SATISFACE
SC_3514_A2	Solar FV	2027	Quibdo 115	0.001	SATISFACE
SC_3667_A1	Solar FV	2029	Quibdo 115	0.001	SATISFACE
SC_3667_A2	Solar FV	2029	Quibdo 115	0.001	SATISFACE
SC_4824_A1	Solar FV	2025	Quibdo 115	0.000	SATISFACE
SC_4824_A2	Solar FV	2025	Quibdo 115	0.000	SATISFACE
SC_4826_A1	Solar FV	2027	Quibdo 115	0.001	SATISFACE
SC_4826_A2	Solar FV	2027	Quibdo 115	0.001	SATISFACE
SC_4827_A1	Solar FV	2027	Quibdo 115	0.001	SATISFACE
SC_4827_A2	Solar FV	2027	Quibdo 115	0.001	SATISFACE
SC_4910_A1	Solar FV	2026	Quibdo 115	0.002	SATISFACE
SC_4910_A2	Solar FV	2026	Quibdo 115	0.002	SATISFACE
SC_4947_A1	Solar FV	2027	Quibdo 115	0.008	SATISFACE
SC_4960_A2	Solar FV	2029	Quibdo 115	0.004	SATISFACE
SC_5060_A1	Solar FV	2026	Quibdo 115	0.002	SATISFACE
SC_5060_A2	Solar FV	2026	Quibdo 115	0.002	SATISFACE

No se priorizó ninguna de las alternativas de conexión que tengan aportes de corriente de cortocircuito en la subestación Quibdo 115

El estado de la capacidad de cortocircuito en la subestación Quibdo 115, teniendo en cuenta la priorización se puede observar en la siguiente figura.

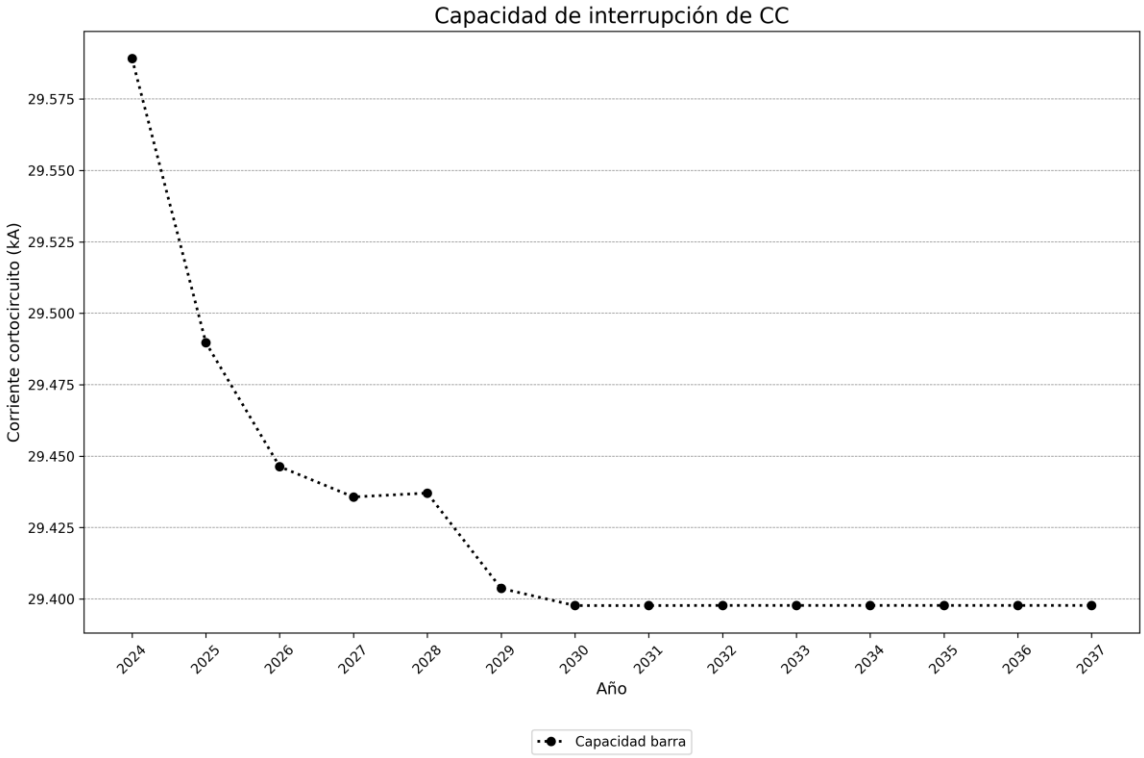


Figura 2-558. Balance de capacidad de cortocircuito después de la priorización para la subestación Quibdo 115

Subestación Quinchia 33:

Capacidad por barra:

Para la subestación Quinchia 33 se presentaron 0 alternativas de conexión las cuales se muestran en la siguiente tabla:

Tabla 2-585. Alternativas de conexión presentadas a la subestación Quinchia 33

Solicitud	Capacidad	Tipo	Barra	FPO solicitada	Restricción

No se priorizó ninguna de las alternativas de conexión presentadas en la subestación Quinchia 33

El estado de la capacidad por barra en la subestación Quinchia 33, teniendo en cuenta la priorización se puede observar en la siguiente figura.

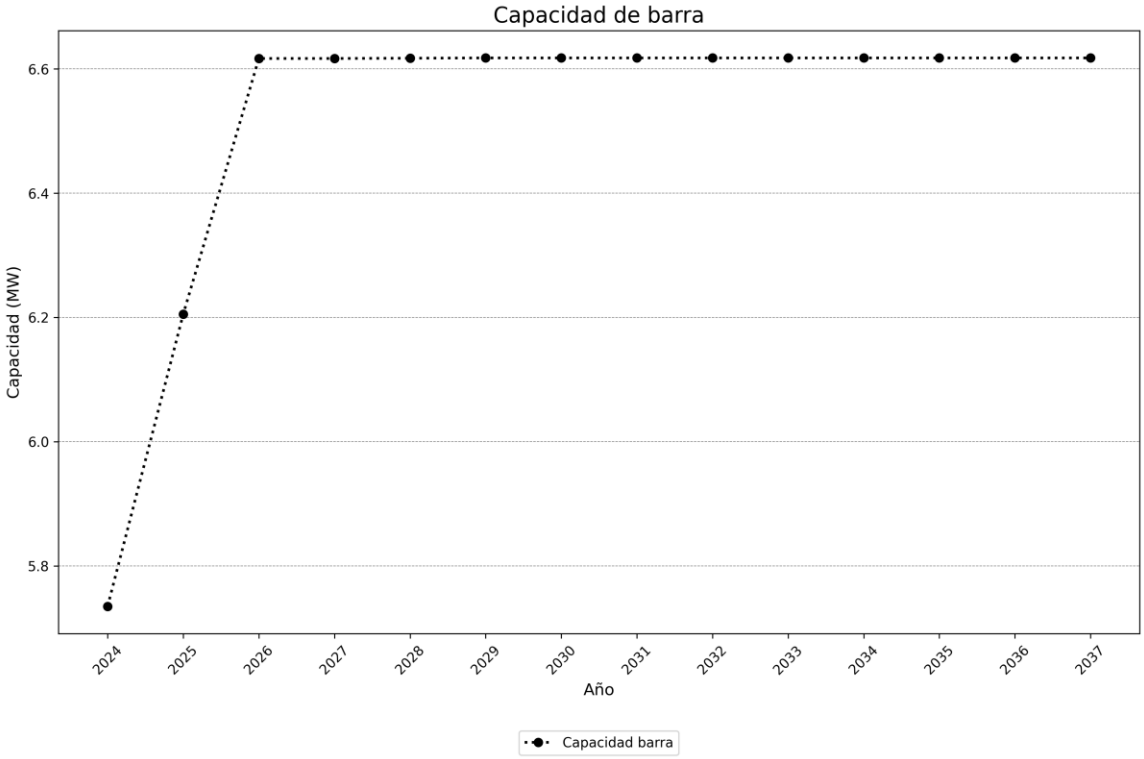


Figura 2-559. Balance de capacidad por barra después de la priorización para la subestación Quinchia 33

Subestación Regivit 115:

Capacidad por barra:

Para la subestación Regivit 115 se presentaron 0 alternativas de conexión las cuales se muestran en la siguiente tabla:

Tabla 2-586. Alternativas de conexión presentadas a la subestación Regivit 115

Solicitud	Capacidad	Tipo	Barra	FPO solicitada	Restricción

No se priorizó ninguna de las alternativas de conexión presentadas en la subestación Regivit 115

El estado de la capacidad por barra en la subestación Regivit 115, teniendo en cuenta la priorización se puede observar en la siguiente figura.

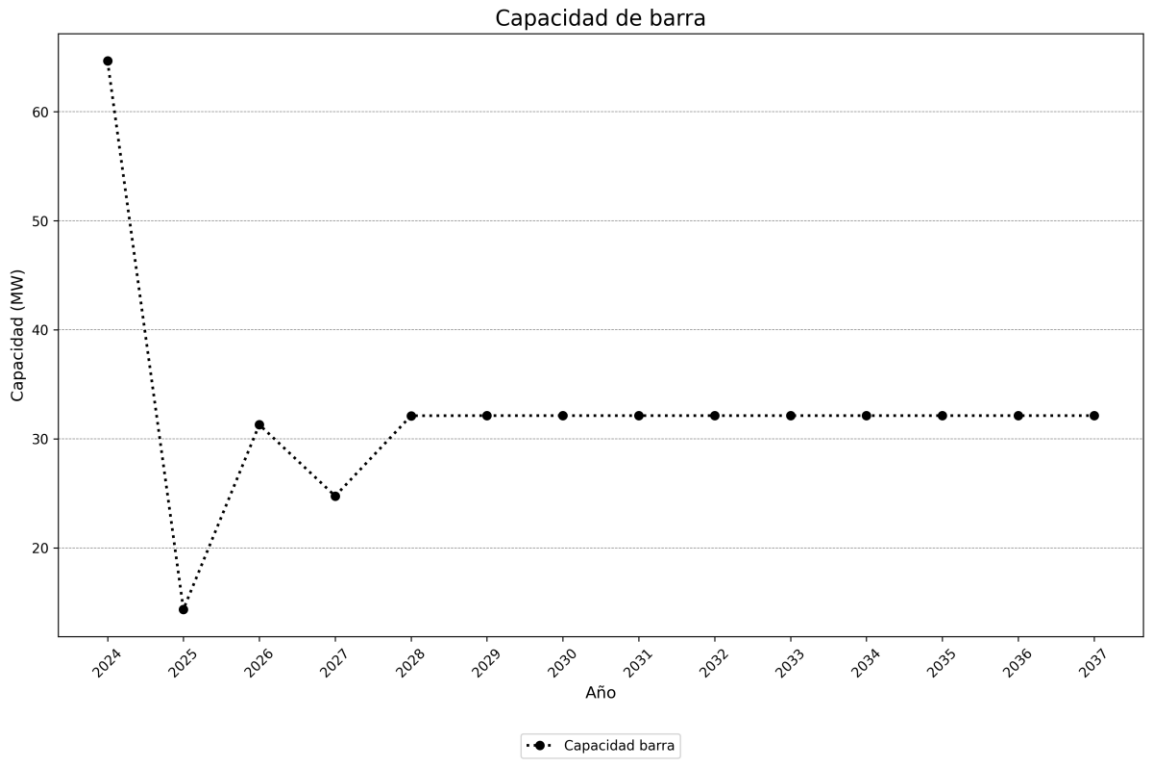


Figura 2-560. Balance de capacidad por barra después de la priorización para la subestación Regivit 115

Capacidad excedente de interrupción de corriente de cortocircuito:

Para la subestación Regivit 115 se presentaron 167 alternativas de conexión las cuales tienen aportes de corriente de cortocircuito. Estas alternativas se muestran en la siguiente tabla:

Tabla 2-587. Alternativas de conexión que aportan corriente de cortocircuito en la subestación Regivit 115

Solicitud	tipo	FPO	Barra a la que aporta CC	Aporte de cortocircuito (kA)	Restricción
SC_2023_5136_A1	Solar FV	2026	Regivit 115	0.013	SATISFACE
SC_2023_5136_A2	Solar FV	2026	Regivit 115	0.013	SATISFACE
SC_2023_5144_A1	Solar FV	2028	Regivit 115	0.159	SATISFACE
SC_2023_5144_A2	Solar FV	2028	Regivit 115	0.072	SATISFACE
SC_2023_5150_A1	Solar FV	2028	Regivit 115	0.103	SATISFACE
SC_2023_5152_A1	Solar FV	2025	Regivit 115	0.007	SATISFACE
SC_2023_5152_A2	Solar FV	2025	Regivit 115	0.006	SATISFACE
SC_2023_5171_A1	Solar FV	2025	Regivit 115	0.006	SATISFACE
SC_2023_5171_A2	Solar FV	2025	Regivit 115	0.007	SATISFACE
SC_2023_5185_A1	Solar FV	2026	Regivit 115	0.268	SATISFACE
SC_2023_5185_A2	Solar FV	2026	Regivit 115	0.252	SATISFACE
SC_2023_5188_A1	Solar FV	2026	Regivit 115	0.025	SATISFACE
SC_2023_5188_A2	Solar FV	2026	Regivit 115	0.086	SATISFACE
SC_2023_5200_A1	Solar FV	2028	Regivit 115	0.315	SATISFACE
SC_2023_5200_A2	Solar FV	2028	Regivit 115	0.141	SATISFACE
SC_2023_5248_A1	Solar FV	2025	Regivit 115	0.010	SATISFACE
SC_2023_5248_A2	Solar FV	2025	Regivit 115	0.011	SATISFACE
SC_2023_5249_A1	Solar FV	2025	Regivit 115	0.010	SATISFACE
SC_2023_5249_A2	Solar FV	2025	Regivit 115	0.010	SATISFACE
SC_2023_5251_A1	Solar FV	2025	Regivit 115	0.051	SATISFACE
SC_2023_5251_A2	Solar FV	2025	Regivit 115	0.051	SATISFACE
SC_2023_5252_A1	Solar FV	2028	Regivit 115	0.072	SATISFACE
SC_2023_5252_A2	Solar FV	2028	Regivit 115	0.035	SATISFACE
SC_2023_5253_A1	Solar FV	2025	Regivit 115	0.051	SATISFACE
SC_2023_5253_A2	Solar FV	2025	Regivit 115	0.051	SATISFACE
SC_2023_5256_A2	Solar FV	2028	Regivit 115	0.026	SATISFACE
SC_2023_5257_A1	Solar FV	2025	Regivit 115	0.010	SATISFACE
SC_2023_5257_A2	Solar FV	2025	Regivit 115	0.010	SATISFACE
SC_2023_5280_A1	Solar FV	2028	Regivit 115	0.050	SATISFACE
SC_2023_5280_A2	Solar FV	2028	Regivit 115	0.048	SATISFACE
SC_2023_5287_A1	Solar FV	2026	Regivit 115	0.026	SATISFACE
SC_2023_5287_A2	Solar FV	2026	Regivit 115	0.026	SATISFACE
SC_2023_5288_A1	Solar FV	2026	Regivit 115	0.016	SATISFACE
SC_2023_5288_A2	Solar FV	2026	Regivit 115	0.042	SATISFACE

SC_2023_5293_A1	Solar FV	2028	Regivit 115	0.068	SATISFACE
SC_2023_5293_A2	Solar FV	2028	Regivit 115	0.065	SATISFACE
SC_2023_5294_A1	Solar FV	2029	Regivit 115	0.012	SATISFACE
SC_2023_5294_A2	Solar FV	2029	Regivit 115	0.013	SATISFACE
SC_2023_5304_A1	Solar FV	2026	Regivit 115	0.003	SATISFACE
SC_2023_5309_A1	Solar FV	2026	Regivit 115	0.003	SATISFACE
SC_2023_5337_A2	Solar FV	2025	Regivit 115	0.059	SATISFACE
SC_2023_5339_A1	PCH	2026	Regivit 115	0.000	SATISFACE
SC_2023_5339_A2	PCH	2026	Regivit 115	0.000	SATISFACE
SC_2023_5345_A1	Solar FV	2027	Regivit 115	0.010	SATISFACE
SC_2023_5345_A2	Solar FV	2027	Regivit 115	0.013	SATISFACE
SC_2023_5346_A1	Solar FV	2027	Regivit 115	0.010	SATISFACE
SC_2023_5346_A2	Solar FV	2027	Regivit 115	0.013	SATISFACE
SC_2023_5375_A1	Solar FV	2026	Regivit 115	0.026	SATISFACE
SC_2023_5383_A1	Solar FV	2027	Regivit 115	0.060	SATISFACE
SC_2023_5383_A2	Solar FV	2027	Regivit 115	0.073	SATISFACE
SC_2023_5399_A1	Solar FV	2026	Regivit 115	0.016	SATISFACE
SC_2023_5399_A2	Solar FV	2026	Regivit 115	0.042	SATISFACE
SC_2023_5431_A1	Solar FV	2028	Regivit 115	0.000	SATISFACE
SC_2023_5431_A2	Solar FV	2028	Regivit 115	0.000	SATISFACE
SC_2023_5480_A1	Solar FV	2026	Regivit 115	0.026	SATISFACE
SC_2023_5480_A2	Solar FV	2026	Regivit 115	0.026	SATISFACE
SC_2023_5551_A1	Solar FV	2027	Regivit 115	0.281	SATISFACE
SC_2023_5551_A2	Solar FV	2027	Regivit 115	0.126	SATISFACE
SC_2023_5557_A1	Solar FV	2028	Regivit 115	0.095	SATISFACE
SC_2023_5564_A1	Solar FV	2026	Regivit 115	0.025	SATISFACE
SC_2023_5564_A2	Solar FV	2026	Regivit 115	0.025	SATISFACE
SC_2023_5565_A1	Solar FV	2027	Regivit 115	0.024	SATISFACE
SC_2023_5566_A1	Solar FV	2028	Regivit 115	0.025	SATISFACE
SC_2023_5566_A2	Solar FV	2028	Regivit 115	0.027	SATISFACE
SC_2023_5598_A1	Solar FV	2025	Regivit 115	0.007	SATISFACE
SC_2023_5598_A2	Solar FV	2025	Regivit 115	0.006	SATISFACE
SC_2024_5939_A1	Solar FV	2028	Regivit 115	0.001	SATISFACE
SC_2024_5939_A2	Solar FV	2028	Regivit 115	0.001	SATISFACE
SC_2344_A1	Eólico Onshore	2027	Regivit 115	0.030	SATISFACE
SC_2344_A2	Eólico Onshore	2027	Regivit 115	0.400	SATISFACE
SC_2436_A1	Solar FV	2028	Regivit 115	0.070	SATISFACE
SC_2436_A2	Solar FV	2028	Regivit 115	0.080	SATISFACE
SC_2438_A1	Solar FV	2028	Regivit 115	0.000	SATISFACE
SC_2438_A2	Solar FV	2028	Regivit 115	0.000	SATISFACE

SC_2527_A1	Solar FV	2028	Regivit 115	0.130	SATISFACE
SC_2527_A2	Solar FV	2028	Regivit 115	0.190	SATISFACE
SC_2545_A1	Solar FV	2026	Regivit 115	0.050	SATISFACE
SC_2545_A2	Solar FV	2026	Regivit 115	0.050	SATISFACE
SC_2562_A1	Solar FV	2026	Regivit 115	0.010	SATISFACE
SC_2634_A1	Solar FV	2026	Regivit 115	0.000	SATISFACE
SC_2634_A2	Solar FV	2026	Regivit 115	0.000	SATISFACE
SC_2643_A1	Solar FV	2026	Regivit 115	0.050	SATISFACE
SC_2643_A2	Solar FV	2026	Regivit 115	0.050	SATISFACE
SC_2802_A1	Solar FV	2027	Regivit 115	0.002	SATISFACE
SC_2802_A2	Solar FV	2027	Regivit 115	0.001	SATISFACE
SC_2924_A1	Solar FV	2026	Regivit 115	0.215	SATISFACE
SC_2924_A2	Solar FV	2026	Regivit 115	0.201	SATISFACE
SC_2936_A1	Solar FV	2026	Regivit 115	0.000	SATISFACE
SC_2936_A2	Solar FV	2026	Regivit 115	0.000	SATISFACE
SC_2962_A1	Solar FV	2028	Regivit 115	0.042	SATISFACE
SC_2962_A2	Solar FV	2028	Regivit 115	0.043	SATISFACE
SC_3121_A1	Solar FV	2026	Regivit 115	0.005	SATISFACE
SC_3121_A2	Solar FV	2026	Regivit 115	0.005	SATISFACE
SC_3132_A1	Solar FV	2026	Regivit 115	0.056	SATISFACE
SC_3132_A2	Solar FV	2026	Regivit 115	0.053	SATISFACE
SC_3238_A1	Solar FV	2027	Regivit 115	0.315	SATISFACE
SC_3238_A2	Solar FV	2027	Regivit 115	0.224	SATISFACE
SC_3247_A1	Solar FV	2027	Regivit 115	0.104	SATISFACE
SC_3247_A2	Solar FV	2027	Regivit 115	0.076	SATISFACE
SC_3248_A1	Solar FV	2027	Regivit 115	0.315	SATISFACE
SC_3248_A2	Solar FV	2027	Regivit 115	0.224	SATISFACE
SC_3251_A1	Hidráulica	2026	Regivit 115	0.050	SATISFACE
SC_3251_A2	Hidráulica	2026	Regivit 115	0.030	SATISFACE
SC_3353_A1	Solar FV	2027	Regivit 115	0.305	SATISFACE
SC_3353_A2	Solar FV	2027	Regivit 115	0.172	SATISFACE
SC_3382_A1	Solar FV	2027	Regivit 115	0.006	SATISFACE
SC_3382_A2	Solar FV	2027	Regivit 115	0.009	SATISFACE
SC_3392_A1	Solar FV	2027	Regivit 115	0.072	SATISFACE
SC_3392_A2	Solar FV	2027	Regivit 115	0.028	SATISFACE
SC_3441_A1	Solar FV	2027	Regivit 115	0.104	SATISFACE
SC_3441_A2	Solar FV	2027	Regivit 115	0.076	SATISFACE
SC_3453_A1	Solar FV	2027	Regivit 115	0.007	SATISFACE
SC_3453_A2	Solar FV	2027	Regivit 115	0.007	SATISFACE
SC_3514_A1	Solar FV	2027	Regivit 115	0.007	SATISFACE

SC_3514_A2	Solar FV	2027	Regivit 115	0.007	SATISFACE
SC_3578_A1	Solar FV	2028	Regivit 115	0.001	SATISFACE
SC_3578_A2	Solar FV	2028	Regivit 115	0.001	SATISFACE
SC_3667_A1	Solar FV	2029	Regivit 115	0.011	SATISFACE
SC_3667_A2	Solar FV	2029	Regivit 115	0.007	SATISFACE
SC_3846_A1	Solar FV	2028	Regivit 115	0.009	SATISFACE
SC_3846_A2	Solar FV	2028	Regivit 115	0.009	SATISFACE
SC_3882_A1	Solar FV	2026	Regivit 115	0.093	SATISFACE
SC_4083_A1	Solar FV	2027	Regivit 115	0.001	SATISFACE
SC_4083_A2	Solar FV	2027	Regivit 115	0.001	SATISFACE
SC_4175_A1	Solar FV	2026	Regivit 115	0.042	SATISFACE
SC_4175_A2	Solar FV	2026	Regivit 115	0.046	SATISFACE
SC_4296_A1	Solar FV	2028	Regivit 115	0.159	SATISFACE
SC_4296_A2	Solar FV	2028	Regivit 115	0.166	SATISFACE
SC_4751_A1	Solar FV	2027	Regivit 115	0.002	SATISFACE
SC_4760_A1	Solar FV	2026	Regivit 115	0.071	SATISFACE
SC_4765_A1	Solar FV	2029	Regivit 115	0.003	SATISFACE
SC_4765_A2	Solar FV	2029	Regivit 115	0.002	SATISFACE
SC_4789_A1	Solar FV	2027	Regivit 115	0.040	SATISFACE
SC_4789_A2	Solar FV	2027	Regivit 115	0.040	SATISFACE
SC_4809_A1	Solar FV	2027	Regivit 115	0.008	SATISFACE
SC_4809_A2	Solar FV	2027	Regivit 115	0.128	SATISFACE
SC_4819_A1	Solar FV	2029	Regivit 115	0.097	SATISFACE
SC_4819_A2	Solar FV	2029	Regivit 115	0.091	SATISFACE
SC_4821_A1	Solar FV	2027	Regivit 115	0.072	SATISFACE
SC_4821_A2	Solar FV	2027	Regivit 115	0.028	SATISFACE
SC_4824_A1	Solar FV	2025	Regivit 115	0.000	SATISFACE
SC_4824_A2	Solar FV	2025	Regivit 115	0.000	SATISFACE
SC_4826_A1	Solar FV	2027	Regivit 115	0.007	SATISFACE
SC_4826_A2	Solar FV	2027	Regivit 115	0.007	SATISFACE
SC_4827_A1	Solar FV	2027	Regivit 115	0.007	SATISFACE
SC_4827_A2	Solar FV	2027	Regivit 115	0.007	SATISFACE
SC_4842_A1	Solar FV	2028	Regivit 115	0.103	SATISFACE
SC_4910_A1	Solar FV	2026	Regivit 115	0.013	SATISFACE
SC_4910_A2	Solar FV	2026	Regivit 115	0.013	SATISFACE
SC_4926_A1	Solar FV	2027	Regivit 115	0.002	SATISFACE
SC_4947_A1	Solar FV	2027	Regivit 115	0.056	SATISFACE
SC_4960_A2	Solar FV	2029	Regivit 115	0.043	SATISFACE
SC_4974_A1	Solar FV	2026	Regivit 115	0.015	SATISFACE
SC_4974_A2	Solar FV	2026	Regivit 115	0.015	SATISFACE

SC_4978_A1	Solar FV	2026	Regivit 115	0.000	SATISFACE
SC_4978_A2	Solar FV	2026	Regivit 115	0.005	SATISFACE
SC_5009_A1	Solar FV	2026	Regivit 115	0.072	SATISFACE
SC_5009_A2	Solar FV	2026	Regivit 115	0.029	SATISFACE
SC_5011_A1	Solar FV	2027	Regivit 115	0.072	SATISFACE
SC_5011_A2	Solar FV	2027	Regivit 115	0.029	SATISFACE
SC_5060_A1	Solar FV	2026	Regivit 115	0.013	SATISFACE
SC_5060_A2	Solar FV	2026	Regivit 115	0.013	SATISFACE
SC_5076_A1	Solar FV	2027	Regivit 115	0.000	SATISFACE
SC_5076_A2	Solar FV	2027	Regivit 115	0.000	SATISFACE
SC_5077_A1	Solar FV	2027	Regivit 115	0.000	SATISFACE
SC_5077_A2	Solar FV	2027	Regivit 115	0.000	SATISFACE
SC_5087_A2	Solar FV	2027	Regivit 115	0.023	SATISFACE

Posterior a la ejecución del MACC se priorizaron las siguientes alternativas de conexión que tienen aportes de cortocircuito de la subestación en análisis:

Tabla 2-588. Alternativas de conexión priorizadas que aportan corriente de cortocircuito en la subestación Regivit 115

index	tipo	periodoIni	Barra a la que aporta CC	Aporte de cortocircuito (kA)	Restricción
SC_2545_A1	Solar FV	2026	Regivit 115	0.050	SATISFACE
SC_2643_A1	Solar FV	2026	Regivit 115	0.050	SATISFACE
SC_5076_A2	Solar FV	2027	Regivit 115	0.000	SATISFACE
SC_5077_A2	Solar FV	2027	Regivit 115	0.000	SATISFACE

El estado de la capacidad de cortocircuito en la subestación Regivit 115, teniendo en cuenta la priorización se puede observar en la siguiente figura.

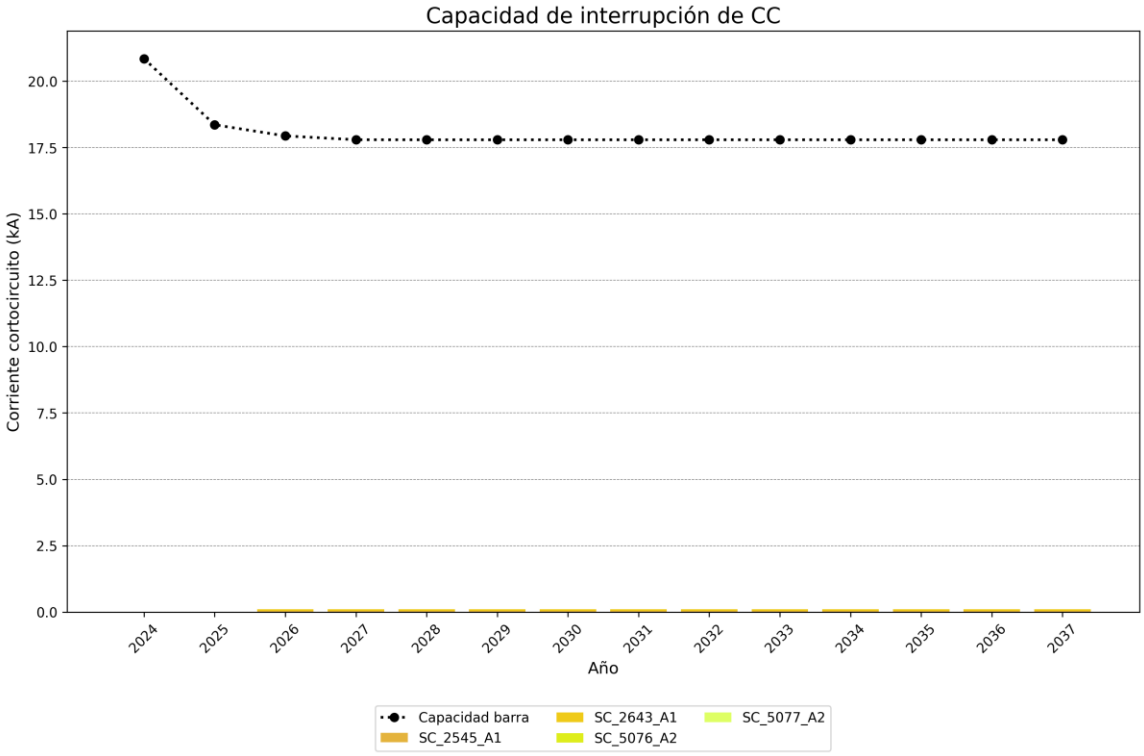


Figura 2-561. Balance de capacidad de cortocircuito después de la priorización para la subestación Regivit 115

Subestación Regivit 33:

Capacidad por barra:

Para la subestación Regivit 33 se presentaron 0 alternativas de conexión las cuales se muestran en la siguiente tabla:

Tabla 2-589. Alternativas de conexión presentadas a la subestación Regivit 33

Solicitud	Capacidad	Tipo	Barra	FPO solicitada	Restricción

No se priorizó ninguna de las alternativas de conexión presentadas en la subestación Regivit 33

El estado de la capacidad por barra en la subestación Regivit 33, teniendo en cuenta la priorización se puede observar en la siguiente figura.

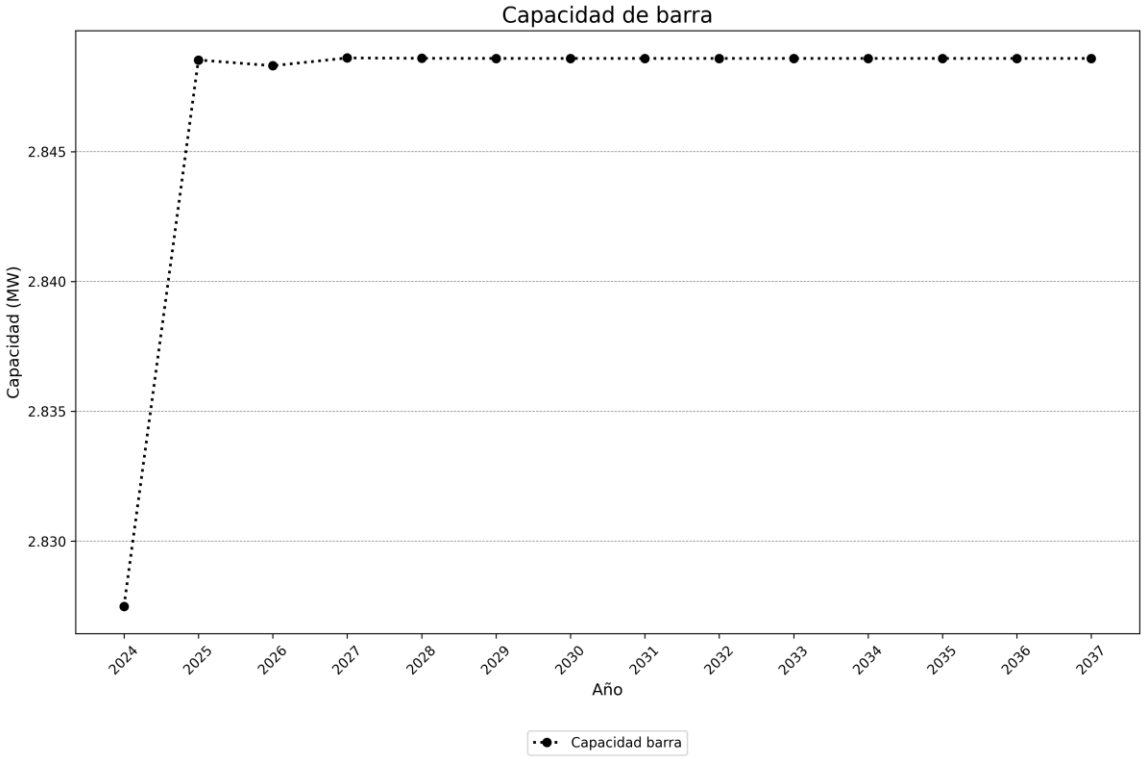


Figura 2-562. Balance de capacidad por barra después de la priorización para la subestación Regivit 33

Subestación Renacer 115:

Capacidad por barra:

Para la subestación Renacer 115 se presentaron 0 alternativas de conexión las cuales se muestran en la siguiente tabla:

Tabla 2-590. Alternativas de conexión presentadas a la subestación Renacer 115

Solicitud	Capacidad	Tipo	Barra	FPO solicitada	Restricción

No se priorizó ninguna de las alternativas de conexión presentadas en la subestación Renacer 115

El estado de la capacidad por barra en la subestación Renacer 115, teniendo en cuenta la priorización se puede observar en la siguiente figura.

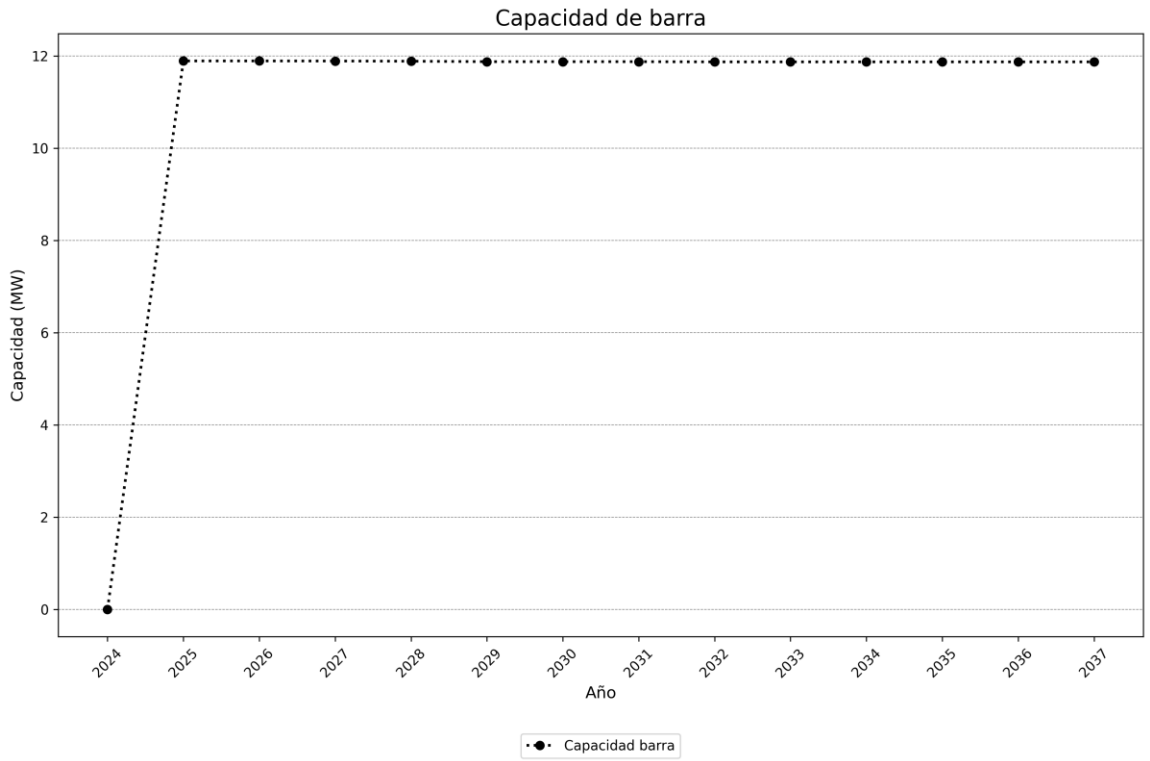


Figura 2-563. Balance de capacidad por barra después de la priorización para la subestación Renacer 115

Capacidad excedente de interrupción de corriente de cortocircuito:

Para la subestación Renacer 115 se presentaron 4 alternativas de conexión las cuales tienen aportes de corriente de cortocircuito. Estas alternativas se muestran en la siguiente tabla:

Tabla 2-591. Alternativas de conexión que aportan corriente de cortocircuito en la subestación Renacer 115

Solicitud	tipo	FPO	Barra a la que aporta CC	Aporte de cortocircuito (kA)	Restricción
SC_4974_A1	Solar FV	2026	Renacer 115	0.000	SATISFACE
SC_4974_A2	Solar FV	2026	Renacer 115	0.000	SATISFACE
SC_4978_A1	Solar FV	2026	Renacer 115	0.000	SATISFACE
SC_4978_A2	Solar FV	2026	Renacer 115	0.003	SATISFACE

No se priorizó ninguna de las alternativas de conexión que tengan aportes de corriente de cortocircuito en la subestación Renacer 115

El estado de la capacidad de cortocircuito en la subestación Renacer 115, teniendo en cuenta la priorización se puede observar en la siguiente figura.

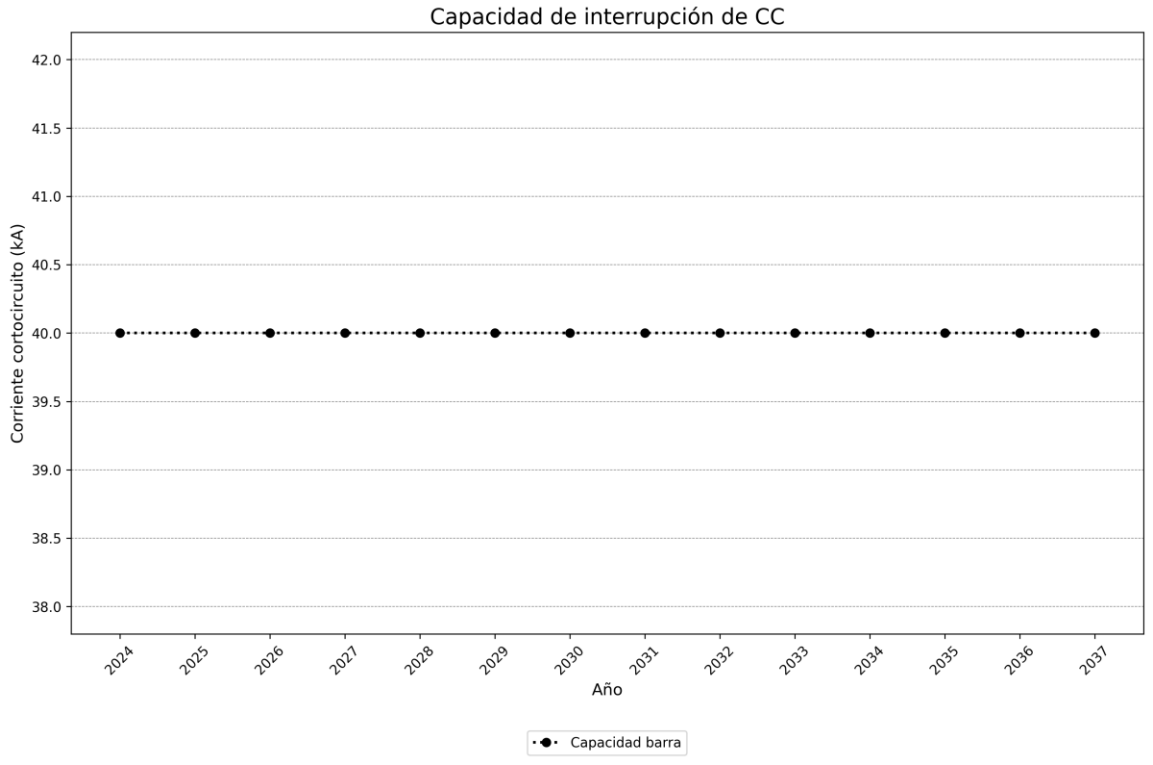


Figura 2-564. Balance de capacidad de cortocircuito después de la priorización para la subestación Renacer 115

Subestación Renacer 220:

Capacidad por barra:

Para la subestación Renacer 220 se presentaron 0 alternativas de conexión las cuales se muestran en la siguiente tabla:

Tabla 2-592. Alternativas de conexión presentadas a la subestación Renacer 220

Solicitud	Capacidad	Tipo	Barra	FPO solicitada	Restricción

No se priorizó ninguna de las alternativas de conexión presentadas en la subestación Renacer 220

El estado de la capacidad por barra en la subestación Renacer 220, teniendo en cuenta la priorización se puede observar en la siguiente figura.

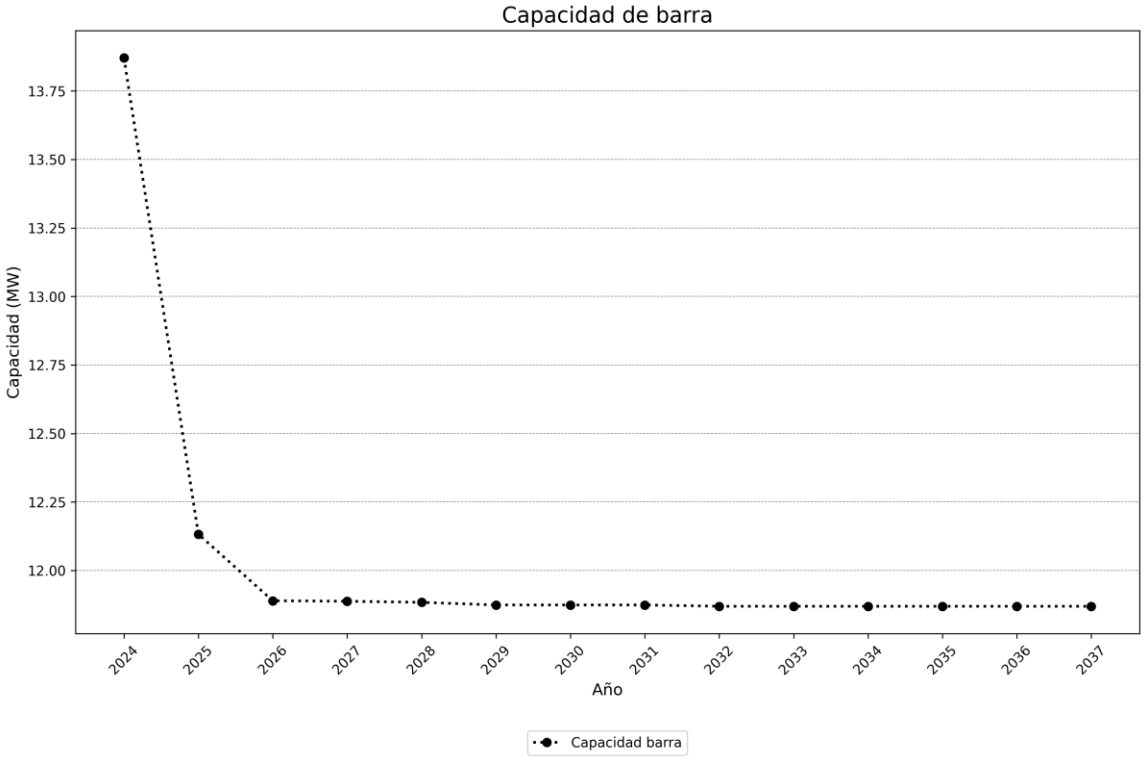


Figura 2-565. Balance de capacidad por barra después de la priorización para la subestación Renacer 220

Capacidad excedente de interrupción de corriente de cortocircuito:

Para la subestación Renacer 220 se presentaron 27 alternativas de conexión las cuales tienen aportes de corriente de cortocircuito. Estas alternativas se muestran en la siguiente tabla:

Tabla 2-593. Alternativas de conexión que aportan corriente de cortocircuito en la subestación Renacer 220

Solicitud	tipo	FPO	Barra a la que aporta CC	Aporte de cortocircuito (kA)	Restricción
SC_2023_5280_A1	Solar FV	2028	Renacer 220	0.006	SATISFACE
SC_2023_5280_A2	Solar FV	2028	Renacer 220	0.006	SATISFACE
SC_2023_5287_A1	Solar FV	2026	Renacer 220	0.003	SATISFACE

SC_2023_5287_A2	Solar FV	2026	Renacer 220	0.003	SATISFACE
SC_2023_5288_A1	Solar FV	2026	Renacer 220	0.002	SATISFACE
SC_2023_5288_A2	Solar FV	2026	Renacer 220	0.004	SATISFACE
SC_2023_5375_A1	Solar FV	2026	Renacer 220	0.003	SATISFACE
SC_2023_5399_A1	Solar FV	2026	Renacer 220	0.002	SATISFACE
SC_2023_5399_A2	Solar FV	2026	Renacer 220	0.004	SATISFACE
SC_2023_5480_A1	Solar FV	2026	Renacer 220	0.003	SATISFACE
SC_2023_5480_A2	Solar FV	2026	Renacer 220	0.003	SATISFACE
SC_2023_5557_A1	Solar FV	2028	Renacer 220	0.008	SATISFACE
SC_2936_A1	Solar FV	2026	Renacer 220	0.000	SATISFACE
SC_2936_A2	Solar FV	2026	Renacer 220	0.000	SATISFACE
SC_3121_A1	Solar FV	2026	Renacer 220	0.000	SATISFACE
SC_3121_A2	Solar FV	2026	Renacer 220	0.000	SATISFACE
SC_3132_A1	Solar FV	2026	Renacer 220	0.007	SATISFACE
SC_3132_A2	Solar FV	2026	Renacer 220	0.006	SATISFACE
SC_3882_A1	Solar FV	2026	Renacer 220	0.008	SATISFACE
SC_4083_A1	Solar FV	2027	Renacer 220	0.000	SATISFACE
SC_4083_A2	Solar FV	2027	Renacer 220	0.000	SATISFACE
SC_4765_A1	Solar FV	2029	Renacer 220	0.000	SATISFACE
SC_4765_A2	Solar FV	2029	Renacer 220	0.000	SATISFACE
SC_4819_A1	Solar FV	2029	Renacer 220	0.009	SATISFACE
SC_4819_A2	Solar FV	2029	Renacer 220	0.009	SATISFACE
SC_4978_A1	Solar FV	2026	Renacer 220	0.000	SATISFACE
SC_4978_A2	Solar FV	2026	Renacer 220	0.000	SATISFACE

No se priorizó ninguna de las alternativas de conexión que tengan aportes de corriente de cortocircuito en la subestación Renacer 220

El estado de la capacidad de cortocircuito en la subestación Renacer 220, teniendo en cuenta la priorización se puede observar en la siguiente figura.

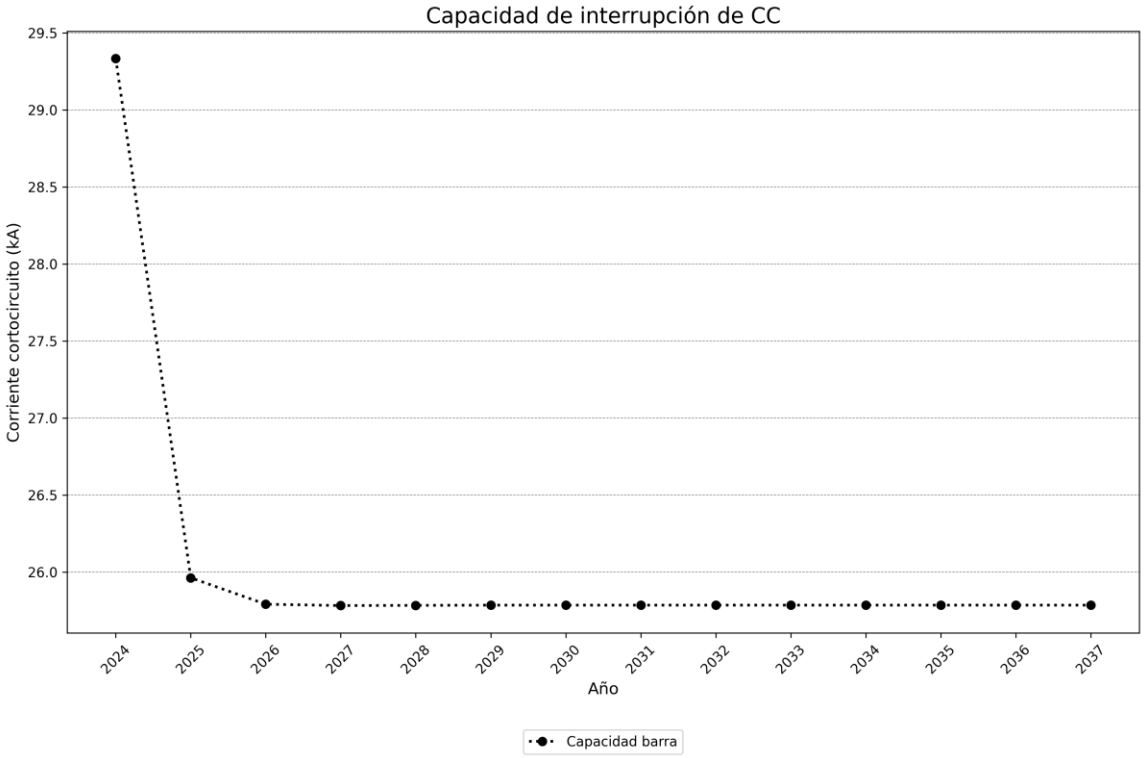


Figura 2-566. Balance de capacidad de cortocircuito después de la priorización para la subestación Renacer 220

Subestación Rio Claro 110:

Capacidad por barra:

Para la subestación Rio Claro 110 se presentaron 0 alternativas de conexión las cuales se muestran en la siguiente tabla:

Tabla 2-594. Alternativas de conexión presentadas a la subestación Rio Claro 110

Solicitud	Capacidad	Tipo	Barra	FPO solicitada	Restricción

No se priorizó ninguna de las alternativas de conexión presentadas en la subestación Rio Claro 110

El estado de la capacidad por barra en la subestación Rio Claro 110, teniendo en cuenta la priorización se puede observar en la siguiente figura.

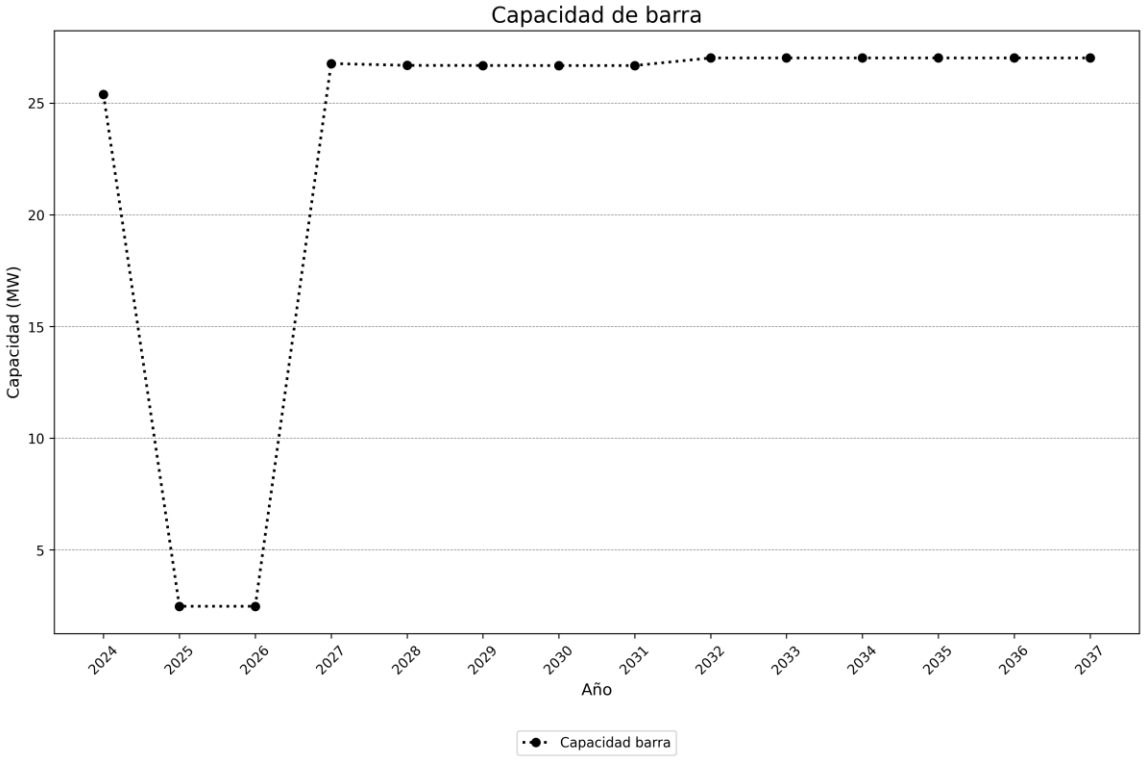


Figura 2-567. Balance de capacidad por barra después de la priorización para la subestación Rio Claro 110

Capacidad excedente de interrupción de corriente de cortocircuito:

Para la subestación Rio Claro 110 se presentaron 6 alternativas de conexión las cuales tienen aportes de corriente de cortocircuito. Estas alternativas se muestran en la siguiente tabla:

Tabla 2-595. Alternativas de conexión que aportan corriente de cortocircuito en la subestación Rio Claro 110

Solicitud	tipo	FPO	Barra a la que aporta CC	Aporte de cortocircuito (kA)	Restricción
SC_2023_5294_A1	Solar FV	2029	Rio Claro 110	0.005	SATISFACE
SC_2023_5294_A2	Solar FV	2029	Rio Claro 110	0.005	SATISFACE
SC_3331_A1	Solar FV	2026	Rio Claro 110	0.191	SATISFACE
SC_3667_A1	Solar FV	2029	Rio Claro 110	0.001	SATISFACE
SC_3667_A2	Solar FV	2029	Rio Claro 110	0.001	SATISFACE
SC_4960_A2	Solar FV	2029	Rio Claro 110	0.009	SATISFACE

No se priorizó ninguna de las alternativas de conexión que tengan aportes de corriente de cortocircuito en la subestación Rio Claro 110

El estado de la capacidad de cortocircuito en la subestación Rio Claro 110, teniendo en cuenta la priorización se puede observar en la siguiente figura.

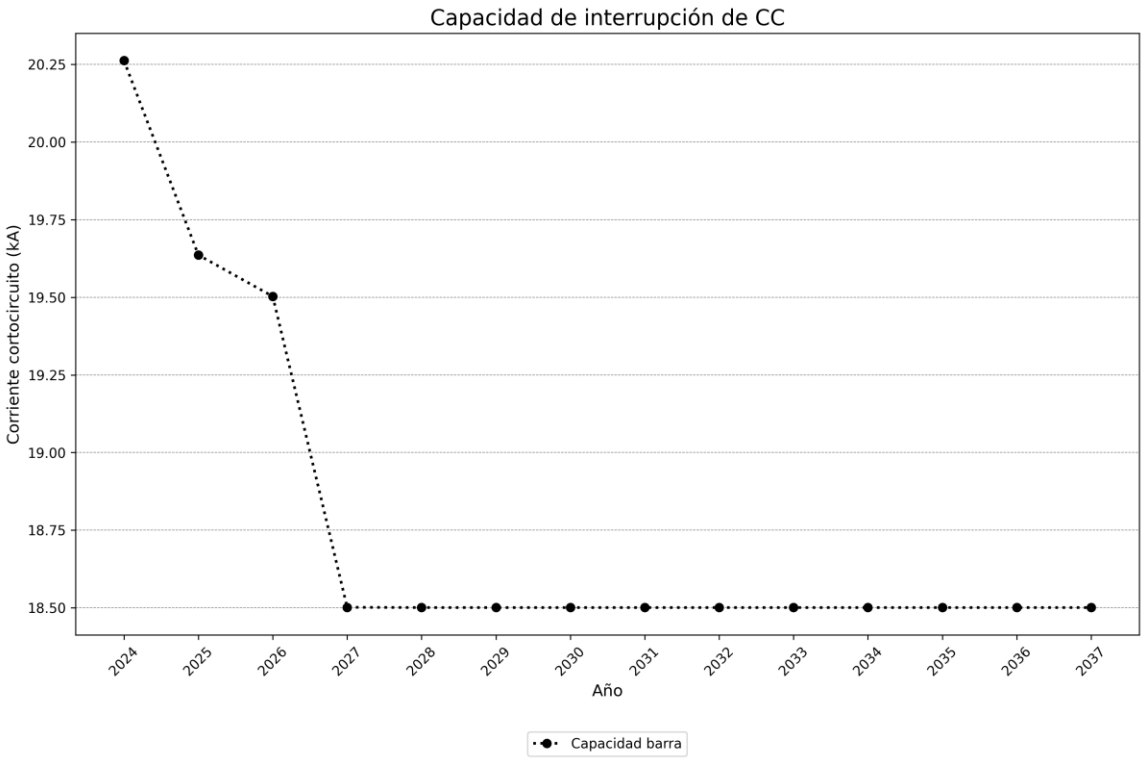


Figura 2-568. Balance de capacidad de cortocircuito después de la priorización para la subestación Rio Claro 110

Subestación Rio Mayo 115:

Capacidad por barra:

Para la subestación Rio Mayo 115 se presentaron 0 alternativas de conexión las cuales se muestran en la siguiente tabla:

Tabla 2-596. Alternativas de conexión presentadas a la subestación Rio Mayo 115

Solicitud	Capacidad	Tipo	Barra	FPO solicitada	Restricción

No se priorizó ninguna de las alternativas de conexión presentadas en la subestación Rio Mayo 115

El estado de la capacidad por barra en la subestación Rio Mayo 115, teniendo en cuenta la priorización se puede observar en la siguiente figura.

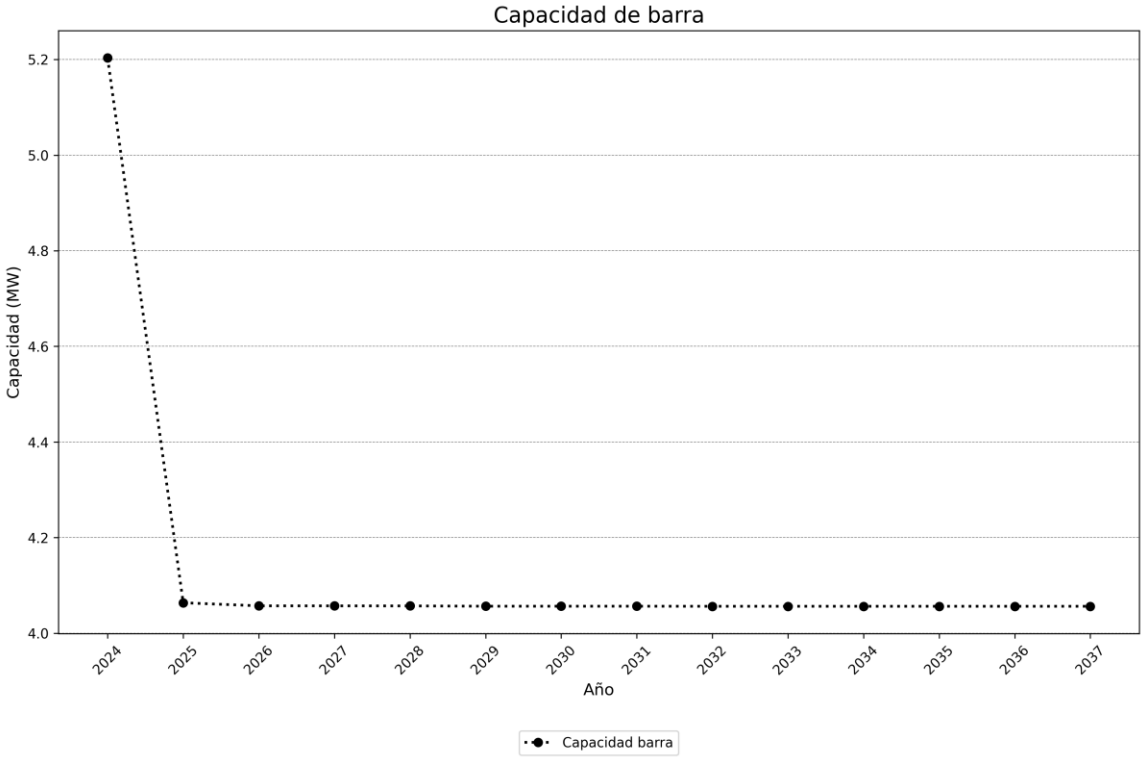


Figura 2-569. Balance de capacidad por barra después de la priorización para la subestación Rio Mayo 115

Capacidad excedente de interrupción de corriente de cortocircuito:

Para la subestación Rio Mayo 115 se presentaron 25 alternativas de conexión las cuales tienen aportes de corriente de cortocircuito. Estas alternativas se muestran en la siguiente tabla:

Tabla 2-597. Alternativas de conexión que aportan corriente de cortocircuito en la subestación Rio Mayo 115

Solicitud	tipo	FPO	Barra a la que aporta CC	Aporte de cortocircuito (kA)	Restricción
SC_2023_5280_A1	Solar FV	2028	Rio Mayo 115	0.006	SATISFACE
SC_2023_5280_A2	Solar FV	2028	Rio Mayo 115	0.006	SATISFACE
SC_2023_5287_A1	Solar FV	2026	Rio Mayo 115	0.002	SATISFACE

SC_2023_5287_A2	Solar FV	2026	Rio Mayo 115	0.002	SATISFACE
SC_2023_5288_A1	Solar FV	2026	Rio Mayo 115	0.001	SATISFACE
SC_2023_5288_A2	Solar FV	2026	Rio Mayo 115	0.004	SATISFACE
SC_2023_5375_A1	Solar FV	2026	Rio Mayo 115	0.002	SATISFACE
SC_2023_5399_A1	Solar FV	2026	Rio Mayo 115	0.001	SATISFACE
SC_2023_5399_A2	Solar FV	2026	Rio Mayo 115	0.004	SATISFACE
SC_2023_5480_A1	Solar FV	2026	Rio Mayo 115	0.002	SATISFACE
SC_2023_5480_A2	Solar FV	2026	Rio Mayo 115	0.002	SATISFACE
SC_3121_A1	Solar FV	2026	Rio Mayo 115	0.000	SATISFACE
SC_3121_A2	Solar FV	2026	Rio Mayo 115	0.000	SATISFACE
SC_3132_A1	Solar FV	2026	Rio Mayo 115	0.007	SATISFACE
SC_3132_A2	Solar FV	2026	Rio Mayo 115	0.006	SATISFACE
SC_4083_A1	Solar FV	2027	Rio Mayo 115	0.000	SATISFACE
SC_4083_A2	Solar FV	2027	Rio Mayo 115	0.000	SATISFACE
SC_4765_A1	Solar FV	2029	Rio Mayo 115	0.000	SATISFACE
SC_4765_A2	Solar FV	2029	Rio Mayo 115	0.000	SATISFACE
SC_4819_A1	Solar FV	2029	Rio Mayo 115	0.008	SATISFACE
SC_4819_A2	Solar FV	2029	Rio Mayo 115	0.008	SATISFACE
SC_4974_A1	Solar FV	2026	Rio Mayo 115	0.005	SATISFACE
SC_4974_A2	Solar FV	2026	Rio Mayo 115	0.005	SATISFACE
SC_4978_A1	Solar FV	2026	Rio Mayo 115	0.000	SATISFACE
SC_4978_A2	Solar FV	2026	Rio Mayo 115	0.002	SATISFACE

No se priorizó ninguna de las alternativas de conexión que tengan aportes de corriente de cortocircuito en la subestación Rio Mayo 115

El estado de la capacidad de cortocircuito en la subestación Rio Mayo 115, teniendo en cuenta la priorización se puede observar en la siguiente figura.

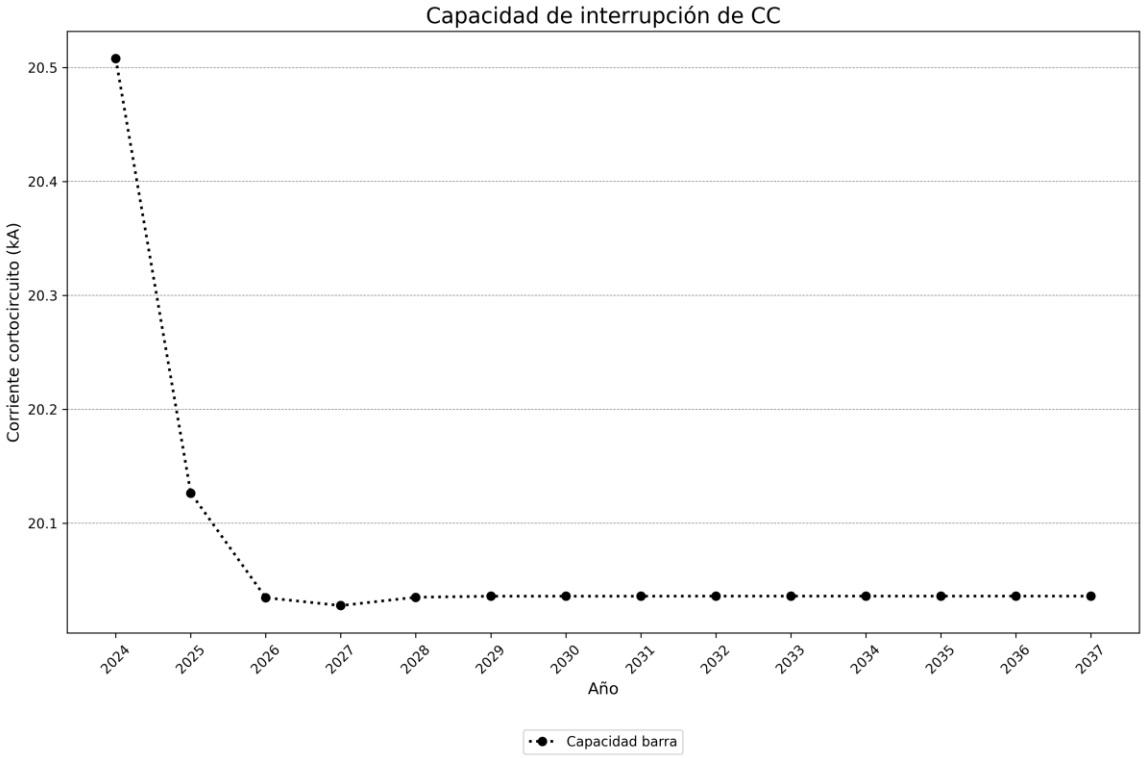


Figura 2-570. Balance de capacidad de cortocircuito después de la priorización para la subestación Rio Mayo 115

Subestación Rio Sucio 115:

Capacidad por barra:

Para la subestación Rio Sucio 115 se presentaron 0 alternativas de conexión las cuales se muestran en la siguiente tabla:

Tabla 2-598. Alternativas de conexión presentadas a la subestación Rio Sucio 115

Solicitud	Capacidad	Tipo	Barra	FPO solicitada	Restricción

No se priorizó ninguna de las alternativas de conexión presentadas en la subestación Rio Sucio 115

El estado de la capacidad por barra en la subestación Rio Sucio 115, teniendo en cuenta la priorización se puede observar en la siguiente figura.

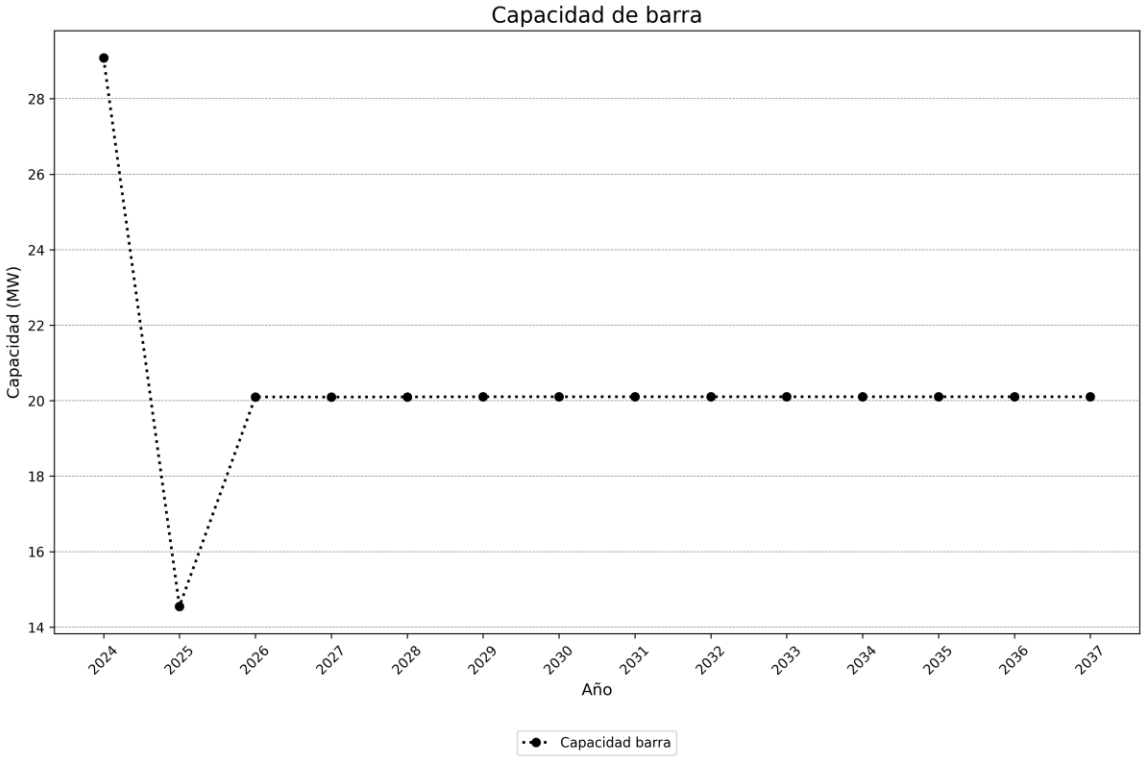


Figura 2-571. Balance de capacidad por barra después de la priorización para la subestación Rio Sucio 115

Capacidad excedente de interrupción de corriente de cortocircuito:

Para la subestación Rio Sucio 115 se presentaron 160 alternativas de conexión las cuales tienen aportes de corriente de cortocircuito. Estas alternativas se muestran en la siguiente tabla:

Tabla 2-599. Alternativas de conexión que aportan corriente de cortocircuito en la subestación Rio Sucio 115

Solicitud	tipo	FPO	Barra a la que aporta CC	Aporte de cortocircuito (kA)	Restricción
SC_2023_5136_A1	Solar FV	2026	Rio Sucio 115	0.004	SATISFACE
SC_2023_5136_A2	Solar FV	2026	Rio Sucio 115	0.004	SATISFACE
SC_2023_5144_A1	Solar FV	2028	Rio Sucio 115	0.041	SATISFACE
SC_2023_5144_A2	Solar FV	2028	Rio Sucio 115	0.019	SATISFACE
SC_2023_5150_A1	Solar FV	2028	Rio Sucio 115	0.031	SATISFACE
SC_2023_5152_A1	Solar FV	2025	Rio Sucio 115	0.000	SATISFACE
SC_2023_5152_A2	Solar FV	2025	Rio Sucio 115	0.000	SATISFACE
SC_2023_5158_A1	Solar FV	2028	Rio Sucio 115	0.025	SATISFACE
SC_2023_5171_A1	Solar FV	2025	Rio Sucio 115	0.000	SATISFACE
SC_2023_5171_A2	Solar FV	2025	Rio Sucio 115	0.000	SATISFACE
SC_2023_5174_A1	Solar FV	2027	Rio Sucio 115	0.008	SATISFACE
SC_2023_5174_A2	Solar FV	2027	Rio Sucio 115	0.009	SATISFACE
SC_2023_5185_A1	Solar FV	2026	Rio Sucio 115	0.115	SATISFACE
SC_2023_5185_A2	Solar FV	2026	Rio Sucio 115	0.086	SATISFACE
SC_2023_5188_A1	Solar FV	2026	Rio Sucio 115	0.008	SATISFACE
SC_2023_5188_A2	Solar FV	2026	Rio Sucio 115	0.039	SATISFACE
SC_2023_5200_A1	Solar FV	2028	Rio Sucio 115	0.087	SATISFACE
SC_2023_5200_A2	Solar FV	2028	Rio Sucio 115	0.040	SATISFACE
SC_2023_5216_A1	Solar FV	2026	Rio Sucio 115	0.005	SATISFACE
SC_2023_5216_A2	Solar FV	2026	Rio Sucio 115	0.000	SATISFACE
SC_2023_5248_A1	Solar FV	2025	Rio Sucio 115	0.000	SATISFACE
SC_2023_5248_A2	Solar FV	2025	Rio Sucio 115	0.000	SATISFACE
SC_2023_5249_A1	Solar FV	2025	Rio Sucio 115	0.000	SATISFACE
SC_2023_5249_A2	Solar FV	2025	Rio Sucio 115	0.000	SATISFACE
SC_2023_5251_A1	Solar FV	2025	Rio Sucio 115	0.004	SATISFACE
SC_2023_5251_A2	Solar FV	2025	Rio Sucio 115	0.004	SATISFACE
SC_2023_5252_A1	Solar FV	2028	Rio Sucio 115	0.000	SATISFACE
SC_2023_5252_A2	Solar FV	2028	Rio Sucio 115	0.005	SATISFACE
SC_2023_5253_A1	Solar FV	2025	Rio Sucio 115	0.004	SATISFACE
SC_2023_5253_A2	Solar FV	2025	Rio Sucio 115	0.004	SATISFACE
SC_2023_5256_A2	Solar FV	2028	Rio Sucio 115	0.008	SATISFACE
SC_2023_5257_A1	Solar FV	2025	Rio Sucio 115	0.000	SATISFACE
SC_2023_5257_A2	Solar FV	2025	Rio Sucio 115	0.000	SATISFACE
SC_2023_5280_A1	Solar FV	2028	Rio Sucio 115	0.016	SATISFACE
SC_2023_5280_A2	Solar FV	2028	Rio Sucio 115	0.016	SATISFACE
SC_2023_5282_A1	Solar FV	2028	Rio Sucio 115	0.022	SATISFACE
SC_2023_5287_A1	Solar FV	2026	Rio Sucio 115	0.008	SATISFACE

SC_2023_5287_A2	Solar FV	2026	Rio Sucio 115	0.008	SATISFACE
SC_2023_5288_A1	Solar FV	2026	Rio Sucio 115	0.005	SATISFACE
SC_2023_5288_A2	Solar FV	2026	Rio Sucio 115	0.014	SATISFACE
SC_2023_5293_A1	Solar FV	2028	Rio Sucio 115	0.014	SATISFACE
SC_2023_5293_A2	Solar FV	2028	Rio Sucio 115	0.012	SATISFACE
SC_2023_5294_A1	Solar FV	2029	Rio Sucio 115	0.004	SATISFACE
SC_2023_5294_A2	Solar FV	2029	Rio Sucio 115	0.004	SATISFACE
SC_2023_5304_A1	Solar FV	2026	Rio Sucio 115	0.001	SATISFACE
SC_2023_5309_A1	Solar FV	2026	Rio Sucio 115	0.001	SATISFACE
SC_2023_5337_A2	Solar FV	2025	Rio Sucio 115	0.023	SATISFACE
SC_2023_5339_A1	PCH	2026	Rio Sucio 115	0.000	SATISFACE
SC_2023_5339_A2	PCH	2026	Rio Sucio 115	0.000	SATISFACE
SC_2023_5345_A1	Solar FV	2027	Rio Sucio 115	0.005	SATISFACE
SC_2023_5345_A2	Solar FV	2027	Rio Sucio 115	0.006	SATISFACE
SC_2023_5346_A1	Solar FV	2027	Rio Sucio 115	0.005	SATISFACE
SC_2023_5346_A2	Solar FV	2027	Rio Sucio 115	0.006	SATISFACE
SC_2023_5375_A1	Solar FV	2026	Rio Sucio 115	0.008	SATISFACE
SC_2023_5383_A1	Solar FV	2027	Rio Sucio 115	0.090	SATISFACE
SC_2023_5383_A2	Solar FV	2027	Rio Sucio 115	0.109	SATISFACE
SC_2023_5399_A1	Solar FV	2026	Rio Sucio 115	0.005	SATISFACE
SC_2023_5399_A2	Solar FV	2026	Rio Sucio 115	0.014	SATISFACE
SC_2023_5431_A1	Solar FV	2028	Rio Sucio 115	0.000	SATISFACE
SC_2023_5431_A2	Solar FV	2028	Rio Sucio 115	0.000	SATISFACE
SC_2023_5480_A1	Solar FV	2026	Rio Sucio 115	0.008	SATISFACE
SC_2023_5480_A2	Solar FV	2026	Rio Sucio 115	0.008	SATISFACE
SC_2023_5549_A1	Solar FV	2028	Rio Sucio 115	0.009	SATISFACE
SC_2023_5549_A2	Solar FV	2028	Rio Sucio 115	0.009	SATISFACE
SC_2023_5551_A1	Solar FV	2027	Rio Sucio 115	0.078	SATISFACE
SC_2023_5551_A2	Solar FV	2027	Rio Sucio 115	0.036	SATISFACE
SC_2023_5557_A1	Solar FV	2028	Rio Sucio 115	0.029	SATISFACE
SC_2023_5598_A1	Solar FV	2025	Rio Sucio 115	0.000	SATISFACE
SC_2023_5598_A2	Solar FV	2025	Rio Sucio 115	0.000	SATISFACE
SC_2024_5939_A1	Solar FV	2028	Rio Sucio 115	0.000	SATISFACE
SC_2024_5939_A2	Solar FV	2028	Rio Sucio 115	0.000	SATISFACE
SC_2436_A1	Solar FV	2028	Rio Sucio 115	0.020	SATISFACE
SC_2436_A2	Solar FV	2028	Rio Sucio 115	0.030	SATISFACE
SC_2438_A1	Solar FV	2028	Rio Sucio 115	0.000	SATISFACE
SC_2438_A2	Solar FV	2028	Rio Sucio 115	0.000	SATISFACE
SC_2527_A1	Solar FV	2028	Rio Sucio 115	0.020	SATISFACE
SC_2527_A2	Solar FV	2028	Rio Sucio 115	0.060	SATISFACE

SC_2562_A1	Solar FV	2026	Rio Sucio 115	0.010	SATISFACE
SC_2634_A1	Solar FV	2026	Rio Sucio 115	0.011	SATISFACE
SC_2634_A2	Solar FV	2026	Rio Sucio 115	0.015	SATISFACE
SC_2802_A1	Solar FV	2027	Rio Sucio 115	0.000	SATISFACE
SC_2802_A2	Solar FV	2027	Rio Sucio 115	0.000	SATISFACE
SC_2924_A1	Solar FV	2026	Rio Sucio 115	0.092	SATISFACE
SC_2924_A2	Solar FV	2026	Rio Sucio 115	0.069	SATISFACE
SC_2936_A1	Solar FV	2026	Rio Sucio 115	0.000	SATISFACE
SC_2936_A2	Solar FV	2026	Rio Sucio 115	0.000	SATISFACE
SC_2962_A1	Solar FV	2028	Rio Sucio 115	0.014	SATISFACE
SC_2962_A2	Solar FV	2028	Rio Sucio 115	0.014	SATISFACE
SC_3121_A1	Solar FV	2026	Rio Sucio 115	0.001	SATISFACE
SC_3121_A2	Solar FV	2026	Rio Sucio 115	0.001	SATISFACE
SC_3132_A1	Solar FV	2026	Rio Sucio 115	0.018	SATISFACE
SC_3132_A2	Solar FV	2026	Rio Sucio 115	0.019	SATISFACE
SC_3238_A1	Solar FV	2027	Rio Sucio 115	0.090	SATISFACE
SC_3238_A2	Solar FV	2027	Rio Sucio 115	0.065	SATISFACE
SC_3247_A1	Solar FV	2027	Rio Sucio 115	0.031	SATISFACE
SC_3247_A2	Solar FV	2027	Rio Sucio 115	0.024	SATISFACE
SC_3248_A1	Solar FV	2027	Rio Sucio 115	0.090	SATISFACE
SC_3248_A2	Solar FV	2027	Rio Sucio 115	0.065	SATISFACE
SC_3251_A1	Hidráulica	2026	Rio Sucio 115	0.000	SATISFACE
SC_3251_A2	Hidráulica	2026	Rio Sucio 115	0.030	SATISFACE
SC_3353_A1	Solar FV	2027	Rio Sucio 115	0.001	SATISFACE
SC_3353_A2	Solar FV	2027	Rio Sucio 115	0.001	SATISFACE
SC_3382_A1	Solar FV	2027	Rio Sucio 115	0.001	SATISFACE
SC_3382_A2	Solar FV	2027	Rio Sucio 115	0.002	SATISFACE
SC_3392_A1	Solar FV	2027	Rio Sucio 115	0.013	SATISFACE
SC_3392_A2	Solar FV	2027	Rio Sucio 115	0.005	SATISFACE
SC_3441_A1	Solar FV	2027	Rio Sucio 115	0.031	SATISFACE
SC_3441_A2	Solar FV	2027	Rio Sucio 115	0.024	SATISFACE
SC_3453_A1	Solar FV	2027	Rio Sucio 115	0.002	SATISFACE
SC_3453_A2	Solar FV	2027	Rio Sucio 115	0.002	SATISFACE
SC_3514_A1	Solar FV	2027	Rio Sucio 115	0.002	SATISFACE
SC_3514_A2	Solar FV	2027	Rio Sucio 115	0.002	SATISFACE
SC_3578_A1	Solar FV	2028	Rio Sucio 115	0.000	SATISFACE
SC_3578_A2	Solar FV	2028	Rio Sucio 115	0.000	SATISFACE
SC_3667_A1	Solar FV	2029	Rio Sucio 115	0.005	SATISFACE
SC_3667_A2	Solar FV	2029	Rio Sucio 115	0.003	SATISFACE
SC_3846_A1	Solar FV	2028	Rio Sucio 115	0.026	SATISFACE

SC_3846_A2	Solar FV	2028	Rio Sucio 115	0.026	SATISFACE
SC_3882_A1	Solar FV	2026	Rio Sucio 115	0.028	SATISFACE
SC_4083_A1	Solar FV	2027	Rio Sucio 115	0.000	SATISFACE
SC_4083_A2	Solar FV	2027	Rio Sucio 115	0.000	SATISFACE
SC_4175_A1	Solar FV	2026	Rio Sucio 115	0.003	SATISFACE
SC_4175_A2	Solar FV	2026	Rio Sucio 115	0.003	SATISFACE
SC_4296_A1	Solar FV	2028	Rio Sucio 115	0.041	SATISFACE
SC_4296_A2	Solar FV	2028	Rio Sucio 115	0.050	SATISFACE
SC_4751_A1	Solar FV	2027	Rio Sucio 115	0.000	SATISFACE
SC_4760_A1	Solar FV	2026	Rio Sucio 115	0.037	SATISFACE
SC_4765_A1	Solar FV	2029	Rio Sucio 115	0.000	SATISFACE
SC_4765_A2	Solar FV	2029	Rio Sucio 115	0.000	SATISFACE
SC_4789_A1	Solar FV	2027	Rio Sucio 115	0.003	SATISFACE
SC_4789_A2	Solar FV	2027	Rio Sucio 115	0.003	SATISFACE
SC_4809_A1	Solar FV	2027	Rio Sucio 115	0.004	SATISFACE
SC_4809_A2	Solar FV	2027	Rio Sucio 115	0.039	SATISFACE
SC_4819_A1	Solar FV	2029	Rio Sucio 115	0.031	SATISFACE
SC_4819_A2	Solar FV	2029	Rio Sucio 115	0.031	SATISFACE
SC_4821_A1	Solar FV	2027	Rio Sucio 115	0.013	SATISFACE
SC_4821_A2	Solar FV	2027	Rio Sucio 115	0.005	SATISFACE
SC_4824_A1	Solar FV	2025	Rio Sucio 115	0.000	SATISFACE
SC_4824_A2	Solar FV	2025	Rio Sucio 115	0.000	SATISFACE
SC_4826_A1	Solar FV	2027	Rio Sucio 115	0.002	SATISFACE
SC_4826_A2	Solar FV	2027	Rio Sucio 115	0.002	SATISFACE
SC_4827_A1	Solar FV	2027	Rio Sucio 115	0.002	SATISFACE
SC_4827_A2	Solar FV	2027	Rio Sucio 115	0.002	SATISFACE
SC_4842_A1	Solar FV	2028	Rio Sucio 115	0.031	SATISFACE
SC_4910_A1	Solar FV	2026	Rio Sucio 115	0.004	SATISFACE
SC_4910_A2	Solar FV	2026	Rio Sucio 115	0.004	SATISFACE
SC_4926_A1	Solar FV	2027	Rio Sucio 115	0.000	SATISFACE
SC_4947_A1	Solar FV	2027	Rio Sucio 115	0.013	SATISFACE
SC_4960_A2	Solar FV	2029	Rio Sucio 115	0.015	SATISFACE
SC_4974_A1	Solar FV	2026	Rio Sucio 115	0.002	SATISFACE
SC_4974_A2	Solar FV	2026	Rio Sucio 115	0.002	SATISFACE
SC_4978_A1	Solar FV	2026	Rio Sucio 115	0.001	SATISFACE
SC_4978_A2	Solar FV	2026	Rio Sucio 115	0.002	SATISFACE
SC_5009_A1	Solar FV	2026	Rio Sucio 115	0.014	SATISFACE
SC_5009_A2	Solar FV	2026	Rio Sucio 115	0.005	SATISFACE
SC_5011_A1	Solar FV	2027	Rio Sucio 115	0.014	SATISFACE
SC_5011_A2	Solar FV	2027	Rio Sucio 115	0.005	SATISFACE

SC_5060_A1	Solar FV	2026	Rio Sucio 115	0.004	SATISFACE
SC_5060_A2	Solar FV	2026	Rio Sucio 115	0.004	SATISFACE
SC_5087_A2	Solar FV	2027	Rio Sucio 115	0.008	SATISFACE

No se priorizó ninguna de las alternativas de conexión que tengan aportes de corriente de cortocircuito en la subestación Rio Sucio 115

El estado de la capacidad de cortocircuito en la subestación Rio Sucio 115, teniendo en cuenta la priorización se puede observar en la siguiente figura.

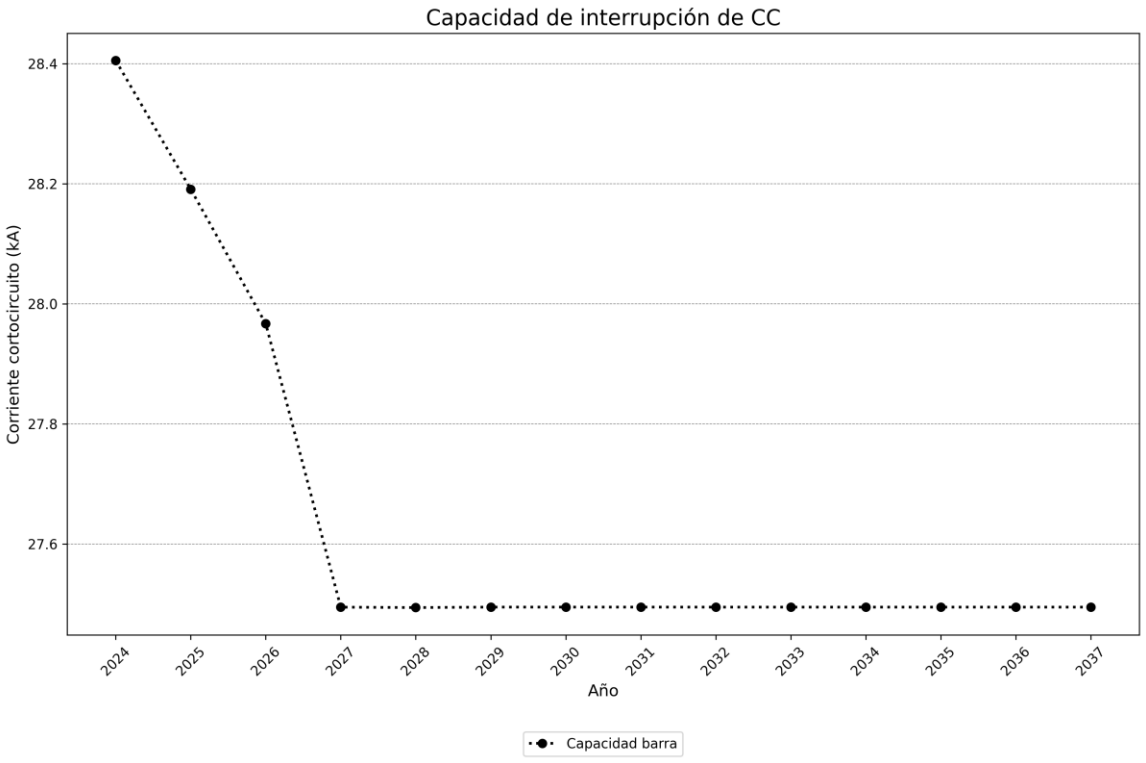


Figura 2-572. Balance de capacidad de cortocircuito después de la priorización para la subestación Rio Sucio 115

Subestación Riogrande 110:

Capacidad por barra:

Para la subestación Riogrande 110 se presentaron 0 alternativas de conexión las cuales se muestran en la siguiente tabla:

Tabla 2-600. Alternativas de conexión presentadas a la subestación Riogrande 110

Solicitud	Capacidad	Tipo	Barra	FPO solicitada	Restricción

No se priorizó ninguna de las alternativas de conexión presentadas en la subestación Riogrande 110

El estado de la capacidad por barra en la subestación Riogrande 110, teniendo en cuenta la priorización se puede observar en la siguiente figura.

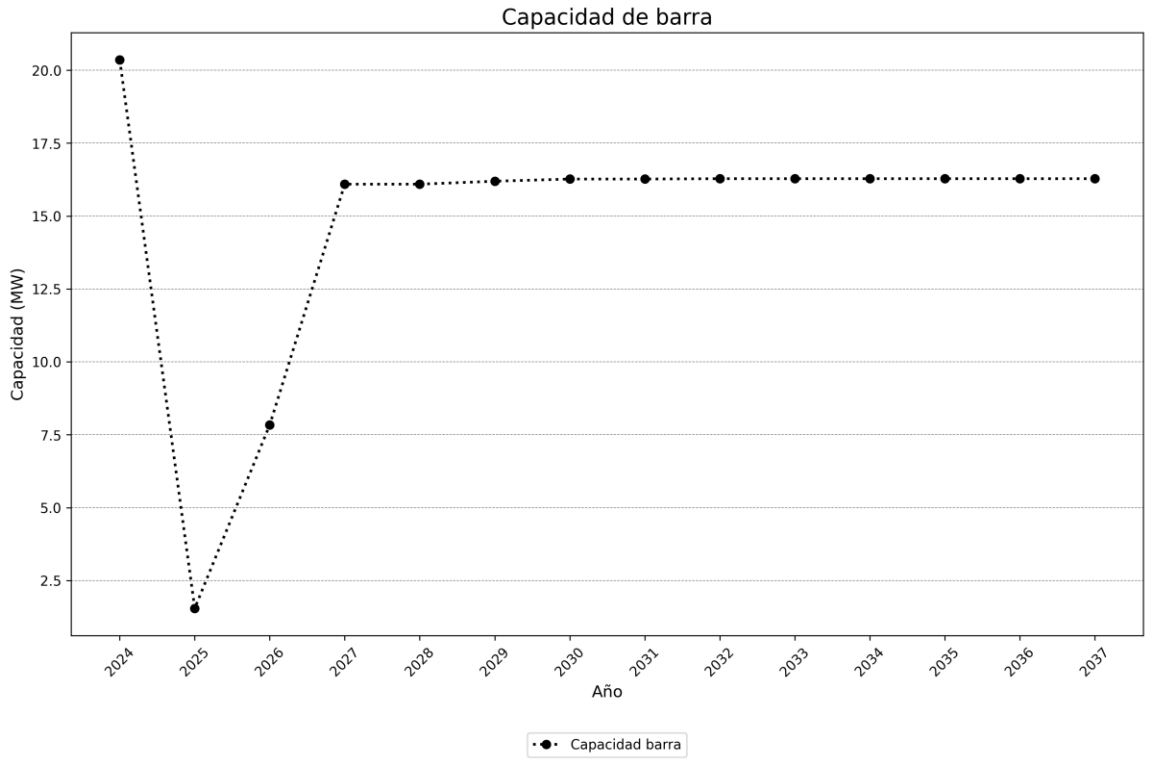


Figura 2-573. Balance de capacidad por barra después de la priorización para la subestación Riogrande 110

Capacidad excedente de interrupción de corriente de cortocircuito:

Para la subestación Riogrande 110 se presentaron 1 alternativas de conexión las cuales tienen aportes de corriente de cortocircuito. Estas alternativas se muestran en la siguiente tabla:

Tabla 2-601. Alternativas de conexión que aportan corriente de cortocircuito en la subestación Riogrande 110

Solicitud	tipo	FPO	Barra a la que aporta CC	Aporte de cortocircuito (kA)	Restricción
SC_3331_A1	Solar FV	2026	Riogrande 110	0.036	SATISFACE

No se priorizó ninguna de las alternativas de conexión que tengan aportes de corriente de cortocircuito en la subestación Riogrande 110

El estado de la capacidad de cortocircuito en la subestación Riogrande 110, teniendo en cuenta la priorización se puede observar en la siguiente figura.

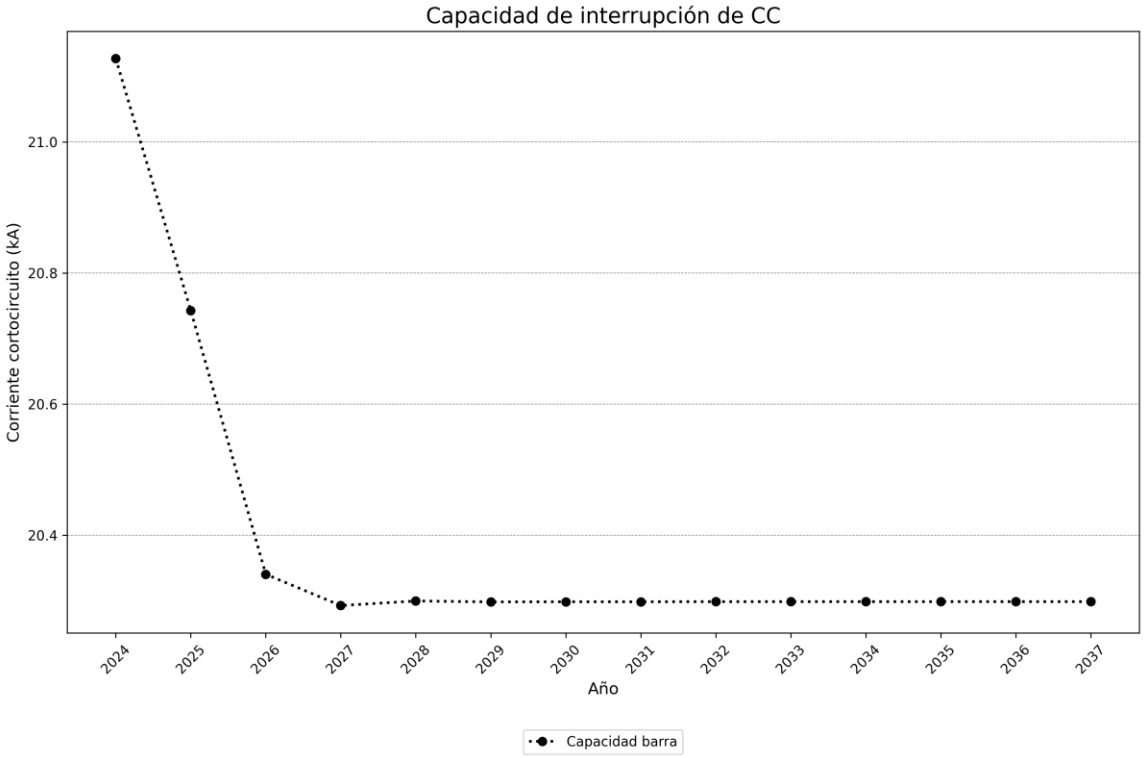


Figura 2-574. Balance de capacidad de cortocircuito después de la priorización para la subestación Riogrande 110

Subestación Rionegro 110:

Capacidad por barra:

Para la subestación Rionegro 110 se presentaron 0 alternativas de conexión las cuales se muestran en la siguiente tabla:

Tabla 2-602. Alternativas de conexión presentadas a la subestación Rionegro 110

Solicitud	Capacidad	Tipo	Barra	FPO solicitada	Restricción

No se priorizó ninguna de las alternativas de conexión presentadas en la subestación Rionegro 110

El estado de la capacidad por barra en la subestación Rionegro 110, teniendo en cuenta la priorización se puede observar en la siguiente figura.

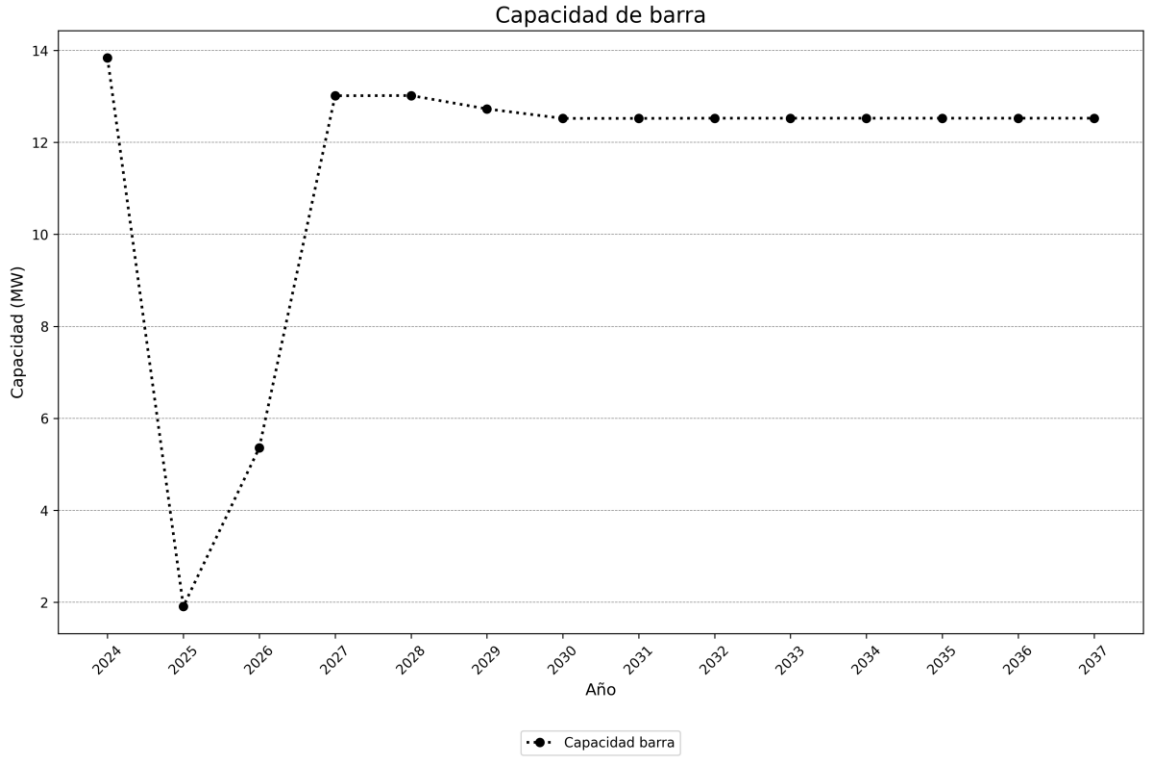


Figura 2-575. Balance de capacidad por barra después de la priorización para la subestación Rionegro 110

Capacidad excedente de interrupción de corriente de cortocircuito:

Para la subestación Rionegro 110 se presentaron 1 alternativas de conexión las cuales tienen aportes de corriente de cortocircuito. Estas alternativas se muestran en la siguiente tabla:

Tabla 2-603. Alternativas de conexión que aportan corriente de cortocircuito en la subestación Rionegro 110

Solicitud	tipo	FPO	Barra a la que aporta CC	Aporte de cortocircuito (kA)	Restricción
SC_3331_A1	Solar FV	2026	Rionegro 110	0.115	SATISFACE

No se priorizó ninguna de las alternativas de conexión que tengan aportes de corriente de cortocircuito en la subestación Rionegro 110

El estado de la capacidad de cortocircuito en la subestación Rionegro 110, teniendo en cuenta la priorización se puede observar en la siguiente figura.

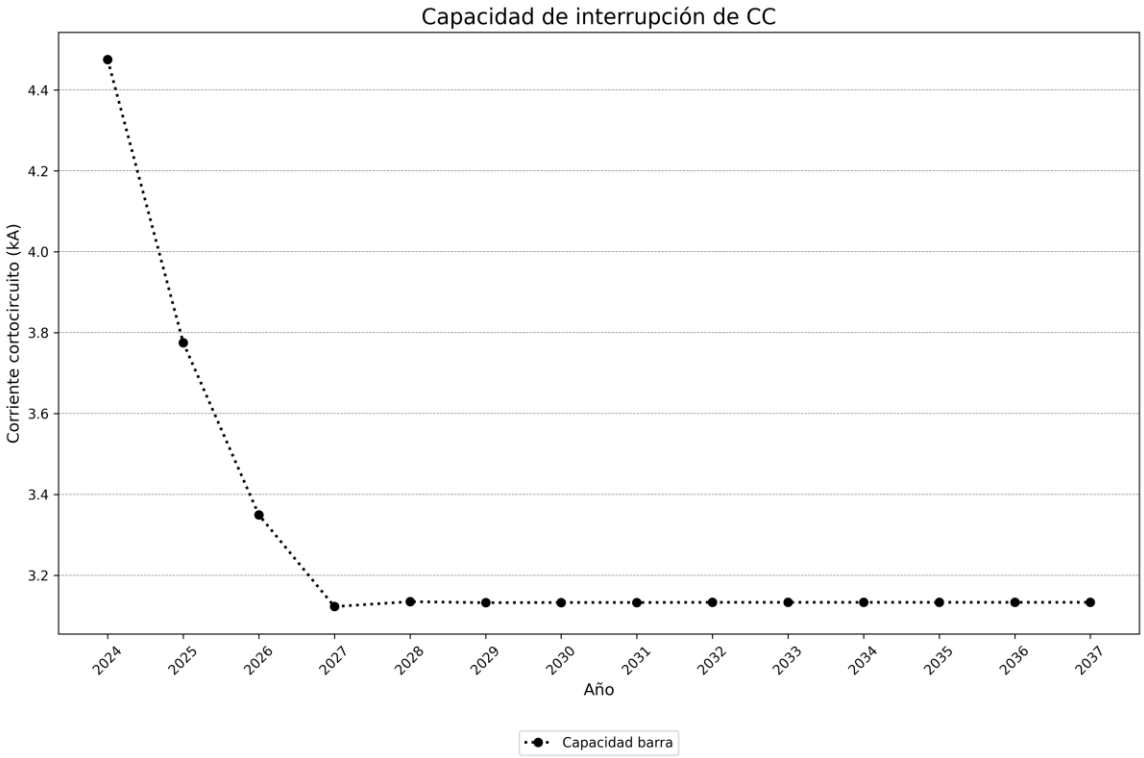


Figura 2-576. Balance de capacidad de cortocircuito después de la priorización para la subestación Rionegro 110

Subestación Riosucio 33:

Capacidad por barra:

Para la subestación Riosucio 33 se presentaron 0 alternativas de conexión las cuales se muestran en la siguiente tabla:

Tabla 2-604. Alternativas de conexión presentadas a la subestación Riosucio 33

Solicitud	Capacidad	Tipo	Barra	FPO solicitada	Restricción

No se priorizó ninguna de las alternativas de conexión presentadas en la subestación Riosucio 33

El estado de la capacidad por barra en la subestación Riosucio 33, teniendo en cuenta la priorización se puede observar en la siguiente figura.

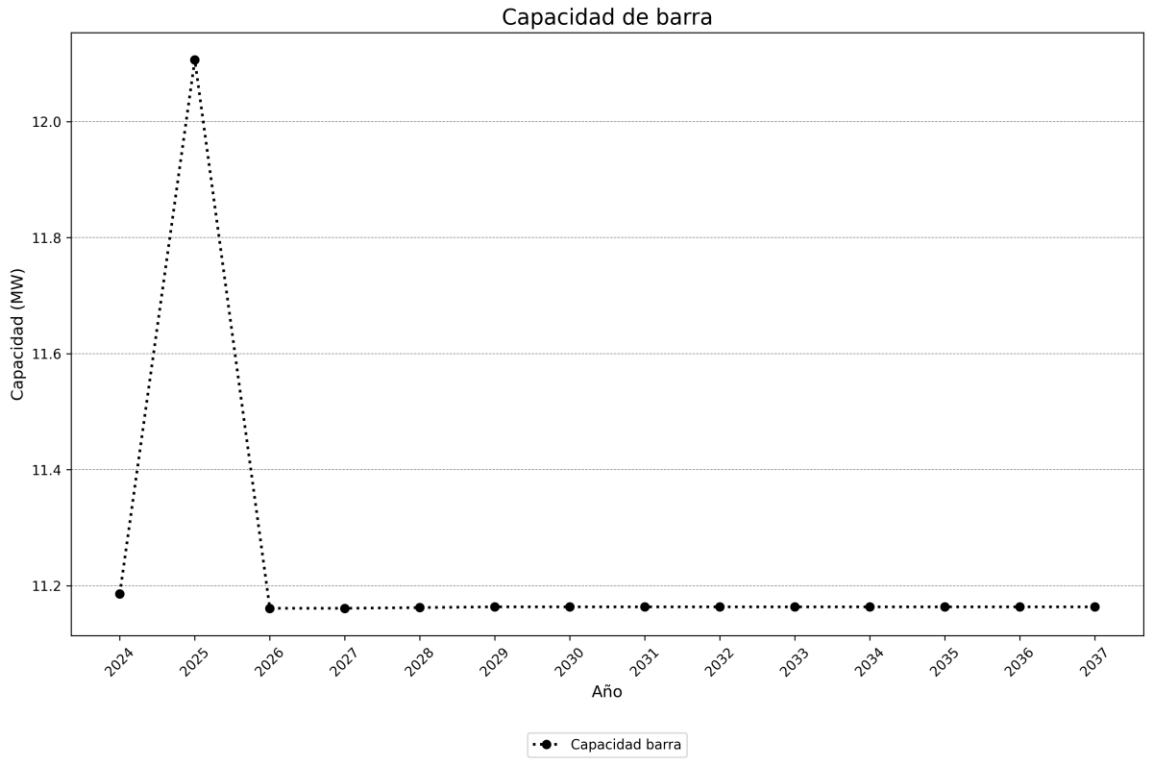


Figura 2-577. Balance de capacidad por barra después de la priorización para la subestación Riosucio 33

Subestación Risaralda 33:

Capacidad por barra:

Para la subestación Risaralda 33 se presentaron 1 alternativas de conexión las cuales se muestran en la siguiente tabla:

Tabla 2-605. Alternativas de conexión presentadas a la subestación Risaralda 33

Solicitud	Capacidad	Tipo	Barra	FPO solicitada	Restricción
SC_4824_A1	9.9	Solar FV	Risaralda 33	2025	NO SATISFACE

No se priorizó ninguna de las alternativas de conexión presentadas en la subestación Risaralda 33

El estado de la capacidad por barra en la subestación Risaralda 33, teniendo en cuenta la priorización se puede observar en la siguiente figura.

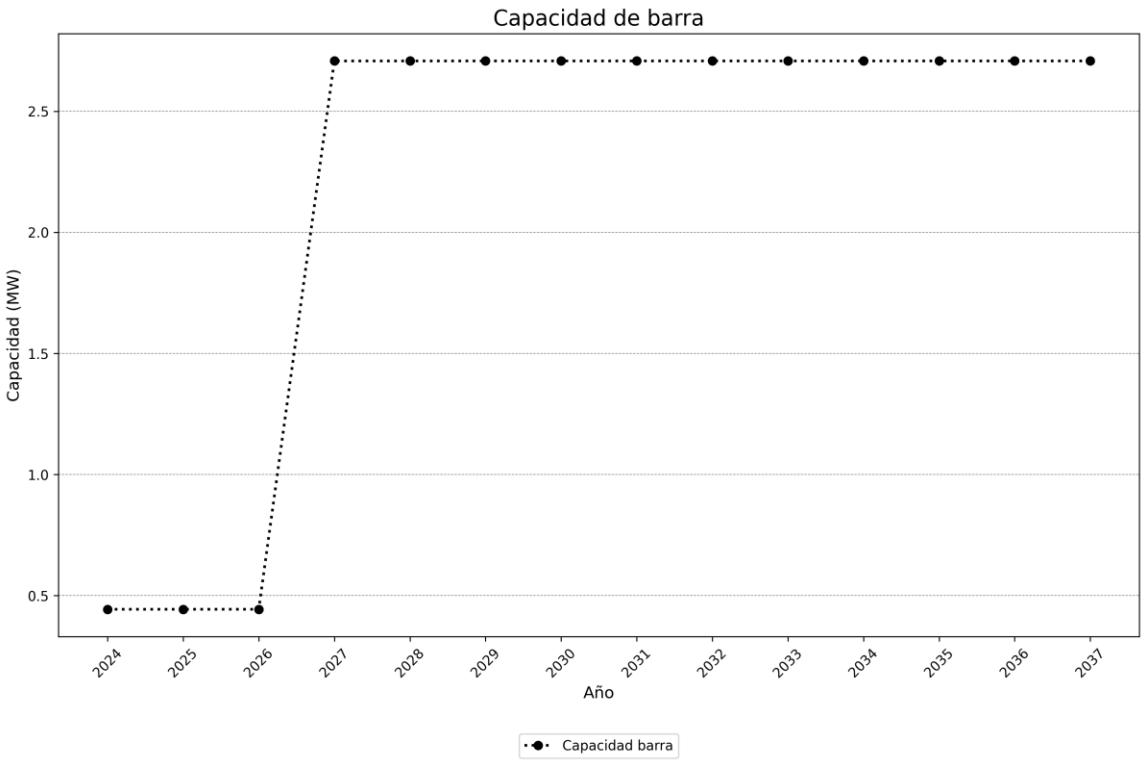


Figura 2-578. Balance de capacidad por barra después de la priorización para la subestación Risaralda 33

Subestación Rodeo 110:

Capacidad por barra:

Para la subestación Rodeo 110 se presentaron 0 alternativas de conexión las cuales se muestran en la siguiente tabla:

Tabla 2-606. Alternativas de conexión presentadas a la subestación Rodeo 110

Solicitud	Capacidad	Tipo	Barra	FPO solicitada	Restricción

No se priorizó ninguna de las alternativas de conexión presentadas en la subestación Rodeo 110

El estado de la capacidad por barra en la subestación Rodeo 110, teniendo en cuenta la priorización se puede observar en la siguiente figura.

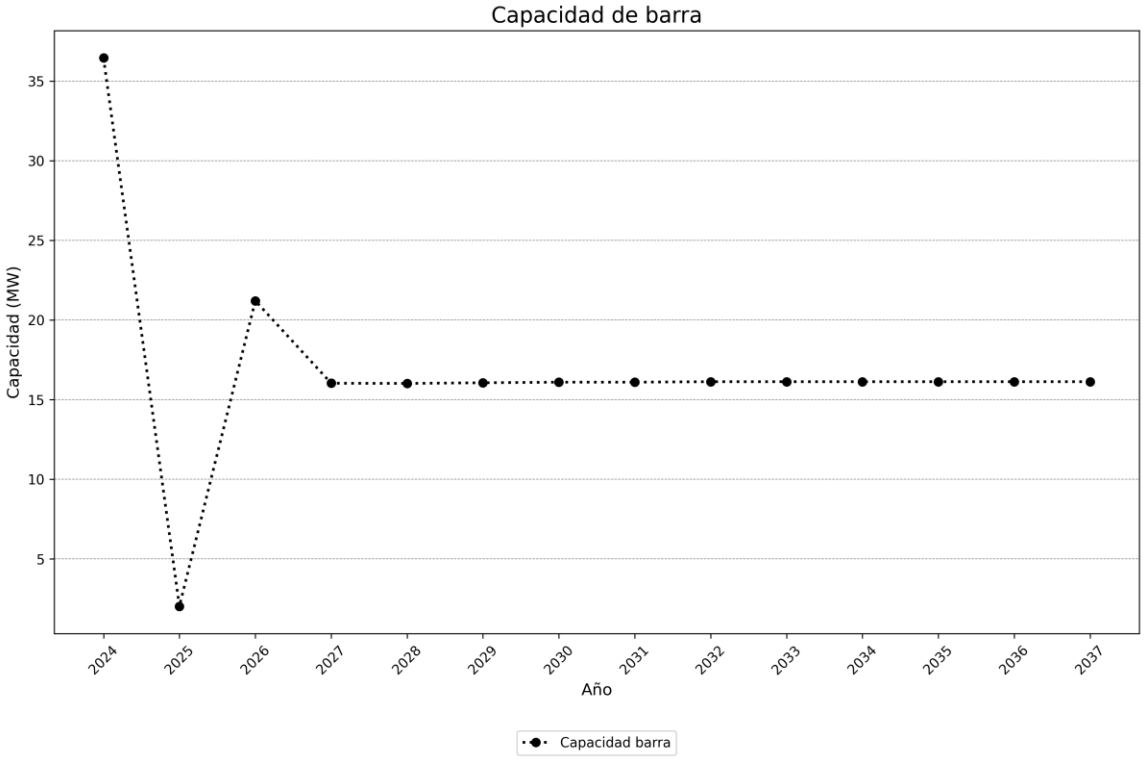


Figura 2-579. Balance de capacidad por barra después de la priorización para la subestación Rodeo 110

Capacidad excedente de interrupción de corriente de cortocircuito:

Para la subestación Rodeo 110 se presentaron 1 alternativas de conexión las cuales tienen aportes de corriente de cortocircuito. Estas alternativas se muestran en la siguiente tabla:

Tabla 2-607. Alternativas de conexión que aportan corriente de cortocircuito en la subestación Rodeo 110

Solicitud	tipo	FPO	Barra a la que aporta CC	Aporte de cortocircuito (kA)	Restricción
SC_3331_A1	Solar FV	2026	Rodeo 110	0.071	SATISFACE

No se priorizó ninguna de las alternativas de conexión que tengan aportes de corriente de cortocircuito en la subestación Rodeo 110

El estado de la capacidad de cortocircuito en la subestación Rodeo 110, teniendo en cuenta la priorización se puede observar en la siguiente figura.

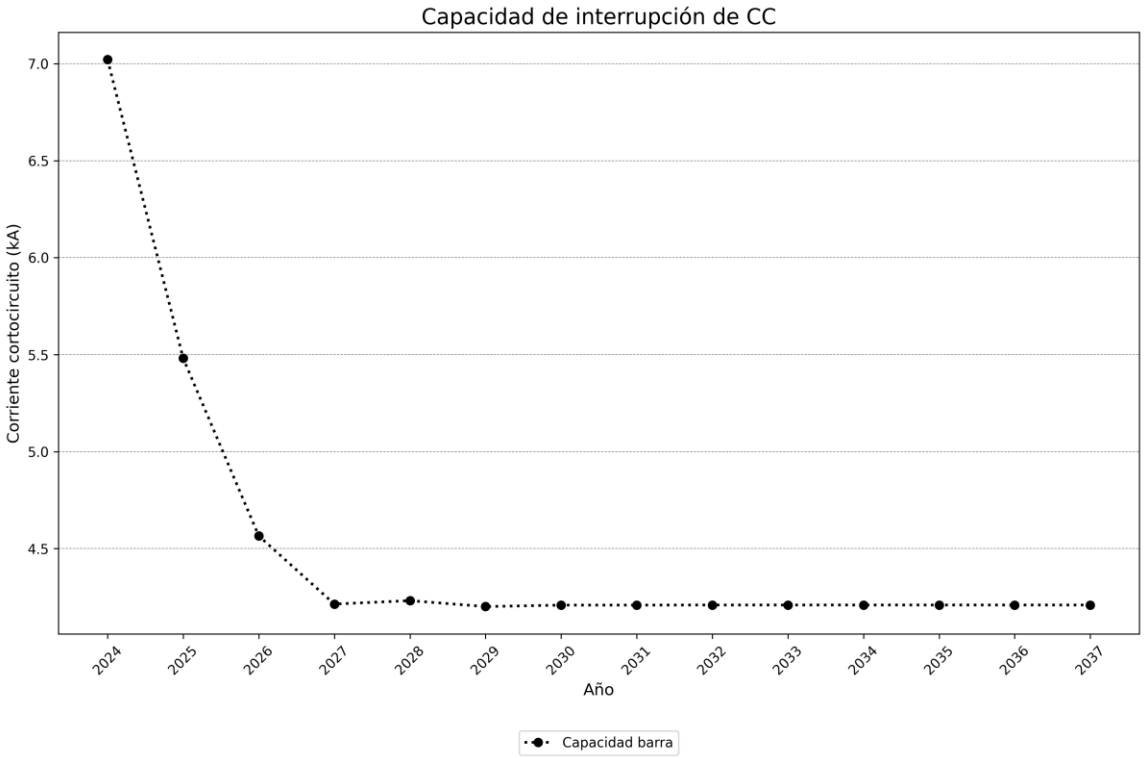


Figura 2-580. Balance de capacidad de cortocircuito después de la priorización para la subestación Rodeo 110

Subestación S Bernardino 220:

Capacidad por barra:

Para la subestación S Bernardino 220 se presentaron 0 alternativas de conexión las cuales se muestran en la siguiente tabla:

Tabla 2-608. Alternativas de conexión presentadas a la subestación S Bernardino 220

Solicitud	Capacidad	Tipo	Barra	FPO solicitada	Restricción

No se priorizó ninguna de las alternativas de conexión presentadas en la subestación S Bernardino 220

El estado de la capacidad por barra en la subestación S Bernardino 220, teniendo en cuenta la priorización se puede observar en la siguiente figura.

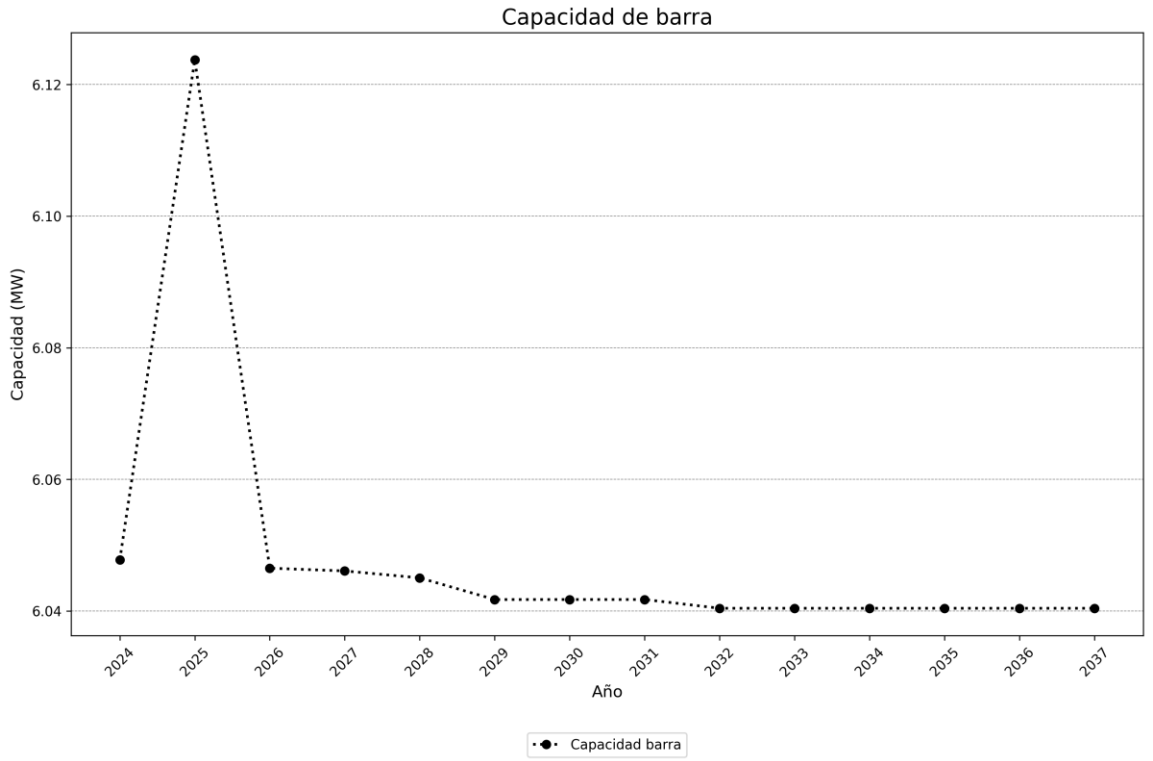


Figura 2-581. Balance de capacidad por barra después de la priorización para la subestación S Bernardino 220

Capacidad excedente de interrupción de corriente de cortocircuito:

Para la subestación S Bernardino 220 se presentaron 29 alternativas de conexión las cuales tienen aportes de corriente de cortocircuito. Estas alternativas se muestran en la siguiente tabla:

Tabla 2-609. Alternativas de conexión que aportan corriente de cortocircuito en la subestación S Bernardino 220

Solicitud	tipo	FPO	Barra a la que aporta CC	Aporte de cortocircuito (kA)	Restricción
SC_2023_5280_A1	Solar FV	2028	S Bernardino 220	0.016	SATISFACE
SC_2023_5280_A2	Solar FV	2028	S Bernardino 220	0.015	SATISFACE
SC_2023_5287_A1	Solar FV	2026	S Bernardino 220	0.008	SATISFACE
SC_2023_5287_A2	Solar FV	2026	S Bernardino 220	0.009	SATISFACE
SC_2023_5288_A1	Solar FV	2026	S Bernardino 220	0.005	SATISFACE
SC_2023_5288_A2	Solar FV	2026	S Bernardino 220	0.013	SATISFACE
SC_2023_5375_A1	Solar FV	2026	S Bernardino 220	0.008	SATISFACE
SC_2023_5399_A1	Solar FV	2026	S Bernardino 220	0.005	SATISFACE
SC_2023_5399_A2	Solar FV	2026	S Bernardino 220	0.013	SATISFACE
SC_2023_5480_A1	Solar FV	2026	S Bernardino 220	0.008	SATISFACE
SC_2023_5480_A2	Solar FV	2026	S Bernardino 220	0.009	SATISFACE
SC_2023_5557_A1	Solar FV	2028	S Bernardino 220	0.026	SATISFACE
SC_2936_A1	Solar FV	2026	S Bernardino 220	0.000	SATISFACE

SC_2936_A2	Solar FV	2026	S Bernardino 220	0.000	SATISFACE
SC_3121_A1	Solar FV	2026	S Bernardino 220	0.001	SATISFACE
SC_3121_A2	Solar FV	2026	S Bernardino 220	0.001	SATISFACE
SC_3132_A1	Solar FV	2026	S Bernardino 220	0.018	SATISFACE
SC_3132_A2	Solar FV	2026	S Bernardino 220	0.016	SATISFACE
SC_3882_A1	Solar FV	2026	S Bernardino 220	0.025	SATISFACE
SC_4083_A1	Solar FV	2027	S Bernardino 220	0.000	SATISFACE
SC_4083_A2	Solar FV	2027	S Bernardino 220	0.000	SATISFACE
SC_4765_A1	Solar FV	2029	S Bernardino 220	0.000	SATISFACE
SC_4765_A2	Solar FV	2029	S Bernardino 220	0.000	SATISFACE
SC_4819_A1	Solar FV	2029	S Bernardino 220	0.030	SATISFACE
SC_4819_A2	Solar FV	2029	S Bernardino 220	0.027	SATISFACE
SC_4974_A1	Solar FV	2026	S Bernardino 220	0.013	SATISFACE
SC_4974_A2	Solar FV	2026	S Bernardino 220	0.013	SATISFACE
SC_4978_A1	Solar FV	2026	S Bernardino 220	0.000	SATISFACE
SC_4978_A2	Solar FV	2026	S Bernardino 220	0.001	SATISFACE

No se priorizó ninguna de las alternativas de conexión que tengan aportes de corriente de cortocircuito en la subestación S Bernardino 220

El estado de la capacidad de cortocircuito en la subestación S Bernardino 220, teniendo en cuenta la priorización se puede observar en la siguiente figura.

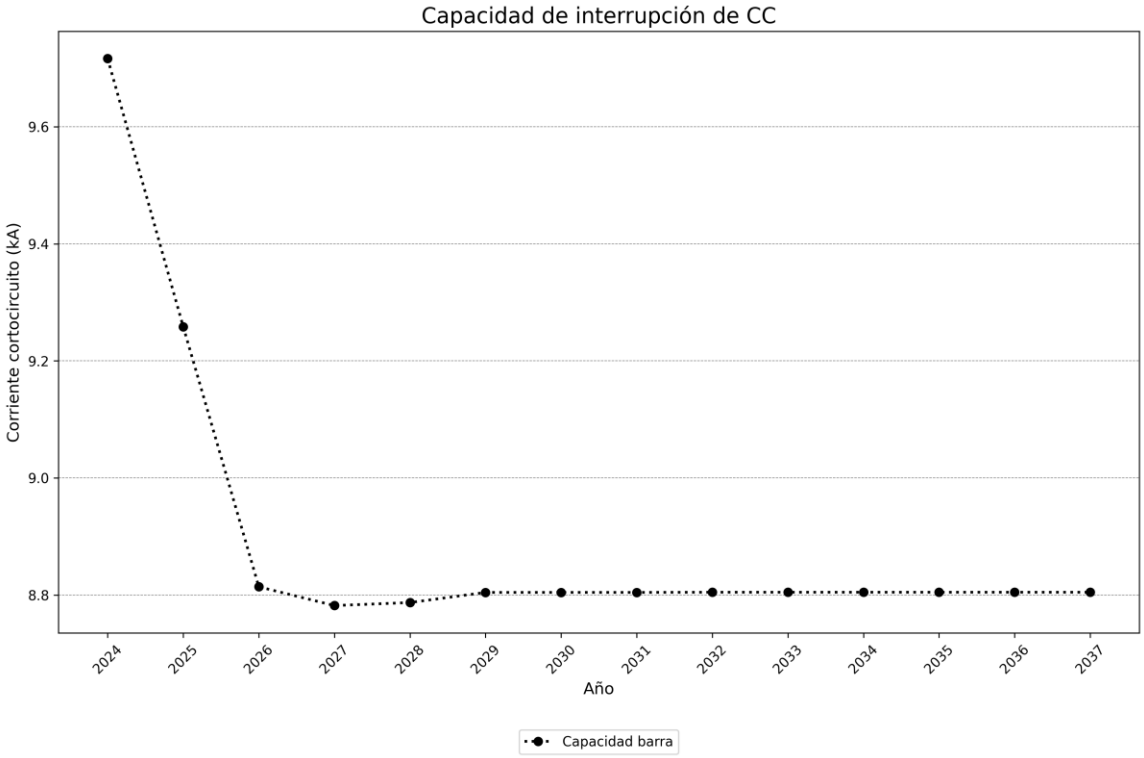


Figura 2-582. Balance de capacidad de cortocircuito después de la priorización para la subestación S Bernardino 220

Subestación SE Lagunas 110:

Capacidad por barra:

Para la subestación SE Lagunas 110 se presentaron 0 alternativas de conexión las cuales se muestran en la siguiente tabla:

Tabla 2-610. Alternativas de conexión presentadas a la subestación SE Lagunas 110

Solicitud	Capacidad	Tipo	Barra	FPO solicitada	Restricción

No se priorizó ninguna de las alternativas de conexión presentadas en la subestación SE Lagunas 110

El estado de la capacidad por barra en la subestación SE Lagunas 110, teniendo en cuenta la priorización se puede observar en la siguiente figura.

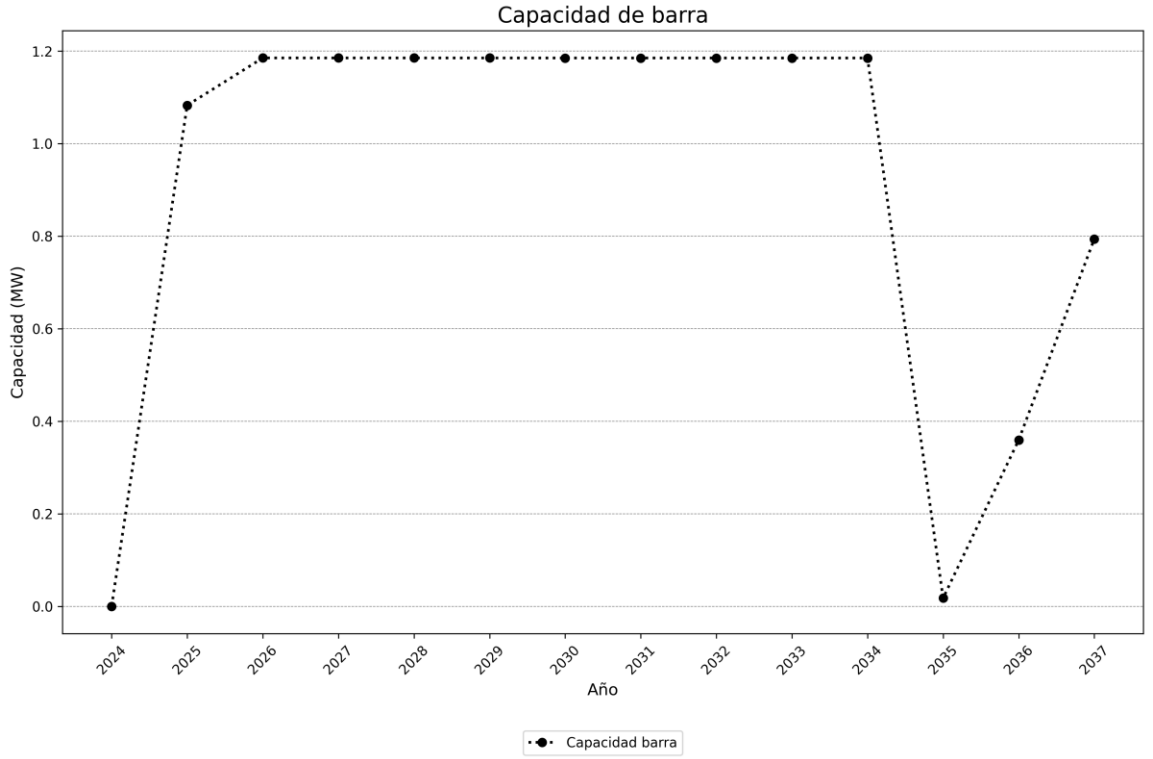


Figura 2-583. Balance de capacidad por barra después de la priorización para la subestación SE Lagunas 110

Capacidad excedente de interrupción de corriente de cortocircuito:

Para la subestación SE Lagunas 110 se presentaron 1 alternativas de conexión las cuales tienen aportes de corriente de cortocircuito. Estas alternativas se muestran en la siguiente tabla:

Tabla 2-611. Alternativas de conexión que aportan corriente de cortocircuito en la subestación SE Lagunas 110

Solicitud	tipo	FPO	Barra a la que aporta CC	Aporte de cortocircuito (kA)	Restricción
SC_3331_A1	Solar FV	2026	SE Lagunas 110	0.004	SATISFACE

No se priorizó ninguna de las alternativas de conexión que tengan aportes de corriente de cortocircuito en la subestación SE Lagunas 110

El estado de la capacidad de cortocircuito en la subestación SE Lagunas 110, teniendo en cuenta la priorización se puede observar en la siguiente figura.

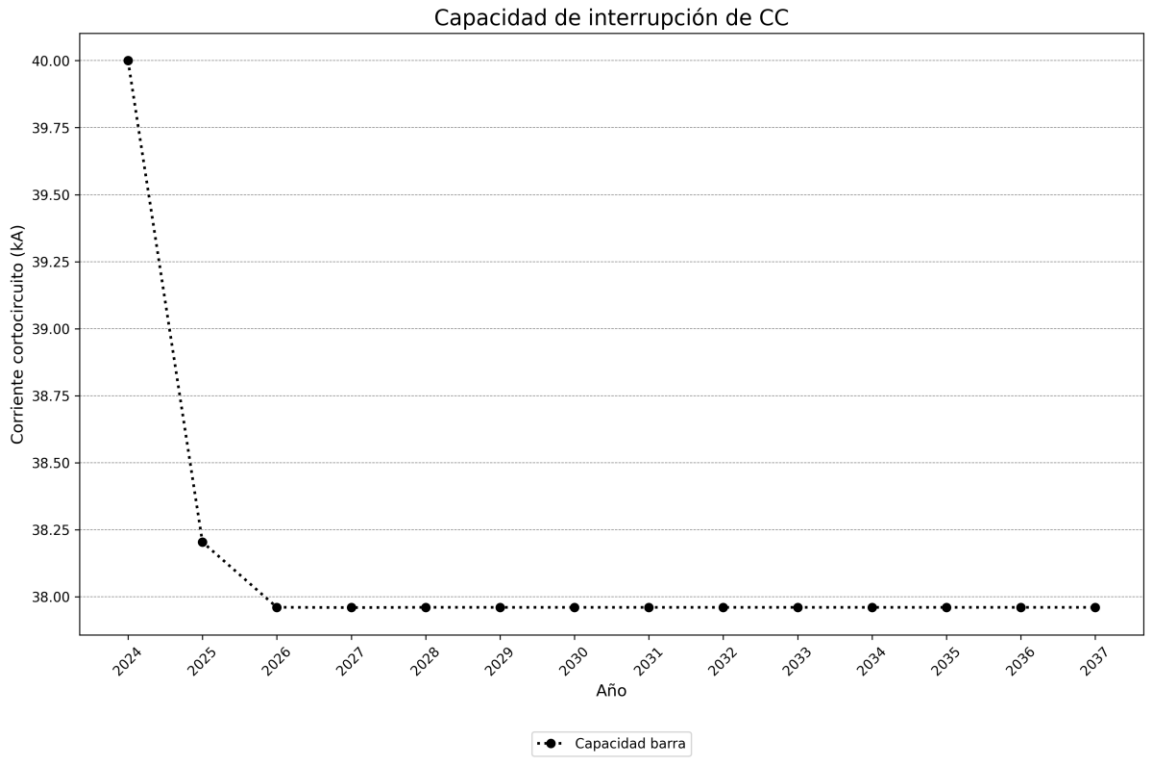


Figura 2-584. Balance de capacidad de cortocircuito después de la priorización para la subestación SE Lagunas 110

Subestación Salado 115:

Capacidad por barra:

Para la subestación Salado 115 se presentaron 0 alternativas de conexión las cuales se muestran en la siguiente tabla:

Tabla 2-612. Alternativas de conexión presentadas a la subestación Salado 115

Solicitud	Capacidad	Tipo	Barra	FPO solicitada	Restricción

No se priorizó ninguna de las alternativas de conexión presentadas en la subestación Salado 115

El estado de la capacidad por barra en la subestación Salado 115, teniendo en cuenta la priorización se puede observar en la siguiente figura.

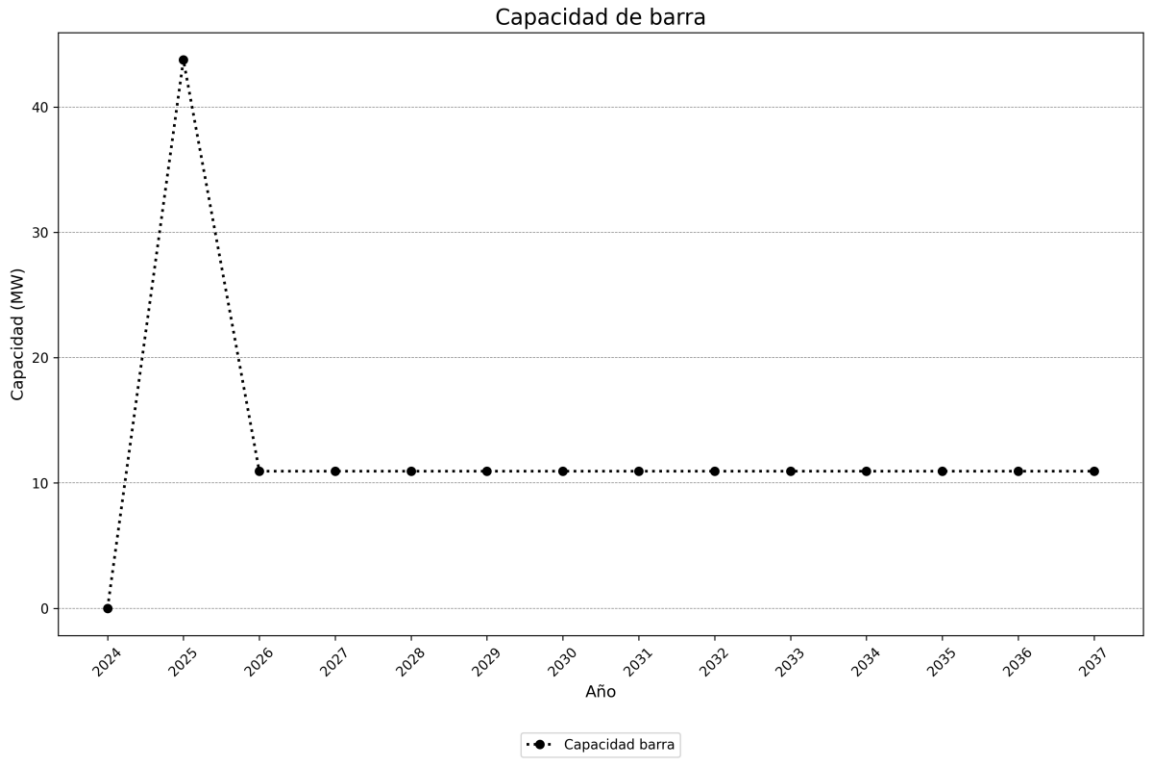


Figura 2-585. Balance de capacidad por barra después de la priorización para la subestación Salado 115

Capacidad excedente de interrupción de corriente de cortocircuito:

Para la subestación Salado 115 se presentaron 23 alternativas de conexión las cuales tienen aportes de corriente de cortocircuito. Estas alternativas se muestran en la siguiente tabla:

Tabla 2-613. Alternativas de conexión que aportan corriente de cortocircuito en la subestación Salado 115

Solicitud	tipo	FPO	Barra a la que aporta CC	Aporte de cortocircuito (kA)	Restricción
SC_2023_5287_A1	Solar FV	2026	Salado 115	0.012	SATISFACE
SC_2023_5287_A2	Solar FV	2026	Salado 115	0.012	SATISFACE
SC_2023_5288_A1	Solar FV	2026	Salado 115	0.007	SATISFACE
SC_2023_5288_A2	Solar FV	2026	Salado 115	0.018	SATISFACE
SC_2023_5375_A1	Solar FV	2026	Salado 115	0.011	SATISFACE
SC_2023_5399_A1	Solar FV	2026	Salado 115	0.007	SATISFACE
SC_2023_5399_A2	Solar FV	2026	Salado 115	0.018	SATISFACE
SC_2023_5480_A1	Solar FV	2026	Salado 115	0.012	SATISFACE
SC_2023_5480_A2	Solar FV	2026	Salado 115	0.012	SATISFACE
SC_2023_5557_A1	Solar FV	2028	Salado 115	0.045	SATISFACE
SC_2936_A1	Solar FV	2026	Salado 115	0.000	SATISFACE
SC_2936_A2	Solar FV	2026	Salado 115	0.000	SATISFACE
SC_3882_A1	Solar FV	2026	Salado 115	0.043	SATISFACE
SC_4083_A1	Solar FV	2027	Salado 115	0.000	SATISFACE
SC_4083_A2	Solar FV	2027	Salado 115	0.000	SATISFACE
SC_4765_A1	Solar FV	2029	Salado 115	0.001	SATISFACE
SC_4765_A2	Solar FV	2029	Salado 115	0.000	SATISFACE
SC_4819_A1	Solar FV	2029	Salado 115	0.009	SATISFACE
SC_4819_A2	Solar FV	2029	Salado 115	0.008	SATISFACE
SC_4974_A1	Solar FV	2026	Salado 115	0.002	SATISFACE
SC_4974_A2	Solar FV	2026	Salado 115	0.002	SATISFACE
SC_4978_A1	Solar FV	2026	Salado 115	0.000	SATISFACE
SC_4978_A2	Solar FV	2026	Salado 115	0.002	SATISFACE

No se priorizó ninguna de las alternativas de conexión que tengan aportes de corriente de cortocircuito en la subestación Salado 115

El estado de la capacidad de cortocircuito en la subestación Salado 115, teniendo en cuenta la priorización se puede observar en la siguiente figura.

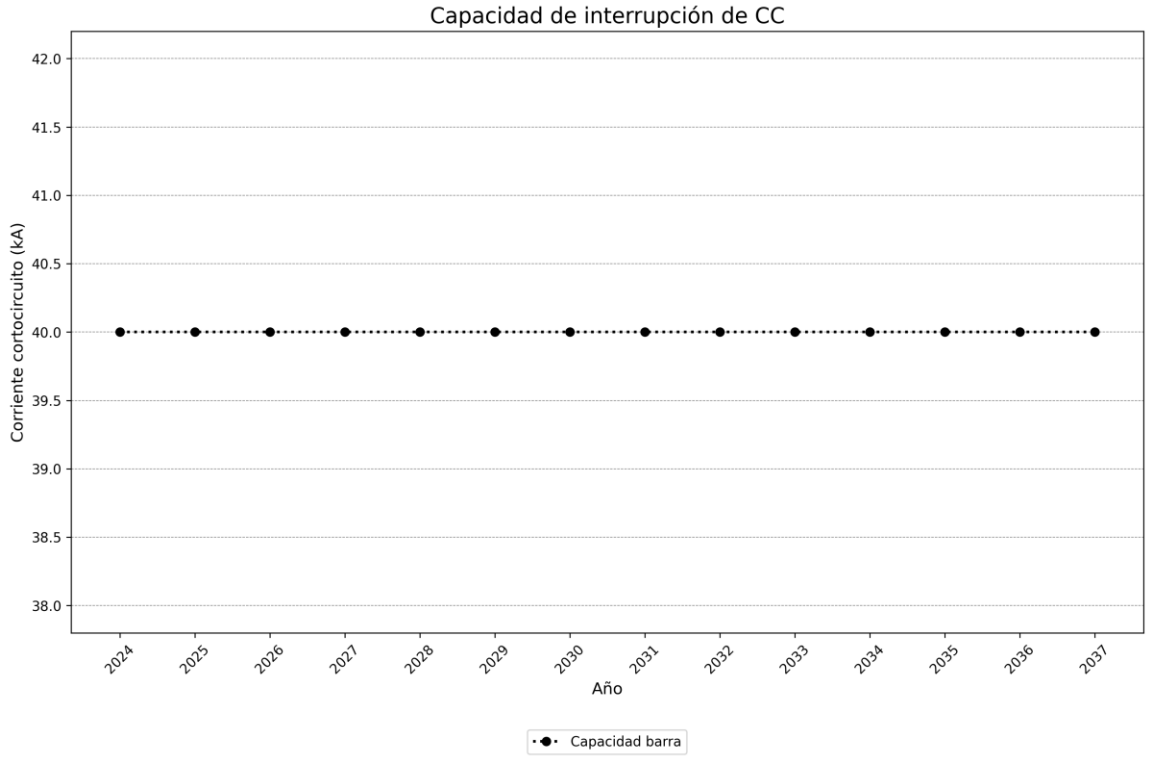


Figura 2-586. Balance de capacidad de cortocircuito después de la priorización para la subestación Salado 115

Subestación Salamina 115:

Capacidad por barra:

Para la subestación Salamina 115 se presentaron 0 alternativas de conexión las cuales se muestran en la siguiente tabla:

Tabla 2-614. Alternativas de conexión presentadas a la subestación Salamina 115

Solicitud	Capacidad	Tipo	Barra	FPO solicitada	Restricción

No se priorizó ninguna de las alternativas de conexión presentadas en la subestación Salamina 115

El estado de la capacidad por barra en la subestación Salamina 115, teniendo en cuenta la priorización se puede observar en la siguiente figura.

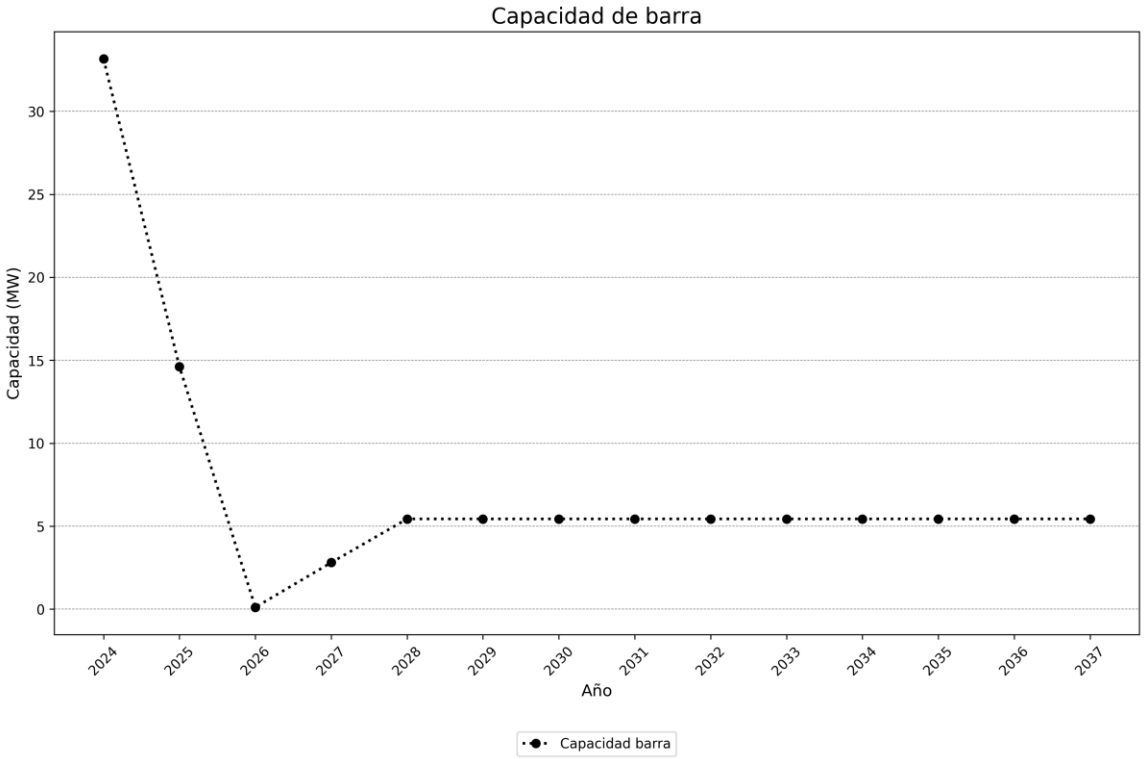


Figura 2-587. Balance de capacidad por barra después de la priorización para la subestación Salamina 115

Capacidad excedente de interrupción de corriente de cortocircuito:

Para la subestación Salamina 115 se presentaron 165 alternativas de conexión las cuales tienen aportes de corriente de cortocircuito. Estas alternativas se muestran en la siguiente tabla:

Tabla 2-615. Alternativas de conexión que aportan corriente de cortocircuito en la subestación Salamina 115

Solicitud	tipo	FPO	Barra a la que aporta CC	Aporte de cortocircuito (kA)	Restricción
SC_2023_5136_A1	Solar FV	2026	Salamina 115	0.009	SATISFACE
SC_2023_5136_A2	Solar FV	2026	Salamina 115	0.009	SATISFACE
SC_2023_5144_A1	Solar FV	2028	Salamina 115	0.098	SATISFACE
SC_2023_5144_A2	Solar FV	2028	Salamina 115	0.047	SATISFACE
SC_2023_5150_A1	Solar FV	2028	Salamina 115	0.072	SATISFACE
SC_2023_5152_A1	Solar FV	2025	Salamina 115	0.001	SATISFACE
SC_2023_5152_A2	Solar FV	2025	Salamina 115	0.001	SATISFACE
SC_2023_5158_A1	Solar FV	2028	Salamina 115	0.057	SATISFACE
SC_2023_5171_A1	Solar FV	2025	Salamina 115	0.001	SATISFACE
SC_2023_5171_A2	Solar FV	2025	Salamina 115	0.001	SATISFACE
SC_2023_5174_A1	Solar FV	2027	Salamina 115	0.013	SATISFACE
SC_2023_5174_A2	Solar FV	2027	Salamina 115	0.015	SATISFACE
SC_2023_5185_A1	Solar FV	2026	Salamina 115	0.213	SATISFACE
SC_2023_5185_A2	Solar FV	2026	Salamina 115	0.190	SATISFACE
SC_2023_5188_A1	Solar FV	2026	Salamina 115	0.019	SATISFACE
SC_2023_5188_A2	Solar FV	2026	Salamina 115	0.069	SATISFACE
SC_2023_5200_A1	Solar FV	2028	Salamina 115	0.198	SATISFACE
SC_2023_5200_A2	Solar FV	2028	Salamina 115	0.094	SATISFACE
SC_2023_5216_A1	Solar FV	2026	Salamina 115	0.008	SATISFACE
SC_2023_5216_A2	Solar FV	2026	Salamina 115	0.000	SATISFACE
SC_2023_5248_A1	Solar FV	2025	Salamina 115	0.001	SATISFACE
SC_2023_5248_A2	Solar FV	2025	Salamina 115	0.001	SATISFACE
SC_2023_5249_A1	Solar FV	2025	Salamina 115	0.001	SATISFACE
SC_2023_5249_A2	Solar FV	2025	Salamina 115	0.001	SATISFACE
SC_2023_5251_A1	Solar FV	2025	Salamina 115	0.006	SATISFACE
SC_2023_5251_A2	Solar FV	2025	Salamina 115	0.006	SATISFACE
SC_2023_5252_A1	Solar FV	2028	Salamina 115	0.018	SATISFACE
SC_2023_5252_A2	Solar FV	2028	Salamina 115	0.014	SATISFACE
SC_2023_5253_A1	Solar FV	2025	Salamina 115	0.006	SATISFACE
SC_2023_5253_A2	Solar FV	2025	Salamina 115	0.006	SATISFACE
SC_2023_5256_A2	Solar FV	2028	Salamina 115	0.018	SATISFACE
SC_2023_5257_A1	Solar FV	2025	Salamina 115	0.001	SATISFACE
SC_2023_5257_A2	Solar FV	2025	Salamina 115	0.001	SATISFACE

SC_2023_5280_A1	Solar FV	2028	Salamina 115	0.035	SATISFACE
SC_2023_5280_A2	Solar FV	2028	Salamina 115	0.034	SATISFACE
SC_2023_5282_A1	Solar FV	2028	Salamina 115	0.025	SATISFACE
SC_2023_5287_A1	Solar FV	2026	Salamina 115	0.018	SATISFACE
SC_2023_5287_A2	Solar FV	2026	Salamina 115	0.018	SATISFACE
SC_2023_5288_A1	Solar FV	2026	Salamina 115	0.011	SATISFACE
SC_2023_5288_A2	Solar FV	2026	Salamina 115	0.029	SATISFACE
SC_2023_5293_A1	Solar FV	2028	Salamina 115	0.032	SATISFACE
SC_2023_5293_A2	Solar FV	2028	Salamina 115	0.026	SATISFACE
SC_2023_5294_A1	Solar FV	2029	Salamina 115	0.009	SATISFACE
SC_2023_5294_A2	Solar FV	2029	Salamina 115	0.010	SATISFACE
SC_2023_5304_A1	Solar FV	2026	Salamina 115	0.001	SATISFACE
SC_2023_5309_A1	Solar FV	2026	Salamina 115	0.001	SATISFACE
SC_2023_5337_A2	Solar FV	2025	Salamina 115	0.047	SATISFACE
SC_2023_5339_A1	PCH	2026	Salamina 115	0.000	SATISFACE
SC_2023_5339_A2	PCH	2026	Salamina 115	0.000	SATISFACE
SC_2023_5345_A1	Solar FV	2027	Salamina 115	0.008	SATISFACE
SC_2023_5345_A2	Solar FV	2027	Salamina 115	0.010	SATISFACE
SC_2023_5346_A1	Solar FV	2027	Salamina 115	0.008	SATISFACE
SC_2023_5346_A2	Solar FV	2027	Salamina 115	0.010	SATISFACE
SC_2023_5375_A1	Solar FV	2026	Salamina 115	0.017	SATISFACE
SC_2023_5383_A1	Solar FV	2027	Salamina 115	0.063	SATISFACE
SC_2023_5383_A2	Solar FV	2027	Salamina 115	0.076	SATISFACE
SC_2023_5399_A1	Solar FV	2026	Salamina 115	0.011	SATISFACE
SC_2023_5399_A2	Solar FV	2026	Salamina 115	0.029	SATISFACE
SC_2023_5431_A1	Solar FV	2028	Salamina 115	0.000	SATISFACE
SC_2023_5431_A2	Solar FV	2028	Salamina 115	0.000	SATISFACE
SC_2023_5480_A1	Solar FV	2026	Salamina 115	0.018	SATISFACE
SC_2023_5480_A2	Solar FV	2026	Salamina 115	0.018	SATISFACE
SC_2023_5543_A1	Hidráulica	2026	Salamina 115	0.149	SATISFACE
SC_2023_5543_A2	Hidráulica	2026	Salamina 115	0.202	SATISFACE
SC_2023_5549_A1	Solar FV	2028	Salamina 115	0.016	SATISFACE
SC_2023_5549_A2	Solar FV	2028	Salamina 115	0.017	SATISFACE
SC_2023_5551_A1	Solar FV	2027	Salamina 115	0.177	SATISFACE
SC_2023_5551_A2	Solar FV	2027	Salamina 115	0.085	SATISFACE
SC_2023_5557_A1	Solar FV	2028	Salamina 115	0.066	SATISFACE
SC_2023_5598_A1	Solar FV	2025	Salamina 115	0.001	SATISFACE
SC_2023_5598_A2	Solar FV	2025	Salamina 115	0.001	SATISFACE
SC_2024_5939_A1	Solar FV	2028	Salamina 115	0.000	SATISFACE
SC_2024_5939_A2	Solar FV	2028	Salamina 115	0.000	SATISFACE

SC_2438_A1	Solar FV	2028	Salamina 115	0.000	SATISFACE
SC_2438_A2	Solar FV	2028	Salamina 115	0.000	SATISFACE
SC_2562_A1	Solar FV	2026	Salamina 115	0.010	SATISFACE
SC_2802_A1	Solar FV	2027	Salamina 115	0.001	SATISFACE
SC_2802_A2	Solar FV	2027	Salamina 115	0.001	SATISFACE
SC_2902_A1	Solar FV	2028	Salamina 115	0.990	SATISFACE
SC_2902_A2	Solar FV	2028	Salamina 115	0.010	SATISFACE
SC_2905_A2	Solar FV	2028	Salamina 115	0.000	SATISFACE
SC_2924_A1	Solar FV	2026	Salamina 115	0.170	SATISFACE
SC_2924_A2	Solar FV	2026	Salamina 115	0.152	SATISFACE
SC_2936_A1	Solar FV	2026	Salamina 115	0.000	SATISFACE
SC_2936_A2	Solar FV	2026	Salamina 115	0.000	SATISFACE
SC_2962_A1	Solar FV	2028	Salamina 115	0.029	SATISFACE
SC_2962_A2	Solar FV	2028	Salamina 115	0.029	SATISFACE
SC_3101_A1	Solar FV	2027	Salamina 115	0.000	SATISFACE
SC_3101_A2	Solar FV	2027	Salamina 115	0.000	SATISFACE
SC_3121_A1	Solar FV	2026	Salamina 115	0.002	SATISFACE
SC_3121_A2	Solar FV	2026	Salamina 115	0.002	SATISFACE
SC_3132_A1	Solar FV	2026	Salamina 115	0.039	SATISFACE
SC_3132_A2	Solar FV	2026	Salamina 115	0.038	SATISFACE
SC_3238_A1	Solar FV	2027	Salamina 115	0.217	SATISFACE
SC_3238_A2	Solar FV	2027	Salamina 115	0.160	SATISFACE
SC_3247_A1	Solar FV	2027	Salamina 115	0.072	SATISFACE
SC_3247_A2	Solar FV	2027	Salamina 115	0.054	SATISFACE
SC_3248_A1	Solar FV	2027	Salamina 115	0.217	SATISFACE
SC_3248_A2	Solar FV	2027	Salamina 115	0.160	SATISFACE
SC_3251_A1	Hidráulica	2026	Salamina 115	0.000	SATISFACE
SC_3251_A2	Hidráulica	2026	Salamina 115	0.030	SATISFACE
SC_3353_A1	Solar FV	2027	Salamina 115	0.002	SATISFACE
SC_3353_A2	Solar FV	2027	Salamina 115	0.002	SATISFACE
SC_3382_A1	Solar FV	2027	Salamina 115	0.003	SATISFACE
SC_3382_A2	Solar FV	2027	Salamina 115	0.004	SATISFACE
SC_3392_A1	Solar FV	2027	Salamina 115	0.029	SATISFACE
SC_3392_A2	Solar FV	2027	Salamina 115	0.012	SATISFACE
SC_3441_A1	Solar FV	2027	Salamina 115	0.072	SATISFACE
SC_3441_A2	Solar FV	2027	Salamina 115	0.054	SATISFACE
SC_3453_A1	Solar FV	2027	Salamina 115	0.005	SATISFACE
SC_3453_A2	Solar FV	2027	Salamina 115	0.005	SATISFACE
SC_3514_A1	Solar FV	2027	Salamina 115	0.005	SATISFACE
SC_3514_A2	Solar FV	2027	Salamina 115	0.005	SATISFACE

SC_3578_A1	Solar FV	2028	Salamina 115	0.000	SATISFACE
SC_3578_A2	Solar FV	2028	Salamina 115	0.000	SATISFACE
SC_3667_A1	Solar FV	2029	Salamina 115	0.009	SATISFACE
SC_3667_A2	Solar FV	2029	Salamina 115	0.006	SATISFACE
SC_3846_A1	Solar FV	2028	Salamina 115	0.025	SATISFACE
SC_3846_A2	Solar FV	2028	Salamina 115	0.025	SATISFACE
SC_3882_A1	Solar FV	2026	Salamina 115	0.066	SATISFACE
SC_4083_A1	Solar FV	2027	Salamina 115	0.000	SATISFACE
SC_4083_A2	Solar FV	2027	Salamina 115	0.000	SATISFACE
SC_4175_A1	Solar FV	2026	Salamina 115	0.006	SATISFACE
SC_4175_A2	Solar FV	2026	Salamina 115	0.006	SATISFACE
SC_4296_A1	Solar FV	2028	Salamina 115	0.098	SATISFACE
SC_4296_A2	Solar FV	2028	Salamina 115	0.125	SATISFACE
SC_4751_A1	Solar FV	2027	Salamina 115	0.001	SATISFACE
SC_4760_A1	Solar FV	2026	Salamina 115	0.058	SATISFACE
SC_4765_A1	Solar FV	2029	Salamina 115	0.001	SATISFACE
SC_4765_A2	Solar FV	2029	Salamina 115	0.001	SATISFACE
SC_4789_A1	Solar FV	2027	Salamina 115	0.006	SATISFACE
SC_4789_A2	Solar FV	2027	Salamina 115	0.006	SATISFACE
SC_4809_A1	Solar FV	2027	Salamina 115	0.013	SATISFACE
SC_4809_A2	Solar FV	2027	Salamina 115	0.095	SATISFACE
SC_4819_A1	Solar FV	2029	Salamina 115	0.066	SATISFACE
SC_4819_A2	Solar FV	2029	Salamina 115	0.063	SATISFACE
SC_4821_A1	Solar FV	2027	Salamina 115	0.029	SATISFACE
SC_4821_A2	Solar FV	2027	Salamina 115	0.012	SATISFACE
SC_4824_A1	Solar FV	2025	Salamina 115	0.000	SATISFACE
SC_4824_A2	Solar FV	2025	Salamina 115	0.000	SATISFACE
SC_4826_A1	Solar FV	2027	Salamina 115	0.005	SATISFACE
SC_4826_A2	Solar FV	2027	Salamina 115	0.005	SATISFACE
SC_4827_A1	Solar FV	2027	Salamina 115	0.005	SATISFACE
SC_4827_A2	Solar FV	2027	Salamina 115	0.005	SATISFACE
SC_4842_A1	Solar FV	2028	Salamina 115	0.072	SATISFACE
SC_4910_A1	Solar FV	2026	Salamina 115	0.009	SATISFACE
SC_4910_A2	Solar FV	2026	Salamina 115	0.009	SATISFACE
SC_4926_A1	Solar FV	2027	Salamina 115	0.001	SATISFACE
SC_4947_A1	Solar FV	2027	Salamina 115	0.032	SATISFACE
SC_4960_A2	Solar FV	2029	Salamina 115	0.032	SATISFACE
SC_4974_A1	Solar FV	2026	Salamina 115	0.020	SATISFACE
SC_4974_A2	Solar FV	2026	Salamina 115	0.039	SATISFACE
SC_4978_A1	Solar FV	2026	Salamina 115	0.023	SATISFACE

SC_4978_A2	Solar FV	2026	Salamina 115	0.025	SATISFACE
SC_5009_A1	Solar FV	2026	Salamina 115	0.029	SATISFACE
SC_5009_A2	Solar FV	2026	Salamina 115	0.012	SATISFACE
SC_5011_A1	Solar FV	2027	Salamina 115	0.029	SATISFACE
SC_5011_A2	Solar FV	2027	Salamina 115	0.012	SATISFACE
SC_5060_A1	Solar FV	2026	Salamina 115	0.009	SATISFACE
SC_5060_A2	Solar FV	2026	Salamina 115	0.009	SATISFACE
SC_5076_A1	Solar FV	2027	Salamina 115	0.000	SATISFACE
SC_5076_A2	Solar FV	2027	Salamina 115	0.000	SATISFACE
SC_5077_A1	Solar FV	2027	Salamina 115	0.000	SATISFACE
SC_5077_A2	Solar FV	2027	Salamina 115	0.000	SATISFACE
SC_5087_A2	Solar FV	2027	Salamina 115	0.017	SATISFACE

Posterior a la ejecución del MACC se priorizaron las siguientes alternativas de conexión que tienen aportes de cortocircuito de la subestación en análisis:

Tabla 2-616. Alternativas de conexión priorizadas que aportan corriente de cortocircuito en la subestación Salamina 115

index	tipo	periodoIni	Barra a la que aporta CC	Aporte de cortocircuito (kA)	Restricción
SC_2023_5543_A1	Hidráulica	2026	Salamina 115	0.149	SATISFACE
SC_5076_A2	Solar FV	2027	Salamina 115	0.000	SATISFACE
SC_5077_A2	Solar FV	2027	Salamina 115	0.000	SATISFACE

El estado de la capacidad de cortocircuito en la subestación Salamina 115, teniendo en cuenta la priorización se puede observar en la siguiente figura.

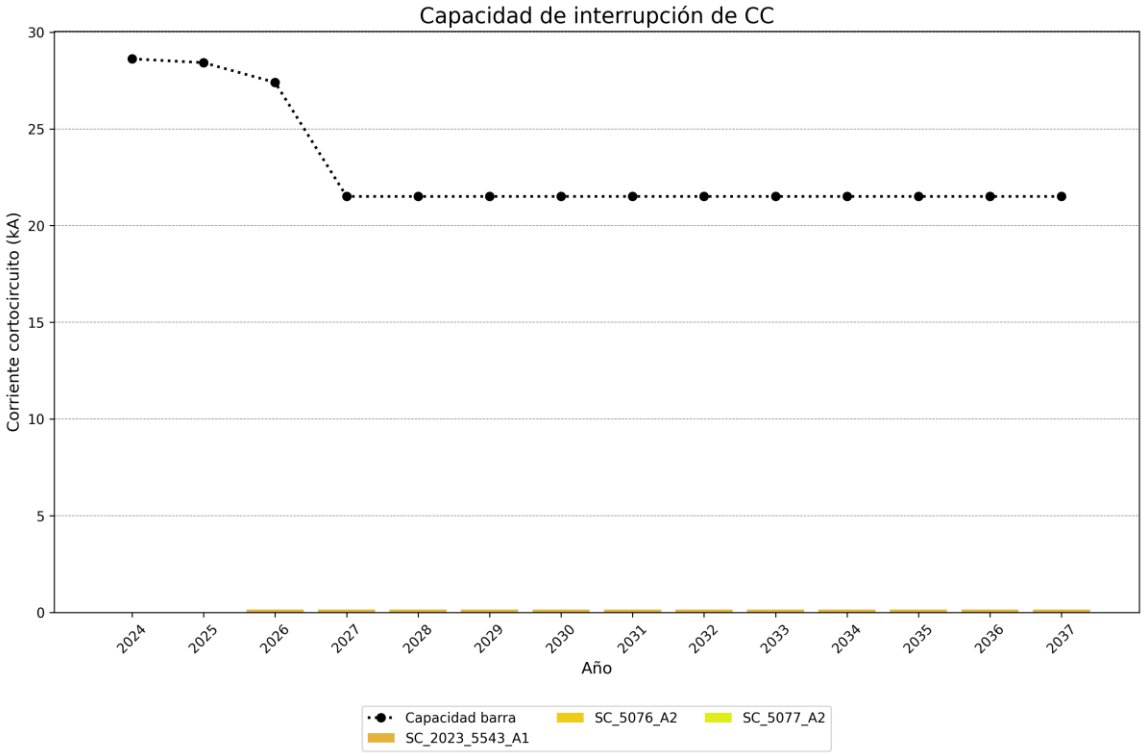


Figura 2-588. Balance de capacidad de cortocircuito después de la priorización para la subestación Salamina 115

Subestación Salamina 220:

Capacidad por barra:

Para la subestación Salamina 220 se presentaron 1 alternativas de conexión las cuales se muestran en la siguiente tabla:

Tabla 2-617. Alternativas de conexión presentadas a la subestación Salamina 220

Solicitud	Capacidad	Tipo	Barra	FPO solicitada	Restricción
SC_3331_A1	200.0	Solar FV	Salamina 220	2026	NO SATISFACE

No se priorizó ninguna de las alternativas de conexión presentadas en la subestación Salamina 220

El estado de la capacidad por barra en la subestación Salamina 220, teniendo en cuenta la priorización se puede observar en la siguiente figura.

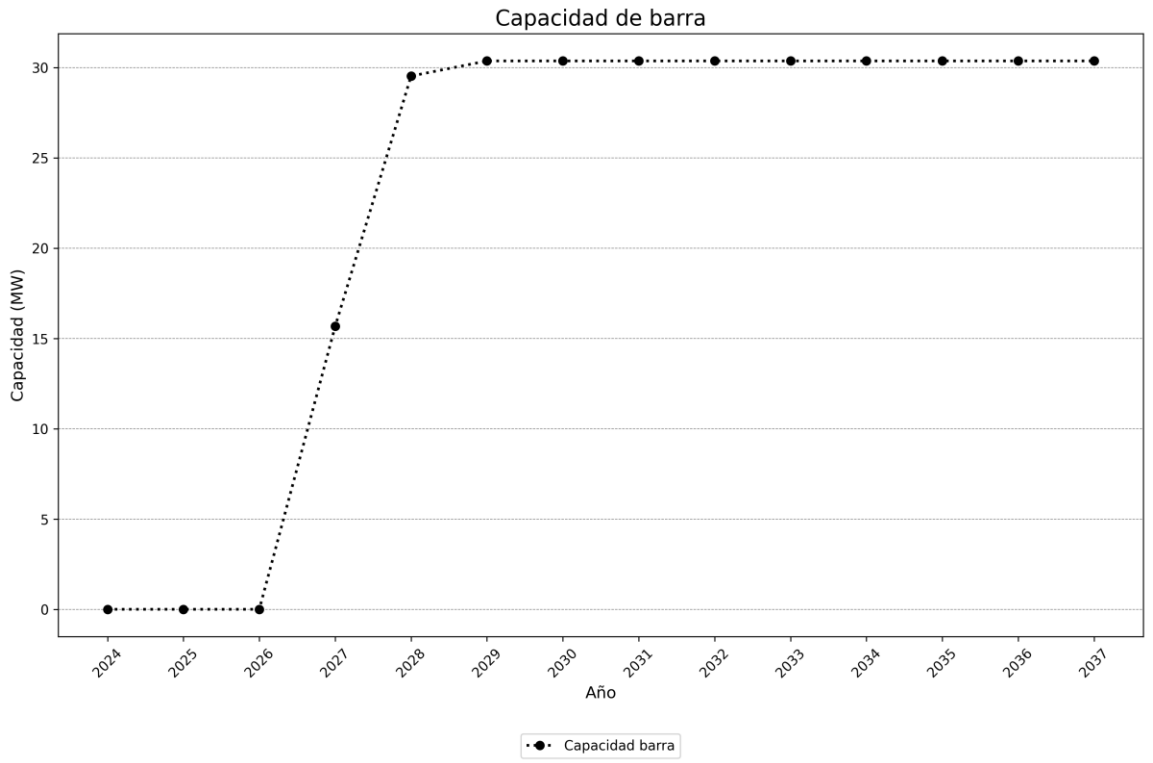


Figura 2-589. Balance de capacidad por barra después de la priorización para la subestación Salamina 220

Capacidad excedente de interrupción de corriente de cortocircuito:

Para la subestación Salamina 220 se presentaron 163 alternativas de conexión las cuales tienen aportes de corriente de cortocircuito. Estas alternativas se muestran en la siguiente tabla:

Tabla 2-618. Alternativas de conexión que aportan corriente de cortocircuito en la subestación Salamina 220

Solicitud	tipo	FPO	Barra a la que aporta CC	Aporte de cortocircuito (kA)	Restricción
SC_2023_5136_A1	Solar FV	2026	Salamina 220	0.011	SATISFACE
SC_2023_5136_A2	Solar FV	2026	Salamina 220	0.011	SATISFACE
SC_2023_5144_A1	Solar FV	2028	Salamina 220	0.129	SATISFACE
SC_2023_5144_A2	Solar FV	2028	Salamina 220	0.065	SATISFACE
SC_2023_5150_A1	Solar FV	2028	Salamina 220	0.094	SATISFACE
SC_2023_5152_A1	Solar FV	2025	Salamina 220	0.002	SATISFACE
SC_2023_5152_A2	Solar FV	2025	Salamina 220	0.002	SATISFACE
SC_2023_5158_A1	Solar FV	2028	Salamina 220	0.079	SATISFACE
SC_2023_5171_A1	Solar FV	2025	Salamina 220	0.005	SATISFACE
SC_2023_5171_A2	Solar FV	2025	Salamina 220	0.006	SATISFACE
SC_2023_5185_A1	Solar FV	2026	Salamina 220	0.219	SATISFACE
SC_2023_5185_A2	Solar FV	2026	Salamina 220	0.234	SATISFACE
SC_2023_5188_A1	Solar FV	2026	Salamina 220	0.025	SATISFACE
SC_2023_5188_A2	Solar FV	2026	Salamina 220	0.068	SATISFACE
SC_2023_5200_A1	Solar FV	2028	Salamina 220	0.253	SATISFACE
SC_2023_5200_A2	Solar FV	2028	Salamina 220	0.124	SATISFACE
SC_2023_5248_A1	Solar FV	2025	Salamina 220	0.002	SATISFACE
SC_2023_5248_A2	Solar FV	2025	Salamina 220	0.002	SATISFACE
SC_2023_5249_A1	Solar FV	2025	Salamina 220	0.002	SATISFACE
SC_2023_5249_A2	Solar FV	2025	Salamina 220	0.002	SATISFACE
SC_2023_5251_A1	Solar FV	2025	Salamina 220	0.008	SATISFACE
SC_2023_5251_A2	Solar FV	2025	Salamina 220	0.008	SATISFACE
SC_2023_5252_A1	Solar FV	2028	Salamina 220	0.168	SATISFACE
SC_2023_5252_A2	Solar FV	2028	Salamina 220	0.034	SATISFACE
SC_2023_5253_A1	Solar FV	2025	Salamina 220	0.008	SATISFACE
SC_2023_5253_A2	Solar FV	2025	Salamina 220	0.008	SATISFACE
SC_2023_5256_A2	Solar FV	2028	Salamina 220	0.025	SATISFACE
SC_2023_5257_A1	Solar FV	2025	Salamina 220	0.002	SATISFACE
SC_2023_5257_A2	Solar FV	2025	Salamina 220	0.002	SATISFACE
SC_2023_5280_A1	Solar FV	2028	Salamina 220	0.045	SATISFACE
SC_2023_5280_A2	Solar FV	2028	Salamina 220	0.043	SATISFACE
SC_2023_5282_A1	Solar FV	2028	Salamina 220	0.009	SATISFACE
SC_2023_5287_A1	Solar FV	2026	Salamina 220	0.023	SATISFACE
SC_2023_5287_A2	Solar FV	2026	Salamina 220	0.024	SATISFACE

SC_2023_5288_A1	Solar FV	2026	Salamina 220	0.014	SATISFACE
SC_2023_5288_A2	Solar FV	2026	Salamina 220	0.037	SATISFACE
SC_2023_5293_A1	Solar FV	2028	Salamina 220	0.044	SATISFACE
SC_2023_5293_A2	Solar FV	2028	Salamina 220	0.034	SATISFACE
SC_2023_5294_A1	Solar FV	2029	Salamina 220	0.012	SATISFACE
SC_2023_5294_A2	Solar FV	2029	Salamina 220	0.012	SATISFACE
SC_2023_5304_A1	Solar FV	2026	Salamina 220	0.002	SATISFACE
SC_2023_5309_A1	Solar FV	2026	Salamina 220	0.002	SATISFACE
SC_2023_5337_A2	Solar FV	2025	Salamina 220	0.062	SATISFACE
SC_2023_5339_A1	PCH	2026	Salamina 220	0.000	SATISFACE
SC_2023_5339_A2	PCH	2026	Salamina 220	0.000	SATISFACE
SC_2023_5345_A1	Solar FV	2027	Salamina 220	0.007	SATISFACE
SC_2023_5345_A2	Solar FV	2027	Salamina 220	0.009	SATISFACE
SC_2023_5346_A1	Solar FV	2027	Salamina 220	0.007	SATISFACE
SC_2023_5346_A2	Solar FV	2027	Salamina 220	0.009	SATISFACE
SC_2023_5375_A1	Solar FV	2026	Salamina 220	0.023	SATISFACE
SC_2023_5383_A1	Solar FV	2027	Salamina 220	0.046	SATISFACE
SC_2023_5383_A2	Solar FV	2027	Salamina 220	0.056	SATISFACE
SC_2023_5399_A1	Solar FV	2026	Salamina 220	0.014	SATISFACE
SC_2023_5399_A2	Solar FV	2026	Salamina 220	0.037	SATISFACE
SC_2023_5431_A1	Solar FV	2028	Salamina 220	0.001	SATISFACE
SC_2023_5431_A2	Solar FV	2028	Salamina 220	0.001	SATISFACE
SC_2023_5480_A1	Solar FV	2026	Salamina 220	0.023	SATISFACE
SC_2023_5480_A2	Solar FV	2026	Salamina 220	0.024	SATISFACE
SC_2023_5543_A1	Hidráulica	2026	Salamina 220	0.042	SATISFACE
SC_2023_5543_A2	Hidráulica	2026	Salamina 220	0.055	SATISFACE
SC_2023_5551_A1	Solar FV	2027	Salamina 220	0.226	SATISFACE
SC_2023_5551_A2	Solar FV	2027	Salamina 220	0.111	SATISFACE
SC_2023_5557_A1	Solar FV	2028	Salamina 220	0.085	SATISFACE
SC_2023_5598_A1	Solar FV	2025	Salamina 220	0.002	SATISFACE
SC_2023_5598_A2	Solar FV	2025	Salamina 220	0.002	SATISFACE
SC_2024_5939_A1	Solar FV	2028	Salamina 220	0.001	SATISFACE
SC_2024_5939_A2	Solar FV	2028	Salamina 220	0.001	SATISFACE
SC_2436_A1	Solar FV	2028	Salamina 220	0.030	SATISFACE
SC_2436_A2	Solar FV	2028	Salamina 220	0.030	SATISFACE
SC_2438_A1	Solar FV	2028	Salamina 220	0.000	SATISFACE
SC_2438_A2	Solar FV	2028	Salamina 220	0.000	SATISFACE
SC_2527_A1	Solar FV	2028	Salamina 220	0.070	SATISFACE
SC_2527_A2	Solar FV	2028	Salamina 220	0.080	SATISFACE
SC_2562_A1	Solar FV	2026	Salamina 220	0.010	SATISFACE

SC_2634_A1	Solar FV	2026	Salamina 220	0.000	SATISFACE
SC_2634_A2	Solar FV	2026	Salamina 220	0.000	SATISFACE
SC_2802_A1	Solar FV	2027	Salamina 220	0.003	SATISFACE
SC_2802_A2	Solar FV	2027	Salamina 220	0.002	SATISFACE
SC_2902_A1	Solar FV	2028	Salamina 220	0.060	SATISFACE
SC_2902_A2	Solar FV	2028	Salamina 220	1.740	SATISFACE
SC_2905_A2	Solar FV	2028	Salamina 220	0.000	SATISFACE
SC_2924_A1	Solar FV	2026	Salamina 220	0.175	SATISFACE
SC_2924_A2	Solar FV	2026	Salamina 220	0.187	SATISFACE
SC_2936_A1	Solar FV	2026	Salamina 220	0.000	SATISFACE
SC_2936_A2	Solar FV	2026	Salamina 220	0.000	SATISFACE
SC_2962_A1	Solar FV	2028	Salamina 220	0.037	SATISFACE
SC_2962_A2	Solar FV	2028	Salamina 220	0.038	SATISFACE
SC_3121_A1	Solar FV	2026	Salamina 220	0.003	SATISFACE
SC_3121_A2	Solar FV	2026	Salamina 220	0.003	SATISFACE
SC_3132_A1	Solar FV	2026	Salamina 220	0.050	SATISFACE
SC_3132_A2	Solar FV	2026	Salamina 220	0.047	SATISFACE
SC_3133_A1	Solar FV	2028	Salamina 220	0.162	SATISFACE
SC_3133_A2	Solar FV	2028	Salamina 220	0.102	SATISFACE
SC_3238_A1	Solar FV	2027	Salamina 220	0.244	SATISFACE
SC_3238_A2	Solar FV	2027	Salamina 220	0.183	SATISFACE
SC_3247_A1	Solar FV	2027	Salamina 220	0.094	SATISFACE
SC_3247_A2	Solar FV	2027	Salamina 220	0.070	SATISFACE
SC_3248_A1	Solar FV	2027	Salamina 220	0.244	SATISFACE
SC_3248_A2	Solar FV	2027	Salamina 220	0.183	SATISFACE
SC_3251_A1	Hidráulica	2026	Salamina 220	0.010	SATISFACE
SC_3251_A2	Hidráulica	2026	Salamina 220	0.020	SATISFACE
SC_3331_A1	Solar FV	2026	Salamina 220	0.202	SATISFACE
SC_3353_A1	Solar FV	2027	Salamina 220	0.003	SATISFACE
SC_3353_A2	Solar FV	2027	Salamina 220	0.005	SATISFACE
SC_3382_A1	Solar FV	2027	Salamina 220	0.006	SATISFACE
SC_3382_A2	Solar FV	2027	Salamina 220	0.008	SATISFACE
SC_3392_A1	Solar FV	2027	Salamina 220	0.039	SATISFACE
SC_3392_A2	Solar FV	2027	Salamina 220	0.017	SATISFACE
SC_3433_A2	Solar FV	2027	Salamina 220	0.000	SATISFACE
SC_3441_A1	Solar FV	2027	Salamina 220	0.094	SATISFACE
SC_3441_A2	Solar FV	2027	Salamina 220	0.070	SATISFACE
SC_3453_A1	Solar FV	2027	Salamina 220	0.006	SATISFACE
SC_3453_A2	Solar FV	2027	Salamina 220	0.006	SATISFACE
SC_3514_A1	Solar FV	2027	Salamina 220	0.006	SATISFACE

SC_3514_A2	Solar FV	2027	Salamina 220	0.006	SATISFACE
SC_3578_A1	Solar FV	2028	Salamina 220	0.001	SATISFACE
SC_3578_A2	Solar FV	2028	Salamina 220	0.001	SATISFACE
SC_3667_A1	Solar FV	2029	Salamina 220	0.007	SATISFACE
SC_3667_A2	Solar FV	2029	Salamina 220	0.005	SATISFACE
SC_3846_A1	Solar FV	2028	Salamina 220	0.011	SATISFACE
SC_3846_A2	Solar FV	2028	Salamina 220	0.011	SATISFACE
SC_3882_A1	Solar FV	2026	Salamina 220	0.084	SATISFACE
SC_4083_A1	Solar FV	2027	Salamina 220	0.001	SATISFACE
SC_4083_A2	Solar FV	2027	Salamina 220	0.001	SATISFACE
SC_4175_A1	Solar FV	2026	Salamina 220	0.007	SATISFACE
SC_4175_A2	Solar FV	2026	Salamina 220	0.007	SATISFACE
SC_4296_A1	Solar FV	2028	Salamina 220	0.129	SATISFACE
SC_4296_A2	Solar FV	2028	Salamina 220	0.186	SATISFACE
SC_4751_A1	Solar FV	2027	Salamina 220	0.003	SATISFACE
SC_4760_A1	Solar FV	2026	Salamina 220	0.046	SATISFACE
SC_4765_A1	Solar FV	2029	Salamina 220	0.004	SATISFACE
SC_4765_A2	Solar FV	2029	Salamina 220	0.003	SATISFACE
SC_4789_A1	Solar FV	2027	Salamina 220	0.006	SATISFACE
SC_4789_A2	Solar FV	2027	Salamina 220	0.006	SATISFACE
SC_4809_A1	Solar FV	2027	Salamina 220	0.016	SATISFACE
SC_4809_A2	Solar FV	2027	Salamina 220	0.108	SATISFACE
SC_4819_A1	Solar FV	2029	Salamina 220	0.086	SATISFACE
SC_4819_A2	Solar FV	2029	Salamina 220	0.081	SATISFACE
SC_4821_A1	Solar FV	2027	Salamina 220	0.039	SATISFACE
SC_4821_A2	Solar FV	2027	Salamina 220	0.017	SATISFACE
SC_4824_A1	Solar FV	2025	Salamina 220	0.000	SATISFACE
SC_4824_A2	Solar FV	2025	Salamina 220	0.000	SATISFACE
SC_4826_A1	Solar FV	2027	Salamina 220	0.007	SATISFACE
SC_4826_A2	Solar FV	2027	Salamina 220	0.007	SATISFACE
SC_4827_A1	Solar FV	2027	Salamina 220	0.007	SATISFACE
SC_4827_A2	Solar FV	2027	Salamina 220	0.007	SATISFACE
SC_4842_A1	Solar FV	2028	Salamina 220	0.094	SATISFACE
SC_4910_A1	Solar FV	2026	Salamina 220	0.011	SATISFACE
SC_4910_A2	Solar FV	2026	Salamina 220	0.011	SATISFACE
SC_4926_A1	Solar FV	2027	Salamina 220	0.003	SATISFACE
SC_4947_A1	Solar FV	2027	Salamina 220	0.048	SATISFACE
SC_4960_A2	Solar FV	2029	Salamina 220	0.038	SATISFACE
SC_5009_A1	Solar FV	2026	Salamina 220	0.039	SATISFACE
SC_5009_A2	Solar FV	2026	Salamina 220	0.016	SATISFACE

SC_5011_A1	Solar FV	2027	Salamina 220	0.039	SATISFACE
SC_5011_A2	Solar FV	2027	Salamina 220	0.016	SATISFACE
SC_5060_A1	Solar FV	2026	Salamina 220	0.011	SATISFACE
SC_5060_A2	Solar FV	2026	Salamina 220	0.011	SATISFACE
SC_5076_A1	Solar FV	2027	Salamina 220	0.000	SATISFACE
SC_5076_A2	Solar FV	2027	Salamina 220	0.000	SATISFACE
SC_5077_A1	Solar FV	2027	Salamina 220	0.000	SATISFACE
SC_5077_A2	Solar FV	2027	Salamina 220	0.000	SATISFACE
SC_5087_A2	Solar FV	2027	Salamina 220	0.022	SATISFACE

Posterior a la ejecución del MACC se priorizaron las siguientes alternativas de conexión que tienen aportes de cortocircuito de la subestación en análisis:

Tabla 2-619. Alternativas de conexión priorizadas que aportan corriente de cortocircuito en la subestación Salamina 220

index	tipo	periodoIni	Barra a la que aporta CC	Aporte de cortocircuito (kA)	Restricción
SC_2023_5543_A1	Hidráulica	2026	Salamina 220	0.042	SATISFACE
SC_5076_A2	Solar FV	2027	Salamina 220	0.000	SATISFACE
SC_5077_A2	Solar FV	2027	Salamina 220	0.000	SATISFACE

El estado de la capacidad de cortocircuito en la subestación Salamina 220, teniendo en cuenta la priorización se puede observar en la siguiente figura.

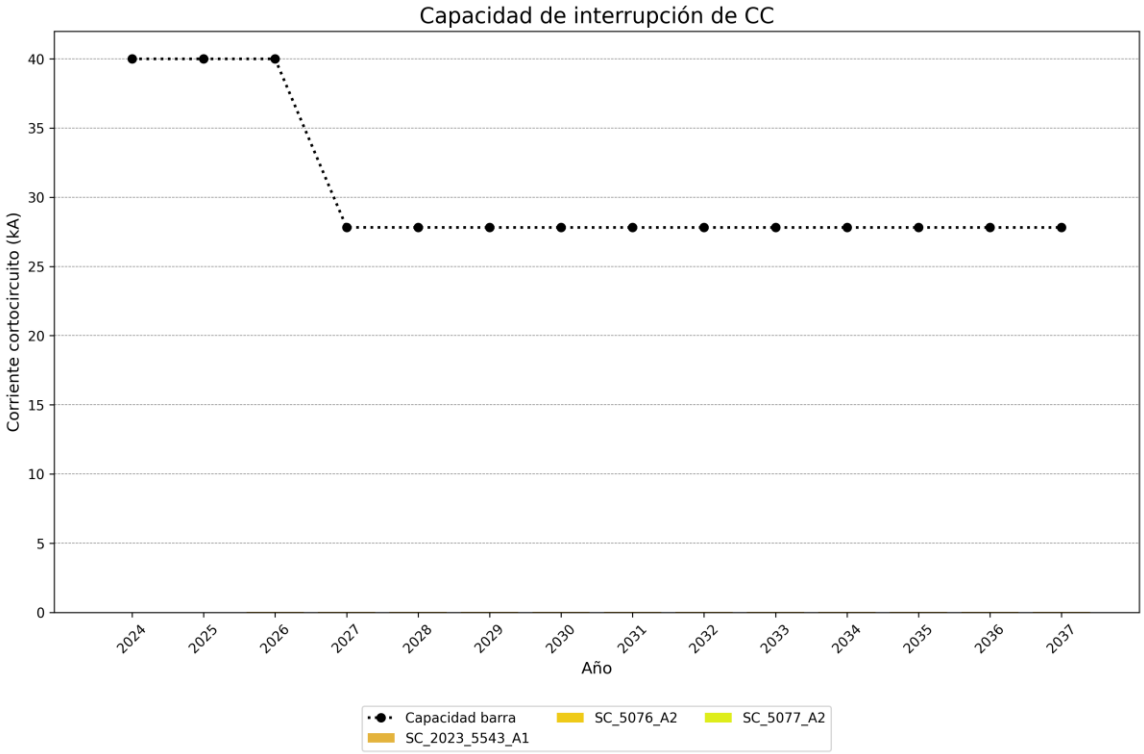


Figura 2-590. Balance de capacidad de cortocircuito después de la priorización para la subestación Salamina 220

Subestación Salamina 33:

Capacidad por barra:

Para la subestación Salamina 33 se presentaron 1 alternativas de conexión las cuales se muestran en la siguiente tabla:

Tabla 2-620. Alternativas de conexión presentadas a la subestación Salamina 33

Solicitud	Capacidad	Tipo	Barra	FPO solicitada	Restricción
SC_2023_5543_A2	9.2	Hidráulica	Salamina 33	2026	NO SATISFACE

No se priorizó ninguna de las alternativas de conexión presentadas en la subestación Salamina 33

El estado de la capacidad por barra en la subestación Salamina 33, teniendo en cuenta la priorización se puede observar en la siguiente figura.

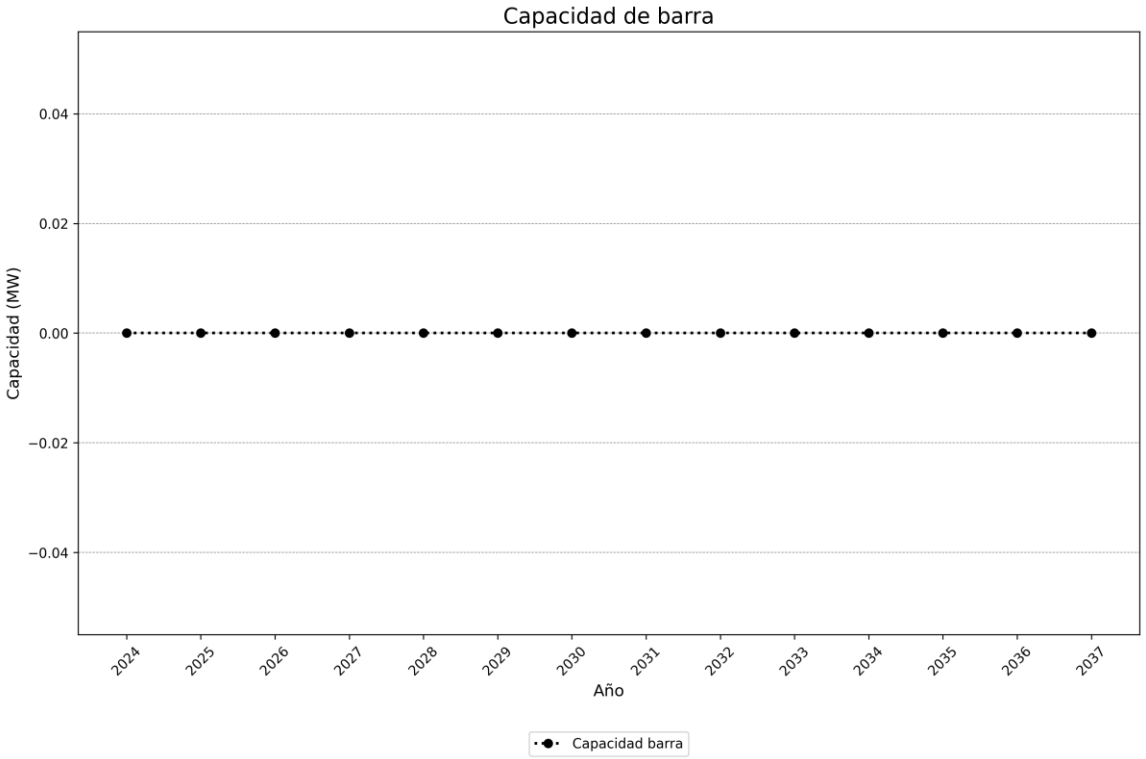


Figura 2-591. Balance de capacidad por barra después de la priorización para la subestación Salamina 33

En el caso anterior se observa que la capacidad por barra es igual a 0 dado que, desde los comentarios presentados por transportador, se identificó que la subestación Salamina 33 no cuenta con disponibilidad de espacio físico para la conexión de nuevos proyectos.

Subestación Salitre 115:

Capacidad por barra:

Para la subestación Salitre 115 se presentaron 0 alternativas de conexión las cuales se muestran en la siguiente tabla:

Tabla 2-621. Alternativas de conexión presentadas a la subestación Salitre 115

Solicitud	Capacidad	Tipo	Barra	FPO solicitada	Restricción

No se priorizó ninguna de las alternativas de conexión presentadas en la subestación Salitre 115

El estado de la capacidad por barra en la subestación Salitre 115, teniendo en cuenta la priorización se puede observar en la siguiente figura.

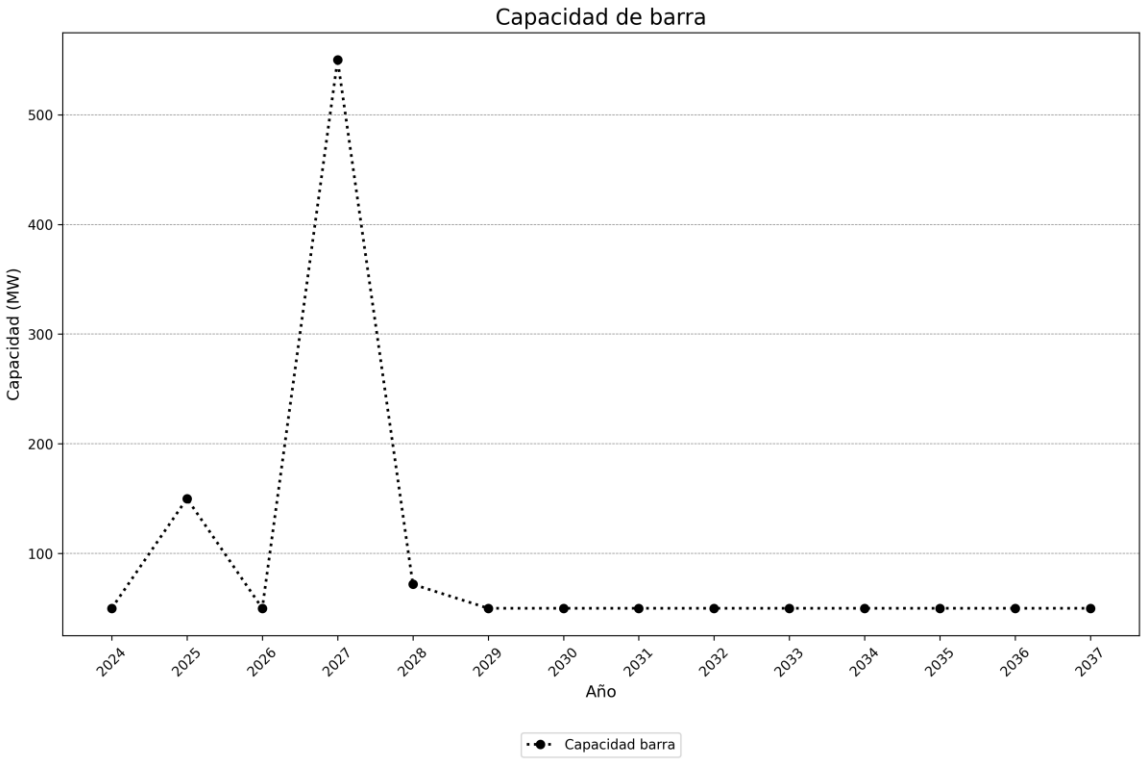


Figura 2-592. Balance de capacidad por barra después de la priorización para la subestación Salitre 115

Capacidad excedente de interrupción de corriente de cortocircuito:

Para la subestación Salitre 115 se presentaron 29 alternativas de conexión las cuales tienen aportes de corriente de cortocircuito. Estas alternativas se muestran en la siguiente tabla:

Tabla 2-622. Alternativas de conexión que aportan corriente de cortocircuito en la subestación Salitre 115

Solicitud	tipo	FPO	Barra a la que aporta CC	Aporte de cortocircuito (kA)	Restricción
SC_2023_5280_A1	Solar FV	2028	Salitre 115	0.102	NO SATISFACE
SC_2023_5280_A2	Solar FV	2028	Salitre 115	0.092	NO SATISFACE
SC_2023_5287_A1	Solar FV	2026	Salitre 115	0.048	NO SATISFACE
SC_2023_5287_A2	Solar FV	2026	Salitre 115	0.048	NO SATISFACE
SC_2023_5288_A1	Solar FV	2026	Salitre 115	0.028	NO SATISFACE
SC_2023_5288_A2	Solar FV	2026	Salitre 115	0.073	NO SATISFACE
SC_2023_5375_A1	Solar FV	2026	Salitre 115	0.048	NO SATISFACE
SC_2023_5399_A1	Solar FV	2026	Salitre 115	0.028	NO SATISFACE
SC_2023_5399_A2	Solar FV	2026	Salitre 115	0.073	NO SATISFACE
SC_2023_5480_A1	Solar FV	2026	Salitre 115	0.048	NO SATISFACE
SC_2023_5480_A2	Solar FV	2026	Salitre 115	0.048	NO SATISFACE
SC_2023_5557_A1	Solar FV	2028	Salitre 115	0.212	NO SATISFACE
SC_2936_A1	Solar FV	2026	Salitre 115	0.000	NO SATISFACE
SC_2936_A2	Solar FV	2026	Salitre 115	0.000	NO SATISFACE
SC_3121_A1	Solar FV	2026	Salitre 115	0.007	NO SATISFACE
SC_3121_A2	Solar FV	2026	Salitre 115	0.007	NO SATISFACE
SC_3132_A1	Solar FV	2026	Salitre 115	0.115	NO SATISFACE
SC_3132_A2	Solar FV	2026	Salitre 115	0.099	NO SATISFACE
SC_3882_A1	Solar FV	2026	Salitre 115	0.201	NO SATISFACE
SC_4083_A1	Solar FV	2027	Salitre 115	0.001	NO SATISFACE
SC_4083_A2	Solar FV	2027	Salitre 115	0.001	NO SATISFACE
SC_4765_A1	Solar FV	2029	Salitre 115	0.011	NO SATISFACE
SC_4765_A2	Solar FV	2029	Salitre 115	0.006	NO SATISFACE
SC_4819_A1	Solar FV	2029	Salitre 115	0.189	NO SATISFACE
SC_4819_A2	Solar FV	2029	Salitre 115	0.170	NO SATISFACE
SC_4974_A1	Solar FV	2026	Salitre 115	0.010	NO SATISFACE
SC_4974_A2	Solar FV	2026	Salitre 115	0.010	NO SATISFACE
SC_4978_A1	Solar FV	2026	Salitre 115	0.000	SATISFACE

SC_4978_A2	Solar FV	2026	Salitre 115	0.008	NO SATISFACE

No se priorizó ninguna de las alternativas de conexión que tengan aportes de corriente de cortocircuito en la subestación Salitre 115

El estado de la capacidad de cortocircuito en la subestación Salitre 115, teniendo en cuenta la priorización se puede observar en la siguiente figura.

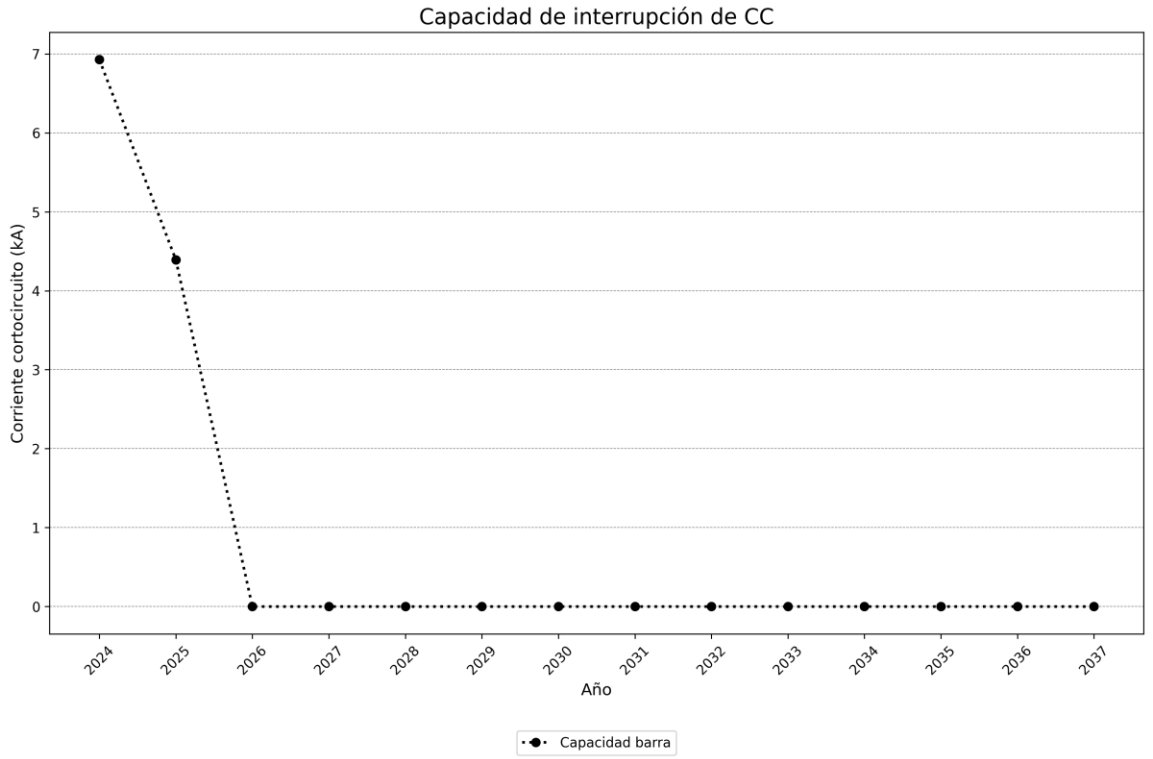


Figura 2-593. Balance de capacidad de cortocircuito después de la priorización para la subestación Salitre 115

Subestación Salto I (Bogota) 115:

Capacidad por barra:

Para la subestación Salto I (Bogota) 115 se presentaron 0 alternativas de conexión las cuales se muestran en la siguiente tabla:

Tabla 2-623. Alternativas de conexión presentadas a la subestación Salto I (Bogota) 115

Solicitud	Capacidad	Tipo	Barra	FPO solicitada	Restricción

No se priorizó ninguna de las alternativas de conexión presentadas en la subestación Salto I (Bogota) 115

El estado de la capacidad por barra en la subestación Salto I (Bogota) 115, teniendo en cuenta la priorización se puede observar en la siguiente figura.

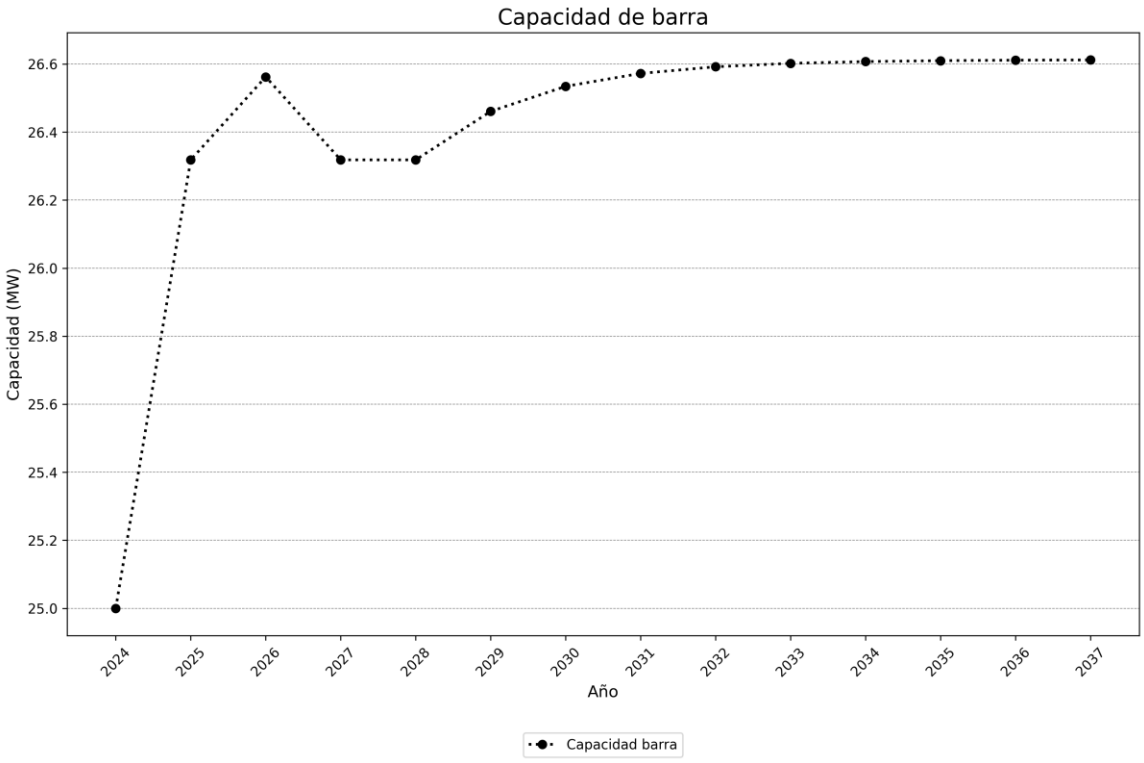


Figura 2-594. Balance de capacidad por barra después de la priorización para la subestación Salto I (Bogota) 115

Capacidad excedente de interrupción de corriente de cortocircuito:

Para la subestación Salto I (Bogota) 115 se presentaron 29 alternativas de conexión las cuales tienen aportes de corriente de cortocircuito. Estas alternativas se muestran en la siguiente tabla:

Tabla 2-624. Alternativas de conexión que aportan corriente de cortocircuito en la subestación Salto I (Bogota) 115

Solicitud	tipo	FPO	Barra a la que aporta CC	Aporte de cortocircuito (kA)	Restricción
SC_2023_5280_A1	Solar FV	2028	Salto I (Bogota) 115	0.050	SATISFACE
SC_2023_5280_A2	Solar FV	2028	Salto I (Bogota) 115	0.045	SATISFACE
SC_2023_5287_A1	Solar FV	2026	Salto I (Bogota) 115	0.026	SATISFACE
SC_2023_5287_A2	Solar FV	2026	Salto I (Bogota) 115	0.026	SATISFACE
SC_2023_5288_A1	Solar FV	2026	Salto I (Bogota) 115	0.015	SATISFACE
SC_2023_5288_A2	Solar FV	2026	Salto I (Bogota) 115	0.040	SATISFACE
SC_2023_5375_A1	Solar FV	2026	Salto I (Bogota) 115	0.026	SATISFACE
SC_2023_5399_A1	Solar FV	2026	Salto I (Bogota) 115	0.015	SATISFACE
SC_2023_5399_A2	Solar FV	2026	Salto I (Bogota) 115	0.040	SATISFACE
SC_2023_5480_A1	Solar FV	2026	Salto I (Bogota) 115	0.026	SATISFACE
SC_2023_5480_A2	Solar FV	2026	Salto I (Bogota) 115	0.026	SATISFACE
SC_2023_5557_A1	Solar FV	2028	Salto I (Bogota) 115	0.106	SATISFACE
SC_2936_A1	Solar FV	2026	Salto I (Bogota) 115	0.000	SATISFACE
SC_2936_A2	Solar FV	2026	Salto I (Bogota) 115	0.000	SATISFACE

SC_3121_A1	Solar FV	2026	Salto I (Bogota) 115	0.003	SATISFACE
SC_3121_A2	Solar FV	2026	Salto I (Bogota) 115	0.003	SATISFACE
SC_3132_A1	Solar FV	2026	Salto I (Bogota) 115	0.056	SATISFACE
SC_3132_A2	Solar FV	2026	Salto I (Bogota) 115	0.048	SATISFACE
SC_3882_A1	Solar FV	2026	Salto I (Bogota) 115	0.101	SATISFACE
SC_4083_A1	Solar FV	2027	Salto I (Bogota) 115	0.000	SATISFACE
SC_4083_A2	Solar FV	2027	Salto I (Bogota) 115	0.000	SATISFACE
SC_4765_A1	Solar FV	2029	Salto I (Bogota) 115	0.002	SATISFACE
SC_4765_A2	Solar FV	2029	Salto I (Bogota) 115	0.001	SATISFACE
SC_4819_A1	Solar FV	2029	Salto I (Bogota) 115	0.091	SATISFACE
SC_4819_A2	Solar FV	2029	Salto I (Bogota) 115	0.082	SATISFACE
SC_4974_A1	Solar FV	2026	Salto I (Bogota) 115	0.005	SATISFACE
SC_4974_A2	Solar FV	2026	Salto I (Bogota) 115	0.005	SATISFACE
SC_4978_A1	Solar FV	2026	Salto I (Bogota) 115	0.000	SATISFACE
SC_4978_A2	Solar FV	2026	Salto I (Bogota) 115	0.004	SATISFACE

No se priorizó ninguna de las alternativas de conexión que tengan aportes de corriente de cortocircuito en la subestación Salto I (Bogota) 115

El estado de la capacidad de cortocircuito en la subestación Salto I (Bogota) 115, teniendo en cuenta la priorización se puede observar en la siguiente figura.

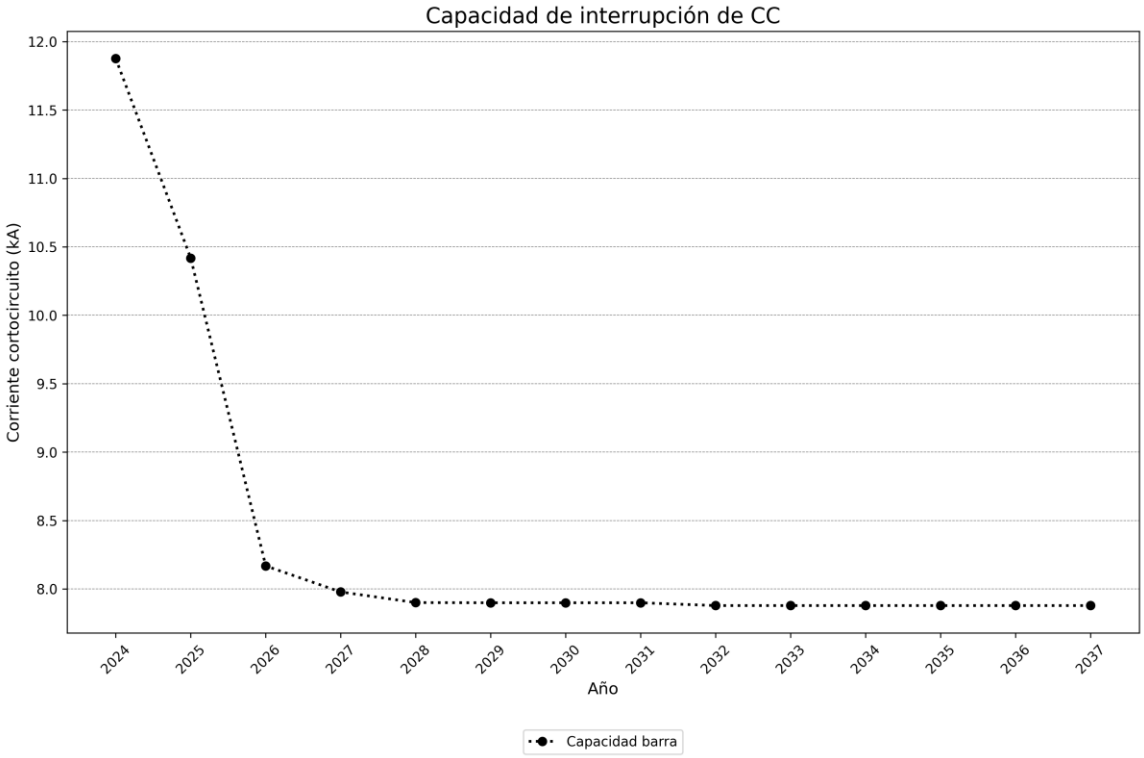


Figura 2-595. Balance de capacidad de cortocircuito después de la priorización para la subestación Salto I (Bogota) 115

Subestación Salto II 115:

Capacidad por barra:

Para la subestación Salto II 115 se presentaron 0 alternativas de conexión las cuales se muestran en la siguiente tabla:

Tabla 2-625. Alternativas de conexión presentadas a la subestación Salto II 115

Solicitud	Capacidad	Tipo	Barra	FPO solicitada	Restricción

No se priorizó ninguna de las alternativas de conexión presentadas en la subestación Salto II 115

El estado de la capacidad por barra en la subestación Salto II 115, teniendo en cuenta la priorización se puede observar en la siguiente figura.

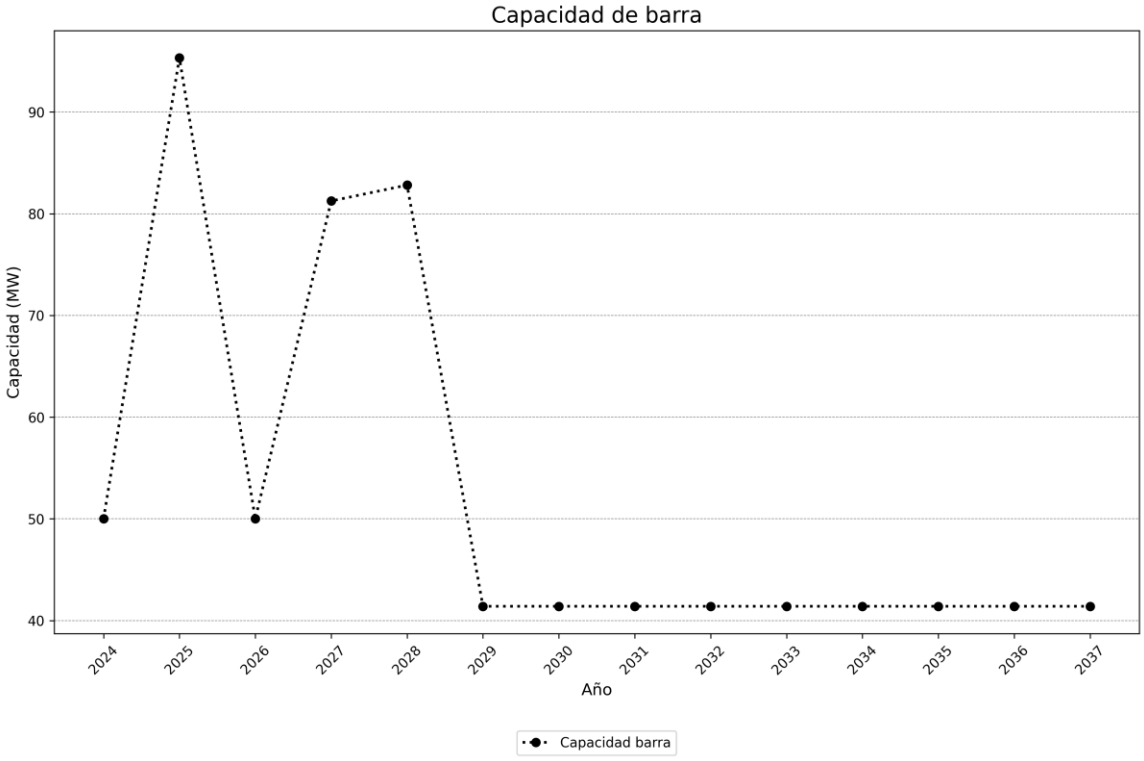


Figura 2-596. Balance de capacidad por barra después de la priorización para la subestación Salto II 115

Capacidad excedente de interrupción de corriente de cortocircuito:

Para la subestación Salto II 115 se presentaron 29 alternativas de conexión las cuales tienen aportes de corriente de cortocircuito. Estas alternativas se muestran en la siguiente tabla:

Tabla 2-626. Alternativas de conexión que aportan corriente de cortocircuito en la subestación Salto II 115

Solicitud	tipo	FPO	Barra a la que aporta CC	Aporte de cortocircuito (kA)	Restricción
SC_2023_5280_A1	Solar FV	2028	Salto II 115	0.051	SATISFACE
SC_2023_5280_A2	Solar FV	2028	Salto II 115	0.046	SATISFACE
SC_2023_5287_A1	Solar FV	2026	Salto II 115	0.027	SATISFACE
SC_2023_5287_A2	Solar FV	2026	Salto II 115	0.027	SATISFACE
SC_2023_5288_A1	Solar FV	2026	Salto II 115	0.016	SATISFACE
SC_2023_5288_A2	Solar FV	2026	Salto II 115	0.041	SATISFACE
SC_2023_5375_A1	Solar FV	2026	Salto II 115	0.027	SATISFACE
SC_2023_5399_A1	Solar FV	2026	Salto II 115	0.016	SATISFACE
SC_2023_5399_A2	Solar FV	2026	Salto II 115	0.041	SATISFACE
SC_2023_5480_A1	Solar FV	2026	Salto II 115	0.027	SATISFACE
SC_2023_5480_A2	Solar FV	2026	Salto II 115	0.027	SATISFACE
SC_2023_5557_A1	Solar FV	2028	Salto II 115	0.108	SATISFACE
SC_2936_A1	Solar FV	2026	Salto II 115	0.000	SATISFACE
SC_2936_A2	Solar FV	2026	Salto II 115	0.000	SATISFACE
SC_3121_A1	Solar FV	2026	Salto II 115	0.004	SATISFACE
SC_3121_A2	Solar FV	2026	Salto II 115	0.004	SATISFACE
SC_3132_A1	Solar FV	2026	Salto II 115	0.057	SATISFACE
SC_3132_A2	Solar FV	2026	Salto II 115	0.049	SATISFACE
SC_3882_A1	Solar FV	2026	Salto II 115	0.103	SATISFACE
SC_4083_A1	Solar FV	2027	Salto II 115	0.000	SATISFACE
SC_4083_A2	Solar FV	2027	Salto II 115	0.000	SATISFACE
SC_4765_A1	Solar FV	2029	Salto II 115	0.003	SATISFACE
SC_4765_A2	Solar FV	2029	Salto II 115	0.001	SATISFACE
SC_4819_A1	Solar FV	2029	Salto II 115	0.093	SATISFACE
SC_4819_A2	Solar FV	2029	Salto II 115	0.084	SATISFACE
SC_4974_A1	Solar FV	2026	Salto II 115	0.038	SATISFACE
SC_4974_A2	Solar FV	2026	Salto II 115	0.037	SATISFACE
SC_4978_A1	Solar FV	2026	Salto II 115	0.000	SATISFACE
SC_4978_A2	Solar FV	2026	Salto II 115	0.004	SATISFACE

No se priorizó ninguna de las alternativas de conexión que tengan aportes de corriente de cortocircuito en la subestación Salto II 115

El estado de la capacidad de cortocircuito en la subestación Salto II 115, teniendo en cuenta la priorización se puede observar en la siguiente figura.

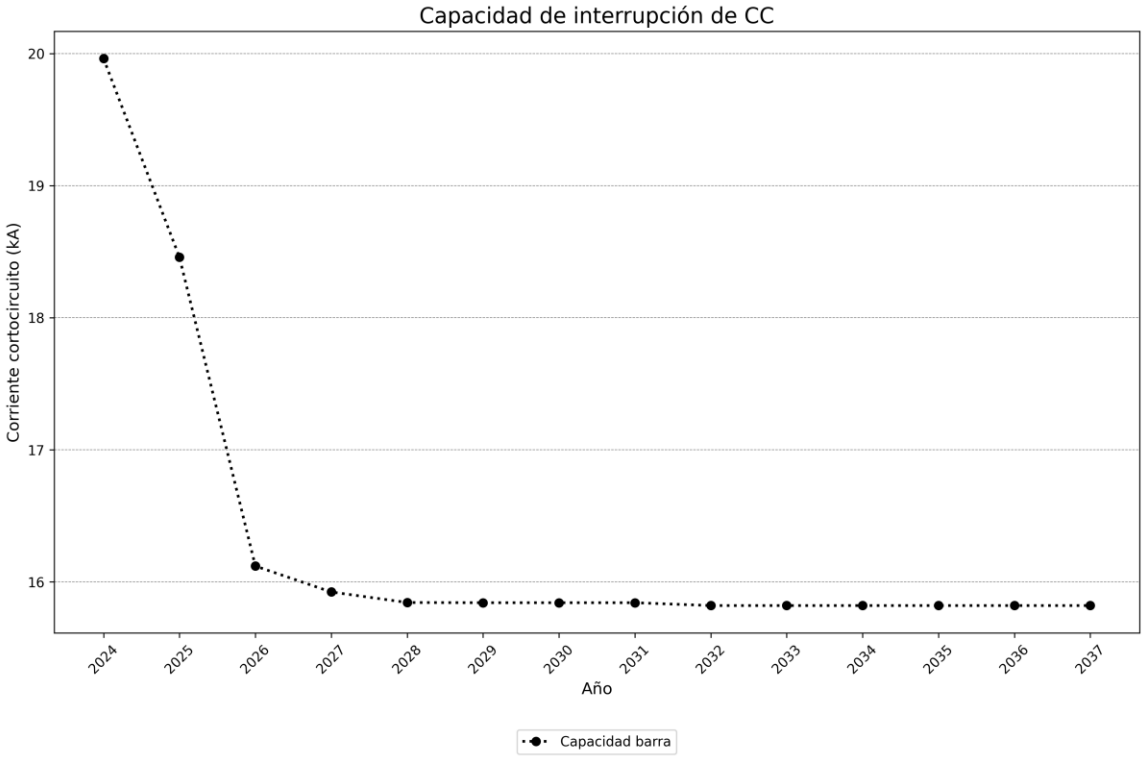


Figura 2-597. Balance de capacidad de cortocircuito después de la priorización para la subestación Salto II 115

Subestación Salvajina 220:

Capacidad por barra:

Para la subestación Salvajina 220 se presentaron 0 alternativas de conexión las cuales se muestran en la siguiente tabla:

Tabla 2-627. Alternativas de conexión presentadas a la subestación Salvajina 220

Solicitud	Capacidad	Tipo	Barra	FPO solicitada	Restricción

No se priorizó ninguna de las alternativas de conexión presentadas en la subestación Salvajina 220

El estado de la capacidad por barra en la subestación Salvajina 220, teniendo en cuenta la priorización se puede observar en la siguiente figura.

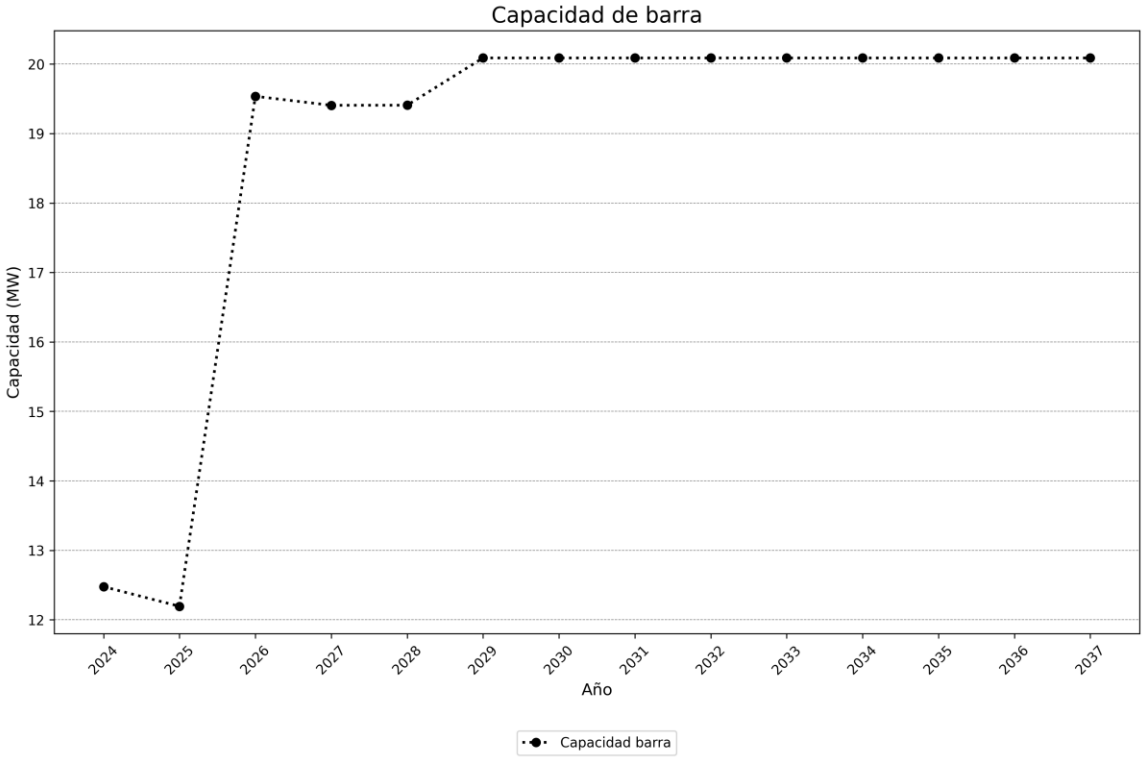


Figura 2-598. Balance de capacidad por barra después de la priorización para la subestación Salvajina 220

Capacidad excedente de interrupción de corriente de cortocircuito:

Para la subestación Salvajina 220 se presentaron 4 alternativas de conexión las cuales tienen aportes de corriente de cortocircuito. Estas alternativas se muestran en la siguiente tabla:

Tabla 2-628. Alternativas de conexión que aportan corriente de cortocircuito en la subestación Salvajina 220

Solicitud	tipo	FPO	Barra a la que aporta CC	Aporte de cortocircuito (kA)	Restricción
SC_2023_5557_A1	Solar FV	2028	Salvajina 220	0.030	SATISFACE
SC_2936_A1	Solar FV	2026	Salvajina 220	0.000	SATISFACE
SC_2936_A2	Solar FV	2026	Salvajina 220	0.000	SATISFACE
SC_3882_A1	Solar FV	2026	Salvajina 220	0.029	SATISFACE

No se priorizó ninguna de las alternativas de conexión que tengan aportes de corriente de cortocircuito en la subestación Salvajina 220

El estado de la capacidad de cortocircuito en la subestación Salvajina 220, teniendo en cuenta la priorización se puede observar en la siguiente figura.

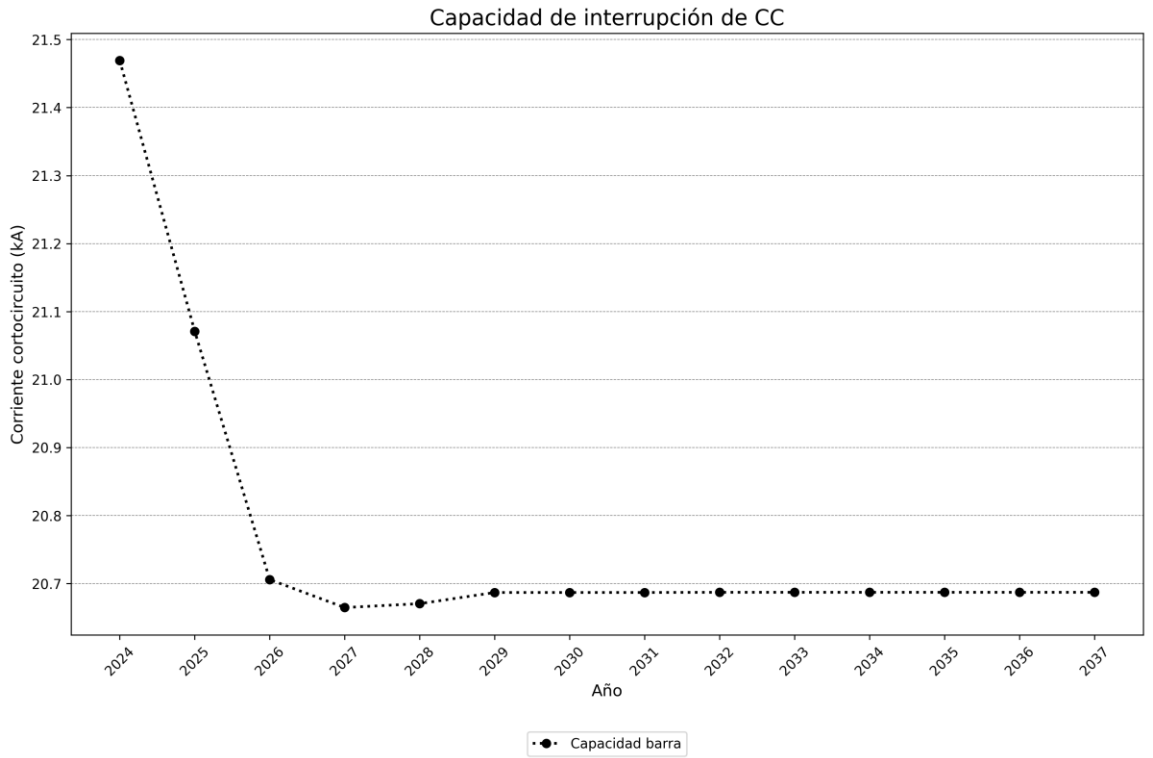


Figura 2-599. Balance de capacidad de cortocircuito después de la priorización para la subestación Salvajina 220

Subestación San Antonio (Valle) 115:

Capacidad por barra:

Para la subestación San Antonio (Valle) 115 se presentaron 0 alternativas de conexión las cuales se muestran en la siguiente tabla:

Tabla 2-629. Alternativas de conexión presentadas a la subestación San Antonio (Valle) 115

Solicitud	Capacidad	Tipo	Barra	FPO solicitada	Restricción

No se priorizó ninguna de las alternativas de conexión presentadas en la subestación San Antonio (Valle) 115

El estado de la capacidad por barra en la subestación San Antonio (Valle) 115, teniendo en cuenta la priorización se puede observar en la siguiente figura.

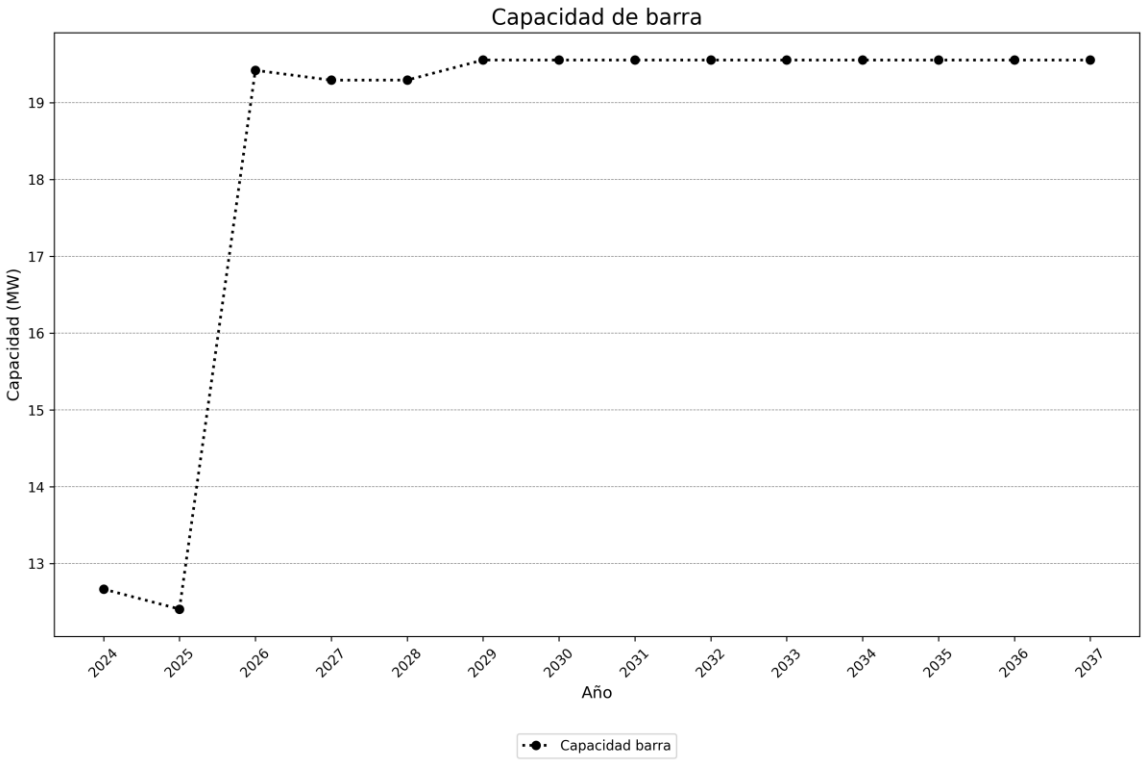


Figura 2-600. Balance de capacidad por barra después de la priorización para la subestación San Antonio (Valle) 115

Capacidad excedente de interrupción de corriente de cortocircuito:

Para la subestación San Antonio (Valle) 115 se presentaron 4 alternativas de conexión las cuales tienen aportes de corriente de cortocircuito. Estas alternativas se muestran en la siguiente tabla:

Tabla 2-630. Alternativas de conexión que aportan corriente de cortocircuito en la subestación San Antonio (Valle) 115

Solicitud	tipo	FPO	Barra a la que aporta CC	Aporte de cortocircuito (kA)	Restricción
SC_2023_5557_A1	Solar FV	2028	San Antonio (Valle) 115	0.075	SATISFACE
SC_2936_A1	Solar FV	2026	San Antonio (Valle) 115	0.000	SATISFACE
SC_2936_A2	Solar FV	2026	San Antonio (Valle) 115	0.000	SATISFACE
SC_3882_A1	Solar FV	2026	San Antonio (Valle) 115	0.073	SATISFACE

No se priorizó ninguna de las alternativas de conexión que tengan aportes de corriente de cortocircuito en la subestación San Antonio (Valle) 115

El estado de la capacidad de cortocircuito en la subestación San Antonio (Valle) 115, teniendo en cuenta la priorización se puede observar en la siguiente figura.

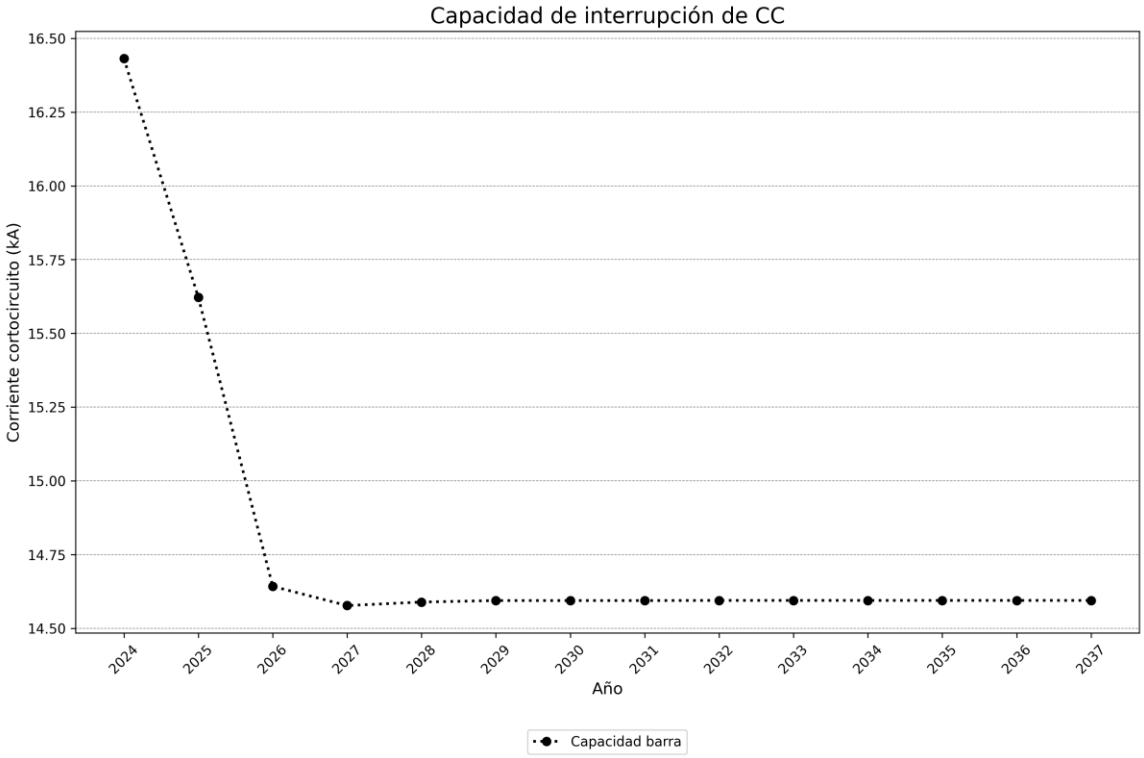


Figura 2-601. Balance de capacidad de cortocircuito después de la priorización para la subestación San Antonio (Valle) 115

Subestación San Antonio del Chami 33:

Capacidad por barra:

Para la subestación San Antonio del Chami 33 se presentaron 0 alternativas de conexión las cuales se muestran en la siguiente tabla:

Tabla 2-631. Alternativas de conexión presentadas a la subestación San Antonio del Chami 33

Solicitud	Capacidad	Tipo	Barra	FPO solicitada	Restricción

No se priorizó ninguna de las alternativas de conexión presentadas en la subestación San Antonio del Chami 33

El estado de la capacidad por barra en la subestación San Antonio del Chami 33, teniendo en cuenta la priorización se puede observar en la siguiente figura.

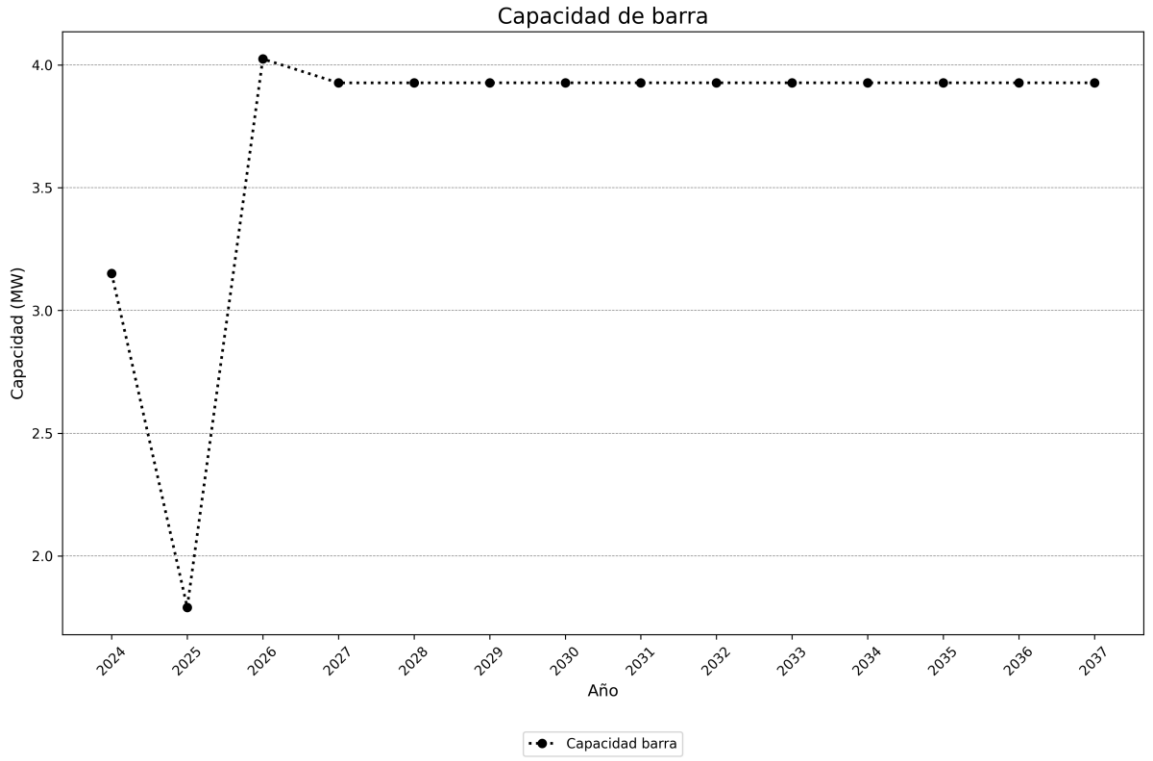


Figura 2-602. Balance de capacidad por barra después de la priorización para la subestación San Antonio del Chami 33

Subestación San Bernardino 115:

Capacidad por barra:

Para la subestación San Bernardino 115 se presentaron 0 alternativas de conexión las cuales se muestran en la siguiente tabla:

Tabla 2-632. Alternativas de conexión presentadas a la subestación San Bernardino 115

Solicitud	Capacidad	Tipo	Barra	FPO solicitada	Restricción

No se priorizó ninguna de las alternativas de conexión presentadas en la subestación San Bernardino 115

El estado de la capacidad por barra en la subestación San Bernardino 115, teniendo en cuenta la priorización se puede observar en la siguiente figura.

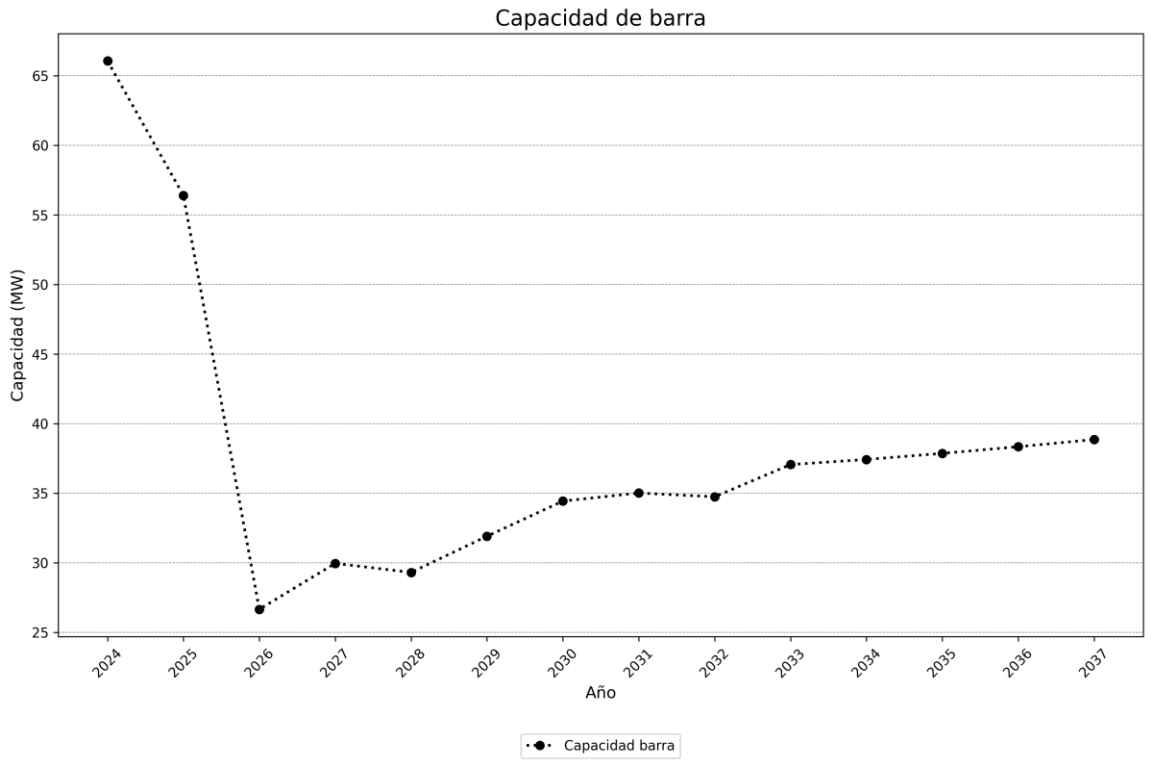


Figura 2-603. Balance de capacidad por barra después de la priorización para la subestación San Bernardino 115

Capacidad excedente de interrupción de corriente de cortocircuito:

Para la subestación San Bernardino 115 se presentaron 29 alternativas de conexión las cuales tienen aportes de corriente de cortocircuito. Estas alternativas se muestran en la siguiente tabla:

Tabla 2-633. Alternativas de conexión que aportan corriente de cortocircuito en la subestación San Bernardino 115

Solicitud	tipo	FPO	Barra a la que aporta CC	Aporte de cortocircuito (kA)	Restricción
SC_2023_5280_A1	Solar FV	2028	San Bernardino 115	0.017	SATISFACE
SC_2023_5280_A2	Solar FV	2028	San Bernardino 115	0.015	SATISFACE
SC_2023_5287_A1	Solar FV	2026	San Bernardino 115	0.008	SATISFACE
SC_2023_5287_A2	Solar FV	2026	San Bernardino 115	0.008	SATISFACE
SC_2023_5288_A1	Solar FV	2026	San Bernardino 115	0.005	SATISFACE
SC_2023_5288_A2	Solar FV	2026	San Bernardino 115	0.013	SATISFACE
SC_2023_5375_A1	Solar FV	2026	San Bernardino 115	0.008	SATISFACE
SC_2023_5399_A1	Solar FV	2026	San Bernardino 115	0.005	SATISFACE
SC_2023_5399_A2	Solar FV	2026	San Bernardino 115	0.013	SATISFACE
SC_2023_5480_A1	Solar FV	2026	San Bernardino 115	0.008	SATISFACE
SC_2023_5480_A2	Solar FV	2026	San Bernardino 115	0.008	SATISFACE
SC_2023_5557_A1	Solar FV	2028	San Bernardino 115	0.023	SATISFACE
SC_2936_A1	Solar FV	2026	San Bernardino 115	0.000	SATISFACE
SC_2936_A2	Solar FV	2026	San Bernardino 115	0.000	SATISFACE
SC_3121_A1	Solar FV	2026	San Bernardino 115	0.001	SATISFACE

SC_3121_A2	Solar FV	2026	San Bernardino 115	0.001	SATISFACE
SC_3132_A1	Solar FV	2026	San Bernardino 115	0.019	SATISFACE
SC_3132_A2	Solar FV	2026	San Bernardino 115	0.017	SATISFACE
SC_3882_A1	Solar FV	2026	San Bernardino 115	0.023	SATISFACE
SC_4083_A1	Solar FV	2027	San Bernardino 115	0.000	SATISFACE
SC_4083_A2	Solar FV	2027	San Bernardino 115	0.000	SATISFACE
SC_4765_A1	Solar FV	2029	San Bernardino 115	0.000	SATISFACE
SC_4765_A2	Solar FV	2029	San Bernardino 115	0.000	SATISFACE
SC_4819_A1	Solar FV	2029	San Bernardino 115	0.028	SATISFACE
SC_4819_A2	Solar FV	2029	San Bernardino 115	0.026	SATISFACE
SC_4974_A1	Solar FV	2026	San Bernardino 115	0.035	SATISFACE
SC_4974_A2	Solar FV	2026	San Bernardino 115	0.092	SATISFACE
SC_4978_A1	Solar FV	2026	San Bernardino 115	0.000	SATISFACE
SC_4978_A2	Solar FV	2026	San Bernardino 115	0.001	SATISFACE

No se priorizó ninguna de las alternativas de conexión que tengan aportes de corriente de cortocircuito en la subestación San Bernardino 115

El estado de la capacidad de cortocircuito en la subestación San Bernardino 115, teniendo en cuenta la priorización se puede observar en la siguiente figura.

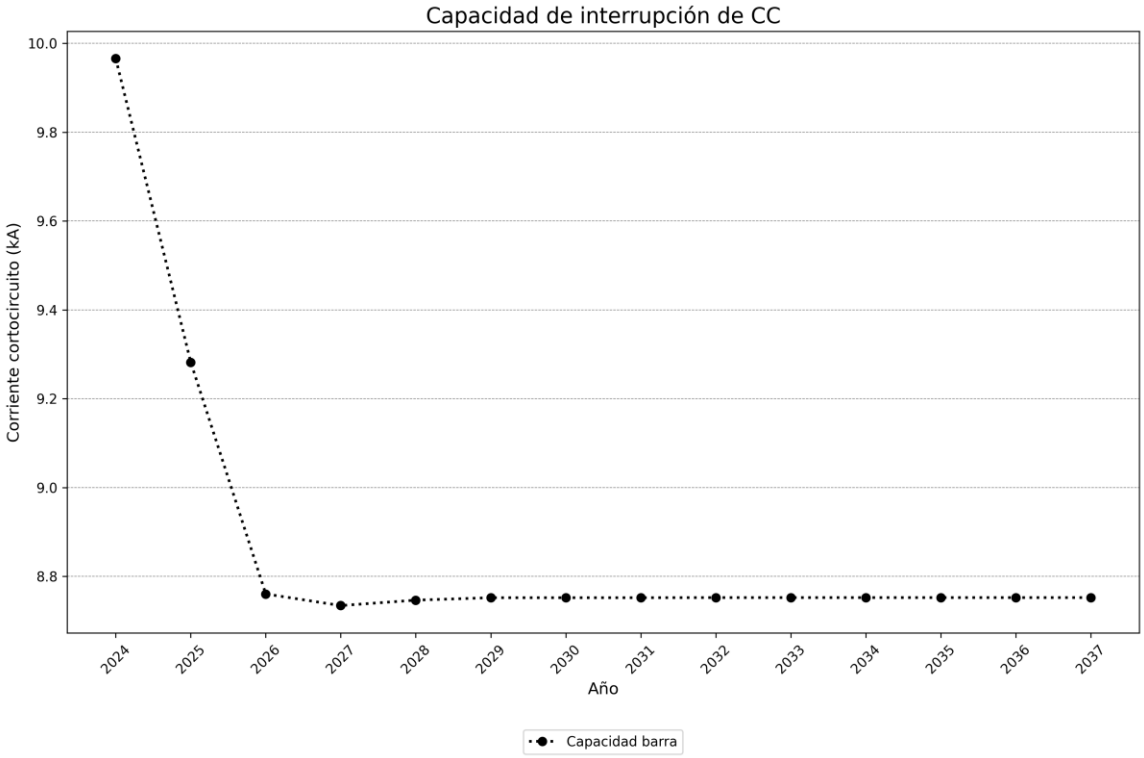


Figura 2-604. Balance de capacidad de cortocircuito después de la priorización para la subestación San Bernardino 115

Subestación San Carlos 220:

Capacidad por barra:

Para la subestación San Carlos 220 se presentaron 0 alternativas de conexión las cuales se muestran en la siguiente tabla:

Tabla 2-634. Alternativas de conexión presentadas a la subestación San Carlos 220

Solicitud	Capacidad	Tipo	Barra	FPO solicitada	Restricción

No se priorizó ninguna de las alternativas de conexión presentadas en la subestación San Carlos 220

El estado de la capacidad por barra en la subestación San Carlos 220, teniendo en cuenta la priorización se puede observar en la siguiente figura.

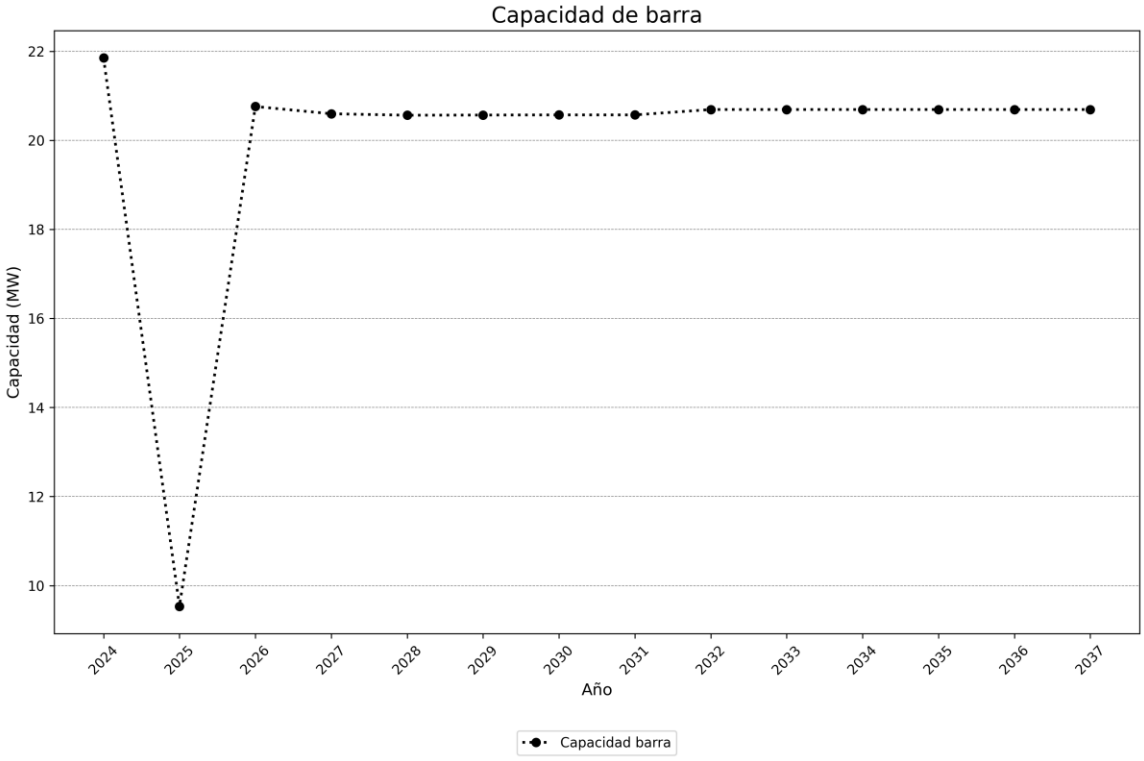


Figura 2-605. Balance de capacidad por barra después de la priorización para la subestación San Carlos 220

Capacidad excedente de interrupción de corriente de cortocircuito:

Para la subestación San Carlos 220 se presentaron 36 alternativas de conexión las cuales tienen aportes de corriente de cortocircuito. Estas alternativas se muestran en la siguiente tabla:

Tabla 2-635. Alternativas de conexión que aportan corriente de cortocircuito en la subestación San Carlos 220

Solicitud	tipo	FPO	Barra a la que aporta CC	Aporte de cortocircuito (kA)	Restricción
SC_2023_5252_A1	Solar FV	2028	San Carlos 220	0.132	SATISFACE
SC_2023_5252_A2	Solar FV	2028	San Carlos 220	0.025	SATISFACE
SC_2023_5256_A2	Solar FV	2028	San Carlos 220	0.104	SATISFACE
SC_2023_5294_A1	Solar FV	2029	San Carlos 220	0.062	SATISFACE
SC_2023_5294_A2	Solar FV	2029	San Carlos 220	0.056	SATISFACE
SC_2023_5337_A2	Solar FV	2025	San Carlos 220	0.132	SATISFACE
SC_2023_5339_A1	PCH	2026	San Carlos 220	0.000	SATISFACE
SC_2023_5339_A2	PCH	2026	San Carlos 220	0.000	SATISFACE
SC_2023_5557_A1	Solar FV	2028	San Carlos 220	0.200	SATISFACE
SC_2670_A1	Solar FV	2028	San Carlos 220	0.060	SATISFACE
SC_2670_A2	Solar FV	2028	San Carlos 220	0.050	SATISFACE
SC_2816_A1	Solar FV	2027	San Carlos 220	0.020	SATISFACE
SC_2870_A1	Solar FV	2027	San Carlos 220	0.030	SATISFACE
SC_2870_A2	Solar FV	2027	San Carlos 220	0.020	SATISFACE
SC_2902_A1	Solar FV	2028	San Carlos 220	6.110	NO SATISFACE
SC_2902_A2	Solar FV	2028	San Carlos 220	0.040	SATISFACE
SC_2905_A2	Solar FV	2028	San Carlos 220	0.050	SATISFACE
SC_2936_A1	Solar FV	2026	San Carlos 220	0.000	SATISFACE
SC_2936_A2	Solar FV	2026	San Carlos 220	0.000	SATISFACE

SC_3012_A1	Solar FV	2027	San Carlos 220	0.030	SATISFACE
SC_3012_A2	Solar FV	2027	San Carlos 220	0.060	SATISFACE
SC_3054_A2	Solar FV	2027	San Carlos 220	0.017	SATISFACE
SC_3101_A1	Solar FV	2027	San Carlos 220	0.018	SATISFACE
SC_3101_A2	Solar FV	2027	San Carlos 220	0.011	SATISFACE
SC_3133_A1	Solar FV	2028	San Carlos 220	0.268	SATISFACE
SC_3133_A2	Solar FV	2028	San Carlos 220	0.269	SATISFACE
SC_3331_A1	Solar FV	2026	San Carlos 220	0.551	SATISFACE
SC_3433_A2	Solar FV	2027	San Carlos 220	0.000	SATISFACE
SC_3578_A1	Solar FV	2028	San Carlos 220	0.024	SATISFACE
SC_3578_A2	Solar FV	2028	San Carlos 220	0.019	SATISFACE
SC_3667_A1	Solar FV	2029	San Carlos 220	0.007	SATISFACE
SC_3667_A2	Solar FV	2029	San Carlos 220	0.005	SATISFACE
SC_3882_A1	Solar FV	2026	San Carlos 220	0.199	SATISFACE
SC_4765_A1	Solar FV	2029	San Carlos 220	0.016	SATISFACE
SC_4765_A2	Solar FV	2029	San Carlos 220	0.014	SATISFACE
SC_4960_A2	Solar FV	2029	San Carlos 220	0.099	SATISFACE

No se priorizó ninguna de las alternativas de conexión que tengan aportes de corriente de cortocircuito en la subestación San Carlos 220

El estado de la capacidad de cortocircuito en la subestación San Carlos 220, teniendo en cuenta la priorización se puede observar en la siguiente figura.

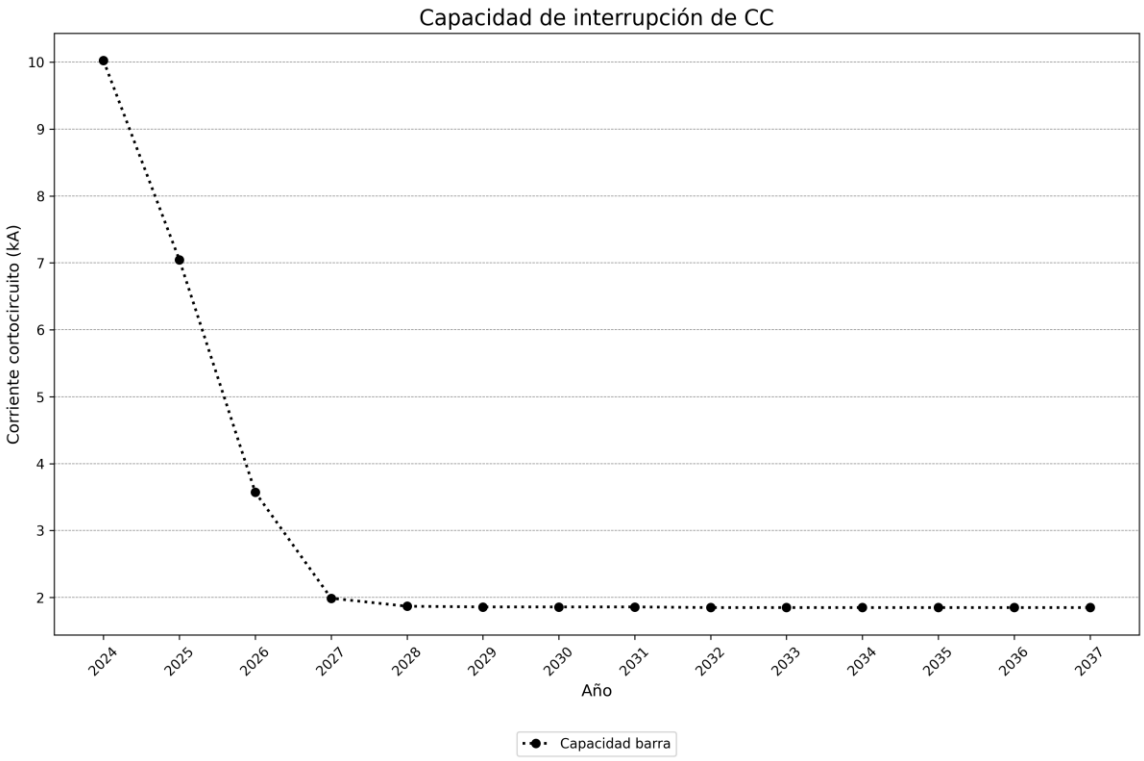


Figura 2-606. Balance de capacidad de cortocircuito después de la priorización para la subestación San Carlos 220

Subestación San Carlos 500:

Capacidad por barra:

Para la subestación San Carlos 500 se presentaron 0 alternativas de conexión las cuales se muestran en la siguiente tabla:

Tabla 2-636. Alternativas de conexión presentadas a la subestación San Carlos 500

Solicitud	Capacidad	Tipo	Barra	FPO solicitada	Restricción

No se priorizó ninguna de las alternativas de conexión presentadas en la subestación San Carlos 500

El estado de la capacidad por barra en la subestación San Carlos 500, teniendo en cuenta la priorización se puede observar en la siguiente figura.

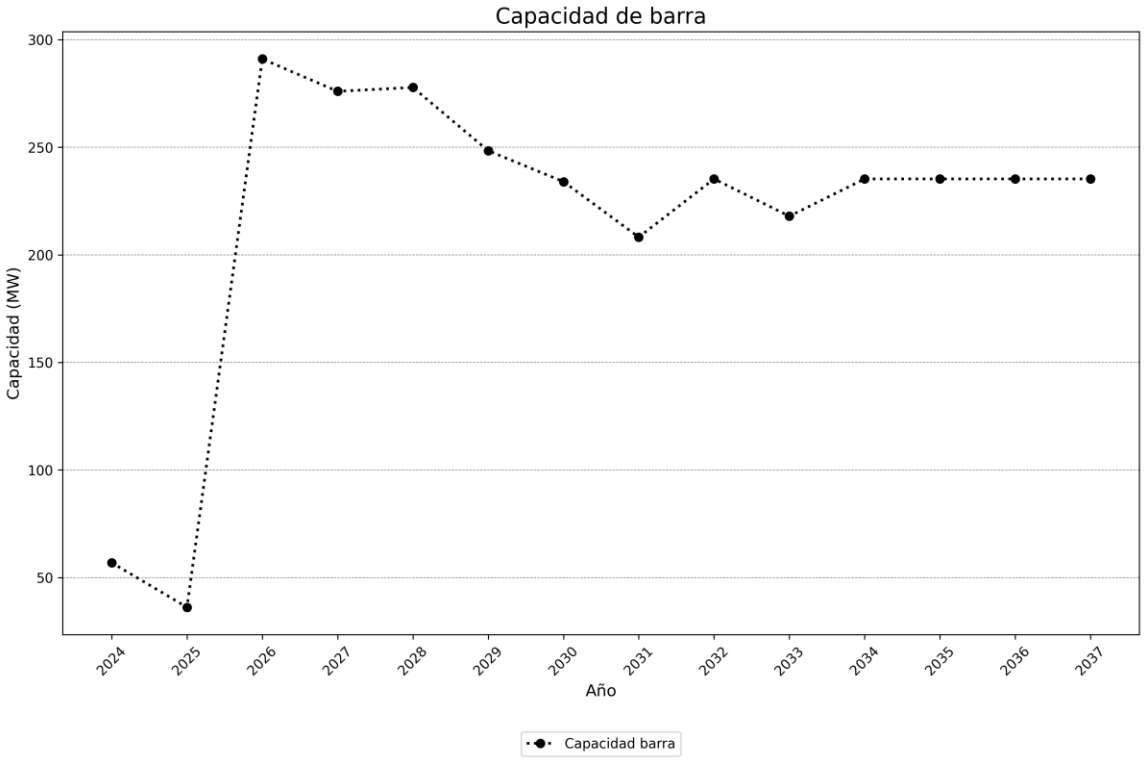


Figura 2-607. Balance de capacidad por barra después de la priorización para la subestación San Carlos 500

Capacidad excedente de interrupción de corriente de cortocircuito:

Para la subestación San Carlos 500 se presentaron 30 alternativas de conexión las cuales tienen aportes de corriente de cortocircuito. Estas alternativas se muestran en la siguiente tabla:

Tabla 2-637. Alternativas de conexión que aportan corriente de cortocircuito en la subestación San Carlos 500

Solicitud	tipo	FPO	Barra a la que aporta CC	Aporte de cortocircuito (kA)	Restricción
SC_2023_5144_A1	Solar FV	2028	San Carlos 500	0.078	SATISFACE
SC_2023_5144_A2	Solar FV	2028	San Carlos 500	0.094	SATISFACE
SC_2023_5150_A1	Solar FV	2028	San Carlos 500	0.077	SATISFACE
SC_2670_A1	Solar FV	2028	San Carlos 500	0.040	SATISFACE
SC_2670_A2	Solar FV	2028	San Carlos 500	0.020	SATISFACE
SC_2816_A1	Solar FV	2027	San Carlos 500	0.010	SATISFACE
SC_2870_A1	Solar FV	2027	San Carlos 500	0.020	SATISFACE
SC_2870_A2	Solar FV	2027	San Carlos 500	0.010	SATISFACE
SC_3101_A1	Solar FV	2027	San Carlos 500	0.006	SATISFACE
SC_3101_A2	Solar FV	2027	San Carlos 500	0.003	SATISFACE
SC_3133_A1	Solar FV	2028	San Carlos 500	0.119	SATISFACE
SC_3133_A2	Solar FV	2028	San Carlos 500	0.140	SATISFACE
SC_3238_A1	Solar FV	2027	San Carlos 500	0.205	SATISFACE
SC_3238_A2	Solar FV	2027	San Carlos 500	0.220	SATISFACE
SC_3247_A1	Solar FV	2027	San Carlos 500	0.079	SATISFACE
SC_3247_A2	Solar FV	2027	San Carlos 500	0.059	SATISFACE
SC_3248_A1	Solar FV	2027	San Carlos 500	0.205	SATISFACE

SC_3248_A2	Solar FV	2027	San Carlos 500	0.220	SATISFACE
SC_3331_A1	Solar FV	2026	San Carlos 500	0.118	SATISFACE
SC_3441_A1	Solar FV	2027	San Carlos 500	0.079	SATISFACE
SC_3441_A2	Solar FV	2027	San Carlos 500	0.059	SATISFACE
SC_3578_A1	Solar FV	2028	San Carlos 500	0.005	SATISFACE
SC_3578_A2	Solar FV	2028	San Carlos 500	0.004	SATISFACE
SC_4296_A1	Solar FV	2028	San Carlos 500	0.079	SATISFACE
SC_4296_A2	Solar FV	2028	San Carlos 500	0.071	SATISFACE
SC_4765_A1	Solar FV	2029	San Carlos 500	0.005	SATISFACE
SC_4765_A2	Solar FV	2029	San Carlos 500	0.004	SATISFACE
SC_4809_A1	Solar FV	2027	San Carlos 500	0.036	SATISFACE
SC_4809_A2	Solar FV	2027	San Carlos 500	0.131	SATISFACE
SC_4842_A1	Solar FV	2028	San Carlos 500	0.077	SATISFACE

No se priorizó ninguna de las alternativas de conexión que tengan aportes de corriente de cortocircuito en la subestación San Carlos 500

El estado de la capacidad de cortocircuito en la subestación San Carlos 500, teniendo en cuenta la priorización se puede observar en la siguiente figura.

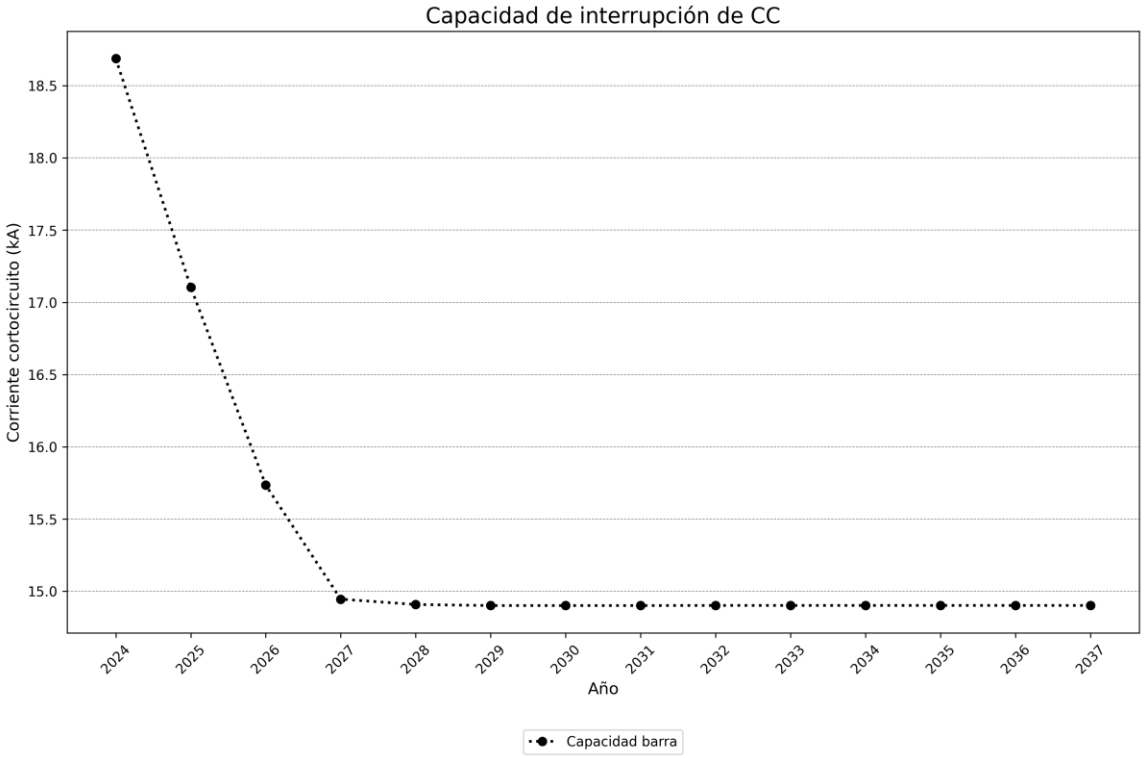


Figura 2-608. Balance de capacidad de cortocircuito después de la priorización para la subestación San Carlos 500

Subestación San Diego 110:

Capacidad por barra:

Para la subestación San Diego 110 se presentaron 0 alternativas de conexión las cuales se muestran en la siguiente tabla:

Tabla 2-638. Alternativas de conexión presentadas a la subestación San Diego 110

Solicitud	Capacidad	Tipo	Barra	FPO solicitada	Restricción

No se priorizó ninguna de las alternativas de conexión presentadas en la subestación San Diego 110

El estado de la capacidad por barra en la subestación San Diego 110, teniendo en cuenta la priorización se puede observar en la siguiente figura.

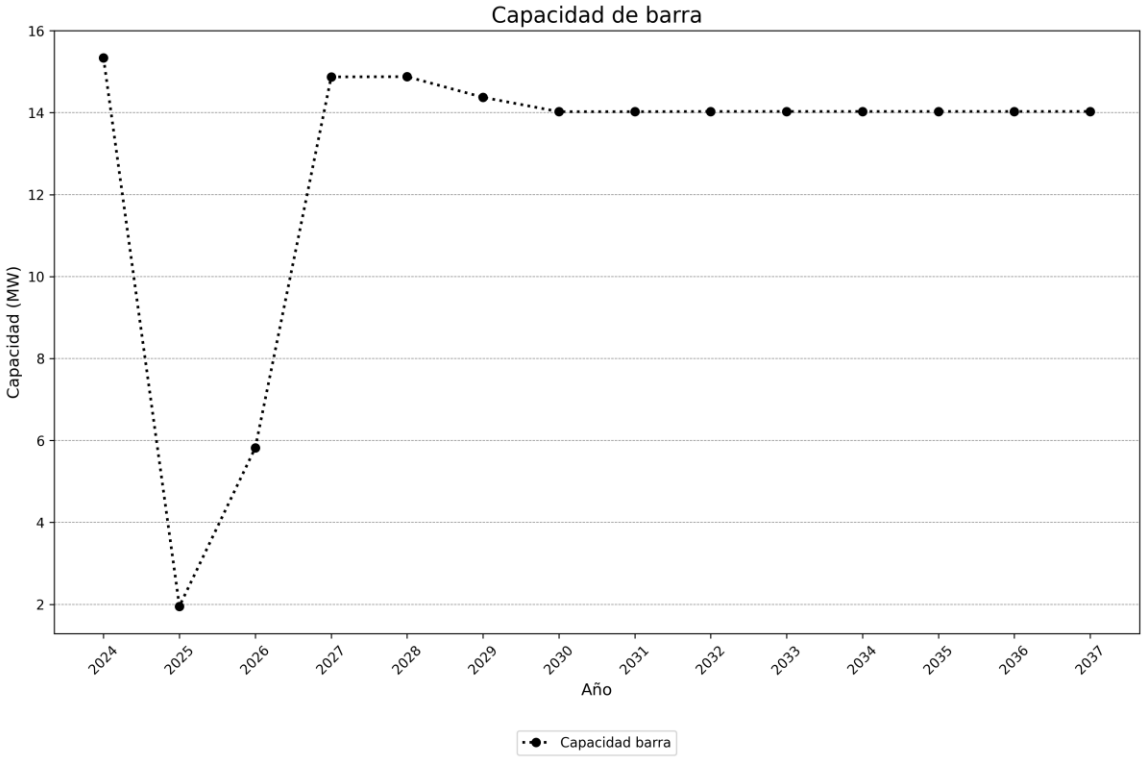


Figura 2-609. Balance de capacidad por barra después de la priorización para la subestación San Diego 110

Capacidad excedente de interrupción de corriente de cortocircuito:

Para la subestación San Diego 110 se presentaron 1 alternativas de conexión las cuales tienen aportes de corriente de cortocircuito. Estas alternativas se muestran en la siguiente tabla:

Tabla 2-639. Alternativas de conexión que aportan corriente de cortocircuito en la subestación San Diego 110

Solicitud	tipo	FPO	Barra a la que aporta CC	Aporte de cortocircuito (kA)	Restricción
SC_3331_A1	Solar FV	2026	San Diego 110	0.137	NO SATISFACE

No se priorizó ninguna de las alternativas de conexión que tengan aportes de corriente de cortocircuito en la subestación San Diego 110

El estado de la capacidad de cortocircuito en la subestación San Diego 110, teniendo en cuenta la priorización se puede observar en la siguiente figura.

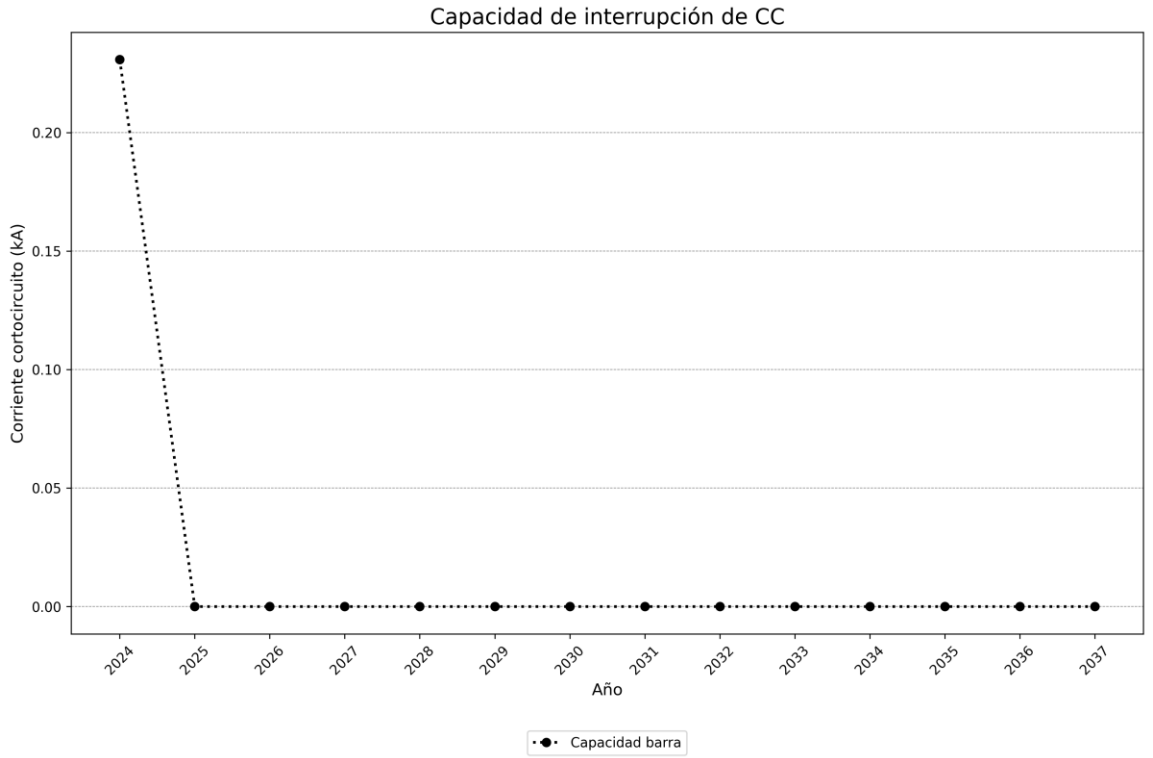


Figura 2-610. Balance de capacidad de cortocircuito después de la priorización para la subestación San Diego 110

Subestación San Felipe 115:

Capacidad por barra:

Para la subestación San Felipe 115 se presentaron 10 alternativas de conexión las cuales se muestran en la siguiente tabla:

Tabla 2-640. Alternativas de conexión presentadas a la subestación San Felipe 115

Solicitud	Capacidad	Tipo	Barra	FPO solicitada	Restricción
SC_2023_5280_A2	90.0	Solar FV	San Felipe 115	2028	NO SATISFACE
SC_2023_5562_A1	99.9	Solar FV	San Felipe 115	2026	NO SATISFACE
SC_2680_A1	19.9	Solar FV	San Felipe 115	2028	NO SATISFACE
SC_2681_A2	19.9	Solar FV	San Felipe 115	2027	NO SATISFACE
SC_2802_A2	100.0	Solar FV	San Felipe 115	2027	NO SATISFACE
SC_2936_A1	99.9	Solar FV	San Felipe 115	2026	NO SATISFACE
SC_3101_A2	99.9	Solar FV	San Felipe 115	2027	NO SATISFACE
SC_3247_A2	100.0	Solar FV	San Felipe 115	2027	NO SATISFACE
SC_3441_A2	100.0	Solar FV	San Felipe 115	2027	NO SATISFACE
SC_4819_A2	100.0	Solar FV	San Felipe 115	2029	NO SATISFACE

No se priorizó ninguna de las alternativas de conexión presentadas en la subestación San Felipe 115

El estado de la capacidad por barra en la subestación San Felipe 115, teniendo en cuenta la priorización se puede observar en la siguiente figura.

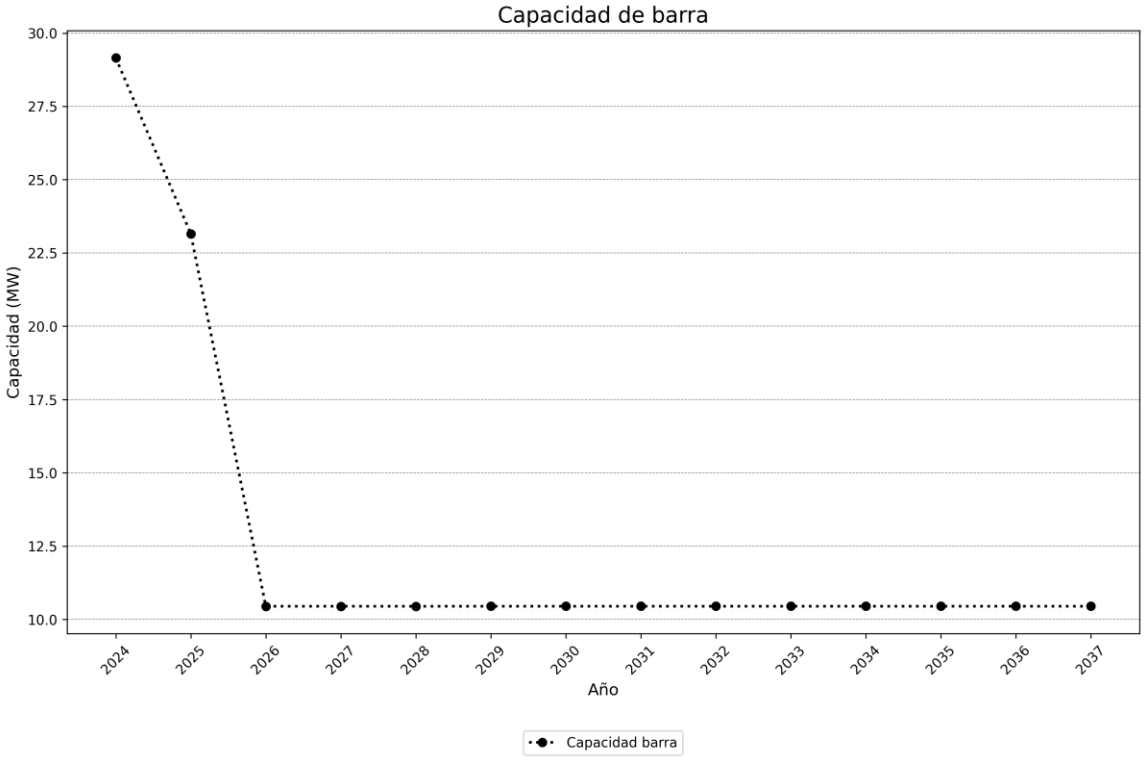


Figura 2-611. Balance de capacidad por barra después de la priorización para la subestación San Felipe 115

Capacidad excedente de interrupción de corriente de cortocircuito:

Para la subestación San Felipe 115 se presentaron 202 alternativas de conexión las cuales tienen aportes de corriente de cortocircuito. Estas alternativas se muestran en la siguiente tabla:

Tabla 2-641. Alternativas de conexión que aportan corriente de cortocircuito en la subestación San Felipe 115

Solicitud	tipo	FPO	Barra a la que aporta CC	Aporte de cortocircuito (kA)	Restricción
SC_2023_5136_A1	Solar FV	2026	San Felipe 115	0.208	SATISFACE
SC_2023_5136_A2	Solar FV	2026	San Felipe 115	0.208	SATISFACE

SC_2023_5144_A1	Solar FV	2028	San Felipe 115	0.090	SATISFACE
SC_2023_5144_A2	Solar FV	2028	San Felipe 115	0.056	SATISFACE
SC_2023_5150_A1	Solar FV	2028	San Felipe 115	0.485	SATISFACE
SC_2023_5152_A1	Solar FV	2025	San Felipe 115	0.001	SATISFACE
SC_2023_5152_A2	Solar FV	2025	San Felipe 115	0.001	SATISFACE
SC_2023_5158_A1	Solar FV	2028	San Felipe 115	0.054	SATISFACE
SC_2023_5171_A1	Solar FV	2025	San Felipe 115	0.002	SATISFACE
SC_2023_5171_A2	Solar FV	2025	San Felipe 115	0.002	SATISFACE
SC_2023_5185_A1	Solar FV	2026	San Felipe 115	0.290	SATISFACE
SC_2023_5185_A2	Solar FV	2026	San Felipe 115	0.303	SATISFACE
SC_2023_5188_A1	Solar FV	2026	San Felipe 115	0.127	SATISFACE
SC_2023_5188_A2	Solar FV	2026	San Felipe 115	0.102	SATISFACE
SC_2023_5200_A1	Solar FV	2028	San Felipe 115	0.172	SATISFACE
SC_2023_5200_A2	Solar FV	2028	San Felipe 115	0.102	SATISFACE
SC_2023_5248_A1	Solar FV	2025	San Felipe 115	0.001	SATISFACE
SC_2023_5248_A2	Solar FV	2025	San Felipe 115	0.001	SATISFACE
SC_2023_5249_A1	Solar FV	2025	San Felipe 115	0.001	SATISFACE
SC_2023_5249_A2	Solar FV	2025	San Felipe 115	0.001	SATISFACE
SC_2023_5251_A1	Solar FV	2025	San Felipe 115	0.006	SATISFACE
SC_2023_5251_A2	Solar FV	2025	San Felipe 115	0.006	SATISFACE
SC_2023_5252_A1	Solar FV	2028	San Felipe 115	0.007	SATISFACE
SC_2023_5252_A2	Solar FV	2028	San Felipe 115	0.002	SATISFACE
SC_2023_5253_A1	Solar FV	2025	San Felipe 115	0.006	SATISFACE
SC_2023_5253_A2	Solar FV	2025	San Felipe 115	0.006	SATISFACE
SC_2023_5256_A2	Solar FV	2028	San Felipe 115	0.164	SATISFACE
SC_2023_5257_A1	Solar FV	2025	San Felipe 115	0.001	SATISFACE
SC_2023_5257_A2	Solar FV	2025	San Felipe 115	0.001	SATISFACE
SC_2023_5280_A1	Solar FV	2028	San Felipe 115	0.203	SATISFACE
SC_2023_5280_A2	Solar FV	2028	San Felipe 115	0.908	SATISFACE
SC_2023_5282_A1	Solar FV	2028	San Felipe 115	0.000	SATISFACE
SC_2023_5287_A1	Solar FV	2026	San Felipe 115	0.362	SATISFACE
SC_2023_5287_A2	Solar FV	2026	San Felipe 115	0.368	SATISFACE
SC_2023_5288_A1	Solar FV	2026	San Felipe 115	0.186	SATISFACE
SC_2023_5288_A2	Solar FV	2026	San Felipe 115	0.486	SATISFACE
SC_2023_5293_A1	Solar FV	2028	San Felipe 115	0.027	SATISFACE
SC_2023_5293_A2	Solar FV	2028	San Felipe 115	0.021	SATISFACE
SC_2023_5294_A1	Solar FV	2029	San Felipe 115	0.077	SATISFACE
SC_2023_5294_A2	Solar FV	2029	San Felipe 115	0.093	SATISFACE
SC_2023_5304_A1	Solar FV	2026	San Felipe 115	0.011	SATISFACE
SC_2023_5309_A1	Solar FV	2026	San Felipe 115	0.011	SATISFACE

SC_2023_5337_A2	Solar FV	2025	San Felipe 115	0.333	SATISFACE
SC_2023_5339_A1	PCH	2026	San Felipe 115	0.000	SATISFACE
SC_2023_5339_A2	PCH	2026	San Felipe 115	0.000	SATISFACE
SC_2023_5345_A1	Solar FV	2027	San Felipe 115	0.003	SATISFACE
SC_2023_5345_A2	Solar FV	2027	San Felipe 115	0.004	SATISFACE
SC_2023_5346_A1	Solar FV	2027	San Felipe 115	0.003	SATISFACE
SC_2023_5346_A2	Solar FV	2027	San Felipe 115	0.004	SATISFACE
SC_2023_5375_A1	Solar FV	2026	San Felipe 115	0.352	SATISFACE
SC_2023_5383_A1	Solar FV	2027	San Felipe 115	0.030	SATISFACE
SC_2023_5383_A2	Solar FV	2027	San Felipe 115	0.038	SATISFACE
SC_2023_5399_A1	Solar FV	2026	San Felipe 115	0.186	SATISFACE
SC_2023_5399_A2	Solar FV	2026	San Felipe 115	0.486	SATISFACE
SC_2023_5431_A1	Solar FV	2028	San Felipe 115	0.003	SATISFACE
SC_2023_5431_A2	Solar FV	2028	San Felipe 115	0.002	SATISFACE
SC_2023_5480_A1	Solar FV	2026	San Felipe 115	0.362	SATISFACE
SC_2023_5480_A2	Solar FV	2026	San Felipe 115	0.368	SATISFACE
SC_2023_5551_A1	Solar FV	2027	San Felipe 115	0.153	SATISFACE
SC_2023_5551_A2	Solar FV	2027	San Felipe 115	0.091	SATISFACE
SC_2023_5557_A1	Solar FV	2028	San Felipe 115	0.412	SATISFACE
SC_2023_5562_A1	Solar FV	2026	San Felipe 115	0.974	SATISFACE
SC_2023_5562_A2	Solar FV	2026	San Felipe 115	0.229	SATISFACE
SC_2023_5598_A1	Solar FV	2025	San Felipe 115	0.001	SATISFACE
SC_2023_5598_A2	Solar FV	2025	San Felipe 115	0.001	SATISFACE
SC_2024_5939_A1	Solar FV	2028	San Felipe 115	0.015	SATISFACE
SC_2024_5939_A2	Solar FV	2028	San Felipe 115	0.015	SATISFACE
SC_2024_5992_A1	Solar FV	2027	San Felipe 115	0.088	SATISFACE
SC_2347_A1	Solar FV	2026	San Felipe 115	0.060	SATISFACE
SC_2347_A2	Solar FV	2026	San Felipe 115	0.050	SATISFACE
SC_2348_A1	Solar FV	2026	San Felipe 115	0.060	SATISFACE
SC_2348_A2	Solar FV	2026	San Felipe 115	0.050	SATISFACE
SC_2438_A1	Solar FV	2028	San Felipe 115	0.002	SATISFACE
SC_2438_A2	Solar FV	2028	San Felipe 115	0.056	SATISFACE
SC_2442_A1	Solar FV	2027	San Felipe 115	0.017	SATISFACE
SC_2442_A2	Solar FV	2027	San Felipe 115	0.018	SATISFACE
SC_2475_A1	Solar FV	2028	San Felipe 115	0.210	SATISFACE
SC_2475_A2	Solar FV	2028	San Felipe 115	0.310	SATISFACE
SC_2562_A1	Solar FV	2026	San Felipe 115	0.020	SATISFACE
SC_2629_A1	Solar FV	2026	San Felipe 115	0.017	SATISFACE
SC_2629_A2	Solar FV	2026	San Felipe 115	0.018	SATISFACE
SC_2634_A1	Solar FV	2026	San Felipe 115	0.000	SATISFACE

SC_2634_A2	Solar FV	2026	San Felipe 115	0.000	SATISFACE
SC_2670_A1	Solar FV	2028	San Felipe 115	0.000	SATISFACE
SC_2670_A2	Solar FV	2028	San Felipe 115	0.000	SATISFACE
SC_2680_A1	Solar FV	2028	San Felipe 115	0.390	SATISFACE
SC_2680_A2	Solar FV	2028	San Felipe 115	0.150	SATISFACE
SC_2681_A1	Solar FV	2027	San Felipe 115	0.150	SATISFACE
SC_2681_A2	Solar FV	2027	San Felipe 115	0.280	SATISFACE
SC_2682_A1	Solar FV	2025	San Felipe 115	0.050	SATISFACE
SC_2682_A2	Solar FV	2025	San Felipe 115	0.002	SATISFACE
SC_2683_A1	Solar FV	2026	San Felipe 115	0.020	SATISFACE
SC_2683_A2	Solar FV	2026	San Felipe 115	0.020	SATISFACE
SC_2693_A1	Solar FV	2026	San Felipe 115	0.000	SATISFACE
SC_2693_A2	Solar FV	2026	San Felipe 115	0.000	SATISFACE
SC_2722_A1	Solar FV	2026	San Felipe 115	0.018	SATISFACE
SC_2722_A2	Solar FV	2026	San Felipe 115	0.017	SATISFACE
SC_2802_A1	Solar FV	2027	San Felipe 115	0.021	SATISFACE
SC_2802_A2	Solar FV	2027	San Felipe 115	0.275	SATISFACE
SC_2816_A1	Solar FV	2027	San Felipe 115	0.040	SATISFACE
SC_2870_A1	Solar FV	2027	San Felipe 115	0.000	SATISFACE
SC_2870_A2	Solar FV	2027	San Felipe 115	0.030	SATISFACE
SC_2892_A1	Solar FV	2027	San Felipe 115	0.170	SATISFACE
SC_2892_A2	Solar FV	2027	San Felipe 115	0.120	SATISFACE
SC_2893_A1	Solar FV	2026	San Felipe 115	0.020	SATISFACE
SC_2893_A2	Solar FV	2026	San Felipe 115	0.020	SATISFACE
SC_2902_A1	Solar FV	2028	San Felipe 115	2.590	SATISFACE
SC_2902_A2	Solar FV	2028	San Felipe 115	0.010	SATISFACE
SC_2905_A2	Solar FV	2028	San Felipe 115	0.020	SATISFACE
SC_2924_A1	Solar FV	2026	San Felipe 115	0.232	SATISFACE
SC_2924_A2	Solar FV	2026	San Felipe 115	0.243	SATISFACE
SC_2936_A1	Solar FV	2026	San Felipe 115	0.000	SATISFACE
SC_2936_A2	Solar FV	2026	San Felipe 115	0.000	SATISFACE
SC_2962_A1	Solar FV	2028	San Felipe 115	0.411	SATISFACE
SC_2962_A2	Solar FV	2028	San Felipe 115	0.630	SATISFACE
SC_2967_A1	Solar FV	2026	San Felipe 115	0.017	SATISFACE
SC_2967_A2	Solar FV	2026	San Felipe 115	0.018	SATISFACE
SC_3012_A1	Solar FV	2027	San Felipe 115	0.060	SATISFACE
SC_3012_A2	Solar FV	2027	San Felipe 115	0.020	SATISFACE
SC_3018_A1	Solar FV	2026	San Felipe 115	0.060	SATISFACE
SC_3018_A2	Solar FV	2026	San Felipe 115	0.050	SATISFACE
SC_3054_A2	Solar FV	2027	San Felipe 115	0.003	SATISFACE

SC_3101_A1	Solar FV	2027	San Felipe 115	0.031	SATISFACE
SC_3101_A2	Solar FV	2027	San Felipe 115	0.540	SATISFACE
SC_3121_A1	Solar FV	2026	San Felipe 115	0.049	SATISFACE
SC_3121_A2	Solar FV	2026	San Felipe 115	0.049	SATISFACE
SC_3126_A1	PCH	2026	San Felipe 115	0.180	SATISFACE
SC_3126_A2	PCH	2026	San Felipe 115	0.190	SATISFACE
SC_3132_A1	Solar FV	2026	San Felipe 115	0.222	SATISFACE
SC_3132_A2	Solar FV	2026	San Felipe 115	0.636	SATISFACE
SC_3238_A1	Solar FV	2027	San Felipe 115	0.267	SATISFACE
SC_3238_A2	Solar FV	2027	San Felipe 115	0.231	SATISFACE
SC_3247_A1	Solar FV	2027	San Felipe 115	0.485	SATISFACE
SC_3247_A2	Solar FV	2027	San Felipe 115	2.381	SATISFACE
SC_3248_A1	Solar FV	2027	San Felipe 115	0.267	SATISFACE
SC_3248_A2	Solar FV	2027	San Felipe 115	0.231	SATISFACE
SC_3251_A1	Hidráulica	2026	San Felipe 115	0.130	SATISFACE
SC_3251_A2	Hidráulica	2026	San Felipe 115	0.010	SATISFACE
SC_3353_A1	Solar FV	2027	San Felipe 115	0.002	SATISFACE
SC_3353_A2	Solar FV	2027	San Felipe 115	0.002	SATISFACE
SC_3382_A1	Solar FV	2027	San Felipe 115	0.001	SATISFACE
SC_3382_A2	Solar FV	2027	San Felipe 115	0.001	SATISFACE
SC_3392_A1	Solar FV	2027	San Felipe 115	0.025	SATISFACE
SC_3392_A2	Solar FV	2027	San Felipe 115	0.013	SATISFACE
SC_3441_A1	Solar FV	2027	San Felipe 115	0.485	SATISFACE
SC_3441_A2	Solar FV	2027	San Felipe 115	2.381	SATISFACE
SC_3453_A1	Solar FV	2027	San Felipe 115	0.067	SATISFACE
SC_3453_A2	Solar FV	2027	San Felipe 115	0.066	SATISFACE
SC_3514_A1	Solar FV	2027	San Felipe 115	0.067	SATISFACE
SC_3514_A2	Solar FV	2027	San Felipe 115	0.066	SATISFACE
SC_3578_A1	Solar FV	2028	San Felipe 115	0.015	SATISFACE
SC_3578_A2	Solar FV	2028	San Felipe 115	0.022	SATISFACE
SC_3667_A1	Solar FV	2029	San Felipe 115	0.005	SATISFACE
SC_3667_A2	Solar FV	2029	San Felipe 115	0.003	SATISFACE
SC_3846_A1	Solar FV	2028	San Felipe 115	0.005	SATISFACE
SC_3846_A2	Solar FV	2028	San Felipe 115	0.005	SATISFACE
SC_3882_A1	Solar FV	2026	San Felipe 115	0.416	SATISFACE
SC_4083_A1	Solar FV	2027	San Felipe 115	0.026	SATISFACE
SC_4083_A2	Solar FV	2027	San Felipe 115	0.026	SATISFACE
SC_4175_A1	Solar FV	2026	San Felipe 115	0.005	SATISFACE
SC_4175_A2	Solar FV	2026	San Felipe 115	0.005	SATISFACE
SC_4296_A1	Solar FV	2028	San Felipe 115	0.090	SATISFACE

SC_4296_A2	Solar FV	2028	San Felipe 115	0.109	SATISFACE
SC_4751_A1	Solar FV	2027	San Felipe 115	0.029	SATISFACE
SC_4760_A1	Solar FV	2026	San Felipe 115	0.033	SATISFACE
SC_4765_A1	Solar FV	2029	San Felipe 115	0.036	SATISFACE
SC_4765_A2	Solar FV	2029	San Felipe 115	0.343	SATISFACE
SC_4789_A1	Solar FV	2027	San Felipe 115	0.005	SATISFACE
SC_4789_A2	Solar FV	2027	San Felipe 115	0.005	SATISFACE
SC_4809_A1	Solar FV	2027	San Felipe 115	0.000	SATISFACE
SC_4809_A2	Solar FV	2027	San Felipe 115	0.302	SATISFACE
SC_4819_A1	Solar FV	2029	San Felipe 115	0.398	SATISFACE
SC_4819_A2	Solar FV	2029	San Felipe 115	1.607	SATISFACE
SC_4821_A1	Solar FV	2027	San Felipe 115	0.025	SATISFACE
SC_4821_A2	Solar FV	2027	San Felipe 115	0.013	SATISFACE
SC_4824_A1	Solar FV	2025	San Felipe 115	0.000	SATISFACE
SC_4824_A2	Solar FV	2025	San Felipe 115	0.000	SATISFACE
SC_4826_A1	Solar FV	2027	San Felipe 115	0.090	SATISFACE
SC_4826_A2	Solar FV	2027	San Felipe 115	0.090	SATISFACE
SC_4827_A1	Solar FV	2027	San Felipe 115	0.090	SATISFACE
SC_4827_A2	Solar FV	2027	San Felipe 115	0.090	SATISFACE
SC_4842_A1	Solar FV	2028	San Felipe 115	0.485	SATISFACE
SC_4910_A1	Solar FV	2026	San Felipe 115	0.196	SATISFACE
SC_4910_A2	Solar FV	2026	San Felipe 115	0.196	SATISFACE
SC_4926_A1	Solar FV	2027	San Felipe 115	0.029	SATISFACE
SC_4947_A1	Solar FV	2027	San Felipe 115	0.016	SATISFACE
SC_4960_A2	Solar FV	2029	San Felipe 115	0.452	SATISFACE
SC_4974_A1	Solar FV	2026	San Felipe 115	0.077	SATISFACE
SC_4974_A2	Solar FV	2026	San Felipe 115	0.076	SATISFACE
SC_4978_A1	Solar FV	2026	San Felipe 115	0.061	SATISFACE
SC_4978_A2	Solar FV	2026	San Felipe 115	0.064	SATISFACE
SC_5009_A1	Solar FV	2026	San Felipe 115	0.025	SATISFACE
SC_5009_A2	Solar FV	2026	San Felipe 115	0.013	SATISFACE
SC_5011_A1	Solar FV	2027	San Felipe 115	0.025	SATISFACE
SC_5011_A2	Solar FV	2027	San Felipe 115	0.013	SATISFACE
SC_5060_A1	Solar FV	2026	San Felipe 115	0.196	SATISFACE
SC_5060_A2	Solar FV	2026	San Felipe 115	0.196	SATISFACE
SC_5076_A1	Solar FV	2027	San Felipe 115	0.000	SATISFACE
SC_5076_A2	Solar FV	2027	San Felipe 115	0.000	SATISFACE
SC_5077_A1	Solar FV	2027	San Felipe 115	0.000	SATISFACE
SC_5077_A2	Solar FV	2027	San Felipe 115	0.000	SATISFACE
SC_5087_A2	Solar FV	2027	San Felipe 115	0.146	SATISFACE

Posterior a la ejecución del MACC se priorizaron las siguientes alternativas de conexión que tienen aportes de cortocircuito de la subestación en análisis:

Tabla 2-642. Alternativas de conexión priorizadas que aportan corriente de cortocircuito en la subestación San Felipe 115

index	tipo	periodoIni	Barra a la que aporta CC	Aporte de cortocircuito (kA)	Restricción
SC_5076_A2	Solar FV	2027	San Felipe 115	0.000	SATISFACE
SC_5077_A2	Solar FV	2027	San Felipe 115	0.000	SATISFACE

El estado de la capacidad de cortocircuito en la subestación San Felipe 115, teniendo en cuenta la priorización se puede observar en la siguiente figura.

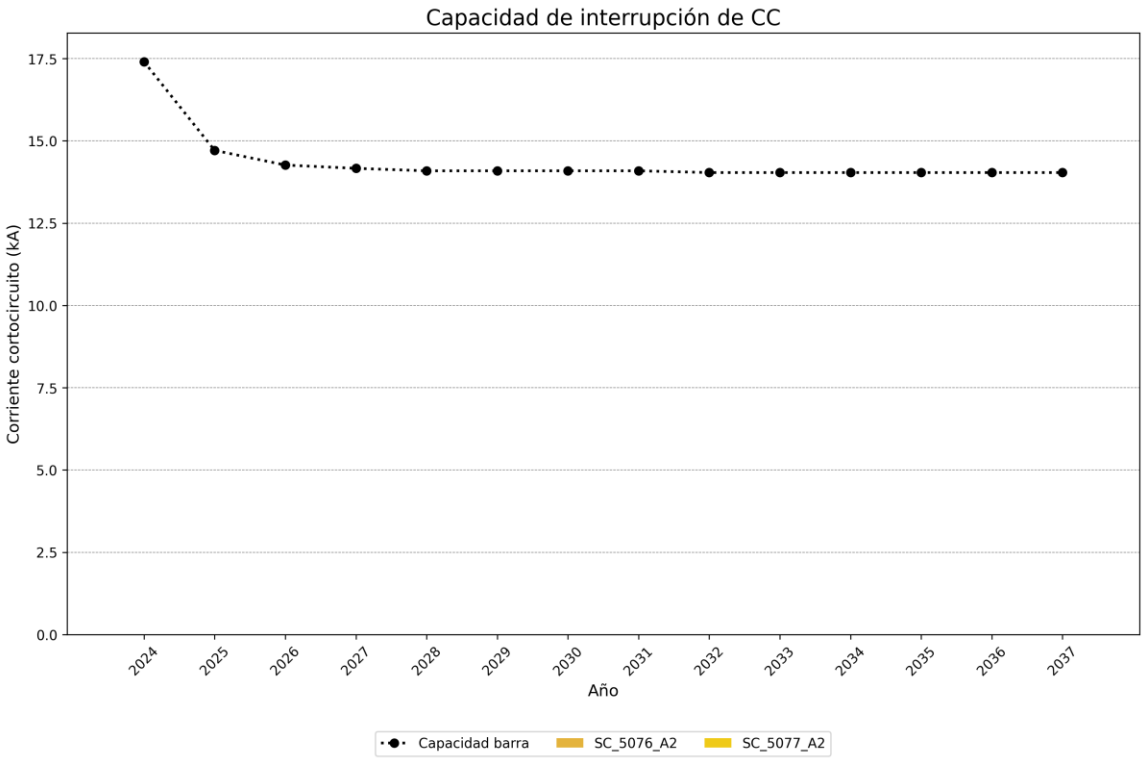


Figura 2-612. Balance de capacidad de cortocircuito después de la priorización para la subestación San Felipe 115

Subestación San Felipe 13.2:

Capacidad por barra:

Para la subestación San Felipe 13.2 se presentaron 2 alternativas de conexión las cuales se muestran en la siguiente tabla:

Tabla 2-643. Alternativas de conexión presentadas a la subestación San Felipe 13.2

Solicitud	Capacidad	Tipo	Barra	FPO solicitada	Restricción
SC_2693_A2	19.9	Solar FV	San Felipe 13.2	2026	NO SATISFACE
SC_3018_A1	19.9	Solar FV	San Felipe 13.2	2026	NO SATISFACE

No se priorizó ninguna de las alternativas de conexión presentadas en la subestación San Felipe 13.2

El estado de la capacidad por barra en la subestación San Felipe 13.2, teniendo en cuenta la priorización se puede observar en la siguiente figura.

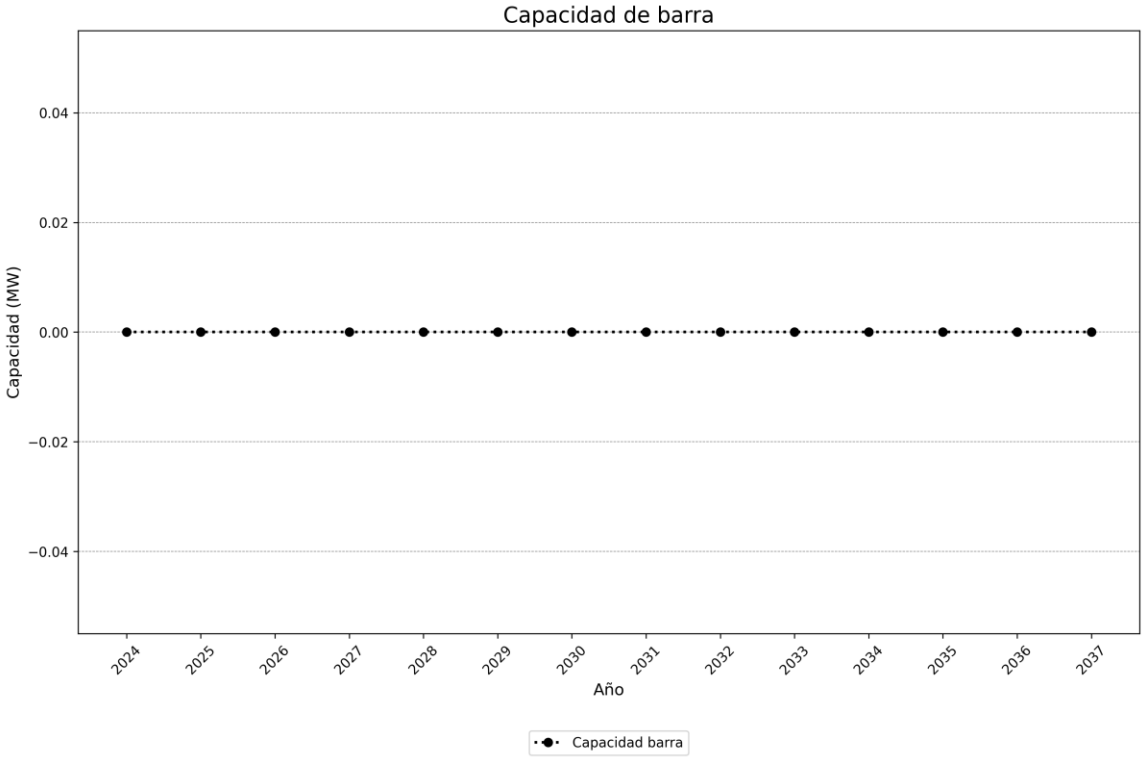


Figura 2-613. Balance de capacidad por barra después de la priorización para la subestación San Felipe 13.2

En el caso anterior se observa que la capacidad por barra es igual a 0 dado que, desde los comentarios presentados por transportador, se identificó que la subestación San Felipe 13.2 no cuenta con disponibilidad de espacio físico para la conexión de nuevos proyectos.

Subestación San Felipe 220:

Capacidad por barra:

Para la subestación San Felipe 220 se presentaron 20 alternativas de conexión las cuales se muestran en la siguiente tabla:

Tabla 2-644. Alternativas de conexión presentadas a la subestación San Felipe 220

Solicitud	Capacidad	Tipo	Barra	FPO solicitada	Restricción
SC_2023_5150_A1	100.0	Solar FV	San Felipe 220	2028	NO SATISFACE
SC_2023_5280_A1	90.0	Solar FV	San Felipe 220	2028	NO SATISFACE
SC_2023_5337_A2	150.0	Solar FV	San Felipe 220	2025	NO SATISFACE
SC_2023_5557_A1	180.0	Solar FV	San Felipe 220	2028	NO SATISFACE
SC_2023_5562_A2	99.9	Solar FV	San Felipe 220	2026	NO SATISFACE
SC_2802_A1	100.0	Solar FV	San Felipe 220	2027	NO SATISFACE
SC_2816_A1	99.9	Solar FV	San Felipe 220	2027	NO SATISFACE
SC_2870_A2	99.9	Solar FV	San Felipe 220	2027	NO SATISFACE
SC_2936_A2	99.9	Solar FV	San Felipe 220	2026	NO SATISFACE
SC_3012_A1	180.0	Solar FV	San Felipe 220	2027	NO SATISFACE
SC_3101_A1	99.9	Solar FV	San Felipe 220	2027	NO SATISFACE
SC_3132_A1	100.0	Solar FV	San Felipe 220	2026	NO SATISFACE
SC_3247_A1	100.0	Solar FV	San Felipe 220	2027	NO SATISFACE
SC_3441_A1	100.0	Solar FV	San Felipe 220	2027	NO SATISFACE
SC_3882_A1	180.0	Solar FV	San Felipe 220	2026	NO SATISFACE
SC_4751_A1	80.0	Solar FV	San Felipe 220	2027	NO SATISFACE
SC_4765_A1	102.0	Solar FV	San Felipe 220	2029	NO SATISFACE
SC_4819_A1	100.0	Solar FV	San Felipe 220	2029	NO SATISFACE
SC_4842_A1	100.0	Solar FV	San Felipe 220	2028	NO SATISFACE
SC_4926_A1	80.0	Solar FV	San Felipe 220	2027	NO SATISFACE

No se priorizó ninguna de las alternativas de conexión presentadas en la subestación San Felipe 220

El estado de la capacidad por barra en la subestación San Felipe 220, teniendo en cuenta la priorización se puede observar en la siguiente figura.

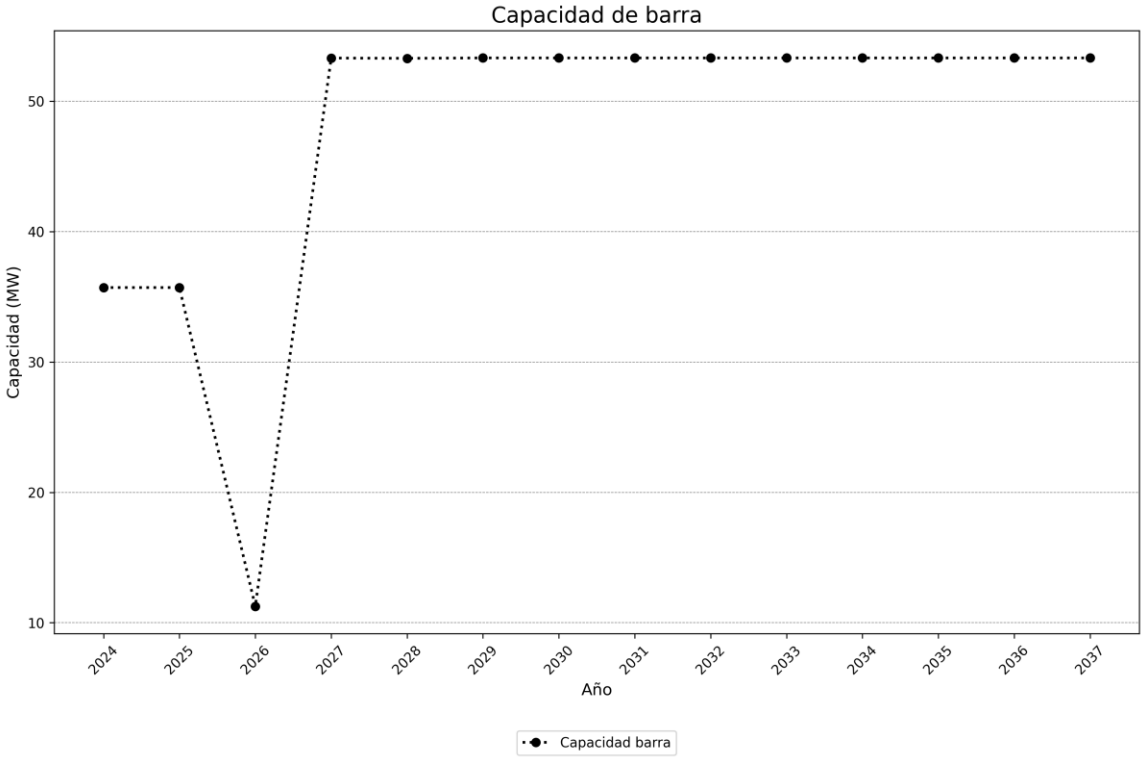


Figura 2-614. Balance de capacidad por barra después de la priorización para la subestación San Felipe 220

Capacidad excedente de interrupción de corriente de cortocircuito:

Para la subestación San Felipe 220 se presentaron 199 alternativas de conexión las cuales tienen aportes de corriente de cortocircuito. Estas alternativas se muestran en la siguiente tabla:

Tabla 2-645. Alternativas de conexión que aportan corriente de cortocircuito en la subestación San Felipe 220

Solicitud	tipo	FPO	Barra a la que aporta CC	Aporte de cortocircuito (kA)	Restricción
SC_2023_5136_A1	Solar FV	2026	San Felipe 220	0.068	SATISFACE
SC_2023_5136_A2	Solar FV	2026	San Felipe 220	0.068	SATISFACE

SC_2023_5144_A1	Solar FV	2028	San Felipe 220	0.123	SATISFACE
SC_2023_5144_A2	Solar FV	2028	San Felipe 220	0.075	SATISFACE
SC_2023_5150_A1	Solar FV	2028	San Felipe 220	2.791	SATISFACE
SC_2023_5152_A1	Solar FV	2025	San Felipe 220	0.002	SATISFACE
SC_2023_5152_A2	Solar FV	2025	San Felipe 220	0.002	SATISFACE
SC_2023_5171_A1	Solar FV	2025	San Felipe 220	0.001	SATISFACE
SC_2023_5171_A2	Solar FV	2025	San Felipe 220	0.001	SATISFACE
SC_2023_5185_A1	Solar FV	2026	San Felipe 220	0.394	SATISFACE
SC_2023_5185_A2	Solar FV	2026	San Felipe 220	0.536	SATISFACE
SC_2023_5188_A1	Solar FV	2026	San Felipe 220	0.107	SATISFACE
SC_2023_5188_A2	Solar FV	2026	San Felipe 220	0.120	SATISFACE
SC_2023_5200_A1	Solar FV	2028	San Felipe 220	0.273	SATISFACE
SC_2023_5200_A2	Solar FV	2028	San Felipe 220	0.161	SATISFACE
SC_2023_5248_A1	Solar FV	2025	San Felipe 220	0.002	SATISFACE
SC_2023_5248_A2	Solar FV	2025	San Felipe 220	0.002	SATISFACE
SC_2023_5249_A1	Solar FV	2025	San Felipe 220	0.002	SATISFACE
SC_2023_5249_A2	Solar FV	2025	San Felipe 220	0.002	SATISFACE
SC_2023_5251_A1	Solar FV	2025	San Felipe 220	0.009	SATISFACE
SC_2023_5251_A2	Solar FV	2025	San Felipe 220	0.009	SATISFACE
SC_2023_5252_A1	Solar FV	2028	San Felipe 220	0.110	SATISFACE
SC_2023_5252_A2	Solar FV	2028	San Felipe 220	0.025	SATISFACE
SC_2023_5253_A1	Solar FV	2025	San Felipe 220	0.009	SATISFACE
SC_2023_5253_A2	Solar FV	2025	San Felipe 220	0.009	SATISFACE
SC_2023_5256_A2	Solar FV	2028	San Felipe 220	0.123	SATISFACE
SC_2023_5257_A1	Solar FV	2025	San Felipe 220	0.002	SATISFACE
SC_2023_5257_A2	Solar FV	2025	San Felipe 220	0.002	SATISFACE
SC_2023_5280_A1	Solar FV	2028	San Felipe 220	0.899	SATISFACE
SC_2023_5280_A2	Solar FV	2028	San Felipe 220	0.292	SATISFACE
SC_2023_5282_A1	Solar FV	2028	San Felipe 220	0.002	SATISFACE
SC_2023_5287_A1	Solar FV	2026	San Felipe 220	0.125	SATISFACE
SC_2023_5287_A2	Solar FV	2026	San Felipe 220	0.128	SATISFACE
SC_2023_5288_A1	Solar FV	2026	San Felipe 220	0.068	SATISFACE
SC_2023_5288_A2	Solar FV	2026	San Felipe 220	0.178	SATISFACE
SC_2023_5293_A1	Solar FV	2028	San Felipe 220	0.040	SATISFACE
SC_2023_5293_A2	Solar FV	2028	San Felipe 220	0.032	SATISFACE
SC_2023_5294_A1	Solar FV	2029	San Felipe 220	0.062	SATISFACE
SC_2023_5294_A2	Solar FV	2029	San Felipe 220	0.064	SATISFACE
SC_2023_5304_A1	Solar FV	2026	San Felipe 220	0.009	SATISFACE
SC_2023_5309_A1	Solar FV	2026	San Felipe 220	0.009	SATISFACE
SC_2023_5337_A2	Solar FV	2025	San Felipe 220	1.268	SATISFACE

SC_2023_5339_A1	PCH	2026	San Felipe 220	0.000	SATISFACE
SC_2023_5339_A2	PCH	2026	San Felipe 220	0.000	SATISFACE
SC_2023_5345_A1	Solar FV	2027	San Felipe 220	0.007	SATISFACE
SC_2023_5345_A2	Solar FV	2027	San Felipe 220	0.008	SATISFACE
SC_2023_5346_A1	Solar FV	2027	San Felipe 220	0.007	SATISFACE
SC_2023_5346_A2	Solar FV	2027	San Felipe 220	0.008	SATISFACE
SC_2023_5375_A1	Solar FV	2026	San Felipe 220	0.125	SATISFACE
SC_2023_5383_A1	Solar FV	2027	San Felipe 220	0.028	SATISFACE
SC_2023_5383_A2	Solar FV	2027	San Felipe 220	0.035	SATISFACE
SC_2023_5399_A1	Solar FV	2026	San Felipe 220	0.068	SATISFACE
SC_2023_5399_A2	Solar FV	2026	San Felipe 220	0.178	SATISFACE
SC_2023_5431_A1	Solar FV	2028	San Felipe 220	0.003	SATISFACE
SC_2023_5431_A2	Solar FV	2028	San Felipe 220	0.003	SATISFACE
SC_2023_5480_A1	Solar FV	2026	San Felipe 220	0.125	SATISFACE
SC_2023_5480_A2	Solar FV	2026	San Felipe 220	0.128	SATISFACE
SC_2023_5551_A1	Solar FV	2027	San Felipe 220	0.244	SATISFACE
SC_2023_5551_A2	Solar FV	2027	San Felipe 220	0.145	SATISFACE
SC_2023_5557_A1	Solar FV	2028	San Felipe 220	1.228	SATISFACE
SC_2023_5562_A1	Solar FV	2026	San Felipe 220	0.342	SATISFACE
SC_2023_5562_A2	Solar FV	2026	San Felipe 220	0.702	SATISFACE
SC_2023_5598_A1	Solar FV	2025	San Felipe 220	0.002	SATISFACE
SC_2023_5598_A2	Solar FV	2025	San Felipe 220	0.002	SATISFACE
SC_2024_5939_A1	Solar FV	2028	San Felipe 220	0.022	SATISFACE
SC_2024_5939_A2	Solar FV	2028	San Felipe 220	0.022	SATISFACE
SC_2347_A1	Solar FV	2026	San Felipe 220	0.030	SATISFACE
SC_2347_A2	Solar FV	2026	San Felipe 220	0.020	SATISFACE
SC_2348_A1	Solar FV	2026	San Felipe 220	0.030	SATISFACE
SC_2348_A2	Solar FV	2026	San Felipe 220	0.020	SATISFACE
SC_2438_A1	Solar FV	2028	San Felipe 220	0.004	SATISFACE
SC_2438_A2	Solar FV	2028	San Felipe 220	0.091	SATISFACE
SC_2442_A1	Solar FV	2027	San Felipe 220	0.007	SATISFACE
SC_2442_A2	Solar FV	2027	San Felipe 220	0.007	SATISFACE
SC_2475_A1	Solar FV	2028	San Felipe 220	0.100	SATISFACE
SC_2475_A2	Solar FV	2028	San Felipe 220	0.130	SATISFACE
SC_2562_A1	Solar FV	2026	San Felipe 220	0.020	SATISFACE
SC_2629_A1	Solar FV	2026	San Felipe 220	0.007	SATISFACE
SC_2629_A2	Solar FV	2026	San Felipe 220	0.007	SATISFACE
SC_2634_A1	Solar FV	2026	San Felipe 220	0.002	SATISFACE
SC_2634_A2	Solar FV	2026	San Felipe 220	0.002	SATISFACE
SC_2670_A1	Solar FV	2028	San Felipe 220	0.010	SATISFACE

SC_2670_A2	Solar FV	2028	San Felipe 220	0.030	SATISFACE
SC_2680_A1	Solar FV	2028	San Felipe 220	0.140	SATISFACE
SC_2680_A2	Solar FV	2028	San Felipe 220	0.060	SATISFACE
SC_2681_A1	Solar FV	2027	San Felipe 220	0.050	SATISFACE
SC_2681_A2	Solar FV	2027	San Felipe 220	0.100	SATISFACE
SC_2682_A1	Solar FV	2025	San Felipe 220	0.018	SATISFACE
SC_2682_A2	Solar FV	2025	San Felipe 220	0.001	SATISFACE
SC_2683_A1	Solar FV	2026	San Felipe 220	0.010	SATISFACE
SC_2683_A2	Solar FV	2026	San Felipe 220	0.010	SATISFACE
SC_2693_A1	Solar FV	2026	San Felipe 220	0.000	SATISFACE
SC_2693_A2	Solar FV	2026	San Felipe 220	0.000	SATISFACE
SC_2722_A1	Solar FV	2026	San Felipe 220	0.007	SATISFACE
SC_2722_A2	Solar FV	2026	San Felipe 220	0.007	SATISFACE
SC_2802_A1	Solar FV	2027	San Felipe 220	0.144	SATISFACE
SC_2802_A2	Solar FV	2027	San Felipe 220	0.088	SATISFACE
SC_2816_A1	Solar FV	2027	San Felipe 220	0.370	SATISFACE
SC_2870_A1	Solar FV	2027	San Felipe 220	0.010	SATISFACE
SC_2870_A2	Solar FV	2027	San Felipe 220	0.540	SATISFACE
SC_2892_A1	Solar FV	2027	San Felipe 220	0.080	SATISFACE
SC_2892_A2	Solar FV	2027	San Felipe 220	0.070	SATISFACE
SC_2893_A1	Solar FV	2026	San Felipe 220	0.020	SATISFACE
SC_2893_A2	Solar FV	2026	San Felipe 220	0.020	SATISFACE
SC_2902_A1	Solar FV	2028	San Felipe 220	0.040	SATISFACE
SC_2902_A2	Solar FV	2028	San Felipe 220	0.540	SATISFACE
SC_2905_A2	Solar FV	2028	San Felipe 220	0.050	SATISFACE
SC_2924_A1	Solar FV	2026	San Felipe 220	0.316	SATISFACE
SC_2924_A2	Solar FV	2026	San Felipe 220	0.437	SATISFACE
SC_2936_A1	Solar FV	2026	San Felipe 220	0.000	SATISFACE
SC_2936_A2	Solar FV	2026	San Felipe 220	0.000	SATISFACE
SC_2962_A1	Solar FV	2028	San Felipe 220	0.201	SATISFACE
SC_2962_A2	Solar FV	2028	San Felipe 220	0.258	SATISFACE
SC_2967_A1	Solar FV	2026	San Felipe 220	0.007	SATISFACE
SC_2967_A2	Solar FV	2026	San Felipe 220	0.007	SATISFACE
SC_3012_A1	Solar FV	2027	San Felipe 220	0.500	SATISFACE
SC_3012_A2	Solar FV	2027	San Felipe 220	0.100	SATISFACE
SC_3018_A1	Solar FV	2026	San Felipe 220	0.030	SATISFACE
SC_3018_A2	Solar FV	2026	San Felipe 220	0.020	SATISFACE
SC_3054_A2	Solar FV	2027	San Felipe 220	0.015	SATISFACE
SC_3101_A1	Solar FV	2027	San Felipe 220	0.264	SATISFACE
SC_3101_A2	Solar FV	2027	San Felipe 220	0.161	SATISFACE

SC_3121_A1	Solar FV	2026	San Felipe 220	0.021	SATISFACE
SC_3121_A2	Solar FV	2026	San Felipe 220	0.021	SATISFACE
SC_3126_A1	PCH	2026	San Felipe 220	0.060	SATISFACE
SC_3126_A2	PCH	2026	San Felipe 220	0.060	SATISFACE
SC_3131_A1	Solar FV	2026	San Felipe 220	0.009	SATISFACE
SC_3131_A2	Solar FV	2026	San Felipe 220	0.010	SATISFACE
SC_3132_A1	Solar FV	2026	San Felipe 220	0.899	SATISFACE
SC_3132_A2	Solar FV	2026	San Felipe 220	0.264	SATISFACE
SC_3238_A1	Solar FV	2027	San Felipe 220	0.314	SATISFACE
SC_3238_A2	Solar FV	2027	San Felipe 220	0.271	SATISFACE
SC_3247_A1	Solar FV	2027	San Felipe 220	2.785	SATISFACE
SC_3247_A2	Solar FV	2027	San Felipe 220	0.713	SATISFACE
SC_3248_A1	Solar FV	2027	San Felipe 220	0.314	SATISFACE
SC_3248_A2	Solar FV	2027	San Felipe 220	0.271	SATISFACE
SC_3251_A1	Hidráulica	2026	San Felipe 220	0.010	SATISFACE
SC_3251_A2	Hidráulica	2026	San Felipe 220	0.000	SATISFACE
SC_3353_A1	Solar FV	2027	San Felipe 220	0.002	SATISFACE
SC_3353_A2	Solar FV	2027	San Felipe 220	0.003	SATISFACE
SC_3382_A1	Solar FV	2027	San Felipe 220	0.004	SATISFACE
SC_3382_A2	Solar FV	2027	San Felipe 220	0.006	SATISFACE
SC_3392_A1	Solar FV	2027	San Felipe 220	0.039	SATISFACE
SC_3392_A2	Solar FV	2027	San Felipe 220	0.021	SATISFACE
SC_3433_A2	Solar FV	2027	San Felipe 220	0.000	SATISFACE
SC_3441_A1	Solar FV	2027	San Felipe 220	2.785	SATISFACE
SC_3441_A2	Solar FV	2027	San Felipe 220	0.713	SATISFACE
SC_3453_A1	Solar FV	2027	San Felipe 220	0.028	SATISFACE
SC_3453_A2	Solar FV	2027	San Felipe 220	0.028	SATISFACE
SC_3514_A1	Solar FV	2027	San Felipe 220	0.028	SATISFACE
SC_3514_A2	Solar FV	2027	San Felipe 220	0.028	SATISFACE
SC_3578_A1	Solar FV	2028	San Felipe 220	0.022	SATISFACE
SC_3578_A2	Solar FV	2028	San Felipe 220	0.023	SATISFACE
SC_3667_A1	Solar FV	2029	San Felipe 220	0.008	SATISFACE
SC_3667_A2	Solar FV	2029	San Felipe 220	0.005	SATISFACE
SC_3846_A1	Solar FV	2028	San Felipe 220	0.008	SATISFACE
SC_3846_A2	Solar FV	2028	San Felipe 220	0.008	SATISFACE
SC_3882_A1	Solar FV	2026	San Felipe 220	1.408	SATISFACE
SC_4083_A1	Solar FV	2027	San Felipe 220	0.010	SATISFACE
SC_4083_A2	Solar FV	2027	San Felipe 220	0.010	SATISFACE
SC_4175_A1	Solar FV	2026	San Felipe 220	0.008	SATISFACE
SC_4175_A2	Solar FV	2026	San Felipe 220	0.008	SATISFACE

SC_4296_A1	Solar FV	2028	San Felipe 220	0.123	SATISFACE
SC_4296_A2	Solar FV	2028	San Felipe 220	0.155	SATISFACE
SC_4751_A1	Solar FV	2027	San Felipe 220	0.250	SATISFACE
SC_4760_A1	Solar FV	2026	San Felipe 220	0.040	SATISFACE
SC_4765_A1	Solar FV	2029	San Felipe 220	0.285	SATISFACE
SC_4765_A2	Solar FV	2029	San Felipe 220	0.115	SATISFACE
SC_4789_A1	Solar FV	2027	San Felipe 220	0.007	SATISFACE
SC_4789_A2	Solar FV	2027	San Felipe 220	0.007	SATISFACE
SC_4809_A1	Solar FV	2027	San Felipe 220	0.000	SATISFACE
SC_4809_A2	Solar FV	2027	San Felipe 220	0.254	SATISFACE
SC_4819_A1	Solar FV	2029	San Felipe 220	1.181	SATISFACE
SC_4819_A2	Solar FV	2029	San Felipe 220	0.583	SATISFACE
SC_4821_A1	Solar FV	2027	San Felipe 220	0.039	SATISFACE
SC_4821_A2	Solar FV	2027	San Felipe 220	0.021	SATISFACE
SC_4824_A1	Solar FV	2025	San Felipe 220	0.000	SATISFACE
SC_4824_A2	Solar FV	2025	San Felipe 220	0.000	SATISFACE
SC_4826_A1	Solar FV	2027	San Felipe 220	0.039	SATISFACE
SC_4826_A2	Solar FV	2027	San Felipe 220	0.039	SATISFACE
SC_4827_A1	Solar FV	2027	San Felipe 220	0.039	SATISFACE
SC_4827_A2	Solar FV	2027	San Felipe 220	0.039	SATISFACE
SC_4842_A1	Solar FV	2028	San Felipe 220	2.791	SATISFACE
SC_4910_A1	Solar FV	2026	San Felipe 220	0.065	SATISFACE
SC_4910_A2	Solar FV	2026	San Felipe 220	0.065	SATISFACE
SC_4926_A1	Solar FV	2027	San Felipe 220	0.250	SATISFACE
SC_4947_A1	Solar FV	2027	San Felipe 220	0.044	SATISFACE
SC_4960_A2	Solar FV	2029	San Felipe 220	0.211	SATISFACE
SC_4974_A1	Solar FV	2026	San Felipe 220	0.035	SATISFACE
SC_4974_A2	Solar FV	2026	San Felipe 220	0.035	SATISFACE
SC_4978_A1	Solar FV	2026	San Felipe 220	0.025	SATISFACE
SC_4978_A2	Solar FV	2026	San Felipe 220	0.030	SATISFACE
SC_5009_A1	Solar FV	2026	San Felipe 220	0.037	SATISFACE
SC_5009_A2	Solar FV	2026	San Felipe 220	0.019	SATISFACE
SC_5011_A1	Solar FV	2027	San Felipe 220	0.037	SATISFACE
SC_5011_A2	Solar FV	2027	San Felipe 220	0.019	SATISFACE
SC_5060_A1	Solar FV	2026	San Felipe 220	0.065	SATISFACE
SC_5060_A2	Solar FV	2026	San Felipe 220	0.065	SATISFACE
SC_5087_A2	Solar FV	2027	San Felipe 220	0.102	SATISFACE

Posterior a la ejecución del MACC se priorizaron las siguientes alternativas de conexión que tienen aportes de cortocircuito de la subestación en análisis:

Tabla 2-646. Alternativas de conexión priorizadas que aportan corriente de cortocircuito en la subestación San Felipe 220

index	tipo	periodoIni	Barra a la que aporta CC	Aporte de cortocircuito (kA)	Restricción
SC_3131_A1	Solar FV	2026	San Felipe 220	0.009	SATISFACE

El estado de la capacidad de cortocircuito en la subestación San Felipe 220, teniendo en cuenta la priorización se puede observar en la siguiente figura.

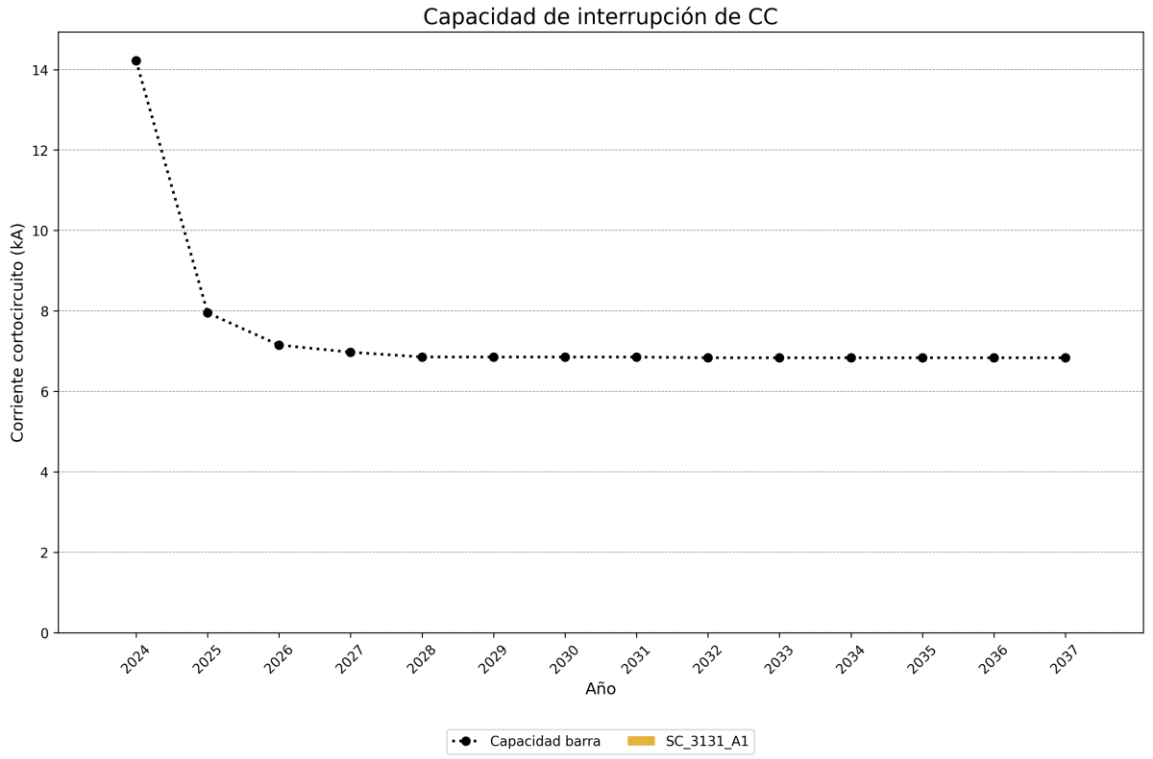


Figura 2-615. Balance de capacidad de cortocircuito después de la priorización para la subestación San Felipe 220

Subestación San Felipe_34.5 A:

Capacidad por barra:

Para la subestación San Felipe_34.5 A se presentaron 7 alternativas de conexión las cuales se muestran en la siguiente tabla:

Tabla 2-647. Alternativas de conexión presentadas a la subestación San Felipe_34.5 A

Solicitud	Capacidad	Tipo	Barra	FPO solicitada	Restricción
SC_2023_5287_A2	9.9	Solar FV	San Felipe_34.5 A	2026	NO SATISFACE
SC_2023_5480_A2	9.9	Solar FV	San Felipe_34.5 A	2026	NO SATISFACE
SC_2347_A1	9.9	Solar FV	San Felipe_34.5 A	2026	NO SATISFACE
SC_2348_A1	9.9	Solar FV	San Felipe_34.5 A	2026	NO SATISFACE
SC_2682_A2	9.9	Solar FV	San Felipe_34.5 A	2025	NO SATISFACE
SC_3121_A2	9.9	Solar FV	San Felipe_34.5 A	2026	NO SATISFACE
SC_4974_A1	9.9	Solar FV	San Felipe_34.5 A	2026	NO SATISFACE

No se priorizó ninguna de las alternativas de conexión presentadas en la subestación San Felipe_34.5 A

El estado de la capacidad por barra en la subestación San Felipe_34.5 A, teniendo en cuenta la priorización se puede observar en la siguiente figura.

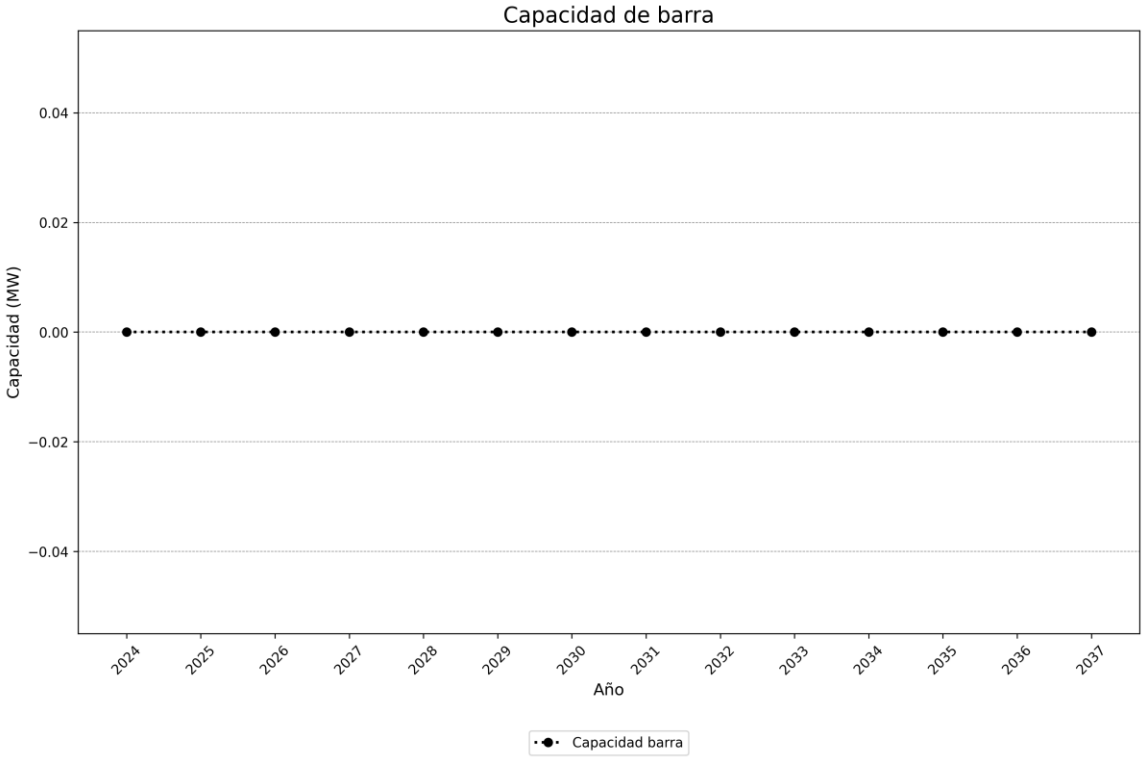


Figura 2-616. Balance de capacidad por barra después de la priorización para la subestación San Felipe_34.5 A

En el caso anterior se observa que la capacidad por barra es igual a 0 dado que, desde los comentarios presentados por transportador, se identificó que la subestación San Felipe_34.5 A no cuenta con disponibilidad de espacio físico para la conexión de nuevos proyectos.

Subestación San Felipe_34.5 B:

Capacidad por barra:

Para la subestación San Felipe_34.5 B se presentaron 0 alternativas de conexión las cuales se muestran en la siguiente tabla:

Tabla 2-648. Alternativas de conexión presentadas a la subestación San Felipe_34.5 B

Solicitud	Capacidad	Tipo	Barra	FPO solicitada	Restricción

No se priorizó ninguna de las alternativas de conexión presentadas en la subestación San Felipe_34.5 B

El estado de la capacidad por barra en la subestación San Felipe_34.5 B, teniendo en cuenta la priorización se puede observar en la siguiente figura.

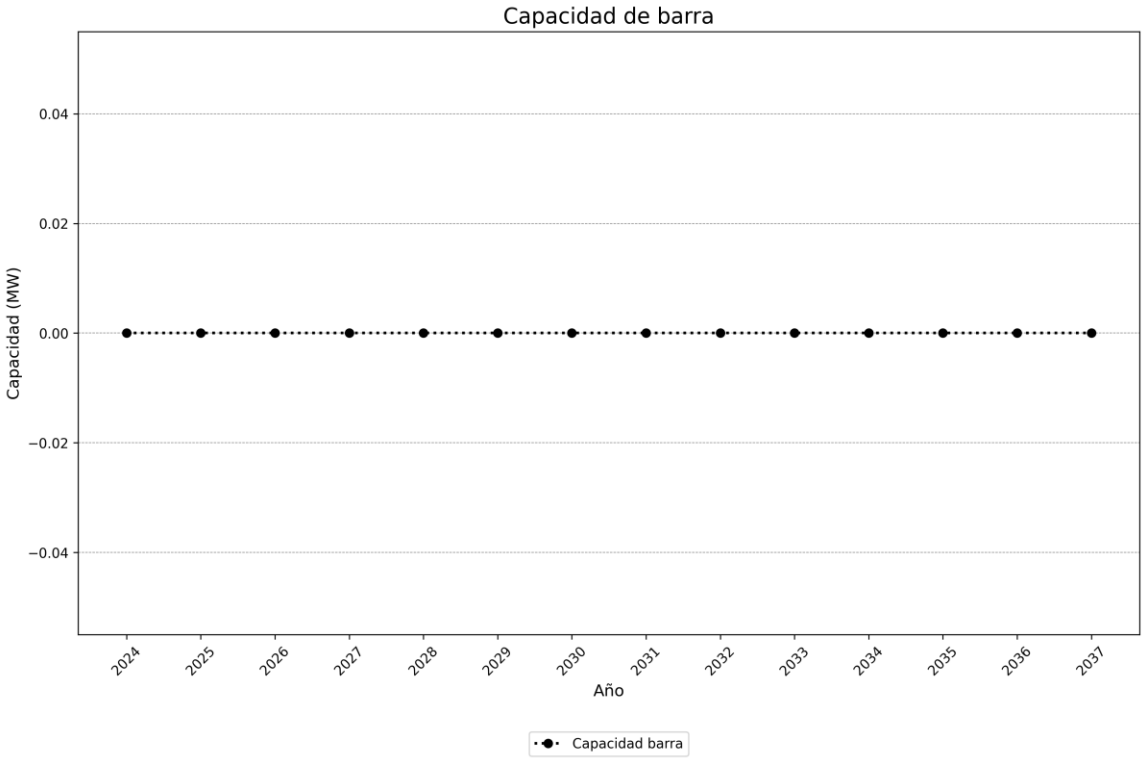


Figura 2-617. Balance de capacidad por barra después de la priorización para la subestación San Felipe_34.5 B

En el caso anterior se observa que la capacidad por barra es igual a 0 dado que, desde los comentarios presentados por transportador, se identificó que la subestación San Felipe_34.5 B no cuenta con disponibilidad de espacio físico para la conexión de nuevos proyectos.

Subestación San Francisco 115:

Capacidad por barra:

Para la subestación San Francisco 115 se presentaron 0 alternativas de conexión las cuales se muestran en la siguiente tabla:

Tabla 2-649. Alternativas de conexión presentadas a la subestación San Francisco 115

Solicitud	Capacidad	Tipo	Barra	FPO solicitada	Restricción

No se priorizó ninguna de las alternativas de conexión presentadas en la subestación San Francisco 115

El estado de la capacidad por barra en la subestación San Francisco 115, teniendo en cuenta la priorización se puede observar en la siguiente figura.

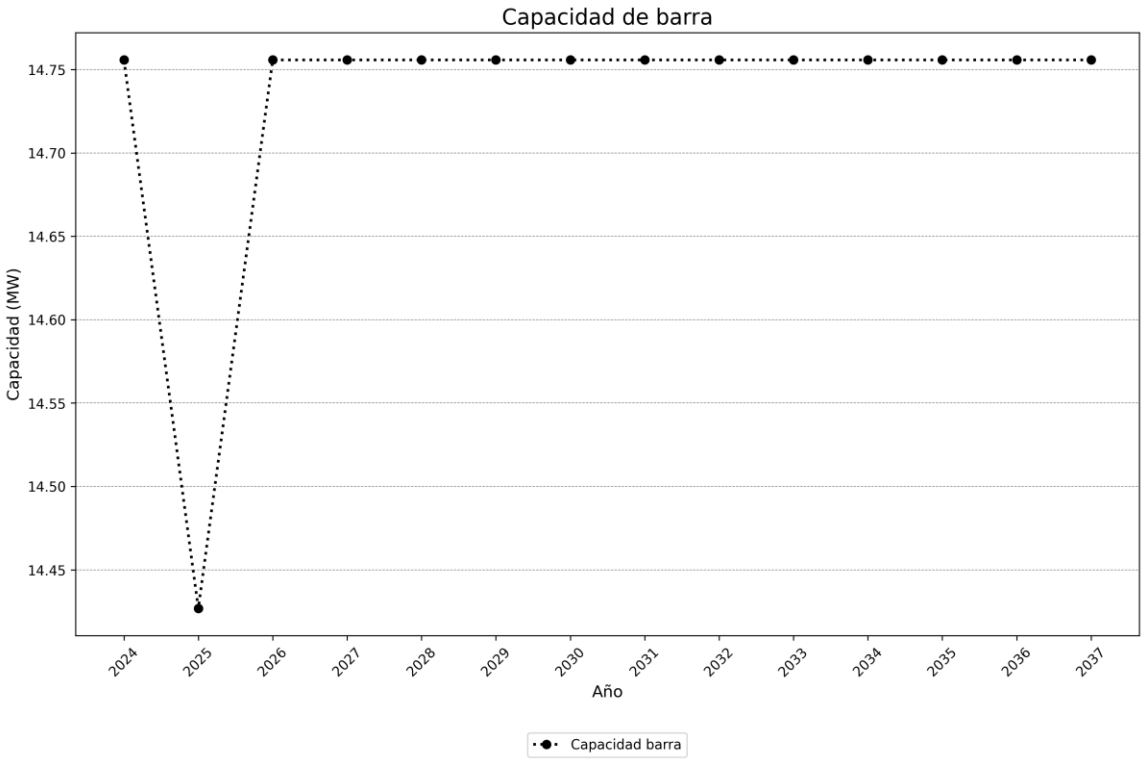


Figura 2-618. Balance de capacidad por barra después de la priorización para la subestación San Francisco 115

Capacidad excedente de interrupción de corriente de cortocircuito:

Para la subestación San Francisco 115 se presentaron 94 alternativas de conexión las cuales tienen aportes de corriente de cortocircuito. Estas alternativas se muestran en la siguiente tabla:

Tabla 2-650. Alternativas de conexión que aportan corriente de cortocircuito en la subestación San Francisco 115

Solicitud	tipo	FPO	Barra a la que aporta CC	Aporte de cortocircuito (kA)	Restricción
SC_2023_5152_A1	Solar FV	2025	San Francisco 115	0.008	SATISFACE
SC_2023_5152_A2	Solar FV	2025	San Francisco 115	0.006	SATISFACE
SC_2023_5158_A1	Solar FV	2028	San Francisco 115	0.143	SATISFACE
SC_2023_5171_A1	Solar FV	2025	San Francisco 115	0.006	SATISFACE
SC_2023_5171_A2	Solar FV	2025	San Francisco 115	0.007	SATISFACE
SC_2023_5185_A1	Solar FV	2026	San Francisco 115	0.692	SATISFACE
SC_2023_5185_A2	Solar FV	2026	San Francisco 115	0.473	SATISFACE
SC_2023_5188_A1	Solar FV	2026	San Francisco 115	0.045	SATISFACE
SC_2023_5188_A2	Solar FV	2026	San Francisco 115	0.236	SATISFACE
SC_2023_5200_A1	Solar FV	2028	San Francisco 115	0.463	SATISFACE
SC_2023_5200_A2	Solar FV	2028	San Francisco 115	0.209	SATISFACE

SC_2023_5248_A1	Solar FV	2025	San Francisco 115	0.009	SATISFACE
SC_2023_5248_A2	Solar FV	2025	San Francisco 115	0.010	SATISFACE
SC_2023_5249_A1	Solar FV	2025	San Francisco 115	0.010	SATISFACE
SC_2023_5249_A2	Solar FV	2025	San Francisco 115	0.010	SATISFACE
SC_2023_5251_A1	Solar FV	2025	San Francisco 115	0.021	SATISFACE
SC_2023_5251_A2	Solar FV	2025	San Francisco 115	0.021	SATISFACE
SC_2023_5252_A1	Solar FV	2028	San Francisco 115	0.254	SATISFACE
SC_2023_5252_A2	Solar FV	2028	San Francisco 115	0.531	SATISFACE
SC_2023_5253_A1	Solar FV	2025	San Francisco 115	0.021	SATISFACE
SC_2023_5253_A2	Solar FV	2025	San Francisco 115	0.021	SATISFACE
SC_2023_5256_A2	Solar FV	2028	San Francisco 115	0.048	SATISFACE
SC_2023_5257_A1	Solar FV	2025	San Francisco 115	0.000	SATISFACE
SC_2023_5257_A2	Solar FV	2025	San Francisco 115	0.000	SATISFACE
SC_2023_5280_A1	Solar FV	2028	San Francisco 115	0.087	SATISFACE
SC_2023_5280_A2	Solar FV	2028	San Francisco 115	0.088	SATISFACE
SC_2023_5287_A1	Solar FV	2026	San Francisco 115	0.047	SATISFACE
SC_2023_5287_A2	Solar FV	2026	San Francisco 115	0.048	SATISFACE
SC_2023_5288_A1	Solar FV	2026	San Francisco 115	0.031	SATISFACE
SC_2023_5288_A2	Solar FV	2026	San Francisco 115	0.080	SATISFACE
SC_2023_5293_A1	Solar FV	2028	San Francisco 115	0.099	SATISFACE

SC_2023_5293_A2	Solar FV	2028	San Francisco 115	0.085	SATISFACE
SC_2023_5294_A1	Solar FV	2029	San Francisco 115	0.023	SATISFACE
SC_2023_5294_A2	Solar FV	2029	San Francisco 115	0.025	SATISFACE
SC_2023_5304_A1	Solar FV	2026	San Francisco 115	0.005	SATISFACE
SC_2023_5309_A1	Solar FV	2026	San Francisco 115	0.005	SATISFACE
SC_2023_5337_A2	Solar FV	2025	San Francisco 115	0.161	SATISFACE
SC_2023_5375_A1	Solar FV	2026	San Francisco 115	0.047	SATISFACE
SC_2023_5383_A1	Solar FV	2027	San Francisco 115	0.122	SATISFACE
SC_2023_5383_A2	Solar FV	2027	San Francisco 115	0.147	SATISFACE
SC_2023_5399_A1	Solar FV	2026	San Francisco 115	0.031	SATISFACE
SC_2023_5399_A2	Solar FV	2026	San Francisco 115	0.080	SATISFACE
SC_2023_5480_A1	Solar FV	2026	San Francisco 115	0.047	SATISFACE
SC_2023_5480_A2	Solar FV	2026	San Francisco 115	0.048	SATISFACE
SC_2023_5551_A1	Solar FV	2027	San Francisco 115	0.414	SATISFACE
SC_2023_5551_A2	Solar FV	2027	San Francisco 115	0.187	SATISFACE
SC_2023_5598_A1	Solar FV	2025	San Francisco 115	0.008	SATISFACE
SC_2023_5598_A2	Solar FV	2025	San Francisco 115	0.007	SATISFACE
SC_2024_5939_A1	Solar FV	2028	San Francisco 115	0.002	SATISFACE
SC_2024_5939_A2	Solar FV	2028	San Francisco 115	0.002	SATISFACE
SC_2562_A1	Solar FV	2026	San Francisco 115	0.010	SATISFACE

SC_2924_A1	Solar FV	2026	San Francisco 115	0.554	SATISFACE
SC_2924_A2	Solar FV	2026	San Francisco 115	0.380	SATISFACE
SC_2962_A1	Solar FV	2028	San Francisco 115	0.086	SATISFACE
SC_2962_A2	Solar FV	2028	San Francisco 115	0.083	SATISFACE
SC_3121_A1	Solar FV	2026	San Francisco 115	0.008	SATISFACE
SC_3121_A2	Solar FV	2026	San Francisco 115	0.008	SATISFACE
SC_3132_A1	Solar FV	2026	San Francisco 115	0.098	SATISFACE
SC_3132_A2	Solar FV	2026	San Francisco 115	0.103	SATISFACE
SC_3382_A1	Solar FV	2027	San Francisco 115	0.070	SATISFACE
SC_3382_A2	Solar FV	2027	San Francisco 115	0.099	SATISFACE
SC_3392_A1	Solar FV	2027	San Francisco 115	0.101	SATISFACE
SC_3392_A2	Solar FV	2027	San Francisco 115	0.039	SATISFACE
SC_3453_A1	Solar FV	2027	San Francisco 115	0.015	SATISFACE
SC_3453_A2	Solar FV	2027	San Francisco 115	0.015	SATISFACE
SC_3514_A1	Solar FV	2027	San Francisco 115	0.015	SATISFACE
SC_3514_A2	Solar FV	2027	San Francisco 115	0.015	SATISFACE
SC_3578_A1	Solar FV	2028	San Francisco 115	0.002	SATISFACE
SC_3578_A2	Solar FV	2028	San Francisco 115	0.002	SATISFACE
SC_3667_A1	Solar FV	2029	San Francisco 115	0.038	SATISFACE
SC_3667_A2	Solar FV	2029	San Francisco 115	0.024	SATISFACE

SC_3846_A1	Solar FV	2028	San Francisco 115	0.027	SATISFACE
SC_3846_A2	Solar FV	2028	San Francisco 115	0.027	SATISFACE
SC_4175_A1	Solar FV	2026	San Francisco 115	0.018	SATISFACE
SC_4175_A2	Solar FV	2026	San Francisco 115	0.018	SATISFACE
SC_4760_A1	Solar FV	2026	San Francisco 115	0.415	SATISFACE
SC_4789_A1	Solar FV	2027	San Francisco 115	0.017	SATISFACE
SC_4789_A2	Solar FV	2027	San Francisco 115	0.017	SATISFACE
SC_4819_A1	Solar FV	2029	San Francisco 115	0.168	SATISFACE
SC_4819_A2	Solar FV	2029	San Francisco 115	0.171	SATISFACE
SC_4821_A1	Solar FV	2027	San Francisco 115	0.101	SATISFACE
SC_4821_A2	Solar FV	2027	San Francisco 115	0.039	SATISFACE
SC_4824_A1	Solar FV	2025	San Francisco 115	0.000	SATISFACE
SC_4824_A2	Solar FV	2025	San Francisco 115	0.000	SATISFACE
SC_4826_A1	Solar FV	2027	San Francisco 115	0.014	SATISFACE
SC_4826_A2	Solar FV	2027	San Francisco 115	0.014	SATISFACE
SC_4827_A1	Solar FV	2027	San Francisco 115	0.014	SATISFACE
SC_4827_A2	Solar FV	2027	San Francisco 115	0.014	SATISFACE
SC_4960_A2	Solar FV	2029	San Francisco 115	0.094	SATISFACE
SC_5009_A1	Solar FV	2026	San Francisco 115	0.094	SATISFACE
SC_5009_A2	Solar FV	2026	San Francisco 115	0.038	SATISFACE

SC_5011_A1	Solar FV	2027	San Francisco 115	0.094	SATISFACE
SC_5011_A2	Solar FV	2027	San Francisco 115	0.038	SATISFACE
SC_5087_A2	Solar FV	2027	San Francisco 115	0.043	SATISFACE

No se priorizó ninguna de las alternativas de conexión que tengan aportes de corriente de cortocircuito en la subestación San Francisco 115

El estado de la capacidad de cortocircuito en la subestación San Francisco 115, teniendo en cuenta la priorización se puede observar en la siguiente figura.

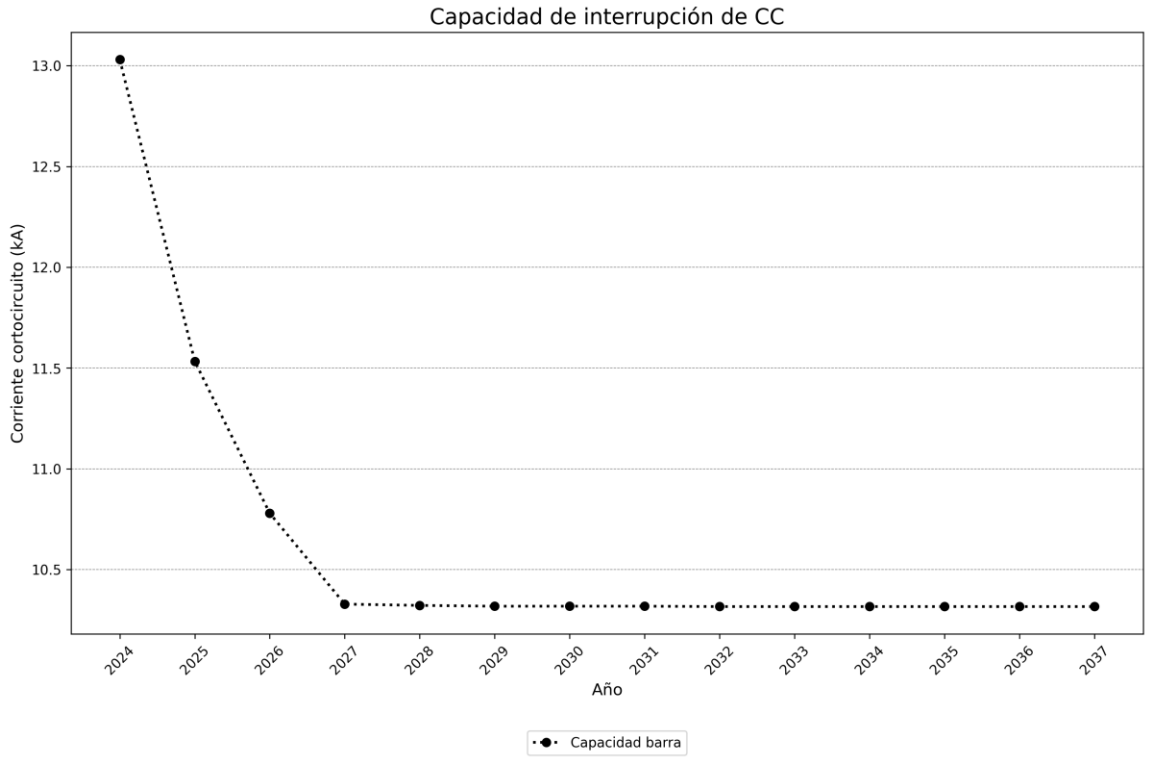


Figura 2-619. Balance de capacidad de cortocircuito después de la priorización para la subestación San Francisco 115

Subestación San Jeronimo 110:

Capacidad por barra:

Para la subestación San Jeronimo 110 se presentaron 0 alternativas de conexión las cuales se muestran en la siguiente tabla:

Tabla 2-651. Alternativas de conexión presentadas a la subestación San Jeronimo 110

Solicitud	Capacidad	Tipo	Barra	FPO solicitada	Restricción

No se priorizó ninguna de las alternativas de conexión presentadas en la subestación San Jeronimo 110

El estado de la capacidad por barra en la subestación San Jeronimo 110, teniendo en cuenta la priorización se puede observar en la siguiente figura.

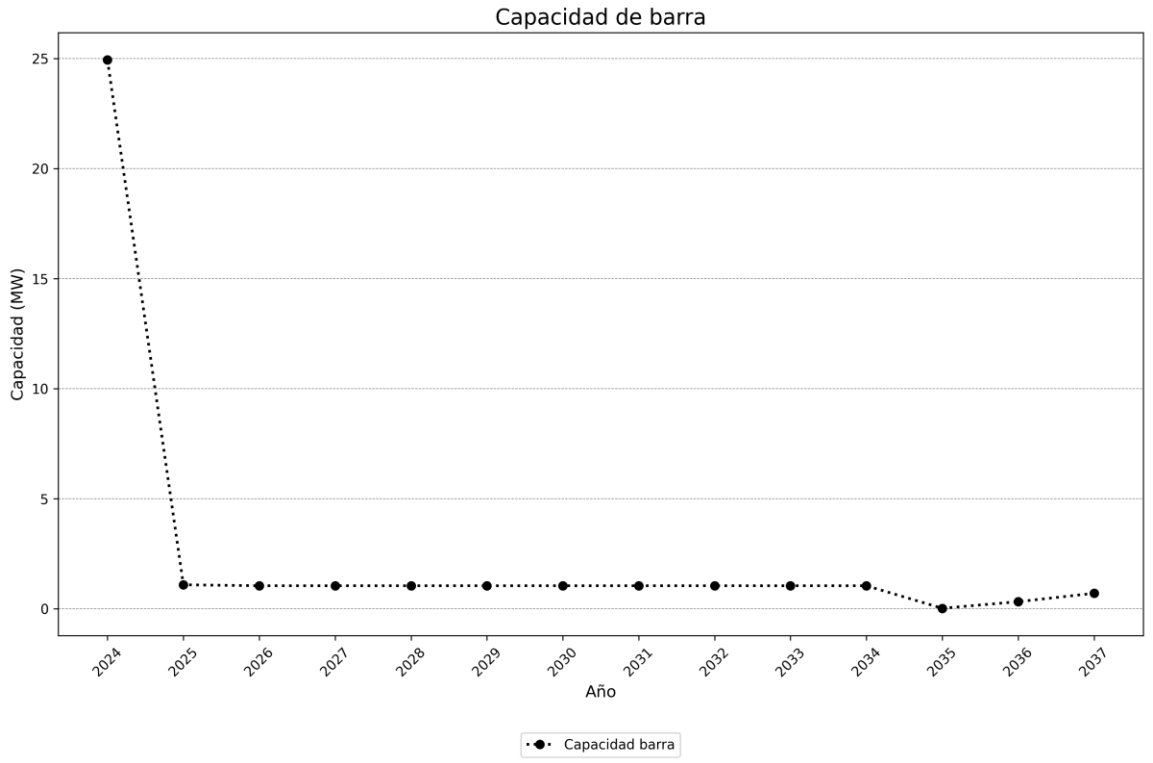


Figura 2-620. Balance de capacidad por barra después de la priorización para la subestación San Jeronimo 110

Capacidad excedente de interrupción de corriente de cortocircuito:

Para la subestación San Jeronimo 110 se presentaron 1 alternativas de conexión las cuales tienen aportes de corriente de cortocircuito. Estas alternativas se muestran en la siguiente tabla:

Tabla 2-652. Alternativas de conexión que aportan corriente de cortocircuito en la subestación San Jeronimo 110

Solicitud	tipo	FPO	Barra a la que aporta CC	Aporte de cortocircuito (kA)	Restricción
SC_3331_A1	Solar FV	2026	San Jeronimo 110	0.028	SATISFACE

No se priorizó ninguna de las alternativas de conexión que tengan aportes de corriente de cortocircuito en la subestación San Jeronimo 110

El estado de la capacidad de cortocircuito en la subestación San Jeronimo 110, teniendo en cuenta la priorización se puede observar en la siguiente figura.

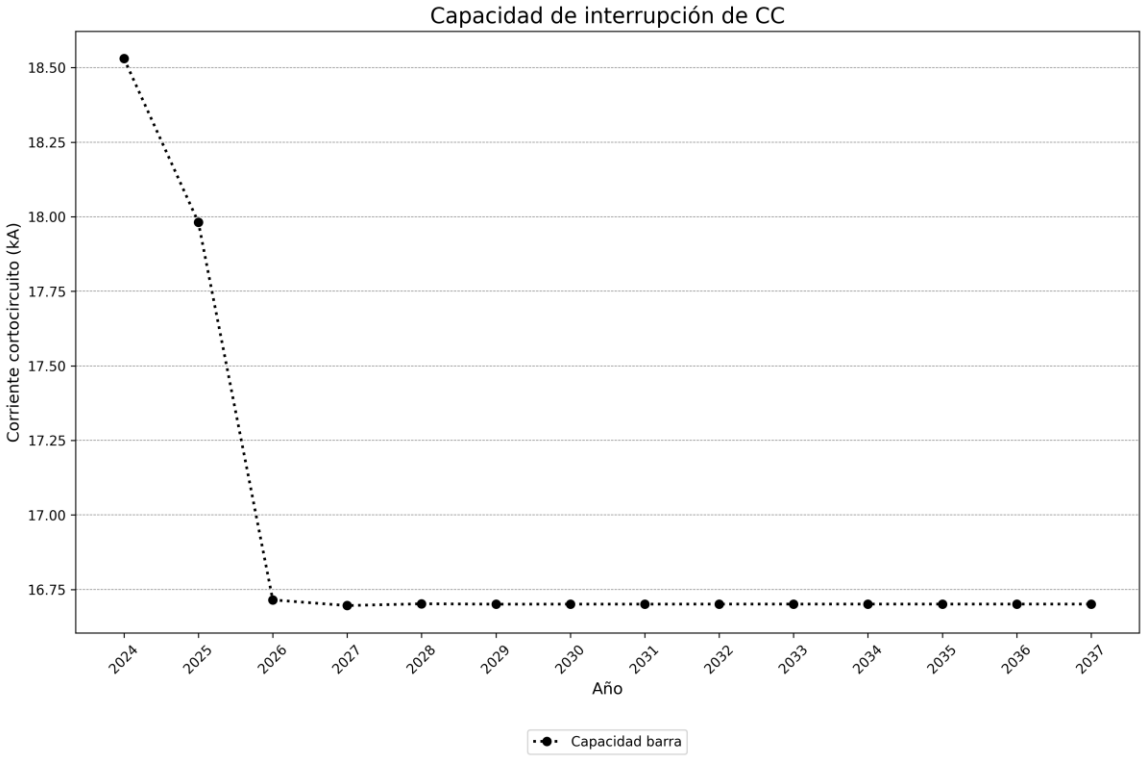


Figura 2-621. Balance de capacidad de cortocircuito después de la priorización para la subestación San Jeronimo 110

Subestación San Jose 115:

Capacidad por barra:

Para la subestación San Jose 115 se presentaron 0 alternativas de conexión las cuales se muestran en la siguiente tabla:

Tabla 2-653. Alternativas de conexión presentadas a la subestación San Jose 115

Solicitud	Capacidad	Tipo	Barra	FPO solicitada	Restricción

No se priorizó ninguna de las alternativas de conexión presentadas en la subestación San Jose 115

El estado de la capacidad por barra en la subestación San Jose 115, teniendo en cuenta la priorización se puede observar en la siguiente figura.

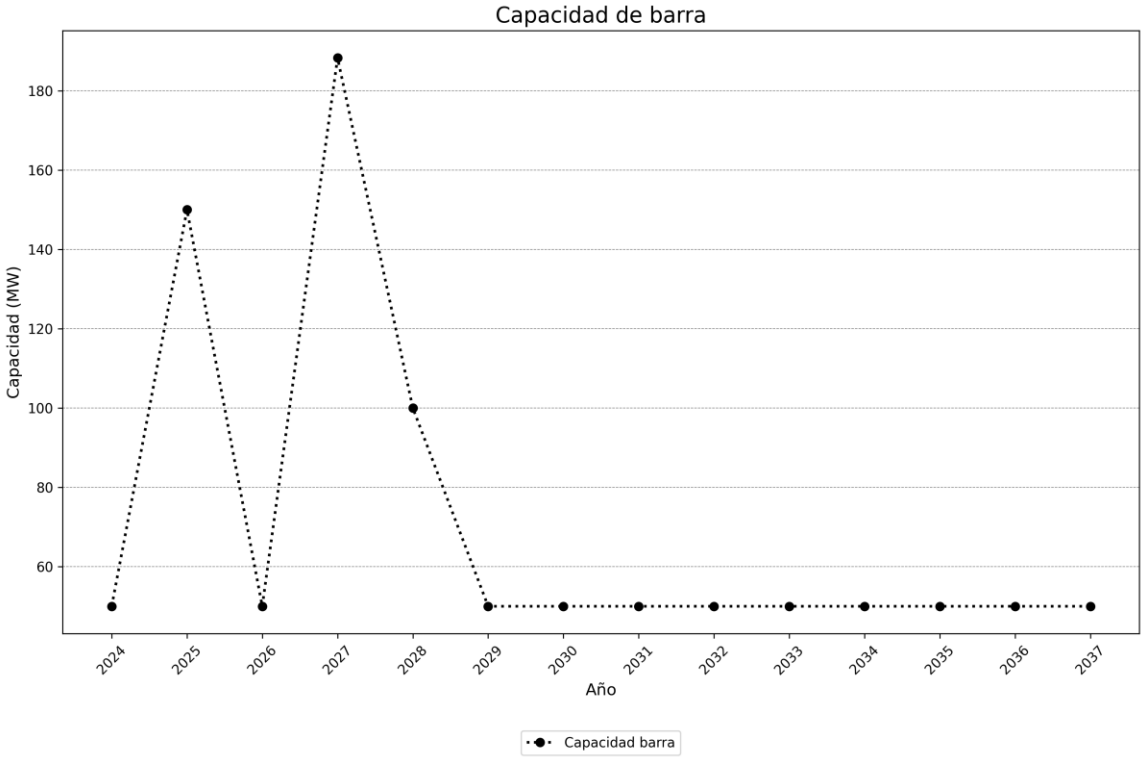


Figura 2-622. Balance de capacidad por barra después de la priorización para la subestación San Jose 115

Capacidad excedente de interrupción de corriente de cortocircuito:

Para la subestación San Jose 115 se presentaron 27 alternativas de conexión las cuales tienen aportes de corriente de cortocircuito. Estas alternativas se muestran en la siguiente tabla:

Tabla 2-654. Alternativas de conexión que aportan corriente de cortocircuito en la subestación San Jose 115

Solicitud	tipo	FPO	Barra a la que aporta CC	Aporte de cortocircuito (kA)	Restricción
SC_2023_5280_A1	Solar FV	2028	San Jose 115	0.070	SATISFACE
SC_2023_5280_A2	Solar FV	2028	San Jose 115	0.064	SATISFACE
SC_2023_5287_A1	Solar FV	2026	San Jose 115	0.035	SATISFACE
SC_2023_5287_A2	Solar FV	2026	San Jose 115	0.036	SATISFACE
SC_2023_5288_A1	Solar FV	2026	San Jose 115	0.021	SATISFACE
SC_2023_5288_A2	Solar FV	2026	San Jose 115	0.054	SATISFACE
SC_2023_5375_A1	Solar FV	2026	San Jose 115	0.035	SATISFACE
SC_2023_5399_A1	Solar FV	2026	San Jose 115	0.021	SATISFACE
SC_2023_5399_A2	Solar FV	2026	San Jose 115	0.054	SATISFACE
SC_2023_5480_A1	Solar FV	2026	San Jose 115	0.035	SATISFACE
SC_2023_5480_A2	Solar FV	2026	San Jose 115	0.036	SATISFACE
SC_2023_5557_A1	Solar FV	2028	San Jose 115	0.149	SATISFACE
SC_2936_A1	Solar FV	2026	San Jose 115	0.000	SATISFACE
SC_2936_A2	Solar FV	2026	San Jose 115	0.000	SATISFACE
SC_3121_A1	Solar FV	2026	San Jose 115	0.004	SATISFACE
SC_3121_A2	Solar FV	2026	San Jose 115	0.004	SATISFACE
SC_3132_A1	Solar FV	2026	San Jose 115	0.080	SATISFACE
SC_3132_A2	Solar FV	2026	San Jose 115	0.068	SATISFACE
SC_3882_A1	Solar FV	2026	San Jose 115	0.140	SATISFACE
SC_4765_A1	Solar FV	2029	San Jose 115	0.005	SATISFACE
SC_4765_A2	Solar FV	2029	San Jose 115	0.003	SATISFACE
SC_4819_A1	Solar FV	2029	San Jose 115	0.129	SATISFACE
SC_4819_A2	Solar FV	2029	San Jose 115	0.116	SATISFACE
SC_4974_A1	Solar FV	2026	San Jose 115	0.007	SATISFACE
SC_4974_A2	Solar FV	2026	San Jose 115	0.007	SATISFACE
SC_4978_A1	Solar FV	2026	San Jose 115	0.000	SATISFACE
SC_4978_A2	Solar FV	2026	San Jose 115	0.006	SATISFACE

No se priorizó ninguna de las alternativas de conexión que tengan aportes de corriente de cortocircuito en la subestación San Jose 115

El estado de la capacidad de cortocircuito en la subestación San Jose 115, teniendo en cuenta la priorización se puede observar en la siguiente figura.

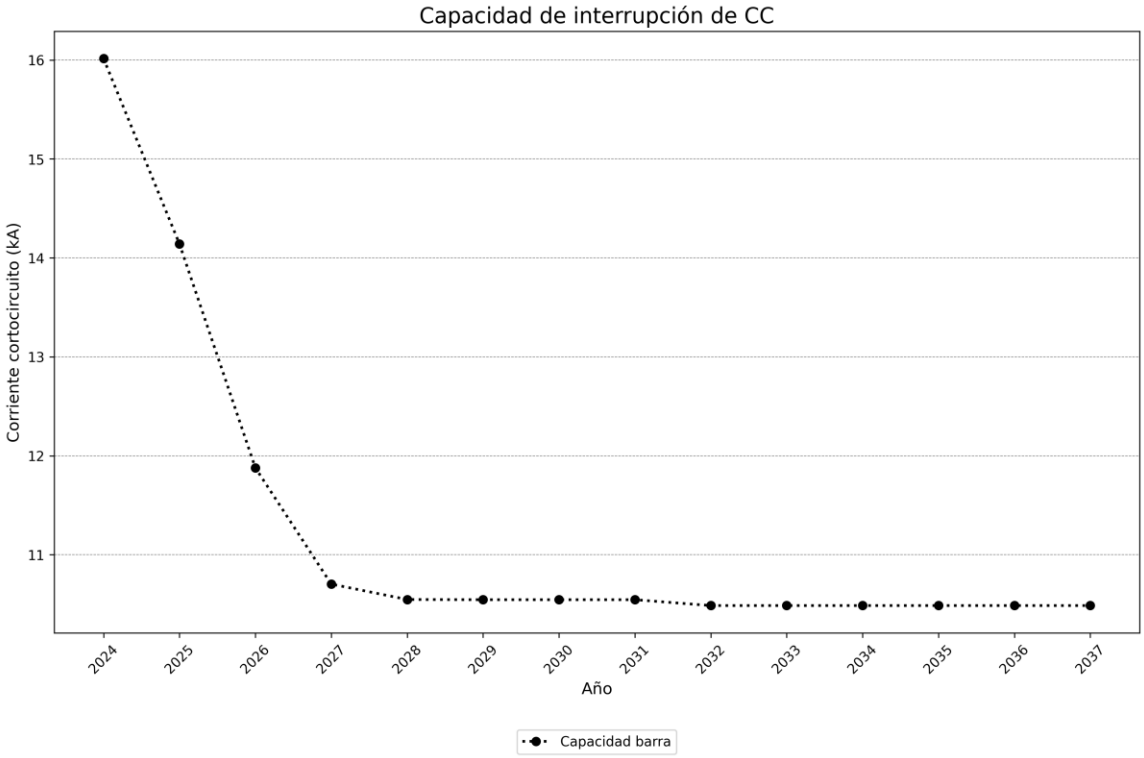


Figura 2-623. Balance de capacidad de cortocircuito después de la priorización para la subestación San Jose 115

Subestación San Lorenzo 110:

Capacidad por barra:

Para la subestación San Lorenzo 110 se presentaron 0 alternativas de conexión las cuales se muestran en la siguiente tabla:

Tabla 2-655. Alternativas de conexión presentadas a la subestación San Lorenzo 110

Solicitud	Capacidad	Tipo	Barra	FPO solicitada	Restricción

No se priorizó ninguna de las alternativas de conexión presentadas en la subestación San Lorenzo 110

El estado de la capacidad por barra en la subestación San Lorenzo 110, teniendo en cuenta la priorización se puede observar en la siguiente figura.

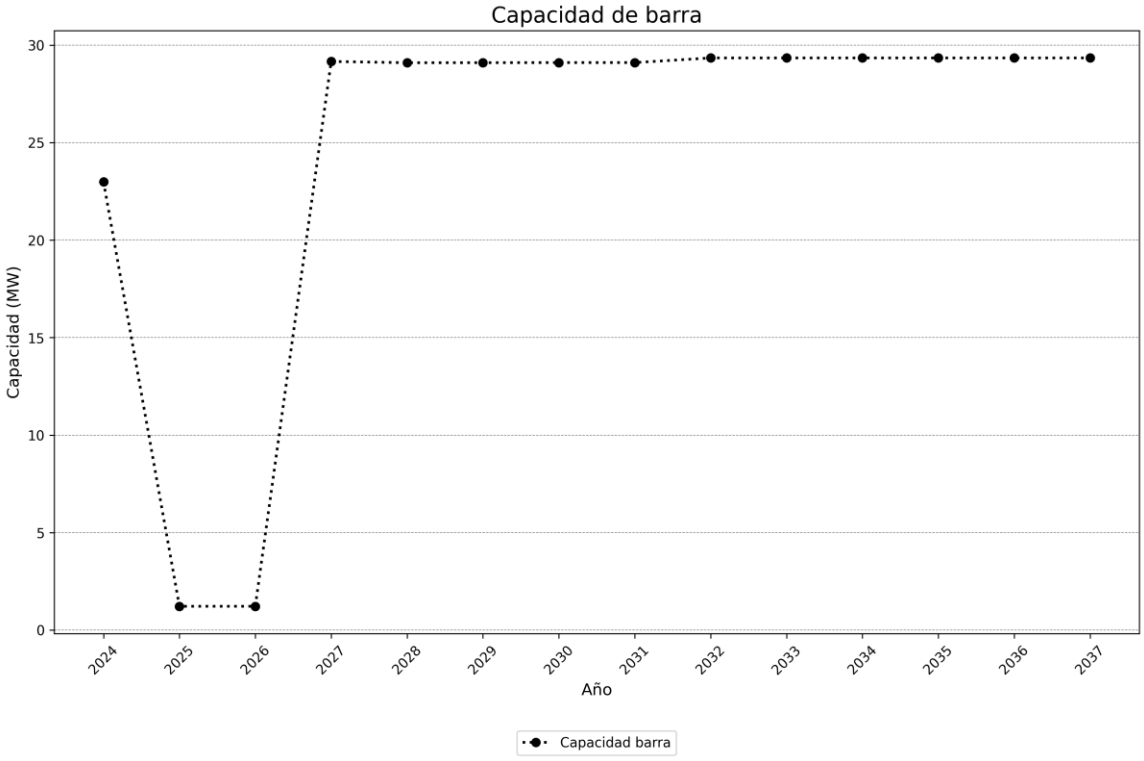


Figura 2-624. Balance de capacidad por barra después de la priorización para la subestación San Lorenzo 110

Capacidad excedente de interrupción de corriente de cortocircuito:

Para la subestación San Lorenzo 110 se presentaron 7 alternativas de conexión las cuales tienen aportes de corriente de cortocircuito. Estas alternativas se muestran en la siguiente tabla:

Tabla 2-656. Alternativas de conexión que aportan corriente de cortocircuito en la subestación San Lorenzo 110

Solicitud	tipo	FPO	Barra a la que aporta CC	Aporte de cortocircuito (kA)	Restricción
SC_2023_5144_A1	Solar FV	2028	San Lorenzo 110	0.066	SATISFACE
SC_2023_5144_A2	Solar FV	2028	San Lorenzo 110	0.052	SATISFACE
SC_2023_5150_A1	Solar FV	2028	San Lorenzo 110	0.066	SATISFACE
SC_3331_A1	Solar FV	2026	San Lorenzo 110	1.067	SATISFACE
SC_4296_A1	Solar FV	2028	San Lorenzo 110	0.066	SATISFACE
SC_4296_A2	Solar FV	2028	San Lorenzo 110	0.075	SATISFACE
SC_4842_A1	Solar FV	2028	San Lorenzo 110	0.066	SATISFACE

No se priorizó ninguna de las alternativas de conexión que tengan aportes de corriente de cortocircuito en la subestación San Lorenzo 110

El estado de la capacidad de cortocircuito en la subestación San Lorenzo 110, teniendo en cuenta la priorización se puede observar en la siguiente figura.

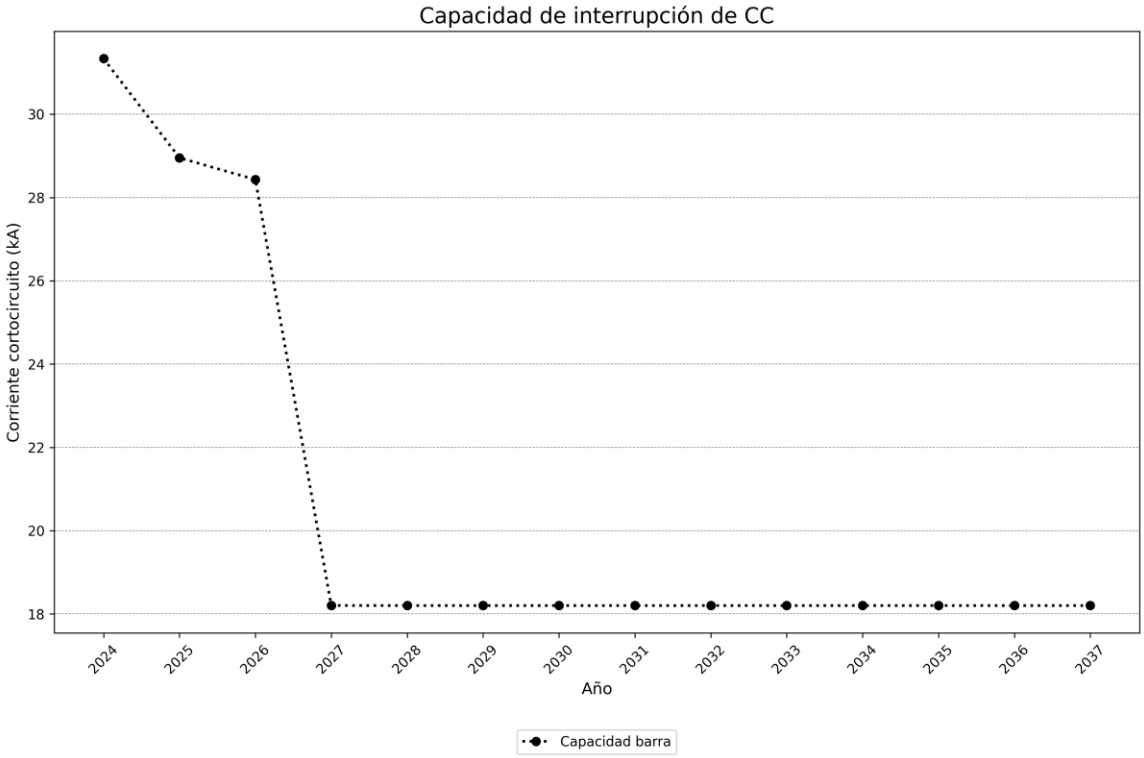


Figura 2-625. Balance de capacidad de cortocircuito después de la priorización para la subestación San Lorenzo 110

Subestación San Lorenzo 220:

Capacidad por barra:

Para la subestación San Lorenzo 220 se presentaron 0 alternativas de conexión las cuales se muestran en la siguiente tabla:

Tabla 2-657. Alternativas de conexión presentadas a la subestación San Lorenzo 220

Solicitud	Capacidad	Tipo	Barra	FPO solicitada	Restricción

No se priorizó ninguna de las alternativas de conexión presentadas en la subestación San Lorenzo 220

El estado de la capacidad por barra en la subestación San Lorenzo 220, teniendo en cuenta la priorización se puede observar en la siguiente figura.

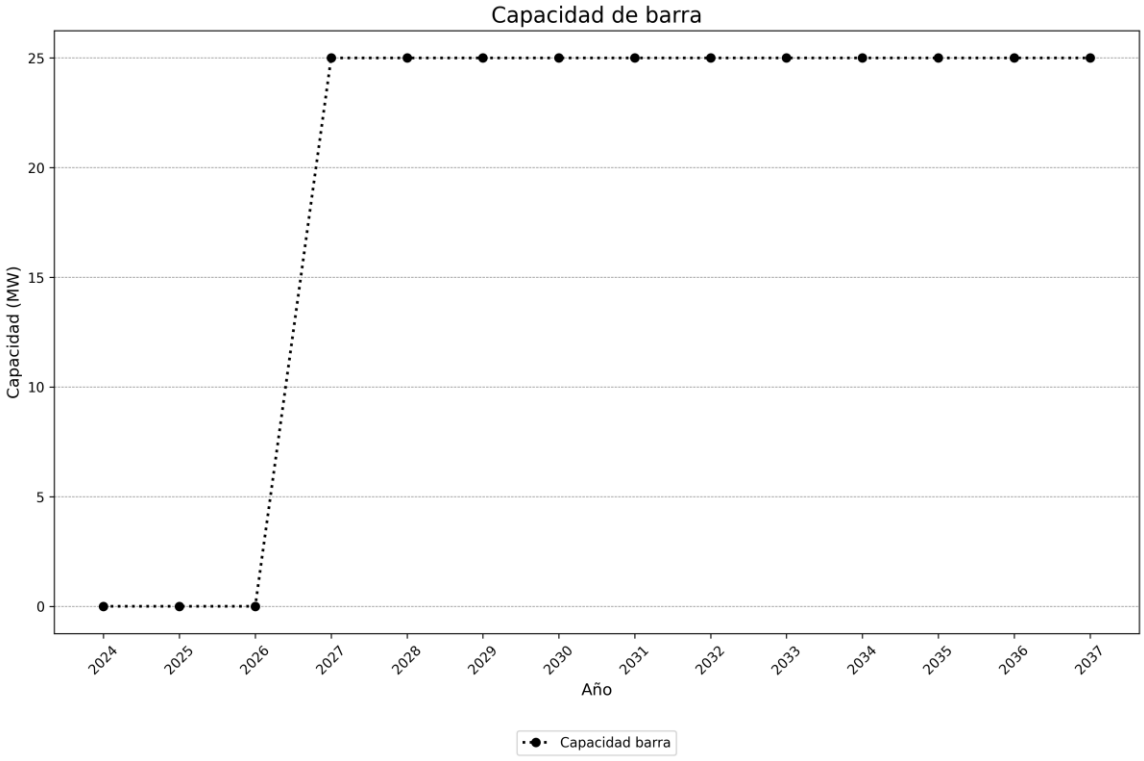


Figura 2-626. Balance de capacidad por barra después de la priorización para la subestación San Lorenzo 220

Capacidad excedente de interrupción de corriente de cortocircuito:

Para la subestación San Lorenzo 220 se presentaron 107 alternativas de conexión las cuales tienen aportes de corriente de cortocircuito. Estas alternativas se muestran en la siguiente tabla:

Tabla 2-658. Alternativas de conexión que aportan corriente de cortocircuito en la subestación San Lorenzo 220

Solicitud	tipo	FPO	Barra a la que aporta CC	Aporte de cortocircuito (kA)	Restricción
SC_2023_5144_A1	Solar FV	2028	San Lorenzo 220	0.046	SATISFACE
SC_2023_5144_A2	Solar FV	2028	San Lorenzo 220	0.034	SATISFACE
SC_2023_5150_A1	Solar FV	2028	San Lorenzo 220	0.044	SATISFACE
SC_2023_5152_A1	Solar FV	2025	San Lorenzo 220	0.000	SATISFACE
SC_2023_5152_A2	Solar FV	2025	San Lorenzo 220	0.000	SATISFACE
SC_2023_5248_A1	Solar FV	2025	San Lorenzo 220	0.000	SATISFACE
SC_2023_5248_A2	Solar FV	2025	San Lorenzo 220	0.000	SATISFACE
SC_2023_5249_A1	Solar FV	2025	San Lorenzo 220	0.000	SATISFACE
SC_2023_5249_A2	Solar FV	2025	San Lorenzo 220	0.000	SATISFACE
SC_2023_5251_A1	Solar FV	2025	San Lorenzo 220	0.002	SATISFACE
SC_2023_5251_A2	Solar FV	2025	San Lorenzo 220	0.002	SATISFACE
SC_2023_5252_A1	Solar FV	2028	San Lorenzo 220	0.006	SATISFACE
SC_2023_5252_A2	Solar FV	2028	San Lorenzo 220	0.001	SATISFACE
SC_2023_5253_A1	Solar FV	2025	San Lorenzo 220	0.002	SATISFACE
SC_2023_5253_A2	Solar FV	2025	San Lorenzo 220	0.002	SATISFACE
SC_2023_5256_A2	Solar FV	2028	San Lorenzo 220	0.015	SATISFACE
SC_2023_5257_A1	Solar FV	2025	San Lorenzo 220	0.000	SATISFACE
SC_2023_5257_A2	Solar FV	2025	San Lorenzo 220	0.000	SATISFACE
SC_2023_5280_A1	Solar FV	2028	San Lorenzo 220	0.022	SATISFACE

SC_2023_5280_A2	Solar FV	2028	San Lorenzo 220	0.021	SATISFACE
SC_2023_5287_A1	Solar FV	2026	San Lorenzo 220	0.011	SATISFACE
SC_2023_5287_A2	Solar FV	2026	San Lorenzo 220	0.011	SATISFACE
SC_2023_5288_A1	Solar FV	2026	San Lorenzo 220	0.007	SATISFACE
SC_2023_5288_A2	Solar FV	2026	San Lorenzo 220	0.018	SATISFACE
SC_2023_5293_A1	Solar FV	2028	San Lorenzo 220	0.012	SATISFACE
SC_2023_5293_A2	Solar FV	2028	San Lorenzo 220	0.010	SATISFACE
SC_2023_5294_A1	Solar FV	2029	San Lorenzo 220	0.008	SATISFACE
SC_2023_5294_A2	Solar FV	2029	San Lorenzo 220	0.007	SATISFACE
SC_2023_5304_A1	Solar FV	2026	San Lorenzo 220	0.001	SATISFACE
SC_2023_5309_A1	Solar FV	2026	San Lorenzo 220	0.001	SATISFACE
SC_2023_5337_A2	Solar FV	2025	San Lorenzo 220	0.024	SATISFACE
SC_2023_5339_A1	PCH	2026	San Lorenzo 220	0.000	SATISFACE
SC_2023_5339_A2	PCH	2026	San Lorenzo 220	0.000	SATISFACE
SC_2023_5375_A1	Solar FV	2026	San Lorenzo 220	0.011	SATISFACE
SC_2023_5383_A1	Solar FV	2027	San Lorenzo 220	0.021	SATISFACE
SC_2023_5383_A2	Solar FV	2027	San Lorenzo 220	0.025	SATISFACE
SC_2023_5399_A1	Solar FV	2026	San Lorenzo 220	0.007	SATISFACE
SC_2023_5399_A2	Solar FV	2026	San Lorenzo 220	0.018	SATISFACE
SC_2023_5431_A1	Solar FV	2028	San Lorenzo 220	0.000	SATISFACE

SC_2023_5431_A2	Solar FV	2028	San Lorenzo 220	0.008	SATISFACE
SC_2023_5480_A1	Solar FV	2026	San Lorenzo 220	0.011	SATISFACE
SC_2023_5480_A2	Solar FV	2026	San Lorenzo 220	0.011	SATISFACE
SC_2023_5557_A1	Solar FV	2028	San Lorenzo 220	0.035	SATISFACE
SC_2023_5598_A1	Solar FV	2025	San Lorenzo 220	0.000	SATISFACE
SC_2023_5598_A2	Solar FV	2025	San Lorenzo 220	0.000	SATISFACE
SC_2024_5939_A1	Solar FV	2028	San Lorenzo 220	0.000	SATISFACE
SC_2024_5939_A2	Solar FV	2028	San Lorenzo 220	0.000	SATISFACE
SC_2562_A1	Solar FV	2026	San Lorenzo 220	0.010	SATISFACE
SC_2936_A1	Solar FV	2026	San Lorenzo 220	0.000	SATISFACE
SC_2936_A2	Solar FV	2026	San Lorenzo 220	0.000	SATISFACE
SC_2962_A1	Solar FV	2028	San Lorenzo 220	0.016	SATISFACE
SC_2962_A2	Solar FV	2028	San Lorenzo 220	0.017	SATISFACE
SC_3132_A1	Solar FV	2026	San Lorenzo 220	0.024	SATISFACE
SC_3132_A2	Solar FV	2026	San Lorenzo 220	0.023	SATISFACE
SC_3331_A1	Solar FV	2026	San Lorenzo 220	1.939	SATISFACE
SC_3382_A1	Solar FV	2027	San Lorenzo 220	0.000	SATISFACE
SC_3382_A2	Solar FV	2027	San Lorenzo 220	0.001	SATISFACE
SC_3392_A1	Solar FV	2027	San Lorenzo 220	0.012	SATISFACE
SC_3392_A2	Solar FV	2027	San Lorenzo 220	0.008	SATISFACE

SC_3433_A2	Solar FV	2027	San Lorenzo 220	0.000	SATISFACE
SC_3453_A1	Solar FV	2027	San Lorenzo 220	0.003	SATISFACE
SC_3453_A2	Solar FV	2027	San Lorenzo 220	0.003	SATISFACE
SC_3514_A1	Solar FV	2027	San Lorenzo 220	0.003	SATISFACE
SC_3514_A2	Solar FV	2027	San Lorenzo 220	0.003	SATISFACE
SC_3578_A1	Solar FV	2028	San Lorenzo 220	0.000	SATISFACE
SC_3578_A2	Solar FV	2028	San Lorenzo 220	0.000	SATISFACE
SC_3667_A1	Solar FV	2029	San Lorenzo 220	0.002	SATISFACE
SC_3667_A2	Solar FV	2029	San Lorenzo 220	0.001	SATISFACE
SC_3846_A1	Solar FV	2028	San Lorenzo 220	0.003	SATISFACE
SC_3846_A2	Solar FV	2028	San Lorenzo 220	0.003	SATISFACE
SC_3882_A1	Solar FV	2026	San Lorenzo 220	0.034	SATISFACE
SC_4083_A1	Solar FV	2027	San Lorenzo 220	0.000	SATISFACE
SC_4083_A2	Solar FV	2027	San Lorenzo 220	0.000	SATISFACE
SC_4175_A1	Solar FV	2026	San Lorenzo 220	0.002	SATISFACE
SC_4175_A2	Solar FV	2026	San Lorenzo 220	0.002	SATISFACE
SC_4296_A1	Solar FV	2028	San Lorenzo 220	0.046	SATISFACE
SC_4296_A2	Solar FV	2028	San Lorenzo 220	0.053	SATISFACE
SC_4751_A1	Solar FV	2027	San Lorenzo 220	0.000	SATISFACE
SC_4760_A1	Solar FV	2026	San Lorenzo 220	0.014	SATISFACE

SC_4765_A1	Solar FV	2029	San Lorenzo 220	0.001	SATISFACE
SC_4765_A2	Solar FV	2029	San Lorenzo 220	0.000	SATISFACE
SC_4789_A1	Solar FV	2027	San Lorenzo 220	0.002	SATISFACE
SC_4789_A2	Solar FV	2027	San Lorenzo 220	0.002	SATISFACE
SC_4809_A1	Solar FV	2027	San Lorenzo 220	0.022	SATISFACE
SC_4809_A2	Solar FV	2027	San Lorenzo 220	0.083	SATISFACE
SC_4819_A1	Solar FV	2029	San Lorenzo 220	0.036	SATISFACE
SC_4819_A2	Solar FV	2029	San Lorenzo 220	0.035	SATISFACE
SC_4821_A1	Solar FV	2027	San Lorenzo 220	0.012	SATISFACE
SC_4821_A2	Solar FV	2027	San Lorenzo 220	0.008	SATISFACE
SC_4824_A1	Solar FV	2025	San Lorenzo 220	0.000	SATISFACE
SC_4824_A2	Solar FV	2025	San Lorenzo 220	0.000	SATISFACE
SC_4826_A1	Solar FV	2027	San Lorenzo 220	0.003	SATISFACE
SC_4826_A2	Solar FV	2027	San Lorenzo 220	0.003	SATISFACE
SC_4827_A1	Solar FV	2027	San Lorenzo 220	0.003	SATISFACE
SC_4827_A2	Solar FV	2027	San Lorenzo 220	0.003	SATISFACE
SC_4842_A1	Solar FV	2028	San Lorenzo 220	0.044	SATISFACE
SC_4926_A1	Solar FV	2027	San Lorenzo 220	0.000	SATISFACE
SC_4960_A2	Solar FV	2029	San Lorenzo 220	0.016	SATISFACE
SC_4974_A1	Solar FV	2026	San Lorenzo 220	0.006	SATISFACE

SC_4974_A2	Solar FV	2026	San Lorenzo 220	0.006	SATISFACE
SC_4978_A1	Solar FV	2026	San Lorenzo 220	0.002	SATISFACE
SC_4978_A2	Solar FV	2026	San Lorenzo 220	0.004	SATISFACE
SC_5009_A1	Solar FV	2026	San Lorenzo 220	0.012	SATISFACE
SC_5009_A2	Solar FV	2026	San Lorenzo 220	0.007	SATISFACE
SC_5011_A1	Solar FV	2027	San Lorenzo 220	0.012	SATISFACE
SC_5011_A2	Solar FV	2027	San Lorenzo 220	0.007	SATISFACE
SC_5087_A2	Solar FV	2027	San Lorenzo 220	0.014	SATISFACE

No se priorizó ninguna de las alternativas de conexión que tengan aportes de corriente de cortocircuito en la subestación San Lorenzo 220

El estado de la capacidad de cortocircuito en la subestación San Lorenzo 220, teniendo en cuenta la priorización se puede observar en la siguiente figura.

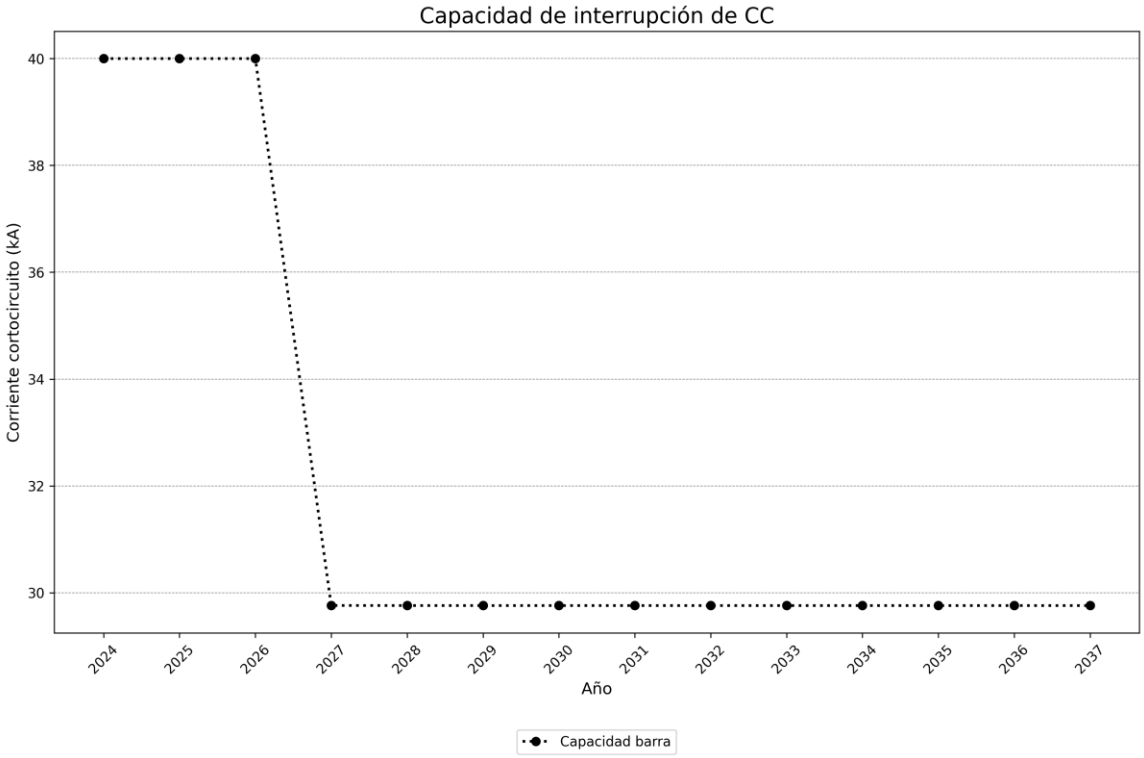


Figura 2-627. Balance de capacidad de cortocircuito después de la priorización para la subestación San Lorenzo 220

Subestación San Lorenzo II 110:

Capacidad por barra:

Para la subestación San Lorenzo II 110 se presentaron 0 alternativas de conexión las cuales se muestran en la siguiente tabla:

Tabla 2-659. Alternativas de conexión presentadas a la subestación San Lorenzo II 110

Solicitud	Capacidad	Tipo	Barra	FPO solicitada	Restricción

No se priorizó ninguna de las alternativas de conexión presentadas en la subestación San Lorenzo II 110

El estado de la capacidad por barra en la subestación San Lorenzo II 110, teniendo en cuenta la priorización se puede observar en la siguiente figura.

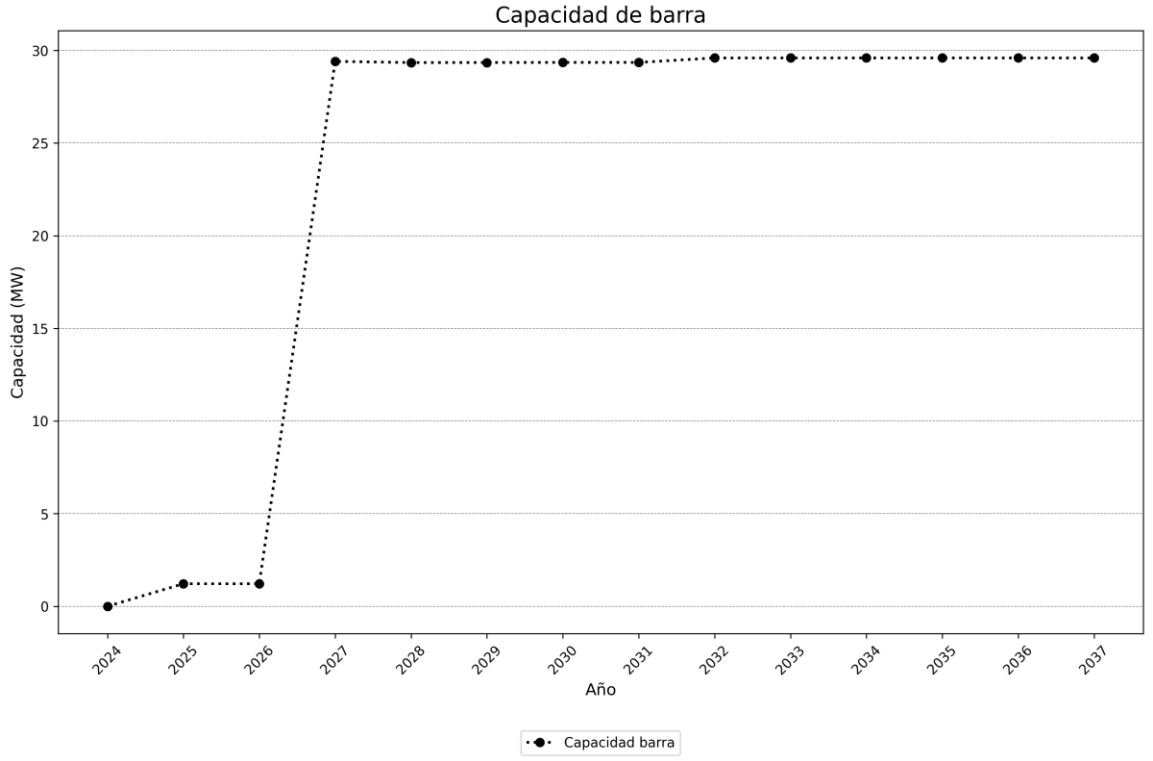


Figura 2-628. Balance de capacidad por barra después de la priorización para la subestación San Lorenzo II 110

Capacidad excedente de interrupción de corriente de cortocircuito:

Para la subestación San Lorenzo II 110 se presentaron 6 alternativas de conexión las cuales tienen aportes de corriente de cortocircuito. Estas alternativas se muestran en la siguiente tabla:

Tabla 2-660. Alternativas de conexión que aportan corriente de cortocircuito en la subestación San Lorenzo II 110

Solicitud	tipo	FPO	Barra a la que aporta CC	Aporte de cortocircuito (kA)	Restricción
SC_2023_5294_A1	Solar FV	2029	San Lorenzo II 110	0.008	SATISFACE
SC_2023_5294_A2	Solar FV	2029	San Lorenzo II 110	0.007	SATISFACE
SC_3331_A1	Solar FV	2026	San Lorenzo II 110	0.398	SATISFACE
SC_3667_A1	Solar FV	2029	San Lorenzo II 110	0.002	SATISFACE
SC_3667_A2	Solar FV	2029	San Lorenzo II 110	0.001	SATISFACE
SC_4960_A2	Solar FV	2029	San Lorenzo II 110	0.015	SATISFACE

No se priorizó ninguna de las alternativas de conexión que tengan aportes de corriente de cortocircuito en la subestación San Lorenzo II 110

El estado de la capacidad de cortocircuito en la subestación San Lorenzo II 110, teniendo en cuenta la priorización se puede observar en la siguiente figura.

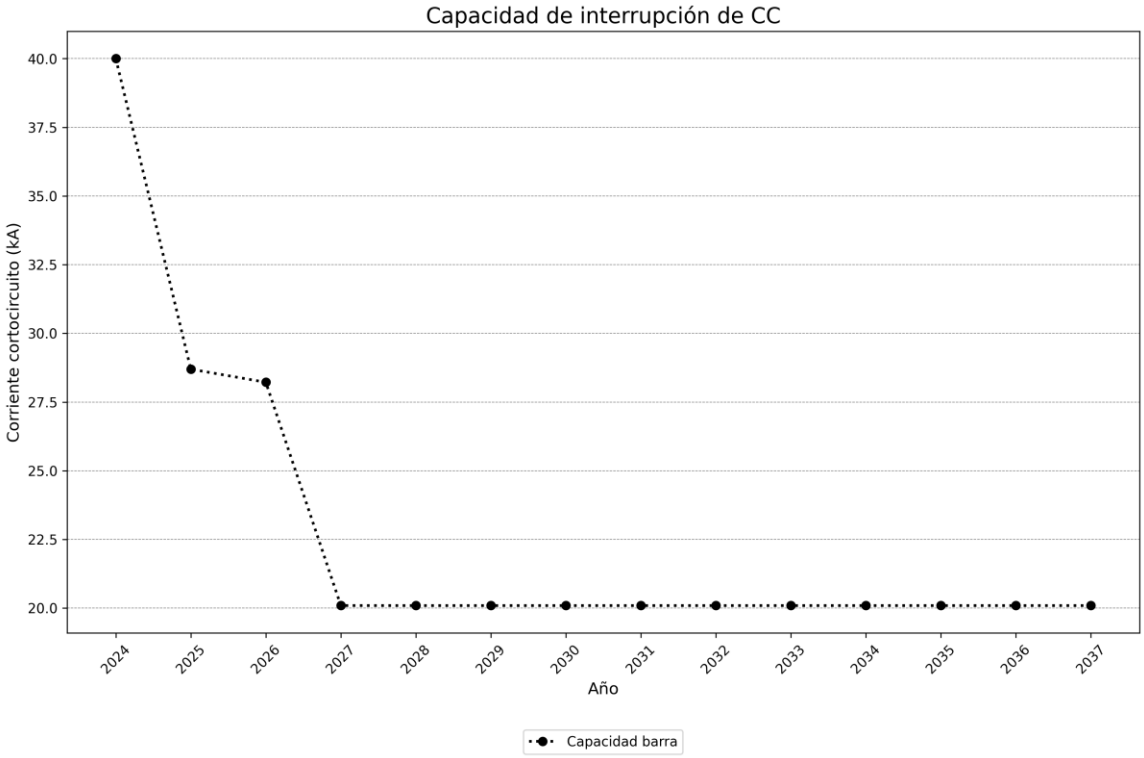


Figura 2-629. Balance de capacidad de cortocircuito después de la priorización para la subestación San Lorenzo II 110

Subestación San Luis 115:

Capacidad por barra:

Para la subestación San Luis 115 se presentaron 0 alternativas de conexión las cuales se muestran en la siguiente tabla:

Tabla 2-661. Alternativas de conexión presentadas a la subestación San Luis 115

Solicitud	Capacidad	Tipo	Barra	FPO solicitada	Restricción

No se priorizó ninguna de las alternativas de conexión presentadas en la subestación San Luis 115

El estado de la capacidad por barra en la subestación San Luis 115, teniendo en cuenta la priorización se puede observar en la siguiente figura.

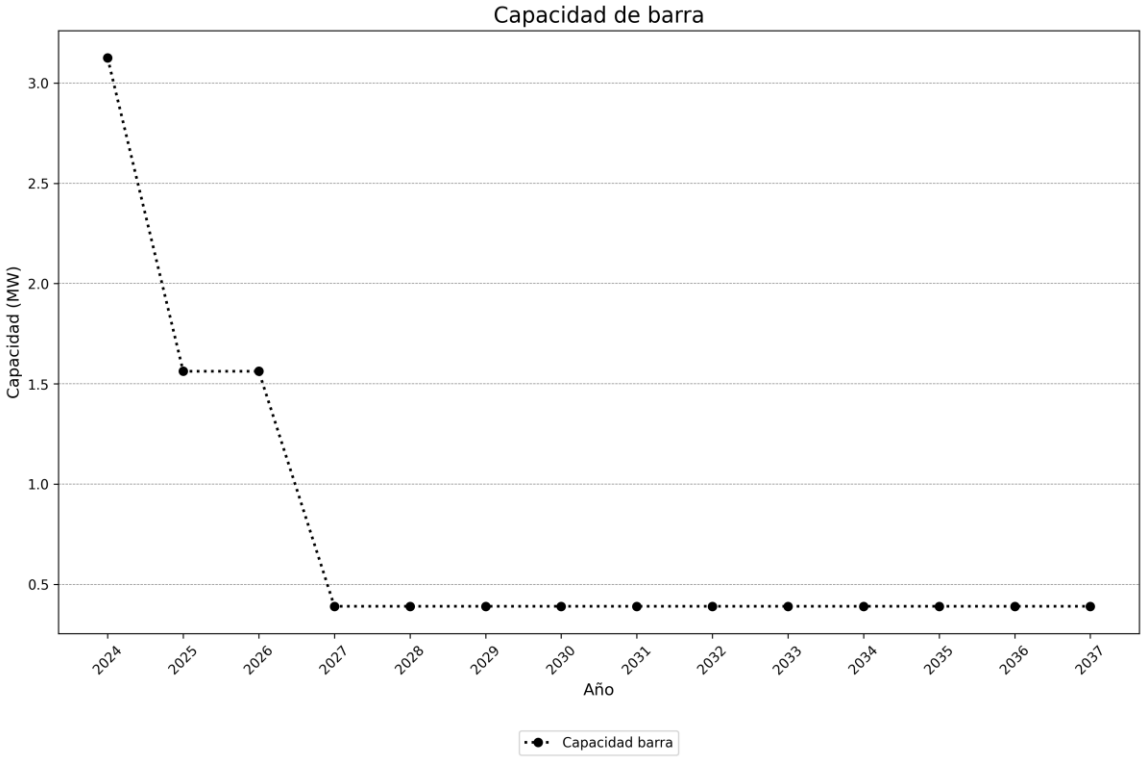


Figura 2-630. Balance de capacidad por barra después de la priorización para la subestación San Luis 115

Capacidad excedente de interrupción de corriente de cortocircuito:

Para la subestación San Luis 115 se presentaron 4 alternativas de conexión las cuales tienen aportes de corriente de cortocircuito. Estas alternativas se muestran en la siguiente tabla:

Tabla 2-662. Alternativas de conexión que aportan corriente de cortocircuito en la subestación San Luis 115

Solicitud	tipo	FPO	Barra a la que aporta CC	Aporte de cortocircuito (kA)	Restricción
SC_2023_5557_A1	Solar FV	2028	San Luis 115	0.106	SATISFACE
SC_2936_A1	Solar FV	2026	San Luis 115	0.000	SATISFACE
SC_2936_A2	Solar FV	2026	San Luis 115	0.000	SATISFACE
SC_3882_A1	Solar FV	2026	San Luis 115	0.103	SATISFACE

No se priorizó ninguna de las alternativas de conexión que tengan aportes de corriente de cortocircuito en la subestación San Luis 115

El estado de la capacidad de cortocircuito en la subestación San Luis 115, teniendo en cuenta la priorización se puede observar en la siguiente figura.

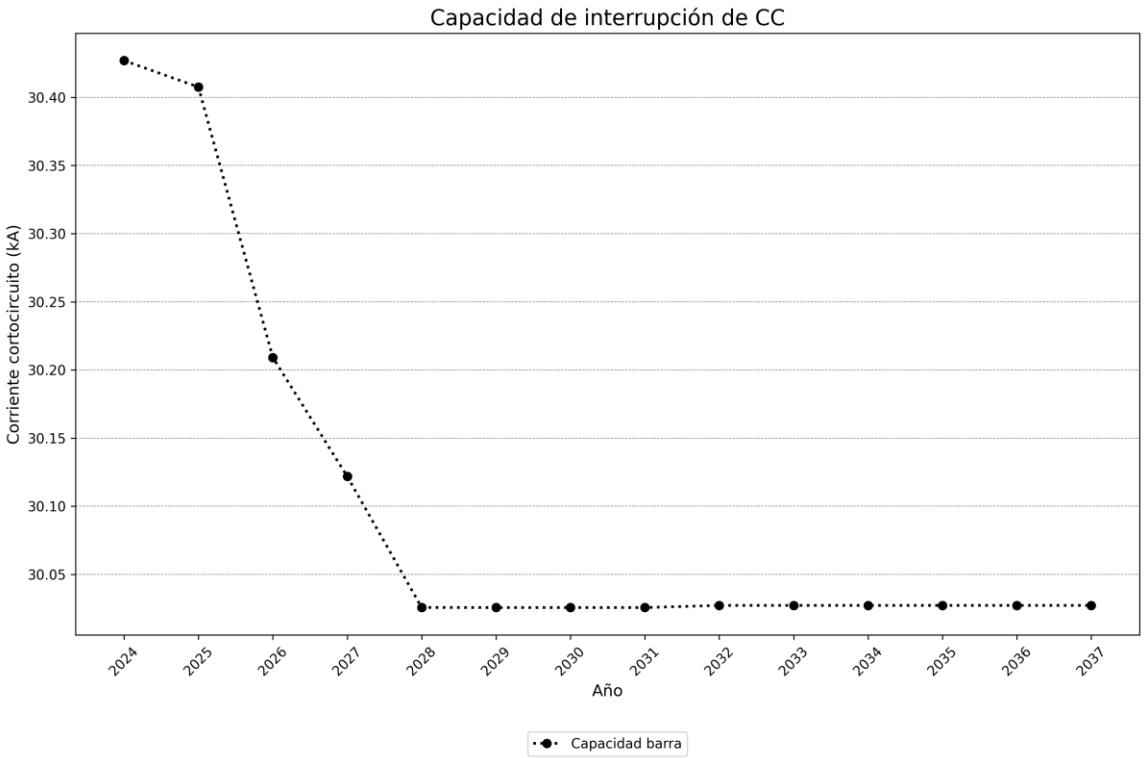


Figura 2-631. Balance de capacidad de cortocircuito después de la priorización para la subestación San Luis 115

Subestación San Marcos 115:

Capacidad por barra:

Para la subestación San Marcos 115 se presentaron 0 alternativas de conexión las cuales se muestran en la siguiente tabla:

Tabla 2-663. Alternativas de conexión presentadas a la subestación San Marcos 115

Solicitud	Capacidad	Tipo	Barra	FPO solicitada	Restricción

No se priorizó ninguna de las alternativas de conexión presentadas en la subestación San Marcos 115

El estado de la capacidad por barra en la subestación San Marcos 115, teniendo en cuenta la priorización se puede observar en la siguiente figura.

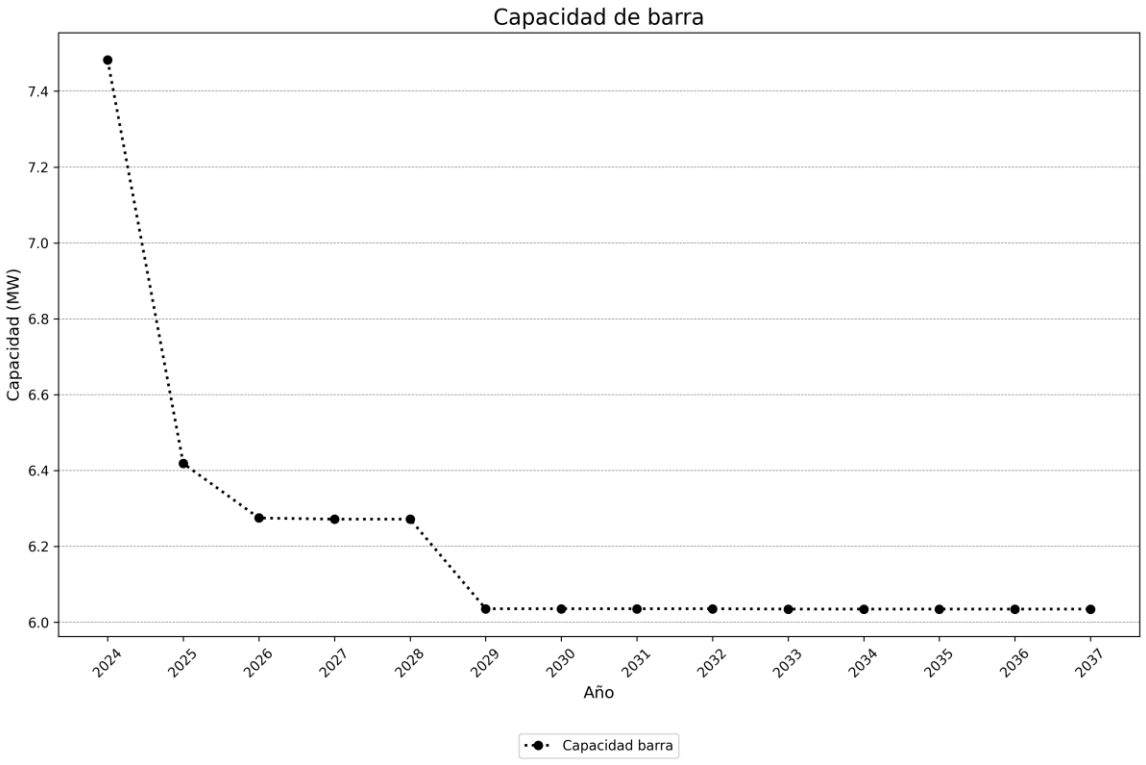


Figura 2-632. Balance de capacidad por barra después de la priorización para la subestación San Marcos 115

Capacidad excedente de interrupción de corriente de cortocircuito:

Para la subestación San Marcos 115 se presentaron 4 alternativas de conexión las cuales tienen aportes de corriente de cortocircuito. Estas alternativas se muestran en la siguiente tabla:

Tabla 2-664. Alternativas de conexión que aportan corriente de cortocircuito en la subestación San Marcos 115

Solicitud	tipo	FPO	Barra a la que aporta CC	Aporte de cortocircuito (kA)	Restricción
SC_2023_5557_A1	Solar FV	2028	San Marcos 115	0.095	NO SATISFACE
SC_2936_A1	Solar FV	2026	San Marcos 115	0.000	NO SATISFACE
SC_2936_A2	Solar FV	2026	San Marcos 115	0.000	NO SATISFACE
SC_3882_A1	Solar FV	2026	San Marcos 115	0.093	NO SATISFACE

No se priorizó ninguna de las alternativas de conexión que tengan aportes de corriente de cortocircuito en la subestación San Marcos 115

El estado de la capacidad de cortocircuito en la subestación San Marcos 115, teniendo en cuenta la priorización se puede observar en la siguiente figura.

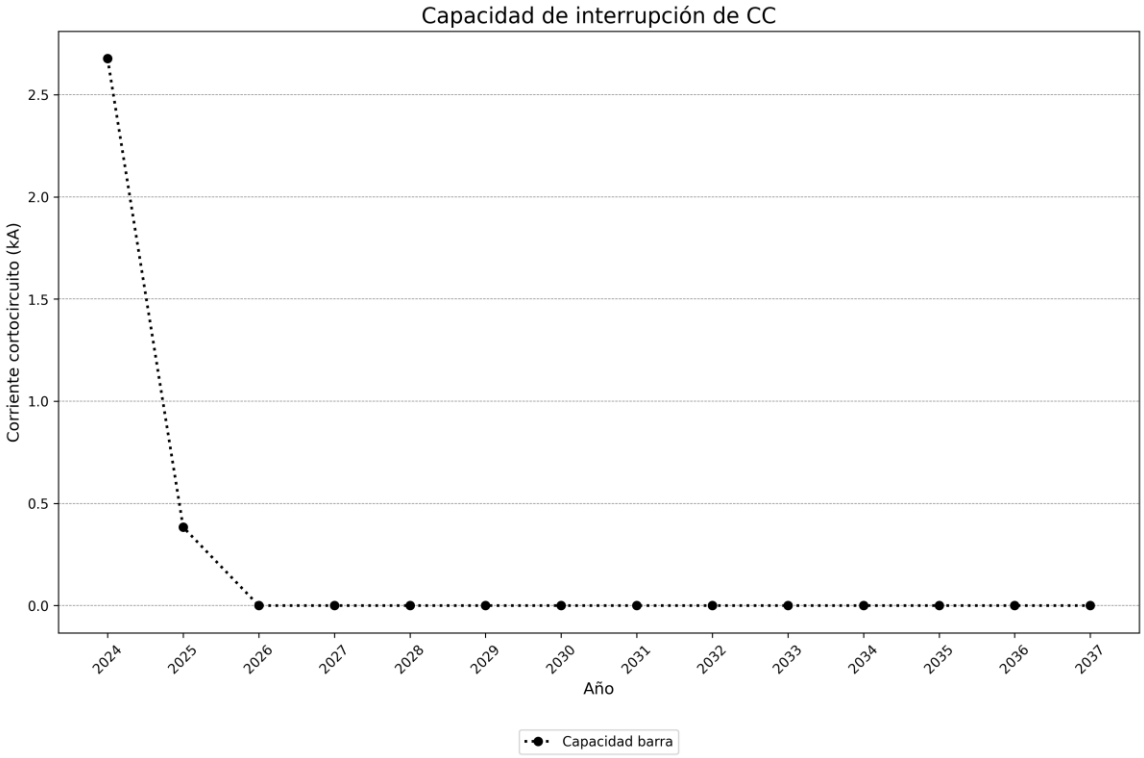


Figura 2-633. Balance de capacidad de cortocircuito después de la priorización para la subestación San Marcos 115

Subestación San Marcos 220:

Capacidad por barra:

Para la subestación San Marcos 220 se presentaron 0 alternativas de conexión las cuales se muestran en la siguiente tabla:

Tabla 2-665. Alternativas de conexión presentadas a la subestación San Marcos 220

Solicitud	Capacidad	Tipo	Barra	FPO solicitada	Restricción

No se priorizó ninguna de las alternativas de conexión presentadas en la subestación San Marcos 220

El estado de la capacidad por barra en la subestación San Marcos 220, teniendo en cuenta la priorización se puede observar en la siguiente figura.

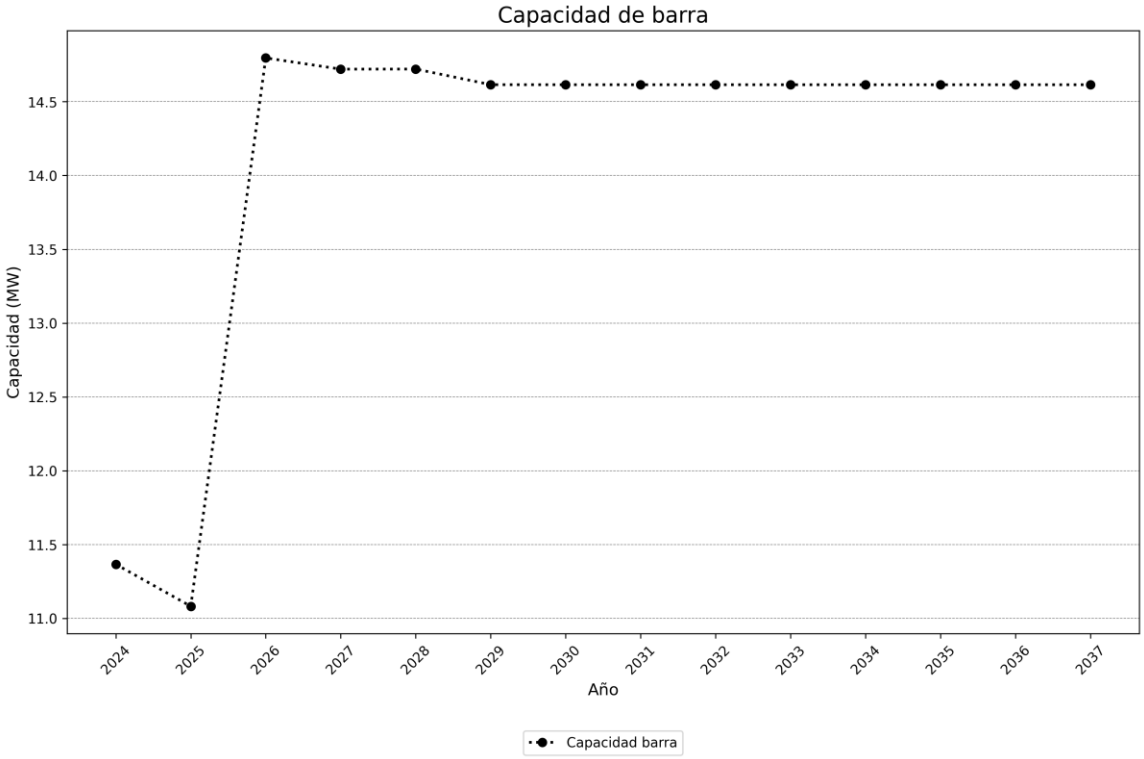


Figura 2-634. Balance de capacidad por barra después de la priorización para la subestación San Marcos 220

Capacidad excedente de interrupción de corriente de cortocircuito:

Para la subestación San Marcos 220 se presentaron 34 alternativas de conexión las cuales tienen aportes de corriente de cortocircuito. Estas alternativas se muestran en la siguiente tabla:

Tabla 2-666. Alternativas de conexión que aportan corriente de cortocircuito en la subestación San Marcos 220

Solicitud	tipo	FPO	Barra a la que aporta CC	Aporte de cortocircuito (kA)	Restricción
SC_2023_5144_A1	Solar FV	2028	San Marcos 220	0.235	SATISFACE
SC_2023_5144_A2	Solar FV	2028	San Marcos 220	0.185	SATISFACE
SC_2023_5150_A1	Solar FV	2028	San Marcos 220	0.128	SATISFACE
SC_2023_5293_A1	Solar FV	2028	San Marcos 220	0.050	SATISFACE
SC_2023_5293_A2	Solar FV	2028	San Marcos 220	0.057	SATISFACE
SC_2023_5557_A1	Solar FV	2028	San Marcos 220	0.110	SATISFACE
SC_2670_A1	Solar FV	2028	San Marcos 220	0.060	SATISFACE
SC_2670_A2	Solar FV	2028	San Marcos 220	0.090	SATISFACE
SC_2936_A1	Solar FV	2026	San Marcos 220	0.000	SATISFACE
SC_2936_A2	Solar FV	2026	San Marcos 220	0.000	SATISFACE
SC_3012_A1	Solar FV	2027	San Marcos 220	0.010	SATISFACE
SC_3012_A2	Solar FV	2027	San Marcos 220	0.010	SATISFACE
SC_3101_A1	Solar FV	2027	San Marcos 220	0.005	SATISFACE
SC_3101_A2	Solar FV	2027	San Marcos 220	0.000	SATISFACE
SC_3133_A1	Solar FV	2028	San Marcos 220	0.282	SATISFACE
SC_3133_A2	Solar FV	2028	San Marcos 220	0.266	SATISFACE
SC_3238_A1	Solar FV	2027	San Marcos 220	0.435	SATISFACE
SC_3238_A2	Solar FV	2027	San Marcos 220	0.395	SATISFACE
SC_3247_A1	Solar FV	2027	San Marcos 220	0.129	SATISFACE

SC_3247_A2	Solar FV	2027	San Marcos 220	0.094	SATISFACE
SC_3248_A1	Solar FV	2027	San Marcos 220	0.435	SATISFACE
SC_3248_A2	Solar FV	2027	San Marcos 220	0.395	SATISFACE
SC_3441_A1	Solar FV	2027	San Marcos 220	0.129	SATISFACE
SC_3441_A2	Solar FV	2027	San Marcos 220	0.094	SATISFACE
SC_3882_A1	Solar FV	2026	San Marcos 220	0.107	SATISFACE
SC_4296_A1	Solar FV	2028	San Marcos 220	0.236	SATISFACE
SC_4296_A2	Solar FV	2028	San Marcos 220	0.208	SATISFACE
SC_4809_A1	Solar FV	2027	San Marcos 220	0.028	SATISFACE
SC_4809_A2	Solar FV	2027	San Marcos 220	0.181	SATISFACE
SC_4842_A1	Solar FV	2028	San Marcos 220	0.128	SATISFACE
SC_5009_A1	Solar FV	2026	San Marcos 220	0.063	SATISFACE
SC_5009_A2	Solar FV	2026	San Marcos 220	0.062	SATISFACE
SC_5011_A1	Solar FV	2027	San Marcos 220	0.063	SATISFACE
SC_5011_A2	Solar FV	2027	San Marcos 220	0.062	SATISFACE

No se priorizó ninguna de las alternativas de conexión que tengan aportes de corriente de cortocircuito en la subestación San Marcos 220

El estado de la capacidad de cortocircuito en la subestación San Marcos 220, teniendo en cuenta la priorización se puede observar en la siguiente figura.

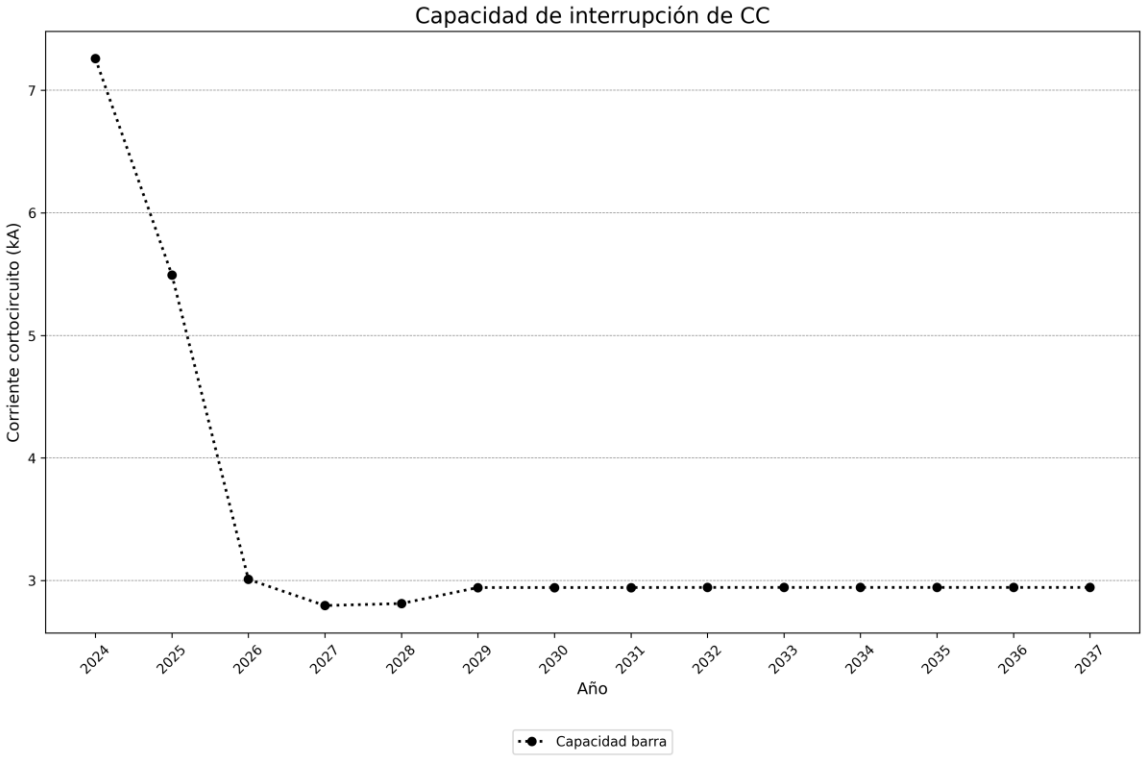


Figura 2-635. Balance de capacidad de cortocircuito después de la priorización para la subestación San Marcos 220

Subestación San Marcos 500:

Capacidad por barra:

Para la subestación San Marcos 500 se presentaron 0 alternativas de conexión las cuales se muestran en la siguiente tabla:

Tabla 2-667. Alternativas de conexión presentadas a la subestación San Marcos 500

Solicitud	Capacidad	Tipo	Barra	FPO solicitada	Restricción

No se priorizó ninguna de las alternativas de conexión presentadas en la subestación San Marcos 500

El estado de la capacidad por barra en la subestación San Marcos 500, teniendo en cuenta la priorización se puede observar en la siguiente figura.

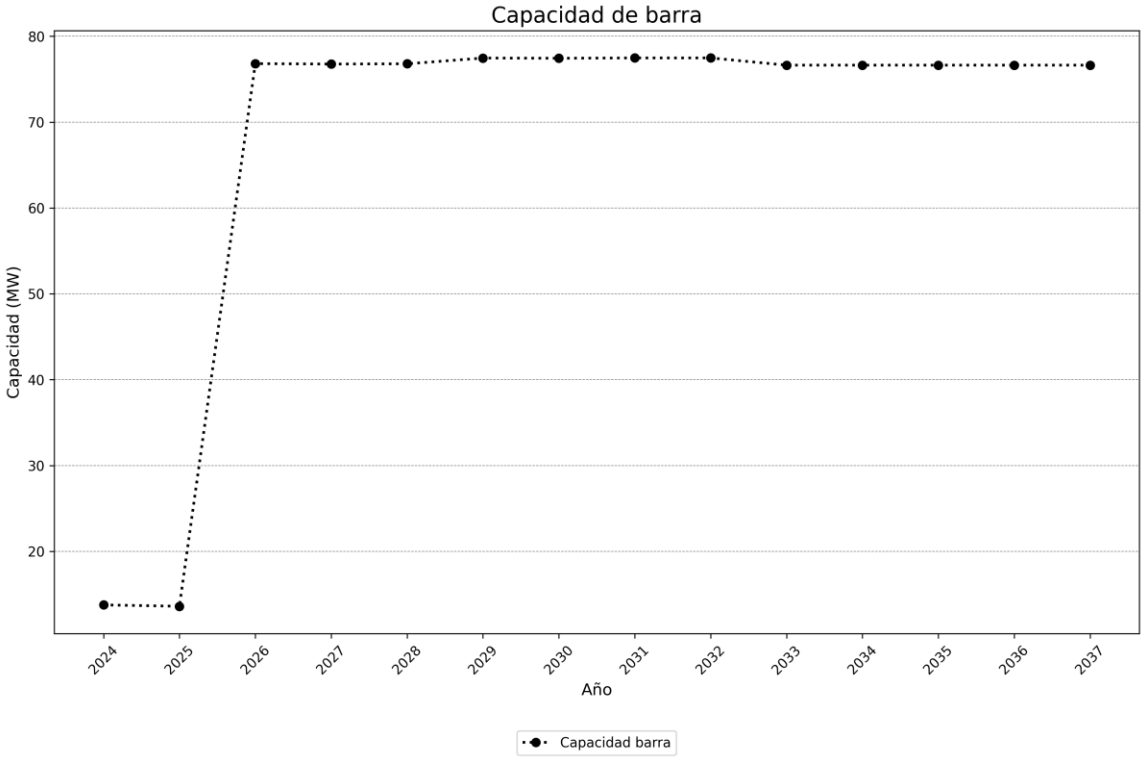


Figura 2-636. Balance de capacidad por barra después de la priorización para la subestación San Marcos 500

Capacidad excedente de interrupción de corriente de cortocircuito:

Para la subestación San Marcos 500 se presentaron 34 alternativas de conexión las cuales tienen aportes de corriente de cortocircuito. Estas alternativas se muestran en la siguiente tabla:

Tabla 2-668. Alternativas de conexión que aportan corriente de cortocircuito en la subestación San Marcos 500

Solicitud	tipo	FPO	Barra a la que aporta CC	Aporte de cortocircuito (kA)	Restricción
SC_2023_5144_A1	Solar FV	2028	San Marcos 500	0.092	SATISFACE
SC_2023_5144_A2	Solar FV	2028	San Marcos 500	0.099	SATISFACE
SC_2023_5150_A1	Solar FV	2028	San Marcos 500	0.050	SATISFACE
SC_2023_5293_A1	Solar FV	2028	San Marcos 500	0.017	SATISFACE
SC_2023_5293_A2	Solar FV	2028	San Marcos 500	0.021	SATISFACE
SC_2670_A1	Solar FV	2028	San Marcos 500	0.060	SATISFACE
SC_2670_A2	Solar FV	2028	San Marcos 500	0.040	SATISFACE
SC_3012_A1	Solar FV	2027	San Marcos 500	0.000	SATISFACE
SC_3012_A2	Solar FV	2027	San Marcos 500	0.000	SATISFACE
SC_3101_A1	Solar FV	2027	San Marcos 500	0.002	SATISFACE
SC_3101_A2	Solar FV	2027	San Marcos 500	0.000	SATISFACE
SC_3133_A1	Solar FV	2028	San Marcos 500	0.122	SATISFACE
SC_3133_A2	Solar FV	2028	San Marcos 500	0.155	SATISFACE
SC_3238_A1	Solar FV	2027	San Marcos 500	0.182	SATISFACE
SC_3238_A2	Solar FV	2027	San Marcos 500	0.187	SATISFACE
SC_3247_A1	Solar FV	2027	San Marcos 500	0.050	SATISFACE
SC_3247_A2	Solar FV	2027	San Marcos 500	0.037	SATISFACE
SC_3248_A1	Solar FV	2027	San Marcos 500	0.182	SATISFACE
SC_3248_A2	Solar FV	2027	San Marcos 500	0.187	SATISFACE

SC_3392_A1	Solar FV	2027	San Marcos 500	0.024	SATISFACE
SC_3392_A2	Solar FV	2027	San Marcos 500	0.048	SATISFACE
SC_3441_A1	Solar FV	2027	San Marcos 500	0.050	SATISFACE
SC_3441_A2	Solar FV	2027	San Marcos 500	0.037	SATISFACE
SC_4296_A1	Solar FV	2028	San Marcos 500	0.094	SATISFACE
SC_4296_A2	Solar FV	2028	San Marcos 500	0.073	SATISFACE
SC_4809_A1	Solar FV	2027	San Marcos 500	0.014	SATISFACE
SC_4809_A2	Solar FV	2027	San Marcos 500	0.079	SATISFACE
SC_4821_A1	Solar FV	2027	San Marcos 500	0.024	SATISFACE
SC_4821_A2	Solar FV	2027	San Marcos 500	0.048	SATISFACE
SC_4842_A1	Solar FV	2028	San Marcos 500	0.050	SATISFACE
SC_5009_A1	Solar FV	2026	San Marcos 500	0.024	SATISFACE
SC_5009_A2	Solar FV	2026	San Marcos 500	0.048	SATISFACE
SC_5011_A1	Solar FV	2027	San Marcos 500	0.024	SATISFACE
SC_5011_A2	Solar FV	2027	San Marcos 500	0.048	SATISFACE

No se priorizó ninguna de las alternativas de conexión que tengan aportes de corriente de cortocircuito en la subestación San Marcos 500

El estado de la capacidad de cortocircuito en la subestación San Marcos 500, teniendo en cuenta la priorización se puede observar en la siguiente figura.

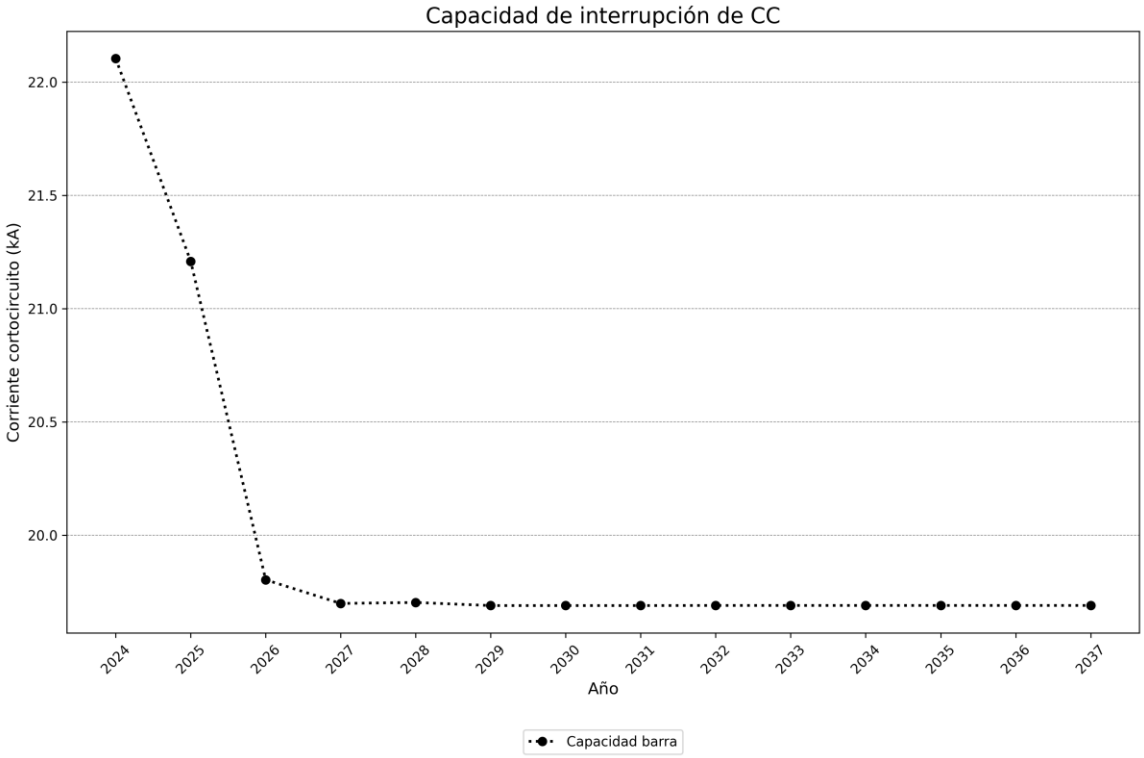


Figura 2-637. Balance de capacidad de cortocircuito después de la priorización para la subestación San Marcos 500

Subestación San Martin 115:

Capacidad por barra:

Para la subestación San Martin 115 se presentaron 0 alternativas de conexión las cuales se muestran en la siguiente tabla:

Tabla 2-669. Alternativas de conexión presentadas a la subestación San Martin 115

Solicitud	Capacidad	Tipo	Barra	FPO solicitada	Restricción

No se priorizó ninguna de las alternativas de conexión presentadas en la subestación San Martin 115

El estado de la capacidad por barra en la subestación San Martin 115, teniendo en cuenta la priorización se puede observar en la siguiente figura.

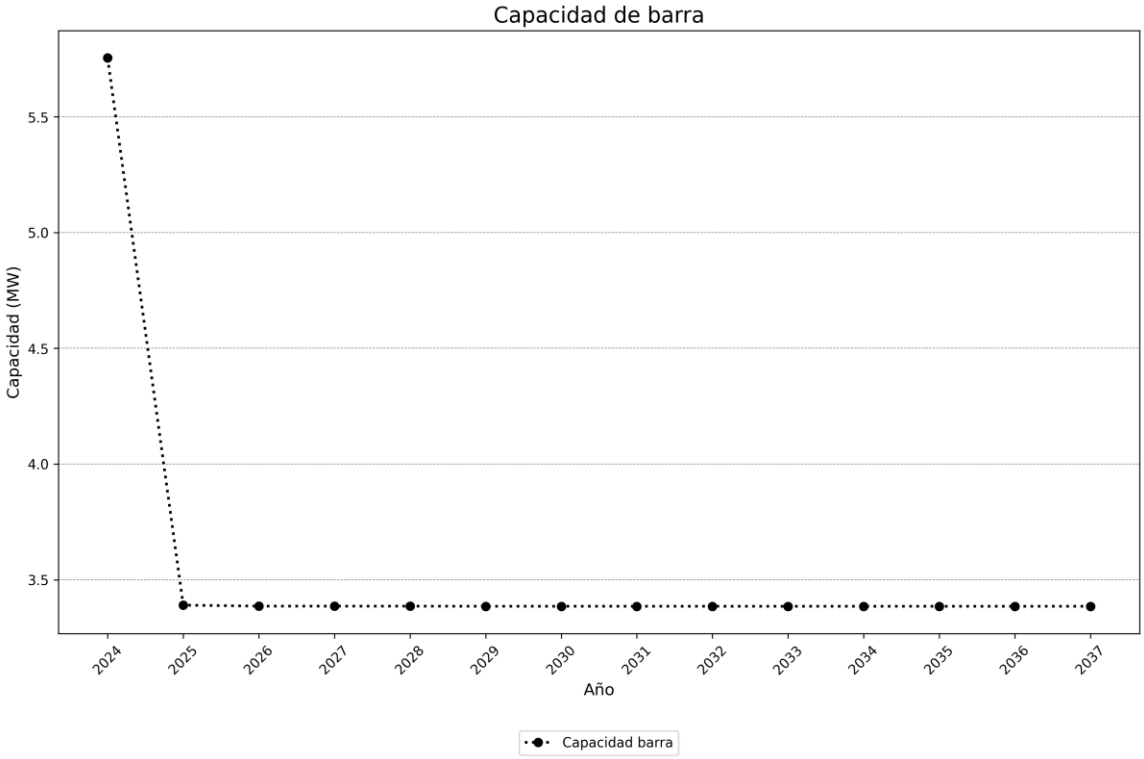


Figura 2-638. Balance de capacidad por barra después de la priorización para la subestación San Martin 115

Capacidad excedente de interrupción de corriente de cortocircuito:

Para la subestación San Martin 115 se presentaron 29 alternativas de conexión las cuales tienen aportes de corriente de cortocircuito. Estas alternativas se muestran en la siguiente tabla:

Tabla 2-670. Alternativas de conexión que aportan corriente de cortocircuito en la subestación San Martin 115

Solicitud	tipo	FPO	Barra a la que aporta CC	Aporte de cortocircuito (kA)	Restricción
SC_2023_5280_A1	Solar FV	2028	San Martin 115	0.007	SATISFACE
SC_2023_5280_A2	Solar FV	2028	San Martin 115	0.007	SATISFACE
SC_2023_5287_A1	Solar FV	2026	San Martin 115	0.003	SATISFACE
SC_2023_5287_A2	Solar FV	2026	San Martin 115	0.003	SATISFACE
SC_2023_5288_A1	Solar FV	2026	San Martin 115	0.002	SATISFACE
SC_2023_5288_A2	Solar FV	2026	San Martin 115	0.005	SATISFACE
SC_2023_5375_A1	Solar FV	2026	San Martin 115	0.003	SATISFACE
SC_2023_5399_A1	Solar FV	2026	San Martin 115	0.002	SATISFACE
SC_2023_5399_A2	Solar FV	2026	San Martin 115	0.005	SATISFACE
SC_2023_5480_A1	Solar FV	2026	San Martin 115	0.003	SATISFACE
SC_2023_5480_A2	Solar FV	2026	San Martin 115	0.003	SATISFACE
SC_2023_5557_A1	Solar FV	2028	San Martin 115	0.008	SATISFACE
SC_2936_A1	Solar FV	2026	San Martin 115	0.000	SATISFACE
SC_2936_A2	Solar FV	2026	San Martin 115	0.000	SATISFACE
SC_3121_A1	Solar FV	2026	San Martin 115	0.000	SATISFACE
SC_3121_A2	Solar FV	2026	San Martin 115	0.000	SATISFACE
SC_3132_A1	Solar FV	2026	San Martin 115	0.008	SATISFACE
SC_3132_A2	Solar FV	2026	San Martin 115	0.007	SATISFACE
SC_3882_A1	Solar FV	2026	San Martin 115	0.008	SATISFACE

SC_4083_A1	Solar FV	2027	San Martin 115	0.000	SATISFACE
SC_4083_A2	Solar FV	2027	San Martin 115	0.000	SATISFACE
SC_4765_A1	Solar FV	2029	San Martin 115	0.000	SATISFACE
SC_4765_A2	Solar FV	2029	San Martin 115	0.000	SATISFACE
SC_4819_A1	Solar FV	2029	San Martin 115	0.010	SATISFACE
SC_4819_A2	Solar FV	2029	San Martin 115	0.009	SATISFACE
SC_4974_A1	Solar FV	2026	San Martin 115	0.005	SATISFACE
SC_4974_A2	Solar FV	2026	San Martin 115	0.005	SATISFACE
SC_4978_A1	Solar FV	2026	San Martin 115	0.002	SATISFACE
SC_4978_A2	Solar FV	2026	San Martin 115	0.004	SATISFACE

No se priorizó ninguna de las alternativas de conexión que tengan aportes de corriente de cortocircuito en la subestación San Martin 115

El estado de la capacidad de cortocircuito en la subestación San Martin 115, teniendo en cuenta la priorización se puede observar en la siguiente figura.

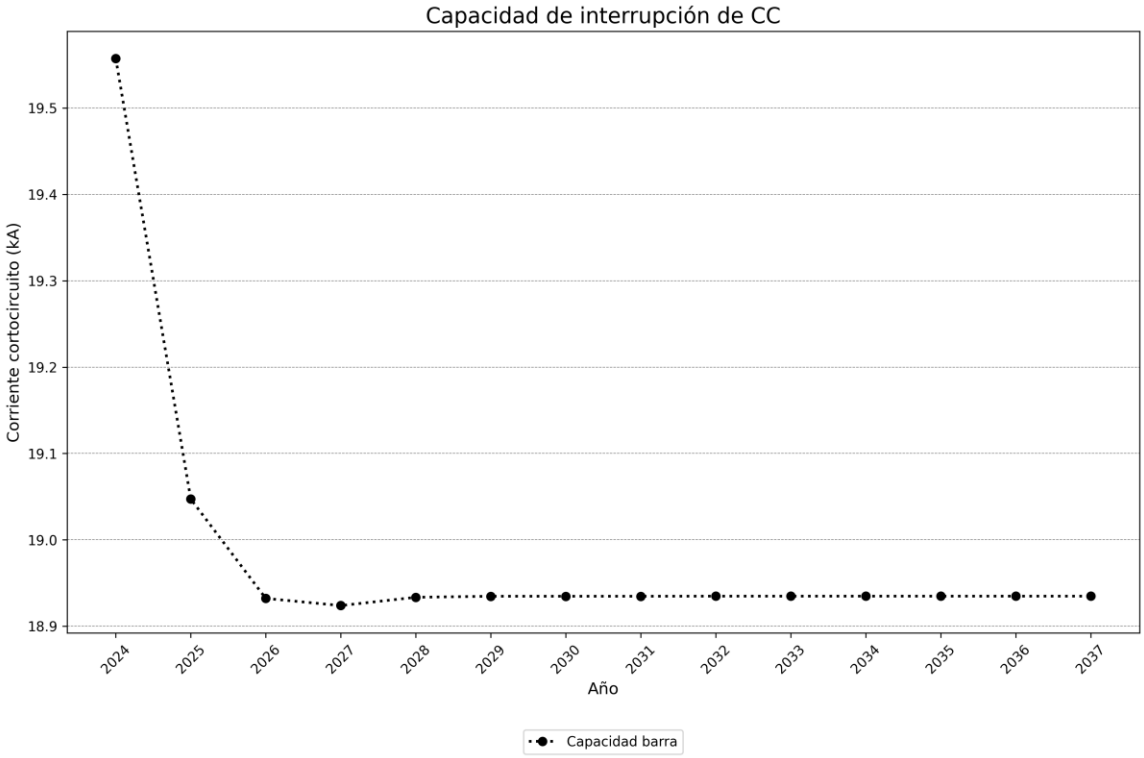


Figura 2-639. Balance de capacidad de cortocircuito después de la priorización para la subestación San Martin 115

Subestación San Mateo (Bogota) 220:

Capacidad por barra:

Para la subestación San Mateo (Bogota) 220 se presentaron 0 alternativas de conexión las cuales se muestran en la siguiente tabla:

Tabla 2-671. Alternativas de conexión presentadas a la subestación San Mateo (Bogota) 220

Solicitud	Capacidad	Tipo	Barra	FPO solicitada	Restricción

No se priorizó ninguna de las alternativas de conexión presentadas en la subestación San Mateo (Bogota) 220

El estado de la capacidad por barra en la subestación San Mateo (Bogota) 220, teniendo en cuenta la priorización se puede observar en la siguiente figura.

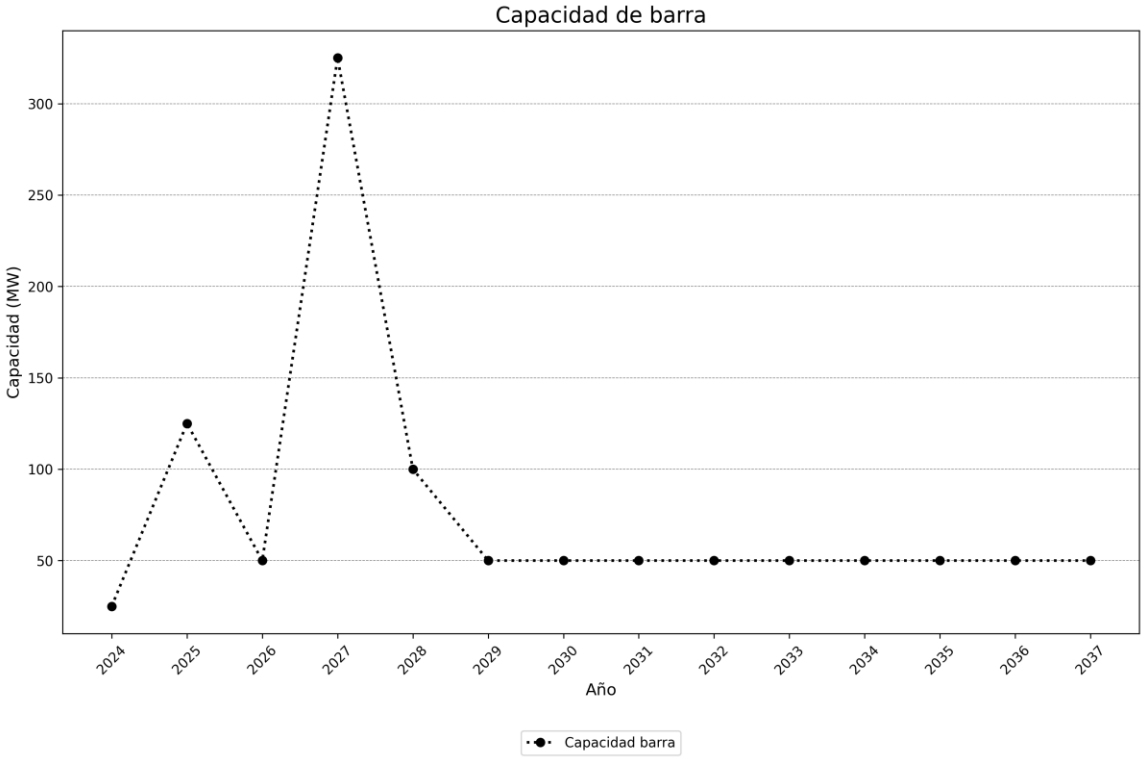


Figura 2-640. Balance de capacidad por barra después de la priorización para la subestación San Mateo (Bogota) 220

Capacidad excedente de interrupción de corriente de cortocircuito:

Para la subestación San Mateo (Bogota) 220 se presentaron 25 alternativas de conexión las cuales tienen aportes de corriente de cortocircuito. Estas alternativas se muestran en la siguiente tabla:

Tabla 2-672. Alternativas de conexión que aportan corriente de cortocircuito en la subestación San Mateo (Bogota) 220

Solicitud	tipo	FPO	Barra a la que aporta CC	Aporte de cortocircuito (kA)	Restricción
SC_2023_5280_A1	Solar FV	2028	San Mateo (Bogota) 220	0.040	SATISFACE
SC_2023_5280_A2	Solar FV	2028	San Mateo (Bogota) 220	0.035	SATISFACE
SC_2023_5287_A1	Solar FV	2026	San Mateo (Bogota) 220	0.004	SATISFACE
SC_2023_5287_A2	Solar FV	2026	San Mateo (Bogota) 220	0.004	SATISFACE
SC_2023_5288_A1	Solar FV	2026	San Mateo (Bogota) 220	0.003	SATISFACE
SC_2023_5288_A2	Solar FV	2026	San Mateo (Bogota) 220	0.007	SATISFACE
SC_2023_5375_A1	Solar FV	2026	San Mateo (Bogota) 220	0.004	SATISFACE
SC_2023_5399_A1	Solar FV	2026	San Mateo (Bogota) 220	0.003	SATISFACE
SC_2023_5399_A2	Solar FV	2026	San Mateo (Bogota) 220	0.007	SATISFACE
SC_2023_5480_A1	Solar FV	2026	San Mateo (Bogota) 220	0.004	SATISFACE
SC_2023_5480_A2	Solar FV	2026	San Mateo (Bogota) 220	0.004	SATISFACE
SC_2023_5557_A1	Solar FV	2028	San Mateo (Bogota) 220	0.086	SATISFACE
SC_2936_A1	Solar FV	2026	San Mateo (Bogota) 220	0.000	SATISFACE
SC_2936_A2	Solar FV	2026	San Mateo (Bogota) 220	0.000	SATISFACE
SC_3121_A1	Solar FV	2026	San Mateo (Bogota) 220	0.003	SATISFACE
SC_3121_A2	Solar FV	2026	San Mateo (Bogota) 220	0.003	SATISFACE
SC_3132_A1	Solar FV	2026	San Mateo (Bogota) 220	0.045	SATISFACE
SC_3132_A2	Solar FV	2026	San Mateo (Bogota) 220	0.037	SATISFACE
SC_3882_A1	Solar FV	2026	San Mateo (Bogota) 220	0.082	SATISFACE

SC_4083_A1	Solar FV	2027	San Mateo (Bogota) 220	0.000	SATISFACE
SC_4083_A2	Solar FV	2027	San Mateo (Bogota) 220	0.000	SATISFACE
SC_4765_A1	Solar FV	2029	San Mateo (Bogota) 220	0.003	SATISFACE
SC_4765_A2	Solar FV	2029	San Mateo (Bogota) 220	0.002	SATISFACE
SC_4819_A1	Solar FV	2029	San Mateo (Bogota) 220	0.075	SATISFACE
SC_4819_A2	Solar FV	2029	San Mateo (Bogota) 220	0.066	SATISFACE

No se priorizó ninguna de las alternativas de conexión que tengan aportes de corriente de cortocircuito en la subestación San Mateo (Bogota) 220

El estado de la capacidad de cortocircuito en la subestación San Mateo (Bogota) 220, teniendo en cuenta la priorización se puede observar en la siguiente figura.

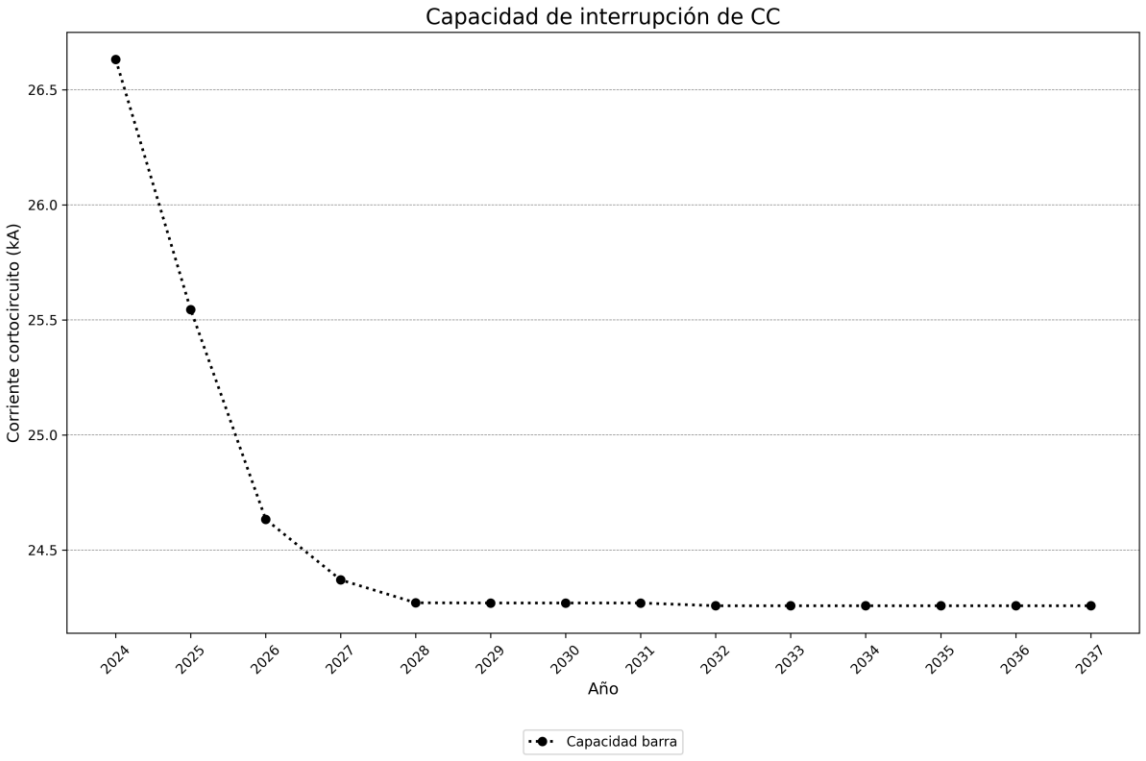


Figura 2-641. Balance de capacidad de cortocircuito después de la priorización para la subestación San Mateo (Bogota) 220

Subestación San Mateo 220:

Capacidad por barra:

Para la subestación San Mateo 220 se presentaron 0 alternativas de conexión las cuales se muestran en la siguiente tabla:

Tabla 2-673. Alternativas de conexión presentadas a la subestación San Mateo 220

Solicitud	Capacidad	Tipo	Barra	FPO solicitada	Restricción

No se priorizó ninguna de las alternativas de conexión presentadas en la subestación San Mateo 220

El estado de la capacidad por barra en la subestación San Mateo 220, teniendo en cuenta la priorización se puede observar en la siguiente figura.

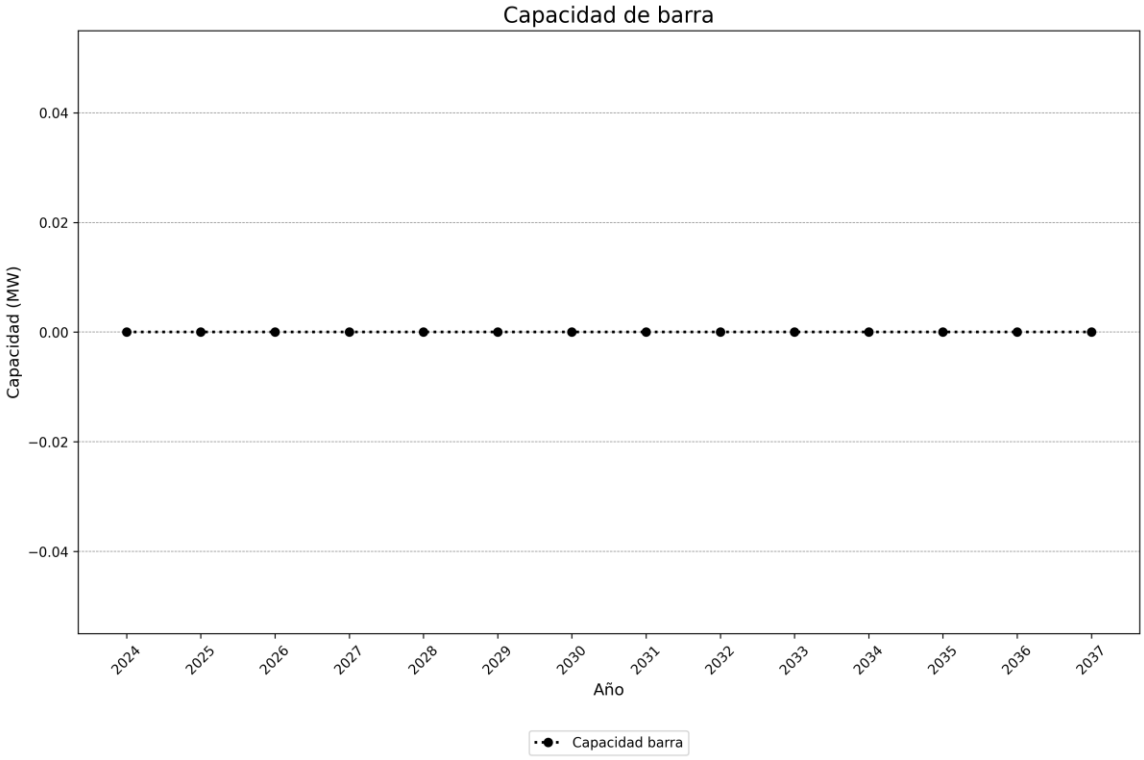


Figura 2-642. Balance de capacidad por barra después de la priorización para la subestación San Mateo 220

En el caso anterior se observa que la capacidad por barra es igual a 0 dado que, desde los comentarios presentados por transportador, se identificó que la subestación San Mateo 220 no cuenta con disponibilidad de espacio físico para la conexión de nuevos proyectos.

Capacidad excedente de interrupción de corriente de cortocircuito:

Para la subestación San Mateo 220 se presentaron 4 alternativas de conexión las cuales tienen aportes de corriente de cortocircuito. Estas alternativas se muestran en la siguiente tabla:

Tabla 2-674. Alternativas de conexión que aportan corriente de cortocircuito en la subestación San Mateo 220

Solicitud	tipo	FPO	Barra a la que aporta CC	Aporte de cortocircuito (kA)	Restricción
SC_4974_A1	Solar FV	2026	San Mateo 220	0.007	SATISFACE
SC_4974_A2	Solar FV	2026	San Mateo 220	0.007	SATISFACE
SC_4978_A1	Solar FV	2026	San Mateo 220	0.000	SATISFACE
SC_4978_A2	Solar FV	2026	San Mateo 220	0.003	SATISFACE

No se priorizó ninguna de las alternativas de conexión que tengan aportes de corriente de cortocircuito en la subestación San Mateo 220

El estado de la capacidad de cortocircuito en la subestación San Mateo 220, teniendo en cuenta la priorización se puede observar en la siguiente figura.

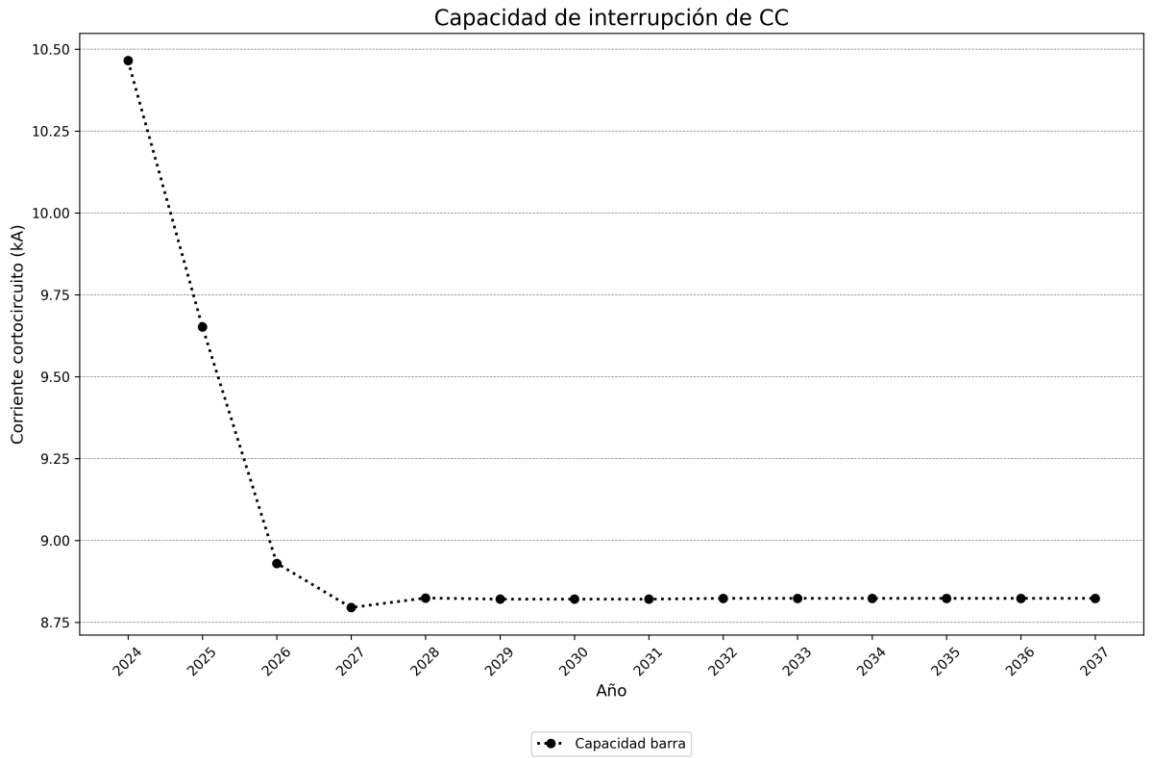


Figura 2-643. Balance de capacidad de cortocircuito después de la priorización para la subestación San Mateo 220

Subestación Santa Barbara 115:

Capacidad por barra:

Para la subestación Santa Barbara 115 se presentaron 0 alternativas de conexión las cuales se muestran en la siguiente tabla:

Tabla 2-675. Alternativas de conexión presentadas a la subestación Santa Barbara 115

Solicitud	Capacidad	Tipo	Barra	FPO solicitada	Restricción

No se priorizó ninguna de las alternativas de conexión presentadas en la subestación Santa Barbara 115

El estado de la capacidad por barra en la subestación Santa Barbara 115, teniendo en cuenta la priorización se puede observar en la siguiente figura.

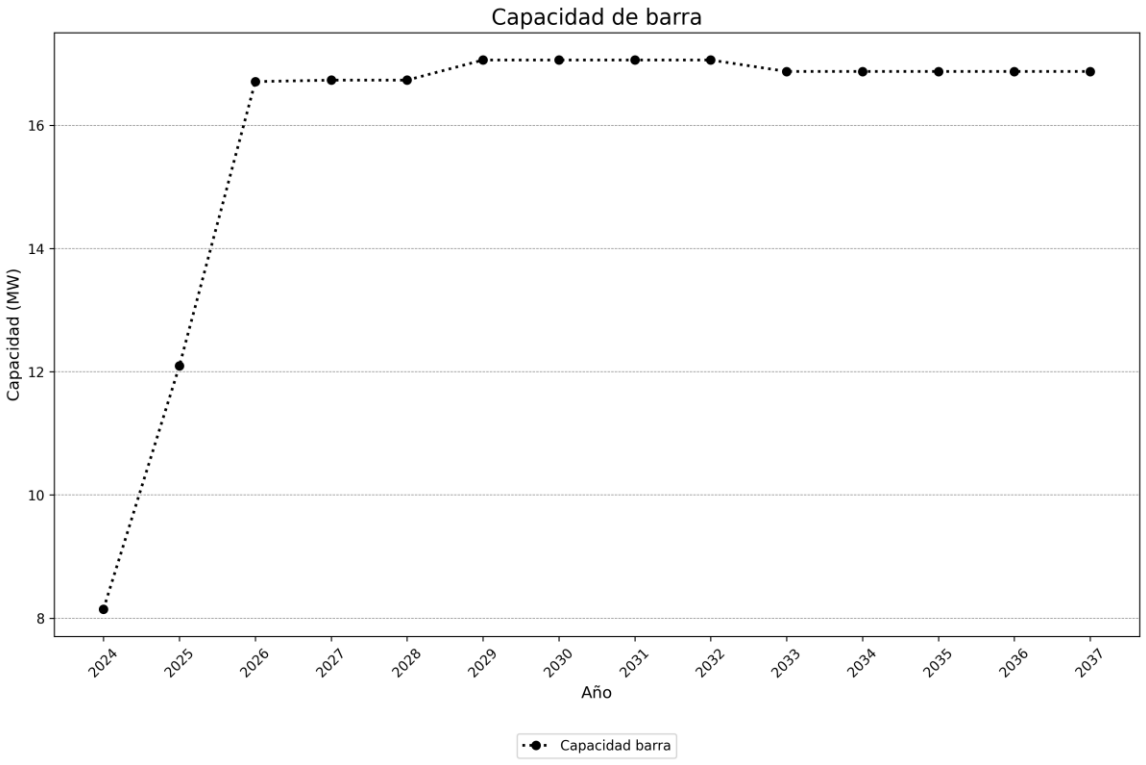


Figura 2-644. Balance de capacidad por barra después de la priorización para la subestación Santa Barbara 115

Capacidad excedente de interrupción de corriente de cortocircuito:

Para la subestación Santa Barbara 115 se presentaron 4 alternativas de conexión las cuales tienen aportes de corriente de cortocircuito. Estas alternativas se muestran en la siguiente tabla:

Tabla 2-676. Alternativas de conexión que aportan corriente de cortocircuito en la subestación Santa Barbara 115

Solicitud	tipo	FPO	Barra a la que aporta CC	Aporte de cortocircuito (kA)	Restricción
SC_2023_5557_A1	Solar FV	2028	Santa Barbara 115	0.057	SATISFACE
SC_2936_A1	Solar FV	2026	Santa Barbara 115	0.000	SATISFACE
SC_2936_A2	Solar FV	2026	Santa Barbara 115	0.000	SATISFACE
SC_3882_A1	Solar FV	2026	Santa Barbara 115	0.056	SATISFACE

No se priorizó ninguna de las alternativas de conexión que tengan aportes de corriente de cortocircuito en la subestación Santa Barbara 115

El estado de la capacidad de cortocircuito en la subestación Santa Barbara 115, teniendo en cuenta la priorización se puede observar en la siguiente figura.

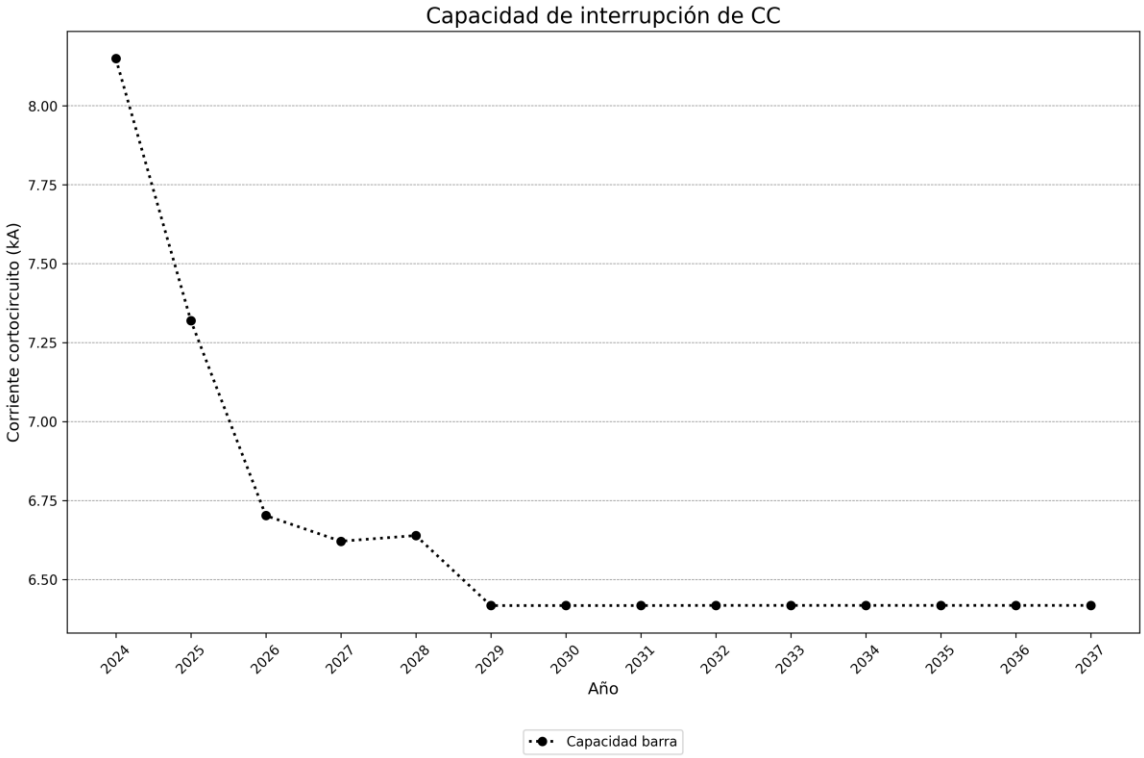


Figura 2-645. Balance de capacidad de cortocircuito después de la priorización para la subestación Santa Barbara 115

Subestación Santa Cecilia 33:

Capacidad por barra:

Para la subestación Santa Cecilia 33 se presentaron 0 alternativas de conexión las cuales se muestran en la siguiente tabla:

Tabla 2-677. Alternativas de conexión presentadas a la subestación Santa Cecilia 33

Solicitud	Capacidad	Tipo	Barra	FPO solicitada	Restricción

No se priorizó ninguna de las alternativas de conexión presentadas en la subestación Santa Cecilia 33

El estado de la capacidad por barra en la subestación Santa Cecilia 33, teniendo en cuenta la priorización se puede observar en la siguiente figura.

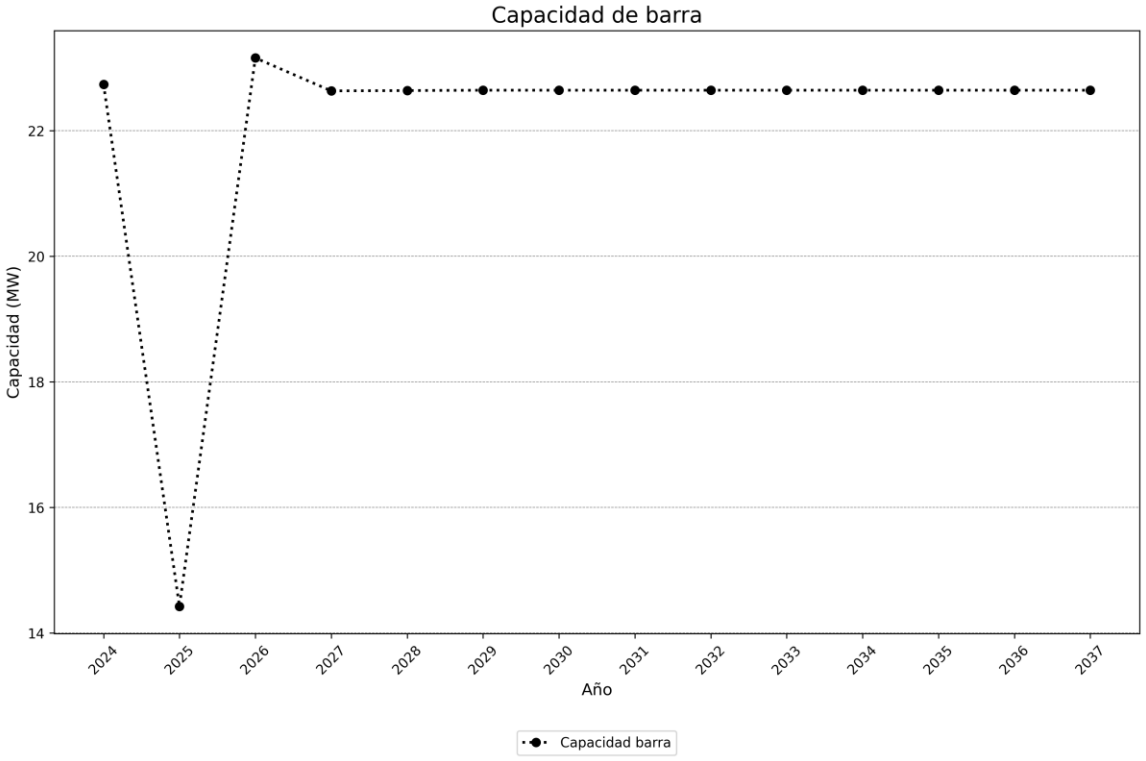


Figura 2-646. Balance de capacidad por barra después de la priorización para la subestación Santa Cecilia 33

Subestación Santa Fe de Antioquia 110 kV:

Capacidad por barra:

Para la subestación Santa Fe de Antioquia 110 kV se presentaron 0 alternativas de conexión las cuales se muestran en la siguiente tabla:

Tabla 2-678. Alternativas de conexión presentadas a la subestación Santa Fe de Antioquia 110 kV

Solicitud	Capacidad	Tipo	Barra	FPO solicitada	Restricción

No se priorizó ninguna de las alternativas de conexión presentadas en la subestación Santa Fe de Antioquia 110 kV

El estado de la capacidad por barra en la subestación Santa Fe de Antioquia 110 kV, teniendo en cuenta la priorización se puede observar en la siguiente figura.

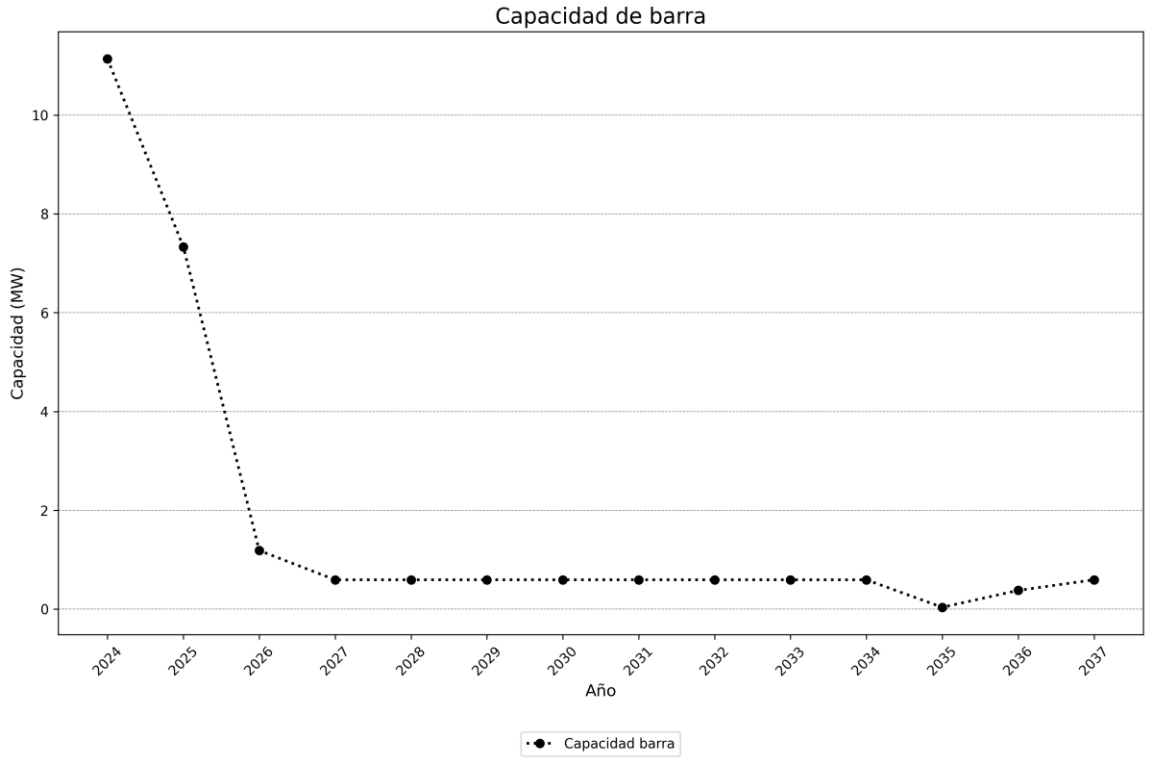


Figura 2-647. Balance de capacidad por barra después de la priorización para la subestación Santa Fe de Antioquia 110 kV

Capacidad excedente de interrupción de corriente de cortocircuito:

Para la subestación Santa Fe de Antioquia 110 kV se presentaron 1 alternativas de conexión las cuales tienen aportes de corriente de cortocircuito. Estas alternativas se muestran en la siguiente tabla:

Tabla 2-679. Alternativas de conexión que aportan corriente de cortocircuito en la subestación Santa Fe de Antioquia 110 kV

Solicitud	tipo	FPO	Barra a la que aporta CC	Aporte de cortocircuito (kA)	Restricción
SC_3331_A1	Solar FV	2026	Santa Fe de Antioquia 110 kV	0.019	SATISFACE

No se priorizó ninguna de las alternativas de conexión que tengan aportes de corriente de cortocircuito en la subestación Santa Fe de Antioquia 110 kV

El estado de la capacidad de cortocircuito en la subestación Santa Fe de Antioquia 110 kV, teniendo en cuenta la priorización se puede observar en la siguiente figura.

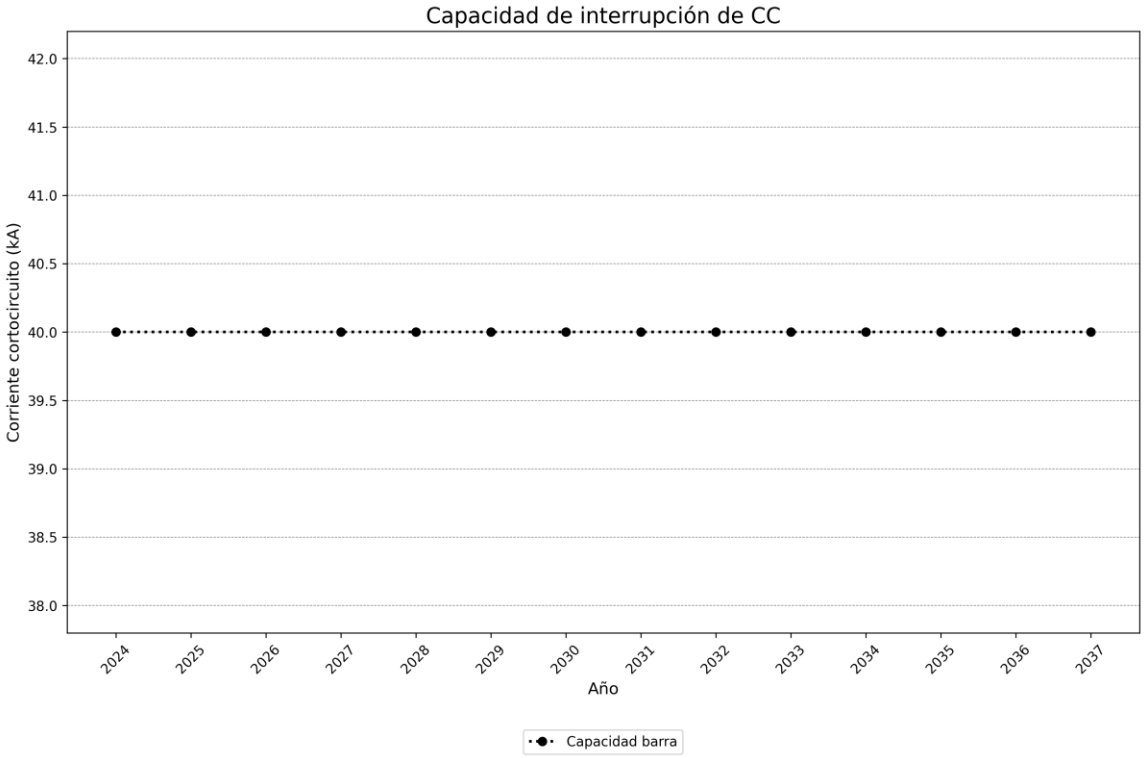


Figura 2-648. Balance de capacidad de cortocircuito después de la priorización para la subestación Santa Fe de Antioquia 110 kV

Subestación Santa Maria 115:

Capacidad por barra:

Para la subestación Santa Maria 115 se presentaron 0 alternativas de conexión las cuales se muestran en la siguiente tabla:

Tabla 2-680. Alternativas de conexión presentadas a la subestación Santa Maria 115

Solicitud	Capacidad	Tipo	Barra	FPO solicitada	Restricción

No se priorizó ninguna de las alternativas de conexión presentadas en la subestación Santa Maria 115

El estado de la capacidad por barra en la subestación Santa Maria 115, teniendo en cuenta la priorización se puede observar en la siguiente figura.

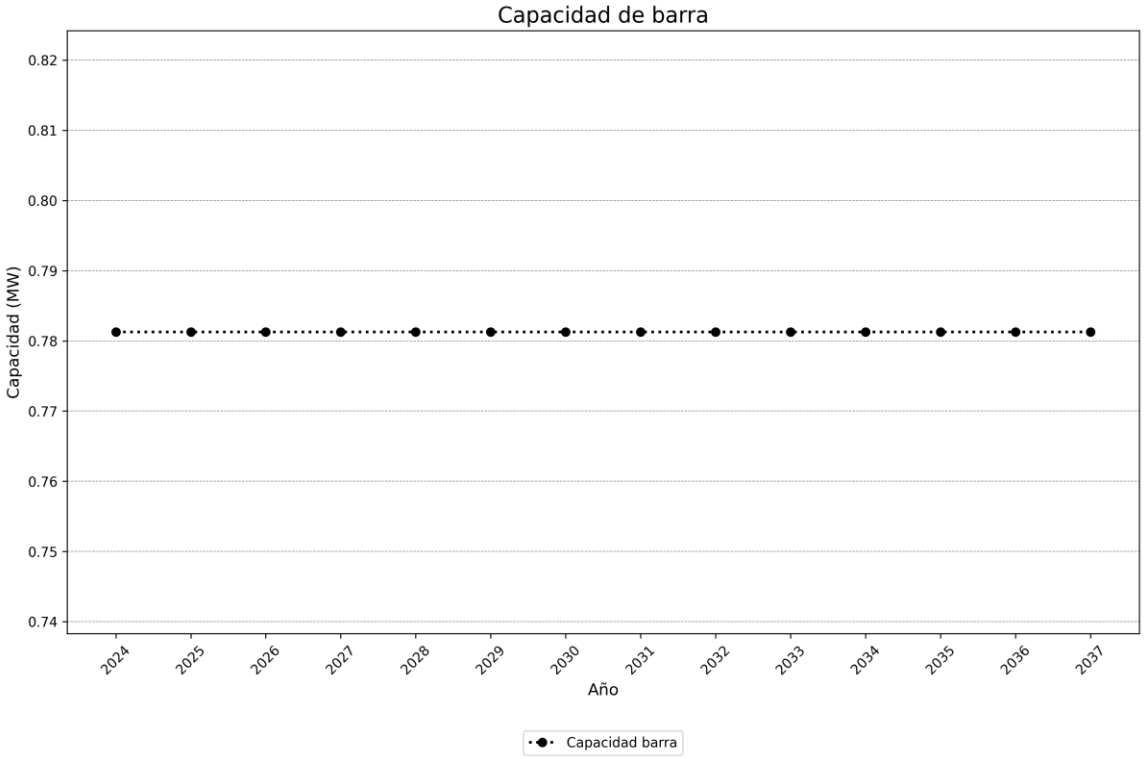


Figura 2-649. Balance de capacidad por barra después de la priorización para la subestación Santa Maria 115

Capacidad excedente de interrupción de corriente de cortocircuito:

Para la subestación Santa Maria 115 se presentaron 25 alternativas de conexión las cuales tienen aportes de corriente de cortocircuito. Estas alternativas se muestran en la siguiente tabla:

Tabla 2-681. Alternativas de conexión que aportan corriente de cortocircuito en la subestación Santa Maria 115

Solicitud	tipo	FPO	Barra a la que aporta CC	Aporte de cortocircuito (kA)	Restricción
SC_2023_5280_A1	Solar FV	2028	Santa Maria 115	0.009	SATISFACE
SC_2023_5280_A2	Solar FV	2028	Santa Maria 115	0.008	SATISFACE
SC_2023_5287_A1	Solar FV	2026	Santa Maria 115	0.005	SATISFACE
SC_2023_5287_A2	Solar FV	2026	Santa Maria 115	0.005	SATISFACE
SC_2023_5288_A1	Solar FV	2026	Santa Maria 115	0.003	SATISFACE
SC_2023_5288_A2	Solar FV	2026	Santa Maria 115	0.008	SATISFACE
SC_2023_5375_A1	Solar FV	2026	Santa Maria 115	0.005	SATISFACE
SC_2023_5399_A1	Solar FV	2026	Santa Maria 115	0.003	SATISFACE
SC_2023_5399_A2	Solar FV	2026	Santa Maria 115	0.008	SATISFACE
SC_2023_5480_A1	Solar FV	2026	Santa Maria 115	0.005	SATISFACE
SC_2023_5480_A2	Solar FV	2026	Santa Maria 115	0.005	SATISFACE
SC_2023_5557_A1	Solar FV	2028	Santa Maria 115	0.019	SATISFACE
SC_2936_A1	Solar FV	2026	Santa Maria 115	0.000	SATISFACE
SC_2936_A2	Solar FV	2026	Santa Maria 115	0.000	SATISFACE
SC_3121_A1	Solar FV	2026	Santa Maria 115	0.001	SATISFACE
SC_3121_A2	Solar FV	2026	Santa Maria 115	0.001	SATISFACE
SC_3132_A1	Solar FV	2026	Santa Maria 115	0.010	SATISFACE
SC_3132_A2	Solar FV	2026	Santa Maria 115	0.009	SATISFACE
SC_3882_A1	Solar FV	2026	Santa Maria 115	0.018	SATISFACE

SC_4083_A1	Solar FV	2027	Santa Maria 115	0.000	SATISFACE
SC_4083_A2	Solar FV	2027	Santa Maria 115	0.000	SATISFACE
SC_4765_A1	Solar FV	2029	Santa Maria 115	0.000	SATISFACE
SC_4765_A2	Solar FV	2029	Santa Maria 115	0.000	SATISFACE
SC_4819_A1	Solar FV	2029	Santa Maria 115	0.014	SATISFACE
SC_4819_A2	Solar FV	2029	Santa Maria 115	0.013	SATISFACE

No se priorizó ninguna de las alternativas de conexión que tengan aportes de corriente de cortocircuito en la subestación Santa Maria 115

El estado de la capacidad de cortocircuito en la subestación Santa Maria 115, teniendo en cuenta la priorización se puede observar en la siguiente figura.

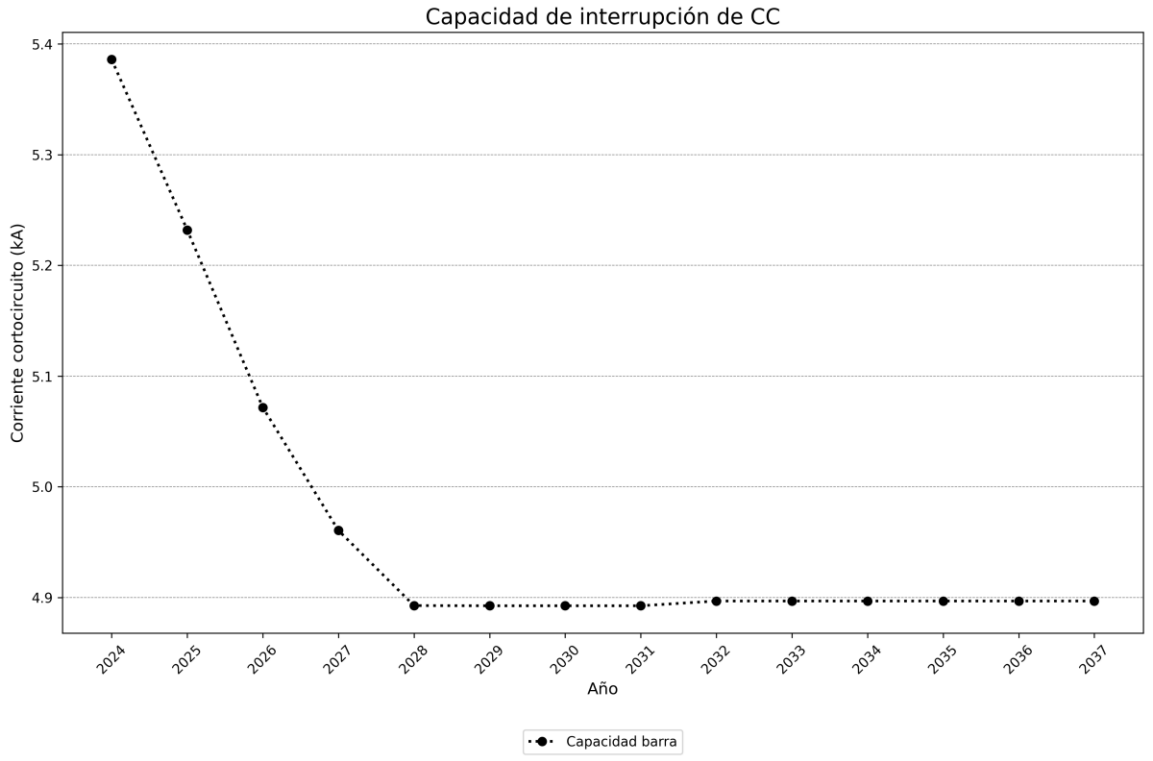


Figura 2-650. Balance de capacidad de cortocircuito después de la priorización para la subestación Santa Maria 115

Subestación Santander 115:

Capacidad por barra:

Para la subestación Santander 115 se presentaron 0 alternativas de conexión las cuales se muestran en la siguiente tabla:

Tabla 2-682. Alternativas de conexión presentadas a la subestación Santander 115

Solicitud	Capacidad	Tipo	Barra	FPO solicitada	Restricción

No se priorizó ninguna de las alternativas de conexión presentadas en la subestación Santander 115

El estado de la capacidad por barra en la subestación Santander 115, teniendo en cuenta la priorización se puede observar en la siguiente figura.

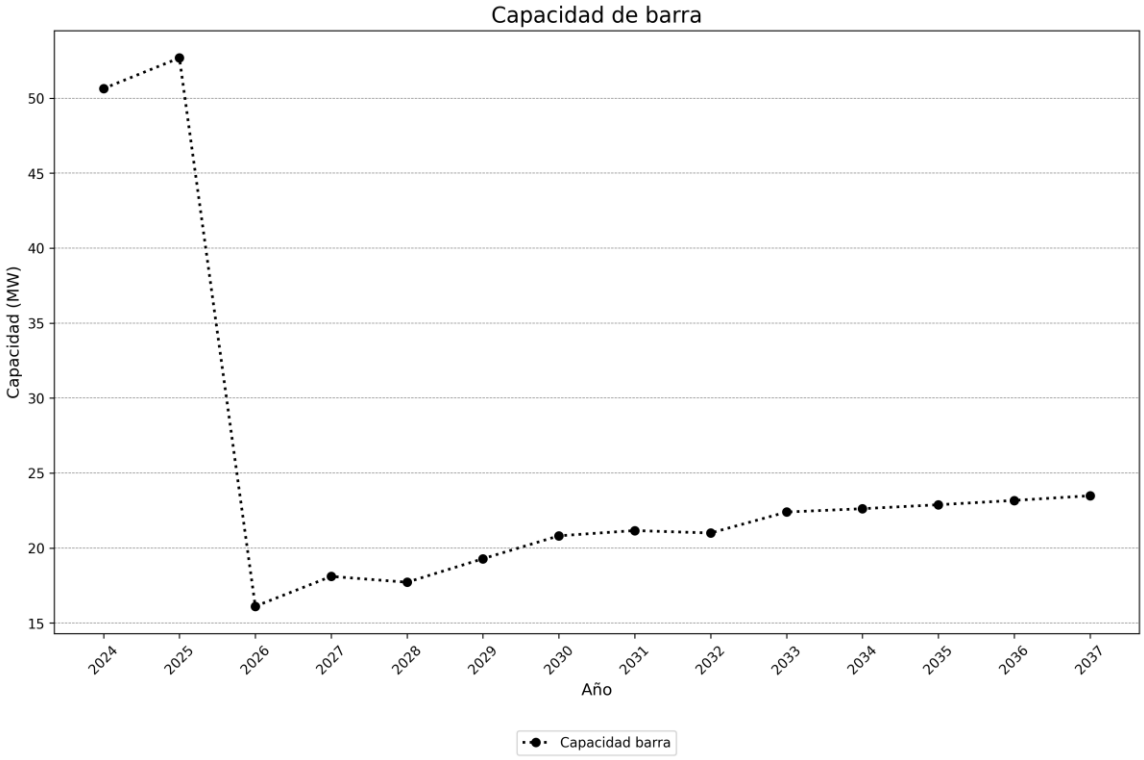


Figura 2-651. Balance de capacidad por barra después de la priorización para la subestación Santander 115

Capacidad excedente de interrupción de corriente de cortocircuito:

Para la subestación Santander 115 se presentaron 29 alternativas de conexión las cuales tienen aportes de corriente de cortocircuito. Estas alternativas se muestran en la siguiente tabla:

Tabla 2-683. Alternativas de conexión que aportan corriente de cortocircuito en la subestación Santander 115

Solicitud	tipo	FPO	Barra a la que aporta CC	Aporte de cortocircuito (kA)	Restricción
SC_2023_5280_A1	Solar FV	2028	Santander 115	0.020	SATISFACE
SC_2023_5280_A2	Solar FV	2028	Santander 115	0.019	SATISFACE

SC_2023_5287_A1	Solar FV	2026	Santander 115	0.011	SATISFACE
SC_2023_5287_A2	Solar FV	2026	Santander 115	0.011	SATISFACE
SC_2023_5288_A1	Solar FV	2026	Santander 115	0.006	SATISFACE
SC_2023_5288_A2	Solar FV	2026	Santander 115	0.017	SATISFACE
SC_2023_5375_A1	Solar FV	2026	Santander 115	0.010	SATISFACE
SC_2023_5399_A1	Solar FV	2026	Santander 115	0.006	SATISFACE
SC_2023_5399_A2	Solar FV	2026	Santander 115	0.017	SATISFACE
SC_2023_5480_A1	Solar FV	2026	Santander 115	0.011	SATISFACE
SC_2023_5480_A2	Solar FV	2026	Santander 115	0.011	SATISFACE
SC_2023_5557_A1	Solar FV	2028	Santander 115	0.030	SATISFACE
SC_2936_A1	Solar FV	2026	Santander 115	0.000	SATISFACE
SC_2936_A2	Solar FV	2026	Santander 115	0.000	SATISFACE
SC_3121_A1	Solar FV	2026	Santander 115	0.001	SATISFACE
SC_3121_A2	Solar FV	2026	Santander 115	0.001	SATISFACE
SC_3132_A1	Solar FV	2026	Santander 115	0.023	SATISFACE
SC_3132_A2	Solar FV	2026	Santander 115	0.021	SATISFACE
SC_3882_A1	Solar FV	2026	Santander 115	0.029	SATISFACE
SC_4083_A1	Solar FV	2027	Santander 115	0.000	SATISFACE
SC_4083_A2	Solar FV	2027	Santander 115	0.000	SATISFACE
SC_4765_A1	Solar FV	2029	Santander 115	0.000	SATISFACE
SC_4765_A2	Solar FV	2029	Santander 115	0.000	SATISFACE
SC_4819_A1	Solar FV	2029	Santander 115	0.036	SATISFACE
SC_4819_A2	Solar FV	2029	Santander 115	0.033	SATISFACE
SC_4974_A1	Solar FV	2026	Santander 115	0.008	SATISFACE
SC_4974_A2	Solar FV	2026	Santander 115	0.008	SATISFACE
SC_4978_A1	Solar FV	2026	Santander 115	0.000	SATISFACE
SC_4978_A2	Solar FV	2026	Santander 115	0.004	SATISFACE

No se priorizó ninguna de las alternativas de conexión que tengan aportes de corriente de cortocircuito en la subestación Santander 115

El estado de la capacidad de cortocircuito en la subestación Santander 115, teniendo en cuenta la priorización se puede observar en la siguiente figura.

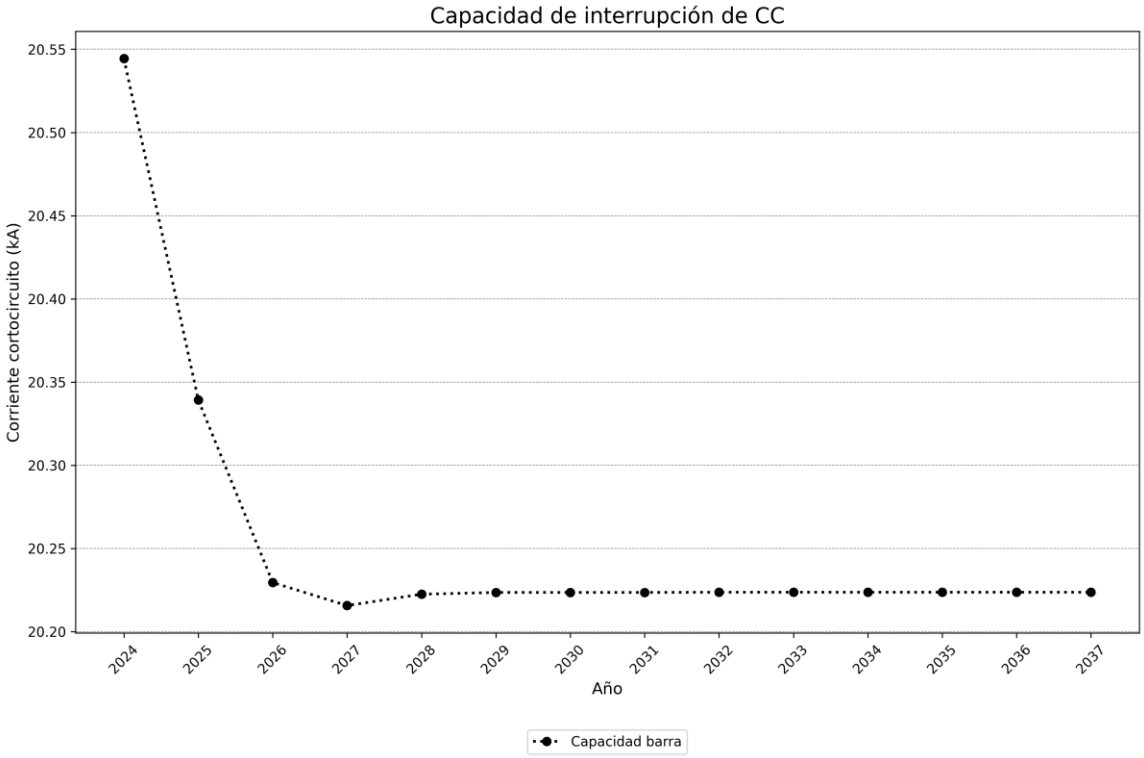


Figura 2-652. Balance de capacidad de cortocircuito después de la priorización para la subestación Santander 115

Subestación Santuario 33:

Capacidad por barra:

Para la subestación Santuario 33 se presentaron 0 alternativas de conexión las cuales se muestran en la siguiente tabla:

Tabla 2-684. Alternativas de conexión presentadas a la subestación Santuario 33

Solicitud	Capacidad	Tipo	Barra	FPO solicitada	Restricción

No se priorizó ninguna de las alternativas de conexión presentadas en la subestación Santuario 33

El estado de la capacidad por barra en la subestación Santuario 33, teniendo en cuenta la priorización se puede observar en la siguiente figura.

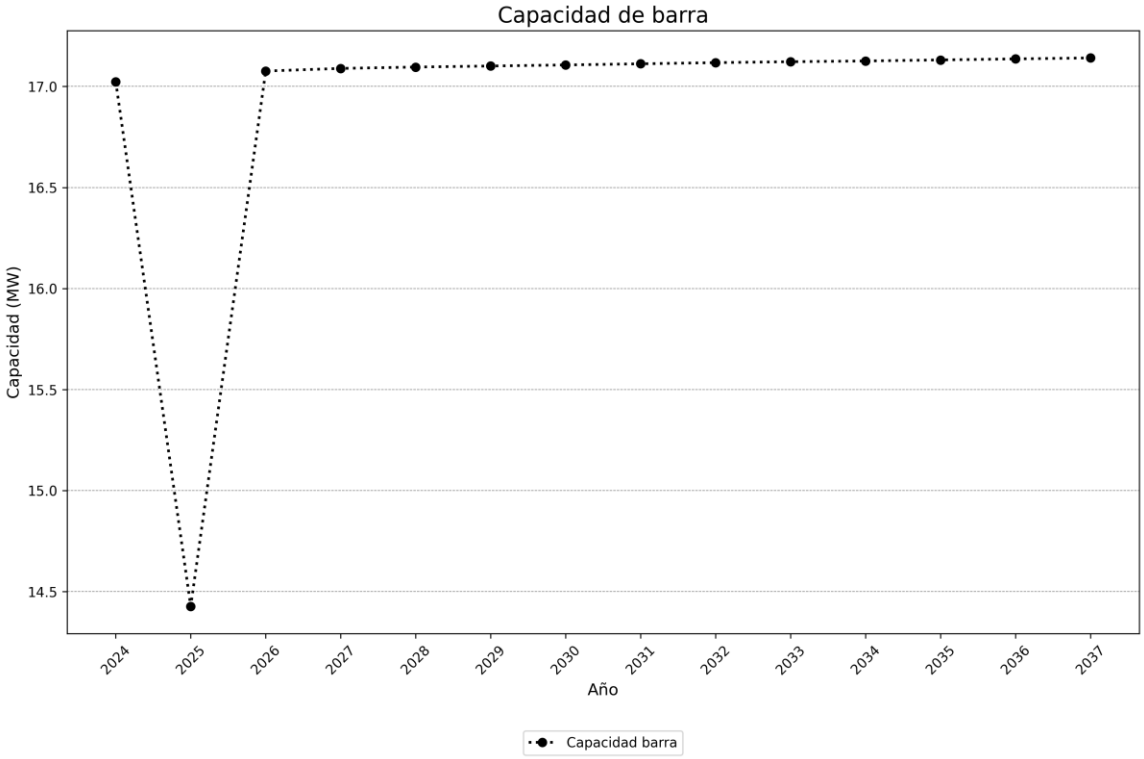


Figura 2-653. Balance de capacidad por barra después de la priorización para la subestación Santuario 33

Subestación Sauces 115:

Capacidad por barra:

Para la subestación Sauces 115 se presentaron 0 alternativas de conexión las cuales se muestran en la siguiente tabla:

Tabla 2-685. Alternativas de conexión presentadas a la subestación Sauces 115

Solicitud	Capacidad	Tipo	Barra	FPO solicitada	Restricción

No se priorizó ninguna de las alternativas de conexión presentadas en la subestación Sauces 115

El estado de la capacidad por barra en la subestación Sauces 115, teniendo en cuenta la priorización se puede observar en la siguiente figura.

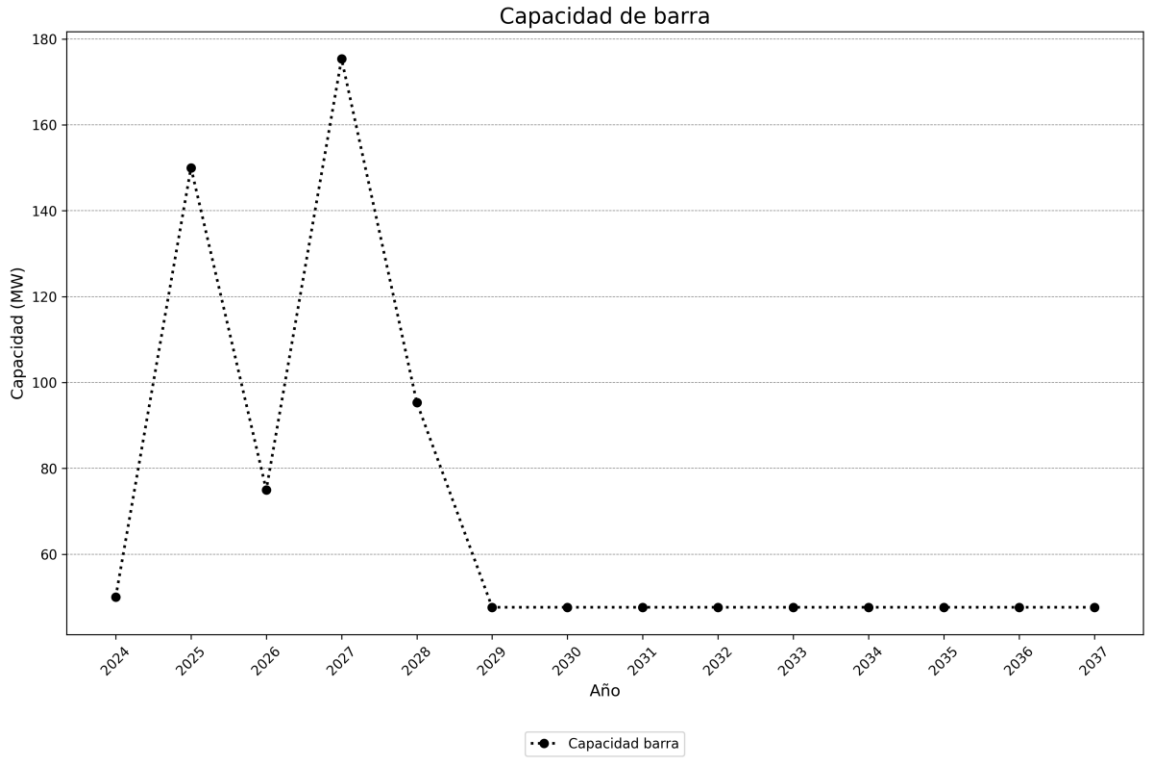


Figura 2-654. Balance de capacidad por barra después de la priorización para la subestación Sauces 115

Capacidad excedente de interrupción de corriente de cortocircuito:

Para la subestación Sauces 115 se presentaron 23 alternativas de conexión las cuales tienen aportes de corriente de cortocircuito. Estas alternativas se muestran en la siguiente tabla:

Tabla 2-686. Alternativas de conexión que aportan corriente de cortocircuito en la subestación Sauces 115

Solicitud	tipo	FPO	Barra a la que aporta CC	Aporte de cortocircuito (kA)	Restricción
SC_2023_5280_A1	Solar FV	2028	Sauces 115	0.017	SATISFACE
SC_2023_5280_A2	Solar FV	2028	Sauces 115	0.015	SATISFACE
SC_2023_5287_A1	Solar FV	2026	Sauces 115	0.009	SATISFACE
SC_2023_5287_A2	Solar FV	2026	Sauces 115	0.009	SATISFACE
SC_2023_5288_A1	Solar FV	2026	Sauces 115	0.005	SATISFACE
SC_2023_5288_A2	Solar FV	2026	Sauces 115	0.014	SATISFACE
SC_2023_5375_A1	Solar FV	2026	Sauces 115	0.009	SATISFACE
SC_2023_5399_A1	Solar FV	2026	Sauces 115	0.005	SATISFACE
SC_2023_5399_A2	Solar FV	2026	Sauces 115	0.014	SATISFACE
SC_2023_5480_A1	Solar FV	2026	Sauces 115	0.009	SATISFACE
SC_2023_5480_A2	Solar FV	2026	Sauces 115	0.009	SATISFACE
SC_3132_A1	Solar FV	2026	Sauces 115	0.019	SATISFACE
SC_3132_A2	Solar FV	2026	Sauces 115	0.017	SATISFACE
SC_4083_A1	Solar FV	2027	Sauces 115	0.000	SATISFACE
SC_4083_A2	Solar FV	2027	Sauces 115	0.000	SATISFACE
SC_4765_A1	Solar FV	2029	Sauces 115	0.000	SATISFACE
SC_4765_A2	Solar FV	2029	Sauces 115	0.000	SATISFACE
SC_4819_A1	Solar FV	2029	Sauces 115	0.031	SATISFACE
SC_4819_A2	Solar FV	2029	Sauces 115	0.028	SATISFACE
SC_4974_A1	Solar FV	2026	Sauces 115	0.005	SATISFACE
SC_4974_A2	Solar FV	2026	Sauces 115	0.005	SATISFACE
SC_4978_A1	Solar FV	2026	Sauces 115	0.006	SATISFACE
SC_4978_A2	Solar FV	2026	Sauces 115	0.009	SATISFACE

No se priorizó ninguna de las alternativas de conexión que tengan aportes de corriente de cortocircuito en la subestación Sauces 115

El estado de la capacidad de cortocircuito en la subestación Sauces 115, teniendo en cuenta la priorización se puede observar en la siguiente figura.

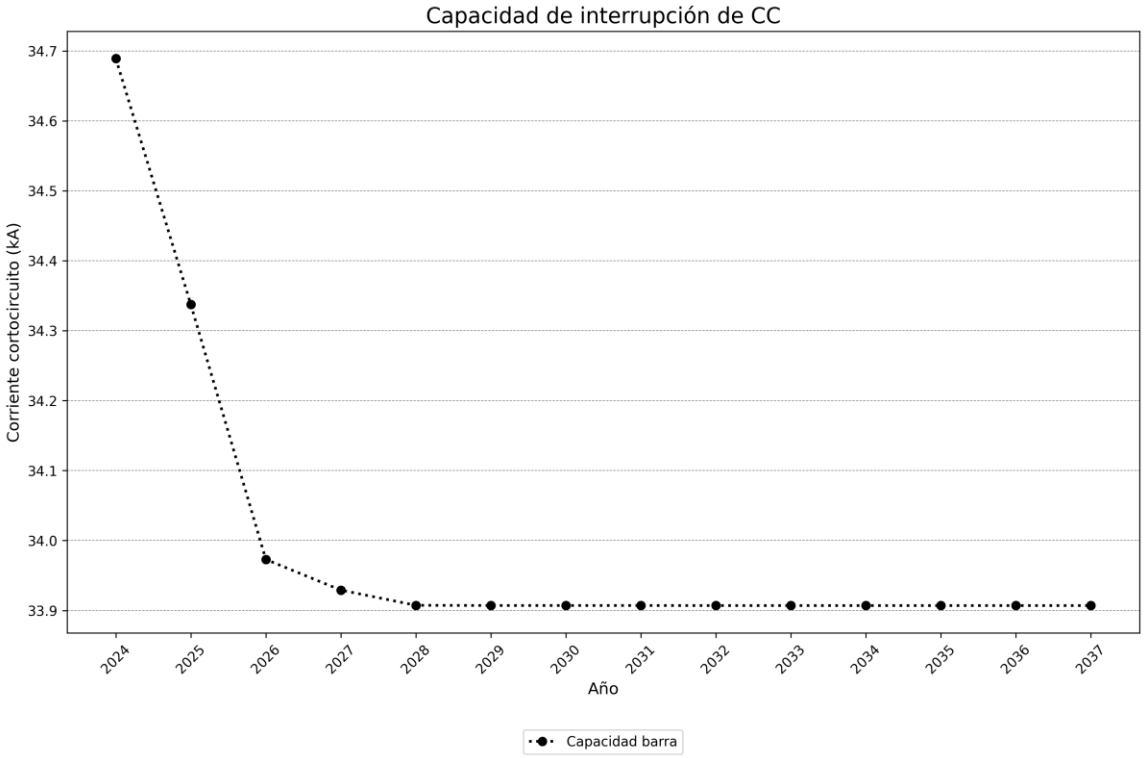


Figura 2-655. Balance de capacidad de cortocircuito después de la priorización para la subestación Sauces 115

Subestación Seboruco 115:

Capacidad por barra:

Para la subestación Seboruco 115 se presentaron 0 alternativas de conexión las cuales se muestran en la siguiente tabla:

Tabla 2-687. Alternativas de conexión presentadas a la subestación Seboruco 115

Solicitud	Capacidad	Tipo	Barra	FPO solicitada	Restricción

No se priorizó ninguna de las alternativas de conexión presentadas en la subestación Seboruco 115

El estado de la capacidad por barra en la subestación Seboruco 115, teniendo en cuenta la priorización se puede observar en la siguiente figura.

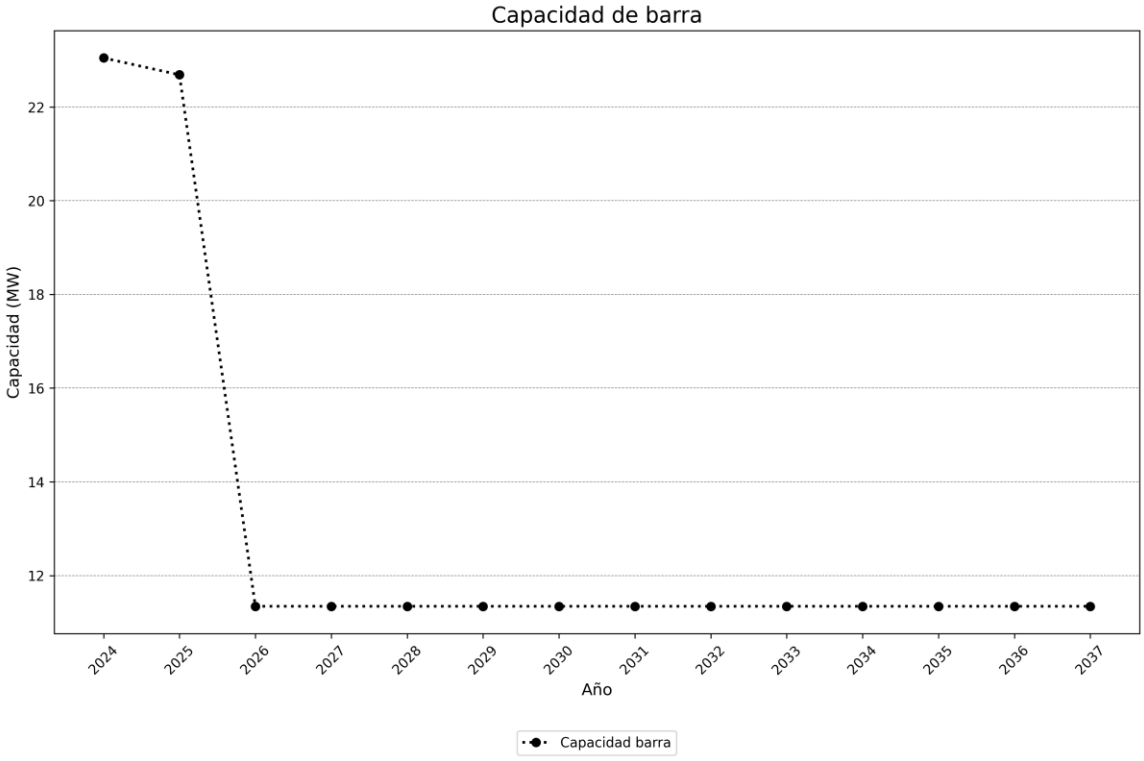


Figura 2-656. Balance de capacidad por barra después de la priorización para la subestación Seboruco 115

Capacidad excedente de interrupción de corriente de cortocircuito:

Para la subestación Seboruco 115 se presentaron 25 alternativas de conexión las cuales tienen aportes de corriente de cortocircuito. Estas alternativas se muestran en la siguiente tabla:

Tabla 2-688. Alternativas de conexión que aportan corriente de cortocircuito en la subestación Seboruco 115

Solicitud	tipo	FPO	Barra a la que aporta CC	Aporte de cortocircuito (kA)	Restricción
SC_2023_5280_A1	Solar FV	2028	Seboruco 115	0.016	SATISFACE
SC_2023_5280_A2	Solar FV	2028	Seboruco 115	0.015	SATISFACE
SC_2023_5287_A1	Solar FV	2026	Seboruco 115	0.000	SATISFACE
SC_2023_5287_A2	Solar FV	2026	Seboruco 115	0.000	SATISFACE
SC_2023_5288_A1	Solar FV	2026	Seboruco 115	0.000	SATISFACE
SC_2023_5288_A2	Solar FV	2026	Seboruco 115	0.000	SATISFACE
SC_2023_5375_A1	Solar FV	2026	Seboruco 115	0.000	SATISFACE
SC_2023_5399_A1	Solar FV	2026	Seboruco 115	0.000	SATISFACE
SC_2023_5399_A2	Solar FV	2026	Seboruco 115	0.000	SATISFACE
SC_2023_5480_A1	Solar FV	2026	Seboruco 115	0.000	SATISFACE
SC_2023_5480_A2	Solar FV	2026	Seboruco 115	0.000	SATISFACE
SC_2023_5557_A1	Solar FV	2028	Seboruco 115	0.029	SATISFACE
SC_2936_A1	Solar FV	2026	Seboruco 115	0.000	SATISFACE
SC_2936_A2	Solar FV	2026	Seboruco 115	0.000	SATISFACE
SC_3121_A1	Solar FV	2026	Seboruco 115	0.001	SATISFACE
SC_3121_A2	Solar FV	2026	Seboruco 115	0.001	SATISFACE
SC_3132_A1	Solar FV	2026	Seboruco 115	0.019	SATISFACE
SC_3132_A2	Solar FV	2026	Seboruco 115	0.016	SATISFACE
SC_3882_A1	Solar FV	2026	Seboruco 115	0.028	SATISFACE
SC_4083_A1	Solar FV	2027	Seboruco 115	0.000	SATISFACE
SC_4083_A2	Solar FV	2027	Seboruco 115	0.000	SATISFACE
SC_4974_A1	Solar FV	2026	Seboruco 115	0.004	SATISFACE
SC_4974_A2	Solar FV	2026	Seboruco 115	0.004	SATISFACE
SC_4978_A1	Solar FV	2026	Seboruco 115	0.006	SATISFACE
SC_4978_A2	Solar FV	2026	Seboruco 115	0.010	SATISFACE

No se priorizó ninguna de las alternativas de conexión que tengan aportes de corriente de cortocircuito en la subestación Seboruco 115

El estado de la capacidad de cortocircuito en la subestación Seboruco 115, teniendo en cuenta la priorización se puede observar en la siguiente figura.

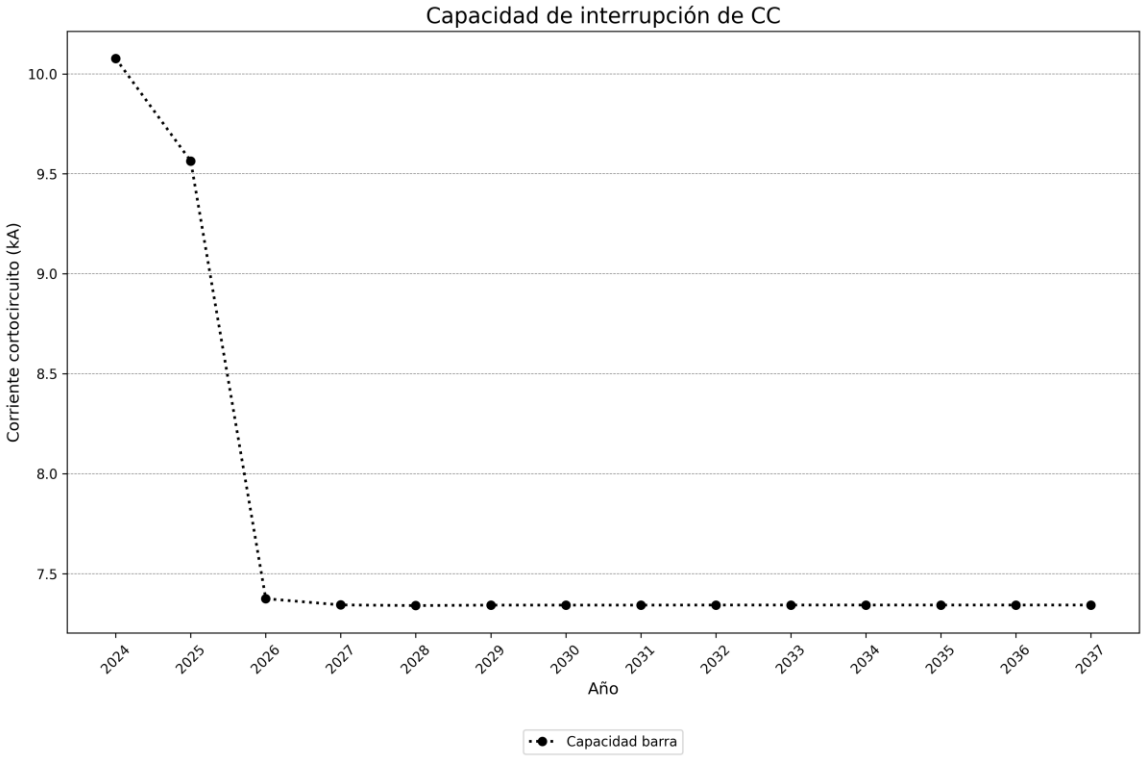


Figura 2-657. Balance de capacidad de cortocircuito después de la priorización para la subestación Seboruco 115

Subestación Segovianas 115:

Capacidad por barra:

Para la subestación Segovianas 115 se presentaron 0 alternativas de conexión las cuales se muestran en la siguiente tabla:

Tabla 2-689. Alternativas de conexión presentadas a la subestación Segovianas 115

Solicitud	Capacidad	Tipo	Barra	FPO solicitada	Restricción

No se priorizó ninguna de las alternativas de conexión presentadas en la subestación Segovianas 115

El estado de la capacidad por barra en la subestación Segovianas 115, teniendo en cuenta la priorización se puede observar en la siguiente figura.

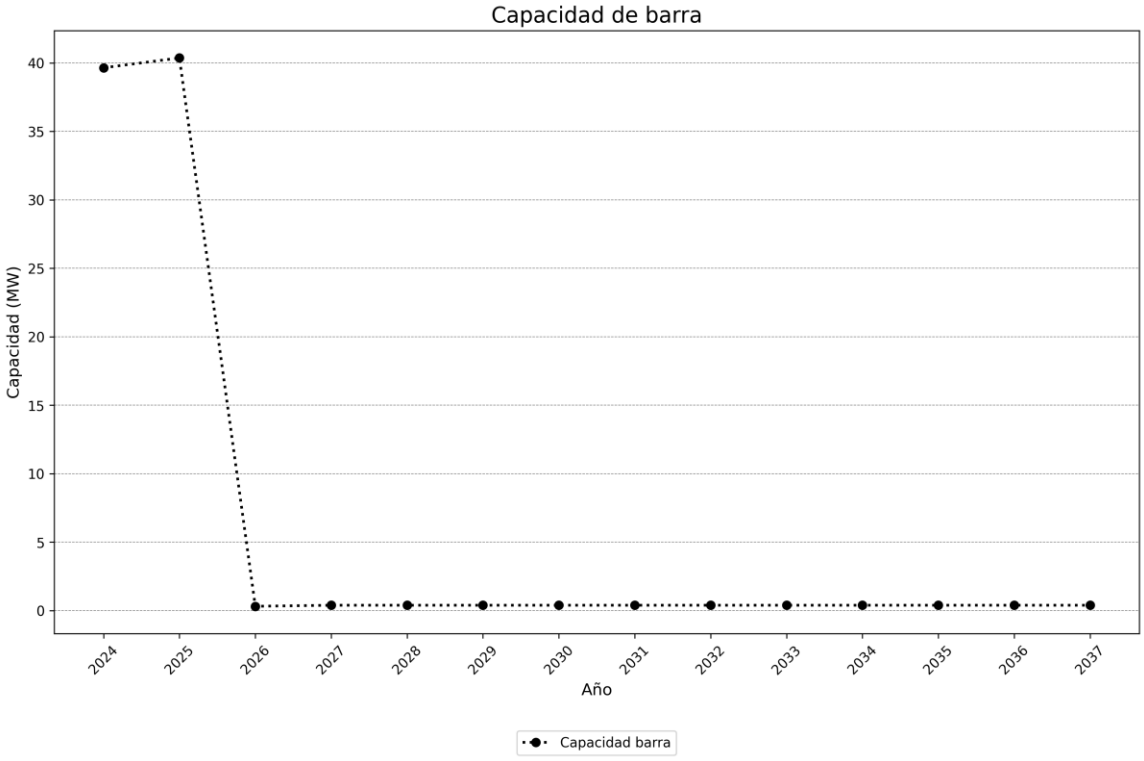


Figura 2-658. Balance de capacidad por barra después de la priorización para la subestación Segovianas 115

Capacidad excedente de interrupción de corriente de cortocircuito:

Para la subestación Segovianas 115 se presentaron 6 alternativas de conexión las cuales tienen aportes de corriente de cortocircuito. Estas alternativas se muestran en la siguiente tabla:

Tabla 2-690. Alternativas de conexión que aportan corriente de cortocircuito en la subestación Segovianas 115

Solicitud	tipo	FPO	Barra a la que aporta CC	Aporte de cortocircuito (kA)	Restricción
SC_2023_5557_A1	Solar FV	2028	Segovianas 115	0.005	SATISFACE
SC_2936_A1	Solar FV	2026	Segovianas 115	0.000	SATISFACE
SC_2936_A2	Solar FV	2026	Segovianas 115	0.000	SATISFACE
SC_3882_A1	Solar FV	2026	Segovianas 115	0.005	SATISFACE
SC_4083_A1	Solar FV	2027	Segovianas 115	0.000	SATISFACE
SC_4083_A2	Solar FV	2027	Segovianas 115	0.000	SATISFACE

No se priorizó ninguna de las alternativas de conexión que tengan aportes de corriente de cortocircuito en la subestación Segovianas 115

El estado de la capacidad de cortocircuito en la subestación Segovianas 115, teniendo en cuenta la priorización se puede observar en la siguiente figura.

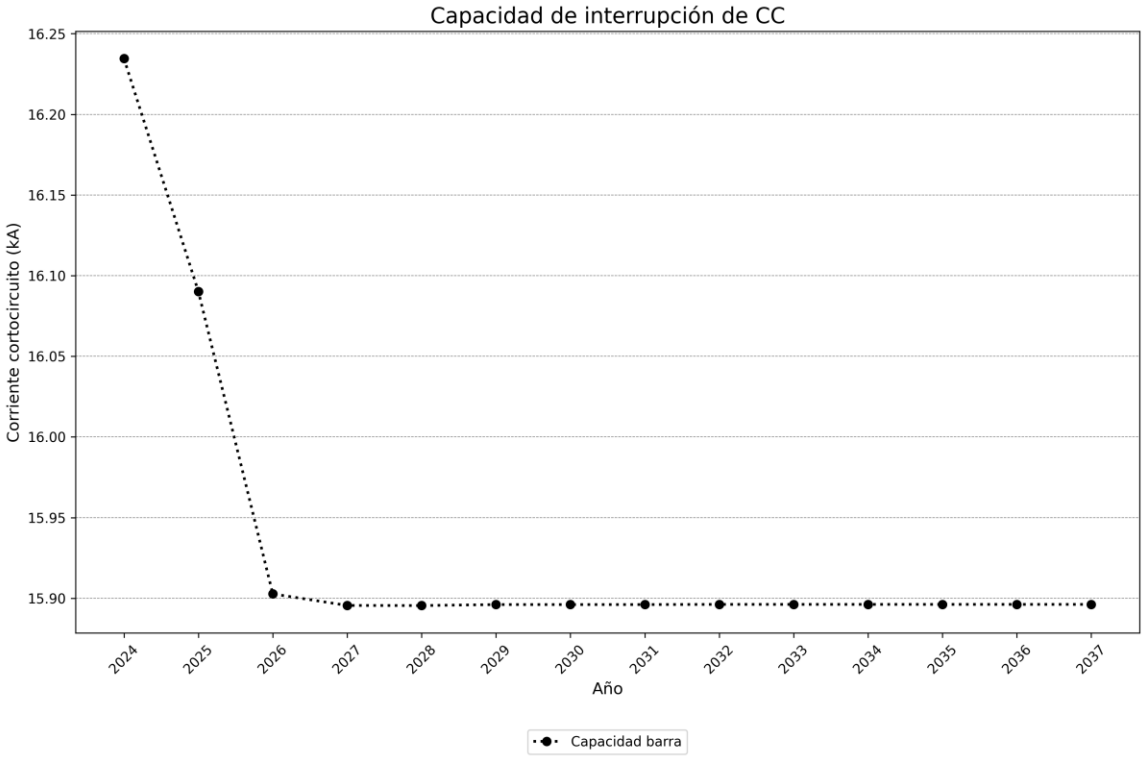


Figura 2-659. Balance de capacidad de cortocircuito después de la priorización para la subestación Segovianas 115

Subestación Sesquile 115:

Capacidad por barra:

Para la subestación Sesquile 115 se presentaron 0 alternativas de conexión las cuales se muestran en la siguiente tabla:

Tabla 2-691. Alternativas de conexión presentadas a la subestación Sesquile 115

Solicitud	Capacidad	Tipo	Barra	FPO solicitada	Restricción

No se priorizó ninguna de las alternativas de conexión presentadas en la subestación Sesquile 115

El estado de la capacidad por barra en la subestación Sesquile 115, teniendo en cuenta la priorización se puede observar en la siguiente figura.

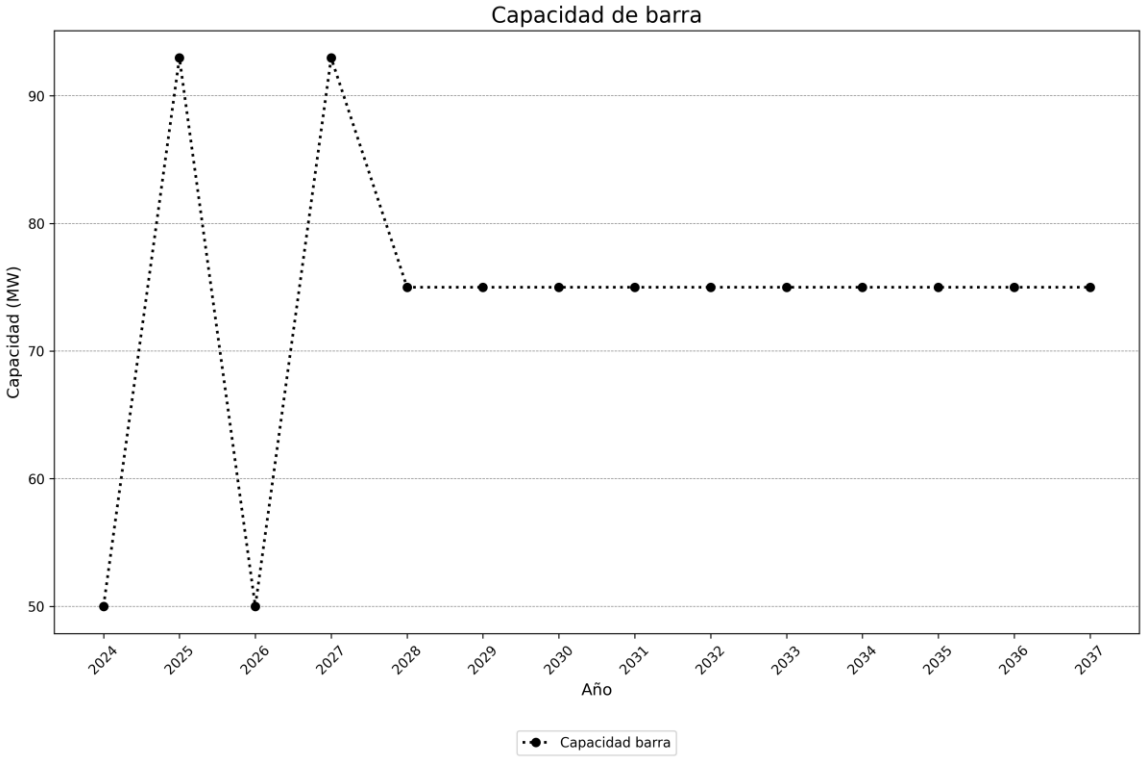


Figura 2-660. Balance de capacidad por barra después de la priorización para la subestación Sesquile 115

Capacidad excedente de interrupción de corriente de cortocircuito:

Para la subestación Sesquile 115 se presentaron 29 alternativas de conexión las cuales tienen aportes de corriente de cortocircuito. Estas alternativas se muestran en la siguiente tabla:

Tabla 2-692. Alternativas de conexión que aportan corriente de cortocircuito en la subestación Sesquile 115

Solicitud	tipo	FPO	Barra a la que aporta CC	Aporte de cortocircuito (kA)	Restricción
SC_2023_5280_A1	Solar FV	2028	Sesquile 115	0.037	SATISFACE
SC_2023_5280_A2	Solar FV	2028	Sesquile 115	0.034	SATISFACE
SC_2023_5287_A1	Solar FV	2026	Sesquile 115	0.020	SATISFACE
SC_2023_5287_A2	Solar FV	2026	Sesquile 115	0.021	SATISFACE
SC_2023_5288_A1	Solar FV	2026	Sesquile 115	0.012	SATISFACE
SC_2023_5288_A2	Solar FV	2026	Sesquile 115	0.031	SATISFACE
SC_2023_5375_A1	Solar FV	2026	Sesquile 115	0.020	SATISFACE
SC_2023_5399_A1	Solar FV	2026	Sesquile 115	0.012	SATISFACE
SC_2023_5399_A2	Solar FV	2026	Sesquile 115	0.031	SATISFACE
SC_2023_5480_A1	Solar FV	2026	Sesquile 115	0.020	SATISFACE
SC_2023_5480_A2	Solar FV	2026	Sesquile 115	0.021	SATISFACE
SC_2023_5557_A1	Solar FV	2028	Sesquile 115	0.077	SATISFACE
SC_2936_A1	Solar FV	2026	Sesquile 115	0.000	SATISFACE
SC_2936_A2	Solar FV	2026	Sesquile 115	0.000	SATISFACE
SC_3121_A1	Solar FV	2026	Sesquile 115	0.002	SATISFACE
SC_3121_A2	Solar FV	2026	Sesquile 115	0.002	SATISFACE
SC_3132_A1	Solar FV	2026	Sesquile 115	0.042	SATISFACE
SC_3132_A2	Solar FV	2026	Sesquile 115	0.037	SATISFACE
SC_3882_A1	Solar FV	2026	Sesquile 115	0.074	SATISFACE
SC_4083_A1	Solar FV	2027	Sesquile 115	0.000	SATISFACE
SC_4083_A2	Solar FV	2027	Sesquile 115	0.000	SATISFACE
SC_4765_A1	Solar FV	2029	Sesquile 115	0.001	SATISFACE
SC_4765_A2	Solar FV	2029	Sesquile 115	0.001	SATISFACE
SC_4819_A1	Solar FV	2029	Sesquile 115	0.064	SATISFACE
SC_4819_A2	Solar FV	2029	Sesquile 115	0.059	SATISFACE
SC_4974_A1	Solar FV	2026	Sesquile 115	0.004	SATISFACE
SC_4974_A2	Solar FV	2026	Sesquile 115	0.004	SATISFACE
SC_4978_A1	Solar FV	2026	Sesquile 115	0.006	SATISFACE
SC_4978_A2	Solar FV	2026	Sesquile 115	0.009	SATISFACE

No se priorizó ninguna de las alternativas de conexión que tengan aportes de corriente de cortocircuito en la subestación Sesquile 115

El estado de la capacidad de cortocircuito en la subestación Sesquile 115, teniendo en cuenta la priorización se puede observar en la siguiente figura.

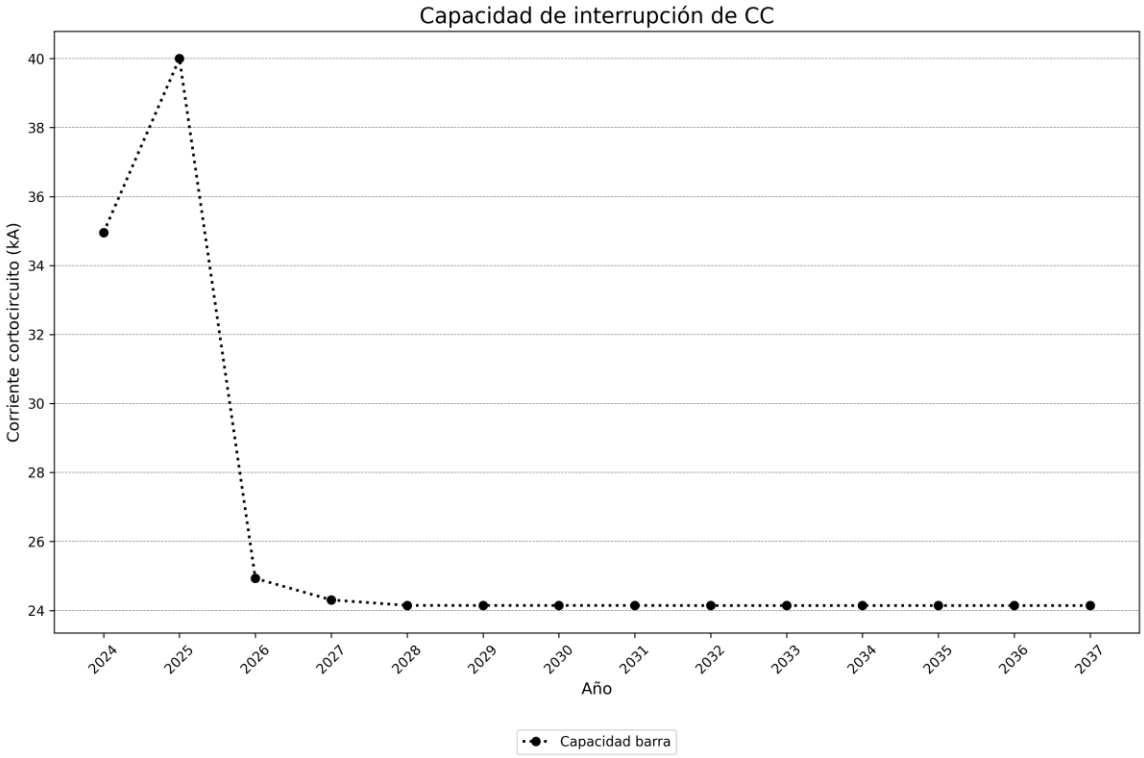


Figura 2-661. Balance de capacidad de cortocircuito después de la priorización para la subestación Sesquile 115

Subestación Simijaca 115:

Capacidad por barra:

Para la subestación Simijaca 115 se presentaron 0 alternativas de conexión las cuales se muestran en la siguiente tabla:

Tabla 2-693. Alternativas de conexión presentadas a la subestación Simijaca 115

Solicitud	Capacidad	Tipo	Barra	FPO solicitada	Restricción

No se priorizó ninguna de las alternativas de conexión presentadas en la subestación Simijaca 115

El estado de la capacidad por barra en la subestación Simijaca 115, teniendo en cuenta la priorización se puede observar en la siguiente figura.

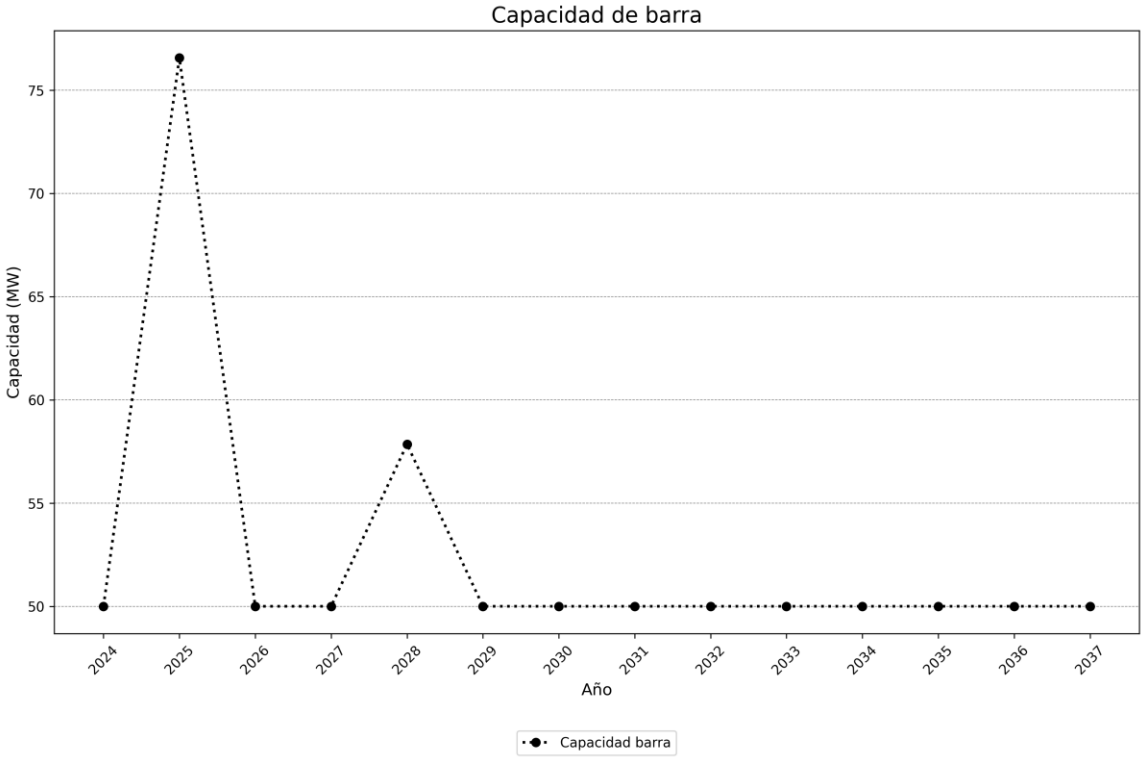


Figura 2-662. Balance de capacidad por barra después de la priorización para la subestación Simijaca 115

Capacidad excedente de interrupción de corriente de cortocircuito:

Para la subestación Simijaca 115 se presentaron 29 alternativas de conexión las cuales tienen aportes de corriente de cortocircuito. Estas alternativas se muestran en la siguiente tabla:

Tabla 2-694. Alternativas de conexión que aportan corriente de cortocircuito en la subestación Simijaca 115

Solicitud	tipo	FPO	Barra a la que aporta CC	Aporte de cortocircuito (kA)	Restricción
SC_2023_5280_A1	Solar FV	2028	Simijaca 115	0.006	SATISFACE
SC_2023_5280_A2	Solar FV	2028	Simijaca 115	0.006	SATISFACE
SC_2023_5287_A1	Solar FV	2026	Simijaca 115	0.003	SATISFACE
SC_2023_5287_A2	Solar FV	2026	Simijaca 115	0.003	SATISFACE
SC_2023_5288_A1	Solar FV	2026	Simijaca 115	0.002	SATISFACE
SC_2023_5288_A2	Solar FV	2026	Simijaca 115	0.005	SATISFACE
SC_2023_5375_A1	Solar FV	2026	Simijaca 115	0.003	SATISFACE
SC_2023_5399_A1	Solar FV	2026	Simijaca 115	0.002	SATISFACE
SC_2023_5399_A2	Solar FV	2026	Simijaca 115	0.005	SATISFACE
SC_2023_5480_A1	Solar FV	2026	Simijaca 115	0.003	SATISFACE
SC_2023_5480_A2	Solar FV	2026	Simijaca 115	0.003	SATISFACE
SC_2023_5557_A1	Solar FV	2028	Simijaca 115	0.012	SATISFACE
SC_2936_A1	Solar FV	2026	Simijaca 115	0.000	SATISFACE
SC_2936_A2	Solar FV	2026	Simijaca 115	0.000	SATISFACE
SC_3121_A1	Solar FV	2026	Simijaca 115	0.000	SATISFACE
SC_3121_A2	Solar FV	2026	Simijaca 115	0.000	SATISFACE
SC_3132_A1	Solar FV	2026	Simijaca 115	0.007	SATISFACE
SC_3132_A2	Solar FV	2026	Simijaca 115	0.006	SATISFACE
SC_3882_A1	Solar FV	2026	Simijaca 115	0.012	SATISFACE
SC_4083_A1	Solar FV	2027	Simijaca 115	0.000	SATISFACE
SC_4083_A2	Solar FV	2027	Simijaca 115	0.000	SATISFACE
SC_4765_A1	Solar FV	2029	Simijaca 115	0.000	SATISFACE
SC_4765_A2	Solar FV	2029	Simijaca 115	0.000	SATISFACE
SC_4819_A1	Solar FV	2029	Simijaca 115	0.010	SATISFACE
SC_4819_A2	Solar FV	2029	Simijaca 115	0.009	SATISFACE
SC_4974_A1	Solar FV	2026	Simijaca 115	0.002	SATISFACE
SC_4974_A2	Solar FV	2026	Simijaca 115	0.002	SATISFACE
SC_4978_A1	Solar FV	2026	Simijaca 115	0.057	SATISFACE
SC_4978_A2	Solar FV	2026	Simijaca 115	0.060	SATISFACE

No se priorizó ninguna de las alternativas de conexión que tengan aportes de corriente de cortocircuito en la subestación Simijaca 115

El estado de la capacidad de cortocircuito en la subestación Simijaca 115, teniendo en cuenta la priorización se puede observar en la siguiente figura.

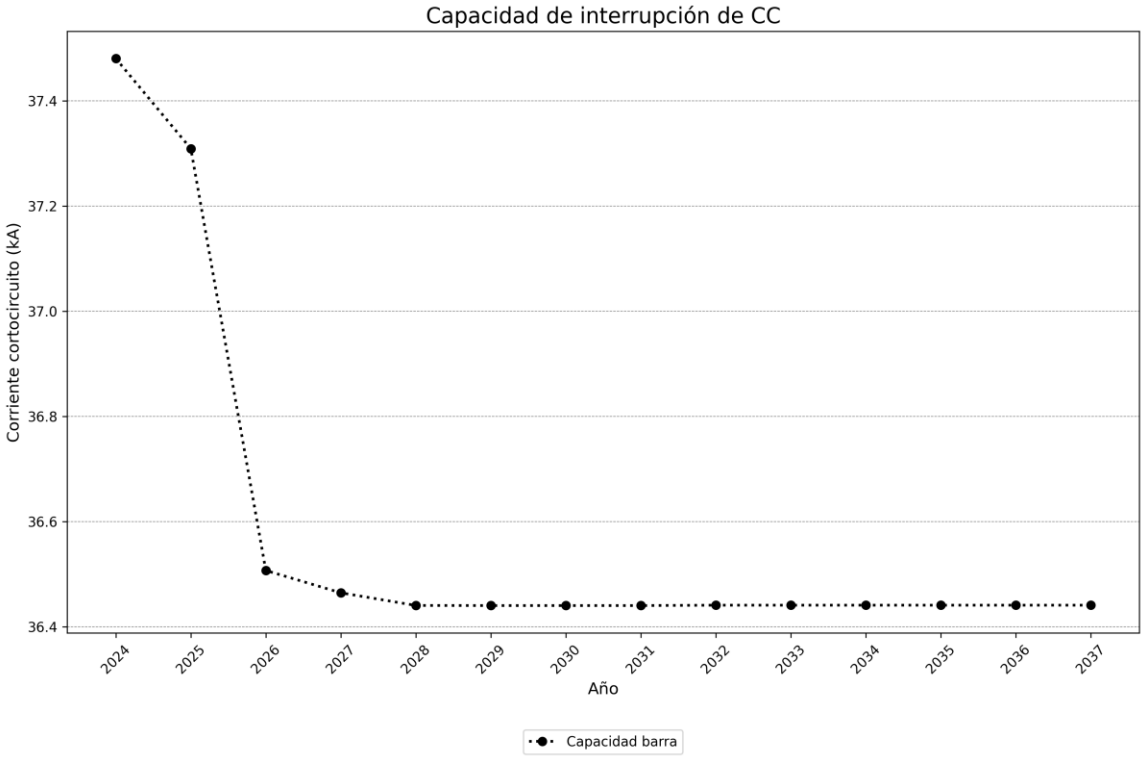


Figura 2-663. Balance de capacidad de cortocircuito después de la priorización para la subestación Simijaca 115

Subestación Sn Carlos EEB 115:

Capacidad por barra:

Para la subestación Sn Carlos EEB 115 se presentaron 0 alternativas de conexión las cuales se muestran en la siguiente tabla:

Tabla 2-695. Alternativas de conexión presentadas a la subestación Sn Carlos EEB 115

Solicitud	Capacidad	Tipo	Barra	FPO solicitada	Restricción

No se priorizó ninguna de las alternativas de conexión presentadas en la subestación Sn Carlos EEB 115

El estado de la capacidad por barra en la subestación Sn Carlos EEB 115, teniendo en cuenta la priorización se puede observar en la siguiente figura.

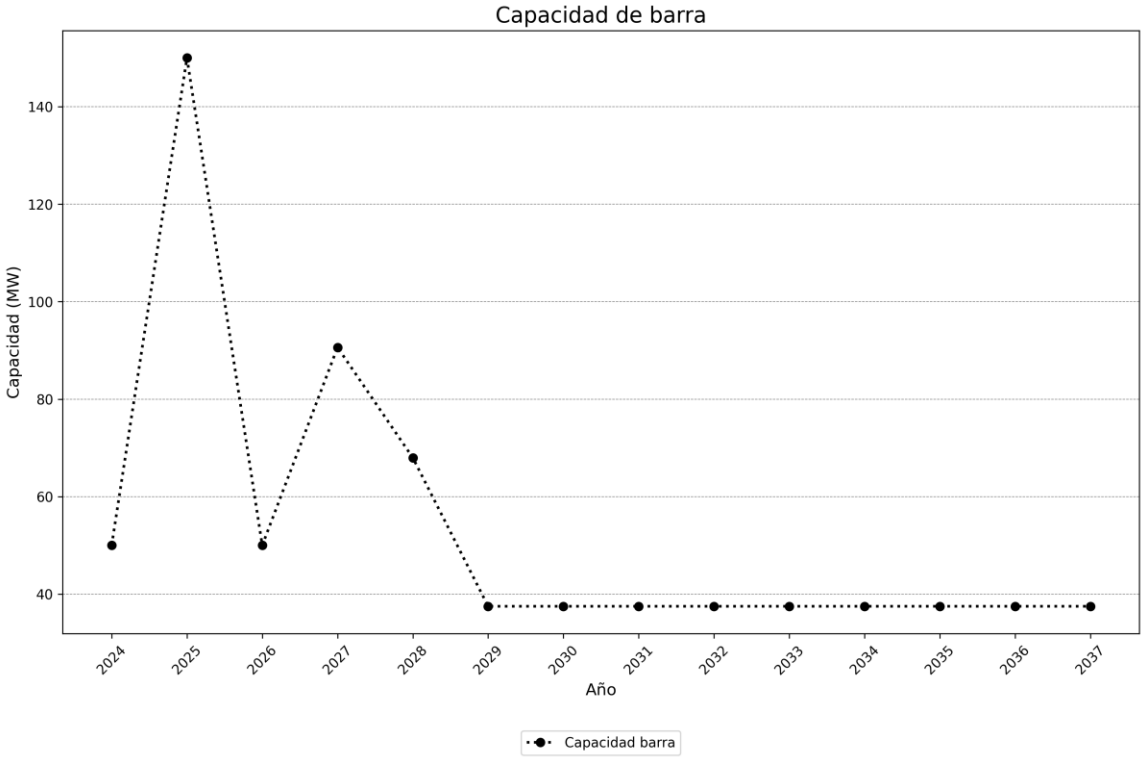


Figura 2-664. Balance de capacidad por barra después de la priorización para la subestación Sn Carlos EEB 115

Capacidad excedente de interrupción de corriente de cortocircuito:

Para la subestación Sn Carlos EEB 115 se presentaron 29 alternativas de conexión las cuales tienen aportes de corriente de cortocircuito. Estas alternativas se muestran en la siguiente tabla:

Tabla 2-696. Alternativas de conexión que aportan corriente de cortocircuito en la subestación Sn Carlos EEB 115

Solicitud	tipo	FPO	Barra a la que aporta CC	Aporte de cortocircuito (kA)	Restricción
SC_2023_5280_A1	Solar FV	2028	Sn Carlos EEB 115	0.073	NO SATISFACE
SC_2023_5280_A2	Solar FV	2028	Sn Carlos EEB 115	0.066	NO SATISFACE
SC_2023_5287_A1	Solar FV	2026	Sn Carlos EEB 115	0.037	NO SATISFACE
SC_2023_5287_A2	Solar FV	2026	Sn Carlos EEB 115	0.038	NO SATISFACE
SC_2023_5288_A1	Solar FV	2026	Sn Carlos EEB 115	0.022	NO SATISFACE
SC_2023_5288_A2	Solar FV	2026	Sn Carlos EEB 115	0.057	NO SATISFACE
SC_2023_5375_A1	Solar FV	2026	Sn Carlos EEB 115	0.037	NO SATISFACE
SC_2023_5399_A1	Solar FV	2026	Sn Carlos EEB 115	0.022	NO SATISFACE
SC_2023_5399_A2	Solar FV	2026	Sn Carlos EEB 115	0.057	NO SATISFACE
SC_2023_5480_A1	Solar FV	2026	Sn Carlos EEB 115	0.037	NO SATISFACE
SC_2023_5480_A2	Solar FV	2026	Sn Carlos EEB 115	0.038	NO SATISFACE
SC_2023_5557_A1	Solar FV	2028	Sn Carlos EEB 115	0.154	NO SATISFACE
SC_2936_A1	Solar FV	2026	Sn Carlos EEB 115	0.000	NO SATISFACE
SC_2936_A2	Solar FV	2026	Sn Carlos EEB 115	0.000	NO SATISFACE
SC_3121_A1	Solar FV	2026	Sn Carlos EEB 115	0.005	NO SATISFACE
SC_3121_A2	Solar FV	2026	Sn Carlos EEB 115	0.005	NO SATISFACE
SC_3132_A1	Solar FV	2026	Sn Carlos EEB 115	0.083	NO SATISFACE
SC_3132_A2	Solar FV	2026	Sn Carlos EEB 115	0.071	NO SATISFACE
SC_3882_A1	Solar FV	2026	Sn Carlos EEB 115	0.145	NO SATISFACE

SC_4083_A1	Solar FV	2027	Sn Carlos EEB 115	0.001	NO SATISFACE
SC_4083_A2	Solar FV	2027	Sn Carlos EEB 115	0.001	NO SATISFACE
SC_4765_A1	Solar FV	2029	Sn Carlos EEB 115	0.005	NO SATISFACE
SC_4765_A2	Solar FV	2029	Sn Carlos EEB 115	0.003	NO SATISFACE
SC_4819_A1	Solar FV	2029	Sn Carlos EEB 115	0.134	NO SATISFACE
SC_4819_A2	Solar FV	2029	Sn Carlos EEB 115	0.120	NO SATISFACE
SC_4974_A1	Solar FV	2026	Sn Carlos EEB 115	0.007	NO SATISFACE
SC_4974_A2	Solar FV	2026	Sn Carlos EEB 115	0.007	NO SATISFACE
SC_4978_A1	Solar FV	2026	Sn Carlos EEB 115	0.057	NO SATISFACE
SC_4978_A2	Solar FV	2026	Sn Carlos EEB 115	0.060	NO SATISFACE

No se priorizó ninguna de las alternativas de conexión que tengan aportes de corriente de cortocircuito en la subestación Sn Carlos EEB 115

El estado de la capacidad de cortocircuito en la subestación Sn Carlos EEB 115, teniendo en cuenta la priorización se puede observar en la siguiente figura.

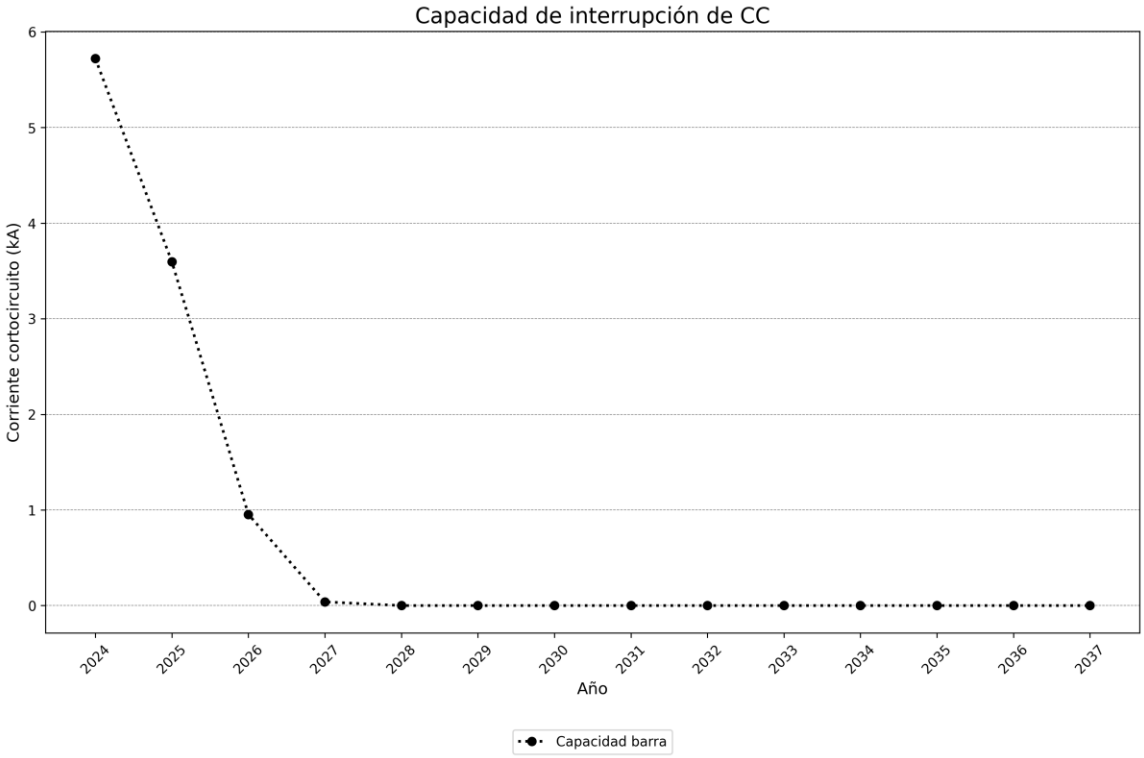


Figura 2-665. Balance de capacidad de cortocircuito después de la priorización para la subestación Sn Carlos EEB 115

Subestación Sonson 110:

Capacidad por barra:

Para la subestación Sonson 110 se presentaron 0 alternativas de conexión las cuales se muestran en la siguiente tabla:

Tabla 2-697. Alternativas de conexión presentadas a la subestación Sonson 110

Solicitud	Capacidad	Tipo	Barra	FPO solicitada	Restricción

No se priorizó ninguna de las alternativas de conexión presentadas en la subestación Sonson 110

El estado de la capacidad por barra en la subestación Sonson 110, teniendo en cuenta la priorización se puede observar en la siguiente figura.

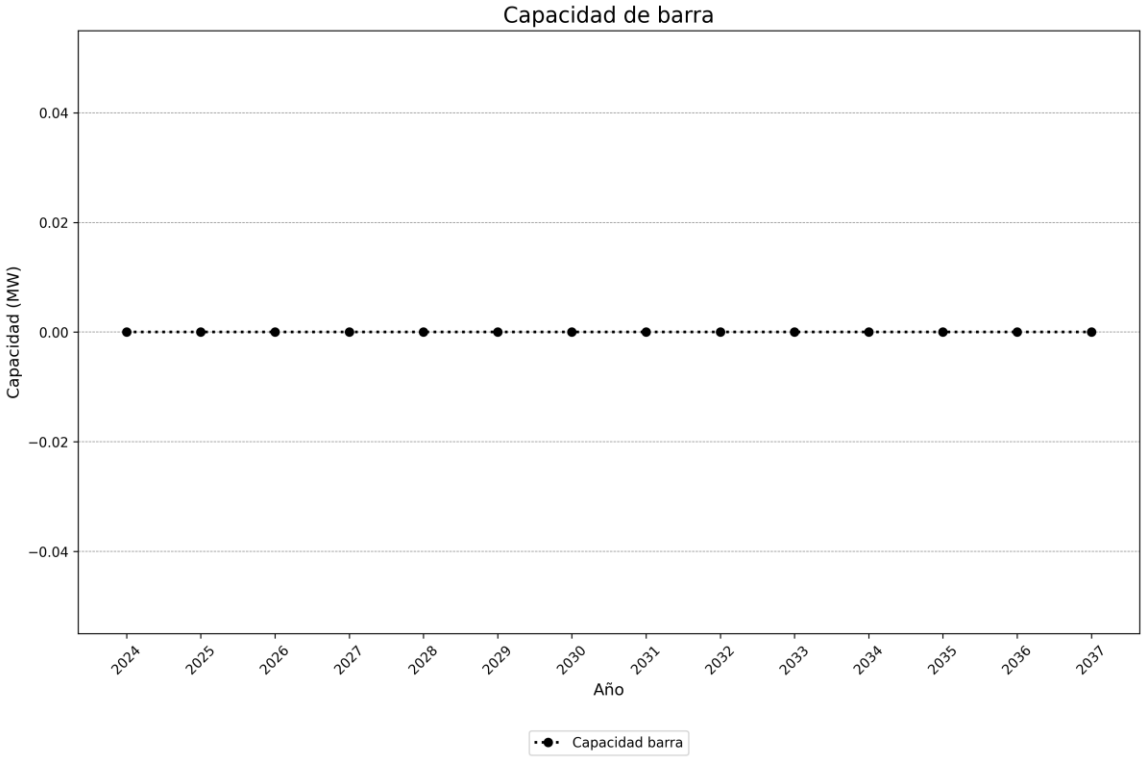


Figura 2-666. Balance de capacidad por barra después de la priorización para la subestación Sonson 110

En el caso anterior se observa que la capacidad por barra es igual a 0 dado que, desde los comentarios presentados por transportador, se identificó que la subestación Sonson 110 no cuenta con disponibilidad de espacio físico para la conexión de nuevos proyectos.

Capacidad excedente de interrupción de corriente de cortocircuito:

Para la subestación Sonson 110 se presentaron 1 alternativas de conexión las cuales tienen aportes de corriente de cortocircuito. Estas alternativas se muestran en la siguiente tabla:

Tabla 2-698. Alternativas de conexión que aportan corriente de cortocircuito en la subestación Sonson 110

Solicitud	tipo	FPO	Barra a la que aporta CC	Aporte de cortocircuito (kA)	Restricción
SC_3331_A1	Solar FV	2026	Sonson 110	0.102	SATISFACE

No se priorizó ninguna de las alternativas de conexión que tengan aportes de corriente de cortocircuito en la subestación Sonson 110

El estado de la capacidad de cortocircuito en la subestación Sonson 110, teniendo en cuenta la priorización se puede observar en la siguiente figura.

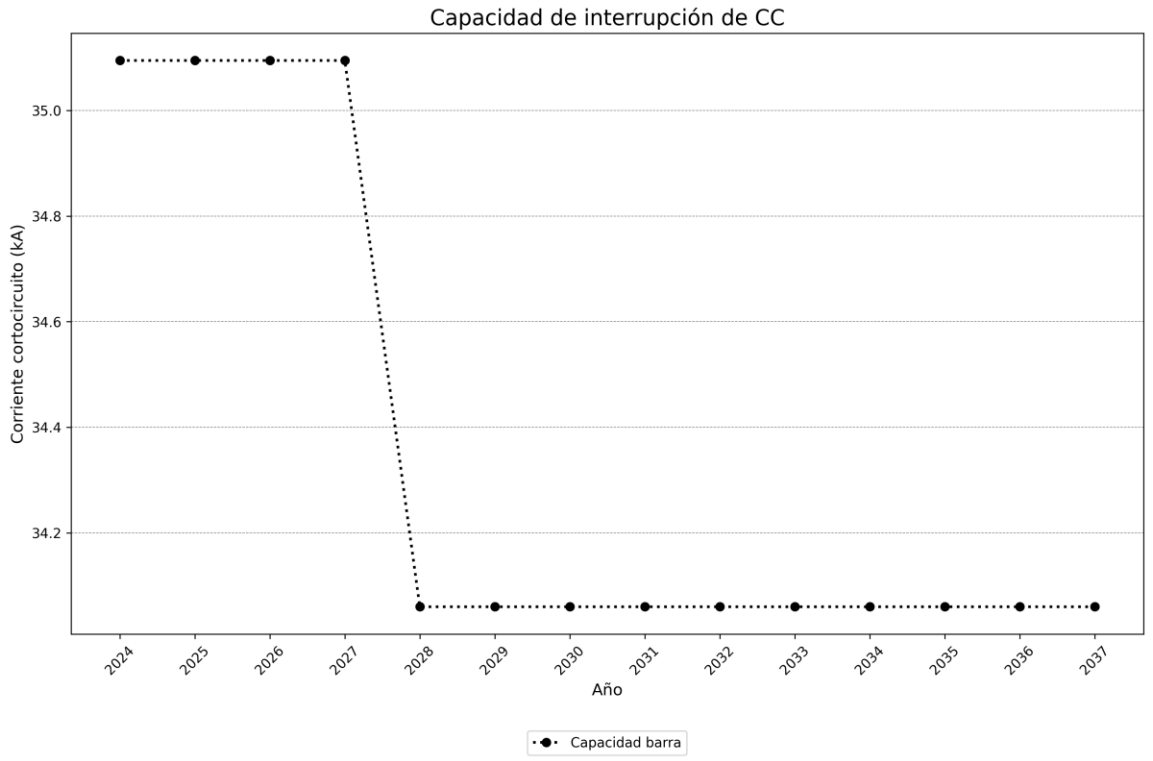


Figura 2-667. Balance de capacidad de cortocircuito después de la priorización para la subestación Sonson 110

Subestación Suba 115:

Capacidad por barra:

Para la subestación Suba 115 se presentaron 0 alternativas de conexión las cuales se muestran en la siguiente tabla:

Tabla 2-699. Alternativas de conexión presentadas a la subestación Suba 115

Solicitud	Capacidad	Tipo	Barra	FPO solicitada	Restricción

No se priorizó ninguna de las alternativas de conexión presentadas en la subestación Suba 115

El estado de la capacidad por barra en la subestación Suba 115, teniendo en cuenta la priorización se puede observar en la siguiente figura.

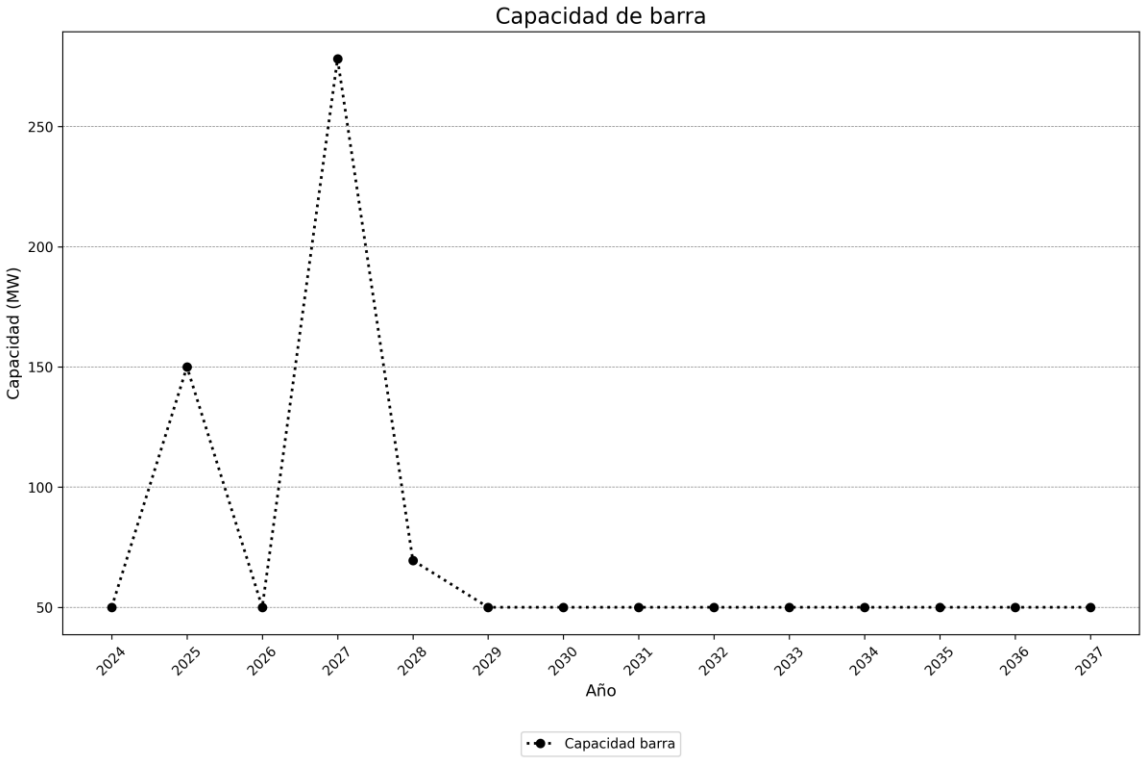


Figura 2-668. Balance de capacidad por barra después de la priorización para la subestación Suba 115

Capacidad excedente de interrupción de corriente de cortocircuito:

Para la subestación Suba 115 se presentaron 29 alternativas de conexión las cuales tienen aportes de corriente de cortocircuito. Estas alternativas se muestran en la siguiente tabla:

Tabla 2-700. Alternativas de conexión que aportan corriente de cortocircuito en la subestación Suba 115

Solicitud	tipo	FPO	Barra a la que aporta CC	Aporte de cortocircuito (kA)	Restricción
SC_2023_5280_A1	Solar FV	2028	Suba 115	0.061	SATISFACE
SC_2023_5280_A2	Solar FV	2028	Suba 115	0.055	SATISFACE
SC_2023_5287_A1	Solar FV	2026	Suba 115	0.032	SATISFACE
SC_2023_5287_A2	Solar FV	2026	Suba 115	0.032	SATISFACE
SC_2023_5288_A1	Solar FV	2026	Suba 115	0.019	SATISFACE
SC_2023_5288_A2	Solar FV	2026	Suba 115	0.049	SATISFACE
SC_2023_5375_A1	Solar FV	2026	Suba 115	0.032	SATISFACE
SC_2023_5399_A1	Solar FV	2026	Suba 115	0.019	SATISFACE
SC_2023_5399_A2	Solar FV	2026	Suba 115	0.049	SATISFACE
SC_2023_5480_A1	Solar FV	2026	Suba 115	0.032	SATISFACE
SC_2023_5480_A2	Solar FV	2026	Suba 115	0.032	SATISFACE
SC_2023_5557_A1	Solar FV	2028	Suba 115	0.127	SATISFACE
SC_2936_A1	Solar FV	2026	Suba 115	0.000	SATISFACE
SC_2936_A2	Solar FV	2026	Suba 115	0.000	SATISFACE
SC_3121_A1	Solar FV	2026	Suba 115	0.004	SATISFACE
SC_3121_A2	Solar FV	2026	Suba 115	0.004	SATISFACE
SC_3132_A1	Solar FV	2026	Suba 115	0.069	SATISFACE
SC_3132_A2	Solar FV	2026	Suba 115	0.060	SATISFACE
SC_3882_A1	Solar FV	2026	Suba 115	0.121	SATISFACE
SC_4083_A1	Solar FV	2027	Suba 115	0.001	SATISFACE
SC_4083_A2	Solar FV	2027	Suba 115	0.001	SATISFACE
SC_4765_A1	Solar FV	2029	Suba 115	0.004	SATISFACE
SC_4765_A2	Solar FV	2029	Suba 115	0.002	SATISFACE
SC_4819_A1	Solar FV	2029	Suba 115	0.110	SATISFACE

SC_4819_A2	Solar FV	2029	Suba 115	0.100	SATISFACE
SC_4974_A1	Solar FV	2026	Suba 115	0.006	SATISFACE
SC_4974_A2	Solar FV	2026	Suba 115	0.006	SATISFACE
SC_4978_A1	Solar FV	2026	Suba 115	0.000	SATISFACE
SC_4978_A2	Solar FV	2026	Suba 115	0.005	SATISFACE

No se priorizó ninguna de las alternativas de conexión que tengan aportes de corriente de cortocircuito en la subestación Suba 115

El estado de la capacidad de cortocircuito en la subestación Suba 115, teniendo en cuenta la priorización se puede observar en la siguiente figura.

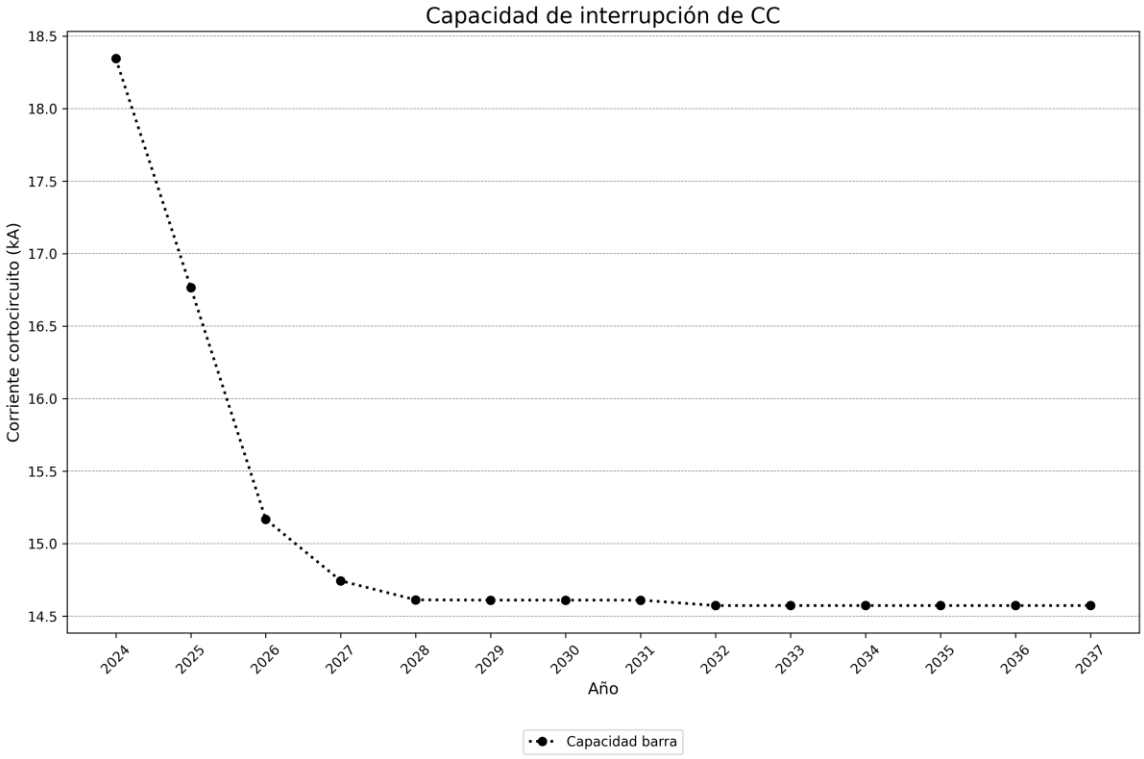


Figura 2-669. Balance de capacidad de cortocircuito después de la priorización para la subestación Suba 115

Subestación Sucromiles 115:

Capacidad por barra:

Para la subestación Sucromiles 115 se presentaron 0 alternativas de conexión las cuales se muestran en la siguiente tabla:

Tabla 2-701. Alternativas de conexión presentadas a la subestación Sucromiles 115

Solicitud	Capacidad	Tipo	Barra	FPO solicitada	Restricción

No se priorizó ninguna de las alternativas de conexión presentadas en la subestación Sucromiles 115

El estado de la capacidad por barra en la subestación Sucromiles 115, teniendo en cuenta la priorización se puede observar en la siguiente figura.

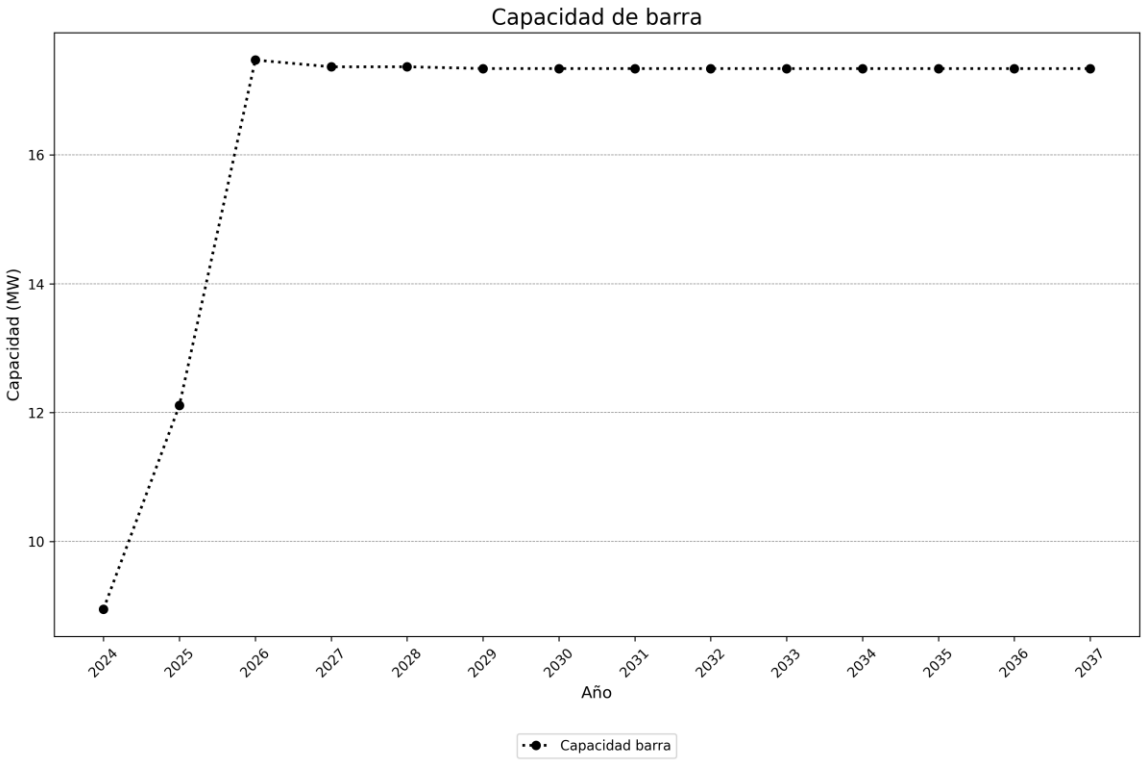


Figura 2-670. Balance de capacidad por barra después de la priorización para la subestación Sucromiles 115

Capacidad excedente de interrupción de corriente de cortocircuito:

Para la subestación Sucromiles 115 se presentaron 4 alternativas de conexión las cuales tienen aportes de corriente de cortocircuito. Estas alternativas se muestran en la siguiente tabla:

Tabla 2-702. Alternativas de conexión que aportan corriente de cortocircuito en la subestación Sucromiles 115

Solicitud	tipo	FPO	Barra a la que aporta CC	Aporte de cortocircuito (kA)	Restricción
SC_2023_5557_A1	Solar FV	2028	Sucromiles 115	0.057	SATISFACE
SC_2936_A1	Solar FV	2026	Sucromiles 115	0.000	SATISFACE
SC_2936_A2	Solar FV	2026	Sucromiles 115	0.000	SATISFACE
SC_3882_A1	Solar FV	2026	Sucromiles 115	0.055	SATISFACE

No se priorizó ninguna de las alternativas de conexión que tengan aportes de corriente de cortocircuito en la subestación Sucromiles 115

El estado de la capacidad de cortocircuito en la subestación Sucromiles 115, teniendo en cuenta la priorización se puede observar en la siguiente figura.

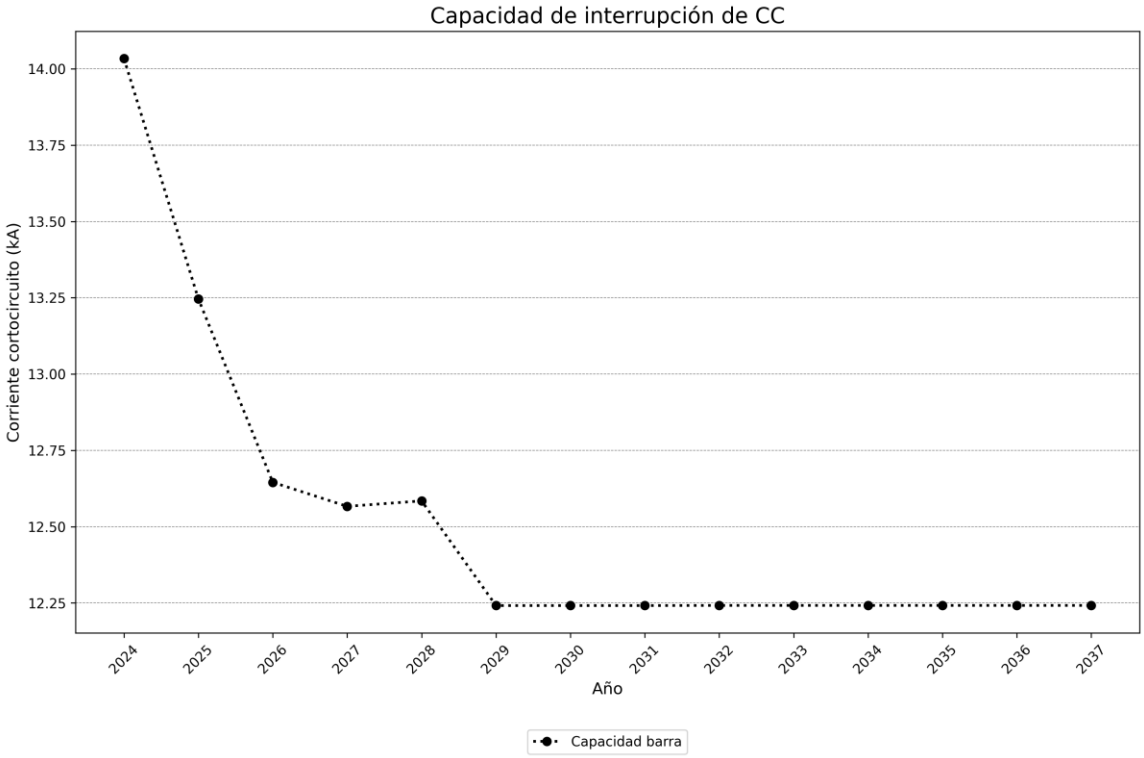


Figura 2-671. Balance de capacidad de cortocircuito después de la priorización para la subestación Sucromiles 115

Subestación Supia 33:

Capacidad por barra:

Para la subestación Supia 33 se presentaron 0 alternativas de conexión las cuales se muestran en la siguiente tabla:

Tabla 2-703. Alternativas de conexión presentadas a la subestación Supia 33

Solicitud	Capacidad	Tipo	Barra	FPO solicitada	Restricción

No se priorizó ninguna de las alternativas de conexión presentadas en la subestación Supia 33

El estado de la capacidad por barra en la subestación Supia 33, teniendo en cuenta la priorización se puede observar en la siguiente figura.

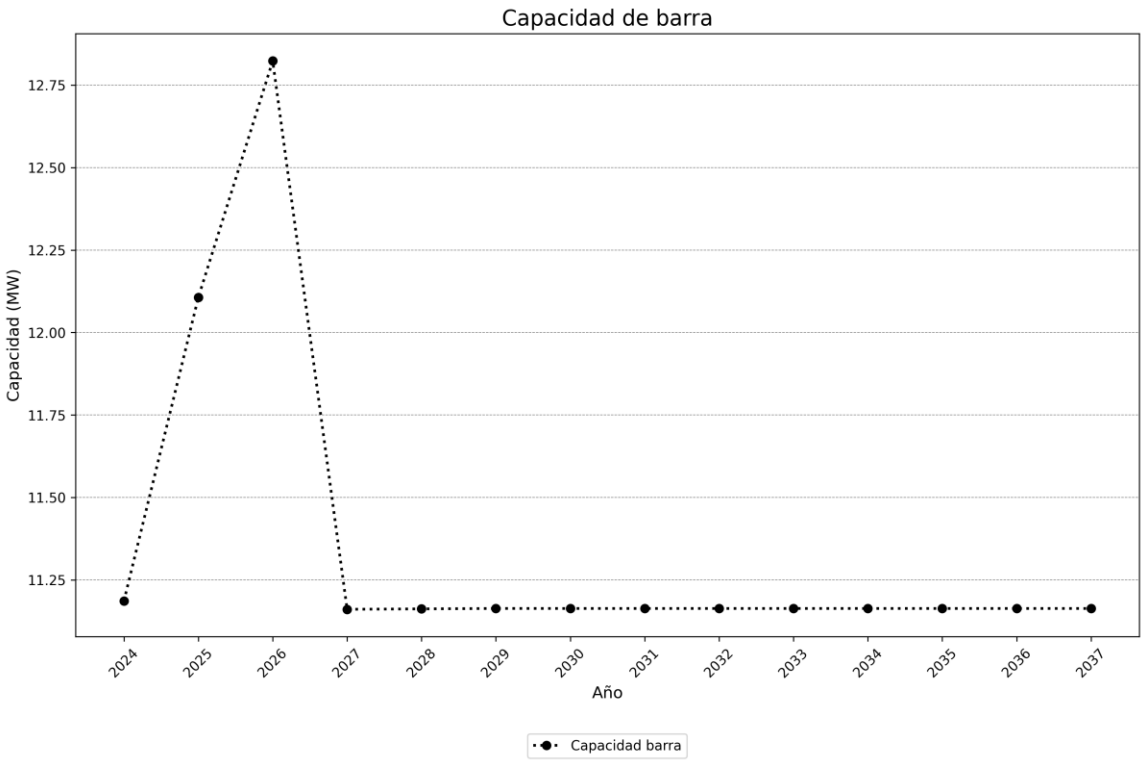


Figura 2-672. Balance de capacidad por barra después de la priorización para la subestación Supia 33

Subestación Sur (Cali) 115:

Capacidad por barra:

Para la subestación Sur (Cali) 115 se presentaron 0 alternativas de conexión las cuales se muestran en la siguiente tabla:

Tabla 2-704. Alternativas de conexión presentadas a la subestación Sur (Cali) 115

Solicitud	Capacidad	Tipo	Barra	FPO solicitada	Restricción

No se priorizó ninguna de las alternativas de conexión presentadas en la subestación Sur (Cali) 115

El estado de la capacidad por barra en la subestación Sur (Cali) 115, teniendo en cuenta la priorización se puede observar en la siguiente figura.

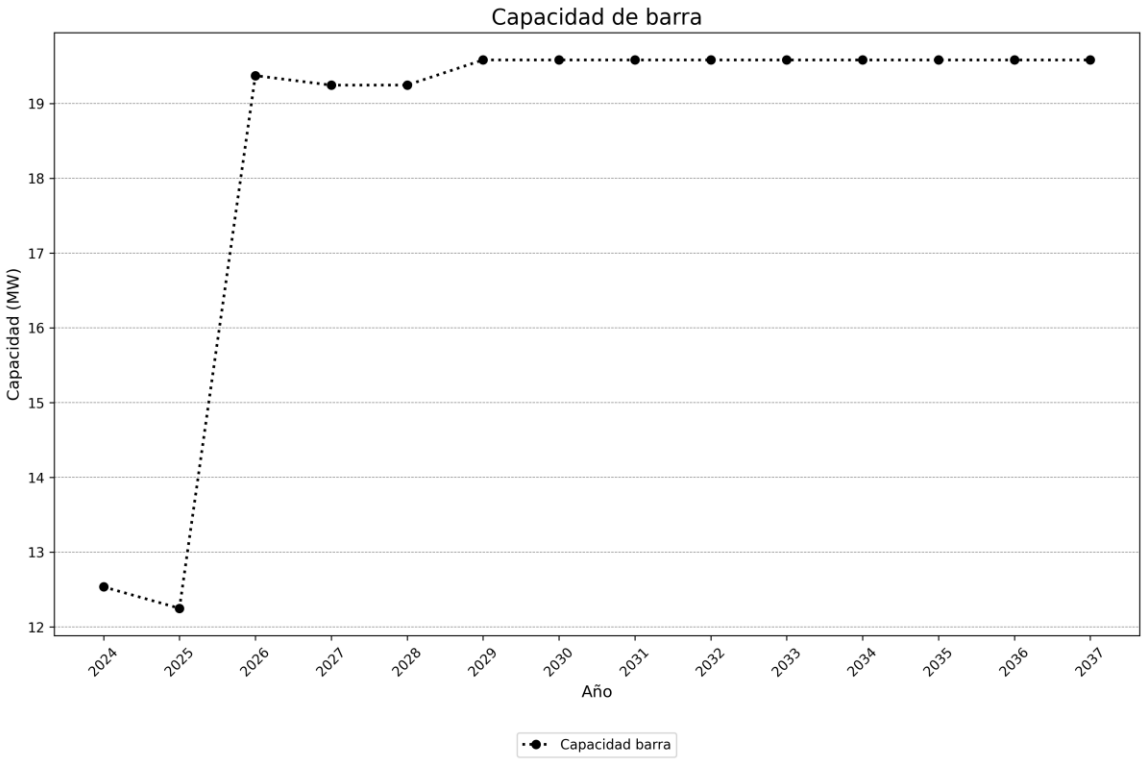


Figura 2-673. Balance de capacidad por barra después de la priorización para la subestación Sur (Cali) 115

Capacidad excedente de interrupción de corriente de cortocircuito:

Para la subestación Sur (Cali) 115 se presentaron 4 alternativas de conexión las cuales tienen aportes de corriente de cortocircuito. Estas alternativas se muestran en la siguiente tabla:

Tabla 2-705. Alternativas de conexión que aportan corriente de cortocircuito en la subestación Sur (Cali) 115

Solicitud	tipo	FPO	Barra a la que aporta CC	Aporte de cortocircuito (kA)	Restricción
SC_2023_5557_A1	Solar FV	2028	Sur (Cali) 115	0.080	SATISFACE
SC_2936_A1	Solar FV	2026	Sur (Cali) 115	0.000	SATISFACE
SC_2936_A2	Solar FV	2026	Sur (Cali) 115	0.000	SATISFACE
SC_3882_A1	Solar FV	2026	Sur (Cali) 115	0.078	SATISFACE

No se priorizó ninguna de las alternativas de conexión que tengan aportes de corriente de cortocircuito en la subestación Sur (Cali) 115

El estado de la capacidad de cortocircuito en la subestación Sur (Cali) 115, teniendo en cuenta la priorización se puede observar en la siguiente figura.

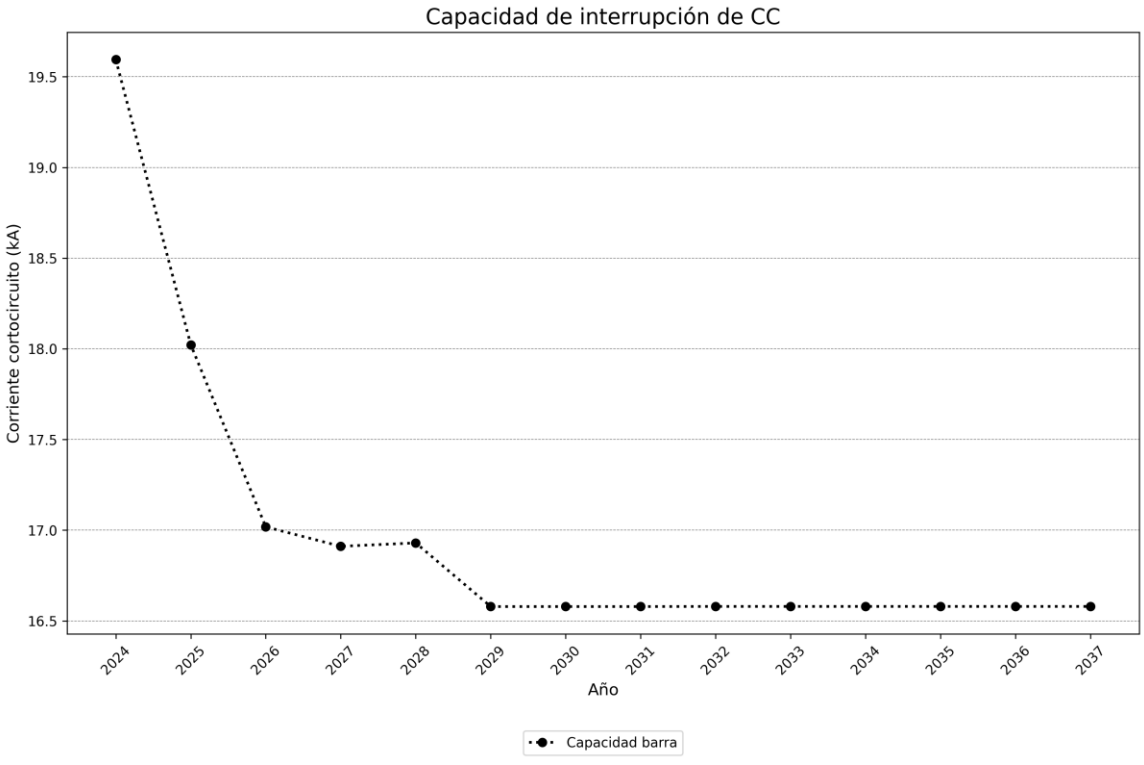


Figura 2-674. Balance de capacidad de cortocircuito después de la priorización para la subestación Sur (Cali) 115

Subestación Sur 115:

Capacidad por barra:

Para la subestación Sur 115 se presentaron 0 alternativas de conexión las cuales se muestran en la siguiente tabla:

Tabla 2-706. Alternativas de conexión presentadas a la subestación Sur 115

Solicitud	Capacidad	Tipo	Barra	FPO solicitada	Restricción

No se priorizó ninguna de las alternativas de conexión presentadas en la subestación Sur 115

El estado de la capacidad por barra en la subestación Sur 115, teniendo en cuenta la priorización se puede observar en la siguiente figura.

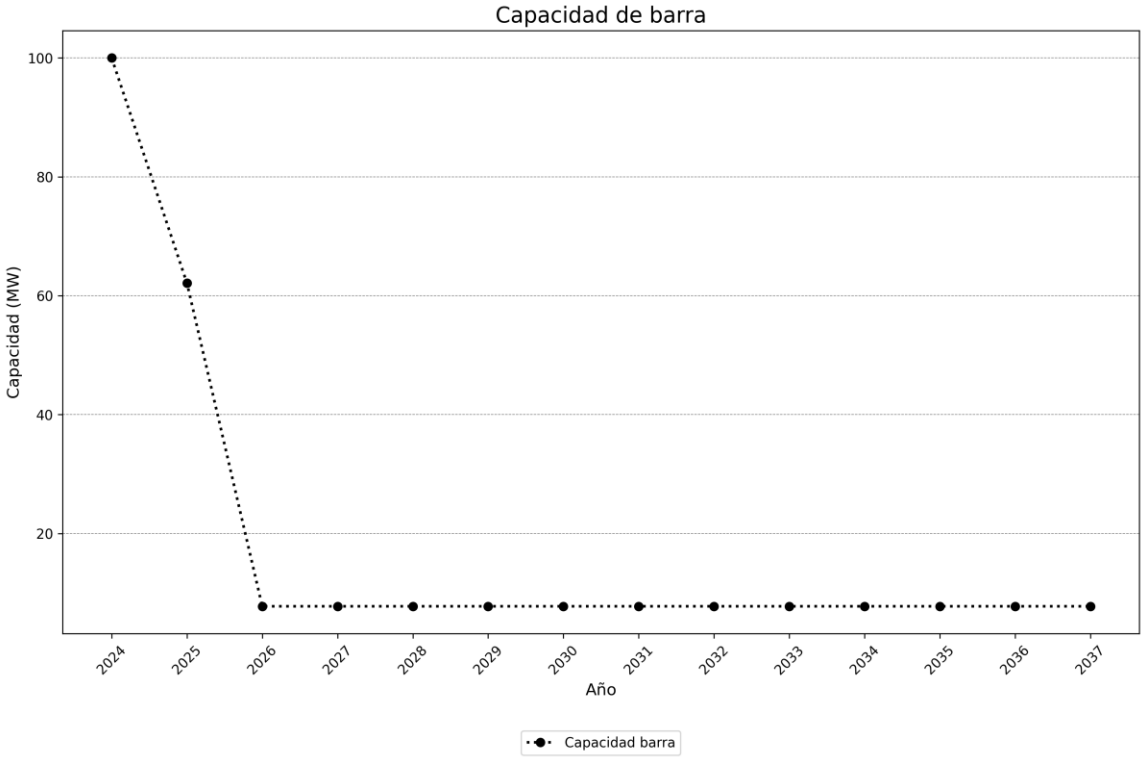


Figura 2-675. Balance de capacidad por barra después de la priorización para la subestación Sur 115

Capacidad excedente de interrupción de corriente de cortocircuito:

Para la subestación Sur 115 se presentaron 29 alternativas de conexión las cuales tienen aportes de corriente de cortocircuito. Estas alternativas se muestran en la siguiente tabla:

Tabla 2-707. Alternativas de conexión que aportan corriente de cortocircuito en la subestación Sur 115

Solicitud	tipo	FPO	Barra a la que aporta CC	Aporte de cortocircuito (kA)	Restricción
SC_2023_5280_A1	Solar FV	2028	Sur 115	0.016	SATISFACE
SC_2023_5280_A2	Solar FV	2028	Sur 115	0.014	SATISFACE
SC_2023_5287_A1	Solar FV	2026	Sur 115	0.008	SATISFACE

SC_2023_5287_A2	Solar FV	2026	Sur 115	0.008	SATISFACE
SC_2023_5288_A1	Solar FV	2026	Sur 115	0.005	SATISFACE
SC_2023_5288_A2	Solar FV	2026	Sur 115	0.012	SATISFACE
SC_2023_5375_A1	Solar FV	2026	Sur 115	0.008	SATISFACE
SC_2023_5399_A1	Solar FV	2026	Sur 115	0.005	SATISFACE
SC_2023_5399_A2	Solar FV	2026	Sur 115	0.012	SATISFACE
SC_2023_5480_A1	Solar FV	2026	Sur 115	0.008	SATISFACE
SC_2023_5480_A2	Solar FV	2026	Sur 115	0.008	SATISFACE
SC_2023_5557_A1	Solar FV	2028	Sur 115	0.030	SATISFACE
SC_2936_A1	Solar FV	2026	Sur 115	0.000	SATISFACE
SC_2936_A2	Solar FV	2026	Sur 115	0.000	SATISFACE
SC_3121_A1	Solar FV	2026	Sur 115	0.001	SATISFACE
SC_3121_A2	Solar FV	2026	Sur 115	0.001	SATISFACE
SC_3132_A1	Solar FV	2026	Sur 115	0.018	SATISFACE
SC_3132_A2	Solar FV	2026	Sur 115	0.015	SATISFACE
SC_3882_A1	Solar FV	2026	Sur 115	0.029	SATISFACE
SC_4083_A1	Solar FV	2027	Sur 115	0.000	SATISFACE
SC_4083_A2	Solar FV	2027	Sur 115	0.000	SATISFACE
SC_4765_A1	Solar FV	2029	Sur 115	0.000	SATISFACE
SC_4765_A2	Solar FV	2029	Sur 115	0.000	SATISFACE
SC_4819_A1	Solar FV	2029	Sur 115	0.039	SATISFACE
SC_4819_A2	Solar FV	2029	Sur 115	0.034	SATISFACE
SC_4974_A1	Solar FV	2026	Sur 115	0.001	SATISFACE
SC_4974_A2	Solar FV	2026	Sur 115	0.001	SATISFACE
SC_4978_A1	Solar FV	2026	Sur 115	0.001	SATISFACE
SC_4978_A2	Solar FV	2026	Sur 115	0.002	SATISFACE

No se priorizó ninguna de las alternativas de conexión que tengan aportes de corriente de cortocircuito en la subestación Sur 115

El estado de la capacidad de cortocircuito en la subestación Sur 115, teniendo en cuenta la priorización se puede observar en la siguiente figura.

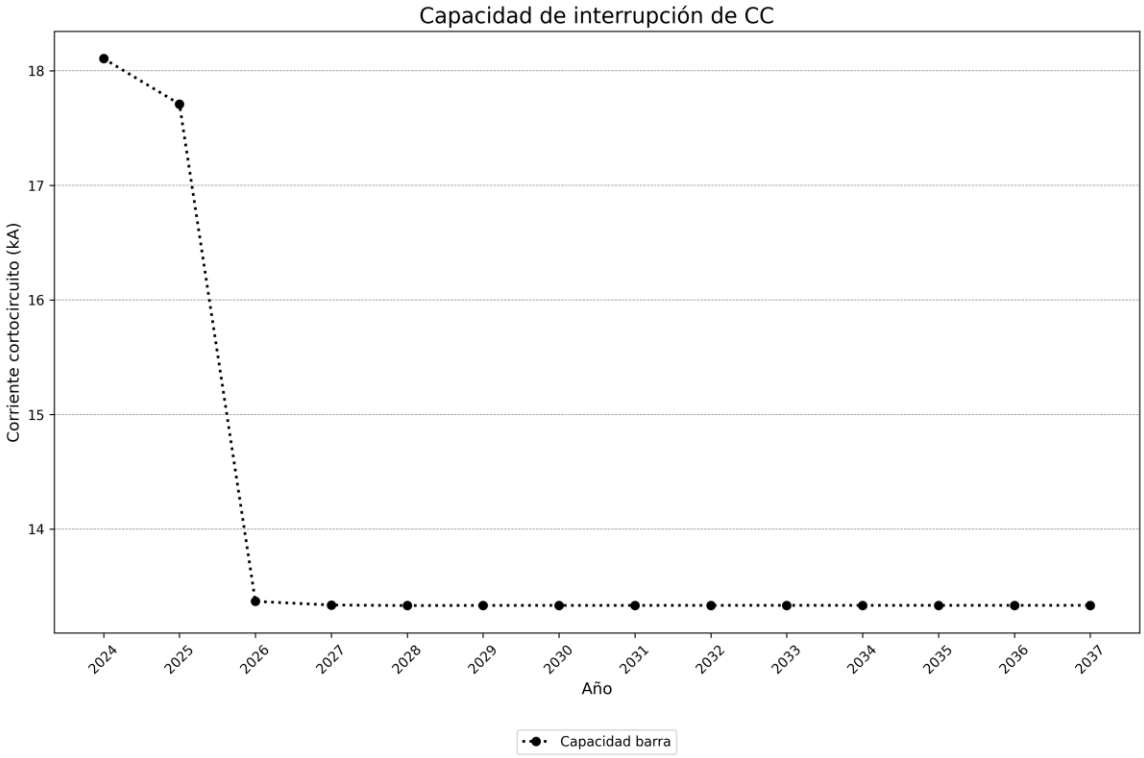


Figura 2-676. Balance de capacidad de cortocircuito después de la priorización para la subestación Sur 115

Subestación Sur 33:

Capacidad por barra:

Para la subestación Sur 33 se presentaron 0 alternativas de conexión las cuales se muestran en la siguiente tabla:

Tabla 2-708. Alternativas de conexión presentadas a la subestación Sur 33

Solicitud	Capacidad	Tipo	Barra	FPO solicitada	Restricción

No se priorizó ninguna de las alternativas de conexión presentadas en la subestación Sur 33

El estado de la capacidad por barra en la subestación Sur 33, teniendo en cuenta la priorización se puede observar en la siguiente figura.

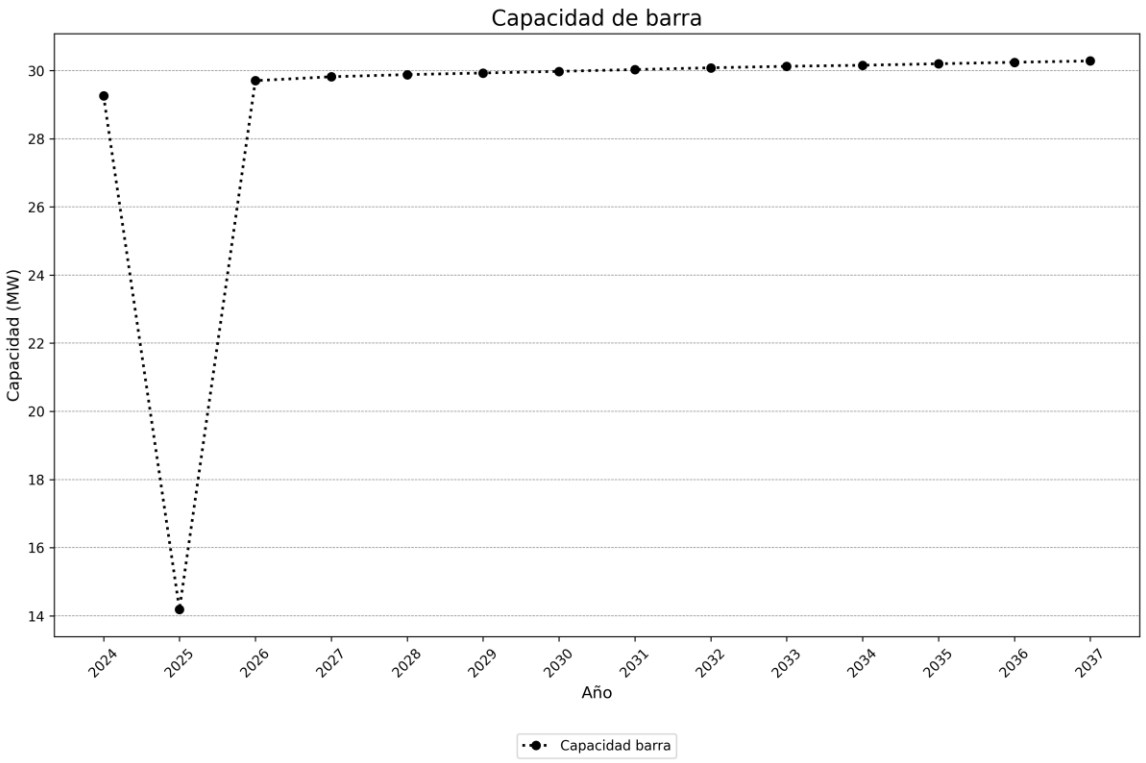


Figura 2-677. Balance de capacidad por barra después de la priorización para la subestación Sur 33

Subestación Tabor (Bventura) 115:

Capacidad por barra:

Para la subestación Tabor (Bventura) 115 se presentaron 0 alternativas de conexión las cuales se muestran en la siguiente tabla:

Tabla 2-709. Alternativas de conexión presentadas a la subestación Tabor (Bventura) 115

Solicitud	Capacidad	Tipo	Barra	FPO solicitada	Restricción

No se priorizó ninguna de las alternativas de conexión presentadas en la subestación Tabor (Bventura) 115

El estado de la capacidad por barra en la subestación Tabor (Bventura) 115, teniendo en cuenta la priorización se puede observar en la siguiente figura.

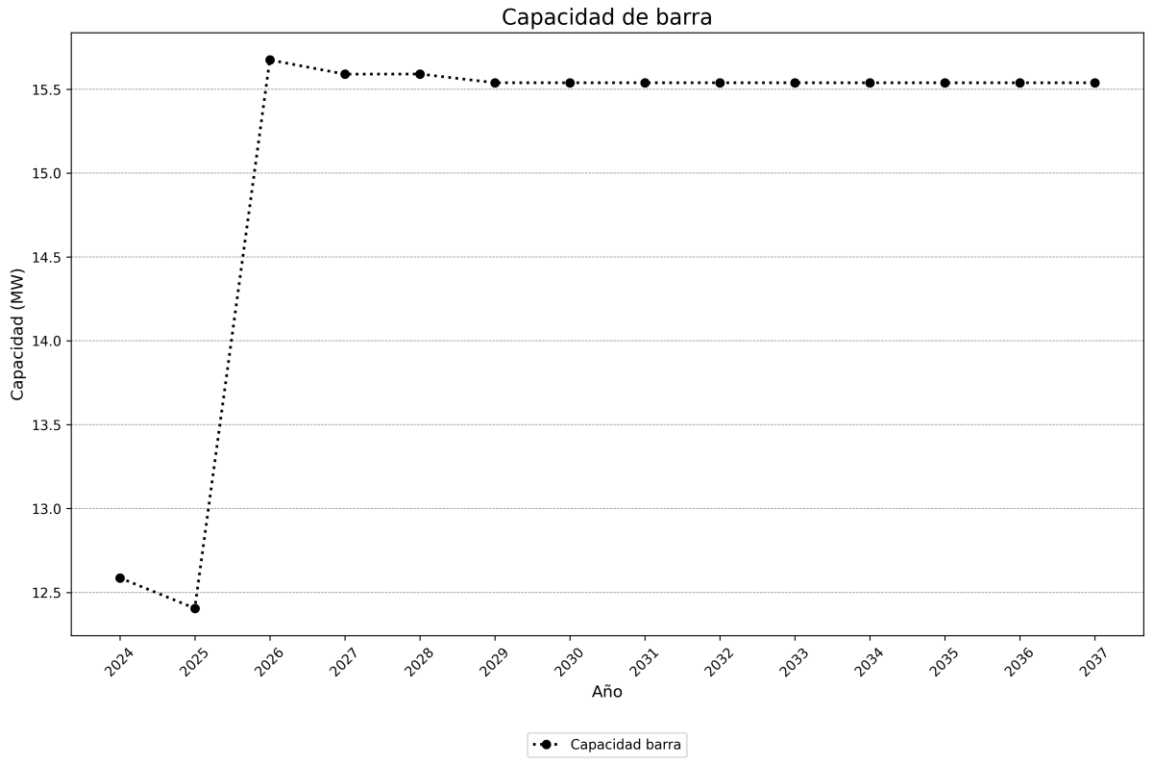


Figura 2-678. Balance de capacidad por barra después de la priorización para la subestación Tabor (Bventura) 115

Capacidad excedente de interrupción de corriente de cortocircuito:

Para la subestación Tabor (Bventura) 115 se presentaron 4 alternativas de conexión las cuales tienen aportes de corriente de cortocircuito. Estas alternativas se muestran en la siguiente tabla:

Tabla 2-710. Alternativas de conexión que aportan corriente de cortocircuito en la subestación Tabor (Bventura) 115

Solicitud	tipo	FPO	Barra a la que aporta CC	Aporte de cortocircuito (kA)	Restricción
SC_2023_5557_A1	Solar FV	2028	Tabor (Bventura) 115	0.037	SATISFACE
SC_2936_A1	Solar FV	2026	Tabor (Bventura) 115	0.000	SATISFACE
SC_2936_A2	Solar FV	2026	Tabor (Bventura) 115	0.000	SATISFACE
SC_3882_A1	Solar FV	2026	Tabor (Bventura) 115	0.036	SATISFACE

No se priorizó ninguna de las alternativas de conexión que tengan aportes de corriente de cortocircuito en la subestación Tabor (Bventura) 115

El estado de la capacidad de cortocircuito en la subestación Tabor (Bventura) 115, teniendo en cuenta la priorización se puede observar en la siguiente figura.

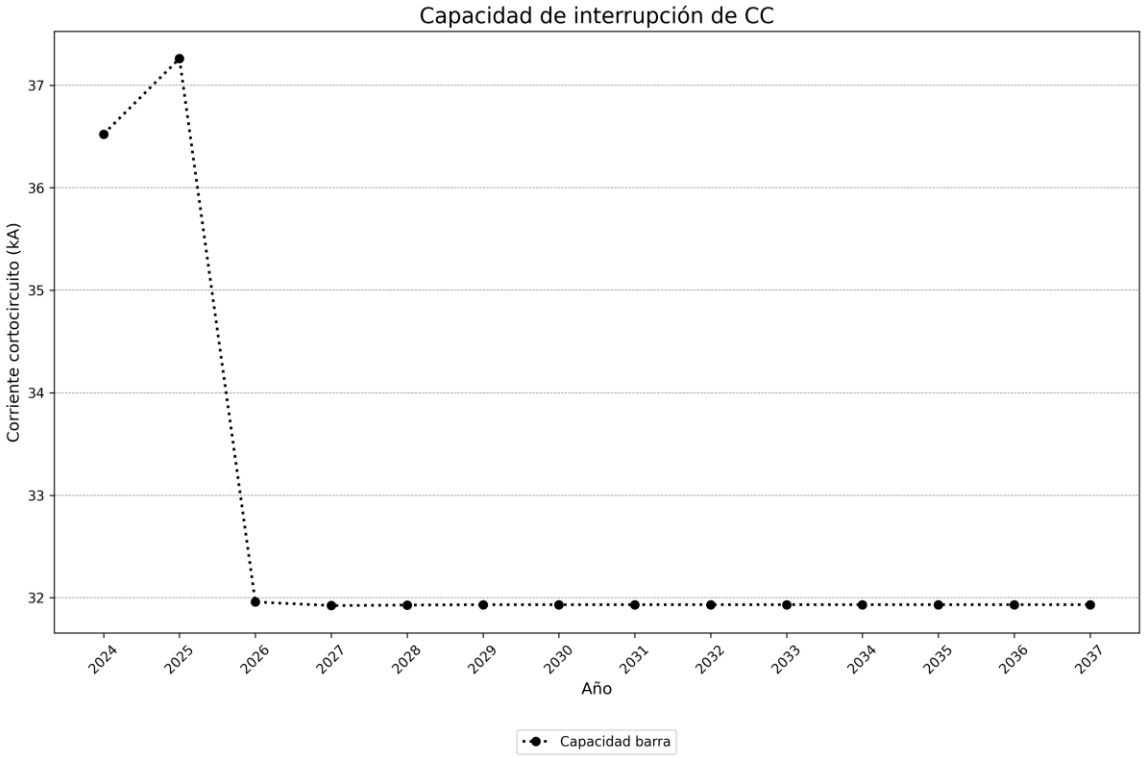


Figura 2-679. Balance de capacidad de cortocircuito después de la priorización para la subestación Tabor (Bventura) 115

Subestación Tebaida 13.2:

Capacidad por barra:

Para la subestación Tebaida 13.2 se presentaron 2 alternativas de conexión las cuales se muestran en la siguiente tabla:

Tabla 2-711. Alternativas de conexión presentadas a la subestación Tebaida 13.2

Solicitud	Capacidad	Tipo	Barra	FPO solicitada	Restricción
SC_2023_5251_A2	9.9	Solar FV	Tebaida 13.2	2025	NO SATISFACE
SC_2023_5253_A2	9.9	Solar FV	Tebaida 13.2	2025	NO SATISFACE

No se priorizó ninguna de las alternativas de conexión presentadas en la subestación Tebaida 13.2

El estado de la capacidad por barra en la subestación Tebaida 13.2, teniendo en cuenta la priorización se puede observar en la siguiente figura.

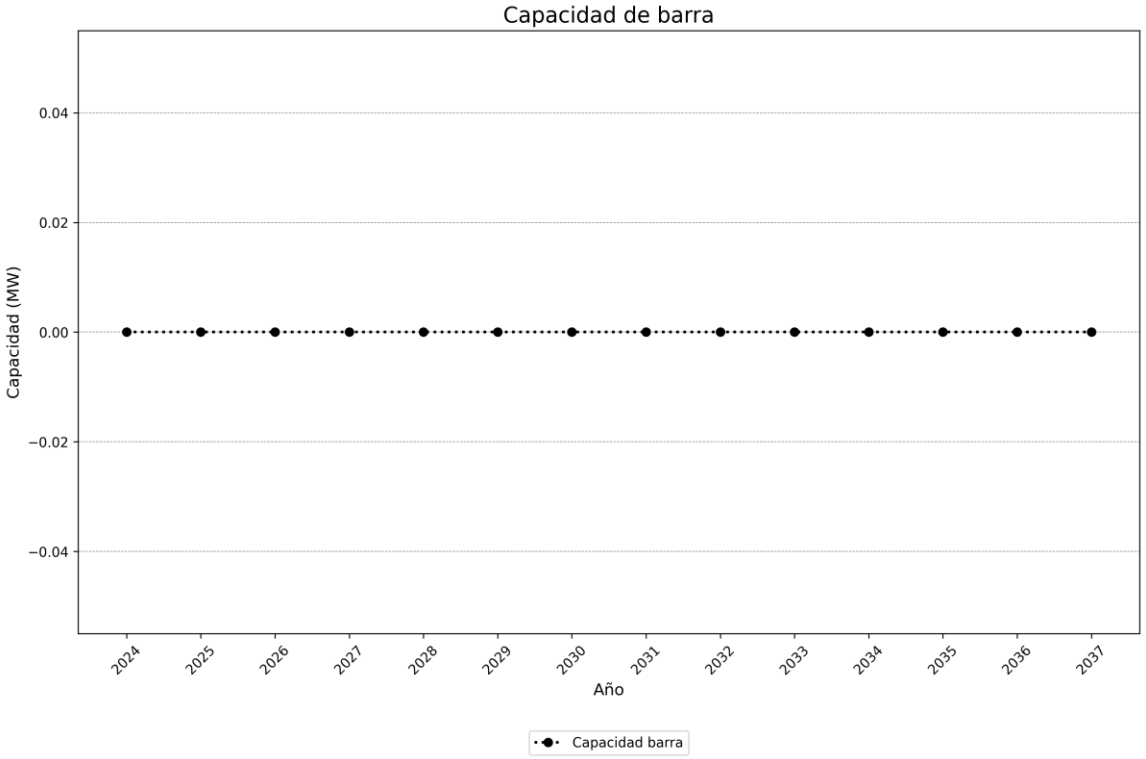


Figura 2-680. Balance de capacidad por barra después de la priorización para la subestación Tebaida 13.2

En el caso anterior se observa que la capacidad por barra es igual a 0 dado que, desde los comentarios presentados por transportador, se identificó que la subestación Tebaida 13.2 no cuenta con disponibilidad de espacio físico para la conexión de nuevos proyectos.

Subestación Tebaida 33:

Capacidad por barra:

Para la subestación Tebaida 33 se presentaron 5 alternativas de conexión las cuales se muestran en la siguiente tabla:

Tabla 2-712. Alternativas de conexión presentadas a la subestación Tebaida 33

Solicitud	Capacidad	Tipo	Barra	FPO solicitada	Restricción
SC_2023_5251_A1	9.9	Solar FV	Tebaida 33	2025	SATISFACE
SC_2023_5253_A1	9.9	Solar FV	Tebaida 33	2025	SATISFACE
SC_2545_A1	9.9	Solar FV	Tebaida 33	2026	SATISFACE
SC_2643_A2	9.9	Solar FV	Tebaida 33	2026	SATISFACE
SC_4175_A1	9.9	Solar FV	Tebaida 33	2026	SATISFACE

Posterior a la ejecución del MACC se priorizaron las siguientes alternativas de conexión:

Tabla 2-713. Alternativas de conexión priorizadas en la subestación Tebaida 33

Solicitud	Capacidad	Tipo	Barra	FPO solicitada	Restricción
SC_2545_A1	9.9	Solar FV	Tebaida 33	2026	SATISFACE

El estado de la capacidad por barra en la subestación Tebaida 33, teniendo en cuenta la priorización se puede observar en la siguiente figura.

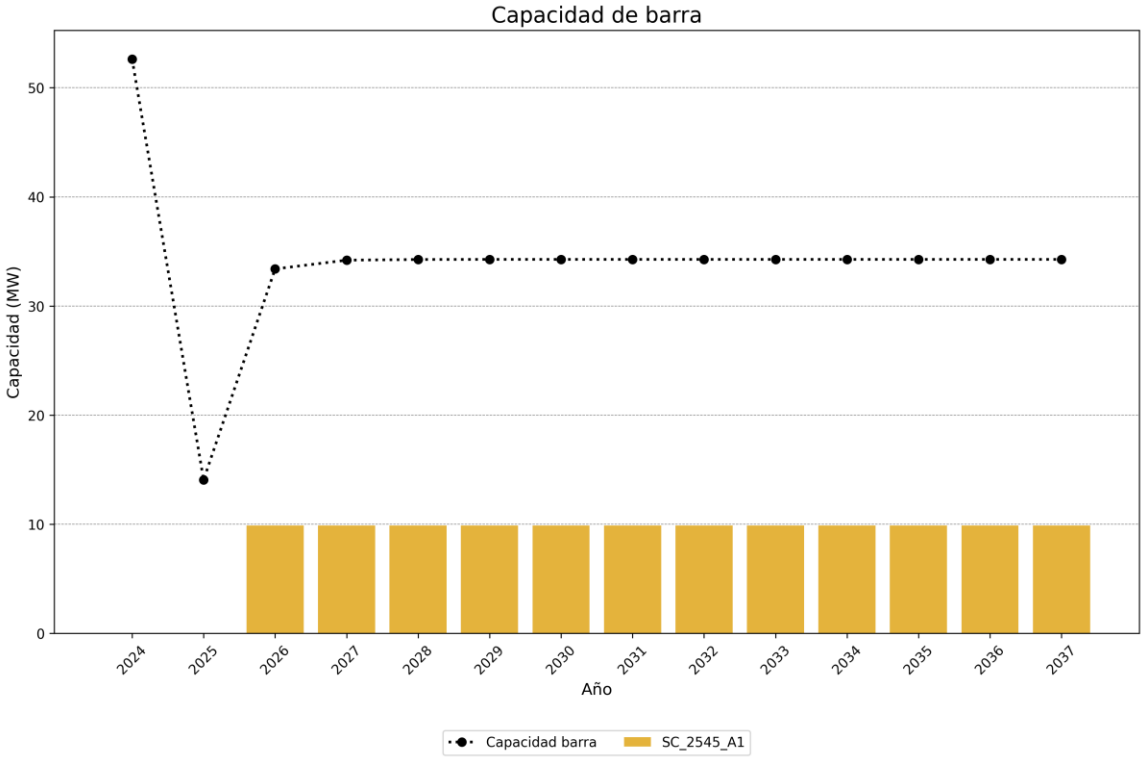


Figura 2-681. Balance de capacidad por barra después de la priorización para la subestación Tebaida 33

Subestación Techo 115:

Capacidad por barra:

Para la subestación Techo 115 se presentaron 0 alternativas de conexión las cuales se muestran en la siguiente tabla:

Tabla 2-714. Alternativas de conexión presentadas a la subestación Techo 115

Solicitud	Capacidad	Tipo	Barra	FPO solicitada	Restricción

No se priorizó ninguna de las alternativas de conexión presentadas en la subestación Techo 115

El estado de la capacidad por barra en la subestación Techo 115, teniendo en cuenta la priorización se puede observar en la siguiente figura.

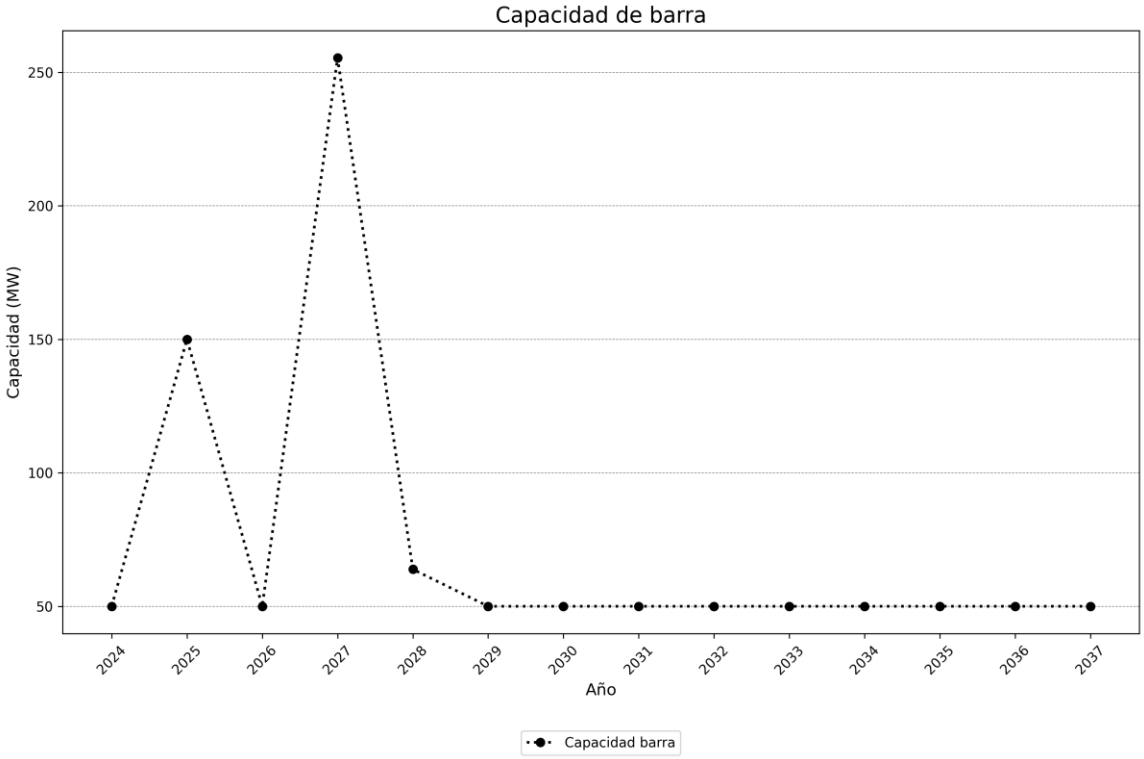


Figura 2-682. Balance de capacidad por barra después de la priorización para la subestación Techo 115

Capacidad excedente de interrupción de corriente de cortocircuito:

Para la subestación Techo 115 se presentaron 31 alternativas de conexión las cuales tienen aportes de corriente de cortocircuito. Estas alternativas se muestran en la siguiente tabla:

Tabla 2-715. Alternativas de conexión que aportan corriente de cortocircuito en la subestación Techo 115

Solicitud	tipo	FPO	Barra a la que aporta CC	Aporte de cortocircuito (kA)	Restricción
SC_2023_5280_A1	Solar FV	2028	Techo 115	0.000	SATISFACE
SC_2023_5280_A2	Solar FV	2028	Techo 115	0.000	SATISFACE
SC_2023_5287_A1	Solar FV	2026	Techo 115	0.043	SATISFACE
SC_2023_5287_A2	Solar FV	2026	Techo 115	0.044	SATISFACE
SC_2023_5288_A1	Solar FV	2026	Techo 115	0.025	SATISFACE
SC_2023_5288_A2	Solar FV	2026	Techo 115	0.066	SATISFACE
SC_2023_5375_A1	Solar FV	2026	Techo 115	0.043	SATISFACE
SC_2023_5399_A1	Solar FV	2026	Techo 115	0.025	SATISFACE
SC_2023_5399_A2	Solar FV	2026	Techo 115	0.066	SATISFACE
SC_2023_5480_A1	Solar FV	2026	Techo 115	0.043	SATISFACE
SC_2023_5480_A2	Solar FV	2026	Techo 115	0.044	SATISFACE
SC_2023_5557_A1	Solar FV	2028	Techo 115	0.184	NO SATISFACE
SC_2023_5562_A1	Solar FV	2026	Techo 115	0.097	SATISFACE
SC_2023_5562_A2	Solar FV	2026	Techo 115	0.097	SATISFACE
SC_2936_A1	Solar FV	2026	Techo 115	0.000	SATISFACE
SC_2936_A2	Solar FV	2026	Techo 115	0.000	SATISFACE
SC_3121_A1	Solar FV	2026	Techo 115	0.002	SATISFACE
SC_3121_A2	Solar FV	2026	Techo 115	0.002	SATISFACE
SC_3132_A1	Solar FV	2026	Techo 115	0.100	SATISFACE
SC_3132_A2	Solar FV	2026	Techo 115	0.086	SATISFACE
SC_3882_A1	Solar FV	2026	Techo 115	0.174	NO SATISFACE
SC_4083_A1	Solar FV	2027	Techo 115	0.000	SATISFACE
SC_4083_A2	Solar FV	2027	Techo 115	0.000	SATISFACE
SC_4765_A1	Solar FV	2029	Techo 115	0.008	SATISFACE
SC_4765_A2	Solar FV	2029	Techo 115	0.005	SATISFACE
SC_4819_A1	Solar FV	2029	Techo 115	0.164	NO SATISFACE
SC_4819_A2	Solar FV	2029	Techo 115	0.147	NO SATISFACE
SC_4974_A1	Solar FV	2026	Techo 115	0.009	SATISFACE
SC_4974_A2	Solar FV	2026	Techo 115	0.009	SATISFACE
SC_4978_A1	Solar FV	2026	Techo 115	0.000	SATISFACE
SC_4978_A2	Solar FV	2026	Techo 115	0.007	SATISFACE

No se priorizó ninguna de las alternativas de conexión que tengan aportes de corriente de cortocircuito en la subestación Techo 115

El estado de la capacidad de cortocircuito en la subestación Techo 115, teniendo en cuenta la priorización se puede observar en la siguiente figura.

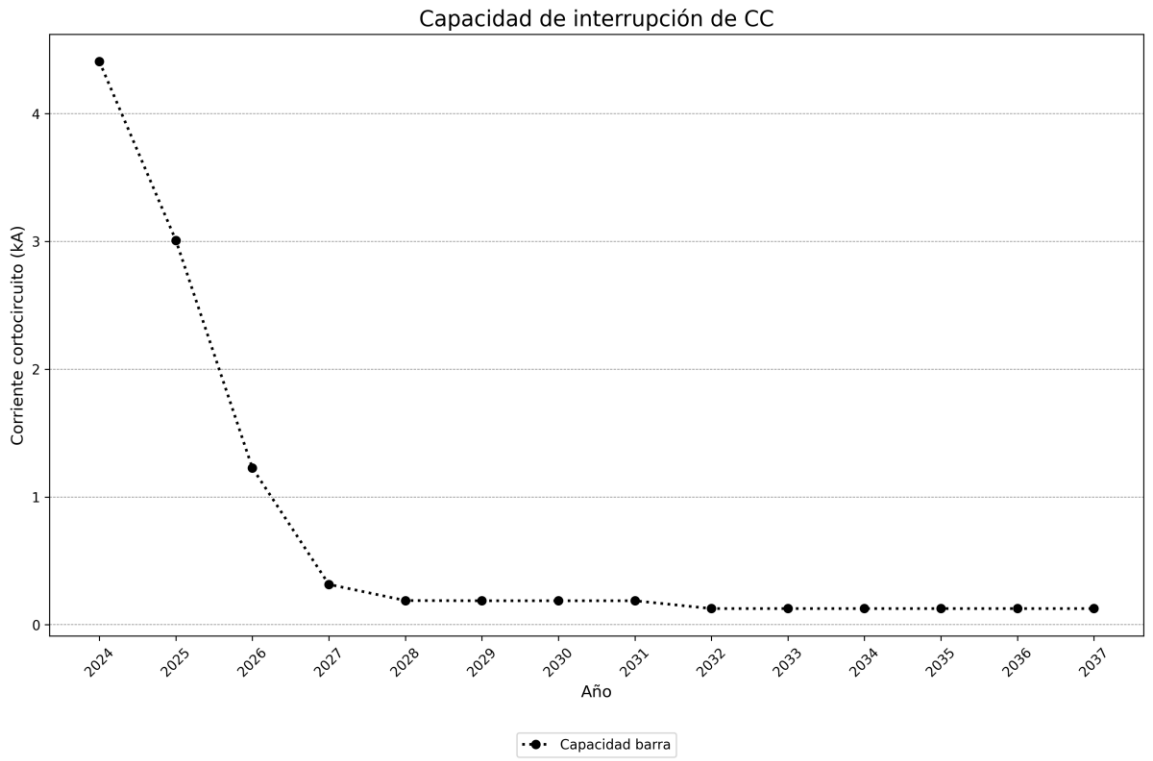


Figura 2-683. Balance de capacidad de cortocircuito después de la priorización para la subestación Techo 115

Subestación Tenay 115:

Capacidad por barra:

Para la subestación Tenay 115 se presentaron 0 alternativas de conexión las cuales se muestran en la siguiente tabla:

Tabla 2-716. Alternativas de conexión presentadas a la subestación Tenay 115

Solicitud	Capacidad	Tipo	Barra	FPO solicitada	Restricción

No se priorizó ninguna de las alternativas de conexión presentadas en la subestación Tenay 115

El estado de la capacidad por barra en la subestación Tenay 115, teniendo en cuenta la priorización se puede observar en la siguiente figura.

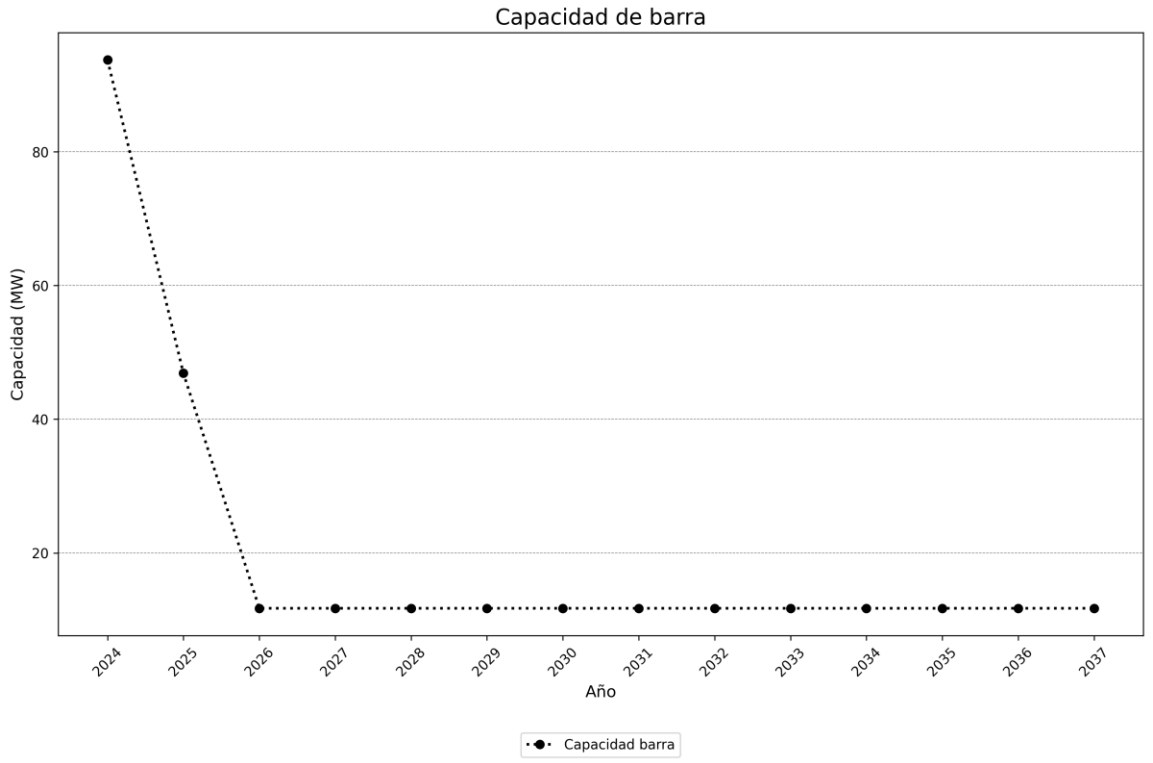


Figura 2-684. Balance de capacidad por barra después de la priorización para la subestación Tenay 115

Capacidad excedente de interrupción de corriente de cortocircuito:

Para la subestación Tenay 115 se presentaron 25 alternativas de conexión las cuales tienen aportes de corriente de cortocircuito. Estas alternativas se muestran en la siguiente tabla:

Tabla 2-717. Alternativas de conexión que aportan corriente de cortocircuito en la subestación Tenay 115

Solicitud	tipo	FPO	Barra a la que aporta CC	Aporte de cortocircuito (kA)	Restricción
SC_2023_5280_A1	Solar FV	2028	Tenay 115	0.000	SATISFACE
SC_2023_5280_A2	Solar FV	2028	Tenay 115	0.000	SATISFACE
SC_2023_5287_A1	Solar FV	2026	Tenay 115	0.006	SATISFACE
SC_2023_5287_A2	Solar FV	2026	Tenay 115	0.006	SATISFACE
SC_2023_5288_A1	Solar FV	2026	Tenay 115	0.003	SATISFACE
SC_2023_5288_A2	Solar FV	2026	Tenay 115	0.009	SATISFACE
SC_2023_5375_A1	Solar FV	2026	Tenay 115	0.006	SATISFACE
SC_2023_5399_A1	Solar FV	2026	Tenay 115	0.003	SATISFACE
SC_2023_5399_A2	Solar FV	2026	Tenay 115	0.009	SATISFACE
SC_2023_5480_A1	Solar FV	2026	Tenay 115	0.006	SATISFACE
SC_2023_5480_A2	Solar FV	2026	Tenay 115	0.006	SATISFACE
SC_2023_5557_A1	Solar FV	2028	Tenay 115	0.022	SATISFACE
SC_2936_A1	Solar FV	2026	Tenay 115	0.000	SATISFACE
SC_2936_A2	Solar FV	2026	Tenay 115	0.000	SATISFACE
SC_3121_A1	Solar FV	2026	Tenay 115	0.001	SATISFACE
SC_3121_A2	Solar FV	2026	Tenay 115	0.001	SATISFACE
SC_3132_A1	Solar FV	2026	Tenay 115	0.013	SATISFACE
SC_3132_A2	Solar FV	2026	Tenay 115	0.011	SATISFACE
SC_3882_A1	Solar FV	2026	Tenay 115	0.021	SATISFACE
SC_4083_A1	Solar FV	2027	Tenay 115	0.000	SATISFACE
SC_4083_A2	Solar FV	2027	Tenay 115	0.000	SATISFACE
SC_4765_A1	Solar FV	2029	Tenay 115	0.000	SATISFACE
SC_4765_A2	Solar FV	2029	Tenay 115	0.000	SATISFACE
SC_4819_A1	Solar FV	2029	Tenay 115	0.023	SATISFACE
SC_4819_A2	Solar FV	2029	Tenay 115	0.021	SATISFACE

No se priorizó ninguna de las alternativas de conexión que tengan aportes de corriente de cortocircuito en la subestación Tenay 115

El estado de la capacidad de cortocircuito en la subestación Tenay 115, teniendo en cuenta la priorización se puede observar en la siguiente figura.

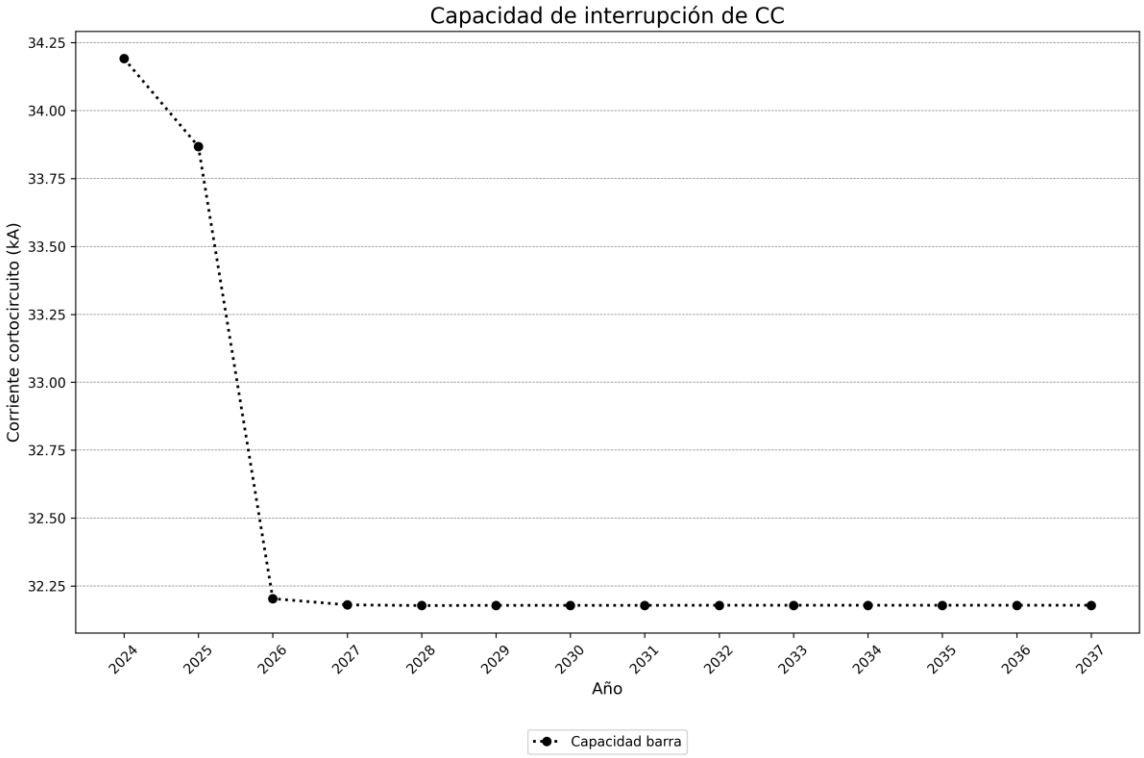


Figura 2-685. Balance de capacidad de cortocircuito después de la priorización para la subestación Tenay 115

Subestación Tenjo 115:

Capacidad por barra:

Para la subestación Tenjo 115 se presentaron 0 alternativas de conexión las cuales se muestran en la siguiente tabla:

Tabla 2-718. Alternativas de conexión presentadas a la subestación Tenjo 115

Solicitud	Capacidad	Tipo	Barra	FPO solicitada	Restricción

No se priorizó ninguna de las alternativas de conexión presentadas en la subestación Tenjo 115

El estado de la capacidad por barra en la subestación Tenjo 115, teniendo en cuenta la priorización se puede observar en la siguiente figura.

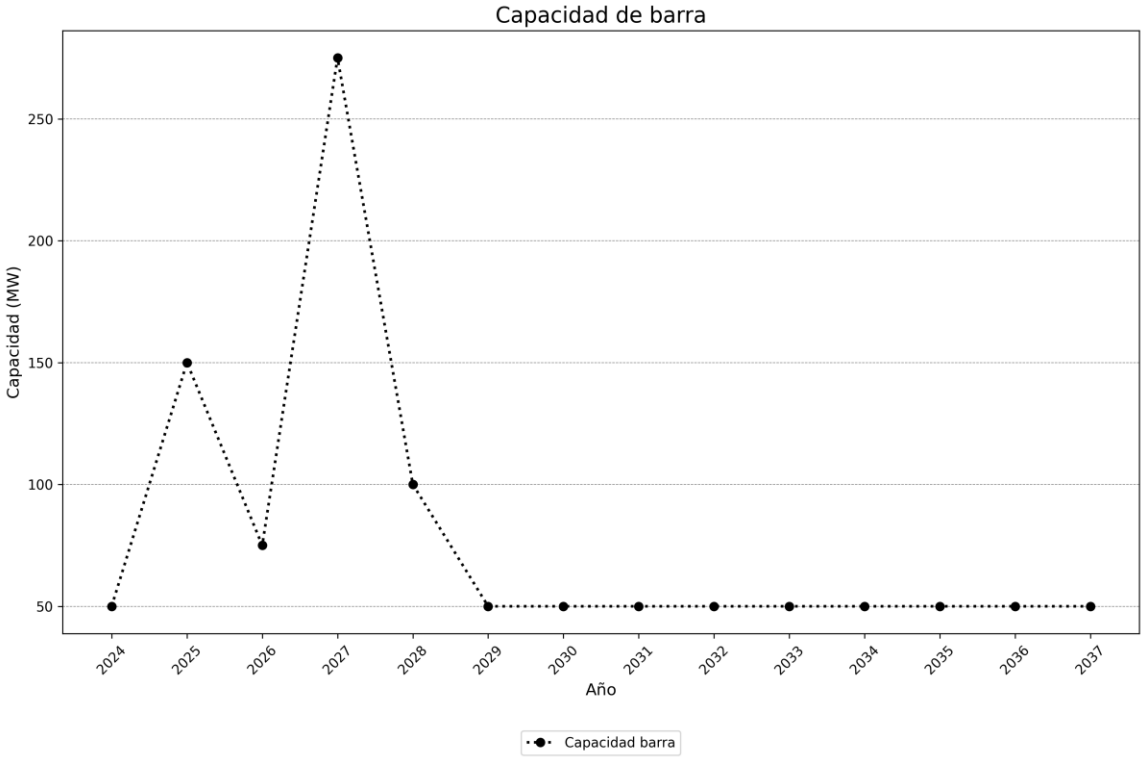


Figura 2-686. Balance de capacidad por barra después de la priorización para la subestación Tenjo 115

Capacidad excedente de interrupción de corriente de cortocircuito:

Para la subestación Tenjo 115 se presentaron 29 alternativas de conexión las cuales tienen aportes de corriente de cortocircuito. Estas alternativas se muestran en la siguiente tabla:

Tabla 2-719. Alternativas de conexión que aportan corriente de cortocircuito en la subestación Tenjo 115

Solicitud	tipo	FPO	Barra a la que aporta CC	Aporte de cortocircuito (kA)	Restricción
SC_2023_5280_A1	Solar FV	2028	Tenjo 115	0.000	SATISFACE
SC_2023_5280_A2	Solar FV	2028	Tenjo 115	0.000	SATISFACE
SC_2023_5287_A1	Solar FV	2026	Tenjo 115	0.019	SATISFACE
SC_2023_5287_A2	Solar FV	2026	Tenjo 115	0.019	SATISFACE
SC_2023_5288_A1	Solar FV	2026	Tenjo 115	0.011	SATISFACE
SC_2023_5288_A2	Solar FV	2026	Tenjo 115	0.029	SATISFACE
SC_2023_5375_A1	Solar FV	2026	Tenjo 115	0.019	SATISFACE
SC_2023_5399_A1	Solar FV	2026	Tenjo 115	0.011	SATISFACE
SC_2023_5399_A2	Solar FV	2026	Tenjo 115	0.029	SATISFACE
SC_2023_5480_A1	Solar FV	2026	Tenjo 115	0.019	SATISFACE
SC_2023_5480_A2	Solar FV	2026	Tenjo 115	0.019	SATISFACE
SC_2023_5557_A1	Solar FV	2028	Tenjo 115	0.073	SATISFACE
SC_2936_A1	Solar FV	2026	Tenjo 115	0.000	SATISFACE
SC_2936_A2	Solar FV	2026	Tenjo 115	0.000	SATISFACE
SC_3121_A1	Solar FV	2026	Tenjo 115	0.002	SATISFACE
SC_3121_A2	Solar FV	2026	Tenjo 115	0.002	SATISFACE
SC_3132_A1	Solar FV	2026	Tenjo 115	0.040	SATISFACE
SC_3132_A2	Solar FV	2026	Tenjo 115	0.035	SATISFACE
SC_3882_A1	Solar FV	2026	Tenjo 115	0.070	SATISFACE
SC_4083_A1	Solar FV	2027	Tenjo 115	0.000	SATISFACE
SC_4083_A2	Solar FV	2027	Tenjo 115	0.000	SATISFACE
SC_4765_A1	Solar FV	2029	Tenjo 115	0.001	SATISFACE
SC_4765_A2	Solar FV	2029	Tenjo 115	0.001	SATISFACE
SC_4819_A1	Solar FV	2029	Tenjo 115	0.062	SATISFACE
SC_4819_A2	Solar FV	2029	Tenjo 115	0.056	SATISFACE
SC_4974_A1	Solar FV	2026	Tenjo 115	0.003	SATISFACE
SC_4974_A2	Solar FV	2026	Tenjo 115	0.003	SATISFACE
SC_4978_A1	Solar FV	2026	Tenjo 115	0.000	SATISFACE
SC_4978_A2	Solar FV	2026	Tenjo 115	0.003	SATISFACE

No se priorizó ninguna de las alternativas de conexión que tengan aportes de corriente de cortocircuito en la subestación Tenjo 115

El estado de la capacidad de cortocircuito en la subestación Tenjo 115, teniendo en cuenta la priorización se puede observar en la siguiente figura.

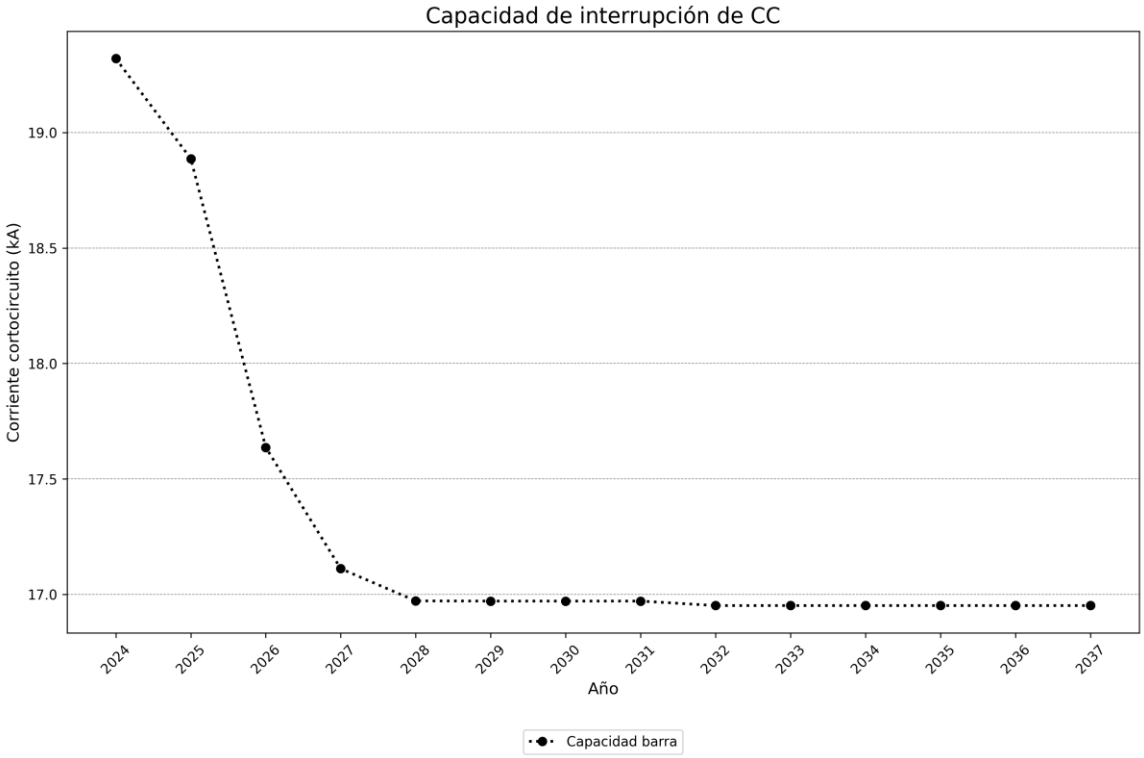


Figura 2-687. Balance de capacidad de cortocircuito después de la priorización para la subestación Tenjo 115

Subestación Terminal 115:

Capacidad por barra:

Para la subestación Terminal 115 se presentaron 0 alternativas de conexión las cuales se muestran en la siguiente tabla:

Tabla 2-720. Alternativas de conexión presentadas a la subestación Terminal 115

Solicitud	Capacidad	Tipo	Barra	FPO solicitada	Restricción

No se priorizó ninguna de las alternativas de conexión presentadas en la subestación Terminal 115

El estado de la capacidad por barra en la subestación Terminal 115, teniendo en cuenta la priorización se puede observar en la siguiente figura.

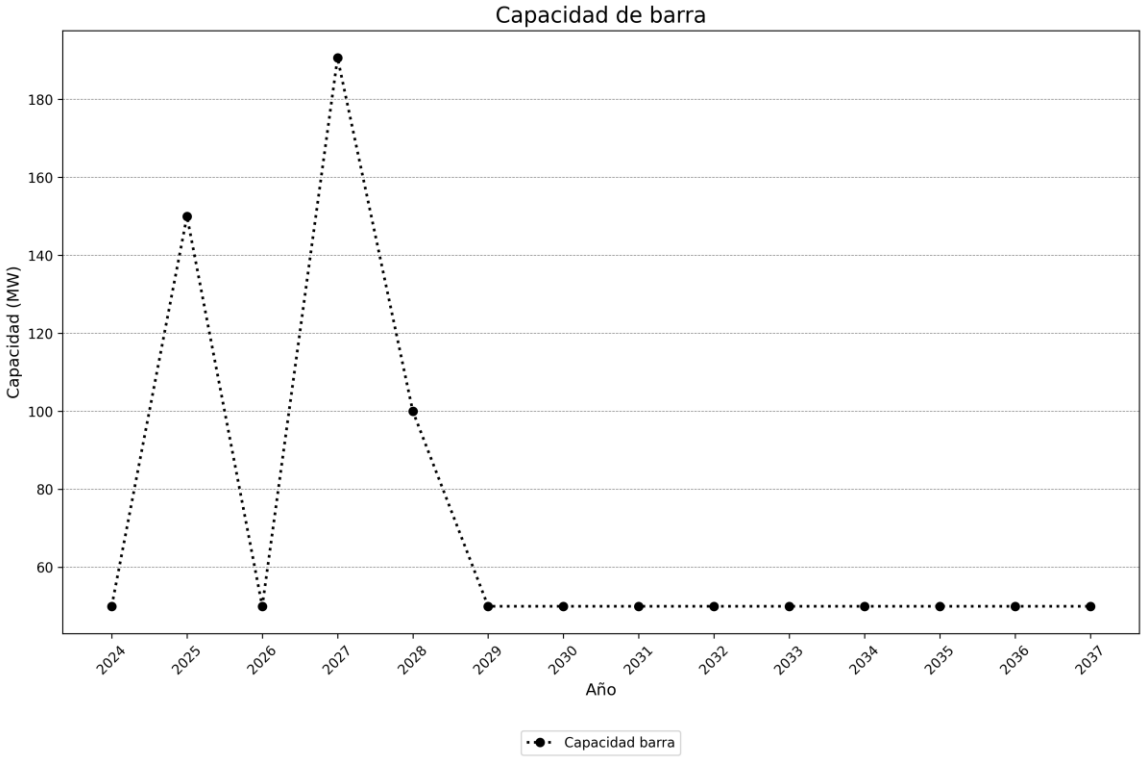


Figura 2-688. Balance de capacidad por barra después de la priorización para la subestación Terminal 115

Capacidad excedente de interrupción de corriente de cortocircuito:

Para la subestación Terminal 115 se presentaron 25 alternativas de conexión las cuales tienen aportes de corriente de cortocircuito. Estas alternativas se muestran en la siguiente tabla:

Tabla 2-721. Alternativas de conexión que aportan corriente de cortocircuito en la subestación Terminal 115

Solicitud	tipo	FPO	Barra a la que aporta CC	Aporte de cortocircuito (kA)	Restricción
SC_2023_5280_A1	Solar FV	2028	Terminal 115	0.000	SATISFACE
SC_2023_5280_A2	Solar FV	2028	Terminal 115	0.000	SATISFACE
SC_2023_5287_A1	Solar FV	2026	Terminal 115	0.029	SATISFACE
SC_2023_5287_A2	Solar FV	2026	Terminal 115	0.030	SATISFACE
SC_2023_5288_A1	Solar FV	2026	Terminal 115	0.017	SATISFACE
SC_2023_5288_A2	Solar FV	2026	Terminal 115	0.045	SATISFACE
SC_2023_5375_A1	Solar FV	2026	Terminal 115	0.029	SATISFACE
SC_2023_5399_A1	Solar FV	2026	Terminal 115	0.017	SATISFACE
SC_2023_5399_A2	Solar FV	2026	Terminal 115	0.045	SATISFACE
SC_2023_5480_A1	Solar FV	2026	Terminal 115	0.029	SATISFACE
SC_2023_5480_A2	Solar FV	2026	Terminal 115	0.030	SATISFACE
SC_3121_A1	Solar FV	2026	Terminal 115	0.002	SATISFACE
SC_3121_A2	Solar FV	2026	Terminal 115	0.002	SATISFACE
SC_3132_A1	Solar FV	2026	Terminal 115	0.065	SATISFACE
SC_3132_A2	Solar FV	2026	Terminal 115	0.056	SATISFACE
SC_4083_A1	Solar FV	2027	Terminal 115	0.000	SATISFACE
SC_4083_A2	Solar FV	2027	Terminal 115	0.000	SATISFACE
SC_4765_A1	Solar FV	2029	Terminal 115	0.003	SATISFACE
SC_4765_A2	Solar FV	2029	Terminal 115	0.002	SATISFACE
SC_4819_A1	Solar FV	2029	Terminal 115	0.105	SATISFACE
SC_4819_A2	Solar FV	2029	Terminal 115	0.095	SATISFACE
SC_4974_A1	Solar FV	2026	Terminal 115	0.006	SATISFACE
SC_4974_A2	Solar FV	2026	Terminal 115	0.006	SATISFACE
SC_4978_A1	Solar FV	2026	Terminal 115	0.000	SATISFACE
SC_4978_A2	Solar FV	2026	Terminal 115	0.005	SATISFACE

No se priorizó ninguna de las alternativas de conexión que tengan aportes de corriente de cortocircuito en la subestación Terminal 115

El estado de la capacidad de cortocircuito en la subestación Terminal 115, teniendo en cuenta la priorización se puede observar en la siguiente figura.

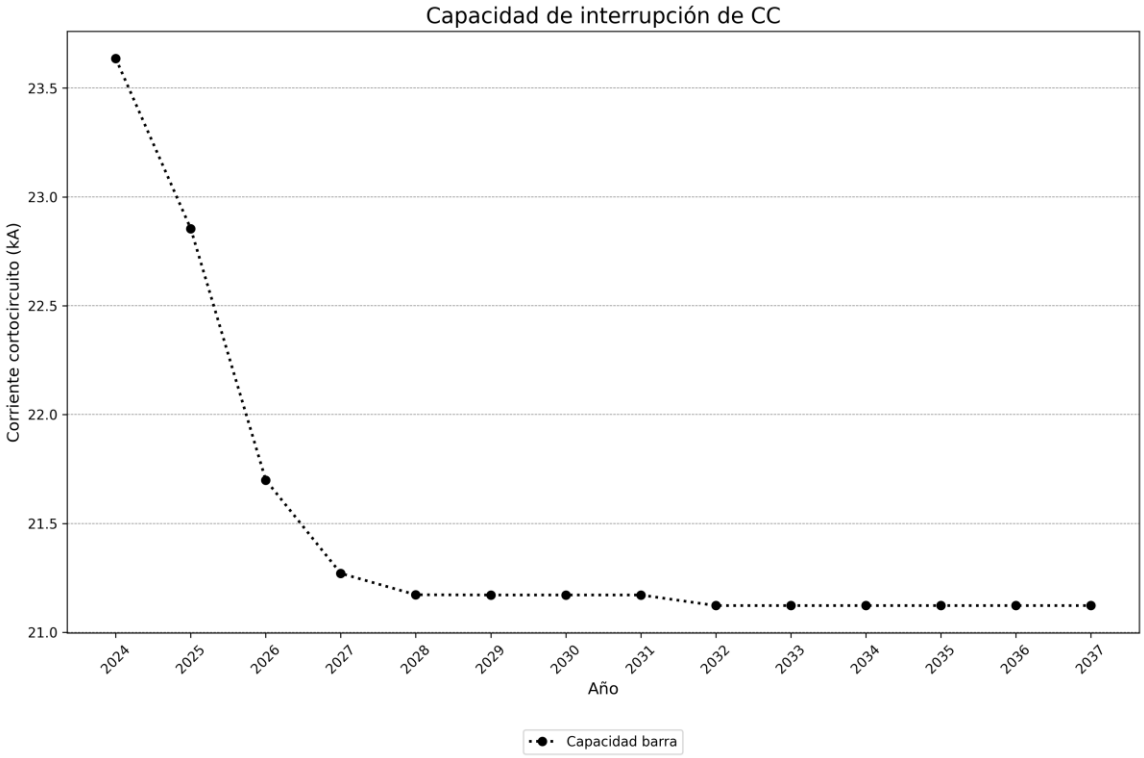


Figura 2-689. Balance de capacidad de cortocircuito después de la priorización para la subestación Terminal 115

Subestación Termo Zipa 115:

Capacidad por barra:

Para la subestación Termo Zipa 115 se presentaron 0 alternativas de conexión las cuales se muestran en la siguiente tabla:

Tabla 2-722. Alternativas de conexión presentadas a la subestación Termo Zipa 115

Solicitud	Capacidad	Tipo	Barra	FPO solicitada	Restricción

No se priorizó ninguna de las alternativas de conexión presentadas en la subestación Termo Zipa 115

El estado de la capacidad por barra en la subestación Termo Zipa 115, teniendo en cuenta la priorización se puede observar en la siguiente figura.

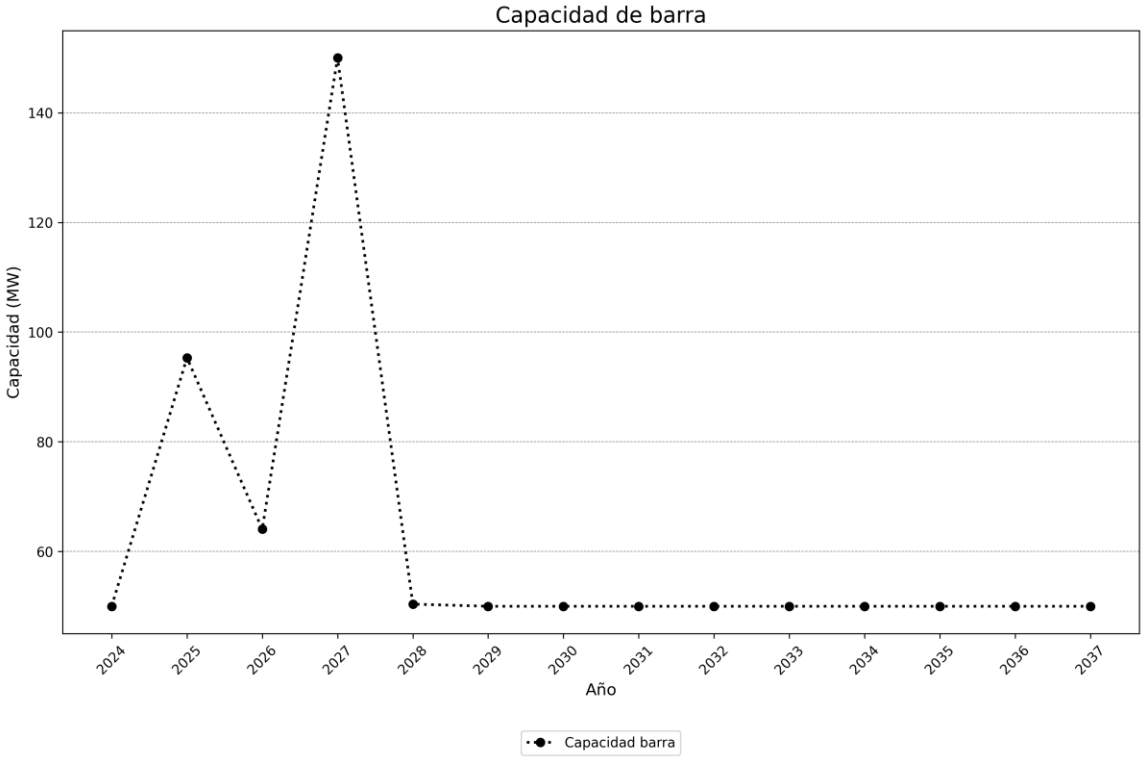


Figura 2-690. Balance de capacidad por barra después de la priorización para la subestación Termo Zipa 115

Capacidad excedente de interrupción de corriente de cortocircuito:

Para la subestación Termo Zipa 115 se presentaron 29 alternativas de conexión las cuales tienen aportes de corriente de cortocircuito. Estas alternativas se muestran en la siguiente tabla:

Tabla 2-723. Alternativas de conexión que aportan corriente de cortocircuito en la subestación Termo Zipa 115

Solicitud	tipo	FPO	Barra a la que aporta CC	Aporte de cortocircuito (kA)	Restricción
SC_2023_5280_A1	Solar FV	2028	Termo Zipa 115	0.000	SATISFACE
SC_2023_5280_A2	Solar FV	2028	Termo Zipa 115	0.000	SATISFACE
SC_2023_5287_A1	Solar FV	2026	Termo Zipa 115	0.028	SATISFACE
SC_2023_5287_A2	Solar FV	2026	Termo Zipa 115	0.028	SATISFACE
SC_2023_5288_A1	Solar FV	2026	Termo Zipa 115	0.017	SATISFACE
SC_2023_5288_A2	Solar FV	2026	Termo Zipa 115	0.043	SATISFACE
SC_2023_5375_A1	Solar FV	2026	Termo Zipa 115	0.027	SATISFACE
SC_2023_5399_A1	Solar FV	2026	Termo Zipa 115	0.017	SATISFACE
SC_2023_5399_A2	Solar FV	2026	Termo Zipa 115	0.043	SATISFACE
SC_2023_5480_A1	Solar FV	2026	Termo Zipa 115	0.028	SATISFACE
SC_2023_5480_A2	Solar FV	2026	Termo Zipa 115	0.028	SATISFACE
SC_2023_5557_A1	Solar FV	2028	Termo Zipa 115	0.110	SATISFACE
SC_2936_A1	Solar FV	2026	Termo Zipa 115	0.000	SATISFACE
SC_2936_A2	Solar FV	2026	Termo Zipa 115	0.000	SATISFACE
SC_3121_A1	Solar FV	2026	Termo Zipa 115	0.003	SATISFACE
SC_3121_A2	Solar FV	2026	Termo Zipa 115	0.003	SATISFACE
SC_3132_A1	Solar FV	2026	Termo Zipa 115	0.059	SATISFACE
SC_3132_A2	Solar FV	2026	Termo Zipa 115	0.052	SATISFACE
SC_3882_A1	Solar FV	2026	Termo Zipa 115	0.106	SATISFACE

SC_4083_A1	Solar FV	2027	Termo Zipa 115	0.000	SATISFACE
SC_4083_A2	Solar FV	2027	Termo Zipa 115	0.000	SATISFACE
SC_4765_A1	Solar FV	2029	Termo Zipa 115	0.002	SATISFACE
SC_4765_A2	Solar FV	2029	Termo Zipa 115	0.001	SATISFACE
SC_4819_A1	Solar FV	2029	Termo Zipa 115	0.095	SATISFACE
SC_4819_A2	Solar FV	2029	Termo Zipa 115	0.087	SATISFACE
SC_4974_A1	Solar FV	2026	Termo Zipa 115	0.006	SATISFACE
SC_4974_A2	Solar FV	2026	Termo Zipa 115	0.006	SATISFACE
SC_4978_A1	Solar FV	2026	Termo Zipa 115	0.000	SATISFACE
SC_4978_A2	Solar FV	2026	Termo Zipa 115	0.004	SATISFACE

No se priorizó ninguna de las alternativas de conexión que tengan aportes de corriente de cortocircuito en la subestación Termo Zipa 115

El estado de la capacidad de cortocircuito en la subestación Termo Zipa 115, teniendo en cuenta la priorización se puede observar en la siguiente figura.

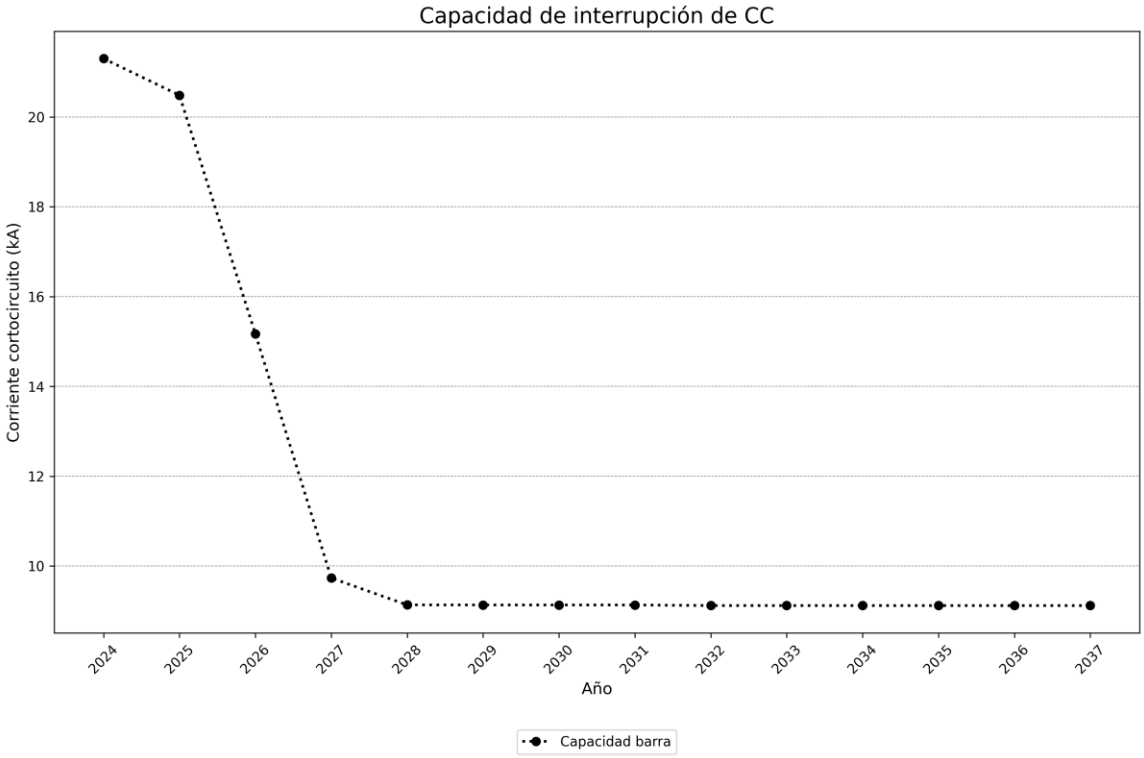


Figura 2-691. Balance de capacidad de cortocircuito después de la priorización para la subestación Termo Zipa 115

Subestación Termovalle 115:

Capacidad por barra:

Para la subestación Termovalle 115 se presentaron 0 alternativas de conexión las cuales se muestran en la siguiente tabla:

Tabla 2-724. Alternativas de conexión presentadas a la subestación Termovalle 115

Solicitud	Capacidad	Tipo	Barra	FPO solicitada	Restricción

No se priorizó ninguna de las alternativas de conexión presentadas en la subestación Termovalle 115

El estado de la capacidad por barra en la subestación Termovalle 115, teniendo en cuenta la priorización se puede observar en la siguiente figura.

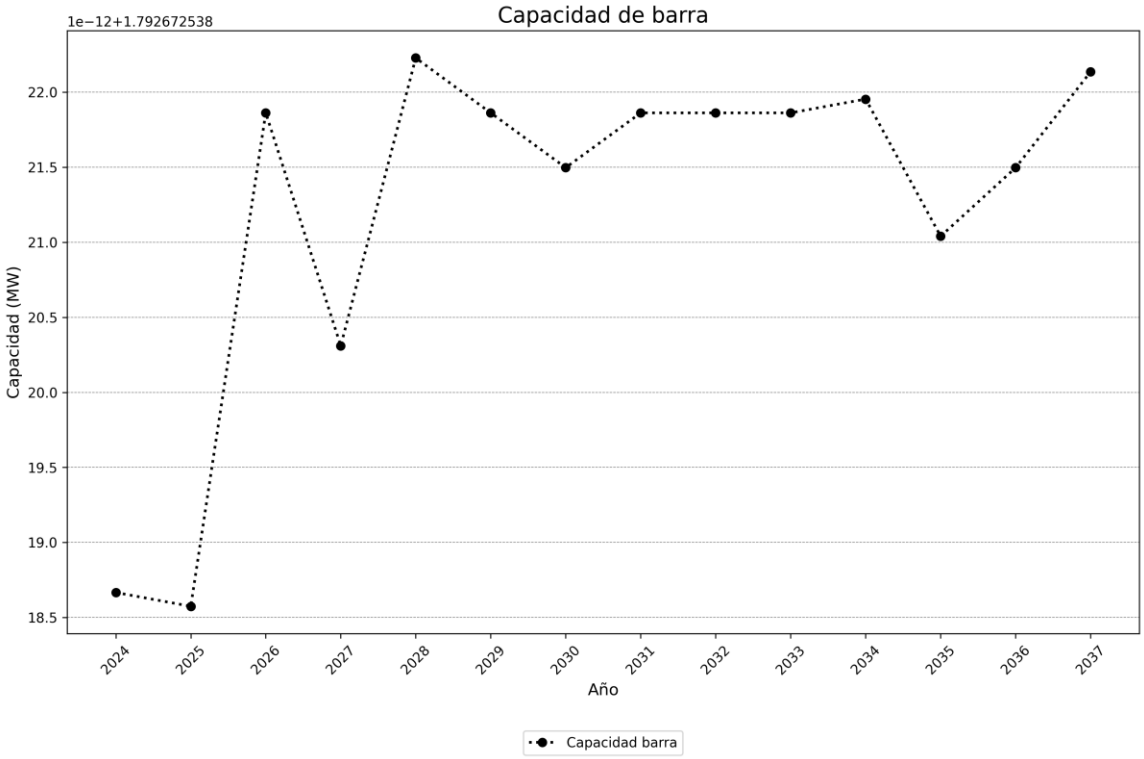


Figura 2-692. Balance de capacidad por barra después de la priorización para la subestación Termovalle 115

Capacidad excedente de interrupción de corriente de cortocircuito:

Para la subestación Termovalle 115 se presentaron 4 alternativas de conexión las cuales tienen aportes de corriente de cortocircuito. Estas alternativas se muestran en la siguiente tabla:

Tabla 2-725. Alternativas de conexión que aportan corriente de cortocircuito en la subestación Termovalle 115

Solicitud	tipo	FPO	Barra a la que aporta CC	Aporte de cortocircuito (kA)	Restricción
SC_2023_5557_A1	Solar FV	2028	Termovalle 115	0.067	SATISFACE
SC_2936_A1	Solar FV	2026	Termovalle 115	0.000	SATISFACE
SC_2936_A2	Solar FV	2026	Termovalle 115	0.000	SATISFACE
SC_3882_A1	Solar FV	2026	Termovalle 115	0.065	SATISFACE

No se priorizó ninguna de las alternativas de conexión que tengan aportes de corriente de cortocircuito en la subestación Termovalle 115

El estado de la capacidad de cortocircuito en la subestación Termovalle 115, teniendo en cuenta la priorización se puede observar en la siguiente figura.

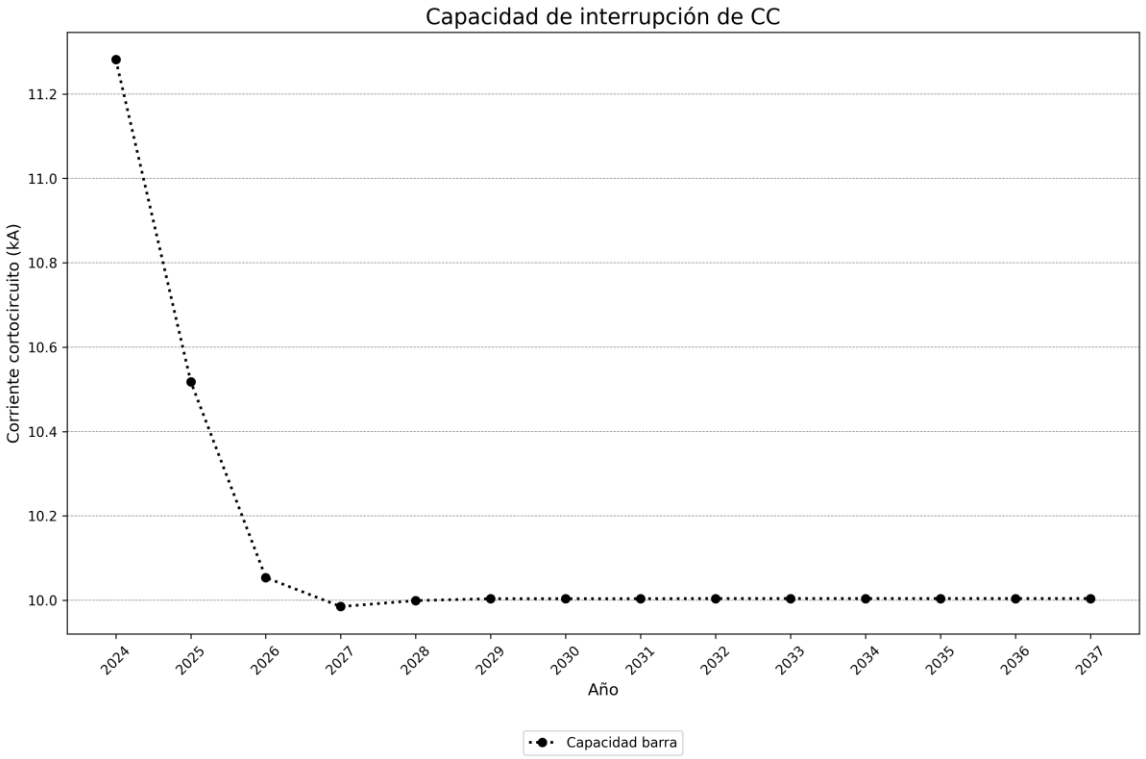


Figura 2-693. Balance de capacidad de cortocircuito después de la priorización para la subestación Termovalle 115

Subestación Termoyumbo 115:

Capacidad por barra:

Para la subestación Termoyumbo 115 se presentaron 0 alternativas de conexión las cuales se muestran en la siguiente tabla:

Tabla 2-726. Alternativas de conexión presentadas a la subestación Termoyumbo 115

Solicitud	Capacidad	Tipo	Barra	FPO solicitada	Restricción

No se priorizó ninguna de las alternativas de conexión presentadas en la subestación Termoyumbo 115

El estado de la capacidad por barra en la subestación Termoyumbo 115, teniendo en cuenta la priorización se puede observar en la siguiente figura.

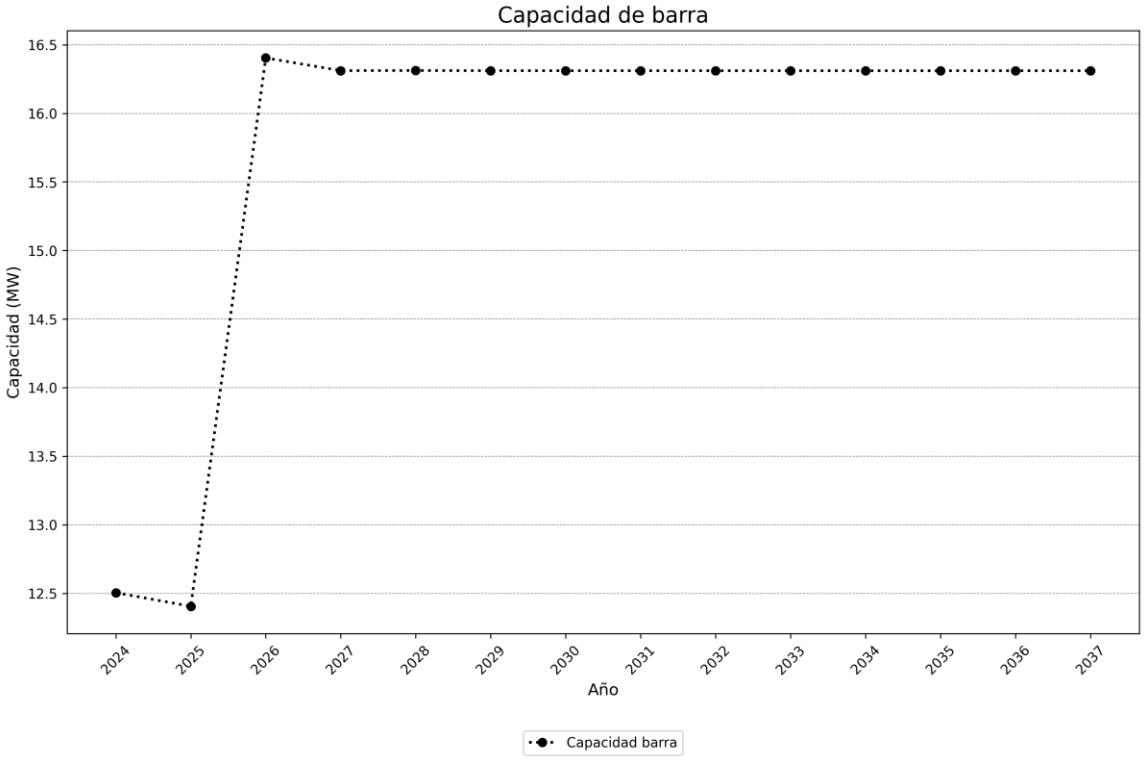


Figura 2-694. Balance de capacidad por barra después de la priorización para la subestación Termoyumbo 115

Capacidad excedente de interrupción de corriente de cortocircuito:

Para la subestación Termoyumbo 115 se presentaron 4 alternativas de conexión las cuales tienen aportes de corriente de cortocircuito. Estas alternativas se muestran en la siguiente tabla:

Tabla 2-727. Alternativas de conexión que aportan corriente de cortocircuito en la subestación Termoyumbo 115

Solicitud	tipo	FPO	Barra a la que aporta CC	Aporte de cortocircuito (kA)	Restricción
SC_2023_5557_A1	Solar FV	2028	Termoyumbo 115	0.120	SATISFACE

SC_2936_A1	Solar FV	2026	Termoyumbo 115	0.000	SATISFACE
SC_2936_A2	Solar FV	2026	Termoyumbo 115	0.000	SATISFACE
SC_3882_A1	Solar FV	2026	Termoyumbo 115	0.117	SATISFACE

No se priorizó ninguna de las alternativas de conexión que tengan aportes de corriente de cortocircuito en la subestación Termoyumbo 115

El estado de la capacidad de cortocircuito en la subestación Termoyumbo 115, teniendo en cuenta la priorización se puede observar en la siguiente figura.

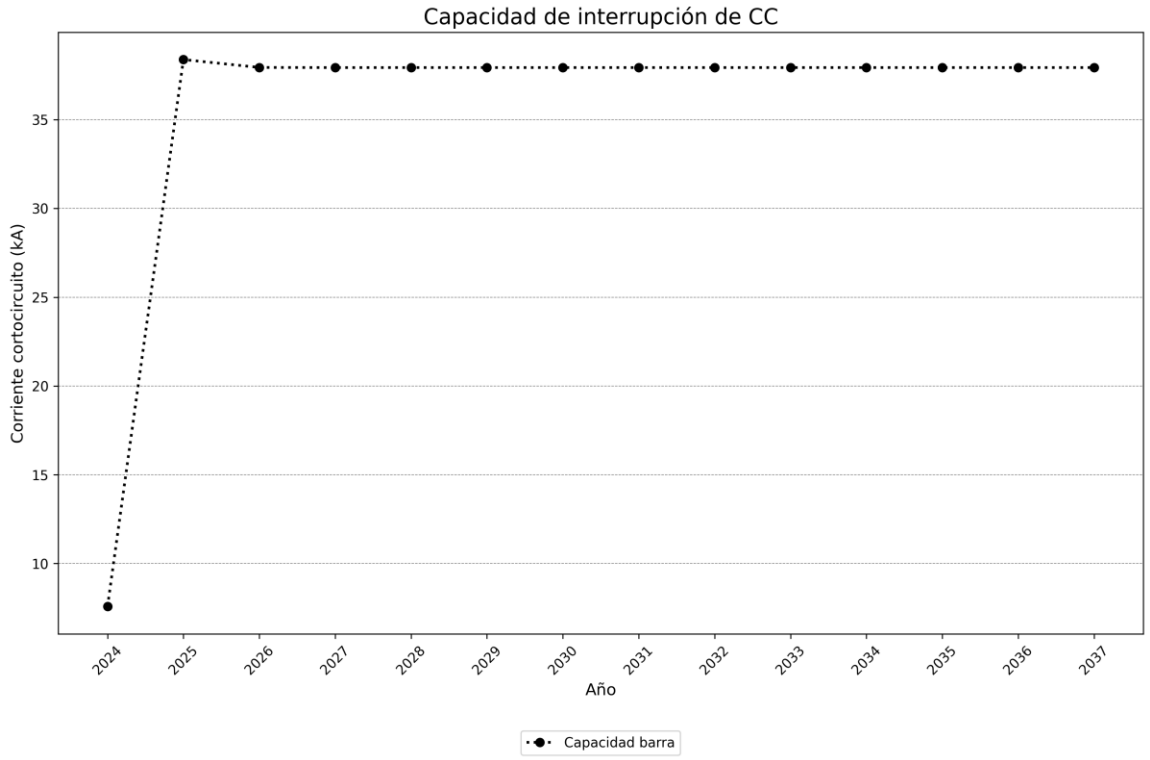


Figura 2-695. Balance de capacidad de cortocircuito después de la priorización para la subestación Termoyumbo 115

Subestación Tesalia 220:

Capacidad por barra:

Para la subestación Tesalia 220 se presentaron 0 alternativas de conexión las cuales se muestran en la siguiente tabla:

Tabla 2-728. Alternativas de conexión presentadas a la subestación Tesalia 220

Solicitud	Capacidad	Tipo	Barra	FPO solicitada	Restricción

No se priorizó ninguna de las alternativas de conexión presentadas en la subestación Tesalia 220

El estado de la capacidad por barra en la subestación Tesalia 220, teniendo en cuenta la priorización se puede observar en la siguiente figura.

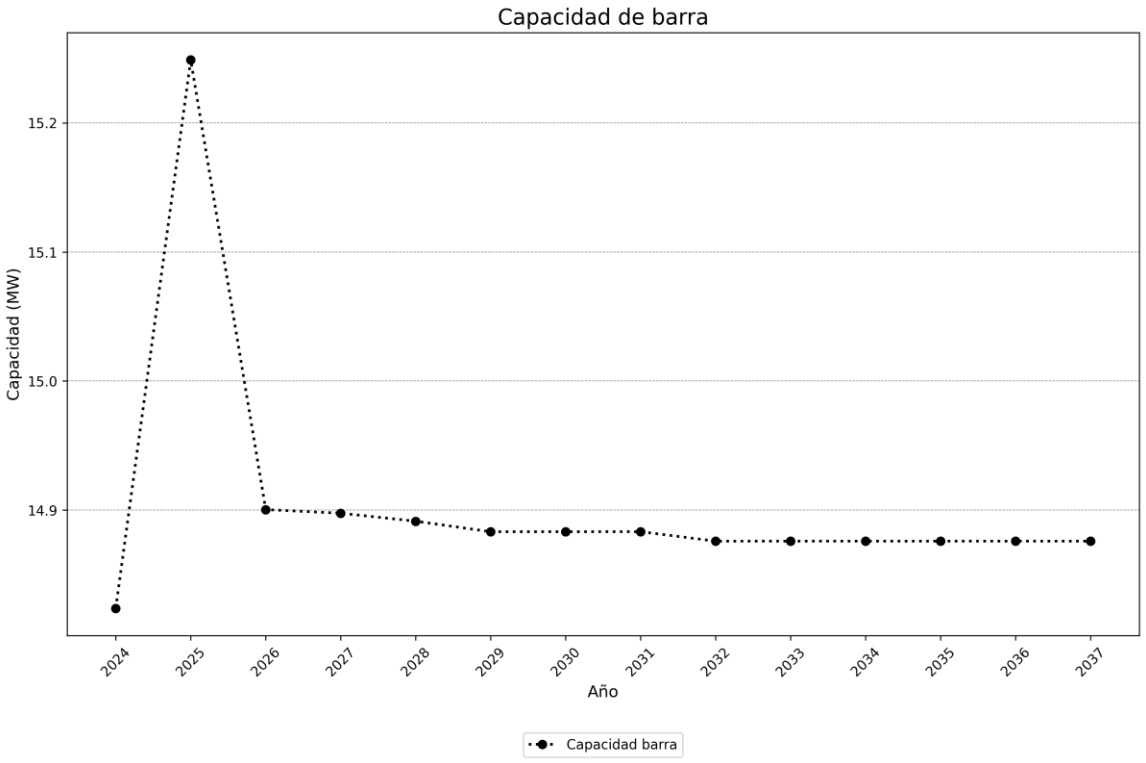


Figura 2-696. Balance de capacidad por barra después de la priorización para la subestación Tesalia 220

Capacidad excedente de interrupción de corriente de cortocircuito:

Para la subestación Tesalia 220 se presentaron 29 alternativas de conexión las cuales tienen aportes de corriente de cortocircuito. Estas alternativas se muestran en la siguiente tabla:

Tabla 2-729. Alternativas de conexión que aportan corriente de cortocircuito en la subestación Tesalia 220

Solicitud	tipo	FPO	Barra a la que aporta CC	Aporte de cortocircuito (kA)	Restricción
SC_2023_5280_A1	Solar FV	2028	Tesalia 220	0.016	SATISFACE
SC_2023_5280_A2	Solar FV	2028	Tesalia 220	0.015	SATISFACE
SC_2023_5287_A1	Solar FV	2026	Tesalia 220	0.008	SATISFACE
SC_2023_5287_A2	Solar FV	2026	Tesalia 220	0.009	SATISFACE
SC_2023_5288_A1	Solar FV	2026	Tesalia 220	0.005	SATISFACE
SC_2023_5288_A2	Solar FV	2026	Tesalia 220	0.013	SATISFACE
SC_2023_5375_A1	Solar FV	2026	Tesalia 220	0.008	SATISFACE
SC_2023_5399_A1	Solar FV	2026	Tesalia 220	0.005	SATISFACE
SC_2023_5399_A2	Solar FV	2026	Tesalia 220	0.013	SATISFACE
SC_2023_5480_A1	Solar FV	2026	Tesalia 220	0.008	SATISFACE
SC_2023_5480_A2	Solar FV	2026	Tesalia 220	0.009	SATISFACE
SC_2023_5557_A1	Solar FV	2028	Tesalia 220	0.031	SATISFACE
SC_2936_A1	Solar FV	2026	Tesalia 220	0.000	SATISFACE
SC_2936_A2	Solar FV	2026	Tesalia 220	0.000	SATISFACE
SC_3121_A1	Solar FV	2026	Tesalia 220	0.001	SATISFACE
SC_3121_A2	Solar FV	2026	Tesalia 220	0.001	SATISFACE
SC_3132_A1	Solar FV	2026	Tesalia 220	0.021	SATISFACE
SC_3132_A2	Solar FV	2026	Tesalia 220	0.018	SATISFACE
SC_3882_A1	Solar FV	2026	Tesalia 220	0.030	SATISFACE
SC_4083_A1	Solar FV	2027	Tesalia 220	0.000	SATISFACE
SC_4083_A2	Solar FV	2027	Tesalia 220	0.000	SATISFACE
SC_4765_A1	Solar FV	2029	Tesalia 220	0.000	SATISFACE
SC_4765_A2	Solar FV	2029	Tesalia 220	0.000	SATISFACE
SC_4819_A1	Solar FV	2029	Tesalia 220	0.033	SATISFACE

SC_4819_A2	Solar FV	2029	Tesalia 220	0.030	SATISFACE
SC_4974_A1	Solar FV	2026	Tesalia 220	0.004	SATISFACE
SC_4974_A2	Solar FV	2026	Tesalia 220	0.004	SATISFACE
SC_4978_A1	Solar FV	2026	Tesalia 220	0.000	SATISFACE
SC_4978_A2	Solar FV	2026	Tesalia 220	0.001	SATISFACE

No se priorizó ninguna de las alternativas de conexión que tengan aportes de corriente de cortocircuito en la subestación Tesalia 220

El estado de la capacidad de cortocircuito en la subestación Tesalia 220, teniendo en cuenta la priorización se puede observar en la siguiente figura.

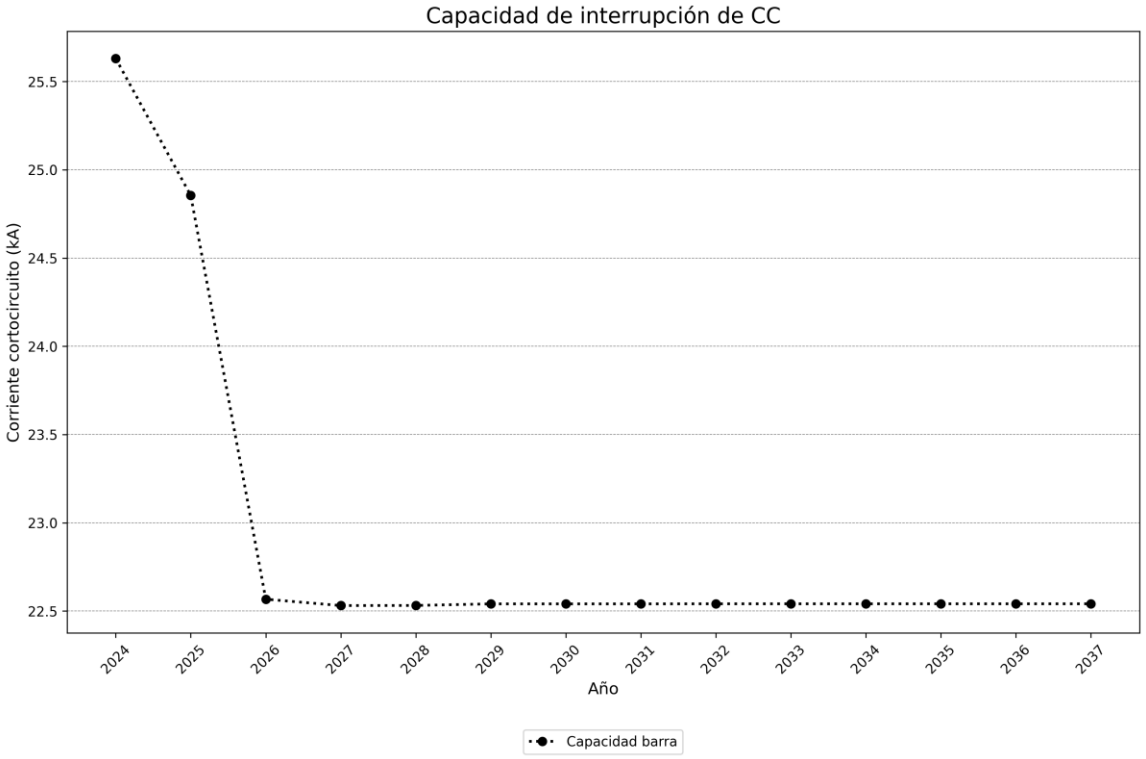


Figura 2-697. Balance de capacidad de cortocircuito después de la priorización para la subestación Tesalia 220

Subestación Tibabuyes 115:

Capacidad por barra:

Para la subestación Tibabuyes 115 se presentaron 0 alternativas de conexión las cuales se muestran en la siguiente tabla:

Tabla 2-730. Alternativas de conexión presentadas a la subestación Tibabuyes 115

Solicitud	Capacidad	Tipo	Barra	FPO solicitada	Restricción

No se priorizó ninguna de las alternativas de conexión presentadas en la subestación Tibabuyes 115

El estado de la capacidad por barra en la subestación Tibabuyes 115, teniendo en cuenta la priorización se puede observar en la siguiente figura.

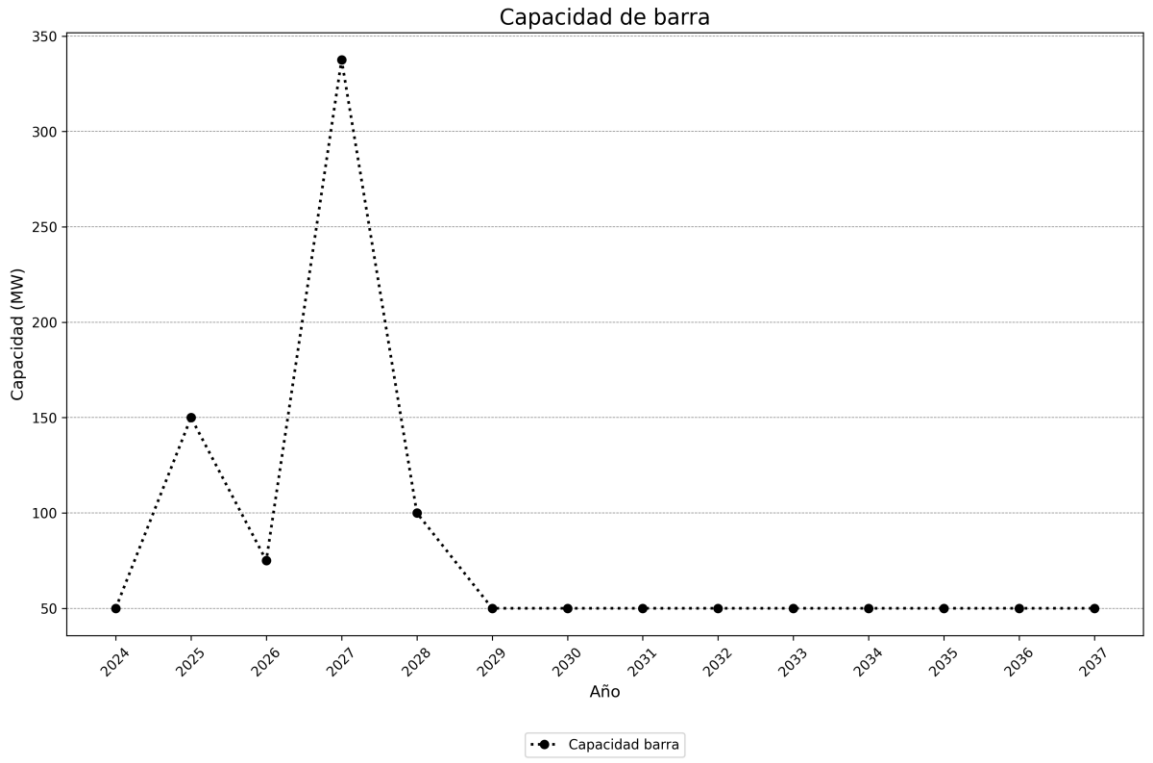


Figura 2-698. Balance de capacidad por barra después de la priorización para la subestación Tibabuyes 115

Capacidad excedente de interrupción de corriente de cortocircuito:

Para la subestación Tibabuyes 115 se presentaron 4 alternativas de conexión las cuales tienen aportes de corriente de cortocircuito. Estas alternativas se muestran en la siguiente tabla:

Tabla 2-731. Alternativas de conexión que aportan corriente de cortocircuito en la subestación Tibabuyes 115

Solicitud	tipo	FPO	Barra a la que aporta CC	Aporte de cortocircuito (kA)	Restricción
SC_2023_5557_A1	Solar FV	2028	Tibabuyes 115	0.096	SATISFACE
SC_2936_A1	Solar FV	2026	Tibabuyes 115	0.000	SATISFACE
SC_2936_A2	Solar FV	2026	Tibabuyes 115	0.000	SATISFACE
SC_3882_A1	Solar FV	2026	Tibabuyes 115	0.092	SATISFACE

No se priorizó ninguna de las alternativas de conexión que tengan aportes de corriente de cortocircuito en la subestación Tibabuyes 115

El estado de la capacidad de cortocircuito en la subestación Tibabuyes 115, teniendo en cuenta la priorización se puede observar en la siguiente figura.

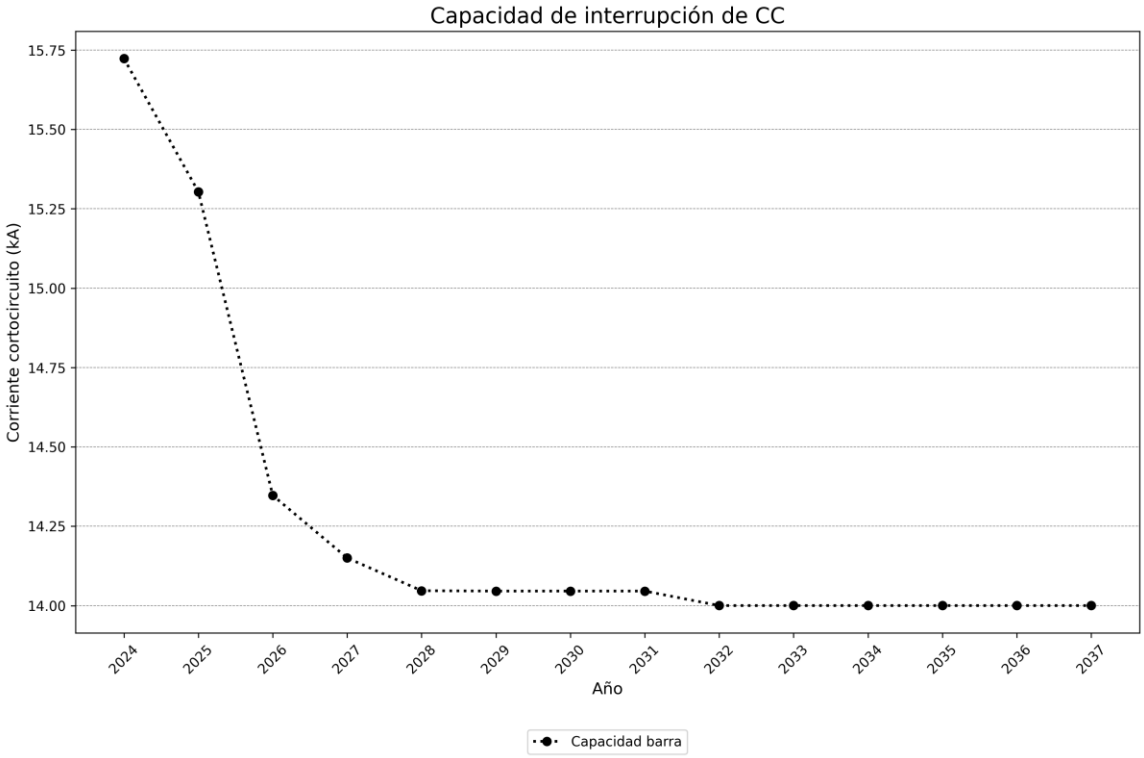


Figura 2-699. Balance de capacidad de cortocircuito después de la priorización para la subestación Tibabuyes 115

Subestación Tigre 110:

Capacidad por barra:

Para la subestación Tigre 110 se presentaron 0 alternativas de conexión las cuales se muestran en la siguiente tabla:

Tabla 2-732. Alternativas de conexión presentadas a la subestación Tigre 110

Solicitud	Capacidad	Tipo	Barra	FPO solicitada	Restricción

No se priorizó ninguna de las alternativas de conexión presentadas en la subestación Tigre 110

El estado de la capacidad por barra en la subestación Tigre 110, teniendo en cuenta la priorización se puede observar en la siguiente figura.

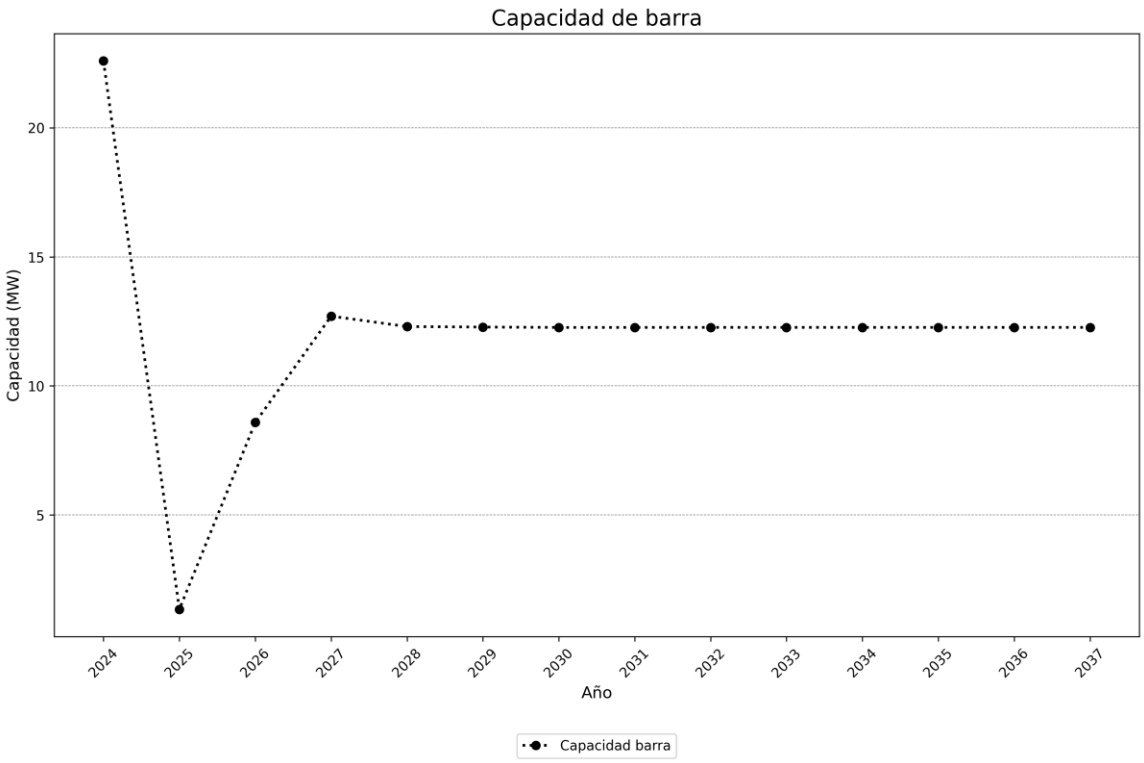


Figura 2-700. Balance de capacidad por barra después de la priorización para la subestación Tigre 110

Capacidad excedente de interrupción de corriente de cortocircuito:

Para la subestación Tigre 110 se presentaron 1 alternativas de conexión las cuales tienen aportes de corriente de cortocircuito. Estas alternativas se muestran en la siguiente tabla:

Tabla 2-733. Alternativas de conexión que aportan corriente de cortocircuito en la subestación Tigre 110

Solicitud	tipo	FPO	Barra a la que aporta CC	Aporte de cortocircuito (kA)	Restricción

SC_3331_A1	Solar FV	2026	Tigre 110	0.008	SATISFACE

No se priorizó ninguna de las alternativas de conexión que tengan aportes de corriente de cortocircuito en la subestación Tigre 110

El estado de la capacidad de cortocircuito en la subestación Tigre 110, teniendo en cuenta la priorización se puede observar en la siguiente figura.

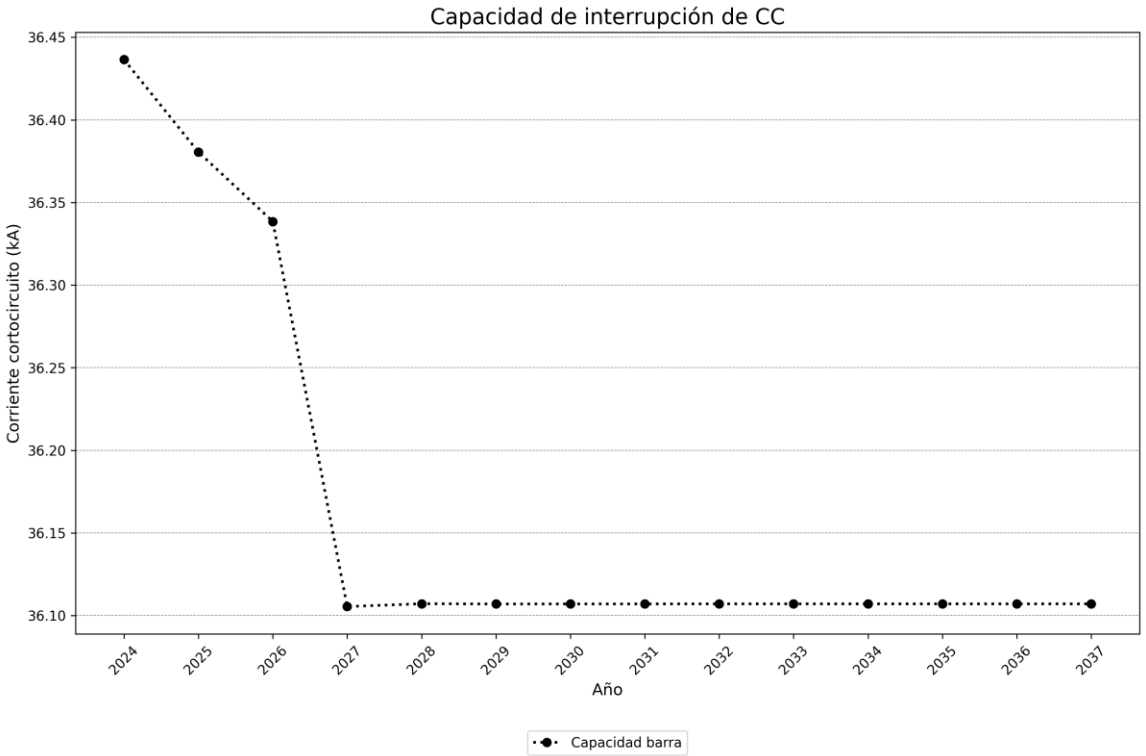


Figura 2-701. Balance de capacidad de cortocircuito después de la priorización para la subestación Tigre 110

Subestación Torca 115:

Capacidad por barra:

Para la subestación Torca 115 se presentaron 0 alternativas de conexión las cuales se muestran en la siguiente tabla:

Tabla 2-734. Alternativas de conexión presentadas a la subestación Torca 115

Solicitud	Capacidad	Tipo	Barra	FPO solicitada	Restricción

No se priorizó ninguna de las alternativas de conexión presentadas en la subestación Torca 115

El estado de la capacidad por barra en la subestación Torca 115, teniendo en cuenta la priorización se puede observar en la siguiente figura.

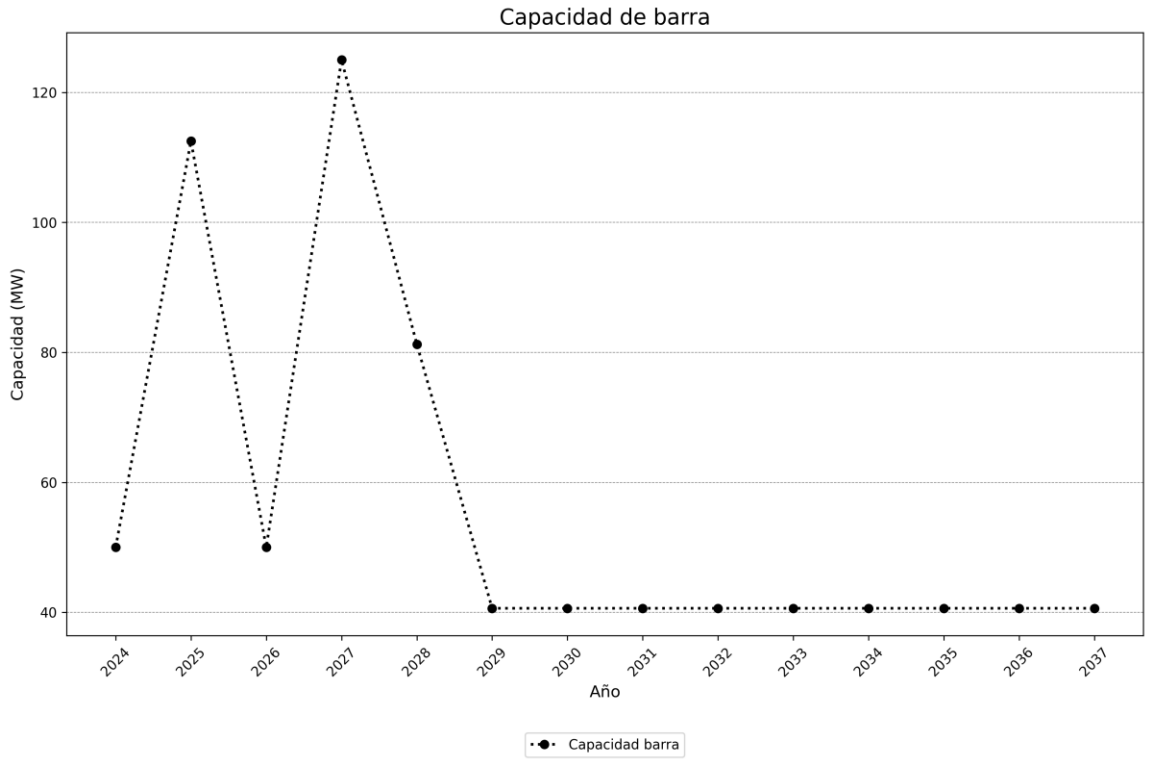


Figura 2-702. Balance de capacidad por barra después de la priorización para la subestación Torca 115

Capacidad excedente de interrupción de corriente de cortocircuito:

Para la subestación Torca 115 se presentaron 29 alternativas de conexión las cuales tienen aportes de corriente de cortocircuito. Estas alternativas se muestran en la siguiente tabla:

Tabla 2-735. Alternativas de conexión que aportan corriente de cortocircuito en la subestación Torca 115

Solicitud	tipo	FPO	Barra a la que aporta CC	Aporte de cortocircuito (kA)	Restricción
SC_2023_5280_A1	Solar FV	2028	Torca 115	0.000	SATISFACE
SC_2023_5280_A2	Solar FV	2028	Torca 115	0.000	SATISFACE
SC_2023_5287_A1	Solar FV	2026	Torca 115	0.054	NO SATISFACE
SC_2023_5287_A2	Solar FV	2026	Torca 115	0.055	NO SATISFACE
SC_2023_5288_A1	Solar FV	2026	Torca 115	0.032	NO SATISFACE
SC_2023_5288_A2	Solar FV	2026	Torca 115	0.084	NO SATISFACE
SC_2023_5375_A1	Solar FV	2026	Torca 115	0.053	NO SATISFACE
SC_2023_5399_A1	Solar FV	2026	Torca 115	0.032	NO SATISFACE
SC_2023_5399_A2	Solar FV	2026	Torca 115	0.084	NO SATISFACE
SC_2023_5480_A1	Solar FV	2026	Torca 115	0.054	NO SATISFACE
SC_2023_5480_A2	Solar FV	2026	Torca 115	0.055	NO SATISFACE
SC_2023_5557_A1	Solar FV	2028	Torca 115	0.218	NO SATISFACE
SC_2936_A1	Solar FV	2026	Torca 115	0.000	NO SATISFACE
SC_2936_A2	Solar FV	2026	Torca 115	0.000	NO SATISFACE
SC_3121_A1	Solar FV	2026	Torca 115	0.007	NO SATISFACE
SC_3121_A2	Solar FV	2026	Torca 115	0.007	NO SATISFACE
SC_3132_A1	Solar FV	2026	Torca 115	0.117	NO SATISFACE
SC_3132_A2	Solar FV	2026	Torca 115	0.102	NO SATISFACE
SC_3882_A1	Solar FV	2026	Torca 115	0.208	NO SATISFACE
SC_4083_A1	Solar FV	2027	Torca 115	0.001	NO SATISFACE
SC_4083_A2	Solar FV	2027	Torca 115	0.001	NO SATISFACE
SC_4765_A1	Solar FV	2029	Torca 115	0.008	NO SATISFACE
SC_4765_A2	Solar FV	2029	Torca 115	0.005	NO SATISFACE
SC_4819_A1	Solar FV	2029	Torca 115	0.190	NO SATISFACE
SC_4819_A2	Solar FV	2029	Torca 115	0.172	NO SATISFACE
SC_4974_A1	Solar FV	2026	Torca 115	0.013	NO SATISFACE
SC_4974_A2	Solar FV	2026	Torca 115	0.012	NO SATISFACE
SC_4978_A1	Solar FV	2026	Torca 115	0.000	SATISFACE
SC_4978_A2	Solar FV	2026	Torca 115	0.009	NO SATISFACE

No se priorizó ninguna de las alternativas de conexión que tengan aportes de corriente de cortocircuito en la subestación Torca 115

El estado de la capacidad de cortocircuito en la subestación Torca 115, teniendo en cuenta la priorización se puede observar en la siguiente figura.

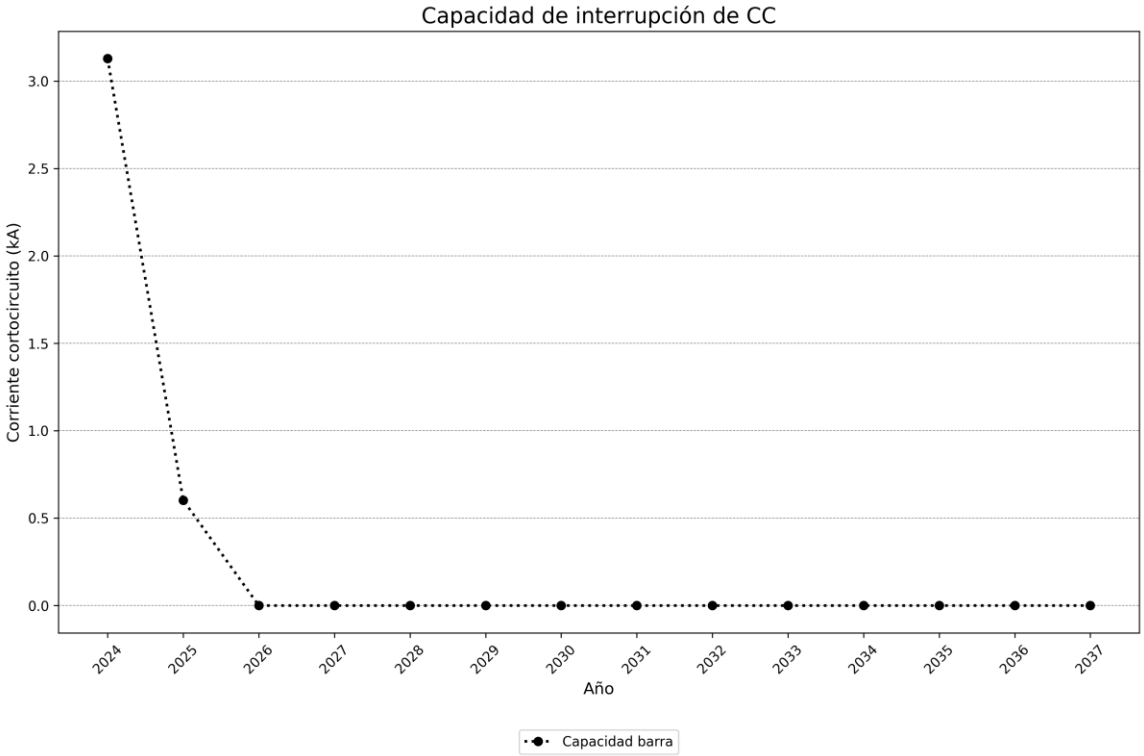


Figura 2-703. Balance de capacidad de cortocircuito después de la priorización para la subestación Torca 115

Subestación Torca 220:

Capacidad por barra:

Para la subestación Torca 220 se presentaron 0 alternativas de conexión las cuales se muestran en la siguiente tabla:

Tabla 2-736. Alternativas de conexión presentadas a la subestación Torca 220

Solicitud	Capacidad	Tipo	Barra	FPO solicitada	Restricción

No se priorizó ninguna de las alternativas de conexión presentadas en la subestación Torca 220

El estado de la capacidad por barra en la subestación Torca 220, teniendo en cuenta la priorización se puede observar en la siguiente figura.

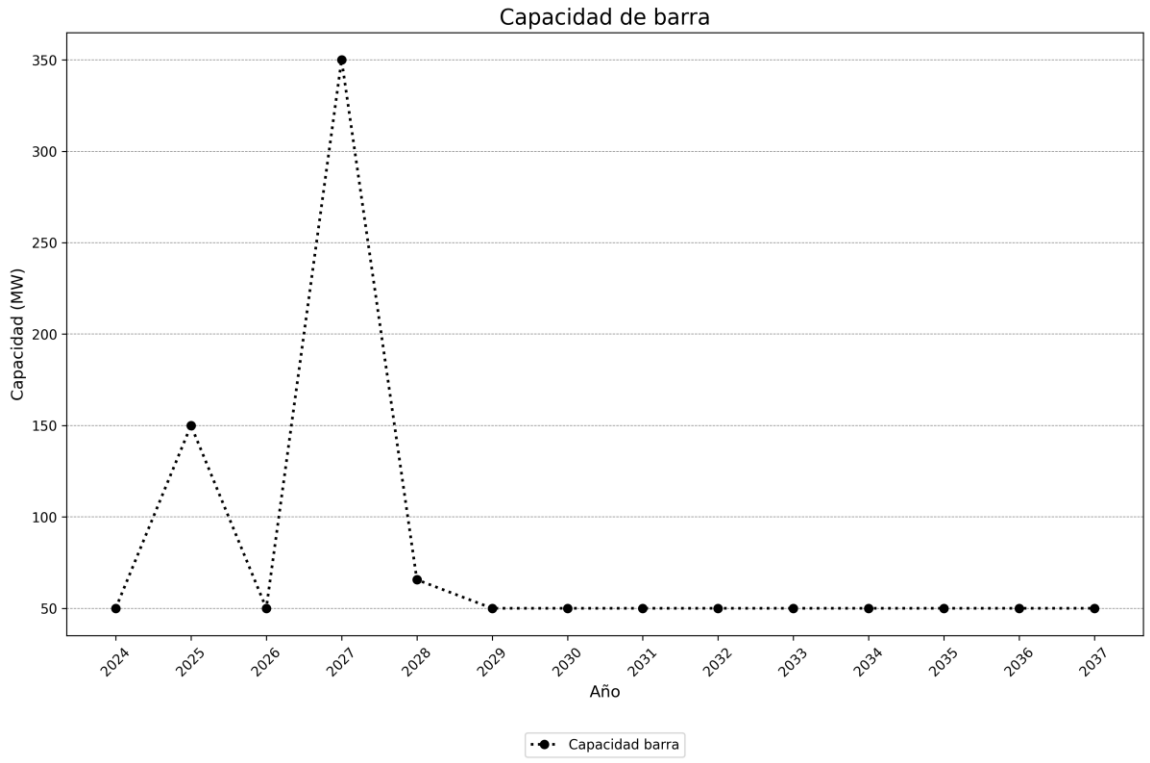


Figura 2-704. Balance de capacidad por barra después de la priorización para la subestación Torca 220

Capacidad excedente de interrupción de corriente de cortocircuito:

Para la subestación Torca 220 se presentaron 29 alternativas de conexión las cuales tienen aportes de corriente de cortocircuito. Estas alternativas se muestran en la siguiente tabla:

Tabla 2-737. Alternativas de conexión que aportan corriente de cortocircuito en la subestación Torca 220

Solicitud	tipo	FPO	Barra a la que aporta CC	Aporte de cortocircuito (kA)	Restricción
SC_2023_5280_A1	Solar FV	2028	Torca 220	0.000	SATISFACE
SC_2023_5280_A2	Solar FV	2028	Torca 220	0.000	SATISFACE
SC_2023_5287_A1	Solar FV	2026	Torca 220	0.036	NO SATISFACE
SC_2023_5287_A2	Solar FV	2026	Torca 220	0.037	NO SATISFACE
SC_2023_5288_A1	Solar FV	2026	Torca 220	0.021	NO SATISFACE
SC_2023_5288_A2	Solar FV	2026	Torca 220	0.056	NO SATISFACE
SC_2023_5375_A1	Solar FV	2026	Torca 220	0.036	NO SATISFACE
SC_2023_5399_A1	Solar FV	2026	Torca 220	0.021	NO SATISFACE
SC_2023_5399_A2	Solar FV	2026	Torca 220	0.056	NO SATISFACE
SC_2023_5480_A1	Solar FV	2026	Torca 220	0.036	NO SATISFACE
SC_2023_5480_A2	Solar FV	2026	Torca 220	0.037	NO SATISFACE
SC_2023_5557_A1	Solar FV	2028	Torca 220	0.144	NO SATISFACE
SC_2936_A1	Solar FV	2026	Torca 220	0.000	NO SATISFACE
SC_2936_A2	Solar FV	2026	Torca 220	0.000	NO SATISFACE
SC_3121_A1	Solar FV	2026	Torca 220	0.005	NO SATISFACE
SC_3121_A2	Solar FV	2026	Torca 220	0.005	NO SATISFACE
SC_3132_A1	Solar FV	2026	Torca 220	0.079	NO SATISFACE
SC_3132_A2	Solar FV	2026	Torca 220	0.070	NO SATISFACE
SC_3882_A1	Solar FV	2026	Torca 220	0.139	NO SATISFACE
SC_4083_A1	Solar FV	2027	Torca 220	0.001	NO SATISFACE
SC_4083_A2	Solar FV	2027	Torca 220	0.001	NO SATISFACE
SC_4765_A1	Solar FV	2029	Torca 220	0.011	NO SATISFACE
SC_4765_A2	Solar FV	2029	Torca 220	0.006	NO SATISFACE
SC_4819_A1	Solar FV	2029	Torca 220	0.131	NO SATISFACE
SC_4819_A2	Solar FV	2029	Torca 220	0.119	NO SATISFACE
SC_4974_A1	Solar FV	2026	Torca 220	0.009	NO SATISFACE
SC_4974_A2	Solar FV	2026	Torca 220	0.009	NO SATISFACE
SC_4978_A1	Solar FV	2026	Torca 220	0.000	NO SATISFACE
SC_4978_A2	Solar FV	2026	Torca 220	0.006	NO SATISFACE

No se priorizó ninguna de las alternativas de conexión que tengan aportes de corriente de cortocircuito en la subestación Torca 220

El estado de la capacidad de cortocircuito en la subestación Torca 220, teniendo en cuenta la priorización se puede observar en la siguiente figura.

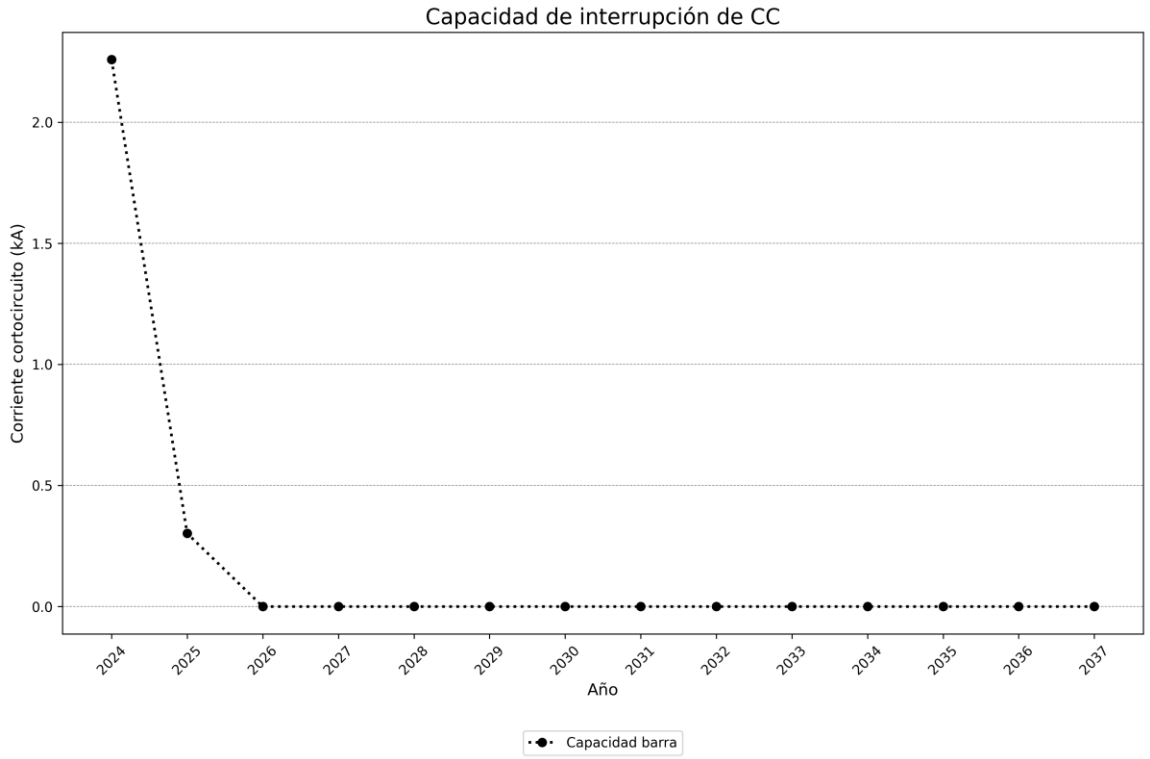


Figura 2-705. Balance de capacidad de cortocircuito después de la priorización para la subestación Torca 220

Subestación Tren Occ 115:

Capacidad por barra:

Para la subestación Tren Occ 115 se presentaron 0 alternativas de conexión las cuales se muestran en la siguiente tabla:

Tabla 2-738. Alternativas de conexión presentadas a la subestación Tren Occ 115

Solicitud	Capacidad	Tipo	Barra	FPO solicitada	Restricción

No se priorizó ninguna de las alternativas de conexión presentadas en la subestación Tren Occ 115

El estado de la capacidad por barra en la subestación Tren Occ 115, teniendo en cuenta la priorización se puede observar en la siguiente figura.

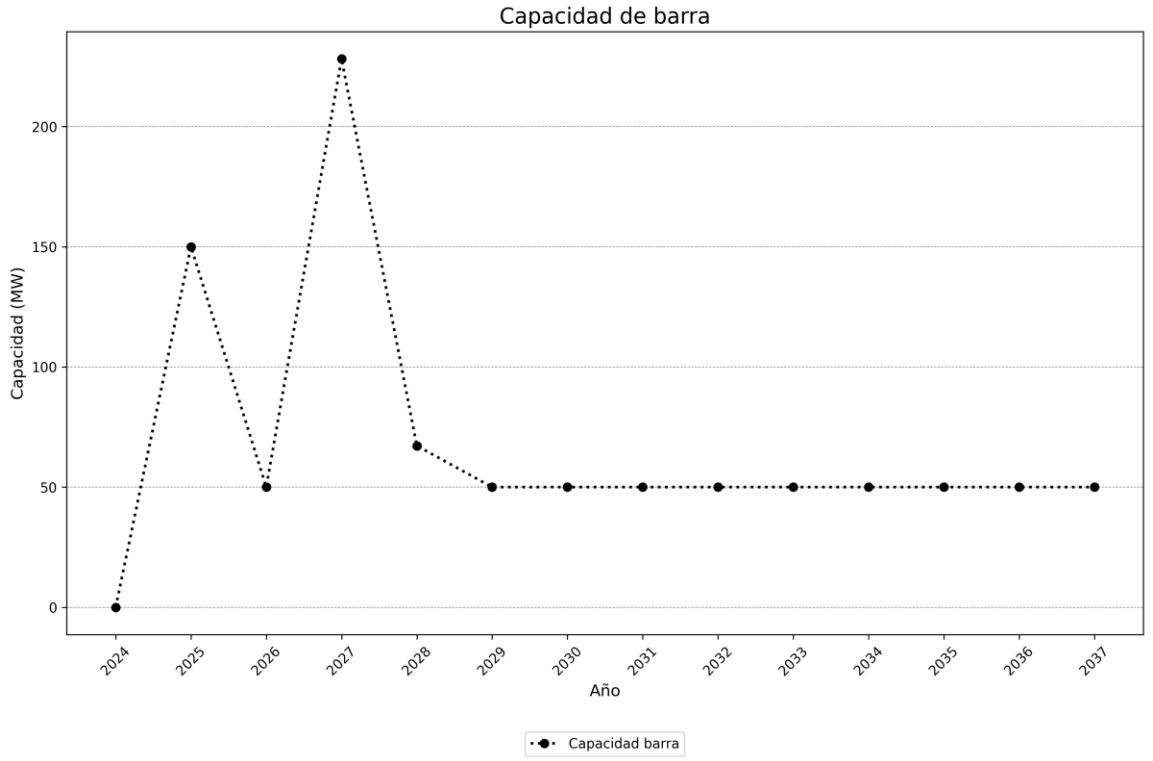


Figura 2-706. Balance de capacidad por barra después de la priorización para la subestación Tren Occ 115

Capacidad excedente de interrupción de corriente de cortocircuito:

Para la subestación Tren Occ 115 se presentaron 4 alternativas de conexión las cuales tienen aportes de corriente de cortocircuito. Estas alternativas se muestran en la siguiente tabla:

Tabla 2-739. Alternativas de conexión que aportan corriente de cortocircuito en la subestación Tren Occ 115

Solicitud	tipo	FPO	Barra a la que aporta CC	Aporte de cortocircuito (kA)	Restricción
SC_4974_A1	Solar FV	2026	Tren Occ 115	0.005	SATISFACE
SC_4974_A2	Solar FV	2026	Tren Occ 115	0.005	SATISFACE
SC_4978_A1	Solar FV	2026	Tren Occ 115	0.000	SATISFACE
SC_4978_A2	Solar FV	2026	Tren Occ 115	0.004	SATISFACE

No se priorizó ninguna de las alternativas de conexión que tengan aportes de corriente de cortocircuito en la subestación Tren Occ 115

El estado de la capacidad de cortocircuito en la subestación Tren Occ 115, teniendo en cuenta la priorización se puede observar en la siguiente figura.

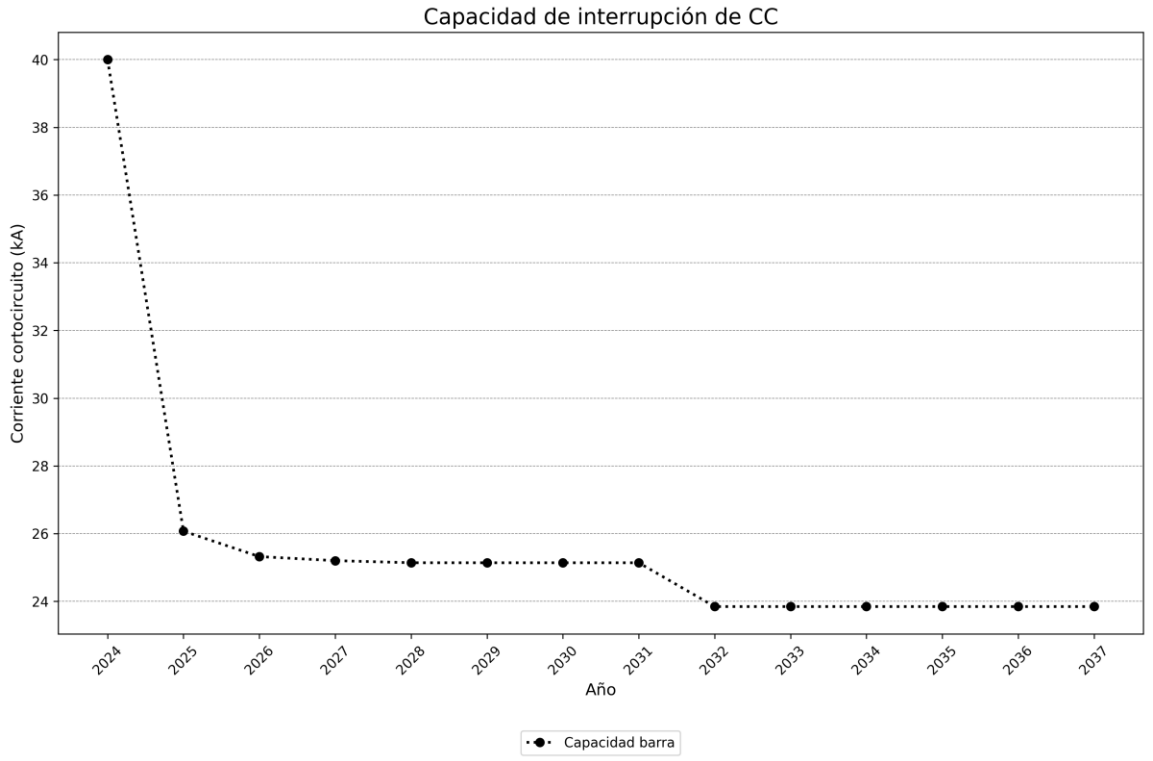


Figura 2-707. Balance de capacidad de cortocircuito después de la priorización para la subestación Tren Occ 115

Subestación Troneras 110:

Capacidad por barra:

Para la subestación Troneras 110 se presentaron 0 alternativas de conexión las cuales se muestran en la siguiente tabla:

Tabla 2-740. Alternativas de conexión presentadas a la subestación Troneras 110

Solicitud	Capacidad	Tipo	Barra	FPO solicitada	Restricción

No se priorizó ninguna de las alternativas de conexión presentadas en la subestación Troneras 110

El estado de la capacidad por barra en la subestación Troneras 110, teniendo en cuenta la priorización se puede observar en la siguiente figura.

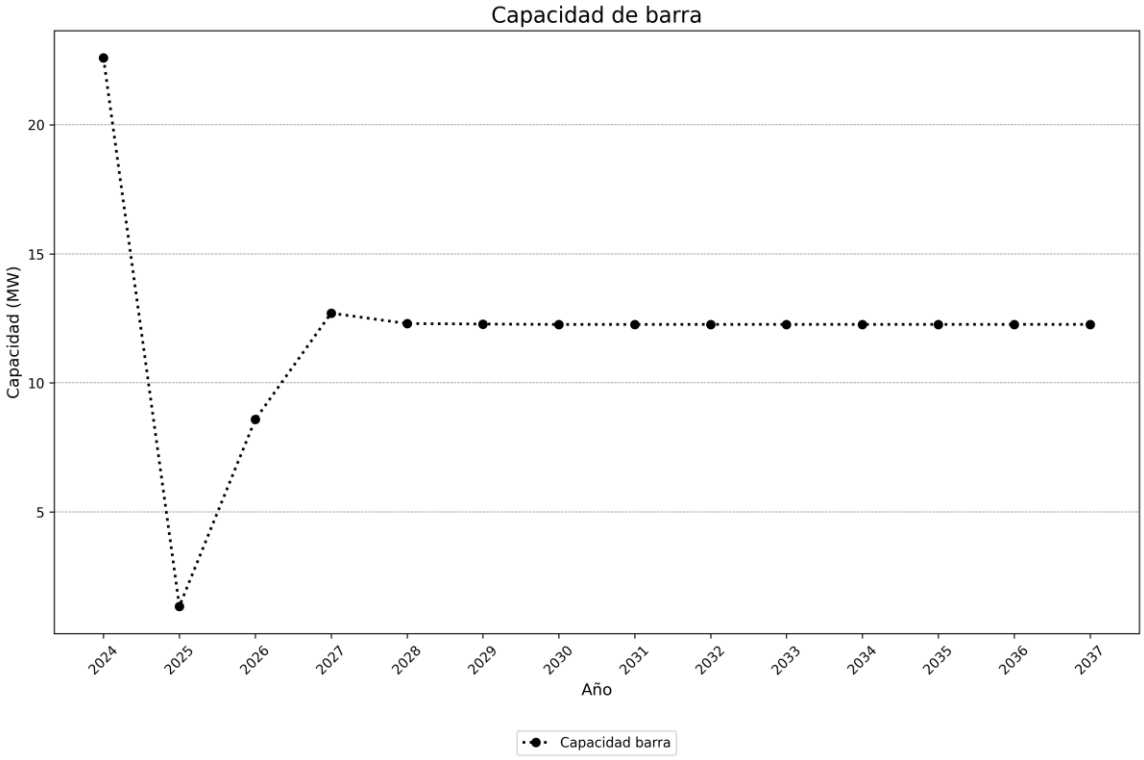


Figura 2-708. Balance de capacidad por barra después de la priorización para la subestación Troneras 110

Capacidad excedente de interrupción de corriente de cortocircuito:

Para la subestación Troneras 110 se presentaron 1 alternativas de conexión las cuales tienen aportes de corriente de cortocircuito. Estas alternativas se muestran en la siguiente tabla:

Tabla 2-741. Alternativas de conexión que aportan corriente de cortocircuito en la subestación Troneras 110

Solicitud	tipo	FPO	Barra a la que aporta CC	Aporte de cortocircuito (kA)	Restricción
SC_3331_A1	Solar FV	2026	Troneras 110	0.044	SATISFACE

No se priorizó ninguna de las alternativas de conexión que tengan aportes de corriente de cortocircuito en la subestación Troneras 110

El estado de la capacidad de cortocircuito en la subestación Troneras 110, teniendo en cuenta la priorización se puede observar en la siguiente figura.

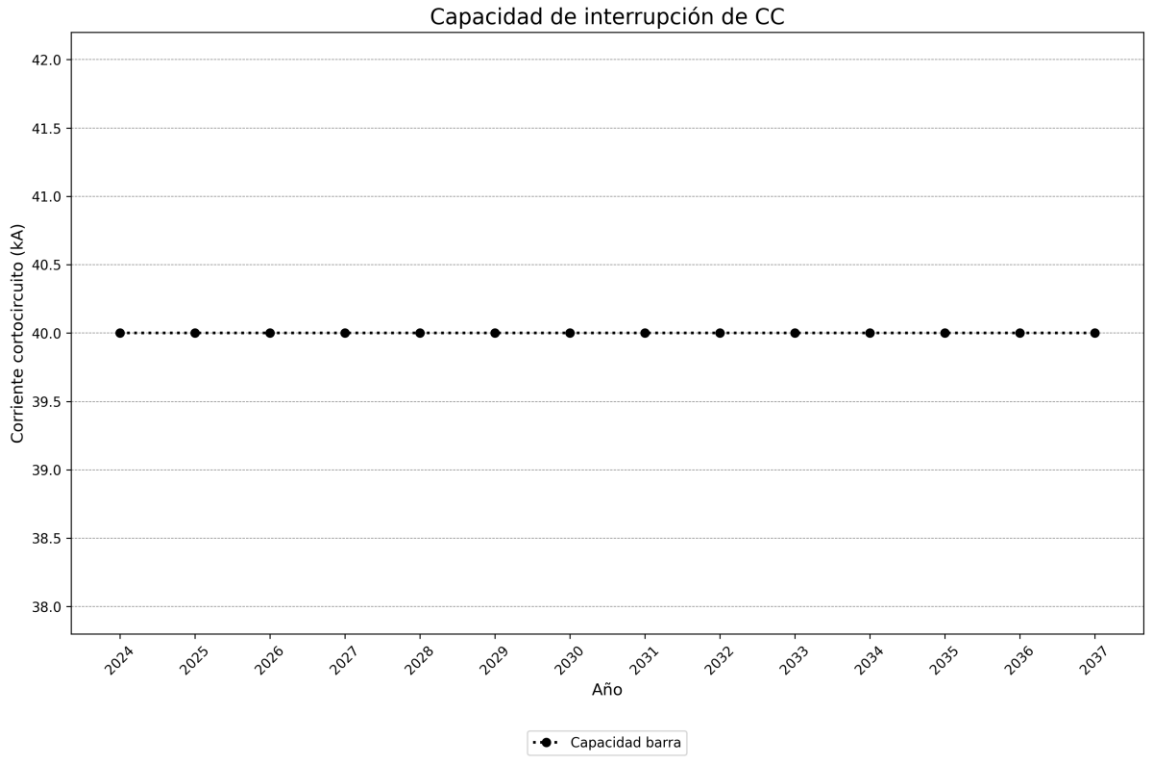


Figura 2-709. Balance de capacidad de cortocircuito después de la priorización para la subestación Troneras 110

Subestación Tulua 115:

Capacidad por barra:

Para la subestación Tulua 115 se presentaron 0 alternativas de conexión las cuales se muestran en la siguiente tabla:

Tabla 2-742. Alternativas de conexión presentadas a la subestación Tulua 115

Solicitud	Capacidad	Tipo	Barra	FPO solicitada	Restricción

No se priorizó ninguna de las alternativas de conexión presentadas en la subestación Tulua 115

El estado de la capacidad por barra en la subestación Tulua 115, teniendo en cuenta la priorización se puede observar en la siguiente figura.

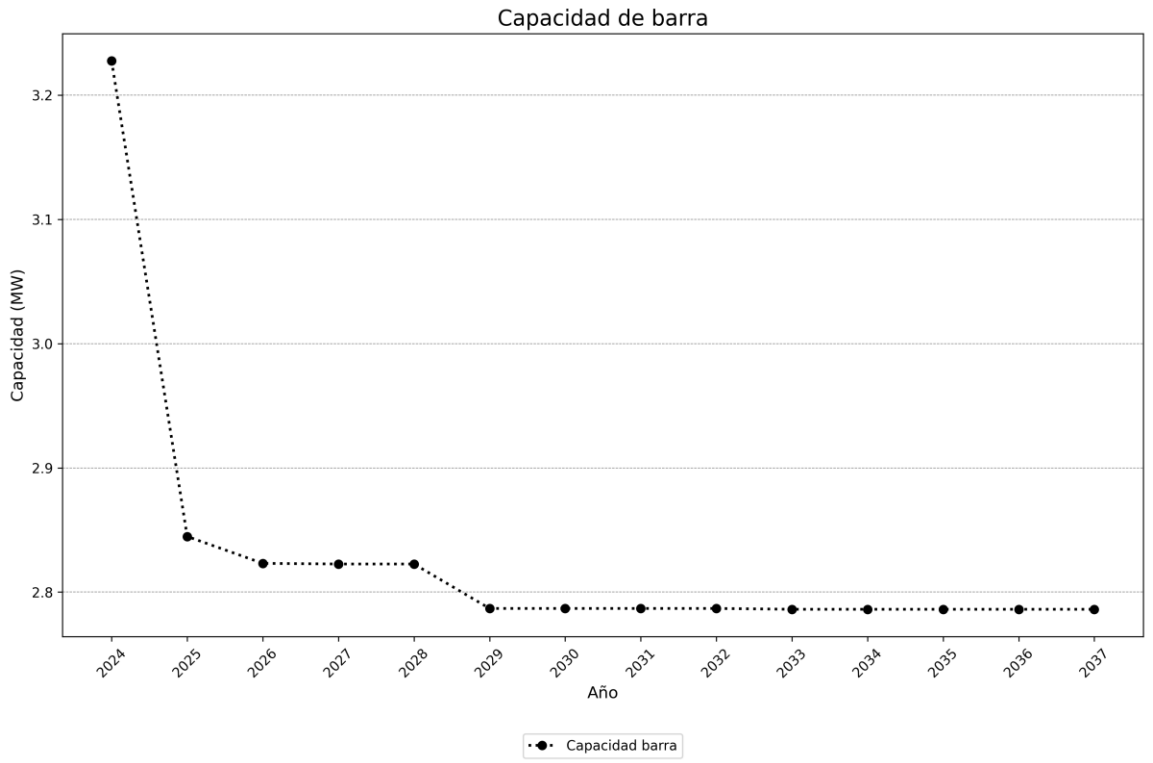


Figura 2-710. Balance de capacidad por barra después de la priorización para la subestación Tulua 115

Capacidad excedente de interrupción de corriente de cortocircuito:

Para la subestación Tulua 115 se presentaron 4 alternativas de conexión las cuales tienen aportes de corriente de cortocircuito. Estas alternativas se muestran en la siguiente tabla:

Tabla 2-743. Alternativas de conexión que aportan corriente de cortocircuito en la subestación Tulua 115

Solicitud	tipo	FPO	Barra a la que aporta CC	Aporte de cortocircuito (kA)	Restricción
SC_2023_5557_A1	Solar FV	2028	Tulua 115	0.032	SATISFACE
SC_2936_A1	Solar FV	2026	Tulua 115	0.000	SATISFACE
SC_2936_A2	Solar FV	2026	Tulua 115	0.000	SATISFACE
SC_3882_A1	Solar FV	2026	Tulua 115	0.031	SATISFACE

No se priorizó ninguna de las alternativas de conexión que tengan aportes de corriente de cortocircuito en la subestación Tulua 115

El estado de la capacidad de cortocircuito en la subestación Tulua 115, teniendo en cuenta la priorización se puede observar en la siguiente figura.

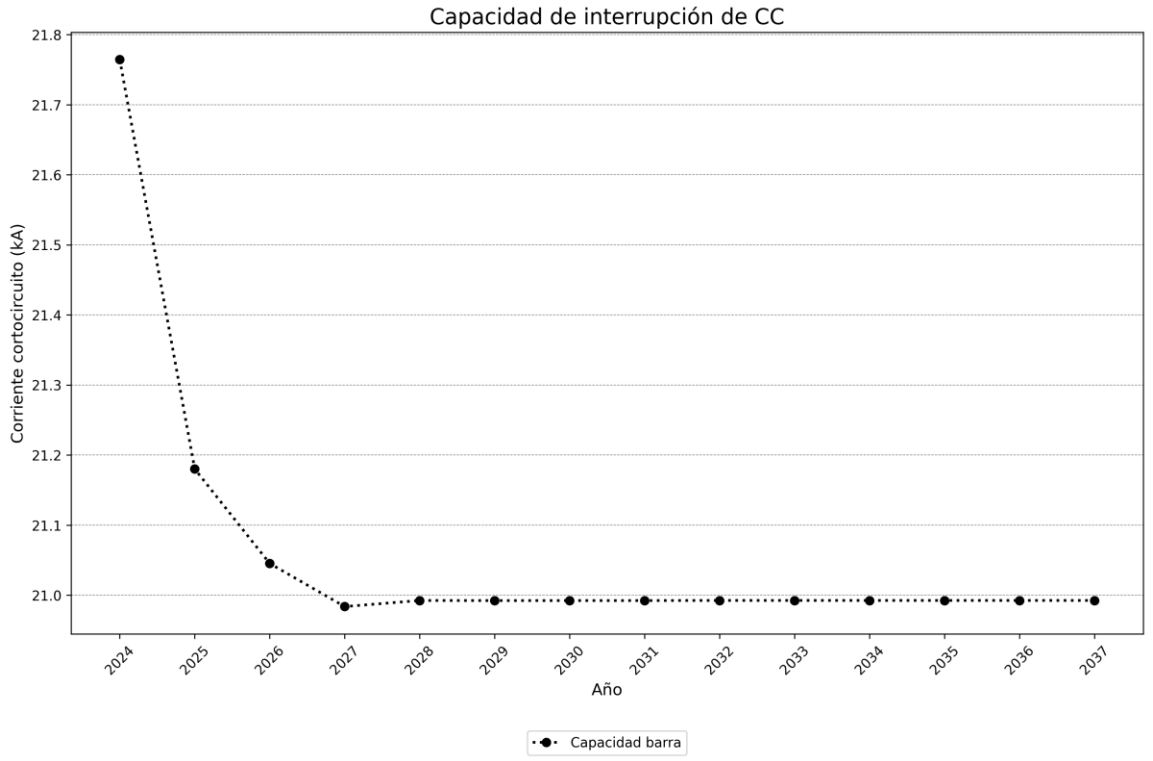


Figura 2-711. Balance de capacidad de cortocircuito después de la priorización para la subestación Tulua 115

Subestación Tuluni 115:

Capacidad por barra:

Para la subestación Tuluni 115 se presentaron 0 alternativas de conexión las cuales se muestran en la siguiente tabla:

Tabla 2-744. Alternativas de conexión presentadas a la subestación Tuluni 115

Solicitud	Capacidad	Tipo	Barra	FPO solicitada	Restricción

No se priorizó ninguna de las alternativas de conexión presentadas en la subestación Tuluni 115

El estado de la capacidad por barra en la subestación Tuluni 115, teniendo en cuenta la priorización se puede observar en la siguiente figura.

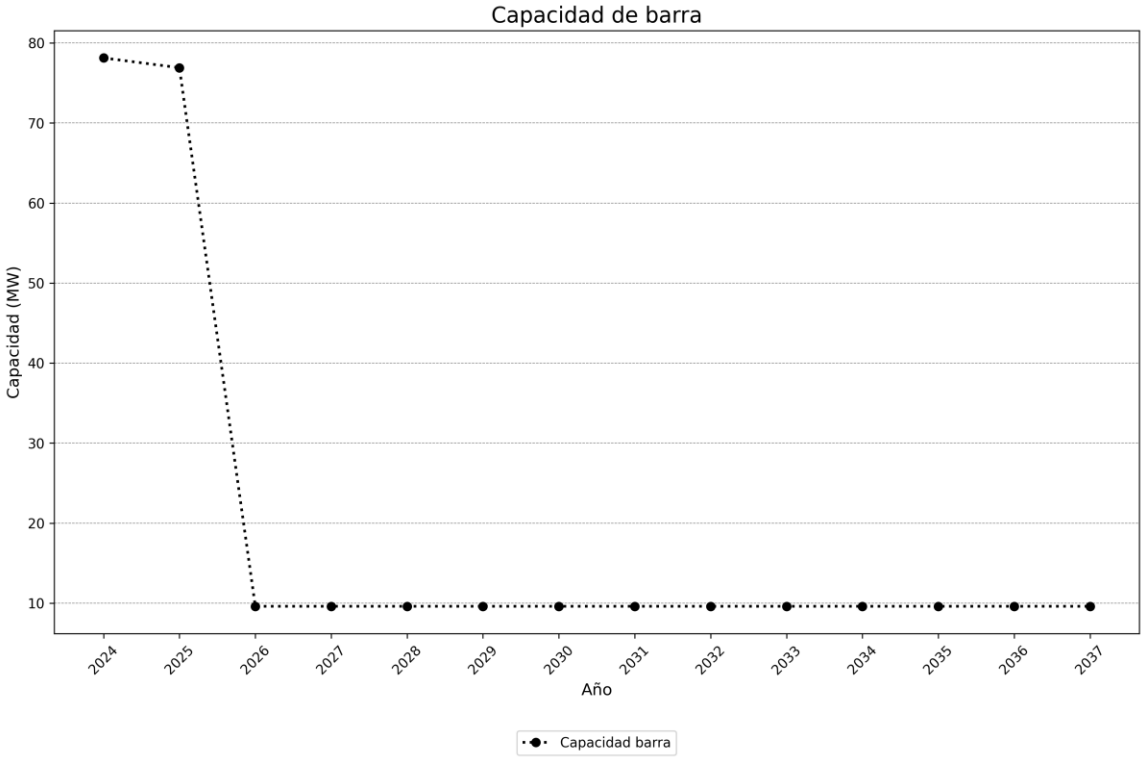


Figura 2-712. Balance de capacidad por barra después de la priorización para la subestación Tuluni 115

Capacidad excedente de interrupción de corriente de cortocircuito:

Para la subestación Tuluni 115 se presentaron 29 alternativas de conexión las cuales tienen aportes de corriente de cortocircuito. Estas alternativas se muestran en la siguiente tabla:

Tabla 2-745. Alternativas de conexión que aportan corriente de cortocircuito en la subestación Tuluni 115

Solicitud	tipo	FPO	Barra a la que aporta CC	Aporte de cortocircuito (kA)	Restricción
SC_2023_5280_A1	Solar FV	2028	Tuluni 115	0.000	SATISFACE
SC_2023_5280_A2	Solar FV	2028	Tuluni 115	0.000	SATISFACE
SC_2023_5287_A1	Solar FV	2026	Tuluni 115	0.009	SATISFACE

SC_2023_5287_A2	Solar FV	2026	Tuluni 115	0.010	SATISFACE
SC_2023_5288_A1	Solar FV	2026	Tuluni 115	0.005	SATISFACE
SC_2023_5288_A2	Solar FV	2026	Tuluni 115	0.014	SATISFACE
SC_2023_5375_A1	Solar FV	2026	Tuluni 115	0.009	SATISFACE
SC_2023_5399_A1	Solar FV	2026	Tuluni 115	0.005	SATISFACE
SC_2023_5399_A2	Solar FV	2026	Tuluni 115	0.014	SATISFACE
SC_2023_5480_A1	Solar FV	2026	Tuluni 115	0.009	SATISFACE
SC_2023_5480_A2	Solar FV	2026	Tuluni 115	0.010	SATISFACE
SC_2023_5557_A1	Solar FV	2028	Tuluni 115	0.037	SATISFACE
SC_2936_A1	Solar FV	2026	Tuluni 115	0.000	SATISFACE
SC_2936_A2	Solar FV	2026	Tuluni 115	0.000	SATISFACE
SC_3121_A1	Solar FV	2026	Tuluni 115	0.001	SATISFACE
SC_3121_A2	Solar FV	2026	Tuluni 115	0.001	SATISFACE
SC_3132_A1	Solar FV	2026	Tuluni 115	0.022	SATISFACE
SC_3132_A2	Solar FV	2026	Tuluni 115	0.018	SATISFACE
SC_3882_A1	Solar FV	2026	Tuluni 115	0.036	SATISFACE
SC_4083_A1	Solar FV	2027	Tuluni 115	0.000	SATISFACE
SC_4083_A2	Solar FV	2027	Tuluni 115	0.000	SATISFACE
SC_4765_A1	Solar FV	2029	Tuluni 115	0.000	SATISFACE
SC_4765_A2	Solar FV	2029	Tuluni 115	0.000	SATISFACE
SC_4819_A1	Solar FV	2029	Tuluni 115	0.040	SATISFACE
SC_4819_A2	Solar FV	2029	Tuluni 115	0.035	SATISFACE
SC_4974_A1	Solar FV	2026	Tuluni 115	0.009	SATISFACE
SC_4974_A2	Solar FV	2026	Tuluni 115	0.009	SATISFACE
SC_4978_A1	Solar FV	2026	Tuluni 115	0.000	SATISFACE
SC_4978_A2	Solar FV	2026	Tuluni 115	0.008	SATISFACE

No se priorizó ninguna de las alternativas de conexión que tengan aportes de corriente de cortocircuito en la subestación Tuluni 115

El estado de la capacidad de cortocircuito en la subestación Tuluni 115, teniendo en cuenta la priorización se puede observar en la siguiente figura.

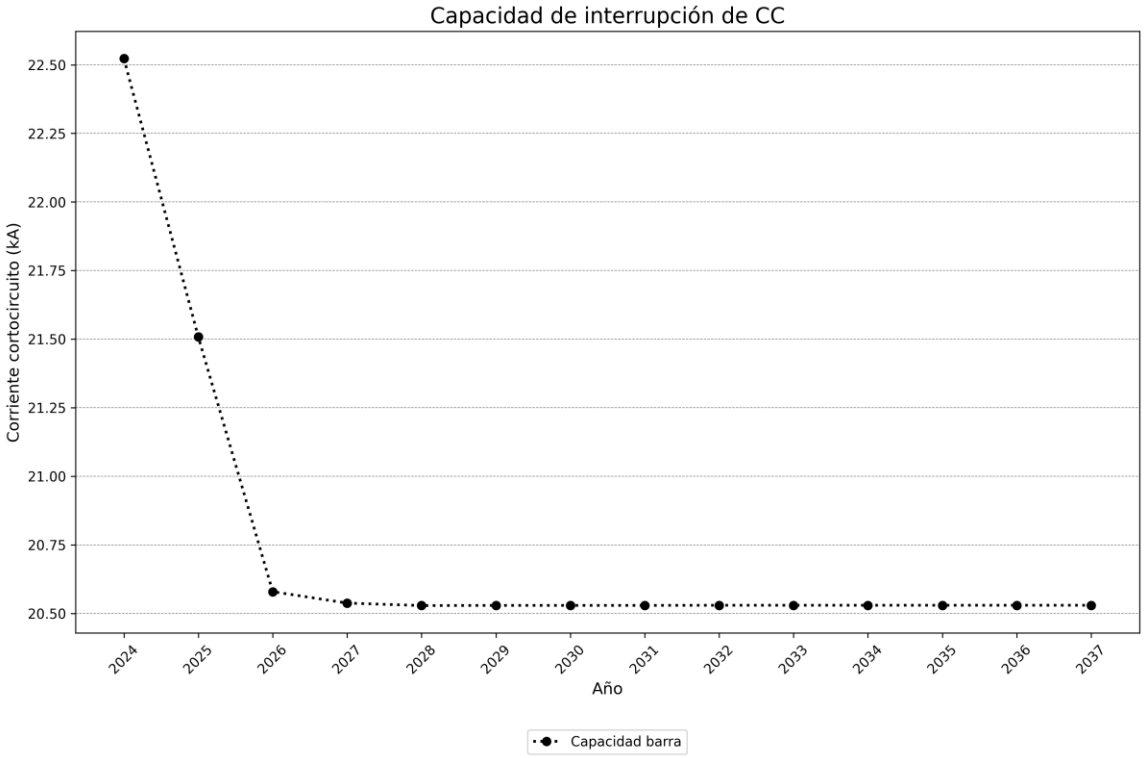


Figura 2-713. Balance de capacidad de cortocircuito después de la priorización para la subestación Tuluni 115

Subestación Tuluni 220:

Capacidad por barra:

Para la subestación Tuluni 220 se presentaron 0 alternativas de conexión las cuales se muestran en la siguiente tabla:

Tabla 2-746. Alternativas de conexión presentadas a la subestación Tuluni 220

Solicitud	Capacidad	Tipo	Barra	FPO solicitada	Restricción

No se priorizó ninguna de las alternativas de conexión presentadas en la subestación Tuluni 220

El estado de la capacidad por barra en la subestación Tuluni 220, teniendo en cuenta la priorización se puede observar en la siguiente figura.

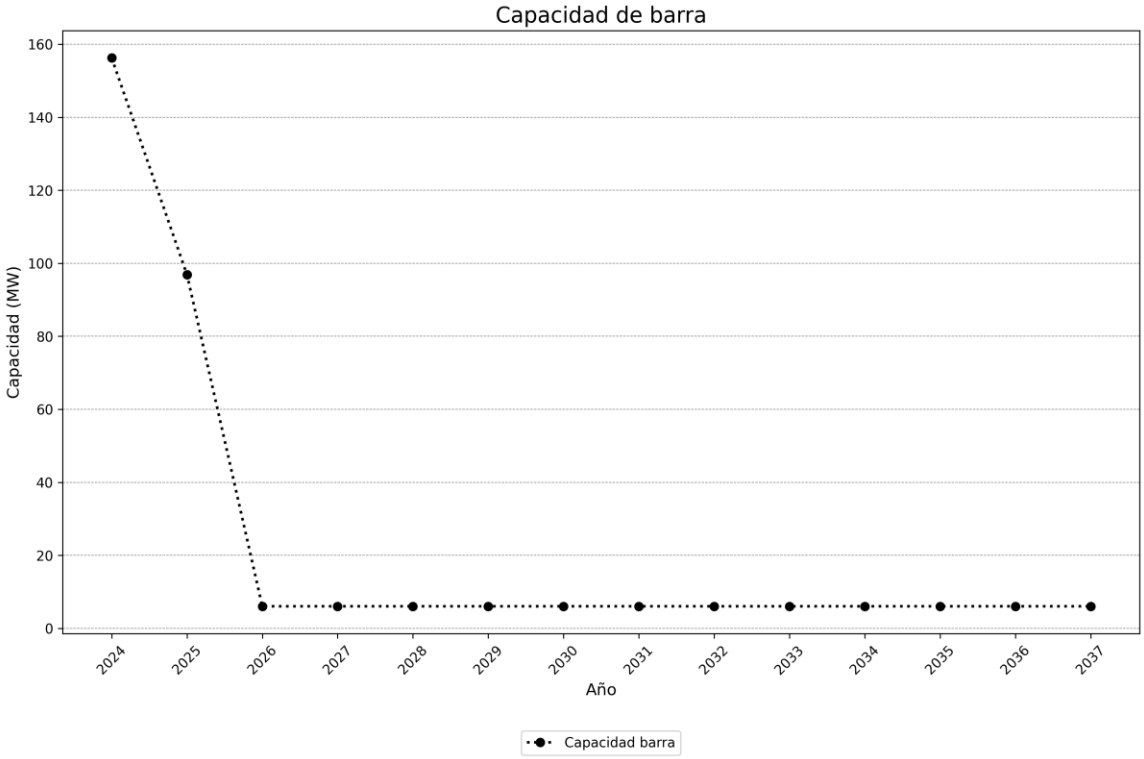


Figura 2-714. Balance de capacidad por barra después de la priorización para la subestación Tuluni 220

Capacidad excedente de interrupción de corriente de cortocircuito:

Para la subestación Tuluni 220 se presentaron 29 alternativas de conexión las cuales tienen aportes de corriente de cortocircuito. Estas alternativas se muestran en la siguiente tabla:

Tabla 2-747. Alternativas de conexión que aportan corriente de cortocircuito en la subestación Tuluni 220

Solicitud	tipo	FPO	Barra a la que aporta CC	Aporte de cortocircuito (kA)	Restricción
SC_2023_5280_A1	Solar FV	2028	Tuluni 220	0.000	SATISFACE
SC_2023_5280_A2	Solar FV	2028	Tuluni 220	0.000	SATISFACE
SC_2023_5287_A1	Solar FV	2026	Tuluni 220	0.007	SATISFACE
SC_2023_5287_A2	Solar FV	2026	Tuluni 220	0.007	SATISFACE
SC_2023_5288_A1	Solar FV	2026	Tuluni 220	0.004	SATISFACE
SC_2023_5288_A2	Solar FV	2026	Tuluni 220	0.010	SATISFACE
SC_2023_5375_A1	Solar FV	2026	Tuluni 220	0.007	SATISFACE
SC_2023_5399_A1	Solar FV	2026	Tuluni 220	0.004	SATISFACE
SC_2023_5399_A2	Solar FV	2026	Tuluni 220	0.010	SATISFACE
SC_2023_5480_A1	Solar FV	2026	Tuluni 220	0.007	SATISFACE
SC_2023_5480_A2	Solar FV	2026	Tuluni 220	0.007	SATISFACE
SC_2023_5557_A1	Solar FV	2028	Tuluni 220	0.027	SATISFACE
SC_2936_A1	Solar FV	2026	Tuluni 220	0.000	SATISFACE
SC_2936_A2	Solar FV	2026	Tuluni 220	0.000	SATISFACE
SC_3121_A1	Solar FV	2026	Tuluni 220	0.001	SATISFACE
SC_3121_A2	Solar FV	2026	Tuluni 220	0.001	SATISFACE
SC_3132_A1	Solar FV	2026	Tuluni 220	0.017	SATISFACE
SC_3132_A2	Solar FV	2026	Tuluni 220	0.014	SATISFACE
SC_3882_A1	Solar FV	2026	Tuluni 220	0.026	SATISFACE
SC_4083_A1	Solar FV	2027	Tuluni 220	0.000	SATISFACE
SC_4083_A2	Solar FV	2027	Tuluni 220	0.000	SATISFACE
SC_4765_A1	Solar FV	2029	Tuluni 220	0.000	SATISFACE
SC_4765_A2	Solar FV	2029	Tuluni 220	0.000	SATISFACE
SC_4819_A1	Solar FV	2029	Tuluni 220	0.030	SATISFACE
SC_4819_A2	Solar FV	2029	Tuluni 220	0.027	SATISFACE
SC_4974_A1	Solar FV	2026	Tuluni 220	0.010	SATISFACE
SC_4974_A2	Solar FV	2026	Tuluni 220	0.010	SATISFACE
SC_4978_A1	Solar FV	2026	Tuluni 220	0.000	SATISFACE
SC_4978_A2	Solar FV	2026	Tuluni 220	0.001	SATISFACE

No se priorizó ninguna de las alternativas de conexión que tengan aportes de corriente de cortocircuito en la subestación Tuluni 220

El estado de la capacidad de cortocircuito en la subestación Tuluni 220, teniendo en cuenta la priorización se puede observar en la siguiente figura.

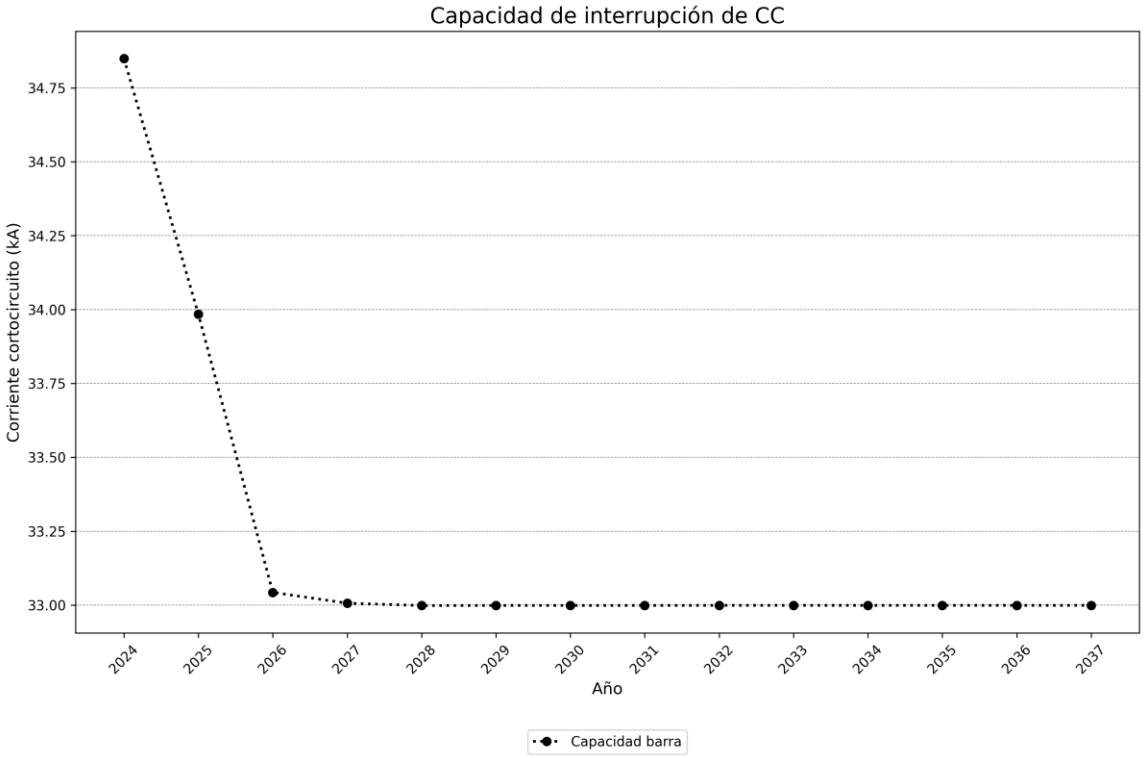


Figura 2-715. Balance de capacidad de cortocircuito después de la priorización para la subestación Tuluni 220

Subestación Tumaco 115:

Capacidad por barra:

Para la subestación Tumaco 115 se presentaron 0 alternativas de conexión las cuales se muestran en la siguiente tabla:

Tabla 2-748. Alternativas de conexión presentadas a la subestación Tumaco 115

Solicitud	Capacidad	Tipo	Barra	FPO solicitada	Restricción

No se priorizó ninguna de las alternativas de conexión presentadas en la subestación Tumaco 115

El estado de la capacidad por barra en la subestación Tumaco 115, teniendo en cuenta la priorización se puede observar en la siguiente figura.

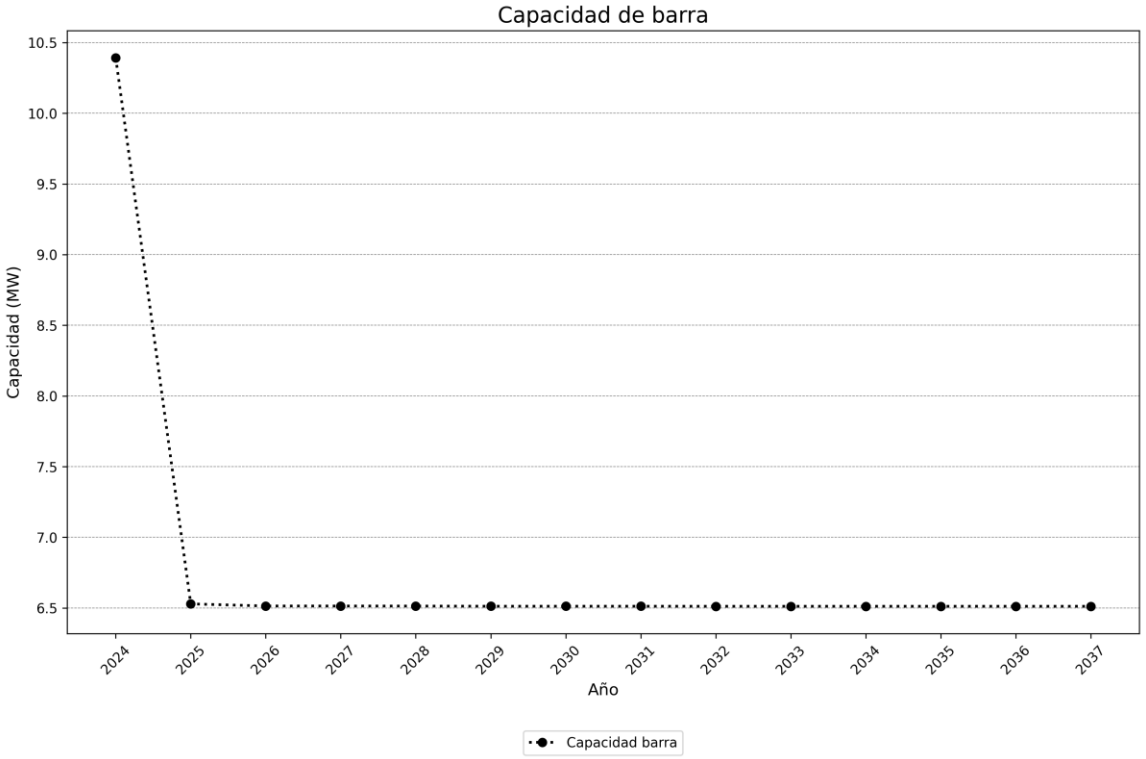


Figura 2-716. Balance de capacidad por barra después de la priorización para la subestación Tumaco 115

Capacidad excedente de interrupción de corriente de cortocircuito:

Para la subestación Tumaco 115 se presentaron 25 alternativas de conexión las cuales tienen aportes de corriente de cortocircuito. Estas alternativas se muestran en la siguiente tabla:

Tabla 2-749. Alternativas de conexión que aportan corriente de cortocircuito en la subestación Tumaco 115

Solicitud	tipo	FPO	Barra a la que aporta CC	Aporte de cortocircuito (kA)	Restricción
SC_2023_5280_A1	Solar FV	2028	Tumaco 115	0.000	SATISFACE
SC_2023_5280_A2	Solar FV	2028	Tumaco 115	0.000	SATISFACE
SC_2023_5287_A1	Solar FV	2026	Tumaco 115	0.000	SATISFACE
SC_2023_5287_A2	Solar FV	2026	Tumaco 115	0.000	SATISFACE
SC_2023_5288_A1	Solar FV	2026	Tumaco 115	0.000	SATISFACE
SC_2023_5288_A2	Solar FV	2026	Tumaco 115	0.001	SATISFACE
SC_2023_5375_A1	Solar FV	2026	Tumaco 115	0.000	SATISFACE
SC_2023_5399_A1	Solar FV	2026	Tumaco 115	0.000	SATISFACE
SC_2023_5399_A2	Solar FV	2026	Tumaco 115	0.001	SATISFACE
SC_2023_5480_A1	Solar FV	2026	Tumaco 115	0.000	SATISFACE
SC_2023_5480_A2	Solar FV	2026	Tumaco 115	0.000	SATISFACE
SC_3121_A1	Solar FV	2026	Tumaco 115	0.000	SATISFACE
SC_3121_A2	Solar FV	2026	Tumaco 115	0.000	SATISFACE
SC_3132_A1	Solar FV	2026	Tumaco 115	0.001	SATISFACE
SC_3132_A2	Solar FV	2026	Tumaco 115	0.001	SATISFACE
SC_4083_A1	Solar FV	2027	Tumaco 115	0.000	SATISFACE
SC_4083_A2	Solar FV	2027	Tumaco 115	0.000	SATISFACE
SC_4765_A1	Solar FV	2029	Tumaco 115	0.000	SATISFACE
SC_4765_A2	Solar FV	2029	Tumaco 115	0.000	SATISFACE
SC_4819_A1	Solar FV	2029	Tumaco 115	0.001	SATISFACE
SC_4819_A2	Solar FV	2029	Tumaco 115	0.001	SATISFACE
SC_4974_A1	Solar FV	2026	Tumaco 115	0.002	SATISFACE
SC_4974_A2	Solar FV	2026	Tumaco 115	0.002	SATISFACE
SC_4978_A1	Solar FV	2026	Tumaco 115	0.000	SATISFACE
SC_4978_A2	Solar FV	2026	Tumaco 115	0.003	SATISFACE

No se priorizó ninguna de las alternativas de conexión que tengan aportes de corriente de cortocircuito en la subestación Tumaco 115

El estado de la capacidad de cortocircuito en la subestación Tumaco 115, teniendo en cuenta la priorización se puede observar en la siguiente figura.

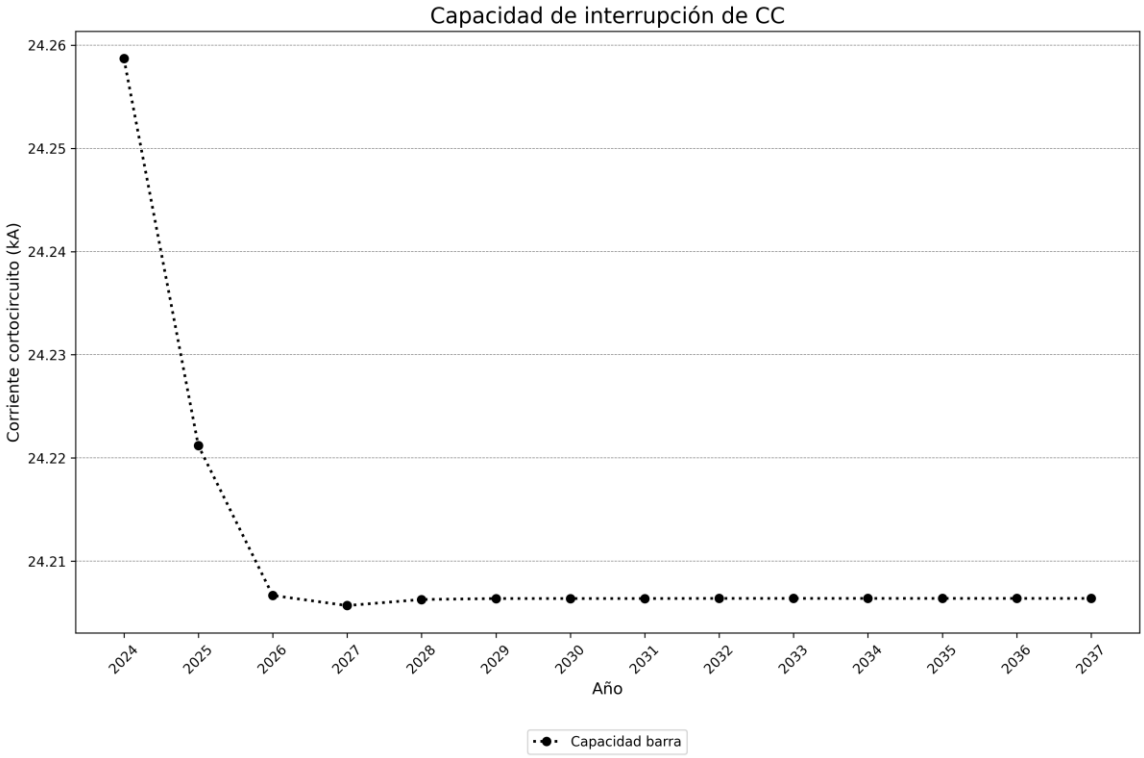


Figura 2-717. Balance de capacidad de cortocircuito después de la priorización para la subestación Tumaco 115

Subestación Tunal 115:

Capacidad por barra:

Para la subestación Tunal 115 se presentaron 0 alternativas de conexión las cuales se muestran en la siguiente tabla:

Tabla 2-750. Alternativas de conexión presentadas a la subestación Tunal 115

Solicitud	Capacidad	Tipo	Barra	FPO solicitada	Restricción

No se priorizó ninguna de las alternativas de conexión presentadas en la subestación Tunal 115

El estado de la capacidad por barra en la subestación Tunal 115, teniendo en cuenta la priorización se puede observar en la siguiente figura.

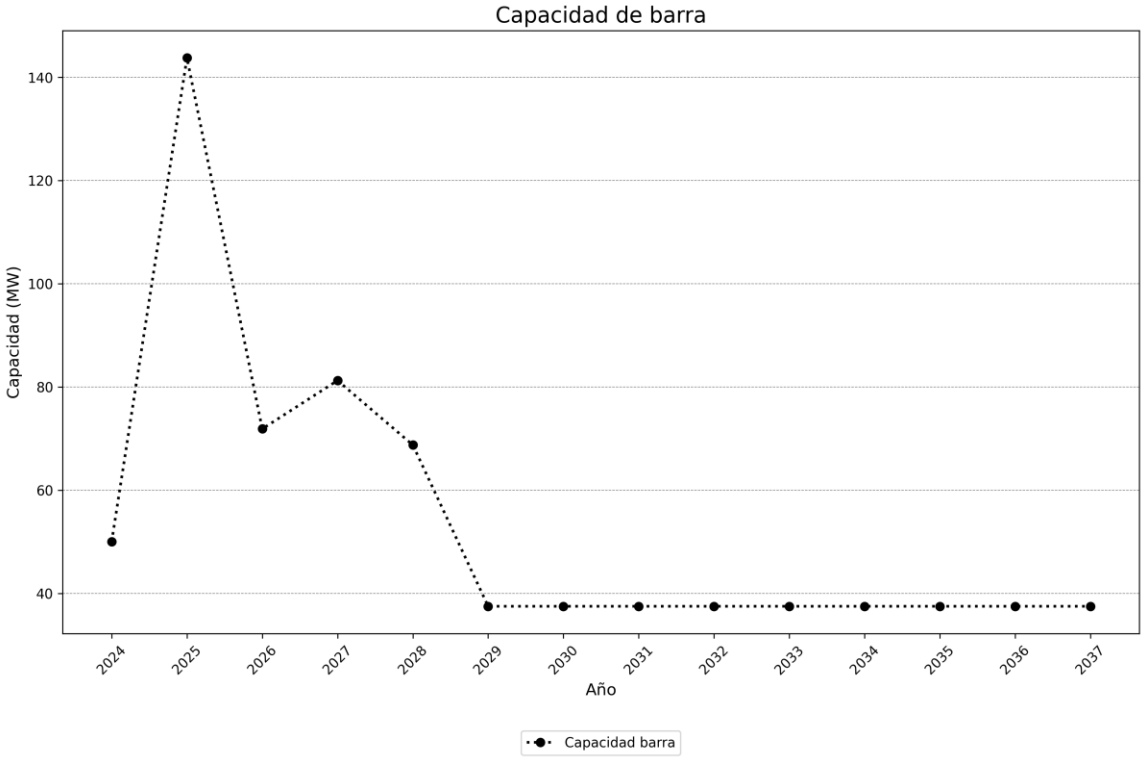


Figura 2-718. Balance de capacidad por barra después de la priorización para la subestación Tunal 115

Capacidad excedente de interrupción de corriente de cortocircuito:

Para la subestación Tunal 115 se presentaron 25 alternativas de conexión las cuales tienen aportes de corriente de cortocircuito. Estas alternativas se muestran en la siguiente tabla:

Tabla 2-751. Alternativas de conexión que aportan corriente de cortocircuito en la subestación Tunal 115

Solicitud	tipo	FPO	Barra a la que aporta CC	Aporte de cortocircuito (kA)	Restricción
SC_2023_5280_A1	Solar FV	2028	Tunal 115	0.000	SATISFACE
SC_2023_5280_A2	Solar FV	2028	Tunal 115	0.000	SATISFACE
SC_2023_5287_A1	Solar FV	2026	Tunal 115	0.047	SATISFACE
SC_2023_5287_A2	Solar FV	2026	Tunal 115	0.048	SATISFACE
SC_2023_5288_A1	Solar FV	2026	Tunal 115	0.028	SATISFACE
SC_2023_5288_A2	Solar FV	2026	Tunal 115	0.073	SATISFACE
SC_2023_5375_A1	Solar FV	2026	Tunal 115	0.046	SATISFACE
SC_2023_5399_A1	Solar FV	2026	Tunal 115	0.028	SATISFACE
SC_2023_5399_A2	Solar FV	2026	Tunal 115	0.073	SATISFACE
SC_2023_5480_A1	Solar FV	2026	Tunal 115	0.047	SATISFACE
SC_2023_5480_A2	Solar FV	2026	Tunal 115	0.048	SATISFACE
SC_2023_5557_A1	Solar FV	2028	Tunal 115	0.197	SATISFACE
SC_2936_A1	Solar FV	2026	Tunal 115	0.000	SATISFACE
SC_2936_A2	Solar FV	2026	Tunal 115	0.000	SATISFACE
SC_3121_A1	Solar FV	2026	Tunal 115	0.006	SATISFACE
SC_3121_A2	Solar FV	2026	Tunal 115	0.006	SATISFACE
SC_3132_A1	Solar FV	2026	Tunal 115	0.105	SATISFACE
SC_3132_A2	Solar FV	2026	Tunal 115	0.090	SATISFACE
SC_3882_A1	Solar FV	2026	Tunal 115	0.185	SATISFACE
SC_4083_A1	Solar FV	2027	Tunal 115	0.000	SATISFACE
SC_4083_A2	Solar FV	2027	Tunal 115	0.000	SATISFACE
SC_4765_A1	Solar FV	2029	Tunal 115	0.008	SATISFACE
SC_4765_A2	Solar FV	2029	Tunal 115	0.004	SATISFACE
SC_4819_A1	Solar FV	2029	Tunal 115	0.171	SATISFACE
SC_4819_A2	Solar FV	2029	Tunal 115	0.153	SATISFACE

No se priorizó ninguna de las alternativas de conexión que tengan aportes de corriente de cortocircuito en la subestación Tunal 115

El estado de la capacidad de cortocircuito en la subestación Tunal 115, teniendo en cuenta la priorización se puede observar en la siguiente figura.

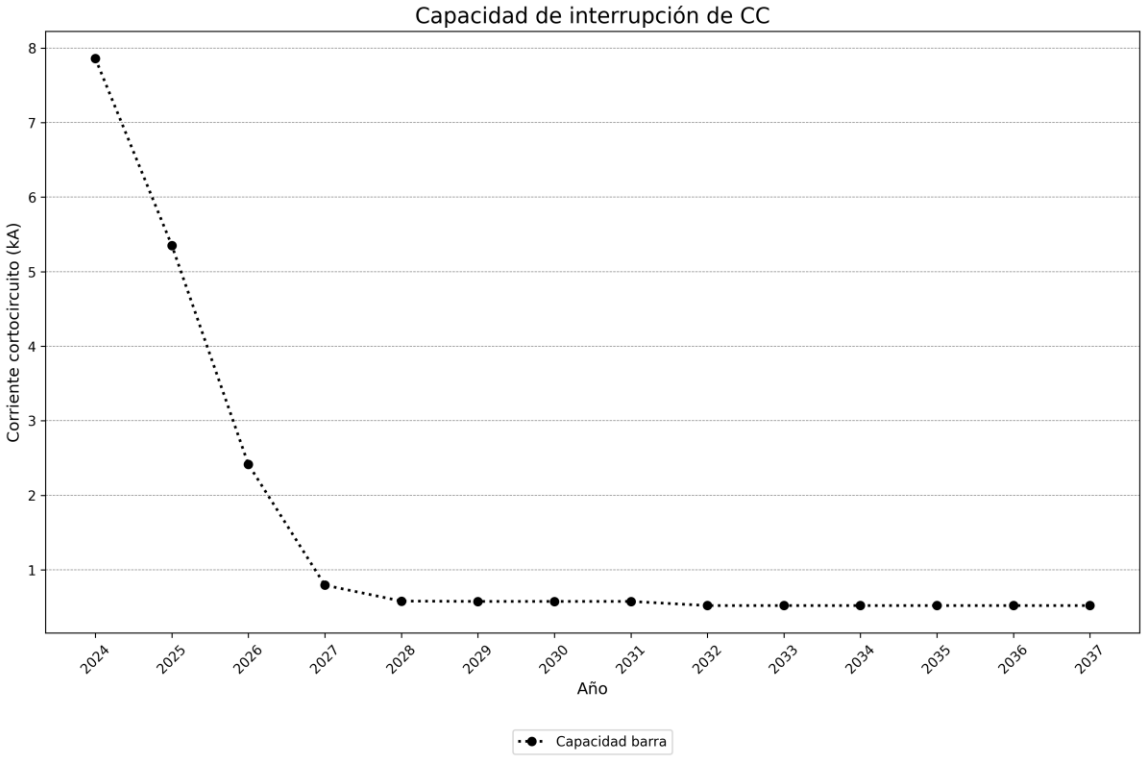


Figura 2-719. Balance de capacidad de cortocircuito después de la priorización para la subestación Tunal 115

Subestación Tunal 220:

Capacidad por barra:

Para la subestación Tunal 220 se presentaron 0 alternativas de conexión las cuales se muestran en la siguiente tabla:

Tabla 2-752. Alternativas de conexión presentadas a la subestación Tunal 220

Solicitud	Capacidad	Tipo	Barra	FPO solicitada	Restricción

No se priorizó ninguna de las alternativas de conexión presentadas en la subestación Tunal 220

El estado de la capacidad por barra en la subestación Tunal 220, teniendo en cuenta la priorización se puede observar en la siguiente figura.

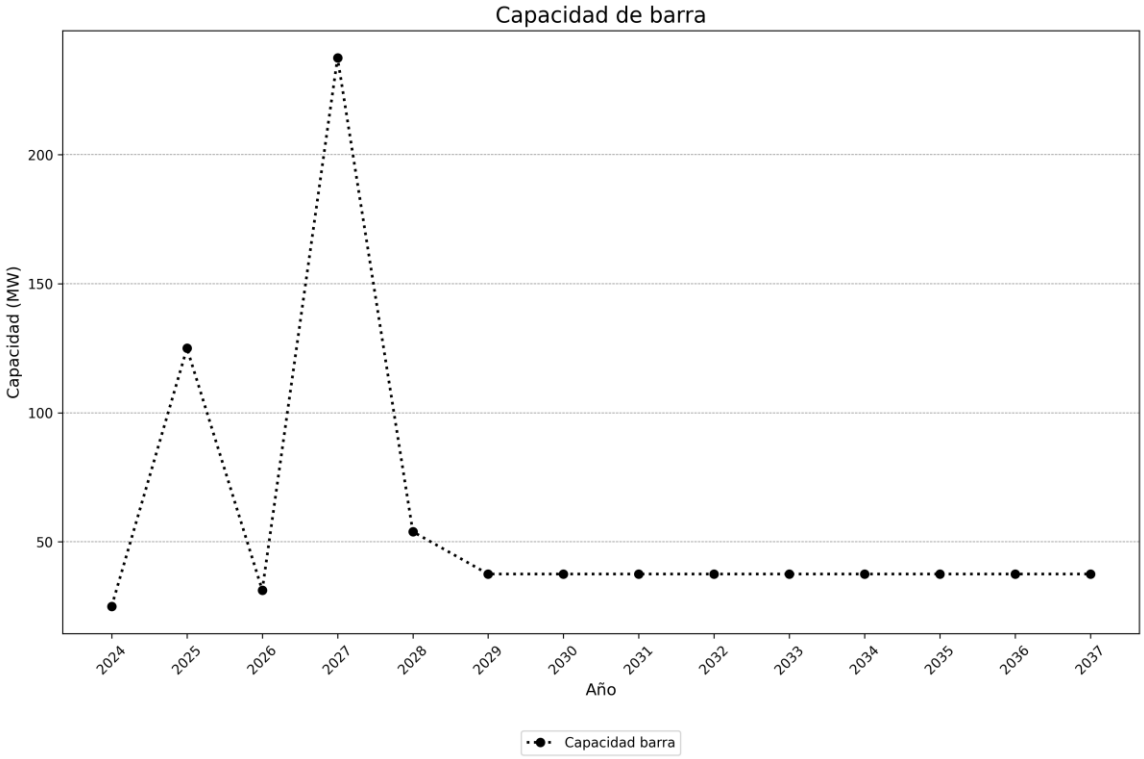


Figura 2-720. Balance de capacidad por barra después de la priorización para la subestación Tunal 220

Capacidad excedente de interrupción de corriente de cortocircuito:

Para la subestación Tunal 220 se presentaron 29 alternativas de conexión las cuales tienen aportes de corriente de cortocircuito. Estas alternativas se muestran en la siguiente tabla:

Tabla 2-753. Alternativas de conexión que aportan corriente de cortocircuito en la subestación Tunal 220

Solicitud	tipo	FPO	Barra a la que aporta CC	Aporte de cortocircuito (kA)	Restricción
SC_2023_5280_A1	Solar FV	2028	Tunal 220	0.000	SATISFACE
SC_2023_5280_A2	Solar FV	2028	Tunal 220	0.000	SATISFACE
SC_2023_5287_A1	Solar FV	2026	Tunal 220	0.024	SATISFACE
SC_2023_5287_A2	Solar FV	2026	Tunal 220	0.024	SATISFACE
SC_2023_5288_A1	Solar FV	2026	Tunal 220	0.014	SATISFACE
SC_2023_5288_A2	Solar FV	2026	Tunal 220	0.036	SATISFACE
SC_2023_5375_A1	Solar FV	2026	Tunal 220	0.023	SATISFACE
SC_2023_5399_A1	Solar FV	2026	Tunal 220	0.014	SATISFACE
SC_2023_5399_A2	Solar FV	2026	Tunal 220	0.036	SATISFACE
SC_2023_5480_A1	Solar FV	2026	Tunal 220	0.024	SATISFACE
SC_2023_5480_A2	Solar FV	2026	Tunal 220	0.024	SATISFACE
SC_2023_5557_A1	Solar FV	2028	Tunal 220	0.098	SATISFACE
SC_2936_A1	Solar FV	2026	Tunal 220	0.000	SATISFACE
SC_2936_A2	Solar FV	2026	Tunal 220	0.000	SATISFACE
SC_3121_A1	Solar FV	2026	Tunal 220	0.003	SATISFACE
SC_3121_A2	Solar FV	2026	Tunal 220	0.003	SATISFACE
SC_3132_A1	Solar FV	2026	Tunal 220	0.051	SATISFACE
SC_3132_A2	Solar FV	2026	Tunal 220	0.043	SATISFACE
SC_3882_A1	Solar FV	2026	Tunal 220	0.094	SATISFACE
SC_4083_A1	Solar FV	2027	Tunal 220	0.001	SATISFACE
SC_4083_A2	Solar FV	2027	Tunal 220	0.001	SATISFACE
SC_4765_A1	Solar FV	2029	Tunal 220	0.004	SATISFACE
SC_4765_A2	Solar FV	2029	Tunal 220	0.002	SATISFACE
SC_4819_A1	Solar FV	2029	Tunal 220	0.084	SATISFACE
SC_4819_A2	Solar FV	2029	Tunal 220	0.074	SATISFACE
SC_4974_A1	Solar FV	2026	Tunal 220	0.005	SATISFACE
SC_4974_A2	Solar FV	2026	Tunal 220	0.004	SATISFACE
SC_4978_A1	Solar FV	2026	Tunal 220	0.000	SATISFACE
SC_4978_A2	Solar FV	2026	Tunal 220	0.004	SATISFACE

No se priorizó ninguna de las alternativas de conexión que tengan aportes de corriente de cortocircuito en la subestación Tunal 220

El estado de la capacidad de cortocircuito en la subestación Tunal 220, teniendo en cuenta la priorización se puede observar en la siguiente figura.

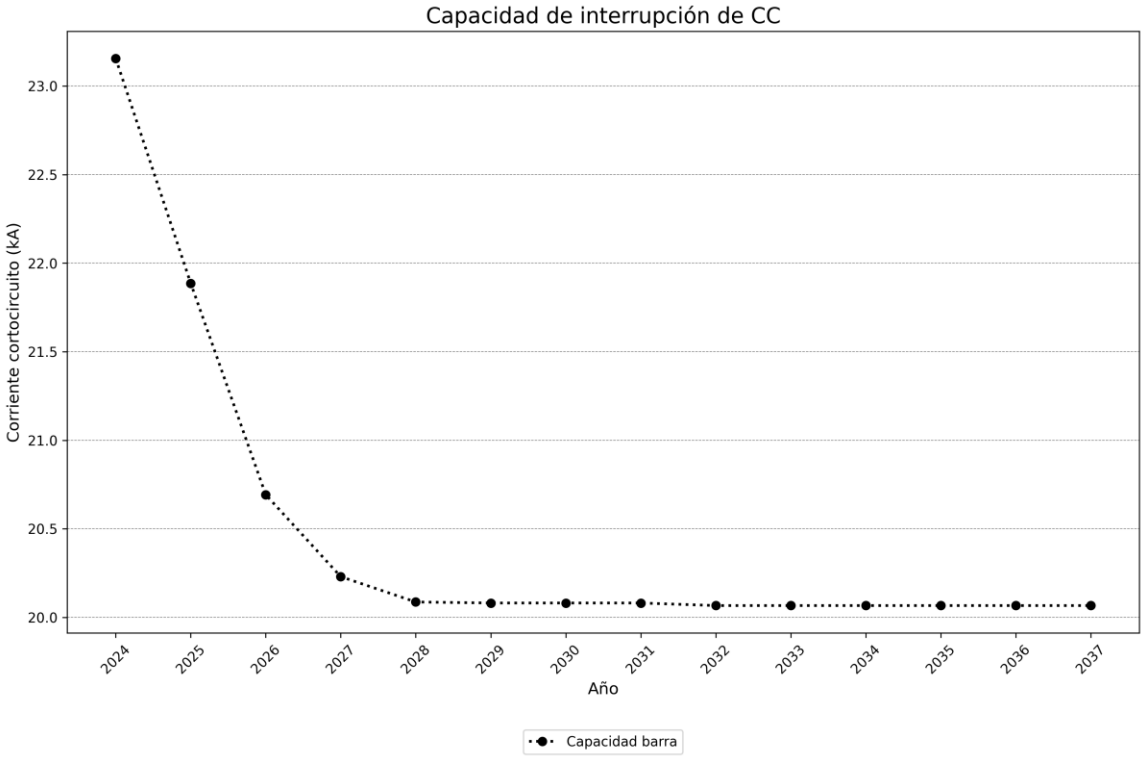


Figura 2-721. Balance de capacidad de cortocircuito después de la priorización para la subestación Tunal 220

Subestación Tunjita 115:

Capacidad por barra:

Para la subestación Tunjita 115 se presentaron 0 alternativas de conexión las cuales se muestran en la siguiente tabla:

Tabla 2-754. Alternativas de conexión presentadas a la subestación Tunjita 115

Solicitud	Capacidad	Tipo	Barra	FPO solicitada	Restricción

No se priorizó ninguna de las alternativas de conexión presentadas en la subestación Tunjita 115

El estado de la capacidad por barra en la subestación Tunjita 115, teniendo en cuenta la priorización se puede observar en la siguiente figura.

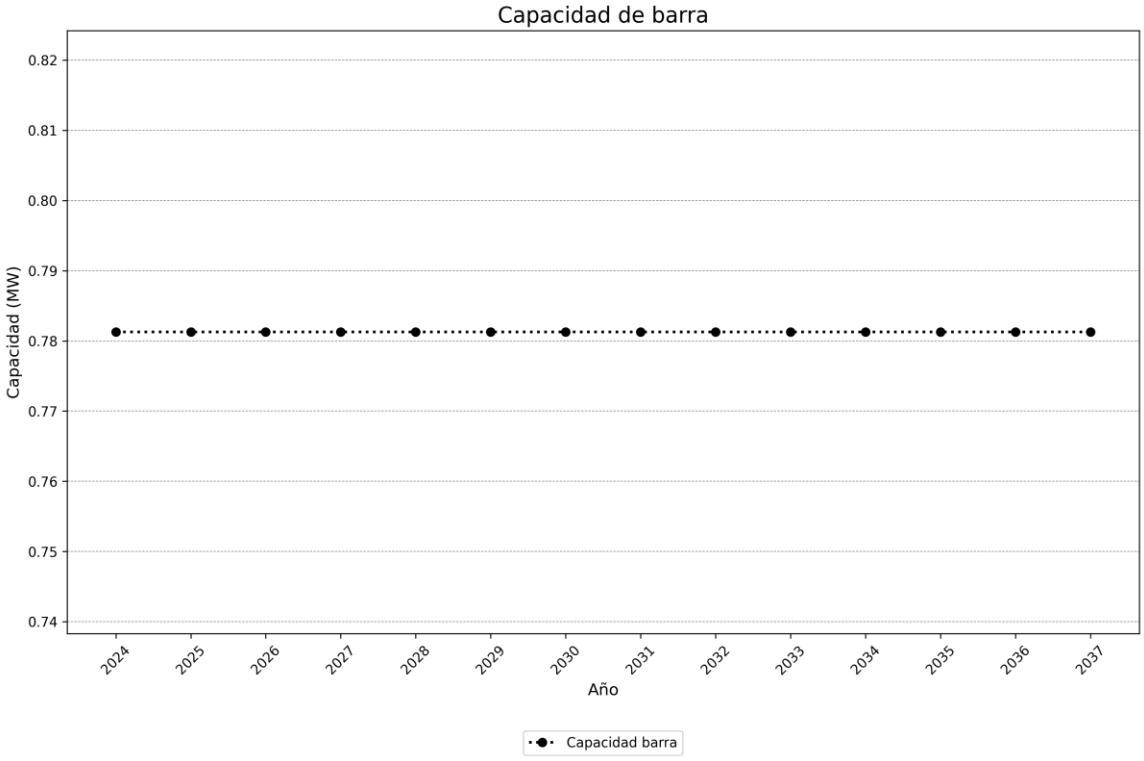


Figura 2-722. Balance de capacidad por barra después de la priorización para la subestación Tunjita 115

Capacidad excedente de interrupción de corriente de cortocircuito:

Para la subestación Tunjita 115 se presentaron 29 alternativas de conexión las cuales tienen aportes de corriente de cortocircuito. Estas alternativas se muestran en la siguiente tabla:

Tabla 2-755. Alternativas de conexión que aportan corriente de cortocircuito en la subestación Tunjita 115

Solicitud	tipo	FPO	Barra a la que aporta CC	Aporte de cortocircuito (kA)	Restricción
SC_2023_5280_A1	Solar FV	2028	Tunjita 115	0.000	SATISFACE
SC_2023_5280_A2	Solar FV	2028	Tunjita 115	0.000	SATISFACE
SC_2023_5287_A1	Solar FV	2026	Tunjita 115	0.008	SATISFACE
SC_2023_5287_A2	Solar FV	2026	Tunjita 115	0.008	SATISFACE
SC_2023_5288_A1	Solar FV	2026	Tunjita 115	0.005	SATISFACE
SC_2023_5288_A2	Solar FV	2026	Tunjita 115	0.012	SATISFACE
SC_2023_5375_A1	Solar FV	2026	Tunjita 115	0.008	SATISFACE
SC_2023_5399_A1	Solar FV	2026	Tunjita 115	0.005	SATISFACE
SC_2023_5399_A2	Solar FV	2026	Tunjita 115	0.012	SATISFACE
SC_2023_5480_A1	Solar FV	2026	Tunjita 115	0.008	SATISFACE
SC_2023_5480_A2	Solar FV	2026	Tunjita 115	0.008	SATISFACE
SC_2023_5557_A1	Solar FV	2028	Tunjita 115	0.028	SATISFACE
SC_2936_A1	Solar FV	2026	Tunjita 115	0.000	SATISFACE
SC_2936_A2	Solar FV	2026	Tunjita 115	0.000	SATISFACE
SC_3121_A1	Solar FV	2026	Tunjita 115	0.001	SATISFACE
SC_3121_A2	Solar FV	2026	Tunjita 115	0.001	SATISFACE
SC_3132_A1	Solar FV	2026	Tunjita 115	0.015	SATISFACE
SC_3132_A2	Solar FV	2026	Tunjita 115	0.013	SATISFACE
SC_3882_A1	Solar FV	2026	Tunjita 115	0.027	SATISFACE
SC_4083_A1	Solar FV	2027	Tunjita 115	0.000	SATISFACE
SC_4083_A2	Solar FV	2027	Tunjita 115	0.000	SATISFACE
SC_4765_A1	Solar FV	2029	Tunjita 115	0.000	SATISFACE
SC_4765_A2	Solar FV	2029	Tunjita 115	0.000	SATISFACE
SC_4819_A1	Solar FV	2029	Tunjita 115	0.021	SATISFACE
SC_4819_A2	Solar FV	2029	Tunjita 115	0.019	SATISFACE
SC_4974_A1	Solar FV	2026	Tunjita 115	0.001	SATISFACE
SC_4974_A2	Solar FV	2026	Tunjita 115	0.001	SATISFACE
SC_4978_A1	Solar FV	2026	Tunjita 115	0.000	SATISFACE
SC_4978_A2	Solar FV	2026	Tunjita 115	0.001	SATISFACE

No se priorizó ninguna de las alternativas de conexión que tengan aportes de corriente de cortocircuito en la subestación Tunjita 115

El estado de la capacidad de cortocircuito en la subestación Tunjita 115, teniendo en cuenta la priorización se puede observar en la siguiente figura.

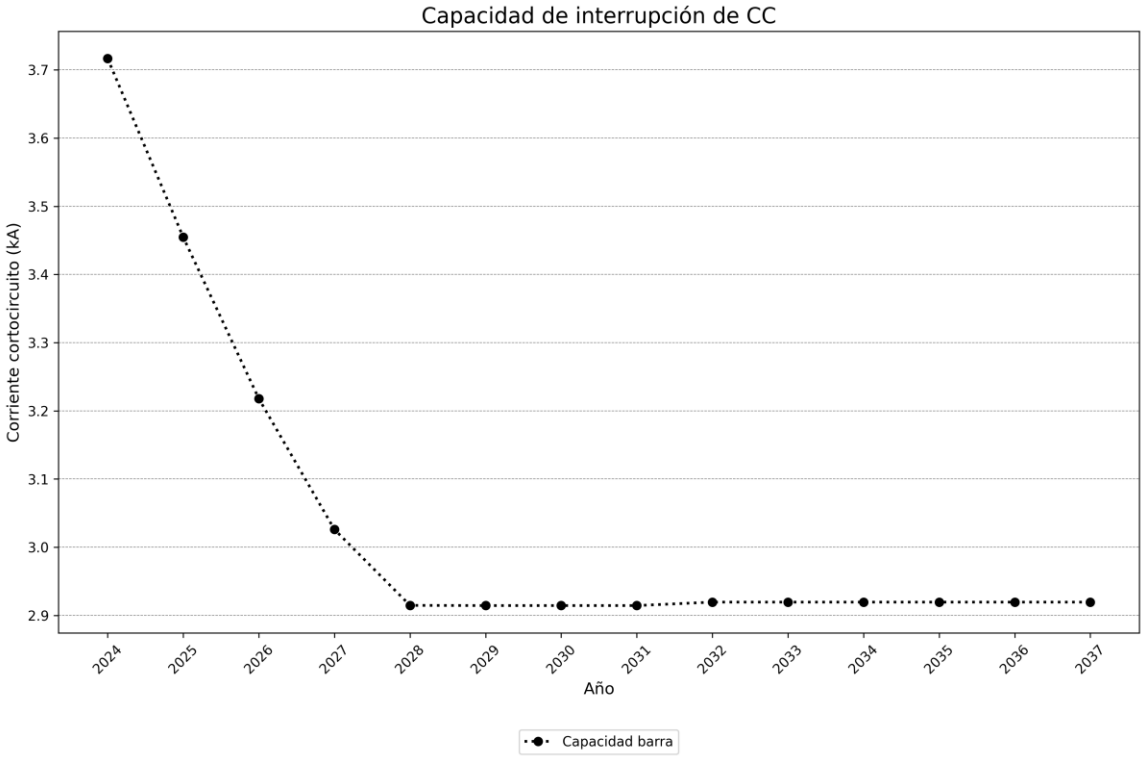


Figura 2-723. Balance de capacidad de cortocircuito después de la priorización para la subestación Tunjita 115

Subestación Ubala 115:

Capacidad por barra:

Para la subestación Ubala 115 se presentaron 0 alternativas de conexión las cuales se muestran en la siguiente tabla:

Tabla 2-756. Alternativas de conexión presentadas a la subestación Ubala 115

Solicitud	Capacidad	Tipo	Barra	FPO solicitada	Restricción

No se priorizó ninguna de las alternativas de conexión presentadas en la subestación Ubala 115

El estado de la capacidad por barra en la subestación Ubala 115, teniendo en cuenta la priorización se puede observar en la siguiente figura.

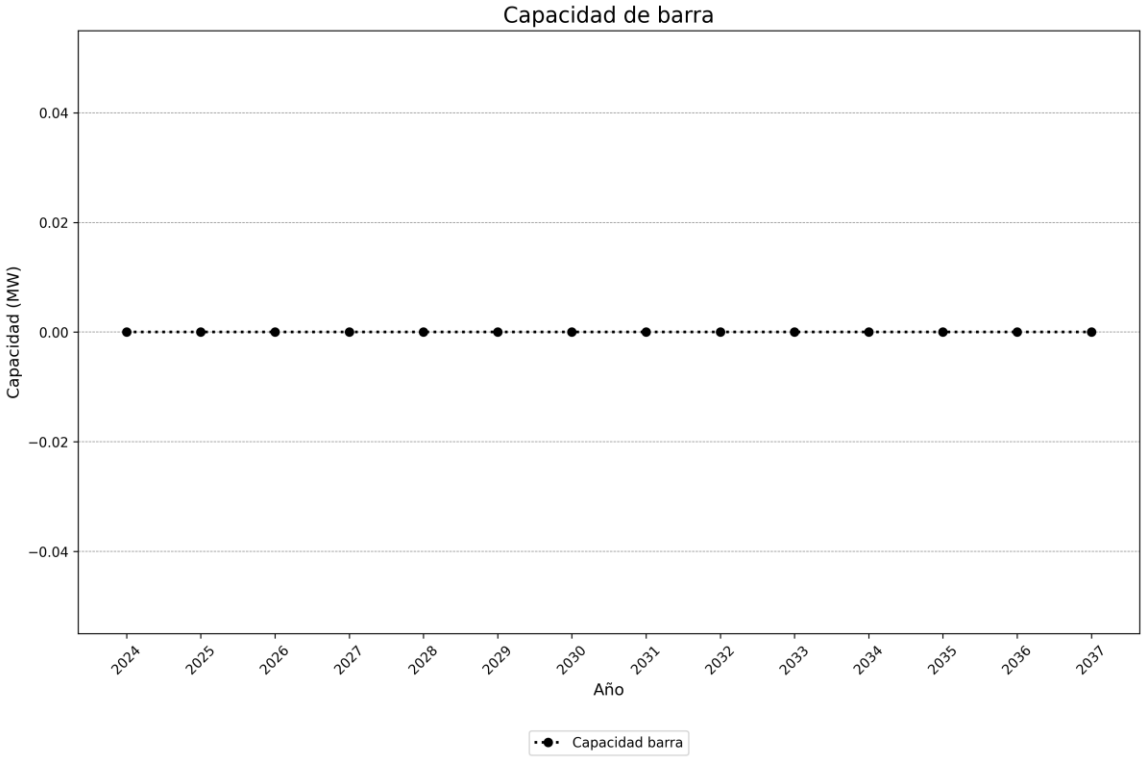


Figura 2-724. Balance de capacidad por barra después de la priorización para la subestación Ubala 115

En el caso anterior se observa que la capacidad por barra es igual a 0 dado que, desde los comentarios presentados por transportador, se identificó que la subestación Ubala 115 no cuenta con disponibilidad de espacio físico para la conexión de nuevos proyectos.

Capacidad excedente de interrupción de corriente de cortocircuito:

Para la subestación Ubala 115 se presentaron 25 alternativas de conexión las cuales tienen aportes de corriente de cortocircuito. Estas alternativas se muestran en la siguiente tabla:

Tabla 2-757. Alternativas de conexión que aportan corriente de cortocircuito en la subestación Ubala 115

Solicitud	tipo	FPO	Barra a la que aporta CC	Aporte de cortocircuito (kA)	Restricción
SC_2023_5280_A1	Solar FV	2028	Ubala 115	0.000	SATISFACE
SC_2023_5280_A2	Solar FV	2028	Ubala 115	0.000	SATISFACE
SC_2023_5287_A1	Solar FV	2026	Ubala 115	0.003	SATISFACE
SC_2023_5287_A2	Solar FV	2026	Ubala 115	0.003	SATISFACE
SC_2023_5288_A1	Solar FV	2026	Ubala 115	0.002	SATISFACE
SC_2023_5288_A2	Solar FV	2026	Ubala 115	0.005	SATISFACE
SC_2023_5375_A1	Solar FV	2026	Ubala 115	0.003	SATISFACE
SC_2023_5399_A1	Solar FV	2026	Ubala 115	0.002	SATISFACE
SC_2023_5399_A2	Solar FV	2026	Ubala 115	0.005	SATISFACE
SC_2023_5480_A1	Solar FV	2026	Ubala 115	0.003	SATISFACE
SC_2023_5480_A2	Solar FV	2026	Ubala 115	0.003	SATISFACE
SC_3121_A1	Solar FV	2026	Ubala 115	0.000	SATISFACE
SC_3121_A2	Solar FV	2026	Ubala 115	0.000	SATISFACE
SC_3132_A1	Solar FV	2026	Ubala 115	0.006	SATISFACE
SC_3132_A2	Solar FV	2026	Ubala 115	0.005	SATISFACE
SC_4083_A1	Solar FV	2027	Ubala 115	0.000	SATISFACE
SC_4083_A2	Solar FV	2027	Ubala 115	0.000	SATISFACE
SC_4765_A1	Solar FV	2029	Ubala 115	0.000	SATISFACE
SC_4765_A2	Solar FV	2029	Ubala 115	0.000	SATISFACE
SC_4819_A1	Solar FV	2029	Ubala 115	0.008	SATISFACE
SC_4819_A2	Solar FV	2029	Ubala 115	0.007	SATISFACE
SC_4974_A1	Solar FV	2026	Ubala 115	0.001	SATISFACE
SC_4974_A2	Solar FV	2026	Ubala 115	0.001	SATISFACE
SC_4978_A1	Solar FV	2026	Ubala 115	0.000	SATISFACE
SC_4978_A2	Solar FV	2026	Ubala 115	0.005	SATISFACE

No se priorizó ninguna de las alternativas de conexión que tengan aportes de corriente de cortocircuito en la subestación Ubala 115

El estado de la capacidad de cortocircuito en la subestación Ubala 115, teniendo en cuenta la priorización se puede observar en la siguiente figura.

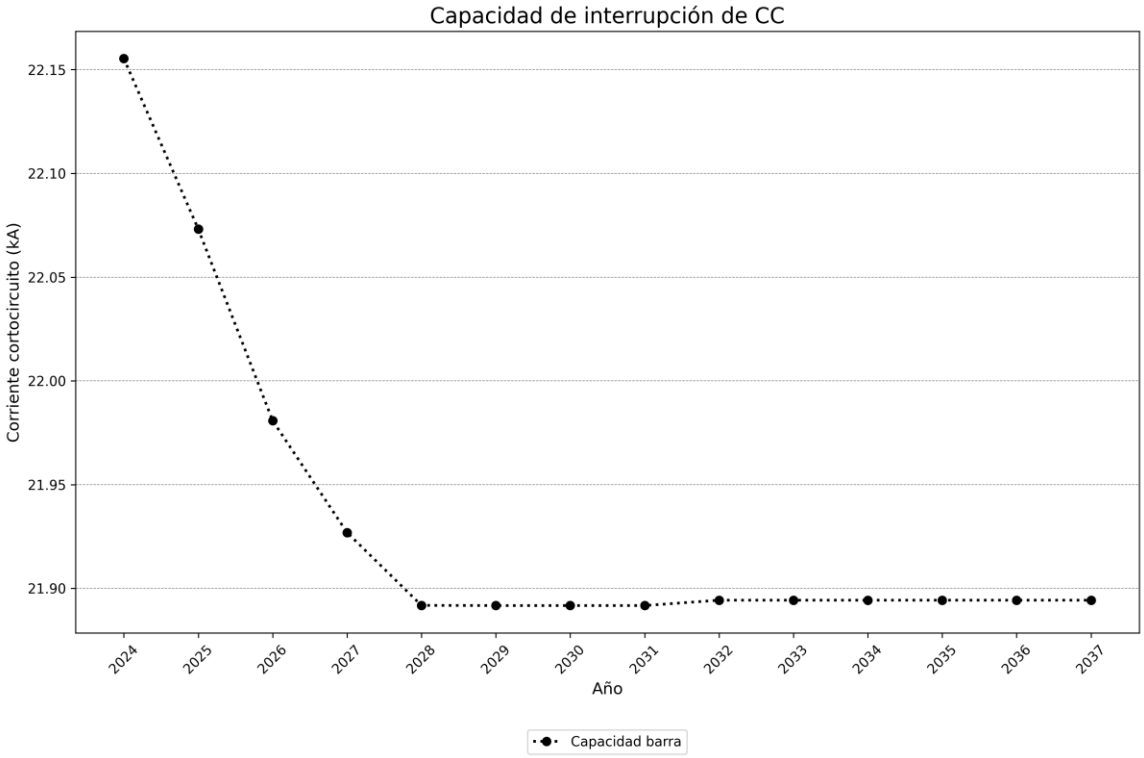


Figura 2-725. Balance de capacidad de cortocircuito después de la priorización para la subestación Ubala 115

Subestación Ubate 115:

Capacidad por barra:

Para la subestación Ubate 115 se presentaron 0 alternativas de conexión las cuales se muestran en la siguiente tabla:

Tabla 2-758. Alternativas de conexión presentadas a la subestación Ubate 115

Solicitud	Capacidad	Tipo	Barra	FPO solicitada	Restricción

No se priorizó ninguna de las alternativas de conexión presentadas en la subestación Ubate 115

El estado de la capacidad por barra en la subestación Ubate 115, teniendo en cuenta la priorización se puede observar en la siguiente figura.

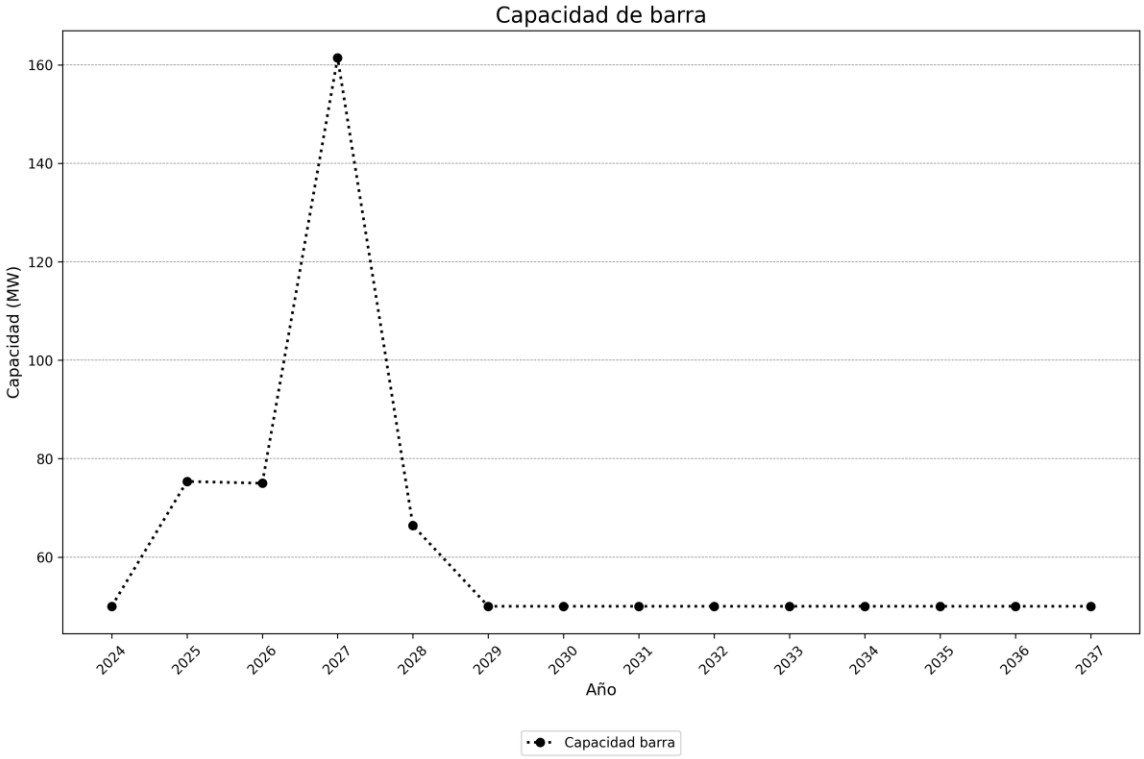


Figura 2-726. Balance de capacidad por barra después de la priorización para la subestación Ubate 115

Capacidad excedente de interrupción de corriente de cortocircuito:

Para la subestación Ubate 115 se presentaron 29 alternativas de conexión las cuales tienen aportes de corriente de cortocircuito. Estas alternativas se muestran en la siguiente tabla:

Tabla 2-759. Alternativas de conexión que aportan corriente de cortocircuito en la subestación Ubate 115

Solicitud	tipo	FPO	Barra a la que aporta CC	Aporte de cortocircuito (kA)	Restricción
SC_2023_5280_A1	Solar FV	2028	Ubate 115	0.000	SATISFACE
SC_2023_5280_A2	Solar FV	2028	Ubate 115	0.000	SATISFACE
SC_2023_5287_A1	Solar FV	2026	Ubate 115	0.006	SATISFACE
SC_2023_5287_A2	Solar FV	2026	Ubate 115	0.006	SATISFACE
SC_2023_5288_A1	Solar FV	2026	Ubate 115	0.004	SATISFACE
SC_2023_5288_A2	Solar FV	2026	Ubate 115	0.010	SATISFACE
SC_2023_5375_A1	Solar FV	2026	Ubate 115	0.006	SATISFACE
SC_2023_5399_A1	Solar FV	2026	Ubate 115	0.004	SATISFACE
SC_2023_5399_A2	Solar FV	2026	Ubate 115	0.010	SATISFACE
SC_2023_5480_A1	Solar FV	2026	Ubate 115	0.006	SATISFACE
SC_2023_5480_A2	Solar FV	2026	Ubate 115	0.006	SATISFACE
SC_2023_5557_A1	Solar FV	2028	Ubate 115	0.022	SATISFACE
SC_2936_A1	Solar FV	2026	Ubate 115	0.000	SATISFACE
SC_2936_A2	Solar FV	2026	Ubate 115	0.000	SATISFACE
SC_3121_A1	Solar FV	2026	Ubate 115	0.001	SATISFACE
SC_3121_A2	Solar FV	2026	Ubate 115	0.001	SATISFACE
SC_3132_A1	Solar FV	2026	Ubate 115	0.013	SATISFACE
SC_3132_A2	Solar FV	2026	Ubate 115	0.011	SATISFACE
SC_3882_A1	Solar FV	2026	Ubate 115	0.022	SATISFACE
SC_4083_A1	Solar FV	2027	Ubate 115	0.000	SATISFACE
SC_4083_A2	Solar FV	2027	Ubate 115	0.000	SATISFACE
SC_4765_A1	Solar FV	2029	Ubate 115	0.000	SATISFACE
SC_4765_A2	Solar FV	2029	Ubate 115	0.000	SATISFACE
SC_4819_A1	Solar FV	2029	Ubate 115	0.019	SATISFACE
SC_4819_A2	Solar FV	2029	Ubate 115	0.017	SATISFACE
SC_4974_A1	Solar FV	2026	Ubate 115	0.004	SATISFACE
SC_4974_A2	Solar FV	2026	Ubate 115	0.004	SATISFACE
SC_4978_A1	Solar FV	2026	Ubate 115	0.000	SATISFACE
SC_4978_A2	Solar FV	2026	Ubate 115	0.004	SATISFACE

No se priorizó ninguna de las alternativas de conexión que tengan aportes de corriente de cortocircuito en la subestación Ubate 115

El estado de la capacidad de cortocircuito en la subestación Ubate 115, teniendo en cuenta la priorización se puede observar en la siguiente figura.

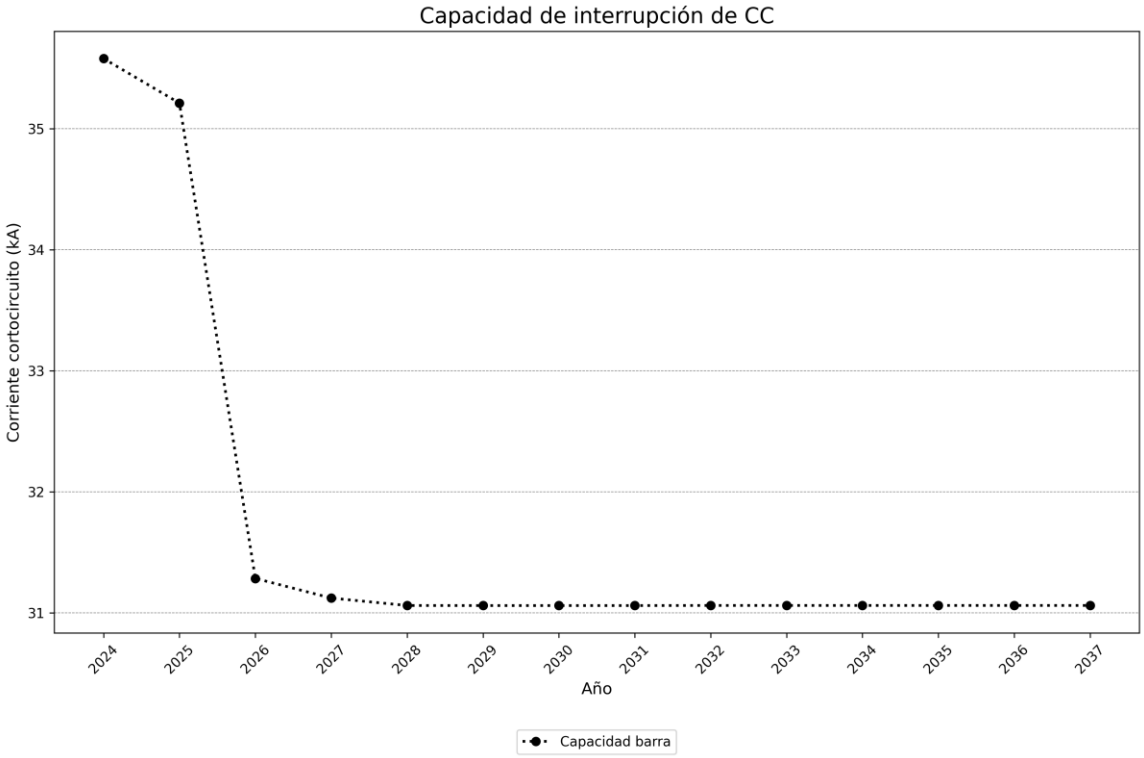


Figura 2-727. Balance de capacidad de cortocircuito después de la priorización para la subestación Ubate 115

Subestación Uraba 110:

Capacidad por barra:

Para la subestación Uraba 110 se presentaron 0 alternativas de conexión las cuales se muestran en la siguiente tabla:

Tabla 2-760. Alternativas de conexión presentadas a la subestación Uraba 110

Solicitud	Capacidad	Tipo	Barra	FPO solicitada	Restricción

No se priorizó ninguna de las alternativas de conexión presentadas en la subestación Uraba 110

El estado de la capacidad por barra en la subestación Uraba 110, teniendo en cuenta la priorización se puede observar en la siguiente figura.

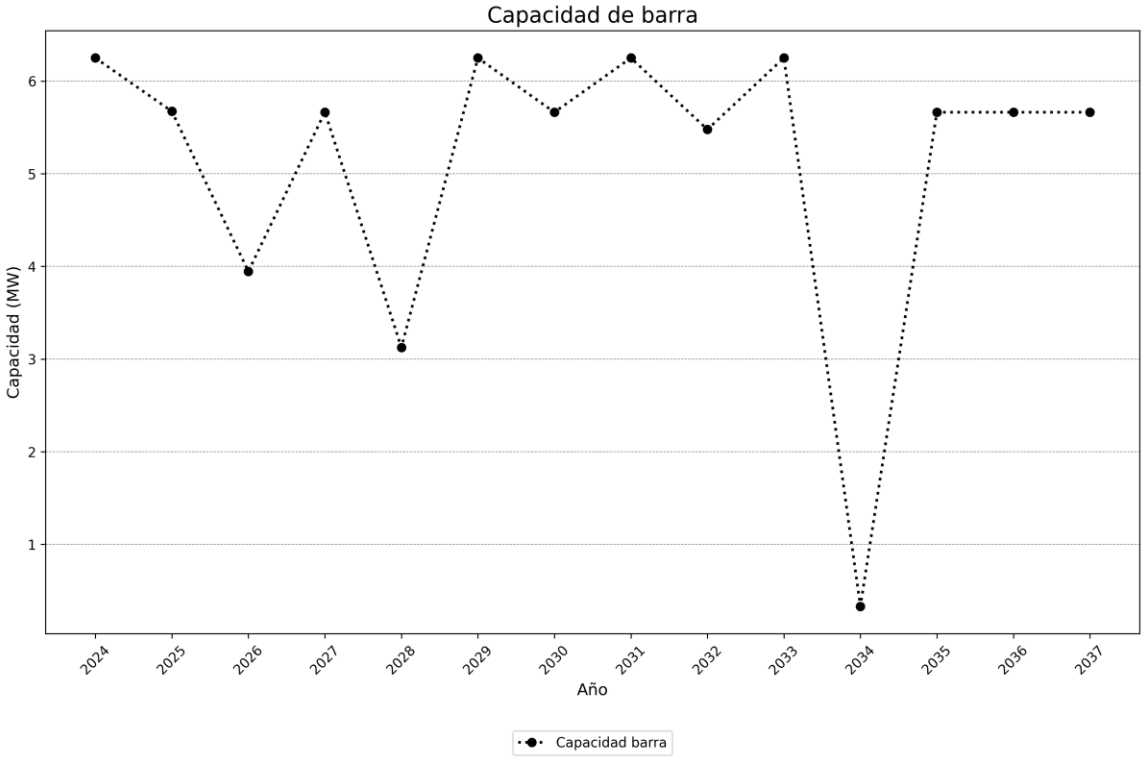


Figura 2-728. Balance de capacidad por barra después de la priorización para la subestación Uraba 110

Capacidad excedente de interrupción de corriente de cortocircuito:

Para la subestación Uraba 110 se presentaron 1 alternativas de conexión las cuales tienen aportes de corriente de cortocircuito. Estas alternativas se muestran en la siguiente tabla:

Tabla 2-761. Alternativas de conexión que aportan corriente de cortocircuito en la subestación Uraba 110

Solicitud	tipo	FPO	Barra a la que aporta CC	Aporte de cortocircuito (kA)	Restricción
SC_3331_A1	Solar FV	2026	Uraba 110	0.014	SATISFACE

No se priorizó ninguna de las alternativas de conexión que tengan aportes de corriente de cortocircuito en la subestación Uraba 110

El estado de la capacidad de cortocircuito en la subestación Uraba 110, teniendo en cuenta la priorización se puede observar en la siguiente figura.

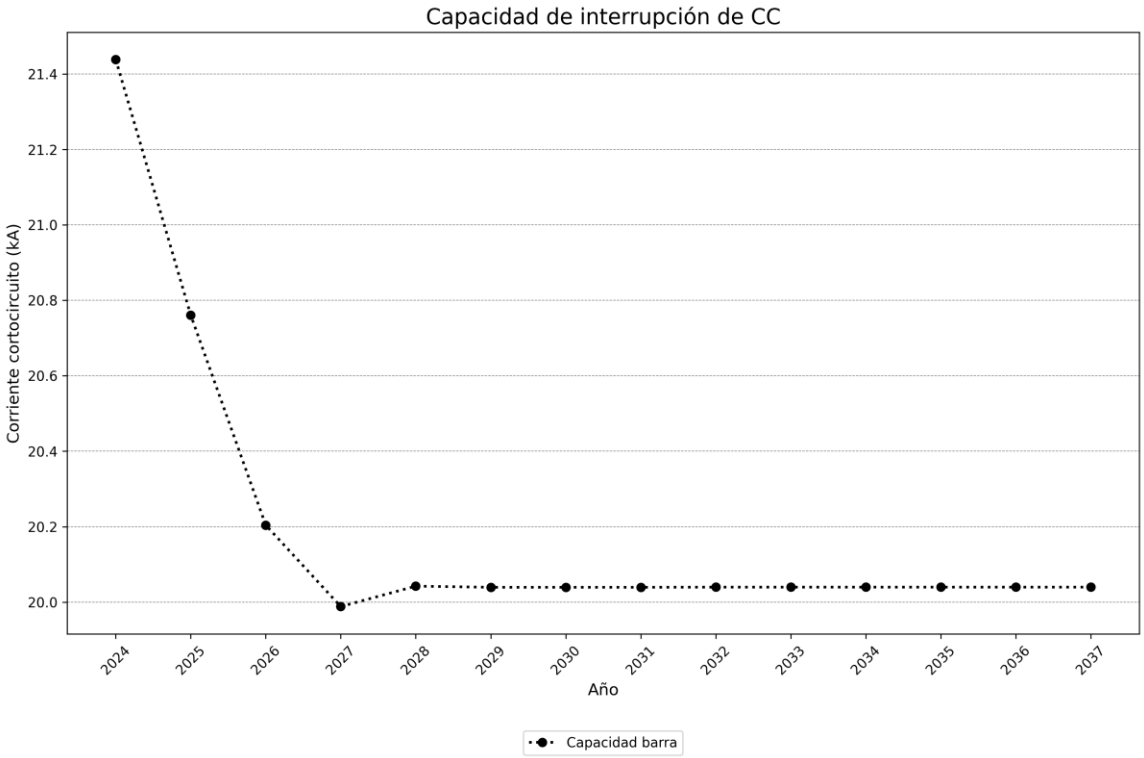


Figura 2-729. Balance de capacidad de cortocircuito después de la priorización para la subestación Uraba 110

Subestación Uraba 220:

Capacidad por barra:

Para la subestación Uraba 220 se presentaron 0 alternativas de conexión las cuales se muestran en la siguiente tabla:

Tabla 2-762. Alternativas de conexión presentadas a la subestación Uraba 220

Solicitud	Capacidad	Tipo	Barra	FPO solicitada	Restricción

No se priorizó ninguna de las alternativas de conexión presentadas en la subestación Uraba 220

El estado de la capacidad por barra en la subestación Uraba 220, teniendo en cuenta la priorización se puede observar en la siguiente figura.

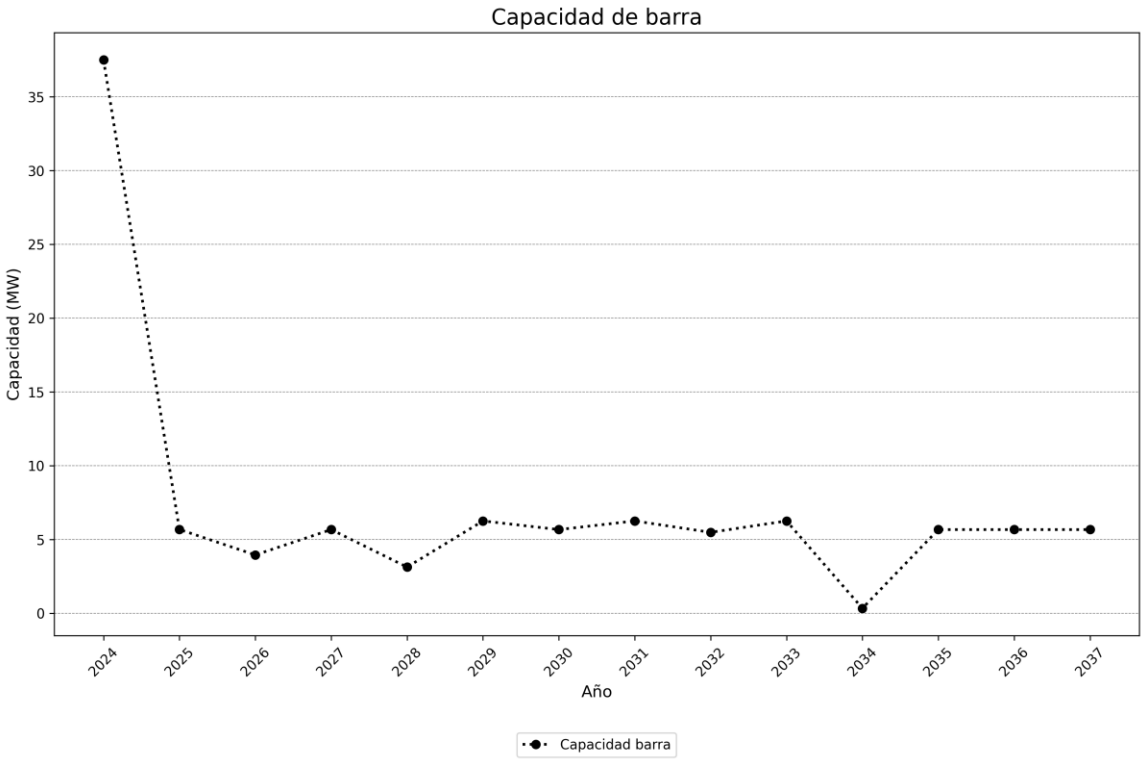


Figura 2-730. Balance de capacidad por barra después de la priorización para la subestación Uraba 220

Capacidad excedente de interrupción de corriente de cortocircuito:

Para la subestación Uraba 220 se presentaron 1 alternativas de conexión las cuales tienen aportes de corriente de cortocircuito. Estas alternativas se muestran en la siguiente tabla:

Tabla 2-763. Alternativas de conexión que aportan corriente de cortocircuito en la subestación Uraba 220

Solicitud	tipo	FPO	Barra a la que aporta CC	Aporte de cortocircuito (kA)	Restricción
SC_3331_A1	Solar FV	2026	Uraba 220	0.010	SATISFACE

No se priorizó ninguna de las alternativas de conexión que tengan aportes de corriente de cortocircuito en la subestación Uraba 220

El estado de la capacidad de cortocircuito en la subestación Uraba 220, teniendo en cuenta la priorización se puede observar en la siguiente figura.

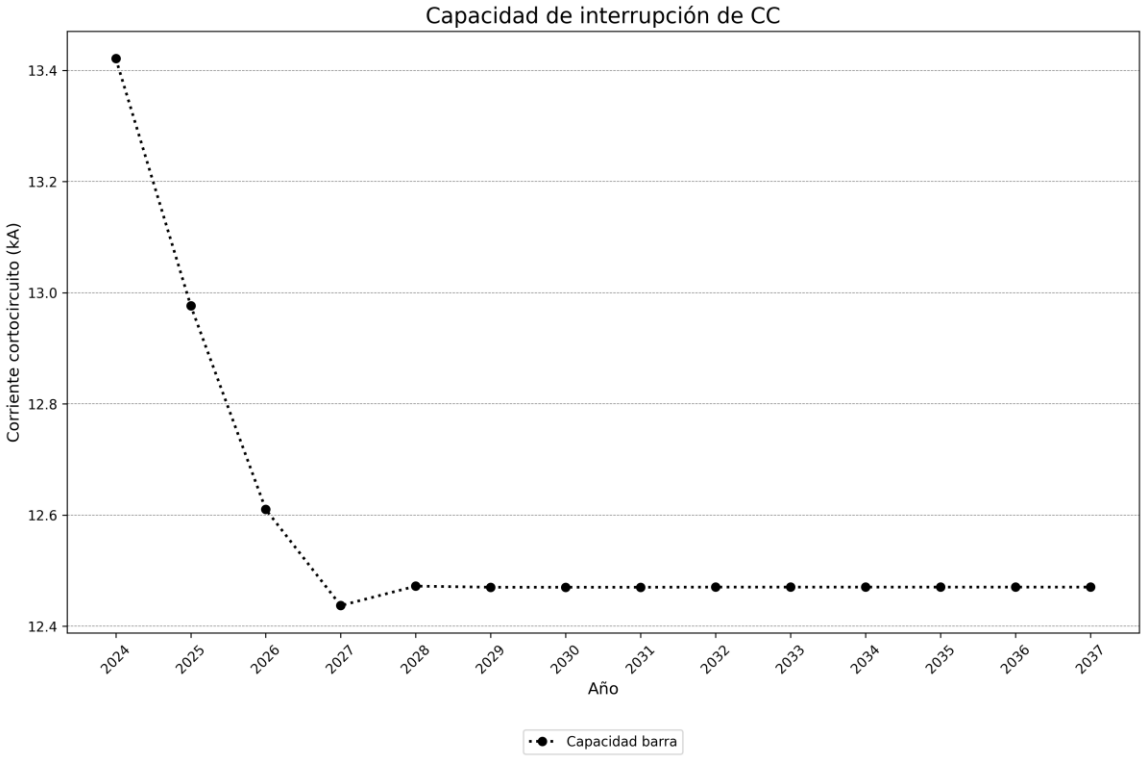


Figura 2-731. Balance de capacidad de cortocircuito después de la priorización para la subestación Uraba 220

Subestación Urra 110:

Capacidad por barra:

Para la subestación Urra 110 se presentaron 0 alternativas de conexión las cuales se muestran en la siguiente tabla:

Tabla 2-764. Alternativas de conexión presentadas a la subestación Urra 110

Solicitud	Capacidad	Tipo	Barra	FPO solicitada	Restricción

No se priorizó ninguna de las alternativas de conexión presentadas en la subestación Urra 110

El estado de la capacidad por barra en la subestación Urra 110, teniendo en cuenta la priorización se puede observar en la siguiente figura.

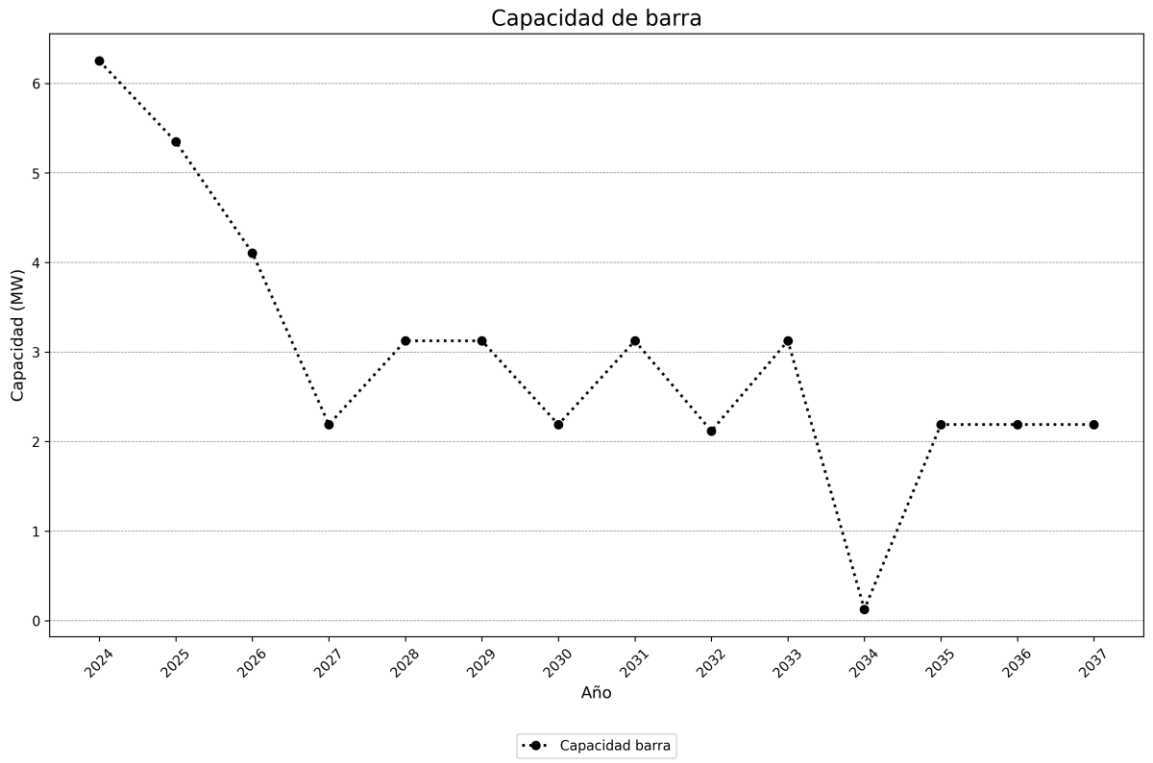


Figura 2-732. Balance de capacidad por barra después de la priorización para la subestación Urra 110

Capacidad excedente de interrupción de corriente de cortocircuito:

Para la subestación Urra 110 se presentaron 1 alternativas de conexión las cuales tienen aportes de corriente de cortocircuito. Estas alternativas se muestran en la siguiente tabla:

Tabla 2-765. Alternativas de conexión que aportan corriente de cortocircuito en la subestación Urra 110

Solicitud	tipo	FPO	Barra a la que aporta CC	Aporte de cortocircuito (kA)	Restricción

SC_3331_A1	Solar FV	2026	Urra 110	0.008	SATISFACE

No se priorizó ninguna de las alternativas de conexión que tengan aportes de corriente de cortocircuito en la subestación Urra 110

El estado de la capacidad de cortocircuito en la subestación Urra 110, teniendo en cuenta la priorización se puede observar en la siguiente figura.

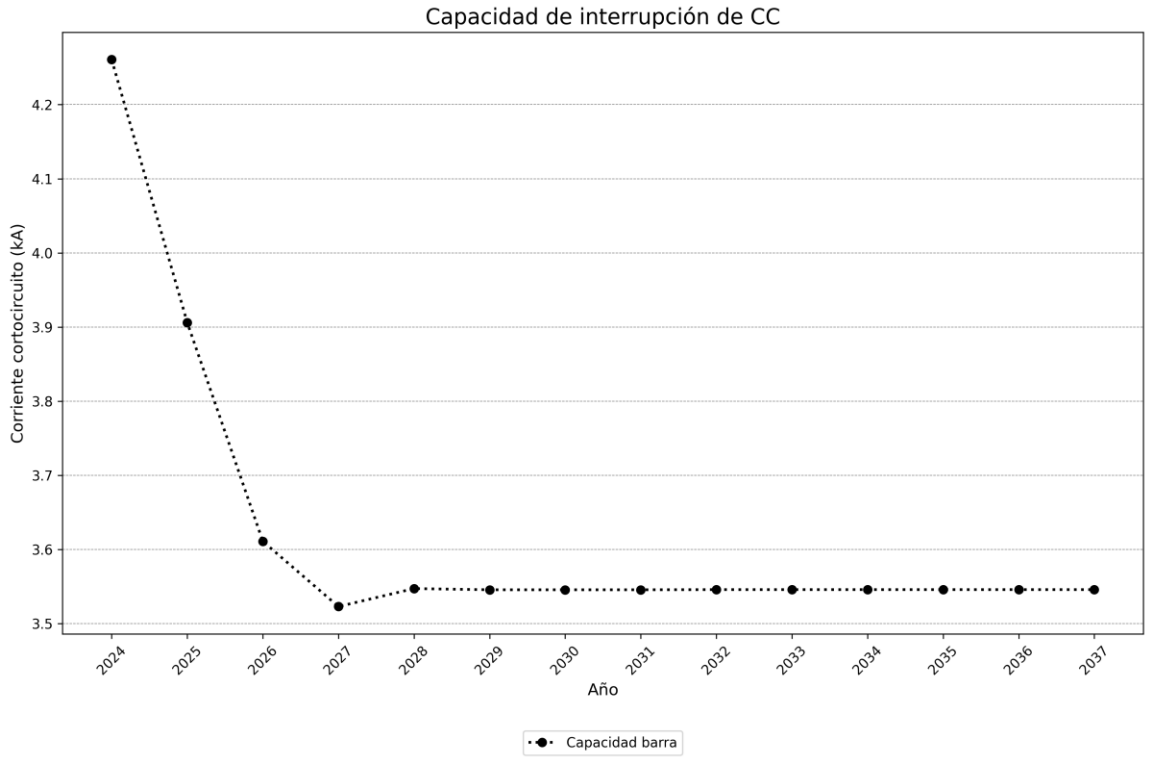


Figura 2-733. Balance de capacidad de cortocircuito después de la priorización para la subestación Urra 110

Subestación Urra 220:

Capacidad por barra:

Para la subestación Urra 220 se presentaron 0 alternativas de conexión las cuales se muestran en la siguiente tabla:

Tabla 2-766. Alternativas de conexión presentadas a la subestación Urra 220

Solicitud	Capacidad	Tipo	Barra	FPO solicitada	Restricción

No se priorizó ninguna de las alternativas de conexión presentadas en la subestación Urra 220

El estado de la capacidad por barra en la subestación Urra 220, teniendo en cuenta la priorización se puede observar en la siguiente figura.

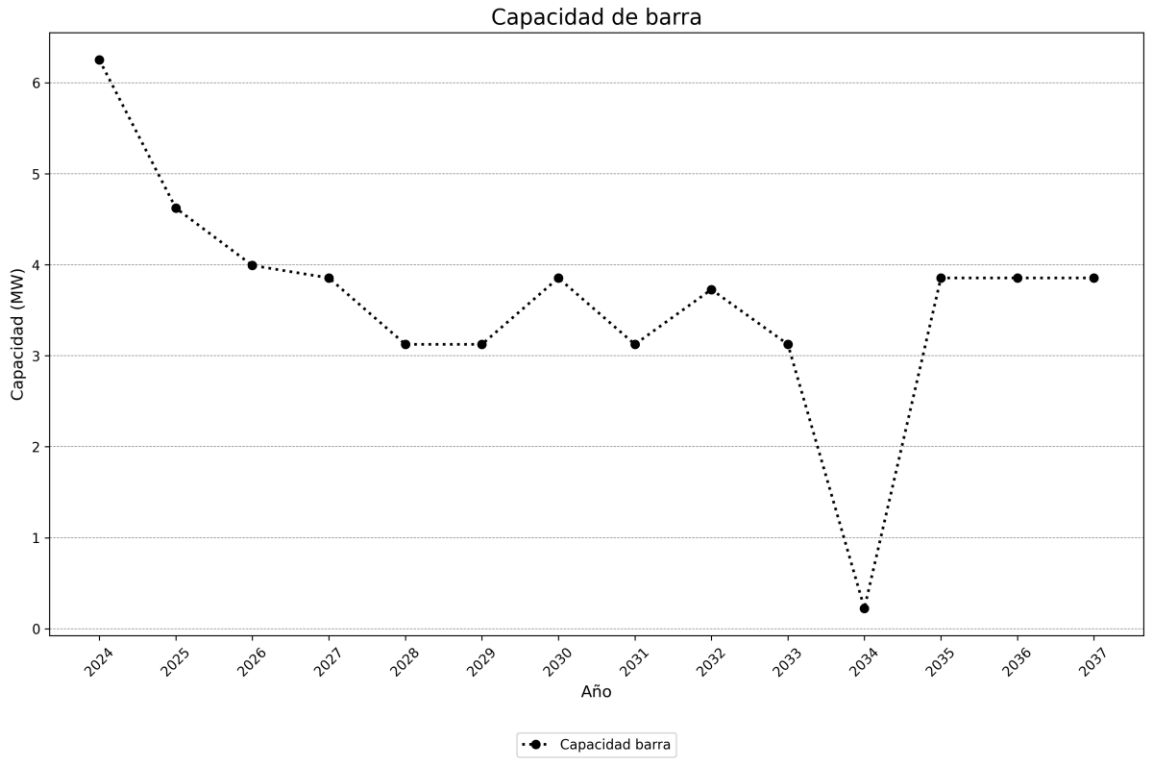


Figura 2-734. Balance de capacidad por barra después de la priorización para la subestación Urra 220

Capacidad excedente de interrupción de corriente de cortocircuito:

Para la subestación Urra 220 se presentaron 1 alternativas de conexión las cuales tienen aportes de corriente de cortocircuito. Estas alternativas se muestran en la siguiente tabla:

Tabla 2-767. Alternativas de conexión que aportan corriente de cortocircuito en la subestación Urra 220

Solicitud	tipo	FPO	Barra a la que aporta CC	Aporte de cortocircuito (kA)	Restricción
SC_3331_A1	Solar FV	2026	Urra 220	0.013	SATISFACE

No se priorizó ninguna de las alternativas de conexión que tengan aportes de corriente de cortocircuito en la subestación Urra 220

El estado de la capacidad de cortocircuito en la subestación Urra 220, teniendo en cuenta la priorización se puede observar en la siguiente figura.

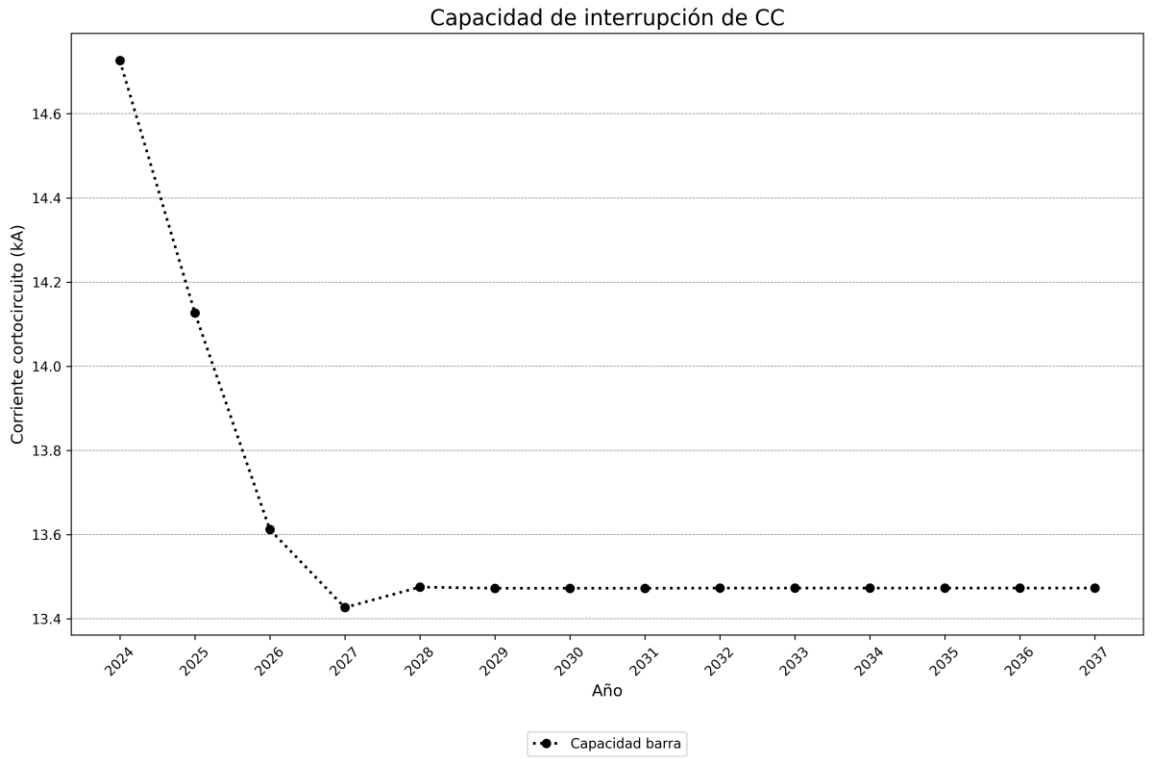


Figura 2-735. Balance de capacidad de cortocircuito después de la priorización para la subestación Urra 220

Subestación Usaquen 115:

Capacidad por barra:

Para la subestación Usaquen 115 se presentaron 0 alternativas de conexión las cuales se muestran en la siguiente tabla:

Tabla 2-768. Alternativas de conexión presentadas a la subestación Usaquen 115

Solicitud	Capacidad	Tipo	Barra	FPO solicitada	Restricción

No se priorizó ninguna de las alternativas de conexión presentadas en la subestación Usaquen 115

El estado de la capacidad por barra en la subestación Usaquen 115, teniendo en cuenta la priorización se puede observar en la siguiente figura.

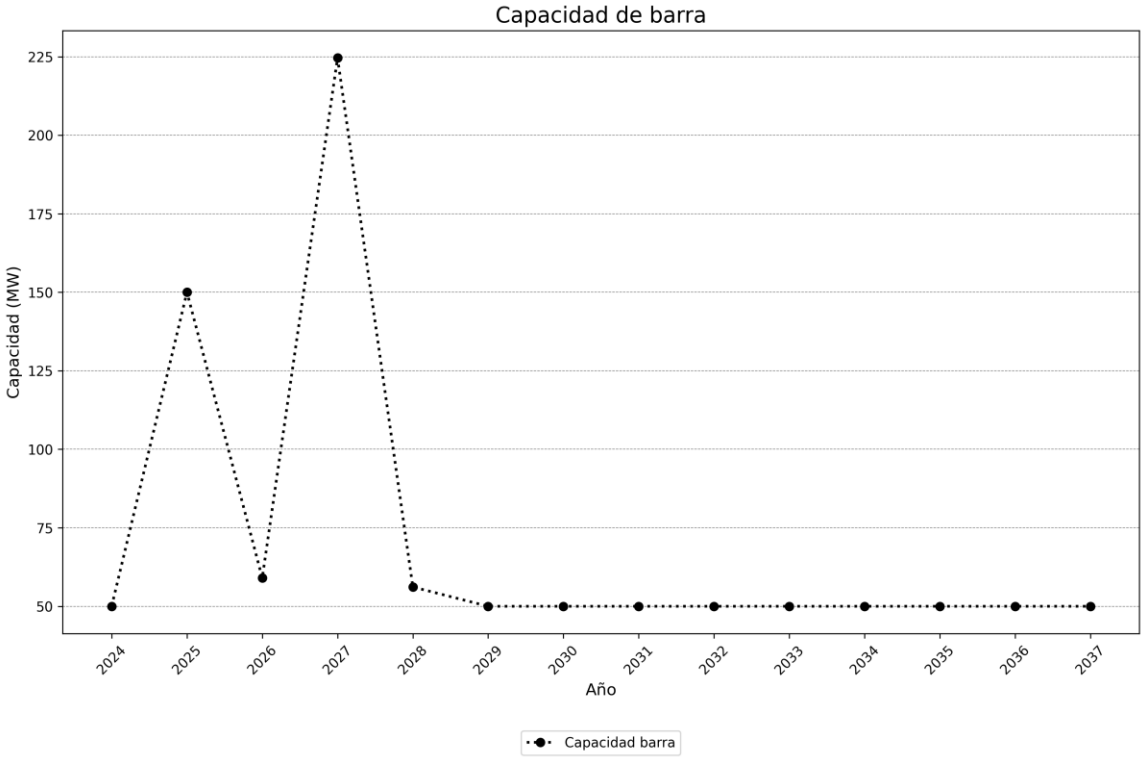


Figura 2-736. Balance de capacidad por barra después de la priorización para la subestación Usaquen 115

Capacidad excedente de interrupción de corriente de cortocircuito:

Para la subestación Usaquen 115 se presentaron 29 alternativas de conexión las cuales tienen aportes de corriente de cortocircuito. Estas alternativas se muestran en la siguiente tabla:

Tabla 2-769. Alternativas de conexión que aportan corriente de cortocircuito en la subestación Usaquen 115

Solicitud	tipo	FPO	Barra a la que aporta CC	Aporte de cortocircuito (kA)	Restricción
SC_2023_5280_A1	Solar FV	2028	Usaquen 115	0.000	SATISFACE
SC_2023_5280_A2	Solar FV	2028	Usaquen 115	0.000	SATISFACE
SC_2023_5287_A1	Solar FV	2026	Usaquen 115	0.030	SATISFACE

SC_2023_5287_A2	Solar FV	2026	Usaquen 115	0.030	SATISFACE
SC_2023_5288_A1	Solar FV	2026	Usaquen 115	0.018	SATISFACE
SC_2023_5288_A2	Solar FV	2026	Usaquen 115	0.046	SATISFACE
SC_2023_5375_A1	Solar FV	2026	Usaquen 115	0.030	SATISFACE
SC_2023_5399_A1	Solar FV	2026	Usaquen 115	0.018	SATISFACE
SC_2023_5399_A2	Solar FV	2026	Usaquen 115	0.046	SATISFACE
SC_2023_5480_A1	Solar FV	2026	Usaquen 115	0.030	SATISFACE
SC_2023_5480_A2	Solar FV	2026	Usaquen 115	0.030	SATISFACE
SC_2023_5557_A1	Solar FV	2028	Usaquen 115	0.120	SATISFACE
SC_2936_A1	Solar FV	2026	Usaquen 115	0.000	SATISFACE
SC_2936_A2	Solar FV	2026	Usaquen 115	0.000	SATISFACE
SC_3121_A1	Solar FV	2026	Usaquen 115	0.004	SATISFACE
SC_3121_A2	Solar FV	2026	Usaquen 115	0.004	SATISFACE
SC_3132_A1	Solar FV	2026	Usaquen 115	0.065	SATISFACE
SC_3132_A2	Solar FV	2026	Usaquen 115	0.056	SATISFACE
SC_3882_A1	Solar FV	2026	Usaquen 115	0.114	SATISFACE
SC_4083_A1	Solar FV	2027	Usaquen 115	0.000	SATISFACE
SC_4083_A2	Solar FV	2027	Usaquen 115	0.000	SATISFACE
SC_4765_A1	Solar FV	2029	Usaquen 115	0.003	SATISFACE
SC_4765_A2	Solar FV	2029	Usaquen 115	0.002	SATISFACE
SC_4819_A1	Solar FV	2029	Usaquen 115	0.104	SATISFACE
SC_4819_A2	Solar FV	2029	Usaquen 115	0.094	SATISFACE
SC_4974_A1	Solar FV	2026	Usaquen 115	0.006	SATISFACE
SC_4974_A2	Solar FV	2026	Usaquen 115	0.006	SATISFACE
SC_4978_A1	Solar FV	2026	Usaquen 115	0.000	SATISFACE
SC_4978_A2	Solar FV	2026	Usaquen 115	0.005	SATISFACE

No se priorizó ninguna de las alternativas de conexión que tengan aportes de corriente de cortocircuito en la subestación Usaquen 115

El estado de la capacidad de cortocircuito en la subestación Usaquen 115, teniendo en cuenta la priorización se puede observar en la siguiente figura.

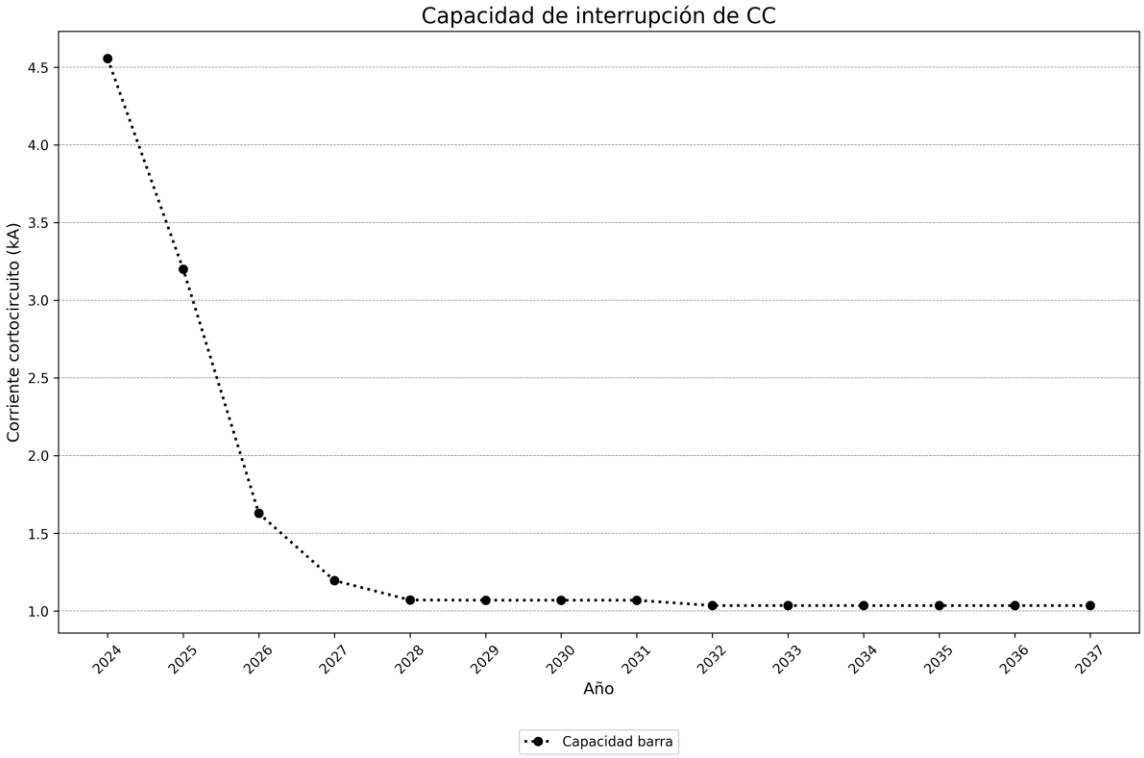


Figura 2-737. Balance de capacidad de cortocircuito después de la priorización para la subestación Usaquen 115

Subestación Usme 115:

Capacidad por barra:

Para la subestación Usme 115 se presentaron 0 alternativas de conexión las cuales se muestran en la siguiente tabla:

Tabla 2-770. Alternativas de conexión presentadas a la subestación Usme 115

Solicitud	Capacidad	Tipo	Barra	FPO solicitada	Restricción

No se priorizó ninguna de las alternativas de conexión presentadas en la subestación Usme 115

El estado de la capacidad por barra en la subestación Usme 115, teniendo en cuenta la priorización se puede observar en la siguiente figura.

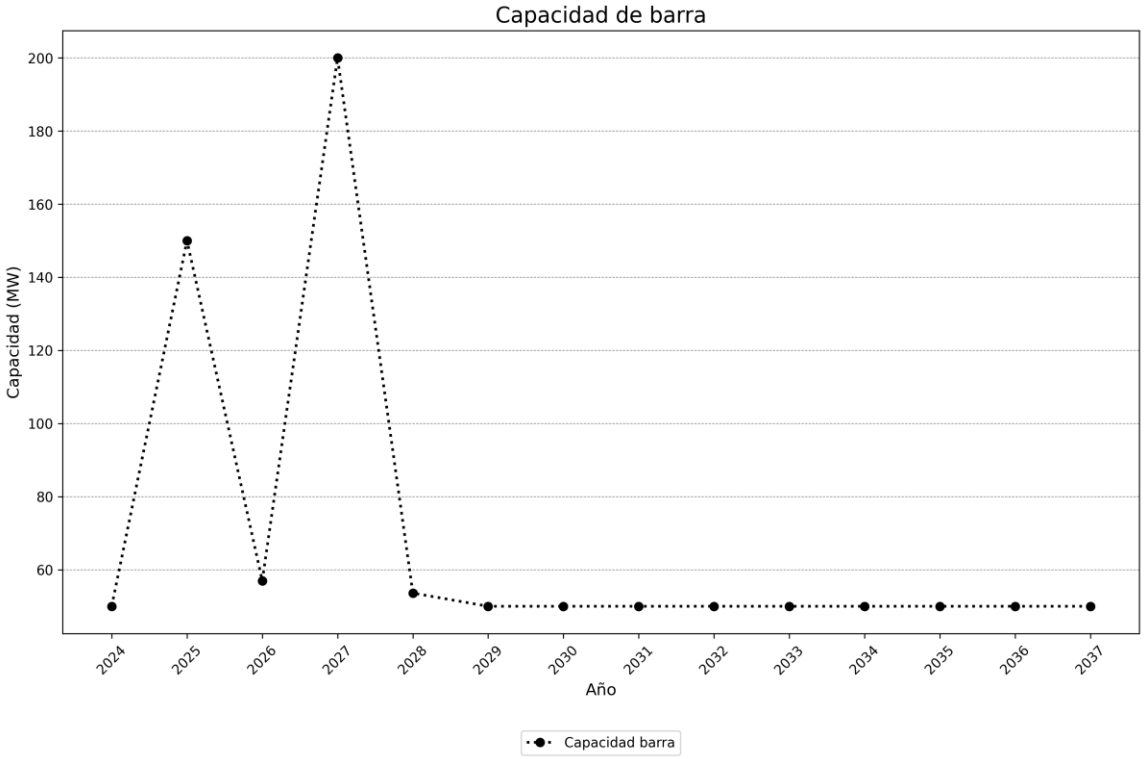


Figura 2-738. Balance de capacidad por barra después de la priorización para la subestación Usme 115

Capacidad excedente de interrupción de corriente de cortocircuito:

Para la subestación Usme 115 se presentaron 29 alternativas de conexión las cuales tienen aportes de corriente de cortocircuito. Estas alternativas se muestran en la siguiente tabla:

Tabla 2-771. Alternativas de conexión que aportan corriente de cortocircuito en la subestación Usme 115

Solicitud	tipo	FPO	Barra a la que aporta CC	Aporte de cortocircuito (kA)	Restricción
SC_2023_5280_A1	Solar FV	2028	Usme 115	0.000	SATISFACE
SC_2023_5280_A2	Solar FV	2028	Usme 115	0.000	SATISFACE
SC_2023_5287_A1	Solar FV	2026	Usme 115	0.017	SATISFACE
SC_2023_5287_A2	Solar FV	2026	Usme 115	0.018	SATISFACE
SC_2023_5288_A1	Solar FV	2026	Usme 115	0.010	SATISFACE
SC_2023_5288_A2	Solar FV	2026	Usme 115	0.027	SATISFACE
SC_2023_5375_A1	Solar FV	2026	Usme 115	0.017	SATISFACE
SC_2023_5399_A1	Solar FV	2026	Usme 115	0.010	SATISFACE
SC_2023_5399_A2	Solar FV	2026	Usme 115	0.027	SATISFACE
SC_2023_5480_A1	Solar FV	2026	Usme 115	0.017	SATISFACE
SC_2023_5480_A2	Solar FV	2026	Usme 115	0.018	SATISFACE
SC_2023_5557_A1	Solar FV	2028	Usme 115	0.072	SATISFACE
SC_2936_A1	Solar FV	2026	Usme 115	0.000	SATISFACE
SC_2936_A2	Solar FV	2026	Usme 115	0.000	SATISFACE
SC_3121_A1	Solar FV	2026	Usme 115	0.002	SATISFACE
SC_3121_A2	Solar FV	2026	Usme 115	0.002	SATISFACE
SC_3132_A1	Solar FV	2026	Usme 115	0.038	SATISFACE
SC_3132_A2	Solar FV	2026	Usme 115	0.032	SATISFACE
SC_3882_A1	Solar FV	2026	Usme 115	0.068	SATISFACE
SC_4083_A1	Solar FV	2027	Usme 115	0.000	SATISFACE
SC_4083_A2	Solar FV	2027	Usme 115	0.000	SATISFACE
SC_4765_A1	Solar FV	2029	Usme 115	0.001	SATISFACE
SC_4765_A2	Solar FV	2029	Usme 115	0.001	SATISFACE
SC_4819_A1	Solar FV	2029	Usme 115	0.061	SATISFACE
SC_4819_A2	Solar FV	2029	Usme 115	0.054	SATISFACE
SC_4974_A1	Solar FV	2026	Usme 115	0.003	SATISFACE
SC_4974_A2	Solar FV	2026	Usme 115	0.003	SATISFACE
SC_4978_A1	Solar FV	2026	Usme 115	0.000	SATISFACE
SC_4978_A2	Solar FV	2026	Usme 115	0.003	SATISFACE

No se priorizó ninguna de las alternativas de conexión que tengan aportes de corriente de cortocircuito en la subestación Usme 115

El estado de la capacidad de cortocircuito en la subestación Usme 115, teniendo en cuenta la priorización se puede observar en la siguiente figura.

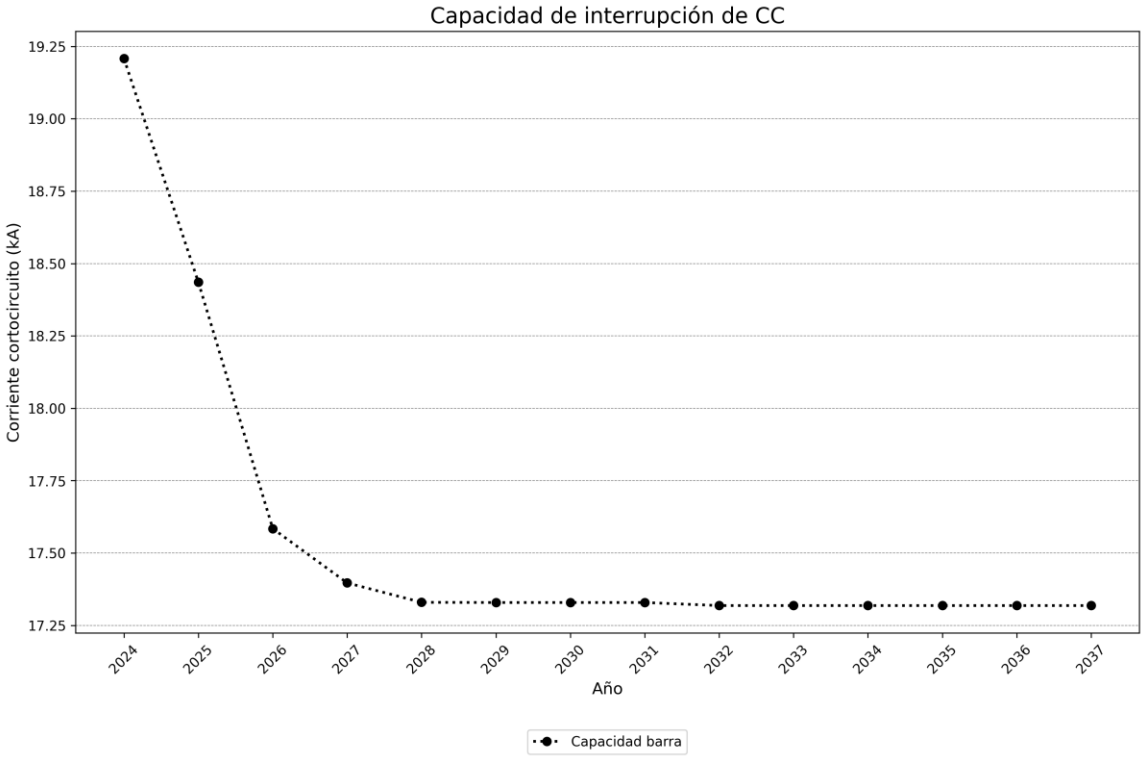


Figura 2-739. Balance de capacidad de cortocircuito después de la priorización para la subestación Usme 115

Subestación Ventorrillo 33:

Capacidad por barra:

Para la subestación Ventorrillo 33 se presentaron 0 alternativas de conexión las cuales se muestran en la siguiente tabla:

Tabla 2-772. Alternativas de conexión presentadas a la subestación Ventorrillo 33

Solicitud	Capacidad	Tipo	Barra	FPO solicitada	Restricción

No se priorizó ninguna de las alternativas de conexión presentadas en la subestación Ventorrillo 33

El estado de la capacidad por barra en la subestación Ventorrillo 33, teniendo en cuenta la priorización se puede observar en la siguiente figura.

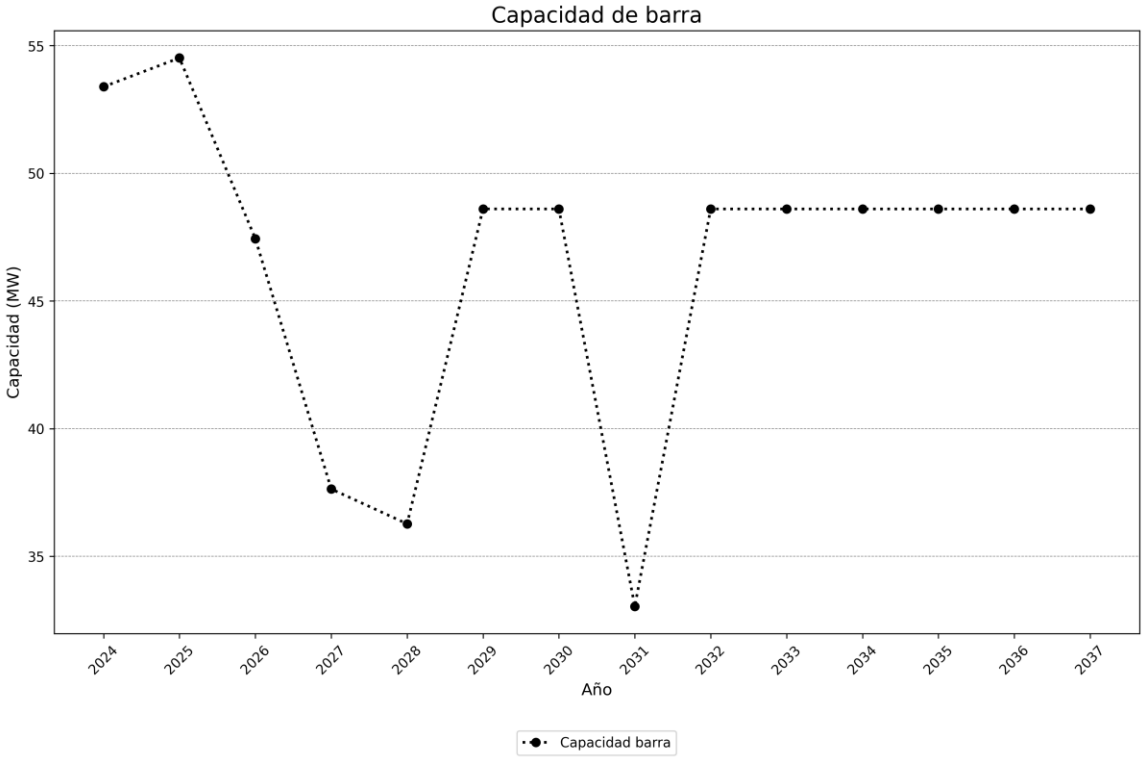


Figura 2-740. Balance de capacidad por barra después de la priorización para la subestación Ventorrillo 33

Subestación Veraguas 115:

Capacidad por barra:

Para la subestación Veraguas 115 se presentaron 0 alternativas de conexión las cuales se muestran en la siguiente tabla:

Tabla 2-773. Alternativas de conexión presentadas a la subestación Veraguas 115

Solicitud	Capacidad	Tipo	Barra	FPO solicitada	Restricción

No se priorizó ninguna de las alternativas de conexión presentadas en la subestación Veraguas 115

El estado de la capacidad por barra en la subestación Veraguas 115, teniendo en cuenta la priorización se puede observar en la siguiente figura.

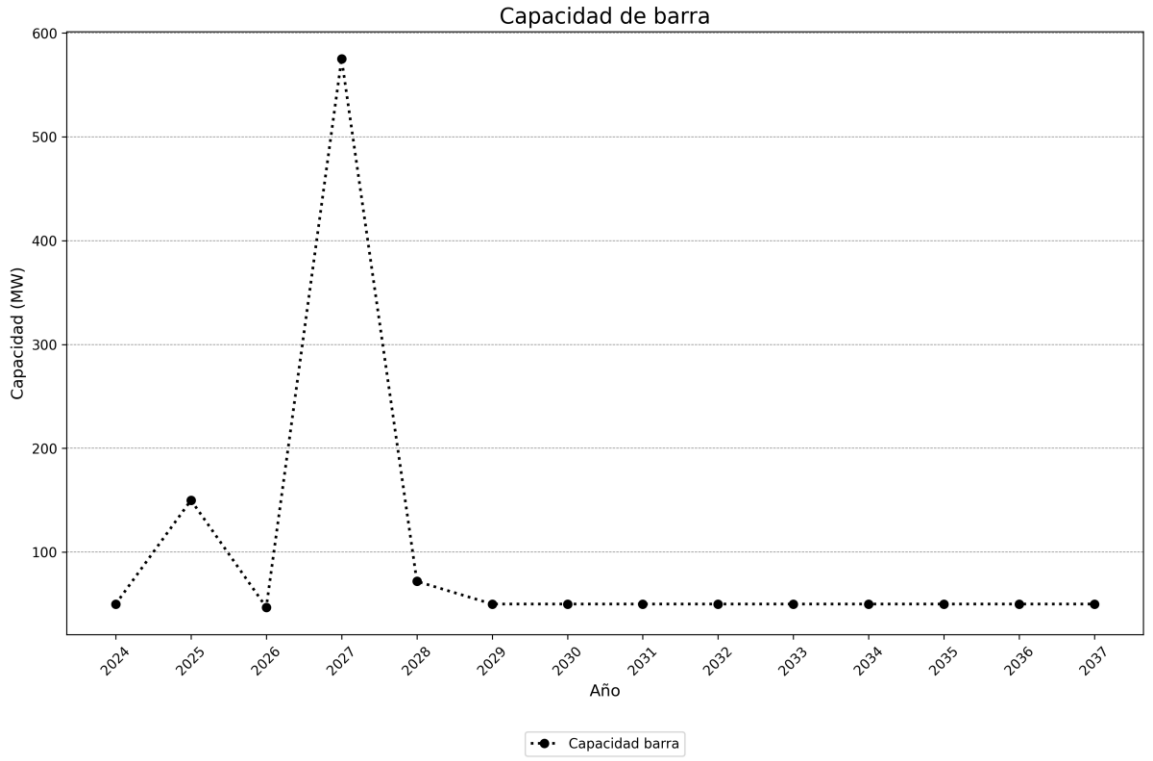


Figura 2-741. Balance de capacidad por barra después de la priorización para la subestación Veraguas 115

Capacidad excedente de interrupción de corriente de cortocircuito:

Para la subestación Veraguas 115 se presentaron 29 alternativas de conexión las cuales tienen aportes de corriente de cortocircuito. Estas alternativas se muestran en la siguiente tabla:

Tabla 2-774. Alternativas de conexión que aportan corriente de cortocircuito en la subestación Veraguas 115

Solicitud	tipo	FPO	Barra a la que aporta CC	Aporte de cortocircuito (kA)	Restricción
SC_2023_5280_A1	Solar FV	2028	Veraguas 115	0.000	SATISFACE
SC_2023_5280_A2	Solar FV	2028	Veraguas 115	0.000	SATISFACE
SC_2023_5287_A1	Solar FV	2026	Veraguas 115	0.047	NO SATISFACE
SC_2023_5287_A2	Solar FV	2026	Veraguas 115	0.048	NO SATISFACE
SC_2023_5288_A1	Solar FV	2026	Veraguas 115	0.027	NO SATISFACE
SC_2023_5288_A2	Solar FV	2026	Veraguas 115	0.072	NO SATISFACE
SC_2023_5375_A1	Solar FV	2026	Veraguas 115	0.047	NO SATISFACE
SC_2023_5399_A1	Solar FV	2026	Veraguas 115	0.027	NO SATISFACE
SC_2023_5399_A2	Solar FV	2026	Veraguas 115	0.072	NO SATISFACE
SC_2023_5480_A1	Solar FV	2026	Veraguas 115	0.047	NO SATISFACE
SC_2023_5480_A2	Solar FV	2026	Veraguas 115	0.048	NO SATISFACE
SC_2023_5557_A1	Solar FV	2028	Veraguas 115	0.207	NO SATISFACE
SC_2936_A1	Solar FV	2026	Veraguas 115	0.000	NO SATISFACE
SC_2936_A2	Solar FV	2026	Veraguas 115	0.000	NO SATISFACE
SC_3121_A1	Solar FV	2026	Veraguas 115	0.006	NO SATISFACE
SC_3121_A2	Solar FV	2026	Veraguas 115	0.006	NO SATISFACE
SC_3132_A1	Solar FV	2026	Veraguas 115	0.112	NO SATISFACE
SC_3132_A2	Solar FV	2026	Veraguas 115	0.097	NO SATISFACE
SC_3882_A1	Solar FV	2026	Veraguas 115	0.196	NO SATISFACE
SC_4083_A1	Solar FV	2027	Veraguas 115	0.001	NO SATISFACE
SC_4083_A2	Solar FV	2027	Veraguas 115	0.001	NO SATISFACE
SC_4765_A1	Solar FV	2029	Veraguas 115	0.011	NO SATISFACE
SC_4765_A2	Solar FV	2029	Veraguas 115	0.006	NO SATISFACE
SC_4819_A1	Solar FV	2029	Veraguas 115	0.185	NO SATISFACE
SC_4819_A2	Solar FV	2029	Veraguas 115	0.166	NO SATISFACE
SC_4974_A1	Solar FV	2026	Veraguas 115	0.010	NO SATISFACE
SC_4974_A2	Solar FV	2026	Veraguas 115	0.010	NO SATISFACE
SC_4978_A1	Solar FV	2026	Veraguas 115	0.000	SATISFACE
SC_4978_A2	Solar FV	2026	Veraguas 115	0.008	NO SATISFACE

No se priorizó ninguna de las alternativas de conexión que tengan aportes de corriente de cortocircuito en la subestación Veraguas 115

El estado de la capacidad de cortocircuito en la subestación Veraguas 115, teniendo en cuenta la priorización se puede observar en la siguiente figura.

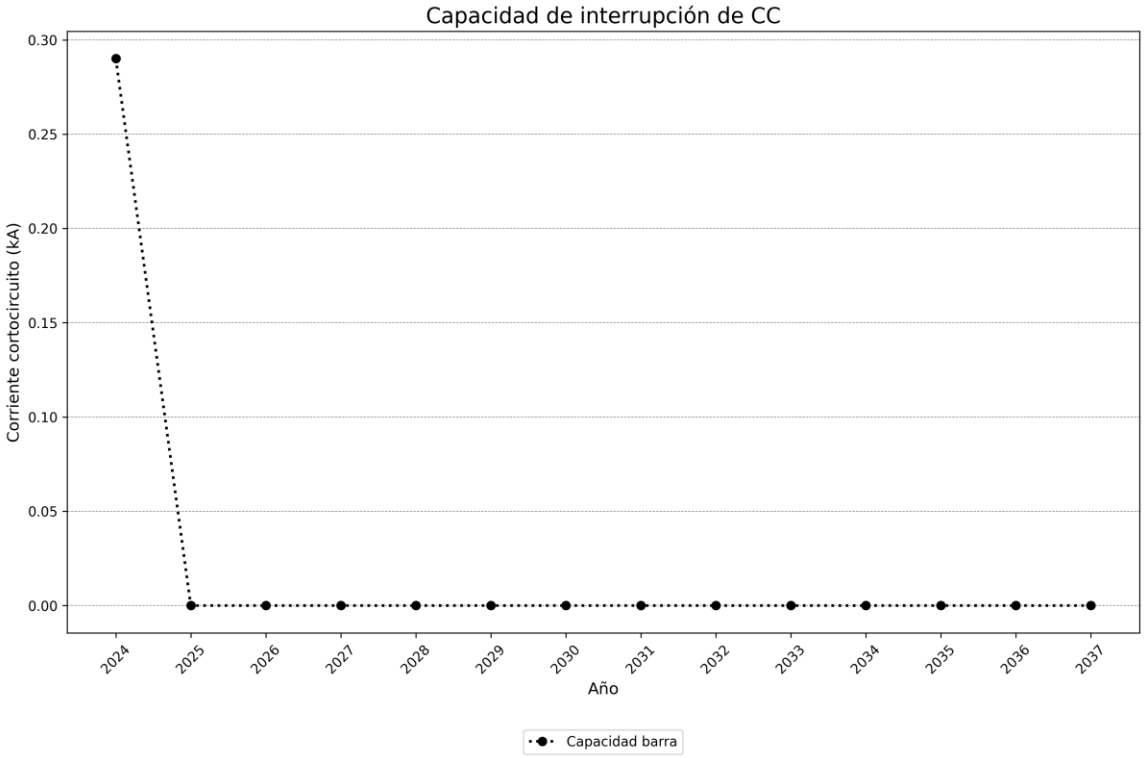


Figura 2-742. Balance de capacidad de cortocircuito después de la priorización para la subestación Veraguas 115

Subestación Victoria 33:

Capacidad por barra:

Para la subestación Victoria 33 se presentaron 2 alternativas de conexión las cuales se muestran en la siguiente tabla:

Tabla 2-775. Alternativas de conexión presentadas a la subestación Victoria 33

Solicitud	Capacidad	Tipo	Barra	FPO solicitada	Restricción

SC_3453_A1	9.9	Solar FV	Victoria 33	2027	NO SATISFACE
SC_3514_A1	9.9	Solar FV	Victoria 33	2027	NO SATISFACE

No se priorizó ninguna de las alternativas de conexión presentadas en la subestación Victoria 33

El estado de la capacidad por barra en la subestación Victoria 33, teniendo en cuenta la priorización se puede observar en la siguiente figura.

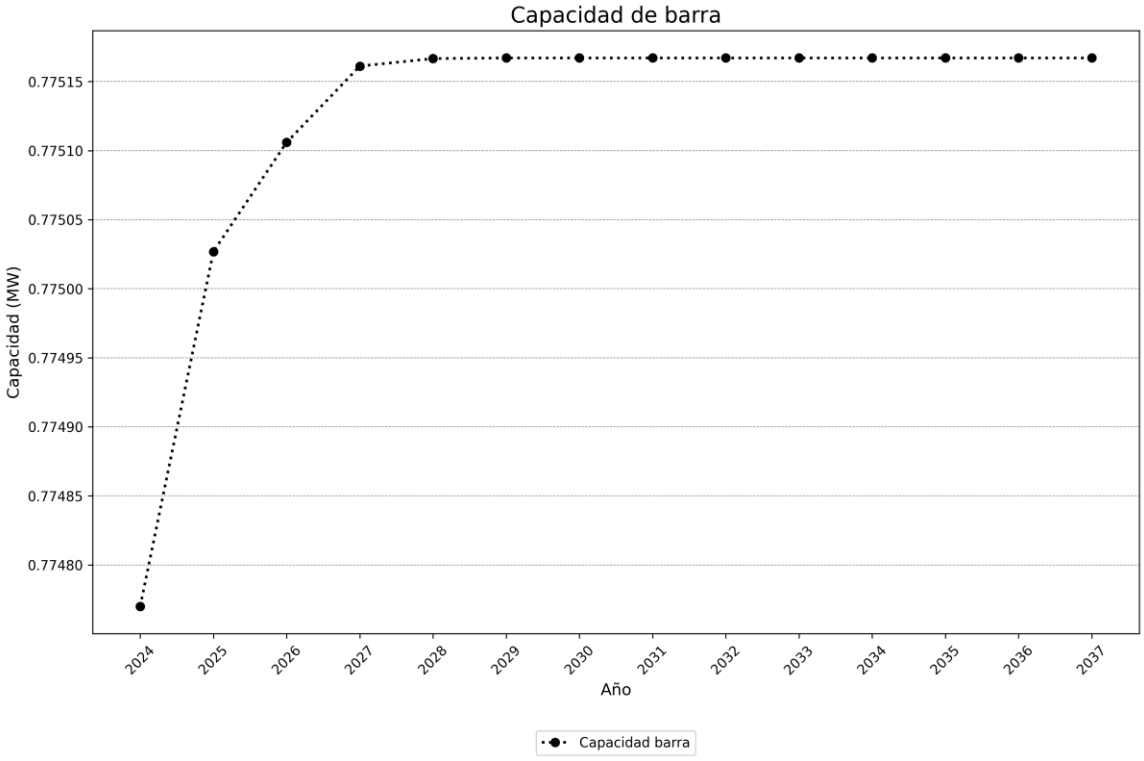


Figura 2-743. Balance de capacidad por barra después de la priorización para la subestación Victoria 33

Subestación Victoria CQR 115:

Capacidad por barra:

Para la subestación Victoria CQR 115 se presentaron 4 alternativas de conexión las cuales se muestran en la siguiente tabla:

Tabla 2-776. Alternativas de conexión presentadas a la subestación Victoria CQR 115

Solicitud	Capacidad	Tipo	Barra	FPO solicitada	Restricción
SC_2475_A1	60.0	Solar FV	Victoria CQR 115	2028	NO SATISFACE
SC_2892_A1	60.0	Solar FV	Victoria CQR 115	2027	NO SATISFACE
SC_2962_A1	99.9	Solar FV	Victoria CQR 115	2028	NO SATISFACE
SC_4960_A2	100.0	Solar FV	Victoria CQR 115	2029	NO SATISFACE

No se priorizó ninguna de las alternativas de conexión presentadas en la subestación Victoria CQR 115

El estado de la capacidad por barra en la subestación Victoria CQR 115, teniendo en cuenta la priorización se puede observar en la siguiente figura.

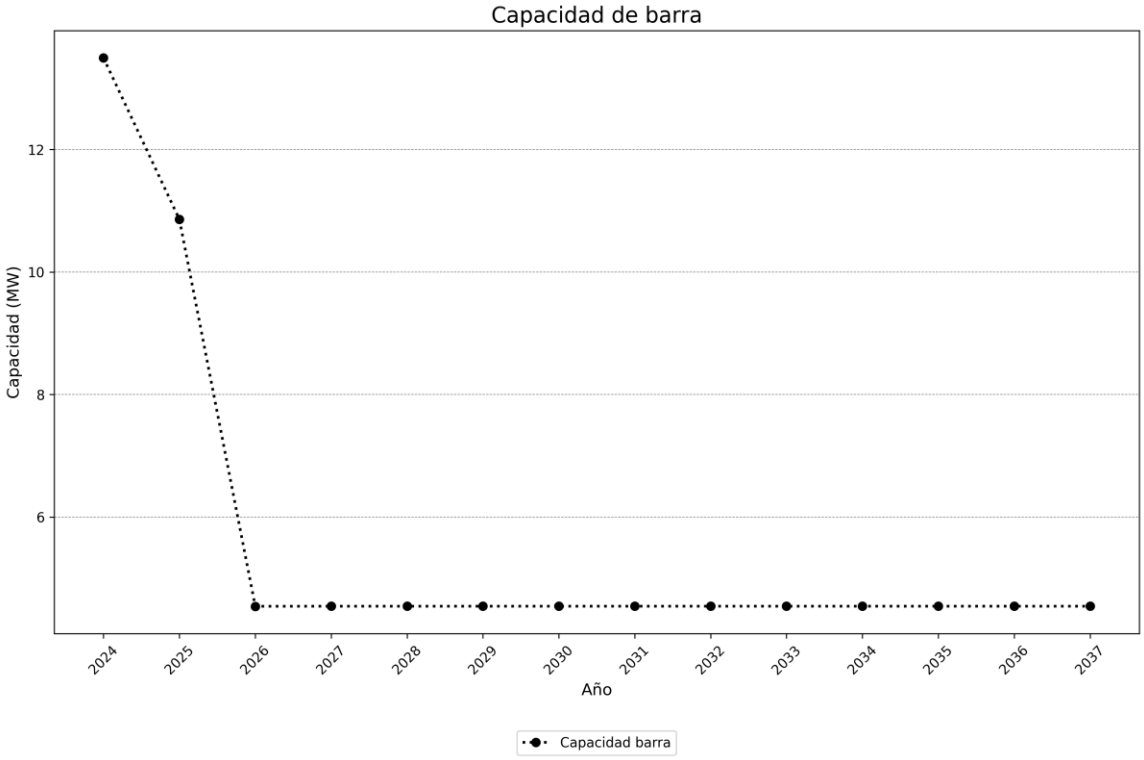


Figura 2-744. Balance de capacidad por barra después de la priorización para la subestación Victoria CQR 115

Capacidad excedente de interrupción de corriente de cortocircuito:

Para la subestación Victoria CQR 115 se presentaron 210 alternativas de conexión las cuales tienen aportes de corriente de cortocircuito. Estas alternativas se muestran en la siguiente tabla:

Tabla 2-777. Alternativas de conexión que aportan corriente de cortocircuito en la subestación Victoria CQR 115

Solicitud	tipo	FPO	Barra a la que aporta CC	Aporte de cortocircuito (kA)	Restricción
SC_2023_5136_A1	Solar FV	2026	Victoria CQR 115	0.117	SATISFACE

SC_2023_5136_A2	Solar FV	2026	Victoria CQR 115	0.117	SATISFACE
SC_2023_5144_A1	Solar FV	2028	Victoria CQR 115	0.050	SATISFACE
SC_2023_5144_A2	Solar FV	2028	Victoria CQR 115	0.031	SATISFACE
SC_2023_5150_A1	Solar FV	2028	Victoria CQR 115	0.163	SATISFACE
SC_2023_5152_A1	Solar FV	2025	Victoria CQR 115	0.000	SATISFACE
SC_2023_5152_A2	Solar FV	2025	Victoria CQR 115	0.000	SATISFACE
SC_2023_5158_A1	Solar FV	2028	Victoria CQR 115	0.029	SATISFACE
SC_2023_5171_A1	Solar FV	2025	Victoria CQR 115	0.000	SATISFACE
SC_2023_5171_A2	Solar FV	2025	Victoria CQR 115	0.000	SATISFACE
SC_2023_5174_A1	Solar FV	2027	Victoria CQR 115	0.011	SATISFACE
SC_2023_5174_A2	Solar FV	2027	Victoria CQR 115	0.013	SATISFACE
SC_2023_5185_A1	Solar FV	2026	Victoria CQR 115	0.219	SATISFACE
SC_2023_5185_A2	Solar FV	2026	Victoria CQR 115	0.158	SATISFACE
SC_2023_5188_A1	Solar FV	2026	Victoria CQR 115	0.143	SATISFACE
SC_2023_5188_A2	Solar FV	2026	Victoria CQR 115	0.090	SATISFACE
SC_2023_5200_A1	Solar FV	2028	Victoria CQR 115	0.097	SATISFACE
SC_2023_5200_A2	Solar FV	2028	Victoria CQR 115	0.057	SATISFACE
SC_2023_5216_A1	Solar FV	2026	Victoria CQR 115	0.007	SATISFACE
SC_2023_5216_A2	Solar FV	2026	Victoria CQR 115	0.021	SATISFACE
SC_2023_5248_A1	Solar FV	2025	Victoria CQR 115	0.000	SATISFACE

SC_2023_5248_A2	Solar FV	2025	Victoria CQR 115	0.000	SATISFACE
SC_2023_5249_A1	Solar FV	2025	Victoria CQR 115	0.000	SATISFACE
SC_2023_5249_A2	Solar FV	2025	Victoria CQR 115	0.000	SATISFACE
SC_2023_5251_A1	Solar FV	2025	Victoria CQR 115	0.003	SATISFACE
SC_2023_5251_A2	Solar FV	2025	Victoria CQR 115	0.003	SATISFACE
SC_2023_5252_A1	Solar FV	2028	Victoria CQR 115	0.000	SATISFACE
SC_2023_5252_A2	Solar FV	2028	Victoria CQR 115	0.001	SATISFACE
SC_2023_5253_A1	Solar FV	2025	Victoria CQR 115	0.003	SATISFACE
SC_2023_5253_A2	Solar FV	2025	Victoria CQR 115	0.003	SATISFACE
SC_2023_5256_A2	Solar FV	2028	Victoria CQR 115	0.202	SATISFACE
SC_2023_5257_A1	Solar FV	2025	Victoria CQR 115	0.000	SATISFACE
SC_2023_5257_A2	Solar FV	2025	Victoria CQR 115	0.000	SATISFACE
SC_2023_5280_A1	Solar FV	2028	Victoria CQR 115	0.000	SATISFACE
SC_2023_5280_A2	Solar FV	2028	Victoria CQR 115	0.000	SATISFACE
SC_2023_5282_A1	Solar FV	2028	Victoria CQR 115	0.000	SATISFACE
SC_2023_5287_A1	Solar FV	2026	Victoria CQR 115	0.129	SATISFACE
SC_2023_5287_A2	Solar FV	2026	Victoria CQR 115	0.131	SATISFACE
SC_2023_5288_A1	Solar FV	2026	Victoria CQR 115	0.123	SATISFACE
SC_2023_5288_A2	Solar FV	2026	Victoria CQR 115	0.322	SATISFACE
SC_2023_5293_A1	Solar FV	2028	Victoria CQR 115	0.015	SATISFACE

SC_2023_5293_A2	Solar FV	2028	Victoria CQR 115	0.012	SATISFACE
SC_2023_5294_A1	Solar FV	2029	Victoria CQR 115	0.086	SATISFACE
SC_2023_5294_A2	Solar FV	2029	Victoria CQR 115	0.111	SATISFACE
SC_2023_5304_A1	Solar FV	2026	Victoria CQR 115	0.018	SATISFACE
SC_2023_5309_A1	Solar FV	2026	Victoria CQR 115	0.018	SATISFACE
SC_2023_5337_A2	Solar FV	2025	Victoria CQR 115	0.116	SATISFACE
SC_2023_5339_A1	PCH	2026	Victoria CQR 115	0.000	SATISFACE
SC_2023_5339_A2	PCH	2026	Victoria CQR 115	0.000	SATISFACE
SC_2023_5345_A1	Solar FV	2027	Victoria CQR 115	0.003	SATISFACE
SC_2023_5345_A2	Solar FV	2027	Victoria CQR 115	0.003	SATISFACE
SC_2023_5346_A1	Solar FV	2027	Victoria CQR 115	0.003	SATISFACE
SC_2023_5346_A2	Solar FV	2027	Victoria CQR 115	0.003	SATISFACE
SC_2023_5375_A1	Solar FV	2026	Victoria CQR 115	0.129	SATISFACE
SC_2023_5383_A1	Solar FV	2027	Victoria CQR 115	0.033	SATISFACE
SC_2023_5383_A2	Solar FV	2027	Victoria CQR 115	0.043	SATISFACE
SC_2023_5399_A1	Solar FV	2026	Victoria CQR 115	0.123	SATISFACE
SC_2023_5399_A2	Solar FV	2026	Victoria CQR 115	0.322	SATISFACE
SC_2023_5431_A1	Solar FV	2028	Victoria CQR 115	0.006	SATISFACE
SC_2023_5431_A2	Solar FV	2028	Victoria CQR 115	0.005	SATISFACE
SC_2023_5480_A1	Solar FV	2026	Victoria CQR 115	0.129	SATISFACE

SC_2023_5480_A2	Solar FV	2026	Victoria CQR 115	0.131	SATISFACE
SC_2023_5529_A1	Solar FV	2026	Victoria CQR 115	0.083	SATISFACE
SC_2023_5529_A2	Solar FV	2026	Victoria CQR 115	0.083	SATISFACE
SC_2023_5543_A1	Hidráulica	2026	Victoria CQR 115	0.006	SATISFACE
SC_2023_5543_A2	Hidráulica	2026	Victoria CQR 115	0.007	SATISFACE
SC_2023_5549_A1	Solar FV	2028	Victoria CQR 115	0.013	SATISFACE
SC_2023_5549_A2	Solar FV	2028	Victoria CQR 115	0.013	SATISFACE
SC_2023_5551_A1	Solar FV	2027	Victoria CQR 115	0.087	SATISFACE
SC_2023_5551_A2	Solar FV	2027	Victoria CQR 115	0.052	SATISFACE
SC_2023_5557_A1	Solar FV	2028	Victoria CQR 115	0.161	SATISFACE
SC_2023_5598_A1	Solar FV	2025	Victoria CQR 115	0.000	SATISFACE
SC_2023_5598_A2	Solar FV	2025	Victoria CQR 115	0.000	SATISFACE
SC_2024_5939_A1	Solar FV	2028	Victoria CQR 115	0.036	SATISFACE
SC_2024_5939_A2	Solar FV	2028	Victoria CQR 115	0.035	SATISFACE
SC_2024_5992_A1	Solar FV	2027	Victoria CQR 115	0.129	SATISFACE
SC_2344_A1	Eólico Onshore	2027	Victoria CQR 115	0.020	SATISFACE
SC_2344_A2	Eólico Onshore	2027	Victoria CQR 115	0.630	SATISFACE
SC_2347_A1	Solar FV	2026	Victoria CQR 115	0.040	SATISFACE
SC_2347_A2	Solar FV	2026	Victoria CQR 115	0.050	SATISFACE
SC_2348_A1	Solar FV	2026	Victoria CQR 115	0.040	SATISFACE

SC_2348_A2	Solar FV	2026	Victoria CQR 115	0.050	SATISFACE
SC_2438_A1	Solar FV	2028	Victoria CQR 115	0.006	SATISFACE
SC_2438_A2	Solar FV	2028	Victoria CQR 115	0.165	SATISFACE
SC_2442_A1	Solar FV	2027	Victoria CQR 115	0.012	SATISFACE
SC_2442_A2	Solar FV	2027	Victoria CQR 115	0.013	SATISFACE
SC_2475_A1	Solar FV	2028	Victoria CQR 115	0.300	SATISFACE
SC_2475_A2	Solar FV	2028	Victoria CQR 115	0.200	SATISFACE
SC_2562_A1	Solar FV	2026	Victoria CQR 115	0.020	SATISFACE
SC_2629_A1	Solar FV	2026	Victoria CQR 115	0.012	SATISFACE
SC_2629_A2	Solar FV	2026	Victoria CQR 115	0.013	SATISFACE
SC_2634_A1	Solar FV	2026	Victoria CQR 115	0.000	SATISFACE
SC_2634_A2	Solar FV	2026	Victoria CQR 115	0.000	SATISFACE
SC_2680_A1	Solar FV	2028	Victoria CQR 115	0.050	SATISFACE
SC_2680_A2	Solar FV	2028	Victoria CQR 115	0.160	SATISFACE
SC_2681_A1	Solar FV	2027	Victoria CQR 115	0.190	SATISFACE
SC_2681_A2	Solar FV	2027	Victoria CQR 115	0.040	SATISFACE
SC_2682_A1	Solar FV	2025	Victoria CQR 115	0.034	SATISFACE
SC_2682_A2	Solar FV	2025	Victoria CQR 115	0.001	SATISFACE
SC_2683_A1	Solar FV	2026	Victoria CQR 115	0.020	SATISFACE
SC_2683_A2	Solar FV	2026	Victoria CQR 115	0.020	SATISFACE

SC_2693_A1	Solar FV	2026	Victoria CQR 115	0.000	SATISFACE
SC_2693_A2	Solar FV	2026	Victoria CQR 115	0.000	SATISFACE
SC_2722_A1	Solar FV	2026	Victoria CQR 115	0.011	SATISFACE
SC_2722_A2	Solar FV	2026	Victoria CQR 115	0.011	SATISFACE
SC_2802_A1	Solar FV	2027	Victoria CQR 115	0.005	SATISFACE
SC_2802_A2	Solar FV	2027	Victoria CQR 115	0.046	SATISFACE
SC_2816_A1	Solar FV	2027	Victoria CQR 115	0.010	SATISFACE
SC_2870_A1	Solar FV	2027	Victoria CQR 115	0.000	SATISFACE
SC_2870_A2	Solar FV	2027	Victoria CQR 115	0.010	SATISFACE
SC_2892_A1	Solar FV	2027	Victoria CQR 115	0.300	SATISFACE
SC_2892_A2	Solar FV	2027	Victoria CQR 115	0.200	SATISFACE
SC_2893_A1	Solar FV	2026	Victoria CQR 115	0.040	SATISFACE
SC_2893_A2	Solar FV	2026	Victoria CQR 115	0.040	SATISFACE
SC_2902_A1	Solar FV	2028	Victoria CQR 115	0.000	SATISFACE
SC_2902_A2	Solar FV	2028	Victoria CQR 115	1.860	SATISFACE
SC_2905_A2	Solar FV	2028	Victoria CQR 115	0.050	SATISFACE
SC_2924_A1	Solar FV	2026	Victoria CQR 115	0.175	SATISFACE
SC_2924_A2	Solar FV	2026	Victoria CQR 115	0.126	SATISFACE
SC_2936_A1	Solar FV	2026	Victoria CQR 115	0.000	SATISFACE
SC_2936_A2	Solar FV	2026	Victoria CQR 115	0.000	SATISFACE

SC_2962_A1	Solar FV	2028	Victoria CQR 115	2.274	SATISFACE
SC_2962_A2	Solar FV	2028	Victoria CQR 115	0.590	SATISFACE
SC_2967_A1	Solar FV	2026	Victoria CQR 115	0.012	SATISFACE
SC_2967_A2	Solar FV	2026	Victoria CQR 115	0.013	SATISFACE
SC_3012_A1	Solar FV	2027	Victoria CQR 115	0.010	SATISFACE
SC_3012_A2	Solar FV	2027	Victoria CQR 115	0.000	SATISFACE
SC_3018_A1	Solar FV	2026	Victoria CQR 115	0.040	SATISFACE
SC_3018_A2	Solar FV	2026	Victoria CQR 115	0.050	SATISFACE
SC_3054_A2	Solar FV	2027	Victoria CQR 115	0.002	SATISFACE
SC_3101_A1	Solar FV	2027	Victoria CQR 115	0.005	SATISFACE
SC_3101_A2	Solar FV	2027	Victoria CQR 115	0.071	SATISFACE
SC_3121_A1	Solar FV	2026	Victoria CQR 115	0.021	SATISFACE
SC_3121_A2	Solar FV	2026	Victoria CQR 115	0.022	SATISFACE
SC_3126_A1	PCH	2026	Victoria CQR 115	0.030	SATISFACE
SC_3126_A2	PCH	2026	Victoria CQR 115	0.030	SATISFACE
SC_3132_A1	Solar FV	2026	Victoria CQR 115	0.089	SATISFACE
SC_3132_A2	Solar FV	2026	Victoria CQR 115	0.553	SATISFACE
SC_3238_A1	Solar FV	2027	Victoria CQR 115	0.147	SATISFACE
SC_3238_A2	Solar FV	2027	Victoria CQR 115	0.127	SATISFACE
SC_3247_A1	Solar FV	2027	Victoria CQR 115	0.164	SATISFACE

SC_3247_A2	Solar FV	2027	Victoria CQR 115	0.378	SATISFACE
SC_3248_A1	Solar FV	2027	Victoria CQR 115	0.147	SATISFACE
SC_3248_A2	Solar FV	2027	Victoria CQR 115	0.127	SATISFACE
SC_3251_A1	Hidráulica	2026	Victoria CQR 115	0.000	SATISFACE
SC_3251_A2	Hidráulica	2026	Victoria CQR 115	0.000	SATISFACE
SC_3353_A1	Solar FV	2027	Victoria CQR 115	0.001	SATISFACE
SC_3353_A2	Solar FV	2027	Victoria CQR 115	0.001	SATISFACE
SC_3382_A1	Solar FV	2027	Victoria CQR 115	0.000	SATISFACE
SC_3382_A2	Solar FV	2027	Victoria CQR 115	0.001	SATISFACE
SC_3392_A1	Solar FV	2027	Victoria CQR 115	0.014	SATISFACE
SC_3392_A2	Solar FV	2027	Victoria CQR 115	0.007	SATISFACE
SC_3441_A1	Solar FV	2027	Victoria CQR 115	0.164	SATISFACE
SC_3441_A2	Solar FV	2027	Victoria CQR 115	0.378	SATISFACE
SC_3453_A1	Solar FV	2027	Victoria CQR 115	0.208	SATISFACE
SC_3453_A2	Solar FV	2027	Victoria CQR 115	0.189	SATISFACE
SC_3514_A1	Solar FV	2027	Victoria CQR 115	0.208	SATISFACE
SC_3514_A2	Solar FV	2027	Victoria CQR 115	0.189	SATISFACE
SC_3578_A1	Solar FV	2028	Victoria CQR 115	0.033	SATISFACE
SC_3578_A2	Solar FV	2028	Victoria CQR 115	0.058	SATISFACE
SC_3667_A1	Solar FV	2029	Victoria CQR 115	0.003	SATISFACE

SC_3667_A2	Solar FV	2029	Victoria CQR 115	0.002	SATISFACE
SC_3846_A1	Solar FV	2028	Victoria CQR 115	0.003	SATISFACE
SC_3846_A2	Solar FV	2028	Victoria CQR 115	0.003	SATISFACE
SC_3882_A1	Solar FV	2026	Victoria CQR 115	0.161	SATISFACE
SC_4083_A1	Solar FV	2027	Victoria CQR 115	0.005	SATISFACE
SC_4083_A2	Solar FV	2027	Victoria CQR 115	0.005	SATISFACE
SC_4175_A1	Solar FV	2026	Victoria CQR 115	0.003	SATISFACE
SC_4175_A2	Solar FV	2026	Victoria CQR 115	0.003	SATISFACE
SC_4296_A1	Solar FV	2028	Victoria CQR 115	0.050	SATISFACE
SC_4296_A2	Solar FV	2028	Victoria CQR 115	0.059	SATISFACE
SC_4751_A1	Solar FV	2027	Victoria CQR 115	0.007	SATISFACE
SC_4760_A1	Solar FV	2026	Victoria CQR 115	0.023	SATISFACE
SC_4765_A1	Solar FV	2029	Victoria CQR 115	0.008	SATISFACE
SC_4765_A2	Solar FV	2029	Victoria CQR 115	0.218	SATISFACE
SC_4789_A1	Solar FV	2027	Victoria CQR 115	0.003	SATISFACE
SC_4789_A2	Solar FV	2027	Victoria CQR 115	0.003	SATISFACE
SC_4809_A1	Solar FV	2027	Victoria CQR 115	0.200	SATISFACE
SC_4809_A2	Solar FV	2027	Victoria CQR 115	0.274	SATISFACE
SC_4819_A1	Solar FV	2029	Victoria CQR 115	0.156	SATISFACE
SC_4819_A2	Solar FV	2029	Victoria CQR 115	0.463	SATISFACE

SC_4821_A1	Solar FV	2027	Victoria CQR 115	0.014	SATISFACE
SC_4821_A2	Solar FV	2027	Victoria CQR 115	0.007	SATISFACE
SC_4824_A1	Solar FV	2025	Victoria CQR 115	0.000	SATISFACE
SC_4824_A2	Solar FV	2025	Victoria CQR 115	0.000	SATISFACE
SC_4826_A1	Solar FV	2027	Victoria CQR 115	0.040	SATISFACE
SC_4826_A2	Solar FV	2027	Victoria CQR 115	0.040	SATISFACE
SC_4827_A1	Solar FV	2027	Victoria CQR 115	0.040	SATISFACE
SC_4827_A2	Solar FV	2027	Victoria CQR 115	0.040	SATISFACE
SC_4842_A1	Solar FV	2028	Victoria CQR 115	0.163	SATISFACE
SC_4910_A1	Solar FV	2026	Victoria CQR 115	0.126	SATISFACE
SC_4910_A2	Solar FV	2026	Victoria CQR 115	0.126	SATISFACE
SC_4926_A1	Solar FV	2027	Victoria CQR 115	0.007	SATISFACE
SC_4947_A1	Solar FV	2027	Victoria CQR 115	0.012	SATISFACE
SC_4960_A2	Solar FV	2029	Victoria CQR 115	1.390	SATISFACE
SC_4974_A1	Solar FV	2026	Victoria CQR 115	0.060	SATISFACE
SC_4974_A2	Solar FV	2026	Victoria CQR 115	0.059	SATISFACE
SC_4978_A1	Solar FV	2026	Victoria CQR 115	0.039	SATISFACE
SC_4978_A2	Solar FV	2026	Victoria CQR 115	0.040	SATISFACE
SC_5009_A1	Solar FV	2026	Victoria CQR 115	0.014	SATISFACE
SC_5009_A2	Solar FV	2026	Victoria CQR 115	0.007	SATISFACE

SC_5011_A1	Solar FV	2027	Victoria CQR 115	0.014	SATISFACE
SC_5011_A2	Solar FV	2027	Victoria CQR 115	0.007	SATISFACE
SC_5060_A1	Solar FV	2026	Victoria CQR 115	0.126	SATISFACE
SC_5060_A2	Solar FV	2026	Victoria CQR 115	0.126	SATISFACE
SC_5076_A1	Solar FV	2027	Victoria CQR 115	0.000	SATISFACE
SC_5076_A2	Solar FV	2027	Victoria CQR 115	0.000	SATISFACE
SC_5077_A1	Solar FV	2027	Victoria CQR 115	0.000	SATISFACE
SC_5077_A2	Solar FV	2027	Victoria CQR 115	0.000	SATISFACE
SC_5087_A2	Solar FV	2027	Victoria CQR 115	0.187	SATISFACE

Posterior a la ejecución del MACC se priorizaron las siguientes alternativas de conexión que tienen aportes de cortocircuito de la subestación en análisis:

Tabla 2-778. Alternativas de conexión priorizadas que aportan corriente de cortocircuito en la subestación Victoria CQR 115

index	tipo	periodolni	Barra a la que aporta CC	Aporte de cortocircuito (kA)	Restricción
SC_2023_5529_A2	Solar FV	2026	Victoria CQR 115	0.083	SATISFACE
SC_2023_5543_A1	Hidráulica	2026	Victoria CQR 115	0.006	SATISFACE
SC_5076_A2	Solar FV	2027	Victoria CQR 115	0.000	SATISFACE
SC_5077_A2	Solar FV	2027	Victoria CQR 115	0.000	SATISFACE

El estado de la capacidad de cortocircuito en la subestación Victoria CQR 115, teniendo en cuenta la priorización se puede observar en la siguiente figura.

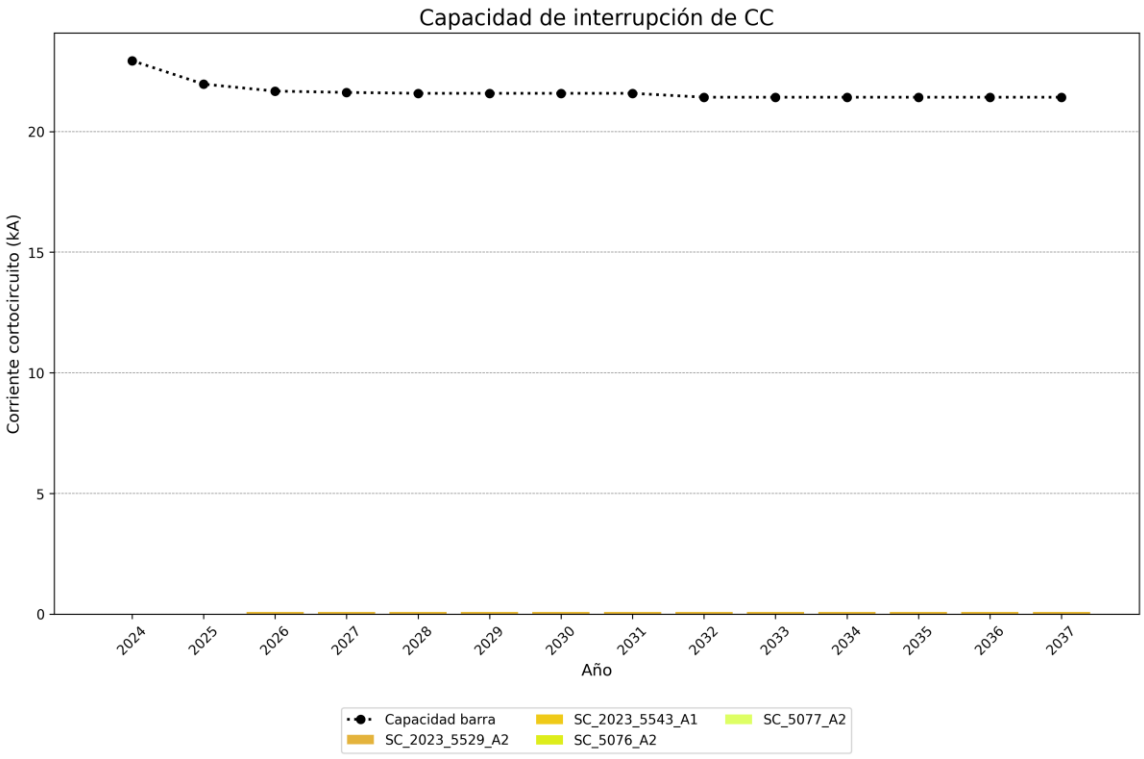


Figura 2-745. Balance de capacidad de cortocircuito después de la priorización para la subestación Victoria CQR 115

Subestación Victoria EEB 115:

Capacidad por barra:

Para la subestación Victoria EEB 115 se presentaron 0 alternativas de conexión las cuales se muestran en la siguiente tabla:

Tabla 2-779. Alternativas de conexión presentadas a la subestación Victoria EEB 115

Solicitud	Capacidad	Tipo	Barra	FPO solicitada	Restricción

No se priorizó ninguna de las alternativas de conexión presentadas en la subestación Victoria EEB 115

El estado de la capacidad por barra en la subestación Victoria EEB 115, teniendo en cuenta la priorización se puede observar en la siguiente figura.

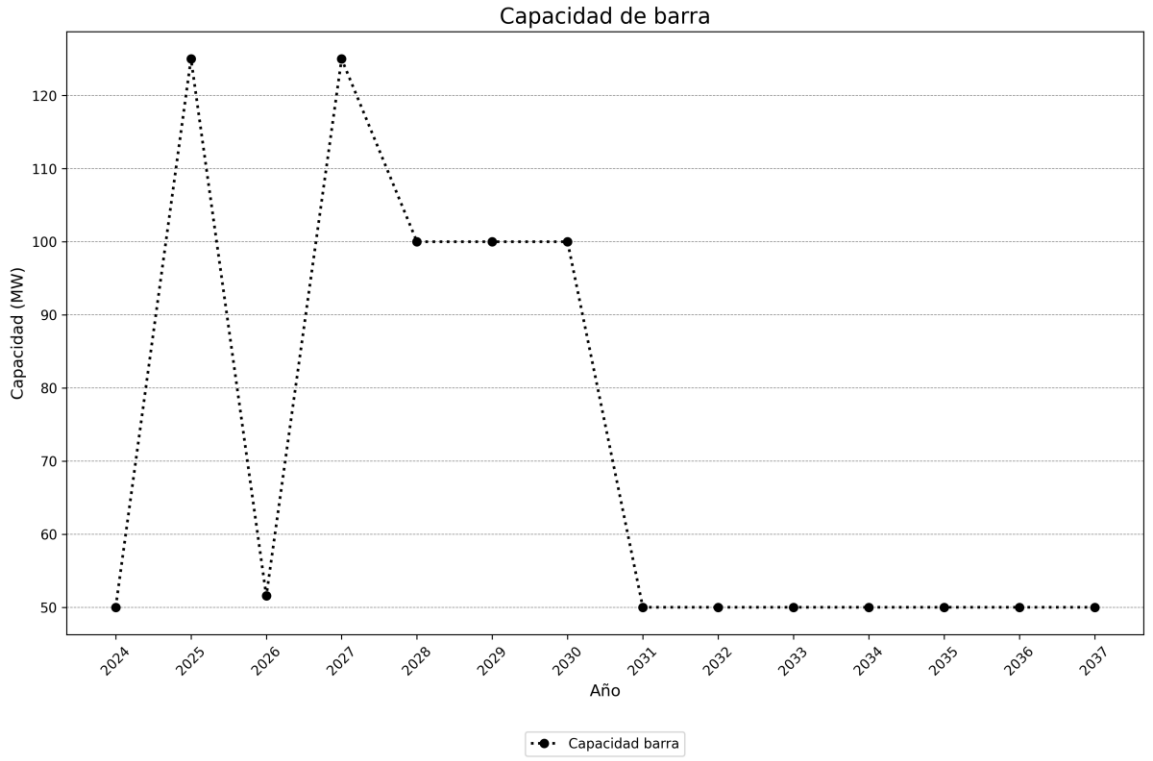


Figura 2-746. Balance de capacidad por barra después de la priorización para la subestación Victoria EEB 115

Capacidad excedente de interrupción de corriente de cortocircuito:

Para la subestación Victoria EEB 115 se presentaron 29 alternativas de conexión las cuales tienen aportes de corriente de cortocircuito. Estas alternativas se muestran en la siguiente tabla:

Tabla 2-780. Alternativas de conexión que aportan corriente de cortocircuito en la subestación Victoria EEB 115

Solicitud	tipo	FPO	Barra a la que aporta CC	Aporte de cortocircuito (kA)	Restricción
SC_2023_5280_A1	Solar FV	2028	Victoria EEB 115	0.000	SATISFACE
SC_2023_5280_A2	Solar FV	2028	Victoria EEB 115	0.000	SATISFACE
SC_2023_5287_A1	Solar FV	2026	Victoria EEB 115	0.034	SATISFACE
SC_2023_5287_A2	Solar FV	2026	Victoria EEB 115	0.034	SATISFACE
SC_2023_5288_A1	Solar FV	2026	Victoria EEB 115	0.020	SATISFACE
SC_2023_5288_A2	Solar FV	2026	Victoria EEB 115	0.052	SATISFACE
SC_2023_5375_A1	Solar FV	2026	Victoria EEB 115	0.034	SATISFACE
SC_2023_5399_A1	Solar FV	2026	Victoria EEB 115	0.020	SATISFACE
SC_2023_5399_A2	Solar FV	2026	Victoria EEB 115	0.052	SATISFACE
SC_2023_5480_A1	Solar FV	2026	Victoria EEB 115	0.034	SATISFACE
SC_2023_5480_A2	Solar FV	2026	Victoria EEB 115	0.034	SATISFACE
SC_2023_5557_A1	Solar FV	2028	Victoria EEB 115	0.139	SATISFACE
SC_2936_A1	Solar FV	2026	Victoria EEB 115	0.000	SATISFACE
SC_2936_A2	Solar FV	2026	Victoria EEB 115	0.000	SATISFACE
SC_3121_A1	Solar FV	2026	Victoria EEB 115	0.004	SATISFACE
SC_3121_A2	Solar FV	2026	Victoria EEB 115	0.004	SATISFACE
SC_3132_A1	Solar FV	2026	Victoria EEB 115	0.074	SATISFACE

SC_3132_A2	Solar FV	2026	Victoria EEB 115	0.064	SATISFACE
SC_3882_A1	Solar FV	2026	Victoria EEB 115	0.131	SATISFACE
SC_4083_A1	Solar FV	2027	Victoria EEB 115	0.001	SATISFACE
SC_4083_A2	Solar FV	2027	Victoria EEB 115	0.001	SATISFACE
SC_4765_A1	Solar FV	2029	Victoria EEB 115	0.004	SATISFACE
SC_4765_A2	Solar FV	2029	Victoria EEB 115	0.002	SATISFACE
SC_4819_A1	Solar FV	2029	Victoria EEB 115	0.120	SATISFACE
SC_4819_A2	Solar FV	2029	Victoria EEB 115	0.108	SATISFACE
SC_4974_A1	Solar FV	2026	Victoria EEB 115	0.015	SATISFACE
SC_4974_A2	Solar FV	2026	Victoria EEB 115	0.014	SATISFACE
SC_4978_A1	Solar FV	2026	Victoria EEB 115	0.000	SATISFACE
SC_4978_A2	Solar FV	2026	Victoria EEB 115	0.006	SATISFACE

No se priorizó ninguna de las alternativas de conexión que tengan aportes de corriente de cortocircuito en la subestación Victoria EEB 115

El estado de la capacidad de cortocircuito en la subestación Victoria EEB 115, teniendo en cuenta la priorización se puede observar en la siguiente figura.

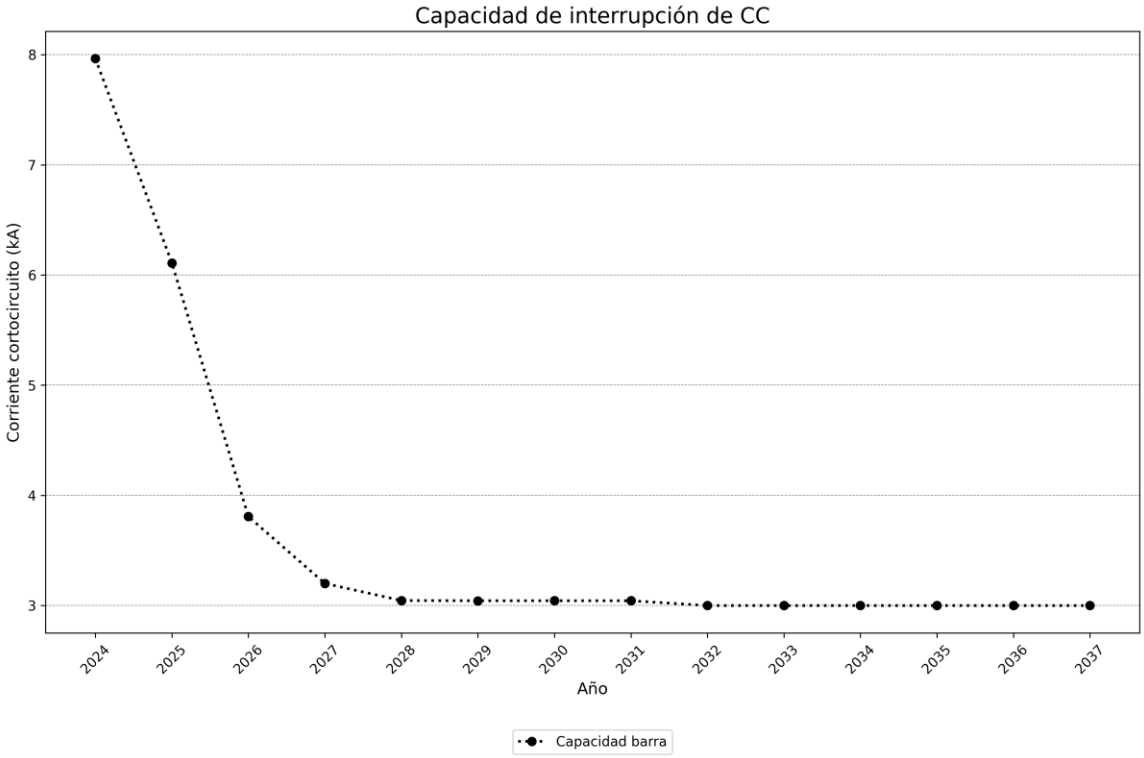


Figura 2-747. Balance de capacidad de cortocircuito después de la priorización para la subestación Victoria EEB 115

Subestación Vijes 115:

Capacidad por barra:

Para la subestación Vijes 115 se presentaron 0 alternativas de conexión las cuales se muestran en la siguiente tabla:

Tabla 2-781. Alternativas de conexión presentadas a la subestación Vijes 115

Solicitud	Capacidad	Tipo	Barra	FPO solicitada	Restricción

No se priorizó ninguna de las alternativas de conexión presentadas en la subestación Vijes 115

El estado de la capacidad por barra en la subestación Vijes 115, teniendo en cuenta la priorización se puede observar en la siguiente figura.

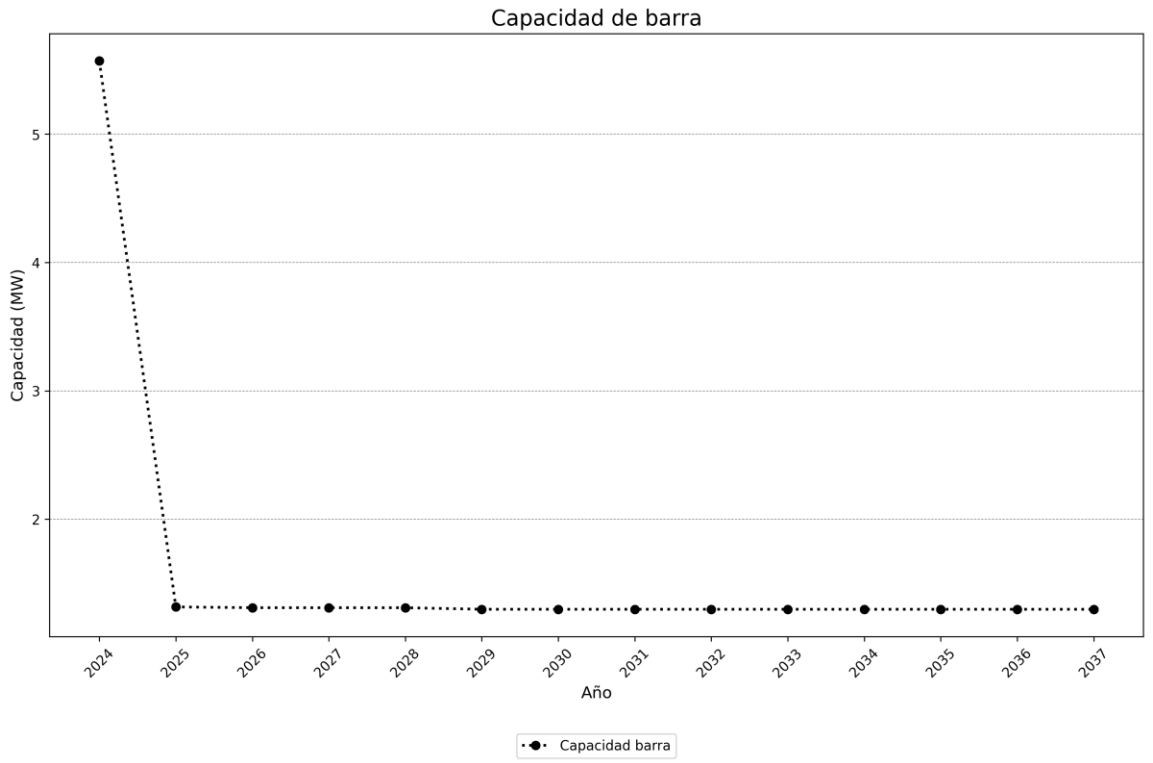


Figura 2-748. Balance de capacidad por barra después de la priorización para la subestación Vijes 115

Capacidad excedente de interrupción de corriente de cortocircuito:

Para la subestación Vijes 115 se presentaron 4 alternativas de conexión las cuales tienen aportes de corriente de cortocircuito. Estas alternativas se muestran en la siguiente tabla:

Tabla 2-782. Alternativas de conexión que aportan corriente de cortocircuito en la subestación Vijes 115

Solicitud	tipo	FPO	Barra a la que aporta CC	Aporte de cortocircuito (kA)	Restricción

SC_2023_5557_A1	Solar FV	2028	Vijes 115	0.042	SATISFACE
SC_2936_A1	Solar FV	2026	Vijes 115	0.000	SATISFACE
SC_2936_A2	Solar FV	2026	Vijes 115	0.000	SATISFACE
SC_3882_A1	Solar FV	2026	Vijes 115	0.041	SATISFACE

No se priorizó ninguna de las alternativas de conexión que tengan aportes de corriente de cortocircuito en la subestación Vijes 115

El estado de la capacidad de cortocircuito en la subestación Vijes 115, teniendo en cuenta la priorización se puede observar en la siguiente figura.

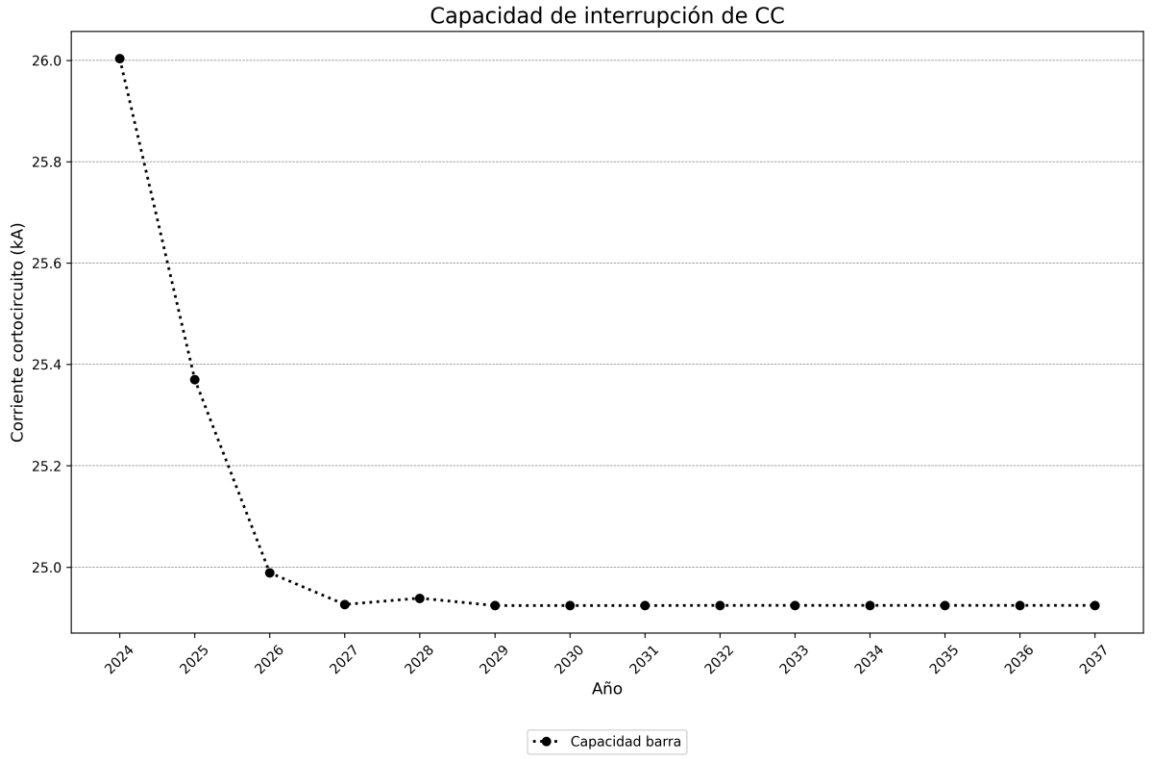


Figura 2-749. Balance de capacidad de cortocircuito después de la priorización para la subestación Vijes 115

Subestación Villamaria 33:

Capacidad por barra:

Para la subestación Villamaria 33 se presentaron 0 alternativas de conexión las cuales se muestran en la siguiente tabla:

Tabla 2-783. Alternativas de conexión presentadas a la subestación Villamaria 33

Solicitud	Capacidad	Tipo	Barra	FPO solicitada	Restricción

No se priorizó ninguna de las alternativas de conexión presentadas en la subestación Villamaria 33

El estado de la capacidad por barra en la subestación Villamaria 33, teniendo en cuenta la priorización se puede observar en la siguiente figura.

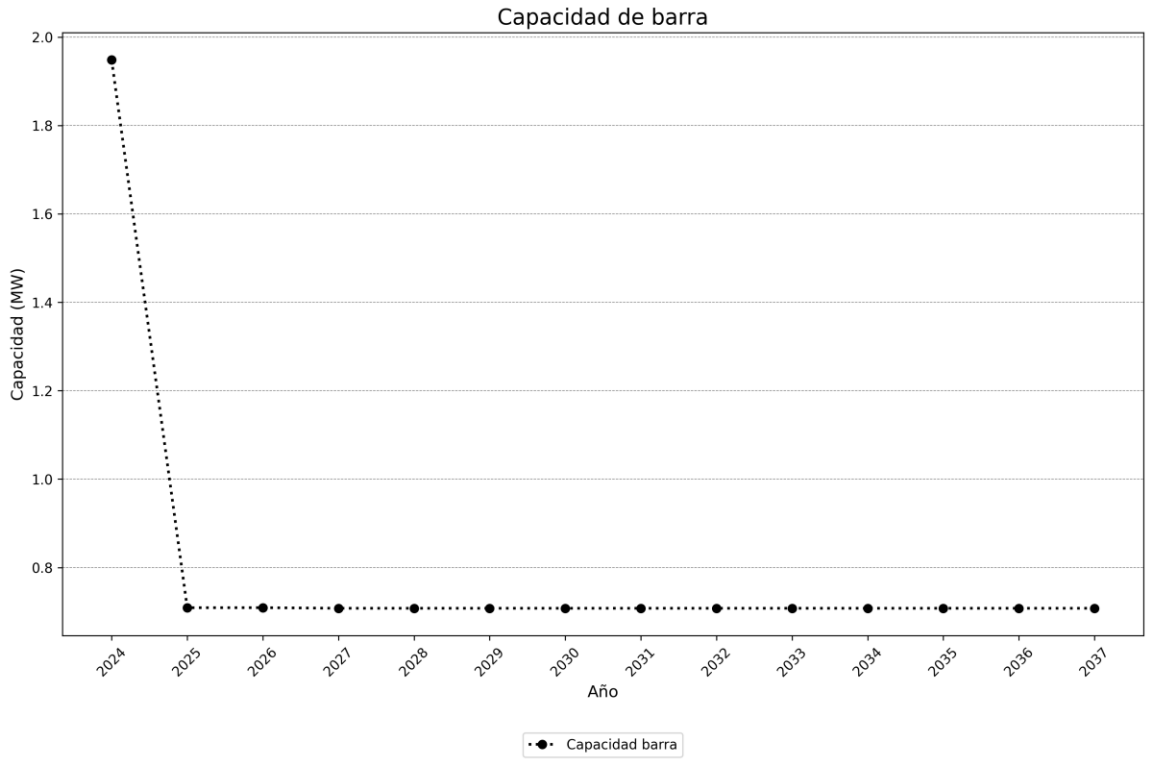


Figura 2-750. Balance de capacidad por barra después de la priorización para la subestación Villamaria 33

Subestación Villeta 115:

Capacidad por barra:

Para la subestación Villeta 115 se presentaron 0 alternativas de conexión las cuales se muestran en la siguiente tabla:

Tabla 2-784. Alternativas de conexión presentadas a la subestación Villeta 115

Solicitud	Capacidad	Tipo	Barra	FPO solicitada	Restricción

No se priorizó ninguna de las alternativas de conexión presentadas en la subestación Villeta 115

El estado de la capacidad por barra en la subestación Villeta 115, teniendo en cuenta la priorización se puede observar en la siguiente figura.

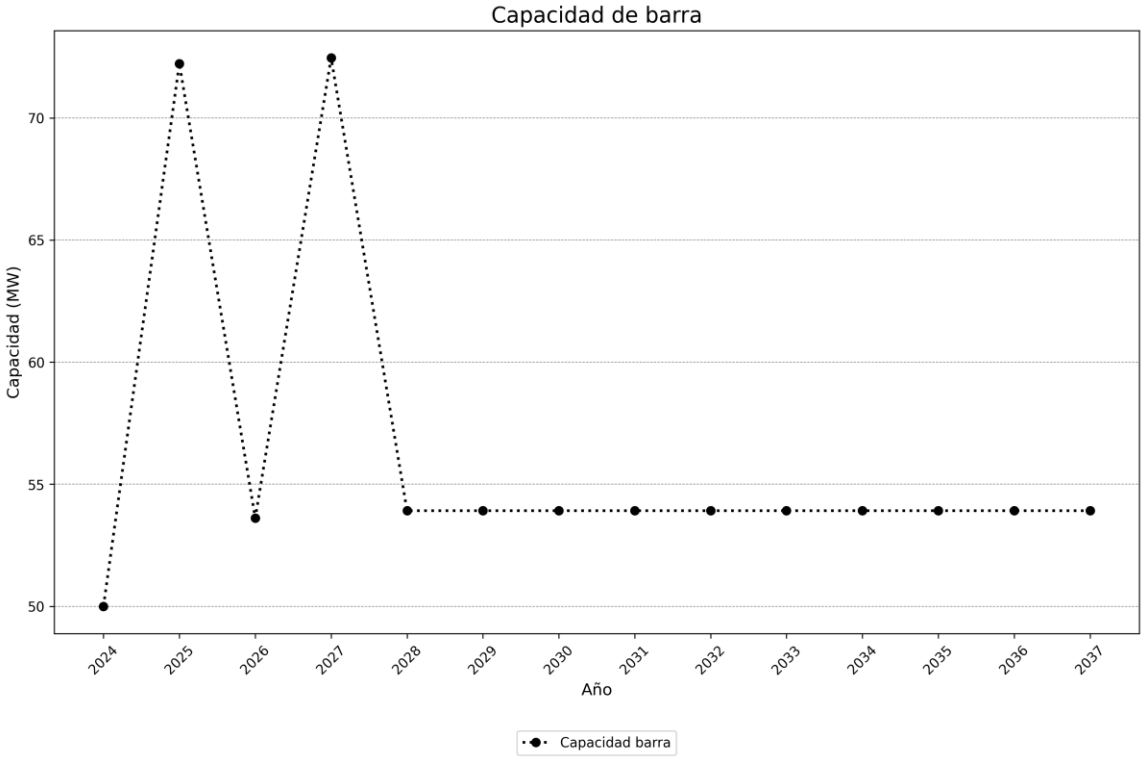


Figura 2-751. Balance de capacidad por barra después de la priorización para la subestación Villeta 115

Capacidad excedente de interrupción de corriente de cortocircuito:

Para la subestación Villeta 115 se presentaron 66 alternativas de conexión las cuales tienen aportes de corriente de cortocircuito. Estas alternativas se muestran en la siguiente tabla:

Tabla 2-785. Alternativas de conexión que aportan corriente de cortocircuito en la subestación Villeta 115

Solicitud	tipo	FPO	Barra a la que aporta CC	Aporte de cortocircuito (kA)	Restricción
SC_2023_5136_A1	Solar FV	2026	Villeta 115	0.003	SATISFACE
SC_2023_5136_A2	Solar FV	2026	Villeta 115	0.003	SATISFACE
SC_2023_5280_A1	Solar FV	2028	Villeta 115	0.000	SATISFACE

SC_2023_5280_A2	Solar FV	2028	Villeta 115	0.000	SATISFACE
SC_2023_5287_A1	Solar FV	2026	Villeta 115	0.006	SATISFACE
SC_2023_5287_A2	Solar FV	2026	Villeta 115	0.006	SATISFACE
SC_2023_5288_A1	Solar FV	2026	Villeta 115	0.004	SATISFACE
SC_2023_5288_A2	Solar FV	2026	Villeta 115	0.009	SATISFACE
SC_2023_5345_A1	Solar FV	2027	Villeta 115	0.000	SATISFACE
SC_2023_5345_A2	Solar FV	2027	Villeta 115	0.000	SATISFACE
SC_2023_5346_A1	Solar FV	2027	Villeta 115	0.000	SATISFACE
SC_2023_5346_A2	Solar FV	2027	Villeta 115	0.000	SATISFACE
SC_2023_5375_A1	Solar FV	2026	Villeta 115	0.006	SATISFACE
SC_2023_5399_A1	Solar FV	2026	Villeta 115	0.004	SATISFACE
SC_2023_5399_A2	Solar FV	2026	Villeta 115	0.009	SATISFACE
SC_2023_5431_A1	Solar FV	2028	Villeta 115	0.000	SATISFACE
SC_2023_5431_A2	Solar FV	2028	Villeta 115	0.000	SATISFACE
SC_2023_5480_A1	Solar FV	2026	Villeta 115	0.006	SATISFACE
SC_2023_5480_A2	Solar FV	2026	Villeta 115	0.006	SATISFACE
SC_2023_5557_A1	Solar FV	2028	Villeta 115	0.024	SATISFACE
SC_2438_A1	Solar FV	2028	Villeta 115	0.000	SATISFACE
SC_2438_A2	Solar FV	2028	Villeta 115	0.000	SATISFACE
SC_2442_A1	Solar FV	2027	Villeta 115	0.000	SATISFACE
SC_2442_A2	Solar FV	2027	Villeta 115	0.000	SATISFACE
SC_2629_A1	Solar FV	2026	Villeta 115	0.000	SATISFACE
SC_2629_A2	Solar FV	2026	Villeta 115	0.000	SATISFACE
SC_2634_A1	Solar FV	2026	Villeta 115	0.000	SATISFACE
SC_2634_A2	Solar FV	2026	Villeta 115	0.000	SATISFACE
SC_2722_A1	Solar FV	2026	Villeta 115	0.000	SATISFACE
SC_2722_A2	Solar FV	2026	Villeta 115	0.000	SATISFACE
SC_2802_A1	Solar FV	2027	Villeta 115	0.000	SATISFACE
SC_2802_A2	Solar FV	2027	Villeta 115	0.000	SATISFACE
SC_2936_A1	Solar FV	2026	Villeta 115	0.000	SATISFACE
SC_2936_A2	Solar FV	2026	Villeta 115	0.000	SATISFACE
SC_2967_A1	Solar FV	2026	Villeta 115	0.000	SATISFACE
SC_2967_A2	Solar FV	2026	Villeta 115	0.000	SATISFACE
SC_3121_A1	Solar FV	2026	Villeta 115	0.001	SATISFACE
SC_3121_A2	Solar FV	2026	Villeta 115	0.001	SATISFACE
SC_3131_A1	Solar FV	2026	Villeta 115	0.000	SATISFACE
SC_3131_A2	Solar FV	2026	Villeta 115	0.000	SATISFACE
SC_3132_A1	Solar FV	2026	Villeta 115	0.013	SATISFACE
SC_3132_A2	Solar FV	2026	Villeta 115	0.011	SATISFACE
SC_3453_A1	Solar FV	2027	Villeta 115	0.001	SATISFACE

SC_3453_A2	Solar FV	2027	Villeta 115	0.001	SATISFACE
SC_3514_A1	Solar FV	2027	Villeta 115	0.001	SATISFACE
SC_3514_A2	Solar FV	2027	Villeta 115	0.001	SATISFACE
SC_3882_A1	Solar FV	2026	Villeta 115	0.023	SATISFACE
SC_4083_A1	Solar FV	2027	Villeta 115	0.000	SATISFACE
SC_4083_A2	Solar FV	2027	Villeta 115	0.000	SATISFACE
SC_4765_A1	Solar FV	2029	Villeta 115	0.000	SATISFACE
SC_4765_A2	Solar FV	2029	Villeta 115	0.000	SATISFACE
SC_4819_A1	Solar FV	2029	Villeta 115	0.021	SATISFACE
SC_4819_A2	Solar FV	2029	Villeta 115	0.019	SATISFACE
SC_4826_A1	Solar FV	2027	Villeta 115	0.002	SATISFACE
SC_4826_A2	Solar FV	2027	Villeta 115	0.002	SATISFACE
SC_4827_A1	Solar FV	2027	Villeta 115	0.002	SATISFACE
SC_4827_A2	Solar FV	2027	Villeta 115	0.002	SATISFACE
SC_4910_A1	Solar FV	2026	Villeta 115	0.003	SATISFACE
SC_4910_A2	Solar FV	2026	Villeta 115	0.003	SATISFACE
SC_4947_A1	Solar FV	2027	Villeta 115	0.003	SATISFACE
SC_4974_A1	Solar FV	2026	Villeta 115	0.001	SATISFACE
SC_4974_A2	Solar FV	2026	Villeta 115	0.001	SATISFACE
SC_4978_A1	Solar FV	2026	Villeta 115	0.000	SATISFACE
SC_4978_A2	Solar FV	2026	Villeta 115	0.001	SATISFACE
SC_5060_A1	Solar FV	2026	Villeta 115	0.003	SATISFACE
SC_5060_A2	Solar FV	2026	Villeta 115	0.003	SATISFACE

Posterior a la ejecución del MACC se priorizaron las siguientes alternativas de conexión que tienen aportes de cortocircuito de la subestación en análisis:

Tabla 2-786. Alternativas de conexión priorizadas que aportan corriente de cortocircuito en la subestación Villeta 115

index	tipo	periodoIni	Barra a la que aporta CC	Aporte de cortocircuito (kA)	Restricción
SC_3131_A1	Solar FV	2026	Villeta 115	0.000	SATISFACE

El estado de la capacidad de cortocircuito en la subestación Villeta 115, teniendo en cuenta la priorización se puede observar en la siguiente figura.

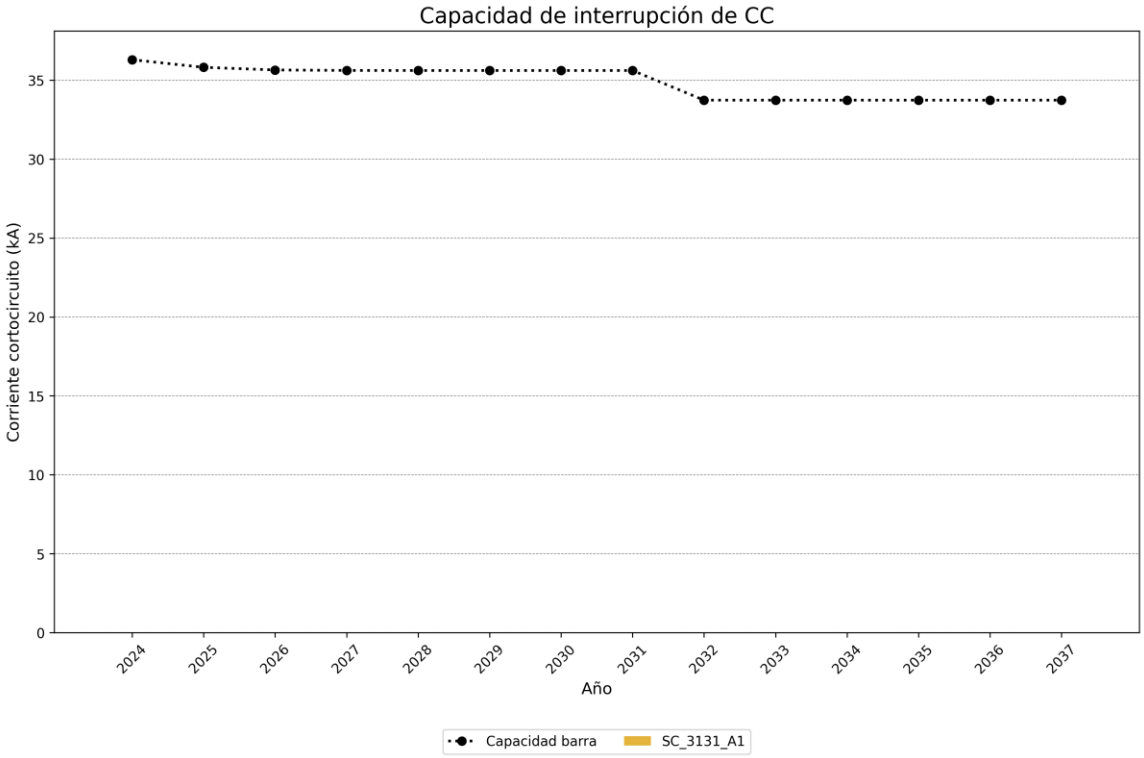


Figura 2-752. Balance de capacidad de cortocircuito después de la priorización para la subestación Villeta 115

Subestación Virginia 115:

Capacidad por barra:

Para la subestación Virginia 115 se presentaron 0 alternativas de conexión las cuales se muestran en la siguiente tabla:

Tabla 2-787. Alternativas de conexión presentadas a la subestación Virginia 115

Solicitud	Capacidad	Tipo	Barra	FPO solicitada	Restricción

No se priorizó ninguna de las alternativas de conexión presentadas en la subestación Virginia 115

El estado de la capacidad por barra en la subestación Virginia 115, teniendo en cuenta la priorización se puede observar en la siguiente figura.

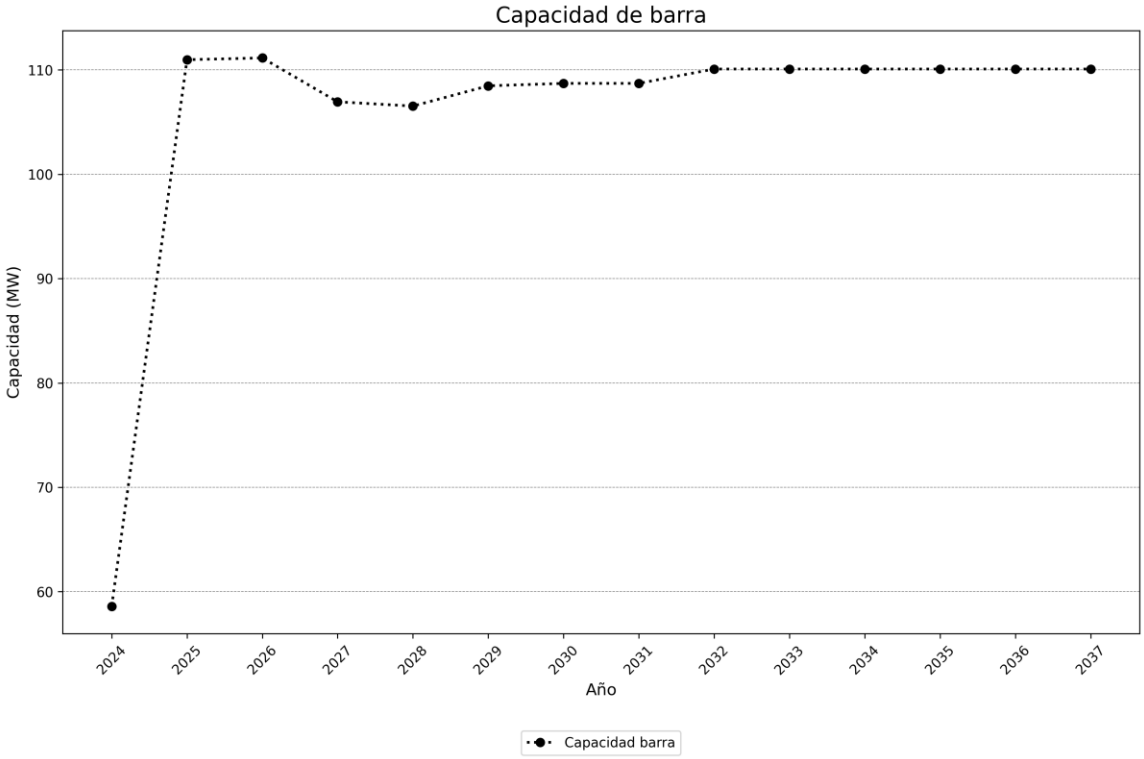


Figura 2-753. Balance de capacidad por barra después de la priorización para la subestación Virginia 115

Capacidad excedente de interrupción de corriente de cortocircuito:

Para la subestación Virginia 115 se presentaron 130 alternativas de conexión las cuales tienen aportes de corriente de cortocircuito. Estas alternativas se muestran en la siguiente tabla:

Tabla 2-788. Alternativas de conexión que aportan corriente de cortocircuito en la subestación Virginia 115

Solicitud	tipo	FPO	Barra a la que aporta CC	Aporte de cortocircuito (kA)	Restricción
SC_2023_5136_A1	Solar FV	2026	Virginia 115	0.006	SATISFACE
SC_2023_5136_A2	Solar FV	2026	Virginia 115	0.006	SATISFACE
SC_2023_5144_A1	Solar FV	2028	Virginia 115	0.150	SATISFACE
SC_2023_5144_A2	Solar FV	2028	Virginia 115	0.050	SATISFACE
SC_2023_5150_A1	Solar FV	2028	Virginia 115	0.050	SATISFACE
SC_2023_5152_A1	Solar FV	2025	Virginia 115	0.001	SATISFACE
SC_2023_5152_A2	Solar FV	2025	Virginia 115	0.001	SATISFACE
SC_2023_5158_A1	Solar FV	2028	Virginia 115	0.086	SATISFACE
SC_2023_5171_A1	Solar FV	2025	Virginia 115	0.001	SATISFACE
SC_2023_5171_A2	Solar FV	2025	Virginia 115	0.001	SATISFACE
SC_2023_5185_A1	Solar FV	2026	Virginia 115	0.113	SATISFACE
SC_2023_5185_A2	Solar FV	2026	Virginia 115	0.125	SATISFACE
SC_2023_5188_A1	Solar FV	2026	Virginia 115	0.012	SATISFACE
SC_2023_5188_A2	Solar FV	2026	Virginia 115	0.035	SATISFACE
SC_2023_5200_A1	Solar FV	2028	Virginia 115	0.270	SATISFACE
SC_2023_5200_A2	Solar FV	2028	Virginia 115	0.102	SATISFACE
SC_2023_5248_A1	Solar FV	2025	Virginia 115	0.001	SATISFACE
SC_2023_5248_A2	Solar FV	2025	Virginia 115	0.001	SATISFACE
SC_2023_5249_A1	Solar FV	2025	Virginia 115	0.001	SATISFACE
SC_2023_5249_A2	Solar FV	2025	Virginia 115	0.001	SATISFACE
SC_2023_5251_A1	Solar FV	2025	Virginia 115	0.005	SATISFACE
SC_2023_5251_A2	Solar FV	2025	Virginia 115	0.005	SATISFACE
SC_2023_5253_A1	Solar FV	2025	Virginia 115	0.005	SATISFACE
SC_2023_5253_A2	Solar FV	2025	Virginia 115	0.005	SATISFACE
SC_2023_5257_A1	Solar FV	2025	Virginia 115	0.001	SATISFACE
SC_2023_5257_A2	Solar FV	2025	Virginia 115	0.001	SATISFACE
SC_2023_5293_A1	Solar FV	2028	Virginia 115	0.034	SATISFACE
SC_2023_5293_A2	Solar FV	2028	Virginia 115	0.051	SATISFACE
SC_2023_5294_A1	Solar FV	2029	Virginia 115	0.006	SATISFACE
SC_2023_5294_A2	Solar FV	2029	Virginia 115	0.006	SATISFACE
SC_2023_5304_A1	Solar FV	2026	Virginia 115	0.001	SATISFACE
SC_2023_5309_A1	Solar FV	2026	Virginia 115	0.001	SATISFACE
SC_2023_5339_A1	PCH	2026	Virginia 115	0.000	SATISFACE
SC_2023_5339_A2	PCH	2026	Virginia 115	0.000	SATISFACE
SC_2023_5345_A1	Solar FV	2027	Virginia 115	0.003	SATISFACE
SC_2023_5345_A2	Solar FV	2027	Virginia 115	0.004	SATISFACE
SC_2023_5346_A1	Solar FV	2027	Virginia 115	0.003	SATISFACE

SC_2023_5346_A2	Solar FV	2027	Virginia 115	0.004	SATISFACE
SC_2023_5383_A1	Solar FV	2027	Virginia 115	0.037	SATISFACE
SC_2023_5383_A2	Solar FV	2027	Virginia 115	0.046	SATISFACE
SC_2023_5431_A1	Solar FV	2028	Virginia 115	0.000	SATISFACE
SC_2023_5431_A2	Solar FV	2028	Virginia 115	0.000	SATISFACE
SC_2023_5551_A1	Solar FV	2027	Virginia 115	0.244	SATISFACE
SC_2023_5551_A2	Solar FV	2027	Virginia 115	0.092	SATISFACE
SC_2023_5598_A1	Solar FV	2025	Virginia 115	0.001	SATISFACE
SC_2023_5598_A2	Solar FV	2025	Virginia 115	0.001	SATISFACE
SC_2024_5939_A1	Solar FV	2028	Virginia 115	0.000	SATISFACE
SC_2024_5939_A2	Solar FV	2028	Virginia 115	0.000	SATISFACE
SC_2436_A1	Solar FV	2028	Virginia 115	0.110	SATISFACE
SC_2436_A2	Solar FV	2028	Virginia 115	0.040	SATISFACE
SC_2438_A1	Solar FV	2028	Virginia 115	0.000	SATISFACE
SC_2438_A2	Solar FV	2028	Virginia 115	0.000	SATISFACE
SC_2527_A1	Solar FV	2028	Virginia 115	0.060	SATISFACE
SC_2527_A2	Solar FV	2028	Virginia 115	0.030	SATISFACE
SC_2634_A1	Solar FV	2026	Virginia 115	0.000	SATISFACE
SC_2634_A2	Solar FV	2026	Virginia 115	0.000	SATISFACE
SC_2802_A1	Solar FV	2027	Virginia 115	0.000	SATISFACE
SC_2802_A2	Solar FV	2027	Virginia 115	0.000	SATISFACE
SC_2816_A1	Solar FV	2027	Virginia 115	0.000	SATISFACE
SC_2870_A1	Solar FV	2027	Virginia 115	0.000	SATISFACE
SC_2870_A2	Solar FV	2027	Virginia 115	0.000	SATISFACE
SC_2924_A1	Solar FV	2026	Virginia 115	0.091	SATISFACE
SC_2924_A2	Solar FV	2026	Virginia 115	0.100	SATISFACE
SC_2979_A1	Solar FV	2027	Virginia 115	0.010	SATISFACE
SC_2979_A2	Solar FV	2027	Virginia 115	0.010	SATISFACE
SC_2984_A1	Solar FV	2027	Virginia 115	0.010	SATISFACE
SC_2984_A2	Solar FV	2027	Virginia 115	0.020	SATISFACE
SC_3054_A2	Solar FV	2027	Virginia 115	0.011	SATISFACE
SC_3238_A1	Solar FV	2027	Virginia 115	0.256	SATISFACE
SC_3238_A2	Solar FV	2027	Virginia 115	0.146	SATISFACE
SC_3247_A1	Solar FV	2027	Virginia 115	0.050	SATISFACE
SC_3247_A2	Solar FV	2027	Virginia 115	0.037	SATISFACE
SC_3248_A1	Solar FV	2027	Virginia 115	0.256	SATISFACE
SC_3248_A2	Solar FV	2027	Virginia 115	0.146	SATISFACE
SC_3251_A1	Hidráulica	2026	Virginia 115	0.000	SATISFACE
SC_3251_A2	Hidráulica	2026	Virginia 115	0.000	SATISFACE
SC_3331_A1	Solar FV	2026	Virginia 115	0.036	SATISFACE

SC_3353_A1	Solar FV	2027	Virginia 115	0.002	SATISFACE
SC_3353_A2	Solar FV	2027	Virginia 115	0.002	SATISFACE
SC_3382_A1	Solar FV	2027	Virginia 115	0.025	SATISFACE
SC_3382_A2	Solar FV	2027	Virginia 115	0.036	SATISFACE
SC_3392_A1	Solar FV	2027	Virginia 115	0.049	SATISFACE
SC_3392_A2	Solar FV	2027	Virginia 115	0.019	SATISFACE
SC_3441_A1	Solar FV	2027	Virginia 115	0.050	SATISFACE
SC_3441_A2	Solar FV	2027	Virginia 115	0.037	SATISFACE
SC_3453_A1	Solar FV	2027	Virginia 115	0.003	SATISFACE
SC_3453_A2	Solar FV	2027	Virginia 115	0.003	SATISFACE
SC_3514_A1	Solar FV	2027	Virginia 115	0.003	SATISFACE
SC_3514_A2	Solar FV	2027	Virginia 115	0.003	SATISFACE
SC_3578_A1	Solar FV	2028	Virginia 115	0.000	SATISFACE
SC_3578_A2	Solar FV	2028	Virginia 115	0.000	SATISFACE
SC_3667_A1	Solar FV	2029	Virginia 115	0.003	SATISFACE
SC_3667_A2	Solar FV	2029	Virginia 115	0.002	SATISFACE
SC_3846_A1	Solar FV	2028	Virginia 115	0.003	SATISFACE
SC_3846_A2	Solar FV	2028	Virginia 115	0.003	SATISFACE
SC_4175_A1	Solar FV	2026	Virginia 115	0.004	SATISFACE
SC_4175_A2	Solar FV	2026	Virginia 115	0.004	SATISFACE
SC_4296_A1	Solar FV	2028	Virginia 115	0.153	SATISFACE
SC_4296_A2	Solar FV	2028	Virginia 115	0.090	SATISFACE
SC_4751_A1	Solar FV	2027	Virginia 115	0.000	SATISFACE
SC_4760_A1	Solar FV	2026	Virginia 115	0.022	SATISFACE
SC_4789_A1	Solar FV	2027	Virginia 115	0.004	SATISFACE
SC_4789_A2	Solar FV	2027	Virginia 115	0.004	SATISFACE
SC_4809_A1	Solar FV	2027	Virginia 115	0.009	SATISFACE
SC_4809_A2	Solar FV	2027	Virginia 115	0.074	SATISFACE
SC_4821_A1	Solar FV	2027	Virginia 115	0.049	SATISFACE
SC_4821_A2	Solar FV	2027	Virginia 115	0.019	SATISFACE
SC_4824_A1	Solar FV	2025	Virginia 115	0.000	SATISFACE
SC_4824_A2	Solar FV	2025	Virginia 115	0.000	SATISFACE
SC_4826_A1	Solar FV	2027	Virginia 115	0.003	SATISFACE
SC_4826_A2	Solar FV	2027	Virginia 115	0.003	SATISFACE
SC_4827_A1	Solar FV	2027	Virginia 115	0.003	SATISFACE
SC_4827_A2	Solar FV	2027	Virginia 115	0.003	SATISFACE
SC_4842_A1	Solar FV	2028	Virginia 115	0.050	SATISFACE
SC_4910_A1	Solar FV	2026	Virginia 115	0.006	SATISFACE
SC_4910_A2	Solar FV	2026	Virginia 115	0.006	SATISFACE
SC_4926_A1	Solar FV	2027	Virginia 115	0.000	SATISFACE

SC_4947_A1	Solar FV	2027	Virginia 115	0.057	SATISFACE
SC_4960_A2	Solar FV	2029	Virginia 115	0.019	SATISFACE
SC_4974_A1	Solar FV	2026	Virginia 115	0.003	SATISFACE
SC_4974_A2	Solar FV	2026	Virginia 115	0.003	SATISFACE
SC_4978_A1	Solar FV	2026	Virginia 115	0.001	SATISFACE
SC_4978_A2	Solar FV	2026	Virginia 115	0.002	SATISFACE
SC_5009_A1	Solar FV	2026	Virginia 115	0.049	SATISFACE
SC_5009_A2	Solar FV	2026	Virginia 115	0.019	SATISFACE
SC_5011_A1	Solar FV	2027	Virginia 115	0.049	SATISFACE
SC_5011_A2	Solar FV	2027	Virginia 115	0.019	SATISFACE
SC_5060_A1	Solar FV	2026	Virginia 115	0.006	SATISFACE
SC_5060_A2	Solar FV	2026	Virginia 115	0.006	SATISFACE
SC_5087_A2	Solar FV	2027	Virginia 115	0.011	SATISFACE

No se priorizó ninguna de las alternativas de conexión que tengan aportes de corriente de cortocircuito en la subestación Virginia 115

El estado de la capacidad de cortocircuito en la subestación Virginia 115, teniendo en cuenta la priorización se puede observar en la siguiente figura.

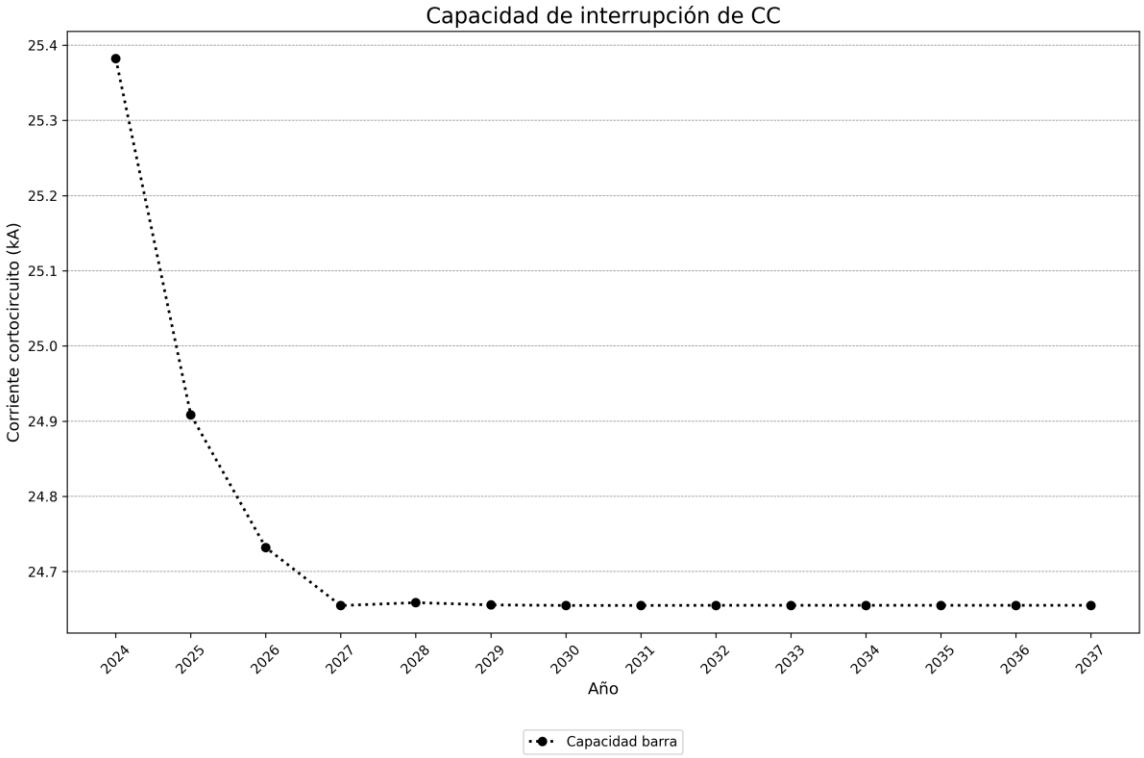


Figura 2-754. Balance de capacidad de cortocircuito después de la priorización para la subestación Virginia 115

Subestación Virginia 220:

Capacidad por barra:

Para la subestación Virginia 220 se presentaron 17 alternativas de conexión las cuales se muestran en la siguiente tabla:

Tabla 2-789. Alternativas de conexión presentadas a la subestación Virginia 220

Solicitud	Capacidad	Tipo	Barra	FPO solicitada	Restricción
SC_2023_5144_A1	100.0	Solar FV	Virginia 220	2028	NO SATISFACE
SC_2023_5158_A1	100.0	Solar FV	Virginia 220	2028	NO SATISFACE

SC_2023_5200_A1	280.0	Solar FV	Virginia 220	2028	NO SATISFACE
SC_2023_5293_A2	100.0	Solar FV	Virginia 220	2028	NO SATISFACE
SC_2023_5551_A1	250.0	Solar FV	Virginia 220	2027	NO SATISFACE
SC_2527_A1	100.0	Solar FV	Virginia 220	2028	NO SATISFACE
SC_2670_A2	200.0	Solar FV	Virginia 220	2028	NO SATISFACE
SC_2870_A1	99.9	Solar FV	Virginia 220	2027	NO SATISFACE
SC_3133_A1	200.0	Solar FV	Virginia 220	2028	NO SATISFACE
SC_3238_A1	120.0	Solar FV	Virginia 220	2027	NO SATISFACE
SC_3248_A1	120.0	Solar FV	Virginia 220	2027	NO SATISFACE
SC_3392_A1	100.0	Solar FV	Virginia 220	2027	NO SATISFACE
SC_4296_A1	100.0	Solar FV	Virginia 220	2028	NO SATISFACE
SC_4821_A1	100.0	Solar FV	Virginia 220	2027	NO SATISFACE
SC_4947_A1	60.0	Solar FV	Virginia 220	2027	SATISFACE
SC_5009_A1	100.0	Solar FV	Virginia 220	2026	NO SATISFACE
SC_5011_A1	100.0	Solar FV	Virginia 220	2027	NO SATISFACE

No se priorizó ninguna de las alternativas de conexión presentadas en la subestación Virginia 220

El estado de la capacidad por barra en la subestación Virginia 220, teniendo en cuenta la priorización se puede observar en la siguiente figura.

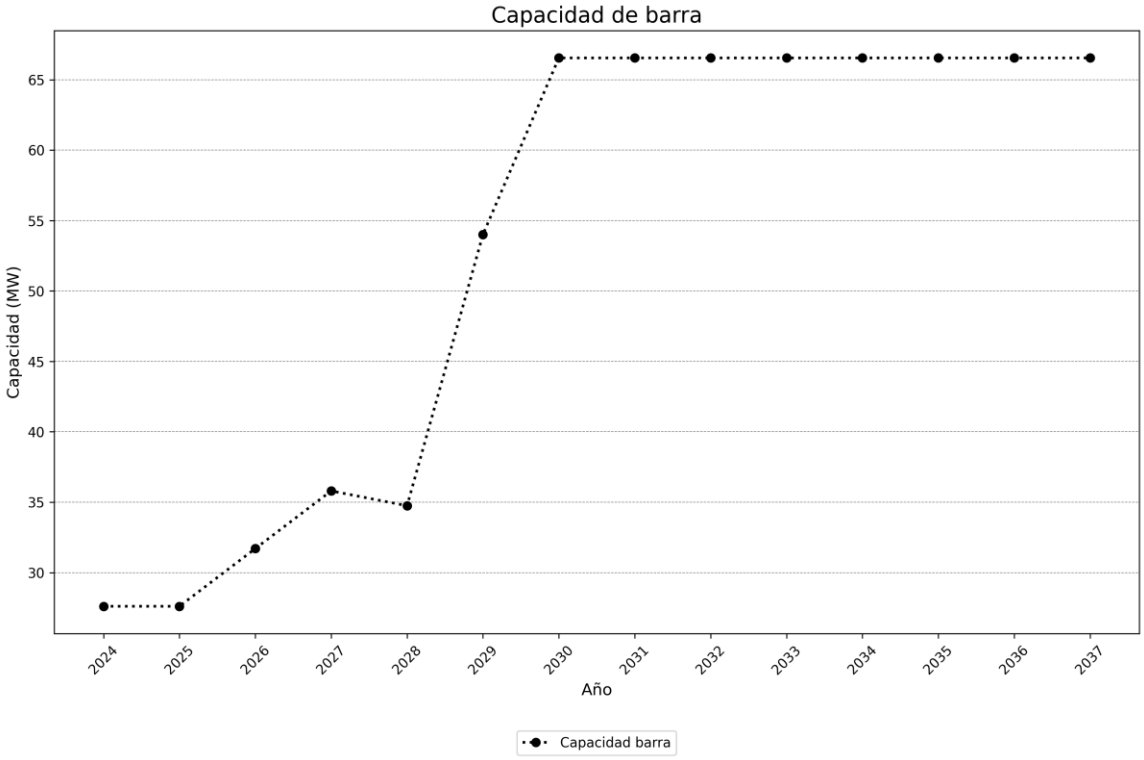


Figura 2-755. Balance de capacidad por barra después de la priorización para la subestación Virginia 220

Capacidad excedente de interrupción de corriente de cortocircuito:

Para la subestación Virginia 220 se presentaron 185 alternativas de conexión las cuales tienen aportes de corriente de cortocircuito. Estas alternativas se muestran en la siguiente tabla:

Tabla 2-790. Alternativas de conexión que aportan corriente de cortocircuito en la subestación Virginia 220

Solicitud	tipo	FPO	Barra a la que aporta CC	Aporte de cortocircuito (kA)	Restricción
SC_2023_5136_A1	Solar FV	2026	Virginia 220	0.025	SATISFACE
SC_2023_5136_A2	Solar FV	2026	Virginia 220	0.025	SATISFACE
SC_2023_5144_A1	Solar FV	2028	Virginia 220	1.493	SATISFACE

SC_2023_5144_A2	Solar FV	2028	Virginia 220	0.189	SATISFACE
SC_2023_5150_A1	Solar FV	2028	Virginia 220	0.192	SATISFACE
SC_2023_5152_A1	Solar FV	2025	Virginia 220	0.013	SATISFACE
SC_2023_5152_A2	Solar FV	2025	Virginia 220	0.011	SATISFACE
SC_2023_5158_A1	Solar FV	2028	Virginia 220	0.746	SATISFACE
SC_2023_5171_A1	Solar FV	2025	Virginia 220	0.010	SATISFACE
SC_2023_5171_A2	Solar FV	2025	Virginia 220	0.012	SATISFACE
SC_2023_5185_A1	Solar FV	2026	Virginia 220	0.422	SATISFACE
SC_2023_5185_A2	Solar FV	2026	Virginia 220	0.495	SATISFACE
SC_2023_5188_A1	Solar FV	2026	Virginia 220	0.044	SATISFACE
SC_2023_5188_A2	Solar FV	2026	Virginia 220	0.130	SATISFACE
SC_2023_5200_A1	Solar FV	2028	Virginia 220	1.881	SATISFACE
SC_2023_5200_A2	Solar FV	2028	Virginia 220	0.591	SATISFACE
SC_2023_5248_A1	Solar FV	2025	Virginia 220	0.011	SATISFACE
SC_2023_5248_A2	Solar FV	2025	Virginia 220	0.011	SATISFACE
SC_2023_5249_A1	Solar FV	2025	Virginia 220	0.011	SATISFACE
SC_2023_5249_A2	Solar FV	2025	Virginia 220	0.011	SATISFACE
SC_2023_5251_A1	Solar FV	2025	Virginia 220	0.021	SATISFACE
SC_2023_5251_A2	Solar FV	2025	Virginia 220	0.021	SATISFACE
SC_2023_5252_A1	Solar FV	2028	Virginia 220	0.709	SATISFACE
SC_2023_5252_A2	Solar FV	2028	Virginia 220	0.120	SATISFACE
SC_2023_5253_A1	Solar FV	2025	Virginia 220	0.021	SATISFACE
SC_2023_5253_A2	Solar FV	2025	Virginia 220	0.021	SATISFACE
SC_2023_5256_A2	Solar FV	2028	Virginia 220	0.051	SATISFACE
SC_2023_5257_A1	Solar FV	2025	Virginia 220	0.011	SATISFACE
SC_2023_5257_A2	Solar FV	2025	Virginia 220	0.011	SATISFACE
SC_2023_5280_A1	Solar FV	2028	Virginia 220	0.000	SATISFACE
SC_2023_5280_A2	Solar FV	2028	Virginia 220	0.000	SATISFACE
SC_2023_5287_A1	Solar FV	2026	Virginia 220	0.045	SATISFACE
SC_2023_5287_A2	Solar FV	2026	Virginia 220	0.046	SATISFACE
SC_2023_5288_A1	Solar FV	2026	Virginia 220	0.027	SATISFACE
SC_2023_5288_A2	Solar FV	2026	Virginia 220	0.071	SATISFACE
SC_2023_5293_A1	Solar FV	2028	Virginia 220	0.099	SATISFACE
SC_2023_5293_A2	Solar FV	2028	Virginia 220	0.473	SATISFACE
SC_2023_5294_A1	Solar FV	2029	Virginia 220	0.025	SATISFACE
SC_2023_5294_A2	Solar FV	2029	Virginia 220	0.026	SATISFACE
SC_2023_5304_A1	Solar FV	2026	Virginia 220	0.004	SATISFACE
SC_2023_5309_A1	Solar FV	2026	Virginia 220	0.004	SATISFACE
SC_2023_5337_A2	Solar FV	2025	Virginia 220	0.126	SATISFACE
SC_2023_5339_A1	PCH	2026	Virginia 220	0.000	SATISFACE

SC_2023_5339_A2	PCH	2026	Virginia 220	0.000	SATISFACE
SC_2023_5345_A1	Solar FV	2027	Virginia 220	0.014	SATISFACE
SC_2023_5345_A2	Solar FV	2027	Virginia 220	0.018	SATISFACE
SC_2023_5346_A1	Solar FV	2027	Virginia 220	0.014	SATISFACE
SC_2023_5346_A2	Solar FV	2027	Virginia 220	0.018	SATISFACE
SC_2023_5375_A1	Solar FV	2026	Virginia 220	0.043	SATISFACE
SC_2023_5383_A1	Solar FV	2027	Virginia 220	0.040	SATISFACE
SC_2023_5383_A2	Solar FV	2027	Virginia 220	0.050	SATISFACE
SC_2023_5399_A1	Solar FV	2026	Virginia 220	0.027	SATISFACE
SC_2023_5399_A2	Solar FV	2026	Virginia 220	0.071	SATISFACE
SC_2023_5431_A1	Solar FV	2028	Virginia 220	0.000	SATISFACE
SC_2023_5431_A2	Solar FV	2028	Virginia 220	0.000	SATISFACE
SC_2023_5480_A1	Solar FV	2026	Virginia 220	0.045	SATISFACE
SC_2023_5480_A2	Solar FV	2026	Virginia 220	0.046	SATISFACE
SC_2023_5551_A1	Solar FV	2027	Virginia 220	1.777	SATISFACE
SC_2023_5551_A2	Solar FV	2027	Virginia 220	0.553	SATISFACE
SC_2023_5557_A1	Solar FV	2028	Virginia 220	0.183	SATISFACE
SC_2023_5564_A1	Solar FV	2026	Virginia 220	0.020	SATISFACE
SC_2023_5564_A2	Solar FV	2026	Virginia 220	0.020	SATISFACE
SC_2023_5565_A1	Solar FV	2027	Virginia 220	0.021	SATISFACE
SC_2023_5566_A1	Solar FV	2028	Virginia 220	0.020	SATISFACE
SC_2023_5566_A2	Solar FV	2028	Virginia 220	0.022	SATISFACE
SC_2023_5598_A1	Solar FV	2025	Virginia 220	0.013	SATISFACE
SC_2023_5598_A2	Solar FV	2025	Virginia 220	0.011	SATISFACE
SC_2024_5939_A1	Solar FV	2028	Virginia 220	0.003	SATISFACE
SC_2024_5939_A2	Solar FV	2028	Virginia 220	0.003	SATISFACE
SC_2344_A1	Eólico Onshore	2027	Virginia 220	0.050	SATISFACE
SC_2344_A2	Eólico Onshore	2027	Virginia 220	0.010	SATISFACE
SC_2436_A1	Solar FV	2028	Virginia 220	0.070	SATISFACE
SC_2436_A2	Solar FV	2028	Virginia 220	0.060	SATISFACE
SC_2438_A1	Solar FV	2028	Virginia 220	0.001	SATISFACE
SC_2438_A2	Solar FV	2028	Virginia 220	0.013	SATISFACE
SC_2527_A1	Solar FV	2028	Virginia 220	0.260	SATISFACE
SC_2527_A2	Solar FV	2028	Virginia 220	0.130	SATISFACE
SC_2545_A1	Solar FV	2026	Virginia 220	0.020	SATISFACE
SC_2545_A2	Solar FV	2026	Virginia 220	0.020	SATISFACE
SC_2562_A1	Solar FV	2026	Virginia 220	0.010	SATISFACE
SC_2634_A1	Solar FV	2026	Virginia 220	0.001	SATISFACE
SC_2634_A2	Solar FV	2026	Virginia 220	0.001	SATISFACE
SC_2643_A1	Solar FV	2026	Virginia 220	0.020	SATISFACE

SC_2643_A2	Solar FV	2026	Virginia 220	0.020	SATISFACE
SC_2670_A1	Solar FV	2028	Virginia 220	0.070	SATISFACE
SC_2670_A2	Solar FV	2028	Virginia 220	0.550	SATISFACE
SC_2802_A1	Solar FV	2027	Virginia 220	0.013	SATISFACE
SC_2802_A2	Solar FV	2027	Virginia 220	0.010	SATISFACE
SC_2816_A1	Solar FV	2027	Virginia 220	0.020	SATISFACE
SC_2870_A1	Solar FV	2027	Virginia 220	0.260	SATISFACE
SC_2870_A2	Solar FV	2027	Virginia 220	0.020	SATISFACE
SC_2902_A1	Solar FV	2028	Virginia 220	0.970	SATISFACE
SC_2902_A2	Solar FV	2028	Virginia 220	0.140	SATISFACE
SC_2905_A2	Solar FV	2028	Virginia 220	0.000	SATISFACE
SC_2924_A1	Solar FV	2026	Virginia 220	0.338	SATISFACE
SC_2924_A2	Solar FV	2026	Virginia 220	0.403	SATISFACE
SC_2936_A1	Solar FV	2026	Virginia 220	0.000	SATISFACE
SC_2936_A2	Solar FV	2026	Virginia 220	0.000	SATISFACE
SC_2962_A1	Solar FV	2028	Virginia 220	0.079	SATISFACE
SC_2962_A2	Solar FV	2028	Virginia 220	0.083	SATISFACE
SC_2979_A1	Solar FV	2027	Virginia 220	0.020	SATISFACE
SC_2979_A2	Solar FV	2027	Virginia 220	0.030	SATISFACE
SC_2984_A1	Solar FV	2027	Virginia 220	0.020	SATISFACE
SC_2984_A2	Solar FV	2027	Virginia 220	0.020	SATISFACE
SC_3012_A1	Solar FV	2027	Virginia 220	0.030	SATISFACE
SC_3012_A2	Solar FV	2027	Virginia 220	0.010	SATISFACE
SC_3054_A2	Solar FV	2027	Virginia 220	0.069	SATISFACE
SC_3101_A1	Solar FV	2027	Virginia 220	0.016	SATISFACE
SC_3101_A2	Solar FV	2027	Virginia 220	0.008	SATISFACE
SC_3121_A1	Solar FV	2026	Virginia 220	0.006	SATISFACE
SC_3121_A2	Solar FV	2026	Virginia 220	0.006	SATISFACE
SC_3132_A1	Solar FV	2026	Virginia 220	0.097	SATISFACE
SC_3132_A2	Solar FV	2026	Virginia 220	0.089	SATISFACE
SC_3133_A1	Solar FV	2028	Virginia 220	1.149	SATISFACE
SC_3133_A2	Solar FV	2028	Virginia 220	0.539	SATISFACE
SC_3238_A1	Solar FV	2027	Virginia 220	1.307	SATISFACE
SC_3238_A2	Solar FV	2027	Virginia 220	0.421	SATISFACE
SC_3247_A1	Solar FV	2027	Virginia 220	0.200	SATISFACE
SC_3247_A2	Solar FV	2027	Virginia 220	0.145	SATISFACE
SC_3248_A1	Solar FV	2027	Virginia 220	1.307	SATISFACE
SC_3248_A2	Solar FV	2027	Virginia 220	0.421	SATISFACE
SC_3251_A1	Hidráulica	2026	Virginia 220	0.130	SATISFACE
SC_3251_A2	Hidráulica	2026	Virginia 220	0.020	SATISFACE

SC_3331_A1	Solar FV	2026	Virginia 220	0.149	SATISFACE
SC_3353_A1	Solar FV	2027	Virginia 220	0.009	SATISFACE
SC_3353_A2	Solar FV	2027	Virginia 220	0.050	SATISFACE
SC_3382_A1	Solar FV	2027	Virginia 220	0.032	SATISFACE
SC_3382_A2	Solar FV	2027	Virginia 220	0.044	SATISFACE
SC_3392_A1	Solar FV	2027	Virginia 220	0.185	SATISFACE
SC_3392_A2	Solar FV	2027	Virginia 220	0.135	SATISFACE
SC_3433_A2	Solar FV	2027	Virginia 220	0.000	SATISFACE
SC_3441_A1	Solar FV	2027	Virginia 220	0.200	SATISFACE
SC_3441_A2	Solar FV	2027	Virginia 220	0.145	SATISFACE
SC_3453_A1	Solar FV	2027	Virginia 220	0.012	SATISFACE
SC_3453_A2	Solar FV	2027	Virginia 220	0.012	SATISFACE
SC_3514_A1	Solar FV	2027	Virginia 220	0.012	SATISFACE
SC_3514_A2	Solar FV	2027	Virginia 220	0.012	SATISFACE
SC_3578_A1	Solar FV	2028	Virginia 220	0.003	SATISFACE
SC_3578_A2	Solar FV	2028	Virginia 220	0.003	SATISFACE
SC_3667_A1	Solar FV	2029	Virginia 220	0.015	SATISFACE
SC_3667_A2	Solar FV	2029	Virginia 220	0.010	SATISFACE
SC_3846_A1	Solar FV	2028	Virginia 220	0.014	SATISFACE
SC_3846_A2	Solar FV	2028	Virginia 220	0.014	SATISFACE
SC_3882_A1	Solar FV	2026	Virginia 220	0.181	SATISFACE
SC_4083_A1	Solar FV	2027	Virginia 220	0.001	SATISFACE
SC_4083_A2	Solar FV	2027	Virginia 220	0.001	SATISFACE
SC_4175_A1	Solar FV	2026	Virginia 220	0.018	SATISFACE
SC_4175_A2	Solar FV	2026	Virginia 220	0.019	SATISFACE
SC_4296_A1	Solar FV	2028	Virginia 220	1.640	SATISFACE
SC_4296_A2	Solar FV	2028	Virginia 220	0.451	SATISFACE
SC_4751_A1	Solar FV	2027	Virginia 220	0.013	SATISFACE
SC_4760_A1	Solar FV	2026	Virginia 220	0.091	SATISFACE
SC_4765_A1	Solar FV	2029	Virginia 220	0.016	SATISFACE
SC_4765_A2	Solar FV	2029	Virginia 220	0.011	SATISFACE
SC_4789_A1	Solar FV	2027	Virginia 220	0.017	SATISFACE
SC_4789_A2	Solar FV	2027	Virginia 220	0.017	SATISFACE
SC_4809_A1	Solar FV	2027	Virginia 220	0.024	SATISFACE
SC_4809_A2	Solar FV	2027	Virginia 220	0.207	SATISFACE
SC_4819_A1	Solar FV	2029	Virginia 220	0.168	SATISFACE
SC_4819_A2	Solar FV	2029	Virginia 220	0.156	SATISFACE
SC_4821_A1	Solar FV	2027	Virginia 220	0.185	SATISFACE
SC_4821_A2	Solar FV	2027	Virginia 220	0.135	SATISFACE
SC_4824_A1	Solar FV	2025	Virginia 220	0.000	SATISFACE

SC_4824_A2	Solar FV	2025	Virginia 220	0.000	SATISFACE
SC_4826_A1	Solar FV	2027	Virginia 220	0.013	SATISFACE
SC_4826_A2	Solar FV	2027	Virginia 220	0.013	SATISFACE
SC_4827_A1	Solar FV	2027	Virginia 220	0.013	SATISFACE
SC_4827_A2	Solar FV	2027	Virginia 220	0.013	SATISFACE
SC_4842_A1	Solar FV	2028	Virginia 220	0.192	SATISFACE
SC_4910_A1	Solar FV	2026	Virginia 220	0.025	SATISFACE
SC_4910_A2	Solar FV	2026	Virginia 220	0.025	SATISFACE
SC_4926_A1	Solar FV	2027	Virginia 220	0.013	SATISFACE
SC_4947_A1	Solar FV	2027	Virginia 220	0.908	SATISFACE
SC_4960_A2	Solar FV	2029	Virginia 220	0.082	SATISFACE
SC_4974_A1	Solar FV	2026	Virginia 220	0.011	SATISFACE
SC_4974_A2	Solar FV	2026	Virginia 220	0.011	SATISFACE
SC_4978_A1	Solar FV	2026	Virginia 220	0.005	SATISFACE
SC_4978_A2	Solar FV	2026	Virginia 220	0.009	SATISFACE
SC_5009_A1	Solar FV	2026	Virginia 220	0.185	SATISFACE
SC_5009_A2	Solar FV	2026	Virginia 220	0.136	SATISFACE
SC_5011_A1	Solar FV	2027	Virginia 220	0.185	SATISFACE
SC_5011_A2	Solar FV	2027	Virginia 220	0.135	SATISFACE
SC_5060_A1	Solar FV	2026	Virginia 220	0.025	SATISFACE
SC_5060_A2	Solar FV	2026	Virginia 220	0.025	SATISFACE
SC_5087_A2	Solar FV	2027	Virginia 220	0.043	SATISFACE

Posterior a la ejecución del MACC se priorizaron las siguientes alternativas de conexión que tienen aportes de cortocircuito de la subestación en análisis:

Tabla 2-791. Alternativas de conexión priorizadas que aportan corriente de cortocircuito en la subestación Virginia 220

index	tipo	periodoIni	Barra a la que aporta CC	Aporte de cortocircuito (kA)	Restricción
SC_2545_A1	Solar FV	2026	Virginia 220	0.020	SATISFACE
SC_2643_A1	Solar FV	2026	Virginia 220	0.020	SATISFACE

El estado de la capacidad de cortocircuito en la subestación Virginia 220, teniendo en cuenta la priorización se puede observar en la siguiente figura.

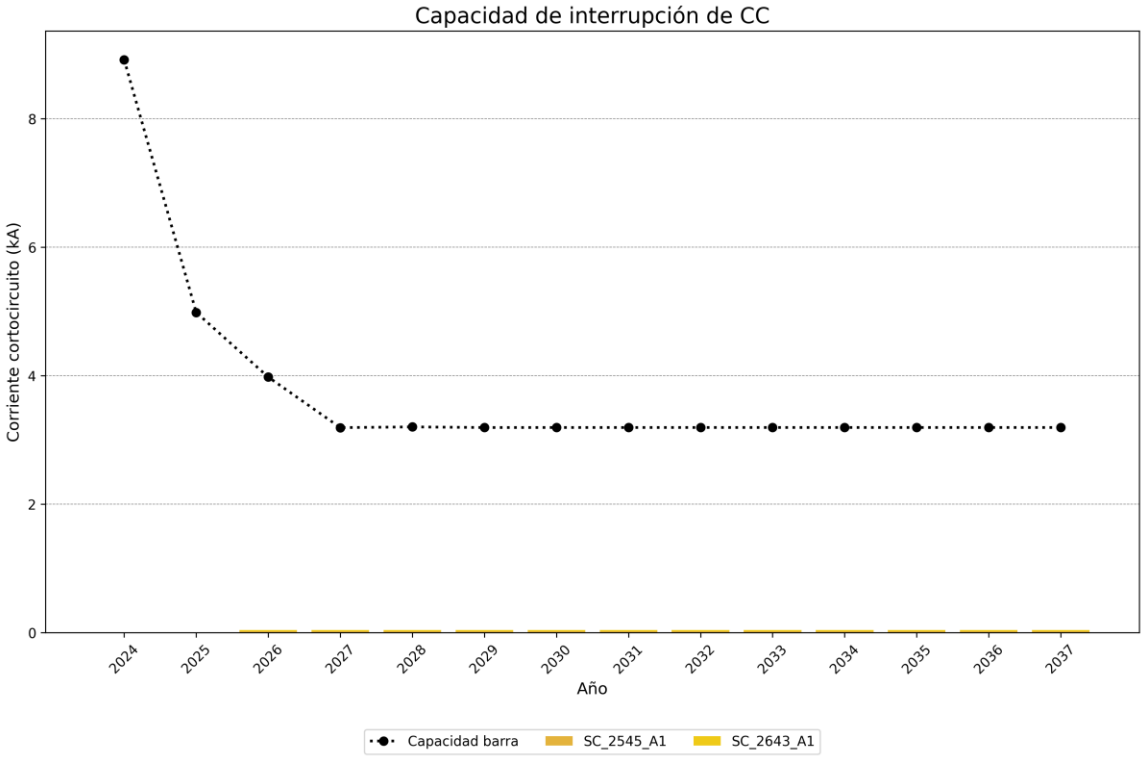


Figura 2-756. Balance de capacidad de cortocircuito después de la priorización para la subestación Virginia 220

Subestación Virginia 33:

Capacidad por barra:

Para la subestación Virginia 33 se presentaron 4 alternativas de conexión las cuales se muestran en la siguiente tabla:

Tabla 2-792. Alternativas de conexión presentadas a la subestación Virginia 33

Solicitud	Capacidad	Tipo	Barra	FPO solicitada	Restricción
SC_2023_5174_A1	19.9	Solar FV	Virginia 33	2027	NO SATISFACE
SC_2023_5383_A1	9.9	Solar FV	Virginia 33	2027	NO SATISFACE

SC_3667_A2	9.9	Solar FV	Virginia 33	2029	NO SATISFACE
SC_5076_A1	9.9	Solar FV	Virginia 33	2027	NO SATISFACE

No se priorizó ninguna de las alternativas de conexión presentadas en la subestación Virginia 33

El estado de la capacidad por barra en la subestación Virginia 33, teniendo en cuenta la priorización se puede observar en la siguiente figura.

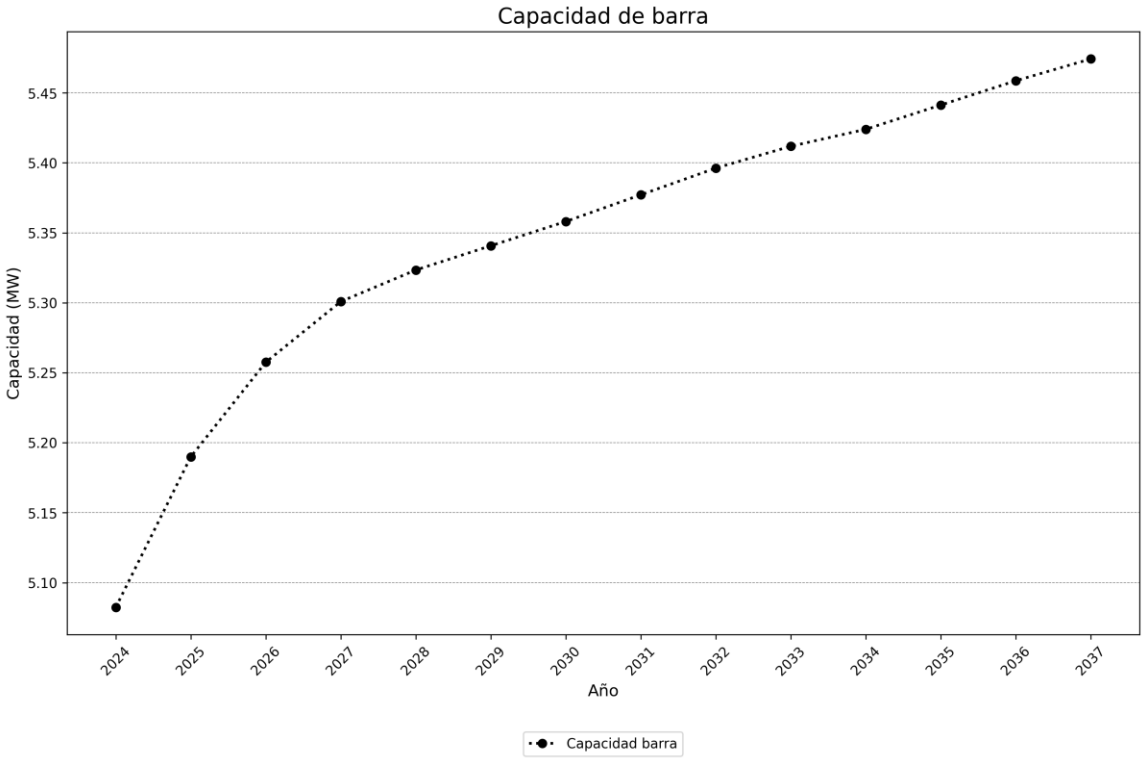


Figura 2-757. Balance de capacidad por barra después de la priorización para la subestación Virginia 33

Subestación Virginia 500:

Capacidad por barra:

Para la subestación Virginia 500 se presentaron 11 alternativas de conexión las cuales se muestran en la siguiente tabla:

Tabla 2-793. Alternativas de conexión presentadas a la subestación Virginia 500

Solicitud	Capacidad	Tipo	Barra	FPO solicitada	Restricción
SC_2023_5144_A2	100.0	Solar FV	Virginia 500	2028	NO SATISFACE
SC_2023_5200_A2	280.0	Solar FV	Virginia 500	2028	NO SATISFACE
SC_2023_5551_A2	250.0	Solar FV	Virginia 500	2027	NO SATISFACE
SC_2670_A1	200.0	Solar FV	Virginia 500	2028	NO SATISFACE
SC_3133_A2	200.0	Solar FV	Virginia 500	2028	NO SATISFACE
SC_3238_A2	120.0	Solar FV	Virginia 500	2027	NO SATISFACE
SC_3248_A2	120.0	Solar FV	Virginia 500	2027	NO SATISFACE
SC_3392_A2	100.0	Solar FV	Virginia 500	2027	NO SATISFACE
SC_4821_A2	100.0	Solar FV	Virginia 500	2027	NO SATISFACE
SC_5009_A2	100.0	Solar FV	Virginia 500	2026	NO SATISFACE
SC_5011_A2	100.0	Solar FV	Virginia 500	2027	NO SATISFACE

No se priorizó ninguna de las alternativas de conexión presentadas en la subestación Virginia 500

El estado de la capacidad por barra en la subestación Virginia 500, teniendo en cuenta la priorización se puede observar en la siguiente figura.

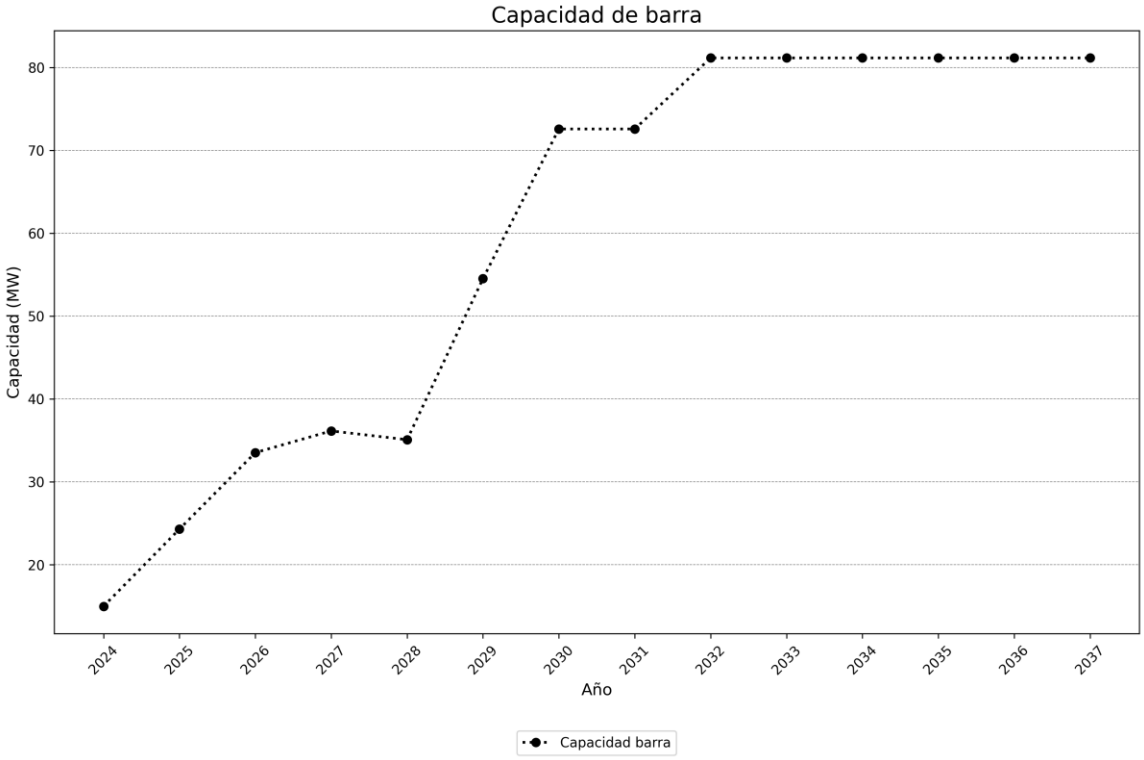


Figura 2-758. Balance de capacidad por barra después de la priorización para la subestación Virginia 500

Capacidad excedente de interrupción de corriente de cortocircuito:

Para la subestación Virginia 500 se presentaron 143 alternativas de conexión las cuales tienen aportes de corriente de cortocircuito. Estas alternativas se muestran en la siguiente tabla:

Tabla 2-794. Alternativas de conexión que aportan corriente de cortocircuito en la subestación Virginia 500

Solicitud	tipo	FPO	Barra a la que aporta CC	Aporte de cortocircuito (kA)	Restricción
SC_2023_5144_A1	Solar FV	2028	Virginia 500	0.265	SATISFACE
SC_2023_5144_A2	Solar FV	2028	Virginia 500	0.195	SATISFACE
SC_2023_5150_A1	Solar FV	2028	Virginia 500	0.078	SATISFACE

SC_2023_5152_A1	Solar FV	2025	Virginia 500	0.003	SATISFACE
SC_2023_5152_A2	Solar FV	2025	Virginia 500	0.002	SATISFACE
SC_2023_5171_A1	Solar FV	2025	Virginia 500	0.002	SATISFACE
SC_2023_5171_A2	Solar FV	2025	Virginia 500	0.003	SATISFACE
SC_2023_5200_A1	Solar FV	2028	Virginia 500	0.357	SATISFACE
SC_2023_5200_A2	Solar FV	2028	Virginia 500	1.533	SATISFACE
SC_2023_5248_A1	Solar FV	2025	Virginia 500	0.002	SATISFACE
SC_2023_5248_A2	Solar FV	2025	Virginia 500	0.002	SATISFACE
SC_2023_5249_A1	Solar FV	2025	Virginia 500	0.002	SATISFACE
SC_2023_5249_A2	Solar FV	2025	Virginia 500	0.002	SATISFACE
SC_2023_5251_A1	Solar FV	2025	Virginia 500	0.006	SATISFACE
SC_2023_5251_A2	Solar FV	2025	Virginia 500	0.006	SATISFACE
SC_2023_5252_A1	Solar FV	2028	Virginia 500	0.155	SATISFACE
SC_2023_5252_A2	Solar FV	2028	Virginia 500	0.027	SATISFACE
SC_2023_5253_A1	Solar FV	2025	Virginia 500	0.006	SATISFACE
SC_2023_5253_A2	Solar FV	2025	Virginia 500	0.006	SATISFACE
SC_2023_5256_A2	Solar FV	2028	Virginia 500	0.022	SATISFACE
SC_2023_5257_A1	Solar FV	2025	Virginia 500	0.002	SATISFACE
SC_2023_5257_A2	Solar FV	2025	Virginia 500	0.002	SATISFACE
SC_2023_5280_A1	Solar FV	2028	Virginia 500	0.000	SATISFACE
SC_2023_5280_A2	Solar FV	2028	Virginia 500	0.000	SATISFACE
SC_2023_5287_A1	Solar FV	2026	Virginia 500	0.019	SATISFACE
SC_2023_5287_A2	Solar FV	2026	Virginia 500	0.019	SATISFACE
SC_2023_5288_A1	Solar FV	2026	Virginia 500	0.012	SATISFACE
SC_2023_5288_A2	Solar FV	2026	Virginia 500	0.030	SATISFACE
SC_2023_5293_A1	Solar FV	2028	Virginia 500	0.026	SATISFACE
SC_2023_5293_A2	Solar FV	2028	Virginia 500	0.068	SATISFACE
SC_2023_5294_A1	Solar FV	2029	Virginia 500	0.011	SATISFACE
SC_2023_5294_A2	Solar FV	2029	Virginia 500	0.011	SATISFACE
SC_2023_5304_A1	Solar FV	2026	Virginia 500	0.002	SATISFACE
SC_2023_5309_A1	Solar FV	2026	Virginia 500	0.002	SATISFACE
SC_2023_5337_A2	Solar FV	2025	Virginia 500	0.047	SATISFACE
SC_2023_5339_A1	PCH	2026	Virginia 500	0.000	SATISFACE
SC_2023_5339_A2	PCH	2026	Virginia 500	0.000	SATISFACE
SC_2023_5375_A1	Solar FV	2026	Virginia 500	0.019	SATISFACE
SC_2023_5383_A1	Solar FV	2027	Virginia 500	0.024	SATISFACE
SC_2023_5383_A2	Solar FV	2027	Virginia 500	0.029	SATISFACE
SC_2023_5399_A1	Solar FV	2026	Virginia 500	0.012	SATISFACE
SC_2023_5399_A2	Solar FV	2026	Virginia 500	0.030	SATISFACE
SC_2023_5431_A1	Solar FV	2028	Virginia 500	0.000	SATISFACE

SC_2023_5431_A2	Solar FV	2028	Virginia 500	0.025	SATISFACE
SC_2023_5480_A1	Solar FV	2026	Virginia 500	0.019	SATISFACE
SC_2023_5480_A2	Solar FV	2026	Virginia 500	0.019	SATISFACE
SC_2023_5551_A1	Solar FV	2027	Virginia 500	0.334	SATISFACE
SC_2023_5551_A2	Solar FV	2027	Virginia 500	1.489	SATISFACE
SC_2023_5557_A1	Solar FV	2028	Virginia 500	0.069	SATISFACE
SC_2023_5598_A1	Solar FV	2025	Virginia 500	0.003	SATISFACE
SC_2023_5598_A2	Solar FV	2025	Virginia 500	0.002	SATISFACE
SC_2024_5939_A1	Solar FV	2028	Virginia 500	0.002	SATISFACE
SC_2024_5939_A2	Solar FV	2028	Virginia 500	0.002	SATISFACE
SC_2436_A1	Solar FV	2028	Virginia 500	0.020	SATISFACE
SC_2436_A2	Solar FV	2028	Virginia 500	0.020	SATISFACE
SC_2527_A1	Solar FV	2028	Virginia 500	0.060	SATISFACE
SC_2527_A2	Solar FV	2028	Virginia 500	0.040	SATISFACE
SC_2545_A1	Solar FV	2026	Virginia 500	0.010	SATISFACE
SC_2545_A2	Solar FV	2026	Virginia 500	0.010	SATISFACE
SC_2562_A1	Solar FV	2026	Virginia 500	0.010	SATISFACE
SC_2643_A1	Solar FV	2026	Virginia 500	0.010	SATISFACE
SC_2643_A2	Solar FV	2026	Virginia 500	0.010	SATISFACE
SC_2670_A1	Solar FV	2028	Virginia 500	0.240	SATISFACE
SC_2670_A2	Solar FV	2028	Virginia 500	0.090	SATISFACE
SC_2816_A1	Solar FV	2027	Virginia 500	0.010	SATISFACE
SC_2870_A1	Solar FV	2027	Virginia 500	0.040	SATISFACE
SC_2870_A2	Solar FV	2027	Virginia 500	0.010	SATISFACE
SC_2936_A1	Solar FV	2026	Virginia 500	0.000	SATISFACE
SC_2936_A2	Solar FV	2026	Virginia 500	0.000	SATISFACE
SC_2962_A1	Solar FV	2028	Virginia 500	0.029	SATISFACE
SC_2962_A2	Solar FV	2028	Virginia 500	0.030	SATISFACE
SC_3012_A1	Solar FV	2027	Virginia 500	0.010	SATISFACE
SC_3012_A2	Solar FV	2027	Virginia 500	0.000	SATISFACE
SC_3054_A2	Solar FV	2027	Virginia 500	0.016	SATISFACE
SC_3101_A1	Solar FV	2027	Virginia 500	0.007	SATISFACE
SC_3101_A2	Solar FV	2027	Virginia 500	0.003	SATISFACE
SC_3121_A1	Solar FV	2026	Virginia 500	0.002	SATISFACE
SC_3121_A2	Solar FV	2026	Virginia 500	0.002	SATISFACE
SC_3132_A1	Solar FV	2026	Virginia 500	0.041	SATISFACE
SC_3132_A2	Solar FV	2026	Virginia 500	0.038	SATISFACE
SC_3133_A1	Solar FV	2028	Virginia 500	0.293	SATISFACE
SC_3133_A2	Solar FV	2028	Virginia 500	0.901	SATISFACE
SC_3238_A1	Solar FV	2027	Virginia 500	0.287	SATISFACE

SC_3238_A2	Solar FV	2027	Virginia 500	0.265	SATISFACE
SC_3247_A1	Solar FV	2027	Virginia 500	0.078	SATISFACE
SC_3247_A2	Solar FV	2027	Virginia 500	0.057	SATISFACE
SC_3248_A1	Solar FV	2027	Virginia 500	0.287	SATISFACE
SC_3248_A2	Solar FV	2027	Virginia 500	0.265	SATISFACE
SC_3331_A1	Solar FV	2026	Virginia 500	0.065	SATISFACE
SC_3382_A1	Solar FV	2027	Virginia 500	0.005	SATISFACE
SC_3382_A2	Solar FV	2027	Virginia 500	0.007	SATISFACE
SC_3392_A1	Solar FV	2027	Virginia 500	0.039	SATISFACE
SC_3392_A2	Solar FV	2027	Virginia 500	0.067	SATISFACE
SC_3433_A2	Solar FV	2027	Virginia 500	0.000	SATISFACE
SC_3441_A1	Solar FV	2027	Virginia 500	0.078	SATISFACE
SC_3441_A2	Solar FV	2027	Virginia 500	0.057	SATISFACE
SC_3453_A1	Solar FV	2027	Virginia 500	0.005	SATISFACE
SC_3453_A2	Solar FV	2027	Virginia 500	0.005	SATISFACE
SC_3514_A1	Solar FV	2027	Virginia 500	0.005	SATISFACE
SC_3514_A2	Solar FV	2027	Virginia 500	0.005	SATISFACE
SC_3578_A1	Solar FV	2028	Virginia 500	0.002	SATISFACE
SC_3578_A2	Solar FV	2028	Virginia 500	0.002	SATISFACE
SC_3667_A1	Solar FV	2029	Virginia 500	0.004	SATISFACE
SC_3667_A2	Solar FV	2029	Virginia 500	0.003	SATISFACE
SC_3846_A1	Solar FV	2028	Virginia 500	0.004	SATISFACE
SC_3846_A2	Solar FV	2028	Virginia 500	0.004	SATISFACE
SC_3882_A1	Solar FV	2026	Virginia 500	0.068	SATISFACE
SC_4083_A1	Solar FV	2027	Virginia 500	0.000	SATISFACE
SC_4083_A2	Solar FV	2027	Virginia 500	0.000	SATISFACE
SC_4175_A1	Solar FV	2026	Virginia 500	0.005	SATISFACE
SC_4175_A2	Solar FV	2026	Virginia 500	0.005	SATISFACE
SC_4296_A1	Solar FV	2028	Virginia 500	0.287	SATISFACE
SC_4296_A2	Solar FV	2028	Virginia 500	0.110	SATISFACE
SC_4751_A1	Solar FV	2027	Virginia 500	0.004	SATISFACE
SC_4760_A1	Solar FV	2026	Virginia 500	0.026	SATISFACE
SC_4765_A1	Solar FV	2029	Virginia 500	0.006	SATISFACE
SC_4765_A2	Solar FV	2029	Virginia 500	0.004	SATISFACE
SC_4789_A1	Solar FV	2027	Virginia 500	0.004	SATISFACE
SC_4789_A2	Solar FV	2027	Virginia 500	0.004	SATISFACE
SC_4809_A1	Solar FV	2027	Virginia 500	0.022	SATISFACE
SC_4809_A2	Solar FV	2027	Virginia 500	0.103	SATISFACE
SC_4819_A1	Solar FV	2029	Virginia 500	0.068	SATISFACE
SC_4819_A2	Solar FV	2029	Virginia 500	0.064	SATISFACE

SC_4821_A1	Solar FV	2027	Virginia 500	0.039	SATISFACE
SC_4821_A2	Solar FV	2027	Virginia 500	0.067	SATISFACE
SC_4824_A1	Solar FV	2025	Virginia 500	0.000	SATISFACE
SC_4824_A2	Solar FV	2025	Virginia 500	0.000	SATISFACE
SC_4826_A1	Solar FV	2027	Virginia 500	0.005	SATISFACE
SC_4826_A2	Solar FV	2027	Virginia 500	0.005	SATISFACE
SC_4827_A1	Solar FV	2027	Virginia 500	0.005	SATISFACE
SC_4827_A2	Solar FV	2027	Virginia 500	0.005	SATISFACE
SC_4842_A1	Solar FV	2028	Virginia 500	0.078	SATISFACE
SC_4926_A1	Solar FV	2027	Virginia 500	0.004	SATISFACE
SC_4960_A2	Solar FV	2029	Virginia 500	0.029	SATISFACE
SC_4974_A1	Solar FV	2026	Virginia 500	0.038	SATISFACE
SC_4974_A2	Solar FV	2026	Virginia 500	0.038	SATISFACE
SC_4978_A1	Solar FV	2026	Virginia 500	0.001	SATISFACE
SC_4978_A2	Solar FV	2026	Virginia 500	0.003	SATISFACE
SC_5009_A1	Solar FV	2026	Virginia 500	0.039	SATISFACE
SC_5009_A2	Solar FV	2026	Virginia 500	0.708	SATISFACE
SC_5011_A1	Solar FV	2027	Virginia 500	0.039	SATISFACE
SC_5011_A2	Solar FV	2027	Virginia 500	0.708	SATISFACE
SC_5087_A2	Solar FV	2027	Virginia 500	0.020	SATISFACE

Posterior a la ejecución del MACC se priorizaron las siguientes alternativas de conexión que tienen aportes de cortocircuito de la subestación en análisis:

Tabla 2-795. Alternativas de conexión priorizadas que aportan corriente de cortocircuito en la subestación Virginia 500

index	tipo	periodoIni	Barra a la que aporta CC	Aporte de cortocircuito (kA)	Restricción
SC_2545_A1	Solar FV	2026	Virginia 500	0.010	SATISFACE
SC_2643_A1	Solar FV	2026	Virginia 500	0.010	SATISFACE

El estado de la capacidad de cortocircuito en la subestación Virginia 500, teniendo en cuenta la priorización se puede observar en la siguiente figura.

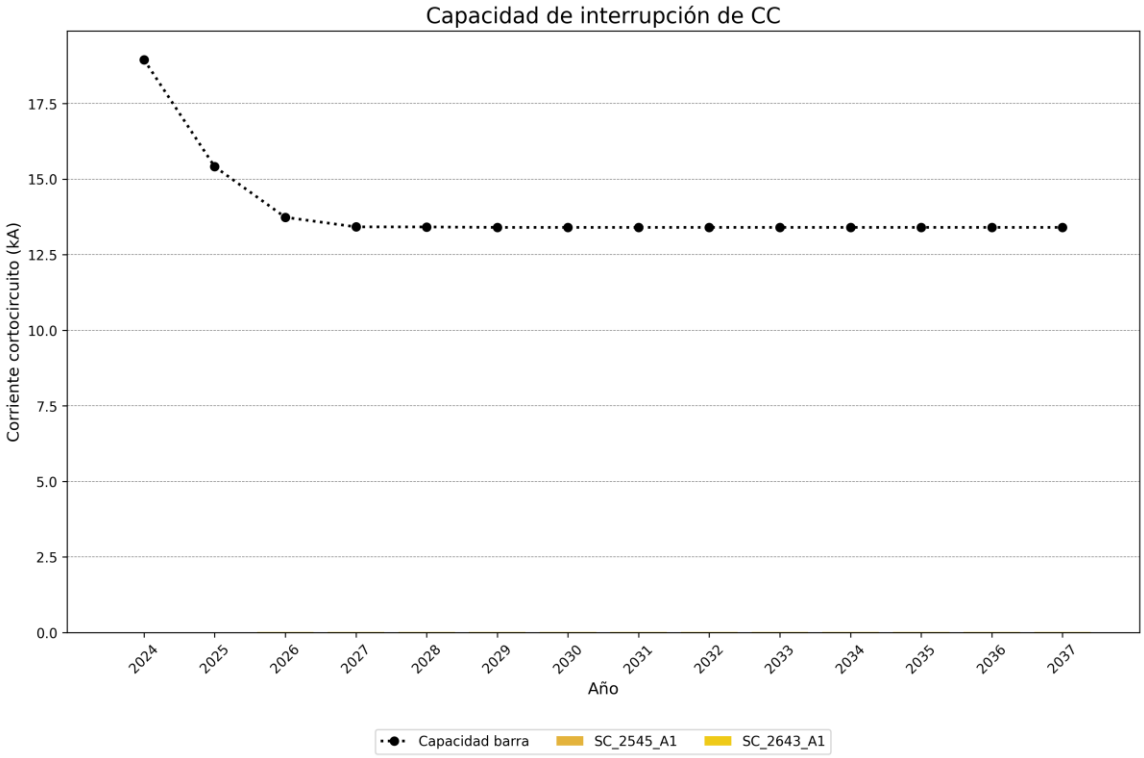


Figura 2-759. Balance de capacidad de cortocircuito después de la priorización para la subestación Virginia 500

Subestación Viterbo 115:

Capacidad por barra:

Para la subestación Viterbo 115 se presentaron 6 alternativas de conexión las cuales se muestran en la siguiente tabla:

Tabla 2-796. Alternativas de conexión presentadas a la subestación Viterbo 115

Solicitud	Capacidad	Tipo	Barra	FPO solicitada	Restricción
SC_2023_5345_A2	19.9	Solar FV	Viterbo 115	2027	SATISFACE
SC_2023_5346_A2	19.9	Solar FV	Viterbo 115	2027	SATISFACE
SC_2436_A1	40.0	Solar FV	Viterbo 115	2028	NO SATISFACE

SC_2979_A2	19.9	Solar FV	Viterbo 115	2027	SATISFACE
SC_2984_A2	19.9	Solar FV	Viterbo 115	2027	SATISFACE
SC_3382_A2	40.0	Solar FV	Viterbo 115	2027	NO SATISFACE

No se priorizó ninguna de las alternativas de conexión presentadas en la subestación Viterbo 115

El estado de la capacidad por barra en la subestación Viterbo 115, teniendo en cuenta la priorización se puede observar en la siguiente figura.

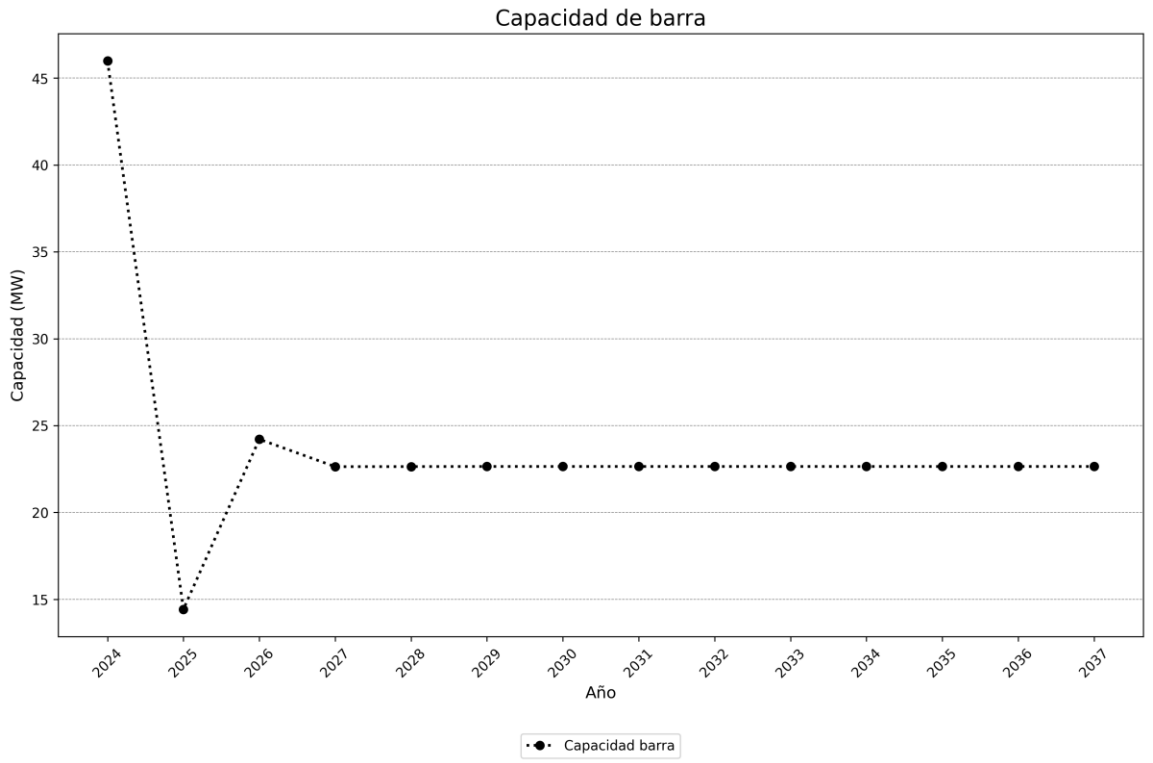


Figura 2-760. Balance de capacidad por barra después de la priorización para la subestación Viterbo 115

Capacidad excedente de interrupción de corriente de cortocircuito:

Para la subestación Viterbo 115 se presentaron 182 alternativas de conexión las cuales tienen aportes de corriente de cortocircuito. Estas alternativas se muestran en la siguiente tabla:

Tabla 2-797. Alternativas de conexión que aportan corriente de cortocircuito en la subestación Viterbo 115

Solicitud	tipo	FPO	Barra a la que aporta CC	Aporte de cortocircuito (kA)	Restricción
SC_2023_5136_A1	Solar FV	2026	Viterbo 115	0.010	SATISFACE
SC_2023_5136_A2	Solar FV	2026	Viterbo 115	0.010	SATISFACE
SC_2023_5144_A1	Solar FV	2028	Viterbo 115	0.093	SATISFACE
SC_2023_5144_A2	Solar FV	2028	Viterbo 115	0.043	SATISFACE
SC_2023_5150_A1	Solar FV	2028	Viterbo 115	0.071	SATISFACE
SC_2023_5152_A1	Solar FV	2025	Viterbo 115	0.001	SATISFACE
SC_2023_5152_A2	Solar FV	2025	Viterbo 115	0.001	SATISFACE
SC_2023_5158_A1	Solar FV	2028	Viterbo 115	0.057	SATISFACE
SC_2023_5171_A1	Solar FV	2025	Viterbo 115	0.001	SATISFACE
SC_2023_5171_A2	Solar FV	2025	Viterbo 115	0.001	SATISFACE
SC_2023_5174_A1	Solar FV	2027	Viterbo 115	0.057	SATISFACE
SC_2023_5174_A2	Solar FV	2027	Viterbo 115	0.064	SATISFACE
SC_2023_5185_A1	Solar FV	2026	Viterbo 115	0.282	SATISFACE
SC_2023_5185_A2	Solar FV	2026	Viterbo 115	0.189	SATISFACE
SC_2023_5188_A1	Solar FV	2026	Viterbo 115	0.018	SATISFACE
SC_2023_5188_A2	Solar FV	2026	Viterbo 115	0.096	SATISFACE
SC_2023_5200_A1	Solar FV	2028	Viterbo 115	0.185	SATISFACE
SC_2023_5200_A2	Solar FV	2028	Viterbo 115	0.084	SATISFACE
SC_2023_5216_A1	Solar FV	2026	Viterbo 115	0.010	SATISFACE
SC_2023_5216_A2	Solar FV	2026	Viterbo 115	0.000	SATISFACE
SC_2023_5248_A1	Solar FV	2025	Viterbo 115	0.001	SATISFACE
SC_2023_5248_A2	Solar FV	2025	Viterbo 115	0.002	SATISFACE
SC_2023_5249_A1	Solar FV	2025	Viterbo 115	0.002	SATISFACE
SC_2023_5249_A2	Solar FV	2025	Viterbo 115	0.002	SATISFACE
SC_2023_5251_A1	Solar FV	2025	Viterbo 115	0.009	SATISFACE
SC_2023_5251_A2	Solar FV	2025	Viterbo 115	0.009	SATISFACE
SC_2023_5252_A1	Solar FV	2028	Viterbo 115	0.023	SATISFACE
SC_2023_5252_A2	Solar FV	2028	Viterbo 115	0.070	SATISFACE
SC_2023_5253_A1	Solar FV	2025	Viterbo 115	0.009	SATISFACE
SC_2023_5253_A2	Solar FV	2025	Viterbo 115	0.009	SATISFACE

SC_2023_5256_A2	Solar FV	2028	Viterbo 115	0.019	SATISFACE
SC_2023_5257_A1	Solar FV	2025	Viterbo 115	0.002	SATISFACE
SC_2023_5257_A2	Solar FV	2025	Viterbo 115	0.002	SATISFACE
SC_2023_5280_A1	Solar FV	2028	Viterbo 115	0.000	SATISFACE
SC_2023_5280_A2	Solar FV	2028	Viterbo 115	0.000	SATISFACE
SC_2023_5287_A1	Solar FV	2026	Viterbo 115	0.019	SATISFACE
SC_2023_5287_A2	Solar FV	2026	Viterbo 115	0.019	SATISFACE
SC_2023_5288_A1	Solar FV	2026	Viterbo 115	0.012	SATISFACE
SC_2023_5288_A2	Solar FV	2026	Viterbo 115	0.032	SATISFACE
SC_2023_5293_A1	Solar FV	2028	Viterbo 115	0.041	SATISFACE
SC_2023_5293_A2	Solar FV	2028	Viterbo 115	0.042	SATISFACE
SC_2023_5294_A1	Solar FV	2029	Viterbo 115	0.009	SATISFACE
SC_2023_5294_A2	Solar FV	2029	Viterbo 115	0.010	SATISFACE
SC_2023_5304_A1	Solar FV	2026	Viterbo 115	0.002	SATISFACE
SC_2023_5309_A1	Solar FV	2026	Viterbo 115	0.002	SATISFACE
SC_2023_5337_A2	Solar FV	2025	Viterbo 115	0.049	SATISFACE
SC_2023_5339_A1	PCH	2026	Viterbo 115	0.000	SATISFACE
SC_2023_5339_A2	PCH	2026	Viterbo 115	0.000	SATISFACE
SC_2023_5345_A1	Solar FV	2027	Viterbo 115	0.140	SATISFACE
SC_2023_5345_A2	Solar FV	2027	Viterbo 115	0.780	SATISFACE
SC_2023_5346_A1	Solar FV	2027	Viterbo 115	0.140	SATISFACE
SC_2023_5346_A2	Solar FV	2027	Viterbo 115	0.780	SATISFACE
SC_2023_5375_A1	Solar FV	2026	Viterbo 115	0.019	SATISFACE
SC_2023_5383_A1	Solar FV	2027	Viterbo 115	0.355	SATISFACE
SC_2023_5383_A2	Solar FV	2027	Viterbo 115	0.402	SATISFACE
SC_2023_5399_A1	Solar FV	2026	Viterbo 115	0.012	SATISFACE
SC_2023_5399_A2	Solar FV	2026	Viterbo 115	0.032	SATISFACE
SC_2023_5431_A1	Solar FV	2028	Viterbo 115	0.000	SATISFACE
SC_2023_5431_A2	Solar FV	2028	Viterbo 115	0.000	SATISFACE
SC_2023_5480_A1	Solar FV	2026	Viterbo 115	0.019	SATISFACE
SC_2023_5480_A2	Solar FV	2026	Viterbo 115	0.019	SATISFACE
SC_2023_5529_A1	Solar FV	2026	Viterbo 115	0.010	SATISFACE
SC_2023_5529_A2	Solar FV	2026	Viterbo 115	0.010	SATISFACE
SC_2023_5543_A1	Hidráulica	2026	Viterbo 115	0.004	SATISFACE
SC_2023_5543_A2	Hidráulica	2026	Viterbo 115	0.005	SATISFACE
SC_2023_5549_A1	Solar FV	2028	Viterbo 115	0.027	SATISFACE
SC_2023_5549_A2	Solar FV	2028	Viterbo 115	0.024	SATISFACE
SC_2023_5551_A1	Solar FV	2027	Viterbo 115	0.165	SATISFACE
SC_2023_5551_A2	Solar FV	2027	Viterbo 115	0.075	SATISFACE
SC_2023_5557_A1	Solar FV	2028	Viterbo 115	0.066	SATISFACE

SC_2023_5564_A1	Solar FV	2026	Viterbo 115	0.010	SATISFACE
SC_2023_5564_A2	Solar FV	2026	Viterbo 115	0.010	SATISFACE
SC_2023_5565_A1	Solar FV	2027	Viterbo 115	0.010	SATISFACE
SC_2023_5566_A1	Solar FV	2028	Viterbo 115	0.010	SATISFACE
SC_2023_5566_A2	Solar FV	2028	Viterbo 115	0.010	SATISFACE
SC_2023_5598_A1	Solar FV	2025	Viterbo 115	0.001	SATISFACE
SC_2023_5598_A2	Solar FV	2025	Viterbo 115	0.001	SATISFACE
SC_2024_5939_A1	Solar FV	2028	Viterbo 115	0.000	SATISFACE
SC_2024_5939_A2	Solar FV	2028	Viterbo 115	0.000	SATISFACE
SC_2436_A1	Solar FV	2028	Viterbo 115	0.200	SATISFACE
SC_2436_A2	Solar FV	2028	Viterbo 115	0.070	SATISFACE
SC_2438_A1	Solar FV	2028	Viterbo 115	0.000	SATISFACE
SC_2438_A2	Solar FV	2028	Viterbo 115	0.000	SATISFACE
SC_2527_A1	Solar FV	2028	Viterbo 115	0.050	SATISFACE
SC_2527_A2	Solar FV	2028	Viterbo 115	0.160	SATISFACE
SC_2562_A1	Solar FV	2026	Viterbo 115	0.010	SATISFACE
SC_2634_A1	Solar FV	2026	Viterbo 115	0.000	SATISFACE
SC_2634_A2	Solar FV	2026	Viterbo 115	0.000	SATISFACE
SC_2802_A1	Solar FV	2027	Viterbo 115	0.001	SATISFACE
SC_2802_A2	Solar FV	2027	Viterbo 115	0.001	SATISFACE
SC_2902_A1	Solar FV	2028	Viterbo 115	0.010	SATISFACE
SC_2902_A2	Solar FV	2028	Viterbo 115	1.220	SATISFACE
SC_2905_A2	Solar FV	2028	Viterbo 115	0.000	SATISFACE
SC_2924_A1	Solar FV	2026	Viterbo 115	0.226	SATISFACE
SC_2924_A2	Solar FV	2026	Viterbo 115	0.151	SATISFACE
SC_2936_A1	Solar FV	2026	Viterbo 115	0.000	SATISFACE
SC_2936_A2	Solar FV	2026	Viterbo 115	0.000	SATISFACE
SC_2962_A1	Solar FV	2028	Viterbo 115	0.035	SATISFACE
SC_2962_A2	Solar FV	2028	Viterbo 115	0.033	SATISFACE
SC_2979_A1	Solar FV	2027	Viterbo 115	0.100	SATISFACE
SC_2979_A2	Solar FV	2027	Viterbo 115	0.130	SATISFACE
SC_2984_A1	Solar FV	2027	Viterbo 115	0.100	SATISFACE
SC_2984_A2	Solar FV	2027	Viterbo 115	0.130	SATISFACE
SC_3054_A2	Solar FV	2027	Viterbo 115	0.047	SATISFACE
SC_3101_A1	Solar FV	2027	Viterbo 115	0.000	SATISFACE
SC_3101_A2	Solar FV	2027	Viterbo 115	0.000	SATISFACE
SC_3121_A1	Solar FV	2026	Viterbo 115	0.003	SATISFACE
SC_3121_A2	Solar FV	2026	Viterbo 115	0.003	SATISFACE
SC_3132_A1	Solar FV	2026	Viterbo 115	0.039	SATISFACE
SC_3132_A2	Solar FV	2026	Viterbo 115	0.041	SATISFACE

SC_3238_A1	Solar FV	2027	Viterbo 115	0.195	SATISFACE
SC_3238_A2	Solar FV	2027	Viterbo 115	0.138	SATISFACE
SC_3247_A1	Solar FV	2027	Viterbo 115	0.072	SATISFACE
SC_3247_A2	Solar FV	2027	Viterbo 115	0.056	SATISFACE
SC_3248_A1	Solar FV	2027	Viterbo 115	0.195	SATISFACE
SC_3248_A2	Solar FV	2027	Viterbo 115	0.138	SATISFACE
SC_3251_A1	Hidráulica	2026	Viterbo 115	0.040	SATISFACE
SC_3251_A2	Hidráulica	2026	Viterbo 115	0.010	SATISFACE
SC_3353_A1	Solar FV	2027	Viterbo 115	0.003	SATISFACE
SC_3353_A2	Solar FV	2027	Viterbo 115	0.003	SATISFACE
SC_3382_A1	Solar FV	2027	Viterbo 115	0.178	SATISFACE
SC_3382_A2	Solar FV	2027	Viterbo 115	0.258	SATISFACE
SC_3392_A1	Solar FV	2027	Viterbo 115	0.048	SATISFACE
SC_3392_A2	Solar FV	2027	Viterbo 115	0.018	SATISFACE
SC_3441_A1	Solar FV	2027	Viterbo 115	0.072	SATISFACE
SC_3441_A2	Solar FV	2027	Viterbo 115	0.056	SATISFACE
SC_3453_A1	Solar FV	2027	Viterbo 115	0.006	SATISFACE
SC_3453_A2	Solar FV	2027	Viterbo 115	0.006	SATISFACE
SC_3514_A1	Solar FV	2027	Viterbo 115	0.006	SATISFACE
SC_3514_A2	Solar FV	2027	Viterbo 115	0.006	SATISFACE
SC_3578_A1	Solar FV	2028	Viterbo 115	0.000	SATISFACE
SC_3578_A2	Solar FV	2028	Viterbo 115	0.000	SATISFACE
SC_3667_A1	Solar FV	2029	Viterbo 115	0.050	SATISFACE
SC_3667_A2	Solar FV	2029	Viterbo 115	0.032	SATISFACE
SC_3846_A1	Solar FV	2028	Viterbo 115	0.011	SATISFACE
SC_3846_A2	Solar FV	2028	Viterbo 115	0.011	SATISFACE
SC_3882_A1	Solar FV	2026	Viterbo 115	0.065	SATISFACE
SC_4083_A1	Solar FV	2027	Viterbo 115	0.001	SATISFACE
SC_4083_A2	Solar FV	2027	Viterbo 115	0.001	SATISFACE
SC_4175_A1	Solar FV	2026	Viterbo 115	0.007	SATISFACE
SC_4175_A2	Solar FV	2026	Viterbo 115	0.007	SATISFACE
SC_4296_A1	Solar FV	2028	Viterbo 115	0.093	SATISFACE
SC_4296_A2	Solar FV	2028	Viterbo 115	0.113	SATISFACE
SC_4751_A1	Solar FV	2027	Viterbo 115	0.001	SATISFACE
SC_4760_A1	Solar FV	2026	Viterbo 115	0.095	SATISFACE
SC_4765_A1	Solar FV	2029	Viterbo 115	0.001	SATISFACE
SC_4765_A2	Solar FV	2029	Viterbo 115	0.001	SATISFACE
SC_4789_A1	Solar FV	2027	Viterbo 115	0.007	SATISFACE
SC_4789_A2	Solar FV	2027	Viterbo 115	0.007	SATISFACE
SC_4809_A1	Solar FV	2027	Viterbo 115	0.008	SATISFACE

SC_4809_A2	Solar FV	2027	Viterbo 115	0.083	SATISFACE
SC_4819_A1	Solar FV	2029	Viterbo 115	0.068	SATISFACE
SC_4819_A2	Solar FV	2029	Viterbo 115	0.069	SATISFACE
SC_4821_A1	Solar FV	2027	Viterbo 115	0.048	SATISFACE
SC_4821_A2	Solar FV	2027	Viterbo 115	0.018	SATISFACE
SC_4824_A1	Solar FV	2025	Viterbo 115	0.000	SATISFACE
SC_4824_A2	Solar FV	2025	Viterbo 115	0.000	SATISFACE
SC_4826_A1	Solar FV	2027	Viterbo 115	0.005	SATISFACE
SC_4826_A2	Solar FV	2027	Viterbo 115	0.005	SATISFACE
SC_4827_A1	Solar FV	2027	Viterbo 115	0.005	SATISFACE
SC_4827_A2	Solar FV	2027	Viterbo 115	0.005	SATISFACE
SC_4842_A1	Solar FV	2028	Viterbo 115	0.071	SATISFACE
SC_4910_A1	Solar FV	2026	Viterbo 115	0.011	SATISFACE
SC_4910_A2	Solar FV	2026	Viterbo 115	0.011	SATISFACE
SC_4926_A1	Solar FV	2027	Viterbo 115	0.001	SATISFACE
SC_4947_A1	Solar FV	2027	Viterbo 115	0.032	SATISFACE
SC_4960_A2	Solar FV	2029	Viterbo 115	0.037	SATISFACE
SC_4974_A1	Solar FV	2026	Viterbo 115	0.004	SATISFACE
SC_4974_A2	Solar FV	2026	Viterbo 115	0.004	SATISFACE
SC_4978_A1	Solar FV	2026	Viterbo 115	0.002	SATISFACE
SC_4978_A2	Solar FV	2026	Viterbo 115	0.004	SATISFACE
SC_5009_A1	Solar FV	2026	Viterbo 115	0.047	SATISFACE
SC_5009_A2	Solar FV	2026	Viterbo 115	0.018	SATISFACE
SC_5011_A1	Solar FV	2027	Viterbo 115	0.047	SATISFACE
SC_5011_A2	Solar FV	2027	Viterbo 115	0.018	SATISFACE
SC_5060_A1	Solar FV	2026	Viterbo 115	0.011	SATISFACE
SC_5060_A2	Solar FV	2026	Viterbo 115	0.011	SATISFACE
SC_5076_A1	Solar FV	2027	Viterbo 115	0.000	SATISFACE
SC_5076_A2	Solar FV	2027	Viterbo 115	0.000	SATISFACE
SC_5077_A1	Solar FV	2027	Viterbo 115	0.000	SATISFACE
SC_5077_A2	Solar FV	2027	Viterbo 115	0.000	SATISFACE
SC_5087_A2	Solar FV	2027	Viterbo 115	0.017	SATISFACE

Posterior a la ejecución del MACC se priorizaron las siguientes alternativas de conexión que tienen aportes de cortocircuito de la subestación en análisis:

Tabla 2-798. Alternativas de conexión priorizadas que aportan corriente de cortocircuito en la subestación Viterbo 115

index	tipo	periodolni	Barra a la que aporta CC	Aporte de cortocircuito (kA)	Restricción
SC_2023_5529_A2	Solar FV	2026	Viterbo 115	0.010	SATISFACE
SC_2023_5543_A1	Hidráulica	2026	Viterbo 115	0.004	SATISFACE
SC_5076_A2	Solar FV	2027	Viterbo 115	0.000	SATISFACE
SC_5077_A2	Solar FV	2027	Viterbo 115	0.000	SATISFACE

El estado de la capacidad de cortocircuito en la subestación Viterbo 115, teniendo en cuenta la priorización se puede observar en la siguiente figura.

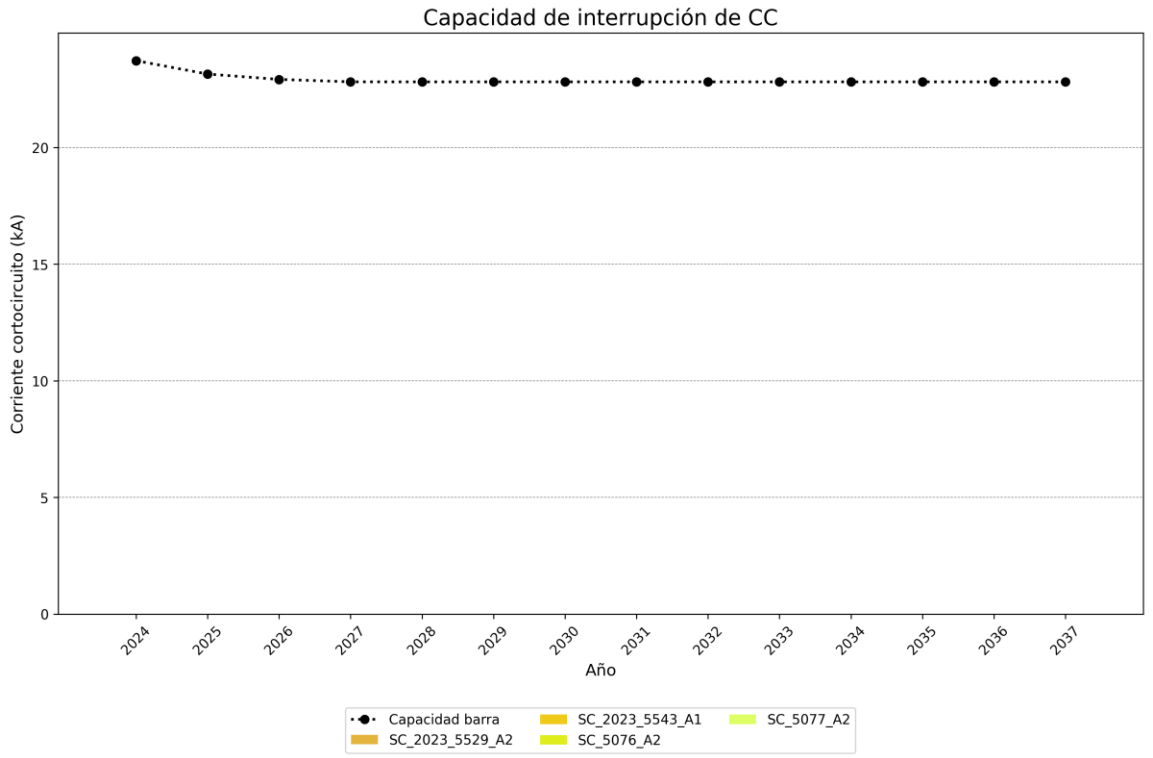


Figura 2-761. Balance de capacidad de cortocircuito después de la priorización para la subestación Viterbo 115

Subestación Viterbo 33:

Capacidad por barra:

Para la subestación Viterbo 33 se presentaron 7 alternativas de conexión las cuales se muestran en la siguiente tabla:

Tabla 2-799. Alternativas de conexión presentadas a la subestación Viterbo 33

Solicitud	Capacidad	Tipo	Barra	FPO solicitada	Restricción
SC_2023_5345_A1	19.9	Solar FV	Viterbo 33	2027	SATISFACE
SC_2023_5346_A1	19.9	Solar FV	Viterbo 33	2027	SATISFACE
SC_2979_A1	19.9	Solar FV	Viterbo 33	2027	SATISFACE
SC_2984_A1	19.9	Solar FV	Viterbo 33	2027	SATISFACE
SC_3382_A1	40.0	Solar FV	Viterbo 33	2027	NO SATISFACE
SC_3667_A1	9.9	Solar FV	Viterbo 33	2029	SATISFACE
SC_5076_A2	9.9	Solar FV	Viterbo 33	2027	SATISFACE

Posterior a la ejecución del MACC se priorizaron las siguientes alternativas de conexión:

Tabla 2-800. Alternativas de conexión priorizadas en la subestación Viterbo 33

Solicitud	Capacidad	Tipo	Barra	FPO solicitada	Restricción
SC_5076_A2	9.9	Solar FV	Viterbo 33	2027	SATISFACE

El estado de la capacidad por barra en la subestación Viterbo 33, teniendo en cuenta la priorización se puede observar en la siguiente figura.

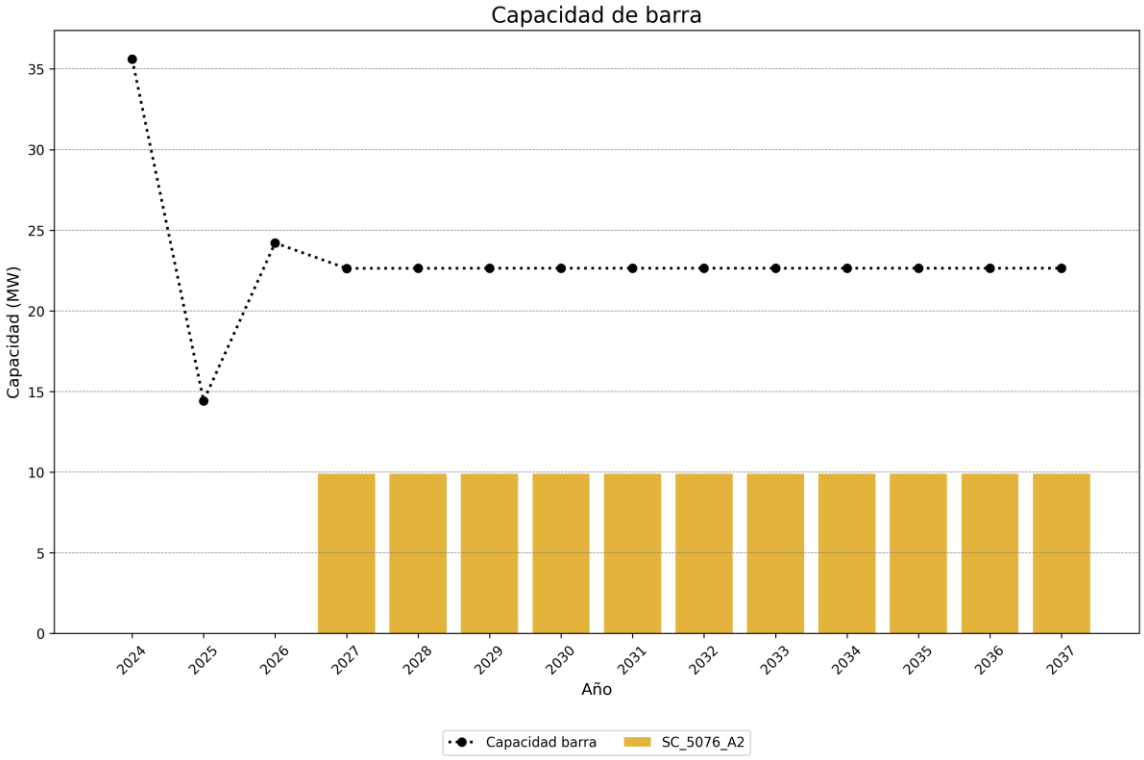


Figura 2-762. Balance de capacidad por barra después de la priorización para la subestación Viterbo 33

Subestación Vlla Hermosa 110:

Capacidad por barra:

Para la subestación Vlla Hermosa 110 se presentaron 0 alternativas de conexión las cuales se muestran en la siguiente tabla:

Tabla 2-801. Alternativas de conexión presentadas a la subestación Vlla Hermosa 110

Solicitud	Capacidad	Tipo	Barra	FPO solicitada	Restricción

No se priorizó ninguna de las alternativas de conexión presentadas en la subestación Vlla Hermosa 110

El estado de la capacidad por barra en la subestación Vlla Hermosa 110, teniendo en cuenta la priorización se puede observar en la siguiente figura.

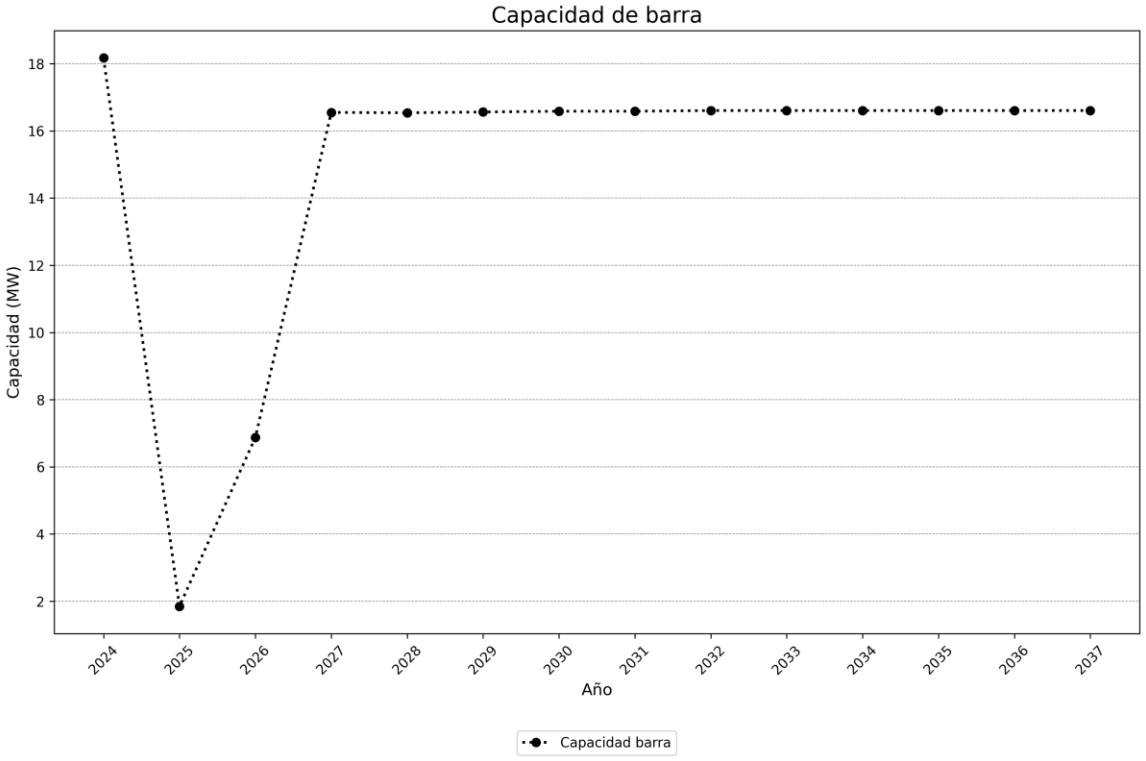


Figura 2-763. Balance de capacidad por barra después de la priorización para la subestación Vlla Hermosa 110

Capacidad excedente de interrupción de corriente de cortocircuito:

Para la subestación Vlla Hermosa 110 se presentaron 1 alternativas de conexión las cuales tienen aportes de corriente de cortocircuito. Estas alternativas se muestran en la siguiente tabla:

Tabla 2-802. Alternativas de conexión que aportan corriente de cortocircuito en la subestación Vlla Hermosa 110

Solicitud	tipo	FPO	Barra a la que aporta CC	Aporte de cortocircuito (kA)	Restricción
SC_3331_A1	Solar FV	2026	Vlla Hermosa 110	0.107	SATISFACE

No se priorizó ninguna de las alternativas de conexión que tengan aportes de corriente de cortocircuito en la subestación Vlla Hermosa 110

El estado de la capacidad de cortocircuito en la subestación Vlla Hermosa 110, teniendo en cuenta la priorización se puede observar en la siguiente figura.

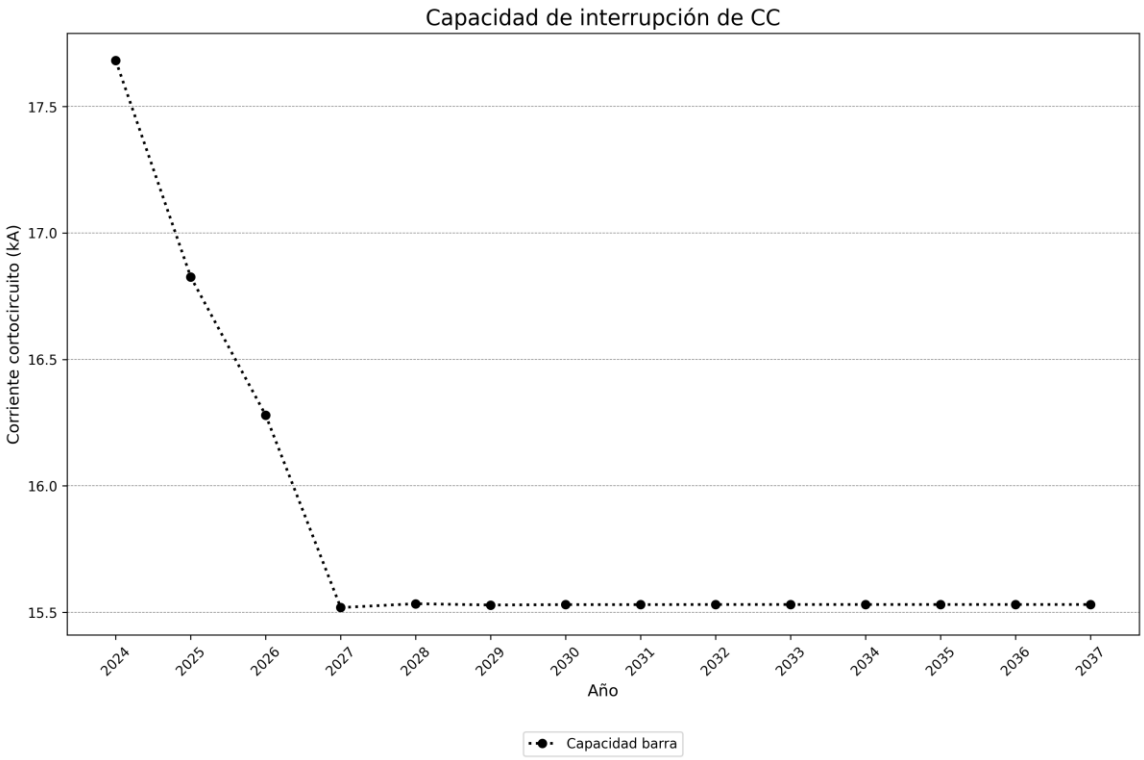


Figura 2-764. Balance de capacidad de cortocircuito después de la priorización para la subestación Vlla Hermosa 110

Subestación Yarumal 110:

Capacidad por barra:

Para la subestación Yarumal 110 se presentaron 0 alternativas de conexión las cuales se muestran en la siguiente tabla:

Tabla 2-803. Alternativas de conexión presentadas a la subestación Yarumal 110

Solicitud	Capacidad	Tipo	Barra	FPO solicitada	Restricción

No se priorizó ninguna de las alternativas de conexión presentadas en la subestación Yarumal 110

El estado de la capacidad por barra en la subestación Yarumal 110, teniendo en cuenta la priorización se puede observar en la siguiente figura.

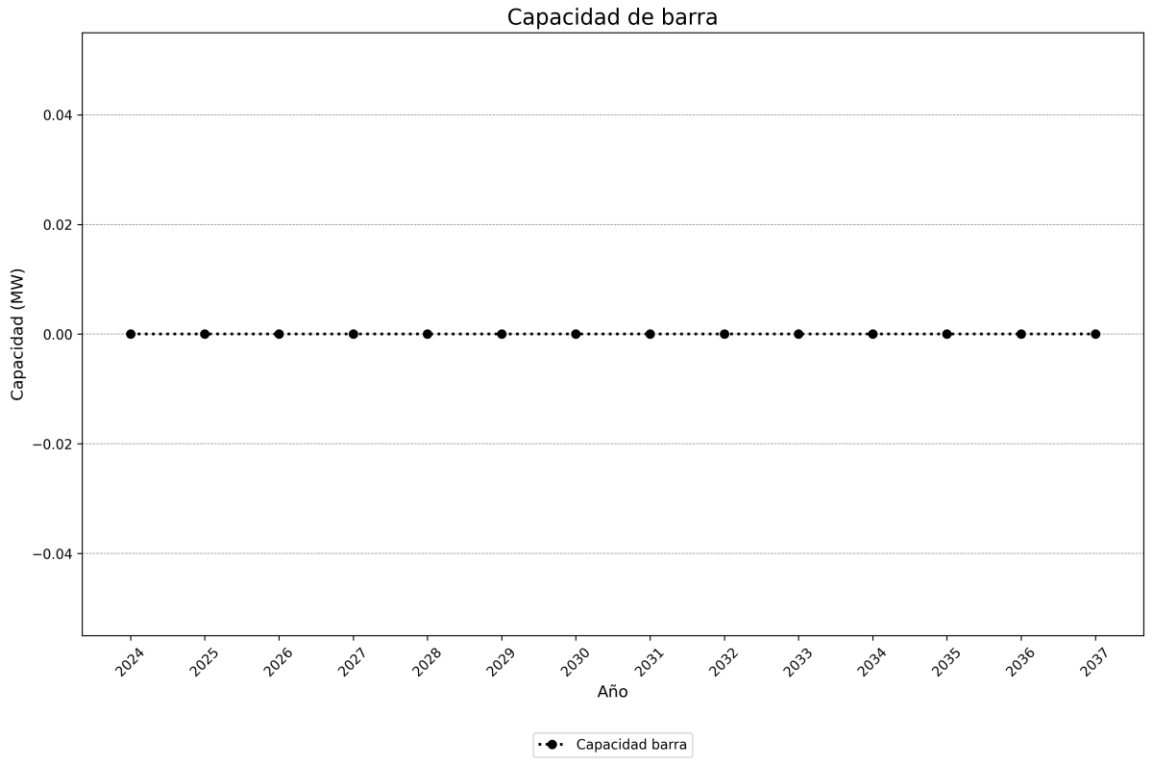


Figura 2-765. Balance de capacidad por barra después de la priorización para la subestación Yarumal 110

En el caso anterior se observa que la capacidad por barra es igual a 0 dado que, desde los comentarios presentados por transportador, se identificó que la subestación Yarumal 110 no cuenta con disponibilidad de espacio físico para la conexión de nuevos proyectos.

Capacidad excedente de interrupción de corriente de cortocircuito:

Para la subestación Yarumal 110 se presentaron 1 alternativas de conexión las cuales tienen aportes de corriente de cortocircuito. Estas alternativas se muestran en la siguiente tabla:

Tabla 2-804. Alternativas de conexión que aportan corriente de cortocircuito en la subestación Yarumal 110

Solicitud	tipo	FPO	Barra a la que aporta CC	Aporte de cortocircuito (kA)	Restricción
SC_3331_A1	Solar FV	2026	Yarumal 110	0.015	SATISFACE

No se priorizó ninguna de las alternativas de conexión que tengan aportes de corriente de cortocircuito en la subestación Yarumal 110

El estado de la capacidad de cortocircuito en la subestación Yarumal 110, teniendo en cuenta la priorización se puede observar en la siguiente figura.

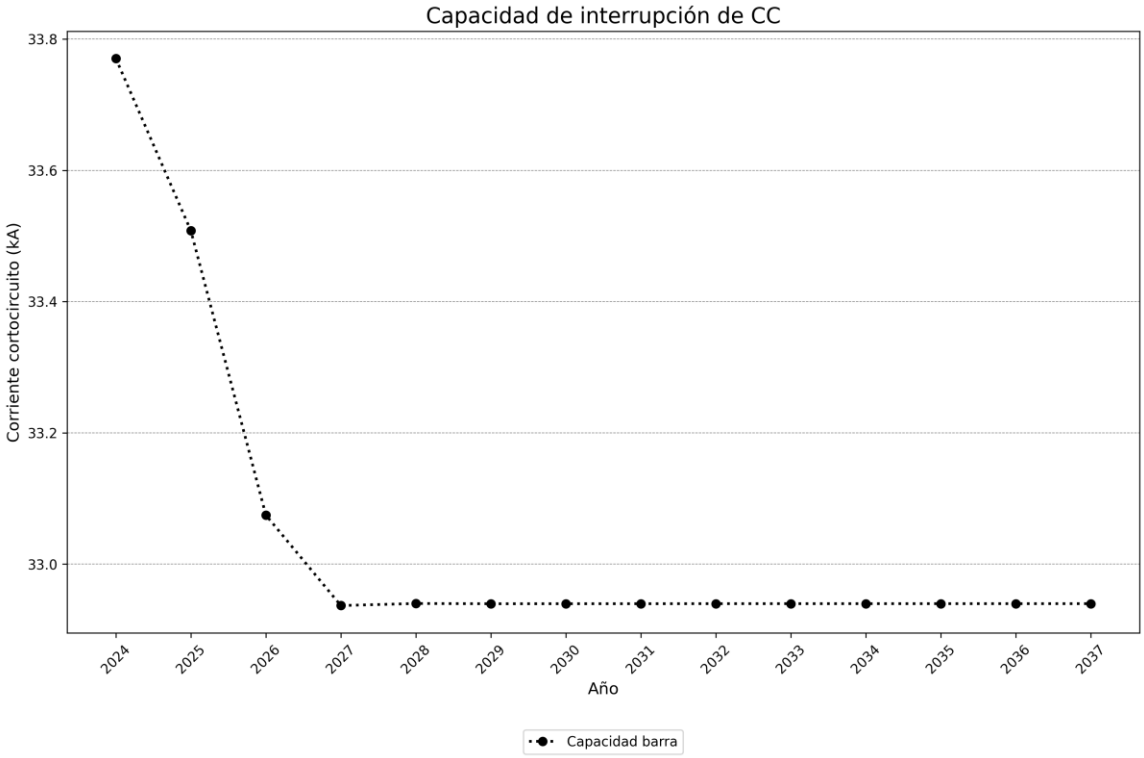


Figura 2-766. Balance de capacidad de cortocircuito después de la priorización para la subestación Yarumal 110

Subestación Yarumal II 110:

Capacidad por barra:

Para la subestación Yarumal II 110 se presentaron 0 alternativas de conexión las cuales se muestran en la siguiente tabla:

Tabla 2-805. Alternativas de conexión presentadas a la subestación Yarumal II 110

Solicitud	Capacidad	Tipo	Barra	FPO solicitada	Restricción

No se priorizó ninguna de las alternativas de conexión presentadas en la subestación Yarumal II 110

El estado de la capacidad por barra en la subestación Yarumal II 110, teniendo en cuenta la priorización se puede observar en la siguiente figura.

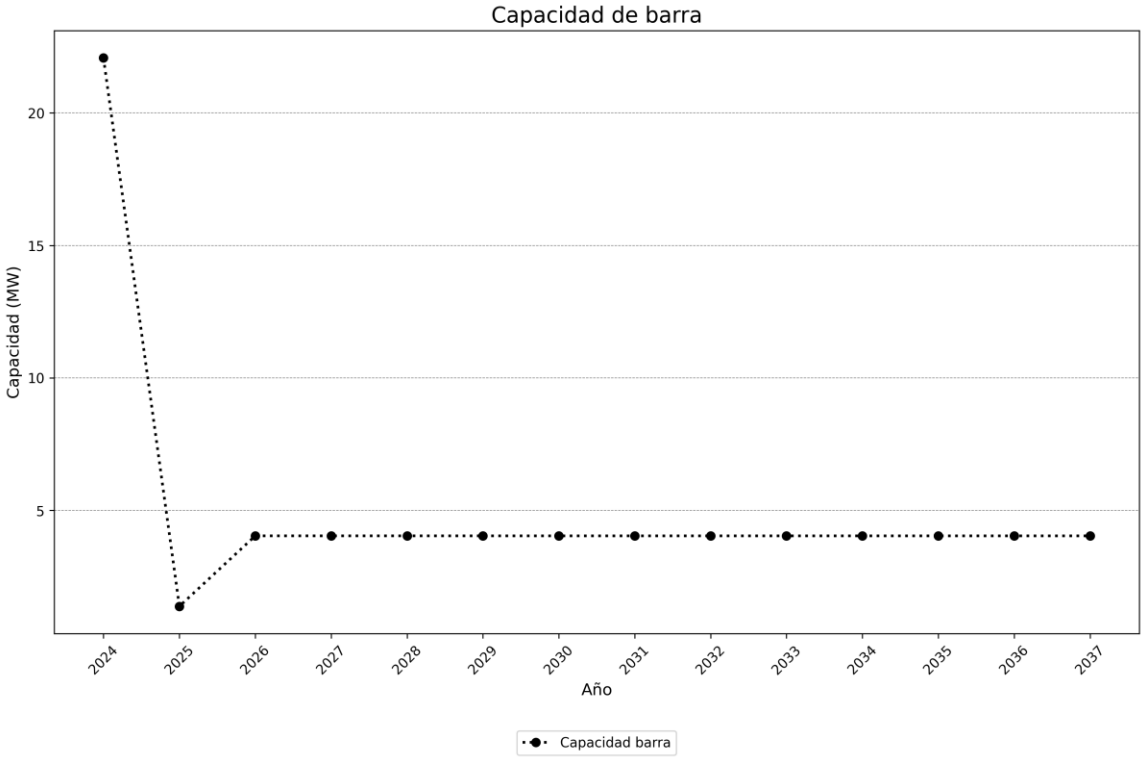


Figura 2-767. Balance de capacidad por barra después de la priorización para la subestación Yarumal II 110

Capacidad excedente de interrupción de corriente de cortocircuito:

Para la subestación Yarumal II 110 se presentaron 1 alternativas de conexión las cuales tienen aportes de corriente de cortocircuito. Estas alternativas se muestran en la siguiente tabla:

Tabla 2-806. Alternativas de conexión que aportan corriente de cortocircuito en la subestación Yarumal II 110

Solicitud	tipo	FPO	Barra a la que aporta CC	Aporte de cortocircuito (kA)	Restricción
SC_3331_A1	Solar FV	2026	Yarumal II 110	0.016	SATISFACE

No se priorizó ninguna de las alternativas de conexión que tengan aportes de corriente de cortocircuito en la subestación Yarumal II 110

El estado de la capacidad de cortocircuito en la subestación Yarumal II 110, teniendo en cuenta la priorización se puede observar en la siguiente figura.

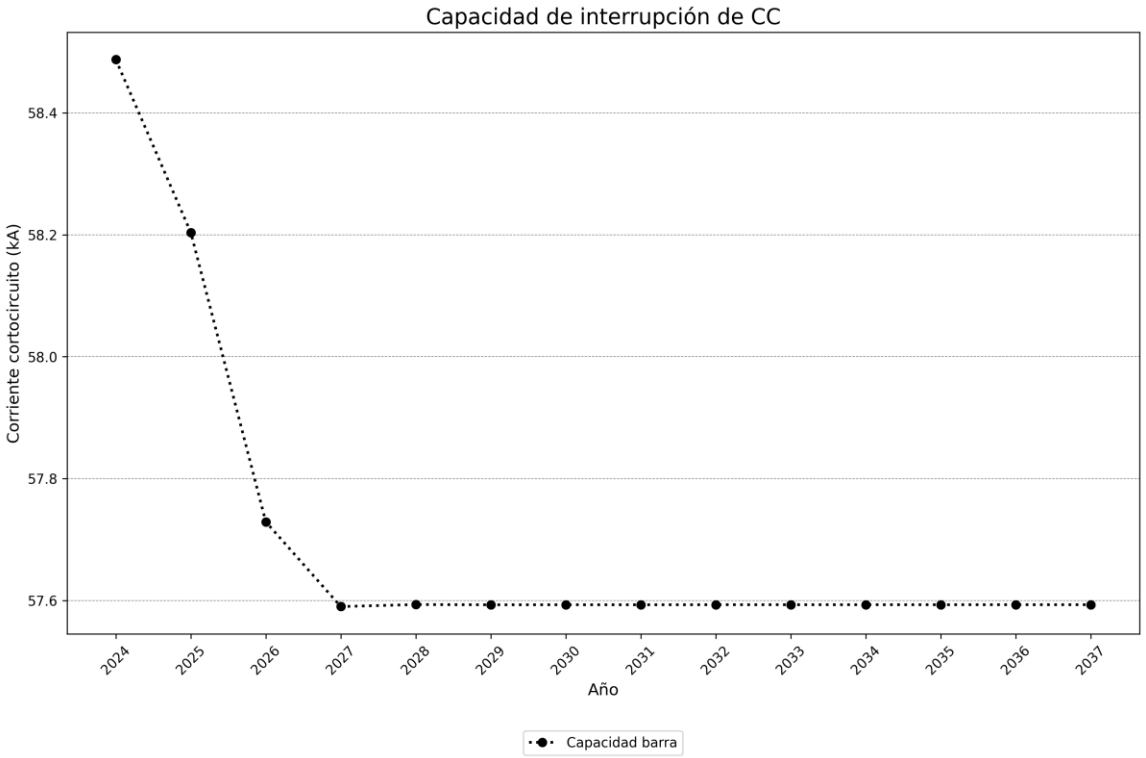


Figura 2-768. Balance de capacidad de cortocircuito después de la priorización para la subestación Yarumal II 110

Subestación Yumbo 220:

Capacidad por barra:

Para la subestación Yumbo 220 se presentaron 0 alternativas de conexión las cuales se muestran en la siguiente tabla:

Tabla 2-807. Alternativas de conexión presentadas a la subestación Yumbo 220

Solicitud	Capacidad	Tipo	Barra	FPO solicitada	Restricción

No se priorizó ninguna de las alternativas de conexión presentadas en la subestación Yumbo 220

El estado de la capacidad por barra en la subestación Yumbo 220, teniendo en cuenta la priorización se puede observar en la siguiente figura.

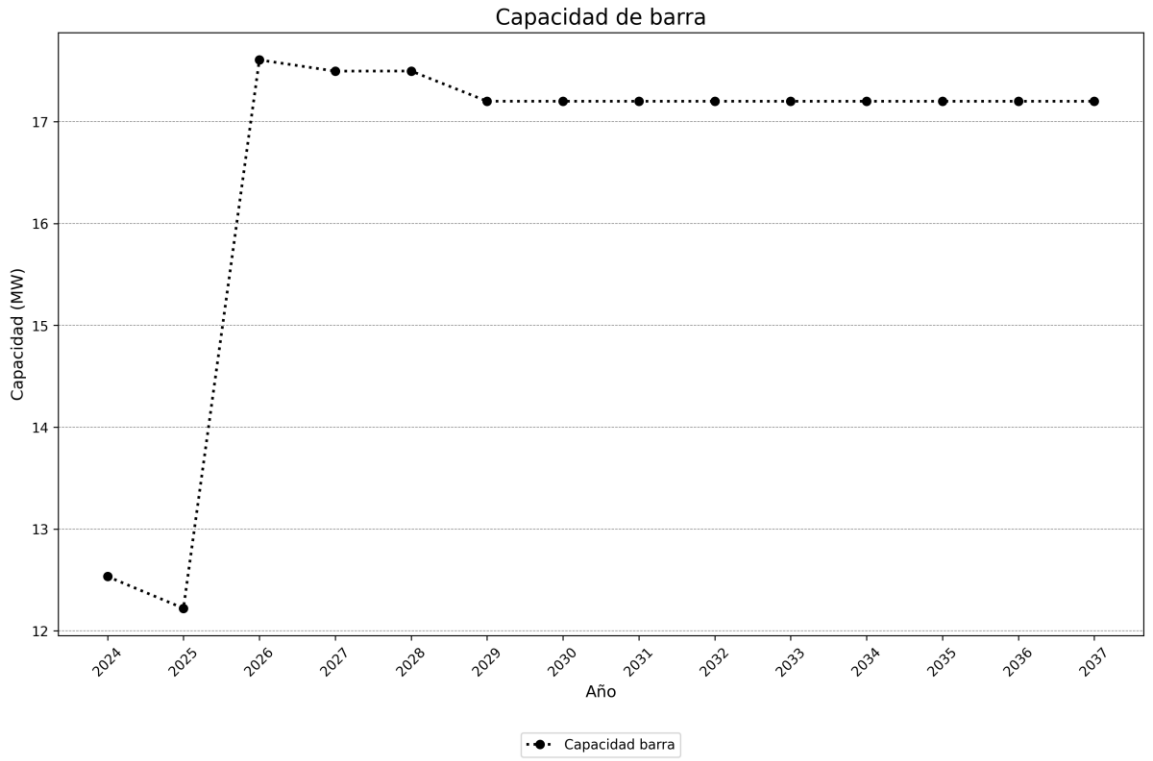


Figura 2-769. Balance de capacidad por barra después de la priorización para la subestación Yumbo 220

Capacidad excedente de interrupción de corriente de cortocircuito:

Para la subestación Yumbo 220 se presentaron 4 alternativas de conexión las cuales tienen aportes de corriente de cortocircuito. Estas alternativas se muestran en la siguiente tabla:

Tabla 2-808. Alternativas de conexión que aportan corriente de cortocircuito en la subestación Yumbo 220

Solicitud	tipo	FPO	Barra a la que aporta CC	Aporte de cortocircuito (kA)	Restricción
SC_2023_5557_A1	Solar FV	2028	Yumbo 220	0.108	SATISFACE
SC_2936_A1	Solar FV	2026	Yumbo 220	0.000	SATISFACE
SC_2936_A2	Solar FV	2026	Yumbo 220	0.000	SATISFACE
SC_3882_A1	Solar FV	2026	Yumbo 220	0.106	SATISFACE

No se priorizó ninguna de las alternativas de conexión que tengan aportes de corriente de cortocircuito en la subestación Yumbo 220

El estado de la capacidad de cortocircuito en la subestación Yumbo 220, teniendo en cuenta la priorización se puede observar en la siguiente figura.

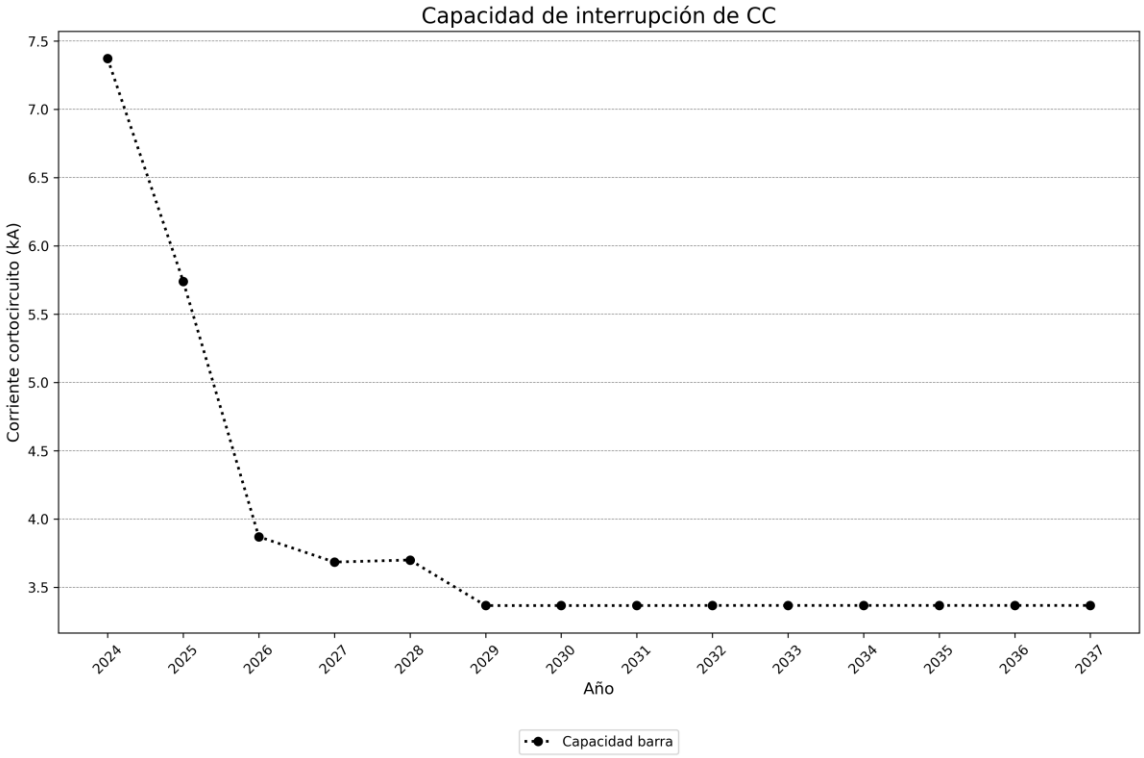


Figura 2-770. Balance de capacidad de cortocircuito después de la priorización para la subestación Yumbo 220

Subestación Zamora 110:

Capacidad por barra:

Para la subestación Zamora 110 se presentaron 0 alternativas de conexión las cuales se muestran en la siguiente tabla:

Tabla 2-809. Alternativas de conexión presentadas a la subestación Zamora 110

Solicitud	Capacidad	Tipo	Barra	FPO solicitada	Restricción

No se priorizó ninguna de las alternativas de conexión presentadas en la subestación Zamora 110

El estado de la capacidad por barra en la subestación Zamora 110, teniendo en cuenta la priorización se puede observar en la siguiente figura.

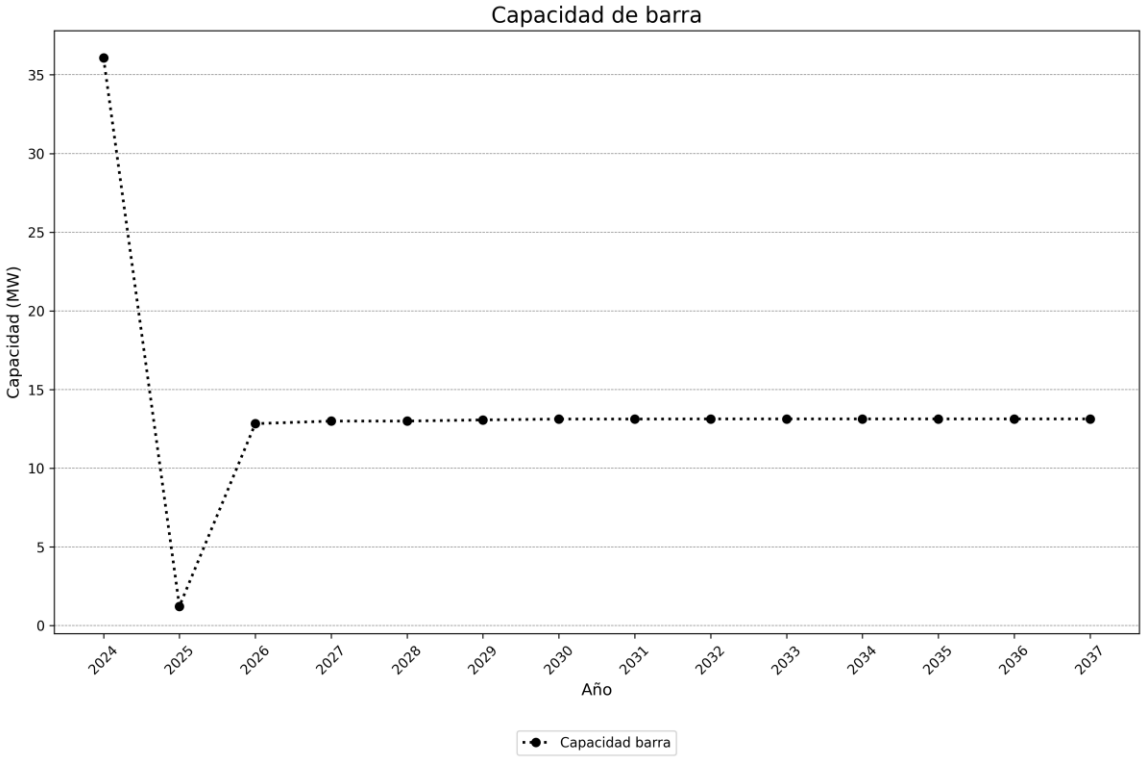


Figura 2-771. Balance de capacidad por barra después de la priorización para la subestación Zamora 110

Capacidad excedente de interrupción de corriente de cortocircuito:

Para la subestación Zamora 110 se presentaron 1 alternativas de conexión las cuales tienen aportes de corriente de cortocircuito. Estas alternativas se muestran en la siguiente tabla:

Tabla 2-810. Alternativas de conexión que aportan corriente de cortocircuito en la subestación Zamora 110

Solicitud	tipo	FPO	Barra a la que aporta CC	Aporte de cortocircuito (kA)	Restricción
SC_3331_A1	Solar FV	2026	Zamora 110	0.077	SATISFACE

No se priorizó ninguna de las alternativas de conexión que tengan aportes de corriente de cortocircuito en la subestación Zamora 110

El estado de la capacidad de cortocircuito en la subestación Zamora 110, teniendo en cuenta la priorización se puede observar en la siguiente figura.

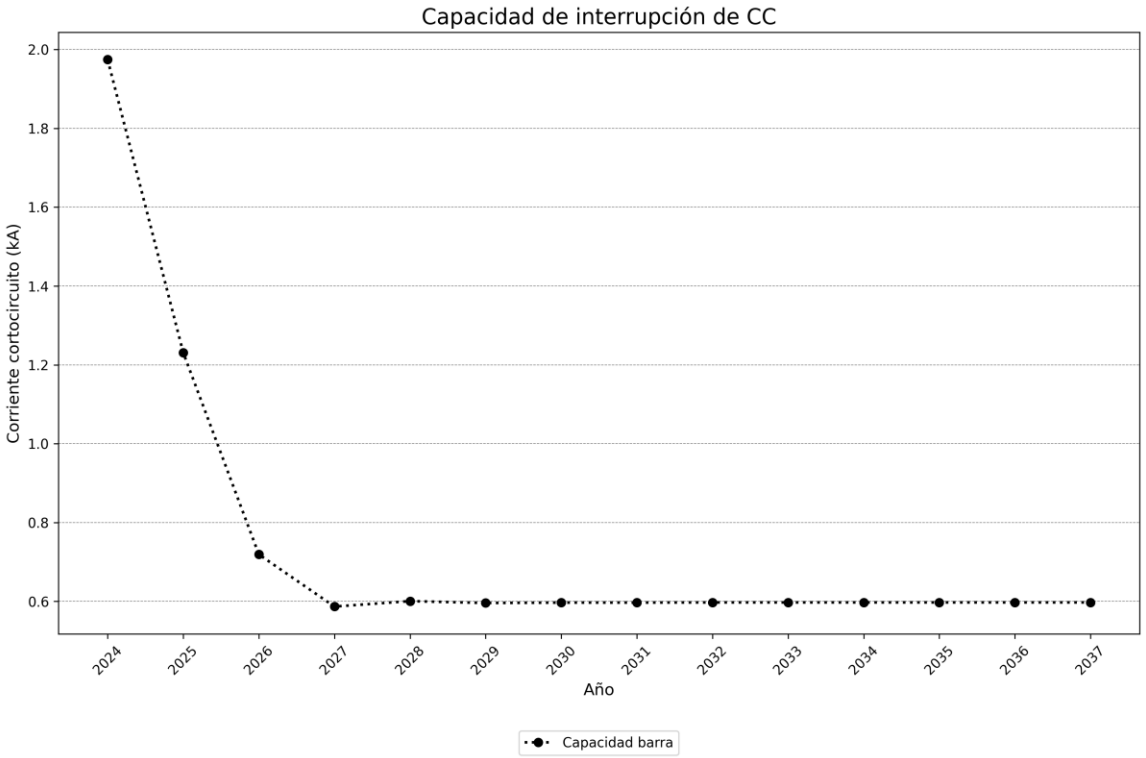


Figura 2-772. Balance de capacidad de cortocircuito después de la priorización para la subestación Zamora 110

Subestación Zarzal 115:

Capacidad por barra:

Para la subestación Zarzal 115 se presentaron 0 alternativas de conexión las cuales se muestran en la siguiente tabla:

Tabla 2-811. Alternativas de conexión presentadas a la subestación Zarzal 115

Solicitud	Capacidad	Tipo	Barra	FPO solicitada	Restricción

No se priorizó ninguna de las alternativas de conexión presentadas en la subestación Zarzal 115

El estado de la capacidad por barra en la subestación Zarzal 115, teniendo en cuenta la priorización se puede observar en la siguiente figura.

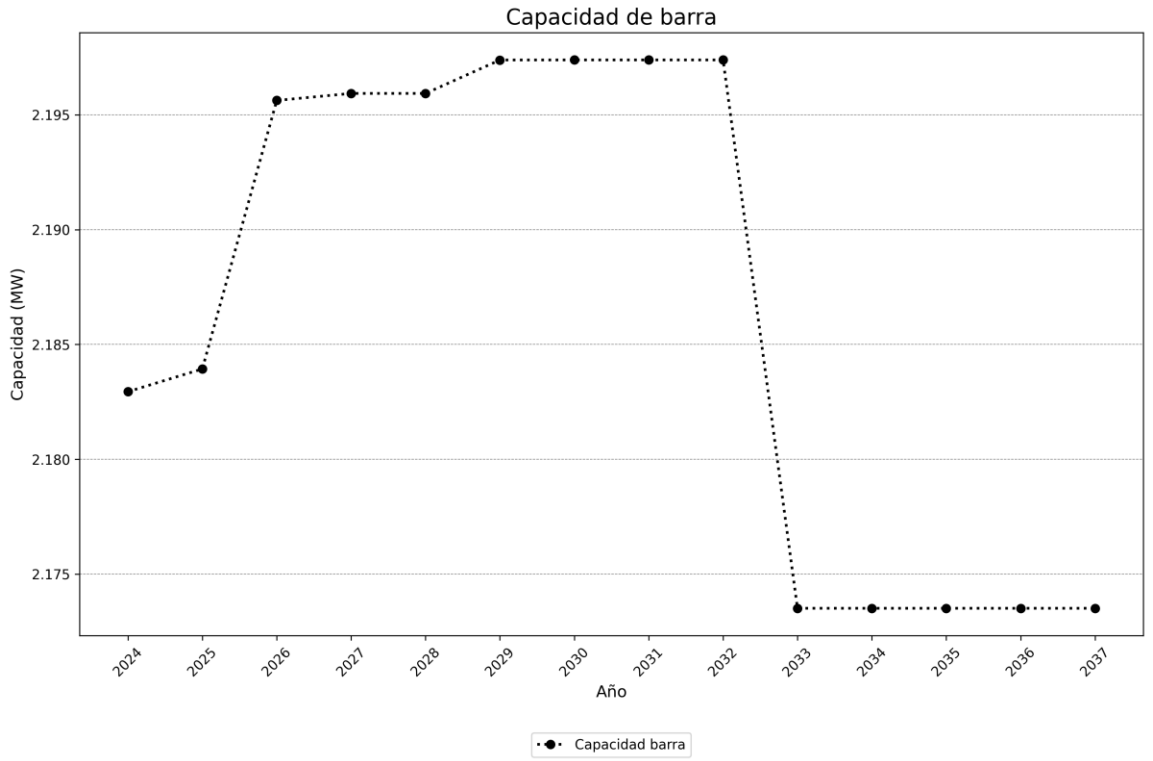


Figura 2-773. Balance de capacidad por barra después de la priorización para la subestación Zarzal 115

Capacidad excedente de interrupción de corriente de cortocircuito:

Para la subestación Zarzal 115 se presentaron 4 alternativas de conexión las cuales tienen aportes de corriente de cortocircuito. Estas alternativas se muestran en la siguiente tabla:

Tabla 2-812. Alternativas de conexión que aportan corriente de cortocircuito en la subestación Zarzal 115

Solicitud	tipo	FPO	Barra a la que aporta CC	Aporte de cortocircuito (kA)	Restricción
SC_2023_5557_A1	Solar FV	2028	Zarzal 115	0.046	SATISFACE
SC_2936_A1	Solar FV	2026	Zarzal 115	0.000	SATISFACE
SC_2936_A2	Solar FV	2026	Zarzal 115	0.000	SATISFACE
SC_3882_A1	Solar FV	2026	Zarzal 115	0.046	SATISFACE

No se priorizó ninguna de las alternativas de conexión que tengan aportes de corriente de cortocircuito en la subestación Zarzal 115

El estado de la capacidad de cortocircuito en la subestación Zarzal 115, teniendo en cuenta la priorización se puede observar en la siguiente figura.

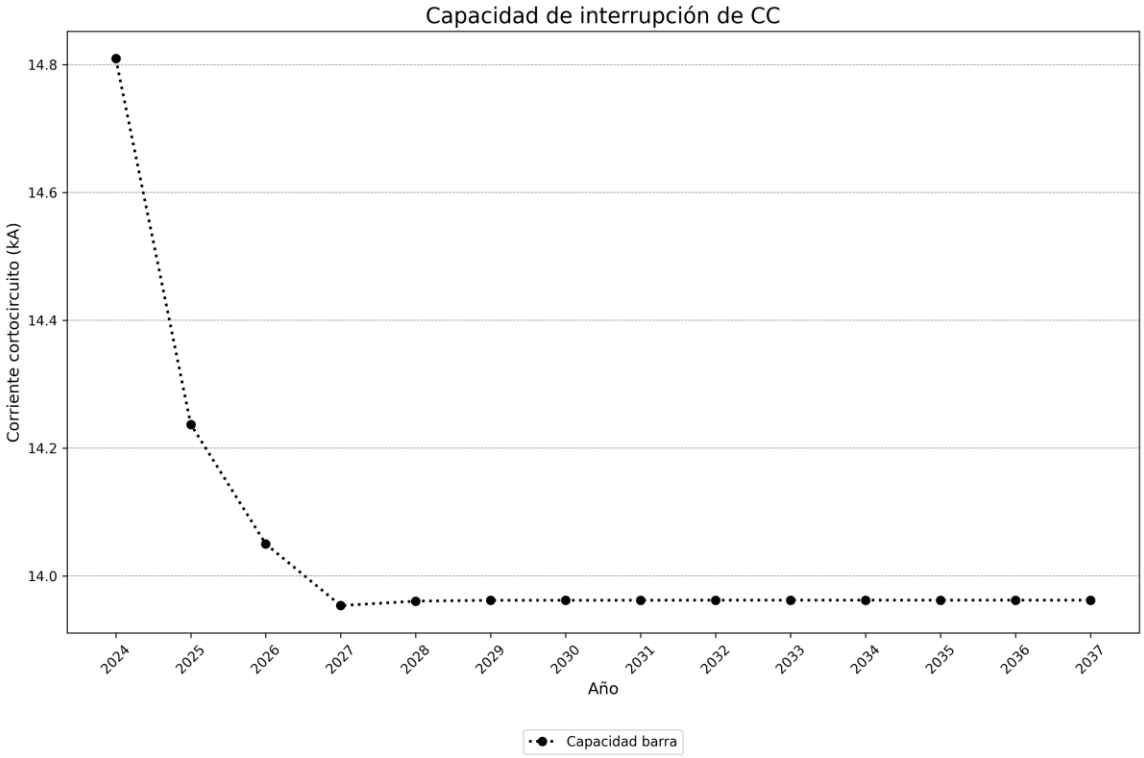


Figura 2-774. Balance de capacidad de cortocircuito después de la priorización para la subestación Zarzal 115

Subestación Zipaquira 115:

Capacidad por barra:

Para la subestación Zipaquira 115 se presentaron 0 alternativas de conexión las cuales se muestran en la siguiente tabla:

Tabla 2-813. Alternativas de conexión presentadas a la subestación Zipaquira 115

Solicitud	Capacidad	Tipo	Barra	FPO solicitada	Restricción

No se priorizó ninguna de las alternativas de conexión presentadas en la subestación Zipaquira 115

El estado de la capacidad por barra en la subestación Zipaquira 115, teniendo en cuenta la priorización se puede observar en la siguiente figura.

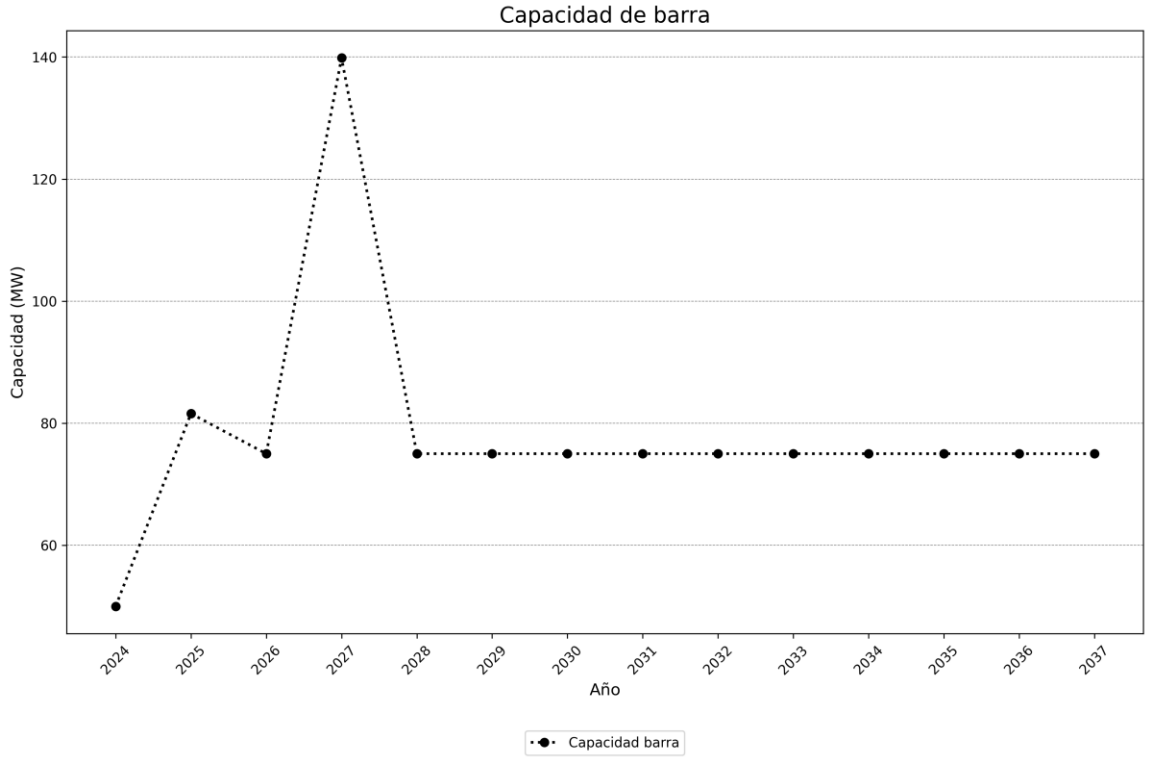


Figura 2-775. Balance de capacidad por barra después de la priorización para la subestación Zipaquira 115

Capacidad excedente de interrupción de corriente de cortocircuito:

Para la subestación Zipaquira 115 se presentaron 29 alternativas de conexión las cuales tienen aportes de corriente de cortocircuito. Estas alternativas se muestran en la siguiente tabla:

Tabla 2-814. Alternativas de conexión que aportan corriente de cortocircuito en la subestación Zipaquira 115

Solicitud	tipo	FPO	Barra a la que aporta CC	Aporte de cortocircuito (kA)	Restricción
SC_2023_5280_A1	Solar FV	2028	Zipaquira 115	0.000	SATISFACE
SC_2023_5280_A2	Solar FV	2028	Zipaquira 115	0.000	SATISFACE
SC_2023_5287_A1	Solar FV	2026	Zipaquira 115	0.017	SATISFACE
SC_2023_5287_A2	Solar FV	2026	Zipaquira 115	0.017	SATISFACE
SC_2023_5288_A1	Solar FV	2026	Zipaquira 115	0.010	SATISFACE
SC_2023_5288_A2	Solar FV	2026	Zipaquira 115	0.026	SATISFACE
SC_2023_5375_A1	Solar FV	2026	Zipaquira 115	0.017	SATISFACE
SC_2023_5399_A1	Solar FV	2026	Zipaquira 115	0.010	SATISFACE
SC_2023_5399_A2	Solar FV	2026	Zipaquira 115	0.026	SATISFACE
SC_2023_5480_A1	Solar FV	2026	Zipaquira 115	0.017	SATISFACE
SC_2023_5480_A2	Solar FV	2026	Zipaquira 115	0.017	SATISFACE
SC_2023_5557_A1	Solar FV	2028	Zipaquira 115	0.064	SATISFACE
SC_2936_A1	Solar FV	2026	Zipaquira 115	0.000	SATISFACE
SC_2936_A2	Solar FV	2026	Zipaquira 115	0.000	SATISFACE
SC_3121_A1	Solar FV	2026	Zipaquira 115	0.002	SATISFACE
SC_3121_A2	Solar FV	2026	Zipaquira 115	0.002	SATISFACE
SC_3132_A1	Solar FV	2026	Zipaquira 115	0.035	SATISFACE
SC_3132_A2	Solar FV	2026	Zipaquira 115	0.031	SATISFACE
SC_3882_A1	Solar FV	2026	Zipaquira 115	0.062	SATISFACE
SC_4083_A1	Solar FV	2027	Zipaquira 115	0.000	SATISFACE
SC_4083_A2	Solar FV	2027	Zipaquira 115	0.000	SATISFACE
SC_4765_A1	Solar FV	2029	Zipaquira 115	0.001	SATISFACE
SC_4765_A2	Solar FV	2029	Zipaquira 115	0.000	SATISFACE
SC_4819_A1	Solar FV	2029	Zipaquira 115	0.054	SATISFACE
SC_4819_A2	Solar FV	2029	Zipaquira 115	0.049	SATISFACE
SC_4974_A1	Solar FV	2026	Zipaquira 115	0.003	SATISFACE
SC_4974_A2	Solar FV	2026	Zipaquira 115	0.003	SATISFACE
SC_4978_A1	Solar FV	2026	Zipaquira 115	0.021	SATISFACE
SC_4978_A2	Solar FV	2026	Zipaquira 115	0.023	SATISFACE

No se priorizó ninguna de las alternativas de conexión que tengan aportes de corriente de cortocircuito en la subestación Zipaquira 115

El estado de la capacidad de cortocircuito en la subestación Zipaquira 115, teniendo en cuenta la priorización se puede observar en la siguiente figura.

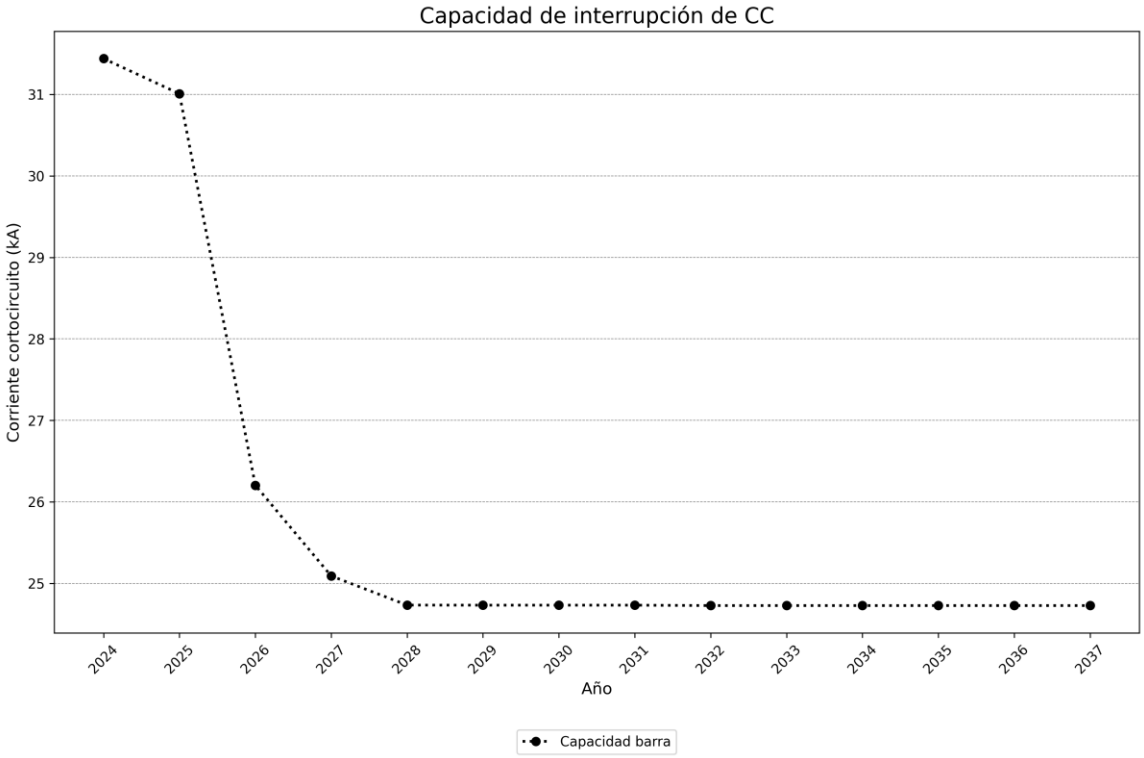


Figura 2-776. Balance de capacidad de cortocircuito después de la priorización para la subestación Zipaquira 115